

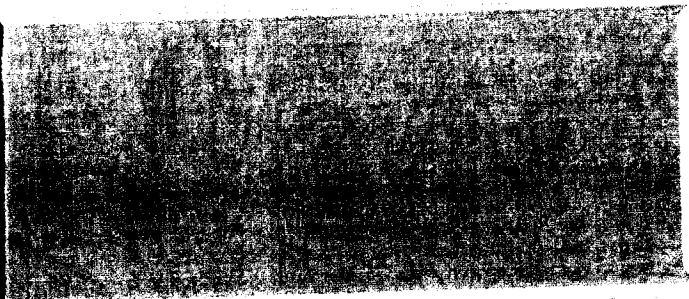
GPO PRICE \$ _____

CFSTI PRICE(S) \$ 8.25

Hard copy (HC) _____

Microfiche (MF) 3.50

653 July 65



N66 32119

(ACCESSION NUMBER)

773

(PAGES)

CR-76463

(NASA CR OR TMX OR AD NUMBER)

(THRU)

1

(CODE)

23

(CATEGORY)

FACILITY FORM 602

**JET PROPULSION LABORATORY
CALIFORNIA INSTITUTE OF TECHNOLOGY
PASADENA, CALIFORNIA**

APPENDIX A

RELATIVE ENERGY FLUX DENSITY AND RELATIVE ENERGY
IN PENUMBRAE OF VARIOUS SHADOWING OBJECTS

of

ANALYSIS OF THERMAL TEST ERRORS RESULTING FROM IMPERFECTLY
COLLIMATED SOLAR SIMULATION BEAMS

PHASE II

(JPL Contract 951330)

for

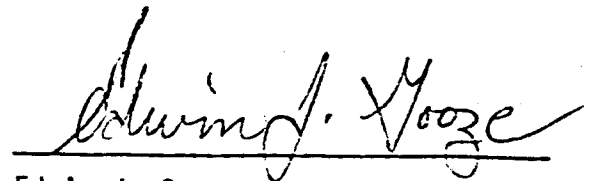
Jet Propulsion Laboratory
Pasadena, California

June 1966

MSC Project No: EC-34

Prepared by:

~~This work~~ was performed for the Jet Propulsion Laboratory,
California Institute of Technology, sponsored by the
National Aeronautics and Space Administration under
Contract NAS7-100.



Edwin J. Gooze

Approved by:



Arlyn F. Winemiller

APPENDIX A

RELATIVE ENERGY FLUX DENSITY AND RELATIVE ENERGY IN PENUMBRAE OF
VARIOUS SHADOWING OBJECTS

The data contained in this volume is applicable to two general classes of shadowing bodies and three distinct non-uniform solar simulator sources. The shadowing bodies are classified as a black skirt or a black rectangular cylinder. The term black is intended to denote that none of the relative energy flux density data in this volume contains any reflection off the shadowing object. In all cases, the shadowing objects are considered to be infinite in length.

The two general classes of shadowing objects include other objects as subsets. The black skirt contains the single knife edge, i.e., as the width of the skirt degenerates to zero ($D1/D2 = 0$), the black skirt degenerates to a single knife edge. The rectangular cylinder contains the double knife edge, the circular cylinder, and regular polygonal cylinders. The double knife edge is represented by the limiting shape factor of $H/R = 0$. The circular cylinder can be shown to be the same as the double knife edge for the range of solar field angles being considered. Regular polygonal cylinders with an even number of sides can be considered to be rectangular cylinders whose half-height is equal to one-half the width of the vertical polygon flats, and whose half-width is equal to half the distance across the vertical polygon flats.

The solar simulator sources considered are defined as follows:

- (1) The source is a non-uniformly radiating disc with an intensity distribution given by $I = I_0 \left(1 - \frac{4}{D^2} \theta^2 \right)$.
- (2) The source is a non-uniformly radiating disc with intensity given by $I = I_0 \left(1 - \frac{1.6}{D^2} \theta^2 \right)$.
- (3) The source is a non-uniformly radiating disc consisting of a center circle and two annular rings. The diameter of the circle and the width of the rings are equal. The intensity in each of the three areas is uniform. The value of the intensity in each is the mean intensity obtained by integrating under the axially symmetric intensity distribution, $I = I_0 \left(1 - \frac{4}{D^2} \theta^2 \right)$, over a particular region and distributing the integrated intensity over that area.

The combination of shading body and solar simulator source comprising a case is described as follows:

- VERSION A - black skirt with solar simulator source (1)
- VERSION B - black skirt with solar simulator source (2)
- VERSION C - black skirt with solar simulator source (3)
- VERSION D - black rectangular cylinder with solar simulator source (1)
- VERSION E - black rectangular cylinder with solar simulator source (2)
- VERSION F - black rectangular cylinder with solar simulator source (3)

The data contained in this volume represents relative energy flux density and relative energy. Absolute values of energy flux density and total energy in the penumbra caused by the black skirt or black rectangular cylinder being illuminated by any one of the three sources previously described are obtained from Equations A-1 and A-2. The energy flux density is given by Equation A-1 with the total energy given by A-2.

$$\frac{dq}{dA} = (E_T \cos \beta) Q \quad (A-1)$$

$$q = (AB E_T \cos \beta) QI \quad (A-2)$$

The appropriate solar constant, E_T , for the various VERSIONS is given by Equation A-3 or Equation A-4.

$$E_T = .125 \pi D^2 I_0 \quad \left\{ \begin{array}{l} \text{VERSIONS} \\ \text{A, C, D, \&F} \end{array} \right. \quad (A-3)$$

$$E_T = .2 \pi D^2 I_0 \quad \left\{ \begin{array}{l} \text{VERSIONS} \\ \text{B \& E} \end{array} \right. \quad (A-4)$$

The total length of the penumbra, AB, corresponding to a black skirt or a black rectangular cylinder is given by Equations A-5 and A-6, respectively.

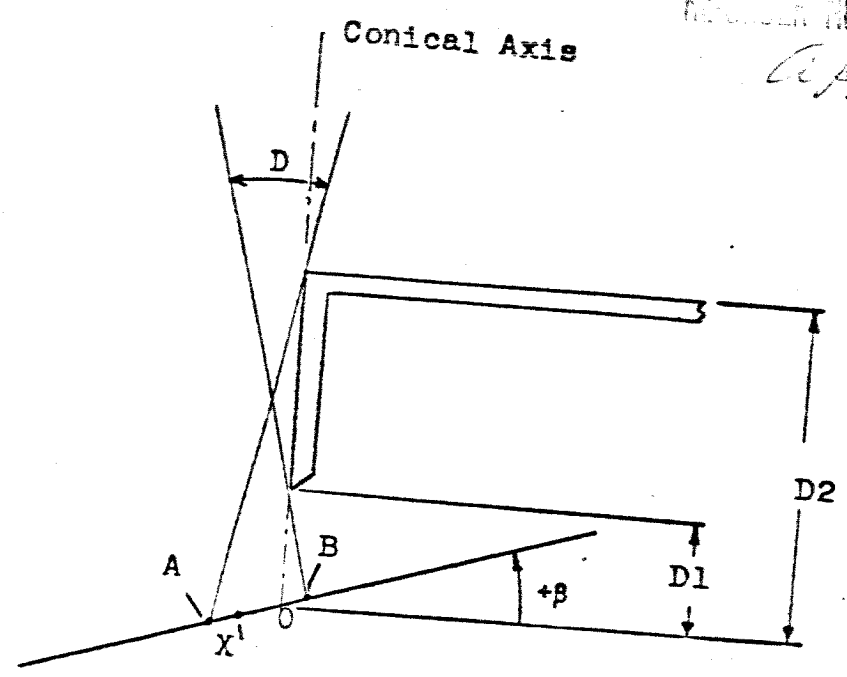
$$AB = \frac{D D2}{2 \cos \beta} \left[\frac{1}{1 - \frac{D}{2} \tan \beta} + \frac{D1/D2}{1 + \frac{D}{2} \tan \beta} \right] \quad \left\{ \begin{array}{l} \text{Black} \\ \text{Skirt} \end{array} \right. \quad (A-5)$$

$$AB = \frac{2R}{\cos \beta} \left[\frac{\frac{D}{2} \left(\frac{D2}{R} + \frac{H}{R} \right) + 1}{1 - \left(\frac{D}{2} \tan \beta \right)^2} \right] \quad \left\{ \begin{array}{l} \text{Rectangular} \\ \text{Cylinder} \end{array} \right. \quad (A-6)$$

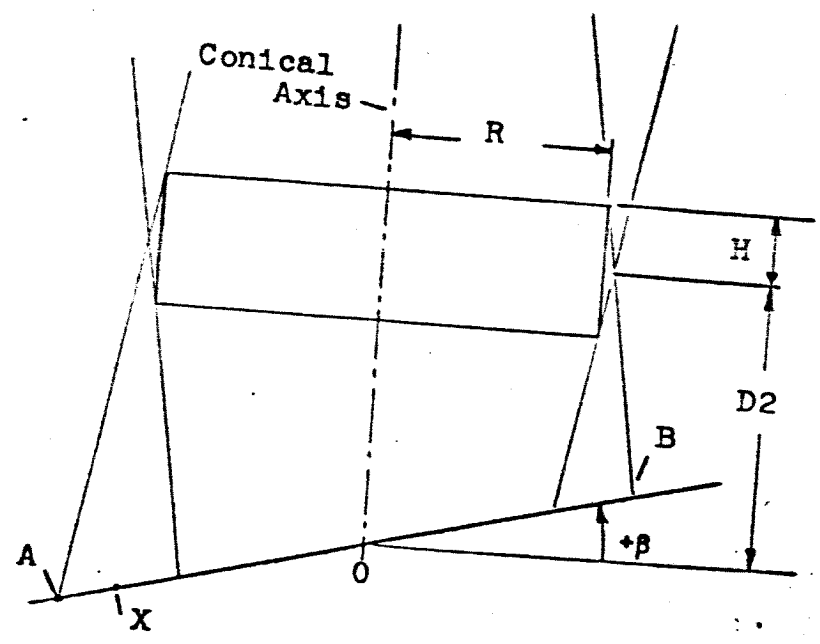
REORDER NO. 66-196
C. P. A. Shue II

The tabulated data includes a range of solar field angles which are 0.5° , 2.0° , 5.0° , and 10.0° . Positive and negative receiver angles from 0° to nearly 90° by 10° increments are included. Only the positive angles are shown for the rectangular cylinder since symmetry obviates the need to include negative angles. The parameters associated with the tabulated data are described pictorially by Figure A-1 and defined in the glossary of symbols.

REORDER No. 66-196
App A Phase II



DIFFUSE SKIRT



RECTANGULAR CYLINDER

FIG. A-1

GLOSSARY OF SYMBOLS

- D = the solar field angle.
- β (BETA) = the angle between the receiver and the horizontal. The positive direction is shown in the accompanying figures.
- Q = the relative energy flux density in the penumbra. This is the energy flux density in the penumbra normalized to that outside the penumbra for the same receiver angle, β .
- QI = the relative energy flux. This quantity is the integration of the relative energy flux density (Q).
- $D1$ = the distance from the receiver to the bottom of the skirt.
- $D2$ = the distance from the receiver to the top of a skirt, or the centroid of a rectangular cylinder.
- AX/AB = the relative position in the penumbra as measured from its left outer edge.
- H = the half-height of a rectangular cylinder.
- R = the half-width of a rectangular cylinder.
- $A0$ = the distance from the left outer edge of the penumbra to the conical axis, or plumbline.
- AB = the length of the penumbra.
- $A0/AB$ = the relative position of the conical axis, or plumbline, and may be found by means of the following formula:

$$A0/AB = \frac{1 + \frac{D}{2} \tan \beta}{1 + \frac{D}{2} \tan \beta + \left(1 - \frac{D}{2} \tan \beta\right) \frac{D1}{D2}}$$

where $D1/D2 = 1$. for a rectangular cylinder.

RE-ORDER No. 66-196
App. A. Phase II

VERSION A

VERSION A

66-196
A-1, Phase 11

*** RELATIVE ENERGY FLUX DENSITY IN THE PENUMBRA ***
*** OF A DIFFUSE SKIRT WITH THE REFLECTANCE = 0. ***

VERSION A

SOLAR FIELD ANGLE, D = 0.50 DEGREES
GEOMETRY D1/D2 = 0.

BETA = ANGLE OF INCIDENCE, DEGREES

BETA ***	-89.25	-80.00	-70.00	-60.00	-50.00
AX/AB	Q (QI)	Q (QI)	Q (QI)	Q (QI)	Q (QI)
0.	1.000(.)	1.000(.)	1.000(.)	1.000(.)	1.000(.)
0.025	1.000(.025)	1.000(.025)	1.000(.025)	1.000(.025)	1.000(.025)
0.050	0.999(.050)	0.999(.050)	0.999(.050)	0.999(.050)	0.999(.050)
0.075	0.996(.075)	0.998(.075)	0.999(.075)	0.999(.075)	0.999(.075)
0.100	0.993(.100)	0.997(.100)	0.997(.100)	0.997(.100)	0.997(.100)
0.125	0.988(.125)	0.995(.125)	0.995(.125)	0.995(.125)	0.995(.125)
0.150	0.982(.149)	0.992(.150)	0.992(.150)	0.992(.150)	0.992(.150)
0.175	0.975(.174)	0.988(.174)	0.988(.174)	0.989(.174)	0.989(.174)
0.200	0.967(.198)	0.984(.199)	0.984(.199)	0.984(.199)	0.984(.199)
0.225	0.957(.222)	0.978(.224)	0.979(.224)	0.979(.224)	0.979(.224)
0.250	0.947(.246)	0.972(.248)	0.973(.248)	0.973(.248)	0.974(.248)
0.275	0.935(.269)	0.965(.272)	0.966(.272)	0.967(.272)	0.967(.272)
0.300	0.922(.293)	0.958(.296)	0.959(.296)	0.959(.296)	0.960(.296)
0.325	0.909(.315)	0.949(.320)	0.941(.344)	0.942(.344)	0.942(.344)
0.350	0.895(.338)	0.940(.344)	0.932(.367)	0.932(.367)	0.933(.367)
0.375	0.880(.360)	0.930(.367)	0.921(.390)	0.922(.390)	0.922(.391)
0.400	0.864(.382)	0.919(.390)	0.909(.413)	0.910(.413)	0.911(.413)
0.425	0.848(.403)	0.907(.413)	0.897(.436)	0.898(.436)	0.899(.436)
0.450	0.832(.424)	0.895(.435)	0.884(.458)	0.885(.458)	0.886(.458)
0.475	0.815(.445)	0.882(.458)	0.871(.480)	0.872(.480)	0.872(.480)
0.500	0.797(.465)	0.868(.480)	0.856(.502)	0.858(.502)	0.858(.502)
0.525	0.780(.485)	0.853(.501)	0.842(.523)	0.843(.523)	0.843(.523)
0.550	0.762(.504)	0.838(.522)	0.826(.544)	0.827(.544)	0.828(.543)
0.575	0.744(.523)	0.823(.543)	0.810(.564)	0.811(.564)	0.812(.565)
0.600	0.725(.541)	0.806(.563)	0.793(.584)	0.794(.585)	0.795(.585)
0.625	0.707(.559)	0.790(.583)	0.776(.604)	0.777(.604)	0.778(.604)
0.650	0.689(.577)	0.772(.603)	0.758(.623)	0.759(.623)	0.760(.624)
0.675	0.670(.594)	0.754(.622)	0.740(.642)	0.741(.642)	0.742(.642)
0.700	0.652(.610)	0.736(.641)	0.721(.660)	0.723(.660)	0.723(.661)
0.725	0.634(.626)	0.718(.659)	0.702(.678)	0.703(.678)	0.704(.679)
0.750	0.615(.642)	0.699(.676)	0.683(.695)	0.684(.696)	0.685(.696)
0.775	0.597(.657)	0.679(.694)	0.663(.712)	0.664(.712)	0.665(.713)
0.800	0.579(.672)	0.659(.710)	0.643(.728)	0.644(.729)	0.645(.729)
0.825	0.561(.686)	0.640(.727)	0.623(.744)	0.624(.745)	0.625(.745)
0.850	0.544(.700)	0.619(.742)	0.602(.759)	0.603(.760)	0.604(.760)
0.875	0.526(.713)	0.599(.758)	0.582(.774)	0.583(.775)	0.583(.775)
0.900	0.509(.726)	0.579(.772)	0.561(.788)	0.562(.789)	0.562(.790)
0.925	0.492(.739)	0.558(.786)	0.540(.802)	0.541(.803)	0.541(.803)
0.950	0.476(.751)	0.537(.800)	0.519(.815)	0.520(.816)	0.520(.817)
0.975	0.459(.762)	0.517(.813)	0.498(.828)	0.499(.829)	0.499(.829)
1.000	0.443(.774)	0.496(.826)			

66-196
 *** RELATIVE ENERGY FLUX DENSITY IN THE PENUMBRA ***
 *** OF A DIFFUSE SKIRT WITH THE REFLECTANCE = 0. ***

VERSION A

SOLAR FIELD ANGLE, $D = 0.50$ DEGREES
 GEOMETRY $D1/D2 = 0.$

BETA = ANGLE OF INCIDENCE, DEGREES

BETA ***	-40.00	-30.00	-20.00	-10.00	-0.
AX/AB	Q (QI)	Q (QI)	Q (QI)	Q (QI)	Q (QI)
0.	1.000(.)	1.000(.)	1.000(.)	1.000(.)	1.000(.)
0.025	1.000(.025)	1.000(.025)	1.000(.025)	1.000(.025)	1.000(.025)
0.050	0.999(.050)	0.999(.050)	0.999(.050)	0.999(.050)	0.999(.050)
0.075	0.999(.075)	0.999(.075)	0.999(.075)	0.999(.075)	0.999(.075)
0.100	0.997(.100)	0.997(.100)	0.997(.100)	0.997(.100)	0.997(.100)
0.125	0.995(.125)	0.995(.125)	0.995(.125)	0.995(.125)	0.995(.125)
0.150	0.992(.150)	0.992(.150)	0.992(.150)	0.992(.150)	0.992(.150)
0.175	0.989(.174)	0.989(.174)	0.989(.174)	0.989(.174)	0.989(.174)
0.200	0.984(.199)	0.985(.199)	0.985(.199)	0.985(.199)	0.985(.199)
0.225	0.979(.224)	0.980(.224)	0.980(.224)	0.980(.224)	0.980(.224)
0.250	0.974(.248)	0.974(.248)	0.974(.248)	0.974(.248)	0.974(.248)
0.275	0.967(.272)	0.967(.272)	0.967(.272)	0.967(.272)	0.967(.272)
0.300	0.960(.296)	0.960(.296)	0.960(.296)	0.960(.296)	0.960(.296)
0.325	0.952(.320)	0.952(.320)	0.952(.320)	0.952(.320)	0.952(.320)
0.350	0.943(.344)	0.943(.344)	0.943(.344)	0.943(.344)	0.943(.344)
0.375	0.933(.367)	0.933(.367)	0.933(.367)	0.933(.367)	0.933(.367)
0.400	0.922(.391)	0.922(.391)	0.923(.391)	0.923(.391)	0.923(.391)
0.425	0.911(.413)	0.911(.414)	0.911(.414)	0.911(.414)	0.912(.414)
0.450	0.899(.436)	0.899(.436)	0.899(.436)	0.899(.436)	0.900(.436)
0.475	0.886(.458)	0.886(.458)	0.887(.459)	0.887(.459)	0.887(.459)
0.500	0.873(.480)	0.873(.480)	0.873(.480)	0.873(.481)	0.873(.481)
0.525	0.858(.502)	0.859(.502)	0.859(.502)	0.859(.502)	0.859(.502)
0.550	0.844(.523)	0.844(.523)	0.844(.523)	0.844(.523)	0.845(.524)
0.575	0.828(.544)	0.828(.544)	0.829(.544)	0.829(.544)	0.829(.544)
0.600	0.812(.565)	0.812(.565)	0.813(.565)	0.813(.565)	0.813(.565)
0.625	0.795(.585)	0.796(.585)	0.796(.585)	0.796(.585)	0.796(.585)
0.650	0.778(.604)	0.779(.605)	0.779(.605)	0.779(.605)	0.779(.605)
0.675	0.760(.624)	0.761(.624)	0.761(.624)	0.761(.624)	0.762(.624)
0.700	0.742(.643)	0.743(.643)	0.743(.643)	0.743(.643)	0.743(.643)
0.725	0.724(.661)	0.724(.661)	0.724(.661)	0.724(.661)	0.725(.661)
0.750	0.705(.679)	0.705(.679)	0.705(.679)	0.705(.679)	0.706(.679)
0.775	0.685(.696)	0.685(.696)	0.686(.696)	0.686(.696)	0.686(.696)
0.800	0.665(.713)	0.666(.713)	0.666(.713)	0.666(.713)	0.666(.713)
0.825	0.645(.729)	0.646(.729)	0.646(.730)	0.646(.730)	0.646(.730)
0.850	0.625(.745)	0.625(.745)	0.625(.745)	0.625(.745)	0.626(.746)
0.875	0.604(.761)	0.605(.761)	0.605(.761)	0.605(.761)	0.605(.761)
0.900	0.584(.775)	0.584(.776)	0.584(.776)	0.584(.776)	0.584(.776)
0.925	0.563(.790)	0.563(.790)	0.563(.790)	0.563(.790)	0.563(.790)
0.950	0.542(.804)	0.542(.804)	0.542(.804)	0.542(.804)	0.542(.804)
0.975	0.521(.817)	0.521(.817)	0.521(.817)	0.521(.817)	0.521(.817)
1.000	0.499(.830)	0.500(.830)	0.500(.830)	0.500(.830)	0.500(.830)

*** RELATIVE ENERGY FLUX DENSITY IN THE PENUMBRA ***
 *** OF A DIFFUSE SKIRT WITH THE REFLECTANCE = 0. ***

VERSION A

66-196
 Phase II

SOLAR FIELD ANGLE, D = 0.50 DEGREES
 GEOMETRY D1/D2 = 0.

BETA = ANGLE OF INCIDENCE, DEGREES

BETA ***	10.00	20.00	30.00	40.00	50.00
AX/AB	Q (QI)	Q (QI)	Q (QI)	Q (QI)	Q (QI)
0.	1.000(.000)	1.000(.000)	1.000(.000)	1.000(.000)	1.000(.000)
0.025	1.000(.025)	1.000(.025)	1.000(.025)	1.000(.025)	1.000(.025)
0.050	0.999(.050)	0.999(.050)	0.999(.050)	0.999(.050)	0.999(.050)
0.075	0.999(.075)	0.999(.075)	0.999(.075)	0.999(.075)	0.999(.075)
0.100	0.997(.100)	0.997(.100)	0.997(.100)	0.997(.100)	0.997(.100)
0.125	0.995(.125)	0.995(.125)	0.995(.125)	0.995(.125)	0.995(.125)
0.150	0.992(.150)	0.992(.150)	0.992(.150)	0.992(.150)	0.992(.150)
0.175	0.989(.174)	0.989(.174)	0.989(.174)	0.989(.174)	0.989(.174)
0.200	0.985(.199)	0.985(.199)	0.985(.199)	0.985(.199)	0.985(.199)
0.225	0.980(.224)	0.980(.224)	0.980(.224)	0.980(.224)	0.980(.224)
0.250	0.974(.248)	0.974(.248)	0.974(.248)	0.974(.248)	0.974(.248)
0.275	0.967(.272)	0.968(.272)	0.968(.272)	0.968(.272)	0.968(.272)
0.300	0.960(.296)	0.960(.296)	0.960(.296)	0.960(.296)	0.960(.296)
0.325	0.952(.320)	0.952(.320)	0.952(.320)	0.952(.320)	0.952(.320)
0.350	0.943(.344)	0.943(.344)	0.943(.344)	0.943(.344)	0.943(.344)
0.375	0.933(.367)	0.934(.367)	0.934(.368)	0.934(.368)	0.934(.368)
0.400	0.923(.391)	0.923(.391)	0.923(.391)	0.923(.391)	0.923(.391)
0.425	0.912(.414)	0.912(.414)	0.912(.414)	0.912(.414)	0.912(.414)
0.450	0.900(.436)	0.900(.436)	0.900(.436)	0.900(.436)	0.900(.436)
0.475	0.887(.459)	0.887(.459)	0.887(.459)	0.887(.459)	0.887(.459)
0.500	0.874(.481)	0.874(.481)	0.874(.481)	0.874(.481)	0.874(.481)
0.525	0.859(.502)	0.860(.502)	0.860(.502)	0.860(.502)	0.860(.502)
0.550	0.845(.524)	0.845(.524)	0.845(.524)	0.845(.524)	0.845(.524)
0.575	0.829(.544)	0.829(.545)	0.830(.545)	0.830(.545)	0.830(.545)
0.600	0.813(.565)	0.813(.565)	0.814(.565)	0.814(.565)	0.814(.565)
0.625	0.797(.585)	0.797(.585)	0.797(.585)	0.797(.585)	0.797(.585)
0.650	0.779(.605)	0.780(.605)	0.780(.605)	0.780(.605)	0.780(.605)
0.675	0.762(.624)	0.762(.624)	0.762(.624)	0.763(.624)	0.763(.624)
0.700	0.744(.643)	0.744(.643)	0.744(.643)	0.744(.643)	0.744(.643)
0.725	0.725(.661)	0.725(.661)	0.725(.661)	0.726(.662)	0.726(.662)
0.750	0.705(.679)	0.706(.679)	0.706(.679)	0.707(.679)	0.707(.679)
0.775	0.686(.697)	0.687(.697)	0.687(.697)	0.687(.697)	0.687(.697)
0.800	0.667(.713)	0.667(.714)	0.667(.714)	0.667(.714)	0.667(.714)
0.825	0.646(.730)	0.647(.730)	0.647(.730)	0.647(.730)	0.647(.730)
0.850	0.626(.746)	0.626(.746)	0.627(.746)	0.627(.746)	0.627(.746)
0.875	0.605(.761)	0.606(.761)	0.606(.761)	0.606(.762)	0.607(.762)
0.900	0.585(.776)	0.585(.776)	0.585(.776)	0.585(.777)	0.585(.777)
0.925	0.564(.790)	0.564(.791)	0.564(.791)	0.564(.791)	0.564(.791)
0.950	0.543(.804)	0.543(.804)	0.543(.805)	0.543(.805)	0.543(.805)
0.975	0.521(.818)	0.522(.818)	0.522(.818)	0.522(.818)	0.522(.818)
1.000	0.500(.830)	0.500(.830)	0.500(.831)	0.501(.831)	0.501(.831)

*** RELATIVE ENERGY FLUX DENSITY IN THE PENUMBRA ***
 *** OF A DIFFUSE SKIRT WITH THE REFLECTANCE = 0. ***

66-196
 VERSION A

SOLAR FIELD ANGLE, D = 0.50 DEGREES
 GEOMETRY D1/D2 = 0.

BETA = ANGLE OF INCIDENCE, DEGREES

BETA *** AX/AB	60.00 Q (QI)	70.00 Q (QI)	80.00 Q (QI)	89.25 Q (QI)
0.	1.000(.)	1.000(.)	1.000(.)	1.000(.)
0.025	1.000(.025)	1.000(.025)	1.000(.025)	1.000(.025)
0.050	0.999(.050)	0.999(.050)	0.999(.050)	0.999(.050)
0.075	0.999(.075)	0.999(.075)	0.999(.075)	0.999(.075)
0.100	0.997(.100)	0.997(.100)	0.997(.100)	0.999(.100)
0.125	0.995(.125)	0.995(.125)	0.995(.125)	0.999(.125)
0.150	0.992(.150)	0.993(.150)	0.993(.150)	0.998(.150)
0.175	0.989(.174)	0.989(.174)	0.990(.174)	0.997(.175)
0.200	0.985(.199)	0.985(.199)	0.986(.199)	0.995(.200)
0.225	0.980(.224)	0.980(.224)	0.981(.224)	0.993(.225)
0.250	0.974(.248)	0.975(.248)	0.976(.248)	0.991(.249)
0.275	0.968(.272)	0.968(.272)	0.969(.273)	0.989(.274)
0.300	0.961(.296)	0.961(.297)	0.962(.297)	0.986(.299)
0.325	0.953(.320)	0.953(.320)	0.955(.321)	0.982(.323)
0.350	0.944(.344)	0.945(.344)	0.946(.344)	0.978(.348)
0.375	0.934(.368)	0.935(.368)	0.937(.368)	0.974(.372)
0.400	0.924(.391)	0.925(.391)	0.927(.391)	0.969(.397)
0.425	0.913(.414)	0.914(.414)	0.916(.414)	0.963(.421)
0.450	0.901(.436)	0.902(.437)	0.904(.437)	0.956(.445)
0.475	0.888(.459)	0.889(.459)	0.892(.459)	0.949(.469)
0.500	0.875(.481)	0.876(.481)	0.879(.482)	0.941(.492)
0.525	0.861(.503)	0.862(.503)	0.865(.503)	0.933(.516)
0.550	0.846(.524)	0.847(.524)	0.851(.525)	0.923(.539)
0.575	0.831(.545)	0.832(.545)	0.835(.546)	0.912(.562)
0.600	0.815(.565)	0.816(.566)	0.820(.567)	0.901(.584)
0.625	0.798(.586)	0.800(.586)	0.803(.587)	0.888(.607)
0.650	0.781(.605)	0.783(.606)	0.786(.607)	0.875(.629)
0.675	0.764(.625)	0.765(.625)	0.769(.626)	0.860(.651)
0.700	0.746(.644)	0.747(.644)	0.751(.645)	0.845(.672)
0.725	0.727(.662)	0.728(.662)	0.732(.664)	0.828(.693)
0.750	0.708(.680)	0.709(.680)	0.713(.682)	0.810(.713)
0.775	0.688(.697)	0.690(.698)	0.693(.699)	0.790(.733)
0.800	0.669(.714)	0.670(.715)	0.673(.716)	0.770(.753)
0.825	0.648(.731)	0.650(.731)	0.653(.733)	0.748(.772)
0.850	0.628(.747)	0.629(.747)	0.632(.749)	0.724(.790)
0.875	0.607(.762)	0.608(.763)	0.612(.765)	0.700(.808)
0.900	0.586(.777)	0.587(.778)	0.590(.780)	0.674(.825)
0.925	0.565(.791)	0.566(.792)	0.569(.794)	0.646(.842)
0.950	0.544(.805)	0.545(.806)	0.548(.808)	0.618(.857)
0.975	0.523(.819)	0.523(.819)	0.526(.822)	0.588(.872)
1.000	0.501(.831)	0.502(.832)	0.504(.834)	0.557(.887)

*** RELATIVE ENERGY FLUX DENSITY IN THE PENUMBRA ***
 *** OF A DIFFUSE SKIRT WITH THE REFLECTANCE = 0. ***

66-196
 Phase II
 VERSION A

SOLAR FIELD ANGLE, D = 0.50 DEGREES
 GEOMETRY D1/D2 = 0.25

BETA = ANGLE OF INCIDENCE, DEGREES

BETA ***	-89.25	-80.00	-70.00	-60.00	-50.00
AX/AB	Q (Q1)	Q (Q1)	Q (Q1)	Q (Q1)	Q (Q1)
0.	1.000(.)	1.000(.)	1.000(.)	1.000(.)	1.000(.)
0.025	0.999(.025)	1.000(.025)	1.000(.025)	1.000(.025)	1.000(.025)
0.050	0.996(.050)	0.999(.050)	0.999(.050)	0.999(.050)	0.999(.050)
0.075	0.991(.075)	0.997(.075)	0.997(.075)	0.997(.075)	0.997(.075)
0.100	0.982(.099)	0.995(.100)	0.995(.100)	0.995(.100)	0.995(.100)
0.125	0.971(.124)	0.991(.125)	0.991(.125)	0.991(.125)	0.991(.125)
0.150	0.957(.148)	0.986(.149)	0.986(.149)	0.986(.149)	0.986(.149)
0.175	0.941(.172)	0.979(.174)	0.980(.174)	0.980(.174)	0.980(.174)
0.200	0.922(.195)	0.972(.198)	0.973(.198)	0.973(.198)	0.973(.198)
0.225	0.902(.218)	0.963(.222)	0.964(.223)	0.965(.223)	0.965(.223)
0.250	0.880(.240)	0.952(.246)	0.954(.247)	0.955(.247)	0.955(.247)
0.275	0.856(.262)	0.941(.270)	0.943(.270)	0.944(.270)	0.944(.270)
0.300	0.832(.283)	0.928(.293)	0.931(.294)	0.932(.294)	0.932(.294)
0.325	0.806(.303)	0.914(.316)	0.917(.317)	0.918(.317)	0.919(.317)
0.350	0.780(.323)	0.899(.339)	0.902(.340)	0.904(.340)	0.904(.340)
0.375	0.753(.342)	0.883(.361)	0.886(.362)	0.888(.362)	0.889(.362)
0.400	0.725(.361)	0.865(.383)	0.869(.384)	0.871(.384)	0.872(.384)
0.425	0.698(.379)	0.847(.405)	0.851(.405)	0.853(.406)	0.854(.406)
0.450	0.670(.396)	0.827(.426)	0.832(.426)	0.834(.427)	0.835(.427)
0.475	0.643(.412)	0.807(.446)	0.812(.447)	0.814(.447)	0.815(.447)
0.500	0.615(.428)	0.785(.466)	0.791(.467)	0.793(.467)	0.794(.468)
0.525	0.588(.443)	0.763(.485)	0.769(.487)	0.771(.487)	0.772(.487)
0.550	0.561(.457)	0.740(.504)	0.747(.505)	0.749(.506)	0.750(.506)
0.575	0.535(.471)	0.717(.522)	0.723(.524)	0.726(.524)	0.727(.525)
0.600	0.509(.484)	0.693(.540)	0.699(.542)	0.702(.542)	0.703(.543)
0.625	0.484(.496)	0.668(.557)	0.675(.559)	0.677(.559)	0.679(.560)
0.650	0.460(.508)	0.643(.573)	0.650(.575)	0.652(.576)	0.654(.576)
0.675	0.412(.519)	0.618(.589)	0.624(.591)	0.627(.592)	0.628(.592)
0.700	0.326(.528)	0.592(.604)	0.599(.607)	0.601(.607)	0.602(.608)
0.725	0.252(.536)	0.566(.619)	0.573(.621)	0.575(.622)	0.576(.623)
0.750	0.190(.541)	0.540(.632)	0.547(.635)	0.549(.636)	0.550(.637)
0.775	0.140(.545)	0.514(.646)	0.520(.649)	0.523(.650)	0.524(.650)
0.800	0.099(.548)	0.462(.658)	0.482(.661)	0.488(.662)	0.492(.663)
0.825	0.067(.550)	0.360(.668)	0.378(.672)	0.384(.673)	0.387(.674)
0.850	0.044(.552)	0.265(.676)	0.280(.680)	0.285(.681)	0.288(.682)
0.875	0.026(.553)	0.181(.681)	0.192(.686)	0.196(.687)	0.199(.688)
0.900	0.014(.553)	0.111(.685)	0.119(.690)	0.122(.691)	0.123(.692)
0.925	0.007(.553)	0.058(.687)	0.062(.692)	0.064(.694)	0.065(.695)
0.950	0.002(.553)	0.022(.688)	0.024(.693)	0.025(.695)	0.025(.696)
0.975	0.000(.553)	0.004(.689)	0.005(.694)	0.005(.695)	0.005(.696)
1.000	0.000(.553)	0.000(.689)	0.000(.694)	0.000(.695)	0.000(.696)

A-5

*** RELATIVE ENERGY FLUX DENSITY IN THE PENUMBRA ***
 *** OF A DIFFUSE SKIRT WITH THE REFLECTANCE = 0. ***

RECORDED NO. 66-196
 Phase 1
 VERSION A

SOLAR FIELD ANGLE, D = 0.50 DEGREES
 GEOMETRY D1/D2 = 0.25

BETA = ANGLE OF INCIDENCE, DEGREES

BETA ***	-40.00	-30.00	-20.00	-10.00	-0.
AX/AB	Q (QI)	Q (QI)	Q (QI)	Q (QI)	Q (QI)
0.	1.000(.025)	1.000(.025)	1.000(.025)	1.000(.025)	1.000(.025)
0.025	1.000(.050)	1.000(.050)	1.000(.050)	1.000(.050)	1.000(.050)
0.050	0.999(.075)	0.999(.075)	0.999(.075)	0.999(.075)	0.999(.075)
0.075	0.998(.100)	0.998(.100)	0.998(.100)	0.998(.100)	0.998(.100)
0.100	0.995(.125)	0.995(.125)	0.995(.125)	0.995(.125)	0.995(.125)
0.125	0.991(.149)	0.991(.149)	0.991(.149)	0.991(.149)	0.991(.149)
0.150	0.987(.174)	0.987(.174)	0.987(.174)	0.987(.174)	0.987(.174)
0.175	0.981(.198)	0.981(.198)	0.981(.198)	0.981(.198)	0.981(.198)
0.200	0.974(.223)	0.974(.223)	0.974(.223)	0.974(.223)	0.974(.223)
0.225	0.965(.247)	0.965(.247)	0.965(.247)	0.965(.247)	0.965(.247)
0.250	0.956(.270)	0.956(.270)	0.956(.270)	0.956(.270)	0.956(.270)
0.275	0.945(.294)	0.945(.294)	0.945(.294)	0.945(.294)	0.945(.294)
0.300	0.933(.317)	0.933(.317)	0.933(.317)	0.933(.317)	0.933(.317)
0.325	0.919(.340)	0.919(.340)	0.919(.340)	0.919(.340)	0.919(.340)
0.350	0.905(.362)	0.905(.362)	0.905(.362)	0.905(.362)	0.905(.362)
0.375	0.889(.384)	0.889(.384)	0.889(.384)	0.889(.384)	0.889(.384)
0.400	0.872(.406)	0.872(.406)	0.872(.406)	0.872(.406)	0.872(.406)
0.425	0.854(.427)	0.854(.427)	0.854(.427)	0.854(.427)	0.854(.427)
0.450	0.835(.448)	0.835(.448)	0.835(.448)	0.835(.448)	0.835(.448)
0.475	0.816(.468)	0.816(.468)	0.816(.468)	0.816(.468)	0.816(.468)
0.500	0.795(.487)	0.795(.487)	0.795(.487)	0.795(.487)	0.795(.487)
0.525	0.773(.506)	0.773(.506)	0.773(.506)	0.773(.506)	0.773(.506)
0.550	0.751(.525)	0.751(.525)	0.751(.525)	0.751(.525)	0.751(.525)
0.575	0.728(.543)	0.728(.543)	0.728(.543)	0.728(.543)	0.728(.543)
0.600	0.704(.560)	0.704(.560)	0.704(.560)	0.704(.560)	0.704(.560)
0.625	0.679(.577)	0.679(.577)	0.679(.577)	0.679(.577)	0.679(.577)
0.650	0.654(.593)	0.654(.593)	0.654(.593)	0.654(.593)	0.654(.593)
0.675	0.629(.608)	0.629(.608)	0.629(.608)	0.629(.608)	0.629(.608)
0.700	0.603(.623)	0.603(.623)	0.603(.623)	0.603(.623)	0.603(.623)
0.725	0.577(.637)	0.577(.637)	0.577(.637)	0.577(.637)	0.577(.637)
0.750	0.551(.651)	0.551(.651)	0.551(.651)	0.551(.651)	0.551(.651)
0.775	0.525(.664)	0.525(.664)	0.525(.664)	0.525(.664)	0.525(.664)
0.800	0.494(.675)	0.494(.675)	0.494(.675)	0.494(.675)	0.494(.675)
0.825	0.468(.683)	0.468(.683)	0.468(.683)	0.468(.683)	0.468(.683)
0.850	0.441(.689)	0.441(.689)	0.441(.689)	0.441(.689)	0.441(.689)
0.875	0.414(.693)	0.414(.693)	0.414(.693)	0.414(.693)	0.414(.693)
0.900	0.387(.695)	0.387(.695)	0.387(.695)	0.387(.695)	0.387(.695)
0.925	0.360(.696)	0.360(.696)	0.360(.696)	0.360(.696)	0.360(.696)
0.950	0.333(.696)	0.333(.696)	0.333(.696)	0.333(.696)	0.333(.696)
0.975	0.306(.697)	0.306(.697)	0.306(.697)	0.306(.697)	0.306(.697)
1.000	0.279(.697)	0.279(.697)	0.279(.697)	0.279(.697)	0.279(.697)

*** RELATIVE ENERGY FLUX DENSITY IN THE PENUMBRA
 *** OF A DIFFUSE SKIRT WITH THE REFLECTANCE = 0. ***

66-196
 VERSION A

SOLAR FIELD ANGLE, D = 0.50 DEGREES
 GEOMETRY D1/D2 = 0.25

BETA = ANGLE OF INCIDENCE, DEGREES

BETA ***	10.00	20.00	30.00	40.00	50.00
AX/AB	Q (QI)	Q (QI)	Q (QI)	Q (QI)	Q (QI)
0.	1.000(.)	1.000(.)	1.000(.)	1.000(.)	1.000(.)
0.025	1.000(.025)	1.000(.025)	1.000(.025)	1.000(.025)	1.000(.025)
0.050	0.999(.050)	0.999(.050)	0.999(.050)	0.999(.050)	0.999(.050)
0.075	0.998(.075)	0.998(.075)	0.998(.075)	0.998(.075)	0.998(.075)
0.100	0.995(.100)	0.995(.100)	0.995(.100)	0.995(.100)	0.995(.100)
0.125	0.992(.125)	0.992(.125)	0.992(.125)	0.992(.125)	0.992(.125)
0.150	0.987(.149)	0.987(.149)	0.987(.149)	0.987(.149)	0.987(.149)
0.175	0.981(.174)	0.981(.174)	0.981(.174)	0.981(.174)	0.981(.174)
0.200	0.974(.198)	0.974(.198)	0.974(.198)	0.974(.198)	0.974(.198)
0.225	0.966(.223)	0.966(.223)	0.966(.223)	0.966(.223)	0.966(.223)
0.250	0.956(.247)	0.956(.247)	0.956(.247)	0.956(.247)	0.956(.247)
0.275	0.945(.270)	0.945(.270)	0.945(.270)	0.945(.270)	0.945(.270)
0.300	0.933(.294)	0.933(.294)	0.933(.294)	0.933(.294)	0.933(.294)
0.325	0.920(.317)	0.920(.317)	0.920(.317)	0.920(.317)	0.920(.317)
0.350	0.906(.340)	0.906(.340)	0.906(.340)	0.906(.340)	0.906(.340)
0.375	0.890(.362)	0.890(.362)	0.890(.362)	0.890(.362)	0.890(.362)
0.400	0.874(.384)	0.874(.384)	0.874(.384)	0.874(.384)	0.874(.384)
0.425	0.855(.406)	0.855(.406)	0.855(.406)	0.855(.406)	0.855(.406)
0.450	0.837(.427)	0.837(.427)	0.837(.427)	0.837(.427)	0.837(.427)
0.475	0.817(.448)	0.817(.448)	0.817(.448)	0.817(.448)	0.817(.448)
0.500	0.797(.468)	0.797(.468)	0.797(.468)	0.797(.468)	0.797(.468)
0.525	0.775(.488)	0.775(.488)	0.775(.488)	0.775(.488)	0.775(.488)
0.550	0.753(.507)	0.753(.507)	0.753(.507)	0.753(.507)	0.753(.507)
0.575	0.730(.525)	0.730(.525)	0.730(.525)	0.730(.525)	0.730(.525)
0.600	0.706(.543)	0.706(.543)	0.706(.543)	0.706(.543)	0.706(.543)
0.625	0.682(.561)	0.682(.561)	0.682(.561)	0.682(.561)	0.682(.561)
0.650	0.657(.577)	0.657(.577)	0.657(.577)	0.657(.577)	0.657(.577)
0.675	0.631(.594)	0.631(.594)	0.631(.594)	0.631(.594)	0.631(.594)
0.700	0.605(.609)	0.605(.609)	0.605(.609)	0.605(.609)	0.605(.609)
0.725	0.580(.624)	0.580(.624)	0.580(.624)	0.580(.624)	0.580(.624)
0.750	0.553(.638)	0.553(.638)	0.553(.638)	0.553(.638)	0.553(.638)
0.775	0.527(.651)	0.527(.651)	0.527(.651)	0.527(.651)	0.527(.651)
0.800	0.500(.664)	0.500(.664)	0.500(.664)	0.500(.664)	0.500(.664)
0.825	0.396(.676)	0.396(.676)	0.396(.676)	0.396(.676)	0.396(.676)
0.850	0.295(.684)	0.295(.684)	0.295(.684)	0.295(.684)	0.295(.684)
0.875	0.204(.690)	0.204(.690)	0.204(.690)	0.204(.690)	0.204(.690)
0.900	0.127(.695)	0.127(.695)	0.127(.695)	0.127(.695)	0.127(.695)
0.925	0.067(.697)	0.067(.697)	0.067(.697)	0.067(.697)	0.067(.697)
0.950	0.026(.698)	0.026(.698)	0.026(.698)	0.026(.698)	0.026(.698)
0.975	0.005(.699)	0.005(.699)	0.005(.699)	0.005(.699)	0.005(.699)
1.000	0.000(.699)	0.000(.699)	0.000(.699)	0.000(.699)	0.000(.699)

66-196
 App. C - Phase II

*** RELATIVE ENERGY FLUX DENSITY IN THE PENUMBRA ***
 *** OF A DIFFUSE SKIRT WITH THE REFLECTANCE = 0. ***
 VERSION A

SOLAR FIELD ANGLE, D= 0.50 DEGREES
 GEOMETRY D1/D2 = 0.25

BETA = ANGLE OF INCIDENCE, DEGREES

BETA ***	60.00	70.00	80.00	89.25
AX/AB	Q (Q1)	Q (Q1)	Q (Q1)	Q (Q1)
0.	1.000(.)	1.000(.)	1.000(.)	1.000(.)
0.025	1.000(.025)	1.000(.025)	1.000(.025)	1.000(.025)
0.050	0.999(.050)	0.999(.050)	0.999(.050)	1.000(.050)
0.075	0.998(.075)	0.998(.075)	0.998(.075)	0.999(.075)
0.100	0.995(.100)	0.995(.100)	0.996(.100)	0.999(.100)
0.125	0.992(.125)	0.992(.125)	0.992(.125)	0.998(.125)
0.150	0.987(.149)	0.987(.149)	0.988(.149)	0.997(.150)
0.175	0.981(.174)	0.982(.174)	0.983(.174)	0.995(.175)
0.200	0.975(.198)	0.975(.199)	0.976(.199)	0.993(.200)
0.225	0.966(.223)	0.967(.223)	0.968(.223)	0.991(.224)
0.250	0.957(.247)	0.958(.247)	0.960(.247)	0.988(.249)
0.275	0.947(.271)	0.947(.271)	0.949(.271)	0.985(.274)
0.300	0.935(.294)	0.936(.294)	0.938(.294)	0.980(.298)
0.325	0.922(.317)	0.923(.317)	0.926(.318)	0.976(.323)
0.350	0.908(.340)	0.909(.340)	0.912(.341)	0.970(.347)
0.375	0.892(.363)	0.894(.363)	0.897(.363)	0.964(.371)
0.400	0.876(.385)	0.877(.385)	0.881(.386)	0.956(.395)
0.425	0.858(.406)	0.860(.407)	0.864(.407)	0.948(.419)
0.450	0.840(.428)	0.842(.428)	0.846(.429)	0.939(.443)
0.475	0.820(.448)	0.822(.449)	0.827(.450)	0.929(.466)
0.500	0.800(.469)	0.802(.469)	0.807(.470)	0.918(.489)
0.525	0.778(.488)	0.780(.489)	0.786(.490)	0.905(.512)
0.550	0.756(.508)	0.758(.508)	0.764(.509)	0.892(.534)
0.575	0.733(.526)	0.735(.527)	0.742(.528)	0.877(.557)
0.600	0.710(.544)	0.712(.545)	0.718(.547)	0.860(.578)
0.625	0.685(.562)	0.688(.562)	0.694(.564)	0.843(.600)
0.650	0.660(.579)	0.663(.579)	0.670(.581)	0.823(.620)
0.675	0.635(.595)	0.638(.595)	0.644(.598)	0.803(.641)
0.700	0.609(.610)	0.612(.611)	0.619(.613)	0.780(.660)
0.725	0.583(.625)	0.586(.626)	0.593(.629)	0.756(.680)
0.750	0.557(.639)	0.559(.640)	0.566(.643)	0.730(.698)
0.775	0.530(.653)	0.533(.654)	0.539(.657)	0.703(.716)
0.800	0.504(.666)	0.506(.667)	0.513(.670)	0.674(.733)
0.825	0.405(.677)	0.412(.678)	0.430(.682)	0.643(.750)
0.850	0.304(.686)	0.309(.687)	0.325(.691)	0.610(.766)
0.875	0.211(.693)	0.215(.694)	0.228(.698)	0.576(.780)
0.900	0.132(.697)	0.135(.698)	0.144(.703)	0.491(.794)
0.925	0.070(.699)	0.071(.701)	0.077(.706)	0.330(.804)
0.950	0.027(.701)	0.028(.702)	0.030(.707)	0.168(.810)
0.975	0.005(.701)	0.005(.703)	0.006(.707)	0.043(.813)
1.000	0.000(.701)	0.000(.703)	0.000(.707)	0.000(.813)

*** RELATIVE ENERGY FLUX DENSITY IN THE PENUMBRA ***
 *** OF A DIFFUSE SKIRT WITH THE REFLECTANCE = 0. ***

66-196
 App 1 - Phase II
 VERSION A

SOLAR FIELD ANGLE, D= 0.50 DEGREES
 GEOMETRY D1/D2 = 0.50

BETA = ANGLE OF INCIDENCE, DEGREES

BETA ***	-89.25	-80.00	-70.00	-60.00	-50.00
AX/AB	Q (QI)	Q (QI)	Q (QI)	Q (QI)	Q (QI)
0.	1.000(.)	1.000(.)	1.000(.)	1.000(.)	1.000(.)
0.025	0.999(.025)	1.000(.025)	1.000(.025)	1.000(.025)	1.000(.025)
0.050	0.993(.050)	0.998(.050)	0.998(.050)	0.999(.050)	0.999(.050)
0.075	0.982(.075)	0.996(.075)	0.996(.075)	0.996(.075)	0.996(.075)
0.100	0.967(.099)	0.991(.100)	0.992(.100)	0.992(.100)	0.992(.100)
0.125	0.947(.123)	0.985(.124)	0.986(.124)	0.986(.124)	0.987(.124)
0.150	0.922(.146)	0.977(.149)	0.979(.149)	0.979(.149)	0.979(.149)
0.175	0.895(.169)	0.968(.173)	0.969(.173)	0.970(.173)	0.970(.173)
0.200	0.864(.191)	0.956(.197)	0.958(.197)	0.959(.198)	0.959(.198)
0.225	0.832(.212)	0.942(.221)	0.945(.221)	0.946(.221)	0.947(.221)
0.250	0.797(.232)	0.927(.244)	0.930(.245)	0.931(.245)	0.932(.245)
0.275	0.762(.252)	0.910(.267)	0.914(.268)	0.915(.268)	0.916(.268)
0.300	0.725(.271)	0.891(.290)	0.895(.290)	0.897(.291)	0.898(.291)
0.325	0.689(.288)	0.870(.312)	0.875(.313)	0.877(.313)	0.878(.313)
0.350	0.652(.305)	0.848(.333)	0.854(.334)	0.856(.334)	0.857(.335)
0.375	0.615(.321)	0.825(.354)	0.831(.355)	0.833(.355)	0.834(.356)
0.400	0.579(.336)	0.800(.375)	0.807(.376)	0.809(.376)	0.810(.376)
0.425	0.544(.350)	0.773(.394)	0.781(.396)	0.784(.396)	0.785(.396)
0.450	0.509(.363)	0.746(.413)	0.754(.415)	0.757(.415)	0.758(.415)
0.475	0.476(.375)	0.718(.432)	0.726(.433)	0.729(.434)	0.731(.434)
0.500	0.443(.387)	0.689(.449)	0.698(.451)	0.701(.452)	0.702(.452)
0.525	0.382(.397)	0.659(.466)	0.668(.468)	0.671(.469)	0.673(.469)
0.550	0.326(.406)	0.628(.482)	0.638(.484)	0.641(.485)	0.643(.486)
0.575	0.276(.413)	0.597(.497)	0.607(.500)	0.610(.501)	0.612(.501)
0.600	0.230(.420)	0.566(.512)	0.576(.515)	0.579(.516)	0.581(.516)
0.625	0.190(.425)	0.534(.526)	0.544(.529)	0.547(.530)	0.549(.530)
0.650	0.155(.429)	0.503(.539)	0.512(.542)	0.516(.543)	0.517(.544)
0.675	0.125(.433)	0.447(.551)	0.463(.554)	0.469(.555)	0.472(.556)
0.700	0.099(.436)	0.385(.561)	0.401(.565)	0.406(.566)	0.409(.567)
0.725	0.077(.438)	0.325(.570)	0.340(.574)	0.345(.576)	0.348(.576)
0.750	0.059(.440)	0.269(.577)	0.282(.582)	0.286(.584)	0.289(.584)
0.775	0.044(.441)	0.216(.583)	0.227(.588)	0.231(.590)	0.234(.591)
0.800	0.031(.442)	0.168(.588)	0.178(.593)	0.181(.595)	0.183(.596)
0.825	0.022(.442)	0.126(.592)	0.133(.597)	0.136(.599)	0.137(.600)
0.850	0.014(.443)	0.089(.594)	0.095(.600)	0.097(.602)	0.098(.603)
0.875	0.009(.443)	0.059(.596)	0.063(.602)	0.064(.604)	0.065(.605)
0.900	0.005(.443)	0.035(.597)	0.037(.603)	0.038(.605)	0.039(.606)
0.925	0.002(.443)	0.018(.598)	0.019(.604)	0.019(.606)	0.020(.607)
0.950	0.001(.443)	0.007(.598)	0.007(.604)	0.007(.606)	0.007(.608)
0.975	0.000(.444)	0.001(.599)	0.001(.604)	0.001(.607)	0.001(.608)
1.000	0.000(.444)	0.000(.599)	0.000(.604)	0.000(.607)	0.000(.608)

6

3

2

A-9

17

66-196
 2 pp of Phase II

*** RELATIVE ENERGY FLUX DENSITY IN THE PENUMBRA ***
 *** OF A DIFFUSE SKIRT WITH THE REFLECTANCE = 0. ***
 VERSION A

SOLAR FIELD ANGLE, D= 0.50 DEGREES
 GEOMETRY D1/D2 = 0.50

BETA = ANGLE OF INCIDENCE, DEGREES

BETA ***	-40.00	-30.00	-20.00	-10.00	-0.
AX/AB	Q (QI)	Q (QI)	Q (QI)	Q (QI)	Q (QI)
0.	1.000(.)	1.000(.)	1.000(.)	1.000(.)	1.000(.)
0.025	1.000(.025)	1.000(.025)	1.000(.025)	1.000(.025)	1.000(.025)
0.050	0.999(.050)	0.999(.050)	0.999(.050)	0.999(.050)	0.999(.050)
0.075	0.996(.075)	0.996(.075)	0.996(.075)	0.996(.075)	0.996(.075)
0.100	0.992(.100)	0.992(.100)	0.992(.100)	0.992(.100)	0.992(.100)
0.125	0.987(.124)	0.987(.124)	0.987(.125)	0.987(.125)	0.987(.125)
0.150	0.979(.149)	0.979(.149)	0.980(.149)	0.980(.149)	0.980(.149)
0.175	0.970(.173)	0.970(.173)	0.971(.173)	0.971(.173)	0.971(.173)
0.200	0.959(.198)	0.960(.198)	0.960(.198)	0.960(.198)	0.960(.198)
0.225	0.947(.221)	0.947(.221)	0.947(.221)	0.947(.221)	0.948(.221)
0.250	0.932(.245)	0.933(.245)	0.933(.245)	0.933(.245)	0.933(.245)
0.275	0.916(.268)	0.917(.268)	0.917(.268)	0.917(.268)	0.917(.268)
0.300	0.898(.291)	0.899(.291)	0.899(.291)	0.899(.291)	0.900(.291)
0.325	0.879(.313)	0.879(.313)	0.880(.313)	0.880(.313)	0.880(.313)
0.350	0.858(.335)	0.858(.335)	0.859(.335)	0.859(.335)	0.859(.335)
0.375	0.835(.356)	0.836(.356)	0.836(.356)	0.836(.356)	0.837(.356)
0.400	0.811(.376)	0.812(.376)	0.812(.376)	0.813(.377)	0.813(.377)
0.425	0.786(.396)	0.786(.396)	0.787(.396)	0.787(.397)	0.788(.397)
0.450	0.759(.416)	0.760(.416)	0.761(.416)	0.761(.416)	0.762(.416)
0.475	0.732(.434)	0.732(.434)	0.733(.434)	0.734(.435)	0.734(.435)
0.500	0.703(.452)	0.704(.452)	0.705(.452)	0.705(.453)	0.706(.453)
0.525	0.674(.469)	0.675(.470)	0.675(.470)	0.676(.470)	0.676(.470)
0.550	0.644(.486)	0.644(.486)	0.645(.486)	0.646(.486)	0.646(.486)
0.575	0.613(.502)	0.614(.502)	0.614(.502)	0.615(.502)	0.616(.502)
0.600	0.582(.516)	0.583(.517)	0.583(.517)	0.584(.517)	0.584(.517)
0.625	0.550(.531)	0.551(.531)	0.552(.531)	0.552(.531)	0.553(.531)
0.650	0.518(.544)	0.519(.544)	0.520(.545)	0.521(.545)	0.521(.545)
0.675	0.474(.556)	0.476(.557)	0.477(.557)	0.478(.557)	0.479(.557)
0.700	0.411(.567)	0.412(.568)	0.414(.568)	0.415(.568)	0.416(.569)
0.725	0.349(.577)	0.351(.577)	0.352(.578)	0.353(.578)	0.354(.578)
0.750	0.290(.585)	0.292(.585)	0.293(.586)	0.294(.586)	0.294(.586)
0.775	0.235(.592)	0.236(.592)	0.237(.592)	0.238(.593)	0.238(.593)
0.800	0.184(.597)	0.185(.597)	0.186(.598)	0.186(.598)	0.187(.598)
0.825	0.138(.601)	0.139(.601)	0.140(.602)	0.140(.602)	0.141(.602)
0.850	0.099(.604)	0.099(.604)	0.100(.605)	0.100(.605)	0.100(.605)
0.875	0.065(.606)	0.066(.606)	0.066(.607)	0.066(.607)	0.067(.607)
0.900	0.039(.607)	0.039(.608)	0.040(.608)	0.040(.608)	0.040(.609)
0.925	0.020(.608)	0.020(.608)	0.020(.609)	0.020(.609)	0.020(.610)
0.950	0.008(.608)	0.008(.609)	0.008(.609)	0.008(.610)	0.008(.610)
0.975	0.001(.608)	0.001(.609)	0.001(.609)	0.001(.610)	0.001(.610)
1.000	0.000(.608)	0.000(.609)	0.000(.609)	0.000(.610)	0.000(.610)

*** RELATIVE ENERGY FLUX DENSITY IN THE PENUMBRA
 *** OF A DIFFUSE SKIRT WITH THE REFLECTANCE = 0. ***

66-196
 Phase II
 VERSION A

SOLAR FIELD ANGLE, D = 0.50 DEGREES
 GEOMETRY D1/D2 = 0.50

BETA = ANGLE OF INCIDENCE, DEGREES

BETA ***	10.00	20.00	30.00	40.00	50.00
AX/AB	Q (QI)	Q (QI)	Q (QI)	Q (QI)	Q (QI)
0.	1.000(.)	1.000(.)	1.000(.)	1.000(.)	1.000(.)
0.025	1.000(.025)	1.000(.025)	1.000(.025)	1.000(.025)	1.000(.025)
0.050	0.999(.050)	0.999(.050)	0.999(.050)	0.999(.050)	0.999(.050)
0.075	0.996(.075)	0.996(.075)	0.996(.075)	0.996(.075)	0.996(.075)
0.100	0.992(.100)	0.992(.100)	0.992(.100)	0.992(.100)	0.992(.100)
0.125	0.987(.125)	0.987(.125)	0.987(.125)	0.987(.125)	0.987(.125)
0.150	0.980(.149)	0.980(.149)	0.980(.149)	0.980(.149)	0.980(.149)
0.175	0.971(.173)	0.971(.173)	0.971(.173)	0.971(.173)	0.971(.174)
0.200	0.960(.198)	0.960(.198)	0.960(.198)	0.961(.198)	0.961(.198)
0.225	0.948(.221)	0.948(.221)	0.948(.221)	0.948(.221)	0.949(.222)
0.250	0.933(.245)	0.934(.245)	0.934(.245)	0.934(.245)	0.935(.245)
0.275	0.918(.268)	0.918(.268)	0.918(.268)	0.918(.268)	0.919(.268)
0.300	0.900(.291)	0.900(.291)	0.900(.291)	0.901(.291)	0.901(.291)
0.325	0.881(.313)	0.881(.313)	0.881(.313)	0.882(.313)	0.882(.313)
0.350	0.860(.335)	0.860(.335)	0.860(.335)	0.861(.335)	0.862(.335)
0.375	0.837(.356)	0.838(.356)	0.838(.356)	0.839(.356)	0.839(.356)
0.400	0.813(.377)	0.814(.377)	0.814(.377)	0.815(.377)	0.816(.377)
0.425	0.788(.397)	0.789(.397)	0.789(.397)	0.790(.397)	0.791(.397)
0.450	0.762(.416)	0.762(.416)	0.763(.416)	0.764(.416)	0.765(.417)
0.475	0.735(.435)	0.735(.435)	0.736(.435)	0.736(.435)	0.737(.435)
0.500	0.706(.453)	0.707(.453)	0.707(.453)	0.708(.453)	0.709(.453)
0.525	0.677(.470)	0.677(.470)	0.678(.470)	0.679(.471)	0.680(.471)
0.550	0.647(.487)	0.647(.487)	0.648(.487)	0.649(.487)	0.650(.487)
0.575	0.616(.502)	0.617(.503)	0.617(.503)	0.618(.503)	0.619(.503)
0.600	0.585(.517)	0.586(.518)	0.586(.518)	0.587(.518)	0.588(.518)
0.625	0.554(.532)	0.554(.532)	0.555(.532)	0.556(.532)	0.557(.533)
0.650	0.522(.545)	0.522(.545)	0.523(.546)	0.524(.546)	0.525(.546)
0.675	0.480(.558)	0.481(.558)	0.482(.558)	0.484(.558)	0.486(.559)
0.700	0.416(.569)	0.418(.569)	0.419(.569)	0.420(.570)	0.422(.570)
0.725	0.355(.578)	0.356(.579)	0.357(.579)	0.358(.579)	0.360(.580)
0.750	0.295(.587)	0.296(.587)	0.297(.587)	0.298(.588)	0.300(.588)
0.775	0.239(.593)	0.240(.594)	0.241(.594)	0.242(.594)	0.243(.595)
0.800	0.188(.599)	0.188(.599)	0.189(.599)	0.190(.600)	0.191(.600)
0.825	0.141(.603)	0.142(.603)	0.142(.603)	0.143(.604)	0.144(.605)
0.850	0.101(.606)	0.101(.606)	0.102(.607)	0.102(.607)	0.103(.608)
0.875	0.067(.608)	0.067(.608)	0.068(.609)	0.068(.609)	0.069(.610)
0.900	0.040(.609)	0.040(.610)	0.041(.610)	0.041(.610)	0.041(.611)
0.925	0.020(.610)	0.021(.610)	0.021(.611)	0.021(.611)	0.021(.612)
0.950	0.008(.610)	0.008(.611)	0.008(.611)	0.008(.612)	0.008(.612)
0.975	0.001(.610)	0.001(.611)	0.001(.611)	0.001(.612)	0.001(.612)
1.000	0.000(.610)	0.000(.611)	0.000(.611)	0.000(.612)	0.000(.612)

3

2

A-11

19

*** RELATIVE ENERGY FLUX DENSITY IN THE PENUMBRA ***
 *** OF A DIFFUSE SKIRT WITH THE REFLECTANCE = 0. ***

66-196
 Phase II
 VERSION A

SOLAR FIELD ANGLE, D= 0.50 DEGREES
 GEOMETRY D1/D2 = 0.50

BETA = ANGLE OF INCIDENCE, DEGREES

BETA ***	60.00	70.00	80.00	89.25
AX/AB	Q (QI)	Q (QI)	Q (QI)	Q (QI)
0.	1.000(.)	1.000(.)	1.000(.)	1.000(.)
0.025	1.000(.025)	1.000(.025)	1.000(.025)	1.000(.025)
0.050	0.999(.050)	0.999(.050)	0.999(.050)	1.000(.050)
0.075	0.996(.075)	0.996(.075)	0.997(.075)	0.999(.075)
0.100	0.993(.100)	0.993(.100)	0.993(.100)	0.999(.100)
0.125	0.987(.125)	0.988(.125)	0.988(.125)	0.997(.125)
0.150	0.980(.149)	0.981(.149)	0.982(.149)	0.996(.150)
0.175	0.972(.174)	0.972(.174)	0.974(.174)	0.994(.175)
0.200	0.961(.198)	0.962(.198)	0.964(.198)	0.991(.200)
0.225	0.949(.222)	0.950(.222)	0.952(.222)	0.988(.224)
0.250	0.935(.245)	0.936(.245)	0.939(.245)	0.984(.249)
0.275	0.919(.268)	0.921(.268)	0.924(.269)	0.979(.273)
0.300	0.902(.291)	0.904(.291)	0.908(.292)	0.974(.298)
0.325	0.883(.313)	0.885(.314)	0.890(.314)	0.967(.322)
0.350	0.863(.335)	0.864(.335)	0.870(.336)	0.960(.346)
0.375	0.840(.356)	0.843(.357)	0.849(.358)	0.951(.370)
0.400	0.817(.377)	0.819(.378)	0.826(.378)	0.941(.394)
0.425	0.792(.397)	0.795(.398)	0.802(.399)	0.930(.417)
0.450	0.766(.417)	0.769(.417)	0.776(.419)	0.918(.440)
0.475	0.739(.436)	0.742(.436)	0.750(.438)	0.904(.463)
0.500	0.711(.454)	0.714(.454)	0.722(.456)	0.888(.485)
0.525	0.682(.471)	0.685(.472)	0.693(.474)	0.871(.507)
0.550	0.652(.488)	0.655(.489)	0.664(.491)	0.853(.529)
0.575	0.621(.504)	0.624(.505)	0.634(.507)	0.832(.550)
0.600	0.590(.519)	0.593(.520)	0.603(.522)	0.810(.571)
0.625	0.559(.533)	0.562(.534)	0.571(.537)	0.785(.591)
0.650	0.527(.547)	0.530(.548)	0.540(.551)	0.759(.610)
0.675	0.489(.559)	0.494(.561)	0.508(.564)	0.730(.628)
0.700	0.425(.571)	0.431(.572)	0.447(.576)	0.700(.646)
0.725	0.363(.581)	0.368(.582)	0.383(.586)	0.667(.663)
0.750	0.302(.589)	0.307(.591)	0.321(.595)	0.632(.680)
0.775	0.246(.596)	0.250(.598)	0.262(.602)	0.595(.695)
0.800	0.193(.601)	0.197(.603)	0.207(.608)	0.557(.709)
0.825	0.146(.606)	0.149(.607)	0.157(.613)	0.473(.722)
0.850	0.104(.609)	0.106(.611)	0.113(.616)	0.385(.733)
0.875	0.069(.611)	0.071(.613)	0.076(.619)	0.293(.741)
0.900	0.042(.612)	0.043(.614)	0.046(.620)	0.203(.748)
0.925	0.021(.613)	0.022(.615)	0.023(.621)	0.120(.752)
0.950	0.008(.613)	0.008(.616)	0.009(.621)	0.053(.754)
0.975	0.001(.614)	0.002(.616)	0.002(.621)	0.012(.755)
1.000	0.000(.614)	0.000(.616)	0.000(.622)	0.000(.755)

REORDER No. 66-196
 Phase II

*** RELATIVE ENERGY FLUX DENSITY IN THE PENUMBRA ***
 *** OF A DIFFUSE SKIRT WITH THE REFLECTANCE = 0. ***
 VERSION A

SOLAR FIELD ANGLE, D= 0.50 DEGREES
 GEOMETRY D1/D2 = 0.75

BETA = ANGLE OF INCIDENCE, DEGREES

BETA ***	-89.25	-80.00	-70.00	-60.00	-50.00
AX/AB	Q (Q1)	Q (Q1)	Q (Q1)	Q (Q1)	Q (Q1)
0.	1.000(.)	1.000(.)	1.000(.)	1.000(.)	1.000(.)
0.025	0.998(.025)	1.000(.025)	1.000(.025)	1.000(.025)	1.000(.025)
0.050	0.988(.050)	0.998(.050)	0.998(.050)	0.998(.050)	0.998(.050)
0.075	0.971(.074)	0.994(.075)	0.994(.075)	0.994(.075)	0.994(.075)
0.100	0.947(.098)	0.987(.100)	0.988(.100)	0.988(.100)	0.989(.100)
0.125	0.916(.122)	0.979(.124)	0.980(.124)	0.980(.124)	0.980(.124)
0.150	0.880(.144)	0.967(.149)	0.969(.149)	0.970(.149)	0.970(.149)
0.175	0.840(.165)	0.953(.173)	0.956(.173)	0.957(.173)	0.957(.173)
0.200	0.797(.186)	0.937(.196)	0.940(.196)	0.941(.196)	0.942(.196)
0.225	0.753(.205)	0.918(.219)	0.922(.220)	0.923(.220)	0.924(.220)
0.250	0.707(.224)	0.896(.242)	0.901(.242)	0.903(.243)	0.904(.243)
0.275	0.661(.241)	0.873(.264)	0.878(.265)	0.880(.265)	0.881(.265)
0.300	0.615(.257)	0.847(.286)	0.853(.286)	0.856(.287)	0.857(.287)
0.325	0.570(.271)	0.819(.306)	0.826(.307)	0.829(.308)	0.830(.308)
0.350	0.527(.285)	0.789(.327)	0.797(.328)	0.800(.328)	0.802(.328)
0.375	0.484(.298)	0.758(.346)	0.767(.347)	0.770(.348)	0.771(.348)
0.400	0.443(.309)	0.725(.364)	0.734(.366)	0.738(.366)	0.740(.367)
0.425	0.392(.320)	0.691(.382)	0.701(.384)	0.705(.384)	0.706(.385)
0.450	0.344(.329)	0.656(.399)	0.666(.401)	0.670(.402)	0.672(.402)
0.475	0.300(.337)	0.620(.415)	0.631(.417)	0.635(.418)	0.637(.418)
0.500	0.260(.344)	0.583(.430)	0.595(.432)	0.599(.433)	0.601(.434)
0.525	0.223(.350)	0.547(.444)	0.558(.447)	0.562(.448)	0.564(.448)
0.550	0.190(.355)	0.510(.457)	0.521(.460)	0.525(.461)	0.527(.462)
0.575	0.161(.360)	0.465(.469)	0.479(.473)	0.484(.474)	0.487(.475)
0.600	0.135(.363)	0.416(.480)	0.430(.484)	0.435(.486)	0.438(.486)
0.625	0.112(.366)	0.368(.490)	0.382(.494)	0.387(.496)	0.389(.497)
0.650	0.091(.369)	0.322(.499)	0.335(.503)	0.339(.505)	0.342(.506)
0.675	0.074(.371)	0.278(.506)	0.289(.511)	0.294(.513)	0.296(.514)
0.700	0.059(.373)	0.235(.513)	0.246(.518)	0.250(.520)	0.252(.521)
0.725	0.046(.374)	0.196(.518)	0.206(.524)	0.209(.525)	0.211(.526)
0.750	0.035(.375)	0.160(.523)	0.168(.528)	0.171(.530)	0.173(.531)
0.775	0.026(.376)	0.127(.526)	0.134(.532)	0.136(.534)	0.138(.535)
0.800	0.019(.376)	0.098(.529)	0.103(.535)	0.105(.537)	0.106(.538)
0.825	0.013(.377)	0.072(.531)	0.076(.537)	0.078(.539)	0.079(.540)
0.850	0.009(.377)	0.050(.533)	0.054(.539)	0.055(.541)	0.056(.542)
0.875	0.005(.377)	0.033(.534)	0.035(.540)	0.036(.542)	0.036(.543)
0.900	0.003(.377)	0.019(.534)	0.021(.541)	0.021(.543)	0.022(.544)
0.925	0.001(.377)	0.010(.535)	0.010(.541)	0.011(.543)	0.011(.544)
0.950	0.000(.377)	0.004(.535)	0.004(.541)	0.004(.543)	0.004(.545)
0.975	0.000(.377)	0.001(.535)	0.001(.541)	0.001(.543)	0.001(.545)
1.000	0.000(.377)	0.000(.535)	0.000(.541)	0.000(.543)	0.000(.545)

6

3

2

66-196
 App. A - Phase II
 VERSION A

*** RELATIVE ENERGY FLUX DENSITY IN THE PENUMBRA ***
 *** OF A DIFFUSE SKIRT WITH THE REFLECTANCE = 0. ***

SOLAR FIELD ANGLE, D= 0.50 DEGREES
 GEOMETRY D1/D2 = 0.75

BETA = ANGLE OF INCIDENCE, DEGREES

BETA ***	-40.00	-30.00	-20.00	-10.00	-0.
AX/AB	Q (QI)	Q (QI)	Q (QI)	Q (QI)	Q (QI)
0.	1.000(.)	1.000(.)	1.000(.)	1.000(.)	1.000(.)
0.025	1.000(.025)	1.000(.025)	1.000(.025)	1.000(.025)	1.000(.025)
0.050	0.998(.050)	0.998(.050)	0.998(.050)	0.998(.050)	0.998(.050)
0.075	0.994(.075)	0.994(.075)	0.994(.075)	0.994(.075)	0.994(.075)
0.100	0.989(.100)	0.989(.100)	0.989(.100)	0.989(.100)	0.989(.100)
0.125	0.981(.124)	0.981(.124)	0.981(.124)	0.981(.124)	0.981(.124)
0.150	0.970(.149)	0.970(.149)	0.971(.149)	0.971(.149)	0.971(.149)
0.175	0.957(.173)	0.958(.173)	0.958(.173)	0.958(.173)	0.958(.173)
0.200	0.942(.196)	0.942(.197)	0.943(.197)	0.943(.197)	0.943(.197)
0.225	0.924(.220)	0.925(.220)	0.925(.220)	0.925(.220)	0.926(.220)
0.250	0.904(.243)	0.905(.243)	0.905(.243)	0.905(.243)	0.906(.243)
0.275	0.882(.265)	0.882(.265)	0.883(.265)	0.883(.265)	0.884(.265)
0.300	0.857(.287)	0.858(.287)	0.859(.287)	0.859(.287)	0.859(.287)
0.325	0.831(.308)	0.832(.308)	0.832(.308)	0.833(.308)	0.833(.308)
0.350	0.803(.328)	0.803(.328)	0.804(.328)	0.804(.329)	0.805(.329)
0.375	0.772(.348)	0.773(.348)	0.774(.348)	0.774(.348)	0.775(.348)
0.400	0.741(.367)	0.741(.367)	0.742(.367)	0.743(.367)	0.743(.367)
0.425	0.708(.385)	0.708(.385)	0.709(.385)	0.710(.385)	0.710(.385)
0.450	0.673(.402)	0.674(.402)	0.675(.403)	0.676(.403)	0.676(.403)
0.475	0.638(.419)	0.639(.419)	0.640(.419)	0.641(.419)	0.641(.419)
0.500	0.602(.434)	0.603(.434)	0.604(.435)	0.605(.435)	0.605(.435)
0.525	0.565(.449)	0.566(.449)	0.567(.449)	0.568(.449)	0.569(.450)
0.550	0.529(.462)	0.530(.463)	0.530(.463)	0.531(.463)	0.532(.463)
0.575	0.489(.475)	0.490(.475)	0.491(.476)	0.492(.476)	0.493(.476)
0.600	0.439(.487)	0.441(.487)	0.442(.487)	0.443(.488)	0.444(.488)
0.625	0.391(.497)	0.392(.497)	0.393(.498)	0.394(.498)	0.395(.498)
0.650	0.343(.506)	0.344(.507)	0.345(.507)	0.346(.507)	0.347(.508)
0.675	0.297(.514)	0.298(.515)	0.299(.515)	0.300(.515)	0.301(.516)
0.700	0.253(.521)	0.254(.522)	0.255(.522)	0.256(.522)	0.257(.523)
0.725	0.212(.527)	0.213(.527)	0.214(.528)	0.214(.528)	0.215(.529)
0.750	0.174(.532)	0.174(.532)	0.175(.533)	0.176(.533)	0.176(.533)
0.775	0.139(.536)	0.139(.536)	0.140(.537)	0.140(.537)	0.141(.537)
0.800	0.107(.539)	0.108(.539)	0.108(.540)	0.108(.540)	0.109(.540)
0.825	0.079(.541)	0.080(.542)	0.080(.542)	0.081(.542)	0.081(.543)
0.850	0.056(.543)	0.056(.543)	0.057(.544)	0.057(.544)	0.057(.545)
0.875	0.037(.544)	0.037(.545)	0.037(.545)	0.037(.545)	0.037(.546)
0.900	0.022(.545)	0.022(.545)	0.022(.546)	0.022(.546)	0.022(.547)
0.925	0.011(.545)	0.011(.546)	0.011(.546)	0.011(.547)	0.011(.547)
0.950	0.004(.545)	0.004(.546)	0.004(.546)	0.004(.547)	0.004(.547)
0.975	0.001(.545)	0.001(.546)	0.001(.546)	0.001(.547)	0.001(.547)
1.000	0.000(.545)	0.000(.546)	0.000(.546)	0.000(.547)	0.000(.547)

REPORT No. 66-196
 App A - Phase II
 VERSION A

*** RELATIVE ENERGY FLUX DENSITY IN THE PENUMBRA ***
 *** OF A DIFFUSE SKIRT WITH THE REFLECTANCE = 0. ***

SOLAR FIELD ANGLE, D= 0.50 DEGREES
 GEOMETRY D1/D2 = 0.75

BETA = ANGLE OF INCIDENCE, DEGREES

BETA ***	10.00	20.00	30.00	40.00	50.00
AX/AB	Q (QI)	Q (QI)	Q (QI)	Q (QI)	Q (QI)
0.	1.000(.)	1.000(.)	1.000(.)	1.000(.)	1.000(.)
0.025	1.000(.025)	1.000(.025)	1.000(.025)	1.000(.025)	1.000(.025)
0.050	0.998(.050)	0.998(.050)	0.998(.050)	0.998(.050)	0.998(.050)
0.075	0.994(.075)	0.994(.075)	0.994(.075)	0.995(.075)	0.995(.075)
0.100	0.989(.100)	0.989(.100)	0.989(.100)	0.989(.100)	0.989(.100)
0.125	0.981(.124)	0.981(.124)	0.981(.124)	0.981(.124)	0.981(.124)
0.150	0.971(.149)	0.971(.149)	0.971(.149)	0.971(.149)	0.971(.149)
0.175	0.958(.173)	0.958(.173)	0.959(.173)	0.959(.173)	0.959(.173)
0.200	0.943(.197)	0.943(.197)	0.944(.197)	0.944(.197)	0.944(.197)
0.225	0.926(.220)	0.926(.220)	0.926(.220)	0.927(.220)	0.927(.220)
0.250	0.906(.243)	0.906(.243)	0.907(.243)	0.907(.243)	0.908(.243)
0.275	0.884(.265)	0.884(.265)	0.885(.265)	0.885(.265)	0.886(.265)
0.300	0.860(.287)	0.860(.287)	0.861(.287)	0.861(.287)	0.862(.287)
0.325	0.833(.308)	0.834(.308)	0.834(.308)	0.835(.308)	0.836(.308)
0.350	0.805(.329)	0.806(.329)	0.806(.329)	0.807(.329)	0.808(.329)
0.375	0.775(.348)	0.776(.348)	0.777(.349)	0.777(.349)	0.778(.349)
0.400	0.744(.367)	0.745(.367)	0.745(.368)	0.746(.368)	0.747(.368)
0.425	0.711(.386)	0.712(.386)	0.712(.386)	0.713(.386)	0.714(.386)
0.450	0.677(.403)	0.678(.403)	0.678(.403)	0.679(.403)	0.681(.404)
0.475	0.642(.419)	0.643(.420)	0.643(.420)	0.644(.420)	0.646(.420)
0.500	0.606(.435)	0.607(.435)	0.607(.435)	0.608(.436)	0.610(.436)
0.525	0.569(.450)	0.570(.450)	0.571(.450)	0.572(.450)	0.573(.451)
0.550	0.532(.463)	0.533(.464)	0.534(.464)	0.535(.464)	0.536(.465)
0.575	0.494(.476)	0.495(.477)	0.496(.477)	0.497(.477)	0.499(.477)
0.600	0.444(.488)	0.445(.488)	0.446(.489)	0.448(.489)	0.449(.489)
0.625	0.395(.499)	0.396(.499)	0.397(.499)	0.399(.499)	0.400(.500)
0.650	0.348(.508)	0.349(.508)	0.350(.508)	0.351(.509)	0.352(.509)
0.675	0.302(.516)	0.302(.516)	0.303(.517)	0.304(.517)	0.306(.518)
0.700	0.257(.523)	0.258(.523)	0.259(.524)	0.260(.524)	0.261(.525)
0.725	0.216(.529)	0.216(.529)	0.217(.530)	0.218(.530)	0.219(.531)
0.750	0.177(.534)	0.177(.534)	0.178(.534)	0.179(.535)	0.180(.536)
0.775	0.141(.538)	0.142(.538)	0.142(.538)	0.143(.539)	0.144(.540)
0.800	0.109(.541)	0.110(.541)	0.110(.542)	0.111(.542)	0.111(.543)
0.825	0.081(.543)	0.081(.544)	0.082(.544)	0.082(.545)	0.083(.545)
0.850	0.057(.545)	0.057(.545)	0.058(.546)	0.058(.546)	0.058(.547)
0.875	0.038(.546)	0.038(.547)	0.038(.547)	0.038(.548)	0.038(.548)
0.900	0.022(.547)	0.022(.547)	0.022(.548)	0.023(.548)	0.023(.549)
0.925	0.011(.547)	0.011(.548)	0.011(.548)	0.011(.549)	0.011(.549)
0.950	0.004(.547)	0.004(.548)	0.004(.548)	0.004(.549)	0.004(.550)
0.975	0.001(.548)	0.001(.548)	0.001(.548)	0.001(.549)	0.001(.550)
1.000	0.000(.548)	0.000(.548)	0.000(.548)	0.000(.549)	0.000(.550)

66-196
 Sept - Phase II
 VERSION A

*** RELATIVE ENERGY FLUX DENSITY IN THE PENUMBRA ***
 *** OF A DIFFUSE SKIRT WITH THE REFLECTANCE = 0. ***

SOLAR FIELD ANGLE, D= 0.50 DEGREES
 GEOMETRY D1/D2 = 0.75

BETA = ANGLE OF INCIDENCE, DEGREES

BETA ***	60.00	70.00	80.00	89.25
AX/AB	Q (QI)	Q (QI)	Q (QI)	Q (QI)
0.	1.000(.)	1.000(.)	1.000(.)	1.000(.)
0.025	1.000(.025)	1.000(.025)	1.000(.025)	1.000(.025)
0.050	0.998(.050)	0.998(.050)	0.998(.050)	1.000(.050)
0.075	0.995(.075)	0.995(.075)	0.995(.075)	0.999(.075)
0.100	0.989(.100)	0.989(.100)	0.990(.100)	0.998(.100)
0.125	0.982(.124)	0.982(.124)	0.983(.124)	0.997(.125)
0.150	0.972(.149)	0.972(.149)	0.974(.149)	0.995(.150)
0.175	0.959(.173)	0.960(.173)	0.962(.173)	0.992(.175)
0.200	0.945(.197)	0.946(.197)	0.949(.197)	0.989(.199)
0.225	0.928(.220)	0.929(.220)	0.933(.220)	0.985(.224)
0.250	0.908(.243)	0.910(.243)	0.914(.244)	0.979(.249)
0.275	0.887(.265)	0.889(.266)	0.894(.266)	0.973(.273)
0.300	0.863(.287)	0.865(.288)	0.871(.288)	0.966(.297)
0.325	0.837(.309)	0.840(.309)	0.846(.310)	0.957(.321)
0.350	0.809(.329)	0.812(.330)	0.820(.330)	0.947(.345)
0.375	0.780(.349)	0.783(.349)	0.791(.351)	0.936(.369)
0.400	0.749(.368)	0.752(.369)	0.761(.370)	0.923(.392)
0.425	0.715(.386)	0.720(.387)	0.729(.389)	0.908(.415)
0.450	0.682(.404)	0.686(.405)	0.696(.406)	0.892(.437)
0.475	0.648(.421)	0.651(.421)	0.662(.423)	0.873(.459)
0.500	0.612(.436)	0.616(.437)	0.627(.440)	0.853(.481)
0.525	0.575(.451)	0.579(.452)	0.591(.455)	0.830(.502)
0.550	0.539(.465)	0.543(.466)	0.554(.469)	0.805(.522)
0.575	0.501(.479)	0.505(.479)	0.517(.482)	0.777(.542)
0.600	0.452(.490)	0.457(.491)	0.471(.495)	0.748(.561)
0.625	0.403(.501)	0.408(.502)	0.422(.506)	0.715(.579)
0.650	0.355(.510)	0.359(.512)	0.373(.516)	0.680(.597)
0.675	0.308(.518)	0.312(.520)	0.325(.525)	0.643(.613)
0.700	0.263(.526)	0.267(.527)	0.279(.532)	0.603(.629)
0.725	0.221(.532)	0.225(.533)	0.235(.539)	0.561(.644)
0.750	0.181(.537)	0.185(.539)	0.194(.544)	0.502(.657)
0.775	0.145(.541)	0.148(.543)	0.156(.548)	0.438(.669)
0.800	0.112(.544)	0.115(.546)	0.121(.552)	0.373(.679)
0.825	0.084(.546)	0.085(.549)	0.091(.554)	0.305(.687)
0.850	0.059(.548)	0.060(.550)	0.064(.556)	0.238(.694)
0.875	0.039(.549)	0.040(.552)	0.042(.558)	0.174(.699)
0.900	0.023(.550)	0.024(.552)	0.025(.559)	0.115(.703)
0.925	0.012(.551)	0.012(.553)	0.013(.559)	0.065(.705)
0.950	0.004(.551)	0.004(.553)	0.005(.559)	0.028(.706)
0.975	0.001(.551)	0.001(.553)	0.001(.559)	0.006(.707)
1.000	0.000(.551)	0.000(.553)	0.000(.559)	0.000(.707)

No. 66-196
 Copy 1 - Phase II
 VERSION A

*** RELATIVE ENERGY FLUX DENSITY IN THE PENUMBRA ***
 *** OF A DIFFUSE SKIRT WITH THE REFLECTANCE = 0. ***

SOLAR FIELD ANGLE, D= 0.50 DEGREES
 GEOMETRY D1/D2 = 1.00

BETA = ANGLE OF INCIDENCE, DEGREES

BETA ***	-89.25	-80.00	-70.00	-60.00	-50.00
AX/AB	Q (QI)	Q (QI)	Q (QI)	Q (QI)	Q (QI)
0.	1.000(.)	1.000(.)	1.000(.)	1.000(.)	1.000(.)
0.025	0.996(.025)	0.999(.025)	0.999(.025)	0.999(.025)	0.999(.025)
0.050	0.982(.050)	0.997(.050)	0.997(.050)	0.997(.050)	0.997(.050)
0.075	0.957(.074)	0.991(.075)	0.992(.075)	0.992(.075)	0.992(.075)
0.100	0.922(.097)	0.983(.099)	0.984(.099)	0.984(.100)	0.984(.100)
0.125	0.880(.120)	0.971(.124)	0.972(.124)	0.973(.124)	0.973(.124)
0.150	0.832(.141)	0.955(.148)	0.958(.148)	0.959(.148)	0.959(.148)
0.175	0.780(.161)	0.936(.172)	0.940(.172)	0.941(.172)	0.942(.172)
0.200	0.725(.180)	0.914(.195)	0.919(.195)	0.920(.195)	0.921(.195)
0.225	0.670(.198)	0.889(.217)	0.895(.218)	0.896(.218)	0.897(.218)
0.250	0.615(.214)	0.861(.239)	0.867(.240)	0.870(.240)	0.871(.240)
0.275	0.562(.229)	0.830(.260)	0.837(.261)	0.840(.261)	0.841(.261)
0.300	0.509(.242)	0.796(.281)	0.805(.282)	0.808(.282)	0.810(.282)
0.325	0.460(.254)	0.761(.300)	0.770(.301)	0.774(.302)	0.775(.302)
0.350	0.412(.265)	0.723(.319)	0.734(.320)	0.737(.321)	0.739(.321)
0.375	0.368(.275)	0.684(.336)	0.695(.338)	0.699(.338)	0.701(.339)
0.400	0.326(.283)	0.643(.353)	0.655(.355)	0.659(.355)	0.662(.356)
0.425	0.288(.291)	0.602(.368)	0.614(.371)	0.619(.371)	0.621(.372)
0.450	0.252(.298)	0.560(.383)	0.573(.385)	0.577(.386)	0.579(.387)
0.475	0.220(.304)	0.517(.396)	0.530(.399)	0.535(.400)	0.537(.401)
0.500	0.190(.309)	0.475(.409)	0.488(.412)	0.492(.413)	0.495(.414)
0.525	0.164(.313)	0.433(.420)	0.445(.424)	0.450(.425)	0.452(.426)
0.550	0.140(.317)	0.391(.430)	0.404(.434)	0.408(.436)	0.410(.436)
0.575	0.118(.320)	0.351(.440)	0.363(.444)	0.367(.445)	0.369(.446)
0.600	0.099(.323)	0.311(.448)	0.323(.452)	0.327(.454)	0.329(.455)
0.625	0.082(.325)	0.273(.455)	0.284(.460)	0.288(.462)	0.290(.463)
0.650	0.067(.327)	0.237(.462)	0.247(.467)	0.251(.468)	0.252(.469)
0.675	0.055(.329)	0.203(.467)	0.212(.472)	0.215(.474)	0.217(.475)
0.700	0.044(.330)	0.171(.472)	0.179(.477)	0.182(.479)	0.184(.480)
0.725	0.034(.331)	0.142(.476)	0.149(.481)	0.151(.483)	0.153(.484)
0.750	0.026(.332)	0.115(.479)	0.121(.485)	0.123(.487)	0.124(.488)
0.775	0.020(.332)	0.091(.481)	0.096(.487)	0.097(.490)	0.098(.491)
0.800	0.014(.333)	0.069(.483)	0.073(.490)	0.075(.492)	0.075(.493)
0.825	0.010(.333)	0.051(.485)	0.054(.491)	0.055(.493)	0.056(.494)
0.850	0.007(.333)	0.036(.486)	0.038(.492)	0.039(.494)	0.039(.496)
0.875	0.004(.333)	0.023(.487)	0.025(.493)	0.025(.495)	0.025(.496)
0.900	0.002(.333)	0.014(.487)	0.014(.494)	0.015(.496)	0.015(.497)
0.925	0.001(.333)	0.007(.487)	0.007(.494)	0.007(.496)	0.007(.497)
0.950	0.000(.333)	0.003(.488)	0.003(.494)	0.003(.496)	0.003(.497)
0.975	0.000(.333)	0.000(.488)	0.000(.494)	0.001(.496)	0.001(.497)
1.000	0.000(.333)	0.000(.488)	0.000(.494)	0.000(.496)	0.000(.497)

*** RELATIVE ENERGY FLUX DENSITY IN THE PENUMBRA ***
 *** OF A DIFFUSE SKIRT WITH THE REFLECTANCE = 0. ***

66-196
 App A - Sheet 11
 VERSION A

SOLAR FIELD ANGLE, D = 0.50 DEGREES
 GEOMETRY D1/D2 = 1.00

BETA = ANGLE OF INCIDENCE, DEGREES

BETA ***	-40.00	-30.00	-20.00	-10.00	-0.
AX/AB	Q (QI)	Q (QI)	Q (QI)	Q (QI)	Q (QI)
0.	1.000(.)	1.000(.)	1.000(.)	1.000(.)	1.000(.)
0.025	0.999(.025)	0.999(.025)	0.999(.025)	0.999(.025)	0.999(.025)
0.050	0.997(.050)	0.997(.050)	0.997(.050)	0.997(.050)	0.997(.050)
0.075	0.992(.075)	0.992(.075)	0.992(.075)	0.992(.075)	0.992(.075)
0.100	0.984(.100)	0.984(.100)	0.984(.100)	0.985(.100)	0.985(.100)
0.125	0.973(.124)	0.974(.124)	0.974(.124)	0.974(.124)	0.974(.124)
0.150	0.959(.148)	0.960(.148)	0.960(.148)	0.960(.148)	0.960(.148)
0.175	0.942(.172)	0.942(.172)	0.943(.172)	0.943(.172)	0.943(.172)
0.200	0.922(.195)	0.922(.195)	0.922(.195)	0.923(.195)	0.923(.195)
0.225	0.898(.218)	0.899(.218)	0.899(.218)	0.899(.218)	0.900(.218)
0.250	0.872(.240)	0.872(.240)	0.873(.240)	0.873(.240)	0.873(.240)
0.275	0.842(.262)	0.843(.262)	0.844(.262)	0.844(.262)	0.845(.262)
0.300	0.811(.282)	0.811(.282)	0.812(.282)	0.813(.282)	0.813(.282)
0.325	0.777(.302)	0.777(.302)	0.778(.302)	0.779(.302)	0.779(.302)
0.350	0.740(.321)	0.741(.321)	0.742(.321)	0.743(.321)	0.743(.321)
0.375	0.702(.339)	0.703(.339)	0.704(.339)	0.705(.339)	0.706(.339)
0.400	0.663(.356)	0.664(.356)	0.665(.356)	0.666(.357)	0.666(.357)
0.425	0.622(.372)	0.623(.372)	0.624(.373)	0.625(.373)	0.626(.373)
0.450	0.581(.387)	0.582(.387)	0.583(.388)	0.584(.388)	0.584(.388)
0.475	0.539(.401)	0.540(.401)	0.541(.402)	0.542(.402)	0.542(.402)
0.500	0.496(.414)	0.497(.414)	0.498(.415)	0.499(.415)	0.500(.415)
0.525	0.454(.426)	0.455(.426)	0.456(.427)	0.457(.427)	0.458(.427)
0.550	0.412(.437)	0.413(.437)	0.414(.437)	0.415(.438)	0.416(.438)
0.575	0.371(.447)	0.372(.447)	0.373(.447)	0.373(.448)	0.374(.448)
0.600	0.330(.455)	0.331(.456)	0.332(.456)	0.333(.456)	0.334(.457)
0.625	0.291(.463)	0.292(.464)	0.293(.464)	0.294(.464)	0.294(.464)
0.650	0.254(.470)	0.255(.470)	0.255(.471)	0.256(.471)	0.257(.471)
0.675	0.218(.476)	0.219(.476)	0.220(.477)	0.220(.477)	0.221(.477)
0.700	0.185(.481)	0.185(.481)	0.186(.482)	0.186(.482)	0.187(.482)
0.725	0.153(.485)	0.154(.486)	0.155(.486)	0.155(.486)	0.155(.487)
0.750	0.125(.489)	0.125(.489)	0.126(.490)	0.126(.490)	0.127(.490)
0.775	0.099(.491)	0.099(.492)	0.100(.492)	0.100(.493)	0.100(.493)
0.800	0.076(.494)	0.076(.494)	0.077(.495)	0.077(.495)	0.077(.495)
0.825	0.056(.495)	0.056(.496)	0.057(.496)	0.057(.497)	0.057(.497)
0.850	0.039(.496)	0.039(.497)	0.040(.497)	0.040(.498)	0.040(.498)
0.875	0.026(.497)	0.026(.498)	0.026(.498)	0.026(.499)	0.026(.499)
0.900	0.015(.498)	0.015(.498)	0.015(.499)	0.015(.499)	0.015(.500)
0.925	0.008(.498)	0.008(.499)	0.008(.499)	0.008(.499)	0.008(.500)
0.950	0.003(.498)	0.003(.499)	0.003(.499)	0.003(.500)	0.003(.500)
0.975	0.001(.498)	0.001(.499)	0.001(.499)	0.001(.500)	0.001(.500)
1.000	0.000(.498)	0.000(.499)	0.000(.499)	0.000(.500)	0.000(.500)

*** RELATIVE ENERGY FLUX DENSITY IN THE PENUMBRA
 *** OF A DIFFUSE SKIRT WITH THE REFLECTANCE = 0. ***

66-196
 Phase 1
 VERSION A

SOLAR FIELD ANGLE, D= 0.50 DEGREES
 GEOMETRY D1/D2 = 1.00

BETA = ANGLE OF INCIDENCE, DEGREES

BETA ***	10.00	20.00	30.00	40.00	50.00
AX/AB	Q (QI)	Q (QI)	Q (QI)	Q (QI)	Q (QI)
0.	1.000(.)	1.000(.)	1.000(.)	1.000(.)	1.000(.)
0.025	0.999(.025)	0.999(.025)	0.999(.025)	0.999(.025)	0.999(.025)
0.050	0.997(.050)	0.997(.050)	0.997(.050)	0.997(.050)	0.997(.050)
0.075	0.992(.075)	0.992(.075)	0.992(.075)	0.992(.075)	0.992(.075)
0.100	0.985(.100)	0.985(.100)	0.985(.100)	0.985(.100)	0.985(.100)
0.125	0.974(.124)	0.974(.124)	0.974(.124)	0.974(.124)	0.974(.124)
0.150	0.960(.148)	0.960(.148)	0.961(.148)	0.961(.148)	0.961(.148)
0.175	0.943(.172)	0.943(.172)	0.944(.172)	0.944(.172)	0.944(.172)
0.200	0.923(.195)	0.923(.195)	0.924(.195)	0.924(.195)	0.924(.195)
0.225	0.900(.218)	0.900(.218)	0.901(.218)	0.901(.218)	0.901(.218)
0.250	0.874(.240)	0.874(.240)	0.875(.240)	0.875(.240)	0.875(.240)
0.275	0.845(.262)	0.845(.262)	0.846(.262)	0.847(.262)	0.847(.262)
0.300	0.814(.282)	0.814(.283)	0.815(.283)	0.815(.283)	0.815(.283)
0.325	0.780(.302)	0.780(.302)	0.781(.303)	0.782(.303)	0.782(.303)
0.350	0.744(.321)	0.745(.322)	0.745(.322)	0.746(.322)	0.746(.322)
0.375	0.706(.340)	0.707(.340)	0.708(.340)	0.709(.340)	0.709(.340)
0.400	0.667(.357)	0.668(.357)	0.669(.357)	0.670(.357)	0.670(.357)
0.425	0.627(.373)	0.627(.373)	0.628(.373)	0.629(.373)	0.629(.373)
0.450	0.585(.388)	0.586(.388)	0.587(.388)	0.588(.389)	0.588(.389)
0.475	0.543(.402)	0.544(.402)	0.545(.403)	0.546(.403)	0.546(.403)
0.500	0.501(.415)	0.502(.415)	0.503(.416)	0.504(.416)	0.504(.416)
0.525	0.458(.427)	0.459(.427)	0.460(.428)	0.461(.428)	0.461(.428)
0.550	0.415(.438)	0.417(.438)	0.418(.439)	0.419(.439)	0.419(.439)
0.575	0.375(.448)	0.376(.448)	0.377(.449)	0.378(.449)	0.378(.449)
0.600	0.334(.457)	0.335(.457)	0.336(.458)	0.337(.458)	0.337(.458)
0.625	0.295(.465)	0.296(.465)	0.297(.465)	0.298(.466)	0.298(.466)
0.650	0.257(.472)	0.258(.472)	0.259(.472)	0.260(.473)	0.260(.473)
0.675	0.221(.478)	0.222(.478)	0.223(.478)	0.223(.479)	0.223(.479)
0.700	0.187(.483)	0.188(.483)	0.189(.484)	0.189(.484)	0.189(.484)
0.725	0.156(.487)	0.156(.487)	0.157(.488)	0.158(.488)	0.158(.488)
0.750	0.127(.491)	0.127(.491)	0.128(.491)	0.128(.492)	0.128(.492)
0.775	0.101(.493)	0.101(.494)	0.101(.494)	0.102(.495)	0.102(.495)
0.800	0.077(.496)	0.078(.496)	0.078(.497)	0.078(.497)	0.078(.497)
0.825	0.057(.497)	0.057(.498)	0.058(.498)	0.058(.499)	0.058(.499)
0.850	0.040(.499)	0.040(.499)	0.040(.499)	0.041(.500)	0.041(.500)
0.875	0.026(.499)	0.026(.500)	0.026(.500)	0.027(.501)	0.027(.501)
0.900	0.015(.500)	0.016(.500)	0.016(.501)	0.016(.501)	0.016(.501)
0.925	0.008(.500)	0.008(.501)	0.008(.501)	0.008(.502)	0.008(.502)
0.950	0.003(.500)	0.003(.501)	0.003(.501)	0.003(.502)	0.003(.502)
0.975	0.001(.500)	0.001(.501)	0.001(.501)	0.001(.502)	0.001(.502)
1.000	0.000(.500)	0.000(.501)	0.000(.501)	0.000(.502)	0.000(.502)

*** RELATIVE ENERGY FLUX DENSITY IN THE PENUMBRA ***
 *** OF A DIFFUSE SKIRT WITH THE REFLECTANCE = 0. ***

66-196
 C. J. C. - Sheet 11
 VERSION A

SOLAR FIELD ANGLE, D = 0.50 DEGREES
 GEOMETRY D1/D2 = 1.00

BETA = ANGLE OF INCIDENCE, DEGREES

BETA ***	60.00	70.00	80.00	89.25
AX/AB	Q (Q1)	Q (Q1)	Q (Q1)	Q (Q1)
0.	1.000(.025)	1.000(.025)	1.000(.025)	1.000(.025)
0.025	0.999(.025)	1.000(.025)	1.000(.025)	1.000(.025)
0.050	0.997(.050)	0.997(.050)	0.997(.050)	1.000(.050)
0.075	0.993(.075)	0.993(.075)	0.993(.075)	0.999(.075)
0.100	0.985(.100)	0.986(.100)	0.986(.100)	0.998(.100)
0.125	0.975(.124)	0.975(.124)	0.977(.124)	0.996(.125)
0.150	0.961(.148)	0.962(.148)	0.964(.148)	0.993(.150)
0.175	0.945(.172)	0.946(.172)	0.949(.172)	0.990(.175)
0.200	0.925(.195)	0.927(.196)	0.931(.196)	0.986(.199)
0.225	0.903(.218)	0.904(.218)	0.909(.219)	0.980(.224)
0.250	0.877(.241)	0.879(.241)	0.885(.241)	0.974(.248)
0.275	0.849(.262)	0.851(.262)	0.858(.263)	0.966(.272)
0.300	0.818(.283)	0.821(.283)	0.829(.284)	0.956(.296)
0.325	0.785(.303)	0.788(.303)	0.797(.304)	0.945(.320)
0.350	0.749(.322)	0.753(.323)	0.763(.324)	0.933(.344)
0.375	0.712(.340)	0.716(.341)	0.727(.343)	0.918(.367)
0.400	0.673(.358)	0.677(.358)	0.689(.360)	0.901(.390)
0.425	0.633(.374)	0.637(.375)	0.649(.377)	0.882(.412)
0.450	0.592(.389)	0.596(.390)	0.609(.393)	0.860(.434)
0.475	0.550(.404)	0.554(.405)	0.567(.407)	0.836(.455)
0.500	0.508(.417)	0.512(.418)	0.525(.421)	0.810(.475)
0.525	0.465(.429)	0.470(.430)	0.483(.434)	0.780(.495)
0.550	0.423(.440)	0.427(.441)	0.440(.445)	0.748(.514)
0.575	0.381(.450)	0.386(.452)	0.398(.456)	0.712(.533)
0.600	0.341(.459)	0.345(.461)	0.357(.465)	0.674(.550)
0.625	0.301(.467)	0.305(.469)	0.316(.474)	0.632(.566)
0.650	0.263(.474)	0.266(.476)	0.277(.481)	0.588(.582)
0.675	0.226(.480)	0.230(.482)	0.239(.487)	0.540(.596)
0.700	0.192(.486)	0.195(.488)	0.204(.493)	0.491(.609)
0.725	0.160(.490)	0.163(.492)	0.170(.498)	0.438(.620)
0.750	0.130(.494)	0.133(.496)	0.139(.502)	0.385(.630)
0.775	0.104(.497)	0.105(.499)	0.111(.505)	0.330(.639)
0.800	0.080(.499)	0.081(.501)	0.086(.507)	0.275(.647)
0.825	0.059(.501)	0.060(.503)	0.064(.509)	0.220(.653)
0.850	0.041(.502)	0.042(.504)	0.045(.510)	0.168(.658)
0.875	0.027(.503)	0.028(.505)	0.029(.511)	0.120(.662)
0.900	0.016(.503)	0.016(.505)	0.017(.512)	0.078(.664)
0.925	0.008(.504)	0.008(.506)	0.009(.512)	0.043(.666)
0.950	0.003(.504)	0.003(.506)	0.003(.512)	0.018(.666)
0.975	0.001(.504)	0.001(.506)	0.001(.512)	0.004(.667)
1.000	0.000(.504)	0.000(.506)	0.000(.512)	0.000(.667)

66-196
 App 4 - Phase 11
 VERSION A

*** RELATIVE ENERGY FLUX DENSITY IN THE PENUMBRA ***
 *** OF A DIFFUSE SKIRT WITH THE REFLECTANCE = 0. ***

SOLAR FIELD ANGLE, D = 2.00 DEGREES
 GEOMETRY D1/D2 = 0.

BETA = ANGLE OF INCIDENCE, DEGREES

BETA ***	-88.50	-80.00	-70.00	-60.00	-50.00
AX/AB	Q (QI)	Q (QI)	Q (QI)	Q (QI)	Q (QI)
0.	1.000(.)	1.000(.)	1.000(.)	1.000(.)	1.000(.)
0.025	0.999(.025)	1.000(.025)	1.000(.025)	1.000(.025)	1.000(.025)
0.050	0.997(.050)	0.999(.050)	0.999(.050)	0.999(.050)	0.999(.050)
0.075	0.993(.075)	0.998(.075)	0.998(.075)	0.998(.075)	0.998(.075)
0.100	0.985(.100)	0.996(.100)	0.997(.100)	0.997(.100)	0.997(.100)
0.125	0.978(.124)	0.993(.125)	0.994(.125)	0.995(.125)	0.995(.125)
0.150	0.968(.148)	0.990(.150)	0.991(.150)	0.992(.150)	0.992(.150)
0.175	0.955(.172)	0.985(.174)	0.987(.174)	0.988(.174)	0.988(.174)
0.200	0.942(.196)	0.980(.199)	0.983(.199)	0.983(.199)	0.984(.199)
0.225	0.927(.220)	0.974(.223)	0.977(.223)	0.978(.224)	0.979(.224)
0.250	0.910(.243)	0.967(.247)	0.971(.248)	0.972(.248)	0.972(.248)
0.275	0.893(.265)	0.959(.272)	0.963(.272)	0.965(.272)	0.966(.272)
0.300	0.875(.287)	0.950(.295)	0.955(.296)	0.957(.296)	0.958(.296)
0.325	0.857(.309)	0.940(.319)	0.946(.320)	0.948(.320)	0.950(.320)
0.350	0.838(.330)	0.930(.342)	0.937(.343)	0.939(.344)	0.940(.344)
0.375	0.818(.351)	0.919(.366)	0.926(.367)	0.929(.367)	0.930(.367)
0.400	0.799(.371)	0.906(.388)	0.915(.390)	0.918(.390)	0.919(.390)
0.425	0.779(.391)	0.894(.411)	0.903(.412)	0.906(.413)	0.908(.413)
0.450	0.759(.410)	0.880(.433)	0.890(.435)	0.894(.435)	0.896(.436)
0.475	0.739(.429)	0.866(.455)	0.877(.457)	0.881(.457)	0.883(.458)
0.500	0.719(.447)	0.851(.476)	0.863(.479)	0.867(.479)	0.869(.480)
0.525	0.699(.465)	0.836(.497)	0.848(.500)	0.852(.501)	0.854(.501)
0.550	0.680(.482)	0.820(.518)	0.833(.521)	0.837(.522)	0.839(.522)
0.575	0.660(.499)	0.804(.538)	0.817(.542)	0.821(.543)	0.824(.543)
0.600	0.641(.515)	0.787(.558)	0.800(.562)	0.805(.563)	0.807(.564)
0.625	0.623(.531)	0.769(.578)	0.783(.582)	0.788(.583)	0.791(.584)
0.650	0.604(.546)	0.752(.597)	0.766(.601)	0.771(.602)	0.773(.603)
0.675	0.585(.561)	0.734(.615)	0.748(.620)	0.753(.621)	0.756(.622)
0.700	0.568(.575)	0.715(.633)	0.730(.638)	0.735(.640)	0.737(.641)
0.725	0.551(.589)	0.697(.651)	0.711(.656)	0.716(.658)	0.719(.659)
0.750	0.534(.603)	0.678(.668)	0.692(.674)	0.697(.676)	0.700(.677)
0.775	0.518(.616)	0.658(.685)	0.673(.691)	0.678(.693)	0.680(.694)
0.800	0.501(.629)	0.639(.701)	0.653(.707)	0.658(.710)	0.661(.711)
0.825	0.485(.641)	0.620(.717)	0.633(.724)	0.638(.726)	0.641(.727)
0.850	0.470(.653)	0.600(.732)	0.613(.739)	0.618(.742)	0.620(.743)
0.875	0.455(.665)	0.581(.747)	0.593(.754)	0.598(.757)	0.600(.758)
0.900	0.441(.676)	0.561(.761)	0.573(.769)	0.577(.771)	0.579(.773)
0.925	0.427(.687)	0.542(.775)	0.553(.783)	0.557(.786)	0.559(.787)
0.950	0.413(.697)	0.522(.788)	0.532(.796)	0.536(.799)	0.538(.801)
0.975	0.400(.707)	0.503(.801)	0.512(.809)	0.515(.812)	0.517(.814)
1.000	0.387(.717)	0.483(.813)	0.492(.822)	0.495(.825)	0.496(.827)

*** RELATIVE ENERGY FLUX DENSITY IN THE PENUMBRA ***
 *** OF A DIFFUSE SKIRT WITH THE REFLECTANCE = 0. ***

REPORT No 66-196
 App A - Phase II
 VERSION A

SOLAR FIELD ANGLE, D = 2.00 DEGREES
 GEOMETRY D1/D2 = 0.

BETA = ANGLE OF INCIDENCE, DEGREES

BETA ***	-40.00	-30.00	-20.00	-10.00	-0.
AX/AB	Q (QI)	Q (QI)	Q (QI)	Q (QI)	Q (QI)
0.	1.000(.)	1.000(.)	1.000(.)	1.000(.)	1.000(.)
0.025	1.000(.025)	1.000(.025)	1.000(.025)	1.000(.025)	1.000(.025)
0.050	0.999(.050)	0.999(.050)	0.999(.050)	0.999(.050)	0.999(.050)
0.075	0.999(.075)	0.999(.075)	0.999(.075)	0.999(.075)	0.999(.075)
0.100	0.997(.100)	0.997(.100)	0.997(.100)	0.997(.100)	0.997(.100)
0.125	0.995(.125)	0.995(.125)	0.995(.125)	0.995(.125)	0.995(.125)
0.150	0.992(.150)	0.992(.150)	0.992(.150)	0.992(.150)	0.992(.150)
0.175	0.988(.174)	0.989(.174)	0.989(.174)	0.989(.174)	0.989(.174)
0.200	0.984(.199)	0.984(.199)	0.984(.199)	0.984(.199)	0.985(.199)
0.225	0.979(.224)	0.979(.224)	0.979(.224)	0.979(.224)	0.980(.224)
0.250	0.973(.248)	0.973(.248)	0.973(.248)	0.974(.248)	0.974(.248)
0.275	0.966(.272)	0.967(.272)	0.967(.272)	0.967(.272)	0.967(.272)
0.300	0.959(.296)	0.959(.296)	0.959(.296)	0.960(.296)	0.960(.296)
0.325	0.950(.320)	0.951(.320)	0.951(.320)	0.952(.320)	0.952(.320)
0.350	0.941(.344)	0.942(.344)	0.942(.344)	0.943(.344)	0.943(.344)
0.375	0.931(.367)	0.932(.367)	0.932(.367)	0.933(.367)	0.933(.367)
0.400	0.920(.390)	0.921(.390)	0.922(.391)	0.922(.391)	0.923(.391)
0.425	0.909(.413)	0.910(.413)	0.910(.413)	0.911(.414)	0.912(.414)
0.450	0.897(.436)	0.898(.436)	0.898(.436)	0.899(.436)	0.900(.436)
0.475	0.884(.458)	0.885(.458)	0.886(.458)	0.886(.458)	0.887(.459)
0.500	0.870(.480)	0.871(.480)	0.872(.480)	0.873(.480)	0.873(.481)
0.525	0.855(.502)	0.857(.502)	0.858(.502)	0.859(.502)	0.859(.502)
0.550	0.841(.523)	0.842(.523)	0.843(.523)	0.844(.523)	0.845(.524)
0.575	0.825(.544)	0.826(.544)	0.827(.544)	0.828(.544)	0.829(.544)
0.600	0.809(.564)	0.810(.564)	0.811(.565)	0.812(.565)	0.813(.565)
0.625	0.792(.584)	0.794(.584)	0.795(.585)	0.796(.585)	0.796(.585)
0.650	0.775(.604)	0.776(.604)	0.777(.604)	0.778(.605)	0.779(.605)
0.675	0.757(.623)	0.759(.623)	0.760(.623)	0.761(.624)	0.762(.624)
0.700	0.739(.641)	0.740(.642)	0.742(.642)	0.742(.643)	0.743(.643)
0.725	0.720(.660)	0.722(.660)	0.723(.661)	0.724(.661)	0.725(.661)
0.750	0.701(.677)	0.703(.678)	0.704(.678)	0.705(.679)	0.706(.679)
0.775	0.682(.695)	0.683(.695)	0.684(.696)	0.685(.696)	0.686(.696)
0.800	0.662(.712)	0.664(.712)	0.665(.713)	0.666(.713)	0.666(.713)
0.825	0.642(.728)	0.644(.728)	0.645(.729)	0.645(.729)	0.646(.730)
0.850	0.622(.744)	0.623(.744)	0.624(.745)	0.625(.745)	0.626(.746)
0.875	0.602(.759)	0.603(.760)	0.604(.760)	0.604(.761)	0.605(.761)
0.900	0.581(.774)	0.582(.774)	0.583(.775)	0.584(.775)	0.584(.776)
0.925	0.560(.788)	0.561(.789)	0.562(.789)	0.563(.790)	0.563(.790)
0.950	0.539(.802)	0.540(.803)	0.541(.803)	0.542(.804)	0.542(.804)
0.975	0.518(.815)	0.519(.816)	0.520(.816)	0.521(.817)	0.521(.817)
1.000	0.498(.828)	0.498(.828)	0.499(.829)	0.499(.830)	0.500(.830)

*** RELATIVE ENERGY FLUX DENSITY IN THE PENUMBRA
 *** OF A DIFFUSE SKIRT WITH THE REFLECTANCE = 0. ***

66-196
 App 1 - Phase II
 VERSION A

SOLAR FIELD ANGLE, D = 2.00 DEGREES
 GEOMETRY D1/D2 = 0.

BETA = ANGLE OF INCIDENCE, DEGREES

BETA ***	10.00	20.00	30.00	40.00	50.00
AX/AB	Q (QI)	Q (QI)	Q (QI)	Q (QI)	Q (QI)
0.	1.000(.)	1.000(.)	1.000(.)	1.000(.)	1.000(.)
0.025	1.000(.025)	1.000(.025)	1.000(.025)	1.000(.025)	1.000(.025)
0.050	0.999(.050)	0.999(.050)	0.999(.050)	0.999(.050)	0.999(.050)
0.075	0.999(.075)	0.999(.075)	0.999(.075)	0.999(.075)	0.999(.075)
0.100	0.997(.100)	0.997(.100)	0.997(.100)	0.997(.100)	0.997(.100)
0.125	0.995(.125)	0.995(.125)	0.995(.125)	0.995(.125)	0.995(.125)
0.150	0.992(.150)	0.992(.150)	0.993(.150)	0.993(.150)	0.993(.150)
0.175	0.989(.174)	0.989(.174)	0.989(.174)	0.989(.174)	0.989(.174)
0.200	0.985(.199)	0.985(.199)	0.985(.199)	0.985(.199)	0.985(.199)
0.225	0.980(.224)	0.980(.224)	0.980(.224)	0.980(.224)	0.980(.224)
0.250	0.974(.248)	0.974(.248)	0.975(.248)	0.975(.248)	0.975(.248)
0.275	0.968(.272)	0.968(.272)	0.968(.272)	0.969(.272)	0.969(.272)
0.300	0.960(.296)	0.961(.296)	0.961(.297)	0.961(.297)	0.962(.297)
0.325	0.952(.320)	0.953(.320)	0.953(.320)	0.954(.320)	0.954(.321)
0.350	0.943(.344)	0.944(.344)	0.944(.344)	0.945(.344)	0.946(.344)
0.375	0.934(.368)	0.934(.368)	0.935(.368)	0.935(.368)	0.936(.368)
0.400	0.923(.391)	0.924(.391)	0.924(.391)	0.925(.391)	0.926(.391)
0.425	0.912(.414)	0.913(.414)	0.913(.414)	0.914(.414)	0.915(.414)
0.450	0.900(.436)	0.901(.436)	0.901(.437)	0.902(.437)	0.904(.437)
0.475	0.887(.459)	0.888(.459)	0.889(.459)	0.890(.459)	0.891(.459)
0.500	0.874(.481)	0.875(.481)	0.876(.481)	0.877(.481)	0.878(.481)
0.525	0.860(.502)	0.861(.503)	0.862(.503)	0.863(.503)	0.864(.503)
0.550	0.845(.524)	0.846(.524)	0.847(.524)	0.848(.524)	0.850(.525)
0.575	0.830(.545)	0.831(.545)	0.832(.545)	0.833(.545)	0.834(.546)
0.600	0.814(.565)	0.815(.565)	0.816(.566)	0.817(.566)	0.819(.566)
0.625	0.797(.585)	0.798(.586)	0.799(.586)	0.800(.586)	0.802(.587)
0.650	0.780(.605)	0.781(.605)	0.782(.606)	0.783(.606)	0.785(.606)
0.675	0.762(.624)	0.763(.625)	0.764(.625)	0.766(.625)	0.767(.626)
0.700	0.744(.643)	0.745(.643)	0.746(.644)	0.748(.644)	0.749(.645)
0.725	0.725(.662)	0.727(.662)	0.728(.662)	0.729(.663)	0.731(.663)
0.750	0.707(.679)	0.707(.680)	0.709(.680)	0.710(.681)	0.712(.681)
0.775	0.687(.697)	0.688(.697)	0.689(.698)	0.690(.698)	0.692(.699)
0.800	0.667(.714)	0.668(.714)	0.669(.715)	0.671(.715)	0.672(.716)
0.825	0.647(.730)	0.648(.731)	0.649(.731)	0.650(.732)	0.652(.732)
0.850	0.627(.746)	0.628(.747)	0.629(.747)	0.630(.748)	0.631(.749)
0.875	0.606(.762)	0.607(.762)	0.608(.763)	0.609(.763)	0.611(.764)
0.900	0.585(.776)	0.586(.777)	0.587(.777)	0.588(.778)	0.589(.779)
0.925	0.564(.791)	0.565(.791)	0.566(.792)	0.567(.793)	0.568(.794)
0.950	0.543(.805)	0.544(.805)	0.544(.806)	0.545(.806)	0.547(.807)
0.975	0.522(.818)	0.522(.818)	0.523(.819)	0.524(.820)	0.525(.821)
1.000	0.501(.831)	0.501(.831)	0.502(.832)	0.502(.833)	0.504(.834)

*** RELATIVE ENERGY FLUX DENSITY IN THE PENUMBRA ***
 *** OF A DIFFUSE SKIRT WITH THE REFLECTANCE = 0. ***

66-196
 Phase II
 VERSION A

SOLAR FIELD ANGLE, D= 2.00 DEGREES
 GEOMETRY D1/D2 = 0.

BETA = ANGLE OF INCIDENCE, DEGREES

BETA ***	60.00	70.00	80.00	88.50
AX/AB	Q (QI)	Q (QI)	Q (QI)	Q (QI)
0.	1.000(.)	1.000(.)	1.000(.)	1.000(.)
0.025	1.000(.025)	1.000(.025)	1.000(.025)	1.000(.025)
0.050	1.000(.050)	1.000(.050)	1.000(.050)	1.000(.050)
0.075	0.999(.075)	0.999(.075)	0.999(.075)	1.000(.075)
0.100	0.997(.100)	0.998(.100)	0.998(.100)	1.000(.100)
0.125	0.995(.125)	0.996(.125)	0.996(.125)	1.000(.125)
0.150	0.993(.150)	0.993(.150)	0.994(.150)	1.000(.150)
0.175	0.990(.174)	0.990(.175)	0.992(.175)	1.000(.175)
0.200	0.986(.199)	0.987(.199)	0.989(.199)	0.999(.200)
0.225	0.981(.224)	0.982(.224)	0.985(.224)	0.999(.225)
0.250	0.976(.248)	0.977(.248)	0.980(.249)	0.999(.250)
0.275	0.970(.273)	0.971(.273)	0.975(.273)	0.999(.275)
0.300	0.963(.297)	0.965(.297)	0.969(.297)	0.998(.300)
0.325	0.955(.321)	0.957(.321)	0.962(.321)	0.997(.325)
0.350	0.947(.344)	0.949(.345)	0.955(.345)	0.997(.350)
0.375	0.938(.368)	0.940(.368)	0.947(.369)	0.996(.375)
0.400	0.928(.391)	0.930(.392)	0.938(.393)	0.995(.400)
0.425	0.917(.414)	0.920(.415)	0.928(.416)	0.994(.424)
0.450	0.905(.437)	0.909(.438)	0.918(.439)	0.992(.449)
0.475	0.893(.460)	0.897(.460)	0.907(.462)	0.990(.474)
0.500	0.880(.482)	0.884(.483)	0.895(.484)	0.988(.499)
0.525	0.866(.504)	0.870(.504)	0.882(.507)	0.986(.523)
0.550	0.852(.525)	0.856(.526)	0.869(.529)	0.983(.548)
0.575	0.837(.546)	0.841(.547)	0.854(.550)	0.979(.573)
0.600	0.821(.567)	0.826(.568)	0.839(.571)	0.975(.597)
0.625	0.805(.587)	0.810(.589)	0.824(.592)	0.970(.621)
0.650	0.788(.607)	0.793(.609)	0.807(.612)	0.964(.645)
0.675	0.770(.627)	0.775(.628)	0.790(.632)	0.957(.669)
0.700	0.752(.646)	0.757(.647)	0.772(.652)	0.949(.693)
0.725	0.734(.664)	0.739(.666)	0.754(.671)	0.940(.717)
0.750	0.714(.682)	0.720(.684)	0.735(.690)	0.928(.740)
0.775	0.695(.700)	0.700(.702)	0.715(.708)	0.915(.763)
0.800	0.675(.717)	0.680(.719)	0.695(.725)	0.899(.786)
0.825	0.655(.734)	0.660(.736)	0.674(.743)	0.881(.808)
0.850	0.634(.750)	0.639(.752)	0.653(.759)	0.859(.830)
0.875	0.613(.765)	0.618(.768)	0.631(.775)	0.833(.851)
0.900	0.592(.780)	0.596(.783)	0.609(.791)	0.802(.872)
0.925	0.570(.795)	0.574(.798)	0.586(.806)	0.765(.891)
0.950	0.549(.809)	0.552(.812)	0.563(.820)	0.723(.910)
0.975	0.527(.822)	0.530(.825)	0.540(.834)	0.672(.927)
1.000	0.505(.835)	0.508(.838)	0.517(.847)	0.613(.943)

66-196
 Phase II

*** RELATIVE ENERGY FLUX DENSITY IN THE PENUMBRA ***
 *** OF A DIFFUSE SKIRT WITH THE REFLECTANCE = 0. ***

VERSION A

SOLAR FIELD ANGLE, D = 2.00 DEGREES
 GEOMETRY D1/D2 = 0.25

BETA = ANGLE OF INCIDENCE, DEGREES

BETA ***	-88.50	-80.00	-70.00	-60.00	-50.00
AX/AB	Q (QI)	Q (QI)	Q (QI)	Q (QI)	Q (QI)
0.	1.000(.)	1.000(.)	1.000(.)	1.000(.)	1.000(.)
0.025	0.995(.025)	1.000(.025)	1.000(.025)	1.000(.025)	1.000(.025)
0.050	0.982(.050)	0.999(.050)	0.999(.050)	0.999(.050)	0.999(.050)
0.075	0.959(.074)	0.996(.075)	0.997(.075)	0.997(.075)	0.997(.075)
0.100	0.927(.098)	0.993(.100)	0.994(.100)	0.994(.100)	0.995(.100)
0.125	0.889(.120)	0.988(.125)	0.990(.125)	0.990(.125)	0.991(.125)
0.150	0.847(.142)	0.981(.149)	0.984(.149)	0.985(.149)	0.986(.149)
0.175	0.804(.163)	0.973(.174)	0.977(.174)	0.979(.174)	0.979(.174)
0.200	0.759(.182)	0.963(.198)	0.969(.198)	0.971(.198)	0.972(.198)
0.225	0.714(.201)	0.952(.222)	0.960(.222)	0.962(.222)	0.963(.223)
0.250	0.670(.218)	0.940(.245)	0.949(.246)	0.952(.246)	0.953(.246)
0.275	0.627(.234)	0.926(.269)	0.936(.270)	0.940(.270)	0.942(.270)
0.300	0.585(.249)	0.911(.292)	0.923(.293)	0.927(.293)	0.929(.294)
0.325	0.547(.263)	0.894(.314)	0.908(.316)	0.913(.316)	0.915(.317)
0.350	0.510(.277)	0.876(.336)	0.892(.338)	0.897(.339)	0.900(.339)
0.375	0.474(.289)	0.858(.358)	0.875(.360)	0.881(.361)	0.884(.362)
0.400	0.441(.300)	0.838(.379)	0.857(.382)	0.863(.383)	0.866(.383)
0.425	0.410(.311)	0.817(.400)	0.838(.403)	0.844(.404)	0.848(.405)
0.450	0.363(.321)	0.795(.420)	0.817(.424)	0.825(.425)	0.829(.426)
0.475	0.269(.329)	0.773(.440)	0.796(.444)	0.804(.446)	0.808(.446)
0.500	0.198(.334)	0.750(.459)	0.775(.464)	0.783(.465)	0.787(.466)
0.525	0.146(.339)	0.726(.477)	0.752(.483)	0.761(.485)	0.765(.486)
0.550	0.108(.342)	0.702(.495)	0.729(.501)	0.738(.503)	0.742(.504)
0.575	0.079(.344)	0.677(.512)	0.705(.519)	0.714(.522)	0.719(.523)
0.600	0.058(.346)	0.652(.529)	0.680(.537)	0.690(.539)	0.695(.540)
0.625	0.043(.347)	0.627(.545)	0.655(.553)	0.665(.556)	0.670(.557)
0.650	0.031(.348)	0.602(.560)	0.630(.569)	0.640(.572)	0.645(.574)
0.675	0.022(.349)	0.576(.575)	0.605(.585)	0.614(.588)	0.620(.590)
0.700	0.016(.349)	0.551(.589)	0.579(.600)	0.589(.603)	0.594(.605)
0.725	0.011(.350)	0.525(.602)	0.553(.614)	0.563(.617)	0.568(.619)
0.750	0.008(.350)	0.500(.615)	0.527(.627)	0.537(.631)	0.542(.633)
0.775	0.005(.350)	0.448(.627)	0.501(.640)	0.511(.644)	0.516(.646)
0.800	0.004(.350)	0.352(.637)	0.427(.652)	0.454(.656)	0.468(.659)
0.825	0.002(.350)	0.264(.645)	0.329(.661)	0.353(.666)	0.366(.669)
0.850	0.001(.350)	0.187(.650)	0.239(.668)	0.259(.674)	0.270(.677)
0.875	0.001(.350)	0.123(.654)	0.161(.673)	0.176(.680)	0.184(.683)
0.900	0.000(.350)	0.073(.657)	0.098(.676)	0.108(.683)	0.113(.687)
0.925	0.000(.350)	0.036(.658)	0.050(.678)	0.056(.685)	0.059(.689)
0.950	0.000(.350)	0.014(.659)	0.019(.679)	0.021(.686)	0.023(.690)
0.975	0.000(.350)	0.002(.659)	0.004(.679)	0.004(.686)	0.004(.690)
1.000	0.000(.350)	0.000(.659)	0.000(.679)	0.000(.686)	0.000(.690)

*** RELATIVE ENERGY FLUX DENSITY IN THE PENUMBRA ***
 *** OF A DIFFUSE SKIRT WITH THE REFLECTANCE = 0. ***

66-196
 App 11 - Phase 11
 VERSION A

SOLAR FIELD ANGLE, D= 2.00 DEGREES
 GEOMETRY D1/D2 = 0.25

BETA = ANGLE OF INCIDENCE, DEGREES

BETA ***	-40.00	-30.00	-20.00	-10.00	-0.
AX/AB	Q (QI)	Q (QI)	Q (QI)	Q (QI)	Q (QI)
0.	1.000(.)	1.000(.)	1.000(.)	1.000(.)	1.000(.)
0.025	1.000(.025)	1.000(.025)	1.000(.025)	1.000(.025)	1.000(.025)
0.050	0.999(.050)	0.999(.050)	0.999(.050)	0.999(.050)	0.999(.050)
0.075	0.997(.075)	0.997(.075)	0.997(.075)	0.998(.075)	0.998(.075)
0.100	0.995(.100)	0.995(.100)	0.995(.100)	0.995(.100)	0.995(.100)
0.125	0.991(.125)	0.991(.125)	0.991(.125)	0.991(.125)	0.991(.125)
0.150	0.985(.149)	0.986(.149)	0.987(.149)	0.987(.149)	0.987(.149)
0.175	0.980(.174)	0.980(.174)	0.981(.174)	0.981(.174)	0.981(.174)
0.200	0.973(.198)	0.973(.198)	0.973(.198)	0.974(.198)	0.974(.198)
0.225	0.964(.223)	0.964(.223)	0.965(.223)	0.965(.223)	0.966(.223)
0.250	0.954(.247)	0.955(.247)	0.955(.247)	0.956(.247)	0.956(.247)
0.275	0.943(.270)	0.944(.270)	0.944(.270)	0.945(.270)	0.945(.270)
0.300	0.930(.294)	0.931(.294)	0.932(.294)	0.933(.294)	0.933(.294)
0.325	0.917(.317)	0.918(.317)	0.919(.317)	0.919(.317)	0.920(.317)
0.350	0.902(.339)	0.903(.340)	0.904(.340)	0.905(.340)	0.906(.340)
0.375	0.885(.362)	0.887(.362)	0.888(.362)	0.889(.362)	0.890(.362)
0.400	0.869(.384)	0.870(.384)	0.871(.384)	0.872(.384)	0.873(.384)
0.425	0.850(.405)	0.852(.405)	0.853(.406)	0.855(.406)	0.856(.406)
0.450	0.831(.426)	0.833(.427)	0.834(.427)	0.836(.427)	0.837(.427)
0.475	0.811(.447)	0.813(.447)	0.814(.447)	0.816(.448)	0.817(.448)
0.500	0.790(.467)	0.792(.467)	0.794(.468)	0.795(.468)	0.796(.468)
0.525	0.768(.486)	0.770(.487)	0.772(.487)	0.773(.487)	0.775(.488)
0.550	0.745(.505)	0.748(.506)	0.749(.506)	0.751(.506)	0.752(.507)
0.575	0.722(.524)	0.724(.524)	0.726(.525)	0.728(.525)	0.729(.525)
0.600	0.698(.541)	0.700(.542)	0.702(.542)	0.704(.543)	0.706(.543)
0.625	0.673(.558)	0.676(.559)	0.678(.560)	0.680(.560)	0.681(.561)
0.650	0.648(.575)	0.651(.576)	0.653(.576)	0.655(.577)	0.656(.577)
0.675	0.623(.591)	0.626(.592)	0.628(.592)	0.629(.593)	0.631(.593)
0.700	0.597(.606)	0.600(.607)	0.602(.608)	0.604(.608)	0.605(.609)
0.725	0.571(.621)	0.574(.622)	0.576(.622)	0.578(.623)	0.579(.624)
0.750	0.545(.635)	0.548(.636)	0.550(.636)	0.551(.637)	0.553(.638)
0.775	0.519(.648)	0.521(.649)	0.523(.650)	0.525(.651)	0.527(.651)
0.800	0.478(.660)	0.485(.662)	0.490(.663)	0.495(.663)	0.500(.664)
0.825	0.374(.671)	0.381(.672)	0.386(.673)	0.390(.674)	0.395(.675)
0.850	0.277(.679)	0.282(.681)	0.287(.682)	0.291(.683)	0.294(.684)
0.875	0.190(.685)	0.194(.687)	0.198(.688)	0.201(.689)	0.204(.690)
0.900	0.117(.689)	0.120(.691)	0.122(.692)	0.125(.693)	0.127(.694)
0.925	0.061(.691)	0.063(.693)	0.064(.694)	0.066(.696)	0.067(.697)
0.950	0.024(.692)	0.024(.694)	0.025(.695)	0.026(.697)	0.026(.698)
0.975	0.004(.692)	0.005(.694)	0.005(.696)	0.005(.697)	0.005(.698)
1.000	0.000(.693)	0.000(.694)	0.000(.696)	0.000(.697)	0.000(.698)

REGISTER NO. 66-196
App G - Phase II
 VERSION A

*** RELATIVE ENERGY FLUX DENSITY IN THE PENUMBRA ***
 *** OF A DIFFUSE SKIRT WITH THE REFLECTANCE = 0. ***

SOLAR FIELD ANGLE, D= 2.00 DEGREES
 GEOMETRY D1/D2 = 0.25

BETA = ANGLE OF INCIDENCE, DEGREES

BETA ***	10.00	20.00	30.00	40.00	50.00
AX/AB	Q (Q1)	Q (Q1)	Q (Q1)	Q (Q1)	Q (Q1)
0.	1.000(.)	1.000(.)	1.000(.)	1.000(.)	1.000(.)
0.025	1.000(.025)	1.000(.025)	1.000(.025)	1.000(.025)	1.000(.025)
0.050	0.999(.050)	0.999(.050)	0.999(.050)	0.999(.050)	0.999(.050)
0.075	0.998(.075)	0.998(.075)	0.998(.075)	0.998(.075)	0.998(.075)
0.100	0.995(.100)	0.995(.100)	0.995(.100)	0.995(.100)	0.995(.100)
0.125	0.992(.125)	0.992(.125)	0.992(.125)	0.992(.125)	0.992(.125)
0.150	0.987(.149)	0.987(.149)	0.987(.149)	0.988(.149)	0.988(.149)
0.175	0.981(.174)	0.981(.174)	0.982(.174)	0.982(.174)	0.982(.174)
0.200	0.974(.198)	0.974(.198)	0.975(.199)	0.975(.199)	0.976(.199)
0.225	0.966(.223)	0.966(.223)	0.967(.223)	0.967(.223)	0.968(.223)
0.250	0.957(.247)	0.957(.247)	0.958(.247)	0.958(.247)	0.959(.247)
0.275	0.946(.271)	0.946(.271)	0.947(.271)	0.948(.271)	0.949(.271)
0.300	0.934(.294)	0.935(.294)	0.935(.294)	0.936(.294)	0.937(.294)
0.325	0.921(.317)	0.922(.317)	0.922(.317)	0.923(.317)	0.925(.318)
0.350	0.906(.340)	0.907(.340)	0.908(.340)	0.910(.340)	0.911(.341)
0.375	0.891(.363)	0.892(.363)	0.893(.363)	0.894(.363)	0.896(.363)
0.400	0.874(.385)	0.876(.385)	0.877(.385)	0.878(.385)	0.880(.385)
0.425	0.857(.406)	0.858(.406)	0.859(.407)	0.861(.407)	0.863(.407)
0.450	0.838(.427)	0.839(.428)	0.841(.428)	0.843(.428)	0.845(.429)
0.475	0.818(.448)	0.820(.448)	0.821(.449)	0.823(.449)	0.826(.449)
0.500	0.798(.468)	0.799(.469)	0.801(.469)	0.803(.469)	0.806(.470)
0.525	0.776(.488)	0.778(.488)	0.780(.489)	0.782(.489)	0.784(.490)
0.550	0.754(.507)	0.756(.507)	0.757(.508)	0.760(.508)	0.763(.509)
0.575	0.731(.526)	0.733(.526)	0.734(.527)	0.737(.527)	0.740(.528)
0.600	0.707(.544)	0.709(.544)	0.711(.545)	0.713(.545)	0.716(.546)
0.625	0.683(.561)	0.685(.562)	0.687(.562)	0.689(.563)	0.692(.564)
0.650	0.658(.578)	0.660(.578)	0.662(.579)	0.664(.580)	0.668(.581)
0.675	0.633(.594)	0.634(.594)	0.636(.595)	0.639(.596)	0.642(.597)
0.700	0.607(.609)	0.609(.610)	0.611(.611)	0.613(.612)	0.617(.613)
0.725	0.581(.624)	0.583(.625)	0.585(.626)	0.587(.627)	0.590(.628)
0.750	0.555(.638)	0.556(.639)	0.558(.640)	0.561(.641)	0.564(.642)
0.775	0.528(.652)	0.530(.653)	0.532(.654)	0.534(.655)	0.537(.656)
0.800	0.502(.665)	0.503(.666)	0.505(.667)	0.507(.668)	0.511(.669)
0.825	0.399(.676)	0.404(.677)	0.409(.678)	0.416(.679)	0.424(.681)
0.850	0.298(.685)	0.302(.686)	0.307(.687)	0.312(.688)	0.320(.690)
0.875	0.207(.691)	0.210(.692)	0.213(.693)	0.218(.695)	0.224(.697)
0.900	0.129(.695)	0.131(.696)	0.133(.698)	0.137(.699)	0.141(.701)
0.925	0.068(.698)	0.069(.699)	0.071(.700)	0.073(.702)	0.075(.704)
0.950	0.027(.699)	0.027(.700)	0.028(.702)	0.029(.703)	0.030(.705)
0.975	0.005(.699)	0.005(.701)	0.005(.702)	0.005(.704)	0.006(.706)
1.000	0.000(.699)	0.000(.701)	0.000(.702)	0.000(.704)	0.000(.706)

*** RELATIVE ENERGY FLUX DENSITY IN THE PENUMBRA ***
 *** OF A DIFFUSE SKIRT WITH THE REFLECTANCE = 0. ***

66-196
 App 4 - Phase 11
 VERSION A

SOLAR FIELD ANGLE, D= 2.00 DEGREES
 GEOMETRY D1/D2 = 0.25

BETA = ANGLE OF INCIDENCE, DEGREES

BETA ***	60.00	70.00	80.00	88.50
AX/AB	Q (QI)	Q (QI)	Q (QI)	Q (QI)
0.	1.000(.)	1.000(.)	1.000(.)	1.000(.)
0.025	1.000(.025)	1.000(.025)	1.000(.025)	1.000(.025)
0.050	0.999(.050)	0.999(.050)	0.999(.050)	1.000(.050)
0.075	0.995(.075)	0.998(.075)	0.998(.075)	1.000(.075)
0.100	0.995(.100)	0.996(.100)	0.997(.100)	1.000(.100)
0.125	0.992(.125)	0.993(.125)	0.994(.125)	1.000(.125)
0.150	0.988(.149)	0.989(.150)	0.991(.150)	1.000(.150)
0.175	0.983(.174)	0.984(.174)	0.987(.174)	1.000(.175)
0.200	0.977(.199)	0.978(.199)	0.982(.199)	0.999(.200)
0.225	0.969(.223)	0.971(.223)	0.976(.223)	0.999(.225)
0.250	0.960(.247)	0.963(.247)	0.969(.248)	0.999(.250)
0.275	0.950(.271)	0.953(.271)	0.961(.272)	0.998(.275)
0.300	0.939(.295)	0.943(.295)	0.951(.296)	0.998(.300)
0.325	0.927(.318)	0.931(.318)	0.941(.319)	0.997(.325)
0.350	0.914(.341)	0.918(.341)	0.930(.343)	0.996(.350)
0.375	0.899(.364)	0.904(.364)	0.917(.366)	0.995(.375)
0.400	0.883(.386)	0.889(.387)	0.904(.389)	0.994(.399)
0.425	0.866(.408)	0.872(.409)	0.889(.411)	0.992(.424)
0.450	0.848(.429)	0.855(.430)	0.873(.433)	0.991(.449)
0.475	0.829(.450)	0.837(.451)	0.856(.455)	0.988(.474)
0.500	0.810(.471)	0.817(.472)	0.838(.476)	0.986(.498)
0.525	0.789(.491)	0.797(.492)	0.819(.497)	0.983(.523)
0.550	0.767(.510)	0.775(.512)	0.799(.517)	0.979(.548)
0.575	0.745(.529)	0.753(.531)	0.778(.536)	0.974(.572)
0.600	0.721(.547)	0.730(.549)	0.755(.556)	0.969(.596)
0.625	0.697(.565)	0.706(.567)	0.732(.574)	0.963(.620)
0.650	0.673(.582)	0.682(.585)	0.709(.592)	0.955(.644)
0.675	0.647(.599)	0.657(.602)	0.684(.610)	0.946(.668)
0.700	0.622(.614)	0.631(.618)	0.658(.626)	0.935(.692)
0.725	0.596(.630)	0.605(.633)	0.632(.643)	0.923(.715)
0.750	0.569(.644)	0.578(.648)	0.606(.658)	0.908(.738)
0.775	0.542(.658)	0.552(.662)	0.578(.673)	0.889(.760)
0.800	0.515(.671)	0.524(.675)	0.551(.687)	0.868(.782)
0.825	0.438(.683)	0.464(.688)	0.522(.700)	0.842(.804)
0.850	0.332(.693)	0.355(.698)	0.425(.712)	0.812(.824)
0.875	0.234(.700)	0.252(.706)	0.311(.721)	0.775(.844)
0.900	0.148(.705)	0.161(.711)	0.205(.728)	0.732(.863)
0.925	0.079(.708)	0.087(.714)	0.115(.732)	0.680(.881)
0.950	0.032(.709)	0.035(.715)	0.048(.734)	0.619(.897)
0.975	0.006(.709)	0.007(.716)	0.010(.735)	0.300(.908)
1.000	0.000(.709)	0.000(.716)	0.000(.735)	0.000(.912)

REC-11. 66-196
 App A - Phase 11

*** RELATIVE ENERGY FLUX DENSITY IN THE PENUMBRA ***
 *** OF A DIFFUSE SKIRT WITH THE REFLECTANCE = 0. ***

VERSION A

SOLAR FIELD ANGLE, D= 2.00 DEGREES
 GEOMETRY D1/D2 = 0.50

BETA = ANGLE OF INCIDENCE, DEGREES

BETA ***	-88.50	-80.00	-70.00	-60.00	-50.00
AX/AB	Q (QI)	Q (QI)	Q (QI)	Q (QI)	Q (QI)
0.	1.000(.)	1.000(.)	1.000(.)	1.000(.)	1.000(.)
0.025	0.990(.025)	1.000(.025)	1.000(.025)	1.000(.025)	1.000(.025)
0.050	0.955(.049)	0.998(.050)	0.998(.050)	0.998(.050)	0.998(.050)
0.075	0.902(.072)	0.994(.075)	0.995(.075)	0.996(.075)	0.996(.075)
0.100	0.838(.094)	0.988(.100)	0.990(.100)	0.991(.100)	0.992(.100)
0.125	0.769(.114)	0.980(.124)	0.984(.124)	0.985(.124)	0.986(.124)
0.150	0.699(.133)	0.969(.149)	0.975(.149)	0.977(.149)	0.978(.149)
0.175	0.632(.149)	0.957(.173)	0.964(.173)	0.967(.173)	0.968(.173)
0.200	0.569(.164)	0.942(.196)	0.952(.197)	0.955(.197)	0.957(.197)
0.225	0.510(.176)	0.924(.220)	0.937(.221)	0.941(.221)	0.943(.221)
0.250	0.456(.190)	0.905(.243)	0.921(.244)	0.926(.244)	0.928(.245)
0.275	0.407(.201)	0.884(.265)	0.902(.267)	0.908(.267)	0.911(.268)
0.300	0.339(.210)	0.861(.287)	0.882(.289)	0.889(.290)	0.892(.290)
0.325	0.269(.217)	0.837(.308)	0.861(.311)	0.868(.312)	0.872(.312)
0.350	0.212(.224)	0.811(.329)	0.837(.332)	0.846(.333)	0.850(.334)
0.375	0.168(.228)	0.784(.349)	0.813(.353)	0.822(.354)	0.827(.355)
0.400	0.132(.232)	0.756(.368)	0.787(.373)	0.797(.374)	0.802(.375)
0.425	0.104(.235)	0.727(.386)	0.759(.392)	0.770(.394)	0.776(.395)
0.450	0.082(.237)	0.697(.404)	0.731(.411)	0.743(.413)	0.749(.414)
0.475	0.065(.239)	0.666(.421)	0.702(.429)	0.714(.431)	0.721(.432)
0.500	0.051(.241)	0.635(.437)	0.672(.446)	0.685(.448)	0.691(.450)
0.525	0.040(.242)	0.604(.453)	0.642(.462)	0.655(.465)	0.662(.467)
0.550	0.031(.243)	0.573(.468)	0.611(.478)	0.624(.481)	0.631(.483)
0.575	0.024(.243)	0.541(.482)	0.580(.493)	0.593(.496)	0.600(.498)
0.600	0.019(.244)	0.510(.495)	0.549(.507)	0.562(.511)	0.569(.513)
0.625	0.014(.244)	0.474(.507)	0.517(.520)	0.530(.524)	0.537(.527)
0.650	0.011(.245)	0.413(.518)	0.479(.533)	0.499(.537)	0.506(.540)
0.675	0.008(.245)	0.354(.528)	0.417(.544)	0.440(.549)	0.452(.552)
0.700	0.006(.245)	0.298(.536)	0.357(.553)	0.378(.559)	0.390(.562)
0.725	0.004(.245)	0.247(.543)	0.300(.562)	0.319(.568)	0.330(.571)
0.750	0.003(.245)	0.199(.548)	0.246(.568)	0.263(.575)	0.273(.579)
0.775	0.002(.245)	0.157(.553)	0.196(.574)	0.211(.581)	0.220(.585)
0.800	0.002(.245)	0.119(.556)	0.152(.578)	0.164(.586)	0.171(.590)
0.825	0.001(.245)	0.087(.559)	0.112(.582)	0.122(.589)	0.128(.593)
0.850	0.001(.245)	0.060(.561)	0.079(.584)	0.086(.592)	0.091(.596)
0.875	0.000(.245)	0.039(.562)	0.052(.586)	0.057(.594)	0.060(.598)
0.900	0.000(.245)	0.023(.563)	0.031(.587)	0.034(.595)	0.036(.599)
0.925	0.000(.245)	0.011(.563)	0.015(.587)	0.017(.596)	0.018(.600)
0.950	0.000(.245)	0.004(.563)	0.006(.588)	0.006(.596)	0.007(.600)
0.975	0.000(.245)	0.001(.563)	0.001(.588)	0.001(.596)	0.001(.600)
1.000	0.000(.245)	0.000(.563)	0.000(.588)	0.000(.596)	0.000(.600)

*** RELATIVE ENERGY FLUX DENSITY IN THE PENUMBRA ***
 *** OF A DIFFUSE SKIRT WITH THE REFLECTANCE = 0. ***

66-196
 App. A - Phase II
 VERSION A

SOLAR FIELD ANGLE, D = 2.00 DEGREES
 GEOMETRY D1/D2 = 0.50

BETA = ANGLE OF INCIDENCE, DEGREES

BETA ***	-40.00	-30.00	-20.00	-10.00	-0.
AX/AB	Q (QI)	Q (QI)	Q (QI)	Q (QI)	Q (QI)
0.	1.000(.)	1.000(.)	1.000(.)	1.000(.)	1.000(.)
0.025	1.000(.025)	1.000(.025)	1.000(.025)	1.000(.025)	1.000(.025)
0.050	0.998(.050)	0.999(.050)	0.999(.050)	0.999(.050)	0.999(.050)
0.075	0.996(.075)	0.996(.075)	0.996(.075)	0.996(.075)	0.996(.075)
0.100	0.992(.100)	0.992(.100)	0.992(.100)	0.992(.100)	0.992(.100)
0.125	0.986(.124)	0.986(.124)	0.986(.124)	0.987(.124)	0.987(.125)
0.150	0.978(.149)	0.979(.149)	0.979(.149)	0.979(.149)	0.980(.149)
0.175	0.969(.173)	0.970(.173)	0.970(.173)	0.970(.173)	0.971(.173)
0.200	0.958(.197)	0.958(.197)	0.959(.198)	0.960(.198)	0.960(.198)
0.225	0.945(.221)	0.946(.221)	0.946(.221)	0.947(.221)	0.948(.221)
0.250	0.930(.245)	0.931(.245)	0.932(.245)	0.933(.245)	0.933(.245)
0.275	0.913(.268)	0.914(.268)	0.915(.268)	0.916(.268)	0.917(.268)
0.300	0.895(.290)	0.896(.290)	0.897(.291)	0.899(.291)	0.900(.291)
0.325	0.874(.312)	0.876(.313)	0.878(.313)	0.879(.313)	0.880(.313)
0.350	0.853(.334)	0.855(.334)	0.856(.334)	0.858(.335)	0.859(.335)
0.375	0.830(.355)	0.832(.355)	0.834(.356)	0.835(.356)	0.837(.356)
0.400	0.805(.375)	0.808(.376)	0.810(.376)	0.811(.376)	0.813(.377)
0.425	0.779(.395)	0.782(.396)	0.784(.396)	0.786(.396)	0.788(.397)
0.450	0.753(.414)	0.755(.415)	0.758(.415)	0.760(.416)	0.762(.416)
0.475	0.725(.433)	0.728(.433)	0.730(.434)	0.732(.434)	0.734(.435)
0.500	0.695(.451)	0.699(.451)	0.701(.452)	0.704(.452)	0.706(.453)
0.525	0.666(.468)	0.669(.468)	0.672(.469)	0.674(.469)	0.676(.470)
0.550	0.635(.484)	0.639(.485)	0.642(.485)	0.644(.486)	0.646(.486)
0.575	0.605(.499)	0.608(.500)	0.611(.501)	0.613(.502)	0.616(.502)
0.600	0.574(.514)	0.577(.515)	0.580(.516)	0.582(.517)	0.584(.517)
0.625	0.542(.528)	0.545(.529)	0.548(.530)	0.551(.531)	0.553(.531)
0.650	0.510(.541)	0.514(.542)	0.516(.543)	0.519(.544)	0.521(.545)
0.675	0.460(.553)	0.466(.555)	0.471(.556)	0.475(.557)	0.479(.557)
0.700	0.397(.564)	0.403(.566)	0.408(.567)	0.412(.568)	0.416(.569)
0.725	0.337(.573)	0.342(.575)	0.346(.576)	0.350(.577)	0.354(.578)
0.750	0.279(.581)	0.284(.583)	0.288(.584)	0.291(.585)	0.294(.586)
0.775	0.225(.587)	0.229(.589)	0.233(.591)	0.236(.592)	0.238(.593)
0.800	0.176(.592)	0.179(.594)	0.182(.596)	0.185(.597)	0.187(.598)
0.825	0.132(.596)	0.134(.598)	0.137(.600)	0.139(.601)	0.141(.602)
0.850	0.093(.599)	0.096(.601)	0.097(.603)	0.099(.604)	0.100(.605)
0.875	0.062(.601)	0.063(.603)	0.065(.605)	0.066(.606)	0.067(.607)
0.900	0.037(.602)	0.038(.604)	0.039(.606)	0.039(.607)	0.040(.609)
0.925	0.019(.603)	0.019(.605)	0.020(.607)	0.020(.608)	0.020(.610)
0.950	0.007(.603)	0.007(.605)	0.007(.607)	0.008(.608)	0.008(.610)
0.975	0.001(.603)	0.001(.605)	0.001(.607)	0.001(.609)	0.001(.610)
1.000	0.000(.603)	0.000(.605)	0.000(.607)	0.000(.609)	0.000(.610)

*** RELATIVE ENERGY FLUX DENSITY IN THE PENUMBRA ***
 *** OF A DIFFUSE SKIRT WITH THE REFLECTANCE = 0. ***

66-196
 App. A - Phase II
 VERSION A

SOLAR FIELD ANGLE, D= 2.00 DEGREES
 GEOMETRY D1/D2 = 0.50

BETA = ANGLE OF INCIDENCE, DEGREES

BETA ***	10.00	20.00	30.00	40.00	50.00
AX/AB	Q (QI)	Q (QI)	Q (QI)	Q (QI)	Q (QI)
0.	1.000(.)	1.000(.)	1.000(.)	1.000(.)	1.000(.)
0.025	1.000(.025)	1.000(.025)	1.000(.025)	1.000(.025)	1.000(.025)
0.050	0.999(.050)	0.999(.050)	0.999(.050)	0.999(.050)	0.999(.050)
0.075	0.996(.075)	0.996(.075)	0.996(.075)	0.996(.075)	0.997(.075)
0.100	0.992(.100)	0.993(.100)	0.993(.100)	0.993(.100)	0.993(.100)
0.125	0.987(.125)	0.987(.125)	0.987(.125)	0.988(.125)	0.988(.125)
0.150	0.980(.149)	0.980(.149)	0.981(.149)	0.981(.149)	0.981(.149)
0.175	0.971(.173)	0.971(.174)	0.972(.174)	0.972(.174)	0.973(.174)
0.200	0.961(.198)	0.961(.198)	0.962(.198)	0.962(.198)	0.963(.198)
0.225	0.948(.221)	0.949(.222)	0.950(.222)	0.950(.222)	0.952(.222)
0.250	0.934(.245)	0.935(.245)	0.936(.245)	0.937(.245)	0.938(.245)
0.275	0.918(.268)	0.919(.268)	0.920(.268)	0.921(.268)	0.923(.269)
0.300	0.901(.291)	0.902(.291)	0.903(.291)	0.904(.291)	0.906(.291)
0.325	0.881(.313)	0.883(.313)	0.884(.313)	0.886(.314)	0.888(.314)
0.350	0.861(.335)	0.862(.335)	0.864(.335)	0.866(.336)	0.868(.336)
0.375	0.838(.356)	0.840(.356)	0.842(.357)	0.844(.357)	0.847(.357)
0.400	0.815(.377)	0.816(.377)	0.818(.377)	0.821(.378)	0.824(.378)
0.425	0.790(.397)	0.791(.397)	0.794(.398)	0.796(.398)	0.800(.398)
0.450	0.763(.416)	0.765(.417)	0.768(.417)	0.770(.418)	0.774(.418)
0.475	0.736(.435)	0.738(.435)	0.741(.436)	0.743(.436)	0.747(.437)
0.500	0.708(.453)	0.710(.454)	0.712(.454)	0.715(.455)	0.719(.456)
0.525	0.678(.470)	0.681(.471)	0.683(.472)	0.687(.472)	0.691(.473)
0.550	0.648(.487)	0.651(.488)	0.653(.488)	0.657(.489)	0.661(.490)
0.575	0.618(.503)	0.620(.503)	0.623(.504)	0.626(.505)	0.631(.506)
0.600	0.587(.518)	0.589(.519)	0.592(.519)	0.595(.520)	0.600(.522)
0.625	0.555(.532)	0.558(.533)	0.560(.534)	0.564(.535)	0.568(.536)
0.650	0.523(.546)	0.526(.546)	0.529(.547)	0.532(.549)	0.537(.550)
0.675	0.483(.558)	0.487(.559)	0.492(.560)	0.498(.561)	0.505(.563)
0.700	0.419(.570)	0.423(.571)	0.428(.572)	0.434(.573)	0.442(.575)
0.725	0.357(.579)	0.361(.580)	0.366(.582)	0.371(.583)	0.378(.585)
0.750	0.298(.587)	0.301(.589)	0.305(.590)	0.310(.592)	0.317(.594)
0.775	0.241(.594)	0.244(.595)	0.248(.597)	0.252(.599)	0.258(.601)
0.800	0.189(.600)	0.192(.601)	0.195(.602)	0.199(.604)	0.204(.607)
0.825	0.143(.604)	0.145(.605)	0.147(.607)	0.150(.609)	0.154(.611)
0.850	0.102(.607)	0.104(.608)	0.105(.610)	0.108(.612)	0.111(.615)
0.875	0.068(.609)	0.069(.610)	0.070(.612)	0.072(.614)	0.074(.617)
0.900	0.041(.610)	0.041(.612)	0.042(.613)	0.043(.616)	0.045(.618)
0.925	0.021(.611)	0.021(.613)	0.022(.614)	0.022(.616)	0.023(.619)
0.950	0.008(.611)	0.008(.613)	0.008(.615)	0.008(.617)	0.009(.620)
0.975	0.001(.611)	0.001(.613)	0.002(.615)	0.002(.617)	0.002(.620)
1.000	0.000(.611)	0.000(.613)	0.000(.615)	0.000(.617)	0.000(.620)

*** RELATIVE ENERGY FLUX DENSITY IN THE PENUMBRA
 *** OF A DIFFUSE SKIRT WITH THE REFLECTANCE = 0. ***

66-196
 App. A - Phase II
 VERSION A

SOLAR FIELD ANGLE, D = 2.00 DEGREES
 GEOMETRY D1/D2 = 0.50

BETA = ANGLE OF INCIDENCE, DEGREES

BETA ***	60.00	70.00	80.00	88.50
AX/AB	Q (QI)	Q (QI)	Q (QI)	Q (QI)
0.	1.000(.)	1.000(.)	1.000(.)	1.000(.)
0.025	1.000(.025)	1.000(.025)	1.000(.025)	1.000(.025)
0.050	0.999(.050)	0.999(.050)	0.999(.050)	1.000(.050)
0.075	0.997(.075)	0.997(.075)	0.998(.075)	1.000(.075)
0.100	0.993(.100)	0.994(.100)	0.995(.100)	1.000(.100)
0.125	0.988(.125)	0.989(.125)	0.992(.125)	1.000(.125)
0.150	0.982(.149)	0.983(.149)	0.987(.149)	1.000(.150)
0.175	0.974(.174)	0.976(.174)	0.981(.174)	0.999(.175)
0.200	0.965(.198)	0.967(.198)	0.973(.198)	0.999(.200)
0.225	0.953(.222)	0.956(.222)	0.965(.223)	0.999(.225)
0.250	0.940(.246)	0.944(.246)	0.954(.247)	0.999(.250)
0.275	0.926(.269)	0.930(.269)	0.943(.270)	0.998(.275)
0.300	0.909(.292)	0.915(.292)	0.929(.294)	0.997(.300)
0.325	0.892(.314)	0.898(.315)	0.914(.317)	0.997(.325)
0.350	0.872(.336)	0.879(.337)	0.898(.339)	0.996(.350)
0.375	0.851(.358)	0.859(.359)	0.880(.362)	0.994(.375)
0.400	0.829(.379)	0.837(.380)	0.861(.383)	0.993(.399)
0.425	0.805(.399)	0.814(.401)	0.840(.405)	0.991(.424)
0.450	0.780(.419)	0.790(.421)	0.818(.425)	0.989(.449)
0.475	0.753(.438)	0.764(.440)	0.794(.446)	0.986(.474)
0.500	0.726(.457)	0.737(.459)	0.769(.465)	0.983(.498)
0.525	0.697(.475)	0.709(.477)	0.742(.484)	0.979(.523)
0.550	0.668(.492)	0.680(.494)	0.715(.502)	0.974(.547)
0.575	0.638(.508)	0.650(.511)	0.686(.520)	0.968(.571)
0.600	0.607(.523)	0.620(.527)	0.656(.536)	0.962(.596)
0.625	0.575(.538)	0.588(.542)	0.626(.553)	0.954(.619)
0.650	0.544(.552)	0.557(.556)	0.594(.568)	0.944(.643)
0.675	0.512(.565)	0.524(.570)	0.562(.582)	0.932(.667)
0.700	0.454(.577)	0.476(.582)	0.529(.596)	0.918(.690)
0.725	0.390(.588)	0.411(.594)	0.475(.608)	0.901(.712)
0.750	0.327(.597)	0.347(.603)	0.407(.619)	0.881(.735)
0.775	0.268(.604)	0.286(.611)	0.341(.629)	0.856(.756)
0.800	0.212(.610)	0.227(.617)	0.276(.636)	0.827(.777)
0.825	0.161(.615)	0.174(.622)	0.215(.643)	0.791(.798)
0.850	0.116(.619)	0.126(.626)	0.158(.647)	0.749(.817)
0.875	0.078(.621)	0.085(.629)	0.109(.651)	0.698(.835)
0.900	0.047(.623)	0.052(.630)	0.068(.653)	0.638(.852)
0.925	0.024(.623)	0.027(.631)	0.036(.654)	0.514(.866)
0.950	0.009(.624)	0.010(.632)	0.014(.655)	0.320(.877)
0.975	0.002(.624)	0.002(.632)	0.003(.655)	0.107(.882)
1.000	0.000(.624)	0.000(.632)	0.000(.655)	0.000(.883)

*** RELATIVE ENERGY FLUX DENSITY IN THE PENUMBRA ***
 *** OF A DIFFUSE SKIRT WITH THE REFLECTANCE = 0. ***

66-196
 App. A - Phase II
 VERSION A

SOLAR FIELD ANGLE, D= 2.00 DEGREES
 GEOMETRY D1/D2 = 0.75

BETA = ANGLE OF INCIDENCE, DEGREES

BETA ***	-88.50	-80.00	-70.00	-60.00	-50.00
AX/AB	Q (QI)	Q (QI)	Q (QI)	Q (QI)	Q (QI)
0.	1.000(.)	1.000(.)	1.000(.)	1.000(.)	1.000(.)
0.025	0.980(.025)	0.999(.025)	1.000(.025)	1.000(.025)	1.000(.025)
0.050	0.919(.048)	0.997(.050)	0.997(.050)	0.998(.050)	0.998(.050)
0.075	0.833(.070)	0.991(.075)	0.993(.075)	0.993(.075)	0.994(.075)
0.100	0.739(.090)	0.982(.099)	0.986(.100)	0.987(.100)	0.988(.100)
0.125	0.645(.107)	0.970(.124)	0.976(.124)	0.978(.124)	0.979(.124)
0.150	0.560(.122)	0.955(.148)	0.964(.148)	0.966(.148)	0.968(.149)
0.175	0.482(.135)	0.936(.172)	0.948(.172)	0.952(.172)	0.954(.173)
0.200	0.413(.147)	0.915(.195)	0.931(.196)	0.935(.196)	0.938(.196)
0.225	0.343(.156)	0.891(.217)	0.910(.219)	0.916(.219)	0.919(.219)
0.250	0.278(.164)	0.864(.239)	0.887(.241)	0.894(.242)	0.898(.242)
0.275	0.224(.170)	0.835(.260)	0.862(.263)	0.870(.264)	0.874(.264)
0.300	0.181(.175)	0.804(.281)	0.834(.284)	0.844(.285)	0.849(.286)
0.325	0.146(.179)	0.771(.301)	0.805(.305)	0.816(.306)	0.821(.307)
0.350	0.118(.183)	0.737(.319)	0.774(.324)	0.785(.326)	0.792(.327)
0.375	0.095(.185)	0.702(.337)	0.741(.343)	0.754(.345)	0.760(.346)
0.400	0.077(.187)	0.665(.355)	0.707(.361)	0.721(.364)	0.728(.365)
0.425	0.062(.189)	0.629(.371)	0.672(.379)	0.686(.381)	0.694(.383)
0.450	0.050(.191)	0.591(.386)	0.636(.395)	0.651(.398)	0.659(.400)
0.475	0.040(.192)	0.554(.400)	0.600(.411)	0.615(.414)	0.623(.416)
0.500	0.032(.193)	0.516(.414)	0.563(.425)	0.579(.429)	0.587(.431)
0.525	0.025(.193)	0.478(.426)	0.526(.439)	0.542(.443)	0.550(.445)
0.550	0.020(.194)	0.429(.437)	0.487(.451)	0.505(.456)	0.513(.458)
0.575	0.016(.194)	0.382(.448)	0.439(.463)	0.459(.468)	0.469(.470)
0.600	0.012(.195)	0.336(.456)	0.391(.473)	0.410(.479)	0.420(.482)
0.625	0.010(.195)	0.293(.464)	0.344(.482)	0.362(.488)	0.372(.492)
0.650	0.007(.195)	0.252(.471)	0.299(.490)	0.316(.497)	0.326(.500)
0.675	0.006(.195)	0.214(.477)	0.257(.497)	0.272(.504)	0.281(.508)
0.700	0.004(.195)	0.178(.482)	0.216(.503)	0.231(.511)	0.239(.514)
0.725	0.003(.195)	0.146(.486)	0.179(.508)	0.192(.516)	0.199(.520)
0.750	0.002(.196)	0.117(.489)	0.145(.512)	0.156(.520)	0.162(.524)
0.775	0.002(.196)	0.091(.492)	0.115(.516)	0.124(.524)	0.129(.528)
0.800	0.001(.196)	0.069(.494)	0.088(.518)	0.095(.526)	0.099(.531)
0.825	0.001(.196)	0.050(.495)	0.064(.520)	0.070(.528)	0.073(.533)
0.850	0.000(.196)	0.035(.496)	0.045(.521)	0.049(.530)	0.051(.535)
0.875	0.000(.196)	0.022(.497)	0.029(.522)	0.032(.531)	0.034(.536)
0.900	0.000(.196)	0.013(.498)	0.017(.523)	0.019(.532)	0.020(.536)
0.925	0.000(.196)	0.006(.498)	0.009(.523)	0.009(.532)	0.010(.537)
0.950	0.000(.196)	0.002(.498)	0.003(.523)	0.004(.532)	0.004(.537)
0.975	0.000(.196)	0.000(.498)	0.001(.523)	0.001(.532)	0.001(.537)
1.000	0.000(.196)	0.000(.498)	0.000(.523)	0.000(.532)	0.000(.537)

66-196
C.S.P.A. - Phil II

*** RELATIVE ENERGY FLUX DENSITY IN THE PENUMBRA ***
 *** OF A DIFFUSE SKIRT WITH THE REFLECTANCE = 0. *** VERSION A

SOLAR FIELD ANGLE, D= 2.00 DEGREES
 GEOMETRY D1/D2 = 0.75

BETA = ANGLE OF INCIDENCE, DEGREES

BETA *** AX/AB	-40.00		-30.00		-20.00		-10.00		-0.	
	Q	(QI)	Q	(QI)	Q	(QI)	Q	(QI)	Q	(QI)
0.	1.000(.)	1.000(.)	1.000(.)	1.000(.)	1.000(.)	1.000(.)	1.000(.)	1.000(.)	1.000(.)	1.000(.)
0.025	1.000(.025)	1.000(.025)	1.000(.025)	1.000(.025)	1.000(.025)	1.000(.025)	1.000(.025)	1.000(.025)	1.000(.025)	1.000(.025)
0.050	0.998(.050)	0.998(.050)	0.998(.050)	0.998(.050)	0.998(.050)	0.998(.050)	0.998(.050)	0.998(.050)	0.998(.050)	0.998(.050)
0.075	0.994(.075)	0.994(.075)	0.994(.075)	0.994(.075)	0.994(.075)	0.994(.075)	0.994(.075)	0.994(.075)	0.994(.075)	0.994(.075)
0.100	0.988(.100)	0.988(.100)	0.988(.100)	0.988(.100)	0.988(.100)	0.988(.100)	0.989(.100)	0.989(.100)	0.989(.100)	0.989(.100)
0.125	0.980(.124)	0.980(.124)	0.980(.124)	0.980(.124)	0.980(.124)	0.980(.124)	0.981(.124)	0.981(.124)	0.981(.124)	0.981(.124)
0.150	0.969(.149)	0.969(.149)	0.969(.149)	0.969(.149)	0.970(.149)	0.970(.149)	0.970(.149)	0.970(.149)	0.971(.149)	0.971(.149)
0.175	0.955(.173)	0.956(.173)	0.956(.173)	0.956(.173)	0.957(.173)	0.957(.173)	0.958(.173)	0.958(.173)	0.958(.173)	0.958(.173)
0.200	0.939(.196)	0.941(.196)	0.941(.196)	0.941(.196)	0.941(.196)	0.941(.196)	0.942(.197)	0.942(.197)	0.943(.197)	0.943(.197)
0.225	0.921(.220)	0.922(.220)	0.922(.220)	0.922(.220)	0.924(.220)	0.924(.220)	0.925(.220)	0.925(.220)	0.926(.220)	0.926(.220)
0.250	0.900(.242)	0.902(.242)	0.902(.242)	0.902(.242)	0.903(.243)	0.903(.243)	0.905(.243)	0.905(.243)	0.906(.243)	0.906(.243)
0.275	0.877(.265)	0.879(.265)	0.879(.265)	0.879(.265)	0.881(.265)	0.881(.265)	0.882(.265)	0.882(.265)	0.884(.265)	0.884(.265)
0.300	0.852(.286)	0.854(.286)	0.854(.286)	0.854(.286)	0.856(.287)	0.856(.287)	0.858(.287)	0.858(.287)	0.859(.287)	0.859(.287)
0.325	0.825(.307)	0.827(.307)	0.827(.307)	0.827(.307)	0.829(.308)	0.829(.308)	0.831(.308)	0.831(.308)	0.833(.308)	0.833(.308)
0.350	0.795(.327)	0.798(.328)	0.798(.328)	0.798(.328)	0.801(.328)	0.801(.328)	0.803(.328)	0.803(.328)	0.805(.329)	0.805(.329)
0.375	0.765(.347)	0.768(.347)	0.768(.347)	0.768(.347)	0.771(.348)	0.771(.348)	0.773(.348)	0.773(.348)	0.775(.348)	0.775(.348)
0.400	0.733(.366)	0.736(.366)	0.736(.366)	0.736(.366)	0.739(.367)	0.739(.367)	0.741(.367)	0.741(.367)	0.743(.367)	0.743(.367)
0.425	0.699(.383)	0.703(.384)	0.703(.384)	0.703(.384)	0.705(.385)	0.705(.385)	0.708(.385)	0.708(.385)	0.710(.385)	0.710(.385)
0.450	0.664(.401)	0.668(.401)	0.668(.401)	0.668(.401)	0.671(.402)	0.671(.402)	0.674(.402)	0.674(.402)	0.676(.403)	0.676(.403)
0.475	0.629(.417)	0.633(.418)	0.633(.418)	0.633(.418)	0.636(.418)	0.636(.418)	0.639(.419)	0.639(.419)	0.641(.419)	0.641(.419)
0.500	0.592(.432)	0.596(.433)	0.596(.433)	0.596(.433)	0.600(.434)	0.600(.434)	0.603(.434)	0.603(.434)	0.605(.435)	0.605(.435)
0.525	0.555(.446)	0.560(.447)	0.560(.447)	0.560(.447)	0.563(.448)	0.563(.448)	0.566(.449)	0.566(.449)	0.569(.450)	0.569(.450)
0.550	0.519(.460)	0.523(.461)	0.523(.461)	0.523(.461)	0.526(.462)	0.526(.462)	0.529(.463)	0.529(.463)	0.532(.463)	0.532(.463)
0.575	0.476(.472)	0.481(.473)	0.481(.473)	0.481(.473)	0.486(.474)	0.486(.474)	0.489(.475)	0.489(.475)	0.493(.476)	0.493(.476)
0.600	0.427(.483)	0.432(.485)	0.432(.485)	0.432(.485)	0.436(.486)	0.436(.486)	0.440(.487)	0.440(.487)	0.444(.488)	0.444(.488)
0.625	0.379(.494)	0.384(.495)	0.384(.495)	0.384(.495)	0.388(.496)	0.388(.496)	0.391(.497)	0.391(.497)	0.395(.498)	0.395(.498)
0.650	0.332(.502)	0.337(.504)	0.337(.504)	0.337(.504)	0.340(.505)	0.340(.505)	0.344(.506)	0.344(.506)	0.347(.508)	0.347(.508)
0.675	0.287(.510)	0.291(.512)	0.291(.512)	0.291(.512)	0.295(.513)	0.295(.513)	0.298(.515)	0.298(.515)	0.301(.516)	0.301(.516)
0.700	0.244(.517)	0.248(.519)	0.248(.519)	0.248(.519)	0.251(.520)	0.251(.520)	0.254(.521)	0.254(.521)	0.257(.523)	0.257(.523)
0.725	0.204(.522)	0.207(.524)	0.207(.524)	0.207(.524)	0.210(.526)	0.210(.526)	0.213(.527)	0.213(.527)	0.215(.529)	0.215(.529)
0.750	0.166(.527)	0.169(.529)	0.169(.529)	0.169(.529)	0.172(.531)	0.172(.531)	0.174(.532)	0.174(.532)	0.176(.533)	0.176(.533)
0.775	0.132(.531)	0.135(.533)	0.135(.533)	0.135(.533)	0.137(.534)	0.137(.534)	0.139(.536)	0.139(.536)	0.141(.537)	0.141(.537)
0.800	0.102(.534)	0.104(.536)	0.104(.536)	0.104(.536)	0.106(.538)	0.106(.538)	0.107(.539)	0.107(.539)	0.109(.540)	0.109(.540)
0.825	0.076(.536)	0.077(.538)	0.077(.538)	0.077(.538)	0.079(.540)	0.079(.540)	0.080(.541)	0.080(.541)	0.081(.543)	0.081(.543)
0.850	0.053(.538)	0.054(.540)	0.054(.540)	0.054(.540)	0.055(.542)	0.055(.542)	0.056(.543)	0.056(.543)	0.057(.545)	0.057(.545)
0.875	0.035(.539)	0.036(.541)	0.036(.541)	0.036(.541)	0.036(.543)	0.036(.543)	0.037(.544)	0.037(.544)	0.037(.546)	0.037(.546)
0.900	0.020(.539)	0.021(.542)	0.021(.542)	0.021(.542)	0.021(.543)	0.021(.543)	0.022(.545)	0.022(.545)	0.022(.546)	0.022(.546)
0.925	0.010(.540)	0.011(.542)	0.011(.542)	0.011(.542)	0.011(.544)	0.011(.544)	0.011(.545)	0.011(.545)	0.011(.547)	0.011(.547)
0.950	0.004(.540)	0.004(.542)	0.004(.542)	0.004(.542)	0.004(.544)	0.004(.544)	0.004(.546)	0.004(.546)	0.004(.547)	0.004(.547)
0.975	0.001(.540)	0.001(.542)	0.001(.542)	0.001(.542)	0.001(.544)	0.001(.544)	0.001(.546)	0.001(.546)	0.001(.547)	0.001(.547)
1.000	0.000(.540)	0.000(.542)	0.000(.542)	0.000(.542)	0.000(.544)	0.000(.544)	0.000(.546)	0.000(.546)	0.000(.547)	0.000(.547)

REORDER No. 66-196
 App A - Phase II

*** RELATIVE ENERGY FLUX DENSITY IN THE PENUMBRA ***
 *** OF A DIFFUSE SKIRT WITH THE REFLECTANCE = 0. *** VERSION A

SOLAR FIELD ANGLE, D= 2.00 DEGREES
 GEOMETRY D1/D2 = 0.75

BETA = ANGLE OF INCIDENCE, DEGREES

BETA ***	10.00	20.00	30.00	40.00	50.00
AX/AB	Q (QI)	Q (QI)	Q (QI)	Q (QI)	Q (QI)
0.	1.000(.)	1.000(.)	1.000(.)	1.000(.)	1.000(.)
0.025	1.000(.025)	1.000(.025)	1.000(.025)	1.000(.025)	1.000(.025)
0.050	0.998(.050)	0.998(.050)	0.998(.050)	0.998(.050)	0.998(.050)
0.075	0.995(.075)	0.995(.075)	0.995(.075)	0.995(.075)	0.995(.075)
0.100	0.989(.100)	0.989(.100)	0.989(.100)	0.990(.100)	0.990(.100)
0.125	0.981(.124)	0.982(.124)	0.982(.124)	0.982(.124)	0.983(.124)
0.150	0.971(.149)	0.972(.149)	0.972(.149)	0.973(.149)	0.973(.149)
0.175	0.959(.173)	0.959(.173)	0.960(.173)	0.961(.173)	0.962(.173)
0.200	0.944(.197)	0.945(.197)	0.945(.197)	0.946(.197)	0.948(.197)
0.225	0.926(.220)	0.927(.220)	0.928(.220)	0.930(.220)	0.932(.220)
0.250	0.907(.243)	0.908(.243)	0.909(.243)	0.911(.243)	0.913(.243)
0.275	0.885(.265)	0.886(.265)	0.888(.266)	0.890(.266)	0.892(.266)
0.300	0.861(.287)	0.862(.287)	0.864(.287)	0.866(.288)	0.869(.288)
0.325	0.835(.308)	0.837(.309)	0.839(.309)	0.841(.309)	0.844(.309)
0.350	0.807(.329)	0.809(.329)	0.811(.329)	0.814(.330)	0.817(.330)
0.375	0.777(.349)	0.779(.349)	0.782(.349)	0.785(.350)	0.789(.350)
0.400	0.746(.368)	0.748(.368)	0.751(.368)	0.754(.369)	0.758(.370)
0.425	0.713(.386)	0.715(.386)	0.718(.387)	0.722(.387)	0.726(.388)
0.450	0.679(.403)	0.682(.404)	0.685(.404)	0.688(.405)	0.693(.406)
0.475	0.644(.420)	0.647(.420)	0.650(.421)	0.654(.422)	0.659(.423)
0.500	0.608(.435)	0.611(.436)	0.614(.437)	0.618(.438)	0.623(.439)
0.525	0.571(.450)	0.574(.451)	0.578(.452)	0.582(.453)	0.587(.454)
0.550	0.535(.464)	0.538(.465)	0.541(.466)	0.545(.467)	0.550(.468)
0.575	0.496(.477)	0.500(.478)	0.504(.479)	0.508(.480)	0.513(.481)
0.600	0.447(.489)	0.451(.490)	0.455(.491)	0.460(.492)	0.467(.494)
0.625	0.398(.499)	0.402(.500)	0.406(.501)	0.411(.503)	0.417(.505)
0.650	0.350(.509)	0.354(.510)	0.357(.511)	0.362(.513)	0.369(.515)
0.675	0.304(.517)	0.307(.518)	0.311(.519)	0.315(.521)	0.321(.523)
0.700	0.259(.524)	0.262(.525)	0.266(.527)	0.270(.528)	0.275(.531)
0.725	0.217(.530)	0.220(.531)	0.223(.533)	0.227(.535)	0.232(.537)
0.750	0.178(.535)	0.181(.536)	0.183(.538)	0.186(.540)	0.191(.542)
0.775	0.142(.539)	0.144(.540)	0.147(.542)	0.149(.544)	0.153(.547)
0.800	0.110(.542)	0.112(.543)	0.114(.545)	0.116(.547)	0.119(.550)
0.825	0.082(.544)	0.083(.546)	0.085(.548)	0.086(.550)	0.089(.553)
0.850	0.058(.546)	0.059(.548)	0.060(.549)	0.061(.552)	0.063(.555)
0.875	0.038(.547)	0.039(.549)	0.039(.551)	0.040(.553)	0.042(.556)
0.900	0.023(.548)	0.023(.550)	0.023(.551)	0.024(.554)	0.025(.557)
0.925	0.011(.548)	0.012(.550)	0.012(.552)	0.012(.554)	0.013(.557)
0.950	0.004(.549)	0.004(.550)	0.004(.552)	0.005(.554)	0.005(.557)
0.975	0.001(.549)	0.001(.550)	0.001(.552)	0.001(.554)	0.001(.557)
1.000	0.000(.549)	0.000(.550)	0.000(.552)	0.000(.554)	0.000(.557)

RECORDED IN 66-196
 App. A Phase II

*** RELATIVE ENERGY FLUX DENSITY IN THE PENUMBRA ***
 *** OF A DIFFUSE SKIRT WITH THE REFLECTANCE = 0. *** VERSION A

SOLAR FIELD ANGLE, D= 2.00 DEGREES
 GEOMETRY D1/D2 = 0.75

BETA = ANGLE OF INCIDENCE, DEGREES

BETA ***	60.00	70.00	80.00	88.50
AX/AB	Q (QI)	Q (QI)	Q (QI)	Q (QI)
0.	1.000(.)	1.000(.)	1.000(.)	1.000(.)
0.025	1.000(.025)	1.000(.025)	1.000(.025)	1.000(.025)
0.050	0.998(.050)	0.998(.050)	0.999(.050)	1.000(.050)
0.075	0.995(.075)	0.996(.075)	0.997(.075)	1.000(.075)
0.100	0.990(.100)	0.991(.100)	0.993(.100)	1.000(.100)
0.125	0.984(.124)	0.985(.124)	0.988(.125)	1.000(.125)
0.150	0.975(.149)	0.977(.149)	0.982(.149)	1.000(.150)
0.175	0.963(.173)	0.966(.173)	0.973(.174)	0.999(.175)
0.200	0.950(.197)	0.954(.197)	0.963(.198)	0.999(.200)
0.225	0.934(.221)	0.939(.221)	0.951(.222)	0.999(.225)
0.250	0.916(.244)	0.922(.244)	0.937(.245)	0.998(.250)
0.275	0.895(.266)	0.903(.267)	0.921(.269)	0.998(.275)
0.300	0.874(.288)	0.882(.289)	0.902(.291)	0.997(.300)
0.325	0.849(.310)	0.858(.311)	0.882(.314)	0.996(.325)
0.350	0.823(.331)	0.833(.332)	0.860(.335)	0.995(.350)
0.375	0.795(.351)	0.806(.353)	0.836(.357)	0.993(.374)
0.400	0.765(.371)	0.777(.372)	0.810(.377)	0.991(.399)
0.425	0.733(.389)	0.747(.391)	0.782(.397)	0.989(.424)
0.450	0.701(.407)	0.714(.410)	0.753(.416)	0.987(.449)
0.475	0.667(.424)	0.681(.427)	0.721(.435)	0.983(.473)
0.500	0.631(.441)	0.647(.444)	0.689(.452)	0.979(.498)
0.525	0.596(.456)	0.611(.459)	0.655(.469)	0.974(.522)
0.550	0.559(.470)	0.575(.474)	0.619(.485)	0.968(.547)
0.575	0.522(.484)	0.538(.488)	0.583(.500)	0.961(.571)
0.600	0.478(.496)	0.498(.501)	0.546(.514)	0.953(.595)
0.625	0.428(.508)	0.448(.513)	0.505(.527)	0.942(.618)
0.650	0.379(.518)	0.398(.524)	0.454(.539)	0.930(.642)
0.675	0.330(.527)	0.348(.533)	0.402(.550)	0.914(.665)
0.700	0.284(.534)	0.301(.541)	0.351(.559)	0.896(.687)
0.725	0.240(.541)	0.255(.548)	0.301(.568)	0.873(.709)
0.750	0.198(.546)	0.211(.554)	0.253(.575)	0.846(.731)
0.775	0.159(.551)	0.171(.559)	0.207(.580)	0.813(.752)
0.800	0.124(.554)	0.134(.562)	0.164(.585)	0.773(.772)
0.825	0.093(.557)	0.100(.565)	0.125(.589)	0.725(.790)
0.850	0.066(.559)	0.072(.567)	0.091(.591)	0.666(.808)
0.875	0.044(.560)	0.048(.569)	0.061(.593)	0.591(.823)
0.900	0.026(.561)	0.029(.570)	0.037(.594)	0.477(.837)
0.925	0.013(.562)	0.015(.570)	0.019(.595)	0.339(.847)
0.950	0.005(.562)	0.006(.571)	0.007(.595)	0.188(.854)
0.975	0.001(.562)	0.001(.571)	0.001(.596)	0.054(.857)
1.000	0.000(.562)	0.000(.571)	0.000(.596)	0.000(.857)

66-196
 App. C Phase II

*** RELATIVE ENERGY FLUX DENSITY IN THE PENUMBRA *** VERSION A
 *** OF A DIFFUSE SKIRT WITH THE REFLECTANCE = 0. ***

SOLAR FIELD ANGLE, D= 2.00 DEGREES
 GEOMETRY D1/D2 = 1.00

BETA = ANGLE OF INCIDENCE, DEGREES

BETA ***	-88.50	-80.00	-70.00	-60.00	-50.00
AX/AB	Q (QI)	Q (QI)	Q (QI)	Q (QI)	Q (QI)
0.	1.000(.)	1.000(.)	1.000(.)	1.000(.)	1.000(.)
0.025	0.968(.025)	0.999(.025)	0.999(.025)	0.999(.025)	0.999(.025)
0.050	0.876(.048)	0.995(.050)	0.996(.050)	0.997(.050)	0.997(.050)
0.075	0.759(.068)	0.987(.075)	0.990(.075)	0.991(.075)	0.991(.075)
0.100	0.642(.086)	0.975(.099)	0.980(.099)	0.982(.099)	0.983(.099)
0.125	0.534(.100)	0.958(.123)	0.967(.124)	0.970(.124)	0.971(.124)
0.150	0.441(.112)	0.937(.147)	0.950(.148)	0.954(.148)	0.956(.148)
0.175	0.362(.123)	0.912(.170)	0.929(.171)	0.935(.172)	0.937(.172)
0.200	0.297(.131)	0.884(.193)	0.905(.194)	0.912(.195)	0.916(.195)
0.225	0.243(.137)	0.852(.214)	0.878(.216)	0.886(.217)	0.891(.217)
0.250	0.198(.143)	0.817(.235)	0.848(.238)	0.858(.239)	0.863(.239)
0.275	0.162(.148)	0.780(.255)	0.815(.259)	0.826(.260)	0.832(.261)
0.300	0.132(.151)	0.740(.274)	0.780(.279)	0.792(.280)	0.799(.281)
0.325	0.108(.154)	0.699(.292)	0.742(.298)	0.756(.300)	0.764(.300)
0.350	0.088(.157)	0.657(.309)	0.703(.316)	0.718(.318)	0.726(.319)
0.375	0.072(.159)	0.614(.325)	0.663(.333)	0.679(.335)	0.687(.337)
0.400	0.058(.160)	0.571(.340)	0.621(.349)	0.638(.352)	0.647(.353)
0.425	0.047(.162)	0.527(.353)	0.579(.364)	0.596(.367)	0.606(.369)
0.450	0.038(.163)	0.484(.366)	0.536(.378)	0.554(.382)	0.564(.384)
0.475	0.031(.163)	0.442(.378)	0.494(.391)	0.512(.395)	0.521(.397)
0.500	0.025(.164)	0.400(.388)	0.451(.403)	0.469(.407)	0.479(.410)
0.525	0.020(.165)	0.360(.398)	0.409(.413)	0.427(.418)	0.437(.421)
0.550	0.016(.165)	0.321(.406)	0.369(.423)	0.386(.429)	0.395(.432)
0.575	0.013(.166)	0.284(.414)	0.329(.432)	0.345(.438)	0.354(.441)
0.600	0.010(.166)	0.248(.420)	0.291(.440)	0.306(.446)	0.315(.449)
0.625	0.008(.166)	0.215(.426)	0.254(.446)	0.269(.453)	0.277(.457)
0.650	0.006(.166)	0.184(.431)	0.220(.452)	0.233(.459)	0.240(.463)
0.675	0.005(.166)	0.155(.435)	0.187(.457)	0.199(.465)	0.206(.469)
0.700	0.004(.166)	0.129(.439)	0.157(.462)	0.168(.469)	0.174(.473)
0.725	0.003(.167)	0.105(.442)	0.129(.465)	0.139(.473)	0.144(.477)
0.750	0.002(.167)	0.084(.444)	0.104(.468)	0.112(.476)	0.117(.481)
0.775	0.001(.167)	0.065(.446)	0.082(.470)	0.089(.479)	0.092(.483)
0.800	0.001(.167)	0.049(.448)	0.062(.472)	0.068(.481)	0.070(.485)
0.825	0.001(.167)	0.036(.449)	0.046(.474)	0.050(.482)	0.052(.487)
0.850	0.000(.167)	0.025(.449)	0.032(.475)	0.035(.483)	0.036(.488)
0.875	0.000(.167)	0.016(.450)	0.021(.475)	0.022(.484)	0.024(.489)
0.900	0.000(.167)	0.009(.450)	0.012(.476)	0.013(.484)	0.014(.489)
0.925	0.000(.167)	0.004(.450)	0.006(.476)	0.007(.485)	0.007(.489)
0.950	0.000(.167)	0.002(.450)	0.002(.476)	0.002(.485)	0.003(.490)
0.975	0.000(.167)	0.000(.451)	0.000(.476)	0.000(.485)	0.000(.490)
1.000	0.000(.167)	0.000(.451)	0.000(.476)	0.000(.485)	0.000(.490)

DE ORDER 11
 66-196
 App. A Phase 11

*** RELATIVE ENERGY FLUX DENSITY IN THE PENUMBRA ***
 *** OF A DIFFUSE SKIRT WITH THE REFLECTANCE = 0. *** VERSION A

SOLAR FIELD ANGLE, D= 2.00 DEGREES
 GEOMETRY D1/D2 = 1.00

BETA = ANGLE OF INCIDENCE, DEGREES

BETA ***	-40.00	-30.00	-20.00	-10.00	-0.
AX/AB	Q (QI)	Q (QI)	Q (QI)	Q (QI)	Q (QI)
0.	1.000(.)	1.000(.)	1.000(.)	1.000(.)	1.000(.)
0.025	0.999(.025)	0.999(.025)	0.999(.025)	0.999(.025)	0.999(.025)
0.050	0.997(.050)	0.997(.050)	0.997(.050)	0.997(.050)	0.997(.050)
0.075	0.992(.075)	0.992(.075)	0.992(.075)	0.992(.075)	0.992(.075)
0.100	0.983(.099)	0.984(.100)	0.984(.100)	0.984(.100)	0.985(.100)
0.125	0.972(.124)	0.973(.124)	0.973(.124)	0.974(.124)	0.974(.124)
0.150	0.957(.148)	0.958(.148)	0.959(.148)	0.959(.148)	0.960(.148)
0.175	0.939(.172)	0.940(.172)	0.941(.172)	0.942(.172)	0.943(.172)
0.200	0.918(.195)	0.919(.195)	0.921(.195)	0.922(.195)	0.923(.195)
0.225	0.893(.218)	0.895(.218)	0.897(.218)	0.898(.218)	0.900(.218)
0.250	0.866(.240)	0.868(.240)	0.870(.240)	0.872(.240)	0.873(.240)
0.275	0.836(.261)	0.839(.261)	0.841(.261)	0.843(.262)	0.845(.262)
0.300	0.803(.281)	0.806(.282)	0.809(.282)	0.811(.282)	0.813(.282)
0.325	0.768(.301)	0.772(.301)	0.775(.302)	0.777(.302)	0.779(.302)
0.350	0.731(.320)	0.735(.320)	0.738(.321)	0.741(.321)	0.743(.321)
0.375	0.693(.338)	0.697(.338)	0.700(.339)	0.703(.339)	0.706(.339)
0.400	0.653(.354)	0.657(.355)	0.661(.356)	0.664(.356)	0.666(.357)
0.425	0.612(.370)	0.616(.371)	0.620(.372)	0.623(.372)	0.626(.373)
0.450	0.570(.385)	0.574(.386)	0.578(.387)	0.581(.387)	0.584(.388)
0.475	0.528(.399)	0.532(.400)	0.536(.401)	0.539(.401)	0.542(.402)
0.500	0.485(.411)	0.490(.412)	0.494(.413)	0.497(.414)	0.500(.415)
0.525	0.443(.423)	0.447(.424)	0.451(.425)	0.454(.426)	0.458(.427)
0.550	0.401(.433)	0.406(.435)	0.409(.436)	0.412(.437)	0.416(.438)
0.575	0.360(.443)	0.364(.444)	0.368(.446)	0.371(.447)	0.374(.448)
0.600	0.320(.451)	0.324(.453)	0.328(.454)	0.331(.456)	0.334(.457)
0.625	0.282(.459)	0.286(.461)	0.289(.462)	0.292(.463)	0.294(.464)
0.650	0.245(.466)	0.249(.467)	0.252(.469)	0.254(.470)	0.257(.471)
0.675	0.210(.471)	0.213(.473)	0.216(.475)	0.219(.476)	0.221(.477)
0.700	0.177(.476)	0.180(.478)	0.183(.480)	0.185(.481)	0.187(.482)
0.725	0.147(.480)	0.150(.482)	0.152(.484)	0.154(.485)	0.155(.487)
0.750	0.119(.484)	0.122(.486)	0.123(.487)	0.125(.489)	0.127(.490)
0.775	0.094(.486)	0.096(.488)	0.098(.490)	0.099(.492)	0.100(.493)
0.800	0.072(.488)	0.074(.490)	0.075(.492)	0.076(.494)	0.077(.495)
0.825	0.053(.490)	0.054(.492)	0.055(.494)	0.056(.495)	0.057(.497)
0.850	0.037(.491)	0.038(.493)	0.039(.495)	0.039(.497)	0.040(.498)
0.875	0.024(.492)	0.025(.494)	0.025(.496)	0.026(.497)	0.026(.499)
0.900	0.014(.492)	0.015(.495)	0.015(.496)	0.015(.498)	0.015(.500)
0.925	0.007(.493)	0.007(.495)	0.007(.497)	0.008(.498)	0.008(.500)
0.950	0.003(.493)	0.003(.495)	0.003(.497)	0.003(.498)	0.003(.500)
0.975	0.000(.493)	0.000(.495)	0.001(.497)	0.001(.498)	0.001(.500)
1.000	0.000(.493)	0.000(.495)	0.000(.497)	0.000(.498)	0.000(.500)

REORDER NO. 66-196
Exp 1 Phase 11

*** RELATIVE ENERGY FLUX DENSITY IN THE PENUMBRA ***
 *** OF A DIFFUSE SKIRT WITH THE REFLECTANCE = 0. *** VERSION A

SOLAR FIELD ANGLE, D = 2.00 DEGREES
 GEOMETRY D1/D2 = 1.00

BETA = ANGLE OF INCIDENCE, DEGREES

BETA ***	10.00	20.00	30.00	40.00	50.00
AX/AB	Q (QI)	Q (QI)	Q (QI)	Q (QI)	Q (QI)
0.	1.000(.000)	1.000(.000)	1.000(.000)	1.000(.000)	1.000(.000)
0.025	0.999(.025)	0.999(.025)	0.999(.025)	0.999(.025)	0.999(.025)
0.050	0.997(.050)	0.997(.050)	0.997(.050)	0.997(.050)	0.997(.050)
0.075	0.992(.075)	0.993(.075)	0.993(.075)	0.993(.075)	0.993(.075)
0.100	0.985(.100)	0.985(.100)	0.985(.100)	0.986(.100)	0.986(.100)
0.125	0.974(.124)	0.975(.124)	0.975(.124)	0.976(.124)	0.976(.124)
0.150	0.961(.148)	0.961(.148)	0.962(.148)	0.963(.148)	0.964(.148)
0.175	0.944(.172)	0.945(.172)	0.946(.172)	0.947(.172)	0.948(.172)
0.200	0.924(.195)	0.925(.195)	0.926(.196)	0.928(.196)	0.930(.196)
0.225	0.901(.218)	0.902(.218)	0.904(.218)	0.905(.219)	0.908(.219)
0.250	0.875(.240)	0.877(.241)	0.878(.241)	0.881(.241)	0.883(.241)
0.275	0.846(.262)	0.848(.262)	0.850(.262)	0.853(.263)	0.856(.263)
0.300	0.815(.283)	0.817(.283)	0.820(.283)	0.823(.283)	0.826(.284)
0.325	0.781(.303)	0.784(.303)	0.787(.303)	0.790(.304)	0.794(.304)
0.350	0.746(.322)	0.748(.322)	0.751(.322)	0.755(.323)	0.760(.324)
0.375	0.708(.340)	0.711(.340)	0.714(.341)	0.718(.341)	0.723(.342)
0.400	0.669(.357)	0.672(.358)	0.676(.358)	0.680(.359)	0.685(.360)
0.425	0.629(.373)	0.632(.374)	0.636(.375)	0.640(.375)	0.646(.376)
0.450	0.588(.389)	0.591(.389)	0.594(.390)	0.599(.391)	0.605(.392)
0.475	0.545(.403)	0.549(.403)	0.553(.404)	0.557(.405)	0.563(.407)
0.500	0.503(.416)	0.506(.417)	0.510(.418)	0.515(.419)	0.521(.420)
0.525	0.461(.426)	0.464(.429)	0.468(.430)	0.472(.431)	0.479(.433)
0.550	0.419(.439)	0.422(.440)	0.426(.441)	0.430(.442)	0.436(.444)
0.575	0.377(.449)	0.380(.450)	0.384(.451)	0.388(.452)	0.394(.454)
0.600	0.335(.458)	0.339(.459)	0.343(.460)	0.347(.462)	0.353(.464)
0.625	0.297(.466)	0.300(.467)	0.303(.468)	0.307(.470)	0.313(.472)
0.650	0.259(.473)	0.262(.474)	0.265(.475)	0.269(.477)	0.274(.479)
0.675	0.223(.479)	0.225(.480)	0.228(.481)	0.232(.483)	0.236(.486)
0.700	0.189(.484)	0.191(.485)	0.194(.487)	0.197(.489)	0.201(.491)
0.725	0.157(.488)	0.159(.490)	0.161(.491)	0.164(.493)	0.168(.496)
0.750	0.128(.492)	0.130(.493)	0.132(.495)	0.134(.497)	0.137(.500)
0.775	0.102(.495)	0.103(.496)	0.105(.498)	0.107(.500)	0.109(.503)
0.800	0.078(.497)	0.079(.498)	0.081(.500)	0.082(.502)	0.084(.505)
0.825	0.058(.498)	0.059(.500)	0.060(.502)	0.061(.504)	0.063(.507)
0.850	0.041(.500)	0.041(.501)	0.042(.503)	0.043(.505)	0.044(.508)
0.875	0.026(.501)	0.027(.502)	0.027(.504)	0.028(.506)	0.029(.509)
0.900	0.016(.501)	0.016(.503)	0.016(.505)	0.017(.507)	0.017(.510)
0.925	0.008(.501)	0.008(.503)	0.008(.505)	0.008(.507)	0.009(.510)
0.950	0.003(.501)	0.003(.503)	0.003(.505)	0.003(.507)	0.003(.510)
0.975	0.001(.502)	0.001(.503)	0.001(.505)	0.001(.507)	0.001(.510)
1.000	0.000(.502)	0.000(.503)	0.000(.505)	0.000(.507)	0.000(.510)

RE ORDER NO. 66-196
 App't Phase II
 VERSION A

*** RELATIVE ENERGY FLUX DENSITY IN THE PENUMBRA ***
 *** OF A DIFFUSE SKIRT WITH THE REFLECTANCE = 0. ***

SOLAR FIELD ANGLE, D= 2.00 DEGREES
 GEOMETRY D1/D2 = 1.00

BETA = ANGLE OF INCIDENCE, DEGREES

BETA ***	60.00	70.00	80.00	88.50
AX/AB	Q (QI)	Q (QI)	Q (QI)	Q (QI)
0.	1.000(.)	1.000(.)	1.000(.)	1.000(.)
0.025	1.000(.025)	1.000(.025)	1.000(.025)	1.000(.025)
0.050	0.998(.050)	0.998(.050)	0.998(.050)	1.000(.050)
0.075	0.993(.075)	0.994(.075)	0.996(.075)	1.000(.075)
0.100	0.987(.100)	0.988(.100)	0.991(.100)	1.000(.100)
0.125	0.978(.124)	0.979(.124)	0.984(.124)	1.000(.125)
0.150	0.965(.148)	0.968(.149)	0.975(.149)	1.000(.150)
0.175	0.950(.172)	0.954(.173)	0.964(.173)	0.999(.175)
0.200	0.932(.196)	0.938(.196)	0.951(.197)	0.999(.200)
0.225	0.911(.219)	0.918(.219)	0.935(.221)	0.999(.225)
0.250	0.888(.241)	0.896(.242)	0.916(.244)	0.998(.250)
0.275	0.861(.263)	0.871(.264)	0.895(.266)	0.997(.275)
0.300	0.832(.284)	0.843(.286)	0.871(.288)	0.996(.300)
0.325	0.801(.305)	0.813(.306)	0.845(.310)	0.995(.325)
0.350	0.767(.325)	0.780(.326)	0.816(.331)	0.994(.350)
0.375	0.731(.343)	0.746(.345)	0.785(.351)	0.992(.374)
0.400	0.694(.361)	0.709(.363)	0.752(.370)	0.990(.399)
0.425	0.655(.376)	0.671(.381)	0.716(.388)	0.987(.424)
0.450	0.614(.394)	0.631(.397)	0.679(.406)	0.984(.448)
0.475	0.573(.409)	0.590(.412)	0.640(.422)	0.980(.473)
0.500	0.531(.422)	0.549(.427)	0.600(.438)	0.975(.497)
0.525	0.488(.435)	0.506(.440)	0.558(.452)	0.969(.522)
0.550	0.445(.447)	0.464(.452)	0.516(.466)	0.962(.546)
0.575	0.404(.457)	0.421(.463)	0.473(.478)	0.953(.570)
0.600	0.362(.467)	0.379(.473)	0.429(.489)	0.942(.593)
0.625	0.321(.476)	0.337(.482)	0.386(.499)	0.928(.617)
0.650	0.282(.483)	0.297(.490)	0.343(.509)	0.912(.640)
0.675	0.244(.490)	0.258(.497)	0.301(.517)	0.892(.662)
0.700	0.208(.495)	0.220(.503)	0.260(.524)	0.868(.684)
0.725	0.174(.500)	0.185(.508)	0.220(.530)	0.838(.706)
0.750	0.142(.504)	0.152(.512)	0.183(.535)	0.802(.726)
0.775	0.114(.507)	0.122(.515)	0.148(.539)	0.757(.746)
0.800	0.088(.510)	0.095(.518)	0.116(.542)	0.703(.764)
0.825	0.065(.512)	0.071(.520)	0.088(.545)	0.638(.781)
0.850	0.046(.513)	0.050(.522)	0.063(.547)	0.559(.796)
0.875	0.030(.514)	0.033(.523)	0.042(.548)	0.466(.809)
0.900	0.018(.515)	0.020(.523)	0.025(.549)	0.358(.819)
0.925	0.009(.515)	0.010(.524)	0.013(.549)	0.241(.826)
0.950	0.003(.515)	0.004(.524)	0.005(.549)	0.124(.831)
0.975	0.001(.515)	0.001(.524)	0.001(.549)	0.032(.833)
1.000	0.000(.515)	0.000(.524)	0.000(.549)	0. (833)

66-196
 Phase II

*** RELATIVE ENERGY FLUX DENSITY IN THE PENUMBRA ***
 *** OF A DIFFUSE SKIRT WITH THE REFLECTANCE = 0. ***
 VERSION A

SOLAR FIELD ANGLE, D = 5.00 DEGREES
 GEOMETRY D1/D2 = 0.

BETA = ANGLE OF INCIDENCE, DEGREES

BETA ***	-87.00	-80.00	-70.00	-60.00	-50.00
AX/AB	Q (QI)	Q (QI)	Q (QI)	Q (QI)	Q (QI)
0.	1.000(.000)	1.000(.000)	1.000(.000)	1.000(.000)	1.000(.000)
0.025	0.999(.025)	1.000(.025)	1.000(.025)	1.000(.025)	1.000(.025)
0.050	0.995(.050)	0.999(.050)	0.999(.050)	0.999(.050)	0.999(.050)
0.075	0.991(.075)	0.997(.075)	0.998(.075)	0.998(.075)	0.998(.075)
0.100	0.982(.099)	0.994(.100)	0.996(.100)	0.996(.100)	0.997(.100)
0.125	0.971(.124)	0.990(.125)	0.993(.125)	0.994(.125)	0.994(.125)
0.150	0.958(.148)	0.985(.149)	0.989(.150)	0.990(.150)	0.991(.150)
0.175	0.943(.172)	0.979(.174)	0.985(.174)	0.986(.174)	0.987(.174)
0.200	0.927(.195)	0.972(.198)	0.979(.199)	0.981(.199)	0.982(.199)
0.225	0.909(.218)	0.964(.222)	0.973(.223)	0.975(.223)	0.977(.223)
0.250	0.890(.241)	0.954(.246)	0.965(.247)	0.969(.248)	0.970(.248)
0.275	0.870(.263)	0.944(.270)	0.957(.271)	0.961(.272)	0.963(.272)
0.300	0.849(.284)	0.933(.294)	0.948(.295)	0.952(.296)	0.955(.296)
0.325	0.828(.305)	0.921(.317)	0.938(.319)	0.943(.319)	0.946(.320)
0.350	0.807(.325)	0.908(.340)	0.927(.342)	0.933(.343)	0.936(.343)
0.375	0.785(.345)	0.895(.362)	0.915(.365)	0.922(.366)	0.926(.366)
0.400	0.764(.365)	0.880(.384)	0.903(.388)	0.910(.389)	0.914(.389)
0.425	0.743(.384)	0.865(.406)	0.890(.410)	0.898(.412)	0.902(.412)
0.450	0.722(.402)	0.850(.428)	0.876(.432)	0.885(.434)	0.889(.435)
0.475	0.701(.420)	0.834(.449)	0.862(.454)	0.871(.456)	0.876(.457)
0.500	0.680(.437)	0.817(.469)	0.847(.475)	0.857(.477)	0.862(.478)
0.525	0.660(.454)	0.800(.490)	0.831(.496)	0.841(.499)	0.847(.500)
0.550	0.640(.470)	0.783(.509)	0.815(.517)	0.826(.519)	0.832(.521)
0.575	0.620(.486)	0.765(.529)	0.798(.537)	0.810(.540)	0.816(.541)
0.600	0.601(.501)	0.748(.548)	0.781(.557)	0.793(.560)	0.799(.561)
0.625	0.582(.516)	0.730(.566)	0.764(.576)	0.776(.579)	0.782(.581)
0.650	0.564(.530)	0.711(.584)	0.746(.595)	0.758(.599)	0.765(.601)
0.675	0.545(.544)	0.693(.602)	0.728(.613)	0.740(.617)	0.747(.619)
0.700	0.529(.557)	0.675(.619)	0.709(.631)	0.722(.636)	0.728(.638)
0.725	0.512(.570)	0.656(.635)	0.691(.649)	0.703(.653)	0.710(.656)
0.750	0.496(.583)	0.638(.652)	0.672(.666)	0.684(.671)	0.691(.673)
0.775	0.480(.595)	0.619(.667)	0.653(.682)	0.665(.688)	0.671(.690)
0.800	0.465(.607)	0.601(.683)	0.634(.699)	0.646(.704)	0.652(.707)
0.825	0.450(.618)	0.582(.697)	0.614(.714)	0.626(.720)	0.632(.723)
0.850	0.436(.629)	0.564(.712)	0.595(.729)	0.606(.735)	0.612(.739)
0.875	0.422(.640)	0.546(.725)	0.576(.744)	0.586(.750)	0.592(.754)
0.900	0.408(.651)	0.528(.739)	0.556(.758)	0.567(.765)	0.572(.768)
0.925	0.395(.661)	0.510(.752)	0.537(.772)	0.547(.779)	0.552(.782)
0.950	0.383(.670)	0.492(.764)	0.518(.785)	0.527(.792)	0.532(.796)
0.975	0.370(.680)	0.475(.777)	0.499(.798)	0.507(.805)	0.511(.809)
1.000	0.359(.689)	0.458(.788)	0.480(.810)	0.487(.817)	0.491(.821)

A-41
 49

*** RELATIVE ENERGY FLUX DENSITY IN THE PENUMBRA ***
 *** OF A DIFFUSE SKIRT WITH THE REFLECTANCE = 0. ***

66-196
 Phase II
 VERSION A

SOLAR FIELD ANGLE, D= 5.00 DEGREES
 GEOMETRY D1/D2 = 0.

BETA = ANGLE OF INCIDENCE, DEGREES

BETA ***	-40.00	-30.00	-20.00	-10.00	-0.
AX/AB	Q (QI)	Q (QI)	Q (QI)	Q (QI)	Q (QI)
0.	1.000(.)	1.000(.)	1.000(.)	1.000(.)	1.000(.)
0.025	1.000(.025)	1.000(.025)	1.000(.025)	1.000(.025)	1.000(.025)
0.050	0.999(.050)	0.999(.050)	0.999(.050)	0.999(.050)	0.999(.050)
0.075	0.998(.075)	0.998(.075)	0.999(.075)	0.999(.075)	0.999(.075)
0.100	0.997(.100)	0.997(.100)	0.997(.100)	0.997(.100)	0.997(.100)
0.125	0.994(.125)	0.995(.125)	0.995(.125)	0.995(.125)	0.995(.125)
0.150	0.991(.150)	0.992(.150)	0.992(.150)	0.992(.150)	0.992(.150)
0.175	0.988(.174)	0.988(.174)	0.988(.174)	0.989(.174)	0.989(.174)
0.200	0.983(.199)	0.984(.199)	0.984(.199)	0.984(.199)	0.985(.199)
0.225	0.978(.223)	0.978(.224)	0.979(.224)	0.979(.224)	0.980(.224)
0.250	0.971(.248)	0.972(.248)	0.973(.248)	0.973(.248)	0.974(.248)
0.275	0.964(.272)	0.965(.272)	0.966(.272)	0.967(.272)	0.967(.272)
0.300	0.956(.296)	0.958(.296)	0.958(.296)	0.959(.296)	0.960(.296)
0.325	0.948(.320)	0.949(.320)	0.950(.320)	0.951(.320)	0.952(.320)
0.350	0.938(.343)	0.940(.344)	0.941(.344)	0.942(.344)	0.943(.344)
0.375	0.928(.367)	0.930(.367)	0.931(.367)	0.932(.367)	0.933(.367)
0.400	0.917(.390)	0.919(.390)	0.920(.390)	0.922(.390)	0.923(.391)
0.425	0.905(.413)	0.907(.413)	0.909(.413)	0.910(.413)	0.912(.414)
0.450	0.892(.435)	0.895(.435)	0.897(.436)	0.898(.436)	0.900(.436)
0.475	0.879(.457)	0.882(.458)	0.884(.458)	0.885(.458)	0.887(.459)
0.500	0.865(.479)	0.868(.480)	0.870(.480)	0.872(.480)	0.873(.481)
0.525	0.851(.500)	0.853(.501)	0.856(.501)	0.857(.502)	0.859(.502)
0.550	0.835(.522)	0.838(.522)	0.841(.523)	0.843(.523)	0.844(.524)
0.575	0.820(.542)	0.823(.543)	0.825(.543)	0.827(.544)	0.829(.544)
0.600	0.803(.563)	0.806(.563)	0.809(.564)	0.811(.564)	0.813(.565)
0.625	0.786(.582)	0.789(.583)	0.792(.584)	0.794(.585)	0.796(.585)
0.650	0.769(.602)	0.772(.603)	0.775(.604)	0.777(.604)	0.779(.605)
0.675	0.751(.621)	0.754(.622)	0.757(.623)	0.759(.623)	0.762(.624)
0.700	0.733(.639)	0.736(.640)	0.739(.641)	0.741(.642)	0.743(.643)
0.725	0.714(.657)	0.717(.659)	0.720(.660)	0.722(.660)	0.725(.661)
0.750	0.695(.675)	0.698(.676)	0.701(.677)	0.703(.678)	0.706(.679)
0.775	0.675(.692)	0.679(.694)	0.682(.695)	0.684(.696)	0.686(.696)
0.800	0.656(.709)	0.659(.710)	0.662(.711)	0.664(.712)	0.666(.713)
0.825	0.636(.725)	0.639(.727)	0.642(.728)	0.644(.729)	0.646(.730)
0.850	0.616(.741)	0.619(.742)	0.622(.744)	0.624(.745)	0.626(.746)
0.875	0.596(.756)	0.599(.757)	0.601(.759)	0.603(.760)	0.605(.761)
0.900	0.576(.770)	0.578(.772)	0.581(.774)	0.583(.775)	0.584(.776)
0.925	0.555(.785)	0.558(.786)	0.560(.788)	0.562(.789)	0.563(.790)
0.950	0.535(.798)	0.537(.800)	0.539(.802)	0.541(.803)	0.542(.804)
0.975	0.514(.811)	0.516(.813)	0.518(.815)	0.520(.816)	0.521(.817)
1.000	0.494(.824)	0.496(.826)	0.497(.827)	0.499(.829)	0.500(.830)

66-196
 App A Phase 11

*** RELATIVE ENERGY FLUX DENSITY IN THE PENUMBRA ***
 *** OF A DIFFUSE SKIRT WITH THE REFLECTANCE = 0. *** VERSION A

SOLAR FIELD ANGLE, D= 5.00 DEGREES
 GEOMETRY D1/D2 = 0.

BETA = ANGLE OF INCIDENCE, DEGREES

BETA ***	10.00	20.00	30.00	40.00	50.00
AX/AB	Q (QI)	Q (QI)	Q (QI)	Q (QI)	Q (QI)
0.	1.000(.)	1.000(.)	1.000(.)	1.000(.)	1.000(.)
0.025	1.000(.025)	1.000(.025)	1.000(.025)	1.000(.025)	1.000(.025)
0.050	0.999(.050)	1.000(.050)	1.000(.050)	1.000(.050)	1.000(.050)
0.075	0.999(.075)	0.999(.075)	0.999(.075)	0.999(.075)	0.999(.075)
0.100	0.997(.100)	0.997(.100)	0.997(.100)	0.997(.100)	0.997(.100)
0.125	0.995(.125)	0.995(.125)	0.995(.125)	0.996(.125)	0.998(.100)
0.150	0.992(.150)	0.993(.150)	0.993(.150)	0.993(.150)	0.993(.150)
0.175	0.989(.174)	0.989(.174)	0.990(.174)	0.990(.174)	0.990(.175)
0.200	0.985(.199)	0.985(.199)	0.986(.199)	0.986(.199)	0.987(.199)
0.225	0.980(.224)	0.981(.224)	0.981(.224)	0.982(.224)	0.982(.224)
0.250	0.974(.248)	0.975(.248)	0.976(.248)	0.976(.248)	0.977(.248)
0.275	0.968(.272)	0.969(.272)	0.969(.273)	0.970(.273)	0.971(.273)
0.300	0.961(.296)	0.962(.297)	0.962(.297)	0.963(.297)	0.965(.297)
0.325	0.953(.320)	0.954(.321)	0.955(.321)	0.956(.321)	0.958(.321)
0.350	0.944(.344)	0.945(.344)	0.946(.344)	0.948(.345)	0.949(.345)
0.375	0.934(.368)	0.936(.368)	0.937(.368)	0.938(.368)	0.941(.368)
0.400	0.924(.391)	0.925(.391)	0.927(.391)	0.929(.391)	0.931(.392)
0.425	0.913(.414)	0.914(.414)	0.916(.414)	0.918(.415)	0.921(.415)
0.450	0.901(.436)	0.903(.437)	0.904(.437)	0.907(.437)	0.909(.438)
0.475	0.888(.459)	0.890(.459)	0.892(.459)	0.894(.460)	0.897(.460)
0.500	0.875(.481)	0.877(.481)	0.879(.482)	0.881(.482)	0.885(.483)
0.525	0.861(.503)	0.863(.503)	0.865(.503)	0.868(.504)	0.871(.505)
0.550	0.846(.524)	0.848(.524)	0.851(.525)	0.853(.525)	0.857(.526)
0.575	0.831(.545)	0.833(.545)	0.836(.546)	0.838(.547)	0.842(.547)
0.600	0.815(.565)	0.817(.566)	0.820(.567)	0.823(.567)	0.827(.568)
0.625	0.799(.586)	0.801(.586)	0.803(.587)	0.806(.588)	0.811(.589)
0.650	0.781(.605)	0.784(.606)	0.786(.607)	0.790(.608)	0.794(.609)
0.675	0.764(.625)	0.766(.625)	0.769(.626)	0.772(.627)	0.776(.628)
0.700	0.746(.644)	0.748(.644)	0.751(.645)	0.754(.646)	0.758(.648)
0.725	0.727(.662)	0.729(.663)	0.732(.664)	0.735(.665)	0.740(.666)
0.750	0.708(.680)	0.710(.681)	0.713(.682)	0.716(.683)	0.721(.685)
0.775	0.688(.697)	0.691(.698)	0.693(.699)	0.697(.701)	0.701(.702)
0.800	0.669(.714)	0.671(.715)	0.673(.716)	0.677(.718)	0.681(.720)
0.825	0.648(.731)	0.651(.732)	0.653(.733)	0.656(.735)	0.661(.737)
0.850	0.628(.747)	0.630(.748)	0.633(.749)	0.636(.751)	0.640(.753)
0.875	0.607(.762)	0.609(.763)	0.612(.765)	0.615(.766)	0.619(.768)
0.900	0.586(.777)	0.588(.778)	0.591(.780)	0.593(.781)	0.597(.784)
0.925	0.565(.791)	0.567(.793)	0.569(.794)	0.572(.796)	0.575(.798)
0.950	0.544(.805)	0.546(.807)	0.548(.808)	0.550(.810)	0.553(.812)
0.975	0.523(.819)	0.524(.820)	0.526(.822)	0.528(.823)	0.531(.826)
1.000	0.501(.831)	0.503(.833)	0.504(.834)	0.506(.836)	0.509(.839)

REORDER No. 66-196
 App. A Page 11

*** RELATIVE ENERGY FLUX DENSITY IN THE PENUMBRA ***
 *** OF A DIFFUSE SKIRT WITH THE REFLECTANCE = 0. ***

VERSION A

SOLAR FIELD ANGLE, D = 5.00 DEGREES
 GEOMETRY D1/D2 = 0.

BETA = ANGLE OF INCIDENCE, DEGREES

BETA ***	60.00	70.00	80.00	87.00
AX/AB	Q (QI)	Q (QI)	Q (QI)	Q (QI)
0.	1.000(.)	1.000(.)	1.000(.)	1.000(.)
0.025	1.000(.025)	1.000(.025)	1.000(.025)	1.000(.025)
0.050	1.000(.050)	1.000(.050)	1.000(.050)	1.000(.050)
0.075	0.999(.075)	0.999(.075)	0.999(.075)	1.000(.075)
0.100	0.998(.100)	0.998(.100)	0.999(.100)	1.000(.100)
0.125	0.996(.125)	0.997(.125)	0.998(.125)	1.000(.125)
0.150	0.994(.150)	0.995(.150)	0.997(.150)	1.000(.150)
0.175	0.991(.175)	0.992(.175)	0.995(.175)	1.000(.175)
0.200	0.988(.199)	0.989(.199)	0.993(.200)	1.000(.200)
0.225	0.984(.224)	0.986(.224)	0.991(.224)	1.000(.225)
0.250	0.979(.248)	0.981(.249)	0.988(.249)	1.000(.250)
0.275	0.973(.273)	0.976(.273)	0.984(.274)	1.000(.275)
0.300	0.967(.297)	0.971(.297)	0.980(.298)	1.000(.300)
0.325	0.960(.321)	0.964(.322)	0.976(.323)	1.000(.325)
0.350	0.952(.345)	0.957(.346)	0.971(.347)	1.000(.350)
0.375	0.944(.369)	0.950(.370)	0.965(.371)	0.999(.375)
0.400	0.935(.392)	0.941(.393)	0.958(.395)	0.999(.400)
0.425	0.925(.416)	0.932(.417)	0.951(.419)	0.999(.425)
0.450	0.914(.438)	0.922(.440)	0.943(.443)	0.999(.450)
0.475	0.902(.461)	0.911(.463)	0.935(.466)	0.999(.475)
0.500	0.890(.484)	0.899(.485)	0.925(.490)	0.998(.500)
0.525	0.877(.506)	0.887(.508)	0.915(.513)	0.998(.525)
0.550	0.863(.527)	0.874(.530)	0.904(.535)	0.997(.550)
0.575	0.848(.549)	0.860(.551)	0.892(.558)	0.996(.575)
0.600	0.833(.570)	0.845(.573)	0.879(.580)	0.996(.600)
0.625	0.817(.590)	0.830(.594)	0.865(.602)	0.994(.624)
0.650	0.801(.611)	0.813(.614)	0.850(.623)	0.993(.649)
0.675	0.783(.630)	0.796(.634)	0.834(.644)	0.991(.674)
0.700	0.765(.650)	0.779(.654)	0.818(.665)	0.989(.699)
0.725	0.747(.669)	0.760(.673)	0.800(.685)	0.985(.723)
0.750	0.728(.687)	0.741(.692)	0.781(.705)	0.981(.748)
0.775	0.708(.705)	0.721(.710)	0.762(.724)	0.976(.773)
0.800	0.688(.723)	0.701(.728)	0.741(.743)	0.969(.797)
0.825	0.667(.740)	0.680(.745)	0.719(.761)	0.959(.821)
0.850	0.646(.756)	0.659(.762)	0.697(.779)	0.946(.845)
0.875	0.625(.772)	0.637(.778)	0.673(.796)	0.929(.868)
0.900	0.603(.787)	0.614(.794)	0.649(.813)	0.904(.891)
0.925	0.581(.802)	0.591(.809)	0.623(.828)	0.869(.913)
0.950	0.558(.816)	0.568(.823)	0.597(.844)	0.819(.934)
0.975	0.536(.830)	0.544(.837)	0.570(.858)	0.747(.954)
1.000	0.513(.843)	0.520(.851)	0.542(.872)	0.641(.971)

*** RELATIVE ENERGY FLUX DENSITY IN THE PENUMBRA ***
 *** OF A DIFFUSE SKIRT WITH THE REFLECTANCE = 0. ***

RE-ORDER NO. 66-196
 App A Phase II
 VERSION A

SOLAR FIELD ANGLE, D = 5.00 DEGREES
 GEOMETRY D1/D2 = 0.25

BETA = ANGLE OF INCIDENCE, DEGREES

BETA ***	-87.00	-80.00	-70.00	-60.00	-50.00
AX/AB	Q (QI)	Q (QI)	Q (QI)	Q (QI)	Q (QI)
0.	1.000(.)	1.000(.)	1.000(.)	1.000(.)	1.000(.)
0.025	0.985(.025)	1.000(.025)	1.000(.025)	1.000(.025)	1.000(.025)
0.050	0.936(.049)	0.998(.050)	0.999(.050)	0.999(.050)	0.999(.050)
0.075	0.866(.071)	0.993(.075)	0.996(.075)	0.997(.075)	0.997(.075)
0.100	0.787(.092)	0.987(.100)	0.992(.100)	0.993(.100)	0.994(.100)
0.125	0.707(.111)	0.979(.124)	0.987(.124)	0.989(.125)	0.990(.125)
0.150	0.631(.127)	0.968(.149)	0.980(.149)	0.983(.149)	0.984(.149)
0.175	0.561(.142)	0.955(.173)	0.971(.173)	0.975(.174)	0.977(.174)
0.200	0.498(.156)	0.941(.196)	0.961(.198)	0.966(.198)	0.969(.198)
0.225	0.441(.167)	0.924(.220)	0.949(.221)	0.956(.222)	0.959(.222)
0.250	0.391(.178)	0.906(.242)	0.936(.245)	0.944(.246)	0.948(.246)
0.275	0.311(.186)	0.887(.265)	0.921(.268)	0.931(.269)	0.936(.270)
0.300	0.195(.193)	0.866(.287)	0.905(.291)	0.916(.292)	0.922(.293)
0.325	0.126(.197)	0.844(.308)	0.888(.313)	0.901(.315)	0.907(.316)
0.350	0.083(.199)	0.821(.329)	0.870(.335)	0.884(.337)	0.891(.338)
0.375	0.056(.201)	0.797(.349)	0.850(.357)	0.866(.359)	0.874(.360)
0.400	0.038(.202)	0.772(.369)	0.830(.378)	0.847(.381)	0.855(.382)
0.425	0.027(.203)	0.747(.388)	0.808(.398)	0.827(.401)	0.836(.403)
0.450	0.019(.204)	0.721(.406)	0.786(.418)	0.806(.422)	0.816(.424)
0.475	0.013(.204)	0.695(.424)	0.763(.438)	0.784(.442)	0.795(.444)
0.500	0.010(.204)	0.669(.441)	0.739(.456)	0.761(.461)	0.773(.463)
0.525	0.007(.205)	0.643(.457)	0.715(.475)	0.738(.480)	0.750(.482)
0.550	0.005(.205)	0.617(.473)	0.691(.492)	0.714(.498)	0.727(.501)
0.575	0.004(.205)	0.591(.488)	0.666(.509)	0.690(.516)	0.703(.519)
0.600	0.003(.205)	0.565(.503)	0.641(.526)	0.665(.532)	0.678(.536)
0.625	0.002(.205)	0.539(.516)	0.615(.541)	0.640(.549)	0.653(.553)
0.650	0.001(.205)	0.514(.530)	0.590(.556)	0.615(.564)	0.628(.569)
0.675	0.001(.205)	0.489(.542)	0.564(.571)	0.589(.580)	0.602(.584)
0.700	0.001(.205)	0.465(.554)	0.539(.584)	0.564(.594)	0.577(.599)
0.725	0.001(.205)	0.391(.565)	0.513(.598)	0.538(.608)	0.551(.613)
0.750	0.000(.205)	0.306(.573)	0.488(.610)	0.512(.621)	0.525(.626)
0.775	0.000(.205)	0.233(.580)	0.415(.621)	0.486(.633)	0.499(.639)
0.800	0.000(.205)	0.171(.585)	0.323(.631)	0.386(.644)	0.421(.651)
0.825	0.000(.205)	0.120(.589)	0.240(.638)	0.293(.653)	0.323(.660)
0.850	0.000(.205)	0.080(.591)	0.168(.643)	0.210(.659)	0.235(.667)
0.875	0.000(.205)	0.049(.593)	0.109(.646)	0.140(.663)	0.158(.672)
0.900	0.000(.205)	0.027(.594)	0.064(.648)	0.083(.666)	0.095(.675)
0.925	0.000(.205)	0.013(.594)	0.032(.650)	0.042(.668)	0.049(.677)
0.950	0.000(.205)	0.005(.595)	0.012(.650)	0.016(.668)	0.019(.678)
0.975	0.000(.205)	0.001(.595)	0.002(.650)	0.003(.669)	0.003(.678)
1.000	0.000(.205)	0.000(.595)	0.000(.650)	0.000(.669)	0.000(.678)

RECEIVED NO. 66-196

App. A Phase II

*** RELATIVE ENERGY FLUX DENSITY IN THE PENUMBRA ***
*** OF A DIFFUSE SKIRT WITH THE REFLECTANCE = 0. ***

VERSION A

SOLAR FIELD ANGLE, D= 5.00 DEGREES
GEOMETRY D1/D2 = 0.25

BETA = ANGLE OF INCIDENCE, DEGREES

BETA ***	-40.00	-30.00	-20.00	-10.00	-0.
AX/AB	Q (QI)	Q (QI)	Q (QI)	Q (QI)	Q (QI)
0.	1.000(,)	1.000(,)	1.000(,)	1.000(,)	1.000(,)
0.025	1.000(.025)	1.000(.025)	1.000(.025)	1.000(.025)	1.000(.025)
0.050	0.999(.050)	0.999(.050)	0.999(.050)	0.999(.050)	0.999(.050)
0.075	0.997(.075)	0.997(.075)	0.997(.075)	0.997(.075)	0.998(.075)
0.100	0.994(.100)	0.995(.100)	0.995(.100)	0.995(.100)	0.995(.100)
0.125	0.990(.125)	0.991(.125)	0.991(.125)	0.991(.125)	0.991(.125)
0.150	0.985(.149)	0.986(.149)	0.986(.149)	0.986(.149)	0.987(.149)
0.175	0.978(.174)	0.979(.174)	0.980(.174)	0.980(.174)	0.981(.174)
0.200	0.970(.198)	0.972(.198)	0.972(.198)	0.973(.198)	0.974(.198)
0.225	0.961(.222)	0.963(.222)	0.964(.223)	0.965(.223)	0.966(.223)
0.250	0.951(.246)	0.952(.246)	0.954(.247)	0.955(.247)	0.956(.247)
0.275	0.939(.270)	0.941(.270)	0.942(.270)	0.944(.270)	0.945(.270)
0.300	0.925(.293)	0.928(.293)	0.930(.294)	0.932(.294)	0.933(.294)
0.325	0.911(.316)	0.914(.316)	0.916(.317)	0.918(.317)	0.920(.317)
0.350	0.896(.339)	0.899(.339)	0.901(.339)	0.904(.340)	0.906(.340)
0.375	0.879(.361)	0.882(.361)	0.885(.362)	0.888(.362)	0.890(.362)
0.400	0.861(.383)	0.865(.383)	0.868(.384)	0.871(.384)	0.873(.384)
0.425	0.842(.404)	0.846(.405)	0.850(.405)	0.853(.406)	0.856(.406)
0.450	0.822(.425)	0.827(.426)	0.831(.426)	0.834(.427)	0.837(.427)
0.475	0.801(.445)	0.806(.446)	0.810(.447)	0.814(.447)	0.817(.448)
0.500	0.780(.465)	0.785(.466)	0.789(.467)	0.793(.467)	0.796(.468)
0.525	0.757(.484)	0.763(.485)	0.767(.486)	0.771(.487)	0.775(.488)
0.550	0.734(.503)	0.740(.504)	0.745(.505)	0.749(.506)	0.752(.507)
0.575	0.711(.521)	0.717(.522)	0.721(.523)	0.725(.524)	0.729(.525)
0.600	0.685(.538)	0.692(.540)	0.697(.541)	0.702(.542)	0.706(.543)
0.625	0.662(.555)	0.668(.557)	0.673(.558)	0.677(.559)	0.681(.561)
0.650	0.635(.571)	0.643(.573)	0.648(.575)	0.652(.576)	0.656(.577)
0.675	0.611(.587)	0.617(.589)	0.622(.591)	0.627(.592)	0.631(.593)
0.700	0.585(.602)	0.591(.604)	0.597(.606)	0.601(.607)	0.605(.609)
0.725	0.559(.616)	0.566(.618)	0.571(.620)	0.575(.622)	0.579(.624)
0.750	0.533(.630)	0.539(.632)	0.544(.634)	0.549(.636)	0.553(.638)
0.775	0.507(.643)	0.513(.645)	0.518(.648)	0.522(.650)	0.526(.651)
0.800	0.444(.655)	0.462(.658)	0.476(.660)	0.488(.662)	0.500(.664)
0.825	0.344(.665)	0.360(.668)	0.372(.671)	0.384(.673)	0.395(.675)
0.850	0.252(.672)	0.265(.676)	0.275(.679)	0.285(.681)	0.294(.684)
0.875	0.171(.677)	0.180(.681)	0.189(.685)	0.196(.687)	0.204(.690)
0.900	0.104(.681)	0.111(.685)	0.116(.688)	0.122(.691)	0.127(.694)
0.925	0.054(.683)	0.058(.687)	0.061(.691)	0.064(.694)	0.067(.697)
0.950	0.021(.684)	0.022(.688)	0.024(.692)	0.025(.695)	0.026(.698)
0.975	0.004(.684)	0.004(.688)	0.004(.692)	0.005(.695)	0.005(.698)
1.000	0.000(.684)	0.000(.688)	0.000(.692)	0.000(.695)	0.000(.698)

54
A-46

*** RELATIVE ENERGY FLUX DENSITY IN THE PENUMBRA ***
 *** OF A DIFFUSE SKIRT WITH THE REFLECTANCE = 0. ***

66-196
 Phase II
 VERSION A

SOLAR FIELD ANGLE, D = 5.00 DEGREES
 GEOMETRY D1/D2 = 0.25

BETA = ANGLE OF INCIDENCE, DEGREES

BETA ***	10.00	20.00	30.00	40.00	50.00
AX/AB	Q (QI)	Q (QI)	Q (QI)	Q (QI)	Q (QI)
0.	1.000(.)	1.000(.)	1.000(.)	1.000(.)	1.000(.)
0.025	1.000(.025)	1.000(.025)	1.000(.025)	1.000(.025)	1.000(.025)
0.050	0.999(.050)	0.999(.050)	0.999(.050)	0.999(.050)	0.999(.050)
0.075	0.998(.075)	0.998(.075)	0.998(.075)	0.998(.075)	0.998(.075)
0.100	0.995(.100)	0.995(.100)	0.996(.100)	0.996(.100)	0.996(.100)
0.125	0.992(.125)	0.992(.125)	0.992(.125)	0.993(.125)	0.993(.125)
0.150	0.987(.149)	0.988(.149)	0.988(.149)	0.989(.149)	0.989(.150)
0.175	0.981(.174)	0.982(.174)	0.983(.174)	0.983(.174)	0.984(.174)
0.200	0.975(.198)	0.975(.199)	0.976(.199)	0.977(.199)	0.978(.199)
0.225	0.967(.223)	0.967(.223)	0.968(.223)	0.970(.223)	0.971(.223)
0.250	0.957(.247)	0.958(.247)	0.960(.247)	0.961(.247)	0.963(.247)
0.275	0.947(.271)	0.948(.271)	0.950(.271)	0.951(.271)	0.954(.271)
0.300	0.935(.294)	0.936(.294)	0.938(.294)	0.940(.295)	0.943(.295)
0.325	0.922(.317)	0.924(.318)	0.926(.318)	0.928(.318)	0.932(.318)
0.350	0.908(.340)	0.910(.340)	0.912(.341)	0.915(.341)	0.919(.342)
0.375	0.892(.363)	0.895(.363)	0.897(.363)	0.901(.364)	0.905(.364)
0.400	0.876(.385)	0.879(.385)	0.882(.386)	0.885(.386)	0.890(.387)
0.425	0.858(.406)	0.861(.407)	0.865(.407)	0.869(.408)	0.874(.409)
0.450	0.840(.428)	0.843(.428)	0.847(.429)	0.851(.430)	0.856(.430)
0.475	0.820(.448)	0.824(.449)	0.827(.450)	0.832(.451)	0.838(.452)
0.500	0.800(.469)	0.803(.469)	0.807(.470)	0.812(.471)	0.819(.472)
0.525	0.778(.488)	0.782(.489)	0.786(.490)	0.792(.491)	0.798(.493)
0.550	0.756(.508)	0.760(.508)	0.765(.509)	0.770(.511)	0.777(.512)
0.575	0.733(.526)	0.737(.527)	0.742(.528)	0.748(.530)	0.755(.531)
0.600	0.710(.544)	0.714(.545)	0.719(.547)	0.724(.548)	0.732(.550)
0.625	0.685(.562)	0.690(.563)	0.695(.564)	0.700(.566)	0.708(.568)
0.650	0.660(.579)	0.665(.580)	0.670(.581)	0.676(.583)	0.684(.585)
0.675	0.635(.595)	0.640(.596)	0.645(.598)	0.651(.600)	0.659(.602)
0.700	0.609(.610)	0.614(.612)	0.619(.614)	0.625(.616)	0.633(.618)
0.725	0.583(.625)	0.588(.627)	0.593(.629)	0.599(.631)	0.607(.634)
0.750	0.557(.639)	0.561(.641)	0.566(.643)	0.572(.646)	0.581(.649)
0.775	0.530(.653)	0.535(.655)	0.540(.657)	0.546(.660)	0.554(.663)
0.800	0.504(.666)	0.508(.668)	0.513(.670)	0.519(.673)	0.526(.676)
0.825	0.406(.677)	0.417(.679)	0.431(.682)	0.447(.685)	0.470(.689)
0.850	0.304(.686)	0.314(.689)	0.326(.691)	0.340(.695)	0.360(.699)
0.875	0.211(.693)	0.219(.695)	0.228(.698)	0.240(.702)	0.257(.707)
0.900	0.132(.697)	0.137(.700)	0.144(.703)	0.152(.707)	0.164(.712)
0.925	0.070(.699)	0.073(.702)	0.077(.706)	0.082(.710)	0.089(.715)
0.950	0.027(.701)	0.029(.704)	0.031(.707)	0.033(.711)	0.036(.717)
0.975	0.005(.701)	0.006(.704)	0.006(.708)	0.006(.712)	0.007(.717)
1.000	0.000(.701)	0.000(.704)	0.000(.708)	0.000(.712)	0.000(.718)

REORDER NO. 66-196
App'l Phase II

*** RELATIVE ENERGY FLUX DENSITY IN THE PENUMBRA ***
 *** OF A DIFFUSE SKIRT WITH THE REFLECTANCE = 0. ***

VERSION A

SOLAR FIELD ANGLE, D= 5.00 DEGREES
 GEOMETRY D1/D2 = 0.25

BETA = ANGLE OF INCIDENCE, DEGREES

BETA ***	60.00	70.00	80.00	87.00
AX/AB	Q (QI)	Q (QI)	Q (QI)	Q (QI)
0.	1.000(.)	1.000(.)	1.000(.)	1.000(.)
0.025	1.000(.025)	1.000(.025)	1.000(.025)	1.000(.025)
0.050	0.999(.050)	0.999(.050)	0.999(.050)	0.999(.050)
0.075	0.998(.075)	0.999(.075)	0.999(.075)	1.000(.075)
0.100	0.995(.100)	0.997(.100)	0.998(.100)	1.000(.100)
0.125	0.994(.125)	0.995(.125)	0.997(.125)	1.000(.125)
0.150	0.990(.150)	0.992(.150)	0.995(.150)	1.000(.150)
0.175	0.986(.174)	0.988(.174)	0.993(.175)	1.000(.175)
0.200	0.980(.199)	0.983(.199)	0.990(.199)	1.000(.200)
0.225	0.974(.223)	0.976(.224)	0.987(.224)	1.000(.225)
0.250	0.966(.248)	0.971(.248)	0.982(.249)	1.000(.250)
0.275	0.957(.272)	0.963(.272)	0.978(.273)	1.000(.275)
0.300	0.947(.295)	0.955(.296)	0.972(.298)	1.000(.300)
0.325	0.937(.319)	0.945(.320)	0.965(.322)	1.000(.325)
0.350	0.924(.342)	0.934(.343)	0.958(.346)	1.000(.350)
0.375	0.911(.365)	0.922(.366)	0.949(.370)	0.999(.375)
0.400	0.897(.388)	0.909(.389)	0.940(.393)	0.999(.400)
0.425	0.881(.410)	0.895(.412)	0.929(.417)	0.999(.425)
0.450	0.865(.432)	0.880(.434)	0.918(.440)	0.999(.450)
0.475	0.847(.453)	0.864(.456)	0.905(.463)	0.998(.475)
0.500	0.829(.474)	0.846(.477)	0.891(.485)	0.998(.500)
0.525	0.809(.495)	0.828(.498)	0.877(.507)	0.998(.525)
0.550	0.788(.515)	0.808(.519)	0.860(.529)	0.997(.550)
0.575	0.766(.534)	0.787(.539)	0.843(.550)	0.996(.575)
0.600	0.744(.553)	0.766(.558)	0.824(.571)	0.995(.599)
0.625	0.721(.571)	0.743(.577)	0.804(.591)	0.994(.624)
0.650	0.696(.589)	0.719(.595)	0.783(.611)	0.992(.649)
0.675	0.672(.606)	0.695(.613)	0.760(.630)	0.990(.674)
0.700	0.646(.622)	0.670(.630)	0.736(.649)	0.987(.699)
0.725	0.620(.638)	0.643(.646)	0.711(.667)	0.983(.723)
0.750	0.593(.653)	0.617(.662)	0.684(.685)	0.978(.748)
0.775	0.566(.668)	0.589(.677)	0.657(.701)	0.971(.772)
0.800	0.538(.682)	0.561(.691)	0.628(.717)	0.962(.796)
0.825	0.504(.695)	0.533(.705)	0.597(.733)	0.950(.820)
0.850	0.392(.706)	0.454(.717)	0.566(.747)	0.933(.844)
0.875	0.283(.714)	0.337(.727)	0.510(.761)	0.910(.867)
0.900	0.184(.720)	0.225(.734)	0.372(.772)	0.876(.889)
0.925	0.101(.724)	0.128(.739)	0.233(.779)	0.828(.910)
0.950	0.042(.726)	0.054(.741)	0.109(.784)	0.758(.930)
0.975	0.008(.726)	0.011(.742)	0.025(.785)	0.655(.948)
1.000	0.000(.726)	0.000(.742)	0.000(.786)	0.000(.956)

*** RELATIVE ENERGY FLUX DENSITY IN THE PENUMBRA ***
 *** OF A DIFFUSE SKIRT WITH THE REFLECTANCE = 0. ***

RE-ORDER No. 66-196
 App A - Phase II
 VERSION A

SOLAR FIELD ANGLE, D = 5.00 DEGREES
 GEOMETRY D1/D2 = 0.50

BETA = ANGLE OF INCIDENCE, DEGREES

BETA ***	-87.00	-80.00	-70.00	-60.00	-50.00
AX/AB	Q (QI)	Q (QI)	Q (QI)	Q (QI)	Q (QI)
0.	1.000(.)	1.000(.)	1.000(.)	1.000(.)	1.000(.)
0.025	0.951(.024)	0.999(.025)	1.000(.025)	1.000(.025)	1.000(.025)
0.050	0.830(.047)	0.995(.050)	0.997(.050)	0.998(.050)	0.998(.050)
0.075	0.692(.066)	0.988(.075)	0.993(.075)	0.995(.075)	0.995(.075)
0.100	0.566(.081)	0.977(.099)	0.987(.100)	0.989(.100)	0.990(.100)
0.125	0.459(.094)	0.963(.124)	0.978(.124)	0.982(.124)	0.983(.124)
0.150	0.372(.105)	0.945(.147)	0.967(.148)	0.972(.149)	0.975(.149)
0.175	0.255(.112)	0.923(.171)	0.953(.172)	0.960(.173)	0.964(.173)
0.200	0.172(.118)	0.900(.194)	0.937(.196)	0.946(.197)	0.951(.197)
0.225	0.113(.121)	0.873(.216)	0.919(.219)	0.931(.220)	0.936(.221)
0.250	0.082(.124)	0.845(.237)	0.898(.242)	0.913(.243)	0.920(.244)
0.275	0.058(.126)	0.815(.258)	0.876(.264)	0.893(.266)	0.901(.267)
0.300	0.042(.127)	0.784(.278)	0.852(.286)	0.871(.288)	0.881(.289)
0.325	0.031(.128)	0.752(.297)	0.827(.307)	0.848(.309)	0.859(.311)
0.350	0.022(.129)	0.719(.315)	0.800(.327)	0.824(.330)	0.835(.332)
0.375	0.017(.129)	0.685(.333)	0.772(.347)	0.798(.350)	0.810(.352)
0.400	0.012(.129)	0.651(.350)	0.743(.366)	0.770(.370)	0.784(.372)
0.425	0.009(.130)	0.617(.366)	0.713(.384)	0.742(.389)	0.757(.392)
0.450	0.007(.130)	0.584(.381)	0.682(.401)	0.713(.407)	0.729(.410)
0.475	0.005(.130)	0.550(.395)	0.651(.418)	0.683(.425)	0.699(.428)
0.500	0.004(.130)	0.518(.408)	0.620(.434)	0.653(.441)	0.670(.445)
0.525	0.003(.130)	0.485(.421)	0.588(.449)	0.622(.457)	0.639(.461)
0.550	0.002(.130)	0.450(.432)	0.556(.463)	0.590(.472)	0.608(.477)
0.575	0.002(.130)	0.390(.443)	0.525(.477)	0.559(.487)	0.577(.492)
0.600	0.001(.130)	0.334(.452)	0.493(.489)	0.527(.500)	0.545(.506)
0.625	0.001(.130)	0.283(.460)	0.446(.501)	0.496(.513)	0.514(.519)
0.650	0.001(.130)	0.236(.466)	0.386(.512)	0.443(.525)	0.474(.531)
0.675	0.001(.130)	0.194(.471)	0.329(.521)	0.383(.535)	0.412(.543)
0.700	0.000(.130)	0.157(.476)	0.276(.528)	0.325(.544)	0.352(.552)
0.725	0.000(.130)	0.125(.479)	0.227(.534)	0.270(.551)	0.295(.560)
0.750	0.000(.130)	0.097(.482)	0.182(.539)	0.220(.558)	0.242(.567)
0.775	0.000(.130)	0.073(.484)	0.142(.544)	0.174(.563)	0.193(.572)
0.800	0.000(.130)	0.054(.486)	0.108(.547)	0.133(.566)	0.149(.577)
0.825	0.000(.130)	0.036(.487)	0.078(.549)	0.098(.569)	0.110(.580)
0.850	0.000(.130)	0.025(.488)	0.054(.551)	0.068(.571)	0.077(.582)
0.875	0.000(.130)	0.016(.488)	0.035(.552)	0.044(.573)	0.051(.584)
0.900	0.000(.130)	0.009(.489)	0.020(.552)	0.026(.574)	0.030(.585)
0.925	0.000(.130)	0.004(.489)	0.010(.553)	0.013(.574)	0.015(.585)
0.950	0.000(.130)	0.001(.489)	0.004(.553)	0.005(.574)	0.006(.586)
0.975	0.000(.130)	0.000(.489)	0.001(.553)	0.001(.574)	0.001(.586)
1.000	0.000(.130)	0.000(.489)	0.000(.553)	0.000(.574)	0.000(.586)

*** RELATIVE ENERGY FLUX DENSITY IN THE PENUMBRA ***
 *** OF A DIFFUSE SKIRT WITH THE REFLECTANCE = 0. ***

ORDER NO. 66-196
App. C. Phue
 VERSION A

SOLAR FIELD ANGLE, D = 5.00 DEGREES
 GEOMETRY D1/D2 = 0.50

BETA = ANGLE OF INCIDENCE, DEGREES

BETA ***	-40.00	-30.00	-20.00	-10.00	-0.00
AX/AB	Q (QI)	Q (QI)	Q (QI)	Q (QI)	Q (QI)
0.	1.000(.000)	1.000(.000)	1.000(.000)	1.000(.000)	1.000(.000)
0.025	1.000(.025)	1.000(.025)	1.000(.025)	1.000(.025)	1.000(.025)
0.050	0.998(.050)	0.998(.050)	0.998(.050)	0.999(.050)	0.999(.050)
0.075	0.995(.075)	0.996(.075)	0.996(.075)	0.996(.075)	0.996(.075)
0.100	0.991(.100)	0.991(.100)	0.992(.100)	0.992(.100)	0.992(.100)
0.125	0.985(.124)	0.985(.124)	0.986(.124)	0.986(.124)	0.987(.125)
0.150	0.976(.149)	0.977(.149)	0.978(.149)	0.979(.149)	0.980(.149)
0.175	0.966(.173)	0.968(.173)	0.969(.173)	0.970(.173)	0.971(.173)
0.200	0.954(.197)	0.956(.197)	0.957(.197)	0.959(.198)	0.960(.198)
0.225	0.940(.221)	0.942(.221)	0.944(.221)	0.946(.221)	0.948(.221)
0.250	0.924(.244)	0.927(.244)	0.929(.245)	0.931(.245)	0.933(.245)
0.275	0.906(.267)	0.910(.267)	0.913(.268)	0.915(.268)	0.917(.268)
0.300	0.887(.289)	0.891(.290)	0.894(.290)	0.897(.291)	0.900(.291)
0.325	0.865(.311)	0.870(.312)	0.874(.312)	0.877(.313)	0.880(.313)
0.350	0.843(.333)	0.848(.333)	0.852(.334)	0.856(.334)	0.859(.335)
0.375	0.819(.353)	0.824(.354)	0.829(.355)	0.833(.355)	0.837(.356)
0.400	0.793(.374)	0.799(.375)	0.805(.375)	0.809(.376)	0.813(.377)
0.425	0.766(.393)	0.773(.394)	0.779(.395)	0.783(.396)	0.788(.397)
0.450	0.739(.412)	0.746(.413)	0.752(.414)	0.757(.415)	0.762(.416)
0.475	0.710(.430)	0.718(.432)	0.724(.433)	0.729(.434)	0.734(.435)
0.500	0.680(.447)	0.688(.449)	0.695(.450)	0.700(.452)	0.706(.453)
0.525	0.650(.464)	0.658(.466)	0.665(.467)	0.671(.469)	0.676(.470)
0.550	0.620(.480)	0.628(.482)	0.635(.484)	0.641(.485)	0.646(.486)
0.575	0.588(.495)	0.597(.497)	0.604(.499)	0.610(.501)	0.616(.502)
0.600	0.557(.509)	0.566(.512)	0.573(.514)	0.579(.516)	0.584(.517)
0.625	0.526(.523)	0.534(.526)	0.541(.528)	0.547(.530)	0.553(.531)
0.650	0.494(.536)	0.502(.539)	0.509(.541)	0.515(.543)	0.521(.545)
0.675	0.432(.547)	0.446(.550)	0.458(.553)	0.469(.555)	0.479(.557)
0.700	0.371(.557)	0.384(.561)	0.396(.564)	0.406(.566)	0.415(.569)
0.725	0.312(.566)	0.325(.570)	0.335(.573)	0.345(.576)	0.354(.578)
0.750	0.257(.573)	0.268(.577)	0.278(.581)	0.286(.583)	0.294(.586)
0.775	0.206(.579)	0.216(.583)	0.224(.587)	0.231(.590)	0.238(.593)
0.800	0.159(.583)	0.168(.588)	0.175(.592)	0.181(.595)	0.187(.598)
0.825	0.119(.587)	0.125(.592)	0.131(.596)	0.136(.599)	0.141(.602)
0.850	0.084(.589)	0.089(.594)	0.093(.598)	0.097(.602)	0.100(.605)
0.875	0.055(.591)	0.058(.596)	0.061(.600)	0.064(.604)	0.067(.607)
0.900	0.033(.592)	0.035(.597)	0.037(.602)	0.038(.605)	0.040(.609)
0.925	0.016(.593)	0.018(.598)	0.019(.602)	0.019(.606)	0.020(.610)
0.950	0.006(.593)	0.007(.598)	0.007(.603)	0.007(.606)	0.008(.610)
0.975	0.001(.593)	0.001(.598)	0.001(.603)	0.001(.606)	0.001(.610)
1.000	0.000(.593)	0.000(.598)	0.000(.603)	0.000(.606)	0.000(.610)

*** RELATIVE ENERGY FLUX DENSITY IN THE PENUMBRA ***
 *** OF A DIFFUSE SKIRT WITH THE REFLECTANCE = 0. ***

66-196
 APP A
 VERSION A
 Phaul

SOLAR FIELD ANGLE, D= 5.00 DEGREES
 GEOMETRY D1/D2 = 0.50

BETA = ANGLE OF INCIDENCE, DEGREES

BETA ***	10.00	20.00	30.00	40.00	50.00
AX/AB	Q (QI)	Q (QI)	Q (QI)	Q (QI)	Q (QI)
0.	1.000(.)	1.000(.)	1.000(.)	1.000(.)	1.000(.)
0.025	1.000(.025)	1.000(.025)	1.000(.025)	1.000(.025)	1.000(.025)
0.050	0.999(.050)	0.999(.050)	0.999(.050)	0.999(.050)	0.999(.050)
0.075	0.996(.075)	0.996(.075)	0.997(.075)	0.997(.075)	0.997(.075)
0.100	0.993(.100)	0.993(.100)	0.993(.100)	0.993(.100)	0.994(.100)
0.125	0.987(.125)	0.988(.125)	0.988(.125)	0.989(.125)	0.990(.125)
0.150	0.980(.149)	0.981(.149)	0.982(.149)	0.983(.149)	0.984(.149)
0.175	0.972(.174)	0.973(.174)	0.974(.174)	0.975(.174)	0.976(.174)
0.200	0.961(.198)	0.962(.198)	0.964(.198)	0.965(.198)	0.968(.198)
0.225	0.949(.222)	0.951(.222)	0.952(.222)	0.954(.222)	0.957(.222)
0.250	0.935(.245)	0.937(.245)	0.939(.245)	0.942(.246)	0.945(.246)
0.275	0.920(.268)	0.922(.269)	0.924(.269)	0.927(.269)	0.931(.269)
0.300	0.902(.291)	0.905(.291)	0.908(.292)	0.911(.292)	0.916(.292)
0.325	0.883(.313)	0.886(.314)	0.890(.314)	0.894(.315)	0.899(.315)
0.350	0.863(.335)	0.866(.336)	0.870(.336)	0.875(.337)	0.881(.337)
0.375	0.841(.356)	0.844(.357)	0.849(.358)	0.854(.358)	0.861(.359)
0.400	0.817(.377)	0.821(.378)	0.826(.379)	0.832(.379)	0.839(.380)
0.425	0.792(.397)	0.797(.398)	0.802(.399)	0.808(.400)	0.816(.401)
0.450	0.766(.417)	0.771(.418)	0.777(.419)	0.783(.420)	0.792(.421)
0.475	0.739(.436)	0.744(.437)	0.750(.438)	0.757(.439)	0.766(.441)
0.500	0.711(.454)	0.716(.455)	0.722(.456)	0.730(.458)	0.740(.460)
0.525	0.682(.471)	0.687(.472)	0.694(.474)	0.701(.475)	0.712(.478)
0.550	0.652(.488)	0.658(.489)	0.664(.491)	0.672(.493)	0.683(.495)
0.575	0.621(.504)	0.627(.505)	0.634(.507)	0.642(.509)	0.653(.512)
0.600	0.590(.519)	0.596(.521)	0.603(.522)	0.611(.525)	0.623(.528)
0.625	0.559(.533)	0.565(.535)	0.572(.537)	0.580(.540)	0.591(.543)
0.650	0.527(.547)	0.533(.549)	0.540(.551)	0.548(.554)	0.560(.557)
0.675	0.489(.559)	0.499(.562)	0.508(.564)	0.516(.567)	0.527(.571)
0.700	0.425(.571)	0.435(.573)	0.447(.576)	0.462(.579)	0.481(.584)
0.725	0.363(.581)	0.372(.583)	0.383(.586)	0.397(.590)	0.416(.595)
0.750	0.303(.589)	0.311(.592)	0.322(.595)	0.334(.599)	0.352(.604)
0.775	0.246(.596)	0.253(.599)	0.263(.603)	0.274(.607)	0.290(.612)
0.800	0.193(.601)	0.200(.605)	0.207(.608)	0.217(.613)	0.231(.619)
0.825	0.146(.606)	0.151(.609)	0.157(.613)	0.165(.618)	0.177(.624)
0.850	0.104(.609)	0.108(.612)	0.113(.616)	0.120(.621)	0.128(.628)
0.875	0.069(.611)	0.072(.615)	0.076(.619)	0.080(.624)	0.087(.630)
0.900	0.042(.612)	0.044(.616)	0.046(.620)	0.049(.625)	0.053(.632)
0.925	0.021(.613)	0.022(.617)	0.024(.621)	0.025(.626)	0.027(.633)
0.950	0.008(.613)	0.008(.617)	0.009(.622)	0.010(.627)	0.011(.634)
0.975	0.001(.614)	0.002(.617)	0.002(.622)	0.002(.627)	0.002(.634)
1.000	0.000(.614)	0.000(.617)	0.000(.622)	0.000(.627)	0.000(.634)

*** RELATIVE ENERGY FLUX DENSITY IN THE PENUMBRA ***
 *** OF A DIFFUSE SKIRT WITH THE REFLECTANCE = 0. ***

66-196
 App A Phase II
 VERSION A

SOLAR FIELD ANGLE, D= 5.00 DEGREES
 GEOMETRY D1/D2 = 0.50

BETA = ANGLE OF INCIDENCE, DEGREES

BETA ***	60.00		70.00		80.00		87.00	
AX/AB	Q	(QI)	Q	(QI)	Q	(QI)	Q	(QI)
0.	1.000	(.)	1.000	(.)	1.000	(.)	1.000	(.)
0.025	1.000	(.025)	1.000	(.025)	1.000	(.025)	1.000	(.025)
0.050	0.999	(.050)	0.999	(.050)	1.000	(.050)	1.000	(.050)
0.075	0.997	(.075)	0.998	(.075)	0.999	(.075)	1.000	(.075)
0.100	0.995	(.100)	0.996	(.100)	0.998	(.100)	1.000	(.100)
0.125	0.991	(.125)	0.992	(.125)	0.996	(.125)	1.000	(.125)
0.150	0.985	(.149)	0.988	(.149)	0.994	(.150)	1.000	(.150)
0.175	0.979	(.174)	0.982	(.174)	0.990	(.175)	1.000	(.175)
0.200	0.971	(.198)	0.976	(.199)	0.986	(.199)	1.000	(.200)
0.225	0.961	(.222)	0.968	(.223)	0.982	(.224)	1.000	(.225)
0.250	0.950	(.246)	0.958	(.247)	0.976	(.248)	1.000	(.250)
0.275	0.937	(.270)	0.947	(.271)	0.969	(.273)	1.000	(.275)
0.300	0.923	(.293)	0.935	(.294)	0.961	(.297)	1.000	(.300)
0.325	0.907	(.316)	0.921	(.317)	0.952	(.321)	1.000	(.325)
0.350	0.890	(.338)	0.905	(.340)	0.942	(.344)	1.000	(.350)
0.375	0.871	(.360)	0.888	(.363)	0.930	(.368)	0.999	(.375)
0.400	0.850	(.382)	0.870	(.385)	0.917	(.391)	0.999	(.400)
0.425	0.828	(.403)	0.850	(.406)	0.902	(.414)	0.999	(.425)
0.450	0.805	(.423)	0.828	(.427)	0.886	(.436)	0.999	(.450)
0.475	0.780	(.443)	0.805	(.448)	0.869	(.458)	0.998	(.475)
0.500	0.754	(.462)	0.781	(.467)	0.850	(.479)	0.998	(.500)
0.525	0.727	(.481)	0.755	(.487)	0.829	(.500)	0.997	(.525)
0.550	0.699	(.499)	0.729	(.505)	0.806	(.521)	0.996	(.550)
0.575	0.670	(.516)	0.700	(.523)	0.782	(.541)	0.996	(.575)
0.600	0.640	(.532)	0.671	(.540)	0.757	(.560)	0.994	(.599)
0.625	0.609	(.548)	0.641	(.557)	0.729	(.578)	0.993	(.624)
0.650	0.577	(.563)	0.609	(.572)	0.700	(.596)	0.991	(.649)
0.675	0.545	(.577)	0.577	(.587)	0.670	(.613)	0.988	(.674)
0.700	0.511	(.590)	0.544	(.601)	0.637	(.630)	0.984	(.698)
0.725	0.445	(.602)	0.501	(.614)	0.604	(.645)	0.980	(.723)
0.750	0.379	(.612)	0.433	(.626)	0.568	(.660)	0.974	(.747)
0.775	0.315	(.621)	0.364	(.636)	0.522	(.674)	0.965	(.772)
0.800	0.253	(.628)	0.297	(.644)	0.445	(.686)	0.954	(.796)
0.825	0.195	(.634)	0.233	(.651)	0.366	(.696)	0.938	(.819)
0.850	0.143	(.638)	0.173	(.656)	0.287	(.704)	0.916	(.842)
0.875	0.097	(.641)	0.120	(.659)	0.210	(.710)	0.885	(.865)
0.900	0.060	(.643)	0.075	(.662)	0.139	(.714)	0.839	(.887)
0.925	0.031	(.644)	0.040	(.663)	0.078	(.717)	0.772	(.907)
0.950	0.012	(.644)	0.016	(.664)	0.033	(.719)	0.673	(.925)
0.975	0.002	(.645)	0.003	(.664)	0.007	(.719)	0.378	(.938)
1.000	0.000	(.645)	0.000	(.664)	0.000	(.719)	0.000	(.943)

*** RELATIVE ENERGY FLUX DENSITY IN THE PENUMBRA ***
 *** OF A DIFFUSE SKIRT WITH THE REFLECTANCE = 0. ***

66-196
 Phase II
 VERSION A

SOLAR FIELD ANGLE, D= 5.00 DEGREES
 GEOMETRY D1/D2 = 0.75

BETA = ANGLE OF INCIDENCE, DEGREES

BETA ***	-87.00	-80.00	-70.00	-60.00	-50.00
AX/AB	Q (QI)	Q (QI)	Q (QI)	Q (QI)	Q (QI)
0.	1.000(.)	1.000(.)	1.000(.)	1.000(.)	1.000(.)
0.025	0.905(.024)	0.999(.025)	0.999(.025)	0.999(.025)	1.000(.025)
0.050	0.713(.044)	0.993(.050)	0.996(.050)	0.997(.050)	0.997(.050)
0.075	0.535(.050)	0.981(.075)	0.990(.075)	0.992(.075)	0.993(.075)
0.100	0.397(.071)	0.964(.099)	0.980(.099)	0.984(.100)	0.986(.100)
0.125	0.277(.080)	0.942(.123)	0.967(.124)	0.973(.124)	0.976(.124)
0.150	0.189(.086)	0.915(.146)	0.950(.148)	0.959(.148)	0.963(.148)
0.175	0.132(.090)	0.885(.168)	0.930(.171)	0.942(.172)	0.948(.172)
0.200	0.093(.092)	0.851(.190)	0.907(.194)	0.922(.195)	0.929(.196)
0.225	0.067(.094)	0.814(.211)	0.882(.217)	0.900(.218)	0.909(.219)
0.250	0.049(.096)	0.775(.231)	0.853(.238)	0.875(.240)	0.885(.241)
0.275	0.036(.097)	0.735(.250)	0.823(.259)	0.848(.262)	0.860(.263)
0.300	0.027(.098)	0.694(.268)	0.791(.279)	0.818(.282)	0.832(.284)
0.325	0.020(.098)	0.653(.284)	0.757(.299)	0.787(.303)	0.802(.304)
0.350	0.015(.099)	0.612(.300)	0.721(.317)	0.754(.322)	0.771(.324)
0.375	0.011(.099)	0.570(.315)	0.685(.335)	0.720(.340)	0.738(.343)
0.400	0.009(.099)	0.530(.329)	0.648(.351)	0.685(.358)	0.704(.361)
0.425	0.007(.099)	0.490(.341)	0.610(.367)	0.649(.374)	0.669(.378)
0.450	0.005(.100)	0.449(.353)	0.572(.382)	0.612(.390)	0.633(.394)
0.475	0.004(.100)	0.400(.364)	0.534(.396)	0.575(.405)	0.596(.410)
0.500	0.003(.100)	0.354(.373)	0.497(.409)	0.538(.419)	0.559(.424)
0.525	0.002(.100)	0.310(.382)	0.453(.420)	0.500(.432)	0.522(.438)
0.550	0.002(.100)	0.269(.389)	0.405(.431)	0.456(.444)	0.483(.450)
0.575	0.001(.100)	0.232(.395)	0.359(.441)	0.408(.455)	0.434(.462)
0.600	0.001(.100)	0.198(.400)	0.315(.449)	0.361(.464)	0.386(.472)
0.625	0.001(.100)	0.167(.405)	0.273(.457)	0.316(.473)	0.340(.481)
0.650	0.001(.100)	0.139(.409)	0.234(.463)	0.273(.480)	0.295(.489)
0.675	0.000(.100)	0.114(.412)	0.197(.468)	0.233(.486)	0.253(.496)
0.700	0.000(.100)	0.092(.414)	0.164(.473)	0.195(.492)	0.213(.502)
0.725	0.000(.100)	0.073(.417)	0.134(.476)	0.161(.496)	0.176(.507)
0.750	0.000(.100)	0.057(.418)	0.107(.479)	0.129(.500)	0.143(.511)
0.775	0.000(.100)	0.043(.419)	0.083(.482)	0.102(.503)	0.113(.514)
0.800	0.000(.100)	0.032(.420)	0.062(.484)	0.077(.505)	0.086(.516)
0.825	0.000(.100)	0.022(.421)	0.045(.485)	0.056(.507)	0.063(.518)
0.850	0.000(.100)	0.015(.422)	0.031(.486)	0.039(.508)	0.044(.519)
0.875	0.000(.100)	0.009(.422)	0.020(.487)	0.025(.509)	0.029(.520)
0.900	0.000(.100)	0.005(.422)	0.011(.487)	0.015(.509)	0.017(.521)
0.925	0.000(.100)	0.003(.422)	0.006(.487)	0.007(.509)	0.008(.521)
0.950	0.000(.100)	0.001(.422)	0.002(.487)	0.003(.510)	0.003(.521)
0.975	0.000(.100)	0.000(.422)	0.000(.487)	0.000(.510)	0.001(.521)
1.000	0.000(.100)	0.000(.422)	0.000(.487)	0.000(.510)	0.000(.521)

A-53
 61

*** RELATIVE ENERGY FLUX DENSITY IN THE PENUMBRA ***
 *** OF A DIFFUSE SKIRT WITH THE REFLECTANCE = 0. ***

66-196
 Phase II

SOLAR FIELD ANGLE, D= 5.00 DEGREES
 GEOMETRY D1/D2 = 0.75

BETA = ANGLE OF INCIDENCE, DEGREES

BETA ***	-40.00	-30.00	-20.00	-10.00	-0.
AX/AB	Q (QI)	Q (QI)	Q (QI)	Q (QI)	Q (QI)
0.	1.000(.)	1.000(.)	1.000(.)	1.000(.)	1.000(.)
0.025	1.000(.025)	1.000(.025)	1.000(.025)	1.000(.025)	1.000(.025)
0.050	0.997(.050)	0.998(.050)	0.998(.050)	0.998(.050)	0.998(.050)
0.075	0.993(.075)	0.994(.075)	0.994(.075)	0.994(.075)	0.994(.075)
0.100	0.987(.100)	0.987(.100)	0.988(.100)	0.988(.100)	0.989(.100)
0.125	0.977(.124)	0.979(.124)	0.979(.124)	0.980(.124)	0.981(.124)
0.150	0.965(.148)	0.967(.149)	0.969(.149)	0.970(.149)	0.971(.149)
0.175	0.951(.172)	0.953(.173)	0.955(.173)	0.957(.173)	0.958(.173)
0.200	0.934(.196)	0.937(.196)	0.939(.196)	0.941(.196)	0.943(.197)
0.225	0.914(.219)	0.918(.219)	0.921(.220)	0.923(.220)	0.926(.220)
0.250	0.892(.242)	0.896(.242)	0.900(.242)	0.903(.243)	0.906(.243)
0.275	0.867(.264)	0.872(.264)	0.877(.265)	0.880(.265)	0.884(.265)
0.300	0.840(.285)	0.846(.286)	0.851(.286)	0.855(.287)	0.859(.287)
0.325	0.812(.306)	0.819(.306)	0.824(.307)	0.829(.308)	0.833(.308)
0.350	0.781(.325)	0.789(.326)	0.795(.327)	0.800(.328)	0.805(.329)
0.375	0.749(.345)	0.757(.346)	0.764(.347)	0.770(.348)	0.775(.348)
0.400	0.716(.363)	0.725(.364)	0.732(.365)	0.738(.366)	0.743(.367)
0.425	0.681(.380)	0.690(.382)	0.698(.383)	0.704(.384)	0.710(.385)
0.450	0.645(.397)	0.655(.399)	0.663(.400)	0.670(.402)	0.676(.403)
0.475	0.610(.413)	0.619(.415)	0.628(.416)	0.635(.418)	0.641(.419)
0.500	0.573(.427)	0.583(.430)	0.591(.432)	0.598(.433)	0.605(.435)
0.525	0.535(.441)	0.546(.444)	0.554(.446)	0.562(.448)	0.569(.450)
0.550	0.499(.454)	0.509(.457)	0.517(.459)	0.525(.461)	0.532(.463)
0.575	0.451(.466)	0.464(.469)	0.475(.472)	0.484(.474)	0.493(.476)
0.600	0.403(.477)	0.415(.480)	0.426(.483)	0.435(.486)	0.443(.488)
0.625	0.355(.486)	0.368(.490)	0.378(.493)	0.386(.496)	0.395(.498)
0.650	0.310(.495)	0.321(.499)	0.331(.502)	0.339(.505)	0.347(.508)
0.675	0.267(.502)	0.277(.506)	0.286(.510)	0.293(.513)	0.301(.516)
0.700	0.226(.508)	0.235(.513)	0.243(.516)	0.250(.520)	0.257(.523)
0.725	0.187(.513)	0.196(.518)	0.203(.522)	0.209(.525)	0.215(.528)
0.750	0.152(.517)	0.159(.522)	0.165(.526)	0.171(.530)	0.176(.533)
0.775	0.121(.521)	0.127(.526)	0.132(.530)	0.136(.534)	0.141(.537)
0.800	0.092(.523)	0.097(.529)	0.101(.533)	0.105(.537)	0.109(.540)
0.825	0.068(.525)	0.072(.531)	0.075(.535)	0.078(.539)	0.081(.543)
0.850	0.048(.527)	0.050(.532)	0.053(.537)	0.055(.541)	0.057(.545)
0.875	0.031(.528)	0.033(.533)	0.034(.538)	0.036(.542)	0.037(.546)
0.900	0.018(.528)	0.019(.534)	0.020(.539)	0.021(.543)	0.022(.546)
0.925	0.009(.529)	0.010(.534)	0.010(.539)	0.011(.543)	0.011(.547)
0.950	0.003(.529)	0.004(.535)	0.004(.539)	0.004(.543)	0.004(.547)
0.975	0.001(.529)	0.001(.535)	0.001(.539)	0.001(.543)	0.001(.547)
1.000	0.000(.529)	0.000(.535)	0.000(.539)	0.000(.543)	0.000(.547)

*** RELATIVE ENERGY FLUX DENSITY IN THE PENUMBRA ***
 *** OF A DIFFUSE SKIRT WITH THE REFLECTANCE = 0. ***

66-196
 Phase II
 VERSION A

SOLAR FIELD ANGLE, D= 5.00 DEGREES
 GEOMETRY D1/D2 = 0.75

BETA = ANGLE OF INCIDENCE, DEGREES

BETA ***	10.00	20.00	30.00	40.00	50.00
AX/AB	Q (QI)	Q (QI)	Q (QI)	Q (QI)	Q (QI)
0.	1.000(.)	1.000(.)	1.000(.)	1.000(.)	1.000(.)
0.025	1.000(.025)	1.000(.025)	1.000(.025)	1.000(.025)	1.000(.025)
0.050	0.998(.050)	0.998(.050)	0.998(.050)	0.998(.050)	0.998(.050)
0.075	0.995(.075)	0.995(.075)	0.995(.075)	0.995(.075)	0.996(.075)
0.100	0.989(.100)	0.990(.100)	0.990(.100)	0.991(.100)	0.991(.100)
0.125	0.982(.124)	0.982(.124)	0.983(.124)	0.984(.124)	0.985(.124)
0.150	0.972(.149)	0.973(.149)	0.974(.149)	0.975(.149)	0.977(.149)
0.175	0.959(.173)	0.961(.173)	0.962(.173)	0.964(.173)	0.967(.173)
0.200	0.945(.197)	0.947(.197)	0.949(.197)	0.951(.197)	0.954(.197)
0.225	0.928(.220)	0.930(.220)	0.933(.220)	0.936(.221)	0.940(.221)
0.250	0.908(.243)	0.911(.243)	0.914(.244)	0.918(.244)	0.923(.244)
0.275	0.887(.265)	0.890(.266)	0.894(.266)	0.898(.267)	0.904(.267)
0.300	0.863(.287)	0.867(.288)	0.871(.288)	0.877(.289)	0.883(.289)
0.325	0.837(.309)	0.842(.309)	0.847(.310)	0.853(.310)	0.860(.311)
0.350	0.810(.329)	0.814(.330)	0.820(.331)	0.827(.331)	0.835(.332)
0.375	0.780(.349)	0.785(.350)	0.792(.351)	0.799(.352)	0.808(.353)
0.400	0.749(.368)	0.755(.369)	0.761(.370)	0.769(.371)	0.780(.373)
0.425	0.716(.386)	0.723(.388)	0.730(.389)	0.738(.390)	0.749(.392)
0.450	0.683(.404)	0.689(.405)	0.697(.407)	0.706(.408)	0.718(.410)
0.475	0.648(.421)	0.655(.422)	0.662(.424)	0.672(.425)	0.684(.428)
0.500	0.612(.436)	0.619(.438)	0.627(.440)	0.637(.442)	0.650(.444)
0.525	0.576(.451)	0.583(.453)	0.591(.455)	0.601(.457)	0.614(.460)
0.550	0.539(.465)	0.546(.467)	0.554(.469)	0.565(.472)	0.578(.475)
0.575	0.502(.478)	0.509(.480)	0.517(.483)	0.527(.485)	0.541(.489)
0.600	0.452(.490)	0.461(.492)	0.472(.495)	0.485(.498)	0.502(.502)
0.625	0.403(.501)	0.412(.503)	0.422(.506)	0.435(.510)	0.452(.514)
0.650	0.355(.510)	0.363(.513)	0.373(.516)	0.385(.520)	0.402(.525)
0.675	0.308(.518)	0.316(.521)	0.325(.525)	0.337(.529)	0.353(.534)
0.700	0.263(.526)	0.271(.529)	0.279(.532)	0.290(.537)	0.304(.542)
0.725	0.221(.532)	0.228(.535)	0.235(.539)	0.245(.543)	0.258(.550)
0.750	0.181(.537)	0.187(.540)	0.194(.544)	0.202(.549)	0.214(.555)
0.775	0.145(.541)	0.150(.544)	0.156(.549)	0.163(.554)	0.173(.560)
0.800	0.112(.544)	0.117(.548)	0.121(.552)	0.127(.557)	0.136(.564)
0.825	0.084(.546)	0.087(.550)	0.091(.555)	0.095(.560)	0.102(.567)
0.850	0.059(.548)	0.062(.552)	0.064(.557)	0.068(.562)	0.073(.569)
0.875	0.039(.549)	0.041(.553)	0.042(.558)	0.045(.563)	0.049(.571)
0.900	0.023(.550)	0.024(.554)	0.025(.559)	0.027(.564)	0.029(.572)
0.925	0.012(.551)	0.012(.555)	0.013(.559)	0.014(.565)	0.015(.572)
0.950	0.004(.551)	0.005(.555)	0.005(.559)	0.005(.565)	0.006(.573)
0.975	0.001(.551)	0.001(.555)	0.001(.560)	0.001(.565)	0.001(.573)
1.000	0.000(.551)	0.000(.555)	0.000(.560)	0.000(.565)	0.000(.573)

RECORDED 66-196
 APP A - Phase II
 VERSION A

*** RELATIVE ENERGY FLUX DENSITY IN THE PENUMBRA ***
 *** OF A DIFFUSE SKIRT WITH THE REFLECTANCE = 0. ***

SOLAR FIELD ANGLE, D= 5.00 DEGREES
 GEOMETRY D1/D2 = 0.75

BETA = ANGLE OF INCIDENCE, DEGREES

BETA ***	60.00	70.00	80.00	87.00
AX/AB	Q (QI)	Q (QI)	Q (QI)	Q (QI)
0.	1.000(.)	1.000(.)	1.000(.)	1.000(.)
0.025	1.000(.025)	1.000(.025)	1.000(.025)	1.000(.025)
0.050	0.999(.050)	0.999(.050)	0.999(.050)	1.000(.050)
0.075	0.996(.075)	0.997(.075)	0.999(.075)	1.000(.075)
0.100	0.992(.100)	0.994(.100)	0.997(.100)	1.000(.100)
0.125	0.987(.125)	0.989(.125)	0.995(.125)	1.000(.125)
0.150	0.979(.149)	0.983(.149)	0.991(.150)	1.000(.150)
0.175	0.970(.173)	0.976(.174)	0.987(.174)	1.000(.175)
0.200	0.959(.198)	0.966(.198)	0.982(.199)	1.000(.200)
0.225	0.946(.221)	0.955(.222)	0.976(.223)	1.000(.225)
0.250	0.930(.245)	0.942(.246)	0.968(.248)	1.000(.250)
0.275	0.913(.268)	0.927(.269)	0.959(.272)	1.000(.275)
0.300	0.893(.290)	0.910(.292)	0.948(.296)	1.000(.300)
0.325	0.872(.312)	0.891(.315)	0.936(.319)	1.000(.325)
0.350	0.848(.334)	0.870(.337)	0.922(.342)	0.999(.350)
0.375	0.823(.355)	0.847(.358)	0.906(.365)	0.999(.375)
0.400	0.795(.375)	0.823(.379)	0.889(.388)	0.999(.400)
0.425	0.766(.395)	0.796(.399)	0.869(.410)	0.999(.425)
0.450	0.735(.413)	0.767(.419)	0.848(.431)	0.999(.450)
0.475	0.703(.431)	0.737(.438)	0.824(.452)	0.998(.475)
0.500	0.670(.449)	0.705(.456)	0.799(.472)	0.998(.500)
0.525	0.635(.465)	0.672(.473)	0.772(.492)	0.997(.525)
0.550	0.599(.480)	0.637(.489)	0.742(.511)	0.996(.550)
0.575	0.562(.495)	0.602(.505)	0.710(.529)	0.995(.575)
0.600	0.525(.508)	0.565(.519)	0.676(.546)	0.993(.599)
0.625	0.479(.521)	0.527(.533)	0.641(.563)	0.992(.624)
0.650	0.428(.532)	0.477(.545)	0.603(.578)	0.989(.649)
0.675	0.377(.542)	0.425(.557)	0.564(.593)	0.986(.674)
0.700	0.328(.551)	0.373(.567)	0.517(.606)	0.982(.698)
0.725	0.279(.559)	0.322(.575)	0.460(.619)	0.976(.723)
0.750	0.233(.565)	0.272(.583)	0.401(.629)	0.968(.747)
0.775	0.190(.570)	0.223(.589)	0.342(.639)	0.958(.771)
0.800	0.149(.575)	0.178(.594)	0.283(.647)	0.943(.795)
0.825	0.113(.578)	0.137(.598)	0.225(.653)	0.923(.818)
0.850	0.081(.580)	0.099(.601)	0.170(.658)	0.894(.841)
0.875	0.054(.582)	0.067(.603)	0.120(.661)	0.851(.863)
0.900	0.033(.583)	0.041(.604)	0.077(.664)	0.789(.883)
0.925	0.017(.584)	0.021(.605)	0.042(.665)	0.695(.902)
0.950	0.006(.584)	0.008(.605)	0.017(.666)	0.523(.917)
0.975	0.001(.584)	0.002(.606)	0.003(.666)	0.227(.926)
1.000	0.000(.584)	0.000(.606)	0.000(.666)	0.000(.929)

RECORDED 66-196
 App A Phase II
 VERSION A

*** RELATIVE ENERGY FLUX DENSITY IN THE PENUMBRA ***
 *** OF A DIFFUSE SKIRT WITH THE REFLECTANCE = 0. ***

SOLAR FIELD ANGLE, D= 5.00 DEGREES
 GEOMETRY D1/D2 = 1.00

BETA = ANGLE OF INCIDENCE, DEGREES

BETA ***	-87.00	-80.00	-70.00	-60.00	-50.00
AX/AB	Q (QI)	Q (QI)	Q (QI)	Q (QI)	Q (QI)
0.	1.000(.)	1.000(.)	1.000(.)	1.000(.)	1.000(.)
0.025	0.851(.023)	0.998(.025)	0.999(.025)	0.999(.025)	0.999(.025)
0.050	0.603(.041)	0.989(.050)	0.994(.050)	0.996(.050)	0.996(.050)
0.075	0.410(.054)	0.972(.074)	0.986(.075)	0.989(.075)	0.990(.075)
0.100	0.280(.063)	0.948(.098)	0.972(.099)	0.977(.099)	0.980(.099)
0.125	0.193(.069)	0.917(.122)	0.954(.123)	0.962(.124)	0.966(.124)
0.150	0.135(.073)	0.881(.144)	0.931(.147)	0.943(.147)	0.949(.148)
0.175	0.095(.076)	0.840(.166)	0.904(.170)	0.920(.171)	0.928(.171)
0.200	0.070(.078)	0.796(.186)	0.873(.192)	0.894(.193)	0.904(.194)
0.225	0.051(.079)	0.749(.205)	0.840(.213)	0.864(.215)	0.876(.216)
0.250	0.038(.080)	0.701(.224)	0.803(.234)	0.832(.237)	0.846(.238)
0.275	0.028(.081)	0.652(.240)	0.764(.253)	0.796(.257)	0.812(.259)
0.300	0.021(.082)	0.603(.256)	0.723(.272)	0.759(.276)	0.777(.278)
0.325	0.016(.082)	0.554(.271)	0.680(.290)	0.719(.295)	0.739(.297)
0.350	0.012(.082)	0.506(.284)	0.637(.306)	0.679(.312)	0.700(.315)
0.375	0.010(.083)	0.460(.296)	0.593(.321)	0.637(.329)	0.659(.332)
0.400	0.007(.083)	0.416(.307)	0.549(.336)	0.594(.344)	0.617(.348)
0.425	0.006(.083)	0.374(.317)	0.506(.349)	0.551(.358)	0.575(.363)
0.450	0.004(.083)	0.333(.326)	0.463(.361)	0.508(.372)	0.532(.377)
0.475	0.003(.083)	0.296(.333)	0.420(.372)	0.465(.384)	0.489(.390)
0.500	0.003(.083)	0.260(.340)	0.379(.382)	0.423(.395)	0.447(.401)
0.525	0.002(.083)	0.228(.346)	0.340(.391)	0.382(.405)	0.405(.412)
0.550	0.002(.084)	0.197(.352)	0.302(.399)	0.342(.414)	0.365(.422)
0.575	0.001(.084)	0.170(.356)	0.266(.406)	0.304(.422)	0.325(.430)
0.600	0.001(.084)	0.145(.360)	0.232(.412)	0.267(.429)	0.287(.438)
0.625	0.001(.084)	0.122(.364)	0.200(.418)	0.233(.436)	0.251(.445)
0.650	0.001(.084)	0.101(.366)	0.170(.422)	0.200(.441)	0.217(.451)
0.675	0.000(.084)	0.083(.369)	0.143(.426)	0.169(.446)	0.185(.456)
0.700	0.000(.084)	0.067(.371)	0.119(.430)	0.141(.449)	0.155(.460)
0.725	0.000(.084)	0.054(.372)	0.096(.432)	0.116(.453)	0.127(.463)
0.750	0.000(.084)	0.042(.373)	0.077(.434)	0.093(.455)	0.103(.466)
0.775	0.000(.084)	0.032(.374)	0.059(.436)	0.073(.457)	0.081(.469)
0.800	0.000(.084)	0.023(.375)	0.045(.437)	0.055(.459)	0.061(.470)
0.825	0.000(.084)	0.016(.375)	0.032(.438)	0.040(.460)	0.045(.472)
0.850	0.000(.084)	0.011(.376)	0.022(.439)	0.028(.461)	0.031(.473)
0.875	0.000(.084)	0.007(.376)	0.014(.440)	0.018(.462)	0.020(.473)
0.900	0.000(.084)	0.004(.376)	0.008(.440)	0.010(.462)	0.012(.474)
0.925	0.000(.084)	0.002(.376)	0.004(.440)	0.005(.462)	0.006(.474)
0.950	0.000(.084)	0.001(.376)	0.001(.440)	0.002(.462)	0.002(.474)
0.975	0.000(.084)	0.000(.376)	0.000(.440)	0.000(.462)	0.000(.474)
1.000	0.000(.084)	0.000(.376)	0.000(.440)	0.000(.462)	0.000(.474)

*** RELATIVE ENERGY FLUX DENSITY IN THE PENUMBRA
 *** OF A DIFFUSE SKIRT WITH THE REFLECTANCE = 0. ***

66-196
 Phase II
 VERSION A

SOLAR FIELD ANGLE, D = 5.00 DEGREES
 GEOMETRY D1/D2 = 1.00

BETA = ANGLE OF INCIDENCE, DEGREES

BETA ***	-40.00	-30.00	-20.00	-10.00	-0.
AX/AB	Q (QI)	Q (QI)	Q (QI)	Q (QI)	Q (QI)
0.	1.000(.)	1.000(.)	1.000(.)	1.000(.)	1.000(.)
0.025	0.999(.025)	0.999(.025)	0.999(.025)	0.999(.025)	0.999(.025)
0.050	0.996(.050)	0.997(.050)	0.997(.050)	0.997(.050)	0.997(.050)
0.075	0.991(.075)	0.991(.075)	0.992(.075)	0.992(.075)	0.992(.075)
0.100	0.981(.099)	0.983(.099)	0.983(.099)	0.984(.100)	0.985(.100)
0.125	0.969(.124)	0.970(.124)	0.972(.124)	0.973(.124)	0.974(.124)
0.150	0.953(.148)	0.955(.148)	0.957(.148)	0.959(.148)	0.960(.148)
0.175	0.933(.171)	0.936(.172)	0.939(.172)	0.941(.172)	0.943(.172)
0.200	0.910(.194)	0.914(.195)	0.917(.195)	0.920(.195)	0.923(.195)
0.225	0.884(.217)	0.889(.217)	0.893(.218)	0.896(.218)	0.900(.218)
0.250	0.854(.239)	0.860(.239)	0.865(.240)	0.870(.240)	0.873(.240)
0.275	0.822(.260)	0.829(.260)	0.835(.261)	0.840(.261)	0.844(.262)
0.300	0.788(.280)	0.796(.281)	0.802(.281)	0.808(.282)	0.813(.282)
0.325	0.751(.299)	0.760(.300)	0.767(.301)	0.774(.302)	0.779(.302)
0.350	0.713(.317)	0.723(.319)	0.730(.320)	0.737(.321)	0.743(.321)
0.375	0.673(.335)	0.683(.336)	0.692(.337)	0.699(.338)	0.706(.339)
0.400	0.632(.351)	0.643(.353)	0.652(.354)	0.659(.355)	0.666(.357)
0.425	0.590(.366)	0.601(.368)	0.610(.370)	0.618(.371)	0.626(.373)
0.450	0.548(.380)	0.559(.383)	0.569(.385)	0.577(.386)	0.584(.388)
0.475	0.505(.393)	0.517(.396)	0.526(.398)	0.535(.400)	0.542(.402)
0.500	0.463(.406)	0.474(.409)	0.484(.411)	0.492(.413)	0.500(.415)
0.525	0.421(.417)	0.432(.420)	0.442(.423)	0.450(.425)	0.458(.427)
0.550	0.380(.427)	0.391(.430)	0.400(.433)	0.408(.436)	0.415(.438)
0.575	0.339(.436)	0.350(.439)	0.359(.443)	0.367(.445)	0.374(.448)
0.600	0.301(.444)	0.311(.448)	0.319(.451)	0.326(.454)	0.334(.457)
0.625	0.263(.451)	0.273(.455)	0.281(.459)	0.288(.462)	0.294(.464)
0.650	0.228(.457)	0.237(.461)	0.244(.465)	0.250(.468)	0.257(.471)
0.675	0.195(.462)	0.203(.467)	0.209(.471)	0.215(.474)	0.221(.477)
0.700	0.164(.467)	0.171(.472)	0.177(.476)	0.182(.479)	0.187(.482)
0.725	0.135(.470)	0.141(.475)	0.146(.480)	0.151(.483)	0.155(.487)
0.750	0.109(.473)	0.114(.479)	0.119(.483)	0.123(.487)	0.127(.490)
0.775	0.086(.476)	0.090(.481)	0.094(.486)	0.097(.489)	0.100(.493)
0.800	0.066(.478)	0.069(.483)	0.072(.488)	0.075(.492)	0.077(.495)
0.825	0.048(.479)	0.051(.485)	0.053(.489)	0.055(.493)	0.057(.497)
0.850	0.034(.480)	0.035(.486)	0.037(.490)	0.039(.494)	0.040(.498)
0.875	0.022(.481)	0.023(.487)	0.024(.491)	0.025(.495)	0.026(.499)
0.900	0.013(.481)	0.013(.487)	0.014(.492)	0.015(.496)	0.015(.500)
0.925	0.006(.482)	0.007(.487)	0.007(.492)	0.007(.496)	0.008(.500)
0.950	0.002(.482)	0.002(.487)	0.003(.492)	0.003(.496)	0.003(.500)
0.975	0.000(.482)	0.000(.487)	0.000(.492)	0.000(.496)	0.001(.500)
1.000	0.000(.482)	0.000(.487)	0.000(.492)	0.000(.496)	0.000(.500)

*** RELATIVE ENERGY FLUX DENSITY IN THE PENUMBRA ***
 *** OF A DIFFUSE SKIRT WITH THE REFLECTANCE = 0. ***

66-196
 Phase II
 VERSION A

SOLAR FIELD ANGLE, D = 5.00 DEGREES
 GEOMETRY D1/D2 = 1.00

BETA = ANGLE OF INCIDENCE, DEGREES

BETA ***	10.00	20.00	30.00	40.00	50.00
AX/AB	Q (QI)	Q (QI)	Q (QI)	Q (QI)	Q (QI)
0.	1.000(.)	1.000(.)	1.000(.)	1.000(.)	1.000(.)
0.025	1.000(.025)	1.000(.025)	1.000(.025)	1.000(.025)	1.000(.025)
0.050	0.997(.050)	0.997(.050)	0.998(.050)	0.998(.050)	0.998(.050)
0.075	0.993(.075)	0.993(.075)	0.993(.075)	0.994(.075)	0.994(.075)
0.100	0.985(.100)	0.986(.100)	0.987(.100)	0.987(.100)	0.988(.100)
0.125	0.975(.124)	0.976(.124)	0.977(.124)	0.978(.124)	0.980(.124)
0.150	0.961(.148)	0.963(.148)	0.965(.148)	0.966(.148)	0.969(.149)
0.175	0.945(.172)	0.947(.172)	0.949(.172)	0.952(.172)	0.955(.173)
0.200	0.925(.195)	0.928(.196)	0.931(.196)	0.934(.196)	0.939(.196)
0.225	0.903(.218)	0.906(.219)	0.910(.219)	0.914(.219)	0.919(.220)
0.250	0.877(.241)	0.881(.241)	0.885(.241)	0.891(.242)	0.897(.242)
0.275	0.849(.262)	0.853(.263)	0.859(.263)	0.865(.264)	0.873(.264)
0.300	0.818(.283)	0.823(.284)	0.829(.284)	0.836(.285)	0.845(.286)
0.325	0.785(.303)	0.791(.304)	0.797(.304)	0.805(.305)	0.815(.307)
0.350	0.749(.322)	0.756(.323)	0.763(.324)	0.772(.325)	0.783(.327)
0.375	0.712(.340)	0.719(.341)	0.727(.343)	0.736(.344)	0.749(.346)
0.400	0.673(.358)	0.681(.359)	0.689(.360)	0.699(.362)	0.713(.364)
0.425	0.633(.374)	0.641(.376)	0.650(.377)	0.660(.379)	0.675(.381)
0.450	0.592(.389)	0.600(.391)	0.609(.393)	0.620(.395)	0.635(.398)
0.475	0.550(.404)	0.558(.406)	0.568(.408)	0.579(.410)	0.594(.413)
0.500	0.508(.417)	0.516(.419)	0.526(.421)	0.537(.424)	0.553(.427)
0.525	0.465(.429)	0.474(.431)	0.483(.434)	0.495(.437)	0.510(.441)
0.550	0.423(.440)	0.431(.443)	0.441(.445)	0.452(.449)	0.468(.453)
0.575	0.381(.450)	0.389(.453)	0.399(.456)	0.410(.459)	0.425(.464)
0.600	0.341(.459)	0.348(.462)	0.357(.465)	0.368(.469)	0.383(.474)
0.625	0.301(.467)	0.308(.470)	0.317(.474)	0.327(.478)	0.341(.483)
0.650	0.263(.474)	0.270(.478)	0.277(.481)	0.287(.485)	0.300(.491)
0.675	0.226(.480)	0.233(.484)	0.240(.488)	0.249(.492)	0.261(.498)
0.700	0.192(.486)	0.198(.489)	0.204(.493)	0.212(.498)	0.223(.504)
0.725	0.160(.490)	0.165(.494)	0.170(.498)	0.178(.503)	0.188(.509)
0.750	0.130(.494)	0.135(.497)	0.139(.502)	0.146(.507)	0.154(.514)
0.775	0.104(.497)	0.107(.500)	0.111(.505)	0.116(.510)	0.124(.517)
0.800	0.080(.499)	0.083(.503)	0.086(.507)	0.090(.513)	0.096(.520)
0.825	0.059(.501)	0.061(.505)	0.064(.509)	0.067(.515)	0.072(.522)
0.850	0.041(.502)	0.043(.506)	0.045(.511)	0.047(.516)	0.051(.524)
0.875	0.027(.503)	0.028(.507)	0.030(.511)	0.031(.517)	0.034(.525)
0.900	0.016(.503)	0.017(.507)	0.017(.512)	0.019(.518)	0.020(.525)
0.925	0.008(.504)	0.008(.508)	0.009(.512)	0.009(.518)	0.010(.526)
0.950	0.003(.504)	0.003(.508)	0.003(.513)	0.004(.518)	0.004(.526)
0.975	0.001(.504)	0.001(.508)	0.001(.513)	0.001(.518)	0.001(.526)
1.000	0.000(.504)	0.000(.508)	0.000(.513)	0.000(.518)	0.000(.526)

*** RELATIVE ENERGY FLUX DENSITY IN THE PENUMBRA ***
 *** OF A DIFFUSE SKIRT WITH THE REFLECTANCE = 0. ***

66-196
 Alpha Phase II
 VERSION A

SOLAR FIELD ANGLE, D= 5.00 DEGREES
 GEOMETRY D1/D2 = 1.00

BETA = ANGLE OF INCIDENCE, DEGREES

BETA ***	60.00	70.00	80.00	87.00
AX/AB	Q (QI)	Q (QI)	Q (QI)	Q (QI)
0.	1.000(.)	1.000(.)	1.000(.)	1.000(.)
0.025	1.000(.025)	1.000(.025)	1.000(.025)	1.000(.025)
0.050	0.998(.050)	0.999(.050)	0.999(.050)	1.000(.050)
0.075	0.995(.075)	0.996(.075)	0.998(.075)	1.000(.075)
0.100	0.990(.100)	0.992(.100)	0.996(.100)	1.000(.100)
0.125	0.982(.124)	0.986(.124)	0.993(.125)	1.000(.125)
0.150	0.972(.149)	0.978(.149)	0.989(.150)	1.000(.150)
0.175	0.960(.173)	0.968(.173)	0.984(.174)	1.000(.175)
0.200	0.945(.197)	0.955(.197)	0.977(.199)	1.000(.200)
0.225	0.927(.220)	0.940(.221)	0.968(.223)	1.000(.225)
0.250	0.907(.243)	0.923(.244)	0.958(.247)	1.000(.250)
0.275	0.884(.265)	0.903(.267)	0.946(.271)	1.000(.275)
0.300	0.858(.287)	0.881(.290)	0.932(.294)	1.000(.300)
0.325	0.830(.308)	0.857(.311)	0.917(.317)	1.000(.325)
0.350	0.800(.329)	0.829(.332)	0.898(.340)	0.999(.350)
0.375	0.767(.348)	0.800(.353)	0.878(.362)	0.999(.375)
0.400	0.733(.367)	0.768(.372)	0.855(.384)	0.999(.400)
0.425	0.695(.385)	0.734(.391)	0.830(.405)	0.999(.425)
0.450	0.658(.402)	0.698(.409)	0.802(.426)	0.998(.450)
0.475	0.618(.418)	0.660(.426)	0.772(.445)	0.998(.475)
0.500	0.577(.433)	0.621(.442)	0.740(.464)	0.997(.500)
0.525	0.535(.447)	0.580(.457)	0.704(.482)	0.997(.525)
0.550	0.492(.459)	0.537(.471)	0.666(.499)	0.996(.550)
0.575	0.449(.471)	0.494(.484)	0.626(.515)	0.994(.574)
0.600	0.405(.482)	0.451(.496)	0.584(.531)	0.993(.599)
0.625	0.363(.491)	0.407(.506)	0.540(.545)	0.990(.624)
0.650	0.321(.500)	0.363(.516)	0.494(.558)	0.988(.649)
0.675	0.280(.508)	0.319(.524)	0.446(.569)	0.984(.673)
0.700	0.241(.514)	0.277(.532)	0.397(.580)	0.979(.698)
0.725	0.204(.520)	0.236(.538)	0.348(.589)	0.972(.722)
0.750	0.168(.524)	0.197(.544)	0.299(.597)	0.962(.747)
0.775	0.136(.528)	0.160(.548)	0.251(.604)	0.949(.770)
0.800	0.106(.531)	0.126(.552)	0.204(.610)	0.930(.794)
0.825	0.080(.533)	0.096(.555)	0.160(.614)	0.903(.817)
0.850	0.057(.535)	0.069(.557)	0.119(.618)	0.865(.839)
0.875	0.038(.536)	0.046(.558)	0.083(.620)	0.807(.860)
0.900	0.023(.537)	0.028(.559)	0.052(.622)	0.720(.879)
0.925	0.011(.537)	0.014(.560)	0.028(.623)	0.589(.895)
0.950	0.004(.538)	0.006(.560)	0.011(.624)	0.397(.908)
0.975	0.001(.538)	0.001(.560)	0.002(.624)	0.149(.914)
1.000	0.000(.538)	0.000(.560)	0.000(.624)	0.000(.916)

REORDER No. 66-196
 App A Phase II
 VERSION A

*** RELATIVE ENERGY FLUX DENSITY IN THE PENUMBRA ***
 *** OF A DIFFUSE SKIRT WITH THE REFLECTANCE = 0. ***

SOLAR FIELD ANGLE, D= 10.00 DEGREES
 GEOMETRY D1/D2 = 0.

BETA = ANGLE OF INCIDENCE, DEGREES

BETA ***	-84.50	-80.00	-70.00	-60.00	-50.00
AX/AB	Q (QI)	Q (QI)	Q (QI)	Q (QI)	Q (QI)
0.	1.000(.)	1.000(.)	1.000(.)	1.000(.)	1.000(.)
0.025	0.999(.025)	1.000(.025)	1.000(.025)	1.000(.025)	1.000(.025)
0.050	0.995(.050)	0.998(.050)	0.999(.050)	0.999(.050)	0.999(.050)
0.075	0.989(.075)	0.995(.075)	0.997(.075)	0.998(.075)	0.998(.075)
0.100	0.980(.099)	0.990(.100)	0.994(.100)	0.996(.100)	0.996(.100)
0.125	0.968(.124)	0.984(.124)	0.991(.125)	0.992(.125)	0.993(.125)
0.150	0.954(.148)	0.976(.149)	0.986(.149)	0.988(.149)	0.990(.150)
0.175	0.937(.171)	0.966(.173)	0.980(.174)	0.983(.174)	0.985(.174)
0.200	0.919(.195)	0.955(.197)	0.973(.198)	0.977(.199)	0.980(.199)
0.225	0.900(.217)	0.943(.221)	0.964(.223)	0.971(.223)	0.974(.223)
0.250	0.880(.240)	0.930(.244)	0.955(.247)	0.963(.247)	0.966(.247)
0.275	0.859(.261)	0.916(.267)	0.945(.270)	0.954(.271)	0.958(.272)
0.300	0.837(.283)	0.901(.290)	0.934(.294)	0.944(.295)	0.949(.295)
0.325	0.815(.303)	0.885(.312)	0.922(.317)	0.934(.318)	0.940(.319)
0.350	0.793(.323)	0.868(.334)	0.909(.340)	0.922(.342)	0.929(.342)
0.375	0.771(.343)	0.851(.356)	0.896(.362)	0.910(.364)	0.918(.365)
0.400	0.749(.362)	0.833(.377)	0.882(.385)	0.897(.387)	0.906(.388)
0.425	0.727(.380)	0.815(.397)	0.867(.406)	0.884(.409)	0.893(.411)
0.450	0.705(.398)	0.797(.418)	0.851(.428)	0.870(.431)	0.879(.433)
0.475	0.684(.416)	0.778(.437)	0.835(.449)	0.855(.453)	0.865(.455)
0.500	0.663(.432)	0.759(.456)	0.819(.470)	0.839(.474)	0.850(.476)
0.525	0.642(.449)	0.740(.475)	0.802(.490)	0.823(.495)	0.835(.497)
0.550	0.622(.464)	0.722(.494)	0.785(.510)	0.807(.515)	0.819(.518)
0.575	0.602(.480)	0.703(.511)	0.767(.529)	0.790(.535)	0.802(.538)
0.600	0.583(.495)	0.684(.529)	0.750(.548)	0.773(.555)	0.785(.558)
0.625	0.565(.509)	0.665(.546)	0.732(.567)	0.755(.574)	0.768(.577)
0.650	0.545(.523)	0.647(.562)	0.713(.585)	0.737(.592)	0.750(.596)
0.675	0.529(.536)	0.628(.578)	0.695(.602)	0.719(.611)	0.732(.615)
0.700	0.512(.549)	0.610(.593)	0.677(.620)	0.701(.628)	0.714(.633)
0.725	0.495(.562)	0.592(.608)	0.658(.636)	0.682(.646)	0.695(.651)
0.750	0.479(.574)	0.575(.623)	0.639(.652)	0.663(.662)	0.676(.668)
0.775	0.464(.586)	0.558(.637)	0.621(.668)	0.644(.679)	0.657(.684)
0.800	0.449(.597)	0.540(.651)	0.602(.683)	0.625(.695)	0.638(.701)
0.825	0.434(.608)	0.524(.664)	0.584(.698)	0.606(.710)	0.618(.716)
0.850	0.420(.619)	0.507(.677)	0.566(.713)	0.587(.725)	0.599(.731)
0.875	0.407(.629)	0.491(.690)	0.547(.727)	0.568(.739)	0.579(.746)
0.900	0.394(.639)	0.475(.702)	0.529(.740)	0.549(.753)	0.560(.760)
0.925	0.381(.649)	0.460(.713)	0.511(.753)	0.530(.767)	0.540(.774)
0.950	0.369(.658)	0.445(.725)	0.494(.766)	0.511(.780)	0.521(.787)
0.975	0.357(.667)	0.430(.736)	0.476(.778)	0.493(.792)	0.501(.800)
1.000	0.346(.676)	0.416(.746)	0.459(.789)	0.474(.804)	0.482(.812)

5

3

2

A-61

69

*** RELATIVE ENERGY FLUX DENSITY IN THE PENUMBRA ***
 *** OF A DIFFUSE SKIRT WITH THE REFLECTANCE = 0. ***

REC'D No. 66-196
 C. P. C. Phase II
 VERSION A

SOLAR FIELD ANGLE, D= 10.00 DEGREES
 GEOMETRY D1/D2 = 0.

BETA = ANGLE OF INCIDENCE, DEGREES

BETA ***	-40.00	-30.00	-20.00	-10.00	-0.
AX/AB	Q (QI)	Q (QI)	Q (QI)	Q (QI)	Q (QI)
0.	1.000(.)	1.000(.)	1.000(.)	1.000(.)	1.000(.)
0.025	1.000(.025)	1.000(.025)	1.000(.025)	1.000(.025)	1.000(.025)
0.050	0.999(.050)	0.999(.050)	0.999(.050)	0.999(.050)	0.999(.050)
0.075	0.998(.075)	0.998(.075)	0.998(.075)	0.999(.075)	0.999(.075)
0.100	0.996(.100)	0.997(.100)	0.997(.100)	0.999(.075)	0.999(.075)
0.125	0.994(.125)	0.994(.125)	0.995(.125)	0.997(.100)	0.997(.100)
0.150	0.991(.150)	0.991(.150)	0.992(.150)	0.995(.125)	0.995(.125)
0.175	0.986(.174)	0.987(.174)	0.988(.174)	0.992(.150)	0.992(.150)
0.200	0.981(.199)	0.982(.199)	0.983(.199)	0.988(.174)	0.989(.174)
0.225	0.975(.223)	0.977(.223)	0.978(.224)	0.984(.199)	0.985(.199)
0.250	0.969(.248)	0.970(.248)	0.972(.248)	0.979(.224)	0.980(.224)
0.275	0.961(.272)	0.963(.272)	0.965(.272)	0.973(.248)	0.974(.248)
0.300	0.953(.296)	0.955(.296)	0.957(.296)	0.966(.272)	0.967(.272)
0.325	0.943(.319)	0.946(.320)	0.948(.320)	0.959(.296)	0.960(.296)
0.350	0.933(.343)	0.936(.343)	0.939(.344)	0.950(.320)	0.952(.320)
0.375	0.922(.366)	0.926(.367)	0.929(.367)	0.941(.344)	0.943(.344)
0.400	0.911(.389)	0.915(.390)	0.918(.390)	0.931(.367)	0.933(.367)
0.425	0.898(.412)	0.903(.412)	0.906(.413)	0.920(.390)	0.923(.391)
0.450	0.885(.434)	0.890(.435)	0.893(.435)	0.909(.413)	0.912(.414)
0.475	0.872(.456)	0.876(.457)	0.880(.457)	0.897(.436)	0.900(.436)
0.500	0.857(.477)	0.862(.478)	0.866(.479)	0.884(.458)	0.887(.459)
0.525	0.842(.499)	0.847(.500)	0.852(.501)	0.870(.480)	0.873(.481)
0.550	0.826(.520)	0.832(.521)	0.837(.522)	0.856(.501)	0.859(.502)
0.575	0.810(.540)	0.816(.541)	0.821(.543)	0.841(.523)	0.844(.524)
0.600	0.793(.560)	0.800(.562)	0.805(.563)	0.825(.544)	0.829(.544)
0.625	0.776(.580)	0.783(.581)	0.788(.583)	0.809(.564)	0.813(.565)
0.650	0.759(.599)	0.765(.601)	0.770(.602)	0.792(.584)	0.796(.585)
0.675	0.741(.618)	0.747(.620)	0.752(.621)	0.775(.604)	0.779(.605)
0.700	0.722(.636)	0.729(.638)	0.734(.640)	0.757(.623)	0.761(.624)
0.725	0.704(.654)	0.710(.656)	0.715(.658)	0.739(.641)	0.743(.643)
0.750	0.685(.671)	0.691(.674)	0.696(.676)	0.720(.660)	0.725(.661)
0.775	0.665(.688)	0.672(.691)	0.677(.693)	0.701(.677)	0.706(.679)
0.800	0.646(.704)	0.652(.707)	0.657(.709)	0.682(.695)	0.686(.696)
0.825	0.626(.720)	0.633(.723)	0.638(.726)	0.662(.711)	0.666(.713)
0.850	0.607(.736)	0.613(.739)	0.617(.741)	0.642(.728)	0.646(.730)
0.875	0.587(.751)	0.592(.754)	0.597(.757)	0.622(.744)	0.626(.746)
0.900	0.567(.765)	0.572(.768)	0.577(.771)	0.601(.759)	0.605(.761)
0.925	0.547(.779)	0.552(.782)	0.556(.785)	0.581(.774)	0.584(.776)
0.950	0.527(.792)	0.532(.796)	0.536(.799)	0.560(.788)	0.563(.790)
0.975	0.507(.805)	0.511(.809)	0.515(.812)	0.539(.802)	0.542(.804)
1.000	0.487(.818)	0.491(.822)	0.494(.825)	0.518(.815)	0.521(.817)
				0.497(.828)	0.500(.830)

RECORDED No 66-196
 215.2 - Phase II
 VERSION A

*** RELATIVE ENERGY FLUX DENSITY IN THE PENUMBRA ***
 *** OF A DIFFUSE SKIRT WITH THE REFLECTANCE = 0. ***

SOLAR FIELD ANGLE, D= 10.00 DEGREES
 GEOMETRY D1/D2 = 0.

BETA = ANGLE OF INCIDENCE, DEGREES

BETA ***	10.00	20.00	30.00	40.00	50.00
AX/AB	Q (QI)	Q (QI)	Q (QI)	Q (QI)	Q (QI)
0.	1.000(.)	1.000(.)	1.000(.)	1.000(.)	1.000(.)
0.025	1.000(.025)	1.000(.025)	1.000(.025)	1.000(.025)	1.000(.025)
0.050	1.000(.050)	1.000(.050)	1.000(.050)	1.000(.050)	1.000(.050)
0.075	0.999(.075)	0.999(.075)	0.999(.075)	0.999(.075)	0.999(.075)
0.100	0.997(.100)	0.997(.100)	0.998(.100)	0.998(.100)	0.998(.100)
0.125	0.995(.125)	0.996(.125)	0.996(.125)	0.996(.125)	0.996(.125)
0.150	0.993(.150)	0.993(.150)	0.993(.150)	0.994(.150)	0.994(.150)
0.175	0.989(.174)	0.990(.174)	0.990(.175)	0.991(.175)	0.992(.175)
0.200	0.985(.199)	0.986(.199)	0.987(.199)	0.988(.199)	0.989(.199)
0.225	0.980(.224)	0.981(.224)	0.982(.224)	0.983(.224)	0.985(.224)
0.250	0.975(.248)	0.976(.248)	0.977(.248)	0.979(.248)	0.980(.249)
0.275	0.969(.272)	0.970(.273)	0.971(.273)	0.973(.273)	0.975(.273)
0.300	0.962(.297)	0.963(.297)	0.965(.297)	0.967(.297)	0.969(.297)
0.325	0.954(.321)	0.955(.321)	0.957(.321)	0.960(.321)	0.963(.321)
0.350	0.945(.344)	0.947(.344)	0.949(.345)	0.952(.345)	0.956(.345)
0.375	0.935(.368)	0.938(.368)	0.940(.368)	0.943(.369)	0.948(.369)
0.400	0.925(.391)	0.928(.391)	0.931(.392)	0.934(.392)	0.939(.393)
0.425	0.914(.414)	0.917(.414)	0.920(.415)	0.924(.415)	0.929(.416)
0.450	0.902(.437)	0.906(.437)	0.909(.438)	0.913(.438)	0.919(.439)
0.475	0.890(.459)	0.893(.460)	0.897(.460)	0.902(.461)	0.908(.462)
0.500	0.877(.481)	0.880(.482)	0.884(.483)	0.889(.483)	0.896(.485)
0.525	0.863(.503)	0.867(.504)	0.871(.505)	0.876(.506)	0.883(.507)
0.550	0.848(.524)	0.852(.525)	0.857(.526)	0.862(.527)	0.870(.529)
0.575	0.833(.545)	0.837(.546)	0.842(.547)	0.848(.549)	0.856(.550)
0.600	0.817(.566)	0.821(.567)	0.826(.568)	0.833(.570)	0.841(.572)
0.625	0.801(.586)	0.805(.587)	0.810(.589)	0.817(.590)	0.825(.592)
0.650	0.783(.606)	0.788(.607)	0.793(.609)	0.800(.610)	0.809(.613)
0.675	0.766(.625)	0.771(.627)	0.776(.628)	0.783(.630)	0.792(.633)
0.700	0.748(.644)	0.752(.646)	0.758(.648)	0.765(.650)	0.774(.652)
0.725	0.729(.663)	0.734(.664)	0.739(.666)	0.746(.669)	0.755(.672)
0.750	0.710(.681)	0.715(.682)	0.720(.684)	0.727(.687)	0.736(.690)
0.775	0.690(.698)	0.695(.700)	0.701(.702)	0.707(.705)	0.717(.708)
0.800	0.671(.715)	0.675(.717)	0.681(.720)	0.687(.722)	0.696(.726)
0.825	0.650(.732)	0.655(.734)	0.660(.736)	0.667(.739)	0.675(.743)
0.850	0.630(.748)	0.634(.750)	0.639(.753)	0.646(.756)	0.654(.760)
0.875	0.609(.763)	0.613(.766)	0.618(.768)	0.624(.771)	0.632(.776)
0.900	0.588(.778)	0.592(.781)	0.597(.783)	0.602(.787)	0.610(.791)
0.925	0.567(.793)	0.571(.795)	0.575(.798)	0.580(.802)	0.587(.806)
0.950	0.545(.807)	0.549(.809)	0.553(.812)	0.558(.816)	0.564(.821)
0.975	0.524(.820)	0.527(.823)	0.531(.826)	0.535(.829)	0.541(.835)
1.000	0.502(.833)	0.505(.836)	0.508(.839)	0.512(.843)	0.517(.848)

REORDER No. 66-196
 App. A Phase II
 VERSION A

*** RELATIVE ENERGY FLUX DENSITY IN THE PENUMBRA ***
 *** OF A DIFFUSE SKIRT WITH THE REFLECTANCE = 0. ***

SOLAR FIELD ANGLE, D= 10.00 DEGREES
 GEOMETRY D1/D2 = 0.

BETA = ANGLE OF INCIDENCE, DEGREES

BETA ***	60.00	70.00	80.00	84.50
AX/AB	Q (Q1)	Q (Q1)	Q (Q1)	Q (Q1)
0.	1.000(.)	1.000(.)	1.000(.)	1.000(.)
0.025	1.000(.025)	1.000(.025)	1.000(.025)	1.000(.025)
0.050	1.000(.050)	1.000(.050)	1.000(.050)	1.000(.050)
0.075	0.999(.075)	0.999(.075)	1.000(.075)	1.000(.075)
0.100	0.998(.100)	0.999(.100)	1.000(.100)	1.000(.100)
0.125	0.997(.125)	0.998(.125)	1.000(.125)	1.000(.125)
0.150	0.995(.150)	0.997(.150)	0.999(.150)	1.000(.150)
0.175	0.993(.175)	0.995(.175)	0.999(.175)	1.000(.175)
0.200	0.990(.199)	0.993(.200)	0.998(.200)	1.000(.200)
0.225	0.987(.224)	0.990(.224)	0.997(.225)	1.000(.225)
0.250	0.983(.249)	0.987(.249)	0.996(.250)	1.000(.250)
0.275	0.979(.273)	0.984(.274)	0.995(.275)	1.000(.275)
0.300	0.973(.298)	0.980(.298)	0.993(.299)	1.000(.300)
0.325	0.967(.322)	0.975(.323)	0.992(.324)	1.000(.325)
0.350	0.961(.346)	0.970(.347)	0.990(.349)	1.000(.350)
0.375	0.954(.370)	0.964(.371)	0.987(.374)	1.000(.375)
0.400	0.946(.394)	0.957(.395)	0.984(.398)	1.000(.400)
0.425	0.937(.417)	0.950(.419)	0.981(.423)	1.000(.425)
0.450	0.927(.441)	0.942(.443)	0.977(.447)	1.000(.450)
0.475	0.917(.464)	0.933(.466)	0.973(.472)	1.000(.475)
0.500	0.906(.486)	0.924(.489)	0.968(.496)	1.000(.500)
0.525	0.894(.509)	0.913(.512)	0.962(.520)	1.000(.525)
0.550	0.881(.531)	0.902(.535)	0.956(.544)	1.000(.550)
0.575	0.868(.553)	0.890(.557)	0.948(.568)	0.999(.575)
0.600	0.853(.574)	0.877(.580)	0.940(.592)	0.999(.600)
0.625	0.838(.596)	0.863(.601)	0.931(.615)	0.999(.625)
0.650	0.822(.616)	0.848(.623)	0.921(.638)	0.999(.650)
0.675	0.805(.637)	0.832(.644)	0.909(.661)	0.998(.675)
0.700	0.788(.657)	0.815(.664)	0.896(.684)	0.998(.700)
0.725	0.770(.676)	0.797(.684)	0.882(.706)	0.997(.725)
0.750	0.751(.695)	0.779(.704)	0.866(.728)	0.996(.750)
0.775	0.731(.714)	0.759(.723)	0.848(.749)	0.994(.774)
0.800	0.711(.732)	0.738(.742)	0.829(.770)	0.991(.799)
0.825	0.689(.749)	0.717(.760)	0.807(.790)	0.988(.824)
0.850	0.668(.766)	0.694(.778)	0.783(.810)	0.982(.849)
0.875	0.645(.783)	0.671(.795)	0.757(.830)	0.974(.873)
0.900	0.622(.798)	0.646(.811)	0.728(.848)	0.960(.897)
0.925	0.599(.814)	0.621(.827)	0.696(.866)	0.937(.921)
0.950	0.575(.828)	0.595(.842)	0.662(.883)	0.895(.944)
0.975	0.550(.842)	0.568(.857)	0.624(.899)	0.815(.965)
1.000	0.525(.856)	0.540(.871)	0.584(.914)	0.654(.984)

66-196
 App. A Phase II

*** RELATIVE ENERGY FLUX DENSITY IN THE PENUMBRA ***
 *** OF A DIFFUSE SKIRT WITH THE REFLECTANCE = 0. ***

VERSION A

SOLAR FIELD ANGLE, D = 10.00 DEGREES
 GEOMETRY D1/D2 = 0.25

BETA = ANGLE OF INCIDENCE, DEGREES

BETA ***	-84.50	-80.00	-70.00	-60.00	-50.00
AX/AB	Q (QI)	Q (QI)	Q (QI)	Q (QI)	Q (QI)
0.	1.000(.)	1.000(.)	1.000(.)	1.000(.)	1.000(.)
0.025	0.952(.024)	0.999(.025)	1.000(.025)	1.000(.025)	1.000(.025)
0.050	0.834(.047)	0.993(.050)	0.998(.050)	0.998(.050)	0.999(.050)
0.075	0.700(.066)	0.982(.075)	0.994(.075)	0.996(.075)	0.996(.075)
0.100	0.577(.082)	0.967(.099)	0.988(.100)	0.991(.100)	0.993(.100)
0.125	0.473(.095)	0.947(.123)	0.979(.124)	0.985(.124)	0.987(.125)
0.150	0.387(.106)	0.924(.146)	0.969(.149)	0.977(.149)	0.981(.149)
0.175	0.249(.114)	0.898(.169)	0.957(.173)	0.968(.173)	0.973(.174)
0.200	0.123(.118)	0.869(.191)	0.942(.196)	0.957(.197)	0.963(.198)
0.225	0.066(.121)	0.839(.212)	0.926(.220)	0.944(.221)	0.952(.222)
0.250	0.038(.122)	0.808(.233)	0.908(.243)	0.929(.244)	0.939(.245)
0.275	0.023(.123)	0.775(.253)	0.889(.265)	0.914(.268)	0.925(.269)
0.300	0.014(.123)	0.743(.272)	0.868(.287)	0.897(.290)	0.909(.292)
0.325	0.009(.124)	0.710(.290)	0.847(.309)	0.878(.312)	0.893(.314)
0.350	0.006(.124)	0.677(.307)	0.824(.329)	0.859(.334)	0.875(.336)
0.375	0.004(.124)	0.645(.324)	0.800(.350)	0.838(.355)	0.856(.358)
0.400	0.003(.124)	0.613(.340)	0.776(.369)	0.817(.376)	0.836(.379)
0.425	0.002(.124)	0.582(.354)	0.751(.388)	0.794(.396)	0.815(.400)
0.450	0.002(.124)	0.552(.369)	0.725(.407)	0.771(.416)	0.793(.420)
0.475	0.001(.124)	0.523(.382)	0.700(.425)	0.747(.435)	0.771(.439)
0.500	0.001(.124)	0.494(.395)	0.674(.442)	0.723(.453)	0.747(.458)
0.525	0.001(.124)	0.467(.407)	0.648(.458)	0.698(.471)	0.724(.477)
0.550	0.000(.124)	0.441(.418)	0.621(.474)	0.673(.488)	0.699(.494)
0.575	0.000(.124)	0.415(.429)	0.595(.489)	0.648(.504)	0.674(.511)
0.600	0.000(.124)	0.325(.438)	0.570(.504)	0.623(.520)	0.649(.528)
0.625	0.000(.124)	0.251(.445)	0.544(.518)	0.597(.536)	0.624(.544)
0.650	0.000(.124)	0.191(.451)	0.519(.531)	0.572(.550)	0.599(.559)
0.675	0.000(.124)	0.144(.455)	0.494(.544)	0.546(.564)	0.573(.574)
0.700	0.000(.124)	0.106(.458)	0.469(.556)	0.521(.577)	0.548(.588)
0.725	0.000(.124)	0.078(.460)	0.404(.567)	0.496(.590)	0.522(.601)
0.750	0.000(.124)	0.055(.462)	0.318(.576)	0.462(.602)	0.497(.614)
0.775	0.000(.124)	0.039(.463)	0.242(.583)	0.367(.613)	0.440(.626)
0.800	0.000(.124)	0.026(.464)	0.178(.588)	0.281(.621)	0.345(.636)
0.825	0.000(.124)	0.017(.465)	0.125(.592)	0.205(.627)	0.258(.643)
0.850	0.000(.124)	0.011(.465)	0.084(.595)	0.142(.631)	0.182(.649)
0.875	0.000(.124)	0.006(.465)	0.052(.596)	0.091(.634)	0.120(.652)
0.900	0.000(.124)	0.003(.465)	0.029(.597)	0.053(.636)	0.070(.655)
0.925	0.000(.124)	0.001(.465)	0.014(.598)	0.026(.637)	0.035(.656)
0.950	0.000(.124)	0.000(.465)	0.005(.598)	0.009(.637)	0.013(.657)
0.975	0.000(.124)	0.000(.465)	0.001(.598)	0.002(.637)	0.002(.657)
1.000	0.000(.124)	0.000(.465)	0.000(.598)	0.000(.637)	0.000(.657)

RECORD No 66-196
 App. A - Page 11

*** RELATIVE ENERGY FLUX DENSITY IN THE PENUMBRA ***
 *** OF A DIFFUSE SKIRT WITH THE REFLECTANCE = 0. *** VERSION A

SOLAR FIELD ANGLE, D = 10.00 DEGREES
 GEOMETRY D1/D2 = 0.25

BETA = ANGLE OF INCIDENCE, DEGREES

BETA ***	-40.00	-30.00	-20.00	-10.00	-0.
AX/AB	Q (QI)	Q (QI)	Q (QI)	Q (QI)	Q (QI)
0.	1.000(.)	1.000(.)	1.000(.)	1.000(.)	1.000(.)
0.025	1.000(.025)	1.000(.025)	1.000(.025)	1.000(.025)	1.000(.025)
0.050	0.999(.050)	0.999(.050)	0.999(.050)	0.999(.050)	0.999(.050)
0.075	0.997(.075)	0.997(.075)	0.997(.075)	0.997(.075)	0.997(.075)
0.100	0.993(.100)	0.994(.100)	0.994(.100)	0.995(.100)	0.995(.100)
0.125	0.989(.125)	0.990(.125)	0.990(.125)	0.991(.125)	0.991(.125)
0.150	0.983(.149)	0.984(.149)	0.985(.149)	0.986(.149)	0.987(.149)
0.175	0.975(.174)	0.977(.174)	0.979(.174)	0.980(.174)	0.981(.174)
0.200	0.966(.198)	0.969(.198)	0.971(.198)	0.972(.198)	0.974(.198)
0.225	0.956(.222)	0.959(.222)	0.962(.222)	0.964(.223)	0.966(.223)
0.250	0.944(.246)	0.948(.246)	0.951(.246)	0.954(.247)	0.956(.247)
0.275	0.931(.269)	0.936(.270)	0.940(.270)	0.943(.270)	0.945(.270)
0.300	0.917(.292)	0.922(.293)	0.927(.293)	0.930(.294)	0.933(.294)
0.325	0.901(.315)	0.908(.316)	0.912(.316)	0.916(.317)	0.920(.317)
0.350	0.885(.337)	0.891(.338)	0.897(.339)	0.901(.339)	0.906(.340)
0.375	0.867(.359)	0.874(.360)	0.880(.361)	0.885(.362)	0.890(.362)
0.400	0.848(.381)	0.856(.382)	0.863(.383)	0.868(.384)	0.873(.384)
0.425	0.828(.402)	0.837(.403)	0.844(.404)	0.850(.405)	0.856(.406)
0.450	0.807(.422)	0.816(.424)	0.824(.425)	0.831(.426)	0.837(.427)
0.475	0.785(.442)	0.795(.444)	0.803(.445)	0.811(.447)	0.817(.448)
0.500	0.762(.461)	0.773(.463)	0.782(.465)	0.789(.467)	0.796(.468)
0.525	0.739(.480)	0.751(.483)	0.760(.484)	0.768(.486)	0.775(.488)
0.550	0.715(.498)	0.727(.501)	0.737(.503)	0.745(.505)	0.752(.507)
0.575	0.691(.516)	0.703(.519)	0.713(.521)	0.721(.523)	0.729(.525)
0.600	0.666(.533)	0.679(.536)	0.689(.539)	0.697(.541)	0.706(.543)
0.625	0.641(.549)	0.654(.553)	0.664(.556)	0.673(.558)	0.681(.561)
0.650	0.616(.565)	0.629(.569)	0.639(.572)	0.648(.575)	0.656(.577)
0.675	0.590(.580)	0.603(.584)	0.613(.588)	0.622(.591)	0.631(.593)
0.700	0.565(.594)	0.577(.599)	0.588(.603)	0.597(.606)	0.605(.609)
0.725	0.539(.608)	0.552(.613)	0.562(.617)	0.571(.620)	0.579(.624)
0.750	0.513(.621)	0.526(.627)	0.536(.631)	0.545(.634)	0.553(.638)
0.775	0.488(.634)	0.500(.639)	0.510(.644)	0.518(.648)	0.526(.651)
0.800	0.463(.645)	0.475(.651)	0.485(.656)	0.494(.660)	0.500(.664)
0.825	0.437(.653)	0.449(.660)	0.459(.666)	0.468(.671)	0.476(.675)
0.850	0.411(.660)	0.423(.667)	0.433(.673)	0.442(.679)	0.450(.684)
0.875	0.385(.664)	0.397(.672)	0.407(.679)	0.416(.685)	0.424(.690)
0.900	0.359(.667)	0.371(.675)	0.381(.682)	0.390(.688)	0.398(.694)
0.925	0.333(.669)	0.345(.677)	0.355(.684)	0.364(.691)	0.372(.697)
0.950	0.307(.669)	0.319(.678)	0.329(.685)	0.338(.692)	0.346(.698)
0.975	0.281(.670)	0.293(.678)	0.303(.686)	0.312(.692)	0.320(.698)
1.000	0.255(.670)	0.267(.678)	0.277(.686)	0.286(.692)	0.294(.698)

A66
 74

RE-ORDER No 66-146
 App A Phase II

*** RELATIVE ENERGY FLUX DENSITY IN THE PENUMBRA ***
 *** OF A DIFFUSE SKIRT WITH THE REFLECTANCE = 0. *** VERSION A

SOLAR FIELD ANGLE, D= 10.00 DEGREES
 GEOMETRY D1/D2 = 0.25

BETA = ANGLE OF INCIDENCE, DEGREES

BETA ***	10.00	20.00	30.00	40.00	50.00
AX/AB	Q (QI)	Q (QI)	Q (QI)	Q (QI)	Q (QI)
0.	1.000(.)	1.000(.)	1.000(.)	1.000(.)	1.000(.)
0.025	1.000(.025)	1.000(.025)	1.000(.025)	1.000(.025)	1.000(.025)
0.050	0.999(.050)	0.999(.050)	0.999(.050)	0.999(.050)	0.999(.050)
0.075	0.998(.075)	0.998(.075)	0.998(.075)	0.998(.075)	0.998(.075)
0.100	0.995(.100)	0.996(.100)	0.996(.100)	0.996(.100)	0.997(.100)
0.125	0.992(.125)	0.992(.125)	0.993(.125)	0.994(.125)	0.994(.125)
0.150	0.988(.149)	0.988(.149)	0.989(.150)	0.990(.150)	0.991(.150)
0.175	0.982(.174)	0.983(.174)	0.984(.174)	0.986(.174)	0.987(.174)
0.200	0.975(.199)	0.977(.199)	0.978(.199)	0.980(.199)	0.982(.199)
0.225	0.967(.223)	0.969(.223)	0.971(.223)	0.973(.223)	0.976(.223)
0.250	0.958(.247)	0.960(.247)	0.963(.247)	0.966(.247)	0.969(.248)
0.275	0.948(.271)	0.951(.271)	0.954(.271)	0.957(.272)	0.961(.272)
0.300	0.935(.294)	0.940(.295)	0.943(.295)	0.947(.295)	0.952(.296)
0.325	0.924(.318)	0.927(.318)	0.931(.318)	0.936(.319)	0.942(.319)
0.350	0.910(.340)	0.914(.341)	0.918(.341)	0.924(.342)	0.931(.343)
0.375	0.895(.363)	0.899(.364)	0.904(.364)	0.911(.365)	0.918(.366)
0.400	0.878(.385)	0.884(.386)	0.889(.387)	0.896(.388)	0.905(.389)
0.425	0.861(.407)	0.867(.408)	0.873(.409)	0.881(.410)	0.890(.411)
0.450	0.843(.428)	0.849(.429)	0.856(.430)	0.864(.432)	0.875(.433)
0.475	0.823(.449)	0.830(.450)	0.837(.451)	0.846(.453)	0.858(.455)
0.500	0.803(.469)	0.810(.471)	0.818(.472)	0.828(.474)	0.840(.476)
0.525	0.782(.489)	0.789(.491)	0.798(.492)	0.808(.494)	0.821(.497)
0.550	0.760(.508)	0.768(.510)	0.776(.512)	0.787(.514)	0.801(.517)
0.575	0.737(.527)	0.745(.529)	0.754(.531)	0.765(.534)	0.780(.537)
0.600	0.713(.545)	0.722(.547)	0.731(.550)	0.743(.553)	0.758(.556)
0.625	0.689(.563)	0.698(.565)	0.708(.568)	0.719(.571)	0.735(.575)
0.650	0.665(.580)	0.673(.582)	0.683(.585)	0.695(.589)	0.711(.593)
0.675	0.639(.596)	0.648(.599)	0.658(.602)	0.670(.606)	0.686(.610)
0.700	0.613(.612)	0.622(.615)	0.632(.618)	0.645(.622)	0.661(.627)
0.725	0.587(.627)	0.596(.630)	0.606(.634)	0.618(.638)	0.635(.643)
0.750	0.561(.641)	0.570(.644)	0.580(.648)	0.592(.653)	0.608(.659)
0.775	0.534(.655)	0.543(.658)	0.553(.662)	0.565(.667)	0.581(.674)
0.800	0.508(.668)	0.516(.672)	0.525(.676)	0.537(.681)	0.553(.688)
0.825	0.415(.679)	0.440(.684)	0.467(.688)	0.501(.694)	0.525(.701)
0.850	0.313(.688)	0.334(.693)	0.358(.699)	0.389(.705)	0.431(.713)
0.875	0.218(.695)	0.235(.700)	0.255(.706)	0.280(.714)	0.317(.723)
0.900	0.137(.700)	0.149(.705)	0.163(.712)	0.182(.719)	0.209(.729)
0.925	0.073(.702)	0.080(.708)	0.088(.715)	0.100(.723)	0.118(.733)
0.950	0.029(.703)	0.032(.709)	0.036(.716)	0.041(.725)	0.049(.736)
0.975	0.005(.704)	0.006(.710)	0.007(.717)	0.008(.725)	0.010(.736)
1.000	0.000(.704)	0.000(.710)	0.000(.717)	0.000(.725)	0.000(.736)

66-196
 App A
 Phisell

*** RELATIVE ENERGY FLUX DENSITY IN THE PENUMBRA *** VERSION A
 *** OF A DIFFUSE SKIRT WITH THE REFLECTANCE = 0. ***

SOLAR FIELD ANGLE, D= 10.00 DEGREES
 GEOMETRY D1/D2 = 0.25

BETA = ANGLE OF INCIDENCE, DEGREES

BETA *** AX/AB	60.00 Q (Q1)	70.00 Q (Q1)	80.00 Q (Q1)	84.50 Q (Q1)
0.	1.000(.)	1.000(.)	1.000(.)	1.000(.)
0.025	1.000(.025)	1.000(.025)	1.000(.025)	1.000(.025)
0.050	1.000(.050)	1.000(.050)	1.000(.050)	1.000(.050)
0.075	0.999(.075)	0.999(.075)	1.000(.075)	1.000(.075)
0.100	0.997(.100)	0.998(.100)	1.000(.100)	1.000(.100)
0.125	0.995(.125)	0.997(.125)	0.999(.125)	1.000(.125)
0.150	0.993(.150)	0.995(.150)	0.999(.150)	1.000(.150)
0.175	0.989(.174)	0.993(.175)	0.998(.175)	1.000(.175)
0.200	0.985(.199)	0.990(.199)	0.997(.200)	1.000(.200)
0.225	0.980(.224)	0.986(.224)	0.996(.225)	1.000(.225)
0.250	0.974(.248)	0.982(.249)	0.995(.250)	1.000(.250)
0.275	0.967(.272)	0.977(.273)	0.994(.275)	1.000(.275)
0.300	0.959(.296)	0.971(.298)	0.992(.299)	1.000(.300)
0.325	0.951(.320)	0.964(.322)	0.989(.324)	1.000(.325)
0.350	0.941(.344)	0.956(.346)	0.987(.349)	1.000(.350)
0.375	0.930(.367)	0.948(.370)	0.983(.373)	1.000(.375)
0.400	0.917(.390)	0.938(.393)	0.980(.398)	1.000(.400)
0.425	0.904(.413)	0.928(.416)	0.975(.422)	1.000(.425)
0.450	0.890(.436)	0.916(.439)	0.970(.447)	1.000(.450)
0.475	0.874(.458)	0.903(.462)	0.964(.471)	1.000(.475)
0.500	0.858(.479)	0.889(.485)	0.958(.495)	1.000(.500)
0.525	0.840(.501)	0.874(.507)	0.950(.519)	1.000(.525)
0.550	0.821(.521)	0.857(.528)	0.942(.542)	0.999(.550)
0.575	0.801(.542)	0.840(.550)	0.932(.566)	0.999(.575)
0.600	0.780(.561)	0.821(.570)	0.921(.589)	0.999(.600)
0.625	0.758(.581)	0.800(.591)	0.908(.612)	0.999(.625)
0.650	0.735(.599)	0.779(.610)	0.894(.634)	0.998(.650)
0.675	0.711(.617)	0.756(.629)	0.878(.657)	0.998(.675)
0.700	0.686(.635)	0.732(.648)	0.860(.678)	0.997(.700)
0.725	0.660(.652)	0.707(.666)	0.840(.699)	0.996(.725)
0.750	0.633(.668)	0.680(.683)	0.817(.720)	0.995(.750)
0.775	0.605(.683)	0.652(.700)	0.792(.740)	0.993(.774)
0.800	0.577(.698)	0.623(.716)	0.765(.760)	0.990(.799)
0.825	0.548(.712)	0.593(.731)	0.734(.779)	0.986(.824)
0.850	0.498(.725)	0.562(.746)	0.700(.796)	0.979(.848)
0.875	0.377(.736)	0.499(.759)	0.663(.813)	0.969(.873)
0.900	0.257(.744)	0.362(.770)	0.623(.830)	0.951(.897)
0.925	0.149(.749)	0.225(.777)	0.562(.844)	0.921(.920)
0.950	0.064(.752)	0.105(.781)	0.347(.856)	0.864(.943)
0.975	0.014(.753)	0.024(.783)	0.113(.861)	0.752(.963)
1.000	0.000(.753)	0.000(.783)	0.000(.863)	0.000(.972)

*** RELATIVE ENERGY FLUX DENSITY IN THE PENUMBRA ***
 *** OF A DIFFUSE SKIRT WITH THE REFLECTANCE = 0. ***

RECORD NO. 66-196
 App A Phase II
 VERSION A

SOLAR FIELD ANGLE, D = 10.00 DEGREES
 GEOMETRY D1/D2 = 0.50

BETA = ANGLE OF INCIDENCE, DEGREES

BETA ***	-84.50	-80.00	-70.00	-60.00	-50.00
AX/AB	Q (QI)	Q (QI)	Q (QI)	Q (QI)	Q (QI)
0.	1.000(.)	1.000(.)	1.000(.)	1.000(.)	1.000(.)
0.025	0.855(.023)	0.997(.025)	0.999(.025)	0.999(.025)	1.000(.025)
0.050	0.615(.042)	0.984(.050)	0.996(.050)	0.997(.050)	0.998(.050)
0.075	0.427(.055)	0.962(.074)	0.989(.075)	0.992(.075)	0.994(.075)
0.100	0.257(.063)	0.931(.098)	0.978(.099)	0.985(.100)	0.988(.100)
0.125	0.134(.068)	0.894(.121)	0.964(.124)	0.975(.124)	0.979(.124)
0.150	0.075(.071)	0.853(.142)	0.946(.147)	0.962(.148)	0.969(.149)
0.175	0.044(.072)	0.808(.163)	0.926(.171)	0.947(.172)	0.956(.173)
0.200	0.028(.073)	0.762(.183)	0.902(.194)	0.929(.196)	0.940(.196)
0.225	0.018(.074)	0.716(.201)	0.877(.216)	0.909(.219)	0.923(.220)
0.250	0.012(.074)	0.669(.219)	0.849(.238)	0.887(.241)	0.904(.242)
0.275	0.008(.074)	0.623(.235)	0.819(.258)	0.863(.263)	0.882(.265)
0.300	0.006(.074)	0.579(.250)	0.789(.278)	0.837(.284)	0.859(.287)
0.325	0.004(.075)	0.536(.264)	0.757(.298)	0.810(.305)	0.835(.308)
0.350	0.003(.075)	0.496(.277)	0.724(.316)	0.782(.325)	0.808(.328)
0.375	0.002(.075)	0.457(.288)	0.691(.334)	0.752(.344)	0.781(.348)
0.400	0.002(.075)	0.420(.299)	0.657(.351)	0.722(.362)	0.753(.367)
0.425	0.001(.075)	0.358(.309)	0.623(.367)	0.691(.380)	0.723(.386)
0.450	0.001(.075)	0.299(.317)	0.590(.382)	0.659(.397)	0.693(.403)
0.475	0.001(.075)	0.248(.324)	0.557(.396)	0.627(.413)	0.663(.420)
0.500	0.000(.075)	0.205(.330)	0.524(.410)	0.595(.428)	0.632(.437)
0.525	0.000(.075)	0.168(.335)	0.492(.423)	0.564(.443)	0.600(.452)
0.550	0.000(.075)	0.136(.338)	0.460(.434)	0.532(.456)	0.569(.467)
0.575	0.000(.075)	0.110(.341)	0.401(.445)	0.500(.469)	0.537(.480)
0.600	0.000(.075)	0.088(.344)	0.344(.454)	0.464(.481)	0.506(.493)
0.625	0.000(.075)	0.070(.346)	0.292(.462)	0.404(.492)	0.467(.506)
0.650	0.000(.075)	0.055(.347)	0.244(.469)	0.346(.501)	0.406(.516)
0.675	0.000(.075)	0.043(.349)	0.201(.475)	0.293(.509)	0.348(.526)
0.700	0.000(.075)	0.033(.350)	0.163(.479)	0.243(.516)	0.293(.534)
0.725	0.000(.075)	0.025(.350)	0.130(.483)	0.198(.522)	0.242(.541)
0.750	0.000(.075)	0.018(.351)	0.101(.486)	0.158(.526)	0.195(.546)
0.775	0.000(.075)	0.013(.351)	0.077(.488)	0.122(.530)	0.153(.550)
0.800	0.000(.075)	0.009(.352)	0.056(.490)	0.092(.532)	0.116(.554)
0.825	0.000(.075)	0.006(.352)	0.040(.491)	0.066(.534)	0.085(.556)
0.850	0.000(.075)	0.004(.352)	0.026(.492)	0.045(.536)	0.059(.558)
0.875	0.000(.075)	0.002(.352)	0.016(.492)	0.029(.537)	0.038(.559)
0.900	0.000(.075)	0.001(.352)	0.009(.493)	0.016(.537)	0.022(.560)
0.925	0.000(.075)	0.001(.352)	0.004(.493)	0.008(.537)	0.011(.560)
0.950	0.000(.075)	0.000(.352)	0.002(.493)	0.003(.538)	0.004(.561)
0.975	0.000(.075)	0.000(.352)	0.000(.493)	0.001(.538)	0.001(.561)
1.000	0.000(.075)	0.000(.352)	0.000(.493)	0.000(.538)	0.000(.561)

REORDER No 66-196
App A *Phase II*

*** RELATIVE ENERGY FLUX DENSITY IN THE PENUMBRA ***
 *** OF A DIFFUSE SKIRT WITH THE REFLECTANCE = 0. *** VERSION A

SOLAR FIELD ANGLE, D= 10.00 DEGREES
 GEOMETRY D1/D2 = 0.50

BETA = ANGLE OF INCIDENCE, DEGREES

BETA ***	-40.00	-30.00	-20.00	-10.00	-0.
AX/AB	Q (QI)	Q (QI)	Q (QI)	Q (QI)	Q (QI)
0.	1.000(.)	1.000(.)	1.000(.)	1.000(.)	1.000(.)
0.025	1.000(.025)	1.000(.025)	1.000(.025)	1.000(.025)	1.000(.025)
0.050	0.998(.050)	0.998(.050)	0.998(.050)	0.998(.050)	0.999(.050)
0.075	0.995(.075)	0.995(.075)	0.996(.075)	0.996(.075)	0.996(.075)
0.100	0.989(.100)	0.990(.100)	0.991(.100)	0.992(.100)	0.992(.100)
0.125	0.982(.124)	0.984(.124)	0.985(.124)	0.986(.124)	0.987(.125)
0.150	0.972(.149)	0.975(.149)	0.977(.149)	0.978(.149)	0.980(.149)
0.175	0.961(.173)	0.964(.173)	0.967(.173)	0.969(.173)	0.971(.173)
0.200	0.947(.197)	0.951(.197)	0.955(.197)	0.958(.197)	0.960(.198)
0.225	0.931(.220)	0.937(.221)	0.941(.221)	0.944(.221)	0.948(.221)
0.250	0.913(.243)	0.920(.244)	0.925(.244)	0.929(.245)	0.933(.245)
0.275	0.894(.266)	0.902(.267)	0.908(.267)	0.913(.268)	0.917(.268)
0.300	0.872(.288)	0.881(.289)	0.888(.290)	0.894(.290)	0.900(.291)
0.325	0.849(.309)	0.859(.311)	0.867(.312)	0.874(.312)	0.880(.313)
0.350	0.825(.330)	0.836(.332)	0.845(.333)	0.852(.334)	0.859(.335)
0.375	0.799(.351)	0.811(.352)	0.821(.354)	0.829(.355)	0.837(.356)
0.400	0.772(.370)	0.785(.372)	0.796(.374)	0.805(.375)	0.813(.377)
0.425	0.744(.389)	0.758(.392)	0.769(.394)	0.779(.395)	0.788(.397)
0.450	0.714(.407)	0.730(.410)	0.742(.412)	0.752(.414)	0.761(.416)
0.475	0.685(.425)	0.701(.428)	0.713(.431)	0.724(.433)	0.734(.435)
0.500	0.654(.442)	0.671(.445)	0.684(.448)	0.695(.451)	0.706(.453)
0.525	0.623(.458)	0.640(.462)	0.654(.465)	0.665(.468)	0.676(.470)
0.550	0.592(.473)	0.609(.477)	0.623(.481)	0.635(.484)	0.646(.486)
0.575	0.561(.487)	0.578(.492)	0.592(.496)	0.604(.499)	0.615(.502)
0.600	0.529(.501)	0.546(.506)	0.561(.510)	0.573(.514)	0.584(.517)
0.625	0.498(.514)	0.515(.519)	0.529(.524)	0.541(.528)	0.553(.531)
0.650	0.445(.526)	0.476(.532)	0.497(.537)	0.510(.541)	0.521(.545)
0.675	0.385(.536)	0.414(.543)	0.438(.549)	0.459(.553)	0.479(.557)
0.700	0.327(.545)	0.354(.553)	0.376(.559)	0.396(.564)	0.415(.569)
0.725	0.273(.552)	0.297(.561)	0.317(.567)	0.336(.573)	0.353(.578)
0.750	0.222(.558)	0.243(.567)	0.261(.575)	0.278(.581)	0.294(.586)
0.775	0.175(.563)	0.194(.573)	0.210(.580)	0.224(.587)	0.238(.593)
0.800	0.135(.567)	0.150(.577)	0.163(.585)	0.175(.592)	0.187(.598)
0.825	0.099(.570)	0.111(.580)	0.121(.589)	0.131(.596)	0.140(.602)
0.850	0.069(.572)	0.078(.583)	0.086(.591)	0.093(.599)	0.100(.605)
0.875	0.045(.574)	0.051(.584)	0.056(.593)	0.061(.600)	0.067(.607)
0.900	0.026(.575)	0.030(.585)	0.033(.594)	0.037(.602)	0.040(.609)
0.925	0.013(.575)	0.015(.586)	0.017(.595)	0.019(.602)	0.020(.609)
0.950	0.005(.575)	0.006(.586)	0.006(.595)	0.007(.603)	0.008(.610)
0.975	0.001(.575)	0.001(.586)	0.001(.595)	0.001(.603)	0.001(.610)
1.000	0.000(.575)	0.000(.586)	0.000(.595)	0.000(.603)	0.000(.610)

66-196
Phase II

*** RELATIVE ENERGY FLUX DENSITY IN THE PENUMBRA *** VERSION A
 *** OF A DIFFUSE SKIRT WITH THE REFLECTANCE = 0. ***

SOLAR FIELD ANGLE, D= 10.00 DEGREES
 GEOMETRY D1/D2 = 0.50

BETA = ANGLE OF INCIDENCE, DEGREES

BETA ***	10.00		20.00		30.00		40.00		50.00	
AX/AB	Q	(QI)	Q	(QI)	Q	(QI)	Q	(QI)	Q	(QI)
0.	1.000	(.)	1.000	(.)	1.000	(.)	1.000	(.)	1.000	(.)
0.025	1.000	(.025)	1.000	(.025)	1.000	(.025)	1.000	(.025)	1.000	(.025)
0.050	0.999	(.050)	0.999	(.050)	0.999	(.050)	0.999	(.050)	0.999	(.050)
0.075	0.996	(.075)	0.997	(.075)	0.997	(.075)	0.997	(.075)	0.998	(.075)
0.100	0.993	(.100)	0.993	(.100)	0.994	(.100)	0.995	(.100)	0.995	(.100)
0.125	0.988	(.125)	0.989	(.125)	0.989	(.125)	0.991	(.125)	0.992	(.125)
0.150	0.981	(.149)	0.982	(.149)	0.984	(.149)	0.985	(.149)	0.987	(.149)
0.175	0.973	(.174)	0.974	(.174)	0.976	(.174)	0.978	(.174)	0.981	(.174)
0.200	0.962	(.198)	0.965	(.198)	0.967	(.198)	0.970	(.198)	0.974	(.198)
0.225	0.951	(.222)	0.954	(.222)	0.957	(.222)	0.961	(.222)	0.965	(.223)
0.250	0.937	(.245)	0.941	(.246)	0.945	(.246)	0.949	(.246)	0.955	(.247)
0.275	0.922	(.268)	0.926	(.269)	0.931	(.269)	0.937	(.270)	0.944	(.270)
0.300	0.905	(.291)	0.910	(.292)	0.916	(.292)	0.922	(.293)	0.931	(.294)
0.325	0.885	(.314)	0.892	(.314)	0.899	(.315)	0.906	(.316)	0.916	(.317)
0.350	0.865	(.336)	0.873	(.336)	0.880	(.337)	0.889	(.338)	0.900	(.340)
0.375	0.844	(.357)	0.852	(.358)	0.860	(.359)	0.870	(.360)	0.882	(.362)
0.400	0.821	(.378)	0.829	(.379)	0.838	(.380)	0.849	(.382)	0.863	(.384)
0.425	0.796	(.398)	0.805	(.399)	0.815	(.401)	0.827	(.403)	0.842	(.405)
0.450	0.771	(.418)	0.780	(.419)	0.791	(.421)	0.804	(.423)	0.820	(.426)
0.475	0.744	(.437)	0.754	(.438)	0.765	(.441)	0.779	(.443)	0.797	(.446)
0.500	0.716	(.455)	0.727	(.457)	0.739	(.459)	0.753	(.462)	0.772	(.466)
0.525	0.687	(.472)	0.698	(.475)	0.711	(.477)	0.726	(.481)	0.745	(.485)
0.550	0.657	(.489)	0.669	(.492)	0.682	(.495)	0.697	(.498)	0.718	(.503)
0.575	0.627	(.505)	0.639	(.508)	0.652	(.512)	0.668	(.515)	0.689	(.521)
0.600	0.596	(.520)	0.608	(.524)	0.621	(.527)	0.638	(.532)	0.660	(.537)
0.625	0.564	(.535)	0.576	(.539)	0.590	(.543)	0.607	(.547)	0.629	(.553)
0.650	0.532	(.549)	0.545	(.553)	0.558	(.557)	0.575	(.562)	0.598	(.569)
0.675	0.498	(.562)	0.512	(.566)	0.526	(.570)	0.543	(.576)	0.565	(.583)
0.700	0.435	(.573)	0.455	(.578)	0.479	(.583)	0.508	(.589)	0.532	(.597)
0.725	0.372	(.583)	0.391	(.588)	0.414	(.594)	0.442	(.601)	0.481	(.610)
0.750	0.311	(.592)	0.329	(.597)	0.350	(.604)	0.376	(.611)	0.413	(.621)
0.775	0.253	(.599)	0.269	(.605)	0.288	(.612)	0.312	(.620)	0.346	(.630)
0.800	0.199	(.604)	0.213	(.611)	0.229	(.618)	0.250	(.627)	0.281	(.638)
0.825	0.151	(.609)	0.162	(.616)	0.175	(.623)	0.193	(.632)	0.219	(.644)
0.850	0.108	(.612)	0.117	(.619)	0.127	(.627)	0.141	(.637)	0.162	(.649)
0.875	0.072	(.614)	0.078	(.622)	0.086	(.630)	0.096	(.640)	0.111	(.653)
0.900	0.043	(.616)	0.047	(.623)	0.052	(.631)	0.059	(.642)	0.069	(.655)
0.925	0.022	(.617)	0.024	(.624)	0.027	(.632)	0.031	(.643)	0.037	(.656)
0.950	0.008	(.617)	0.009	(.624)	0.010	(.633)	0.012	(.643)	0.014	(.657)
0.975	0.002	(.617)	0.002	(.625)	0.002	(.633)	0.002	(.643)	0.003	(.657)
1.000	0.000	(.617)	0.000	(.625)	0.000	(.633)	0.000	(.643)	0.000	(.657)

5

A-71

79

REORDER # 66-196
 App. C Phase II

*** RELATIVE ENERGY FLUX DENSITY IN THE PENUMBRA ***
 *** OF A DIFFUSE SKIRT WITH THE REFLECTANCE = 0. ***

VERSION A

SOLAR FIELD ANGLE, D= 10.00 DEGREES
 GEOMETRY D1/D2 = 0.50

BETA = ANGLE OF INCIDENCE, DEGREES

BETA ***	60.00	70.00	80.00	84.50
AX/AB	Q (QI)	Q (QI)	Q (QI)	Q (QI)
0.	1.000(.)	1.000(.)	1.000(.)	1.000(.)
0.025	1.000(.025)	1.000(.025)	1.000(.025)	1.000(.025)
0.050	0.999(.050)	1.000(.050)	1.000(.050)	1.000(.050)
0.075	0.998(.075)	0.999(.075)	1.000(.075)	1.000(.075)
0.100	0.996(.100)	0.998(.100)	1.000(.100)	1.000(.100)
0.125	0.993(.125)	0.996(.125)	0.999(.125)	1.000(.125)
0.150	0.990(.150)	0.993(.150)	0.999(.150)	1.000(.150)
0.175	0.985(.174)	0.990(.175)	0.998(.175)	1.000(.175)
0.200	0.979(.199)	0.986(.199)	0.997(.200)	1.000(.200)
0.225	0.972(.223)	0.981(.224)	0.996(.225)	1.000(.225)
0.250	0.963(.247)	0.975(.248)	0.994(.250)	1.000(.250)
0.275	0.953(.271)	0.968(.273)	0.992(.274)	1.000(.275)
0.300	0.942(.295)	0.960(.297)	0.989(.299)	1.000(.300)
0.325	0.929(.318)	0.950(.320)	0.987(.324)	1.000(.325)
0.350	0.915(.341)	0.940(.344)	0.983(.349)	1.000(.350)
0.375	0.900(.364)	0.928(.367)	0.979(.373)	1.000(.375)
0.400	0.882(.386)	0.914(.390)	0.974(.397)	1.000(.400)
0.425	0.864(.408)	0.899(.413)	0.968(.422)	1.000(.425)
0.450	0.844(.430)	0.883(.435)	0.962(.446)	1.000(.450)
0.475	0.822(.450)	0.865(.457)	0.954(.470)	1.000(.475)
0.500	0.799(.471)	0.846(.479)	0.946(.494)	1.000(.500)
0.525	0.774(.490)	0.825(.500)	0.935(.517)	1.000(.525)
0.550	0.749(.509)	0.802(.520)	0.924(.540)	0.999(.550)
0.575	0.721(.528)	0.778(.540)	0.911(.563)	0.999(.575)
0.600	0.693(.545)	0.752(.559)	0.896(.586)	0.999(.600)
0.625	0.663(.562)	0.724(.577)	0.879(.608)	0.999(.625)
0.650	0.632(.579)	0.695(.595)	0.859(.630)	0.998(.650)
0.675	0.600(.594)	0.664(.612)	0.838(.651)	0.998(.675)
0.700	0.567(.608)	0.632(.628)	0.813(.672)	0.997(.700)
0.725	0.533(.622)	0.598(.643)	0.786(.692)	0.996(.725)
0.750	0.472(.635)	0.563(.658)	0.755(.711)	0.994(.750)
0.775	0.401(.646)	0.512(.671)	0.721(.729)	0.992(.774)
0.800	0.331(.655)	0.436(.683)	0.683(.747)	0.989(.799)
0.825	0.262(.662)	0.357(.693)	0.641(.763)	0.984(.824)
0.850	0.197(.668)	0.278(.701)	0.594(.779)	0.976(.848)
0.875	0.138(.672)	0.203(.707)	0.502(.792)	0.963(.872)
0.900	0.088(.675)	0.134(.711)	0.383(.804)	0.940(.896)
0.925	0.047(.677)	0.075(.714)	0.255(.812)	0.900(.919)
0.950	0.019(.678)	0.032(.715)	0.129(.816)	0.822(.941)
0.975	0.004(.678)	0.006(.716)	0.033(.818)	0.663(.959)
1.000	0.000(.678)	0.000(.716)	-0. (.819)	0.000(.968)

RECORDED IN 66-196
 App. A Phase II

*** RELATIVE ENERGY FLUX DENSITY IN THE PENUMBRA ***
 *** OF A DIFFUSE SKIRT WITH THE REFLECTANCE = 0. ***

VERSION A

SOLAR FIELD ANGLE, D = 10.00 DEGREES
 GEOMETRY D1/D2 = 0.75

BETA = ANGLE OF INCIDENCE, DEGREES

BETA ***	-84.50	-80.00	-70.00	-60.00	-50.00
AX/AB	Q (QI)	Q (QI)	Q (QI)	Q (QI)	Q (QI)
0.	1.000(.)	1.000(.)	1.000(.)	1.000(.)	1.000(.)
0.025	0.743(.022)	0.994(.025)	0.999(.025)	0.999(.025)	0.999(.025)
0.050	0.441(.037)	0.972(.049)	0.993(.050)	0.995(.050)	0.996(.050)
0.075	0.240(.045)	0.935(.073)	0.982(.075)	0.988(.075)	0.991(.075)
0.100	0.128(.050)	0.887(.096)	0.965(.099)	0.977(.099)	0.982(.099)
0.125	0.073(.052)	0.831(.118)	0.944(.123)	0.962(.124)	0.969(.124)
0.150	0.044(.054)	0.772(.138)	0.918(.146)	0.943(.147)	0.954(.148)
0.175	0.028(.055)	0.711(.156)	0.888(.169)	0.921(.171)	0.935(.171)
0.200	0.018(.055)	0.651(.173)	0.855(.190)	0.896(.193)	0.913(.195)
0.225	0.012(.056)	0.593(.189)	0.819(.211)	0.867(.215)	0.889(.217)
0.250	0.008(.056)	0.537(.203)	0.781(.231)	0.837(.237)	0.861(.239)
0.275	0.006(.056)	0.485(.216)	0.741(.250)	0.804(.257)	0.832(.260)
0.300	0.004(.056)	0.435(.227)	0.701(.268)	0.769(.277)	0.801(.281)
0.325	0.003(.056)	0.382(.237)	0.660(.285)	0.733(.296)	0.768(.300)
0.350	0.002(.056)	0.328(.246)	0.619(.301)	0.696(.314)	0.733(.319)
0.375	0.002(.056)	0.280(.254)	0.578(.316)	0.658(.330)	0.698(.337)
0.400	0.001(.056)	0.238(.260)	0.537(.330)	0.620(.346)	0.661(.354)
0.425	0.001(.056)	0.201(.266)	0.497(.343)	0.582(.361)	0.624(.370)
0.450	0.001(.056)	0.169(.270)	0.459(.355)	0.543(.375)	0.587(.385)
0.475	0.001(.056)	0.142(.274)	0.409(.366)	0.505(.389)	0.549(.399)
0.500	0.000(.056)	0.118(.278)	0.362(.376)	0.466(.401)	0.511(.412)
0.525	0.000(.056)	0.098(.280)	0.318(.384)	0.417(.412)	0.472(.425)
0.550	0.000(.056)	0.080(.282)	0.277(.392)	0.370(.422)	0.423(.436)
0.575	0.000(.056)	0.065(.284)	0.239(.398)	0.326(.430)	0.376(.446)
0.600	0.000(.056)	0.053(.286)	0.204(.404)	0.284(.438)	0.331(.455)
0.625	0.000(.056)	0.042(.287)	0.172(.408)	0.244(.445)	0.288(.462)
0.650	0.000(.056)	0.034(.288)	0.144(.412)	0.207(.450)	0.247(.469)
0.675	0.000(.056)	0.026(.289)	0.118(.415)	0.174(.455)	0.209(.475)
0.700	0.000(.056)	0.020(.289)	0.096(.418)	0.143(.459)	0.174(.480)
0.725	0.000(.056)	0.016(.290)	0.076(.420)	0.116(.462)	0.143(.484)
0.750	0.000(.056)	0.012(.290)	0.059(.422)	0.092(.465)	0.114(.487)
0.775	0.000(.056)	0.008(.290)	0.045(.423)	0.071(.467)	0.089(.489)
0.800	0.000(.056)	0.006(.290)	0.033(.424)	0.053(.468)	0.067(.491)
0.825	0.000(.056)	0.004(.291)	0.023(.425)	0.038(.469)	0.049(.493)
0.850	0.000(.056)	0.003(.291)	0.016(.425)	0.026(.470)	0.034(.494)
0.875	0.000(.056)	0.002(.291)	0.010(.426)	0.017(.471)	0.022(.494)
0.900	0.000(.056)	0.001(.291)	0.006(.426)	0.009(.471)	0.012(.495)
0.925	0.000(.056)	0.000(.291)	0.003(.426)	0.005(.471)	0.006(.495)
0.950	0.000(.056)	0.000(.291)	0.001(.426)	0.002(.471)	0.002(.495)
0.975	0.000(.056)	0.000(.291)	0.000(.426)	0.000(.471)	0.000(.495)
1.000	-0. (.056)	0.000(.291)	0.000(.426)	0.000(.471)	0.000(.495)

A-73
 81

RECORD NO. 66-196
 App. C Phase II

*** RELATIVE ENERGY FLUX DENSITY IN THE PENUMBRA *** VERSION A
 *** OF A DIFFUSE SKIRT WITH THE REFLECTANCE = 0. ***

SOLAR FIELD ANGLE, D= 10.00 DEGREES
 GEOMETRY D1/D2 = 0.75

BETA = ANGLE OF INCIDENCE, DEGREES

BETA ***	-40.00	-30.00	-20.00	-10.00	-0.
AX/AB	Q (QI)	Q (QI)	Q (QI)	Q (QI)	Q (QI)
0.	1.000(.)	1.000(.)	1.000(.)	1.000(.)	1.000(.)
0.025	0.999(.025)	1.000(.025)	1.000(.025)	1.000(.025)	1.000(.025)
0.050	0.997(.050)	0.997(.050)	0.998(.050)	0.998(.050)	0.998(.050)
0.075	0.992(.075)	0.993(.075)	0.993(.075)	0.994(.075)	0.994(.075)
0.100	0.984(.100)	0.986(.100)	0.987(.100)	0.988(.100)	0.989(.100)
0.125	0.973(.124)	0.976(.124)	0.978(.124)	0.980(.124)	0.981(.124)
0.150	0.959(.148)	0.963(.148)	0.966(.148)	0.969(.149)	0.971(.149)
0.175	0.943(.172)	0.948(.172)	0.952(.172)	0.955(.173)	0.958(.173)
0.200	0.923(.195)	0.930(.196)	0.935(.196)	0.939(.196)	0.943(.197)
0.225	0.901(.218)	0.909(.219)	0.915(.219)	0.921(.220)	0.925(.220)
0.250	0.875(.240)	0.886(.241)	0.894(.242)	0.900(.242)	0.906(.243)
0.275	0.849(.262)	0.860(.263)	0.869(.264)	0.877(.265)	0.884(.265)
0.300	0.820(.283)	0.833(.284)	0.843(.285)	0.852(.286)	0.859(.287)
0.325	0.789(.303)	0.803(.305)	0.815(.306)	0.824(.307)	0.833(.308)
0.350	0.755(.322)	0.772(.324)	0.784(.326)	0.795(.327)	0.805(.329)
0.375	0.722(.341)	0.739(.343)	0.753(.345)	0.764(.347)	0.775(.348)
0.400	0.687(.358)	0.705(.361)	0.719(.364)	0.732(.366)	0.743(.367)
0.425	0.651(.375)	0.670(.378)	0.685(.381)	0.698(.383)	0.710(.385)
0.450	0.614(.391)	0.634(.395)	0.650(.398)	0.663(.400)	0.676(.403)
0.475	0.577(.406)	0.597(.410)	0.614(.414)	0.628(.417)	0.641(.419)
0.500	0.540(.419)	0.560(.425)	0.577(.428)	0.592(.432)	0.605(.435)
0.525	0.502(.433)	0.523(.438)	0.540(.442)	0.555(.446)	0.569(.450)
0.550	0.458(.445)	0.484(.451)	0.503(.455)	0.518(.460)	0.532(.463)
0.575	0.410(.455)	0.436(.462)	0.457(.467)	0.475(.472)	0.493(.476)
0.600	0.363(.465)	0.388(.472)	0.408(.478)	0.426(.483)	0.443(.488)
0.625	0.318(.474)	0.341(.482)	0.361(.488)	0.378(.493)	0.394(.498)
0.650	0.275(.481)	0.297(.490)	0.315(.496)	0.331(.502)	0.347(.507)
0.675	0.234(.487)	0.254(.496)	0.271(.504)	0.286(.510)	0.301(.516)
0.700	0.197(.493)	0.214(.502)	0.229(.510)	0.243(.516)	0.256(.523)
0.725	0.162(.497)	0.177(.507)	0.191(.515)	0.203(.522)	0.215(.528)
0.750	0.131(.501)	0.144(.511)	0.155(.519)	0.166(.527)	0.176(.533)
0.775	0.102(.504)	0.113(.514)	0.123(.523)	0.132(.530)	0.140(.537)
0.800	0.078(.506)	0.087(.517)	0.094(.526)	0.102(.533)	0.109(.540)
0.825	0.057(.508)	0.064(.519)	0.070(.528)	0.075(.535)	0.081(.543)
0.850	0.039(.509)	0.044(.520)	0.049(.529)	0.053(.537)	0.057(.544)
0.875	0.025(.510)	0.029(.521)	0.032(.530)	0.035(.538)	0.037(.546)
0.900	0.015(.510)	0.017(.522)	0.019(.531)	0.020(.539)	0.022(.546)
0.925	0.007(.511)	0.008(.522)	0.009(.531)	0.010(.539)	0.011(.547)
0.950	0.003(.511)	0.003(.522)	0.003(.531)	0.004(.539)	0.004(.547)
0.975	0.000(.511)	0.001(.522)	0.001(.531)	0.001(.539)	0.001(.547)
1.000	0.000(.511)	0.000(.522)	0.000(.531)	0.000(.539)	0.000(.547)

REORDER No 66-196
 Lippell Phase II

*** RELATIVE ENERGY FLUX DENSITY IN THE PENUMBRA ***
 *** OF A DIFFUSE SKIRT WITH THE REFLECTANCE = 0. *** VERSION A

SOLAR FIELD ANGLE, D= 10.00 DEGREES
 GEOMETRY D1/D2 = 0.75

BETA = ANGLE OF INCIDENCE, DEGREES

BETA ***	10.00	20.00	30.00	40.00	50.00
AX/AB	Q (QI)	Q (QI)	Q (QI)	Q (QI)	Q (QI)
0.	1.000(.)	1.000(.)	1.000(.)	1.000(.)	1.000(.)
0.025	1.000(.025)	1.000(.025)	1.000(.025)	1.000(.025)	1.000(.025)
0.050	0.998(.050)	0.998(.050)	0.998(.050)	0.999(.050)	0.999(.050)
0.075	0.995(.075)	0.995(.075)	0.996(.075)	0.996(.075)	0.997(.075)
0.100	0.990(.100)	0.990(.100)	0.991(.100)	0.992(.100)	0.993(.100)
0.125	0.982(.124)	0.984(.124)	0.985(.124)	0.987(.125)	0.989(.125)
0.150	0.973(.149)	0.975(.149)	0.977(.149)	0.979(.149)	0.982(.149)
0.175	0.961(.173)	0.964(.173)	0.967(.173)	0.970(.173)	0.974(.174)
0.200	0.947(.197)	0.950(.197)	0.954(.197)	0.958(.198)	0.964(.198)
0.225	0.930(.220)	0.935(.221)	0.939(.221)	0.945(.221)	0.952(.222)
0.250	0.911(.243)	0.917(.244)	0.923(.244)	0.929(.245)	0.938(.245)
0.275	0.890(.266)	0.897(.266)	0.904(.267)	0.912(.268)	0.922(.269)
0.300	0.867(.288)	0.874(.289)	0.883(.289)	0.892(.290)	0.904(.292)
0.325	0.841(.309)	0.850(.310)	0.859(.311)	0.871(.312)	0.884(.314)
0.350	0.814(.330)	0.824(.331)	0.834(.332)	0.847(.334)	0.863(.336)
0.375	0.785(.350)	0.796(.351)	0.807(.353)	0.821(.355)	0.839(.357)
0.400	0.754(.369)	0.766(.371)	0.779(.373)	0.794(.375)	0.813(.378)
0.425	0.722(.387)	0.735(.390)	0.748(.392)	0.764(.394)	0.785(.398)
0.450	0.689(.405)	0.702(.407)	0.716(.410)	0.734(.413)	0.756(.417)
0.475	0.654(.422)	0.668(.425)	0.683(.428)	0.701(.431)	0.725(.435)
0.500	0.619(.438)	0.633(.441)	0.648(.444)	0.668(.448)	0.693(.453)
0.525	0.582(.453)	0.597(.456)	0.613(.460)	0.633(.464)	0.659(.470)
0.550	0.545(.467)	0.560(.471)	0.577(.475)	0.597(.480)	0.624(.486)
0.575	0.508(.480)	0.523(.484)	0.540(.489)	0.560(.494)	0.587(.501)
0.600	0.461(.492)	0.479(.497)	0.500(.502)	0.523(.508)	0.550(.515)
0.625	0.411(.503)	0.429(.508)	0.450(.514)	0.476(.520)	0.511(.529)
0.650	0.363(.513)	0.380(.518)	0.400(.524)	0.425(.531)	0.459(.541)
0.675	0.315(.521)	0.332(.527)	0.351(.534)	0.375(.541)	0.408(.552)
0.700	0.270(.529)	0.285(.535)	0.303(.542)	0.325(.550)	0.356(.561)
0.725	0.227(.535)	0.241(.541)	0.257(.549)	0.277(.558)	0.306(.569)
0.750	0.187(.540)	0.199(.547)	0.213(.555)	0.231(.564)	0.257(.576)
0.775	0.150(.544)	0.160(.551)	0.172(.559)	0.188(.569)	0.211(.582)
0.800	0.116(.547)	0.125(.555)	0.135(.563)	0.148(.574)	0.167(.587)
0.825	0.087(.550)	0.093(.558)	0.101(.566)	0.112(.577)	0.128(.591)
0.850	0.061(.552)	0.066(.560)	0.072(.568)	0.080(.579)	0.092(.594)
0.875	0.040(.553)	0.044(.561)	0.048(.570)	0.054(.581)	0.062(.595)
0.900	0.024(.554)	0.026(.562)	0.029(.571)	0.032(.582)	0.038(.597)
0.925	0.012(.554)	0.013(.562)	0.015(.571)	0.017(.583)	0.020(.597)
0.950	0.005(.555)	0.005(.563)	0.006(.572)	0.006(.583)	0.008(.598)
0.975	0.001(.555)	0.001(.563)	0.001(.572)	0.001(.583)	0.001(.598)
1.000	0.000(.555)	0.000(.563)	0.000(.572)	0.000(.583)	0.000(.598)

DE 0007-11

66-196
Sheet 11

*** RELATIVE ENERGY FLUX DENSITY IN THE PENUMBRA ***
*** OF A DIFFUSE SKIRT WITH THE REFLECTANCE = 0. *** VERSION A

SOLAR FIELD ANGLE, D= 10.00 DEGREES
GEOMETRY D1/D2 = 0.75

BETA = ANGLE OF INCIDENCE, DEGREES

BETA ***	60.00	70.00	80.00	84.50
AX/AB	Q (QI)	Q (QI)	Q (QI)	Q (QI)
0.	1.000(.)	1.000(.)	1.000(.)	1.000(.)
0.025	1.000(.025)	1.000(.025)	1.000(.025)	1.000(.025)
0.050	0.999(.050)	0.999(.050)	1.000(.050)	1.000(.050)
0.075	0.997(.075)	0.998(.075)	1.000(.075)	1.000(.075)
0.100	0.995(.100)	0.997(.100)	0.999(.100)	1.000(.100)
0.125	0.991(.125)	0.994(.125)	0.999(.125)	1.000(.125)
0.150	0.986(.149)	0.991(.150)	0.998(.150)	1.000(.150)
0.175	0.979(.174)	0.987(.174)	0.997(.175)	1.000(.175)
0.200	0.971(.198)	0.981(.199)	0.996(.200)	1.000(.200)
0.225	0.961(.222)	0.975(.223)	0.994(.225)	1.000(.225)
0.250	0.949(.246)	0.967(.248)	0.992(.250)	1.000(.250)
0.275	0.936(.270)	0.957(.272)	0.990(.274)	1.000(.275)
0.300	0.921(.293)	0.946(.295)	0.987(.299)	1.000(.300)
0.325	0.904(.316)	0.933(.319)	0.983(.324)	1.000(.325)
0.350	0.885(.338)	0.919(.342)	0.979(.348)	1.000(.350)
0.375	0.863(.360)	0.903(.365)	0.974(.373)	1.000(.375)
0.400	0.840(.381)	0.885(.387)	0.968(.397)	1.000(.400)
0.425	0.816(.402)	0.865(.409)	0.960(.421)	1.000(.425)
0.450	0.789(.422)	0.844(.431)	0.952(.445)	1.000(.450)
0.475	0.760(.442)	0.820(.451)	0.942(.469)	1.000(.475)
0.500	0.730(.460)	0.794(.471)	0.930(.492)	1.000(.500)
0.525	0.698(.478)	0.766(.491)	0.917(.515)	1.000(.525)
0.550	0.664(.495)	0.736(.510)	0.902(.538)	0.999(.550)
0.575	0.629(.511)	0.704(.528)	0.885(.560)	0.999(.575)
0.600	0.592(.526)	0.670(.545)	0.865(.582)	0.999(.600)
0.625	0.555(.541)	0.634(.561)	0.842(.603)	0.999(.625)
0.650	0.513(.554)	0.596(.577)	0.816(.624)	0.998(.650)
0.675	0.460(.566)	0.557(.591)	0.787(.644)	0.998(.675)
0.700	0.407(.577)	0.507(.604)	0.754(.663)	0.997(.700)
0.725	0.353(.587)	0.451(.616)	0.717(.682)	0.995(.725)
0.750	0.301(.595)	0.392(.627)	0.676(.699)	0.994(.749)
0.775	0.249(.602)	0.334(.636)	0.630(.715)	0.991(.774)
0.800	0.201(.607)	0.275(.643)	0.578(.731)	0.987(.799)
0.825	0.155(.612)	0.219(.650)	0.502(.744)	0.981(.824)
0.850	0.114(.615)	0.165(.654)	0.419(.756)	0.971(.848)
0.875	0.078(.617)	0.116(.658)	0.329(.765)	0.955(.872)
0.900	0.048(.619)	0.074(.660)	0.236(.772)	0.926(.896)
0.925	0.025(.620)	0.040(.662)	0.146(.777)	0.872(.918)
0.950	0.010(.620)	0.016(.662)	0.068(.779)	0.764(.938)
0.975	0.002(.621)	0.003(.663)	0.016(.780)	0.490(.954)
1.000	0.000(.621)	0.000(.663)	0.000(.781)	0.000(.960)

A-76

84

66-196
Phase 11
App A

*** RELATIVE ENERGY FLUX DENSITY IN THE PENUMBRA ***
 *** OF A DIFFUSE SKIRT WITH THE REFLECTANCE = 0. *** VERSION A

SOLAR FIELD ANGLE, D= 10.00 DEGREES
 GEOMETRY D1/D2 = 1.00

BETA = ANGLE OF INCIDENCE, DEGREES

BETA ***	-84.50	-80.00	-70.00	-60.00	-50.00
AX/AB	Q (QI)	Q (QI)	Q (QI)	Q (QI)	Q (QI)
0.	1.000(.)	1.000(.)	1.000(.)	1.000(.)	1.000(.)
0.025	0.635(.020)	0.990(.025)	0.998(.025)	0.999(.025)	0.999(.025)
0.050	0.317(.032)	0.956(.049)	0.989(.050)	0.993(.050)	0.995(.050)
0.075	0.166(.038)	0.902(.072)	0.973(.074)	0.983(.075)	0.987(.075)
0.100	0.093(.042)	0.836(.094)	0.950(.098)	0.967(.099)	0.974(.099)
0.125	0.055(.043)	0.763(.114)	0.920(.122)	0.946(.123)	0.957(.123)
0.150	0.034(.045)	0.689(.132)	0.885(.144)	0.921(.146)	0.936(.147)
0.175	0.022(.045)	0.615(.149)	0.845(.166)	0.891(.169)	0.910(.170)
0.200	0.015(.046)	0.546(.163)	0.801(.187)	0.857(.191)	0.881(.192)
0.225	0.010(.046)	0.481(.176)	0.755(.206)	0.820(.212)	0.849(.214)
0.250	0.007(.046)	0.422(.187)	0.708(.224)	0.780(.232)	0.813(.235)
0.275	0.005(.046)	0.367(.197)	0.659(.241)	0.739(.251)	0.776(.255)
0.300	0.004(.047)	0.319(.206)	0.610(.257)	0.696(.269)	0.736(.274)
0.325	0.003(.047)	0.276(.213)	0.562(.272)	0.651(.285)	0.695(.291)
0.350	0.002(.047)	0.237(.220)	0.515(.285)	0.606(.301)	0.652(.308)
0.375	0.001(.047)	0.203(.225)	0.468(.298)	0.562(.316)	0.609(.324)
0.400	0.001(.047)	0.173(.230)	0.424(.309)	0.517(.329)	0.565(.339)
0.425	0.001(.047)	0.147(.234)	0.381(.319)	0.473(.342)	0.522(.352)
0.450	0.001(.047)	0.124(.237)	0.341(.328)	0.430(.353)	0.479(.365)
0.475	0.000(.047)	0.105(.240)	0.303(.336)	0.389(.363)	0.436(.376)
0.500	0.000(.047)	0.088(.242)	0.267(.343)	0.349(.372)	0.395(.387)
0.525	0.000(.047)	0.073(.244)	0.234(.349)	0.310(.381)	0.355(.396)
0.550	0.000(.047)	0.060(.246)	0.203(.355)	0.274(.388)	0.316(.404)
0.575	0.000(.047)	0.049(.247)	0.175(.359)	0.240(.394)	0.279(.412)
0.600	0.000(.047)	0.040(.249)	0.149(.364)	0.208(.400)	0.244(.418)
0.625	0.000(.047)	0.032(.249)	0.126(.367)	0.178(.405)	0.211(.424)
0.650	0.000(.047)	0.026(.250)	0.105(.370)	0.151(.409)	0.180(.429)
0.675	0.000(.047)	0.020(.251)	0.086(.372)	0.126(.412)	0.152(.433)
0.700	0.000(.047)	0.016(.251)	0.070(.374)	0.104(.415)	0.126(.437)
0.725	0.000(.047)	0.012(.252)	0.056(.376)	0.084(.418)	0.103(.440)
0.750	0.000(.047)	0.009(.252)	0.043(.377)	0.067(.419)	0.082(.442)
0.775	0.000(.047)	0.007(.252)	0.033(.378)	0.051(.421)	0.064(.444)
0.800	0.000(.047)	0.005(.252)	0.024(.379)	0.038(.422)	0.048(.445)
0.825	0.000(.047)	0.003(.252)	0.017(.379)	0.027(.423)	0.035(.446)
0.850	0.000(.047)	0.002(.252)	0.011(.380)	0.019(.423)	0.024(.447)
0.875	0.000(.047)	0.001(.252)	0.007(.380)	0.012(.424)	0.015(.447)
0.900	0.000(.047)	0.001(.252)	0.004(.380)	0.007(.424)	0.009(.448)
0.925	0.000(.047)	0.000(.252)	0.002(.380)	0.003(.424)	0.004(.448)
0.950	0.000(.047)	0.000(.252)	0.001(.380)	0.001(.424)	0.002(.448)
0.975	0.000(.047)	0.000(.252)	0.000(.380)	0.000(.424)	0.000(.448)
1.000	0.000(.047)	0.000(.252)	0.000(.380)	0.000(.424)	0.000(.448)

RE-ORDER No. 66-196
 Phase 11

*** RELATIVE ENERGY FLUX DENSITY IN THE PENUMBRA ***
 *** OF A DIFFUSE SKIRT WITH THE REFLECTANCE = 0. *** VERSION A

SOLAR FIELD ANGLE, D= 10.00 DEGREES
 GEOMETRY D1/D2 = 1.00

BETA = ANGLE OF INCIDENCE, DEGREES

BETA ***	-40.00	-30.00	-20.00	-10.00	-0.
AX/AB	Q (QI)	Q (QI)	Q (QI)	Q (QI)	Q (QI)
0.	1.000(.)	1.000(.)	1.000(.)	1.000(.)	1.000(.)
0.025	0.999(.025)	0.999(.025)	0.999(.025)	0.999(.025)	0.999(.025)
0.050	0.996(.050)	0.996(.050)	0.997(.050)	0.997(.050)	0.997(.050)
0.075	0.989(.075)	0.990(.075)	0.991(.075)	0.992(.075)	0.992(.075)
0.100	0.978(.099)	0.980(.099)	0.982(.099)	0.983(.099)	0.985(.100)
0.125	0.963(.124)	0.967(.124)	0.970(.124)	0.972(.124)	0.974(.124)
0.150	0.944(.147)	0.949(.148)	0.954(.148)	0.957(.148)	0.960(.148)
0.175	0.921(.171)	0.929(.171)	0.934(.171)	0.939(.172)	0.943(.172)
0.200	0.895(.193)	0.904(.194)	0.912(.195)	0.918(.195)	0.923(.195)
0.225	0.865(.215)	0.877(.216)	0.886(.217)	0.893(.218)	0.900(.218)
0.250	0.833(.237)	0.846(.238)	0.857(.239)	0.866(.240)	0.873(.240)
0.275	0.798(.257)	0.813(.259)	0.825(.260)	0.835(.261)	0.844(.262)
0.300	0.761(.277)	0.778(.279)	0.791(.280)	0.803(.281)	0.813(.282)
0.325	0.721(.295)	0.740(.297)	0.755(.299)	0.768(.301)	0.779(.302)
0.350	0.681(.313)	0.701(.316)	0.717(.318)	0.731(.320)	0.743(.321)
0.375	0.639(.329)	0.660(.333)	0.677(.335)	0.692(.337)	0.706(.339)
0.400	0.596(.345)	0.619(.349)	0.637(.352)	0.652(.354)	0.666(.357)
0.425	0.553(.359)	0.576(.363)	0.595(.367)	0.611(.370)	0.626(.373)
0.450	0.510(.372)	0.534(.377)	0.552(.381)	0.569(.385)	0.584(.388)
0.475	0.468(.384)	0.491(.390)	0.510(.395)	0.527(.398)	0.542(.402)
0.500	0.426(.396)	0.449(.402)	0.467(.407)	0.484(.411)	0.500(.415)
0.525	0.384(.406)	0.407(.413)	0.425(.418)	0.442(.423)	0.457(.427)
0.550	0.344(.415)	0.366(.422)	0.384(.428)	0.400(.433)	0.415(.438)
0.575	0.306(.423)	0.327(.431)	0.344(.437)	0.359(.443)	0.374(.448)
0.600	0.269(.430)	0.288(.439)	0.305(.445)	0.319(.451)	0.333(.457)
0.625	0.234(.436)	0.252(.445)	0.267(.452)	0.281(.459)	0.294(.464)
0.650	0.201(.442)	0.218(.451)	0.232(.459)	0.244(.465)	0.256(.471)
0.675	0.171(.446)	0.185(.456)	0.198(.464)	0.209(.471)	0.221(.477)
0.700	0.143(.450)	0.155(.460)	0.167(.469)	0.177(.476)	0.187(.482)
0.725	0.117(.454)	0.128(.464)	0.138(.472)	0.147(.480)	0.155(.487)
0.750	0.094(.456)	0.103(.467)	0.111(.476)	0.119(.483)	0.126(.490)
0.775	0.073(.458)	0.081(.469)	0.088(.478)	0.094(.486)	0.100(.493)
0.800	0.056(.460)	0.062(.471)	0.067(.480)	0.072(.488)	0.077(.495)
0.825	0.040(.461)	0.045(.472)	0.049(.481)	0.053(.489)	0.057(.497)
0.850	0.028(.462)	0.031(.473)	0.034(.482)	0.037(.491)	0.040(.498)
0.875	0.018(.463)	0.020(.474)	0.022(.483)	0.024(.491)	0.026(.499)
0.900	0.010(.463)	0.012(.474)	0.013(.484)	0.014(.492)	0.015(.499)
0.925	0.005(.463)	0.006(.475)	0.006(.484)	0.007(.492)	0.008(.500)
0.950	0.002(.463)	0.002(.475)	0.002(.484)	0.003(.492)	0.003(.500)
0.975	0.000(.463)	0.000(.475)	0.000(.484)	0.000(.492)	0.001(.500)
1.000	0.000(.463)	0.000(.475)	0.000(.484)	0.000(.492)	0.000(.500)

RE-ORDER NO. 66-196
App. II Phase II

*** RELATIVE ENERGY FLUX DENSITY IN THE PENUMBRA ***
 *** OF A DIFFUSE SKIRT WITH THE REFLECTANCE = 0. ***

VERSION A

SOLAR FIELD ANGLE, D = 10.00 DEGREES
 GEOMETRY D1/D2 = 1.00

BETA = ANGLE OF INCIDENCE, DEGREES

BETA ***	10.00	20.00	30.00	40.00	50.00
AX/AB	Q (QI)	Q (QI)	Q (QI)	Q (QI)	Q (QI)
0.	1.000(.)	1.000(.)	1.000(.)	1.000(.)	1.000(.)
0.025	1.000(.025)	1.000(.025)	1.000(.025)	1.000(.025)	1.000(.025)
0.050	0.997(.050)	0.998(.050)	0.998(.050)	0.998(.050)	0.998(.050)
0.075	0.993(.075)	0.994(.075)	0.994(.075)	0.995(.075)	0.996(.075)
0.100	0.986(.100)	0.987(.100)	0.988(.100)	0.990(.100)	0.991(.100)
0.125	0.975(.124)	0.978(.124)	0.980(.124)	0.982(.124)	0.985(.124)
0.150	0.963(.148)	0.966(.148)	0.969(.149)	0.972(.149)	0.976(.149)
0.175	0.947(.172)	0.951(.172)	0.955(.173)	0.959(.173)	0.965(.173)
0.200	0.928(.196)	0.933(.196)	0.938(.196)	0.944(.197)	0.952(.197)
0.225	0.906(.219)	0.912(.219)	0.919(.220)	0.926(.220)	0.936(.221)
0.250	0.881(.241)	0.888(.242)	0.897(.242)	0.906(.243)	0.918(.244)
0.275	0.853(.263)	0.862(.263)	0.872(.264)	0.883(.265)	0.897(.267)
0.300	0.823(.284)	0.833(.285)	0.844(.286)	0.857(.287)	0.873(.289)
0.325	0.790(.304)	0.802(.305)	0.814(.306)	0.829(.308)	0.848(.310)
0.350	0.755(.323)	0.768(.325)	0.782(.326)	0.798(.329)	0.819(.331)
0.375	0.719(.341)	0.732(.343)	0.748(.346)	0.766(.348)	0.789(.351)
0.400	0.680(.359)	0.695(.361)	0.711(.364)	0.731(.367)	0.756(.370)
0.425	0.640(.375)	0.656(.378)	0.673(.381)	0.694(.385)	0.721(.389)
0.450	0.599(.391)	0.616(.394)	0.634(.397)	0.655(.401)	0.684(.406)
0.475	0.558(.405)	0.574(.409)	0.593(.413)	0.615(.417)	0.645(.423)
0.500	0.515(.419)	0.532(.423)	0.551(.427)	0.574(.432)	0.605(.439)
0.525	0.473(.431)	0.490(.435)	0.509(.440)	0.532(.446)	0.563(.453)
0.550	0.431(.442)	0.447(.447)	0.466(.452)	0.489(.459)	0.521(.467)
0.575	0.389(.453)	0.405(.458)	0.423(.464)	0.446(.470)	0.478(.479)
0.600	0.348(.462)	0.363(.467)	0.381(.474)	0.403(.481)	0.434(.491)
0.625	0.308(.470)	0.322(.476)	0.339(.483)	0.361(.491)	0.391(.501)
0.650	0.269(.477)	0.283(.484)	0.299(.491)	0.319(.499)	0.347(.510)
0.675	0.232(.484)	0.245(.490)	0.259(.498)	0.278(.507)	0.305(.518)
0.700	0.197(.489)	0.208(.496)	0.222(.504)	0.239(.513)	0.264(.526)
0.725	0.164(.493)	0.174(.501)	0.186(.509)	0.202(.519)	0.224(.532)
0.750	0.134(.497)	0.143(.505)	0.153(.513)	0.167(.523)	0.186(.537)
0.775	0.107(.500)	0.114(.508)	0.123(.516)	0.134(.527)	0.151(.541)
0.800	0.082(.503)	0.088(.510)	0.095(.519)	0.105(.530)	0.119(.544)
0.825	0.061(.504)	0.066(.512)	0.071(.521)	0.079(.532)	0.090(.547)
0.850	0.043(.506)	0.046(.514)	0.050(.523)	0.056(.534)	0.064(.549)
0.875	0.028(.507)	0.030(.515)	0.033(.524)	0.037(.535)	0.043(.550)
0.900	0.017(.507)	0.018(.515)	0.020(.524)	0.022(.536)	0.026(.551)
0.925	0.008(.507)	0.009(.516)	0.010(.525)	0.011(.536)	0.013(.552)
0.950	0.003(.508)	0.003(.516)	0.004(.525)	0.004(.536)	0.005(.552)
0.975	0.001(.508)	0.001(.516)	0.001(.525)	0.001(.536)	0.001(.552)
1.000	0.000(.508)	0.000(.516)	0.000(.525)	0.000(.537)	0.000(.552)

A-79

87

66-196
Phase II

*** RELATIVE ENERGY FLUX DENSITY IN THE PENUMBRA ***
 *** OF A DIFFUSE SKIRT WITH THE REFLECTANCE = 0. ***

VERSION A

SOLAR FIELD ANGLE, D= 10.00 DEGREES
 GEOMETRY D1/D2 = 1.00

BETA = ANGLE OF INCIDENCE, DEGREES

BETA ***	60.00	70.00	80.00	84.50
AX/AB	Q (QI)	Q (QI)	Q (QI)	Q (QI)
0.	1.000(.)	1.000(.)	1.000(.)	1.000(.)
0.025	1.000(.025)	1.000(.025)	1.000(.025)	1.000(.025)
0.050	0.999(.050)	0.999(.050)	1.000(.050)	1.000(.050)
0.075	0.997(.075)	0.998(.075)	1.000(.075)	1.000(.075)
0.100	0.993(.100)	0.996(.100)	0.999(.100)	1.000(.100)
0.125	0.988(.125)	0.993(.125)	0.999(.125)	1.000(.125)
0.150	0.981(.149)	0.988(.150)	0.998(.150)	1.000(.150)
0.175	0.972(.174)	0.983(.174)	0.997(.175)	1.000(.175)
0.200	0.962(.198)	0.976(.199)	0.995(.200)	1.000(.200)
0.225	0.949(.222)	0.967(.223)	0.993(.225)	1.000(.225)
0.250	0.933(.245)	0.957(.247)	0.991(.249)	1.000(.250)
0.275	0.916(.268)	0.944(.271)	0.988(.274)	1.000(.275)
0.300	0.896(.291)	0.930(.294)	0.984(.299)	1.000(.300)
0.325	0.873(.313)	0.914(.317)	0.980(.323)	1.000(.325)
0.350	0.848(.335)	0.895(.340)	0.974(.348)	1.000(.350)
0.375	0.821(.355)	0.874(.362)	0.967(.372)	1.000(.375)
0.400	0.792(.376)	0.851(.383)	0.960(.396)	1.000(.400)
0.425	0.760(.395)	0.825(.404)	0.950(.420)	1.000(.425)
0.450	0.725(.414)	0.797(.425)	0.940(.444)	1.000(.450)
0.475	0.689(.431)	0.766(.444)	0.927(.467)	1.000(.475)
0.500	0.651(.448)	0.733(.463)	0.912(.490)	1.000(.500)
0.525	0.611(.464)	0.697(.481)	0.895(.513)	1.000(.525)
0.550	0.569(.479)	0.659(.498)	0.875(.535)	0.999(.550)
0.575	0.526(.492)	0.618(.514)	0.853(.556)	0.999(.575)
0.600	0.483(.505)	0.576(.529)	0.826(.577)	0.999(.600)
0.625	0.438(.516)	0.531(.542)	0.797(.598)	0.998(.625)
0.650	0.393(.527)	0.485(.555)	0.763(.617)	0.998(.650)
0.675	0.348(.536)	0.438(.567)	0.724(.636)	0.997(.675)
0.700	0.304(.544)	0.389(.577)	0.681(.653)	0.996(.700)
0.725	0.261(.551)	0.340(.586)	0.632(.670)	0.995(.725)
0.750	0.219(.557)	0.292(.594)	0.578(.685)	0.993(.749)
0.775	0.180(.562)	0.244(.601)	0.518(.698)	0.990(.774)
0.800	0.143(.566)	0.198(.606)	0.454(.711)	0.985(.799)
0.825	0.109(.569)	0.155(.611)	0.384(.721)	0.978(.823)
0.850	0.079(.572)	0.115(.614)	0.311(.730)	0.965(.848)
0.875	0.053(.573)	0.080(.617)	0.237(.737)	0.945(.872)
0.900	0.033(.574)	0.050(.618)	0.164(.742)	0.907(.895)
0.925	0.017(.575)	0.027(.619)	0.097(.745)	0.834(.916)
0.950	0.007(.575)	0.011(.620)	0.044(.747)	0.682(.935)
0.975	0.001(.575)	0.002(.620)	0.010(.747)	0.364(.949)
1.000	0.000(.575)	0.000(.620)	0.000(.747)	0.000(.953)

*** END OF DIFFUSE SKIRT CASE, REFLECTANCE = 0. ***

RE-ORDER NO. '66-196
App A - Phasell

VERSION B

VERSION B

RECORDED NO. 66-196
 EXP. 1-10-66
 VERSION B

*** RELATIVE ENERGY FLUX DENSITY IN THE PENUMBRA ***
 *** OF A DIFFUSE SKIRT WITH THE REFLECTANCE = 0. ***

SOLAR FIELD ANGLE, D = 0.50 DEGREES
 GEOMETRY D1/D2 = 0.

BETA = ANGLE OF INCIDENCE, DEGREES

BETA ***	-89.25	-80.00	-70.00	-60.00	-50.00
AX/AB	Q (QI)	Q (QI)	Q (QI)	Q (QI)	Q (QI)
0.	1.000(.)	1.000(.)	1.000(.)	1.000(.)	1.000(.)
0.025	0.996(.025)	0.998(.025)	0.998(.025)	0.998(.025)	0.998(.025)
0.050	0.990(.050)	0.995(.050)	0.995(.050)	0.995(.050)	0.995(.050)
0.075	0.981(.074)	0.990(.075)	0.990(.075)	0.990(.075)	0.990(.075)
0.100	0.972(.099)	0.984(.099)	0.985(.099)	0.985(.099)	0.985(.099)
0.125	0.961(.123)	0.978(.124)	0.979(.124)	0.979(.124)	0.979(.124)
0.150	0.949(.147)	0.971(.148)	0.972(.148)	0.972(.148)	0.972(.148)
0.175	0.936(.170)	0.963(.172)	0.964(.173)	0.965(.173)	0.965(.173)
0.200	0.922(.194)	0.955(.196)	0.956(.197)	0.956(.197)	0.957(.197)
0.225	0.908(.217)	0.946(.220)	0.947(.220)	0.948(.220)	0.948(.220)
0.250	0.894(.239)	0.936(.244)	0.938(.244)	0.938(.244)	0.939(.244)
0.275	0.878(.261)	0.926(.267)	0.928(.267)	0.929(.267)	0.929(.267)
0.300	0.863(.283)	0.916(.290)	0.918(.290)	0.918(.290)	0.919(.290)
0.325	0.847(.304)	0.905(.313)	0.907(.313)	0.907(.313)	0.908(.313)
0.350	0.831(.325)	0.893(.335)	0.895(.336)	0.896(.336)	0.897(.336)
0.375	0.815(.346)	0.881(.357)	0.884(.358)	0.884(.358)	0.885(.358)
0.400	0.799(.366)	0.869(.379)	0.871(.380)	0.872(.380)	0.873(.380)
0.425	0.783(.386)	0.856(.401)	0.859(.401)	0.860(.402)	0.860(.402)
0.450	0.766(.405)	0.843(.422)	0.846(.423)	0.847(.423)	0.847(.423)
0.475	0.750(.424)	0.829(.443)	0.832(.444)	0.833(.444)	0.834(.444)
0.500	0.733(.443)	0.815(.464)	0.819(.464)	0.820(.465)	0.820(.465)
0.525	0.717(.461)	0.801(.484)	0.805(.485)	0.806(.485)	0.806(.485)
0.550	0.701(.479)	0.787(.504)	0.790(.505)	0.791(.505)	0.792(.505)
0.575	0.684(.496)	0.772(.523)	0.775(.524)	0.777(.524)	0.777(.525)
0.600	0.668(.513)	0.757(.542)	0.760(.543)	0.762(.544)	0.762(.544)
0.625	0.652(.529)	0.741(.561)	0.745(.562)	0.747(.563)	0.747(.563)
0.650	0.636(.545)	0.726(.579)	0.730(.581)	0.731(.581)	0.732(.581)
0.675	0.620(.561)	0.710(.597)	0.714(.599)	0.715(.599)	0.716(.599)
0.700	0.605(.576)	0.694(.615)	0.698(.616)	0.700(.617)	0.700(.617)
0.725	0.589(.591)	0.678(.632)	0.682(.634)	0.683(.634)	0.684(.634)
0.750	0.574(.606)	0.662(.649)	0.666(.650)	0.667(.651)	0.668(.651)
0.775	0.559(.620)	0.646(.665)	0.649(.667)	0.651(.667)	0.652(.668)
0.800	0.544(.634)	0.629(.681)	0.633(.683)	0.634(.684)	0.635(.684)
0.825	0.529(.647)	0.613(.696)	0.616(.698)	0.618(.699)	0.618(.700)
0.850	0.515(.660)	0.596(.712)	0.599(.714)	0.601(.714)	0.601(.715)
0.875	0.500(.673)	0.579(.726)	0.583(.728)	0.584(.729)	0.584(.730)
0.900	0.486(.685)	0.562(.741)	0.566(.743)	0.567(.744)	0.567(.744)
0.925	0.473(.697)	0.546(.754)	0.549(.757)	0.550(.758)	0.550(.758)
0.950	0.459(.709)	0.529(.768)	0.532(.770)	0.533(.771)	0.533(.772)
0.975	0.446(.720)	0.512(.781)	0.515(.783)	0.516(.784)	0.516(.785)
1.000	0.433(.731)	0.495(.793)	0.498(.796)	0.498(.797)	0.499(.797)

*** RELATIVE ENERGY FLUX DENSITY IN THE PENUMBRA ***
 *** OF A DIFFUSE SKIRT WITH THE REFLECTANCE = 0. ***

66-196
 Appendix - Phase II
 VERSION B

SOLAR FIELD ANGLE, D= 0.50 DEGREES
 GEOMETRY D1/D2 = 0.

BETA = ANGLE OF INCIDENCE, DEGREES

BETA ***	-40.00	-30.00	-20.00	-10.00	-0.
AX/AB	Q (QI)	Q (QI)	Q (QI)	Q (QI)	Q (QI)
0.	1.000(.)	1.000(.)	1.000(.)	1.000(.)	1.000(.)
0.025	0.998(.025)	0.998(.025)	0.998(.025)	0.998(.025)	0.998(.025)
0.050	0.995(.050)	0.995(.050)	0.995(.050)	0.995(.050)	0.995(.050)
0.075	0.990(.075)	0.990(.075)	0.990(.075)	0.990(.075)	0.991(.075)
0.100	0.985(.099)	0.985(.099)	0.985(.099)	0.985(.099)	0.985(.099)
0.125	0.979(.124)	0.979(.124)	0.979(.124)	0.979(.124)	0.979(.124)
0.150	0.972(.148)	0.972(.148)	0.972(.148)	0.972(.148)	0.973(.148)
0.175	0.965(.173)	0.965(.173)	0.965(.173)	0.965(.173)	0.965(.173)
0.200	0.957(.197)	0.957(.197)	0.957(.197)	0.957(.197)	0.957(.197)
0.225	0.948(.220)	0.948(.220)	0.948(.220)	0.948(.220)	0.949(.220)
0.250	0.939(.244)	0.939(.244)	0.939(.244)	0.939(.244)	0.939(.244)
0.275	0.929(.267)	0.929(.267)	0.929(.267)	0.930(.267)	0.930(.267)
0.300	0.919(.290)	0.919(.290)	0.919(.290)	0.919(.290)	0.919(.291)
0.325	0.908(.313)	0.908(.313)	0.908(.313)	0.909(.313)	0.909(.313)
0.350	0.897(.336)	0.897(.336)	0.897(.336)	0.897(.336)	0.898(.336)
0.375	0.885(.358)	0.885(.358)	0.886(.358)	0.886(.358)	0.886(.358)
0.400	0.873(.380)	0.873(.380)	0.874(.380)	0.874(.380)	0.874(.380)
0.425	0.861(.402)	0.861(.402)	0.861(.402)	0.861(.402)	0.861(.402)
0.450	0.848(.423)	0.848(.423)	0.848(.423)	0.848(.423)	0.849(.423)
0.475	0.834(.444)	0.835(.444)	0.835(.444)	0.835(.444)	0.835(.444)
0.500	0.821(.465)	0.821(.465)	0.821(.465)	0.822(.465)	0.822(.465)
0.525	0.807(.485)	0.807(.485)	0.807(.485)	0.808(.485)	0.808(.485)
0.550	0.792(.505)	0.793(.505)	0.793(.505)	0.793(.505)	0.793(.505)
0.575	0.778(.525)	0.778(.525)	0.778(.525)	0.779(.525)	0.779(.525)
0.600	0.763(.544)	0.763(.544)	0.764(.544)	0.764(.544)	0.764(.544)
0.625	0.748(.563)	0.748(.563)	0.748(.563)	0.749(.563)	0.749(.563)
0.650	0.732(.581)	0.733(.582)	0.733(.582)	0.733(.582)	0.733(.582)
0.675	0.717(.600)	0.717(.600)	0.717(.600)	0.718(.600)	0.718(.600)
0.700	0.701(.617)	0.701(.617)	0.701(.618)	0.702(.618)	0.702(.618)
0.725	0.685(.635)	0.685(.635)	0.685(.635)	0.686(.635)	0.686(.635)
0.750	0.668(.652)	0.669(.652)	0.669(.652)	0.669(.652)	0.670(.652)
0.775	0.652(.668)	0.652(.668)	0.653(.668)	0.653(.668)	0.653(.669)
0.800	0.635(.684)	0.636(.684)	0.636(.684)	0.636(.685)	0.636(.685)
0.825	0.619(.700)	0.619(.700)	0.619(.700)	0.619(.700)	0.620(.700)
0.850	0.602(.715)	0.602(.715)	0.602(.715)	0.603(.716)	0.603(.716)
0.875	0.585(.730)	0.585(.730)	0.585(.730)	0.586(.730)	0.586(.730)
0.900	0.568(.744)	0.568(.744)	0.568(.745)	0.569(.745)	0.569(.745)
0.925	0.551(.758)	0.551(.758)	0.551(.759)	0.551(.759)	0.552(.759)
0.950	0.534(.772)	0.534(.772)	0.534(.772)	0.534(.772)	0.534(.773)
0.975	0.516(.785)	0.517(.785)	0.517(.785)	0.517(.786)	0.517(.786)
1.000	0.499(.798)	0.499(.798)	0.500(.798)	0.500(.798)	0.500(.798)

*** RELATIVE ENERGY FLUX DENSITY IN THE PENUMBRA ***
 *** OF A DIFFUSE SKIRT WITH THE REFLECTANCE = 0. ***
 SOLAR FIELD ANGLE, $D = 0.50$ DEGREES
 GEOMETRY $D1/D2 = 0$.

66-196
 Phase II
 VERSION B

BETA = ANGLE OF INCIDENCE, DEGREES

BETA ***	10.00	20.00	30.00	40.00	50.00
AX/AB	Q (QI)	Q (QI)	Q (QI)	Q (QI)	Q (QI)
0.	1.000(.)	1.000(.)	1.000(.)	1.000(.)	1.000(.)
0.025	0.998(.025)	0.998(.025)	0.998(.025)	0.998(.025)	0.998(.025)
0.050	0.995(.050)	0.995(.050)	0.995(.050)	0.995(.050)	0.995(.050)
0.075	0.991(.075)	0.991(.075)	0.991(.075)	0.991(.075)	0.991(.075)
0.100	0.985(.099)	0.985(.099)	0.985(.099)	0.985(.099)	0.985(.099)
0.125	0.979(.124)	0.979(.124)	0.979(.124)	0.979(.124)	0.979(.124)
0.150	0.973(.148)	0.973(.148)	0.973(.148)	0.973(.148)	0.973(.148)
0.175	0.965(.173)	0.965(.173)	0.965(.173)	0.965(.173)	0.965(.173)
0.200	0.957(.197)	0.957(.197)	0.957(.197)	0.957(.197)	0.957(.197)
0.225	0.949(.220)	0.949(.220)	0.949(.220)	0.949(.220)	0.949(.220)
0.250	0.939(.244)	0.940(.244)	0.940(.244)	0.940(.244)	0.940(.244)
0.275	0.930(.267)	0.930(.267)	0.930(.267)	0.930(.267)	0.930(.267)
0.300	0.920(.291)	0.920(.291)	0.920(.291)	0.920(.291)	0.920(.291)
0.325	0.909(.313)	0.909(.313)	0.909(.313)	0.909(.313)	0.909(.313)
0.350	0.898(.336)	0.898(.336)	0.898(.336)	0.898(.336)	0.898(.336)
0.375	0.886(.358)	0.886(.358)	0.886(.358)	0.887(.358)	0.887(.358)
0.400	0.874(.380)	0.874(.380)	0.874(.380)	0.875(.380)	0.875(.380)
0.425	0.862(.402)	0.862(.402)	0.862(.402)	0.862(.402)	0.863(.402)
0.450	0.849(.423)	0.849(.423)	0.849(.423)	0.849(.423)	0.850(.424)
0.475	0.836(.444)	0.836(.444)	0.836(.444)	0.836(.444)	0.837(.445)
0.500	0.822(.465)	0.822(.465)	0.822(.465)	0.823(.465)	0.823(.465)
0.525	0.808(.485)	0.808(.486)	0.808(.486)	0.809(.486)	0.809(.486)
0.550	0.794(.506)	0.794(.506)	0.794(.506)	0.795(.506)	0.795(.506)
0.575	0.779(.525)	0.779(.525)	0.779(.525)	0.780(.525)	0.780(.525)
0.600	0.764(.544)	0.764(.545)	0.764(.545)	0.765(.545)	0.765(.545)
0.625	0.749(.563)	0.749(.563)	0.749(.563)	0.750(.564)	0.750(.564)
0.650	0.734(.582)	0.734(.582)	0.734(.582)	0.735(.582)	0.735(.582)
0.675	0.718(.600)	0.718(.600)	0.718(.600)	0.719(.600)	0.719(.600)
0.700	0.702(.618)	0.702(.618)	0.702(.618)	0.703(.618)	0.703(.618)
0.725	0.686(.635)	0.686(.635)	0.686(.635)	0.687(.635)	0.687(.635)
0.750	0.670(.652)	0.670(.652)	0.670(.652)	0.671(.652)	0.671(.652)
0.775	0.653(.669)	0.654(.669)	0.654(.669)	0.654(.669)	0.655(.669)
0.800	0.637(.685)	0.637(.685)	0.637(.685)	0.638(.685)	0.638(.685)
0.825	0.620(.700)	0.620(.701)	0.620(.701)	0.621(.701)	0.621(.701)
0.850	0.603(.716)	0.603(.716)	0.603(.716)	0.604(.716)	0.604(.716)
0.875	0.586(.731)	0.586(.731)	0.586(.731)	0.587(.731)	0.587(.731)
0.900	0.569(.745)	0.569(.745)	0.569(.745)	0.570(.746)	0.570(.746)
0.925	0.552(.759)	0.552(.759)	0.552(.759)	0.553(.760)	0.553(.760)
0.950	0.535(.773)	0.535(.773)	0.535(.773)	0.535(.773)	0.536(.773)
0.975	0.517(.786)	0.518(.786)	0.518(.786)	0.518(.786)	0.518(.787)
1.000	0.500(.799)	0.500(.799)	0.501(.799)	0.501(.799)	0.501(.799)

66-196
 App A - Phase II
 VERSION B

*** RELATIVE ENERGY FLUX DENSITY IN THE PENUMBRA ***
 *** OF A DIFFUSE SKIRT WITH THE REFLECTANCE = 0. ***

SOLAR FIELD ANGLE, D= 0.50 DEGREES
 GEOMETRY D1/D2 = 0.

BETA = ANGLE OF INCIDENCE, DEGREES

BETA ***	60.00	70.00	80.00	89.25
AX/AB	Q (Q1)	Q (Q1)	Q (Q1)	Q (Q1)
0.	1.000(.)	1.000(.)	1.000(.)	1.000(.)
0.025	0.998(.025)	0.998(.025)	0.998(.025)	0.999(.025)
0.050	0.995(.050)	0.995(.050)	0.995(.050)	0.998(.050)
0.075	0.991(.075)	0.991(.075)	0.991(.075)	0.996(.075)
0.100	0.986(.099)	0.986(.099)	0.986(.099)	0.994(.100)
0.125	0.980(.124)	0.980(.124)	0.980(.124)	0.992(.125)
0.150	0.973(.148)	0.973(.148)	0.974(.148)	0.989(.149)
0.175	0.966(.173)	0.966(.173)	0.967(.173)	0.986(.174)
0.200	0.958(.197)	0.958(.197)	0.959(.197)	0.982(.199)
0.225	0.949(.221)	0.950(.221)	0.951(.221)	0.978(.223)
0.250	0.940(.244)	0.941(.244)	0.942(.244)	0.974(.248)
0.275	0.931(.268)	0.931(.268)	0.933(.268)	0.969(.272)
0.300	0.921(.291)	0.921(.291)	0.923(.291)	0.964(.296)
0.325	0.910(.314)	0.911(.314)	0.913(.314)	0.958(.320)
0.350	0.899(.336)	0.900(.336)	0.902(.337)	0.952(.344)
0.375	0.887(.358)	0.888(.359)	0.891(.359)	0.946(.368)
0.400	0.876(.381)	0.876(.381)	0.879(.381)	0.939(.391)
0.425	0.863(.402)	0.864(.402)	0.867(.403)	0.931(.415)
0.450	0.850(.424)	0.851(.424)	0.854(.425)	0.923(.438)
0.475	0.837(.445)	0.838(.445)	0.842(.446)	0.915(.461)
0.500	0.824(.466)	0.825(.466)	0.828(.467)	0.906(.484)
0.525	0.810(.486)	0.811(.486)	0.814(.487)	0.896(.506)
0.550	0.796(.506)	0.797(.506)	0.800(.507)	0.886(.528)
0.575	0.781(.526)	0.782(.526)	0.786(.527)	0.875(.550)
0.600	0.766(.545)	0.768(.545)	0.771(.547)	0.863(.572)
0.625	0.751(.564)	0.752(.564)	0.756(.566)	0.851(.593)
0.650	0.736(.583)	0.737(.583)	0.741(.584)	0.838(.615)
0.675	0.720(.601)	0.721(.601)	0.725(.603)	0.824(.635)
0.700	0.704(.619)	0.706(.619)	0.709(.621)	0.809(.656)
0.725	0.688(.636)	0.689(.637)	0.693(.638)	0.794(.676)
0.750	0.672(.653)	0.673(.654)	0.677(.655)	0.778(.695)
0.775	0.655(.670)	0.657(.670)	0.661(.672)	0.761(.715)
0.800	0.639(.686)	0.640(.686)	0.644(.688)	0.743(.734)
0.825	0.622(.702)	0.623(.702)	0.627(.704)	0.725(.752)
0.850	0.605(.717)	0.606(.718)	0.610(.720)	0.705(.770)
0.875	0.588(.732)	0.589(.733)	0.593(.735)	0.684(.787)
0.900	0.571(.746)	0.572(.747)	0.575(.749)	0.663(.804)
0.925	0.554(.760)	0.555(.761)	0.558(.763)	0.640(.820)
0.950	0.536(.774)	0.537(.775)	0.540(.777)	0.617(.836)
0.975	0.519(.787)	0.520(.788)	0.523(.791)	0.593(.851)
1.000	0.502(.800)	0.502(.801)	0.505(.803)	0.567(.866)

*** RELATIVE ENERGY FLUX DENSITY IN THE PENUMBRA ***
 *** OF A DIFFUSE SKIRT WITH THE REFLECTANCE = 0. ***

66-196
 Copy - Show 11
 VERSION B

SOLAR FIELD ANGLE, D = 0.50 DEGREES
 GEOMETRY D1/D2 = 0.25

BETA = ANGLE OF INCIDENCE, DEGREES

BETA ***	-89.25	-80.00	-70.00	-60.00	-50.00
AX/AB	Q (QI)	Q (QI)	Q (QI)	Q (QI)	Q (QI)
0.	1.000(.)	1.000(.)	1.000(.)	1.000(.)	1.000(.)
0.025	0.993(.025)	0.997(.025)	0.997(.025)	0.997(.025)	0.997(.025)
0.050	0.981(.050)	0.992(.050)	0.993(.050)	0.993(.050)	0.993(.050)
0.075	0.966(.074)	0.986(.075)	0.986(.075)	0.986(.075)	0.986(.075)
0.100	0.949(.098)	0.978(.099)	0.979(.099)	0.979(.099)	0.979(.099)
0.125	0.929(.121)	0.969(.123)	0.970(.123)	0.970(.124)	0.970(.124)
0.150	0.908(.144)	0.958(.148)	0.960(.148)	0.960(.148)	0.961(.148)
0.175	0.886(.167)	0.947(.171)	0.949(.171)	0.950(.172)	0.950(.172)
0.200	0.863(.189)	0.935(.195)	0.937(.195)	0.938(.195)	0.939(.195)
0.225	0.839(.210)	0.922(.218)	0.925(.218)	0.926(.218)	0.926(.218)
0.250	0.815(.231)	0.909(.241)	0.912(.241)	0.913(.241)	0.913(.241)
0.275	0.791(.251)	0.894(.264)	0.897(.264)	0.899(.264)	0.899(.264)
0.300	0.766(.270)	0.879(.286)	0.883(.286)	0.884(.286)	0.885(.286)
0.325	0.742(.289)	0.863(.307)	0.867(.308)	0.869(.308)	0.869(.308)
0.350	0.717(.307)	0.847(.329)	0.851(.330)	0.853(.330)	0.853(.330)
0.375	0.692(.325)	0.830(.350)	0.834(.351)	0.836(.351)	0.837(.351)
0.400	0.668(.342)	0.812(.370)	0.817(.371)	0.819(.372)	0.820(.372)
0.425	0.644(.358)	0.794(.390)	0.799(.391)	0.801(.392)	0.802(.392)
0.450	0.620(.374)	0.776(.410)	0.781(.411)	0.783(.412)	0.784(.412)
0.475	0.597(.389)	0.757(.429)	0.763(.430)	0.764(.431)	0.766(.431)
0.500	0.574(.404)	0.738(.448)	0.743(.449)	0.745(.450)	0.747(.450)
0.525	0.551(.418)	0.718(.466)	0.724(.468)	0.726(.468)	0.727(.468)
0.550	0.529(.431)	0.698(.484)	0.704(.486)	0.706(.486)	0.707(.486)
0.575	0.508(.444)	0.678(.501)	0.684(.503)	0.686(.503)	0.687(.504)
0.600	0.486(.457)	0.657(.518)	0.664(.520)	0.666(.520)	0.667(.521)
0.625	0.466(.469)	0.636(.534)	0.643(.536)	0.645(.537)	0.646(.537)
0.650	0.446(.480)	0.615(.549)	0.622(.552)	0.624(.553)	0.625(.553)
0.675	0.407(.491)	0.594(.565)	0.601(.567)	0.603(.568)	0.604(.568)
0.700	0.337(.500)	0.573(.579)	0.580(.582)	0.582(.583)	0.583(.583)
0.725	0.276(.508)	0.552(.593)	0.558(.596)	0.561(.597)	0.562(.598)
0.750	0.222(.514)	0.531(.607)	0.537(.610)	0.539(.611)	0.540(.611)
0.775	0.176(.519)	0.509(.620)	0.516(.623)	0.518(.624)	0.519(.625)
0.800	0.137(.523)	0.468(.632)	0.484(.635)	0.490(.637)	0.493(.637)
0.825	0.104(.526)	0.384(.643)	0.400(.647)	0.405(.648)	0.408(.649)
0.850	0.077(.528)	0.304(.651)	0.318(.655)	0.322(.657)	0.325(.658)
0.875	0.054(.530)	0.229(.658)	0.240(.662)	0.244(.664)	0.246(.665)
0.900	0.036(.531)	0.161(.663)	0.170(.668)	0.173(.669)	0.175(.670)
0.925	0.022(.532)	0.103(.666)	0.108(.671)	0.110(.673)	0.112(.674)
0.950	0.011(.532)	0.054(.668)	0.057(.673)	0.059(.675)	0.059(.676)
0.975	0.004(.532)	0.018(.669)	0.020(.674)	0.020(.676)	0.020(.677)
1.000	0.000(.532)	0.000(.669)	0.000(.674)	0.000(.676)	0.000(.677)

RECORDED No 66-196
 app 1 - Phase II
 VERSION B

*** RELATIVE ENERGY FLUX DENSITY IN THE PENUMBRA ***
 *** OF A DIFFUSE SKIRT WITH THE REFLECTANCE = 0. ***

SOLAR FIELD ANGLE, D= 0.50 DEGREES
 GEOMETRY D1/D2 = 0.25

BETA = ANGLE OF INCIDENCE, DEGREES

BETA ***	-40.00	-30.00	-20.00	-10.00	-0.
AX/AB	Q (QI)	Q (QI)	Q (QI)	Q (QI)	Q (QI)
0.	1.000(.)	1.000(.)	1.000(.)	1.000(.)	1.000(.)
0.025	0.997(.025)	0.997(.025)	0.997(.025)	0.997(.025)	0.997(.025)
0.050	0.993(.050)	0.993(.050)	0.993(.050)	0.993(.050)	0.993(.050)
0.075	0.987(.075)	0.987(.075)	0.987(.075)	0.987(.075)	0.987(.075)
0.100	0.979(.099)	0.979(.099)	0.979(.099)	0.979(.099)	0.979(.099)
0.125	0.970(.124)	0.971(.124)	0.971(.124)	0.971(.124)	0.971(.124)
0.150	0.961(.148)	0.961(.148)	0.961(.148)	0.961(.148)	0.961(.148)
0.175	0.950(.172)	0.950(.172)	0.951(.172)	0.951(.172)	0.951(.172)
0.200	0.939(.195)	0.939(.195)	0.939(.195)	0.939(.195)	0.939(.195)
0.225	0.926(.218)	0.927(.219)	0.927(.219)	0.927(.219)	0.927(.219)
0.250	0.913(.241)	0.914(.242)	0.914(.242)	0.914(.242)	0.914(.242)
0.275	0.900(.264)	0.900(.264)	0.900(.264)	0.900(.264)	0.900(.264)
0.300	0.885(.286)	0.885(.286)	0.886(.287)	0.886(.287)	0.886(.287)
0.325	0.870(.308)	0.870(.308)	0.870(.308)	0.871(.309)	0.871(.309)
0.350	0.854(.330)	0.854(.330)	0.855(.330)	0.855(.330)	0.855(.330)
0.375	0.837(.351)	0.838(.351)	0.838(.351)	0.838(.351)	0.839(.351)
0.400	0.820(.372)	0.821(.372)	0.821(.372)	0.821(.372)	0.822(.372)
0.425	0.803(.392)	0.803(.392)	0.804(.392)	0.804(.392)	0.804(.392)
0.450	0.785(.412)	0.785(.412)	0.786(.412)	0.786(.412)	0.786(.412)
0.475	0.766(.431)	0.767(.431)	0.767(.432)	0.767(.432)	0.768(.432)
0.500	0.747(.450)	0.748(.450)	0.748(.450)	0.749(.451)	0.749(.451)
0.525	0.728(.469)	0.728(.469)	0.729(.469)	0.729(.469)	0.730(.469)
0.550	0.708(.487)	0.709(.487)	0.709(.487)	0.709(.487)	0.710(.487)
0.575	0.688(.504)	0.689(.504)	0.689(.504)	0.689(.504)	0.690(.505)
0.600	0.668(.521)	0.668(.521)	0.669(.521)	0.669(.521)	0.670(.522)
0.625	0.647(.537)	0.648(.538)	0.648(.538)	0.649(.538)	0.649(.538)
0.650	0.626(.553)	0.627(.554)	0.627(.554)	0.628(.554)	0.628(.554)
0.675	0.605(.569)	0.606(.569)	0.606(.569)	0.607(.569)	0.607(.569)
0.700	0.584(.584)	0.585(.584)	0.585(.584)	0.585(.584)	0.586(.584)
0.725	0.563(.598)	0.563(.598)	0.564(.598)	0.564(.599)	0.565(.599)
0.750	0.541(.612)	0.542(.612)	0.542(.612)	0.543(.612)	0.543(.613)
0.775	0.520(.625)	0.520(.625)	0.521(.626)	0.521(.626)	0.522(.626)
0.800	0.495(.638)	0.497(.638)	0.498(.638)	0.499(.638)	0.500(.639)
0.825	0.410(.649)	0.411(.649)	0.412(.650)	0.413(.650)	0.414(.650)
0.850	0.327(.658)	0.328(.659)	0.329(.659)	0.330(.659)	0.330(.659)
0.875	0.248(.665)	0.249(.666)	0.250(.666)	0.250(.666)	0.251(.667)
0.900	0.176(.671)	0.177(.671)	0.177(.671)	0.178(.672)	0.178(.672)
0.925	0.112(.674)	0.113(.675)	0.113(.675)	0.114(.675)	0.114(.676)
0.950	0.060(.676)	0.060(.677)	0.060(.677)	0.060(.678)	0.061(.678)
0.975	0.020(.677)	0.021(.678)	0.021(.678)	0.021(.679)	0.021(.679)
1.000	0.000(.678)	0.000(.678)	0.000(.679)	0.000(.679)	0.000(.679)

RE-ORDER No. 66-196
 Version B

*** RELATIVE ENERGY FLUX DENSITY IN THE PENUMBRA ***
 *** OF A DIFFUSE SKIRT WITH THE REFLECTANCE = 0. ***

SOLAR FIELD ANGLE, D = 0.50 DEGREES
 GEOMETRY D1/D2 = 0.25

BETA = ANGLE OF INCIDENCE, DEGREES

BETA *** AX/AB	10.00		20.00		30.00		40.00		50.00	
	Q	(QI)	Q	(QI)	Q	(QI)	Q	(QI)	Q	(QI)
0.	1.000(.)		1.000(.)		1.000(.)		1.000(.)		1.000(.)	
0.025	0.997(.025)		0.997(.025)		0.998(.025)		0.998(.025)		0.998(.025)	
0.050	0.993(.050)		0.993(.050)		0.993(.050)		0.993(.050)		0.993(.050)	
0.075	0.987(.075)		0.987(.075)		0.987(.075)		0.987(.075)		0.987(.075)	
0.100	0.979(.099)		0.979(.099)		0.979(.099)		0.979(.099)		0.980(.099)	
0.125	0.971(.124)		0.971(.124)		0.971(.124)		0.971(.124)		0.971(.124)	
0.150	0.961(.148)		0.961(.148)		0.961(.148)		0.962(.148)		0.962(.148)	
0.175	0.951(.172)		0.951(.172)		0.951(.172)		0.951(.172)		0.951(.172)	
0.200	0.939(.195)		0.940(.195)		0.940(.195)		0.940(.195)		0.940(.195)	
0.225	0.927(.219)		0.927(.219)		0.928(.219)		0.928(.219)		0.928(.219)	
0.250	0.914(.242)		0.915(.242)		0.915(.242)		0.915(.242)		0.915(.242)	
0.275	0.901(.264)		0.901(.264)		0.901(.264)		0.901(.264)		0.902(.264)	
0.300	0.886(.287)		0.886(.287)		0.887(.287)		0.887(.287)		0.887(.287)	
0.325	0.871(.309)		0.871(.309)		0.872(.309)		0.872(.309)		0.872(.309)	
0.350	0.855(.330)		0.856(.330)		0.856(.330)		0.856(.330)		0.857(.330)	
0.375	0.839(.351)		0.839(.351)		0.840(.351)		0.840(.351)		0.840(.352)	
0.400	0.822(.372)		0.822(.372)		0.823(.372)		0.823(.372)		0.824(.372)	
0.425	0.805(.392)		0.805(.392)		0.805(.393)		0.806(.393)		0.806(.393)	
0.450	0.787(.412)		0.787(.412)		0.787(.412)		0.788(.413)		0.788(.413)	
0.475	0.768(.432)		0.768(.432)		0.769(.432)		0.769(.432)		0.770(.432)	
0.500	0.749(.451)		0.750(.451)		0.750(.451)		0.751(.451)		0.751(.451)	
0.525	0.730(.469)		0.730(.469)		0.731(.469)		0.731(.470)		0.732(.470)	
0.550	0.710(.487)		0.711(.487)		0.711(.487)		0.712(.488)		0.712(.488)	
0.575	0.690(.505)		0.691(.505)		0.691(.505)		0.692(.505)		0.692(.505)	
0.600	0.670(.522)		0.670(.522)		0.671(.522)		0.671(.522)		0.672(.522)	
0.625	0.649(.538)		0.650(.538)		0.650(.538)		0.651(.539)		0.652(.539)	
0.650	0.628(.554)		0.629(.554)		0.629(.554)		0.630(.555)		0.631(.555)	
0.675	0.607(.570)		0.608(.570)		0.608(.570)		0.609(.570)		0.610(.570)	
0.700	0.586(.585)		0.587(.585)		0.587(.585)		0.588(.585)		0.588(.585)	
0.725	0.565(.599)		0.565(.599)		0.566(.599)		0.566(.600)		0.567(.600)	
0.750	0.543(.613)		0.544(.613)		0.544(.613)		0.545(.613)		0.546(.614)	
0.775	0.522(.626)		0.522(.626)		0.523(.627)		0.523(.627)		0.524(.627)	
0.800	0.500(.639)		0.501(.639)		0.501(.639)		0.502(.640)		0.502(.640)	
0.825	0.415(.650)		0.416(.651)		0.417(.651)		0.419(.651)		0.421(.652)	
0.850	0.331(.660)		0.332(.660)		0.333(.660)		0.334(.661)		0.336(.661)	
0.875	0.252(.667)		0.253(.667)		0.253(.668)		0.254(.668)		0.256(.668)	
0.900	0.179(.672)		0.179(.673)		0.180(.673)		0.181(.673)		0.182(.674)	
0.925	0.114(.676)		0.115(.676)		0.115(.677)		0.116(.677)		0.117(.678)	
0.950	0.061(.678)		0.061(.678)		0.061(.679)		0.062(.679)		0.062(.680)	
0.975	0.021(.679)		0.021(.680)		0.021(.680)		0.021(.680)		0.021(.681)	
1.000	0.000(.679)		0.000(.680)		0.000(.680)		0.000(.681)		0.000(.681)	

*** RELATIVE ENERGY FLUX DENSITY IN THE PENUMBRA ***
 *** OF A DIFFUSE SKIRT WITH THE REFLECTANCE = 0. ***

SOLAR FIELD ANGLE, D= 0.50 DEGREES
 GEOMETRY D1/D2 = 0.25

BETA = ANGLE OF INCIDENCE, DEGREES

BETA ***	60.00	70.00	80.00	89.25
AX/AB	Q (QI)	Q (QI)	Q (QI)	Q (QI)
0.	1.000(.)	1.000(.)	1.000(.)	1.000(.)
0.025	0.998(.025)	0.998(.025)	0.998(.025)	0.999(.025)
0.050	0.993(.050)	0.993(.050)	0.993(.050)	0.998(.050)
0.075	0.987(.075)	0.987(.075)	0.988(.075)	0.996(.075)
0.100	0.980(.099)	0.980(.099)	0.981(.099)	0.993(.100)
0.125	0.971(.124)	0.972(.124)	0.973(.124)	0.990(.125)
0.150	0.962(.148)	0.962(.148)	0.964(.148)	0.987(.149)
0.175	0.952(.172)	0.952(.172)	0.954(.172)	0.983(.174)
0.200	0.941(.195)	0.941(.195)	0.943(.196)	0.978(.198)
0.225	0.929(.219)	0.929(.219)	0.932(.219)	0.973(.223)
0.250	0.916(.242)	0.917(.242)	0.919(.242)	0.968(.247)
0.275	0.902(.264)	0.903(.265)	0.906(.265)	0.962(.271)
0.300	0.888(.287)	0.889(.287)	0.893(.287)	0.956(.295)
0.325	0.873(.309)	0.874(.309)	0.878(.310)	0.948(.319)
0.350	0.857(.330)	0.859(.331)	0.863(.331)	0.941(.343)
0.375	0.841(.352)	0.843(.352)	0.847(.353)	0.932(.366)
0.400	0.825(.373)	0.826(.373)	0.831(.374)	0.923(.389)
0.425	0.807(.393)	0.809(.393)	0.814(.394)	0.914(.412)
0.450	0.789(.413)	0.791(.413)	0.796(.414)	0.903(.435)
0.475	0.771(.432)	0.773(.433)	0.778(.434)	0.892(.457)
0.500	0.752(.451)	0.754(.452)	0.760(.453)	0.880(.479)
0.525	0.733(.470)	0.735(.471)	0.741(.472)	0.868(.501)
0.550	0.713(.488)	0.716(.489)	0.722(.490)	0.854(.523)
0.575	0.694(.506)	0.696(.506)	0.702(.508)	0.839(.544)
0.600	0.673(.523)	0.675(.523)	0.682(.525)	0.824(.565)
0.625	0.653(.539)	0.655(.540)	0.661(.542)	0.808(.585)
0.650	0.632(.555)	0.634(.556)	0.641(.558)	0.790(.605)
0.675	0.611(.571)	0.613(.572)	0.620(.574)	0.772(.625)
0.700	0.590(.586)	0.592(.587)	0.598(.589)	0.752(.644)
0.725	0.568(.600)	0.571(.601)	0.577(.604)	0.732(.662)
0.750	0.547(.614)	0.549(.615)	0.555(.618)	0.710(.680)
0.775	0.525(.628)	0.527(.629)	0.534(.632)	0.687(.698)
0.800	0.504(.641)	0.506(.642)	0.512(.645)	0.663(.715)
0.825	0.423(.652)	0.429(.653)	0.445(.657)	0.638(.731)
0.850	0.339(.662)	0.344(.663)	0.358(.667)	0.611(.746)
0.875	0.258(.669)	0.262(.671)	0.274(.675)	0.583(.761)
0.900	0.184(.675)	0.187(.676)	0.196(.681)	0.514(.775)
0.925	0.118(.678)	0.120(.680)	0.126(.685)	0.380(.786)
0.950	0.063(.681)	0.064(.682)	0.068(.687)	0.234(.794)
0.975	0.022(.682)	0.022(.683)	0.023(.688)	0.092(.798)
1.000	0.000(.682)	0.000(.684)	0.000(.689)	0.000(.799)

*** RELATIVE ENERGY FLUX DENSITY IN THE PENUMBRA ***
 *** OF A DIFFUSE SKIRT WITH THE REFLECTANCE = 0. ***

SOLAR FIELD ANGLE, D = 0.50 DEGREES
 GEOMETRY D1/D2 = 0.50

BETA = ANGLE OF INCIDENCE, DEGREES

BETA ***	-89.25	-80.00	-70.00	-60.00	-50.00
AX/AB	Q (Q1)	Q (Q1)	Q (Q1)	Q (Q1)	Q (Q1)
0.	1.000(.)	1.000(.)	1.000(.)	1.000(.)	1.000(.)
0.025	0.990(.025)	0.996(.025)	0.997(.025)	0.997(.025)	0.997(.025)
0.050	0.972(.049)	0.990(.050)	0.990(.050)	0.990(.050)	0.990(.050)
0.075	0.949(.073)	0.981(.074)	0.982(.074)	0.982(.074)	0.982(.074)
0.100	0.922(.097)	0.970(.099)	0.971(.099)	0.972(.099)	0.972(.099)
0.125	0.894(.119)	0.958(.123)	0.960(.123)	0.960(.123)	0.961(.123)
0.150	0.863(.141)	0.944(.147)	0.947(.147)	0.947(.147)	0.948(.147)
0.175	0.831(.163)	0.930(.170)	0.932(.170)	0.933(.170)	0.934(.170)
0.200	0.799(.183)	0.913(.193)	0.917(.193)	0.918(.194)	0.918(.194)
0.225	0.766(.203)	0.896(.216)	0.900(.216)	0.901(.216)	0.902(.216)
0.250	0.733(.221)	0.878(.238)	0.882(.238)	0.884(.239)	0.884(.239)
0.275	0.701(.239)	0.859(.260)	0.863(.260)	0.865(.260)	0.866(.261)
0.300	0.668(.256)	0.839(.281)	0.844(.282)	0.846(.282)	0.847(.282)
0.325	0.636(.273)	0.818(.302)	0.823(.302)	0.825(.303)	0.826(.303)
0.350	0.605(.288)	0.796(.322)	0.802(.323)	0.804(.323)	0.805(.323)
0.375	0.574(.303)	0.774(.341)	0.780(.342)	0.782(.343)	0.784(.343)
0.400	0.544(.317)	0.751(.360)	0.758(.362)	0.760(.362)	0.761(.362)
0.425	0.515(.330)	0.727(.379)	0.734(.380)	0.737(.381)	0.738(.381)
0.450	0.486(.343)	0.703(.397)	0.711(.398)	0.713(.399)	0.715(.399)
0.475	0.459(.354)	0.679(.414)	0.686(.416)	0.689(.417)	0.691(.417)
0.500	0.433(.366)	0.654(.431)	0.662(.433)	0.665(.433)	0.666(.434)
0.525	0.383(.376)	0.629(.447)	0.637(.449)	0.640(.450)	0.641(.450)
0.550	0.337(.385)	0.603(.462)	0.612(.465)	0.615(.465)	0.616(.466)
0.575	0.295(.393)	0.578(.477)	0.586(.480)	0.589(.480)	0.591(.481)
0.600	0.257(.400)	0.552(.491)	0.561(.494)	0.564(.495)	0.565(.495)
0.625	0.222(.406)	0.526(.504)	0.535(.508)	0.538(.509)	0.540(.509)
0.650	0.191(.411)	0.501(.517)	0.509(.521)	0.512(.522)	0.514(.522)
0.675	0.162(.415)	0.455(.529)	0.469(.533)	0.474(.534)	0.477(.535)
0.700	0.137(.419)	0.405(.540)	0.418(.544)	0.423(.545)	0.426(.546)
0.725	0.114(.422)	0.355(.550)	0.368(.554)	0.373(.555)	0.375(.556)
0.750	0.094(.425)	0.307(.558)	0.319(.562)	0.323(.564)	0.326(.565)
0.775	0.077(.427)	0.261(.565)	0.272(.570)	0.276(.571)	0.278(.572)
0.800	0.061(.428)	0.217(.571)	0.227(.576)	0.230(.578)	0.232(.579)
0.825	0.048(.430)	0.176(.576)	0.184(.581)	0.187(.583)	0.189(.584)
0.850	0.036(.431)	0.138(.580)	0.145(.585)	0.147(.587)	0.149(.588)
0.875	0.026(.432)	0.104(.583)	0.109(.588)	0.111(.590)	0.112(.591)
0.900	0.018(.432)	0.073(.585)	0.077(.591)	0.078(.593)	0.079(.594)
0.925	0.011(.433)	0.046(.586)	0.049(.592)	0.050(.594)	0.050(.595)
0.950	0.006(.433)	0.025(.587)	0.026(.593)	0.027(.595)	0.027(.596)
0.975	0.002(.433)	0.009(.588)	0.009(.594)	0.009(.596)	0.009(.597)
1.000	0.000(.433)	0.000(.588)	0.000(.594)	0.000(.596)	0.000(.597)

REORDER NO. 66-196
 Apollo - Phase II
 VERSION B

*** RELATIVE ENERGY FLUX DENSITY IN THE PENUMBRA ***
 *** OF A DIFFUSE SKIRT WITH THE REFLECTANCE = 0. ***

SOLAR FIELD ANGLE, D= 0.50 DEGREES
 GEOMETRY D1/D2 = 0.50

BETA = ANGLE OF INCIDENCE, DEGREES

BETA ***	-40.00	-30.00	-20.00	-10.00	-0.
AX/AB	Q (QI)	Q (QI)	Q (QI)	Q (QI)	Q (QI)
0.	1.000(.)	1.000(.)	1.000(.)	1.000(.)	1.000(.)
0.025	0.997(.025)	0.997(.025)	0.997(.025)	0.997(.025)	0.997(.025)
0.050	0.990(.050)	0.990(.050)	0.990(.050)	0.990(.050)	0.991(.050)
0.075	0.982(.074)	0.982(.074)	0.982(.074)	0.982(.074)	0.982(.074)
0.100	0.972(.099)	0.972(.099)	0.972(.099)	0.972(.099)	0.973(.099)
0.125	0.961(.123)	0.961(.123)	0.961(.123)	0.961(.123)	0.961(.123)
0.150	0.948(.147)	0.948(.147)	0.948(.147)	0.948(.147)	0.949(.147)
0.175	0.934(.170)	0.934(.170)	0.934(.170)	0.934(.170)	0.935(.170)
0.200	0.919(.194)	0.919(.194)	0.919(.194)	0.919(.194)	0.919(.194)
0.225	0.902(.216)	0.903(.216)	0.903(.216)	0.903(.216)	0.903(.216)
0.250	0.885(.239)	0.885(.239)	0.885(.239)	0.886(.239)	0.886(.239)
0.275	0.866(.261)	0.867(.261)	0.867(.261)	0.867(.261)	0.868(.261)
0.300	0.847(.282)	0.848(.282)	0.848(.282)	0.848(.282)	0.849(.282)
0.325	0.827(.303)	0.827(.303)	0.828(.303)	0.828(.303)	0.829(.303)
0.350	0.806(.323)	0.807(.323)	0.807(.323)	0.807(.324)	0.808(.324)
0.375	0.784(.343)	0.785(.343)	0.785(.343)	0.786(.343)	0.786(.344)
0.400	0.762(.363)	0.763(.363)	0.763(.363)	0.764(.363)	0.764(.363)
0.425	0.739(.381)	0.740(.381)	0.740(.382)	0.741(.382)	0.741(.382)
0.450	0.716(.399)	0.716(.400)	0.717(.400)	0.717(.400)	0.718(.400)
0.475	0.692(.417)	0.692(.417)	0.693(.417)	0.693(.417)	0.694(.418)
0.500	0.667(.434)	0.668(.434)	0.669(.434)	0.669(.435)	0.670(.435)
0.525	0.642(.450)	0.643(.451)	0.644(.451)	0.644(.451)	0.645(.451)
0.550	0.617(.466)	0.618(.466)	0.619(.467)	0.619(.467)	0.620(.467)
0.575	0.592(.481)	0.593(.482)	0.593(.482)	0.594(.482)	0.594(.482)
0.600	0.566(.496)	0.567(.496)	0.568(.496)	0.568(.496)	0.569(.497)
0.625	0.541(.510)	0.541(.510)	0.542(.510)	0.543(.510)	0.543(.510)
0.650	0.515(.523)	0.516(.523)	0.516(.523)	0.517(.524)	0.517(.524)
0.675	0.479(.535)	0.480(.536)	0.481(.536)	0.482(.536)	0.483(.536)
0.700	0.427(.547)	0.428(.547)	0.430(.547)	0.430(.547)	0.431(.548)
0.725	0.377(.557)	0.378(.557)	0.379(.557)	0.380(.558)	0.380(.558)
0.750	0.327(.565)	0.328(.566)	0.329(.566)	0.330(.566)	0.330(.567)
0.775	0.279(.573)	0.280(.573)	0.281(.574)	0.282(.574)	0.282(.574)
0.800	0.233(.579)	0.234(.580)	0.235(.580)	0.235(.581)	0.236(.581)
0.825	0.190(.585)	0.191(.585)	0.191(.586)	0.192(.586)	0.192(.586)
0.850	0.149(.589)	0.150(.589)	0.151(.590)	0.151(.590)	0.151(.590)
0.875	0.112(.592)	0.113(.593)	0.113(.593)	0.114(.593)	0.114(.594)
0.900	0.079(.595)	0.080(.595)	0.080(.596)	0.080(.596)	0.081(.596)
0.925	0.051(.596)	0.051(.597)	0.051(.597)	0.051(.598)	0.051(.598)
0.950	0.027(.597)	0.027(.598)	0.027(.598)	0.027(.599)	0.027(.599)
0.975	0.009(.598)	0.009(.598)	0.009(.599)	0.009(.599)	0.009(.599)
1.000	0.000(.598)	0.000(.598)	0.000(.599)	0.000(.599)	0.000(.599)

66-196
 App. CT - Phase II
 VERSION B

*** RELATIVE ENERGY FLUX DENSITY IN THE PENUMBRA ***
 *** OF A DIFFUSE SKIRT WITH THE REFLECTANCE = 0. ***

SOLAR FIELD ANGLE, D = 0.50 DEGREES
 GEOMETRY D1/D2 = 0.50

BETA = ANGLE OF INCIDENCE, DEGREES

BETA ***	10.00	20.00	30.00	40.00	50.00
AX/AB	Q (QI)	Q (QI)	Q (QI)	Q (QI)	Q (QI)
0.	1.000(.)	1.000(.)	1.000(.)	1.000(.)	1.000(.)
0.025	0.997(.025)	0.997(.025)	0.997(.025)	0.997(.025)	0.997(.025)
0.050	0.991(.050)	0.991(.050)	0.991(.050)	0.991(.050)	0.991(.050)
0.075	0.982(.074)	0.982(.074)	0.982(.074)	0.983(.074)	0.983(.074)
0.100	0.973(.099)	0.973(.099)	0.973(.099)	0.973(.099)	0.973(.099)
0.125	0.961(.123)	0.961(.123)	0.962(.123)	0.962(.123)	0.962(.123)
0.150	0.949(.147)	0.949(.147)	0.949(.147)	0.949(.147)	0.949(.147)
0.175	0.935(.170)	0.935(.170)	0.935(.171)	0.935(.171)	0.936(.171)
0.200	0.920(.194)	0.920(.194)	0.920(.194)	0.920(.194)	0.921(.194)
0.225	0.903(.216)	0.904(.216)	0.904(.217)	0.904(.217)	0.905(.217)
0.250	0.886(.239)	0.886(.239)	0.887(.239)	0.887(.239)	0.888(.239)
0.275	0.866(.261)	0.868(.261)	0.869(.261)	0.869(.261)	0.870(.261)
0.300	0.849(.282)	0.849(.282)	0.850(.282)	0.850(.282)	0.851(.282)
0.325	0.829(.303)	0.829(.303)	0.830(.303)	0.830(.303)	0.831(.303)
0.350	0.808(.324)	0.809(.324)	0.809(.324)	0.809(.324)	0.810(.324)
0.375	0.787(.344)	0.787(.344)	0.788(.344)	0.788(.344)	0.789(.344)
0.400	0.764(.363)	0.765(.363)	0.765(.363)	0.766(.363)	0.767(.363)
0.425	0.742(.382)	0.742(.382)	0.743(.382)	0.743(.382)	0.744(.382)
0.450	0.718(.400)	0.719(.400)	0.719(.400)	0.720(.400)	0.721(.401)
0.475	0.694(.416)	0.695(.418)	0.695(.418)	0.696(.418)	0.697(.418)
0.500	0.670(.435)	0.671(.435)	0.671(.435)	0.672(.435)	0.673(.435)
0.525	0.645(.451)	0.646(.451)	0.646(.452)	0.647(.452)	0.648(.452)
0.550	0.620(.467)	0.621(.467)	0.621(.467)	0.622(.468)	0.623(.468)
0.575	0.595(.482)	0.595(.482)	0.596(.483)	0.597(.483)	0.598(.483)
0.600	0.569(.497)	0.570(.497)	0.570(.497)	0.571(.497)	0.572(.498)
0.625	0.544(.511)	0.544(.511)	0.545(.511)	0.546(.511)	0.547(.512)
0.650	0.518(.524)	0.518(.524)	0.519(.524)	0.520(.525)	0.521(.525)
0.675	0.484(.536)	0.485(.537)	0.486(.537)	0.487(.537)	0.489(.538)
0.700	0.432(.548)	0.433(.548)	0.434(.548)	0.435(.549)	0.437(.549)
0.725	0.381(.558)	0.382(.558)	0.383(.559)	0.384(.559)	0.386(.560)
0.750	0.331(.567)	0.332(.567)	0.333(.568)	0.334(.568)	0.335(.569)
0.775	0.283(.575)	0.284(.575)	0.284(.575)	0.285(.576)	0.287(.576)
0.800	0.237(.581)	0.237(.581)	0.238(.582)	0.239(.582)	0.240(.583)
0.825	0.193(.587)	0.193(.587)	0.194(.587)	0.195(.588)	0.196(.588)
0.850	0.152(.591)	0.152(.591)	0.153(.592)	0.153(.592)	0.154(.593)
0.875	0.114(.594)	0.115(.595)	0.115(.595)	0.116(.595)	0.116(.596)
0.900	0.081(.597)	0.081(.597)	0.081(.597)	0.082(.598)	0.082(.599)
0.925	0.052(.598)	0.052(.599)	0.052(.599)	0.052(.600)	0.053(.600)
0.950	0.028(.599)	0.028(.600)	0.028(.600)	0.028(.601)	0.028(.601)
0.975	0.010(.600)	0.010(.600)	0.010(.601)	0.010(.601)	0.010(.602)
1.000	0.000(.600)	0.000(.600)	0.000(.601)	0.000(.601)	0.000(.602)

*** RELATIVE ENERGY FLUX DENSITY IN THE PENUMBRA ***
 *** OF A DIFFUSE SKIRT WITH THE REFLECTANCE = 0. ***

SOLAR FIELD ANGLE, D= 0.50 DEGREES
 GEOMETRY D1/D2 = 0.50

BETA = ANGLE OF INCIDENCE, DEGREES

BETA ***	60.00	70.00	80.00	89.25
AX/AB	Q (QI)	Q (QI)	Q (QI)	Q (QI)
0.	1.000(.)	1.000(.)	1.000(.)	1.000(.)
0.025	0.997(.025)	0.997(.025)	0.997(.025)	0.999(.025)
0.050	0.991(.050)	0.991(.050)	0.991(.050)	0.997(.050)
0.075	0.983(.074)	0.983(.074)	0.984(.075)	0.995(.075)
0.100	0.973(.099)	0.974(.099)	0.975(.099)	0.992(.100)
0.125	0.962(.123)	0.963(.123)	0.964(.123)	0.988(.124)
0.150	0.950(.147)	0.950(.147)	0.952(.147)	0.984(.149)
0.175	0.936(.171)	0.937(.171)	0.939(.171)	0.979(.174)
0.200	0.921(.194)	0.922(.194)	0.925(.194)	0.974(.198)
0.225	0.905(.217)	0.907(.217)	0.910(.217)	0.968(.222)
0.250	0.888(.239)	0.890(.239)	0.894(.240)	0.961(.246)
0.275	0.870(.261)	0.872(.261)	0.876(.262)	0.954(.270)
0.300	0.852(.283)	0.853(.283)	0.858(.283)	0.946(.294)
0.325	0.832(.304)	0.834(.304)	0.839(.305)	0.937(.318)
0.350	0.811(.324)	0.813(.324)	0.819(.325)	0.927(.341)
0.375	0.790(.344)	0.792(.345)	0.798(.346)	0.917(.364)
0.400	0.768(.364)	0.770(.364)	0.777(.365)	0.906(.387)
0.425	0.745(.383)	0.748(.383)	0.755(.384)	0.893(.409)
0.450	0.722(.401)	0.725(.401)	0.732(.403)	0.880(.431)
0.475	0.698(.419)	0.701(.419)	0.709(.421)	0.866(.453)
0.500	0.674(.436)	0.677(.437)	0.685(.438)	0.851(.475)
0.525	0.650(.452)	0.652(.453)	0.661(.455)	0.834(.496)
0.550	0.625(.468)	0.628(.469)	0.636(.471)	0.817(.516)
0.575	0.599(.484)	0.602(.484)	0.611(.487)	0.798(.537)
0.600	0.574(.498)	0.577(.499)	0.585(.502)	0.778(.556)
0.625	0.548(.512)	0.551(.513)	0.560(.516)	0.757(.576)
0.650	0.522(.526)	0.525(.527)	0.534(.530)	0.734(.594)
0.675	0.491(.538)	0.496(.540)	0.508(.543)	0.710(.612)
0.700	0.439(.550)	0.444(.551)	0.458(.555)	0.684(.630)
0.725	0.388(.560)	0.393(.562)	0.406(.566)	0.657(.646)
0.750	0.338(.569)	0.342(.571)	0.355(.575)	0.629(.662)
0.775	0.289(.577)	0.293(.579)	0.304(.584)	0.599(.678)
0.800	0.242(.584)	0.245(.586)	0.256(.591)	0.567(.692)
0.825	0.197(.589)	0.200(.591)	0.209(.596)	0.500(.706)
0.850	0.156(.594)	0.158(.596)	0.166(.601)	0.426(.717)
0.875	0.117(.597)	0.119(.599)	0.125(.605)	0.348(.727)
0.900	0.083(.600)	0.084(.602)	0.089(.607)	0.267(.735)
0.925	0.053(.601)	0.054(.603)	0.057(.609)	0.185(.740)
0.950	0.028(.602)	0.029(.604)	0.031(.610)	0.106(.744)
0.975	0.010(.603)	0.010(.605)	0.011(.611)	0.039(.746)
1.000	0.000(.603)	0.000(.605)	0.000(.611)	0.000(.746)

*** RELATIVE ENERGY FLUX DENSITY IN THE PENUMBRA ***
 *** OF A DIFFUSE SKIRT WITH THE REFLECTANCE = 0, ***

SOLAR FIELD ANGLE, D= 0.50 DEGREES
 GEOMETRY D1/D2 = 0.75

BETA = ANGLE OF INCIDENCE, DEGREES

BETA ***	-89.25	-80.00	-70.00	-60.00	-50.00
AX/AB	Q (QI)	Q (QI)	Q (QI)	Q (QI)	Q (QI)
0.	1.000(.)	1.000(.)	1.000(.)	1.000(.)	1.000(.)
0.025	0.986(.025)	0.995(.025)	0.996(.025)	0.996(.025)	0.996(.025)
0.050	0.961(.049)	0.987(.050)	0.987(.050)	0.988(.050)	0.988(.050)
0.075	0.929(.073)	0.976(.074)	0.977(.074)	0.977(.074)	0.977(.074)
0.100	0.894(.096)	0.962(.098)	0.964(.099)	0.964(.099)	0.964(.099)
0.125	0.855(.117)	0.946(.122)	0.949(.122)	0.949(.122)	0.950(.123)
0.150	0.815(.138)	0.929(.146)	0.932(.146)	0.933(.146)	0.933(.146)
0.175	0.775(.158)	0.910(.169)	0.914(.169)	0.915(.169)	0.915(.169)
0.200	0.733(.177)	0.889(.191)	0.894(.192)	0.895(.192)	0.896(.192)
0.225	0.692(.195)	0.867(.213)	0.872(.214)	0.874(.214)	0.875(.214)
0.250	0.652(.212)	0.844(.235)	0.850(.235)	0.852(.235)	0.853(.236)
0.275	0.612(.227)	0.820(.255)	0.826(.256)	0.828(.256)	0.829(.257)
0.300	0.574(.242)	0.794(.276)	0.801(.277)	0.804(.277)	0.805(.277)
0.325	0.536(.256)	0.768(.295)	0.776(.296)	0.778(.297)	0.780(.297)
0.350	0.500(.269)	0.741(.314)	0.749(.315)	0.752(.316)	0.753(.316)
0.375	0.466(.281)	0.713(.332)	0.722(.334)	0.725(.334)	0.726(.334)
0.400	0.433(.292)	0.685(.350)	0.694(.351)	0.697(.352)	0.698(.352)
0.425	0.391(.303)	0.656(.366)	0.665(.368)	0.668(.369)	0.670(.369)
0.450	0.352(.312)	0.626(.382)	0.636(.385)	0.639(.385)	0.641(.386)
0.475	0.316(.320)	0.596(.398)	0.606(.400)	0.610(.401)	0.611(.401)
0.500	0.282(.328)	0.566(.412)	0.576(.415)	0.580(.416)	0.582(.416)
0.525	0.251(.334)	0.536(.426)	0.546(.429)	0.550(.430)	0.552(.430)
0.550	0.222(.340)	0.506(.439)	0.516(.442)	0.520(.443)	0.522(.444)
0.575	0.196(.346)	0.470(.451)	0.482(.455)	0.487(.456)	0.489(.457)
0.600	0.171(.350)	0.430(.462)	0.442(.466)	0.447(.468)	0.449(.468)
0.625	0.149(.354)	0.391(.473)	0.403(.477)	0.407(.478)	0.409(.479)
0.650	0.129(.358)	0.352(.482)	0.364(.486)	0.368(.488)	0.370(.489)
0.675	0.111(.361)	0.315(.490)	0.326(.495)	0.329(.497)	0.331(.497)
0.700	0.094(.363)	0.278(.498)	0.288(.503)	0.292(.504)	0.294(.505)
0.725	0.079(.365)	0.243(.504)	0.252(.509)	0.256(.511)	0.257(.512)
0.750	0.066(.367)	0.209(.510)	0.218(.515)	0.221(.517)	0.222(.518)
0.775	0.054(.369)	0.178(.515)	0.185(.520)	0.188(.522)	0.189(.523)
0.800	0.043(.370)	0.147(.519)	0.154(.525)	0.156(.527)	0.157(.528)
0.825	0.034(.371)	0.119(.522)	0.125(.528)	0.127(.530)	0.128(.531)
0.850	0.026(.372)	0.094(.525)	0.098(.531)	0.100(.533)	0.101(.534)
0.875	0.019(.372)	0.070(.527)	0.074(.533)	0.075(.535)	0.076(.536)
0.900	0.013(.373)	0.050(.528)	0.052(.535)	0.053(.537)	0.053(.538)
0.925	0.008(.373)	0.032(.529)	0.033(.536)	0.034(.538)	0.034(.539)
0.950	0.004(.373)	0.017(.530)	0.018(.536)	0.018(.539)	0.018(.540)
0.975	0.001(.373)	0.006(.530)	0.006(.537)	0.006(.539)	0.006(.540)
1.000	0.000(.373)	0.000(.530)	0.000(.537)	0.000(.539)	0.000(.540)

*** RELATIVE ENERGY FLUX DENSITY IN THE PENUMBRA ***
 *** OF A DIFFUSE SKIRT WITH THE REFLECTANCE = 0. ***

RE-ORDER No. 66-196
 App. A. Phase II
 VERSION B

SOLAR FIELD ANGLE, D = 0.50 DEGREES
 GEOMETRY D1/D2 = 0.75

BETA = ANGLE OF INCIDENCE, DEGREES

BETA ***	-40.00	-30.00	-20.00	-10.00	-0.
AX/AB	Q (QI)	Q (QI)	Q (QI)	Q (QI)	Q (QI)
0.	1.000(.)	1.000(.)	1.000(.)	1.000(.)	1.000(.)
0.025	0.996(.025)	0.996(.025)	0.996(.025)	0.996(.025)	0.996(.025)
0.050	0.988(.050)	0.988(.050)	0.988(.050)	0.988(.050)	0.988(.050)
0.075	0.977(.074)	0.977(.074)	0.977(.074)	0.978(.074)	0.978(.074)
0.100	0.965(.099)	0.965(.099)	0.965(.099)	0.965(.099)	0.965(.099)
0.125	0.950(.123)	0.950(.123)	0.950(.123)	0.951(.123)	0.951(.123)
0.150	0.934(.146)	0.934(.146)	0.934(.146)	0.934(.146)	0.935(.146)
0.175	0.916(.169)	0.916(.169)	0.916(.169)	0.917(.169)	0.917(.169)
0.200	0.896(.192)	0.897(.192)	0.897(.192)	0.897(.192)	0.898(.192)
0.225	0.876(.214)	0.876(.214)	0.876(.214)	0.877(.214)	0.877(.214)
0.250	0.853(.236)	0.854(.236)	0.854(.236)	0.855(.236)	0.855(.236)
0.275	0.830(.257)	0.831(.257)	0.831(.257)	0.832(.257)	0.832(.257)
0.300	0.806(.277)	0.806(.277)	0.807(.277)	0.807(.277)	0.808(.277)
0.325	0.780(.297)	0.781(.297)	0.782(.297)	0.782(.297)	0.783(.297)
0.350	0.754(.316)	0.755(.316)	0.755(.316)	0.756(.316)	0.756(.316)
0.375	0.727(.335)	0.728(.335)	0.729(.335)	0.729(.335)	0.730(.335)
0.400	0.699(.352)	0.700(.353)	0.701(.353)	0.701(.353)	0.702(.353)
0.425	0.671(.370)	0.672(.370)	0.672(.370)	0.673(.370)	0.674(.370)
0.450	0.642(.386)	0.643(.386)	0.644(.386)	0.644(.386)	0.645(.387)
0.475	0.613(.402)	0.614(.402)	0.614(.402)	0.615(.402)	0.615(.402)
0.500	0.583(.417)	0.584(.417)	0.585(.417)	0.585(.417)	0.586(.417)
0.525	0.553(.431)	0.554(.431)	0.555(.431)	0.555(.431)	0.556(.432)
0.550	0.523(.444)	0.524(.445)	0.525(.445)	0.525(.445)	0.526(.445)
0.575	0.491(.457)	0.492(.457)	0.493(.458)	0.493(.458)	0.494(.458)
0.600	0.451(.469)	0.452(.469)	0.453(.469)	0.453(.470)	0.454(.470)
0.625	0.411(.479)	0.412(.480)	0.413(.480)	0.413(.480)	0.414(.481)
0.650	0.371(.489)	0.372(.490)	0.373(.490)	0.374(.490)	0.375(.490)
0.675	0.333(.498)	0.334(.498)	0.335(.499)	0.335(.499)	0.336(.499)
0.700	0.295(.506)	0.296(.506)	0.297(.507)	0.297(.507)	0.298(.507)
0.725	0.259(.513)	0.259(.513)	0.260(.514)	0.261(.514)	0.261(.514)
0.750	0.224(.519)	0.224(.519)	0.225(.520)	0.225(.520)	0.226(.520)
0.775	0.190(.524)	0.191(.525)	0.191(.525)	0.192(.525)	0.192(.526)
0.800	0.158(.528)	0.159(.529)	0.159(.529)	0.160(.530)	0.160(.530)
0.825	0.129(.532)	0.129(.532)	0.129(.533)	0.130(.533)	0.130(.534)
0.850	0.101(.535)	0.101(.535)	0.102(.536)	0.102(.536)	0.102(.537)
0.875	0.076(.537)	0.076(.538)	0.077(.538)	0.077(.538)	0.077(.539)
0.900	0.054(.539)	0.054(.539)	0.054(.540)	0.054(.540)	0.054(.540)
0.925	0.034(.540)	0.035(.540)	0.035(.541)	0.035(.541)	0.035(.542)
0.950	0.018(.540)	0.018(.541)	0.019(.541)	0.019(.542)	0.019(.542)
0.975	0.006(.541)	0.006(.541)	0.006(.542)	0.006(.542)	0.006(.543)
1.000	0.000(.541)	0.000(.541)	0.000(.542)	0.000(.542)	0.000(.543)

4
3
2

REORDER No. 66-196
 App A - Phase II
 VERSION B

*** RELATIVE ENERGY FLUX DENSITY IN THE PENUMBRA ***
 *** OF A DIFFUSE SKIRT WITH THE REFLECTANCE = 0. ***

SOLAR FIELD ANGLE, D = 0.50 DEGREES
 GEOMETRY D1/D2 = 0.75

BETA = ANGLE OF INCIDENCE, DEGREES

BETA ***	10.00	20.00	30.00	40.00	50.00
AX/AB	Q (QI)	Q (QI)	Q (QI)	Q (QI)	Q (QI)
0.	1.000(.)	1.000(.)	1.000(.)	1.000(.)	1.000(.)
0.025	0.996(.025)	0.996(.025)	0.996(.025)	0.996(.025)	0.996(.025)
0.050	0.988(.050)	0.988(.050)	0.988(.050)	0.988(.050)	0.988(.050)
0.075	0.978(.074)	0.978(.074)	0.978(.074)	0.978(.074)	0.978(.074)
0.100	0.965(.099)	0.965(.099)	0.965(.099)	0.966(.099)	0.966(.099)
0.125	0.951(.123)	0.951(.123)	0.951(.123)	0.951(.123)	0.952(.123)
0.150	0.935(.146)	0.935(.146)	0.935(.146)	0.935(.146)	0.936(.146)
0.175	0.917(.169)	0.917(.169)	0.918(.169)	0.918(.169)	0.918(.169)
0.200	0.898(.192)	0.898(.192)	0.898(.192)	0.899(.192)	0.899(.192)
0.225	0.877(.214)	0.878(.214)	0.878(.214)	0.878(.214)	0.879(.214)
0.250	0.855(.236)	0.856(.236)	0.856(.236)	0.857(.236)	0.857(.236)
0.275	0.832(.257)	0.833(.257)	0.833(.257)	0.834(.257)	0.834(.257)
0.300	0.808(.277)	0.809(.277)	0.809(.278)	0.810(.278)	0.810(.278)
0.325	0.783(.297)	0.783(.297)	0.784(.297)	0.785(.298)	0.786(.298)
0.350	0.757(.317)	0.757(.317)	0.758(.317)	0.759(.317)	0.760(.317)
0.375	0.730(.335)	0.731(.335)	0.731(.335)	0.732(.335)	0.733(.336)
0.400	0.702(.353)	0.703(.353)	0.704(.353)	0.704(.353)	0.705(.354)
0.425	0.674(.370)	0.675(.370)	0.675(.371)	0.676(.371)	0.677(.371)
0.450	0.645(.387)	0.646(.387)	0.647(.387)	0.648(.387)	0.649(.387)
0.475	0.616(.403)	0.617(.403)	0.617(.403)	0.618(.403)	0.619(.403)
0.500	0.586(.418)	0.587(.418)	0.588(.418)	0.589(.418)	0.590(.418)
0.525	0.557(.432)	0.557(.432)	0.558(.432)	0.559(.432)	0.560(.433)
0.550	0.526(.445)	0.527(.446)	0.528(.446)	0.529(.446)	0.530(.446)
0.575	0.495(.458)	0.496(.458)	0.497(.459)	0.498(.459)	0.499(.459)
0.600	0.455(.470)	0.456(.470)	0.457(.471)	0.458(.471)	0.459(.471)
0.625	0.415(.481)	0.416(.481)	0.417(.481)	0.418(.482)	0.419(.482)
0.650	0.375(.491)	0.376(.491)	0.377(.491)	0.378(.492)	0.379(.492)
0.675	0.337(.500)	0.337(.500)	0.338(.500)	0.339(.501)	0.340(.501)
0.700	0.299(.508)	0.299(.508)	0.300(.508)	0.301(.509)	0.302(.509)
0.725	0.262(.515)	0.263(.515)	0.263(.515)	0.264(.516)	0.265(.516)
0.750	0.227(.521)	0.227(.521)	0.228(.521)	0.229(.522)	0.230(.523)
0.775	0.193(.526)	0.193(.526)	0.194(.527)	0.194(.527)	0.195(.528)
0.800	0.161(.530)	0.161(.531)	0.162(.531)	0.162(.532)	0.163(.532)
0.825	0.131(.534)	0.131(.534)	0.131(.535)	0.132(.535)	0.133(.536)
0.850	0.103(.537)	0.103(.537)	0.103(.538)	0.104(.538)	0.104(.539)
0.875	0.077(.539)	0.078(.540)	0.078(.540)	0.078(.541)	0.079(.541)
0.900	0.055(.541)	0.055(.541)	0.055(.542)	0.055(.542)	0.056(.543)
0.925	0.035(.542)	0.035(.542)	0.035(.543)	0.035(.543)	0.036(.544)
0.950	0.019(.543)	0.019(.543)	0.019(.543)	0.019(.544)	0.019(.545)
0.975	0.006(.543)	0.007(.543)	0.007(.544)	0.007(.544)	0.007(.545)
1.000	0.000(.543)	0.000(.543)	0.000(.544)	0.000(.544)	0.000(.545)

*** RELATIVE ENERGY FLUX DENSITY IN THE PENUMBRA ***
 *** OF A DIFFUSE SKIRT WITH THE REFLECTANCE = 0. ***

66-196
 Ver. A - Phase II
 VERSION B

SOLAR FIELD ANGLE, D = 0.50 DEGREES
 GEOMETRY D1/D2 = 0.75

BETA = ANGLE OF INCIDENCE, DEGREES

BETA ***	60.00	70.00	80.00	89.25
AX/AB	Q (QI)	Q (QI)	Q (QI)	Q (QI)
0.	1.000(.)	1.000(.)	1.000(.)	1.000(.)
0.025	0.996(.025)	0.996(.025)	0.996(.025)	0.999(.025)
0.050	0.988(.050)	0.988(.050)	0.989(.050)	0.997(.050)
0.075	0.978(.074)	0.979(.074)	0.980(.074)	0.994(.075)
0.100	0.966(.099)	0.967(.099)	0.968(.099)	0.990(.100)
0.125	0.952(.123)	0.953(.123)	0.955(.123)	0.986(.124)
0.150	0.936(.146)	0.937(.146)	0.940(.146)	0.981(.149)
0.175	0.919(.169)	0.920(.169)	0.923(.170)	0.976(.173)
0.200	0.900(.192)	0.901(.192)	0.905(.193)	0.969(.198)
0.225	0.880(.214)	0.881(.215)	0.886(.215)	0.962(.222)
0.250	0.858(.236)	0.860(.236)	0.865(.237)	0.954(.246)
0.275	0.836(.257)	0.838(.258)	0.843(.258)	0.945(.270)
0.300	0.812(.278)	0.814(.278)	0.820(.279)	0.935(.293)
0.325	0.787(.298)	0.789(.298)	0.796(.299)	0.924(.316)
0.350	0.761(.317)	0.764(.318)	0.771(.319)	0.913(.339)
0.375	0.734(.336)	0.737(.336)	0.745(.338)	0.900(.362)
0.400	0.707(.354)	0.710(.354)	0.719(.356)	0.886(.384)
0.425	0.679(.371)	0.682(.372)	0.691(.374)	0.870(.406)
0.450	0.650(.388)	0.654(.389)	0.663(.391)	0.854(.428)
0.475	0.621(.404)	0.625(.405)	0.634(.407)	0.836(.449)
0.500	0.592(.419)	0.595(.420)	0.605(.422)	0.817(.470)
0.525	0.562(.433)	0.565(.434)	0.575(.437)	0.796(.490)
0.550	0.532(.447)	0.535(.448)	0.545(.451)	0.774(.509)
0.575	0.502(.460)	0.505(.461)	0.515(.464)	0.750(.528)
0.600	0.461(.472)	0.466(.473)	0.478(.477)	0.725(.547)
0.625	0.421(.483)	0.426(.484)	0.438(.488)	0.697(.565)
0.650	0.382(.493)	0.386(.495)	0.398(.499)	0.668(.582)
0.675	0.343(.502)	0.346(.504)	0.358(.508)	0.638(.598)
0.700	0.304(.510)	0.308(.512)	0.319(.517)	0.605(.613)
0.725	0.267(.517)	0.271(.519)	0.280(.524)	0.570(.628)
0.750	0.231(.524)	0.234(.525)	0.243(.531)	0.523(.642)
0.775	0.197(.529)	0.200(.531)	0.208(.536)	0.471(.654)
0.800	0.164(.533)	0.167(.535)	0.174(.541)	0.416(.665)
0.825	0.134(.537)	0.136(.539)	0.142(.545)	0.359(.675)
0.850	0.105(.540)	0.107(.542)	0.112(.548)	0.299(.683)
0.875	0.079(.542)	0.081(.545)	0.084(.551)	0.239(.690)
0.900	0.056(.544)	0.057(.546)	0.060(.552)	0.179(.695)
0.925	0.036(.545)	0.037(.547)	0.038(.554)	0.122(.699)
0.950	0.019(.546)	0.020(.548)	0.021(.554)	0.069(.701)
0.975	0.007(.546)	0.007(.548)	0.007(.555)	0.025(.703)
1.000	0.000(.546)	0.000(.549)	0.000(.555)	0.000(.703)

REF ID: 66-196
 App C - Phase II
 VERSION B

*** RELATIVE ENERGY FLUX DENSITY IN THE PENUMBRA ***
 *** OF A DIFFUSE SKIRT WITH THE REFLECTANCE = 0. ***

SOLAR FIELD ANGLE, D= 0.50 DEGREES
 GEOMETRY D1/D2 = 1.00

BETA = ANGLE OF INCIDENCE, DEGREES

BETA ***	-89.25	-80.00	-70.00	-60.00	-50.00
AX/AB	Q (QI)	Q (QI)	Q (QI)	Q (QI)	Q (QI)
0.	1.000(.)	1.000(.)	1.000(.)	1.000(.)	1.000(.)
0.025	0.981(.025)	0.994(.025)	0.995(.025)	0.995(.025)	0.995(.025)
0.050	0.949(.049)	0.984(.050)	0.985(.050)	0.985(.050)	0.985(.050)
0.075	0.908(.072)	0.970(.074)	0.971(.074)	0.972(.074)	0.972(.074)
0.100	0.863(.094)	0.953(.098)	0.955(.098)	0.956(.098)	0.956(.098)
0.125	0.815(.115)	0.934(.122)	0.937(.122)	0.938(.122)	0.938(.122)
0.150	0.766(.135)	0.912(.145)	0.916(.145)	0.917(.145)	0.918(.145)
0.175	0.717(.154)	0.889(.167)	0.893(.168)	0.895(.168)	0.896(.168)
0.200	0.668(.171)	0.863(.189)	0.869(.190)	0.871(.190)	0.872(.190)
0.225	0.620(.187)	0.837(.210)	0.843(.211)	0.845(.211)	0.846(.211)
0.250	0.574(.202)	0.808(.231)	0.815(.232)	0.818(.232)	0.819(.232)
0.275	0.529(.216)	0.778(.251)	0.786(.252)	0.789(.252)	0.790(.252)
0.300	0.486(.228)	0.747(.270)	0.756(.271)	0.759(.271)	0.761(.272)
0.325	0.446(.240)	0.716(.288)	0.725(.290)	0.728(.290)	0.730(.290)
0.350	0.407(.251)	0.683(.306)	0.693(.307)	0.696(.308)	0.698(.308)
0.375	0.371(.260)	0.650(.322)	0.660(.324)	0.663(.325)	0.665(.325)
0.400	0.337(.269)	0.616(.338)	0.626(.340)	0.630(.341)	0.632(.341)
0.425	0.305(.277)	0.581(.353)	0.593(.356)	0.596(.356)	0.598(.357)
0.450	0.275(.285)	0.547(.367)	0.558(.370)	0.562(.371)	0.564(.371)
0.475	0.248(.291)	0.512(.380)	0.524(.383)	0.528(.384)	0.530(.385)
0.500	0.222(.297)	0.478(.393)	0.489(.396)	0.493(.397)	0.495(.398)
0.525	0.198(.302)	0.444(.404)	0.455(.408)	0.459(.409)	0.461(.410)
0.550	0.176(.307)	0.410(.415)	0.421(.419)	0.425(.420)	0.427(.421)
0.575	0.156(.311)	0.376(.425)	0.387(.429)	0.391(.430)	0.393(.431)
0.600	0.137(.315)	0.343(.434)	0.354(.438)	0.357(.440)	0.359(.441)
0.625	0.120(.318)	0.311(.442)	0.321(.447)	0.324(.448)	0.326(.449)
0.650	0.104(.321)	0.280(.449)	0.289(.454)	0.292(.456)	0.294(.457)
0.675	0.090(.323)	0.249(.456)	0.258(.461)	0.261(.463)	0.263(.464)
0.700	0.077(.325)	0.220(.462)	0.228(.467)	0.231(.469)	0.233(.470)
0.725	0.065(.327)	0.192(.467)	0.199(.473)	0.202(.474)	0.203(.475)
0.750	0.054(.328)	0.165(.472)	0.172(.477)	0.174(.479)	0.175(.480)
0.775	0.044(.330)	0.140(.475)	0.146(.481)	0.148(.483)	0.149(.484)
0.800	0.036(.331)	0.116(.479)	0.121(.484)	0.123(.487)	0.124(.488)
0.825	0.028(.331)	0.094(.481)	0.098(.487)	0.100(.489)	0.101(.490)
0.850	0.022(.332)	0.074(.483)	0.077(.489)	0.078(.492)	0.079(.493)
0.875	0.016(.333)	0.055(.485)	0.058(.491)	0.059(.493)	0.060(.494)
0.900	0.011(.333)	0.039(.486)	0.041(.492)	0.042(.495)	0.042(.496)
0.925	0.007(.333)	0.025(.487)	0.026(.493)	0.027(.495)	0.027(.497)
0.950	0.004(.333)	0.013(.487)	0.014(.494)	0.014(.496)	0.014(.497)
0.975	0.001(.333)	0.005(.488)	0.005(.494)	0.005(.496)	0.005(.497)
1.000	0.000(.333)	0.000(.488)	0.000(.494)	0.000(.496)	0.000(.497)

REORDER NO. 66-196
 with A - Phase II
 VERSION B

*** RELATIVE ENERGY FLUX DENSITY IN THE PENUMBRA ***
 *** OF A DIFFUSE SKIRT WITH THE REFLECTANCE = 0. ***

SOLAR FIELD ANGLE, D = 0.50 DEGREES
 GEOMETRY D1/D2 = 1.00

BETA = ANGLE OF INCIDENCE, DEGREES

BETA ***	-40.00	-30.00	-20.00	-10.00	-0.
AX/AB	Q (QI)	Q (QI)	Q (QI)	Q (QI)	Q (QI)
0.	1.000(.)	1.000(.)	1.000(.)	1.000(.)	1.000(.)
0.025	0.995(.025)	0.995(.025)	0.995(.025)	0.995(.025)	0.995(.025)
0.050	0.985(.050)	0.985(.050)	0.985(.050)	0.985(.050)	0.985(.050)
0.075	0.972(.074)	0.972(.074)	0.972(.074)	0.972(.074)	0.973(.074)
0.100	0.957(.098)	0.957(.098)	0.957(.098)	0.957(.098)	0.957(.098)
0.125	0.939(.122)	0.939(.122)	0.939(.122)	0.939(.122)	0.939(.122)
0.150	0.918(.145)	0.919(.145)	0.919(.145)	0.919(.145)	0.919(.145)
0.175	0.896(.168)	0.897(.168)	0.897(.168)	0.897(.168)	0.898(.168)
0.200	0.872(.190)	0.873(.190)	0.873(.190)	0.874(.190)	0.874(.190)
0.225	0.847(.211)	0.847(.211)	0.848(.212)	0.848(.212)	0.849(.212)
0.250	0.820(.232)	0.820(.232)	0.821(.232)	0.821(.232)	0.822(.232)
0.275	0.791(.252)	0.792(.252)	0.793(.253)	0.793(.253)	0.793(.253)
0.300	0.762(.272)	0.762(.272)	0.763(.272)	0.764(.272)	0.764(.272)
0.325	0.731(.290)	0.732(.291)	0.732(.291)	0.733(.291)	0.733(.291)
0.350	0.699(.308)	0.700(.308)	0.701(.309)	0.701(.309)	0.702(.309)
0.375	0.667(.325)	0.668(.326)	0.668(.326)	0.669(.326)	0.670(.326)
0.400	0.633(.342)	0.634(.342)	0.635(.342)	0.636(.342)	0.636(.342)
0.425	0.600(.357)	0.601(.357)	0.601(.357)	0.602(.358)	0.603(.358)
0.450	0.566(.372)	0.567(.372)	0.567(.372)	0.568(.372)	0.569(.372)
0.475	0.531(.385)	0.532(.386)	0.533(.386)	0.534(.386)	0.534(.386)
0.500	0.497(.398)	0.498(.399)	0.499(.399)	0.499(.399)	0.500(.399)
0.525	0.462(.410)	0.463(.411)	0.464(.411)	0.465(.411)	0.466(.411)
0.550	0.428(.421)	0.429(.422)	0.430(.422)	0.431(.422)	0.431(.422)
0.575	0.394(.432)	0.395(.432)	0.396(.432)	0.397(.433)	0.397(.433)
0.600	0.361(.441)	0.361(.441)	0.362(.442)	0.363(.442)	0.364(.442)
0.625	0.328(.450)	0.328(.450)	0.329(.450)	0.330(.451)	0.330(.451)
0.650	0.295(.457)	0.296(.458)	0.297(.458)	0.298(.459)	0.298(.459)
0.675	0.264(.464)	0.265(.465)	0.265(.465)	0.266(.466)	0.267(.466)
0.700	0.234(.471)	0.234(.471)	0.235(.471)	0.235(.472)	0.236(.472)
0.725	0.204(.476)	0.205(.477)	0.206(.477)	0.206(.477)	0.207(.478)
0.750	0.176(.481)	0.177(.481)	0.177(.482)	0.178(.482)	0.178(.482)
0.775	0.150(.485)	0.150(.485)	0.151(.486)	0.151(.486)	0.151(.487)
0.800	0.125(.488)	0.125(.489)	0.125(.489)	0.126(.490)	0.126(.490)
0.825	0.101(.491)	0.102(.492)	0.102(.492)	0.102(.493)	0.102(.493)
0.850	0.080(.493)	0.080(.494)	0.080(.494)	0.080(.495)	0.081(.495)
0.875	0.060(.495)	0.060(.496)	0.060(.496)	0.060(.497)	0.061(.497)
0.900	0.042(.496)	0.042(.497)	0.043(.497)	0.043(.498)	0.043(.498)
0.925	0.027(.497)	0.027(.498)	0.027(.498)	0.027(.499)	0.027(.499)
0.950	0.015(.498)	0.015(.498)	0.015(.499)	0.015(.499)	0.015(.500)
0.975	0.005(.498)	0.005(.499)	0.005(.499)	0.005(.500)	0.005(.500)
1.000	0.000(.498)	0.000(.499)	0.000(.499)	0.000(.500)	0.000(.500)

RE-ORDER No. 66-196
 a/p/s. 2 - Phase II
 VERSION B

*** RELATIVE ENERGY FLUX DENSITY IN THE PENUMBRA ***
 *** OF A DIFFUSE SKIRT WITH THE REFLECTANCE = 0. ***

SOLAR FIELD ANGLE, D = 0.50 DEGREES
 GEOMETRY D1/D2 = 1.00

BETA = ANGLE OF INCIDENCE, DEGREES

BETA *** AX/AB	10.00		20.00		30.00		40.00		50.00	
	Q	(QI)	Q	(QI)	Q	(QI)	Q	(QI)	Q	(QI)
0.	1.000(.)		1.000(.)		1.000(.)		1.000(.)		1.000(.)	
0.025	0.995(.025)		0.995(.025)		0.995(.025)		0.995(.025)		0.995(.025)	
0.050	0.985(.050)		0.985(.050)		0.985(.050)		0.985(.050)		0.986(.050)	
0.075	0.973(.074)		0.973(.074)		0.973(.074)		0.973(.074)		0.973(.074)	
0.100	0.957(.098)		0.957(.098)		0.958(.098)		0.958(.098)		0.958(.098)	
0.125	0.940(.122)		0.940(.122)		0.940(.122)		0.940(.122)		0.940(.122)	
0.150	0.920(.145)		0.920(.145)		0.920(.145)		0.920(.145)		0.921(.145)	
0.175	0.898(.168)		0.898(.168)		0.898(.168)		0.899(.168)		0.899(.168)	
0.200	0.874(.190)		0.875(.190)		0.875(.190)		0.875(.190)		0.876(.190)	
0.225	0.849(.212)		0.849(.212)		0.850(.212)		0.850(.212)		0.851(.212)	
0.250	0.822(.233)		0.823(.233)		0.823(.233)		0.824(.233)		0.825(.233)	
0.275	0.794(.253)		0.794(.253)		0.795(.253)		0.796(.253)		0.797(.253)	
0.300	0.765(.272)		0.765(.272)		0.766(.272)		0.766(.272)		0.767(.273)	
0.325	0.734(.291)		0.735(.291)		0.735(.291)		0.736(.291)		0.737(.291)	
0.350	0.702(.309)		0.703(.309)		0.704(.309)		0.705(.309)		0.706(.309)	
0.375	0.670(.326)		0.671(.326)		0.672(.326)		0.672(.326)		0.674(.327)	
0.400	0.637(.342)		0.638(.343)		0.639(.343)		0.639(.343)		0.641(.343)	
0.425	0.603(.358)		0.604(.358)		0.605(.358)		0.606(.358)		0.607(.359)	
0.450	0.569(.373)		0.570(.373)		0.571(.373)		0.572(.373)		0.573(.373)	
0.475	0.535(.386)		0.536(.387)		0.537(.387)		0.538(.387)		0.539(.387)	
0.500	0.501(.399)		0.501(.400)		0.502(.400)		0.503(.400)		0.505(.400)	
0.525	0.466(.411)		0.467(.412)		0.468(.412)		0.469(.412)		0.470(.413)	
0.550	0.432(.423)		0.433(.423)		0.433(.423)		0.434(.423)		0.436(.424)	
0.575	0.398(.433)		0.399(.433)		0.399(.434)		0.400(.434)		0.402(.434)	
0.600	0.364(.443)		0.365(.443)		0.366(.443)		0.367(.444)		0.368(.444)	
0.625	0.331(.451)		0.332(.452)		0.332(.452)		0.333(.452)		0.335(.453)	
0.650	0.299(.459)		0.299(.459)		0.300(.460)		0.301(.460)		0.302(.461)	
0.675	0.267(.466)		0.268(.466)		0.268(.467)		0.269(.467)		0.270(.468)	
0.700	0.236(.472)		0.237(.473)		0.238(.473)		0.238(.474)		0.239(.474)	
0.725	0.207(.478)		0.207(.478)		0.208(.479)		0.209(.479)		0.210(.480)	
0.750	0.179(.483)		0.179(.483)		0.180(.484)		0.180(.484)		0.181(.485)	
0.775	0.152(.487)		0.152(.487)		0.153(.488)		0.153(.488)		0.154(.489)	
0.800	0.126(.490)		0.127(.491)		0.127(.491)		0.128(.492)		0.128(.492)	
0.825	0.103(.493)		0.103(.494)		0.103(.494)		0.104(.495)		0.104(.495)	
0.850	0.081(.496)		0.081(.496)		0.081(.496)		0.082(.497)		0.082(.498)	
0.875	0.061(.497)		0.061(.498)		0.061(.498)		0.061(.499)		0.062(.500)	
0.900	0.043(.499)		0.043(.499)		0.043(.500)		0.043(.500)		0.044(.501)	
0.925	0.028(.500)		0.028(.500)		0.028(.500)		0.028(.501)		0.028(.502)	
0.950	0.015(.500)		0.015(.500)		0.015(.501)		0.015(.502)		0.015(.502)	
0.975	0.005(.500)		0.005(.501)		0.005(.501)		0.005(.502)		0.005(.503)	
1.000	0.000(.500)		0.000(.501)		0.000(.501)		0.000(.502)		0.000(.503)	

REORDER No. 66-196
 Cap (1-Phase)
 VERSION B

*** RELATIVE ENERGY FLUX DENSITY IN THE PENUMBRA ***
 *** OF A DIFFUSE SKIRT WITH THE REFLECTANCE = 0. ***

SOLAR FIELD ANGLE, D = 0.50 DEGREES
 GEOMETRY D1/D2 = 1.00

BETA = ANGLE OF INCIDENCE, DEGREES

BETA ***	60.00	70.00	80.00	89.25
AX/AB	Q (QI)	Q (QI)	Q (QI)	Q (QI)
0.	1.000(.)	1.000(.)	1.000(.)	1.000(.)
0.025	0.995(.025)	0.995(.025)	0.995(.025)	0.999(.025)
0.050	0.986(.050)	0.986(.050)	0.987(.050)	0.996(.050)
0.075	0.973(.074)	0.974(.074)	0.975(.074)	0.993(.075)
0.100	0.958(.098)	0.959(.098)	0.961(.098)	0.989(.100)
0.125	0.941(.122)	0.942(.122)	0.945(.122)	0.984(.124)
0.150	0.922(.145)	0.923(.145)	0.926(.146)	0.978(.149)
0.175	0.900(.168)	0.902(.168)	0.906(.169)	0.972(.173)
0.200	0.877(.190)	0.879(.190)	0.884(.191)	0.964(.197)
0.225	0.852(.212)	0.854(.212)	0.860(.213)	0.956(.221)
0.250	0.826(.233)	0.828(.233)	0.835(.234)	0.946(.245)
0.275	0.798(.253)	0.801(.254)	0.808(.254)	0.935(.269)
0.300	0.769(.273)	0.772(.273)	0.780(.274)	0.923(.292)
0.325	0.739(.292)	0.742(.292)	0.751(.293)	0.910(.315)
0.350	0.708(.310)	0.711(.310)	0.720(.312)	0.896(.337)
0.375	0.675(.327)	0.679(.328)	0.689(.329)	0.880(.360)
0.400	0.643(.343)	0.646(.344)	0.657(.346)	0.863(.381)
0.425	0.609(.359)	0.613(.360)	0.624(.362)	0.844(.403)
0.450	0.575(.374)	0.579(.375)	0.590(.377)	0.824(.424)
0.475	0.541(.388)	0.545(.389)	0.556(.392)	0.802(.444)
0.500	0.507(.401)	0.511(.402)	0.522(.405)	0.778(.464)
0.525	0.472(.413)	0.476(.414)	0.488(.418)	0.752(.483)
0.550	0.438(.425)	0.442(.426)	0.453(.430)	0.725(.501)
0.575	0.404(.435)	0.407(.437)	0.419(.440)	0.695(.519)
0.600	0.370(.445)	0.374(.446)	0.384(.451)	0.663(.536)
0.625	0.337(.454)	0.340(.455)	0.350(.460)	0.629(.552)
0.650	0.304(.462)	0.307(.463)	0.317(.468)	0.593(.567)
0.675	0.272(.469)	0.275(.471)	0.284(.476)	0.554(.582)
0.700	0.241(.475)	0.244(.477)	0.253(.482)	0.514(.595)
0.725	0.211(.481)	0.214(.483)	0.222(.488)	0.471(.607)
0.750	0.182(.486)	0.185(.488)	0.192(.493)	0.426(.619)
0.775	0.155(.490)	0.157(.492)	0.163(.498)	0.380(.629)
0.800	0.129(.494)	0.131(.496)	0.137(.502)	0.332(.637)
0.825	0.105(.497)	0.107(.499)	0.111(.505)	0.283(.645)
0.850	0.083(.499)	0.084(.501)	0.088(.507)	0.234(.652)
0.875	0.062(.501)	0.063(.503)	0.066(.509)	0.185(.657)
0.900	0.044(.502)	0.045(.504)	0.047(.510)	0.137(.661)
0.925	0.028(.503)	0.029(.505)	0.030(.511)	0.092(.664)
0.950	0.015(.503)	0.015(.506)	0.016(.512)	0.051(.666)
0.975	0.005(.504)	0.005(.506)	0.006(.512)	0.019(.666)
1.000	0.000(.504)	0.000(.506)	0.000(.512)	0.000(.667)

REORDER No. 66-196
 Corp. II - Phase II
 VERSION B

*** RELATIVE ENERGY FLUX DENSITY IN THE PENUMBRA ***
 *** OF A DIFFUSE SKIRT WITH THE REFLECTANCE = 0. ***

SOLAR FIELD ANGLE, D= 2.00 DEGREES
 GEOMETRY D1/D2 = 0.

BETA = ANGLE OF INCIDENCE, DEGREES

BETA ***	-88.50	-80.00	-70.00	-60.00	-50.00
AX/AB	Q (QI)	Q (QI)	Q (QI)	Q (QI)	Q (QI)
0.	1.000(.)	1.000(.)	1.000(.)	1.000(.)	1.000(.)
0.025	0.994(.025)	0.998(.025)	0.998(.025)	0.998(.025)	0.998(.025)
0.050	0.983(.050)	0.994(.050)	0.994(.050)	0.994(.050)	0.995(.050)
0.075	0.969(.074)	0.988(.075)	0.989(.075)	0.990(.075)	0.990(.075)
0.100	0.953(.098)	0.982(.099)	0.984(.099)	0.984(.099)	0.985(.099)
0.125	0.936(.122)	0.974(.124)	0.977(.124)	0.978(.124)	0.978(.124)
0.150	0.918(.145)	0.966(.148)	0.970(.148)	0.971(.148)	0.971(.148)
0.175	0.899(.168)	0.957(.172)	0.961(.172)	0.963(.172)	0.964(.172)
0.200	0.879(.190)	0.948(.196)	0.953(.196)	0.954(.196)	0.955(.196)
0.225	0.859(.211)	0.938(.219)	0.943(.220)	0.945(.220)	0.946(.220)
0.250	0.839(.233)	0.927(.243)	0.933(.243)	0.936(.244)	0.937(.244)
0.275	0.819(.253)	0.916(.266)	0.923(.267)	0.925(.267)	0.927(.267)
0.300	0.799(.274)	0.904(.288)	0.912(.290)	0.915(.290)	0.916(.290)
0.325	0.779(.293)	0.892(.311)	0.901(.312)	0.904(.313)	0.905(.313)
0.350	0.759(.313)	0.879(.333)	0.889(.335)	0.892(.335)	0.894(.335)
0.375	0.739(.331)	0.866(.355)	0.876(.357)	0.880(.357)	0.882(.358)
0.400	0.720(.350)	0.852(.376)	0.864(.378)	0.867(.379)	0.869(.379)
0.425	0.700(.367)	0.839(.397)	0.850(.400)	0.855(.401)	0.857(.401)
0.450	0.682(.385)	0.825(.418)	0.837(.421)	0.841(.422)	0.844(.422)
0.475	0.663(.401)	0.810(.439)	0.823(.442)	0.828(.443)	0.830(.443)
0.500	0.645(.418)	0.796(.459)	0.809(.462)	0.814(.463)	0.816(.464)
0.525	0.627(.434)	0.781(.478)	0.795(.482)	0.800(.483)	0.802(.484)
0.550	0.610(.449)	0.766(.498)	0.780(.502)	0.785(.503)	0.788(.504)
0.575	0.593(.464)	0.750(.517)	0.765(.521)	0.770(.523)	0.773(.523)
0.600	0.577(.479)	0.735(.535)	0.750(.540)	0.755(.542)	0.758(.543)
0.625	0.560(.493)	0.719(.553)	0.735(.559)	0.740(.560)	0.743(.561)
0.650	0.545(.507)	0.704(.571)	0.719(.577)	0.724(.579)	0.727(.580)
0.675	0.529(.520)	0.688(.589)	0.703(.595)	0.709(.597)	0.711(.598)
0.700	0.515(.533)	0.672(.606)	0.687(.612)	0.693(.614)	0.696(.615)
0.725	0.500(.546)	0.656(.622)	0.671(.629)	0.677(.631)	0.679(.632)
0.750	0.486(.558)	0.640(.638)	0.655(.645)	0.660(.648)	0.663(.649)
0.775	0.472(.570)	0.624(.654)	0.639(.662)	0.644(.664)	0.647(.666)
0.800	0.459(.582)	0.608(.670)	0.622(.677)	0.628(.680)	0.630(.682)
0.825	0.446(.593)	0.592(.685)	0.606(.693)	0.611(.696)	0.614(.697)
0.850	0.434(.604)	0.576(.699)	0.590(.708)	0.594(.711)	0.597(.712)
0.875	0.421(.615)	0.560(.713)	0.573(.722)	0.578(.725)	0.580(.727)
0.900	0.410(.625)	0.544(.727)	0.556(.736)	0.561(.740)	0.563(.741)
0.925	0.398(.635)	0.528(.741)	0.540(.750)	0.544(.753)	0.547(.755)
0.950	0.387(.645)	0.512(.754)	0.523(.763)	0.527(.767)	0.530(.769)
0.975	0.376(.655)	0.496(.766)	0.507(.776)	0.511(.780)	0.513(.782)
1.000	0.366(.664)	0.480(.778)	0.490(.789)	0.494(.792)	0.496(.794)

*** RELATIVE ENERGY FLUX DENSITY IN THE PENUMBRA ***
 *** OF A DIFFUSE SKIRT WITH THE REFLECTANCE = 0. ***

66-196
 Phase II
 VERSION B

SOLAR FIELD ANGLE, D= 2.00 DEGREES
 GEOMETRY D1/D2 = 0.

BETA = ANGLE OF INCIDENCE, DEGREES

BETA ***	-40.00	-30.00	-20.00	-10.00	-0.
AX/AB	Q (QI)	Q (QI)	Q (QI)	Q (QI)	Q (QI)
0.	1.000(.025)	1.000(.025)	1.000(.025)	1.000(.025)	1.000(.025)
0.025	0.998(.025)	0.998(.025)	0.998(.025)	0.998(.025)	0.998(.025)
0.050	0.995(.050)	0.995(.050)	0.995(.050)	0.995(.050)	0.995(.050)
0.075	0.990(.075)	0.990(.075)	0.990(.075)	0.990(.075)	0.990(.075)
0.100	0.985(.099)	0.985(.099)	0.985(.099)	0.985(.099)	0.985(.099)
0.125	0.979(.124)	0.979(.124)	0.979(.124)	0.979(.124)	0.979(.124)
0.150	0.972(.148)	0.972(.148)	0.972(.148)	0.972(.148)	0.972(.148)
0.175	0.964(.172)	0.964(.173)	0.965(.173)	0.965(.173)	0.965(.173)
0.200	0.956(.196)	0.956(.197)	0.957(.197)	0.957(.197)	0.957(.197)
0.225	0.947(.220)	0.947(.220)	0.948(.220)	0.948(.220)	0.949(.220)
0.250	0.938(.244)	0.938(.244)	0.939(.244)	0.939(.244)	0.939(.244)
0.275	0.928(.267)	0.928(.267)	0.929(.267)	0.929(.267)	0.930(.267)
0.300	0.917(.290)	0.918(.290)	0.918(.290)	0.919(.290)	0.919(.291)
0.325	0.906(.313)	0.907(.313)	0.908(.313)	0.908(.313)	0.909(.313)
0.350	0.895(.336)	0.896(.336)	0.896(.336)	0.897(.336)	0.898(.336)
0.375	0.883(.358)	0.884(.358)	0.885(.358)	0.885(.358)	0.886(.358)
0.400	0.871(.380)	0.872(.380)	0.873(.380)	0.873(.380)	0.874(.380)
0.425	0.858(.401)	0.859(.401)	0.860(.402)	0.861(.402)	0.861(.402)
0.450	0.845(.423)	0.846(.423)	0.847(.423)	0.848(.423)	0.849(.423)
0.475	0.832(.444)	0.833(.444)	0.834(.444)	0.835(.444)	0.835(.444)
0.500	0.818(.464)	0.819(.464)	0.820(.465)	0.821(.465)	0.822(.465)
0.525	0.804(.484)	0.805(.485)	0.806(.485)	0.807(.485)	0.808(.485)
0.550	0.789(.504)	0.791(.505)	0.792(.505)	0.793(.505)	0.793(.505)
0.575	0.775(.524)	0.776(.524)	0.777(.525)	0.778(.525)	0.779(.525)
0.600	0.760(.543)	0.761(.543)	0.762(.544)	0.763(.544)	0.764(.544)
0.625	0.744(.562)	0.746(.562)	0.747(.563)	0.748(.563)	0.749(.563)
0.650	0.729(.580)	0.730(.581)	0.732(.581)	0.733(.582)	0.733(.582)
0.675	0.713(.598)	0.715(.599)	0.716(.599)	0.717(.600)	0.718(.600)
0.700	0.697(.616)	0.699(.616)	0.700(.617)	0.701(.617)	0.702(.618)
0.725	0.681(.633)	0.683(.634)	0.684(.634)	0.685(.635)	0.686(.635)
0.750	0.665(.650)	0.666(.651)	0.668(.651)	0.669(.652)	0.670(.652)
0.775	0.649(.666)	0.650(.667)	0.651(.668)	0.652(.668)	0.653(.669)
0.800	0.632(.682)	0.633(.683)	0.635(.684)	0.636(.684)	0.636(.685)
0.825	0.615(.698)	0.617(.699)	0.618(.699)	0.619(.700)	0.620(.700)
0.850	0.599(.713)	0.600(.714)	0.601(.715)	0.602(.715)	0.603(.716)
0.875	0.582(.728)	0.583(.729)	0.584(.729)	0.585(.730)	0.586(.730)
0.900	0.565(.742)	0.566(.743)	0.567(.744)	0.568(.744)	0.569(.745)
0.925	0.548(.756)	0.549(.757)	0.550(.758)	0.551(.758)	0.552(.759)
0.950	0.531(.770)	0.532(.771)	0.533(.771)	0.534(.772)	0.534(.773)
0.975	0.514(.783)	0.515(.784)	0.516(.784)	0.517(.785)	0.517(.786)
1.000	0.497(.795)	0.498(.796)	0.499(.797)	0.499(.798)	0.500(.798)

66-196
 sub A - Phase II
 VERSION B

*** RELATIVE ENERGY FLUX DENSITY IN THE PENUMBRA ***
 *** OF A DIFFUSE SKIRT WITH THE REFLECTANCE = 0. ***

SOLAR FIELD ANGLE, D= 2.00 DEGREES
 GEOMETRY D1/D2 = 0.

BETA = ANGLE OF INCIDENCE, DEGREES

BETA ***	10.00		20.00		30.00		40.00		50.00	
AX/AB	Q	(QI)	Q	(QI)	Q	(QI)	Q	(QI)	Q	(QI)
0.	1.000(.)		1.000(.)		1.000(.)		1.000(.)		1.000(.)	
0.025	0.998(.025)		0.998(.025)		0.998(.025)		0.998(.025)		0.998(.025)	
0.050	0.995(.050)		0.995(.050)		0.995(.050)		0.995(.050)		0.995(.050)	
0.075	0.991(.075)		0.991(.075)		0.991(.075)		0.991(.075)		0.991(.075)	
0.100	0.985(.099)		0.985(.099)		0.986(.099)		0.986(.099)		0.986(.099)	
0.125	0.979(.124)		0.980(.124)		0.980(.124)		0.980(.124)		0.980(.124)	
0.150	0.973(.148)		0.973(.148)		0.973(.148)		0.973(.148)		0.974(.148)	
0.175	0.965(.173)		0.966(.173)		0.966(.173)		0.966(.173)		0.967(.173)	
0.200	0.957(.197)		0.958(.197)		0.958(.197)		0.958(.197)		0.959(.197)	
0.225	0.949(.220)		0.949(.220)		0.950(.221)		0.950(.221)		0.951(.221)	
0.250	0.940(.244)		0.940(.244)		0.941(.244)		0.941(.244)		0.942(.244)	
0.275	0.930(.267)		0.931(.267)		0.931(.268)		0.932(.268)		0.933(.268)	
0.300	0.920(.291)		0.920(.291)		0.921(.291)		0.922(.291)		0.923(.291)	
0.325	0.909(.313)		0.910(.314)		0.910(.314)		0.911(.314)		0.912(.314)	
0.350	0.898(.336)		0.899(.336)		0.899(.336)		0.900(.336)		0.901(.337)	
0.375	0.887(.358)		0.887(.358)		0.888(.359)		0.889(.359)		0.890(.359)	
0.400	0.875(.380)		0.875(.380)		0.876(.381)		0.877(.381)		0.878(.381)	
0.425	0.862(.402)		0.863(.402)		0.864(.402)		0.865(.403)		0.866(.403)	
0.450	0.849(.423)		0.850(.424)		0.851(.424)		0.852(.424)		0.854(.424)	
0.475	0.836(.445)		0.837(.445)		0.838(.445)		0.839(.445)		0.841(.445)	
0.500	0.823(.465)		0.823(.465)		0.824(.466)		0.826(.466)		0.827(.466)	
0.525	0.809(.486)		0.809(.486)		0.811(.486)		0.812(.486)		0.813(.487)	
0.550	0.794(.506)		0.795(.506)		0.796(.506)		0.798(.507)		0.799(.507)	
0.575	0.780(.525)		0.781(.526)		0.782(.526)		0.783(.526)		0.785(.527)	
0.600	0.765(.545)		0.766(.545)		0.767(.545)		0.768(.546)		0.770(.546)	
0.625	0.750(.564)		0.751(.564)		0.752(.564)		0.753(.565)		0.755(.565)	
0.650	0.734(.582)		0.735(.582)		0.736(.583)		0.738(.583)		0.740(.584)	
0.675	0.719(.600)		0.720(.601)		0.721(.601)		0.722(.602)		0.724(.602)	
0.700	0.703(.618)		0.704(.618)		0.705(.619)		0.706(.619)		0.708(.620)	
0.725	0.687(.635)		0.688(.636)		0.689(.636)		0.690(.637)		0.692(.638)	
0.750	0.670(.652)		0.671(.653)		0.673(.653)		0.674(.654)		0.676(.655)	
0.775	0.654(.669)		0.655(.669)		0.656(.670)		0.657(.671)		0.659(.671)	
0.800	0.637(.685)		0.638(.686)		0.639(.686)		0.641(.687)		0.643(.688)	
0.825	0.621(.701)		0.622(.701)		0.623(.702)		0.624(.703)		0.626(.704)	
0.850	0.604(.716)		0.605(.717)		0.606(.717)		0.607(.718)		0.609(.719)	
0.875	0.587(.731)		0.588(.732)		0.589(.732)		0.590(.733)		0.591(.734)	
0.900	0.570(.745)		0.570(.746)		0.571(.747)		0.573(.748)		0.574(.749)	
0.925	0.552(.759)		0.553(.760)		0.554(.761)		0.555(.762)		0.557(.763)	
0.950	0.535(.773)		0.536(.774)		0.537(.774)		0.538(.775)		0.539(.776)	
0.975	0.518(.786)		0.519(.787)		0.519(.788)		0.520(.789)		0.522(.790)	
1.000	0.501(.799)		0.501(.800)		0.502(.800)		0.503(.801)		0.504(.803)	

*** RELATIVE ENERGY FLUX DENSITY IN THE PENUMBRA ***
 *** OF A DIFFUSE SKIRT WITH THE REFLECTANCE = 0. ***

Report No. 66-196
 Copy 1 - *Shawell*
 VERSION B

SOLAR FIELD ANGLE, D = 2.00 DEGREES
 GEOMETRY D1/D2 = 0.

BETA = ANGLE OF INCIDENCE, DEGREES

BETA *** AX/AB	60.00 Q (QI)	70.00 Q (QI)	80.00 Q (QI)	88.50 Q (QI)
0.	1.000(.)	1.000(.)	1.000(.)	1.000(.)
0.025	0.998(.025)	0.998(.025)	0.999(.025)	1.000(.025)
0.050	0.995(.050)	0.995(.050)	0.996(.050)	1.000(.050)
0.075	0.991(.075)	0.992(.075)	0.993(.075)	0.999(.075)
0.100	0.986(.099)	0.987(.099)	0.988(.100)	0.999(.100)
0.125	0.981(.124)	0.981(.124)	0.984(.124)	0.998(.125)
0.150	0.974(.146)	0.975(.149)	0.978(.149)	0.998(.150)
0.175	0.967(.173)	0.969(.173)	0.972(.173)	0.997(.175)
0.200	0.960(.197)	0.961(.197)	0.966(.197)	0.996(.200)
0.225	0.952(.221)	0.954(.221)	0.959(.221)	0.996(.225)
0.250	0.943(.244)	0.945(.245)	0.951(.245)	0.994(.250)
0.275	0.934(.268)	0.936(.268)	0.943(.269)	0.993(.274)
0.300	0.924(.291)	0.927(.291)	0.934(.292)	0.992(.299)
0.325	0.914(.314)	0.917(.314)	0.925(.316)	0.991(.324)
0.350	0.903(.337)	0.906(.337)	0.915(.339)	0.989(.349)
0.375	0.892(.359)	0.895(.360)	0.905(.361)	0.987(.373)
0.400	0.880(.381)	0.884(.382)	0.895(.384)	0.985(.398)
0.425	0.868(.403)	0.872(.404)	0.883(.406)	0.983(.423)
0.450	0.856(.425)	0.860(.426)	0.872(.428)	0.980(.447)
0.475	0.843(.446)	0.847(.447)	0.860(.450)	0.977(.472)
0.500	0.830(.467)	0.834(.468)	0.847(.471)	0.974(.496)
0.525	0.816(.487)	0.821(.489)	0.835(.492)	0.970(.520)
0.550	0.802(.508)	0.807(.509)	0.821(.513)	0.966(.545)
0.575	0.788(.528)	0.793(.529)	0.807(.533)	0.961(.569)
0.600	0.773(.547)	0.778(.549)	0.793(.553)	0.956(.593)
0.625	0.758(.566)	0.763(.568)	0.779(.573)	0.949(.616)
0.650	0.743(.585)	0.748(.587)	0.764(.592)	0.943(.640)
0.675	0.727(.603)	0.733(.605)	0.748(.611)	0.935(.663)
0.700	0.711(.621)	0.717(.623)	0.733(.629)	0.926(.687)
0.725	0.695(.639)	0.701(.641)	0.717(.648)	0.916(.710)
0.750	0.679(.656)	0.684(.658)	0.700(.665)	0.904(.733)
0.775	0.662(.673)	0.668(.675)	0.683(.683)	0.891(.755)
0.800	0.645(.689)	0.651(.692)	0.666(.699)	0.876(.777)
0.825	0.628(.705)	0.634(.708)	0.649(.716)	0.859(.799)
0.850	0.611(.721)	0.616(.724)	0.631(.732)	0.839(.820)
0.875	0.594(.736)	0.599(.739)	0.613(.747)	0.816(.841)
0.900	0.577(.750)	0.581(.753)	0.595(.763)	0.790(.861)
0.925	0.559(.765)	0.564(.768)	0.577(.777)	0.759(.880)
0.950	0.542(.778)	0.546(.782)	0.558(.791)	0.724(.899)
0.975	0.524(.792)	0.528(.795)	0.539(.805)	0.682(.916)
1.000	0.506(.804)	0.510(.808)	0.520(.818)	0.634(.933)

*** RELATIVE ENERGY FLUX DENSITY IN THE PENUMBRA ***
 *** OF A DIFFUSE SKIRT WITH THE REFLECTANCE = 0. ***

66-196
 App A - Phase II
 VERSION B

SOLAR FIELD ANGLE, D = 2.00 DEGREES
 GEOMETRY D1/D2 = 0.25

BETA = ANGLE OF INCIDENCE, DEGREES

BETA ***	-88.50	-80.00	-70.00	-60.00	-50.00
AX/AB	Q (QI)	Q (QI)	Q (QI)	Q (QI)	Q (QI)
0.	1.000(.)	1.000(.)	1.000(.)	1.000(.)	1.000(.)
0.025	0.979(.025)	0.997(.025)	0.997(.025)	0.997(.025)	0.997(.025)
0.050	0.945(.049)	0.990(.050)	0.992(.050)	0.992(.050)	0.992(.050)
0.075	0.904(.072)	0.982(.074)	0.985(.075)	0.985(.075)	0.986(.075)
0.100	0.859(.094)	0.973(.099)	0.976(.099)	0.977(.099)	0.978(.099)
0.125	0.814(.115)	0.962(.123)	0.967(.123)	0.968(.123)	0.969(.123)
0.150	0.769(.135)	0.949(.147)	0.956(.147)	0.958(.147)	0.959(.148)
0.175	0.725(.153)	0.936(.171)	0.944(.171)	0.947(.171)	0.948(.171)
0.200	0.682(.171)	0.922(.194)	0.931(.195)	0.934(.195)	0.936(.195)
0.225	0.641(.187)	0.907(.217)	0.918(.218)	0.921(.218)	0.923(.218)
0.250	0.602(.203)	0.891(.239)	0.903(.240)	0.907(.241)	0.910(.241)
0.275	0.565(.218)	0.874(.261)	0.888(.263)	0.893(.263)	0.895(.264)
0.300	0.530(.231)	0.857(.283)	0.873(.285)	0.878(.285)	0.880(.286)
0.325	0.497(.244)	0.839(.304)	0.856(.306)	0.862(.307)	0.865(.308)
0.350	0.466(.256)	0.821(.325)	0.839(.328)	0.845(.329)	0.848(.329)
0.375	0.437(.267)	0.802(.345)	0.821(.348)	0.828(.349)	0.831(.350)
0.400	0.410(.278)	0.783(.365)	0.803(.369)	0.810(.370)	0.814(.371)
0.425	0.384(.288)	0.763(.384)	0.785(.389)	0.792(.390)	0.796(.391)
0.450	0.346(.297)	0.743(.403)	0.766(.408)	0.773(.410)	0.777(.410)
0.475	0.269(.305)	0.723(.421)	0.746(.427)	0.754(.429)	0.759(.430)
0.500	0.210(.311)	0.702(.439)	0.727(.445)	0.735(.447)	0.739(.448)
0.525	0.165(.315)	0.682(.456)	0.707(.463)	0.715(.465)	0.720(.467)
0.550	0.130(.319)	0.661(.473)	0.686(.481)	0.695(.483)	0.700(.484)
0.575	0.103(.322)	0.640(.489)	0.666(.497)	0.675(.500)	0.680(.502)
0.600	0.082(.324)	0.619(.505)	0.645(.514)	0.654(.517)	0.659(.518)
0.625	0.065(.326)	0.598(.520)	0.624(.530)	0.634(.533)	0.638(.535)
0.650	0.052(.328)	0.577(.535)	0.603(.545)	0.613(.548)	0.617(.550)
0.675	0.041(.329)	0.556(.549)	0.582(.560)	0.592(.563)	0.596(.565)
0.700	0.033(.330)	0.535(.563)	0.561(.574)	0.570(.578)	0.575(.580)
0.725	0.026(.330)	0.514(.576)	0.540(.588)	0.549(.592)	0.554(.594)
0.750	0.020(.331)	0.493(.589)	0.519(.601)	0.528(.605)	0.533(.608)
0.775	0.016(.331)	0.452(.600)	0.498(.614)	0.507(.618)	0.511(.621)
0.800	0.012(.332)	0.373(.611)	0.438(.626)	0.461(.631)	0.473(.633)
0.825	0.009(.332)	0.299(.619)	0.357(.636)	0.378(.641)	0.389(.644)
0.850	0.006(.332)	0.231(.626)	0.280(.644)	0.298(.649)	0.308(.653)
0.875	0.004(.332)	0.171(.631)	0.210(.650)	0.224(.656)	0.233(.659)
0.900	0.003(.332)	0.118(.634)	0.147(.654)	0.158(.661)	0.164(.664)
0.925	0.002(.333)	0.073(.637)	0.093(.657)	0.100(.664)	0.104(.668)
0.950	0.001(.333)	0.038(.638)	0.049(.659)	0.053(.666)	0.055(.670)
0.975	0.000(.333)	0.013(.639)	0.016(.660)	0.018(.667)	0.019(.671)
1.000	0.000(.333)	0.000(.639)	0.000(.660)	0.000(.667)	0.000(.671)

66-196
 App. - Phase II
 VERSION B

*** RELATIVE ENERGY FLUX DENSITY IN THE PENUMBRA ***
 *** OF A DIFFUSE SKIRT WITH THE REFLECTANCE = 0. ***

SOLAR FIELD ANGLE, D = 2.00 DEGREES
 GEOMETRY D1/D2 = 0.25

BETA = ANGLE OF INCIDENCE, DEGREES

BETA ***	-40.00	-30.00	-20.00	-10.00	-0.
AX/AB	Q (QI)	Q (QI)	Q (QI)	Q (QI)	Q (QI)
0.	1.000(.)	1.000(.)	1.000(.)	1.000(.)	1.000(.)
0.025	0.997(.025)	0.997(.025)	0.997(.025)	0.997(.025)	0.997(.025)
0.050	0.992(.050)	0.993(.050)	0.993(.050)	0.993(.050)	0.993(.050)
0.075	0.986(.075)	0.986(.075)	0.986(.075)	0.987(.075)	0.987(.075)
0.100	0.978(.099)	0.979(.099)	0.979(.099)	0.979(.099)	0.979(.099)
0.125	0.970(.123)	0.970(.123)	0.970(.124)	0.970(.124)	0.971(.124)
0.150	0.960(.148)	0.960(.148)	0.961(.148)	0.961(.148)	0.961(.148)
0.175	0.949(.171)	0.949(.171)	0.950(.172)	0.950(.172)	0.951(.172)
0.200	0.937(.195)	0.938(.195)	0.938(.195)	0.939(.195)	0.939(.195)
0.225	0.924(.218)	0.925(.218)	0.926(.218)	0.927(.218)	0.927(.219)
0.250	0.911(.241)	0.912(.241)	0.913(.241)	0.914(.241)	0.914(.242)
0.275	0.897(.264)	0.898(.264)	0.899(.264)	0.900(.264)	0.900(.264)
0.300	0.882(.286)	0.883(.286)	0.884(.286)	0.885(.286)	0.886(.287)
0.325	0.866(.306)	0.868(.308)	0.869(.308)	0.870(.308)	0.871(.309)
0.350	0.850(.329)	0.852(.330)	0.853(.330)	0.854(.330)	0.855(.330)
0.375	0.834(.350)	0.835(.351)	0.836(.351)	0.838(.351)	0.839(.351)
0.400	0.816(.371)	0.818(.371)	0.819(.372)	0.821(.372)	0.822(.372)
0.425	0.798(.391)	0.800(.392)	0.802(.392)	0.803(.392)	0.804(.392)
0.450	0.780(.411)	0.782(.411)	0.784(.412)	0.785(.412)	0.786(.412)
0.475	0.761(.430)	0.763(.431)	0.765(.431)	0.766(.431)	0.768(.432)
0.500	0.742(.449)	0.744(.450)	0.746(.450)	0.747(.450)	0.749(.451)
0.525	0.723(.467)	0.725(.468)	0.727(.468)	0.728(.469)	0.730(.469)
0.550	0.703(.485)	0.705(.486)	0.707(.486)	0.708(.487)	0.710(.487)
0.575	0.683(.502)	0.685(.503)	0.687(.504)	0.688(.504)	0.690(.505)
0.600	0.662(.519)	0.664(.520)	0.666(.521)	0.668(.521)	0.670(.522)
0.625	0.641(.536)	0.644(.536)	0.646(.537)	0.647(.538)	0.649(.538)
0.650	0.621(.551)	0.623(.552)	0.625(.553)	0.627(.553)	0.628(.554)
0.675	0.600(.567)	0.602(.567)	0.604(.568)	0.605(.569)	0.607(.569)
0.700	0.578(.581)	0.581(.582)	0.583(.583)	0.584(.584)	0.586(.584)
0.725	0.557(.596)	0.559(.597)	0.561(.597)	0.563(.598)	0.564(.599)
0.750	0.536(.609)	0.538(.610)	0.540(.611)	0.542(.612)	0.543(.613)
0.775	0.514(.622)	0.517(.623)	0.518(.624)	0.520(.625)	0.522(.626)
0.800	0.481(.635)	0.487(.636)	0.492(.637)	0.496(.638)	0.500(.639)
0.825	0.396(.646)	0.402(.647)	0.406(.648)	0.410(.649)	0.414(.650)
0.850	0.315(.655)	0.320(.656)	0.324(.657)	0.327(.658)	0.330(.659)
0.875	0.238(.662)	0.242(.663)	0.245(.664)	0.248(.666)	0.251(.667)
0.900	0.168(.667)	0.171(.668)	0.174(.670)	0.176(.671)	0.178(.672)
0.925	0.107(.670)	0.109(.672)	0.111(.673)	0.113(.675)	0.114(.676)
0.950	0.057(.672)	0.058(.674)	0.059(.675)	0.060(.677)	0.061(.678)
0.975	0.019(.673)	0.020(.675)	0.020(.676)	0.020(.678)	0.021(.679)
1.000	0.000(.673)	0.000(.675)	0.000(.677)	0.000(.678)	0.000(.679)

B-26

115

66-196
 App A - Phase II
 VERSION B

*** RELATIVE ENERGY FLUX DENSITY IN THE PENUMBRA ***
 *** OF A DIFFUSE SKIRT WITH THE REFLECTANCE = 0. ***

SOLAR FIELD ANGLE, D= 2.00 DEGREES
 GEOMETRY D1/D2 = 0.25

BETA = ANGLE OF INCIDENCE, DEGREES

BETA ***	10.00	20.00	30.00	40.00	50.00
AX/AB	Q (QI)	Q (QI)	Q (QI)	Q (QI)	Q (QI)
0.	1.000(.)	1.000(.)	1.000(.)	1.000(.)	1.000(.)
0.025	0.998(.025)	0.998(.025)	0.998(.025)	0.998(.025)	0.998(.025)
0.050	0.993(.050)	0.993(.050)	0.993(.050)	0.993(.050)	0.993(.050)
0.075	0.987(.075)	0.987(.075)	0.987(.075)	0.987(.075)	0.987(.075)
0.100	0.979(.099)	0.980(.099)	0.980(.099)	0.980(.099)	0.980(.099)
0.125	0.971(.124)	0.971(.124)	0.972(.124)	0.972(.124)	0.972(.124)
0.150	0.962(.148)	0.962(.148)	0.962(.148)	0.963(.148)	0.963(.148)
0.175	0.951(.172)	0.952(.172)	0.952(.172)	0.953(.172)	0.953(.172)
0.200	0.940(.195)	0.940(.195)	0.941(.195)	0.942(.195)	0.943(.195)
0.225	0.928(.219)	0.928(.219)	0.929(.219)	0.930(.219)	0.931(.219)
0.250	0.915(.242)	0.916(.242)	0.916(.242)	0.917(.242)	0.919(.242)
0.275	0.901(.264)	0.902(.264)	0.903(.265)	0.904(.265)	0.905(.265)
0.300	0.887(.287)	0.888(.287)	0.889(.287)	0.890(.287)	0.891(.287)
0.325	0.872(.309)	0.873(.309)	0.874(.309)	0.875(.309)	0.877(.309)
0.350	0.856(.330)	0.857(.330)	0.858(.331)	0.860(.331)	0.862(.331)
0.375	0.840(.351)	0.841(.352)	0.842(.352)	0.844(.352)	0.846(.352)
0.400	0.823(.372)	0.824(.372)	0.825(.373)	0.827(.373)	0.829(.373)
0.425	0.805(.393)	0.807(.393)	0.808(.393)	0.810(.393)	0.812(.394)
0.450	0.788(.413)	0.789(.413)	0.790(.413)	0.792(.413)	0.795(.414)
0.475	0.769(.432)	0.771(.432)	0.772(.433)	0.774(.433)	0.777(.434)
0.500	0.750(.451)	0.752(.451)	0.753(.452)	0.755(.452)	0.758(.453)
0.525	0.731(.469)	0.733(.470)	0.734(.470)	0.736(.471)	0.739(.472)
0.550	0.711(.487)	0.713(.488)	0.715(.488)	0.717(.489)	0.720(.490)
0.575	0.691(.505)	0.693(.506)	0.695(.506)	0.697(.507)	0.700(.508)
0.600	0.671(.522)	0.673(.523)	0.675(.523)	0.677(.524)	0.680(.525)
0.625	0.650(.539)	0.652(.539)	0.654(.540)	0.656(.541)	0.659(.542)
0.650	0.630(.555)	0.631(.555)	0.633(.556)	0.636(.557)	0.639(.558)
0.675	0.609(.570)	0.610(.571)	0.612(.571)	0.615(.572)	0.618(.573)
0.700	0.587(.585)	0.589(.586)	0.591(.586)	0.593(.587)	0.596(.589)
0.725	0.566(.599)	0.568(.600)	0.570(.601)	0.572(.602)	0.575(.603)
0.750	0.545(.613)	0.546(.614)	0.548(.615)	0.550(.616)	0.553(.617)
0.775	0.523(.627)	0.525(.627)	0.526(.628)	0.529(.629)	0.532(.631)
0.800	0.501(.639)	0.503(.640)	0.505(.641)	0.507(.642)	0.510(.644)
0.825	0.418(.651)	0.422(.652)	0.427(.653)	0.432(.654)	0.440(.656)
0.850	0.334(.660)	0.337(.661)	0.342(.662)	0.347(.664)	0.353(.666)
0.875	0.254(.668)	0.257(.669)	0.260(.670)	0.265(.672)	0.270(.674)
0.900	0.180(.673)	0.183(.674)	0.185(.676)	0.189(.677)	0.193(.679)
0.925	0.116(.677)	0.117(.678)	0.119(.679)	0.121(.681)	0.124(.683)
0.950	0.061(.679)	0.062(.680)	0.063(.682)	0.065(.683)	0.067(.686)
0.975	0.021(.680)	0.021(.681)	0.022(.683)	0.022(.684)	0.023(.687)
1.000	0.000(.680)	0.000(.682)	0.000(.683)	0.000(.685)	0.000(.687)

66-196
 Exp II - Phase II
 VERSION B

*** RELATIVE ENERGY FLUX DENSITY IN THE PENUMBRA ***
 *** OF A DIFFUSE SKIRT WITH THE REFLECTANCE = 0. ***

SOLAR FIELD ANGLE, D= 2.00 DEGREES
 GEOMETRY D1/D2 = 0.25

BETA = ANGLE OF INCIDENCE, DEGREES

BETA ***	60.00		70.00		80.00		88.50	
AX/AB	Q	(QI)	Q	(QI)	Q	(QI)	Q	(QI)
0.	1.000(.))	1.000(.))	1.000(.))	1.000(.))
0.025	0.998(.025))	0.998(.025))	0.998(.025))	1.000(.025))
0.050	0.993(.050))	0.994(.050))	0.995(.050))	1.000(.050))
0.075	0.988(.075))	0.988(.075))	0.990(.075))	0.999(.075))
0.100	0.981(.099))	0.982(.099))	0.985(.099))	0.999(.100))
0.125	0.973(.124))	0.974(.124))	0.978(.124))	0.998(.125))
0.150	0.964(.148))	0.966(.148))	0.971(.148))	0.998(.150))
0.175	0.955(.172))	0.957(.172))	0.963(.172))	0.997(.175))
0.200	0.944(.196))	0.947(.196))	0.954(.196))	0.996(.200))
0.225	0.933(.219))	0.936(.219))	0.944(.220))	0.995(.225))
0.250	0.921(.242))	0.924(.243))	0.934(.244))	0.994(.249))
0.275	0.908(.265))	0.912(.266))	0.923(.267))	0.993(.274))
0.300	0.894(.288))	0.898(.288))	0.911(.290))	0.991(.299))
0.325	0.880(.310))	0.885(.310))	0.898(.312))	0.989(.324))
0.350	0.865(.332))	0.870(.332))	0.885(.335))	0.988(.349))
0.375	0.849(.353))	0.855(.354))	0.871(.357))	0.985(.373))
0.400	0.833(.374))	0.839(.375))	0.856(.378))	0.983(.398))
0.425	0.816(.395))	0.823(.396))	0.841(.399))	0.980(.422))
0.450	0.799(.415))	0.806(.416))	0.825(.420))	0.977(.447))
0.475	0.781(.435))	0.788(.436))	0.809(.441))	0.974(.471))
0.500	0.762(.454))	0.770(.456))	0.792(.461))	0.970(.496))
0.525	0.744(.473))	0.752(.475))	0.774(.480))	0.965(.520))
0.550	0.724(.491))	0.733(.493))	0.756(.499))	0.960(.544))
0.575	0.705(.509))	0.713(.511))	0.737(.518))	0.955(.568))
0.600	0.685(.526))	0.693(.529))	0.718(.536))	0.948(.592))
0.625	0.664(.543))	0.673(.546))	0.698(.554))	0.941(.615))
0.650	0.643(.559))	0.652(.563))	0.678(.571))	0.932(.639))
0.675	0.622(.575))	0.631(.579))	0.657(.588))	0.923(.662))
0.700	0.601(.591))	0.610(.594))	0.636(.604))	0.911(.685))
0.725	0.580(.605))	0.589(.609))	0.614(.620))	0.899(.707))
0.750	0.558(.620))	0.567(.624))	0.592(.635))	0.884(.730))
0.775	0.536(.633))	0.545(.637))	0.570(.649))	0.867(.751))
0.800	0.514(.646))	0.523(.651))	0.547(.663))	0.847(.773))
0.825	0.452(.658))	0.474(.663))	0.524(.677))	0.825(.794))
0.850	0.364(.669))	0.384(.674))	0.445(.689))	0.798(.814))
0.875	0.280(.677))	0.297(.682))	0.350(.699))	0.767(.834))
0.900	0.200(.683))	0.214(.689))	0.257(.706))	0.731(.852))
0.925	0.129(.687))	0.139(.693))	0.170(.712))	0.689(.870))
0.950	0.069(.689))	0.075(.696))	0.093(.715))	0.639(.887))
0.975	0.024(.690))	0.026(.697))	0.033(.716))	0.373(.899))
1.000	0.000(.691))	0.000(.698))	0.000(.717))	0.000(.904))

*** RELATIVE ENERGY FLUX DENSITY IN THE PENUMBRA ***
 *** OF A DIFFUSE SKIRT WITH THE REFLECTANCE = 0. ***

RECORDED IN 66-196
 App. 11-Phall
 VERSION B

SOLAR FIELD ANGLE, D = 2.00 DEGREES
 GEOMETRY D1/D2 = 0.50

BETA = ANGLE OF INCIDENCE, DEGREES

BETA ***	-88.50	-80.00	-70.00	-60.00	-50.00
AX/AB	Q (QI)	Q (QI)	Q (QI)	Q (QI)	Q (QI)
0.	1.000(.)	1.000(.)	1.000(.)	1.000(.)	1.000(.)
0.025	0.961(.025)	0.995(.025)	0.996(.025)	0.996(.025)	0.996(.025)
0.050	0.899(.048)	0.987(.050)	0.989(.050)	0.989(.050)	0.990(.050)
0.075	0.829(.069)	0.976(.074)	0.979(.074)	0.980(.074)	0.981(.074)
0.100	0.759(.089)	0.962(.098)	0.968(.099)	0.970(.099)	0.971(.099)
0.125	0.691(.107)	0.947(.122)	0.955(.123)	0.957(.123)	0.959(.123)
0.150	0.627(.124)	0.931(.146)	0.940(.146)	0.944(.147)	0.945(.147)
0.175	0.569(.139)	0.912(.169)	0.925(.170)	0.928(.170)	0.930(.170)
0.200	0.515(.152)	0.893(.191)	0.907(.193)	0.912(.193)	0.914(.193)
0.225	0.466(.165)	0.873(.213)	0.889(.215)	0.895(.216)	0.897(.216)
0.250	0.422(.176)	0.851(.235)	0.870(.237)	0.876(.238)	0.879(.238)
0.275	0.382(.186)	0.829(.256)	0.850(.259)	0.857(.259)	0.860(.260)
0.300	0.327(.195)	0.806(.276)	0.829(.280)	0.836(.281)	0.840(.281)
0.325	0.269(.202)	0.782(.296)	0.807(.300)	0.815(.301)	0.819(.302)
0.350	0.222(.206)	0.758(.316)	0.784(.320)	0.793(.321)	0.798(.322)
0.375	0.184(.213)	0.733(.334)	0.761(.339)	0.771(.341)	0.776(.342)
0.400	0.153(.217)	0.708(.352)	0.738(.358)	0.748(.360)	0.753(.361)
0.425	0.127(.221)	0.682(.370)	0.713(.376)	0.724(.378)	0.729(.379)
0.450	0.106(.224)	0.656(.386)	0.689(.394)	0.700(.396)	0.705(.397)
0.475	0.089(.226)	0.631(.402)	0.664(.411)	0.675(.413)	0.681(.415)
0.500	0.074(.228)	0.605(.418)	0.639(.427)	0.650(.430)	0.656(.431)
0.525	0.062(.230)	0.579(.433)	0.613(.442)	0.625(.446)	0.631(.447)
0.550	0.052(.231)	0.553(.447)	0.588(.457)	0.600(.461)	0.606(.463)
0.575	0.043(.233)	0.527(.460)	0.562(.472)	0.574(.476)	0.580(.478)
0.600	0.036(.234)	0.502(.473)	0.536(.486)	0.548(.490)	0.555(.492)
0.625	0.030(.234)	0.472(.485)	0.511(.499)	0.523(.503)	0.529(.505)
0.650	0.025(.235)	0.423(.496)	0.480(.511)	0.497(.516)	0.503(.518)
0.675	0.021(.236)	0.374(.506)	0.430(.522)	0.449(.528)	0.460(.530)
0.700	0.017(.236)	0.328(.515)	0.380(.533)	0.399(.538)	0.409(.541)
0.725	0.014(.237)	0.284(.523)	0.332(.541)	0.350(.548)	0.359(.551)
0.750	0.011(.237)	0.242(.529)	0.286(.549)	0.302(.556)	0.311(.559)
0.775	0.009(.237)	0.203(.535)	0.242(.556)	0.256(.563)	0.264(.566)
0.800	0.007(.237)	0.167(.540)	0.201(.561)	0.213(.569)	0.220(.572)
0.825	0.005(.237)	0.134(.543)	0.162(.566)	0.173(.573)	0.179(.577)
0.850	0.004(.238)	0.104(.546)	0.127(.569)	0.135(.577)	0.140(.581)
0.875	0.003(.238)	0.077(.549)	0.095(.572)	0.101(.580)	0.105(.585)
0.900	0.002(.238)	0.054(.550)	0.066(.574)	0.071(.582)	0.074(.587)
0.925	0.001(.238)	0.034(.551)	0.042(.576)	0.045(.584)	0.047(.588)
0.950	0.001(.238)	0.018(.552)	0.022(.576)	0.024(.585)	0.025(.589)
0.975	0.000(.238)	0.006(.552)	0.008(.577)	0.008(.585)	0.009(.590)
1.000	0.000(.238)	0.000(.552)	0.000(.577)	0.000(.585)	0.000(.590)

*** RELATIVE ENERGY FLUX DENSITY IN THE PENUMBRA ***
 *** OF A DIFFUSE SKIRT WITH THE REFLECTANCE = 0. ***

66-196
 App A - Phase II
 VERSION B

SOLAR FIELD ANGLE, D = 2.00 DEGREES
 GEOMETRY D1/D2 = 0.50

BETA = ANGLE OF INCIDENCE, DEGREES

BETA ***	-40.00	-30.00	-20.00	-10.00	-0.
AX/AB	Q (QI)	Q (QI)	Q (QI)	Q (QI)	Q (QI)
0.	1.000(.)	1.000(.)	1.000(.)	1.000(.)	1.000(.)
0.025	0.997(.025)	0.997(.025)	0.997(.025)	0.997(.025)	0.997(.025)
0.050	0.990(.050)	0.990(.050)	0.990(.050)	0.990(.050)	0.991(.050)
0.075	0.981(.074)	0.982(.074)	0.982(.074)	0.982(.074)	0.982(.074)
0.100	0.971(.099)	0.972(.099)	0.972(.099)	0.972(.099)	0.973(.099)
0.125	0.959(.123)	0.960(.123)	0.960(.123)	0.961(.123)	0.961(.123)
0.150	0.946(.147)	0.947(.147)	0.948(.147)	0.948(.147)	0.949(.147)
0.175	0.932(.170)	0.933(.170)	0.933(.170)	0.934(.170)	0.935(.170)
0.200	0.916(.193)	0.917(.193)	0.918(.194)	0.919(.194)	0.919(.194)
0.225	0.899(.216)	0.900(.216)	0.901(.216)	0.902(.216)	0.903(.216)
0.250	0.881(.238)	0.883(.238)	0.884(.239)	0.885(.239)	0.886(.239)
0.275	0.862(.260)	0.864(.260)	0.865(.260)	0.867(.261)	0.868(.261)
0.300	0.843(.281)	0.845(.282)	0.846(.282)	0.847(.282)	0.849(.282)
0.325	0.822(.302)	0.824(.303)	0.826(.303)	0.827(.303)	0.829(.303)
0.350	0.801(.323)	0.803(.323)	0.805(.323)	0.806(.323)	0.808(.324)
0.375	0.779(.342)	0.781(.343)	0.783(.343)	0.785(.343)	0.786(.344)
0.400	0.756(.361)	0.759(.362)	0.761(.362)	0.762(.363)	0.764(.363)
0.425	0.733(.380)	0.735(.381)	0.738(.381)	0.739(.381)	0.741(.382)
0.450	0.709(.398)	0.712(.399)	0.714(.399)	0.716(.400)	0.718(.400)
0.475	0.685(.415)	0.688(.416)	0.690(.417)	0.692(.417)	0.694(.418)
0.500	0.660(.432)	0.663(.433)	0.665(.434)	0.668(.434)	0.670(.435)
0.525	0.635(.449)	0.638(.449)	0.641(.450)	0.643(.451)	0.645(.451)
0.550	0.610(.464)	0.613(.465)	0.615(.466)	0.618(.466)	0.620(.467)
0.575	0.585(.479)	0.588(.480)	0.590(.481)	0.592(.481)	0.594(.482)
0.600	0.559(.493)	0.562(.494)	0.565(.495)	0.567(.496)	0.569(.497)
0.625	0.533(.507)	0.536(.508)	0.539(.509)	0.541(.510)	0.543(.510)
0.650	0.507(.520)	0.511(.521)	0.513(.522)	0.515(.523)	0.517(.524)
0.675	0.466(.532)	0.472(.533)	0.476(.534)	0.479(.535)	0.483(.536)
0.700	0.415(.543)	0.420(.545)	0.424(.546)	0.428(.547)	0.431(.548)
0.725	0.365(.553)	0.370(.554)	0.374(.556)	0.377(.557)	0.380(.558)
0.750	0.317(.561)	0.321(.563)	0.324(.564)	0.328(.566)	0.330(.567)
0.775	0.270(.569)	0.273(.571)	0.277(.572)	0.280(.573)	0.282(.574)
0.800	0.225(.575)	0.228(.577)	0.231(.578)	0.234(.580)	0.236(.581)
0.825	0.183(.580)	0.186(.582)	0.188(.584)	0.190(.585)	0.192(.586)
0.850	0.143(.584)	0.146(.586)	0.148(.588)	0.150(.589)	0.151(.590)
0.875	0.108(.587)	0.110(.589)	0.111(.591)	0.113(.592)	0.114(.594)
0.900	0.076(.590)	0.077(.592)	0.079(.593)	0.080(.595)	0.081(.596)
0.925	0.048(.591)	0.049(.593)	0.050(.595)	0.051(.596)	0.051(.598)
0.950	0.026(.592)	0.026(.594)	0.027(.596)	0.027(.597)	0.027(.599)
0.975	0.009(.592)	0.009(.595)	0.009(.596)	0.009(.598)	0.009(.599)
1.000	0.000(.593)	0.000(.595)	0.000(.596)	0.000(.598)	0.000(.599)

66-196

6. sep. 6 - Phase II
VERSION B

*** RELATIVE ENERGY FLUX DENSITY IN THE PENUMBRA ***
*** OF A DIFFUSE SKIRT WITH THE REFLECTANCE = 0. ***

SOLAR FIELD ANGLE, D= 2.00 DEGREES
GEOMETRY D1/D2 = 0.50

BETA = ANGLE OF INCIDENCE, DEGREES

BETA ***	10.00		20.00		30.00		40.00		50.00	
AX/AB	Q	(QI)	Q	(QI)	Q	(QI)	Q	(QI)	Q	(QI)
0.	1.000	(.)	1.000	(.)	1.000	(.)	1.000	(.)	1.000	(.)
0.025	0.997	(.025)	0.997	(.025)	0.997	(.025)	0.997	(.025)	0.997	(.025)
0.050	0.991	(.050)	0.991	(.050)	0.991	(.050)	0.991	(.050)	0.991	(.050)
0.075	0.983	(.074)	0.983	(.074)	0.983	(.074)	0.983	(.074)	0.984	(.074)
0.100	0.973	(.099)	0.973	(.099)	0.973	(.099)	0.974	(.099)	0.974	(.099)
0.125	0.962	(.123)	0.962	(.123)	0.962	(.123)	0.963	(.123)	0.964	(.123)
0.150	0.949	(.147)	0.950	(.147)	0.950	(.147)	0.951	(.147)	0.952	(.147)
0.175	0.935	(.171)	0.936	(.171)	0.937	(.171)	0.937	(.171)	0.939	(.171)
0.200	0.920	(.194)	0.921	(.194)	0.922	(.194)	0.923	(.194)	0.924	(.194)
0.225	0.904	(.217)	0.905	(.217)	0.906	(.217)	0.907	(.217)	0.909	(.217)
0.250	0.887	(.239)	0.888	(.239)	0.889	(.239)	0.891	(.239)	0.892	(.239)
0.275	0.869	(.261)	0.870	(.261)	0.871	(.261)	0.873	(.261)	0.875	(.262)
0.300	0.850	(.282)	0.851	(.283)	0.853	(.283)	0.854	(.283)	0.857	(.283)
0.325	0.830	(.303)	0.831	(.304)	0.833	(.304)	0.835	(.304)	0.837	(.304)
0.350	0.809	(.324)	0.811	(.324)	0.812	(.324)	0.815	(.325)	0.817	(.325)
0.375	0.788	(.344)	0.789	(.344)	0.791	(.344)	0.794	(.345)	0.797	(.345)
0.400	0.766	(.363)	0.767	(.364)	0.769	(.364)	0.772	(.364)	0.775	(.365)
0.425	0.743	(.382)	0.745	(.382)	0.747	(.383)	0.749	(.383)	0.753	(.384)
0.450	0.720	(.400)	0.722	(.401)	0.724	(.401)	0.726	(.402)	0.730	(.403)
0.475	0.696	(.418)	0.698	(.418)	0.700	(.419)	0.703	(.420)	0.706	(.420)
0.500	0.671	(.435)	0.674	(.436)	0.676	(.436)	0.679	(.437)	0.683	(.438)
0.525	0.647	(.452)	0.649	(.452)	0.651	(.453)	0.654	(.454)	0.658	(.455)
0.550	0.622	(.467)	0.624	(.468)	0.626	(.469)	0.629	(.470)	0.633	(.471)
0.575	0.596	(.483)	0.599	(.483)	0.601	(.484)	0.604	(.485)	0.608	(.486)
0.600	0.571	(.497)	0.573	(.498)	0.576	(.499)	0.579	(.500)	0.583	(.501)
0.625	0.545	(.511)	0.547	(.512)	0.550	(.513)	0.553	(.514)	0.557	(.515)
0.650	0.519	(.525)	0.521	(.525)	0.524	(.526)	0.527	(.527)	0.531	(.529)
0.675	0.486	(.537)	0.490	(.538)	0.494	(.539)	0.499	(.540)	0.505	(.542)
0.700	0.435	(.549)	0.438	(.550)	0.442	(.551)	0.447	(.552)	0.454	(.554)
0.725	0.383	(.559)	0.387	(.560)	0.391	(.561)	0.395	(.563)	0.402	(.565)
0.750	0.333	(.568)	0.337	(.569)	0.340	(.570)	0.345	(.572)	0.351	(.574)
0.775	0.285	(.576)	0.288	(.577)	0.291	(.578)	0.295	(.580)	0.301	(.582)
0.800	0.238	(.582)	0.241	(.583)	0.244	(.585)	0.247	(.587)	0.252	(.589)
0.825	0.194	(.587)	0.196	(.589)	0.199	(.590)	0.202	(.592)	0.206	(.595)
0.850	0.153	(.592)	0.155	(.593)	0.157	(.595)	0.160	(.597)	0.163	(.599)
0.875	0.115	(.595)	0.117	(.597)	0.118	(.598)	0.121	(.600)	0.123	(.603)
0.900	0.082	(.598)	0.083	(.599)	0.084	(.601)	0.085	(.603)	0.087	(.606)
0.925	0.052	(.599)	0.053	(.601)	0.054	(.603)	0.055	(.605)	0.056	(.607)
0.950	0.028	(.600)	0.028	(.602)	0.029	(.604)	0.029	(.606)	0.030	(.609)
0.975	0.010	(.601)	0.010	(.602)	0.010	(.604)	0.010	(.606)	0.010	(.609)
1.000	0.000	(.601)	0.000	(.602)	0.000	(.604)	0.000	(.606)	0.000	(.609)

B-31

120

RE ORDER No. 66-196
 Feb 11 - Phase II
 VERSION B

*** RELATIVE ENERGY FLUX DENSITY IN THE PENUMBRA ***
 *** OF A DIFFUSE SKIRT WITH THE REFLECTANCE = 0. ***

SOLAR FIELD ANGLE, D= 2.00 DEGREES
 GEOMETRY D1/D2 = 0.50

BETA = ANGLE OF INCIDENCE, DEGREES

BETA ***	60.00		70.00		80.00		88.50	
AX/AB	Q	(QI)	Q	(QI)	Q	(QI)	Q	(QI)
0.	1.000	(.)	1.000	(.)	1.000	(.)	1.000	(.)
0.025	0.997	(.025)	0.997	(.025)	0.998	(.025)	1.000	(.025)
0.050	0.991	(.050)	0.992	(.050)	0.993	(.050)	1.000	(.050)
0.075	0.984	(.075)	0.985	(.075)	0.987	(.075)	0.999	(.075)
0.100	0.975	(.099)	0.977	(.099)	0.980	(.099)	0.999	(.100)
0.125	0.965	(.123)	0.967	(.123)	0.972	(.124)	0.998	(.125)
0.150	0.953	(.147)	0.956	(.147)	0.962	(.148)	0.997	(.150)
0.175	0.940	(.171)	0.944	(.171)	0.952	(.172)	0.997	(.175)
0.200	0.926	(.194)	0.930	(.195)	0.940	(.195)	0.996	(.200)
0.225	0.911	(.217)	0.916	(.218)	0.928	(.219)	0.995	(.225)
0.250	0.895	(.240)	0.900	(.240)	0.914	(.242)	0.993	(.249)
0.275	0.878	(.262)	0.884	(.263)	0.900	(.264)	0.992	(.274)
0.300	0.860	(.284)	0.867	(.285)	0.884	(.287)	0.990	(.299)
0.325	0.841	(.305)	0.849	(.306)	0.868	(.309)	0.988	(.324)
0.350	0.822	(.326)	0.829	(.327)	0.851	(.330)	0.986	(.348)
0.375	0.801	(.346)	0.810	(.347)	0.833	(.351)	0.984	(.373)
0.400	0.780	(.366)	0.789	(.367)	0.814	(.372)	0.981	(.398)
0.425	0.758	(.385)	0.767	(.387)	0.794	(.392)	0.978	(.422)
0.450	0.735	(.404)	0.745	(.406)	0.773	(.411)	0.974	(.446)
0.475	0.712	(.422)	0.723	(.424)	0.752	(.430)	0.970	(.471)
0.500	0.688	(.439)	0.699	(.442)	0.729	(.449)	0.966	(.495)
0.525	0.664	(.456)	0.675	(.459)	0.707	(.467)	0.960	(.519)
0.550	0.639	(.472)	0.651	(.476)	0.683	(.484)	0.954	(.543)
0.575	0.614	(.488)	0.626	(.492)	0.659	(.501)	0.947	(.567)
0.600	0.589	(.503)	0.601	(.507)	0.634	(.517)	0.940	(.590)
0.625	0.563	(.518)	0.575	(.522)	0.609	(.533)	0.930	(.614)
0.650	0.537	(.531)	0.549	(.536)	0.583	(.548)	0.920	(.637)
0.675	0.511	(.544)	0.523	(.549)	0.557	(.562)	0.908	(.660)
0.700	0.464	(.557)	0.484	(.562)	0.530	(.576)	0.894	(.682)
0.725	0.412	(.568)	0.431	(.573)	0.486	(.588)	0.878	(.704)
0.750	0.360	(.577)	0.378	(.583)	0.431	(.600)	0.859	(.726)
0.775	0.309	(.586)	0.326	(.592)	0.375	(.610)	0.837	(.747)
0.800	0.260	(.593)	0.275	(.599)	0.320	(.618)	0.811	(.768)
0.825	0.213	(.599)	0.226	(.606)	0.266	(.626)	0.781	(.788)
0.850	0.169	(.603)	0.180	(.611)	0.214	(.632)	0.746	(.807)
0.875	0.128	(.607)	0.136	(.615)	0.164	(.636)	0.704	(.825)
0.900	0.091	(.610)	0.097	(.618)	0.118	(.640)	0.654	(.842)
0.925	0.058	(.612)	0.063	(.620)	0.077	(.642)	0.554	(.857)
0.950	0.031	(.613)	0.034	(.621)	0.042	(.644)	0.390	(.869)
0.975	0.011	(.613)	0.012	(.621)	0.015	(.645)	0.181	(.876)
1.000	0.000	(.613)	0.000	(.622)	0.000	(.645)	0.000	(.878)

*** RELATIVE ENERGY FLUX DENSITY IN THE PENUMBRA ***
 *** OF A DIFFUSE SKIRT WITH THE REFLECTANCE = 0. ***
 SOLAR FIELD ANGLE, D = 2.00 DEGREES
 GEOMETRY D1/D2 = 0.75

66-196
 App A - Phase II
 VERSION B

BETA = ANGLE OF INCIDENCE, DEGREES

AX/AB	-88.50 Q (Q1)	-80.00 Q (Q1)	-70.00 Q (Q1)	-60.00 Q (Q1)	-50.00 Q (Q1)
0.	1.000(.)	1.000(.)	1.000(.)	1.000(.)	1.000(.)
0.025	0.940(.024)	0.994(.025)	0.995(.025)	0.995(.025)	0.995(.025)
0.050	0.849(.047)	0.983(.050)	0.986(.050)	0.987(.050)	0.987(.050)
0.075	0.754(.067)	0.968(.074)	0.973(.074)	0.975(.074)	0.976(.074)
0.100	0.663(.084)	0.951(.098)	0.959(.098)	0.961(.098)	0.963(.098)
0.125	0.581(.100)	0.931(.122)	0.942(.122)	0.945(.122)	0.947(.122)
0.150	0.507(.114)	0.910(.145)	0.923(.145)	0.928(.146)	0.930(.146)
0.175	0.443(.125)	0.886(.167)	0.903(.168)	0.908(.169)	0.911(.169)
0.200	0.387(.136)	0.862(.189)	0.881(.191)	0.888(.191)	0.891(.191)
0.225	0.330(.145)	0.835(.210)	0.858(.212)	0.865(.213)	0.869(.213)
0.250	0.276(.152)	0.808(.231)	0.834(.233)	0.842(.234)	0.846(.235)
0.275	0.232(.159)	0.780(.250)	0.808(.254)	0.817(.255)	0.822(.256)
0.300	0.196(.164)	0.751(.270)	0.781(.274)	0.791(.275)	0.797(.276)
0.325	0.165(.169)	0.721(.288)	0.754(.293)	0.765(.295)	0.770(.295)
0.350	0.140(.172)	0.691(.306)	0.726(.312)	0.737(.313)	0.743(.314)
0.375	0.119(.176)	0.661(.323)	0.697(.329)	0.709(.331)	0.716(.333)
0.400	0.101(.178)	0.630(.339)	0.668(.346)	0.681(.349)	0.687(.350)
0.425	0.086(.181)	0.599(.354)	0.638(.363)	0.651(.366)	0.658(.367)
0.450	0.073(.183)	0.568(.369)	0.608(.378)	0.622(.381)	0.629(.383)
0.475	0.062(.184)	0.537(.382)	0.578(.393)	0.592(.397)	0.599(.398)
0.500	0.053(.186)	0.507(.396)	0.548(.407)	0.562(.411)	0.570(.413)
0.525	0.045(.187)	0.476(.408)	0.518(.421)	0.532(.425)	0.539(.427)
0.550	0.038(.188)	0.436(.419)	0.487(.433)	0.502(.438)	0.509(.440)
0.575	0.032(.189)	0.397(.430)	0.447(.445)	0.464(.450)	0.474(.452)
0.600	0.027(.190)	0.360(.439)	0.408(.455)	0.425(.461)	0.434(.464)
0.625	0.023(.190)	0.323(.448)	0.369(.465)	0.386(.471)	0.394(.474)
0.650	0.019(.191)	0.288(.455)	0.332(.474)	0.347(.480)	0.356(.483)
0.675	0.016(.191)	0.255(.462)	0.295(.482)	0.310(.488)	0.318(.492)
0.700	0.013(.192)	0.223(.468)	0.260(.489)	0.274(.496)	0.281(.499)
0.725	0.011(.192)	0.193(.473)	0.227(.495)	0.239(.502)	0.246(.506)
0.750	0.009(.192)	0.165(.478)	0.195(.500)	0.206(.508)	0.212(.512)
0.775	0.007(.192)	0.138(.481)	0.164(.505)	0.174(.512)	0.180(.517)
0.800	0.006(.193)	0.114(.485)	0.136(.508)	0.145(.516)	0.149(.521)
0.825	0.004(.193)	0.091(.487)	0.110(.511)	0.117(.520)	0.121(.524)
0.850	0.003(.193)	0.071(.489)	0.086(.514)	0.092(.522)	0.095(.527)
0.875	0.002(.193)	0.053(.491)	0.064(.516)	0.069(.524)	0.071(.529)
0.900	0.002(.193)	0.037(.492)	0.045(.517)	0.048(.526)	0.050(.530)
0.925	0.001(.193)	0.023(.493)	0.029(.518)	0.031(.527)	0.032(.531)
0.950	0.001(.193)	0.012(.493)	0.015(.519)	0.017(.527)	0.017(.532)
0.975	0.000(.193)	0.004(.493)	0.005(.519)	0.006(.528)	0.006(.532)
1.000	0.000(.193)	0.000(.493)	0.000(.519)	0.000(.528)	0.000(.532)

B-33
 122

RE-ORDER No. 66-196
App. A - Phen II
 VERSION B

*** RELATIVE ENERGY FLUX DENSITY IN THE PENUMBRA ***
 *** OF A DIFFUSE SKIRT WITH THE REFLECTANCE = 0. ***

SOLAR FIELD ANGLE, D = 2.00 DEGREES
 GEOMETRY D1/D2 = 0.75

BETA = ANGLE OF INCIDENCE, DEGREES

BETA ***	-40.00	-30.00	-20.00	-10.00	-0.
AX/AB	Q (QI)	Q (QI)	Q (QI)	Q (QI)	Q (QI)
0.	1.000(.)	1.000(.)	1.000(.)	1.000(.)	1.000(.)
0.025	0.996(.025)	0.996(.025)	0.996(.025)	0.996(.025)	0.996(.025)
0.050	0.987(.050)	0.988(.050)	0.988(.050)	0.988(.050)	0.988(.050)
0.075	0.976(.074)	0.977(.074)	0.977(.074)	0.977(.074)	0.978(.074)
0.100	0.963(.099)	0.964(.099)	0.964(.099)	0.965(.099)	0.965(.099)
0.125	0.948(.122)	0.949(.122)	0.950(.122)	0.950(.123)	0.951(.123)
0.150	0.931(.146)	0.932(.146)	0.933(.146)	0.934(.146)	0.935(.146)
0.175	0.913(.169)	0.914(.169)	0.915(.169)	0.916(.169)	0.917(.169)
0.200	0.893(.192)	0.894(.192)	0.896(.192)	0.897(.192)	0.898(.192)
0.225	0.871(.214)	0.873(.214)	0.875(.214)	0.876(.214)	0.877(.214)
0.250	0.849(.235)	0.851(.235)	0.852(.235)	0.854(.236)	0.855(.236)
0.275	0.825(.256)	0.827(.256)	0.829(.256)	0.830(.257)	0.832(.257)
0.300	0.800(.276)	0.802(.277)	0.804(.277)	0.806(.277)	0.808(.277)
0.325	0.774(.296)	0.777(.296)	0.779(.297)	0.781(.297)	0.783(.297)
0.350	0.747(.315)	0.750(.315)	0.753(.316)	0.755(.316)	0.756(.316)
0.375	0.720(.333)	0.723(.334)	0.725(.334)	0.728(.335)	0.730(.335)
0.400	0.692(.351)	0.695(.352)	0.697(.352)	0.700(.353)	0.702(.353)
0.425	0.663(.368)	0.666(.369)	0.669(.369)	0.671(.370)	0.674(.370)
0.450	0.634(.384)	0.637(.385)	0.640(.386)	0.642(.386)	0.645(.387)
0.475	0.604(.400)	0.608(.400)	0.611(.401)	0.613(.402)	0.615(.402)
0.500	0.574(.414)	0.578(.415)	0.581(.416)	0.583(.417)	0.586(.417)
0.525	0.544(.428)	0.548(.429)	0.551(.430)	0.553(.431)	0.556(.432)
0.550	0.514(.442)	0.518(.443)	0.521(.444)	0.523(.444)	0.526(.445)
0.575	0.480(.454)	0.484(.455)	0.488(.456)	0.491(.457)	0.494(.458)
0.600	0.440(.465)	0.444(.467)	0.448(.468)	0.451(.469)	0.454(.470)
0.625	0.400(.476)	0.405(.477)	0.408(.479)	0.411(.480)	0.414(.481)
0.650	0.361(.486)	0.365(.487)	0.369(.488)	0.372(.489)	0.375(.490)
0.675	0.323(.494)	0.327(.496)	0.330(.497)	0.333(.498)	0.336(.499)
0.700	0.286(.502)	0.290(.503)	0.293(.505)	0.296(.506)	0.298(.507)
0.725	0.250(.508)	0.254(.510)	0.257(.512)	0.259(.513)	0.261(.514)
0.750	0.216(.514)	0.219(.516)	0.222(.518)	0.224(.519)	0.226(.520)
0.775	0.183(.519)	0.186(.521)	0.188(.523)	0.190(.524)	0.192(.526)
0.800	0.153(.523)	0.155(.525)	0.157(.527)	0.159(.529)	0.160(.530)
0.825	0.124(.527)	0.126(.529)	0.127(.531)	0.129(.532)	0.130(.534)
0.850	0.097(.530)	0.099(.532)	0.100(.534)	0.101(.535)	0.102(.537)
0.875	0.073(.532)	0.074(.534)	0.075(.536)	0.076(.537)	0.077(.539)
0.900	0.051(.533)	0.052(.536)	0.053(.537)	0.054(.539)	0.054(.540)
0.925	0.033(.534)	0.034(.537)	0.034(.538)	0.034(.540)	0.035(.542)
0.950	0.018(.535)	0.018(.537)	0.018(.539)	0.018(.541)	0.019(.542)
0.975	0.006(.535)	0.006(.538)	0.006(.539)	0.006(.541)	0.006(.543)
1.000	0.000(.535)	0.000(.538)	0.000(.539)	0.000(.541)	0.000(.543)

RECORDED NO. 66-196
 Capt. - Phase II
 VERSION B

*** RELATIVE ENERGY FLUX DENSITY IN THE PENUMBRA ***
 *** OF A DIFFUSE SKIRT WITH THE REFLECTANCE = 0. ***

SOLAR FIELD ANGLE, D= 2.00 DEGREES
 GEOMETRY D1/D2 = 0.75

BETA = ANGLE OF INCIDENCE, DEGREES

BETA ***	10.00	20.00	30.00	40.00	50.00
AX/AB	Q (QI)	Q (QI)	Q (QI)	Q (QI)	Q (QI)
0.	1.000(.)	1.000(.)	1.000(.)	1.000(.)	1.000(.)
0.025	0.996(.025)	0.996(.025)	0.996(.025)	0.996(.025)	0.996(.025)
0.050	0.988(.050)	0.988(.050)	0.988(.050)	0.989(.050)	0.989(.050)
0.075	0.978(.074)	0.978(.074)	0.978(.074)	0.979(.074)	0.979(.074)
0.100	0.966(.099)	0.966(.099)	0.966(.099)	0.967(.099)	0.968(.099)
0.125	0.951(.123)	0.952(.123)	0.952(.123)	0.953(.123)	0.954(.123)
0.150	0.935(.146)	0.936(.146)	0.937(.146)	0.938(.146)	0.939(.146)
0.175	0.918(.169)	0.919(.169)	0.920(.169)	0.921(.170)	0.922(.170)
0.200	0.899(.192)	0.900(.192)	0.901(.192)	0.902(.192)	0.904(.192)
0.225	0.878(.214)	0.879(.214)	0.881(.214)	0.882(.215)	0.885(.215)
0.250	0.856(.236)	0.858(.236)	0.859(.236)	0.861(.236)	0.864(.237)
0.275	0.833(.257)	0.835(.257)	0.837(.257)	0.839(.258)	0.842(.258)
0.300	0.809(.278)	0.811(.278)	0.813(.278)	0.815(.278)	0.819(.279)
0.325	0.784(.297)	0.786(.298)	0.788(.298)	0.791(.298)	0.794(.299)
0.350	0.758(.317)	0.760(.317)	0.763(.317)	0.765(.318)	0.769(.318)
0.375	0.732(.335)	0.734(.336)	0.736(.336)	0.739(.337)	0.743(.337)
0.400	0.704(.353)	0.706(.354)	0.709(.354)	0.712(.355)	0.716(.356)
0.425	0.676(.371)	0.678(.371)	0.681(.372)	0.684(.372)	0.688(.373)
0.450	0.647(.387)	0.649(.388)	0.652(.388)	0.656(.389)	0.660(.390)
0.475	0.618(.403)	0.620(.404)	0.623(.404)	0.627(.405)	0.631(.406)
0.500	0.588(.418)	0.591(.419)	0.594(.419)	0.597(.420)	0.602(.422)
0.525	0.558(.432)	0.561(.433)	0.564(.434)	0.567(.435)	0.572(.436)
0.550	0.528(.446)	0.531(.447)	0.534(.448)	0.537(.449)	0.542(.450)
0.575	0.497(.459)	0.501(.460)	0.504(.461)	0.507(.462)	0.512(.463)
0.600	0.457(.471)	0.460(.472)	0.464(.473)	0.468(.474)	0.474(.476)
0.625	0.417(.482)	0.420(.483)	0.424(.484)	0.428(.485)	0.434(.487)
0.650	0.378(.492)	0.381(.493)	0.384(.494)	0.388(.495)	0.394(.497)
0.675	0.339(.500)	0.341(.502)	0.345(.503)	0.349(.505)	0.354(.507)
0.700	0.301(.508)	0.303(.510)	0.306(.511)	0.310(.513)	0.315(.515)
0.725	0.264(.516)	0.266(.517)	0.269(.518)	0.273(.520)	0.277(.523)
0.750	0.228(.522)	0.230(.523)	0.233(.525)	0.236(.526)	0.241(.529)
0.775	0.194(.527)	0.196(.528)	0.198(.530)	0.201(.532)	0.205(.535)
0.800	0.162(.531)	0.164(.533)	0.166(.535)	0.168(.537)	0.172(.539)
0.825	0.132(.535)	0.133(.537)	0.135(.538)	0.137(.540)	0.140(.543)
0.850	0.104(.538)	0.105(.540)	0.106(.541)	0.108(.543)	0.110(.546)
0.875	0.078(.540)	0.079(.542)	0.080(.544)	0.081(.546)	0.083(.549)
0.900	0.055(.542)	0.056(.544)	0.057(.545)	0.058(.548)	0.059(.551)
0.925	0.035(.543)	0.036(.545)	0.036(.546)	0.037(.549)	0.038(.552)
0.950	0.019(.544)	0.019(.545)	0.019(.547)	0.020(.549)	0.020(.552)
0.975	0.007(.544)	0.007(.546)	0.007(.548)	0.007(.550)	0.007(.553)
1.000	0.000(.544)	0.000(.546)	0.000(.548)	0.000(.550)	0.000(.553)

B-35

124

DE ORDER NO. 66-196
 App A - Phase II
 VERSION B

*** RELATIVE ENERGY FLUX DENSITY IN THE PENUMBRA ***
 *** OF A DIFFUSE SKIRT WITH THE REFLECTANCE = 0. ***

SOLAR FIELD ANGLE, $\theta = 2.00$ DEGREES
 GEOMETRY $D1/D2 = 0.75$

BETA = ANGLE OF INCIDENCE, DEGREES

BETA ***	60.00	70.00	80.00	88.50
AX/AB	Q (QI)	Q (QI)	Q (QI)	Q (QI)
0.	1.000(.)	1.000(.)	1.000(.)	1.000(.)
0.025	0.996(.025)	0.997(.025)	0.997(.025)	1.000(.025)
0.050	0.989(.050)	0.990(.050)	0.992(.050)	1.000(.050)
0.075	0.980(.074)	0.981(.074)	0.984(.075)	0.999(.075)
0.100	0.969(.099)	0.971(.099)	0.976(.099)	0.999(.100)
0.125	0.956(.123)	0.958(.123)	0.965(.123)	0.998(.125)
0.150	0.941(.147)	0.944(.147)	0.953(.147)	0.997(.150)
0.175	0.925(.170)	0.929(.170)	0.940(.171)	0.996(.175)
0.200	0.907(.193)	0.912(.193)	0.926(.194)	0.995(.200)
0.225	0.888(.215)	0.894(.216)	0.910(.217)	0.994(.225)
0.250	0.868(.237)	0.874(.238)	0.893(.240)	0.993(.249)
0.275	0.846(.259)	0.854(.259)	0.875(.262)	0.991(.274)
0.300	0.823(.279)	0.832(.280)	0.855(.283)	0.989(.299)
0.325	0.799(.300)	0.809(.301)	0.835(.305)	0.987(.324)
0.350	0.775(.319)	0.785(.321)	0.813(.325)	0.985(.348)
0.375	0.749(.338)	0.760(.340)	0.790(.345)	0.982(.373)
0.400	0.722(.357)	0.734(.359)	0.766(.365)	0.979(.397)
0.425	0.695(.374)	0.707(.377)	0.741(.384)	0.975(.422)
0.450	0.667(.392)	0.680(.394)	0.715(.402)	0.971(.446)
0.475	0.638(.408)	0.652(.411)	0.689(.419)	0.966(.470)
0.500	0.609(.423)	0.623(.427)	0.661(.436)	0.961(.494)
0.525	0.580(.438)	0.594(.442)	0.633(.452)	0.955(.518)
0.550	0.550(.452)	0.564(.457)	0.604(.468)	0.947(.542)
0.575	0.520(.466)	0.534(.470)	0.574(.482)	0.939(.566)
0.600	0.484(.478)	0.501(.483)	0.544(.496)	0.930(.589)
0.625	0.443(.490)	0.460(.495)	0.510(.510)	0.918(.612)
0.650	0.403(.500)	0.420(.506)	0.469(.522)	0.906(.635)
0.675	0.363(.510)	0.379(.516)	0.427(.533)	0.891(.657)
0.700	0.323(.519)	0.339(.525)	0.384(.543)	0.873(.679)
0.725	0.285(.526)	0.299(.533)	0.342(.552)	0.852(.701)
0.750	0.247(.533)	0.260(.540)	0.300(.560)	0.828(.722)
0.775	0.211(.539)	0.223(.546)	0.259(.567)	0.799(.742)
0.800	0.177(.543)	0.187(.551)	0.219(.573)	0.766(.762)
0.825	0.144(.547)	0.153(.556)	0.181(.578)	0.725(.781)
0.850	0.114(.551)	0.121(.559)	0.144(.582)	0.678(.798)
0.875	0.086(.553)	0.092(.562)	0.110(.586)	0.616(.814)
0.900	0.061(.555)	0.065(.564)	0.079(.588)	0.523(.829)
0.925	0.039(.556)	0.042(.565)	0.051(.590)	0.407(.840)
0.950	0.021(.557)	0.023(.566)	0.028(.591)	0.267(.849)
0.975	0.007(.557)	0.008(.566)	0.010(.591)	0.114(.853)
1.000	0.000(.558)	0.000(.566)	0.000(.591)	0.000(.855)

RECORD NO. 66-196
 App A - Phase II
 VERSION B

*** RELATIVE ENERGY FLUX DENSITY IN THE PENUMBRA ***
 *** OF A DIFFUSE SKIRT WITH THE REFLECTANCE = 0. ***

SOLAR FIELD ANGLE, D= 2.00 DEGREES
 GEOMETRY D1/D2 = 1.00

BETA = ANGLE OF INCIDENCE, DEGREES

BETA ***	-88.50	-80.00	-70.00	-60.00	-50.00
AX/AB	Q (QI)	Q (QI)	Q (QI)	Q (QI)	Q (QI)
0.	1.000(.)	1.000(.)	1.000(.)	1.000(.)	1.000(.)
0.025	0.918(.024)	0.992(.025)	0.994(.025)	0.994(.025)	0.994(.025)
0.050	0.799(.045)	0.979(.050)	0.982(.050)	0.983(.050)	0.984(.050)
0.075	0.682(.064)	0.960(.074)	0.967(.074)	0.969(.074)	0.970(.074)
0.100	0.577(.080)	0.939(.098)	0.949(.098)	0.952(.098)	0.954(.098)
0.125	0.486(.093)	0.914(.121)	0.928(.121)	0.933(.122)	0.935(.122)
0.150	0.410(.104)	0.888(.143)	0.905(.144)	0.911(.145)	0.913(.145)
0.175	0.346(.114)	0.859(.165)	0.880(.167)	0.887(.167)	0.890(.167)
0.200	0.292(.122)	0.828(.186)	0.853(.188)	0.861(.189)	0.865(.189)
0.225	0.248(.128)	0.796(.206)	0.825(.209)	0.834(.210)	0.838(.211)
0.250	0.210(.134)	0.763(.226)	0.795(.230)	0.805(.231)	0.810(.231)
0.275	0.179(.139)	0.729(.245)	0.763(.249)	0.775(.250)	0.781(.251)
0.300	0.153(.143)	0.694(.262)	0.731(.268)	0.744(.269)	0.750(.270)
0.325	0.130(.147)	0.658(.279)	0.698(.286)	0.712(.288)	0.719(.289)
0.350	0.112(.150)	0.623(.295)	0.665(.303)	0.679(.305)	0.686(.306)
0.375	0.096(.152)	0.587(.310)	0.630(.319)	0.645(.322)	0.653(.323)
0.400	0.082(.154)	0.551(.325)	0.596(.334)	0.611(.337)	0.619(.339)
0.425	0.070(.156)	0.516(.338)	0.561(.349)	0.577(.352)	0.585(.354)
0.450	0.060(.158)	0.481(.350)	0.526(.362)	0.542(.366)	0.550(.368)
0.475	0.052(.159)	0.446(.362)	0.492(.375)	0.508(.379)	0.516(.381)
0.500	0.045(.161)	0.412(.373)	0.457(.387)	0.473(.391)	0.481(.394)
0.525	0.038(.162)	0.379(.383)	0.423(.398)	0.439(.403)	0.447(.405)
0.550	0.033(.162)	0.347(.392)	0.390(.408)	0.405(.413)	0.413(.416)
0.575	0.028(.163)	0.316(.400)	0.357(.417)	0.372(.423)	0.379(.426)
0.600	0.024(.164)	0.285(.407)	0.325(.426)	0.339(.432)	0.346(.435)
0.625	0.020(.164)	0.256(.414)	0.293(.433)	0.307(.440)	0.314(.443)
0.650	0.017(.165)	0.228(.420)	0.263(.440)	0.276(.447)	0.283(.451)
0.675	0.014(.165)	0.202(.426)	0.234(.447)	0.246(.454)	0.252(.458)
0.700	0.012(.166)	0.177(.430)	0.206(.452)	0.217(.460)	0.223(.464)
0.725	0.010(.166)	0.153(.435)	0.179(.457)	0.189(.465)	0.194(.469)
0.750	0.008(.166)	0.130(.438)	0.154(.461)	0.163(.469)	0.167(.473)
0.775	0.006(.166)	0.110(.441)	0.130(.465)	0.138(.473)	0.142(.477)
0.800	0.005(.166)	0.090(.444)	0.108(.468)	0.114(.476)	0.118(.480)
0.825	0.004(.167)	0.073(.446)	0.087(.470)	0.092(.479)	0.095(.483)
0.850	0.003(.167)	0.057(.447)	0.068(.472)	0.072(.481)	0.075(.485)
0.875	0.002(.167)	0.042(.448)	0.051(.473)	0.054(.482)	0.056(.487)
0.900	0.001(.167)	0.030(.449)	0.036(.475)	0.038(.483)	0.040(.488)
0.925	0.001(.167)	0.019(.450)	0.023(.475)	0.025(.484)	0.025(.489)
0.950	0.000(.167)	0.010(.450)	0.012(.476)	0.013(.485)	0.014(.489)
0.975	0.000(.167)	0.003(.450)	0.004(.476)	0.005(.485)	0.005(.490)
1.000	0.000(.167)	0.000(.451)	0.000(.476)	0.000(.485)	0.000(.490)

*** RELATIVE ENERGY FLUX DENSITY IN THE PENUMBRA ***
 *** OF A DIFFUSE SKIRT WITH THE REFLECTANCE = 0. ***

REORDER NO. 66-196
 App A - Phase 1
 VERSION B

SOLAR FIELD ANGLE, D = 2.00 DEGREES
 GEOMETRY D1/D2 = 1.00

BETA = ANGLE OF INCIDENCE, DEGREES

BETA ***	-40.00	-30.00	-20.00	-10.00	-0.
AX/AB	Q (QI)	Q (QI)	Q (QI)	Q (QI)	Q (QI)
0.	1.000(.)	1.000(.)	1.000(.)	1.000(.)	1.000(.)
0.025	0.995(.025)	0.995(.025)	0.995(.025)	0.995(.025)	0.995(.025)
0.050	0.984(.050)	0.985(.050)	0.985(.050)	0.985(.050)	0.985(.050)
0.075	0.971(.074)	0.971(.074)	0.972(.074)	0.972(.074)	0.973(.074)
0.100	0.955(.098)	0.956(.098)	0.956(.098)	0.957(.098)	0.957(.098)
0.125	0.936(.122)	0.937(.122)	0.938(.122)	0.939(.122)	0.939(.122)
0.150	0.915(.145)	0.917(.145)	0.918(.145)	0.919(.145)	0.919(.145)
0.175	0.892(.168)	0.894(.168)	0.895(.168)	0.897(.168)	0.898(.168)
0.200	0.868(.190)	0.870(.190)	0.871(.190)	0.873(.190)	0.874(.190)
0.225	0.842(.211)	0.844(.211)	0.846(.211)	0.847(.211)	0.849(.212)
0.250	0.814(.232)	0.816(.232)	0.818(.232)	0.820(.232)	0.822(.232)
0.275	0.785(.252)	0.787(.252)	0.790(.252)	0.792(.252)	0.793(.253)
0.300	0.754(.271)	0.757(.271)	0.760(.272)	0.762(.272)	0.764(.272)
0.325	0.723(.289)	0.726(.290)	0.729(.290)	0.731(.291)	0.733(.291)
0.350	0.691(.307)	0.694(.308)	0.697(.308)	0.700(.308)	0.702(.309)
0.375	0.658(.324)	0.661(.324)	0.664(.325)	0.667(.326)	0.670(.326)
0.400	0.624(.340)	0.628(.341)	0.631(.341)	0.634(.342)	0.636(.342)
0.425	0.590(.355)	0.594(.356)	0.597(.357)	0.600(.357)	0.603(.358)
0.450	0.556(.369)	0.560(.370)	0.563(.371)	0.566(.372)	0.569(.372)
0.475	0.521(.383)	0.525(.384)	0.529(.385)	0.532(.385)	0.534(.386)
0.500	0.487(.395)	0.491(.397)	0.494(.398)	0.497(.398)	0.500(.399)
0.525	0.453(.407)	0.457(.408)	0.460(.409)	0.463(.410)	0.466(.411)
0.550	0.418(.418)	0.422(.419)	0.426(.421)	0.429(.422)	0.431(.422)
0.575	0.385(.428)	0.389(.430)	0.392(.431)	0.395(.432)	0.397(.433)
0.600	0.351(.437)	0.355(.439)	0.358(.440)	0.361(.441)	0.364(.442)
0.625	0.319(.446)	0.323(.447)	0.325(.449)	0.328(.450)	0.330(.451)
0.650	0.287(.453)	0.291(.455)	0.293(.456)	0.296(.458)	0.298(.459)
0.675	0.256(.460)	0.259(.462)	0.262(.463)	0.264(.465)	0.267(.466)
0.700	0.226(.466)	0.229(.468)	0.232(.470)	0.234(.471)	0.236(.472)
0.725	0.198(.471)	0.201(.473)	0.203(.475)	0.205(.476)	0.206(.478)
0.750	0.171(.476)	0.173(.478)	0.175(.480)	0.177(.481)	0.178(.482)
0.775	0.145(.480)	0.147(.482)	0.148(.484)	0.150(.485)	0.151(.487)
0.800	0.120(.483)	0.122(.485)	0.123(.487)	0.125(.489)	0.126(.490)
0.825	0.097(.486)	0.099(.488)	0.100(.490)	0.101(.491)	0.102(.493)
0.850	0.077(.488)	0.078(.490)	0.079(.492)	0.080(.494)	0.081(.495)
0.875	0.058(.490)	0.058(.492)	0.059(.494)	0.060(.495)	0.061(.497)
0.900	0.041(.491)	0.041(.493)	0.042(.495)	0.042(.497)	0.043(.498)
0.925	0.026(.492)	0.026(.494)	0.027(.496)	0.027(.498)	0.027(.499)
0.950	0.014(.492)	0.014(.495)	0.014(.497)	0.015(.498)	0.015(.500)
0.975	0.005(.493)	0.005(.495)	0.005(.497)	0.005(.498)	0.005(.500)
1.000	0.000(.493)	0.000(.495)	0.000(.497)	0.000(.498)	0.000(.500)

*** RELATIVE ENERGY FLUX DENSITY IN THE PENUMBRA ***
 *** OF A DIFFUSE SKIRT WITH THE REFLECTANCE = 0. ***

SOLAR FIELD ANGLE, D= 2.00 DEGREES
 GEOMETRY D1/D2 = 1.00

BETA = ANGLE OF INCIDENCE, DEGREES

BETA ***	10.00	20.00	30.00	40.00	50.00
AX/AB	Q (QI)	Q (QI)	Q (QI)	Q (QI)	Q (QI)
0.	1.000(.)	1.000(.)	1.000(.)	1.000(.)	1.000(.)
0.025	0.995(.025)	0.995(.025)	0.995(.025)	0.995(.025)	0.995(.025)
0.050	0.985(.050)	0.986(.050)	0.986(.050)	0.986(.050)	0.986(.050)
0.075	0.973(.074)	0.973(.074)	0.974(.074)	0.974(.074)	0.975(.074)
0.100	0.958(.098)	0.958(.098)	0.959(.098)	0.959(.098)	0.960(.098)
0.125	0.940(.122)	0.941(.122)	0.942(.122)	0.942(.122)	0.944(.122)
0.150	0.920(.145)	0.921(.145)	0.922(.145)	0.923(.145)	0.925(.146)
0.175	0.899(.168)	0.900(.168)	0.901(.168)	0.903(.168)	0.905(.168)
0.200	0.875(.190)	0.876(.190)	0.878(.190)	0.880(.191)	0.882(.191)
0.225	0.850(.212)	0.852(.212)	0.853(.212)	0.855(.212)	0.858(.213)
0.250	0.823(.233)	0.825(.233)	0.827(.233)	0.829(.233)	0.833(.234)
0.275	0.795(.253)	0.797(.253)	0.799(.253)	0.802(.254)	0.806(.254)
0.300	0.766(.272)	0.768(.273)	0.771(.273)	0.773(.273)	0.777(.274)
0.325	0.736(.291)	0.738(.292)	0.741(.292)	0.744(.292)	0.748(.293)
0.350	0.704(.309)	0.707(.310)	0.709(.310)	0.713(.311)	0.717(.311)
0.375	0.672(.326)	0.675(.327)	0.677(.327)	0.681(.328)	0.686(.329)
0.400	0.639(.343)	0.642(.343)	0.645(.344)	0.648(.345)	0.654(.346)
0.425	0.605(.358)	0.608(.359)	0.611(.360)	0.615(.360)	0.620(.362)
0.450	0.571(.373)	0.574(.374)	0.578(.374)	0.582(.375)	0.587(.377)
0.475	0.537(.387)	0.540(.388)	0.543(.388)	0.547(.389)	0.553(.391)
0.500	0.503(.400)	0.506(.401)	0.509(.402)	0.513(.403)	0.519(.404)
0.525	0.468(.412)	0.471(.413)	0.474(.414)	0.479(.415)	0.484(.417)
0.550	0.434(.423)	0.437(.424)	0.440(.425)	0.444(.427)	0.449(.428)
0.575	0.400(.434)	0.403(.435)	0.406(.436)	0.410(.437)	0.415(.439)
0.600	0.366(.443)	0.369(.444)	0.372(.446)	0.376(.447)	0.381(.449)
0.625	0.333(.452)	0.336(.453)	0.339(.455)	0.342(.456)	0.347(.458)
0.650	0.300(.460)	0.303(.461)	0.306(.463)	0.309(.464)	0.314(.467)
0.675	0.269(.467)	0.271(.468)	0.274(.470)	0.277(.472)	0.281(.474)
0.700	0.238(.473)	0.240(.475)	0.243(.476)	0.246(.478)	0.250(.481)
0.725	0.208(.479)	0.210(.480)	0.213(.482)	0.215(.484)	0.219(.487)
0.750	0.180(.484)	0.182(.485)	0.184(.487)	0.186(.489)	0.190(.492)
0.775	0.153(.488)	0.154(.489)	0.156(.491)	0.158(.493)	0.162(.496)
0.800	0.127(.492)	0.129(.493)	0.130(.495)	0.132(.497)	0.135(.500)
0.825	0.103(.494)	0.105(.496)	0.106(.498)	0.108(.500)	0.110(.503)
0.850	0.081(.497)	0.082(.498)	0.083(.500)	0.085(.502)	0.087(.505)
0.875	0.061(.498)	0.062(.500)	0.063(.502)	0.064(.504)	0.065(.507)
0.900	0.043(.500)	0.044(.501)	0.044(.503)	0.045(.505)	0.046(.509)
0.925	0.028(.501)	0.028(.502)	0.029(.504)	0.029(.506)	0.030(.509)
0.950	0.015(.501)	0.015(.503)	0.015(.505)	0.016(.507)	0.016(.510)
0.975	0.005(.501)	0.005(.503)	0.005(.505)	0.005(.507)	0.006(.510)
1.000	0.000(.502)	0.000(.503)	0.000(.505)	0.000(.507)	0.000(.510)

66-196
 App II - Phase II
 VERSION B

*** RELATIVE ENERGY FLUX DENSITY IN THE PENUMBRA ***
 *** OF A DIFFUSE SKIRT WITH THE REFLECTANCE = 0. ***

SOLAR FIELD ANGLE, D = 2.00 DEGREES
 GEOMETRY D1/D2 = 1.00

BETA = ANGLE OF INCIDENCE, DEGREES

BETA ***	60.00	70.00	80.00	88.50
AX/AB	Q (QI)	Q (QI)	Q (QI)	Q (QI)
0.	1.000(.)	1.000(.)	1.000(.)	1.000(.)
0.025	0.995(.025)	0.996(.025)	0.997(.025)	1.000(.025)
0.050	0.987(.050)	0.988(.050)	0.990(.050)	1.000(.050)
0.075	0.975(.074)	0.977(.074)	0.981(.074)	0.999(.075)
0.100	0.962(.098)	0.964(.099)	0.970(.099)	0.999(.100)
0.125	0.946(.122)	0.949(.122)	0.958(.123)	0.998(.125)
0.150	0.928(.146)	0.932(.146)	0.943(.147)	0.997(.150)
0.175	0.908(.169)	0.913(.169)	0.927(.170)	0.996(.175)
0.200	0.886(.191)	0.892(.192)	0.910(.193)	0.995(.200)
0.225	0.862(.213)	0.870(.214)	0.890(.216)	0.994(.224)
0.250	0.837(.234)	0.846(.235)	0.870(.238)	0.992(.249)
0.275	0.811(.255)	0.821(.256)	0.847(.259)	0.990(.274)
0.300	0.783(.275)	0.794(.276)	0.823(.280)	0.988(.299)
0.325	0.754(.294)	0.766(.296)	0.798(.300)	0.986(.323)
0.350	0.724(.312)	0.737(.314)	0.772(.320)	0.983(.348)
0.375	0.693(.330)	0.707(.332)	0.744(.339)	0.980(.373)
0.400	0.661(.347)	0.675(.350)	0.715(.357)	0.976(.397)
0.425	0.628(.363)	0.643(.366)	0.684(.374)	0.972(.421)
0.450	0.595(.378)	0.610(.382)	0.653(.391)	0.967(.446)
0.475	0.561(.393)	0.577(.397)	0.621(.407)	0.962(.470)
0.500	0.527(.407)	0.543(.411)	0.588(.422)	0.955(.494)
0.525	0.492(.419)	0.508(.424)	0.554(.436)	0.948(.518)
0.550	0.458(.431)	0.474(.436)	0.519(.450)	0.940(.541)
0.575	0.423(.442)	0.439(.448)	0.484(.462)	0.930(.565)
0.600	0.389(.452)	0.404(.458)	0.449(.474)	0.918(.588)
0.625	0.355(.462)	0.370(.468)	0.413(.485)	0.904(.610)
0.650	0.321(.470)	0.335(.477)	0.377(.495)	0.888(.633)
0.675	0.288(.478)	0.302(.485)	0.342(.504)	0.870(.655)
0.700	0.256(.484)	0.269(.492)	0.306(.512)	0.847(.676)
0.725	0.225(.491)	0.236(.498)	0.271(.519)	0.821(.697)
0.750	0.195(.496)	0.205(.503)	0.237(.525)	0.790(.717)
0.775	0.166(.500)	0.175(.508)	0.204(.531)	0.752(.737)
0.800	0.139(.504)	0.147(.512)	0.172(.536)	0.708(.755)
0.825	0.113(.507)	0.120(.516)	0.141(.540)	0.654(.772)
0.850	0.089(.510)	0.095(.518)	0.112(.543)	0.590(.787)
0.875	0.067(.512)	0.072(.520)	0.086(.545)	0.514(.801)
0.900	0.048(.513)	0.051(.522)	0.061(.547)	0.423(.813)
0.925	0.031(.514)	0.033(.523)	0.040(.548)	0.318(.822)
0.950	0.017(.515)	0.018(.524)	0.021(.549)	0.201(.829)
0.975	0.006(.515)	0.006(.524)	0.008(.549)	0.082(.832)
1.000	0.000(.515)	0.000(.524)	0.000(.549)	0.000(.833)

66-196
 App A - Phase II
 VERSION B

*** RELATIVE ENERGY FLUX DENSITY IN THE PENUMBRA ***
 *** OF A DIFFUSE SKIRT WITH THE REFLECTANCE = 0. ***

SOLAR FIELD ANGLE, D= 5.00 DEGREES
 GEOMETRY D1/D2 = 0.

BETA = ANGLE OF INCIDENCE, DEGREES

BETA ***	-87.00		-80.00		-70.00		-60.00		-50.00	
AX/AB	Q	(QI)	Q	(QI)	Q	(QI)	Q	(QI)	Q	(QI)
0.	1.000(.)		1.000(.)		1.000(.)		1.000(.)		1.000(.)	
0.025	0.992(.025)		0.997(.025)		0.998(.025)		0.998(.025)		0.998(.025)	
0.050	0.978(.050)		0.991(.050)		0.993(.050)		0.994(.050)		0.994(.050)	
0.075	0.961(.074)		0.984(.075)		0.988(.075)		0.989(.075)		0.989(.075)	
0.100	0.942(.098)		0.976(.099)		0.981(.099)		0.983(.099)		0.983(.099)	
0.125	0.922(.121)		0.966(.123)		0.973(.124)		0.976(.124)		0.977(.124)	
0.150	0.900(.144)		0.955(.147)		0.965(.148)		0.968(.148)		0.969(.148)	
0.175	0.878(.166)		0.944(.171)		0.956(.172)		0.959(.172)		0.961(.172)	
0.200	0.855(.188)		0.932(.194)		0.946(.196)		0.950(.196)		0.952(.196)	
0.225	0.832(.209)		0.919(.218)		0.935(.219)		0.940(.220)		0.943(.220)	
0.250	0.810(.229)		0.906(.240)		0.924(.242)		0.930(.243)		0.933(.243)	
0.275	0.787(.249)		0.893(.263)		0.912(.265)		0.919(.266)		0.922(.267)	
0.300	0.765(.268)		0.879(.285)		0.900(.288)		0.908(.289)		0.911(.289)	
0.325	0.743(.287)		0.864(.307)		0.888(.310)		0.896(.311)		0.900(.312)	
0.350	0.721(.306)		0.849(.328)		0.875(.332)		0.883(.334)		0.888(.334)	
0.375	0.700(.323)		0.834(.349)		0.861(.354)		0.871(.356)		0.875(.356)	
0.400	0.679(.341)		0.819(.370)		0.848(.375)		0.858(.377)		0.863(.378)	
0.425	0.659(.357)		0.803(.390)		0.834(.396)		0.844(.399)		0.850(.400)	
0.450	0.639(.374)		0.788(.410)		0.819(.417)		0.830(.419)		0.836(.421)	
0.475	0.620(.389)		0.772(.430)		0.805(.437)		0.816(.440)		0.822(.441)	
0.500	0.601(.405)		0.756(.449)		0.790(.457)		0.802(.460)		0.808(.462)	
0.525	0.583(.419)		0.740(.467)		0.775(.477)		0.787(.480)		0.794(.482)	
0.550	0.566(.434)		0.724(.486)		0.760(.496)		0.772(.500)		0.779(.501)	
0.575	0.549(.448)		0.708(.504)		0.744(.515)		0.757(.519)		0.764(.521)	
0.600	0.532(.461)		0.692(.521)		0.729(.533)		0.742(.537)		0.749(.540)	
0.625	0.516(.474)		0.676(.538)		0.713(.551)		0.726(.556)		0.733(.558)	
0.650	0.501(.487)		0.660(.555)		0.698(.569)		0.711(.574)		0.718(.576)	
0.675	0.486(.499)		0.645(.571)		0.682(.586)		0.695(.591)		0.702(.594)	
0.700	0.472(.511)		0.629(.587)		0.666(.603)		0.679(.609)		0.686(.611)	
0.725	0.458(.523)		0.613(.603)		0.650(.620)		0.663(.625)		0.670(.628)	
0.750	0.444(.534)		0.597(.618)		0.634(.636)		0.647(.642)		0.654(.645)	
0.775	0.431(.545)		0.582(.633)		0.618(.651)		0.631(.658)		0.638(.661)	
0.800	0.419(.556)		0.567(.647)		0.602(.666)		0.614(.673)		0.621(.677)	
0.825	0.407(.566)		0.552(.661)		0.586(.681)		0.598(.688)		0.605(.692)	
0.850	0.395(.576)		0.536(.675)		0.570(.696)		0.582(.703)		0.588(.707)	
0.875	0.383(.586)		0.522(.688)		0.554(.710)		0.566(.717)		0.572(.722)	
0.900	0.372(.595)		0.507(.701)		0.538(.723)		0.549(.731)		0.555(.736)	
0.925	0.362(.605)		0.492(.713)		0.522(.737)		0.533(.745)		0.539(.749)	
0.950	0.352(.613)		0.478(.725)		0.507(.750)		0.517(.758)		0.522(.763)	
0.975	0.342(.622)		0.464(.737)		0.491(.762)		0.501(.771)		0.506(.775)	
1.000	0.332(.631)		0.450(.748)		0.476(.774)		0.485(.783)		0.489(.788)	

B-41

130

*** RELATIVE ENERGY FLUX DENSITY IN THE PENUMBRA ***
 *** OF A DIFFUSE SKIRT WITH THE REFLECTANCE = 0, ***

RE-ORDER No 66-146
 Appl - Phase II
 VERSION B

SOLAR FIELD ANGLE, D= 5.00 DEGREES
 GEOMETRY D1/D2 = 0.

BETA = ANGLE OF INCIDENCE, DEGREES

BETA ***	-40.00	-30.00	-20.00	-10.00	-0.
AX/AB	Q (QI)	Q (QI)	Q (QI)	Q (QI)	Q (QI)
0.	1.000(.)	1.000(.)	1.000(.)	1.000(.)	1.000(.)
0.025	0.998(.025)	0.998(.025)	0.998(.025)	0.998(.025)	0.998(.025)
0.050	0.994(.050)	0.995(.050)	0.995(.050)	0.995(.050)	0.995(.050)
0.075	0.990(.075)	0.990(.075)	0.990(.075)	0.990(.075)	0.991(.075)
0.100	0.984(.099)	0.984(.099)	0.985(.099)	0.985(.099)	0.985(.099)
0.125	0.977(.124)	0.978(.124)	0.978(.124)	0.979(.124)	0.979(.124)
0.150	0.970(.148)	0.971(.148)	0.972(.148)	0.972(.148)	0.973(.148)
0.175	0.962(.172)	0.963(.172)	0.964(.172)	0.965(.173)	0.965(.173)
0.200	0.954(.196)	0.955(.196)	0.956(.196)	0.956(.197)	0.957(.197)
0.225	0.945(.220)	0.946(.220)	0.947(.220)	0.948(.220)	0.949(.220)
0.250	0.935(.244)	0.936(.244)	0.937(.244)	0.938(.244)	0.939(.244)
0.275	0.925(.267)	0.926(.267)	0.927(.267)	0.929(.267)	0.930(.267)
0.300	0.914(.290)	0.916(.290)	0.917(.290)	0.918(.290)	0.919(.291)
0.325	0.902(.312)	0.904(.313)	0.906(.313)	0.907(.313)	0.909(.313)
0.350	0.891(.335)	0.893(.335)	0.895(.335)	0.896(.336)	0.898(.336)
0.375	0.879(.357)	0.881(.357)	0.883(.358)	0.884(.358)	0.886(.358)
0.400	0.866(.379)	0.869(.379)	0.871(.380)	0.872(.380)	0.874(.380)
0.425	0.853(.400)	0.856(.401)	0.858(.401)	0.860(.402)	0.861(.402)
0.450	0.840(.421)	0.843(.422)	0.845(.423)	0.847(.423)	0.849(.423)
0.475	0.826(.442)	0.829(.443)	0.831(.443)	0.833(.444)	0.835(.444)
0.500	0.812(.463)	0.815(.463)	0.818(.464)	0.820(.465)	0.822(.465)
0.525	0.798(.483)	0.801(.484)	0.803(.484)	0.806(.485)	0.808(.485)
0.550	0.783(.503)	0.786(.504)	0.789(.504)	0.791(.505)	0.793(.505)
0.575	0.768(.522)	0.772(.523)	0.774(.524)	0.777(.524)	0.779(.525)
0.600	0.753(.541)	0.757(.542)	0.759(.543)	0.762(.544)	0.764(.544)
0.625	0.738(.560)	0.741(.561)	0.744(.562)	0.747(.563)	0.749(.563)
0.650	0.722(.578)	0.726(.579)	0.729(.580)	0.731(.581)	0.733(.582)
0.675	0.707(.596)	0.710(.597)	0.713(.598)	0.715(.599)	0.718(.600)
0.700	0.691(.613)	0.694(.615)	0.697(.616)	0.700(.617)	0.702(.618)
0.725	0.675(.630)	0.678(.632)	0.681(.633)	0.683(.634)	0.686(.635)
0.750	0.658(.647)	0.662(.649)	0.665(.650)	0.667(.651)	0.669(.652)
0.775	0.642(.663)	0.645(.665)	0.648(.666)	0.651(.667)	0.653(.669)
0.800	0.626(.679)	0.629(.681)	0.632(.682)	0.634(.683)	0.636(.685)
0.825	0.609(.695)	0.612(.696)	0.615(.698)	0.617(.699)	0.620(.700)
0.850	0.593(.710)	0.596(.711)	0.598(.713)	0.601(.714)	0.603(.716)
0.875	0.576(.724)	0.579(.726)	0.581(.728)	0.584(.729)	0.586(.730)
0.900	0.559(.738)	0.562(.740)	0.565(.742)	0.567(.744)	0.569(.745)
0.925	0.543(.752)	0.545(.754)	0.548(.756)	0.550(.757)	0.552(.759)
0.950	0.526(.766)	0.529(.768)	0.531(.769)	0.533(.771)	0.534(.772)
0.975	0.509(.778)	0.512(.781)	0.514(.783)	0.515(.784)	0.517(.786)
1.000	0.493(.791)	0.495(.793)	0.497(.795)	0.498(.797)	0.500(.798)

REORDER No. 66-196
 App C - Case 11
 VERSION B

*** RELATIVE ENERGY FLUX DENSITY IN THE PENUMBRA ***
 *** OF A DIFFUSE SKIRT WITH THE REFLECTANCE = 0. ***

SOLAR FIELD ANGLE, D= 5.00 DEGREES
 GEOMETRY D1/D2 = 0.

BETA = ANGLE OF INCIDENCE, DEGREES

BETA ***	10.00		20.00		30.00		40.00		50.00	
AX/AB	Q	(QI)	Q	(QI)	Q	(QI)	Q	(QI)	Q	(QI)
0.	1.000(.)		1.000(.)		1.000(.)		1.000(.)		1.000(.)	
0.025	0.998(.025)		0.998(.025)		0.998(.025)		0.998(.025)		0.998(.025)	
0.050	0.995(.050)		0.995(.050)		0.995(.050)		0.995(.050)		0.995(.050)	
0.075	0.991(.075)		0.991(.075)		0.991(.075)		0.991(.075)		0.992(.075)	
0.100	0.986(.099)		0.986(.099)		0.986(.099)		0.986(.099)		0.987(.099)	
0.125	0.980(.124)		0.980(.124)		0.980(.124)		0.981(.124)		0.982(.124)	
0.150	0.973(.148)		0.973(.148)		0.974(.148)		0.975(.148)		0.976(.149)	
0.175	0.966(.173)		0.966(.173)		0.967(.173)		0.968(.173)		0.969(.173)	
0.200	0.958(.197)		0.959(.197)		0.959(.197)		0.960(.197)		0.962(.197)	
0.225	0.949(.221)		0.950(.221)		0.951(.221)		0.952(.221)		0.954(.221)	
0.250	0.940(.244)		0.941(.244)		0.942(.244)		0.944(.244)		0.946(.245)	
0.275	0.931(.268)		0.932(.268)		0.933(.268)		0.935(.268)		0.937(.268)	
0.300	0.921(.291)		0.922(.291)		0.923(.291)		0.925(.291)		0.927(.292)	
0.325	0.910(.314)		0.911(.314)		0.913(.314)		0.915(.314)		0.917(.315)	
0.350	0.899(.336)		0.901(.336)		0.902(.337)		0.904(.337)		0.907(.337)	
0.375	0.887(.358)		0.889(.359)		0.891(.359)		0.893(.359)		0.896(.360)	
0.400	0.876(.381)		0.877(.381)		0.879(.381)		0.882(.382)		0.885(.382)	
0.425	0.863(.402)		0.865(.403)		0.867(.403)		0.870(.403)		0.873(.404)	
0.450	0.850(.424)		0.852(.424)		0.855(.425)		0.857(.425)		0.861(.426)	
0.475	0.837(.445)		0.839(.445)		0.842(.446)		0.844(.446)		0.848(.447)	
0.500	0.824(.466)		0.826(.466)		0.828(.467)		0.831(.467)		0.835(.468)	
0.525	0.810(.486)		0.812(.487)		0.815(.487)		0.818(.488)		0.822(.489)	
0.550	0.796(.506)		0.798(.507)		0.801(.507)		0.804(.508)		0.808(.509)	
0.575	0.781(.526)		0.783(.526)		0.786(.527)		0.789(.528)		0.794(.529)	
0.600	0.766(.545)		0.769(.546)		0.771(.547)		0.775(.548)		0.779(.549)	
0.625	0.751(.564)		0.754(.565)		0.756(.566)		0.760(.567)		0.764(.568)	
0.650	0.736(.583)		0.738(.583)		0.741(.584)		0.745(.586)		0.749(.587)	
0.675	0.720(.601)		0.723(.602)		0.725(.603)		0.729(.604)		0.734(.606)	
0.700	0.704(.619)		0.707(.620)		0.710(.621)		0.713(.622)		0.718(.624)	
0.725	0.688(.636)		0.691(.637)		0.693(.638)		0.697(.640)		0.702(.642)	
0.750	0.672(.653)		0.674(.654)		0.677(.655)		0.681(.657)		0.685(.659)	
0.775	0.655(.670)		0.658(.671)		0.661(.672)		0.664(.674)		0.669(.676)	
0.800	0.639(.686)		0.641(.687)		0.644(.688)		0.647(.690)		0.652(.692)	
0.825	0.622(.702)		0.624(.703)		0.627(.704)		0.630(.706)		0.635(.709)	
0.850	0.605(.717)		0.607(.718)		0.610(.720)		0.613(.722)		0.618(.724)	
0.875	0.588(.732)		0.590(.733)		0.593(.735)		0.596(.737)		0.600(.739)	
0.900	0.571(.746)		0.573(.748)		0.575(.749)		0.578(.751)		0.582(.754)	
0.925	0.553(.760)		0.556(.762)		0.558(.764)		0.561(.766)		0.565(.769)	
0.950	0.536(.774)		0.538(.776)		0.540(.777)		0.543(.779)		0.547(.782)	
0.975	0.519(.787)		0.521(.789)		0.523(.791)		0.525(.793)		0.529(.796)	
1.000	0.501(.800)		0.503(.802)		0.505(.803)		0.507(.806)		0.510(.809)	

4
3
2

B-43
132

RECORD NO. 66796
Exp. Phase II
 VERSION B

*** RELATIVE ENERGY FLUX DENSITY IN THE PENUMBRA ***
 *** OF A DIFFUSE SKIRT WITH THE REFLECTANCE = 0. ***

SOLAR FIELD ANGLE, D= 5.00 DEGREES
 GEOMETRY D1/D2 = 0.

BETA = ANGLE OF INCIDENCE, DEGREES

BETA ***	60.00		70.00		80.00		87.00	
AX/AB	Q	(QI)	Q	(QI)	Q	(QI)	Q	(QI)
0.	1.000	(.)	1.000	(.)	1.000	(.)	1.000	(.)
0.025	0.999	(.025)	0.999	(.025)	0.999	(.025)	1.000	(.025)
0.050	0.996	(.050)	0.996	(.050)	0.997	(.050)	1.000	(.050)
0.075	0.992	(.075)	0.993	(.075)	0.995	(.075)	1.000	(.075)
0.100	0.988	(.100)	0.989	(.100)	0.992	(.100)	1.000	(.100)
0.125	0.983	(.124)	0.984	(.124)	0.989	(.124)	1.000	(.125)
0.150	0.977	(.149)	0.979	(.149)	0.986	(.149)	1.000	(.150)
0.175	0.971	(.173)	0.974	(.173)	0.981	(.174)	0.999	(.175)
0.200	0.964	(.197)	0.967	(.197)	0.977	(.198)	0.999	(.200)
0.225	0.956	(.221)	0.961	(.222)	0.972	(.223)	0.999	(.225)
0.250	0.948	(.245)	0.953	(.245)	0.966	(.247)	0.999	(.250)
0.275	0.940	(.269)	0.945	(.269)	0.960	(.271)	0.999	(.275)
0.300	0.931	(.292)	0.937	(.293)	0.954	(.295)	0.998	(.300)
0.325	0.921	(.315)	0.928	(.316)	0.947	(.319)	0.998	(.325)
0.350	0.911	(.338)	0.919	(.339)	0.940	(.342)	0.998	(.350)
0.375	0.901	(.361)	0.909	(.362)	0.932	(.366)	0.997	(.375)
0.400	0.890	(.383)	0.899	(.385)	0.924	(.389)	0.997	(.400)
0.425	0.878	(.405)	0.888	(.407)	0.915	(.412)	0.996	(.425)
0.450	0.866	(.427)	0.877	(.429)	0.905	(.434)	0.996	(.449)
0.475	0.854	(.448)	0.865	(.451)	0.895	(.457)	0.995	(.474)
0.500	0.841	(.470)	0.853	(.472)	0.885	(.479)	0.994	(.499)
0.525	0.828	(.491)	0.840	(.493)	0.874	(.501)	0.993	(.524)
0.550	0.815	(.511)	0.827	(.514)	0.862	(.523)	0.992	(.549)
0.575	0.801	(.531)	0.813	(.535)	0.850	(.544)	0.990	(.574)
0.600	0.786	(.551)	0.799	(.555)	0.838	(.565)	0.988	(.598)
0.625	0.772	(.571)	0.785	(.575)	0.824	(.586)	0.986	(.623)
0.650	0.756	(.590)	0.770	(.594)	0.810	(.607)	0.984	(.648)
0.675	0.741	(.608)	0.755	(.613)	0.796	(.627)	0.981	(.672)
0.700	0.725	(.627)	0.739	(.632)	0.781	(.646)	0.977	(.697)
0.725	0.709	(.645)	0.723	(.650)	0.765	(.666)	0.973	(.721)
0.750	0.693	(.662)	0.707	(.668)	0.748	(.685)	0.968	(.745)
0.775	0.676	(.679)	0.690	(.686)	0.731	(.703)	0.961	(.769)
0.800	0.659	(.696)	0.673	(.703)	0.714	(.721)	0.953	(.793)
0.825	0.642	(.712)	0.655	(.719)	0.695	(.739)	0.943	(.817)
0.850	0.624	(.728)	0.637	(.735)	0.677	(.756)	0.929	(.840)
0.875	0.607	(.743)	0.619	(.751)	0.657	(.773)	0.912	(.863)
0.900	0.589	(.758)	0.601	(.766)	0.637	(.789)	0.888	(.886)
0.925	0.571	(.773)	0.582	(.781)	0.616	(.804)	0.857	(.908)
0.950	0.552	(.787)	0.563	(.795)	0.594	(.820)	0.814	(.929)
0.975	0.534	(.800)	0.544	(.809)	0.572	(.834)	0.754	(.948)
1.000	0.515	(.814)	0.524	(.823)	0.550	(.848)	0.668	(.966)

66-196
 App A - Phase II
 VERSION B

*** RELATIVE ENERGY FLUX DENSITY IN THE PENUMBRA ***
 *** OF A DIFFUSE SKIRT WITH THE REFLECTANCE = 0. ***

SOLAR FIELD ANGLE, D= 5.00 DEGREES
 GEOMETRY D1/D2 = 0.25

BETA = ANGLE OF INCIDENCE, DEGREES

BETA ***	-87.00	-80.00	-70.00	-60.00	-50.00
AX/AB	Q (QI)	Q (QI)	Q (QI)	Q (QI)	Q (QI)
0.	1.000(.)	1.000(.)	1.000(.)	1.000(.)	1.000(.)
0.025	0.947(.024)	0.995(.025)	0.996(.025)	0.997(.025)	0.997(.025)
0.050	0.867(.047)	0.985(.050)	0.990(.050)	0.991(.050)	0.992(.050)
0.075	0.782(.068)	0.973(.074)	0.981(.074)	0.983(.074)	0.984(.075)
0.100	0.701(.086)	0.959(.098)	0.971(.099)	0.974(.099)	0.976(.099)
0.125	0.626(.103)	0.943(.122)	0.959(.123)	0.964(.123)	0.966(.123)
0.150	0.559(.118)	0.926(.145)	0.947(.147)	0.952(.147)	0.955(.147)
0.175	0.499(.131)	0.908(.168)	0.933(.170)	0.940(.171)	0.943(.171)
0.200	0.446(.143)	0.888(.191)	0.918(.193)	0.926(.194)	0.931(.194)
0.225	0.399(.153)	0.868(.213)	0.902(.216)	0.912(.217)	0.917(.218)
0.250	0.358(.163)	0.847(.234)	0.885(.238)	0.897(.240)	0.902(.240)
0.275	0.294(.171)	0.826(.255)	0.868(.260)	0.881(.262)	0.887(.263)
0.300	0.198(.177)	0.804(.276)	0.850(.282)	0.864(.284)	0.871(.285)
0.325	0.138(.181)	0.782(.295)	0.832(.303)	0.847(.305)	0.855(.306)
0.350	0.099(.184)	0.759(.315)	0.813(.323)	0.829(.326)	0.838(.327)
0.375	0.073(.186)	0.737(.333)	0.794(.344)	0.811(.347)	0.820(.348)
0.400	0.055(.188)	0.714(.351)	0.774(.363)	0.792(.367)	0.802(.368)
0.425	0.042(.189)	0.692(.369)	0.754(.382)	0.773(.386)	0.783(.388)
0.450	0.032(.190)	0.669(.386)	0.733(.401)	0.754(.405)	0.764(.408)
0.475	0.025(.191)	0.647(.402)	0.713(.419)	0.734(.424)	0.745(.426)
0.500	0.020(.191)	0.624(.418)	0.692(.436)	0.714(.442)	0.725(.445)
0.525	0.016(.192)	0.602(.434)	0.671(.453)	0.693(.460)	0.705(.463)
0.550	0.013(.192)	0.580(.448)	0.650(.470)	0.673(.477)	0.684(.480)
0.575	0.010(.192)	0.559(.463)	0.629(.486)	0.652(.493)	0.664(.497)
0.600	0.008(.193)	0.537(.476)	0.608(.501)	0.631(.509)	0.643(.513)
0.625	0.007(.193)	0.516(.490)	0.587(.516)	0.610(.525)	0.622(.529)
0.650	0.005(.193)	0.496(.502)	0.566(.531)	0.589(.540)	0.601(.544)
0.675	0.004(.193)	0.475(.514)	0.545(.545)	0.568(.554)	0.580(.559)
0.700	0.003(.193)	0.456(.526)	0.524(.558)	0.547(.568)	0.559(.573)
0.725	0.003(.193)	0.396(.537)	0.503(.571)	0.526(.582)	0.538(.587)
0.750	0.002(.193)	0.326(.546)	0.483(.583)	0.505(.594)	0.517(.600)
0.775	0.002(.193)	0.264(.553)	0.424(.595)	0.484(.607)	0.496(.613)
0.800	0.001(.193)	0.209(.559)	0.347(.604)	0.402(.618)	0.432(.624)
0.825	0.001(.193)	0.161(.564)	0.277(.612)	0.325(.627)	0.352(.634)
0.850	0.001(.193)	0.120(.567)	0.213(.618)	0.253(.634)	0.276(.642)
0.875	0.001(.193)	0.086(.570)	0.156(.623)	0.188(.640)	0.206(.648)
0.900	0.000(.193)	0.058(.571)	0.107(.626)	0.130(.644)	0.144(.653)
0.925	0.000(.193)	0.035(.573)	0.067(.628)	0.082(.646)	0.091(.655)
0.950	0.000(.193)	0.018(.573)	0.034(.629)	0.043(.648)	0.048(.657)
0.975	0.000(.193)	0.006(.574)	0.012(.630)	0.014(.649)	0.016(.658)
1.000	0.000(.193)	0.000(.574)	0.000(.630)	0.000(.649)	0.000(.658)

B-45
 134

RECORD 66-196
 App A - Phase II
 VERSION B

*** RELATIVE ENERGY FLUX DENSITY IN THE PENUMBRA ***
 *** OF A DIFFUSE SKIRT WITH THE REFLECTANCE = 0. ***

SOLAR FIELD ANGLE, D= 5.00 DEGREES
 GEOMETRY D1/D2 = 0.25

BETA = ANGLE OF INCIDENCE, DEGREES

BETA ***	-40.00		-30.00		-20.00		-10.00		-0.	
AX/AB	Q	(QI)	Q	(QI)	Q	(QI)	Q	(QI)	Q	(QI)
0.	1.000(.))	1.000(.))	1.000(.))	1.000(.))	1.000(.))
0.025	0.997(.025))	0.997(.025))	0.997(.025))	0.997(.025))	0.997(.025))
0.050	0.992(.050))	0.992(.050))	0.992(.050))	0.993(.050))	0.993(.050))
0.075	0.985(.075))	0.986(.075))	0.986(.075))	0.986(.075))	0.987(.075))
0.100	0.977(.099))	0.978(.099))	0.978(.099))	0.979(.099))	0.979(.099))
0.125	0.968(.123))	0.969(.123))	0.969(.123))	0.970(.124))	0.971(.124))
0.150	0.957(.147))	0.958(.148))	0.959(.148))	0.960(.148))	0.961(.148))
0.175	0.946(.171))	0.947(.171))	0.949(.171))	0.950(.172))	0.951(.172))
0.200	0.933(.195))	0.935(.195))	0.937(.195))	0.938(.195))	0.939(.195))
0.225	0.920(.218))	0.922(.218))	0.924(.218))	0.926(.218))	0.927(.219))
0.250	0.906(.241))	0.909(.241))	0.911(.241))	0.913(.241))	0.914(.242))
0.275	0.891(.263))	0.894(.264))	0.897(.264))	0.899(.264))	0.900(.264))
0.300	0.876(.285))	0.879(.286))	0.882(.286))	0.884(.286))	0.886(.287))
0.325	0.860(.307))	0.863(.307))	0.866(.308))	0.869(.308))	0.871(.309))
0.350	0.843(.328))	0.847(.329))	0.850(.329))	0.853(.330))	0.855(.330))
0.375	0.826(.349))	0.830(.350))	0.833(.350))	0.836(.351))	0.839(.351))
0.400	0.808(.370))	0.812(.370))	0.816(.371))	0.819(.372))	0.822(.372))
0.425	0.789(.389))	0.794(.390))	0.798(.391))	0.801(.392))	0.804(.392))
0.450	0.771(.409))	0.776(.410))	0.780(.411))	0.783(.412))	0.786(.412))
0.475	0.752(.428))	0.757(.429))	0.761(.430))	0.764(.431))	0.768(.432))
0.500	0.732(.447))	0.737(.448))	0.742(.449))	0.745(.450))	0.749(.451))
0.525	0.712(.465))	0.718(.466))	0.722(.467))	0.726(.468))	0.730(.469))
0.550	0.692(.482))	0.698(.484))	0.702(.485))	0.706(.486))	0.710(.487))
0.575	0.672(.499))	0.677(.501))	0.682(.502))	0.686(.503))	0.690(.505))
0.600	0.651(.516))	0.657(.518))	0.662(.519))	0.666(.520))	0.669(.522))
0.625	0.630(.532))	0.636(.534))	0.641(.535))	0.645(.537))	0.649(.538))
0.650	0.609(.547))	0.615(.549))	0.620(.551))	0.624(.553))	0.628(.554))
0.675	0.588(.562))	0.594(.564))	0.599(.566))	0.603(.568))	0.607(.569))
0.700	0.567(.577))	0.573(.579))	0.578(.581))	0.582(.583))	0.586(.584))
0.725	0.546(.591))	0.552(.593))	0.556(.595))	0.561(.597))	0.564(.599))
0.750	0.525(.604))	0.530(.607))	0.535(.609))	0.539(.611))	0.543(.613))
0.775	0.504(.617))	0.509(.620))	0.514(.622))	0.518(.624))	0.521(.626))
0.800	0.452(.629))	0.467(.632))	0.479(.634))	0.490(.637))	0.500(.639))
0.825	0.370(.639))	0.384(.642))	0.395(.645))	0.405(.648))	0.414(.650))
0.850	0.292(.647))	0.303(.651))	0.313(.654))	0.322(.657))	0.330(.659))
0.875	0.219(.654))	0.229(.658))	0.237(.661))	0.244(.664))	0.251(.667))
0.900	0.154(.658))	0.161(.663))	0.167(.666))	0.173(.669))	0.178(.672))
0.925	0.097(.661))	0.102(.666))	0.106(.670))	0.110(.673))	0.114(.676))
0.950	0.051(.663))	0.054(.668))	0.056(.672))	0.059(.675))	0.061(.678))
0.975	0.017(.664))	0.018(.669))	0.019(.672))	0.020(.676))	0.021(.679))
1.000	0.000(.664))	0.000(.669))	0.000(.673))	0.000(.676))	0.000(.679))

135
 B-46

66-196
 W. J. P. - P. J. S. 11
 VERSION B

*** RELATIVE ENERGY FLUX DENSITY IN THE PENUMBRA ***
 *** OF A DIFFUSE SKIRT WITH THE REFLECTANCE = 0. ***

SOLAR FIELD ANGLE, D= 5.00 DEGREES
 GEOMETRY D1/D2 = 0.25

BETA = ANGLE OF INCIDENCE, DEGREES

BETA ***	10.00	20.00	30.00	40.00	50.00
AX/AB	Q (QI)	Q (QI)	Q (QI)	Q (QI)	Q (QI)
0.	1.000(.)	1.000(.)	1.000(.)	1.000(.)	1.000(.)
0.025	0.998(.025)	0.998(.025)	0.998(.025)	0.998(.025)	0.998(.025)
0.050	0.993(.050)	0.993(.050)	0.993(.050)	0.994(.050)	0.994(.050)
0.075	0.987(.075)	0.987(.075)	0.988(.075)	0.988(.075)	0.989(.075)
0.100	0.980(.099)	0.980(.099)	0.981(.099)	0.981(.099)	0.982(.099)
0.125	0.971(.124)	0.972(.124)	0.973(.124)	0.974(.124)	0.975(.124)
0.150	0.962(.148)	0.963(.148)	0.964(.148)	0.965(.148)	0.966(.148)
0.175	0.952(.172)	0.953(.172)	0.954(.172)	0.955(.172)	0.957(.172)
0.200	0.941(.195)	0.942(.195)	0.943(.196)	0.945(.196)	0.947(.196)
0.225	0.929(.219)	0.930(.219)	0.932(.219)	0.934(.219)	0.936(.219)
0.250	0.916(.242)	0.918(.242)	0.919(.242)	0.922(.242)	0.925(.243)
0.275	0.902(.264)	0.904(.265)	0.906(.265)	0.909(.265)	0.913(.266)
0.300	0.888(.287)	0.890(.287)	0.893(.287)	0.896(.288)	0.899(.288)
0.325	0.873(.309)	0.875(.309)	0.878(.310)	0.881(.310)	0.886(.311)
0.350	0.858(.330)	0.860(.331)	0.863(.331)	0.867(.332)	0.871(.333)
0.375	0.841(.352)	0.844(.352)	0.847(.353)	0.851(.353)	0.856(.354)
0.400	0.825(.373)	0.828(.373)	0.831(.374)	0.835(.374)	0.840(.375)
0.425	0.807(.393)	0.810(.394)	0.814(.394)	0.818(.395)	0.824(.396)
0.450	0.789(.413)	0.793(.414)	0.797(.414)	0.801(.415)	0.807(.417)
0.475	0.771(.432)	0.775(.433)	0.779(.434)	0.783(.435)	0.790(.437)
0.500	0.752(.451)	0.756(.452)	0.760(.453)	0.765(.454)	0.772(.456)
0.525	0.733(.470)	0.737(.471)	0.741(.472)	0.746(.473)	0.753(.475)
0.550	0.714(.488)	0.717(.489)	0.722(.490)	0.727(.492)	0.734(.494)
0.575	0.694(.506)	0.698(.507)	0.702(.508)	0.708(.510)	0.715(.512)
0.600	0.673(.523)	0.677(.524)	0.682(.525)	0.688(.527)	0.695(.529)
0.625	0.653(.539)	0.657(.541)	0.662(.542)	0.667(.544)	0.675(.547)
0.650	0.632(.555)	0.636(.557)	0.641(.559)	0.647(.561)	0.654(.563)
0.675	0.611(.571)	0.615(.573)	0.620(.574)	0.626(.576)	0.633(.579)
0.700	0.590(.586)	0.594(.588)	0.599(.590)	0.604(.592)	0.612(.595)
0.725	0.568(.600)	0.572(.602)	0.577(.604)	0.583(.607)	0.591(.610)
0.750	0.547(.614)	0.551(.616)	0.556(.618)	0.561(.621)	0.569(.624)
0.775	0.525(.628)	0.529(.630)	0.534(.632)	0.539(.635)	0.547(.638)
0.800	0.504(.641)	0.508(.643)	0.512(.645)	0.517(.648)	0.525(.652)
0.825	0.424(.652)	0.434(.654)	0.445(.657)	0.459(.660)	0.479(.664)
0.850	0.339(.662)	0.348(.664)	0.358(.667)	0.371(.671)	0.389(.675)
0.875	0.258(.669)	0.266(.672)	0.275(.675)	0.286(.679)	0.301(.684)
0.900	0.184(.675)	0.190(.678)	0.197(.681)	0.205(.685)	0.217(.690)
0.925	0.118(.678)	0.122(.681)	0.127(.685)	0.133(.689)	0.141(.695)
0.950	0.063(.681)	0.065(.684)	0.068(.687)	0.071(.692)	0.076(.697)
0.975	0.022(.682)	0.022(.685)	0.023(.688)	0.025(.693)	0.026(.699)
1.000	0.000(.682)	0.000(.685)	0.000(.689)	0.000(.693)	0.000(.699)

REORDER No. 66-196
 Wp/C - Phase II
 VERSION B

*** RELATIVE ENERGY FLUX DENSITY IN THE PENUMBRA ***
 *** OF A DIFFUSE SKIRT WITH THE REFLECTANCE = 0. ***

SOLAR FIELD ANGLE, D= 5.00 DEGREES
 GEOMETRY D1/D2 = 0.25

BETA = ANGLE OF INCIDENCE, DEGREES

BETA ***	60.00		70.00		80.00		87.00	
AX/AB	Q	(QI)	Q	(QI)	Q	(QI)	Q	(QI)
0.	1.000(.)		1.000(.)		1.000(.)		1.000(.)	
0.025	0.998(.025)		0.998(.025)		0.999(.025)		1.000(.025)	
0.050	0.994(.050)		0.995(.050)		0.997(.050)		1.000(.050)	
0.075	0.989(.075)		0.991(.075)		0.994(.075)		1.000(.075)	
0.100	0.983(.099)		0.986(.099)		0.991(.100)		1.000(.100)	
0.125	0.976(.124)		0.979(.124)		0.986(.124)		1.000(.125)	
0.150	0.969(.148)		0.973(.148)		0.982(.149)		1.000(.150)	
0.175	0.960(.172)		0.965(.173)		0.977(.173)		0.999(.175)	
0.200	0.951(.196)		0.956(.197)		0.971(.198)		0.999(.200)	
0.225	0.940(.220)		0.947(.220)		0.964(.222)		0.999(.225)	
0.250	0.929(.243)		0.937(.244)		0.957(.246)		0.999(.250)	
0.275	0.918(.266)		0.927(.267)		0.949(.270)		0.999(.275)	
0.300	0.905(.289)		0.915(.290)		0.941(.293)		0.998(.300)	
0.325	0.892(.311)		0.903(.313)		0.932(.317)		0.998(.325)	
0.350	0.878(.334)		0.891(.335)		0.923(.340)		0.998(.350)	
0.375	0.864(.355)		0.877(.358)		0.912(.363)		0.997(.375)	
0.400	0.849(.377)		0.863(.379)		0.901(.386)		0.997(.400)	
0.425	0.833(.398)		0.849(.401)		0.890(.408)		0.996(.424)	
0.450	0.816(.418)		0.833(.422)		0.877(.430)		0.995(.449)	
0.475	0.800(.439)		0.817(.442)		0.864(.452)		0.994(.474)	
0.500	0.782(.458)		0.800(.463)		0.850(.473)		0.993(.499)	
0.525	0.764(.478)		0.783(.482)		0.835(.494)		0.992(.524)	
0.550	0.745(.497)		0.765(.502)		0.820(.515)		0.991(.549)	
0.575	0.726(.515)		0.747(.521)		0.804(.535)		0.989(.573)	
0.600	0.707(.533)		0.728(.539)		0.786(.555)		0.987(.598)	
0.625	0.687(.550)		0.708(.557)		0.769(.575)		0.985(.623)	
0.650	0.666(.567)		0.688(.574)		0.750(.594)		0.982(.647)	
0.675	0.645(.584)		0.667(.591)		0.730(.612)		0.979(.672)	
0.700	0.624(.599)		0.646(.608)		0.710(.630)		0.975(.696)	
0.725	0.602(.615)		0.625(.624)		0.688(.648)		0.970(.721)	
0.750	0.581(.630)		0.603(.639)		0.666(.665)		0.964(.745)	
0.775	0.558(.644)		0.580(.654)		0.643(.681)		0.956(.769)	
0.800	0.536(.658)		0.557(.668)		0.620(.697)		0.946(.793)	
0.825	0.508(.671)		0.534(.682)		0.595(.712)		0.933(.816)	
0.850	0.417(.682)		0.470(.694)		0.570(.726)		0.916(.839)	
0.875	0.325(.691)		0.373(.705)		0.524(.740)		0.894(.862)	
0.900	0.237(.698)		0.277(.713)		0.410(.752)		0.863(.884)	
0.925	0.155(.703)		0.184(.719)		0.290(.761)		0.822(.905)	
0.950	0.084(.706)		0.102(.722)		0.170(.766)		0.763(.925)	
0.975	0.029(.708)		0.036(.724)		0.063(.769)		0.679(.943)	
1.000	0.000(.708)		0.000(.724)		0.000(.770)		0.000(.951)	

*** RELATIVE ENERGY FLUX DENSITY IN THE PENUMBRA ***
 *** OF A DIFFUSE SKIRT WITH THE REFLECTANCE = 0. ***

66-196
 G. P. H. - Phases II
 VERSION B

SOLAR FIELD ANGLE, D= 5.00 DEGREES
 GEOMETRY D1/D2 = 0.50

BETA = ANGLE OF INCIDENCE, DEGREES

BETA ***	-87.00	-80.00	-70.00	-60.00	-50.00
AX/AB	Q (QI)	Q (QI)	Q (QI)	Q (QI)	Q (QI)
0.	1.000(.)	1.000(.)	1.000(.)	1.000(.)	1.000(.)
0.025	0.890(.024)	0.992(.025)	0.995(.025)	0.996(.025)	0.996(.025)
0.050	0.744(.044)	0.979(.050)	0.986(.050)	0.988(.050)	0.989(.050)
0.075	0.612(.061)	0.961(.074)	0.974(.074)	0.977(.074)	0.979(.074)
0.100	0.503(.075)	0.940(.098)	0.960(.098)	0.965(.099)	0.968(.099)
0.125	0.414(.086)	0.918(.121)	0.944(.122)	0.951(.123)	0.954(.123)
0.150	0.343(.096)	0.893(.143)	0.926(.146)	0.935(.146)	0.940(.146)
0.175	0.248(.103)	0.867(.165)	0.907(.168)	0.918(.169)	0.924(.170)
0.200	0.178(.109)	0.840(.187)	0.887(.191)	0.900(.192)	0.906(.193)
0.225	0.131(.112)	0.812(.207)	0.865(.213)	0.880(.214)	0.888(.215)
0.250	0.099(.115)	0.783(.227)	0.843(.234)	0.860(.236)	0.869(.237)
0.275	0.076(.117)	0.754(.247)	0.820(.255)	0.839(.257)	0.848(.258)
0.300	0.059(.119)	0.725(.265)	0.796(.275)	0.816(.278)	0.827(.279)
0.325	0.046(.120)	0.696(.283)	0.771(.295)	0.794(.298)	0.805(.300)
0.350	0.037(.122)	0.667(.300)	0.746(.314)	0.770(.318)	0.782(.320)
0.375	0.030(.122)	0.638(.316)	0.720(.332)	0.746(.337)	0.759(.339)
0.400	0.024(.123)	0.609(.332)	0.695(.350)	0.722(.355)	0.735(.358)
0.425	0.020(.124)	0.581(.347)	0.669(.367)	0.697(.373)	0.711(.376)
0.450	0.016(.124)	0.553(.361)	0.643(.383)	0.671(.390)	0.686(.393)
0.475	0.013(.124)	0.525(.374)	0.616(.399)	0.646(.406)	0.661(.410)
0.500	0.011(.125)	0.499(.387)	0.590(.414)	0.620(.422)	0.636(.426)
0.525	0.009(.125)	0.472(.399)	0.564(.428)	0.595(.437)	0.611(.442)
0.550	0.008(.125)	0.444(.411)	0.538(.442)	0.569(.452)	0.585(.457)
0.575	0.006(.125)	0.395(.421)	0.513(.455)	0.543(.466)	0.559(.471)
0.600	0.005(.125)	0.349(.430)	0.487(.468)	0.518(.479)	0.534(.485)
0.625	0.004(.126)	0.306(.439)	0.448(.479)	0.492(.492)	0.508(.498)
0.650	0.004(.126)	0.267(.446)	0.399(.490)	0.449(.503)	0.475(.510)
0.675	0.003(.126)	0.230(.452)	0.352(.499)	0.399(.514)	0.425(.521)
0.700	0.002(.126)	0.196(.457)	0.308(.508)	0.352(.523)	0.376(.531)
0.725	0.002(.126)	0.166(.462)	0.265(.515)	0.306(.532)	0.328(.540)
0.750	0.002(.126)	0.138(.466)	0.225(.521)	0.262(.539)	0.282(.548)
0.775	0.001(.126)	0.113(.469)	0.188(.526)	0.220(.545)	0.239(.554)
0.800	0.001(.126)	0.091(.471)	0.154(.530)	0.182(.550)	0.198(.560)
0.825	0.001(.126)	0.072(.473)	0.123(.534)	0.146(.554)	0.160(.564)
0.850	0.001(.126)	0.055(.475)	0.095(.537)	0.114(.557)	0.125(.568)
0.875	0.000(.126)	0.040(.476)	0.070(.539)	0.085(.559)	0.093(.570)
0.900	0.000(.126)	0.027(.477)	0.049(.540)	0.059(.561)	0.065(.572)
0.925	0.000(.126)	0.017(.478)	0.031(.541)	0.037(.562)	0.041(.574)
0.950	0.000(.126)	0.009(.478)	0.016(.542)	0.020(.563)	0.022(.574)
0.975	0.000(.126)	0.003(.478)	0.006(.542)	0.007(.564)	0.008(.575)
1.000	-0. (.126)	0.000(.478)	0.000(.542)	0.000(.564)	0.000(.575)

B-49
 138

RECORDED No 66-196
 Sub C - Phase II
 VERSION B

*** RELATIVE ENERGY FLUX DENSITY IN THE PENUMBRA ***
 *** OF A DIFFUSE SKIRT WITH THE REFLECTANCE = 0. ***

SOLAR FIELD ANGLE, D = 5.00 DEGREES
 GEOMETRY D1/D2 = 0.50

BETA = ANGLE OF INCIDENCE, DEGREES

BETA ***	-40.00	-30.00	-20.00	-10.00	-0.
AX/AB	Q (QI)	Q (QI)	Q (QI)	Q (QI)	Q (QI)
0.	1.000(.)	1.000(.)	1.000(.)	1.000(.)	1.000(.)
0.025	0.996(.025)	0.996(.025)	0.996(.025)	0.997(.025)	0.997(.025)
0.050	0.989(.050)	0.990(.050)	0.990(.050)	0.990(.050)	0.991(.050)
0.075	0.980(.074)	0.981(.074)	0.981(.074)	0.982(.074)	0.982(.074)
0.100	0.969(.099)	0.970(.099)	0.971(.099)	0.972(.099)	0.973(.099)
0.125	0.956(.123)	0.958(.123)	0.959(.123)	0.960(.123)	0.961(.123)
0.150	0.942(.147)	0.944(.147)	0.946(.147)	0.947(.147)	0.949(.147)
0.175	0.927(.170)	0.929(.170)	0.931(.170)	0.933(.170)	0.935(.170)
0.200	0.910(.193)	0.913(.193)	0.916(.193)	0.918(.193)	0.919(.194)
0.225	0.893(.215)	0.896(.216)	0.899(.216)	0.901(.216)	0.903(.216)
0.250	0.874(.238)	0.878(.238)	0.881(.238)	0.884(.239)	0.886(.239)
0.275	0.854(.259)	0.858(.260)	0.862(.260)	0.865(.260)	0.868(.261)
0.300	0.834(.280)	0.838(.281)	0.842(.281)	0.845(.282)	0.849(.282)
0.325	0.812(.301)	0.817(.302)	0.822(.302)	0.825(.303)	0.829(.303)
0.350	0.790(.321)	0.796(.322)	0.800(.322)	0.804(.323)	0.808(.324)
0.375	0.767(.340)	0.773(.341)	0.778(.342)	0.782(.343)	0.786(.344)
0.400	0.744(.359)	0.750(.360)	0.755(.361)	0.760(.362)	0.764(.363)
0.425	0.720(.377)	0.727(.379)	0.732(.380)	0.737(.381)	0.741(.382)
0.450	0.696(.395)	0.703(.397)	0.708(.398)	0.713(.399)	0.718(.400)
0.475	0.671(.412)	0.678(.414)	0.684(.415)	0.689(.416)	0.694(.418)
0.500	0.646(.429)	0.653(.431)	0.659(.432)	0.665(.433)	0.669(.435)
0.525	0.621(.445)	0.628(.447)	0.634(.448)	0.640(.450)	0.645(.451)
0.550	0.595(.460)	0.603(.462)	0.609(.464)	0.615(.465)	0.620(.467)
0.575	0.570(.474)	0.577(.477)	0.584(.479)	0.589(.480)	0.594(.482)
0.600	0.544(.488)	0.552(.491)	0.558(.493)	0.564(.495)	0.569(.497)
0.625	0.518(.502)	0.526(.504)	0.532(.507)	0.538(.509)	0.543(.510)
0.650	0.493(.514)	0.500(.517)	0.507(.520)	0.512(.522)	0.517(.524)
0.675	0.442(.526)	0.455(.529)	0.465(.532)	0.474(.534)	0.483(.536)
0.700	0.392(.536)	0.404(.540)	0.414(.543)	0.423(.545)	0.431(.548)
0.725	0.343(.545)	0.355(.549)	0.364(.552)	0.372(.555)	0.380(.558)
0.750	0.296(.553)	0.307(.558)	0.315(.561)	0.323(.564)	0.330(.567)
0.775	0.251(.560)	0.261(.565)	0.268(.568)	0.275(.571)	0.282(.574)
0.800	0.209(.566)	0.217(.571)	0.224(.574)	0.230(.578)	0.236(.581)
0.825	0.169(.571)	0.176(.576)	0.182(.579)	0.187(.583)	0.192(.586)
0.850	0.132(.575)	0.138(.579)	0.143(.584)	0.147(.587)	0.151(.590)
0.875	0.099(.577)	0.103(.583)	0.107(.587)	0.111(.590)	0.114(.594)
0.900	0.069(.580)	0.073(.585)	0.076(.589)	0.078(.593)	0.080(.596)
0.925	0.044(.581)	0.046(.586)	0.048(.591)	0.050(.594)	0.051(.598)
0.950	0.023(.582)	0.025(.587)	0.026(.591)	0.027(.595)	0.027(.599)
0.975	0.008(.582)	0.008(.588)	0.009(.592)	0.009(.596)	0.009(.599)
1.000	0.000(.582)	0.000(.588)	0.000(.592)	0.000(.596)	0.000(.599)

*** RELATIVE ENERGY FLUX DENSITY IN THE PENUMBRA ***
 *** OF A DIFFUSE SKIRT WITH THE REFLECTANCE = 0. ***

66-196
 App 1 - Phase II
 VERSION B

SOLAR FIELD ANGLE, D = 5.00 DEGREES
 GEOMETRY D1/D2 = 0.50

BETA = ANGLE OF INCIDENCE, DEGREES

BETA ***	10.00	20.00	30.00	40.00	50.00
AX/AB	Q (QI)	Q (QI)	Q (QI)	Q (QI)	Q (QI)
0.	1.000(.)	1.000(.)	1.000(.)	1.000(.)	1.000(.)
0.025	0.997(.025)	0.997(.025)	0.997(.025)	0.997(.025)	0.997(.025)
0.050	0.991(.050)	0.991(.050)	0.991(.050)	0.992(.050)	0.992(.050)
0.075	0.983(.074)	0.983(.074)	0.984(.075)	0.984(.075)	0.985(.075)
0.100	0.973(.099)	0.974(.099)	0.975(.099)	0.976(.099)	0.977(.099)
0.125	0.962(.123)	0.963(.123)	0.964(.123)	0.965(.123)	0.967(.123)
0.150	0.950(.147)	0.951(.147)	0.952(.147)	0.954(.147)	0.956(.147)
0.175	0.936(.171)	0.938(.171)	0.939(.171)	0.942(.171)	0.944(.171)
0.200	0.921(.194)	0.923(.194)	0.925(.194)	0.928(.194)	0.931(.195)
0.225	0.905(.217)	0.908(.217)	0.910(.217)	0.913(.217)	0.917(.218)
0.250	0.888(.239)	0.891(.239)	0.894(.240)	0.897(.240)	0.902(.240)
0.275	0.870(.261)	0.873(.261)	0.877(.262)	0.880(.262)	0.885(.263)
0.300	0.852(.283)	0.855(.283)	0.858(.283)	0.863(.284)	0.868(.285)
0.325	0.832(.304)	0.835(.304)	0.839(.305)	0.844(.305)	0.850(.306)
0.350	0.811(.324)	0.815(.325)	0.819(.325)	0.824(.326)	0.831(.327)
0.375	0.790(.344)	0.794(.345)	0.799(.346)	0.804(.347)	0.811(.348)
0.400	0.768(.364)	0.772(.364)	0.777(.365)	0.783(.366)	0.791(.368)
0.425	0.745(.383)	0.750(.383)	0.755(.384)	0.761(.386)	0.770(.387)
0.450	0.722(.401)	0.727(.402)	0.732(.403)	0.739(.404)	0.748(.406)
0.475	0.699(.419)	0.703(.420)	0.709(.421)	0.716(.423)	0.725(.425)
0.500	0.674(.436)	0.679(.437)	0.685(.439)	0.692(.440)	0.702(.442)
0.525	0.650(.452)	0.655(.454)	0.661(.455)	0.668(.457)	0.678(.460)
0.550	0.625(.468)	0.630(.470)	0.636(.472)	0.644(.474)	0.653(.476)
0.575	0.599(.484)	0.605(.485)	0.611(.487)	0.618(.489)	0.629(.492)
0.600	0.574(.498)	0.579(.500)	0.586(.502)	0.593(.505)	0.603(.508)
0.625	0.548(.512)	0.554(.514)	0.560(.516)	0.567(.519)	0.578(.523)
0.650	0.522(.526)	0.528(.528)	0.534(.530)	0.542(.533)	0.552(.537)
0.675	0.491(.538)	0.500(.541)	0.508(.543)	0.515(.546)	0.526(.550)
0.700	0.439(.550)	0.448(.552)	0.459(.555)	0.471(.558)	0.488(.563)
0.725	0.388(.560)	0.397(.563)	0.406(.566)	0.418(.570)	0.435(.574)
0.750	0.338(.569)	0.346(.572)	0.355(.576)	0.366(.579)	0.382(.585)
0.775	0.289(.577)	0.296(.580)	0.305(.584)	0.315(.588)	0.329(.593)
0.800	0.242(.584)	0.248(.587)	0.256(.591)	0.265(.595)	0.278(.601)
0.825	0.197(.589)	0.203(.593)	0.209(.597)	0.218(.601)	0.229(.607)
0.850	0.156(.594)	0.160(.597)	0.166(.601)	0.173(.606)	0.182(.612)
0.875	0.117(.597)	0.121(.601)	0.125(.605)	0.131(.610)	0.138(.616)
0.900	0.083(.600)	0.086(.603)	0.089(.608)	0.093(.613)	0.099(.619)
0.925	0.053(.601)	0.055(.605)	0.057(.609)	0.060(.615)	0.064(.621)
0.950	0.028(.602)	0.029(.606)	0.031(.611)	0.032(.616)	0.034(.623)
0.975	0.010(.603)	0.010(.607)	0.011(.611)	0.011(.616)	0.012(.623)
1.000	0.000(.603)	0.000(.607)	0.000(.611)	0.000(.616)	0.000(.623)

RE-ORDER No. 66796
 Copy 1 - Phase 11

VERSION B

*** RELATIVE ENERGY FLUX DENSITY IN THE PENUMBRA ***
 *** OF A DIFFUSE SKIRT WITH THE REFLECTANCE = 0. ***

SOLAR FIELD ANGLE, D = 5.00 DEGREES
 GEOMETRY D1/D2 = 0.50

BETA = ANGLE OF INCIDENCE, DEGREES

BETA *** AX/AB	60.00 Q (QI)	70.00 Q (QI)	80.00 Q (QI)	87.00 Q (QI)
0.	1.000(.)	1.000(.)	1.000(.)	1.000(.)
0.025	0.997(.025)	0.998(.025)	0.999(.025)	1.000(.025)
0.050	0.993(.050)	0.994(.050)	0.996(.050)	1.000(.050)
0.075	0.986(.075)	0.988(.075)	0.993(.075)	1.000(.075)
0.100	0.979(.099)	0.982(.099)	0.988(.100)	1.000(.100)
0.125	0.970(.123)	0.974(.124)	0.983(.124)	1.000(.125)
0.150	0.959(.146)	0.965(.148)	0.978(.149)	1.000(.150)
0.175	0.948(.171)	0.955(.172)	0.971(.173)	0.999(.175)
0.200	0.936(.195)	0.944(.196)	0.964(.197)	0.999(.200)
0.225	0.923(.218)	0.932(.219)	0.956(.221)	0.999(.225)
0.250	0.908(.241)	0.920(.242)	0.947(.245)	0.999(.250)
0.275	0.893(.264)	0.906(.265)	0.937(.269)	0.999(.275)
0.300	0.877(.286)	0.891(.288)	0.927(.292)	0.998(.300)
0.325	0.859(.307)	0.875(.310)	0.915(.315)	0.998(.325)
0.350	0.841(.329)	0.859(.331)	0.903(.338)	0.997(.350)
0.375	0.822(.349)	0.842(.353)	0.890(.360)	0.997(.375)
0.400	0.802(.370)	0.823(.373)	0.876(.382)	0.996(.400)
0.425	0.782(.390)	0.804(.394)	0.861(.404)	0.996(.424)
0.450	0.761(.409)	0.784(.414)	0.845(.425)	0.995(.449)
0.475	0.738(.428)	0.763(.433)	0.828(.446)	0.994(.474)
0.500	0.716(.446)	0.741(.452)	0.810(.467)	0.993(.499)
0.525	0.692(.463)	0.719(.470)	0.791(.487)	0.992(.524)
0.550	0.668(.480)	0.696(.488)	0.771(.506)	0.990(.549)
0.575	0.644(.497)	0.672(.505)	0.750(.525)	0.988(.573)
0.600	0.619(.513)	0.647(.521)	0.727(.544)	0.986(.598)
0.625	0.593(.528)	0.622(.537)	0.704(.561)	0.984(.623)
0.650	0.567(.542)	0.597(.552)	0.680(.579)	0.980(.647)
0.675	0.541(.556)	0.570(.567)	0.654(.595)	0.977(.672)
0.700	0.514(.569)	0.544(.581)	0.628(.611)	0.972(.696)
0.725	0.460(.581)	0.509(.594)	0.600(.627)	0.966(.720)
0.750	0.406(.592)	0.453(.606)	0.571(.641)	0.958(.744)
0.775	0.352(.602)	0.396(.617)	0.534(.655)	0.949(.768)
0.800	0.299(.610)	0.340(.626)	0.471(.668)	0.937(.792)
0.825	0.247(.617)	0.284(.634)	0.406(.679)	0.921(.815)
0.850	0.198(.622)	0.229(.640)	0.338(.688)	0.900(.838)
0.875	0.151(.627)	0.176(.645)	0.269(.696)	0.871(.860)
0.900	0.108(.630)	0.127(.649)	0.200(.701)	0.831(.881)
0.925	0.070(.632)	0.083(.652)	0.135(.706)	0.775(.901)
0.950	0.038(.633)	0.045(.653)	0.076(.708)	0.694(.920)
0.975	0.013(.634)	0.016(.654)	0.027(.710)	0.449(.934)
1.000	0.000(.634)	0.000(.654)	0.000(.710)	0.000(.939)

REF ORDER No 66-196
 Appl. Phase II

*** RELATIVE ENERGY FLUX DENSITY IN THE PENUMBRA *** VERSION B
 *** OF A DIFFUSE SKIRT WITH THE REFLECTANCE = 0. ***

SOLAR FIELD ANGLE, D= 5.00 DEGREES
 GEOMETRY D1/D2 = 0.75

BETA = ANGLE OF INCIDENCE, DEGREES

BETA ***	-87.00		-80.00		-70.00		-60.00		-50.00	
AX/AB	Q	(QI)	Q	(QI)	Q	(QI)	Q	(QI)	Q	(QI)
0.	1.000(.)		1.000(.)		1.000(.)		1.000(.)		1.000(.)	
0.025	0.828(.023)		0.990(.025)		0.993(.025)		0.994(.025)		0.995(.025)	
0.050	0.631(.041)		0.971(.049)		0.982(.050)		0.984(.050)		0.985(.050)	
0.075	0.477(.055)		0.947(.073)		0.966(.074)		0.971(.074)		0.973(.074)	
0.100	0.364(.065)		0.920(.097)		0.947(.098)		0.955(.098)		0.958(.098)	
0.125	0.266(.073)		0.890(.119)		0.927(.121)		0.937(.122)		0.941(.122)	
0.150	0.193(.079)		0.857(.141)		0.904(.144)		0.916(.145)		0.922(.145)	
0.175	0.143(.083)		0.824(.162)		0.879(.166)		0.894(.168)		0.902(.168)	
0.200	0.109(.086)		0.789(.182)		0.853(.188)		0.871(.190)		0.880(.190)	
0.225	0.084(.089)		0.753(.202)		0.825(.209)		0.846(.211)		0.856(.212)	
0.250	0.066(.091)		0.717(.220)		0.797(.229)		0.820(.232)		0.832(.233)	
0.275	0.052(.092)		0.682(.237)		0.768(.249)		0.793(.252)		0.806(.254)	
0.300	0.042(.093)		0.646(.254)		0.737(.268)		0.765(.272)		0.779(.274)	
0.325	0.034(.094)		0.611(.270)		0.707(.286)		0.737(.290)		0.751(.293)	
0.350	0.028(.095)		0.576(.285)		0.676(.303)		0.707(.308)		0.723(.311)	
0.375	0.023(.096)		0.542(.299)		0.645(.320)		0.678(.326)		0.694(.329)	
0.400	0.019(.096)		0.508(.312)		0.614(.335)		0.647(.342)		0.665(.346)	
0.425	0.016(.097)		0.476(.324)		0.582(.350)		0.617(.358)		0.635(.362)	
0.450	0.013(.097)		0.443(.335)		0.551(.364)		0.587(.373)		0.605(.378)	
0.475	0.011(.097)		0.403(.346)		0.520(.378)		0.556(.387)		0.575(.392)	
0.500	0.009(.098)		0.365(.356)		0.490(.390)		0.526(.401)		0.545(.406)	
0.525	0.008(.098)		0.329(.364)		0.455(.402)		0.496(.414)		0.514(.420)	
0.550	0.006(.098)		0.295(.372)		0.415(.413)		0.459(.426)		0.483(.432)	
0.575	0.005(.098)		0.263(.379)		0.377(.423)		0.420(.437)		0.443(.444)	
0.600	0.004(.098)		0.233(.385)		0.341(.432)		0.381(.447)		0.404(.454)	
0.625	0.004(.098)		0.205(.391)		0.305(.440)		0.344(.456)		0.365(.464)	
0.650	0.003(.098)		0.179(.396)		0.271(.447)		0.308(.464)		0.328(.472)	
0.675	0.003(.098)		0.155(.400)		0.239(.454)		0.273(.471)		0.292(.480)	
0.700	0.002(.098)		0.133(.403)		0.209(.459)		0.240(.478)		0.257(.487)	
0.725	0.002(.099)		0.113(.406)		0.180(.464)		0.208(.483)		0.224(.493)	
0.750	0.001(.099)		0.095(.409)		0.153(.468)		0.178(.488)		0.192(.498)	
0.775	0.001(.099)		0.078(.411)		0.128(.472)		0.150(.492)		0.162(.503)	
0.800	0.001(.099)		0.064(.413)		0.105(.475)		0.124(.495)		0.134(.506)	
0.825	0.001(.099)		0.050(.414)		0.084(.477)		0.099(.498)		0.108(.509)	
0.850	0.000(.099)		0.039(.416)		0.065(.479)		0.077(.500)		0.085(.512)	
0.875	0.000(.099)		0.028(.416)		0.049(.480)		0.058(.502)		0.063(.514)	
0.900	0.000(.099)		0.020(.417)		0.034(.481)		0.041(.503)		0.044(.515)	
0.925	0.000(.099)		0.012(.417)		0.021(.482)		0.026(.504)		0.028(.516)	
0.950	0.000(.099)		0.006(.418)		0.011(.483)		0.014(.505)		0.015(.516)	
0.975	0.000(.099)		0.002(.418)		0.004(.483)		0.005(.505)		0.005(.517)	
1.000	0.000(.099)		0.000(.418)		0.000(.483)		0.000(.505)		0.000(.517)	

142
 B-53

RE-ORDER NO. 66-196
App 11

*** RELATIVE ENERGY FLUX DENSITY IN THE PENUMBRA ***
 *** OF A DIFFUSE SKIRT WITH THE REFLECTANCE = 0. ***

VERSION B

SOLAR FIELD ANGLE, D = 5.00 DEGREES
 GEOMETRY D1/D2 = 0.75

BETA = ANGLE OF INCIDENCE, DEGREES

BETA ***	-40.00	-30.00	-20.00	-10.00	-0.
AX/AB	Q (QI)	Q (QI)	Q (QI)	Q (QI)	Q (QI)
0.	1.000(.)	1.000(.)	1.000(.)	1.000(.)	1.000(.)
0.025	0.995(.025)	0.995(.025)	0.996(.025)	0.996(.025)	0.996(.025)
0.050	0.986(.050)	0.987(.050)	0.987(.050)	0.988(.050)	0.988(.050)
0.075	0.975(.074)	0.976(.074)	0.976(.074)	0.977(.074)	0.978(.074)
0.100	0.960(.098)	0.962(.098)	0.963(.099)	0.964(.099)	0.965(.099)
0.125	0.944(.122)	0.946(.122)	0.948(.122)	0.949(.122)	0.951(.123)
0.150	0.926(.146)	0.929(.146)	0.931(.146)	0.933(.146)	0.935(.146)
0.175	0.907(.169)	0.910(.169)	0.912(.169)	0.915(.169)	0.917(.169)
0.200	0.885(.191)	0.889(.191)	0.892(.192)	0.895(.192)	0.898(.192)
0.225	0.863(.213)	0.867(.213)	0.871(.214)	0.874(.214)	0.877(.214)
0.250	0.839(.234)	0.844(.235)	0.848(.235)	0.852(.235)	0.855(.236)
0.275	0.814(.255)	0.820(.255)	0.824(.256)	0.828(.256)	0.832(.257)
0.300	0.788(.275)	0.794(.276)	0.799(.276)	0.804(.277)	0.808(.277)
0.325	0.761(.294)	0.768(.295)	0.773(.296)	0.778(.297)	0.783(.297)
0.350	0.733(.313)	0.741(.314)	0.747(.315)	0.752(.316)	0.756(.316)
0.375	0.705(.331)	0.713(.332)	0.719(.333)	0.724(.334)	0.730(.335)
0.400	0.676(.348)	0.684(.350)	0.691(.351)	0.697(.352)	0.702(.353)
0.425	0.647(.365)	0.655(.366)	0.662(.368)	0.668(.369)	0.674(.370)
0.450	0.617(.380)	0.626(.382)	0.633(.384)	0.639(.385)	0.645(.387)
0.475	0.587(.395)	0.596(.398)	0.603(.399)	0.610(.401)	0.615(.402)
0.500	0.557(.410)	0.566(.412)	0.573(.414)	0.580(.416)	0.586(.417)
0.525	0.527(.423)	0.536(.426)	0.543(.428)	0.550(.430)	0.556(.432)
0.550	0.497(.436)	0.506(.439)	0.513(.441)	0.520(.443)	0.526(.445)
0.575	0.458(.448)	0.469(.451)	0.478(.454)	0.487(.456)	0.494(.458)
0.600	0.419(.459)	0.430(.462)	0.439(.465)	0.446(.468)	0.454(.470)
0.625	0.380(.469)	0.390(.473)	0.399(.476)	0.407(.478)	0.414(.481)
0.650	0.342(.478)	0.352(.482)	0.360(.485)	0.368(.488)	0.375(.490)
0.675	0.305(.486)	0.314(.490)	0.322(.494)	0.329(.497)	0.336(.499)
0.700	0.269(.493)	0.278(.498)	0.285(.501)	0.292(.504)	0.298(.507)
0.725	0.234(.499)	0.243(.504)	0.249(.508)	0.256(.511)	0.261(.514)
0.750	0.202(.505)	0.209(.510)	0.215(.514)	0.221(.517)	0.226(.520)
0.775	0.171(.510)	0.177(.515)	0.183(.519)	0.187(.522)	0.192(.526)
0.800	0.142(.513)	0.147(.519)	0.152(.523)	0.156(.527)	0.160(.530)
0.825	0.114(.517)	0.119(.522)	0.123(.526)	0.127(.530)	0.130(.534)
0.850	0.090(.519)	0.093(.525)	0.097(.529)	0.100(.533)	0.102(.537)
0.875	0.067(.521)	0.070(.527)	0.073(.531)	0.075(.535)	0.077(.539)
0.900	0.047(.523)	0.049(.528)	0.051(.533)	0.053(.537)	0.054(.540)
0.925	0.030(.524)	0.032(.529)	0.033(.534)	0.034(.538)	0.035(.542)
0.950	0.016(.524)	0.017(.530)	0.017(.534)	0.018(.538)	0.019(.542)
0.975	0.006(.524)	0.006(.530)	0.006(.535)	0.006(.539)	0.006(.543)
1.000	0.000(.524)	0.000(.530)	0.000(.535)	0.000(.539)	0.000(.543)

143
 B-54

REF ORDER No 66-196
 App A. Phase II

*** RELATIVE ENERGY FLUX DENSITY IN THE PENUMBRA ***
 *** OF A DIFFUSE SKIRT WITH THE REFLECTANCE = 0. ***

VERSION B

SOLAR FIELD ANGLE, D= 5.00 DEGREES
 GEOMETRY D1/D2 = 0.75

BETA = ANGLE OF INCIDENCE, DEGREES

BETA ***	10.00	20.00	30.00	40.00	50.00
AX/AB	Q (QI)	Q (QI)	Q (QI)	Q (QI)	Q (QI)
0.	1.000(.)	1.000(.)	1.000(.)	1.000(.)	1.000(.)
0.025	0.996(.025)	0.996(.025)	0.996(.025)	0.996(.025)	0.997(.025)
0.050	0.988(.050)	0.989(.050)	0.989(.050)	0.989(.050)	0.990(.050)
0.075	0.978(.074)	0.979(.074)	0.980(.074)	0.980(.074)	0.981(.074)
0.100	0.966(.099)	0.967(.099)	0.968(.099)	0.969(.099)	0.971(.099)
0.125	0.952(.123)	0.953(.123)	0.955(.123)	0.957(.123)	0.959(.123)
0.150	0.936(.146)	0.938(.146)	0.940(.146)	0.942(.147)	0.945(.147)
0.175	0.919(.169)	0.921(.170)	0.923(.170)	0.926(.170)	0.930(.170)
0.200	0.900(.192)	0.903(.192)	0.905(.193)	0.909(.193)	0.913(.193)
0.225	0.880(.214)	0.883(.215)	0.886(.215)	0.890(.215)	0.895(.216)
0.250	0.858(.236)	0.862(.236)	0.865(.237)	0.870(.237)	0.876(.238)
0.275	0.836(.257)	0.839(.258)	0.844(.258)	0.849(.259)	0.855(.260)
0.300	0.812(.278)	0.816(.278)	0.821(.279)	0.826(.280)	0.834(.281)
0.325	0.787(.298)	0.792(.299)	0.797(.299)	0.803(.300)	0.811(.301)
0.350	0.761(.317)	0.766(.318)	0.772(.319)	0.778(.320)	0.787(.321)
0.375	0.735(.336)	0.740(.337)	0.746(.338)	0.753(.339)	0.762(.341)
0.400	0.707(.354)	0.713(.355)	0.719(.356)	0.727(.358)	0.737(.359)
0.425	0.679(.371)	0.685(.372)	0.691(.374)	0.699(.375)	0.710(.377)
0.450	0.650(.388)	0.656(.389)	0.663(.391)	0.672(.393)	0.683(.395)
0.475	0.621(.404)	0.628(.405)	0.635(.407)	0.643(.409)	0.655(.412)
0.500	0.592(.419)	0.598(.421)	0.605(.422)	0.614(.425)	0.626(.428)
0.525	0.562(.433)	0.568(.435)	0.576(.437)	0.585(.440)	0.597(.443)
0.550	0.532(.447)	0.538(.449)	0.546(.451)	0.555(.454)	0.567(.457)
0.575	0.502(.460)	0.508(.462)	0.516(.464)	0.525(.467)	0.537(.471)
0.600	0.462(.472)	0.470(.474)	0.479(.477)	0.490(.480)	0.505(.484)
0.625	0.421(.483)	0.429(.486)	0.438(.488)	0.449(.492)	0.464(.496)
0.650	0.382(.493)	0.389(.496)	0.398(.499)	0.409(.503)	0.423(.507)
0.675	0.343(.502)	0.350(.505)	0.358(.508)	0.368(.512)	0.382(.518)
0.700	0.304(.510)	0.311(.513)	0.319(.517)	0.329(.521)	0.342(.527)
0.725	0.267(.517)	0.273(.521)	0.281(.524)	0.290(.529)	0.302(.535)
0.750	0.231(.524)	0.237(.527)	0.244(.531)	0.252(.535)	0.263(.542)
0.775	0.197(.529)	0.202(.532)	0.208(.536)	0.215(.541)	0.226(.548)
0.800	0.164(.533)	0.169(.537)	0.174(.541)	0.180(.546)	0.190(.553)
0.825	0.134(.537)	0.137(.541)	0.142(.545)	0.147(.550)	0.155(.557)
0.850	0.105(.540)	0.108(.544)	0.112(.548)	0.116(.554)	0.123(.561)
0.875	0.079(.542)	0.082(.546)	0.085(.551)	0.088(.556)	0.093(.564)
0.900	0.056(.544)	0.058(.548)	0.060(.553)	0.063(.558)	0.066(.565)
0.925	0.036(.545)	0.037(.549)	0.038(.554)	0.040(.559)	0.043(.567)
0.950	0.019(.546)	0.020(.550)	0.021(.555)	0.022(.560)	0.023(.568)
0.975	0.007(.546)	0.007(.550)	0.007(.555)	0.008(.561)	0.008(.568)
1.000	0.000(.546)	0.000(.550)	0.000(.555)	0.000(.561)	0.000(.568)

144
 B-55

RE-ORDER No. 66-196
 App. 1. Phasell

*** RELATIVE ENERGY FLUX DENSITY IN THE PENUMBRA *** VERSION B
 *** OF A DIFFUSE SKIRT WITH THE REFLECTANCE = 0. ***

SOLAR FIELD ANGLE, D= 5.00 DEGREES
 GEOMETRY D1/D2 = 0.75

BETA = ANGLE OF INCIDENCE, DEGREES

BETA ***	60.00	70.00	80.00	87.00
AX/AB	Q (QI)	Q (QI)	Q (QI)	Q (QI)
0.	1.000(.)	1.000(.)	1.000(.)	1.000(.)
0.025	0.997(.025)	0.997(.025)	0.998(.025)	1.000(.025)
0.050	0.991(.050)	0.992(.050)	0.995(.050)	1.000(.050)
0.075	0.983(.074)	0.986(.075)	0.991(.075)	1.000(.075)
0.100	0.973(.099)	0.977(.099)	0.986(.099)	1.000(.100)
0.125	0.962(.123)	0.968(.123)	0.980(.124)	1.000(.125)
0.150	0.949(.147)	0.957(.147)	0.973(.148)	1.000(.150)
0.175	0.935(.171)	0.944(.171)	0.965(.173)	0.999(.175)
0.200	0.920(.194)	0.931(.195)	0.956(.197)	0.999(.200)
0.225	0.903(.217)	0.916(.218)	0.947(.220)	0.999(.225)
0.250	0.885(.239)	0.900(.240)	0.936(.244)	0.999(.250)
0.275	0.865(.261)	0.883(.263)	0.924(.267)	0.998(.275)
0.300	0.845(.282)	0.864(.285)	0.911(.290)	0.998(.300)
0.325	0.823(.303)	0.844(.306)	0.897(.313)	0.998(.325)
0.350	0.800(.323)	0.824(.327)	0.881(.335)	0.997(.350)
0.375	0.776(.343)	0.802(.347)	0.865(.357)	0.997(.375)
0.400	0.752(.362)	0.779(.367)	0.847(.378)	0.996(.400)
0.425	0.726(.381)	0.755(.386)	0.828(.399)	0.995(.424)
0.450	0.699(.398)	0.729(.405)	0.808(.420)	0.995(.449)
0.475	0.672(.416)	0.703(.422)	0.787(.440)	0.994(.474)
0.500	0.644(.432)	0.676(.440)	0.764(.459)	0.992(.499)
0.525	0.615(.448)	0.648(.456)	0.740(.478)	0.991(.524)
0.550	0.585(.463)	0.620(.472)	0.715(.496)	0.989(.549)
0.575	0.555(.477)	0.590(.487)	0.688(.513)	0.987(.573)
0.600	0.525(.490)	0.560(.502)	0.660(.530)	0.985(.598)
0.625	0.487(.503)	0.529(.515)	0.630(.546)	0.982(.622)
0.650	0.446(.515)	0.489(.528)	0.600(.562)	0.978(.647)
0.675	0.404(.525)	0.447(.540)	0.568(.576)	0.974(.671)
0.700	0.363(.535)	0.404(.550)	0.529(.590)	0.968(.696)
0.725	0.322(.544)	0.361(.560)	0.483(.603)	0.961(.720)
0.750	0.282(.551)	0.318(.568)	0.435(.614)	0.953(.744)
0.775	0.242(.558)	0.275(.576)	0.385(.624)	0.941(.767)
0.800	0.204(.563)	0.233(.582)	0.334(.633)	0.926(.791)
0.825	0.168(.568)	0.193(.587)	0.283(.641)	0.906(.814)
0.850	0.133(.572)	0.155(.592)	0.232(.648)	0.879(.836)
0.875	0.101(.575)	0.118(.595)	0.182(.653)	0.842(.857)
0.900	0.072(.577)	0.085(.598)	0.134(.657)	0.789(.878)
0.925	0.047(.578)	0.055(.600)	0.089(.660)	0.712(.897)
0.950	0.025(.579)	0.030(.601)	0.049(.661)	0.571(.913)
0.975	0.009(.580)	0.011(.601)	0.018(.662)	0.312(.924)
1.000	0.000(.580)	0.000(.601)	0.000(.662)	0.000(.928)

145
 B-56

RE-ORDER No. 66-196
 App A Phase II

*** RELATIVE ENERGY FLUX DENSITY IN THE PENUMBRA *** VERSION B
 *** OF A DIFFUSE SKIRT WITH THE REFLECTANCE = 0. ***

SOLAR FIELD ANGLE, D= 5.00 DEGREES
 GEOMETRY D1/D2 = 1.00

BETA = ANGLE OF INCIDENCE, DEGREES

BETA ***	-87.00	-80.00	-70.00	-60.00	-50.00
AX/AB	Q (QI)	Q (QI)	Q (QI)	Q (QI)	Q (QI)
0.	1.000(.)	1.000(.)	1.000(.)	1.000(.)	1.000(.)
0.025	0.766(.022)	0.987(.025)	0.892(.025)	0.993(.025)	0.994(.025)
0.050	0.534(.038)	0.963(.049)	0.977(.050)	0.980(.050)	0.982(.050)
0.075	0.374(.050)	0.932(.073)	0.957(.074)	0.964(.074)	0.967(.074)
0.100	0.268(.058)	0.898(.096)	0.934(.097)	0.944(.098)	0.948(.098)
0.125	0.196(.063)	0.860(.118)	0.908(.120)	0.921(.121)	0.927(.121)
0.150	0.147(.068)	0.820(.139)	0.880(.143)	0.896(.144)	0.904(.144)
0.175	0.112(.071)	0.778(.159)	0.849(.164)	0.869(.166)	0.878(.167)
0.200	0.087(.073)	0.736(.178)	0.817(.185)	0.840(.187)	0.851(.188)
0.225	0.068(.075)	0.694(.196)	0.783(.205)	0.809(.208)	0.822(.209)
0.250	0.054(.077)	0.651(.212)	0.749(.224)	0.778(.228)	0.792(.229)
0.275	0.044(.078)	0.609(.228)	0.713(.243)	0.745(.247)	0.761(.249)
0.300	0.036(.079)	0.568(.243)	0.677(.260)	0.711(.265)	0.728(.267)
0.325	0.029(.080)	0.528(.257)	0.641(.276)	0.677(.282)	0.695(.285)
0.350	0.024(.081)	0.489(.269)	0.605(.292)	0.642(.299)	0.661(.302)
0.375	0.020(.081)	0.452(.281)	0.569(.307)	0.607(.314)	0.627(.318)
0.400	0.017(.082)	0.416(.292)	0.533(.320)	0.572(.329)	0.592(.333)
0.425	0.014(.082)	0.381(.302)	0.497(.333)	0.537(.343)	0.558(.348)
0.450	0.012(.082)	0.348(.311)	0.462(.345)	0.502(.356)	0.523(.361)
0.475	0.010(.083)	0.317(.319)	0.428(.356)	0.467(.368)	0.488(.374)
0.500	0.008(.083)	0.287(.327)	0.394(.367)	0.433(.379)	0.454(.386)
0.525	0.007(.083)	0.259(.334)	0.361(.376)	0.399(.390)	0.420(.397)
0.550	0.006(.083)	0.233(.340)	0.330(.385)	0.366(.399)	0.386(.407)
0.575	0.005(.083)	0.208(.345)	0.299(.393)	0.334(.408)	0.353(.416)
0.600	0.004(.083)	0.185(.350)	0.270(.400)	0.303(.416)	0.321(.424)
0.625	0.003(.084)	0.163(.355)	0.242(.406)	0.273(.423)	0.290(.432)
0.650	0.003(.084)	0.143(.358)	0.215(.412)	0.244(.430)	0.260(.439)
0.675	0.002(.084)	0.124(.362)	0.189(.417)	0.216(.435)	0.231(.445)
0.700	0.002(.084)	0.107(.365)	0.165(.421)	0.190(.440)	0.203(.450)
0.725	0.002(.084)	0.091(.367)	0.143(.425)	0.164(.445)	0.177(.455)
0.750	0.001(.084)	0.077(.369)	0.122(.428)	0.141(.449)	0.152(.459)
0.775	0.001(.084)	0.064(.371)	0.102(.431)	0.119(.452)	0.128(.463)
0.800	0.001(.084)	0.052(.372)	0.084(.434)	0.098(.455)	0.106(.466)
0.825	0.001(.084)	0.041(.374)	0.067(.435)	0.079(.457)	0.086(.468)
0.850	0.000(.084)	0.032(.374)	0.052(.437)	0.062(.459)	0.067(.470)
0.875	0.000(.084)	0.023(.375)	0.039(.438)	0.046(.460)	0.050(.471)
0.900	0.000(.084)	0.016(.376)	0.027(.439)	0.032(.461)	0.035(.473)
0.925	0.000(.084)	0.010(.376)	0.017(.439)	0.021(.462)	0.023(.473)
0.950	0.000(.084)	0.005(.376)	0.009(.440)	0.011(.462)	0.012(.474)
0.975	0.000(.084)	0.002(.376)	0.003(.440)	0.004(.462)	0.004(.474)
1.000	0.000(.084)	0.000(.376)	0.000(.440)	0.000(.462)	0.000(.474)

REORDER No. 66-196
 Sep 11 Phase II

*** RELATIVE ENERGY FLUX DENSITY IN THE PENUMBRA *** VERSION B
 *** OF A DIFFUSE SKIRT WITH THE REFLECTANCE = 0. ***

SOLAR FIELD ANGLE, D= 5.00 DEGREES
 GEOMETRY D1/D2 = 1.00

BETA = ANGLE OF INCIDENCE, DEGREES

BETA ***	-40.00	-30.00	-20.00	-10.00	-0.
AX/AB	Q (QI)	Q (QI)	Q (QI)	Q (QI)	Q (QI)
0.	1.000(.)	1.000(.)	1.000(.)	1.000(.)	1.000(.)
0.025	0.994(.025)	0.994(.025)	0.995(.025)	0.995(.025)	0.995(.025)
0.050	0.983(.050)	0.984(.050)	0.984(.050)	0.985(.050)	0.985(.050)
0.075	0.968(.074)	0.970(.074)	0.971(.074)	0.972(.074)	0.973(.074)
0.100	0.951(.098)	0.953(.098)	0.955(.098)	0.956(.098)	0.957(.098)
0.125	0.931(.122)	0.934(.122)	0.936(.122)	0.938(.122)	0.939(.122)
0.150	0.909(.145)	0.912(.145)	0.915(.145)	0.917(.145)	0.919(.145)
0.175	0.884(.167)	0.889(.167)	0.892(.168)	0.895(.168)	0.898(.168)
0.200	0.858(.189)	0.863(.189)	0.867(.190)	0.871(.190)	0.874(.190)
0.225	0.830(.210)	0.836(.210)	0.841(.211)	0.845(.211)	0.849(.212)
0.250	0.801(.230)	0.808(.231)	0.813(.232)	0.818(.232)	0.822(.232)
0.275	0.771(.250)	0.778(.251)	0.784(.252)	0.789(.252)	0.793(.253)
0.300	0.739(.269)	0.747(.270)	0.753(.271)	0.759(.271)	0.764(.272)
0.325	0.707(.287)	0.715(.288)	0.722(.289)	0.728(.290)	0.733(.291)
0.350	0.674(.304)	0.683(.306)	0.690(.307)	0.696(.308)	0.702(.309)
0.375	0.640(.321)	0.649(.322)	0.657(.324)	0.663(.325)	0.669(.326)
0.400	0.606(.336)	0.615(.338)	0.623(.340)	0.630(.341)	0.636(.342)
0.425	0.571(.351)	0.581(.353)	0.589(.355)	0.596(.356)	0.603(.358)
0.450	0.536(.365)	0.547(.367)	0.555(.369)	0.562(.371)	0.569(.372)
0.475	0.502(.378)	0.512(.380)	0.520(.383)	0.528(.384)	0.534(.386)
0.500	0.467(.390)	0.477(.393)	0.486(.395)	0.493(.397)	0.500(.399)
0.525	0.433(.401)	0.443(.404)	0.451(.407)	0.459(.409)	0.465(.411)
0.550	0.399(.411)	0.409(.415)	0.417(.418)	0.424(.420)	0.431(.422)
0.575	0.366(.421)	0.376(.425)	0.384(.428)	0.391(.430)	0.397(.433)
0.600	0.334(.430)	0.343(.434)	0.350(.437)	0.357(.440)	0.363(.442)
0.625	0.302(.438)	0.311(.442)	0.318(.445)	0.324(.448)	0.330(.451)
0.650	0.271(.445)	0.279(.449)	0.286(.453)	0.292(.456)	0.298(.459)
0.675	0.241(.451)	0.249(.456)	0.255(.460)	0.261(.463)	0.266(.466)
0.700	0.213(.457)	0.220(.462)	0.226(.466)	0.231(.469)	0.236(.472)
0.725	0.185(.462)	0.192(.467)	0.197(.471)	0.202(.474)	0.206(.478)
0.750	0.159(.466)	0.165(.471)	0.170(.475)	0.174(.479)	0.178(.482)
0.775	0.135(.470)	0.140(.475)	0.144(.479)	0.148(.483)	0.151(.487)
0.800	0.112(.473)	0.116(.478)	0.120(.483)	0.123(.486)	0.126(.490)
0.825	0.090(.475)	0.094(.481)	0.097(.485)	0.100(.489)	0.102(.493)
0.850	0.071(.477)	0.074(.483)	0.076(.488)	0.078(.491)	0.080(.495)
0.875	0.053(.479)	0.055(.485)	0.057(.489)	0.059(.493)	0.061(.497)
0.900	0.037(.480)	0.039(.486)	0.040(.490)	0.042(.494)	0.043(.498)
0.925	0.024(.481)	0.025(.487)	0.026(.491)	0.027(.495)	0.027(.499)
0.950	0.013(.481)	0.013(.487)	0.014(.492)	0.014(.496)	0.015(.500)
0.975	0.004(.482)	0.005(.487)	0.005(.492)	0.005(.496)	0.005(.500)
1.000	0.000(.482)	0.000(.487)	0.000(.492)	0.000(.496)	0.000(.500)

REPORT NO. 66-196
 App. A Phase II

*** RELATIVE ENERGY FLUX DENSITY IN THE PENUMBRA *** VERSION B
 *** OF A DIFFUSE SKIRT WITH THE REFLECTANCE = 0. ***

SOLAR FIELD ANGLE, D = 5.00 DEGREES
 GEOMETRY D1/D2 = 1.00

BETA = ANGLE OF INCIDENCE, DEGREES

BETA *** AX/AB	10.00 Q (QI)	20.00 Q (QI)	30.00 Q (QI)	40.00 Q (QI)	50.00 Q (QI)
0.	1.000(.)	1.000(.)	1.000(.)	1.000(.)	1.000(.)
0.025	0.995(.025)	0.995(.025)	0.995(.025)	0.996(.025)	0.996(.025)
0.050	0.986(.050)	0.986(.050)	0.987(.050)	0.987(.050)	0.988(.050)
0.075	0.973(.074)	0.974(.074)	0.975(.074)	0.976(.074)	0.977(.074)
0.100	0.958(.098)	0.960(.098)	0.961(.098)	0.963(.099)	0.965(.099)
0.125	0.941(.122)	0.943(.122)	0.945(.122)	0.947(.122)	0.950(.123)
0.150	0.922(.145)	0.924(.145)	0.926(.146)	0.929(.146)	0.933(.146)
0.175	0.900(.168)	0.903(.168)	0.906(.169)	0.910(.169)	0.914(.169)
0.200	0.877(.190)	0.880(.191)	0.884(.191)	0.888(.191)	0.894(.192)
0.225	0.852(.212)	0.856(.212)	0.860(.213)	0.865(.213)	0.872(.214)
0.250	0.826(.233)	0.830(.233)	0.835(.234)	0.841(.235)	0.848(.235)
0.275	0.798(.253)	0.803(.254)	0.808(.254)	0.815(.255)	0.823(.256)
0.300	0.769(.273)	0.774(.274)	0.780(.274)	0.787(.275)	0.797(.276)
0.325	0.739(.292)	0.745(.293)	0.751(.293)	0.759(.295)	0.769(.296)
0.350	0.708(.310)	0.714(.311)	0.721(.312)	0.729(.313)	0.740(.315)
0.375	0.676(.327)	0.682(.328)	0.689(.329)	0.698(.331)	0.710(.333)
0.400	0.643(.344)	0.649(.345)	0.657(.346)	0.666(.348)	0.678(.350)
0.425	0.609(.359)	0.616(.361)	0.624(.362)	0.634(.364)	0.646(.367)
0.450	0.575(.374)	0.583(.376)	0.591(.377)	0.600(.380)	0.614(.383)
0.475	0.541(.388)	0.548(.390)	0.557(.392)	0.567(.394)	0.580(.398)
0.500	0.507(.401)	0.514(.403)	0.522(.405)	0.533(.408)	0.546(.412)
0.525	0.472(.413)	0.480(.415)	0.488(.418)	0.498(.421)	0.512(.425)
0.550	0.438(.425)	0.445(.427)	0.453(.430)	0.463(.433)	0.477(.437)
0.575	0.404(.435)	0.411(.438)	0.419(.441)	0.429(.444)	0.442(.449)
0.600	0.370(.445)	0.377(.448)	0.385(.451)	0.394(.454)	0.407(.459)
0.625	0.337(.454)	0.343(.457)	0.351(.460)	0.360(.464)	0.373(.469)
0.650	0.304(.462)	0.310(.465)	0.317(.468)	0.326(.472)	0.338(.478)
0.675	0.272(.469)	0.278(.472)	0.285(.476)	0.293(.480)	0.305(.486)
0.700	0.241(.475)	0.246(.479)	0.253(.482)	0.261(.487)	0.271(.493)
0.725	0.211(.481)	0.216(.484)	0.222(.488)	0.229(.493)	0.239(.500)
0.750	0.182(.486)	0.187(.489)	0.192(.494)	0.199(.499)	0.208(.505)
0.775	0.155(.490)	0.159(.494)	0.164(.498)	0.169(.503)	0.178(.510)
0.800	0.129(.494)	0.133(.497)	0.137(.502)	0.142(.507)	0.149(.514)
0.825	0.105(.497)	0.108(.500)	0.111(.505)	0.116(.510)	0.122(.517)
0.850	0.083(.499)	0.085(.503)	0.088(.507)	0.091(.513)	0.096(.520)
0.875	0.062(.501)	0.064(.505)	0.066(.509)	0.069(.515)	0.073(.522)
0.900	0.044(.502)	0.045(.506)	0.047(.511)	0.049(.516)	0.052(.524)
0.925	0.028(.503)	0.029(.507)	0.030(.512)	0.031(.517)	0.033(.525)
0.950	0.015(.503)	0.016(.508)	0.016(.512)	0.017(.518)	0.018(.526)
0.975	0.005(.504)	0.005(.508)	0.006(.512)	0.006(.518)	0.006(.526)
1.000	0.000(.504)	0.000(.508)	0.000(.513)	0.000(.518)	0.000(.526)

48
 B-59

REF. ORDER NO. 66-196

App. C - Phase II

*** RELATIVE ENERGY FLUX DENSITY IN THE PENUMBRA ***
 *** OF A DIFFUSE SKIRT WITH THE REFLECTANCE = 0. ***

VERSION B

SOLAR FIELD ANGLE, D = 5.00 DEGREES
 GEOMETRY D1/D2 = 1.00

BETA = ANGLE OF INCIDENCE, DEGREES

BETA ***	60.00	70.00	80.00	87.00
AX/AB	Q (QI)	Q (QI)	Q (QI)	Q (QI)
0.	1.000(.)	1.000(.)	1.000(.)	1.000(.)
0.025	0.996(.025)	0.997(.025)	0.998(.025)	1.000(.025)
0.050	0.989(.050)	0.991(.050)	0.995(.050)	1.000(.050)
0.075	0.979(.074)	0.983(.074)	0.990(.075)	1.000(.075)
0.100	0.966(.099)	0.973(.099)	0.984(.099)	1.000(.100)
0.125	0.954(.123)	0.961(.123)	0.977(.124)	1.000(.125)
0.150	0.938(.146)	0.948(.147)	0.968(.148)	1.000(.150)
0.175	0.921(.170)	0.933(.170)	0.959(.172)	0.999(.175)
0.200	0.902(.192)	0.916(.194)	0.948(.196)	0.999(.200)
0.225	0.881(.215)	0.898(.216)	0.936(.220)	0.999(.225)
0.250	0.859(.236)	0.878(.238)	0.923(.243)	0.999(.250)
0.275	0.835(.258)	0.857(.260)	0.909(.266)	0.998(.275)
0.300	0.810(.278)	0.835(.281)	0.893(.288)	0.998(.300)
0.325	0.784(.298)	0.810(.302)	0.876(.310)	0.998(.325)
0.350	0.756(.317)	0.785(.322)	0.857(.332)	0.997(.350)
0.375	0.727(.336)	0.758(.341)	0.837(.353)	0.997(.375)
0.400	0.697(.354)	0.730(.360)	0.815(.374)	0.996(.400)
0.425	0.666(.371)	0.701(.378)	0.792(.394)	0.995(.424)
0.450	0.634(.387)	0.670(.395)	0.767(.414)	0.994(.449)
0.475	0.601(.402)	0.639(.411)	0.741(.432)	0.993(.474)
0.500	0.567(.417)	0.606(.427)	0.713(.451)	0.992(.499)
0.525	0.533(.431)	0.572(.441)	0.683(.468)	0.990(.524)
0.550	0.496(.444)	0.538(.455)	0.652(.485)	0.988(.548)
0.575	0.463(.456)	0.503(.468)	0.619(.501)	0.986(.573)
0.600	0.428(.467)	0.467(.480)	0.584(.516)	0.983(.598)
0.625	0.393(.477)	0.431(.492)	0.548(.530)	0.980(.622)
0.650	0.358(.486)	0.395(.502)	0.510(.543)	0.976(.647)
0.675	0.323(.495)	0.359(.511)	0.472(.555)	0.971(.671)
0.700	0.289(.503)	0.322(.520)	0.432(.567)	0.964(.695)
0.725	0.255(.509)	0.286(.527)	0.390(.577)	0.956(.719)
0.750	0.222(.515)	0.251(.534)	0.349(.586)	0.946(.743)
0.775	0.190(.521)	0.217(.540)	0.306(.594)	0.932(.766)
0.800	0.160(.525)	0.183(.545)	0.264(.601)	0.913(.790)
0.825	0.131(.529)	0.151(.549)	0.222(.607)	0.888(.812)
0.850	0.104(.531)	0.120(.553)	0.180(.612)	0.853(.834)
0.875	0.079(.534)	0.092(.555)	0.140(.616)	0.804(.855)
0.900	0.056(.535)	0.066(.557)	0.102(.619)	0.732(.874)
0.925	0.036(.537)	0.043(.559)	0.068(.622)	0.626(.891)
0.950	0.020(.537)	0.023(.559)	0.037(.623)	0.466(.904)
0.975	0.007(.538)	0.008(.560)	0.013(.624)	0.234(.913)
1.000	0.000(.538)	0.000(.560)	0.000(.624)	0.000(.916)

REORDER No. 66-196
 App. A - Phase II

*** RELATIVE ENERGY FLUX DENSITY IN THE PENUMBRA ***
 *** OF A DIFFUSE SKIRT WITH THE REFLECTANCE = 0. ***

VERSION B

SOLAR FIELD ANGLE, D = 10.00 DEGREES
 GEOMETRY D1/D2 = 0.

BETA = ANGLE OF INCIDENCE, DEGREES

BETA ***	-84.50	-80.00	-70.00	-60.00	-50.00
AX/AB	Q (QI)	Q (QI)	Q (QI)	Q (QI)	Q (QI)
0.	1.000(.)	1.000(.)	1.000(.)	1.000(.)	1.000(.)
0.025	0.991(.025)	0.995(.025)	0.997(.025)	0.997(.025)	0.998(.025)
0.050	0.976(.049)	0.987(.050)	0.991(.050)	0.993(.050)	0.993(.050)
0.075	0.958(.074)	0.976(.074)	0.984(.075)	0.987(.075)	0.988(.075)
0.100	0.937(.097)	0.963(.098)	0.976(.099)	0.980(.099)	0.981(.099)
0.125	0.915(.120)	0.949(.122)	0.966(.123)	0.971(.124)	0.974(.124)
0.150	0.892(.143)	0.934(.146)	0.956(.147)	0.963(.148)	0.966(.148)
0.175	0.866(.165)	0.919(.169)	0.945(.171)	0.953(.172)	0.957(.172)
0.200	0.844(.186)	0.902(.192)	0.933(.195)	0.942(.195)	0.947(.196)
0.225	0.820(.207)	0.885(.214)	0.920(.218)	0.931(.219)	0.937(.219)
0.250	0.796(.227)	0.868(.236)	0.907(.241)	0.920(.242)	0.926(.243)
0.275	0.772(.247)	0.850(.258)	0.894(.263)	0.908(.265)	0.915(.266)
0.300	0.749(.266)	0.833(.279)	0.880(.285)	0.895(.287)	0.903(.288)
0.325	0.726(.285)	0.815(.299)	0.865(.307)	0.882(.310)	0.891(.311)
0.350	0.704(.302)	0.797(.319)	0.851(.329)	0.869(.331)	0.878(.333)
0.375	0.682(.320)	0.779(.339)	0.836(.350)	0.855(.353)	0.865(.355)
0.400	0.661(.337)	0.761(.358)	0.821(.370)	0.841(.374)	0.851(.376)
0.425	0.640(.353)	0.743(.377)	0.805(.391)	0.826(.395)	0.837(.397)
0.450	0.620(.369)	0.725(.395)	0.790(.411)	0.812(.415)	0.823(.418)
0.475	0.601(.384)	0.708(.413)	0.774(.430)	0.797(.436)	0.809(.438)
0.500	0.582(.399)	0.690(.431)	0.758(.449)	0.782(.455)	0.794(.458)
0.525	0.564(.413)	0.673(.448)	0.742(.468)	0.766(.475)	0.779(.478)
0.550	0.546(.427)	0.656(.465)	0.726(.486)	0.751(.494)	0.764(.497)
0.575	0.529(.440)	0.639(.481)	0.710(.504)	0.735(.512)	0.749(.516)
0.600	0.513(.453)	0.623(.496)	0.694(.522)	0.720(.530)	0.733(.535)
0.625	0.497(.466)	0.607(.512)	0.678(.539)	0.704(.548)	0.718(.553)
0.650	0.482(.478)	0.591(.527)	0.663(.556)	0.688(.566)	0.702(.571)
0.675	0.467(.490)	0.575(.541)	0.647(.572)	0.672(.583)	0.686(.588)
0.700	0.453(.502)	0.560(.556)	0.631(.588)	0.656(.599)	0.670(.605)
0.725	0.439(.513)	0.545(.569)	0.615(.604)	0.641(.615)	0.654(.622)
0.750	0.426(.523)	0.530(.583)	0.599(.619)	0.625(.631)	0.638(.638)
0.775	0.413(.534)	0.516(.596)	0.584(.634)	0.609(.647)	0.622(.654)
0.800	0.401(.544)	0.502(.609)	0.569(.648)	0.593(.662)	0.606(.669)
0.825	0.389(.554)	0.488(.621)	0.553(.662)	0.577(.676)	0.590(.684)
0.850	0.378(.564)	0.474(.633)	0.538(.676)	0.561(.691)	0.574(.698)
0.875	0.367(.573)	0.461(.645)	0.523(.689)	0.546(.704)	0.558(.713)
0.900	0.356(.582)	0.448(.656)	0.509(.702)	0.530(.718)	0.542(.726)
0.925	0.346(.591)	0.436(.667)	0.494(.714)	0.515(.731)	0.526(.740)
0.950	0.336(.599)	0.424(.678)	0.480(.727)	0.499(.744)	0.510(.753)
0.975	0.326(.608)	0.412(.688)	0.465(.738)	0.484(.756)	0.494(.765)
1.000	0.317(.616)	0.400(.698)	0.451(.750)	0.469(.768)	0.479(.777)

150
 B-61

RE-ORDER No 66-196
 JPL - Phase II

*** RELATIVE ENERGY FLUX DENSITY IN THE PENUMBRA *** VERSION B
 *** OF A DIFFUSE SKIRT WITH THE REFLECTANCE = 0. ***

SOLAR FIELD ANGLE, D= 10.00 DEGREES
 GEOMETRY D1/D2 = 0.

BETA = ANGLE OF INCIDENCE, DEGREES

BETA ***	-40.00		-30.00		-20.00		-10.00		-0.	
AX/AB	Q	(QI)	Q	(QI)	Q	(QI)	Q	(QI)	Q	(QI)
0.	1.000(.)		1.000(.)		1.000(.)		1.000(.)		1.000(.)	
0.025	0.998(.025)		0.998(.025)		0.998(.025)		0.998(.025)		0.998(.025)	
0.050	0.994(.050)		0.994(.050)		0.994(.050)		0.995(.050)		0.995(.050)	
0.075	0.989(.075)		0.989(.075)		0.990(.075)		0.990(.075)		0.991(.075)	
0.100	0.983(.099)		0.983(.099)		0.984(.099)		0.985(.099)		0.985(.099)	
0.125	0.976(.124)		0.977(.124)		0.978(.124)		0.979(.124)		0.979(.124)	
0.150	0.968(.148)		0.969(.148)		0.971(.148)		0.972(.148)		0.973(.148)	
0.175	0.959(.172)		0.961(.172)		0.963(.172)		0.964(.172)		0.965(.173)	
0.200	0.950(.196)		0.952(.196)		0.954(.196)		0.956(.196)		0.957(.197)	
0.225	0.940(.220)		0.943(.220)		0.945(.220)		0.947(.220)		0.949(.220)	
0.250	0.930(.243)		0.933(.243)		0.935(.244)		0.937(.244)		0.939(.244)	
0.275	0.919(.266)		0.923(.267)		0.925(.267)		0.928(.267)		0.930(.267)	
0.300	0.908(.289)		0.912(.289)		0.915(.290)		0.917(.290)		0.919(.291)	
0.325	0.896(.312)		0.900(.312)		0.903(.313)		0.906(.313)		0.909(.313)	
0.350	0.884(.334)		0.888(.334)		0.892(.335)		0.895(.335)		0.898(.336)	
0.375	0.871(.356)		0.876(.357)		0.880(.357)		0.883(.358)		0.886(.358)	
0.400	0.858(.377)		0.863(.378)		0.867(.379)		0.871(.380)		0.874(.380)	
0.425	0.845(.399)		0.850(.400)		0.854(.401)		0.858(.401)		0.861(.402)	
0.450	0.831(.420)		0.836(.421)		0.841(.422)		0.845(.423)		0.849(.423)	
0.475	0.817(.440)		0.823(.441)		0.827(.443)		0.831(.443)		0.835(.444)	
0.500	0.802(.460)		0.808(.462)		0.813(.463)		0.818(.464)		0.822(.465)	
0.525	0.788(.480)		0.794(.482)		0.799(.483)		0.804(.484)		0.808(.485)	
0.550	0.773(.500)		0.779(.502)		0.784(.503)		0.789(.504)		0.793(.505)	
0.575	0.758(.519)		0.764(.521)		0.770(.522)		0.774(.524)		0.779(.525)	
0.600	0.742(.538)		0.749(.540)		0.755(.541)		0.759(.543)		0.764(.544)	
0.625	0.727(.556)		0.734(.558)		0.739(.560)		0.744(.562)		0.749(.563)	
0.650	0.711(.574)		0.718(.576)		0.724(.578)		0.729(.580)		0.733(.582)	
0.675	0.695(.592)		0.702(.594)		0.708(.596)		0.713(.598)		0.718(.600)	
0.700	0.680(.609)		0.686(.612)		0.692(.614)		0.697(.616)		0.702(.618)	
0.725	0.664(.626)		0.670(.629)		0.676(.631)		0.681(.633)		0.686(.635)	
0.750	0.647(.642)		0.654(.645)		0.660(.648)		0.665(.650)		0.669(.652)	
0.775	0.631(.658)		0.638(.661)		0.643(.664)		0.648(.666)		0.653(.668)	
0.800	0.615(.674)		0.622(.677)		0.627(.680)		0.632(.682)		0.636(.685)	
0.825	0.599(.689)		0.605(.692)		0.610(.695)		0.615(.698)		0.619(.700)	
0.850	0.582(.703)		0.589(.707)		0.594(.710)		0.598(.713)		0.603(.716)	
0.875	0.566(.718)		0.572(.722)		0.577(.725)		0.581(.728)		0.586(.730)	
0.900	0.550(.732)		0.556(.736)		0.560(.739)		0.565(.742)		0.569(.745)	
0.925	0.533(.745)		0.539(.750)		0.544(.753)		0.548(.756)		0.551(.759)	
0.950	0.517(.758)		0.522(.763)		0.527(.766)		0.531(.769)		0.534(.772)	
0.975	0.501(.771)		0.506(.776)		0.510(.779)		0.514(.783)		0.517(.786)	
1.000	0.485(.784)		0.490(.788)		0.493(.792)		0.497(.795)		0.500(.798)	

151
 B-62

RE-ORDER No. 66-196
 Appl - Phase II

*** RELATIVE ENERGY FLUX DENSITY IN THE PENUMBRA *** VERSION B
 *** OF A DIFFUSE SKIRT WITH THE REFLECTANCE = 0. ***

SOLAR FIELD ANGLE, D = 10.00 DEGREES
 GEOMETRY D1/D2 = 0.

BETA = ANGLE OF INCIDENCE, DEGREES

BETA ***	10.00	20.00	30.00	40.00	50.00
AX/AB	Q (QI)	Q (QI)	Q (QI)	Q (QI)	Q (QI)
0.	1.000(.)	1.000(.)	1.000(.)	1.000(.)	1.000(.)
0.025	0.998(.025)	0.998(.025)	0.998(.025)	0.999(.025)	0.999(.025)
0.050	0.995(.050)	0.995(.050)	0.995(.050)	0.996(.050)	0.996(.050)
0.075	0.991(.075)	0.991(.075)	0.992(.075)	0.992(.075)	0.993(.075)
0.100	0.986(.099)	0.986(.099)	0.987(.099)	0.988(.100)	0.989(.100)
0.125	0.980(.124)	0.981(.124)	0.982(.124)	0.983(.124)	0.984(.124)
0.150	0.973(.148)	0.974(.148)	0.976(.149)	0.977(.149)	0.978(.149)
0.175	0.966(.173)	0.967(.173)	0.969(.173)	0.970(.173)	0.973(.173)
0.200	0.959(.197)	0.960(.197)	0.962(.197)	0.964(.197)	0.966(.197)
0.225	0.950(.221)	0.952(.221)	0.954(.221)	0.956(.221)	0.959(.221)
0.250	0.941(.244)	0.943(.244)	0.945(.245)	0.948(.245)	0.952(.245)
0.275	0.932(.268)	0.934(.268)	0.936(.268)	0.939(.269)	0.943(.269)
0.300	0.922(.291)	0.924(.291)	0.927(.291)	0.930(.292)	0.935(.292)
0.325	0.911(.314)	0.914(.314)	0.917(.315)	0.921(.315)	0.926(.316)
0.350	0.900(.336)	0.903(.337)	0.907(.337)	0.911(.338)	0.916(.339)
0.375	0.889(.359)	0.892(.359)	0.896(.360)	0.900(.361)	0.906(.362)
0.400	0.877(.381)	0.881(.381)	0.885(.382)	0.889(.383)	0.896(.384)
0.425	0.865(.403)	0.869(.403)	0.873(.404)	0.878(.405)	0.885(.406)
0.450	0.852(.424)	0.856(.425)	0.861(.426)	0.866(.427)	0.873(.428)
0.475	0.839(.445)	0.843(.446)	0.848(.447)	0.854(.448)	0.861(.450)
0.500	0.826(.466)	0.830(.467)	0.835(.468)	0.841(.469)	0.849(.471)
0.525	0.812(.486)	0.816(.488)	0.821(.489)	0.828(.490)	0.836(.492)
0.550	0.798(.507)	0.802(.508)	0.808(.509)	0.814(.511)	0.823(.513)
0.575	0.783(.526)	0.788(.528)	0.793(.529)	0.800(.531)	0.809(.533)
0.600	0.768(.546)	0.773(.547)	0.779(.549)	0.786(.551)	0.795(.554)
0.625	0.753(.565)	0.758(.566)	0.764(.568)	0.771(.570)	0.780(.573)
0.650	0.738(.583)	0.743(.585)	0.749(.587)	0.756(.589)	0.765(.593)
0.675	0.722(.602)	0.727(.603)	0.733(.606)	0.740(.608)	0.750(.611)
0.700	0.706(.620)	0.712(.621)	0.717(.624)	0.724(.626)	0.734(.630)
0.725	0.690(.637)	0.695(.639)	0.701(.641)	0.708(.644)	0.718(.648)
0.750	0.674(.654)	0.679(.656)	0.685(.659)	0.692(.662)	0.702(.666)
0.775	0.657(.671)	0.662(.673)	0.668(.676)	0.675(.679)	0.685(.683)
0.800	0.641(.687)	0.646(.689)	0.651(.692)	0.658(.696)	0.668(.700)
0.825	0.624(.703)	0.629(.705)	0.634(.708)	0.641(.712)	0.650(.717)
0.850	0.607(.718)	0.612(.721)	0.617(.724)	0.623(.728)	0.632(.733)
0.875	0.590(.733)	0.594(.736)	0.599(.739)	0.606(.743)	0.614(.748)
0.900	0.573(.748)	0.577(.751)	0.582(.754)	0.588(.758)	0.596(.763)
0.925	0.555(.762)	0.559(.765)	0.564(.768)	0.570(.772)	0.578(.778)
0.950	0.538(.775)	0.542(.778)	0.546(.782)	0.551(.786)	0.559(.792)
0.975	0.520(.789)	0.524(.792)	0.528(.795)	0.533(.800)	0.540(.806)
1.000	0.503(.801)	0.506(.805)	0.510(.808)	0.514(.813)	0.521(.819)

RECORD # 66-196
C. J. G. - Howell

*** RELATIVE ENERGY FLUX DENSITY IN THE PENUMBRA ***
 *** OF A DIFFUSE SKIRT WITH THE REFLECTANCE = 0. ***

VERSION B

SOLAR FIELD ANGLE, D= 10.00 DEGREES
 GEOMETRY D1/D2 = 0.

BETA = ANGLE OF INCIDENCE, DEGREES

BETA ***	60.00	70.00	80.00	84.50
AX/AB	Q (QI)	Q (QI)	Q (QI)	Q (QI)
0.	1.000(.)	1.000(.)	1.000(.)	1.000(.)
0.025	0.999(.025)	0.999(.025)	1.000(.025)	1.000(.025)
0.050	0.997(.050)	0.997(.050)	0.999(.050)	1.000(.050)
0.075	0.994(.075)	0.995(.075)	0.998(.075)	1.000(.075)
0.100	0.990(.100)	0.992(.100)	0.997(.100)	1.000(.100)
0.125	0.986(.124)	0.989(.124)	0.996(.125)	1.000(.125)
0.150	0.981(.149)	0.985(.149)	0.994(.150)	1.000(.150)
0.175	0.976(.173)	0.981(.174)	0.993(.175)	1.000(.175)
0.200	0.970(.198)	0.976(.198)	0.991(.199)	1.000(.200)
0.225	0.963(.222)	0.971(.223)	0.988(.224)	1.000(.225)
0.250	0.957(.246)	0.966(.247)	0.986(.249)	1.000(.250)
0.275	0.949(.270)	0.960(.271)	0.983(.273)	1.000(.275)
0.300	0.941(.293)	0.953(.295)	0.980(.298)	1.000(.300)
0.325	0.933(.317)	0.946(.318)	0.977(.322)	1.000(.325)
0.350	0.924(.340)	0.939(.342)	0.973(.347)	0.999(.350)
0.375	0.915(.363)	0.931(.365)	0.969(.371)	0.999(.375)
0.400	0.905(.386)	0.922(.389)	0.964(.395)	0.999(.400)
0.425	0.895(.408)	0.913(.411)	0.959(.419)	0.999(.425)
0.450	0.884(.430)	0.904(.434)	0.954(.443)	0.999(.450)
0.475	0.873(.452)	0.894(.457)	0.948(.467)	0.999(.475)
0.500	0.861(.474)	0.883(.479)	0.942(.490)	0.998(.500)
0.525	0.848(.495)	0.872(.501)	0.935(.514)	0.998(.525)
0.550	0.836(.516)	0.860(.522)	0.927(.537)	0.998(.550)
0.575	0.822(.537)	0.848(.544)	0.919(.560)	0.997(.575)
0.600	0.809(.558)	0.835(.565)	0.910(.583)	0.997(.600)
0.625	0.795(.578)	0.822(.586)	0.900(.606)	0.996(.624)
0.650	0.780(.597)	0.808(.606)	0.890(.628)	0.995(.649)
0.675	0.765(.617)	0.793(.626)	0.878(.650)	0.994(.674)
0.700	0.749(.635)	0.778(.646)	0.865(.672)	0.993(.699)
0.725	0.733(.654)	0.762(.665)	0.852(.694)	0.991(.724)
0.750	0.717(.672)	0.746(.684)	0.837(.715)	0.989(.749)
0.775	0.700(.690)	0.729(.702)	0.821(.735)	0.987(.773)
0.800	0.682(.707)	0.711(.720)	0.803(.756)	0.983(.798)
0.825	0.665(.724)	0.693(.738)	0.784(.776)	0.978(.822)
0.850	0.646(.740)	0.674(.755)	0.764(.795)	0.971(.847)
0.875	0.628(.756)	0.654(.771)	0.741(.814)	0.961(.871)
0.900	0.609(.772)	0.634(.787)	0.717(.832)	0.946(.895)
0.925	0.590(.787)	0.614(.803)	0.691(.850)	0.923(.918)
0.950	0.570(.801)	0.592(.818)	0.663(.866)	0.884(.941)
0.975	0.550(.815)	0.570(.833)	0.632(.883)	0.815(.962)
1.000	0.530(.829)	0.548(.847)	0.599(.898)	0.682(.981)

REPORT No 66-196
 App II - Phase II

*** RELATIVE ENERGY FLUX DENSITY IN THE PENUMBRA ***
 *** OF A DIFFUSE SKIRT WITH THE REFLECTANCE = 0. ***

VERSION B

SOLAR FIELD ANGLE, D= 10.00 DEGREES
 GEOMETRY D1/D2 = 0.25

BETA = ANGLE OF INCIDENCE, DEGREES

BETA ***	-84.50		-80.00		-70.00		-60.00		-50.00	
AX/AB	Q	(QI)	Q	(QI)	Q	(QI)	Q	(QI)	Q	(QI)
0.	1.000(.))	1.000(.))	1.000(.))	1.000(.))	1.000(.))
0.025	0.890(.024))	0.989(.025))	0.995(.025))	0.996(.025))	0.997(.025))
0.050	0.745(.044))	0.970(.049))	0.986(.050))	0.989(.050))	0.990(.050))
0.075	0.615(.061))	0.946(.073))	0.974(.074))	0.979(.074))	0.982(.074))
0.100	0.507(.075))	0.919(.097))	0.960(.098))	0.968(.099))	0.972(.099))
0.125	0.420(.087))	0.890(.119))	0.944(.122))	0.956(.123))	0.961(.123))
0.150	0.351(.096))	0.860(.141))	0.927(.146))	0.942(.146))	0.949(.147))
0.175	0.238(.104))	0.829(.162))	0.909(.169))	0.927(.170))	0.935(.170))
0.200	0.132(.108))	0.798(.183))	0.890(.191))	0.911(.193))	0.921(.194))
0.225	0.080(.111))	0.767(.202))	0.870(.213))	0.894(.215))	0.906(.216))
0.250	0.052(.113))	0.736(.221))	0.850(.235))	0.877(.238))	0.890(.239))
0.275	0.035(.114))	0.705(.239))	0.829(.255))	0.859(.259))	0.873(.261))
0.300	0.025(.114))	0.675(.256))	0.807(.276))	0.840(.280))	0.855(.283))
0.325	0.018(.115))	0.646(.273))	0.785(.296))	0.820(.301))	0.837(.304))
0.350	0.014(.115))	0.617(.289))	0.763(.315))	0.801(.321))	0.819(.324))
0.375	0.010(.116))	0.589(.304))	0.740(.334))	0.780(.341))	0.800(.345))
0.400	0.008(.116))	0.562(.318))	0.718(.352))	0.760(.361))	0.780(.364))
0.425	0.006(.116))	0.536(.332))	0.696(.370))	0.739(.379))	0.761(.384))
0.450	0.005(.116))	0.511(.345))	0.673(.387))	0.718(.397))	0.741(.402))
0.475	0.004(.116))	0.487(.357))	0.651(.404))	0.697(.415))	0.720(.421))
0.500	0.003(.116))	0.464(.369))	0.628(.420))	0.676(.432))	0.700(.438))
0.525	0.003(.116))	0.442(.381))	0.606(.435))	0.655(.449))	0.679(.456))
0.550	0.002(.117))	0.420(.391))	0.584(.450))	0.633(.465))	0.658(.472))
0.575	0.002(.117))	0.399(.402))	0.563(.464))	0.612(.481))	0.637(.489))
0.600	0.001(.117))	0.326(.411))	0.542(.478))	0.591(.496))	0.616(.504))
0.625	0.001(.117))	0.264(.418))	0.520(.491))	0.570(.510))	0.595(.519))
0.650	0.001(.117))	0.214(.424))	0.500(.504))	0.549(.524))	0.574(.534))
0.675	0.001(.117))	0.172(.429))	0.479(.516))	0.528(.538))	0.553(.548))
0.700	0.001(.117))	0.137(.433))	0.460(.528))	0.507(.551))	0.532(.562))
0.725	0.000(.117))	0.109(.436))	0.407(.539))	0.487(.563))	0.511(.575))
0.750	0.000(.117))	0.085(.438))	0.336(.548))	0.459(.575))	0.491(.587))
0.775	0.000(.117))	0.066(.440))	0.272(.556))	0.382(.585))	0.445(.599))
0.800	0.000(.117))	0.050(.441))	0.216(.562))	0.310(.594))	0.366(.609))
0.825	0.000(.117))	0.038(.443))	0.167(.567))	0.245(.601))	0.293(.617))
0.850	0.000(.117))	0.027(.443))	0.125(.570))	0.187(.606))	0.227(.624))
0.875	0.000(.117))	0.019(.444))	0.089(.573))	0.136(.610))	0.167(.629))
0.900	0.000(.117))	0.013(.444))	0.060(.575))	0.093(.613))	0.115(.632))
0.925	0.000(.117))	0.008(.445))	0.036(.576))	0.057(.615))	0.072(.635))
0.950	0.000(.117))	0.004(.445))	0.019(.577))	0.029(.616))	0.037(.636))
0.975	0.000(.117))	0.001(.445))	0.006(.577))	0.010(.617))	0.012(.637))
1.000	-0. (.117))	0.000(.445))	0.000(.577))	0.000(.617))	0.000(.637))

4
3
2

154
B-65

RE-ORDER No. 66-196
 App. II - Phase II

*** RELATIVE ENERGY FLUX DENSITY IN THE PENUMBRA ***
 *** OF A DIFFUSE SKIRT WITH THE REFLECTANCE = 0. ***

VERSION B

SOLAR FIELD ANGLE, D = 10.00 DEGREES
 GEOMETRY D1/D2 = 0.25

BETA = ANGLE OF INCIDENCE, DEGREES

BETA ***	-40.00	-30.00	-20.00	-10.00	-0.
AX/AB	Q (QI)	Q (QI)	Q (QI)	Q (QI)	Q (QI)
0.	1.000(.)	1.000(.)	1.000(.)	1.000(.)	1.000(.)
0.025	0.997(.025)	0.997(.025)	0.997(.025)	0.997(.025)	0.997(.025)
0.050	0.991(.050)	0.992(.050)	0.992(.050)	0.992(.050)	0.993(.050)
0.075	0.984(.074)	0.985(.075)	0.985(.075)	0.986(.075)	0.987(.075)
0.100	0.974(.099)	0.976(.099)	0.977(.099)	0.978(.099)	0.979(.099)
0.125	0.964(.123)	0.966(.123)	0.968(.123)	0.969(.123)	0.971(.124)
0.150	0.953(.147)	0.955(.147)	0.958(.147)	0.960(.148)	0.961(.148)
0.175	0.940(.171)	0.944(.171)	0.946(.171)	0.949(.171)	0.951(.172)
0.200	0.927(.194)	0.931(.195)	0.934(.195)	0.937(.195)	0.939(.195)
0.225	0.912(.217)	0.917(.218)	0.921(.218)	0.924(.218)	0.927(.219)
0.250	0.897(.240)	0.903(.240)	0.907(.241)	0.911(.241)	0.914(.242)
0.275	0.881(.262)	0.888(.263)	0.892(.263)	0.897(.264)	0.900(.264)
0.300	0.865(.284)	0.872(.285)	0.877(.285)	0.882(.286)	0.886(.287)
0.325	0.848(.305)	0.855(.306)	0.861(.307)	0.866(.308)	0.871(.309)
0.350	0.830(.326)	0.838(.327)	0.845(.328)	0.850(.329)	0.855(.330)
0.375	0.812(.347)	0.820(.348)	0.827(.349)	0.833(.350)	0.839(.351)
0.400	0.793(.367)	0.802(.369)	0.810(.370)	0.816(.371)	0.822(.372)
0.425	0.774(.386)	0.784(.388)	0.791(.390)	0.798(.391)	0.804(.392)
0.450	0.755(.406)	0.765(.408)	0.773(.409)	0.780(.411)	0.786(.412)
0.475	0.735(.424)	0.745(.427)	0.754(.428)	0.761(.430)	0.768(.432)
0.500	0.715(.442)	0.725(.445)	0.734(.447)	0.742(.449)	0.749(.451)
0.525	0.694(.460)	0.705(.463)	0.714(.465)	0.722(.467)	0.729(.469)
0.550	0.674(.477)	0.685(.480)	0.694(.483)	0.702(.485)	0.710(.487)
0.575	0.653(.494)	0.665(.497)	0.674(.500)	0.682(.502)	0.690(.505)
0.600	0.632(.510)	0.644(.513)	0.653(.516)	0.662(.519)	0.669(.522)
0.625	0.611(.525)	0.623(.529)	0.633(.533)	0.641(.535)	0.649(.538)
0.650	0.590(.540)	0.602(.545)	0.612(.548)	0.620(.551)	0.628(.554)
0.675	0.569(.555)	0.581(.559)	0.591(.563)	0.599(.566)	0.607(.569)
0.700	0.548(.569)	0.560(.574)	0.569(.578)	0.578(.581)	0.586(.584)
0.725	0.527(.582)	0.539(.587)	0.548(.592)	0.556(.595)	0.564(.599)
0.750	0.506(.595)	0.518(.601)	0.527(.605)	0.535(.609)	0.543(.613)
0.775	0.485(.607)	0.497(.613)	0.506(.618)	0.514(.622)	0.521(.626)
0.800	0.405(.618)	0.434(.625)	0.458(.630)	0.480(.634)	0.500(.639)
0.825	0.327(.628)	0.354(.635)	0.375(.640)	0.395(.645)	0.414(.650)
0.850	0.255(.635)	0.277(.643)	0.296(.649)	0.314(.654)	0.330(.659)
0.875	0.189(.640)	0.207(.649)	0.223(.655)	0.237(.661)	0.251(.667)
0.900	0.132(.644)	0.145(.653)	0.157(.660)	0.167(.666)	0.178(.672)
0.925	0.083(.647)	0.091(.656)	0.099(.663)	0.107(.670)	0.114(.676)
0.950	0.043(.649)	0.048(.658)	0.052(.665)	0.056(.672)	0.060(.678)
0.975	0.015(.649)	0.016(.659)	0.018(.666)	0.019(.673)	0.021(.679)
1.000	0.000(.650)	0.000(.659)	0.000(.666)	0.000(.673)	0.000(.679)

155
 B-66

RE-ORDER NO. 66-196
 App. A - Phase II

*** RELATIVE ENERGY FLUX DENSITY IN THE PENUMBRA ***
 *** OF A DIFFUSE SKIRT WITH THE REFLECTANCE = 0. ***

VERSION B

SOLAR FIELD ANGLE, D = 10.00 DEGREES
 GEOMETRY D1/D2 = 0.25

BETA = ANGLE OF INCIDENCE, DEGREES

BETA ***	10.00	20.00	30.00	40.00	50.00
AX/AB	Q (QI)	Q (QI)	Q (QI)	Q (QI)	Q (QI)
0.	1.000(.)	1.000(.)	1.000(.)	1.000(.)	1.000(.)
0.025	0.998(.025)	0.998(.025)	0.998(.025)	0.998(.025)	0.998(.025)
0.050	0.993(.050)	0.993(.050)	0.994(.050)	0.994(.050)	0.995(.050)
0.075	0.987(.075)	0.988(.075)	0.989(.075)	0.989(.075)	0.990(.075)
0.100	0.980(.099)	0.981(.099)	0.982(.099)	0.983(.099)	0.985(.099)
0.125	0.972(.124)	0.973(.124)	0.975(.124)	0.976(.124)	0.978(.124)
0.150	0.963(.148)	0.964(.148)	0.966(.148)	0.968(.148)	0.971(.148)
0.175	0.953(.172)	0.955(.172)	0.957(.172)	0.960(.172)	0.963(.172)
0.200	0.942(.195)	0.944(.196)	0.947(.196)	0.950(.196)	0.954(.196)
0.225	0.930(.219)	0.933(.219)	0.936(.219)	0.940(.220)	0.945(.220)
0.250	0.917(.242)	0.921(.242)	0.925(.243)	0.929(.243)	0.935(.244)
0.275	0.904(.265)	0.908(.265)	0.912(.266)	0.917(.266)	0.924(.267)
0.300	0.890(.287)	0.894(.288)	0.899(.288)	0.905(.289)	0.912(.290)
0.325	0.875(.309)	0.880(.310)	0.885(.311)	0.891(.311)	0.899(.312)
0.350	0.860(.331)	0.865(.332)	0.871(.332)	0.878(.334)	0.886(.335)
0.375	0.844(.352)	0.849(.353)	0.856(.354)	0.863(.355)	0.873(.357)
0.400	0.827(.373)	0.833(.374)	0.840(.375)	0.848(.377)	0.858(.378)
0.425	0.810(.394)	0.816(.395)	0.824(.396)	0.832(.398)	0.843(.400)
0.450	0.792(.414)	0.799(.415)	0.807(.416)	0.816(.418)	0.827(.421)
0.475	0.774(.433)	0.781(.435)	0.789(.436)	0.798(.438)	0.811(.441)
0.500	0.756(.452)	0.763(.454)	0.771(.456)	0.781(.458)	0.794(.461)
0.525	0.737(.471)	0.744(.473)	0.753(.475)	0.763(.477)	0.776(.481)
0.550	0.717(.489)	0.725(.491)	0.734(.494)	0.744(.496)	0.758(.500)
0.575	0.697(.507)	0.705(.509)	0.714(.512)	0.725(.515)	0.739(.519)
0.600	0.677(.524)	0.685(.526)	0.694(.529)	0.705(.533)	0.720(.537)
0.625	0.656(.541)	0.665(.543)	0.674(.546)	0.685(.550)	0.700(.555)
0.650	0.636(.557)	0.644(.560)	0.653(.563)	0.665(.567)	0.680(.572)
0.675	0.615(.572)	0.623(.575)	0.632(.579)	0.644(.583)	0.659(.589)
0.700	0.593(.587)	0.602(.591)	0.611(.595)	0.623(.599)	0.638(.605)
0.725	0.572(.602)	0.580(.606)	0.590(.610)	0.601(.614)	0.617(.621)
0.750	0.550(.616)	0.559(.620)	0.568(.624)	0.579(.629)	0.595(.636)
0.775	0.529(.630)	0.537(.634)	0.546(.638)	0.557(.643)	0.572(.650)
0.800	0.507(.643)	0.515(.647)	0.524(.651)	0.535(.657)	0.549(.664)
0.825	0.433(.654)	0.453(.659)	0.476(.664)	0.505(.670)	0.527(.678)
0.850	0.347(.664)	0.365(.669)	0.387(.675)	0.414(.681)	0.451(.690)
0.875	0.265(.672)	0.281(.677)	0.299(.683)	0.322(.691)	0.355(.700)
0.900	0.189(.677)	0.201(.683)	0.216(.690)	0.235(.698)	0.262(.708)
0.925	0.121(.681)	0.130(.687)	0.140(.694)	0.154(.702)	0.173(.713)
0.950	0.065(.684)	0.070(.690)	0.076(.697)	0.083(.705)	0.095(.717)
0.975	0.022(.685)	0.024(.691)	0.026(.698)	0.029(.707)	0.033(.718)
1.000	0.000(.685)	0.000(.691)	0.000(.698)	0.000(.707)	0.000(.719)

156
 B-67

RE-ORDER No 66-196
 App A - Phase II

*** RELATIVE ENERGY FLUX DENSITY IN THE PENUMBRA *** VERSION B
 *** OF A DIFFUSE SKIRT WITH THE REFLECTANCE = 0. ***

SOLAR FIELD ANGLE, D = 10.00 DEGREES
 GEOMETRY D1/D2 = 0.25

BETA = ANGLE OF INCIDENCE, DEGREES

BETA *** AX/AB	60.00 Q (QI)	70.00 Q (QI)	80.00 Q (QI)	84.50 Q (QI)
0.	1.000(.)	1.000(.)	1.000(.)	1.000(.)
0.025	0.998(.025)	0.999(.025)	1.000(.025)	1.000(.025)
0.050	0.996(.050)	0.997(.050)	0.999(.050)	1.000(.050)
0.075	0.992(.075)	0.994(.075)	0.998(.075)	1.000(.075)
0.100	0.987(.099)	0.990(.100)	0.997(.100)	1.000(.100)
0.125	0.981(.124)	0.986(.124)	0.995(.125)	1.000(.125)
0.150	0.975(.149)	0.981(.149)	0.993(.150)	1.000(.150)
0.175	0.968(.173)	0.976(.173)	0.991(.174)	1.000(.175)
0.200	0.960(.197)	0.970(.198)	0.989(.199)	1.000(.200)
0.225	0.952(.221)	0.963(.222)	0.986(.224)	1.000(.225)
0.250	0.943(.245)	0.956(.246)	0.984(.249)	1.000(.250)
0.275	0.933(.268)	0.948(.270)	0.980(.273)	1.000(.275)
0.300	0.922(.291)	0.940(.293)	0.977(.298)	1.000(.300)
0.325	0.911(.314)	0.931(.317)	0.973(.322)	1.000(.325)
0.350	0.899(.337)	0.921(.340)	0.968(.346)	0.999(.350)
0.375	0.886(.359)	0.910(.363)	0.963(.370)	0.999(.375)
0.400	0.873(.381)	0.899(.385)	0.958(.394)	0.999(.400)
0.425	0.859(.403)	0.887(.408)	0.952(.418)	0.999(.425)
0.450	0.844(.424)	0.875(.430)	0.945(.442)	0.999(.450)
0.475	0.829(.445)	0.861(.451)	0.938(.465)	0.999(.475)
0.500	0.813(.465)	0.847(.473)	0.930(.489)	0.998(.500)
0.525	0.796(.486)	0.832(.494)	0.921(.512)	0.998(.525)
0.550	0.779(.505)	0.817(.514)	0.911(.535)	0.998(.550)
0.575	0.761(.524)	0.800(.535)	0.901(.557)	0.997(.575)
0.600	0.742(.543)	0.783(.554)	0.889(.580)	0.997(.600)
0.625	0.723(.562)	0.765(.574)	0.877(.602)	0.996(.624)
0.650	0.703(.579)	0.746(.593)	0.863(.624)	0.995(.649)
0.675	0.683(.597)	0.726(.611)	0.848(.645)	0.994(.674)
0.700	0.662(.614)	0.706(.629)	0.831(.666)	0.993(.699)
0.725	0.640(.630)	0.684(.646)	0.813(.687)	0.991(.724)
0.750	0.618(.646)	0.662(.663)	0.793(.707)	0.988(.749)
0.775	0.595(.661)	0.639(.679)	0.772(.726)	0.985(.773)
0.800	0.572(.675)	0.616(.695)	0.748(.745)	0.981(.798)
0.825	0.549(.689)	0.591(.710)	0.723(.764)	0.976(.822)
0.850	0.508(.703)	0.566(.725)	0.695(.781)	0.967(.847)
0.875	0.408(.714)	0.514(.738)	0.664(.798)	0.956(.871)
0.900	0.306(.723)	0.401(.749)	0.631(.814)	0.937(.894)
0.925	0.207(.729)	0.282(.758)	0.582(.830)	0.907(.917)
0.950	0.116(.733)	0.164(.764)	0.403(.842)	0.857(.939)
0.975	0.041(.735)	0.061(.766)	0.182(.849)	0.762(.960)
1.000	0.000(.736)	0.000(.767)	0.000(.852)	0.000(.969)

RE-ORDER No. 66-196
 Copy A - Phase II

*** RELATIVE ENERGY FLUX DENSITY IN THE PENUMBRA *** VERSION B
 *** OF A DIFFUSE SKIRT WITH THE REFLECTANCE = 0. ***

SOLAR FIELD ANGLE, D = 10.00 DEGREES
 GEOMETRY D1/D2 = 0.50

BETA = ANGLE OF INCIDENCE, DEGREES

BETA ***	-84.50	-80.00	-70.00	-60.00	-50.00
AX/AB	Q (QI)	Q (QI)	Q (QI)	Q (QI)	Q (QI)
0.	1.000(.)	1.000(.)	1.000(.)	1.000(.)	1.000(.)
0.025	0.768(.022)	0.982(.025)	0.993(.025)	0.994(.025)	0.995(.025)
0.050	0.540(.038)	0.950(.049)	0.979(.050)	0.984(.050)	0.987(.050)
0.075	0.383(.050)	0.912(.072)	0.962(.074)	0.971(.074)	0.975(.074)
0.100	0.245(.058)	0.869(.094)	0.942(.098)	0.956(.098)	0.962(.098)
0.125	0.141(.063)	0.826(.116)	0.919(.121)	0.938(.122)	0.946(.122)
0.150	0.088(.066)	0.781(.136)	0.895(.144)	0.919(.145)	0.929(.146)
0.175	0.058(.067)	0.737(.155)	0.870(.166)	0.898(.168)	0.911(.169)
0.200	0.040(.069)	0.693(.173)	0.843(.187)	0.876(.190)	0.892(.191)
0.225	0.029(.069)	0.651(.189)	0.815(.208)	0.853(.212)	0.871(.213)
0.250	0.021(.070)	0.610(.205)	0.787(.228)	0.830(.233)	0.849(.235)
0.275	0.016(.071)	0.571(.220)	0.759(.247)	0.805(.253)	0.827(.256)
0.300	0.012(.071)	0.534(.234)	0.730(.266)	0.780(.273)	0.803(.276)
0.325	0.010(.071)	0.498(.247)	0.701(.284)	0.754(.292)	0.779(.296)
0.350	0.008(.071)	0.465(.259)	0.672(.301)	0.728(.311)	0.755(.315)
0.375	0.006(.072)	0.433(.270)	0.643(.317)	0.701(.328)	0.730(.334)
0.400	0.005(.072)	0.404(.280)	0.614(.333)	0.675(.346)	0.704(.352)
0.425	0.004(.072)	0.353(.290)	0.586(.348)	0.648(.362)	0.679(.369)
0.450	0.003(.072)	0.305(.298)	0.558(.362)	0.621(.378)	0.653(.386)
0.475	0.003(.072)	0.262(.305)	0.531(.376)	0.595(.393)	0.627(.402)
0.500	0.002(.072)	0.225(.311)	0.504(.389)	0.568(.408)	0.601(.417)
0.525	0.002(.072)	0.193(.316)	0.478(.401)	0.542(.422)	0.575(.432)
0.550	0.002(.072)	0.165(.321)	0.452(.413)	0.516(.435)	0.549(.446)
0.575	0.001(.072)	0.141(.325)	0.404(.423)	0.490(.447)	0.523(.459)
0.600	0.001(.072)	0.119(.328)	0.357(.433)	0.461(.459)	0.498(.472)
0.625	0.001(.072)	0.101(.331)	0.314(.441)	0.412(.470)	0.466(.484)
0.650	0.001(.072)	0.085(.333)	0.274(.449)	0.365(.480)	0.417(.495)
0.675	0.001(.072)	0.071(.335)	0.236(.455)	0.320(.489)	0.369(.505)
0.700	0.000(.072)	0.059(.337)	0.202(.460)	0.278(.496)	0.323(.513)
0.725	0.000(.072)	0.048(.338)	0.171(.465)	0.238(.502)	0.279(.521)
0.750	0.000(.072)	0.039(.339)	0.143(.469)	0.201(.508)	0.238(.527)
0.775	0.000(.072)	0.031(.340)	0.117(.472)	0.167(.513)	0.199(.533)
0.800	0.000(.072)	0.025(.341)	0.094(.475)	0.136(.516)	0.164(.537)
0.825	0.000(.072)	0.019(.341)	0.074(.477)	0.108(.519)	0.131(.541)
0.850	0.000(.072)	0.014(.342)	0.056(.479)	0.083(.522)	0.101(.544)
0.875	0.000(.072)	0.010(.342)	0.041(.480)	0.061(.524)	0.075(.546)
0.900	0.000(.072)	0.007(.342)	0.028(.481)	0.043(.525)	0.052(.548)
0.925	0.000(.072)	0.004(.342)	0.018(.481)	0.027(.526)	0.033(.549)
0.950	0.000(.072)	0.002(.342)	0.009(.482)	0.014(.526)	0.017(.549)
0.975	0.000(.072)	0.001(.342)	0.003(.482)	0.005(.527)	0.006(.550)
1.000	-0. (.072)	0.000(.342)	0.000(.482)	0.000(.527)	0.000(.550)

158
 B-69

REORDER No. 66-796

Alp A - Power II

*** RELATIVE ENERGY FLUX DENSITY IN THE PENUMBRA ***
 *** OF A DIFFUSE SKIRT WITH THE REFLECTANCE = 0. ***

VERSION B

SOLAR FIELD ANGLE, D= 10.00 DEGREES
 GEOMETRY D1/D2 = 0.50

BETA = ANGLE OF INCIDENCE, DEGREES

BETA ***	-40.00		-30.00		-20.00		-10.00		-0.	
AX/AB	Q	(QI)	Q	(QI)	Q	(QI)	Q	(QI)	Q	(QI)
0.	1.000(.)		1.000(.)		1.000(.)		1.000(.)		1.000(.)	
0.025	0.996(.025)		0.996(.025)		0.996(.025)		0.997(.025)		0.997(.025)	
0.050	0.988(.050)		0.989(.050)		0.989(.050)		0.990(.050)		0.991(.050)	
0.075	0.978(.074)		0.979(.074)		0.980(.074)		0.981(.074)		0.982(.074)	
0.100	0.965(.099)		0.968(.099)		0.970(.099)		0.971(.099)		0.973(.099)	
0.125	0.951(.123)		0.955(.123)		0.957(.123)		0.959(.123)		0.961(.123)	
0.150	0.936(.146)		0.940(.146)		0.943(.147)		0.946(.147)		0.949(.147)	
0.175	0.919(.169)		0.924(.170)		0.928(.170)		0.931(.170)		0.935(.170)	
0.200	0.900(.192)		0.907(.193)		0.912(.193)		0.916(.193)		0.919(.194)	
0.225	0.881(.214)		0.888(.215)		0.894(.216)		0.899(.216)		0.903(.216)	
0.250	0.861(.236)		0.869(.237)		0.876(.238)		0.881(.238)		0.886(.239)	
0.275	0.840(.257)		0.849(.258)		0.856(.259)		0.862(.260)		0.868(.261)	
0.300	0.818(.278)		0.828(.279)		0.836(.280)		0.842(.281)		0.849(.282)	
0.325	0.795(.298)		0.806(.300)		0.814(.301)		0.822(.302)		0.829(.303)	
0.350	0.771(.318)		0.783(.320)		0.792(.321)		0.800(.322)		0.808(.324)	
0.375	0.747(.337)		0.760(.339)		0.770(.341)		0.778(.342)		0.786(.344)	
0.400	0.723(.355)		0.736(.358)		0.747(.360)		0.756(.361)		0.764(.363)	
0.425	0.698(.373)		0.712(.376)		0.723(.378)		0.732(.380)		0.741(.382)	
0.450	0.673(.390)		0.687(.393)		0.699(.396)		0.708(.398)		0.718(.400)	
0.475	0.647(.407)		0.662(.410)		0.674(.413)		0.684(.415)		0.694(.418)	
0.500	0.622(.422)		0.637(.426)		0.649(.429)		0.660(.432)		0.669(.435)	
0.525	0.596(.438)		0.611(.442)		0.624(.445)		0.635(.448)		0.645(.451)	
0.550	0.570(.452)		0.586(.457)		0.598(.461)		0.609(.464)		0.619(.467)	
0.575	0.545(.466)		0.560(.471)		0.573(.475)		0.584(.479)		0.594(.482)	
0.600	0.519(.479)		0.534(.485)		0.547(.489)		0.558(.493)		0.569(.497)	
0.625	0.493(.492)		0.509(.498)		0.521(.503)		0.532(.507)		0.543(.510)	
0.650	0.451(.504)		0.477(.510)		0.496(.515)		0.507(.520)		0.517(.524)	
0.675	0.402(.515)		0.427(.522)		0.447(.527)		0.465(.532)		0.482(.536)	
0.700	0.354(.524)		0.377(.532)		0.397(.538)		0.414(.543)		0.431(.548)	
0.725	0.308(.532)		0.329(.540)		0.348(.547)		0.364(.553)		0.380(.558)	
0.750	0.264(.539)		0.283(.548)		0.300(.555)		0.316(.561)		0.330(.567)	
0.775	0.222(.545)		0.240(.555)		0.255(.562)		0.269(.568)		0.282(.574)	
0.800	0.183(.551)		0.199(.560)		0.212(.568)		0.224(.575)		0.236(.581)	
0.825	0.147(.555)		0.160(.565)		0.172(.573)		0.182(.580)		0.192(.586)	
0.850	0.115(.558)		0.125(.568)		0.134(.577)		0.143(.584)		0.151(.590)	
0.875	0.085(.560)		0.093(.571)		0.101(.579)		0.107(.587)		0.114(.594)	
0.900	0.060(.562)		0.065(.573)		0.071(.582)		0.076(.589)		0.080(.596)	
0.925	0.038(.563)		0.042(.574)		0.045(.583)		0.048(.591)		0.051(.598)	
0.950	0.020(.564)		0.022(.575)		0.024(.584)		0.026(.592)		0.027(.599)	
0.975	0.007(.565)		0.008(.575)		0.008(.584)		0.009(.592)		0.009(.599)	
1.000	0.000(.565)		0.000(.576)		0.000(.584)		0.000(.592)		0.000(.599)	

159
B-70

REPORT No. 66-196

Ch. A. P. 11

*** RELATIVE ENERGY FLUX DENSITY IN THE PENUMBRA ***
*** OF A DIFFUSE SKIRT WITH THE REFLECTANCE = 0. ***

VERSION B

SOLAR FIELD ANGLE, D = 10.00 DEGREES
GEOMETRY D1/D2 = 0.50

BETA = ANGLE OF INCIDENCE, DEGREES

BETA *** AX/AB	10.00 Q (Q1)	20.00 Q (Q1)	30.00 Q (Q1)	40.00 Q (Q1)	50.00 Q (Q1)
0.	1.000(.)	1.000(.)	1.000(.)	1.000(.)	1.000(.)
0.025	0.997(.025)	0.997(.025)	0.997(.025)	0.997(.025)	0.998(.025)
0.050	0.991(.050)	0.991(.050)	0.992(.050)	0.993(.050)	0.993(.050)
0.075	0.983(.074)	0.984(.075)	0.985(.075)	0.986(.075)	0.988(.075)
0.100	0.974(.099)	0.975(.099)	0.977(.099)	0.978(.099)	0.981(.099)
0.125	0.963(.123)	0.965(.123)	0.967(.123)	0.969(.123)	0.972(.124)
0.150	0.951(.147)	0.953(.147)	0.956(.147)	0.959(.148)	0.963(.148)
0.175	0.938(.171)	0.941(.171)	0.944(.171)	0.948(.171)	0.953(.172)
0.200	0.923(.194)	0.927(.194)	0.931(.195)	0.935(.195)	0.941(.195)
0.225	0.907(.217)	0.912(.217)	0.916(.218)	0.922(.218)	0.929(.219)
0.250	0.891(.239)	0.896(.240)	0.901(.240)	0.907(.241)	0.916(.242)
0.275	0.873(.261)	0.879(.262)	0.885(.263)	0.892(.264)	0.901(.265)
0.300	0.855(.283)	0.861(.284)	0.868(.285)	0.876(.286)	0.886(.287)
0.325	0.835(.304)	0.842(.305)	0.849(.306)	0.858(.307)	0.870(.309)
0.350	0.815(.325)	0.822(.326)	0.830(.327)	0.840(.329)	0.853(.330)
0.375	0.794(.345)	0.802(.346)	0.811(.348)	0.821(.349)	0.835(.352)
0.400	0.772(.364)	0.781(.366)	0.790(.368)	0.801(.370)	0.816(.372)
0.425	0.750(.383)	0.759(.385)	0.769(.387)	0.781(.389)	0.796(.392)
0.450	0.727(.402)	0.736(.404)	0.747(.406)	0.759(.409)	0.776(.412)
0.475	0.703(.420)	0.713(.422)	0.724(.424)	0.737(.427)	0.754(.431)
0.500	0.679(.437)	0.689(.439)	0.700(.442)	0.714(.445)	0.732(.450)
0.525	0.654(.454)	0.665(.456)	0.677(.459)	0.691(.463)	0.709(.468)
0.550	0.630(.470)	0.640(.473)	0.652(.476)	0.667(.480)	0.686(.485)
0.575	0.604(.485)	0.615(.488)	0.627(.492)	0.642(.496)	0.662(.502)
0.600	0.579(.500)	0.590(.503)	0.602(.507)	0.617(.512)	0.637(.518)
0.625	0.553(.514)	0.564(.518)	0.576(.522)	0.592(.527)	0.612(.534)
0.650	0.527(.528)	0.538(.532)	0.550(.536)	0.566(.542)	0.586(.549)
0.675	0.500(.540)	0.512(.545)	0.524(.550)	0.539(.555)	0.560(.563)
0.700	0.448(.552)	0.465(.557)	0.486(.562)	0.511(.569)	0.533(.577)
0.725	0.396(.563)	0.413(.568)	0.433(.574)	0.457(.581)	0.491(.590)
0.750	0.345(.572)	0.361(.578)	0.380(.584)	0.403(.591)	0.436(.601)
0.775	0.295(.580)	0.310(.586)	0.328(.593)	0.350(.601)	0.380(.611)
0.800	0.248(.587)	0.261(.593)	0.277(.600)	0.297(.609)	0.325(.620)
0.825	0.202(.592)	0.214(.599)	0.228(.607)	0.245(.616)	0.270(.628)
0.850	0.160(.597)	0.169(.604)	0.181(.612)	0.196(.621)	0.217(.634)
0.875	0.121(.601)	0.128(.608)	0.137(.616)	0.149(.626)	0.167(.638)
0.900	0.085(.603)	0.091(.610)	0.098(.619)	0.107(.629)	0.120(.642)
0.925	0.055(.605)	0.058(.612)	0.063(.621)	0.069(.631)	0.078(.645)
0.950	0.029(.606)	0.031(.613)	0.034(.622)	0.037(.632)	0.042(.646)
0.975	0.010(.606)	0.011(.614)	0.012(.622)	0.013(.633)	0.015(.647)
1.000	0.000(.607)	0.000(.614)	0.000(.623)	0.000(.633)	0.000(.647)

RE-ORDER No. 66-196

App. A - Phase II

*** RELATIVE ENERGY FLUX DENSITY IN THE PENUMBRA ***
*** OF A DIFFUSE SKIRI WITH THE REFLECTANCE = 0. ***

VERSION B

SOLAR FIELD ANGLE, D= 10.00 DEGREES
GEOMETRY D1/D2 = 0.50

BETA = ANGLE OF INCIDENCE, DEGREES

BETA ***	60.00	70.00	80.00	84.50
AX/AB	Q (QI)	Q (QI)	Q (QI)	Q (QI)
0.	1.000(.)	1.000(.)	1.000(.)	1.000(.)
0.025	0.998(.025)	0.999(.025)	1.000(.025)	1.000(.025)
0.050	0.994(.050)	0.996(.050)	0.999(.050)	1.000(.050)
0.075	0.990(.075)	0.992(.075)	0.998(.075)	1.000(.075)
0.100	0.984(.099)	0.988(.100)	0.996(.100)	1.000(.100)
0.125	0.977(.124)	0.983(.124)	0.995(.125)	1.000(.125)
0.150	0.969(.148)	0.977(.149)	0.992(.150)	1.000(.150)
0.175	0.960(.172)	0.970(.173)	0.990(.174)	1.000(.175)
0.200	0.950(.196)	0.963(.197)	0.987(.199)	1.000(.200)
0.225	0.939(.220)	0.955(.221)	0.984(.224)	1.000(.225)
0.250	0.927(.243)	0.946(.245)	0.981(.248)	1.000(.250)
0.275	0.914(.266)	0.936(.268)	0.977(.273)	1.000(.275)
0.300	0.901(.289)	0.925(.292)	0.973(.297)	1.000(.300)
0.325	0.886(.311)	0.913(.315)	0.968(.321)	0.999(.325)
0.350	0.871(.333)	0.901(.337)	0.963(.346)	0.999(.350)
0.375	0.854(.355)	0.887(.360)	0.957(.370)	0.999(.375)
0.400	0.837(.376)	0.873(.382)	0.950(.393)	0.999(.400)
0.425	0.819(.396)	0.858(.403)	0.943(.417)	0.999(.425)
0.450	0.800(.417)	0.841(.425)	0.935(.440)	0.999(.450)
0.475	0.780(.436)	0.824(.445)	0.926(.464)	0.999(.475)
0.500	0.759(.456)	0.806(.466)	0.916(.487)	0.998(.500)
0.525	0.737(.474)	0.787(.486)	0.905(.510)	0.998(.525)
0.550	0.715(.493)	0.766(.505)	0.893(.532)	0.997(.550)
0.575	0.691(.510)	0.745(.524)	0.879(.554)	0.997(.575)
0.600	0.667(.527)	0.722(.542)	0.865(.576)	0.996(.600)
0.625	0.642(.543)	0.699(.560)	0.849(.597)	0.996(.624)
0.650	0.617(.559)	0.674(.577)	0.831(.618)	0.995(.649)
0.675	0.591(.574)	0.649(.594)	0.811(.639)	0.993(.674)
0.700	0.564(.589)	0.622(.610)	0.790(.659)	0.992(.699)
0.725	0.536(.602)	0.595(.625)	0.766(.678)	0.990(.724)
0.750	0.486(.615)	0.566(.639)	0.740(.697)	0.987(.748)
0.775	0.429(.627)	0.525(.653)	0.711(.715)	0.984(.773)
0.800	0.370(.637)	0.462(.665)	0.680(.733)	0.979(.798)
0.825	0.311(.645)	0.397(.675)	0.646(.749)	0.973(.822)
0.850	0.253(.652)	0.330(.685)	0.608(.765)	0.963(.846)
0.875	0.196(.658)	0.262(.693)	0.533(.779)	0.949(.870)
0.900	0.143(.662)	0.195(.698)	0.435(.791)	0.926(.894)
0.925	0.094(.665)	0.131(.702)	0.322(.801)	0.888(.916)
0.950	0.051(.667)	0.073(.705)	0.200(.807)	0.821(.938)
0.975	0.018(.668)	0.026(.706)	0.080(.811)	0.690(.956)
1.000	0.000(.668)	0.000(.707)	0.000(.812)	0.000(.965)

RE-ORDER No 66-196
App A - Phase II

*** RELATIVE ENERGY FLUX DENSITY IN THE PENUMBRA *** VERSION B
 *** OF A DIFFUSE SKIRT WITH THE REFLECTANCE = 0. ***

SOLAR FIELD ANGLE, D= 10.00 DEGREES
 GEOMETRY D1/D2 = 0.75

BETA = ANGLE OF INCIDENCE, DEGREES

BETA ***	-84.50		-80.00		-70.00		-60.00		-50.00	
AX/AB	Q	(QI)	Q	(QI)	Q	(QI)	Q	(QI)	Q	(QI)
0.	1.000	(.)	1.000	(.)	1.000	(.)	1.000	(.)	1.000	(.)
0.025	0.656	(.021)	0.973	(.025)	0.990	(.025)	0.993	(.025)	0.994	(.025)
0.050	0.395	(.034)	0.928	(.046)	0.972	(.049)	0.979	(.050)	0.983	(.050)
0.075	0.230	(.042)	0.874	(.071)	0.949	(.073)	0.962	(.074)	0.968	(.074)
0.100	0.136	(.046)	0.817	(.092)	0.922	(.097)	0.942	(.098)	0.950	(.098)
0.125	0.086	(.049)	0.759	(.112)	0.892	(.119)	0.919	(.121)	0.930	(.121)
0.150	0.058	(.051)	0.702	(.130)	0.861	(.141)	0.894	(.144)	0.908	(.144)
0.175	0.041	(.052)	0.647	(.147)	0.827	(.162)	0.867	(.166)	0.885	(.167)
0.200	0.029	(.053)	0.595	(.162)	0.793	(.183)	0.839	(.187)	0.860	(.189)
0.225	0.022	(.054)	0.545	(.177)	0.758	(.202)	0.809	(.207)	0.833	(.210)
0.250	0.017	(.054)	0.499	(.190)	0.723	(.221)	0.779	(.227)	0.805	(.230)
0.275	0.013	(.054)	0.456	(.202)	0.687	(.238)	0.748	(.246)	0.777	(.250)
0.300	0.010	(.055)	0.416	(.213)	0.652	(.255)	0.717	(.265)	0.748	(.269)
0.325	0.008	(.055)	0.372	(.222)	0.617	(.271)	0.685	(.282)	0.718	(.287)
0.350	0.006	(.055)	0.328	(.231)	0.582	(.286)	0.653	(.299)	0.687	(.305)
0.375	0.005	(.055)	0.289	(.239)	0.548	(.300)	0.621	(.315)	0.657	(.322)
0.400	0.004	(.055)	0.254	(.246)	0.515	(.313)	0.589	(.330)	0.626	(.338)
0.425	0.004	(.055)	0.222	(.252)	0.483	(.326)	0.557	(.344)	0.595	(.353)
0.450	0.003	(.056)	0.195	(.257)	0.451	(.337)	0.525	(.358)	0.564	(.368)
0.475	0.002	(.056)	0.170	(.261)	0.411	(.348)	0.495	(.371)	0.533	(.381)
0.500	0.002	(.056)	0.148	(.265)	0.372	(.358)	0.462	(.383)	0.503	(.394)
0.525	0.002	(.056)	0.128	(.269)	0.336	(.367)	0.423	(.394)	0.470	(.406)
0.550	0.001	(.056)	0.111	(.272)	0.301	(.375)	0.385	(.404)	0.431	(.418)
0.575	0.001	(.056)	0.096	(.274)	0.269	(.382)	0.348	(.413)	0.392	(.428)
0.600	0.001	(.056)	0.082	(.277)	0.239	(.388)	0.312	(.421)	0.355	(.437)
0.625	0.001	(.056)	0.071	(.279)	0.210	(.394)	0.279	(.429)	0.319	(.446)
0.650	0.001	(.056)	0.060	(.280)	0.184	(.399)	0.247	(.435)	0.284	(.453)
0.675	0.001	(.056)	0.051	(.282)	0.160	(.403)	0.216	(.441)	0.251	(.460)
0.700	0.000	(.056)	0.042	(.283)	0.137	(.407)	0.188	(.446)	0.219	(.466)
0.725	0.000	(.056)	0.035	(.284)	0.117	(.410)	0.162	(.450)	0.189	(.471)
0.750	0.000	(.056)	0.029	(.284)	0.098	(.413)	0.137	(.454)	0.161	(.475)
0.775	0.000	(.056)	0.023	(.285)	0.081	(.415)	0.114	(.457)	0.135	(.479)
0.800	0.000	(.056)	0.019	(.286)	0.066	(.417)	0.093	(.460)	0.111	(.482)
0.825	0.000	(.056)	0.014	(.286)	0.052	(.418)	0.075	(.462)	0.089	(.485)
0.850	0.000	(.056)	0.011	(.286)	0.040	(.419)	0.058	(.464)	0.069	(.487)
0.875	0.000	(.056)	0.008	(.287)	0.029	(.420)	0.043	(.465)	0.052	(.488)
0.900	0.000	(.056)	0.005	(.287)	0.020	(.421)	0.030	(.466)	0.036	(.489)
0.925	0.000	(.056)	0.003	(.287)	0.013	(.421)	0.019	(.466)	0.023	(.490)
0.950	0.000	(.056)	0.002	(.287)	0.007	(.421)	0.010	(.467)	0.012	(.490)
0.975	0.000	(.056)	0.001	(.287)	0.002	(.422)	0.003	(.467)	0.004	(.491)
1.000	0.	(.056)	0.000	(.287)	0.000	(.422)	0.000	(.467)	0.000	(.491)

162
 B-73

RE-ORDER No. 66-196

App A - Phase II

*** RELATIVE ENERGY FLUX DENSITY IN THE PENUMBRA *** VERSION B
 *** OF A DIFFUSE SKIRT WITH THE REFLECTANCE = 0. ***

SOLAR FIELD ANGLE, D= 10.00 DEGREES
 GEOMETRY D1/D2 = 0.75

BETA = ANGLE OF INCIDENCE, DEGREES

BETA ***	-40.00		-30.00		-20.00		-10.00		-0.	
AX/AB	Q	(QI)	Q	(QI)	Q	(QI)	Q	(QI)	Q	(QI)
0.	1.000(.))	1.000(.))	1.000(.))	1.000(.))	1.000(.))
0.025	0.995(.025))	0.995(.025))	0.995(.025))	0.996(.025))	0.996(.025))
0.050	0.984(.050))	0.986(.050))	0.987(.050))	0.987(.050))	0.988(.050))
0.075	0.971(.074))	0.973(.074))	0.975(.074))	0.976(.074))	0.978(.074))
0.100	0.955(.098))	0.958(.098))	0.961(.098))	0.963(.099))	0.965(.099))
0.125	0.937(.122))	0.942(.122))	0.945(.122))	0.948(.122))	0.951(.123))
0.150	0.917(.145))	0.923(.145))	0.927(.146))	0.931(.146))	0.935(.146))
0.175	0.895(.168))	0.902(.168))	0.908(.169))	0.913(.169))	0.917(.169))
0.200	0.872(.190))	0.880(.190))	0.887(.191))	0.893(.192))	0.898(.192))
0.225	0.847(.211))	0.857(.212))	0.865(.213))	0.871(.214))	0.877(.214))
0.250	0.821(.232))	0.832(.233))	0.841(.234))	0.848(.235))	0.855(.236))
0.275	0.794(.252))	0.807(.254))	0.816(.255))	0.824(.256))	0.832(.257))
0.300	0.767(.272))	0.780(.274))	0.790(.275))	0.799(.276))	0.808(.277))
0.325	0.738(.291))	0.752(.293))	0.764(.294))	0.774(.296))	0.782(.297))
0.350	0.709(.309))	0.724(.311))	0.736(.313))	0.747(.315))	0.756(.316))
0.375	0.679(.326))	0.695(.329))	0.708(.331))	0.719(.333))	0.729(.335))
0.400	0.649(.343))	0.666(.346))	0.679(.349))	0.691(.351))	0.702(.353))
0.425	0.619(.358))	0.636(.362))	0.650(.365))	0.662(.368))	0.673(.370))
0.450	0.588(.374))	0.606(.378))	0.621(.381))	0.633(.384))	0.645(.387))
0.475	0.558(.388))	0.576(.393))	0.591(.396))	0.603(.399))	0.615(.402))
0.500	0.527(.401))	0.546(.407))	0.561(.411))	0.574(.414))	0.586(.417))
0.525	0.497(.414))	0.516(.420))	0.530(.424))	0.543(.428))	0.556(.432))
0.550	0.461(.426))	0.484(.432))	0.500(.437))	0.513(.441))	0.526(.445))
0.575	0.422(.437))	0.444(.444))	0.463(.449))	0.479(.454))	0.494(.458))
0.600	0.383(.447))	0.405(.455))	0.423(.460))	0.439(.465))	0.454(.470))
0.625	0.346(.456))	0.367(.464))	0.384(.470))	0.399(.476))	0.414(.481))
0.650	0.310(.465))	0.329(.473))	0.346(.480))	0.360(.485))	0.374(.490))
0.675	0.275(.472))	0.293(.481))	0.308(.488))	0.322(.494))	0.336(.499))
0.700	0.241(.478))	0.258(.488))	0.272(.495))	0.285(.501))	0.298(.507))
0.725	0.209(.484))	0.225(.494))	0.238(.501))	0.250(.508))	0.261(.514))
0.750	0.179(.489))	0.193(.499))	0.205(.507))	0.215(.514))	0.226(.520))
0.775	0.151(.493))	0.163(.503))	0.173(.512))	0.183(.519))	0.192(.525))
0.800	0.124(.496))	0.135(.507))	0.144(.516))	0.152(.523))	0.160(.530))
0.825	0.100(.499))	0.109(.510))	0.116(.519))	0.123(.526))	0.130(.534))
0.850	0.078(.501))	0.085(.512))	0.091(.521))	0.097(.529))	0.102(.536))
0.875	0.058(.503))	0.064(.514))	0.068(.523))	0.073(.531))	0.077(.539))
0.900	0.041(.504))	0.045(.516))	0.048(.525))	0.051(.533))	0.054(.540))
0.925	0.026(.505))	0.028(.517))	0.031(.526))	0.033(.534))	0.035(.541))
0.950	0.014(.506))	0.015(.517))	0.016(.526))	0.017(.534))	0.019(.542))
0.975	0.005(.506))	0.005(.517))	0.006(.527))	0.006(.535))	0.006(.542))
1.000	0.000(.506))	0.000(.517))	0.000(.527))	0.000(.535))	0.000(.542))

163
B-7A

RE-ORDER No. 66-196

Exp. A - Phase II

*** RELATIVE ENERGY FLUX DENSITY IN THE PENUMBRA ***
 *** OF A DIFFUSE SKIRT WITH THE REFLECTANCE = 0. ***

VERSION B

SOLAR FIELD ANGLE, D = 10.00 DEGREES
 GEOMETRY D1/D2 = 0.75

BETA = ANGLE OF INCIDENCE, DEGREES

BETA ***	10.00	20.00	30.00	40.00	50.00
AX/AB	Q (QI)	Q (QI)	Q (QI)	Q (QI)	Q (QI)
0.	1.000(.)	1.000(.)	1.000(.)	1.000(.)	1.000(.)
0.025	0.996(.025)	0.996(.025)	0.997(.025)	0.997(.025)	0.997(.025)
0.050	0.989(.050)	0.989(.050)	0.990(.050)	0.991(.050)	0.992(.050)
0.075	0.979(.074)	0.980(.074)	0.981(.074)	0.983(.074)	0.985(.075)
0.100	0.967(.099)	0.969(.099)	0.971(.099)	0.973(.099)	0.976(.099)
0.125	0.953(.123)	0.956(.123)	0.959(.123)	0.962(.123)	0.966(.123)
0.150	0.938(.146)	0.941(.147)	0.945(.147)	0.949(.147)	0.954(.147)
0.175	0.921(.170)	0.925(.170)	0.929(.170)	0.935(.171)	0.941(.171)
0.200	0.902(.192)	0.907(.193)	0.913(.193)	0.919(.194)	0.927(.194)
0.225	0.883(.215)	0.888(.215)	0.895(.216)	0.902(.216)	0.911(.217)
0.250	0.861(.236)	0.868(.237)	0.875(.238)	0.884(.239)	0.895(.240)
0.275	0.839(.258)	0.847(.259)	0.855(.260)	0.864(.261)	0.877(.262)
0.300	0.816(.278)	0.824(.279)	0.833(.281)	0.844(.282)	0.857(.284)
0.325	0.791(.298)	0.800(.300)	0.810(.301)	0.822(.303)	0.837(.305)
0.350	0.766(.318)	0.775(.319)	0.786(.321)	0.799(.323)	0.815(.326)
0.375	0.739(.337)	0.750(.339)	0.761(.340)	0.775(.343)	0.793(.346)
0.400	0.712(.355)	0.723(.357)	0.735(.359)	0.750(.362)	0.769(.365)
0.425	0.684(.372)	0.696(.375)	0.709(.377)	0.724(.380)	0.744(.384)
0.450	0.656(.389)	0.668(.392)	0.681(.395)	0.698(.398)	0.719(.402)
0.475	0.627(.405)	0.639(.408)	0.653(.411)	0.670(.415)	0.692(.420)
0.500	0.598(.420)	0.610(.424)	0.624(.427)	0.642(.432)	0.665(.437)
0.525	0.568(.435)	0.581(.439)	0.595(.443)	0.613(.447)	0.636(.453)
0.550	0.538(.449)	0.551(.453)	0.565(.457)	0.583(.462)	0.607(.469)
0.575	0.508(.462)	0.521(.466)	0.535(.471)	0.553(.476)	0.578(.484)
0.600	0.469(.474)	0.485(.479)	0.503(.484)	0.523(.490)	0.547(.498)
0.625	0.429(.485)	0.444(.490)	0.462(.496)	0.485(.502)	0.515(.511)
0.650	0.389(.496)	0.404(.501)	0.421(.507)	0.443(.514)	0.473(.523)
0.675	0.349(.505)	0.364(.510)	0.381(.517)	0.402(.525)	0.431(.535)
0.700	0.310(.513)	0.324(.519)	0.340(.526)	0.361(.534)	0.389(.545)
0.725	0.273(.520)	0.286(.527)	0.301(.534)	0.320(.543)	0.346(.554)
0.750	0.236(.527)	0.248(.533)	0.262(.541)	0.279(.550)	0.304(.562)
0.775	0.201(.532)	0.212(.539)	0.224(.547)	0.240(.557)	0.263(.569)
0.800	0.168(.537)	0.177(.544)	0.188(.552)	0.202(.562)	0.222(.575)
0.825	0.137(.541)	0.145(.548)	0.154(.556)	0.166(.567)	0.183(.580)
0.850	0.108(.544)	0.114(.551)	0.122(.560)	0.132(.570)	0.146(.585)
0.875	0.081(.546)	0.086(.554)	0.092(.563)	0.100(.573)	0.112(.588)
0.900	0.058(.548)	0.061(.556)	0.066(.565)	0.072(.576)	0.080(.590)
0.925	0.037(.549)	0.039(.557)	0.042(.566)	0.046(.577)	0.052(.592)
0.950	0.020(.550)	0.021(.558)	0.023(.567)	0.025(.578)	0.028(.593)
0.975	0.007(.550)	0.007(.558)	0.008(.567)	0.009(.578)	0.010(.593)
1.000	0.000(.550)	0.000(.558)	0.000(.567)	0.000(.578)	0.000(.593)

164

B-75

RE-ORDER No. 66-196

App. A - Phase II

*** RELATIVE ENERGY FLUX DENSITY IN THE PENUMBRA ***
 *** OF A DIFFUSE SKIRT WITH THE REFLECTANCE = 0. ***

VERSION B

SOLAR FIELD ANGLE, D = 10.00 DEGREES
 GEOMETRY D1/D2 = 0.75

BETA = ANGLE OF INCIDENCE, DEGREES

BETA ***	60.00	70.00	80.00	84.50
AX/AB	Q (QI)	Q (QI)	Q (QI)	Q (QI)
0.	1.000(.)	1.000(.)	1.000(.)	1.000(.)
0.025	0.998(.025)	0.998(.025)	1.000(.025)	1.000(.025)
0.050	0.993(.050)	0.995(.050)	0.999(.050)	1.000(.050)
0.075	0.987(.075)	0.991(.075)	0.997(.075)	1.000(.075)
0.100	0.980(.099)	0.986(.099)	0.996(.100)	1.000(.100)
0.125	0.971(.124)	0.980(.124)	0.994(.125)	1.000(.125)
0.150	0.961(.148)	0.972(.148)	0.992(.150)	1.000(.150)
0.175	0.950(.172)	0.964(.173)	0.989(.174)	1.000(.175)
0.200	0.938(.195)	0.955(.197)	0.986(.199)	1.000(.200)
0.225	0.924(.219)	0.945(.220)	0.982(.224)	1.000(.225)
0.250	0.910(.241)	0.934(.244)	0.978(.248)	1.000(.250)
0.275	0.894(.264)	0.922(.267)	0.974(.272)	1.000(.275)
0.300	0.877(.286)	0.908(.290)	0.969(.297)	1.000(.300)
0.325	0.858(.308)	0.894(.312)	0.963(.321)	0.999(.325)
0.350	0.839(.329)	0.878(.335)	0.957(.345)	0.999(.350)
0.375	0.818(.350)	0.861(.356)	0.949(.369)	0.999(.375)
0.400	0.797(.370)	0.843(.378)	0.941(.392)	0.999(.400)
0.425	0.774(.390)	0.824(.398)	0.933(.416)	0.999(.425)
0.450	0.750(.409)	0.804(.419)	0.923(.439)	0.999(.450)
0.475	0.725(.427)	0.782(.439)	0.912(.462)	0.998(.475)
0.500	0.699(.445)	0.759(.458)	0.900(.485)	0.998(.500)
0.525	0.672(.462)	0.735(.477)	0.886(.507)	0.998(.525)
0.550	0.643(.478)	0.709(.495)	0.871(.529)	0.997(.550)
0.575	0.614(.494)	0.682(.512)	0.854(.550)	0.997(.575)
0.600	0.584(.509)	0.654(.529)	0.836(.572)	0.996(.599)
0.625	0.554(.523)	0.624(.545)	0.815(.592)	0.995(.624)
0.650	0.520(.537)	0.593(.560)	0.792(.612)	0.994(.649)
0.675	0.477(.549)	0.561(.574)	0.767(.632)	0.993(.674)
0.700	0.433(.561)	0.521(.588)	0.739(.651)	0.991(.699)
0.725	0.389(.571)	0.475(.600)	0.708(.669)	0.989(.724)
0.750	0.344(.580)	0.427(.612)	0.674(.686)	0.986(.748)
0.775	0.300(.588)	0.378(.622)	0.637(.702)	0.982(.773)
0.800	0.256(.595)	0.327(.630)	0.594(.718)	0.977(.797)
0.825	0.213(.601)	0.277(.638)	0.533(.732)	0.969(.822)
0.850	0.171(.606)	0.226(.644)	0.464(.744)	0.958(.846)
0.875	0.132(.609)	0.177(.649)	0.388(.755)	0.940(.870)
0.900	0.095(.612)	0.130(.653)	0.305(.764)	0.912(.893)
0.925	0.062(.614)	0.086(.656)	0.218(.770)	0.863(.915)
0.950	0.034(.615)	0.048(.658)	0.130(.775)	0.772(.935)
0.975	0.012(.616)	0.017(.658)	0.050(.777)	0.548(.952)
1.000	0.000(.616)	0.000(.659)	0.000(.777)	0.000(.959)

165

RE-ORDER NO. 66-196
Chapman - Phinell

*** RELATIVE ENERGY FLUX DENSITY IN THE PENUMBRA ***
 *** OF A DIFFUSE SKIRT WITH THE REFLECTANCE = 0. ***

VERSION B

SOLAR FIELD ANGLE, D = 10.00 DEGREES
 GEOMETRY D1/D2 = 1.00

BETA = ANGLE OF INCIDENCE, DEGREES

BETA ***	-84.50	-80.00	-70.00	-60.00	-50.00
AX/AB	Q (QI)	Q (QI)	Q (QI)	Q (QI)	Q (QI)
0.	1.000(.)	1.000(.)	1.000(.)	1.000(.)	1.000(.)
0.025	0.558(.019)	0.964(.025)	0.987(.025)	0.991(.025)	0.992(.025)
0.050	0.294(.030)	0.904(.048)	0.964(.049)	0.974(.049)	0.978(.050)
0.075	0.169(.036)	0.835(.070)	0.934(.073)	0.952(.074)	0.960(.074)
0.100	0.105(.039)	0.764(.090)	0.900(.096)	0.927(.097)	0.938(.097)
0.125	0.069(.042)	0.694(.108)	0.863(.118)	0.898(.120)	0.913(.121)
0.150	0.048(.043)	0.627(.124)	0.824(.139)	0.867(.142)	0.886(.143)
0.175	0.034(.044)	0.564(.139)	0.783(.159)	0.834(.163)	0.856(.165)
0.200	0.025(.045)	0.506(.153)	0.742(.178)	0.799(.184)	0.825(.186)
0.225	0.019(.045)	0.453(.165)	0.700(.196)	0.763(.203)	0.793(.206)
0.250	0.015(.046)	0.405(.175)	0.658(.213)	0.727(.222)	0.759(.226)
0.275	0.012(.046)	0.361(.185)	0.616(.229)	0.690(.239)	0.725(.244)
0.300	0.009(.046)	0.321(.193)	0.575(.244)	0.652(.256)	0.690(.262)
0.325	0.007(.047)	0.285(.201)	0.535(.258)	0.615(.272)	0.654(.279)
0.350	0.006(.047)	0.253(.208)	0.496(.271)	0.577(.287)	0.618(.294)
0.375	0.005(.047)	0.224(.214)	0.459(.283)	0.540(.301)	0.582(.309)
0.400	0.004(.047)	0.198(.219)	0.423(.294)	0.504(.314)	0.547(.324)
0.425	0.003(.047)	0.175(.224)	0.388(.304)	0.468(.326)	0.511(.337)
0.450	0.003(.047)	0.154(.228)	0.355(.313)	0.434(.337)	0.476(.349)
0.475	0.002(.047)	0.135(.231)	0.323(.322)	0.400(.348)	0.441(.361)
0.500	0.002(.047)	0.119(.235)	0.293(.329)	0.367(.357)	0.408(.371)
0.525	0.002(.047)	0.104(.237)	0.265(.336)	0.335(.366)	0.375(.381)
0.550	0.001(.047)	0.090(.240)	0.238(.343)	0.304(.374)	0.342(.390)
0.575	0.001(.047)	0.079(.242)	0.213(.348)	0.275(.381)	0.311(.398)
0.600	0.001(.047)	0.068(.244)	0.189(.353)	0.247(.388)	0.281(.406)
0.625	0.001(.047)	0.058(.245)	0.167(.358)	0.221(.394)	0.252(.412)
0.650	0.001(.047)	0.050(.247)	0.147(.362)	0.195(.399)	0.225(.418)
0.675	0.001(.047)	0.042(.248)	0.127(.365)	0.172(.404)	0.198(.423)
0.700	0.000(.047)	0.036(.249)	0.110(.368)	0.149(.408)	0.174(.428)
0.725	0.000(.047)	0.030(.250)	0.094(.371)	0.128(.411)	0.150(.432)
0.750	0.000(.047)	0.025(.250)	0.079(.373)	0.109(.414)	0.128(.436)
0.775	0.000(.047)	0.020(.251)	0.065(.374)	0.091(.416)	0.107(.439)
0.800	0.000(.047)	0.016(.251)	0.053(.376)	0.075(.419)	0.088(.441)
0.825	0.000(.047)	0.012(.252)	0.042(.377)	0.060(.420)	0.071(.443)
0.850	0.000(.047)	0.009(.252)	0.032(.378)	0.046(.422)	0.055(.445)
0.875	0.000(.047)	0.007(.252)	0.024(.379)	0.034(.423)	0.041(.446)
0.900	0.000(.047)	0.005(.252)	0.017(.379)	0.024(.423)	0.029(.447)
0.925	0.000(.047)	0.003(.252)	0.010(.380)	0.015(.424)	0.018(.447)
0.950	0.000(.047)	0.002(.252)	0.006(.380)	0.008(.424)	0.010(.448)
0.975	0.000(.047)	0.001(.252)	0.002(.380)	0.003(.424)	0.003(.448)
1.000	0. (.047)	0.000(.252)	0.000(.380)	0.000(.424)	0.000(.448)

166
 B-77

RE-ORDER No. 66-196

App. A - Phase II

*** RELATIVE ENERGY FLUX DENSITY IN THE PENUMBRA ***
 *** OF A DIFFUSE SKIRT WITH THE REFLECTANCE = 0. ***

VERSION B

SOLAR FIELD ANGLE, D = 10.00 DEGREES
 GEOMETRY D1/D2 = 1.00

BETA = ANGLE OF INCIDENCE, DEGREES

BETA ***	-40.00	-30.00	-20.00	-10.00	-0.
AX/AB	Q (QI)	Q (QI)	Q (QI)	Q (QI)	Q (QI)
0.	1.000(.)	1.000(.)	1.000(.)	1.000(.)	1.000(.)
0.025	0.993(.025)	0.994(.025)	0.994(.025)	0.995(.025)	0.995(.025)
0.050	0.981(.050)	0.982(.050)	0.983(.050)	0.984(.050)	0.985(.050)
0.075	0.964(.074)	0.967(.074)	0.969(.074)	0.971(.074)	0.973(.074)
0.100	0.944(.098)	0.949(.098)	0.952(.098)	0.955(.098)	0.957(.098)
0.125	0.922(.121)	0.928(.121)	0.932(.122)	0.936(.122)	0.939(.122)
0.150	0.897(.144)	0.904(.144)	0.910(.145)	0.915(.145)	0.919(.145)
0.175	0.870(.166)	0.879(.167)	0.886(.167)	0.892(.168)	0.898(.168)
0.200	0.841(.187)	0.852(.188)	0.860(.189)	0.867(.190)	0.874(.190)
0.225	0.811(.208)	0.823(.209)	0.833(.210)	0.841(.211)	0.849(.212)
0.250	0.779(.228)	0.793(.229)	0.804(.231)	0.813(.232)	0.822(.232)
0.275	0.746(.247)	0.762(.249)	0.774(.250)	0.784(.252)	0.793(.253)
0.300	0.713(.265)	0.729(.267)	0.743(.269)	0.754(.271)	0.764(.272)
0.325	0.679(.282)	0.696(.285)	0.710(.287)	0.722(.289)	0.733(.291)
0.350	0.644(.299)	0.663(.302)	0.677(.305)	0.690(.307)	0.702(.309)
0.375	0.609(.315)	0.628(.318)	0.644(.321)	0.657(.324)	0.669(.326)
0.400	0.574(.329)	0.594(.334)	0.610(.337)	0.623(.340)	0.636(.342)
0.425	0.539(.343)	0.559(.348)	0.575(.352)	0.589(.355)	0.603(.358)
0.450	0.504(.356)	0.524(.362)	0.541(.366)	0.555(.369)	0.569(.372)
0.475	0.469(.369)	0.489(.374)	0.506(.379)	0.520(.383)	0.534(.386)
0.500	0.435(.380)	0.455(.386)	0.471(.391)	0.486(.395)	0.500(.399)
0.525	0.401(.390)	0.421(.397)	0.437(.402)	0.452(.407)	0.465(.411)
0.550	0.368(.400)	0.387(.407)	0.403(.413)	0.417(.418)	0.431(.422)
0.575	0.336(.409)	0.354(.416)	0.370(.422)	0.384(.428)	0.397(.433)
0.600	0.305(.417)	0.322(.425)	0.337(.431)	0.351(.437)	0.363(.442)
0.625	0.274(.424)	0.291(.432)	0.305(.439)	0.318(.445)	0.330(.451)
0.650	0.245(.430)	0.261(.439)	0.274(.447)	0.286(.453)	0.298(.459)
0.675	0.217(.436)	0.232(.446)	0.244(.453)	0.255(.460)	0.266(.466)
0.700	0.191(.441)	0.204(.451)	0.215(.459)	0.226(.466)	0.236(.472)
0.725	0.165(.446)	0.177(.456)	0.188(.464)	0.197(.471)	0.206(.478)
0.750	0.142(.450)	0.152(.460)	0.161(.468)	0.170(.476)	0.178(.482)
0.775	0.119(.453)	0.129(.463)	0.137(.472)	0.144(.479)	0.151(.486)
0.800	0.098(.456)	0.106(.466)	0.113(.475)	0.120(.483)	0.126(.490)
0.825	0.079(.458)	0.086(.469)	0.092(.478)	0.097(.485)	0.102(.493)
0.850	0.062(.460)	0.067(.471)	0.072(.480)	0.076(.488)	0.080(.495)
0.875	0.046(.461)	0.050(.472)	0.054(.481)	0.057(.489)	0.060(.497)
0.900	0.033(.462)	0.035(.473)	0.038(.482)	0.040(.491)	0.043(.498)
0.925	0.021(.463)	0.023(.474)	0.024(.483)	0.026(.491)	0.027(.499)
0.950	0.011(.463)	0.012(.474)	0.013(.484)	0.014(.492)	0.015(.500)
0.975	0.004(.463)	0.004(.475)	0.005(.484)	0.005(.492)	0.005(.500)
1.000	0.000(.463)	0.000(.475)	0.000(.484)	0.000(.492)	0.000(.500)

167
B-78

RE-ORDER No. 66-196

Alpha - Phase II

*** RELATIVE ENERGY FLUX DENSITY IN THE PENUMBRA ***
 *** OF A DIFFUSE SKIRT WITH THE REFLECTANCE = 0. ***

VERSION B

SOLAR FIELD ANGLE, D = 10.00 DEGREES
 GEOMETRY D1/D2 = 1.00

BETA = ANGLE OF INCIDENCE, DEGREES

BETA ***	10.00	20.00	30.00	40.00	50.00
AX/AB	Q (QI)	Q (QI)	Q (QI)	Q (QI)	Q (QI)
0.	1.000(.)	1.000(.)	1.000(.)	1.000(.)	1.000(.)
0.025	0.995(.025)	0.995(.025)	0.996(.025)	0.996(.025)	0.997(.025)
0.050	0.986(.050)	0.987(.050)	0.988(.050)	0.989(.050)	0.990(.050)
0.075	0.974(.074)	0.976(.074)	0.977(.074)	0.979(.074)	0.982(.074)
0.100	0.959(.098)	0.962(.098)	0.964(.099)	0.967(.099)	0.971(.099)
0.125	0.943(.122)	0.946(.122)	0.949(.123)	0.954(.123)	0.959(.123)
0.150	0.924(.145)	0.928(.146)	0.933(.146)	0.938(.146)	0.945(.147)
0.175	0.903(.168)	0.908(.169)	0.914(.169)	0.920(.170)	0.929(.170)
0.200	0.880(.191)	0.886(.191)	0.893(.192)	0.901(.192)	0.911(.193)
0.225	0.856(.212)	0.863(.213)	0.871(.214)	0.880(.215)	0.892(.216)
0.250	0.830(.233)	0.838(.234)	0.847(.235)	0.858(.236)	0.872(.238)
0.275	0.802(.254)	0.812(.255)	0.822(.256)	0.834(.258)	0.850(.259)
0.300	0.774(.273)	0.784(.275)	0.796(.276)	0.809(.278)	0.826(.280)
0.325	0.744(.292)	0.755(.294)	0.768(.296)	0.782(.298)	0.801(.301)
0.350	0.713(.311)	0.725(.313)	0.738(.315)	0.754(.317)	0.775(.320)
0.375	0.681(.328)	0.694(.330)	0.708(.333)	0.725(.336)	0.747(.339)
0.400	0.649(.345)	0.662(.347)	0.677(.350)	0.695(.353)	0.718(.358)
0.425	0.616(.361)	0.629(.363)	0.645(.367)	0.664(.370)	0.688(.375)
0.450	0.582(.376)	0.596(.379)	0.612(.382)	0.631(.387)	0.657(.392)
0.475	0.548(.390)	0.562(.393)	0.579(.397)	0.598(.402)	0.625(.408)
0.500	0.513(.403)	0.528(.407)	0.545(.411)	0.565(.416)	0.592(.423)
0.525	0.479(.415)	0.493(.420)	0.510(.424)	0.531(.430)	0.558(.438)
0.550	0.444(.427)	0.459(.432)	0.475(.437)	0.496(.443)	0.523(.451)
0.575	0.410(.438)	0.424(.443)	0.441(.448)	0.461(.455)	0.488(.464)
0.600	0.376(.447)	0.390(.453)	0.406(.459)	0.426(.466)	0.453(.476)
0.625	0.342(.456)	0.356(.462)	0.371(.468)	0.390(.476)	0.417(.486)
0.650	0.309(.464)	0.322(.471)	0.337(.477)	0.355(.486)	0.381(.496)
0.675	0.277(.472)	0.289(.478)	0.303(.485)	0.321(.494)	0.345(.505)
0.700	0.246(.478)	0.257(.485)	0.270(.493)	0.287(.502)	0.310(.514)
0.725	0.215(.484)	0.226(.491)	0.238(.499)	0.253(.508)	0.275(.521)
0.750	0.186(.489)	0.196(.496)	0.206(.504)	0.220(.514)	0.240(.527)
0.775	0.159(.493)	0.167(.501)	0.176(.509)	0.189(.519)	0.207(.533)
0.800	0.132(.497)	0.139(.505)	0.148(.513)	0.159(.524)	0.174(.538)
0.825	0.108(.500)	0.114(.508)	0.121(.517)	0.130(.527)	0.143(.542)
0.850	0.085(.502)	0.090(.510)	0.095(.519)	0.103(.530)	0.114(.545)
0.875	0.064(.504)	0.068(.512)	0.072(.521)	0.078(.533)	0.087(.547)
0.900	0.045(.506)	0.048(.514)	0.051(.523)	0.056(.534)	0.062(.549)
0.925	0.029(.507)	0.031(.515)	0.033(.524)	0.036(.535)	0.040(.551)
0.950	0.016(.507)	0.017(.515)	0.018(.525)	0.019(.536)	0.022(.551)
0.975	0.005(.507)	0.006(.516)	0.006(.525)	0.007(.536)	0.008(.552)
1.000	0.000(.508)	0.000(.516)	0.000(.525)	0.000(.536)	0.000(.552)

168
B-79

RE-ORDER No. 66-196

App. A - Phase II

*** RELATIVE ENERGY FLUX DENSITY IN THE PENUMBRA ***
 *** OF A DIFFUSE SKIRT WITH THE REFLECTANCE = 0. ***

VERSION B

SOLAR FIELD ANGLE, $D = 10.00$ DEGREES
 GEOMETRY $D1/D2 = 1.00$

BETA = ANGLE OF INCIDENCE, DEGREES

BETA *** AX/AB	60.00 Q (QI)	70.00 Q (QI)	80.00 Q (QI)	84.50 Q (QI)
0.	1.000(.)	1.000(.)	1.000(.)	1.000(.)
0.025	0.997(.025)	0.998(.025)	0.999(.025)	1.000(.025)
0.050	0.992(.050)	0.994(.050)	0.998(.050)	1.000(.050)
0.075	0.985(.075)	0.989(.075)	0.997(.075)	1.000(.075)
0.100	0.976(.099)	0.983(.099)	0.995(.100)	1.000(.100)
0.125	0.966(.123)	0.976(.124)	0.993(.125)	1.000(.125)
0.150	0.954(.147)	0.967(.148)	0.990(.149)	1.000(.150)
0.175	0.940(.171)	0.958(.172)	0.987(.174)	1.000(.175)
0.200	0.925(.194)	0.947(.196)	0.984(.199)	1.000(.200)
0.225	0.909(.217)	0.934(.220)	0.980(.223)	1.000(.225)
0.250	0.891(.240)	0.921(.243)	0.975(.248)	1.000(.250)
0.275	0.871(.262)	0.906(.266)	0.970(.272)	1.000(.275)
0.300	0.850(.283)	0.890(.288)	0.964(.296)	1.000(.300)
0.325	0.828(.304)	0.872(.310)	0.957(.320)	0.999(.325)
0.350	0.804(.325)	0.853(.332)	0.950(.344)	0.999(.350)
0.375	0.779(.344)	0.833(.353)	0.941(.368)	0.999(.375)
0.400	0.752(.364)	0.810(.373)	0.932(.391)	0.999(.400)
0.425	0.724(.382)	0.787(.393)	0.921(.414)	0.999(.425)
0.450	0.695(.400)	0.762(.413)	0.909(.437)	0.999(.450)
0.475	0.664(.417)	0.735(.431)	0.896(.460)	0.998(.475)
0.500	0.633(.433)	0.706(.449)	0.881(.482)	0.998(.500)
0.525	0.600(.448)	0.676(.467)	0.864(.504)	0.998(.525)
0.550	0.566(.463)	0.645(.483)	0.846(.525)	0.997(.550)
0.575	0.531(.477)	0.611(.499)	0.825(.546)	0.997(.575)
0.600	0.495(.489)	0.577(.514)	0.801(.566)	0.996(.599)
0.625	0.459(.501)	0.540(.528)	0.775(.586)	0.995(.624)
0.650	0.422(.512)	0.503(.541)	0.746(.605)	0.994(.649)
0.675	0.385(.522)	0.464(.553)	0.714(.623)	0.993(.674)
0.700	0.347(.532)	0.424(.564)	0.678(.641)	0.991(.699)
0.725	0.310(.540)	0.383(.574)	0.639(.657)	0.988(.724)
0.750	0.273(.547)	0.342(.583)	0.595(.673)	0.985(.748)
0.775	0.236(.554)	0.300(.591)	0.546(.687)	0.981(.773)
0.800	0.200(.559)	0.258(.598)	0.493(.700)	0.974(.797)
0.825	0.166(.564)	0.216(.604)	0.435(.712)	0.965(.822)
0.850	0.133(.567)	0.176(.609)	0.373(.722)	0.952(.845)
0.875	0.102(.570)	0.136(.613)	0.306(.730)	0.930(.869)
0.900	0.073(.572)	0.099(.616)	0.236(.737)	0.895(.892)
0.925	0.048(.574)	0.066(.618)	0.165(.742)	0.831(.913)
0.950	0.026(.575)	0.036(.619)	0.096(.745)	0.706(.933)
0.975	0.009(.575)	0.013(.620)	0.036(.747)	0.442(.947)
1.000	0.000(.575)	0.000(.620)	0.000(.747)	0.000(.952)

*** END OF DIFFUSE SKIRT CASE, REFLECTANCE = 0. ***

B-90 159

RE-ORDER NO. 66-196
App. A - Phase II

VERSION C

VERSION C

REORDER NO. 66-196
 Appl - Phase II

*** RELATIVE ENERGY FLUX DENSITY IN THE PENUMBRA ***
 *** OF A DIFFUSE SKIRT WITH THE REFLECTANCE = 0. ***

VERSION C

SOLAR FIELD ANGLE, D = 0.50 DEGREES
 GEOMETRY D1/D2 = 0.

BETA = ANGLE OF INCIDENCE, DEGREES

BETA ***	-89.25	-80.00	-70.00	-60.00	-50.00
AX/AB	Q (QI)	Q (QI)	Q (QI)	Q (QI)	Q (QI)
0.	1.000(.)	1.000(.)	1.000(.)	1.000(.)	1.000(.)
0.025	0.997(.025)	0.998(.025)	0.998(.025)	0.998(.025)	0.998(.025)
0.050	0.992(.050)	0.995(.050)	0.996(.050)	0.996(.050)	0.996(.050)
0.075	0.985(.075)	0.992(.075)	0.992(.075)	0.992(.075)	0.992(.075)
0.100	0.977(.099)	0.987(.099)	0.988(.099)	0.988(.100)	0.988(.100)
0.125	0.969(.123)	0.982(.124)	0.983(.124)	0.983(.124)	0.983(.124)
0.150	0.960(.147)	0.977(.149)	0.978(.149)	0.978(.149)	0.978(.149)
0.175	0.950(.171)	0.971(.173)	0.972(.173)	0.972(.173)	0.972(.173)
0.200	0.941(.195)	0.965(.197)	0.966(.197)	0.966(.197)	0.966(.197)
0.225	0.931(.218)	0.958(.221)	0.959(.221)	0.960(.221)	0.960(.221)
0.250	0.921(.242)	0.952(.245)	0.953(.245)	0.953(.245)	0.953(.245)
0.275	0.910(.264)	0.944(.269)	0.946(.269)	0.946(.269)	0.946(.269)
0.300	0.900(.287)	0.937(.292)	0.938(.292)	0.939(.293)	0.939(.293)
0.325	0.889(.309)	0.929(.316)	0.931(.316)	0.931(.316)	0.932(.316)
0.350	0.877(.331)	0.922(.339)	0.923(.339)	0.924(.339)	0.924(.339)
0.375	0.863(.353)	0.913(.362)	0.915(.362)	0.916(.362)	0.916(.362)
0.400	0.848(.375)	0.905(.384)	0.907(.385)	0.908(.385)	0.908(.385)
0.425	0.832(.396)	0.894(.407)	0.897(.407)	0.897(.407)	0.898(.408)
0.450	0.815(.416)	0.882(.429)	0.885(.430)	0.886(.430)	0.886(.430)
0.475	0.798(.436)	0.869(.451)	0.872(.452)	0.873(.452)	0.873(.452)
0.500	0.780(.456)	0.855(.473)	0.858(.473)	0.859(.473)	0.860(.474)
0.525	0.763(.475)	0.841(.494)	0.844(.494)	0.845(.495)	0.846(.495)
0.550	0.745(.494)	0.826(.515)	0.829(.515)	0.830(.516)	0.831(.516)
0.575	0.727(.513)	0.810(.535)	0.813(.536)	0.815(.536)	0.815(.536)
0.600	0.710(.531)	0.794(.555)	0.797(.556)	0.799(.556)	0.799(.557)
0.625	0.692(.548)	0.777(.575)	0.781(.576)	0.782(.576)	0.783(.576)
0.650	0.674(.565)	0.760(.594)	0.764(.595)	0.765(.595)	0.766(.596)
0.675	0.657(.582)	0.743(.613)	0.747(.614)	0.748(.614)	0.749(.615)
0.700	0.639(.598)	0.726(.631)	0.729(.632)	0.731(.633)	0.731(.633)
0.725	0.622(.614)	0.708(.649)	0.711(.650)	0.713(.651)	0.713(.651)
0.750	0.605(.629)	0.690(.666)	0.693(.668)	0.695(.669)	0.695(.669)
0.775	0.588(.644)	0.672(.683)	0.675(.685)	0.676(.686)	0.677(.686)
0.800	0.571(.659)	0.653(.700)	0.657(.702)	0.658(.702)	0.659(.703)
0.825	0.554(.673)	0.634(.716)	0.638(.718)	0.639(.719)	0.640(.719)
0.850	0.537(.686)	0.615(.732)	0.618(.734)	0.619(.734)	0.620(.735)
0.875	0.520(.699)	0.595(.747)	0.599(.749)	0.600(.750)	0.600(.750)
0.900	0.504(.712)	0.575(.762)	0.579(.764)	0.580(.764)	0.580(.765)
0.925	0.487(.725)	0.556(.776)	0.559(.778)	0.560(.778)	0.560(.779)
0.950	0.471(.737)	0.536(.789)	0.538(.791)	0.539(.792)	0.540(.793)
0.975	0.455(.748)	0.516(.802)	0.518(.805)	0.519(.805)	0.519(.806)
1.000	0.440(.759)	0.496(.815)	0.498(.817)	0.499(.818)	0.499(.819)

RE-ORDER No. 66-196
App A Phase II

*** RELATIVE ENERGY FLUX DENSITY IN THE PENUMBRA *** VERSION C
 *** OF A DIFFUSE SKIRI WITH THE REFLECTANCE = 0. ***

SOLAR FIELD ANGLE, $\theta = 0.50$ DEGREES
 GEOMETRY $D1/D2 = 0.$

BETA = ANGLE OF INCIDENCE, DEGREES

BETA ***	-40.00	-30.00	-20.00	-10.00	-0.
AX/AB	Q (QI)	Q (QI)	Q (QI)	Q (QI)	Q (QI)
0.	1.000(.)	1.000(.)	1.000(.)	1.000(.)	1.000(.)
0.025	0.998(.025)	0.998(.025)	0.998(.025)	0.998(.025)	0.998(.025)
0.050	0.995(.050)	0.996(.050)	0.996(.050)	0.996(.050)	0.996(.050)
0.075	0.992(.075)	0.992(.075)	0.992(.075)	0.992(.075)	0.992(.075)
0.100	0.988(.100)	0.988(.100)	0.988(.100)	0.988(.100)	0.988(.100)
0.125	0.983(.124)	0.983(.124)	0.983(.124)	0.983(.124)	0.983(.124)
0.150	0.978(.149)	0.978(.149)	0.978(.149)	0.978(.149)	0.978(.149)
0.175	0.972(.173)	0.972(.173)	0.973(.173)	0.973(.173)	0.973(.173)
0.200	0.965(.197)	0.967(.197)	0.967(.197)	0.967(.197)	0.967(.197)
0.225	0.960(.221)	0.960(.221)	0.960(.221)	0.960(.221)	0.960(.221)
0.250	0.953(.245)	0.954(.245)	0.954(.245)	0.954(.245)	0.954(.245)
0.275	0.947(.269)	0.947(.269)	0.947(.269)	0.947(.269)	0.947(.269)
0.300	0.939(.293)	0.940(.293)	0.940(.293)	0.940(.293)	0.940(.293)
0.325	0.932(.316)	0.932(.316)	0.932(.316)	0.932(.316)	0.932(.316)
0.350	0.924(.339)	0.924(.339)	0.925(.339)	0.925(.339)	0.925(.339)
0.375	0.915(.362)	0.917(.362)	0.917(.362)	0.917(.362)	0.917(.362)
0.400	0.908(.385)	0.908(.385)	0.909(.385)	0.909(.385)	0.909(.385)
0.425	0.898(.408)	0.898(.408)	0.899(.408)	0.899(.408)	0.899(.408)
0.450	0.887(.430)	0.887(.430)	0.887(.430)	0.887(.430)	0.887(.430)
0.475	0.874(.452)	0.874(.452)	0.874(.452)	0.874(.452)	0.875(.452)
0.500	0.860(.474)	0.861(.474)	0.861(.474)	0.861(.474)	0.861(.474)
0.525	0.845(.495)	0.846(.495)	0.846(.495)	0.847(.495)	0.847(.495)
0.550	0.831(.516)	0.831(.516)	0.832(.516)	0.832(.516)	0.832(.516)
0.575	0.815(.536)	0.816(.537)	0.816(.537)	0.816(.537)	0.817(.537)
0.600	0.800(.557)	0.800(.557)	0.800(.557)	0.800(.557)	0.801(.557)
0.625	0.783(.576)	0.784(.577)	0.784(.577)	0.784(.577)	0.784(.577)
0.650	0.765(.596)	0.767(.596)	0.767(.596)	0.767(.596)	0.767(.596)
0.675	0.749(.615)	0.750(.615)	0.750(.615)	0.750(.615)	0.750(.615)
0.700	0.732(.633)	0.732(.633)	0.732(.633)	0.733(.634)	0.733(.634)
0.725	0.714(.651)	0.714(.651)	0.715(.652)	0.715(.652)	0.715(.652)
0.750	0.695(.669)	0.696(.669)	0.696(.669)	0.697(.669)	0.697(.669)
0.775	0.678(.686)	0.678(.686)	0.678(.686)	0.678(.686)	0.679(.687)
0.800	0.659(.703)	0.659(.703)	0.660(.703)	0.660(.703)	0.660(.703)
0.825	0.640(.719)	0.640(.719)	0.641(.719)	0.641(.719)	0.641(.720)
0.850	0.620(.735)	0.621(.735)	0.621(.735)	0.621(.735)	0.621(.735)
0.875	0.601(.750)	0.601(.750)	0.601(.750)	0.601(.751)	0.602(.751)
0.900	0.581(.765)	0.581(.765)	0.581(.765)	0.581(.765)	0.582(.765)
0.925	0.560(.779)	0.561(.779)	0.561(.779)	0.561(.780)	0.561(.780)
0.950	0.540(.793)	0.540(.793)	0.541(.793)	0.541(.793)	0.541(.794)
0.975	0.520(.806)	0.520(.806)	0.520(.806)	0.520(.807)	0.520(.807)
1.000	0.499(.819)	0.500(.819)	0.500(.819)	0.500(.819)	0.500(.820)

RE-ORDER NO. 66-196
 App C - Phase II

*** RELATIVE ENERGY FLUX DENSITY IN THE PENUMBRA *** VERSION C
 *** OF A DIFFUSE SKIRI WITH THE REFLECTANCE = 0. ***

SOLAR FIELD ANGLE, $\theta = 0.50$ DEGREES
 GEOMETRY $D1/D2 = 0.$

BETA = ANGLE OF INCIDENCE, DEGREES

BETA ***	10.00		20.00		30.00		40.00		50.00	
AX/AB	Q	(QI)	Q	(QI)	Q	(QI)	Q	(QI)	Q	(QI)
0.	1.000(.))	1.000(.))	1.000(.))	1.000(.))	1.000(.))
0.025	0.998(.025))	0.998(.025))	0.998(.025))	0.999(.025))	0.999(.025))
0.050	0.996(.050))	0.996(.050))	0.996(.050))	0.996(.050))	0.996(.050))
0.075	0.992(.075))	0.992(.075))	0.992(.075))	0.992(.075))	0.992(.075))
0.100	0.988(.100))	0.988(.100))	0.988(.100))	0.988(.100))	0.988(.100))
0.125	0.983(.124))	0.983(.124))	0.983(.124))	0.983(.124))	0.984(.124))
0.150	0.978(.149))	0.978(.149))	0.978(.149))	0.978(.149))	0.978(.149))
0.175	0.973(.173))	0.973(.173))	0.973(.173))	0.973(.173))	0.973(.173))
0.200	0.967(.197))	0.967(.197))	0.967(.197))	0.967(.197))	0.967(.197))
0.225	0.960(.221))	0.961(.221))	0.961(.221))	0.961(.221))	0.961(.221))
0.250	0.954(.245))	0.954(.245))	0.954(.245))	0.954(.245))	0.954(.245))
0.275	0.947(.269))	0.947(.269))	0.947(.269))	0.947(.269))	0.947(.269))
0.300	0.940(.293))	0.940(.293))	0.940(.293))	0.940(.293))	0.940(.293))
0.325	0.932(.316))	0.933(.316))	0.933(.316))	0.933(.316))	0.933(.316))
0.350	0.925(.339))	0.925(.339))	0.925(.339))	0.925(.339))	0.925(.339))
0.375	0.917(.362))	0.917(.362))	0.917(.362))	0.917(.362))	0.918(.362))
0.400	0.909(.385))	0.909(.385))	0.909(.385))	0.909(.385))	0.910(.385))
0.425	0.899(.408))	0.899(.408))	0.899(.408))	0.900(.408))	0.900(.408))
0.450	0.887(.430))	0.888(.430))	0.888(.430))	0.888(.430))	0.888(.430))
0.475	0.875(.452))	0.875(.452))	0.875(.452))	0.875(.452))	0.876(.452))
0.500	0.861(.474))	0.861(.474))	0.862(.474))	0.862(.474))	0.862(.474))
0.525	0.847(.495))	0.847(.495))	0.848(.495))	0.848(.495))	0.848(.495))
0.550	0.832(.516))	0.832(.516))	0.833(.516))	0.833(.516))	0.833(.516))
0.575	0.817(.537))	0.817(.537))	0.817(.537))	0.818(.537))	0.818(.537))
0.600	0.801(.557))	0.801(.557))	0.801(.557))	0.802(.557))	0.802(.557))
0.625	0.784(.577))	0.785(.577))	0.785(.577))	0.785(.577))	0.786(.577))
0.650	0.768(.596))	0.768(.596))	0.768(.596))	0.769(.596))	0.769(.597))
0.675	0.751(.615))	0.751(.615))	0.751(.615))	0.751(.615))	0.752(.616))
0.700	0.733(.634))	0.733(.634))	0.734(.634))	0.734(.634))	0.734(.634))
0.725	0.715(.652))	0.715(.652))	0.716(.652))	0.716(.652))	0.717(.652))
0.750	0.697(.669))	0.697(.670))	0.698(.670))	0.698(.670))	0.698(.670))
0.775	0.679(.687))	0.679(.687))	0.679(.687))	0.680(.687))	0.680(.687))
0.800	0.660(.703))	0.661(.704))	0.661(.704))	0.661(.704))	0.662(.704))
0.825	0.641(.720))	0.641(.720))	0.642(.720))	0.642(.720))	0.642(.720))
0.850	0.622(.735))	0.622(.736))	0.622(.736))	0.622(.736))	0.623(.736))
0.875	0.602(.751))	0.602(.751))	0.602(.751))	0.603(.751))	0.603(.751))
0.900	0.582(.766))	0.582(.766))	0.582(.766))	0.582(.766))	0.583(.766))
0.925	0.561(.780))	0.562(.780))	0.562(.780))	0.562(.780))	0.563(.781))
0.950	0.541(.794))	0.541(.794))	0.541(.794))	0.542(.794))	0.542(.794))
0.975	0.521(.807))	0.521(.807))	0.521(.807))	0.521(.807))	0.522(.808))
1.000	0.500(.820))	0.500(.820))	0.500(.820))	0.501(.820))	0.501(.820))

REORDER No. 66-196
 Apollo - Phase II

*** RELATIVE ENERGY FLUX DENSITY IN THE PENUMBRA ***
 *** OF A DIFFUSE SKIRT WITH THE REFLECTANCE = 0. ***

VERSION C

SOLAR FIELD ANGLE, $\theta = 0.50$ DEGREES
 GEOMETRY $D1/D2 = 0.$

BETA = ANGLE OF INCIDENCE, DEGREES

BETA ***	60.00	70.00	80.00	89.25
AX/AB	Q (Q1)	Q (Q1)	Q (Q1)	Q (Q1)
0.	1.000(.)	1.000(.)	1.000(.)	1.000(.)
0.025	0.999(.025)	0.999(.025)	0.999(.025)	0.999(.025)
0.050	0.995(.050)	0.996(.050)	0.996(.050)	0.998(.050)
0.075	0.992(.075)	0.992(.075)	0.993(.075)	0.997(.075)
0.100	0.988(.100)	0.988(.100)	0.989(.100)	0.995(.100)
0.125	0.984(.124)	0.984(.124)	0.984(.124)	0.993(.125)
0.150	0.979(.149)	0.979(.149)	0.979(.149)	0.991(.149)
0.175	0.973(.173)	0.973(.173)	0.974(.173)	0.989(.174)
0.200	0.967(.197)	0.968(.197)	0.968(.197)	0.986(.199)
0.225	0.961(.221)	0.961(.221)	0.962(.222)	0.983(.224)
0.250	0.955(.245)	0.955(.245)	0.956(.246)	0.980(.248)
0.275	0.948(.269)	0.948(.269)	0.949(.269)	0.976(.272)
0.300	0.941(.293)	0.941(.293)	0.943(.293)	0.972(.297)
0.325	0.933(.316)	0.934(.316)	0.935(.316)	0.968(.321)
0.350	0.926(.339)	0.926(.340)	0.928(.340)	0.964(.345)
0.375	0.918(.362)	0.919(.363)	0.920(.363)	0.959(.369)
0.400	0.910(.385)	0.911(.385)	0.913(.386)	0.955(.393)
0.425	0.900(.408)	0.901(.408)	0.903(.409)	0.949(.417)
0.450	0.889(.430)	0.890(.430)	0.892(.431)	0.944(.441)
0.475	0.876(.452)	0.877(.453)	0.880(.453)	0.938(.464)
0.500	0.863(.474)	0.864(.474)	0.867(.475)	0.932(.488)
0.525	0.849(.496)	0.850(.496)	0.853(.496)	0.924(.511)
0.550	0.834(.517)	0.835(.517)	0.838(.518)	0.915(.534)
0.575	0.819(.537)	0.820(.538)	0.823(.538)	0.905(.557)
0.600	0.803(.557)	0.804(.558)	0.808(.559)	0.893(.579)
0.625	0.785(.577)	0.788(.578)	0.791(.579)	0.880(.601)
0.650	0.770(.597)	0.771(.597)	0.775(.598)	0.867(.623)
0.675	0.753(.616)	0.754(.616)	0.758(.617)	0.852(.645)
0.700	0.735(.634)	0.736(.635)	0.740(.636)	0.837(.666)
0.725	0.717(.653)	0.719(.653)	0.722(.654)	0.820(.686)
0.750	0.699(.670)	0.700(.671)	0.704(.672)	0.802(.707)
0.775	0.681(.688)	0.682(.688)	0.686(.690)	0.784(.726)
0.800	0.662(.704)	0.664(.705)	0.667(.707)	0.764(.746)
0.825	0.643(.721)	0.644(.721)	0.648(.723)	0.743(.765)
0.850	0.624(.736)	0.625(.737)	0.628(.739)	0.721(.783)
0.875	0.604(.752)	0.605(.752)	0.608(.754)	0.698(.801)
0.900	0.583(.767)	0.585(.767)	0.588(.769)	0.673(.818)
0.925	0.563(.781)	0.564(.782)	0.567(.784)	0.647(.834)
0.950	0.543(.795)	0.544(.796)	0.546(.798)	0.619(.850)
0.975	0.522(.808)	0.523(.809)	0.525(.811)	0.590(.865)
1.000	0.501(.821)	0.502(.822)	0.504(.824)	0.560(.880)

9-4
 174

REORDER No. 66-196
App A - Phase II

*** RELATIVE ENERGY FLUX DENSITY IN THE PENUMBRA ***
 *** OF A DIFFUSE SKIRT WITH THE REFLECTANCE = 0. ***

VERSION C

SOLAR FIELD ANGLE, D = 0.50 DEGREES
 GEOMETRY D1/D2 = 0.25

BETA = ANGLE OF INCIDENCE, DEGREES

BETA ***	-89.25	-80.00	-70.00	-60.00	-50.00
AX/AB	Q (QI)	Q (QI)	Q (QI)	Q (QI)	Q (QI)
0.	1.000(.)	1.000(.)	1.000(.)	1.000(.)	1.000(.)
0.025	0.994(.025)	0.998(.025)	0.998(.025)	0.998(.025)	0.998(.025)
0.050	0.985(.050)	0.994(.050)	0.994(.050)	0.994(.050)	0.994(.050)
0.075	0.973(.074)	0.988(.075)	0.989(.075)	0.989(.075)	0.989(.075)
0.100	0.960(.098)	0.982(.099)	0.983(.099)	0.983(.099)	0.983(.099)
0.125	0.946(.122)	0.975(.124)	0.976(.124)	0.976(.124)	0.977(.124)
0.150	0.931(.146)	0.968(.148)	0.969(.148)	0.969(.148)	0.969(.148)
0.175	0.915(.169)	0.960(.172)	0.961(.172)	0.961(.172)	0.961(.172)
0.200	0.900(.191)	0.951(.196)	0.952(.196)	0.953(.196)	0.953(.196)
0.225	0.884(.214)	0.942(.220)	0.944(.220)	0.944(.220)	0.944(.220)
0.250	0.863(.235)	0.932(.243)	0.934(.243)	0.935(.243)	0.935(.243)
0.275	0.840(.257)	0.922(.266)	0.925(.267)	0.925(.267)	0.926(.267)
0.300	0.815(.277)	0.912(.289)	0.915(.290)	0.916(.290)	0.916(.290)
0.325	0.789(.297)	0.901(.312)	0.904(.312)	0.905(.312)	0.905(.312)
0.350	0.763(.317)	0.886(.334)	0.890(.335)	0.891(.335)	0.892(.335)
0.375	0.736(.336)	0.870(.356)	0.874(.357)	0.876(.357)	0.876(.357)
0.400	0.710(.354)	0.852(.378)	0.857(.378)	0.858(.379)	0.859(.379)
0.425	0.683(.371)	0.834(.399)	0.839(.400)	0.840(.400)	0.841(.400)
0.450	0.657(.388)	0.814(.419)	0.819(.420)	0.821(.421)	0.822(.421)
0.475	0.631(.404)	0.794(.439)	0.800(.441)	0.801(.441)	0.802(.441)
0.500	0.605(.419)	0.773(.459)	0.779(.460)	0.781(.461)	0.782(.461)
0.525	0.579(.434)	0.751(.478)	0.758(.479)	0.760(.480)	0.761(.480)
0.550	0.554(.448)	0.729(.497)	0.736(.498)	0.738(.499)	0.739(.499)
0.575	0.528(.462)	0.707(.515)	0.713(.516)	0.716(.517)	0.717(.517)
0.600	0.504(.475)	0.684(.532)	0.691(.534)	0.693(.534)	0.694(.535)
0.625	0.479(.487)	0.661(.549)	0.668(.551)	0.670(.551)	0.671(.552)
0.650	0.455(.499)	0.637(.565)	0.644(.567)	0.647(.568)	0.648(.568)
0.675	0.410(.510)	0.613(.581)	0.620(.583)	0.622(.584)	0.624(.584)
0.700	0.327(.519)	0.588(.596)	0.595(.598)	0.598(.599)	0.599(.599)
0.725	0.257(.526)	0.563(.610)	0.570(.613)	0.572(.614)	0.574(.614)
0.750	0.198(.532)	0.538(.624)	0.545(.627)	0.547(.628)	0.548(.628)
0.775	0.148(.536)	0.513(.637)	0.519(.640)	0.522(.641)	0.523(.642)
0.800	0.107(.539)	0.463(.649)	0.482(.652)	0.489(.654)	0.492(.654)
0.825	0.075(.542)	0.365(.659)	0.382(.663)	0.388(.665)	0.391(.665)
0.850	0.055(.543)	0.275(.667)	0.289(.672)	0.294(.673)	0.297(.674)
0.875	0.041(.544)	0.193(.673)	0.205(.678)	0.209(.679)	0.211(.680)
0.900	0.028(.545)	0.123(.677)	0.131(.682)	0.134(.684)	0.135(.685)
0.925	0.017(.546)	0.075(.680)	0.079(.685)	0.081(.686)	0.081(.687)
0.950	0.009(.546)	0.041(.681)	0.044(.686)	0.045(.688)	0.045(.689)
0.975	0.003(.546)	0.015(.682)	0.016(.687)	0.016(.689)	0.016(.690)
1.000	0.000(.546)	0.000(.682)	0.000(.687)	0.000(.689)	0.000(.690)

RE ORDER No. 06-196
 App A - Phase II

*** RELATIVE ENERGY FLUX DENSITY IN THE PENUMBRA ***
 *** OF A DIFFUSE SKIRT WITH THE REFLECTANCE = 0. ***

VERSION C

SOLAR FIELD ANGLE, D = 0.50 DEGREES
 GEOMETRY D1/D2 = 0.25

BETA = ANGLE OF INCIDENCE, DEGREES

BETA ***	-40.00	-30.00	-20.00	-10.00	-0.
AX/AB	Q (QI)	Q (QI)	Q (QI)	Q (QI)	Q (QI)
0.	1.000(.)	1.000(.)	1.000(.)	1.000(.)	1.000(.)
0.025	0.998(.025)	0.998(.025)	0.998(.025)	0.998(.025)	0.998(.025)
0.050	0.994(.050)	0.994(.050)	0.994(.050)	0.994(.050)	0.994(.050)
0.075	0.989(.075)	0.989(.075)	0.989(.075)	0.989(.075)	0.989(.075)
0.100	0.983(.099)	0.983(.099)	0.983(.099)	0.983(.099)	0.983(.099)
0.125	0.977(.124)	0.977(.124)	0.977(.124)	0.977(.124)	0.977(.124)
0.150	0.969(.148)	0.969(.148)	0.970(.148)	0.970(.148)	0.970(.148)
0.175	0.962(.172)	0.962(.172)	0.962(.172)	0.962(.172)	0.962(.172)
0.200	0.953(.196)	0.954(.196)	0.954(.196)	0.954(.196)	0.954(.196)
0.225	0.945(.220)	0.945(.220)	0.945(.220)	0.945(.220)	0.945(.220)
0.250	0.935(.243)	0.936(.243)	0.936(.243)	0.936(.243)	0.936(.244)
0.275	0.925(.267)	0.926(.267)	0.926(.267)	0.927(.267)	0.927(.267)
0.300	0.915(.290)	0.916(.290)	0.917(.290)	0.917(.290)	0.917(.290)
0.325	0.905(.313)	0.906(.313)	0.906(.313)	0.906(.313)	0.907(.313)
0.350	0.892(.335)	0.893(.335)	0.893(.335)	0.893(.335)	0.893(.335)
0.375	0.877(.357)	0.877(.357)	0.877(.357)	0.878(.357)	0.878(.357)
0.400	0.860(.379)	0.860(.379)	0.861(.379)	0.861(.379)	0.861(.379)
0.425	0.842(.400)	0.842(.400)	0.843(.400)	0.843(.400)	0.843(.400)
0.450	0.823(.421)	0.823(.421)	0.824(.421)	0.824(.421)	0.824(.421)
0.475	0.803(.441)	0.804(.441)	0.804(.441)	0.804(.441)	0.805(.442)
0.500	0.783(.461)	0.783(.461)	0.784(.461)	0.784(.461)	0.784(.461)
0.525	0.761(.480)	0.762(.480)	0.762(.481)	0.763(.481)	0.763(.481)
0.550	0.740(.499)	0.740(.499)	0.741(.499)	0.741(.499)	0.742(.500)
0.575	0.718(.517)	0.718(.517)	0.719(.518)	0.719(.518)	0.719(.518)
0.600	0.695(.535)	0.696(.535)	0.696(.535)	0.697(.535)	0.697(.535)
0.625	0.672(.552)	0.673(.552)	0.673(.552)	0.674(.553)	0.674(.553)
0.650	0.649(.569)	0.649(.569)	0.650(.569)	0.650(.569)	0.651(.569)
0.675	0.624(.584)	0.625(.585)	0.626(.585)	0.626(.585)	0.626(.585)
0.700	0.600(.600)	0.600(.600)	0.601(.600)	0.601(.600)	0.602(.601)
0.725	0.575(.614)	0.575(.615)	0.576(.615)	0.576(.615)	0.577(.615)
0.750	0.549(.629)	0.550(.629)	0.550(.629)	0.551(.629)	0.551(.629)
0.775	0.524(.642)	0.524(.642)	0.525(.642)	0.525(.643)	0.526(.643)
0.800	0.495(.655)	0.496(.655)	0.498(.655)	0.499(.655)	0.500(.656)
0.825	0.393(.666)	0.395(.666)	0.396(.666)	0.397(.667)	0.398(.667)
0.850	0.299(.674)	0.300(.675)	0.301(.675)	0.302(.675)	0.303(.676)
0.875	0.212(.681)	0.213(.681)	0.214(.682)	0.215(.682)	0.216(.682)
0.900	0.135(.685)	0.137(.686)	0.138(.686)	0.138(.686)	0.139(.687)
0.925	0.082(.688)	0.082(.688)	0.083(.689)	0.083(.689)	0.083(.689)
0.950	0.045(.689)	0.046(.690)	0.046(.690)	0.046(.691)	0.046(.691)
0.975	0.015(.690)	0.016(.691)	0.017(.691)	0.017(.691)	0.017(.692)
1.000	0.000(.690)	0.000(.691)	0.000(.691)	0.000(.692)	0.000(.692)

REPORT No. 66-196
 Appl - Pratt

*** RELATIVE ENERGY FLUX DENSITY IN THE PENUMBRA ***
 *** OF A DIFFUSE SKIRT WITH THE REFLECTANCE = 0. ***

VERSION C

SOLAR FIELD ANGLE, D = 0.50 DEGREES
 GEOMETRY D1/D2 = 0.25

BETA = ANGLE OF INCIDENCE, DEGREES

BETA ***	10.00	20.00	30.00	40.00	50.00
AX/AB	Q (Q1)	Q (Q1)	Q (Q1)	Q (Q1)	Q (Q1)
0.	1.000(.)	1.000(.)	1.000(.)	1.000(.)	1.000(.)
0.025	0.998(.025)	0.998(.025)	0.998(.025)	0.998(.025)	0.998(.025)
0.050	0.994(.050)	0.994(.050)	0.994(.050)	0.994(.050)	0.994(.050)
0.075	0.989(.075)	0.989(.075)	0.989(.075)	0.989(.075)	0.989(.075)
0.100	0.983(.099)	0.983(.099)	0.983(.099)	0.984(.099)	0.984(.099)
0.125	0.977(.124)	0.977(.124)	0.977(.124)	0.977(.124)	0.977(.124)
0.150	0.970(.148)	0.970(.148)	0.970(.148)	0.970(.148)	0.970(.148)
0.175	0.962(.172)	0.962(.172)	0.962(.172)	0.962(.172)	0.963(.172)
0.200	0.954(.196)	0.954(.196)	0.954(.196)	0.954(.196)	0.954(.196)
0.225	0.945(.220)	0.945(.220)	0.946(.220)	0.946(.220)	0.946(.220)
0.250	0.936(.244)	0.936(.244)	0.937(.244)	0.937(.244)	0.937(.244)
0.275	0.927(.267)	0.927(.267)	0.927(.267)	0.927(.267)	0.928(.267)
0.300	0.917(.290)	0.917(.290)	0.917(.290)	0.918(.290)	0.918(.290)
0.325	0.907(.313)	0.907(.313)	0.907(.313)	0.907(.313)	0.908(.313)
0.350	0.893(.335)	0.894(.335)	0.894(.335)	0.894(.335)	0.895(.335)
0.375	0.878(.357)	0.878(.357)	0.879(.357)	0.879(.357)	0.879(.357)
0.400	0.861(.379)	0.862(.379)	0.862(.379)	0.862(.379)	0.863(.379)
0.425	0.844(.400)	0.844(.400)	0.844(.400)	0.845(.401)	0.845(.401)
0.450	0.825(.421)	0.825(.421)	0.825(.421)	0.826(.421)	0.826(.422)
0.475	0.805(.442)	0.805(.442)	0.806(.442)	0.806(.442)	0.807(.442)
0.500	0.785(.461)	0.785(.462)	0.785(.462)	0.786(.462)	0.787(.462)
0.525	0.764(.481)	0.764(.481)	0.764(.481)	0.765(.481)	0.766(.481)
0.550	0.742(.500)	0.742(.500)	0.743(.500)	0.743(.500)	0.744(.500)
0.575	0.720(.518)	0.720(.518)	0.721(.518)	0.721(.518)	0.722(.518)
0.600	0.697(.536)	0.698(.536)	0.698(.536)	0.699(.536)	0.700(.536)
0.625	0.674(.553)	0.675(.553)	0.675(.553)	0.676(.553)	0.677(.553)
0.650	0.651(.569)	0.651(.569)	0.652(.570)	0.653(.570)	0.653(.570)
0.675	0.627(.585)	0.627(.585)	0.628(.586)	0.628(.586)	0.629(.586)
0.700	0.602(.601)	0.602(.601)	0.603(.601)	0.604(.601)	0.604(.602)
0.725	0.577(.615)	0.577(.616)	0.578(.616)	0.578(.616)	0.579(.616)
0.750	0.552(.629)	0.552(.630)	0.552(.630)	0.553(.630)	0.554(.630)
0.775	0.526(.643)	0.526(.643)	0.527(.643)	0.528(.644)	0.528(.644)
0.800	0.500(.656)	0.501(.656)	0.501(.656)	0.502(.657)	0.503(.657)
0.825	0.399(.667)	0.401(.667)	0.402(.668)	0.403(.668)	0.406(.668)
0.850	0.304(.676)	0.305(.676)	0.306(.676)	0.307(.677)	0.309(.677)
0.875	0.216(.682)	0.217(.683)	0.218(.683)	0.219(.683)	0.221(.684)
0.900	0.139(.687)	0.140(.687)	0.141(.687)	0.141(.688)	0.142(.688)
0.925	0.083(.690)	0.084(.690)	0.084(.690)	0.084(.691)	0.085(.691)
0.950	0.046(.691)	0.046(.691)	0.047(.692)	0.047(.692)	0.047(.693)
0.975	0.017(.692)	0.017(.692)	0.017(.693)	0.017(.693)	0.017(.694)
1.000	0.000(.692)	0.000(.692)	0.000(.693)	0.000(.693)	0.000(.694)

C-7

177

66-196
 App A - Phase II
 VERSION C

*** RELATIVE ENERGY FLUX DENSITY IN THE PENUMBRA ***
 *** OF A DIFFUSE SKIRT WITH THE REFLECTANCE = 0. ***

SOLAR FIELD ANGLE, D = 0.50 DEGREES
 GEOMETRY D1/D2 = 0.25

BETA = ANGLE OF INCIDENCE, DEGREES

BETA ***	60.00	70.00	80.00	89.25
AX/AB	Q (Q1)	Q (Q1)	Q (Q1)	Q (Q1)
0.	1.000(.)	1.000(.)	1.000(.)	1.000(.)
0.025	0.998(.025)	0.998(.025)	0.998(.025)	0.999(.025)
0.050	0.994(.050)	0.994(.050)	0.994(.050)	0.998(.050)
0.075	0.989(.075)	0.990(.075)	0.990(.075)	0.996(.075)
0.100	0.984(.099)	0.984(.099)	0.984(.099)	0.994(.100)
0.125	0.977(.124)	0.978(.124)	0.978(.124)	0.992(.125)
0.150	0.970(.148)	0.971(.148)	0.972(.148)	0.989(.149)
0.175	0.963(.172)	0.963(.172)	0.964(.172)	0.986(.174)
0.200	0.955(.196)	0.955(.196)	0.957(.196)	0.983(.199)
0.225	0.946(.220)	0.947(.220)	0.948(.220)	0.979(.223)
0.250	0.945(.220)	0.947(.220)	0.948(.220)	0.975(.248)
0.275	0.937(.244)	0.938(.244)	0.940(.244)	0.971(.272)
0.300	0.928(.267)	0.929(.267)	0.931(.267)	0.966(.296)
0.325	0.915(.290)	0.919(.290)	0.921(.290)	0.961(.320)
0.350	0.908(.313)	0.909(.313)	0.912(.313)	0.956(.344)
0.375	0.897(.335)	0.896(.336)	0.900(.336)	0.950(.368)
0.400	0.889(.358)	0.882(.358)	0.885(.358)	0.944(.392)
0.425	0.880(.379)	0.865(.380)	0.870(.380)	0.937(.415)
0.450	0.864(.399)	0.848(.401)	0.852(.402)	0.930(.439)
0.475	0.846(.422)	0.829(.422)	0.834(.423)	0.921(.462)
0.500	0.827(.442)	0.810(.442)	0.815(.443)	0.910(.485)
0.525	0.808(.462)	0.790(.462)	0.795(.464)	0.897(.507)
0.550	0.788(.481)	0.769(.482)	0.775(.483)	0.884(.529)
0.575	0.767(.501)	0.747(.501)	0.754(.502)	0.869(.551)
0.600	0.745(.519)	0.725(.519)	0.732(.521)	0.852(.573)
0.625	0.723(.537)	0.703(.537)	0.709(.539)	0.835(.594)
0.650	0.701(.554)	0.680(.554)	0.687(.556)	0.816(.615)
0.675	0.678(.571)	0.657(.571)	0.664(.573)	0.796(.635)
0.700	0.655(.587)	0.633(.587)	0.640(.590)	0.774(.654)
0.725	0.630(.602)	0.608(.603)	0.615(.605)	0.751(.673)
0.750	0.605(.617)	0.583(.618)	0.590(.620)	0.727(.692)
0.775	0.581(.631)	0.558(.632)	0.564(.635)	0.701(.710)
0.800	0.555(.645)	0.532(.646)	0.539(.648)	0.673(.727)
0.825	0.530(.657)	0.506(.659)	0.513(.662)	0.644(.743)
0.850	0.504(.669)	0.415(.670)	0.433(.673)	0.612(.759)
0.875	0.409(.678)	0.317(.679)	0.332(.683)	0.579(.774)
0.900	0.312(.685)	0.227(.686)	0.240(.690)	0.496(.787)
0.925	0.223(.689)	0.147(.691)	0.156(.695)	0.343(.798)
0.950	0.144(.692)	0.087(.694)	0.092(.698)	0.185(.805)
0.975	0.085(.695)	0.049(.695)	0.051(.700)	0.069(.808)
1.000	0.048(.696)	0.018(.696)	0.019(.701)	0.000(.809)

RECORD No. 66-196
 App A - Phase II

*** RELATIVE ENERGY FLUX DENSITY IN THE PENUMBRA ***
 *** OF A DIFFUSE SKIRT WITH THE REFLECTANCE = 0. ***

VERSION C

SOLAR FIELD ANGLE, D = 0.50 DEGREES
 GEOMETRY D1/D2 = 0.50

BETA = ANGLE OF INCIDENCE, DEGREES

BETA ***	-89.25	-80.00	-70.00	-60.00	-50.00
AX/AB	Q (QI)	Q (QI)	Q (QI)	Q (QI)	Q (QI)
0.	1.000(.)	1.000(.)	1.000(.)	1.000(.)	1.000(.)
0.025	0.992(.025)	0.997(.025)	0.997(.025)	0.997(.025)	0.997(.025)
0.050	0.977(.050)	0.992(.050)	0.992(.050)	0.992(.050)	0.992(.050)
0.075	0.960(.074)	0.985(.075)	0.985(.075)	0.985(.075)	0.986(.075)
0.100	0.941(.097)	0.976(.099)	0.977(.099)	0.978(.099)	0.978(.099)
0.125	0.921(.121)	0.967(.123)	0.969(.123)	0.969(.123)	0.969(.123)
0.150	0.900(.143)	0.957(.147)	0.959(.147)	0.960(.148)	0.960(.148)
0.175	0.877(.166)	0.947(.171)	0.949(.171)	0.949(.171)	0.950(.171)
0.200	0.848(.187)	0.936(.195)	0.938(.195)	0.939(.195)	0.939(.195)
0.225	0.815(.208)	0.924(.218)	0.926(.218)	0.927(.218)	0.928(.218)
0.250	0.780(.228)	0.911(.241)	0.914(.241)	0.915(.241)	0.916(.241)
0.275	0.745(.247)	0.897(.264)	0.901(.264)	0.902(.264)	0.903(.264)
0.300	0.710(.265)	0.878(.286)	0.883(.286)	0.885(.286)	0.885(.286)
0.325	0.674(.283)	0.858(.307)	0.863(.308)	0.865(.308)	0.866(.308)
0.350	0.640(.299)	0.835(.329)	0.841(.329)	0.843(.330)	0.845(.330)
0.375	0.605(.315)	0.812(.349)	0.818(.350)	0.821(.350)	0.822(.351)
0.400	0.571(.329)	0.787(.369)	0.794(.370)	0.797(.371)	0.798(.371)
0.425	0.537(.343)	0.761(.388)	0.769(.390)	0.772(.390)	0.773(.390)
0.450	0.504(.356)	0.735(.407)	0.743(.409)	0.746(.409)	0.747(.409)
0.475	0.471(.368)	0.708(.425)	0.716(.427)	0.719(.427)	0.721(.428)
0.500	0.440(.380)	0.681(.443)	0.689(.444)	0.692(.445)	0.694(.445)
0.525	0.381(.390)	0.652(.459)	0.661(.461)	0.664(.462)	0.666(.462)
0.550	0.327(.399)	0.623(.475)	0.633(.478)	0.636(.478)	0.637(.479)
0.575	0.279(.406)	0.594(.490)	0.603(.493)	0.606(.494)	0.608(.494)
0.600	0.235(.413)	0.563(.505)	0.573(.508)	0.576(.509)	0.578(.509)
0.625	0.198(.418)	0.533(.519)	0.542(.522)	0.546(.523)	0.547(.523)
0.650	0.163(.423)	0.502(.532)	0.512(.535)	0.515(.536)	0.517(.537)
0.675	0.133(.426)	0.448(.543)	0.464(.547)	0.470(.548)	0.473(.549)
0.700	0.107(.429)	0.389(.554)	0.404(.558)	0.409(.559)	0.412(.560)
0.725	0.085(.432)	0.332(.563)	0.346(.567)	0.350(.569)	0.353(.570)
0.750	0.068(.434)	0.278(.570)	0.291(.575)	0.295(.577)	0.298(.578)
0.775	0.055(.435)	0.228(.577)	0.239(.582)	0.243(.584)	0.245(.584)
0.800	0.045(.437)	0.180(.582)	0.190(.587)	0.193(.589)	0.195(.590)
0.825	0.035(.438)	0.138(.586)	0.145(.591)	0.148(.593)	0.150(.594)
0.850	0.028(.438)	0.101(.589)	0.107(.594)	0.109(.596)	0.110(.597)
0.875	0.020(.439)	0.076(.591)	0.080(.597)	0.081(.599)	0.082(.600)
0.900	0.014(.439)	0.055(.593)	0.058(.599)	0.059(.601)	0.059(.602)
0.925	0.009(.440)	0.036(.594)	0.038(.600)	0.038(.602)	0.039(.603)
0.950	0.005(.440)	0.020(.595)	0.021(.600)	0.021(.603)	0.021(.604)
0.975	0.002(.440)	0.007(.595)	0.007(.601)	0.008(.603)	0.008(.604)
1.000	0.000(.440)	0.000(.595)	0.000(.601)	0.000(.603)	0.000(.604)

*** RELATIVE ENERGY FLUX DENSITY IN THE PENUMBRA ***
 *** OF A DIFFUSE SKIRT WITH THE REFLECTANCE = 0. ***

SOLAR FIELD ANGLE, $\theta = 0.50$ DEGREES
 GEOMETRY $D1/D2 = 0.50$

BETA = ANGLE OF INCIDENCE, DEGREES

BETA ***	-40.00	-30.00	-20.00	-10.00	-0.
AX/AB	Q (Q1)	Q (Q1)	Q (Q1)	Q (Q1)	Q (Q1)
0.	1.000(.)	1.000(.)	1.000(.)	1.000(.)	1.000(.)
0.025	0.997(.025)	0.997(.025)	0.997(.025)	0.997(.025)	0.997(.025)
0.050	0.992(.050)	0.992(.050)	0.992(.050)	0.992(.050)	0.992(.050)
0.075	0.985(.075)	0.986(.075)	0.986(.075)	0.986(.075)	0.986(.075)
0.100	0.978(.099)	0.978(.099)	0.978(.099)	0.978(.099)	0.978(.099)
0.125	0.969(.123)	0.969(.123)	0.970(.123)	0.970(.123)	0.970(.123)
0.150	0.960(.148)	0.960(.148)	0.960(.148)	0.960(.148)	0.960(.148)
0.175	0.950(.171)	0.950(.171)	0.950(.171)	0.950(.171)	0.950(.171)
0.200	0.939(.195)	0.939(.195)	0.940(.195)	0.940(.195)	0.940(.195)
0.225	0.928(.218)	0.928(.218)	0.928(.218)	0.928(.218)	0.929(.218)
0.250	0.916(.241)	0.916(.241)	0.917(.241)	0.917(.242)	0.917(.242)
0.275	0.903(.264)	0.903(.264)	0.904(.264)	0.904(.264)	0.904(.264)
0.300	0.885(.287)	0.886(.287)	0.887(.287)	0.887(.287)	0.887(.287)
0.325	0.865(.308)	0.867(.308)	0.867(.309)	0.868(.309)	0.868(.309)
0.350	0.845(.330)	0.846(.330)	0.846(.330)	0.847(.330)	0.847(.330)
0.375	0.823(.351)	0.823(.351)	0.824(.351)	0.824(.351)	0.824(.351)
0.400	0.799(.371)	0.799(.371)	0.800(.371)	0.800(.371)	0.801(.371)
0.425	0.774(.391)	0.774(.391)	0.775(.391)	0.775(.391)	0.776(.391)
0.450	0.748(.410)	0.749(.410)	0.749(.410)	0.750(.410)	0.750(.410)
0.475	0.722(.428)	0.722(.428)	0.723(.428)	0.723(.428)	0.724(.428)
0.500	0.695(.446)	0.695(.446)	0.696(.446)	0.696(.446)	0.697(.446)
0.525	0.667(.463)	0.668(.463)	0.668(.463)	0.669(.463)	0.669(.463)
0.550	0.638(.479)	0.639(.479)	0.640(.479)	0.640(.480)	0.641(.480)
0.575	0.609(.495)	0.610(.495)	0.610(.495)	0.611(.495)	0.612(.495)
0.600	0.579(.509)	0.580(.510)	0.580(.510)	0.581(.510)	0.582(.510)
0.625	0.548(.524)	0.549(.524)	0.550(.524)	0.551(.524)	0.551(.524)
0.650	0.518(.537)	0.519(.537)	0.519(.537)	0.520(.538)	0.520(.538)
0.675	0.475(.549)	0.476(.550)	0.477(.550)	0.479(.550)	0.480(.550)
0.700	0.414(.560)	0.415(.561)	0.417(.561)	0.418(.561)	0.418(.562)
0.725	0.355(.570)	0.356(.570)	0.357(.571)	0.358(.571)	0.359(.571)
0.750	0.299(.578)	0.300(.579)	0.301(.579)	0.302(.579)	0.303(.580)
0.775	0.245(.585)	0.247(.585)	0.248(.586)	0.249(.586)	0.250(.586)
0.800	0.195(.591)	0.197(.591)	0.198(.591)	0.199(.592)	0.199(.592)
0.825	0.151(.595)	0.151(.595)	0.152(.596)	0.153(.596)	0.153(.596)
0.850	0.111(.598)	0.111(.599)	0.112(.599)	0.112(.599)	0.113(.600)
0.875	0.082(.601)	0.082(.601)	0.083(.602)	0.083(.602)	0.083(.602)
0.900	0.059(.602)	0.060(.603)	0.060(.603)	0.060(.604)	0.060(.604)
0.925	0.039(.604)	0.039(.604)	0.039(.605)	0.039(.605)	0.040(.605)
0.950	0.021(.604)	0.022(.605)	0.022(.605)	0.022(.606)	0.022(.606)
0.975	0.008(.605)	0.008(.605)	0.008(.606)	0.008(.606)	0.008(.606)
1.000	0.000(.605)	0.000(.605)	0.000(.606)	0.000(.606)	0.000(.607)

RE-ORDER NO. 66-196
 App A - Phase II
 VERSION C

*** RELATIVE ENERGY FLUX DENSITY IN THE PENUMBRA ***
 *** OF A DIFFUSE SKIRT WITH THE REFLECTANCE = 0. ***

SOLAR FIELD ANGLE, D= 0.50 DEGREES
 GEOMETRY D1/D2 = 0.50

BETA = ANGLE OF INCIDENCE, DEGREES

BETA ***	10.00	20.00	30.00	40.00	50.00
AX/AB	Q (QI)	Q (QI)	Q (QI)	Q (QI)	Q (QI)
0.	1.000(.)	1.000(.)	1.000(.)	1.000(.)	1.000(.)
0.025	0.997(.025)	0.997(.025)	0.997(.025)	0.997(.025)	0.997(.025)
0.050	0.992(.050)	0.992(.050)	0.992(.050)	0.992(.050)	0.992(.050)
0.075	0.986(.075)	0.986(.075)	0.986(.075)	0.986(.075)	0.986(.075)
0.100	0.978(.099)	0.978(.099)	0.978(.099)	0.978(.099)	0.979(.099)
0.125	0.970(.123)	0.970(.123)	0.970(.123)	0.970(.123)	0.970(.123)
0.150	0.961(.148)	0.961(.148)	0.961(.148)	0.961(.148)	0.961(.148)
0.175	0.951(.171)	0.951(.171)	0.951(.171)	0.951(.172)	0.951(.172)
0.200	0.940(.195)	0.940(.195)	0.940(.195)	0.940(.195)	0.941(.195)
0.225	0.929(.218)	0.929(.218)	0.929(.218)	0.929(.219)	0.930(.219)
0.250	0.917(.242)	0.917(.242)	0.917(.242)	0.918(.242)	0.918(.242)
0.275	0.904(.264)	0.905(.264)	0.905(.264)	0.905(.264)	0.906(.264)
0.300	0.888(.287)	0.888(.287)	0.888(.287)	0.889(.287)	0.889(.287)
0.325	0.868(.309)	0.869(.309)	0.869(.309)	0.869(.309)	0.870(.309)
0.350	0.847(.330)	0.848(.330)	0.848(.330)	0.849(.330)	0.849(.330)
0.375	0.825(.351)	0.825(.351)	0.826(.351)	0.826(.351)	0.827(.351)
0.400	0.801(.371)	0.802(.371)	0.802(.371)	0.803(.372)	0.803(.372)
0.425	0.776(.391)	0.777(.391)	0.777(.391)	0.778(.391)	0.779(.391)
0.450	0.751(.410)	0.751(.410)	0.752(.410)	0.753(.410)	0.753(.411)
0.475	0.724(.429)	0.725(.429)	0.726(.429)	0.726(.429)	0.727(.429)
0.500	0.697(.446)	0.698(.446)	0.699(.447)	0.699(.447)	0.700(.447)
0.525	0.670(.463)	0.670(.464)	0.671(.464)	0.672(.464)	0.673(.464)
0.550	0.642(.480)	0.642(.480)	0.643(.480)	0.644(.480)	0.645(.481)
0.575	0.612(.495)	0.613(.496)	0.613(.496)	0.614(.496)	0.615(.496)
0.600	0.582(.510)	0.583(.511)	0.583(.511)	0.584(.511)	0.585(.511)
0.625	0.552(.525)	0.552(.525)	0.553(.525)	0.554(.525)	0.555(.526)
0.650	0.521(.538)	0.522(.538)	0.522(.538)	0.523(.539)	0.524(.539)
0.675	0.480(.551)	0.482(.551)	0.483(.551)	0.484(.551)	0.486(.552)
0.700	0.419(.562)	0.420(.562)	0.422(.562)	0.423(.563)	0.425(.563)
0.725	0.360(.572)	0.361(.572)	0.362(.572)	0.363(.572)	0.365(.573)
0.750	0.304(.580)	0.305(.580)	0.306(.580)	0.307(.581)	0.308(.581)
0.775	0.250(.587)	0.251(.587)	0.252(.587)	0.253(.588)	0.254(.588)
0.800	0.200(.592)	0.201(.593)	0.201(.593)	0.202(.594)	0.204(.594)
0.825	0.154(.597)	0.154(.597)	0.155(.598)	0.156(.598)	0.157(.599)
0.850	0.113(.600)	0.114(.600)	0.114(.601)	0.115(.601)	0.115(.602)
0.875	0.083(.603)	0.084(.603)	0.084(.603)	0.084(.604)	0.085(.605)
0.900	0.060(.604)	0.061(.605)	0.061(.605)	0.061(.606)	0.061(.606)
0.925	0.040(.606)	0.040(.606)	0.040(.606)	0.040(.607)	0.040(.608)
0.950	0.022(.606)	0.022(.607)	0.022(.607)	0.022(.608)	0.022(.608)
0.975	0.008(.607)	0.008(.607)	0.008(.608)	0.008(.608)	0.008(.609)
1.000	0.000(.607)	0.000(.607)	0.000(.608)	0.000(.608)	0.000(.609)

RECORDED No 66-196
 C. P. C. - Pharell
 VERSION C

*** RELATIVE ENERGY FLUX DENSITY IN THE PENUMBRA ***
 *** OF A DIFFUSE SKIRI WITH THE REFLECTANCE = 0. ***

SOLAR FIELD ANGLE, D = 0.50 DEGREES
 GEOMETRY D1/D2 = 0.50

BETA = ANGLE OF INCIDENCE, DEGREES

BETA *** AX/AB	60.00		70.00		80.00		89.25	
	Q	(QI)	Q	(QI)	Q	(QI)	Q	(QI)
0.	1.000(.)	1.000(.)	1.000(.)	1.000(.)	1.000(.)	1.000(.)	1.000(.)	1.000(.)
0.025	0.997(.025)	0.997(.025)	0.997(.025)	0.997(.025)	0.997(.025)	0.997(.025)	0.999(.025)	0.999(.025)
0.050	0.992(.050)	0.993(.050)	0.993(.050)	0.993(.050)	0.993(.050)	0.993(.050)	0.998(.050)	0.998(.050)
0.075	0.985(.075)	0.986(.075)	0.986(.075)	0.986(.075)	0.987(.075)	0.987(.075)	0.996(.075)	0.996(.075)
0.100	0.979(.099)	0.979(.099)	0.979(.099)	0.979(.099)	0.980(.099)	0.980(.099)	0.993(.100)	0.993(.100)
0.125	0.970(.123)	0.971(.124)	0.971(.124)	0.971(.124)	0.972(.124)	0.972(.124)	0.991(.125)	0.991(.125)
0.150	0.961(.148)	0.962(.148)	0.962(.148)	0.962(.148)	0.963(.148)	0.963(.148)	0.987(.149)	0.987(.149)
0.175	0.951(.172)	0.952(.172)	0.952(.172)	0.952(.172)	0.954(.172)	0.954(.172)	0.984(.174)	0.984(.174)
0.200	0.941(.195)	0.942(.195)	0.942(.195)	0.942(.195)	0.944(.195)	0.944(.195)	0.980(.198)	0.980(.198)
0.225	0.930(.219)	0.931(.219)	0.931(.219)	0.931(.219)	0.933(.219)	0.933(.219)	0.975(.223)	0.975(.223)
0.250	0.919(.242)	0.920(.242)	0.920(.242)	0.920(.242)	0.922(.242)	0.922(.242)	0.970(.247)	0.970(.247)
0.275	0.906(.265)	0.907(.265)	0.907(.265)	0.907(.265)	0.911(.265)	0.911(.265)	0.965(.271)	0.965(.271)
0.300	0.890(.287)	0.891(.287)	0.891(.287)	0.891(.287)	0.896(.288)	0.896(.288)	0.959(.295)	0.959(.295)
0.325	0.871(.309)	0.873(.309)	0.873(.309)	0.873(.309)	0.878(.310)	0.878(.310)	0.953(.319)	0.953(.319)
0.350	0.850(.330)	0.852(.331)	0.852(.331)	0.852(.331)	0.858(.331)	0.858(.331)	0.947(.343)	0.947(.343)
0.375	0.828(.351)	0.830(.352)	0.830(.352)	0.830(.352)	0.836(.353)	0.836(.353)	0.940(.367)	0.940(.367)
0.400	0.805(.372)	0.807(.372)	0.807(.372)	0.807(.372)	0.814(.373)	0.814(.373)	0.932(.390)	0.932(.390)
0.425	0.780(.392)	0.783(.392)	0.783(.392)	0.783(.392)	0.790(.393)	0.790(.393)	0.922(.413)	0.922(.413)
0.450	0.755(.411)	0.758(.411)	0.758(.411)	0.758(.411)	0.765(.413)	0.765(.413)	0.910(.436)	0.910(.436)
0.475	0.729(.429)	0.731(.430)	0.731(.430)	0.731(.430)	0.739(.432)	0.739(.432)	0.896(.459)	0.896(.459)
0.500	0.702(.447)	0.705(.448)	0.705(.448)	0.705(.448)	0.713(.450)	0.713(.450)	0.880(.481)	0.880(.481)
0.525	0.674(.465)	0.677(.465)	0.677(.465)	0.677(.465)	0.686(.467)	0.686(.467)	0.863(.503)	0.863(.503)
0.550	0.645(.481)	0.649(.482)	0.649(.482)	0.649(.482)	0.658(.484)	0.658(.484)	0.845(.524)	0.845(.524)
0.575	0.617(.497)	0.620(.498)	0.620(.498)	0.620(.498)	0.629(.500)	0.629(.500)	0.824(.545)	0.824(.545)
0.600	0.587(.512)	0.590(.513)	0.590(.513)	0.590(.513)	0.600(.515)	0.600(.515)	0.802(.565)	0.802(.565)
0.625	0.557(.526)	0.560(.527)	0.560(.527)	0.560(.527)	0.569(.530)	0.569(.530)	0.779(.585)	0.779(.585)
0.650	0.526(.540)	0.529(.541)	0.529(.541)	0.529(.541)	0.539(.544)	0.539(.544)	0.754(.604)	0.754(.604)
0.675	0.489(.552)	0.495(.554)	0.495(.554)	0.495(.554)	0.508(.557)	0.508(.557)	0.727(.623)	0.727(.623)
0.700	0.423(.564)	0.433(.565)	0.433(.565)	0.433(.565)	0.449(.569)	0.449(.569)	0.698(.641)	0.698(.641)
0.725	0.368(.574)	0.373(.575)	0.373(.575)	0.373(.575)	0.387(.579)	0.387(.579)	0.667(.658)	0.667(.658)
0.750	0.311(.582)	0.315(.584)	0.315(.584)	0.315(.584)	0.329(.588)	0.329(.588)	0.633(.674)	0.633(.674)
0.775	0.257(.589)	0.261(.591)	0.261(.591)	0.261(.591)	0.273(.596)	0.273(.596)	0.598(.689)	0.598(.689)
0.800	0.205(.595)	0.209(.597)	0.209(.597)	0.209(.597)	0.220(.602)	0.220(.602)	0.560(.704)	0.560(.704)
0.825	0.158(.600)	0.161(.602)	0.161(.602)	0.161(.602)	0.170(.607)	0.170(.607)	0.480(.717)	0.480(.717)
0.850	0.117(.603)	0.119(.605)	0.119(.605)	0.119(.605)	0.126(.611)	0.126(.611)	0.395(.728)	0.395(.728)
0.875	0.085(.606)	0.087(.608)	0.087(.608)	0.087(.608)	0.091(.613)	0.091(.613)	0.308(.736)	0.308(.736)
0.900	0.062(.607)	0.063(.610)	0.063(.610)	0.063(.610)	0.066(.615)	0.066(.615)	0.220(.743)	0.220(.743)
0.925	0.041(.609)	0.041(.611)	0.041(.611)	0.041(.611)	0.044(.617)	0.044(.617)	0.137(.747)	0.137(.747)
0.950	0.022(.610)	0.023(.612)	0.023(.612)	0.023(.612)	0.024(.617)	0.024(.617)	0.079(.750)	0.079(.750)
0.975	0.008(.610)	0.008(.612)	0.008(.612)	0.008(.612)	0.009(.618)	0.009(.618)	0.031(.752)	0.031(.752)
1.000	0.000(.610)	0.000(.612)	0.000(.612)	0.000(.612)	0.000(.618)	0.000(.618)	0.000(.752)	0.000(.752)

RECORDED No. 66-196
 App C - Phase 11

*** RELATIVE ENERGY FLUX DENSITY IN THE PENUMBRA ***
 *** OF A DIFFUSE SKIRT WITH THE REFLECTANCE = 0. ***

VERSION C

SOLAR FIELD ANGLE, D = 0.50 DEGREES
 GEOMETRY D1/D2 = 0.75

BETA = ANGLE OF INCIDENCE, DEGREES

BETA ***	-89.25	-80.00	-70.00	-60.00	-50.00
AX/AB	Q (Q1)	Q (Q1)	Q (Q1)	Q (Q1)	Q (Q1)
0.	1.000(.)	1.000(.)	1.000(.)	1.000(.)	1.000(.)
0.025	0.988(.025)	0.996(.025)	0.996(.025)	0.996(.025)	0.996(.025)
0.050	0.969(.049)	0.989(.050)	0.990(.050)	0.990(.050)	0.990(.050)
0.075	0.945(.073)	0.980(.074)	0.981(.074)	0.982(.074)	0.982(.074)
0.100	0.921(.097)	0.970(.099)	0.972(.099)	0.972(.099)	0.972(.099)
0.125	0.894(.119)	0.959(.123)	0.961(.123)	0.961(.123)	0.961(.123)
0.150	0.863(.141)	0.946(.147)	0.949(.147)	0.949(.147)	0.950(.147)
0.175	0.823(.162)	0.933(.170)	0.936(.170)	0.937(.170)	0.937(.170)
0.200	0.780(.182)	0.919(.193)	0.922(.194)	0.923(.194)	0.924(.194)
0.225	0.735(.201)	0.904(.216)	0.908(.216)	0.909(.217)	0.910(.217)
0.250	0.692(.219)	0.884(.238)	0.889(.239)	0.890(.239)	0.891(.239)
0.275	0.648(.236)	0.860(.260)	0.866(.261)	0.868(.261)	0.869(.261)
0.300	0.605(.252)	0.834(.281)	0.841(.282)	0.843(.282)	0.844(.283)
0.325	0.562(.266)	0.806(.302)	0.814(.303)	0.816(.303)	0.818(.303)
0.350	0.520(.280)	0.777(.322)	0.785(.323)	0.788(.323)	0.789(.323)
0.375	0.479(.292)	0.746(.341)	0.755(.342)	0.758(.343)	0.760(.343)
0.400	0.440(.304)	0.715(.359)	0.724(.361)	0.727(.361)	0.729(.361)
0.425	0.390(.314)	0.683(.377)	0.692(.378)	0.696(.379)	0.698(.379)
0.450	0.344(.323)	0.650(.393)	0.660(.395)	0.663(.396)	0.665(.396)
0.475	0.302(.331)	0.615(.409)	0.626(.411)	0.630(.412)	0.632(.413)
0.500	0.264(.338)	0.580(.424)	0.591(.427)	0.595(.427)	0.597(.428)
0.525	0.229(.345)	0.545(.438)	0.556(.441)	0.560(.442)	0.562(.442)
0.550	0.195(.350)	0.509(.451)	0.520(.454)	0.524(.455)	0.526(.456)
0.575	0.169(.354)	0.466(.463)	0.480(.467)	0.485(.468)	0.487(.469)
0.600	0.143(.358)	0.418(.474)	0.432(.478)	0.437(.480)	0.440(.480)
0.625	0.120(.362)	0.372(.484)	0.386(.488)	0.390(.490)	0.393(.491)
0.650	0.099(.364)	0.328(.493)	0.341(.498)	0.345(.499)	0.347(.500)
0.675	0.082(.367)	0.287(.501)	0.298(.505)	0.302(.507)	0.304(.508)
0.700	0.068(.369)	0.246(.507)	0.257(.512)	0.261(.514)	0.263(.515)
0.725	0.058(.370)	0.208(.513)	0.218(.518)	0.221(.520)	0.223(.521)
0.750	0.049(.371)	0.172(.518)	0.180(.523)	0.183(.525)	0.185(.526)
0.775	0.041(.373)	0.139(.522)	0.146(.527)	0.149(.529)	0.150(.530)
0.800	0.033(.373)	0.110(.525)	0.115(.531)	0.117(.533)	0.119(.534)
0.825	0.026(.374)	0.087(.527)	0.090(.533)	0.092(.535)	0.092(.536)
0.850	0.020(.375)	0.069(.529)	0.072(.535)	0.073(.537)	0.074(.539)
0.875	0.015(.375)	0.053(.531)	0.055(.537)	0.056(.539)	0.057(.540)
0.900	0.011(.376)	0.038(.532)	0.040(.538)	0.041(.540)	0.041(.541)
0.925	0.007(.376)	0.025(.533)	0.026(.539)	0.027(.541)	0.027(.542)
0.950	0.004(.376)	0.014(.533)	0.014(.539)	0.015(.542)	0.015(.543)
0.975	0.001(.376)	0.005(.533)	0.005(.540)	0.005(.542)	0.005(.543)
1.000	0.000(.376)	0.000(.533)	0.000(.540)	0.000(.542)	0.000(.543)

66-196
 Lippitt - Phelan
 VERSION C

*** RELATIVE ENERGY FLUX DENSITY IN THE PENUMBRA ***
 *** OF A DIFFUSE SKIRT WITH THE REFLECTANCE = 0. ***

SOLAR FIELD ANGLE, D= 0.50 DEGREES
 GEOMETRY D1/D2 = 0.75

BETA = ANGLE OF INCIDENCE, DEGREES

BETA ***	-40.00	-30.00	-20.00	-10.00	-0.
AX/AB	Q (QI)	Q (QI)	Q (QI)	Q (QI)	Q (QI)
0.	1.000(.)	1.000(.)	1.000(.)	1.000(.)	1.000(.)
0.025	0.996(.025)	0.996(.025)	0.996(.025)	0.996(.025)	0.997(.025)
0.050	0.990(.050)	0.990(.050)	0.990(.050)	0.990(.050)	0.990(.050)
0.075	0.982(.074)	0.982(.074)	0.982(.074)	0.982(.074)	0.982(.074)
0.100	0.972(.099)	0.972(.099)	0.972(.099)	0.973(.099)	0.973(.099)
0.125	0.962(.123)	0.962(.123)	0.962(.123)	0.962(.123)	0.962(.123)
0.150	0.950(.147)	0.950(.147)	0.950(.147)	0.950(.147)	0.950(.147)
0.175	0.937(.171)	0.937(.171)	0.938(.171)	0.938(.171)	0.938(.171)
0.200	0.924(.194)	0.924(.194)	0.924(.194)	0.925(.194)	0.925(.194)
0.225	0.910(.217)	0.910(.217)	0.911(.217)	0.911(.217)	0.911(.217)
0.250	0.892(.239)	0.892(.239)	0.893(.239)	0.893(.239)	0.893(.239)
0.275	0.870(.261)	0.870(.261)	0.871(.261)	0.871(.261)	0.871(.261)
0.300	0.845(.283)	0.846(.283)	0.846(.283)	0.846(.283)	0.847(.283)
0.325	0.818(.303)	0.819(.304)	0.820(.304)	0.820(.304)	0.820(.304)
0.350	0.790(.324)	0.791(.324)	0.792(.324)	0.792(.324)	0.793(.324)
0.375	0.761(.343)	0.762(.343)	0.762(.343)	0.763(.343)	0.763(.343)
0.400	0.730(.362)	0.731(.362)	0.732(.362)	0.732(.362)	0.733(.362)
0.425	0.699(.379)	0.700(.380)	0.700(.380)	0.701(.380)	0.701(.380)
0.450	0.666(.397)	0.667(.397)	0.668(.397)	0.669(.397)	0.669(.397)
0.475	0.633(.413)	0.634(.413)	0.635(.413)	0.636(.413)	0.636(.413)
0.500	0.598(.428)	0.599(.428)	0.600(.429)	0.601(.429)	0.602(.429)
0.525	0.563(.443)	0.564(.443)	0.565(.443)	0.566(.443)	0.566(.443)
0.550	0.527(.456)	0.528(.457)	0.529(.457)	0.530(.457)	0.531(.457)
0.575	0.489(.469)	0.490(.469)	0.491(.470)	0.492(.470)	0.493(.470)
0.600	0.441(.481)	0.443(.481)	0.444(.481)	0.445(.482)	0.445(.482)
0.625	0.394(.491)	0.396(.491)	0.397(.492)	0.398(.492)	0.398(.492)
0.650	0.349(.500)	0.350(.501)	0.351(.501)	0.352(.501)	0.353(.502)
0.675	0.306(.509)	0.307(.509)	0.308(.509)	0.308(.510)	0.309(.510)
0.700	0.264(.516)	0.265(.516)	0.266(.517)	0.267(.517)	0.267(.517)
0.725	0.224(.522)	0.225(.522)	0.226(.523)	0.226(.523)	0.227(.523)
0.750	0.185(.527)	0.187(.527)	0.188(.528)	0.188(.528)	0.189(.529)
0.775	0.151(.531)	0.152(.532)	0.152(.532)	0.153(.532)	0.153(.533)
0.800	0.119(.535)	0.120(.535)	0.120(.535)	0.121(.536)	0.121(.536)
0.825	0.093(.537)	0.093(.538)	0.094(.538)	0.094(.539)	0.094(.539)
0.850	0.074(.539)	0.075(.540)	0.075(.540)	0.075(.541)	0.075(.541)
0.875	0.057(.541)	0.057(.541)	0.057(.542)	0.058(.542)	0.058(.543)
0.900	0.041(.542)	0.041(.543)	0.042(.543)	0.042(.544)	0.042(.544)
0.925	0.027(.543)	0.027(.544)	0.027(.544)	0.027(.544)	0.027(.545)
0.950	0.015(.544)	0.015(.544)	0.015(.545)	0.015(.545)	0.015(.545)
0.975	0.005(.544)	0.005(.544)	0.005(.545)	0.005(.545)	0.005(.546)
1.000	0.000(.544)	0.000(.544)	0.000(.545)	0.000(.545)	0.000(.546)

REPORT NO. 66-196
 Appendix - Phase II
 VERSION C

*** RELATIVE ENERGY FLUX DENSITY IN THE PENUMBRA ***
 *** OF A DIFFUSE SKIRT WITH THE REFLECTANCE = 0. ***

SOLAR FIELD ANGLE, D = 0.50 DEGREES
 GEOMETRY D1/D2 = 0.75

BETA = ANGLE OF INCIDENCE, DEGREES

BETA ***	10.00		20.00		30.00		40.00		50.00	
AX/AB	Q	(QI)	Q	(QI)	Q	(QI)	Q	(QI)	Q	(QI)
0.	1.000(.)		1.000(.)		1.000(.)		1.000(.)		1.000(.)	
0.025	0.997(.025)		0.997(.025)		0.997(.025)		0.997(.025)		0.997(.025)	
0.050	0.990(.050)		0.990(.050)		0.990(.050)		0.990(.050)		0.990(.050)	
0.075	0.982(.074)		0.982(.074)		0.982(.074)		0.982(.074)		0.982(.074)	
0.100	0.973(.099)		0.973(.099)		0.973(.099)		0.973(.099)		0.973(.099)	
0.125	0.962(.123)		0.962(.123)		0.962(.123)		0.962(.123)		0.963(.123)	
0.150	0.951(.147)		0.951(.147)		0.951(.147)		0.951(.147)		0.951(.147)	
0.175	0.938(.171)		0.938(.171)		0.938(.171)		0.939(.171)		0.939(.171)	
0.200	0.925(.194)		0.925(.194)		0.925(.194)		0.926(.194)		0.926(.194)	
0.225	0.911(.217)		0.911(.217)		0.912(.217)		0.912(.217)		0.912(.217)	
0.250	0.894(.239)		0.894(.239)		0.894(.239)		0.895(.239)		0.895(.240)	
0.275	0.872(.261)		0.872(.261)		0.872(.262)		0.873(.262)		0.874(.262)	
0.300	0.847(.283)		0.848(.283)		0.848(.283)		0.849(.283)		0.850(.283)	
0.325	0.821(.304)		0.821(.304)		0.822(.304)		0.823(.304)		0.823(.304)	
0.350	0.793(.324)		0.794(.324)		0.794(.324)		0.795(.324)		0.796(.324)	
0.375	0.764(.343)		0.764(.343)		0.765(.344)		0.766(.344)		0.767(.344)	
0.400	0.733(.362)		0.734(.362)		0.735(.362)		0.735(.362)		0.737(.363)	
0.425	0.702(.380)		0.703(.380)		0.703(.380)		0.704(.380)		0.705(.381)	
0.450	0.670(.397)		0.671(.397)		0.671(.397)		0.672(.398)		0.673(.398)	
0.475	0.637(.414)		0.637(.414)		0.638(.414)		0.639(.414)		0.640(.414)	
0.500	0.602(.429)		0.603(.429)		0.604(.429)		0.605(.430)		0.606(.430)	
0.525	0.567(.444)		0.568(.444)		0.569(.444)		0.570(.444)		0.571(.445)	
0.550	0.531(.457)		0.532(.458)		0.533(.458)		0.534(.458)		0.535(.458)	
0.575	0.494(.470)		0.495(.470)		0.496(.471)		0.497(.471)		0.499(.471)	
0.600	0.446(.482)		0.447(.482)		0.448(.482)		0.449(.483)		0.451(.483)	
0.625	0.399(.493)		0.400(.493)		0.401(.493)		0.402(.493)		0.404(.494)	
0.650	0.353(.502)		0.354(.502)		0.355(.503)		0.356(.503)		0.358(.503)	
0.675	0.310(.510)		0.311(.511)		0.311(.511)		0.313(.511)		0.314(.512)	
0.700	0.265(.517)		0.269(.518)		0.269(.518)		0.270(.519)		0.272(.519)	
0.725	0.227(.524)		0.228(.524)		0.229(.524)		0.230(.525)		0.231(.525)	
0.750	0.189(.529)		0.190(.529)		0.190(.530)		0.191(.530)		0.192(.531)	
0.775	0.154(.533)		0.154(.534)		0.155(.534)		0.155(.534)		0.156(.535)	
0.800	0.121(.537)		0.122(.537)		0.122(.537)		0.123(.538)		0.124(.539)	
0.825	0.094(.539)		0.095(.540)		0.095(.540)		0.095(.541)		0.096(.541)	
0.850	0.075(.541)		0.076(.542)		0.076(.542)		0.076(.543)		0.077(.544)	
0.875	0.058(.543)		0.058(.543)		0.058(.544)		0.059(.544)		0.059(.545)	
0.900	0.042(.544)		0.042(.545)		0.042(.545)		0.042(.546)		0.043(.546)	
0.925	0.027(.545)		0.028(.546)		0.028(.546)		0.028(.547)		0.028(.547)	
0.950	0.015(.546)		0.015(.546)		0.015(.547)		0.015(.547)		0.015(.548)	
0.975	0.005(.546)		0.005(.546)		0.005(.547)		0.005(.547)		0.005(.548)	
1.000	0.000(.546)		0.000(.546)		0.000(.547)		0.000(.547)		0.000(.548)	

RE-ORDER No. 66-196
 App A - Phase II
 VERSION C

*** RELATIVE ENERGY FLUX DENSITY IN THE PENUMBRA ***
 *** OF A DIFFUSE SKIRI WITH THE REFLECTANCE = 0. ***

SOLAR FIELD ANGLE, D= 0.50 DEGREES
 GEOMETRY D1/D2 = 0.75

BETA = ANGLE OF INCIDENCE, DEGREES

BETA ***	60.00	70.00	80.00	89.25
AX/AB	Q (QI)	Q (QI)	Q (QI)	Q (QI)
0.	1.000(.)	1.000(.)	1.000(.)	1.000(.)
0.025	0.997(.025)	0.997(.025)	0.997(.025)	0.999(.025)
0.050	0.990(.050)	0.991(.050)	0.991(.050)	0.997(.050)
0.075	0.983(.074)	0.983(.074)	0.984(.074)	0.995(.075)
0.100	0.973(.099)	0.974(.099)	0.975(.099)	0.992(.100)
0.125	0.963(.123)	0.963(.123)	0.965(.123)	0.989(.124)
0.150	0.952(.147)	0.952(.147)	0.954(.147)	0.985(.149)
0.175	0.939(.171)	0.940(.171)	0.943(.171)	0.981(.174)
0.200	0.925(.194)	0.927(.194)	0.930(.194)	0.976(.198)
0.225	0.913(.217)	0.914(.217)	0.917(.217)	0.971(.223)
0.250	0.895(.240)	0.898(.240)	0.902(.240)	0.965(.247)
0.275	0.875(.262)	0.877(.262)	0.882(.262)	0.959(.271)
0.300	0.851(.283)	0.853(.284)	0.859(.284)	0.952(.295)
0.325	0.825(.304)	0.827(.305)	0.834(.305)	0.945(.318)
0.350	0.797(.325)	0.800(.325)	0.808(.326)	0.937(.342)
0.375	0.768(.344)	0.771(.345)	0.780(.346)	0.927(.365)
0.400	0.738(.363)	0.741(.363)	0.750(.365)	0.915(.388)
0.425	0.707(.381)	0.710(.382)	0.720(.383)	0.900(.411)
0.450	0.675(.398)	0.679(.399)	0.689(.401)	0.884(.433)
0.475	0.642(.415)	0.646(.416)	0.656(.418)	0.865(.455)
0.500	0.608(.431)	0.612(.431)	0.623(.434)	0.845(.476)
0.525	0.573(.445)	0.577(.446)	0.588(.449)	0.822(.497)
0.550	0.537(.459)	0.541(.460)	0.553(.463)	0.798(.518)
0.575	0.502(.472)	0.505(.473)	0.517(.476)	0.772(.537)
0.600	0.454(.484)	0.459(.485)	0.473(.489)	0.743(.556)
0.625	0.405(.495)	0.411(.496)	0.425(.500)	0.713(.574)
0.650	0.360(.504)	0.365(.506)	0.378(.510)	0.680(.592)
0.675	0.315(.513)	0.320(.514)	0.332(.519)	0.643(.608)
0.700	0.274(.520)	0.278(.522)	0.289(.527)	0.605(.624)
0.725	0.233(.526)	0.236(.528)	0.247(.533)	0.564(.638)
0.750	0.194(.532)	0.197(.534)	0.206(.539)	0.507(.652)
0.775	0.158(.536)	0.160(.538)	0.168(.544)	0.446(.664)
0.800	0.125(.540)	0.127(.542)	0.134(.547)	0.383(.674)
0.825	0.097(.542)	0.099(.545)	0.103(.550)	0.320(.683)
0.850	0.077(.545)	0.078(.547)	0.082(.553)	0.255(.690)
0.875	0.059(.546)	0.060(.548)	0.063(.555)	0.191(.696)
0.900	0.043(.548)	0.044(.550)	0.046(.556)	0.132(.700)
0.925	0.028(.549)	0.029(.551)	0.030(.557)	0.090(.702)
0.950	0.015(.549)	0.016(.551)	0.017(.557)	0.053(.704)
0.975	0.005(.549)	0.006(.551)	0.006(.558)	0.020(.705)
1.000	0.000(.549)	0.000(.552)	0.000(.558)	0.000(.705)

RE ORDER No 66-196
 App C - Phase II
 VERSION C

*** RELATIVE ENERGY FLUX DENSITY IN THE PENUMBRA ***
 *** OF A DIFFUSE SKIRI WITH THE REFLECTANCE = 0. ***

SOLAR FIELD ANGLE, D= 0.50 DEGREES
 GEOMETRY D1/D2 = 1.00

BETA = ANGLE OF INCIDENCE, DEGREES

BETA ***	-89.25	-80.00	-70.00	-60.00	-50.00
AX/AB	Q (Q1)	Q (Q1)	Q (Q1)	Q (Q1)	Q (Q1)
0.	1.000(.)	1.000(.)	1.000(.)	1.000(.)	1.000(.)
0.025	0.985(.025)	0.995(.025)	0.996(.025)	0.996(.025)	0.996(.025)
0.050	0.960(.049)	0.987(.050)	0.987(.050)	0.988(.050)	0.988(.050)
0.075	0.931(.073)	0.976(.074)	0.977(.074)	0.978(.074)	0.978(.074)
0.100	0.900(.096)	0.964(.099)	0.965(.099)	0.966(.099)	0.966(.099)
0.125	0.863(.118)	0.950(.122)	0.952(.123)	0.953(.123)	0.953(.123)
0.150	0.815(.139)	0.935(.146)	0.937(.146)	0.938(.146)	0.939(.146)
0.175	0.763(.158)	0.919(.169)	0.922(.169)	0.923(.169)	0.924(.170)
0.200	0.710(.177)	0.901(.192)	0.905(.192)	0.907(.192)	0.907(.192)
0.225	0.657(.194)	0.876(.214)	0.882(.215)	0.884(.215)	0.885(.215)
0.250	0.605(.210)	0.848(.236)	0.855(.236)	0.857(.236)	0.858(.237)
0.275	0.554(.224)	0.817(.256)	0.825(.257)	0.827(.258)	0.829(.258)
0.300	0.504(.237)	0.784(.276)	0.793(.277)	0.796(.278)	0.797(.278)
0.325	0.455(.249)	0.749(.296)	0.759(.297)	0.762(.297)	0.764(.298)
0.350	0.410(.260)	0.713(.314)	0.723(.315)	0.727(.316)	0.729(.316)
0.375	0.367(.270)	0.676(.331)	0.687(.333)	0.691(.334)	0.693(.334)
0.400	0.327(.279)	0.638(.348)	0.649(.350)	0.653(.350)	0.655(.351)
0.425	0.290(.286)	0.598(.363)	0.610(.365)	0.614(.366)	0.617(.367)
0.450	0.257(.293)	0.557(.378)	0.570(.380)	0.574(.381)	0.576(.382)
0.475	0.226(.299)	0.516(.391)	0.529(.394)	0.533(.395)	0.536(.396)
0.500	0.198(.304)	0.475(.403)	0.488(.407)	0.492(.408)	0.495(.408)
0.525	0.172(.309)	0.435(.415)	0.447(.418)	0.452(.420)	0.454(.420)
0.550	0.148(.313)	0.395(.425)	0.407(.429)	0.411(.430)	0.413(.431)
0.575	0.126(.316)	0.356(.435)	0.367(.439)	0.371(.440)	0.374(.441)
0.600	0.107(.319)	0.318(.443)	0.329(.447)	0.333(.449)	0.335(.450)
0.625	0.090(.322)	0.283(.450)	0.293(.455)	0.297(.457)	0.299(.458)
0.650	0.075(.324)	0.248(.457)	0.258(.462)	0.261(.464)	0.263(.465)
0.675	0.065(.326)	0.215(.463)	0.224(.468)	0.227(.470)	0.229(.471)
0.700	0.055(.327)	0.183(.468)	0.191(.473)	0.194(.475)	0.196(.476)
0.725	0.048(.328)	0.154(.472)	0.161(.478)	0.164(.480)	0.165(.481)
0.750	0.041(.330)	0.127(.476)	0.133(.481)	0.135(.483)	0.136(.484)
0.775	0.034(.330)	0.103(.478)	0.108(.484)	0.110(.486)	0.111(.488)
0.800	0.028(.331)	0.084(.481)	0.088(.487)	0.089(.489)	0.090(.490)
0.825	0.022(.332)	0.069(.483)	0.072(.489)	0.073(.491)	0.074(.492)
0.850	0.017(.332)	0.055(.484)	0.058(.490)	0.059(.493)	0.059(.494)
0.875	0.013(.333)	0.042(.485)	0.044(.492)	0.045(.494)	0.045(.495)
0.900	0.009(.333)	0.031(.486)	0.032(.493)	0.032(.495)	0.033(.496)
0.925	0.006(.333)	0.020(.487)	0.021(.493)	0.021(.496)	0.021(.497)
0.950	0.003(.333)	0.011(.487)	0.011(.494)	0.012(.496)	0.012(.497)
0.975	0.001(.333)	0.004(.488)	0.004(.494)	0.004(.496)	0.004(.497)
1.000	0.000(.333)	0.000(.488)	0.000(.494)	0.000(.496)	0.000(.497)

RECORDED IN 66-196
 App A - Phase II
 VERSION C

*** RELATIVE ENERGY FLUX DENSITY IN THE PENUMBRA ***
 *** OF A DIFFUSE SKIRT WITH THE REFLECTANCE = 0. ***

SOLAR FIELD ANGLE, D = 0.50 DEGREES
 GEOMETRY D1/D2 = 1.00

BETA = ANGLE OF INCIDENCE, DEGREES

BETA ***	-40.00	-30.00	-20.00	-10.00	-0.
AX/AB	Q (Q1)	Q (Q1)	Q (Q1)	Q (Q1)	Q (Q1)
0.	1.000(.)	1.000(.)	1.000(.)	1.000(.)	1.000(.)
0.025	0.995(.025)	0.996(.025)	0.996(.025)	0.996(.025)	0.996(.025)
0.050	0.988(.050)	0.988(.050)	0.988(.050)	0.988(.050)	0.988(.050)
0.075	0.978(.074)	0.978(.074)	0.978(.074)	0.978(.074)	0.978(.074)
0.100	0.965(.099)	0.966(.099)	0.967(.099)	0.967(.099)	0.967(.099)
0.125	0.953(.123)	0.953(.123)	0.954(.123)	0.954(.123)	0.954(.123)
0.150	0.939(.146)	0.939(.146)	0.939(.146)	0.940(.146)	0.940(.146)
0.175	0.924(.170)	0.924(.170)	0.924(.170)	0.925(.170)	0.925(.170)
0.200	0.908(.192)	0.908(.192)	0.908(.192)	0.909(.193)	0.909(.193)
0.225	0.886(.215)	0.886(.215)	0.887(.215)	0.887(.215)	0.887(.215)
0.250	0.859(.237)	0.860(.237)	0.860(.237)	0.861(.237)	0.861(.237)
0.275	0.830(.258)	0.831(.258)	0.831(.258)	0.832(.258)	0.832(.258)
0.300	0.798(.278)	0.799(.278)	0.800(.278)	0.800(.278)	0.801(.278)
0.325	0.765(.298)	0.766(.298)	0.766(.298)	0.767(.298)	0.767(.298)
0.350	0.730(.316)	0.731(.316)	0.732(.317)	0.732(.317)	0.733(.317)
0.375	0.694(.334)	0.695(.334)	0.696(.334)	0.696(.335)	0.697(.335)
0.400	0.657(.351)	0.658(.351)	0.659(.351)	0.659(.351)	0.660(.352)
0.425	0.618(.367)	0.619(.367)	0.620(.367)	0.621(.367)	0.621(.368)
0.450	0.578(.382)	0.579(.382)	0.580(.382)	0.581(.383)	0.582(.383)
0.475	0.537(.396)	0.538(.396)	0.539(.396)	0.540(.397)	0.541(.397)
0.500	0.495(.409)	0.497(.409)	0.498(.409)	0.499(.410)	0.500(.410)
0.525	0.455(.421)	0.457(.421)	0.457(.421)	0.458(.421)	0.459(.422)
0.550	0.415(.432)	0.416(.432)	0.417(.432)	0.418(.432)	0.418(.433)
0.575	0.375(.441)	0.376(.442)	0.377(.442)	0.378(.442)	0.379(.443)
0.600	0.337(.450)	0.338(.451)	0.339(.451)	0.339(.451)	0.340(.452)
0.625	0.300(.458)	0.301(.459)	0.302(.459)	0.302(.459)	0.303(.460)
0.650	0.264(.465)	0.265(.466)	0.266(.466)	0.267(.466)	0.267(.467)
0.675	0.230(.472)	0.231(.472)	0.231(.472)	0.232(.473)	0.233(.473)
0.700	0.197(.477)	0.198(.477)	0.198(.478)	0.199(.478)	0.199(.478)
0.725	0.165(.481)	0.166(.482)	0.167(.482)	0.168(.483)	0.168(.483)
0.750	0.137(.485)	0.138(.486)	0.138(.486)	0.138(.486)	0.139(.487)
0.775	0.111(.488)	0.112(.489)	0.112(.489)	0.112(.490)	0.113(.490)
0.800	0.090(.491)	0.090(.491)	0.091(.492)	0.091(.492)	0.091(.493)
0.825	0.074(.493)	0.075(.493)	0.075(.494)	0.075(.494)	0.075(.495)
0.850	0.059(.495)	0.060(.495)	0.060(.496)	0.060(.496)	0.060(.496)
0.875	0.046(.496)	0.046(.496)	0.046(.497)	0.046(.497)	0.046(.498)
0.900	0.033(.497)	0.033(.497)	0.033(.498)	0.033(.498)	0.033(.499)
0.925	0.022(.498)	0.022(.498)	0.022(.499)	0.022(.499)	0.022(.499)
0.950	0.012(.498)	0.012(.498)	0.012(.499)	0.012(.499)	0.012(.500)
0.975	0.004(.498)	0.004(.499)	0.004(.499)	0.004(.500)	0.004(.500)
1.000	0.000(.498)	0.000(.499)	0.000(.499)	0.000(.500)	0.000(.500)

RE-ORDER No. 66-196
 Appl - Phase II
 VERSION C

*** RELATIVE ENERGY FLUX DENSITY IN THE PENUMBRA ***
 *** OF A DIFFUSE SKIRT WITH THE REFLECTANCE = 0. ***

SOLAR FIELD ANGLE, D = 0.50 DEGREES
 GEOMETRY D1/D2 = 1.00

BETA = ANGLE OF INCIDENCE, DEGREES

BETA ***	10.00	20.00	30.00	40.00	50.00
AX/AB	Q (Q1)	Q (Q1)	Q (Q1)	Q (Q1)	Q (Q1)
0.	1.000(.)	1.000(.)	1.000(.)	1.000(.)	1.000(.)
0.025	0.996(.025)	0.996(.025)	0.996(.025)	0.996(.025)	0.996(.025)
0.050	0.988(.050)	0.988(.050)	0.988(.050)	0.988(.050)	0.988(.050)
0.075	0.978(.074)	0.978(.074)	0.978(.074)	0.978(.074)	0.979(.074)
0.100	0.967(.099)	0.967(.099)	0.967(.099)	0.967(.099)	0.967(.099)
0.125	0.954(.123)	0.954(.123)	0.954(.123)	0.954(.123)	0.955(.123)
0.150	0.940(.146)	0.940(.146)	0.940(.146)	0.941(.146)	0.941(.146)
0.175	0.925(.170)	0.925(.170)	0.925(.170)	0.926(.170)	0.926(.170)
0.200	0.909(.193)	0.909(.193)	0.910(.193)	0.910(.193)	0.910(.193)
0.225	0.888(.215)	0.888(.215)	0.888(.215)	0.889(.215)	0.889(.215)
0.250	0.862(.237)	0.862(.237)	0.862(.237)	0.863(.237)	0.864(.237)
0.275	0.832(.258)	0.833(.258)	0.834(.258)	0.834(.258)	0.835(.258)
0.300	0.801(.278)	0.802(.279)	0.802(.279)	0.803(.279)	0.804(.279)
0.325	0.768(.298)	0.769(.298)	0.769(.298)	0.770(.298)	0.771(.298)
0.350	0.733(.317)	0.734(.317)	0.735(.317)	0.736(.317)	0.737(.317)
0.375	0.698(.335)	0.698(.335)	0.699(.335)	0.700(.335)	0.701(.335)
0.400	0.661(.352)	0.661(.352)	0.662(.352)	0.663(.352)	0.665(.352)
0.425	0.622(.368)	0.623(.368)	0.624(.368)	0.625(.368)	0.626(.369)
0.450	0.582(.383)	0.583(.383)	0.584(.383)	0.585(.383)	0.587(.384)
0.475	0.542(.397)	0.543(.397)	0.543(.397)	0.545(.398)	0.546(.398)
0.500	0.501(.410)	0.502(.410)	0.503(.410)	0.504(.411)	0.505(.411)
0.525	0.460(.422)	0.461(.422)	0.462(.422)	0.463(.423)	0.464(.423)
0.550	0.419(.433)	0.420(.433)	0.421(.433)	0.422(.434)	0.424(.434)
0.575	0.379(.443)	0.380(.443)	0.381(.443)	0.382(.444)	0.383(.444)
0.600	0.341(.452)	0.341(.452)	0.342(.452)	0.343(.453)	0.345(.453)
0.625	0.304(.460)	0.304(.460)	0.305(.461)	0.306(.461)	0.307(.462)
0.650	0.268(.467)	0.268(.467)	0.269(.468)	0.270(.468)	0.271(.469)
0.675	0.233(.473)	0.234(.474)	0.234(.474)	0.235(.475)	0.236(.475)
0.700	0.200(.479)	0.200(.479)	0.201(.479)	0.202(.480)	0.203(.481)
0.725	0.168(.483)	0.169(.484)	0.169(.484)	0.170(.485)	0.171(.485)
0.750	0.139(.487)	0.140(.488)	0.140(.488)	0.141(.489)	0.142(.489)
0.775	0.113(.490)	0.113(.491)	0.114(.491)	0.114(.492)	0.115(.492)
0.800	0.091(.493)	0.092(.493)	0.092(.494)	0.092(.494)	0.093(.495)
0.825	0.075(.495)	0.076(.495)	0.076(.496)	0.076(.496)	0.076(.497)
0.850	0.060(.497)	0.061(.497)	0.061(.498)	0.061(.498)	0.061(.499)
0.875	0.046(.498)	0.046(.498)	0.047(.499)	0.047(.499)	0.047(.500)
0.900	0.033(.499)	0.033(.499)	0.034(.500)	0.034(.500)	0.034(.501)
0.925	0.022(.500)	0.022(.500)	0.022(.501)	0.022(.501)	0.022(.502)
0.950	0.012(.500)	0.012(.501)	0.012(.501)	0.012(.502)	0.012(.502)
0.975	0.004(.500)	0.004(.501)	0.004(.501)	0.004(.502)	0.004(.503)
1.000	0.000(.500)	0.000(.501)	0.000(.501)	0.000(.502)	0.000(.503)

RE-ORDER No. 66-196
Wp A - Phase II
 VERSION C

*** RELATIVE ENERGY FLUX DENSITY IN THE PENUMBRA ***
 *** OF A DIFFUSE SKIRT WITH THE REFLECTANCE = 0. ***

SOLAR FIELD ANGLE, D= 0.50 DEGREES
 GEOMETRY D1/D2 = 1.00

BETA = ANGLE OF INCIDENCE, DEGREES

BETA ***	60.00		70.00		80.00		89.25	
AX/AB	Q	(QI)	Q	(QI)	Q	(QI)	Q	(QI)
0.	1.000	(.)	1.000	(.)	1.000	(.)	1.000	(.)
0.025	0.995	(.025)	0.996	(.025)	0.996	(.025)	0.999	(.025)
0.050	0.988	(.050)	0.989	(.050)	0.989	(.050)	0.997	(.050)
0.075	0.979	(.074)	0.979	(.074)	0.980	(.074)	0.994	(.075)
0.100	0.968	(.099)	0.968	(.099)	0.969	(.099)	0.991	(.100)
0.125	0.955	(.123)	0.956	(.123)	0.958	(.123)	0.987	(.124)
0.150	0.941	(.146)	0.942	(.146)	0.945	(.147)	0.983	(.149)
0.175	0.927	(.170)	0.928	(.170)	0.930	(.170)	0.978	(.174)
0.200	0.911	(.193)	0.912	(.193)	0.916	(.193)	0.972	(.198)
0.225	0.890	(.215)	0.892	(.215)	0.897	(.216)	0.966	(.222)
0.250	0.865	(.237)	0.867	(.237)	0.873	(.238)	0.959	(.246)
0.275	0.835	(.258)	0.839	(.259)	0.846	(.259)	0.952	(.270)
0.300	0.805	(.279)	0.809	(.279)	0.817	(.280)	0.944	(.294)
0.325	0.773	(.299)	0.776	(.299)	0.785	(.300)	0.935	(.317)
0.350	0.739	(.318)	0.742	(.318)	0.752	(.319)	0.924	(.341)
0.375	0.703	(.336)	0.707	(.336)	0.717	(.338)	0.910	(.363)
0.400	0.667	(.353)	0.671	(.353)	0.682	(.355)	0.893	(.386)
0.425	0.629	(.369)	0.633	(.370)	0.644	(.372)	0.874	(.408)
0.450	0.589	(.384)	0.593	(.385)	0.605	(.387)	0.852	(.430)
0.475	0.548	(.398)	0.553	(.399)	0.565	(.402)	0.828	(.451)
0.500	0.508	(.412)	0.512	(.413)	0.525	(.416)	0.802	(.471)
0.525	0.467	(.424)	0.471	(.425)	0.484	(.428)	0.774	(.491)
0.550	0.425	(.435)	0.430	(.436)	0.443	(.440)	0.743	(.510)
0.575	0.385	(.445)	0.390	(.446)	0.402	(.451)	0.710	(.528)
0.600	0.347	(.454)	0.351	(.456)	0.362	(.460)	0.673	(.545)
0.625	0.309	(.462)	0.313	(.464)	0.324	(.469)	0.633	(.561)
0.650	0.273	(.470)	0.277	(.471)	0.287	(.476)	0.590	(.577)
0.675	0.238	(.476)	0.241	(.478)	0.251	(.483)	0.545	(.591)
0.700	0.204	(.482)	0.207	(.483)	0.216	(.489)	0.496	(.604)
0.725	0.173	(.486)	0.175	(.488)	0.183	(.494)	0.446	(.616)
0.750	0.143	(.490)	0.145	(.492)	0.152	(.498)	0.395	(.626)
0.775	0.115	(.494)	0.118	(.496)	0.124	(.501)	0.343	(.636)
0.800	0.093	(.496)	0.095	(.498)	0.099	(.504)	0.290	(.643)
0.825	0.077	(.498)	0.078	(.500)	0.081	(.507)	0.237	(.650)
0.850	0.062	(.500)	0.063	(.502)	0.065	(.508)	0.185	(.655)
0.875	0.047	(.501)	0.048	(.504)	0.050	(.510)	0.137	(.659)
0.900	0.034	(.502)	0.035	(.505)	0.036	(.511)	0.100	(.662)
0.925	0.022	(.503)	0.023	(.505)	0.024	(.512)	0.069	(.664)
0.950	0.012	(.504)	0.013	(.506)	0.013	(.512)	0.040	(.666)
0.975	0.004	(.504)	0.004	(.506)	0.005	(.512)	0.015	(.666)
1.000	0.000	(.504)	0.000	(.506)	0.000	(.512)	0.000	(.667)

REPORT No. 66-196
 App. A - Phase II
 VERSION C

*** RELATIVE ENERGY FLUX DENSITY IN THE PENUMBRA ***
 *** OF A DIFFUSE SKIRI WITH THE REFLECTANCE = 0. ***

SOLAR FIELD ANGLE, D = 2.00 DEGREES
 GEOMETRY D1/D2 = 0.

BETA = ANGLE OF INCIDENCE, DEGREES

BETA ***	-88.50	-80.00	-70.00	-60.00	-50.00
AX/AB	Q (QI)	Q (QI)	Q (QI)	Q (QI)	Q (QI)
0.	1.000(.)	1.000(.)	1.000(.)	1.000(.)	1.000(.)
0.025	0.995(.025)	0.998(.025)	0.998(.025)	0.998(.025)	0.998(.025)
0.050	0.988(.050)	0.995(.050)	0.995(.050)	0.995(.050)	0.996(.050)
0.075	0.975(.074)	0.990(.075)	0.991(.075)	0.992(.075)	0.992(.075)
0.100	0.963(.098)	0.985(.099)	0.987(.099)	0.987(.099)	0.987(.099)
0.125	0.950(.122)	0.979(.124)	0.982(.124)	0.982(.124)	0.983(.124)
0.150	0.937(.146)	0.973(.148)	0.976(.149)	0.977(.149)	0.977(.149)
0.175	0.923(.159)	0.967(.173)	0.970(.173)	0.971(.173)	0.971(.173)
0.200	0.909(.192)	0.960(.197)	0.963(.197)	0.965(.197)	0.965(.197)
0.225	0.895(.215)	0.952(.221)	0.957(.221)	0.958(.221)	0.959(.221)
0.250	0.882(.237)	0.945(.244)	0.949(.245)	0.951(.245)	0.952(.245)
0.275	0.868(.259)	0.937(.268)	0.942(.268)	0.944(.269)	0.945(.269)
0.300	0.854(.280)	0.929(.291)	0.934(.292)	0.936(.292)	0.937(.292)
0.325	0.835(.301)	0.920(.314)	0.927(.315)	0.929(.316)	0.930(.316)
0.350	0.817(.322)	0.912(.337)	0.918(.338)	0.921(.339)	0.922(.339)
0.375	0.797(.342)	0.903(.360)	0.910(.361)	0.913(.362)	0.914(.362)
0.400	0.778(.362)	0.892(.382)	0.901(.384)	0.904(.384)	0.906(.385)
0.425	0.758(.381)	0.880(.404)	0.890(.406)	0.893(.407)	0.895(.407)
0.450	0.738(.400)	0.867(.426)	0.877(.428)	0.881(.429)	0.883(.429)
0.475	0.718(.418)	0.852(.448)	0.864(.450)	0.868(.451)	0.870(.451)
0.500	0.698(.436)	0.838(.469)	0.850(.471)	0.854(.472)	0.856(.473)
0.525	0.679(.453)	0.822(.490)	0.835(.492)	0.839(.493)	0.842(.494)
0.550	0.660(.470)	0.806(.510)	0.820(.513)	0.824(.514)	0.827(.515)
0.575	0.641(.486)	0.790(.530)	0.804(.533)	0.808(.535)	0.811(.535)
0.600	0.623(.502)	0.773(.549)	0.787(.553)	0.792(.555)	0.795(.555)
0.625	0.605(.517)	0.756(.569)	0.771(.573)	0.776(.574)	0.778(.575)
0.650	0.588(.532)	0.739(.587)	0.754(.592)	0.759(.593)	0.761(.594)
0.675	0.571(.546)	0.722(.606)	0.736(.611)	0.741(.612)	0.744(.613)
0.700	0.554(.560)	0.704(.623)	0.719(.629)	0.724(.631)	0.727(.632)
0.725	0.538(.574)	0.686(.641)	0.701(.646)	0.706(.648)	0.709(.649)
0.750	0.522(.587)	0.669(.658)	0.683(.664)	0.688(.666)	0.691(.667)
0.775	0.506(.600)	0.651(.674)	0.665(.681)	0.670(.683)	0.673(.684)
0.800	0.490(.613)	0.632(.690)	0.647(.697)	0.652(.699)	0.654(.701)
0.825	0.475(.625)	0.614(.706)	0.628(.713)	0.633(.715)	0.635(.717)
0.850	0.460(.636)	0.595(.721)	0.609(.728)	0.613(.731)	0.616(.732)
0.875	0.445(.648)	0.576(.736)	0.589(.743)	0.594(.746)	0.596(.747)
0.900	0.432(.659)	0.557(.750)	0.570(.758)	0.574(.761)	0.576(.762)
0.925	0.418(.669)	0.539(.763)	0.550(.772)	0.554(.775)	0.556(.776)
0.950	0.405(.680)	0.520(.777)	0.531(.785)	0.534(.788)	0.536(.790)
0.975	0.392(.690)	0.501(.789)	0.511(.798)	0.514(.801)	0.516(.803)
1.000	0.380(.699)	0.482(.802)	0.491(.811)	0.495(.814)	0.496(.816)

REORDER No. 66-196
 App C - Phase II
 VERSION C

*** RELATIVE ENERGY FLUX DENSITY IN THE PENUMBRA ***
 *** OF A DIFFUSE SKIRT WITH THE REFLECTANCE = 0. ***

SOLAR FIELD ANGLE, D = 2.00 DEGREES
 GEOMETRY D1/D2 = 0.

BETA = ANGLE OF INCIDENCE, DEGREES

BETA ***	-40.00		-30.00		-20.00		-10.00		-0.	
AX/AB	Q	(QI)	Q	(QI)	Q	(QI)	Q	(QI)	Q	(QI)
0.	1.000(.)		1.000(.)		1.000(.)		1.000(.)		1.000(.)	
0.025	0.998(.025)		0.998(.025)		0.998(.025)		0.998(.025)		0.998(.025)	
0.050	0.995(.050)		0.996(.050)		0.996(.050)		0.996(.050)		0.996(.050)	
0.075	0.992(.075)		0.992(.075)		0.992(.075)		0.992(.075)		0.992(.075)	
0.100	0.988(.099)		0.988(.099)		0.988(.100)		0.988(.100)		0.988(.100)	
0.125	0.983(.124)		0.983(.124)		0.983(.124)		0.983(.124)		0.983(.124)	
0.150	0.977(.149)		0.978(.149)		0.978(.149)		0.978(.149)		0.978(.149)	
0.175	0.972(.173)		0.972(.173)		0.972(.173)		0.972(.173)		0.973(.173)	
0.200	0.966(.197)		0.966(.197)		0.966(.197)		0.966(.197)		0.967(.197)	
0.225	0.959(.221)		0.960(.221)		0.960(.221)		0.960(.221)		0.960(.221)	
0.250	0.953(.245)		0.953(.245)		0.953(.245)		0.954(.245)		0.954(.245)	
0.275	0.945(.269)		0.946(.269)		0.946(.269)		0.947(.269)		0.947(.269)	
0.300	0.938(.292)		0.939(.293)		0.939(.293)		0.939(.293)		0.940(.293)	
0.325	0.931(.316)		0.931(.316)		0.932(.316)		0.932(.316)		0.932(.316)	
0.350	0.923(.339)		0.923(.339)		0.924(.339)		0.924(.339)		0.925(.339)	
0.375	0.915(.362)		0.916(.362)		0.916(.362)		0.916(.362)		0.917(.362)	
0.400	0.907(.385)		0.907(.385)		0.908(.385)		0.908(.385)		0.909(.385)	
0.425	0.896(.407)		0.897(.407)		0.898(.408)		0.898(.408)		0.899(.408)	
0.450	0.884(.430)		0.885(.430)		0.886(.430)		0.887(.430)		0.887(.430)	
0.475	0.871(.451)		0.872(.452)		0.873(.452)		0.874(.452)		0.875(.452)	
0.500	0.858(.473)		0.859(.473)		0.860(.473)		0.860(.474)		0.861(.474)	
0.525	0.843(.494)		0.844(.495)		0.845(.495)		0.846(.495)		0.847(.495)	
0.550	0.828(.515)		0.829(.515)		0.830(.516)		0.831(.516)		0.832(.516)	
0.575	0.813(.536)		0.814(.536)		0.815(.536)		0.816(.537)		0.817(.537)	
0.600	0.797(.556)		0.798(.556)		0.799(.556)		0.800(.557)		0.801(.557)	
0.625	0.780(.576)		0.781(.576)		0.782(.576)		0.783(.576)		0.784(.577)	
0.650	0.763(.595)		0.765(.595)		0.766(.595)		0.767(.596)		0.767(.596)	
0.675	0.746(.614)		0.747(.614)		0.748(.615)		0.749(.615)		0.750(.615)	
0.700	0.728(.632)		0.730(.633)		0.731(.633)		0.732(.633)		0.733(.634)	
0.725	0.711(.650)		0.712(.651)		0.713(.651)		0.714(.651)		0.715(.652)	
0.750	0.693(.668)		0.694(.668)		0.695(.669)		0.696(.669)		0.697(.669)	
0.775	0.674(.685)		0.676(.685)		0.677(.686)		0.678(.686)		0.679(.687)	
0.800	0.656(.701)		0.657(.702)		0.658(.702)		0.659(.703)		0.660(.703)	
0.825	0.637(.718)		0.638(.718)		0.639(.719)		0.640(.719)		0.641(.720)	
0.850	0.617(.733)		0.619(.734)		0.620(.734)		0.621(.735)		0.621(.735)	
0.875	0.598(.748)		0.599(.749)		0.600(.750)		0.601(.750)		0.602(.751)	
0.900	0.578(.763)		0.579(.764)		0.580(.764)		0.581(.765)		0.582(.765)	
0.925	0.558(.777)		0.559(.778)		0.560(.779)		0.561(.779)		0.561(.780)	
0.950	0.538(.791)		0.539(.792)		0.540(.792)		0.540(.793)		0.541(.794)	
0.975	0.518(.804)		0.518(.805)		0.519(.806)		0.520(.806)		0.520(.807)	
1.000	0.497(.817)		0.498(.818)		0.499(.818)		0.499(.819)		0.500(.820)	

REORDER No. 66-196
 Appl - Phase II
 VERSION C

*** RELATIVE ENERGY FLUX DENSITY IN THE PENUMBRA ***
 *** OF A DIFFUSE SKIRI WITH THE REFLECTANCE = 0. ***

SOLAR FIELD ANGLE, D = 2.00 DEGREES
 GEOMETRY D1/D2 = 0.

BETA = ANGLE OF INCIDENCE, DEGREES

BETA ***	10.00	20.00	30.00	40.00	50.00
AX/AB	Q (Q1)	Q (Q1)	Q (Q1)	Q (Q1)	Q (Q1)
0.	1.000(.)	1.000(.)	1.000(.)	1.000(.)	1.000(.)
0.025	0.998(.025)	0.999(.025)	0.999(.025)	0.999(.025)	0.999(.025)
0.050	0.995(.050)	0.996(.050)	0.996(.050)	0.996(.050)	0.996(.050)
0.075	0.992(.075)	0.992(.075)	0.992(.075)	0.992(.075)	0.993(.075)
0.100	0.988(.100)	0.988(.100)	0.988(.100)	0.988(.100)	0.989(.100)
0.125	0.983(.124)	0.984(.124)	0.984(.124)	0.984(.124)	0.984(.124)
0.150	0.978(.149)	0.978(.149)	0.979(.149)	0.979(.149)	0.979(.149)
0.175	0.973(.173)	0.973(.173)	0.973(.173)	0.973(.173)	0.974(.173)
0.200	0.967(.197)	0.967(.197)	0.967(.197)	0.968(.197)	0.968(.197)
0.225	0.961(.221)	0.961(.221)	0.961(.221)	0.962(.222)	0.962(.222)
0.250	0.954(.245)	0.954(.245)	0.955(.245)	0.955(.245)	0.956(.246)
0.275	0.947(.269)	0.948(.269)	0.948(.269)	0.948(.269)	0.949(.269)
0.300	0.940(.293)	0.941(.293)	0.941(.293)	0.941(.293)	0.942(.293)
0.325	0.933(.316)	0.933(.316)	0.934(.316)	0.934(.316)	0.935(.316)
0.350	0.925(.339)	0.926(.339)	0.926(.339)	0.927(.340)	0.927(.340)
0.375	0.917(.362)	0.918(.362)	0.918(.363)	0.919(.363)	0.920(.363)
0.400	0.909(.385)	0.910(.385)	0.910(.385)	0.911(.386)	0.912(.386)
0.425	0.899(.408)	0.900(.408)	0.901(.408)	0.902(.408)	0.903(.408)
0.450	0.888(.430)	0.889(.430)	0.889(.430)	0.890(.431)	0.891(.431)
0.475	0.875(.452)	0.876(.452)	0.877(.452)	0.878(.453)	0.879(.453)
0.500	0.862(.474)	0.863(.474)	0.863(.474)	0.865(.474)	0.866(.475)
0.525	0.848(.495)	0.848(.495)	0.849(.496)	0.851(.496)	0.852(.496)
0.550	0.833(.516)	0.834(.516)	0.835(.517)	0.836(.517)	0.837(.517)
0.575	0.817(.537)	0.818(.537)	0.819(.537)	0.821(.538)	0.822(.538)
0.600	0.802(.557)	0.802(.557)	0.803(.558)	0.805(.558)	0.806(.558)
0.625	0.785(.577)	0.786(.577)	0.787(.578)	0.788(.578)	0.790(.578)
0.650	0.768(.596)	0.769(.597)	0.770(.597)	0.772(.597)	0.774(.598)
0.675	0.751(.615)	0.752(.616)	0.753(.616)	0.755(.616)	0.756(.617)
0.700	0.734(.634)	0.735(.634)	0.736(.635)	0.737(.635)	0.739(.636)
0.725	0.716(.652)	0.717(.652)	0.718(.653)	0.719(.653)	0.721(.654)
0.750	0.698(.670)	0.699(.670)	0.700(.671)	0.701(.671)	0.703(.672)
0.775	0.680(.687)	0.680(.687)	0.682(.688)	0.683(.688)	0.685(.689)
0.800	0.661(.704)	0.662(.704)	0.663(.705)	0.664(.705)	0.666(.706)
0.825	0.642(.720)	0.643(.720)	0.644(.721)	0.645(.722)	0.647(.722)
0.850	0.622(.736)	0.623(.736)	0.624(.737)	0.625(.737)	0.627(.738)
0.875	0.602(.751)	0.603(.752)	0.604(.752)	0.605(.753)	0.607(.754)
0.900	0.582(.766)	0.583(.766)	0.584(.767)	0.585(.768)	0.587(.769)
0.925	0.562(.780)	0.563(.781)	0.564(.781)	0.565(.782)	0.566(.783)
0.950	0.542(.794)	0.542(.795)	0.543(.795)	0.544(.796)	0.545(.797)
0.975	0.521(.807)	0.522(.808)	0.522(.809)	0.523(.809)	0.525(.810)
1.000	0.501(.820)	0.501(.821)	0.502(.821)	0.503(.822)	0.504(.823)

REORDER No. 66-196
 Copy 1 - Phase II
 VERSION C

*** RELATIVE ENERGY FLUX DENSITY IN THE PENUMBRA ***
 *** OF A DIFFUSE SKIRI WITH THE REFLECTANCE = 0. ***

SOLAR FIELD ANGLE, D= 2.00 DEGREES
 GEOMETRY DI/D2 = 0.

BETA = ANGLE OF INCIDENCE, DEGREES

BETA ***	60.00	70.00	80.00	88.50
AX/AB	Q (Q1)	Q (Q1)	Q (Q1)	Q (Q1)
0.	1.000(.)	1.000(.)	1.000(.)	1.000(.)
0.025	0.999(.025)	0.999(.025)	0.999(.025)	1.000(.025)
0.050	0.996(.050)	0.996(.050)	0.997(.050)	1.000(.050)
0.075	0.993(.075)	0.993(.075)	0.994(.075)	0.999(.075)
0.100	0.989(.100)	0.989(.100)	0.991(.100)	0.999(.100)
0.125	0.984(.124)	0.985(.124)	0.987(.124)	0.999(.125)
0.150	0.980(.149)	0.980(.149)	0.983(.149)	0.998(.150)
0.175	0.974(.173)	0.975(.173)	0.978(.173)	0.998(.175)
0.200	0.969(.197)	0.970(.198)	0.973(.198)	0.997(.200)
0.225	0.963(.222)	0.964(.222)	0.968(.222)	0.996(.225)
0.250	0.957(.246)	0.958(.246)	0.962(.246)	0.996(.250)
0.275	0.950(.269)	0.952(.270)	0.957(.270)	0.995(.274)
0.300	0.943(.293)	0.945(.293)	0.950(.294)	0.994(.299)
0.325	0.936(.317)	0.938(.317)	0.944(.318)	0.992(.324)
0.350	0.929(.340)	0.931(.340)	0.937(.341)	0.991(.349)
0.375	0.921(.363)	0.924(.363)	0.930(.365)	0.990(.374)
0.400	0.913(.386)	0.916(.386)	0.923(.388)	0.988(.398)
0.425	0.904(.409)	0.907(.409)	0.916(.411)	0.987(.423)
0.450	0.893(.431)	0.897(.432)	0.907(.434)	0.985(.448)
0.475	0.881(.453)	0.885(.454)	0.896(.456)	0.982(.472)
0.500	0.868(.475)	0.872(.476)	0.884(.478)	0.980(.497)
0.525	0.854(.497)	0.859(.498)	0.871(.500)	0.977(.521)
0.550	0.840(.518)	0.844(.519)	0.858(.522)	0.974(.546)
0.575	0.825(.539)	0.830(.540)	0.843(.543)	0.971(.570)
0.600	0.809(.559)	0.814(.560)	0.828(.564)	0.967(.594)
0.625	0.793(.579)	0.798(.581)	0.813(.585)	0.963(.618)
0.650	0.775(.599)	0.781(.600)	0.796(.605)	0.959(.642)
0.675	0.759(.618)	0.764(.620)	0.780(.624)	0.953(.666)
0.700	0.742(.637)	0.747(.639)	0.762(.644)	0.946(.690)
0.725	0.724(.655)	0.729(.657)	0.745(.662)	0.936(.714)
0.750	0.706(.673)	0.711(.675)	0.727(.681)	0.925(.737)
0.775	0.687(.690)	0.693(.693)	0.708(.699)	0.911(.760)
0.800	0.669(.707)	0.674(.710)	0.689(.716)	0.896(.782)
0.825	0.650(.724)	0.655(.726)	0.669(.733)	0.877(.805)
0.850	0.630(.740)	0.635(.742)	0.649(.750)	0.856(.826)
0.875	0.610(.755)	0.614(.758)	0.628(.766)	0.830(.847)
0.900	0.589(.770)	0.594(.773)	0.607(.781)	0.801(.868)
0.925	0.568(.785)	0.573(.788)	0.585(.796)	0.767(.887)
0.950	0.548(.799)	0.551(.802)	0.563(.810)	0.726(.906)
0.975	0.527(.812)	0.530(.815)	0.540(.824)	0.677(.923)
1.000	0.505(.825)	0.509(.828)	0.518(.837)	0.620(.940)

C-24
 194

RE-ORDER No. 66-196
copy (- Phase 11)
 VERSION C

*** RELATIVE ENERGY FLUX DENSITY IN THE PENUMBRA ***
 *** OF A DIFFUSE SKIRT WITH THE REFLECTANCE = 0. ***

SOLAR FIELD ANGLE, D = 2.00 DEGREES
 GEOMETRY D1/D2 = 0.25

BETA = ANGLE OF INCIDENCE, DEGREES.

BETA ***	-85.50	-80.00	-70.00	-60.00	-50.00
AX/AB	Q (QI)	Q (QI)	Q (QI)	Q (QI)	Q (QI)
0.	1.000(.)	1.000(.)	1.000(.)	1.000(.)	1.000(.)
0.025	0.983(.025)	0.997(.025)	0.998(.025)	0.998(.025)	0.998(.025)
0.050	0.957(.049)	0.992(.050)	0.993(.050)	0.994(.050)	0.994(.050)
0.075	0.927(.073)	0.986(.075)	0.988(.075)	0.988(.075)	0.988(.075)
0.100	0.895(.095)	0.978(.099)	0.981(.099)	0.982(.099)	0.982(.099)
0.125	0.865(.117)	0.970(.123)	0.974(.124)	0.975(.124)	0.975(.124)
0.150	0.827(.139)	0.961(.148)	0.966(.148)	0.967(.148)	0.968(.148)
0.175	0.783(.159)	0.951(.171)	0.957(.172)	0.959(.172)	0.960(.172)
0.200	0.735(.178)	0.941(.195)	0.948(.196)	0.950(.196)	0.951(.196)
0.225	0.693(.196)	0.931(.219)	0.938(.219)	0.941(.220)	0.942(.220)
0.250	0.651(.212)	0.920(.242)	0.929(.243)	0.931(.243)	0.933(.243)
0.275	0.610(.228)	0.909(.265)	0.918(.266)	0.921(.266)	0.923(.266)
0.300	0.571(.243)	0.896(.287)	0.908(.289)	0.911(.289)	0.913(.289)
0.325	0.534(.257)	0.881(.309)	0.895(.311)	0.899(.312)	0.902(.312)
0.350	0.498(.270)	0.863(.331)	0.879(.333)	0.885(.334)	0.887(.334)
0.375	0.464(.282)	0.844(.352)	0.862(.355)	0.868(.356)	0.871(.356)
0.400	0.432(.293)	0.824(.373)	0.844(.376)	0.850(.377)	0.854(.378)
0.425	0.402(.303)	0.803(.394)	0.825(.397)	0.832(.398)	0.835(.399)
0.450	0.355(.313)	0.782(.413)	0.804(.418)	0.812(.419)	0.816(.420)
0.475	0.265(.320)	0.760(.433)	0.784(.437)	0.792(.439)	0.796(.440)
0.500	0.199(.326)	0.737(.451)	0.762(.457)	0.770(.459)	0.775(.459)
0.525	0.149(.331)	0.715(.470)	0.740(.476)	0.749(.477)	0.753(.479)
0.550	0.112(.334)	0.692(.487)	0.718(.494)	0.727(.496)	0.731(.497)
0.575	0.083(.336)	0.668(.504)	0.695(.511)	0.704(.514)	0.709(.515)
0.600	0.062(.338)	0.645(.521)	0.672(.529)	0.681(.531)	0.686(.533)
0.625	0.047(.339)	0.621(.536)	0.649(.545)	0.658(.548)	0.663(.549)
0.650	0.038(.341)	0.597(.552)	0.625(.561)	0.634(.564)	0.639(.566)
0.675	0.030(.341)	0.572(.566)	0.600(.576)	0.610(.580)	0.615(.581)
0.700	0.024(.342)	0.547(.580)	0.575(.591)	0.585(.595)	0.590(.596)
0.725	0.019(.343)	0.523(.594)	0.551(.605)	0.560(.609)	0.565(.611)
0.750	0.015(.343)	0.498(.606)	0.526(.618)	0.535(.623)	0.540(.625)
0.775	0.012(.343)	0.449(.618)	0.501(.631)	0.510(.636)	0.515(.638)
0.800	0.009(.344)	0.356(.628)	0.429(.643)	0.455(.648)	0.469(.650)
0.825	0.007(.344)	0.273(.636)	0.334(.652)	0.357(.658)	0.370(.661)
0.850	0.005(.344)	0.198(.642)	0.249(.660)	0.269(.666)	0.279(.669)
0.875	0.004(.344)	0.134(.646)	0.173(.665)	0.188(.671)	0.197(.675)
0.900	0.002(.344)	0.085(.649)	0.109(.669)	0.120(.675)	0.125(.679)
0.925	0.001(.344)	0.055(.651)	0.068(.671)	0.074(.678)	0.076(.681)
0.950	0.001(.344)	0.030(.652)	0.037(.672)	0.041(.679)	0.042(.683)
0.975	0.000(.344)	0.010(.652)	0.013(.673)	0.014(.680)	0.015(.683)
1.000	0.000(.344)	0.000(.652)	0.000(.673)	0.000(.680)	0.000(.684)

REORDER No. 66-196
 app A - Phase 11
 VERSION C

*** RELATIVE ENERGY FLUX DENSITY IN THE PENUMBRA ***
 *** OF A DIFFUSE SKIRT WITH THE REFLECTANCE = 0. ***

SOLAR FIELD ANGLE, D= 2.00 DEGREES
 GEOMETRY D1/D2 = 0.25

BETA = ANGLE OF INCIDENCE, DEGREES

BETA ***	-40.00	-30.00	-20.00	-10.00	-0.
AX/AB	Q (QI)	Q (QI)	Q (QI)	Q (QI)	Q (QI)
0.	1.000(.)	1.000(.)	1.000(.)	1.000(.)	1.000(.)
0.025	0.998(.025)	0.998(.025)	0.998(.025)	0.998(.025)	0.998(.025)
0.050	0.994(.050)	0.994(.050)	0.994(.050)	0.994(.050)	0.994(.050)
0.075	0.989(.075)	0.989(.075)	0.989(.075)	0.989(.075)	0.989(.075)
0.100	0.983(.099)	0.983(.099)	0.983(.099)	0.983(.099)	0.983(.099)
0.125	0.976(.124)	0.976(.124)	0.976(.124)	0.977(.124)	0.977(.124)
0.150	0.969(.148)	0.969(.148)	0.969(.148)	0.969(.148)	0.970(.148)
0.175	0.961(.172)	0.961(.172)	0.961(.172)	0.962(.172)	0.962(.172)
0.200	0.952(.196)	0.953(.196)	0.953(.196)	0.953(.196)	0.954(.196)
0.225	0.943(.220)	0.944(.220)	0.944(.220)	0.945(.220)	0.945(.220)
0.250	0.934(.243)	0.935(.243)	0.935(.243)	0.936(.243)	0.936(.244)
0.275	0.924(.266)	0.925(.267)	0.926(.267)	0.926(.267)	0.927(.267)
0.300	0.914(.289)	0.915(.290)	0.916(.290)	0.916(.290)	0.917(.290)
0.325	0.903(.312)	0.904(.312)	0.905(.312)	0.906(.313)	0.907(.313)
0.350	0.889(.335)	0.890(.335)	0.891(.335)	0.892(.335)	0.893(.335)
0.375	0.873(.357)	0.875(.357)	0.876(.357)	0.877(.357)	0.878(.357)
0.400	0.856(.378)	0.858(.378)	0.859(.379)	0.860(.379)	0.861(.379)
0.425	0.838(.399)	0.839(.400)	0.841(.400)	0.842(.400)	0.843(.400)
0.450	0.818(.420)	0.820(.420)	0.822(.421)	0.823(.421)	0.824(.421)
0.475	0.798(.440)	0.800(.441)	0.802(.441)	0.803(.441)	0.805(.442)
0.500	0.778(.460)	0.780(.460)	0.781(.461)	0.783(.461)	0.784(.461)
0.525	0.755(.479)	0.758(.480)	0.760(.480)	0.762(.480)	0.763(.481)
0.550	0.734(.498)	0.737(.498)	0.738(.499)	0.740(.499)	0.742(.500)
0.575	0.712(.516)	0.714(.516)	0.716(.517)	0.718(.517)	0.719(.518)
0.600	0.689(.533)	0.692(.534)	0.694(.535)	0.695(.535)	0.697(.535)
0.625	0.666(.550)	0.669(.551)	0.671(.552)	0.672(.552)	0.674(.553)
0.650	0.643(.567)	0.645(.567)	0.647(.568)	0.649(.569)	0.651(.569)
0.675	0.618(.582)	0.621(.583)	0.623(.584)	0.625(.585)	0.626(.585)
0.700	0.594(.598)	0.596(.599)	0.598(.599)	0.600(.600)	0.602(.601)
0.725	0.569(.612)	0.571(.613)	0.573(.614)	0.575(.615)	0.577(.615)
0.750	0.543(.626)	0.546(.627)	0.548(.628)	0.549(.629)	0.551(.629)
0.775	0.518(.639)	0.520(.640)	0.522(.641)	0.524(.642)	0.526(.643)
0.800	0.478(.652)	0.485(.653)	0.491(.654)	0.495(.655)	0.500(.656)
0.825	0.378(.662)	0.385(.664)	0.390(.665)	0.394(.666)	0.398(.667)
0.850	0.285(.671)	0.291(.672)	0.296(.674)	0.299(.675)	0.303(.676)
0.875	0.202(.677)	0.206(.679)	0.210(.680)	0.213(.681)	0.216(.682)
0.900	0.129(.681)	0.132(.683)	0.135(.684)	0.137(.685)	0.139(.687)
0.925	0.078(.684)	0.080(.685)	0.081(.687)	0.082(.688)	0.083(.689)
0.950	0.043(.685)	0.044(.687)	0.045(.688)	0.046(.690)	0.046(.691)
0.975	0.015(.686)	0.016(.688)	0.016(.689)	0.016(.690)	0.017(.692)
1.000	0.000(.686)	0.000(.688)	0.000(.689)	0.000(.691)	0.000(.692)

C-26
 196

*** RELATIVE ENERGY FLUX DENSITY IN THE PENUMBRA ***
 *** OF A DIFFUSE SKIRI WITH THE REFLECTANCE = 0. ***

SOLAR FIELD ANGLE, $\theta = 2.00$ DEGREES
 GEOMETRY $D1/D2 = 0.25$

BETA = ANGLE OF INCIDENCE, DEGREES

BETA ***	10.00		20.00		30.00		40.00		50.00	
AX/AB	Q	(Q1)	Q	(Q1)	Q	(Q1)	Q	(Q1)	Q	(Q1)
0.	1.000(.)		1.000(.)		1.000(.)		1.000(.)		1.000(.)	
0.025	0.998(.025)		0.998(.025)		0.998(.025)		0.998(.025)		0.998(.025)	
0.050	0.994(.050)		0.994(.050)		0.994(.050)		0.994(.050)		0.994(.050)	
0.075	0.989(.075)		0.989(.075)		0.989(.075)		0.990(.075)		0.990(.075)	
0.100	0.983(.099)		0.984(.099)		0.984(.099)		0.984(.099)		0.984(.099)	
0.125	0.977(.124)		0.977(.124)		0.977(.124)		0.978(.124)		0.978(.124)	
0.150	0.970(.148)		0.970(.148)		0.971(.148)		0.971(.148)		0.971(.148)	
0.175	0.962(.172)		0.963(.172)		0.963(.172)		0.963(.172)		0.964(.172)	
0.200	0.954(.196)		0.955(.196)		0.955(.196)		0.956(.196)		0.956(.196)	
0.225	0.945(.220)		0.946(.220)		0.947(.220)		0.947(.220)		0.948(.220)	
0.250	0.937(.244)		0.937(.244)		0.938(.244)		0.938(.244)		0.939(.244)	
0.275	0.927(.267)		0.928(.267)		0.928(.267)		0.929(.267)		0.930(.267)	
0.300	0.918(.290)		0.918(.290)		0.919(.290)		0.920(.290)		0.921(.290)	
0.325	0.907(.313)		0.908(.313)		0.909(.313)		0.910(.313)		0.911(.313)	
0.350	0.894(.335)		0.895(.335)		0.896(.335)		0.897(.336)		0.899(.336)	
0.375	0.879(.357)		0.880(.358)		0.881(.358)		0.882(.358)		0.884(.358)	
0.400	0.862(.379)		0.863(.379)		0.865(.380)		0.866(.380)		0.868(.380)	
0.425	0.844(.400)		0.846(.401)		0.847(.401)		0.849(.401)		0.851(.402)	
0.450	0.826(.421)		0.827(.422)		0.828(.422)		0.830(.422)		0.833(.423)	
0.475	0.805(.442)		0.807(.442)		0.809(.442)		0.811(.443)		0.813(.443)	
0.500	0.785(.462)		0.787(.462)		0.789(.462)		0.791(.463)		0.794(.463)	
0.525	0.765(.481)		0.766(.481)		0.768(.482)		0.770(.482)		0.773(.483)	
0.550	0.743(.500)		0.745(.500)		0.746(.501)		0.749(.501)		0.752(.502)	
0.575	0.721(.518)		0.723(.519)		0.725(.519)		0.727(.520)		0.730(.520)	
0.600	0.698(.536)		0.700(.536)		0.702(.537)		0.704(.538)		0.707(.538)	
0.625	0.675(.553)		0.677(.554)		0.679(.554)		0.682(.555)		0.685(.556)	
0.650	0.652(.570)		0.654(.570)		0.656(.571)		0.658(.572)		0.662(.573)	
0.675	0.628(.586)		0.630(.586)		0.632(.587)		0.634(.588)		0.638(.589)	
0.700	0.603(.601)		0.605(.602)		0.607(.602)		0.610(.603)		0.613(.604)	
0.725	0.578(.616)		0.580(.617)		0.582(.617)		0.584(.618)		0.588(.619)	
0.750	0.553(.630)		0.555(.631)		0.556(.632)		0.559(.633)		0.562(.634)	
0.775	0.527(.644)		0.529(.644)		0.531(.645)		0.533(.646)		0.536(.648)	
0.800	0.502(.656)		0.503(.657)		0.505(.658)		0.507(.659)		0.511(.661)	
0.825	0.403(.668)		0.407(.669)		0.412(.670)		0.419(.671)		0.427(.672)	
0.850	0.307(.677)		0.310(.678)		0.315(.679)		0.320(.680)		0.328(.682)	
0.875	0.219(.683)		0.222(.684)		0.225(.685)		0.230(.687)		0.236(.689)	
0.900	0.141(.688)		0.143(.689)		0.146(.690)		0.149(.692)		0.154(.694)	
0.925	0.084(.690)		0.085(.692)		0.086(.693)		0.088(.695)		0.090(.697)	
0.950	0.047(.692)		0.047(.693)		0.048(.695)		0.049(.696)		0.050(.699)	
0.975	0.017(.693)		0.017(.694)		0.017(.695)		0.018(.697)		0.018(.699)	
1.000	0.000(.693)		0.000(.694)		0.000(.696)		0.000(.697)		0.000(.700)	

*** RELATIVE ENERGY FLUX DENSITY IN THE PENUMBRA ***
 *** OF A DIFFUSE SKIRT WITH THE REFLECTANCE = 0. ***

SOLAR FIELD ANGLE, D = 2.00 DEGREES
 GEOMETRY D1/D2 = 0.25

BETA = ANGLE OF INCIDENCE, DEGREES

BETA ***	60.00	70.00	80.00	88.50
AX/AB	Q (Q1)	Q (Q1)	Q (Q1)	Q (Q1)
0.	1.000(.)	1.000(.)	1.000(.)	1.000(.)
0.025	0.998(.025)	0.998(.025)	0.998(.025)	1.000(.025)
0.050	0.995(.050)	0.995(.050)	0.996(.050)	1.000(.050)
0.075	0.990(.075)	0.991(.075)	0.992(.075)	0.999(.075)
0.100	0.985(.099)	0.985(.099)	0.988(.099)	0.999(.100)
0.125	0.979(.124)	0.980(.124)	0.983(.124)	0.999(.125)
0.150	0.972(.148)	0.973(.148)	0.977(.149)	0.998(.150)
0.175	0.965(.173)	0.967(.173)	0.971(.173)	0.997(.175)
0.200	0.957(.197)	0.959(.197)	0.964(.197)	0.997(.200)
0.225	0.949(.220)	0.951(.221)	0.957(.221)	0.996(.225)
0.250	0.941(.244)	0.943(.244)	0.950(.245)	0.995(.250)
0.275	0.932(.267)	0.935(.268)	0.942(.269)	0.994(.274)
0.300	0.922(.291)	0.926(.291)	0.934(.292)	0.993(.299)
0.325	0.913(.314)	0.916(.314)	0.926(.315)	0.992(.324)
0.350	0.901(.336)	0.906(.337)	0.917(.338)	0.990(.349)
0.375	0.887(.359)	0.892(.359)	0.906(.361)	0.989(.374)
0.400	0.871(.381)	0.877(.381)	0.893(.384)	0.987(.398)
0.425	0.854(.402)	0.861(.403)	0.878(.406)	0.985(.423)
0.450	0.835(.423)	0.843(.424)	0.862(.428)	0.983(.448)
0.475	0.817(.444)	0.825(.445)	0.845(.449)	0.980(.472)
0.500	0.798(.464)	0.805(.466)	0.827(.470)	0.977(.497)
0.525	0.777(.484)	0.785(.486)	0.808(.490)	0.974(.521)
0.550	0.755(.503)	0.765(.505)	0.788(.510)	0.971(.545)
0.575	0.734(.522)	0.743(.524)	0.767(.530)	0.967(.569)
0.600	0.712(.540)	0.721(.542)	0.746(.549)	0.962(.594)
0.625	0.690(.557)	0.699(.560)	0.724(.567)	0.957(.618)
0.650	0.667(.574)	0.675(.577)	0.702(.585)	0.951(.641)
0.675	0.643(.590)	0.652(.594)	0.679(.602)	0.943(.665)
0.700	0.618(.606)	0.627(.610)	0.654(.619)	0.932(.689)
0.725	0.593(.621)	0.602(.625)	0.629(.635)	0.919(.712)
0.750	0.567(.636)	0.577(.640)	0.604(.650)	0.904(.734)
0.775	0.541(.650)	0.551(.654)	0.577(.665)	0.886(.757)
0.800	0.515(.663)	0.524(.667)	0.550(.679)	0.865(.779)
0.825	0.441(.675)	0.466(.680)	0.523(.692)	0.840(.800)
0.850	0.339(.685)	0.361(.690)	0.429(.704)	0.810(.821)
0.875	0.245(.692)	0.264(.698)	0.321(.714)	0.776(.840)
0.900	0.161(.697)	0.174(.703)	0.219(.720)	0.735(.859)
0.925	0.094(.700)	0.101(.707)	0.128(.725)	0.685(.877)
0.950	0.052(.702)	0.056(.709)	0.069(.727)	0.626(.893)
0.975	0.019(.703)	0.021(.710)	0.026(.728)	0.321(.905)
1.000	0.000(.703)	0.000(.710)	0.000(.729)	0.000(.909)

*** RELATIVE ENERGY FLUX DENSITY IN THE PENUMBRA ***
 *** OF A DIFFUSE SKIRT WITH THE REFLECTANCE = 0. ***

VERSION C

SOLAR FIELD ANGLE, D = 2.00 DEGREES
 GEOMETRY D1/D2 = 0.50

BETA = ANGLE OF INCIDENCE, DEGREES

BETA ***	-88.50	-80.00	-70.00	-60.00	-50.00
AX/AB	Q (QI)	Q (QI)	Q (QI)	Q (QI)	Q (QI)
0.	1.000(.)	1.000(.)	1.000(.)	1.000(.)	1.000(.)
0.025	0.969(.025)	0.996(.025)	0.997(.025)	0.997(.025)	0.997(.025)
0.050	0.923(.048)	0.989(.050)	0.991(.050)	0.991(.050)	0.992(.050)
0.075	0.875(.071)	0.980(.074)	0.983(.074)	0.984(.075)	0.985(.075)
0.100	0.817(.092)	0.970(.099)	0.975(.099)	0.976(.099)	0.977(.099)
0.125	0.748(.111)	0.959(.123)	0.965(.123)	0.967(.123)	0.968(.123)
0.150	0.679(.129)	0.947(.147)	0.954(.147)	0.957(.147)	0.958(.147)
0.175	0.614(.145)	0.935(.170)	0.943(.171)	0.946(.171)	0.947(.171)
0.200	0.554(.160)	0.921(.193)	0.931(.194)	0.935(.195)	0.936(.195)
0.225	0.498(.173)	0.907(.216)	0.919(.217)	0.923(.218)	0.924(.218)
0.250	0.446(.185)	0.891(.239)	0.906(.240)	0.910(.241)	0.912(.241)
0.275	0.399(.196)	0.871(.261)	0.889(.263)	0.895(.263)	0.898(.264)
0.300	0.334(.205)	0.848(.282)	0.869(.285)	0.876(.285)	0.880(.286)
0.325	0.266(.212)	0.823(.303)	0.848(.306)	0.855(.307)	0.859(.308)
0.350	0.212(.218)	0.798(.323)	0.824(.327)	0.833(.328)	0.837(.329)
0.375	0.170(.223)	0.771(.343)	0.800(.347)	0.809(.349)	0.814(.349)
0.400	0.135(.227)	0.743(.362)	0.774(.367)	0.784(.369)	0.789(.369)
0.425	0.108(.230)	0.715(.380)	0.748(.386)	0.758(.388)	0.764(.389)
0.450	0.086(.232)	0.687(.398)	0.720(.404)	0.732(.407)	0.738(.408)
0.475	0.068(.234)	0.658(.415)	0.693(.422)	0.704(.424)	0.711(.426)
0.500	0.054(.236)	0.629(.431)	0.665(.439)	0.677(.442)	0.683(.443)
0.525	0.044(.237)	0.599(.446)	0.636(.455)	0.649(.458)	0.655(.460)
0.550	0.038(.238)	0.568(.461)	0.606(.471)	0.619(.474)	0.626(.476)
0.575	0.032(.239)	0.538(.474)	0.576(.486)	0.590(.489)	0.596(.491)
0.600	0.027(.240)	0.508(.487)	0.546(.500)	0.559(.504)	0.566(.506)
0.625	0.023(.240)	0.473(.500)	0.516(.513)	0.529(.517)	0.536(.520)
0.650	0.019(.241)	0.414(.511)	0.479(.525)	0.498(.530)	0.505(.533)
0.675	0.016(.241)	0.357(.520)	0.419(.537)	0.441(.542)	0.453(.545)
0.700	0.013(.242)	0.305(.529)	0.361(.546)	0.382(.552)	0.393(.555)
0.725	0.011(.242)	0.256(.536)	0.307(.555)	0.326(.561)	0.336(.564)
0.750	0.009(.242)	0.210(.542)	0.256(.562)	0.273(.568)	0.282(.572)
0.775	0.007(.242)	0.168(.546)	0.208(.568)	0.223(.575)	0.231(.578)
0.800	0.006(.242)	0.130(.550)	0.163(.572)	0.176(.580)	0.183(.584)
0.825	0.004(.243)	0.098(.553)	0.124(.576)	0.134(.584)	0.140(.588)
0.850	0.003(.243)	0.076(.555)	0.092(.578)	0.099(.586)	0.103(.591)
0.875	0.002(.243)	0.057(.557)	0.070(.580)	0.074(.589)	0.077(.593)
0.900	0.002(.243)	0.041(.558)	0.050(.582)	0.054(.590)	0.056(.595)
0.925	0.001(.243)	0.026(.559)	0.033(.583)	0.035(.591)	0.036(.596)
0.950	0.001(.243)	0.014(.559)	0.018(.584)	0.019(.592)	0.020(.596)
0.975	0.000(.243)	0.005(.560)	0.006(.584)	0.007(.592)	0.007(.597)
1.000	0.000(.243)	0.000(.560)	0.000(.584)	0.000(.592)	0.000(.597)

*** RELATIVE ENERGY FLUX DENSITY IN THE PENUMBRA ***
 *** OF A DIFFUSE SKIRT WITH THE REFLECTANCE = 0. ***

SOLAR FIELD ANGLE, $\theta = 2.00$ DEGREES
 GEOMETRY $D1/D2 = 0.50$

BETA = ANGLE OF INCIDENCE, DEGREES

BETA ***	-40.00	-30.00	-20.00	-10.00	-0.
AX/AB	Q (Q1)	Q (Q1)	Q (Q1)	Q (Q1)	Q (Q1)
0.	1.000(.)	1.000(.)	1.000(.)	1.000(.)	1.000(.)
0.025	0.997(.025)	0.997(.025)	0.997(.025)	0.997(.025)	0.997(.025)
0.050	0.992(.050)	0.992(.050)	0.992(.050)	0.992(.050)	0.992(.050)
0.075	0.985(.075)	0.985(.075)	0.985(.075)	0.986(.075)	0.986(.075)
0.100	0.977(.099)	0.977(.099)	0.978(.099)	0.978(.099)	0.978(.099)
0.125	0.968(.123)	0.969(.123)	0.969(.123)	0.969(.123)	0.970(.123)
0.150	0.959(.147)	0.959(.148)	0.960(.148)	0.960(.148)	0.960(.148)
0.175	0.948(.171)	0.949(.171)	0.950(.171)	0.950(.171)	0.950(.171)
0.200	0.937(.195)	0.938(.195)	0.939(.195)	0.939(.195)	0.940(.195)
0.225	0.926(.218)	0.927(.218)	0.927(.218)	0.928(.218)	0.929(.218)
0.250	0.914(.241)	0.915(.241)	0.916(.241)	0.916(.241)	0.917(.242)
0.275	0.903(.264)	0.901(.264)	0.902(.264)	0.903(.264)	0.904(.264)
0.300	0.882(.286)	0.884(.286)	0.885(.286)	0.886(.287)	0.887(.287)
0.325	0.862(.308)	0.864(.308)	0.865(.308)	0.867(.308)	0.868(.309)
0.350	0.840(.329)	0.842(.329)	0.844(.330)	0.845(.330)	0.847(.330)
0.375	0.817(.350)	0.819(.350)	0.821(.350)	0.823(.351)	0.824(.351)
0.400	0.793(.370)	0.795(.370)	0.797(.371)	0.799(.371)	0.801(.371)
0.425	0.767(.390)	0.770(.390)	0.772(.390)	0.774(.391)	0.776(.391)
0.450	0.741(.408)	0.744(.409)	0.746(.409)	0.748(.410)	0.750(.410)
0.475	0.715(.427)	0.718(.427)	0.720(.428)	0.722(.428)	0.724(.428)
0.500	0.687(.444)	0.690(.445)	0.693(.445)	0.695(.446)	0.697(.446)
0.525	0.659(.461)	0.663(.462)	0.665(.462)	0.667(.463)	0.669(.463)
0.550	0.631(.477)	0.634(.478)	0.637(.479)	0.639(.479)	0.641(.480)
0.575	0.601(.492)	0.604(.493)	0.607(.494)	0.609(.495)	0.612(.495)
0.600	0.571(.507)	0.574(.508)	0.577(.509)	0.579(.510)	0.582(.510)
0.625	0.540(.521)	0.544(.522)	0.546(.523)	0.549(.524)	0.551(.524)
0.650	0.510(.534)	0.513(.535)	0.516(.536)	0.518(.537)	0.520(.538)
0.675	0.461(.546)	0.467(.548)	0.471(.549)	0.476(.549)	0.479(.550)
0.700	0.401(.557)	0.406(.558)	0.411(.560)	0.415(.561)	0.418(.562)
0.725	0.343(.566)	0.348(.568)	0.352(.569)	0.356(.570)	0.359(.571)
0.750	0.288(.574)	0.293(.576)	0.297(.577)	0.300(.578)	0.303(.580)
0.775	0.236(.581)	0.241(.583)	0.244(.584)	0.247(.585)	0.250(.586)
0.800	0.188(.586)	0.191(.588)	0.194(.589)	0.197(.591)	0.199(.592)
0.825	0.144(.590)	0.147(.592)	0.149(.594)	0.151(.595)	0.153(.596)
0.850	0.105(.593)	0.108(.595)	0.110(.597)	0.111(.598)	0.113(.600)
0.875	0.079(.596)	0.080(.598)	0.081(.599)	0.082(.601)	0.083(.602)
0.900	0.057(.597)	0.058(.599)	0.059(.601)	0.059(.603)	0.060(.604)
0.925	0.037(.599)	0.038(.601)	0.039(.602)	0.039(.604)	0.040(.605)
0.950	0.021(.599)	0.021(.601)	0.021(.603)	0.022(.605)	0.022(.606)
0.975	0.007(.600)	0.007(.602)	0.008(.603)	0.008(.605)	0.008(.606)
1.000	0.000(.600)	0.000(.602)	0.000(.604)	0.000(.605)	0.000(.606)

*** RELATIVE ENERGY FLUX DENSITY IN THE PENUMBRA ***
 *** OF A DIFFUSE SKIRT WITH THE REFLECTANCE = 0. ***

RE-ORDERING 66-196
 Appl - Phase II
 VERSION C

SOLAR FIELD ANGLE, $\theta = 2.00$ DEGREES
 GEOMETRY $D1/D2 = 0.50$

BETA = ANGLE OF INCIDENCE, DEGREES

BETA ***	10.00	20.00	30.00	40.00	50.00
AX/AB	Q (Q1)	Q (Q1)	Q (Q1)	Q (Q1)	Q (Q1)
0.	1.000(.)	1.000(.)	1.000(.)	1.000(.)	1.000(.)
0.025	0.997(.025)	0.997(.025)	0.997(.025)	0.997(.025)	0.997(.025)
0.050	0.992(.050)	0.992(.050)	0.992(.050)	0.993(.050)	0.993(.050)
0.075	0.986(.075)	0.986(.075)	0.986(.075)	0.986(.075)	0.987(.075)
0.100	0.978(.099)	0.979(.099)	0.979(.099)	0.979(.099)	0.980(.099)
0.125	0.970(.123)	0.970(.123)	0.971(.124)	0.971(.124)	0.972(.124)
0.150	0.961(.148)	0.961(.148)	0.962(.148)	0.962(.148)	0.963(.148)
0.175	0.951(.172)	0.951(.172)	0.952(.172)	0.952(.172)	0.953(.172)
0.200	0.940(.195)	0.941(.195)	0.941(.195)	0.942(.195)	0.943(.195)
0.225	0.929(.219)	0.930(.219)	0.931(.219)	0.931(.219)	0.933(.219)
0.250	0.918(.242)	0.918(.242)	0.919(.242)	0.920(.242)	0.921(.242)
0.275	0.905(.264)	0.906(.264)	0.907(.265)	0.908(.265)	0.910(.265)
0.300	0.888(.287)	0.889(.287)	0.891(.287)	0.892(.287)	0.894(.287)
0.325	0.869(.309)	0.871(.309)	0.872(.309)	0.874(.309)	0.876(.310)
0.350	0.848(.330)	0.850(.330)	0.851(.331)	0.853(.331)	0.856(.331)
0.375	0.825(.351)	0.828(.351)	0.829(.352)	0.832(.352)	0.834(.352)
0.400	0.802(.372)	0.804(.372)	0.806(.372)	0.808(.372)	0.812(.373)
0.425	0.778(.391)	0.780(.392)	0.782(.392)	0.784(.392)	0.788(.393)
0.450	0.752(.410)	0.754(.411)	0.756(.411)	0.759(.412)	0.763(.412)
0.475	0.725(.429)	0.728(.429)	0.730(.430)	0.733(.430)	0.737(.431)
0.500	0.697(.447)	0.701(.447)	0.704(.448)	0.706(.448)	0.710(.449)
0.525	0.671(.464)	0.674(.464)	0.676(.465)	0.679(.466)	0.683(.467)
0.550	0.643(.480)	0.645(.481)	0.648(.481)	0.651(.482)	0.656(.483)
0.575	0.614(.496)	0.616(.497)	0.619(.497)	0.622(.498)	0.627(.499)
0.600	0.584(.511)	0.586(.512)	0.589(.512)	0.592(.513)	0.597(.515)
0.625	0.553(.525)	0.556(.526)	0.559(.527)	0.562(.528)	0.566(.529)
0.650	0.523(.539)	0.525(.539)	0.528(.540)	0.531(.541)	0.536(.543)
0.675	0.483(.551)	0.488(.552)	0.492(.553)	0.498(.554)	0.505(.556)
0.700	0.422(.562)	0.426(.563)	0.431(.565)	0.436(.566)	0.444(.568)
0.725	0.362(.572)	0.366(.573)	0.370(.575)	0.376(.576)	0.383(.578)
0.750	0.305(.581)	0.310(.582)	0.313(.583)	0.318(.585)	0.325(.587)
0.775	0.253(.588)	0.256(.589)	0.259(.590)	0.263(.592)	0.269(.594)
0.800	0.202(.593)	0.204(.595)	0.207(.596)	0.211(.598)	0.216(.600)
0.825	0.155(.598)	0.157(.599)	0.160(.601)	0.163(.603)	0.167(.605)
0.850	0.114(.601)	0.116(.603)	0.118(.604)	0.120(.606)	0.123(.609)
0.875	0.084(.604)	0.085(.605)	0.086(.607)	0.088(.609)	0.089(.612)
0.900	0.061(.605)	0.062(.607)	0.063(.609)	0.064(.611)	0.065(.613)
0.925	0.040(.607)	0.041(.608)	0.041(.610)	0.042(.612)	0.043(.615)
0.950	0.022(.607)	0.022(.609)	0.023(.611)	0.023(.613)	0.024(.616)
0.975	0.008(.608)	0.008(.609)	0.008(.611)	0.008(.613)	0.009(.616)
1.000	0.000(.608)	0.000(.609)	0.000(.611)	0.000(.613)	0.000(.616)

66-196
 App A - Phyllis
 VERSION C

*** RELATIVE ENERGY FLUX DENSITY IN THE PENUMBRA ***
 *** OF A DIFFUSE SKIRI WITH THE REFLECTANCE = 0. ***

SOLAR FIELD ANGLE, D= 2.00 DEGREES
 GEOMETRY D1/D2 = 0.50

BETA = ANGLE OF INCIDENCE, DEGREES

BETA ***	60.00	70.00	80.00	88.50
AX/AB	Q (Q1)	Q (Q1)	Q (Q1)	Q (Q1)
0.	1.000(.)	1.000(.)	1.000(.)	1.000(.)
0.025	0.997(.025)	0.998(.025)	0.998(.025)	1.000(.025)
0.050	0.993(.050)	0.993(.050)	0.994(.050)	1.000(.050)
0.075	0.987(.075)	0.988(.075)	0.990(.075)	0.999(.075)
0.100	0.980(.099)	0.981(.099)	0.984(.099)	0.999(.100)
0.125	0.972(.124)	0.974(.124)	0.978(.124)	0.998(.125)
0.150	0.964(.148)	0.966(.148)	0.971(.148)	0.998(.150)
0.175	0.955(.172)	0.957(.172)	0.963(.172)	0.997(.175)
0.200	0.945(.196)	0.947(.196)	0.955(.196)	0.996(.200)
0.225	0.934(.219)	0.937(.219)	0.946(.220)	0.996(.225)
0.250	0.923(.242)	0.927(.243)	0.937(.244)	0.995(.250)
0.275	0.912(.265)	0.916(.266)	0.927(.267)	0.994(.274)
0.300	0.897(.288)	0.903(.288)	0.916(.290)	0.992(.299)
0.325	0.880(.310)	0.886(.311)	0.903(.313)	0.991(.324)
0.350	0.863(.332)	0.867(.333)	0.887(.335)	0.989(.349)
0.375	0.839(.353)	0.847(.354)	0.869(.357)	0.987(.373)
0.400	0.816(.374)	0.825(.375)	0.850(.379)	0.985(.398)
0.425	0.793(.394)	0.802(.395)	0.829(.400)	0.983(.423)
0.450	0.768(.413)	0.778(.415)	0.807(.420)	0.981(.447)
0.475	0.743(.432)	0.754(.434)	0.783(.440)	0.978(.472)
0.500	0.717(.450)	0.728(.453)	0.759(.459)	0.974(.496)
0.525	0.690(.468)	0.701(.471)	0.734(.478)	0.971(.520)
0.550	0.662(.485)	0.674(.488)	0.708(.496)	0.967(.545)
0.575	0.633(.501)	0.646(.504)	0.681(.513)	0.962(.569)
0.600	0.604(.517)	0.616(.520)	0.652(.530)	0.957(.593)
0.625	0.573(.531)	0.586(.535)	0.623(.546)	0.950(.617)
0.650	0.543(.545)	0.556(.549)	0.593(.561)	0.940(.640)
0.675	0.512(.558)	0.524(.563)	0.561(.575)	0.928(.664)
0.700	0.455(.570)	0.478(.575)	0.530(.589)	0.914(.687)
0.725	0.394(.581)	0.415(.587)	0.477(.602)	0.897(.709)
0.750	0.335(.590)	0.354(.596)	0.412(.613)	0.877(.731)
0.775	0.278(.598)	0.296(.604)	0.349(.622)	0.853(.753)
0.800	0.224(.604)	0.240(.611)	0.287(.630)	0.825(.774)
0.825	0.174(.609)	0.187(.616)	0.228(.637)	0.791(.794)
0.850	0.129(.613)	0.139(.620)	0.172(.642)	0.751(.813)
0.875	0.092(.616)	0.099(.623)	0.122(.645)	0.702(.832)
0.900	0.067(.618)	0.072(.626)	0.086(.648)	0.644(.848)
0.925	0.045(.619)	0.048(.627)	0.058(.650)	0.525(.863)
0.950	0.025(.620)	0.027(.628)	0.033(.651)	0.340(.874)
0.975	0.009(.620)	0.010(.628)	0.012(.651)	0.132(.880)
1.000	0.000(.620)	0.000(.629)	0.000(.652)	0.000(.881)

*** RELATIVE ENERGY FLUX DENSITY IN THE PENUMBRA ***
 *** OF A DIFFUSE SKIRT WITH THE REFLECTANCE = 0. ***

SOLAR FIELD ANGLE, D = 2.00 DEGREES
 GEOMETRY D1/D2 = 0.75

BETA = ANGLE OF INCIDENCE, DEGREES

BETA ***	-88.50	-80.00	-70.00	-60.00	-50.00
AX/AB	Q (QI)	Q (QI)	Q (QI)	Q (QI)	Q (QI)
0.	1.000(.)	1.000(.)	1.000(.)	1.000(.)	1.000(.)
0.025	0.953(.024)	0.995(.025)	0.996(.025)	0.996(.025)	0.996(.025)
0.050	0.889(.047)	0.986(.050)	0.988(.050)	0.989(.050)	0.989(.050)
0.075	0.812(.069)	0.975(.074)	0.979(.074)	0.980(.074)	0.981(.074)
0.100	0.718(.088)	0.962(.098)	0.968(.099)	0.970(.099)	0.971(.099)
0.125	0.628(.105)	0.948(.122)	0.956(.123)	0.958(.123)	0.959(.123)
0.150	0.546(.119)	0.933(.146)	0.942(.146)	0.945(.147)	0.947(.147)
0.175	0.472(.132)	0.917(.169)	0.928(.170)	0.932(.170)	0.934(.170)
0.200	0.405(.143)	0.900(.192)	0.913(.193)	0.916(.193)	0.920(.193)
0.225	0.337(.152)	0.877(.214)	0.897(.215)	0.902(.216)	0.905(.216)
0.250	0.274(.160)	0.850(.235)	0.874(.238)	0.882(.238)	0.885(.239)
0.275	0.224(.166)	0.821(.256)	0.849(.259)	0.857(.260)	0.862(.260)
0.300	0.183(.171)	0.790(.276)	0.821(.280)	0.831(.281)	0.836(.282)
0.325	0.149(.175)	0.758(.296)	0.792(.300)	0.803(.302)	0.808(.302)
0.350	0.122(.179)	0.725(.314)	0.761(.320)	0.773(.321)	0.779(.322)
0.375	0.099(.182)	0.691(.332)	0.730(.338)	0.742(.340)	0.749(.341)
0.400	0.080(.184)	0.657(.349)	0.697(.356)	0.711(.358)	0.718(.360)
0.425	0.065(.186)	0.622(.365)	0.664(.373)	0.678(.376)	0.686(.377)
0.450	0.053(.187)	0.586(.380)	0.630(.389)	0.645(.392)	0.653(.394)
0.475	0.044(.188)	0.550(.394)	0.595(.405)	0.611(.408)	0.619(.410)
0.500	0.038(.189)	0.514(.408)	0.560(.419)	0.575(.423)	0.584(.425)
0.525	0.033(.190)	0.477(.420)	0.524(.433)	0.540(.437)	0.548(.439)
0.550	0.028(.191)	0.430(.431)	0.487(.445)	0.504(.450)	0.512(.452)
0.575	0.024(.192)	0.384(.441)	0.440(.457)	0.459(.462)	0.470(.464)
0.600	0.021(.192)	0.340(.450)	0.394(.467)	0.413(.473)	0.423(.476)
0.625	0.018(.193)	0.300(.459)	0.349(.476)	0.367(.482)	0.377(.486)
0.650	0.015(.193)	0.261(.466)	0.307(.485)	0.323(.491)	0.332(.494)
0.675	0.013(.193)	0.224(.472)	0.266(.492)	0.282(.499)	0.290(.502)
0.700	0.010(.194)	0.189(.477)	0.228(.498)	0.242(.505)	0.250(.509)
0.725	0.009(.194)	0.157(.481)	0.191(.503)	0.204(.511)	0.211(.515)
0.750	0.007(.194)	0.128(.485)	0.157(.508)	0.168(.515)	0.175(.520)
0.775	0.005(.194)	0.102(.487)	0.126(.511)	0.136(.519)	0.141(.523)
0.800	0.005(.194)	0.082(.490)	0.100(.514)	0.107(.522)	0.111(.527)
0.825	0.004(.195)	0.067(.492)	0.080(.516)	0.085(.525)	0.088(.529)
0.850	0.003(.195)	0.053(.493)	0.064(.518)	0.068(.527)	0.070(.531)
0.875	0.002(.195)	0.040(.494)	0.049(.519)	0.052(.528)	0.054(.533)
0.900	0.001(.195)	0.029(.495)	0.035(.520)	0.037(.529)	0.039(.534)
0.925	0.001(.195)	0.019(.496)	0.023(.521)	0.024(.530)	0.025(.535)
0.950	0.000(.195)	0.010(.496)	0.012(.522)	0.013(.530)	0.014(.535)
0.975	0.000(.195)	0.004(.496)	0.004(.522)	0.005(.531)	0.005(.535)
1.000	0.000(.195)	0.000(.496)	0.000(.522)	0.000(.531)	0.000(.535)

*** RELATIVE ENERGY FLUX DENSITY IN THE PENUMBRA ***
 *** OF A DIFFUSE SKIRT WITH THE REFLECTANCE = 0. ***

VERSION C

SOLAR FIELD ANGLE, D = 2.00 DEGREES
 GEOMETRY D1/D2 = 0.75

BETA = ANGLE OF INCIDENCE, DEGREES

BETA ***	-40.00	-30.00	-20.00	-10.00	-0.
AX/AB	Q (QI)	Q (QI)	Q (QI)	Q (QI)	Q (QI)
0.	1.000(.)	1.000(.)	1.000(.)	1.000(.)	1.000(.)
0.025	0.995(.025)	0.996(.025)	0.996(.025)	0.996(.025)	0.997(.025)
0.050	0.990(.050)	0.990(.050)	0.990(.050)	0.990(.050)	0.990(.050)
0.075	0.981(.074)	0.981(.074)	0.982(.074)	0.982(.074)	0.982(.074)
0.100	0.971(.099)	0.972(.099)	0.972(.099)	0.972(.099)	0.973(.099)
0.125	0.960(.123)	0.961(.123)	0.961(.123)	0.962(.123)	0.962(.123)
0.150	0.948(.147)	0.949(.147)	0.949(.147)	0.950(.147)	0.950(.147)
0.175	0.935(.170)	0.936(.170)	0.937(.170)	0.937(.171)	0.938(.171)
0.200	0.921(.194)	0.923(.194)	0.923(.194)	0.924(.194)	0.925(.194)
0.225	0.907(.216)	0.908(.217)	0.909(.217)	0.910(.217)	0.911(.217)
0.250	0.888(.239)	0.889(.239)	0.891(.239)	0.892(.239)	0.893(.239)
0.275	0.865(.261)	0.867(.261)	0.868(.261)	0.870(.261)	0.871(.261)
0.300	0.839(.282)	0.842(.282)	0.844(.283)	0.845(.283)	0.847(.283)
0.325	0.812(.303)	0.815(.303)	0.817(.303)	0.819(.304)	0.820(.304)
0.350	0.783(.323)	0.786(.323)	0.789(.323)	0.791(.324)	0.793(.324)
0.375	0.753(.342)	0.756(.342)	0.759(.343)	0.761(.343)	0.763(.343)
0.400	0.722(.360)	0.726(.361)	0.728(.361)	0.731(.362)	0.733(.362)
0.425	0.690(.378)	0.694(.379)	0.697(.379)	0.699(.380)	0.701(.380)
0.450	0.658(.395)	0.661(.396)	0.664(.396)	0.667(.397)	0.669(.397)
0.475	0.624(.411)	0.628(.412)	0.631(.412)	0.634(.413)	0.636(.413)
0.500	0.589(.426)	0.593(.427)	0.596(.428)	0.599(.428)	0.602(.429)
0.525	0.553(.440)	0.558(.441)	0.561(.442)	0.564(.443)	0.566(.443)
0.550	0.518(.454)	0.522(.455)	0.525(.456)	0.528(.456)	0.531(.457)
0.575	0.477(.466)	0.482(.467)	0.486(.468)	0.490(.469)	0.493(.470)
0.600	0.429(.477)	0.434(.479)	0.438(.480)	0.442(.481)	0.445(.482)
0.625	0.383(.488)	0.388(.489)	0.392(.490)	0.395(.491)	0.398(.492)
0.650	0.338(.497)	0.343(.498)	0.346(.499)	0.349(.501)	0.353(.502)
0.675	0.295(.504)	0.300(.506)	0.303(.508)	0.306(.509)	0.309(.510)
0.700	0.255(.511)	0.259(.513)	0.262(.515)	0.265(.516)	0.267(.517)
0.725	0.216(.517)	0.219(.519)	0.222(.521)	0.224(.522)	0.227(.523)
0.750	0.179(.522)	0.182(.524)	0.184(.526)	0.187(.527)	0.189(.529)
0.775	0.145(.526)	0.147(.528)	0.149(.530)	0.151(.531)	0.153(.533)
0.800	0.114(.529)	0.116(.532)	0.118(.533)	0.120(.535)	0.121(.536)
0.825	0.089(.532)	0.091(.534)	0.092(.536)	0.093(.537)	0.094(.539)
0.850	0.072(.534)	0.073(.536)	0.074(.538)	0.074(.540)	0.075(.541)
0.875	0.055(.536)	0.056(.538)	0.057(.540)	0.057(.541)	0.058(.543)
0.900	0.040(.537)	0.040(.539)	0.041(.541)	0.041(.542)	0.042(.544)
0.925	0.025(.538)	0.026(.540)	0.027(.542)	0.027(.543)	0.027(.545)
0.950	0.014(.538)	0.014(.540)	0.015(.542)	0.015(.544)	0.015(.545)
0.975	0.005(.538)	0.005(.541)	0.005(.542)	0.005(.544)	0.005(.546)
1.000	0.000(.538)	0.000(.541)	0.000(.543)	0.000(.544)	0.000(.546)

*** RELATIVE ENERGY FLUX DENSITY IN THE PENUMBRA ***
 *** OF A DIFFUSE SKIRI WITH THE REFLECTANCE = 0. ***

SOLAR FIELD ANGLE, D= 2.00 DEGREES
 GEOMETRY D1/D2 = 0.75

BETA = ANGLE OF INCIDENCE, DEGREES

BETA ***	10.00	20.00	30.00	40.00	50.00
AX/AB	Q (QI)	Q (QI)	Q (QI)	Q (QI)	Q (QI)
0.	1.000(.)	1.000(.)	1.000(.)	1.000(.)	1.000(.)
0.025	0.997(.025)	0.997(.025)	0.997(.025)	0.997(.025)	0.997(.025)
0.050	0.990(.050)	0.990(.050)	0.991(.050)	0.991(.050)	0.991(.050)
0.075	0.982(.074)	0.982(.074)	0.983(.074)	0.983(.074)	0.983(.074)
0.100	0.973(.099)	0.973(.099)	0.974(.099)	0.974(.099)	0.974(.099)
0.125	0.962(.123)	0.963(.123)	0.963(.123)	0.964(.123)	0.965(.123)
0.150	0.951(.147)	0.951(.147)	0.952(.147)	0.953(.147)	0.954(.147)
0.175	0.939(.171)	0.939(.171)	0.940(.171)	0.941(.171)	0.942(.171)
0.200	0.925(.194)	0.926(.194)	0.927(.194)	0.928(.194)	0.929(.194)
0.225	0.912(.217)	0.913(.217)	0.913(.217)	0.915(.217)	0.916(.217)
0.250	0.894(.239)	0.896(.240)	0.897(.240)	0.898(.240)	0.901(.240)
0.275	0.873(.262)	0.874(.262)	0.876(.262)	0.878(.262)	0.880(.262)
0.300	0.848(.283)	0.850(.283)	0.852(.283)	0.854(.284)	0.857(.284)
0.325	0.822(.304)	0.824(.304)	0.826(.304)	0.829(.305)	0.832(.305)
0.350	0.794(.324)	0.796(.324)	0.799(.325)	0.802(.325)	0.805(.326)
0.375	0.765(.344)	0.767(.344)	0.770(.344)	0.773(.345)	0.777(.345)
0.400	0.735(.362)	0.737(.363)	0.740(.363)	0.743(.364)	0.748(.364)
0.425	0.704(.380)	0.706(.381)	0.709(.381)	0.712(.382)	0.717(.383)
0.450	0.672(.398)	0.674(.398)	0.677(.399)	0.681(.399)	0.686(.400)
0.475	0.639(.414)	0.641(.415)	0.644(.415)	0.648(.416)	0.653(.417)
0.500	0.604(.429)	0.607(.430)	0.610(.431)	0.614(.432)	0.619(.433)
0.525	0.569(.444)	0.572(.445)	0.575(.446)	0.579(.447)	0.585(.448)
0.550	0.533(.458)	0.536(.459)	0.540(.460)	0.544(.461)	0.549(.462)
0.575	0.497(.471)	0.500(.472)	0.504(.473)	0.508(.474)	0.513(.475)
0.600	0.449(.483)	0.452(.484)	0.457(.485)	0.462(.486)	0.468(.488)
0.625	0.402(.493)	0.405(.494)	0.409(.495)	0.414(.497)	0.421(.499)
0.650	0.355(.503)	0.359(.504)	0.363(.505)	0.367(.507)	0.374(.509)
0.675	0.312(.511)	0.315(.512)	0.319(.514)	0.323(.515)	0.329(.517)
0.700	0.270(.518)	0.273(.520)	0.276(.521)	0.280(.523)	0.285(.525)
0.725	0.229(.525)	0.232(.526)	0.235(.527)	0.239(.529)	0.243(.532)
0.750	0.191(.530)	0.193(.531)	0.196(.533)	0.199(.535)	0.203(.537)
0.775	0.155(.534)	0.157(.536)	0.159(.537)	0.162(.539)	0.166(.542)
0.800	0.123(.538)	0.124(.539)	0.126(.541)	0.128(.543)	0.132(.546)
0.825	0.095(.540)	0.096(.542)	0.098(.544)	0.100(.546)	0.102(.549)
0.850	0.075(.542)	0.077(.544)	0.078(.546)	0.079(.548)	0.081(.551)
0.875	0.058(.544)	0.059(.546)	0.060(.548)	0.061(.550)	0.062(.553)
0.900	0.042(.545)	0.043(.547)	0.043(.549)	0.044(.551)	0.045(.554)
0.925	0.028(.546)	0.028(.548)	0.028(.550)	0.029(.552)	0.030(.555)
0.950	0.015(.547)	0.015(.548)	0.016(.550)	0.016(.553)	0.016(.556)
0.975	0.005(.547)	0.006(.549)	0.006(.551)	0.006(.553)	0.006(.556)
1.000	0.000(.547)	0.000(.549)	0.000(.551)	0.000(.553)	0.000(.556)

RE-ORDER No. 66-196
 App A - Phase II
 VERSION C

*** RELATIVE ENERGY FLUX DENSITY IN THE PENUMBRA ***
 *** OF A DIFFUSE SKIRT WITH THE REFLECTANCE = 0. ***

SOLAR FIELD ANGLE, D= 2.00 DEGREES
 GEOMETRY D1/D2 = 0.75

BETA = ANGLE OF INCIDENCE, DEGREES

BETA ***	60.00	70.00	80.00	88.50
AX/AB	Q (Q1)	Q (Q1)	Q (Q1)	Q (Q1)
0.	1.000(.)	1.000(.)	1.000(.)	1.000(.)
0.025	0.997(.025)	0.997(.025)	0.998(.025)	1.000(.025)
0.050	0.991(.050)	0.992(.050)	0.993(.050)	1.000(.050)
0.075	0.984(.075)	0.985(.075)	0.987(.075)	0.999(.075)
0.100	0.975(.099)	0.977(.099)	0.981(.099)	0.999(.100)
0.125	0.966(.123)	0.968(.123)	0.973(.124)	0.998(.125)
0.150	0.955(.147)	0.958(.147)	0.964(.148)	0.998(.150)
0.175	0.944(.171)	0.947(.171)	0.955(.172)	0.997(.175)
0.200	0.931(.194)	0.935(.195)	0.945(.196)	0.996(.200)
0.225	0.918(.218)	0.923(.218)	0.934(.219)	0.995(.225)
0.250	0.904(.240)	0.909(.241)	0.922(.242)	0.994(.249)
0.275	0.884(.263)	0.891(.263)	0.909(.265)	0.993(.274)
0.300	0.862(.284)	0.870(.285)	0.891(.288)	0.991(.299)
0.325	0.837(.306)	0.847(.307)	0.871(.310)	0.990(.324)
0.350	0.811(.326)	0.821(.328)	0.849(.331)	0.988(.349)
0.375	0.783(.346)	0.794(.348)	0.825(.352)	0.986(.373)
0.400	0.754(.365)	0.766(.367)	0.799(.372)	0.984(.398)
0.425	0.724(.384)	0.737(.386)	0.772(.392)	0.981(.422)
0.450	0.693(.402)	0.706(.404)	0.744(.411)	0.978(.447)
0.475	0.661(.419)	0.675(.421)	0.714(.429)	0.975(.471)
0.500	0.627(.435)	0.642(.438)	0.683(.447)	0.971(.496)
0.525	0.593(.450)	0.608(.454)	0.651(.463)	0.967(.520)
0.550	0.557(.464)	0.573(.468)	0.617(.479)	0.962(.544)
0.575	0.522(.478)	0.537(.482)	0.582(.494)	0.956(.568)
0.600	0.479(.490)	0.499(.495)	0.546(.508)	0.949(.592)
0.625	0.431(.502)	0.450(.507)	0.507(.521)	0.939(.615)
0.650	0.383(.512)	0.402(.518)	0.457(.533)	0.926(.639)
0.675	0.338(.521)	0.355(.527)	0.407(.544)	0.911(.662)
0.700	0.294(.529)	0.310(.535)	0.359(.554)	0.892(.684)
0.725	0.251(.536)	0.266(.543)	0.312(.562)	0.870(.706)
0.750	0.210(.541)	0.224(.549)	0.265(.569)	0.843(.728)
0.775	0.172(.546)	0.184(.554)	0.221(.576)	0.812(.748)
0.800	0.137(.550)	0.146(.558)	0.178(.580)	0.774(.768)
0.825	0.105(.553)	0.113(.561)	0.139(.584)	0.728(.787)
0.850	0.083(.555)	0.088(.564)	0.105(.587)	0.672(.804)
0.875	0.064(.557)	0.068(.566)	0.081(.590)	0.599(.820)
0.900	0.047(.559)	0.050(.567)	0.059(.592)	0.489(.834)
0.925	0.031(.560)	0.033(.568)	0.040(.593)	0.358(.845)
0.950	0.017(.560)	0.018(.569)	0.022(.594)	0.209(.852)
0.975	0.005(.560)	0.007(.569)	0.008(.594)	0.086(.855)
1.000	0.000(.561)	0.000(.569)	0.000(.594)	0.000(.856)

C-36
 206

*** RELATIVE ENERGY FLUX DENSITY IN THE PENUMBRA ***
 *** OF A DIFFUSE SKIRT WITH THE REFLECTANCE = 0. ***

SOLAR FIELD ANGLE, $\theta = 2.00$ DEGREES
 GEOMETRY $D1/D2 = 1.00$

BETA = ANGLE OF INCIDENCE, DEGREES

BETA ***	-88.50	-80.00	-70.00	-60.00	-50.00
AX/AB	Q (QI)	Q (QI)	Q (QI)	Q (QI)	Q (QI)
0.	1.000(.)	1.000(.)	1.000(.)	1.000(.)	1.000(.)
0.025	0.937(.024)	0.994(.025)	0.995(.025)	0.995(.025)	0.995(.025)
0.050	0.854(.047)	0.983(.050)	0.986(.050)	0.987(.050)	0.987(.050)
0.075	0.738(.066)	0.969(.074)	0.974(.074)	0.976(.074)	0.976(.074)
0.100	0.623(.083)	0.953(.098)	0.961(.098)	0.963(.098)	0.964(.099)
0.125	0.522(.096)	0.936(.122)	0.946(.122)	0.949(.122)	0.950(.122)
0.150	0.432(.110)	0.917(.145)	0.930(.146)	0.934(.146)	0.936(.146)
0.175	0.356(.120)	0.898(.168)	0.913(.169)	0.917(.169)	0.920(.169)
0.200	0.293(.128)	0.870(.190)	0.892(.191)	0.899(.192)	0.902(.192)
0.225	0.241(.134)	0.838(.211)	0.865(.213)	0.874(.214)	0.878(.214)
0.250	0.199(.140)	0.803(.231)	0.835(.234)	0.845(.235)	0.850(.236)
0.275	0.164(.144)	0.766(.251)	0.802(.255)	0.813(.256)	0.819(.257)
0.300	0.135(.148)	0.728(.270)	0.767(.275)	0.780(.276)	0.787(.277)
0.325	0.111(.151)	0.689(.287)	0.731(.293)	0.745(.295)	0.752(.296)
0.350	0.092(.154)	0.649(.304)	0.694(.311)	0.708(.313)	0.716(.314)
0.375	0.075(.156)	0.608(.320)	0.656(.328)	0.671(.330)	0.679(.332)
0.400	0.062(.158)	0.567(.335)	0.616(.344)	0.633(.347)	0.641(.348)
0.425	0.051(.159)	0.525(.348)	0.575(.359)	0.593(.362)	0.602(.364)
0.450	0.043(.160)	0.483(.361)	0.534(.373)	0.552(.376)	0.561(.378)
0.475	0.035(.161)	0.442(.372)	0.493(.385)	0.511(.390)	0.520(.392)
0.500	0.033(.162)	0.402(.383)	0.452(.397)	0.470(.402)	0.479(.404)
0.525	0.028(.163)	0.363(.393)	0.412(.408)	0.429(.413)	0.438(.416)
0.550	0.024(.163)	0.326(.401)	0.372(.418)	0.389(.423)	0.398(.426)
0.575	0.021(.164)	0.291(.409)	0.335(.427)	0.350(.433)	0.359(.436)
0.600	0.018(.165)	0.257(.416)	0.299(.435)	0.314(.441)	0.322(.444)
0.625	0.015(.165)	0.225(.422)	0.264(.442)	0.278(.448)	0.286(.452)
0.650	0.013(.165)	0.195(.427)	0.231(.448)	0.244(.455)	0.251(.459)
0.675	0.011(.166)	0.167(.431)	0.199(.453)	0.211(.461)	0.218(.464)
0.700	0.009(.166)	0.140(.435)	0.169(.458)	0.180(.465)	0.186(.470)
0.725	0.008(.166)	0.116(.439)	0.141(.462)	0.151(.470)	0.156(.474)
0.750	0.005(.166)	0.095(.441)	0.116(.465)	0.124(.473)	0.129(.477)
0.775	0.005(.166)	0.080(.443)	0.094(.468)	0.101(.476)	0.104(.480)
0.800	0.004(.167)	0.066(.445)	0.078(.470)	0.083(.478)	0.085(.483)
0.825	0.003(.167)	0.054(.447)	0.064(.471)	0.068(.480)	0.070(.485)
0.850	0.002(.167)	0.043(.448)	0.051(.473)	0.054(.482)	0.056(.486)
0.875	0.002(.167)	0.033(.449)	0.039(.474)	0.042(.483)	0.043(.487)
0.900	0.001(.167)	0.023(.450)	0.028(.475)	0.030(.484)	0.031(.488)
0.925	0.001(.167)	0.015(.450)	0.018(.475)	0.020(.484)	0.020(.489)
0.950	0.000(.167)	0.008(.450)	0.010(.476)	0.011(.485)	0.011(.489)
0.975	0.000(.167)	0.003(.450)	0.004(.476)	0.004(.485)	0.004(.490)
1.000	0.000(.167)	0.000(.451)	0.000(.476)	0.000(.485)	0.000(.490)

*** RELATIVE ENERGY FLUX DENSITY IN THE PENUMBRA ***
 *** OF A DIFFUSE SKIRT WITH THE REFLECTANCE = 0. ***

SOLAR FIELD ANGLE, D= 2.00 DEGREES
 GEOMETRY D1/D2 = 1.00

BETA = ANGLE OF INCIDENCE, DEGREES

BETA ***	-40.00	-30.00	-20.00	-10.00	-0.
AX/AB	Q (Q1)	Q (Q1)	Q (Q1)	Q (Q1)	Q (Q1)
0.	1.000(.)	1.000(.)	1.000(.)	1.000(.)	1.000(.)
0.025	0.995(.025)	0.996(.025)	0.996(.025)	0.996(.025)	0.996(.025)
0.050	0.987(.050)	0.988(.050)	0.988(.050)	0.988(.050)	0.988(.050)
0.075	0.977(.074)	0.977(.074)	0.978(.074)	0.978(.074)	0.978(.074)
0.100	0.965(.099)	0.965(.099)	0.966(.099)	0.966(.099)	0.967(.099)
0.125	0.951(.123)	0.952(.123)	0.953(.123)	0.953(.123)	0.954(.123)
0.150	0.937(.146)	0.938(.146)	0.939(.146)	0.939(.146)	0.940(.146)
0.175	0.921(.159)	0.922(.169)	0.923(.169)	0.924(.170)	0.925(.170)
0.200	0.904(.192)	0.906(.192)	0.907(.192)	0.908(.192)	0.909(.193)
0.225	0.881(.214)	0.883(.215)	0.885(.215)	0.886(.215)	0.887(.215)
0.250	0.853(.236)	0.856(.236)	0.858(.237)	0.860(.237)	0.861(.237)
0.275	0.823(.257)	0.826(.257)	0.828(.258)	0.830(.258)	0.832(.258)
0.300	0.791(.277)	0.794(.278)	0.796(.278)	0.799(.278)	0.801(.278)
0.325	0.757(.297)	0.760(.297)	0.763(.297)	0.765(.298)	0.767(.298)
0.350	0.721(.315)	0.725(.316)	0.728(.316)	0.730(.316)	0.733(.317)
0.375	0.685(.333)	0.688(.333)	0.692(.334)	0.694(.334)	0.697(.335)
0.400	0.647(.349)	0.651(.350)	0.654(.351)	0.657(.351)	0.660(.352)
0.425	0.608(.365)	0.612(.366)	0.615(.366)	0.619(.367)	0.621(.368)
0.450	0.567(.380)	0.572(.381)	0.575(.381)	0.579(.382)	0.582(.383)
0.475	0.526(.393)	0.531(.394)	0.535(.395)	0.538(.396)	0.541(.397)
0.500	0.485(.406)	0.490(.407)	0.494(.408)	0.497(.409)	0.500(.410)
0.525	0.445(.416)	0.449(.419)	0.453(.420)	0.456(.421)	0.459(.422)
0.550	0.404(.428)	0.409(.430)	0.412(.431)	0.415(.432)	0.418(.433)
0.575	0.365(.438)	0.369(.439)	0.373(.441)	0.376(.442)	0.379(.443)
0.600	0.327(.446)	0.331(.448)	0.334(.449)	0.337(.451)	0.340(.452)
0.625	0.291(.454)	0.295(.456)	0.298(.457)	0.300(.459)	0.303(.460)
0.650	0.255(.461)	0.259(.463)	0.262(.464)	0.265(.466)	0.267(.467)
0.675	0.222(.467)	0.225(.469)	0.228(.470)	0.230(.472)	0.233(.473)
0.700	0.190(.472)	0.193(.474)	0.195(.476)	0.197(.477)	0.199(.478)
0.725	0.159(.477)	0.162(.479)	0.164(.480)	0.166(.482)	0.168(.483)
0.750	0.132(.480)	0.134(.482)	0.136(.484)	0.137(.485)	0.139(.487)
0.775	0.107(.483)	0.109(.485)	0.110(.487)	0.111(.489)	0.113(.490)
0.800	0.087(.486)	0.088(.488)	0.089(.490)	0.090(.491)	0.091(.493)
0.825	0.072(.488)	0.073(.490)	0.074(.492)	0.074(.493)	0.075(.495)
0.850	0.057(.489)	0.058(.491)	0.059(.493)	0.060(.495)	0.060(.496)
0.875	0.044(.490)	0.045(.493)	0.045(.495)	0.046(.496)	0.046(.498)
0.900	0.032(.491)	0.032(.494)	0.033(.495)	0.033(.497)	0.033(.499)
0.925	0.021(.492)	0.021(.494)	0.021(.496)	0.022(.498)	0.022(.499)
0.950	0.011(.492)	0.012(.495)	0.012(.497)	0.012(.498)	0.012(.500)
0.975	0.004(.493)	0.004(.495)	0.004(.497)	0.004(.498)	0.004(.500)
1.000	0.000(.493)	0.000(.495)	0.000(.497)	0.000(.498)	0.000(.500)

66-196
 App II - Phase II
 VERSION C

*** RELATIVE ENERGY FLUX DENSITY IN THE PENUMBRA ***
 *** OF A DIFFUSE SKIRI WITH THE REFLECTANCE = 0. ***

SOLAR FIELD ANGLE, D= 2.00 DEGREES
 GEOMETRY D1/D2 = 1.00

BETA = ANGLE OF INCIDENCE, DEGREES

BETA ***	10.00	20.00	30.00	40.00	50.00
AX/AB	Q (QI)	Q (QI)	Q (QI)	Q (QI)	Q (QI)
0.	1.000(.)	1.000(.)	1.000(.)	1.000(.)	1.000(.)
0.025	0.996(.025)	0.996(.025)	0.996(.025)	0.996(.025)	0.996(.025)
0.050	0.988(.050)	0.988(.050)	0.988(.050)	0.989(.050)	0.989(.050)
0.075	0.978(.074)	0.979(.074)	0.979(.074)	0.979(.074)	0.980(.074)
0.100	0.967(.099)	0.967(.099)	0.968(.099)	0.968(.099)	0.969(.099)
0.125	0.954(.123)	0.955(.123)	0.955(.123)	0.956(.123)	0.957(.123)
0.150	0.940(.146)	0.941(.146)	0.942(.146)	0.943(.146)	0.944(.147)
0.175	0.926(.170)	0.926(.170)	0.927(.170)	0.928(.170)	0.930(.170)
0.200	0.910(.193)	0.911(.193)	0.912(.193)	0.913(.193)	0.915(.193)
0.225	0.889(.215)	0.890(.215)	0.891(.215)	0.893(.215)	0.896(.216)
0.250	0.863(.237)	0.864(.237)	0.866(.237)	0.868(.237)	0.871(.238)
0.275	0.834(.258)	0.836(.258)	0.838(.259)	0.841(.259)	0.844(.259)
0.300	0.803(.279)	0.805(.279)	0.807(.279)	0.810(.279)	0.814(.280)
0.325	0.770(.298)	0.772(.299)	0.775(.299)	0.778(.299)	0.782(.300)
0.350	0.735(.317)	0.738(.317)	0.741(.318)	0.744(.318)	0.749(.319)
0.375	0.700(.335)	0.702(.335)	0.705(.336)	0.709(.337)	0.714(.337)
0.400	0.663(.352)	0.666(.353)	0.669(.353)	0.673(.354)	0.678(.355)
0.425	0.624(.368)	0.627(.369)	0.631(.369)	0.635(.370)	0.641(.371)
0.450	0.585(.383)	0.588(.384)	0.591(.385)	0.596(.386)	0.602(.387)
0.475	0.544(.397)	0.547(.398)	0.551(.399)	0.555(.400)	0.562(.401)
0.500	0.503(.410)	0.506(.411)	0.510(.412)	0.515(.413)	0.521(.415)
0.525	0.462(.423)	0.465(.423)	0.469(.424)	0.474(.426)	0.480(.427)
0.550	0.421(.434)	0.425(.435)	0.428(.436)	0.433(.437)	0.439(.439)
0.575	0.381(.444)	0.385(.445)	0.388(.446)	0.392(.447)	0.398(.449)
0.600	0.343(.453)	0.346(.454)	0.349(.455)	0.353(.457)	0.359(.459)
0.625	0.305(.461)	0.308(.462)	0.312(.463)	0.315(.465)	0.321(.467)
0.650	0.270(.468)	0.272(.469)	0.275(.471)	0.279(.472)	0.284(.475)
0.675	0.235(.474)	0.237(.476)	0.240(.477)	0.243(.479)	0.248(.481)
0.700	0.201(.480)	0.204(.481)	0.206(.483)	0.209(.485)	0.213(.487)
0.725	0.170(.484)	0.172(.486)	0.174(.487)	0.177(.489)	0.181(.492)
0.750	0.140(.488)	0.142(.490)	0.144(.491)	0.147(.493)	0.150(.496)
0.775	0.114(.491)	0.115(.493)	0.117(.495)	0.119(.497)	0.122(.500)
0.800	0.092(.494)	0.093(.496)	0.094(.497)	0.096(.499)	0.098(.502)
0.825	0.075(.496)	0.077(.498)	0.078(.499)	0.079(.502)	0.080(.505)
0.850	0.061(.498)	0.061(.499)	0.062(.501)	0.063(.503)	0.064(.506)
0.875	0.047(.499)	0.047(.501)	0.048(.503)	0.049(.505)	0.050(.508)
0.900	0.034(.500)	0.034(.502)	0.035(.504)	0.035(.506)	0.036(.509)
0.925	0.022(.501)	0.022(.502)	0.023(.504)	0.023(.507)	0.024(.510)
0.950	0.012(.501)	0.012(.503)	0.012(.505)	0.013(.507)	0.013(.510)
0.975	0.004(.501)	0.004(.503)	0.004(.505)	0.005(.507)	0.005(.510)
1.000	0.000(.502)	0.000(.503)	0.000(.505)	0.000(.507)	0.000(.510)

C-39
 209

*** RELATIVE ENERGY FLUX DENSITY IN THE PENUMBRA ***
 *** OF A DIFFUSE SKIRT WITH THE REFLECTANCE = 0. ***

SOLAR FIELD ANGLE, D = 2.00 DEGREES
 GEOMETRY D1/D2 = 1.00

BETA = ANGLE OF INCIDENCE, DEGREES

BETA ***	60.00	70.00	80.00	88.50
AX/AB	Q (Q1)	Q (Q1)	Q (Q1)	Q (Q1)
0.	1.000(.)	1.000(.)	1.000(.)	1.000(.)
0.025	0.996(.025)	0.996(.025)	0.997(.025)	1.000(.025)
0.050	0.989(.050)	0.990(.050)	0.992(.050)	1.000(.050)
0.075	0.980(.074)	0.982(.074)	0.985(.075)	0.999(.075)
0.100	0.970(.099)	0.972(.099)	0.977(.099)	0.999(.100)
0.125	0.958(.123)	0.961(.123)	0.967(.123)	0.998(.125)
0.150	0.946(.147)	0.949(.147)	0.957(.147)	0.998(.150)
0.175	0.932(.170)	0.936(.170)	0.946(.171)	0.997(.175)
0.200	0.917(.193)	0.922(.194)	0.933(.195)	0.996(.200)
0.225	0.899(.216)	0.906(.216)	0.920(.218)	0.995(.225)
0.250	0.875(.238)	0.884(.239)	0.905(.241)	0.994(.249)
0.275	0.849(.260)	0.859(.261)	0.884(.263)	0.992(.274)
0.300	0.820(.281)	0.831(.282)	0.860(.285)	0.991(.299)
0.325	0.789(.301)	0.801(.302)	0.833(.306)	0.989(.324)
0.350	0.756(.320)	0.769(.322)	0.805(.326)	0.987(.348)
0.375	0.722(.338)	0.736(.341)	0.775(.346)	0.985(.373)
0.400	0.685(.356)	0.701(.359)	0.743(.365)	0.982(.398)
0.425	0.649(.373)	0.665(.376)	0.709(.383)	0.979(.422)
0.450	0.611(.389)	0.628(.392)	0.674(.401)	0.976(.447)
0.475	0.571(.403)	0.588(.407)	0.637(.417)	0.972(.471)
0.500	0.530(.417)	0.548(.421)	0.598(.432)	0.967(.495)
0.525	0.489(.430)	0.507(.434)	0.558(.447)	0.962(.519)
0.550	0.448(.442)	0.466(.447)	0.517(.460)	0.957(.543)
0.575	0.407(.452)	0.425(.458)	0.475(.473)	0.949(.567)
0.600	0.367(.462)	0.384(.468)	0.433(.484)	0.938(.591)
0.625	0.329(.471)	0.344(.477)	0.392(.494)	0.925(.614)
0.650	0.292(.478)	0.306(.485)	0.351(.504)	0.908(.637)
0.675	0.255(.485)	0.269(.492)	0.311(.512)	0.888(.659)
0.700	0.220(.491)	0.233(.499)	0.272(.519)	0.864(.681)
0.725	0.187(.496)	0.198(.504)	0.234(.526)	0.836(.703)
0.750	0.155(.500)	0.165(.508)	0.197(.531)	0.801(.723)
0.775	0.126(.504)	0.135(.512)	0.162(.535)	0.759(.743)
0.800	0.101(.507)	0.108(.515)	0.130(.539)	0.707(.761)
0.825	0.083(.509)	0.087(.518)	0.102(.542)	0.644(.778)
0.850	0.066(.511)	0.070(.520)	0.083(.544)	0.568(.793)
0.875	0.051(.512)	0.054(.521)	0.064(.546)	0.478(.806)
0.900	0.037(.514)	0.039(.522)	0.047(.548)	0.377(.817)
0.925	0.024(.514)	0.026(.523)	0.031(.549)	0.262(.825)
0.950	0.013(.515)	0.014(.524)	0.017(.549)	0.146(.830)
0.975	0.005(.515)	0.005(.524)	0.006(.549)	0.063(.832)
1.000	0.000(.515)	0.000(.524)	0.000(.549)	0.000(.833)

*** RELATIVE ENERGY FLUX DENSITY IN THE PENUMBRA ***
 *** OF A DIFFUSE SKIRT WITH THE REFLECTANCE = 0. ***

SOLAR FIELD ANGLE, D= 5.00 DEGREES
 GEOMETRY D1/D2 = 0.

BETA = ANGLE OF INCIDENCE, DEGREES

BETA ***	-87.00	-80.00	-70.00	-60.00	-50.00
AX/AB	Q (QI)	Q (QI)	Q (QI)	Q (QI)	Q (QI)
0.	1.000(.)	1.000(.)	1.000(.)	1.000(.)	1.000(.)
0.025	0.993(.025)	0.997(.025)	0.998(.025)	0.998(.025)	0.998(.025)
0.050	0.982(.050)	0.993(.050)	0.994(.050)	0.995(.050)	0.995(.050)
0.075	0.969(.074)	0.987(.075)	0.990(.075)	0.991(.075)	0.991(.075)
0.100	0.954(.098)	0.980(.099)	0.985(.099)	0.986(.099)	0.987(.099)
0.125	0.939(.122)	0.973(.124)	0.979(.124)	0.980(.124)	0.981(.124)
0.150	0.924(.145)	0.965(.148)	0.972(.148)	0.974(.148)	0.976(.149)
0.175	0.908(.168)	0.957(.172)	0.965(.173)	0.968(.173)	0.970(.173)
0.200	0.892(.190)	0.948(.196)	0.958(.197)	0.961(.197)	0.963(.197)
0.225	0.876(.213)	0.939(.219)	0.950(.220)	0.954(.221)	0.956(.221)
0.250	0.861(.234)	0.930(.243)	0.943(.244)	0.947(.245)	0.949(.245)
0.275	0.845(.256)	0.920(.266)	0.934(.268)	0.939(.268)	0.942(.268)
0.300	0.828(.276)	0.911(.289)	0.926(.291)	0.931(.292)	0.934(.292)
0.325	0.805(.297)	0.901(.311)	0.918(.314)	0.923(.315)	0.926(.315)
0.350	0.784(.317)	0.891(.334)	0.909(.337)	0.915(.338)	0.918(.338)
0.375	0.763(.336)	0.879(.356)	0.900(.359)	0.906(.360)	0.910(.361)
0.400	0.741(.355)	0.865(.378)	0.889(.382)	0.896(.383)	0.901(.384)
0.425	0.720(.373)	0.850(.399)	0.876(.404)	0.885(.405)	0.889(.406)
0.450	0.698(.391)	0.834(.420)	0.862(.425)	0.872(.427)	0.877(.428)
0.475	0.678(.408)	0.818(.441)	0.848(.447)	0.858(.449)	0.863(.450)
0.500	0.658(.425)	0.802(.461)	0.833(.468)	0.843(.470)	0.849(.471)
0.525	0.638(.441)	0.785(.481)	0.817(.488)	0.828(.491)	0.834(.492)
0.550	0.618(.457)	0.767(.500)	0.801(.509)	0.812(.511)	0.818(.513)
0.575	0.600(.472)	0.750(.519)	0.784(.528)	0.796(.532)	0.803(.533)
0.600	0.581(.487)	0.733(.538)	0.767(.548)	0.780(.551)	0.786(.553)
0.625	0.564(.501)	0.715(.556)	0.750(.567)	0.763(.571)	0.769(.572)
0.650	0.547(.515)	0.698(.573)	0.733(.585)	0.746(.589)	0.752(.592)
0.675	0.530(.528)	0.680(.591)	0.716(.603)	0.728(.608)	0.735(.610)
0.700	0.514(.541)	0.663(.607)	0.698(.621)	0.711(.626)	0.718(.628)
0.725	0.498(.554)	0.645(.624)	0.680(.638)	0.693(.643)	0.700(.646)
0.750	0.482(.566)	0.628(.640)	0.663(.655)	0.675(.660)	0.682(.663)
0.775	0.467(.578)	0.610(.655)	0.645(.672)	0.657(.677)	0.664(.680)
0.800	0.452(.590)	0.593(.670)	0.627(.687)	0.639(.693)	0.645(.696)
0.825	0.438(.601)	0.575(.685)	0.608(.703)	0.620(.709)	0.627(.712)
0.850	0.424(.611)	0.558(.699)	0.590(.718)	0.601(.724)	0.607(.728)
0.875	0.411(.622)	0.540(.713)	0.571(.732)	0.582(.739)	0.588(.743)
0.900	0.398(.632)	0.523(.726)	0.552(.746)	0.563(.753)	0.569(.757)
0.925	0.385(.642)	0.506(.739)	0.534(.760)	0.544(.767)	0.549(.771)
0.950	0.373(.651)	0.489(.751)	0.515(.773)	0.525(.781)	0.530(.785)
0.975	0.361(.660)	0.472(.763)	0.497(.786)	0.505(.793)	0.510(.798)
1.000	0.350(.669)	0.455(.775)	0.478(.798)	0.486(.806)	0.491(.810)

*** RELATIVE ENERGY FLUX DENSITY IN THE PENUMBRA ***
 *** OF A DIFFUSE SKIRT WITH THE REFLECTANCE = 0. ***

SOLAR FIELD ANGLE, D = 5.00 DEGREES
 GEOMETRY D1/D2 = 0.

BETA = ANGLE OF INCIDENCE, DEGREES

BETA ***	-40.00	-30.00	-20.00	-10.00	-0.
AX/AB	Q (QI)	Q (QI)	Q (QI)	Q (QI)	Q (QI)
0.	1.000(.)	1.000(.)	1.000(.)	1.000(.)	1.000(.)
0.025	0.998(.025)	0.998(.025)	0.998(.025)	0.998(.025)	0.998(.025)
0.050	0.995(.050)	0.995(.050)	0.996(.050)	0.996(.050)	0.996(.050)
0.075	0.992(.075)	0.992(.075)	0.992(.075)	0.992(.075)	0.992(.075)
0.100	0.987(.099)	0.987(.099)	0.988(.099)	0.988(.100)	0.988(.100)
0.125	0.982(.124)	0.982(.124)	0.983(.124)	0.983(.124)	0.983(.124)
0.150	0.975(.149)	0.977(.149)	0.977(.149)	0.978(.149)	0.978(.149)
0.175	0.970(.173)	0.971(.173)	0.972(.173)	0.972(.173)	0.973(.173)
0.200	0.964(.197)	0.965(.197)	0.966(.197)	0.966(.197)	0.967(.197)
0.225	0.957(.221)	0.958(.221)	0.959(.221)	0.960(.221)	0.960(.221)
0.250	0.950(.245)	0.952(.245)	0.952(.245)	0.953(.245)	0.954(.245)
0.275	0.943(.269)	0.944(.269)	0.945(.269)	0.946(.269)	0.947(.269)
0.300	0.935(.292)	0.937(.292)	0.938(.292)	0.939(.293)	0.940(.293)
0.325	0.928(.315)	0.929(.316)	0.930(.316)	0.931(.316)	0.932(.316)
0.350	0.920(.339)	0.921(.339)	0.923(.339)	0.924(.339)	0.925(.339)
0.375	0.912(.361)	0.913(.362)	0.915(.362)	0.916(.362)	0.917(.362)
0.400	0.903(.384)	0.905(.384)	0.906(.385)	0.908(.385)	0.909(.385)
0.425	0.892(.407)	0.894(.407)	0.896(.407)	0.897(.407)	0.899(.408)
0.450	0.880(.429)	0.882(.429)	0.884(.429)	0.886(.430)	0.887(.430)
0.475	0.867(.451)	0.869(.451)	0.871(.451)	0.873(.452)	0.875(.452)
0.500	0.852(.472)	0.855(.473)	0.857(.473)	0.859(.473)	0.861(.474)
0.525	0.838(.493)	0.841(.494)	0.843(.494)	0.845(.495)	0.847(.495)
0.550	0.822(.514)	0.825(.515)	0.828(.515)	0.830(.516)	0.832(.516)
0.575	0.807(.534)	0.810(.535)	0.812(.536)	0.814(.536)	0.817(.537)
0.600	0.790(.554)	0.794(.555)	0.796(.556)	0.798(.556)	0.801(.557)
0.625	0.774(.574)	0.777(.575)	0.780(.575)	0.782(.576)	0.784(.577)
0.650	0.757(.593)	0.760(.594)	0.763(.595)	0.765(.595)	0.767(.596)
0.675	0.740(.612)	0.743(.613)	0.746(.614)	0.748(.614)	0.750(.615)
0.700	0.722(.630)	0.725(.631)	0.728(.632)	0.731(.633)	0.733(.634)
0.725	0.704(.648)	0.708(.649)	0.710(.650)	0.713(.651)	0.715(.652)
0.750	0.685(.665)	0.690(.666)	0.692(.668)	0.695(.668)	0.697(.669)
0.775	0.668(.682)	0.671(.683)	0.674(.685)	0.676(.686)	0.679(.687)
0.800	0.650(.698)	0.653(.700)	0.656(.701)	0.658(.702)	0.660(.703)
0.825	0.631(.714)	0.634(.716)	0.637(.717)	0.639(.719)	0.641(.720)
0.850	0.612(.730)	0.615(.732)	0.617(.733)	0.619(.734)	0.621(.735)
0.875	0.592(.745)	0.595(.747)	0.597(.748)	0.600(.749)	0.602(.751)
0.900	0.572(.760)	0.575(.761)	0.578(.763)	0.580(.764)	0.582(.765)
0.925	0.553(.774)	0.555(.776)	0.558(.777)	0.559(.778)	0.561(.780)
0.950	0.533(.787)	0.535(.789)	0.537(.791)	0.539(.792)	0.541(.793)
0.975	0.513(.800)	0.515(.802)	0.517(.804)	0.519(.805)	0.520(.807)
1.000	0.493(.813)	0.495(.815)	0.497(.817)	0.499(.818)	0.500(.820)

appd
Small

*** RELATIVE ENERGY FLUX DENSITY IN THE PENUMBRA ***
 *** OF A DIFFUSE SKIRT WITH THE REFLECTANCE = 0. ***

VERSION C

SOLAR FIELD ANGLE, D = 5.00 DEGREES
 GEOMETRY D1/D2 = 0.

BETA = ANGLE OF INCIDENCE, DEGREES

BETA ***	10.00	20.00	30.00	40.00	50.00
AX/AB	Q (QI)	Q (QI)	Q (QI)	Q (QI)	Q (QI)
0.	1.000(.)	1.000(.)	1.000(.)	1.000(.)	1.000(.)
0.025	0.999(.025)	0.999(.025)	0.999(.025)	0.999(.025)	0.999(.025)
0.050	0.996(.050)	0.996(.050)	0.996(.050)	0.996(.050)	0.996(.050)
0.075	0.992(.075)	0.992(.075)	0.993(.075)	0.993(.075)	0.993(.075)
0.100	0.988(.100)	0.988(.100)	0.989(.100)	0.989(.100)	0.989(.100)
0.125	0.984(.124)	0.984(.124)	0.984(.124)	0.985(.124)	0.985(.124)
0.150	0.979(.149)	0.979(.149)	0.979(.149)	0.980(.149)	0.981(.149)
0.175	0.973(.173)	0.974(.173)	0.974(.173)	0.975(.173)	0.976(.173)
0.200	0.967(.197)	0.966(.197)	0.968(.197)	0.969(.198)	0.970(.198)
0.225	0.961(.221)	0.962(.222)	0.962(.222)	0.963(.222)	0.964(.222)
0.250	0.955(.245)	0.955(.245)	0.956(.246)	0.957(.246)	0.958(.246)
0.275	0.948(.269)	0.949(.269)	0.949(.269)	0.951(.270)	0.952(.270)
0.300	0.941(.293)	0.942(.293)	0.943(.293)	0.944(.293)	0.945(.293)
0.325	0.933(.316)	0.934(.316)	0.935(.317)	0.937(.317)	0.939(.317)
0.350	0.926(.339)	0.927(.340)	0.928(.340)	0.929(.340)	0.931(.340)
0.375	0.918(.362)	0.919(.363)	0.920(.363)	0.922(.363)	0.924(.364)
0.400	0.910(.385)	0.911(.386)	0.913(.386)	0.914(.386)	0.916(.387)
0.425	0.900(.408)	0.902(.408)	0.903(.409)	0.905(.409)	0.908(.409)

*** RELATIVE ENERGY FLUX DENSITY IN THE PENUMBRA ***
 *** OF A DIFFUSE SKIRI WITH THE REFLECTANCE = 0. ***
 VERSION C

SOLAR FIELD ANGLE, D= 5.00. DEGREES
 GEOMETRY D1/D2 = 0.

BETA = ANGLE OF INCIDENCE, DEGREES

BETA ***	60.00	70.00	80.00	87.00
AX/AB	Q (Q1)	Q (Q1)	Q (Q1)	Q (Q1)
0.	1.000(.)	1.000(.)	1.000(.)	1.000(.)
0.025	0.999(.025)	0.999(.025)	0.999(.025)	1.000(.025)
0.050	0.995(.050)	0.997(.050)	0.998(.050)	1.000(.050)
0.075	0.994(.075)	0.994(.075)	0.996(.075)	1.000(.075)
0.100	0.990(.100)	0.991(.100)	0.994(.100)	1.000(.100)
0.125	0.985(.124)	0.987(.124)	0.991(.125)	1.000(.125)
0.150	0.982(.149)	0.983(.149)	0.988(.149)	1.000(.150)
0.175	0.977(.173)	0.979(.174)	0.985(.174)	1.000(.175)
0.200	0.972(.198)	0.974(.198)	0.982(.199)	0.999(.200)
0.225	0.966(.222)	0.969(.222)	0.978(.223)	0.999(.225)
0.250	0.960(.246)	0.964(.246)	0.974(.247)	0.999(.250)
0.275	0.954(.270)	0.958(.270)	0.970(.272)	0.999(.275)
0.300	0.948(.294)	0.953(.294)	0.965(.296)	0.999(.300)
0.325	0.941(.317)	0.946(.318)	0.960(.320)	0.998(.325)
0.350	0.934(.341)	0.940(.342)	0.955(.344)	0.998(.350)
0.375	0.927(.364)	0.933(.365)	0.949(.368)	0.998(.375)
0.400	0.920(.387)	0.926(.388)	0.944(.391)	0.997(.400)
0.425	0.912(.410)	0.919(.411)	0.938(.415)	0.997(.425)
0.450	0.902(.433)	0.910(.434)	0.931(.438)	0.996(.450)
0.475	0.891(.455)	0.900(.457)	0.925(.461)	0.996(.474)
0.500	0.879(.477)	0.889(.479)	0.916(.484)	0.995(.499)
0.525	0.865(.499)	0.876(.501)	0.906(.507)	0.994(.524)
0.550	0.852(.521)	0.863(.523)	0.895(.530)	0.993(.549)
0.575	0.837(.542)	0.849(.544)	0.883(.552)	0.992(.574)
0.600	0.822(.562)	0.834(.565)	0.870(.574)	0.991(.599)
0.625	0.805(.583)	0.819(.586)	0.856(.595)	0.990(.623)
0.650	0.790(.603)	0.803(.606)	0.841(.617)	0.988(.648)
0.675	0.773(.622)	0.786(.626)	0.825(.637)	0.986(.673)
0.700	0.755(.641)	0.769(.646)	0.809(.658)	0.983(.697)
0.725	0.738(.660)	0.751(.665)	0.792(.678)	0.980(.722)
0.750	0.719(.678)	0.733(.683)	0.774(.697)	0.977(.746)
0.775	0.701(.696)	0.714(.701)	0.755(.717)	0.972(.771)
0.800	0.682(.713)	0.695(.719)	0.735(.735)	0.967(.795)
0.825	0.663(.730)	0.676(.736)	0.715(.753)	0.958(.819)
0.850	0.642(.746)	0.655(.753)	0.694(.771)	0.945(.843)
0.875	0.622(.762)	0.634(.769)	0.671(.788)	0.927(.866)
0.900	0.601(.777)	0.612(.784)	0.647(.804)	0.902(.889)
0.925	0.579(.792)	0.590(.799)	0.623(.820)	0.868(.911)
0.950	0.558(.806)	0.568(.814)	0.598(.836)	0.821(.932)
0.975	0.536(.820)	0.545(.828)	0.571(.850)	0.752(.952)
1.000	0.514(.833)	0.522(.841)	0.545(.864)	0.650(.970)

66-196
C. P. A. - Phasett

*** RELATIVE ENERGY FLUX DENSITY IN THE PENUMBRA ***
 *** OF A DIFFUSE SKIRT WITH THE REFLECTANCE = 0. ***

VERSION C

SOLAR FIELD ANGLE, D = 5.00 DEGREES
 GEOMETRY D1/D2 = 0.25

BETA = ANGLE OF INCIDENCE, DEGREES

BETA ***	-87.00	-80.00	-70.00	-60.00	-50.00
AX/AB	Q (Q1)	Q (Q1)	Q (Q1)	Q (Q1)	Q (Q1)
0.	1.000(.)	1.000(.)	1.000(.)	1.000(.)	1.000(.)
0.025	0.958(.024)	0.996(.025)	0.997(.025)	0.997(.025)	0.998(.025)
0.050	0.900(.048)	0.988(.050)	0.992(.050)	0.993(.050)	0.993(.050)
0.075	0.842(.069)	0.979(.074)	0.985(.075)	0.987(.075)	0.987(.075)
0.100	0.764(.090)	0.968(.099)	0.977(.099)	0.979(.099)	0.981(.099)
0.125	0.684(.108)	0.956(.123)	0.968(.123)	0.972(.124)	0.973(.124)
0.150	0.611(.124)	0.944(.146)	0.959(.147)	0.963(.148)	0.965(.148)
0.175	0.544(.138)	0.931(.170)	0.949(.171)	0.954(.172)	0.957(.172)
0.200	0.484(.151)	0.917(.193)	0.938(.195)	0.944(.195)	0.947(.196)
0.225	0.429(.163)	0.903(.216)	0.927(.218)	0.934(.219)	0.938(.219)
0.250	0.381(.173)	0.889(.238)	0.916(.241)	0.924(.242)	0.928(.243)
0.275	0.304(.181)	0.871(.260)	0.904(.264)	0.913(.265)	0.918(.266)
0.300	0.193(.187)	0.850(.282)	0.891(.286)	0.902(.288)	0.907(.288)
0.325	0.126(.191)	0.828(.303)	0.874(.308)	0.887(.310)	0.894(.311)
0.350	0.084(.194)	0.805(.323)	0.856(.330)	0.871(.332)	0.878(.333)
0.375	0.057(.196)	0.781(.343)	0.836(.351)	0.853(.354)	0.861(.355)
0.400	0.040(.197)	0.757(.362)	0.815(.372)	0.833(.375)	0.842(.376)
0.425	0.030(.198)	0.732(.381)	0.794(.392)	0.813(.395)	0.823(.397)
0.450	0.024(.199)	0.707(.399)	0.772(.412)	0.792(.415)	0.803(.417)
0.475	0.019(.199)	0.682(.415)	0.750(.431)	0.771(.435)	0.782(.437)
0.500	0.015(.200)	0.658(.433)	0.727(.449)	0.749(.454)	0.760(.456)
0.525	0.012(.200)	0.633(.449)	0.704(.467)	0.726(.472)	0.738(.475)
0.550	0.010(.200)	0.608(.464)	0.680(.484)	0.704(.490)	0.716(.493)
0.575	0.008(.200)	0.583(.479)	0.657(.501)	0.681(.508)	0.693(.511)
0.600	0.006(.201)	0.559(.494)	0.633(.517)	0.657(.524)	0.670(.528)
0.625	0.005(.201)	0.534(.507)	0.609(.533)	0.634(.540)	0.647(.544)
0.650	0.004(.201)	0.509(.520)	0.585(.548)	0.610(.556)	0.623(.560)
0.675	0.003(.201)	0.485(.533)	0.560(.562)	0.585(.571)	0.598(.575)
0.700	0.003(.201)	0.462(.545)	0.535(.576)	0.560(.585)	0.573(.590)
0.725	0.002(.201)	0.391(.555)	0.511(.589)	0.535(.599)	0.548(.604)
0.750	0.002(.201)	0.309(.564)	0.487(.601)	0.511(.612)	0.523(.618)
0.775	0.001(.201)	0.240(.571)	0.416(.612)	0.485(.624)	0.498(.630)
0.800	0.001(.201)	0.180(.576)	0.327(.622)	0.389(.635)	0.423(.642)
0.825	0.001(.201)	0.129(.580)	0.249(.629)	0.300(.644)	0.329(.651)
0.850	0.001(.201)	0.089(.583)	0.179(.634)	0.221(.650)	0.245(.658)
0.875	0.000(.201)	0.063(.585)	0.120(.638)	0.151(.655)	0.170(.664)
0.900	0.000(.201)	0.043(.586)	0.078(.640)	0.095(.658)	0.107(.667)
0.925	0.000(.201)	0.027(.587)	0.050(.642)	0.061(.660)	0.067(.669)
0.950	0.000(.201)	0.014(.587)	0.027(.643)	0.033(.661)	0.037(.671)
0.975	0.000(.201)	0.005(.588)	0.009(.643)	0.012(.662)	0.013(.671)
1.000	0.000(.201)	0.000(.588)	0.000(.644)	0.000(.662)	0.000(.671)

C-44
RN

*** RELATIVE ENERGY FLUX DENSITY IN THE PENUMBRA ***
 *** OF A DIFFUSE SKIRT WITH THE REFLECTANCE = 0. ***

VERSION C

SOLAR FIELD ANGLE, D= 5.00 DEGREES
 GEOMETRY D1/D2 = 0.25

BETA = ANGLE OF INCIDENCE, DEGREES

BETA ***	-40.00	-30.00	-20.00	-10.00	-0.
AX/AB	Q (QI)	Q (QI)	Q (QI)	Q (QI)	Q (QI)
0.	1.000(.)	1.000(.)	1.000(.)	1.000(.)	1.000(.)
0.025	0.998(.025)	0.998(.025)	0.998(.025)	0.998(.025)	0.998(.025)
0.050	0.993(.050)	0.994(.050)	0.994(.050)	0.994(.050)	0.994(.050)
0.075	0.988(.075)	0.988(.075)	0.989(.075)	0.989(.075)	0.989(.075)
0.100	0.982(.099)	0.982(.099)	0.983(.099)	0.983(.099)	0.983(.099)
0.125	0.974(.124)	0.975(.124)	0.976(.124)	0.976(.124)	0.977(.124)
0.150	0.967(.148)	0.968(.148)	0.968(.148)	0.969(.148)	0.970(.148)
0.175	0.958(.172)	0.959(.172)	0.960(.172)	0.961(.172)	0.962(.172)
0.200	0.949(.196)	0.951(.196)	0.952(.196)	0.953(.196)	0.954(.196)
0.225	0.940(.219)	0.942(.220)	0.943(.220)	0.944(.220)	0.945(.220)
0.250	0.930(.243)	0.932(.243)	0.934(.243)	0.935(.243)	0.936(.244)
0.275	0.920(.266)	0.922(.266)	0.924(.266)	0.925(.267)	0.927(.267)
0.300	0.910(.289)	0.912(.289)	0.914(.289)	0.915(.290)	0.917(.290)
0.325	0.898(.311)	0.901(.312)	0.903(.312)	0.905(.312)	0.907(.313)
0.350	0.883(.334)	0.886(.334)	0.889(.335)	0.891(.335)	0.893(.335)
0.375	0.865(.356)	0.870(.356)	0.873(.357)	0.875(.357)	0.878(.357)
0.400	0.848(.377)	0.852(.378)	0.856(.378)	0.858(.379)	0.861(.379)
0.425	0.829(.398)	0.834(.399)	0.837(.399)	0.840(.400)	0.843(.400)
0.450	0.809(.418)	0.814(.419)	0.818(.420)	0.821(.421)	0.824(.421)
0.475	0.789(.438)	0.794(.439)	0.798(.440)	0.801(.441)	0.805(.442)
0.500	0.767(.458)	0.773(.459)	0.777(.460)	0.781(.461)	0.784(.461)
0.525	0.745(.477)	0.751(.478)	0.756(.479)	0.760(.480)	0.763(.481)
0.550	0.723(.495)	0.729(.497)	0.734(.498)	0.738(.499)	0.742(.500)
0.575	0.701(.513)	0.707(.514)	0.711(.516)	0.716(.517)	0.719(.518)
0.600	0.678(.530)	0.684(.532)	0.689(.533)	0.693(.534)	0.697(.535)
0.625	0.655(.547)	0.661(.549)	0.666(.550)	0.670(.551)	0.674(.553)
0.650	0.631(.563)	0.637(.565)	0.642(.567)	0.646(.568)	0.651(.569)
0.675	0.605(.578)	0.613(.581)	0.618(.582)	0.622(.584)	0.626(.585)
0.700	0.582(.593)	0.588(.596)	0.593(.597)	0.597(.599)	0.602(.600)
0.725	0.557(.607)	0.563(.610)	0.568(.612)	0.572(.614)	0.576(.615)
0.750	0.532(.621)	0.538(.624)	0.543(.626)	0.547(.628)	0.551(.629)
0.775	0.506(.634)	0.512(.637)	0.517(.639)	0.522(.641)	0.526(.643)
0.800	0.445(.646)	0.462(.649)	0.476(.651)	0.488(.654)	0.500(.656)
0.825	0.349(.656)	0.364(.659)	0.377(.662)	0.388(.665)	0.398(.667)
0.850	0.262(.664)	0.274(.667)	0.285(.670)	0.294(.673)	0.303(.676)
0.875	0.183(.669)	0.193(.673)	0.201(.676)	0.208(.679)	0.216(.682)
0.900	0.116(.673)	0.123(.677)	0.128(.681)	0.134(.684)	0.139(.686)
0.925	0.072(.675)	0.075(.680)	0.078(.683)	0.081(.686)	0.083(.689)
0.950	0.039(.677)	0.041(.681)	0.043(.685)	0.045(.688)	0.046(.691)
0.975	0.014(.677)	0.015(.682)	0.015(.685)	0.016(.689)	0.017(.692)
1.000	0.000(.677)	0.000(.682)	0.000(.686)	0.000(.689)	0.000(.692)

*** RELATIVE ENERGY FLUX DENSITY IN THE PENUMBRA ***
 *** OF A DIFFUSE SKIRT WITH THE REFLECTANCE = 0. ***
 VERSION C

SOLAR FIELD ANGLE, $\theta = 5.00$ DEGREES
 GEOMETRY $D1/D2 = 0.25$

BETA = ANGLE OF INCIDENCE, DEGREES

BETA ***	10.00	20.00	30.00	40.00	50.00
AX/AB	Q (QI)	Q (QI)	Q (QI)	Q (QI)	Q (QI)
0.	1.000(.)	1.000(.)	1.000(.)	1.000(.)	1.000(.)
0.025	0.998(.025)	0.998(.025)	0.998(.025)	0.998(.025)	0.998(.025)
0.050	0.994(.050)	0.994(.050)	0.994(.050)	0.995(.050)	0.995(.050)
0.075	0.989(.075)	0.990(.075)	0.990(.075)	0.990(.075)	0.991(.075)
0.100	0.984(.099)	0.984(.099)	0.984(.099)	0.985(.099)	0.986(.099)
0.125	0.977(.124)	0.978(.124)	0.978(.124)	0.979(.124)	0.980(.124)
0.150	0.970(.148)	0.971(.148)	0.972(.148)	0.973(.148)	0.974(.148)
0.175	0.963(.172)	0.964(.172)	0.964(.172)	0.966(.173)	0.967(.173)
0.200	0.955(.196)	0.956(.196)	0.957(.196)	0.958(.197)	0.960(.197)
0.225	0.946(.220)	0.947(.220)	0.949(.220)	0.950(.220)	0.952(.221)
0.250	0.937(.244)	0.939(.244)	0.940(.244)	0.942(.244)	0.944(.244)
0.275	0.928(.267)	0.929(.267)	0.931(.267)	0.933(.268)	0.935(.268)
0.300	0.918(.290)	0.920(.290)	0.922(.290)	0.924(.291)	0.926(.291)
0.325	0.908(.313)	0.910(.313)	0.912(.313)	0.914(.314)	0.917(.314)
0.350	0.895(.335)	0.897(.336)	0.900(.336)	0.903(.336)	0.907(.337)
0.375	0.880(.358)	0.883(.358)	0.886(.358)	0.889(.359)	0.893(.359)
0.400	0.864(.379)	0.867(.380)	0.870(.380)	0.873(.381)	0.878(.382)
0.425	0.846(.401)	0.849(.401)	0.853(.402)	0.857(.402)	0.862(.403)
0.450	0.827(.422)	0.831(.422)	0.834(.423)	0.839(.424)	0.845(.425)
0.475	0.808(.442)	0.811(.443)	0.815(.444)	0.820(.444)	0.826(.446)
0.500	0.788(.462)	0.791(.463)	0.795(.464)	0.800(.465)	0.807(.466)
0.525	0.767(.482)	0.771(.482)	0.775(.483)	0.780(.484)	0.787(.486)
0.550	0.745(.500)	0.749(.501)	0.754(.502)	0.759(.504)	0.766(.505)
0.575	0.723(.519)	0.727(.520)	0.732(.521)	0.738(.522)	0.745(.524)
0.600	0.701(.537)	0.705(.538)	0.710(.539)	0.715(.541)	0.723(.543)
0.625	0.678(.554)	0.682(.555)	0.687(.556)	0.693(.558)	0.701(.560)
0.650	0.655(.570)	0.659(.572)	0.664(.573)	0.670(.575)	0.678(.578)
0.675	0.630(.587)	0.635(.588)	0.640(.590)	0.646(.592)	0.654(.594)
0.700	0.605(.602)	0.610(.604)	0.615(.605)	0.621(.607)	0.630(.610)
0.725	0.581(.617)	0.585(.618)	0.590(.620)	0.596(.623)	0.604(.626)
0.750	0.555(.631)	0.560(.633)	0.564(.635)	0.571(.637)	0.579(.640)
0.775	0.530(.645)	0.534(.646)	0.539(.649)	0.545(.651)	0.553(.655)
0.800	0.504(.657)	0.508(.659)	0.513(.662)	0.519(.664)	0.526(.668)
0.825	0.409(.669)	0.420(.671)	0.433(.674)	0.450(.677)	0.472(.681)
0.850	0.312(.678)	0.322(.680)	0.333(.683)	0.347(.687)	0.366(.691)
0.875	0.223(.685)	0.231(.687)	0.240(.690)	0.252(.694)	0.268(.699)
0.900	0.144(.689)	0.150(.692)	0.157(.695)	0.165(.699)	0.178(.705)
0.925	0.086(.692)	0.088(.695)	0.092(.698)	0.096(.702)	0.103(.708)
0.950	0.048(.694)	0.049(.697)	0.051(.700)	0.054(.704)	0.057(.710)
0.975	0.017(.695)	0.018(.698)	0.019(.701)	0.020(.705)	0.021(.711)
1.000	0.000(.695)	0.000(.698)	0.000(.701)	0.000(.706)	0.000(.711)

*** RELATIVE ENERGY FLUX DENSITY IN THE PENUMBRA ***
 *** OF A DIFFUSE SKIRT WITH THE REFLECTANCE = 0. ***

SOLAR FIELD ANGLE, D = 5.00 DEGREES
 GEOMETRY D1/D2 = 0.25

BETA = ANGLE OF INCIDENCE, DEGREES

BETA ***	60.00	70.00	80.00	87.00
AX/AB	Q (Q1)	Q (Q1)	Q (Q1)	Q (Q1)
0.	1.000(.)	1.000(.)	1.000(.)	1.000(.)
0.025	0.998(.025)	0.999(.025)	0.999(.025)	1.000(.025)
0.050	0.995(.050)	0.996(.050)	0.997(.050)	1.000(.050)
0.075	0.991(.075)	0.992(.075)	0.995(.075)	1.000(.075)
0.100	0.987(.099)	0.988(.100)	0.992(.100)	1.000(.100)
0.125	0.981(.124)	0.984(.124)	0.989(.124)	1.000(.125)
0.150	0.975(.149)	0.978(.149)	0.985(.149)	1.000(.150)
0.175	0.969(.173)	0.973(.173)	0.981(.174)	1.000(.175)
0.200	0.962(.197)	0.966(.197)	0.977(.198)	0.999(.200)
0.225	0.955(.221)	0.960(.221)	0.972(.223)	0.999(.225)
0.250	0.947(.245)	0.953(.245)	0.967(.247)	0.999(.250)
0.275	0.939(.268)	0.945(.269)	0.962(.271)	0.999(.275)
0.300	0.930(.292)	0.938(.293)	0.956(.295)	0.999(.300)
0.325	0.921(.315)	0.929(.316)	0.950(.319)	0.998(.325)
0.350	0.912(.338)	0.921(.339)	0.943(.342)	0.998(.350)
0.375	0.900(.360)	0.911(.362)	0.936(.366)	0.998(.375)
0.400	0.888(.383)	0.899(.385)	0.929(.389)	0.997(.400)
0.425	0.870(.405)	0.884(.407)	0.920(.412)	0.997(.425)
0.450	0.853(.426)	0.869(.429)	0.909(.435)	0.996(.449)
0.475	0.835(.447)	0.853(.450)	0.896(.458)	0.996(.474)
0.500	0.817(.468)	0.835(.471)	0.882(.480)	0.995(.499)
0.525	0.798(.488)	0.817(.492)	0.867(.502)	0.994(.524)
0.550	0.777(.508)	0.797(.512)	0.851(.523)	0.993(.549)
0.575	0.755(.527)	0.777(.532)	0.834(.544)	0.992(.574)
0.600	0.735(.546)	0.756(.551)	0.815(.565)	0.990(.599)
0.625	0.713(.564)	0.735(.570)	0.796(.585)	0.989(.623)
0.650	0.690(.581)	0.712(.588)	0.775(.605)	0.987(.648)
0.675	0.665(.598)	0.689(.605)	0.753(.624)	0.984(.673)
0.700	0.642(.615)	0.665(.622)	0.731(.642)	0.981(.697)
0.725	0.617(.630)	0.640(.639)	0.707(.660)	0.978(.722)
0.750	0.591(.645)	0.615(.654)	0.682(.678)	0.974(.746)
0.775	0.565(.660)	0.588(.669)	0.655(.694)	0.968(.770)
0.800	0.538(.674)	0.561(.684)	0.627(.710)	0.961(.794)
0.825	0.505(.687)	0.534(.697)	0.598(.726)	0.948(.818)
0.850	0.397(.698)	0.458(.710)	0.568(.740)	0.932(.842)
0.875	0.294(.707)	0.345(.720)	0.514(.754)	0.908(.865)
0.900	0.197(.713)	0.239(.727)	0.381(.765)	0.875(.887)
0.925	0.115(.717)	0.142(.732)	0.248(.773)	0.829(.908)
0.950	0.063(.719)	0.075(.734)	0.125(.778)	0.763(.928)
0.975	0.023(.720)	0.028(.736)	0.049(.780)	0.663(.946)
1.000	0.000(.720)	0.000(.736)	0.000(.780)	0.000(.954)

*** RELATIVE ENERGY FLUX DENSITY IN THE PENUMBRA ***
 *** OF A DIFFUSE SKIRT WITH THE REFLECTANCE = 0. ***

SOLAR FIELD ANGLE, $\theta = 5.00$ DEGREES
 GEOMETRY $D1/D2 = 0.50$

BETA = ANGLE OF INCIDENCE, DEGREES

BETA ***	-87.00	-80.00	-70.00	-60.00	-50.00
AX/AB	Q (Q1)	Q (Q1)	Q (Q1)	Q (Q1)	Q (Q1)
0.	1.000(.)	1.000(.)	1.000(.)	1.000(.)	1.000(.)
0.025	0.916(.024)	0.994(.025)	0.996(.025)	0.996(.025)	0.997(.025)
0.050	0.807(.045)	0.983(.050)	0.988(.050)	0.990(.050)	0.991(.050)
0.075	0.669(.064)	0.969(.074)	0.979(.074)	0.982(.074)	0.983(.074)
0.100	0.548(.079)	0.954(.098)	0.968(.099)	0.972(.099)	0.974(.099)
0.125	0.447(.092)	0.936(.122)	0.957(.123)	0.962(.123)	0.965(.123)
0.150	0.363(.102)	0.920(.145)	0.944(.147)	0.951(.147)	0.954(.147)
0.175	0.290(.109)	0.903(.168)	0.931(.170)	0.939(.171)	0.943(.171)
0.200	0.171(.115)	0.883(.190)	0.917(.193)	0.926(.194)	0.931(.194)
0.225	0.119(.118)	0.858(.212)	0.902(.216)	0.913(.217)	0.918(.217)
0.250	0.084(.121)	0.830(.233)	0.884(.238)	0.898(.239)	0.905(.240)
0.275	0.060(.123)	0.800(.253)	0.862(.260)	0.880(.262)	0.888(.263)
0.300	0.043(.124)	0.768(.273)	0.838(.281)	0.858(.283)	0.868(.285)
0.325	0.033(.125)	0.737(.292)	0.813(.302)	0.835(.305)	0.846(.306)
0.350	0.027(.126)	0.705(.310)	0.786(.322)	0.810(.325)	0.822(.327)
0.375	0.022(.126)	0.673(.327)	0.758(.341)	0.784(.345)	0.797(.347)
0.400	0.018(.127)	0.641(.343)	0.730(.360)	0.758(.364)	0.772(.367)
0.425	0.015(.127)	0.609(.359)	0.701(.378)	0.730(.383)	0.745(.386)
0.450	0.012(.127)	0.577(.374)	0.672(.395)	0.702(.401)	0.718(.404)
0.475	0.010(.128)	0.545(.388)	0.643(.411)	0.674(.418)	0.690(.421)
0.500	0.008(.128)	0.513(.401)	0.613(.427)	0.646(.435)	0.662(.438)
0.525	0.007(.128)	0.482(.413)	0.583(.442)	0.616(.450)	0.633(.455)
0.550	0.006(.128)	0.448(.425)	0.552(.456)	0.586(.465)	0.603(.470)
0.575	0.005(.128)	0.390(.436)	0.522(.470)	0.556(.480)	0.573(.485)
0.600	0.004(.129)	0.336(.445)	0.492(.482)	0.525(.493)	0.543(.499)
0.625	0.003(.129)	0.287(.452)	0.445(.494)	0.495(.506)	0.513(.512)
0.650	0.003(.129)	0.243(.459)	0.388(.504)	0.444(.518)	0.474(.524)
0.675	0.002(.129)	0.203(.465)	0.333(.513)	0.385(.528)	0.414(.535)
0.700	0.002(.129)	0.166(.469)	0.283(.521)	0.330(.537)	0.357(.545)
0.725	0.002(.129)	0.134(.473)	0.236(.528)	0.279(.545)	0.303(.553)
0.750	0.001(.129)	0.106(.476)	0.193(.533)	0.230(.551)	0.252(.560)
0.775	0.001(.129)	0.083(.478)	0.153(.537)	0.186(.556)	0.204(.566)
0.800	0.001(.129)	0.066(.480)	0.118(.541)	0.145(.560)	0.161(.570)
0.825	0.001(.129)	0.053(.482)	0.090(.543)	0.109(.563)	0.122(.574)
0.850	0.000(.129)	0.041(.483)	0.070(.545)	0.082(.566)	0.090(.577)
0.875	0.000(.129)	0.031(.484)	0.053(.547)	0.063(.568)	0.069(.579)
0.900	0.000(.129)	0.021(.484)	0.037(.548)	0.045(.569)	0.049(.580)
0.925	0.000(.129)	0.014(.485)	0.024(.549)	0.029(.570)	0.032(.581)
0.950	0.000(.129)	0.007(.485)	0.013(.549)	0.016(.570)	0.018(.582)
0.975	0.000(.129)	0.002(.485)	0.005(.549)	0.006(.571)	0.006(.582)
1.000	0.000(.129)	0.000(.485)	0.000(.549)	0.000(.571)	0.000(.582)

*** RELATIVE ENERGY FLUX DENSITY IN THE PENUMBRA ***
 *** OF A DIFFUSE SKIRT WITH THE REFLECTANCE = 0. ***

VERSION C

SOLAR FIELD ANGLE, D= 5.00 DEGREES
 GEOMETRY D1/D2 = 0.50

BETA = ANGLE OF INCIDENCE, DEGREES

BETA ***	-40.00	-30.00	-20.00	-10.00	-0.
AX/AB	Q (QI)	Q (QI)	Q (QI)	Q (QI)	Q (QI)
0.	1.000(.)	1.000(.)	1.000(.)	1.000(.)	1.000(.)
0.025	0.997(.025)	0.997(.025)	0.997(.025)	0.997(.025)	0.997(.025)
0.050	0.991(.050)	0.992(.050)	0.992(.050)	0.992(.050)	0.992(.050)
0.075	0.984(.075)	0.985(.075)	0.985(.075)	0.985(.075)	0.986(.075)
0.100	0.976(.099)	0.976(.099)	0.977(.099)	0.978(.099)	0.978(.099)
0.125	0.966(.123)	0.967(.123)	0.968(.123)	0.969(.123)	0.970(.123)
0.150	0.956(.147)	0.957(.147)	0.959(.147)	0.959(.148)	0.960(.148)
0.175	0.945(.171)	0.947(.171)	0.948(.171)	0.949(.171)	0.950(.171)
0.200	0.933(.195)	0.935(.195)	0.937(.195)	0.938(.195)	0.940(.195)
0.225	0.921(.218)	0.924(.218)	0.925(.218)	0.927(.218)	0.929(.218)
0.250	0.909(.241)	0.911(.241)	0.913(.241)	0.915(.241)	0.917(.242)
0.275	0.893(.263)	0.897(.263)	0.900(.264)	0.902(.264)	0.904(.264)
0.300	0.874(.285)	0.878(.286)	0.882(.286)	0.885(.286)	0.887(.287)
0.325	0.853(.307)	0.858(.307)	0.861(.308)	0.865(.308)	0.868(.309)
0.350	0.830(.328)	0.835(.329)	0.840(.329)	0.843(.330)	0.847(.330)
0.375	0.805(.348)	0.812(.349)	0.816(.350)	0.821(.350)	0.824(.351)
0.400	0.780(.368)	0.787(.369)	0.792(.370)	0.796(.371)	0.801(.371)
0.425	0.754(.387)	0.761(.388)	0.767(.389)	0.771(.390)	0.776(.391)
0.450	0.728(.406)	0.735(.407)	0.741(.408)	0.746(.409)	0.750(.410)
0.475	0.700(.424)	0.708(.425)	0.714(.426)	0.719(.427)	0.724(.428)
0.500	0.672(.441)	0.680(.443)	0.686(.444)	0.692(.445)	0.697(.446)
0.525	0.644(.457)	0.652(.459)	0.659(.461)	0.664(.462)	0.669(.463)
0.550	0.615(.473)	0.623(.475)	0.630(.477)	0.636(.478)	0.641(.480)
0.575	0.585(.488)	0.593(.490)	0.600(.492)	0.606(.494)	0.612(.495)
0.600	0.554(.502)	0.563(.505)	0.570(.507)	0.576(.509)	0.582(.510)
0.625	0.524(.516)	0.532(.518)	0.539(.521)	0.545(.523)	0.551(.524)
0.650	0.494(.528)	0.502(.531)	0.509(.534)	0.515(.536)	0.520(.538)
0.675	0.433(.540)	0.448(.543)	0.459(.546)	0.470(.548)	0.479(.550)
0.700	0.375(.550)	0.388(.554)	0.399(.557)	0.409(.559)	0.418(.562)
0.725	0.319(.559)	0.331(.563)	0.341(.566)	0.350(.569)	0.359(.571)
0.750	0.267(.566)	0.278(.570)	0.287(.574)	0.295(.577)	0.303(.580)
0.775	0.217(.572)	0.227(.577)	0.235(.580)	0.243(.583)	0.250(.586)
0.800	0.171(.577)	0.180(.582)	0.187(.586)	0.193(.589)	0.199(.592)
0.825	0.130(.581)	0.137(.586)	0.143(.590)	0.148(.593)	0.153(.596)
0.850	0.096(.584)	0.101(.589)	0.105(.593)	0.109(.596)	0.113(.600)
0.875	0.073(.586)	0.076(.591)	0.078(.595)	0.081(.599)	0.083(.602)
0.900	0.052(.587)	0.055(.592)	0.057(.597)	0.058(.600)	0.060(.604)
0.925	0.034(.588)	0.036(.594)	0.037(.598)	0.038(.602)	0.040(.605)
0.950	0.019(.589)	0.020(.594)	0.020(.599)	0.021(.602)	0.022(.606)
0.975	0.007(.589)	0.007(.595)	0.007(.599)	0.008(.603)	0.008(.606)
1.000	0.000(.589)	0.000(.595)	0.000(.599)	0.000(.603)	0.000(.606)

*** RELATIVE ENERGY FLUX DENSITY IN THE PENUMBRA ***
 *** OF A DIFFUSE SKIRT WITH THE REFLECTANCE = 0. ***

SOLAR FIELD ANGLE, D = 5.00 DEGREES
 GEOMETRY D1/D2 = 0.50

BETA = ANGLE OF INCIDENCE, DEGREES

BETA ***	10.00	20.00	30.00	40.00	50.00
AX/AB	Q (Q1)	Q (Q1)	Q (Q1)	Q (Q1)	Q (Q1)
0.	1.000(.)	1.000(.)	1.000(.)	1.000(.)	1.000(.)
0.025	0.997(.025)	0.997(.025)	0.997(.025)	0.998(.025)	0.998(.025)
0.050	0.992(.050)	0.993(.050)	0.993(.050)	0.993(.050)	0.993(.050)
0.075	0.985(.075)	0.986(.075)	0.987(.075)	0.987(.075)	0.988(.075)
0.100	0.979(.099)	0.979(.099)	0.980(.099)	0.981(.099)	0.982(.099)
0.125	0.970(.123)	0.971(.124)	0.972(.124)	0.973(.124)	0.974(.124)
0.150	0.961(.148)	0.962(.148)	0.963(.148)	0.965(.148)	0.966(.148)
0.175	0.952(.172)	0.953(.172)	0.954(.172)	0.955(.172)	0.957(.172)
0.200	0.941(.195)	0.942(.195)	0.944(.195)	0.946(.196)	0.948(.196)
0.225	0.930(.219)	0.932(.219)	0.933(.219)	0.935(.219)	0.938(.219)
0.250	0.919(.242)	0.920(.242)	0.922(.242)	0.925(.242)	0.928(.243)
0.275	0.905(.265)	0.906(.265)	0.911(.265)	0.913(.265)	0.917(.266)
0.300	0.890(.287)	0.893(.287)	0.896(.288)	0.899(.288)	0.904(.289)
0.325	0.871(.309)	0.874(.309)	0.878(.310)	0.882(.310)	0.888(.311)
0.350	0.850(.330)	0.854(.331)	0.858(.331)	0.863(.332)	0.869(.333)
0.375	0.828(.351)	0.832(.352)	0.837(.353)	0.842(.353)	0.849(.354)
0.400	0.805(.372)	0.809(.373)	0.814(.373)	0.820(.374)	0.827(.375)
0.425	0.780(.392)	0.785(.392)	0.790(.393)	0.796(.394)	0.805(.396)
0.450	0.755(.411)	0.760(.412)	0.765(.413)	0.772(.414)	0.781(.416)
0.475	0.729(.429)	0.734(.430)	0.740(.432)	0.747(.433)	0.756(.435)
0.500	0.702(.447)	0.707(.448)	0.713(.450)	0.721(.451)	0.730(.453)
0.525	0.675(.465)	0.680(.466)	0.686(.467)	0.694(.469)	0.704(.471)
0.550	0.645(.481)	0.652(.482)	0.659(.484)	0.666(.486)	0.677(.489)
0.575	0.617(.497)	0.623(.498)	0.630(.500)	0.638(.502)	0.649(.505)
0.600	0.587(.512)	0.593(.514)	0.600(.516)	0.608(.518)	0.619(.521)
0.625	0.557(.526)	0.563(.528)	0.570(.530)	0.578(.533)	0.589(.536)
0.650	0.525(.540)	0.532(.542)	0.539(.544)	0.547(.547)	0.558(.550)
0.675	0.489(.552)	0.500(.555)	0.508(.557)	0.516(.560)	0.527(.564)
0.700	0.428(.554)	0.438(.566)	0.449(.569)	0.463(.572)	0.483(.577)
0.725	0.368(.574)	0.377(.577)	0.388(.580)	0.401(.583)	0.420(.588)
0.750	0.311(.582)	0.319(.585)	0.329(.588)	0.341(.592)	0.358(.598)
0.775	0.257(.589)	0.264(.593)	0.273(.596)	0.284(.600)	0.300(.606)
0.800	0.205(.595)	0.212(.598)	0.220(.602)	0.230(.607)	0.243(.613)
0.825	0.158(.600)	0.164(.603)	0.170(.607)	0.178(.612)	0.190(.618)
0.850	0.117(.603)	0.121(.607)	0.126(.611)	0.132(.616)	0.141(.622)
0.875	0.085(.606)	0.088(.609)	0.091(.613)	0.095(.618)	0.100(.625)
0.900	0.062(.608)	0.064(.611)	0.066(.615)	0.069(.620)	0.073(.627)
0.925	0.041(.609)	0.042(.613)	0.044(.617)	0.046(.622)	0.048(.629)
0.950	0.022(.610)	0.023(.613)	0.024(.618)	0.025(.623)	0.027(.630)
0.975	0.008(.610)	0.008(.614)	0.009(.618)	0.009(.623)	0.010(.630)
1.000	0.000(.610)	0.000(.614)	0.000(.618)	0.000(.623)	0.000(.630)

*** RELATIVE ENERGY FLUX DENSITY IN THE PENUMBRA ***
 *** OF A DIFFUSE SKIRT WITH THE REFLECTANCE = 0. ***

VERSION C

SOLAR FIELD ANGLE, D = 5.00 DEGREES
 GEOMETRY D1/D2 = 0.50

BETA = ANGLE OF INCIDENCE, DEGREES

BETA ***	60.00	70.00	80.00	87.00
AX/AB	Q (Q1)	Q (Q1)	Q (Q1)	Q (Q1)
0.	1.000(.)	1.000(.)	1.000(.)	1.000(.)
0.025	0.998(.025)	0.998(.025)	0.999(.025)	1.000(.025)
0.050	0.994(.050)	0.995(.050)	0.997(.050)	1.000(.050)
0.075	0.989(.075)	0.990(.075)	0.994(.075)	1.000(.075)
0.100	0.983(.099)	0.985(.099)	0.991(.100)	1.000(.100)
0.125	0.976(.124)	0.979(.124)	0.987(.124)	1.000(.125)
0.150	0.969(.148)	0.973(.148)	0.982(.149)	1.000(.150)
0.175	0.960(.172)	0.965(.173)	0.977(.173)	1.000(.175)
0.200	0.952(.196)	0.958(.197)	0.972(.198)	0.999(.200)
0.225	0.942(.220)	0.949(.220)	0.966(.222)	0.999(.225)
0.250	0.932(.243)	0.940(.244)	0.960(.246)	0.999(.250)
0.275	0.922(.266)	0.931(.267)	0.953(.270)	0.999(.275)
0.300	0.911(.289)	0.921(.291)	0.946(.294)	0.999(.300)
0.325	0.895(.312)	0.909(.314)	0.938(.317)	0.998(.325)
0.350	0.878(.334)	0.894(.336)	0.930(.341)	0.998(.350)
0.375	0.859(.356)	0.878(.358)	0.920(.364)	0.998(.375)
0.400	0.839(.377)	0.859(.380)	0.908(.387)	0.997(.400)
0.425	0.817(.398)	0.839(.401)	0.893(.409)	0.997(.425)
0.450	0.794(.418)	0.817(.422)	0.877(.431)	0.996(.449)
0.475	0.770(.437)	0.795(.442)	0.859(.453)	0.995(.474)
0.500	0.745(.456)	0.771(.462)	0.840(.474)	0.994(.499)
0.525	0.719(.475)	0.747(.481)	0.820(.495)	0.993(.524)
0.550	0.692(.492)	0.721(.499)	0.798(.515)	0.992(.549)
0.575	0.665(.509)	0.694(.517)	0.775(.535)	0.991(.574)
0.600	0.636(.525)	0.667(.534)	0.750(.554)	0.989(.598)
0.625	0.606(.541)	0.638(.550)	0.724(.572)	0.988(.623)
0.650	0.575(.556)	0.607(.565)	0.697(.590)	0.985(.648)
0.675	0.544(.570)	0.576(.580)	0.668(.607)	0.983(.672)
0.700	0.512(.583)	0.545(.594)	0.637(.623)	0.979(.697)
0.725	0.448(.595)	0.503(.607)	0.604(.639)	0.975(.721)
0.750	0.385(.605)	0.437(.619)	0.570(.654)	0.970(.746)
0.775	0.324(.614)	0.371(.629)	0.525(.667)	0.963(.770)
0.800	0.265(.622)	0.308(.638)	0.451(.680)	0.952(.794)
0.825	0.208(.628)	0.246(.645)	0.376(.690)	0.937(.817)
0.850	0.156(.632)	0.187(.650)	0.300(.698)	0.914(.841)
0.875	0.111(.635)	0.134(.654)	0.225(.705)	0.883(.863)
0.900	0.079(.638)	0.093(.657)	0.154(.710)	0.840(.885)
0.925	0.053(.639)	0.063(.659)	0.099(.713)	0.776(.905)
0.950	0.030(.640)	0.035(.660)	0.058(.715)	0.681(.923)
0.975	0.011(.641)	0.013(.661)	0.022(.716)	0.398(.936)
1.000	0.000(.641)	0.000(.661)	0.000(.716)	0.000(.941)

66-196
 App-6 - Phase II
 VERSION C

*** RELATIVE ENERGY FLUX DENSITY IN THE PENUMBRA ***
 *** OF A DIFFUSE SKIRT WITH THE REFLECTANCE = 0. ***

SOLAR FIELD ANGLE, D= 5.00 DEGREES
 GEOMETRY D1/D2 = 0.75

BETA = ANGLE OF INCIDENCE, DEGREES

BETA ***	-87.00	-80.00	-70.00	-60.00	-50.00
AX/AB	Q (Q1)	Q (Q1)	Q (Q1)	Q (Q1)	Q (Q1)
0.	1.000(.)	1.000(.)	1.000(.)	1.000(.)	1.000(.)
0.025	0.873(.023)	0.991(.025)	0.995(.025)	0.995(.025)	0.996(.025)
0.050	0.690(.043)	0.977(.049)	0.985(.050)	0.987(.050)	0.988(.050)
0.075	0.520(.058)	0.959(.074)	0.973(.074)	0.977(.074)	0.979(.074)
0.100	0.387(.069)	0.939(.097)	0.959(.098)	0.965(.099)	0.967(.099)
0.125	0.271(.078)	0.918(.121)	0.944(.122)	0.952(.123)	0.955(.123)
0.150	0.187(.083)	0.896(.143)	0.928(.146)	0.937(.146)	0.942(.146)
0.175	0.132(.087)	0.869(.165)	0.912(.169)	0.922(.169)	0.927(.170)
0.200	0.095(.090)	0.835(.187)	0.893(.191)	0.906(.192)	0.912(.193)
0.225	0.068(.092)	0.798(.207)	0.868(.213)	0.886(.215)	0.895(.215)
0.250	0.050(.094)	0.760(.227)	0.840(.234)	0.862(.236)	0.872(.237)
0.275	0.038(.095)	0.721(.245)	0.809(.255)	0.834(.258)	0.847(.259)
0.300	0.030(.096)	0.682(.263)	0.777(.275)	0.805(.278)	0.819(.280)
0.325	0.025(.096)	0.642(.279)	0.743(.294)	0.774(.298)	0.789(.300)
0.350	0.020(.097)	0.603(.295)	0.709(.312)	0.742(.317)	0.758(.319)
0.375	0.017(.097)	0.564(.309)	0.675(.329)	0.709(.335)	0.727(.338)
0.400	0.014(.098)	0.525(.323)	0.640(.346)	0.676(.352)	0.694(.356)
0.425	0.012(.098)	0.486(.336)	0.604(.361)	0.642(.369)	0.661(.372)
0.450	0.010(.098)	0.447(.347)	0.568(.376)	0.607(.384)	0.627(.389)
0.475	0.008(.099)	0.399(.358)	0.531(.390)	0.571(.399)	0.592(.404)
0.500	0.007(.099)	0.354(.367)	0.495(.403)	0.535(.413)	0.556(.418)
0.525	0.005(.099)	0.313(.376)	0.453(.414)	0.499(.426)	0.520(.432)
0.550	0.005(.099)	0.274(.383)	0.407(.425)	0.456(.438)	0.483(.444)
0.575	0.004(.099)	0.239(.389)	0.362(.435)	0.409(.449)	0.435(.456)
0.600	0.004(.099)	0.206(.395)	0.320(.443)	0.364(.458)	0.389(.466)
0.625	0.003(.099)	0.176(.400)	0.280(.451)	0.322(.467)	0.345(.475)
0.650	0.002(.099)	0.148(.404)	0.243(.457)	0.281(.474)	0.303(.483)
0.675	0.002(.099)	0.123(.407)	0.208(.463)	0.243(.481)	0.263(.490)
0.700	0.002(.100)	0.101(.410)	0.175(.468)	0.206(.487)	0.224(.496)
0.725	0.001(.100)	0.083(.412)	0.144(.472)	0.172(.491)	0.188(.501)
0.750	0.001(.100)	0.069(.414)	0.117(.475)	0.141(.495)	0.155(.506)
0.775	0.001(.100)	0.058(.416)	0.094(.478)	0.113(.498)	0.124(.509)
0.800	0.001(.100)	0.047(.417)	0.076(.480)	0.089(.501)	0.098(.512)
0.825	0.001(.100)	0.038(.418)	0.062(.481)	0.073(.503)	0.079(.514)
0.850	0.000(.100)	0.030(.419)	0.049(.483)	0.058(.505)	0.063(.516)
0.875	0.000(.100)	0.022(.420)	0.037(.484)	0.044(.506)	0.048(.517)
0.900	0.000(.100)	0.016(.420)	0.026(.485)	0.031(.507)	0.034(.518)
0.925	0.000(.100)	0.010(.420)	0.017(.485)	0.020(.507)	0.022(.519)
0.950	0.000(.100)	0.005(.421)	0.009(.486)	0.011(.508)	0.012(.520)
0.975	0.000(.100)	0.002(.421)	0.003(.486)	0.004(.508)	0.004(.520)
1.000	0.000(.100)	0.000(.421)	0.000(.486)	0.000(.508)	0.000(.520)

5

3

2

C-52
 223

*** RELATIVE ENERGY FLUX DENSITY IN THE PENUMBRA ***
 *** OF A DIFFUSE SKIRT WITH THE REFLECTANCE = 0. ***

SOLAR FIELD ANGLE, D= 5.00 DEGREES
 GEOMETRY D1/D2 = 0.75

BETA = ANGLE OF INCIDENCE, DEGREES

BETA ***	-40.00	-30.00	-20.00	-10.00	-0.
AX/AB	Q (Q1)	Q (Q1)	Q (Q1)	Q (Q1)	Q (Q1)
0.	1.000(.)	1.000(.)	1.000(.)	1.000(.)	1.000(.)
0.025	0.996(.025)	0.996(.025)	0.996(.025)	0.996(.025)	0.997(.025)
0.050	0.989(.050)	0.989(.050)	0.990(.050)	0.990(.050)	0.990(.050)
0.075	0.980(.074)	0.980(.074)	0.981(.074)	0.982(.074)	0.982(.074)
0.100	0.969(.099)	0.970(.099)	0.971(.099)	0.972(.099)	0.973(.099)
0.125	0.957(.123)	0.959(.123)	0.960(.123)	0.961(.123)	0.962(.123)
0.150	0.944(.147)	0.946(.147)	0.948(.147)	0.949(.147)	0.950(.147)
0.175	0.931(.170)	0.933(.170)	0.935(.170)	0.936(.170)	0.938(.171)
0.200	0.915(.195)	0.919(.193)	0.921(.194)	0.923(.194)	0.925(.194)
0.225	0.900(.216)	0.904(.216)	0.907(.216)	0.909(.217)	0.911(.217)
0.250	0.879(.238)	0.884(.238)	0.887(.239)	0.890(.239)	0.893(.239)
0.275	0.854(.260)	0.860(.260)	0.864(.261)	0.868(.261)	0.871(.261)
0.300	0.827(.281)	0.834(.281)	0.839(.282)	0.843(.282)	0.847(.283)
0.325	0.799(.301)	0.806(.302)	0.811(.303)	0.816(.303)	0.820(.304)
0.350	0.769(.321)	0.776(.322)	0.782(.323)	0.788(.323)	0.792(.324)
0.375	0.738(.339)	0.746(.341)	0.752(.342)	0.758(.343)	0.763(.343)
0.400	0.705(.358)	0.714(.359)	0.721(.360)	0.727(.361)	0.733(.362)
0.425	0.673(.375)	0.682(.376)	0.689(.378)	0.696(.379)	0.701(.380)
0.450	0.640(.391)	0.649(.393)	0.657(.395)	0.663(.396)	0.669(.397)
0.475	0.605(.407)	0.615(.409)	0.623(.411)	0.630(.412)	0.636(.413)
0.500	0.570(.421)	0.580(.424)	0.588(.426)	0.595(.427)	0.602(.429)
0.525	0.534(.435)	0.544(.438)	0.552(.440)	0.560(.442)	0.566(.443)
0.550	0.498(.448)	0.508(.451)	0.517(.453)	0.524(.455)	0.531(.457)
0.575	0.452(.460)	0.465(.463)	0.475(.466)	0.485(.468)	0.493(.470)
0.600	0.405(.471)	0.418(.474)	0.428(.477)	0.437(.479)	0.445(.482)
0.625	0.360(.480)	0.372(.484)	0.382(.487)	0.390(.490)	0.398(.492)
0.650	0.317(.489)	0.328(.493)	0.337(.496)	0.345(.499)	0.352(.502)
0.675	0.275(.496)	0.286(.501)	0.295(.504)	0.302(.507)	0.309(.510)
0.700	0.237(.503)	0.246(.507)	0.254(.511)	0.261(.514)	0.267(.517)
0.725	0.199(.508)	0.208(.513)	0.215(.517)	0.221(.520)	0.227(.523)
0.750	0.164(.513)	0.172(.518)	0.178(.522)	0.183(.525)	0.189(.528)
0.775	0.132(.516)	0.139(.521)	0.144(.526)	0.148(.529)	0.153(.533)
0.800	0.104(.519)	0.109(.525)	0.113(.529)	0.117(.533)	0.121(.536)
0.825	0.083(.522)	0.086(.527)	0.089(.531)	0.092(.535)	0.094(.539)
0.850	0.065(.523)	0.069(.529)	0.071(.533)	0.073(.537)	0.075(.541)
0.875	0.051(.525)	0.053(.530)	0.055(.535)	0.056(.539)	0.058(.543)
0.900	0.035(.526)	0.038(.532)	0.039(.536)	0.041(.540)	0.042(.544)
0.925	0.024(.527)	0.025(.532)	0.026(.537)	0.027(.541)	0.027(.545)
0.950	0.013(.527)	0.014(.533)	0.014(.537)	0.015(.541)	0.015(.545)
0.975	0.005(.527)	0.005(.533)	0.005(.538)	0.005(.542)	0.005(.546)
1.000	0.000(.528)	0.000(.533)	0.000(.538)	0.000(.542)	0.000(.546)

*** RELATIVE ENERGY FLUX DENSITY IN THE PENUMBRA ***
 *** OF A DIFFUSE SKIRT WITH THE REFLECTANCE = 0. ***

VERSION C

SOLAR FIELD ANGLE, D= 5.00 DEGREES
 GEOMETRY D1/D2 = 0.75

BETA = ANGLE OF INCIDENCE, DEGREES

BETA ***	10.00	20.00	30.00	40.00	50.00
AX/AB	Q (Q1)	Q (Q1)	Q (Q1)	Q (Q1)	Q (Q1)
0.	1.000(.)	1.000(.)	1.000(.)	1.000(.)	1.000(.)
0.025	0.997(.025)	0.997(.025)	0.997(.025)	0.997(.025)	0.997(.025)
0.050	0.990(.050)	0.991(.050)	0.991(.050)	0.991(.050)	0.992(.050)
0.075	0.983(.074)	0.983(.074)	0.984(.074)	0.984(.075)	0.985(.075)
0.100	0.973(.092)	0.974(.099)	0.975(.099)	0.976(.099)	0.977(.099)
0.125	0.963(.123)	0.964(.123)	0.965(.123)	0.966(.123)	0.968(.123)
0.150	0.952(.147)	0.953(.147)	0.954(.147)	0.956(.147)	0.958(.147)
0.175	0.939(.171)	0.941(.171)	0.943(.171)	0.945(.171)	0.947(.171)
0.200	0.925(.194)	0.926(.194)	0.930(.194)	0.933(.195)	0.936(.195)
0.225	0.913(.217)	0.915(.217)	0.917(.217)	0.920(.218)	0.923(.218)
0.250	0.895(.240)	0.899(.240)	0.902(.240)	0.906(.241)	0.910(.241)
0.275	0.875(.262)	0.878(.262)	0.882(.262)	0.887(.263)	0.893(.264)
0.300	0.851(.283)	0.855(.284)	0.859(.284)	0.865(.285)	0.872(.286)
0.325	0.825(.304)	0.829(.305)	0.834(.305)	0.841(.306)	0.849(.307)
0.350	0.797(.325)	0.802(.325)	0.808(.326)	0.815(.327)	0.824(.328)
0.375	0.768(.344)	0.774(.345)	0.780(.346)	0.787(.347)	0.797(.348)
0.400	0.738(.363)	0.744(.364)	0.751(.365)	0.758(.366)	0.769(.368)
0.425	0.707(.381)	0.713(.382)	0.720(.383)	0.729(.385)	0.740(.387)
0.450	0.675(.398)	0.682(.400)	0.689(.401)	0.698(.403)	0.709(.405)
0.475	0.642(.415)	0.649(.416)	0.657(.418)	0.666(.420)	0.678(.422)
0.500	0.608(.430)	0.615(.432)	0.623(.434)	0.633(.436)	0.645(.439)
0.525	0.573(.445)	0.580(.447)	0.588(.449)	0.598(.451)	0.611(.454)
0.550	0.537(.459)	0.545(.461)	0.553(.463)	0.563(.466)	0.576(.469)
0.575	0.502(.472)	0.509(.474)	0.517(.477)	0.527(.479)	0.541(.483)
0.600	0.454(.484)	0.463(.486)	0.473(.489)	0.486(.492)	0.503(.496)
0.625	0.405(.495)	0.415(.497)	0.425(.500)	0.438(.504)	0.454(.508)
0.650	0.360(.504)	0.369(.507)	0.378(.510)	0.390(.514)	0.406(.519)
0.675	0.315(.513)	0.324(.516)	0.333(.519)	0.344(.523)	0.359(.528)
0.700	0.274(.520)	0.281(.523)	0.289(.527)	0.300(.531)	0.314(.537)
0.725	0.233(.526)	0.239(.530)	0.247(.534)	0.256(.538)	0.270(.544)
0.750	0.194(.532)	0.200(.535)	0.207(.539)	0.215(.544)	0.227(.550)
0.775	0.158(.536)	0.163(.540)	0.169(.544)	0.176(.549)	0.186(.556)
0.800	0.125(.540)	0.129(.543)	0.134(.548)	0.140(.553)	0.149(.560)
0.825	0.097(.543)	0.100(.546)	0.104(.551)	0.108(.556)	0.115(.563)
0.850	0.077(.545)	0.079(.549)	0.082(.553)	0.085(.558)	0.089(.566)
0.875	0.059(.546)	0.061(.550)	0.063(.555)	0.066(.560)	0.069(.568)
0.900	0.043(.548)	0.044(.552)	0.046(.556)	0.048(.562)	0.050(.569)
0.925	0.028(.549)	0.029(.553)	0.030(.557)	0.031(.563)	0.033(.570)
0.950	0.015(.549)	0.016(.553)	0.017(.558)	0.017(.563)	0.018(.571)
0.975	0.005(.549)	0.006(.553)	0.006(.558)	0.006(.564)	0.007(.571)
1.000	0.000(.549)	0.000(.553)	0.000(.558)	0.000(.564)	0.000(.571)

RE-ORDER NO. 66-196
Copy 1 - Phil
 VERSION C

*** RELATIVE ENERGY FLUX DENSITY IN THE PENUMBRA ***
 *** OF A DIFFUSE SKIRT WITH THE REFLECTANCE = 0. ***

SOLAR FIELD ANGLE, $\theta = 5.00$ DEGREES
 GEOMETRY $D1/D2 = 0.75$

BETA = ANGLE OF INCIDENCE, DEGREES

BETA ***	60.00	70.00	80.00	87.00
AX/AB	Q (Q1)	Q (Q1)	Q (Q1)	Q (Q1)
0.	1.000(.)	1.000(.)	1.000(.)	1.000(.)
0.025	0.997(.025)	0.998(.025)	0.999(.025)	1.000(.025)
0.050	0.993(.050)	0.994(.050)	0.996(.050)	1.000(.050)
0.075	0.985(.075)	0.988(.075)	0.993(.075)	1.000(.075)
0.100	0.979(.099)	0.982(.099)	0.989(.100)	1.000(.100)
0.125	0.970(.124)	0.975(.124)	0.984(.124)	1.000(.125)
0.150	0.961(.148)	0.967(.148)	0.979(.149)	1.000(.150)
0.175	0.951(.172)	0.958(.172)	0.973(.173)	0.999(.175)
0.200	0.940(.195)	0.948(.196)	0.967(.197)	0.999(.200)
0.225	0.929(.219)	0.938(.219)	0.960(.221)	0.999(.225)
0.250	0.917(.242)	0.927(.243)	0.952(.245)	0.999(.250)
0.275	0.901(.264)	0.915(.266)	0.944(.269)	0.999(.275)
0.300	0.882(.287)	0.899(.288)	0.935(.293)	0.998(.300)
0.325	0.860(.308)	0.880(.311)	0.925(.316)	0.998(.325)
0.350	0.837(.330)	0.859(.332)	0.913(.339)	0.998(.350)
0.375	0.811(.350)	0.836(.354)	0.897(.361)	0.997(.375)
0.400	0.784(.370)	0.812(.374)	0.880(.384)	0.997(.400)
0.425	0.755(.389)	0.786(.394)	0.860(.405)	0.996(.425)
0.450	0.727(.408)	0.758(.414)	0.839(.427)	0.996(.449)
0.475	0.695(.426)	0.729(.432)	0.816(.447)	0.995(.474)
0.500	0.665(.443)	0.699(.450)	0.791(.467)	0.994(.499)
0.525	0.631(.459)	0.668(.467)	0.764(.467)	0.993(.524)
0.550	0.597(.474)	0.635(.483)	0.736(.506)	0.992(.549)
0.575	0.561(.489)	0.600(.499)	0.706(.524)	0.990(.574)
0.600	0.525(.502)	0.564(.513)	0.674(.541)	0.988(.598)
0.625	0.480(.515)	0.528(.527)	0.640(.557)	0.986(.623)
0.650	0.431(.526)	0.480(.540)	0.604(.573)	0.984(.648)
0.675	0.383(.537)	0.430(.551)	0.566(.587)	0.981(.672)
0.700	0.335(.545)	0.380(.561)	0.520(.601)	0.977(.697)
0.725	0.290(.553)	0.331(.570)	0.465(.613)	0.972(.721)
0.750	0.246(.560)	0.284(.578)	0.409(.624)	0.966(.745)
0.775	0.203(.566)	0.237(.584)	0.353(.634)	0.956(.769)
0.800	0.163(.570)	0.192(.590)	0.297(.642)	0.942(.793)
0.825	0.126(.574)	0.150(.594)	0.241(.649)	0.921(.816)
0.850	0.095(.577)	0.113(.597)	0.186(.654)	0.892(.839)
0.875	0.075(.579)	0.087(.600)	0.136(.658)	0.851(.861)
0.900	0.055(.580)	0.064(.601)	0.098(.661)	0.792(.881)
0.925	0.035(.582)	0.043(.603)	0.067(.663)	0.702(.900)
0.950	0.020(.582)	0.024(.604)	0.038(.664)	0.536(.915)
0.975	0.007(.583)	0.009(.604)	0.014(.665)	0.250(.925)
1.000	0.000(.583)	0.000(.604)	0.000(.665)	0.000(.928)

C-55
 226

RE-ORDER No. 66-196
2/25/66 - Sheet 11

*** RELATIVE ENERGY FLUX DENSITY IN THE PENUMBRA ***
 *** OF A DIFFUSE SKIRT WITH THE REFLECTANCE = 0. ***

VERSION C

SOLAR FIELD ANGLE, D= 5.00 DEGREES
 GEOMETRY D1/D2 = 1.00

BETA = ANGLE OF INCIDENCE, DEGREES

BETA ***	-87.00	-80.00	-70.00	-60.00	-50.00
AX/AB	Q (Q1)	Q (Q1)	Q (Q1)	Q (Q1)	Q (Q1)
0.	1.000(.)	1.000(.)	1.000(.)	1.000(.)	1.000(.)
0.025	0.827(.023)	0.989(.025)	0.993(.025)	0.994(.025)	0.995(.025)
0.050	0.583(.040)	0.971(.049)	0.981(.050)	0.984(.050)	0.985(.050)
0.075	0.400(.053)	0.948(.073)	0.967(.074)	0.971(.074)	0.974(.074)
0.100	0.273(.061)	0.924(.097)	0.950(.098)	0.957(.098)	0.960(.098)
0.125	0.191(.067)	0.898(.120)	0.931(.121)	0.941(.122)	0.945(.122)
0.150	0.135(.071)	0.866(.142)	0.912(.144)	0.923(.145)	0.929(.146)
0.175	0.098(.074)	0.825(.163)	0.890(.167)	0.905(.168)	0.912(.169)
0.200	0.071(.076)	0.780(.183)	0.860(.189)	0.881(.190)	0.891(.191)
0.225	0.053(.078)	0.734(.202)	0.826(.210)	0.851(.212)	0.863(.213)
0.250	0.040(.079)	0.688(.219)	0.789(.230)	0.818(.233)	0.832(.234)
0.275	0.031(.080)	0.641(.236)	0.750(.249)	0.783(.253)	0.799(.255)
0.300	0.025(.080)	0.595(.251)	0.711(.268)	0.746(.272)	0.764(.274)
0.325	0.021(.081)	0.548(.266)	0.671(.285)	0.709(.290)	0.728(.293)
0.350	0.018(.081)	0.502(.279)	0.630(.301)	0.670(.307)	0.690(.311)
0.375	0.015(.082)	0.458(.291)	0.588(.316)	0.630(.324)	0.652(.327)
0.400	0.013(.082)	0.415(.302)	0.546(.331)	0.589(.339)	0.612(.343)
0.425	0.011(.083)	0.374(.312)	0.503(.344)	0.548(.353)	0.571(.358)
0.450	0.009(.083)	0.335(.321)	0.462(.356)	0.506(.366)	0.530(.372)
0.475	0.008(.083)	0.299(.328)	0.421(.367)	0.465(.379)	0.489(.384)
0.500	0.006(.083)	0.266(.336)	0.381(.377)	0.425(.390)	0.448(.396)
0.525	0.005(.083)	0.235(.342)	0.343(.386)	0.385(.400)	0.408(.407)
0.550	0.005(.083)	0.206(.347)	0.308(.394)	0.347(.409)	0.369(.417)
0.575	0.004(.084)	0.179(.352)	0.274(.401)	0.311(.417)	0.331(.425)
0.600	0.003(.084)	0.154(.356)	0.241(.408)	0.276(.424)	0.295(.433)
0.625	0.003(.084)	0.131(.360)	0.210(.413)	0.243(.431)	0.261(.440)
0.650	0.002(.084)	0.111(.363)	0.181(.418)	0.211(.437)	0.228(.446)
0.675	0.002(.084)	0.092(.365)	0.154(.422)	0.181(.441)	0.196(.451)
0.700	0.002(.084)	0.077(.367)	0.129(.426)	0.153(.446)	0.167(.456)
0.725	0.001(.084)	0.066(.369)	0.107(.429)	0.127(.449)	0.139(.460)
0.750	0.001(.084)	0.057(.371)	0.088(.431)	0.104(.452)	0.114(.463)
0.775	0.001(.084)	0.047(.372)	0.074(.433)	0.086(.454)	0.093(.466)
0.800	0.001(.084)	0.039(.373)	0.062(.435)	0.072(.456)	0.077(.468)
0.825	0.001(.084)	0.031(.374)	0.050(.437)	0.059(.458)	0.064(.469)
0.850	0.000(.084)	0.025(.375)	0.040(.438)	0.047(.459)	0.051(.471)
0.875	0.000(.084)	0.018(.375)	0.030(.439)	0.035(.460)	0.039(.472)
0.900	0.000(.084)	0.013(.376)	0.021(.439)	0.025(.461)	0.028(.473)
0.925	0.000(.084)	0.008(.376)	0.014(.440)	0.016(.462)	0.018(.473)
0.950	0.000(.084)	0.004(.376)	0.008(.440)	0.009(.462)	0.010(.474)
0.975	0.000(.084)	0.002(.376)	0.003(.440)	0.003(.462)	0.003(.474)
1.000	0.000(.084)	0.000(.376)	0.000(.440)	0.000(.462)	0.000(.474)

6

3

2

C-56
 227

*** RELATIVE ENERGY FLUX DENSITY IN THE PENUMBRA ***
 *** OF A DIFFUSE SKIRT WITH THE REFLECTANCE = 0. ***

VERSION C

SOLAR FIELD ANGLE, D= 5.00 DEGREES
 GEOMETRY D1/D2 = 1.00

BETA = ANGLE OF INCIDENCE, DEGREES

BETA ***	-40.00	-30.00	-20.00	-10.00	-0.
AX/AB	Q (QI)	Q (QI)	Q (QI)	Q (QI)	Q (QI)
0.	1.000(.)	1.000(.)	1.000(.)	1.000(.)	1.000(.)
0.025	0.995(.025)	0.995(.025)	0.995(.025)	0.996(.025)	0.996(.025)
0.050	0.985(.050)	0.987(.050)	0.987(.050)	0.988(.050)	0.988(.050)
0.075	0.975(.074)	0.976(.074)	0.977(.074)	0.978(.074)	0.978(.074)
0.100	0.962(.098)	0.964(.099)	0.965(.099)	0.966(.099)	0.967(.099)
0.125	0.948(.122)	0.950(.122)	0.951(.123)	0.953(.123)	0.954(.123)
0.150	0.932(.146)	0.935(.146)	0.937(.146)	0.938(.146)	0.940(.146)
0.175	0.916(.169)	0.919(.169)	0.921(.169)	0.923(.169)	0.925(.170)
0.200	0.897(.192)	0.901(.192)	0.904(.192)	0.907(.192)	0.909(.193)
0.225	0.871(.214)	0.876(.214)	0.880(.214)	0.884(.215)	0.887(.215)
0.250	0.841(.235)	0.848(.236)	0.853(.236)	0.857(.236)	0.861(.237)
0.275	0.809(.256)	0.817(.256)	0.822(.257)	0.827(.258)	0.832(.258)
0.300	0.775(.275)	0.783(.276)	0.790(.277)	0.795(.278)	0.801(.278)
0.325	0.740(.294)	0.749(.296)	0.756(.297)	0.762(.297)	0.767(.298)
0.350	0.703(.312)	0.713(.314)	0.720(.315)	0.727(.316)	0.733(.317)
0.375	0.665(.330)	0.675(.331)	0.683(.333)	0.690(.334)	0.697(.335)
0.400	0.627(.346)	0.637(.348)	0.646(.349)	0.653(.350)	0.660(.352)
0.425	0.586(.361)	0.597(.363)	0.606(.365)	0.614(.366)	0.621(.368)
0.450	0.545(.375)	0.557(.377)	0.566(.379)	0.574(.381)	0.582(.383)
0.475	0.504(.388)	0.516(.391)	0.525(.393)	0.533(.395)	0.541(.397)
0.500	0.463(.400)	0.475(.403)	0.484(.406)	0.492(.408)	0.500(.410)
0.525	0.423(.411)	0.434(.415)	0.443(.417)	0.451(.420)	0.459(.422)
0.550	0.383(.421)	0.394(.425)	0.403(.428)	0.411(.430)	0.418(.433)
0.575	0.345(.431)	0.355(.434)	0.364(.437)	0.371(.440)	0.378(.443)
0.600	0.308(.439)	0.318(.443)	0.326(.446)	0.333(.449)	0.340(.452)
0.625	0.273(.446)	0.282(.450)	0.290(.454)	0.297(.457)	0.303(.460)
0.650	0.239(.452)	0.246(.457)	0.255(.461)	0.261(.464)	0.267(.467)
0.675	0.207(.456)	0.214(.463)	0.221(.466)	0.227(.470)	0.232(.473)
0.700	0.176(.463)	0.183(.468)	0.189(.472)	0.194(.475)	0.199(.478)
0.725	0.147(.467)	0.153(.472)	0.159(.476)	0.163(.480)	0.168(.483)
0.750	0.121(.470)	0.126(.475)	0.131(.480)	0.135(.483)	0.139(.487)
0.775	0.098(.473)	0.103(.478)	0.106(.483)	0.109(.486)	0.113(.490)
0.800	0.081(.475)	0.084(.481)	0.087(.485)	0.089(.489)	0.091(.493)
0.825	0.067(.477)	0.069(.482)	0.071(.487)	0.073(.491)	0.075(.495)
0.850	0.053(.478)	0.055(.484)	0.057(.489)	0.059(.493)	0.060(.496)
0.875	0.041(.480)	0.042(.485)	0.044(.490)	0.045(.494)	0.046(.498)
0.900	0.029(.480)	0.030(.486)	0.031(.491)	0.032(.495)	0.033(.499)
0.925	0.019(.481)	0.020(.487)	0.021(.491)	0.021(.495)	0.022(.499)
0.950	0.010(.481)	0.011(.487)	0.011(.492)	0.012(.496)	0.012(.500)
0.975	0.004(.482)	0.004(.487)	0.004(.492)	0.004(.496)	0.004(.500)
1.000	0.000(.482)	0.000(.487)	0.000(.492)	0.000(.496)	0.000(.500)

*** RELATIVE ENERGY FLUX DENSITY IN THE PENUMBRA ***
 *** OF A DIFFUSE SKIRT WITH THE REFLECTANCE = 0. ***

SOLAR FIELD ANGLE, D= 5.00 DEGREES
 GEOMETRY D1/D2 = 1.00

BETA = ANGLE OF INCIDENCE, DEGREES

BETA *** AX/AB	10.00		20.00		30.00		40.00		50.00	
	Q	(QI)	Q	(QI)	Q	(QI)	Q	(QI)	Q	(QI)
0.	1.000(.)		1.000(.)		1.000(.)		1.000(.)		1.000(.)	
0.025	0.996(.025)		0.996(.025)		0.996(.025)		0.996(.025)		0.997(.025)	
0.050	0.988(.050)		0.989(.050)		0.989(.050)		0.990(.050)		0.990(.050)	
0.075	0.979(.074)		0.979(.074)		0.980(.074)		0.981(.074)		0.982(.074)	
0.100	0.968(.099)		0.969(.099)		0.970(.099)		0.971(.099)		0.972(.099)	
0.125	0.955(.123)		0.956(.123)		0.958(.123)		0.959(.123)		0.961(.123)	
0.150	0.941(.146)		0.943(.147)		0.945(.147)		0.947(.147)		0.949(.147)	
0.175	0.927(.170)		0.928(.170)		0.931(.170)		0.933(.170)		0.936(.171)	
0.200	0.911(.193)		0.913(.193)		0.916(.193)		0.919(.193)		0.923(.194)	
0.225	0.890(.215)		0.894(.216)		0.897(.216)		0.902(.216)		0.907(.217)	
0.250	0.865(.237)		0.869(.238)		0.874(.238)		0.879(.238)		0.886(.239)	
0.275	0.837(.258)		0.841(.259)		0.846(.259)		0.853(.260)		0.861(.261)	
0.300	0.806(.279)		0.811(.280)		0.817(.280)		0.824(.281)		0.833(.282)	
0.325	0.773(.299)		0.779(.299)		0.785(.300)		0.793(.301)		0.804(.302)	
0.350	0.739(.318)		0.745(.319)		0.752(.319)		0.761(.321)		0.772(.322)	
0.375	0.703(.336)		0.710(.337)		0.718(.338)		0.727(.339)		0.739(.341)	
0.400	0.667(.353)		0.674(.354)		0.682(.355)		0.692(.357)		0.705(.359)	
0.425	0.629(.369)		0.636(.370)		0.645(.372)		0.655(.374)		0.669(.376)	
0.450	0.589(.384)		0.597(.386)		0.606(.388)		0.617(.390)		0.631(.393)	
0.475	0.549(.398)		0.557(.400)		0.566(.402)		0.577(.405)		0.592(.408)	
0.500	0.508(.412)		0.516(.414)		0.525(.416)		0.537(.419)		0.552(.422)	
0.525	0.467(.424)		0.475(.426)		0.484(.428)		0.496(.431)		0.511(.435)	
0.550	0.426(.435)		0.434(.437)		0.443(.440)		0.454(.443)		0.470(.448)	
0.575	0.385(.445)		0.394(.448)		0.402(.451)		0.414(.454)		0.429(.459)	
0.600	0.347(.454)		0.354(.457)		0.363(.460)		0.373(.464)		0.388(.469)	
0.625	0.309(.462)		0.316(.465)		0.324(.469)		0.334(.473)		0.348(.478)	
0.650	0.273(.470)		0.280(.473)		0.287(.476)		0.297(.481)		0.310(.487)	
0.675	0.238(.476)		0.244(.479)		0.251(.483)		0.260(.488)		0.272(.494)	
0.700	0.204(.482)		0.210(.485)		0.216(.489)		0.225(.494)		0.236(.500)	
0.725	0.173(.486)		0.178(.490)		0.183(.494)		0.191(.499)		0.201(.506)	
0.750	0.143(.490)		0.147(.494)		0.152(.498)		0.159(.503)		0.167(.510)	
0.775	0.115(.494)		0.120(.497)		0.124(.502)		0.129(.507)		0.137(.514)	
0.800	0.093(.496)		0.096(.500)		0.099(.504)		0.103(.510)		0.109(.517)	
0.825	0.077(.498)		0.079(.502)		0.081(.507)		0.084(.512)		0.088(.520)	
0.850	0.062(.500)		0.063(.504)		0.065(.509)		0.068(.514)		0.071(.522)	
0.875	0.047(.501)		0.049(.505)		0.050(.510)		0.052(.516)		0.055(.523)	
0.900	0.034(.502)		0.035(.506)		0.036(.511)		0.038(.517)		0.040(.524)	
0.925	0.022(.503)		0.023(.507)		0.024(.512)		0.025(.517)		0.026(.525)	
0.950	0.012(.504)		0.013(.508)		0.013(.512)		0.014(.518)		0.015(.526)	
0.975	0.004(.504)		0.005(.508)		0.005(.512)		0.005(.518)		0.005(.526)	
1.000	0.000(.504)		0.000(.508)		0.000(.513)		0.000(.518)		0.000(.526)	

3
2

C-58
229

RE-ORDER No. 66-196
 app 1 - Phase II
 VERSION C

*** RELATIVE ENERGY FLUX DENSITY IN THE PENUMBRA ***
 *** OF A DIFFUSE SKIRT WITH THE REFLECTANCE = 0. ***

SOLAR FIELD ANGLE, D= 5.00 DEGREES
 GEOMETRY D1/D2 = 1.00

BETA = ANGLE OF INCIDENCE, DEGREES

BETA ***	60.00	70.00	80.00	87.00
AX/AB	Q (QI)	Q (QI)	Q (QI)	Q (QI)
0.	1.000(.)	1.000(.)	1.000(.)	1.000(.)
0.025	0.997(.025)	0.997(.025)	0.998(.025)	1.000(.025)
0.050	0.991(.050)	0.992(.050)	0.996(.050)	1.000(.050)
0.075	0.984(.074)	0.986(.075)	0.992(.075)	1.000(.075)
0.100	0.975(.099)	0.978(.099)	0.987(.099)	1.000(.100)
0.125	0.965(.123)	0.970(.123)	0.982(.124)	1.000(.125)
0.150	0.953(.147)	0.960(.148)	0.975(.149)	1.000(.150)
0.175	0.941(.171)	0.949(.171)	0.968(.173)	0.999(.175)
0.200	0.928(.194)	0.936(.195)	0.961(.197)	0.999(.200)
0.225	0.914(.217)	0.926(.218)	0.952(.221)	0.999(.225)
0.250	0.895(.240)	0.912(.241)	0.943(.245)	0.999(.250)
0.275	0.873(.262)	0.893(.264)	0.934(.268)	0.999(.275)
0.300	0.847(.283)	0.871(.286)	0.923(.291)	0.998(.300)
0.325	0.819(.304)	0.846(.307)	0.907(.314)	0.998(.325)
0.350	0.789(.324)	0.819(.328)	0.889(.337)	0.998(.350)
0.375	0.757(.344)	0.790(.348)	0.869(.359)	0.997(.375)
0.400	0.724(.362)	0.759(.368)	0.846(.360)	0.997(.400)
0.425	0.689(.380)	0.726(.386)	0.821(.401)	0.996(.425)
0.450	0.653(.397)	0.692(.404)	0.794(.421)	0.995(.449)
0.475	0.615(.413)	0.656(.421)	0.765(.441)	0.995(.474)
0.500	0.575(.427)	0.618(.437)	0.734(.459)	0.994(.499)
0.525	0.535(.441)	0.579(.452)	0.701(.477)	0.992(.524)
0.550	0.493(.454)	0.538(.466)	0.665(.494)	0.991(.549)
0.575	0.452(.466)	0.496(.479)	0.626(.510)	0.989(.574)
0.600	0.410(.477)	0.454(.490)	0.585(.526)	0.987(.598)
0.625	0.369(.486)	0.412(.501)	0.542(.540)	0.985(.623)
0.650	0.330(.495)	0.370(.511)	0.498(.553)	0.982(.647)
0.675	0.291(.503)	0.329(.520)	0.452(.565)	0.979(.672)
0.700	0.254(.510)	0.289(.528)	0.405(.575)	0.974(.696)
0.725	0.217(.516)	0.249(.534)	0.359(.585)	0.969(.721)
0.750	0.182(.521)	0.211(.540)	0.312(.593)	0.960(.745)
0.775	0.149(.525)	0.174(.545)	0.266(.600)	0.947(.769)
0.800	0.119(.528)	0.140(.549)	0.220(.606)	0.929(.792)
0.825	0.095(.531)	0.110(.552)	0.175(.611)	0.902(.815)
0.850	0.077(.533)	0.088(.554)	0.134(.615)	0.864(.837)
0.875	0.059(.535)	0.069(.556)	0.102(.618)	0.809(.858)
0.900	0.043(.536)	0.050(.558)	0.076(.620)	0.727(.877)
0.925	0.029(.537)	0.033(.559)	0.052(.622)	0.600(.894)
0.950	0.015(.537)	0.019(.560)	0.029(.623)	0.416(.906)
0.975	0.005(.538)	0.007(.560)	0.011(.624)	0.173(.914)
1.000	0.000(.538)	0.000(.560)	0.000(.624)	0.000(.916)

C-59
 230

*** RELATIVE ENERGY FLUX DENSITY IN THE PENUMBRA ***
 *** OF A DIFFUSE SKIRI WITH THE REFLECTANCE = 0. ***

SOLAR FIELD ANGLE, D= 10.00 DEGREES
 GEOMETRY D1/D2 = 0.

BETA = ANGLE OF INCIDENCE, DEGREES

BETA ***	-84.50	-80.00	-70.00	-60.00	-50.00
AX/AB	Q (Q1)	Q (Q1)	Q (Q1)	Q (Q1)	Q (Q1)
0.	1.000(.)	1.000(.)	1.000(.)	1.000(.)	1.000(.)
0.025	0.993(.025)	0.996(.025)	0.997(.025)	0.998(.025)	0.998(.025)
0.050	0.981(.050)	0.989(.050)	0.993(.050)	0.994(.050)	0.995(.050)
0.075	0.966(.074)	0.980(.074)	0.987(.075)	0.989(.075)	0.990(.075)
0.100	0.950(.098)	0.971(.099)	0.981(.099)	0.984(.099)	0.985(.099)
0.125	0.934(.121)	0.960(.123)	0.973(.124)	0.977(.124)	0.979(.124)
0.150	0.917(.145)	0.949(.147)	0.965(.148)	0.971(.148)	0.973(.148)
0.175	0.901(.167)	0.938(.170)	0.957(.172)	0.963(.172)	0.966(.173)
0.200	0.884(.190)	0.926(.194)	0.949(.196)	0.956(.196)	0.959(.197)
0.225	0.868(.212)	0.914(.217)	0.940(.219)	0.948(.220)	0.952(.221)
0.250	0.852(.233)	0.902(.239)	0.930(.243)	0.940(.244)	0.944(.244)
0.275	0.834(.254)	0.890(.262)	0.921(.266)	0.931(.267)	0.936(.268)
0.300	0.813(.275)	0.878(.284)	0.912(.289)	0.922(.290)	0.928(.291)
0.325	0.791(.295)	0.865(.306)	0.902(.311)	0.913(.313)	0.920(.314)
0.350	0.769(.314)	0.849(.327)	0.892(.334)	0.904(.336)	0.911(.337)
0.375	0.747(.333)	0.832(.348)	0.880(.356)	0.895(.358)	0.902(.360)
0.400	0.724(.352)	0.814(.369)	0.866(.378)	0.883(.381)	0.891(.382)
0.425	0.703(.369)	0.796(.389)	0.851(.399)	0.870(.403)	0.879(.404)
0.450	0.681(.387)	0.778(.409)	0.836(.420)	0.855(.424)	0.866(.426)
0.475	0.660(.403)	0.759(.428)	0.820(.441)	0.840(.445)	0.851(.448)
0.500	0.640(.420)	0.740(.446)	0.803(.461)	0.825(.466)	0.836(.469)
0.525	0.620(.435)	0.722(.465)	0.786(.481)	0.809(.487)	0.821(.489)
0.550	0.600(.451)	0.703(.483)	0.769(.501)	0.793(.507)	0.805(.510)
0.575	0.581(.465)	0.685(.500)	0.752(.520)	0.776(.526)	0.788(.530)
0.600	0.563(.480)	0.667(.517)	0.735(.538)	0.759(.545)	0.772(.549)
0.625	0.545(.494)	0.649(.533)	0.717(.556)	0.742(.564)	0.755(.568)
0.650	0.529(.507)	0.632(.549)	0.700(.574)	0.724(.582)	0.738(.587)
0.675	0.512(.520)	0.614(.565)	0.682(.591)	0.707(.600)	0.720(.605)
0.700	0.495(.533)	0.597(.580)	0.665(.608)	0.689(.618)	0.703(.623)
0.725	0.480(.545)	0.580(.595)	0.647(.625)	0.672(.635)	0.685(.640)
0.750	0.465(.557)	0.564(.609)	0.630(.641)	0.654(.651)	0.667(.657)
0.775	0.450(.568)	0.547(.623)	0.612(.656)	0.636(.667)	0.649(.673)
0.800	0.435(.579)	0.531(.636)	0.595(.671)	0.618(.683)	0.631(.689)
0.825	0.422(.590)	0.515(.649)	0.577(.686)	0.600(.698)	0.612(.705)
0.850	0.408(.600)	0.499(.662)	0.559(.700)	0.582(.713)	0.594(.720)
0.875	0.395(.610)	0.483(.674)	0.542(.714)	0.563(.727)	0.575(.735)
0.900	0.382(.620)	0.468(.686)	0.524(.727)	0.545(.741)	0.556(.749)
0.925	0.370(.629)	0.453(.698)	0.507(.740)	0.527(.755)	0.537(.763)
0.950	0.359(.639)	0.439(.709)	0.490(.753)	0.508(.768)	0.518(.776)
0.975	0.347(.647)	0.424(.720)	0.473(.765)	0.490(.780)	0.500(.788)
1.000	0.335(.656)	0.410(.730)	0.456(.776)	0.472(.792)	0.481(.801)

3
2

C-60
231

*** RELATIVE ENERGY FLUX DENSITY IN THE PENUMBRA ***
 *** OF A DIFFUSE SKIRT WITH THE REFLECTANCE = 0. ***

SOLAR FIELD ANGLE, D = 10.00 DEGREES
 GEOMETRY DI/D2 = 0.

BETA = ANGLE OF INCIDENCE, DEGREES

BETA ***	-40.00	-30.00	-20.00	-10.00	-0.
AX/AB	Q (Q1)	Q (Q1)	Q (Q1)	Q (Q1)	Q (Q1)
0.	1.000(.)	1.000(.)	1.000(.)	1.000(.)	1.000(.)
0.025	0.998(.025)	0.998(.025)	0.998(.025)	0.998(.025)	0.998(.025)
0.050	0.995(.050)	0.995(.050)	0.995(.050)	0.995(.050)	0.995(.050)
0.075	0.991(.075)	0.991(.075)	0.992(.075)	0.992(.075)	0.992(.075)
0.100	0.986(.099)	0.987(.099)	0.987(.099)	0.988(.099)	0.988(.100)
0.125	0.981(.124)	0.981(.124)	0.982(.124)	0.983(.124)	0.983(.124)
0.150	0.975(.148)	0.976(.149)	0.977(.149)	0.977(.149)	0.978(.149)
0.175	0.968(.173)	0.970(.173)	0.971(.173)	0.972(.173)	0.973(.173)
0.200	0.962(.197)	0.963(.197)	0.964(.197)	0.966(.197)	0.967(.197)
0.225	0.954(.221)	0.956(.221)	0.958(.221)	0.959(.221)	0.960(.221)
0.250	0.947(.245)	0.949(.245)	0.951(.245)	0.952(.245)	0.954(.245)
0.275	0.939(.258)	0.942(.268)	0.944(.269)	0.945(.269)	0.947(.269)
0.300	0.932(.292)	0.934(.292)	0.936(.292)	0.938(.292)	0.940(.293)
0.325	0.923(.315)	0.926(.315)	0.929(.315)	0.931(.316)	0.932(.316)
0.350	0.915(.338)	0.918(.338)	0.921(.339)	0.923(.339)	0.925(.339)
0.375	0.907(.360)	0.910(.361)	0.912(.362)	0.915(.362)	0.917(.362)
0.400	0.897(.383)	0.901(.384)	0.904(.384)	0.906(.385)	0.909(.385)
0.425	0.888(.405)	0.889(.406)	0.893(.407)	0.896(.407)	0.899(.408)
0.450	0.872(.427)	0.877(.428)	0.881(.429)	0.884(.429)	0.887(.430)
0.475	0.858(.449)	0.863(.450)	0.868(.451)	0.871(.451)	0.875(.452)
0.500	0.844(.470)	0.849(.471)	0.854(.472)	0.857(.473)	0.861(.474)
0.525	0.829(.491)	0.834(.492)	0.839(.493)	0.843(.494)	0.847(.495)
0.550	0.813(.512)	0.819(.513)	0.824(.514)	0.828(.515)	0.832(.516)
0.575	0.797(.532)	0.803(.533)	0.808(.535)	0.812(.536)	0.817(.537)
0.600	0.780(.551)	0.787(.553)	0.792(.555)	0.796(.556)	0.801(.557)
0.625	0.763(.571)	0.770(.573)	0.775(.574)	0.780(.575)	0.784(.577)
0.650	0.746(.590)	0.753(.592)	0.758(.593)	0.763(.595)	0.767(.596)
0.675	0.729(.608)	0.736(.610)	0.741(.612)	0.746(.614)	0.750(.615)
0.700	0.711(.626)	0.718(.628)	0.723(.630)	0.728(.632)	0.733(.634)
0.725	0.694(.644)	0.700(.646)	0.706(.648)	0.710(.650)	0.715(.652)
0.750	0.675(.661)	0.682(.663)	0.688(.666)	0.692(.668)	0.697(.669)
0.775	0.658(.677)	0.664(.680)	0.669(.683)	0.674(.685)	0.678(.687)
0.800	0.639(.694)	0.646(.697)	0.651(.699)	0.656(.701)	0.660(.703)
0.825	0.621(.709)	0.627(.713)	0.632(.715)	0.637(.717)	0.641(.720)
0.850	0.602(.725)	0.608(.728)	0.613(.731)	0.617(.733)	0.621(.735)
0.875	0.583(.739)	0.588(.743)	0.593(.746)	0.597(.748)	0.601(.751)
0.900	0.563(.754)	0.569(.757)	0.573(.760)	0.578(.763)	0.581(.765)
0.925	0.544(.768)	0.549(.771)	0.554(.774)	0.557(.777)	0.561(.780)
0.950	0.525(.781)	0.530(.785)	0.534(.788)	0.537(.791)	0.541(.793)
0.975	0.505(.794)	0.510(.798)	0.514(.801)	0.517(.804)	0.520(.807)
1.000	0.487(.806)	0.491(.810)	0.494(.814)	0.497(.817)	0.500(.819)

RE-ORDER No. 66-196
 (1000 - Phase II)

*** RELATIVE ENERGY FLUX DENSITY IN THE PENUMBRA ***
 *** OF A DIFFUSE SKIRT WITH THE REFLECTANCE = 0. ***

VERSION C

SOLAR FIELD ANGLE, D = 10.00 DEGREES
 GEOMETRY D1/D2 = 0.

BETA = ANGLE OF INCIDENCE, DEGREES

BETA ***	10.00	20.00	30.00	40.00	50.00
AX/AB	Q (Q1)	Q (Q1)	Q (Q1)	Q (Q1)	Q (Q1)
0.	1.000(.)	1.000(.)	1.000(.)	1.000(.)	1.000(.)
0.025	0.999(.025)	0.999(.025)	0.999(.025)	0.999(.025)	0.999(.025)
0.050	0.995(.050)	0.996(.050)	0.996(.050)	0.996(.050)	0.997(.050)
0.075	0.992(.075)	0.993(.075)	0.993(.075)	0.993(.075)	0.994(.075)
0.100	0.988(.100)	0.989(.100)	0.989(.100)	0.990(.100)	0.991(.100)
0.125	0.984(.124)	0.984(.124)	0.985(.124)	0.986(.124)	0.987(.124)
0.150	0.979(.149)	0.980(.149)	0.981(.149)	0.982(.149)	0.983(.149)
0.175	0.974(.173)	0.974(.173)	0.975(.173)	0.977(.173)	0.978(.173)
0.200	0.968(.197)	0.969(.197)	0.970(.198)	0.972(.198)	0.973(.198)
0.225	0.962(.222)	0.963(.222)	0.964(.222)	0.966(.222)	0.968(.222)
0.250	0.955(.245)	0.957(.246)	0.958(.246)	0.960(.246)	0.963(.246)
0.275	0.948(.269)	0.950(.269)	0.952(.270)	0.954(.270)	0.957(.270)
0.300	0.941(.293)	0.943(.293)	0.945(.293)	0.948(.294)	0.951(.294)
0.325	0.934(.316)	0.936(.317)	0.938(.317)	0.941(.317)	0.945(.318)
0.350	0.927(.340)	0.929(.340)	0.931(.340)	0.934(.341)	0.938(.341)
0.375	0.919(.363)	0.921(.363)	0.924(.363)	0.927(.364)	0.931(.365)
0.400	0.911(.386)	0.914(.386)	0.916(.386)	0.920(.387)	0.924(.388)
0.425	0.902(.408)	0.905(.409)	0.908(.409)	0.912(.410)	0.917(.411)
0.450	0.890(.431)	0.894(.431)	0.897(.432)	0.902(.433)	0.908(.434)
0.475	0.878(.453)	0.882(.453)	0.886(.454)	0.890(.455)	0.897(.456)
0.500	0.865(.474)	0.868(.475)	0.873(.476)	0.878(.477)	0.885(.479)
0.525	0.851(.496)	0.855(.497)	0.859(.498)	0.865(.499)	0.872(.501)
0.550	0.836(.517)	0.840(.518)	0.845(.519)	0.851(.520)	0.859(.522)
0.575	0.821(.538)	0.825(.539)	0.830(.540)	0.836(.541)	0.845(.543)
0.600	0.805(.558)	0.809(.559)	0.815(.561)	0.821(.562)	0.830(.564)
0.625	0.789(.578)	0.793(.579)	0.799(.581)	0.805(.583)	0.814(.585)
0.650	0.772(.597)	0.777(.599)	0.782(.600)	0.789(.602)	0.798(.605)
0.675	0.755(.617)	0.760(.618)	0.765(.620)	0.772(.622)	0.781(.625)
0.700	0.737(.635)	0.742(.637)	0.748(.639)	0.755(.641)	0.764(.644)
0.725	0.719(.653)	0.724(.655)	0.730(.657)	0.737(.660)	0.746(.663)
0.750	0.701(.671)	0.706(.673)	0.712(.675)	0.719(.678)	0.728(.681)
0.775	0.683(.688)	0.688(.690)	0.693(.693)	0.700(.696)	0.709(.699)
0.800	0.664(.705)	0.669(.707)	0.674(.710)	0.681(.713)	0.690(.717)
0.825	0.645(.722)	0.650(.724)	0.655(.727)	0.662(.730)	0.671(.734)
0.850	0.625(.738)	0.630(.740)	0.635(.743)	0.642(.746)	0.650(.750)
0.875	0.605(.753)	0.610(.755)	0.615(.758)	0.621(.762)	0.629(.766)
0.900	0.585(.768)	0.589(.770)	0.594(.773)	0.600(.777)	0.608(.782)
0.925	0.565(.782)	0.569(.785)	0.573(.788)	0.579(.792)	0.586(.797)
0.950	0.544(.796)	0.548(.799)	0.552(.802)	0.557(.806)	0.564(.811)
0.975	0.523(.809)	0.527(.812)	0.530(.816)	0.535(.820)	0.541(.825)
1.000	0.503(.822)	0.505(.825)	0.509(.829)	0.513(.833)	0.518(.838)

6

5

3

2

C-62
 233

RE-ORDER No. 66-196
 Part A - Phase II

*** RELATIVE ENERGY FLUX DENSITY IN THE PENUMBRA ***
 *** OF A DIFFUSE SKIRT WITH THE REFLECTANCE = 0. ***

VERSION C

SOLAR FIELD ANGLE, D= 10.00 DEGREES
 GEOMETRY D1/D2 = 0.

BETA = ANGLE OF INCIDENCE, DEGREES

BETA ***	60.00	70.00	80.00	84.50
AX/AB	Q (Q1)	Q (Q1)	Q (Q1)	Q (Q1)
0.	1.000(.)	1.000(.)	1.000(.)	1.000(.)
0.025	0.999(.025)	0.999(.025)	1.000(.025)	1.000(.025)
0.050	0.997(.050)	0.998(.050)	0.999(.050)	1.000(.050)
0.075	0.995(.075)	0.996(.075)	0.998(.075)	1.000(.075)
0.100	0.992(.100)	0.994(.100)	0.998(.100)	1.000(.100)
0.125	0.988(.125)	0.991(.125)	0.997(.125)	1.000(.125)
0.150	0.985(.149)	0.988(.149)	0.995(.150)	1.000(.150)
0.175	0.981(.174)	0.985(.174)	0.994(.175)	1.000(.175)
0.200	0.975(.198)	0.981(.199)	0.992(.199)	1.000(.200)
0.225	0.972(.222)	0.977(.223)	0.991(.224)	1.000(.225)
0.250	0.967(.247)	0.973(.247)	0.989(.249)	1.000(.250)
0.275	0.961(.271)	0.969(.272)	0.987(.274)	1.000(.275)
0.300	0.955(.295)	0.964(.296)	0.984(.298)	1.000(.300)
0.325	0.950(.319)	0.959(.320)	0.982(.323)	1.000(.325)
0.350	0.944(.342)	0.954(.344)	0.979(.347)	1.000(.350)
0.375	0.937(.366)	0.948(.368)	0.976(.372)	0.999(.375)
0.400	0.931(.389)	0.943(.391)	0.973(.396)	0.999(.400)
0.425	0.924(.412)	0.936(.415)	0.969(.420)	0.999(.425)
0.450	0.915(.435)	0.930(.438)	0.966(.445)	0.999(.450)
0.475	0.905(.458)	0.923(.461)	0.962(.469)	0.999(.475)
0.500	0.895(.481)	0.914(.484)	0.957(.493)	0.999(.500)
0.525	0.884(.503)	0.904(.507)	0.953(.517)	0.998(.525)
0.550	0.871(.525)	0.893(.529)	0.947(.540)	0.998(.550)
0.575	0.857(.546)	0.881(.552)	0.942(.564)	0.998(.575)
0.600	0.843(.568)	0.867(.573)	0.934(.587)	0.997(.600)
0.625	0.828(.588)	0.853(.595)	0.925(.611)	0.997(.625)
0.650	0.812(.609)	0.838(.616)	0.915(.634)	0.996(.649)
0.675	0.795(.629)	0.823(.637)	0.903(.656)	0.996(.674)
0.700	0.778(.649)	0.806(.657)	0.890(.679)	0.995(.699)
0.725	0.761(.668)	0.789(.677)	0.876(.701)	0.993(.724)
0.750	0.743(.687)	0.771(.697)	0.860(.723)	0.992(.749)
0.775	0.724(.705)	0.752(.716)	0.843(.744)	0.990(.774)
0.800	0.705(.723)	0.733(.734)	0.823(.765)	0.987(.798)
0.825	0.685(.740)	0.712(.752)	0.803(.785)	0.984(.823)
0.850	0.664(.757)	0.691(.770)	0.780(.805)	0.979(.848)
0.875	0.643(.773)	0.669(.787)	0.755(.824)	0.972(.872)
0.900	0.620(.789)	0.645(.803)	0.728(.843)	0.960(.896)
0.925	0.598(.805)	0.621(.819)	0.697(.860)	0.936(.920)
0.950	0.575(.819)	0.596(.834)	0.664(.877)	0.894(.943)
0.975	0.551(.833)	0.570(.849)	0.628(.894)	0.818(.964)
1.000	0.527(.847)	0.543(.863)	0.589(.909)	0.663(.983)

C-63
 234

*** RELATIVE ENERGY FLUX DENSITY IN THE PENUMBRA ***
 *** OF A DIFFUSE SKIRT WITH THE REFLECTANCE = 0. ***
 VERSION C

SOLAR FIELD ANGLE, D = 10.00 DEGREES
 GEOMETRY D1/D2 = 0.25

BETA = ANGLE OF INCIDENCE, DEGREES

BETA ***	-84.50	-80.00	-70.00	-60.00	-50.00
AX/AB	Q (QI)	Q (QI)	Q (QI)	Q (QI)	Q (QI)
0.	1.000(.)	1.000(.)	1.000(.)	1.000(.)	1.000(.)
0.025	0.916(.024)	0.991(.025)	0.996(.025)	0.997(.025)	0.997(.025)
0.050	0.810(.046)	0.976(.049)	0.988(.050)	0.991(.050)	0.992(.050)
0.075	0.675(.064)	0.958(.074)	0.979(.074)	0.983(.074)	0.985(.075)
0.100	0.557(.079)	0.938(.097)	0.968(.099)	0.975(.099)	0.978(.099)
0.125	0.458(.092)	0.918(.121)	0.957(.123)	0.966(.123)	0.969(.123)
0.150	0.375(.103)	0.897(.143)	0.945(.147)	0.955(.147)	0.960(.148)
0.175	0.243(.110)	0.876(.165)	0.932(.170)	0.945(.171)	0.951(.171)
0.200	0.123(.115)	0.851(.187)	0.919(.193)	0.933(.194)	0.940(.195)
0.225	0.067(.117)	0.820(.208)	0.905(.216)	0.922(.218)	0.930(.218)
0.250	0.038(.119)	0.789(.228)	0.891(.238)	0.910(.241)	0.919(.242)
0.275	0.025(.119)	0.756(.247)	0.873(.260)	0.898(.263)	0.908(.264)
0.300	0.018(.120)	0.724(.266)	0.853(.282)	0.882(.285)	0.895(.287)
0.325	0.013(.120)	0.692(.284)	0.831(.303)	0.864(.307)	0.879(.309)
0.350	0.010(.121)	0.661(.300)	0.808(.324)	0.844(.329)	0.861(.331)
0.375	0.008(.121)	0.630(.317)	0.785(.343)	0.824(.349)	0.842(.352)
0.400	0.006(.121)	0.600(.332)	0.760(.363)	0.802(.370)	0.822(.373)
0.425	0.005(.121)	0.571(.347)	0.736(.381)	0.780(.390)	0.801(.393)
0.450	0.004(.121)	0.542(.360)	0.711(.400)	0.757(.409)	0.779(.413)
0.475	0.003(.121)	0.514(.374)	0.687(.417)	0.734(.427)	0.757(.432)
0.500	0.003(.121)	0.486(.386)	0.662(.434)	0.711(.445)	0.735(.451)
0.525	0.002(.122)	0.460(.398)	0.637(.450)	0.687(.463)	0.712(.469)
0.550	0.002(.122)	0.435(.409)	0.613(.466)	0.663(.480)	0.689(.486)
0.575	0.001(.122)	0.409(.420)	0.588(.481)	0.640(.496)	0.665(.503)
0.600	0.001(.122)	0.322(.429)	0.563(.495)	0.616(.512)	0.642(.520)
0.625	0.001(.122)	0.252(.436)	0.538(.509)	0.591(.527)	0.618(.535)
0.650	0.001(.122)	0.195(.442)	0.514(.522)	0.567(.541)	0.593(.551)
0.675	0.001(.122)	0.149(.446)	0.490(.535)	0.542(.555)	0.569(.565)
0.700	0.001(.122)	0.112(.449)	0.466(.547)	0.516(.568)	0.544(.579)
0.725	0.000(.122)	0.083(.452)	0.403(.557)	0.493(.581)	0.520(.592)
0.750	0.000(.122)	0.062(.453)	0.320(.566)	0.460(.593)	0.495(.605)
0.775	0.000(.122)	0.048(.455)	0.249(.574)	0.369(.603)	0.441(.617)
0.800	0.000(.122)	0.037(.456)	0.187(.579)	0.287(.612)	0.349(.627)
0.825	0.000(.122)	0.028(.457)	0.135(.583)	0.215(.618)	0.267(.634)
0.850	0.000(.122)	0.021(.457)	0.093(.586)	0.152(.622)	0.193(.640)
0.875	0.000(.122)	0.015(.458)	0.065(.588)	0.101(.626)	0.130(.644)
0.900	0.000(.122)	0.010(.458)	0.045(.589)	0.068(.628)	0.083(.647)
0.925	0.000(.122)	0.006(.458)	0.028(.590)	0.043(.629)	0.054(.648)
0.950	0.000(.122)	0.003(.458)	0.015(.591)	0.023(.630)	0.029(.649)
0.975	0.000(.122)	0.001(.458)	0.005(.591)	0.008(.630)	0.010(.650)
1.000	-0. (.122)	0.000(.458)	0.000(.591)	0.000(.630)	0.000(.650)

*** RELATIVE ENERGY FLUX DENSITY IN THE PENUMBRA ***
 *** OF A DIFFUSE SKIRT WITH THE REFLECTANCE = 0. ***

VERSION C

SOLAR FIELD ANGLE, D = 10.00 DEGREES
 GEOMETRY D1/D2 = 0.25

BETA = ANGLE OF INCIDENCE, DEGREES

BETA ***	-40.00	-30.00	-20.00	-10.00	-0.
AX/AB	Q (Q1)	Q (Q1)	Q (Q1)	Q (Q1)	Q (Q1)
0.	1.000(.)	1.000(.)	1.000(.)	1.000(.)	1.000(.)
0.025	0.997(.025)	0.998(.025)	0.998(.025)	0.998(.025)	0.998(.025)
0.050	0.993(.050)	0.993(.050)	0.993(.050)	0.994(.050)	0.994(.050)
0.075	0.987(.075)	0.987(.075)	0.988(.075)	0.989(.075)	0.989(.075)
0.100	0.980(.099)	0.981(.099)	0.982(.099)	0.983(.099)	0.983(.099)
0.125	0.972(.124)	0.973(.124)	0.975(.124)	0.976(.124)	0.977(.124)
0.150	0.963(.148)	0.965(.148)	0.967(.148)	0.968(.148)	0.970(.148)
0.175	0.954(.172)	0.957(.172)	0.959(.172)	0.960(.172)	0.962(.172)
0.200	0.945(.195)	0.948(.195)	0.950(.196)	0.952(.196)	0.954(.196)
0.225	0.935(.219)	0.938(.219)	0.941(.220)	0.943(.220)	0.945(.220)
0.250	0.924(.242)	0.928(.243)	0.931(.243)	0.934(.243)	0.936(.244)
0.275	0.914(.265)	0.918(.266)	0.921(.266)	0.924(.266)	0.927(.267)
0.300	0.902(.288)	0.907(.288)	0.911(.289)	0.914(.289)	0.917(.290)
0.325	0.888(.310)	0.894(.311)	0.899(.312)	0.903(.312)	0.907(.313)
0.350	0.871(.332)	0.879(.333)	0.884(.334)	0.889(.335)	0.893(.335)
0.375	0.853(.354)	0.861(.355)	0.868(.356)	0.873(.357)	0.878(.357)
0.400	0.834(.375)	0.843(.376)	0.850(.377)	0.856(.378)	0.861(.379)
0.425	0.814(.395)	0.824(.397)	0.831(.398)	0.837(.399)	0.843(.400)
0.450	0.793(.415)	0.803(.417)	0.811(.419)	0.818(.420)	0.824(.421)
0.475	0.772(.435)	0.782(.437)	0.791(.439)	0.798(.440)	0.805(.442)
0.500	0.750(.454)	0.761(.456)	0.770(.458)	0.777(.460)	0.784(.461)
0.525	0.728(.473)	0.739(.475)	0.748(.477)	0.756(.479)	0.763(.481)
0.550	0.705(.491)	0.716(.493)	0.726(.496)	0.734(.498)	0.741(.500)
0.575	0.682(.508)	0.694(.511)	0.703(.514)	0.712(.516)	0.719(.518)
0.600	0.659(.525)	0.671(.528)	0.680(.531)	0.689(.533)	0.697(.535)
0.625	0.635(.541)	0.647(.545)	0.657(.548)	0.666(.550)	0.674(.553)
0.650	0.611(.555)	0.623(.560)	0.633(.564)	0.642(.567)	0.650(.569)
0.675	0.585(.571)	0.599(.576)	0.609(.579)	0.618(.582)	0.626(.585)
0.700	0.561(.585)	0.574(.590)	0.584(.594)	0.593(.597)	0.601(.600)
0.725	0.537(.599)	0.549(.604)	0.559(.608)	0.568(.612)	0.576(.615)
0.750	0.512(.612)	0.524(.618)	0.534(.622)	0.543(.626)	0.551(.629)
0.775	0.487(.625)	0.499(.631)	0.509(.635)	0.517(.639)	0.525(.643)
0.800	0.392(.636)	0.425(.642)	0.452(.647)	0.477(.652)	0.500(.656)
0.825	0.303(.645)	0.331(.652)	0.355(.657)	0.377(.662)	0.398(.667)
0.850	0.223(.651)	0.247(.659)	0.267(.665)	0.285(.670)	0.303(.676)
0.875	0.153(.656)	0.171(.664)	0.187(.671)	0.201(.677)	0.215(.682)
0.900	0.095(.659)	0.108(.668)	0.118(.675)	0.128(.681)	0.139(.686)
0.925	0.061(.661)	0.067(.670)	0.073(.677)	0.078(.683)	0.083(.689)
0.950	0.033(.662)	0.037(.671)	0.040(.678)	0.043(.685)	0.046(.691)
0.975	0.012(.663)	0.013(.672)	0.014(.679)	0.015(.685)	0.017(.692)
1.000	0.000(.663)	0.000(.672)	0.000(.679)	0.000(.686)	0.000(.692)

*** RELATIVE ENERGY FLUX DENSITY IN THE PENUMBRA ***
 *** OF A DIFFUSE SKIRT WITH THE REFLECTANCE = 0. ***

VERSION C

SOLAR FIELD ANGLE, D= 10.00 DEGREES
 GEOMETRY D1/D2 = 0.25

BETA = ANGLE OF INCIDENCE, DEGREES

BETA ***	10.00	20.00	30.00	40.00	50.00
AX/AB	Q (Q1)	Q (Q1)	Q (Q1)	Q (Q1)	Q (Q1)
0.	1.000(.)	1.000(.)	1.000(.)	1.000(.)	1.000(.)
0.025	0.998(.025)	0.998(.025)	0.998(.025)	0.998(.025)	0.998(.025)
0.050	0.994(.050)	0.995(.050)	0.995(.050)	0.995(.050)	0.996(.050)
0.075	0.990(.075)	0.990(.075)	0.991(.075)	0.991(.075)	0.992(.075)
0.100	0.984(.099)	0.985(.099)	0.986(.099)	0.987(.099)	0.988(.100)
0.125	0.978(.124)	0.979(.124)	0.980(.124)	0.981(.124)	0.983(.124)
0.150	0.971(.148)	0.972(.148)	0.974(.148)	0.975(.149)	0.977(.149)
0.175	0.964(.172)	0.965(.173)	0.967(.173)	0.969(.173)	0.971(.173)
0.200	0.956(.196)	0.957(.197)	0.959(.197)	0.962(.197)	0.965(.197)
0.225	0.947(.220)	0.949(.220)	0.952(.221)	0.954(.221)	0.958(.221)
0.250	0.938(.244)	0.941(.244)	0.944(.244)	0.947(.245)	0.951(.245)
0.275	0.929(.267)	0.932(.267)	0.935(.268)	0.938(.268)	0.943(.269)
0.300	0.920(.290)	0.923(.291)	0.926(.291)	0.930(.292)	0.935(.292)
0.325	0.910(.313)	0.913(.314)	0.917(.314)	0.921(.315)	0.927(.316)
0.350	0.897(.336)	0.902(.336)	0.906(.337)	0.911(.338)	0.918(.339)
0.375	0.883(.358)	0.887(.359)	0.893(.359)	0.899(.360)	0.907(.361)
0.400	0.866(.380)	0.872(.381)	0.878(.381)	0.885(.383)	0.894(.384)
0.425	0.849(.401)	0.855(.402)	0.861(.403)	0.869(.404)	0.879(.406)
0.450	0.830(.422)	0.837(.423)	0.844(.425)	0.853(.426)	0.864(.428)
0.475	0.811(.443)	0.818(.444)	0.826(.445)	0.835(.447)	0.847(.449)
0.500	0.791(.463)	0.798(.464)	0.806(.466)	0.816(.468)	0.829(.470)
0.525	0.770(.482)	0.778(.484)	0.786(.486)	0.796(.488)	0.810(.491)
0.550	0.749(.501)	0.757(.503)	0.766(.505)	0.776(.508)	0.790(.511)
0.575	0.727(.520)	0.735(.522)	0.744(.524)	0.755(.527)	0.770(.530)
0.600	0.705(.538)	0.713(.540)	0.722(.542)	0.733(.545)	0.748(.549)
0.625	0.682(.555)	0.690(.557)	0.700(.560)	0.711(.563)	0.727(.568)
0.650	0.659(.572)	0.667(.574)	0.677(.577)	0.688(.581)	0.704(.585)
0.675	0.634(.588)	0.643(.591)	0.653(.594)	0.665(.598)	0.681(.603)
0.700	0.610(.603)	0.619(.607)	0.628(.610)	0.641(.614)	0.657(.619)
0.725	0.585(.618)	0.593(.622)	0.603(.625)	0.615(.630)	0.632(.636)
0.750	0.559(.633)	0.568(.636)	0.578(.640)	0.590(.645)	0.606(.651)
0.775	0.533(.646)	0.542(.650)	0.552(.654)	0.564(.659)	0.580(.666)
0.800	0.508(.659)	0.516(.663)	0.525(.668)	0.537(.673)	0.553(.680)
0.825	0.479(.671)	0.487(.675)	0.496(.680)	0.507(.686)	0.525(.694)
0.850	0.321(.680)	0.341(.685)	0.364(.691)	0.394(.697)	0.435(.706)
0.875	0.230(.687)	0.247(.692)	0.266(.698)	0.291(.706)	0.326(.715)
0.900	0.149(.692)	0.161(.697)	0.176(.704)	0.195(.712)	0.223(.722)
0.925	0.088(.695)	0.094(.701)	0.102(.707)	0.113(.716)	0.131(.726)
0.950	0.049(.696)	0.053(.702)	0.057(.709)	0.062(.718)	0.071(.729)
0.975	0.018(.697)	0.019(.703)	0.021(.710)	0.023(.719)	0.026(.730)
1.000	0.000(.698)	0.000(.704)	0.000(.711)	0.000(.719)	0.000(.730)

*** RELATIVE ENERGY FLUX DENSITY IN THE PENUMBRA ***
 *** OF A DIFFUSE SKIRT WITH THE REFLECTANCE = 0. ***

VERSION C

SOLAR FIELD ANGLE, $D = 10.00$ DEGREES
 GEOMETRY $D1/D2 = 0.25$

BETA = ANGLE OF INCIDENCE, DEGREES

BETA ***	50.00	70.00	80.00	84.50
AX/AB	Q (Q1)	Q (Q1)	Q (Q1)	Q (Q1)
0.	1.000(.)	1.000(.)	1.000(.)	1.000(.)
0.025	0.999(.025)	0.999(.025)	1.000(.025)	1.000(.025)
0.050	0.996(.050)	0.997(.050)	0.999(.050)	1.000(.050)
0.075	0.993(.075)	0.995(.075)	0.998(.075)	1.000(.075)
0.100	0.989(.100)	0.992(.100)	0.997(.100)	1.000(.100)
0.125	0.985(.124)	0.989(.124)	0.996(.125)	1.000(.125)
0.150	0.980(.149)	0.985(.149)	0.995(.150)	1.000(.150)
0.175	0.975(.173)	0.981(.174)	0.993(.175)	1.000(.175)
0.200	0.969(.198)	0.977(.198)	0.991(.199)	1.000(.200)
0.225	0.963(.222)	0.972(.223)	0.989(.224)	1.000(.225)
0.250	0.957(.246)	0.966(.247)	0.987(.249)	1.000(.250)
0.275	0.950(.270)	0.961(.271)	0.985(.273)	1.000(.275)
0.300	0.942(.293)	0.955(.295)	0.982(.298)	1.000(.300)
0.325	0.935(.317)	0.948(.319)	0.979(.323)	1.000(.325)
0.350	0.927(.340)	0.942(.342)	0.976(.347)	1.000(.350)
0.375	0.918(.363)	0.935(.366)	0.972(.371)	0.999(.375)
0.400	0.907(.386)	0.927(.389)	0.968(.396)	0.999(.400)
0.425	0.894(.408)	0.918(.412)	0.964(.420)	0.999(.425)
0.450	0.880(.430)	0.907(.435)	0.959(.444)	0.999(.450)
0.475	0.864(.452)	0.894(.457)	0.954(.468)	0.999(.475)
0.500	0.847(.474)	0.880(.479)	0.949(.491)	0.999(.500)
0.525	0.830(.495)	0.864(.501)	0.943(.515)	0.998(.525)
0.550	0.811(.515)	0.848(.523)	0.935(.539)	0.998(.550)
0.575	0.791(.535)	0.830(.544)	0.926(.562)	0.998(.575)
0.600	0.771(.555)	0.812(.564)	0.915(.585)	0.997(.600)
0.625	0.750(.574)	0.792(.584)	0.902(.608)	0.997(.625)
0.650	0.728(.592)	0.771(.604)	0.888(.630)	0.996(.649)
0.675	0.705(.610)	0.749(.623)	0.872(.652)	0.995(.674)
0.700	0.681(.627)	0.727(.641)	0.854(.674)	0.994(.699)
0.725	0.657(.644)	0.703(.659)	0.834(.695)	0.993(.724)
0.750	0.631(.660)	0.678(.676)	0.813(.715)	0.991(.749)
0.775	0.604(.676)	0.651(.693)	0.789(.735)	0.989(.774)
0.800	0.577(.690)	0.623(.709)	0.763(.755)	0.986(.798)
0.825	0.549(.704)	0.594(.724)	0.734(.773)	0.982(.823)
0.850	0.501(.718)	0.564(.739)	0.702(.791)	0.977(.847)
0.875	0.384(.729)	0.503(.752)	0.666(.808)	0.968(.872)
0.900	0.270(.737)	0.371(.763)	0.627(.824)	0.951(.896)
0.925	0.163(.742)	0.240(.770)	0.568(.839)	0.920(.919)
0.950	0.085(.745)	0.120(.775)	0.362(.851)	0.865(.941)
0.975	0.032(.747)	0.047(.777)	0.132(.857)	0.756(.962)
1.000	0.000(.747)	0.000(.778)	0.000(.859)	0.000(.971)

RE-ORDER No. 66-196
 App A - Phase II
 VERSION C

*** RELATIVE ENERGY FLUX DENSITY IN THE PENUMBRA ***
 *** OF A DIFFUSE SKIRT WITH THE REFLECTANCE = 0. ***

SOLAR FIELD ANGLE, D = 10.00 DEGREES
 GEOMETRY D1/D2 = 0.50

BETA = ANGLE OF INCIDENCE, DEGREES

BETA ***	-84.50	-80.00	-70.00	-60.00	-50.00
AX/AB	Q (Q1)	Q (Q1)	Q (Q1)	Q (Q1)	Q (Q1)
0.	1.000(.)	1.000(.)	1.000(.)	1.000(.)	1.000(.)
0.025	0.831(.023)	0.985(.025)	0.994(.025)	0.995(.025)	0.996(.025)
0.050	0.594(.041)	0.961(.049)	0.983(.050)	0.987(.050)	0.989(.050)
0.075	0.415(.053)	0.933(.073)	0.970(.074)	0.977(.074)	0.980(.074)
0.100	0.251(.052)	0.903(.096)	0.955(.098)	0.965(.099)	0.970(.099)
0.125	0.133(.066)	0.874(.118)	0.939(.122)	0.953(.123)	0.959(.123)
0.150	0.075(.069)	0.834(.139)	0.922(.145)	0.939(.146)	0.946(.147)
0.175	0.045(.071)	0.790(.160)	0.905(.168)	0.925(.169)	0.934(.170)
0.200	0.029(.071)	0.743(.179)	0.886(.190)	0.910(.192)	0.920(.193)
0.225	0.021(.072)	0.698(.197)	0.861(.212)	0.894(.215)	0.906(.216)
0.250	0.016(.073)	0.653(.214)	0.833(.233)	0.873(.237)	0.890(.239)
0.275	0.012(.073)	0.609(.229)	0.804(.254)	0.849(.259)	0.869(.261)
0.300	0.009(.073)	0.566(.244)	0.773(.273)	0.823(.279)	0.845(.282)
0.325	0.007(.073)	0.527(.253)	0.742(.292)	0.796(.300)	0.821(.303)
0.350	0.005(.073)	0.488(.271)	0.710(.311)	0.767(.319)	0.795(.323)
0.375	0.005(.074)	0.450(.282)	0.678(.328)	0.739(.338)	0.768(.343)
0.400	0.004(.074)	0.415(.293)	0.646(.344)	0.709(.356)	0.740(.361)
0.425	0.003(.074)	0.354(.303)	0.615(.360)	0.680(.373)	0.712(.380)
0.450	0.003(.074)	0.298(.311)	0.583(.375)	0.650(.390)	0.683(.397)
0.475	0.002(.074)	0.249(.318)	0.551(.389)	0.620(.406)	0.654(.414)
0.500	0.002(.074)	0.208(.323)	0.519(.403)	0.590(.421)	0.625(.430)
0.525	0.002(.074)	0.173(.328)	0.488(.415)	0.559(.435)	0.595(.445)
0.550	0.001(.074)	0.142(.332)	0.458(.427)	0.528(.449)	0.564(.459)
0.575	0.001(.074)	0.116(.335)	0.400(.438)	0.498(.462)	0.534(.473)
0.600	0.001(.074)	0.094(.338)	0.345(.447)	0.463(.474)	0.504(.486)
0.625	0.001(.074)	0.076(.340)	0.296(.455)	0.405(.485)	0.466(.498)
0.650	0.001(.074)	0.061(.342)	0.251(.462)	0.349(.494)	0.407(.509)
0.675	0.000(.074)	0.051(.343)	0.210(.468)	0.298(.502)	0.351(.519)
0.700	0.000(.074)	0.043(.344)	0.172(.473)	0.251(.509)	0.299(.527)
0.725	0.000(.074)	0.036(.345)	0.139(.476)	0.208(.515)	0.251(.534)
0.750	0.000(.074)	0.030(.346)	0.110(.480)	0.168(.520)	0.206(.539)
0.775	0.000(.074)	0.024(.347)	0.086(.482)	0.133(.523)	0.164(.544)
0.800	0.000(.074)	0.019(.347)	0.068(.484)	0.102(.526)	0.127(.548)
0.825	0.000(.074)	0.015(.348)	0.055(.485)	0.078(.529)	0.096(.550)
0.850	0.000(.074)	0.011(.348)	0.043(.487)	0.062(.530)	0.074(.553)
0.875	0.000(.074)	0.008(.348)	0.032(.488)	0.046(.532)	0.056(.554)
0.900	0.000(.074)	0.006(.349)	0.022(.488)	0.033(.533)	0.040(.555)
0.925	0.000(.074)	0.003(.349)	0.014(.489)	0.021(.533)	0.026(.556)
0.950	0.000(.074)	0.002(.349)	0.007(.489)	0.011(.534)	0.014(.557)
0.975	0.000(.074)	0.001(.349)	0.003(.489)	0.004(.534)	0.005(.557)
1.000	0. (0.74)	0.000(.349)	0.000(.489)	0.000(.534)	0.000(.557)

C-6
 239

*** RELATIVE ENERGY FLUX DENSITY IN THE PENUMBRA ***
 *** OF A DIFFUSE SKIRT WITH THE REFLECTANCE = 0. ***

SOLAR FIELD ANGLE, D= 10.00 DEGREES
 GEOMETRY D1/D2 = 0.50

BETA = ANGLE OF INCIDENCE, DEGREES

BETA ***	-40.00	-30.00	-20.00	-10.00	-0.
AX/AB	Q (QI)	Q (QI)	Q (QI)	Q (QI)	Q (QI)
0.	1.000(.)	1.000(.)	1.000(.)	1.000(.)	1.000(.)
0.025	0.996(.025)	0.997(.025)	0.997(.025)	0.997(.025)	0.997(.025)
0.050	0.990(.050)	0.991(.050)	0.991(.050)	0.992(.050)	0.992(.050)
0.075	0.982(.074)	0.983(.074)	0.984(.075)	0.985(.075)	0.986(.075)
0.100	0.973(.099)	0.974(.099)	0.976(.099)	0.977(.099)	0.978(.099)
0.125	0.962(.123)	0.965(.123)	0.967(.123)	0.968(.123)	0.970(.123)
0.150	0.951(.147)	0.954(.147)	0.957(.147)	0.959(.147)	0.960(.148)
0.175	0.939(.171)	0.943(.171)	0.946(.171)	0.948(.171)	0.950(.171)
0.200	0.926(.194)	0.931(.194)	0.934(.195)	0.937(.195)	0.940(.195)
0.225	0.913(.217)	0.916(.217)	0.922(.218)	0.926(.218)	0.929(.218)
0.250	0.899(.240)	0.905(.240)	0.910(.241)	0.913(.241)	0.917(.242)
0.275	0.880(.262)	0.888(.263)	0.895(.263)	0.900(.264)	0.904(.264)
0.300	0.859(.284)	0.866(.285)	0.876(.285)	0.882(.286)	0.887(.287)
0.325	0.836(.305)	0.846(.306)	0.855(.307)	0.862(.308)	0.868(.309)
0.350	0.811(.325)	0.823(.327)	0.832(.328)	0.840(.329)	0.847(.330)
0.375	0.785(.345)	0.798(.347)	0.808(.349)	0.817(.350)	0.824(.351)
0.400	0.759(.365)	0.772(.367)	0.783(.368)	0.792(.370)	0.801(.371)
0.425	0.732(.383)	0.746(.386)	0.757(.388)	0.767(.389)	0.776(.391)
0.450	0.704(.401)	0.719(.404)	0.731(.406)	0.741(.408)	0.750(.410)
0.475	0.675(.418)	0.691(.422)	0.703(.424)	0.714(.426)	0.724(.428)
0.500	0.647(.435)	0.663(.439)	0.676(.442)	0.687(.444)	0.697(.446)
0.525	0.618(.451)	0.634(.455)	0.647(.458)	0.659(.461)	0.669(.463)
0.550	0.588(.466)	0.605(.470)	0.618(.474)	0.630(.477)	0.641(.480)
0.575	0.557(.480)	0.574(.485)	0.588(.489)	0.600(.492)	0.611(.495)
0.600	0.527(.494)	0.544(.499)	0.558(.503)	0.570(.507)	0.581(.510)
0.625	0.497(.506)	0.514(.512)	0.527(.517)	0.540(.521)	0.551(.524)
0.650	0.447(.516)	0.476(.525)	0.497(.530)	0.509(.534)	0.520(.538)
0.675	0.388(.529)	0.416(.536)	0.439(.541)	0.460(.546)	0.479(.550)
0.700	0.332(.538)	0.356(.545)	0.380(.552)	0.400(.557)	0.418(.561)
0.725	0.281(.545)	0.304(.554)	0.324(.560)	0.342(.566)	0.359(.571)
0.750	0.232(.552)	0.253(.561)	0.271(.568)	0.287(.574)	0.303(.579)
0.775	0.187(.557)	0.206(.566)	0.221(.574)	0.235(.580)	0.249(.586)
0.800	0.145(.561)	0.162(.571)	0.175(.579)	0.187(.586)	0.199(.592)
0.825	0.110(.564)	0.122(.575)	0.133(.583)	0.143(.590)	0.153(.596)
0.850	0.083(.567)	0.091(.577)	0.098(.586)	0.105(.593)	0.112(.600)
0.875	0.063(.569)	0.069(.579)	0.074(.588)	0.078(.595)	0.083(.602)
0.900	0.045(.570)	0.049(.581)	0.053(.589)	0.057(.597)	0.060(.604)
0.925	0.029(.571)	0.032(.582)	0.035(.590)	0.037(.598)	0.039(.605)
0.950	0.016(.571)	0.018(.582)	0.019(.591)	0.020(.599)	0.022(.606)
0.975	0.006(.572)	0.006(.583)	0.007(.591)	0.007(.599)	0.008(.606)
1.000	0.000(.572)	0.000(.583)	0.000(.592)	0.000(.599)	0.000(.606)

RE-ORDER No. 66-196
 app-a - Phase II
 VERSION C

*** RELATIVE ENERGY FLUX DENSITY IN THE PENUMBRA ***
 *** OF A DIFFUSE SKIRT WITH THE REFLECTANCE = 0. ***

SOLAR FIELD ANGLE, D= 10.00 DEGREES
 GEOMETRY D1/D2 = 0.50

BETA = ANGLE OF INCIDENCE, DEGREES

BETA ***	10.00	20.00	30.00	40.00	50.00
AX/AB	Q (Q1)	Q (Q1)	Q (Q1)	Q (Q1)	Q (Q1)
0.	1.000(.)	1.000(.)	1.000(.)	1.000(.)	1.000(.)
0.025	0.997(.025)	0.998(.025)	0.998(.025)	0.998(.025)	0.998(.025)
0.050	0.993(.050)	0.993(.050)	0.993(.050)	0.994(.050)	0.995(.050)
0.075	0.986(.075)	0.987(.075)	0.988(.075)	0.989(.075)	0.990(.075)
0.100	0.979(.099)	0.980(.099)	0.981(.099)	0.983(.099)	0.984(.099)
0.125	0.971(.124)	0.973(.124)	0.974(.124)	0.976(.124)	0.978(.124)
0.150	0.962(.148)	0.964(.148)	0.966(.148)	0.968(.148)	0.971(.148)
0.175	0.953(.172)	0.955(.172)	0.957(.172)	0.960(.172)	0.964(.172)
0.200	0.942(.195)	0.945(.196)	0.948(.196)	0.951(.196)	0.956(.196)
0.225	0.932(.219)	0.935(.219)	0.938(.219)	0.942(.220)	0.947(.220)
0.250	0.920(.242)	0.924(.242)	0.927(.243)	0.932(.243)	0.938(.244)
0.275	0.908(.265)	0.912(.265)	0.916(.266)	0.921(.266)	0.928(.267)
0.300	0.892(.287)	0.898(.288)	0.904(.288)	0.910(.289)	0.918(.290)
0.325	0.874(.309)	0.880(.310)	0.887(.311)	0.895(.312)	0.905(.313)
0.350	0.854(.331)	0.861(.332)	0.868(.333)	0.877(.334)	0.889(.335)
0.375	0.832(.352)	0.840(.353)	0.848(.354)	0.858(.356)	0.871(.357)
0.400	0.809(.373)	0.817(.374)	0.827(.375)	0.838(.377)	0.852(.379)
0.425	0.785(.392)	0.794(.394)	0.804(.396)	0.816(.397)	0.831(.400)
0.450	0.759(.412)	0.769(.413)	0.780(.415)	0.793(.418)	0.809(.420)
0.475	0.733(.430)	0.744(.432)	0.755(.435)	0.768(.437)	0.786(.440)
0.500	0.707(.448)	0.717(.451)	0.729(.453)	0.743(.456)	0.762(.460)
0.525	0.680(.466)	0.690(.468)	0.703(.471)	0.717(.474)	0.737(.478)
0.550	0.652(.482)	0.663(.485)	0.675(.488)	0.691(.492)	0.711(.497)
0.575	0.622(.496)	0.634(.501)	0.647(.505)	0.663(.509)	0.684(.514)
0.600	0.593(.513)	0.604(.517)	0.618(.521)	0.634(.525)	0.656(.531)
0.625	0.562(.528)	0.574(.532)	0.588(.536)	0.604(.540)	0.626(.547)
0.650	0.532(.542)	0.543(.546)	0.557(.550)	0.574(.555)	0.596(.562)
0.675	0.499(.554)	0.512(.559)	0.526(.563)	0.543(.569)	0.565(.577)
0.700	0.437(.566)	0.457(.571)	0.480(.576)	0.509(.582)	0.533(.590)
0.725	0.375(.576)	0.395(.582)	0.418(.587)	0.445(.594)	0.483(.603)
0.750	0.319(.585)	0.336(.591)	0.356(.597)	0.382(.605)	0.418(.614)
0.775	0.264(.592)	0.279(.598)	0.298(.605)	0.321(.613)	0.354(.624)
0.800	0.212(.598)	0.225(.605)	0.242(.612)	0.262(.621)	0.292(.632)
0.825	0.163(.603)	0.175(.610)	0.188(.617)	0.206(.627)	0.232(.638)
0.850	0.120(.606)	0.129(.613)	0.140(.621)	0.154(.631)	0.175(.644)
0.875	0.088(.609)	0.093(.616)	0.100(.624)	0.110(.634)	0.125(.647)
0.900	0.064(.611)	0.068(.618)	0.072(.627)	0.079(.637)	0.088(.650)
0.925	0.042(.612)	0.045(.620)	0.048(.628)	0.052(.638)	0.059(.652)
0.950	0.023(.613)	0.025(.621)	0.027(.629)	0.029(.639)	0.033(.653)
0.975	0.008(.613)	0.009(.621)	0.010(.629)	0.011(.640)	0.012(.654)
1.000	0.000(.614)	0.000(.621)	0.000(.630)	0.000(.640)	0.000(.654)

C-70
 241

*** RELATIVE ENERGY FLUX DENSITY IN THE PENUMBRA ***
 *** OF A DIFFUSE SKIRT WITH THE REFLECTANCE = 0. ***

REORDER No. 66-146
 App A - Phase II
 VERSION C

SOLAR FIELD ANGLE, D = 10.00 DEGREES
 GEOMETRY D1/D2 = 0.50

BETA = ANGLE OF INCIDENCE, DEGREES

BETA *** AX/AB	60.00		70.00		80.00		84.50	
	Q	(Q1)	Q	(Q1)	Q	(Q1)	Q	(Q1)
0.	1.000(.)		1.000(.)		1.000(.)		1.000(.)	
0.025	0.998(.025)		0.999(.025)		1.000(.025)		1.000(.025)	
0.050	0.995(.050)		0.997(.050)		0.999(.050)		1.000(.050)	
0.075	0.991(.075)		0.994(.075)		0.998(.075)		1.000(.075)	
0.100	0.987(.100)		0.990(.100)		0.997(.100)		1.000(.100)	
0.125	0.981(.125)		0.986(.125)		0.995(.125)		1.000(.125)	
0.150	0.975(.150)		0.982(.150)		0.994(.150)		1.000(.150)	
0.175	0.969(.175)		0.977(.175)		0.992(.175)		1.000(.175)	
0.200	0.962(.200)		0.971(.200)		0.990(.200)		1.000(.200)	
0.225	0.954(.225)		0.965(.225)		0.988(.225)		1.000(.225)	
0.250	0.945(.250)		0.959(.250)		0.985(.250)		1.000(.250)	
0.275	0.937(.275)		0.952(.275)		0.982(.275)		1.000(.275)	
0.300	0.928(.300)		0.944(.300)		0.979(.300)		1.000(.300)	
0.325	0.918(.325)		0.937(.325)		0.976(.325)		1.000(.325)	
0.350	0.905(.350)		0.928(.350)		0.972(.350)		0.999(.350)	
0.375	0.889(.375)		0.918(.375)		0.967(.375)		0.999(.375)	
0.400	0.872(.400)		0.905(.400)		0.963(.400)		0.999(.400)	
0.425	0.853(.425)		0.890(.425)		0.958(.425)		0.999(.425)	
0.450	0.833(.450)		0.874(.450)		0.952(.450)		0.999(.450)	
0.475	0.812(.475)		0.856(.475)		0.946(.475)		0.999(.475)	
0.500	0.789(.500)		0.836(.500)		0.939(.500)		0.999(.500)	
0.525	0.765(.525)		0.816(.525)		0.929(.525)		0.998(.525)	
0.550	0.740(.550)		0.793(.550)		0.918(.550)		0.998(.550)	
0.575	0.715(.575)		0.770(.575)		0.905(.575)		0.998(.575)	
0.600	0.688(.600)		0.745(.600)		0.890(.600)		0.997(.600)	
0.625	0.659(.625)		0.719(.625)		0.873(.625)		0.997(.625)	
0.650	0.630(.650)		0.692(.650)		0.853(.650)		0.996(.650)	
0.675	0.599(.675)		0.662(.675)		0.832(.675)		0.995(.675)	
0.700	0.567(.700)		0.631(.700)		0.808(.700)		0.994(.700)	
0.725	0.534(.725)		0.598(.725)		0.782(.725)		0.992(.725)	
0.750	0.475(.750)		0.564(.750)		0.753(.750)		0.991(.750)	
0.775	0.407(.775)		0.515(.775)		0.721(.775)		0.988(.775)	
0.800	0.340(.800)		0.442(.800)		0.684(.800)		0.985(.800)	
0.825	0.275(.825)		0.367(.825)		0.644(.825)		0.980(.825)	
0.850	0.212(.850)		0.292(.850)		0.599(.850)		0.974(.850)	
0.875	0.153(.875)		0.216(.875)		0.510(.875)		0.962(.875)	
0.900	0.103(.900)		0.149(.900)		0.397(.900)		0.939(.900)	
0.925	0.070(.925)		0.096(.925)		0.273(.925)		0.899(.925)	
0.950	0.040(.950)		0.056(.950)		0.148(.950)		0.825(.950)	
0.975	0.015(.975)		0.021(.975)		0.061(.975)		0.672(.975)	
1.000	0.000(1.000)		0.000(1.000)		0.000(1.000)		0.000(1.000)	

REORDER No. 66-196
 App'd Phase II
 VERSION C

*** RELATIVE ENERGY FLUX DENSITY IN THE PENUMBRA ***
 *** OF A DIFFUSE SKIRT WITH THE REFLECTANCE = 0. ***

SOLAR FIELD ANGLE, D = 10.00 DEGREES
 GEOMETRY D1/D2 = 0.75

BETA = ANGLE OF INCIDENCE, DEGREES

BETA ***	-84.50	-80.00	-70.00	-60.00	-50.00
AX/AB	Q (Q1)	Q (Q1)	Q (Q1)	Q (Q1)	Q (Q1)
0.	1.000(.)	1.000(.)	1.000(.)	1.000(.)	1.000(.)
0.025	0.719(.021)	0.978(.025)	0.992(.025)	0.994(.025)	0.995(.025)
0.050	0.428(.036)	0.944(.049)	0.977(.050)	0.983(.050)	0.986(.050)
0.075	0.234(.044)	0.906(.072)	0.960(.074)	0.970(.074)	0.974(.074)
0.100	0.127(.049)	0.867(.094)	0.941(.097)	0.955(.098)	0.961(.098)
0.125	0.074(.051)	0.813(.115)	0.920(.121)	0.939(.122)	0.947(.122)
0.150	0.044(.053)	0.753(.135)	0.899(.143)	0.921(.145)	0.932(.146)
0.175	0.029(.054)	0.694(.153)	0.872(.166)	0.903(.168)	0.916(.169)
0.200	0.021(.054)	0.636(.169)	0.839(.187)	0.881(.190)	0.898(.192)
0.225	0.016(.055)	0.581(.185)	0.803(.208)	0.853(.212)	0.875(.214)
0.250	0.012(.055)	0.528(.198)	0.765(.227)	0.822(.233)	0.848(.235)
0.275	0.010(.055)	0.477(.211)	0.727(.246)	0.789(.253)	0.818(.256)
0.300	0.008(.055)	0.429(.222)	0.688(.263)	0.755(.272)	0.787(.276)
0.325	0.006(.056)	0.378(.232)	0.649(.280)	0.720(.291)	0.755(.295)
0.350	0.005(.056)	0.325(.241)	0.610(.296)	0.685(.308)	0.721(.314)
0.375	0.004(.056)	0.279(.249)	0.571(.311)	0.649(.325)	0.687(.331)
0.400	0.003(.056)	0.240(.255)	0.532(.324)	0.613(.341)	0.653(.348)
0.425	0.003(.056)	0.205(.261)	0.494(.337)	0.576(.356)	0.618(.364)
0.450	0.002(.056)	0.174(.265)	0.456(.349)	0.539(.370)	0.582(.379)
0.475	0.002(.056)	0.147(.270)	0.408(.360)	0.503(.383)	0.545(.393)
0.500	0.002(.056)	0.124(.273)	0.363(.370)	0.464(.395)	0.509(.406)
0.525	0.001(.056)	0.103(.276)	0.320(.378)	0.417(.406)	0.471(.419)
0.550	0.001(.056)	0.086(.278)	0.282(.386)	0.372(.416)	0.424(.430)
0.575	0.001(.056)	0.071(.280)	0.246(.392)	0.329(.424)	0.379(.440)
0.600	0.001(.056)	0.059(.282)	0.212(.398)	0.290(.432)	0.335(.449)
0.625	0.001(.056)	0.051(.283)	0.181(.403)	0.252(.439)	0.295(.457)
0.650	0.001(.056)	0.044(.284)	0.153(.407)	0.217(.445)	0.256(.463)
0.675	0.000(.056)	0.038(.285)	0.127(.411)	0.184(.450)	0.220(.469)
0.700	0.000(.056)	0.032(.286)	0.105(.413)	0.154(.454)	0.185(.474)
0.725	0.000(.056)	0.027(.287)	0.085(.416)	0.127(.457)	0.154(.479)
0.750	0.000(.056)	0.022(.288)	0.071(.418)	0.102(.460)	0.125(.482)
0.775	0.000(.056)	0.018(.288)	0.059(.419)	0.082(.463)	0.100(.485)
0.800	0.000(.056)	0.015(.288)	0.049(.421)	0.068(.464)	0.081(.487)
0.825	0.000(.056)	0.012(.289)	0.039(.422)	0.055(.466)	0.066(.489)
0.850	0.000(.056)	0.009(.289)	0.031(.423)	0.044(.467)	0.052(.491)
0.875	0.000(.056)	0.006(.289)	0.023(.423)	0.033(.468)	0.039(.492)
0.900	0.000(.056)	0.004(.289)	0.016(.424)	0.023(.469)	0.028(.493)
0.925	0.000(.056)	0.003(.289)	0.010(.424)	0.015(.469)	0.018(.493)
0.950	0.000(.056)	0.001(.289)	0.005(.424)	0.008(.470)	0.010(.493)
0.975	0.000(.056)	0.000(.290)	0.002(.425)	0.003(.470)	0.003(.494)
1.000	0.000(.056)	0.000(.290)	0.000(.425)	0.000(.470)	0.000(.494)

C-7
 24

RE-ORDER NO. 66-196
 App C - Phase II

*** RELATIVE ENERGY FLUX DENSITY IN THE PENUMBRA ***
 *** OF A DIFFUSE SKIRT WITH THE REFLECTANCE = 0. ***

VERSION C

SOLAR FIELD ANGLE, D = 10.00 DEGREES
 GEOMETRY D1/D2 = 0.75

BETA = ANGLE OF INCIDENCE, DEGREES

BETA ***	-40.00	-30.00	-20.00	-10.00	-0.
AX/AB	Q (Q1)	Q (Q1)	Q (Q1)	Q (Q1)	Q (Q1)
0.	1.000(.)	1.000(.)	1.000(.)	1.000(.)	1.000(.)
0.025	0.995(.025)	0.996(.025)	0.996(.025)	0.996(.025)	0.997(.025)
0.050	0.987(.050)	0.988(.050)	0.989(.050)	0.990(.050)	0.990(.050)
0.075	0.977(.074)	0.979(.074)	0.980(.074)	0.981(.074)	0.982(.074)
0.100	0.965(.099)	0.968(.099)	0.970(.099)	0.971(.099)	0.973(.099)
0.125	0.952(.123)	0.955(.123)	0.958(.123)	0.960(.123)	0.962(.123)
0.150	0.938(.146)	0.942(.146)	0.945(.147)	0.948(.147)	0.950(.147)
0.175	0.923(.169)	0.928(.170)	0.932(.170)	0.935(.170)	0.938(.171)
0.200	0.907(.192)	0.913(.193)	0.917(.193)	0.921(.194)	0.925(.194)
0.225	0.887(.215)	0.896(.215)	0.902(.216)	0.907(.216)	0.911(.217)
0.250	0.863(.237)	0.873(.238)	0.881(.238)	0.887(.239)	0.893(.239)
0.275	0.835(.258)	0.847(.259)	0.857(.260)	0.864(.261)	0.871(.261)
0.300	0.805(.278)	0.820(.280)	0.830(.281)	0.839(.282)	0.847(.283)
0.325	0.775(.298)	0.790(.300)	0.802(.301)	0.811(.303)	0.820(.304)
0.350	0.744(.317)	0.759(.319)	0.772(.321)	0.783(.323)	0.792(.324)
0.375	0.711(.335)	0.726(.338)	0.741(.340)	0.753(.342)	0.763(.343)
0.400	0.678(.353)	0.695(.355)	0.709(.358)	0.721(.360)	0.733(.362)
0.425	0.644(.369)	0.662(.373)	0.677(.375)	0.690(.378)	0.701(.380)
0.450	0.609(.385)	0.628(.389)	0.644(.392)	0.657(.395)	0.669(.397)
0.475	0.573(.400)	0.593(.404)	0.609(.408)	0.623(.411)	0.636(.413)
0.500	0.537(.413)	0.557(.418)	0.574(.422)	0.588(.426)	0.601(.429)
0.525	0.501(.426)	0.522(.432)	0.538(.436)	0.553(.440)	0.566(.443)
0.550	0.458(.438)	0.484(.445)	0.502(.449)	0.517(.453)	0.530(.457)
0.575	0.412(.449)	0.437(.455)	0.458(.461)	0.476(.466)	0.493(.470)
0.600	0.367(.459)	0.391(.465)	0.411(.472)	0.428(.477)	0.445(.482)
0.625	0.324(.468)	0.346(.475)	0.365(.482)	0.382(.487)	0.398(.492)
0.650	0.283(.475)	0.304(.484)	0.321(.490)	0.337(.496)	0.352(.502)
0.675	0.244(.482)	0.264(.491)	0.280(.498)	0.295(.504)	0.309(.510)
0.700	0.208(.487)	0.225(.497)	0.240(.504)	0.254(.511)	0.267(.517)
0.725	0.173(.492)	0.189(.502)	0.203(.510)	0.215(.517)	0.227(.523)
0.750	0.142(.496)	0.155(.506)	0.167(.515)	0.178(.522)	0.188(.528)
0.775	0.114(.499)	0.125(.510)	0.135(.518)	0.144(.526)	0.153(.533)
0.800	0.090(.502)	0.099(.513)	0.106(.521)	0.114(.529)	0.121(.536)
0.825	0.073(.504)	0.079(.515)	0.084(.524)	0.089(.532)	0.094(.539)
0.850	0.058(.506)	0.063(.517)	0.067(.526)	0.071(.534)	0.075(.541)
0.875	0.044(.507)	0.048(.518)	0.051(.527)	0.055(.535)	0.058(.543)
0.900	0.032(.508)	0.035(.519)	0.037(.528)	0.039(.536)	0.042(.544)
0.925	0.021(.508)	0.022(.520)	0.024(.529)	0.026(.537)	0.027(.545)
0.950	0.011(.509)	0.012(.520)	0.013(.530)	0.014(.538)	0.015(.545)
0.975	0.004(.509)	0.004(.520)	0.005(.530)	0.005(.538)	0.005(.545)
1.000	0.000(.509)	0.000(.521)	0.000(.530)	0.000(.538)	0.000(.546)

C-73
 244

RE-ORDER No. 66-196
 App A - Page 11
 VERSION C

*** RELATIVE ENERGY FLUX DENSITY IN THE PENUMBRA ***
 *** OF A DIFFUSE SKIRT WITH THE REFLECTANCE = 0. ***

SOLAR FIELD ANGLE, $\theta = 10.00$ DEGREES
 GEOMETRY $D1/D2 = 0.75$

BETA = ANGLE OF INCIDENCE, DEGREES

BETA ***	10.00	20.00	30.00	40.00	50.00
AX/AB	Q (Q1)	Q (Q1)	Q (Q1)	Q (Q1)	Q (Q1)
0.	1.000(.)	1.000(.)	1.000(.)	1.000(.)	1.000(.)
0.025	0.997(.025)	0.997(.025)	0.997(.025)	0.997(.025)	0.998(.025)
0.050	0.991(.050)	0.991(.050)	0.992(.050)	0.992(.050)	0.993(.050)
0.075	0.983(.074)	0.984(.075)	0.985(.075)	0.986(.075)	0.988(.075)
0.100	0.974(.099)	0.975(.099)	0.977(.099)	0.979(.099)	0.981(.099)
0.125	0.964(.123)	0.966(.123)	0.968(.123)	0.970(.123)	0.973(.124)
0.150	0.953(.147)	0.955(.147)	0.958(.147)	0.961(.148)	0.965(.148)
0.175	0.941(.171)	0.944(.171)	0.947(.171)	0.951(.172)	0.955(.172)
0.200	0.928(.194)	0.932(.194)	0.935(.195)	0.940(.195)	0.945(.196)
0.225	0.915(.217)	0.919(.218)	0.923(.218)	0.928(.219)	0.935(.219)
0.250	0.899(.240)	0.904(.240)	0.910(.241)	0.916(.242)	0.923(.242)
0.275	0.878(.262)	0.885(.263)	0.892(.263)	0.900(.264)	0.910(.265)
0.300	0.855(.284)	0.862(.285)	0.871(.285)	0.881(.287)	0.893(.288)
0.325	0.829(.305)	0.838(.306)	0.848(.307)	0.859(.308)	0.873(.310)
0.350	0.802(.325)	0.812(.326)	0.823(.328)	0.835(.329)	0.851(.331)
0.375	0.773(.345)	0.784(.346)	0.796(.348)	0.810(.350)	0.828(.352)
0.400	0.744(.364)	0.755(.366)	0.768(.368)	0.783(.370)	0.802(.373)
0.425	0.713(.382)	0.725(.384)	0.738(.386)	0.754(.389)	0.775(.393)
0.450	0.681(.399)	0.694(.402)	0.708(.405)	0.725(.408)	0.747(.412)
0.475	0.649(.416)	0.662(.419)	0.677(.422)	0.694(.425)	0.717(.430)
0.500	0.615(.432)	0.628(.435)	0.644(.438)	0.663(.442)	0.687(.447)
0.525	0.580(.447)	0.594(.450)	0.610(.454)	0.629(.458)	0.655(.464)
0.550	0.544(.461)	0.558(.465)	0.575(.469)	0.595(.474)	0.621(.480)
0.575	0.508(.474)	0.523(.478)	0.539(.483)	0.559(.488)	0.586(.495)
0.600	0.462(.486)	0.480(.491)	0.501(.496)	0.523(.502)	0.550(.509)
0.625	0.414(.497)	0.432(.502)	0.452(.508)	0.476(.514)	0.512(.523)
0.650	0.368(.507)	0.385(.512)	0.404(.518)	0.429(.526)	0.462(.535)
0.675	0.323(.515)	0.339(.521)	0.357(.528)	0.380(.536)	0.413(.546)
0.700	0.280(.523)	0.295(.529)	0.312(.536)	0.333(.545)	0.363(.556)
0.725	0.239(.530)	0.252(.536)	0.268(.543)	0.288(.552)	0.316(.564)
0.750	0.199(.535)	0.211(.542)	0.225(.550)	0.244(.559)	0.269(.571)
0.775	0.162(.540)	0.173(.547)	0.185(.555)	0.201(.565)	0.224(.578)
0.800	0.129(.543)	0.137(.551)	0.148(.559)	0.161(.569)	0.181(.583)
0.825	0.100(.546)	0.106(.554)	0.114(.562)	0.125(.573)	0.141(.587)
0.850	0.079(.548)	0.083(.556)	0.089(.565)	0.095(.575)	0.107(.590)
0.875	0.061(.550)	0.064(.558)	0.069(.567)	0.074(.578)	0.082(.592)
0.900	0.044(.551)	0.047(.559)	0.050(.568)	0.054(.579)	0.060(.594)
0.925	0.029(.552)	0.031(.560)	0.033(.569)	0.036(.580)	0.040(.595)
0.950	0.015(.553)	0.017(.561)	0.018(.570)	0.020(.581)	0.022(.596)
0.975	0.005(.553)	0.006(.561)	0.007(.570)	0.007(.581)	0.008(.596)
1.000	0.000(.553)	0.000(.561)	0.000(.570)	0.000(.581)	0.000(.596)

3
2

C-7A
245

*** RELATIVE ENERGY FLUX DENSITY IN THE PENUMBRA ***
 *** OF A DIFFUSE SKIRT WITH THE REFLECTANCE = 0. ***

SOLAR FIELD ANGLE, D= 10.00 DEGREES
 GEOMETRY D1/D2 = 0.75

BETA = ANGLE OF INCIDENCE, DEGREES

BETA ***	60.00		70.00		80.00		84.50	
AX/AB	Q	(Q1)	Q	(Q1)	Q	(Q1)	Q	(Q1)
0.	1.000(.)		1.000(.)		1.000(.)		1.000(.)	
0.025	0.998(.025)		0.999(.025)		1.000(.025)		1.000(.025)	
0.050	0.994(.050)		0.996(.050)		0.999(.050)		1.000(.050)	
0.075	0.990(.075)		0.993(.075)		0.998(.075)		1.000(.075)	
0.100	0.984(.099)		0.989(.100)		0.996(.100)		1.000(.100)	
0.125	0.977(.124)		0.984(.124)		0.995(.125)		1.000(.125)	
0.150	0.970(.148)		0.978(.149)		0.993(.150)		1.000(.150)	
0.175	0.962(.172)		0.972(.173)		0.991(.174)		1.000(.175)	
0.200	0.953(.196)		0.966(.197)		0.989(.199)		1.000(.200)	
0.225	0.944(.220)		0.958(.221)		0.986(.224)		1.000(.225)	
0.250	0.934(.243)		0.951(.245)		0.983(.248)		1.000(.250)	
0.275	0.923(.267)		0.942(.269)		0.980(.273)		1.000(.275)	
0.300	0.910(.290)		0.933(.292)		0.976(.297)		1.000(.300)	
0.325	0.893(.312)		0.923(.316)		0.972(.322)		1.000(.325)	
0.350	0.874(.334)		0.910(.338)		0.967(.346)		0.999(.350)	
0.375	0.853(.356)		0.894(.361)		0.962(.370)		0.999(.375)	
0.400	0.830(.377)		0.876(.383)		0.957(.394)		0.999(.400)	
0.425	0.805(.397)		0.856(.405)		0.951(.418)		0.999(.425)	
0.450	0.779(.417)		0.834(.426)		0.944(.442)		0.999(.450)	
0.475	0.752(.436)		0.811(.446)		0.936(.465)		0.999(.475)	
0.500	0.723(.455)		0.785(.466)		0.925(.488)		0.998(.500)	
0.525	0.692(.472)		0.759(.486)		0.911(.511)		0.998(.525)	
0.550	0.661(.489)		0.730(.504)		0.896(.534)		0.998(.550)	
0.575	0.627(.505)		0.700(.522)		0.879(.556)		0.997(.575)	
0.600	0.591(.521)		0.668(.539)		0.859(.578)		0.997(.600)	
0.625	0.555(.535)		0.633(.556)		0.836(.599)		0.996(.624)	
0.650	0.515(.548)		0.597(.571)		0.811(.620)		0.996(.649)	
0.675	0.464(.561)		0.559(.585)		0.784(.640)		0.995(.674)	
0.700	0.412(.571)		0.511(.599)		0.753(.659)		0.993(.699)	
0.725	0.361(.581)		0.456(.611)		0.718(.677)		0.992(.724)	
0.750	0.312(.590)		0.400(.622)		0.678(.695)		0.990(.749)	
0.775	0.263(.597)		0.345(.631)		0.634(.711)		0.987(.773)	
0.800	0.215(.603)		0.289(.639)		0.583(.726)		0.983(.798)	
0.825	0.169(.608)		0.234(.645)		0.510(.740)		0.978(.823)	
0.850	0.128(.611)		0.181(.651)		0.430(.752)		0.970(.847)	
0.875	0.095(.614)		0.132(.654)		0.346(.761)		0.954(.871)	
0.900	0.071(.616)		0.095(.657)		0.255(.769)		0.925(.894)	
0.925	0.048(.618)		0.065(.659)		0.165(.774)		0.872(.917)	
0.950	0.027(.619)		0.037(.661)		0.096(.777)		0.769(.937)	
0.975	0.010(.619)		0.014(.661)		0.039(.779)		0.505(.953)	
1.000	0.000(.619)		0.000(.661)		0.000(.780)		0.000(.960)	

*** RELATIVE ENERGY FLUX DENSITY IN THE PENUMBRA ***
 *** OF A DIFFUSE SKIRT WITH THE REFLECTANCE = 0. ***

SOLAR FIELD ANGLE, D= 10.00 DEGREES
 GEOMETRY D1/D2 = 1.00

BETA = ANGLE OF INCIDENCE, DEGREES

BETA ***	-84.50	-80.00	-70.00	-60.00	-50.00
AX/AB	Q (Q1)	Q (Q1)	Q (Q1)	Q (Q1)	Q (Q1)
0.	1.000(.)	1.000(.)	1.000(.)	1.000(.)	1.000(.)
0.025	0.613(.020)	0.971(.025)	0.989(.025)	0.992(.025)	0.994(.025)
0.050	0.309(.032)	0.927(.048)	0.971(.049)	0.979(.050)	0.982(.050)
0.075	0.164(.038)	0.880(.071)	0.950(.073)	0.963(.074)	0.968(.074)
0.100	0.093(.041)	0.817(.092)	0.926(.097)	0.944(.098)	0.952(.098)
0.125	0.055(.043)	0.744(.112)	0.900(.120)	0.924(.121)	0.935(.122)
0.150	0.035(.044)	0.671(.129)	0.869(.142)	0.903(.144)	0.916(.145)
0.175	0.025(.045)	0.602(.145)	0.829(.163)	0.877(.166)	0.896(.167)
0.200	0.015(.045)	0.536(.160)	0.786(.183)	0.843(.188)	0.868(.189)
0.225	0.014(.045)	0.474(.172)	0.740(.202)	0.806(.208)	0.835(.211)
0.250	0.011(.045)	0.416(.183)	0.694(.220)	0.766(.228)	0.800(.231)
0.275	0.009(.046)	0.364(.193)	0.648(.237)	0.726(.247)	0.762(.251)
0.300	0.007(.046)	0.317(.202)	0.602(.253)	0.684(.264)	0.724(.269)
0.325	0.005(.046)	0.275(.209)	0.556(.267)	0.643(.281)	0.684(.287)
0.350	0.005(.047)	0.239(.215)	0.510(.280)	0.600(.296)	0.645(.303)
0.375	0.004(.047)	0.207(.221)	0.465(.293)	0.557(.311)	0.603(.319)
0.400	0.003(.047)	0.178(.226)	0.422(.304)	0.514(.324)	0.561(.334)
0.425	0.003(.047)	0.153(.230)	0.381(.314)	0.472(.336)	0.519(.347)
0.450	0.002(.047)	0.130(.233)	0.342(.323)	0.430(.348)	0.478(.360)
0.475	0.002(.047)	0.111(.236)	0.306(.331)	0.390(.358)	0.437(.371)
0.500	0.002(.047)	0.093(.239)	0.272(.338)	0.351(.367)	0.397(.381)
0.525	0.001(.047)	0.079(.241)	0.241(.345)	0.315(.376)	0.358(.391)
0.550	0.001(.047)	0.066(.243)	0.211(.350)	0.281(.383)	0.321(.399)
0.575	0.001(.047)	0.056(.244)	0.184(.355)	0.248(.390)	0.286(.407)
0.600	0.001(.047)	0.049(.246)	0.158(.359)	0.218(.395)	0.253(.414)
0.625	0.001(.047)	0.043(.247)	0.135(.363)	0.189(.401)	0.221(.420)
0.650	0.001(.047)	0.037(.248)	0.114(.366)	0.162(.405)	0.191(.425)
0.675	0.000(.047)	0.032(.249)	0.095(.369)	0.137(.409)	0.163(.429)
0.700	0.000(.047)	0.027(.250)	0.080(.371)	0.114(.412)	0.137(.433)
0.725	0.000(.047)	0.023(.250)	0.068(.373)	0.095(.414)	0.114(.436)
0.750	0.000(.047)	0.019(.251)	0.058(.374)	0.079(.417)	0.093(.439)
0.775	0.000(.047)	0.016(.251)	0.049(.376)	0.067(.418)	0.078(.441)
0.800	0.000(.047)	0.013(.251)	0.040(.377)	0.056(.420)	0.065(.443)
0.825	0.000(.047)	0.010(.252)	0.032(.378)	0.045(.421)	0.053(.444)
0.850	0.000(.047)	0.008(.252)	0.025(.378)	0.036(.422)	0.042(.445)
0.875	0.000(.047)	0.006(.252)	0.019(.379)	0.027(.423)	0.032(.446)
0.900	0.000(.047)	0.004(.252)	0.013(.379)	0.019(.424)	0.023(.447)
0.925	0.000(.047)	0.002(.252)	0.009(.380)	0.012(.424)	0.015(.447)
0.950	0.000(.047)	0.001(.252)	0.005(.380)	0.007(.424)	0.008(.448)
0.975	0.000(.047)	0.000(.252)	0.002(.380)	0.002(.424)	0.003(.448)
1.000	0.000(.047)	0.000(.252)	0.000(.380)	0.000(.424)	0.000(.448)

*** RELATIVE ENERGY FLUX DENSITY IN THE PENUMBRA ***
 *** OF A DIFFUSE SKIRT WITH THE REFLECTANCE = 0. ***

SOLAR FIELD ANGLE, D= 10.00 DEGREES
 GEOMETRY D1/D2 = 1.00

BETA = ANGLE OF INCIDENCE, DEGREES

BETA ***	-40.00	-30.00	-20.00	-10.00	-0.
AX/AB	Q (QI)	Q (QI)	Q (QI)	Q (QI)	Q (QI)
0.	1.000(.)	1.000(.)	1.000(.)	1.000(.)	1.000(.)
0.025	0.994(.025)	0.995(.025)	0.995(.025)	0.995(.025)	0.996(.025)
0.050	0.984(.050)	0.986(.050)	0.987(.050)	0.987(.050)	0.988(.050)
0.075	0.972(.074)	0.974(.074)	0.976(.074)	0.977(.074)	0.978(.074)
0.100	0.957(.098)	0.960(.098)	0.963(.098)	0.965(.099)	0.967(.099)
0.125	0.941(.122)	0.945(.122)	0.949(.122)	0.951(.123)	0.954(.123)
0.150	0.924(.145)	0.929(.146)	0.933(.146)	0.937(.146)	0.940(.146)
0.175	0.906(.168)	0.912(.169)	0.917(.169)	0.921(.169)	0.925(.170)
0.200	0.882(.190)	0.891(.191)	0.898(.192)	0.904(.192)	0.909(.193)
0.225	0.852(.212)	0.864(.213)	0.873(.214)	0.881(.214)	0.887(.215)
0.250	0.820(.233)	0.833(.234)	0.844(.235)	0.853(.236)	0.861(.237)
0.275	0.785(.253)	0.800(.255)	0.812(.256)	0.823(.257)	0.832(.258)
0.300	0.748(.272)	0.765(.274)	0.779(.276)	0.790(.277)	0.801(.278)
0.325	0.710(.290)	0.729(.293)	0.743(.295)	0.756(.297)	0.767(.298)
0.350	0.672(.308)	0.691(.311)	0.707(.313)	0.720(.315)	0.733(.317)
0.375	0.632(.324)	0.653(.328)	0.670(.330)	0.684(.333)	0.697(.335)
0.400	0.592(.339)	0.614(.343)	0.631(.347)	0.646(.349)	0.660(.352)
0.425	0.550(.354)	0.573(.358)	0.591(.362)	0.607(.365)	0.621(.368)
0.450	0.509(.367)	0.532(.372)	0.550(.376)	0.566(.380)	0.581(.383)
0.475	0.467(.379)	0.490(.385)	0.509(.389)	0.525(.393)	0.541(.397)
0.500	0.427(.390)	0.449(.397)	0.468(.402)	0.484(.406)	0.500(.410)
0.525	0.387(.400)	0.409(.407)	0.427(.413)	0.444(.417)	0.459(.422)
0.550	0.349(.410)	0.370(.417)	0.388(.423)	0.403(.428)	0.418(.433)
0.575	0.312(.418)	0.332(.426)	0.349(.432)	0.364(.438)	0.378(.443)
0.600	0.278(.425)	0.296(.434)	0.312(.440)	0.326(.446)	0.340(.452)
0.625	0.244(.432)	0.262(.441)	0.277(.448)	0.290(.454)	0.303(.460)
0.650	0.212(.437)	0.229(.447)	0.242(.454)	0.255(.461)	0.267(.467)
0.675	0.182(.442)	0.197(.452)	0.210(.460)	0.221(.467)	0.232(.473)
0.700	0.154(.447)	0.167(.457)	0.179(.465)	0.189(.472)	0.199(.478)
0.725	0.128(.450)	0.140(.460)	0.150(.469)	0.159(.476)	0.168(.483)
0.750	0.105(.453)	0.115(.464)	0.123(.472)	0.131(.480)	0.139(.487)
0.775	0.086(.455)	0.093(.466)	0.100(.475)	0.106(.483)	0.112(.490)
0.800	0.072(.457)	0.078(.468)	0.082(.477)	0.087(.485)	0.091(.492)
0.825	0.059(.459)	0.064(.470)	0.068(.479)	0.071(.487)	0.075(.494)
0.850	0.047(.460)	0.051(.472)	0.054(.481)	0.057(.489)	0.060(.496)
0.875	0.036(.461)	0.039(.473)	0.041(.482)	0.044(.490)	0.046(.497)
0.900	0.026(.462)	0.028(.474)	0.030(.483)	0.031(.491)	0.033(.498)
0.925	0.017(.463)	0.018(.474)	0.019(.483)	0.021(.492)	0.022(.499)
0.950	0.009(.463)	0.010(.474)	0.011(.484)	0.011(.492)	0.012(.500)
0.975	0.003(.463)	0.003(.475)	0.004(.484)	0.004(.492)	0.004(.500)
1.000	0.000(.463)	0.000(.475)	0.000(.484)	0.000(.492)	0.000(.500)

*** RELATIVE ENERGY FLUX DENSITY IN THE PENUMBRA ***
*** OF A DIFFUSE SKIRT WITH THE REFLECTANCE = 0. ***

VERSION C

SOLAR FIELD ANGLE, D = 10.00 DEGREES
GEOMETRY D1/D2 = 1.00

BETA = ANGLE OF INCIDENCE, DEGREES

BETA ***	10.00	20.00	30.00	40.00	50.00
AX/AB	Q (Q1)	Q (Q1)	Q (Q1)	Q (Q1)	Q (Q1)
0.	1.000(.)	1.000(.)	1.000(.)	1.000(.)	1.000(.)
0.025	0.995(.025)	0.996(.025)	0.997(.025)	0.997(.025)	0.997(.025)
0.050	0.989(.050)	0.989(.050)	0.990(.050)	0.991(.050)	0.992(.050)
0.075	0.979(.074)	0.981(.074)	0.982(.074)	0.983(.074)	0.985(.075)
0.100	0.965(.099)	0.970(.099)	0.972(.099)	0.974(.099)	0.977(.099)
0.125	0.956(.123)	0.959(.123)	0.961(.123)	0.964(.123)	0.968(.123)
0.150	0.943(.147)	0.946(.147)	0.949(.147)	0.953(.147)	0.958(.147)
0.175	0.928(.170)	0.932(.170)	0.936(.170)	0.941(.171)	0.947(.171)
0.200	0.913(.193)	0.917(.193)	0.922(.194)	0.928(.194)	0.935(.195)
0.225	0.894(.215)	0.900(.216)	0.906(.217)	0.914(.217)	0.922(.218)
0.250	0.869(.238)	0.877(.238)	0.885(.239)	0.895(.240)	0.906(.241)
0.275	0.841(.259)	0.850(.260)	0.860(.261)	0.872(.262)	0.886(.263)
0.300	0.811(.280)	0.821(.281)	0.832(.282)	0.846(.283)	0.862(.285)
0.325	0.778(.299)	0.790(.301)	0.803(.302)	0.817(.304)	0.836(.306)
0.350	0.745(.318)	0.757(.320)	0.771(.322)	0.787(.324)	0.808(.327)
0.375	0.710(.337)	0.723(.339)	0.738(.341)	0.755(.343)	0.778(.347)
0.400	0.673(.354)	0.687(.356)	0.703(.359)	0.722(.362)	0.746(.366)
0.425	0.635(.370)	0.651(.373)	0.667(.376)	0.687(.380)	0.713(.384)
0.450	0.596(.386)	0.612(.389)	0.630(.392)	0.651(.396)	0.678(.401)
0.475	0.556(.400)	0.572(.404)	0.590(.407)	0.612(.412)	0.642(.418)
0.500	0.515(.413)	0.531(.417)	0.550(.422)	0.573(.427)	0.603(.433)
0.525	0.474(.426)	0.490(.430)	0.509(.435)	0.532(.441)	0.563(.448)
0.550	0.433(.437)	0.449(.442)	0.468(.447)	0.491(.453)	0.522(.462)
0.575	0.393(.447)	0.409(.453)	0.427(.458)	0.449(.465)	0.480(.474)
0.600	0.353(.457)	0.368(.462)	0.386(.469)	0.408(.476)	0.438(.486)
0.625	0.315(.465)	0.330(.471)	0.346(.478)	0.367(.486)	0.396(.496)
0.650	0.279(.473)	0.293(.479)	0.308(.486)	0.328(.494)	0.355(.505)
0.675	0.244(.479)	0.256(.486)	0.271(.493)	0.289(.502)	0.315(.514)
0.700	0.209(.485)	0.221(.492)	0.234(.499)	0.251(.509)	0.276(.521)
0.725	0.177(.490)	0.187(.497)	0.199(.505)	0.215(.515)	0.237(.528)
0.750	0.147(.494)	0.156(.501)	0.166(.509)	0.180(.520)	0.200(.533)
0.775	0.119(.497)	0.127(.505)	0.136(.513)	0.147(.524)	0.165(.538)
0.800	0.096(.500)	0.101(.507)	0.108(.516)	0.118(.527)	0.132(.541)
0.825	0.079(.502)	0.083(.510)	0.088(.519)	0.094(.530)	0.104(.544)
0.850	0.063(.504)	0.067(.512)	0.071(.521)	0.076(.532)	0.084(.547)
0.875	0.049(.505)	0.051(.513)	0.055(.522)	0.059(.533)	0.065(.548)
0.900	0.035(.506)	0.037(.514)	0.040(.523)	0.043(.535)	0.047(.550)
0.925	0.023(.507)	0.024(.515)	0.026(.524)	0.028(.536)	0.032(.551)
0.950	0.013(.507)	0.013(.515)	0.014(.525)	0.016(.536)	0.018(.551)
0.975	0.005(.507)	0.005(.516)	0.005(.525)	0.006(.536)	0.006(.552)
1.000	0.000(.508)	0.000(.516)	0.000(.525)	0.000(.536)	0.000(.552)

*** RELATIVE ENERGY FLUX DENSITY IN THE PENUMBRA ***
 *** OF A DIFFUSE SKIRT WITH THE REFLECTANCE = 0. ***

SOLAR FIELD ANGLE, D = 10.00 DEGREES
 GEOMETRY D1/D2 = 1.00

BETA = ANGLE OF INCIDENCE, DEGREES

BETA ***	60.00	70.00	80.00	84.50
AX/AB	Q (QI)	Q (QI)	Q (QI)	Q (QI)
0.	1.000(.)	1.000(.)	1.000(.)	1.000(.)
0.025	0.998(.025)	0.998(.025)	0.999(.025)	0.999(.025)
0.050	0.993(.050)	0.995(.050)	0.999(.050)	1.000(.050)
0.075	0.988(.075)	0.991(.075)	0.998(.075)	1.000(.075)
0.100	0.981(.099)	0.987(.099)	0.996(.100)	1.000(.100)
0.125	0.973(.124)	0.981(.124)	0.994(.125)	1.000(.125)
0.150	0.964(.148)	0.975(.149)	0.992(.150)	1.000(.150)
0.175	0.955(.172)	0.968(.173)	0.990(.174)	1.000(.175)
0.200	0.944(.196)	0.960(.197)	0.987(.199)	1.000(.200)
0.225	0.933(.219)	0.951(.221)	0.984(.224)	1.000(.225)
0.250	0.921(.242)	0.942(.244)	0.981(.248)	1.000(.250)
0.275	0.905(.265)	0.932(.268)	0.977(.273)	1.000(.275)
0.300	0.885(.287)	0.920(.291)	0.973(.297)	1.000(.300)
0.325	0.863(.309)	0.904(.314)	0.965(.321)	1.000(.325)
0.350	0.838(.331)	0.886(.336)	0.963(.346)	0.999(.350)
0.375	0.811(.351)	0.865(.353)	0.957(.370)	0.999(.375)
0.400	0.782(.371)	0.841(.379)	0.950(.393)	0.999(.400)
0.425	0.751(.390)	0.816(.400)	0.943(.417)	0.999(.425)
0.450	0.719(.409)	0.788(.420)	0.934(.440)	0.999(.450)
0.475	0.685(.426)	0.759(.439)	0.921(.464)	0.999(.475)
0.500	0.648(.443)	0.727(.453)	0.906(.487)	0.998(.500)
0.525	0.610(.459)	0.694(.475)	0.889(.509)	0.998(.525)
0.550	0.569(.473)	0.657(.493)	0.869(.531)	0.998(.550)
0.575	0.525(.487)	0.618(.509)	0.847(.552)	0.997(.575)
0.600	0.485(.500)	0.577(.524)	0.821(.573)	0.997(.600)
0.625	0.443(.511)	0.534(.537)	0.793(.593)	0.996(.624)
0.650	0.399(.522)	0.489(.550)	0.761(.613)	0.995(.649)
0.675	0.357(.531)	0.444(.562)	0.724(.631)	0.994(.674)
0.700	0.315(.540)	0.397(.572)	0.683(.649)	0.993(.699)
0.725	0.274(.547)	0.351(.582)	0.636(.665)	0.991(.724)
0.750	0.233(.553)	0.305(.590)	0.583(.681)	0.989(.749)
0.775	0.194(.559)	0.259(.597)	0.526(.695)	0.986(.773)
0.800	0.157(.563)	0.214(.603)	0.463(.707)	0.981(.798)
0.825	0.123(.567)	0.170(.608)	0.398(.718)	0.975(.822)
0.850	0.097(.569)	0.130(.612)	0.328(.727)	0.965(.847)
0.875	0.076(.571)	0.099(.614)	0.255(.734)	0.944(.870)
0.900	0.056(.573)	0.074(.617)	0.182(.740)	0.906(.894)
0.925	0.037(.574)	0.050(.618)	0.120(.743)	0.836(.915)
0.950	0.021(.575)	0.029(.619)	0.073(.746)	0.691(.934)
0.975	0.008(.575)	0.011(.620)	0.029(.747)	0.387(.948)
1.000	0.000(.575)	0.000(.620)	0.000(.747)	0.000(.953)

*** END OF DIFFUSE SKIRT CASE, REFLECTANCE = 0. ***

RE-ORDER NO. 66-196
Exhib. 4
Phase II

VERSION D

VERSION D

66-196
 App. A
 Phase II

*** RELATIVE ENERGY FLUX DENSITY IN THE ***
 *** PENUMBRA OF A RECTANGULAR CYLINDER ***

VERSION D

SOLAR FIELD ANGLE, D = 0.50 DEGREES
 GEOMETRY D2/R = 1.00 AND H/R = 0.

BETA = ANGLE OF INCIDENCE, DEGREES

BETA ***	0.	10.00	20.00	30.00	40.00
AX/AB	Q (QI)	Q (QI)	Q (QI)	Q (QI)	Q (QI)
UNDRFLOW AT 05044 IN MQ	1.000(.)	1.000(.)	1.000(.)	1.000(.)	1.000(.)
0.	0. (.012)	0. (.012)	0. (.012)	0. (.012)	0. (.012)
0.025	0. (.012)	0. (.012)	0. (.012)	0. (.012)	0. (.012)
0.050	0. (.012)	0. (.012)	0. (.012)	0. (.012)	0. (.012)
0.075	0. (.012)	0. (.012)	0. (.012)	0. (.012)	0. (.012)
0.100	0. (.012)	0. (.012)	0. (.012)	0. (.012)	0. (.012)
0.125	0. (.012)	0. (.012)	0. (.012)	0. (.012)	0. (.012)
0.150	0. (.012)	0. (.012)	0. (.012)	0. (.012)	0. (.012)
0.175	0. (.012)	0. (.012)	0. (.012)	0. (.012)	0. (.012)
0.200	0. (.012)	0. (.012)	0. (.012)	0. (.012)	0. (.012)
0.225	0. (.012)	0. (.012)	0. (.012)	0. (.012)	0. (.012)
0.250	0. (.012)	0. (.012)	0. (.012)	0. (.012)	0. (.012)
0.275	0. (.012)	0. (.012)	0. (.012)	0. (.012)	0. (.012)
0.300	0. (.012)	0. (.012)	0. (.012)	0. (.012)	0. (.012)
0.325	0. (.012)	0. (.012)	0. (.012)	0. (.012)	0. (.012)
0.350	0. (.012)	0. (.012)	0. (.012)	0. (.012)	0. (.012)
0.375	0. (.012)	0. (.012)	0. (.012)	0. (.012)	0. (.012)
0.400	0. (.012)	0. (.012)	0. (.012)	0. (.012)	0. (.012)
0.425	0. (.012)	0. (.012)	0. (.012)	0. (.012)	0. (.012)
0.450	0. (.012)	0. (.012)	0. (.012)	0. (.012)	0. (.012)
0.475	0. (.012)	0. (.012)	0. (.012)	0. (.012)	0. (.012)
0.500	0. (.012)	0. (.012)	0. (.012)	0. (.012)	0. (.012)
0.525	0. (.012)	0. (.012)	0. (.012)	0. (.012)	0. (.012)
0.550	0. (.012)	0. (.012)	0. (.012)	0. (.012)	0. (.012)
0.575	0. (.012)	0. (.012)	0. (.012)	0. (.012)	0. (.012)
0.600	0. (.012)	0. (.012)	0. (.012)	0. (.012)	0. (.012)
0.625	0. (.012)	0. (.012)	0. (.012)	0. (.012)	0. (.012)
0.650	0. (.012)	0. (.012)	0. (.012)	0. (.012)	0. (.012)
0.675	0. (.012)	0. (.012)	0. (.012)	0. (.012)	0. (.012)
0.700	0. (.012)	0. (.012)	0. (.012)	0. (.012)	0. (.012)
0.725	0. (.012)	0. (.012)	0. (.012)	0. (.012)	0. (.012)
0.750	0. (.012)	0. (.012)	0. (.012)	0. (.012)	0. (.012)
0.775	0. (.012)	0. (.012)	0. (.012)	0. (.012)	0. (.012)
0.800	0. (.012)	0. (.012)	0. (.012)	0. (.012)	0. (.012)
0.825	0. (.012)	0. (.012)	0. (.012)	0. (.012)	0. (.012)
0.850	0. (.012)	0. (.012)	0. (.012)	0. (.012)	0. (.012)
0.875	0. (.012)	0. (.012)	0. (.012)	0. (.012)	0. (.012)
0.900	0. (.012)	0. (.012)	0. (.012)	0. (.012)	0. (.012)
0.925	0. (.012)	0. (.012)	0. (.012)	0. (.012)	0. (.012)
0.950	0. (.012)	0. (.012)	0. (.012)	0. (.012)	0. (.012)
0.975	0. (.012)	0. (.012)	0. (.012)	0. (.012)	0. (.012)
1.000	1.000(.025)	1.000(.025)	1.000(.025)	1.000(.025)	1.000(.025)

APP. A
Phase II

*** RELATIVE ENERGY FLUX DENSITY IN THE ***
 *** PENUMBRA OF A RECTANGULAR CYLINDER ***
 VERSION D

SOLAR FIELD ANGLE, D = 0.50 DEGREES
 GEOMETRY D2/R = 1.00 AND H/R = 0.

BETA = ANGLE OF INCIDENCE, DEGREES

BETA ***	50.00		60.00		70.00		80.00		89.25	
AX/AB	Q	(Q1)	Q	(Q1)	Q	(Q1)	Q	(Q1)	Q	(Q1)
0.	1.000	(.)	1.000	(.)	1.000	(.)	1.000	(.)	1.000	(.)
0.025	0.	(.012)	0.	(.012)	0.	(.012)	0.037	(.013)	0.999	(.025)
0.050	0.	(.012)	0.	(.012)	0.	(.012)	0.	(.013)	0.994	(.050)
0.075	0.	(.012)	0.	(.012)	0.	(.012)	0.	(.013)	0.981	(.075)
0.100	0.	(.012)	0.	(.012)	0.	(.012)	0.	(.013)	0.958	(.099)
0.125	0.	(.012)	0.	(.012)	0.	(.012)	0.	(.013)	0.920	(.122)
0.150	0.	(.012)	0.	(.012)	0.	(.012)	0.	(.013)	0.864	(.145)
0.175	0.	(.012)	0.	(.012)	0.	(.012)	0.	(.013)	0.786	(.165)
0.200	0.	(.012)	0.	(.012)	0.	(.012)	0.	(.013)	0.682	(.184)
0.225	0.	(.012)	0.	(.012)	0.	(.012)	0.	(.013)	0.552	(.199)
0.250	0.	(.012)	0.	(.012)	0.	(.012)	0.	(.013)	0.399	(.211)
0.275	0.	(.012)	0.	(.012)	0.	(.012)	0.	(.013)	0.236	(.219)
0.300	0.	(.012)	0.	(.012)	0.	(.012)	0.	(.013)	0.090	(.223)
0.325	0.	(.012)	0.	(.012)	0.	(.012)	0.	(.013)	0.007	(.224)
0.350	0.	(.012)	0.	(.012)	0.	(.012)	0.	(.013)	0.	(.224)
0.375	0.	(.012)	0.	(.012)	0.	(.012)	0.	(.013)	0.	(.224)
0.400	0.	(.012)	0.	(.012)	0.	(.012)	0.	(.013)	0.	(.224)
0.425	0.	(.012)	0.	(.012)	0.	(.012)	0.	(.013)	0.	(.224)
0.450	0.	(.012)	0.	(.012)	0.	(.012)	0.	(.013)	0.	(.224)
0.475	0.	(.012)	0.	(.012)	0.	(.012)	0.	(.013)	0.	(.224)
0.500	0.	(.012)	0.	(.012)	0.	(.012)	0.	(.013)	0.	(.224)
0.525	0.	(.012)	0.	(.012)	0.	(.012)	0.	(.013)	0.	(.224)
0.550	0.	(.012)	0.	(.012)	0.	(.012)	0.	(.013)	0.	(.224)
0.575	0.	(.012)	0.	(.012)	0.	(.012)	0.	(.013)	0.	(.224)
0.600	0.	(.012)	0.	(.012)	0.	(.012)	0.	(.013)	0.	(.224)
0.625	0.	(.012)	0.	(.012)	0.	(.012)	0.	(.013)	0.	(.224)
0.650	0.	(.012)	0.	(.012)	0.	(.012)	0.	(.013)	0.	(.224)
0.675	0.	(.012)	0.	(.012)	0.	(.012)	0.	(.013)	0.	(.224)
0.700	0.	(.012)	0.	(.012)	0.	(.012)	0.	(.013)	0.	(.224)
0.725	0.	(.012)	0.	(.012)	0.	(.012)	0.	(.013)	0.	(.224)
0.750	0.	(.012)	0.	(.012)	0.	(.012)	0.	(.013)	0.	(.224)
0.775	0.	(.012)	0.	(.012)	0.	(.012)	0.	(.013)	0.	(.224)
0.800	0.	(.012)	0.	(.012)	0.	(.012)	0.	(.013)	0.	(.224)
0.825	0.	(.012)	0.	(.012)	0.	(.012)	0.	(.013)	0.	(.224)
0.850	0.	(.012)	0.	(.012)	0.	(.012)	0.	(.013)	0.	(.224)
0.875	0.	(.012)	0.	(.012)	0.	(.012)	0.	(.013)	0.	(.224)
0.900	0.	(.012)	0.	(.012)	0.	(.012)	0.	(.013)	0.	(.224)
0.925	0.	(.012)	0.	(.012)	0.	(.012)	0.	(.013)	0.	(.224)
0.950	0.	(.012)	0.	(.012)	0.	(.012)	0.	(.013)	0.	(.224)
0.975	0.	(.012)	0.	(.012)	0.	(.012)	0.	(.013)	0.	(.224)
1.000	0.	(.012)	0.	(.012)	0.	(.012)	0.	(.013)	0.	(.224)

UNDRFLOW AT 05044 IN MQ

RE-ORDER 66-196
 App 4
 Phase II

VERSION D

*** RELATIVE ENERGY FLUX DENSITY IN THE ***
 *** PENUMBRA OF A RECTANGULAR CYLINDER ***

SOLAR FIELD ANGLE, D = 0.50 DEGREES
 GEOMETRY D2/R = 5.00 AND H/R = 0.

BETA = ANGLE OF INCIDENCE, DEGREES

BETA *** AX/AB	0. Q (Q1)	10.00 Q (Q1)	20.00 Q (Q1)	30.00 Q (Q1)	40.00 Q (Q1)
UNDRFLOW AT 05044 IN M2					
0.	1.000(.)	1.000(.)	1.000(.)	1.000(.)	1.000(.)
0.025	0. (.012)	0. (.012)	0. (.012)	0. (.012)	0. (.012)
0.050	0. (.012)	0. (.012)	0. (.012)	0. (.012)	0. (.012)
0.075	0. (.012)	0. (.012)	0. (.012)	0. (.012)	0. (.012)
0.100	0. (.012)	0. (.012)	0. (.012)	0. (.012)	0. (.012)
0.125	0. (.012)	0. (.012)	0. (.012)	0. (.012)	0. (.012)
0.150	0. (.012)	0. (.012)	0. (.012)	0. (.012)	0. (.012)
0.175	0. (.012)	0. (.012)	0. (.012)	0. (.012)	0. (.012)
0.200	0. (.012)	0. (.012)	0. (.012)	0. (.012)	0. (.012)
0.225	0. (.012)	0. (.012)	0. (.012)	0. (.012)	0. (.012)
0.250	0. (.012)	0. (.012)	0. (.012)	0. (.012)	0. (.012)
0.275	0. (.012)	0. (.012)	0. (.012)	0. (.012)	0. (.012)
0.300	0. (.012)	0. (.012)	0. (.012)	0. (.012)	0. (.012)
0.325	0. (.012)	0. (.012)	0. (.012)	0. (.012)	0. (.012)
0.350	0. (.012)	0. (.012)	0. (.012)	0. (.012)	0. (.012)
0.375	0. (.012)	0. (.012)	0. (.012)	0. (.012)	0. (.012)
0.400	0. (.012)	0. (.012)	0. (.012)	0. (.012)	0. (.012)
0.425	0. (.012)	0. (.012)	0. (.012)	0. (.012)	0. (.012)
0.450	0. (.012)	0. (.012)	0. (.012)	0. (.012)	0. (.012)
0.475	0. (.012)	0. (.012)	0. (.012)	0. (.012)	0. (.012)
0.500	0. (.012)	0. (.012)	0. (.012)	0. (.012)	0. (.012)
0.525	0. (.012)	0. (.012)	0. (.012)	0. (.012)	0. (.012)
0.550	0. (.012)	0. (.012)	0. (.012)	0. (.012)	0. (.012)
0.575	0. (.012)	0. (.012)	0. (.012)	0. (.012)	0. (.012)
0.600	0. (.012)	0. (.012)	0. (.012)	0. (.012)	0. (.012)
0.625	0. (.012)	0. (.012)	0. (.012)	0. (.012)	0. (.012)
0.650	0. (.012)	0. (.012)	0. (.012)	0. (.012)	0. (.012)
0.675	0. (.012)	0. (.012)	0. (.012)	0. (.012)	0. (.012)
0.700	0. (.012)	0. (.012)	0. (.012)	0. (.012)	0. (.012)
0.725	0. (.012)	0. (.012)	0. (.012)	0. (.012)	0. (.012)
0.750	0. (.012)	0. (.012)	0. (.012)	0. (.012)	0. (.012)
0.775	0. (.012)	0. (.012)	0. (.012)	0. (.012)	0. (.012)
0.800	0. (.012)	0. (.012)	0. (.012)	0. (.012)	0. (.012)
0.825	0. (.012)	0. (.012)	0. (.012)	0. (.012)	0. (.012)
0.850	0. (.012)	0. (.012)	0. (.012)	0. (.012)	0. (.012)
0.875	0. (.012)	0. (.012)	0. (.012)	0. (.012)	0. (.012)
0.900	0. (.012)	0. (.012)	0. (.012)	0. (.012)	0. (.012)
0.925	0. (.012)	0. (.012)	0. (.012)	0. (.012)	0. (.012)
0.950	0. (.012)	0. (.012)	0. (.012)	0. (.012)	0. (.012)
0.975	0. (.012)	0. (.012)	0. (.012)	0. (.012)	0. (.012)
1.000	1.000(.025)	1.000(.025)	1.000(.025)	1.000(.025)	1.000(.025)

RE-ORDER No. 66-196
 App. 9
 Phase II

*** RELATIVE ENERGY FLUX DENSITY IN THE ***
 *** PENUMBRA OF A RECTANGULAR CYLINDER ***

VERSION D

SOLAR FIELD ANGLE, D = 0.50 DEGREES
 GEOMETRY D2/R = 5.00 AND H/R = 0.

BETA = ANGLE OF INCIDENCE, DEGREES

BETA ***	50.00	60.00	70.00	80.00	89.25
AX/AB	Q (Q1)	Q (Q1)	Q (Q1)	Q (Q1)	Q (Q1)
0.	1.000(.)	1.000(.)	1.000(.)	1.000(.)	1.000(.)
0.025	0.004(.013)	0.030(.013)	0.126(.014)	0.443(.018)	0.999(.025)
0.050	0. (.013)	0. (.013)	0. (.016)	0. (.024)	0.994(.050)
0.075	0. (.013)	0. (.013)	0. (.016)	0. (.024)	0.983(.075)
0.100	0. (.013)	0. (.013)	0. (.016)	0. (.024)	0.961(.099)
0.125	0. (.013)	0. (.013)	0. (.016)	0. (.024)	0.927(.123)
0.150	0. (.013)	0. (.013)	0. (.016)	0. (.024)	0.876(.145)
0.175	0. (.013)	0. (.013)	0. (.016)	0. (.024)	0.806(.166)
0.200	0. (.013)	0. (.013)	0. (.016)	0. (.024)	0.712(.185)
0.225	0. (.013)	0. (.013)	0. (.016)	0. (.024)	0.593(.201)
0.250	0. (.013)	0. (.013)	0. (.016)	0. (.024)	0.451(.214)
0.275	0. (.013)	0. (.013)	0. (.016)	0. (.024)	0.294(.224)
0.300	0. (.013)	0. (.013)	0. (.016)	0. (.024)	0.142(.229)
0.325	0. (.013)	0. (.013)	0. (.016)	0. (.024)	0.031(.231)
0.350	0. (.013)	0. (.013)	0. (.016)	0. (.024)	0. (.232)
0.375	0. (.013)	0. (.013)	0. (.016)	0. (.024)	0. (.232)
0.400	0. (.013)	0. (.013)	0. (.016)	0. (.024)	0. (.232)
0.425	0. (.013)	0. (.013)	0. (.016)	0. (.024)	0. (.232)
0.450	0. (.013)	0. (.013)	0. (.016)	0. (.024)	0. (.232)
0.475	0. (.013)	0. (.013)	0. (.016)	0. (.024)	0. (.232)
0.500	0. (.013)	0. (.013)	0. (.016)	0. (.024)	0. (.232)
0.525	0. (.013)	0. (.013)	0. (.016)	0. (.024)	0. (.232)
0.550	0. (.013)	0. (.013)	0. (.016)	0. (.024)	0. (.232)
0.575	0. (.013)	0. (.013)	0. (.016)	0. (.024)	0. (.232)
0.600	0. (.013)	0. (.013)	0. (.016)	0. (.024)	0. (.232)
0.625	0. (.013)	0. (.013)	0. (.016)	0. (.024)	0. (.232)
0.650	0. (.013)	0. (.013)	0. (.016)	0. (.024)	0. (.232)
0.675	0. (.013)	0. (.013)	0. (.016)	0. (.024)	0. (.232)
0.700	0. (.013)	0. (.013)	0. (.016)	0. (.024)	0. (.232)
0.725	0. (.013)	0. (.013)	0. (.016)	0. (.024)	0. (.232)
0.750	0. (.013)	0. (.013)	0. (.016)	0. (.024)	0. (.232)
0.775	0. (.013)	0. (.013)	0. (.016)	0. (.024)	0. (.232)
0.800	0. (.013)	0. (.013)	0. (.016)	0. (.024)	0. (.232)
0.825	0. (.013)	0. (.013)	0. (.016)	0. (.024)	0. (.232)
0.850	0. (.013)	0. (.013)	0. (.016)	0. (.024)	0. (.232)
0.875	0. (.013)	0. (.013)	0. (.016)	0. (.024)	0. (.232)
0.900	0. (.013)	0. (.013)	0. (.016)	0. (.024)	0. (.232)
0.925	0. (.013)	0. (.013)	0. (.016)	0. (.024)	0. (.232)
0.950	0. (.013)	0. (.013)	0. (.016)	0. (.024)	0. (.232)
0.975	0. (.013)	0. (.013)	0. (.016)	0. (.024)	0. (.232)
1.000	1.000(.025)	1.000(.026)	1.000(.028)	0. (.024)	0. (.232)

UNDRFLOW AT 05044 IN MQ

D-4
 255

*** RELATIVE ENERGY FLUX DENSITY IN THE ***
 *** PENUMBRA OF A RECTANGULAR CYLINDER ***

VERSION D

SOLAR FIELD ANGLE, D= 0.50 DEGREES
 GEOMETRY D2/R = 10.00 AND H/R = 0.

BETA = ANGLE OF INCIDENCE, DEGREES

BETA ***	0.	10.00	20.00	30.00	40.00
AX/AB	Q (Q1)	Q (Q1)	Q (Q1)	Q (Q1)	Q (Q1)
0.	1.000(.)	1.000(.)	1.000(.)	1.000(.)	1.000(.)
0.025	0.337(.017)	0.354(.017)	0.372(.017)	0.393(.017)	0.416(.018)
0.050	0. (.021)	0. (.021)	0. (.022)	0. (.022)	0. (.023)
0.075	0. (.021)	0. (.021)	0. (.022)	0. (.022)	0. (.023)
0.100	0. (.021)	0. (.021)	0. (.022)	0. (.022)	0. (.023)
0.125	0. (.021)	0. (.021)	0. (.022)	0. (.022)	0. (.023)
0.150	0. (.021)	0. (.021)	0. (.022)	0. (.022)	0. (.023)
0.175	0. (.021)	0. (.021)	0. (.022)	0. (.022)	0. (.023)
0.200	0. (.021)	0. (.021)	0. (.022)	0. (.022)	0. (.023)
0.225	0. (.021)	0. (.021)	0. (.022)	0. (.022)	0. (.023)
0.250	0. (.021)	0. (.021)	0. (.022)	0. (.022)	0. (.023)
0.275	0. (.021)	0. (.021)	0. (.022)	0. (.022)	0. (.023)
0.300	0. (.021)	0. (.021)	0. (.022)	0. (.022)	0. (.023)
0.325	0. (.021)	0. (.021)	0. (.022)	0. (.022)	0. (.023)
0.350	0. (.021)	0. (.021)	0. (.022)	0. (.022)	0. (.023)
0.375	0. (.021)	0. (.021)	0. (.022)	0. (.022)	0. (.023)
0.400	0. (.021)	0. (.021)	0. (.022)	0. (.022)	0. (.023)
0.425	0. (.021)	0. (.021)	0. (.022)	0. (.022)	0. (.023)
0.450	0. (.021)	0. (.021)	0. (.022)	0. (.022)	0. (.023)
0.475	0. (.021)	0. (.021)	0. (.022)	0. (.022)	0. (.023)
0.500	0. (.021)	0. (.021)	0. (.022)	0. (.022)	0. (.023)
0.525	0. (.021)	0. (.021)	0. (.022)	0. (.022)	0. (.023)
0.550	0. (.021)	0. (.021)	0. (.022)	0. (.022)	0. (.023)
0.575	0. (.021)	0. (.021)	0. (.022)	0. (.022)	0. (.023)
0.600	0. (.021)	0. (.021)	0. (.022)	0. (.022)	0. (.023)
0.625	0. (.021)	0. (.021)	0. (.022)	0. (.022)	0. (.023)
0.650	0. (.021)	0. (.021)	0. (.022)	0. (.022)	0. (.023)
0.675	0. (.021)	0. (.021)	0. (.022)	0. (.022)	0. (.023)
0.700	0. (.021)	0. (.021)	0. (.022)	0. (.022)	0. (.023)
0.725	0. (.021)	0. (.021)	0. (.022)	0. (.022)	0. (.023)
0.750	0. (.021)	0. (.021)	0. (.022)	0. (.022)	0. (.023)
0.775	0. (.021)	0. (.021)	0. (.022)	0. (.022)	0. (.023)
0.800	0. (.021)	0. (.021)	0. (.022)	0. (.022)	0. (.023)
0.825	0. (.021)	0. (.021)	0. (.022)	0. (.022)	0. (.023)
0.850	0. (.021)	0. (.021)	0. (.022)	0. (.022)	0. (.023)
0.875	0. (.021)	0. (.021)	0. (.022)	0. (.022)	0. (.023)
0.900	0. (.021)	0. (.021)	0. (.022)	0. (.022)	0. (.023)
0.925	0. (.021)	0. (.021)	0. (.022)	0. (.022)	0. (.023)
0.950	0. (.021)	0. (.021)	0. (.022)	0. (.022)	0. (.023)
0.975	0.337(.025)	0.319(.025)	0.300(.026)	0.278(.026)	0.250(.026)
1.000	1.000(.042)	1.000(.042)	1.000(.042)	1.000(.042)	1.000(.042)

*** RELATIVE ENERGY FLUX DENSITY IN THE ***
 *** PENUMBRA OF A RECTANGULAR CYLINDER ***

VERSION D

SOLAR FIELD ANGLE, D= 0.50 DEGREES
 GEOMETRY D2/R = 10.00 AND H/R = 0.

BETA = ANGLE OF INCIDENCE, DEGREES

BETA ***	50.00		60.00		70.00		80.00		89.25	
AX/AB	Q	(QI)	Q	(QI)	Q	(QI)	Q	(QI)	Q	(QI)
0.	1.000(.)		1.000(.)		1.000(.)		1.000(.)		1.000(.)	
0.025	0.447(.018)		0.491(.019)		0.564(.020)		0.717(.021)		0.999(.025)	
0.050	0. (.024)		0. (.025)		0.005(.027)		0.124(.032)		0.995(.050)	
0.075	0. (.024)		0. (.025)		0. (.027)		0. (.034)		0.984(.075)	
0.100	0. (.024)		0. (.025)		0. (.027)		0. (.034)		0.965(.099)	
0.125	0. (.024)		0. (.025)		0. (.027)		0. (.034)		0.935(.123)	
0.150	0. (.024)		0. (.025)		0. (.027)		0. (.034)		0.890(.146)	
0.175	0. (.024)		0. (.025)		0. (.027)		0. (.034)		0.827(.167)	
0.200	0. (.024)		0. (.025)		0. (.027)		0. (.034)		0.743(.187)	
0.225	0. (.024)		0. (.025)		0. (.027)		0. (.034)		0.636(.204)	
0.250	0. (.024)		0. (.025)		0. (.027)		0. (.034)		0.507(.218)	
0.275	0. (.024)		0. (.025)		0. (.027)		0. (.034)		0.360(.229)	
0.300	0. (.024)		0. (.025)		0. (.027)		0. (.034)		0.209(.236)	
0.325	0. (.024)		0. (.025)		0. (.027)		0. (.034)		0.078(.240)	
0.350	0. (.024)		0. (.025)		0. (.027)		0. (.034)		0.006(.241)	
0.375	0. (.024)		0. (.025)		0. (.027)		0. (.034)		0. (.241)	
0.400	0. (.024)		0. (.025)		0. (.027)		0. (.034)		0. (.241)	
0.425	0. (.024)		0. (.025)		0. (.027)		0. (.034)		0. (.241)	
0.450	0. (.024)		0. (.025)		0. (.027)		0. (.034)		0. (.241)	
0.475	0. (.024)		0. (.025)		0. (.027)		0. (.034)		0. (.241)	
0.500	0. (.024)		0. (.025)		0. (.027)		0. (.034)		0. (.241)	
0.525	0. (.024)		0. (.025)		0. (.027)		0. (.034)		0. (.241)	
0.550	0. (.024)		0. (.025)		0. (.027)		0. (.034)		0. (.241)	
0.575	0. (.024)		0. (.025)		0. (.027)		0. (.034)		0. (.241)	
0.600	0. (.024)		0. (.025)		0. (.027)		0. (.034)		0. (.241)	
0.625	0. (.024)		0. (.025)		0. (.027)		0. (.034)		0. (.241)	
0.650	0. (.024)		0. (.025)		0. (.027)		0. (.034)		0. (.241)	
0.675	0. (.024)		0. (.025)		0. (.027)		0. (.034)		0. (.241)	
0.700	0. (.024)		0. (.025)		0. (.027)		0. (.034)		0. (.241)	
0.725	0. (.024)		0. (.025)		0. (.027)		0. (.034)		0. (.241)	
0.750	0. (.024)		0. (.025)		0. (.027)		0. (.034)		0. (.241)	
0.775	0. (.024)		0. (.025)		0. (.027)		0. (.034)		0. (.241)	
0.800	0. (.024)		0. (.025)		0. (.027)		0. (.034)		0. (.241)	
0.825	0. (.024)		0. (.025)		0. (.027)		0. (.034)		0. (.241)	
0.850	0. (.024)		0. (.025)		0. (.027)		0. (.034)		0. (.241)	
0.875	0. (.024)		0. (.025)		0. (.027)		0. (.034)		0. (.241)	
0.900	0. (.024)		0. (.025)		0. (.027)		0. (.034)		0. (.241)	
0.925	0. (.024)		0. (.025)		0. (.027)		0. (.034)		0. (.241)	
0.950	0. (.024)		0. (.025)		0. (.027)		0. (.034)		0. (.241)	
0.975	0.212(.026)		0.153(.027)		0.054(.027)		0. (.034)		0. (.241)	
1.000	1.000(.041)		1.000(.041)		1.000(.041)		1.000(.046)		0. (.241)	

RE-ORDER NO. 66-196
 App. A
 Phase 11

*** RELATIVE ENERGY FLUX DENSITY IN THE ***
 *** PENUMBRA OF A RECTANGULAR CYLINDER ***

VERSION D

SOLAR FIELD ANGLE, D= 0.50 DEGREES
 GEOMETRY D2/R = 50.00 AND H/R = 0.

BETA = ANGLE OF INCIDENCE, DEGREES

BETA ***	0.	10.00	20.00	30.00	40.00
AX/AB	Q (Q1)	Q (Q1)	Q (Q1)	Q (Q1)	Q (Q1)
0.	1.000(.)	1.000(.)	1.000(.)	1.000(.)	1.000(.)
0.025	0.966(.025)	0.967(.025)	0.967(.025)	0.967(.025)	0.968(.025)
0.050	0.839(.047)	0.841(.047)	0.843(.047)	0.845(.047)	0.847(.047)
0.075	0.636(.066)	0.639(.066)	0.643(.066)	0.646(.066)	0.651(.066)
0.100	0.402(.079)	0.406(.079)	0.410(.079)	0.415(.079)	0.421(.079)
0.125	0.190(.086)	0.193(.086)	0.197(.087)	0.202(.087)	0.208(.087)
0.150	0.048(.089)	0.050(.089)	0.053(.090)	0.055(.090)	0.059(.091)
0.175	0.000(.090)	0.001(.090)	0.001(.090)	0.001(.091)	0.002(.091)
0.200	0. (.090)	0. (.090)	0. (.090)	0. (.091)	0. (.091)
0.225	0. (.090)	0. (.090)	0. (.090)	0. (.091)	0. (.091)
0.250	0. (.090)	0. (.090)	0. (.090)	0. (.091)	0. (.091)
0.275	0. (.090)	0. (.090)	0. (.090)	0. (.091)	0. (.091)
0.300	0. (.090)	0. (.090)	0. (.090)	0. (.091)	0. (.091)
0.325	0. (.090)	0. (.090)	0. (.090)	0. (.091)	0. (.091)
0.350	0. (.090)	0. (.090)	0. (.090)	0. (.091)	0. (.091)
0.375	0. (.090)	0. (.090)	0. (.090)	0. (.091)	0. (.091)
0.400	0. (.090)	0. (.090)	0. (.090)	0. (.091)	0. (.091)
0.425	0. (.090)	0. (.090)	0. (.090)	0. (.091)	0. (.091)
0.450	0. (.090)	0. (.090)	0. (.090)	0. (.091)	0. (.091)
0.475	0. (.090)	0. (.090)	0. (.090)	0. (.091)	0. (.091)
0.500	0. (.090)	0. (.090)	0. (.090)	0. (.091)	0. (.091)
0.525	0. (.090)	0. (.090)	0. (.090)	0. (.091)	0. (.091)
0.550	0. (.090)	0. (.090)	0. (.090)	0. (.091)	0. (.091)
0.575	0. (.090)	0. (.090)	0. (.090)	0. (.091)	0. (.091)
0.600	0. (.090)	0. (.090)	0. (.090)	0. (.091)	0. (.091)
0.625	0. (.090)	0. (.090)	0. (.090)	0. (.091)	0. (.091)
0.650	0. (.090)	0. (.090)	0. (.090)	0. (.091)	0. (.091)
0.675	0. (.090)	0. (.090)	0. (.090)	0. (.091)	0. (.091)
0.700	0. (.090)	0. (.090)	0. (.090)	0. (.091)	0. (.091)
0.725	0. (.090)	0. (.090)	0. (.090)	0. (.091)	0. (.091)
0.750	0. (.090)	0. (.090)	0. (.090)	0. (.091)	0. (.091)
0.775	0. (.090)	0. (.090)	0. (.090)	0. (.091)	0. (.091)
0.800	0. (.090)	0. (.090)	0. (.090)	0. (.091)	0. (.091)
0.825	0.000(.090)	0.000(.090)	0.000(.090)	0.000(.091)	0.000(.091)
0.850	0.048(.090)	0.046(.090)	0.044(.091)	0.041(.091)	0.038(.092)
0.875	0.190(.093)	0.186(.093)	0.182(.094)	0.177(.094)	0.172(.094)
0.900	0.402(.101)	0.398(.101)	0.393(.101)	0.388(.101)	0.382(.101)
0.925	0.636(.113)	0.633(.114)	0.630(.114)	0.626(.114)	0.621(.114)
0.950	0.839(.132)	0.838(.132)	0.836(.132)	0.834(.132)	0.831(.132)
0.975	0.966(.154)	0.966(.154)	0.965(.155)	0.965(.155)	0.964(.155)
1.000	1.000(.179)	1.000(.179)	1.000(.179)	1.000(.179)	1.000(.179)

RE-ORDER NO. 66-196
 App 4.
 Phase 11

*** RELATIVE ENERGY FLUX DENSITY IN THE ***
 *** PENUMBRA OF A RECTANGULAR CYLINDER ***
 VERSION D

SOLAR FIELD ANGLE, D = 0.50 DEGREES
 GEOMETRY D2/R = 50.00 AND H/R = 0.

BETA = ANGLE OF INCIDENCE, DEGREES

BETA ***	50.00	60.00	70.00	80.00	89.25
AX/AB	Q (Q1)	Q (Q1)	Q (Q1)	Q (Q1)	Q (Q1)
0.	1.000(.)	1.000(.)	1.000(.)	1.000(.)	1.000(.)
0.025	0.969(.025)	0.970(.025)	0.972(.025)	0.977(.025)	1.000(.025)
0.050	0.850(.047)	0.855(.047)	0.863(.048)	0.884(.048)	0.997(.050)
0.075	0.657(.066)	0.666(.066)	0.682(.067)	0.725(.068)	0.991(.075)
0.100	0.428(.080)	0.440(.080)	0.463(.081)	0.523(.084)	0.981(.099)
0.125	0.215(.088)	0.227(.089)	0.249(.090)	0.313(.094)	0.966(.124)
0.150	0.064(.091)	0.071(.092)	0.087(.094)	0.137(.100)	0.942(.148)
0.175	0.002(.092)	0.004(.093)	0.008(.095)	0.028(.102)	0.910(.171)
0.200	0. (.092)	0. (.093)	0. (.096)	0. (.102)	0.868(.193)
0.225	0. (.092)	0. (.093)	0. (.096)	0. (.102)	0.813(.214)
0.250	0. (.092)	0. (.093)	0. (.096)	0. (.102)	0.745(.234)
0.275	0. (.092)	0. (.093)	0. (.096)	0. (.102)	0.662(.251)
0.300	0. (.092)	0. (.093)	0. (.096)	0. (.102)	0.564(.266)
0.325	0. (.092)	0. (.093)	0. (.096)	0. (.102)	0.454(.279)
0.350	0. (.092)	0. (.093)	0. (.096)	0. (.102)	0.334(.289)
0.375	0. (.092)	0. (.093)	0. (.096)	0. (.102)	0.213(.296)
0.400	0. (.092)	0. (.093)	0. (.096)	0. (.102)	0.105(.300)
0.425	0. (.092)	0. (.093)	0. (.096)	0. (.102)	0.028(.301)
0.450	0. (.092)	0. (.093)	0. (.096)	0. (.102)	0.000(.302)
0.475	0. (.092)	0. (.093)	0. (.096)	0. (.102)	0. (.302)
0.500	0. (.092)	0. (.093)	0. (.096)	0. (.102)	0. (.302)
0.525	0. (.092)	0. (.093)	0. (.096)	0. (.102)	0. (.302)
0.550	0. (.092)	0. (.093)	0. (.096)	0. (.102)	0. (.302)
0.575	0. (.092)	0. (.093)	0. (.096)	0. (.102)	0. (.302)
0.600	0. (.092)	0. (.093)	0. (.096)	0. (.102)	0. (.302)
0.625	0. (.092)	0. (.093)	0. (.096)	0. (.102)	0. (.302)
0.650	0. (.092)	0. (.093)	0. (.096)	0. (.102)	0. (.302)
0.675	0. (.092)	0. (.093)	0. (.096)	0. (.102)	0. (.302)
0.700	0. (.092)	0. (.093)	0. (.096)	0. (.102)	0. (.302)
0.725	0. (.092)	0. (.093)	0. (.096)	0. (.102)	0. (.302)
0.750	0. (.092)	0. (.093)	0. (.096)	0. (.102)	0. (.302)
0.775	0. (.092)	0. (.093)	0. (.096)	0. (.102)	0. (.302)
0.800	0. (.092)	0. (.093)	0. (.096)	0. (.102)	0. (.302)
0.825	0. (.092)	0. (.093)	0. (.096)	0. (.102)	0. (.302)
0.850	0.034(.093)	0.029(.094)	0.020(.096)	0.003(.102)	0. (.302)
0.875	0.165(.095)	0.154(.096)	0.133(.098)	0.080(.103)	0. (.302)
0.900	0.374(.102)	0.361(.102)	0.337(.104)	0.266(.108)	0. (.302)
0.925	0.614(.114)	0.604(.114)	0.584(.115)	0.522(.117)	0. (.302)
0.950	0.828(.132)	0.822(.132)	0.811(.133)	0.775(.134)	0. (.302)
0.975	0.963(.155)	0.962(.155)	0.959(.155)	0.950(.155)	0. (.302)
1.000	1.000(.179)	1.000(.179)	1.000(.179)	1.000(.180)	0. (.302)

6

3

2

D-8
 259

*** RELATIVE ENERGY FLUX DENSITY IN THE *** VERSION D
 *** PENUMBRA OF A RECTANGULAR CYLINDER ***

SOLAR FIELD ANGLE, D= 0.50 DEGREES
 GEOMETRY D2/R = 100.00 AND H/R = 0.

BETA = ANGLE OF INCIDENCE, DEGREES

BETA ***	D.	10.00	20.00	30.00	40.00
AX/AB	Q (Q1)	Q (Q1)	Q (Q1)	Q (Q1)	Q (Q1)
0.	1.000(.)	1.000(.)	1.000(.)	1.000(.)	1.000(.)
0.025	0.990(.025)	0.990(.025)	0.991(.025)	0.991(.025)	0.991(.025)
0.050	0.950(.049)	0.951(.049)	0.951(.049)	0.952(.049)	0.952(.049)
0.075	0.877(.072)	0.878(.072)	0.879(.072)	0.880(.072)	0.881(.072)
0.100	0.773(.093)	0.775(.093)	0.776(.093)	0.778(.093)	0.780(.093)
0.125	0.648(.110)	0.650(.110)	0.652(.111)	0.654(.111)	0.657(.111)
0.150	0.511(.125)	0.513(.125)	0.515(.125)	0.518(.125)	0.521(.126)
0.175	0.372(.136)	0.375(.136)	0.377(.136)	0.380(.137)	0.384(.137)
0.200	0.244(.144)	0.247(.144)	0.249(.144)	0.252(.144)	0.255(.145)
0.225	0.137(.146)	0.139(.149)	0.141(.149)	0.143(.149)	0.146(.150)
0.250	0.059(.151)	0.060(.151)	0.061(.152)	0.063(.152)	0.065(.152)
0.275	0.014(.152)	0.014(.152)	0.015(.152)	0.016(.153)	0.017(.154)
0.300	0.000(.152)	0.000(.152)	0.000(.153)	0.000(.153)	0.000(.154)
0.325	0. (.152)	0. (.152)	0. (.153)	0. (.153)	0. (.154)
0.350	0. (.152)	0. (.152)	0. (.153)	0. (.153)	0. (.154)
0.375	0. (.152)	0. (.152)	0. (.153)	0. (.153)	0. (.154)
0.400	0. (.152)	0. (.152)	0. (.153)	0. (.153)	0. (.154)
0.425	0. (.152)	0. (.152)	0. (.153)	0. (.153)	0. (.154)
0.450	0. (.152)	0. (.152)	0. (.153)	0. (.153)	0. (.154)
0.475	0. (.152)	0. (.152)	0. (.153)	0. (.153)	0. (.154)
0.500	0. (.152)	0. (.152)	0. (.153)	0. (.153)	0. (.154)
0.525	0. (.152)	0. (.152)	0. (.153)	0. (.153)	0. (.154)
0.550	0. (.152)	0. (.152)	0. (.153)	0. (.153)	0. (.154)
0.575	0. (.152)	0. (.152)	0. (.153)	0. (.153)	0. (.154)
0.600	0. (.152)	0. (.152)	0. (.153)	0. (.153)	0. (.154)
0.625	0. (.152)	0. (.152)	0. (.153)	0. (.153)	0. (.154)
0.650	0. (.152)	0. (.152)	0. (.153)	0. (.153)	0. (.154)
0.675	0. (.152)	0. (.152)	0. (.153)	0. (.153)	0. (.154)
0.700	0.000(.152)	0.000(.152)	0.000(.153)	0.000(.153)	0.000(.154)
0.725	0.014(.152)	0.013(.152)	0.012(.153)	0.012(.153)	0.011(.154)
0.750	0.059(.153)	0.057(.153)	0.056(.154)	0.054(.154)	0.053(.155)
0.775	0.137(.155)	0.135(.156)	0.133(.156)	0.131(.156)	0.128(.157)
0.800	0.244(.160)	0.242(.160)	0.240(.161)	0.237(.161)	0.234(.161)
0.825	0.372(.168)	0.370(.168)	0.367(.168)	0.364(.169)	0.361(.169)
0.850	0.511(.179)	0.508(.179)	0.506(.179)	0.503(.179)	0.500(.180)
0.875	0.648(.193)	0.646(.193)	0.644(.194)	0.642(.194)	0.639(.194)
0.900	0.773(.211)	0.772(.211)	0.770(.211)	0.769(.211)	0.767(.211)
0.925	0.877(.232)	0.876(.232)	0.875(.232)	0.874(.232)	0.873(.232)
0.950	0.950(.255)	0.950(.255)	0.950(.255)	0.949(.255)	0.949(.255)
0.975	0.990(.279)	0.990(.279)	0.990(.279)	0.990(.279)	0.990(.279)
1.000	1.000(.304)	1.000(.304)	1.000(.304)	1.000(.304)	1.000(.304)

RE-ORDER No. 66-196
Phase II

*** RELATIVE ENERGY FLUX DENSITY IN THE ***
 *** PENUMBRA OF A RECTANGULAR CYLINDER ***

VERSION D

SOLAR FIELD ANGLE, $D = 0.50$ DEGREES
 GEOMETRY $D2/R = 100.00$ AND $H/R = 0.$

BETA = ANGLE OF INCIDENCE, DEGREES

BETA ***	50.00	60.00	70.00	80.00	89.25
AX/AB	Q (Q1)	Q (Q1)	Q (Q1)	Q (Q1)	Q (Q1)
0.	1.000(.)	1.000(.)	1.000(.)	1.000(.)	1.000(.025)
0.025	0.991(.025)	0.991(.025)	0.992(.025)	0.993(.025)	0.998(.050)
0.050	0.953(.049)	0.954(.049)	0.956(.049)	0.961(.049)	0.995(.075)
0.075	0.882(.072)	0.885(.072)	0.889(.072)	0.901(.073)	0.988(.100)
0.100	0.783(.093)	0.787(.093)	0.794(.093)	0.814(.094)	0.978(.124)
0.125	0.661(.111)	0.666(.111)	0.677(.112)	0.705(.113)	0.964(.149)
0.150	0.525(.126)	0.533(.126)	0.545(.127)	0.580(.129)	0.945(.172)
0.175	0.389(.137)	0.396(.138)	0.410(.139)	0.449(.142)	0.919(.196)
0.200	0.260(.145)	0.267(.146)	0.280(.148)	0.319(.152)	0.886(.218)
0.225	0.150(.150)	0.156(.151)	0.168(.153)	0.202(.158)	0.845(.240)
0.250	0.068(.153)	0.072(.154)	0.080(.156)	0.107(.162)	0.794(.260)
0.275	0.018(.154)	0.020(.155)	0.025(.158)	0.040(.164)	0.734(.279)
0.300	0.000(.154)	0.001(.156)	0.002(.158)	0.006(.164)	0.663(.297)
0.325	0. (.154)	0. (.156)	0. (.158)	0. (.164)	0.582(.313)
0.350	0. (.154)	0. (.156)	0. (.158)	0. (.164)	0.491(.326)
0.375	0. (.154)	0. (.156)	0. (.158)	0. (.164)	0.392(.337)
0.400	0. (.154)	0. (.156)	0. (.158)	0. (.164)	0.290(.345)
0.425	0. (.154)	0. (.156)	0. (.158)	0. (.164)	0.189(.351)
0.450	0. (.154)	0. (.156)	0. (.158)	0. (.164)	0.100(.355)
0.475	0. (.154)	0. (.156)	0. (.158)	0. (.164)	0.033(.357)
0.500	0. (.154)	0. (.156)	0. (.158)	0. (.164)	0.002(.357)
0.525	0. (.154)	0. (.156)	0. (.158)	0. (.164)	0. (.357)
0.550	0. (.154)	0. (.156)	0. (.158)	0. (.164)	0. (.357)
0.575	0. (.154)	0. (.156)	0. (.158)	0. (.164)	0. (.357)
0.600	0. (.154)	0. (.156)	0. (.158)	0. (.164)	0. (.357)
0.625	0. (.154)	0. (.156)	0. (.158)	0. (.164)	0. (.357)
0.650	0. (.154)	0. (.156)	0. (.158)	0. (.164)	0. (.357)
0.675	0. (.154)	0. (.156)	0. (.158)	0. (.164)	0. (.357)
0.700	0.000(.154)	0. (.156)	0. (.158)	0.001(.164)	0. (.357)
0.725	0.010(.155)	0.008(.156)	0.006(.158)	0.024(.165)	0. (.357)
0.750	0.050(.155)	0.046(.156)	0.040(.159)	0.082(.166)	0. (.357)
0.775	0.124(.158)	0.119(.159)	0.109(.160)	0.174(.169)	0. (.357)
0.800	0.229(.162)	0.222(.163)	0.209(.164)	0.295(.175)	0. (.357)
0.825	0.355(.169)	0.349(.170)	0.335(.171)	0.435(.184)	0. (.357)
0.850	0.495(.180)	0.488(.180)	0.475(.181)	0.583(.197)	0. (.357)
0.875	0.635(.194)	0.629(.194)	0.617(.195)	0.725(.213)	0. (.357)
0.900	0.764(.212)	0.759(.212)	0.751(.212)	0.846(.233)	0. (.357)
0.925	0.871(.232)	0.868(.232)	0.863(.232)	0.937(.255)	0.045(.358)
0.950	0.948(.255)	0.947(.255)	0.944(.255)	0.987(.279)	0.415(.364)
0.975	0.990(.279)	0.990(.279)	0.989(.279)	1.000(.304)	1.000(.381)
1.000	1.000(.304)	1.000(.304)	1.000(.304)		

A. M. G. P. H. S. II

*** RELATIVE ENERGY FLUX DENSITY IN THE ***
 *** PENUMBRA OF A RECTANGULAR CYLINDER ***

VERSION D

SOLAR FIELD ANGLE, $D = 0.50$ DEGREES
 GEOMETRY $D2/R = 1.00$ AND $H/R = 0.5$

BETA = ANGLE OF INCIDENCE, DEGREES

BETA ***	D.	10.00	20.00	30.00	40.00
AX/AB	Q (Q1)	Q (Q1)	Q (Q1)	Q (Q1)	Q (Q1)
0.	1.000(.)	1.000(.)	1.000(.)	1.000(.)	1.000(.)
0.025	0. (.012)	0. (.012)	0. (.012)	0. (.012)	0. (.012)
0.050	0. (.012)	0. (.012)	0. (.012)	0. (.012)	0. (.012)
0.075	0. (.012)	0. (.012)	0. (.012)	0. (.012)	0. (.012)
0.100	0. (.012)	0. (.012)	0. (.012)	0. (.012)	0. (.012)
0.125	0. (.012)	0. (.012)	0. (.012)	0. (.012)	0. (.012)
0.150	0. (.012)	0. (.012)	0. (.012)	0. (.012)	0. (.012)
0.175	0. (.012)	0. (.012)	0. (.012)	0. (.012)	0. (.012)
0.200	0. (.012)	0. (.012)	0. (.012)	0. (.012)	0. (.012)
0.225	0. (.012)	0. (.012)	0. (.012)	0. (.012)	0. (.012)
0.250	0. (.012)	0. (.012)	0. (.012)	0. (.012)	0. (.012)
0.275	0. (.012)	0. (.012)	0. (.012)	0. (.012)	0. (.012)
0.300	0. (.012)	0. (.012)	0. (.012)	0. (.012)	0. (.012)
0.325	0. (.012)	0. (.012)	0. (.012)	0. (.012)	0. (.012)
0.350	0. (.012)	0. (.012)	0. (.012)	0. (.012)	0. (.012)
0.375	0. (.012)	0. (.012)	0. (.012)	0. (.012)	0. (.012)
0.400	0. (.012)	0. (.012)	0. (.012)	0. (.012)	0. (.012)
0.425	0. (.012)	0. (.012)	0. (.012)	0. (.012)	0. (.012)
0.450	0. (.012)	0. (.012)	0. (.012)	0. (.012)	0. (.012)
0.475	0. (.012)	0. (.012)	0. (.012)	0. (.012)	0. (.012)
0.500	0. (.012)	0. (.012)	0. (.012)	0. (.012)	0. (.012)
0.525	0. (.012)	0. (.012)	0. (.012)	0. (.012)	0. (.012)
0.550	0. (.012)	0. (.012)	0. (.012)	0. (.012)	0. (.012)
0.575	0. (.012)	0. (.012)	0. (.012)	0. (.012)	0. (.012)
0.600	0. (.012)	0. (.012)	0. (.012)	0. (.012)	0. (.012)
0.625	0. (.012)	0. (.012)	0. (.012)	0. (.012)	0. (.012)
0.650	0. (.012)	0. (.012)	0. (.012)	0. (.012)	0. (.012)
0.675	0. (.012)	0. (.012)	0. (.012)	0. (.012)	0. (.012)
0.700	0. (.012)	0. (.012)	0. (.012)	0. (.012)	0. (.012)
0.725	0. (.012)	0. (.012)	0. (.012)	0. (.012)	0. (.012)
0.750	0. (.012)	0. (.012)	0. (.012)	0. (.012)	0. (.012)
0.775	0. (.012)	0. (.012)	0. (.012)	0. (.012)	0. (.012)
0.800	0. (.012)	0. (.012)	0. (.012)	0. (.012)	0. (.012)
0.825	0. (.012)	0. (.012)	0. (.012)	0. (.012)	0. (.012)
0.850	0. (.012)	0. (.012)	0. (.012)	0. (.012)	0. (.012)
0.875	0. (.012)	0. (.012)	0. (.012)	0. (.012)	0. (.012)
0.900	0. (.012)	0. (.012)	0. (.012)	0. (.012)	0. (.012)
0.925	0. (.012)	0. (.012)	0. (.012)	0. (.012)	0. (.012)
0.950	0. (.012)	0. (.012)	0. (.012)	0. (.012)	0. (.012)
0.975	0. (.012)	0. (.012)	0. (.012)	0. (.012)	0. (.012)
1.000	1.000(.025)	1.000(.025)	1.000(.025)	1.000(.025)	1.000(.025)

App. II

*** RELATIVE ENERGY FLUX DENSITY IN THE ***
*** PENUMBRA OF A RECTANGULAR CYLINDER ***

VERSION D

SOLAR FIELD ANGLE, $D = 0.50$ DEGREES
GEOMETRY $D2/R = 1.00$ AND $H/R = 0.5$

BETA = ANGLE OF INCIDENCE, DEGREES

BETA ***	50.00		60.00		70.00		80.00		89.25	
AX/AB	Q	Q(I)	Q	Q(I)	Q	Q(I)	Q	Q(I)	Q	Q(I)
0.	1.000(.)		1.000(.)		1.000(.)		1.000(.)		1.000(.)	
0.025	0.	(.012)	0.	(.012)	0.	(.012)	0.044(.013)		0.999(.025)	
0.050	0.	(.012)	0.	(.012)	0.	(.012)	0.	(.014)	0.994(.050)	
0.075	0.	(.012)	0.	(.012)	0.	(.012)	0.	(.014)	0.981(.075)	
0.100	0.	(.012)	0.	(.012)	0.	(.012)	0.	(.014)	0.958(.099)	
0.125	0.	(.012)	0.	(.012)	0.	(.012)	0.	(.014)	0.921(.122)	
0.150	0.	(.012)	0.	(.012)	0.	(.012)	0.	(.014)	0.866(.145)	
0.175	0.	(.012)	0.	(.012)	0.	(.012)	0.	(.014)	0.788(.165)	
0.200	0.	(.012)	0.	(.012)	0.	(.012)	0.	(.014)	0.686(.184)	
0.225	0.	(.012)	0.	(.012)	0.	(.012)	0.	(.014)	0.557(.199)	
0.250	0.	(.012)	0.	(.012)	0.	(.012)	0.	(.014)	0.403(.211)	
0.275	0.	(.012)	0.	(.012)	0.	(.012)	0.	(.014)	0.239(.219)	
0.300	0.	(.012)	0.	(.012)	0.	(.012)	0.	(.014)	0.092(.223)	
0.325	0.	(.012)	0.	(.012)	0.	(.012)	0.	(.014)	0.007(.225)	
0.350	0.	(.012)	0.	(.012)	0.	(.012)	0.	(.014)	0.	(.225)
0.375	0.	(.012)	0.	(.012)	0.	(.012)	0.	(.014)	0.	(.225)
0.400	0.	(.012)	0.	(.012)	0.	(.012)	0.	(.014)	0.	(.225)
0.425	0.	(.012)	0.	(.012)	0.	(.012)	0.	(.014)	0.	(.225)
0.450	0.	(.012)	0.	(.012)	0.	(.012)	0.	(.014)	0.	(.225)
0.475	0.	(.012)	0.	(.012)	0.	(.012)	0.	(.014)	0.	(.225)
0.500	0.	(.012)	0.	(.012)	0.	(.012)	0.	(.014)	0.	(.225)
0.525	0.	(.012)	0.	(.012)	0.	(.012)	0.	(.014)	0.	(.225)
0.550	0.	(.012)	0.	(.012)	0.	(.012)	0.	(.014)	0.	(.225)
0.575	0.	(.012)	0.	(.012)	0.	(.012)	0.	(.014)	0.	(.225)
0.600	0.	(.012)	0.	(.012)	0.	(.012)	0.	(.014)	0.	(.225)
0.625	0.	(.012)	0.	(.012)	0.	(.012)	0.	(.014)	0.	(.225)
0.650	0.	(.012)	0.	(.012)	0.	(.012)	0.	(.014)	0.	(.225)
0.675	0.	(.012)	0.	(.012)	0.	(.012)	0.	(.014)	0.	(.225)
0.700	0.	(.012)	0.	(.012)	0.	(.012)	0.	(.014)	0.	(.225)
0.725	0.	(.012)	0.	(.012)	0.	(.012)	0.	(.014)	0.	(.225)
0.750	0.	(.012)	0.	(.012)	0.	(.012)	0.	(.014)	0.	(.225)
0.775	0.	(.012)	0.	(.012)	0.	(.012)	0.	(.014)	0.	(.225)
0.800	0.	(.012)	0.	(.012)	0.	(.012)	0.	(.014)	0.	(.225)
0.825	0.	(.012)	0.	(.012)	0.	(.012)	0.	(.014)	0.	(.225)
0.850	0.	(.012)	0.	(.012)	0.	(.012)	0.	(.014)	0.	(.225)
0.875	0.	(.012)	0.	(.012)	0.	(.012)	0.	(.014)	0.	(.225)
0.900	0.	(.012)	0.	(.012)	0.	(.012)	0.	(.014)	0.	(.225)
0.925	0.	(.012)	0.	(.012)	0.	(.012)	0.	(.014)	0.	(.225)
0.950	0.	(.012)	0.	(.012)	0.	(.012)	0.	(.014)	0.	(.225)
0.975	0.	(.012)	0.	(.012)	0.	(.012)	0.	(.014)	0.	(.225)
1.000	0.	(.012)	0.	(.012)	0.	(.012)	0.	(.014)	0.	(.225)

5

3

2

RE-ORDER NO. 66-146
APP. A
Page 11

*** RELATIVE ENERGY FLUX DENSITY IN THE ***
 *** PENUMBRA OF A RECTANGULAR CYLINDER ***

VERSION D

SOLAR FIELD ANGLE, D = 0.50 DEGREES
 GEOMETRY D2/R = 5.00 AND H/R = 0.5

BETA = ANGLE OF INCIDENCE, DEGREES

BETA ***	0.		10.00		20.00		30.00		40.00	
AX/AB	Q	(Q1)	Q	(Q1)	Q	(Q1)	Q	(Q1)	Q	(Q1)
0.	1.000(.)	1.000(.)	1.000(.)	1.000(.)	1.000(.)
0.025	0.	(.012)	0.	(.012)	0.	(.012)	0.	(.012)	0.	(.012)
0.050	0.	(.012)	0.	(.012)	0.	(.012)	0.	(.012)	0.	(.012)
0.075	0.	(.012)	0.	(.012)	0.	(.012)	0.	(.012)	0.	(.012)
0.100	0.	(.012)	0.	(.012)	0.	(.012)	0.	(.012)	0.	(.012)
0.125	0.	(.012)	0.	(.012)	0.	(.012)	0.	(.012)	0.	(.012)
0.150	0.	(.012)	0.	(.012)	0.	(.012)	0.	(.012)	0.	(.012)
0.175	0.	(.012)	0.	(.012)	0.	(.012)	0.	(.012)	0.	(.012)
0.200	0.	(.012)	0.	(.012)	0.	(.012)	0.	(.012)	0.	(.012)
0.225	0.	(.012)	0.	(.012)	0.	(.012)	0.	(.012)	0.	(.012)
0.250	0.	(.012)	0.	(.012)	0.	(.012)	0.	(.012)	0.	(.012)
0.275	0.	(.012)	0.	(.012)	0.	(.012)	0.	(.012)	0.	(.012)
0.300	0.	(.012)	0.	(.012)	0.	(.012)	0.	(.012)	0.	(.012)
0.325	0.	(.012)	0.	(.012)	0.	(.012)	0.	(.012)	0.	(.012)
0.350	0.	(.012)	0.	(.012)	0.	(.012)	0.	(.012)	0.	(.012)
0.375	0.	(.012)	0.	(.012)	0.	(.012)	0.	(.012)	0.	(.012)
0.400	0.	(.012)	0.	(.012)	0.	(.012)	0.	(.012)	0.	(.012)
0.425	0.	(.012)	0.	(.012)	0.	(.012)	0.	(.012)	0.	(.012)
0.450	0.	(.012)	0.	(.012)	0.	(.012)	0.	(.012)	0.	(.012)
0.475	0.	(.012)	0.	(.012)	0.	(.012)	0.	(.012)	0.	(.012)
0.500	0.	(.012)	0.	(.012)	0.	(.012)	0.	(.012)	0.	(.012)
0.525	0.	(.012)	0.	(.012)	0.	(.012)	0.	(.012)	0.	(.012)
0.550	0.	(.012)	0.	(.012)	0.	(.012)	0.	(.012)	0.	(.012)
0.575	0.	(.012)	0.	(.012)	0.	(.012)	0.	(.012)	0.	(.012)
0.600	0.	(.012)	0.	(.012)	0.	(.012)	0.	(.012)	0.	(.012)
0.625	0.	(.012)	0.	(.012)	0.	(.012)	0.	(.012)	0.	(.012)
0.650	0.	(.012)	0.	(.012)	0.	(.012)	0.	(.012)	0.	(.012)
0.675	0.	(.012)	0.	(.012)	0.	(.012)	0.	(.012)	0.	(.012)
0.700	0.	(.012)	0.	(.012)	0.	(.012)	0.	(.012)	0.	(.012)
0.725	0.	(.012)	0.	(.012)	0.	(.012)	0.	(.012)	0.	(.012)
0.750	0.	(.012)	0.	(.012)	0.	(.012)	0.	(.012)	0.	(.012)
0.775	0.	(.012)	0.	(.012)	0.	(.012)	0.	(.012)	0.	(.012)
0.800	0.	(.012)	0.	(.012)	0.	(.012)	0.	(.012)	0.	(.012)
0.825	0.	(.012)	0.	(.012)	0.	(.012)	0.	(.012)	0.	(.012)
0.850	0.	(.012)	0.	(.012)	0.	(.012)	0.	(.012)	0.	(.012)
0.875	0.	(.012)	0.	(.012)	0.	(.012)	0.	(.012)	0.	(.012)
0.900	0.	(.012)	0.	(.012)	0.	(.012)	0.	(.012)	0.	(.012)
0.925	0.	(.012)	0.	(.012)	0.	(.012)	0.	(.012)	0.	(.012)
0.950	0.	(.012)	0.	(.012)	0.	(.012)	0.	(.012)	0.	(.012)
0.975	0.	(.012)	0.	(.012)	0.	(.012)	0.	(.012)	0.	(.012)
1.000	1.000(.025)		1.000(.025)		1.000(.025)		1.000(.025)		1.000(.025)	

RE-ORDER No. 66-196
 App A
 Phase 11

*** RELATIVE ENERGY FLUX DENSITY IN THE ***
 *** PENUMBRA OF A RECTANGULAR CYLINDER ***

VERSION D

SOLAR FIELD ANGLE, D= 0.50 DEGREES
 GEOMETRY D2/R = 5.00 AND H/R = 0.5

BETA = ANGLE OF INCIDENCE, DEGREES

BETA ***	50.00	60.00	70.00	80.00	89.25
AX/AB	Q (Q1)	Q (Q1)	Q (Q1)	Q (Q1)	Q (Q1)
0.	1.000(.)	1.000(.)	1.000(.)	1.000(.)	1.000(.)
0.025	0.004(.013)	0.035(.013)	0.145(.014)	0.480(.019)	0.999(.025)
0.050	0. (.013)	0. (.013)	0. (.016)	0. (.025)	0.994(.050)
0.075	0. (.013)	0. (.013)	0. (.016)	0. (.025)	0.983(.075)
0.100	0. (.013)	0. (.013)	0. (.016)	0. (.025)	0.962(.099)
0.125	0. (.013)	0. (.013)	0. (.016)	0. (.025)	0.928(.123)
0.150	0. (.013)	0. (.013)	0. (.016)	0. (.025)	0.878(.145)
0.175	0. (.013)	0. (.013)	0. (.016)	0. (.025)	0.808(.166)
0.200	0. (.013)	0. (.013)	0. (.016)	0. (.025)	0.715(.185)
0.225	0. (.013)	0. (.013)	0. (.016)	0. (.025)	0.597(.202)
0.250	0. (.013)	0. (.013)	0. (.016)	0. (.025)	0.455(.215)
0.275	0. (.013)	0. (.013)	0. (.016)	0. (.025)	0.298(.224)
0.300	0. (.013)	0. (.013)	0. (.016)	0. (.025)	0.144(.230)
0.325	0. (.013)	0. (.013)	0. (.016)	0. (.025)	0.032(.232)
0.350	0. (.013)	0. (.013)	0. (.016)	0. (.025)	0. (.232)
0.375	0. (.013)	0. (.013)	0. (.016)	0. (.025)	0. (.232)
0.400	0. (.013)	0. (.013)	0. (.016)	0. (.025)	0. (.232)
0.425	0. (.013)	0. (.013)	0. (.016)	0. (.025)	0. (.232)
0.450	0. (.013)	0. (.013)	0. (.016)	0. (.025)	0. (.232)
0.475	0. (.013)	0. (.013)	0. (.016)	0. (.025)	0. (.232)
0.500	0. (.013)	0. (.013)	0. (.016)	0. (.025)	0. (.232)
0.525	0. (.013)	0. (.013)	0. (.016)	0. (.025)	0. (.232)
0.550	0. (.013)	0. (.013)	0. (.016)	0. (.025)	0. (.232)
0.575	0. (.013)	0. (.013)	0. (.016)	0. (.025)	0. (.232)
0.600	0. (.013)	0. (.013)	0. (.016)	0. (.025)	0. (.232)
0.625	0. (.013)	0. (.013)	0. (.016)	0. (.025)	0. (.232)
0.650	0. (.013)	0. (.013)	0. (.016)	0. (.025)	0. (.232)
0.675	0. (.013)	0. (.013)	0. (.016)	0. (.025)	0. (.232)
0.700	0. (.013)	0. (.013)	0. (.016)	0. (.025)	0. (.232)
0.725	0. (.013)	0. (.013)	0. (.016)	0. (.025)	0. (.232)
0.750	0. (.013)	0. (.013)	0. (.016)	0. (.025)	0. (.232)
0.775	0. (.013)	0. (.013)	0. (.016)	0. (.025)	0. (.232)
0.800	0. (.013)	0. (.013)	0. (.016)	0. (.025)	0. (.232)
0.825	0. (.013)	0. (.013)	0. (.016)	0. (.025)	0. (.232)
0.850	0. (.013)	0. (.013)	0. (.016)	0. (.025)	0. (.232)
0.875	0. (.013)	0. (.013)	0. (.016)	0. (.025)	0. (.232)
0.900	0. (.013)	0. (.013)	0. (.016)	0. (.025)	0. (.232)
0.925	0. (.013)	0. (.013)	0. (.016)	0. (.025)	0. (.232)
0.950	0. (.013)	0. (.013)	0. (.016)	0. (.025)	0. (.232)
0.975	0. (.013)	0. (.013)	0. (.016)	0. (.025)	0. (.232)
1.000	1.000(.025)	1.000(.026)	1.000(.029)	0. (.025)	0. (.232)

3
2

D-14
265

*** RELATIVE ENERGY FLUX DENSITY IN THE ***
 *** PENUMBRA OF A RECTANGULAR CYLINDER ***
 VERSION D

SOLAR FIELD ANGLE, $D = 0.50$ DEGREES
 GEOMETRY $D2/R = 10.00$ AND $H/R = 0.5$

BETA = ANGLE OF INCIDENCE, DEGREES

BETA ***	0.	10.00	20.00	30.00	40.00
AX/AB	Q (Q1)	Q (Q1)	Q (Q1)	Q (Q1)	Q (Q1)
0.	1.000(.)	1.000(.)	1.000(.)	1.000(.)	1.000(.)
0.025	0.369(.017)	0.387(.017)	0.406(.018)	0.427(.018)	0.451(.018)
0.050	0. (.022)	0. (.022)	0. (.023)	0. (.023)	0. (.024)
0.075	0. (.022)	0. (.022)	0. (.023)	0. (.023)	0. (.024)
0.100	0. (.022)	0. (.022)	0. (.023)	0. (.023)	0. (.024)
0.125	0. (.022)	0. (.022)	0. (.023)	0. (.023)	0. (.024)
0.150	0. (.022)	0. (.022)	0. (.023)	0. (.023)	0. (.024)
0.175	0. (.022)	0. (.022)	0. (.023)	0. (.023)	0. (.024)
0.200	0. (.022)	0. (.022)	0. (.023)	0. (.023)	0. (.024)
0.225	0. (.022)	0. (.022)	0. (.023)	0. (.023)	0. (.024)
0.250	0. (.022)	0. (.022)	0. (.023)	0. (.023)	0. (.024)
0.275	0. (.022)	0. (.022)	0. (.023)	0. (.023)	0. (.024)
0.300	0. (.022)	0. (.022)	0. (.023)	0. (.023)	0. (.024)
0.325	0. (.022)	0. (.022)	0. (.023)	0. (.023)	0. (.024)
0.350	0. (.022)	0. (.022)	0. (.023)	0. (.023)	0. (.024)
0.375	0. (.022)	0. (.022)	0. (.023)	0. (.023)	0. (.024)
0.400	0. (.022)	0. (.022)	0. (.023)	0. (.023)	0. (.024)
0.425	0. (.022)	0. (.022)	0. (.023)	0. (.023)	0. (.024)
0.450	0. (.022)	0. (.022)	0. (.023)	0. (.023)	0. (.024)
0.475	0. (.022)	0. (.022)	0. (.023)	0. (.023)	0. (.024)
0.500	0. (.022)	0. (.022)	0. (.023)	0. (.023)	0. (.024)
0.525	0. (.022)	0. (.022)	0. (.023)	0. (.023)	0. (.024)
0.550	0. (.022)	0. (.022)	0. (.023)	0. (.023)	0. (.024)
0.575	0. (.022)	0. (.022)	0. (.023)	0. (.023)	0. (.024)
0.600	0. (.022)	0. (.022)	0. (.023)	0. (.023)	0. (.024)
0.625	0. (.022)	0. (.022)	0. (.023)	0. (.023)	0. (.024)
0.650	0. (.022)	0. (.022)	0. (.023)	0. (.023)	0. (.024)
0.675	0. (.022)	0. (.022)	0. (.023)	0. (.023)	0. (.024)
0.700	0. (.022)	0. (.022)	0. (.023)	0. (.023)	0. (.024)
0.725	0. (.022)	0. (.022)	0. (.023)	0. (.023)	0. (.024)
0.750	0. (.022)	0. (.022)	0. (.023)	0. (.023)	0. (.024)
0.775	0. (.022)	0. (.022)	0. (.023)	0. (.023)	0. (.024)
0.800	0. (.022)	0. (.022)	0. (.023)	0. (.023)	0. (.024)
0.825	0. (.022)	0. (.022)	0. (.023)	0. (.023)	0. (.024)
0.850	0. (.022)	0. (.022)	0. (.023)	0. (.023)	0. (.024)
0.875	0. (.022)	0. (.022)	0. (.023)	0. (.023)	0. (.024)
0.900	0. (.022)	0. (.022)	0. (.023)	0. (.023)	0. (.024)
0.925	0. (.022)	0. (.022)	0. (.023)	0. (.023)	0. (.024)
0.950	0. (.022)	0. (.022)	0. (.023)	0. (.023)	0. (.024)
0.975	0.369(.026)	0.350(.027)	0.330(.027)	0.307(.027)	0.277(.027)
1.000	1.000(.043)	1.000(.043)	1.000(.043)	1.000(.043)	1.000(.043)

*** RELATIVE ENERGY FLUX DENSITY IN THE ***
 *** PENUMBRA OF A RECTANGULAR CYLINDER ***

VERSION D

SOLAR FIELD ANGLE, D= 0.50 DEGREES
 GEOMETRY D2/R = 10.00 AND H/R = 0.5

BETA = ANGLE OF INCIDENCE, DEGREES

BETA ***	50.00		60.00		70.00		80.00		89.25	
AX/AB	Q	(Q1)	Q	(Q1)	Q	(Q1)	Q	(Q1)	Q	(Q1)
0.	1.000(.)		1.000(.)		1.000(.)		1.000(.)		1.000(.)	
0.025	0.482(.019)		0.525(.019)		0.592(.020)		0.733(.022)		0.999(.025)	
0.050	0. (.025)		0. (.026)		0.005(.027)		0.132(.032)		0.995(.050)	
0.075	0. (.025)		0. (.026)		0. (.027)		0. (.034)		0.984(.075)	
0.100	0. (.025)		0. (.026)		0. (.027)		0. (.034)		0.966(.099)	
0.125	0. (.025)		0. (.026)		0. (.027)		0. (.034)		0.935(.123)	
0.150	0. (.025)		0. (.026)		0. (.027)		0. (.034)		0.891(.146)	
0.175	0. (.025)		0. (.026)		0. (.027)		0. (.034)		0.828(.167)	
0.200	0. (.025)		0. (.026)		0. (.027)		0. (.034)		0.745(.187)	
0.225	0. (.025)		0. (.026)		0. (.027)		0. (.034)		0.640(.204)	
0.250	0. (.025)		0. (.026)		0. (.027)		0. (.034)		0.511(.218)	
0.275	0. (.025)		0. (.026)		0. (.027)		0. (.034)		0.364(.229)	
0.300	0. (.025)		0. (.026)		0. (.027)		0. (.034)		0.211(.237)	
0.325	0. (.025)		0. (.026)		0. (.027)		0. (.034)		0.079(.240)	
0.350	0. (.025)		0. (.026)		0. (.027)		0. (.034)		0.006(.241)	
0.375	0. (.025)		0. (.026)		0. (.027)		0. (.034)		0. (.241)	
0.400	0. (.025)		0. (.026)		0. (.027)		0. (.034)		0. (.241)	
0.425	0. (.025)		0. (.026)		0. (.027)		0. (.034)		0. (.241)	
0.450	0. (.025)		0. (.026)		0. (.027)		0. (.034)		0. (.241)	
0.475	0. (.025)		0. (.026)		0. (.027)		0. (.034)		0. (.241)	
0.500	0. (.025)		0. (.026)		0. (.027)		0. (.034)		0. (.241)	
0.525	0. (.025)		0. (.026)		0. (.027)		0. (.034)		0. (.241)	
0.550	0. (.025)		0. (.026)		0. (.027)		0. (.034)		0. (.241)	
0.575	0. (.025)		0. (.026)		0. (.027)		0. (.034)		0. (.241)	
0.600	0. (.025)		0. (.026)		0. (.027)		0. (.034)		0. (.241)	
0.625	0. (.025)		0. (.026)		0. (.027)		0. (.034)		0. (.241)	
0.650	0. (.025)		0. (.026)		0. (.027)		0. (.034)		0. (.241)	
0.675	0. (.025)		0. (.026)		0. (.027)		0. (.034)		0. (.241)	
0.700	0. (.025)		0. (.026)		0. (.027)		0. (.034)		0. (.241)	
0.725	0. (.025)		0. (.026)		0. (.027)		0. (.034)		0. (.241)	
0.750	0. (.025)		0. (.026)		0. (.027)		0. (.034)		0. (.241)	
0.775	0. (.025)		0. (.026)		0. (.027)		0. (.034)		0. (.241)	
0.800	0. (.025)		0. (.026)		0. (.027)		0. (.034)		0. (.241)	
0.825	0. (.025)		0. (.026)		0. (.027)		0. (.034)		0. (.241)	
0.850	0. (.025)		0. (.026)		0. (.027)		0. (.034)		0. (.241)	
0.875	0. (.025)		0. (.026)		0. (.027)		0. (.034)		0. (.241)	
0.900	0. (.025)		0. (.026)		0. (.027)		0. (.034)		0. (.241)	
0.925	0. (.025)		0. (.026)		0. (.027)		0. (.034)		0. (.241)	
0.950	0. (.025)		0. (.026)		0. (.027)		0. (.034)		0. (.241)	
0.975	0.235(.028)		0.173(.028)		0.062(.028)		0. (.034)		0. (.241)	
1.000	1.000(.043)		1.000(.042)		1.000(.041)		1.000(.047)		0. (.241)	

*App. 4
Phase II*

*** RELATIVE ENERGY FLUX DENSITY IN THE ***
 *** PENUMBRA OF A RECTANGULAR CYLINDER ***

VERSION D

SOLAR FIELD ANGLE, D = 0.50 DEGREES
 GEOMETRY D2/R = 50.00 AND H/R = 0.5

BETA = ANGLE OF INCIDENCE, DEGREES

BETA ***	0.	10.00	20.00	30.00	40.00
AX/AB	Q (Q1)	Q (Q1)	Q (Q1)	Q (Q1)	Q (Q1)
0.	1.000(.)	1.000(.)	1.000(.)	1.000(.)	1.000(.)
0.025	0.967(.025)	0.967(.025)	0.968(.025)	0.968(.025)	0.969(.025)
0.050	0.842(.047)	0.844(.047)	0.845(.047)	0.847(.047)	0.850(.047)
0.075	0.642(.066)	0.645(.066)	0.648(.066)	0.652(.066)	0.656(.066)
0.100	0.407(.079)	0.411(.079)	0.416(.079)	0.421(.079)	0.427(.080)
0.125	0.192(.086)	0.196(.087)	0.200(.087)	0.205(.087)	0.210(.088)
0.150	0.048(.089)	0.050(.090)	0.053(.090)	0.056(.090)	0.059(.091)
0.175	0.000(.090)	0.001(.090)	0.001(.091)	0.001(.091)	0.001(.092)
0.200	0. (.090)	0. (.090)	0. (.091)	0. (.091)	0. (.092)
0.225	0. (.090)	0. (.090)	0. (.091)	0. (.091)	0. (.092)
0.250	0. (.090)	0. (.090)	0. (.091)	0. (.091)	0. (.092)
0.275	0. (.090)	0. (.090)	0. (.091)	0. (.091)	0. (.092)
0.300	0. (.090)	0. (.090)	0. (.091)	0. (.091)	0. (.092)
0.325	0. (.090)	0. (.090)	0. (.091)	0. (.091)	0. (.092)
0.350	0. (.090)	0. (.090)	0. (.091)	0. (.091)	0. (.092)
0.375	0. (.090)	0. (.090)	0. (.091)	0. (.091)	0. (.092)
0.400	0. (.090)	0. (.090)	0. (.091)	0. (.091)	0. (.092)
0.425	0. (.090)	0. (.090)	0. (.091)	0. (.091)	0. (.092)
0.450	0. (.090)	0. (.090)	0. (.091)	0. (.091)	0. (.092)
0.475	0. (.090)	0. (.090)	0. (.091)	0. (.091)	0. (.092)
0.500	0. (.090)	0. (.090)	0. (.091)	0. (.091)	0. (.092)
0.525	0. (.090)	0. (.090)	0. (.091)	0. (.091)	0. (.092)
0.550	0. (.090)	0. (.090)	0. (.091)	0. (.091)	0. (.092)
0.575	0. (.090)	0. (.090)	0. (.091)	0. (.091)	0. (.092)
0.600	0. (.090)	0. (.090)	0. (.091)	0. (.091)	0. (.092)
0.625	0. (.090)	0. (.090)	0. (.091)	0. (.091)	0. (.092)
0.650	0. (.090)	0. (.090)	0. (.091)	0. (.091)	0. (.092)
0.675	0. (.090)	0. (.090)	0. (.091)	0. (.091)	0. (.092)
0.700	0. (.090)	0. (.090)	0. (.091)	0. (.091)	0. (.092)
0.725	0. (.090)	0. (.090)	0. (.091)	0. (.091)	0. (.092)
0.750	0. (.090)	0. (.090)	0. (.091)	0. (.091)	0. (.092)
0.775	0. (.090)	0. (.090)	0. (.091)	0. (.091)	0. (.092)
0.800	0. (.090)	0. (.090)	0. (.091)	0. (.091)	0. (.092)
0.825	0.000(.090)	0.000(.090)	0.000(.091)	0.000(.091)	0.000(.092)
0.850	0.048(.091)	0.046(.091)	0.044(.091)	0.041(.092)	0.038(.092)
0.875	0.192(.094)	0.188(.094)	0.184(.094)	0.180(.094)	0.174(.095)
0.900	0.407(.101)	0.403(.101)	0.399(.101)	0.394(.102)	0.388(.102)
0.925	0.642(.114)	0.639(.114)	0.635(.114)	0.631(.114)	0.627(.115)
0.950	0.842(.133)	0.841(.133)	0.839(.133)	0.837(.133)	0.834(.133)
0.975	0.967(.155)	0.966(.155)	0.966(.155)	0.966(.155)	0.965(.155)
1.000	1.000(.180)	1.000(.180)	1.000(.180)	1.000(.180)	1.000(.180)

App. Phase II

*** RELATIVE ENERGY FLUX DENSITY IN THE ***
 *** PENUMBRA OF A RECTANGULAR CYLINDER ***

VERSION D

SOLAR FIELD ANGLE, D= 0.50 DEGREES
 GEOMETRY D2/R = 50.00 AND H/R = 0.5

BETA = ANGLE OF INCIDENCE, DEGREES

BETA ***	50.00	60.00	70.00	80.00	89.25
AX/AB	Q (QI)	Q (QI)	Q (QI)	Q (QI)	Q (QI)
0.	1.000(.)	1.000(.)	1.000(.)	1.000(.)	1.000(.)
0.025	0.969(.025)	0.970(.025)	0.972(.025)	0.977(.025)	1.000(.025)
0.050	0.853(.047)	0.857(.047)	0.865(.048)	0.886(.048)	0.997(.050)
0.075	0.662(.066)	0.671(.067)	0.687(.067)	0.729(.068)	0.992(.075)
0.100	0.434(.080)	0.447(.081)	0.469(.081)	0.529(.084)	0.981(.099)
0.125	0.215(.088)	0.230(.089)	0.252(.090)	0.317(.094)	0.966(.124)
0.150	0.064(.092)	0.072(.093)	0.087(.095)	0.138(.100)	0.943(.148)
0.175	0.002(.093)	0.004(.094)	0.008(.096)	0.028(.102)	0.911(.171)
0.200	0. (.093)	0. (.094)	0. (.096)	0. (.103)	0.869(.193)
0.225	0. (.093)	0. (.094)	0. (.096)	0. (.103)	0.814(.214)
0.250	0. (.093)	0. (.094)	0. (.096)	0. (.103)	0.746(.234)
0.275	0. (.093)	0. (.094)	0. (.096)	0. (.103)	0.664(.251)
0.300	0. (.093)	0. (.094)	0. (.096)	0. (.103)	0.567(.267)
0.325	0. (.093)	0. (.094)	0. (.096)	0. (.103)	0.456(.279)
0.350	0. (.093)	0. (.094)	0. (.096)	0. (.103)	0.336(.289)
0.375	0. (.093)	0. (.094)	0. (.096)	0. (.103)	0.214(.296)
0.400	0. (.093)	0. (.094)	0. (.096)	0. (.103)	0.105(.300)
0.425	0. (.093)	0. (.094)	0. (.096)	0. (.103)	0.027(.302)
0.450	0. (.093)	0. (.094)	0. (.096)	0. (.103)	0.000(.302)
0.475	0. (.093)	0. (.094)	0. (.096)	0. (.103)	0. (.302)
0.500	0. (.093)	0. (.094)	0. (.096)	0. (.103)	0. (.302)
0.525	0. (.093)	0. (.094)	0. (.096)	0. (.103)	0. (.302)
0.550	0. (.093)	0. (.094)	0. (.096)	0. (.103)	0. (.302)
0.575	0. (.093)	0. (.094)	0. (.096)	0. (.103)	0. (.302)
0.600	0. (.093)	0. (.094)	0. (.096)	0. (.103)	0. (.302)
0.625	0. (.093)	0. (.094)	0. (.096)	0. (.103)	0. (.302)
0.650	0. (.093)	0. (.094)	0. (.096)	0. (.103)	0. (.302)
0.675	0. (.093)	0. (.094)	0. (.096)	0. (.103)	0. (.302)
0.700	0. (.093)	0. (.094)	0. (.096)	0. (.103)	0. (.302)
0.725	0. (.093)	0. (.094)	0. (.096)	0. (.103)	0. (.302)
0.750	0. (.093)	0. (.094)	0. (.096)	0. (.103)	0. (.302)
0.775	0. (.093)	0. (.094)	0. (.096)	0. (.103)	0. (.302)
0.800	0. (.093)	0. (.094)	0. (.096)	0. (.103)	0. (.302)
0.825	0. (.093)	0. (.094)	0. (.096)	0. (.103)	0. (.302)
0.850	0.034(.093)	0.029(.094)	0.019(.096)	0.003(.103)	0. (.302)
0.875	0.167(.096)	0.155(.096)	0.135(.098)	0.080(.104)	0. (.302)
0.900	0.379(.102)	0.367(.103)	0.342(.104)	0.270(.108)	0. (.302)
0.925	0.620(.115)	0.610(.115)	0.591(.116)	0.529(.118)	0. (.302)
0.950	0.831(.133)	0.825(.133)	0.815(.133)	0.779(.134)	0. (.302)
0.975	0.964(.155)	0.963(.155)	0.960(.156)	0.951(.156)	0. (.302)
1.000	1.000(.180)	1.000(.180)	1.000(.180)	1.000(.180)	0. (.302)

*** RELATIVE ENERGY FLUX DENSITY IN THE ***
 *** PENUMBRA OF A RECTANGULAR CYLINDER ***

VERSION D

SOLAR FIELD ANGLE, D= 0.50 DEGREES
 GEOMETRY D2/R = 100.00 AND H/R = 0.5

BETA = ANGLE OF INCIDENCE, DEGREES

BETA ***	0.	10.00	20.00	30.00	40.00
AX/AB	Q (Q1)	Q (Q1)	Q (Q1)	Q (Q1)	Q (Q1)
0.	1.000(.)	1.000(.)	1.000(.)	1.000(.)	1.000(.)
0.025	0.990(.025)	0.991(.025)	0.991(.025)	0.991(.025)	0.991(.025)
0.050	0.951(.049)	0.951(.049)	0.952(.049)	0.952(.049)	0.953(.049)
0.075	0.878(.072)	0.879(.072)	0.879(.072)	0.880(.072)	0.882(.072)
0.100	0.775(.093)	0.776(.093)	0.778(.093)	0.779(.093)	0.781(.093)
0.125	0.650(.110)	0.652(.111)	0.654(.111)	0.656(.111)	0.659(.111)
0.150	0.513(.125)	0.516(.125)	0.518(.125)	0.521(.125)	0.524(.126)
0.175	0.374(.136)	0.377(.136)	0.379(.137)	0.382(.137)	0.386(.137)
0.200	0.242(.144)	0.248(.144)	0.250(.144)	0.253(.145)	0.256(.145)
0.225	0.137(.149)	0.139(.149)	0.141(.149)	0.144(.150)	0.146(.150)
0.250	0.058(.151)	0.060(.151)	0.061(.152)	0.063(.152)	0.065(.153)
0.275	0.013(.152)	0.014(.152)	0.014(.153)	0.015(.153)	0.016(.154)
0.300	0.000(.152)	0.000(.153)	0.000(.153)	0.000(.153)	0.000(.154)
0.325	0. (.152)	0. (.153)	0. (.153)	0. (.153)	0. (.154)
0.350	0. (.152)	0. (.153)	0. (.153)	0. (.153)	0. (.154)
0.375	0. (.152)	0. (.153)	0. (.153)	0. (.153)	0. (.154)
0.400	0. (.152)	0. (.153)	0. (.153)	0. (.153)	0. (.154)
0.425	0. (.152)	0. (.153)	0. (.153)	0. (.153)	0. (.154)
0.450	0. (.152)	0. (.153)	0. (.153)	0. (.153)	0. (.154)
0.475	0. (.152)	0. (.153)	0. (.153)	0. (.153)	0. (.154)
0.500	0. (.152)	0. (.153)	0. (.153)	0. (.153)	0. (.154)
0.525	0. (.152)	0. (.153)	0. (.153)	0. (.153)	0. (.154)
0.550	0. (.152)	0. (.153)	0. (.153)	0. (.153)	0. (.154)
0.575	0. (.152)	0. (.153)	0. (.153)	0. (.153)	0. (.154)
0.600	0. (.152)	0. (.153)	0. (.153)	0. (.153)	0. (.154)
0.625	0. (.152)	0. (.153)	0. (.153)	0. (.153)	0. (.154)
0.650	0. (.152)	0. (.153)	0. (.153)	0. (.153)	0. (.154)
0.675	0. (.152)	0. (.153)	0. (.153)	0. (.153)	0. (.154)
0.700	0.000(.152)	0.000(.153)	0.000(.153)	0.000(.153)	0.000(.154)
0.725	0.013(.152)	0.013(.153)	0.012(.153)	0.011(.154)	0.011(.154)
0.750	0.058(.153)	0.057(.154)	0.056(.154)	0.054(.154)	0.052(.155)
0.775	0.137(.156)	0.135(.156)	0.133(.156)	0.131(.157)	0.128(.157)
0.800	0.245(.160)	0.243(.161)	0.241(.161)	0.238(.161)	0.235(.162)
0.825	0.374(.168)	0.372(.168)	0.369(.169)	0.366(.169)	0.363(.169)
0.850	0.513(.179)	0.511(.179)	0.509(.180)	0.506(.180)	0.503(.180)
0.875	0.650(.194)	0.648(.194)	0.646(.194)	0.644(.194)	0.641(.194)
0.900	0.775(.212)	0.774(.212)	0.772(.212)	0.770(.212)	0.768(.212)
0.925	0.878(.232)	0.877(.232)	0.876(.232)	0.875(.232)	0.874(.232)
0.950	0.951(.255)	0.950(.255)	0.950(.255)	0.950(.255)	0.949(.255)
0.975	0.990(.279)	0.990(.279)	0.990(.279)	0.990(.279)	0.990(.279)
1.000	1.000(.304)	1.000(.304)	1.000(.304)	1.000(.304)	1.000(.304)

*** RELATIVE ENERGY FLUX DENSITY IN THE ***
 *** PENUMBRA OF A RECTANGULAR CYLINDER ***

VERSION D

SOLAR FIELD ANGLE, D= 0.50 DEGREES
 GEOMETRY D2/R = 100.00 AND H/R = 0.5

BETA = ANGLE OF INCIDENCE, DEGREES

BETA ***	50.00	60.00	70.00	80.00	89.25
AX/AB	Q (QI)	Q (QI)	Q (QI)	Q (QI)	Q (QI)
0.	1.000(.)	1.000(.)	1.000(.)	1.000(.)	1.000(.)
0.025	0.991(.025)	0.991(.025)	0.992(.025)	0.993(.025)	1.000(.025)
0.050	0.953(.049)	0.954(.049)	0.956(.049)	0.962(.049)	0.998(.050)
0.075	0.863(.072)	0.866(.072)	0.890(.072)	0.902(.073)	0.995(.075)
0.100	0.784(.093)	0.788(.093)	0.796(.093)	0.816(.094)	0.988(.100)
0.125	0.663(.111)	0.668(.111)	0.679(.112)	0.707(.113)	0.978(.124)
0.150	0.529(.126)	0.535(.126)	0.548(.127)	0.583(.129)	0.964(.149)
0.175	0.391(.137)	0.398(.138)	0.412(.139)	0.451(.142)	0.945(.172)
0.200	0.261(.146)	0.268(.146)	0.282(.148)	0.321(.152)	0.919(.196)
0.225	0.150(.151)	0.156(.152)	0.168(.153)	0.203(.158)	0.886(.218)
0.250	0.067(.153)	0.072(.155)	0.080(.157)	0.107(.162)	0.845(.240)
0.275	0.018(.155)	0.020(.156)	0.024(.158)	0.040(.164)	0.795(.260)
0.300	0.000(.155)	0.001(.156)	0.002(.158)	0.006(.165)	0.735(.280)
0.325	0. (.155)	0. (.156)	0. (.158)	0. (.165)	0.665(.297)
0.350	0. (.155)	0. (.156)	0. (.158)	0. (.165)	0.584(.313)
0.375	0. (.155)	0. (.156)	0. (.158)	0. (.165)	0.492(.326)
0.400	0. (.155)	0. (.156)	0. (.158)	0. (.165)	0.393(.337)
0.425	0. (.155)	0. (.156)	0. (.158)	0. (.165)	0.290(.346)
0.450	0. (.155)	0. (.156)	0. (.158)	0. (.165)	0.189(.352)
0.475	0. (.155)	0. (.156)	0. (.158)	0. (.165)	0.100(.355)
0.500	0. (.155)	0. (.156)	0. (.158)	0. (.165)	0.033(.357)
0.525	0. (.155)	0. (.156)	0. (.158)	0. (.165)	0.002(.357)
0.550	0. (.155)	0. (.156)	0. (.158)	0. (.165)	0. (.357)
0.575	0. (.155)	0. (.156)	0. (.158)	0. (.165)	0. (.357)
0.600	0. (.155)	0. (.156)	0. (.158)	0. (.165)	0. (.357)
0.625	0. (.155)	0. (.156)	0. (.158)	0. (.165)	0. (.357)
0.650	0. (.155)	0. (.156)	0. (.158)	0. (.165)	0. (.357)
0.675	0. (.155)	0. (.156)	0. (.158)	0. (.165)	0. (.357)
0.700	0. (.155)	0. (.156)	0. (.158)	0. (.165)	0. (.357)
0.725	0.010(.155)	0.008(.156)	0.006(.158)	0.001(.165)	0. (.357)
0.750	0.050(.156)	0.046(.157)	0.040(.159)	0.024(.165)	0. (.357)
0.775	0.125(.158)	0.119(.159)	0.109(.161)	0.081(.166)	0. (.357)
0.800	0.230(.162)	0.223(.163)	0.210(.165)	0.174(.170)	0. (.357)
0.825	0.358(.170)	0.351(.170)	0.337(.172)	0.296(.175)	0. (.357)
0.850	0.498(.180)	0.491(.181)	0.478(.182)	0.438(.185)	0. (.357)
0.875	0.637(.194)	0.631(.195)	0.620(.195)	0.586(.197)	0. (.357)
0.900	0.765(.212)	0.761(.212)	0.753(.213)	0.727(.214)	0. (.357)
0.925	0.872(.232)	0.869(.233)	0.864(.233)	0.848(.234)	0. (.357)
0.950	0.948(.255)	0.947(.255)	0.945(.255)	0.937(.256)	0.044(.358)
0.975	0.990(.279)	0.990(.279)	0.989(.280)	0.987(.280)	0.427(.364)
1.000	1.000(.304)	1.000(.304)	1.000(.304)	1.000(.305)	1.000(.382)

*** RELATIVE ENERGY FLUX DENSITY IN THE *** VERSION D
 *** PENUMBRA OF A RECTANGULAR CYLINDER ***

SOLAR FIELD ANGLE, D = 0.50 DEGREES
 GEOMETRY DZ/R = 1.00 AND H/R = 1.0

BETA = ANGLE OF INCIDENCE, DEGREES

BETA ***	0.	10.00	20.00	30.00	40.00
AX/AB	Q (Q1)	Q (Q1)	Q (Q1)	Q (Q1)	Q (Q1)
0.	1.000(.)	1.000(.)	1.000(.)	1.000(.)	1.000(.)
0.025	0. (.012)	0. (.012)	0. (.012)	0. (.012)	0. (.012)
0.050	0. (.012)	0. (.012)	0. (.012)	0. (.012)	0. (.012)
0.075	0. (.012)	0. (.012)	0. (.012)	0. (.012)	0. (.012)
0.100	0. (.012)	0. (.012)	0. (.012)	0. (.012)	0. (.012)
0.125	0. (.012)	0. (.012)	0. (.012)	0. (.012)	0. (.012)
0.150	0. (.012)	0. (.012)	0. (.012)	0. (.012)	0. (.012)
0.175	0. (.012)	0. (.012)	0. (.012)	0. (.012)	0. (.012)
0.200	0. (.012)	0. (.012)	0. (.012)	0. (.012)	0. (.012)
0.225	0. (.012)	0. (.012)	0. (.012)	0. (.012)	0. (.012)
0.250	0. (.012)	0. (.012)	0. (.012)	0. (.012)	0. (.012)
0.275	0. (.012)	0. (.012)	0. (.012)	0. (.012)	0. (.012)
0.300	0. (.012)	0. (.012)	0. (.012)	0. (.012)	0. (.012)
0.325	0. (.012)	0. (.012)	0. (.012)	0. (.012)	0. (.012)
0.350	0. (.012)	0. (.012)	0. (.012)	0. (.012)	0. (.012)
0.375	0. (.012)	0. (.012)	0. (.012)	0. (.012)	0. (.012)
0.400	0. (.012)	0. (.012)	0. (.012)	0. (.012)	0. (.012)
0.425	0. (.012)	0. (.012)	0. (.012)	0. (.012)	0. (.012)
0.450	0. (.012)	0. (.012)	0. (.012)	0. (.012)	0. (.012)
0.475	0. (.012)	0. (.012)	0. (.012)	0. (.012)	0. (.012)
0.500	0. (.012)	0. (.012)	0. (.012)	0. (.012)	0. (.012)
0.525	0. (.012)	0. (.012)	0. (.012)	0. (.012)	0. (.012)
0.550	0. (.012)	0. (.012)	0. (.012)	0. (.012)	0. (.012)
0.575	0. (.012)	0. (.012)	0. (.012)	0. (.012)	0. (.012)
0.600	0. (.012)	0. (.012)	0. (.012)	0. (.012)	0. (.012)
0.625	0. (.012)	0. (.012)	0. (.012)	0. (.012)	0. (.012)
0.650	0. (.012)	0. (.012)	0. (.012)	0. (.012)	0. (.012)
0.675	0. (.012)	0. (.012)	0. (.012)	0. (.012)	0. (.012)
0.700	0. (.012)	0. (.012)	0. (.012)	0. (.012)	0. (.012)
0.725	0. (.012)	0. (.012)	0. (.012)	0. (.012)	0. (.012)
0.750	0. (.012)	0. (.012)	0. (.012)	0. (.012)	0. (.012)
0.775	0. (.012)	0. (.012)	0. (.012)	0. (.012)	0. (.012)
0.800	0. (.012)	0. (.012)	0. (.012)	0. (.012)	0. (.012)
0.825	0. (.012)	0. (.012)	0. (.012)	0. (.012)	0. (.012)
0.850	0. (.012)	0. (.012)	0. (.012)	0. (.012)	0. (.012)
0.875	0. (.012)	0. (.012)	0. (.012)	0. (.012)	0. (.012)
0.900	0. (.012)	0. (.012)	0. (.012)	0. (.012)	0. (.012)
0.925	0. (.012)	0. (.012)	0. (.012)	0. (.012)	0. (.012)
0.950	0. (.012)	0. (.012)	0. (.012)	0. (.012)	0. (.012)
0.975	0. (.012)	0. (.012)	0. (.012)	0. (.012)	0. (.012)
1.000	1.000(.025)	1.000(.025)	1.000(.025)	1.000(.025)	1.000(.025)

*** RELATIVE ENERGY FLUX DENSITY IN THE ***
 *** PENUMBRA OF A RECTANGULAR CYLINDER ***
 VERSION D

SOLAR FIELD ANGLE, $D = 0.50$ DEGREES
 GEOMETRY $D2/R = 1.00$ AND $H/R = 1.0$

BETA = ANGLE OF INCIDENCE, DEGREES

BETA ***	50.00	60.00	70.00	80.00	89.25
AX/AB	Q (Q1)	Q (Q1)	Q (Q1)	Q (Q1)	Q (Q1)
0.	1.000(.)	1.000(.)	1.000(.)	1.000(.)	1.000(.)
0.025	0. (.012)	0. (.012)	0. (.012)	0.053(.013)	0.999(.025)
0.050	0. (.012)	0. (.012)	0. (.012)	0. (.014)	0.994(.050)
0.075	0. (.012)	0. (.012)	0. (.012)	0. (.014)	0.981(.075)
0.100	0. (.012)	0. (.012)	0. (.012)	0. (.014)	0.959(.099)
0.125	0. (.012)	0. (.012)	0. (.012)	0. (.014)	0.922(.122)
0.150	0. (.012)	0. (.012)	0. (.012)	0. (.014)	0.867(.145)
0.175	0. (.012)	0. (.012)	0. (.012)	0. (.014)	0.791(.165)
0.200	0. (.012)	0. (.012)	0. (.012)	0. (.014)	0.690(.184)
0.225	0. (.012)	0. (.012)	0. (.012)	0. (.014)	0.562(.200)
0.250	0. (.012)	0. (.012)	0. (.012)	0. (.014)	0.408(.212)
0.275	0. (.012)	0. (.012)	0. (.012)	0. (.014)	0.242(.220)
0.300	0. (.012)	0. (.012)	0. (.012)	0. (.014)	0.093(.224)
0.325	0. (.012)	0. (.012)	0. (.012)	0. (.014)	0.007(.225)
0.350	0. (.012)	0. (.012)	0. (.012)	0. (.014)	0. (.225)
0.375	0. (.012)	0. (.012)	0. (.012)	0. (.014)	0. (.225)
0.400	0. (.012)	0. (.012)	0. (.012)	0. (.014)	0. (.225)
0.425	0. (.012)	0. (.012)	0. (.012)	0. (.014)	0. (.225)
0.450	0. (.012)	0. (.012)	0. (.012)	0. (.014)	0. (.225)
0.475	0. (.012)	0. (.012)	0. (.012)	0. (.014)	0. (.225)
0.500	0. (.012)	0. (.012)	0. (.012)	0. (.014)	0. (.225)
0.525	0. (.012)	0. (.012)	0. (.012)	0. (.014)	0. (.225)
0.550	0. (.012)	0. (.012)	0. (.012)	0. (.014)	0. (.225)
0.575	0. (.012)	0. (.012)	0. (.012)	0. (.014)	0. (.225)
0.600	0. (.012)	0. (.012)	0. (.012)	0. (.014)	0. (.225)
0.625	0. (.012)	0. (.012)	0. (.012)	0. (.014)	0. (.225)
0.650	0. (.012)	0. (.012)	0. (.012)	0. (.014)	0. (.225)
0.675	0. (.012)	0. (.012)	0. (.012)	0. (.014)	0. (.225)
0.700	0. (.012)	0. (.012)	0. (.012)	0. (.014)	0. (.225)
0.725	0. (.012)	0. (.012)	0. (.012)	0. (.014)	0. (.225)
0.750	0. (.012)	0. (.012)	0. (.012)	0. (.014)	0. (.225)
0.775	0. (.012)	0. (.012)	0. (.012)	0. (.014)	0. (.225)
0.800	0. (.012)	0. (.012)	0. (.012)	0. (.014)	0. (.225)
0.825	0. (.012)	0. (.012)	0. (.012)	0. (.014)	0. (.225)
0.850	0. (.012)	0. (.012)	0. (.012)	0. (.014)	0. (.225)
0.875	0. (.012)	0. (.012)	0. (.012)	0. (.014)	0. (.225)
0.900	0. (.012)	0. (.012)	0. (.012)	0. (.014)	0. (.225)
0.925	0. (.012)	0. (.012)	0. (.012)	0. (.014)	0. (.225)
0.950	0. (.012)	0. (.012)	0. (.012)	0. (.014)	0. (.225)
0.975	0. (.012)	0. (.012)	0. (.012)	0. (.014)	0. (.225)
1.000	0. (.012)	0. (.012)	0. (.012)	0. (.014)	0. (.225)

App. A
Phase II

*** RELATIVE ENERGY FLUX DENSITY IN THE ***

VERSION D

*** PENUMBRA OF A RECTANGULAR CYLINDER ***

SOLAR FIELD ANGLE, D= 0.50 DEGREES
 GEOMETRY D2/R = 5.00 AND H/R = 1.0

BETA = ANGLE OF INCIDENCE, DEGREES

BETA ***	0.	10.00	20.00	30.00	40.00
AX/AB	Q (Q1)	Q (Q1)	Q (Q1)	Q (Q1)	Q (Q1)
0.	1.000(.)	1.000(.)	1.000(.)	1.000(.)	1.000(.)
0.025	0. (.012)	0. (.012)	0. (.012)	0. (.012)	0. (.012)
0.050	0. (.012)	0. (.012)	0. (.012)	0. (.012)	0. (.012)
0.075	0. (.012)	0. (.012)	0. (.012)	0. (.012)	0. (.012)
0.100	0. (.012)	0. (.012)	0. (.012)	0. (.012)	0. (.012)
0.125	0. (.012)	0. (.012)	0. (.012)	0. (.012)	0. (.012)
0.150	0. (.012)	0. (.012)	0. (.012)	0. (.012)	0. (.012)
0.175	0. (.012)	0. (.012)	0. (.012)	0. (.012)	0. (.012)
0.200	0. (.012)	0. (.012)	0. (.012)	0. (.012)	0. (.012)
0.225	0. (.012)	0. (.012)	0. (.012)	0. (.012)	0. (.012)
0.250	0. (.012)	0. (.012)	0. (.012)	0. (.012)	0. (.012)
0.275	0. (.012)	0. (.012)	0. (.012)	0. (.012)	0. (.012)
0.300	0. (.012)	0. (.012)	0. (.012)	0. (.012)	0. (.012)
0.325	0. (.012)	0. (.012)	0. (.012)	0. (.012)	0. (.012)
0.350	0. (.012)	0. (.012)	0. (.012)	0. (.012)	0. (.012)
0.375	0. (.012)	0. (.012)	0. (.012)	0. (.012)	0. (.012)
0.400	0. (.012)	0. (.012)	0. (.012)	0. (.012)	0. (.012)
0.425	0. (.012)	0. (.012)	0. (.012)	0. (.012)	0. (.012)
0.450	0. (.012)	0. (.012)	0. (.012)	0. (.012)	0. (.012)
0.475	0. (.012)	0. (.012)	0. (.012)	0. (.012)	0. (.012)
0.500	0. (.012)	0. (.012)	0. (.012)	0. (.012)	0. (.012)
0.525	0. (.012)	0. (.012)	0. (.012)	0. (.012)	0. (.012)
0.550	0. (.012)	0. (.012)	0. (.012)	0. (.012)	0. (.012)
0.575	0. (.012)	0. (.012)	0. (.012)	0. (.012)	0. (.012)
0.600	0. (.012)	0. (.012)	0. (.012)	0. (.012)	0. (.012)
0.625	0. (.012)	0. (.012)	0. (.012)	0. (.012)	0. (.012)
0.650	0. (.012)	0. (.012)	0. (.012)	0. (.012)	0. (.012)
0.675	0. (.012)	0. (.012)	0. (.012)	0. (.012)	0. (.012)
0.700	0. (.012)	0. (.012)	0. (.012)	0. (.012)	0. (.012)
0.725	0. (.012)	0. (.012)	0. (.012)	0. (.012)	0. (.012)
0.750	0. (.012)	0. (.012)	0. (.012)	0. (.012)	0. (.012)
0.775	0. (.012)	0. (.012)	0. (.012)	0. (.012)	0. (.012)
0.800	0. (.012)	0. (.012)	0. (.012)	0. (.012)	0. (.012)
0.825	0. (.012)	0. (.012)	0. (.012)	0. (.012)	0. (.012)
0.850	0. (.012)	0. (.012)	0. (.012)	0. (.012)	0. (.012)
0.875	0. (.012)	0. (.012)	0. (.012)	0. (.012)	0. (.012)
0.900	0. (.012)	0. (.012)	0. (.012)	0. (.012)	0. (.012)
0.925	0. (.012)	0. (.012)	0. (.012)	0. (.012)	0. (.012)
0.950	0. (.012)	0. (.012)	0. (.012)	0. (.012)	0. (.012)
0.975	0. (.012)	0. (.012)	0. (.012)	0. (.012)	0. (.012)
1.000	1.000(.025)	1.000(.025)	1.000(.025)	1.000(.025)	1.000(.025)

*** RELATIVE ENERGY FLUX DENSITY IN THE ***
*** PENUMBRA OF A RECTANGULAR CYLINDER ***

VERSION D

SOLAR FIELD ANGLE, D = 0.50 DEGREES
GEOMETRY D2/R = 5.00 AND H/R = 1.0

BETA = ANGLE OF INCIDENCE, DEGREES

BETA ***	50.00	60.00	70.00	80.00	89.25
AX/AB	Q (Q1)	Q (Q1)	Q (Q1)	Q (Q1)	Q (Q1)
0.	1.000(.)	1.000(.)	1.000(.)	1.000(.)	1.000(.)
0.025	0.005(.013)	0.041(.013)	0.167(.015)	0.519(.019)	0.999(.025)
0.050	0. (.013)	0. (.014)	0. (.017)	0. (.025)	0.994(.050)
0.075	0. (.013)	0. (.014)	0. (.017)	0. (.025)	0.983(.075)
0.100	0. (.013)	0. (.014)	0. (.017)	0. (.025)	0.962(.099)
0.125	0. (.013)	0. (.014)	0. (.017)	0. (.025)	0.929(.123)
0.150	0. (.013)	0. (.014)	0. (.017)	0. (.025)	0.879(.145)
0.175	0. (.013)	0. (.014)	0. (.017)	0. (.025)	0.810(.166)
0.200	0. (.013)	0. (.014)	0. (.017)	0. (.025)	0.718(.185)
0.225	0. (.013)	0. (.014)	0. (.017)	0. (.025)	0.602(.202)
0.250	0. (.013)	0. (.014)	0. (.017)	0. (.025)	0.460(.215)
0.275	0. (.013)	0. (.014)	0. (.017)	0. (.025)	0.301(.225)
0.300	0. (.013)	0. (.014)	0. (.017)	0. (.025)	0.146(.230)
0.325	0. (.013)	0. (.014)	0. (.017)	0. (.025)	0.032(.233)
0.350	0. (.013)	0. (.014)	0. (.017)	0. (.025)	0. (.233)
0.375	0. (.013)	0. (.014)	0. (.017)	0. (.025)	0. (.233)
0.400	0. (.013)	0. (.014)	0. (.017)	0. (.025)	0. (.233)
0.425	0. (.013)	0. (.014)	0. (.017)	0. (.025)	0. (.233)
0.450	0. (.013)	0. (.014)	0. (.017)	0. (.025)	0. (.233)
0.475	0. (.013)	0. (.014)	0. (.017)	0. (.025)	0. (.233)
0.500	0. (.013)	0. (.014)	0. (.017)	0. (.025)	0. (.233)
0.525	0. (.013)	0. (.014)	0. (.017)	0. (.025)	0. (.233)
0.550	0. (.013)	0. (.014)	0. (.017)	0. (.025)	0. (.233)
0.575	0. (.013)	0. (.014)	0. (.017)	0. (.025)	0. (.233)
0.600	0. (.013)	0. (.014)	0. (.017)	0. (.025)	0. (.233)
0.625	0. (.013)	0. (.014)	0. (.017)	0. (.025)	0. (.233)
0.650	0. (.013)	0. (.014)	0. (.017)	0. (.025)	0. (.233)
0.675	0. (.013)	0. (.014)	0. (.017)	0. (.025)	0. (.233)
0.700	0. (.013)	0. (.014)	0. (.017)	0. (.025)	0. (.233)
0.725	0. (.013)	0. (.014)	0. (.017)	0. (.025)	0. (.233)
0.750	0. (.013)	0. (.014)	0. (.017)	0. (.025)	0. (.233)
0.775	0. (.013)	0. (.014)	0. (.017)	0. (.025)	0. (.233)
0.800	0. (.013)	0. (.014)	0. (.017)	0. (.025)	0. (.233)
0.825	0. (.013)	0. (.014)	0. (.017)	0. (.025)	0. (.233)
0.850	0. (.013)	0. (.014)	0. (.017)	0. (.025)	0. (.233)
0.875	0. (.013)	0. (.014)	0. (.017)	0. (.025)	0. (.233)
0.900	0. (.013)	0. (.014)	0. (.017)	0. (.025)	0. (.233)
0.925	0. (.013)	0. (.014)	0. (.017)	0. (.025)	0. (.233)
0.950	0. (.013)	0. (.014)	0. (.017)	0. (.025)	0. (.233)
0.975	0. (.013)	0. (.014)	0. (.017)	0. (.025)	0. (.233)
1.000	1.000(.025)	1.000(.026)	1.000(.029)	0. (.025)	0. (.233)

RE-ORDER No. 66-196
App. A. Phase II

*** RELATIVE ENERGY FLUX DENSITY IN THE ***
 *** PENUMBRA OF A RECTANGULAR CYLINDER ***

VERSION D

SOLAR FIELD ANGLE, D= 0.50 DEGREES
 GEOMETRY D2/R = 10.00 AND H/R = 1.0

BETA = ANGLE OF INCIDENCE, DEGREES

BETA ***	0.	10.00	20.00	30.00	40.00
AX/AB	Q (Q1)	Q (Q1)	Q (Q1)	Q (Q1)	Q (Q1)
0.	1.000(.)	1.000(.)	1.000(.)	1.000(.)	1.000(.)
0.025	0.405(.018)	0.424(.018)	0.444(.018)	0.465(.018)	0.490(.019)
0.050	0. (.023)	0. (.023)	0. (.024)	0. (.024)	0. (.025)
0.075	0. (.023)	0. (.023)	0. (.024)	0. (.024)	0. (.025)
0.100	0. (.023)	0. (.023)	0. (.024)	0. (.024)	0. (.025)
0.125	0. (.023)	0. (.023)	0. (.024)	0. (.024)	0. (.025)
0.150	0. (.023)	0. (.023)	0. (.024)	0. (.024)	0. (.025)
0.175	0. (.023)	0. (.023)	0. (.024)	0. (.024)	0. (.025)
0.200	0. (.023)	0. (.023)	0. (.024)	0. (.024)	0. (.025)
0.225	0. (.023)	0. (.023)	0. (.024)	0. (.024)	0. (.025)
0.250	0. (.023)	0. (.023)	0. (.024)	0. (.024)	0. (.025)
0.275	0. (.023)	0. (.023)	0. (.024)	0. (.024)	0. (.025)
0.300	0. (.023)	0. (.023)	0. (.024)	0. (.024)	0. (.025)
0.325	0. (.023)	0. (.023)	0. (.024)	0. (.024)	0. (.025)
0.350	0. (.023)	0. (.023)	0. (.024)	0. (.024)	0. (.025)
0.375	0. (.023)	0. (.023)	0. (.024)	0. (.024)	0. (.025)
0.400	0. (.023)	0. (.023)	0. (.024)	0. (.024)	0. (.025)
0.425	0. (.023)	0. (.023)	0. (.024)	0. (.024)	0. (.025)
0.450	0. (.023)	0. (.023)	0. (.024)	0. (.024)	0. (.025)
0.475	0. (.023)	0. (.023)	0. (.024)	0. (.024)	0. (.025)
0.500	0. (.023)	0. (.023)	0. (.024)	0. (.024)	0. (.025)
0.525	0. (.023)	0. (.023)	0. (.024)	0. (.024)	0. (.025)
0.550	0. (.023)	0. (.023)	0. (.024)	0. (.024)	0. (.025)
0.575	0. (.023)	0. (.023)	0. (.024)	0. (.024)	0. (.025)
0.600	0. (.023)	0. (.023)	0. (.024)	0. (.024)	0. (.025)
0.625	0. (.023)	0. (.023)	0. (.024)	0. (.024)	0. (.025)
0.650	0. (.023)	0. (.023)	0. (.024)	0. (.024)	0. (.025)
0.675	0. (.023)	0. (.023)	0. (.024)	0. (.024)	0. (.025)
0.700	0. (.023)	0. (.023)	0. (.024)	0. (.024)	0. (.025)
0.725	0. (.023)	0. (.023)	0. (.024)	0. (.024)	0. (.025)
0.750	0. (.023)	0. (.023)	0. (.024)	0. (.024)	0. (.025)
0.775	0. (.023)	0. (.023)	0. (.024)	0. (.024)	0. (.025)
0.800	0. (.023)	0. (.023)	0. (.024)	0. (.024)	0. (.025)
0.825	0. (.023)	0. (.023)	0. (.024)	0. (.024)	0. (.025)
0.850	0. (.023)	0. (.023)	0. (.024)	0. (.024)	0. (.025)
0.875	0. (.023)	0. (.023)	0. (.024)	0. (.024)	0. (.025)
0.900	0. (.023)	0. (.023)	0. (.024)	0. (.024)	0. (.025)
0.925	0. (.023)	0. (.023)	0. (.024)	0. (.024)	0. (.025)
0.950	0. (.023)	0. (.023)	0. (.024)	0. (.024)	0. (.025)
0.975	0.405(.028)	0.386(.028)	0.365(.028)	0.340(.028)	0.309(.029)
1.000	1.000(.045)	1.000(.045)	1.000(.045)	1.000(.045)	1.000(.045)

D-25

276

*App. A
Phase II*

*** RELATIVE ENERGY FLUX DENSITY IN THE ***
 *** PENUMBRA OF A RECTANGULAR CYLINDER ***

VERSION D

SOLAR FIELD ANGLE, D= 0.50 DEGREES
 GEOMETRY D2/R = 10.00 AND H/R = 1.0

BETA = ANGLE OF INCIDENCE, DEGREES

BETA ***	50.00	60.00	70.00	80.00	89.25
AX/AB	Q (Q1)	Q (Q1)	Q (Q1)	Q (Q1)	Q (Q1)
0.	1.000(.)	1.000(.)	1.000(.)	1.000(.)	1.000(.)
0.025	0.518(.019)	0.556(.019)	0.618(.020)	0.748(.022)	0.999(.025)
0.050	0. (.025)	0. (.026)	0.006(.028)	0.141(.033)	0.995(.050)
0.075	0. (.025)	0. (.026)	0. (.028)	0. (.035)	0.985(.075)
0.100	0. (.025)	0. (.026)	0. (.028)	0. (.035)	0.966(.099)
0.125	0. (.025)	0. (.026)	0. (.028)	0. (.035)	0.936(.123)
0.150	0. (.025)	0. (.026)	0. (.028)	0. (.035)	0.892(.146)
0.175	0. (.025)	0. (.026)	0. (.028)	0. (.035)	0.830(.167)
0.200	0. (.025)	0. (.026)	0. (.028)	0. (.035)	0.748(.187)
0.225	0. (.025)	0. (.026)	0. (.028)	0. (.035)	0.644(.204)
0.250	0. (.025)	0. (.026)	0. (.028)	0. (.035)	0.516(.219)
0.275	0. (.025)	0. (.026)	0. (.028)	0. (.035)	0.367(.230)
0.300	0. (.025)	0. (.026)	0. (.028)	0. (.035)	0.214(.237)
0.325	0. (.025)	0. (.026)	0. (.028)	0. (.035)	0.080(.241)
0.350	0. (.025)	0. (.026)	0. (.028)	0. (.035)	0.006(.242)
0.375	0. (.025)	0. (.026)	0. (.028)	0. (.035)	0. (.242)
0.400	0. (.025)	0. (.026)	0. (.028)	0. (.035)	0. (.242)
0.425	0. (.025)	0. (.026)	0. (.028)	0. (.035)	0. (.242)
0.450	0. (.025)	0. (.026)	0. (.028)	0. (.035)	0. (.242)
0.475	0. (.025)	0. (.026)	0. (.028)	0. (.035)	0. (.242)
0.500	0. (.025)	0. (.026)	0. (.028)	0. (.035)	0. (.242)
0.525	0. (.025)	0. (.026)	0. (.028)	0. (.035)	0. (.242)
0.550	0. (.025)	0. (.026)	0. (.028)	0. (.035)	0. (.242)
0.575	0. (.025)	0. (.026)	0. (.028)	0. (.035)	0. (.242)
0.600	0. (.025)	0. (.026)	0. (.028)	0. (.035)	0. (.242)
0.625	0. (.025)	0. (.026)	0. (.028)	0. (.035)	0. (.242)
0.650	0. (.025)	0. (.026)	0. (.028)	0. (.035)	0. (.242)
0.675	0. (.025)	0. (.026)	0. (.028)	0. (.035)	0. (.242)
0.700	0. (.025)	0. (.026)	0. (.028)	0. (.035)	0. (.242)
0.725	0. (.025)	0. (.026)	0. (.028)	0. (.035)	0. (.242)
0.750	0. (.025)	0. (.026)	0. (.028)	0. (.035)	0. (.242)
0.775	0. (.025)	0. (.026)	0. (.028)	0. (.035)	0. (.242)
0.800	0. (.025)	0. (.026)	0. (.028)	0. (.035)	0. (.242)
0.825	0. (.025)	0. (.026)	0. (.028)	0. (.035)	0. (.242)
0.850	0. (.025)	0. (.026)	0. (.028)	0. (.035)	0. (.242)
0.875	0. (.025)	0. (.026)	0. (.028)	0. (.035)	0. (.242)
0.900	0. (.025)	0. (.026)	0. (.028)	0. (.035)	0. (.242)
0.925	0. (.025)	0. (.026)	0. (.028)	0. (.035)	0. (.242)
0.950	0. (.025)	0. (.026)	0. (.028)	0. (.035)	0. (.242)
0.975	0.265(.029)	0.196(.029)	0.071(.029)	0. (.035)	0. (.242)
1.000	1.000(.045)	1.000(.044)	1.000(.042)	1.000(.047)	0. (.242)

6

3

2

*** RELATIVE ENERGY FLUX DENSITY IN THE ***
 *** PENUMBRA OF A RECTANGULAR CYLINDER ***

VERSION D

SOLAR FIELD ANGLE, D= 0.50 DEGREES
 GEOMETRY D2/R = 50.00 AND H/R = 1.0

BETA = ANGLE OF INCIDENCE, DEGREES

BETA ***	0.	10.00	20.00	30.00	40.00
AX/AB	Q (Q1)	Q (Q1)	Q (Q1)	Q (Q1)	Q (Q1)
0.	1.000(.)	1.000(.)	1.000(.)	1.000(.)	1.000(.)
0.025	0.967(.025)	0.968(.025)	0.968(.025)	0.969(.025)	0.969(.025)
0.050	0.845(.047)	0.846(.047)	0.848(.047)	0.850(.047)	0.852(.047)
0.075	0.647(.066)	0.650(.066)	0.653(.066)	0.657(.066)	0.661(.066)
0.100	0.413(.079)	0.417(.079)	0.422(.080)	0.427(.080)	0.433(.080)
0.125	0.194(.087)	0.198(.087)	0.202(.087)	0.207(.088)	0.213(.088)
0.150	0.048(.090)	0.050(.090)	0.053(.091)	0.056(.091)	0.059(.091)
0.175	0.000(.090)	0.000(.091)	0.001(.091)	0.001(.092)	0.001(.092)
0.200	0. (.090)	0. (.091)	0. (.091)	0. (.092)	0. (.092)
0.225	0. (.090)	0. (.091)	0. (.091)	0. (.092)	0. (.092)
0.250	0. (.090)	0. (.091)	0. (.091)	0. (.092)	0. (.092)
0.275	0. (.090)	0. (.091)	0. (.091)	0. (.092)	0. (.092)
0.300	0. (.090)	0. (.091)	0. (.091)	0. (.092)	0. (.092)
0.325	0. (.090)	0. (.091)	0. (.091)	0. (.092)	0. (.092)
0.350	0. (.090)	0. (.091)	0. (.091)	0. (.092)	0. (.092)
0.375	0. (.090)	0. (.091)	0. (.091)	0. (.092)	0. (.092)
0.400	0. (.090)	0. (.091)	0. (.091)	0. (.092)	0. (.092)
0.425	0. (.090)	0. (.091)	0. (.091)	0. (.092)	0. (.092)
0.450	0. (.090)	0. (.091)	0. (.091)	0. (.092)	0. (.092)
0.475	0. (.090)	0. (.091)	0. (.091)	0. (.092)	0. (.092)
0.500	0. (.090)	0. (.091)	0. (.091)	0. (.092)	0. (.092)
0.525	0. (.090)	0. (.091)	0. (.091)	0. (.092)	0. (.092)
0.550	0. (.090)	0. (.091)	0. (.091)	0. (.092)	0. (.092)
0.575	0. (.090)	0. (.091)	0. (.091)	0. (.092)	0. (.092)
0.600	0. (.090)	0. (.091)	0. (.091)	0. (.092)	0. (.092)
0.625	0. (.090)	0. (.091)	0. (.091)	0. (.092)	0. (.092)
0.650	0. (.090)	0. (.091)	0. (.091)	0. (.092)	0. (.092)
0.675	0. (.090)	0. (.091)	0. (.091)	0. (.092)	0. (.092)
0.700	0. (.090)	0. (.091)	0. (.091)	0. (.092)	0. (.092)
0.725	0. (.090)	0. (.091)	0. (.091)	0. (.092)	0. (.092)
0.750	0. (.090)	0. (.091)	0. (.091)	0. (.092)	0. (.092)
0.775	0. (.090)	0. (.091)	0. (.091)	0. (.092)	0. (.092)
0.800	0. (.090)	0. (.091)	0. (.091)	0. (.092)	0. (.092)
0.825	0.000(.090)	0.000(.091)	0.000(.091)	0.000(.092)	0.000(.092)
0.850	0.048(.091)	0.046(.091)	0.044(.092)	0.041(.092)	0.038(.093)
0.875	0.194(.094)	0.191(.094)	0.186(.095)	0.182(.095)	0.176(.095)
0.900	0.413(.102)	0.409(.102)	0.405(.102)	0.400(.102)	0.393(.102)
0.925	0.647(.115)	0.644(.115)	0.641(.115)	0.637(.115)	0.632(.115)
0.950	0.845(.134)	0.843(.134)	0.842(.134)	0.840(.134)	0.837(.134)
0.975	0.967(.156)	0.967(.156)	0.967(.156)	0.966(.156)	0.966(.156)
1.000	1.000(.181)	1.000(.181)	1.000(.181)	1.000(.181)	1.000(.181)

66-196
 6 Feb 67
 Phase II

*** RELATIVE ENERGY FLUX DENSITY IN THE *** VERSION D
 *** PENUMBRA OF A RECTANGULAR CYLINDER ***

SOLAR FIELD ANGLE, $\theta = 0.50$ DEGREES
 GEOMETRY $D2/R = 50.00$ AND $H/R = 1.0$

BETA = ANGLE OF INCIDENCE, DEGREES

BETA ***	50.00	60.00	70.00	80.00	89.25
AX/AB	Q (Q1)	Q (Q1)	Q (Q1)	Q (Q1)	Q (Q1)
0.	1.000(.)	1.000(.)	1.000(.)	1.000(.)	1.000(.)
0.025	0.970(.025)	0.971(.025)	0.973(.025)	0.978(.025)	1.000(.025)
0.050	0.855(.047)	0.860(.048)	0.868(.048)	0.888(.048)	0.997(.050)
0.075	0.667(.066)	0.676(.067)	0.691(.067)	0.733(.068)	0.992(.075)
0.100	0.441(.080)	0.453(.081)	0.475(.082)	0.535(.084)	0.982(.099)
0.125	0.221(.089)	0.233(.089)	0.256(.091)	0.321(.095)	0.966(.124)
0.150	0.064(.092)	0.072(.093)	0.088(.095)	0.139(.101)	0.943(.148)
0.175	0.002(.093)	0.004(.094)	0.007(.096)	0.028(.103)	0.911(.171)
0.200	0. (.093)	0. (.094)	0. (.096)	0. (.103)	0.869(.193)
0.225	0. (.093)	0. (.094)	0. (.096)	0. (.103)	0.815(.214)
0.250	0. (.093)	0. (.094)	0. (.096)	0. (.103)	0.748(.234)
0.275	0. (.093)	0. (.094)	0. (.096)	0. (.103)	0.666(.251)
0.300	0. (.093)	0. (.094)	0. (.096)	0. (.103)	0.570(.267)
0.325	0. (.093)	0. (.094)	0. (.096)	0. (.103)	0.458(.280)
0.350	0. (.093)	0. (.094)	0. (.096)	0. (.103)	0.338(.290)
0.375	0. (.093)	0. (.094)	0. (.096)	0. (.103)	0.216(.297)
0.400	0. (.093)	0. (.094)	0. (.096)	0. (.103)	0.106(.301)
0.425	0. (.093)	0. (.094)	0. (.096)	0. (.103)	0.027(.302)
0.450	0. (.093)	0. (.094)	0. (.096)	0. (.103)	0.000(.303)
0.475	0. (.093)	0. (.094)	0. (.096)	0. (.103)	0. (.303)
0.500	0. (.093)	0. (.094)	0. (.096)	0. (.103)	0. (.303)
0.525	0. (.093)	0. (.094)	0. (.096)	0. (.103)	0. (.303)
0.550	0. (.093)	0. (.094)	0. (.096)	0. (.103)	0. (.303)
0.575	0. (.093)	0. (.094)	0. (.096)	0. (.103)	0. (.303)
0.600	0. (.093)	0. (.094)	0. (.096)	0. (.103)	0. (.303)
0.625	0. (.093)	0. (.094)	0. (.096)	0. (.103)	0. (.303)
0.650	0. (.093)	0. (.094)	0. (.096)	0. (.103)	0. (.303)
0.675	0. (.093)	0. (.094)	0. (.096)	0. (.103)	0. (.303)
0.700	0. (.093)	0. (.094)	0. (.096)	0. (.103)	0. (.303)
0.725	0. (.093)	0. (.094)	0. (.096)	0. (.103)	0. (.303)
0.750	0. (.093)	0. (.094)	0. (.096)	0. (.103)	0. (.303)
0.775	0. (.093)	0. (.094)	0. (.096)	0. (.103)	0. (.303)
0.800	0. (.093)	0. (.094)	0. (.096)	0. (.103)	0. (.303)
0.825	0. (.093)	0. (.094)	0. (.096)	0. (.103)	0. (.303)
0.850	0.034(.093)	0.029(.095)	0.019(.097)	0.003(.103)	0. (.303)
0.875	0.169(.096)	0.157(.097)	0.136(.099)	0.081(.104)	0. (.303)
0.900	0.385(.103)	0.372(.103)	0.347(.105)	0.275(.109)	0. (.303)
0.925	0.626(.116)	0.616(.116)	0.597(.116)	0.537(.119)	0. (.303)
0.950	0.834(.134)	0.828(.134)	0.818(.134)	0.784(.135)	0. (.303)
0.975	0.965(.156)	0.963(.156)	0.961(.156)	0.952(.157)	0. (.303)
1.000	1.000(.181)	1.000(.181)	1.000(.181)	1.000(.181)	0. (.303)

5

3

2

*** RELATIVE ENERGY FLUX DENSITY IN THE ***

VERSION D

*** PENUMBRA OF A RECTANGULAR CYLINDER ***

SOLAR FIELD ANGLE, D= 0.50 DEGREES
 GEOMETRY D2/R = 100.00 AND H/R = 1.0

BETA = ANGLE OF INCIDENCE, DEGREES

BETA ***	0.	10.00	20.00	30.00	40.00
AX/AB	Q (Q1)	Q (Q1)	Q (Q1)	Q (Q1)	Q (Q1)
0.	1.000(.)	1.000(.)	1.000(.)	1.000(.)	1.000(.)
0.025	0.991(.025)	0.991(.025)	0.991(.025)	0.991(.025)	0.991(.025)
0.050	0.951(.049)	0.952(.049)	0.952(.049)	0.952(.049)	0.953(.049)
0.075	0.879(.072)	0.880(.072)	0.880(.072)	0.881(.072)	0.883(.072)
0.100	0.777(.093)	0.778(.093)	0.779(.093)	0.781(.093)	0.783(.093)
0.125	0.653(.111)	0.654(.111)	0.656(.111)	0.659(.111)	0.661(.111)
0.150	0.515(.125)	0.519(.125)	0.521(.125)	0.524(.126)	0.527(.126)
0.175	0.376(.136)	0.379(.137)	0.381(.137)	0.384(.137)	0.388(.137)
0.200	0.247(.144)	0.249(.144)	0.251(.145)	0.254(.145)	0.258(.145)
0.225	0.137(.149)	0.139(.149)	0.141(.150)	0.144(.150)	0.147(.150)
0.250	0.058(.151)	0.059(.152)	0.061(.152)	0.062(.153)	0.064(.153)
0.275	0.013(.152)	0.014(.153)	0.014(.153)	0.015(.153)	0.016(.154)
0.300	0.000(.152)	0.000(.153)	0.000(.153)	0.000(.154)	0.000(.154)
0.325	0. (.152)	0. (.153)	0. (.153)	0. (.154)	0. (.154)
0.350	0. (.152)	0. (.153)	0. (.153)	0. (.154)	0. (.154)
0.375	0. (.152)	0. (.153)	0. (.153)	0. (.154)	0. (.154)
0.400	0. (.152)	0. (.153)	0. (.153)	0. (.154)	0. (.154)
0.425	0. (.152)	0. (.153)	0. (.153)	0. (.154)	0. (.154)
0.450	0. (.152)	0. (.153)	0. (.153)	0. (.154)	0. (.154)
0.475	0. (.152)	0. (.153)	0. (.153)	0. (.154)	0. (.154)
0.500	0. (.152)	0. (.153)	0. (.153)	0. (.154)	0. (.154)
0.525	0. (.152)	0. (.153)	0. (.153)	0. (.154)	0. (.154)
0.550	0. (.152)	0. (.153)	0. (.153)	0. (.154)	0. (.154)
0.575	0. (.152)	0. (.153)	0. (.153)	0. (.154)	0. (.154)
0.600	0. (.152)	0. (.153)	0. (.153)	0. (.154)	0. (.154)
0.625	0. (.152)	0. (.153)	0. (.153)	0. (.154)	0. (.154)
0.650	0. (.152)	0. (.153)	0. (.153)	0. (.154)	0. (.154)
0.675	0. (.152)	0. (.153)	0. (.153)	0. (.154)	0. (.154)
0.700	0.000(.152)	0.000(.153)	0.000(.153)	0.000(.154)	0.000(.154)
0.725	0.013(.153)	0.012(.153)	0.012(.153)	0.011(.154)	0.010(.154)
0.750	0.058(.153)	0.057(.154)	0.055(.154)	0.054(.155)	0.052(.155)
0.775	0.137(.156)	0.136(.156)	0.134(.157)	0.131(.157)	0.128(.157)
0.800	0.247(.161)	0.244(.161)	0.242(.161)	0.239(.162)	0.236(.162)
0.825	0.376(.169)	0.374(.169)	0.371(.169)	0.368(.169)	0.365(.169)
0.850	0.515(.180)	0.514(.180)	0.512(.180)	0.509(.180)	0.506(.180)
0.875	0.653(.194)	0.651(.194)	0.649(.194)	0.646(.195)	0.644(.195)
0.900	0.777(.212)	0.775(.212)	0.774(.212)	0.772(.212)	0.770(.212)
0.925	0.879(.233)	0.878(.233)	0.877(.233)	0.876(.233)	0.875(.233)
0.950	0.951(.256)	0.951(.256)	0.950(.256)	0.950(.256)	0.949(.256)
0.975	0.991(.280)	0.990(.280)	0.990(.280)	0.990(.280)	0.990(.280)
1.000	1.000(.305)	1.000(.305)	1.000(.305)	1.000(.305)	1.000(.305)

Exp. G
Page 11

*** RELATIVE ENERGY FLUX DENSITY IN THE ***
*** PENUMBRA OF A RECTANGULAR CYLINDER ***

VERSION D

SOLAR FIELD ANGLE, $D = 0.50$ DEGREES
GEOMETRY $D^2/R = 100.00$ AND $H/R = 1.0$

BETA = ANGLE OF INCIDENCE, DEGREES

BETA ***	50.00	60.00	70.00	80.00	89.25
AX/AB	Q (Q1)	Q (Q1)	Q (Q1)	Q (Q1)	Q (Q1)
0.	1.000(.)	1.000(.)	1.000(.)	1.000(.)	1.000(.)
0.025	0.991(.025)	0.991(.025)	0.992(.025)	0.993(.025)	0.998(.025)
0.050	0.954(.049)	0.955(.049)	0.957(.049)	0.962(.049)	0.998(.050)
0.075	0.884(.072)	0.887(.072)	0.891(.072)	0.903(.073)	0.995(.075)
0.100	0.785(.093)	0.790(.093)	0.797(.093)	0.817(.094)	0.988(.100)
0.125	0.665(.111)	0.671(.111)	0.681(.112)	0.709(.113)	0.979(.124)
0.150	0.531(.126)	0.538(.127)	0.550(.127)	0.585(.129)	0.964(.149)
0.175	0.393(.138)	0.400(.138)	0.414(.139)	0.453(.142)	0.945(.172)
0.200	0.262(.146)	0.269(.147)	0.283(.148)	0.322(.152)	0.920(.196)
0.225	0.151(.151)	0.157(.152)	0.169(.154)	0.204(.159)	0.887(.218)
0.250	0.067(.154)	0.072(.155)	0.080(.157)	0.107(.163)	0.846(.240)
0.275	0.017(.155)	0.019(.156)	0.024(.158)	0.040(.164)	0.796(.260)
0.300	0.000(.155)	0.001(.156)	0.001(.158)	0.006(.165)	0.736(.280)
0.325	0. (.155)	0. (.156)	0. (.158)	0. (.165)	0.666(.297)
0.350	0. (.155)	0. (.156)	0. (.158)	0. (.165)	0.585(.313)
0.375	0. (.155)	0. (.156)	0. (.158)	0. (.165)	0.494(.326)
0.400	0. (.155)	0. (.156)	0. (.158)	0. (.165)	0.395(.337)
0.425	0. (.155)	0. (.156)	0. (.158)	0. (.165)	0.291(.346)
0.450	0. (.155)	0. (.156)	0. (.158)	0. (.165)	0.190(.352)
0.475	0. (.155)	0. (.156)	0. (.158)	0. (.165)	0.100(.356)
0.500	0. (.155)	0. (.156)	0. (.158)	0. (.165)	0.033(.357)
0.525	0. (.155)	0. (.156)	0. (.158)	0. (.165)	0.002(.358)
0.550	0. (.155)	0. (.156)	0. (.158)	0. (.165)	0. (.358)
0.575	0. (.155)	0. (.156)	0. (.158)	0. (.165)	0. (.358)
0.600	0. (.155)	0. (.156)	0. (.158)	0. (.165)	0. (.358)
0.625	0. (.155)	0. (.156)	0. (.158)	0. (.165)	0. (.358)
0.650	0. (.155)	0. (.156)	0. (.158)	0. (.165)	0. (.358)
0.675	0. (.155)	0. (.156)	0. (.158)	0. (.165)	0. (.358)
0.700	0. (.155)	0. (.156)	0. (.158)	0. (.165)	0. (.358)
0.725	0.009(.155)	0.008(.156)	0.005(.159)	0.001(.165)	0. (.358)
0.750	0.049(.156)	0.046(.157)	0.039(.159)	0.024(.165)	0. (.358)
0.775	0.125(.158)	0.119(.159)	0.109(.161)	0.081(.167)	0. (.358)
0.800	0.231(.163)	0.224(.163)	0.211(.165)	0.175(.170)	0. (.358)
0.825	0.360(.170)	0.353(.171)	0.338(.172)	0.298(.176)	0. (.358)
0.850	0.501(.181)	0.494(.181)	0.481(.182)	0.441(.185)	0. (.358)
0.875	0.640(.195)	0.634(.195)	0.622(.196)	0.588(.198)	0. (.358)
0.900	0.767(.213)	0.763(.213)	0.754(.213)	0.729(.214)	0. (.358)
0.925	0.873(.233)	0.870(.233)	0.865(.233)	0.849(.234)	0. (.358)
0.950	0.949(.256)	0.947(.256)	0.945(.256)	0.938(.256)	0.043(.358)
0.975	0.990(.280)	0.990(.280)	0.989(.280)	0.988(.280)	0.439(.364)
1.000	1.000(.305)	1.000(.305)	1.000(.305)	1.000(.305)	1.000(.382)

3
2

D-30
281

Phase II

*** RELATIVE ENERGY FLUX DENSITY IN THE ***
 *** PENUMBRA OF A RECTANGULAR CYLINDER ***

VERSION D

SOLAR FIELD ANGLE, D= 0.50 DEGREES
 GEOMETRY D2/R = 1.00 AND H/R = 2.0

BETA = ANGLE OF INCIDENCE, DEGREES

BETA ***	0.	10.00	20.00	30.00	40.00
AX/AB	Q (Q1)	Q (Q1)	Q (Q1)	Q (Q1)	Q (Q1)
0.	1.000(.)	1.000(.)	1.000(.)	1.000(.)	1.000(.)
0.025	0. (.012)	0. (.012)	0. (.012)	0. (.012)	0. (.012)
0.050	0. (.012)	0. (.012)	0. (.012)	0. (.012)	0. (.012)
0.075	0. (.012)	0. (.012)	0. (.012)	0. (.012)	0. (.012)
0.100	0. (.012)	0. (.012)	0. (.012)	0. (.012)	0. (.012)
0.125	0. (.012)	0. (.012)	0. (.012)	0. (.012)	0. (.012)
0.150	0. (.012)	0. (.012)	0. (.012)	0. (.012)	0. (.012)
0.175	0. (.012)	0. (.012)	0. (.012)	0. (.012)	0. (.012)
0.200	0. (.012)	0. (.012)	0. (.012)	0. (.012)	0. (.012)
0.225	0. (.012)	0. (.012)	0. (.012)	0. (.012)	0. (.012)
0.250	0. (.012)	0. (.012)	0. (.012)	0. (.012)	0. (.012)
0.275	0. (.012)	0. (.012)	0. (.012)	0. (.012)	0. (.012)
0.300	0. (.012)	0. (.012)	0. (.012)	0. (.012)	0. (.012)
0.325	0. (.012)	0. (.012)	0. (.012)	0. (.012)	0. (.012)
0.350	0. (.012)	0. (.012)	0. (.012)	0. (.012)	0. (.012)
0.375	0. (.012)	0. (.012)	0. (.012)	0. (.012)	0. (.012)
0.400	0. (.012)	0. (.012)	0. (.012)	0. (.012)	0. (.012)
0.425	0. (.012)	0. (.012)	0. (.012)	0. (.012)	0. (.012)
0.450	0. (.012)	0. (.012)	0. (.012)	0. (.012)	0. (.012)
0.475	0. (.012)	0. (.012)	0. (.012)	0. (.012)	0. (.012)
0.500	0. (.012)	0. (.012)	0. (.012)	0. (.012)	0. (.012)
0.525	0. (.012)	0. (.012)	0. (.012)	0. (.012)	0. (.012)
0.550	0. (.012)	0. (.012)	0. (.012)	0. (.012)	0. (.012)
0.575	0. (.012)	0. (.012)	0. (.012)	0. (.012)	0. (.012)
0.600	0. (.012)	0. (.012)	0. (.012)	0. (.012)	0. (.012)
0.625	0. (.012)	0. (.012)	0. (.012)	0. (.012)	0. (.012)
0.650	0. (.012)	0. (.012)	0. (.012)	0. (.012)	0. (.012)
0.675	0. (.012)	0. (.012)	0. (.012)	0. (.012)	0. (.012)
0.700	0. (.012)	0. (.012)	0. (.012)	0. (.012)	0. (.012)
0.725	0. (.012)	0. (.012)	0. (.012)	0. (.012)	0. (.012)
0.750	0. (.012)	0. (.012)	0. (.012)	0. (.012)	0. (.012)
0.775	0. (.012)	0. (.012)	0. (.012)	0. (.012)	0. (.012)
0.800	0. (.012)	0. (.012)	0. (.012)	0. (.012)	0. (.012)
0.825	0. (.012)	0. (.012)	0. (.012)	0. (.012)	0. (.012)
0.850	0. (.012)	0. (.012)	0. (.012)	0. (.012)	0. (.012)
0.875	0. (.012)	0. (.012)	0. (.012)	0. (.012)	0. (.012)
0.900	0. (.012)	0. (.012)	0. (.012)	0. (.012)	0. (.012)
0.925	0. (.012)	0. (.012)	0. (.012)	0. (.012)	0. (.012)
0.950	0. (.012)	0. (.012)	0. (.012)	0. (.012)	0. (.012)
0.975	0. (.012)	0. (.012)	0. (.012)	0. (.012)	0. (.012)
1.000	1.000(.025)	1.000(.025)	1.000(.025)	1.000(.025)	1.000(.025)

RE-ORDER No. **66-196**
App A
Phase II

*** RELATIVE ENERGY FLUX DENSITY IN THE ***
 *** PENUMBRA OF A RECTANGULAR CYLINDER ***

VERSION D

SOLAR FIELD ANGLE, D = 0.50 DEGREES
 GEOMETRY D2/R = 1.00 AND H/R = 2.0

BETA = ANGLE OF INCIDENCE, DEGREES

BETA ***	50.00	60.00	70.00	80.00	89.25
AX/AB	Q (Q1)	Q (Q1)	Q (Q1)	Q (Q1)	Q (Q1)
0.	1.000(.)	1.000(.)	1.000(.)	1.000(.)	1.000(.)
0.025	0. (.012)	0. (.012)	0. (.012)	0.082(.014)	0.999(.025)
0.050	0. (.012)	0. (.012)	0. (.012)	0. (.015)	0.994(.050)
0.075	0. (.012)	0. (.012)	0. (.012)	0. (.015)	0.982(.075)
0.100	0. (.012)	0. (.012)	0. (.012)	0. (.015)	0.959(.099)
0.125	0. (.012)	0. (.012)	0. (.012)	0. (.015)	0.924(.122)
0.150	0. (.012)	0. (.012)	0. (.012)	0. (.015)	0.870(.145)
0.175	0. (.012)	0. (.012)	0. (.012)	0. (.015)	0.796(.166)
0.200	0. (.012)	0. (.012)	0. (.012)	0. (.015)	0.697(.184)
0.225	0. (.012)	0. (.012)	0. (.012)	0. (.015)	0.573(.200)
0.250	0. (.012)	0. (.012)	0. (.012)	0. (.015)	0.418(.213)
0.275	0. (.012)	0. (.012)	0. (.012)	0. (.015)	0.249(.221)
0.300	0. (.012)	0. (.012)	0. (.012)	0. (.015)	0.096(.225)
0.325	0. (.012)	0. (.012)	0. (.012)	0. (.015)	0.008(.227)
0.350	0. (.012)	0. (.012)	0. (.012)	0. (.015)	0. (.227)
0.375	0. (.012)	0. (.012)	0. (.012)	0. (.015)	0. (.227)
0.400	0. (.012)	0. (.012)	0. (.012)	0. (.015)	0. (.227)
0.425	0. (.012)	0. (.012)	0. (.012)	0. (.015)	0. (.227)
0.450	0. (.012)	0. (.012)	0. (.012)	0. (.015)	0. (.227)
0.475	0. (.012)	0. (.012)	0. (.012)	0. (.015)	0. (.227)
0.500	0. (.012)	0. (.012)	0. (.012)	0. (.015)	0. (.227)
0.525	0. (.012)	0. (.012)	0. (.012)	0. (.015)	0. (.227)
0.550	0. (.012)	0. (.012)	0. (.012)	0. (.015)	0. (.227)
0.575	0. (.012)	0. (.012)	0. (.012)	0. (.015)	0. (.227)
0.600	0. (.012)	0. (.012)	0. (.012)	0. (.015)	0. (.227)
0.625	0. (.012)	0. (.012)	0. (.012)	0. (.015)	0. (.227)
0.650	0. (.012)	0. (.012)	0. (.012)	0. (.015)	0. (.227)
0.675	0. (.012)	0. (.012)	0. (.012)	0. (.015)	0. (.227)
0.700	0. (.012)	0. (.012)	0. (.012)	0. (.015)	0. (.227)
0.725	0. (.012)	0. (.012)	0. (.012)	0. (.015)	0. (.227)
0.750	0. (.012)	0. (.012)	0. (.012)	0. (.015)	0. (.227)
0.775	0. (.012)	0. (.012)	0. (.012)	0. (.015)	0. (.227)
0.800	0. (.012)	0. (.012)	0. (.012)	0. (.015)	0. (.227)
0.825	0. (.012)	0. (.012)	0. (.012)	0. (.015)	0. (.227)
0.850	0. (.012)	0. (.012)	0. (.012)	0. (.015)	0. (.227)
0.875	0. (.012)	0. (.012)	0. (.012)	0. (.015)	0. (.227)
0.900	0. (.012)	0. (.012)	0. (.012)	0. (.015)	0. (.227)
0.925	0. (.012)	0. (.012)	0. (.012)	0. (.015)	0. (.227)
0.950	0. (.012)	0. (.012)	0. (.012)	0. (.015)	0. (.227)
0.975	0. (.012)	0. (.012)	0. (.012)	0. (.015)	0. (.227)
1.000	0. (.012)	0. (.012)	0. (.012)	0. (.015)	0. (.227)

66-196
 Phase II

*** RELATIVE ENERGY FLUX DENSITY IN THE ***
 *** PENUMBRA OF A RECTANGULAR CYLINDER ***
 VERSION D

SOLAR FIELD ANGLE, D= 0.50 DEGREES
 GEOMETRY D2/R = 5.00 AND H/R = 2.0

BETA = ANGLE OF INCIDENCE, DEGREES

BETA ***	0.		10.00		20.00		30.00		40.00	
AX/AB	Q	(Q1)	Q	(Q1)	Q	(Q1)	Q	(Q1)	Q	(Q1)
0.	1.000	(.)	1.000	(.)	1.000	(.)	1.000	(.)	1.000	(.)
0.025	0.	(.012)	0.	(.012)	0.	(.012)	0.	(.012)	0.	(.012)
0.050	0.	(.012)	0.	(.012)	0.	(.012)	0.	(.012)	0.	(.012)
0.075	0.	(.012)	0.	(.012)	0.	(.012)	0.	(.012)	0.	(.012)
0.100	0.	(.012)	0.	(.012)	0.	(.012)	0.	(.012)	0.	(.012)
0.125	0.	(.012)	0.	(.012)	0.	(.012)	0.	(.012)	0.	(.012)
0.150	0.	(.012)	0.	(.012)	0.	(.012)	0.	(.012)	0.	(.012)
0.175	0.	(.012)	0.	(.012)	0.	(.012)	0.	(.012)	0.	(.012)
0.200	0.	(.012)	0.	(.012)	0.	(.012)	0.	(.012)	0.	(.012)
0.225	0.	(.012)	0.	(.012)	0.	(.012)	0.	(.012)	0.	(.012)
0.250	0.	(.012)	0.	(.012)	0.	(.012)	0.	(.012)	0.	(.012)
0.275	0.	(.012)	0.	(.012)	0.	(.012)	0.	(.012)	0.	(.012)
0.300	0.	(.012)	0.	(.012)	0.	(.012)	0.	(.012)	0.	(.012)
0.325	0.	(.012)	0.	(.012)	0.	(.012)	0.	(.012)	0.	(.012)
0.350	0.	(.012)	0.	(.012)	0.	(.012)	0.	(.012)	0.	(.012)
0.375	0.	(.012)	0.	(.012)	0.	(.012)	0.	(.012)	0.	(.012)
0.400	0.	(.012)	0.	(.012)	0.	(.012)	0.	(.012)	0.	(.012)
0.425	0.	(.012)	0.	(.012)	0.	(.012)	0.	(.012)	0.	(.012)
0.450	0.	(.012)	0.	(.012)	0.	(.012)	0.	(.012)	0.	(.012)
0.475	0.	(.012)	0.	(.012)	0.	(.012)	0.	(.012)	0.	(.012)
0.500	0.	(.012)	0.	(.012)	0.	(.012)	0.	(.012)	0.	(.012)
0.525	0.	(.012)	0.	(.012)	0.	(.012)	0.	(.012)	0.	(.012)
0.550	0.	(.012)	0.	(.012)	0.	(.012)	0.	(.012)	0.	(.012)
0.575	0.	(.012)	0.	(.012)	0.	(.012)	0.	(.012)	0.	(.012)
0.600	0.	(.012)	0.	(.012)	0.	(.012)	0.	(.012)	0.	(.012)
0.625	0.	(.012)	0.	(.012)	0.	(.012)	0.	(.012)	0.	(.012)
0.650	0.	(.012)	0.	(.012)	0.	(.012)	0.	(.012)	0.	(.012)
0.675	0.	(.012)	0.	(.012)	0.	(.012)	0.	(.012)	0.	(.012)
0.700	0.	(.012)	0.	(.012)	0.	(.012)	0.	(.012)	0.	(.012)
0.725	0.	(.012)	0.	(.012)	0.	(.012)	0.	(.012)	0.	(.012)
0.750	0.	(.012)	0.	(.012)	0.	(.012)	0.	(.012)	0.	(.012)
0.775	0.	(.012)	0.	(.012)	0.	(.012)	0.	(.012)	0.	(.012)
0.800	0.	(.012)	0.	(.012)	0.	(.012)	0.	(.012)	0.	(.012)
0.825	0.	(.012)	0.	(.012)	0.	(.012)	0.	(.012)	0.	(.012)
0.850	0.	(.012)	0.	(.012)	0.	(.012)	0.	(.012)	0.	(.012)
0.875	0.	(.012)	0.	(.012)	0.	(.012)	0.	(.012)	0.	(.012)
0.900	0.	(.012)	0.	(.012)	0.	(.012)	0.	(.012)	0.	(.012)
0.925	0.	(.012)	0.	(.012)	0.	(.012)	0.	(.012)	0.	(.012)
0.950	0.	(.012)	0.	(.012)	0.	(.012)	0.	(.012)	0.	(.012)
0.975	0.	(.012)	0.	(.012)	0.	(.012)	0.	(.012)	0.	(.012)
1.000	1.000	(.025)	1.000	(.025)	1.000	(.025)	1.000	(.025)	1.000	(.025)

Phase II

*** RELATIVE ENERGY FLUX DENSITY IN THE ***
 *** PENUMBRA OF A RECTANGULAR CYLINDER ***

VERSION D

SOLAR FIELD ANGLE, $D = 0.50$ DEGREES
 GEOMETRY $D2/R = 5.00$ AND $H/R = 2.0$

BETA = ANGLE OF INCIDENCE, DEGREES

BETA ***	50.00		60.00		70.00		80.00		89.25	
AX/AB	Q	(QI)	Q	(QI)	Q	(QI)	Q	(QI)	Q	(QI)
0.	1.000(.)		1.000(.)		1.000(.)		1.000(.)		1.000(.)	
0.025	0.007(.013)		0.061(.013)		0.229(.015)		0.582(.020)		0.999(.025)	
0.050	0. (.013)		0. (.014)		0. (.018)		0. (.027)		0.994(.050)	
0.075	0. (.013)		0. (.014)		0. (.018)		0. (.027)		0.983(.075)	
0.100	0. (.013)		0. (.014)		0. (.018)		0. (.027)		0.963(.100)	
0.125	0. (.013)		0. (.014)		0. (.018)		0. (.027)		0.930(.123)	
0.150	0. (.013)		0. (.014)		0. (.018)		0. (.027)		0.882(.145)	
0.175	0. (.013)		0. (.014)		0. (.018)		0. (.027)		0.814(.166)	
0.200	0. (.013)		0. (.014)		0. (.018)		0. (.027)		0.725(.186)	
0.225	0. (.013)		0. (.014)		0. (.018)		0. (.027)		0.611(.202)	
0.250	0. (.013)		0. (.014)		0. (.018)		0. (.027)		0.470(.216)	
0.275	0. (.013)		0. (.014)		0. (.018)		0. (.027)		0.309(.226)	
0.300	0. (.013)		0. (.014)		0. (.018)		0. (.027)		0.151(.231)	
0.325	0. (.013)		0. (.014)		0. (.018)		0. (.027)		0.033(.234)	
0.350	0. (.013)		0. (.014)		0. (.018)		0. (.027)		0. (.234)	
0.375	0. (.013)		0. (.014)		0. (.018)		0. (.027)		0. (.234)	
0.400	0. (.013)		0. (.014)		0. (.018)		0. (.027)		0. (.234)	
0.425	0. (.013)		0. (.014)		0. (.018)		0. (.027)		0. (.234)	
0.450	0. (.013)		0. (.014)		0. (.018)		0. (.027)		0. (.234)	
0.475	0. (.013)		0. (.014)		0. (.018)		0. (.027)		0. (.234)	
0.500	0. (.013)		0. (.014)		0. (.018)		0. (.027)		0. (.234)	
0.525	0. (.013)		0. (.014)		0. (.018)		0. (.027)		0. (.234)	
0.550	0. (.013)		0. (.014)		0. (.018)		0. (.027)		0. (.234)	
0.575	0. (.013)		0. (.014)		0. (.018)		0. (.027)		0. (.234)	
0.600	0. (.013)		0. (.014)		0. (.018)		0. (.027)		0. (.234)	
0.625	0. (.013)		0. (.014)		0. (.018)		0. (.027)		0. (.234)	
0.650	0. (.013)		0. (.014)		0. (.018)		0. (.027)		0. (.234)	
0.675	0. (.013)		0. (.014)		0. (.018)		0. (.027)		0. (.234)	
0.700	0. (.013)		0. (.014)		0. (.018)		0. (.027)		0. (.234)	
0.725	0. (.013)		0. (.014)		0. (.018)		0. (.027)		0. (.234)	
0.750	0. (.013)		0. (.014)		0. (.018)		0. (.027)		0. (.234)	
0.775	0. (.013)		0. (.014)		0. (.018)		0. (.027)		0. (.234)	
0.800	0. (.013)		0. (.014)		0. (.018)		0. (.027)		0. (.234)	
0.825	0. (.013)		0. (.014)		0. (.018)		0. (.027)		0. (.234)	
0.850	0. (.013)		0. (.014)		0. (.018)		0. (.027)		0. (.234)	
0.875	0. (.013)		0. (.014)		0. (.018)		0. (.027)		0. (.234)	
0.900	0. (.013)		0. (.014)		0. (.018)		0. (.027)		0. (.234)	
0.925	0. (.013)		0. (.014)		0. (.018)		0. (.027)		0. (.234)	
0.950	0. (.013)		0. (.014)		0. (.018)		0. (.027)		0. (.234)	
0.975	0. (.013)		0. (.014)		0. (.018)		0. (.027)		0. (.234)	
1.000	1.000(.025)		1.000(.027)		1.000(.031)		0. (.027)		0. (.234)	

6

3

2

*** RELATIVE ENERGY FLUX DENSITY IN THE ***
 *** PENUMBRA OF A RECTANGULAR CYLINDER ***
 VERSION D

SOLAR FIELD ANGLE, D = 0.50 DEGREES
 GEOMETRY D2/R = 10.00 AND H/R = 2.0

BETA = ANGLE OF INCIDENCE, DEGREES

BETA ***	0.	10.00	20.00	30.00	40.00
AX/AB	Q (QI)	Q (QI)	Q (QI)	Q (QI)	Q (QI)
0.	1.000(.)	1.000(.)	1.000(.)	1.000(.)	1.000(.)
0.025	0.494(.019)	0.509(.019)	0.523(.019)	0.537(.019)	0.555(.019)
0.050	0. (.025)	0. (.025)	0. (.026)	0. (.026)	0. (.026)
0.075	0. (.025)	0. (.025)	0. (.026)	0. (.026)	0. (.026)
0.100	0. (.025)	0. (.025)	0. (.026)	0. (.026)	0. (.026)
0.125	0. (.025)	0. (.025)	0. (.026)	0. (.026)	0. (.026)
0.150	0. (.025)	0. (.025)	0. (.026)	0. (.026)	0. (.026)
0.175	0. (.025)	0. (.025)	0. (.026)	0. (.026)	0. (.026)
0.200	0. (.025)	0. (.025)	0. (.026)	0. (.026)	0. (.026)
0.225	0. (.025)	0. (.025)	0. (.026)	0. (.026)	0. (.026)
0.250	0. (.025)	0. (.025)	0. (.026)	0. (.026)	0. (.026)
0.275	0. (.025)	0. (.025)	0. (.026)	0. (.026)	0. (.026)
0.300	0. (.025)	0. (.025)	0. (.026)	0. (.026)	0. (.026)
0.325	0. (.025)	0. (.025)	0. (.026)	0. (.026)	0. (.026)
0.350	0. (.025)	0. (.025)	0. (.026)	0. (.026)	0. (.026)
0.375	0. (.025)	0. (.025)	0. (.026)	0. (.026)	0. (.026)
0.400	0. (.025)	0. (.025)	0. (.026)	0. (.026)	0. (.026)
0.425	0. (.025)	0. (.025)	0. (.026)	0. (.026)	0. (.026)
0.450	0. (.025)	0. (.025)	0. (.026)	0. (.026)	0. (.026)
0.475	0. (.025)	0. (.025)	0. (.026)	0. (.026)	0. (.026)
0.500	0. (.025)	0. (.025)	0. (.026)	0. (.026)	0. (.026)
0.525	0. (.025)	0. (.025)	0. (.026)	0. (.026)	0. (.026)
0.550	0. (.025)	0. (.025)	0. (.026)	0. (.026)	0. (.026)
0.575	0. (.025)	0. (.025)	0. (.026)	0. (.026)	0. (.026)
0.600	0. (.025)	0. (.025)	0. (.026)	0. (.026)	0. (.026)
0.625	0. (.025)	0. (.025)	0. (.026)	0. (.026)	0. (.026)
0.650	0. (.025)	0. (.025)	0. (.026)	0. (.026)	0. (.026)
0.675	0. (.025)	0. (.025)	0. (.026)	0. (.026)	0. (.026)
0.700	0. (.025)	0. (.025)	0. (.026)	0. (.026)	0. (.026)
0.725	0. (.025)	0. (.025)	0. (.026)	0. (.026)	0. (.026)
0.750	0. (.025)	0. (.025)	0. (.026)	0. (.026)	0. (.026)
0.775	0. (.025)	0. (.025)	0. (.026)	0. (.026)	0. (.026)
0.800	0. (.025)	0. (.025)	0. (.026)	0. (.026)	0. (.026)
0.825	0. (.025)	0. (.025)	0. (.026)	0. (.026)	0. (.026)
0.850	0. (.025)	0. (.025)	0. (.026)	0. (.026)	0. (.026)
0.875	0. (.025)	0. (.025)	0. (.026)	0. (.026)	0. (.026)
0.900	0. (.025)	0. (.025)	0. (.026)	0. (.026)	0. (.026)
0.925	0. (.025)	0. (.025)	0. (.026)	0. (.026)	0. (.026)
0.950	0. (.025)	0. (.025)	0. (.026)	0. (.026)	0. (.026)
0.975	0.494(.031)	0.473(.031)	0.451(.031)	0.424(.031)	0.389(.031)
1.000	1.000(.050)	1.000(.050)	1.000(.049)	1.000(.049)	1.000(.049)

*** RELATIVE ENERGY FLUX DENSITY IN THE ***
 *** PENUMBRA OF A RECTANGULAR CYLINDER ***

VERSION D

SOLAR FIELD ANGLE, $\theta = 0.50$ DEGREES
 GEOMETRY $D2/R = 10.00$ AND $H/R = 2.0$

BETA = ANGLE OF INCIDENCE, DEGREES

BETA ***	50.00		60.00		70.00		80.00		89.25	
AX/AB	Q	(Q1)	Q	(Q1)	Q	(Q1)	Q	(Q1)	Q	(Q1)
0.	1.000(.)		1.000(.)		1.000(.)		1.000(.)		1.000(.)	
0.025	0.578(.020)		0.610(.020)		0.663(.021)		0.775(.022)		0.999(.025)	
0.050	0. (.027)		0. (.028)		0.006(.029)		0.161(.034)		0.995(.050)	
0.075	0. (.027)		0. (.028)		0. (.029)		0. (.036)		0.985(.075)	
0.100	0. (.027)		0. (.028)		0. (.029)		0. (.036)		0.967(.099)	
0.125	0. (.027)		0. (.028)		0. (.029)		0. (.036)		0.937(.123)	
0.150	0. (.027)		0. (.028)		0. (.029)		0. (.036)		0.894(.146)	
0.175	0. (.027)		0. (.028)		0. (.029)		0. (.036)		0.834(.167)	
0.200	0. (.027)		0. (.028)		0. (.029)		0. (.036)		0.753(.187)	
0.225	0. (.027)		0. (.028)		0. (.029)		0. (.036)		0.651(.205)	
0.250	0. (.027)		0. (.028)		0. (.029)		0. (.036)		0.525(.219)	
0.275	0. (.027)		0. (.028)		0. (.029)		0. (.036)		0.375(.231)	
0.300	0. (.027)		0. (.028)		0. (.029)		0. (.036)		0.219(.238)	
0.325	0. (.027)		0. (.028)		0. (.029)		0. (.036)		0.082(.242)	
0.350	0. (.027)		0. (.028)		0. (.029)		0. (.036)		0.006(.243)	
0.375	0. (.027)		0. (.028)		0. (.029)		0. (.036)		0. (.243)	
0.400	0. (.027)		0. (.028)		0. (.029)		0. (.036)		0. (.243)	
0.425	0. (.027)		0. (.028)		0. (.029)		0. (.036)		0. (.243)	
0.450	0. (.027)		0. (.028)		0. (.029)		0. (.036)		0. (.243)	
0.475	0. (.027)		0. (.028)		0. (.029)		0. (.036)		0. (.243)	
0.500	0. (.027)		0. (.028)		0. (.029)		0. (.036)		0. (.243)	
0.525	0. (.027)		0. (.028)		0. (.029)		0. (.036)		0. (.243)	
0.550	0. (.027)		0. (.028)		0. (.029)		0. (.036)		0. (.243)	
0.575	0. (.027)		0. (.028)		0. (.029)		0. (.036)		0. (.243)	
0.600	0. (.027)		0. (.028)		0. (.029)		0. (.036)		0. (.243)	
0.625	0. (.027)		0. (.028)		0. (.029)		0. (.036)		0. (.243)	
0.650	0. (.027)		0. (.028)		0. (.029)		0. (.036)		0. (.243)	
0.675	0. (.027)		0. (.028)		0. (.029)		0. (.036)		0. (.243)	
0.700	0. (.027)		0. (.028)		0. (.029)		0. (.036)		0. (.243)	
0.725	0. (.027)		0. (.028)		0. (.029)		0. (.036)		0. (.243)	
0.750	0. (.027)		0. (.028)		0. (.029)		0. (.036)		0. (.243)	
0.775	0. (.027)		0. (.028)		0. (.029)		0. (.036)		0. (.243)	
0.800	0. (.027)		0. (.028)		0. (.029)		0. (.036)		0. (.243)	
0.825	0. (.027)		0. (.028)		0. (.029)		0. (.036)		0. (.243)	
0.850	0. (.027)		0. (.028)		0. (.029)		0. (.036)		0. (.243)	
0.875	0. (.027)		0. (.028)		0. (.029)		0. (.036)		0. (.243)	
0.900	0. (.027)		0. (.028)		0. (.029)		0. (.036)		0. (.243)	
0.925	0. (.027)		0. (.028)		0. (.029)		0. (.036)		0. (.243)	
0.950	0. (.027)		0. (.028)		0. (.029)		0. (.036)		0. (.243)	
0.975	0.339(.031)		0.257(.031)		0.099(.030)		0. (.036)		0. (.243)	
1.000	1.000(.046)		1.000(.047)		1.000(.044)		1.000(.048)		0. (.243)	

6

*** RELATIVE ENERGY FLUX DENSITY IN THE ***
 *** PENUMBRA OF A RECTANGULAR CYLINDER ***

VERSION D

SOLAR FIELD ANGLE, D = 0.50 DEGREES
 GEOMETRY D2/R = 50.00 AND H/R = 2.0

BETA = ANGLE OF INCIDENCE, DEGREES

BETA ***	0.	10.00	20.00	30.00	40.00
AX/AB	Q (Q1)	Q (Q1)	Q (Q1)	Q (Q1)	Q (Q1)
0.	1.000(.)	1.000(.)	1.000(.)	1.000(.)	1.000(.)
0.025	0.969(.025)	0.969(.025)	0.969(.025)	0.970(.025)	0.970(.025)
0.050	0.850(.047)	0.852(.047)	0.853(.047)	0.855(.047)	0.857(.047)
0.075	0.657(.056)	0.660(.066)	0.663(.066)	0.667(.066)	0.671(.067)
0.100	0.425(.080)	0.430(.080)	0.434(.080)	0.439(.080)	0.445(.081)
0.125	0.199(.088)	0.203(.088)	0.206(.088)	0.213(.088)	0.218(.089)
0.150	0.045(.091)	0.051(.091)	0.053(.091)	0.056(.092)	0.060(.092)
0.175	0.000(.091)	0.000(.092)	0.000(.092)	0.001(.092)	0.001(.093)
0.200	0. (.091)	0. (.092)	0. (.092)	0. (.093)	0. (.093)
0.225	0. (.091)	0. (.092)	0. (.092)	0. (.093)	0. (.093)
0.250	0. (.091)	0. (.092)	0. (.092)	0. (.093)	0. (.093)
0.275	0. (.091)	0. (.092)	0. (.092)	0. (.093)	0. (.093)
0.300	0. (.091)	0. (.092)	0. (.092)	0. (.093)	0. (.093)
0.325	0. (.091)	0. (.092)	0. (.092)	0. (.093)	0. (.093)
0.350	0. (.091)	0. (.092)	0. (.092)	0. (.093)	0. (.093)
0.375	0. (.091)	0. (.092)	0. (.092)	0. (.093)	0. (.093)
0.400	0. (.091)	0. (.092)	0. (.092)	0. (.093)	0. (.093)
0.425	0. (.091)	0. (.092)	0. (.092)	0. (.093)	0. (.093)
0.450	0. (.091)	0. (.092)	0. (.092)	0. (.093)	0. (.093)
0.475	0. (.091)	0. (.092)	0. (.092)	0. (.093)	0. (.093)
0.500	0. (.091)	0. (.092)	0. (.092)	0. (.093)	0. (.093)
0.525	0. (.091)	0. (.092)	0. (.092)	0. (.093)	0. (.093)
0.550	0. (.091)	0. (.092)	0. (.092)	0. (.093)	0. (.093)
0.575	0. (.091)	0. (.092)	0. (.092)	0. (.093)	0. (.093)
0.600	0. (.091)	0. (.092)	0. (.092)	0. (.093)	0. (.093)
0.625	0. (.091)	0. (.092)	0. (.092)	0. (.093)	0. (.093)
0.650	0. (.091)	0. (.092)	0. (.092)	0. (.093)	0. (.093)
0.675	0. (.091)	0. (.092)	0. (.092)	0. (.093)	0. (.093)
0.700	0. (.091)	0. (.092)	0. (.092)	0. (.093)	0. (.093)
0.725	0. (.091)	0. (.092)	0. (.092)	0. (.093)	0. (.093)
0.750	0. (.091)	0. (.092)	0. (.092)	0. (.093)	0. (.093)
0.775	0. (.091)	0. (.092)	0. (.092)	0. (.093)	0. (.093)
0.800	0. (.091)	0. (.092)	0. (.092)	0. (.093)	0. (.093)
0.825	0.000(.091)	0.000(.092)	0.000(.092)	0.000(.093)	0. (.093)
0.850	0.048(.092)	0.046(.092)	0.044(.093)	0.041(.093)	0.038(.094)
0.875	0.199(.095)	0.195(.095)	0.191(.096)	0.186(.096)	0.181(.096)
0.900	0.425(.103)	0.421(.103)	0.417(.103)	0.412(.103)	0.405(.104)
0.925	0.657(.116)	0.655(.116)	0.651(.116)	0.648(.117)	0.643(.117)
0.950	0.850(.135)	0.849(.135)	0.847(.135)	0.845(.135)	0.843(.135)
0.975	0.969(.158)	0.968(.158)	0.968(.158)	0.967(.158)	0.967(.158)
1.000	1.000(.182)	1.000(.182)	1.000(.182)	1.000(.182)	1.000(.182)

App 4
Phase II

*** RELATIVE ENERGY FLUX DENSITY IN THE ***
 *** PENUMBRA OF A RECTANGULAR CYLINDER ***

VERSION D

SOLAR FIELD ANGLE, D= 0.50 DEGREES
 GEOMETRY D2/R = 50.00 AND H/R = 2.0

BETA = ANGLE OF INCIDENCE, DEGREES

BETA ***	50.00		60.00		70.00		80.00		89.25	
AX/AB	Q	(Q1)	Q	(Q1)	Q	(Q1)	Q	(Q1)	Q	(Q1)
0,	1.000(.)		1.000(.)		1.000(.)		1.000(.)		1.000(.)	
0.025	0.971(.025)		0.972(.025)		0.974(.025)		0.978(.025)		1.000(.025)	
0.050	0.863(.048)		0.864(.048)		0.872(.048)		0.892(.048)		0.997(.050)	
0.075	0.677(.067)		0.685(.067)		0.700(.067)		0.740(.068)		0.992(.075)	
0.100	0.453(.081)		0.465(.081)		0.488(.082)		0.546(.085)		0.982(.099)	
0.125	0.227(.089)		0.239(.090)		0.262(.092)		0.330(.096)		0.966(.124)	
0.150	0.065(.093)		0.073(.094)		0.089(.096)		0.142(.101)		0.944(.148)	
0.175	0.002(.094)		0.003(.095)		0.007(.097)		0.028(.104)		0.912(.171)	
0.200	0. (.094)		0. (.095)		0. (.097)		0. (.104)		0.871(.193)	
0.225	0. (.094)		0. (.095)		0. (.097)		0. (.104)		0.818(.214)	
0.250	0. (.094)		0. (.095)		0. (.097)		0. (.104)		0.751(.234)	
0.275	0. (.094)		0. (.095)		0. (.097)		0. (.104)		0.670(.252)	
0.300	0. (.094)		0. (.095)		0. (.097)		0. (.104)		0.575(.267)	
0.325	0. (.094)		0. (.095)		0. (.097)		0. (.104)		0.463(.280)	
0.350	0. (.094)		0. (.095)		0. (.097)		0. (.104)		0.341(.290)	
0.375	0. (.094)		0. (.095)		0. (.097)		0. (.104)		0.218(.297)	
0.400	0. (.094)		0. (.095)		0. (.097)		0. (.104)		0.106(.301)	
0.425	0. (.094)		0. (.095)		0. (.097)		0. (.104)		0.027(.303)	
0.450	0. (.094)		0. (.095)		0. (.097)		0. (.104)		0.000(.303)	
0.475	0. (.094)		0. (.095)		0. (.097)		0. (.104)		0. (.303)	
0.500	0. (.094)		0. (.095)		0. (.097)		0. (.104)		0. (.303)	
0.525	0. (.094)		0. (.095)		0. (.097)		0. (.104)		0. (.303)	
0.550	0. (.094)		0. (.095)		0. (.097)		0. (.104)		0. (.303)	
0.575	0. (.094)		0. (.095)		0. (.097)		0. (.104)		0. (.303)	
0.600	0. (.094)		0. (.095)		0. (.097)		0. (.104)		0. (.303)	
0.625	0. (.094)		0. (.095)		0. (.097)		0. (.104)		0. (.303)	
0.650	0. (.094)		0. (.095)		0. (.097)		0. (.104)		0. (.303)	
0.675	0. (.094)		0. (.095)		0. (.097)		0. (.104)		0. (.303)	
0.700	0. (.094)		0. (.095)		0. (.097)		0. (.104)		0. (.303)	
0.725	0. (.094)		0. (.095)		0. (.097)		0. (.104)		0. (.303)	
0.750	0. (.094)		0. (.095)		0. (.097)		0. (.104)		0. (.303)	
0.775	0. (.094)		0. (.095)		0. (.097)		0. (.104)		0. (.303)	
0.800	0. (.094)		0. (.095)		0. (.097)		0. (.104)		0. (.303)	
0.825	0. (.094)		0. (.095)		0. (.097)		0. (.104)		0. (.303)	
0.850	0.034(.094)		0.028(.095)		0.019(.098)		0.002(.104)		0. (.303)	
0.875	0.173(.097)		0.161(.098)		0.139(.100)		0.082(.105)		0. (.303)	
0.900	0.397(.104)		0.384(.105)		0.358(.106)		0.263(.110)		0. (.303)	
0.925	0.637(.117)		0.628(.117)		0.609(.118)		0.551(.120)		0. (.303)	
0.950	0.839(.135)		0.834(.135)		0.824(.136)		0.791(.137)		0. (.303)	
0.975	0.966(.158)		0.965(.158)		0.962(.158)		0.954(.159)		0. (.303)	
1.000	1.000(.183)		1.000(.183)		1.000(.183)		1.000(.183)		0. (.303)	

5
3
2

D-38
289

RE-ORDER NO. **66-196**
App. 4
Phase II

*** RELATIVE ENERGY FLUX DENSITY IN THE ***
 *** PENUMBRA OF A RECTANGULAR CYLINDER ***

VERSION D

SOLAR FIELD ANGLE, D = 0.50 DEGREES
 GEOMETRY D2/R = 100.00 AND H/R = 2.0

BETA = ANGLE OF INCIDENCE, DEGREES

BETA ***	0.	10.00	20.00	30.00	40.00
AX/AB	Q (Q1)	Q (Q1)	Q (Q1)	Q (Q1)	Q (Q1)
0.	1.000(.)	1.000(.)	1.000(.)	1.000(.)	1.000(.)
0.025	0.991(.025)	0.991(.025)	0.991(.025)	0.991(.025)	0.991(.025)
0.050	0.952(.049)	0.952(.049)	0.953(.049)	0.953(.049)	0.954(.049)
0.075	0.880(.072)	0.881(.072)	0.882(.072)	0.883(.072)	0.884(.072)
0.100	0.780(.093)	0.781(.093)	0.782(.093)	0.784(.093)	0.786(.093)
0.125	0.657(.111)	0.659(.111)	0.661(.111)	0.663(.111)	0.666(.111)
0.150	0.522(.126)	0.524(.126)	0.527(.126)	0.529(.126)	0.532(.126)
0.175	0.381(.137)	0.383(.137)	0.386(.137)	0.389(.137)	0.392(.138)
0.200	0.249(.145)	0.251(.145)	0.253(.145)	0.256(.146)	0.260(.146)
0.225	0.135(.150)	0.140(.150)	0.142(.150)	0.144(.151)	0.147(.151)
0.250	0.057(.152)	0.059(.152)	0.060(.153)	0.062(.153)	0.064(.154)
0.275	0.012(.153)	0.013(.153)	0.014(.154)	0.014(.154)	0.015(.155)
0.300	0.000(.153)	0.000(.153)	0.000(.154)	0.000(.154)	0.000(.155)
0.325	0. (.153)	0. (.153)	0. (.154)	0. (.154)	0. (.155)
0.350	0. (.153)	0. (.153)	0. (.154)	0. (.154)	0. (.155)
0.375	0. (.153)	0. (.153)	0. (.154)	0. (.154)	0. (.155)
0.400	0. (.153)	0. (.153)	0. (.154)	0. (.154)	0. (.155)
0.425	0. (.153)	0. (.153)	0. (.154)	0. (.154)	0. (.155)
0.450	0. (.153)	0. (.153)	0. (.154)	0. (.154)	0. (.155)
0.475	0. (.153)	0. (.153)	0. (.154)	0. (.154)	0. (.155)
0.500	0. (.153)	0. (.153)	0. (.154)	0. (.154)	0. (.155)
0.525	0. (.153)	0. (.153)	0. (.154)	0. (.154)	0. (.155)
0.550	0. (.153)	0. (.153)	0. (.154)	0. (.154)	0. (.155)
0.575	0. (.153)	0. (.153)	0. (.154)	0. (.154)	0. (.155)
0.600	0. (.153)	0. (.153)	0. (.154)	0. (.154)	0. (.155)
0.625	0. (.153)	0. (.153)	0. (.154)	0. (.154)	0. (.155)
0.650	0. (.153)	0. (.153)	0. (.154)	0. (.154)	0. (.155)
0.675	0. (.153)	0. (.153)	0. (.154)	0. (.154)	0. (.155)
0.700	0.000(.153)	0.000(.153)	0.000(.154)	0.000(.154)	0.000(.155)
0.725	0.012(.153)	0.012(.153)	0.011(.154)	0.010(.154)	0.010(.155)
0.750	0.057(.154)	0.056(.154)	0.055(.155)	0.053(.155)	0.051(.156)
0.775	0.138(.156)	0.136(.157)	0.134(.157)	0.132(.157)	0.129(.158)
0.800	0.249(.161)	0.246(.162)	0.244(.162)	0.241(.162)	0.237(.163)
0.825	0.381(.169)	0.378(.169)	0.376(.170)	0.373(.170)	0.369(.170)
0.850	0.522(.180)	0.520(.181)	0.517(.181)	0.515(.181)	0.511(.181)
0.875	0.657(.195)	0.655(.195)	0.653(.195)	0.651(.195)	0.648(.196)
0.900	0.780(.213)	0.778(.213)	0.777(.213)	0.775(.213)	0.773(.213)
0.925	0.880(.234)	0.880(.234)	0.879(.234)	0.878(.234)	0.877(.234)
0.950	0.952(.257)	0.952(.257)	0.951(.257)	0.951(.257)	0.950(.257)
0.975	0.991(.281)	0.991(.281)	0.991(.281)	0.990(.281)	0.990(.281)
1.000	1.000(.306)	1.000(.306)	1.000(.306)	1.000(.306)	1.000(.306)

66-196
L.P. G.
Spencer

*** RELATIVE ENERGY FLUX DENSITY IN THE *** VERSION D
 *** PENUMBRA OF A RECTANGULAR CYLINDER ***

SOLAR FIELD ANGLE, D= 0.50 DEGREES
 GEOMETRY D2/R = 100.00 AND H/R = 2.0

BETA = ANGLE OF INCIDENCE, DEGREES

BETA ***	50.00	60.00	70.00	80.00	89.25
AX/AB	Q (Q1)	Q (Q1)	Q (Q1)	Q (Q1)	Q (Q1)
0.	1.000(.)	1.000(.)	1.000(.)	1.000(.)	1.000(.)
0.025	0.991(.025)	0.991(.025)	0.992(.025)	0.993(.025)	1.000(.025)
0.050	0.954(.049)	0.955(.049)	0.957(.049)	0.962(.049)	0.998(.050)
0.075	0.885(.072)	0.888(.072)	0.893(.072)	0.904(.073)	0.995(.075)
0.100	0.789(.093)	0.793(.093)	0.800(.094)	0.819(.094)	0.988(.100)
0.125	0.669(.111)	0.675(.112)	0.685(.112)	0.713(.113)	0.979(.124)
0.150	0.537(.126)	0.543(.127)	0.556(.128)	0.590(.130)	0.965(.149)
0.175	0.397(.138)	0.405(.139)	0.419(.140)	0.458(.143)	0.945(.172)
0.200	0.265(.146)	0.272(.147)	0.286(.149)	0.326(.153)	0.920(.196)
0.225	0.151(.152)	0.158(.153)	0.169(.154)	0.205(.159)	0.888(.218)
0.250	0.067(.154)	0.071(.155)	0.080(.157)	0.107(.163)	0.847(.240)
0.275	0.017(.155)	0.019(.157)	0.023(.159)	0.039(.165)	0.798(.261)
0.300	0.000(.156)	0.000(.157)	0.001(.159)	0.005(.165)	0.738(.280)
0.325	0. (.156)	0. (.157)	0. (.159)	0. (.166)	0.668(.297)
0.350	0. (.156)	0. (.157)	0. (.159)	0. (.166)	0.588(.313)
0.375	0. (.156)	0. (.157)	0. (.159)	0. (.166)	0.497(.327)
0.400	0. (.156)	0. (.157)	0. (.159)	0. (.166)	0.397(.338)
0.425	0. (.156)	0. (.157)	0. (.159)	0. (.166)	0.293(.346)
0.450	0. (.156)	0. (.157)	0. (.159)	0. (.166)	0.190(.352)
0.475	0. (.156)	0. (.157)	0. (.159)	0. (.166)	0.099(.356)
0.500	0. (.156)	0. (.157)	0. (.159)	0. (.166)	0.032(.358)
0.525	0. (.156)	0. (.157)	0. (.159)	0. (.166)	0.002(.358)
0.550	0. (.156)	0. (.157)	0. (.159)	0. (.166)	0. (.358)
0.575	0. (.156)	0. (.157)	0. (.159)	0. (.166)	0. (.358)
0.600	0. (.156)	0. (.157)	0. (.159)	0. (.166)	0. (.358)
0.625	0. (.156)	0. (.157)	0. (.159)	0. (.166)	0. (.358)
0.650	0. (.156)	0. (.157)	0. (.159)	0. (.166)	0. (.358)
0.675	0. (.156)	0. (.157)	0. (.159)	0. (.166)	0. (.358)
0.700	0. (.156)	0. (.157)	0. (.159)	0. (.166)	0. (.358)
0.725	0.009(.156)	0.007(.157)	0.005(.159)	0.001(.166)	0. (.358)
0.750	0.049(.156)	0.045(.158)	0.039(.160)	0.023(.166)	0. (.358)
0.775	0.125(.159)	0.119(.160)	0.109(.161)	0.081(.167)	0. (.358)
0.800	0.233(.163)	0.226(.164)	0.213(.165)	0.176(.170)	0. (.358)
0.825	0.364(.171)	0.356(.171)	0.342(.172)	0.301(.176)	0. (.358)
0.850	0.507(.181)	0.500(.182)	0.486(.183)	0.446(.186)	0. (.358)
0.875	0.644(.196)	0.639(.196)	0.627(.197)	0.594(.199)	0. (.358)
0.900	0.770(.213)	0.766(.214)	0.758(.214)	0.732(.215)	0. (.358)
0.925	0.875(.234)	0.872(.234)	0.867(.234)	0.851(.235)	0. (.358)
0.950	0.950(.257)	0.948(.257)	0.946(.257)	0.939(.257)	0.042(.359)
0.975	0.990(.281)	0.990(.281)	0.989(.281)	0.988(.282)	0.463(.365)
1.000	1.000(.306)	1.000(.306)	1.000(.306)	1.000(.306)	1.000(.383)

D-40
 291

*** RELATIVE ENERGY FLUX DENSITY IN THE ***
 *** PENUMBRA OF A RECTANGULAR CYLINDER ***
 VERSION D

SOLAR FIELD ANGLE, D = 2.00 DEGREES
 GEOMETRY D2/R = 1.00 AND H/R = 0.

BETA = ANGLE OF INCIDENCE, DEGREES

BETA *** AX/AB	0.		10.00		20.00		30.00		40.00	
	Q	(QI)	Q	(QI)	Q	(QI)	Q	(QI)	Q	(QI)
0.	1.000(.)	1.000(.)	1.000(.)	1.000(.)	1.000(.)
0.025	0.	(.012)	0.	(.012)	0.	(.012)	0.008(.013)		0.089(.014)	
0.050	0.	(.012)	0.	(.012)	0.	(.012)	0.	(.013)	0.	(.015)
0.075	0.	(.012)	0.	(.012)	0.	(.012)	0.	(.013)	0.	(.015)
0.100	0.	(.012)	0.	(.012)	0.	(.012)	0.	(.013)	0.	(.015)
0.125	0.	(.012)	0.	(.012)	0.	(.012)	0.	(.013)	0.	(.015)
0.150	0.	(.012)	0.	(.012)	0.	(.012)	0.	(.013)	0.	(.015)
0.175	0.	(.012)	0.	(.012)	0.	(.012)	0.	(.013)	0.	(.015)
0.200	0.	(.012)	0.	(.012)	0.	(.012)	0.	(.013)	0.	(.015)
0.225	0.	(.012)	0.	(.012)	0.	(.012)	0.	(.013)	0.	(.015)
0.250	0.	(.012)	0.	(.012)	0.	(.012)	0.	(.013)	0.	(.015)
0.275	0.	(.012)	0.	(.012)	0.	(.012)	0.	(.013)	0.	(.015)
0.300	0.	(.012)	0.	(.012)	0.	(.012)	0.	(.013)	0.	(.015)
0.325	0.	(.012)	0.	(.012)	0.	(.012)	0.	(.013)	0.	(.015)
0.350	0.	(.012)	0.	(.012)	0.	(.012)	0.	(.013)	0.	(.015)
0.375	0.	(.012)	0.	(.012)	0.	(.012)	0.	(.013)	0.	(.015)
0.400	0.	(.012)	0.	(.012)	0.	(.012)	0.	(.013)	0.	(.015)
0.425	0.	(.012)	0.	(.012)	0.	(.012)	0.	(.013)	0.	(.015)
0.450	0.	(.012)	0.	(.012)	0.	(.012)	0.	(.013)	0.	(.015)
0.475	0.	(.012)	0.	(.012)	0.	(.012)	0.	(.013)	0.	(.015)
0.500	0.	(.012)	0.	(.012)	0.	(.012)	0.	(.013)	0.	(.015)
0.525	0.	(.012)	0.	(.012)	0.	(.012)	0.	(.013)	0.	(.015)
0.550	0.	(.012)	0.	(.012)	0.	(.012)	0.	(.013)	0.	(.015)
0.575	0.	(.012)	0.	(.012)	0.	(.012)	0.	(.013)	0.	(.015)
0.600	0.	(.012)	0.	(.012)	0.	(.012)	0.	(.013)	0.	(.015)
0.625	0.	(.012)	0.	(.012)	0.	(.012)	0.	(.013)	0.	(.015)
0.650	0.	(.012)	0.	(.012)	0.	(.012)	0.	(.013)	0.	(.015)
0.675	0.	(.012)	0.	(.012)	0.	(.012)	0.	(.013)	0.	(.015)
0.700	0.	(.012)	0.	(.012)	0.	(.012)	0.	(.013)	0.	(.015)
0.725	0.	(.012)	0.	(.012)	0.	(.012)	0.	(.013)	0.	(.015)
0.750	0.	(.012)	0.	(.012)	0.	(.012)	0.	(.013)	0.	(.015)
0.775	0.	(.012)	0.	(.012)	0.	(.012)	0.	(.013)	0.	(.015)
0.800	0.	(.012)	0.	(.012)	0.	(.012)	0.	(.013)	0.	(.015)
0.825	0.	(.012)	0.	(.012)	0.	(.012)	0.	(.013)	0.	(.015)
0.850	0.	(.012)	0.	(.012)	0.	(.012)	0.	(.013)	0.	(.015)
0.875	0.	(.012)	0.	(.012)	0.	(.012)	0.	(.013)	0.	(.015)
0.900	0.	(.012)	0.	(.012)	0.	(.012)	0.	(.013)	0.	(.015)
0.925	0.	(.012)	0.	(.012)	0.	(.012)	0.	(.013)	0.	(.015)
0.950	0.	(.012)	0.	(.012)	0.	(.012)	0.	(.013)	0.	(.015)
0.975	0.	(.012)	0.	(.012)	0.	(.012)	0.	(.013)	0.	(.015)
1.000	1.000(.025)		1.000(.025)		1.000(.025)		1.000(.025)		1.000(.027)	

66-196
 Phase II

*** RELATIVE ENERGY FLUX DENSITY IN THE ***
 *** PENUMBRA OF A RECTANGULAR CYLINDER ***

VERSION D

SOLAR FIELD ANGLE, D = 2.00 DEGREES
 GEOMETRY D2/R = 1.00 AND H/R = 0.

BETA = ANGLE OF INCIDENCE, DEGREES

BETA ***	50.00	60.00	70.00	80.00	88.50
AX/AB	Q (Q1)	Q (Q1)	Q (Q1)	Q (Q1)	Q (Q1)
0.	1.000(.)	1.000(.)	1.000(.)	1.000(.)	1.000(.)
0.025	0.251(.016)	0.474(.018)	0.726(.022)	0.939(.024)	1.000(.025)
0.050	0. (.019)	0. (.024)	0.119(.032)	0.699(.045)	1.000(.050)
0.075	0. (.019)	0. (.024)	0. (.034)	0.334(.058)	1.000(.075)
0.100	0. (.019)	0. (.024)	0. (.034)	0.043(.062)	1.000(.100)
0.125	0. (.019)	0. (.024)	0. (.034)	0. (.063)	0.999(.125)
0.150	0. (.019)	0. (.024)	0. (.034)	0. (.063)	0.999(.150)
0.175	0. (.019)	0. (.024)	0. (.034)	0. (.063)	0.998(.175)
0.200	0. (.019)	0. (.024)	0. (.034)	0. (.063)	0.997(.200)
0.225	0. (.019)	0. (.024)	0. (.034)	0. (.063)	0.995(.225)
0.250	0. (.019)	0. (.024)	0. (.034)	0. (.063)	0.992(.250)
0.275	0. (.019)	0. (.024)	0. (.034)	0. (.063)	0.989(.274)
0.300	0. (.019)	0. (.024)	0. (.034)	0. (.063)	0.985(.299)
0.325	0. (.019)	0. (.024)	0. (.034)	0. (.063)	0.978(.324)
0.350	0. (.019)	0. (.024)	0. (.034)	0. (.063)	0.970(.348)
0.375	0. (.019)	0. (.024)	0. (.034)	0. (.063)	0.959(.372)
0.400	0. (.019)	0. (.024)	0. (.034)	0. (.063)	0.944(.396)
0.425	0. (.019)	0. (.024)	0. (.034)	0. (.063)	0.924(.419)
0.450	0. (.019)	0. (.024)	0. (.034)	0. (.063)	0.897(.442)
0.475	0. (.019)	0. (.024)	0. (.034)	0. (.063)	0.861(.464)
0.500	0. (.019)	0. (.024)	0. (.034)	0. (.063)	0.811(.485)
0.525	0. (.019)	0. (.024)	0. (.034)	0. (.063)	0.745(.504)
0.550	0. (.019)	0. (.024)	0. (.034)	0. (.063)	0.657(.522)
0.575	0. (.019)	0. (.024)	0. (.034)	0. (.063)	0.540(.537)
0.600	0. (.019)	0. (.024)	0. (.034)	0. (.063)	0.392(.548)
0.625	0. (.019)	0. (.024)	0. (.034)	0. (.063)	0.218(.556)
0.650	0. (.019)	0. (.024)	0. (.034)	0. (.063)	0.057(.559)
0.675	0. (.019)	0. (.024)	0. (.034)	0. (.063)	0. (.560)
0.700	0. (.019)	0. (.024)	0. (.034)	0. (.063)	0. (.560)
0.725	0. (.019)	0. (.024)	0. (.034)	0. (.063)	0. (.560)
0.750	0. (.019)	0. (.024)	0. (.034)	0. (.063)	0. (.560)
0.775	0. (.019)	0. (.024)	0. (.034)	0. (.063)	0. (.560)
0.800	0. (.019)	0. (.024)	0. (.034)	0. (.063)	0. (.560)
0.825	0. (.019)	0. (.024)	0. (.034)	0. (.063)	0. (.560)
0.850	0. (.019)	0. (.024)	0. (.034)	0. (.063)	0. (.560)
0.875	0. (.019)	0. (.024)	0. (.034)	0. (.063)	0. (.560)
0.900	0. (.019)	0. (.024)	0. (.034)	0. (.063)	0. (.560)
0.925	0. (.019)	0. (.024)	0. (.034)	0. (.063)	0. (.560)
0.950	0. (.019)	0. (.024)	0. (.034)	0. (.063)	0. (.560)
0.975	0. (.019)	0. (.024)	0. (.034)	0. (.063)	0. (.560)
1.000	0. (.019)	0. (.024)	0. (.034)	0. (.063)	0. (.560)

RE-ORDER NO. 66-196
 App. A
 Phase 11

*** RELATIVE ENERGY FLUX DENSITY IN THE ***
 *** PENUMBRA OF A RECTANGULAR CYLINDER ***

VERSION D

SOLAR FIELD ANGLE, D= 2.00 DEGREES
 GEOMETRY D2/R = 5.00 AND H/R = 0.

BETA = ANGLE OF INCIDENCE, DEGREES

BETA ***	0.	10.00	20.00	30.00	40.00
AX/AB	Q (Q1)	Q (Q1)	Q (Q1)	Q (Q1)	Q (Q1)
0.	1.000(.)	1.000(.)	1.000(.)	1.000(.)	1.000(.)
0.025	0.798(.022)	0.814(.023)	0.829(.023)	0.845(.023)	0.862(.023)
0.050	0.298(.036)	0.334(.037)	0.371(.038)	0.411(.039)	0.458(.040)
0.075	0.005(.040)	0.015(.041)	0.029(.043)	0.050(.045)	0.082(.047)
0.100	0. (.040)	0. (.042)	0. (.043)	0. (.045)	0. (.048)
0.125	0. (.040)	0. (.042)	0. (.043)	0. (.045)	0. (.048)
0.150	0. (.040)	0. (.042)	0. (.043)	0. (.045)	0. (.048)
0.175	0. (.040)	0. (.042)	0. (.043)	0. (.045)	0. (.048)
0.200	0. (.040)	0. (.042)	0. (.043)	0. (.045)	0. (.048)
0.225	0. (.040)	0. (.042)	0. (.043)	0. (.045)	0. (.048)
0.250	0. (.040)	0. (.042)	0. (.043)	0. (.045)	0. (.048)
0.275	0. (.040)	0. (.042)	0. (.043)	0. (.045)	0. (.048)
0.300	0. (.040)	0. (.042)	0. (.043)	0. (.045)	0. (.048)
0.325	0. (.040)	0. (.042)	0. (.043)	0. (.045)	0. (.048)
0.350	0. (.040)	0. (.042)	0. (.043)	0. (.045)	0. (.048)
0.375	0. (.040)	0. (.042)	0. (.043)	0. (.045)	0. (.048)
0.400	0. (.040)	0. (.042)	0. (.043)	0. (.045)	0. (.048)
0.425	0. (.040)	0. (.042)	0. (.043)	0. (.045)	0. (.048)
0.450	0. (.040)	0. (.042)	0. (.043)	0. (.045)	0. (.048)
0.475	0. (.040)	0. (.042)	0. (.043)	0. (.045)	0. (.048)
0.500	0. (.040)	0. (.042)	0. (.043)	0. (.045)	0. (.048)
0.525	0. (.040)	0. (.042)	0. (.043)	0. (.045)	0. (.048)
0.550	0. (.040)	0. (.042)	0. (.043)	0. (.045)	0. (.048)
0.575	0. (.040)	0. (.042)	0. (.043)	0. (.045)	0. (.048)
0.600	0. (.040)	0. (.042)	0. (.043)	0. (.045)	0. (.048)
0.625	0. (.040)	0. (.042)	0. (.043)	0. (.045)	0. (.048)
0.650	0. (.040)	0. (.042)	0. (.043)	0. (.045)	0. (.048)
0.675	0. (.040)	0. (.042)	0. (.043)	0. (.045)	0. (.048)
0.700	0. (.040)	0. (.042)	0. (.043)	0. (.045)	0. (.048)
0.725	0. (.040)	0. (.042)	0. (.043)	0. (.045)	0. (.048)
0.750	0. (.040)	0. (.042)	0. (.043)	0. (.045)	0. (.048)
0.775	0. (.040)	0. (.042)	0. (.043)	0. (.045)	0. (.048)
0.800	0. (.040)	0. (.042)	0. (.043)	0. (.045)	0. (.048)
0.825	0. (.040)	0. (.042)	0. (.043)	0. (.045)	0. (.048)
0.850	0. (.040)	0. (.042)	0. (.043)	0. (.045)	0. (.048)
0.875	0. (.040)	0. (.042)	0. (.043)	0. (.045)	0. (.048)
0.900	0. (.040)	0. (.042)	0. (.043)	0. (.045)	0. (.048)
0.925	0.005(.040)	0.001(.042)	0. (.043)	0. (.045)	0. (.048)
0.950	0.298(.044)	0.260(.045)	0.220(.046)	0.175(.047)	0.121(.049)
0.975	0.798(.058)	0.780(.058)	0.759(.058)	0.732(.059)	0.694(.059)
1.000	1.000(.080)	1.000(.080)	1.000(.080)	1.000(.080)	1.000(.080)

D-43

294

*** RELATIVE ENERGY FLUX DENSITY IN THE ***
 *** PENUMBRA OF A RECTANGULAR CYLINDER ***

VERSION D

SOLAR FIELD ANGLE, D= 2.00 DEGREES
 GEOMETRY DZ/R = 5.00 AND H/R = 0.

BETA = ANGLE OF INCIDENCE, DEGREES

BETA ***	50.00		60.00		70.00		80.00		88.50	
AX/AB	Q	(QI)	Q	(QI)	Q	(QI)	Q	(QI)	Q	(QI)
0.	1.000(.)		1.000(.)		1.000(.)		1.000(.)		1.000(.)	
0.025	0.882(.024)		0.906(.024)		0.937(.024)		0.977(.025)		1.000(.025)	
0.050	0.515(.041)		0.593(.043)		0.706(.045)		0.879(.048)		1.000(.050)	
0.075	0.132(.049)		0.216(.053)		0.374(.058)		0.698(.068)		1.000(.075)	
0.100	0. (.051)		0.009(.055)		0.090(.064)		0.458(.082)		1.000(.100)	
0.125	0. (.051)		0. (.056)		0. (.065)		0.213(.090)		0.999(.125)	
0.150	0. (.051)		0. (.056)		0. (.065)		0.042(.094)		0.999(.150)	
0.175	0. (.051)		0. (.056)		0. (.065)		0. (.094)		0.998(.175)	
0.200	0. (.051)		0. (.056)		0. (.065)		0. (.094)		0.997(.200)	
0.225	0. (.051)		0. (.056)		0. (.065)		0. (.094)		0.995(.225)	
0.250	0. (.051)		0. (.056)		0. (.065)		0. (.094)		0.993(.250)	
0.275	0. (.051)		0. (.056)		0. (.065)		0. (.094)		0.990(.274)	
0.300	0. (.051)		0. (.056)		0. (.065)		0. (.094)		0.986(.299)	
0.325	0. (.051)		0. (.056)		0. (.065)		0. (.094)		0.981(.324)	
0.350	0. (.051)		0. (.056)		0. (.065)		0. (.094)		0.974(.348)	
0.375	0. (.051)		0. (.056)		0. (.065)		0. (.094)		0.965(.372)	
0.400	0. (.051)		0. (.056)		0. (.065)		0. (.094)		0.952(.396)	
0.425	0. (.051)		0. (.056)		0. (.065)		0. (.094)		0.935(.420)	
0.450	0. (.051)		0. (.056)		0. (.065)		0. (.094)		0.913(.443)	
0.475	0. (.051)		0. (.056)		0. (.065)		0. (.094)		0.883(.465)	
0.500	0. (.051)		0. (.056)		0. (.065)		0. (.094)		0.843(.487)	
0.525	0. (.051)		0. (.056)		0. (.065)		0. (.094)		0.790(.507)	
0.550	0. (.051)		0. (.056)		0. (.065)		0. (.094)		0.719(.526)	
0.575	0. (.051)		0. (.056)		0. (.065)		0. (.094)		0.625(.543)	
0.600	0. (.051)		0. (.056)		0. (.065)		0. (.094)		0.503(.557)	
0.625	0. (.051)		0. (.056)		0. (.065)		0. (.094)		0.352(.568)	
0.650	0. (.051)		0. (.056)		0. (.065)		0. (.094)		0.181(.575)	
0.675	0. (.051)		0. (.056)		0. (.065)		0. (.094)		0.036(.577)	
0.700	0. (.051)		0. (.056)		0. (.065)		0. (.094)		0. (.578)	
0.725	0. (.051)		0. (.056)		0. (.065)		0. (.094)		0. (.578)	
0.750	0. (.051)		0. (.056)		0. (.065)		0. (.094)		0. (.578)	
0.775	0. (.051)		0. (.056)		0. (.065)		0. (.094)		0. (.578)	
0.800	0. (.051)		0. (.056)		0. (.065)		0. (.094)		0. (.578)	
0.825	0. (.051)		0. (.056)		0. (.065)		0. (.094)		0. (.578)	
0.850	0. (.051)		0. (.056)		0. (.065)		0. (.094)		0. (.578)	
0.875	0. (.051)		0. (.056)		0. (.065)		0. (.094)		0. (.578)	
0.900	0. (.051)		0. (.056)		0. (.065)		0. (.094)		0. (.578)	
0.925	0. (.051)		0. (.056)		0. (.065)		0. (.094)		0. (.578)	
0.950	0.057(.051)		0.002(.056)		0. (.065)		0. (.094)		0. (.578)	
0.975	0.632(.060)		0.509(.062)		0.167(.067)		0. (.094)		0. (.578)	
1.000	1.000(.080)		1.000(.081)		1.000(.082)		0. (.094)		0. (.578)	

3
2

*** RELATIVE ENERGY FLUX DENSITY IN THE ***
 *** PENUMBRA OF A RECTANGULAR CYLINDER ***

VERSION D

SOLAR FIELD ANGLE, D= 2.00 DEGREES
 GEOMETRY D2/R = 10.00 AND H/R = 0.

BETA = ANGLE OF INCIDENCE, DEGREES

BETA ***	0.	10.00	20.00	30.00	40.00
AX/AB	Q (QI)	Q (QI)	Q (QI)	Q (QI)	Q (QI)
0.	1.000(.)	1.000(.)	1.000(.)	1.000(.)	1.000(.)
0.025	0.948(.024)	0.951(.024)	0.953(.024)	0.956(.024)	0.960(.024)
0.050	0.763(.046)	0.774(.046)	0.784(.046)	0.796(.046)	0.809(.047)
0.075	0.492(.061)	0.510(.062)	0.529(.063)	0.549(.063)	0.573(.064)
0.100	0.224(.070)	0.243(.071)	0.263(.072)	0.286(.074)	0.314(.075)
0.125	0.046(.074)	0.057(.075)	0.069(.077)	0.085(.078)	0.106(.080)
0.150	0. (.074)	0.000(.076)	0.001(.077)	0.002(.079)	0.007(.082)
0.175	0. (.074)	0. (.076)	0. (.077)	0. (.079)	0. (.082)
0.200	0. (.074)	0. (.076)	0. (.077)	0. (.079)	0. (.082)
0.225	0. (.074)	0. (.076)	0. (.077)	0. (.079)	0. (.082)
0.250	0. (.074)	0. (.076)	0. (.077)	0. (.079)	0. (.082)
0.275	0. (.074)	0. (.076)	0. (.077)	0. (.079)	0. (.082)
0.300	0. (.074)	0. (.076)	0. (.077)	0. (.079)	0. (.082)
0.325	0. (.074)	0. (.076)	0. (.077)	0. (.079)	0. (.082)
0.350	0. (.074)	0. (.076)	0. (.077)	0. (.079)	0. (.082)
0.375	0. (.074)	0. (.076)	0. (.077)	0. (.079)	0. (.082)
0.400	0. (.074)	0. (.076)	0. (.077)	0. (.079)	0. (.082)
0.425	0. (.074)	0. (.076)	0. (.077)	0. (.079)	0. (.082)
0.450	0. (.074)	0. (.076)	0. (.077)	0. (.079)	0. (.082)
0.475	0. (.074)	0. (.076)	0. (.077)	0. (.079)	0. (.082)
0.500	0. (.074)	0. (.076)	0. (.077)	0. (.079)	0. (.082)
0.525	0. (.074)	0. (.076)	0. (.077)	0. (.079)	0. (.082)
0.550	0. (.074)	0. (.076)	0. (.077)	0. (.079)	0. (.082)
0.575	0. (.074)	0. (.076)	0. (.077)	0. (.079)	0. (.082)
0.600	0. (.074)	0. (.076)	0. (.077)	0. (.079)	0. (.082)
0.625	0. (.074)	0. (.076)	0. (.077)	0. (.079)	0. (.082)
0.650	0. (.074)	0. (.076)	0. (.077)	0. (.079)	0. (.082)
0.675	0. (.074)	0. (.076)	0. (.077)	0. (.079)	0. (.082)
0.700	0. (.074)	0. (.076)	0. (.077)	0. (.079)	0. (.082)
0.725	0. (.074)	0. (.076)	0. (.077)	0. (.079)	0. (.082)
0.750	0. (.074)	0. (.076)	0. (.077)	0. (.079)	0. (.082)
0.775	0. (.074)	0. (.076)	0. (.077)	0. (.079)	0. (.082)
0.800	0. (.074)	0. (.076)	0. (.077)	0. (.079)	0. (.082)
0.825	0. (.074)	0. (.076)	0. (.077)	0. (.079)	0. (.082)
0.850	0. (.074)	0. (.076)	0. (.077)	0. (.079)	0. (.082)
0.875	0.046(.075)	0.036(.076)	0.026(.078)	0.017(.080)	0.009(.082)
0.900	0.224(.078)	0.205(.079)	0.185(.080)	0.163(.082)	0.136(.084)
0.925	0.492(.087)	0.473(.088)	0.453(.088)	0.430(.089)	0.399(.090)
0.950	0.763(.103)	0.752(.103)	0.739(.103)	0.724(.104)	0.705(.104)
0.975	0.948(.124)	0.945(.124)	0.942(.124)	0.938(.124)	0.932(.125)
1.000	1.000(.149)	1.000(.149)	1.000(.149)	1.000(.149)	1.000(.149)

*** RELATIVE ENERGY FLUX DENSITY IN THE ***
 *** PENUMBRA OF A RECTANGULAR CYLINDER ***

VERSION D

SOLAR FIELD ANGLE, D = 2.00 DEGREES
 GEOMETRY D2/R = 10.00 AND H/R = 0.

BETA = ANGLE OF INCIDENCE, DEGREES

BETA ***	50.00	60.00	70.00	80.00	88.50
AX/AB	Q (QI)	Q (QI)	Q (QI)	Q (QI)	Q (QI)
0.	1.000(.)	1.000(.)	1.000(.)	1.000(.)	1.000(.)
0.025	0.964(.025)	0.969(.025)	0.977(.025)	0.989(.025)	1.000(.025)
0.050	0.825(.047)	0.848(.047)	0.882(.048)	0.941(.049)	1.000(.050)
0.075	0.603(.065)	0.646(.066)	0.715(.068)	0.848(.071)	1.000(.075)
0.100	0.351(.077)	0.406(.079)	0.501(.083)	0.710(.091)	1.000(.100)
0.125	0.135(.083)	0.184(.087)	0.281(.093)	0.539(.106)	0.999(.125)
0.150	0.016(.085)	0.039(.089)	0.103(.098)	0.353(.118)	0.999(.150)
0.175	0. (.085)	0. (.090)	0.010(.099)	0.181(.124)	0.998(.175)
0.200	0. (.085)	0. (.090)	0. (.099)	0.055(.127)	0.997(.200)
0.225	0. (.085)	0. (.090)	0. (.099)	0.002(.128)	0.996(.225)
0.250	0. (.085)	0. (.090)	0. (.099)	0. (.128)	0.994(.250)
0.275	0. (.085)	0. (.090)	0. (.099)	0. (.128)	0.991(.274)
0.300	0. (.085)	0. (.090)	0. (.099)	0. (.128)	0.988(.299)
0.325	0. (.085)	0. (.090)	0. (.099)	0. (.128)	0.983(.324)
0.350	0. (.085)	0. (.090)	0. (.099)	0. (.128)	0.977(.348)
0.375	0. (.085)	0. (.090)	0. (.099)	0. (.128)	0.969(.373)
0.400	0. (.085)	0. (.090)	0. (.099)	0. (.128)	0.959(.397)
0.425	0. (.085)	0. (.090)	0. (.099)	0. (.128)	0.945(.421)
0.450	0. (.085)	0. (.090)	0. (.099)	0. (.128)	0.926(.444)
0.475	0. (.085)	0. (.090)	0. (.099)	0. (.128)	0.902(.467)
0.500	0. (.085)	0. (.090)	0. (.099)	0. (.128)	0.870(.489)
0.525	0. (.085)	0. (.090)	0. (.099)	0. (.128)	0.827(.510)
0.550	0. (.085)	0. (.090)	0. (.099)	0. (.128)	0.771(.530)
0.575	0. (.085)	0. (.090)	0. (.099)	0. (.128)	0.696(.548)
0.600	0. (.085)	0. (.090)	0. (.099)	0. (.128)	0.599(.565)
0.625	0. (.085)	0. (.090)	0. (.099)	0. (.128)	0.474(.578)
0.650	0. (.085)	0. (.090)	0. (.099)	0. (.128)	0.323(.588)
0.675	0. (.085)	0. (.090)	0. (.099)	0. (.128)	0.158(.594)
0.700	0. (.085)	0. (.090)	0. (.099)	0. (.128)	0.026(.596)
0.725	0. (.085)	0. (.090)	0. (.099)	0. (.128)	0. (.597)
0.750	0. (.085)	0. (.090)	0. (.099)	0. (.128)	0. (.597)
0.775	0. (.085)	0. (.090)	0. (.099)	0. (.128)	0. (.597)
0.800	0. (.085)	0. (.090)	0. (.099)	0. (.128)	0. (.597)
0.825	0. (.085)	0. (.090)	0. (.099)	0. (.128)	0. (.597)
0.850	0. (.085)	0. (.090)	0. (.099)	0. (.128)	0. (.597)
0.875	0.002(.085)	0. (.090)	0. (.099)	0. (.128)	0. (.597)
0.900	0.103(.086)	0.057(.091)	0.005(.099)	0. (.128)	0. (.597)
0.925	0.357(.092)	0.290(.095)	0.162(.101)	0. (.128)	0. (.597)
0.950	0.675(.105)	0.627(.106)	0.512(.110)	0.064(.129)	0. (.597)
0.975	0.924(.125)	0.909(.126)	0.870(.127)	0.590(.137)	0. (.597)
1.000	1.000(.149)	1.000(.149)	1.000(.150)	1.000(.157)	0. (.597)

*** RELATIVE ENERGY FLUX DENSITY IN THE ***
 *** PENUMBRA OF A RECTANGULAR CYLINDER ***

VERSION D

SOLAR FIELD ANGLE, D= 2.00 DEGREES
 GEOMETRY D2/R = 50.00 AND H/R = 0,

BETA = ANGLE OF INCIDENCE, DEGREES

BETA ***	0.	10.00	20.00	30.00	40.00
AX/AB	Q (Q1)	Q (Q1)	Q (Q1)	Q (Q1)	Q (Q1)
0.	1.000(.)	1.000(.)	1.000(.)	1.000(.)	1.000(.)
0.025	0.997(.025)	0.997(.025)	0.997(.025)	0.997(.025)	0.997(.025)
0.050	0.982(.050)	0.982(.050)	0.983(.050)	0.983(.050)	0.984(.050)
0.075	0.953(.074)	0.954(.074)	0.955(.074)	0.956(.074)	0.958(.074)
0.100	0.910(.097)	0.911(.097)	0.913(.097)	0.916(.097)	0.918(.097)
0.125	0.853(.119)	0.855(.119)	0.856(.119)	0.862(.120)	0.866(.120)
0.150	0.784(.140)	0.787(.140)	0.791(.140)	0.796(.140)	0.801(.141)
0.175	0.705(.158)	0.709(.159)	0.714(.159)	0.720(.159)	0.727(.160)
0.200	0.619(.175)	0.624(.175)	0.630(.176)	0.637(.176)	0.645(.177)
0.225	0.529(.189)	0.535(.190)	0.541(.190)	0.549(.191)	0.557(.192)
0.250	0.438(.201)	0.445(.202)	0.451(.203)	0.459(.204)	0.468(.205)
0.275	0.349(.211)	0.356(.212)	0.362(.213)	0.370(.214)	0.379(.215)
0.300	0.265(.219)	0.272(.220)	0.278(.221)	0.285(.222)	0.294(.224)
0.325	0.190(.224)	0.195(.226)	0.201(.227)	0.208(.228)	0.216(.230)
0.350	0.125(.226)	0.130(.230)	0.135(.231)	0.140(.233)	0.147(.235)
0.375	0.073(.231)	0.077(.232)	0.080(.234)	0.085(.235)	0.090(.238)
0.400	0.035(.232)	0.037(.234)	0.040(.235)	0.043(.237)	0.047(.239)
0.425	0.011(.233)	0.013(.234)	0.014(.236)	0.016(.238)	0.018(.240)
0.450	0.001(.233)	0.001(.235)	0.002(.236)	0.002(.238)	0.003(.240)
0.475	0. (.233)	0. (.235)	0. (.236)	0. (.238)	0. (.240)
0.500	0. (.233)	0. (.235)	0. (.236)	0. (.238)	0. (.240)
0.525	0. (.233)	0. (.235)	0. (.236)	0. (.238)	0. (.240)
0.550	0.001(.233)	0.001(.235)	0.001(.236)	0.000(.238)	0.000(.240)
0.575	0.011(.233)	0.010(.235)	0.009(.236)	0.008(.238)	0.007(.240)
0.600	0.035(.234)	0.033(.235)	0.030(.237)	0.028(.239)	0.025(.241)
0.625	0.073(.235)	0.070(.237)	0.066(.238)	0.063(.240)	0.058(.242)
0.650	0.125(.238)	0.121(.239)	0.116(.240)	0.111(.242)	0.105(.244)
0.675	0.190(.242)	0.185(.243)	0.180(.244)	0.173(.245)	0.166(.247)
0.700	0.265(.247)	0.260(.248)	0.254(.249)	0.247(.251)	0.238(.252)
0.725	0.349(.255)	0.343(.256)	0.337(.257)	0.329(.258)	0.320(.259)
0.750	0.438(.265)	0.432(.266)	0.425(.266)	0.418(.267)	0.408(.268)
0.775	0.529(.277)	0.523(.277)	0.517(.278)	0.509(.279)	0.500(.280)
0.800	0.619(.291)	0.614(.292)	0.608(.292)	0.601(.293)	0.593(.293)
0.825	0.705(.308)	0.700(.308)	0.695(.308)	0.689(.309)	0.682(.309)
0.850	0.784(.326)	0.780(.327)	0.776(.327)	0.771(.327)	0.765(.327)
0.875	0.853(.347)	0.850(.347)	0.847(.347)	0.843(.347)	0.839(.348)
0.900	0.910(.369)	0.908(.369)	0.906(.369)	0.903(.369)	0.900(.369)
0.925	0.953(.392)	0.952(.392)	0.951(.392)	0.949(.392)	0.948(.392)
0.950	0.982(.416)	0.981(.416)	0.981(.416)	0.980(.416)	0.980(.416)
0.975	0.997(.441)	0.996(.441)	0.996(.441)	0.996(.441)	0.996(.441)
1.000	1.000(.466)	1.000(.466)	1.000(.466)	1.000(.466)	1.000(.466)

*** RELATIVE ENERGY FLUX DENSITY IN THE ***
 *** PENUMBRA OF A RECTANGULAR CYLINDER ***

VERSION D

SOLAR FIELD ANGLE, D = 2.00 DEGREES
 GEOMETRY D2/R = 50.00 AND H/R = 0.

BETA = ANGLE OF INCIDENCE, DEGREES

BETA ***	50.00	60.00	70.00	80.00	88.50
AX/AB	Q (QI)	Q (QI)	Q (QI)	Q (QI)	Q (QI)
0.	1.000(.)	1.000(.)	1.000(.)	1.000(.)	1.000(.)
0.025	0.997(.025)	0.997(.025)	0.998(.025)	0.999(.025)	1.000(.025)
0.050	0.985(.050)	0.986(.050)	0.988(.050)	0.992(.050)	1.000(.050)
0.075	0.960(.074)	0.962(.074)	0.967(.074)	0.978(.074)	1.000(.075)
0.100	0.922(.098)	0.926(.098)	0.935(.098)	0.955(.099)	1.000(.100)
0.125	0.871(.120)	0.878(.120)	0.892(.121)	0.923(.122)	1.000(.125)
0.150	0.808(.141)	0.819(.141)	0.837(.142)	0.882(.145)	0.999(.150)
0.175	0.735(.160)	0.749(.161)	0.772(.163)	0.831(.166)	0.999(.175)
0.200	0.652(.178)	0.671(.179)	0.699(.181)	0.771(.186)	0.998(.200)
0.225	0.569(.193)	0.587(.195)	0.619(.197)	0.704(.205)	0.997(.225)
0.250	0.480(.206)	0.499(.208)	0.534(.212)	0.629(.221)	0.996(.250)
0.275	0.392(.217)	0.411(.219)	0.448(.224)	0.550(.236)	0.995(.275)
0.300	0.307(.226)	0.326(.229)	0.362(.234)	0.467(.249)	0.993(.300)
0.325	0.227(.232)	0.245(.236)	0.279(.242)	0.384(.259)	0.990(.324)
0.350	0.157(.237)	0.172(.241)	0.203(.246)	0.301(.268)	0.987(.349)
0.375	0.098(.240)	0.111(.245)	0.136(.253)	0.224(.274)	0.983(.374)
0.400	0.052(.242)	0.061(.247)	0.081(.255)	0.154(.279)	0.978(.398)
0.425	0.021(.243)	0.027(.248)	0.040(.257)	0.094(.282)	0.971(.423)
0.450	0.004(.243)	0.007(.248)	0.013(.257)	0.048(.284)	0.962(.447)
0.475	0.000(.244)	0.000(.248)	0.001(.258)	0.017(.285)	0.952(.471)
0.500	0. (.244)	0. (.248)	0. (.258)	0.002(.285)	0.938(.494)
0.525	0. (.244)	0. (.248)	0. (.258)	0. (.285)	0.920(.517)
0.550	0.000(.244)	0. (.248)	0. (.258)	0. (.285)	0.897(.540)
0.575	0.005(.244)	0.003(.248)	0.001(.258)	0. (.285)	0.868(.562)
0.600	0.022(.244)	0.017(.249)	0.010(.258)	0.001(.285)	0.831(.583)
0.625	0.052(.245)	0.044(.249)	0.031(.258)	0.007(.285)	0.784(.604)
0.650	0.097(.247)	0.086(.251)	0.066(.259)	0.026(.286)	0.724(.623)
0.675	0.155(.250)	0.142(.254)	0.116(.262)	0.058(.287)	0.648(.640)
0.700	0.227(.255)	0.210(.258)	0.180(.265)	0.104(.289)	0.553(.655)
0.725	0.308(.261)	0.289(.265)	0.255(.271)	0.166(.292)	0.437(.667)
0.750	0.395(.270)	0.376(.273)	0.340(.278)	0.241(.297)	0.301(.676)
0.775	0.488(.281)	0.469(.283)	0.433(.288)	0.329(.304)	0.156(.682)
0.800	0.581(.295)	0.563(.296)	0.529(.300)	0.426(.314)	0.037(.684)
0.825	0.672(.310)	0.656(.312)	0.626(.314)	0.530(.326)	0. (.685)
0.850	0.757(.328)	0.744(.329)	0.718(.331)	0.635(.340)	0. (.685)
0.875	0.832(.348)	0.823(.349)	0.803(.350)	0.736(.357)	0. (.685)
0.900	0.895(.370)	0.889(.370)	0.876(.371)	0.828(.377)	0.000(.685)
0.925	0.945(.393)	0.941(.393)	0.934(.394)	0.905(.399)	0.004(.685)
0.950	0.979(.417)	0.977(.417)	0.974(.418)	0.961(.422)	0.037(.685)
0.975	0.996(.441)	0.996(.442)	0.995(.442)	0.992(.446)	0.239(.689)
1.000	1.000(.466)	1.000(.466)	1.000(.467)	1.000(.471)	1.000(.704)

*** RELATIVE ENERGY FLUX DENSITY IN THE ***
 *** PENUMBRA OF A RECTANGULAR CYLINDER ***

VERSION D

SOLAR FIELD ANGLE, D = 2.00 DEGREES
 GEOMETRY D2/R = 100.00 AND H/R = 0.

BETA = ANGLE OF INCIDENCE, DEGREES

BETA *** AX/AB	0.		10.00		20.00		30.00		40.00	
	Q	(QI)	Q	(QI)	Q	(QI)	Q	(QI)	Q	(QI)
0.	1.000(.)		1.000(.)		1.000(.)		1.000(.)		1.000(.)	
0.025	0.998(.025)		0.998(.025)		0.998(.025)		0.999(.025)		0.999(.025)	
0.050	0.991(.050)		0.992(.050)		0.992(.050)		0.992(.050)		0.992(.050)	
0.075	0.977(.074)		0.978(.074)		0.978(.074)		0.979(.074)		0.979(.075)	
0.100	0.955(.099)		0.956(.099)		0.957(.099)		0.958(.099)		0.959(.099)	
0.125	0.926(.122)		0.927(.122)		0.928(.122)		0.930(.122)		0.932(.122)	
0.150	0.888(.145)		0.890(.145)		0.892(.145)		0.894(.145)		0.897(.145)	
0.175	0.844(.166)		0.847(.167)		0.849(.167)		0.852(.167)		0.855(.167)	
0.200	0.794(.187)		0.796(.187)		0.800(.187)		0.803(.188)		0.807(.188)	
0.225	0.738(.206)		0.741(.206)		0.745(.207)		0.749(.207)		0.754(.207)	
0.250	0.677(.224)		0.681(.224)		0.685(.225)		0.690(.225)		0.695(.226)	
0.275	0.613(.240)		0.618(.240)		0.622(.241)		0.627(.241)		0.633(.242)	
0.300	0.548(.254)		0.552(.255)		0.557(.256)		0.562(.256)		0.569(.257)	
0.325	0.481(.267)		0.486(.268)		0.491(.269)		0.496(.270)		0.503(.271)	
0.350	0.415(.278)		0.419(.279)		0.424(.280)		0.430(.281)		0.437(.282)	
0.375	0.350(.288)		0.355(.289)		0.359(.290)		0.365(.291)		0.372(.292)	
0.400	0.292(.296)		0.296(.297)		0.300(.298)		0.305(.299)		0.311(.301)	
0.425	0.244(.303)		0.247(.304)		0.250(.305)		0.255(.306)		0.260(.308)	
0.450	0.208(.308)		0.210(.310)		0.213(.311)		0.216(.312)		0.220(.314)	
0.475	0.185(.313)		0.187(.315)		0.189(.316)		0.190(.317)		0.193(.319)	
0.500	0.179(.318)		0.179(.319)		0.179(.320)		0.179(.322)		0.180(.324)	
0.525	0.185(.322)		0.185(.324)		0.184(.325)		0.183(.327)		0.182(.328)	
0.550	0.208(.327)		0.206(.329)		0.204(.330)		0.201(.331)		0.198(.333)	
0.575	0.244(.333)		0.240(.334)		0.237(.335)		0.233(.337)		0.229(.339)	
0.600	0.292(.340)		0.288(.341)		0.284(.342)		0.279(.343)		0.273(.345)	
0.625	0.350(.348)		0.346(.349)		0.341(.350)		0.335(.351)		0.329(.352)	
0.650	0.415(.357)		0.410(.358)		0.405(.359)		0.399(.360)		0.392(.361)	
0.675	0.481(.368)		0.476(.369)		0.471(.370)		0.466(.371)		0.459(.372)	
0.700	0.548(.381)		0.543(.382)		0.538(.383)		0.533(.383)		0.526(.384)	
0.725	0.613(.396)		0.609(.396)		0.605(.397)		0.599(.397)		0.593(.398)	
0.750	0.677(.412)		0.673(.412)		0.669(.413)		0.664(.413)		0.658(.414)	
0.775	0.738(.430)		0.734(.430)		0.730(.430)		0.726(.431)		0.721(.431)	
0.800	0.794(.449)		0.791(.449)		0.787(.449)		0.784(.450)		0.779(.450)	
0.825	0.844(.469)		0.842(.469)		0.839(.470)		0.836(.470)		0.833(.470)	
0.850	0.888(.491)		0.887(.491)		0.885(.491)		0.882(.491)		0.880(.491)	
0.875	0.925(.514)		0.924(.514)		0.923(.514)		0.921(.514)		0.919(.514)	
0.900	0.955(.537)		0.955(.537)		0.954(.537)		0.953(.537)		0.951(.537)	
0.925	0.977(.561)		0.977(.561)		0.976(.561)		0.976(.561)		0.975(.561)	
0.950	0.991(.586)		0.991(.586)		0.991(.586)		0.991(.586)		0.990(.586)	
0.975	0.998(.611)		0.998(.611)		0.998(.611)		0.998(.611)		0.998(.611)	
1.000	1.000(.636)		1.000(.636)		1.000(.636)		1.000(.636)		1.000(.636)	

*App. II
Phase II*

*** RELATIVE ENERGY FLUX DENSITY IN THE ***
 *** PENUMBRA OF A RECTANGULAR CYLINDER ***

VERSION D

SOLAR FIELD ANGLE, D= 2.00 DEGREES
 GEOMETRY D2/R = 100.00 AND H/R = 0.

BETA = ANGLE OF INCIDENCE, DEGREES

BETA ***	50.00		60.00		70.00		80.00		88.50	
AX/AB	Q	(QI)	Q	(QI)	Q	(QI)	Q	(QI)	Q	(QI)
0.	1.000(.)		1.000(.)		1.000(.)		1.000(.)		1.000(.)	
0.025	0.999(.025)		0.999(.025)		0.999(.025)		0.999(.025)		1.000(.025)	
0.050	0.992(.050)		0.993(.050)		0.994(.050)		0.996(.050)		1.000(.050)	
0.075	0.980(.075)		0.981(.075)		0.983(.075)		0.988(.075)		1.000(.075)	
0.100	0.961(.099)		0.963(.099)		0.967(.099)		0.976(.099)		1.000(.100)	
0.125	0.934(.122)		0.938(.123)		0.944(.123)		0.959(.123)		1.000(.125)	
0.150	0.900(.145)		0.905(.146)		0.914(.146)		0.936(.147)		0.999(.150)	
0.175	0.860(.167)		0.866(.168)		0.878(.168)		0.907(.170)		0.999(.175)	
0.200	0.813(.188)		0.821(.189)		0.836(.190)		0.873(.192)		0.999(.200)	
0.225	0.760(.208)		0.770(.209)		0.788(.210)		0.834(.214)		0.998(.225)	
0.250	0.703(.226)		0.714(.227)		0.735(.229)		0.789(.234)		0.997(.250)	
0.275	0.642(.243)		0.654(.244)		0.677(.247)		0.739(.253)		0.996(.275)	
0.300	0.578(.258)		0.591(.260)		0.616(.263)		0.684(.271)		0.994(.300)	
0.325	0.512(.272)		0.527(.274)		0.553(.278)		0.626(.287)		0.993(.324)	
0.350	0.446(.284)		0.461(.286)		0.488(.291)		0.565(.302)		0.990(.349)	
0.375	0.381(.294)		0.395(.297)		0.423(.302)		0.502(.316)		0.987(.374)	
0.400	0.320(.303)		0.333(.306)		0.359(.312)		0.437(.327)		0.983(.399)	
0.425	0.267(.310)		0.278(.314)		0.301(.320)		0.374(.337)		0.978(.423)	
0.450	0.225(.316)		0.234(.320)		0.252(.327)		0.315(.346)		0.972(.447)	
0.475	0.195(.322)		0.202(.326)		0.214(.333)		0.264(.353)		0.965(.472)	
0.500	0.161(.326)		0.163(.330)		0.169(.338)		0.223(.359)		0.955(.496)	
0.525	0.180(.331)		0.179(.335)		0.179(.342)		0.194(.365)		0.943(.519)	
0.550	0.195(.336)		0.190(.340)		0.183(.347)		0.179(.369)		0.928(.543)	
0.575	0.223(.341)		0.215(.345)		0.202(.352)		0.178(.374)		0.909(.566)	
0.600	0.265(.347)		0.255(.350)		0.236(.357)		0.194(.378)		0.885(.588)	
0.625	0.320(.354)		0.307(.357)		0.284(.364)		0.226(.384)		0.855(.610)	
0.650	0.383(.363)		0.369(.366)		0.343(.372)		0.273(.390)		0.818(.631)	
0.675	0.449(.374)		0.435(.376)		0.408(.381)		0.333(.397)		0.771(.651)	
0.700	0.517(.386)		0.503(.388)		0.476(.392)		0.400(.407)		0.712(.669)	
0.725	0.584(.399)		0.571(.401)		0.545(.405)		0.469(.417)		0.640(.686)	
0.750	0.650(.415)		0.638(.416)		0.614(.419)		0.541(.430)		0.553(.701)	
0.775	0.714(.432)		0.702(.433)		0.681(.435)		0.614(.444)		0.449(.714)	
0.800	0.773(.450)		0.764(.451)		0.745(.453)		0.685(.461)		0.333(.723)	
0.825	0.828(.470)		0.820(.471)		0.804(.473)		0.753(.479)		0.214(.730)	
0.850	0.875(.492)		0.869(.492)		0.857(.493)		0.817(.498)		0.123(.734)	
0.875	0.917(.514)		0.912(.515)		0.903(.515)		0.873(.519)		0.114(.737)	
0.900	0.950(.537)		0.947(.538)		0.941(.538)		0.921(.542)		0.191(.741)	
0.925	0.974(.562)		0.972(.562)		0.969(.562)		0.958(.565)		0.319(.748)	
0.950	0.990(.586)		0.989(.586)		0.988(.587)		0.983(.590)		0.525(.758)	
0.975	0.998(.611)		0.998(.611)		0.998(.612)		0.997(.614)		0.813(.775)	
1.000	1.000(.636)		1.000(.636)		1.000(.637)		1.000(.639)		1.000(.798)	

*** RELATIVE ENERGY FLUX DENSITY IN THE ***
 *** PENUMBRA OF A RECTANGULAR CYLINDER ***

VERSION D

SOLAR FIELD ANGLE, D= 2.00 DEGREES
 GEOMETRY D2/R = 1.00 AND H/R = 0.5

BETA = ANGLE OF INCIDENCE, DEGREES

BETA ***	D.	10.00	20.00	30.00	40.00
AX/AB	Q (QI)	Q (QI)	Q (QI)	Q (QI)	Q (QI)
0.	1.000(.)	1.000(.)	1.000(.)	1.000(.)	1.000(.)
0.025	0. (.012)	0. (.012)	0. (.012)	0.018(.013)	0.172(.015)
0.050	0. (.012)	0. (.012)	0. (.012)	0. (.013)	0. (.017)
0.075	0. (.012)	0. (.012)	0. (.012)	0. (.013)	0. (.017)
0.100	0. (.012)	0. (.012)	0. (.012)	0. (.013)	0. (.017)
0.125	0. (.012)	0. (.012)	0. (.012)	0. (.013)	0. (.017)
0.150	0. (.012)	0. (.012)	0. (.012)	0. (.013)	0. (.017)
0.175	0. (.012)	0. (.012)	0. (.012)	0. (.013)	0. (.017)
0.200	0. (.012)	0. (.012)	0. (.012)	0. (.013)	0. (.017)
0.225	0. (.012)	0. (.012)	0. (.012)	0. (.013)	0. (.017)
0.250	0. (.012)	0. (.012)	0. (.012)	0. (.013)	0. (.017)
0.275	0. (.012)	0. (.012)	0. (.012)	0. (.013)	0. (.017)
0.300	0. (.012)	0. (.012)	0. (.012)	0. (.013)	0. (.017)
0.325	0. (.012)	0. (.012)	0. (.012)	0. (.013)	0. (.017)
0.350	0. (.012)	0. (.012)	0. (.012)	0. (.013)	0. (.017)
0.375	0. (.012)	0. (.012)	0. (.012)	0. (.013)	0. (.017)
0.400	0. (.012)	0. (.012)	0. (.012)	0. (.013)	0. (.017)
0.425	0. (.012)	0. (.012)	0. (.012)	0. (.013)	0. (.017)
0.450	0. (.012)	0. (.012)	0. (.012)	0. (.013)	0. (.017)
0.475	0. (.012)	0. (.012)	0. (.012)	0. (.013)	0. (.017)
0.500	0. (.012)	0. (.012)	0. (.012)	0. (.013)	0. (.017)
0.525	0. (.012)	0. (.012)	0. (.012)	0. (.013)	0. (.017)
0.550	0. (.012)	0. (.012)	0. (.012)	0. (.013)	0. (.017)
0.575	0. (.012)	0. (.012)	0. (.012)	0. (.013)	0. (.017)
0.600	0. (.012)	0. (.012)	0. (.012)	0. (.013)	0. (.017)
0.625	0. (.012)	0. (.012)	0. (.012)	0. (.013)	0. (.017)
0.650	0. (.012)	0. (.012)	0. (.012)	0. (.013)	0. (.017)
0.675	0. (.012)	0. (.012)	0. (.012)	0. (.013)	0. (.017)
0.700	0. (.012)	0. (.012)	0. (.012)	0. (.013)	0. (.017)
0.725	0. (.012)	0. (.012)	0. (.012)	0. (.013)	0. (.017)
0.750	0. (.012)	0. (.012)	0. (.012)	0. (.013)	0. (.017)
0.775	0. (.012)	0. (.012)	0. (.012)	0. (.013)	0. (.017)
0.800	0. (.012)	0. (.012)	0. (.012)	0. (.013)	0. (.017)
0.825	0. (.012)	0. (.012)	0. (.012)	0. (.013)	0. (.017)
0.850	0. (.012)	0. (.012)	0. (.012)	0. (.013)	0. (.017)
0.875	0. (.012)	0. (.012)	0. (.012)	0. (.013)	0. (.017)
0.900	0. (.012)	0. (.012)	0. (.012)	0. (.013)	0. (.017)
0.925	0. (.012)	0. (.012)	0. (.012)	0. (.013)	0. (.017)
0.950	0. (.012)	0. (.012)	0. (.012)	0. (.013)	0. (.017)
0.975	0. (.012)	0. (.012)	0. (.012)	0. (.013)	0. (.017)
1.000	1.000(.025)	1.000(.025)	1.000(.025)	1.000(.025)	1.000(.029)

*** RELATIVE ENERGY FLUX DENSITY IN THE ***
 *** PENUMBRA OF A RECTANGULAR CYLINDER ***
 VERSION D

SOLAR FIELD ANGLE, D = 2.00 DEGREES
 GEOMETRY D2/R = 1.00 AND H/R = 0.5

BETA = ANGLE OF INCIDENCE, DEGREES

BETA ***	50.00		60.00		70.00		80.00		88.50	
AX/AB	Q	(QI)	Q	(QI)	Q	(QI)	Q	(QI)	Q	(QI)
0.	1.000(.)		1.000(.)		1.000(.)		1.000(.)		1.000(.)	
0.025	0.407(.016)		0.606(.020)		0.786(.022)		0.948(.024)		1.000(.025)	
0.050	0. (.023)		0. (.028)		0.160(.034)		0.738(.045)		1.000(.050)	
0.075	0. (.023)		0. (.028)		0. (.036)		0.385(.059)		1.000(.075)	
0.100	0. (.023)		0. (.028)		0. (.036)		0.051(.065)		1.000(.100)	
0.125	0. (.023)		0. (.028)		0. (.036)		0. (.066)		0.999(.125)	
0.150	0. (.023)		0. (.028)		0. (.036)		0. (.066)		0.999(.150)	
0.175	0. (.023)		0. (.028)		0. (.036)		0. (.066)		0.998(.175)	
0.200	0. (.023)		0. (.028)		0. (.036)		0. (.066)		0.997(.200)	
0.225	0. (.023)		0. (.028)		0. (.036)		0. (.066)		0.995(.225)	
0.250	0. (.023)		0. (.028)		0. (.036)		0. (.066)		0.992(.250)	
0.275	0. (.023)		0. (.028)		0. (.036)		0. (.066)		0.989(.274)	
0.300	0. (.023)		0. (.028)		0. (.036)		0. (.066)		0.985(.299)	
0.325	0. (.023)		0. (.028)		0. (.036)		0. (.066)		0.979(.324)	
0.350	0. (.023)		0. (.028)		0. (.036)		0. (.066)		0.971(.348)	
0.375	0. (.023)		0. (.028)		0. (.036)		0. (.066)		0.960(.372)	
0.400	0. (.023)		0. (.028)		0. (.036)		0. (.066)		0.945(.396)	
0.425	0. (.023)		0. (.028)		0. (.036)		0. (.066)		0.926(.419)	
0.450	0. (.023)		0. (.028)		0. (.036)		0. (.066)		0.899(.442)	
0.475	0. (.023)		0. (.028)		0. (.036)		0. (.066)		0.864(.464)	
0.500	0. (.023)		0. (.028)		0. (.036)		0. (.066)		0.816(.485)	
0.525	0. (.023)		0. (.028)		0. (.036)		0. (.066)		0.752(.505)	
0.550	0. (.023)		0. (.028)		0. (.036)		0. (.066)		0.666(.522)	
0.575	0. (.023)		0. (.028)		0. (.036)		0. (.066)		0.551(.538)	
0.600	0. (.023)		0. (.028)		0. (.036)		0. (.066)		0.402(.550)	
0.625	0. (.023)		0. (.028)		0. (.036)		0. (.066)		0.225(.557)	
0.650	0. (.023)		0. (.028)		0. (.036)		0. (.066)		0.060(.561)	
0.675	0. (.023)		0. (.028)		0. (.036)		0. (.066)		0. (.562)	
0.700	0. (.023)		0. (.028)		0. (.036)		0. (.066)		0. (.562)	
0.725	0. (.023)		0. (.028)		0. (.036)		0. (.066)		0. (.562)	
0.750	0. (.023)		0. (.028)		0. (.036)		0. (.066)		0. (.562)	
0.775	0. (.023)		0. (.028)		0. (.036)		0. (.066)		0. (.562)	
0.800	0. (.023)		0. (.028)		0. (.036)		0. (.066)		0. (.562)	
0.825	0. (.023)		0. (.028)		0. (.036)		0. (.066)		0. (.562)	
0.850	0. (.023)		0. (.028)		0. (.036)		0. (.066)		0. (.562)	
0.875	0. (.023)		0. (.028)		0. (.036)		0. (.066)		0. (.562)	
0.900	0. (.023)		0. (.028)		0. (.036)		0. (.066)		0. (.562)	
0.925	0. (.023)		0. (.028)		0. (.036)		0. (.066)		0. (.562)	
0.950	0. (.023)		0. (.028)		0. (.036)		0. (.066)		0. (.562)	
0.975	0. (.023)		0. (.028)		0. (.036)		0. (.066)		0. (.562)	
1.000	0. (.023)		0. (.028)		0. (.036)		0. (.066)		0. (.562)	

6

5

4

3

2

Appendix II

*** RELATIVE ENERGY FLUX DENSITY IN THE ***
 *** PENUMBRA OF A RECTANGULAR CYLINDER ***

VERSION D

SOLAR FIELD ANGLE, D = 2.00 DEGREES
 GEOMETRY D2/R = 5.00 AND H/R = 0.5

BETA = ANGLE OF INCIDENCE, DEGREES

BETA ***	0.	10.00	20.00	30.00	40.00
AX/AH	Q (Q1)	Q (Q1)	Q (Q1)	Q (Q1)	Q (Q1)
0.	1.000(.)	1.000(.)	1.000(.)	1.000(.)	1.000(.)
0.025	0.832(.023)	0.844(.023)	0.857(.023)	0.869(.023)	0.883(.024)
0.050	0.355(.038)	0.395(.039)	0.435(.039)	0.478(.040)	0.523(.041)
0.075	0.005(.042)	0.016(.044)	0.032(.045)	0.057(.047)	0.094(.049)
0.100	0. (.042)	0. (.044)	0. (.046)	0. (.048)	0. (.050)
0.125	0. (.042)	0. (.044)	0. (.046)	0. (.048)	0. (.050)
0.150	0. (.042)	0. (.044)	0. (.046)	0. (.048)	0. (.050)
0.175	0. (.042)	0. (.044)	0. (.046)	0. (.048)	0. (.050)
0.200	0. (.042)	0. (.044)	0. (.046)	0. (.048)	0. (.050)
0.225	0. (.042)	0. (.044)	0. (.046)	0. (.048)	0. (.050)
0.250	0. (.042)	0. (.044)	0. (.046)	0. (.048)	0. (.050)
0.275	0. (.042)	0. (.044)	0. (.046)	0. (.048)	0. (.050)
0.300	0. (.042)	0. (.044)	0. (.046)	0. (.048)	0. (.050)
0.325	0. (.042)	0. (.044)	0. (.046)	0. (.048)	0. (.050)
0.350	0. (.042)	0. (.044)	0. (.046)	0. (.048)	0. (.050)
0.375	0. (.042)	0. (.044)	0. (.046)	0. (.048)	0. (.050)
0.400	0. (.042)	0. (.044)	0. (.046)	0. (.048)	0. (.050)
0.425	0. (.042)	0. (.044)	0. (.046)	0. (.048)	0. (.050)
0.450	0. (.042)	0. (.044)	0. (.046)	0. (.048)	0. (.050)
0.475	0. (.042)	0. (.044)	0. (.046)	0. (.048)	0. (.050)
0.500	0. (.042)	0. (.044)	0. (.046)	0. (.048)	0. (.050)
0.525	0. (.042)	0. (.044)	0. (.046)	0. (.048)	0. (.050)
0.550	0. (.042)	0. (.044)	0. (.046)	0. (.048)	0. (.050)
0.575	0. (.042)	0. (.044)	0. (.046)	0. (.048)	0. (.050)
0.600	0. (.042)	0. (.044)	0. (.046)	0. (.048)	0. (.050)
0.625	0. (.042)	0. (.044)	0. (.046)	0. (.048)	0. (.050)
0.650	0. (.042)	0. (.044)	0. (.046)	0. (.048)	0. (.050)
0.675	0. (.042)	0. (.044)	0. (.046)	0. (.048)	0. (.050)
0.700	0. (.042)	0. (.044)	0. (.046)	0. (.048)	0. (.050)
0.725	0. (.042)	0. (.044)	0. (.046)	0. (.048)	0. (.050)
0.750	0. (.042)	0. (.044)	0. (.046)	0. (.048)	0. (.050)
0.775	0. (.042)	0. (.044)	0. (.046)	0. (.048)	0. (.050)
0.800	0. (.042)	0. (.044)	0. (.046)	0. (.048)	0. (.050)
0.825	0. (.042)	0. (.044)	0. (.046)	0. (.048)	0. (.050)
0.850	0. (.042)	0. (.044)	0. (.046)	0. (.048)	0. (.050)
0.875	0. (.042)	0. (.044)	0. (.046)	0. (.048)	0. (.050)
0.900	0. (.042)	0. (.044)	0. (.046)	0. (.048)	0. (.050)
0.925	0.005(.042)	0.001(.044)	0. (.046)	0. (.048)	0. (.050)
0.950	0.355(.047)	0.314(.048)	0.268(.049)	0.214(.050)	0.149(.052)
0.975	0.832(.062)	0.818(.062)	0.801(.062)	0.780(.063)	0.751(.063)
1.000	1.000(.085)	1.000(.085)	1.000(.085)	1.000(.085)	1.000(.085)

*** RELATIVE ENERGY FLUX DENSITY IN THE ***
 *** PENUMBRA OF A RECTANGULAR CYLINDER ***

VERSION D

SOLAR FIELD ANGLE, D= 2.00 DEGREES
 GEOMETRY D2/R = 5.00 AND H/R = 0.5

BETA = ANGLE OF INCIDENCE, DEGREES

BETA ***	50.00		60.00		70.00		80.00		88.50	
AX/AB	Q	(Q1)	Q	(Q1)	Q	(Q1)	Q	(Q1)	Q	(Q1)
0.	1.000(.)		1.000(.)		1.000(.)		1.000(.)		1.000(.)	
0.025	0.899(.024)		0.918(.024)		0.944(.024)		0.979(.025)		1.000(.025)	
0.050	0.573(.042)		0.640(.043)		0.738(.045)		0.889(.048)		1.000(.050)	
0.075	0.152(.051)		0.247(.055)		0.417(.060)		0.721(.068)		1.000(.075)	
0.100	0. (.053)		0.009(.058)		0.101(.066)		0.493(.083)		1.000(.100)	
0.125	0. (.053)		0. (.058)		0. (.067)		0.232(.092)		0.999(.125)	
0.150	0. (.053)		0. (.058)		0. (.067)		0.044(.096)		0.999(.150)	
0.175	0. (.053)		0. (.058)		0. (.067)		0. (.096)		0.998(.175)	
0.200	0. (.053)		0. (.058)		0. (.067)		0. (.096)		0.997(.200)	
0.225	0. (.053)		0. (.058)		0. (.067)		0. (.096)		0.995(.225)	
0.250	0. (.053)		0. (.058)		0. (.067)		0. (.096)		0.993(.250)	
0.275	0. (.053)		0. (.058)		0. (.067)		0. (.096)		0.990(.274)	
0.300	0. (.053)		0. (.058)		0. (.067)		0. (.096)		0.987(.299)	
0.325	0. (.053)		0. (.058)		0. (.067)		0. (.096)		0.981(.324)	
0.350	0. (.053)		0. (.058)		0. (.067)		0. (.096)		0.974(.348)	
0.375	0. (.053)		0. (.058)		0. (.067)		0. (.096)		0.965(.372)	
0.400	0. (.053)		0. (.058)		0. (.067)		0. (.096)		0.953(.396)	
0.425	0. (.053)		0. (.058)		0. (.067)		0. (.096)		0.936(.420)	
0.450	0. (.053)		0. (.058)		0. (.067)		0. (.096)		0.914(.443)	
0.475	0. (.053)		0. (.058)		0. (.067)		0. (.096)		0.885(.466)	
0.500	0. (.053)		0. (.058)		0. (.067)		0. (.096)		0.846(.487)	
0.525	0. (.053)		0. (.058)		0. (.067)		0. (.096)		0.794(.508)	
0.550	0. (.053)		0. (.058)		0. (.067)		0. (.096)		0.725(.527)	
0.575	0. (.053)		0. (.058)		0. (.067)		0. (.096)		0.633(.544)	
0.600	0. (.053)		0. (.058)		0. (.067)		0. (.096)		0.512(.558)	
0.625	0. (.053)		0. (.058)		0. (.067)		0. (.096)		0.359(.569)	
0.650	0. (.053)		0. (.058)		0. (.067)		0. (.096)		0.186(.576)	
0.675	0. (.053)		0. (.058)		0. (.067)		0. (.096)		0.037(.579)	
0.700	0. (.053)		0. (.058)		0. (.067)		0. (.096)		0. (.579)	
0.725	0. (.053)		0. (.058)		0. (.067)		0. (.096)		0. (.579)	
0.750	0. (.053)		0. (.058)		0. (.067)		0. (.096)		0. (.579)	
0.775	0. (.053)		0. (.058)		0. (.067)		0. (.096)		0. (.579)	
0.800	0. (.053)		0. (.058)		0. (.067)		0. (.096)		0. (.579)	
0.825	0. (.053)		0. (.058)		0. (.067)		0. (.096)		0. (.579)	
0.850	0. (.053)		0. (.058)		0. (.067)		0. (.096)		0. (.579)	
0.875	0. (.053)		0. (.058)		0. (.067)		0. (.096)		0. (.579)	
0.900	0. (.053)		0. (.058)		0. (.067)		0. (.096)		0. (.579)	
0.925	0. (.053)		0. (.058)		0. (.067)		0. (.096)		0. (.579)	
0.950	0.070(.054)		0.001(.058)		0. (.067)		0. (.096)		0. (.579)	
0.975	0.704(.064)		0.610(.066)		0.255(.071)		0. (.096)		0. (.579)	
1.000	1.000(.085)		1.000(.086)		1.000(.086)		0. (.096)		0. (.579)	

*** RELATIVE ENERGY FLUX DENSITY IN THE ***
 *** PENUMBRA OF A RECTANGULAR CYLINDER ***

VERSION D

SOLAR FIELD ANGLE, D = 2.00 DEGREES
 GEOMETRY D2/R = 10.00 AND H/R = 0.5

BETA = ANGLE OF INCIDENCE, DEGREES

BETA ***	0.	10.00	20.00	30.00	40.00
AX/AB	Q (Q1)	Q (Q1)	Q (Q1)	Q (Q1)	Q (Q1)
0.	1.000(.)	1.000(.)	1.000(.)	1.000(.)	1.000(.)
0.025	0.953(.024)	0.955(.024)	0.958(.024)	0.960(.025)	0.963(.025)
0.050	0.782(.046)	0.792(.046)	0.801(.046)	0.812(.047)	0.824(.047)
0.075	0.527(.062)	0.543(.063)	0.561(.063)	0.579(.064)	0.602(.065)
0.100	0.241(.072)	0.261(.073)	0.282(.074)	0.307(.075)	0.336(.076)
0.125	0.047(.076)	0.059(.077)	0.072(.078)	0.089(.080)	0.111(.082)
0.150	0. (.076)	0.000(.078)	0.000(.079)	0.002(.081)	0.006(.083)
0.175	0. (.076)	0. (.078)	0. (.079)	0. (.081)	0. (.084)
0.200	0. (.076)	0. (.078)	0. (.079)	0. (.081)	0. (.084)
0.225	0. (.076)	0. (.078)	0. (.079)	0. (.081)	0. (.084)
0.250	0. (.076)	0. (.078)	0. (.079)	0. (.081)	0. (.084)
0.275	0. (.076)	0. (.078)	0. (.079)	0. (.081)	0. (.084)
0.300	0. (.076)	0. (.078)	0. (.079)	0. (.081)	0. (.084)
0.325	0. (.076)	0. (.078)	0. (.079)	0. (.081)	0. (.084)
0.350	0. (.076)	0. (.078)	0. (.079)	0. (.081)	0. (.084)
0.375	0. (.076)	0. (.078)	0. (.079)	0. (.081)	0. (.084)
0.400	0. (.076)	0. (.078)	0. (.079)	0. (.081)	0. (.084)
0.425	0. (.076)	0. (.078)	0. (.079)	0. (.081)	0. (.084)
0.450	0. (.076)	0. (.078)	0. (.079)	0. (.081)	0. (.084)
0.475	0. (.076)	0. (.078)	0. (.079)	0. (.081)	0. (.084)
0.500	0. (.076)	0. (.078)	0. (.079)	0. (.081)	0. (.084)
0.525	0. (.076)	0. (.078)	0. (.079)	0. (.081)	0. (.084)
0.550	0. (.076)	0. (.078)	0. (.079)	0. (.081)	0. (.084)
0.575	0. (.076)	0. (.078)	0. (.079)	0. (.081)	0. (.084)
0.600	0. (.076)	0. (.078)	0. (.079)	0. (.081)	0. (.084)
0.625	0. (.076)	0. (.078)	0. (.079)	0. (.081)	0. (.084)
0.650	0. (.076)	0. (.078)	0. (.079)	0. (.081)	0. (.084)
0.675	0. (.076)	0. (.078)	0. (.079)	0. (.081)	0. (.084)
0.700	0. (.076)	0. (.078)	0. (.079)	0. (.081)	0. (.084)
0.725	0. (.076)	0. (.078)	0. (.079)	0. (.081)	0. (.084)
0.750	0. (.076)	0. (.078)	0. (.079)	0. (.081)	0. (.084)
0.775	0. (.076)	0. (.078)	0. (.079)	0. (.081)	0. (.084)
0.800	0. (.076)	0. (.078)	0. (.079)	0. (.081)	0. (.084)
0.825	0. (.076)	0. (.078)	0. (.079)	0. (.081)	0. (.084)
0.850	0. (.076)	0. (.078)	0. (.079)	0. (.081)	0. (.084)
0.875	0.047(.077)	0.036(.078)	0.026(.080)	0.017(.081)	0.008(.084)
0.900	0.241(.080)	0.220(.081)	0.199(.083)	0.175(.084)	0.146(.086)
0.925	0.527(.090)	0.510(.091)	0.490(.091)	0.465(.092)	0.434(.093)
0.950	0.782(.106)	0.772(.107)	0.761(.107)	0.748(.107)	0.730(.107)
0.975	0.953(.128)	0.950(.128)	0.947(.128)	0.944(.128)	0.939(.128)
1.000	1.000(.152)	1.000(.152)	1.000(.152)	1.000(.152)	1.000(.152)

*** RELATIVE ENERGY FLUX DENSITY IN THE ***
 *** PENUMBRA OF A RECTANGULAR CYLINDER ***
 VERSION D

SOLAR FIELD ANGLE, $D = 2.00$ DEGREES
 GEOMETRY $D2/R = 10.00$ AND $H/R = 0.5$

BETA = ANGLE OF INCIDENCE, DEGREES

BETA ***	50.00	50.00	70.00	80.00	88.50
AX/AB	Q (Q1)	Q (Q1)	Q (Q1)	Q (Q1)	Q (Q1)
0.	1.000(.)	1.000(.)	1.000(.)	1.000(.)	1.000(.)
0.025	0.967(.025)	0.971(.025)	0.978(.025)	0.990(.025)	1.000(.025)
0.050	0.839(.047)	0.859(.048)	0.890(.048)	0.945(.049)	1.000(.050)
0.075	0.630(.066)	0.669(.067)	0.733(.068)	0.856(.072)	1.000(.075)
0.100	0.375(.078)	0.433(.080)	0.529(.084)	0.725(.091)	1.000(.100)
0.125	0.143(.085)	0.196(.088)	0.298(.094)	0.560(.107)	0.999(.125)
0.150	0.015(.087)	0.040(.091)	0.108(.100)	0.370(.119)	0.999(.150)
0.175	0. (.087)	0. (.092)	0.010(.101)	0.189(.126)	0.998(.175)
0.200	0. (.087)	0. (.092)	0. (.101)	0.056(.129)	0.997(.200)
0.225	0. (.087)	0. (.092)	0. (.101)	0.002(.130)	0.996(.225)
0.250	0. (.087)	0. (.092)	0. (.101)	0. (.130)	0.994(.250)
0.275	0. (.087)	0. (.092)	0. (.101)	0. (.130)	0.991(.274)
0.300	0. (.087)	0. (.092)	0. (.101)	0. (.130)	0.988(.299)
0.325	0. (.087)	0. (.092)	0. (.101)	0. (.130)	0.984(.324)
0.350	0. (.087)	0. (.092)	0. (.101)	0. (.130)	0.978(.348)
0.375	0. (.087)	0. (.092)	0. (.101)	0. (.130)	0.970(.373)
0.400	0. (.087)	0. (.092)	0. (.101)	0. (.130)	0.959(.397)
0.425	0. (.087)	0. (.092)	0. (.101)	0. (.130)	0.946(.421)
0.450	0. (.087)	0. (.092)	0. (.101)	0. (.130)	0.928(.444)
0.475	0. (.087)	0. (.092)	0. (.101)	0. (.130)	0.904(.467)
0.500	0. (.087)	0. (.092)	0. (.101)	0. (.130)	0.872(.489)
0.525	0. (.087)	0. (.092)	0. (.101)	0. (.130)	0.830(.510)
0.550	0. (.087)	0. (.092)	0. (.101)	0. (.130)	0.775(.530)
0.575	0. (.087)	0. (.092)	0. (.101)	0. (.130)	0.702(.549)
0.600	0. (.087)	0. (.092)	0. (.101)	0. (.130)	0.606(.565)
0.625	0. (.087)	0. (.092)	0. (.101)	0. (.130)	0.481(.579)
0.650	0. (.087)	0. (.092)	0. (.101)	0. (.130)	0.328(.589)
0.675	0. (.087)	0. (.092)	0. (.101)	0. (.130)	0.160(.595)
0.700	0. (.087)	0. (.092)	0. (.101)	0. (.130)	0.026(.597)
0.725	0. (.087)	0. (.092)	0. (.101)	0. (.130)	0. (.598)
0.750	0. (.087)	0. (.092)	0. (.101)	0. (.130)	0. (.598)
0.775	0. (.087)	0. (.092)	0. (.101)	0. (.130)	0. (.598)
0.800	0. (.087)	0. (.092)	0. (.101)	0. (.130)	0. (.598)
0.825	0. (.087)	0. (.092)	0. (.101)	0. (.130)	0. (.598)
0.850	0. (.087)	0. (.092)	0. (.101)	0. (.130)	0. (.598)
0.875	0.001(.087)	0. (.092)	0. (.101)	0. (.130)	0. (.598)
0.900	0.109(.088)	0.060(.092)	0.004(.101)	0. (.130)	0. (.598)
0.925	0.390(.094)	0.318(.097)	0.178(.103)	0. (.130)	0. (.598)
0.950	0.704(.108)	0.660(.109)	0.558(.113)	0.071(.131)	0. (.598)
0.975	0.932(.129)	0.919(.129)	0.885(.131)	0.655(.140)	0. (.598)
1.000	1.000(.153)	1.000(.153)	1.000(.154)	1.000(.160)	0. (.598)

RE-ORDER No. 66-196
App 4
Phase II

*** RELATIVE ENERGY FLUX DENSITY IN THE ***
 *** PENUMBRA OF A RECTANGULAR CYLINDER ***

VERSION D

SOLAR FIELD ANGLE, D = 2.00 DEGREES
 GEOMETRY D2/R = 50.00 AND H/R = 0.5

BETA = ANGLE OF INCIDENCE, DEGREES

BETA ***	0.	10.00	20.00	30.00	40.00
AX/AB	Q (QI)	Q (QI)	Q (QI)	Q (QI)	Q (QI)
0.	1.000(.)	1.000(.)	1.000(.)	1.000(.)	1.000(.)
0.025	0.997(.025)	0.997(.025)	0.997(.025)	0.997(.025)	0.997(.025)
0.050	0.982(.050)	0.982(.050)	0.983(.050)	0.983(.050)	0.984(.050)
0.075	0.954(.074)	0.955(.074)	0.956(.074)	0.957(.074)	0.958(.074)
0.100	0.911(.097)	0.913(.097)	0.914(.097)	0.917(.097)	0.919(.097)
0.125	0.854(.119)	0.857(.119)	0.860(.119)	0.863(.120)	0.867(.120)
0.150	0.785(.140)	0.790(.140)	0.794(.140)	0.798(.140)	0.803(.141)
0.175	0.708(.158)	0.713(.159)	0.717(.159)	0.723(.159)	0.729(.160)
0.200	0.623(.175)	0.628(.175)	0.634(.176)	0.640(.176)	0.646(.177)
0.225	0.533(.190)	0.539(.190)	0.546(.191)	0.553(.191)	0.561(.192)
0.250	0.442(.202)	0.448(.202)	0.455(.203)	0.463(.204)	0.472(.205)
0.275	0.352(.212)	0.358(.213)	0.365(.213)	0.372(.214)	0.382(.216)
0.300	0.267(.219)	0.273(.220)	0.279(.221)	0.287(.223)	0.296(.224)
0.325	0.190(.225)	0.195(.226)	0.201(.227)	0.208(.229)	0.216(.231)
0.350	0.124(.229)	0.129(.230)	0.134(.232)	0.139(.233)	0.146(.235)
0.375	0.072(.231)	0.075(.233)	0.079(.234)	0.083(.236)	0.089(.238)
0.400	0.033(.233)	0.036(.234)	0.038(.236)	0.041(.238)	0.045(.240)
0.425	0.010(.233)	0.011(.235)	0.013(.236)	0.014(.238)	0.017(.241)
0.450	0.001(.233)	0.001(.235)	0.001(.237)	0.002(.238)	0.003(.241)
0.475	0. (.233)	0. (.235)	0. (.237)	0. (.239)	0. (.241)
0.500	0. (.233)	0. (.235)	0. (.237)	0. (.239)	0. (.241)
0.525	0. (.233)	0. (.235)	0. (.237)	0. (.239)	0. (.241)
0.550	0.001(.233)	0.001(.235)	0.000(.237)	0.000(.239)	0.000(.241)
0.575	0.010(.234)	0.009(.235)	0.008(.237)	0.007(.239)	0.006(.241)
0.600	0.033(.234)	0.031(.235)	0.029(.237)	0.027(.239)	0.024(.241)
0.625	0.072(.235)	0.068(.237)	0.065(.238)	0.061(.240)	0.056(.242)
0.650	0.124(.238)	0.120(.239)	0.115(.241)	0.110(.242)	0.104(.244)
0.675	0.190(.242)	0.185(.243)	0.179(.244)	0.173(.246)	0.165(.248)
0.700	0.267(.248)	0.261(.249)	0.254(.250)	0.247(.251)	0.239(.253)
0.725	0.352(.255)	0.345(.256)	0.339(.257)	0.331(.258)	0.322(.260)
0.750	0.442(.265)	0.435(.266)	0.429(.267)	0.421(.268)	0.412(.269)
0.775	0.533(.277)	0.527(.278)	0.521(.279)	0.514(.279)	0.505(.280)
0.800	0.623(.292)	0.617(.292)	0.611(.293)	0.605(.293)	0.596(.294)
0.825	0.708(.308)	0.703(.309)	0.698(.309)	0.692(.310)	0.685(.310)
0.850	0.785(.327)	0.782(.327)	0.778(.328)	0.773(.328)	0.767(.328)
0.875	0.854(.348)	0.851(.348)	0.848(.348)	0.845(.348)	0.840(.348)
0.900	0.911(.370)	0.909(.370)	0.907(.370)	0.904(.370)	0.901(.370)
0.925	0.954(.393)	0.952(.393)	0.951(.393)	0.950(.393)	0.948(.393)
0.950	0.982(.417)	0.982(.417)	0.981(.417)	0.981(.417)	0.980(.417)
0.975	0.997(.442)	0.997(.442)	0.996(.442)	0.996(.442)	0.996(.442)
1.000	1.000(.467)	1.000(.467)	1.000(.467)	1.000(.467)	1.000(.467)

RE-ORDER No. 66-196

App. 2
Phase II

*** RELATIVE ENERGY FLUX DENSITY IN THE ***
*** PENUMBRA OF A RECTANGULAR CYLINDER ***

VERSION D

SOLAR FIELD ANGLE, D = 2.00 DEGREES
GEOMETRY D2/R = 50.00 AND H/R = 0.5

BETA = ANGLE OF INCIDENCE, DEGREES

BETA ***	50.00	60.00	70.00	80.00	88.50
AX/AB	Q (Q1)	Q (Q1)	Q (Q1)	Q (Q1)	Q (Q1)
0.	1.000(.)	1.000(.)	1.000(.)	1.000(.)	1.000(.)
0.025	0.997(.025)	0.997(.025)	0.998(.025)	0.999(.025)	1.000(.025)
0.050	0.985(.050)	0.986(.050)	0.988(.050)	0.992(.050)	1.000(.050)
0.075	0.960(.074)	0.963(.074)	0.967(.074)	0.978(.074)	1.000(.075)
0.100	0.922(.098)	0.927(.098)	0.936(.098)	0.955(.099)	1.000(.100)
0.125	0.872(.120)	0.880(.120)	0.893(.121)	0.924(.122)	1.000(.125)
0.150	0.810(.141)	0.820(.142)	0.839(.143)	0.883(.145)	0.999(.150)
0.175	0.738(.160)	0.751(.161)	0.775(.163)	0.833(.166)	0.999(.175)
0.200	0.658(.178)	0.674(.179)	0.702(.181)	0.773(.186)	0.998(.200)
0.225	0.573(.193)	0.591(.195)	0.622(.198)	0.707(.205)	0.997(.225)
0.250	0.485(.206)	0.504(.209)	0.538(.212)	0.633(.221)	0.996(.250)
0.275	0.395(.217)	0.414(.220)	0.451(.225)	0.554(.236)	0.995(.275)
0.300	0.308(.226)	0.327(.229)	0.364(.235)	0.471(.249)	0.993(.300)
0.325	0.228(.233)	0.245(.236)	0.280(.243)	0.386(.260)	0.990(.324)
0.350	0.156(.238)	0.172(.242)	0.203(.249)	0.303(.268)	0.987(.349)
0.375	0.097(.241)	0.109(.245)	0.135(.253)	0.224(.275)	0.983(.374)
0.400	0.051(.243)	0.060(.247)	0.080(.256)	0.153(.280)	0.978(.398)
0.425	0.020(.244)	0.025(.248)	0.038(.257)	0.093(.283)	0.971(.423)
0.450	0.004(.244)	0.006(.249)	0.012(.258)	0.046(.285)	0.963(.447)
0.475	0. (.244)	0.000(.249)	0.001(.258)	0.016(.285)	0.952(.471)
0.500	0. (.244)	0. (.249)	0. (.258)	0.002(.286)	0.938(.494)
0.525	0. (.244)	0. (.249)	0. (.258)	0. (.286)	0.920(.517)
0.550	0.000(.244)	0. (.249)	0. (.258)	0. (.286)	0.898(.540)
0.575	0.004(.244)	0.003(.249)	0.001(.258)	0. (.286)	0.869(.562)
0.600	0.020(.244)	0.016(.249)	0.009(.258)	0.000(.286)	0.832(.584)
0.625	0.051(.245)	0.043(.250)	0.030(.259)	0.007(.286)	0.786(.604)
0.650	0.096(.247)	0.084(.251)	0.065(.260)	0.024(.286)	0.726(.623)
0.675	0.155(.250)	0.141(.254)	0.115(.262)	0.056(.287)	0.651(.640)
0.700	0.227(.255)	0.210(.259)	0.179(.266)	0.103(.289)	0.555(.655)
0.725	0.309(.262)	0.290(.265)	0.256(.271)	0.165(.292)	0.438(.667)
0.750	0.399(.271)	0.379(.273)	0.343(.279)	0.242(.297)	0.301(.677)
0.775	0.492(.282)	0.473(.284)	0.437(.288)	0.331(.305)	0.155(.682)
0.800	0.585(.295)	0.568(.297)	0.534(.301)	0.430(.314)	0.035(.685)
0.825	0.675(.311)	0.660(.312)	0.629(.315)	0.534(.326)	0. (.685)
0.850	0.759(.329)	0.747(.330)	0.721(.332)	0.639(.341)	0. (.685)
0.875	0.834(.349)	0.825(.349)	0.805(.351)	0.739(.358)	0. (.685)
0.900	0.897(.370)	0.891(.371)	0.877(.372)	0.830(.378)	0.000(.685)
0.925	0.946(.393)	0.942(.394)	0.934(.395)	0.906(.399)	0.004(.685)
0.950	0.979(.417)	0.977(.418)	0.974(.419)	0.961(.423)	0.035(.686)
0.975	0.996(.442)	0.996(.442)	0.995(.443)	0.992(.447)	0.246(.689)
1.000	1.000(.467)	1.000(.467)	1.000(.468)	1.000(.472)	1.000(.705)

D-58

309

3
2

REORDER No. 66-196
 App A
 Phase II

*** RELATIVE ENERGY FLUX DENSITY IN THE ***
 *** PENUMBRA OF A RECTANGULAR CYLINDER ***
 VERSION D

SOLAR FIELD ANGLE, D = 2.00 DEGREES
 GEOMETRY D2/R = 100.00 AND H/R = 0.5

BETA = ANGLE OF INCIDENCE, DEGREES

BETA ***	0.	10.00	20.00	30.00	40.00
AX/AB	Q (Q1)	Q (Q1)	Q (Q1)	Q (Q1)	Q (Q1)
0.	1.000(.)	1.000(.)	1.000(.)	1.000(.)	1.000(.)
0.025	0.998(.025)	0.998(.025)	0.998(.025)	0.999(.025)	0.999(.025)
0.050	0.991(.050)	0.992(.050)	0.992(.050)	0.992(.050)	0.992(.050)
0.075	0.977(.074)	0.978(.074)	0.978(.074)	0.979(.074)	0.979(.075)
0.100	0.956(.099)	0.956(.099)	0.957(.099)	0.958(.099)	0.959(.099)
0.125	0.926(.122)	0.927(.122)	0.929(.122)	0.930(.122)	0.932(.122)
0.150	0.889(.145)	0.891(.145)	0.893(.145)	0.895(.145)	0.897(.145)
0.175	0.845(.167)	0.847(.167)	0.850(.167)	0.852(.167)	0.856(.167)
0.200	0.794(.187)	0.797(.187)	0.800(.187)	0.804(.188)	0.808(.188)
0.225	0.738(.206)	0.742(.206)	0.746(.207)	0.750(.207)	0.754(.207)
0.250	0.678(.224)	0.682(.224)	0.686(.225)	0.691(.225)	0.696(.226)
0.275	0.615(.240)	0.619(.241)	0.623(.241)	0.629(.242)	0.635(.242)
0.300	0.549(.255)	0.554(.255)	0.558(.256)	0.564(.256)	0.570(.257)
0.325	0.482(.267)	0.487(.268)	0.492(.269)	0.498(.270)	0.505(.271)
0.350	0.415(.279)	0.420(.280)	0.425(.280)	0.431(.281)	0.438(.283)
0.375	0.350(.288)	0.355(.289)	0.360(.290)	0.365(.291)	0.372(.293)
0.400	0.291(.296)	0.295(.297)	0.300(.298)	0.305(.300)	0.311(.301)
0.425	0.242(.303)	0.245(.304)	0.249(.305)	0.253(.307)	0.258(.308)
0.450	0.205(.309)	0.208(.310)	0.211(.311)	0.214(.312)	0.218(.314)
0.475	0.184(.313)	0.185(.315)	0.186(.316)	0.188(.318)	0.190(.319)
0.500	0.176(.318)	0.176(.319)	0.176(.321)	0.177(.322)	0.177(.324)
0.525	0.184(.322)	0.182(.324)	0.181(.325)	0.180(.327)	0.179(.328)
0.550	0.205(.327)	0.204(.328)	0.201(.330)	0.199(.331)	0.196(.333)
0.575	0.242(.333)	0.239(.334)	0.236(.335)	0.232(.337)	0.227(.338)
0.600	0.291(.340)	0.287(.341)	0.283(.342)	0.278(.343)	0.272(.345)
0.625	0.350(.348)	0.346(.349)	0.341(.350)	0.336(.351)	0.329(.352)
0.650	0.415(.357)	0.411(.358)	0.406(.359)	0.400(.360)	0.393(.361)
0.675	0.482(.368)	0.478(.369)	0.473(.370)	0.467(.371)	0.460(.372)
0.700	0.549(.381)	0.545(.382)	0.540(.382)	0.534(.383)	0.528(.384)
0.725	0.615(.396)	0.610(.396)	0.606(.397)	0.601(.397)	0.594(.398)
0.750	0.678(.412)	0.674(.412)	0.670(.413)	0.665(.413)	0.660(.414)
0.775	0.738(.430)	0.735(.430)	0.731(.430)	0.727(.431)	0.722(.431)
0.800	0.794(.449)	0.791(.449)	0.788(.449)	0.785(.450)	0.780(.450)
0.825	0.845(.469)	0.842(.469)	0.840(.470)	0.837(.470)	0.833(.470)
0.850	0.889(.491)	0.887(.491)	0.885(.491)	0.883(.491)	0.880(.492)
0.875	0.926(.514)	0.925(.514)	0.923(.514)	0.922(.514)	0.920(.514)
0.900	0.956(.537)	0.955(.537)	0.954(.537)	0.953(.537)	0.952(.537)
0.925	0.977(.561)	0.977(.561)	0.976(.561)	0.976(.561)	0.975(.561)
0.950	0.991(.586)	0.991(.586)	0.991(.586)	0.991(.586)	0.991(.586)
0.975	0.998(.611)	0.998(.611)	0.998(.611)	0.998(.611)	0.998(.611)
1.000	1.000(.636)	1.000(.636)	1.000(.636)	1.000(.636)	1.000(.636)

*** RELATIVE ENERGY FLUX DENSITY IN THE *** VERSION D
 *** PENUMBRA OF A RECTANGULAR CYLINDER ***

SOLAR FIELD ANGLE, D= 2.00 DEGREES
 GEOMETRY D2/R = 100.00 AND H/R = 0.5

BETA = ANGLE OF INCIDENCE, DEGREES

BETA ***	50.00	60.00	70.00	80.00	88.50
AX/AB	Q (Q1)	Q (Q1)	Q (Q1)	Q (Q1)	Q (Q1)
0.	1.000(.)	1.000(.)	1.000(.)	1.000(.)	1.000(.)
0.025	0.999(.025)	0.999(.025)	0.999(.025)	0.999(.025)	1.000(.025)
0.050	0.993(.050)	0.993(.050)	0.994(.050)	0.996(.050)	1.000(.050)
0.075	0.980(.075)	0.981(.075)	0.983(.075)	0.988(.075)	1.000(.075)
0.100	0.961(.099)	0.963(.099)	0.967(.099)	0.976(.099)	1.000(.100)
0.125	0.934(.122)	0.938(.123)	0.944(.123)	0.959(.123)	1.000(.125)
0.150	0.901(.145)	0.906(.146)	0.914(.146)	0.936(.147)	0.999(.150)
0.175	0.860(.167)	0.867(.168)	0.878(.169)	0.908(.170)	0.999(.175)
0.200	0.813(.188)	0.822(.189)	0.836(.190)	0.874(.192)	0.999(.200)
0.225	0.761(.208)	0.771(.209)	0.788(.210)	0.834(.214)	0.998(.225)
0.250	0.704(.226)	0.715(.227)	0.736(.229)	0.789(.234)	0.997(.250)
0.275	0.643(.243)	0.655(.245)	0.678(.247)	0.740(.253)	0.996(.275)
0.300	0.579(.258)	0.593(.260)	0.618(.263)	0.685(.271)	0.994(.300)
0.325	0.514(.272)	0.528(.274)	0.554(.278)	0.628(.287)	0.993(.324)
0.350	0.447(.284)	0.462(.287)	0.489(.291)	0.567(.302)	0.990(.349)
0.375	0.382(.294)	0.396(.297)	0.424(.302)	0.503(.316)	0.987(.374)
0.400	0.319(.303)	0.333(.306)	0.359(.312)	0.438(.327)	0.983(.399)
0.425	0.265(.311)	0.277(.314)	0.300(.320)	0.374(.338)	0.978(.423)
0.450	0.223(.317)	0.232(.320)	0.250(.327)	0.314(.346)	0.972(.447)
0.475	0.193(.322)	0.199(.326)	0.212(.333)	0.263(.353)	0.965(.472)
0.500	0.178(.327)	0.180(.330)	0.187(.338)	0.221(.360)	0.955(.496)
0.525	0.175(.331)	0.176(.335)	0.176(.342)	0.192(.365)	0.943(.519)
0.550	0.192(.336)	0.187(.339)	0.180(.347)	0.176(.369)	0.928(.543)
0.575	0.222(.341)	0.213(.344)	0.200(.352)	0.176(.374)	0.909(.566)
0.600	0.265(.347)	0.254(.350)	0.234(.357)	0.192(.378)	0.885(.588)
0.625	0.320(.354)	0.307(.357)	0.283(.364)	0.224(.383)	0.855(.610)
0.650	0.384(.363)	0.370(.366)	0.343(.371)	0.272(.390)	0.818(.631)
0.675	0.451(.373)	0.436(.376)	0.409(.381)	0.333(.397)	0.771(.651)
0.700	0.518(.386)	0.504(.388)	0.478(.392)	0.400(.406)	0.713(.669)
0.725	0.586(.399)	0.572(.401)	0.547(.405)	0.471(.417)	0.641(.686)
0.750	0.652(.415)	0.639(.416)	0.615(.419)	0.543(.430)	0.554(.701)
0.775	0.715(.432)	0.704(.433)	0.682(.435)	0.615(.444)	0.449(.714)
0.800	0.774(.450)	0.764(.451)	0.746(.453)	0.686(.461)	0.331(.723)
0.825	0.828(.470)	0.820(.471)	0.805(.473)	0.754(.479)	0.212(.730)
0.850	0.876(.492)	0.870(.492)	0.858(.493)	0.817(.498)	0.120(.734)
0.875	0.917(.514)	0.912(.515)	0.904(.515)	0.874(.519)	0.113(.737)
0.900	0.950(.538)	0.947(.538)	0.941(.539)	0.921(.542)	0.191(.741)
0.925	0.974(.562)	0.973(.562)	0.969(.562)	0.958(.565)	0.321(.747)
0.950	0.990(.586)	0.989(.586)	0.988(.587)	0.983(.590)	0.528(.758)
0.975	0.998(.611)	0.998(.611)	0.998(.612)	0.997(.614)	0.815(.775)
1.000	1.000(.636)	1.000(.636)	1.000(.637)	1.000(.639)	1.000(.798)

RE-ORDER NO. *66-196*
App. A
Phase II

*** RELATIVE ENERGY FLUX DENSITY IN THE ***
 *** PENUMBRA OF A RECTANGULAR CYLINDER ***
 VERSION D

SOLAR FIELD ANGLE, D = 2.00 DEGREES
 GEOMETRY D2/R = 1.00 AND H/R = 1.0

BETA = ANGLE OF INCIDENCE, DEGREES

BETA ***	0.	10.00	20.00	30.00	40.00
AX/AB	Q (Q1)	Q (Q1)	Q (Q1)	Q (Q1)	Q (Q1)
0.	1.000(.)	1.000(.)	1.000(.)	1.000(.)	1.000(.)
0.025	0. (.012)	0. (.012)	0. (.012)	0.065(.013)	0.418(.018)
0.050	0. (.012)	0. (.012)	0. (.012)	0. (.014)	0. (.023)
0.075	0. (.012)	0. (.012)	0. (.012)	0. (.014)	0. (.023)
0.100	0. (.012)	0. (.012)	0. (.012)	0. (.014)	0. (.023)
0.125	0. (.012)	0. (.012)	0. (.012)	0. (.014)	0. (.023)
0.150	0. (.012)	0. (.012)	0. (.012)	0. (.014)	0. (.023)
0.175	0. (.012)	0. (.012)	0. (.012)	0. (.014)	0. (.023)
0.200	0. (.012)	0. (.012)	0. (.012)	0. (.014)	0. (.023)
0.225	0. (.012)	0. (.012)	0. (.012)	0. (.014)	0. (.023)
0.250	0. (.012)	0. (.012)	0. (.012)	0. (.014)	0. (.023)
0.275	0. (.012)	0. (.012)	0. (.012)	0. (.014)	0. (.023)
0.300	0. (.012)	0. (.012)	0. (.012)	0. (.014)	0. (.023)
0.325	0. (.012)	0. (.012)	0. (.012)	0. (.014)	0. (.023)
0.350	0. (.012)	0. (.012)	0. (.012)	0. (.014)	0. (.023)
0.375	0. (.012)	0. (.012)	0. (.012)	0. (.014)	0. (.023)
0.400	0. (.012)	0. (.012)	0. (.012)	0. (.014)	0. (.023)
0.425	0. (.012)	0. (.012)	0. (.012)	0. (.014)	0. (.023)
0.450	0. (.012)	0. (.012)	0. (.012)	0. (.014)	0. (.023)
0.475	0. (.012)	0. (.012)	0. (.012)	0. (.014)	0. (.023)
0.500	0. (.012)	0. (.012)	0. (.012)	0. (.014)	0. (.023)
0.525	0. (.012)	0. (.012)	0. (.012)	0. (.014)	0. (.023)
0.550	0. (.012)	0. (.012)	0. (.012)	0. (.014)	0. (.023)
0.575	0. (.012)	0. (.012)	0. (.012)	0. (.014)	0. (.023)
0.600	0. (.012)	0. (.012)	0. (.012)	0. (.014)	0. (.023)
0.625	0. (.012)	0. (.012)	0. (.012)	0. (.014)	0. (.023)
0.650	0. (.012)	0. (.012)	0. (.012)	0. (.014)	0. (.023)
0.675	0. (.012)	0. (.012)	0. (.012)	0. (.014)	0. (.023)
0.700	0. (.012)	0. (.012)	0. (.012)	0. (.014)	0. (.023)
0.725	0. (.012)	0. (.012)	0. (.012)	0. (.014)	0. (.023)
0.750	0. (.012)	0. (.012)	0. (.012)	0. (.014)	0. (.023)
0.775	0. (.012)	0. (.012)	0. (.012)	0. (.014)	0. (.023)
0.800	0. (.012)	0. (.012)	0. (.012)	0. (.014)	0. (.023)
0.825	0. (.012)	0. (.012)	0. (.012)	0. (.014)	0. (.023)
0.850	0. (.012)	0. (.012)	0. (.012)	0. (.014)	0. (.023)
0.875	0. (.012)	0. (.012)	0. (.012)	0. (.014)	0. (.023)
0.900	0. (.012)	0. (.012)	0. (.012)	0. (.014)	0. (.023)
0.925	0. (.012)	0. (.012)	0. (.012)	0. (.014)	0. (.023)
0.950	0. (.012)	0. (.012)	0. (.012)	0. (.014)	0. (.023)
0.975	0. (.012)	0. (.012)	0. (.012)	0. (.014)	0. (.023)
1.000	1.000(.025)	1.000(.025)	1.000(.025)	1.000(.027)	1.000(.035)

*** RELATIVE ENERGY FLUX DENSITY IN THE ***
 *** PENUMBRA OF A RECTANGULAR CYLINDER ***

VERSION D

SOLAR FIELD ANGLE, D = 2.00 DEGREES
 GEOMETRY D2/R = 1.00 AND H/R = 1.0

BETA = ANGLE OF INCIDENCE, DEGREES

BETA ***	50.00	60.00	70.00	80.00	88.50
AX/AB	Q (Q1)	Q (Q1)	Q (Q1)	Q (Q1)	Q (Q1)
0.	1.000(.)	1.000(.)	1.000(.)	1.000(.)	1.000(.025)
0.025	0.581(.020)	0.698(.021)	0.828(.023)	0.955(.024)	1.000(.050)
0.050	0. (.027)	0. (.030)	0.224(.036)	0.770(.046)	1.000(.075)
0.075	0. (.027)	0. (.030)	0. (.039)	0.446(.061)	1.000(.100)
0.100	0. (.027)	0. (.030)	0. (.039)	0.061(.068)	0.999(.125)
0.125	0. (.027)	0. (.030)	0. (.039)	0. (.068)	0.999(.150)
0.150	0. (.027)	0. (.030)	0. (.039)	0. (.068)	0.998(.175)
0.175	0. (.027)	0. (.030)	0. (.039)	0. (.068)	0.997(.200)
0.200	0. (.027)	0. (.030)	0. (.039)	0. (.068)	0.995(.225)
0.225	0. (.027)	0. (.030)	0. (.039)	0. (.068)	0.993(.250)
0.250	0. (.027)	0. (.030)	0. (.039)	0. (.068)	0.989(.274)
0.275	0. (.027)	0. (.030)	0. (.039)	0. (.068)	0.985(.299)
0.300	0. (.027)	0. (.030)	0. (.039)	0. (.068)	0.979(.324)
0.325	0. (.027)	0. (.030)	0. (.039)	0. (.068)	0.971(.348)
0.350	0. (.027)	0. (.030)	0. (.039)	0. (.068)	0.961(.372)
0.375	0. (.027)	0. (.030)	0. (.039)	0. (.068)	0.946(.396)
0.400	0. (.027)	0. (.030)	0. (.039)	0. (.068)	0.927(.419)
0.425	0. (.027)	0. (.030)	0. (.039)	0. (.068)	0.902(.442)
0.450	0. (.027)	0. (.030)	0. (.039)	0. (.068)	0.867(.464)
0.475	0. (.027)	0. (.030)	0. (.039)	0. (.068)	0.821(.485)
0.500	0. (.027)	0. (.030)	0. (.039)	0. (.068)	0.758(.505)
0.525	0. (.027)	0. (.030)	0. (.039)	0. (.068)	0.675(.523)
0.550	0. (.027)	0. (.030)	0. (.039)	0. (.068)	0.562(.539)
0.575	0. (.027)	0. (.030)	0. (.039)	0. (.068)	0.412(.551)
0.600	0. (.027)	0. (.030)	0. (.039)	0. (.068)	0.232(.559)
0.625	0. (.027)	0. (.030)	0. (.039)	0. (.068)	0.062(.562)
0.650	0. (.027)	0. (.030)	0. (.039)	0. (.068)	0. (.563)
0.675	0. (.027)	0. (.030)	0. (.039)	0. (.068)	0. (.563)
0.700	0. (.027)	0. (.030)	0. (.039)	0. (.068)	0. (.563)
0.725	0. (.027)	0. (.030)	0. (.039)	0. (.068)	0. (.563)
0.750	0. (.027)	0. (.030)	0. (.039)	0. (.068)	0. (.563)
0.775	0. (.027)	0. (.030)	0. (.039)	0. (.068)	0. (.563)
0.800	0. (.027)	0. (.030)	0. (.039)	0. (.068)	0. (.563)
0.825	0. (.027)	0. (.030)	0. (.039)	0. (.068)	0. (.563)
0.850	0. (.027)	0. (.030)	0. (.039)	0. (.068)	0. (.563)
0.875	0. (.027)	0. (.030)	0. (.039)	0. (.068)	0. (.563)
0.900	0. (.027)	0. (.030)	0. (.039)	0. (.068)	0. (.563)
0.925	0. (.027)	0. (.030)	0. (.039)	0. (.068)	0. (.563)
0.950	0. (.027)	0. (.030)	0. (.039)	0. (.068)	0. (.563)
0.975	0. (.027)	0. (.030)	0. (.039)	0. (.068)	0. (.563)
1.000	0. (.027)	0. (.030)	0. (.039)	0. (.068)	0. (.563)

6

*** RELATIVE ENERGY FLUX DENSITY IN THE ***
 *** PENUMBRA OF A RECTANGULAR CYLINDER ***

VERSION D

SOLAR FIELD ANGLE, D= 2.00 DEGREES
 GEOMETRY D2/R = 5.00 AND H/R = 1.0

BETA = ANGLE OF INCIDENCE, DEGREES

BETA ***	0.	10.00	20.00	30.00	40.00
AX/AB	Q (QI)	Q (QI)	Q (QI)	Q (QI)	Q (QI)
0.	1.000(.)	1.000(.)	1.000(.)	1.000(.)	1.000(.)
0.025	0.858(.023)	0.868(.023)	0.878(.023)	0.888(.024)	0.899(.024)
0.050	0.430(.039)	0.473(.040)	0.511(.041)	0.542(.041)	0.578(.042)
0.075	0.005(.045)	0.017(.046)	0.037(.048)	0.066(.049)	0.110(.051)
0.100	0. (.045)	0. (.046)	0. (.048)	0. (.050)	0. (.052)
0.125	0. (.045)	0. (.046)	0. (.048)	0. (.050)	0. (.052)
0.150	0. (.045)	0. (.046)	0. (.048)	0. (.050)	0. (.052)
0.175	0. (.045)	0. (.046)	0. (.048)	0. (.050)	0. (.052)
0.200	0. (.045)	0. (.046)	0. (.048)	0. (.050)	0. (.052)
0.225	0. (.045)	0. (.046)	0. (.048)	0. (.050)	0. (.052)
0.250	0. (.045)	0. (.046)	0. (.048)	0. (.050)	0. (.052)
0.275	0. (.045)	0. (.046)	0. (.048)	0. (.050)	0. (.052)
0.300	0. (.045)	0. (.046)	0. (.048)	0. (.050)	0. (.052)
0.325	0. (.045)	0. (.046)	0. (.048)	0. (.050)	0. (.052)
0.350	0. (.045)	0. (.046)	0. (.048)	0. (.050)	0. (.052)
0.375	0. (.045)	0. (.046)	0. (.048)	0. (.050)	0. (.052)
0.400	0. (.045)	0. (.046)	0. (.048)	0. (.050)	0. (.052)
0.425	0. (.045)	0. (.046)	0. (.048)	0. (.050)	0. (.052)
0.450	0. (.045)	0. (.046)	0. (.048)	0. (.050)	0. (.052)
0.475	0. (.045)	0. (.046)	0. (.048)	0. (.050)	0. (.052)
0.500	0. (.045)	0. (.046)	0. (.048)	0. (.050)	0. (.052)
0.525	0. (.045)	0. (.046)	0. (.048)	0. (.050)	0. (.052)
0.550	0. (.045)	0. (.046)	0. (.048)	0. (.050)	0. (.052)
0.575	0. (.045)	0. (.046)	0. (.048)	0. (.050)	0. (.052)
0.600	0. (.045)	0. (.046)	0. (.048)	0. (.050)	0. (.052)
0.625	0. (.045)	0. (.046)	0. (.048)	0. (.050)	0. (.052)
0.650	0. (.045)	0. (.046)	0. (.048)	0. (.050)	0. (.052)
0.675	0. (.045)	0. (.046)	0. (.048)	0. (.050)	0. (.052)
0.700	0. (.045)	0. (.046)	0. (.048)	0. (.050)	0. (.052)
0.725	0. (.045)	0. (.046)	0. (.048)	0. (.050)	0. (.052)
0.750	0. (.045)	0. (.046)	0. (.048)	0. (.050)	0. (.052)
0.775	0. (.045)	0. (.046)	0. (.048)	0. (.050)	0. (.052)
0.800	0. (.045)	0. (.046)	0. (.048)	0. (.050)	0. (.052)
0.825	0. (.045)	0. (.046)	0. (.048)	0. (.050)	0. (.052)
0.850	0. (.045)	0. (.046)	0. (.048)	0. (.050)	0. (.052)
0.875	0. (.045)	0. (.046)	0. (.048)	0. (.050)	0. (.052)
0.900	0. (.045)	0. (.046)	0. (.048)	0. (.050)	0. (.052)
0.925	0.005(.045)	0.000(.046)	0. (.048)	0. (.050)	0. (.052)
0.950	0.430(.050)	0.384(.051)	0.332(.052)	0.270(.053)	0.191(.055)
0.975	0.858(.066)	0.847(.067)	0.834(.067)	0.817(.067)	0.794(.067)
1.000	1.000(.090)	1.000(.090)	1.000(.090)	1.000(.090)	1.000(.089)

*** RELATIVE ENERGY FLUX DENSITY IN THE ***
 *** PENUMBRA OF A RECTANGULAR CYLINDER ***
 VERSION D

SOLAR FIELD ANGLE, D = 2.00 DEGREES
 GEOMETRY D2/R = 5.00 AND H/R = 1.0

BETA = ANGLE OF INCIDENCE, DEGREES

BETA ***	50.00	60.00	70.00	80.00	88.50
AX/AB	Q (QI)	Q (QI)	Q (QI)	Q (QI)	Q (QI)
0.	1.000(.)	1.000(.)	1.000(.)	1.000(.)	1.000(.)
0.025	0.912(.024)	0.929(.024)	0.951(.024)	0.981(.025)	1.000(.025)
0.050	0.621(.043)	0.679(.044)	0.764(.046)	0.898(.048)	1.000(.050)
0.075	0.177(.053)	0.284(.055)	0.467(.061)	0.742(.069)	1.000(.075)
0.100	0. (.055)	0.009(.060)	0.113(.068)	0.529(.085)	1.000(.100)
0.125	0. (.055)	0. (.060)	0. (.070)	0.253(.094)	0.999(.125)
0.150	0. (.055)	0. (.060)	0. (.070)	0.047(.098)	0.999(.150)
0.175	0. (.055)	0. (.060)	0. (.070)	0. (.099)	0.998(.175)
0.200	0. (.055)	0. (.060)	0. (.070)	0. (.099)	0.997(.200)
0.225	0. (.055)	0. (.060)	0. (.070)	0. (.099)	0.995(.225)
0.250	0. (.055)	0. (.060)	0. (.070)	0. (.099)	0.993(.250)
0.275	0. (.055)	0. (.060)	0. (.070)	0. (.099)	0.991(.274)
0.300	0. (.055)	0. (.060)	0. (.070)	0. (.099)	0.987(.299)
0.325	0. (.055)	0. (.060)	0. (.070)	0. (.099)	0.982(.324)
0.350	0. (.055)	0. (.060)	0. (.070)	0. (.099)	0.975(.348)
0.375	0. (.055)	0. (.060)	0. (.070)	0. (.099)	0.966(.372)
0.400	0. (.055)	0. (.060)	0. (.070)	0. (.099)	0.954(.396)
0.425	0. (.055)	0. (.060)	0. (.070)	0. (.099)	0.937(.420)
0.450	0. (.055)	0. (.060)	0. (.070)	0. (.099)	0.916(.443)
0.475	0. (.055)	0. (.060)	0. (.070)	0. (.099)	0.887(.466)
0.500	0. (.055)	0. (.060)	0. (.070)	0. (.099)	0.849(.487)
0.525	0. (.055)	0. (.060)	0. (.070)	0. (.099)	0.799(.508)
0.550	0. (.055)	0. (.060)	0. (.070)	0. (.099)	0.731(.527)
0.575	0. (.055)	0. (.060)	0. (.070)	0. (.099)	0.642(.544)
0.600	0. (.055)	0. (.060)	0. (.070)	0. (.099)	0.521(.559)
0.625	0. (.055)	0. (.060)	0. (.070)	0. (.099)	0.367(.570)
0.650	0. (.055)	0. (.060)	0. (.070)	0. (.099)	0.190(.577)
0.675	0. (.055)	0. (.060)	0. (.070)	0. (.099)	0.037(.580)
0.700	0. (.055)	0. (.060)	0. (.070)	0. (.099)	0. (.580)
0.725	0. (.055)	0. (.060)	0. (.070)	0. (.099)	0. (.580)
0.750	0. (.055)	0. (.060)	0. (.070)	0. (.099)	0. (.580)
0.775	0. (.055)	0. (.060)	0. (.070)	0. (.099)	0. (.580)
0.800	0. (.055)	0. (.060)	0. (.070)	0. (.099)	0. (.580)
0.825	0. (.055)	0. (.060)	0. (.070)	0. (.099)	0. (.580)
0.850	0. (.055)	0. (.060)	0. (.070)	0. (.099)	0. (.580)
0.875	0. (.055)	0. (.060)	0. (.070)	0. (.099)	0. (.580)
0.900	0. (.055)	0. (.060)	0. (.070)	0. (.099)	0. (.580)
0.925	0. (.055)	0. (.060)	0. (.070)	0. (.099)	0. (.580)
0.950	0.089(.056)	0.001(.060)	0. (.070)	0. (.099)	0. (.580)
0.975	0.758(.067)	0.686(.069)	0.446(.075)	0. (.099)	0. (.580)
1.000	1.000(.089)	1.000(.090)	1.000(.094)	0. (.099)	0. (.580)

66-196
 APP. 11

*** RELATIVE ENERGY FLUX DENSITY IN THE ***
 *** PENUMBRA OF A RECTANGULAR CYLINDER ***
 VERSION D

SOLAR FIELD ANGLE, D = 2.00 DEGREES
 GEOMETRY D2/R = 10.00 AND H/R = 1.0

BETA = ANGLE OF INCIDENCE, DEGREES

BETA ***	0.	10.00	20.00	30.00	40.00
AX/AB	Q (QI)	Q (QI)	Q (QI)	Q (QI)	Q (QI)
0.	1.000(.)	1.000(.)	1.000(.)	1.000(.)	1.000(.)
0.025	0.957(.024)	0.959(.024)	0.961(.025)	0.963(.025)	0.966(.025)
0.050	0.799(.046)	0.808(.047)	0.817(.047)	0.826(.047)	0.837(.047)
0.075	0.558(.063)	0.574(.064)	0.590(.064)	0.607(.065)	0.627(.065)
0.100	0.260(.074)	0.282(.075)	0.305(.075)	0.331(.077)	0.362(.078)
0.125	0.045(.077)	0.061(.079)	0.076(.080)	0.094(.082)	0.118(.084)
0.150	0. (.078)	0. (.080)	0.000(.081)	0.001(.083)	0.005(.085)
0.175	0. (.078)	0. (.080)	0. (.081)	0. (.083)	0. (.085)
0.200	0. (.078)	0. (.080)	0. (.081)	0. (.083)	0. (.085)
0.225	0. (.078)	0. (.080)	0. (.081)	0. (.083)	0. (.085)
0.250	0. (.078)	0. (.080)	0. (.081)	0. (.083)	0. (.085)
0.275	0. (.078)	0. (.080)	0. (.081)	0. (.083)	0. (.085)
0.300	0. (.078)	0. (.080)	0. (.081)	0. (.083)	0. (.085)
0.325	0. (.078)	0. (.080)	0. (.081)	0. (.083)	0. (.085)
0.350	0. (.078)	0. (.080)	0. (.081)	0. (.083)	0. (.085)
0.375	0. (.078)	0. (.080)	0. (.081)	0. (.083)	0. (.085)
0.400	0. (.078)	0. (.080)	0. (.081)	0. (.083)	0. (.085)
0.425	0. (.078)	0. (.080)	0. (.081)	0. (.083)	0. (.085)
0.450	0. (.078)	0. (.080)	0. (.081)	0. (.083)	0. (.085)
0.475	0. (.078)	0. (.080)	0. (.081)	0. (.083)	0. (.085)
0.500	0. (.078)	0. (.080)	0. (.081)	0. (.083)	0. (.085)
0.525	0. (.078)	0. (.080)	0. (.081)	0. (.083)	0. (.085)
0.550	0. (.078)	0. (.080)	0. (.081)	0. (.083)	0. (.085)
0.575	0. (.078)	0. (.080)	0. (.081)	0. (.083)	0. (.085)
0.600	0. (.078)	0. (.080)	0. (.081)	0. (.083)	0. (.085)
0.625	0. (.078)	0. (.080)	0. (.081)	0. (.083)	0. (.085)
0.650	0. (.078)	0. (.080)	0. (.081)	0. (.083)	0. (.085)
0.675	0. (.078)	0. (.080)	0. (.081)	0. (.083)	0. (.085)
0.700	0. (.078)	0. (.080)	0. (.081)	0. (.083)	0. (.085)
0.725	0. (.078)	0. (.080)	0. (.081)	0. (.083)	0. (.085)
0.750	0. (.078)	0. (.080)	0. (.081)	0. (.083)	0. (.085)
0.775	0. (.078)	0. (.080)	0. (.081)	0. (.083)	0. (.085)
0.800	0. (.078)	0. (.080)	0. (.081)	0. (.083)	0. (.085)
0.825	0. (.078)	0. (.080)	0. (.081)	0. (.083)	0. (.085)
0.850	0. (.078)	0. (.080)	0. (.081)	0. (.083)	0. (.085)
0.875	0.048(.079)	0.037(.080)	0.026(.082)	0.016(.083)	0.007(.085)
0.900	0.260(.083)	0.238(.083)	0.215(.085)	0.189(.086)	0.158(.088)
0.925	0.558(.093)	0.542(.093)	0.525(.094)	0.504(.094)	0.473(.095)
0.950	0.799(.110)	0.790(.110)	0.780(.110)	0.768(.110)	0.752(.111)
0.975	0.957(.132)	0.954(.132)	0.952(.132)	0.949(.132)	0.944(.132)
1.000	1.000(.156)	1.000(.156)	1.000(.156)	1.000(.156)	1.000(.156)

D-65
 3/6

*** RELATIVE ENERGY FLUX DENSITY IN THE ***
 *** PENUMBRA OF A RECTANGULAR CYLINDER ***
 VERSION D

SOLAR FIELD ANGLE, D= 2.00 DEGREES
 GEOMETRY D2/R = 10.00 AND H/R = 1.0

BETA = ANGLE OF INCIDENCE, DEGREES

BETA ***	50.00		60.00		70.00		80.00		88.50	
AX/AB	Q	(QI)	Q	(QI)	Q	(QI)	Q	(QI)	Q	(QI)
0.	1.000(.)		1.000(.)		1.000(.)		1.000(.)		1.000(.)	
0.025	0.969(.025)		0.973(.025)		0.980(.025)		0.990(.025)		1.000(.025)	
0.050	0.850(.047)		0.869(.048)		0.897(.048)		0.948(.049)		1.000(.050)	
0.075	0.654(.066)		0.690(.067)		0.749(.069)		0.864(.072)		1.000(.075)	
0.100	0.403(.079)		0.462(.082)		0.554(.085)		0.738(.092)		1.000(.100)	
0.125	0.152(.086)		0.208(.090)		0.317(.096)		0.580(.108)		0.999(.125)	
0.150	0.015(.088)		0.040(.093)		0.113(.101)		0.389(.120)		0.999(.150)	
0.175	0. (.089)		0. (.094)		0.009(.103)		0.198(.128)		0.998(.175)	
0.200	0. (.089)		0. (.094)		0. (.103)		0.057(.131)		0.997(.200)	
0.225	0. (.089)		0. (.094)		0. (.103)		0.001(.132)		0.996(.225)	
0.250	0. (.089)		0. (.094)		0. (.103)		0. (.132)		0.994(.250)	
0.275	0. (.089)		0. (.094)		0. (.103)		0. (.132)		0.992(.274)	
0.300	0. (.089)		0. (.094)		0. (.103)		0. (.132)		0.988(.299)	
0.325	0. (.089)		0. (.094)		0. (.103)		0. (.132)		0.984(.324)	
0.350	0. (.089)		0. (.094)		0. (.103)		0. (.132)		0.978(.348)	
0.375	0. (.089)		0. (.094)		0. (.103)		0. (.132)		0.970(.373)	
0.400	0. (.089)		0. (.094)		0. (.103)		0. (.132)		0.960(.397)	
0.425	0. (.089)		0. (.094)		0. (.103)		0. (.132)		0.946(.421)	
0.450	0. (.089)		0. (.094)		0. (.103)		0. (.132)		0.929(.444)	
0.475	0. (.089)		0. (.094)		0. (.103)		0. (.132)		0.905(.467)	
0.500	0. (.089)		0. (.094)		0. (.103)		0. (.132)		0.874(.489)	
0.525	0. (.089)		0. (.094)		0. (.103)		0. (.132)		0.833(.511)	
0.550	0. (.089)		0. (.094)		0. (.103)		0. (.132)		0.779(.531)	
0.575	0. (.089)		0. (.094)		0. (.103)		0. (.132)		0.707(.549)	
0.600	0. (.089)		0. (.094)		0. (.103)		0. (.132)		0.614(.566)	
0.625	0. (.089)		0. (.094)		0. (.103)		0. (.132)		0.488(.580)	
0.650	0. (.089)		0. (.094)		0. (.103)		0. (.132)		0.334(.590)	
0.675	0. (.089)		0. (.094)		0. (.103)		0. (.132)		0.162(.596)	
0.700	0. (.089)		0. (.094)		0. (.103)		0. (.132)		0.025(.598)	
0.725	0. (.089)		0. (.094)		0. (.103)		0. (.132)		0. (.599)	
0.750	0. (.089)		0. (.094)		0. (.103)		0. (.132)		0. (.599)	
0.775	0. (.089)		0. (.094)		0. (.103)		0. (.132)		0. (.599)	
0.800	0. (.089)		0. (.094)		0. (.103)		0. (.132)		0. (.599)	
0.825	0. (.089)		0. (.094)		0. (.103)		0. (.132)		0. (.599)	
0.850	0. (.089)		0. (.094)		0. (.103)		0. (.132)		0. (.599)	
0.875	0.001(.089)		0. (.094)		0. (.103)		0. (.132)		0. (.599)	
0.900	0.117(.090)		0.063(.094)		0.003(.103)		0. (.132)		0. (.599)	
0.925	0.427(.097)		0.351(.100)		0.197(.106)		0. (.132)		0. (.599)	
0.950	0.729(.111)		0.689(.113)		0.598(.115)		0.080(.133)		0. (.599)	
0.975	0.938(.132)		0.927(.133)		0.898(.134)		0.707(.142)		0. (.599)	
1.000	1.000(.156)		1.000(.157)		1.000(.158)		1.000(.164)		0. (.599)	

RECORDED No. 66-196

*** RELATIVE ENERGY FLUX DENSITY IN THE ***
 *** PENUMBRA OF A RECTANGULAR CYLINDER ***

VERSION D

SOLAR FIELD ANGLE, D = 2.00 DEGREES
 GEOMETRY D2/R = 50.00 AND H/R = 1.0

BETA = ANGLE OF INCIDENCE, DEGREES

BETA ***	0.	10.00	20.00	30.00	40.00
AX/AB	Q (Q1)	Q (Q1)	Q (Q1)	Q (Q1)	Q (Q1)
0.	1.000(.)	1.000(.)	1.000(.)	1.000(.)	1.000(.)
0.025	0.997(.025)	0.997(.025)	0.997(.025)	0.997(.025)	0.997(.025)
0.050	0.982(.050)	0.983(.050)	0.983(.050)	0.984(.050)	0.984(.050)
0.075	0.954(.074)	0.955(.074)	0.956(.074)	0.957(.074)	0.959(.074)
0.100	0.912(.097)	0.914(.097)	0.915(.097)	0.918(.097)	0.920(.097)
0.125	0.855(.119)	0.859(.119)	0.861(.120)	0.865(.120)	0.869(.120)
0.150	0.788(.140)	0.792(.140)	0.796(.140)	0.800(.141)	0.805(.141)
0.175	0.711(.159)	0.715(.159)	0.720(.159)	0.726(.160)	0.732(.160)
0.200	0.625(.175)	0.632(.176)	0.637(.176)	0.644(.177)	0.651(.177)
0.225	0.538(.190)	0.544(.190)	0.550(.191)	0.557(.192)	0.566(.193)
0.250	0.446(.202)	0.452(.203)	0.459(.204)	0.467(.204)	0.476(.206)
0.275	0.354(.212)	0.360(.213)	0.367(.214)	0.375(.215)	0.385(.216)
0.300	0.268(.220)	0.274(.221)	0.280(.222)	0.288(.223)	0.297(.225)
0.325	0.190(.226)	0.195(.227)	0.201(.228)	0.208(.229)	0.216(.231)
0.350	0.123(.230)	0.128(.231)	0.133(.232)	0.138(.234)	0.146(.236)
0.375	0.070(.232)	0.074(.233)	0.077(.235)	0.082(.237)	0.087(.239)
0.400	0.032(.233)	0.034(.235)	0.037(.236)	0.040(.238)	0.044(.240)
0.425	0.009(.234)	0.010(.235)	0.012(.237)	0.013(.239)	0.015(.241)
0.450	0.001(.234)	0.001(.235)	0.001(.237)	0.001(.239)	0.002(.241)
0.475	0. (.234)	0. (.235)	0. (.237)	0. (.239)	0. (.241)
0.500	0. (.234)	0. (.235)	0. (.237)	0. (.239)	0. (.241)
0.525	0. (.234)	0. (.235)	0. (.237)	0. (.239)	0. (.241)
0.550	0.001(.234)	0.000(.235)	0.000(.237)	0.000(.239)	0.000(.241)
0.575	0.009(.234)	0.008(.236)	0.007(.237)	0.006(.239)	0.005(.241)
0.600	0.032(.235)	0.030(.236)	0.028(.238)	0.025(.239)	0.022(.242)
0.625	0.070(.236)	0.067(.237)	0.063(.239)	0.059(.240)	0.055(.243)
0.650	0.123(.238)	0.119(.240)	0.114(.241)	0.109(.243)	0.103(.245)
0.675	0.190(.242)	0.184(.243)	0.179(.245)	0.172(.246)	0.165(.248)
0.700	0.268(.248)	0.262(.249)	0.255(.250)	0.248(.251)	0.239(.253)
0.725	0.354(.256)	0.347(.257)	0.341(.257)	0.333(.259)	0.324(.260)
0.750	0.445(.266)	0.439(.266)	0.432(.267)	0.424(.268)	0.415(.269)
0.775	0.538(.278)	0.532(.278)	0.525(.279)	0.518(.280)	0.509(.281)
0.800	0.625(.292)	0.621(.293)	0.615(.293)	0.609(.294)	0.600(.295)
0.825	0.711(.309)	0.706(.309)	0.701(.310)	0.695(.310)	0.688(.311)
0.850	0.788(.328)	0.784(.328)	0.780(.328)	0.776(.329)	0.770(.329)
0.875	0.855(.343)	0.853(.349)	0.850(.349)	0.847(.349)	0.842(.349)
0.900	0.912(.371)	0.910(.371)	0.908(.371)	0.906(.371)	0.903(.371)
0.925	0.954(.394)	0.953(.394)	0.952(.394)	0.951(.394)	0.949(.394)
0.950	0.982(.418)	0.982(.418)	0.981(.418)	0.981(.418)	0.980(.418)
0.975	0.997(.443)	0.997(.443)	0.996(.443)	0.996(.443)	0.996(.443)
1.000	1.000(.468)	1.000(.468)	1.000(.468)	1.000(.468)	1.000(.468)

D-67
318

REORDER NO. 66-196
l.p.d.
Phase 11

*** RELATIVE ENERGY FLUX DENSITY IN THE ***
 *** PENUMBRA OF A RECTANGULAR CYLINDER ***

VERSION D

SOLAR FIELD ANGLE, D= 2.00 DEGREES
 GEOMETRY D2/R = 50.00 AND H/R = 1.0

BETA = ANGLE OF INCIDENCE, DEGREES

BETA ***	50.00	60.00	70.00	80.00	88.50
AX/AB	Q (Q1)	Q (Q1)	Q (Q1)	Q (Q1)	Q (Q1)
0.	1.000(.)	1.000(.)	1.000(.)	1.000(.)	1.000(.)
0.025	0.997(.025)	0.997(.025)	0.998(.025)	0.999(.025)	1.000(.025)
0.050	0.985(.050)	0.986(.050)	0.988(.050)	0.992(.050)	1.000(.050)
0.075	0.961(.074)	0.963(.074)	0.968(.074)	0.978(.074)	1.000(.075)
0.100	0.923(.098)	0.928(.098)	0.936(.098)	0.956(.099)	1.000(.100)
0.125	0.874(.120)	0.881(.120)	0.894(.121)	0.924(.122)	1.000(.125)
0.150	0.812(.141)	0.822(.142)	0.840(.143)	0.884(.145)	0.999(.150)
0.175	0.741(.161)	0.754(.161)	0.777(.163)	0.834(.166)	0.999(.175)
0.200	0.662(.178)	0.677(.179)	0.705(.181)	0.776(.186)	0.998(.200)
0.225	0.577(.194)	0.594(.195)	0.626(.198)	0.709(.205)	0.997(.225)
0.250	0.489(.207)	0.508(.209)	0.542(.213)	0.636(.222)	0.996(.250)
0.275	0.398(.218)	0.417(.220)	0.455(.225)	0.558(.237)	0.995(.275)
0.300	0.310(.227)	0.329(.230)	0.366(.235)	0.474(.250)	0.993(.300)
0.325	0.228(.234)	0.246(.237)	0.281(.243)	0.388(.260)	0.990(.324)
0.350	0.155(.236)	0.171(.242)	0.203(.249)	0.304(.269)	0.987(.349)
0.375	0.095(.241)	0.108(.246)	0.134(.254)	0.224(.276)	0.983(.374)
0.400	0.049(.243)	0.058(.248)	0.078(.256)	0.152(.280)	0.978(.398)
0.425	0.018(.244)	0.024(.249)	0.037(.258)	0.091(.283)	0.971(.423)
0.450	0.003(.244)	0.005(.249)	0.011(.258)	0.045(.285)	0.963(.447)
0.475	0. (.244)	0.000(.249)	0.001(.258)	0.015(.286)	0.952(.471)
0.500	0. (.244)	0. (.249)	0. (.258)	0.001(.286)	0.938(.494)
0.525	0. (.244)	0. (.249)	0. (.258)	0. (.286)	0.921(.518)
0.550	0.000(.244)	0. (.249)	0. (.258)	0. (.286)	0.898(.540)
0.575	0.004(.244)	0.002(.249)	0.000(.258)	0. (.286)	0.870(.562)
0.600	0.019(.245)	0.014(.249)	0.008(.259)	0.000(.286)	0.833(.584)
0.625	0.049(.246)	0.041(.250)	0.028(.259)	0.006(.286)	0.787(.604)
0.650	0.095(.247)	0.083(.252)	0.063(.260)	0.023(.286)	0.728(.623)
0.675	0.155(.251)	0.140(.255)	0.114(.262)	0.055(.287)	0.653(.640)
0.700	0.227(.255)	0.210(.259)	0.179(.266)	0.102(.289)	0.558(.655)
0.725	0.311(.262)	0.292(.265)	0.257(.271)	0.165(.293)	0.440(.668)
0.750	0.402(.271)	0.382(.274)	0.345(.279)	0.243(.298)	0.301(.677)
0.775	0.497(.282)	0.478(.284)	0.441(.289)	0.334(.305)	0.154(.683)
0.800	0.589(.296)	0.572(.297)	0.538(.301)	0.435(.315)	0.034(.685)
0.825	0.679(.312)	0.663(.313)	0.633(.316)	0.539(.327)	0. (.685)
0.850	0.762(.330)	0.749(.331)	0.724(.333)	0.643(.342)	0. (.685)
0.875	0.835(.350)	0.827(.350)	0.807(.352)	0.742(.359)	0. (.685)
0.900	0.899(.371)	0.892(.372)	0.879(.373)	0.833(.379)	0.000(.685)
0.925	0.947(.394)	0.943(.395)	0.935(.396)	0.908(.400)	0.003(.685)
0.950	0.979(.418)	0.978(.419)	0.974(.419)	0.962(.424)	0.032(.686)
0.975	0.995(.443)	0.996(.443)	0.995(.444)	0.992(.448)	0.254(.689)
1.000	1.000(.468)	1.000(.468)	1.000(.469)	1.000(.473)	1.000(.705)

D-68

319

*** RELATIVE ENERGY FLUX DENSITY IN THE ***
 *** PENUMBRA OF A RECTANGULAR CYLINDER ***

VERSION D

SOLAR FIELD ANGLE, D= 2.00 DEGREES
 GEOMETRY D2/R = 100.00 AND H/R = 1.0

BETA = ANGLE OF INCIDENCE, DEGREES

BETA ***	0.	10.00	20.00	30.00	40.00
AX/AB	Q (QI)	Q (QI)	Q (QI)	Q (QI)	Q (QI)
0.	1.000(.)	1.000(.)	1.000(.)	1.000(.)	1.000(.)
0.025	0.998(.025)	0.998(.025)	0.998(.025)	0.999(.025)	0.999(.025)
0.050	0.991(.050)	0.992(.050)	0.992(.050)	0.992(.050)	0.992(.050)
0.075	0.977(.074)	0.978(.074)	0.978(.074)	0.979(.074)	0.979(.075)
0.100	0.956(.099)	0.957(.099)	0.957(.099)	0.958(.099)	0.959(.099)
0.125	0.925(.122)	0.928(.122)	0.929(.122)	0.930(.122)	0.932(.122)
0.150	0.889(.145)	0.891(.145)	0.893(.145)	0.895(.145)	0.898(.145)
0.175	0.845(.167)	0.848(.167)	0.850(.167)	0.853(.167)	0.856(.167)
0.200	0.795(.187)	0.798(.187)	0.801(.187)	0.804(.188)	0.809(.188)
0.225	0.739(.206)	0.743(.207)	0.746(.207)	0.750(.207)	0.755(.208)
0.250	0.679(.224)	0.683(.224)	0.687(.225)	0.692(.225)	0.697(.226)
0.275	0.615(.240)	0.620(.241)	0.625(.241)	0.630(.242)	0.636(.242)
0.300	0.551(.255)	0.555(.255)	0.560(.256)	0.565(.257)	0.572(.257)
0.325	0.484(.268)	0.488(.268)	0.494(.269)	0.499(.270)	0.506(.271)
0.350	0.415(.279)	0.421(.280)	0.426(.281)	0.432(.282)	0.439(.283)
0.375	0.351(.288)	0.355(.289)	0.360(.290)	0.366(.292)	0.373(.293)
0.400	0.290(.297)	0.295(.298)	0.299(.299)	0.304(.300)	0.310(.301)
0.425	0.241(.303)	0.244(.304)	0.248(.305)	0.252(.307)	0.257(.309)
0.450	0.204(.309)	0.206(.310)	0.209(.311)	0.212(.313)	0.216(.314)
0.475	0.181(.314)	0.182(.315)	0.184(.316)	0.185(.318)	0.188(.319)
0.500	0.173(.318)	0.173(.319)	0.174(.321)	0.174(.322)	0.174(.324)
0.525	0.181(.322)	0.180(.324)	0.179(.325)	0.178(.327)	0.176(.328)
0.550	0.204(.327)	0.201(.328)	0.199(.330)	0.197(.331)	0.194(.333)
0.575	0.241(.333)	0.237(.334)	0.234(.335)	0.230(.337)	0.226(.338)
0.600	0.290(.339)	0.286(.340)	0.282(.342)	0.277(.343)	0.271(.344)
0.625	0.351(.347)	0.346(.348)	0.341(.349)	0.336(.351)	0.329(.352)
0.650	0.415(.357)	0.412(.358)	0.407(.359)	0.401(.360)	0.394(.361)
0.675	0.484(.368)	0.479(.369)	0.474(.370)	0.468(.371)	0.461(.372)
0.700	0.551(.381)	0.546(.382)	0.541(.382)	0.536(.383)	0.529(.384)
0.725	0.615(.396)	0.612(.396)	0.607(.397)	0.602(.397)	0.596(.398)
0.750	0.679(.412)	0.676(.412)	0.671(.413)	0.667(.413)	0.661(.414)
0.775	0.739(.430)	0.736(.430)	0.732(.430)	0.728(.431)	0.723(.431)
0.800	0.795(.449)	0.792(.449)	0.789(.449)	0.785(.450)	0.781(.450)
0.825	0.845(.469)	0.843(.470)	0.840(.470)	0.838(.470)	0.834(.470)
0.850	0.889(.491)	0.888(.491)	0.886(.491)	0.883(.491)	0.881(.492)
0.875	0.926(.514)	0.925(.514)	0.924(.514)	0.922(.514)	0.920(.514)
0.900	0.956(.537)	0.955(.537)	0.954(.537)	0.953(.537)	0.952(.537)
0.925	0.977(.561)	0.977(.561)	0.977(.561)	0.976(.562)	0.975(.562)
0.950	0.991(.586)	0.991(.586)	0.991(.586)	0.991(.586)	0.991(.586)
0.975	0.995(.611)	0.998(.611)	0.998(.611)	0.998(.611)	0.998(.611)
1.000	1.000(.636)	1.000(.636)	1.000(.636)	1.000(.636)	1.000(.636)

66-196
W. J. A. Price II

*** RELATIVE ENERGY FLUX DENSITY IN THE ***
 *** PENUMBRA OF A RECTANGULAR CYLINDER ***
 VERSION D

SOLAR FIELD ANGLE, D= 2.00 DEGREES
 GEOMETRY D2/R = 100.00 AND H/R = 1.0

BETA = ANGLE OF INCIDENCE, DEGREES

BETA ***	50.00	60.00	70.00	80.00	88.50
AX/AB	Q (Q1)	Q (Q1)	Q (Q1)	Q (Q1)	Q (Q1)
0.	1.000(.)	1.000(.)	1.000(.)	1.000(.)	1.000(.)
0.025	0.999(.025)	0.999(.025)	0.999(.025)	0.999(.025)	1.000(.025)
0.050	0.993(.050)	0.993(.050)	0.994(.050)	0.996(.050)	1.000(.050)
0.075	0.980(.075)	0.981(.075)	0.983(.075)	0.988(.075)	1.000(.075)
0.100	0.961(.099)	0.963(.099)	0.967(.099)	0.976(.099)	1.000(.100)
0.125	0.935(.122)	0.938(.123)	0.944(.123)	0.959(.123)	1.000(.125)
0.150	0.901(.145)	0.906(.146)	0.915(.146)	0.936(.147)	0.999(.150)
0.175	0.861(.167)	0.867(.168)	0.879(.169)	0.908(.170)	0.999(.175)
0.200	0.814(.188)	0.822(.189)	0.837(.190)	0.874(.192)	0.999(.200)
0.225	0.762(.208)	0.772(.209)	0.789(.210)	0.835(.214)	0.998(.225)
0.250	0.705(.226)	0.716(.227)	0.736(.229)	0.790(.234)	0.997(.250)
0.275	0.644(.243)	0.657(.245)	0.679(.247)	0.741(.253)	0.996(.275)
0.300	0.581(.259)	0.594(.260)	0.619(.263)	0.687(.271)	0.994(.300)
0.325	0.515(.272)	0.529(.274)	0.556(.278)	0.629(.288)	0.993(.324)
0.350	0.449(.284)	0.463(.287)	0.491(.291)	0.568(.303)	0.990(.349)
0.375	0.382(.295)	0.397(.297)	0.424(.302)	0.505(.316)	0.987(.374)
0.400	0.319(.303)	0.333(.307)	0.359(.312)	0.439(.328)	0.983(.399)
0.425	0.265(.311)	0.276(.314)	0.299(.321)	0.374(.338)	0.978(.423)
0.450	0.221(.317)	0.230(.321)	0.249(.327)	0.314(.346)	0.972(.447)
0.475	0.191(.322)	0.197(.326)	0.210(.333)	0.261(.354)	0.965(.472)
0.500	0.175(.327)	0.176(.331)	0.184(.338)	0.219(.360)	0.955(.496)
0.525	0.175(.331)	0.174(.335)	0.173(.343)	0.189(.365)	0.943(.519)
0.550	0.190(.336)	0.185(.339)	0.178(.347)	0.173(.369)	0.928(.543)
0.575	0.220(.341)	0.211(.344)	0.198(.352)	0.173(.374)	0.909(.566)
0.600	0.264(.347)	0.253(.350)	0.233(.357)	0.189(.378)	0.886(.588)
0.625	0.320(.354)	0.307(.357)	0.283(.363)	0.223(.383)	0.856(.610)
0.650	0.384(.363)	0.370(.366)	0.344(.371)	0.272(.389)	0.818(.631)
0.675	0.452(.373)	0.437(.376)	0.410(.381)	0.334(.397)	0.772(.651)
0.700	0.520(.385)	0.506(.388)	0.479(.392)	0.401(.406)	0.714(.669)
0.725	0.587(.399)	0.574(.401)	0.548(.405)	0.472(.417)	0.642(.686)
0.750	0.653(.415)	0.640(.416)	0.616(.419)	0.544(.430)	0.554(.701)
0.775	0.715(.432)	0.705(.433)	0.683(.435)	0.616(.444)	0.449(.714)
0.800	0.775(.450)	0.765(.451)	0.747(.453)	0.687(.461)	0.330(.724)
0.825	0.829(.471)	0.821(.471)	0.805(.473)	0.755(.479)	0.209(.730)
0.850	0.877(.492)	0.870(.492)	0.858(.493)	0.818(.498)	0.118(.734)
0.875	0.917(.514)	0.913(.515)	0.904(.516)	0.874(.520)	0.112(.737)
0.900	0.950(.538)	0.947(.538)	0.941(.539)	0.921(.542)	0.191(.741)
0.925	0.974(.562)	0.973(.562)	0.970(.562)	0.958(.565)	0.322(.747)
0.950	0.990(.586)	0.990(.586)	0.988(.587)	0.984(.590)	0.530(.758)
0.975	0.998(.611)	0.998(.611)	0.998(.612)	0.997(.615)	0.816(.775)
1.000	1.000(.636)	1.000(.636)	1.000(.637)	1.000(.639)	1.000(.798)

*** RELATIVE ENERGY FLUX DENSITY IN THE ***
 *** PENUMBRA OF A RECTANGULAR CYLINDER ***

VERSION D

SOLAR FIELD ANGLE, $\theta = 2.00$ DEGREES
 GEOMETRY $D2/R = 1.00$ AND $H/R = 2.0$

BETA = ANGLE OF INCIDENCE, DEGREES

BETA ***	0.	10.00	20.00	30.00	40.00
AX/AB	Q (Q1)	Q (Q1)	Q (Q1)	Q (Q1)	Q (Q1)
0.	1.000(.)	1.000(.)	1.000(.)	1.000(.)	1.000(.)
0.025	0. (.012)	0.546(.019)	0.594(.020)	0.641(.021)	0.691(.021)
0.050	0. (.012)	0. (.026)	0. (.027)	0. (.029)	0. (.030)
0.075	0. (.012)	0. (.026)	0. (.027)	0. (.029)	0. (.030)
0.100	0. (.012)	0. (.026)	0. (.027)	0. (.029)	0. (.030)
0.125	0. (.012)	0. (.026)	0. (.027)	0. (.029)	0. (.030)
0.150	0. (.012)	0. (.026)	0. (.027)	0. (.029)	0. (.030)
0.175	0. (.012)	0. (.026)	0. (.027)	0. (.029)	0. (.030)
0.200	0. (.012)	0. (.026)	0. (.027)	0. (.029)	0. (.030)
0.225	0. (.012)	0. (.026)	0. (.027)	0. (.029)	0. (.030)
0.250	0. (.012)	0. (.026)	0. (.027)	0. (.029)	0. (.030)
0.275	0. (.012)	0. (.026)	0. (.027)	0. (.029)	0. (.030)
0.300	0. (.012)	0. (.026)	0. (.027)	0. (.029)	0. (.030)
0.325	0. (.012)	0. (.026)	0. (.027)	0. (.029)	0. (.030)
0.350	0. (.012)	0. (.026)	0. (.027)	0. (.029)	0. (.030)
0.375	0. (.012)	0. (.026)	0. (.027)	0. (.029)	0. (.030)
0.400	0. (.012)	0. (.026)	0. (.027)	0. (.029)	0. (.030)
0.425	0. (.012)	0. (.026)	0. (.027)	0. (.029)	0. (.030)
0.450	0. (.012)	0. (.026)	0. (.027)	0. (.029)	0. (.030)
0.475	0. (.012)	0. (.026)	0. (.027)	0. (.029)	0. (.030)
0.500	0. (.012)	0. (.026)	0. (.027)	0. (.029)	0. (.030)
0.525	0. (.012)	0. (.026)	0. (.027)	0. (.029)	0. (.030)
0.550	0. (.012)	0. (.026)	0. (.027)	0. (.029)	0. (.030)
0.575	0. (.012)	0. (.026)	0. (.027)	0. (.029)	0. (.030)
0.600	0. (.012)	0. (.026)	0. (.027)	0. (.029)	0. (.030)
0.625	0. (.012)	0. (.026)	0. (.027)	0. (.029)	0. (.030)
0.650	0. (.012)	0. (.026)	0. (.027)	0. (.029)	0. (.030)
0.675	0. (.012)	0. (.026)	0. (.027)	0. (.029)	0. (.030)
0.700	0. (.012)	0. (.026)	0. (.027)	0. (.029)	0. (.030)
0.725	0. (.012)	0. (.026)	0. (.027)	0. (.029)	0. (.030)
0.750	0. (.012)	0. (.026)	0. (.027)	0. (.029)	0. (.030)
0.775	0. (.012)	0. (.026)	0. (.027)	0. (.029)	0. (.030)
0.800	0. (.012)	0. (.026)	0. (.027)	0. (.029)	0. (.030)
0.825	0. (.012)	0. (.026)	0. (.027)	0. (.029)	0. (.030)
0.850	0. (.012)	0. (.026)	0. (.027)	0. (.029)	0. (.030)
0.875	0. (.012)	0. (.026)	0. (.027)	0. (.029)	0. (.030)
0.900	0. (.012)	0. (.026)	0. (.027)	0. (.029)	0. (.030)
0.925	0. (.012)	0. (.026)	0. (.027)	0. (.029)	0. (.030)
0.950	0. (.012)	0. (.026)	0. (.027)	0. (.029)	0. (.030)
0.975	0. (.012)	0. (.026)	0. (.027)	0. (.029)	0. (.030)
1.000	1.000(.025)	1.000(.039)	1.000(.040)	1.000(.041)	1.000(.042)

66-196
 Copy of Series 11

*** RELATIVE ENERGY FLUX DENSITY IN THE ***
 *** PENUMBRA OF A RECTANGULAR CYLINDER ***

VERSION D

SOLAR FIELD ANGLE, $\theta = 2.00$ DEGREES
 GEOMETRY $D^2/R = 1.00$ AND $H/R = 2.0$

BETA = ANGLE OF INCIDENCE, DEGREES

BETA *** AX/AB	50.00		60.00		70.00		80.00		88.50	
	Q	(Q1)	Q	(Q1)	Q	(Q1)	Q	(Q1)	Q	(Q1)
0.	1.000(.)		1.000(.)		1.000(.)		1.000(.)		1.000(.)	
0.025	0.745(.022)		0.809(.023)		0.684(.024)		0.965(.025)		1.000(.025)	
0.050	0. (.031)		0. (.033)		0.505(.041)		0.819(.047)		1.000(.050)	
0.075	0. (.031)		0. (.033)		0. (.047)		0.564(.064)		1.000(.075)	
0.100	0. (.031)		0. (.033)		0. (.047)		0.093(.072)		1.000(.100)	
0.125	0. (.031)		0. (.033)		0. (.047)		0. (.074)		0.999(.125)	
0.150	0. (.031)		0. (.033)		0. (.047)		0. (.074)		0.999(.150)	
0.175	0. (.031)		0. (.033)		0. (.047)		0. (.074)		0.998(.175)	
0.200	0. (.031)		0. (.033)		0. (.047)		0. (.074)		0.997(.200)	
0.225	0. (.031)		0. (.033)		0. (.047)		0. (.074)		0.995(.225)	
0.250	0. (.031)		0. (.033)		0. (.047)		0. (.074)		0.993(.250)	
0.275	0. (.031)		0. (.033)		0. (.047)		0. (.074)		0.990(.274)	
0.300	0. (.031)		0. (.033)		0. (.047)		0. (.074)		0.985(.299)	
0.325	0. (.031)		0. (.033)		0. (.047)		0. (.074)		0.980(.324)	
0.350	0. (.031)		0. (.033)		0. (.047)		0. (.074)		0.972(.348)	
0.375	0. (.031)		0. (.033)		0. (.047)		0. (.074)		0.962(.372)	
0.400	0. (.031)		0. (.033)		0. (.047)		0. (.074)		0.948(.396)	
0.425	0. (.031)		0. (.033)		0. (.047)		0. (.074)		0.930(.420)	
0.450	0. (.031)		0. (.033)		0. (.047)		0. (.074)		0.906(.443)	
0.475	0. (.031)		0. (.033)		0. (.047)		0. (.074)		0.873(.465)	
0.500	0. (.031)		0. (.033)		0. (.047)		0. (.074)		0.829(.486)	
0.525	0. (.031)		0. (.033)		0. (.047)		0. (.074)		0.770(.506)	
0.550	0. (.031)		0. (.033)		0. (.047)		0. (.074)		0.691(.524)	
0.575	0. (.031)		0. (.033)		0. (.047)		0. (.074)		0.583(.540)	
0.600	0. (.031)		0. (.033)		0. (.047)		0. (.074)		0.432(.553)	
0.625	0. (.031)		0. (.033)		0. (.047)		0. (.074)		0.247(.561)	
0.650	0. (.031)		0. (.033)		0. (.047)		0. (.074)		0.067(.565)	
0.675	0. (.031)		0. (.033)		0. (.047)		0. (.074)		0. (.566)	
0.700	0. (.031)		0. (.033)		0. (.047)		0. (.074)		0. (.566)	
0.725	0. (.031)		0. (.033)		0. (.047)		0. (.074)		0. (.566)	
0.750	0. (.031)		0. (.033)		0. (.047)		0. (.074)		0. (.566)	
0.775	0. (.031)		0. (.033)		0. (.047)		0. (.074)		0. (.566)	
0.800	0. (.031)		0. (.033)		0. (.047)		0. (.074)		0. (.566)	
0.825	0. (.031)		0. (.033)		0. (.047)		0. (.074)		0. (.566)	
0.850	0. (.031)		0. (.033)		0. (.047)		0. (.074)		0. (.566)	
0.875	0. (.031)		0. (.033)		0. (.047)		0. (.074)		0. (.566)	
0.900	0. (.031)		0. (.033)		0. (.047)		0. (.074)		0. (.566)	
0.925	0. (.031)		0. (.033)		0. (.047)		0. (.074)		0. (.566)	
0.950	0. (.031)		0. (.033)		0. (.047)		0. (.074)		0. (.566)	
0.975	0. (.031)		0. (.033)		0. (.047)		0. (.074)		0. (.566)	
1.000	0. (.031)		0. (.033)		0. (.047)		0. (.074)		0. (.566)	

6

D-72
 373

3

2

*** RELATIVE ENERGY FLUX DENSITY IN THE ***
 *** PENUMBRA OF A RECTANGULAR CYLINDER ***

VERSION D

SOLAR FIELD ANGLE, D = 2.00 DEGREES
 GEOMETRY D2/R = 5.00 AND H/R = 2.0

BETA = ANGLE OF INCIDENCE, DEGREES

BETA ***	0.	10.00	20.00	30.00	40.00
AX/AB	Q (Q1)	Q (Q1)	Q (Q1)	Q (Q1)	Q (Q1)
0.	1.000(.)	1.000(.)	1.000(.)	1.000(.)	1.000(.)
0.025	0.895(.024)	0.902(.024)	0.909(.024)	0.916(.024)	0.923(.024)
0.050	0.569(.042)	0.591(.042)	0.613(.043)	0.637(.043)	0.664(.044)
0.075	0.004(.049)	0.021(.050)	0.051(.051)	0.096(.053)	0.161(.054)
0.100	0. (.049)	0. (.050)	0. (.052)	0. (.054)	0. (.056)
0.125	0. (.049)	0. (.050)	0. (.052)	0. (.054)	0. (.056)
0.150	0. (.049)	0. (.050)	0. (.052)	0. (.054)	0. (.056)
0.175	0. (.049)	0. (.050)	0. (.052)	0. (.054)	0. (.056)
0.200	0. (.049)	0. (.050)	0. (.052)	0. (.054)	0. (.056)
0.225	0. (.049)	0. (.050)	0. (.052)	0. (.054)	0. (.056)
0.250	0. (.049)	0. (.050)	0. (.052)	0. (.054)	0. (.056)
0.275	0. (.049)	0. (.050)	0. (.052)	0. (.054)	0. (.056)
0.300	0. (.049)	0. (.050)	0. (.052)	0. (.054)	0. (.056)
0.325	0. (.049)	0. (.050)	0. (.052)	0. (.054)	0. (.056)
0.350	0. (.049)	0. (.050)	0. (.052)	0. (.054)	0. (.056)
0.375	0. (.049)	0. (.050)	0. (.052)	0. (.054)	0. (.056)
0.400	0. (.049)	0. (.050)	0. (.052)	0. (.054)	0. (.056)
0.425	0. (.049)	0. (.050)	0. (.052)	0. (.054)	0. (.056)
0.450	0. (.049)	0. (.050)	0. (.052)	0. (.054)	0. (.056)
0.475	0. (.049)	0. (.050)	0. (.052)	0. (.054)	0. (.056)
0.500	0. (.049)	0. (.050)	0. (.052)	0. (.054)	0. (.056)
0.525	0. (.049)	0. (.050)	0. (.052)	0. (.054)	0. (.056)
0.550	0. (.049)	0. (.050)	0. (.052)	0. (.054)	0. (.056)
0.575	0. (.049)	0. (.050)	0. (.052)	0. (.054)	0. (.056)
0.600	0. (.049)	0. (.050)	0. (.052)	0. (.054)	0. (.056)
0.625	0. (.049)	0. (.050)	0. (.052)	0. (.054)	0. (.056)
0.650	0. (.049)	0. (.050)	0. (.052)	0. (.054)	0. (.056)
0.675	0. (.049)	0. (.050)	0. (.052)	0. (.054)	0. (.056)
0.700	0. (.049)	0. (.050)	0. (.052)	0. (.054)	0. (.056)
0.725	0. (.049)	0. (.050)	0. (.052)	0. (.054)	0. (.056)
0.750	0. (.049)	0. (.050)	0. (.052)	0. (.054)	0. (.056)
0.775	0. (.049)	0. (.050)	0. (.052)	0. (.054)	0. (.056)
0.800	0. (.049)	0. (.050)	0. (.052)	0. (.054)	0. (.056)
0.825	0. (.049)	0. (.050)	0. (.052)	0. (.054)	0. (.056)
0.850	0. (.049)	0. (.050)	0. (.052)	0. (.054)	0. (.056)
0.875	0. (.049)	0. (.050)	0. (.052)	0. (.054)	0. (.056)
0.900	0. (.049)	0. (.050)	0. (.052)	0. (.054)	0. (.056)
0.925	0.004(.049)	0. (.050)	0. (.052)	0. (.054)	0. (.056)
0.950	0.569(.056)	0.546(.057)	0.520(.058)	0.473(.060)	0.359(.061)
0.975	0.895(.075)	0.887(.075)	0.879(.076)	0.868(.076)	0.853(.076)
1.000	1.000(.096)	1.000(.099)	1.000(.099)	1.000(.100)	1.000(.099)

Sp. J. Page II

*** RELATIVE ENERGY FLUX DENSITY IN THE ***
 *** PENUMBRA OF A RECTANGULAR CYLINDER ***

VERSION D

SOLAR FIELD ANGLE, D = 2.00 DEGREES
 GEOMETRY D2/R = 5.00 AND H/R = 2.0

BETA = ANGLE OF INCIDENCE, DEGREES

BETA ***	50.00	60.00	70.00	80.00	88.50
AX/AB	Q (Q1)	Q (Q1)	Q (Q1)	Q (Q1)	Q (Q1)
0.	1.000(.)	1.000(.)	1.000(.)	1.000(.)	1.000(.)
0.025	0.933(.024)	0.944(.024)	0.960(.025)	0.984(.025)	1.000(.025)
0.050	0.697(.045)	0.741(.045)	0.807(.047)	0.913(.049)	1.000(.050)
0.075	0.254(.056)	0.389(.059)	0.558(.064)	0.778(.070)	1.000(.075)
0.100	0. (.060)	0.010(.064)	0.147(.072)	0.568(.087)	1.000(.100)
0.125	0. (.060)	0. (.065)	0. (.074)	0.303(.098)	0.999(.125)
0.150	0. (.060)	0. (.065)	0. (.074)	0.055(.102)	0.999(.150)
0.175	0. (.060)	0. (.065)	0. (.074)	0. (.103)	0.998(.175)
0.200	0. (.060)	0. (.065)	0. (.074)	0. (.103)	0.997(.200)
0.225	0. (.060)	0. (.065)	0. (.074)	0. (.103)	0.996(.225)
0.250	0. (.060)	0. (.065)	0. (.074)	0. (.103)	0.994(.250)
0.275	0. (.060)	0. (.065)	0. (.074)	0. (.103)	0.991(.274)
0.300	0. (.060)	0. (.065)	0. (.074)	0. (.103)	0.987(.299)
0.325	0. (.060)	0. (.065)	0. (.074)	0. (.103)	0.982(.324)
0.350	0. (.060)	0. (.065)	0. (.074)	0. (.103)	0.975(.348)
0.375	0. (.060)	0. (.065)	0. (.074)	0. (.103)	0.967(.373)
0.400	0. (.060)	0. (.065)	0. (.074)	0. (.103)	0.955(.397)
0.425	0. (.060)	0. (.065)	0. (.074)	0. (.103)	0.939(.420)
0.450	0. (.060)	0. (.065)	0. (.074)	0. (.103)	0.919(.443)
0.475	0. (.060)	0. (.065)	0. (.074)	0. (.103)	0.892(.466)
0.500	0. (.060)	0. (.065)	0. (.074)	0. (.103)	0.855(.488)
0.525	0. (.060)	0. (.065)	0. (.074)	0. (.103)	0.807(.509)
0.550	0. (.060)	0. (.065)	0. (.074)	0. (.103)	0.742(.528)
0.575	0. (.060)	0. (.065)	0. (.074)	0. (.103)	0.657(.546)
0.600	0. (.060)	0. (.065)	0. (.074)	0. (.103)	0.539(.560)
0.625	0. (.060)	0. (.065)	0. (.074)	0. (.103)	0.382(.572)
0.650	0. (.060)	0. (.065)	0. (.074)	0. (.103)	0.199(.579)
0.675	0. (.060)	0. (.065)	0. (.074)	0. (.103)	0.039(.582)
0.700	0. (.060)	0. (.065)	0. (.074)	0. (.103)	0. (.583)
0.725	0. (.060)	0. (.065)	0. (.074)	0. (.103)	0. (.583)
0.750	0. (.060)	0. (.065)	0. (.074)	0. (.103)	0. (.583)
0.775	0. (.060)	0. (.065)	0. (.074)	0. (.103)	0. (.583)
0.800	0. (.060)	0. (.065)	0. (.074)	0. (.103)	0. (.583)
0.825	0. (.060)	0. (.065)	0. (.074)	0. (.103)	0. (.583)
0.850	0. (.060)	0. (.065)	0. (.074)	0. (.103)	0. (.583)
0.875	0. (.060)	0. (.065)	0. (.074)	0. (.103)	0. (.583)
0.900	0. (.060)	0. (.065)	0. (.074)	0. (.103)	0. (.583)
0.925	0. (.060)	0. (.065)	0. (.074)	0. (.103)	0. (.583)
0.950	0.180(.062)	0. (.065)	0. (.074)	0. (.103)	0. (.583)
0.975	0.830(.074)	0.785(.074)	0.658(.083)	0. (.103)	0. (.583)
1.000	1.000(.097)	1.000(.097)	1.000(.103)	0. (.103)	0. (.583)

D-74
325

6
5
3
2

*** RELATIVE ENERGY FLUX DENSITY IN THE ***
 *** PENUMBRA OF A RECTANGULAR CYLINDER ***

VERSION D

SOLAR FIELD ANGLE, D = 2.00 DEGREES
 GEOMETRY D2/R = 10.00 AND H/R = 2.0

BETA = ANGLE OF INCIDENCE, DEGREES

BETA ***	0.	10.00	20.00	30.00	40.00
AX/AB	Q (Q1)	Q (Q1)	Q (Q1)	Q (Q1)	Q (Q1)
0.	1.000(.)	1.000(.)	1.000(.)	1.000(.)	1.000(.)
0.025	0.963(.025)	0.965(.025)	0.967(.025)	0.969(.025)	0.971(.025)
0.050	0.825(.047)	0.835(.047)	0.842(.047)	0.850(.047)	0.859(.048)
0.075	0.613(.065)	0.626(.065)	0.640(.066)	0.655(.066)	0.672(.067)
0.100	0.308(.076)	0.333(.077)	0.359(.078)	0.388(.079)	0.423(.080)
0.125	0.051(.081)	0.066(.082)	0.084(.084)	0.105(.085)	0.134(.087)
0.150	0. (.082)	0. (.083)	0. (.085)	0.000(.087)	0.004(.089)
0.175	0. (.082)	0. (.083)	0. (.085)	0. (.087)	0. (.089)
0.200	0. (.082)	0. (.083)	0. (.085)	0. (.087)	0. (.089)
0.225	0. (.082)	0. (.083)	0. (.085)	0. (.087)	0. (.089)
0.250	0. (.082)	0. (.083)	0. (.085)	0. (.087)	0. (.089)
0.275	0. (.082)	0. (.083)	0. (.085)	0. (.087)	0. (.089)
0.300	0. (.082)	0. (.083)	0. (.085)	0. (.087)	0. (.089)
0.325	0. (.082)	0. (.083)	0. (.085)	0. (.087)	0. (.089)
0.350	0. (.082)	0. (.083)	0. (.085)	0. (.087)	0. (.089)
0.375	0. (.082)	0. (.083)	0. (.085)	0. (.087)	0. (.089)
0.400	0. (.082)	0. (.083)	0. (.085)	0. (.087)	0. (.089)
0.425	0. (.082)	0. (.083)	0. (.085)	0. (.087)	0. (.089)
0.450	0. (.082)	0. (.083)	0. (.085)	0. (.087)	0. (.089)
0.475	0. (.082)	0. (.083)	0. (.085)	0. (.087)	0. (.089)
0.500	0. (.082)	0. (.083)	0. (.085)	0. (.087)	0. (.089)
0.525	0. (.082)	0. (.083)	0. (.085)	0. (.087)	0. (.089)
0.550	0. (.082)	0. (.083)	0. (.085)	0. (.087)	0. (.089)
0.575	0. (.082)	0. (.083)	0. (.085)	0. (.087)	0. (.089)
0.600	0. (.082)	0. (.083)	0. (.085)	0. (.087)	0. (.089)
0.625	0. (.082)	0. (.083)	0. (.085)	0. (.087)	0. (.089)
0.650	0. (.082)	0. (.083)	0. (.085)	0. (.087)	0. (.089)
0.675	0. (.082)	0. (.083)	0. (.085)	0. (.087)	0. (.089)
0.700	0. (.082)	0. (.083)	0. (.085)	0. (.087)	0. (.089)
0.725	0. (.082)	0. (.083)	0. (.085)	0. (.087)	0. (.089)
0.750	0. (.082)	0. (.083)	0. (.085)	0. (.087)	0. (.089)
0.775	0. (.082)	0. (.083)	0. (.085)	0. (.087)	0. (.089)
0.800	0. (.082)	0. (.083)	0. (.085)	0. (.087)	0. (.089)
0.825	0. (.082)	0. (.083)	0. (.085)	0. (.087)	0. (.089)
0.850	0. (.082)	0. (.083)	0. (.085)	0. (.087)	0. (.089)
0.875	0.051(.082)	0.038(.084)	0.026(.085)	0.015(.087)	0.005(.089)
0.900	0.308(.087)	0.283(.088)	0.256(.089)	0.225(.090)	0.187(.092)
0.925	0.613(.096)	0.599(.099)	0.584(.099)	0.566(.100)	0.543(.101)
0.950	0.825(.116)	0.820(.116)	0.812(.117)	0.802(.117)	0.789(.117)
0.975	0.963(.139)	0.962(.139)	0.960(.139)	0.957(.139)	0.954(.139)
1.000	1.000(.163)	1.000(.163)	1.000(.163)	1.000(.163)	1.000(.163)

W. J. A. P. 11

*** RELATIVE ENERGY FLUX DENSITY IN THE ***
 *** PENUMBRA OF A RECTANGULAR CYLINDER ***

VERSION D

SOLAR FIELD ANGLE, D = 2.00 DEGREES
 GEOMETRY D2/R = 10.00 AND H/R = 2.0

BETA = ANGLE OF INCIDENCE, DEGREES

BETA ***	50.00	60.00	70.00	80.00	88.50
AX/AB	Q (Q1)	Q (Q1)	Q (Q1)	Q (Q1)	Q (Q1)
0.	1.000(.)	1.000(.)	1.000(.)	1.000(.)	1.000(.)
0.025	0.974(.025)	0.977(.025)	0.982(.025)	0.991(.025)	1.000(.025)
0.050	0.870(.048)	0.885(.048)	0.909(.048)	0.953(.049)	1.000(.050)
0.075	0.695(.067)	0.726(.068)	0.777(.070)	0.877(.072)	1.000(.075)
0.100	0.467(.082)	0.523(.084)	0.599(.087)	0.762(.093)	1.000(.100)
0.125	0.174(.090)	0.239(.093)	0.361(.099)	0.616(.110)	0.999(.125)
0.150	0.014(.092)	0.042(.097)	0.125(.105)	0.430(.123)	0.999(.150)
0.175	0. (.092)	0. (.097)	0.008(.106)	0.219(.131)	0.998(.175)
0.200	0. (.092)	0. (.097)	0. (.107)	0.060(.134)	0.997(.200)
0.225	0. (.092)	0. (.097)	0. (.107)	0.001(.135)	0.996(.225)
0.250	0. (.092)	0. (.097)	0. (.107)	0. (.135)	0.994(.250)
0.275	0. (.092)	0. (.097)	0. (.107)	0. (.135)	0.992(.274)
0.300	0. (.092)	0. (.097)	0. (.107)	0. (.135)	0.988(.299)
0.325	0. (.092)	0. (.097)	0. (.107)	0. (.135)	0.984(.324)
0.350	0. (.092)	0. (.097)	0. (.107)	0. (.135)	0.978(.348)
0.375	0. (.092)	0. (.097)	0. (.107)	0. (.135)	0.971(.373)
0.400	0. (.092)	0. (.097)	0. (.107)	0. (.135)	0.961(.397)
0.425	0. (.092)	0. (.097)	0. (.107)	0. (.135)	0.948(.421)
0.450	0. (.092)	0. (.097)	0. (.107)	0. (.135)	0.931(.444)
0.475	0. (.092)	0. (.097)	0. (.107)	0. (.135)	0.908(.467)
0.500	0. (.092)	0. (.097)	0. (.107)	0. (.135)	0.878(.490)
0.525	0. (.092)	0. (.097)	0. (.107)	0. (.135)	0.838(.511)
0.550	0. (.092)	0. (.097)	0. (.107)	0. (.135)	0.786(.531)
0.575	0. (.092)	0. (.097)	0. (.107)	0. (.135)	0.717(.550)
0.600	0. (.092)	0. (.097)	0. (.107)	0. (.135)	0.628(.567)
0.625	0. (.092)	0. (.097)	0. (.107)	0. (.135)	0.503(.581)
0.650	0. (.092)	0. (.097)	0. (.107)	0. (.135)	0.345(.592)
0.675	0. (.092)	0. (.097)	0. (.107)	0. (.135)	0.167(.598)
0.700	0. (.092)	0. (.097)	0. (.107)	0. (.135)	0.025(.600)
0.725	0. (.092)	0. (.097)	0. (.107)	0. (.135)	0. (.601)
0.750	0. (.092)	0. (.097)	0. (.107)	0. (.135)	0. (.601)
0.775	0. (.092)	0. (.097)	0. (.107)	0. (.135)	0. (.601)
0.800	0. (.092)	0. (.097)	0. (.107)	0. (.135)	0. (.601)
0.825	0. (.092)	0. (.097)	0. (.107)	0. (.135)	0. (.601)
0.850	0. (.092)	0. (.097)	0. (.107)	0. (.135)	0. (.601)
0.875	0.000(.092)	0. (.097)	0. (.107)	0. (.135)	0. (.601)
0.900	0.138(.094)	0.071(.098)	0.002(.107)	0. (.135)	0. (.601)
0.925	0.511(.102)	0.436(.105)	0.251(.110)	0. (.135)	0. (.601)
0.950	0.770(.116)	0.738(.119)	0.664(.121)	0.115(.137)	0. (.601)
0.975	0.949(.140)	0.940(.140)	0.918(.141)	0.781(.148)	0. (.601)
1.000	1.000(.164)	1.000(.164)	1.000(.165)	1.000(.170)	0. (.601)

*** RELATIVE ENERGY FLUX DENSITY IN THE ***
 *** PENUMBRA OF A RECTANGULAR CYLINDER ***

VERSION D

SOLAR FIELD ANGLE, D= 2.00 DEGREES
 GEOMETRY D2/R = 50.00 AND H/R = 2.0

BETA = ANGLE OF INCIDENCE, DEGREES

BETA ***	0.	10.00	20.00	30.00	40.00
AX/AB	Q (Q1)	Q (Q1)	Q (Q1)	Q (Q1)	Q (Q1)
0.	1.000(.)	1.000(.)	1.000(.)	1.000(.)	1.000(.)
0.025	0.997(.025)	0.997(.025)	0.997(.025)	0.997(.025)	0.997(.025)
0.050	0.983(.050)	0.983(.050)	0.984(.050)	0.984(.050)	0.985(.050)
0.075	0.955(.074)	0.956(.074)	0.957(.074)	0.958(.074)	0.960(.074)
0.100	0.914(.097)	0.915(.097)	0.917(.097)	0.919(.097)	0.922(.098)
0.125	0.859(.119)	0.862(.120)	0.864(.120)	0.868(.120)	0.871(.120)
0.150	0.793(.140)	0.796(.140)	0.800(.140)	0.804(.141)	0.809(.141)
0.175	0.717(.159)	0.721(.159)	0.726(.160)	0.731(.160)	0.738(.160)
0.200	0.633(.176)	0.639(.176)	0.644(.177)	0.650(.177)	0.658(.178)
0.225	0.545(.191)	0.552(.191)	0.558(.192)	0.565(.192)	0.573(.193)
0.250	0.453(.203)	0.460(.204)	0.467(.205)	0.475(.205)	0.484(.206)
0.275	0.359(.213)	0.365(.214)	0.372(.215)	0.380(.216)	0.390(.217)
0.300	0.269(.221)	0.276(.222)	0.282(.223)	0.290(.224)	0.300(.226)
0.325	0.189(.227)	0.195(.228)	0.201(.229)	0.208(.231)	0.216(.232)
0.350	0.121(.231)	0.125(.232)	0.131(.233)	0.136(.235)	0.144(.237)
0.375	0.067(.233)	0.070(.234)	0.074(.236)	0.079(.238)	0.084(.240)
0.400	0.029(.234)	0.031(.236)	0.034(.237)	0.037(.239)	0.040(.241)
0.425	0.007(.235)	0.008(.236)	0.010(.238)	0.011(.240)	0.013(.242)
0.450	0.000(.235)	0.000(.236)	0.001(.238)	0.001(.240)	0.001(.242)
0.475	0. (.235)	0. (.236)	0. (.238)	0. (.240)	0. (.242)
0.500	0. (.235)	0. (.236)	0. (.238)	0. (.240)	0. (.242)
0.525	0. (.235)	0. (.236)	0. (.238)	0. (.240)	0. (.242)
0.550	0.000(.235)	0.000(.236)	0.000(.238)	0.000(.240)	0.000(.242)
0.575	0.007(.235)	0.007(.236)	0.006(.238)	0.005(.240)	0.004(.242)
0.600	0.029(.235)	0.027(.237)	0.025(.238)	0.022(.240)	0.020(.242)
0.625	0.067(.237)	0.064(.238)	0.060(.239)	0.056(.241)	0.052(.243)
0.650	0.121(.239)	0.116(.240)	0.111(.242)	0.106(.243)	0.100(.245)
0.675	0.189(.243)	0.184(.244)	0.178(.245)	0.171(.247)	0.163(.249)
0.700	0.269(.248)	0.263(.250)	0.257(.251)	0.249(.252)	0.240(.254)
0.725	0.359(.256)	0.352(.257)	0.345(.258)	0.337(.259)	0.327(.261)
0.750	0.453(.266)	0.447(.267)	0.440(.268)	0.432(.269)	0.422(.270)
0.775	0.545(.279)	0.540(.280)	0.534(.280)	0.527(.281)	0.518(.282)
0.800	0.633(.294)	0.628(.294)	0.623(.295)	0.616(.295)	0.608(.296)
0.825	0.717(.311)	0.712(.311)	0.707(.311)	0.702(.312)	0.695(.312)
0.850	0.793(.329)	0.789(.330)	0.785(.330)	0.780(.330)	0.775(.331)
0.875	0.859(.350)	0.856(.350)	0.853(.350)	0.850(.351)	0.846(.351)
0.900	0.914(.372)	0.912(.372)	0.910(.372)	0.908(.373)	0.905(.373)
0.925	0.955(.396)	0.954(.396)	0.953(.396)	0.952(.396)	0.950(.396)
0.950	0.983(.420)	0.982(.420)	0.982(.420)	0.981(.420)	0.981(.420)
0.975	0.997(.445)	0.997(.445)	0.997(.445)	0.996(.445)	0.996(.445)
1.000	1.000(.470)	1.000(.470)	1.000(.470)	1.000(.470)	1.000(.470)

RE-ORDER No. 66-196
App. 4
Phase II

*** RELATIVE ENERGY FLUX DENSITY IN THE ***
 *** PENUMBRA OF A RECTANGULAR CYLINDER ***

VERSION D

SOLAR FIELD ANGLE, D = 2.00 DEGREES
 GEOMETRY D2/R = 50.00 AND H/R = 2.0

BETA = ANGLE OF INCIDENCE, DEGREES

BETA ***	50.00	60.00	70.00	80.00	88.50
AX/AB	Q (Q1)	Q (Q1)	Q (Q1)	Q (Q1)	Q (Q1)
0.	1.000(.)	1.000(.)	1.000(.)	1.000(.)	1.000(.)
0.025	0.997(.025)	0.997(.025)	0.998(.025)	0.999(.025)	1.000(.025)
0.050	0.985(.050)	0.986(.050)	0.988(.050)	0.992(.050)	1.000(.050)
0.075	0.961(.074)	0.964(.074)	0.968(.074)	0.978(.074)	1.000(.075)
0.100	0.925(.098)	0.930(.098)	0.938(.098)	0.957(.099)	1.000(.100)
0.125	0.875(.120)	0.883(.120)	0.896(.121)	0.926(.122)	1.000(.125)
0.150	0.815(.141)	0.826(.142)	0.843(.143)	0.886(.145)	0.999(.150)
0.175	0.745(.161)	0.759(.162)	0.781(.163)	0.837(.166)	0.999(.175)
0.200	0.665(.179)	0.683(.180)	0.710(.182)	0.780(.187)	0.998(.200)
0.225	0.585(.194)	0.602(.196)	0.633(.198)	0.714(.205)	0.997(.225)
0.250	0.497(.208)	0.516(.210)	0.550(.213)	0.642(.222)	0.996(.250)
0.275	0.403(.219)	0.424(.221)	0.462(.226)	0.565(.237)	0.995(.275)
0.300	0.313(.228)	0.333(.231)	0.371(.236)	0.482(.250)	0.993(.300)
0.325	0.228(.235)	0.247(.238)	0.283(.245)	0.393(.261)	0.991(.324)
0.350	0.154(.239)	0.170(.243)	0.202(.251)	0.306(.270)	0.987(.349)
0.375	0.092(.243)	0.105(.247)	0.132(.255)	0.224(.277)	0.983(.374)
0.400	0.046(.244)	0.055(.249)	0.075(.257)	0.150(.281)	0.978(.398)
0.425	0.015(.245)	0.021(.250)	0.034(.259)	0.088(.284)	0.972(.423)
0.450	0.002(.245)	0.004(.250)	0.009(.259)	0.042(.286)	0.963(.447)
0.475	0. (.245)	0. (.250)	0.000(.259)	0.012(.287)	0.952(.471)
0.500	0. (.245)	0. (.250)	0. (.259)	0.001(.287)	0.939(.494)
0.525	0. (.245)	0. (.250)	0. (.259)	0. (.287)	0.922(.518)
0.550	0. (.245)	0. (.250)	0. (.259)	0. (.287)	0.899(.540)
0.575	0.002(.245)	0.001(.250)	0.000(.259)	0. (.287)	0.871(.562)
0.600	0.017(.246)	0.012(.250)	0.006(.259)	0.000(.287)	0.835(.584)
0.625	0.045(.246)	0.038(.251)	0.025(.260)	0.004(.287)	0.789(.604)
0.650	0.092(.248)	0.080(.252)	0.060(.261)	0.020(.287)	0.731(.623)
0.675	0.153(.251)	0.138(.255)	0.111(.263)	0.051(.288)	0.657(.640)
0.700	0.228(.256)	0.210(.259)	0.178(.267)	0.099(.290)	0.562(.656)
0.725	0.314(.263)	0.295(.266)	0.258(.272)	0.164(.293)	0.442(.668)
0.750	0.408(.272)	0.388(.274)	0.350(.280)	0.244(.298)	0.301(.678)
0.775	0.505(.283)	0.487(.285)	0.449(.290)	0.339(.306)	0.151(.683)
0.800	0.597(.297)	0.580(.299)	0.547(.302)	0.444(.315)	0.030(.685)
0.825	0.685(.313)	0.670(.314)	0.641(.317)	0.548(.328)	0. (.686)
0.850	0.767(.331)	0.755(.332)	0.730(.334)	0.650(.343)	0. (.686)
0.875	0.840(.351)	0.830(.352)	0.812(.353)	0.748(.360)	0. (.686)
0.900	0.901(.373)	0.895(.373)	0.882(.375)	0.837(.380)	0. (.686)
0.925	0.948(.396)	0.944(.396)	0.937(.397)	0.910(.402)	0.002(.686)
0.950	0.980(.420)	0.978(.420)	0.975(.421)	0.963(.425)	0.027(.686)
0.975	0.995(.445)	0.996(.445)	0.995(.446)	0.993(.450)	0.273(.690)
1.000	1.000(.470)	1.000(.470)	1.000(.471)	1.000(.475)	1.000(.706)

D-78
 329

Page 1

*** RELATIVE ENERGY FLUX DENSITY IN THE ***
 *** PENUMBRA OF A RECTANGULAR CYLINDER ***
 VERSION D

SOLAR FIELD ANGLE, D= 2.00 DEGREES
 GEOMETRY D2/R = 100.00 AND H/R = 2.0

BETA = ANGLE OF INCIDENCE, DEGREES

BETA ***	0.	10.00	20.00	30.00	40.00
AX/AB	Q (Q1)	Q (Q1)	Q (Q1)	Q (Q1)	Q (Q1)
0.	1.000(.)	1.000(.)	1.000(.)	1.000(.)	1.000(.)
0.025	0.998(.025)	0.998(.025)	0.999(.025)	0.999(.025)	0.999(.025)
0.050	0.992(.050)	0.992(.050)	0.992(.050)	0.992(.050)	0.992(.050)
0.075	0.978(.074)	0.978(.074)	0.979(.074)	0.979(.075)	0.980(.075)
0.100	0.956(.099)	0.957(.099)	0.958(.099)	0.959(.099)	0.960(.099)
0.125	0.927(.122)	0.928(.122)	0.929(.122)	0.931(.122)	0.933(.122)
0.150	0.890(.145)	0.892(.145)	0.894(.145)	0.896(.145)	0.898(.145)
0.175	0.847(.167)	0.849(.167)	0.851(.167)	0.854(.167)	0.857(.167)
0.200	0.797(.187)	0.799(.187)	0.802(.188)	0.806(.188)	0.810(.188)
0.225	0.741(.206)	0.745(.207)	0.748(.207)	0.752(.207)	0.757(.208)
0.250	0.682(.224)	0.685(.225)	0.689(.225)	0.694(.225)	0.700(.226)
0.275	0.619(.240)	0.623(.241)	0.627(.241)	0.632(.242)	0.638(.243)
0.300	0.553(.255)	0.558(.256)	0.563(.256)	0.568(.257)	0.574(.258)
0.325	0.487(.268)	0.491(.269)	0.497(.269)	0.502(.270)	0.509(.271)
0.350	0.418(.279)	0.423(.280)	0.428(.281)	0.434(.282)	0.441(.283)
0.375	0.351(.289)	0.356(.290)	0.361(.291)	0.367(.292)	0.374(.293)
0.400	0.289(.297)	0.293(.298)	0.298(.299)	0.303(.300)	0.310(.302)
0.425	0.238(.304)	0.241(.305)	0.245(.306)	0.249(.307)	0.255(.309)
0.450	0.200(.309)	0.202(.310)	0.205(.312)	0.208(.313)	0.212(.315)
0.475	0.176(.314)	0.177(.315)	0.179(.316)	0.180(.318)	0.183(.320)
0.500	0.168(.318)	0.168(.319)	0.168(.321)	0.168(.322)	0.169(.324)
0.525	0.175(.322)	0.175(.324)	0.174(.325)	0.172(.326)	0.171(.328)
0.550	0.200(.327)	0.197(.328)	0.195(.330)	0.192(.331)	0.189(.333)
0.575	0.238(.332)	0.234(.334)	0.231(.335)	0.227(.336)	0.222(.338)
0.600	0.289(.339)	0.285(.340)	0.281(.341)	0.276(.343)	0.270(.344)
0.625	0.351(.347)	0.346(.348)	0.341(.349)	0.336(.350)	0.329(.352)
0.650	0.418(.357)	0.413(.358)	0.408(.358)	0.402(.359)	0.395(.361)
0.675	0.487(.368)	0.482(.369)	0.477(.369)	0.471(.370)	0.464(.371)
0.700	0.553(.381)	0.549(.382)	0.544(.382)	0.539(.383)	0.532(.384)
0.725	0.619(.396)	0.614(.396)	0.610(.397)	0.605(.397)	0.598(.398)
0.750	0.682(.412)	0.678(.412)	0.674(.413)	0.669(.413)	0.663(.414)
0.775	0.741(.430)	0.738(.430)	0.734(.430)	0.730(.431)	0.725(.431)
0.800	0.797(.449)	0.794(.449)	0.791(.449)	0.787(.450)	0.783(.450)
0.825	0.847(.469)	0.844(.470)	0.842(.470)	0.839(.470)	0.835(.470)
0.850	0.890(.491)	0.888(.491)	0.886(.491)	0.884(.491)	0.881(.492)
0.875	0.927(.514)	0.926(.514)	0.924(.514)	0.923(.514)	0.921(.514)
0.900	0.956(.537)	0.955(.537)	0.954(.537)	0.953(.538)	0.952(.538)
0.925	0.978(.562)	0.977(.562)	0.977(.562)	0.976(.562)	0.975(.562)
0.950	0.992(.586)	0.991(.586)	0.991(.586)	0.991(.586)	0.991(.586)
0.975	0.998(.611)	0.998(.611)	0.998(.611)	0.998(.611)	0.998(.611)
1.000	1.000(.636)	1.000(.636)	1.000(.636)	1.000(.636)	1.000(.636)

*** RELATIVE ENERGY FLUX DENSITY IN THE ***
 *** PENUMBRA OF A RECTANGULAR CYLINDER ***
 VERSION D

SOLAR FIELD ANGLE, D = 2.00 DEGREES
 GEOMETRY D2/R = 100.00 AND H/R = 2.0

BETA = ANGLE OF INCIDENCE, DEGREES

BETA ***	50.00		60.00		70.00		80.00		88.50	
AX/AB	Q	(QI)	Q	(QI)	Q	(QI)	Q	(QI)	Q	(QI)
0.	1.000(.))	1.000(.))	1.000(.))	1.000(.))	1.000(.))
0.025	0.999(.025))	0.999(.025))	0.999(.025))	0.999(.025))	1.000(.025))
0.050	0.993(.050))	0.993(.050))	0.994(.050))	0.996(.050))	1.000(.050))
0.075	0.980(.075))	0.982(.075))	0.984(.075))	0.988(.075))	1.000(.075))
0.100	0.961(.099))	0.963(.099))	0.967(.099))	0.976(.099))	1.000(.100))
0.125	0.935(.123))	0.938(.123))	0.945(.123))	0.959(.123))	1.000(.125))
0.150	0.902(.145))	0.907(.146))	0.915(.146))	0.937(.147))	0.999(.150))
0.175	0.862(.168))	0.868(.168))	0.880(.169))	0.909(.170))	0.999(.175))
0.200	0.815(.188))	0.824(.189))	0.838(.190))	0.875(.193))	0.999(.200))
0.225	0.764(.208))	0.773(.209))	0.791(.210))	0.836(.214))	0.998(.225))
0.250	0.707(.227))	0.718(.228))	0.738(.230))	0.792(.234))	0.997(.250))
0.275	0.645(.244))	0.659(.245))	0.682(.247))	0.742(.253))	0.996(.275))
0.300	0.583(.259))	0.597(.261))	0.621(.264))	0.689(.271))	0.994(.300))
0.325	0.518(.273))	0.532(.275))	0.558(.278))	0.631(.288))	0.993(.324))
0.350	0.451(.285))	0.466(.287))	0.493(.291))	0.570(.303))	0.990(.349))
0.375	0.383(.295))	0.398(.298))	0.426(.303))	0.507(.316))	0.987(.374))
0.400	0.319(.304))	0.333(.307))	0.360(.313))	0.441(.328))	0.983(.399))
0.425	0.262(.311))	0.274(.315))	0.298(.321))	0.374(.338))	0.978(.423))
0.450	0.218(.317))	0.227(.321))	0.246(.328))	0.313(.347))	0.972(.447))
0.475	0.186(.322))	0.192(.326))	0.206(.333))	0.258(.354))	0.965(.472))
0.500	0.170(.327))	0.172(.331))	0.179(.338))	0.215(.360))	0.955(.496))
0.525	0.170(.331))	0.168(.335))	0.168(.343))	0.184(.365))	0.943(.519))
0.550	0.185(.335))	0.180(.339))	0.172(.347))	0.168(.369))	0.928(.543))
0.575	0.215(.340))	0.208(.344))	0.193(.351))	0.168(.374))	0.910(.566))
0.600	0.262(.346))	0.250(.350))	0.230(.357))	0.185(.378))	0.886(.588))
0.625	0.320(.354))	0.306(.357))	0.281(.363))	0.220(.383))	0.857(.610))
0.650	0.386(.363))	0.371(.365))	0.344(.371))	0.271(.389))	0.819(.631))
0.675	0.454(.373))	0.439(.375))	0.412(.380))	0.334(.397))	0.773(.651))
0.700	0.523(.385))	0.509(.387))	0.482(.392))	0.403(.406))	0.715(.670))
0.725	0.590(.399))	0.576(.401))	0.551(.404))	0.476(.417))	0.644(.686))
0.750	0.655(.415))	0.643(.416))	0.619(.419))	0.547(.430))	0.555(.701))
0.775	0.718(.432))	0.707(.433))	0.685(.435))	0.619(.444))	0.448(.714))
0.800	0.777(.451))	0.767(.451))	0.748(.453))	0.690(.461))	0.327(.724))
0.825	0.830(.471))	0.822(.471))	0.807(.473))	0.757(.479))	0.204(.730))
0.850	0.878(.492))	0.872(.492))	0.859(.494))	0.820(.498))	0.112(.734))
0.875	0.918(.514))	0.914(.515))	0.905(.516))	0.875(.520))	0.111(.737))
0.900	0.950(.538))	0.948(.538))	0.942(.539))	0.922(.542))	0.190(.741))
0.925	0.974(.562))	0.973(.562))	0.970(.563))	0.959(.566))	0.325(.747))
0.950	0.990(.586))	0.990(.587))	0.988(.587))	0.984(.590))	0.535(.758))
0.975	0.998(.611))	0.998(.611))	0.998(.612))	0.997(.615))	0.819(.775))
1.000	1.000(.636))	1.000(.636))	1.000(.637))	1.000(.640))	1.000(.798))

5

3

2

RE-ORDER No. 66-196

App. A
Phase II

*** RELATIVE ENERGY FLUX DENSITY IN THE ***
 *** PENUMBRA OF A RECTANGULAR CYLINDER ***

VERSION D

SOLAR FIELD ANGLE, D = 5.00 DEGREES
 GEOMETRY D2/R = 1.00 AND H/R = 0.

BETA = ANGLE OF INCIDENCE, DEGREES

BETA ***	0.	10.00	20.00	30.00	40.00
AX/AB	Q (Q1)	Q (Q1)	Q (Q1)	Q (Q1)	Q (Q1)
0.	1.000(.)	1.000(.)	1.000(.)	1.000(.)	1.000(.)
0.025	0.337(.017)	0.494(.019)	0.619(.020)	0.721(.022)	0.805(.023)
0.050	0. (.021)	0. (.025)	0.027(.028)	0.130(.032)	0.287(.036)
0.075	0. (.021)	0. (.025)	0. (.029)	0. (.034)	0.001(.040)
0.100	0. (.021)	0. (.025)	0. (.029)	0. (.034)	0. (.040)
0.125	0. (.021)	0. (.025)	0. (.029)	0. (.034)	0. (.040)
0.150	0. (.021)	0. (.025)	0. (.029)	0. (.034)	0. (.040)
0.175	0. (.021)	0. (.025)	0. (.029)	0. (.034)	0. (.040)
0.200	0. (.021)	0. (.025)	0. (.029)	0. (.034)	0. (.040)
0.225	0. (.021)	0. (.025)	0. (.029)	0. (.034)	0. (.040)
0.250	0. (.021)	0. (.025)	0. (.029)	0. (.034)	0. (.040)
0.275	0. (.021)	0. (.025)	0. (.029)	0. (.034)	0. (.040)
0.300	0. (.021)	0. (.025)	0. (.029)	0. (.034)	0. (.040)
0.325	0. (.021)	0. (.025)	0. (.029)	0. (.034)	0. (.040)
0.350	0. (.021)	0. (.025)	0. (.029)	0. (.034)	0. (.040)
0.375	0. (.021)	0. (.025)	0. (.029)	0. (.034)	0. (.040)
0.400	0. (.021)	0. (.025)	0. (.029)	0. (.034)	0. (.040)
0.425	0. (.021)	0. (.025)	0. (.029)	0. (.034)	0. (.040)
0.450	0. (.021)	0. (.025)	0. (.029)	0. (.034)	0. (.040)
0.475	0. (.021)	0. (.025)	0. (.029)	0. (.034)	0. (.040)
0.500	0. (.021)	0. (.025)	0. (.029)	0. (.034)	0. (.040)
0.525	0. (.021)	0. (.025)	0. (.029)	0. (.034)	0. (.040)
0.550	0. (.021)	0. (.025)	0. (.029)	0. (.034)	0. (.040)
0.575	0. (.021)	0. (.025)	0. (.029)	0. (.034)	0. (.040)
0.600	0. (.021)	0. (.025)	0. (.029)	0. (.034)	0. (.040)
0.625	0. (.021)	0. (.025)	0. (.029)	0. (.034)	0. (.040)
0.650	0. (.021)	0. (.025)	0. (.029)	0. (.034)	0. (.040)
0.675	0. (.021)	0. (.025)	0. (.029)	0. (.034)	0. (.040)
0.700	0. (.021)	0. (.025)	0. (.029)	0. (.034)	0. (.040)
0.725	0. (.021)	0. (.025)	0. (.029)	0. (.034)	0. (.040)
0.750	0. (.021)	0. (.025)	0. (.029)	0. (.034)	0. (.040)
0.775	0. (.021)	0. (.025)	0. (.029)	0. (.034)	0. (.040)
0.800	0. (.021)	0. (.025)	0. (.029)	0. (.034)	0. (.040)
0.825	0. (.021)	0. (.025)	0. (.029)	0. (.034)	0. (.040)
0.850	0. (.021)	0. (.025)	0. (.029)	0. (.034)	0. (.040)
0.875	0. (.021)	0. (.025)	0. (.029)	0. (.034)	0. (.040)
0.900	0. (.021)	0. (.025)	0. (.029)	0. (.034)	0. (.040)
0.925	0. (.021)	0. (.025)	0. (.029)	0. (.034)	0. (.040)
0.950	0. (.021)	0. (.025)	0. (.029)	0. (.034)	0. (.040)
0.975	0.337(.025)	0.150(.027)	0.004(.029)	0. (.034)	0. (.040)
1.000	1.000(.042)	1.000(.041)	1.000(.041)	1.000(.046)	1.000(.052)

*** RELATIVE ENERGY FLUX DENSITY IN THE ***
 *** PENUMBRA OF A RECTANGULAR CYLINDER ***
 VERSION D

SOLAR FIELD ANGLE, D = 5.00 DEGREES
 GEOMETRY D2/R = 1.00 AND H/R = 0.

BETA = ANGLE OF INCIDENCE, DEGREES

BETA ***	50.00	60.00	70.00	80.00	87.00
AX/AB	Q (QI)	Q (QI)	Q (QI)	Q (QI)	Q (QI)
0.	1.000(.)	1.000(.)	1.000(.)	1.000(.)	1.000(.)
0.025	0.875(.023)	0.932(.024)	0.974(.025)	0.997(.025)	1.000(.025)
0.050	0.475(.040)	0.677(.044)	0.863(.048)	0.982(.050)	1.000(.050)
0.075	0.078(.047)	0.310(.057)	0.654(.067)	0.949(.074)	1.000(.075)
0.100	0. (.048)	0.037(.061)	0.383(.080)	0.892(.097)	1.000(.100)
0.125	0. (.046)	0. (.061)	0.129(.086)	0.805(.118)	1.000(.125)
0.150	0. (.048)	0. (.061)	0.004(.088)	0.685(.137)	1.000(.150)
0.175	0. (.048)	0. (.061)	0. (.088)	0.535(.152)	1.000(.175)
0.200	0. (.048)	0. (.061)	0. (.088)	0.364(.163)	1.000(.200)
0.225	0. (.048)	0. (.061)	0. (.088)	0.192(.170)	1.000(.225)
0.250	0. (.048)	0. (.061)	0. (.088)	0.056(.173)	1.000(.250)
0.275	0. (.048)	0. (.061)	0. (.088)	0.001(.174)	1.000(.275)
0.300	0. (.048)	0. (.061)	0. (.088)	0. (.174)	0.999(.300)
0.325	0. (.048)	0. (.061)	0. (.088)	0. (.174)	0.999(.325)
0.350	0. (.048)	0. (.061)	0. (.088)	0. (.174)	0.999(.350)
0.375	0. (.048)	0. (.061)	0. (.088)	0. (.174)	0.998(.375)
0.400	0. (.048)	0. (.061)	0. (.088)	0. (.174)	0.998(.400)
0.425	0. (.048)	0. (.061)	0. (.088)	0. (.174)	0.997(.425)
0.450	0. (.048)	0. (.061)	0. (.088)	0. (.174)	0.996(.450)
0.475	0. (.048)	0. (.061)	0. (.088)	0. (.174)	0.995(.475)
0.500	0. (.048)	0. (.061)	0. (.088)	0. (.174)	0.993(.499)
0.525	0. (.048)	0. (.061)	0. (.088)	0. (.174)	0.990(.524)
0.550	0. (.048)	0. (.061)	0. (.088)	0. (.174)	0.987(.549)
0.575	0. (.048)	0. (.061)	0. (.088)	0. (.174)	0.982(.574)
0.600	0. (.048)	0. (.061)	0. (.088)	0. (.174)	0.975(.598)
0.625	0. (.048)	0. (.061)	0. (.088)	0. (.174)	0.964(.622)
0.650	0. (.048)	0. (.061)	0. (.088)	0. (.174)	0.949(.646)
0.675	0. (.048)	0. (.061)	0. (.088)	0. (.174)	0.927(.670)
0.700	0. (.048)	0. (.061)	0. (.088)	0. (.174)	0.892(.692)
0.725	0. (.048)	0. (.061)	0. (.088)	0. (.174)	0.836(.714)
0.750	0. (.048)	0. (.061)	0. (.088)	0. (.174)	0.747(.734)
0.775	0. (.048)	0. (.061)	0. (.088)	0. (.174)	0.601(.751)
0.800	0. (.048)	0. (.061)	0. (.088)	0. (.174)	0.371(.763)
0.825	0. (.048)	0. (.061)	0. (.088)	0. (.174)	0.078(.768)
0.850	0. (.048)	0. (.061)	0. (.088)	0. (.174)	0. (.769)
0.875	0. (.048)	0. (.061)	0. (.088)	0. (.174)	0. (.769)
0.900	0. (.048)	0. (.061)	0. (.088)	0. (.174)	0. (.769)
0.925	0. (.048)	0. (.061)	0. (.088)	0. (.174)	0. (.769)
0.950	0. (.048)	0. (.061)	0. (.088)	0. (.174)	0. (.769)
0.975	0. (.048)	0. (.061)	0. (.088)	0. (.174)	0. (.769)
1.000	0. (.048)	0. (.061)	0. (.088)	0. (.174)	0. (.769)

*** RELATIVE ENERGY FLUX DENSITY IN THE ***

VERSION D

*** PENUMBRA OF A RECTANGULAR CYLINDER ***

SOLAR FIELD ANGLE, D= 5.00 DEGREES
GEOMETRY D2/R = 5.00 AND H/R = 0.

BETA = ANGLE OF INCIDENCE, DEGREES

BETA ***	0.	10.00	20.00	30.00	40.00
AX/AB	Q (Q1)	Q (Q1)	Q (Q1)	Q (Q1)	Q (Q1)
0.	1.000(.)	1.000(.)	1.000(.)	1.000(.)	1.000(.)
0.025	0.965(.025)	0.970(.025)	0.973(.025)	0.977(.025)	0.980(.025)
0.050	0.839(.047)	0.855(.047)	0.870(.048)	0.885(.048)	0.901(.048)
0.075	0.635(.066)	0.666(.066)	0.696(.067)	0.726(.068)	0.760(.069)
0.100	0.402(.079)	0.441(.080)	0.481(.082)	0.525(.084)	0.574(.086)
0.125	0.190(.086)	0.228(.089)	0.269(.091)	0.315(.094)	0.372(.098)
0.150	0.048(.089)	0.072(.092)	0.101(.096)	0.138(.100)	0.188(.105)
0.175	0.000(.090)	0.004(.093)	0.013(.097)	0.029(.102)	0.057(.108)
0.200	0. (.090)	0. (.093)	0. (.098)	0. (.102)	0.003(.108)
0.225	0. (.090)	0. (.093)	0. (.098)	0. (.102)	0. (.108)
0.250	0. (.090)	0. (.093)	0. (.098)	0. (.102)	0. (.108)
0.275	0. (.090)	0. (.093)	0. (.098)	0. (.102)	0. (.108)
0.300	0. (.090)	0. (.093)	0. (.098)	0. (.102)	0. (.108)
0.325	0. (.090)	0. (.093)	0. (.098)	0. (.102)	0. (.108)
0.350	0. (.090)	0. (.093)	0. (.098)	0. (.102)	0. (.108)
0.375	0. (.090)	0. (.093)	0. (.098)	0. (.102)	0. (.108)
0.400	0. (.090)	0. (.093)	0. (.098)	0. (.102)	0. (.108)
0.425	0. (.090)	0. (.093)	0. (.098)	0. (.102)	0. (.108)
0.450	0. (.090)	0. (.093)	0. (.098)	0. (.102)	0. (.108)
0.475	0. (.090)	0. (.093)	0. (.098)	0. (.102)	0. (.108)
0.500	0. (.090)	0. (.093)	0. (.098)	0. (.102)	0. (.108)
0.525	0. (.090)	0. (.093)	0. (.098)	0. (.102)	0. (.108)
0.550	0. (.090)	0. (.093)	0. (.098)	0. (.102)	0. (.108)
0.575	0. (.090)	0. (.093)	0. (.098)	0. (.102)	0. (.108)
0.600	0. (.090)	0. (.093)	0. (.098)	0. (.102)	0. (.108)
0.625	0. (.090)	0. (.093)	0. (.098)	0. (.102)	0. (.108)
0.650	0. (.090)	0. (.093)	0. (.098)	0. (.102)	0. (.108)
0.675	0. (.090)	0. (.093)	0. (.098)	0. (.102)	0. (.108)
0.700	0. (.090)	0. (.093)	0. (.098)	0. (.102)	0. (.108)
0.725	0. (.090)	0. (.093)	0. (.098)	0. (.102)	0. (.108)
0.750	0. (.090)	0. (.093)	0. (.098)	0. (.102)	0. (.108)
0.775	0. (.090)	0. (.093)	0. (.098)	0. (.102)	0. (.108)
0.800	0. (.090)	0. (.093)	0. (.098)	0. (.102)	0. (.108)
0.825	0.000(.090)	0. (.093)	0. (.098)	0. (.102)	0. (.108)
0.850	0.048(.090)	0.028(.094)	0.013(.098)	0.003(.102)	0. (.108)
0.875	0.190(.093)	0.153(.096)	0.116(.099)	0.078(.103)	0.040(.109)
0.900	0.402(.100)	0.361(.102)	0.316(.105)	0.264(.108)	0.200(.112)
0.925	0.635(.113)	0.603(.114)	0.566(.116)	0.519(.118)	0.457(.120)
0.950	0.839(.132)	0.822(.132)	0.801(.133)	0.774(.134)	0.735(.135)
0.975	0.965(.154)	0.962(.155)	0.957(.155)	0.949(.155)	0.939(.156)
1.000	1.000(.179)	1.000(.179)	1.000(.179)	1.000(.180)	1.000(.180)

RE-ORDER No. *66-196*
App. 2
Phase II

VERSION D

*** RELATIVE ENERGY FLUX DENSITY IN THE ***
 *** PENUMBRA OF A RECTANGULAR CYLINDER ***

SOLAR FIELD ANGLE, D = 5.00 DEGREES
 GEOMETRY D2/R = 5.00 AND H/R = 0.

BETA = ANGLE OF INCIDENCE, DEGREES

BETA ***	50.00		60.00		70.00		80.00		87.00	
AX/AB	Q	Q (Q1)	Q	Q (Q1)	Q	Q (Q1)	Q	Q (Q1)	Q	Q (Q1)
0.	1.000(.)		1.000(.)		1.000(.)		1.000(.)		1.000(.)	
0.025	0.984(.025)		0.989(.025)		0.994(.025)		0.999(.025)		1.000(.025)	
0.050	0.919(.049)		0.940(.049)		0.965(.049)		0.992(.050)		1.000(.050)	
0.075	0.799(.070)		0.846(.071)		0.907(.073)		0.978(.074)		1.000(.075)	
0.100	0.634(.088)		0.711(.091)		0.818(.094)		0.953(.099)		1.000(.100)	
0.125	0.445(.101)		0.546(.106)		0.697(.113)		0.915(.122)		1.000(.125)	
0.150	0.259(.110)		0.368(.118)		0.553(.129)		0.862(.144)		1.000(.150)	
0.175	0.108(.115)		0.203(.125)		0.397(.141)		0.793(.165)		1.000(.175)	
0.200	0.019(.116)		0.075(.129)		0.243(.149)		0.707(.184)		1.000(.200)	
0.225	0.	(.117)	0.009(.130)		0.113(.153)		0.604(.200)		1.000(.225)	
0.250	0.	(.117)	0.	(.130)	0.027(.155)		0.486(.214)		1.000(.250)	
0.275	0.	(.117)	0.	(.130)	0.000(.155)		0.359(.224)		1.000(.275)	
0.300	0.	(.117)	0.	(.130)	0.	(.155)	0.232(.232)		0.999(.300)	
0.325	0.	(.117)	0.	(.130)	0.	(.155)	0.119(.236)		0.999(.325)	
0.350	0.	(.117)	0.	(.130)	0.	(.155)	0.036(.238)		0.999(.350)	
0.375	0.	(.117)	0.	(.130)	0.	(.155)	0.001(.238)		0.999(.375)	
0.400	0.	(.117)	0.	(.130)	0.	(.155)	0.	(.238)	0.998(.400)	
0.425	0.	(.117)	0.	(.130)	0.	(.155)	0.	(.238)	0.998(.425)	
0.450	0.	(.117)	0.	(.130)	0.	(.155)	0.	(.238)	0.997(.450)	
0.475	0.	(.117)	0.	(.130)	0.	(.155)	0.	(.238)	0.996(.475)	
0.500	0.	(.117)	0.	(.130)	0.	(.155)	0.	(.238)	0.994(.500)	
0.525	0.	(.117)	0.	(.130)	0.	(.155)	0.	(.238)	0.992(.524)	
0.550	0.	(.117)	0.	(.130)	0.	(.155)	0.	(.238)	0.989(.549)	
0.575	0.	(.117)	0.	(.130)	0.	(.155)	0.	(.238)	0.985(.574)	
0.600	0.	(.117)	0.	(.130)	0.	(.155)	0.	(.238)	0.980(.598)	
0.625	0.	(.117)	0.	(.130)	0.	(.155)	0.	(.238)	0.972(.623)	
0.650	0.	(.117)	0.	(.130)	0.	(.155)	0.	(.238)	0.960(.647)	
0.675	0.	(.117)	0.	(.130)	0.	(.155)	0.	(.238)	0.944(.671)	
0.700	0.	(.117)	0.	(.130)	0.	(.155)	0.	(.238)	0.919(.694)	
0.725	0.	(.117)	0.	(.130)	0.	(.155)	0.	(.238)	0.881(.716)	
0.750	0.	(.117)	0.	(.130)	0.	(.155)	0.	(.238)	0.822(.738)	
0.775	0.	(.117)	0.	(.130)	0.	(.155)	0.	(.238)	0.727(.757)	
0.800	0.	(.117)	0.	(.130)	0.	(.155)	0.	(.238)	0.573(.773)	
0.825	0.	(.117)	0.	(.130)	0.	(.155)	0.	(.238)	0.336(.785)	
0.850	0.	(.117)	0.	(.130)	0.	(.155)	0.	(.238)	0.056(.790)	
0.875	0.008(.117)		0.	(.130)	0.	(.155)	0.	(.238)	0.	(.790)
0.900	0.119(.118)		0.026(.130)		0.	(.155)	0.	(.238)	0.	(.790)
0.925	0.365(.124)		0.212(.133)		0.003(.155)		0.	(.238)	0.	(.790)
0.950	0.673(.137)		0.547(.142)		0.207(.156)		0.	(.238)	0.	(.790)
0.975	0.920(.157)		0.878(.160)		0.706(.169)		0.	(.238)	0.	(.790)
1.000	1.000(.181)		1.000(.184)		1.000(.191)		0.	(.238)	0.	(.790)

D-84
 335

*** RELATIVE ENERGY FLUX DENSITY IN THE ***
 *** PENUMBRA OF A RECTANGULAR CYLINDER ***

SOLAR FIELD ANGLE, D= 5.00 DEGREES
 GEOMETRY D2/R = 10.00 AND H/R = 0.

BETA = ANGLE OF INCIDENCE, DEGREES

BETA ***	0.	10.00	20.00	30.00	40.00
AX/AB	Q (QI)	Q (QI)	Q (QI)	Q (QI)	Q (QI)
0.	1.000(.)	1.000(.)	1.000(.)	1.000(.)	1.000(.)
0.025	0.990(.025)	0.991(.025)	0.992(.025)	0.993(.025)	0.993(.025)
0.050	0.950(.049)	0.954(.049)	0.958(.049)	0.961(.049)	0.965(.049)
0.075	0.877(.072)	0.885(.072)	0.893(.072)	0.902(.073)	0.911(.073)
0.100	0.773(.093)	0.787(.093)	0.801(.094)	0.815(.094)	0.832(.095)
0.125	0.648(.110)	0.666(.111)	0.685(.112)	0.706(.113)	0.730(.114)
0.150	0.511(.125)	0.533(.126)	0.556(.128)	0.581(.129)	0.611(.131)
0.175	0.372(.136)	0.396(.138)	0.421(.140)	0.450(.142)	0.484(.145)
0.200	0.244(.144)	0.267(.146)	0.292(.149)	0.321(.152)	0.356(.155)
0.225	0.137(.148)	0.156(.151)	0.178(.155)	0.204(.158)	0.236(.163)
0.250	0.059(.151)	0.072(.154)	0.088(.158)	0.108(.162)	0.135(.167)
0.275	0.014(.152)	0.020(.155)	0.029(.159)	0.041(.164)	0.059(.170)
0.300	0.000(.152)	0.001(.156)	0.003(.160)	0.007(.165)	0.014(.170)
0.325	0. (.152)	0. (.156)	0. (.160)	0. (.165)	0.000(.171)
0.350	0. (.152)	0. (.156)	0. (.160)	0. (.165)	0. (.171)
0.375	0. (.152)	0. (.156)	0. (.160)	0. (.165)	0. (.171)
0.400	0. (.152)	0. (.156)	0. (.160)	0. (.165)	0. (.171)
0.425	0. (.152)	0. (.156)	0. (.160)	0. (.165)	0. (.171)
0.450	0. (.152)	0. (.156)	0. (.160)	0. (.165)	0. (.171)
0.475	0. (.152)	0. (.156)	0. (.160)	0. (.165)	0. (.171)
0.500	0. (.152)	0. (.156)	0. (.160)	0. (.165)	0. (.171)
0.525	0. (.152)	0. (.156)	0. (.160)	0. (.165)	0. (.171)
0.550	0. (.152)	0. (.156)	0. (.160)	0. (.165)	0. (.171)
0.575	0. (.152)	0. (.156)	0. (.160)	0. (.165)	0. (.171)
0.600	0. (.152)	0. (.156)	0. (.160)	0. (.165)	0. (.171)
0.625	0. (.152)	0. (.156)	0. (.160)	0. (.165)	0. (.171)
0.650	0. (.152)	0. (.156)	0. (.160)	0. (.165)	0. (.171)
0.675	0. (.152)	0. (.156)	0. (.160)	0. (.165)	0. (.171)
0.700	0.000(.152)	0. (.156)	0. (.160)	0. (.165)	0. (.171)
0.725	0.014(.152)	0.008(.156)	0.004(.160)	0.001(.165)	0.000(.171)
0.750	0.059(.153)	0.046(.157)	0.035(.160)	0.024(.165)	0.013(.171)
0.775	0.137(.155)	0.119(.159)	0.100(.162)	0.081(.166)	0.059(.172)
0.800	0.244(.160)	0.222(.163)	0.198(.166)	0.172(.169)	0.142(.174)
0.825	0.372(.168)	0.348(.170)	0.322(.172)	0.293(.175)	0.258(.179)
0.850	0.511(.179)	0.488(.180)	0.463(.182)	0.434(.184)	0.398(.187)
0.875	0.648(.193)	0.629(.194)	0.607(.196)	0.582(.197)	0.549(.199)
0.900	0.773(.211)	0.759(.212)	0.743(.212)	0.724(.213)	0.698(.215)
0.925	0.877(.232)	0.868(.232)	0.858(.232)	0.846(.233)	0.830(.234)
0.950	0.950(.255)	0.947(.255)	0.942(.255)	0.936(.255)	0.929(.256)
0.975	0.990(.279)	0.990(.279)	0.989(.279)	0.987(.279)	0.986(.280)
1.000	1.000(.304)	1.000(.304)	1.000(.304)	1.000(.304)	1.000(.305)

*** RELATIVE ENERGY FLUX DENSITY IN THE *** VERSION D
 *** PENUMBRA OF A RECTANGULAR CYLINDER ***

SOLAR FIELD ANGLE, D = 5.00 DEGREES
 GEOMETRY D2/R = 10.00 AND H/R = 0.

BETA = ANGLE OF INCIDENCE, DEGREES

BETA ***	50.00	60.00	70.00	80.00	87.00
AX/AB	Q (QI)	Q (QI)	Q (QI)	Q (QI)	Q (QI)
0.	1.000(.)	1.000(.)	1.000(.)	1.000(.)	1.000(.)
0.025	0.994(.025)	0.996(.025)	0.997(.025)	0.999(.025)	1.000(.025)
0.050	0.973(.049)	0.976(.050)	0.985(.050)	0.996(.050)	1.000(.050)
0.075	0.923(.073)	0.938(.074)	0.959(.074)	0.987(.075)	1.000(.075)
0.100	0.852(.095)	0.879(.096)	0.917(.097)	0.974(.099)	1.000(.100)
0.125	0.759(.115)	0.799(.117)	0.859(.120)	0.952(.123)	1.000(.125)
0.150	0.649(.133)	0.702(.136)	0.785(.140)	0.923(.147)	1.000(.150)
0.175	0.528(.148)	0.591(.152)	0.695(.159)	0.884(.169)	1.000(.175)
0.200	0.403(.159)	0.473(.165)	0.594(.175)	0.835(.191)	1.000(.200)
0.225	0.282(.168)	0.353(.176)	0.484(.188)	0.775(.211)	1.000(.225)
0.250	0.174(.174)	0.239(.183)	0.370(.199)	0.704(.229)	1.000(.250)
0.275	0.087(.177)	0.140(.188)	0.260(.207)	0.622(.246)	1.000(.275)
0.300	0.029(.178)	0.064(.190)	0.161(.212)	0.530(.260)	1.000(.300)
0.325	0.003(.179)	0.017(.191)	0.080(.215)	0.431(.272)	0.999(.325)
0.350	0. (.179)	0.000(.192)	0.026(.216)	0.328(.282)	0.999(.350)
0.375	0. (.179)	0. (.192)	0.002(.217)	0.227(.289)	0.999(.375)
0.400	0. (.179)	0. (.192)	0. (.217)	0.134(.293)	0.998(.400)
0.425	0. (.179)	0. (.192)	0. (.217)	0.060(.296)	0.998(.425)
0.450	0. (.179)	0. (.192)	0. (.217)	0.014(.297)	0.997(.450)
0.475	0. (.179)	0. (.192)	0. (.217)	0.000(.297)	0.996(.475)
0.500	0. (.179)	0. (.192)	0. (.217)	0. (.297)	0.995(.500)
0.525	0. (.179)	0. (.192)	0. (.217)	0. (.297)	0.993(.524)
0.550	0. (.179)	0. (.192)	0. (.217)	0. (.297)	0.991(.549)
0.575	0. (.179)	0. (.192)	0. (.217)	0. (.297)	0.987(.574)
0.600	0. (.179)	0. (.192)	0. (.217)	0. (.297)	0.983(.599)
0.625	0. (.179)	0. (.192)	0. (.217)	0. (.297)	0.977(.623)
0.650	0. (.179)	0. (.192)	0. (.217)	0. (.297)	0.968(.647)
0.675	0. (.179)	0. (.192)	0. (.217)	0. (.297)	0.955(.671)
0.700	0. (.179)	0. (.192)	0. (.217)	0. (.297)	0.937(.695)
0.725	0. (.179)	0. (.192)	0. (.217)	0. (.297)	0.909(.718)
0.750	0.004(.179)	0.000(.192)	0. (.217)	0. (.297)	0.867(.740)
0.775	0.036(.179)	0.011(.192)	0. (.217)	0. (.297)	0.801(.761)
0.800	0.105(.181)	0.058(.193)	0.007(.217)	0. (.297)	0.696(.780)
0.825	0.211(.185)	0.145(.195)	0.048(.218)	0. (.297)	0.529(.795)
0.850	0.348(.192)	0.271(.200)	0.137(.220)	0. (.297)	0.280(.805)
0.875	0.503(.203)	0.427(.209)	0.277(.225)	0.001(.297)	0.024(.809)
0.900	0.661(.217)	0.597(.222)	0.456(.234)	0.037(.297)	0. (.809)
0.925	0.805(.236)	0.761(.239)	0.654(.248)	0.175(.300)	0. (.809)
0.950	0.917(.257)	0.895(.260)	0.837(.267)	0.451(.308)	0. (.809)
0.975	0.983(.281)	0.978(.283)	0.963(.289)	0.814(.324)	0. (.809)
1.000	1.000(.306)	1.000(.308)	1.000(.314)	1.000(.346)	0. (.809)

*** RELATIVE ENERGY FLUX DENSITY IN THE ***
 *** PLUMBERA OF A RECTANGULAR CYLINDER ***

VERSION D

SOLAR FIELD ANGLE, D= 5.00 DEGREES
 GEOMETRY D2/R = 50.00 AND H/R = 0.

BETA = ANGLE OF INCIDENCE, DEGREES

BETA ***	0.	10.00	20.00	30.00	40.00
AX/AB	Q (QI)	Q (QI)	Q (QI)	Q (QI)	Q (QI)
0.	1.000(.)	1.000(.)	1.000(.)	1.000(.)	1.000(.)
0.025	0.999(.025)	0.999(.025)	0.999(.025)	0.999(.025)	0.999(.025)
0.050	0.993(.050)	0.993(.050)	0.994(.050)	0.994(.050)	0.994(.050)
0.075	0.981(.075)	0.982(.075)	0.983(.075)	0.984(.075)	0.985(.075)
0.100	0.963(.099)	0.964(.099)	0.966(.099)	0.968(.099)	0.970(.099)
0.125	0.937(.123)	0.940(.123)	0.943(.123)	0.946(.123)	0.949(.123)
0.150	0.905(.146)	0.909(.146)	0.913(.146)	0.917(.146)	0.922(.146)
0.175	0.868(.168)	0.872(.168)	0.878(.168)	0.883(.169)	0.890(.169)
0.200	0.824(.189)	0.830(.189)	0.836(.190)	0.843(.190)	0.851(.191)
0.225	0.775(.209)	0.782(.210)	0.790(.210)	0.798(.211)	0.808(.212)
0.250	0.722(.228)	0.730(.228)	0.739(.229)	0.748(.230)	0.760(.231)
0.275	0.665(.245)	0.674(.246)	0.684(.247)	0.695(.248)	0.708(.250)
0.300	0.605(.261)	0.615(.262)	0.626(.263)	0.638(.265)	0.652(.267)
0.325	0.544(.275)	0.555(.277)	0.566(.278)	0.579(.280)	0.594(.282)
0.350	0.485(.288)	0.496(.290)	0.507(.292)	0.519(.294)	0.535(.296)
0.375	0.432(.300)	0.442(.302)	0.452(.304)	0.464(.306)	0.479(.309)
0.400	0.385(.310)	0.395(.312)	0.404(.314)	0.414(.317)	0.428(.320)
0.425	0.350(.319)	0.356(.321)	0.364(.324)	0.373(.327)	0.384(.330)
0.450	0.323(.327)	0.327(.330)	0.333(.333)	0.340(.336)	0.348(.340)
0.475	0.306(.335)	0.309(.338)	0.312(.341)	0.316(.344)	0.322(.348)
0.500	0.301(.343)	0.301(.346)	0.302(.348)	0.303(.352)	0.306(.356)
0.525	0.306(.350)	0.304(.353)	0.303(.356)	0.301(.359)	0.300(.363)
0.550	0.323(.358)	0.318(.361)	0.314(.364)	0.310(.367)	0.306(.371)
0.575	0.350(.357)	0.343(.369)	0.337(.372)	0.330(.375)	0.323(.379)
0.600	0.385(.376)	0.378(.378)	0.370(.381)	0.361(.384)	0.351(.387)
0.625	0.432(.386)	0.423(.388)	0.413(.390)	0.402(.393)	0.390(.396)
0.650	0.485(.398)	0.475(.399)	0.464(.401)	0.452(.404)	0.438(.407)
0.675	0.544(.410)	0.534(.412)	0.523(.414)	0.510(.416)	0.494(.418)
0.700	0.605(.425)	0.595(.426)	0.584(.428)	0.572(.429)	0.556(.432)
0.725	0.665(.441)	0.655(.442)	0.645(.443)	0.633(.444)	0.619(.446)
0.750	0.722(.458)	0.713(.459)	0.704(.460)	0.693(.461)	0.680(.463)
0.775	0.775(.477)	0.767(.477)	0.759(.478)	0.750(.479)	0.738(.480)
0.800	0.824(.497)	0.818(.497)	0.811(.498)	0.803(.498)	0.793(.499)
0.825	0.868(.518)	0.863(.518)	0.857(.519)	0.851(.519)	0.842(.520)
0.850	0.906(.540)	0.902(.540)	0.898(.541)	0.893(.541)	0.886(.541)
0.875	0.937(.563)	0.935(.563)	0.932(.563)	0.928(.564)	0.924(.564)
0.900	0.963(.587)	0.961(.587)	0.959(.587)	0.957(.587)	0.954(.588)
0.925	0.981(.611)	0.980(.611)	0.979(.611)	0.978(.611)	0.976(.612)
0.950	0.993(.636)	0.992(.636)	0.992(.636)	0.992(.636)	0.991(.636)
0.975	0.999(.661)	0.999(.661)	0.999(.661)	0.998(.661)	0.998(.661)
1.000	1.000(.686)	1.000(.686)	1.000(.686)	1.000(.686)	1.000(.686)

*** RELATIVE ENERGY FLUX DENSITY IN THE ***
 *** PENUMBRA OF A RECTANGULAR CYLINDER ***

VERSION D

SOLAR FIELD ANGLE, D = 5.00 DEGREES
 GEOMETRY D2/R = 50.00 AND H/R = 0.

BETA = ANGLE OF INCIDENCE, DEGREES

BETA *** AX/AB	50.00		60.00		70.00		80.00		87.00	
	Q	(QI)	Q	(QI)	Q	(QI)	Q	(QI)	Q	(QI)
0.	1.000(.)		1.000(.)		1.000(.)		1.000(.)		1.000(.)	
0.025	0.999(.025)		0.999(.025)		0.999(.025)		0.999(.025)		0.999(.025)	
0.050	0.995(.050)		0.996(.050)		0.997(.050)		0.999(.050)		1.000(.050)	
0.075	0.986(.075)		0.986(.075)		0.991(.075)		0.996(.075)		1.000(.075)	
0.100	0.973(.099)		0.976(.099)		0.982(.099)		0.992(.100)		1.000(.100)	
0.125	0.953(.123)		0.959(.123)		0.969(.124)		0.986(.125)		1.000(.125)	
0.150	0.925(.147)		0.937(.147)		0.951(.148)		0.978(.149)		1.000(.150)	
0.175	0.898(.170)		0.910(.170)		0.929(.171)		0.967(.173)		1.000(.175)	
0.200	0.862(.192)		0.877(.193)		0.902(.194)		0.953(.197)		1.000(.200)	
0.225	0.821(.213)		0.840(.214)		0.871(.216)		0.936(.221)		1.000(.225)	
0.250	0.775(.233)		0.797(.235)		0.834(.238)		0.915(.244)		1.000(.250)	
0.275	0.725(.251)		0.750(.254)		0.794(.258)		0.890(.267)		1.000(.275)	
0.300	0.671(.269)		0.699(.272)		0.748(.277)		0.862(.289)		1.000(.300)	
0.325	0.614(.285)		0.645(.289)		0.699(.295)		0.829(.310)		0.999(.325)	
0.350	0.555(.299)		0.588(.304)		0.646(.312)		0.793(.330)		0.999(.350)	
0.375	0.499(.313)		0.531(.318)		0.591(.328)		0.751(.349)		0.999(.375)	
0.400	0.447(.324)		0.477(.331)		0.536(.342)		0.706(.367)		0.999(.400)	
0.425	0.401(.335)		0.428(.342)		0.483(.355)		0.657(.385)		0.998(.425)	
0.450	0.362(.345)		0.384(.352)		0.434(.366)		0.606(.400)		0.998(.450)	
0.475	0.332(.353)		0.349(.361)		0.390(.376)		0.553(.415)		0.997(.475)	
0.500	0.311(.361)		0.322(.370)		0.354(.386)		0.501(.428)		0.996(.500)	
0.525	0.301(.369)		0.305(.378)		0.325(.394)		0.451(.440)		0.995(.525)	
0.550	0.302(.376)		0.299(.385)		0.306(.402)		0.403(.451)		0.994(.549)	
0.575	0.314(.384)		0.304(.393)		0.297(.410)		0.361(.460)		0.992(.574)	
0.600	0.338(.392)		0.322(.401)		0.300(.417)		0.326(.469)		0.990(.599)	
0.625	0.373(.401)		0.350(.409)		0.316(.425)		0.300(.477)		0.986(.624)	
0.650	0.419(.411)		0.391(.418)		0.346(.433)		0.286(.484)		0.982(.648)	
0.675	0.474(.422)		0.442(.429)		0.388(.442)		0.286(.491)		0.975(.673)	
0.700	0.535(.435)		0.503(.440)		0.442(.453)		0.304(.498)		0.967(.697)	
0.725	0.599(.449)		0.567(.454)		0.507(.464)		0.341(.506)		0.955(.721)	
0.750	0.661(.465)		0.632(.469)		0.574(.478)		0.397(.516)		0.938(.745)	
0.775	0.722(.482)		0.695(.485)		0.642(.493)		0.469(.527)		0.914(.768)	
0.800	0.778(.501)		0.755(.504)		0.708(.510)		0.546(.539)		0.878(.790)	
0.825	0.831(.521)		0.812(.523)		0.772(.528)		0.626(.554)		0.825(.812)	
0.850	0.877(.542)		0.862(.544)		0.830(.549)		0.707(.571)		0.744(.831)	
0.875	0.917(.565)		0.906(.566)		0.883(.570)		0.786(.589)		0.621(.848)	
0.900	0.950(.588)		0.942(.589)		0.927(.593)		0.858(.610)		0.442(.862)	
0.925	0.974(.612)		0.970(.613)		0.961(.616)		0.920(.632)		0.230(.870)	
0.950	0.990(.637)		0.986(.638)		0.985(.640)		0.966(.655)		0.214(.876)	
0.975	0.998(.662)		0.998(.662)		0.997(.665)		0.993(.680)		0.526(.885)	
1.000	1.000(.687)		1.000(.687)		1.000(.690)		1.000(.705)		1.000(.904)	

RE-ORDER No. 66-196
Bill
Phase II

*** RELATIVE ENERGY FLUX DENSITY IN THE ***
 *** PENUMBRA OF A RECTANGULAR CYLINDER ***

VERSION D

SOLAR FIELD ANGLE, D= 5.00 DEGREES
 GEOMETRY D2/R = 100.00 AND H/R = 0.

BETA = ANGLE OF INCIDENCE, DEGREES

BETA ***	D.	10.00	20.00	30.00	40.00
AX/AB	Q (Q1)	Q (Q1)	Q (Q1)	Q (Q1)	Q (Q1)
0.	1.000(.)	1.000(.)	1.000(.)	1.000(.)	1.000(.)
0.025	0.999(.025)	0.999(.025)	0.999(.025)	0.999(.025)	0.999(.025)
0.050	0.995(.050)	0.995(.050)	0.996(.050)	0.996(.050)	0.996(.050)
0.075	0.987(.075)	0.988(.075)	0.988(.075)	0.989(.075)	0.990(.075)
0.100	0.975(.099)	0.976(.099)	0.977(.099)	0.978(.099)	0.980(.099)
0.125	0.958(.123)	0.959(.123)	0.961(.124)	0.963(.124)	0.965(.124)
0.150	0.935(.147)	0.938(.147)	0.941(.147)	0.943(.147)	0.947(.148)
0.175	0.909(.170)	0.912(.170)	0.916(.171)	0.919(.171)	0.924(.171)
0.200	0.878(.192)	0.882(.193)	0.886(.193)	0.891(.193)	0.897(.194)
0.225	0.845(.214)	0.850(.214)	0.855(.215)	0.860(.215)	0.867(.216)
0.250	0.812(.235)	0.817(.235)	0.822(.236)	0.829(.236)	0.836(.237)
0.275	0.780(.255)	0.785(.255)	0.791(.256)	0.797(.257)	0.805(.258)
0.300	0.749(.274)	0.754(.274)	0.760(.275)	0.767(.276)	0.775(.277)
0.325	0.721(.292)	0.726(.293)	0.732(.294)	0.738(.295)	0.746(.296)
0.350	0.695(.310)	0.700(.311)	0.706(.312)	0.712(.313)	0.719(.315)
0.375	0.673(.327)	0.678(.328)	0.682(.329)	0.688(.331)	0.695(.332)
0.400	0.655(.343)	0.658(.345)	0.663(.346)	0.667(.348)	0.674(.349)
0.425	0.640(.360)	0.643(.361)	0.646(.362)	0.650(.364)	0.656(.366)
0.450	0.629(.376)	0.632(.377)	0.634(.378)	0.637(.380)	0.641(.382)
0.475	0.623(.391)	0.624(.393)	0.626(.394)	0.627(.396)	0.630(.398)
0.500	0.621(.407)	0.621(.408)	0.621(.410)	0.622(.412)	0.623(.414)
0.525	0.623(.422)	0.622(.424)	0.621(.425)	0.621(.427)	0.621(.429)
0.550	0.629(.438)	0.628(.439)	0.626(.441)	0.624(.443)	0.622(.445)
0.575	0.640(.454)	0.637(.455)	0.635(.457)	0.632(.458)	0.628(.461)
0.600	0.655(.470)	0.651(.471)	0.647(.473)	0.644(.474)	0.639(.476)
0.625	0.673(.487)	0.669(.488)	0.664(.489)	0.660(.491)	0.654(.493)
0.650	0.695(.504)	0.690(.505)	0.685(.506)	0.680(.507)	0.673(.509)
0.675	0.721(.521)	0.715(.522)	0.710(.523)	0.704(.525)	0.696(.526)
0.700	0.749(.540)	0.744(.541)	0.738(.541)	0.731(.543)	0.723(.544)
0.725	0.780(.559)	0.774(.560)	0.768(.560)	0.762(.561)	0.753(.562)
0.750	0.812(.575)	0.807(.579)	0.801(.580)	0.795(.581)	0.787(.582)
0.775	0.845(.600)	0.840(.600)	0.835(.600)	0.829(.601)	0.822(.602)
0.800	0.878(.621)	0.874(.621)	0.869(.622)	0.864(.622)	0.857(.623)
0.825	0.909(.643)	0.906(.644)	0.902(.644)	0.898(.644)	0.892(.645)
0.850	0.936(.666)	0.933(.667)	0.931(.667)	0.927(.667)	0.923(.667)
0.875	0.958(.690)	0.956(.690)	0.954(.690)	0.952(.690)	0.949(.691)
0.900	0.975(.714)	0.974(.714)	0.973(.714)	0.971(.715)	0.969(.715)
0.925	0.987(.739)	0.987(.739)	0.986(.739)	0.985(.739)	0.984(.739)
0.950	0.995(.764)	0.995(.764)	0.995(.764)	0.994(.764)	0.994(.764)
0.975	0.999(.789)	0.999(.789)	0.999(.789)	0.999(.789)	0.999(.789)
1.000	1.000(.814)	1.000(.814)	1.000(.814)	1.000(.814)	1.000(.814)

D-89
 340

*** RELATIVE ENERGY FLUX DENSITY IN THE ***
 *** PENUMBRA OF A RECTANGULAR CYLINDER ***

VERSION D

SOLAR FIELD ANGLE, $D = 5.00$ DEGREES
 GEOMETRY $D2/R = 100.00$ AND $H/R = 0$.

BETA = ANGLE OF INCIDENCE, DEGREES

BETA ***	50.00	60.00	70.00	80.00	87.00
AX/AB	Q (Q1)	Q (Q1)	Q (Q1)	Q (Q1)	Q (Q1)
0.	1.000(.)	1.000(.)	1.000(.)	1.000(.)	1.000(.)
0.025	0.999(.025)	0.999(.025)	1.000(.025)	1.000(.025)	1.000(.025)
0.050	0.997(.050)	0.997(.050)	0.998(.050)	0.999(.050)	1.000(.050)
0.075	0.991(.075)	0.992(.075)	0.994(.075)	0.997(.075)	1.000(.075)
0.100	0.981(.099)	0.984(.100)	0.987(.100)	0.994(.100)	1.000(.100)
0.125	0.968(.124)	0.972(.124)	0.978(.124)	0.990(.125)	1.000(.125)
0.150	0.951(.148)	0.956(.148)	0.966(.148)	0.984(.149)	1.000(.150)
0.175	0.929(.171)	0.937(.172)	0.950(.172)	0.976(.174)	1.000(.175)
0.200	0.904(.194)	0.914(.195)	0.931(.196)	0.965(.198)	1.000(.200)
0.225	0.875(.216)	0.888(.217)	0.908(.219)	0.953(.222)	1.000(.225)
0.250	0.845(.238)	0.859(.239)	0.884(.241)	0.938(.246)	1.000(.250)
0.275	0.815(.259)	0.831(.260)	0.858(.263)	0.921(.269)	1.000(.275)
0.300	0.785(.279)	0.802(.281)	0.831(.284)	0.902(.292)	1.000(.300)
0.325	0.757(.298)	0.773(.300)	0.804(.305)	0.882(.314)	1.000(.325)
0.350	0.730(.317)	0.746(.319)	0.777(.324)	0.860(.336)	0.999(.350)
0.375	0.705(.334)	0.720(.338)	0.751(.343)	0.837(.357)	0.999(.375)
0.400	0.682(.352)	0.697(.355)	0.725(.362)	0.813(.378)	0.999(.400)
0.425	0.663(.369)	0.676(.373)	0.702(.380)	0.789(.398)	0.999(.425)
0.450	0.647(.385)	0.657(.389)	0.680(.397)	0.765(.417)	0.998(.450)
0.475	0.634(.401)	0.642(.406)	0.661(.414)	0.740(.436)	0.998(.475)
0.500	0.625(.417)	0.631(.421)	0.645(.430)	0.716(.454)	0.997(.500)
0.525	0.621(.432)	0.623(.437)	0.632(.446)	0.692(.472)	0.996(.525)
0.550	0.621(.448)	0.620(.453)	0.623(.462)	0.671(.489)	0.995(.550)
0.575	0.625(.463)	0.621(.468)	0.618(.477)	0.651(.505)	0.994(.574)
0.600	0.633(.479)	0.626(.484)	0.618(.493)	0.634(.521)	0.992(.599)
0.625	0.647(.495)	0.637(.500)	0.623(.508)	0.620(.537)	0.989(.624)
0.650	0.664(.512)	0.652(.516)	0.632(.524)	0.611(.552)	0.986(.649)
0.675	0.685(.528)	0.672(.532)	0.647(.540)	0.608(.568)	0.982(.673)
0.700	0.712(.546)	0.696(.549)	0.668(.556)	0.610(.583)	0.977(.698)
0.725	0.742(.564)	0.725(.567)	0.694(.573)	0.620(.598)	0.969(.722)
0.750	0.776(.583)	0.758(.586)	0.726(.591)	0.639(.614)	0.958(.746)
0.775	0.811(.603)	0.795(.605)	0.762(.610)	0.666(.630)	0.944(.770)
0.800	0.848(.624)	0.833(.625)	0.802(.629)	0.703(.647)	0.923(.793)
0.825	0.885(.645)	0.872(.647)	0.845(.650)	0.750(.666)	0.893(.816)
0.850	0.917(.668)	0.908(.669)	0.887(.672)	0.804(.685)	0.850(.838)
0.875	0.945(.692)	0.938(.692)	0.923(.694)	0.860(.706)	0.786(.858)
0.900	0.967(.715)	0.962(.716)	0.953(.718)	0.910(.728)	0.695(.877)
0.925	0.983(.739)	0.981(.740)	0.975(.742)	0.951(.751)	0.579(.893)
0.950	0.994(.764)	0.993(.765)	0.990(.766)	0.980(.775)	0.501(.906)
0.975	0.999(.789)	0.999(.790)	0.998(.791)	0.996(.800)	0.719(.921)
1.000	1.000(.814)	1.000(.815)	1.000(.816)	1.000(.825)	1.000(.943)

App A
Phase II

*** RELATIVE ENERGY FLUX DENSITY IN THE ***
 *** PENUMBRA OF A RECTANGULAR CYLINDER ***

VERSION D

SOLAR FIELD ANGLE, D = 5.00 DEGREES
 GEOMETRY D2/R = 1.00 AND H/R = 0.5

BETA = ANGLE OF INCIDENCE, DEGREES

BETA ***	0.	10.00	20.00	30.00	40.00
AX/AB	Q (Q1)	Q (Q1)	Q (Q1)	Q (Q1)	Q (Q1)
0.	1.000(.)	1.000(.)	1.000(.)	1.000(.)	1.000(.)
0.025	0.655(.021)	0.729(.022)	0.787(.022)	0.837(.023)	0.880(.023)
0.050	0. (.029)	0. (.031)	0.061(.033)	0.266(.037)	0.495(.041)
0.075	0. (.029)	0. (.031)	0. (.034)	0. (.040)	0.000(.047)
0.100	0. (.029)	0. (.031)	0. (.034)	0. (.040)	0. (.047)
0.125	0. (.029)	0. (.031)	0. (.034)	0. (.040)	0. (.047)
0.150	0. (.029)	0. (.031)	0. (.034)	0. (.040)	0. (.047)
0.175	0. (.029)	0. (.031)	0. (.034)	0. (.040)	0. (.047)
0.200	0. (.029)	0. (.031)	0. (.034)	0. (.040)	0. (.047)
0.225	0. (.029)	0. (.031)	0. (.034)	0. (.040)	0. (.047)
0.250	0. (.029)	0. (.031)	0. (.034)	0. (.040)	0. (.047)
0.275	0. (.029)	0. (.031)	0. (.034)	0. (.040)	0. (.047)
0.300	0. (.029)	0. (.031)	0. (.034)	0. (.040)	0. (.047)
0.325	0. (.029)	0. (.031)	0. (.034)	0. (.040)	0. (.047)
0.350	0. (.029)	0. (.031)	0. (.034)	0. (.040)	0. (.047)
0.375	0. (.029)	0. (.031)	0. (.034)	0. (.040)	0. (.047)
0.400	0. (.029)	0. (.031)	0. (.034)	0. (.040)	0. (.047)
0.425	0. (.029)	0. (.031)	0. (.034)	0. (.040)	0. (.047)
0.450	0. (.029)	0. (.031)	0. (.034)	0. (.040)	0. (.047)
0.475	0. (.029)	0. (.031)	0. (.034)	0. (.040)	0. (.047)
0.500	0. (.029)	0. (.031)	0. (.034)	0. (.040)	0. (.047)
0.525	0. (.029)	0. (.031)	0. (.034)	0. (.040)	0. (.047)
0.550	0. (.029)	0. (.031)	0. (.034)	0. (.040)	0. (.047)
0.575	0. (.029)	0. (.031)	0. (.034)	0. (.040)	0. (.047)
0.600	0. (.029)	0. (.031)	0. (.034)	0. (.040)	0. (.047)
0.625	0. (.029)	0. (.031)	0. (.034)	0. (.040)	0. (.047)
0.650	0. (.029)	0. (.031)	0. (.034)	0. (.040)	0. (.047)
0.675	0. (.029)	0. (.031)	0. (.034)	0. (.040)	0. (.047)
0.700	0. (.029)	0. (.031)	0. (.034)	0. (.040)	0. (.047)
0.725	0. (.029)	0. (.031)	0. (.034)	0. (.040)	0. (.047)
0.750	0. (.029)	0. (.031)	0. (.034)	0. (.040)	0. (.047)
0.775	0. (.029)	0. (.031)	0. (.034)	0. (.040)	0. (.047)
0.800	0. (.029)	0. (.031)	0. (.034)	0. (.040)	0. (.047)
0.825	0. (.029)	0. (.031)	0. (.034)	0. (.040)	0. (.047)
0.850	0. (.029)	0. (.031)	0. (.034)	0. (.040)	0. (.047)
0.875	0. (.029)	0. (.031)	0. (.034)	0. (.040)	0. (.047)
0.900	0. (.029)	0. (.031)	0. (.034)	0. (.040)	0. (.047)
0.925	0. (.029)	0. (.031)	0. (.034)	0. (.040)	0. (.047)
0.950	0. (.029)	0. (.031)	0. (.034)	0. (.040)	0. (.047)
0.975	0.655(.037)	0.558(.038)	0.026(.034)	0. (.040)	0. (.047)
1.000	1.000(.058)	1.000(.057)	1.000(.047)	1.000(.053)	1.000(.059)

RE-ORDER No. *66-196*
App. 9
Phiswell

*** RELATIVE ENERGY FLUX DENSITY IN THE ***
 *** PENUMBRA OF A RECTANGULAR CYLINDER ***

VERSION D

SOLAR FIELD ANGLE, D= 5.00 DEGREES
 GEOMETRY D2/R = 1.00 AND H/R = 0.5

BETA = ANGLE OF INCIDENCE, DEGREES

BETA ***	50.00		60.00		70.00		80.00		87.00	
AX/AB	Q	(QI)	Q	(QI)	Q	(QI)	Q	(QI)	Q	(QI)
0.	1.000	(.)	1.000	(.)	1.000	(.)	1.000	(.)	1.000	(.)
0.025	0.918	(.024)	0.952	(.024)	0.980	(.025)	0.997	(.025)	1.000	(.025)
0.050	0.629	(.043)	0.764	(.046)	0.893	(.048)	0.985	(.050)	1.000	(.050)
0.075	0.128	(.053)	0.441	(.061)	0.725	(.068)	0.956	(.074)	1.000	(.075)
0.100	0.	(.054)	0.054	(.067)	0.486	(.084)	0.906	(.097)	1.000	(.100)
0.125	0.	(.054)	0.	(.068)	0.171	(.092)	0.830	(.119)	1.000	(.125)
0.150	0.	(.054)	0.	(.068)	0.004	(.094)	0.725	(.138)	1.000	(.150)
0.175	0.	(.054)	0.	(.068)	0.	(.094)	0.591	(.155)	1.000	(.175)
0.200	0.	(.054)	0.	(.068)	0.	(.094)	0.416	(.167)	1.000	(.200)
0.225	0.	(.054)	0.	(.068)	0.	(.094)	0.224	(.175)	1.000	(.225)
0.250	0.	(.054)	0.	(.068)	0.	(.094)	0.066	(.179)	1.000	(.250)
0.275	0.	(.054)	0.	(.068)	0.	(.094)	0.000	(.180)	1.000	(.275)
0.300	0.	(.054)	0.	(.068)	0.	(.094)	0.	(.180)	0.999	(.300)
0.325	0.	(.054)	0.	(.068)	0.	(.094)	0.	(.180)	0.999	(.325)
0.350	0.	(.054)	0.	(.068)	0.	(.094)	0.	(.180)	0.999	(.350)
0.375	0.	(.054)	0.	(.068)	0.	(.094)	0.	(.180)	0.998	(.375)
0.400	0.	(.054)	0.	(.068)	0.	(.094)	0.	(.180)	0.998	(.400)
0.425	0.	(.054)	0.	(.068)	0.	(.094)	0.	(.180)	0.997	(.425)
0.450	0.	(.054)	0.	(.068)	0.	(.094)	0.	(.180)	0.996	(.450)
0.475	0.	(.054)	0.	(.068)	0.	(.094)	0.	(.180)	0.995	(.475)
0.500	0.	(.054)	0.	(.068)	0.	(.094)	0.	(.180)	0.993	(.499)
0.525	0.	(.054)	0.	(.068)	0.	(.094)	0.	(.180)	0.991	(.524)
0.550	0.	(.054)	0.	(.068)	0.	(.094)	0.	(.180)	0.987	(.549)
0.575	0.	(.054)	0.	(.068)	0.	(.094)	0.	(.180)	0.982	(.574)
0.600	0.	(.054)	0.	(.068)	0.	(.094)	0.	(.180)	0.976	(.598)
0.625	0.	(.054)	0.	(.068)	0.	(.094)	0.	(.180)	0.966	(.622)
0.650	0.	(.054)	0.	(.068)	0.	(.094)	0.	(.180)	0.951	(.646)
0.675	0.	(.054)	0.	(.068)	0.	(.094)	0.	(.180)	0.929	(.670)
0.700	0.	(.054)	0.	(.068)	0.	(.094)	0.	(.180)	0.896	(.693)
0.725	0.	(.054)	0.	(.068)	0.	(.094)	0.	(.180)	0.844	(.714)
0.750	0.	(.054)	0.	(.068)	0.	(.094)	0.	(.180)	0.760	(.734)
0.775	0.	(.054)	0.	(.068)	0.	(.094)	0.	(.180)	0.622	(.752)
0.800	0.	(.054)	0.	(.068)	0.	(.094)	0.	(.180)	0.389	(.764)
0.825	0.	(.054)	0.	(.068)	0.	(.094)	0.	(.180)	0.084	(.770)
0.850	0.	(.054)	0.	(.068)	0.	(.094)	0.	(.180)	0.	(.771)
0.875	0.	(.054)	0.	(.068)	0.	(.094)	0.	(.180)	0.	(.771)
0.900	0.	(.054)	0.	(.068)	0.	(.094)	0.	(.180)	0.	(.771)
0.925	0.	(.054)	0.	(.068)	0.	(.094)	0.	(.180)	0.	(.771)
0.950	0.	(.054)	0.	(.068)	0.	(.094)	0.	(.180)	0.	(.771)
0.975	0.	(.054)	0.	(.068)	0.	(.094)	0.	(.180)	0.	(.771)
1.000	0.	(.054)	0.	(.068)	0.	(.094)	0.	(.180)	0.	(.771)

D-92
 343

App A
Phase II

*** RELATIVE ENERGY FLUX DENSITY IN THE ***
 *** PENUMBRA OF A RECTANGULAR CYLINDER ***

VERSION D

SOLAR FIELD ANGLE, D= 5.00 DEGREES
 GEOMETRY D2/R = 5.00 AND H/R = 0.5

BETA = ANGLE OF INCIDENCE, DEGREES

BETA ***	0.	10.00	20.00	30.00	40.00
AX/AB	Q (Q1)	Q (Q1)	Q (Q1)	Q (Q1)	Q (Q1)
0.	1.000(.)	1.000(.)	1.000(.)	1.000(.)	1.000(.)
0.025	0.972(.025)	0.975(.025)	0.978(.025)	0.980(.025)	0.983(.025)
0.050	0.864(.048)	0.877(.048)	0.889(.048)	0.901(.048)	0.915(.049)
0.075	0.685(.067)	0.712(.068)	0.736(.068)	0.762(.069)	0.790(.070)
0.100	0.465(.081)	0.507(.083)	0.542(.084)	0.580(.086)	0.623(.087)
0.125	0.215(.090)	0.260(.092)	0.307(.095)	0.359(.098)	0.421(.101)
0.150	0.049(.093)	0.076(.097)	0.110(.100)	0.153(.104)	0.210(.108)
0.175	0.000(.094)	0.002(.098)	0.010(.102)	0.028(.106)	0.059(.112)
0.200	0. (.094)	0. (.098)	0. (.102)	0. (.107)	0.001(.113)
0.225	0. (.094)	0. (.098)	0. (.102)	0. (.107)	0. (.113)
0.250	0. (.094)	0. (.098)	0. (.102)	0. (.107)	0. (.113)
0.275	0. (.094)	0. (.098)	0. (.102)	0. (.107)	0. (.113)
0.300	0. (.094)	0. (.098)	0. (.102)	0. (.107)	0. (.113)
0.325	0. (.094)	0. (.098)	0. (.102)	0. (.107)	0. (.113)
0.350	0. (.094)	0. (.098)	0. (.102)	0. (.107)	0. (.113)
0.375	0. (.094)	0. (.098)	0. (.102)	0. (.107)	0. (.113)
0.400	0. (.094)	0. (.098)	0. (.102)	0. (.107)	0. (.113)
0.425	0. (.094)	0. (.098)	0. (.102)	0. (.107)	0. (.113)
0.450	0. (.094)	0. (.098)	0. (.102)	0. (.107)	0. (.113)
0.475	0. (.094)	0. (.098)	0. (.102)	0. (.107)	0. (.113)
0.500	0. (.094)	0. (.098)	0. (.102)	0. (.107)	0. (.113)
0.525	0. (.094)	0. (.098)	0. (.102)	0. (.107)	0. (.113)
0.550	0. (.094)	0. (.098)	0. (.102)	0. (.107)	0. (.113)
0.575	0. (.094)	0. (.098)	0. (.102)	0. (.107)	0. (.113)
0.600	0. (.094)	0. (.098)	0. (.102)	0. (.107)	0. (.113)
0.625	0. (.094)	0. (.098)	0. (.102)	0. (.107)	0. (.113)
0.650	0. (.094)	0. (.098)	0. (.102)	0. (.107)	0. (.113)
0.675	0. (.094)	0. (.098)	0. (.102)	0. (.107)	0. (.113)
0.700	0. (.094)	0. (.098)	0. (.102)	0. (.107)	0. (.113)
0.725	0. (.094)	0. (.098)	0. (.102)	0. (.107)	0. (.113)
0.750	0. (.094)	0. (.098)	0. (.102)	0. (.107)	0. (.113)
0.775	0. (.094)	0. (.098)	0. (.102)	0. (.107)	0. (.113)
0.800	0. (.094)	0. (.098)	0. (.102)	0. (.107)	0. (.113)
0.825	0.000(.094)	0. (.098)	0. (.102)	0. (.107)	0. (.113)
0.850	0.049(.094)	0.027(.098)	0.011(.102)	0.001(.107)	0. (.113)
0.875	0.215(.098)	0.173(.101)	0.130(.104)	0.085(.108)	0.040(.113)
0.900	0.465(.106)	0.420(.108)	0.370(.110)	0.310(.113)	0.235(.117)
0.925	0.685(.121)	0.659(.121)	0.627(.122)	0.588(.124)	0.535(.126)
0.950	0.864(.140)	0.850(.140)	0.833(.141)	0.811(.141)	0.781(.143)
0.975	0.972(.163)	0.968(.163)	0.964(.163)	0.959(.163)	0.951(.164)
1.000	1.000(.188)	1.000(.188)	1.000(.188)	1.000(.188)	1.000(.189)

App A
Phase II

*** RELATIVE ENERGY FLUX DENSITY IN THE ***
*** PENUMBRA OF A RECTANGULAR CYLINDER ***

VERSION D

SOLAR FIELD ANGLE, $D = 5.00$ DEGREES
GEOMETRY $D2/R = 5.00$ AND $H/R = 0.5$

BETA = ANGLE OF INCIDENCE, DEGREES

BETA ***	50.00	60.00	70.00	80.00	87.00
AX/AB	Q (Q1)	Q (Q1)	Q (Q1)	Q (Q1)	Q (Q1)
0.	1.000(.)	1.000(.)	1.000(.)	1.000(.)	1.000(.)
0.025	0.985(.025)	0.990(.025)	0.994(.025)	0.999(.025)	1.000(.025)
0.050	0.929(.049)	0.947(.049)	0.969(.049)	0.993(.050)	1.000(.050)
0.075	0.823(.071)	0.864(.072)	0.917(.073)	0.979(.075)	1.000(.075)
0.100	0.675(.089)	0.743(.092)	0.836(.095)	0.956(.099)	1.000(.100)
0.125	0.499(.104)	0.591(.108)	0.726(.114)	0.921(.122)	1.000(.125)
0.150	0.290(.114)	0.410(.121)	0.593(.131)	0.872(.145)	1.000(.150)
0.175	0.115(.119)	0.223(.129)	0.435(.144)	0.808(.166)	1.000(.175)
0.200	0.017(.121)	0.079(.133)	0.266(.153)	0.727(.185)	1.000(.200)
0.225	0. (.121)	0.007(.134)	0.120(.157)	0.631(.202)	1.000(.225)
0.250	0. (.121)	0. (.134)	0.026(.159)	0.517(.216)	1.000(.250)
0.275	0. (.121)	0. (.134)	0. (.160)	0.384(.227)	1.000(.275)
0.300	0. (.121)	0. (.134)	0. (.160)	0.247(.235)	0.999(.300)
0.325	0. (.121)	0. (.134)	0. (.160)	0.124(.240)	0.999(.325)
0.350	0. (.121)	0. (.134)	0. (.160)	0.035(.242)	0.999(.350)
0.375	0. (.121)	0. (.134)	0. (.160)	0.000(.242)	0.999(.375)
0.400	0. (.121)	0. (.134)	0. (.160)	0. (.242)	0.998(.400)
0.425	0. (.121)	0. (.134)	0. (.160)	0. (.242)	0.998(.425)
0.450	0. (.121)	0. (.134)	0. (.160)	0. (.242)	0.997(.450)
0.475	0. (.121)	0. (.134)	0. (.160)	0. (.242)	0.996(.475)
0.500	0. (.121)	0. (.134)	0. (.160)	0. (.242)	0.994(.500)
0.525	0. (.121)	0. (.134)	0. (.160)	0. (.242)	0.992(.524)
0.550	0. (.121)	0. (.134)	0. (.160)	0. (.242)	0.989(.549)
0.575	0. (.121)	0. (.134)	0. (.160)	0. (.242)	0.985(.574)
0.600	0. (.121)	0. (.134)	0. (.160)	0. (.242)	0.980(.598)
0.625	0. (.121)	0. (.134)	0. (.160)	0. (.242)	0.972(.623)
0.650	0. (.121)	0. (.134)	0. (.160)	0. (.242)	0.961(.647)
0.675	0. (.121)	0. (.134)	0. (.160)	0. (.242)	0.945(.671)
0.700	0. (.121)	0. (.134)	0. (.160)	0. (.242)	0.921(.694)
0.725	0. (.121)	0. (.134)	0. (.160)	0. (.242)	0.885(.717)
0.750	0. (.121)	0. (.134)	0. (.160)	0. (.242)	0.828(.738)
0.775	0. (.121)	0. (.134)	0. (.160)	0. (.242)	0.737(.758)
0.800	0. (.121)	0. (.134)	0. (.160)	0. (.242)	0.588(.774)
0.825	0. (.121)	0. (.134)	0. (.160)	0. (.242)	0.347(.786)
0.850	0. (.121)	0. (.134)	0. (.160)	0. (.242)	0.056(.791)
0.875	0.005(.121)	0. (.134)	0. (.160)	0. (.242)	0. (.792)
0.900	0.137(.123)	0.024(.134)	0. (.160)	0. (.242)	0. (.792)
0.925	0.445(.130)	0.263(.138)	0.001(.160)	0. (.242)	0. (.792)
0.950	0.732(.145)	0.633(.149)	0.288(.163)	0. (.242)	0. (.792)
0.975	0.937(.166)	0.907(.168)	0.790(.177)	0. (.242)	0. (.792)
1.000	1.000(.190)	1.000(.192)	1.000(.199)	0. (.242)	0. (.792)

*** RELATIVE ENERGY FLUX DENSITY IN THE ***
 *** PENUMBRA OF A RECTANGULAR CYLINDER ***

VERSION D

SOLAR FIELD ANGLE, $D = 5.00$ DEGREES
 GEOMETRY $D2/R = 10.00$ AND $H/R = 0.5$

BETA = ANGLE OF INCIDENCE, DEGREES

BETA ***	0.	10.00	20.00	30.00	40.00
AX/AB	Q (Q1)	Q (Q1)	Q (Q1)	Q (Q1)	Q (Q1)
0.	1.000(.)	1.000(.)	1.000(.)	1.000(.)	1.000(.)
0.025	0.991(.025)	0.992(.025)	0.992(.025)	0.993(.025)	0.994(.025)
0.050	0.954(.049)	0.957(.049)	0.961(.049)	0.964(.049)	0.968(.049)
0.075	0.885(.072)	0.893(.072)	0.901(.073)	0.908(.073)	0.917(.073)
0.100	0.789(.093)	0.801(.094)	0.814(.094)	0.827(.094)	0.842(.095)
0.125	0.670(.111)	0.687(.112)	0.705(.113)	0.724(.114)	0.746(.115)
0.150	0.538(.126)	0.559(.128)	0.581(.129)	0.605(.130)	0.633(.132)
0.175	0.394(.138)	0.419(.140)	0.446(.142)	0.476(.144)	0.510(.146)
0.200	0.255(.146)	0.280(.149)	0.307(.151)	0.337(.154)	0.374(.157)
0.225	0.139(.151)	0.160(.154)	0.183(.157)	0.211(.161)	0.245(.165)
0.250	0.056(.154)	0.070(.157)	0.087(.161)	0.108(.165)	0.136(.170)
0.275	0.010(.154)	0.017(.158)	0.026(.162)	0.038(.167)	0.056(.172)
0.300	0. (.155)	0.000(.158)	0.001(.163)	0.004(.167)	0.011(.173)
0.325	0. (.155)	0. (.158)	0. (.163)	0. (.167)	0. (.173)
0.350	0. (.155)	0. (.158)	0. (.163)	0. (.167)	0. (.173)
0.375	0. (.155)	0. (.158)	0. (.163)	0. (.167)	0. (.173)
0.400	0. (.155)	0. (.158)	0. (.163)	0. (.167)	0. (.173)
0.425	0. (.155)	0. (.158)	0. (.163)	0. (.167)	0. (.173)
0.450	0. (.155)	0. (.158)	0. (.163)	0. (.167)	0. (.173)
0.475	0. (.155)	0. (.158)	0. (.163)	0. (.167)	0. (.173)
0.500	0. (.155)	0. (.158)	0. (.163)	0. (.167)	0. (.173)
0.525	0. (.155)	0. (.158)	0. (.163)	0. (.167)	0. (.173)
0.550	0. (.155)	0. (.158)	0. (.163)	0. (.167)	0. (.173)
0.575	0. (.155)	0. (.158)	0. (.163)	0. (.167)	0. (.173)
0.600	0. (.155)	0. (.158)	0. (.163)	0. (.167)	0. (.173)
0.625	0. (.155)	0. (.158)	0. (.163)	0. (.167)	0. (.173)
0.650	0. (.155)	0. (.158)	0. (.163)	0. (.167)	0. (.173)
0.675	0. (.155)	0. (.158)	0. (.163)	0. (.167)	0. (.173)
0.700	0. (.155)	0. (.158)	0. (.163)	0. (.167)	0. (.173)
0.725	0.010(.155)	0.006(.158)	0.002(.163)	0.000(.167)	0. (.173)
0.750	0.056(.156)	0.043(.159)	0.031(.163)	0.020(.168)	0.010(.173)
0.775	0.139(.158)	0.119(.161)	0.100(.165)	0.079(.169)	0.057(.174)
0.800	0.255(.163)	0.231(.165)	0.206(.168)	0.178(.172)	0.145(.177)
0.825	0.394(.171)	0.368(.173)	0.341(.175)	0.309(.178)	0.271(.182)
0.850	0.538(.183)	0.517(.184)	0.493(.186)	0.462(.188)	0.424(.191)
0.875	0.670(.198)	0.652(.199)	0.632(.200)	0.608(.201)	0.578(.203)
0.900	0.789(.216)	0.775(.216)	0.761(.217)	0.743(.218)	0.719(.219)
0.925	0.885(.237)	0.878(.237)	0.868(.238)	0.857(.238)	0.842(.239)
0.950	0.954(.260)	0.951(.260)	0.947(.260)	0.941(.261)	0.935(.261)
0.975	0.991(.284)	0.990(.284)	0.989(.284)	0.988(.285)	0.987(.285)
1.000	1.000(.309)	1.000(.309)	1.000(.309)	1.000(.310)	1.000(.310)

*** RELATIVE ENERGY FLUX DENSITY IN THE ***
 *** PENUMBRA OF A RECTANGULAR CYLINDER ***

VERSION D

SOLAR FIELD ANGLE, D = 5.00 DEGREES
 GEOMETRY D2/R = 10.00 AND H/R = 0.5

BETA = ANGLE OF INCIDENCE, DEGREES

BETA ***	50.00	60.00	70.00	80.00	87.00
AX/AB	Q (Q1)	Q (Q1)	Q (Q1)	Q (Q1)	Q (Q1)
0.	1.000(.)	1.000(.)	1.000(.)	1.000(.)	1.000(.)
0.025	0.995(.025)	0.996(.025)	0.997(.025)	0.999(.025)	1.000(.025)
0.050	0.972(.050)	0.978(.050)	0.986(.050)	0.996(.050)	1.000(.050)
0.075	0.928(.073)	0.942(.074)	0.961(.074)	0.988(.075)	1.000(.075)
0.100	0.861(.096)	0.886(.096)	0.922(.098)	0.975(.099)	1.000(.100)
0.125	0.773(.116)	0.811(.118)	0.866(.120)	0.954(.123)	1.000(.125)
0.150	0.669(.134)	0.718(.137)	0.796(.141)	0.926(.147)	1.000(.150)
0.175	0.552(.149)	0.613(.153)	0.711(.160)	0.889(.170)	1.000(.175)
0.200	0.424(.162)	0.497(.167)	0.613(.176)	0.842(.191)	1.000(.200)
0.225	0.294(.171)	0.369(.178)	0.506(.190)	0.785(.212)	1.000(.225)
0.250	0.178(.176)	0.247(.186)	0.386(.201)	0.716(.230)	1.000(.250)
0.275	0.085(.180)	0.142(.191)	0.269(.209)	0.637(.247)	1.000(.275)
0.300	0.025(.181)	0.061(.193)	0.163(.215)	0.549(.262)	1.000(.300)
0.325	0.001(.181)	0.014(.194)	0.078(.218)	0.446(.275)	0.999(.325)
0.350	0. (.181)	0.000(.194)	0.022(.219)	0.339(.284)	0.999(.350)
0.375	0. (.181)	0. (.194)	0.001(.219)	0.232(.291)	0.999(.375)
0.400	0. (.181)	0. (.194)	0. (.219)	0.135(.296)	0.998(.400)
0.425	0. (.181)	0. (.194)	0. (.219)	0.057(.298)	0.998(.425)
0.450	0. (.181)	0. (.194)	0. (.219)	0.011(.299)	0.997(.450)
0.475	0. (.181)	0. (.194)	0. (.219)	0. (.299)	0.996(.475)
0.500	0. (.181)	0. (.194)	0. (.219)	0. (.299)	0.995(.500)
0.525	0. (.181)	0. (.194)	0. (.219)	0. (.299)	0.993(.524)
0.550	0. (.181)	0. (.194)	0. (.219)	0. (.299)	0.991(.549)
0.575	0. (.181)	0. (.194)	0. (.219)	0. (.299)	0.988(.574)
0.600	0. (.181)	0. (.194)	0. (.219)	0. (.299)	0.983(.599)
0.625	0. (.181)	0. (.194)	0. (.219)	0. (.299)	0.977(.623)
0.650	0. (.181)	0. (.194)	0. (.219)	0. (.299)	0.968(.647)
0.675	0. (.181)	0. (.194)	0. (.219)	0. (.299)	0.956(.671)
0.700	0. (.181)	0. (.194)	0. (.219)	0. (.299)	0.938(.695)
0.725	0. (.181)	0. (.194)	0. (.219)	0. (.299)	0.911(.718)
0.750	0.002(.181)	0. (.194)	0. (.219)	0. (.299)	0.870(.740)
0.775	0.032(.182)	0.008(.194)	0. (.219)	0. (.299)	0.805(.761)
0.800	0.105(.184)	0.054(.195)	0.004(.220)	0. (.299)	0.704(.780)
0.825	0.221(.188)	0.149(.198)	0.044(.220)	0. (.299)	0.538(.796)
0.850	0.371(.195)	0.288(.203)	0.141(.222)	0. (.299)	0.284(.806)
0.875	0.534(.206)	0.460(.213)	0.297(.228)	0.000(.299)	0.021(.810)
0.900	0.685(.222)	0.626(.226)	0.495(.238)	0.032(.300)	0. (.810)
0.925	0.820(.240)	0.780(.244)	0.683(.253)	0.190(.303)	0. (.810)
0.950	0.924(.262)	0.904(.265)	0.853(.272)	0.514(.311)	0. (.810)
0.975	0.984(.286)	0.980(.288)	0.967(.294)	0.844(.328)	0. (.810)
1.000	1.000(.311)	1.000(.313)	1.000(.319)	1.000(.351)	0. (.810)

*** RELATIVE ENERGY FLUX DENSITY IN THE ***
 *** PENUMBRA OF A RECTANGULAR CYLINDER ***

VERSION D

SOLAR FIELD ANGLE, D= 5.00 DEGREES
 GEOMETRY D2/R = 50.00 AND H/R = 0.5

BETA = ANGLE OF INCIDENCE, DEGREES

BETA ***	0.	10.00	20.00	30.00	40.00
AX/AB	Q (Q1)	Q (Q1)	Q (Q1)	Q (Q1)	Q (Q1)
0.	1.000(.)	1.000(.)	1.000(.)	1.000(.)	1.000(.)
0.025	0.999(.025)	0.999(.025)	0.999(.025)	0.999(.025)	0.999(.025)
0.050	0.993(.050)	0.993(.050)	0.994(.050)	0.994(.050)	0.994(.050)
0.075	0.981(.075)	0.982(.075)	0.983(.075)	0.984(.075)	0.985(.075)
0.100	0.963(.099)	0.964(.099)	0.966(.099)	0.966(.099)	0.970(.099)
0.125	0.938(.123)	0.940(.123)	0.943(.123)	0.946(.123)	0.949(.123)
0.150	0.906(.146)	0.910(.146)	0.914(.146)	0.918(.146)	0.923(.146)
0.175	0.868(.168)	0.873(.168)	0.878(.168)	0.884(.169)	0.890(.169)
0.200	0.825(.189)	0.831(.189)	0.837(.190)	0.844(.190)	0.852(.191)
0.225	0.776(.209)	0.783(.210)	0.791(.210)	0.799(.211)	0.809(.212)
0.250	0.723(.228)	0.732(.229)	0.740(.229)	0.750(.230)	0.761(.231)
0.275	0.667(.245)	0.676(.246)	0.686(.247)	0.696(.248)	0.709(.250)
0.300	0.607(.261)	0.617(.262)	0.628(.264)	0.640(.265)	0.654(.267)
0.325	0.547(.276)	0.557(.277)	0.568(.279)	0.581(.280)	0.596(.282)
0.350	0.487(.288)	0.498(.290)	0.509(.292)	0.521(.294)	0.537(.297)
0.375	0.432(.300)	0.442(.302)	0.452(.304)	0.464(.306)	0.480(.309)
0.400	0.384(.310)	0.393(.312)	0.402(.315)	0.413(.317)	0.427(.321)
0.425	0.346(.319)	0.353(.322)	0.361(.324)	0.370(.327)	0.382(.331)
0.450	0.318(.328)	0.323(.330)	0.329(.333)	0.336(.336)	0.345(.340)
0.475	0.301(.335)	0.304(.338)	0.307(.341)	0.311(.344)	0.317(.348)
0.500	0.295(.343)	0.296(.345)	0.296(.348)	0.298(.352)	0.301(.356)
0.525	0.301(.350)	0.299(.353)	0.297(.356)	0.296(.359)	0.295(.363)
0.550	0.318(.358)	0.314(.361)	0.309(.363)	0.305(.367)	0.301(.371)
0.575	0.346(.366)	0.340(.369)	0.333(.371)	0.326(.375)	0.319(.378)
0.600	0.384(.375)	0.376(.378)	0.368(.380)	0.358(.383)	0.348(.387)
0.625	0.432(.386)	0.422(.388)	0.412(.390)	0.401(.393)	0.388(.396)
0.650	0.487(.397)	0.477(.399)	0.465(.401)	0.453(.403)	0.438(.406)
0.675	0.547(.410)	0.536(.412)	0.525(.413)	0.512(.415)	0.496(.418)
0.700	0.607(.424)	0.597(.426)	0.587(.427)	0.574(.429)	0.559(.431)
0.725	0.667(.440)	0.657(.441)	0.647(.443)	0.636(.444)	0.621(.446)
0.750	0.723(.458)	0.715(.459)	0.706(.459)	0.695(.461)	0.682(.462)
0.775	0.776(.476)	0.769(.477)	0.761(.478)	0.752(.479)	0.740(.480)
0.800	0.825(.496)	0.819(.497)	0.812(.497)	0.804(.498)	0.794(.499)
0.825	0.868(.518)	0.863(.518)	0.858(.518)	0.852(.519)	0.843(.520)
0.850	0.906(.540)	0.903(.540)	0.898(.540)	0.893(.541)	0.887(.541)
0.875	0.938(.563)	0.935(.563)	0.932(.563)	0.929(.563)	0.924(.564)
0.900	0.963(.587)	0.961(.587)	0.959(.587)	0.957(.587)	0.954(.587)
0.925	0.981(.611)	0.980(.611)	0.979(.611)	0.978(.611)	0.976(.611)
0.950	0.993(.636)	0.992(.636)	0.992(.636)	0.992(.636)	0.991(.636)
0.975	0.999(.661)	0.999(.661)	0.999(.661)	0.998(.661)	0.998(.661)
1.000	1.000(.685)	1.000(.686)	1.000(.686)	1.000(.686)	1.000(.686)

*** RELATIVE ENERGY FLUX DENSITY IN THE *** VERSION D
 *** PENUMBRA OF A RECTANGULAR CYLINDER ***

SOLAR FIELD ANGLE, D = 5.00 DEGREES
 GEOMETRY L2/R = 50.00 AND H/R = 0.5

BETA = ANGLE OF INCIDENCE, DEGREES

BETA ***	50.00		60.00		70.00		80.00		87.00	
AX/AB	Q	(Q1)	Q	(Q1)	Q	(Q1)	Q	(Q1)	Q	(Q1)
0.	1.000(.))	1.000(.))	1.000(.))	1.000(.))	1.000(.))
0.025	0.999(.025))	0.999(.025))	0.999(.025))	1.000(.025))	1.000(.025))
0.050	0.995(.050))	0.996(.050))	0.997(.050))	0.999(.050))	1.000(.050))
0.075	0.988(.075))	0.988(.075))	0.991(.075))	0.996(.075))	1.000(.075))
0.100	0.973(.099))	0.976(.099))	0.982(.099))	0.992(.100))	1.000(.100))
0.125	0.954(.123))	0.960(.123))	0.969(.124))	0.986(.125))	1.000(.125))
0.150	0.929(.147))	0.938(.147))	0.951(.148))	0.978(.149))	1.000(.150))
0.175	0.899(.170))	0.910(.170))	0.930(.171))	0.967(.173))	1.000(.175))
0.200	0.863(.192))	0.878(.193))	0.903(.194))	0.953(.197))	1.000(.200))
0.225	0.822(.213))	0.841(.214))	0.871(.216))	0.936(.221))	1.000(.225))
0.250	0.775(.233))	0.798(.235))	0.835(.238))	0.915(.244))	1.000(.250))
0.275	0.727(.251))	0.752(.254))	0.795(.258))	0.891(.267))	1.000(.275))
0.300	0.673(.269))	0.701(.272))	0.750(.277))	0.863(.289))	1.000(.300))
0.325	0.616(.285))	0.647(.289))	0.701(.296))	0.830(.310))	0.999(.325))
0.350	0.558(.300))	0.590(.304))	0.648(.312))	0.794(.330))	0.999(.350))
0.375	0.501(.313))	0.533(.318))	0.593(.328))	0.753(.349))	0.999(.375))
0.400	0.447(.325))	0.477(.331))	0.538(.342))	0.707(.368))	0.999(.400))
0.425	0.399(.335))	0.426(.342))	0.484(.355))	0.658(.385))	0.998(.425))
0.450	0.358(.345))	0.382(.353))	0.433(.366))	0.607(.401))	0.998(.450))
0.475	0.327(.353))	0.345(.362))	0.388(.377))	0.555(.415))	0.997(.475))
0.500	0.306(.361))	0.317(.370))	0.350(.386))	0.501(.428))	0.996(.500))
0.525	0.295(.369))	0.300(.378))	0.320(.394))	0.449(.440))	0.995(.525))
0.550	0.297(.376))	0.294(.385))	0.300(.402))	0.401(.451))	0.994(.549))
0.575	0.310(.384))	0.299(.392))	0.292(.409))	0.357(.460))	0.992(.574))
0.600	0.335(.392))	0.317(.400))	0.295(.417))	0.321(.469))	0.990(.599))
0.625	0.371(.401))	0.348(.408))	0.312(.424))	0.294(.476))	0.986(.624))
0.650	0.419(.411))	0.390(.418))	0.343(.432))	0.280(.484))	0.982(.648))
0.675	0.475(.422))	0.443(.428))	0.387(.442))	0.281(.491))	0.976(.673))
0.700	0.538(.434))	0.505(.440))	0.444(.452))	0.300(.498))	0.967(.697))
0.725	0.601(.449))	0.570(.453))	0.509(.464))	0.340(.506))	0.955(.721))
0.750	0.663(.464))	0.634(.468))	0.577(.477))	0.399(.515))	0.938(.745))
0.775	0.723(.482))	0.697(.485))	0.644(.493))	0.472(.526))	0.914(.768))
0.800	0.780(.501))	0.757(.503))	0.710(.510))	0.549(.539))	0.878(.790))
0.825	0.832(.521))	0.813(.523))	0.773(.528))	0.629(.554))	0.825(.812))
0.850	0.878(.542))	0.863(.544))	0.832(.548))	0.709(.570))	0.745(.831))
0.875	0.918(.565))	0.907(.566))	0.883(.570))	0.787(.589))	0.621(.848))
0.900	0.950(.588))	0.943(.589))	0.927(.592))	0.859(.610))	0.439(.862))
0.925	0.974(.612))	0.970(.613))	0.961(.616))	0.920(.632))	0.223(.870))
0.950	0.990(.637))	0.988(.637))	0.985(.640))	0.966(.655))	0.214(.875))
0.975	0.998(.661))	0.998(.662))	0.997(.665))	0.993(.680))	0.530(.885))
1.000	1.000(.686))	1.000(.687))	1.000(.690))	1.000(.705))	1.000(.904))

RE-ORDER NO. **66-196**
C. J. A.
Phase 11

*** RELATIVE ENERGY FLUX DENSITY IN THE ***
 *** PENUMBRA OF A RECTANGULAR CYLINDER ***

VERSION D

SOLAR FIELD ANGLE, D = 5.00 DEGREES
 GEOMETRY D2/R = 100.00 AND H/R = 0.5

BETA = ANGLE OF INCIDENCE, DEGREES

BETA ***	0.	10.00	20.00	30.00	40.00
AX/AB	Q (Q1)	Q (Q1)	Q (Q1)	Q (Q1)	Q (Q1)
0.	1.000(.)	1.000(.)	1.000(.)	1.000(.)	1.000(.)
0.025	0.999(.025)	0.999(.025)	0.999(.025)	0.999(.025)	0.999(.025)
0.050	0.995(.050)	0.995(.050)	0.996(.050)	0.996(.050)	0.996(.050)
0.075	0.987(.075)	0.988(.075)	0.988(.075)	0.989(.075)	0.990(.075)
0.100	0.975(.099)	0.976(.099)	0.977(.099)	0.978(.099)	0.980(.099)
0.125	0.958(.123)	0.960(.123)	0.961(.124)	0.963(.124)	0.965(.124)
0.150	0.936(.147)	0.938(.147)	0.941(.147)	0.944(.147)	0.947(.148)
0.175	0.909(.170)	0.913(.170)	0.916(.171)	0.920(.171)	0.924(.171)
0.200	0.878(.192)	0.882(.193)	0.887(.193)	0.891(.193)	0.897(.194)
0.225	0.845(.214)	0.850(.214)	0.855(.215)	0.860(.215)	0.867(.216)
0.250	0.811(.235)	0.817(.235)	0.822(.236)	0.828(.236)	0.835(.237)
0.275	0.779(.255)	0.784(.255)	0.790(.256)	0.796(.257)	0.804(.258)
0.300	0.748(.274)	0.753(.274)	0.759(.275)	0.766(.276)	0.774(.277)
0.325	0.719(.292)	0.725(.293)	0.730(.294)	0.737(.295)	0.745(.296)
0.350	0.694(.310)	0.699(.311)	0.704(.312)	0.710(.313)	0.718(.315)
0.375	0.672(.327)	0.676(.328)	0.681(.329)	0.687(.331)	0.694(.332)
0.400	0.654(.343)	0.657(.345)	0.661(.346)	0.666(.347)	0.672(.349)
0.425	0.639(.359)	0.642(.361)	0.645(.362)	0.649(.364)	0.654(.366)
0.450	0.628(.375)	0.630(.377)	0.632(.378)	0.635(.380)	0.639(.382)
0.475	0.621(.391)	0.622(.392)	0.624(.394)	0.626(.396)	0.628(.398)
0.500	0.619(.406)	0.619(.408)	0.620(.409)	0.620(.411)	0.621(.414)
0.525	0.621(.422)	0.620(.423)	0.620(.425)	0.619(.427)	0.619(.429)
0.550	0.628(.438)	0.626(.439)	0.624(.441)	0.622(.442)	0.621(.445)
0.575	0.639(.453)	0.636(.455)	0.633(.456)	0.630(.458)	0.627(.460)
0.600	0.654(.470)	0.650(.471)	0.646(.472)	0.642(.474)	0.638(.476)
0.625	0.672(.486)	0.668(.487)	0.663(.489)	0.658(.490)	0.653(.492)
0.650	0.694(.503)	0.689(.504)	0.684(.505)	0.678(.507)	0.672(.509)
0.675	0.719(.521)	0.714(.522)	0.709(.523)	0.702(.524)	0.695(.526)
0.700	0.748(.539)	0.742(.540)	0.737(.541)	0.730(.542)	0.722(.543)
0.725	0.779(.558)	0.773(.559)	0.767(.560)	0.761(.561)	0.752(.562)
0.750	0.811(.578)	0.806(.579)	0.800(.579)	0.794(.580)	0.786(.581)
0.775	0.845(.599)	0.840(.599)	0.835(.600)	0.829(.600)	0.821(.601)
0.800	0.878(.620)	0.874(.621)	0.870(.621)	0.864(.622)	0.858(.622)
0.825	0.909(.643)	0.906(.643)	0.902(.643)	0.898(.644)	0.893(.644)
0.850	0.936(.666)	0.933(.666)	0.931(.666)	0.927(.666)	0.923(.667)
0.875	0.958(.689)	0.956(.690)	0.954(.690)	0.952(.690)	0.949(.690)
0.900	0.975(.714)	0.974(.714)	0.973(.714)	0.971(.714)	0.969(.714)
0.925	0.987(.738)	0.987(.738)	0.986(.738)	0.985(.738)	0.984(.739)
0.950	0.995(.763)	0.995(.763)	0.995(.763)	0.994(.763)	0.994(.763)
0.975	0.999(.788)	0.999(.788)	0.999(.788)	0.999(.788)	0.999(.788)
1.000	1.000(.813)	1.000(.813)	1.000(.813)	1.000(.813)	1.000(.813)

D-99
 350

RE-ORDER No. 66-196

APP 4
Phase II

*** RELATIVE ENERGY FLUX DENSITY IN THE ***
 *** PENUMBRA OF A RECTANGULAR CYLINDER ***

VERSION D

SOLAR FIELD ANGLE, D = 5.00 DEGREES
 GEOMETRY D2/R = 100.00 AND H/R = 0.5

BETA = ANGLE OF INCIDENCE, DEGREES

BETA ***	50.00	60.00	70.00	80.00	87.00
AX/AB	Q (Q1)	Q (Q1)	Q (Q1)	Q (Q1)	Q (Q1)
0.	1.000(.)	1.000(.)	1.000(.)	1.000(.)	1.000(.)
0.025	0.999(.025)	0.999(.025)	0.999(.025)	0.999(.025)	0.999(.025)
0.050	0.997(.050)	0.997(.050)	0.998(.050)	0.999(.050)	1.000(.050)
0.075	0.991(.075)	0.992(.075)	0.994(.075)	0.997(.075)	1.000(.075)
0.100	0.981(.099)	0.984(.100)	0.987(.100)	0.994(.100)	1.000(.100)
0.125	0.968(.124)	0.972(.124)	0.978(.124)	0.990(.125)	1.000(.125)
0.150	0.951(.148)	0.957(.148)	0.966(.148)	0.984(.149)	1.000(.150)
0.175	0.929(.171)	0.937(.172)	0.950(.172)	0.976(.174)	1.000(.175)
0.200	0.904(.194)	0.914(.195)	0.931(.196)	0.965(.198)	1.000(.200)
0.225	0.875(.216)	0.888(.217)	0.909(.219)	0.953(.222)	1.000(.225)
0.250	0.845(.238)	0.859(.239)	0.884(.241)	0.938(.246)	1.000(.250)
0.275	0.815(.259)	0.830(.260)	0.857(.263)	0.921(.269)	1.000(.275)
0.300	0.785(.279)	0.801(.281)	0.830(.284)	0.902(.292)	1.000(.300)
0.325	0.755(.298)	0.772(.300)	0.803(.305)	0.881(.314)	1.000(.325)
0.350	0.729(.316)	0.745(.319)	0.776(.324)	0.860(.336)	0.999(.350)
0.375	0.704(.334)	0.719(.338)	0.749(.343)	0.837(.357)	0.999(.375)
0.400	0.681(.352)	0.695(.355)	0.724(.362)	0.813(.378)	0.999(.400)
0.425	0.662(.368)	0.674(.372)	0.701(.380)	0.788(.398)	0.999(.425)
0.450	0.646(.385)	0.656(.389)	0.679(.397)	0.764(.417)	0.998(.450)
0.475	0.633(.401)	0.641(.405)	0.660(.414)	0.739(.436)	0.998(.475)
0.500	0.624(.417)	0.629(.421)	0.644(.430)	0.715(.454)	0.997(.500)
0.525	0.619(.432)	0.621(.437)	0.631(.446)	0.692(.472)	0.996(.525)
0.550	0.619(.448)	0.618(.452)	0.622(.462)	0.670(.489)	0.995(.550)
0.575	0.623(.463)	0.619(.468)	0.617(.477)	0.649(.505)	0.994(.574)
0.600	0.632(.479)	0.625(.483)	0.616(.492)	0.632(.521)	0.992(.599)
0.625	0.645(.495)	0.635(.499)	0.621(.508)	0.619(.537)	0.989(.624)
0.650	0.663(.511)	0.651(.515)	0.631(.524)	0.609(.552)	0.986(.649)
0.675	0.685(.528)	0.670(.532)	0.646(.540)	0.606(.567)	0.982(.673)
0.700	0.711(.545)	0.695(.549)	0.667(.556)	0.609(.582)	0.976(.698)
0.725	0.741(.564)	0.724(.566)	0.693(.573)	0.619(.598)	0.969(.722)
0.750	0.775(.582)	0.758(.585)	0.725(.591)	0.637(.613)	0.958(.746)
0.775	0.811(.602)	0.794(.604)	0.761(.609)	0.665(.630)	0.944(.770)
0.800	0.848(.623)	0.833(.625)	0.802(.629)	0.702(.647)	0.923(.793)
0.825	0.885(.645)	0.872(.646)	0.845(.649)	0.750(.665)	0.893(.816)
0.850	0.917(.667)	0.908(.668)	0.887(.671)	0.805(.684)	0.849(.838)
0.875	0.945(.691)	0.938(.691)	0.923(.694)	0.861(.705)	0.785(.858)
0.900	0.967(.714)	0.962(.715)	0.953(.717)	0.910(.727)	0.694(.877)
0.925	0.983(.739)	0.981(.739)	0.975(.741)	0.951(.751)	0.577(.893)
0.950	0.994(.763)	0.993(.764)	0.990(.766)	0.980(.775)	0.498(.906)
0.975	0.999(.788)	0.999(.789)	0.998(.791)	0.996(.799)	0.719(.921)
1.000	1.000(.813)	1.000(.814)	1.000(.816)	1.000(.824)	1.000(.943)

D-100
35/

AppA
Phase II

*** RELATIVE ENERGY FLUX DENSITY IN THE ***
 *** PENUMBRA OF A RECTANGULAR CYLINDER ***
 VERSION D

SOLAR FIELD ANGLE, D = 5.00 DEGREES
 GEOMETRY D2/R = 1.00 AND H/R = 1.0

BETA = ANGLE OF INCIDENCE, DEGREES

BETA ***	0.	10.00	20.00	30.00	40.00
AX/AB	Q (Q1)	Q (Q1)	Q (Q1)	Q (Q1)	Q (Q1)
0.	1.000(.)	1.000(.)	1.000(.)	1.000(.)	1.000(.)
0.025	0.798(.022)	0.835(.023)	0.867(.023)	0.894(.024)	0.919(.024)
0.050	0. (.032)	0. (.033)	0.297(.038)	0.554(.042)	0.638(.043)
0.075	0. (.032)	0. (.033)	0. (.042)	0. (.049)	0.000(.051)
0.100	0. (.032)	0. (.033)	0. (.042)	0. (.049)	0. (.051)
0.125	0. (.032)	0. (.033)	0. (.042)	0. (.049)	0. (.051)
0.150	0. (.032)	0. (.033)	0. (.042)	0. (.049)	0. (.051)
0.175	0. (.032)	0. (.033)	0. (.042)	0. (.049)	0. (.051)
0.200	0. (.032)	0. (.033)	0. (.042)	0. (.049)	0. (.051)
0.225	0. (.032)	0. (.033)	0. (.042)	0. (.049)	0. (.051)
0.250	0. (.032)	0. (.033)	0. (.042)	0. (.049)	0. (.051)
0.275	0. (.032)	0. (.033)	0. (.042)	0. (.049)	0. (.051)
0.300	0. (.032)	0. (.033)	0. (.042)	0. (.049)	0. (.051)
0.325	0. (.032)	0. (.033)	0. (.042)	0. (.049)	0. (.051)
0.350	0. (.032)	0. (.033)	0. (.042)	0. (.049)	0. (.051)
0.375	0. (.032)	0. (.033)	0. (.042)	0. (.049)	0. (.051)
0.400	0. (.032)	0. (.033)	0. (.042)	0. (.049)	0. (.051)
0.425	0. (.032)	0. (.033)	0. (.042)	0. (.049)	0. (.051)
0.450	0. (.032)	0. (.033)	0. (.042)	0. (.049)	0. (.051)
0.475	0. (.032)	0. (.033)	0. (.042)	0. (.049)	0. (.051)
0.500	0. (.032)	0. (.033)	0. (.042)	0. (.049)	0. (.051)
0.525	0. (.032)	0. (.033)	0. (.042)	0. (.049)	0. (.051)
0.550	0. (.032)	0. (.033)	0. (.042)	0. (.049)	0. (.051)
0.575	0. (.032)	0. (.033)	0. (.042)	0. (.049)	0. (.051)
0.600	0. (.032)	0. (.033)	0. (.042)	0. (.049)	0. (.051)
0.625	0. (.032)	0. (.033)	0. (.042)	0. (.049)	0. (.051)
0.650	0. (.032)	0. (.033)	0. (.042)	0. (.049)	0. (.051)
0.675	0. (.032)	0. (.033)	0. (.042)	0. (.049)	0. (.051)
0.700	0. (.032)	0. (.033)	0. (.042)	0. (.049)	0. (.051)
0.725	0. (.032)	0. (.033)	0. (.042)	0. (.049)	0. (.051)
0.750	0. (.032)	0. (.033)	0. (.042)	0. (.049)	0. (.051)
0.775	0. (.032)	0. (.033)	0. (.042)	0. (.049)	0. (.051)
0.800	0. (.032)	0. (.033)	0. (.042)	0. (.049)	0. (.051)
0.825	0. (.032)	0. (.033)	0. (.042)	0. (.049)	0. (.051)
0.850	0. (.032)	0. (.033)	0. (.042)	0. (.049)	0. (.051)
0.875	0. (.032)	0. (.033)	0. (.042)	0. (.049)	0. (.051)
0.900	0. (.032)	0. (.033)	0. (.042)	0. (.049)	0. (.051)
0.925	0. (.032)	0. (.033)	0. (.042)	0. (.049)	0. (.051)
0.950	0. (.032)	0. (.033)	0. (.042)	0. (.049)	0. (.051)
0.975	0.798(.042)	0.750(.043)	0. (.042)	0. (.049)	0. (.051)
1.000	1.000(.065)	1.000(.065)	1.000(.054)	1.000(.061)	1.000(.064)

*** RELATIVE ENERGY FLUX DENSITY IN THE *** VERSION D
 *** PENUMBRA OF A RECTANGULAR CYLINDER ***

SOLAR FIELD ANGLE, $\theta = 5.00$ DEGREES
 GEOMETRY $DZ/R = 1.00$ AND $H/R = 1.0$

BETA = ANGLE OF INCIDENCE, DEGREES

BETA ***	50.00	60.00	70.00	80.00	87.00
AX/AB	Q (Q1)	Q (Q1)	Q (Q1)	Q (Q1)	Q (Q1)
0.	1.000(.)	1.000(.)	1.000(.)	1.000(.)	1.000(.)
0.025	0.942(.024)	0.964(.025)	0.984(.025)	0.998(.025)	1.000(.025)
0.050	0.727(.045)	0.820(.047)	0.914(.049)	0.986(.050)	1.000(.050)
0.075	0.245(.057)	0.575(.064)	0.776(.070)	0.961(.074)	1.000(.075)
0.100	0. (.060)	0.087(.073)	0.580(.087)	0.917(.098)	1.000(.100)
0.125	0. (.060)	0. (.074)	0.234(.097)	0.850(.120)	1.000(.125)
0.150	0. (.060)	0. (.074)	0.005(.100)	0.757(.140)	1.000(.150)
0.175	0. (.060)	0. (.074)	0. (.100)	0.637(.157)	1.000(.175)
0.200	0. (.060)	0. (.074)	0. (.100)	0.477(.171)	1.000(.200)
0.225	0. (.060)	0. (.074)	0. (.100)	0.263(.180)	1.000(.225)
0.250	0. (.060)	0. (.074)	0. (.100)	0.078(.185)	1.000(.250)
0.275	0. (.060)	0. (.074)	0. (.100)	0.000(.186)	1.000(.275)
0.300	0. (.060)	0. (.074)	0. (.100)	0. (.186)	0.999(.300)
0.325	0. (.060)	0. (.074)	0. (.100)	0. (.186)	0.999(.325)
0.350	0. (.060)	0. (.074)	0. (.100)	0. (.186)	0.999(.350)
0.375	0. (.060)	0. (.074)	0. (.100)	0. (.186)	0.999(.375)
0.400	0. (.060)	0. (.074)	0. (.100)	0. (.186)	0.998(.400)
0.425	0. (.060)	0. (.074)	0. (.100)	0. (.186)	0.997(.425)
0.450	0. (.060)	0. (.074)	0. (.100)	0. (.186)	0.996(.450)
0.475	0. (.060)	0. (.074)	0. (.100)	0. (.186)	0.995(.475)
0.500	0. (.060)	0. (.074)	0. (.100)	0. (.186)	0.993(.499)
0.525	0. (.060)	0. (.074)	0. (.100)	0. (.186)	0.991(.524)
0.550	0. (.060)	0. (.074)	0. (.100)	0. (.186)	0.988(.549)
0.575	0. (.060)	0. (.074)	0. (.100)	0. (.186)	0.983(.574)
0.600	0. (.060)	0. (.074)	0. (.100)	0. (.186)	0.976(.598)
0.625	0. (.060)	0. (.074)	0. (.100)	0. (.186)	0.967(.622)
0.650	0. (.060)	0. (.074)	0. (.100)	0. (.186)	0.953(.646)
0.675	0. (.060)	0. (.074)	0. (.100)	0. (.186)	0.932(.670)
0.700	0. (.060)	0. (.074)	0. (.100)	0. (.186)	0.900(.693)
0.725	0. (.060)	0. (.074)	0. (.100)	0. (.186)	0.851(.715)
0.750	0. (.060)	0. (.074)	0. (.100)	0. (.186)	0.771(.735)
0.775	0. (.060)	0. (.074)	0. (.100)	0. (.186)	0.643(.753)
0.800	0. (.060)	0. (.074)	0. (.100)	0. (.186)	0.409(.766)
0.825	0. (.060)	0. (.074)	0. (.100)	0. (.186)	0.090(.772)
0.850	0. (.060)	0. (.074)	0. (.100)	0. (.186)	0. (.773)
0.875	0. (.060)	0. (.074)	0. (.100)	0. (.186)	0. (.773)
0.900	0. (.060)	0. (.074)	0. (.100)	0. (.186)	0. (.773)
0.925	0. (.060)	0. (.074)	0. (.100)	0. (.186)	0. (.773)
0.950	0. (.060)	0. (.074)	0. (.100)	0. (.186)	0. (.773)
0.975	0. (.060)	0. (.074)	0. (.100)	0. (.186)	0. (.773)
1.000	0. (.060)	0. (.074)	0. (.100)	0. (.186)	0. (.773)

App. 1
Phase

*** RELATIVE ENERGY FLUX DENSITY IN THE ***
 *** PENUMBRA OF A RECTANGULAR CYLINDER ***

VERSION D

SOLAR FIELD ANGLE, D= 5.00 DEGREES
 GEOMETRY D2/R = 5.00 AND H/R = 1.0

BETA = ANGLE OF INCIDENCE, DEGREES

BETA ***	0.	10.00	20.00	30.00	40.00
AX/AB	Q (Q1)	Q (Q1)	Q (Q1)	Q (Q1)	Q (Q1)
0.	1.000(.)	1.000(.)	1.000(.)	1.000(.)	1.000(.)
0.025	0.975(.025)	0.978(.025)	0.981(.025)	0.983(.025)	0.985(.025)
0.050	0.883(.048)	0.894(.048)	0.904(.048)	0.914(.049)	0.925(.049)
0.075	0.725(.058)	0.746(.069)	0.769(.069)	0.791(.070)	0.815(.070)
0.100	0.531(.084)	0.562(.085)	0.593(.086)	0.626(.088)	0.664(.089)
0.125	0.251(.094)	0.302(.096)	0.356(.098)	0.414(.101)	0.482(.103)
0.150	0.050(.097)	0.062(.101)	0.122(.104)	0.172(.108)	0.238(.112)
0.175	0. (.098)	0.001(.102)	0.008(.106)	0.026(.110)	0.062(.116)
0.200	0. (.098)	0. (.102)	0. (.106)	0. (.111)	0.000(.117)
0.225	0. (.098)	0. (.102)	0. (.106)	0. (.111)	0. (.117)
0.250	0. (.098)	0. (.102)	0. (.106)	0. (.111)	0. (.117)
0.275	0. (.098)	0. (.102)	0. (.106)	0. (.111)	0. (.117)
0.300	0. (.098)	0. (.102)	0. (.106)	0. (.111)	0. (.117)
0.325	0. (.098)	0. (.102)	0. (.106)	0. (.111)	0. (.117)
0.350	0. (.098)	0. (.102)	0. (.106)	0. (.111)	0. (.117)
0.375	0. (.098)	0. (.102)	0. (.106)	0. (.111)	0. (.117)
0.400	0. (.098)	0. (.102)	0. (.106)	0. (.111)	0. (.117)
0.425	0. (.098)	0. (.102)	0. (.106)	0. (.111)	0. (.117)
0.450	0. (.098)	0. (.102)	0. (.106)	0. (.111)	0. (.117)
0.475	0. (.098)	0. (.102)	0. (.106)	0. (.111)	0. (.117)
0.500	0. (.098)	0. (.102)	0. (.106)	0. (.111)	0. (.117)
0.525	0. (.098)	0. (.102)	0. (.106)	0. (.111)	0. (.117)
0.550	0. (.098)	0. (.102)	0. (.106)	0. (.111)	0. (.117)
0.575	0. (.098)	0. (.102)	0. (.106)	0. (.111)	0. (.117)
0.600	0. (.098)	0. (.102)	0. (.106)	0. (.111)	0. (.117)
0.625	0. (.098)	0. (.102)	0. (.106)	0. (.111)	0. (.117)
0.650	0. (.098)	0. (.102)	0. (.106)	0. (.111)	0. (.117)
0.675	0. (.098)	0. (.102)	0. (.106)	0. (.111)	0. (.117)
0.700	0. (.098)	0. (.102)	0. (.106)	0. (.111)	0. (.117)
0.725	0. (.098)	0. (.102)	0. (.106)	0. (.111)	0. (.117)
0.750	0. (.098)	0. (.102)	0. (.106)	0. (.111)	0. (.117)
0.775	0. (.098)	0. (.102)	0. (.106)	0. (.111)	0. (.117)
0.800	0. (.098)	0. (.102)	0. (.106)	0. (.111)	0. (.117)
0.825	0. (.098)	0. (.102)	0. (.106)	0. (.111)	0. (.117)
0.850	0.050(.099)	0.025(.102)	0.008(.106)	0.000(.111)	0. (.117)
0.875	0.251(.102)	0.200(.105)	0.148(.108)	0.094(.112)	0.040(.117)
0.900	0.531(.112)	0.498(.114)	0.442(.115)	0.374(.118)	0.285(.121)
0.925	0.725(.128)	0.703(.129)	0.676(.129)	0.643(.130)	0.598(.132)
0.950	0.883(.148)	0.871(.148)	0.858(.148)	0.840(.149)	0.815(.150)
0.975	0.975(.171)	0.973(.171)	0.970(.171)	0.966(.172)	0.959(.172)
1.000	1.000(.196)	1.000(.196)	1.000(.196)	1.000(.196)	1.000(.197)

*** RELATIVE ENERGY FLUX DENSITY IN THE ***
 *** PENUMBRA OF A RECTANGULAR CYLINDER ***

VERSION D

SOLAR FIELD ANGLE, D = 5.00 DEGREES
 GEOMETRY D2/R = 5.00 AND H/R = 1.0

BETA = ANGLE OF INCIDENCE, DEGREES

BETA ***,	50.00	60.00	70.00	80.00	87.00
AX/AB	Q (Q1)	Q (Q1)	Q (Q1)	Q (Q1)	Q (Q1)
0.	1.000(.)	1.000(.)	1.000(.)	1.000(.)	1.000(.)
0.025	0.988(.025)	0.991(.025)	0.995(.025)	0.999(.025)	1.000(.025)
0.050	0.938(.049)	0.953(.049)	0.972(.050)	0.993(.050)	1.000(.050)
0.075	0.843(.071)	0.879(.072)	0.925(.073)	0.981(.075)	1.000(.075)
0.100	0.710(.091)	0.769(.093)	0.851(.095)	0.959(.099)	1.000(.100)
0.125	0.548(.106)	0.630(.110)	0.750(.115)	0.927(.122)	1.000(.125)
0.150	0.328(.117)	0.459(.124)	0.627(.133)	0.881(.145)	1.000(.150)
0.175	0.127(.123)	0.248(.133)	0.478(.146)	0.821(.166)	1.000(.175)
0.200	0.015(.125)	0.083(.137)	0.292(.156)	0.746(.166)	1.000(.200)
0.225	0. (.125)	0.005(.138)	0.129(.161)	0.655(.203)	1.000(.225)
0.250	0. (.125)	0. (.138)	0.025(.163)	0.550(.218)	1.000(.250)
0.275	0. (.125)	0. (.138)	0. (.164)	0.410(.230)	1.000(.275)
0.300	0. (.125)	0. (.138)	0. (.164)	0.264(.239)	0.999(.300)
0.325	0. (.125)	0. (.138)	0. (.164)	0.130(.244)	0.999(.325)
0.350	0. (.125)	0. (.138)	0. (.164)	0.034(.246)	0.999(.350)
0.375	0. (.125)	0. (.138)	0. (.164)	0.000(.246)	0.999(.375)
0.400	0. (.125)	0. (.138)	0. (.164)	0. (.246)	0.998(.400)
0.425	0. (.125)	0. (.138)	0. (.164)	0. (.246)	0.998(.425)
0.450	0. (.125)	0. (.138)	0. (.164)	0. (.246)	0.997(.450)
0.475	0. (.125)	0. (.138)	0. (.164)	0. (.246)	0.996(.475)
0.500	0. (.125)	0. (.138)	0. (.164)	0. (.246)	0.994(.500)
0.525	0. (.125)	0. (.138)	0. (.164)	0. (.246)	0.992(.524)
0.550	0. (.125)	0. (.138)	0. (.164)	0. (.246)	0.989(.549)
0.575	0. (.125)	0. (.138)	0. (.164)	0. (.246)	0.986(.574)
0.600	0. (.125)	0. (.138)	0. (.164)	0. (.246)	0.980(.598)
0.625	0. (.125)	0. (.138)	0. (.164)	0. (.246)	0.973(.623)
0.650	0. (.125)	0. (.138)	0. (.164)	0. (.246)	0.962(.647)
0.675	0. (.125)	0. (.138)	0. (.164)	0. (.246)	0.947(.671)
0.700	0. (.125)	0. (.138)	0. (.164)	0. (.246)	0.924(.694)
0.725	0. (.125)	0. (.138)	0. (.164)	0. (.246)	0.888(.717)
0.750	0. (.125)	0. (.138)	0. (.164)	0. (.246)	0.833(.738)
0.775	0. (.125)	0. (.138)	0. (.164)	0. (.246)	0.746(.758)
0.800	0. (.125)	0. (.138)	0. (.164)	0. (.246)	0.603(.775)
0.825	0. (.125)	0. (.138)	0. (.164)	0. (.246)	0.358(.787)
0.850	0. (.125)	0. (.138)	0. (.164)	0. (.246)	0.055(.792)
0.875	0.002(.125)	0. (.138)	0. (.164)	0. (.246)	0. (.793)
0.900	0.164(.127)	0.021(.138)	0. (.164)	0. (.246)	0. (.793)
0.925	0.530(.136)	0.344(.143)	0. (.164)	0. (.246)	0. (.793)
0.950	0.776(.152)	0.697(.156)	0.460(.169)	0. (.246)	0. (.793)
0.975	0.949(.174)	0.926(.176)	0.843(.186)	0. (.246)	0. (.793)
1.000	1.000(.198)	1.000(.200)	1.000(.209)	0. (.246)	0. (.793)

5
4
3
2

*** RELATIVE ENERGY FLUX DENSITY IN THE ***
 *** PENUMBRA OF A RECTANGULAR CYLINDER ***

VERSION D

SOLAR FIELD ANGLE, D = 5.00 DEGREES
 GEOMETRY D2/R = 10.00 AND H/R = 1.0

BETA = ANGLE OF INCIDENCE, DEGREES

BETA ***	0.	10.00	20.00	30.00	40.00
AX/AB	Q (Q1)	Q (Q1)	Q (Q1)	Q (Q1)	Q (Q1)
0.	1.000(.)	1.000(.)	1.000(.)	1.000(.)	1.000(.)
0.025	0.992(.025)	0.992(.025)	0.993(.025)	0.994(.025)	0.994(.025)
0.050	0.957(.049)	0.950(.049)	0.963(.049)	0.966(.049)	0.970(.049)
0.075	0.893(.072)	0.900(.073)	0.907(.073)	0.914(.073)	0.922(.073)
0.100	0.802(.094)	0.814(.094)	0.825(.094)	0.838(.095)	0.852(.095)
0.125	0.689(.112)	0.706(.113)	0.722(.114)	0.740(.115)	0.761(.115)
0.150	0.563(.128)	0.583(.129)	0.604(.130)	0.626(.132)	0.653(.133)
0.175	0.418(.140)	0.445(.142)	0.473(.144)	0.504(.146)	0.535(.148)
0.200	0.268(.149)	0.294(.151)	0.323(.154)	0.355(.157)	0.394(.160)
0.225	0.141(.154)	0.164(.157)	0.189(.160)	0.218(.164)	0.256(.168)
0.250	0.053(.156)	0.068(.160)	0.085(.164)	0.108(.168)	0.138(.173)
0.275	0.008(.157)	0.014(.161)	0.022(.165)	0.034(.170)	0.053(.175)
0.300	0. (.157)	0.000(.161)	0.000(.165)	0.002(.170)	0.008(.176)
0.325	0. (.157)	0. (.161)	0. (.165)	0. (.170)	0. (.176)
0.350	0. (.157)	0. (.161)	0. (.165)	0. (.170)	0. (.176)
0.375	0. (.157)	0. (.161)	0. (.165)	0. (.170)	0. (.176)
0.400	0. (.157)	0. (.161)	0. (.165)	0. (.170)	0. (.176)
0.425	0. (.157)	0. (.161)	0. (.165)	0. (.170)	0. (.176)
0.450	0. (.157)	0. (.161)	0. (.165)	0. (.170)	0. (.176)
0.475	0. (.157)	0. (.161)	0. (.165)	0. (.170)	0. (.176)
0.500	0. (.157)	0. (.161)	0. (.165)	0. (.170)	0. (.176)
0.525	0. (.157)	0. (.161)	0. (.165)	0. (.170)	0. (.176)
0.550	0. (.157)	0. (.161)	0. (.165)	0. (.170)	0. (.176)
0.575	0. (.157)	0. (.161)	0. (.165)	0. (.170)	0. (.176)
0.600	0. (.157)	0. (.161)	0. (.165)	0. (.170)	0. (.176)
0.625	0. (.157)	0. (.161)	0. (.165)	0. (.170)	0. (.176)
0.650	0. (.157)	0. (.161)	0. (.165)	0. (.170)	0. (.176)
0.675	0. (.157)	0. (.161)	0. (.165)	0. (.170)	0. (.176)
0.700	0. (.157)	0. (.161)	0. (.165)	0. (.170)	0. (.176)
0.725	0.008(.157)	0.004(.161)	0.001(.165)	0.000(.170)	0.007(.176)
0.750	0.053(.158)	0.039(.162)	0.027(.166)	0.017(.170)	0.007(.176)
0.775	0.141(.160)	0.120(.164)	0.099(.167)	0.077(.171)	0.053(.177)
0.800	0.268(.165)	0.241(.168)	0.214(.171)	0.184(.175)	0.148(.179)
0.825	0.418(.174)	0.391(.176)	0.362(.178)	0.328(.181)	0.287(.185)
0.850	0.563(.186)	0.543(.188)	0.521(.189)	0.494(.191)	0.454(.194)
0.875	0.689(.202)	0.673(.203)	0.654(.204)	0.632(.205)	0.603(.207)
0.900	0.802(.221)	0.790(.221)	0.776(.222)	0.760(.223)	0.738(.224)
0.925	0.893(.242)	0.886(.242)	0.878(.242)	0.867(.243)	0.854(.244)
0.950	0.957(.265)	0.954(.265)	0.950(.265)	0.946(.266)	0.940(.266)
0.975	0.992(.289)	0.991(.289)	0.990(.290)	0.989(.290)	0.988(.290)
1.000	1.000(.314)	1.000(.314)	1.000(.314)	1.000(.315)	1.000(.315)

RE-ORDER NO. 66-196
Phase II

*** RELATIVE ENERGY FLUX DENSITY IN THE ***
 *** PENUMBRA OF A RECTANGULAR CYLINDER ***
 VERSION D

SOLAR FIELD ANGLE, D = 5.00 DEGREES
 GEOMETRY D2/R = 10.00 AND H/R = 1.0

BETA = ANGLE OF INCIDENCE, DEGREES

BETA ***	50.00	60.00	70.00	80.00	87.00
AX/AB	Q (Q1)	Q (Q1)	Q (Q1)	Q (Q1)	Q (Q1)
0.	1.000(.)	1.000(.)	1.000(.)	1.000(.)	1.000(.)
0.025	0.995(.025)	0.996(.025)	0.998(.025)	0.999(.025)	1.000(.025)
0.050	0.974(.050)	0.979(.050)	0.986(.050)	0.996(.050)	1.000(.050)
0.075	0.932(.073)	0.945(.074)	0.963(.074)	0.988(.075)	1.000(.075)
0.100	0.869(.096)	0.892(.097)	0.926(.098)	0.976(.099)	1.000(.100)
0.125	0.785(.117)	0.821(.118)	0.873(.120)	0.956(.123)	1.000(.125)
0.150	0.687(.135)	0.733(.138)	0.806(.141)	0.929(.147)	1.000(.150)
0.175	0.575(.151)	0.632(.155)	0.725(.160)	0.894(.170)	1.000(.175)
0.200	0.447(.164)	0.521(.169)	0.631(.177)	0.849(.192)	1.000(.200)
0.225	0.307(.173)	0.387(.180)	0.529(.192)	0.793(.212)	1.000(.225)
0.250	0.182(.179)	0.257(.188)	0.404(.203)	0.728(.231)	1.000(.250)
0.275	0.084(.182)	0.143(.193)	0.279(.212)	0.652(.248)	1.000(.275)
0.300	0.022(.184)	0.058(.196)	0.166(.218)	0.566(.264)	1.000(.300)
0.325	0.000(.184)	0.011(.197)	0.076(.221)	0.463(.276)	0.999(.325)
0.350	0. (.184)	0. (.197)	0.019(.222)	0.350(.287)	0.999(.350)
0.375	0. (.184)	0. (.197)	0.000(.222)	0.238(.294)	0.999(.375)
0.400	0. (.184)	0. (.197)	0. (.222)	0.135(.299)	0.998(.400)
0.425	0. (.184)	0. (.197)	0. (.222)	0.055(.301)	0.998(.425)
0.450	0. (.184)	0. (.197)	0. (.222)	0.009(.302)	0.997(.450)
0.475	0. (.184)	0. (.197)	0. (.222)	0. (.302)	0.996(.475)
0.500	0. (.184)	0. (.197)	0. (.222)	0. (.302)	0.995(.500)
0.525	0. (.184)	0. (.197)	0. (.222)	0. (.302)	0.993(.524)
0.550	0. (.184)	0. (.197)	0. (.222)	0. (.302)	0.991(.549)
0.575	0. (.184)	0. (.197)	0. (.222)	0. (.302)	0.988(.574)
0.600	0. (.184)	0. (.197)	0. (.222)	0. (.302)	0.983(.599)
0.625	0. (.184)	0. (.197)	0. (.222)	0. (.302)	0.977(.623)
0.650	0. (.184)	0. (.197)	0. (.222)	0. (.302)	0.969(.647)
0.675	0. (.184)	0. (.197)	0. (.222)	0. (.302)	0.957(.672)
0.700	0. (.184)	0. (.197)	0. (.222)	0. (.302)	0.939(.695)
0.725	0. (.184)	0. (.197)	0. (.222)	0. (.302)	0.913(.718)
0.750	0.001(.184)	0. (.197)	0. (.222)	0. (.302)	0.872(.741)
0.775	0.028(.184)	0.005(.197)	0. (.222)	0. (.302)	0.810(.762)
0.800	0.105(.186)	0.051(.198)	0.002(.222)	0. (.302)	0.712(.781)
0.825	0.232(.190)	0.153(.200)	0.040(.223)	0. (.302)	0.548(.796)
0.850	0.397(.198)	0.307(.206)	0.145(.225)	0. (.302)	0.287(.807)
0.875	0.562(.210)	0.495(.216)	0.321(.231)	0. (.302)	0.018(.811)
0.900	0.705(.226)	0.652(.230)	0.530(.241)	0.025(.302)	0. (.811)
0.925	0.833(.245)	0.797(.248)	0.709(.257)	0.211(.305)	0. (.811)
0.950	0.930(.267)	0.912(.270)	0.866(.277)	0.567(.315)	0. (.811)
0.975	0.985(.291)	0.982(.294)	0.970(.299)	0.867(.333)	0. (.811)
1.000	1.000(.316)	1.000(.318)	1.000(.324)	1.000(.356)	0. (.811)

D-106
 357

*** RELATIVE ENERGY FLUX DENSITY IN THE ***
 *** PENUMBRA OF A RECTANGULAR CYLINDER ***

VERSION D

SOLAR FIELD ANGLE, D= 5.00 DEGREES
 GEOMETRY D2/R = 50.00 AND H/R = 1.0

BETA = ANGLE OF INCIDENCE, DEGREES

BETA ***	0.	10.00	20.00	30.00	40.00
AX/AB	Q (Q1)	Q (Q1)	Q (Q1)	Q (Q1)	Q (Q1)
0.	1.000(.)	1.000(.)	1.000(.)	1.000(.)	1.000(.)
0.025	0.999(.025)	0.999(.025)	0.999(.025)	0.999(.025)	0.999(.025)
0.050	0.993(.050)	0.993(.050)	0.994(.050)	0.994(.050)	0.994(.050)
0.075	0.981(.075)	0.982(.075)	0.983(.075)	0.984(.075)	0.985(.075)
0.100	0.963(.099)	0.965(.099)	0.966(.099)	0.968(.099)	0.970(.099)
0.125	0.938(.123)	0.941(.123)	0.943(.123)	0.946(.123)	0.950(.123)
0.150	0.907(.146)	0.911(.146)	0.914(.146)	0.918(.146)	0.923(.147)
0.175	0.869(.168)	0.874(.168)	0.879(.168)	0.885(.169)	0.891(.169)
0.200	0.825(.189)	0.832(.190)	0.838(.190)	0.845(.190)	0.853(.191)
0.225	0.778(.209)	0.785(.210)	0.792(.210)	0.801(.211)	0.810(.212)
0.250	0.725(.228)	0.733(.229)	0.742(.230)	0.751(.230)	0.763(.231)
0.275	0.669(.245)	0.678(.246)	0.687(.247)	0.698(.249)	0.711(.250)
0.300	0.610(.261)	0.620(.263)	0.630(.264)	0.642(.265)	0.656(.267)
0.325	0.549(.275)	0.560(.277)	0.571(.279)	0.583(.281)	0.598(.283)
0.350	0.489(.289)	0.500(.291)	0.511(.292)	0.523(.294)	0.539(.297)
0.375	0.432(.300)	0.442(.302)	0.453(.304)	0.465(.307)	0.481(.310)
0.400	0.382(.310)	0.391(.313)	0.401(.315)	0.412(.318)	0.427(.321)
0.425	0.343(.320)	0.350(.322)	0.358(.325)	0.367(.327)	0.379(.331)
0.450	0.314(.328)	0.319(.330)	0.324(.333)	0.331(.336)	0.341(.340)
0.475	0.295(.335)	0.298(.338)	0.302(.341)	0.306(.344)	0.313(.348)
0.500	0.290(.343)	0.290(.345)	0.291(.348)	0.292(.352)	0.295(.356)
0.525	0.295(.350)	0.294(.353)	0.292(.356)	0.290(.359)	0.289(.363)
0.550	0.314(.358)	0.309(.360)	0.305(.363)	0.300(.366)	0.296(.370)
0.575	0.343(.366)	0.336(.368)	0.329(.371)	0.322(.374)	0.314(.378)
0.600	0.382(.375)	0.374(.377)	0.365(.380)	0.356(.383)	0.345(.386)
0.625	0.432(.385)	0.422(.387)	0.411(.389)	0.400(.392)	0.386(.395)
0.650	0.489(.397)	0.478(.398)	0.467(.400)	0.454(.403)	0.439(.406)
0.675	0.549(.410)	0.538(.411)	0.527(.413)	0.514(.415)	0.499(.417)
0.700	0.610(.424)	0.600(.425)	0.589(.427)	0.576(.428)	0.561(.431)
0.725	0.669(.440)	0.659(.441)	0.649(.442)	0.638(.444)	0.623(.446)
0.750	0.725(.457)	0.717(.458)	0.707(.459)	0.697(.460)	0.684(.462)
0.775	0.778(.476)	0.770(.477)	0.762(.478)	0.753(.478)	0.741(.480)
0.800	0.825(.496)	0.820(.497)	0.813(.497)	0.805(.498)	0.795(.499)
0.825	0.869(.517)	0.864(.518)	0.859(.518)	0.853(.519)	0.844(.519)
0.850	0.907(.540)	0.903(.540)	0.899(.540)	0.894(.540)	0.888(.541)
0.875	0.938(.563)	0.936(.563)	0.933(.563)	0.929(.563)	0.925(.564)
0.900	0.963(.586)	0.961(.587)	0.960(.587)	0.957(.587)	0.954(.587)
0.925	0.981(.611)	0.980(.611)	0.979(.611)	0.978(.611)	0.977(.611)
0.950	0.993(.635)	0.993(.635)	0.992(.636)	0.992(.636)	0.991(.636)
0.975	0.999(.660)	0.999(.660)	0.999(.660)	0.998(.661)	0.998(.661)
1.000	1.000(.685)	1.000(.685)	1.000(.685)	1.000(.686)	1.000(.686)

RE-ORDER No. 66-196

4/11/66
Phillips

*** RELATIVE ENERGY FLUX DENSITY IN THE ***
*** PENUMBRA OF A RECTANGULAR CYLINDER ***

VERSION D

SOLAR FIELD ANGLE, $D = 5.00$ DEGREES
GEOMETRY $D2/R = 50.00$ AND $H/R = 1.0$

BETA = ANGLE OF INCIDENCE, DEGREES

BETA ***	50.00	60.00	70.00	80.00	87.00
AX/AB	Q (Q1)	Q (Q1)	Q (Q1)	Q (Q1)	Q (Q1)
0.	1.000(.)	1.000(.)	1.000(.)	1.000(.)	1.000(.)
0.025	0.999(.025)	0.999(.025)	0.999(.025)	0.999(.025)	0.999(.025)
0.050	0.995(.050)	0.996(.050)	0.997(.050)	0.999(.050)	1.000(.050)
0.075	0.985(.075)	0.988(.075)	0.991(.075)	0.996(.075)	1.000(.075)
0.100	0.973(.099)	0.976(.099)	0.982(.099)	0.992(.100)	1.000(.100)
0.125	0.954(.123)	0.960(.123)	0.969(.124)	0.986(.125)	1.000(.125)
0.150	0.929(.147)	0.938(.147)	0.952(.148)	0.978(.149)	1.000(.150)
0.175	0.899(.170)	0.911(.170)	0.930(.171)	0.967(.173)	1.000(.175)
0.200	0.864(.192)	0.879(.193)	0.903(.194)	0.953(.197)	1.000(.200)
0.225	0.823(.213)	0.842(.214)	0.872(.216)	0.936(.221)	1.000(.225)
0.250	0.775(.233)	0.799(.235)	0.836(.238)	0.916(.244)	1.000(.250)
0.275	0.728(.252)	0.753(.254)	0.796(.258)	0.892(.267)	1.000(.275)
0.300	0.675(.269)	0.703(.272)	0.751(.278)	0.864(.289)	1.000(.300)
0.325	0.619(.285)	0.649(.289)	0.703(.296)	0.831(.310)	0.999(.325)
0.350	0.560(.300)	0.592(.305)	0.650(.313)	0.795(.330)	0.999(.350)
0.375	0.502(.313)	0.535(.319)	0.595(.328)	0.754(.350)	0.999(.375)
0.400	0.445(.325)	0.478(.331)	0.539(.342)	0.709(.368)	0.999(.400)
0.425	0.397(.336)	0.425(.343)	0.484(.355)	0.660(.385)	0.998(.425)
0.450	0.355(.345)	0.379(.353)	0.432(.367)	0.609(.401)	0.998(.450)
0.475	0.323(.354)	0.341(.362)	0.385(.377)	0.556(.415)	0.997(.475)
0.500	0.301(.361)	0.313(.370)	0.346(.386)	0.501(.429)	0.996(.500)
0.525	0.290(.369)	0.295(.378)	0.315(.394)	0.448(.440)	0.995(.525)
0.550	0.291(.376)	0.288(.385)	0.295(.402)	0.398(.451)	0.994(.549)
0.575	0.305(.384)	0.294(.392)	0.286(.409)	0.353(.460)	0.992(.574)
0.600	0.331(.391)	0.313(.400)	0.290(.416)	0.316(.469)	0.990(.599)
0.625	0.369(.400)	0.345(.408)	0.308(.424)	0.289(.476)	0.986(.624)
0.650	0.418(.410)	0.389(.417)	0.340(.432)	0.275(.483)	0.982(.648)
0.675	0.477(.421)	0.444(.428)	0.386(.441)	0.276(.490)	0.976(.673)
0.700	0.540(.434)	0.508(.439)	0.446(.451)	0.297(.497)	0.967(.697)
0.725	0.603(.448)	0.572(.453)	0.512(.463)	0.338(.505)	0.955(.721)
0.750	0.665(.464)	0.637(.468)	0.579(.477)	0.400(.515)	0.938(.745)
0.775	0.725(.481)	0.699(.485)	0.646(.492)	0.475(.526)	0.914(.768)
0.800	0.781(.500)	0.759(.503)	0.712(.509)	0.552(.538)	0.879(.790)
0.825	0.833(.521)	0.814(.523)	0.775(.528)	0.631(.553)	0.826(.812)
0.850	0.879(.542)	0.864(.544)	0.833(.548)	0.711(.570)	0.745(.831)
0.875	0.918(.564)	0.908(.566)	0.884(.570)	0.789(.589)	0.622(.848)
0.900	0.950(.588)	0.943(.589)	0.928(.592)	0.860(.609)	0.437(.862)
0.925	0.974(.612)	0.970(.613)	0.962(.616)	0.921(.632)	0.217(.870)
0.950	0.990(.636)	0.989(.637)	0.985(.640)	0.967(.655)	0.214(.875)
0.975	0.998(.661)	0.998(.662)	0.997(.665)	0.993(.680)	0.535(.885)
1.000	1.000(.686)	1.000(.687)	1.000(.690)	1.000(.705)	1.000(.904)

A.M.G.
Phase II

*** RELATIVE ENERGY FLUX DENSITY IN THE ***
 *** PENUMBRA OF A RECTANGULAR CYLINDER ***

VERSION D

SOLAR FIELD ANGLE, D = 5.00 DEGREES
 GEOMETRY D2/R = 100.00 AND H/R = 1.0

BETA = ANGLE OF INCIDENCE, DEGREES

BETA ***	50.00	60.00	70.00	80.00	87.00
AX/AB	Q (Q1)	Q (Q1)	Q (Q1)	Q (Q1)	Q (Q1)
0.	1.000(.)	1.000(.)	1.000(.)	1.000(.)	1.000(.)
0.025	0.999(.025)	0.999(.025)	1.000(.025)	1.000(.025)	1.000(.025)
0.050	0.997(.050)	0.997(.050)	0.998(.050)	0.999(.050)	1.000(.050)
0.075	0.991(.075)	0.992(.075)	0.994(.075)	0.997(.075)	1.000(.075)
0.100	0.981(.099)	0.984(.100)	0.987(.100)	0.994(.100)	1.000(.100)
0.125	0.968(.124)	0.972(.124)	0.978(.124)	0.990(.125)	1.000(.125)
0.150	0.951(.148)	0.957(.148)	0.966(.148)	0.984(.149)	1.000(.150)
0.175	0.930(.171)	0.937(.172)	0.950(.172)	0.976(.174)	1.000(.175)
0.200	0.904(.194)	0.914(.195)	0.931(.196)	0.966(.198)	1.000(.200)
0.225	0.875(.216)	0.888(.217)	0.909(.219)	0.953(.222)	1.000(.225)
0.250	0.845(.238)	0.859(.239)	0.884(.241)	0.938(.246)	1.000(.250)
0.275	0.814(.259)	0.830(.260)	0.857(.263)	0.921(.269)	1.000(.275)
0.300	0.784(.279)	0.800(.281)	0.830(.284)	0.902(.292)	1.000(.300)
0.325	0.755(.298)	0.771(.300)	0.802(.305)	0.881(.314)	1.000(.325)
0.350	0.727(.316)	0.744(.319)	0.775(.324)	0.859(.336)	0.999(.350)
0.375	0.702(.334)	0.718(.338)	0.748(.343)	0.836(.357)	0.999(.375)
0.400	0.680(.352)	0.694(.355)	0.723(.362)	0.812(.378)	0.999(.400)
0.425	0.661(.368)	0.673(.372)	0.700(.380)	0.787(.398)	0.999(.425)
0.450	0.644(.385)	0.655(.389)	0.678(.397)	0.763(.417)	0.998(.450)
0.475	0.631(.401)	0.639(.405)	0.659(.413)	0.738(.436)	0.998(.475)
0.500	0.622(.416)	0.627(.421)	0.643(.430)	0.714(.454)	0.997(.500)
0.525	0.617(.432)	0.620(.437)	0.629(.446)	0.691(.471)	0.996(.525)
0.550	0.617(.447)	0.616(.452)	0.620(.461)	0.669(.488)	0.995(.550)
0.575	0.622(.463)	0.617(.467)	0.615(.477)	0.648(.505)	0.994(.574)
0.600	0.631(.478)	0.623(.483)	0.615(.492)	0.631(.521)	0.992(.599)
0.625	0.644(.494)	0.634(.499)	0.619(.507)	0.617(.536)	0.989(.624)
0.650	0.662(.511)	0.649(.515)	0.630(.523)	0.607(.552)	0.986(.649)
0.675	0.684(.527)	0.669(.531)	0.645(.539)	0.604(.567)	0.982(.673)
0.700	0.710(.545)	0.694(.548)	0.665(.555)	0.607(.582)	0.976(.698)
0.725	0.740(.563)	0.723(.566)	0.692(.572)	0.617(.597)	0.969(.722)
0.750	0.774(.582)	0.757(.584)	0.724(.590)	0.635(.613)	0.958(.746)
0.775	0.810(.602)	0.794(.604)	0.761(.609)	0.663(.629)	0.943(.770)
0.800	0.848(.622)	0.833(.624)	0.802(.628)	0.701(.646)	0.922(.793)
0.825	0.885(.644)	0.872(.645)	0.846(.649)	0.749(.664)	0.892(.816)
0.850	0.918(.667)	0.908(.668)	0.887(.670)	0.805(.684)	0.849(.838)
0.875	0.945(.690)	0.938(.691)	0.923(.693)	0.861(.705)	0.785(.858)
0.900	0.967(.714)	0.962(.715)	0.953(.716)	0.911(.727)	0.693(.877)
0.925	0.983(.738)	0.981(.739)	0.975(.741)	0.951(.750)	0.574(.892)
0.950	0.994(.763)	0.993(.763)	0.990(.765)	0.980(.774)	0.495(.906)
0.975	0.999(.788)	0.999(.788)	0.998(.790)	0.996(.799)	0.720(.921)
1.000	1.000(.813)	1.000(.813)	1.000(.815)	1.000(.824)	1.000(.942)

App. II
Phase II

*** RELATIVE ENERGY FLUX DENSITY IN THE ***
*** PENUMBRA OF A RECTANGULAR CYLINDER ***

VERSION D

SOLAR FIELD ANGLE, D = 5.00 DEGREES
GEOMETRY D2/R = 1.00 AND H/R = 2.0

BETA = ANGLE OF INCIDENCE, DEGREES

BETA ***	0.	10.00	20.00	30.00	40.00
AX/AB	Q (Q1)	Q (Q1)	Q (Q1)	Q (Q1)	Q (Q1)
0.	1.000(.)	1.000(.)	1.000(.)	1.000(.)	1.000(.)
0.025	0.908(.024)	0.922(.024)	0.934(.024)	0.945(.024)	0.956(.024)
0.050	0.614(.043)	0.661(.044)	0.704(.045)	0.746(.045)	0.789(.046)
0.075	0. (0.051)	0. (0.052)	0. (0.053)	0. (0.055)	0.526(.063)
0.100	0. (0.051)	0. (0.052)	0. (0.053)	0. (0.055)	0. (0.069)
0.125	0. (0.051)	0. (0.052)	0. (0.053)	0. (0.055)	0. (0.069)
0.150	0. (0.051)	0. (0.052)	0. (0.053)	0. (0.055)	0. (0.069)
0.175	0. (0.051)	0. (0.052)	0. (0.053)	0. (0.055)	0. (0.069)
0.200	0. (0.051)	0. (0.052)	0. (0.053)	0. (0.055)	0. (0.069)
0.225	0. (0.051)	0. (0.052)	0. (0.053)	0. (0.055)	0. (0.069)
0.250	0. (0.051)	0. (0.052)	0. (0.053)	0. (0.055)	0. (0.069)
0.275	0. (0.051)	0. (0.052)	0. (0.053)	0. (0.055)	0. (0.069)
0.300	0. (0.051)	0. (0.052)	0. (0.053)	0. (0.055)	0. (0.069)
0.325	0. (0.051)	0. (0.052)	0. (0.053)	0. (0.055)	0. (0.069)
0.350	0. (0.051)	0. (0.052)	0. (0.053)	0. (0.055)	0. (0.069)
0.375	0. (0.051)	0. (0.052)	0. (0.053)	0. (0.055)	0. (0.069)
0.400	0. (0.051)	0. (0.052)	0. (0.053)	0. (0.055)	0. (0.069)
0.425	0. (0.051)	0. (0.052)	0. (0.053)	0. (0.055)	0. (0.069)
0.450	0. (0.051)	0. (0.052)	0. (0.053)	0. (0.055)	0. (0.069)
0.475	0. (0.051)	0. (0.052)	0. (0.053)	0. (0.055)	0. (0.069)
0.500	0. (0.051)	0. (0.052)	0. (0.053)	0. (0.055)	0. (0.069)
0.525	0. (0.051)	0. (0.052)	0. (0.053)	0. (0.055)	0. (0.069)
0.550	0. (0.051)	0. (0.052)	0. (0.053)	0. (0.055)	0. (0.069)
0.575	0. (0.051)	0. (0.052)	0. (0.053)	0. (0.055)	0. (0.069)
0.600	0. (0.051)	0. (0.052)	0. (0.053)	0. (0.055)	0. (0.069)
0.625	0. (0.051)	0. (0.052)	0. (0.053)	0. (0.055)	0. (0.069)
0.650	0. (0.051)	0. (0.052)	0. (0.053)	0. (0.055)	0. (0.069)
0.675	0. (0.051)	0. (0.052)	0. (0.053)	0. (0.055)	0. (0.069)
0.700	0. (0.051)	0. (0.052)	0. (0.053)	0. (0.055)	0. (0.069)
0.725	0. (0.051)	0. (0.052)	0. (0.053)	0. (0.055)	0. (0.069)
0.750	0. (0.051)	0. (0.052)	0. (0.053)	0. (0.055)	0. (0.069)
0.775	0. (0.051)	0. (0.052)	0. (0.053)	0. (0.055)	0. (0.069)
0.800	0. (0.051)	0. (0.052)	0. (0.053)	0. (0.055)	0. (0.069)
0.825	0. (0.051)	0. (0.052)	0. (0.053)	0. (0.055)	0. (0.069)
0.850	0. (0.051)	0. (0.052)	0. (0.053)	0. (0.055)	0. (0.069)
0.875	0. (0.051)	0. (0.052)	0. (0.053)	0. (0.055)	0. (0.069)
0.900	0. (0.051)	0. (0.052)	0. (0.053)	0. (0.055)	0. (0.069)
0.925	0. (0.051)	0. (0.052)	0. (0.053)	0. (0.055)	0. (0.069)
0.950	0. (0.051)	0. (0.052)	0. (0.053)	0. (0.055)	0. (0.069)
0.975	0.908(.062)	0.892(.063)	0. (0.053)	0. (0.055)	0. (0.069)
1.000	1.000(.086)	1.000(.087)	1.000(.066)	1.000(.067)	1.000(.082)

APP 4
Phase II

*** RELATIVE ENERGY FLUX DENSITY IN THE ***
 *** PENUMBRA OF A RECTANGULAR CYLINDER ***

VERSION D

SOLAR FIELD ANGLE, D = 5.00 DEGREES
 GEOMETRY D2/R = 1.00 AND H/R = 2.0

BETA = ANGLE OF INCIDENCE, DEGREES

BETA ***	50.00		60.00		70.00		80.00		87.00	
AX/AB	Q	(Q1)	Q	(Q1)	Q	(Q1)	Q	(Q1)	Q	(Q1)
0.	1.000(.)		1.000(.)		1.000(.)		1.000(.)		1.000(.)	
0.025	0.967(.025)		0.976(.025)		0.989(.025)		0.998(.025)		1.000(.025)	
0.050	0.835(.047)		0.885(.048)		0.940(.049)		0.989(.050)		1.000(.050)	
0.075	0.613(.065)		0.717(.068)		0.843(.071)		0.969(.074)		1.000(.075)	
0.100	0. (.073)		0.402(.082)		0.697(.091)		0.933(.098)		1.000(.100)	
0.125	0. (.073)		0. (.087)		0.499(.105)		0.879(.121)		1.000(.125)	
0.150	0. (.073)		0. (.087)		0.008(.112)		0.804(.142)		1.000(.150)	
0.175	0. (.073)		0. (.087)		0. (.112)		0.707(.161)		1.000(.175)	
0.200	0. (.073)		0. (.087)		0. (.112)		0.588(.177)		1.000(.200)	
0.225	0. (.073)		0. (.087)		0. (.112)		0.369(.189)		1.000(.225)	
0.250	0. (.073)		0. (.087)		0. (.112)		0.114(.195)		1.000(.250)	
0.275	0. (.073)		0. (.087)		0. (.112)		0.000(.196)		1.000(.275)	
0.300	0. (.073)		0. (.087)		0. (.112)		0. (.196)		0.999(.300)	
0.325	0. (.073)		0. (.087)		0. (.112)		0. (.196)		0.999(.325)	
0.350	0. (.073)		0. (.087)		0. (.112)		0. (.196)		0.999(.350)	
0.375	0. (.073)		0. (.087)		0. (.112)		0. (.196)		0.999(.375)	
0.400	0. (.073)		0. (.087)		0. (.112)		0. (.196)		0.998(.400)	
0.425	0. (.073)		0. (.087)		0. (.112)		0. (.196)		0.997(.425)	
0.450	0. (.073)		0. (.087)		0. (.112)		0. (.196)		0.996(.450)	
0.475	0. (.073)		0. (.087)		0. (.112)		0. (.196)		0.995(.475)	
0.500	0. (.073)		0. (.087)		0. (.112)		0. (.196)		0.994(.499)	
0.525	0. (.073)		0. (.087)		0. (.112)		0. (.196)		0.991(.524)	
0.550	0. (.073)		0. (.087)		0. (.112)		0. (.196)		0.988(.549)	
0.575	0. (.073)		0. (.087)		0. (.112)		0. (.196)		0.984(.574)	
0.600	0. (.073)		0. (.087)		0. (.112)		0. (.196)		0.978(.598)	
0.625	0. (.073)		0. (.087)		0. (.112)		0. (.196)		0.969(.623)	
0.650	0. (.073)		0. (.087)		0. (.112)		0. (.196)		0.956(.647)	
0.675	0. (.073)		0. (.087)		0. (.112)		0. (.196)		0.937(.670)	
0.700	0. (.073)		0. (.087)		0. (.112)		0. (.196)		0.908(.693)	
0.725	0. (.073)		0. (.087)		0. (.112)		0. (.196)		0.863(.715)	
0.750	0. (.073)		0. (.087)		0. (.112)		0. (.196)		0.791(.736)	
0.775	0. (.073)		0. (.087)		0. (.112)		0. (.196)		0.676(.754)	
0.800	0. (.073)		0. (.087)		0. (.112)		0. (.196)		0.449(.768)	
0.825	0. (.073)		0. (.087)		0. (.112)		0. (.196)		0.103(.775)	
0.850	0. (.073)		0. (.087)		0. (.112)		0. (.196)		0. (.777)	
0.875	0. (.073)		0. (.087)		0. (.112)		0. (.196)		0. (.777)	
0.900	0. (.073)		0. (.087)		0. (.112)		0. (.196)		0. (.777)	
0.925	0. (.073)		0. (.087)		0. (.112)		0. (.196)		0. (.777)	
0.950	0. (.073)		0. (.087)		0. (.112)		0. (.196)		0. (.777)	
0.975	0. (.073)		0. (.087)		0. (.112)		0. (.196)		0. (.777)	
1.000	0. (.073)		0. (.087)		0. (.112)		0. (.196)		0. (.777)	

5

3

2

RE ORDER NO. 66-196

App. G. Phase II

*** RELATIVE ENERGY FLUX DENSITY IN THE ***
 *** PENUMBRA OF A RECTANGULAR CYLINDER ***

VERSION D

SOLAR FIELD ANGLE, D = 5.00 DEGREES
 GEOMETRY D2/R = 5.00 AND H/R = 2.0

BETA = ANGLE OF INCIDENCE, DEGREES

BETA ***	0.	10.00	20.00	30.00	40.00
AX/AB	Q (Q1)	Q (Q1)	Q (Q1)	Q (Q1)	Q (Q1)
0.	1.000(.)	1.000(.)	1.000(.)	1.000(.)	1.000(.)
0.025	0.982(.025)	0.984(.025)	0.985(.025)	0.987(.025)	0.989(.025)
0.050	0.910(.048)	0.918(.049)	0.925(.049)	0.933(.049)	0.941(.049)
0.075	0.785(.070)	0.801(.070)	0.817(.070)	0.834(.071)	0.852(.071)
0.100	0.622(.087)	0.646(.088)	0.671(.089)	0.697(.090)	0.727(.091)
0.125	0.366(.100)	0.435(.102)	0.503(.104)	0.537(.105)	0.576(.107)
0.150	0.054(.105)	0.100(.108)	0.158(.112)	0.230(.115)	0.321(.119)
0.175	0. (.105)	0. (.110)	0.003(.114)	0.022(.118)	0.068(.123)
0.200	0. (.105)	0. (.110)	0. (.114)	0. (.118)	0. (.124)
0.225	0. (.105)	0. (.110)	0. (.114)	0. (.118)	0. (.124)
0.250	0. (.105)	0. (.110)	0. (.114)	0. (.118)	0. (.124)
0.275	0. (.105)	0. (.110)	0. (.114)	0. (.118)	0. (.124)
0.300	0. (.105)	0. (.110)	0. (.114)	0. (.118)	0. (.124)
0.325	0. (.105)	0. (.110)	0. (.114)	0. (.118)	0. (.124)
0.350	0. (.105)	0. (.110)	0. (.114)	0. (.118)	0. (.124)
0.375	0. (.105)	0. (.110)	0. (.114)	0. (.118)	0. (.124)
0.400	0. (.105)	0. (.110)	0. (.114)	0. (.118)	0. (.124)
0.425	0. (.105)	0. (.110)	0. (.114)	0. (.118)	0. (.124)
0.450	0. (.105)	0. (.110)	0. (.114)	0. (.118)	0. (.124)
0.475	0. (.105)	0. (.110)	0. (.114)	0. (.118)	0. (.124)
0.500	0. (.105)	0. (.110)	0. (.114)	0. (.118)	0. (.124)
0.525	0. (.105)	0. (.110)	0. (.114)	0. (.118)	0. (.124)
0.550	0. (.105)	0. (.110)	0. (.114)	0. (.118)	0. (.124)
0.575	0. (.105)	0. (.110)	0. (.114)	0. (.118)	0. (.124)
0.600	0. (.105)	0. (.110)	0. (.114)	0. (.118)	0. (.124)
0.625	0. (.105)	0. (.110)	0. (.114)	0. (.118)	0. (.124)
0.650	0. (.105)	0. (.110)	0. (.114)	0. (.118)	0. (.124)
0.675	0. (.105)	0. (.110)	0. (.114)	0. (.118)	0. (.124)
0.700	0. (.105)	0. (.110)	0. (.114)	0. (.118)	0. (.124)
0.725	0. (.105)	0. (.110)	0. (.114)	0. (.118)	0. (.124)
0.750	0. (.105)	0. (.110)	0. (.114)	0. (.118)	0. (.124)
0.775	0. (.105)	0. (.110)	0. (.114)	0. (.118)	0. (.124)
0.800	0. (.105)	0. (.110)	0. (.114)	0. (.118)	0. (.124)
0.825	0. (.105)	0. (.110)	0. (.114)	0. (.118)	0. (.124)
0.850	0.054(.106)	0.020(.110)	0.002(.114)	0. (.118)	0. (.124)
0.875	0.366(.111)	0.293(.114)	0.213(.117)	0.126(.120)	0.040(.125)
0.900	0.622(.124)	0.596(.125)	0.567(.127)	0.532(.128)	0.475(.131)
0.925	0.785(.141)	0.768(.142)	0.748(.143)	0.724(.144)	0.690(.146)
0.950	0.910(.163)	0.902(.163)	0.892(.163)	0.880(.164)	0.863(.165)
0.975	0.982(.186)	0.980(.186)	0.978(.187)	0.975(.187)	0.971(.188)
1.000	1.000(.211)	1.000(.211)	1.000(.212)	1.000(.212)	1.000(.213)

364
D-113

App. G. Page 11

*** RELATIVE ENERGY FLUX DENSITY IN THE ***
 *** PENUMBRA OF A RECTANGULAR CYLINDER ***

VERSION D

SOLAR FIELD ANGLE, D = 5.00 DEGREES
 GEOMETRY D2/R = 5.00 AND H/R = 2.0

BETA = ANGLE OF INCIDENCE, DEGREES

BETA ***	50.00	60.00	70.00	80.00	87.00
AX/AB	Q (QI)	Q (QI)	Q (QI)	Q (QI)	Q (QI)
0.	1.000(.)	1.000(.)	1.000(.)	1.000(.)	1.000(.)
0.025	0.991(.025)	0.993(.025)	0.996(.025)	0.999(.025)	1.000(.025)
0.050	0.950(.049)	0.962(.049)	0.977(.050)	0.994(.050)	1.000(.050)
0.075	0.874(.072)	0.901(.073)	0.937(.074)	0.983(.075)	1.000(.075)
0.100	0.763(.092)	0.809(.094)	0.875(.096)	0.964(.099)	1.000(.100)
0.125	0.625(.110)	0.691(.113)	0.789(.117)	0.935(.123)	1.000(.125)
0.150	0.435(.123)	0.553(.128)	0.683(.135)	0.895(.146)	1.000(.150)
0.175	0.158(.130)	0.318(.139)	0.559(.151)	0.842(.167)	1.000(.175)
0.200	0.010(.133)	0.095(.144)	0.360(.162)	0.776(.188)	1.000(.200)
0.225	0. (.133)	0.001(.146)	0.151(.169)	0.695(.206)	1.000(.225)
0.250	0. (.133)	0. (.146)	0.021(.171)	0.601(.222)	1.000(.250)
0.275	0. (.133)	0. (.146)	0. (.171)	0.473(.236)	1.000(.275)
0.300	0. (.133)	0. (.146)	0. (.171)	0.304(.245)	0.999(.300)
0.325	0. (.133)	0. (.146)	0. (.171)	0.145(.251)	0.999(.325)
0.350	0. (.133)	0. (.146)	0. (.171)	0.032(.253)	0.999(.350)
0.375	0. (.133)	0. (.146)	0. (.171)	0. (.253)	0.999(.375)
0.400	0. (.133)	0. (.146)	0. (.171)	0. (.253)	0.998(.400)
0.425	0. (.133)	0. (.146)	0. (.171)	0. (.253)	0.998(.425)
0.450	0. (.133)	0. (.146)	0. (.171)	0. (.253)	0.997(.450)
0.475	0. (.133)	0. (.146)	0. (.171)	0. (.253)	0.996(.475)
0.500	0. (.133)	0. (.146)	0. (.171)	0. (.253)	0.994(.500)
0.525	0. (.133)	0. (.146)	0. (.171)	0. (.253)	0.992(.524)
0.550	0. (.133)	0. (.146)	0. (.171)	0. (.253)	0.990(.549)
0.575	0. (.133)	0. (.146)	0. (.171)	0. (.253)	0.986(.574)
0.600	0. (.133)	0. (.146)	0. (.171)	0. (.253)	0.981(.598)
0.625	0. (.133)	0. (.146)	0. (.171)	0. (.253)	0.974(.623)
0.650	0. (.133)	0. (.146)	0. (.171)	0. (.253)	0.964(.647)
0.675	0. (.133)	0. (.146)	0. (.171)	0. (.253)	0.949(.671)
0.700	0. (.133)	0. (.146)	0. (.171)	0. (.253)	0.928(.694)
0.725	0. (.133)	0. (.146)	0. (.171)	0. (.253)	0.895(.717)
0.750	0. (.133)	0. (.146)	0. (.171)	0. (.253)	0.844(.739)
0.775	0. (.133)	0. (.146)	0. (.171)	0. (.253)	0.763(.759)
0.800	0. (.133)	0. (.146)	0. (.171)	0. (.253)	0.632(.776)
0.825	0. (.133)	0. (.146)	0. (.171)	0. (.253)	0.380(.789)
0.850	0. (.133)	0. (.146)	0. (.171)	0. (.253)	0.054(.795)
0.875	0. (.133)	0. (.146)	0. (.171)	0. (.253)	0. (.795)
0.900	0.278(.136)	0.010(.146)	0. (.171)	0. (.253)	0. (.795)
0.925	0.640(.148)	0.549(.153)	0. (.171)	0. (.253)	0. (.795)
0.950	0.835(.166)	0.783(.169)	0.634(.179)	0. (.253)	0. (.795)
0.975	0.964(.189)	0.950(.191)	0.903(.198)	0. (.253)	0. (.795)
1.000	1.000(.213)	1.000(.215)	1.000(.222)	0. (.253)	0. (.795)

*App. A
Phase II*

*** RELATIVE ENERGY FLUX DENSITY IN THE ***
 *** PENUMBRA OF A RECTANGULAR CYLINDER ***

VERSION D

SOLAR FIELD ANGLE, $\theta = 5.00$ DEGREES
 GEOMETRY $D2/R = 10.00$ AND $H/R = 2.0$

BETA = ANGLE OF INCIDENCE, DEGREES

BETA ***	0.	10.00	20.00	30.00	40.00
AX/AB	Q (Q1)	Q (Q1)	Q (Q1)	Q (Q1)	Q (Q1)
0.	1.000(.)	1.000(.)	1.000(.)	1.000(.)	1.000(.)
0.025	0.993(.025)	0.993(.025)	0.994(.025)	0.994(.025)	0.995(.025)
0.050	0.963(.049)	0.965(.049)	0.968(.049)	0.970(.049)	0.973(.050)
0.075	0.905(.073)	0.912(.073)	0.918(.073)	0.924(.073)	0.931(.073)
0.100	0.825(.094)	0.835(.095)	0.845(.095)	0.856(.095)	0.866(.096)
0.125	0.723(.114)	0.737(.114)	0.752(.115)	0.767(.116)	0.785(.117)
0.150	0.607(.130)	0.625(.131)	0.643(.132)	0.663(.134)	0.687(.135)
0.175	0.475(.144)	0.505(.145)	0.526(.147)	0.550(.149)	0.578(.151)
0.200	0.297(.154)	0.328(.156)	0.361(.158)	0.398(.161)	0.443(.163)
0.225	0.147(.159)	0.173(.162)	0.202(.165)	0.237(.169)	0.280(.173)
0.250	0.045(.161)	0.062(.165)	0.082(.169)	0.107(.173)	0.142(.178)
0.275	0.003(.152)	0.007(.166)	0.015(.170)	0.027(.175)	0.046(.180)
0.300	0. (.162)	0. (.166)	0. (.170)	0.000(.175)	0.003(.181)
0.325	0. (.162)	0. (.166)	0. (.170)	0. (.175)	0. (.181)
0.350	0. (.162)	0. (.166)	0. (.170)	0. (.175)	0. (.181)
0.375	0. (.162)	0. (.166)	0. (.170)	0. (.175)	0. (.181)
0.400	0. (.162)	0. (.166)	0. (.170)	0. (.175)	0. (.181)
0.425	0. (.162)	0. (.166)	0. (.170)	0. (.175)	0. (.181)
0.450	0. (.162)	0. (.166)	0. (.170)	0. (.175)	0. (.181)
0.475	0. (.162)	0. (.166)	0. (.170)	0. (.175)	0. (.181)
0.500	0. (.162)	0. (.166)	0. (.170)	0. (.175)	0. (.181)
0.525	0. (.162)	0. (.166)	0. (.170)	0. (.175)	0. (.181)
0.550	0. (.162)	0. (.166)	0. (.170)	0. (.175)	0. (.181)
0.575	0. (.162)	0. (.166)	0. (.170)	0. (.175)	0. (.181)
0.600	0. (.162)	0. (.166)	0. (.170)	0. (.175)	0. (.181)
0.625	0. (.162)	0. (.166)	0. (.170)	0. (.175)	0. (.181)
0.650	0. (.162)	0. (.166)	0. (.170)	0. (.175)	0. (.181)
0.675	0. (.162)	0. (.166)	0. (.170)	0. (.175)	0. (.181)
0.700	0. (.162)	0. (.166)	0. (.170)	0. (.175)	0. (.181)
0.725	0.003(.162)	0.001(.166)	0.000(.170)	0.010(.175)	0.002(.181)
0.750	0.045(.163)	0.032(.166)	0.020(.170)	0.072(.176)	0.046(.181)
0.775	0.147(.165)	0.122(.168)	0.098(.172)	0.198(.179)	0.157(.184)
0.800	0.297(.171)	0.267(.173)	0.234(.176)	0.373(.187)	0.325(.190)
0.825	0.475(.180)	0.446(.182)	0.412(.184)	0.545(.198)	0.515(.200)
0.850	0.607(.194)	0.589(.195)	0.568(.196)	0.672(.213)	0.647(.215)
0.875	0.723(.211)	0.708(.211)	0.692(.212)	0.788(.231)	0.769(.233)
0.900	0.825(.230)	0.814(.230)	0.802(.231)	0.884(.252)	0.873(.253)
0.925	0.905(.252)	0.900(.252)	0.893(.252)	0.953(.275)	0.948(.276)
0.950	0.963(.275)	0.960(.275)	0.957(.275)	0.991(.300)	0.990(.300)
0.975	0.993(.299)	0.992(.299)	0.992(.299)	1.000(.325)	1.000(.325)
1.000	1.000(.324)	1.000(.324)	1.000(.324)	1.000(.325)	1.000(.325)

*** RELATIVE ENERGY FLUX DENSITY IN THE ***
 *** PENUMBRA OF A RECTANGULAR CYLINDER ***

VERSION D

SOLAR FIELD ANGLE, D= 5.00 DEGREES
 GEOMETRY D2/R = 10.00 AND H/R = 2.0

BETA = ANGLE OF INCIDENCE, DEGREES

BETA ***	50.00	60.00	70.00	80.00	87.00
AX/AB	Q (Q1)	Q (Q1)	Q (Q1)	Q (Q1)	Q (Q1)
0.	1.000(.)	1.000(.)	1.000(.)	1.000(.)	1.000(.)
0.025	0.996(.025)	0.997(.025)	0.998(.025)	0.999(.025)	1.000(.025)
0.050	0.977(.050)	0.981(.050)	0.988(.050)	0.996(.050)	1.000(.050)
0.075	0.940(.074)	0.951(.074)	0.967(.074)	0.989(.075)	1.000(.075)
0.100	0.883(.096)	0.903(.097)	0.933(.098)	0.977(.099)	1.000(.100)
0.125	0.808(.117)	0.839(.119)	0.885(.121)	0.960(.124)	1.000(.125)
0.150	0.717(.137)	0.759(.139)	0.824(.142)	0.935(.147)	1.000(.150)
0.175	0.614(.153)	0.665(.157)	0.749(.162)	0.902(.170)	1.000(.175)
0.200	0.500(.167)	0.562(.172)	0.662(.179)	0.860(.192)	1.000(.200)
0.225	0.340(.178)	0.429(.184)	0.567(.195)	0.809(.213)	1.000(.225)
0.250	0.193(.184)	0.279(.193)	0.444(.207)	0.748(.233)	1.000(.250)
0.275	0.080(.188)	0.148(.198)	0.302(.217)	0.677(.250)	1.000(.275)
0.300	0.015(.189)	0.052(.201)	0.173(.223)	0.596(.266)	1.000(.300)
0.325	0. (.189)	0.005(.202)	0.072(.226)	0.498(.280)	0.999(.325)
0.350	0. (.189)	0. (.202)	0.013(.227)	0.375(.291)	0.999(.350)
0.375	0. (.189)	0. (.202)	0. (.227)	0.250(.299)	0.999(.375)
0.400	0. (.189)	0. (.202)	0. (.227)	0.136(.303)	0.998(.400)
0.425	0. (.189)	0. (.202)	0. (.227)	0.049(.306)	0.998(.425)
0.450	0. (.189)	0. (.202)	0. (.227)	0.004(.306)	0.997(.450)
0.475	0. (.189)	0. (.202)	0. (.227)	0. (.306)	0.996(.475)
0.500	0. (.189)	0. (.202)	0. (.227)	0. (.306)	0.995(.500)
0.525	0. (.189)	0. (.202)	0. (.227)	0. (.306)	0.993(.524)
0.550	0. (.189)	0. (.202)	0. (.227)	0. (.306)	0.991(.549)
0.575	0. (.189)	0. (.202)	0. (.227)	0. (.306)	0.988(.574)
0.600	0. (.189)	0. (.202)	0. (.227)	0. (.306)	0.984(.599)
0.625	0. (.189)	0. (.202)	0. (.227)	0. (.306)	0.978(.623)
0.650	0. (.189)	0. (.202)	0. (.227)	0. (.306)	0.970(.647)
0.675	0. (.189)	0. (.202)	0. (.227)	0. (.306)	0.958(.672)
0.700	0. (.189)	0. (.202)	0. (.227)	0. (.306)	0.941(.695)
0.725	0. (.189)	0. (.202)	0. (.227)	0. (.306)	0.916(.719)
0.750	0. (.189)	0. (.202)	0. (.227)	0. (.306)	0.878(.741)
0.775	0.020(.189)	0.001(.202)	0. (.227)	0. (.306)	0.819(.762)
0.800	0.105(.191)	0.043(.202)	0.000(.227)	0. (.306)	0.726(.781)
0.825	0.259(.195)	0.164(.205)	0.031(.227)	0. (.306)	0.567(.798)
0.850	0.463(.204)	0.357(.211)	0.157(.230)	0. (.306)	0.295(.808)
0.875	0.611(.218)	0.551(.223)	0.386(.236)	0. (.306)	0.013(.812)
0.900	0.742(.235)	0.695(.238)	0.589(.249)	0.010(.307)	0. (.812)
0.925	0.855(.255)	0.825(.257)	0.751(.265)	0.291(.310)	0. (.812)
0.950	0.940(.277)	0.925(.279)	0.888(.286)	0.650(.322)	0. (.812)
0.975	0.988(.301)	0.985(.303)	0.975(.309)	0.899(.342)	0. (.812)
1.000	1.000(.326)	1.000(.328)	1.000(.334)	1.000(.365)	0. (.812)

RE-ORDER No. 66-196

VERSION D

App. A. Phase II

*** RELATIVE ENERGY FLUX DENSITY IN THE ***
 *** PENUMBRA OF A RECTANGULAR CYLINDER ***

SOLAR FIELD ANGLE, $D = 5.00$ DEGREES
 GEOMETRY $D^2/R = 50.00$ AND $H/R = 2.0$

BETA = ANGLE OF INCIDENCE, DEGREES

BETA ***	0.	10.00	20.00	30.00	40.00
AX/AB	Q (QI)	Q (QI)	Q (QI)	Q (QI)	Q (QI)
0.	1.000(.)	1.000(.)	1.000(.)	1.000(.)	1.000(.)
0.025	0.999(.025)	0.999(.025)	0.999(.025)	0.999(.025)	0.999(.025)
0.050	0.993(.050)	0.993(.050)	0.994(.050)	0.994(.050)	0.994(.050)
0.075	0.982(.075)	0.982(.075)	0.983(.075)	0.984(.075)	0.985(.075)
0.100	0.964(.099)	0.965(.099)	0.967(.099)	0.969(.099)	0.971(.099)
0.125	0.939(.123)	0.942(.123)	0.944(.123)	0.947(.123)	0.950(.123)
0.150	0.908(.146)	0.912(.146)	0.915(.146)	0.920(.146)	0.924(.147)
0.175	0.871(.168)	0.876(.168)	0.881(.169)	0.886(.169)	0.892(.169)
0.200	0.828(.189)	0.834(.190)	0.840(.190)	0.847(.191)	0.855(.191)
0.225	0.780(.209)	0.787(.210)	0.795(.211)	0.803(.211)	0.813(.212)
0.250	0.728(.228)	0.736(.229)	0.745(.230)	0.754(.231)	0.766(.232)
0.275	0.672(.246)	0.681(.247)	0.691(.248)	0.702(.249)	0.715(.250)
0.300	0.614(.262)	0.624(.263)	0.634(.264)	0.646(.266)	0.660(.267)
0.325	0.554(.276)	0.564(.278)	0.575(.279)	0.588(.281)	0.603(.283)
0.350	0.493(.289)	0.504(.291)	0.515(.293)	0.528(.295)	0.544(.297)
0.375	0.432(.301)	0.442(.303)	0.454(.305)	0.467(.307)	0.484(.310)
0.400	0.379(.311)	0.388(.313)	0.398(.316)	0.410(.318)	0.426(.322)
0.425	0.335(.320)	0.343(.323)	0.352(.325)	0.362(.328)	0.375(.332)
0.450	0.304(.328)	0.310(.331)	0.316(.334)	0.323(.337)	0.334(.341)
0.475	0.285(.335)	0.288(.338)	0.291(.341)	0.296(.344)	0.303(.348)
0.500	0.278(.342)	0.279(.345)	0.280(.348)	0.281(.352)	0.284(.356)
0.525	0.285(.350)	0.283(.352)	0.281(.355)	0.279(.359)	0.278(.363)
0.550	0.304(.357)	0.299(.360)	0.295(.362)	0.290(.366)	0.285(.370)
0.575	0.336(.365)	0.329(.367)	0.321(.370)	0.314(.373)	0.305(.377)
0.600	0.379(.374)	0.370(.376)	0.360(.379)	0.350(.382)	0.338(.385)
0.625	0.432(.384)	0.421(.386)	0.410(.388)	0.398(.391)	0.384(.394)
0.650	0.493(.396)	0.482(.397)	0.470(.399)	0.456(.402)	0.440(.405)
0.675	0.554(.409)	0.543(.410)	0.532(.412)	0.519(.414)	0.504(.416)
0.700	0.614(.423)	0.604(.424)	0.593(.426)	0.581(.428)	0.566(.430)
0.725	0.672(.439)	0.663(.440)	0.653(.441)	0.642(.443)	0.627(.445)
0.750	0.728(.457)	0.720(.458)	0.711(.459)	0.700(.460)	0.687(.461)
0.775	0.780(.476)	0.773(.476)	0.765(.477)	0.756(.478)	0.745(.479)
0.800	0.828(.496)	0.822(.496)	0.816(.497)	0.808(.497)	0.798(.498)
0.825	0.871(.517)	0.866(.517)	0.861(.518)	0.854(.518)	0.846(.519)
0.850	0.908(.539)	0.904(.539)	0.900(.540)	0.896(.540)	0.889(.541)
0.875	0.939(.562)	0.937(.562)	0.934(.563)	0.930(.563)	0.926(.563)
0.900	0.964(.586)	0.962(.586)	0.960(.586)	0.958(.586)	0.955(.587)
0.925	0.982(.610)	0.981(.610)	0.980(.611)	0.978(.611)	0.977(.611)
0.950	0.993(.635)	0.993(.635)	0.992(.635)	0.992(.635)	0.991(.636)
0.975	0.999(.660)	0.999(.660)	0.999(.660)	0.998(.660)	0.998(.660)
1.000	1.000(.685)	1.000(.685)	1.000(.685)	1.000(.685)	1.000(.685)

*** RELATIVE ENERGY FLUX DENSITY IN THE ***
*** PENUMBRA OF A RECTANGULAR CYLINDER ***

VERSION D

SOLAR FIELD ANGLE, $D = 5.00$ DEGREES
GEOMETRY $D2/R = 50.00$ AND $H/R = 2.0$

BETA = ANGLE OF INCIDENCE, DEGREES

BETA *** AX/AB	50.00 Q (Q1)	60.00 Q (Q1)	70.00 Q (Q1)	80.00 Q (Q1)	87.00 Q (Q1)
0.	1.000(.)	1.000(.)	1.000(.)	1.000(.)	1.000(.)
0.025	0.999(.025)	0.999(.025)	0.999(.025)	0.999(.025)	0.999(.025)
0.050	0.995(.050)	0.996(.050)	0.997(.050)	0.999(.050)	1.000(.050)
0.075	0.987(.075)	0.988(.075)	0.991(.075)	0.996(.075)	1.000(.075)
0.100	0.973(.099)	0.977(.099)	0.982(.099)	0.992(.100)	1.000(.100)
0.125	0.955(.123)	0.960(.124)	0.969(.124)	0.986(.125)	1.000(.125)
0.150	0.930(.147)	0.939(.147)	0.952(.148)	0.978(.149)	1.000(.150)
0.175	0.901(.170)	0.912(.170)	0.931(.171)	0.967(.173)	1.000(.175)
0.200	0.865(.192)	0.880(.193)	0.905(.194)	0.954(.197)	1.000(.200)
0.225	0.825(.213)	0.843(.214)	0.874(.217)	0.937(.221)	1.000(.225)
0.250	0.780(.233)	0.802(.235)	0.836(.238)	0.917(.244)	1.000(.250)
0.275	0.731(.252)	0.756(.254)	0.798(.258)	0.893(.267)	1.000(.275)
0.300	0.678(.270)	0.706(.273)	0.754(.278)	0.865(.289)	1.000(.300)
0.325	0.623(.286)	0.653(.290)	0.706(.296)	0.833(.310)	0.999(.325)
0.350	0.565(.301)	0.596(.305)	0.654(.313)	0.797(.330)	0.999(.350)
0.375	0.505(.314)	0.539(.319)	0.599(.329)	0.757(.350)	0.999(.375)
0.400	0.447(.326)	0.480(.332)	0.543(.343)	0.712(.368)	0.999(.400)
0.425	0.393(.336)	0.424(.343)	0.486(.356)	0.663(.385)	0.998(.425)
0.450	0.349(.346)	0.374(.353)	0.430(.367)	0.612(.401)	0.998(.450)
0.475	0.314(.354)	0.333(.362)	0.380(.377)	0.559(.416)	0.997(.475)
0.500	0.290(.362)	0.303(.370)	0.338(.386)	0.502(.429)	0.996(.500)
0.525	0.279(.369)	0.283(.378)	0.305(.395)	0.446(.441)	0.995(.525)
0.550	0.280(.376)	0.277(.385)	0.284(.402)	0.393(.452)	0.994(.549)
0.575	0.295(.383)	0.284(.392)	0.275(.409)	0.345(.461)	0.992(.574)
0.600	0.324(.391)	0.304(.399)	0.280(.416)	0.306(.469)	0.990(.599)
0.625	0.365(.399)	0.339(.407)	0.300(.423)	0.277(.476)	0.986(.624)
0.650	0.419(.409)	0.387(.416)	0.335(.431)	0.263(.483)	0.982(.648)
0.675	0.482(.420)	0.447(.426)	0.386(.440)	0.266(.490)	0.976(.673)
0.700	0.545(.433)	0.513(.438)	0.449(.450)	0.290(.496)	0.967(.697)
0.725	0.608(.447)	0.577(.452)	0.517(.462)	0.336(.504)	0.955(.721)
0.750	0.669(.453)	0.641(.467)	0.584(.476)	0.404(.514)	0.939(.745)
0.775	0.728(.481)	0.703(.484)	0.651(.492)	0.481(.525)	0.915(.768)
0.800	0.784(.500)	0.762(.502)	0.716(.509)	0.557(.538)	0.879(.790)
0.825	0.835(.520)	0.817(.522)	0.778(.527)	0.636(.553)	0.826(.812)
0.850	0.881(.542)	0.866(.543)	0.835(.548)	0.715(.569)	0.747(.831)
0.875	0.919(.554)	0.909(.565)	0.886(.569)	0.792(.588)	0.623(.849)
0.900	0.951(.587)	0.944(.589)	0.929(.592)	0.862(.609)	0.431(.862)
0.925	0.975(.611)	0.971(.612)	0.962(.615)	0.922(.631)	0.203(.870)
0.950	0.990(.636)	0.989(.637)	0.985(.640)	0.967(.655)	0.214(.875)
0.975	0.998(.661)	0.996(.662)	0.997(.665)	0.993(.679)	0.543(.884)
1.000	1.000(.686)	1.000(.687)	1.000(.690)	1.000(.704)	1.000(.904)

RE-ORDER No. 66-196
 App A
 Phase II

*** RELATIVE ENERGY FLUX DENSITY IN THE ***
 *** PENUMBRA OF A RECTANGULAR CYLINDER ***

VERSION D

SOLAR FIELD ANGLE, D= 5.00 DEGREES
 GEOMETRY D2/R = 100.00 AND H/R = 2.0

BETA = ANGLE OF INCIDENCE, DEGREES

BETA ***	0.	10.00	20.00	30.00	40.00
AX/AB	Q (Q1)	Q (Q1)	Q (Q1)	Q (Q1)	Q (Q1)
0.	1.000(.)	1.000(.)	1.000(.)	1.000(.)	1.000(.)
0.025	0.999(.025)	0.999(.025)	0.999(.025)	0.999(.025)	0.999(.025)
0.050	0.995(.050)	0.995(.050)	0.996(.050)	0.996(.050)	0.996(.050)
0.075	0.987(.075)	0.988(.075)	0.989(.075)	0.989(.075)	0.990(.075)
0.100	0.975(.099)	0.976(.099)	0.977(.099)	0.978(.099)	0.980(.099)
0.125	0.958(.123)	0.960(.123)	0.961(.124)	0.963(.124)	0.965(.124)
0.150	0.935(.147)	0.939(.147)	0.941(.147)	0.944(.147)	0.947(.148)
0.175	0.910(.170)	0.913(.170)	0.916(.171)	0.920(.171)	0.924(.171)
0.200	0.879(.193)	0.883(.193)	0.887(.193)	0.892(.193)	0.897(.194)
0.225	0.845(.214)	0.850(.214)	0.855(.215)	0.860(.215)	0.867(.216)
0.250	0.810(.235)	0.815(.235)	0.821(.236)	0.827(.236)	0.835(.237)
0.275	0.777(.255)	0.782(.255)	0.788(.256)	0.795(.257)	0.803(.258)
0.300	0.745(.274)	0.750(.274)	0.756(.275)	0.763(.276)	0.771(.277)
0.325	0.715(.292)	0.721(.293)	0.727(.294)	0.734(.295)	0.742(.296)
0.350	0.690(.309)	0.695(.310)	0.701(.312)	0.707(.313)	0.714(.314)
0.375	0.668(.326)	0.672(.328)	0.677(.329)	0.683(.330)	0.690(.332)
0.400	0.650(.343)	0.654(.344)	0.658(.346)	0.663(.347)	0.669(.349)
0.425	0.635(.359)	0.638(.360)	0.641(.362)	0.646(.363)	0.651(.365)
0.450	0.623(.375)	0.625(.376)	0.628(.378)	0.631(.379)	0.635(.381)
0.475	0.615(.390)	0.617(.392)	0.619(.393)	0.621(.395)	0.624(.397)
0.500	0.614(.406)	0.614(.407)	0.614(.409)	0.615(.410)	0.616(.413)
0.525	0.615(.421)	0.615(.422)	0.614(.424)	0.614(.426)	0.613(.428)
0.550	0.623(.436)	0.621(.438)	0.619(.439)	0.617(.441)	0.615(.443)
0.575	0.635(.452)	0.632(.453)	0.629(.455)	0.625(.457)	0.622(.459)
0.600	0.650(.468)	0.646(.469)	0.643(.471)	0.639(.473)	0.634(.475)
0.625	0.668(.485)	0.664(.486)	0.659(.487)	0.654(.489)	0.649(.491)
0.650	0.690(.502)	0.685(.503)	0.680(.504)	0.674(.505)	0.668(.507)
0.675	0.715(.519)	0.711(.520)	0.705(.521)	0.699(.522)	0.691(.524)
0.700	0.745(.537)	0.739(.538)	0.733(.539)	0.727(.540)	0.718(.542)
0.725	0.777(.556)	0.771(.557)	0.765(.558)	0.758(.559)	0.750(.560)
0.750	0.810(.576)	0.805(.577)	0.799(.577)	0.792(.578)	0.784(.579)
0.775	0.845(.597)	0.840(.597)	0.835(.598)	0.828(.598)	0.821(.599)
0.800	0.879(.619)	0.875(.619)	0.870(.619)	0.865(.620)	0.858(.620)
0.825	0.910(.641)	0.907(.641)	0.903(.641)	0.899(.642)	0.893(.642)
0.850	0.935(.664)	0.934(.664)	0.931(.664)	0.928(.665)	0.924(.665)
0.875	0.958(.688)	0.956(.688)	0.954(.688)	0.952(.688)	0.949(.688)
0.900	0.975(.712)	0.974(.712)	0.973(.712)	0.971(.712)	0.970(.712)
0.925	0.987(.736)	0.987(.736)	0.986(.736)	0.986(.737)	0.985(.737)
0.950	0.995(.761)	0.995(.761)	0.995(.761)	0.995(.761)	0.994(.761)
0.975	0.999(.786)	0.999(.786)	0.999(.786)	0.999(.786)	0.999(.786)
1.000	1.000(.811)	1.000(.811)	1.000(.811)	1.000(.811)	1.000(.811)

D-119
 370

*App. A
Page 11*

*** RELATIVE ENERGY FLUX DENSITY IN THE ***
 *** PENUMBRA OF A RECTANGULAR CYLINDER ***

VERSION D

SOLAR FIELD ANGLE, $\theta = 5.00$ DEGREES
 GEOMETRY $D2/R = 100.00$ AND $H/R = 2.0$

BETA = ANGLE OF INCIDENCE, DEGREES

BETA ***	50.00	60.00	70.00	80.00	87.00
AX/AB	Q (Q1)	Q (Q1)	Q (Q1)	Q (Q1)	Q (Q1)
0.	1.000(.)	1.000(.)	1.000(.)	1.000(.)	1.000(.)
0.025	0.999(.025)	0.999(.025)	0.998(.025)	0.999(.025)	0.999(.025)
0.050	0.997(.050)	0.997(.050)	0.994(.050)	0.997(.050)	0.997(.050)
0.075	0.991(.075)	0.992(.075)	0.987(.075)	0.994(.075)	0.994(.075)
0.100	0.981(.099)	0.984(.100)	0.987(.100)	0.994(.100)	0.994(.100)
0.125	0.968(.124)	0.972(.124)	0.978(.124)	0.990(.125)	0.990(.125)
0.150	0.951(.146)	0.957(.148)	0.966(.148)	0.984(.149)	0.984(.149)
0.175	0.930(.171)	0.938(.172)	0.950(.172)	0.976(.174)	0.976(.174)
0.200	0.905(.194)	0.915(.195)	0.931(.196)	0.966(.198)	0.966(.198)
0.225	0.875(.216)	0.888(.217)	0.909(.219)	0.953(.222)	0.953(.222)
0.250	0.845(.238)	0.859(.239)	0.884(.241)	0.938(.246)	0.938(.246)
0.275	0.813(.259)	0.829(.260)	0.857(.263)	0.921(.269)	0.921(.269)
0.300	0.782(.279)	0.799(.281)	0.829(.284)	0.901(.292)	0.901(.292)
0.325	0.753(.298)	0.770(.300)	0.801(.305)	0.881(.314)	0.881(.314)
0.350	0.725(.316)	0.742(.319)	0.773(.324)	0.858(.336)	0.858(.336)
0.375	0.700(.334)	0.716(.337)	0.746(.343)	0.835(.357)	0.835(.357)
0.400	0.678(.351)	0.692(.355)	0.721(.362)	0.810(.377)	0.810(.377)
0.425	0.658(.368)	0.671(.372)	0.697(.379)	0.786(.397)	0.786(.397)
0.450	0.642(.384)	0.653(.389)	0.676(.396)	0.761(.417)	0.761(.417)
0.475	0.628(.400)	0.637(.405)	0.657(.413)	0.736(.435)	0.736(.435)
0.500	0.619(.416)	0.624(.420)	0.640(.429)	0.712(.454)	0.712(.454)
0.525	0.614(.431)	0.616(.436)	0.626(.445)	0.689(.471)	0.689(.471)
0.550	0.613(.446)	0.612(.451)	0.616(.461)	0.666(.488)	0.666(.488)
0.575	0.618(.462)	0.614(.467)	0.611(.476)	0.645(.504)	0.645(.504)
0.600	0.628(.477)	0.620(.482)	0.611(.491)	0.627(.520)	0.627(.520)
0.625	0.642(.493)	0.632(.498)	0.616(.507)	0.613(.536)	0.613(.536)
0.650	0.659(.510)	0.646(.514)	0.627(.522)	0.604(.551)	0.604(.551)
0.675	0.681(.526)	0.666(.530)	0.642(.538)	0.600(.566)	0.600(.566)
0.700	0.708(.544)	0.691(.547)	0.662(.554)	0.604(.581)	0.604(.581)
0.725	0.738(.562)	0.721(.565)	0.689(.571)	0.614(.596)	0.614(.596)
0.750	0.773(.581)	0.755(.583)	0.722(.589)	0.632(.612)	0.632(.612)
0.775	0.810(.600)	0.793(.603)	0.760(.607)	0.660(.628)	0.660(.628)
0.800	0.849(.621)	0.833(.623)	0.802(.627)	0.699(.645)	0.699(.645)
0.825	0.885(.643)	0.873(.644)	0.846(.647)	0.749(.663)	0.749(.663)
0.850	0.918(.665)	0.908(.666)	0.888(.669)	0.806(.683)	0.806(.683)
0.875	0.945(.689)	0.938(.690)	0.923(.692)	0.862(.703)	0.862(.703)
0.900	0.967(.713)	0.963(.713)	0.953(.715)	0.911(.726)	0.911(.726)
0.925	0.983(.737)	0.981(.738)	0.975(.739)	0.951(.749)	0.951(.749)
0.950	0.994(.762)	0.993(.762)	0.990(.764)	0.980(.773)	0.980(.773)
0.975	0.999(.787)	0.999(.787)	0.998(.789)	0.996(.798)	0.996(.798)
1.000	1.000(.812)	1.000(.812)	1.000(.814)	1.000(.823)	1.000(.823)

*** RELATIVE ENERGY FLUX DENSITY IN THE ***
 *** PENUMBRA OF A RECTANGULAR CYLINDER ***

SOLAR FIELD ANGLE, D = 10.00 DEGREES
 GEOMETRY D2/R = 1.00 AND H/R = 0.

BETA = ANGLE OF INCIDENCE, DEGREES

BETA ***	0.	10.00	20.00	30.00	40.00
AX/AB	Q (Q1)	Q (Q1)	Q (Q1)	Q (Q1)	Q (Q1)
0.	1.000(.)	1.000(.)	1.000(.)	1.000(.)	1.000(.)
0.025	0.798(.022)	0.865(.023)	0.909(.024)	0.940(.024)	0.963(.025)
0.050	0.297(.036)	0.465(.040)	0.604(.043)	0.719(.045)	0.812(.047)
0.075	0.005(.040)	0.088(.047)	0.230(.053)	0.394(.059)	0.561(.064)
0.100	0. (.040)	0. (.048)	0.013(.056)	0.106(.065)	0.274(.074)
0.125	0. (.040)	0. (.048)	0. (.056)	0.000(.066)	0.059(.078)
0.150	0. (.040)	0. (.048)	0. (.056)	0. (.066)	0. (.079)
0.175	0. (.040)	0. (.048)	0. (.056)	0. (.066)	0. (.079)
0.200	0. (.040)	0. (.048)	0. (.056)	0. (.066)	0. (.079)
0.225	0. (.040)	0. (.048)	0. (.056)	0. (.066)	0. (.079)
0.250	0. (.040)	0. (.048)	0. (.056)	0. (.066)	0. (.079)
0.275	0. (.040)	0. (.048)	0. (.056)	0. (.066)	0. (.079)
0.300	0. (.040)	0. (.048)	0. (.056)	0. (.066)	0. (.079)
0.325	0. (.040)	0. (.048)	0. (.056)	0. (.066)	0. (.079)
0.350	0. (.040)	0. (.048)	0. (.056)	0. (.066)	0. (.079)
0.375	0. (.040)	0. (.048)	0. (.056)	0. (.066)	0. (.079)
0.400	0. (.040)	0. (.048)	0. (.056)	0. (.066)	0. (.079)
0.425	0. (.040)	0. (.048)	0. (.056)	0. (.066)	0. (.079)
0.450	0. (.040)	0. (.048)	0. (.056)	0. (.066)	0. (.079)
0.475	0. (.040)	0. (.048)	0. (.056)	0. (.066)	0. (.079)
0.500	0. (.040)	0. (.048)	0. (.056)	0. (.066)	0. (.079)
0.525	0. (.040)	0. (.048)	0. (.056)	0. (.066)	0. (.079)
0.550	0. (.040)	0. (.048)	0. (.056)	0. (.066)	0. (.079)
0.575	0. (.040)	0. (.048)	0. (.056)	0. (.066)	0. (.079)
0.600	0. (.040)	0. (.048)	0. (.056)	0. (.066)	0. (.079)
0.625	0. (.040)	0. (.048)	0. (.056)	0. (.066)	0. (.079)
0.650	0. (.040)	0. (.048)	0. (.056)	0. (.066)	0. (.079)
0.675	0. (.040)	0. (.048)	0. (.056)	0. (.066)	0. (.079)
0.700	0. (.040)	0. (.048)	0. (.056)	0. (.066)	0. (.079)
0.725	0. (.040)	0. (.048)	0. (.056)	0. (.066)	0. (.079)
0.750	0. (.040)	0. (.048)	0. (.056)	0. (.066)	0. (.079)
0.775	0. (.040)	0. (.048)	0. (.056)	0. (.066)	0. (.079)
0.800	0. (.040)	0. (.048)	0. (.056)	0. (.066)	0. (.079)
0.825	0. (.040)	0. (.048)	0. (.056)	0. (.066)	0. (.079)
0.850	0. (.040)	0. (.048)	0. (.056)	0. (.066)	0. (.079)
0.875	0. (.040)	0. (.048)	0. (.056)	0. (.066)	0. (.079)
0.900	0. (.040)	0. (.048)	0. (.056)	0. (.066)	0. (.079)
0.925	0.005(.040)	0. (.048)	0. (.056)	0. (.066)	0. (.079)
0.950	0.297(.044)	0.112(.049)	0.000(.056)	0.000(.062)	0. (.079)
0.975	0.798(.058)	0.687(.059)	0.485(.062)	0.116(.068)	0. (.079)
1.000	1.000(.080)	1.000(.080)	1.000(.081)	1.000(.082)	1.000(.092)

App 4
Phase 11

*** RELATIVE ENERGY FLUX DENSITY IN THE ***
 *** PENUMBRA OF A RECTANGULAR CYLINDER ***

VERSION D

SOLAR FIELD ANGLE, D = 10.00 DEGREES
 GEOMETRY D2/R = 1.00 AND H/R = 0.

BETA = ANGLE OF INCIDENCE, DEGREES

BETA ***	50.00	60.00	70.00	80.00	84.50
AX/AB	Q (Q1)	Q (Q1)	Q (Q1)	Q (Q1)	Q (Q1)
0.	1.000(.)	1.000(.)	1.000(.)	1.000(.)	1.000(.)
0.025	0.979(.025)	0.991(.025)	0.997(.025)	0.999(.025)	1.000(.025)
0.050	0.888(.048)	0.947(.049)	0.985(.050)	0.999(.050)	1.000(.050)
0.075	0.719(.068)	0.857(.072)	0.957(.074)	0.998(.075)	1.000(.075)
0.100	0.489(.083)	0.717(.091)	0.908(.097)	0.996(.100)	1.000(.100)
0.125	0.247(.092)	0.535(.107)	0.835(.119)	0.993(.125)	1.000(.125)
0.150	0.062(.096)	0.332(.118)	0.734(.139)	0.987(.149)	1.000(.150)
0.175	0.000(.097)	0.145(.124)	0.607(.156)	0.979(.174)	1.000(.175)
0.200	0. (.097)	0.024(.126)	0.457(.169)	0.968(.198)	1.000(.200)
0.225	0. (.097)	0. (.126)	0.296(.178)	0.952(.222)	1.000(.225)
0.250	0. (.097)	0. (.126)	0.145(.184)	0.931(.246)	1.000(.250)
0.275	0. (.097)	0. (.126)	0.036(.186)	0.903(.269)	1.000(.275)
0.300	0. (.097)	0. (.126)	0.000(.186)	0.866(.291)	1.000(.300)
0.325	0. (.097)	0. (.126)	0. (.186)	0.818(.312)	1.000(.325)
0.350	0. (.097)	0. (.126)	0. (.186)	0.757(.332)	1.000(.350)
0.375	0. (.097)	0. (.126)	0. (.186)	0.680(.350)	1.000(.375)
0.400	0. (.097)	0. (.126)	0. (.186)	0.585(.366)	1.000(.400)
0.425	0. (.097)	0. (.126)	0. (.186)	0.470(.379)	1.000(.425)
0.450	0. (.097)	0. (.126)	0. (.186)	0.339(.389)	1.000(.450)
0.475	0. (.097)	0. (.126)	0. (.186)	0.201(.396)	1.000(.475)
0.500	0. (.097)	0. (.126)	0. (.186)	0.077(.399)	0.999(.500)
0.525	0. (.097)	0. (.126)	0. (.186)	0.005(.400)	0.999(.525)
0.550	0. (.097)	0. (.126)	0. (.186)	0. (.400)	0.999(.550)
0.575	0. (.097)	0. (.126)	0. (.186)	0. (.400)	0.998(.575)
0.600	0. (.097)	0. (.126)	0. (.186)	0. (.400)	0.998(.600)
0.625	0. (.097)	0. (.126)	0. (.186)	0. (.400)	0.997(.625)
0.650	0. (.097)	0. (.126)	0. (.186)	0. (.400)	0.996(.650)
0.675	0. (.097)	0. (.126)	0. (.186)	0. (.400)	0.994(.675)
0.700	0. (.097)	0. (.126)	0. (.186)	0. (.400)	0.991(.699)
0.725	0. (.097)	0. (.126)	0. (.186)	0. (.400)	0.987(.724)
0.750	0. (.097)	0. (.126)	0. (.186)	0. (.400)	0.979(.749)
0.775	0. (.097)	0. (.126)	0. (.186)	0. (.400)	0.967(.773)
0.800	0. (.097)	0. (.126)	0. (.186)	0. (.400)	0.944(.797)
0.825	0. (.097)	0. (.126)	0. (.186)	0. (.400)	0.901(.820)
0.850	0. (.097)	0. (.126)	0. (.186)	0. (.400)	0.811(.841)
0.875	0. (.097)	0. (.126)	0. (.186)	0. (.400)	0.609(.859)
0.900	0. (.097)	0. (.126)	0. (.186)	0. (.400)	0.182(.869)
0.925	0. (.097)	0. (.126)	0. (.186)	0. (.400)	0. (.871)
0.950	0. (.097)	0. (.126)	0. (.186)	0. (.400)	0. (.871)
0.975	0. (.097)	0. (.126)	0. (.186)	0. (.400)	0. (.871)
1.000	0. (.097)	0. (.126)	0. (.186)	0. (.400)	0. (.871)

Phase II

*** RELATIVE ENERGY FLUX DENSITY IN THE ***
 *** PENUMBRA OF A RECTANGULAR CYLINDER ***

VERSION D

SOLAR FIELD ANGLE, $D = 10.00$ DEGREES
 GEOMETRY $D2/R = 5.00$ AND $H/R = 0.$

BETA = ANGLE OF INCIDENCE, DEGREES

BETA ***	0.	10.00	20.00	30.00	40.00
AX/AB	Q (Q1)	Q (Q1)	Q (Q1)	Q (Q1)	Q (Q1)
0.	1.000(.)	1.000(.)	1.000(.)	1.000(.)	1.000(.)
0.025	0.990(.025)	0.992(.025)	0.993(.025)	0.994(.025)	0.996(.025)
0.050	0.950(.049)	0.957(.049)	0.964(.049)	0.970(.049)	0.976(.050)
0.075	0.877(.072)	0.893(.072)	0.907(.073)	0.922(.073)	0.937(.073)
0.100	0.773(.093)	0.800(.094)	0.825(.094)	0.850(.095)	0.876(.096)
0.125	0.648(.110)	0.684(.112)	0.720(.114)	0.756(.115)	0.795(.117)
0.150	0.510(.125)	0.554(.128)	0.599(.130)	0.645(.133)	0.697(.136)
0.175	0.372(.136)	0.420(.140)	0.469(.144)	0.523(.147)	0.585(.152)
0.200	0.244(.144)	0.290(.149)	0.341(.154)	0.397(.159)	0.466(.165)
0.225	0.137(.148)	0.177(.154)	0.222(.161)	0.277(.167)	0.345(.175)
0.250	0.058(.151)	0.087(.158)	0.123(.165)	0.169(.173)	0.232(.182)
0.275	0.013(.152)	0.028(.159)	0.051(.167)	0.084(.176)	0.134(.187)
0.300	0.000(.152)	0.003(.160)	0.010(.168)	0.027(.178)	0.060(.189)
0.325	0. (.152)	0. (.160)	0.000(.168)	0.002(.178)	0.015(.190)
0.350	0. (.152)	0. (.160)	0. (.168)	0. (.178)	0.000(.190)
0.375	0. (.152)	0. (.160)	0. (.168)	0. (.178)	0. (.190)
0.400	0. (.152)	0. (.160)	0. (.168)	0. (.178)	0. (.190)
0.425	0. (.152)	0. (.160)	0. (.168)	0. (.178)	0. (.190)
0.450	0. (.152)	0. (.160)	0. (.168)	0. (.178)	0. (.190)
0.475	0. (.152)	0. (.160)	0. (.168)	0. (.178)	0. (.190)
0.500	0. (.152)	0. (.160)	0. (.168)	0. (.178)	0. (.190)
0.525	0. (.152)	0. (.160)	0. (.168)	0. (.178)	0. (.190)
0.550	0. (.152)	0. (.160)	0. (.168)	0. (.178)	0. (.190)
0.575	0. (.152)	0. (.160)	0. (.168)	0. (.178)	0. (.190)
0.600	0. (.152)	0. (.160)	0. (.168)	0. (.178)	0. (.190)
0.625	0. (.152)	0. (.160)	0. (.168)	0. (.178)	0. (.190)
0.650	0. (.152)	0. (.160)	0. (.168)	0. (.178)	0. (.190)
0.675	0. (.152)	0. (.160)	0. (.168)	0. (.178)	0. (.190)
0.700	0.000(.152)	0. (.160)	0. (.168)	0. (.178)	0. (.190)
0.725	0.013(.152)	0.004(.160)	0.000(.168)	0. (.178)	0. (.190)
0.750	0.058(.153)	0.035(.160)	0.017(.168)	0.005(.178)	0.000(.190)
0.775	0.137(.155)	0.101(.162)	0.068(.169)	0.038(.179)	0.013(.190)
0.800	0.244(.160)	0.199(.166)	0.155(.172)	0.109(.180)	0.062(.191)
0.825	0.372(.168)	0.324(.172)	0.273(.177)	0.216(.184)	0.151(.194)
0.850	0.510(.179)	0.464(.182)	0.413(.186)	0.353(.192)	0.279(.199)
0.875	0.648(.193)	0.608(.195)	0.563(.198)	0.508(.202)	0.435(.208)
0.900	0.773(.211)	0.744(.212)	0.709(.214)	0.665(.217)	0.604(.221)
0.925	0.877(.232)	0.859(.232)	0.837(.233)	0.808(.235)	0.766(.238)
0.950	0.950(.255)	0.942(.255)	0.932(.256)	0.918(.257)	0.897(.259)
0.975	0.990(.279)	0.989(.279)	0.986(.280)	0.983(.281)	0.978(.283)
1.000	1.000(.304)	1.000(.304)	1.000(.304)	1.000(.305)	1.000(.307)

*Atf. A.
Phase II*

*** RELATIVE ENERGY FLUX DENSITY IN THE ***
 *** PENUMBRA OF A RECTANGULAR CYLINDER ***

VERSION D

SOLAR FIELD ANGLE, D = 10.00 DEGREES
 GEOMETRY D2/R = 5.00 AND H/R = 0.

BETA = ANGLE OF INCIDENCE, DEGREES

BETA ***	50.00	60.00	70.00	80.00	84.50
AX/AB	Q (Q1)	Q (Q1)	Q (Q1)	Q (Q1)	Q (Q1)
0.	1.000(.)	1.000(.)	1.000(.)	1.000(.)	1.000(.)
0.025	0.997(.025)	0.998(.025)	0.999(.025)	1.000(.025)	1.000(.025)
0.050	0.982(.050)	0.989(.050)	0.995(.050)	1.000(.050)	1.000(.050)
0.075	0.952(.074)	0.969(.074)	0.987(.075)	0.999(.075)	1.000(.075)
0.100	0.905(.097)	0.937(.093)	0.972(.099)	0.998(.100)	1.000(.100)
0.125	0.840(.119)	0.891(.121)	0.949(.123)	0.996(.125)	1.000(.125)
0.150	0.757(.139)	0.830(.142)	0.918(.147)	0.993(.150)	1.000(.150)
0.175	0.660(.157)	0.756(.162)	0.877(.169)	0.989(.174)	1.000(.175)
0.200	0.552(.172)	0.666(.180)	0.825(.190)	0.983(.199)	1.000(.200)
0.225	0.437(.184)	0.569(.196)	0.762(.210)	0.975(.224)	1.000(.225)
0.250	0.323(.194)	0.463(.208)	0.688(.228)	0.964(.248)	1.000(.250)
0.275	0.215(.200)	0.353(.219)	0.603(.244)	0.951(.272)	1.000(.275)
0.300	0.122(.205)	0.247(.226)	0.509(.258)	0.933(.295)	1.000(.300)
0.325	0.052(.207)	0.150(.231)	0.408(.270)	0.911(.318)	1.000(.325)
0.350	0.011(.207)	0.073(.234)	0.304(.279)	0.884(.341)	1.000(.350)
0.375	0.000(.208)	0.021(.235)	0.204(.285)	0.849(.362)	1.000(.375)
0.400	0. (.208)	0.001(.235)	0.115(.289)	0.807(.383)	1.000(.400)
0.425	0. (.208)	0. (.235)	0.047(.291)	0.754(.403)	1.000(.425)
0.450	0. (.208)	0. (.235)	0.008(.292)	0.691(.421)	1.000(.450)
0.475	0. (.208)	0. (.235)	0. (.292)	0.616(.437)	1.000(.475)
0.500	0. (.208)	0. (.235)	0. (.292)	0.528(.451)	0.999(.500)
0.525	0. (.208)	0. (.235)	0. (.292)	0.427(.463)	0.999(.525)
0.550	0. (.208)	0. (.235)	0. (.292)	0.316(.473)	0.999(.550)
0.575	0. (.208)	0. (.235)	0. (.292)	0.202(.479)	0.999(.575)
0.600	0. (.208)	0. (.235)	0. (.292)	0.096(.483)	0.998(.600)
0.625	0. (.208)	0. (.235)	0. (.292)	0.022(.484)	0.997(.625)
0.650	0. (.208)	0. (.235)	0. (.292)	0. (.485)	0.996(.650)
0.675	0. (.208)	0. (.235)	0. (.292)	0. (.485)	0.995(.675)
0.700	0. (.208)	0. (.235)	0. (.292)	0. (.485)	0.993(.699)
0.725	0. (.208)	0. (.235)	0. (.292)	0. (.485)	0.990(.724)
0.750	0. (.208)	0. (.235)	0. (.292)	0. (.485)	0.985(.749)
0.775	0.000(.208)	0. (.235)	0. (.292)	0. (.485)	0.976(.773)
0.800	0.019(.208)	0. (.235)	0. (.292)	0. (.485)	0.962(.798)
0.825	0.077(.209)	0.010(.236)	0. (.292)	0. (.485)	0.936(.821)
0.850	0.183(.212)	0.063(.236)	0. (.292)	0. (.485)	0.885(.844)
0.875	0.331(.219)	0.173(.239)	0.003(.292)	0. (.485)	0.780(.865)
0.900	0.509(.229)	0.343(.246)	0.053(.292)	0. (.485)	0.547(.882)
0.925	0.695(.244)	0.557(.257)	0.205(.296)	0. (.485)	0.098(.890)
0.950	0.861(.264)	0.777(.274)	0.486(.304)	0. (.485)	0. (.891)
0.975	0.969(.287)	0.946(.295)	0.832(.321)	0. (.485)	0. (.891)
1.000	1.000(.311)	1.000(.320)	1.000(.344)	0. (.485)	0. (.891)

*** RELATIVE ENERGY FLUX DENSITY IN THE ***
 *** PENUMBRA OF A RECTANGULAR CYLINDER ***

VERSION D

SOLAR FIELD ANGLE, $\beta = 10.00$ DEGREES
 GEOMETRY $DZ/R = 10.00$ AND $H/R = 0.$

BETA = ANGLE OF INCIDENCE, DEGREES

BETA ***	0.	10.00	20.00	30.00	40.00
AX/AB	Q (QI)	Q (QI)	Q (QI)	Q (QI)	Q (QI)
0.	1.000(.)	1.000(.)	1.000(.)	1.000(.)	1.000(.)
0.025	0.997(.025)	0.997(.025)	0.997(.025)	0.998(.025)	0.998(.025)
0.050	0.982(.050)	0.984(.050)	0.986(.050)	0.988(.050)	0.990(.050)
0.075	0.953(.074)	0.958(.074)	0.963(.074)	0.968(.074)	0.973(.074)
0.100	0.910(.097)	0.919(.097)	0.927(.098)	0.936(.098)	0.946(.098)
0.125	0.853(.119)	0.866(.120)	0.879(.120)	0.893(.121)	0.908(.122)
0.150	0.783(.140)	0.802(.141)	0.820(.142)	0.839(.143)	0.860(.144)
0.175	0.705(.158)	0.728(.160)	0.751(.161)	0.775(.163)	0.803(.164)
0.200	0.619(.175)	0.646(.177)	0.673(.179)	0.703(.181)	0.736(.184)
0.225	0.527(.189)	0.559(.192)	0.589(.195)	0.623(.198)	0.662(.201)
0.250	0.438(.201)	0.469(.205)	0.502(.208)	0.539(.212)	0.582(.217)
0.275	0.349(.211)	0.381(.215)	0.414(.220)	0.452(.225)	0.499(.230)
0.300	0.265(.219)	0.296(.224)	0.328(.229)	0.366(.235)	0.414(.242)
0.325	0.190(.224)	0.217(.230)	0.248(.236)	0.284(.243)	0.330(.251)
0.350	0.125(.228)	0.148(.235)	0.175(.242)	0.207(.249)	0.250(.258)
0.375	0.073(.231)	0.091(.238)	0.112(.245)	0.140(.254)	0.177(.263)
0.400	0.035(.232)	0.047(.240)	0.063(.247)	0.084(.256)	0.114(.267)
0.425	0.011(.233)	0.018(.240)	0.028(.249)	0.042(.258)	0.063(.269)
0.450	0.001(.233)	0.003(.241)	0.007(.249)	0.014(.259)	0.027(.270)
0.475	0. (.233)	0. (.241)	0.000(.249)	0.002(.259)	0.007(.271)
0.500	0. (.233)	0. (.241)	0. (.249)	0. (.259)	0.000(.271)
0.525	0. (.233)	0. (.241)	0. (.249)	0. (.259)	0. (.271)
0.550	0.001(.233)	0.000(.241)	0. (.249)	0. (.259)	0. (.271)
0.575	0.011(.233)	0.006(.241)	0.003(.249)	0.001(.259)	0.000(.271)
0.600	0.035(.234)	0.025(.241)	0.016(.249)	0.009(.259)	0.003(.271)
0.625	0.073(.235)	0.057(.242)	0.043(.250)	0.029(.259)	0.017(.271)
0.650	0.125(.238)	0.104(.244)	0.084(.252)	0.064(.261)	0.043(.272)
0.675	0.190(.241)	0.164(.248)	0.139(.254)	0.113(.263)	0.084(.274)
0.700	0.265(.247)	0.237(.253)	0.207(.259)	0.175(.266)	0.140(.276)
0.725	0.349(.255)	0.318(.260)	0.286(.265)	0.250(.272)	0.209(.281)
0.750	0.438(.265)	0.407(.269)	0.373(.273)	0.335(.279)	0.290(.287)
0.775	0.529(.277)	0.499(.280)	0.466(.284)	0.428(.289)	0.381(.295)
0.800	0.619(.291)	0.591(.294)	0.560(.297)	0.524(.300)	0.479(.306)
0.825	0.705(.308)	0.681(.309)	0.653(.312)	0.621(.315)	0.579(.319)
0.850	0.783(.326)	0.764(.327)	0.741(.329)	0.714(.331)	0.678(.335)
0.875	0.853(.347)	0.838(.347)	0.821(.349)	0.800(.350)	0.772(.353)
0.900	0.910(.369)	0.900(.369)	0.888(.370)	0.874(.371)	0.854(.374)
0.925	0.953(.392)	0.947(.392)	0.941(.393)	0.932(.394)	0.921(.396)
0.950	0.982(.416)	0.979(.416)	0.977(.417)	0.973(.418)	0.968(.419)
0.975	0.997(.441)	0.996(.441)	0.996(.441)	0.995(.442)	0.994(.444)
1.000	1.000(.466)	1.000(.466)	1.000(.466)	1.000(.467)	1.000(.469)

REORDER No. 66-196
 App A
 Phase II

*** RELATIVE ENERGY FLUX DENSITY IN THE ***
 *** PENUMBRA OF A RECTANGULAR CYLINDER ***
 VERSION D

SOLAR FIELD ANGLE, D= 10.00 DEGREES
 GEOMETRY D2/R = 10.00 AND H/R = 0.

BETA = ANGLE OF INCIDENCE, DEGREES

BETA ***	50.00	60.00	70.00	80.00	84.50
AX/AB	Q (QI)	Q (QI)	Q (QI)	Q (QI)	Q (QI)
0.	1.000(.)	1.000(.)	1.000(.)	1.000(.)	1.000(.)
0.025	0.999(.025)	0.999(.025)	1.000(.025)	1.000(.025)	1.000(.025)
0.050	0.992(.050)	0.995(.050)	0.997(.050)	1.000(.050)	1.000(.050)
0.075	0.978(.074)	0.985(.075)	0.993(.075)	0.999(.075)	1.000(.075)
0.100	0.955(.099)	0.969(.099)	0.984(.100)	0.998(.100)	1.000(.100)
0.125	0.925(.122)	0.947(.123)	0.972(.124)	0.997(.125)	1.000(.125)
0.150	0.885(.145)	0.916(.146)	0.955(.148)	0.995(.150)	1.000(.150)
0.175	0.835(.166)	0.876(.169)	0.933(.172)	0.992(.175)	1.000(.175)
0.200	0.778(.187)	0.832(.190)	0.905(.195)	0.988(.199)	1.000(.200)
0.225	0.711(.205)	0.777(.210)	0.871(.217)	0.983(.224)	1.000(.225)
0.250	0.638(.222)	0.715(.229)	0.829(.238)	0.976(.248)	1.000(.250)
0.275	0.559(.237)	0.646(.246)	0.781(.258)	0.967(.273)	1.000(.275)
0.300	0.477(.250)	0.571(.261)	0.726(.277)	0.956(.297)	1.000(.300)
0.325	0.394(.261)	0.492(.274)	0.663(.294)	0.942(.321)	1.000(.325)
0.350	0.312(.270)	0.411(.286)	0.594(.310)	0.925(.344)	1.000(.350)
0.375	0.233(.276)	0.329(.295)	0.520(.324)	0.903(.367)	1.000(.375)
0.400	0.162(.281)	0.250(.302)	0.441(.336)	0.877(.389)	1.000(.400)
0.425	0.101(.285)	0.176(.307)	0.359(.346)	0.846(.411)	1.000(.425)
0.450	0.053(.287)	0.111(.311)	0.277(.354)	0.808(.431)	1.000(.450)
0.475	0.020(.288)	0.059(.313)	0.199(.360)	0.762(.451)	1.000(.475)
0.500	0.003(.288)	0.023(.314)	0.128(.364)	0.708(.469)	0.999(.500)
0.525	0. (.288)	0.004(.315)	0.069(.367)	0.644(.486)	0.999(.525)
0.550	0. (.288)	0. (.315)	0.026(.368)	0.571(.501)	0.999(.550)
0.575	0. (.288)	0. (.315)	0.004(.368)	0.487(.514)	0.999(.575)
0.600	0.000(.288)	0. (.315)	0. (.368)	0.394(.525)	0.998(.600)
0.625	0.005(.288)	0.000(.315)	0. (.368)	0.294(.534)	0.998(.625)
0.650	0.023(.288)	0.005(.315)	0. (.368)	0.192(.540)	0.997(.650)
0.675	0.053(.289)	0.021(.315)	0.000(.368)	0.099(.544)	0.996(.675)
0.700	0.098(.291)	0.049(.316)	0.005(.368)	0.029(.545)	0.994(.700)
0.725	0.158(.294)	0.093(.318)	0.020(.369)	0.001(.546)	0.991(.724)
0.750	0.232(.299)	0.152(.321)	0.048(.369)	0. (.546)	0.987(.749)
0.775	0.319(.306)	0.228(.325)	0.093(.371)	0. (.546)	0.981(.774)
0.800	0.415(.315)	0.319(.332)	0.157(.374)	0.000(.546)	0.970(.798)
0.825	0.520(.327)	0.423(.342)	0.243(.379)	0.001(.546)	0.951(.822)
0.850	0.625(.341)	0.536(.354)	0.351(.387)	0.010(.546)	0.917(.845)
0.875	0.729(.358)	0.652(.368)	0.478(.397)	0.034(.546)	0.849(.867)
0.900	0.823(.378)	0.765(.386)	0.618(.411)	0.090(.548)	0.704(.887)
0.925	0.902(.399)	0.865(.407)	0.761(.428)	0.207(.552)	0.386(.901)
0.950	0.959(.422)	0.942(.429)	0.888(.449)	0.426(.560)	0. (.905)
0.975	0.992(.447)	0.988(.453)	0.974(.472)	0.766(.575)	0. (.905)
1.000	1.000(.472)	1.000(.478)	1.000(.497)	1.000(.597)	0. (.905)

D-126
 377

66-196
 App A
 Phase II

*** RELATIVE ENERGY FLUX DENSITY IN THE ***
 *** PENUMBRA OF A RECTANGULAR CYLINDER ***

VERSION D

SOLAR FIELD ANGLE, D = 10.00 DEGREES
 GEOMETRY D2/R = 50.00 AND H/R = 0.

BETA = ANGLE OF INCIDENCE, DEGREES

BETA *** AX/AB	0.		10.00		20.00		30.00		40.00	
	Q	Q1	Q	Q1	Q	Q1	Q	Q1	Q	Q1
0.	1.000(.)	1.000(.)	1.000(.)	1.000(.)	1.000(.)	1.000(.)	1.000(.)	1.000(.)	1.000(.)	1.000(.)
0.025	0.999(.025)	0.999(.025)	0.999(.025)	0.999(.025)	0.999(.025)	0.999(.025)	0.999(.025)	0.999(.025)	0.999(.025)	0.999(.025)
0.050	0.995(.050)	0.996(.050)	0.996(.050)	0.996(.050)	0.996(.050)	0.996(.050)	0.997(.050)	0.997(.050)	0.997(.050)	0.997(.050)
0.075	0.987(.075)	0.988(.075)	0.988(.075)	0.988(.075)	0.989(.075)	0.989(.075)	0.991(.075)	0.991(.075)	0.992(.075)	0.992(.075)
0.100	0.975(.099)	0.977(.099)	0.977(.099)	0.977(.099)	0.979(.099)	0.979(.099)	0.981(.099)	0.981(.099)	0.983(.099)	0.983(.099)
0.125	0.958(.123)	0.961(.124)	0.961(.124)	0.961(.124)	0.964(.124)	0.964(.124)	0.968(.124)	0.968(.124)	0.971(.124)	0.971(.124)
0.150	0.936(.147)	0.941(.147)	0.941(.147)	0.941(.147)	0.945(.148)	0.945(.148)	0.950(.148)	0.950(.148)	0.956(.148)	0.956(.148)
0.175	0.909(.170)	0.916(.170)	0.916(.170)	0.916(.170)	0.922(.171)	0.922(.171)	0.929(.171)	0.929(.171)	0.936(.172)	0.936(.172)
0.200	0.878(.192)	0.886(.193)	0.886(.193)	0.886(.193)	0.894(.194)	0.894(.194)	0.903(.194)	0.903(.194)	0.913(.195)	0.913(.195)
0.225	0.845(.214)	0.854(.215)	0.854(.215)	0.854(.215)	0.864(.216)	0.864(.216)	0.874(.216)	0.874(.216)	0.886(.217)	0.886(.217)
0.250	0.812(.235)	0.822(.236)	0.822(.236)	0.822(.236)	0.833(.237)	0.833(.237)	0.844(.238)	0.844(.238)	0.858(.239)	0.858(.239)
0.275	0.779(.255)	0.790(.256)	0.790(.256)	0.790(.256)	0.802(.257)	0.802(.257)	0.814(.259)	0.814(.259)	0.829(.260)	0.829(.260)
0.300	0.749(.274)	0.760(.275)	0.760(.275)	0.760(.275)	0.771(.277)	0.771(.277)	0.784(.279)	0.784(.279)	0.800(.281)	0.800(.281)
0.325	0.721(.292)	0.731(.294)	0.731(.294)	0.731(.294)	0.742(.296)	0.742(.296)	0.756(.298)	0.756(.298)	0.771(.300)	0.771(.300)
0.350	0.695(.310)	0.705(.312)	0.705(.312)	0.705(.312)	0.716(.314)	0.716(.314)	0.728(.316)	0.728(.316)	0.744(.319)	0.744(.319)
0.375	0.673(.327)	0.682(.329)	0.682(.329)	0.682(.329)	0.692(.332)	0.692(.332)	0.704(.334)	0.704(.334)	0.719(.337)	0.719(.337)
0.400	0.654(.343)	0.662(.346)	0.662(.346)	0.662(.346)	0.671(.349)	0.671(.349)	0.681(.352)	0.681(.352)	0.695(.355)	0.695(.355)
0.425	0.640(.360)	0.646(.362)	0.646(.362)	0.646(.362)	0.653(.365)	0.653(.365)	0.662(.368)	0.662(.368)	0.674(.372)	0.674(.372)
0.450	0.629(.375)	0.633(.378)	0.633(.378)	0.633(.378)	0.639(.381)	0.639(.381)	0.646(.385)	0.646(.385)	0.656(.389)	0.656(.389)
0.475	0.623(.391)	0.625(.394)	0.625(.394)	0.625(.394)	0.628(.397)	0.628(.397)	0.633(.401)	0.633(.401)	0.641(.405)	0.641(.405)
0.500	0.621(.407)	0.621(.410)	0.621(.410)	0.621(.410)	0.622(.413)	0.622(.413)	0.625(.416)	0.625(.416)	0.630(.421)	0.630(.421)
0.525	0.623(.422)	0.621(.425)	0.621(.425)	0.621(.425)	0.620(.428)	0.620(.428)	0.621(.432)	0.621(.432)	0.622(.437)	0.622(.437)
0.550	0.629(.438)	0.626(.441)	0.626(.441)	0.626(.441)	0.623(.444)	0.623(.444)	0.620(.447)	0.620(.447)	0.619(.452)	0.619(.452)
0.575	0.640(.454)	0.634(.456)	0.634(.456)	0.634(.456)	0.629(.460)	0.629(.460)	0.625(.463)	0.625(.463)	0.621(.468)	0.621(.468)
0.600	0.654(.470)	0.647(.472)	0.647(.472)	0.647(.472)	0.641(.475)	0.641(.475)	0.634(.479)	0.634(.479)	0.627(.483)	0.627(.483)
0.625	0.673(.486)	0.664(.489)	0.664(.489)	0.664(.489)	0.656(.492)	0.656(.492)	0.647(.495)	0.647(.495)	0.637(.499)	0.637(.499)
0.650	0.695(.504)	0.685(.506)	0.685(.506)	0.685(.506)	0.676(.508)	0.676(.508)	0.665(.511)	0.665(.511)	0.653(.515)	0.653(.515)
0.675	0.721(.521)	0.710(.523)	0.710(.523)	0.710(.523)	0.699(.525)	0.699(.525)	0.687(.528)	0.687(.528)	0.673(.532)	0.673(.532)
0.700	0.749(.540)	0.738(.541)	0.738(.541)	0.738(.541)	0.726(.543)	0.726(.543)	0.713(.546)	0.713(.546)	0.698(.549)	0.698(.549)
0.725	0.779(.559)	0.769(.560)	0.769(.560)	0.769(.560)	0.757(.562)	0.757(.562)	0.743(.564)	0.743(.564)	0.727(.567)	0.727(.567)
0.750	0.812(.579)	0.801(.580)	0.801(.580)	0.801(.580)	0.790(.581)	0.790(.581)	0.777(.583)	0.777(.583)	0.760(.585)	0.760(.585)
0.775	0.845(.599)	0.835(.600)	0.835(.600)	0.835(.600)	0.825(.601)	0.825(.601)	0.812(.603)	0.812(.603)	0.796(.605)	0.796(.605)
0.800	0.878(.621)	0.870(.622)	0.870(.622)	0.870(.622)	0.860(.622)	0.860(.622)	0.849(.623)	0.849(.623)	0.835(.625)	0.835(.625)
0.825	0.909(.643)	0.902(.644)	0.902(.644)	0.902(.644)	0.895(.644)	0.895(.644)	0.885(.645)	0.885(.645)	0.873(.646)	0.873(.646)
0.850	0.936(.666)	0.931(.667)	0.931(.667)	0.931(.667)	0.925(.667)	0.925(.667)	0.918(.668)	0.918(.668)	0.909(.669)	0.909(.669)
0.875	0.958(.690)	0.954(.690)	0.954(.690)	0.954(.690)	0.950(.690)	0.950(.690)	0.945(.691)	0.945(.691)	0.939(.692)	0.939(.692)
0.900	0.975(.714)	0.973(.714)	0.973(.714)	0.973(.714)	0.970(.714)	0.970(.714)	0.967(.715)	0.967(.715)	0.963(.716)	0.963(.716)
0.925	0.987(.739)	0.986(.739)	0.986(.739)	0.986(.739)	0.985(.739)	0.985(.739)	0.983(.739)	0.983(.739)	0.981(.740)	0.981(.740)
0.950	0.995(.763)	0.995(.763)	0.995(.763)	0.995(.763)	0.994(.764)	0.994(.764)	0.994(.764)	0.994(.764)	0.993(.764)	0.993(.764)
0.975	0.999(.788)	0.999(.788)	0.999(.788)	0.999(.788)	0.999(.789)	0.999(.789)	0.999(.789)	0.999(.789)	0.999(.789)	0.999(.789)
1.000	1.000(.813)	1.000(.813)	1.000(.813)	1.000(.813)	1.000(.814)	1.000(.814)	1.000(.814)	1.000(.814)	1.000(.814)	1.000(.814)

*** RELATIVE ENERGY FLUX DENSITY IN THE ***
 *** PENUMBRA OF A RECTANGULAR CYLINDER ***

VERSION D

SOLAR FIELD ANGLE, D = 10.00 DEGREES
 GEOMETRY D2/R = 50.00 AND H/R = 0.

BETA = ANGLE OF INCIDENCE, DEGREES

BETA ***	50.00	60.00	70.00	80.00	84.50
AX/AB	Q (Q1)	Q (Q1)	Q (Q1)	Q (Q1)	Q (Q1)
0.	1.000(.)	1.000(.)	1.000(.)	1.000(.)	1.000(.)
0.025	1.000(.025)	1.000(.025)	1.000(.025)	1.000(.025)	1.000(.025)
0.050	0.997(.050)	0.998(.050)	0.999(.050)	1.000(.050)	1.000(.050)
0.075	0.993(.075)	0.995(.075)	0.997(.075)	1.000(.075)	1.000(.075)
0.100	0.986(.100)	0.990(.100)	0.994(.100)	0.999(.100)	1.000(.100)
0.125	0.975(.124)	0.982(.124)	0.989(.125)	0.998(.125)	1.000(.125)
0.150	0.963(.145)	0.971(.149)	0.983(.149)	0.997(.150)	1.000(.150)
0.175	0.946(.172)	0.958(.173)	0.974(.174)	0.996(.175)	1.000(.175)
0.200	0.925(.196)	0.941(.197)	0.964(.198)	0.994(.200)	1.000(.200)
0.225	0.901(.216)	0.921(.220)	0.951(.222)	0.991(.224)	1.000(.225)
0.250	0.875(.241)	0.899(.243)	0.935(.245)	0.988(.249)	1.000(.250)
0.275	0.848(.262)	0.875(.265)	0.918(.269)	0.983(.274)	1.000(.275)
0.300	0.820(.283)	0.850(.286)	0.898(.291)	0.978(.298)	1.000(.300)
0.325	0.793(.303)	0.824(.307)	0.877(.314)	0.972(.323)	1.000(.325)
0.350	0.766(.323)	0.796(.328)	0.855(.335)	0.965(.347)	1.000(.350)
0.375	0.739(.341)	0.772(.347)	0.832(.356)	0.956(.371)	1.000(.375)
0.400	0.715(.360)	0.747(.366)	0.808(.377)	0.946(.395)	1.000(.400)
0.425	0.692(.377)	0.722(.385)	0.784(.397)	0.935(.418)	1.000(.425)
0.450	0.671(.394)	0.699(.402)	0.759(.416)	0.922(.441)	1.000(.450)
0.475	0.654(.411)	0.678(.420)	0.734(.435)	0.907(.464)	1.000(.475)
0.500	0.639(.427)	0.659(.436)	0.710(.453)	0.891(.487)	1.000(.500)
0.525	0.628(.443)	0.642(.452)	0.687(.470)	0.872(.509)	0.999(.525)
0.550	0.621(.458)	0.630(.468)	0.666(.487)	0.851(.530)	0.999(.550)
0.575	0.618(.474)	0.621(.484)	0.647(.503)	0.828(.551)	0.999(.575)
0.600	0.620(.489)	0.616(.499)	0.631(.519)	0.802(.572)	0.999(.600)
0.625	0.627(.505)	0.616(.515)	0.618(.535)	0.774(.591)	0.998(.625)
0.650	0.635(.521)	0.622(.530)	0.610(.550)	0.744(.610)	0.998(.650)
0.675	0.655(.537)	0.633(.546)	0.608(.566)	0.713(.629)	0.997(.675)
0.700	0.678(.554)	0.650(.562)	0.612(.581)	0.680(.646)	0.996(.700)
0.725	0.705(.571)	0.673(.579)	0.623(.596)	0.648(.663)	0.995(.725)
0.750	0.737(.589)	0.703(.596)	0.643(.612)	0.618(.678)	0.993(.749)
0.775	0.774(.608)	0.738(.614)	0.671(.629)	0.592(.694)	0.989(.774)
0.800	0.814(.628)	0.779(.633)	0.709(.646)	0.575(.708)	0.985(.799)
0.825	0.855(.649)	0.824(.653)	0.756(.664)	0.573(.723)	0.977(.823)
0.850	0.895(.670)	0.870(.674)	0.810(.684)	0.591(.737)	0.963(.848)
0.875	0.929(.693)	0.910(.696)	0.865(.705)	0.639(.752)	0.940(.871)
0.900	0.956(.717)	0.944(.719)	0.913(.727)	0.723(.770)	0.897(.894)
0.925	0.977(.741)	0.971(.743)	0.953(.750)	0.825(.789)	0.813(.916)
0.950	0.991(.766)	0.988(.768)	0.981(.774)	0.916(.811)	0.648(.934)
0.975	0.998(.790)	0.998(.793)	0.996(.799)	0.980(.834)	0.488(.948)
1.000	1.000(.815)	1.000(.818)	1.000(.824)	1.000(.859)	1.000(.967)

66-196
 App A
 Page 11

*** RELATIVE ENERGY FLUX DENSITY IN THE ***
 *** PENUMBRA OF A RECTANGULAR CYLINDER ***

VERSION D

SOLAR FIELD ANGLE, D = 10.00 DEGREES
 GEOMETRY D2/R = 100.00 AND H/R = 0.

BETA = ANGLE OF INCIDENCE, DEGREES

BETA ***	0.	10.00	20.00	30.00	40.00
AX/AB	Q (Q1)	Q (Q1)	Q (Q1)	Q (Q1)	Q (Q1)
0.	1.000(.)	1.000(.)	1.000(.)	1.000(.)	1.000(.)
0.025	0.999(.025)	0.999(.025)	0.999(.025)	0.999(.025)	1.000(.025)
0.050	0.995(.050)	0.997(.050)	0.997(.050)	0.997(.050)	0.998(.050)
0.075	0.990(.075)	0.991(.075)	0.992(.075)	0.992(.075)	0.993(.075)
0.100	0.980(.099)	0.982(.099)	0.983(.099)	0.985(.100)	0.987(.100)
0.125	0.967(.124)	0.969(.124)	0.972(.124)	0.974(.124)	0.977(.124)
0.150	0.952(.148)	0.955(.148)	0.958(.148)	0.962(.148)	0.966(.148)
0.175	0.935(.171)	0.940(.172)	0.944(.172)	0.948(.172)	0.953(.172)
0.200	0.920(.195)	0.925(.195)	0.929(.195)	0.934(.196)	0.940(.196)
0.225	0.904(.217)	0.909(.218)	0.914(.218)	0.920(.219)	0.927(.219)
0.250	0.889(.240)	0.894(.240)	0.900(.241)	0.906(.242)	0.913(.242)
0.275	0.875(.262)	0.880(.263)	0.885(.263)	0.892(.264)	0.899(.265)
0.300	0.861(.283)	0.866(.284)	0.872(.285)	0.878(.286)	0.886(.287)
0.325	0.849(.305)	0.854(.306)	0.859(.307)	0.865(.308)	0.873(.309)
0.350	0.838(.326)	0.842(.327)	0.847(.328)	0.853(.329)	0.861(.331)
0.375	0.828(.347)	0.832(.348)	0.837(.349)	0.842(.351)	0.849(.352)
0.400	0.821(.367)	0.824(.369)	0.828(.370)	0.833(.372)	0.839(.373)
0.425	0.814(.388)	0.817(.389)	0.820(.391)	0.824(.392)	0.830(.394)
0.450	0.810(.408)	0.812(.410)	0.814(.411)	0.817(.413)	0.822(.415)
0.475	0.807(.428)	0.808(.430)	0.810(.431)	0.812(.433)	0.815(.435)
0.500	0.805(.448)	0.806(.450)	0.807(.452)	0.808(.453)	0.810(.456)
0.525	0.807(.469)	0.806(.470)	0.806(.472)	0.806(.474)	0.807(.476)
0.550	0.810(.489)	0.808(.490)	0.807(.492)	0.806(.494)	0.806(.496)
0.575	0.814(.509)	0.812(.511)	0.810(.512)	0.808(.514)	0.806(.516)
0.600	0.821(.530)	0.817(.531)	0.814(.532)	0.811(.534)	0.808(.536)
0.625	0.828(.550)	0.825(.551)	0.821(.553)	0.817(.555)	0.813(.557)
0.650	0.838(.571)	0.833(.572)	0.829(.574)	0.824(.575)	0.819(.577)
0.675	0.849(.592)	0.844(.593)	0.839(.594)	0.834(.596)	0.827(.598)
0.700	0.861(.614)	0.856(.614)	0.851(.615)	0.845(.617)	0.837(.619)
0.725	0.875(.635)	0.869(.636)	0.864(.637)	0.857(.638)	0.850(.640)
0.750	0.889(.657)	0.884(.658)	0.878(.659)	0.872(.660)	0.864(.661)
0.775	0.904(.680)	0.899(.680)	0.894(.681)	0.888(.682)	0.880(.683)
0.800	0.920(.702)	0.916(.703)	0.910(.703)	0.904(.704)	0.897(.705)
0.825	0.936(.726)	0.932(.726)	0.928(.726)	0.922(.727)	0.915(.728)
0.850	0.952(.749)	0.949(.749)	0.945(.750)	0.940(.750)	0.934(.751)
0.875	0.967(.773)	0.964(.773)	0.961(.774)	0.958(.774)	0.953(.774)
0.900	0.980(.798)	0.978(.798)	0.976(.798)	0.974(.798)	0.971(.798)
0.925	0.990(.822)	0.989(.822)	0.988(.822)	0.987(.823)	0.985(.823)
0.950	0.995(.847)	0.996(.847)	0.995(.847)	0.995(.847)	0.994(.848)
0.975	0.999(.872)	0.999(.872)	0.999(.872)	0.999(.872)	0.999(.873)
1.000	1.000(.897)	1.000(.897)	1.000(.897)	1.000(.897)	1.000(.898)

*** RELATIVE ENERGY FLUX DENSITY IN THE ***
 *** PENUMBRA OF A RECTANGULAR CYLINDER ***

VERSION D

SOLAR FIELD ANGLE, $D = 10.00$ DEGREES
 GEOMETRY $D2/R = 100.00$ AND $H/R = 0.$

BETA = ANGLE OF INCIDENCE, DEGREES

BETA ***	50.00	60.00	70.00	80.00	84.50
AX/AB	Q (QI)	Q (QI)	Q (QI)	Q (QI)	Q (QI)
0.	1.000(.)	1.000(.)	1.000(.)	1.000(.)	1.000(.)
0.025	1.000(.025)	1.000(.025)	1.000(.025)	1.000(.025)	1.000(.025)
0.050	0.998(.050)	0.998(.050)	0.999(.050)	1.000(.050)	1.000(.050)
0.075	0.994(.075)	0.996(.075)	0.998(.075)	1.000(.075)	1.000(.075)
0.100	0.989(.100)	0.991(.100)	0.995(.100)	0.999(.100)	1.000(.100)
0.125	0.981(.124)	0.985(.124)	0.991(.125)	0.999(.125)	1.000(.125)
0.150	0.971(.149)	0.977(.149)	0.986(.149)	0.998(.150)	1.000(.150)
0.175	0.959(.173)	0.968(.173)	0.980(.174)	0.996(.175)	1.000(.175)
0.200	0.947(.197)	0.957(.197)	0.973(.198)	0.995(.200)	1.000(.200)
0.225	0.935(.220)	0.947(.221)	0.965(.223)	0.993(.225)	1.000(.225)
0.250	0.922(.243)	0.935(.245)	0.956(.247)	0.990(.249)	1.000(.250)
0.275	0.909(.266)	0.923(.268)	0.947(.270)	0.987(.274)	1.000(.275)
0.300	0.896(.289)	0.911(.291)	0.937(.294)	0.984(.299)	1.000(.300)
0.325	0.883(.311)	0.899(.313)	0.926(.317)	0.981(.323)	1.000(.325)
0.350	0.871(.333)	0.887(.336)	0.915(.340)	0.976(.348)	1.000(.350)
0.375	0.859(.355)	0.875(.358)	0.904(.363)	0.972(.372)	1.000(.375)
0.400	0.848(.376)	0.863(.379)	0.893(.385)	0.966(.396)	1.000(.400)
0.425	0.838(.397)	0.852(.401)	0.881(.408)	0.960(.420)	1.000(.425)
0.450	0.829(.418)	0.842(.422)	0.870(.429)	0.953(.444)	1.000(.450)
0.475	0.821(.438)	0.832(.443)	0.859(.451)	0.945(.468)	1.000(.475)
0.500	0.815(.459)	0.824(.464)	0.847(.472)	0.937(.492)	1.000(.500)
0.525	0.810(.479)	0.816(.484)	0.837(.493)	0.927(.515)	1.000(.525)
0.550	0.805(.499)	0.811(.505)	0.827(.514)	0.917(.538)	1.000(.550)
0.575	0.805(.520)	0.806(.525)	0.819(.535)	0.905(.561)	0.999(.575)
0.600	0.805(.540)	0.804(.545)	0.811(.555)	0.893(.583)	0.999(.600)
0.625	0.808(.560)	0.804(.565)	0.805(.575)	0.879(.605)	0.999(.625)
0.650	0.813(.580)	0.805(.585)	0.801(.596)	0.865(.627)	0.999(.650)
0.675	0.819(.601)	0.809(.605)	0.799(.616)	0.850(.649)	0.998(.675)
0.700	0.828(.621)	0.816(.626)	0.800(.636)	0.835(.670)	0.997(.700)
0.725	0.840(.642)	0.825(.646)	0.804(.656)	0.819(.690)	0.997(.725)
0.750	0.853(.663)	0.837(.667)	0.811(.676)	0.805(.711)	0.995(.750)
0.775	0.869(.685)	0.852(.688)	0.822(.696)	0.792(.731)	0.993(.774)
0.800	0.886(.707)	0.869(.710)	0.837(.717)	0.783(.750)	0.990(.799)
0.825	0.905(.729)	0.889(.732)	0.856(.738)	0.779(.770)	0.986(.824)
0.850	0.926(.752)	0.911(.754)	0.879(.760)	0.783(.789)	0.978(.848)
0.875	0.946(.775)	0.934(.777)	0.906(.782)	0.798(.809)	0.965(.873)
0.900	0.966(.799)	0.957(.801)	0.935(.805)	0.828(.829)	0.942(.897)
0.925	0.982(.824)	0.977(.825)	0.964(.829)	0.876(.851)	0.900(.920)
0.950	0.993(.848)	0.991(.849)	0.985(.853)	0.939(.873)	0.820(.941)
0.975	0.999(.873)	0.998(.874)	0.997(.878)	0.986(.897)	0.727(.960)
1.000	1.000(.898)	1.000(.899)	1.000(.903)	1.000(.922)	1.000(.982)

RECORDED No. 66-196
Phase II

*** RELATIVE ENERGY FLUX DENSITY IN THE ***
 *** PENUMBRA OF A RECTANGULAR CYLINDER ***
 VERSION D

SOLAR FIELD ANGLE, D = 10.00 DEGREES
 GEOMETRY D2/R = 1.00 AND H/R = 0.5

BETA = ANGLE OF INCIDENCE, DEGREES

BETA ***	0.	10.00	20.00	30.00	40.00
AX/AB	Q (Q1)	Q (Q1)	Q (Q1)	Q (Q1)	Q (Q1)
0.	1.000(.)	1.000(.)	1.000(.)	1.000(.)	1.000(.)
0.025	0.908(.024)	0.933(.024)	0.951(.024)	0.966(.025)	0.977(.025)
0.050	0.614(.043)	0.701(.045)	0.771(.046)	0.830(.047)	0.881(.048)
0.075	0.004(.051)	0.216(.056)	0.485(.062)	0.604(.065)	0.708(.068)
0.100	0. (.051)	0. (.059)	0.017(.068)	0.200(.075)	0.460(.082)
0.125	0. (.051)	0. (.059)	0. (.068)	0. (.078)	0.095(.089)
0.150	0. (.051)	0. (.059)	0. (.068)	0. (.078)	0. (.091)
0.175	0. (.051)	0. (.059)	0. (.068)	0. (.078)	0. (.091)
0.200	0. (.051)	0. (.059)	0. (.068)	0. (.078)	0. (.091)
0.225	0. (.051)	0. (.059)	0. (.068)	0. (.078)	0. (.091)
0.250	0. (.051)	0. (.059)	0. (.068)	0. (.078)	0. (.091)
0.275	0. (.051)	0. (.059)	0. (.068)	0. (.078)	0. (.091)
0.300	0. (.051)	0. (.059)	0. (.068)	0. (.078)	0. (.091)
0.325	0. (.051)	0. (.059)	0. (.068)	0. (.078)	0. (.091)
0.350	0. (.051)	0. (.059)	0. (.068)	0. (.078)	0. (.091)
0.375	0. (.051)	0. (.059)	0. (.068)	0. (.078)	0. (.091)
0.400	0. (.051)	0. (.059)	0. (.068)	0. (.078)	0. (.091)
0.425	0. (.051)	0. (.059)	0. (.068)	0. (.078)	0. (.091)
0.450	0. (.051)	0. (.059)	0. (.068)	0. (.078)	0. (.091)
0.475	0. (.051)	0. (.059)	0. (.068)	0. (.078)	0. (.091)
0.500	0. (.051)	0. (.059)	0. (.068)	0. (.078)	0. (.091)
0.525	0. (.051)	0. (.059)	0. (.068)	0. (.078)	0. (.091)
0.550	0. (.051)	0. (.059)	0. (.068)	0. (.078)	0. (.091)
0.575	0. (.051)	0. (.059)	0. (.068)	0. (.078)	0. (.091)
0.600	0. (.051)	0. (.059)	0. (.068)	0. (.078)	0. (.091)
0.625	0. (.051)	0. (.059)	0. (.068)	0. (.078)	0. (.091)
0.650	0. (.051)	0. (.059)	0. (.068)	0. (.078)	0. (.091)
0.675	0. (.051)	0. (.059)	0. (.068)	0. (.078)	0. (.091)
0.700	0. (.051)	0. (.059)	0. (.068)	0. (.078)	0. (.091)
0.725	0. (.051)	0. (.059)	0. (.068)	0. (.078)	0. (.091)
0.750	0. (.051)	0. (.059)	0. (.068)	0. (.078)	0. (.091)
0.775	0. (.051)	0. (.059)	0. (.068)	0. (.078)	0. (.091)
0.800	0. (.051)	0. (.059)	0. (.068)	0. (.078)	0. (.091)
0.825	0. (.051)	0. (.059)	0. (.068)	0. (.078)	0. (.091)
0.850	0. (.051)	0. (.059)	0. (.068)	0. (.078)	0. (.091)
0.875	0. (.051)	0. (.059)	0. (.068)	0. (.078)	0. (.091)
0.900	0. (.051)	0. (.059)	0. (.068)	0. (.078)	0. (.091)
0.925	0.004(.051)	0. (.059)	0. (.068)	0. (.078)	0. (.091)
0.950	0.614(.058)	0.502(.065)	0. (.068)	0. (.078)	0. (.091)
0.975	0.908(.077)	0.872(.082)	0.812(.078)	0.699(.086)	0. (.091)
1.000	1.000(.101)	1.000(.106)	1.000(.101)	1.000(.107)	1.000(.103)

RECORDED No 66-196
App A
Phase II

*** RELATIVE ENERGY FLUX DENSITY IN THE ***
 *** PENUMBRA OF A RECTANGULAR CYLINDER ***

VERSION D

SOLAR FIELD ANGLE, $\theta = 10.00$ DEGREES
 GEOMETRY $D2/R = 1.00$ AND $H/R = 0.5$

BETA = ANGLE OF INCIDENCE, DEGREES

BETA ***	50.00	60.00	70.00	80.00	84.50
AX/AB	Q (Q1)	Q (Q1)	Q (Q1)	Q (Q1)	Q (Q1)
0.	1.000(.)	1.000(.)	1.000(.)	1.000(.)	1.000(.)
0.025	0.985(.025)	0.993(.025)	0.998(.025)	1.000(.025)	1.000(.025)
0.050	0.925(.049)	0.961(.049)	0.988(.050)	0.999(.050)	1.000(.050)
0.075	0.806(.070)	0.895(.073)	0.966(.074)	0.998(.075)	1.000(.075)
0.100	0.635(.088)	0.790(.094)	0.927(.098)	0.996(.100)	1.000(.100)
0.125	0.380(.101)	0.649(.112)	0.868(.120)	0.993(.125)	1.000(.125)
0.150	0.092(.107)	0.459(.125)	0.788(.141)	0.988(.150)	1.000(.150)
0.175	0. (.108)	0.206(.134)	0.684(.159)	0.981(.174)	1.000(.175)
0.200	0. (.108)	0.030(.137)	0.558(.175)	0.971(.199)	1.000(.200)
0.225	0. (.108)	0. (.137)	0.376(.187)	0.957(.223)	1.000(.225)
0.250	0. (.108)	0. (.137)	0.186(.194)	0.939(.246)	1.000(.250)
0.275	0. (.108)	0. (.137)	0.043(.196)	0.914(.270)	1.000(.275)
0.300	0. (.108)	0. (.137)	0. (.197)	0.882(.292)	1.000(.300)
0.325	0. (.108)	0. (.137)	0. (.197)	0.840(.314)	1.000(.325)
0.350	0. (.108)	0. (.137)	0. (.197)	0.787(.334)	1.000(.350)
0.375	0. (.108)	0. (.137)	0. (.197)	0.720(.353)	1.000(.375)
0.400	0. (.108)	0. (.137)	0. (.197)	0.636(.370)	1.000(.400)
0.425	0. (.108)	0. (.137)	0. (.197)	0.528(.384)	1.000(.425)
0.450	0. (.108)	0. (.137)	0. (.197)	0.387(.396)	1.000(.450)
0.475	0. (.108)	0. (.137)	0. (.197)	0.233(.403)	1.000(.475)
0.500	0. (.108)	0. (.137)	0. (.197)	0.088(.407)	0.999(.500)
0.525	0. (.108)	0. (.137)	0. (.197)	0.005(.409)	0.999(.525)
0.550	0. (.108)	0. (.137)	0. (.197)	0. (.409)	0.999(.550)
0.575	0. (.108)	0. (.137)	0. (.197)	0. (.409)	0.998(.575)
0.600	0. (.108)	0. (.137)	0. (.197)	0. (.409)	0.998(.600)
0.625	0. (.108)	0. (.137)	0. (.197)	0. (.409)	0.997(.625)
0.650	0. (.108)	0. (.137)	0. (.197)	0. (.409)	0.996(.650)
0.675	0. (.108)	0. (.137)	0. (.197)	0. (.409)	0.994(.675)
0.700	0. (.108)	0. (.137)	0. (.197)	0. (.409)	0.991(.699)
0.725	0. (.108)	0. (.137)	0. (.197)	0. (.409)	0.987(.724)
0.750	0. (.108)	0. (.137)	0. (.197)	0. (.409)	0.980(.749)
0.775	0. (.108)	0. (.137)	0. (.197)	0. (.409)	0.968(.773)
0.800	0. (.108)	0. (.137)	0. (.197)	0. (.409)	0.948(.797)
0.825	0. (.108)	0. (.137)	0. (.197)	0. (.409)	0.908(.820)
0.850	0. (.108)	0. (.137)	0. (.197)	0. (.409)	0.826(.842)
0.875	0. (.108)	0. (.137)	0. (.197)	0. (.409)	0.644(.860)
0.900	0. (.108)	0. (.137)	0. (.197)	0. (.409)	0.201(.871)
0.925	0. (.108)	0. (.137)	0. (.197)	0. (.409)	0. (.873)
0.950	0. (.108)	0. (.137)	0. (.197)	0. (.409)	0. (.873)
0.975	0. (.108)	0. (.137)	0. (.197)	0. (.409)	0. (.873)
1.000	0. (.108)	0. (.137)	0. (.197)	0. (.409)	0. (.873)

*** RELATIVE ENERGY FLUX DENSITY IN THE ***
 *** PENUMBRA OF A RECTANGULAR CYLINDER ***

VERSION D

66-196
 App A
 P. 211

SOLAR FIELD ANGLE, D = 10.00 DEGREES
 GEOMETRY U2/R = 5.00 AND H/R = 0.5

BETA = ANGLE OF INCIDENCE, DEGREES

BETA ***	0.	10.00	20.00	30.00	40.00
AX/AB	Q (Q1)	Q (Q1)	Q (Q1)	Q (Q1)	Q (Q1)
0.	1.000(.)	1.000(.)	1.000(.)	1.000(.)	1.000(.)
0.025	0.992(.025)	0.993(.025)	0.994(.025)	0.995(.025)	0.996(.025)
0.050	0.957(.049)	0.963(.049)	0.969(.049)	0.974(.050)	0.979(.050)
0.075	0.893(.072)	0.907(.073)	0.919(.073)	0.931(.073)	0.944(.074)
0.100	0.802(.094)	0.824(.094)	0.846(.095)	0.867(.096)	0.890(.097)
0.125	0.689(.112)	0.721(.114)	0.752(.115)	0.784(.116)	0.818(.118)
0.150	0.563(.128)	0.603(.130)	0.642(.133)	0.683(.135)	0.729(.137)
0.175	0.418(.140)	0.471(.144)	0.522(.147)	0.571(.150)	0.626(.154)
0.200	0.267(.149)	0.321(.154)	0.378(.158)	0.441(.163)	0.515(.168)
0.225	0.141(.154)	0.187(.160)	0.239(.166)	0.302(.172)	0.379(.180)
0.250	0.052(.156)	0.084(.163)	0.125(.171)	0.177(.178)	0.249(.187)
0.275	0.008(.157)	0.021(.165)	0.044(.173)	0.080(.182)	0.137(.192)
0.300	0. (.157)	0.000(.165)	0.005(.173)	0.020(.183)	0.054(.195)
0.325	0. (.157)	0. (.165)	0. (.173)	0.000(.183)	0.009(.195)
0.350	0. (.157)	0. (.165)	0. (.173)	0. (.183)	0. (.196)
0.375	0. (.157)	0. (.165)	0. (.173)	0. (.183)	0. (.196)
0.400	0. (.157)	0. (.165)	0. (.173)	0. (.183)	0. (.196)
0.425	0. (.157)	0. (.165)	0. (.173)	0. (.183)	0. (.196)
0.450	0. (.157)	0. (.165)	0. (.173)	0. (.183)	0. (.196)
0.475	0. (.157)	0. (.165)	0. (.173)	0. (.183)	0. (.196)
0.500	0. (.157)	0. (.165)	0. (.173)	0. (.183)	0. (.196)
0.525	0. (.157)	0. (.165)	0. (.173)	0. (.183)	0. (.196)
0.550	0. (.157)	0. (.165)	0. (.173)	0. (.183)	0. (.196)
0.575	0. (.157)	0. (.165)	0. (.173)	0. (.183)	0. (.196)
0.600	0. (.157)	0. (.165)	0. (.173)	0. (.183)	0. (.196)
0.625	0. (.157)	0. (.165)	0. (.173)	0. (.183)	0. (.196)
0.650	0. (.157)	0. (.165)	0. (.173)	0. (.183)	0. (.196)
0.675	0. (.157)	0. (.165)	0. (.173)	0. (.183)	0. (.196)
0.700	0. (.157)	0. (.165)	0. (.173)	0. (.183)	0. (.196)
0.725	0.008(.157)	0.001(.165)	0. (.173)	0. (.183)	0. (.196)
0.750	0.052(.158)	0.028(.165)	0.011(.173)	0.001(.183)	0. (.196)
0.775	0.141(.160)	0.100(.167)	0.063(.174)	0.030(.184)	0.007(.196)
0.800	0.267(.165)	0.215(.171)	0.163(.177)	0.109(.185)	0.056(.196)
0.825	0.418(.174)	0.363(.178)	0.304(.183)	0.237(.190)	0.160(.199)
0.850	0.563(.186)	0.522(.189)	0.471(.193)	0.403(.198)	0.316(.205)
0.875	0.689(.202)	0.655(.204)	0.615(.206)	0.567(.210)	0.502(.215)
0.900	0.802(.221)	0.777(.222)	0.747(.223)	0.710(.226)	0.658(.230)
0.925	0.893(.242)	0.878(.242)	0.860(.243)	0.836(.245)	0.801(.248)
0.950	0.957(.265)	0.951(.265)	0.942(.266)	0.931(.267)	0.914(.270)
0.975	0.992(.289)	0.990(.290)	0.989(.290)	0.986(.291)	0.982(.293)
1.000	1.000(.314)	1.000(.314)	1.000(.315)	1.000(.316)	1.000(.318)

*** RELATIVE ENERGY FLUX DENSITY IN THE ***
 *** PENUMBRA OF A RECTANGULAR CYLINDER ***
 VERSION D

SOLAR FIELD ANGLE, D= 10.00 DEGREES
 GEOMETRY D2/R = 5.00 AND H/R = 0.5

BETA = ANGLE OF INCIDENCE, DEGREES

BETA ***	50.00		60.00		70.00		80.00		84.50	
AX/AB	Q	(QI)	Q	(QI)	Q	(QI)	Q	(QI)	Q	(QI)
0.	1.000	(.)	1.000	(.)	1.000	(.)	1.000	(.)	1.000	(.)
0.025	0.997	(.025)	0.998	(.025)	0.999	(.025)	1.000	(.025)	1.000	(.025)
0.050	0.984	(.050)	0.990	(.050)	0.996	(.050)	1.000	(.050)	1.000	(.050)
0.075	0.957	(.074)	0.972	(.074)	0.988	(.075)	0.999	(.075)	1.000	(.075)
0.100	0.915	(.097)	0.943	(.098)	0.974	(.099)	0.998	(.100)	1.000	(.100)
0.125	0.855	(.120)	0.901	(.121)	0.953	(.123)	0.996	(.125)	1.000	(.125)
0.150	0.782	(.140)	0.847	(.143)	0.925	(.147)	0.993	(.150)	1.000	(.150)
0.175	0.693	(.158)	0.779	(.164)	0.887	(.169)	0.989	(.175)	1.000	(.175)
0.200	0.594	(.175)	0.696	(.182)	0.839	(.191)	0.983	(.199)	1.000	(.200)
0.225	0.480	(.188)	0.607	(.198)	0.781	(.211)	0.976	(.224)	1.000	(.225)
0.250	0.351	(.198)	0.504	(.212)	0.713	(.230)	0.966	(.248)	1.000	(.250)
0.275	0.228	(.206)	0.382	(.223)	0.634	(.247)	0.953	(.272)	1.000	(.275)
0.300	0.122	(.210)	0.263	(.231)	0.546	(.262)	0.937	(.296)	1.000	(.300)
0.325	0.046	(.212)	0.154	(.237)	0.438	(.274)	0.916	(.319)	1.000	(.325)
0.350	0.006	(.213)	0.068	(.239)	0.324	(.283)	0.890	(.341)	1.000	(.350)
0.375	0.	(.213)	0.015	(.240)	0.213	(.290)	0.858	(.363)	1.000	(.375)
0.400	0.	(.213)	0.000	(.241)	0.114	(.294)	0.818	(.384)	1.000	(.400)
0.425	0.	(.213)	0.	(.241)	0.041	(.295)	0.769	(.404)	1.000	(.425)
0.450	0.	(.213)	0.	(.241)	0.004	(.297)	0.710	(.422)	1.000	(.450)
0.475	0.	(.213)	0.	(.241)	0.	(.297)	0.640	(.439)	1.000	(.475)
0.500	0.	(.213)	0.	(.241)	0.	(.297)	0.554	(.454)	0.999	(.500)
0.525	0.	(.213)	0.	(.241)	0.	(.297)	0.449	(.467)	0.999	(.525)
0.550	0.	(.213)	0.	(.241)	0.	(.297)	0.330	(.477)	0.999	(.550)
0.575	0.	(.213)	0.	(.241)	0.	(.297)	0.206	(.483)	0.999	(.575)
0.600	0.	(.213)	0.	(.241)	0.	(.297)	0.093	(.487)	0.998	(.600)
0.625	0.	(.213)	0.	(.241)	0.	(.297)	0.016	(.488)	0.998	(.625)
0.650	0.	(.213)	0.	(.241)	0.	(.297)	0.	(.489)	0.997	(.650)
0.675	0.	(.213)	0.	(.241)	0.	(.297)	0.	(.489)	0.995	(.675)
0.700	0.	(.213)	0.	(.241)	0.	(.297)	0.	(.489)	0.993	(.699)
0.725	0.	(.213)	0.	(.241)	0.	(.297)	0.	(.489)	0.990	(.724)
0.750	0.	(.213)	0.	(.241)	0.	(.297)	0.	(.489)	0.985	(.749)
0.775	0.	(.213)	0.	(.241)	0.	(.297)	0.	(.489)	0.977	(.773)
0.800	0.011	(.213)	0.	(.241)	0.	(.297)	0.	(.489)	0.963	(.798)
0.825	0.073	(.214)	0.004	(.241)	0.	(.297)	0.	(.489)	0.938	(.821)
0.850	0.200	(.217)	0.057	(.241)	0.	(.297)	0.	(.489)	0.890	(.844)
0.875	0.385	(.225)	0.193	(.244)	0.000	(.297)	0.	(.489)	0.791	(.865)
0.900	0.575	(.237)	0.415	(.252)	0.043	(.297)	0.	(.489)	0.565	(.882)
0.925	0.744	(.253)	0.629	(.265)	0.255	(.301)	0.	(.489)	0.093	(.891)
0.950	0.885	(.274)	0.820	(.283)	0.595	(.312)	0.	(.489)	0.	(.892)
0.975	0.975	(.297)	0.957	(.305)	0.879	(.330)	0.	(.489)	0.	(.892)
1.000	1.000	(.322)	1.000	(.330)	1.000	(.353)	0.	(.489)	0.	(.892)

66-196
 App. A
 Phase II

*** RELATIVE ENERGY FLUX DENSITY IN THE ***
 *** PENUMBRA OF A RECTANGULAR CYLINDER ***

VERSION D

SOLAR FIELD ANGLE, $\theta = 10.00$ DEGREES
 GEOMETRY $D2/R = 10.00$ AND $H/R = 0.5$

BETA = ANGLE OF INCIDENCE, DEGREES

BETA ***	0.	10.00	20.00	30.00	40.00
AX/AB	Q (Q1)	Q (Q1)	Q (Q1)	Q (Q1)	Q (Q1)
0.	1.000(.)	1.000(.)	1.000(.)	1.000(.)	1.000(.)
0.025	0.997(.025)	0.997(.025)	0.998(.025)	0.998(.025)	0.998(.025)
0.050	0.983(.050)	0.985(.050)	0.987(.050)	0.988(.050)	0.990(.050)
0.075	0.955(.074)	0.960(.074)	0.965(.074)	0.969(.074)	0.974(.074)
0.100	0.915(.097)	0.923(.098)	0.931(.098)	0.939(.098)	0.948(.098)
0.125	0.861(.120)	0.873(.120)	0.886(.121)	0.899(.121)	0.913(.122)
0.150	0.795(.140)	0.812(.141)	0.829(.142)	0.847(.143)	0.867(.144)
0.175	0.719(.159)	0.741(.161)	0.763(.162)	0.786(.163)	0.812(.165)
0.200	0.637(.176)	0.662(.178)	0.688(.180)	0.716(.182)	0.749(.184)
0.225	0.550(.191)	0.573(.194)	0.608(.196)	0.640(.199)	0.677(.202)
0.250	0.457(.203)	0.490(.207)	0.523(.210)	0.558(.214)	0.600(.218)
0.275	0.361(.214)	0.394(.218)	0.430(.222)	0.471(.227)	0.519(.232)
0.300	0.270(.222)	0.302(.227)	0.338(.232)	0.378(.238)	0.429(.244)
0.325	0.189(.227)	0.218(.233)	0.250(.239)	0.289(.246)	0.338(.254)
0.350	0.119(.231)	0.144(.238)	0.172(.245)	0.207(.252)	0.252(.261)
0.375	0.065(.233)	0.084(.241)	0.106(.248)	0.135(.256)	0.174(.266)
0.400	0.028(.235)	0.039(.242)	0.055(.250)	0.076(.259)	0.107(.270)
0.425	0.007(.235)	0.012(.243)	0.021(.251)	0.034(.260)	0.055(.272)
0.450	0.000(.235)	0.001(.243)	0.004(.251)	0.009(.261)	0.020(.273)
0.475	0. (.235)	0. (.243)	0. (.251)	0. (.261)	0. (.273)
0.500	0. (.235)	0. (.243)	0. (.251)	0. (.261)	0. (.273)
0.525	0. (.235)	0. (.243)	0. (.251)	0. (.261)	0. (.273)
0.550	0.000(.235)	0. (.243)	0. (.251)	0. (.261)	0. (.273)
0.575	0.007(.235)	0.003(.243)	0.001(.251)	0.000(.261)	0. (.273)
0.600	0.028(.236)	0.018(.243)	0.011(.251)	0.005(.261)	0.001(.273)
0.625	0.065(.237)	0.049(.244)	0.035(.252)	0.022(.261)	0.011(.273)
0.650	0.119(.239)	0.097(.246)	0.076(.253)	0.056(.262)	0.036(.274)
0.675	0.189(.243)	0.161(.249)	0.134(.256)	0.106(.264)	0.077(.275)
0.700	0.270(.249)	0.239(.254)	0.207(.260)	0.173(.268)	0.135(.278)
0.725	0.361(.257)	0.327(.261)	0.293(.267)	0.254(.273)	0.209(.282)
0.750	0.457(.267)	0.423(.271)	0.387(.275)	0.347(.281)	0.298(.289)
0.775	0.550(.279)	0.520(.282)	0.488(.286)	0.448(.291)	0.397(.297)
0.800	0.637(.294)	0.610(.297)	0.581(.299)	0.546(.303)	0.502(.309)
0.825	0.719(.311)	0.696(.313)	0.671(.315)	0.640(.318)	0.600(.322)
0.850	0.795(.330)	0.776(.331)	0.755(.333)	0.729(.335)	0.696(.339)
0.875	0.861(.351)	0.847(.352)	0.831(.353)	0.811(.354)	0.785(.357)
0.900	0.915(.373)	0.905(.373)	0.895(.374)	0.881(.375)	0.863(.378)
0.925	0.955(.396)	0.951(.397)	0.944(.397)	0.937(.398)	0.926(.400)
0.950	0.983(.421)	0.981(.421)	0.978(.421)	0.975(.422)	0.970(.424)
0.975	0.997(.445)	0.996(.445)	0.996(.445)	0.995(.447)	0.994(.448)
1.000	1.000(.470)	1.000(.470)	1.000(.471)	1.000(.472)	1.000(.473)

*** RELATIVE ENERGY FLUX DENSITY IN THE ***
 *** PENUMBRA OF A RECTANGULAR CYLINDER ***

VERSION D

SOLAR FIELD ANGLE, $\theta = 10.00$ DEGREES
 GEOMETRY $D2/R = 10.00$ AND $H/R = 0.5$

BETA = ANGLE OF INCIDENCE, DEGREES

BETA ***	50.00	60.00	70.00	80.00	84.50
AX/AB	Q (Q1)	Q (Q1)	Q (Q1)	Q (Q1)	Q (Q1)
0.	1.000(.)	1.000(.)	1.000(.)	1.000(.)	1.000(.)
0.025	0.999(.025)	0.999(.025)	1.000(.025)	1.000(.025)	1.000(.025)
0.050	0.992(.050)	0.995(.050)	0.997(.050)	1.000(.050)	1.000(.050)
0.075	0.979(.075)	0.986(.075)	0.993(.075)	0.999(.075)	1.000(.075)
0.100	0.959(.099)	0.971(.099)	0.985(.100)	0.998(.100)	1.000(.100)
0.125	0.929(.122)	0.949(.123)	0.973(.124)	0.997(.125)	1.000(.125)
0.150	0.891(.145)	0.920(.146)	0.957(.148)	0.995(.150)	1.000(.150)
0.175	0.844(.167)	0.883(.169)	0.936(.172)	0.992(.175)	1.000(.175)
0.200	0.788(.187)	0.839(.191)	0.909(.195)	0.988(.199)	1.000(.200)
0.225	0.724(.206)	0.787(.211)	0.876(.217)	0.983(.224)	1.000(.225)
0.250	0.654(.223)	0.727(.230)	0.836(.239)	0.976(.249)	1.000(.250)
0.275	0.578(.239)	0.661(.247)	0.790(.259)	0.968(.273)	1.000(.275)
0.300	0.495(.252)	0.589(.263)	0.736(.278)	0.957(.297)	1.000(.300)
0.325	0.405(.263)	0.510(.276)	0.676(.296)	0.944(.321)	1.000(.325)
0.350	0.318(.272)	0.424(.288)	0.610(.312)	0.927(.344)	1.000(.350)
0.375	0.234(.279)	0.336(.298)	0.537(.326)	0.906(.367)	1.000(.375)
0.400	0.158(.284)	0.251(.305)	0.454(.338)	0.881(.389)	1.000(.400)
0.425	0.094(.287)	0.173(.310)	0.367(.349)	0.850(.411)	1.000(.425)
0.450	0.045(.289)	0.104(.314)	0.280(.357)	0.814(.432)	1.000(.450)
0.475	0.014(.290)	0.051(.316)	0.196(.363)	0.770(.452)	1.000(.475)
0.500	0.001(.290)	0.016(.317)	0.121(.367)	0.718(.470)	1.000(.500)
0.525	0. (.290)	0.001(.317)	0.060(.369)	0.656(.487)	0.999(.525)
0.550	0. (.290)	0. (.317)	0.019(.370)	0.585(.503)	0.999(.550)
0.575	0. (.290)	0. (.317)	0.001(.370)	0.498(.516)	0.999(.575)
0.600	0. (.290)	0. (.317)	0. (.370)	0.401(.528)	0.998(.600)
0.625	0.003(.290)	0. (.317)	0. (.370)	0.295(.536)	0.998(.625)
0.650	0.015(.290)	0.002(.317)	0. (.370)	0.188(.542)	0.997(.650)
0.675	0.045(.291)	0.015(.317)	0. (.370)	0.091(.546)	0.996(.675)
0.700	0.091(.293)	0.041(.318)	0.002(.370)	0.022(.547)	0.994(.700)
0.725	0.154(.296)	0.086(.319)	0.014(.370)	0. (.547)	0.991(.724)
0.750	0.235(.301)	0.149(.322)	0.040(.371)	0. (.547)	0.987(.749)
0.775	0.330(.308)	0.232(.327)	0.086(.373)	0. (.547)	0.981(.774)
0.800	0.437(.317)	0.332(.334)	0.155(.376)	0. (.547)	0.971(.798)
0.825	0.543(.330)	0.447(.344)	0.250(.381)	0.000(.547)	0.952(.822)
0.850	0.645(.344)	0.560(.356)	0.370(.389)	0.005(.548)	0.919(.846)
0.875	0.744(.362)	0.672(.372)	0.507(.400)	0.026(.548)	0.853(.868)
0.900	0.834(.382)	0.780(.390)	0.643(.414)	0.083(.549)	0.713(.887)
0.925	0.908(.403)	0.874(.411)	0.779(.432)	0.217(.553)	0.389(.901)
0.950	0.962(.427)	0.946(.433)	0.897(.453)	0.475(.562)	0. (.906)
0.975	0.992(.451)	0.989(.458)	0.977(.476)	0.796(.578)	0. (.906)
1.000	1.000(.476)	1.000(.482)	1.000(.501)	1.000(.600)	0. (.906)

*** RELATIVE ENERGY FLUX DENSITY IN THE ***
 *** PENUMBRA OF A RECTANGULAR CYLINDER ***

VERSION D

SOLAR FIELD ANGLE, D= 10.00 DEGREES
 GEOMETRY D2/R = 50.00 AND H/R = 0.5

BETA = ANGLE OF INCIDENCE, DEGREES

BETA ***	0.	10.00	20.00	30.00	40.00
AX/AB	Q (QI)	Q (QI)	Q (QI)	Q (QI)	Q (QI)
0.	1.000(.)	1.000(.)	1.000(.)	1.000(.)	1.000(.)
0.025	0.999(.025)	0.999(.025)	0.999(.025)	0.999(.025)	0.999(.025)
0.050	0.995(.050)	0.996(.050)	0.996(.050)	0.997(.050)	0.997(.050)
0.075	0.987(.075)	0.988(.075)	0.990(.075)	0.991(.075)	0.992(.075)
0.100	0.975(.099)	0.977(.099)	0.979(.099)	0.981(.099)	0.983(.099)
0.125	0.958(.123)	0.961(.124)	0.964(.124)	0.968(.124)	0.972(.124)
0.150	0.936(.147)	0.941(.147)	0.946(.148)	0.950(.148)	0.956(.148)
0.175	0.909(.170)	0.916(.171)	0.922(.171)	0.929(.171)	0.937(.172)
0.200	0.878(.192)	0.887(.193)	0.895(.194)	0.903(.194)	0.913(.195)
0.225	0.845(.214)	0.854(.215)	0.864(.216)	0.874(.216)	0.887(.217)
0.250	0.811(.235)	0.821(.236)	0.832(.237)	0.844(.238)	0.858(.239)
0.275	0.778(.255)	0.789(.256)	0.800(.257)	0.813(.259)	0.828(.260)
0.300	0.747(.274)	0.758(.275)	0.769(.277)	0.783(.279)	0.798(.281)
0.325	0.718(.292)	0.729(.294)	0.740(.296)	0.753(.298)	0.770(.300)
0.350	0.692(.310)	0.702(.312)	0.713(.314)	0.726(.316)	0.742(.319)
0.375	0.670(.327)	0.679(.329)	0.689(.331)	0.701(.334)	0.716(.337)
0.400	0.652(.343)	0.660(.346)	0.668(.348)	0.679(.351)	0.693(.355)
0.425	0.637(.359)	0.643(.362)	0.651(.365)	0.660(.368)	0.672(.372)
0.450	0.625(.375)	0.630(.378)	0.636(.381)	0.643(.384)	0.654(.388)
0.475	0.619(.391)	0.622(.394)	0.625(.397)	0.630(.400)	0.638(.405)
0.500	0.617(.406)	0.617(.409)	0.619(.412)	0.621(.416)	0.626(.420)
0.525	0.619(.422)	0.618(.424)	0.617(.428)	0.617(.431)	0.619(.436)
0.550	0.625(.437)	0.622(.440)	0.619(.443)	0.617(.447)	0.616(.451)
0.575	0.637(.453)	0.631(.456)	0.626(.459)	0.621(.462)	0.617(.467)
0.600	0.652(.469)	0.645(.472)	0.638(.474)	0.631(.478)	0.624(.482)
0.625	0.670(.486)	0.662(.488)	0.653(.491)	0.645(.494)	0.635(.498)
0.650	0.692(.503)	0.683(.505)	0.673(.507)	0.662(.510)	0.650(.514)
0.675	0.718(.520)	0.708(.522)	0.697(.524)	0.684(.527)	0.670(.531)
0.700	0.747(.538)	0.736(.540)	0.724(.542)	0.711(.544)	0.695(.548)
0.725	0.778(.558)	0.767(.559)	0.755(.561)	0.741(.563)	0.725(.565)
0.750	0.811(.577)	0.800(.579)	0.789(.580)	0.775(.582)	0.758(.584)
0.775	0.845(.598)	0.835(.599)	0.824(.600)	0.812(.601)	0.795(.603)
0.800	0.878(.620)	0.870(.620)	0.861(.621)	0.849(.622)	0.835(.624)
0.825	0.909(.642)	0.903(.642)	0.895(.643)	0.886(.644)	0.874(.645)
0.850	0.935(.665)	0.931(.665)	0.925(.666)	0.918(.666)	0.909(.667)
0.875	0.958(.689)	0.954(.689)	0.950(.689)	0.945(.690)	0.939(.691)
0.900	0.975(.713)	0.973(.713)	0.970(.713)	0.967(.714)	0.963(.714)
0.925	0.987(.737)	0.986(.738)	0.985(.738)	0.983(.738)	0.981(.739)
0.950	0.995(.762)	0.995(.762)	0.994(.762)	0.994(.763)	0.993(.763)
0.975	0.999(.787)	0.999(.787)	0.999(.787)	0.999(.788)	0.999(.788)
1.000	1.000(.812)	1.000(.812)	1.000(.812)	1.000(.813)	1.000(.813)

*** RELATIVE ENERGY FLUX DENSITY IN THE ***
 *** PENUMBRA OF A RECTANGULAR CYLINDER ***

VERSION D

SOLAR FIELD ANGLE, D = 10.00 DEGREES
 GEOMETRY D2/R = 50.00 AND H/R = 0.5

BETA = ANGLE OF INCIDENCE, DEGREES

BETA ***	50.00	60.00	70.00	80.00	84.50
AX/AB	Q (Q1)	Q (Q1)	Q (Q1)	Q (Q1)	Q (Q1)
0.	1.000(.)	1.000(.)	1.000(.)	1.000(.)	1.000(.)
0.025	1.000(.025)	1.000(.025)	1.000(.025)	1.000(.025)	1.000(.025)
0.050	0.998(.050)	0.998(.050)	0.999(.050)	1.000(.050)	1.000(.050)
0.075	0.993(.075)	0.995(.075)	0.997(.075)	1.000(.075)	1.000(.075)
0.100	0.985(.100)	0.990(.100)	0.994(.100)	0.999(.100)	1.000(.100)
0.125	0.975(.124)	0.982(.124)	0.989(.125)	0.998(.125)	1.000(.125)
0.150	0.963(.148)	0.971(.149)	0.983(.149)	0.997(.150)	1.000(.150)
0.175	0.945(.172)	0.958(.173)	0.975(.174)	0.996(.175)	1.000(.175)
0.200	0.925(.196)	0.941(.197)	0.964(.198)	0.994(.200)	1.000(.200)
0.225	0.902(.218)	0.922(.220)	0.951(.222)	0.991(.224)	1.000(.225)
0.250	0.875(.241)	0.899(.243)	0.935(.245)	0.988(.249)	1.000(.250)
0.275	0.847(.262)	0.875(.265)	0.918(.269)	0.984(.274)	1.000(.275)
0.300	0.819(.283)	0.849(.286)	0.898(.291)	0.978(.298)	1.000(.300)
0.325	0.791(.303)	0.823(.307)	0.877(.314)	0.972(.323)	1.000(.325)
0.350	0.764(.323)	0.796(.328)	0.854(.335)	0.965(.347)	1.000(.350)
0.375	0.737(.341)	0.770(.347)	0.831(.356)	0.956(.371)	1.000(.375)
0.400	0.712(.359)	0.744(.366)	0.807(.377)	0.946(.395)	1.000(.400)
0.425	0.689(.377)	0.720(.384)	0.782(.397)	0.935(.418)	1.000(.425)
0.450	0.669(.394)	0.697(.402)	0.757(.416)	0.921(.441)	1.000(.450)
0.475	0.651(.410)	0.676(.419)	0.732(.434)	0.906(.464)	1.000(.475)
0.500	0.635(.427)	0.656(.436)	0.708(.452)	0.890(.487)	1.000(.500)
0.525	0.625(.442)	0.640(.452)	0.686(.470)	0.871(.509)	0.999(.525)
0.550	0.617(.458)	0.626(.468)	0.664(.487)	0.850(.530)	0.999(.550)
0.575	0.614(.473)	0.617(.483)	0.644(.503)	0.826(.551)	0.999(.575)
0.600	0.615(.489)	0.612(.499)	0.627(.519)	0.801(.572)	0.999(.600)
0.625	0.624(.504)	0.613(.514)	0.615(.534)	0.773(.591)	0.998(.625)
0.650	0.635(.520)	0.618(.529)	0.607(.550)	0.743(.610)	0.998(.650)
0.675	0.653(.536)	0.630(.545)	0.604(.565)	0.712(.628)	0.997(.675)
0.700	0.675(.553)	0.647(.561)	0.609(.580)	0.678(.646)	0.996(.700)
0.725	0.703(.570)	0.670(.577)	0.620(.595)	0.645(.662)	0.995(.725)
0.750	0.735(.588)	0.700(.595)	0.640(.611)	0.614(.678)	0.993(.749)
0.775	0.773(.607)	0.737(.613)	0.669(.627)	0.588(.693)	0.989(.774)
0.800	0.813(.626)	0.779(.632)	0.707(.645)	0.571(.708)	0.984(.799)
0.825	0.856(.647)	0.824(.652)	0.756(.663)	0.569(.722)	0.976(.823)
0.850	0.895(.669)	0.870(.673)	0.811(.683)	0.587(.736)	0.963(.848)
0.875	0.929(.692)	0.911(.695)	0.866(.704)	0.637(.752)	0.940(.871)
0.900	0.956(.716)	0.945(.718)	0.914(.726)	0.724(.769)	0.896(.894)
0.925	0.977(.740)	0.971(.742)	0.953(.749)	0.826(.788)	0.812(.916)
0.950	0.991(.764)	0.988(.767)	0.981(.773)	0.917(.810)	0.645(.934)
0.975	0.998(.789)	0.998(.791)	0.996(.798)	0.980(.833)	0.483(.948)
1.000	1.000(.814)	1.000(.816)	1.000(.823)	1.000(.858)	1.000(.967)

*** RELATIVE ENERGY FLUX DENSITY IN THE ***
 *** PENUMBRA OF A RECTANGULAR CYLINDER ***

SOLAR FIELD ANGLE, D = 10.00 DEGREES
 GEOMETRY D2/R = 100.00 AND H/R = 0.5

BETA = ANGLE OF INCIDENCE, DEGREES

BETA ***	0.	10.00	20.00	30.00	40.00
AX/AB	Q (Q1)	Q (Q1)	Q (Q1)	Q (Q1)	Q (Q1)
0.	1.000(.)	1.000(.)	1.000(.)	1.000(.)	1.000(.)
0.025	0.999(.025)	0.999(.025)	0.999(.025)	0.999(.025)	1.000(.025)
0.050	0.996(.050)	0.997(.050)	0.997(.050)	0.997(.050)	0.998(.050)
0.075	0.990(.075)	0.991(.075)	0.992(.075)	0.992(.075)	0.993(.075)
0.100	0.980(.099)	0.982(.099)	0.983(.099)	0.985(.100)	0.987(.100)
0.125	0.967(.124)	0.969(.124)	0.972(.124)	0.974(.124)	0.977(.124)
0.150	0.951(.148)	0.955(.148)	0.958(.148)	0.962(.148)	0.966(.148)
0.175	0.935(.171)	0.939(.172)	0.943(.172)	0.948(.172)	0.953(.172)
0.200	0.919(.194)	0.923(.195)	0.928(.195)	0.933(.196)	0.939(.196)
0.225	0.903(.217)	0.908(.218)	0.913(.218)	0.919(.219)	0.925(.219)
0.250	0.887(.240)	0.892(.240)	0.898(.241)	0.904(.242)	0.911(.242)
0.275	0.873(.262)	0.878(.262)	0.883(.263)	0.890(.264)	0.897(.265)
0.300	0.859(.283)	0.864(.284)	0.870(.285)	0.876(.286)	0.884(.287)
0.325	0.847(.305)	0.852(.306)	0.857(.307)	0.863(.308)	0.871(.309)
0.350	0.835(.326)	0.840(.327)	0.845(.328)	0.851(.329)	0.859(.331)
0.375	0.827(.346)	0.831(.348)	0.835(.349)	0.840(.350)	0.847(.352)
0.400	0.819(.367)	0.822(.368)	0.826(.370)	0.831(.371)	0.837(.373)
0.425	0.813(.387)	0.816(.389)	0.819(.390)	0.823(.392)	0.828(.394)
0.450	0.809(.408)	0.811(.409)	0.813(.411)	0.816(.412)	0.821(.415)
0.475	0.805(.428)	0.807(.429)	0.809(.431)	0.811(.433)	0.814(.435)
0.500	0.805(.448)	0.805(.449)	0.806(.451)	0.807(.453)	0.810(.455)
0.525	0.805(.468)	0.805(.470)	0.805(.471)	0.805(.473)	0.806(.475)
0.550	0.809(.488)	0.807(.490)	0.806(.491)	0.805(.493)	0.805(.496)
0.575	0.813(.509)	0.811(.510)	0.809(.512)	0.807(.513)	0.805(.516)
0.600	0.819(.529)	0.816(.530)	0.813(.532)	0.810(.534)	0.807(.536)
0.625	0.827(.550)	0.823(.551)	0.819(.552)	0.815(.554)	0.811(.556)
0.650	0.835(.570)	0.832(.571)	0.827(.573)	0.822(.574)	0.817(.576)
0.675	0.847(.591)	0.842(.592)	0.837(.594)	0.831(.595)	0.825(.597)
0.700	0.859(.613)	0.854(.614)	0.848(.615)	0.842(.616)	0.835(.618)
0.725	0.873(.634)	0.867(.635)	0.862(.636)	0.855(.637)	0.848(.639)
0.750	0.887(.656)	0.882(.657)	0.876(.658)	0.870(.659)	0.862(.660)
0.775	0.903(.679)	0.898(.679)	0.892(.680)	0.886(.681)	0.878(.682)
0.800	0.919(.701)	0.914(.702)	0.909(.702)	0.903(.703)	0.895(.704)
0.825	0.935(.725)	0.931(.725)	0.926(.725)	0.921(.726)	0.914(.727)
0.850	0.951(.748)	0.948(.748)	0.944(.749)	0.939(.749)	0.933(.750)
0.875	0.967(.772)	0.964(.772)	0.961(.773)	0.958(.773)	0.953(.773)
0.900	0.980(.797)	0.978(.797)	0.976(.797)	0.974(.797)	0.971(.797)
0.925	0.990(.821)	0.989(.821)	0.988(.821)	0.987(.822)	0.985(.822)
0.950	0.996(.846)	0.996(.846)	0.996(.846)	0.995(.846)	0.994(.847)
0.975	0.999(.871)	0.999(.871)	0.999(.871)	0.999(.871)	0.999(.871)
1.000	1.000(.896)	1.000(.896)	1.000(.896)	1.000(.896)	1.000(.896)

*** RELATIVE ENERGY FLUX DENSITY IN THE ***
*** PENUMBRA OF A RECTANGULAR CYLINDER ***

VERSION D

SOLAR FIELD ANGLE, D = 10.00 DEGREES
GEOMETRY D2/R = 100.00 AND H/R = 0.5

BETA = ANGLE OF INCIDENCE, DEGREES

BETA *** AX/AB	50.00		60.00		70.00		80.00		84.50	
	Q	(QI)	Q	(QI)	Q	(QI)	Q	(QI)	Q	(QI)
0.	1.000(.)	1.000(.)	1.000(.)	1.000(.)	1.000(.)	1.000(.)	1.000(.)	1.000(.)	1.000(.)	1.000(.)
0.025	1.000(.025)	1.000(.025)	1.000(.025)	1.000(.025)	1.000(.025)	1.000(.025)	1.000(.025)	1.000(.025)	1.000(.025)	1.000(.025)
0.050	0.998(.050)	0.998(.050)	0.998(.050)	0.998(.050)	0.999(.050)	0.999(.050)	1.000(.050)	1.000(.050)	1.000(.050)	1.000(.050)
0.075	0.994(.075)	0.996(.075)	0.996(.075)	0.996(.075)	0.998(.075)	0.998(.075)	1.000(.075)	1.000(.075)	1.000(.075)	1.000(.075)
0.100	0.989(.100)	0.991(.100)	0.991(.100)	0.991(.100)	0.995(.100)	0.995(.100)	0.999(.100)	0.999(.100)	1.000(.100)	1.000(.100)
0.125	0.981(.124)	0.985(.124)	0.985(.124)	0.985(.124)	0.991(.125)	0.991(.125)	0.999(.125)	0.999(.125)	1.000(.125)	1.000(.125)
0.150	0.970(.149)	0.977(.149)	0.977(.149)	0.977(.149)	0.986(.149)	0.986(.149)	0.998(.150)	0.998(.150)	1.000(.150)	1.000(.150)
0.175	0.959(.173)	0.967(.173)	0.967(.173)	0.967(.173)	0.979(.174)	0.979(.174)	0.996(.175)	0.996(.175)	1.000(.175)	1.000(.175)
0.200	0.947(.197)	0.957(.197)	0.957(.197)	0.957(.197)	0.972(.198)	0.972(.198)	0.995(.200)	0.995(.200)	1.000(.200)	1.000(.200)
0.225	0.934(.220)	0.946(.221)	0.946(.221)	0.946(.221)	0.964(.223)	0.964(.223)	0.993(.225)	0.993(.225)	1.000(.225)	1.000(.225)
0.250	0.921(.243)	0.934(.245)	0.934(.245)	0.934(.245)	0.955(.247)	0.955(.247)	0.990(.249)	0.990(.249)	1.000(.250)	1.000(.250)
0.275	0.907(.266)	0.922(.268)	0.922(.268)	0.922(.268)	0.946(.270)	0.946(.270)	0.987(.274)	0.987(.274)	1.000(.275)	1.000(.275)
0.300	0.894(.289)	0.910(.291)	0.910(.291)	0.910(.291)	0.936(.294)	0.936(.294)	0.984(.299)	0.984(.299)	1.000(.300)	1.000(.300)
0.325	0.881(.311)	0.897(.313)	0.897(.313)	0.897(.313)	0.925(.317)	0.925(.317)	0.980(.323)	0.980(.323)	1.000(.325)	1.000(.325)
0.350	0.869(.333)	0.885(.335)	0.885(.335)	0.885(.335)	0.914(.340)	0.914(.340)	0.976(.348)	0.976(.348)	1.000(.350)	1.000(.350)
0.375	0.857(.354)	0.873(.358)	0.873(.358)	0.873(.358)	0.903(.363)	0.903(.363)	0.971(.372)	0.971(.372)	1.000(.375)	1.000(.375)
0.400	0.845(.376)	0.861(.379)	0.861(.379)	0.861(.379)	0.891(.385)	0.891(.385)	0.965(.396)	0.965(.396)	1.000(.400)	1.000(.400)
0.425	0.835(.397)	0.850(.401)	0.850(.401)	0.850(.401)	0.880(.407)	0.880(.407)	0.959(.420)	0.959(.420)	1.000(.425)	1.000(.425)
0.450	0.827(.417)	0.840(.422)	0.840(.422)	0.840(.422)	0.868(.429)	0.868(.429)	0.952(.444)	0.952(.444)	1.000(.450)	1.000(.450)
0.475	0.820(.438)	0.831(.443)	0.831(.443)	0.831(.443)	0.857(.451)	0.857(.451)	0.944(.468)	0.944(.468)	1.000(.475)	1.000(.475)
0.500	0.814(.458)	0.822(.463)	0.822(.463)	0.822(.463)	0.846(.472)	0.846(.472)	0.936(.491)	0.936(.491)	1.000(.500)	1.000(.500)
0.525	0.809(.479)	0.816(.484)	0.816(.484)	0.816(.484)	0.836(.493)	0.836(.493)	0.926(.515)	0.926(.515)	1.000(.525)	1.000(.525)
0.550	0.805(.499)	0.810(.504)	0.810(.504)	0.810(.504)	0.826(.514)	0.826(.514)	0.916(.538)	0.916(.538)	0.999(.550)	0.999(.550)
0.575	0.804(.519)	0.805(.524)	0.805(.524)	0.805(.524)	0.818(.534)	0.818(.534)	0.904(.560)	0.904(.560)	0.999(.575)	0.999(.575)
0.600	0.804(.539)	0.803(.544)	0.803(.544)	0.803(.544)	0.810(.555)	0.810(.555)	0.891(.583)	0.891(.583)	0.999(.600)	0.999(.600)
0.625	0.807(.559)	0.803(.564)	0.803(.564)	0.803(.564)	0.804(.575)	0.804(.575)	0.878(.605)	0.878(.605)	0.999(.625)	0.999(.625)
0.650	0.811(.579)	0.804(.585)	0.804(.585)	0.804(.585)	0.800(.595)	0.800(.595)	0.864(.627)	0.864(.627)	0.999(.650)	0.999(.650)
0.675	0.817(.600)	0.808(.605)	0.808(.605)	0.808(.605)	0.798(.615)	0.798(.615)	0.849(.648)	0.849(.648)	0.998(.675)	0.998(.675)
0.700	0.826(.620)	0.814(.625)	0.814(.625)	0.814(.625)	0.798(.635)	0.798(.635)	0.834(.669)	0.834(.669)	0.997(.700)	0.997(.700)
0.725	0.837(.641)	0.823(.645)	0.823(.645)	0.823(.645)	0.802(.655)	0.802(.655)	0.819(.690)	0.819(.690)	0.996(.725)	0.996(.725)
0.750	0.851(.662)	0.835(.666)	0.835(.666)	0.835(.666)	0.809(.675)	0.809(.675)	0.804(.710)	0.804(.710)	0.995(.750)	0.995(.750)
0.775	0.867(.684)	0.850(.687)	0.850(.687)	0.850(.687)	0.819(.695)	0.819(.695)	0.791(.730)	0.791(.730)	0.993(.774)	0.993(.774)
0.800	0.884(.706)	0.867(.709)	0.867(.709)	0.867(.709)	0.834(.716)	0.834(.716)	0.781(.750)	0.781(.750)	0.990(.799)	0.990(.799)
0.825	0.904(.728)	0.887(.731)	0.887(.731)	0.887(.731)	0.853(.737)	0.853(.737)	0.776(.769)	0.776(.769)	0.985(.824)	0.985(.824)
0.850	0.925(.751)	0.910(.753)	0.910(.753)	0.910(.753)	0.877(.759)	0.877(.759)	0.780(.789)	0.780(.789)	0.978(.848)	0.978(.848)
0.875	0.945(.774)	0.933(.776)	0.933(.776)	0.933(.776)	0.904(.781)	0.904(.781)	0.795(.808)	0.795(.808)	0.965(.873)	0.965(.873)
0.900	0.965(.798)	0.957(.800)	0.957(.800)	0.957(.800)	0.935(.804)	0.935(.804)	0.825(.829)	0.825(.829)	0.942(.897)	0.942(.897)
0.925	0.982(.822)	0.977(.824)	0.977(.824)	0.977(.824)	0.964(.828)	0.964(.828)	0.875(.850)	0.875(.850)	0.899(.920)	0.899(.920)
0.950	0.993(.847)	0.991(.848)	0.991(.848)	0.991(.848)	0.985(.852)	0.985(.852)	0.939(.873)	0.939(.873)	0.819(.941)	0.819(.941)
0.975	0.999(.872)	0.998(.873)	0.998(.873)	0.998(.873)	0.997(.877)	0.997(.877)	0.986(.897)	0.986(.897)	0.723(.960)	0.723(.960)
1.000	1.000(.897)	1.000(.898)	1.000(.898)	1.000(.898)	1.000(.902)	1.000(.902)	1.000(.921)	1.000(.921)	1.000(.982)	1.000(.982)

66-196
W. J. P. A.
Phase II

*** RELATIVE ENERGY FLUX DENSITY IN THE ***
 *** PENUMBRA OF A RECTANGULAR CYLINDER ***

VERSION D

SOLAR FIELD ANGLE, D = 10.00 DEGREES
 GEOMETRY D2/R = 1.00 AND H/R = 1.0

BETA = ANGLE OF INCIDENCE, DEGREES

BETA *** AX/AB	0.		10.00		20.00		30.00		40.00	
	Q	Q1	Q	Q1	Q	Q1	Q	Q1	Q	Q1
0.	1.000(.)	1.000(.)	1.000(.)	1.000(.)	1.000(.)	1.000(.)	1.000(.)	1.000(.)	1.000(.)	1.000(.)
0.025	0.948(.024)	0.960(.025)	0.960(.025)	0.970(.025)	0.970(.025)	0.978(.025)	0.978(.025)	0.984(.025)	0.984(.025)	0.984(.025)
0.050	0.763(.046)	0.811(.047)	0.811(.047)	0.851(.047)	0.851(.047)	0.886(.048)	0.886(.048)	0.917(.049)	0.917(.049)	0.917(.049)
0.075	0. (0.055)	0.576(.064)	0.576(.064)	0.653(.066)	0.653(.066)	0.724(.068)	0.724(.068)	0.791(.070)	0.791(.070)	0.791(.070)
0.100	0. (0.055)	0. (0.071)	0. (0.071)	0.038(.075)	0.038(.075)	0.513(.084)	0.513(.084)	0.617(.088)	0.617(.088)	0.617(.088)
0.125	0. (0.055)	0. (0.071)	0. (0.071)	0. (0.075)	0. (0.075)	0. (0.090)	0. (0.090)	0.200(.098)	0.200(.098)	0.200(.098)
0.150	0. (0.055)	0. (0.071)	0. (0.071)	0. (0.075)	0. (0.075)	0. (0.090)	0. (0.090)	0. (.100)	0. (.100)	0. (.100)
0.175	0. (0.055)	0. (0.071)	0. (0.071)	0. (0.075)	0. (0.075)	0. (0.090)	0. (0.090)	0. (.100)	0. (.100)	0. (.100)
0.200	0. (0.055)	0. (0.071)	0. (0.071)	0. (0.075)	0. (0.075)	0. (0.090)	0. (0.090)	0. (.100)	0. (.100)	0. (.100)
0.225	0. (0.055)	0. (0.071)	0. (0.071)	0. (0.075)	0. (0.075)	0. (0.090)	0. (0.090)	0. (.100)	0. (.100)	0. (.100)
0.250	0. (0.055)	0. (0.071)	0. (0.071)	0. (0.075)	0. (0.075)	0. (0.090)	0. (0.090)	0. (.100)	0. (.100)	0. (.100)
0.275	0. (0.055)	0. (0.071)	0. (0.071)	0. (0.075)	0. (0.075)	0. (0.090)	0. (0.090)	0. (.100)	0. (.100)	0. (.100)
0.300	0. (0.055)	0. (0.071)	0. (0.071)	0. (0.075)	0. (0.075)	0. (0.090)	0. (0.090)	0. (.100)	0. (.100)	0. (.100)
0.325	0. (0.055)	0. (0.071)	0. (0.071)	0. (0.075)	0. (0.075)	0. (0.090)	0. (0.090)	0. (.100)	0. (.100)	0. (.100)
0.350	0. (0.055)	0. (0.071)	0. (0.071)	0. (0.075)	0. (0.075)	0. (0.090)	0. (0.090)	0. (.100)	0. (.100)	0. (.100)
0.375	0. (0.055)	0. (0.071)	0. (0.071)	0. (0.075)	0. (0.075)	0. (0.090)	0. (0.090)	0. (.100)	0. (.100)	0. (.100)
0.400	0. (0.055)	0. (0.071)	0. (0.071)	0. (0.075)	0. (0.075)	0. (0.090)	0. (0.090)	0. (.100)	0. (.100)	0. (.100)
0.425	0. (0.055)	0. (0.071)	0. (0.071)	0. (0.075)	0. (0.075)	0. (0.090)	0. (0.090)	0. (.100)	0. (.100)	0. (.100)
0.450	0. (0.055)	0. (0.071)	0. (0.071)	0. (0.075)	0. (0.075)	0. (0.090)	0. (0.090)	0. (.100)	0. (.100)	0. (.100)
0.475	0. (0.055)	0. (0.071)	0. (0.071)	0. (0.075)	0. (0.075)	0. (0.090)	0. (0.090)	0. (.100)	0. (.100)	0. (.100)
0.500	0. (0.055)	0. (0.071)	0. (0.071)	0. (0.075)	0. (0.075)	0. (0.090)	0. (0.090)	0. (.100)	0. (.100)	0. (.100)
0.525	0. (0.055)	0. (0.071)	0. (0.071)	0. (0.075)	0. (0.075)	0. (0.090)	0. (0.090)	0. (.100)	0. (.100)	0. (.100)
0.550	0. (0.055)	0. (0.071)	0. (0.071)	0. (0.075)	0. (0.075)	0. (0.090)	0. (0.090)	0. (.100)	0. (.100)	0. (.100)
0.575	0. (0.055)	0. (0.071)	0. (0.071)	0. (0.075)	0. (0.075)	0. (0.090)	0. (0.090)	0. (.100)	0. (.100)	0. (.100)
0.600	0. (0.055)	0. (0.071)	0. (0.071)	0. (0.075)	0. (0.075)	0. (0.090)	0. (0.090)	0. (.100)	0. (.100)	0. (.100)
0.625	0. (0.055)	0. (0.071)	0. (0.071)	0. (0.075)	0. (0.075)	0. (0.090)	0. (0.090)	0. (.100)	0. (.100)	0. (.100)
0.650	0. (0.055)	0. (0.071)	0. (0.071)	0. (0.075)	0. (0.075)	0. (0.090)	0. (0.090)	0. (.100)	0. (.100)	0. (.100)
0.675	0. (0.055)	0. (0.071)	0. (0.071)	0. (0.075)	0. (0.075)	0. (0.090)	0. (0.090)	0. (.100)	0. (.100)	0. (.100)
0.700	0. (0.055)	0. (0.071)	0. (0.071)	0. (0.075)	0. (0.075)	0. (0.090)	0. (0.090)	0. (.100)	0. (.100)	0. (.100)
0.725	0. (0.055)	0. (0.071)	0. (0.071)	0. (0.075)	0. (0.075)	0. (0.090)	0. (0.090)	0. (.100)	0. (.100)	0. (.100)
0.750	0. (0.055)	0. (0.071)	0. (0.071)	0. (0.075)	0. (0.075)	0. (0.090)	0. (0.090)	0. (.100)	0. (.100)	0. (.100)
0.775	0. (0.055)	0. (0.071)	0. (0.071)	0. (0.075)	0. (0.075)	0. (0.090)	0. (0.090)	0. (.100)	0. (.100)	0. (.100)
0.800	0. (0.055)	0. (0.071)	0. (0.071)	0. (0.075)	0. (0.075)	0. (0.090)	0. (0.090)	0. (.100)	0. (.100)	0. (.100)
0.825	0. (0.055)	0. (0.071)	0. (0.071)	0. (0.075)	0. (0.075)	0. (0.090)	0. (0.090)	0. (.100)	0. (.100)	0. (.100)
0.850	0. (0.055)	0. (0.071)	0. (0.071)	0. (0.075)	0. (0.075)	0. (0.090)	0. (0.090)	0. (.100)	0. (.100)	0. (.100)
0.875	0. (0.055)	0. (0.071)	0. (0.071)	0. (0.075)	0. (0.075)	0. (0.090)	0. (0.090)	0. (.100)	0. (.100)	0. (.100)
0.900	0. (0.055)	0. (0.071)	0. (0.071)	0. (0.075)	0. (0.075)	0. (0.090)	0. (0.090)	0. (.100)	0. (.100)	0. (.100)
0.925	0. (0.055)	0. (0.071)	0. (0.071)	0. (0.075)	0. (0.075)	0. (0.090)	0. (0.090)	0. (.100)	0. (.100)	0. (.100)
0.950	0.763(.065)	0.701(.080)	0.701(.080)	0.906(.087)	0.906(.087)	0.863(.101)	0.863(.101)	0. (0.100)	0. (0.100)	0. (0.100)
0.975	0.948(.086)	0.931(.100)	0.931(.100)	1.000(.110)	1.000(.110)	1.000(.124)	1.000(.124)	1.000(.113)	1.000(.113)	1.000(.113)
1.000	1.000(.111)	1.000(.125)	1.000(.125)	1.000(.110)	1.000(.110)	1.000(.124)	1.000(.124)	1.000(.113)	1.000(.113)	1.000(.113)

RE-ORDER No 66-196
 App A
 Phase II

*** RELATIVE ENERGY FLUX DENSITY IN THE ***
 *** PENUMBRA OF A RECTANGULAR CYLINDER ***

VERSION D

SOLAR FIELD ANGLE, D = 10.00 DEGREES
 GEOMETRY D2/R = 1.00 AND H/R = 1.0

BETA = ANGLE OF INCIDENCE, DEGREES

BETA *** AX/AB	50.00		60.00		70.00		80.00		84.50	
	Q	(QI)	Q	(QI)	Q	(QI)	Q	(QI)	Q	(QI)
0.	1.000(.)	1.000(.)	1.000(.)	1.000(.)	1.000(.)	1.000(.)	1.000(.)	1.000(.)	1.000(.)	1.000(.)
0.025	0.990(.025)	0.995(.025)	0.995(.025)	0.998(.025)	0.998(.025)	1.000(.025)	1.000(.025)	1.000(.025)	1.000(.025)	1.000(.025)
0.050	0.945(.049)	0.970(.049)	0.970(.049)	0.990(.050)	0.990(.050)	1.000(.050)	1.000(.050)	1.000(.050)	1.000(.050)	1.000(.050)
0.075	0.857(.072)	0.919(.073)	0.919(.073)	0.972(.074)	0.972(.074)	0.999(.075)	0.999(.075)	1.000(.075)	1.000(.075)	1.000(.075)
0.100	0.725(.091)	0.837(.095)	0.837(.095)	0.940(.098)	0.940(.098)	0.997(.100)	0.997(.100)	1.000(.100)	1.000(.100)	1.000(.100)
0.125	0.560(.107)	0.724(.115)	0.724(.115)	0.891(.121)	0.891(.121)	0.994(.125)	0.994(.125)	1.000(.125)	1.000(.125)	1.000(.125)
0.150	0.161(.116)	0.585(.131)	0.585(.131)	0.825(.143)	0.825(.143)	0.989(.150)	0.989(.150)	1.000(.150)	1.000(.150)	1.000(.150)
0.175	0. (.118)	0.312(.142)	0.312(.142)	0.738(.162)	0.738(.162)	0.983(.174)	0.983(.174)	1.000(.175)	1.000(.175)	1.000(.175)
0.200	0. (.118)	0.041(.147)	0.041(.147)	0.632(.179)	0.632(.179)	0.974(.199)	0.974(.199)	1.000(.200)	1.000(.200)	1.000(.200)
0.225	0. (.118)	0. (.147)	0. (.147)	0.483(.193)	0.483(.193)	0.961(.223)	0.961(.223)	1.000(.225)	1.000(.225)	1.000(.225)
0.250	0. (.118)	0. (.147)	0. (.147)	0.247(.202)	0.247(.202)	0.945(.247)	0.945(.247)	1.000(.250)	1.000(.250)	1.000(.250)
0.275	0. (.118)	0. (.147)	0. (.147)	0.054(.206)	0.054(.206)	0.923(.270)	0.923(.270)	1.000(.275)	1.000(.275)	1.000(.275)
0.300	0. (.118)	0. (.147)	0. (.147)	0. (.207)	0. (.207)	0.894(.293)	0.894(.293)	1.000(.300)	1.000(.300)	1.000(.300)
0.325	0. (.118)	0. (.147)	0. (.147)	0. (.207)	0. (.207)	0.857(.315)	0.857(.315)	1.000(.325)	1.000(.325)	1.000(.325)
0.350	0. (.118)	0. (.147)	0. (.147)	0. (.207)	0. (.207)	0.810(.335)	0.810(.335)	1.000(.350)	1.000(.350)	1.000(.350)
0.375	0. (.118)	0. (.147)	0. (.147)	0. (.207)	0. (.207)	0.751(.355)	0.751(.355)	1.000(.375)	1.000(.375)	1.000(.375)
0.400	0. (.118)	0. (.147)	0. (.147)	0. (.207)	0. (.207)	0.677(.373)	0.677(.373)	1.000(.400)	1.000(.400)	1.000(.400)
0.425	0. (.118)	0. (.147)	0. (.147)	0. (.207)	0. (.207)	0.588(.389)	0.588(.389)	1.000(.425)	1.000(.425)	1.000(.425)
0.450	0. (.118)	0. (.147)	0. (.147)	0. (.207)	0. (.207)	0.442(.402)	0.442(.402)	1.000(.450)	1.000(.450)	1.000(.450)
0.475	0. (.118)	0. (.147)	0. (.147)	0. (.207)	0. (.207)	0.270(.410)	0.270(.410)	1.000(.475)	1.000(.475)	1.000(.475)
0.500	0. (.118)	0. (.147)	0. (.147)	0. (.207)	0. (.207)	0.102(.415)	0.102(.415)	0.999(.500)	0.999(.500)	0.999(.500)
0.525	0. (.118)	0. (.147)	0. (.147)	0. (.207)	0. (.207)	0.004(.416)	0.004(.416)	0.999(.525)	0.999(.525)	0.999(.525)
0.550	0. (.118)	0. (.147)	0. (.147)	0. (.207)	0. (.207)	0. (.416)	0. (.416)	0.999(.550)	0.999(.550)	0.999(.550)
0.575	0. (.118)	0. (.147)	0. (.147)	0. (.207)	0. (.207)	0. (.416)	0. (.416)	0.998(.575)	0.998(.575)	0.998(.575)
0.600	0. (.118)	0. (.147)	0. (.147)	0. (.207)	0. (.207)	0. (.416)	0. (.416)	0.998(.600)	0.998(.600)	0.998(.600)
0.625	0. (.118)	0. (.147)	0. (.147)	0. (.207)	0. (.207)	0. (.416)	0. (.416)	0.997(.625)	0.997(.625)	0.997(.625)
0.650	0. (.118)	0. (.147)	0. (.147)	0. (.207)	0. (.207)	0. (.416)	0. (.416)	0.996(.650)	0.996(.650)	0.996(.650)
0.675	0. (.118)	0. (.147)	0. (.147)	0. (.207)	0. (.207)	0. (.416)	0. (.416)	0.994(.675)	0.994(.675)	0.994(.675)
0.700	0. (.118)	0. (.147)	0. (.147)	0. (.207)	0. (.207)	0. (.416)	0. (.416)	0.992(.699)	0.992(.699)	0.992(.699)
0.725	0. (.118)	0. (.147)	0. (.147)	0. (.207)	0. (.207)	0. (.416)	0. (.416)	0.988(.724)	0.988(.724)	0.988(.724)
0.750	0. (.118)	0. (.147)	0. (.147)	0. (.207)	0. (.207)	0. (.416)	0. (.416)	0.981(.749)	0.981(.749)	0.981(.749)
0.775	0. (.118)	0. (.147)	0. (.147)	0. (.207)	0. (.207)	0. (.416)	0. (.416)	0.970(.773)	0.970(.773)	0.970(.773)
0.800	0. (.118)	0. (.147)	0. (.147)	0. (.207)	0. (.207)	0. (.416)	0. (.416)	0.950(.797)	0.950(.797)	0.950(.797)
0.825	0. (.118)	0. (.147)	0. (.147)	0. (.207)	0. (.207)	0. (.416)	0. (.416)	0.914(.820)	0.914(.820)	0.914(.820)
0.850	0. (.118)	0. (.147)	0. (.147)	0. (.207)	0. (.207)	0. (.416)	0. (.416)	0.839(.842)	0.839(.842)	0.839(.842)
0.875	0. (.118)	0. (.147)	0. (.147)	0. (.207)	0. (.207)	0. (.416)	0. (.416)	0.675(.861)	0.675(.861)	0.675(.861)
0.900	0. (.118)	0. (.147)	0. (.147)	0. (.207)	0. (.207)	0. (.416)	0. (.416)	0.221(.872)	0.221(.872)	0.221(.872)
0.925	0. (.118)	0. (.147)	0. (.147)	0. (.207)	0. (.207)	0. (.416)	0. (.416)	0. (.875)	0. (.875)	0. (.875)
0.950	0. (.118)	0. (.147)	0. (.147)	0. (.207)	0. (.207)	0. (.416)	0. (.416)	0. (.875)	0. (.875)	0. (.875)
0.975	0. (.118)	0. (.147)	0. (.147)	0. (.207)	0. (.207)	0. (.416)	0. (.416)	0. (.875)	0. (.875)	0. (.875)
1.000	0. (.118)	0. (.147)	0. (.147)	0. (.207)	0. (.207)	0. (.416)	0. (.416)	0. (.875)	0. (.875)	0. (.875)

66-196
 App. 4
 Phase 11

*** RELATIVE ENERGY FLUX DENSITY IN THE *** VERSION D
 *** PENUMBRA OF A RECTANGULAR CYLINDER ***

SOLAR FIELD ANGLE, D= 10.00 DEGREES
 GEOMETRY D2/R = 5.00 AND H/R = 1.0

BETA = ANGLE OF INCIDENCE, DEGREES

BETA ***	0.	10.00	20.00	30.00	40.00
AX/AB	Q (Q1)	Q (Q1)	Q (Q1)	Q (Q1)	Q (Q1)
0.	1.000(.)	1.000(.)	1.000(.)	1.000(.)	1.000(.)
0.025	0.993(.025)	0.994(.025)	0.995(.025)	0.996(.025)	0.997(.025)
0.050	0.963(.049)	0.968(.049)	0.972(.050)	0.977(.050)	0.981(.050)
0.075	0.906(.073)	0.918(.073)	0.928(.073)	0.939(.074)	0.950(.074)
0.100	0.825(.094)	0.844(.095)	0.863(.096)	0.882(.096)	0.901(.097)
0.125	0.723(.114)	0.751(.115)	0.778(.116)	0.806(.117)	0.836(.119)
0.150	0.607(.130)	0.642(.132)	0.677(.134)	0.714(.136)	0.755(.139)
0.175	0.476(.144)	0.524(.147)	0.566(.150)	0.610(.153)	0.660(.156)
0.200	0.297(.154)	0.359(.158)	0.424(.162)	0.494(.167)	0.556(.171)
0.225	0.147(.159)	0.200(.165)	0.262(.171)	0.333(.177)	0.421(.184)
0.250	0.045(.161)	0.080(.169)	0.127(.176)	0.188(.184)	0.270(.192)
0.275	0.003(.162)	0.014(.170)	0.037(.178)	0.076(.187)	0.140(.197)
0.300	0. (.162)	0. (.170)	0.002(.178)	0.014(.188)	0.047(.200)
0.325	0. (.162)	0. (.170)	0. (.178)	0. (.188)	0.004(.200)
0.350	0. (.162)	0. (.170)	0. (.178)	0. (.188)	0. (.200)
0.375	0. (.162)	0. (.170)	0. (.178)	0. (.188)	0. (.200)
0.400	0. (.162)	0. (.170)	0. (.178)	0. (.188)	0. (.200)
0.425	0. (.162)	0. (.170)	0. (.178)	0. (.188)	0. (.200)
0.450	0. (.162)	0. (.170)	0. (.178)	0. (.188)	0. (.200)
0.475	0. (.162)	0. (.170)	0. (.178)	0. (.188)	0. (.200)
0.500	0. (.162)	0. (.170)	0. (.178)	0. (.188)	0. (.200)
0.525	0. (.162)	0. (.170)	0. (.178)	0. (.188)	0. (.200)
0.550	0. (.162)	0. (.170)	0. (.178)	0. (.188)	0. (.200)
0.575	0. (.162)	0. (.170)	0. (.178)	0. (.188)	0. (.200)
0.600	0. (.162)	0. (.170)	0. (.178)	0. (.188)	0. (.200)
0.625	0. (.162)	0. (.170)	0. (.178)	0. (.188)	0. (.200)
0.650	0. (.162)	0. (.170)	0. (.178)	0. (.188)	0. (.200)
0.675	0. (.162)	0. (.170)	0. (.178)	0. (.188)	0. (.200)
0.700	0. (.162)	0. (.170)	0. (.178)	0. (.188)	0. (.200)
0.725	0.003(.162)	0.000(.170)	0. (.178)	0. (.188)	0. (.200)
0.750	0.045(.163)	0.020(.170)	0.005(.178)	0.000(.188)	0. (.200)
0.775	0.147(.165)	0.099(.172)	0.057(.179)	0.022(.188)	0.002(.200)
0.800	0.297(.171)	0.236(.176)	0.174(.182)	0.110(.190)	0.048(.201)
0.825	0.476(.180)	0.414(.184)	0.345(.188)	0.266(.195)	0.173(.204)
0.850	0.607(.194)	0.569(.196)	0.527(.199)	0.469(.204)	0.368(.211)
0.875	0.723(.211)	0.692(.212)	0.658(.214)	0.614(.218)	0.557(.222)
0.900	0.825(.230)	0.803(.231)	0.777(.232)	0.745(.235)	0.700(.238)
0.925	0.906(.252)	0.893(.252)	0.878(.253)	0.857(.255)	0.828(.257)
0.950	0.963(.275)	0.957(.275)	0.950(.276)	0.941(.277)	0.927(.279)
0.975	0.993(.299)	0.992(.299)	0.990(.300)	0.988(.301)	0.985(.303)
1.000	1.000(.324)	1.000(.324)	1.000(.325)	1.000(.326)	1.000(.328)

66-196
 2.12.9.
 Page 11

*** RELATIVE ENERGY FLUX DENSITY IN THE *** VERSION D
 *** PENUMBRA OF A RECTANGULAR CYLINDER ***

SOLAR FIELD ANGLE, D= 10.00 DEGREES
 GEOMETRY D2/R = 5.00 AND H/R = 1.0

BETA = ANGLE OF INCIDENCE, DEGREES

BETA ***	50.00	60.00	70.00	80.00	84.50
AX/AB	Q (QI)	Q (QI)	Q (QI)	Q (QI)	Q (QI)
0.	1.000(.)	1.000(.)	1.000(.)	1.000(.)	1.000(.)
0.025	0.997(.025)	0.998(.025)	0.999(.025)	1.000(.025)	1.000(.025)
0.050	0.985(.050)	0.991(.050)	0.996(.050)	1.000(.050)	1.000(.050)
0.075	0.962(.074)	0.975(.074)	0.989(.075)	0.999(.075)	1.000(.075)
0.100	0.923(.098)	0.948(.098)	0.976(.099)	0.998(.100)	1.000(.100)
0.125	0.870(.120)	0.910(.122)	0.957(.123)	0.996(.125)	1.000(.125)
0.150	0.802(.141)	0.860(.144)	0.930(.147)	0.993(.150)	1.000(.150)
0.175	0.721(.160)	0.798(.165)	0.895(.170)	0.990(.175)	1.000(.175)
0.200	0.628(.177)	0.723(.184)	0.852(.192)	0.984(.199)	1.000(.200)
0.225	0.527(.191)	0.638(.201)	0.798(.212)	0.977(.224)	1.000(.225)
0.250	0.385(.203)	0.545(.215)	0.734(.231)	0.968(.248)	1.000(.250)
0.275	0.244(.211)	0.417(.227)	0.661(.249)	0.956(.272)	1.000(.275)
0.300	0.123(.215)	0.282(.236)	0.578(.264)	0.940(.296)	1.000(.300)
0.325	0.039(.217)	0.158(.242)	0.471(.277)	0.921(.319)	1.000(.325)
0.350	0.002(.218)	0.063(.244)	0.347(.288)	0.896(.342)	1.000(.350)
0.375	0. (.218)	0.010(.245)	0.223(.295)	0.866(.364)	1.000(.375)
0.400	0. (.218)	0. (.245)	0.113(.299)	0.828(.385)	1.000(.400)
0.425	0. (.218)	0. (.245)	0.034(.301)	0.782(.405)	1.000(.425)
0.450	0. (.218)	0. (.245)	0.001(.301)	0.727(.424)	1.000(.450)
0.475	0. (.218)	0. (.245)	0. (.301)	0.661(.441)	1.000(.475)
0.500	0. (.218)	0. (.245)	0. (.301)	0.582(.457)	0.999(.500)
0.525	0. (.218)	0. (.245)	0. (.301)	0.472(.470)	0.999(.525)
0.550	0. (.218)	0. (.245)	0. (.301)	0.346(.480)	0.999(.550)
0.575	0. (.218)	0. (.245)	0. (.301)	0.212(.487)	0.999(.575)
0.600	0. (.218)	0. (.245)	0. (.301)	0.089(.491)	0.998(.600)
0.625	0. (.218)	0. (.245)	0. (.301)	0.011(.492)	0.998(.625)
0.650	0. (.218)	0. (.245)	0. (.301)	0. (.492)	0.997(.650)
0.675	0. (.218)	0. (.245)	0. (.301)	0. (.492)	0.995(.675)
0.700	0. (.218)	0. (.245)	0. (.301)	0. (.492)	0.993(.699)
0.725	0. (.218)	0. (.245)	0. (.301)	0. (.492)	0.990(.724)
0.750	0. (.218)	0. (.245)	0. (.301)	0. (.492)	0.985(.749)
0.775	0. (.218)	0. (.245)	0. (.301)	0. (.492)	0.977(.773)
0.800	0.004(.218)	0. (.245)	0. (.301)	0. (.492)	0.964(.798)
0.825	0.068(.219)	0.000(.245)	0. (.301)	0. (.492)	0.940(.822)
0.850	0.225(.222)	0.048(.246)	0. (.301)	0. (.492)	0.894(.844)
0.875	0.465(.231)	0.223(.249)	0. (.301)	0. (.492)	0.800(.866)
0.900	0.630(.245)	0.501(.258)	0.029(.302)	0. (.492)	0.584(.883)
0.925	0.780(.262)	0.684(.273)	0.359(.307)	0. (.492)	0.088(.891)
0.950	0.903(.283)	0.851(.292)	0.672(.319)	0. (.492)	0. (.892)
0.975	0.979(.307)	0.966(.315)	0.908(.339)	0. (.492)	0. (.892)
1.000	1.000(.332)	1.000(.340)	1.000(.363)	0. (.492)	0. (.892)

D-144
 395-

A. H. G.
Phase II

*** RELATIVE ENERGY FLUX DENSITY IN THE ***
 *** PENUMBRA OF A RECTANGULAR CYLINDER ***

VERSION D

SOLAR FIELD ANGLE, D = 10.00 DEGREES
 GEOMETRY D2/R = 10.00 AND H/R = 1.0

BETA = ANGLE OF INCIDENCE, DEGREES

BETA ***	0.	10.00	20.00	30.00	40.00
AX/AB	Q (QI)	Q (QI)	Q (QI)	Q (QI)	Q (QI)
0.	1.000(.)	1.000(.)	1.000(.)	1.000(.)	1.000(.)
0.025	0.997(.025)	0.997(.025)	0.998(.025)	0.998(.025)	0.998(.025)
0.050	0.984(.050)	0.986(.050)	0.987(.050)	0.989(.050)	0.991(.050)
0.075	0.958(.074)	0.962(.074)	0.967(.074)	0.971(.074)	0.975(.074)
0.100	0.919(.097)	0.927(.098)	0.935(.098)	0.942(.098)	0.951(.098)
0.125	0.868(.120)	0.880(.120)	0.891(.121)	0.904(.121)	0.917(.122)
0.150	0.805(.141)	0.821(.142)	0.837(.142)	0.854(.143)	0.873(.144)
0.175	0.732(.160)	0.753(.161)	0.774(.163)	0.796(.164)	0.821(.165)
0.200	0.653(.177)	0.677(.179)	0.702(.181)	0.729(.183)	0.759(.185)
0.225	0.569(.192)	0.596(.195)	0.624(.198)	0.655(.200)	0.691(.203)
0.250	0.478(.206)	0.511(.209)	0.542(.212)	0.576(.216)	0.616(.220)
0.275	0.374(.216)	0.410(.220)	0.448(.225)	0.491(.229)	0.538(.234)
0.300	0.275(.224)	0.310(.229)	0.348(.234)	0.391(.240)	0.445(.246)
0.325	0.187(.230)	0.218(.236)	0.253(.242)	0.295(.249)	0.348(.256)
0.350	0.113(.234)	0.139(.240)	0.169(.247)	0.206(.255)	0.255(.264)
0.375	0.057(.236)	0.076(.243)	0.099(.251)	0.129(.259)	0.171(.269)
0.400	0.020(.237)	0.032(.244)	0.047(.252)	0.068(.262)	0.100(.272)
0.425	0.003(.237)	0.007(.245)	0.014(.253)	0.026(.263)	0.047(.274)
0.450	0. (.237)	0.000(.245)	0.001(.253)	0.005(.263)	0.014(.275)
0.475	0. (.237)	0. (.245)	0. (.253)	0. (.263)	0.001(.275)
0.500	0. (.237)	0. (.245)	0. (.253)	0. (.263)	0. (.275)
0.525	0. (.237)	0. (.245)	0. (.253)	0. (.263)	0. (.275)
0.550	0. (.237)	0. (.245)	0. (.253)	0. (.263)	0. (.275)
0.575	0.003(.237)	0.001(.245)	0.000(.253)	0. (.263)	0. (.275)
0.600	0.020(.236)	0.012(.245)	0.006(.253)	0.002(.263)	0.000(.275)
0.625	0.057(.239)	0.041(.246)	0.028(.254)	0.016(.263)	0.006(.275)
0.650	0.113(.241)	0.090(.248)	0.068(.255)	0.048(.264)	0.028(.276)
0.675	0.187(.244)	0.158(.251)	0.129(.258)	0.100(.266)	0.069(.277)
0.700	0.275(.250)	0.241(.256)	0.207(.262)	0.170(.269)	0.130(.279)
0.725	0.374(.258)	0.338(.263)	0.300(.268)	0.258(.275)	0.210(.284)
0.750	0.478(.259)	0.442(.273)	0.404(.277)	0.360(.282)	0.307(.290)
0.775	0.569(.282)	0.540(.285)	0.510(.288)	0.470(.293)	0.416(.299)
0.800	0.653(.297)	0.627(.299)	0.599(.302)	0.566(.306)	0.524(.311)
0.825	0.732(.315)	0.711(.316)	0.686(.318)	0.657(.321)	0.619(.325)
0.850	0.805(.334)	0.787(.335)	0.767(.336)	0.743(.339)	0.711(.342)
0.875	0.868(.355)	0.855(.355)	0.840(.356)	0.821(.358)	0.796(.361)
0.900	0.919(.377)	0.910(.378)	0.900(.378)	0.888(.380)	0.870(.382)
0.925	0.958(.401)	0.953(.401)	0.948(.401)	0.940(.402)	0.930(.404)
0.950	0.984(.425)	0.982(.425)	0.979(.425)	0.976(.426)	0.972(.428)
0.975	0.997(.450)	0.997(.450)	0.996(.450)	0.995(.451)	0.995(.452)
1.000	1.000(.475)	1.000(.475)	1.000(.475)	1.000(.476)	1.000(.477)

66-196

*** RELATIVE ENERGY FLUX DENSITY IN THE ***
 *** PENUMBRA OF A RECTANGULAR CYLINDER ***

VERSION D

SOLAR FIELD ANGLE, $D = 10.00$ DEGREES
 GEOMETRY $D2/R = 10.00$ AND $H/R = 1.0$

BETA = ANGLE OF INCIDENCE, DEGREES

BETA ***	50.00		60.00		70.00		80.00		84.50	
AX/AB	Q	(Q1)	Q	(Q1)	Q	(Q1)	Q	(Q1)	Q	(Q1)
0.	1.000(.)		1.000(.)		1.000(.)		1.000(.)		1.000(.)	
0.025	0.999(.025)		0.999(.025)		1.000(.025)		1.000(.025)		1.000(.025)	
0.050	0.993(.050)		0.995(.050)		0.998(.050)		1.000(.050)		1.000(.050)	
0.075	0.980(.075)		0.986(.075)		0.993(.075)		0.999(.075)		1.000(.075)	
0.100	0.960(.099)		0.972(.099)		0.986(.100)		0.998(.100)		1.000(.100)	
0.125	0.932(.122)		0.951(.123)		0.974(.124)		0.997(.125)		1.000(.125)	
0.150	0.896(.145)		0.923(.147)		0.959(.148)		0.995(.150)		1.000(.150)	
0.175	0.850(.167)		0.888(.169)		0.938(.172)		0.992(.175)		1.000(.175)	
0.200	0.797(.186)		0.846(.191)		0.912(.195)		0.989(.199)		1.000(.200)	
0.225	0.735(.207)		0.795(.211)		0.880(.217)		0.984(.224)		1.000(.225)	
0.250	0.668(.224)		0.738(.231)		0.842(.239)		0.977(.249)		1.000(.250)	
0.275	0.594(.240)		0.674(.248)		0.798(.260)		0.969(.273)		1.000(.275)	
0.300	0.516(.254)		0.604(.264)		0.746(.279)		0.958(.297)		1.000(.300)	
0.325	0.420(.266)		0.529(.278)		0.688(.297)		0.945(.321)		1.000(.325)	
0.350	0.325(.275)		0.438(.291)		0.624(.313)		0.929(.344)		1.000(.350)	
0.375	0.235(.282)		0.344(.300)		0.553(.328)		0.909(.367)		1.000(.375)	
0.400	0.154(.287)		0.253(.308)		0.468(.341)		0.884(.390)		1.000(.400)	
0.425	0.085(.290)		0.169(.313)		0.376(.351)		0.855(.411)		1.000(.425)	
0.450	0.037(.291)		0.097(.316)		0.283(.359)		0.819(.432)		1.000(.450)	
0.475	0.008(.292)		0.043(.318)		0.194(.365)		0.777(.452)		1.000(.475)	
0.500	0.000(.292)		0.010(.319)		0.114(.369)		0.726(.471)		1.000(.500)	
0.525	0. (.292)		0.000(.319)		0.052(.371)		0.667(.488)		0.999(.525)	
0.550	0. (.292)		0. (.319)		0.013(.372)		0.598(.504)		0.999(.550)	
0.575	0. (.292)		0. (.319)		0.000(.372)		0.510(.518)		0.999(.575)	
0.600	0. (.292)		0. (.319)		0. (.372)		0.408(.530)		0.998(.600)	
0.625	0.001(.292)		0. (.319)		0. (.372)		0.297(.538)		0.998(.625)	
0.650	0.011(.292)		0.001(.319)		0. (.372)		0.183(.544)		0.997(.650)	
0.675	0.037(.293)		0.009(.319)		0. (.372)		0.082(.548)		0.996(.675)	
0.700	0.084(.294)		0.034(.320)		0.001(.372)		0.015(.549)		0.994(.700)	
0.725	0.151(.297)		0.078(.321)		0.009(.372)		0. (.549)		0.992(.724)	
0.750	0.238(.302)		0.145(.324)		0.032(.373)		0. (.549)		0.988(.749)	
0.775	0.343(.309)		0.235(.328)		0.078(.374)		0. (.549)		0.981(.774)	
0.800	0.461(.320)		0.347(.336)		0.152(.377)		0. (.549)		0.971(.798)	
0.825	0.564(.332)		0.475(.346)		0.257(.382)		0. (.549)		0.953(.822)	
0.850	0.663(.348)		0.582(.359)		0.394(.390)		0.002(.549)		0.920(.846)	
0.875	0.758(.355)		0.690(.375)		0.533(.402)		0.017(.549)		0.856(.868)	
0.900	0.843(.385)		0.793(.394)		0.665(.417)		0.074(.550)		0.721(.888)	
0.925	0.914(.407)		0.882(.415)		0.794(.435)		0.231(.554)		0.393(.901)	
0.950	0.965(.431)		0.950(.438)		0.905(.456)		0.517(.564)		0. (.906)	
0.975	0.993(.455)		0.990(.462)		0.979(.480)		0.821(.580)		0. (.906)	
1.000	1.000(.480)		1.000(.487)		1.000(.505)		1.000(.603)		0. (.906)	

3
2

D-146
397

REF ID: *66-196*
Phase II

*** RELATIVE ENERGY FLUX DENSITY IN THE ***
 *** PENUMBRA OF A RECTANGULAR CYLINDER ***

VERSION D

SOLAR FIELD ANGLE, D= 10.00 DEGREES
 GEOMETRY D2/R = 50.00 AND H/R = 1.0

BETA = ANGLE OF INCIDENCE, DEGREES

BETA ***	0.	10.00	20.00	30.00	40.00
AX/AB	Q (QI)	Q (QI)	Q (QI)	Q (QI)	Q (QI)
0.	1.000(.)	1.000(.)	1.000(.)	1.000(.)	1.000(.)
0.025	0.999(.025)	0.999(.025)	0.999(.025)	0.999(.025)	0.999(.025)
0.050	0.995(.050)	0.996(.050)	0.996(.050)	0.997(.050)	0.997(.050)
0.075	0.987(.075)	0.989(.075)	0.990(.075)	0.991(.075)	0.992(.075)
0.100	0.975(.099)	0.977(.099)	0.979(.099)	0.981(.099)	0.984(.100)
0.125	0.958(.123)	0.961(.124)	0.965(.124)	0.968(.124)	0.972(.124)
0.150	0.935(.147)	0.941(.147)	0.946(.148)	0.951(.148)	0.956(.148)
0.175	0.910(.170)	0.916(.171)	0.923(.171)	0.929(.171)	0.937(.172)
0.200	0.879(.193)	0.887(.193)	0.895(.194)	0.904(.194)	0.914(.195)
0.225	0.845(.214)	0.854(.215)	0.864(.216)	0.875(.216)	0.887(.217)
0.250	0.810(.235)	0.821(.236)	0.832(.237)	0.843(.238)	0.857(.239)
0.275	0.775(.255)	0.788(.256)	0.799(.257)	0.812(.259)	0.827(.260)
0.300	0.745(.274)	0.756(.275)	0.768(.277)	0.781(.279)	0.797(.281)
0.325	0.715(.292)	0.727(.294)	0.738(.296)	0.751(.298)	0.768(.300)
0.350	0.690(.309)	0.700(.312)	0.711(.314)	0.724(.316)	0.740(.319)
0.375	0.668(.326)	0.677(.329)	0.687(.331)	0.699(.334)	0.714(.337)
0.400	0.650(.343)	0.657(.345)	0.666(.348)	0.676(.351)	0.690(.355)
0.425	0.634(.359)	0.641(.362)	0.648(.365)	0.657(.368)	0.669(.372)
0.450	0.623(.375)	0.627(.377)	0.633(.381)	0.641(.384)	0.651(.388)
0.475	0.615(.390)	0.618(.393)	0.622(.396)	0.627(.400)	0.635(.404)
0.500	0.613(.405)	0.614(.408)	0.615(.412)	0.618(.415)	0.623(.420)
0.525	0.615(.421)	0.614(.424)	0.613(.427)	0.613(.431)	0.615(.435)
0.550	0.623(.436)	0.619(.439)	0.616(.442)	0.613(.446)	0.612(.451)
0.575	0.634(.452)	0.628(.455)	0.623(.458)	0.618(.461)	0.614(.466)
0.600	0.650(.468)	0.643(.471)	0.635(.474)	0.628(.477)	0.620(.482)
0.625	0.668(.485)	0.659(.487)	0.651(.490)	0.642(.493)	0.632(.497)
0.650	0.690(.501)	0.680(.504)	0.670(.506)	0.659(.509)	0.647(.513)
0.675	0.716(.519)	0.705(.521)	0.694(.523)	0.682(.526)	0.667(.530)
0.700	0.745(.537)	0.734(.539)	0.722(.541)	0.708(.543)	0.693(.547)
0.725	0.776(.556)	0.765(.558)	0.753(.559)	0.739(.561)	0.723(.564)
0.750	0.810(.576)	0.799(.577)	0.788(.579)	0.774(.580)	0.757(.583)
0.775	0.845(.597)	0.835(.598)	0.824(.599)	0.811(.600)	0.795(.602)
0.800	0.879(.618)	0.870(.619)	0.861(.620)	0.849(.621)	0.835(.623)
0.825	0.910(.641)	0.903(.641)	0.896(.642)	0.886(.643)	0.874(.644)
0.850	0.935(.664)	0.931(.664)	0.926(.665)	0.919(.665)	0.909(.666)
0.875	0.958(.683)	0.955(.688)	0.951(.688)	0.946(.688)	0.939(.689)
0.900	0.975(.712)	0.973(.712)	0.970(.712)	0.967(.712)	0.963(.713)
0.925	0.987(.736)	0.986(.736)	0.985(.736)	0.983(.737)	0.981(.737)
0.950	0.995(.761)	0.995(.761)	0.994(.761)	0.994(.762)	0.993(.762)
0.975	0.999(.786)	0.999(.786)	0.999(.786)	0.999(.786)	0.999(.787)
1.000	1.000(.811)	1.000(.811)	1.000(.811)	1.000(.811)	1.000(.812)

D-147
 398

66-196
 A.P.A.
 Phase II

*** RELATIVE ENERGY FLUX DENSITY IN THE ***
 *** PENUMBRA OF A RECTANGULAR CYLINDER ***

VERSION D

SOLAR FIELD ANGLE, D= 10.00 DEGREES
 GEOMETRY D2/R = 50.00 AND H/R = 1.0

BETA = ANGLE OF INCIDENCE, DEGREES

BETA ***	50.00	60.00	70.00	80.00	84.50
AX/AB	Q (Q1)	Q (Q1)	Q (Q1)	Q (Q1)	Q (Q1)
0.	1.000(.)	1.000(.)	1.000(.)	1.000(.)	1.000(.)
0.025	1.000(.025)	1.000(.025)	1.000(.025)	1.000(.025)	1.000(.025)
0.050	0.998(.050)	0.998(.050)	0.999(.050)	1.000(.050)	1.000(.050)
0.075	0.993(.075)	0.995(.075)	0.997(.075)	1.000(.075)	1.000(.075)
0.100	0.986(.100)	0.990(.100)	0.994(.100)	0.999(.100)	1.000(.100)
0.125	0.976(.124)	0.982(.124)	0.989(.125)	0.998(.125)	1.000(.125)
0.150	0.963(.148)	0.971(.149)	0.983(.149)	0.997(.150)	1.000(.150)
0.175	0.946(.172)	0.958(.173)	0.975(.174)	0.996(.175)	1.000(.175)
0.200	0.926(.196)	0.942(.197)	0.964(.198)	0.994(.200)	1.000(.200)
0.225	0.902(.218)	0.922(.220)	0.951(.222)	0.991(.224)	1.000(.225)
0.250	0.875(.241)	0.899(.243)	0.936(.246)	0.988(.249)	1.000(.250)
0.275	0.847(.262)	0.875(.265)	0.918(.269)	0.984(.274)	1.000(.275)
0.300	0.818(.283)	0.849(.286)	0.898(.291)	0.978(.298)	1.000(.300)
0.325	0.790(.303)	0.822(.307)	0.876(.314)	0.972(.323)	1.000(.325)
0.350	0.762(.322)	0.795(.327)	0.853(.335)	0.965(.347)	1.000(.350)
0.375	0.735(.341)	0.768(.347)	0.830(.356)	0.956(.371)	1.000(.375)
0.400	0.710(.359)	0.742(.366)	0.805(.377)	0.946(.395)	1.000(.400)
0.425	0.687(.377)	0.718(.384)	0.780(.396)	0.934(.418)	1.000(.425)
0.450	0.667(.394)	0.694(.402)	0.755(.416)	0.921(.441)	1.000(.450)
0.475	0.649(.410)	0.674(.419)	0.730(.434)	0.906(.464)	1.000(.475)
0.500	0.633(.426)	0.654(.435)	0.706(.452)	0.889(.487)	1.000(.500)
0.525	0.621(.442)	0.637(.452)	0.684(.470)	0.870(.509)	0.999(.525)
0.550	0.614(.457)	0.623(.467)	0.662(.486)	0.849(.530)	0.999(.550)
0.575	0.611(.473)	0.613(.483)	0.641(.503)	0.825(.551)	0.999(.575)
0.600	0.613(.488)	0.609(.498)	0.624(.518)	0.799(.571)	0.999(.600)
0.625	0.621(.503)	0.609(.513)	0.611(.534)	0.771(.591)	0.998(.625)
0.650	0.633(.519)	0.615(.529)	0.603(.549)	0.742(.610)	0.998(.650)
0.675	0.650(.535)	0.627(.544)	0.601(.564)	0.710(.628)	0.997(.675)
0.700	0.672(.551)	0.644(.560)	0.606(.579)	0.676(.645)	0.996(.700)
0.725	0.700(.569)	0.667(.576)	0.617(.594)	0.642(.662)	0.995(.725)
0.750	0.733(.587)	0.698(.593)	0.636(.610)	0.610(.678)	0.992(.749)
0.775	0.772(.605)	0.735(.611)	0.666(.626)	0.583(.692)	0.989(.774)
0.800	0.813(.625)	0.778(.630)	0.706(.644)	0.566(.707)	0.984(.799)
0.825	0.856(.646)	0.825(.650)	0.755(.662)	0.564(.721)	0.976(.823)
0.850	0.895(.668)	0.871(.672)	0.812(.681)	0.584(.735)	0.963(.848)
0.875	0.929(.691)	0.911(.694)	0.866(.702)	0.635(.751)	0.939(.871)
0.900	0.957(.714)	0.945(.717)	0.914(.725)	0.725(.768)	0.896(.894)
0.925	0.977(.738)	0.971(.741)	0.953(.748)	0.826(.787)	0.811(.916)
0.950	0.991(.763)	0.989(.765)	0.981(.772)	0.917(.809)	0.642(.934)
0.975	0.998(.788)	0.998(.790)	0.996(.797)	0.980(.832)	0.478(.948)
1.000	1.000(.813)	1.000(.815)	1.000(.822)	1.000(.857)	1.000(.966)

3
2

D-148
399

REVISION No 66-196
W.B.A.
Phase II

*** RELATIVE ENERGY FLUX DENSITY IN THE ***
 *** PENUMBRA OF A RECTANGULAR CYLINDER ***

VERSION D

SOLAR FIELD ANGLE, D= 10.00 DEGREES
 GEOMETRY D2/R = 100.00 AND H/R = 1.0

BETA = ANGLE OF INCIDENCE, DEGREES

BETA ***	0.	10.00	20.00	30.00	40.00
AX/AB	Q (Q1)	Q (Q1)	Q (Q1)	Q (Q1)	Q (Q1)
0.	1.000(.)	1.000(.)	1.000(.)	1.000(.)	1.000(.)
0.025	0.999(.025)	0.999(.025)	0.999(.025)	0.999(.025)	1.000(.025)
0.050	0.996(.050)	0.997(.050)	0.997(.050)	0.997(.050)	0.998(.050)
0.075	0.990(.075)	0.991(.075)	0.992(.075)	0.992(.075)	0.993(.075)
0.100	0.980(.099)	0.982(.099)	0.983(.099)	0.985(.100)	0.987(.100)
0.125	0.967(.124)	0.969(.124)	0.972(.124)	0.974(.124)	0.977(.124)
0.150	0.951(.148)	0.954(.148)	0.958(.148)	0.961(.148)	0.965(.148)
0.175	0.934(.171)	0.938(.172)	0.943(.172)	0.947(.172)	0.952(.172)
0.200	0.918(.194)	0.922(.195)	0.927(.195)	0.932(.196)	0.938(.196)
0.225	0.901(.217)	0.906(.218)	0.912(.218)	0.917(.219)	0.924(.219)
0.250	0.885(.239)	0.891(.240)	0.896(.241)	0.902(.241)	0.910(.242)
0.275	0.871(.251)	0.876(.262)	0.882(.263)	0.888(.264)	0.896(.265)
0.300	0.857(.283)	0.862(.284)	0.868(.285)	0.874(.286)	0.882(.287)
0.325	0.845(.304)	0.850(.305)	0.855(.306)	0.861(.308)	0.869(.309)
0.350	0.834(.325)	0.838(.326)	0.843(.328)	0.849(.329)	0.857(.330)
0.375	0.823(.346)	0.829(.347)	0.833(.349)	0.839(.350)	0.846(.352)
0.400	0.817(.367)	0.821(.368)	0.825(.369)	0.829(.371)	0.835(.373)
0.425	0.812(.387)	0.814(.388)	0.817(.390)	0.821(.391)	0.827(.394)
0.450	0.805(.407)	0.810(.409)	0.812(.410)	0.815(.412)	0.819(.414)
0.475	0.805(.427)	0.806(.429)	0.808(.430)	0.810(.432)	0.813(.435)
0.500	0.804(.447)	0.804(.449)	0.805(.451)	0.806(.452)	0.809(.455)
0.525	0.803(.468)	0.805(.469)	0.804(.471)	0.804(.473)	0.805(.475)
0.550	0.803(.488)	0.806(.489)	0.805(.491)	0.804(.493)	0.804(.495)
0.575	0.812(.508)	0.810(.509)	0.808(.511)	0.806(.513)	0.804(.515)
0.600	0.817(.528)	0.814(.530)	0.812(.531)	0.809(.533)	0.806(.535)
0.625	0.825(.549)	0.821(.550)	0.817(.552)	0.814(.553)	0.810(.556)
0.650	0.834(.570)	0.830(.571)	0.825(.572)	0.820(.574)	0.815(.576)
0.675	0.845(.591)	0.840(.592)	0.835(.593)	0.829(.594)	0.823(.596)
0.700	0.857(.612)	0.852(.613)	0.846(.614)	0.840(.615)	0.833(.617)
0.725	0.871(.633)	0.865(.634)	0.860(.635)	0.853(.636)	0.845(.638)
0.750	0.885(.655)	0.880(.656)	0.874(.657)	0.868(.658)	0.860(.659)
0.775	0.901(.678)	0.896(.678)	0.890(.679)	0.884(.680)	0.876(.681)
0.800	0.918(.700)	0.913(.701)	0.908(.701)	0.901(.702)	0.894(.703)
0.825	0.934(.724)	0.930(.724)	0.925(.724)	0.920(.725)	0.913(.726)
0.850	0.951(.747)	0.947(.747)	0.943(.748)	0.939(.748)	0.933(.749)
0.875	0.967(.771)	0.964(.771)	0.961(.771)	0.957(.772)	0.952(.772)
0.900	0.980(.795)	0.978(.796)	0.977(.796)	0.974(.796)	0.971(.796)
0.925	0.990(.820)	0.989(.820)	0.988(.820)	0.987(.820)	0.985(.821)
0.950	0.995(.845)	0.996(.845)	0.996(.845)	0.995(.845)	0.994(.846)
0.975	0.999(.870)	0.999(.870)	0.999(.870)	0.999(.870)	0.999(.870)
1.000	1.000(.895)	1.000(.895)	1.000(.895)	1.000(.895)	1.000(.895)

D-149
 400

66-196
 J.P.A.
 Phase II

*** RELATIVE ENERGY FLUX DENSITY IN THE ***
 *** PENUMBRA OF A RECTANGULAR CYLINDER ***
 VERSION D

SOLAR FIELD ANGLE, D= 10.00 DEGREES
 GEOMETRY DZ/R = 100.00 AND H/R = 1.0

BETA = ANGLE OF INCIDENCE, DEGREES

BETA ***	50.00	60.00	70.00	80.00	84.50
AX/AB	Q (QI)	Q (QI)	Q (QI)	Q (QI)	Q (QI)
0.	1.000(.)	1.000(.)	1.000(.)	1.000(.)	1.000(.)
0.025	1.000(.025)	1.000(.025)	1.000(.025)	1.000(.025)	1.000(.025)
0.050	0.998(.050)	0.998(.050)	0.999(.050)	1.000(.050)	1.000(.050)
0.075	0.994(.075)	0.996(.075)	0.998(.075)	1.000(.075)	1.000(.075)
0.100	0.989(.100)	0.991(.100)	0.995(.100)	0.999(.100)	1.000(.100)
0.125	0.981(.124)	0.985(.124)	0.991(.125)	0.999(.125)	1.000(.125)
0.150	0.970(.149)	0.977(.149)	0.986(.149)	0.998(.150)	1.000(.150)
0.175	0.959(.173)	0.967(.173)	0.979(.174)	0.996(.175)	1.000(.175)
0.200	0.945(.197)	0.956(.197)	0.972(.198)	0.995(.200)	1.000(.200)
0.225	0.933(.220)	0.945(.221)	0.964(.223)	0.992(.225)	1.000(.225)
0.250	0.919(.243)	0.933(.245)	0.955(.247)	0.990(.249)	1.000(.250)
0.275	0.905(.256)	0.921(.268)	0.945(.270)	0.987(.274)	1.000(.275)
0.300	0.893(.289)	0.908(.291)	0.935(.294)	0.984(.299)	1.000(.300)
0.325	0.880(.311)	0.896(.313)	0.924(.317)	0.980(.323)	1.000(.325)
0.350	0.867(.332)	0.883(.335)	0.913(.340)	0.976(.348)	1.000(.350)
0.375	0.855(.354)	0.871(.357)	0.901(.363)	0.971(.372)	1.000(.375)
0.400	0.844(.375)	0.859(.379)	0.890(.385)	0.965(.396)	1.000(.400)
0.425	0.835(.396)	0.849(.400)	0.878(.407)	0.959(.420)	1.000(.425)
0.450	0.826(.417)	0.838(.421)	0.867(.429)	0.951(.444)	1.000(.450)
0.475	0.819(.438)	0.829(.442)	0.855(.450)	0.944(.468)	1.000(.475)
0.500	0.813(.458)	0.821(.463)	0.845(.472)	0.935(.491)	1.000(.500)
0.525	0.808(.478)	0.815(.483)	0.835(.493)	0.925(.515)	1.000(.525)
0.550	0.804(.498)	0.809(.504)	0.825(.513)	0.914(.538)	0.999(.550)
0.575	0.803(.518)	0.804(.524)	0.817(.534)	0.903(.560)	0.999(.575)
0.600	0.804(.539)	0.802(.544)	0.809(.554)	0.890(.583)	0.999(.600)
0.625	0.805(.559)	0.802(.564)	0.803(.574)	0.877(.605)	0.999(.625)
0.650	0.809(.579)	0.803(.584)	0.799(.594)	0.863(.626)	0.999(.650)
0.675	0.815(.599)	0.806(.604)	0.797(.614)	0.848(.648)	0.998(.675)
0.700	0.824(.620)	0.812(.624)	0.797(.634)	0.833(.669)	0.997(.700)
0.725	0.835(.640)	0.821(.645)	0.800(.654)	0.818(.690)	0.996(.725)
0.750	0.849(.661)	0.833(.665)	0.806(.674)	0.803(.710)	0.995(.750)
0.775	0.865(.683)	0.847(.686)	0.817(.695)	0.790(.730)	0.993(.774)
0.800	0.883(.705)	0.865(.708)	0.832(.715)	0.780(.749)	0.990(.799)
0.825	0.902(.727)	0.886(.730)	0.851(.736)	0.774(.769)	0.985(.824)
0.850	0.924(.750)	0.908(.752)	0.875(.758)	0.777(.788)	0.977(.848)
0.875	0.945(.773)	0.933(.775)	0.903(.780)	0.791(.808)	0.964(.873)
0.900	0.966(.797)	0.957(.799)	0.934(.803)	0.823(.828)	0.941(.897)
0.925	0.982(.821)	0.977(.823)	0.964(.827)	0.874(.849)	0.898(.920)
0.950	0.993(.846)	0.991(.847)	0.986(.851)	0.939(.872)	0.818(.941)
0.975	0.999(.871)	0.998(.872)	0.997(.876)	0.986(.896)	0.718(.960)
1.000	1.000(.896)	1.000(.897)	1.000(.901)	1.000(.921)	1.000(.982)

App. 2
Phase II

*** RELATIVE ENERGY FLUX DENSITY IN THE ***
*** PENUMBRA OF A RECTANGULAR CYLINDER ***

VERSION D

SOLAR FIELD ANGLE, D = 10.00 DEGREES
GEOMETRY D2/R = 1.00 AND H/R = 2.0

BETA = ANGLE OF INCIDENCE, DEGREES

BETA ***	0.	10.00	20.00	30.00	40.00
AX/AB	Q (Q1)	Q (Q1)	Q (Q1)	Q (Q1)	Q (Q1)
0.	1.000(-)	1.000(-)	1.000(-)	1.000(-)	1.000(-)
0.025	0.975(.025)	0.981(.025)	0.984(.025)	0.988(.025)	0.991(.025)
0.050	0.883(.048)	0.903(.048)	0.921(.049)	0.937(.049)	0.952(.049)
0.075	0.725(.068)	0.766(.069)	0.805(.070)	0.841(.071)	0.875(.072)
0.100	0.530(.084)	0.591(.086)	0.648(.088)	0.705(.090)	0.763(.092)
0.125	0. (.090)	0. (.094)	0. (.096)	0.542(.106)	0.622(.110)
0.150	0. (.090)	0. (.094)	0. (.096)	0. (.113)	0. (.118)
0.175	0. (.090)	0. (.094)	0. (.096)	0. (.113)	0. (.118)
0.200	0. (.090)	0. (.094)	0. (.096)	0. (.113)	0. (.118)
0.225	0. (.090)	0. (.094)	0. (.096)	0. (.113)	0. (.118)
0.250	0. (.090)	0. (.094)	0. (.096)	0. (.113)	0. (.118)
0.275	0. (.090)	0. (.094)	0. (.096)	0. (.113)	0. (.118)
0.300	0. (.090)	0. (.094)	0. (.096)	0. (.113)	0. (.118)
0.325	0. (.090)	0. (.094)	0. (.096)	0. (.113)	0. (.118)
0.350	0. (.090)	0. (.094)	0. (.096)	0. (.113)	0. (.118)
0.375	0. (.090)	0. (.094)	0. (.096)	0. (.113)	0. (.118)
0.400	0. (.090)	0. (.094)	0. (.096)	0. (.113)	0. (.118)
0.425	0. (.090)	0. (.094)	0. (.096)	0. (.113)	0. (.118)
0.450	0. (.090)	0. (.094)	0. (.096)	0. (.113)	0. (.118)
0.475	0. (.090)	0. (.094)	0. (.096)	0. (.113)	0. (.118)
0.500	0. (.090)	0. (.094)	0. (.096)	0. (.113)	0. (.118)
0.525	0. (.090)	0. (.094)	0. (.096)	0. (.113)	0. (.118)
0.550	0. (.090)	0. (.094)	0. (.096)	0. (.113)	0. (.118)
0.575	0. (.090)	0. (.094)	0. (.096)	0. (.113)	0. (.118)
0.600	0. (.090)	0. (.094)	0. (.096)	0. (.113)	0. (.118)
0.625	0. (.090)	0. (.094)	0. (.096)	0. (.113)	0. (.118)
0.650	0. (.090)	0. (.094)	0. (.096)	0. (.113)	0. (.118)
0.675	0. (.090)	0. (.094)	0. (.096)	0. (.113)	0. (.118)
0.700	0. (.090)	0. (.094)	0. (.096)	0. (.113)	0. (.118)
0.725	0. (.090)	0. (.094)	0. (.096)	0. (.113)	0. (.118)
0.750	0. (.090)	0. (.094)	0. (.096)	0. (.113)	0. (.118)
0.775	0. (.090)	0. (.094)	0. (.096)	0. (.113)	0. (.118)
0.800	0. (.090)	0. (.094)	0. (.096)	0. (.113)	0. (.118)
0.825	0. (.090)	0. (.094)	0. (.096)	0. (.113)	0. (.118)
0.850	0. (.090)	0. (.094)	0. (.096)	0. (.113)	0. (.118)
0.875	0. (.090)	0. (.094)	0. (.096)	0. (.113)	0. (.118)
0.900	0. (.090)	0. (.094)	0. (.096)	0. (.113)	0. (.118)
0.925	0. (.090)	0. (.094)	0. (.096)	0. (.113)	0. (.118)
0.950	0.883(.101)	0.859(.104)	0. (.096)	0. (.113)	0. (.118)
0.975	0.975(.125)	0.970(.127)	0.962(.108)	0. (.113)	0. (.118)
1.000	1.000(.149)	1.000(.152)	1.000(.133)	1.000(.125)	1.000(.130)

66-196
 App. 4
 Phase II

*** RELATIVE ENERGY FLUX DENSITY IN THE ***
 *** PENUMBRA OF A RECTANGULAR CYLINDER ***
 VERSION D

SOLAR FIELD ANGLE, D= 10.00 DEGREES
 GEOMETRY D2/R = 1.00 AND H/R = 2.0

BETA = ANGLE OF INCIDENCE, DEGREES

BETA ***	50.00	60.00	70.00	80.00	84.50
AX/AB	Q (QI)	Q (QI)	Q (QI)	Q (QI)	Q (QI)
0.	1.000(.)	1.000(.)	1.000(.)	1.000(.)	1.000(.)
0.025	0.994(.025)	0.997(.025)	0.999(.025)	1.000(.025)	1.000(.025)
0.050	0.966(.049)	0.980(.050)	0.993(.050)	1.000(.050)	1.000(.050)
0.075	0.911(.073)	0.946(.074)	0.979(.075)	0.999(.075)	1.000(.075)
0.100	0.825(.095)	0.891(.097)	0.956(.099)	0.997(.100)	1.000(.100)
0.125	0.712(.114)	0.813(.118)	0.921(.122)	0.995(.125)	1.000(.125)
0.150	0.575(.130)	0.714(.137)	0.872(.145)	0.991(.150)	1.000(.150)
0.175	0. (.137)	0.595(.153)	0.808(.166)	0.985(.174)	1.000(.175)
0.200	0. (.137)	0.135(.163)	0.728(.185)	0.978(.199)	1.000(.200)
0.225	0. (.137)	0. (.164)	0.633(.202)	0.967(.223)	1.000(.225)
0.250	0. (.137)	0. (.164)	0.486(.216)	0.954(.247)	1.000(.250)
0.275	0. (.137)	0. (.164)	0.105(.223)	0.935(.271)	1.000(.275)
0.300	0. (.137)	0. (.164)	0. (.224)	0.912(.294)	1.000(.300)
0.325	0. (.137)	0. (.164)	0. (.224)	0.882(.316)	1.000(.325)
0.350	0. (.137)	0. (.164)	0. (.224)	0.844(.338)	1.000(.350)
0.375	0. (.137)	0. (.164)	0. (.224)	0.796(.358)	1.000(.375)
0.400	0. (.137)	0. (.164)	0. (.224)	0.737(.378)	1.000(.400)
0.425	0. (.137)	0. (.164)	0. (.224)	0.664(.395)	1.000(.425)
0.450	0. (.137)	0. (.164)	0. (.224)	0.572(.411)	1.000(.450)
0.475	0. (.137)	0. (.164)	0. (.224)	0.369(.422)	1.000(.475)
0.500	0. (.137)	0. (.164)	0. (.224)	0.143(.429)	0.999(.500)
0.525	0. (.137)	0. (.164)	0. (.224)	0.003(.431)	0.999(.525)
0.550	0. (.137)	0. (.164)	0. (.224)	0. (.431)	0.999(.550)
0.575	0. (.137)	0. (.164)	0. (.224)	0. (.431)	0.999(.575)
0.600	0. (.137)	0. (.164)	0. (.224)	0. (.431)	0.998(.600)
0.625	0. (.137)	0. (.164)	0. (.224)	0. (.431)	0.997(.625)
0.650	0. (.137)	0. (.164)	0. (.224)	0. (.431)	0.996(.650)
0.675	0. (.137)	0. (.164)	0. (.224)	0. (.431)	0.995(.675)
0.700	0. (.137)	0. (.164)	0. (.224)	0. (.431)	0.992(.699)
0.725	0. (.137)	0. (.164)	0. (.224)	0. (.431)	0.988(.724)
0.750	0. (.137)	0. (.164)	0. (.224)	0. (.431)	0.982(.749)
0.775	0. (.137)	0. (.164)	0. (.224)	0. (.431)	0.973(.773)
0.800	0. (.137)	0. (.164)	0. (.224)	0. (.431)	0.955(.797)
0.825	0. (.137)	0. (.164)	0. (.224)	0. (.431)	0.923(.821)
0.850	0. (.137)	0. (.164)	0. (.224)	0. (.431)	0.859(.843)
0.875	0. (.137)	0. (.164)	0. (.224)	0. (.431)	0.721(.863)
0.900	0. (.137)	0. (.164)	0. (.224)	0. (.431)	0.269(.875)
0.925	0. (.137)	0. (.164)	0. (.224)	0. (.431)	0. (.879)
0.950	0. (.137)	0. (.164)	0. (.224)	0. (.431)	0. (.879)
0.975	0. (.137)	0. (.164)	0. (.224)	0. (.431)	0. (.879)
1.000	0. (.137)	0. (.164)	0. (.224)	0. (.431)	0. (.879)

D-152
 403

RE-ORIGIN

66-196

App. A
Phase II

VERSION D

*** RELATIVE ENERGY FLUX DENSITY IN THE ***
 *** PENUMBRA OF A RECTANGULAR CYLINDER ***

SOLAR FIELD ANGLE, $D = 10.00$ DEGREES
 GEOMETRY $D2/R = 5.00$ AND $H/R = 2.0$

BETA = ANGLE OF INCIDENCE, DEGREES

BETA ***	0.	10.00	20.00	30.00	40.00
AX/AB	Q (Q1)	Q (Q1)	Q (Q1)	Q (Q1)	Q (Q1)
0.	1.000(.)	1.000(.)	1.000(.)	1.000(.)	1.000(.)
0.025	0.994(.025)	0.995(.025)	0.996(.025)	0.996(.025)	0.997(.025)
0.050	0.970(.049)	0.974(.050)	0.978(.050)	0.981(.050)	0.984(.050)
0.075	0.925(.073)	0.934(.073)	0.942(.074)	0.950(.074)	0.959(.074)
0.100	0.858(.095)	0.873(.096)	0.888(.096)	0.903(.097)	0.918(.097)
0.125	0.773(.116)	0.795(.117)	0.817(.118)	0.839(.119)	0.863(.120)
0.150	0.673(.134)	0.702(.136)	0.731(.137)	0.761(.139)	0.794(.140)
0.175	0.565(.149)	0.599(.152)	0.634(.154)	0.671(.157)	0.713(.159)
0.200	0.392(.161)	0.476(.165)	0.530(.169)	0.572(.172)	0.622(.176)
0.225	0.164(.168)	0.242(.174)	0.328(.179)	0.425(.185)	0.524(.190)
0.250	0.028(.171)	0.070(.178)	0.133(.185)	0.218(.193)	0.331(.201)
0.275	0. (.171)	0.002(.179)	0.020(.187)	0.065(.196)	0.149(.207)
0.300	0. (.171)	0. (.179)	0. (.187)	0.002(.197)	0.032(.209)
0.325	0. (.171)	0. (.179)	0. (.187)	0. (.197)	0. (.210)
0.350	0. (.171)	0. (.179)	0. (.187)	0. (.197)	0. (.210)
0.375	0. (.171)	0. (.179)	0. (.187)	0. (.197)	0. (.210)
0.400	0. (.171)	0. (.179)	0. (.187)	0. (.197)	0. (.210)
0.425	0. (.171)	0. (.179)	0. (.187)	0. (.197)	0. (.210)
0.450	0. (.171)	0. (.179)	0. (.187)	0. (.197)	0. (.210)
0.475	0. (.171)	0. (.179)	0. (.187)	0. (.197)	0. (.210)
0.500	0. (.171)	0. (.179)	0. (.187)	0. (.197)	0. (.210)
0.525	0. (.171)	0. (.179)	0. (.187)	0. (.197)	0. (.210)
0.550	0. (.171)	0. (.179)	0. (.187)	0. (.197)	0. (.210)
0.575	0. (.171)	0. (.179)	0. (.187)	0. (.197)	0. (.210)
0.600	0. (.171)	0. (.179)	0. (.187)	0. (.197)	0. (.210)
0.625	0. (.171)	0. (.179)	0. (.187)	0. (.197)	0. (.210)
0.650	0. (.171)	0. (.179)	0. (.187)	0. (.197)	0. (.210)
0.675	0. (.171)	0. (.179)	0. (.187)	0. (.197)	0. (.210)
0.700	0. (.171)	0. (.179)	0. (.187)	0. (.197)	0. (.210)
0.725	0. (.171)	0. (.179)	0. (.187)	0. (.197)	0. (.210)
0.750	0.028(.171)	0.005(.179)	0. (.187)	0. (.197)	0. (.210)
0.775	0.164(.174)	0.095(.180)	0.039(.188)	0.005(.197)	0.028(.210)
0.800	0.392(.181)	0.304(.185)	0.210(.191)	0.113(.199)	0.028(.213)
0.825	0.565(.193)	0.529(.196)	0.483(.200)	0.367(.205)	0.218(.213)
0.850	0.673(.208)	0.643(.210)	0.608(.213)	0.566(.216)	0.511(.222)
0.875	0.773(.226)	0.748(.228)	0.721(.230)	0.686(.232)	0.640(.237)
0.900	0.858(.247)	0.841(.248)	0.821(.249)	0.796(.250)	0.761(.254)
0.925	0.925(.259)	0.915(.270)	0.903(.271)	0.888(.272)	0.866(.274)
0.950	0.970(.293)	0.966(.293)	0.961(.294)	0.954(.295)	0.944(.297)
0.975	0.994(.317)	0.993(.318)	0.992(.318)	0.991(.319)	0.989(.321)
1.000	1.000(.342)	1.000(.343)	1.000(.343)	1.000(.344)	1.000(.346)

404
D-153

*** RELATIVE ENERGY FLUX DENSITY IN THE ***
 *** PENUMBRA OF A RECTANGULAR CYLINDER ***

VERSION D

SOLAR FIELD ANGLE, D= 10.00 DEGREES
 GEOMETRY D2/R = 5.00 AND H/R = 2.0

BETA = ANGLE OF INCIDENCE, DEGREES

BETA ***	50.00	60.00	70.00	80.00	84.50
AX/AB	Q (Q1)	Q (Q1)	Q (Q1)	Q (Q1)	Q (Q1)
0.	1.000(.)	1.000(.)	1.000(.)	1.000(.)	1.000(.)
0.025	0.998(.025)	0.999(.025)	0.999(.025)	1.000(.025)	1.000(.025)
0.050	0.988(.050)	0.992(.050)	0.996(.050)	1.000(.050)	1.000(.050)
0.075	0.968(.074)	0.978(.075)	0.990(.075)	0.999(.075)	1.000(.075)
0.100	0.936(.098)	0.956(.099)	0.979(.099)	0.998(.100)	1.000(.100)
0.125	0.891(.121)	0.924(.122)	0.962(.124)	0.996(.125)	1.000(.125)
0.150	0.833(.142)	0.881(.145)	0.939(.147)	0.994(.150)	1.000(.150)
0.175	0.763(.162)	0.827(.166)	0.909(.171)	0.990(.175)	1.000(.175)
0.200	0.683(.180)	0.763(.186)	0.871(.193)	0.985(.199)	1.000(.200)
0.225	0.593(.196)	0.688(.204)	0.824(.214)	0.979(.224)	1.000(.225)
0.250	0.479(.210)	0.605(.220)	0.768(.234)	0.970(.248)	1.000(.250)
0.275	0.289(.219)	0.507(.234)	0.703(.252)	0.959(.272)	1.000(.275)
0.300	0.126(.225)	0.333(.245)	0.630(.269)	0.945(.296)	1.000(.300)
0.325	0.023(.226)	0.170(.251)	0.548(.284)	0.928(.320)	1.000(.325)
0.350	0. (.227)	0.050(.254)	0.403(.296)	0.906(.342)	1.000(.350)
0.375	0. (.227)	0.001(.254)	0.248(.304)	0.878(.365)	1.000(.375)
0.400	0. (.227)	0. (.254)	0.110(.308)	0.845(.386)	1.000(.400)
0.425	0. (.227)	0. (.254)	0.020(.310)	0.804(.407)	1.000(.425)
0.450	0. (.227)	0. (.254)	0. (.310)	0.754(.426)	1.000(.450)
0.475	0. (.227)	0. (.254)	0. (.310)	0.695(.444)	1.000(.475)
0.500	0. (.227)	0. (.254)	0. (.310)	0.625(.461)	0.999(.500)
0.525	0. (.227)	0. (.254)	0. (.310)	0.524(.475)	0.999(.525)
0.550	0. (.227)	0. (.254)	0. (.310)	0.381(.487)	0.999(.550)
0.575	0. (.227)	0. (.254)	0. (.310)	0.224(.494)	0.999(.575)
0.600	0. (.227)	0. (.254)	0. (.310)	0.080(.498)	0.998(.600)
0.625	0. (.227)	0. (.254)	0. (.310)	0.003(.499)	0.998(.625)
0.650	0. (.227)	0. (.254)	0. (.310)	0. (.499)	0.997(.650)
0.675	0. (.227)	0. (.254)	0. (.310)	0. (.499)	0.995(.675)
0.700	0. (.227)	0. (.254)	0. (.310)	0. (.499)	0.993(.699)
0.725	0. (.227)	0. (.254)	0. (.310)	0. (.499)	0.991(.724)
0.750	0. (.227)	0. (.254)	0. (.310)	0. (.499)	0.986(.749)
0.775	0. (.227)	0. (.254)	0. (.310)	0. (.499)	0.978(.774)
0.800	0. (.227)	0. (.254)	0. (.310)	0. (.499)	0.966(.798)
0.825	0.051(.227)	0. (.254)	0. (.310)	0. (.499)	0.944(.822)
0.850	0.331(.232)	0.020(.255)	0. (.310)	0. (.499)	0.901(.845)
0.875	0.570(.243)	0.379(.260)	0. (.310)	0. (.499)	0.816(.866)
0.900	0.707(.259)	0.606(.272)	0. (.310)	0. (.499)	0.622(.884)
0.925	0.830(.279)	0.759(.289)	0.561(.317)	0. (.499)	0.078(.893)
0.950	0.927(.301)	0.891(.310)	0.770(.334)	0. (.499)	0. (.894)
0.975	0.985(.324)	0.976(.333)	0.941(.355)	0. (.499)	0. (.894)
1.000	1.000(.349)	1.000(.358)	1.000(.379)	0. (.499)	0. (.894)

*** RELATIVE ENERGY FLUX DENSITY IN THE ***
 *** PENUMBRA OF A RECTANGULAR CYLINDER ***

VERSION D

SOLAR FIELD ANGLE, D = 10.00 DEGREES
 GEOMETRY D2/R = 10.00 AND H/R = 2.0

BETA = ANGLE OF INCIDENCE, DEGREES

BETA ***	0.	10.00	20.00	30.00	40.00
AX/AB	Q (Q1)	Q (Q1)	Q (Q1)	Q (Q1)	Q (Q1)
0.	1.000(.)	1.000(.)	1.000(.)	1.000(.)	1.000(.)
0.025	0.997(.025)	0.998(.025)	0.998(.025)	0.998(.025)	0.998(.025)
0.050	0.985(.050)	0.987(.050)	0.989(.050)	0.990(.050)	0.992(.050)
0.075	0.962(.074)	0.966(.074)	0.970(.074)	0.973(.074)	0.977(.074)
0.100	0.927(.098)	0.934(.098)	0.941(.098)	0.948(.098)	0.955(.099)
0.125	0.880(.120)	0.890(.121)	0.901(.121)	0.912(.122)	0.924(.122)
0.150	0.822(.142)	0.837(.142)	0.851(.143)	0.867(.144)	0.884(.145)
0.175	0.755(.161)	0.774(.162)	0.792(.164)	0.813(.165)	0.835(.166)
0.200	0.681(.179)	0.703(.181)	0.726(.183)	0.750(.184)	0.778(.186)
0.225	0.601(.195)	0.627(.198)	0.653(.200)	0.681(.202)	0.714(.205)
0.250	0.519(.209)	0.547(.212)	0.575(.215)	0.607(.218)	0.644(.222)
0.275	0.405(.221)	0.446(.225)	0.490(.229)	0.529(.233)	0.570(.237)
0.300	0.287(.229)	0.328(.234)	0.372(.239)	0.422(.244)	0.484(.250)
0.325	0.183(.235)	0.219(.241)	0.260(.247)	0.308(.254)	0.370(.261)
0.350	0.099(.239)	0.128(.245)	0.162(.252)	0.204(.260)	0.261(.269)
0.375	0.040(.241)	0.059(.248)	0.083(.256)	0.116(.264)	0.163(.274)
0.400	0.008(.241)	0.017(.249)	0.030(.257)	0.051(.266)	0.085(.277)
0.425	0.000(.241)	0.001(.249)	0.004(.257)	0.013(.267)	0.031(.279)
0.450	0. (.241)	0. (.249)	0. (.257)	0.000(.267)	0.004(.279)
0.475	0. (.241)	0. (.249)	0. (.257)	0. (.267)	0. (.279)
0.500	0. (.241)	0. (.249)	0. (.257)	0. (.267)	0. (.279)
0.525	0. (.241)	0. (.249)	0. (.257)	0. (.267)	0. (.279)
0.550	0. (.241)	0. (.249)	0. (.257)	0. (.267)	0. (.279)
0.575	0.000(.241)	0. (.249)	0. (.257)	0. (.267)	0. (.279)
0.600	0.008(.241)	0.003(.249)	0.000(.257)	0. (.267)	0. (.279)
0.625	0.040(.242)	0.025(.249)	0.013(.258)	0.005(.267)	0.001(.279)
0.650	0.099(.244)	0.074(.251)	0.051(.258)	0.031(.268)	0.014(.279)
0.675	0.183(.247)	0.149(.253)	0.117(.261)	0.084(.269)	0.052(.280)
0.700	0.287(.253)	0.247(.258)	0.207(.265)	0.164(.272)	0.118(.282)
0.725	0.405(.262)	0.363(.266)	0.318(.271)	0.269(.278)	0.212(.286)
0.750	0.519(.273)	0.488(.277)	0.443(.281)	0.392(.286)	0.329(.293)
0.775	0.601(.287)	0.575(.290)	0.546(.293)	0.513(.297)	0.462(.303)
0.800	0.681(.303)	0.657(.305)	0.631(.308)	0.600(.311)	0.561(.316)
0.825	0.755(.321)	0.735(.323)	0.713(.325)	0.686(.327)	0.651(.331)
0.850	0.822(.341)	0.806(.342)	0.788(.343)	0.766(.345)	0.737(.348)
0.875	0.880(.362)	0.868(.363)	0.854(.364)	0.838(.365)	0.815(.368)
0.900	0.927(.385)	0.919(.385)	0.910(.386)	0.899(.387)	0.883(.389)
0.925	0.962(.408)	0.958(.409)	0.953(.409)	0.946(.410)	0.937(.412)
0.950	0.985(.433)	0.984(.433)	0.982(.433)	0.979(.434)	0.975(.436)
0.975	0.997(.458)	0.997(.458)	0.997(.458)	0.996(.459)	0.995(.460)
1.000	1.000(.482)	1.000(.483)	1.000(.483)	1.000(.484)	1.000(.485)

App 9
Phase II

*** RELATIVE ENERGY FLUX DENSITY IN THE ***
 *** PENUMBRA OF A RECTANGULAR CYLINDER ***

VERSION D

SOLAR FIELD ANGLE, D = 10.00 DEGREES
 GEOMETRY D2/R = 10.00 AND H/R = 2.0

BETA = ANGLE OF INCIDENCE, DEGREES

BETA *** AX/AB	50.00 Q (Q1)	60.00 Q (Q1)	70.00 Q (Q1)	80.00 Q (Q1)	84.50 Q (Q1)
0.	1.000(.)	1.000(.)	1.000(.)	1.000(.)	1.000(.)
0.025	0.999(.025)	0.999(.025)	1.000(.025)	1.000(.025)	1.000(.025)
0.050	0.993(.050)	0.995(.050)	0.998(.050)	1.000(.050)	1.000(.050)
0.075	0.982(.075)	0.987(.075)	0.994(.075)	0.999(.075)	1.000(.075)
0.100	0.964(.099)	0.974(.099)	0.987(.100)	0.999(.100)	1.000(.100)
0.125	0.938(.123)	0.955(.123)	0.976(.124)	0.997(.125)	1.000(.125)
0.150	0.904(.146)	0.929(.147)	0.962(.148)	0.995(.150)	1.000(.150)
0.175	0.862(.168)	0.897(.170)	0.942(.172)	0.993(.175)	1.000(.175)
0.200	0.812(.189)	0.857(.192)	0.918(.195)	0.989(.199)	1.000(.200)
0.225	0.755(.208)	0.810(.212)	0.889(.218)	0.984(.224)	1.000(.225)
0.250	0.692(.226)	0.757(.232)	0.853(.240)	0.978(.249)	1.000(.250)
0.275	0.623(.243)	0.697(.250)	0.811(.261)	0.970(.273)	1.000(.275)
0.300	0.549(.257)	0.631(.267)	0.763(.280)	0.960(.297)	1.000(.300)
0.325	0.453(.270)	0.560(.282)	0.709(.299)	0.948(.321)	1.000(.325)
0.350	0.342(.280)	0.470(.295)	0.648(.316)	0.932(.344)	1.000(.350)
0.375	0.237(.287)	0.362(.305)	0.582(.331)	0.914(.368)	1.000(.375)
0.400	0.143(.292)	0.256(.313)	0.499(.344)	0.891(.390)	1.000(.400)
0.425	0.070(.295)	0.160(.318)	0.395(.356)	0.863(.412)	1.000(.425)
0.450	0.021(.296)	0.081(.321)	0.289(.364)	0.829(.433)	1.000(.450)
0.475	0.001(.296)	0.027(.322)	0.187(.370)	0.789(.453)	1.000(.475)
0.500	0. (.296)	0.002(.323)	0.099(.374)	0.742(.473)	1.000(.500)
0.525	0. (.296)	0. (.323)	0.035(.375)	0.686(.490)	0.999(.525)
0.550	0. (.296)	0. (.323)	0.003(.376)	0.621(.507)	0.999(.550)
0.575	0. (.296)	0. (.323)	0. (.376)	0.536(.521)	0.999(.575)
0.600	0. (.296)	0. (.323)	0. (.376)	0.424(.533)	0.998(.600)
0.625	0. (.296)	0. (.323)	0. (.376)	0.300(.542)	0.998(.625)
0.650	0.002(.296)	0. (.323)	0. (.376)	0.173(.548)	0.997(.650)
0.675	0.021(.296)	0.001(.323)	0. (.376)	0.064(.551)	0.996(.675)
0.700	0.067(.297)	0.018(.323)	0. (.376)	0.004(.552)	0.994(.700)
0.725	0.142(.300)	0.061(.324)	0.001(.376)	0. (.552)	0.992(.724)
0.750	0.245(.305)	0.136(.326)	0.017(.376)	0. (.552)	0.988(.749)
0.775	0.375(.313)	0.245(.331)	0.061(.377)	0. (.552)	0.982(.774)
0.800	0.505(.324)	0.384(.339)	0.145(.380)	0. (.552)	0.972(.798)
0.825	0.601(.338)	0.517(.350)	0.278(.385)	0. (.552)	0.955(.822)
0.850	0.694(.354)	0.620(.365)	0.458(.394)	0. (.552)	0.924(.846)
0.875	0.781(.372)	0.721(.381)	0.578(.407)	0.003(.552)	0.863(.868)
0.900	0.859(.393)	0.815(.400)	0.701(.423)	0.050(.553)	0.735(.888)
0.925	0.923(.415)	0.895(.422)	0.819(.442)	0.281(.557)	0.400(.902)
0.950	0.969(.439)	0.956(.445)	0.918(.464)	0.586(.568)	0. (.907)
0.975	0.994(.463)	0.991(.469)	0.982(.488)	0.856(.586)	0. (.907)
1.000	1.000(.488)	1.000(.494)	1.000(.512)	1.000(.609)	0. (.907)

Phase II

*** RELATIVE ENERGY FLUX DENSITY IN THE ***
 *** PENUMBRA OF A RECTANGULAR CYLINDER ***

VERSION D

SOLAR FIELD ANGLE, $\beta = 10.00$ DEGREES
 GEOMETRY $DZ/R = 50.00$ AND $H/R = 2.0$

BETA = ANGLE OF INCIDENCE, DEGREES

BETA ***	0.	10.00	20.00	30.00	40.00
AX/AB	Q (QI)	Q (QI)	Q (QI)	Q (QI)	Q (QI)
0.	1.000(.)	1.000(.)	1.000(.)	1.000(.)	1.000(.)
0.025	0.999(.025)	0.999(.025)	0.999(.025)	0.999(.025)	0.999(.025)
0.050	0.995(.050)	0.996(.050)	0.996(.050)	0.997(.050)	0.997(.050)
0.075	0.988(.075)	0.989(.075)	0.990(.075)	0.991(.075)	0.992(.075)
0.100	0.975(.099)	0.977(.099)	0.979(.099)	0.981(.099)	0.984(.100)
0.125	0.958(.123)	0.962(.124)	0.965(.124)	0.968(.124)	0.972(.124)
0.150	0.937(.147)	0.941(.147)	0.946(.148)	0.951(.148)	0.957(.148)
0.175	0.911(.170)	0.917(.171)	0.923(.171)	0.930(.171)	0.937(.172)
0.200	0.880(.193)	0.886(.193)	0.896(.194)	0.905(.194)	0.914(.195)
0.225	0.845(.214)	0.855(.215)	0.865(.216)	0.875(.216)	0.888(.217)
0.250	0.809(.235)	0.820(.236)	0.831(.237)	0.843(.238)	0.857(.239)
0.275	0.774(.255)	0.785(.256)	0.797(.257)	0.810(.259)	0.826(.260)
0.300	0.741(.274)	0.753(.275)	0.765(.277)	0.778(.278)	0.795(.281)
0.325	0.711(.292)	0.722(.294)	0.734(.295)	0.748(.298)	0.764(.300)
0.350	0.685(.309)	0.695(.311)	0.706(.313)	0.719(.316)	0.736(.319)
0.375	0.662(.326)	0.671(.328)	0.682(.331)	0.694(.334)	0.709(.337)
0.400	0.645(.342)	0.652(.345)	0.661(.348)	0.671(.351)	0.685(.354)
0.425	0.629(.358)	0.636(.361)	0.644(.364)	0.653(.367)	0.664(.371)
0.450	0.615(.374)	0.621(.377)	0.627(.380)	0.635(.383)	0.647(.388)
0.475	0.605(.389)	0.611(.392)	0.615(.395)	0.621(.399)	0.629(.403)
0.500	0.605(.404)	0.606(.407)	0.608(.411)	0.611(.414)	0.616(.419)
0.525	0.608(.419)	0.606(.422)	0.605(.426)	0.606(.430)	0.608(.434)
0.550	0.615(.435)	0.612(.438)	0.608(.441)	0.606(.445)	0.604(.449)
0.575	0.629(.450)	0.622(.453)	0.617(.456)	0.611(.460)	0.606(.465)
0.600	0.645(.466)	0.638(.469)	0.630(.472)	0.622(.475)	0.614(.480)
0.625	0.662(.483)	0.654(.485)	0.645(.488)	0.637(.491)	0.627(.495)
0.650	0.685(.499)	0.675(.502)	0.665(.504)	0.654(.507)	0.642(.511)
0.675	0.711(.517)	0.700(.519)	0.689(.521)	0.676(.524)	0.662(.528)
0.700	0.741(.535)	0.730(.537)	0.717(.539)	0.704(.541)	0.687(.544)
0.725	0.774(.554)	0.762(.555)	0.750(.557)	0.736(.559)	0.718(.562)
0.750	0.809(.574)	0.798(.575)	0.786(.576)	0.772(.578)	0.754(.580)
0.775	0.845(.594)	0.835(.595)	0.824(.596)	0.811(.598)	0.794(.600)
0.800	0.880(.616)	0.871(.617)	0.862(.617)	0.851(.618)	0.836(.620)
0.825	0.911(.638)	0.904(.639)	0.896(.639)	0.887(.640)	0.875(.641)
0.850	0.937(.661)	0.932(.662)	0.926(.662)	0.919(.663)	0.910(.664)
0.875	0.958(.685)	0.955(.685)	0.951(.686)	0.946(.686)	0.940(.687)
0.900	0.975(.709)	0.973(.709)	0.971(.710)	0.968(.710)	0.963(.711)
0.925	0.988(.734)	0.986(.734)	0.985(.734)	0.983(.734)	0.981(.735)
0.950	0.995(.759)	0.995(.759)	0.994(.759)	0.994(.759)	0.993(.760)
0.975	0.999(.784)	0.999(.784)	0.999(.784)	0.999(.784)	0.999(.785)
1.000	1.000(.809)	1.000(.809)	1.000(.809)	1.000(.809)	1.000(.810)

66-196
 Phase II

*** RELATIVE ENERGY FLUX DENSITY IN THE ***
 *** PENUMBRA OF A RECTANGULAR CYLINDER ***

VERSION D

SOLAR FIELD ANGLE, D = 10.00 DEGREES
 GEOMETRY D2/R = 50.00 AND H/R = 2.0

BETA = ANGLE OF INCIDENCE, DEGREES

BETA ***	50.00	60.00	70.00	80.00	84.50
AX/AB	Q (Q1)	Q (Q1)	Q (Q1)	Q (Q1)	Q (Q1)
0.	1.000(.)	1.000(.)	1.000(.)	1.000(.)	1.000(.)
0.025	1.000(.025)	1.000(.025)	1.000(.025)	1.000(.025)	1.000(.025)
0.050	0.998(.050)	0.998(.050)	0.999(.050)	1.000(.050)	1.000(.050)
0.075	0.993(.075)	0.995(.075)	0.997(.075)	1.000(.075)	1.000(.075)
0.100	0.986(.100)	0.990(.100)	0.994(.100)	0.999(.100)	1.000(.100)
0.125	0.975(.124)	0.982(.124)	0.989(.125)	0.998(.125)	1.000(.125)
0.150	0.963(.148)	0.972(.149)	0.983(.149)	0.997(.150)	1.000(.150)
0.175	0.946(.172)	0.958(.173)	0.975(.174)	0.996(.175)	1.000(.175)
0.200	0.926(.196)	0.942(.197)	0.964(.198)	0.994(.200)	1.000(.200)
0.225	0.903(.219)	0.923(.220)	0.951(.222)	0.991(.224)	1.000(.225)
0.250	0.875(.241)	0.900(.243)	0.936(.246)	0.988(.249)	1.000(.250)
0.275	0.845(.262)	0.874(.265)	0.918(.269)	0.984(.274)	1.000(.275)
0.300	0.816(.283)	0.847(.286)	0.897(.291)	0.978(.298)	1.000(.300)
0.325	0.787(.303)	0.820(.307)	0.875(.314)	0.972(.323)	1.000(.325)
0.350	0.758(.322)	0.792(.327)	0.852(.335)	0.965(.347)	1.000(.350)
0.375	0.731(.341)	0.765(.347)	0.827(.356)	0.956(.371)	1.000(.375)
0.400	0.705(.359)	0.738(.366)	0.802(.377)	0.945(.395)	1.000(.400)
0.425	0.682(.376)	0.713(.384)	0.777(.396)	0.933(.418)	1.000(.425)
0.450	0.662(.393)	0.690(.401)	0.751(.415)	0.920(.441)	1.000(.450)
0.475	0.644(.409)	0.669(.418)	0.726(.434)	0.904(.464)	1.000(.475)
0.500	0.627(.425)	0.649(.435)	0.702(.452)	0.887(.487)	1.000(.500)
0.525	0.614(.441)	0.631(.451)	0.680(.469)	0.868(.509)	0.999(.525)
0.550	0.605(.456)	0.616(.466)	0.657(.486)	0.846(.530)	0.999(.550)
0.575	0.603(.471)	0.606(.482)	0.635(.502)	0.822(.551)	0.999(.575)
0.600	0.606(.486)	0.601(.497)	0.617(.517)	0.796(.571)	0.999(.600)
0.625	0.614(.502)	0.602(.512)	0.603(.533)	0.768(.591)	0.998(.625)
0.650	0.627(.517)	0.609(.527)	0.595(.548)	0.739(.609)	0.998(.650)
0.675	0.644(.533)	0.621(.542)	0.593(.563)	0.708(.628)	0.997(.675)
0.700	0.666(.549)	0.637(.558)	0.599(.577)	0.672(.645)	0.996(.700)
0.725	0.695(.566)	0.661(.574)	0.610(.593)	0.636(.661)	0.995(.725)
0.750	0.730(.584)	0.693(.591)	0.630(.608)	0.602(.677)	0.992(.749)
0.775	0.770(.603)	0.732(.609)	0.661(.624)	0.574(.691)	0.989(.774)
0.800	0.814(.623)	0.778(.628)	0.703(.641)	0.557(.705)	0.984(.799)
0.825	0.857(.644)	0.826(.648)	0.755(.659)	0.556(.719)	0.976(.823)
0.850	0.895(.666)	0.872(.669)	0.813(.679)	0.576(.734)	0.962(.848)
0.875	0.930(.688)	0.912(.691)	0.868(.700)	0.633(.749)	0.938(.871)
0.900	0.957(.712)	0.945(.715)	0.915(.722)	0.727(.766)	0.894(.894)
0.925	0.975(.736)	0.971(.739)	0.954(.746)	0.828(.785)	0.810(.915)
0.950	0.991(.761)	0.989(.763)	0.981(.770)	0.918(.807)	0.636(.934)
0.975	0.998(.786)	0.998(.788)	0.996(.795)	0.981(.831)	0.470(.947)
1.000	1.000(.811)	1.000(.813)	1.000(.820)	1.000(.855)	1.000(.966)

D-158
 409

*** RELATIVE ENERGY FLUX DENSITY IN THE ***
 *** PENUMBRA OF A RECTANGULAR CYLINDER ***

VERSION D

SOLAR FIELD ANGLE, D= 10.00 DEGREES
 GEOMETRY D2/R = 100.00 AND H/R = 2.0

BETA = ANGLE OF INCIDENCE, DEGREES

BETA ***	0.	10.00	20.00	30.00	40.00
AX/AB	Q (Q1)	Q (Q1)	Q (Q1)	Q (Q1)	Q (Q1)
0.	1.000(.)	1.000(.)	1.000(.)	1.000(.)	1.000(.)
0.025	0.999(.025)	0.999(.025)	0.999(.025)	0.999(.025)	1.000(.025)
0.050	0.995(.050)	0.997(.050)	0.997(.050)	0.997(.050)	0.998(.050)
0.075	0.990(.075)	0.991(.075)	0.992(.075)	0.992(.075)	0.993(.075)
0.100	0.980(.099)	0.982(.099)	0.983(.099)	0.985(.100)	0.987(.100)
0.125	0.967(.124)	0.969(.124)	0.972(.124)	0.974(.124)	0.977(.124)
0.150	0.950(.148)	0.954(.148)	0.957(.148)	0.961(.148)	0.965(.148)
0.175	0.933(.171)	0.937(.171)	0.941(.172)	0.946(.172)	0.951(.172)
0.200	0.915(.194)	0.920(.195)	0.925(.195)	0.930(.196)	0.937(.196)
0.225	0.895(.217)	0.903(.218)	0.909(.218)	0.915(.219)	0.922(.219)
0.250	0.882(.239)	0.887(.240)	0.893(.241)	0.899(.241)	0.907(.242)
0.275	0.867(.261)	0.872(.262)	0.878(.263)	0.885(.264)	0.893(.265)
0.300	0.853(.283)	0.858(.284)	0.864(.284)	0.870(.285)	0.879(.287)
0.325	0.841(.304)	0.846(.305)	0.851(.306)	0.857(.307)	0.865(.309)
0.350	0.830(.325)	0.834(.326)	0.840(.327)	0.845(.328)	0.853(.330)
0.375	0.821(.345)	0.825(.347)	0.830(.348)	0.835(.349)	0.842(.351)
0.400	0.814(.366)	0.817(.367)	0.821(.369)	0.826(.370)	0.832(.372)
0.425	0.809(.386)	0.812(.387)	0.815(.389)	0.818(.391)	0.823(.393)
0.450	0.806(.406)	0.808(.408)	0.810(.409)	0.813(.411)	0.817(.413)
0.475	0.803(.426)	0.804(.428)	0.806(.429)	0.809(.431)	0.811(.434)
0.500	0.802(.446)	0.803(.448)	0.803(.450)	0.804(.451)	0.807(.454)
0.525	0.803(.466)	0.803(.468)	0.802(.470)	0.802(.472)	0.803(.474)
0.550	0.805(.487)	0.805(.488)	0.803(.490)	0.802(.492)	0.802(.494)
0.575	0.809(.507)	0.807(.508)	0.806(.510)	0.804(.512)	0.802(.514)
0.600	0.814(.527)	0.811(.528)	0.809(.530)	0.806(.532)	0.804(.534)
0.625	0.821(.548)	0.818(.549)	0.814(.550)	0.810(.552)	0.807(.554)
0.650	0.830(.568)	0.826(.569)	0.821(.571)	0.817(.572)	0.812(.575)
0.675	0.841(.589)	0.836(.590)	0.831(.591)	0.825(.593)	0.819(.595)
0.700	0.853(.610)	0.848(.611)	0.842(.612)	0.836(.614)	0.829(.615)
0.725	0.867(.632)	0.861(.633)	0.855(.634)	0.849(.635)	0.841(.636)
0.750	0.882(.654)	0.876(.654)	0.870(.655)	0.864(.656)	0.855(.658)
0.775	0.898(.676)	0.893(.676)	0.887(.677)	0.880(.678)	0.872(.679)
0.800	0.915(.698)	0.910(.699)	0.905(.699)	0.898(.700)	0.890(.701)
0.825	0.933(.722)	0.928(.722)	0.924(.722)	0.918(.723)	0.910(.724)
0.850	0.950(.745)	0.947(.745)	0.943(.746)	0.938(.746)	0.931(.747)
0.875	0.967(.769)	0.964(.769)	0.961(.769)	0.957(.770)	0.952(.770)
0.900	0.980(.793)	0.979(.794)	0.977(.794)	0.974(.794)	0.971(.794)
0.925	0.990(.818)	0.989(.818)	0.988(.818)	0.987(.818)	0.985(.819)
0.950	0.995(.843)	0.996(.843)	0.996(.843)	0.995(.843)	0.994(.843)
0.975	0.999(.868)	0.999(.868)	0.999(.868)	0.999(.868)	0.999(.868)
1.000	1.000(.893)	1.000(.893)	1.000(.893)	1.000(.893)	1.000(.893)

RE-ORDER NO. 66-196
App A
Phase II

*** RELATIVE ENERGY FLUX DENSITY IN THE ***
 *** PENUMBRA OF A RECTANGULAR CYLINDER ***
 VERSION D

SOLAR FIELD ANGLE, D = 10.00 DEGREES
 GEOMETRY D2/R = 100.00 AND H/R = 2.0

BETA = ANGLE OF INCIDENCE, DEGREES

BETA ***	50.00	60.00	70.00	80.00	84.50
AX/AB	Q (Q1)	Q (Q1)	Q (Q1)	Q (Q1)	Q (Q1)
0.	1.000(.)	1.000(.)	1.000(.)	1.000(.)	1.000(.)
0.025	1.000(.025)	1.000(.025)	1.000(.025)	1.000(.025)	1.000(.025)
0.050	0.998(.050)	0.998(.050)	0.999(.050)	1.000(.050)	1.000(.050)
0.075	0.994(.075)	0.996(.075)	0.998(.075)	1.000(.075)	1.000(.075)
0.100	0.989(.100)	0.991(.100)	0.995(.100)	0.999(.100)	1.000(.100)
0.125	0.981(.124)	0.985(.124)	0.991(.125)	0.999(.125)	1.000(.125)
0.150	0.970(.149)	0.977(.149)	0.986(.149)	0.998(.150)	1.000(.150)
0.175	0.958(.173)	0.967(.173)	0.979(.174)	0.996(.175)	1.000(.175)
0.200	0.945(.197)	0.955(.197)	0.971(.198)	0.995(.200)	1.000(.200)
0.225	0.931(.220)	0.943(.221)	0.963(.223)	0.992(.225)	1.000(.225)
0.250	0.917(.243)	0.931(.244)	0.953(.246)	0.990(.249)	1.000(.250)
0.275	0.903(.266)	0.918(.268)	0.943(.270)	0.987(.274)	1.000(.275)
0.300	0.889(.288)	0.905(.290)	0.933(.294)	0.983(.299)	1.000(.300)
0.325	0.875(.310)	0.892(.313)	0.921(.317)	0.979(.323)	1.000(.325)
0.350	0.863(.332)	0.880(.335)	0.910(.340)	0.975(.348)	1.000(.350)
0.375	0.852(.353)	0.866(.357)	0.898(.362)	0.970(.372)	1.000(.375)
0.400	0.841(.375)	0.856(.378)	0.887(.385)	0.964(.396)	1.000(.400)
0.425	0.831(.396)	0.845(.400)	0.875(.407)	0.957(.420)	1.000(.425)
0.450	0.823(.416)	0.835(.421)	0.863(.428)	0.950(.444)	1.000(.450)
0.475	0.815(.437)	0.826(.441)	0.852(.450)	0.942(.468)	1.000(.475)
0.500	0.811(.457)	0.819(.462)	0.842(.471)	0.933(.491)	1.000(.500)
0.525	0.805(.477)	0.813(.482)	0.832(.492)	0.923(.514)	1.000(.525)
0.550	0.803(.497)	0.807(.503)	0.823(.513)	0.912(.537)	0.999(.550)
0.575	0.801(.517)	0.802(.523)	0.815(.533)	0.900(.560)	0.999(.575)
0.600	0.802(.537)	0.800(.543)	0.807(.553)	0.888(.582)	0.999(.600)
0.625	0.803(.558)	0.800(.563)	0.801(.573)	0.874(.604)	0.999(.625)
0.650	0.805(.578)	0.800(.583)	0.797(.593)	0.860(.626)	0.998(.650)
0.675	0.811(.598)	0.802(.603)	0.795(.613)	0.846(.647)	0.998(.675)
0.700	0.820(.618)	0.808(.623)	0.793(.633)	0.832(.668)	0.997(.700)
0.725	0.831(.639)	0.816(.643)	0.796(.653)	0.816(.689)	0.996(.725)
0.750	0.844(.660)	0.828(.664)	0.801(.673)	0.801(.709)	0.995(.750)
0.775	0.860(.681)	0.843(.685)	0.812(.693)	0.788(.729)	0.993(.774)
0.800	0.879(.703)	0.861(.706)	0.826(.714)	0.776(.748)	0.990(.799)
0.825	0.900(.725)	0.882(.728)	0.846(.735)	0.769(.768)	0.985(.824)
0.850	0.922(.748)	0.906(.750)	0.872(.756)	0.771(.787)	0.977(.848)
0.875	0.945(.771)	0.932(.773)	0.901(.778)	0.785(.806)	0.963(.873)
0.900	0.966(.795)	0.957(.797)	0.934(.801)	0.818(.826)	0.940(.896)
0.925	0.982(.819)	0.977(.821)	0.964(.825)	0.872(.848)	0.896(.919)
0.950	0.993(.844)	0.991(.845)	0.986(.849)	0.939(.870)	0.816(.941)
0.975	0.999(.869)	0.998(.870)	0.997(.874)	0.986(.894)	0.710(.960)
1.000	1.000(.894)	1.000(.895)	1.000(.899)	1.000(.919)	1.000(.981)

*** END OF RECTANGULAR CYLINDER CASE ***

D-160
 A11

RE-ORDER No. 66-196

App. 9
Phase II

VERSION E

VERSION E

412

*** RELATIVE ENERGY FLUX DENSITY IN THE ***
 *** PENUMBRA OF A RECTANGULAR CYLINDER ***

VERSION E

SOLAR FIELD ANGLE, D = 0.50 DEGREES
 GEOMETRY D2/R = 1.00 AND H/R = 0.

BETA = ANGLE OF INCIDENCE, DEGREES

BETA ***	0.	10.00	20.00	30.00	40.00
AX/AB	Q (QI)	Q (QI)	Q (QI)	Q (QI)	Q (QI)
0.	1.000(.)	1.000(.)	1.000(.)	1.000(.)	1.000(.)
0.025	0. (.012)	0. (.012)	0. (.012)	0. (.012)	0. (.012)
0.050	0. (.012)	0. (.012)	0. (.012)	0. (.012)	0. (.012)
0.075	0. (.012)	0. (.012)	0. (.012)	0. (.012)	0. (.012)
0.100	0. (.012)	0. (.012)	0. (.012)	0. (.012)	0. (.012)
0.125	0. (.012)	0. (.012)	0. (.012)	0. (.012)	0. (.012)
0.150	0. (.012)	0. (.012)	0. (.012)	0. (.012)	0. (.012)
0.175	0. (.012)	0. (.012)	0. (.012)	0. (.012)	0. (.012)
0.200	0. (.012)	0. (.012)	0. (.012)	0. (.012)	0. (.012)
0.225	0. (.012)	0. (.012)	0. (.012)	0. (.012)	0. (.012)
0.250	0. (.012)	0. (.012)	0. (.012)	0. (.012)	0. (.012)
0.275	0. (.012)	0. (.012)	0. (.012)	0. (.012)	0. (.012)
0.300	0. (.012)	0. (.012)	0. (.012)	0. (.012)	0. (.012)
0.325	0. (.012)	0. (.012)	0. (.012)	0. (.012)	0. (.012)
0.350	0. (.012)	0. (.012)	0. (.012)	0. (.012)	0. (.012)
0.375	0. (.012)	0. (.012)	0. (.012)	0. (.012)	0. (.012)
0.400	0. (.012)	0. (.012)	0. (.012)	0. (.012)	0. (.012)
0.425	0. (.012)	0. (.012)	0. (.012)	0. (.012)	0. (.012)
0.450	0. (.012)	0. (.012)	0. (.012)	0. (.012)	0. (.012)
0.475	0. (.012)	0. (.012)	0. (.012)	0. (.012)	0. (.012)
0.500	0. (.012)	0. (.012)	0. (.012)	0. (.012)	0. (.012)
0.525	0. (.012)	0. (.012)	0. (.012)	0. (.012)	0. (.012)
0.550	0. (.012)	0. (.012)	0. (.012)	0. (.012)	0. (.012)
0.575	0. (.012)	0. (.012)	0. (.012)	0. (.012)	0. (.012)
0.600	0. (.012)	0. (.012)	0. (.012)	0. (.012)	0. (.012)
0.625	0. (.012)	0. (.012)	0. (.012)	0. (.012)	0. (.012)
0.650	0. (.012)	0. (.012)	0. (.012)	0. (.012)	0. (.012)
0.675	0. (.012)	0. (.012)	0. (.012)	0. (.012)	0. (.012)
0.700	0. (.012)	0. (.012)	0. (.012)	0. (.012)	0. (.012)
0.725	0. (.012)	0. (.012)	0. (.012)	0. (.012)	0. (.012)
0.750	0. (.012)	0. (.012)	0. (.012)	0. (.012)	0. (.012)
0.775	0. (.012)	0. (.012)	0. (.012)	0. (.012)	0. (.012)
0.800	0. (.012)	0. (.012)	0. (.012)	0. (.012)	0. (.012)
0.825	0. (.012)	0. (.012)	0. (.012)	0. (.012)	0. (.012)
0.850	0. (.012)	0. (.012)	0. (.012)	0. (.012)	0. (.012)
0.875	0. (.012)	0. (.012)	0. (.012)	0. (.012)	0. (.012)
0.900	0. (.012)	0. (.012)	0. (.012)	0. (.012)	0. (.012)
0.925	0. (.012)	0. (.012)	0. (.012)	0. (.012)	0. (.012)
0.950	0. (.012)	0. (.012)	0. (.012)	0. (.012)	0. (.012)
0.975	0. (.012)	0. (.012)	0. (.012)	0. (.012)	0. (.012)
1.000	1.000(.025)	1.000(.025)	1.000(.025)	1.000(.025)	1.000(.025)

66-196
 App. A
 Phase II

VERSION E

*** RELATIVE ENERGY FLUX DENSITY IN THE ***
 *** PENUMBRA OF A RECTANGULAR CYLINDER ***

SOLAR FIELD ANGLE, D = 0.50 DEGREES
 GEOMETRY D2/R = 1.00 AND H/R = 0.

BETA = ANGLE OF INCIDENCE, DEGREES

BETA *** AX/AB	50.00 Q (Q1)	60.00 Q (Q1)	70.00 Q (Q1)	80.00 Q (Q1)	89.25 Q (Q1)
0.	1.000(.)	1.000(.)	1.000(.)	1.000(.)	1.000(.)
0.025	0. (.012)	0. (.012)	0. (.012)	0.077(.013)	0.993(.025)
0.050	0. (.012)	0. (.012)	0. (.012)	0. (.014)	0.979(.050)
0.075	0. (.012)	0. (.012)	0. (.012)	0. (.014)	0.956(.074)
0.100	0. (.012)	0. (.012)	0. (.012)	0. (.014)	0.925(.097)
0.125	0. (.012)	0. (.012)	0. (.012)	0. (.014)	0.882(.120)
0.150	0. (.012)	0. (.012)	0. (.012)	0. (.014)	0.827(.141)
0.175	0. (.012)	0. (.012)	0. (.012)	0. (.014)	0.757(.161)
0.200	0. (.012)	0. (.012)	0. (.012)	0. (.014)	0.670(.179)
0.225	0. (.012)	0. (.012)	0. (.012)	0. (.014)	0.563(.194)
0.250	0. (.012)	0. (.012)	0. (.012)	0. (.014)	0.438(.207)
0.275	0. (.012)	0. (.012)	0. (.012)	0. (.014)	0.297(.216)
0.300	0. (.012)	0. (.012)	0. (.012)	0. (.014)	0.151(.222)
0.325	0. (.012)	0. (.012)	0. (.012)	0. (.014)	0.029(.224)
0.350	0. (.012)	0. (.012)	0. (.012)	0. (.014)	0. (.224)
0.375	0. (.012)	0. (.012)	0. (.012)	0. (.014)	0. (.224)
0.400	0. (.012)	0. (.012)	0. (.012)	0. (.014)	0. (.224)
0.425	0. (.012)	0. (.012)	0. (.012)	0. (.014)	0. (.224)
0.450	0. (.012)	0. (.012)	0. (.012)	0. (.014)	0. (.224)
0.475	0. (.012)	0. (.012)	0. (.012)	0. (.014)	0. (.224)
0.500	0. (.012)	0. (.012)	0. (.012)	0. (.014)	0. (.224)
0.525	0. (.012)	0. (.012)	0. (.012)	0. (.014)	0. (.224)
0.550	0. (.012)	0. (.012)	0. (.012)	0. (.014)	0. (.224)
0.575	0. (.012)	0. (.012)	0. (.012)	0. (.014)	0. (.224)
0.600	0. (.012)	0. (.012)	0. (.012)	0. (.014)	0. (.224)
0.625	0. (.012)	0. (.012)	0. (.012)	0. (.014)	0. (.224)
0.650	0. (.012)	0. (.012)	0. (.012)	0. (.014)	0. (.224)
0.675	0. (.012)	0. (.012)	0. (.012)	0. (.014)	0. (.224)
0.700	0. (.012)	0. (.012)	0. (.012)	0. (.014)	0. (.224)
0.725	0. (.012)	0. (.012)	0. (.012)	0. (.014)	0. (.224)
0.750	0. (.012)	0. (.012)	0. (.012)	0. (.014)	0. (.224)
0.775	0. (.012)	0. (.012)	0. (.012)	0. (.014)	0. (.224)
0.800	0. (.012)	0. (.012)	0. (.012)	0. (.014)	0. (.224)
0.825	0. (.012)	0. (.012)	0. (.012)	0. (.014)	0. (.224)
0.850	0. (.012)	0. (.012)	0. (.012)	0. (.014)	0. (.224)
0.875	0. (.012)	0. (.012)	0. (.012)	0. (.014)	0. (.224)
0.900	0. (.012)	0. (.012)	0. (.012)	0. (.014)	0. (.224)
0.925	0. (.012)	0. (.012)	0. (.012)	0. (.014)	0. (.224)
0.950	0. (.012)	0. (.012)	0. (.012)	0. (.014)	0. (.224)
0.975	0. (.012)	0. (.012)	0. (.012)	0. (.014)	0. (.224)
1.000	0. (.012)	0. (.012)	0. (.012)	0. (.014)	0. (.224)

414
 E-2

RECORDED IN 66-196
appa
Phase II

*** RELATIVE ENERGY FLUX DENSITY IN THE ***
 *** PENUMBRA OF A RECTANGULAR CYLINDER ***

VERSION E

SOLAR FIELD ANGLE, D= 0.50 DEGREES
 GEOMETRY DZ/R = 5.00 AND H/R = 0.

BETA = ANGLE OF INCIDENCE, DEGREES

BETA ***	0.	10.00	20.00	30.00	40.00
AX/AB	Q (Q1)	Q (Q1)	Q (Q1)	Q (Q1)	Q (Q1)
0.	1.000 (.)	1.000 (.)	1.000 (.)	1.000 (.)	1.000 (.)
0.025	0. (.012)	0. (.012)	0. (.012)	0. (.012)	0. (.012)
0.050	0. (.012)	0. (.012)	0. (.012)	0. (.012)	0. (.012)
0.075	0. (.012)	0. (.012)	0. (.012)	0. (.012)	0. (.012)
0.100	0. (.012)	0. (.012)	0. (.012)	0. (.012)	0. (.012)
0.125	0. (.012)	0. (.012)	0. (.012)	0. (.012)	0. (.012)
0.150	0. (.012)	0. (.012)	0. (.012)	0. (.012)	0. (.012)
0.175	0. (.012)	0. (.012)	0. (.012)	0. (.012)	0. (.012)
0.200	0. (.012)	0. (.012)	0. (.012)	0. (.012)	0. (.012)
0.225	0. (.012)	0. (.012)	0. (.012)	0. (.012)	0. (.012)
0.250	0. (.012)	0. (.012)	0. (.012)	0. (.012)	0. (.012)
0.275	0. (.012)	0. (.012)	0. (.012)	0. (.012)	0. (.012)
0.300	0. (.012)	0. (.012)	0. (.012)	0. (.012)	0. (.012)
0.325	0. (.012)	0. (.012)	0. (.012)	0. (.012)	0. (.012)
0.350	0. (.012)	0. (.012)	0. (.012)	0. (.012)	0. (.012)
0.375	0. (.012)	0. (.012)	0. (.012)	0. (.012)	0. (.012)
0.400	0. (.012)	0. (.012)	0. (.012)	0. (.012)	0. (.012)
0.425	0. (.012)	0. (.012)	0. (.012)	0. (.012)	0. (.012)
0.450	0. (.012)	0. (.012)	0. (.012)	0. (.012)	0. (.012)
0.475	0. (.012)	0. (.012)	0. (.012)	0. (.012)	0. (.012)
0.500	0. (.012)	0. (.012)	0. (.012)	0. (.012)	0. (.012)
0.525	0. (.012)	0. (.012)	0. (.012)	0. (.012)	0. (.012)
0.550	0. (.012)	0. (.012)	0. (.012)	0. (.012)	0. (.012)
0.575	0. (.012)	0. (.012)	0. (.012)	0. (.012)	0. (.012)
0.600	0. (.012)	0. (.012)	0. (.012)	0. (.012)	0. (.012)
0.625	0. (.012)	0. (.012)	0. (.012)	0. (.012)	0. (.012)
0.650	0. (.012)	0. (.012)	0. (.012)	0. (.012)	0. (.012)
0.675	0. (.012)	0. (.012)	0. (.012)	0. (.012)	0. (.012)
0.700	0. (.012)	0. (.012)	0. (.012)	0. (.012)	0. (.012)
0.725	0. (.012)	0. (.012)	0. (.012)	0. (.012)	0. (.012)
0.750	0. (.012)	0. (.012)	0. (.012)	0. (.012)	0. (.012)
0.775	0. (.012)	0. (.012)	0. (.012)	0. (.012)	0. (.012)
0.800	0. (.012)	0. (.012)	0. (.012)	0. (.012)	0. (.012)
0.825	0. (.012)	0. (.012)	0. (.012)	0. (.012)	0. (.012)
0.850	0. (.012)	0. (.012)	0. (.012)	0. (.012)	0. (.012)
0.875	0. (.012)	0. (.012)	0. (.012)	0. (.012)	0. (.012)
0.900	0. (.012)	0. (.012)	0. (.012)	0. (.012)	0. (.012)
0.925	0. (.012)	0. (.012)	0. (.012)	0. (.012)	0. (.012)
0.950	0. (.012)	0. (.012)	0. (.012)	0. (.012)	0. (.012)
0.975	0. (.012)	0. (.012)	0. (.012)	0. (.012)	0. (.012)
1.000	1.000 (.025)	1.000 (.025)	1.000 (.025)	1.000 (.025)	1.000 (.025)

4/15
 E-3

66-196
 App A
 Phase II

*** RELATIVE ENERGY FLUX DENSITY IN THE ***
 *** PENUMBRA OF A RECTANGULAR CYLINDER ***

VERSION E

SOLAR FIELD ANGLE, D= 0.50 DEGREES
 GEOMETRY D2/R = 5.00 AND H/R = 0.

BETA = ANGLE OF INCIDENCE, DEGREES

BETA ***	50.00		60.00		70.00		80.00		89.25	
AX/AB	Q	(QI)	Q	(QI)	Q	(QI)	Q	(QI)	Q	(QI)
0.	1.000	(.)	1.000	(.)	1.000	(.)	1.000	(.)	1.000	(.)
0.025	0.017	(.013)	0.066	(.013)	0.178	(.015)	0.455	(.018)	0.994	(.025)
0.050	0.	(.013)	0.	(.014)	0.	(.017)	0.	(.024)	0.980	(.050)
0.075	0.	(.013)	0.	(.014)	0.	(.017)	0.	(.024)	0.959	(.074)
0.100	0.	(.013)	0.	(.014)	0.	(.017)	0.	(.024)	0.929	(.097)
0.125	0.	(.013)	0.	(.014)	0.	(.017)	0.	(.024)	0.890	(.120)
0.150	0.	(.013)	0.	(.014)	0.	(.017)	0.	(.024)	0.839	(.142)
0.175	0.	(.013)	0.	(.014)	0.	(.017)	0.	(.024)	0.774	(.162)
0.200	0.	(.013)	0.	(.014)	0.	(.017)	0.	(.024)	0.694	(.180)
0.225	0.	(.013)	0.	(.014)	0.	(.017)	0.	(.024)	0.596	(.196)
0.250	0.	(.013)	0.	(.014)	0.	(.017)	0.	(.024)	0.481	(.210)
0.275	0.	(.013)	0.	(.014)	0.	(.017)	0.	(.024)	0.349	(.220)
0.300	0.	(.013)	0.	(.014)	0.	(.017)	0.	(.024)	0.208	(.227)
0.325	0.	(.013)	0.	(.014)	0.	(.017)	0.	(.024)	0.075	(.231)
0.350	0.	(.013)	0.	(.014)	0.	(.017)	0.	(.024)	0.	(.232)
0.375	0.	(.013)	0.	(.014)	0.	(.017)	0.	(.024)	0.	(.232)
0.400	0.	(.013)	0.	(.014)	0.	(.017)	0.	(.024)	0.	(.232)
0.425	0.	(.013)	0.	(.014)	0.	(.017)	0.	(.024)	0.	(.232)
0.450	0.	(.013)	0.	(.014)	0.	(.017)	0.	(.024)	0.	(.232)
0.475	0.	(.013)	0.	(.014)	0.	(.017)	0.	(.024)	0.	(.232)
0.500	0.	(.013)	0.	(.014)	0.	(.017)	0.	(.024)	0.	(.232)
0.525	0.	(.013)	0.	(.014)	0.	(.017)	0.	(.024)	0.	(.232)
0.550	0.	(.013)	0.	(.014)	0.	(.017)	0.	(.024)	0.	(.232)
0.575	0.	(.013)	0.	(.014)	0.	(.017)	0.	(.024)	0.	(.232)
0.600	0.	(.013)	0.	(.014)	0.	(.017)	0.	(.024)	0.	(.232)
0.625	0.	(.013)	0.	(.014)	0.	(.017)	0.	(.024)	0.	(.232)
0.650	0.	(.013)	0.	(.014)	0.	(.017)	0.	(.024)	0.	(.232)
0.675	0.	(.013)	0.	(.014)	0.	(.017)	0.	(.024)	0.	(.232)
0.700	0.	(.013)	0.	(.014)	0.	(.017)	0.	(.024)	0.	(.232)
0.725	0.	(.013)	0.	(.014)	0.	(.017)	0.	(.024)	0.	(.232)
0.750	0.	(.013)	0.	(.014)	0.	(.017)	0.	(.024)	0.	(.232)
0.775	0.	(.013)	0.	(.014)	0.	(.017)	0.	(.024)	0.	(.232)
0.800	0.	(.013)	0.	(.014)	0.	(.017)	0.	(.024)	0.	(.232)
0.825	0.	(.013)	0.	(.014)	0.	(.017)	0.	(.024)	0.	(.232)
0.850	0.	(.013)	0.	(.014)	0.	(.017)	0.	(.024)	0.	(.232)
0.875	0.	(.013)	0.	(.014)	0.	(.017)	0.	(.024)	0.	(.232)
0.900	0.	(.013)	0.	(.014)	0.	(.017)	0.	(.024)	0.	(.232)
0.925	0.	(.013)	0.	(.014)	0.	(.017)	0.	(.024)	0.	(.232)
0.950	0.	(.013)	0.	(.014)	0.	(.017)	0.	(.024)	0.	(.232)
0.975	0.	(.013)	0.	(.014)	0.	(.017)	0.	(.024)	0.	(.232)
1.000	1.000	(.025)	1.000	(.027)	1.000	(.029)	0.	(.024)	0.	(.232)

4
3
2

416
E-4

*** RELATIVE ENERGY FLUX DENSITY IN THE ***
 *** PENUMBRA OF A RECTANGULAR CYLINDER ***

VERSION E

SOLAR FIELD ANGLE, D= 0.50 DEGREES
 GEOMETRY D2/R = 10.00 AND H/R = 0.

BETA = ANGLE OF INCIDENCE, DEGREES

BETA *** AX/AB	0. Q (Q1)	10.00 Q (Q1)	20.00 Q (Q1)	30.00 Q (Q1)	40.00 Q (Q1)
0.	1.000(.)	1.000(.)	1.000(.)	1.000(.)	1.000(.)
0.025	0.366(.017)	0.381(.017)	0.396(.017)	0.412(.018)	0.432(.018)
0.050	0. (.022)	0. (.022)	0. (.022)	0. (.023)	0. (.023)
0.075	0. (.022)	0. (.022)	0. (.022)	0. (.023)	0. (.023)
0.100	0. (.022)	0. (.022)	0. (.022)	0. (.023)	0. (.023)
0.125	0. (.022)	0. (.022)	0. (.022)	0. (.023)	0. (.023)
0.150	0. (.022)	0. (.022)	0. (.022)	0. (.023)	0. (.023)
0.175	0. (.022)	0. (.022)	0. (.022)	0. (.023)	0. (.023)
0.200	0. (.022)	0. (.022)	0. (.022)	0. (.023)	0. (.023)
0.225	0. (.022)	0. (.022)	0. (.022)	0. (.023)	0. (.023)
0.250	0. (.022)	0. (.022)	0. (.022)	0. (.023)	0. (.023)
0.275	0. (.022)	0. (.022)	0. (.022)	0. (.023)	0. (.023)
0.300	0. (.022)	0. (.022)	0. (.022)	0. (.023)	0. (.023)
0.325	0. (.022)	0. (.022)	0. (.022)	0. (.023)	0. (.023)
0.350	0. (.022)	0. (.022)	0. (.022)	0. (.023)	0. (.023)
0.375	0. (.022)	0. (.022)	0. (.022)	0. (.023)	0. (.023)
0.400	0. (.022)	0. (.022)	0. (.022)	0. (.023)	0. (.023)
0.425	0. (.022)	0. (.022)	0. (.022)	0. (.023)	0. (.023)
0.450	0. (.022)	0. (.022)	0. (.022)	0. (.023)	0. (.023)
0.475	0. (.022)	0. (.022)	0. (.022)	0. (.023)	0. (.023)
0.500	0. (.022)	0. (.022)	0. (.022)	0. (.023)	0. (.023)
0.525	0. (.022)	0. (.022)	0. (.022)	0. (.023)	0. (.023)
0.550	0. (.022)	0. (.022)	0. (.022)	0. (.023)	0. (.023)
0.575	0. (.022)	0. (.022)	0. (.022)	0. (.023)	0. (.023)
0.600	0. (.022)	0. (.022)	0. (.022)	0. (.023)	0. (.023)
0.625	0. (.022)	0. (.022)	0. (.022)	0. (.023)	0. (.023)
0.650	0. (.022)	0. (.022)	0. (.022)	0. (.023)	0. (.023)
0.675	0. (.022)	0. (.022)	0. (.022)	0. (.023)	0. (.023)
0.700	0. (.022)	0. (.022)	0. (.022)	0. (.023)	0. (.023)
0.725	0. (.022)	0. (.022)	0. (.022)	0. (.023)	0. (.023)
0.750	0. (.022)	0. (.022)	0. (.022)	0. (.023)	0. (.023)
0.775	0. (.022)	0. (.022)	0. (.022)	0. (.023)	0. (.023)
0.800	0. (.022)	0. (.022)	0. (.022)	0. (.023)	0. (.023)
0.825	0. (.022)	0. (.022)	0. (.022)	0. (.023)	0. (.023)
0.850	0. (.022)	0. (.022)	0. (.022)	0. (.023)	0. (.023)
0.875	0. (.022)	0. (.022)	0. (.022)	0. (.023)	0. (.023)
0.900	0. (.022)	0. (.022)	0. (.022)	0. (.023)	0. (.023)
0.925	0. (.022)	0. (.022)	0. (.022)	0. (.023)	0. (.023)
0.950	0. (.022)	0. (.022)	0. (.022)	0. (.023)	0. (.023)
0.975	0.366(.026)	0.351(.026)	0.335(.027)	0.316(.027)	0.292(.027)
1.000	1.000(.043)	1.000(.043)	1.000(.043)	1.000(.043)	1.000(.043)

*** RELATIVE ENERGY FLUX DENSITY IN THE ***
 *** PENUMBRA OF A RECTANGULAR CYLINDER ***

VERSION E

SOLAR FIELD ANGLE, D = 0.50 DEGREES
 GEOMETRY D2/R = 10.00 AND H/R = 0.

BETA = ANGLE OF INCIDENCE, DEGREES

BETA ***	50.00		60.00		70.00		80.00		89.25	
AX/AB	Q	(Q1)	Q	(Q1)	Q	(Q1)	Q	(Q1)	Q	(Q1)
0.	1.000(.)		1.000(.)		1.000(.)		1.000(.)		1.000(.)	
0.025	0.457(.018)		0.493(.019)		0.553(.019)		0.681(.021)		0.994(.025)	
0.050	0. (.024)		0. (.025)		0.021(.027)		0.177(.032)		0.981(.050)	
0.075	0. (.024)		0. (.025)		0. (.027)		0. (.034)		0.962(.074)	
0.100	0. (.024)		0. (.025)		0. (.027)		0. (.034)		0.934(.098)	
0.125	0. (.024)		0. (.025)		0. (.027)		0. (.034)		0.898(.121)	
0.150	0. (.024)		0. (.025)		0. (.027)		0. (.034)		0.852(.142)	
0.175	0. (.024)		0. (.025)		0. (.027)		0. (.034)		0.793(.163)	
0.200	0. (.024)		0. (.025)		0. (.027)		0. (.034)		0.720(.182)	
0.225	0. (.024)		0. (.025)		0. (.027)		0. (.034)		0.632(.199)	
0.250	0. (.024)		0. (.025)		0. (.027)		0. (.034)		0.526(.213)	
0.275	0. (.024)		0. (.025)		0. (.027)		0. (.034)		0.405(.225)	
0.300	0. (.024)		0. (.025)		0. (.027)		0. (.034)		0.272(.233)	
0.325	0. (.024)		0. (.025)		0. (.027)		0. (.034)		0.137(.238)	
0.350	0. (.024)		0. (.025)		0. (.027)		0. (.034)		0.026(.240)	
0.375	0. (.024)		0. (.025)		0. (.027)		0. (.034)		0. (.241)	
0.400	0. (.024)		0. (.025)		0. (.027)		0. (.034)		0. (.241)	
0.425	0. (.024)		0. (.025)		0. (.027)		0. (.034)		0. (.241)	
0.450	0. (.024)		0. (.025)		0. (.027)		0. (.034)		0. (.241)	
0.475	0. (.024)		0. (.025)		0. (.027)		0. (.034)		0. (.241)	
0.500	0. (.024)		0. (.025)		0. (.027)		0. (.034)		0. (.241)	
0.525	0. (.024)		0. (.025)		0. (.027)		0. (.034)		0. (.241)	
0.550	0. (.024)		0. (.025)		0. (.027)		0. (.034)		0. (.241)	
0.575	0. (.024)		0. (.025)		0. (.027)		0. (.034)		0. (.241)	
0.600	0. (.024)		0. (.025)		0. (.027)		0. (.034)		0. (.241)	
0.625	0. (.024)		0. (.025)		0. (.027)		0. (.034)		0. (.241)	
0.650	0. (.024)		0. (.025)		0. (.027)		0. (.034)		0. (.241)	
0.675	0. (.024)		0. (.025)		0. (.027)		0. (.034)		0. (.241)	
0.700	0. (.024)		0. (.025)		0. (.027)		0. (.034)		0. (.241)	
0.725	0. (.024)		0. (.025)		0. (.027)		0. (.034)		0. (.241)	
0.750	0. (.024)		0. (.025)		0. (.027)		0. (.034)		0. (.241)	
0.775	0. (.024)		0. (.025)		0. (.027)		0. (.034)		0. (.241)	
0.800	0. (.024)		0. (.025)		0. (.027)		0. (.034)		0. (.241)	
0.825	0. (.024)		0. (.025)		0. (.027)		0. (.034)		0. (.241)	
0.850	0. (.024)		0. (.025)		0. (.027)		0. (.034)		0. (.241)	
0.875	0. (.024)		0. (.025)		0. (.027)		0. (.034)		0. (.241)	
0.900	0. (.024)		0. (.025)		0. (.027)		0. (.034)		0. (.241)	
0.925	0. (.024)		0. (.025)		0. (.027)		0. (.034)		0. (.241)	
0.950	0. (.024)		0. (.025)		0. (.027)		0. (.034)		0. (.241)	
0.975	0.258(.027)		0.204(.027)		0.099(.028)		1.000(.046)		0. (.241)	
1.000	1.000(.043)		1.000(.042)		1.000(.042)					

app. 2
Phase II

*** RELATIVE ENERGY FLUX DENSITY IN THE ***
 *** PENUMBRA OF A RECTANGULAR CYLINDER ***

VERSION E

SOLAR FIELD ANGLE, D = 0.50 DEGREES
 GEOMETRY D2/R = 50.00 AND H/R = 0.

BETA = ANGLE OF INCIDENCE, DEGREES

BETA *** AX/AB	0. Q (QI)	10.00 Q (QI)	20.00 Q (QI)	30.00 Q (QI)	40.00 Q (QI)
0.	1.000(.)	1.000(.)	1.000(.)	1.000(.)	1.000(.)
0.025	0.928(.024)	0.929(.024)	0.929(.024)	0.930(.024)	0.931(.024)
0.050	0.789(.046)	0.790(.046)	0.792(.046)	0.794(.046)	0.796(.046)
0.075	0.611(.063)	0.614(.063)	0.617(.063)	0.620(.063)	0.624(.063)
0.100	0.420(.076)	0.423(.076)	0.427(.076)	0.431(.076)	0.436(.077)
0.125	0.236(.084)	0.242(.084)	0.246(.085)	0.250(.085)	0.255(.085)
0.150	0.091(.088)	0.094(.089)	0.097(.089)	0.101(.089)	0.105(.090)
0.175	0.004(.089)	0.006(.090)	0.007(.090)	0.008(.091)	0.010(.091)
0.200	0. (.090)	0. (.090)	0. (.090)	0. (.091)	0. (.091)
0.225	0. (.090)	0. (.090)	0. (.090)	0. (.091)	0. (.091)
0.250	0. (.090)	0. (.090)	0. (.090)	0. (.091)	0. (.091)
0.275	0. (.090)	0. (.090)	0. (.090)	0. (.091)	0. (.091)
0.300	0. (.090)	0. (.090)	0. (.090)	0. (.091)	0. (.091)
0.325	0. (.090)	0. (.090)	0. (.090)	0. (.091)	0. (.091)
0.350	0. (.090)	0. (.090)	0. (.090)	0. (.091)	0. (.091)
0.375	0. (.090)	0. (.090)	0. (.090)	0. (.091)	0. (.091)
0.400	0. (.090)	0. (.090)	0. (.090)	0. (.091)	0. (.091)
0.425	0. (.090)	0. (.090)	0. (.090)	0. (.091)	0. (.091)
0.450	0. (.090)	0. (.090)	0. (.090)	0. (.091)	0. (.091)
0.475	0. (.090)	0. (.090)	0. (.090)	0. (.091)	0. (.091)
0.500	0. (.090)	0. (.090)	0. (.090)	0. (.091)	0. (.091)
0.525	0. (.090)	0. (.090)	0. (.090)	0. (.091)	0. (.091)
0.550	0. (.090)	0. (.090)	0. (.090)	0. (.091)	0. (.091)
0.575	0. (.090)	0. (.090)	0. (.090)	0. (.091)	0. (.091)
0.600	0. (.090)	0. (.090)	0. (.090)	0. (.091)	0. (.091)
0.625	0. (.090)	0. (.090)	0. (.090)	0. (.091)	0. (.091)
0.650	0. (.090)	0. (.090)	0. (.090)	0. (.091)	0. (.091)
0.675	0. (.090)	0. (.090)	0. (.090)	0. (.091)	0. (.091)
0.700	0. (.090)	0. (.090)	0. (.090)	0. (.091)	0. (.091)
0.725	0. (.090)	0. (.090)	0. (.090)	0. (.091)	0. (.091)
0.750	0. (.090)	0. (.090)	0. (.090)	0. (.091)	0. (.091)
0.775	0. (.090)	0. (.090)	0. (.090)	0. (.091)	0. (.091)
0.800	0. (.090)	0. (.090)	0. (.090)	0. (.091)	0. (.091)
0.825	0.004(.090)	0.003(.090)	0.003(.090)	0.002(.091)	0.001(.091)
0.850	0.091(.091)	0.088(.091)	0.085(.091)	0.082(.092)	0.078(.092)
0.875	0.238(.095)	0.235(.095)	0.231(.095)	0.227(.096)	0.222(.096)
0.900	0.420(.103)	0.416(.103)	0.413(.103)	0.409(.104)	0.404(.104)
0.925	0.611(.116)	0.609(.116)	0.606(.116)	0.602(.116)	0.598(.116)
0.950	0.789(.134)	0.787(.134)	0.785(.134)	0.783(.134)	0.781(.134)
0.975	0.928(.155)	0.927(.155)	0.927(.155)	0.926(.155)	0.925(.155)
1.000	1.000(.179)	1.000(.179)	1.000(.179)	1.000(.179)	1.000(.179)

RE-ORDER NO. 66-196
app. d
Phase 1!

*** RELATIVE ENERGY FLUX DENSITY IN THE ***
 *** PENUMBRA OF A RECTANGULAR CYLINDER ***

VERSION E

SOLAR FIELD ANGLE, D = 0.50 DEGREES
 GEOMETRY D2/R = 50.00 AND H/R = 0.

BETA = ANGLE OF INCIDENCE, DEGREES

BETA ***	50.00	60.00	70.00	80.00	89.25
AX/AB	Q (QI)	Q (QI)	Q (QI)	Q (QI)	Q (QI)
0.	1.000(.)	1.000(.)	1.000(.)	1.000(.)	1.000(.)
0.025	0.932(.024)	0.934(.024)	0.937(.024)	0.944(.024)	0.996(.025)
0.050	0.799(.046)	0.804(.046)	0.812(.046)	0.834(.047)	0.987(.050)
0.075	0.629(.064)	0.636(.064)	0.650(.064)	0.687(.066)	0.974(.074)
0.100	0.442(.077)	0.452(.077)	0.470(.078)	0.520(.081)	0.957(.098)
0.125	0.262(.086)	0.272(.087)	0.292(.088)	0.348(.091)	0.935(.122)
0.150	0.111(.090)	0.120(.091)	0.137(.093)	0.189(.098)	0.907(.145)
0.175	0.013(.092)	0.018(.093)	0.028(.095)	0.064(.101)	0.872(.167)
0.200	0. (.092)	0. (.093)	0. (.096)	0. (.102)	0.831(.189)
0.225	0. (.092)	0. (.093)	0. (.096)	0. (.102)	0.781(.209)
0.250	0. (.092)	0. (.093)	0. (.096)	0. (.102)	0.722(.228)
0.275	0. (.092)	0. (.093)	0. (.096)	0. (.102)	0.653(.245)
0.300	0. (.092)	0. (.093)	0. (.096)	0. (.102)	0.573(.260)
0.325	0. (.092)	0. (.093)	0. (.096)	0. (.102)	0.483(.273)
0.350	0. (.092)	0. (.093)	0. (.096)	0. (.102)	0.383(.284)
0.375	0. (.092)	0. (.093)	0. (.096)	0. (.102)	0.276(.292)
0.400	0. (.092)	0. (.093)	0. (.096)	0. (.102)	0.168(.298)
0.425	0. (.092)	0. (.093)	0. (.096)	0. (.102)	0.069(.301)
0.450	0. (.092)	0. (.093)	0. (.096)	0. (.102)	0.002(.302)
0.475	0. (.092)	0. (.093)	0. (.096)	0. (.102)	0. (.302)
0.500	0. (.092)	0. (.093)	0. (.096)	0. (.102)	0. (.302)
0.525	0. (.092)	0. (.093)	0. (.096)	0. (.102)	0. (.302)
0.550	0. (.092)	0. (.093)	0. (.096)	0. (.102)	0. (.302)
0.575	0. (.092)	0. (.093)	0. (.096)	0. (.102)	0. (.302)
0.600	0. (.092)	0. (.093)	0. (.096)	0. (.102)	0. (.302)
0.625	0. (.092)	0. (.093)	0. (.096)	0. (.102)	0. (.302)
0.650	0. (.092)	0. (.093)	0. (.096)	0. (.102)	0. (.302)
0.675	0. (.092)	0. (.093)	0. (.096)	0. (.102)	0. (.302)
0.700	0. (.092)	0. (.093)	0. (.096)	0. (.102)	0. (.302)
0.725	0. (.092)	0. (.093)	0. (.096)	0. (.102)	0. (.302)
0.750	0. (.092)	0. (.093)	0. (.096)	0. (.102)	0. (.302)
0.775	0. (.092)	0. (.093)	0. (.096)	0. (.102)	0. (.302)
0.800	0. (.092)	0. (.093)	0. (.096)	0. (.102)	0. (.302)
0.825	0. (.092)	0. (.093)	0. (.096)	0. (.102)	0. (.302)
0.850	0.073(.093)	0.065(.094)	0.050(.096)	0.016(.102)	0. (.302)
0.875	0.215(.097)	0.204(.098)	0.184(.099)	0.128(.104)	0. (.302)
0.900	0.397(.104)	0.386(.105)	0.366(.106)	0.305(.110)	0. (.302)
0.925	0.593(.117)	0.584(.117)	0.568(.118)	0.516(.120)	0. (.302)
0.950	0.777(.134)	0.772(.134)	0.762(.134)	0.729(.135)	0. (.302)
0.975	0.924(.155)	0.922(.155)	0.918(.155)	0.906(.156)	0. (.302)
1.000	1.000(.179)	1.000(.179)	1.000(.179)	1.000(.180)	0. (.302)

4
3
2

420
E-8

*** RELATIVE ENERGY FLUX DENSITY IN THE ***
 *** PENUMBRA OF A RECTANGULAR CYLINDER ***

VERSION E

SOLAR FIELD ANGLE, D = 0.50 DEGREES
 GEOMETRY D2/R = 100.00 AND H/R = 0.

BETA = ANGLE OF INCIDENCE, DEGREES

BETA ***	0.	10.00	20.00	30.00	40.00
AX/AB	Q (Q1)	Q (Q1)	Q (Q1)	Q (Q1)	Q (Q1)
0.	1.000(.)	1.000(.)	1.000(.)	1.000(.)	1.000(.)
0.025	0.968(.025)	0.968(.025)	0.969(.025)	0.969(.025)	0.969(.025)
0.050	0.907(.048)	0.907(.048)	0.908(.048)	0.909(.048)	0.909(.048)
0.075	0.825(.070)	0.826(.070)	0.827(.070)	0.828(.070)	0.829(.070)
0.100	0.728(.089)	0.729(.089)	0.731(.089)	0.732(.089)	0.734(.089)
0.125	0.621(.106)	0.623(.106)	0.624(.106)	0.626(.106)	0.629(.106)
0.150	0.509(.120)	0.510(.120)	0.512(.120)	0.515(.121)	0.518(.121)
0.175	0.396(.131)	0.398(.132)	0.400(.132)	0.402(.132)	0.405(.132)
0.200	0.287(.140)	0.289(.140)	0.292(.140)	0.294(.141)	0.297(.141)
0.225	0.189(.146)	0.191(.146)	0.193(.146)	0.195(.147)	0.198(.147)
0.250	0.104(.150)	0.106(.150)	0.108(.150)	0.110(.151)	0.112(.151)
0.275	0.039(.151)	0.041(.152)	0.042(.152)	0.043(.153)	0.045(.153)
0.300	0.002(.152)	0.002(.152)	0.003(.153)	0.003(.153)	0.004(.154)
0.325	0. (.152)	0. (.152)	0. (.153)	0. (.153)	0. (.154)
0.350	0. (.152)	0. (.152)	0. (.153)	0. (.153)	0. (.154)
0.375	0. (.152)	0. (.152)	0. (.153)	0. (.153)	0. (.154)
0.400	0. (.152)	0. (.152)	0. (.153)	0. (.153)	0. (.154)
0.425	0. (.152)	0. (.152)	0. (.153)	0. (.153)	0. (.154)
0.450	0. (.152)	0. (.152)	0. (.153)	0. (.153)	0. (.154)
0.475	0. (.152)	0. (.152)	0. (.153)	0. (.153)	0. (.154)
0.500	0. (.152)	0. (.152)	0. (.153)	0. (.153)	0. (.154)
0.525	0. (.152)	0. (.152)	0. (.153)	0. (.153)	0. (.154)
0.550	0. (.152)	0. (.152)	0. (.153)	0. (.153)	0. (.154)
0.575	0. (.152)	0. (.152)	0. (.153)	0. (.153)	0. (.154)
0.600	0. (.152)	0. (.152)	0. (.153)	0. (.153)	0. (.154)
0.625	0. (.152)	0. (.152)	0. (.153)	0. (.153)	0. (.154)
0.650	0. (.152)	0. (.152)	0. (.153)	0. (.153)	0. (.154)
0.675	0. (.152)	0. (.152)	0. (.153)	0. (.153)	0. (.154)
0.700	0.002(.152)	0.001(.152)	0.001(.153)	0.001(.153)	0.000(.154)
0.725	0.039(.152)	0.038(.153)	0.037(.153)	0.036(.154)	0.034(.154)
0.750	0.104(.154)	0.103(.155)	0.101(.155)	0.099(.155)	0.097(.156)
0.775	0.189(.158)	0.187(.158)	0.185(.158)	0.182(.159)	0.180(.159)
0.800	0.287(.164)	0.285(.164)	0.283(.164)	0.281(.165)	0.278(.165)
0.825	0.396(.172)	0.394(.173)	0.392(.173)	0.389(.173)	0.386(.173)
0.850	0.509(.184)	0.507(.184)	0.505(.184)	0.502(.184)	0.500(.184)
0.875	0.621(.198)	0.619(.198)	0.618(.198)	0.616(.198)	0.613(.198)
7 0.900	0.728(.215)	0.727(.215)	0.726(.215)	0.724(.215)	0.722(.215)
0.925	0.825(.234)	0.824(.234)	0.823(.234)	0.822(.234)	0.821(.234)
6 0.950	0.907(.256)	0.906(.256)	0.906(.256)	0.905(.256)	0.905(.256)
0.975	0.968(.279)	0.968(.279)	0.968(.279)	0.968(.279)	0.967(.279)
1.000	1.000(.304)	1.000(.304)	1.000(.304)	1.000(.304)	1.000(.304)

*** RELATIVE ENERGY FLUX DENSITY IN THE ***
 *** PENUMBRA OF A RECTANGULAR CYLINDER ***

VERSION E

SOLAR FIELD ANGLE, D= 0.50 DEGREES
 GEOMETRY D2/R = 100.00 AND H/R = 0.

BETA = ANGLE OF INCIDENCE, DEGREES

BETA ***	50.00		60.00		70.00		80.00		89.25	
AX/AB	Q	(QI)	Q	(QI)	Q	(QI)	Q	(QI)	Q	(QI)
0.	1.000	(.)	1.000	(.)	1.000	(.)	1.000	(.)	1.000	(.)
0.025	0.969	(.025)	0.970	(.025)	0.971	(.025)	0.973	(.025)	0.997	(.025)
0.050	0.910	(.048)	0.912	(.048)	0.914	(.048)	0.922	(.048)	0.990	(.050)
0.075	0.831	(.070)	0.834	(.070)	0.838	(.070)	0.851	(.071)	0.981	(.074)
0.100	0.737	(.089)	0.740	(.090)	0.747	(.090)	0.767	(.091)	0.968	(.099)
0.125	0.632	(.107)	0.637	(.107)	0.646	(.107)	0.670	(.109)	0.952	(.123)
0.150	0.521	(.121)	0.527	(.121)	0.537	(.122)	0.567	(.124)	0.933	(.146)
0.175	0.409	(.133)	0.416	(.133)	0.427	(.134)	0.460	(.137)	0.909	(.169)
0.200	0.301	(.142)	0.308	(.142)	0.319	(.144)	0.353	(.147)	0.881	(.192)
0.225	0.202	(.148)	0.207	(.149)	0.219	(.150)	0.251	(.155)	0.848	(.213)
0.250	0.115	(.152)	0.120	(.153)	0.130	(.155)	0.159	(.160)	0.810	(.234)
0.275	0.047	(.154)	0.051	(.155)	0.059	(.157)	0.082	(.163)	0.765	(.254)
0.300	0.005	(.154)	0.007	(.156)	0.011	(.158)	0.024	(.164)	0.713	(.272)
0.325	0.	(.155)	0.	(.156)	0.	(.158)	0.	(.165)	0.654	(.289)
0.350	0.	(.155)	0.	(.156)	0.	(.158)	0.	(.165)	0.588	(.305)
0.375	0.	(.155)	0.	(.156)	0.	(.158)	0.	(.165)	0.514	(.319)
0.400	0.	(.155)	0.	(.156)	0.	(.158)	0.	(.165)	0.433	(.330)
0.425	0.	(.155)	0.	(.156)	0.	(.158)	0.	(.165)	0.345	(.340)
0.450	0.	(.155)	0.	(.156)	0.	(.158)	0.	(.165)	0.254	(.348)
0.475	0.	(.155)	0.	(.156)	0.	(.158)	0.	(.165)	0.163	(.353)
0.500	0.	(.155)	0.	(.156)	0.	(.158)	0.	(.165)	0.078	(.356)
0.525	0.	(.155)	0.	(.156)	0.	(.158)	0.	(.165)	0.014	(.357)
0.550	0.	(.155)	0.	(.156)	0.	(.158)	0.	(.165)	0.	(.357)
0.575	0.	(.155)	0.	(.156)	0.	(.158)	0.	(.165)	0.	(.357)
0.600	0.	(.155)	0.	(.156)	0.	(.158)	0.	(.165)	0.	(.357)
0.625	0.	(.155)	0.	(.156)	0.	(.158)	0.	(.165)	0.	(.357)
0.650	0.	(.155)	0.	(.156)	0.	(.158)	0.	(.165)	0.	(.357)
0.675	0.	(.155)	0.	(.156)	0.	(.158)	0.	(.165)	0.	(.357)
0.700	0.000	(.155)	0.	(.156)	0.	(.158)	0.	(.165)	0.	(.357)
0.725	0.032	(.155)	0.029	(.156)	0.023	(.158)	0.010	(.165)	0.	(.357)
0.750	0.094	(.156)	0.089	(.158)	0.080	(.160)	0.057	(.165)	0.	(.357)
0.775	0.176	(.160)	0.170	(.161)	0.160	(.163)	0.130	(.168)	0.	(.357)
0.800	0.274	(.165)	0.267	(.166)	0.256	(.168)	0.222	(.172)	0.	(.357)
0.825	0.382	(.174)	0.376	(.174)	0.364	(.175)	0.329	(.179)	0.	(.357)
0.850	0.496	(.185)	0.490	(.185)	0.479	(.186)	0.446	(.189)	0.	(.357)
0.875	0.610	(.198)	0.605	(.199)	0.595	(.199)	0.566	(.201)	0.	(.357)
0.900	0.719	(.215)	0.715	(.215)	0.708	(.216)	0.684	(.217)	0.	(.357)
0.925	0.819	(.234)	0.816	(.234)	0.811	(.235)	0.794	(.236)	0.	(.357)
0.950	0.903	(.256)	0.902	(.256)	0.899	(.256)	0.889	(.257)	0.078	(.358)
0.975	0.967	(.279)	0.966	(.279)	0.965	(.279)	0.962	(.280)	0.410	(.364)
1.000	1.000	(.304)	1.000	(.304)	1.000	(.304)	1.000	(.304)	1.000	(.382)

*** RELATIVE ENERGY FLUX DENSITY IN THE *** VERSION E
 *** PENUMBRA OF A RECTANGULAR CYLINDER ***

SOLAR FIELD ANGLE, D= 0.50 DEGREES
 GEOMETRY DZ/R = 1.00 AND H/R = 0.5

BETA = ANGLE OF INCIDENCE, DEGREES

BETA ***	0.		10.00		20.00		30.00		40.00	
AX/AB	Q	(QI)	Q	(QI)	Q	(QI)	Q	(QI)	Q	(QI)
0.	1.000	(.)	1.000	(.)	1.000	(.)	1.000	(.)	1.000	(.)
0.025	0.	(.012)	0.	(.012)	0.	(.012)	0.	(.012)	0.	(.012)
0.050	0.	(.012)	0.	(.012)	0.	(.012)	0.	(.012)	0.	(.012)
0.075	0.	(.012)	0.	(.012)	0.	(.012)	0.	(.012)	0.	(.012)
0.100	0.	(.012)	0.	(.012)	0.	(.012)	0.	(.012)	0.	(.012)
0.125	0.	(.012)	0.	(.012)	0.	(.012)	0.	(.012)	0.	(.012)
0.150	0.	(.012)	0.	(.012)	0.	(.012)	0.	(.012)	0.	(.012)
0.175	0.	(.012)	0.	(.012)	0.	(.012)	0.	(.012)	0.	(.012)
0.200	0.	(.012)	0.	(.012)	0.	(.012)	0.	(.012)	0.	(.012)
0.225	0.	(.012)	0.	(.012)	0.	(.012)	0.	(.012)	0.	(.012)
0.250	0.	(.012)	0.	(.012)	0.	(.012)	0.	(.012)	0.	(.012)
0.275	0.	(.012)	0.	(.012)	0.	(.012)	0.	(.012)	0.	(.012)
0.300	0.	(.012)	0.	(.012)	0.	(.012)	0.	(.012)	0.	(.012)
0.325	0.	(.012)	0.	(.012)	0.	(.012)	0.	(.012)	0.	(.012)
0.350	0.	(.012)	0.	(.012)	0.	(.012)	0.	(.012)	0.	(.012)
0.375	0.	(.012)	0.	(.012)	0.	(.012)	0.	(.012)	0.	(.012)
0.400	0.	(.012)	0.	(.012)	0.	(.012)	0.	(.012)	0.	(.012)
0.425	0.	(.012)	0.	(.012)	0.	(.012)	0.	(.012)	0.	(.012)
0.450	0.	(.012)	0.	(.012)	0.	(.012)	0.	(.012)	0.	(.012)
0.475	0.	(.012)	0.	(.012)	0.	(.012)	0.	(.012)	0.	(.012)
0.500	0.	(.012)	0.	(.012)	0.	(.012)	0.	(.012)	0.	(.012)
0.525	0.	(.012)	0.	(.012)	0.	(.012)	0.	(.012)	0.	(.012)
0.550	0.	(.012)	0.	(.012)	0.	(.012)	0.	(.012)	0.	(.012)
0.575	0.	(.012)	0.	(.012)	0.	(.012)	0.	(.012)	0.	(.012)
0.600	0.	(.012)	0.	(.012)	0.	(.012)	0.	(.012)	0.	(.012)
0.625	0.	(.012)	0.	(.012)	0.	(.012)	0.	(.012)	0.	(.012)
0.650	0.	(.012)	0.	(.012)	0.	(.012)	0.	(.012)	0.	(.012)
0.675	0.	(.012)	0.	(.012)	0.	(.012)	0.	(.012)	0.	(.012)
0.700	0.	(.012)	0.	(.012)	0.	(.012)	0.	(.012)	0.	(.012)
0.725	0.	(.012)	0.	(.012)	0.	(.012)	0.	(.012)	0.	(.012)
0.750	0.	(.012)	0.	(.012)	0.	(.012)	0.	(.012)	0.	(.012)
0.775	0.	(.012)	0.	(.012)	0.	(.012)	0.	(.012)	0.	(.012)
0.800	0.	(.012)	0.	(.012)	0.	(.012)	0.	(.012)	0.	(.012)
0.825	0.	(.012)	0.	(.012)	0.	(.012)	0.	(.012)	0.	(.012)
0.850	0.	(.012)	0.	(.012)	0.	(.012)	0.	(.012)	0.	(.012)
0.875	0.	(.012)	0.	(.012)	0.	(.012)	0.	(.012)	0.	(.012)
0.900	0.	(.012)	0.	(.012)	0.	(.012)	0.	(.012)	0.	(.012)
0.925	0.	(.012)	0.	(.012)	0.	(.012)	0.	(.012)	0.	(.012)
0.950	0.	(.012)	0.	(.012)	0.	(.012)	0.	(.012)	0.	(.012)
0.975	0.	(.012)	0.	(.012)	0.	(.012)	0.	(.012)	0.	(.012)
1.000	1.000	(.025)	1.000	(.025)	1.000	(.025)	1.000	(.025)	1.000	(.025)

*** RELATIVE ENERGY FLUX DENSITY IN THE *** VERSION E
 *** PENUMBRA OF A RECTANGULAR CYLINDER ***

SOLAR FIELD ANGLE, D= 0.50 DEGREES
 GEOMETRY D2/R = 1.00 AND H/R = 0.5

BETA = ANGLE OF INCIDENCE, DEGREES

BETA *** AX/AB	50.00 Q (QI)	60.00 Q (QI)	70.00 Q (QI)	80.00 Q (QI)	89.25 Q (QI)
0.	1.000(.)	1.000(.)	1.000(.)	1.000(.)	1.000(.)
0.025	0. (.012)	0. (.012)	0. (.012)	0.086(.014)	0.993(.025)
0.050	0. (.012)	0. (.012)	0. (.012)	0. (.015)	0.979(.050)
0.075	0. (.012)	0. (.012)	0. (.012)	0. (.015)	0.957(.074)
0.100	0. (.012)	0. (.012)	0. (.012)	0. (.015)	0.925(.097)
0.125	0. (.012)	0. (.012)	0. (.012)	0. (.015)	0.883(.120)
0.150	0. (.012)	0. (.012)	0. (.012)	0. (.015)	0.829(.141)
0.175	0. (.012)	0. (.012)	0. (.012)	0. (.015)	0.759(.161)
0.200	0. (.012)	0. (.012)	0. (.012)	0. (.015)	0.673(.179)
0.225	0. (.012)	0. (.012)	0. (.012)	0. (.015)	0.568(.195)
0.250	0. (.012)	0. (.012)	0. (.012)	0. (.015)	0.442(.207)
0.275	0. (.012)	0. (.012)	0. (.012)	0. (.015)	0.300(.216)
0.300	0. (.012)	0. (.012)	0. (.012)	0. (.015)	0.153(.222)
0.325	0. (.012)	0. (.012)	0. (.012)	0. (.015)	0.029(.224)
0.350	0. (.012)	0. (.012)	0. (.012)	0. (.015)	0. (.225)
0.375	0. (.012)	0. (.012)	0. (.012)	0. (.015)	0. (.225)
0.400	0. (.012)	0. (.012)	0. (.012)	0. (.015)	0. (.225)
0.425	0. (.012)	0. (.012)	0. (.012)	0. (.015)	0. (.225)
0.450	0. (.012)	0. (.012)	0. (.012)	0. (.015)	0. (.225)
0.475	0. (.012)	0. (.012)	0. (.012)	0. (.015)	0. (.225)
0.500	0. (.012)	0. (.012)	0. (.012)	0. (.015)	0. (.225)
0.525	0. (.012)	0. (.012)	0. (.012)	0. (.015)	0. (.225)
0.550	0. (.012)	0. (.012)	0. (.012)	0. (.015)	0. (.225)
0.575	0. (.012)	0. (.012)	0. (.012)	0. (.015)	0. (.225)
0.600	0. (.012)	0. (.012)	0. (.012)	0. (.015)	0. (.225)
0.625	0. (.012)	0. (.012)	0. (.012)	0. (.015)	0. (.225)
0.650	0. (.012)	0. (.012)	0. (.012)	0. (.015)	0. (.225)
0.675	0. (.012)	0. (.012)	0. (.012)	0. (.015)	0. (.225)
0.700	0. (.012)	0. (.012)	0. (.012)	0. (.015)	0. (.225)
0.725	0. (.012)	0. (.012)	0. (.012)	0. (.015)	0. (.225)
0.750	0. (.012)	0. (.012)	0. (.012)	0. (.015)	0. (.225)
0.775	0. (.012)	0. (.012)	0. (.012)	0. (.015)	0. (.225)
0.800	0. (.012)	0. (.012)	0. (.012)	0. (.015)	0. (.225)
0.825	0. (.012)	0. (.012)	0. (.012)	0. (.015)	0. (.225)
0.850	0. (.012)	0. (.012)	0. (.012)	0. (.015)	0. (.225)
0.875	0. (.012)	0. (.012)	0. (.012)	0. (.015)	0. (.225)
0.900	0. (.012)	0. (.012)	0. (.012)	0. (.015)	0. (.225)
0.925	0. (.012)	0. (.012)	0. (.012)	0. (.015)	0. (.225)
0.950	0. (.012)	0. (.012)	0. (.012)	0. (.015)	0. (.225)
0.975	0. (.012)	0. (.012)	0. (.012)	0. (.015)	0. (.225)
1.000	0. (.012)	0. (.012)	0. (.012)	0. (.015)	0. (.225)

RE-ORDER NO. 66-196
 App. 4
 Phase 11

*** RELATIVE ENERGY FLUX DENSITY IN THE ***
 *** PENUMBRA OF A RECTANGULAR CYLINDER ***

VERSION E

SOLAR FIELD ANGLE, D = 0.50 DEGREES
 GEOMETRY D2/R = 5.00 AND H/R = 0.5

BETA = ANGLE OF INCIDENCE, DEGREES

BETA ***	0.	10.00	20.00	30.00	40.00
AX/AB	Q (QI)	Q (QI)	Q (QI)	Q (QI)	Q (QI)
0.	1.000(.)	1.000(.)	1.000(.)	1.000(.)	1.000(.)
0.025	0. (.012)	0. (.012)	0. (.012)	0. (.012)	0. (.012)
0.050	0. (.012)	0. (.012)	0. (.012)	0. (.012)	0. (.012)
0.075	0. (.012)	0. (.012)	0. (.012)	0. (.012)	0. (.012)
0.100	0. (.012)	0. (.012)	0. (.012)	0. (.012)	0. (.012)
0.125	0. (.012)	0. (.012)	0. (.012)	0. (.012)	0. (.012)
0.150	0. (.012)	0. (.012)	0. (.012)	0. (.012)	0. (.012)
0.175	0. (.012)	0. (.012)	0. (.012)	0. (.012)	0. (.012)
0.200	0. (.012)	0. (.012)	0. (.012)	0. (.012)	0. (.012)
0.225	0. (.012)	0. (.012)	0. (.012)	0. (.012)	0. (.012)
0.250	0. (.012)	0. (.012)	0. (.012)	0. (.012)	0. (.012)
0.275	0. (.012)	0. (.012)	0. (.012)	0. (.012)	0. (.012)
0.300	0. (.012)	0. (.012)	0. (.012)	0. (.012)	0. (.012)
0.325	0. (.012)	0. (.012)	0. (.012)	0. (.012)	0. (.012)
0.350	0. (.012)	0. (.012)	0. (.012)	0. (.012)	0. (.012)
0.375	0. (.012)	0. (.012)	0. (.012)	0. (.012)	0. (.012)
0.400	0. (.012)	0. (.012)	0. (.012)	0. (.012)	0. (.012)
0.425	0. (.012)	0. (.012)	0. (.012)	0. (.012)	0. (.012)
0.450	0. (.012)	0. (.012)	0. (.012)	0. (.012)	0. (.012)
0.475	0. (.012)	0. (.012)	0. (.012)	0. (.012)	0. (.012)
0.500	0. (.012)	0. (.012)	0. (.012)	0. (.012)	0. (.012)
0.525	0. (.012)	0. (.012)	0. (.012)	0. (.012)	0. (.012)
0.550	0. (.012)	0. (.012)	0. (.012)	0. (.012)	0. (.012)
0.575	0. (.012)	0. (.012)	0. (.012)	0. (.012)	0. (.012)
0.600	0. (.012)	0. (.012)	0. (.012)	0. (.012)	0. (.012)
0.625	0. (.012)	0. (.012)	0. (.012)	0. (.012)	0. (.012)
0.650	0. (.012)	0. (.012)	0. (.012)	0. (.012)	0. (.012)
0.675	0. (.012)	0. (.012)	0. (.012)	0. (.012)	0. (.012)
0.700	0. (.012)	0. (.012)	0. (.012)	0. (.012)	0. (.012)
0.725	0. (.012)	0. (.012)	0. (.012)	0. (.012)	0. (.012)
0.750	0. (.012)	0. (.012)	0. (.012)	0. (.012)	0. (.012)
0.775	0. (.012)	0. (.012)	0. (.012)	0. (.012)	0. (.012)
0.800	0. (.012)	0. (.012)	0. (.012)	0. (.012)	0. (.012)
0.825	0. (.012)	0. (.012)	0. (.012)	0. (.012)	0. (.012)
0.850	0. (.012)	0. (.012)	0. (.012)	0. (.012)	0. (.012)
0.875	0. (.012)	0. (.012)	0. (.012)	0. (.012)	0. (.012)
0.900	0. (.012)	0. (.012)	0. (.012)	0. (.012)	0. (.012)
0.925	0. (.012)	0. (.012)	0. (.012)	0. (.012)	0. (.012)
0.950	0. (.012)	0. (.012)	0. (.012)	0. (.012)	0. (.012)
0.975	0. (.012)	0. (.012)	0. (.012)	0. (.012)	0. (.012)
1.000	1.000(.025)	1.000(.025)	1.000(.025)	1.000(.025)	1.000(.025)

425
 E-13

*** RELATIVE ENERGY FLUX DENSITY IN THE ***
 *** PENUMBRA OF A RECTANGULAR CYLINDER ***

VERSION E

SOLAR FIELD ANGLE, D= 0.50 DEGREES
 GEOMETRY D2/R = 5.00 AND H/R = 0.5

BETA = ANGLE OF INCIDENCE, DEGREES

BETA *** AX/AB	50.00		60.00		70.00		80.00		89.25	
	Q	(Q1)	Q	(Q1)	Q	(Q1)	Q	(Q1)	Q	(Q1)
0.	1.000(.)		1.000(.)		1.000(.)		1.000(.)		1.000(.)	
0.025	0.019(.013)		0.074(.013)		0.197(.015)		0.486(.019)		0.994(.025)	
0.050	0. (.013)		0. (.014)		0. (.017)		0. (.025)		0.980(.050)	
0.075	0. (.013)		0. (.014)		0. (.017)		0. (.025)		0.959(.074)	
0.100	0. (.013)		0. (.014)		0. (.017)		0. (.025)		0.930(.097)	
0.125	0. (.013)		0. (.014)		0. (.017)		0. (.025)		0.891(.120)	
0.150	0. (.013)		0. (.014)		0. (.017)		0. (.025)		0.840(.142)	
0.175	0. (.013)		0. (.014)		0. (.017)		0. (.025)		0.777(.162)	
0.200	0. (.013)		0. (.014)		0. (.017)		0. (.025)		0.697(.180)	
0.225	0. (.013)		0. (.014)		0. (.017)		0. (.025)		0.600(.197)	
0.250	0. (.013)		0. (.014)		0. (.017)		0. (.025)		0.485(.210)	
0.275	0. (.013)		0. (.014)		0. (.017)		0. (.025)		0.352(.221)	
0.300	0. (.013)		0. (.014)		0. (.017)		0. (.025)		0.210(.228)	
0.325	0. (.013)		0. (.014)		0. (.017)		0. (.025)		0.076(.231)	
0.350	0. (.013)		0. (.014)		0. (.017)		0. (.025)		0. (.232)	
0.375	0. (.013)		0. (.014)		0. (.017)		0. (.025)		0. (.232)	
0.400	0. (.013)		0. (.014)		0. (.017)		0. (.025)		0. (.232)	
0.425	0. (.013)		0. (.014)		0. (.017)		0. (.025)		0. (.232)	
0.450	0. (.013)		0. (.014)		0. (.017)		0. (.025)		0. (.232)	
0.475	0. (.013)		0. (.014)		0. (.017)		0. (.025)		0. (.232)	
0.500	0. (.013)		0. (.014)		0. (.017)		0. (.025)		0. (.232)	
0.525	0. (.013)		0. (.014)		0. (.017)		0. (.025)		0. (.232)	
0.550	0. (.013)		0. (.014)		0. (.017)		0. (.025)		0. (.232)	
0.575	0. (.013)		0. (.014)		0. (.017)		0. (.025)		0. (.232)	
0.600	0. (.013)		0. (.014)		0. (.017)		0. (.025)		0. (.232)	
0.625	0. (.013)		0. (.014)		0. (.017)		0. (.025)		0. (.232)	
0.650	0. (.013)		0. (.014)		0. (.017)		0. (.025)		0. (.232)	
0.675	0. (.013)		0. (.014)		0. (.017)		0. (.025)		0. (.232)	
0.700	0. (.013)		0. (.014)		0. (.017)		0. (.025)		0. (.232)	
0.725	0. (.013)		0. (.014)		0. (.017)		0. (.025)		0. (.232)	
0.750	0. (.013)		0. (.014)		0. (.017)		0. (.025)		0. (.232)	
0.775	0. (.013)		0. (.014)		0. (.017)		0. (.025)		0. (.232)	
0.800	0. (.013)		0. (.014)		0. (.017)		0. (.025)		0. (.232)	
0.825	0. (.013)		0. (.014)		0. (.017)		0. (.025)		0. (.232)	
0.850	0. (.013)		0. (.014)		0. (.017)		0. (.025)		0. (.232)	
0.875	0. (.013)		0. (.014)		0. (.017)		0. (.025)		0. (.232)	
0.900	0. (.013)		0. (.014)		0. (.017)		0. (.025)		0. (.232)	
0.925	0. (.013)		0. (.014)		0. (.017)		0. (.025)		0. (.232)	
0.950	0. (.013)		0. (.014)		0. (.017)		0. (.025)		0. (.232)	
0.975	0. (.013)		0. (.014)		0. (.017)		0. (.025)		0. (.232)	
1.000	1.000(.025)		1.000(.027)		1.000(.030)		0. (.025)		0. (.232)	

4
3
2

*** RELATIVE ENERGY FLUX DENSITY IN THE *** VERSION E
 *** PENUMBRA OF A RECTANGULAR CYLINDER ***

SOLAR FIELD ANGLE, D = 0.50 DEGREES
 GEOMETRY D2/R = 10.00 AND H/R = 0.5

BETA = ANGLE OF INCIDENCE, DEGREES

BETA ***	0.	10.00	20.00	30.00	40.00
AX/AB	Q (QI)	Q (QI)	Q (QI)	Q (QI)	Q (QI)
0.	1.000(.)	1.000(.)	1.000(.)	1.000(.)	1.000(.)
0.025	0.393(.017)	0.408(.018)	0.423(.018)	0.440(.018)	0.461(.018)
0.050	0. (.022)	0. (.023)	0. (.023)	0. (.024)	0. (.024)
0.075	0. (.022)	0. (.023)	0. (.023)	0. (.024)	0. (.024)
0.100	0. (.022)	0. (.023)	0. (.023)	0. (.024)	0. (.024)
0.125	0. (.022)	0. (.023)	0. (.023)	0. (.024)	0. (.024)
0.150	0. (.022)	0. (.023)	0. (.023)	0. (.024)	0. (.024)
0.175	0. (.022)	0. (.023)	0. (.023)	0. (.024)	0. (.024)
0.200	0. (.022)	0. (.023)	0. (.023)	0. (.024)	0. (.024)
0.225	0. (.022)	0. (.023)	0. (.023)	0. (.024)	0. (.024)
0.250	0. (.022)	0. (.023)	0. (.023)	0. (.024)	0. (.024)
0.275	0. (.022)	0. (.023)	0. (.023)	0. (.024)	0. (.024)
0.300	0. (.022)	0. (.023)	0. (.023)	0. (.024)	0. (.024)
0.325	0. (.022)	0. (.023)	0. (.023)	0. (.024)	0. (.024)
0.350	0. (.022)	0. (.023)	0. (.023)	0. (.024)	0. (.024)
0.375	0. (.022)	0. (.023)	0. (.023)	0. (.024)	0. (.024)
0.400	0. (.022)	0. (.023)	0. (.023)	0. (.024)	0. (.024)
0.425	0. (.022)	0. (.023)	0. (.023)	0. (.024)	0. (.024)
0.450	0. (.022)	0. (.023)	0. (.023)	0. (.024)	0. (.024)
0.475	0. (.022)	0. (.023)	0. (.023)	0. (.024)	0. (.024)
0.500	0. (.022)	0. (.023)	0. (.023)	0. (.024)	0. (.024)
0.525	0. (.022)	0. (.023)	0. (.023)	0. (.024)	0. (.024)
0.550	0. (.022)	0. (.023)	0. (.023)	0. (.024)	0. (.024)
0.575	0. (.022)	0. (.023)	0. (.023)	0. (.024)	0. (.024)
0.600	0. (.022)	0. (.023)	0. (.023)	0. (.024)	0. (.024)
0.625	0. (.022)	0. (.023)	0. (.023)	0. (.024)	0. (.024)
0.650	0. (.022)	0. (.023)	0. (.023)	0. (.024)	0. (.024)
0.675	0. (.022)	0. (.023)	0. (.023)	0. (.024)	0. (.024)
0.700	0. (.022)	0. (.023)	0. (.023)	0. (.024)	0. (.024)
0.725	0. (.022)	0. (.023)	0. (.023)	0. (.024)	0. (.024)
0.750	0. (.022)	0. (.023)	0. (.023)	0. (.024)	0. (.024)
0.775	0. (.022)	0. (.023)	0. (.023)	0. (.024)	0. (.024)
0.800	0. (.022)	0. (.023)	0. (.023)	0. (.024)	0. (.024)
0.825	0. (.022)	0. (.023)	0. (.023)	0. (.024)	0. (.024)
0.850	0. (.022)	0. (.023)	0. (.023)	0. (.024)	0. (.024)
0.875	0. (.022)	0. (.023)	0. (.023)	0. (.024)	0. (.024)
0.900	0. (.022)	0. (.023)	0. (.023)	0. (.024)	0. (.024)
0.925	0. (.022)	0. (.023)	0. (.023)	0. (.024)	0. (.024)
0.950	0. (.022)	0. (.023)	0. (.023)	0. (.024)	0. (.024)
0.975	0.393(.027)	0.378(.027)	0.361(.028)	0.341(.028)	0.315(.028)
1.000	1.000(.045)	1.000(.045)	1.000(.045)	1.000(.045)	1.000(.044)

*** RELATIVE ENERGY FLUX DENSITY IN THE ***
 *** PENUMBRA OF A RECTANGULAR CYLINDER ***
 VERSION E

SOLAR FIELD ANGLE, D = 0.50 DEGREES
 GEOMETRY D2/R = 10.00 AND H/R = 0.5

BETA = ANGLE OF INCIDENCE, DEGREES

BETA ***	50.00		60.00		70.00		80.00		89.25	
AX/AB	Q	(QI)	Q	(QI)	Q	(QI)	Q	(QI)	Q	(QI)
0.	1.000	(.)	1.000	(.)	1.000	(.)	1.000	(.)	1.000	(.)
0.025	0.486	(.019)	0.521	(.019)	0.576	(.020)	0.695	(.021)	0.994	(.025)
0.050	0.	(.025)	0.	(.026)	0.022	(.027)	0.185	(.032)	0.981	(.050)
0.075	0.	(.025)	0.	(.026)	0.	(.027)	0.	(.034)	0.962	(.074)
0.100	0.	(.025)	0.	(.026)	0.	(.027)	0.	(.034)	0.935	(.098)
0.125	0.	(.025)	0.	(.026)	0.	(.027)	0.	(.034)	0.899	(.121)
0.150	0.	(.025)	0.	(.026)	0.	(.027)	0.	(.034)	0.853	(.142)
0.175	0.	(.025)	0.	(.026)	0.	(.027)	0.	(.034)	0.795	(.163)
0.200	0.	(.025)	0.	(.026)	0.	(.027)	0.	(.034)	0.723	(.182)
0.225	0.	(.025)	0.	(.026)	0.	(.027)	0.	(.034)	0.635	(.199)
0.250	0.	(.025)	0.	(.026)	0.	(.027)	0.	(.034)	0.530	(.214)
0.275	0.	(.025)	0.	(.026)	0.	(.027)	0.	(.034)	0.408	(.225)
0.300	0.	(.025)	0.	(.026)	0.	(.027)	0.	(.034)	0.274	(.234)
0.325	0.	(.025)	0.	(.026)	0.	(.027)	0.	(.034)	0.138	(.239)
0.350	0.	(.025)	0.	(.026)	0.	(.027)	0.	(.034)	0.026	(.241)
0.375	0.	(.025)	0.	(.026)	0.	(.027)	0.	(.034)	0.	(.241)
0.400	0.	(.025)	0.	(.026)	0.	(.027)	0.	(.034)	0.	(.241)
0.425	0.	(.025)	0.	(.026)	0.	(.027)	0.	(.034)	0.	(.241)
0.450	0.	(.025)	0.	(.026)	0.	(.027)	0.	(.034)	0.	(.241)
0.475	0.	(.025)	0.	(.026)	0.	(.027)	0.	(.034)	0.	(.241)
0.500	0.	(.025)	0.	(.026)	0.	(.027)	0.	(.034)	0.	(.241)
0.525	0.	(.025)	0.	(.026)	0.	(.027)	0.	(.034)	0.	(.241)
0.550	0.	(.025)	0.	(.026)	0.	(.027)	0.	(.034)	0.	(.241)
0.575	0.	(.025)	0.	(.026)	0.	(.027)	0.	(.034)	0.	(.241)
0.600	0.	(.025)	0.	(.026)	0.	(.027)	0.	(.034)	0.	(.241)
0.625	0.	(.025)	0.	(.026)	0.	(.027)	0.	(.034)	0.	(.241)
0.650	0.	(.025)	0.	(.026)	0.	(.027)	0.	(.034)	0.	(.241)
0.675	0.	(.025)	0.	(.026)	0.	(.027)	0.	(.034)	0.	(.241)
0.700	0.	(.025)	0.	(.026)	0.	(.027)	0.	(.034)	0.	(.241)
0.725	0.	(.025)	0.	(.026)	0.	(.027)	0.	(.034)	0.	(.241)
0.750	0.	(.025)	0.	(.026)	0.	(.027)	0.	(.034)	0.	(.241)
0.775	0.	(.025)	0.	(.026)	0.	(.027)	0.	(.034)	0.	(.241)
0.800	0.	(.025)	0.	(.026)	0.	(.027)	0.	(.034)	0.	(.241)
0.825	0.	(.025)	0.	(.026)	0.	(.027)	0.	(.034)	0.	(.241)
0.850	0.	(.025)	0.	(.026)	0.	(.027)	0.	(.034)	0.	(.241)
0.875	0.	(.025)	0.	(.026)	0.	(.027)	0.	(.034)	0.	(.241)
0.900	0.	(.025)	0.	(.026)	0.	(.027)	0.	(.034)	0.	(.241)
0.925	0.	(.025)	0.	(.026)	0.	(.027)	0.	(.034)	0.	(.241)
0.950	0.	(.025)	0.	(.026)	0.	(.027)	0.	(.034)	0.	(.241)
0.975	0.280	(.028)	0.222	(.028)	0.108	(.029)	0.	(.034)	0.	(.241)
1.000	1.000	(.044)	1.000	(.044)	1.000	(.043)	1.000	(.047)	0.	(.241)

*** RELATIVE ENERGY FLUX DENSITY IN THE ***
 *** PENUMBRA OF A RECTANGULAR CYLINDER ***

VERSION E

SOLAR FIELD ANGLE, D= 0.50 DEGREES
 GEOMETRY D2/R = 50.00 AND H/R = 0.5

BETA = ANGLE OF INCIDENCE, DEGREES

BETA *** AX/AB	0.		10.00		20.00		30.00		40.00	
	Q	(QI)	Q	(QI)	Q	(QI)	Q	(QI)	Q	(QI)
0.	1.000(.))	1.000(.))	1.000(.))	1.000(.))	1.000(.))
0.025	0.929(.024))	0.929(.024))	0.930(.024))	0.931(.024))	0.932(.024))
0.050	0.791(.046))	0.793(.046))	0.795(.046))	0.796(.046))	0.799(.046))
0.075	0.616(.063))	0.618(.063))	0.621(.063))	0.624(.063))	0.628(.064))
0.100	0.424(.076))	0.428(.076))	0.431(.077))	0.435(.077))	0.440(.077))
0.125	0.241(.085))	0.244(.085))	0.248(.085))	0.252(.085))	0.257(.086))
0.150	0.091(.089))	0.094(.089))	0.097(.089))	0.101(.090))	0.105(.090))
0.175	0.004(.090))	0.005(.090))	0.006(.091))	0.008(.091))	0.010(.092))
0.200	0. (.090))	0. (.090))	0. (.091))	0. (.091))	0. (.092))
0.225	0. (.090))	0. (.090))	0. (.091))	0. (.091))	0. (.092))
0.250	0. (.090))	0. (.090))	0. (.091))	0. (.091))	0. (.092))
0.275	0. (.090))	0. (.090))	0. (.091))	0. (.091))	0. (.092))
0.300	0. (.090))	0. (.090))	0. (.091))	0. (.091))	0. (.092))
0.325	0. (.090))	0. (.090))	0. (.091))	0. (.091))	0. (.092))
0.350	0. (.090))	0. (.090))	0. (.091))	0. (.091))	0. (.092))
0.375	0. (.090))	0. (.090))	0. (.091))	0. (.091))	0. (.092))
0.400	0. (.090))	0. (.090))	0. (.091))	0. (.091))	0. (.092))
0.425	0. (.090))	0. (.090))	0. (.091))	0. (.091))	0. (.092))
0.450	0. (.090))	0. (.090))	0. (.091))	0. (.091))	0. (.092))
0.475	0. (.090))	0. (.090))	0. (.091))	0. (.091))	0. (.092))
0.500	0. (.090))	0. (.090))	0. (.091))	0. (.091))	0. (.092))
0.525	0. (.090))	0. (.090))	0. (.091))	0. (.091))	0. (.092))
0.550	0. (.090))	0. (.090))	0. (.091))	0. (.091))	0. (.092))
0.575	0. (.090))	0. (.090))	0. (.091))	0. (.091))	0. (.092))
0.600	0. (.090))	0. (.090))	0. (.091))	0. (.091))	0. (.092))
0.625	0. (.090))	0. (.090))	0. (.091))	0. (.091))	0. (.092))
0.650	0. (.090))	0. (.090))	0. (.091))	0. (.091))	0. (.092))
0.675	0. (.090))	0. (.090))	0. (.091))	0. (.091))	0. (.092))
0.700	0. (.090))	0. (.090))	0. (.091))	0. (.091))	0. (.092))
0.725	0. (.090))	0. (.090))	0. (.091))	0. (.091))	0. (.092))
0.750	0. (.090))	0. (.090))	0. (.091))	0. (.091))	0. (.092))
0.775	0. (.090))	0. (.090))	0. (.091))	0. (.091))	0. (.092))
0.800	0. (.090))	0. (.090))	0. (.091))	0. (.091))	0. (.092))
0.825	0.004(.090))	0.003(.090))	0.002(.091))	0.001(.091))	0.000(.092))
0.850	0.091(.091))	0.088(.091))	0.085(.092))	0.082(.092))	0.078(.093))
0.875	0.241(.095))	0.237(.096))	0.233(.096))	0.229(.096))	0.224(.097))
0.900	0.424(.104))	0.421(.104))	0.417(.104))	0.413(.104))	0.408(.104))
0.925	0.616(.117))	0.613(.117))	0.610(.117))	0.607(.117))	0.603(.117))
0.950	0.791(.134))	0.790(.134))	0.788(.134))	0.786(.134))	0.784(.134))
0.975	0.929(.156))	0.928(.156))	0.928(.156))	0.927(.156))	0.926(.156))
1.000	1.000(.180))	1.000(.180))	1.000(.180))	1.000(.180))	1.000(.180))

*** RELATIVE ENERGY FLUX DENSITY IN THE ***
 *** PENUMBRA OF A RECTANGULAR CYLINDER ***

VERSION E

SOLAR FIELD ANGLE, D= 0.50 DEGREES
 GEOMETRY D2/R = 50.00 AND H/R = 0.5

BETA = ANGLE OF INCIDENCE, DEGREES

BETA *** AX/AB	50.00 Q (QI)	60.00 Q (QI)	70.00 Q (QI)	80.00 Q (QI)	89.25 Q (QI)
0.	1.000(.)	1.000(.)	1.000(.)	1.000(.)	1.000(.)
0.025	0.933(.024)	0.934(.024)	0.937(.024)	0.945(.024)	0.996(.025)
0.050	0.802(.046)	0.806(.046)	0.814(.046)	0.836(.047)	0.987(.050)
0.075	0.633(.064)	0.641(.064)	0.654(.064)	0.691(.066)	0.974(.074)
0.100	0.447(.077)	0.457(.078)	0.475(.079)	0.525(.081)	0.957(.098)
0.125	0.264(.086)	0.275(.087)	0.295(.088)	0.351(.092)	0.935(.122)
0.150	0.111(.091)	0.120(.092)	0.138(.094)	0.191(.099)	0.907(.145)
0.175	0.013(.092)	0.017(.094)	0.028(.096)	0.064(.102)	0.873(.167)
0.200	0. (.093)	0. (.094)	0. (.096)	0. (.103)	0.832(.189)
0.225	0. (.093)	0. (.094)	0. (.096)	0. (.103)	0.782(.209)
0.250	0. (.093)	0. (.094)	0. (.096)	0. (.103)	0.723(.228)
0.275	0. (.093)	0. (.094)	0. (.096)	0. (.103)	0.655(.245)
0.300	0. (.093)	0. (.094)	0. (.096)	0. (.103)	0.576(.260)
0.325	0. (.093)	0. (.094)	0. (.096)	0. (.103)	0.485(.273)
0.350	0. (.093)	0. (.094)	0. (.096)	0. (.103)	0.385(.284)
0.375	0. (.093)	0. (.094)	0. (.096)	0. (.103)	0.278(.293)
0.400	0. (.093)	0. (.094)	0. (.096)	0. (.103)	0.168(.298)
0.425	0. (.093)	0. (.094)	0. (.096)	0. (.103)	0.069(.301)
0.450	0. (.093)	0. (.094)	0. (.096)	0. (.103)	0.002(.302)
0.475	0. (.093)	0. (.094)	0. (.096)	0. (.103)	0. (.302)
0.500	0. (.093)	0. (.094)	0. (.096)	0. (.103)	0. (.302)
0.525	0. (.093)	0. (.094)	0. (.096)	0. (.103)	0. (.302)
0.550	0. (.093)	0. (.094)	0. (.096)	0. (.103)	0. (.302)
0.575	0. (.093)	0. (.094)	0. (.096)	0. (.103)	0. (.302)
0.600	0. (.093)	0. (.094)	0. (.096)	0. (.103)	0. (.302)
0.625	0. (.093)	0. (.094)	0. (.096)	0. (.103)	0. (.302)
0.650	0. (.093)	0. (.094)	0. (.096)	0. (.103)	0. (.302)
0.675	0. (.093)	0. (.094)	0. (.096)	0. (.103)	0. (.302)
0.700	0. (.093)	0. (.094)	0. (.096)	0. (.103)	0. (.302)
0.725	0. (.093)	0. (.094)	0. (.096)	0. (.103)	0. (.302)
0.750	0. (.093)	0. (.094)	0. (.096)	0. (.103)	0. (.302)
0.775	0. (.093)	0. (.094)	0. (.096)	0. (.103)	0. (.302)
0.800	0. (.093)	0. (.094)	0. (.096)	0. (.103)	0. (.302)
0.825	0. (.093)	0. (.094)	0. (.096)	0. (.103)	0. (.302)
0.850	0.072(.093)	0.064(.095)	0.050(.097)	0.015(.103)	0. (.302)
0.875	0.217(.097)	0.206(.098)	0.186(.100)	0.129(.105)	0. (.302)
0.900	0.401(.105)	0.391(.105)	0.370(.107)	0.309(.110)	0. (.302)
0.925	0.598(.117)	0.589(.118)	0.573(.118)	0.522(.120)	0. (.302)
0.950	0.780(.135)	0.775(.135)	0.765(.135)	0.732(.136)	0. (.302)
0.975	0.925(.156)	0.923(.156)	0.919(.156)	0.907(.157)	0. (.302)
1.000	1.000(.180)	1.000(.180)	1.000(.180)	1.000(.180)	0. (.302)

*App. A.
Phase*

*** RELATIVE ENERGY FLUX DENSITY IN THE ***
 *** PENUMBRA OF A RECTANGULAR CYLINDER ***

VERSION E

SOLAR FIELD ANGLE, D= 0.50 DEGREES
 GEOMETRY D2/R = 100.00 AND H/R = 0.5

BETA = ANGLE OF INCIDENCE, DEGREES

BETA ***	0.	10.00	20.00	30.00	40.00
AX/AB	Q (QI)	Q (QI)	Q (QI)	Q (QI)	Q (QI)
0.	1.000(.)	1.000(.)	1.000(.)	1.000(.)	1.000(.)
0.025	0.968(.025)	0.969(.025)	0.969(.025)	0.969(.025)	0.969(.025)
0.050	0.907(.048)	0.906(.048)	0.908(.048)	0.909(.048)	0.910(.048)
0.075	0.826(.070)	0.827(.070)	0.828(.070)	0.829(.070)	0.830(.070)
0.100	0.730(.089)	0.731(.089)	0.732(.089)	0.734(.089)	0.736(.089)
0.125	0.623(.106)	0.625(.106)	0.626(.106)	0.628(.106)	0.631(.107)
0.150	0.511(.120)	0.513(.120)	0.515(.121)	0.517(.121)	0.520(.121)
0.175	0.397(.132)	0.399(.132)	0.402(.132)	0.404(.132)	0.407(.132)
0.200	0.288(.140)	0.290(.140)	0.293(.141)	0.295(.141)	0.298(.141)
0.225	0.189(.146)	0.191(.146)	0.193(.147)	0.195(.147)	0.198(.147)
0.250	0.104(.150)	0.106(.150)	0.107(.150)	0.109(.151)	0.112(.151)
0.275	0.039(.152)	0.040(.152)	0.041(.152)	0.043(.153)	0.044(.153)
0.300	0.001(.152)	0.002(.152)	0.002(.153)	0.003(.153)	0.004(.154)
0.325	0. (.152)	0. (.152)	0. (.153)	0. (.153)	0. (.154)
0.350	0. (.152)	0. (.152)	0. (.153)	0. (.153)	0. (.154)
0.375	0. (.152)	0. (.152)	0. (.153)	0. (.153)	0. (.154)
0.400	0. (.152)	0. (.152)	0. (.153)	0. (.153)	0. (.154)
0.425	0. (.152)	0. (.152)	0. (.153)	0. (.153)	0. (.154)
0.450	0. (.152)	0. (.152)	0. (.153)	0. (.153)	0. (.154)
0.475	0. (.152)	0. (.152)	0. (.153)	0. (.153)	0. (.154)
0.500	0. (.152)	0. (.152)	0. (.153)	0. (.153)	0. (.154)
0.525	0. (.152)	0. (.152)	0. (.153)	0. (.153)	0. (.154)
0.550	0. (.152)	0. (.152)	0. (.153)	0. (.153)	0. (.154)
0.575	0. (.152)	0. (.152)	0. (.153)	0. (.153)	0. (.154)
0.600	0. (.152)	0. (.152)	0. (.153)	0. (.153)	0. (.154)
0.625	0. (.152)	0. (.152)	0. (.153)	0. (.153)	0. (.154)
0.650	0. (.152)	0. (.152)	0. (.153)	0. (.153)	0. (.154)
0.675	0. (.152)	0. (.152)	0. (.153)	0. (.153)	0. (.154)
0.700	0.001(.152)	0.001(.153)	0.001(.153)	0.000(.153)	0.000(.154)
0.725	0.039(.153)	0.038(.153)	0.037(.153)	0.035(.154)	0.034(.154)
0.750	0.104(.154)	0.102(.155)	0.101(.155)	0.099(.156)	0.096(.156)
0.775	0.189(.158)	0.187(.158)	0.185(.159)	0.183(.159)	0.180(.159)
0.800	0.288(.164)	0.286(.164)	0.284(.165)	0.282(.165)	0.279(.165)
0.825	0.397(.173)	0.395(.173)	0.393(.173)	0.391(.173)	0.388(.174)
0.850	0.511(.184)	0.509(.184)	0.507(.184)	0.505(.184)	0.502(.185)
0.875	0.623(.198)	0.621(.198)	0.620(.198)	0.618(.198)	0.615(.199)
0.900	0.730(.215)	0.728(.215)	0.727(.215)	0.725(.215)	0.724(.215)
0.925	0.826(.234)	0.825(.235)	0.824(.235)	0.823(.235)	0.822(.235)
0.950	0.907(.256)	0.907(.256)	0.906(.256)	0.906(.256)	0.905(.256)
0.975	0.968(.280)	0.968(.280)	0.968(.280)	0.968(.280)	0.968(.280)
1.000	1.000(.304)	1.000(.304)	1.000(.304)	1.000(.304)	1.000(.304)

431
E-19

RECORDED IN 66-196
 app. 9
 Phase II

*** RELATIVE ENERGY FLUX DENSITY IN THE ***
 *** PENUMBRA OF A RECTANGULAR CYLINDER ***
 VERSION E

SOLAR FIELD ANGLE, D = 0.50 DEGREES
 GEOMETRY D2/R = 100.00 AND H/R = 0.5

BETA = ANGLE OF INCIDENCE, DEGREES

BETA ***	50.00		60.00		70.00		80.00		89.25	
AX/AB	Q	(QI)	Q	(QI)	Q	(QI)	Q	(QI)	Q	(QI)
0.	1.000	(.)	1.000	(.)	1.000	(.)	1.000	(.)	1.000	(.)
0.025	0.970	(.025)	0.970	(.025)	0.971	(.025)	0.974	(.025)	0.997	(.025)
0.050	0.911	(.048)	0.912	(.048)	0.915	(.048)	0.922	(.048)	0.990	(.050)
0.075	0.832	(.070)	0.835	(.070)	0.839	(.070)	0.852	(.071)	0.981	(.074)
0.100	0.738	(.090)	0.742	(.090)	0.749	(.090)	0.768	(.091)	0.968	(.099)
0.125	0.634	(.107)	0.639	(.107)	0.647	(.107)	0.672	(.109)	0.953	(.123)
0.150	0.524	(.121)	0.529	(.122)	0.540	(.122)	0.569	(.124)	0.933	(.146)
0.175	0.411	(.133)	0.417	(.133)	0.429	(.134)	0.462	(.137)	0.910	(.169)
0.200	0.302	(.142)	0.309	(.142)	0.320	(.144)	0.354	(.147)	0.882	(.192)
0.225	0.202	(.148)	0.208	(.149)	0.219	(.150)	0.252	(.155)	0.849	(.213)
0.250	0.115	(.152)	0.120	(.153)	0.130	(.155)	0.159	(.160)	0.810	(.234)
0.275	0.047	(.154)	0.051	(.155)	0.058	(.157)	0.081	(.163)	0.765	(.254)
0.300	0.005	(.155)	0.006	(.156)	0.010	(.158)	0.024	(.164)	0.714	(.272)
0.325	0.	(.155)	0.	(.156)	0.	(.158)	0.	(.165)	0.655	(.289)
0.350	0.	(.155)	0.	(.156)	0.	(.158)	0.	(.165)	0.589	(.305)
0.375	0.	(.155)	0.	(.156)	0.	(.158)	0.	(.165)	0.515	(.319)
0.400	0.	(.155)	0.	(.156)	0.	(.158)	0.	(.165)	0.434	(.331)
0.425	0.	(.155)	0.	(.156)	0.	(.158)	0.	(.165)	0.346	(.340)
0.450	0.	(.155)	0.	(.156)	0.	(.158)	0.	(.165)	0.254	(.348)
0.475	0.	(.155)	0.	(.156)	0.	(.158)	0.	(.165)	0.162	(.353)
0.500	0.	(.155)	0.	(.156)	0.	(.158)	0.	(.165)	0.078	(.356)
0.525	0.	(.155)	0.	(.156)	0.	(.158)	0.	(.165)	0.013	(.357)
0.550	0.	(.155)	0.	(.156)	0.	(.158)	0.	(.165)	0.	(.357)
0.575	0.	(.155)	0.	(.156)	0.	(.158)	0.	(.165)	0.	(.357)
0.600	0.	(.155)	0.	(.156)	0.	(.158)	0.	(.165)	0.	(.357)
0.625	0.	(.155)	0.	(.156)	0.	(.158)	0.	(.165)	0.	(.357)
0.650	0.	(.155)	0.	(.156)	0.	(.158)	0.	(.165)	0.	(.357)
0.675	0.	(.155)	0.	(.156)	0.	(.158)	0.	(.165)	0.	(.357)
0.700	0.	(.155)	0.	(.156)	0.	(.158)	0.	(.165)	0.	(.357)
0.725	0.031	(.155)	0.028	(.156)	0.023	(.158)	0.009	(.165)	0.	(.357)
0.750	0.093	(.157)	0.089	(.158)	0.080	(.160)	0.057	(.166)	0.	(.357)
0.775	0.176	(.160)	0.170	(.161)	0.160	(.163)	0.130	(.168)	0.	(.357)
0.800	0.274	(.166)	0.268	(.166)	0.256	(.168)	0.223	(.172)	0.	(.357)
0.825	0.384	(.174)	0.377	(.175)	0.365	(.176)	0.331	(.179)	0.	(.357)
0.850	0.498	(.185)	0.492	(.185)	0.481	(.186)	0.448	(.189)	0.	(.357)
0.875	0.612	(.199)	0.607	(.199)	0.597	(.200)	0.568	(.202)	0.	(.357)
0.900	0.721	(.215)	0.717	(.216)	0.709	(.216)	0.686	(.217)	0.	(.357)
0.925	0.820	(.235)	0.817	(.235)	0.812	(.235)	0.795	(.236)	0.	(.357)
0.950	0.904	(.256)	0.902	(.256)	0.899	(.257)	0.890	(.257)	0.077	(.358)
0.975	0.967	(.280)	0.967	(.280)	0.966	(.280)	0.962	(.280)	0.419	(.365)
1.000	1.000	(.304)	1.000	(.304)	1.000	(.304)	1.000	(.305)	1.000	(.382)

432
 E-20

*** RELATIVE ENERGY FLUX DENSITY IN THE ***
 *** PENUMBRA OF A RECTANGULAR CYLINDER ***

VERSION E

SOLAR FIELD ANGLE, D= 0.50 DEGREES
 GEOMETRY D2/R = 1.00 AND H/R = 1.0

BETA = ANGLE OF INCIDENCE, DEGREES

BETA ***	0.		10.00		20.00		30.00		40.00	
AX/AB	Q	(QI)	Q	(QI)	Q	(QI)	Q	(QI)	Q	(QI)
0.	1.000	(.)	1.000	(.)	1.000	(.)	1.000	(.)	1.000	(.)
0.025	0.	(.012)	0.	(.012)	0.	(.012)	0.	(.012)	0.	(.012)
0.050	0.	(.012)	0.	(.012)	0.	(.012)	0.	(.012)	0.	(.012)
0.075	0.	(.012)	0.	(.012)	0.	(.012)	0.	(.012)	0.	(.012)
0.100	0.	(.012)	0.	(.012)	0.	(.012)	0.	(.012)	0.	(.012)
0.125	0.	(.012)	0.	(.012)	0.	(.012)	0.	(.012)	0.	(.012)
0.150	0.	(.012)	0.	(.012)	0.	(.012)	0.	(.012)	0.	(.012)
0.175	0.	(.012)	0.	(.012)	0.	(.012)	0.	(.012)	0.	(.012)
0.200	0.	(.012)	0.	(.012)	0.	(.012)	0.	(.012)	0.	(.012)
0.225	0.	(.012)	0.	(.012)	0.	(.012)	0.	(.012)	0.	(.012)
0.250	0.	(.012)	0.	(.012)	0.	(.012)	0.	(.012)	0.	(.012)
0.275	0.	(.012)	0.	(.012)	0.	(.012)	0.	(.012)	0.	(.012)
0.300	0.	(.012)	0.	(.012)	0.	(.012)	0.	(.012)	0.	(.012)
0.325	0.	(.012)	0.	(.012)	0.	(.012)	0.	(.012)	0.	(.012)
0.350	0.	(.012)	0.	(.012)	0.	(.012)	0.	(.012)	0.	(.012)
0.375	0.	(.012)	0.	(.012)	0.	(.012)	0.	(.012)	0.	(.012)
0.400	0.	(.012)	0.	(.012)	0.	(.012)	0.	(.012)	0.	(.012)
0.425	0.	(.012)	0.	(.012)	0.	(.012)	0.	(.012)	0.	(.012)
0.450	0.	(.012)	0.	(.012)	0.	(.012)	0.	(.012)	0.	(.012)
0.475	0.	(.012)	0.	(.012)	0.	(.012)	0.	(.012)	0.	(.012)
0.500	0.	(.012)	0.	(.012)	0.	(.012)	0.	(.012)	0.	(.012)
0.525	0.	(.012)	0.	(.012)	0.	(.012)	0.	(.012)	0.	(.012)
0.550	0.	(.012)	0.	(.012)	0.	(.012)	0.	(.012)	0.	(.012)
0.575	0.	(.012)	0.	(.012)	0.	(.012)	0.	(.012)	0.	(.012)
0.600	0.	(.012)	0.	(.012)	0.	(.012)	0.	(.012)	0.	(.012)
0.625	0.	(.012)	0.	(.012)	0.	(.012)	0.	(.012)	0.	(.012)
0.650	0.	(.012)	0.	(.012)	0.	(.012)	0.	(.012)	0.	(.012)
0.675	0.	(.012)	0.	(.012)	0.	(.012)	0.	(.012)	0.	(.012)
0.700	0.	(.012)	0.	(.012)	0.	(.012)	0.	(.012)	0.	(.012)
0.725	0.	(.012)	0.	(.012)	0.	(.012)	0.	(.012)	0.	(.012)
0.750	0.	(.012)	0.	(.012)	0.	(.012)	0.	(.012)	0.	(.012)
0.775	0.	(.012)	0.	(.012)	0.	(.012)	0.	(.012)	0.	(.012)
0.800	0.	(.012)	0.	(.012)	0.	(.012)	0.	(.012)	0.	(.012)
0.825	0.	(.012)	0.	(.012)	0.	(.012)	0.	(.012)	0.	(.012)
0.850	0.	(.012)	0.	(.012)	0.	(.012)	0.	(.012)	0.	(.012)
0.875	0.	(.012)	0.	(.012)	0.	(.012)	0.	(.012)	0.	(.012)
0.900	0.	(.012)	0.	(.012)	0.	(.012)	0.	(.012)	0.	(.012)
0.925	0.	(.012)	0.	(.012)	0.	(.012)	0.	(.012)	0.	(.012)
0.950	0.	(.012)	0.	(.012)	0.	(.012)	0.	(.012)	0.	(.012)
0.975	0.	(.012)	0.	(.012)	0.	(.012)	0.	(.012)	0.	(.012)
1.000	1.000	(.025)	1.000	(.025)	1.000	(.025)	1.000	(.025)	1.000	(.025)

*** RELATIVE ENERGY FLUX DENSITY IN THE ***
 *** PENUMBRA OF A RECTANGULAR CYLINDER ***

VERSION E

SOLAR FIELD ANGLE, D = 0.50 DEGREES
 GEOMETRY D2/R = 1.00 AND H/R = 1.0

BETA = ANGLE OF INCIDENCE, DEGREES

BETA *** AX/AB	50.00 Q (QI)	60.00 Q (QI)	70.00 Q (QI)	80.00 Q (QI)	89.25 Q (QI)
0.	1.000(.)	1.000(.)	1.000(.)	1.000(.)	1.000(.)
0.025	0. (.012)	0. (.012)	0. (.012)	0.098(.014)	0.993(.025)
0.050	0. (.012)	0. (.012)	0. (.012)	0. (.015)	0.979(.050)
0.075	0. (.012)	0. (.012)	0. (.012)	0. (.015)	0.957(.074)
0.100	0. (.012)	0. (.012)	0. (.012)	0. (.015)	0.926(.097)
0.125	0. (.012)	0. (.012)	0. (.012)	0. (.015)	0.884(.120)
0.150	0. (.012)	0. (.012)	0. (.012)	0. (.015)	0.830(.141)
0.175	0. (.012)	0. (.012)	0. (.012)	0. (.015)	0.762(.161)
0.200	0. (.012)	0. (.012)	0. (.012)	0. (.015)	0.676(.179)
0.225	0. (.012)	0. (.012)	0. (.012)	0. (.015)	0.572(.195)
0.250	0. (.012)	0. (.012)	0. (.012)	0. (.015)	0.446(.208)
0.275	0. (.012)	0. (.012)	0. (.012)	0. (.015)	0.303(.217)
0.300	0. (.012)	0. (.012)	0. (.012)	0. (.015)	0.155(.223)
0.325	0. (.012)	0. (.012)	0. (.012)	0. (.015)	0.029(.225)
0.350	0. (.012)	0. (.012)	0. (.012)	0. (.015)	0. (.225)
0.375	0. (.012)	0. (.012)	0. (.012)	0. (.015)	0. (.225)
0.400	0. (.012)	0. (.012)	0. (.012)	0. (.015)	0. (.225)
0.425	0. (.012)	0. (.012)	0. (.012)	0. (.015)	0. (.225)
0.450	0. (.012)	0. (.012)	0. (.012)	0. (.015)	0. (.225)
0.475	0. (.012)	0. (.012)	0. (.012)	0. (.015)	0. (.225)
0.500	0. (.012)	0. (.012)	0. (.012)	0. (.015)	0. (.225)
0.525	0. (.012)	0. (.012)	0. (.012)	0. (.015)	0. (.225)
0.550	0. (.012)	0. (.012)	0. (.012)	0. (.015)	0. (.225)
0.575	0. (.012)	0. (.012)	0. (.012)	0. (.015)	0. (.225)
0.600	0. (.012)	0. (.012)	0. (.012)	0. (.015)	0. (.225)
0.625	0. (.012)	0. (.012)	0. (.012)	0. (.015)	0. (.225)
0.650	0. (.012)	0. (.012)	0. (.012)	0. (.015)	0. (.225)
0.675	0. (.012)	0. (.012)	0. (.012)	0. (.015)	0. (.225)
0.700	0. (.012)	0. (.012)	0. (.012)	0. (.015)	0. (.225)
0.725	0. (.012)	0. (.012)	0. (.012)	0. (.015)	0. (.225)
0.750	0. (.012)	0. (.012)	0. (.012)	0. (.015)	0. (.225)
0.775	0. (.012)	0. (.012)	0. (.012)	0. (.015)	0. (.225)
0.800	0. (.012)	0. (.012)	0. (.012)	0. (.015)	0. (.225)
0.825	0. (.012)	0. (.012)	0. (.012)	0. (.015)	0. (.225)
0.850	0. (.012)	0. (.012)	0. (.012)	0. (.015)	0. (.225)
0.875	0. (.012)	0. (.012)	0. (.012)	0. (.015)	0. (.225)
0.900	0. (.012)	0. (.012)	0. (.012)	0. (.015)	0. (.225)
0.925	0. (.012)	0. (.012)	0. (.012)	0. (.015)	0. (.225)
0.950	0. (.012)	0. (.012)	0. (.012)	0. (.015)	0. (.225)
0.975	0. (.012)	0. (.012)	0. (.012)	0. (.015)	0. (.225)
1.000	0. (.012)	0. (.012)	0. (.012)	0. (.015)	0. (.225)

REPORT No 66-196
 App. A
 Phase II

*** RELATIVE ENERGY FLUX DENSITY IN THE ***
 *** PENUMBRA OF A RECTANGULAR CYLINDER ***
 VERSION E

SOLAR FIELD ANGLE, D = 0.50 DEGREES
 GEOMETRY D2/R = 5.00 AND H/R = 1.0

BETA = ANGLE OF INCIDENCE, DEGREES

BETA *** AX/AB	0.		10.00		20.00		30.00		40.00	
	Q	(QI)	Q	(QI)	Q	(QI)	Q	(QI)	Q	(QI)
0.	1.000	(.)	1.000	(.)	1.000	(.)	1.000	(.)	1.000	(.)
0.025	0.	(.012)	0.	(.012)	0.	(.012)	0.	(.012)	0.	(.012)
0.050	0.	(.012)	0.	(.012)	0.	(.012)	0.	(.012)	0.	(.012)
0.075	0.	(.012)	0.	(.012)	0.	(.012)	0.	(.012)	0.	(.012)
0.100	0.	(.012)	0.	(.012)	0.	(.012)	0.	(.012)	0.	(.012)
0.125	0.	(.012)	0.	(.012)	0.	(.012)	0.	(.012)	0.	(.012)
0.150	0.	(.012)	0.	(.012)	0.	(.012)	0.	(.012)	0.	(.012)
0.175	0.	(.012)	0.	(.012)	0.	(.012)	0.	(.012)	0.	(.012)
0.200	0.	(.012)	0.	(.012)	0.	(.012)	0.	(.012)	0.	(.012)
0.225	0.	(.012)	0.	(.012)	0.	(.012)	0.	(.012)	0.	(.012)
0.250	0.	(.012)	0.	(.012)	0.	(.012)	0.	(.012)	0.	(.012)
0.275	0.	(.012)	0.	(.012)	0.	(.012)	0.	(.012)	0.	(.012)
0.300	0.	(.012)	0.	(.012)	0.	(.012)	0.	(.012)	0.	(.012)
0.325	0.	(.012)	0.	(.012)	0.	(.012)	0.	(.012)	0.	(.012)
0.350	0.	(.012)	0.	(.012)	0.	(.012)	0.	(.012)	0.	(.012)
0.375	0.	(.012)	0.	(.012)	0.	(.012)	0.	(.012)	0.	(.012)
0.400	0.	(.012)	0.	(.012)	0.	(.012)	0.	(.012)	0.	(.012)
0.425	0.	(.012)	0.	(.012)	0.	(.012)	0.	(.012)	0.	(.012)
0.450	0.	(.012)	0.	(.012)	0.	(.012)	0.	(.012)	0.	(.012)
0.475	0.	(.012)	0.	(.012)	0.	(.012)	0.	(.012)	0.	(.012)
0.500	0.	(.012)	0.	(.012)	0.	(.012)	0.	(.012)	0.	(.012)
0.525	0.	(.012)	0.	(.012)	0.	(.012)	0.	(.012)	0.	(.012)
0.550	0.	(.012)	0.	(.012)	0.	(.012)	0.	(.012)	0.	(.012)
0.575	0.	(.012)	0.	(.012)	0.	(.012)	0.	(.012)	0.	(.012)
0.600	0.	(.012)	0.	(.012)	0.	(.012)	0.	(.012)	0.	(.012)
0.625	0.	(.012)	0.	(.012)	0.	(.012)	0.	(.012)	0.	(.012)
0.650	0.	(.012)	0.	(.012)	0.	(.012)	0.	(.012)	0.	(.012)
0.675	0.	(.012)	0.	(.012)	0.	(.012)	0.	(.012)	0.	(.012)
0.700	0.	(.012)	0.	(.012)	0.	(.012)	0.	(.012)	0.	(.012)
0.725	0.	(.012)	0.	(.012)	0.	(.012)	0.	(.012)	0.	(.012)
0.750	0.	(.012)	0.	(.012)	0.	(.012)	0.	(.012)	0.	(.012)
0.775	0.	(.012)	0.	(.012)	0.	(.012)	0.	(.012)	0.	(.012)
0.800	0.	(.012)	0.	(.012)	0.	(.012)	0.	(.012)	0.	(.012)
0.825	0.	(.012)	0.	(.012)	0.	(.012)	0.	(.012)	0.	(.012)
0.850	0.	(.012)	0.	(.012)	0.	(.012)	0.	(.012)	0.	(.012)
0.875	0.	(.012)	0.	(.012)	0.	(.012)	0.	(.012)	0.	(.012)
0.900	0.	(.012)	0.	(.012)	0.	(.012)	0.	(.012)	0.	(.012)
0.925	0.	(.012)	0.	(.012)	0.	(.012)	0.	(.012)	0.	(.012)
0.950	0.	(.012)	0.	(.012)	0.	(.012)	0.	(.012)	0.	(.012)
0.975	0.	(.012)	0.	(.012)	0.	(.012)	0.	(.012)	0.	(.012)
1.000	1.000	(.025)	1.000	(.025)	1.000	(.025)	1.000	(.025)	1.000	(.025)

App. A
Phase II

*** RELATIVE ENERGY FLUX DENSITY IN THE ***
 *** PENUMBRA OF A RECTANGULAR CYLINDER ***

VERSION E

SOLAR FIELD ANGLE, D = 0.50 DEGREES
 GEOMETRY D2/R = 5.00 AND H/R = 1.0

BETA = ANGLE OF INCIDENCE, DEGREES

BETA ***	50.00	60.00	70.00	80.00	89.25
AX/AB	Q (QI)	Q (QI)	Q (QI)	Q (QI)	Q (QI)
0.	1.000(.)	1.000(.)	1.000(.)	1.000(.)	1.000(.)
0.025	0.020(.013)	0.083(.014)	0.218(.015)	0.517(.019)	0.994(.025)
0.050	0. (.013)	0. (.015)	0. (.018)	0. (.025)	0.980(.050)
0.075	0. (.013)	0. (.015)	0. (.018)	0. (.025)	0.959(.074)
0.100	0. (.013)	0. (.015)	0. (.018)	0. (.025)	0.930(.097)
0.125	0. (.013)	0. (.015)	0. (.018)	0. (.025)	0.892(.120)
0.150	0. (.013)	0. (.015)	0. (.018)	0. (.025)	0.842(.142)
0.175	0. (.013)	0. (.015)	0. (.018)	0. (.025)	0.778(.162)
0.200	0. (.013)	0. (.015)	0. (.018)	0. (.025)	0.700(.181)
0.225	0. (.013)	0. (.015)	0. (.018)	0. (.025)	0.604(.197)
0.250	0. (.013)	0. (.015)	0. (.018)	0. (.025)	0.489(.211)
0.275	0. (.013)	0. (.015)	0. (.018)	0. (.025)	0.355(.221)
0.300	0. (.013)	0. (.015)	0. (.018)	0. (.025)	0.212(.228)
0.325	0. (.013)	0. (.015)	0. (.018)	0. (.025)	0.076(.232)
0.350	0. (.013)	0. (.015)	0. (.018)	0. (.025)	0. (.233)
0.375	0. (.013)	0. (.015)	0. (.018)	0. (.025)	0. (.233)
0.400	0. (.013)	0. (.015)	0. (.018)	0. (.025)	0. (.233)
0.425	0. (.013)	0. (.015)	0. (.018)	0. (.025)	0. (.233)
0.450	0. (.013)	0. (.015)	0. (.018)	0. (.025)	0. (.233)
0.475	0. (.013)	0. (.015)	0. (.018)	0. (.025)	0. (.233)
0.500	0. (.013)	0. (.015)	0. (.018)	0. (.025)	0. (.233)
0.525	0. (.013)	0. (.015)	0. (.018)	0. (.025)	0. (.233)
0.550	0. (.013)	0. (.015)	0. (.018)	0. (.025)	0. (.233)
0.575	0. (.013)	0. (.015)	0. (.018)	0. (.025)	0. (.233)
0.600	0. (.013)	0. (.015)	0. (.018)	0. (.025)	0. (.233)
0.625	0. (.013)	0. (.015)	0. (.018)	0. (.025)	0. (.233)
0.650	0. (.013)	0. (.015)	0. (.018)	0. (.025)	0. (.233)
0.675	0. (.013)	0. (.015)	0. (.018)	0. (.025)	0. (.233)
0.700	0. (.013)	0. (.015)	0. (.018)	0. (.025)	0. (.233)
0.725	0. (.013)	0. (.015)	0. (.018)	0. (.025)	0. (.233)
0.750	0. (.013)	0. (.015)	0. (.018)	0. (.025)	0. (.233)
0.775	0. (.013)	0. (.015)	0. (.018)	0. (.025)	0. (.233)
0.800	0. (.013)	0. (.015)	0. (.018)	0. (.025)	0. (.233)
0.825	0. (.013)	0. (.015)	0. (.018)	0. (.025)	0. (.233)
0.850	0. (.013)	0. (.015)	0. (.018)	0. (.025)	0. (.233)
0.875	0. (.013)	0. (.015)	0. (.018)	0. (.025)	0. (.233)
0.900	0. (.013)	0. (.015)	0. (.018)	0. (.025)	0. (.233)
0.925	0. (.013)	0. (.015)	0. (.018)	0. (.025)	0. (.233)
0.950	0. (.013)	0. (.015)	0. (.018)	0. (.025)	0. (.233)
0.975	0. (.013)	0. (.015)	0. (.018)	0. (.025)	0. (.233)
1.000	1.000(.026)	1.000(.027)	1.000(.030)	0. (.025)	0. (.233)

66-196
 App. 4
 Phase II

*** RELATIVE ENERGY FLUX DENSITY IN THE ***
 *** PENUMBRA OF A RECTANGULAR CYLINDER ***

VERSION E

SOLAR FIELD ANGLE, D= 0.50 DEGREES
 GEOMETRY D2/R = 10.00 AND H/R = 1.0

BETA = ANGLE OF INCIDENCE, DEGREES

BETA ***	0.	10.00	20.00	30.00	40.00
AX/AB	Q (Q1)	Q (Q1)	Q (Q1)	Q (Q1)	Q (Q1)
0.	1.000(.)	1.000(.)	1.000(.)	1.000(.)	1.000(.)
0.025	0.423(.018)	0.438(.018)	0.454(.018)	0.472(.018)	0.492(.019)
0.050	0. (.023)	0. (.023)	0. (.024)	0. (.024)	0. (.025)
0.075	0. (.023)	0. (.023)	0. (.024)	0. (.024)	0. (.025)
0.100	0. (.023)	0. (.023)	0. (.024)	0. (.024)	0. (.025)
0.125	0. (.023)	0. (.023)	0. (.024)	0. (.024)	0. (.025)
0.150	0. (.023)	0. (.023)	0. (.024)	0. (.024)	0. (.025)
0.175	0. (.023)	0. (.023)	0. (.024)	0. (.024)	0. (.025)
0.200	0. (.023)	0. (.023)	0. (.024)	0. (.024)	0. (.025)
0.225	0. (.023)	0. (.023)	0. (.024)	0. (.024)	0. (.025)
0.250	0. (.023)	0. (.023)	0. (.024)	0. (.024)	0. (.025)
0.275	0. (.023)	0. (.023)	0. (.024)	0. (.024)	0. (.025)
0.300	0. (.023)	0. (.023)	0. (.024)	0. (.024)	0. (.025)
0.325	0. (.023)	0. (.023)	0. (.024)	0. (.024)	0. (.025)
0.350	0. (.023)	0. (.023)	0. (.024)	0. (.024)	0. (.025)
0.375	0. (.023)	0. (.023)	0. (.024)	0. (.024)	0. (.025)
0.400	0. (.023)	0. (.023)	0. (.024)	0. (.024)	0. (.025)
0.425	0. (.023)	0. (.023)	0. (.024)	0. (.024)	0. (.025)
0.450	0. (.023)	0. (.023)	0. (.024)	0. (.024)	0. (.025)
0.475	0. (.023)	0. (.023)	0. (.024)	0. (.024)	0. (.025)
0.500	0. (.023)	0. (.023)	0. (.024)	0. (.024)	0. (.025)
0.525	0. (.023)	0. (.023)	0. (.024)	0. (.024)	0. (.025)
0.550	0. (.023)	0. (.023)	0. (.024)	0. (.024)	0. (.025)
0.575	0. (.023)	0. (.023)	0. (.024)	0. (.024)	0. (.025)
0.600	0. (.023)	0. (.023)	0. (.024)	0. (.024)	0. (.025)
0.625	0. (.023)	0. (.023)	0. (.024)	0. (.024)	0. (.025)
0.650	0. (.023)	0. (.023)	0. (.024)	0. (.024)	0. (.025)
0.675	0. (.023)	0. (.023)	0. (.024)	0. (.024)	0. (.025)
0.700	0. (.023)	0. (.023)	0. (.024)	0. (.024)	0. (.025)
0.725	0. (.023)	0. (.023)	0. (.024)	0. (.024)	0. (.025)
0.750	0. (.023)	0. (.023)	0. (.024)	0. (.024)	0. (.025)
0.775	0. (.023)	0. (.023)	0. (.024)	0. (.024)	0. (.025)
0.800	0. (.023)	0. (.023)	0. (.024)	0. (.024)	0. (.025)
0.825	0. (.023)	0. (.023)	0. (.024)	0. (.024)	0. (.025)
0.850	0. (.023)	0. (.023)	0. (.024)	0. (.024)	0. (.025)
0.875	0. (.023)	0. (.023)	0. (.024)	0. (.024)	0. (.025)
0.900	0. (.023)	0. (.023)	0. (.024)	0. (.024)	0. (.025)
0.925	0. (.023)	0. (.023)	0. (.024)	0. (.024)	0. (.025)
0.950	0. (.023)	0. (.023)	0. (.024)	0. (.024)	0. (.025)
0.975	0.423(.028)	0.407(.029)	0.389(.029)	0.369(.029)	0.342(.029)
1.000	1.000(.046)	1.000(.046)	1.000(.046)	1.000(.046)	1.000(.046)

4
3
2

437
E-25

*** RELATIVE ENERGY FLUX DENSITY IN THE ***
 *** PENUMBRA OF A RECTANGULAR CYLINDER ***

VERSION E

SOLAR FIELD ANGLE, D = 0.50 DEGREES
 GEOMETRY D2/R = 10.00 AND H/R = 1.0

BETA = ANGLE OF INCIDENCE, DEGREES

BETA *** AX/AB	50.00 Q (QI)	60.00 Q (QI)	70.00 Q (QI)	80.00 Q (QI)	89.25 Q (QI)
0.	1.000(.)	1.000(.)	1.000(.)	1.000(.)	1.000(.)
0.025	0.515(.019)	0.546(.019)	0.597(.020)	0.708(.021)	0.994(.025)
0.050	0. (.025)	0. (.026)	0.022(.028)	0.193(.033)	0.981(.050)
0.075	0. (.025)	0. (.026)	0. (.028)	0. (.035)	0.962(.074)
0.100	0. (.025)	0. (.026)	0. (.028)	0. (.035)	0.935(.098)
0.125	0. (.025)	0. (.026)	0. (.028)	0. (.035)	0.900(.121)
0.150	0. (.025)	0. (.026)	0. (.028)	0. (.035)	0.854(.142)
0.175	0. (.025)	0. (.026)	0. (.028)	0. (.035)	0.796(.163)
0.200	0. (.025)	0. (.026)	0. (.028)	0. (.035)	0.725(.182)
0.225	0. (.025)	0. (.026)	0. (.028)	0. (.035)	0.638(.199)
0.250	0. (.025)	0. (.026)	0. (.028)	0. (.035)	0.534(.214)
0.275	0. (.025)	0. (.026)	0. (.028)	0. (.035)	0.412(.226)
0.300	0. (.025)	0. (.026)	0. (.028)	0. (.035)	0.277(.234)
0.325	0. (.025)	0. (.026)	0. (.028)	0. (.035)	0.140(.239)
0.350	0. (.025)	0. (.026)	0. (.028)	0. (.035)	0.026(.242)
0.375	0. (.025)	0. (.026)	0. (.028)	0. (.035)	0. (.242)
0.400	0. (.025)	0. (.026)	0. (.028)	0. (.035)	0. (.242)
0.425	0. (.025)	0. (.026)	0. (.028)	0. (.035)	0. (.242)
0.450	0. (.025)	0. (.026)	0. (.028)	0. (.035)	0. (.242)
0.475	0. (.025)	0. (.026)	0. (.028)	0. (.035)	0. (.242)
0.500	0. (.025)	0. (.026)	0. (.028)	0. (.035)	0. (.242)
0.525	0. (.025)	0. (.026)	0. (.028)	0. (.035)	0. (.242)
0.550	0. (.025)	0. (.026)	0. (.028)	0. (.035)	0. (.242)
0.575	0. (.025)	0. (.026)	0. (.028)	0. (.035)	0. (.242)
0.600	0. (.025)	0. (.026)	0. (.028)	0. (.035)	0. (.242)
0.625	0. (.025)	0. (.026)	0. (.028)	0. (.035)	0. (.242)
0.650	0. (.025)	0. (.026)	0. (.028)	0. (.035)	0. (.242)
0.675	0. (.025)	0. (.026)	0. (.028)	0. (.035)	0. (.242)
0.700	0. (.025)	0. (.026)	0. (.028)	0. (.035)	0. (.242)
0.725	0. (.025)	0. (.026)	0. (.028)	0. (.035)	0. (.242)
0.750	0. (.025)	0. (.026)	0. (.028)	0. (.035)	0. (.242)
0.775	0. (.025)	0. (.026)	0. (.028)	0. (.035)	0. (.242)
0.800	0. (.025)	0. (.026)	0. (.028)	0. (.035)	0. (.242)
0.825	0. (.025)	0. (.026)	0. (.028)	0. (.035)	0. (.242)
0.850	0. (.025)	0. (.026)	0. (.028)	0. (.035)	0. (.242)
0.875	0. (.025)	0. (.026)	0. (.028)	0. (.035)	0. (.242)
0.900	0. (.025)	0. (.026)	0. (.028)	0. (.035)	0. (.242)
0.925	0. (.025)	0. (.026)	0. (.028)	0. (.035)	0. (.242)
0.950	0. (.025)	0. (.026)	0. (.028)	0. (.035)	0. (.242)
0.975	0.305(.029)	0.243(.029)	0.119(.029)	0. (.035)	0. (.242)
1.000	1.000(.045)	1.000(.045)	1.000(.043)	1.000(.048)	0. (.242)

App A
Phase II

*** RELATIVE ENERGY FLUX DENSITY IN THE ***
 *** PENUMBRA OF A RECTANGULAR CYLINDER ***

VERSION E

SOLAR FIELD ANGLE, D= 0.50 DEGREES
 GEOMETRY D2/R = 50.00 AND H/R = 1.0

BETA = ANGLE OF INCIDENCE, DEGREES

BETA *** AX/AB	0.		10.00		20.00		30.00		40.00	
	Q	(QI)	Q	(QI)	Q	(QI)	Q	(QI)	Q	(QI)
0.	1.000(.)		1.000(.)		1.000(.)		1.000(.)		1.000(.)	
0.025	0.930(.024)		0.930(.024)		0.931(.024)		0.932(.024)		0.932(.024)	
0.050	0.794(.046)		0.795(.046)		0.797(.046)		0.799(.046)		0.801(.046)	
0.075	0.620(.063)		0.623(.063)		0.626(.064)		0.629(.064)		0.632(.064)	
0.100	0.429(.076)		0.433(.077)		0.436(.077)		0.440(.077)		0.445(.077)	
0.125	0.243(.085)		0.246(.085)		0.250(.085)		0.254(.086)		0.260(.086)	
0.150	0.091(.089)		0.094(.089)		0.097(.090)		0.101(.090)		0.105(.091)	
0.175	0.004(.090)		0.005(.091)		0.006(.091)		0.007(.091)		0.009(.092)	
0.200	0. (.090)		0. (.091)		0. (.091)		0. (.092)		0. (.092)	
0.225	0. (.090)		0. (.091)		0. (.091)		0. (.092)		0. (.092)	
0.250	0. (.090)		0. (.091)		0. (.091)		0. (.092)		0. (.092)	
0.275	0. (.090)		0. (.091)		0. (.091)		0. (.092)		0. (.092)	
0.300	0. (.090)		0. (.091)		0. (.091)		0. (.092)		0. (.092)	
0.325	0. (.090)		0. (.091)		0. (.091)		0. (.092)		0. (.092)	
0.350	0. (.090)		0. (.091)		0. (.091)		0. (.092)		0. (.092)	
0.375	0. (.090)		0. (.091)		0. (.091)		0. (.092)		0. (.092)	
0.400	0. (.090)		0. (.091)		0. (.091)		0. (.092)		0. (.092)	
0.425	0. (.090)		0. (.091)		0. (.091)		0. (.092)		0. (.092)	
0.450	0. (.090)		0. (.091)		0. (.091)		0. (.092)		0. (.092)	
0.475	0. (.090)		0. (.091)		0. (.091)		0. (.092)		0. (.092)	
0.500	0. (.090)		0. (.091)		0. (.091)		0. (.092)		0. (.092)	
0.525	0. (.090)		0. (.091)		0. (.091)		0. (.092)		0. (.092)	
0.550	0. (.090)		0. (.091)		0. (.091)		0. (.092)		0. (.092)	
0.575	0. (.090)		0. (.091)		0. (.091)		0. (.092)		0. (.092)	
0.600	0. (.090)		0. (.091)		0. (.091)		0. (.092)		0. (.092)	
0.625	0. (.090)		0. (.091)		0. (.091)		0. (.092)		0. (.092)	
0.650	0. (.090)		0. (.091)		0. (.091)		0. (.092)		0. (.092)	
0.675	0. (.090)		0. (.091)		0. (.091)		0. (.092)		0. (.092)	
0.700	0. (.090)		0. (.091)		0. (.091)		0. (.092)		0. (.092)	
0.725	0. (.090)		0. (.091)		0. (.091)		0. (.092)		0. (.092)	
0.750	0. (.090)		0. (.091)		0. (.091)		0. (.092)		0. (.092)	
0.775	0. (.090)		0. (.091)		0. (.091)		0. (.092)		0. (.092)	
0.800	0. (.090)		0. (.091)		0. (.091)		0. (.092)		0. (.092)	
0.825	0.004(.090)		0.003(.091)		0.002(.091)		0.001(.092)		0.000(.092)	
0.850	0.091(.092)		0.089(.092)		0.085(.092)		0.082(.093)		0.078(.093)	
0.875	0.243(.096)		0.239(.096)		0.235(.096)		0.231(.097)		0.226(.097)	
0.900	0.429(.104)		0.426(.104)		0.422(.104)		0.418(.105)		0.413(.105)	
0.925	0.620(.117)		0.618(.117)		0.615(.117)		0.612(.118)		0.608(.118)	
0.950	0.794(.135)		0.792(.135)		0.791(.135)		0.789(.135)		0.786(.135)	
0.975	0.930(.156)		0.929(.156)		0.929(.156)		0.928(.156)		0.927(.157)	
1.000	1.000(.181)		1.000(.181)		1.000(.181)		1.000(.181)		1.000(.181)	

*Comp. G.
Case 11*

*** RELATIVE ENERGY FLUX DENSITY IN THE ***
 *** PENUMBRA OF A RECTANGULAR CYLINDER ***

VERSION E

SOLAR FIELD ANGLE, D= 0.50 DEGREES
 GEOMETRY D2/R = 50.00 AND H/R = 1.0

BETA = ANGLE OF INCIDENCE, DEGREES

BETA ***	50.00		60.00		70.00		80.00		89.25	
AX/AB	Q	(QI)	Q	(QI)	Q	(QI)	Q	(QI)	Q	(QI)
0.	1.000	(.)	1.000	(.)	1.000	(.)	1.000	(.)	1.000	(.)
0.025	0.934	(.024)	0.935	(.024)	0.938	(.024)	0.945	(.024)	0.996	(.025)
0.050	0.804	(.046)	0.809	(.046)	0.817	(.046)	0.838	(.047)	0.987	(.050)
0.075	0.637	(.064)	0.645	(.064)	0.658	(.065)	0.694	(.066)	0.974	(.074)
0.100	0.452	(.078)	0.462	(.078)	0.480	(.079)	0.530	(.081)	0.957	(.098)
0.125	0.267	(.087)	0.278	(.087)	0.298	(.089)	0.355	(.092)	0.935	(.122)
0.150	0.111	(.091)	0.121	(.092)	0.139	(.094)	0.192	(.099)	0.908	(.145)
0.175	0.012	(.093)	0.017	(.094)	0.027	(.096)	0.064	(.102)	0.874	(.167)
0.200	0.	(.093)	0.	(.094)	0.	(.096)	0.	(.103)	0.832	(.189)
0.225	0.	(.093)	0.	(.094)	0.	(.096)	0.	(.103)	0.783	(.209)
0.250	0.	(.093)	0.	(.094)	0.	(.096)	0.	(.103)	0.725	(.228)
0.275	0.	(.093)	0.	(.094)	0.	(.096)	0.	(.103)	0.656	(.245)
0.300	0.	(.093)	0.	(.094)	0.	(.096)	0.	(.103)	0.578	(.260)
0.325	0.	(.093)	0.	(.094)	0.	(.096)	0.	(.103)	0.487	(.274)
0.350	0.	(.093)	0.	(.094)	0.	(.096)	0.	(.103)	0.387	(.285)
0.375	0.	(.093)	0.	(.094)	0.	(.096)	0.	(.103)	0.279	(.293)
0.400	0.	(.093)	0.	(.094)	0.	(.096)	0.	(.103)	0.169	(.299)
0.425	0.	(.093)	0.	(.094)	0.	(.096)	0.	(.103)	0.068	(.302)
0.450	0.	(.093)	0.	(.094)	0.	(.096)	0.	(.103)	0.002	(.302)
0.475	0.	(.093)	0.	(.094)	0.	(.096)	0.	(.103)	0.	(.302)
0.500	0.	(.093)	0.	(.094)	0.	(.096)	0.	(.103)	0.	(.302)
0.525	0.	(.093)	0.	(.094)	0.	(.096)	0.	(.103)	0.	(.302)
0.550	0.	(.093)	0.	(.094)	0.	(.096)	0.	(.103)	0.	(.302)
0.575	0.	(.093)	0.	(.094)	0.	(.096)	0.	(.103)	0.	(.302)
0.600	0.	(.093)	0.	(.094)	0.	(.096)	0.	(.103)	0.	(.302)
0.625	0.	(.093)	0.	(.094)	0.	(.096)	0.	(.103)	0.	(.302)
0.650	0.	(.093)	0.	(.094)	0.	(.096)	0.	(.103)	0.	(.302)
0.675	0.	(.093)	0.	(.094)	0.	(.096)	0.	(.103)	0.	(.302)
0.700	0.	(.093)	0.	(.094)	0.	(.096)	0.	(.103)	0.	(.302)
0.725	0.	(.093)	0.	(.094)	0.	(.096)	0.	(.103)	0.	(.302)
0.750	0.	(.093)	0.	(.094)	0.	(.096)	0.	(.103)	0.	(.302)
0.775	0.	(.093)	0.	(.094)	0.	(.096)	0.	(.103)	0.	(.302)
0.800	0.	(.093)	0.	(.094)	0.	(.096)	0.	(.103)	0.	(.302)
0.825	0.	(.093)	0.	(.094)	0.	(.096)	0.	(.103)	0.	(.302)
0.850	0.072	(.094)	0.064	(.095)	0.049	(.097)	0.014	(.103)	0.	(.302)
0.875	0.219	(.097)	0.208	(.098)	0.187	(.100)	0.130	(.105)	0.	(.302)
0.900	0.406	(.105)	0.395	(.106)	0.374	(.107)	0.312	(.110)	0.	(.302)
0.925	0.603	(.118)	0.594	(.118)	0.578	(.119)	0.528	(.121)	0.	(.302)
0.950	0.783	(.135)	0.778	(.135)	0.768	(.136)	0.736	(.137)	0.	(.302)
0.975	0.926	(.157)	0.924	(.157)	0.920	(.157)	0.908	(.157)	0.	(.302)
1.000	1.000	(.181)	1.000	(.181)	1.000	(.181)	1.000	(.181)	0.	(.302)

REORDER NO. *66-196*
App. 9
Phase II

*** RELATIVE ENERGY FLUX DENSITY IN THE ***
 *** PENUMBRA OF A RECTANGULAR CYLINDER ***

VERSION E

SOLAR FIELD ANGLE, $D = 0.50$ DEGREES
 GEOMETRY $D2/R = 100.00$ AND $H/R = 1.0$

BETA = ANGLE OF INCIDENCE, DEGREES

BETA ***	0.	10.00	20.00	30.00	40.00
AX/AB	Q (QI)	Q (QI)	Q (QI)	Q (QI)	Q (QI)
0.	1.000(.)	1.000(.)	1.000(.)	1.000(.)	1.000(.)
0.025	0.969(.025)	0.969(.025)	0.969(.025)	0.969(.025)	0.969(.025)
0.050	0.908(.048)	0.908(.048)	0.909(.048)	0.910(.048)	0.910(.048)
0.075	0.827(.070)	0.828(.070)	0.829(.070)	0.830(.070)	0.831(.070)
0.100	0.731(.089)	0.732(.089)	0.734(.089)	0.735(.089)	0.737(.089)
0.125	0.625(.106)	0.626(.106)	0.628(.106)	0.630(.106)	0.632(.107)
0.150	0.513(.120)	0.515(.121)	0.517(.121)	0.519(.121)	0.522(.121)
0.175	0.399(.132)	0.401(.132)	0.403(.132)	0.406(.132)	0.409(.133)
0.200	0.289(.140)	0.291(.141)	0.294(.141)	0.296(.141)	0.299(.142)
0.225	0.189(.146)	0.191(.147)	0.193(.147)	0.195(.147)	0.198(.148)
0.250	0.104(.150)	0.105(.150)	0.107(.151)	0.109(.151)	0.111(.152)
0.275	0.038(.152)	0.039(.152)	0.041(.153)	0.042(.153)	0.044(.154)
0.300	0.001(.152)	0.002(.153)	0.002(.153)	0.002(.154)	0.003(.154)
0.325	0. (.152)	0. (.153)	0. (.153)	0. (.154)	0. (.154)
0.350	0. (.152)	0. (.153)	0. (.153)	0. (.154)	0. (.154)
0.375	0. (.152)	0. (.153)	0. (.153)	0. (.154)	0. (.154)
0.400	0. (.152)	0. (.153)	0. (.153)	0. (.154)	0. (.154)
0.425	0. (.152)	0. (.153)	0. (.153)	0. (.154)	0. (.154)
0.450	0. (.152)	0. (.153)	0. (.153)	0. (.154)	0. (.154)
0.475	0. (.152)	0. (.153)	0. (.153)	0. (.154)	0. (.154)
0.500	0. (.152)	0. (.153)	0. (.153)	0. (.154)	0. (.154)
0.525	0. (.152)	0. (.153)	0. (.153)	0. (.154)	0. (.154)
0.550	0. (.152)	0. (.153)	0. (.153)	0. (.154)	0. (.154)
0.575	0. (.152)	0. (.153)	0. (.153)	0. (.154)	0. (.154)
0.600	0. (.152)	0. (.153)	0. (.153)	0. (.154)	0. (.154)
0.625	0. (.152)	0. (.153)	0. (.153)	0. (.154)	0. (.154)
0.650	0. (.152)	0. (.153)	0. (.153)	0. (.154)	0. (.154)
0.675	0. (.152)	0. (.153)	0. (.153)	0. (.154)	0. (.154)
0.700	0.001(.152)	0.001(.153)	0.001(.153)	0.000(.154)	0.000(.154)
0.725	0.038(.153)	0.037(.153)	0.036(.154)	0.035(.154)	0.033(.155)
0.750	0.104(.155)	0.102(.155)	0.100(.155)	0.098(.156)	0.096(.156)
0.775	0.189(.158)	0.187(.159)	0.185(.159)	0.183(.159)	0.180(.160)
0.800	0.289(.164)	0.287(.164)	0.285(.165)	0.282(.165)	0.279(.165)
0.825	0.399(.173)	0.397(.173)	0.395(.173)	0.392(.173)	0.389(.174)
0.850	0.513(.184)	0.511(.184)	0.509(.185)	0.507(.185)	0.504(.185)
0.875	0.625(.198)	0.623(.199)	0.622(.199)	0.620(.199)	0.617(.199)
0.900	0.731(.215)	0.730(.215)	0.728(.216)	0.727(.216)	0.725(.216)
0.925	0.827(.235)	0.826(.235)	0.825(.235)	0.824(.235)	0.823(.235)
0.950	0.908(.257)	0.907(.257)	0.907(.257)	0.906(.257)	0.906(.257)
0.975	0.969(.280)	0.968(.280)	0.968(.280)	0.968(.280)	0.968(.280)
1.000	1.000(.305)	1.000(.305)	1.000(.305)	1.000(.305)	1.000(.305)

441
E-29

*** RELATIVE ENERGY FLUX DENSITY IN THE *** VERSION E
 *** PENUMBRA OF A RECTANGULAR CYLINDER ***

SOLAR FIELD ANGLE, D = 0.50 DEGREES
 GEOMETRY D2/R = 100.00 AND H/R = 1.0

BETA = ANGLE OF INCIDENCE, DEGREES

BETA ***	50.00		60.00		70.00		80.00		89.25	
AX/AB	Q	(QI)	Q	(QI)	Q	(QI)	Q	(QI)	Q	(QI)
0.	1.000(.))	1.000(.))	1.000(.))	1.000(.))	1.000(.))
0.025	0.970(.025))	0.970(.025))	0.971(.025))	0.974(.025))	0.997(.025))
0.050	0.911(.048))	0.913(.048))	0.915(.048))	0.922(.048))	0.990(.050))
0.075	0.833(.070))	0.835(.070))	0.840(.070))	0.853(.071))	0.981(.074))
0.100	0.739(.090))	0.743(.090))	0.750(.090))	0.769(.091))	0.968(.099))
0.125	0.636(.107))	0.640(.107))	0.649(.108))	0.674(.109))	0.953(.123))
0.150	0.526(.121))	0.531(.122))	0.542(.122))	0.571(.124))	0.933(.146))
0.175	0.413(.133))	0.419(.134))	0.431(.135))	0.464(.137))	0.910(.169))
0.200	0.303(.142))	0.310(.143))	0.321(.144))	0.356(.148))	0.882(.192))
0.225	0.202(.148))	0.208(.149))	0.219(.151))	0.253(.155))	0.849(.213))
0.250	0.115(.152))	0.120(.153))	0.130(.155))	0.159(.160))	0.811(.234))
0.275	0.046(.154))	0.050(.155))	0.058(.157))	0.081(.163))	0.766(.254))
0.300	0.004(.155))	0.006(.156))	0.010(.158))	0.023(.165))	0.715(.272))
0.325	0. (.155))	0. (.156))	0. (.158))	0. (.165))	0.656(.290))
0.350	0. (.155))	0. (.156))	0. (.158))	0. (.165))	0.590(.305))
0.375	0. (.155))	0. (.156))	0. (.158))	0. (.165))	0.516(.319))
0.400	0. (.155))	0. (.156))	0. (.158))	0. (.165))	0.435(.331))
0.425	0. (.155))	0. (.156))	0. (.158))	0. (.165))	0.346(.341))
0.450	0. (.155))	0. (.156))	0. (.158))	0. (.165))	0.254(.348))
0.475	0. (.155))	0. (.156))	0. (.158))	0. (.165))	0.162(.353))
0.500	0. (.155))	0. (.156))	0. (.158))	0. (.165))	0.077(.356))
0.525	0. (.155))	0. (.156))	0. (.158))	0. (.165))	0.013(.357))
0.550	0. (.155))	0. (.156))	0. (.158))	0. (.165))	0. (.358))
0.575	0. (.155))	0. (.156))	0. (.158))	0. (.165))	0. (.358))
0.600	0. (.155))	0. (.156))	0. (.158))	0. (.165))	0. (.358))
0.625	0. (.155))	0. (.156))	0. (.158))	0. (.165))	0. (.358))
0.650	0. (.155))	0. (.156))	0. (.158))	0. (.165))	0. (.358))
0.675	0. (.155))	0. (.156))	0. (.158))	0. (.165))	0. (.358))
0.700	0. (.155))	0. (.156))	0. (.158))	0. (.165))	0. (.358))
0.725	0.031(.155))	0.028(.156))	0.022(.159))	0.009(.165))	0. (.358))
0.750	0.093(.157))	0.088(.158))	0.079(.160))	0.056(.166))	0. (.358))
0.775	0.176(.160))	0.170(.161))	0.160(.163))	0.130(.168))	0. (.358))
0.800	0.275(.166))	0.269(.167))	0.257(.168))	0.223(.173))	0. (.358))
0.825	0.385(.174))	0.379(.175))	0.367(.176))	0.332(.180))	0. (.358))
0.850	0.501(.185))	0.495(.186))	0.483(.187))	0.450(.189))	0. (.358))
0.875	0.614(.199))	0.609(.199))	0.599(.200))	0.571(.202))	0. (.358))
0.900	0.722(.216))	0.718(.216))	0.711(.216))	0.688(.218))	0. (.358))
0.925	0.821(.235))	0.818(.235))	0.813(.236))	0.797(.236))	0. (.358))
0.950	0.905(.257))	0.903(.257))	0.900(.257))	0.891(.257))	0.076(.359))
0.975	0.967(.280))	0.967(.280))	0.966(.280))	0.962(.281))	0.429(.365))
1.000	1.000(.305))	1.000(.305))	1.000(.305))	1.000(.305))	1.000(.383))

4

3

2

RECORDED IN: 66-196
 REORDER NO: *App 11*
Phase 11

*** RELATIVE ENERGY FLUX DENSITY IN THE ***
 *** PENUMBRA OF A RECTANGULAR CYLINDER ***
 VERSION E

SOLAR FIELD ANGLE, D = 0.50 DEGREES
 GEOMETRY D2/R = 1.00 AND H/R = 2.0

BETA = ANGLE OF INCIDENCE, DEGREES

BETA ***	0.	10.00	20.00	30.00	40.00
AX/AB	Q (QI)	Q (QI)	Q (QI)	Q (QI)	Q (QI)
0.	1.000(.)	1.000(.)	1.000(.)	1.000(.)	1.000(.)
0.025	0. (.012)	0. (.012)	0. (.012)	0. (.012)	0. (.012)
0.050	0. (.012)	0. (.012)	0. (.012)	0. (.012)	0. (.012)
0.075	0. (.012)	0. (.012)	0. (.012)	0. (.012)	0. (.012)
0.100	0. (.012)	0. (.012)	0. (.012)	0. (.012)	0. (.012)
0.125	0. (.012)	0. (.012)	0. (.012)	0. (.012)	0. (.012)
0.150	0. (.012)	0. (.012)	0. (.012)	0. (.012)	0. (.012)
0.175	0. (.012)	0. (.012)	0. (.012)	0. (.012)	0. (.012)
0.200	0. (.012)	0. (.012)	0. (.012)	0. (.012)	0. (.012)
0.225	0. (.012)	0. (.012)	0. (.012)	0. (.012)	0. (.012)
0.250	0. (.012)	0. (.012)	0. (.012)	0. (.012)	0. (.012)
0.275	0. (.012)	0. (.012)	0. (.012)	0. (.012)	0. (.012)
0.300	0. (.012)	0. (.012)	0. (.012)	0. (.012)	0. (.012)
0.325	0. (.012)	0. (.012)	0. (.012)	0. (.012)	0. (.012)
0.350	0. (.012)	0. (.012)	0. (.012)	0. (.012)	0. (.012)
0.375	0. (.012)	0. (.012)	0. (.012)	0. (.012)	0. (.012)
0.400	0. (.012)	0. (.012)	0. (.012)	0. (.012)	0. (.012)
0.425	0. (.012)	0. (.012)	0. (.012)	0. (.012)	0. (.012)
0.450	0. (.012)	0. (.012)	0. (.012)	0. (.012)	0. (.012)
0.475	0. (.012)	0. (.012)	0. (.012)	0. (.012)	0. (.012)
0.500	0. (.012)	0. (.012)	0. (.012)	0. (.012)	0. (.012)
0.525	0. (.012)	0. (.012)	0. (.012)	0. (.012)	0. (.012)
0.550	0. (.012)	0. (.012)	0. (.012)	0. (.012)	0. (.012)
0.575	0. (.012)	0. (.012)	0. (.012)	0. (.012)	0. (.012)
0.600	0. (.012)	0. (.012)	0. (.012)	0. (.012)	0. (.012)
0.625	0. (.012)	0. (.012)	0. (.012)	0. (.012)	0. (.012)
0.650	0. (.012)	0. (.012)	0. (.012)	0. (.012)	0. (.012)
0.675	0. (.012)	0. (.012)	0. (.012)	0. (.012)	0. (.012)
0.700	0. (.012)	0. (.012)	0. (.012)	0. (.012)	0. (.012)
0.725	0. (.012)	0. (.012)	0. (.012)	0. (.012)	0. (.012)
0.750	0. (.012)	0. (.012)	0. (.012)	0. (.012)	0. (.012)
0.775	0. (.012)	0. (.012)	0. (.012)	0. (.012)	0. (.012)
0.800	0. (.012)	0. (.012)	0. (.012)	0. (.012)	0. (.012)
0.825	0. (.012)	0. (.012)	0. (.012)	0. (.012)	0. (.012)
0.850	0. (.012)	0. (.012)	0. (.012)	0. (.012)	0. (.012)
0.875	0. (.012)	0. (.012)	0. (.012)	0. (.012)	0. (.012)
0.900	0. (.012)	0. (.012)	0. (.012)	0. (.012)	0. (.012)
0.925	0. (.012)	0. (.012)	0. (.012)	0. (.012)	0. (.012)
0.950	0. (.012)	0. (.012)	0. (.012)	0. (.012)	0. (.012)
0.975	0. (.012)	0. (.012)	0. (.012)	0. (.012)	0. (.012)
1.000	1.000(.025)	1.000(.025)	1.000(.025)	1.000(.025)	1.000(.025)

*** RELATIVE ENERGY FLUX DENSITY IN THE ***
 *** PENUMBRA OF A RECTANGULAR CYLINDER ***

VERSION E

SOLAR FIELD ANGLE, D = 0.50 DEGREES
 GEOMETRY D2/R = 1.00 AND H/R = 2.0

BETA = ANGLE OF INCIDENCE, DEGREES

BETA ***	50.00	60.00	70.00	80.00	89.25
AX/AB	Q (Q1)	Q (Q1)	Q (Q1)	Q (Q1)	Q (Q1)
0.	1.000(.)	1.000(.)	1.000(.)	1.000(.)	1.000(.)
0.025	0. (.012)	0. (.012)	0. (.012)	0.133(.014)	0.993(.025)
0.050	0. (.012)	0. (.012)	0. (.012)	0. (.016)	0.979(.050)
0.075	0. (.012)	0. (.012)	0. (.012)	0. (.016)	0.958(.074)
0.100	0. (.012)	0. (.012)	0. (.012)	0. (.016)	0.927(.097)
0.125	0. (.012)	0. (.012)	0. (.012)	0. (.016)	0.886(.120)
0.150	0. (.012)	0. (.012)	0. (.012)	0. (.016)	0.833(.142)
0.175	0. (.012)	0. (.012)	0. (.012)	0. (.016)	0.766(.162)
0.200	0. (.012)	0. (.012)	0. (.012)	0. (.016)	0.682(.180)
0.225	0. (.012)	0. (.012)	0. (.012)	0. (.016)	0.580(.195)
0.250	0. (.012)	0. (.012)	0. (.012)	0. (.016)	0.454(.208)
0.275	0. (.012)	0. (.012)	0. (.012)	0. (.016)	0.309(.218)
0.300	0. (.012)	0. (.012)	0. (.012)	0. (.016)	0.159(.224)
0.325	0. (.012)	0. (.012)	0. (.012)	0. (.016)	0.030(.226)
0.350	0. (.012)	0. (.012)	0. (.012)	0. (.016)	0. (.226)
0.375	0. (.012)	0. (.012)	0. (.012)	0. (.016)	0. (.226)
0.400	0. (.012)	0. (.012)	0. (.012)	0. (.016)	0. (.226)
0.425	0. (.012)	0. (.012)	0. (.012)	0. (.016)	0. (.226)
0.450	0. (.012)	0. (.012)	0. (.012)	0. (.016)	0. (.226)
0.475	0. (.012)	0. (.012)	0. (.012)	0. (.016)	0. (.226)
0.500	0. (.012)	0. (.012)	0. (.012)	0. (.016)	0. (.226)
0.525	0. (.012)	0. (.012)	0. (.012)	0. (.016)	0. (.226)
0.550	0. (.012)	0. (.012)	0. (.012)	0. (.016)	0. (.226)
0.575	0. (.012)	0. (.012)	0. (.012)	0. (.016)	0. (.226)
0.600	0. (.012)	0. (.012)	0. (.012)	0. (.016)	0. (.226)
0.625	0. (.012)	0. (.012)	0. (.012)	0. (.016)	0. (.226)
0.650	0. (.012)	0. (.012)	0. (.012)	0. (.016)	0. (.226)
0.675	0. (.012)	0. (.012)	0. (.012)	0. (.016)	0. (.226)
0.700	0. (.012)	0. (.012)	0. (.012)	0. (.016)	0. (.226)
0.725	0. (.012)	0. (.012)	0. (.012)	0. (.016)	0. (.226)
0.750	0. (.012)	0. (.012)	0. (.012)	0. (.016)	0. (.226)
0.775	0. (.012)	0. (.012)	0. (.012)	0. (.016)	0. (.226)
0.800	0. (.012)	0. (.012)	0. (.012)	0. (.016)	0. (.226)
0.825	0. (.012)	0. (.012)	0. (.012)	0. (.016)	0. (.226)
0.850	0. (.012)	0. (.012)	0. (.012)	0. (.016)	0. (.226)
0.875	0. (.012)	0. (.012)	0. (.012)	0. (.016)	0. (.226)
0.900	0. (.012)	0. (.012)	0. (.012)	0. (.016)	0. (.226)
0.925	0. (.012)	0. (.012)	0. (.012)	0. (.016)	0. (.226)
0.950	0. (.012)	0. (.012)	0. (.012)	0. (.016)	0. (.226)
0.975	0. (.012)	0. (.012)	0. (.012)	0. (.016)	0. (.226)
1.000	0. (.012)	0. (.012)	0. (.012)	0. (.016)	0. (.226)

RE-ORDER No. *66-196*
App A
Phenell

*** RELATIVE ENERGY FLUX DENSITY IN THE ***
 *** PENUMBRA OF A RECTANGULAR CYLINDER ***

VERSION E

SOLAR FIELD ANGLE, D = 0.50 DEGREES
 GEOMETRY D2/R = 5.00 AND H/R = 2.0

BETA = ANGLE OF INCIDENCE, DEGREES

BETA ***	0.		10.00		20.00		30.00		40.00	
AX/AB	Q	(QI)	Q	(QI)	Q	(QI)	Q	(QI)	Q	(QI)
0.	1.000	(.)	1.000	(.)	1.000	(.)	1.000	(.)	1.000	(.012)
0.025	0.	(.012)	0.	(.012)	0.	(.012)	0.	(.012)	0.	(.012)
0.050	0.	(.012)	0.	(.012)	0.	(.012)	0.	(.012)	0.	(.012)
0.075	0.	(.012)	0.	(.012)	0.	(.012)	0.	(.012)	0.	(.012)
0.100	0.	(.012)	0.	(.012)	0.	(.012)	0.	(.012)	0.	(.012)
0.125	0.	(.012)	0.	(.012)	0.	(.012)	0.	(.012)	0.	(.012)
0.150	0.	(.012)	0.	(.012)	0.	(.012)	0.	(.012)	0.	(.012)
0.175	0.	(.012)	0.	(.012)	0.	(.012)	0.	(.012)	0.	(.012)
0.200	0.	(.012)	0.	(.012)	0.	(.012)	0.	(.012)	0.	(.012)
0.225	0.	(.012)	0.	(.012)	0.	(.012)	0.	(.012)	0.	(.012)
0.250	0.	(.012)	0.	(.012)	0.	(.012)	0.	(.012)	0.	(.012)
0.275	0.	(.012)	0.	(.012)	0.	(.012)	0.	(.012)	0.	(.012)
0.300	0.	(.012)	0.	(.012)	0.	(.012)	0.	(.012)	0.	(.012)
0.325	0.	(.012)	0.	(.012)	0.	(.012)	0.	(.012)	0.	(.012)
0.350	0.	(.012)	0.	(.012)	0.	(.012)	0.	(.012)	0.	(.012)
0.375	0.	(.012)	0.	(.012)	0.	(.012)	0.	(.012)	0.	(.012)
0.400	0.	(.012)	0.	(.012)	0.	(.012)	0.	(.012)	0.	(.012)
0.425	0.	(.012)	0.	(.012)	0.	(.012)	0.	(.012)	0.	(.012)
0.450	0.	(.012)	0.	(.012)	0.	(.012)	0.	(.012)	0.	(.012)
0.475	0.	(.012)	0.	(.012)	0.	(.012)	0.	(.012)	0.	(.012)
0.500	0.	(.012)	0.	(.012)	0.	(.012)	0.	(.012)	0.	(.012)
0.525	0.	(.012)	0.	(.012)	0.	(.012)	0.	(.012)	0.	(.012)
0.550	0.	(.012)	0.	(.012)	0.	(.012)	0.	(.012)	0.	(.012)
0.575	0.	(.012)	0.	(.012)	0.	(.012)	0.	(.012)	0.	(.012)
0.600	0.	(.012)	0.	(.012)	0.	(.012)	0.	(.012)	0.	(.012)
0.625	0.	(.012)	0.	(.012)	0.	(.012)	0.	(.012)	0.	(.012)
0.650	0.	(.012)	0.	(.012)	0.	(.012)	0.	(.012)	0.	(.012)
0.675	0.	(.012)	0.	(.012)	0.	(.012)	0.	(.012)	0.	(.012)
0.700	0.	(.012)	0.	(.012)	0.	(.012)	0.	(.012)	0.	(.012)
0.725	0.	(.012)	0.	(.012)	0.	(.012)	0.	(.012)	0.	(.012)
0.750	0.	(.012)	0.	(.012)	0.	(.012)	0.	(.012)	0.	(.012)
0.775	0.	(.012)	0.	(.012)	0.	(.012)	0.	(.012)	0.	(.012)
0.800	0.	(.012)	0.	(.012)	0.	(.012)	0.	(.012)	0.	(.012)
0.825	0.	(.012)	0.	(.012)	0.	(.012)	0.	(.012)	0.	(.012)
0.850	0.	(.012)	0.	(.012)	0.	(.012)	0.	(.012)	0.	(.012)
0.875	0.	(.012)	0.	(.012)	0.	(.012)	0.	(.012)	0.	(.012)
0.900	0.	(.012)	0.	(.012)	0.	(.012)	0.	(.012)	0.	(.012)
0.925	0.	(.012)	0.	(.012)	0.	(.012)	0.	(.012)	0.	(.012)
0.950	0.	(.012)	0.	(.012)	0.	(.012)	0.	(.012)	0.	(.012)
0.975	0.	(.012)	0.	(.012)	0.	(.012)	0.	(.012)	0.	(.012)
1.000	1.000	(.025)	1.000	(.025)	1.000	(.025)	1.000	(.025)	1.000	(.025)

445
 E-33

*** RELATIVE ENERGY FLUX DENSITY IN THE ***
 *** PENUMBRA OF A RECTANGULAR CYLINDER ***

VERSION E

SOLAR FIELD ANGLE, D = 0.50 DEGREES
 GEOMETRY D2/R = 5.00 AND H/R = 2.0

BETA = ANGLE OF INCIDENCE, DEGREES

BETA ***	50.00		60.00		70.00		80.00		89.25	
AX/AB	Q	(QI)	Q	(QI)	Q	(QI)	Q	(QI)	Q	(QI)
0.	1.000(.)		1.000(.)		1.000(.)		1.000(.)		1.000(.)	
0.025	0.026(.013)		0.108(.014)		0.275(.016)		0.569(.020)		0.994(.025)	
0.050	0. (.013)		0. (.015)		0. (.019)		0. (.027)		0.980(.050)	
0.075	0. (.013)		0. (.015)		0. (.019)		0. (.027)		0.960(.074)	
0.100	0. (.013)		0. (.015)		0. (.019)		0. (.027)		0.931(.097)	
0.125	0. (.013)		0. (.015)		0. (.019)		0. (.027)		0.894(.120)	
0.150	0. (.013)		0. (.015)		0. (.019)		0. (.027)		0.844(.142)	
0.175	0. (.013)		0. (.015)		0. (.019)		0. (.027)		0.782(.162)	
0.200	0. (.013)		0. (.015)		0. (.019)		0. (.027)		0.705(.181)	
0.225	0. (.013)		0. (.015)		0. (.019)		0. (.027)		0.611(.197)	
0.250	0. (.013)		0. (.015)		0. (.019)		0. (.027)		0.496(.211)	
0.275	0. (.013)		0. (.015)		0. (.019)		0. (.027)		0.362(.222)	
0.300	0. (.013)		0. (.015)		0. (.019)		0. (.027)		0.216(.229)	
0.325	0. (.013)		0. (.015)		0. (.019)		0. (.027)		0.078(.233)	
0.350	0. (.013)		0. (.015)		0. (.019)		0. (.027)		0. (.234)	
0.375	0. (.013)		0. (.015)		0. (.019)		0. (.027)		0. (.234)	
0.400	0. (.013)		0. (.015)		0. (.019)		0. (.027)		0. (.234)	
0.425	0. (.013)		0. (.015)		0. (.019)		0. (.027)		0. (.234)	
0.450	0. (.013)		0. (.015)		0. (.019)		0. (.027)		0. (.234)	
0.475	0. (.013)		0. (.015)		0. (.019)		0. (.027)		0. (.234)	
0.500	0. (.013)		0. (.015)		0. (.019)		0. (.027)		0. (.234)	
0.525	0. (.013)		0. (.015)		0. (.019)		0. (.027)		0. (.234)	
0.550	0. (.013)		0. (.015)		0. (.019)		0. (.027)		0. (.234)	
0.575	0. (.013)		0. (.015)		0. (.019)		0. (.027)		0. (.234)	
0.600	0. (.013)		0. (.015)		0. (.019)		0. (.027)		0. (.234)	
0.625	0. (.013)		0. (.015)		0. (.019)		0. (.027)		0. (.234)	
0.650	0. (.013)		0. (.015)		0. (.019)		0. (.027)		0. (.234)	
0.675	0. (.013)		0. (.015)		0. (.019)		0. (.027)		0. (.234)	
0.700	0. (.013)		0. (.015)		0. (.019)		0. (.027)		0. (.234)	
0.725	0. (.013)		0. (.015)		0. (.019)		0. (.027)		0. (.234)	
0.750	0. (.013)		0. (.015)		0. (.019)		0. (.027)		0. (.234)	
0.775	0. (.013)		0. (.015)		0. (.019)		0. (.027)		0. (.234)	
0.800	0. (.013)		0. (.015)		0. (.019)		0. (.027)		0. (.234)	
0.825	0. (.013)		0. (.015)		0. (.019)		0. (.027)		0. (.234)	
0.850	0. (.013)		0. (.015)		0. (.019)		0. (.027)		0. (.234)	
0.875	0. (.013)		0. (.015)		0. (.019)		0. (.027)		0. (.234)	
0.900	0. (.013)		0. (.015)		0. (.019)		0. (.027)		0. (.234)	
0.925	0. (.013)		0. (.015)		0. (.019)		0. (.027)		0. (.234)	
0.950	0. (.013)		0. (.015)		0. (.019)		0. (.027)		0. (.234)	
0.975	0. (.013)		0. (.015)		0. (.019)		0. (.027)		0. (.234)	
1.000	1.000(.026)		1.000(.028)		1.000(.032)		0. (.027)		0. (.234)	

*appt
Phase II*

*** RELATIVE ENERGY FLUX DENSITY IN THE ***
 *** PENUMBRA OF A RECTANGULAR CYLINDER ***

VERSION E

SOLAR FIELD ANGLE, D= 0.50 DEGREES
 GEOMETRY D2/R = 10.00 AND H/R = 2.0

BETA = ANGLE OF INCIDENCE, DEGREES

BETA ***	0.		10.00		20.00		30.00		40.00	
AX/AB	Q	(QI)	Q	(QI)	Q	(QI)	Q	(QI)	Q	(QI)
0.	1.000(.)		1.000(.)		1.000(.)		1.000(.)		1.000(.)	
0.025	0.495(.019)		0.507(.019)		0.518(.019)		0.531(.019)		0.545(.019)	
0.050	0. (.025)		0. (.025)		0. (.025)		0. (.026)		0. (.026)	
0.075	0. (.025)		0. (.025)		0. (.025)		0. (.026)		0. (.026)	
0.100	0. (.025)		0. (.025)		0. (.025)		0. (.026)		0. (.026)	
0.125	0. (.025)		0. (.025)		0. (.025)		0. (.026)		0. (.026)	
0.150	0. (.025)		0. (.025)		0. (.025)		0. (.026)		0. (.026)	
0.175	0. (.025)		0. (.025)		0. (.025)		0. (.026)		0. (.026)	
0.200	0. (.025)		0. (.025)		0. (.025)		0. (.026)		0. (.026)	
0.225	0. (.025)		0. (.025)		0. (.025)		0. (.026)		0. (.026)	
0.250	0. (.025)		0. (.025)		0. (.025)		0. (.026)		0. (.026)	
0.275	0. (.025)		0. (.025)		0. (.025)		0. (.026)		0. (.026)	
0.300	0. (.025)		0. (.025)		0. (.025)		0. (.026)		0. (.026)	
0.325	0. (.025)		0. (.025)		0. (.025)		0. (.026)		0. (.026)	
0.350	0. (.025)		0. (.025)		0. (.025)		0. (.026)		0. (.026)	
0.375	0. (.025)		0. (.025)		0. (.025)		0. (.026)		0. (.026)	
0.400	0. (.025)		0. (.025)		0. (.025)		0. (.026)		0. (.026)	
0.425	0. (.025)		0. (.025)		0. (.025)		0. (.026)		0. (.026)	
0.450	0. (.025)		0. (.025)		0. (.025)		0. (.026)		0. (.026)	
0.475	0. (.025)		0. (.025)		0. (.025)		0. (.026)		0. (.026)	
0.500	0. (.025)		0. (.025)		0. (.025)		0. (.026)		0. (.026)	
0.525	0. (.025)		0. (.025)		0. (.025)		0. (.026)		0. (.026)	
0.550	0. (.025)		0. (.025)		0. (.025)		0. (.026)		0. (.026)	
0.575	0. (.025)		0. (.025)		0. (.025)		0. (.026)		0. (.026)	
0.600	0. (.025)		0. (.025)		0. (.025)		0. (.026)		0. (.026)	
0.625	0. (.025)		0. (.025)		0. (.025)		0. (.026)		0. (.026)	
0.650	0. (.025)		0. (.025)		0. (.025)		0. (.026)		0. (.026)	
0.675	0. (.025)		0. (.025)		0. (.025)		0. (.026)		0. (.026)	
0.700	0. (.025)		0. (.025)		0. (.025)		0. (.026)		0. (.026)	
0.725	0. (.025)		0. (.025)		0. (.025)		0. (.026)		0. (.026)	
0.750	0. (.025)		0. (.025)		0. (.025)		0. (.026)		0. (.026)	
0.775	0. (.025)		0. (.025)		0. (.025)		0. (.026)		0. (.026)	
0.800	0. (.025)		0. (.025)		0. (.025)		0. (.026)		0. (.026)	
0.825	0. (.025)		0. (.025)		0. (.025)		0. (.026)		0. (.026)	
0.850	0. (.025)		0. (.025)		0. (.025)		0. (.026)		0. (.026)	
0.875	0. (.025)		0. (.025)		0. (.025)		0. (.026)		0. (.026)	
0.900	0. (.025)		0. (.025)		0. (.025)		0. (.026)		0. (.026)	
0.925	0. (.025)		0. (.025)		0. (.025)		0. (.026)		0. (.026)	
0.950	0. (.025)		0. (.025)		0. (.025)		0. (.026)		0. (.026)	
0.975	0.495(.031)		0.478(.031)		0.460(.031)		0.438(.031)		0.409(.031)	
1.000	1.000(.050)		1.000(.050)		1.000(.049)		1.000(.049)		1.000(.049)	

John G. Shaw II

*** RELATIVE ENERGY FLUX DENSITY IN THE ***
 *** PENUMBRA OF A RECTANGULAR CYLINDER ***

VERSION E

SOLAR FIELD ANGLE, D = 0.50 DEGREES
 GEOMETRY D2/R = 10.00 AND H/R = 2.0

BETA = ANGLE OF INCIDENCE, DEGREES

BETA ***	50.00	60.00	70.00	80.00	89.25
AX/AB	Q (QI)	Q (QI)	Q (QI)	Q (QI)	Q (QI)
0.	1.000(.)	1.000(.)	1.000(.)	1.000(.)	1.000(.)
0.025	0.564(.020)	0.590(.020)	0.635(.020)	0.731(.022)	0.994(.025)
0.050	0. (.027)	0. (.027)	0.024(.029)	0.213(.033)	0.982(.050)
0.075	0. (.027)	0. (.027)	0. (.029)	0. (.036)	0.963(.074)
0.100	0. (.027)	0. (.027)	0. (.029)	0. (.036)	0.936(.098)
0.125	0. (.027)	0. (.027)	0. (.029)	0. (.036)	0.901(.121)
0.150	0. (.027)	0. (.027)	0. (.029)	0. (.036)	0.856(.143)
0.175	0. (.027)	0. (.027)	0. (.029)	0. (.036)	0.800(.163)
0.200	0. (.027)	0. (.027)	0. (.029)	0. (.036)	0.729(.182)
0.225	0. (.027)	0. (.027)	0. (.029)	0. (.036)	0.644(.200)
0.250	0. (.027)	0. (.027)	0. (.029)	0. (.036)	0.542(.214)
0.275	0. (.027)	0. (.027)	0. (.029)	0. (.036)	0.418(.226)
0.300	0. (.027)	0. (.027)	0. (.029)	0. (.036)	0.282(.235)
0.325	0. (.027)	0. (.027)	0. (.029)	0. (.036)	0.142(.240)
0.350	0. (.027)	0. (.027)	0. (.029)	0. (.036)	0.026(.243)
0.375	0. (.027)	0. (.027)	0. (.029)	0. (.036)	0. (.243)
0.400	0. (.027)	0. (.027)	0. (.029)	0. (.036)	0. (.243)
0.425	0. (.027)	0. (.027)	0. (.029)	0. (.036)	0. (.243)
0.450	0. (.027)	0. (.027)	0. (.029)	0. (.036)	0. (.243)
0.475	0. (.027)	0. (.027)	0. (.029)	0. (.036)	0. (.243)
0.500	0. (.027)	0. (.027)	0. (.029)	0. (.036)	0. (.243)
0.525	0. (.027)	0. (.027)	0. (.029)	0. (.036)	0. (.243)
0.550	0. (.027)	0. (.027)	0. (.029)	0. (.036)	0. (.243)
0.575	0. (.027)	0. (.027)	0. (.029)	0. (.036)	0. (.243)
0.600	0. (.027)	0. (.027)	0. (.029)	0. (.036)	0. (.243)
0.625	0. (.027)	0. (.027)	0. (.029)	0. (.036)	0. (.243)
0.650	0. (.027)	0. (.027)	0. (.029)	0. (.036)	0. (.243)
0.675	0. (.027)	0. (.027)	0. (.029)	0. (.036)	0. (.243)
0.700	0. (.027)	0. (.027)	0. (.029)	0. (.036)	0. (.243)
0.725	0. (.027)	0. (.027)	0. (.029)	0. (.036)	0. (.243)
0.750	0. (.027)	0. (.027)	0. (.029)	0. (.036)	0. (.243)
0.775	0. (.027)	0. (.027)	0. (.029)	0. (.036)	0. (.243)
0.800	0. (.027)	0. (.027)	0. (.029)	0. (.036)	0. (.243)
0.825	0. (.027)	0. (.027)	0. (.029)	0. (.036)	0. (.243)
0.850	0. (.027)	0. (.027)	0. (.029)	0. (.036)	0. (.243)
0.875	0. (.027)	0. (.027)	0. (.029)	0. (.036)	0. (.243)
0.900	0. (.027)	0. (.027)	0. (.029)	0. (.036)	0. (.243)
0.925	0. (.027)	0. (.027)	0. (.029)	0. (.036)	0. (.243)
0.950	0. (.027)	0. (.027)	0. (.029)	0. (.036)	0. (.243)
0.975	0.368(.031)	0.298(.031)	0.149(.031)	0. (.036)	0. (.243)
1.000	1.000(.048)	1.000(.047)	1.000(.045)	1.000(.049)	0. (.243)

*** RELATIVE ENERGY FLUX DENSITY IN THE ***
 *** PENUMBRA OF A RECTANGULAR CYLINDER ***

VERSION E

SOLAR FIELD ANGLE, D = 0.50 DEGREES
 GEOMETRY D2/R = 50.00 AND H/R = 2.0

BETA = ANGLE OF INCIDENCE, DEGREES

BETA ***	0.		10.00		20.00		30.00		40.00	
AX/AB	Q	(QI)	Q	(QI)	Q	(QI)	Q	(QI)	Q	(QI)
0.	1.000(.))	1.000(.))	1.000(.))	1.000(.))	1.000(.))
0.025	0.932(.024))	0.932(.024))	0.933(.024))	0.933(.024))	0.934(.024))
0.050	0.799(.046))	0.800(.048))	0.802(.046))	0.804(.046))	0.806(.046))
0.075	0.629(.064))	0.631(.064))	0.634(.064))	0.637(.064))	0.641(.064))
0.100	0.439(.077))	0.443(.077))	0.446(.077))	0.450(.077))	0.456(.078))
0.125	0.247(.086))	0.251(.086))	0.255(.086))	0.259(.086))	0.265(.087))
0.150	0.092(.090))	0.095(.090))	0.098(.090))	0.101(.091))	0.106(.091))
0.175	0.003(.091))	0.004(.091))	0.005(.092))	0.006(.092))	0.008(.093))
0.200	0. (.091))	0. (.091))	0. (.092))	0. (.092))	0. (.093))
0.225	0. (.091))	0. (.091))	0. (.092))	0. (.092))	0. (.093))
0.250	0. (.091))	0. (.091))	0. (.092))	0. (.092))	0. (.093))
0.275	0. (.091))	0. (.091))	0. (.092))	0. (.092))	0. (.093))
0.300	0. (.091))	0. (.091))	0. (.092))	0. (.092))	0. (.093))
0.325	0. (.091))	0. (.091))	0. (.092))	0. (.092))	0. (.093))
0.350	0. (.091))	0. (.091))	0. (.092))	0. (.092))	0. (.093))
0.375	0. (.091))	0. (.091))	0. (.092))	0. (.092))	0. (.093))
0.400	0. (.091))	0. (.091))	0. (.092))	0. (.092))	0. (.093))
0.425	0. (.091))	0. (.091))	0. (.092))	0. (.092))	0. (.093))
0.450	0. (.091))	0. (.091))	0. (.092))	0. (.092))	0. (.093))
0.475	0. (.091))	0. (.091))	0. (.092))	0. (.092))	0. (.093))
0.500	0. (.091))	0. (.091))	0. (.092))	0. (.092))	0. (.093))
0.525	0. (.091))	0. (.091))	0. (.092))	0. (.092))	0. (.093))
0.550	0. (.091))	0. (.091))	0. (.092))	0. (.092))	0. (.093))
0.575	0. (.091))	0. (.091))	0. (.092))	0. (.092))	0. (.093))
0.600	0. (.091))	0. (.091))	0. (.092))	0. (.092))	0. (.093))
0.625	0. (.091))	0. (.091))	0. (.092))	0. (.092))	0. (.093))
0.650	0. (.091))	0. (.091))	0. (.092))	0. (.092))	0. (.093))
0.675	0. (.091))	0. (.091))	0. (.092))	0. (.092))	0. (.093))
0.700	0. (.091))	0. (.091))	0. (.092))	0. (.092))	0. (.093))
0.725	0. (.091))	0. (.091))	0. (.092))	0. (.092))	0. (.093))
0.750	0. (.091))	0. (.091))	0. (.092))	0. (.092))	0. (.093))
0.775	0. (.091))	0. (.091))	0. (.092))	0. (.092))	0. (.093))
0.800	0. (.091))	0. (.091))	0. (.092))	0. (.092))	0. (.093))
0.825	0.003(.091))	0.002(.091))	0.001(.092))	0.000(.092))	0. (.093))
0.850	0.092(.092))	0.089(.093))	0.086(.093))	0.082(.093))	0.078(.094))
0.875	0.247(.096))	0.244(.097))	0.240(.097))	0.235(.097))	0.230(.098))
0.900	0.439(.105))	0.436(.105))	0.432(.105))	0.428(.106))	0.423(.106))
0.925	0.629(.118))	0.627(.118))	0.624(.119))	0.621(.119))	0.617(.119))
0.950	0.799(.136))	0.797(.136))	0.796(.136))	0.794(.136))	0.792(.136))
0.975	0.932(.158))	0.931(.158))	0.930(.158))	0.930(.158))	0.929(.158))
1.000	1.000(.182))	1.000(.182))	1.000(.182))	1.000(.182))	1.000(.182))

RE-ORDER No 66-196
App. 9
Phase 1

*** RELATIVE ENERGY FLUX DENSITY IN THE ***
 *** PENUMBRA OF A RECTANGULAR CYLINDER ***

VERSION E

SOLAR FIELD ANGLE, D= 0.50 DEGREES
 GEOMETRY D2/R = 50.00 AND H/R = 2.0

BETA = ANGLE OF INCIDENCE, DEGREES

BETA ***	50.00		60.00		70.00		80.00		89.25	
AX/AB	Q	(Q1)	Q	(Q1)	Q	(Q1)	Q	(Q1)	Q	(Q1)
0.	1.000(.))	1.000(.))	1.000(.))	1.000(.))	1.000(.))
0.025	0.935(.024))	0.937(.024))	0.939(.024))	0.947(.024))	0.996(.025))
0.050	0.809(.046))	0.813(.046))	0.821(.046))	0.841(.047))	0.987(.050))
0.075	0.645(.064))	0.653(.064))	0.666(.065))	0.701(.066))	0.975(.074))
0.100	0.462(.078))	0.472(.078))	0.491(.079))	0.539(.081))	0.958(.098))
0.125	0.272(.087))	0.283(.088))	0.304(.089))	0.362(.093))	0.936(.122))
0.150	0.112(.092))	0.122(.093))	0.140(.095))	0.195(.100))	0.908(.145))
0.175	0.011(.094))	0.016(.095))	0.026(.097))	0.063(.103))	0.875(.167))
0.200	0. (.094))	0. (.095))	0. (.097))	0. (.104))	0.834(.189))
0.225	0. (.094))	0. (.095))	0. (.097))	0. (.104))	0.785(.209))
0.250	0. (.094))	0. (.095))	0. (.097))	0. (.104))	0.727(.228))
0.275	0. (.094))	0. (.095))	0. (.097))	0. (.104))	0.660(.245))
0.300	0. (.094))	0. (.095))	0. (.097))	0. (.104))	0.582(.261))
0.325	0. (.094))	0. (.095))	0. (.097))	0. (.104))	0.491(.274))
0.350	0. (.094))	0. (.095))	0. (.097))	0. (.104))	0.390(.285))
0.375	0. (.094))	0. (.095))	0. (.097))	0. (.104))	0.281(.294))
0.400	0. (.094))	0. (.095))	0. (.097))	0. (.104))	0.170(.299))
0.425	0. (.094))	0. (.095))	0. (.097))	0. (.104))	0.068(.302))
0.450	0. (.094))	0. (.095))	0. (.097))	0. (.104))	0.001(.303))
0.475	0. (.094))	0. (.095))	0. (.097))	0. (.104))	0. (.303))
0.500	0. (.094))	0. (.095))	0. (.097))	0. (.104))	0. (.303))
0.525	0. (.094))	0. (.095))	0. (.097))	0. (.104))	0. (.303))
0.550	0. (.094))	0. (.095))	0. (.097))	0. (.104))	0. (.303))
0.575	0. (.094))	0. (.095))	0. (.097))	0. (.104))	0. (.303))
0.600	0. (.094))	0. (.095))	0. (.097))	0. (.104))	0. (.303))
0.625	0. (.094))	0. (.095))	0. (.097))	0. (.104))	0. (.303))
0.650	0. (.094))	0. (.095))	0. (.097))	0. (.104))	0. (.303))
0.675	0. (.094))	0. (.095))	0. (.097))	0. (.104))	0. (.303))
0.700	0. (.094))	0. (.095))	0. (.097))	0. (.104))	0. (.303))
0.725	0. (.094))	0. (.095))	0. (.097))	0. (.104))	0. (.303))
0.750	0. (.094))	0. (.095))	0. (.097))	0. (.104))	0. (.303))
0.775	0. (.094))	0. (.095))	0. (.097))	0. (.104))	0. (.303))
0.800	0. (.094))	0. (.095))	0. (.097))	0. (.104))	0. (.303))
0.825	0. (.094))	0. (.095))	0. (.097))	0. (.104))	0. (.303))
0.850	0.072(.095))	0.064(.096))	0.049(.098))	0.013(.104))	0. (.303))
0.875	0.223(.098))	0.211(.099))	0.190(.101))	0.131(.106))	0. (.303))
0.900	0.415(.106))	0.404(.107))	0.383(.108))	0.320(.111))	0. (.303))
0.925	0.612(.119))	0.604(.119))	0.588(.120))	0.540(.122))	0. (.303))
0.950	0.788(.137))	0.783(.137))	0.774(.137))	0.743(.138))	0. (.303))
0.975	0.928(.158))	0.926(.158))	0.922(.158))	0.911(.159))	0. (.303))
1.000	1.000(.182))	1.000(.182))	1.000(.182))	1.000(.183))	0. (.303))

450
 E-39

*** RELATIVE ENERGY FLUX DENSITY IN THE *** VERSION E
 *** PENUMBRA OF A RECTANGULAR CYLINDER ***

SOLAR FIELD ANGLE, D= 0.50 DEGREES
 GEOMETRY D2/R = 100.00 AND H/R = 2.0

BETA = ANGLE OF INCIDENCE, DEGREES

BETA ***	0.	10.00	20.00	30.00	40.00
AX/AB	Q (Q1)	Q (Q1)	Q (Q1)	Q (Q1)	Q (Q1)
0.	1.000(.)	1.000(.)	1.000(.)	1.000(.)	1.000(.)
0.025	0.969(.025)	0.969(.025)	0.969(.025)	0.970(.025)	0.970(.025)
0.050	0.909(.048)	0.909(.048)	0.910(.048)	0.910(.048)	0.911(.048)
0.075	0.829(.070)	0.830(.070)	0.831(.070)	0.832(.070)	0.833(.070)
0.100	0.734(.089)	0.735(.089)	0.736(.089)	0.738(.090)	0.740(.090)
0.125	0.629(.106)	0.630(.106)	0.632(.107)	0.634(.107)	0.636(.107)
0.150	0.518(.121)	0.520(.121)	0.522(.121)	0.524(.121)	0.527(.121)
0.175	0.403(.132)	0.405(.132)	0.407(.133)	0.409(.133)	0.412(.133)
0.200	0.291(.141)	0.293(.141)	0.295(.141)	0.298(.142)	0.301(.142)
0.225	0.189(.147)	0.191(.147)	0.193(.147)	0.196(.148)	0.199(.148)
0.250	0.103(.151)	0.105(.151)	0.106(.151)	0.108(.152)	0.111(.152)
0.275	0.037(.152)	0.038(.153)	0.039(.153)	0.041(.153)	0.043(.154)
0.300	0.001(.153)	0.001(.153)	0.001(.154)	0.002(.154)	0.002(.155)
0.325	0. (.153)	0. (.153)	0. (.154)	0. (.154)	0. (.155)
0.350	0. (.153)	0. (.153)	0. (.154)	0. (.154)	0. (.155)
0.375	0. (.153)	0. (.153)	0. (.154)	0. (.154)	0. (.155)
0.400	0. (.153)	0. (.153)	0. (.154)	0. (.154)	0. (.155)
0.425	0. (.153)	0. (.153)	0. (.154)	0. (.154)	0. (.155)
0.450	0. (.153)	0. (.153)	0. (.154)	0. (.154)	0. (.155)
0.475	0. (.153)	0. (.153)	0. (.154)	0. (.154)	0. (.155)
0.500	0. (.153)	0. (.153)	0. (.154)	0. (.154)	0. (.155)
0.525	0. (.153)	0. (.153)	0. (.154)	0. (.154)	0. (.155)
0.550	0. (.153)	0. (.153)	0. (.154)	0. (.154)	0. (.155)
0.575	0. (.153)	0. (.153)	0. (.154)	0. (.154)	0. (.155)
0.600	0. (.153)	0. (.153)	0. (.154)	0. (.154)	0. (.155)
0.625	0. (.153)	0. (.153)	0. (.154)	0. (.154)	0. (.155)
0.650	0. (.153)	0. (.153)	0. (.154)	0. (.154)	0. (.155)
0.675	0. (.153)	0. (.153)	0. (.154)	0. (.154)	0. (.155)
0.700	0.001(.153)	0.000(.153)	0.000(.154)	0.000(.154)	0. (.155)
0.725	0.037(.153)	0.036(.154)	0.035(.154)	0.033(.154)	0.032(.155)
0.750	0.103(.155)	0.101(.155)	0.100(.156)	0.098(.156)	0.095(.157)
0.775	0.189(.159)	0.188(.159)	0.185(.159)	0.183(.160)	0.180(.160)
0.800	0.291(.165)	0.289(.165)	0.287(.165)	0.284(.165)	0.281(.166)
0.825	0.403(.173)	0.401(.174)	0.398(.174)	0.396(.174)	0.393(.174)
0.850	0.518(.185)	0.516(.185)	0.514(.185)	0.512(.185)	0.509(.185)
0.875	0.629(.199)	0.627(.199)	0.625(.199)	0.623(.199)	0.621(.200)
0.900	0.734(.216)	0.733(.216)	0.731(.216)	0.730(.216)	0.728(.216)
0.925	0.829(.236)	0.828(.236)	0.827(.236)	0.826(.236)	0.825(.236)
0.950	0.909(.257)	0.908(.257)	0.908(.257)	0.907(.258)	0.907(.258)
0.975	0.969(.281)	0.969(.281)	0.969(.281)	0.968(.281)	0.968(.281)
1.000	1.000(.306)	1.000(.306)	1.000(.306)	1.000(.306)	1.000(.306)

66-196
 App. 1
 Phase II

VERSION E

*** RELATIVE ENERGY FLUX DENSITY IN THE ***
 *** PENUMBRA OF A RECTANGULAR CYLINDER ***

SOLAR FIELD ANGLE, D = 0.50 DEGREES
 GEOMETRY D2/R = 100.00 AND H/R = 2.0

BETA = ANGLE OF INCIDENCE, DEGREES

BETA ***	50.00	60.00	70.00	80.00	89.25
AX/AB	Q (QI)	Q (QI)	Q (QI)	Q (QI)	Q (QI)
0.	1.000(.)	1.000(.)	1.000(.)	1.000(.)	1.000(.)
0.025	0.970(.025)	0.971(.025)	0.972(.025)	0.974(.025)	0.997(.025)
0.050	0.912(.048)	0.914(.048)	0.916(.048)	0.923(.048)	0.990(.050)
0.075	0.835(.070)	0.837(.070)	0.842(.070)	0.854(.071)	0.981(.074)
0.100	0.742(.090)	0.746(.090)	0.753(.090)	0.771(.091)	0.969(.099)
0.125	0.639(.107)	0.644(.107)	0.653(.108)	0.677(.109)	0.953(.123)
0.150	0.530(.122)	0.536(.122)	0.546(.123)	0.575(.125)	0.934(.146)
0.175	0.417(.133)	0.423(.134)	0.435(.135)	0.468(.138)	0.910(.169)
0.200	0.305(.142)	0.312(.143)	0.324(.144)	0.358(.148)	0.883(.192)
0.225	0.203(.149)	0.209(.150)	0.220(.151)	0.254(.156)	0.850(.214)
0.250	0.114(.153)	0.119(.154)	0.129(.156)	0.159(.161)	0.812(.234)
0.275	0.045(.155)	0.049(.156)	0.056(.158)	0.080(.164)	0.767(.254)
0.300	0.003(.155)	0.005(.157)	0.009(.159)	0.022(.165)	0.716(.273)
0.325	0. (.155)	0. (.157)	0. (.159)	0. (.165)	0.658(.290)
0.350	0. (.155)	0. (.157)	0. (.159)	0. (.165)	0.593(.305)
0.375	0. (.155)	0. (.157)	0. (.159)	0. (.165)	0.519(.319)
0.400	0. (.155)	0. (.157)	0. (.159)	0. (.165)	0.436(.331)
0.425	0. (.155)	0. (.157)	0. (.159)	0. (.165)	0.348(.341)
0.450	0. (.155)	0. (.157)	0. (.159)	0. (.165)	0.255(.349)
0.475	0. (.155)	0. (.157)	0. (.159)	0. (.165)	0.162(.354)
0.500	0. (.155)	0. (.157)	0. (.159)	0. (.165)	0.076(.357)
0.525	0. (.155)	0. (.157)	0. (.159)	0. (.165)	0.012(.358)
0.550	0. (.155)	0. (.157)	0. (.159)	0. (.165)	0. (.358)
0.575	0. (.155)	0. (.157)	0. (.159)	0. (.165)	0. (.358)
0.600	0. (.155)	0. (.157)	0. (.159)	0. (.165)	0. (.358)
0.625	0. (.155)	0. (.157)	0. (.159)	0. (.165)	0. (.358)
0.650	0. (.155)	0. (.157)	0. (.159)	0. (.165)	0. (.358)
0.675	0. (.155)	0. (.157)	0. (.159)	0. (.165)	0. (.358)
0.700	0. (.155)	0. (.157)	0. (.159)	0. (.165)	0. (.358)
0.725	0.030(.156)	0.026(.157)	0.021(.159)	0.008(.165)	0. (.358)
0.750	0.092(.157)	0.087(.158)	0.078(.160)	0.055(.166)	0. (.358)
0.775	0.176(.161)	0.171(.162)	0.160(.163)	0.129(.169)	0. (.358)
0.800	0.277(.166)	0.271(.167)	0.259(.169)	0.224(.173)	0. (.358)
0.825	0.389(.175)	0.382(.175)	0.370(.176)	0.335(.180)	0. (.358)
0.850	0.505(.186)	0.500(.186)	0.488(.187)	0.455(.190)	0. (.358)
0.875	0.618(.200)	0.613(.200)	0.603(.201)	0.575(.203)	0. (.358)
0.900	0.725(.217)	0.721(.217)	0.714(.217)	0.691(.219)	0. (.358)
0.925	0.823(.236)	0.820(.236)	0.815(.236)	0.799(.237)	0.074(.359)
0.950	0.906(.258)	0.904(.258)	0.901(.258)	0.892(.258)	0.449(.365)
0.975	0.968(.281)	0.967(.281)	0.966(.281)	0.963(.281)	1.000(.384)
1.000	1.000(.306)	1.000(.306)	1.000(.306)	1.000(.306)	1.000(.384)

4
 3
 2

452
 E-40

*** RELATIVE ENERGY FLUX DENSITY IN THE ***
 *** PENUMBRA OF A RECTANGULAR CYLINDER ***

VERSION E

SOLAR FIELD ANGLE, D = 2.00 DEGREES
 GEOMETRY D2/R = 1.00 AND H/R = 0.

BETA = ANGLE OF INCIDENCE, DEGREES

BETA ***	0.	10.00	20.00	30.00	40.00
AX/AB	Q (QI)	Q (QI)	Q (QI)	Q (QI)	Q (QI)
0.	1.000(.)	1.000(.)	1.000(.)	1.000(.)	1.000(.)
0.025	0. (.012)	0. (.012)	0. (.012)	0.029(.013)	0.140(.014)
0.050	0. (.012)	0. (.012)	0. (.012)	0. (.013)	0. (.016)
0.075	0. (.012)	0. (.012)	0. (.012)	0. (.013)	0. (.016)
0.100	0. (.012)	0. (.012)	0. (.012)	0. (.013)	0. (.016)
0.125	0. (.012)	0. (.012)	0. (.012)	0. (.013)	0. (.016)
0.150	0. (.012)	0. (.012)	0. (.012)	0. (.013)	0. (.016)
0.175	0. (.012)	0. (.012)	0. (.012)	0. (.013)	0. (.016)
0.200	0. (.012)	0. (.012)	0. (.012)	0. (.013)	0. (.016)
0.225	0. (.012)	0. (.012)	0. (.012)	0. (.013)	0. (.016)
0.250	0. (.012)	0. (.012)	0. (.012)	0. (.013)	0. (.016)
0.275	0. (.012)	0. (.012)	0. (.012)	0. (.013)	0. (.016)
0.300	0. (.012)	0. (.012)	0. (.012)	0. (.013)	0. (.016)
0.325	0. (.012)	0. (.012)	0. (.012)	0. (.013)	0. (.016)
0.350	0. (.012)	0. (.012)	0. (.012)	0. (.013)	0. (.016)
0.375	0. (.012)	0. (.012)	0. (.012)	0. (.013)	0. (.016)
0.400	0. (.012)	0. (.012)	0. (.012)	0. (.013)	0. (.016)
0.425	0. (.012)	0. (.012)	0. (.012)	0. (.013)	0. (.016)
0.450	0. (.012)	0. (.012)	0. (.012)	0. (.013)	0. (.016)
0.475	0. (.012)	0. (.012)	0. (.012)	0. (.013)	0. (.016)
0.500	0. (.012)	0. (.012)	0. (.012)	0. (.013)	0. (.016)
0.525	0. (.012)	0. (.012)	0. (.012)	0. (.013)	0. (.016)
0.550	0. (.012)	0. (.012)	0. (.012)	0. (.013)	0. (.016)
0.575	0. (.012)	0. (.012)	0. (.012)	0. (.013)	0. (.016)
0.600	0. (.012)	0. (.012)	0. (.012)	0. (.013)	0. (.016)
0.625	0. (.012)	0. (.012)	0. (.012)	0. (.013)	0. (.016)
0.650	0. (.012)	0. (.012)	0. (.012)	0. (.013)	0. (.016)
0.675	0. (.012)	0. (.012)	0. (.012)	0. (.013)	0. (.016)
0.700	0. (.012)	0. (.012)	0. (.012)	0. (.013)	0. (.016)
0.725	0. (.012)	0. (.012)	0. (.012)	0. (.013)	0. (.016)
0.750	0. (.012)	0. (.012)	0. (.012)	0. (.013)	0. (.016)
0.775	0. (.012)	0. (.012)	0. (.012)	0. (.013)	0. (.016)
0.800	0. (.012)	0. (.012)	0. (.012)	0. (.013)	0. (.016)
0.825	0. (.012)	0. (.012)	0. (.012)	0. (.013)	0. (.016)
0.850	0. (.012)	0. (.012)	0. (.012)	0. (.013)	0. (.016)
0.875	0. (.012)	0. (.012)	0. (.012)	0. (.013)	0. (.016)
0.900	0. (.012)	0. (.012)	0. (.012)	0. (.013)	0. (.016)
0.925	0. (.012)	0. (.012)	0. (.012)	0. (.013)	0. (.016)
0.950	0. (.012)	0. (.012)	0. (.012)	0. (.013)	0. (.016)
0.975	0. (.012)	0. (.012)	0. (.012)	0. (.013)	0. (.016)
1.000	1.000(.025)	1.000(.025)	1.000(.025)	1.000(.026)	1.000(.028)

*** RELATIVE ENERGY FLUX DENSITY IN THE ***
 *** PENUMBRA OF A RECTANGULAR CYLINDER ***

VERSION E

SOLAR FIELD ANGLE, D = 2.00 DEGREES
 GEOMETRY D2/R = 1.00 AND H/R = 0.

BETA = ANGLE OF INCIDENCE, DEGREES

BETA ***	50.00	60.00	70.00	80.00	88.50
AX/AB	Q (QI)	Q (QI)	Q (QI)	Q (QI)	Q (QI)
0.	1.000(.)	1.000(.)	1.000(.)	1.000(.)	1.000(.025)
0.025	0.294(.016)	0.481(.019)	0.689(.021)	0.896(.024)	0.999(.050)
0.050	0. (.020)	0. (.025)	0.172(.032)	0.670(.043)	0.998(.075)
0.075	0. (.020)	0. (.025)	0. (.034)	0.370(.056)	0.997(.100)
0.100	0. (.020)	0. (.025)	0. (.034)	0.087(.062)	0.996(.125)
0.125	0. (.020)	0. (.025)	0. (.034)	0. (.063)	0.994(.150)
0.150	0. (.020)	0. (.025)	0. (.034)	0. (.063)	0.991(.174)
0.175	0. (.020)	0. (.025)	0. (.034)	0. (.063)	0.988(.199)
0.200	0. (.020)	0. (.025)	0. (.034)	0. (.063)	0.985(.224)
0.225	0. (.020)	0. (.025)	0. (.034)	0. (.063)	0.980(.248)
0.250	0. (.020)	0. (.025)	0. (.034)	0. (.063)	0.975(.273)
0.275	0. (.020)	0. (.025)	0. (.034)	0. (.063)	0.968(.297)
0.300	0. (.020)	0. (.025)	0. (.034)	0. (.063)	0.960(.321)
0.325	0. (.020)	0. (.025)	0. (.034)	0. (.063)	0.949(.345)
0.350	0. (.020)	0. (.025)	0. (.034)	0. (.063)	0.937(.369)
0.375	0. (.020)	0. (.025)	0. (.034)	0. (.063)	0.920(.392)
0.400	0. (.020)	0. (.025)	0. (.034)	0. (.063)	0.900(.415)
0.425	0. (.020)	0. (.025)	0. (.034)	0. (.063)	0.874(.437)
0.450	0. (.020)	0. (.025)	0. (.034)	0. (.063)	0.841(.458)
0.475	0. (.020)	0. (.025)	0. (.034)	0. (.063)	0.798(.479)
0.500	0. (.020)	0. (.025)	0. (.034)	0. (.063)	0.742(.498)
0.525	0. (.020)	0. (.025)	0. (.034)	0. (.063)	0.670(.516)
0.550	0. (.020)	0. (.025)	0. (.034)	0. (.063)	0.575(.531)
0.575	0. (.020)	0. (.025)	0. (.034)	0. (.063)	0.452(.544)
0.600	0. (.020)	0. (.025)	0. (.034)	0. (.063)	0.297(.553)
0.625	0. (.020)	0. (.025)	0. (.034)	0. (.063)	0.120(.559)
0.650	0. (.020)	0. (.025)	0. (.034)	0. (.063)	0. (.560)
0.675	0. (.020)	0. (.025)	0. (.034)	0. (.063)	0. (.560)
0.700	0. (.020)	0. (.025)	0. (.034)	0. (.063)	0. (.560)
0.725	0. (.020)	0. (.025)	0. (.034)	0. (.063)	0. (.560)
0.750	0. (.020)	0. (.025)	0. (.034)	0. (.063)	0. (.560)
0.775	0. (.020)	0. (.025)	0. (.034)	0. (.063)	0. (.560)
0.800	0. (.020)	0. (.025)	0. (.034)	0. (.063)	0. (.560)
0.825	0. (.020)	0. (.025)	0. (.034)	0. (.063)	0. (.560)
0.850	0. (.020)	0. (.025)	0. (.034)	0. (.063)	0. (.560)
0.875	0. (.020)	0. (.025)	0. (.034)	0. (.063)	0. (.560)
0.900	0. (.020)	0. (.025)	0. (.034)	0. (.063)	0. (.560)
0.925	0. (.020)	0. (.025)	0. (.034)	0. (.063)	0. (.560)
0.950	0. (.020)	0. (.025)	0. (.034)	0. (.063)	0. (.560)
0.975	0. (.020)	0. (.025)	0. (.034)	0. (.063)	0. (.560)
1.000	0. (.020)	0. (.025)	0. (.034)	0. (.063)	0. (.560)

Handwritten signature/initials

*** RELATIVE ENERGY FLUX DENSITY IN THE ***
 *** PENUMBRA OF A RECTANGULAR CYLINDER ***

VERSION E

SOLAR FIELD ANGLE, D= 2.00 DEGREES
 GEOMETRY D2/R = 5.00 AND H/R = 0.

BETA = ANGLE OF INCIDENCE, DEGREES

BETA ***	0.	10.00	20.00	30.00	40.00
AX/AB	Q (QI)	Q (QI)	Q (QI)	Q (QI)	Q (QI)
0.	1.000(.)	1.000(.)	1.000(.)	1.000(.)	1.000(.)
0.025	0.750(.022)	0.765(.022)	0.780(.022)	0.795(.022)	0.811(.023)
0.050	0.333(.035)	0.364(.036)	0.395(.037)	0.428(.038)	0.467(.039)
0.075	0.022(.040)	0.042(.041)	0.065(.043)	0.094(.044)	0.132(.046)
0.100	0. (.040)	0. (.042)	0. (.043)	0. (.045)	0. (.048)
0.125	0. (.040)	0. (.042)	0. (.043)	0. (.045)	0. (.048)
0.150	0. (.040)	0. (.042)	0. (.043)	0. (.045)	0. (.048)
0.175	0. (.040)	0. (.042)	0. (.043)	0. (.045)	0. (.048)
0.200	0. (.040)	0. (.042)	0. (.043)	0. (.045)	0. (.048)
0.225	0. (.040)	0. (.042)	0. (.043)	0. (.045)	0. (.048)
0.250	0. (.040)	0. (.042)	0. (.043)	0. (.045)	0. (.048)
0.275	0. (.040)	0. (.042)	0. (.043)	0. (.045)	0. (.048)
0.300	0. (.040)	0. (.042)	0. (.043)	0. (.045)	0. (.048)
0.325	0. (.040)	0. (.042)	0. (.043)	0. (.045)	0. (.048)
0.350	0. (.040)	0. (.042)	0. (.043)	0. (.045)	0. (.048)
0.375	0. (.040)	0. (.042)	0. (.043)	0. (.045)	0. (.048)
0.400	0. (.040)	0. (.042)	0. (.043)	0. (.045)	0. (.048)
0.425	0. (.040)	0. (.042)	0. (.043)	0. (.045)	0. (.048)
0.450	0. (.040)	0. (.042)	0. (.043)	0. (.045)	0. (.048)
0.475	0. (.040)	0. (.042)	0. (.043)	0. (.045)	0. (.048)
0.500	0. (.040)	0. (.042)	0. (.043)	0. (.045)	0. (.048)
0.525	0. (.040)	0. (.042)	0. (.043)	0. (.045)	0. (.048)
0.550	0. (.040)	0. (.042)	0. (.043)	0. (.045)	0. (.048)
0.575	0. (.040)	0. (.042)	0. (.043)	0. (.045)	0. (.048)
0.600	0. (.040)	0. (.042)	0. (.043)	0. (.045)	0. (.048)
0.625	0. (.040)	0. (.042)	0. (.043)	0. (.045)	0. (.048)
0.650	0. (.040)	0. (.042)	0. (.043)	0. (.045)	0. (.048)
0.675	0. (.040)	0. (.042)	0. (.043)	0. (.045)	0. (.048)
0.700	0. (.040)	0. (.042)	0. (.043)	0. (.045)	0. (.048)
0.725	0. (.040)	0. (.042)	0. (.043)	0. (.045)	0. (.048)
0.750	0. (.040)	0. (.042)	0. (.043)	0. (.045)	0. (.048)
0.775	0. (.040)	0. (.042)	0. (.043)	0. (.045)	0. (.048)
0.800	0. (.040)	0. (.042)	0. (.043)	0. (.045)	0. (.048)
0.825	0. (.040)	0. (.042)	0. (.043)	0. (.045)	0. (.048)
0.850	0. (.040)	0. (.042)	0. (.043)	0. (.045)	0. (.048)
0.875	0. (.040)	0. (.042)	0. (.043)	0. (.045)	0. (.048)
0.900	0. (.040)	0. (.042)	0. (.043)	0. (.045)	0. (.048)
0.925	0.022(.040)	0.007(.042)	0. (.043)	0. (.045)	0. (.048)
0.950	0.333(.045)	0.301(.046)	0.266(.047)	0.224(.048)	0.172(.050)
0.975	0.750(.058)	0.734(.059)	0.715(.059)	0.691(.060)	0.659(.060)
1.000	1.000(.080)	1.000(.080)	1.000(.081)	1.000(.081)	1.000(.081)

*** RELATIVE ENERGY FLUX DENSITY IN THE ***
 *** PENUMBRA OF A RECTANGULAR CYLINDER ***

VERSION E

SOLAR FIELD ANGLE, D = 2.00 DEGREES
 GEOMETRY D2/R = 5.00 AND H/R = 0.

BETA = ANGLE OF INCIDENCE, DEGREES

BETA ***	50.00	60.00	70.00	80.00	88.50
AX/AB	Q (QI)	Q (QI)	Q (QI)	Q (QI)	Q (QI)
0.	1.000(.)	1.000(.)	1.000(.)	1.000(.)	1.000(.025)
0.025	0.831(.023)	0.856(.023)	0.892(.024)	0.946(.024)	0.999(.050)
0.050	0.514(.040)	0.578(.041)	0.673(.043)	0.831(.047)	0.998(.075)
0.075	0.184(.048)	0.264(.052)	0.400(.057)	0.668(.065)	0.997(.100)
0.100	0. (.051)	0.031(.055)	0.142(.063)	0.472(.080)	0.996(.125)
0.125	0. (.051)	0. (.056)	0. (.065)	0.265(.089)	0.994(.150)
0.150	0. (.051)	0. (.056)	0. (.065)	0.085(.093)	0.992(.175)
0.175	0. (.051)	0. (.056)	0. (.065)	0. (.094)	0.989(.199)
0.200	0. (.051)	0. (.056)	0. (.065)	0. (.094)	0.986(.224)
0.225	0. (.051)	0. (.056)	0. (.065)	0. (.094)	0.982(.249)
0.250	0. (.051)	0. (.056)	0. (.065)	0. (.094)	0.977(.273)
0.275	0. (.051)	0. (.056)	0. (.065)	0. (.094)	0.971(.297)
0.300	0. (.051)	0. (.056)	0. (.065)	0. (.094)	0.963(.322)
0.325	0. (.051)	0. (.056)	0. (.065)	0. (.094)	0.954(.346)
0.350	0. (.051)	0. (.056)	0. (.065)	0. (.094)	0.943(.369)
0.375	0. (.051)	0. (.056)	0. (.065)	0. (.094)	0.929(.393)
0.400	0. (.051)	0. (.056)	0. (.065)	0. (.094)	0.911(.416)
0.425	0. (.051)	0. (.056)	0. (.065)	0. (.094)	0.889(.438)
0.450	0. (.051)	0. (.056)	0. (.065)	0. (.094)	0.861(.460)
0.475	0. (.051)	0. (.056)	0. (.065)	0. (.094)	0.825(.481)
0.500	0. (.051)	0. (.056)	0. (.065)	0. (.094)	0.780(.501)
0.525	0. (.051)	0. (.056)	0. (.065)	0. (.094)	0.720(.520)
0.550	0. (.051)	0. (.056)	0. (.065)	0. (.094)	0.644(.537)
0.575	0. (.051)	0. (.056)	0. (.065)	0. (.094)	0.545(.552)
0.600	0. (.051)	0. (.056)	0. (.065)	0. (.094)	0.417(.564)
0.625	0. (.051)	0. (.056)	0. (.065)	0. (.094)	0.260(.572)
0.650	0. (.051)	0. (.056)	0. (.065)	0. (.094)	0.088(.577)
0.675	0. (.051)	0. (.056)	0. (.065)	0. (.094)	0. (.578)
0.700	0. (.051)	0. (.056)	0. (.065)	0. (.094)	0. (.578)
0.725	0. (.051)	0. (.056)	0. (.065)	0. (.094)	0. (.578)
0.750	0. (.051)	0. (.056)	0. (.065)	0. (.094)	0. (.578)
0.775	0. (.051)	0. (.056)	0. (.065)	0. (.094)	0. (.578)
0.800	0. (.051)	0. (.056)	0. (.065)	0. (.094)	0. (.578)
0.825	0. (.051)	0. (.056)	0. (.065)	0. (.094)	0. (.578)
0.850	0. (.051)	0. (.056)	0. (.065)	0. (.094)	0. (.578)
0.875	0. (.051)	0. (.056)	0. (.065)	0. (.094)	0. (.578)
0.900	0. (.051)	0. (.056)	0. (.065)	0. (.094)	0. (.578)
0.925	0. (.051)	0. (.056)	0. (.065)	0. (.094)	0. (.578)
0.950	0.102(.052)	0.012(.056)	0. (.065)	0. (.094)	0. (.578)
0.975	0.607(.061)	0.505(.062)	0.215(.068)	0. (.094)	0. (.578)
1.000	1.000(.081)	1.000(.081)	1.000(.083)	0. (.094)	0. (.578)

4
3

App 4
Phase 11

*** RELATIVE ENERGY FLUX DENSITY IN THE ***
*** PENUMBRA OF A RECTANGULAR CYLINDER ***

VERSION E

SOLAR FIELD ANGLE, D= 2.00 DEGREES
GEOMETRY D2/R = 10.00 AND H/R = 0.

BETA = ANGLE OF INCIDENCE, DEGREES

BETA *** AX/AB	0.		10.00		20.00		30.00		40.00	
	Q	(QI)	Q	(QI)	Q	(QI)	Q	(QI)	Q	(QI)
0.	1.000(.)		1.000(.)		1.000(.)		1.000(.)		1.000(.)	
0.025	0.904(.024)		0.907(.024)		0.911(.024)		0.915(.024)		0.919(.024)	
0.050	0.719(.044)		0.729(.044)		0.738(.045)		0.749(.045)		0.761(.045)	
0.075	0.493(.059)		0.508(.060)		0.524(.060)		0.540(.061)		0.560(.062)	
0.100	0.269(.069)		0.286(.070)		0.304(.071)		0.324(.072)		0.348(.073)	
0.125	0.088(.073)		0.102(.075)		0.117(.076)		0.135(.077)		0.157(.079)	
0.150	0. (.074)		0.001(.076)		0.006(.077)		0.013(.079)		0.025(.081)	
0.175	0. (.074)		0. (.076)		0. (.077)		0. (.079)		0. (.082)	
0.200	0. (.074)		0. (.076)		0. (.077)		0. (.079)		0. (.082)	
0.225	0. (.074)		0. (.076)		0. (.077)		0. (.079)		0. (.082)	
0.250	0. (.074)		0. (.076)		0. (.077)		0. (.079)		0. (.082)	
0.275	0. (.074)		0. (.076)		0. (.077)		0. (.079)		0. (.082)	
0.300	0. (.074)		0. (.076)		0. (.077)		0. (.079)		0. (.082)	
0.325	0. (.074)		0. (.076)		0. (.077)		0. (.079)		0. (.082)	
0.350	0. (.074)		0. (.076)		0. (.077)		0. (.079)		0. (.082)	
0.375	0. (.074)		0. (.076)		0. (.077)		0. (.079)		0. (.082)	
0.400	0. (.074)		0. (.076)		0. (.077)		0. (.079)		0. (.082)	
0.425	0. (.074)		0. (.076)		0. (.077)		0. (.079)		0. (.082)	
0.450	0. (.074)		0. (.076)		0. (.077)		0. (.079)		0. (.082)	
0.475	0. (.074)		0. (.076)		0. (.077)		0. (.079)		0. (.082)	
0.500	0. (.074)		0. (.076)		0. (.077)		0. (.079)		0. (.082)	
0.525	0. (.074)		0. (.076)		0. (.077)		0. (.079)		0. (.082)	
0.550	0. (.074)		0. (.076)		0. (.077)		0. (.079)		0. (.082)	
0.575	0. (.074)		0. (.076)		0. (.077)		0. (.079)		0. (.082)	
0.600	0. (.074)		0. (.076)		0. (.077)		0. (.079)		0. (.082)	
0.625	0. (.074)		0. (.076)		0. (.077)		0. (.079)		0. (.082)	
0.650	0. (.074)		0. (.076)		0. (.077)		0. (.079)		0. (.082)	
0.675	0. (.074)		0. (.076)		0. (.077)		0. (.079)		0. (.082)	
0.700	0. (.074)		0. (.076)		0. (.077)		0. (.079)		0. (.082)	
0.725	0. (.074)		0. (.076)		0. (.077)		0. (.079)		0. (.082)	
0.750	0. (.074)		0. (.076)		0. (.077)		0. (.079)		0. (.082)	
0.775	0. (.074)		0. (.076)		0. (.077)		0. (.079)		0. (.082)	
0.800	0. (.074)		0. (.076)		0. (.077)		0. (.079)		0. (.082)	
0.825	0. (.074)		0. (.076)		0. (.077)		0. (.079)		0. (.082)	
0.850	0. (.074)		0. (.076)		0. (.077)		0. (.079)		0. (.082)	
0.875	0.088(.075)		0.075(.077)		0.061(.078)		0.046(.080)		0.030(.082)	
0.900	0.269(.080)		0.252(.081)		0.234(.082)		0.213(.083)		0.187(.085)	
0.925	0.493(.089)		0.478(.090)		0.462(.091)		0.442(.091)		0.417(.092)	
0.950	0.719(.105)		0.709(.105)		0.698(.105)		0.685(.105)		0.668(.106)	
0.975	0.904(.125)		0.900(.125)		0.896(.125)		0.891(.125)		0.884(.125)	
1.000	1.000(.149)		1.000(.149)		1.000(.149)		1.000(.149)		1.000(.149)	

66-196
 Phase II

*** RELATIVE ENERGY FLUX DENSITY IN THE ***
 *** PENUMBRA OF A RECTANGULAR CYLINDER ***

VERSION E

SOLAR FIELD ANGLE, D = 2.00 DEGREES
 GEOMETRY D2/R = 10.00 AND H/R = 0.

BETA = ANGLE OF INCIDENCE, DEGREES

BETA *** AX/AB	50.00 Q (QI)	60.00 Q (QI)	70.00 Q (QI)	80.00 Q (QI)	88.50 Q (QI)
0.	1.000(.)	1.000(.)	1.000(.)	1.000(.)	1.000(.025)
0.025	0.925(.024)	0.933(.024)	0.944(.024)	0.967(.025)	0.999(.050)
0.050	0.777(.045)	0.798(.046)	0.832(.047)	0.899(.048)	0.998(.075)
0.075	0.586(.062)	0.622(.064)	0.680(.065)	0.801(.069)	0.997(.100)
0.100	0.379(.074)	0.425(.077)	0.504(.080)	0.679(.088)	0.996(.125)
0.125	0.188(.082)	0.235(.085)	0.322(.091)	0.538(.103)	0.994(.150)
0.150	0.045(.084)	0.080(.089)	0.156(.097)	0.386(.114)	0.992(.175)
0.175	0. (.085)	0. (.090)	0.034(.099)	0.235(.122)	0.990(.199)
0.200	0. (.085)	0. (.090)	0. (.099)	0.103(.126)	0.987(.224)
0.225	0. (.085)	0. (.090)	0. (.099)	0.012(.128)	0.983(.249)
0.250	0. (.085)	0. (.090)	0. (.099)	0. (.128)	0.979(.273)
0.275	0. (.085)	0. (.090)	0. (.099)	0. (.128)	0.973(.298)
0.300	0. (.085)	0. (.090)	0. (.099)	0. (.128)	0.967(.322)
0.325	0. (.085)	0. (.090)	0. (.099)	0. (.128)	0.958(.346)
0.350	0. (.085)	0. (.090)	0. (.099)	0. (.128)	0.949(.370)
0.375	0. (.085)	0. (.090)	0. (.099)	0. (.128)	0.936(.393)
0.400	0. (.085)	0. (.090)	0. (.099)	0. (.128)	0.921(.416)
0.425	0. (.085)	0. (.090)	0. (.099)	0. (.128)	0.902(.439)
0.450	0. (.085)	0. (.090)	0. (.099)	0. (.128)	0.879(.462)
0.475	0. (.085)	0. (.090)	0. (.099)	0. (.128)	0.849(.483)
0.500	0. (.085)	0. (.090)	0. (.099)	0. (.128)	0.811(.504)
0.525	0. (.085)	0. (.090)	0. (.099)	0. (.128)	0.763(.524)
0.550	0. (.085)	0. (.090)	0. (.099)	0. (.128)	0.702(.542)
0.575	0. (.085)	0. (.090)	0. (.099)	0. (.128)	0.623(.558)
0.600	0. (.085)	0. (.090)	0. (.099)	0. (.128)	0.521(.573)
0.625	0. (.085)	0. (.090)	0. (.099)	0. (.128)	0.392(.584)
0.650	0. (.085)	0. (.090)	0. (.099)	0. (.128)	0.236(.592)
0.675	0. (.085)	0. (.090)	0. (.099)	0. (.128)	0.071(.596)
0.700	0. (.085)	0. (.090)	0. (.099)	0. (.128)	0. (.597)
0.725	0. (.085)	0. (.090)	0. (.099)	0. (.128)	0. (.597)
0.750	0. (.085)	0. (.090)	0. (.099)	0. (.128)	0. (.597)
0.775	0. (.085)	0. (.090)	0. (.099)	0. (.128)	0. (.597)
0.800	0. (.085)	0. (.090)	0. (.099)	0. (.128)	0. (.597)
0.825	0. (.085)	0. (.090)	0. (.099)	0. (.128)	0. (.597)
0.850	0. (.085)	0. (.090)	0. (.099)	0. (.128)	0. (.597)
0.875	0.012(.085)	0. (.090)	0. (.099)	0. (.128)	0. (.597)
0.900	0.153(.087)	0.102(.091)	0.022(.100)	0. (.128)	0. (.597)
0.925	0.382(.094)	0.325(.096)	0.210(.102)	0.108(.129)	0. (.597)
0.950	0.643(.107)	0.602(.108)	0.507(.111)	0.567(.138)	0. (.597)
0.975	0.874(.126)	0.857(.126)	0.816(.128)	1.000(.157)	0. (.597)
1.000	1.000(.149)	1.000(.149)	1.000(.151)		

458
 E-46

REORDER No 66-196

*W.P.A.
Phase II*

*** RELATIVE ENERGY FLUX DENSITY IN THE ***
*** PENUMBRA OF A RECTANGULAR CYLINDER ***

VERSION E

SOLAR FIELD ANGLE, D = 2.00 DEGREES
GEOMETRY D2/R = 50.00 AND H/R = 0.

BETA = ANGLE OF INCIDENCE, DEGREES

BETA *** AX/AB	0. Q (QI)	10.00 Q (QI)	20.00 Q (QI)	30.00 Q (QI)	40.00 Q (QI)
0.	1.000(.)	1.000(.)	1.000(.)	1.000(.)	1.000(.)
0.025	0.984(.025)	0.984(.025)	0.984(.025)	0.984(.025)	0.985(.025)
0.050	0.952(.049)	0.953(.049)	0.954(.049)	0.955(.049)	0.956(.049)
0.075	0.910(.072)	0.912(.072)	0.913(.072)	0.915(.072)	0.917(.072)
0.100	0.859(.094)	0.861(.094)	0.864(.095)	0.866(.095)	0.869(.095)
0.125	0.801(.115)	0.804(.115)	0.807(.115)	0.810(.116)	0.815(.116)
0.150	0.737(.134)	0.741(.135)	0.745(.135)	0.749(.135)	0.754(.135)
0.175	0.669(.152)	0.673(.152)	0.677(.153)	0.682(.153)	0.688(.153)
0.200	0.597(.168)	0.602(.168)	0.607(.169)	0.612(.169)	0.619(.170)
0.225	0.524(.182)	0.529(.182)	0.534(.183)	0.540(.184)	0.548(.184)
0.250	0.450(.194)	0.455(.195)	0.461(.195)	0.467(.196)	0.475(.197)
0.275	0.377(.204)	0.382(.205)	0.388(.206)	0.394(.207)	0.402(.208)
0.300	0.306(.213)	0.311(.214)	0.317(.215)	0.323(.216)	0.331(.217)
0.325	0.239(.220)	0.244(.221)	0.249(.222)	0.256(.223)	0.263(.225)
0.350	0.177(.225)	0.182(.226)	0.187(.227)	0.192(.229)	0.199(.231)
0.375	0.121(.229)	0.125(.230)	0.130(.231)	0.135(.233)	0.141(.235)
0.400	0.074(.231)	0.077(.232)	0.080(.234)	0.085(.236)	0.090(.238)
0.425	0.035(.232)	0.038(.234)	0.040(.235)	0.043(.237)	0.047(.239)
0.450	0.008(.233)	0.010(.234)	0.011(.236)	0.013(.238)	0.016(.240)
0.475	0. (.233)	0. (.235)	0. (.236)	0. (.238)	0. (.240)
0.500	0. (.233)	0. (.235)	0. (.236)	0. (.238)	0. (.240)
0.525	0. (.233)	0. (.235)	0. (.236)	0. (.238)	0. (.240)
0.550	0.008(.233)	0.007(.235)	0.006(.236)	0.004(.238)	0.003(.240)
0.575	0.035(.234)	0.033(.235)	0.030(.237)	0.028(.239)	0.025(.241)
0.600	0.074(.235)	0.070(.236)	0.067(.238)	0.063(.240)	0.059(.242)
0.625	0.121(.237)	0.118(.239)	0.113(.240)	0.109(.242)	0.103(.244)
0.650	0.177(.241)	0.173(.242)	0.168(.244)	0.162(.245)	0.156(.247)
0.675	0.239(.246)	0.234(.247)	0.229(.249)	0.223(.250)	0.216(.252)
0.700	0.306(.253)	0.301(.254)	0.295(.255)	0.289(.256)	0.281(.258)
0.725	0.377(.262)	0.371(.263)	0.366(.263)	0.359(.265)	0.351(.266)
0.750	0.450(.272)	0.444(.273)	0.439(.274)	0.432(.274)	0.424(.276)
0.775	0.524(.284)	0.519(.285)	0.513(.285)	0.507(.286)	0.499(.287)
0.800	0.597(.298)	0.592(.299)	0.587(.299)	0.582(.300)	0.574(.300)
0.825	0.669(.314)	0.665(.314)	0.660(.315)	0.655(.315)	0.649(.316)
0.850	0.737(.332)	0.734(.332)	0.730(.332)	0.725(.332)	0.720(.333)
0.875	0.801(.351)	0.798(.351)	0.795(.351)	0.792(.351)	0.787(.352)
0.900	0.859(.372)	0.857(.372)	0.855(.372)	0.852(.372)	0.849(.372)
0.925	0.910(.394)	0.909(.394)	0.907(.394)	0.905(.394)	0.903(.394)
0.950	0.952(.417)	0.951(.417)	0.950(.417)	0.949(.417)	0.948(.417)
0.975	0.984(.441)	0.983(.441)	0.983(.441)	0.983(.441)	0.982(.441)
1.000	1.000(.466)	1.000(.466)	1.000(.466)	1.000(.466)	1.000(.466)

459
E-47

*** RELATIVE ENERGY FLUX DENSITY IN THE ***
*** PENUMBRA OF A RECTANGULAR CYLINDER ***

VERSION E

SOLAR FIELD ANGLE, D= 2.00 DEGREES
GEOMETRY D2/R = 50.00 AND H/R = 0.

BETA = ANGLE OF INCIDENCE, DEGREES

BETA *** AX/AB	50.00		60.00		70.00		80.00		88.50	
	Q	(QI)	Q	(QI)	Q	(QI)	Q	(QI)	Q	(QI)
0.	1.000(.))	1.000(.))	1.000(.))	1.000(.))	1.000(.))
0.025	0.985(.025))	0.986(.025))	0.987(.025))	0.991(.025))	1.000(.025))
0.050	0.957(.049))	0.959(.049))	0.963(.049))	0.972(.049))	0.999(.050))
0.075	0.919(.073))	0.923(.073))	0.930(.073))	0.947(.073))	0.999(.075))
0.100	0.873(.095))	0.879(.095))	0.889(.096))	0.915(.097))	0.998(.100))
0.125	0.820(.116))	0.828(.117))	0.842(.117))	0.877(.119))	0.997(.125))
0.150	0.761(.136))	0.771(.137))	0.788(.138))	0.834(.140))	0.996(.150))
0.175	0.696(.154))	0.708(.155))	0.730(.157))	0.785(.161))	0.994(.175))
0.200	0.628(.171))	0.642(.172))	0.667(.174))	0.732(.180))	0.992(.199))
0.225	0.558(.185))	0.573(.187))	0.600(.190))	0.674(.197))	0.990(.224))
0.250	0.485(.199))	0.501(.200))	0.531(.204))	0.612(.213))	0.988(.249))
0.275	0.413(.210))	0.430(.212))	0.461(.216))	0.547(.228))	0.985(.274))
0.300	0.342(.219))	0.359(.222))	0.390(.227))	0.480(.241))	0.981(.298))
0.325	0.274(.227))	0.290(.230))	0.320(.236))	0.411(.252))	0.977(.323))
0.350	0.209(.233))	0.224(.237))	0.253(.243))	0.342(.261))	0.972(.347))
0.375	0.150(.237))	0.163(.241))	0.190(.249))	0.275(.269))	0.966(.371))
0.400	0.097(.240))	0.109(.245))	0.132(.253))	0.209(.275))	0.959(.395))
0.425	0.053(.242))	0.062(.247))	0.081(.255))	0.148(.279))	0.951(.419))
0.450	0.019(.243))	0.026(.246))	0.040(.257))	0.094(.282))	0.940(.443))
0.475	0.000(.244))	0.003(.248))	0.010(.257))	0.047(.284))	0.928(.466))
0.500	0. (.244))	0. (.248))	0. (.258))	0.013(.285))	0.914(.489))
0.525	0. (.244))	0. (.248))	0. (.258))	0. (.285))	0.896(.512))
0.550	0.001(.244))	0. (.248))	0. (.258))	0. (.285))	0.874(.534))
0.575	0.021(.244))	0.015(.249))	0.007(.258))	0. (.285))	0.848(.556))
0.600	0.053(.245))	0.045(.249))	0.031(.258))	0.005(.285))	0.815(.576))
0.625	0.096(.247))	0.085(.251))	0.067(.259))	0.026(.286))	0.775(.596))
0.650	0.147(.250))	0.135(.254))	0.112(.262))	0.058(.287))	0.725(.615))
0.675	0.206(.254))	0.192(.258))	0.166(.265))	0.100(.289))	0.663(.632))
0.700	0.271(.260))	0.255(.263))	0.227(.270))	0.152(.292))	0.586(.648))
0.725	0.341(.268))	0.324(.271))	0.294(.277))	0.212(.296))	0.490(.661))
0.750	0.414(.277))	0.397(.280))	0.366(.285))	0.279(.302))	0.373(.672))
0.775	0.489(.288))	0.473(.290))	0.442(.295))	0.354(.310))	0.235(.680))
0.800	0.565(.302))	0.550(.303))	0.521(.307))	0.434(.320))	0.090(.684))
0.825	0.640(.317))	0.626(.318))	0.600(.321))	0.518(.332))	0. (.685))
0.850	0.712(.333))	0.701(.335))	0.677(.337))	0.604(.346))	0. (.685))
0.875	0.781(.352))	0.771(.353))	0.752(.355))	0.690(.362))	0. (.685))
0.900	0.844(.372))	0.837(.373))	0.822(.374))	0.773(.381))	0.001(.685))
0.925	0.900(.394))	0.895(.395))	0.885(.396))	0.851(.401))	0.014(.685))
0.950	0.946(.417))	0.944(.418))	0.938(.419))	0.918(.423))	0.059(.686))
0.975	0.982(.441))	0.981(.442))	0.979(.443))	0.971(.447))	0.244(.690))
1.000	1.000(.466))	1.000(.466))	1.000(.467))	1.000(.471))	1.000(.705))

66-196
 App. A
 Phase II

*** RELATIVE ENERGY FLUX DENSITY IN THE ***
 *** PENUMBRA OF A RECTANGULAR CYLINDER ***

VERSION E

SOLAR FIELD ANGLE, D = 2.00 DEGREES
 GEOMETRY D2/R = 100.00 AND H/R = 0.

BETA = ANGLE OF INCIDENCE, DEGREES

BETA *** AX/AB	0.	10.00	20.00	30.00	40.00
	Q (QI)	Q (QI)	Q (QI)	Q (QI)	Q (QI)
0.	1.000(.)	1.000(.)	1.000(.)	1.000(.)	1.000(.)
0.025	0.990(.025)	0.990(.025)	0.990(.025)	0.990(.025)	0.990(.025)
0.050	0.970(.049)	0.971(.049)	0.971(.049)	0.972(.049)	0.972(.049)
0.075	0.945(.073)	0.945(.073)	0.946(.073)	0.947(.073)	0.948(.073)
0.100	0.913(.097)	0.914(.097)	0.916(.097)	0.917(.097)	0.919(.097)
0.125	0.877(.119)	0.879(.119)	0.880(.119)	0.882(.119)	0.885(.119)
0.150	0.837(.140)	0.839(.140)	0.841(.141)	0.843(.141)	0.846(.141)
0.175	0.793(.161)	0.796(.161)	0.798(.161)	0.801(.161)	0.804(.162)
0.200	0.746(.180)	0.749(.180)	0.752(.180)	0.755(.181)	0.759(.181)
0.225	0.697(.198)	0.700(.198)	0.703(.199)	0.707(.199)	0.712(.199)
0.250	0.645(.215)	0.649(.215)	0.653(.216)	0.657(.216)	0.662(.217)
0.275	0.593(.230)	0.596(.231)	0.600(.231)	0.605(.232)	0.610(.233)
0.300	0.539(.244)	0.543(.245)	0.547(.246)	0.551(.246)	0.557(.247)
0.325	0.485(.257)	0.489(.258)	0.493(.259)	0.498(.259)	0.503(.260)
0.350	0.430(.269)	0.434(.269)	0.439(.270)	0.444(.271)	0.450(.272)
0.375	0.380(.279)	0.383(.280)	0.387(.281)	0.392(.282)	0.397(.283)
0.400	0.343(.288)	0.346(.289)	0.349(.290)	0.352(.291)	0.357(.292)
0.425	0.315(.296)	0.317(.297)	0.319(.298)	0.322(.299)	0.326(.301)
0.450	0.295(.304)	0.296(.305)	0.298(.306)	0.300(.307)	0.303(.309)
0.475	0.283(.311)	0.284(.312)	0.285(.313)	0.286(.314)	0.287(.316)
0.500	0.279(.318)	0.279(.319)	0.279(.320)	0.279(.322)	0.280(.323)
0.525	0.283(.325)	0.282(.326)	0.282(.327)	0.281(.329)	0.280(.330)
0.550	0.295(.332)	0.293(.333)	0.292(.334)	0.290(.336)	0.288(.337)
0.575	0.315(.340)	0.312(.341)	0.310(.342)	0.308(.343)	0.305(.345)
0.600	0.343(.348)	0.340(.349)	0.337(.350)	0.334(.351)	0.330(.353)
0.625	0.380(.357)	0.376(.358)	0.373(.359)	0.369(.360)	0.364(.361)
0.650	0.430(.367)	0.426(.368)	0.422(.369)	0.417(.370)	0.411(.371)
0.675	0.485(.379)	0.481(.379)	0.476(.380)	0.471(.381)	0.466(.382)
0.700	0.539(.391)	0.535(.392)	0.531(.393)	0.526(.393)	0.520(.394)
0.725	0.593(.405)	0.589(.406)	0.585(.407)	0.580(.407)	0.575(.408)
0.750	0.645(.421)	0.642(.421)	0.638(.422)	0.634(.422)	0.629(.423)
0.775	0.697(.438)	0.694(.438)	0.690(.438)	0.686(.439)	0.682(.439)
0.800	0.746(.456)	0.743(.456)	0.740(.456)	0.737(.457)	0.733(.457)
0.825	0.793(.475)	0.791(.475)	0.788(.475)	0.785(.476)	0.782(.476)
0.850	0.837(.495)	0.835(.496)	0.833(.496)	0.830(.496)	0.827(.496)
0.875	0.877(.517)	0.876(.517)	0.874(.517)	0.872(.517)	0.870(.517)
0.900	0.913(.539)	0.912(.539)	0.911(.539)	0.909(.539)	0.908(.540)
0.925	0.945(.562)	0.944(.562)	0.943(.563)	0.942(.563)	0.941(.563)
0.950	0.970(.586)	0.970(.586)	0.970(.586)	0.969(.586)	0.968(.586)
0.975	0.990(.611)	0.990(.611)	0.989(.611)	0.989(.611)	0.989(.611)
1.000	1.000(.636)	1.000(.636)	1.000(.636)	1.000(.636)	1.000(.636)

461
 E-49

66-196
 App A
 Phase II

*** RELATIVE ENERGY FLUX DENSITY IN THE ***
 *** PENUMBRA OF A RECTANGULAR CYLINDER ***

VERSION E

SOLAR FIELD ANGLE, D = 2.00 DEGREES
 GEOMETRY D2/R = 100.00 AND H/R = 0.

BETA = ANGLE OF INCIDENCE, DEGREES

BETA ***	50.00	60.00	70.00	80.00	88.50
AX/AB	Q (QI)	Q (QI)	Q (QI)	Q (QI)	Q (QI)
0.	1.000(.)	1.000(.)	1.000(.)	1.000(.)	1.000(.025)
0.025	0.991(.025)	0.991(.025)	0.992(.025)	0.994(.025)	0.999(.050)
0.050	0.973(.049)	0.974(.049)	0.976(.050)	0.981(.050)	0.999(.075)
0.075	0.950(.073)	0.952(.074)	0.955(.074)	0.965(.074)	0.998(.100)
0.100	0.921(.097)	0.924(.097)	0.930(.097)	0.944(.098)	0.997(.125)
0.125	0.887(.119)	0.892(.120)	0.900(.120)	0.920(.121)	0.996(.150)
0.150	0.850(.141)	0.856(.142)	0.866(.142)	0.892(.144)	0.995(.175)
0.175	0.809(.162)	0.816(.162)	0.828(.163)	0.860(.166)	0.993(.200)
0.200	0.765(.182)	0.773(.182)	0.787(.184)	0.826(.187)	0.992(.224)
0.225	0.718(.200)	0.727(.201)	0.743(.203)	0.788(.207)	0.989(.249)
0.250	0.668(.217)	0.676(.219)	0.697(.221)	0.747(.226)	0.987(.274)
0.275	0.617(.233)	0.628(.235)	0.648(.237)	0.703(.244)	0.984(.298)
0.300	0.565(.248)	0.576(.250)	0.598(.253)	0.657(.261)	0.981(.323)
0.325	0.511(.262)	0.523(.264)	0.546(.267)	0.609(.277)	0.977(.347)
0.350	0.458(.274)	0.470(.276)	0.493(.280)	0.559(.292)	0.972(.372)
0.375	0.405(.285)	0.417(.287)	0.440(.292)	0.508(.305)	0.966(.396)
0.400	0.363(.294)	0.373(.297)	0.392(.302)	0.455(.317)	0.960(.420)
0.425	0.331(.303)	0.339(.306)	0.355(.312)	0.410(.328)	0.952(.444)
0.450	0.306(.311)	0.312(.314)	0.325(.320)	0.371(.338)	0.943(.468)
0.475	0.290(.318)	0.294(.322)	0.302(.328)	0.338(.346)	0.932(.491)
0.500	0.281(.325)	0.282(.329)	0.287(.335)	0.312(.355)	0.919(.514)
0.525	0.279(.332)	0.279(.336)	0.279(.343)	0.292(.362)	0.904(.537)
0.550	0.286(.339)	0.283(.343)	0.279(.350)	0.279(.369)	0.885(.559)
0.575	0.301(.347)	0.296(.350)	0.287(.357)	0.274(.376)	0.863(.581)
0.600	0.324(.355)	0.317(.358)	0.304(.364)	0.278(.383)	0.836(.603)
0.625	0.357(.363)	0.348(.366)	0.331(.372)	0.291(.390)	0.805(.623)
0.650	0.403(.373)	0.391(.375)	0.369(.381)	0.316(.398)	0.767(.643)
0.675	0.458(.383)	0.445(.386)	0.422(.391)	0.357(.406)	0.721(.661)
0.700	0.512(.396)	0.500(.398)	0.478(.402)	0.412(.416)	0.666(.679)
0.725	0.567(.409)	0.556(.411)	0.534(.414)	0.469(.427)	0.598(.694)
0.750	0.622(.424)	0.611(.425)	0.590(.428)	0.527(.439)	0.518(.708)
0.775	0.675(.440)	0.665(.441)	0.646(.444)	0.587(.453)	0.423(.720)
0.800	0.727(.458)	0.718(.459)	0.700(.461)	0.646(.469)	0.316(.729)
0.825	0.776(.476)	0.769(.477)	0.753(.479)	0.705(.486)	0.208(.736)
0.850	0.823(.496)	0.817(.497)	0.804(.498)	0.763(.504)	0.142(.740)
0.875	0.866(.518)	0.861(.518)	0.851(.519)	0.817(.524)	0.204(.745)
0.900	0.905(.540)	0.901(.540)	0.894(.541)	0.868(.545)	0.311(.751)
0.925	0.939(.563)	0.937(.563)	0.931(.564)	0.914(.567)	0.479(.761)
0.950	0.967(.587)	0.966(.587)	0.963(.587)	0.953(.590)	0.734(.776)
0.975	0.989(.611)	0.988(.611)	0.987(.612)	0.984(.615)	1.000(.798)
1.000	1.000(.636)	1.000(.636)	1.000(.637)	1.000(.639)	

46 ✓
 E-50

*** RELATIVE ENERGY FLUX DENSITY IN THE ***
 *** PENUMBRA OF A RECTANGULAR CYLINDER ***
 VERSION E

SOLAR FIELD ANGLE, D = 2.00 DEGREES
 GEOMETRY D2/R = 1.00 AND H/R = 0.5

BETA = ANGLE OF INCIDENCE, DEGREES

BETA *** AX/AB	0. Q (QI)	10.00 Q (QI)	20.00 Q (QI)	30.00 Q (QI)	40.00 Q (QI)
0.	1.000 (.)	1.000 (.)	1.000 (.)	1.000 (.)	1.000 (.)
0.025	0. (.)	0. (.012)	0. (.012)	0.048 (.013)	0.223 (.015)
0.050	0. (.)	0. (.012)	0. (.012)	0. (.014)	0. (.018)
0.075	0. (.)	0. (.012)	0. (.012)	0. (.014)	0. (.018)
0.100	0. (.)	0. (.012)	0. (.012)	0. (.014)	0. (.018)
0.125	0. (.)	0. (.012)	0. (.012)	0. (.014)	0. (.018)
0.150	0. (.)	0. (.012)	0. (.012)	0. (.014)	0. (.018)
0.175	0. (.)	0. (.012)	0. (.012)	0. (.014)	0. (.018)
0.200	0. (.)	0. (.012)	0. (.012)	0. (.014)	0. (.018)
0.225	0. (.)	0. (.012)	0. (.012)	0. (.014)	0. (.018)
0.250	0. (.)	0. (.012)	0. (.012)	0. (.014)	0. (.018)
0.275	0. (.)	0. (.012)	0. (.012)	0. (.014)	0. (.018)
0.300	0. (.)	0. (.012)	0. (.012)	0. (.014)	0. (.018)
0.325	0. (.)	0. (.012)	0. (.012)	0. (.014)	0. (.018)
0.350	0. (.)	0. (.012)	0. (.012)	0. (.014)	0. (.018)
0.375	0. (.)	0. (.012)	0. (.012)	0. (.014)	0. (.018)
0.400	0. (.)	0. (.012)	0. (.012)	0. (.014)	0. (.018)
0.425	0. (.)	0. (.012)	0. (.012)	0. (.014)	0. (.018)
0.450	0. (.)	0. (.012)	0. (.012)	0. (.014)	0. (.018)
0.475	0. (.)	0. (.012)	0. (.012)	0. (.014)	0. (.018)
0.500	0. (.)	0. (.012)	0. (.012)	0. (.014)	0. (.018)
0.525	0. (.)	0. (.012)	0. (.012)	0. (.014)	0. (.018)
0.550	0. (.)	0. (.012)	0. (.012)	0. (.014)	0. (.018)
0.575	0. (.)	0. (.012)	0. (.012)	0. (.014)	0. (.018)
0.600	0. (.)	0. (.012)	0. (.012)	0. (.014)	0. (.018)
0.625	0. (.)	0. (.012)	0. (.012)	0. (.014)	0. (.018)
0.650	0. (.)	0. (.012)	0. (.012)	0. (.014)	0. (.018)
0.675	0. (.)	0. (.012)	0. (.012)	0. (.014)	0. (.018)
0.700	0. (.)	0. (.012)	0. (.012)	0. (.014)	0. (.018)
0.725	0. (.)	0. (.012)	0. (.012)	0. (.014)	0. (.018)
0.750	0. (.)	0. (.012)	0. (.012)	0. (.014)	0. (.018)
0.775	0. (.)	0. (.012)	0. (.012)	0. (.014)	0. (.018)
0.800	0. (.)	0. (.012)	0. (.012)	0. (.014)	0. (.018)
0.825	0. (.)	0. (.012)	0. (.012)	0. (.014)	0. (.018)
0.850	0. (.)	0. (.012)	0. (.012)	0. (.014)	0. (.018)
0.875	0. (.)	0. (.012)	0. (.012)	0. (.014)	0. (.018)
0.900	0. (.)	0. (.012)	0. (.012)	0. (.014)	0. (.018)
0.925	0. (.)	0. (.012)	0. (.012)	0. (.014)	0. (.018)
0.950	0. (.)	0. (.012)	0. (.012)	0. (.014)	0. (.018)
0.975	0. (.)	0. (.012)	0. (.012)	0. (.014)	0. (.018)
1.000	1.000 (.025)	1.000 (.025)	1.000 (.025)	1.000 (.026)	1.000 (.031)

4
3
2

463
E-51

REORDER NO. 66-196
 App. 9
 Phase II

*** RELATIVE ENERGY FLUX DENSITY IN THE ***
 *** PENUMBRA OF A RECTANGULAR CYLINDER ***

VERSION E

SOLAR FIELD ANGLE, D = 2.00 DEGREES
 GEOMETRY D2/R = 1.00 AND H/R = 0.5

BETA = ANGLE OF INCIDENCE, DEGREES

BETA ***	50.00		60.00		70.00		80.00		88.50	
AX/AB	Q	(QI)	Q	(QI)	Q	(QI)	Q	(QI)	Q	(QI)
0.	1.000	(.)	1.000	(.)	1.000	(.)	1.000	(.)	1.000	(.025)
0.025	0.426	(.018)	0.589	(.020)	0.742	(.022)	0.906	(.024)	0.999	(.050)
0.050	0.	(.023)	0.	(.027)	0.213	(.034)	0.703	(.044)	0.998	(.075)
0.075	0.	(.023)	0.	(.027)	0.	(.036)	0.412	(.058)	0.997	(.100)
0.100	0.	(.023)	0.	(.027)	0.	(.036)	0.097	(.064)	0.996	(.125)
0.125	0.	(.023)	0.	(.027)	0.	(.036)	0.	(.065)	0.994	(.150)
0.150	0.	(.023)	0.	(.027)	0.	(.036)	0.	(.065)	0.991	(.174)
0.175	0.	(.023)	0.	(.027)	0.	(.036)	0.	(.065)	0.989	(.199)
0.200	0.	(.023)	0.	(.027)	0.	(.036)	0.	(.065)	0.985	(.224)
0.225	0.	(.023)	0.	(.027)	0.	(.036)	0.	(.065)	0.981	(.248)
0.250	0.	(.023)	0.	(.027)	0.	(.036)	0.	(.065)	0.975	(.273)
0.275	0.	(.023)	0.	(.027)	0.	(.036)	0.	(.065)	0.969	(.297)
0.300	0.	(.023)	0.	(.027)	0.	(.036)	0.	(.065)	0.960	(.321)
0.325	0.	(.023)	0.	(.027)	0.	(.036)	0.	(.065)	0.950	(.345)
0.350	0.	(.023)	0.	(.027)	0.	(.036)	0.	(.065)	0.937	(.369)
0.375	0.	(.023)	0.	(.027)	0.	(.036)	0.	(.065)	0.922	(.392)
0.400	0.	(.023)	0.	(.027)	0.	(.036)	0.	(.065)	0.902	(.415)
0.425	0.	(.023)	0.	(.027)	0.	(.036)	0.	(.065)	0.876	(.437)
0.450	0.	(.023)	0.	(.027)	0.	(.036)	0.	(.065)	0.844	(.459)
0.475	0.	(.023)	0.	(.027)	0.	(.036)	0.	(.065)	0.802	(.479)
0.500	0.	(.023)	0.	(.027)	0.	(.036)	0.	(.065)	0.748	(.498)
0.525	0.	(.023)	0.	(.027)	0.	(.036)	0.	(.065)	0.677	(.516)
0.550	0.	(.023)	0.	(.027)	0.	(.036)	0.	(.065)	0.584	(.532)
0.575	0.	(.023)	0.	(.027)	0.	(.036)	0.	(.065)	0.460	(.545)
0.600	0.	(.023)	0.	(.027)	0.	(.036)	0.	(.065)	0.303	(.555)
0.625	0.	(.023)	0.	(.027)	0.	(.036)	0.	(.065)	0.123	(.560)
0.650	0.	(.023)	0.	(.027)	0.	(.036)	0.	(.065)	0.	(.562)
0.675	0.	(.023)	0.	(.027)	0.	(.036)	0.	(.065)	0.	(.562)
0.700	0.	(.023)	0.	(.027)	0.	(.036)	0.	(.065)	0.	(.562)
0.725	0.	(.023)	0.	(.027)	0.	(.036)	0.	(.065)	0.	(.562)
0.750	0.	(.023)	0.	(.027)	0.	(.036)	0.	(.065)	0.	(.562)
0.775	0.	(.023)	0.	(.027)	0.	(.036)	0.	(.065)	0.	(.562)
0.800	0.	(.023)	0.	(.027)	0.	(.036)	0.	(.065)	0.	(.562)
0.825	0.	(.023)	0.	(.027)	0.	(.036)	0.	(.065)	0.	(.562)
0.850	0.	(.023)	0.	(.027)	0.	(.036)	0.	(.065)	0.	(.562)
0.875	0.	(.023)	0.	(.027)	0.	(.036)	0.	(.065)	0.	(.562)
0.900	0.	(.023)	0.	(.027)	0.	(.036)	0.	(.065)	0.	(.562)
0.925	0.	(.023)	0.	(.027)	0.	(.036)	0.	(.065)	0.	(.562)
0.950	0.	(.023)	0.	(.027)	0.	(.036)	0.	(.065)	0.	(.562)
0.975	0.	(.023)	0.	(.027)	0.	(.036)	0.	(.065)	0.	(.562)
1.000	0.	(.023)	0.	(.027)	0.	(.036)	0.	(.065)	0.	(.562)

464
 E-52

66-196
 App A
 Phase II

*** RELATIVE ENERGY FLUX DENSITY IN THE *** VERSION E
 *** PENUMBRA OF A RECTANGULAR CYLINDER ***

SOLAR FIELD ANGLE, D = 2.00 DEGREES
 GEOMETRY D2/R = 5.00 AND H/R = 0.5

BETA = ANGLE OF INCIDENCE, DEGREES

BETA ***	0.	10.00	20.00	30.00	40.00
AX/AB	Q (QI)	Q (QI)	Q (QI)	Q (QI)	Q (QI)
0.	1.000(.)	1.000(.)	1.000(.)	1.000(.)	1.000(.)
0.025	0.781(.022)	0.794(.022)	0.806(.023)	0.818(.023)	0.832(.023)
0.050	0.381(.037)	0.415(.038)	0.448(.038)	0.483(.039)	0.520(.040)
0.075	0.022(.042)	0.043(.043)	0.070(.045)	0.103(.046)	0.146(.048)
0.100	0. (.042)	0. (.044)	0. (.046)	0. (.048)	0. (.050)
0.125	0. (.042)	0. (.044)	0. (.046)	0. (.048)	0. (.050)
0.150	0. (.042)	0. (.044)	0. (.046)	0. (.048)	0. (.050)
0.175	0. (.042)	0. (.044)	0. (.046)	0. (.048)	0. (.050)
0.200	0. (.042)	0. (.044)	0. (.046)	0. (.048)	0. (.050)
0.225	0. (.042)	0. (.044)	0. (.046)	0. (.048)	0. (.050)
0.250	0. (.042)	0. (.044)	0. (.046)	0. (.048)	0. (.050)
0.275	0. (.042)	0. (.044)	0. (.046)	0. (.048)	0. (.050)
0.300	0. (.042)	0. (.044)	0. (.046)	0. (.048)	0. (.050)
0.325	0. (.042)	0. (.044)	0. (.046)	0. (.048)	0. (.050)
0.350	0. (.042)	0. (.044)	0. (.046)	0. (.048)	0. (.050)
0.375	0. (.042)	0. (.044)	0. (.046)	0. (.048)	0. (.050)
0.400	0. (.042)	0. (.044)	0. (.046)	0. (.048)	0. (.050)
0.425	0. (.042)	0. (.044)	0. (.046)	0. (.048)	0. (.050)
0.450	0. (.042)	0. (.044)	0. (.046)	0. (.048)	0. (.050)
0.475	0. (.042)	0. (.044)	0. (.046)	0. (.048)	0. (.050)
0.500	0. (.042)	0. (.044)	0. (.046)	0. (.048)	0. (.050)
0.525	0. (.042)	0. (.044)	0. (.046)	0. (.048)	0. (.050)
0.550	0. (.042)	0. (.044)	0. (.046)	0. (.048)	0. (.050)
0.575	0. (.042)	0. (.044)	0. (.046)	0. (.048)	0. (.050)
0.600	0. (.042)	0. (.044)	0. (.046)	0. (.048)	0. (.050)
0.625	0. (.042)	0. (.044)	0. (.046)	0. (.048)	0. (.050)
0.650	0. (.042)	0. (.044)	0. (.046)	0. (.048)	0. (.050)
0.675	0. (.042)	0. (.044)	0. (.046)	0. (.048)	0. (.050)
0.700	0. (.042)	0. (.044)	0. (.046)	0. (.048)	0. (.050)
0.725	0. (.042)	0. (.044)	0. (.046)	0. (.048)	0. (.050)
0.750	0. (.042)	0. (.044)	0. (.046)	0. (.048)	0. (.050)
0.775	0. (.042)	0. (.044)	0. (.046)	0. (.048)	0. (.050)
0.800	0. (.042)	0. (.044)	0. (.046)	0. (.048)	0. (.050)
0.825	0. (.042)	0. (.044)	0. (.046)	0. (.048)	0. (.050)
0.850	0. (.042)	0. (.044)	0. (.046)	0. (.048)	0. (.050)
0.875	0. (.042)	0. (.044)	0. (.046)	0. (.048)	0. (.050)
0.900	0. (.042)	0. (.044)	0. (.046)	0. (.048)	0. (.050)
0.925	0.022(.042)	0.005(.044)	0. (.046)	0. (.048)	0. (.050)
0.950	0.381(.047)	0.347(.048)	0.307(.049)	0.260(.051)	0.200(.052)
0.975	0.781(.062)	0.768(.062)	0.753(.063)	0.734(.063)	0.708(.064)
1.000	1.000(.084)	1.000(.084)	1.000(.085)	1.000(.085)	1.000(.085)

465
 E-53

66-196
 App. A
 Phase II

*** RELATIVE ENERGY FLUX DENSITY IN THE ***
 *** PENUMBRA OF A RECTANGULAR CYLINDER ***

VERSION E

SOLAR FIELD ANGLE, D = 2.00 DEGREES
 GEOMETRY D2/R = 5.00 AND H/R = 0.5

BETA = ANGLE OF INCIDENCE, DEGREES

BETA *** AX/AB	50.00 Q (QI)	60.00 Q (QI)	70.00 Q (QI)	80.00 Q (QI)	88.50 Q (QI)
0.	1.000(.)	1.000(.)	1.000(.)	1.000(.)	1.000(.)
0.025	0.849(.023)	0.870(.023)	0.901(.024)	0.949(.024)	0.999(.025)
0.050	0.561(.041)	0.616(.042)	0.700(.044)	0.842(.047)	0.999(.050)
0.075	0.204(.050)	0.291(.053)	0.435(.058)	0.689(.066)	0.998(.075)
0.100	0. (.053)	0.031(.057)	0.153(.065)	0.501(.081)	0.997(.100)
0.125	0. (.053)	0. (.058)	0. (.067)	0.282(.091)	0.996(.125)
0.150	0. (.053)	0. (.058)	0. (.067)	0.089(.095)	0.994(.150)
0.175	0. (.053)	0. (.058)	0. (.067)	0. (.096)	0.992(.175)
0.200	0. (.053)	0. (.058)	0. (.067)	0. (.096)	0.989(.199)
0.225	0. (.053)	0. (.058)	0. (.067)	0. (.096)	0.986(.224)
0.250	0. (.053)	0. (.058)	0. (.067)	0. (.096)	0.982(.249)
0.275	0. (.053)	0. (.058)	0. (.067)	0. (.096)	0.977(.273)
0.300	0. (.053)	0. (.058)	0. (.067)	0. (.096)	0.971(.297)
0.325	0. (.053)	0. (.058)	0. (.067)	0. (.096)	0.964(.322)
0.350	0. (.053)	0. (.058)	0. (.067)	0. (.096)	0.955(.346)
0.375	0. (.053)	0. (.058)	0. (.067)	0. (.096)	0.943(.369)
0.400	0. (.053)	0. (.058)	0. (.067)	0. (.096)	0.930(.393)
0.425	0. (.053)	0. (.058)	0. (.067)	0. (.096)	0.912(.416)
0.450	0. (.053)	0. (.058)	0. (.067)	0. (.096)	0.891(.438)
0.475	0. (.053)	0. (.058)	0. (.067)	0. (.096)	0.863(.460)
0.500	0. (.053)	0. (.058)	0. (.067)	0. (.096)	0.828(.481)
0.525	0. (.053)	0. (.058)	0. (.067)	0. (.096)	0.783(.501)
0.550	0. (.053)	0. (.058)	0. (.067)	0. (.096)	0.726(.520)
0.575	0. (.053)	0. (.058)	0. (.067)	0. (.096)	0.651(.538)
0.600	0. (.053)	0. (.058)	0. (.067)	0. (.096)	0.552(.553)
0.625	0. (.053)	0. (.058)	0. (.067)	0. (.096)	0.424(.565)
0.650	0. (.053)	0. (.058)	0. (.067)	0. (.096)	0.265(.573)
0.675	0. (.053)	0. (.058)	0. (.067)	0. (.096)	0.089(.578)
0.700	0. (.053)	0. (.058)	0. (.067)	0. (.096)	0. (.579)
0.725	0. (.053)	0. (.058)	0. (.067)	0. (.096)	0. (.579)
0.750	0. (.053)	0. (.058)	0. (.067)	0. (.096)	0. (.579)
0.775	0. (.053)	0. (.058)	0. (.067)	0. (.096)	0. (.579)
0.800	0. (.053)	0. (.058)	0. (.067)	0. (.096)	0. (.579)
0.825	0. (.053)	0. (.058)	0. (.067)	0. (.096)	0. (.579)
0.850	0. (.053)	0. (.058)	0. (.067)	0. (.096)	0. (.579)
0.875	0. (.053)	0. (.058)	0. (.067)	0. (.096)	0. (.579)
0.900	0. (.053)	0. (.058)	0. (.067)	0. (.096)	0. (.579)
0.925	0. (.053)	0. (.058)	0. (.067)	0. (.096)	0. (.579)
0.950	0.117(.054)	0.010(.058)	0. (.067)	0. (.096)	0. (.579)
0.975	0.667(.064)	0.588(.065)	0.294(.071)	0. (.096)	0. (.579)
1.000	1.000(.085)	1.000(.085)	1.000(.087)	0. (.096)	0. (.579)

4
3

466
 E-54

REVISION No 66-196
 App A
 Phase II

*** RELATIVE ENERGY FLUX DENSITY IN THE ***
 *** PENUMBRA OF A RECTANGULAR CYLINDER ***

VERSION E

SOLAR FIELD ANGLE, D = 2.00 DEGREES
 GEOMETRY D2/R = 10.00 AND H/R = 0.5

BETA = ANGLE OF INCIDENCE, DEGREES

BETA *** AX/AB	0. Q (QI)	10.00 Q (QI)	20.00 Q (QI)	30.00 Q (QI)	40.00 Q (QI)
0.	1.000(.)	1.000(.)	1.000(.)	1.000(.)	1.000(.)
0.025	0.910(.024)	0.913(.024)	0.916(.024)	0.920(.024)	0.924(.024)
0.050	0.736(.044)	0.745(.045)	0.754(.045)	0.763(.045)	0.775(.045)
0.075	0.522(.060)	0.535(.061)	0.550(.061)	0.565(.062)	0.584(.062)
0.100	0.284(.070)	0.302(.071)	0.321(.072)	0.342(.073)	0.367(.074)
0.125	0.090(.075)	0.104(.076)	0.121(.078)	0.140(.079)	0.163(.081)
0.150	0. (.076)	0.000(.077)	0.004(.079)	0.011(.081)	0.024(.083)
0.175	0. (.076)	0. (.077)	0. (.079)	0. (.081)	0. (.083)
0.200	0. (.076)	0. (.077)	0. (.079)	0. (.081)	0. (.083)
0.225	0. (.076)	0. (.077)	0. (.079)	0. (.081)	0. (.083)
0.250	0. (.076)	0. (.077)	0. (.079)	0. (.081)	0. (.083)
0.275	0. (.076)	0. (.077)	0. (.079)	0. (.081)	0. (.083)
0.300	0. (.076)	0. (.077)	0. (.079)	0. (.081)	0. (.083)
0.325	0. (.076)	0. (.077)	0. (.079)	0. (.081)	0. (.083)
0.350	0. (.076)	0. (.077)	0. (.079)	0. (.081)	0. (.083)
0.375	0. (.076)	0. (.077)	0. (.079)	0. (.081)	0. (.083)
0.400	0. (.076)	0. (.077)	0. (.079)	0. (.081)	0. (.083)
0.425	0. (.076)	0. (.077)	0. (.079)	0. (.081)	0. (.083)
0.450	0. (.076)	0. (.077)	0. (.079)	0. (.081)	0. (.083)
0.475	0. (.076)	0. (.077)	0. (.079)	0. (.081)	0. (.083)
0.500	0. (.076)	0. (.077)	0. (.079)	0. (.081)	0. (.083)
0.525	0. (.076)	0. (.077)	0. (.079)	0. (.081)	0. (.083)
0.550	0. (.076)	0. (.077)	0. (.079)	0. (.081)	0. (.083)
0.575	0. (.076)	0. (.077)	0. (.079)	0. (.081)	0. (.083)
0.600	0. (.076)	0. (.077)	0. (.079)	0. (.081)	0. (.083)
0.625	0. (.076)	0. (.077)	0. (.079)	0. (.081)	0. (.083)
0.650	0. (.076)	0. (.077)	0. (.079)	0. (.081)	0. (.083)
0.675	0. (.076)	0. (.077)	0. (.079)	0. (.081)	0. (.083)
0.700	0. (.076)	0. (.077)	0. (.079)	0. (.081)	0. (.083)
0.725	0. (.076)	0. (.077)	0. (.079)	0. (.081)	0. (.083)
0.750	0. (.076)	0. (.077)	0. (.079)	0. (.081)	0. (.083)
0.775	0. (.076)	0. (.077)	0. (.079)	0. (.081)	0. (.083)
0.800	0. (.076)	0. (.077)	0. (.079)	0. (.081)	0. (.083)
0.825	0. (.076)	0. (.077)	0. (.079)	0. (.081)	0. (.083)
0.850	0. (.076)	0. (.077)	0. (.079)	0. (.081)	0. (.083)
0.875	0.090(.077)	0.075(.078)	0.061(.080)	0.045(.082)	0.028(.084)
0.900	0.284(.082)	0.266(.083)	0.247(.084)	0.224(.085)	0.197(.087)
0.925	0.522(.092)	0.508(.092)	0.491(.093)	0.471(.094)	0.445(.095)
0.950	0.736(.108)	0.727(.108)	0.717(.108)	0.705(.108)	0.690(.109)
0.975	0.910(.128)	0.906(.128)	0.903(.128)	0.898(.128)	0.892(.129)
1.000	1.000(.152)	1.000(.152)	1.000(.152)	1.000(.152)	1.000(.152)

467
 E-55

66-196
 App. A
 Phase II

*** RELATIVE ENERGY FLUX DENSITY IN THE ***
 *** PENUMBRA OF A RECTANGULAR CYLINDER ***
 VERSION E

SOLAR FIELD ANGLE, D = 2.00 DEGREES
 GEOMETRY D2/R = 10.00 AND H/R = 0.5

BETA = ANGLE OF INCIDENCE, DEGREES

BETA ***	50.00		60.00		70.00		80.00		88.50	
AX/AB	Q	(QI)	Q	(QI)	Q	(QI)	Q	(QI)	Q	(QI)
0.	1.000	(.)	1.000	(.)	1.000	(.)	1.000	(.)	1.000	(.)
0.025	0.929	(.024)	0.836	(.024)	0.947	(.024)	0.968	(.025)	1.000	(.025)
0.050	0.789	(.046)	0.809	(.046)	0.840	(.047)	0.902	(.048)	0.999	(.050)
0.075	0.607	(.063)	0.641	(.064)	0.696	(.066)	0.809	(.069)	0.998	(.075)
0.100	0.400	(.076)	0.447	(.078)	0.527	(.081)	0.691	(.088)	0.997	(.100)
0.125	0.196	(.083)	0.245	(.086)	0.336	(.092)	0.555	(.104)	0.996	(.125)
0.150	0.044	(.086)	0.081	(.090)	0.161	(.098)	0.400	(.116)	0.994	(.150)
0.175	0.	(.087)	0.	(.091)	0.032	(.101)	0.243	(.124)	0.992	(.175)
0.200	0.	(.087)	0.	(.091)	0.	(.101)	0.104	(.128)	0.990	(.199)
0.225	0.	(.087)	0.	(.091)	0.	(.101)	0.010	(.129)	0.987	(.224)
0.250	0.	(.087)	0.	(.091)	0.	(.101)	0.	(.130)	0.983	(.249)
0.275	0.	(.087)	0.	(.091)	0.	(.101)	0.	(.130)	0.979	(.273)
0.300	0.	(.087)	0.	(.091)	0.	(.101)	0.	(.130)	0.973	(.298)
0.325	0.	(.087)	0.	(.091)	0.	(.101)	0.	(.130)	0.967	(.322)
0.350	0.	(.087)	0.	(.091)	0.	(.101)	0.	(.130)	0.959	(.346)
0.375	0.	(.087)	0.	(.091)	0.	(.101)	0.	(.130)	0.949	(.370)
0.400	0.	(.087)	0.	(.091)	0.	(.101)	0.	(.130)	0.937	(.393)
0.425	0.	(.087)	0.	(.091)	0.	(.101)	0.	(.130)	0.922	(.417)
0.450	0.	(.087)	0.	(.091)	0.	(.101)	0.	(.130)	0.903	(.439)
0.475	0.	(.087)	0.	(.091)	0.	(.101)	0.	(.130)	0.880	(.462)
0.500	0.	(.087)	0.	(.091)	0.	(.101)	0.	(.130)	0.851	(.483)
0.525	0.	(.087)	0.	(.091)	0.	(.101)	0.	(.130)	0.814	(.504)
0.550	0.	(.087)	0.	(.091)	0.	(.101)	0.	(.130)	0.767	(.524)
0.575	0.	(.087)	0.	(.091)	0.	(.101)	0.	(.130)	0.706	(.542)
0.600	0.	(.087)	0.	(.091)	0.	(.101)	0.	(.130)	0.629	(.559)
0.625	0.	(.087)	0.	(.091)	0.	(.101)	0.	(.130)	0.527	(.573)
0.650	0.	(.087)	0.	(.091)	0.	(.101)	0.	(.130)	0.397	(.585)
0.675	0.	(.087)	0.	(.091)	0.	(.101)	0.	(.130)	0.239	(.593)
0.700	0.	(.087)	0.	(.091)	0.	(.101)	0.	(.130)	0.070	(.597)
0.725	0.	(.087)	0.	(.091)	0.	(.101)	0.	(.130)	0.	(.598)
0.750	0.	(.087)	0.	(.091)	0.	(.101)	0.	(.130)	0.	(.598)
0.775	0.	(.087)	0.	(.091)	0.	(.101)	0.	(.130)	0.	(.598)
0.800	0.	(.087)	0.	(.091)	0.	(.101)	0.	(.130)	0.	(.598)
0.825	0.	(.087)	0.	(.091)	0.	(.101)	0.	(.130)	0.	(.598)
0.850	0.	(.087)	0.	(.091)	0.	(.101)	0.	(.130)	0.	(.598)
0.875	0.009	(.087)	0.	(.091)	0.	(.101)	0.	(.130)	0.	(.598)
0.900	0.160	(.089)	0.105	(.093)	0.019	(.101)	0.	(.130)	0.	(.598)
0.925	0.409	(.096)	0.349	(.098)	0.225	(.104)	0.	(.130)	0.	(.598)
0.950	0.667	(.109)	0.629	(.111)	0.544	(.114)	0.116	(.131)	0.	(.598)
0.975	0.883	(.129)	0.868	(.129)	0.832	(.131)	0.621	(.140)	0.	(.598)
1.000	1.000	(.152)	1.000	(.153)	1.000	(.154)	1.000	(.161)	0.	(.598)

468
 E-56

*** RELATIVE ENERGY FLUX DENSITY IN THE ***
 *** PENUMBRA OF A RECTANGULAR CYLINDER ***

VERSION E

SOLAR FIELD ANGLE, D = 2.00 DEGREES
 GEOMETRY D2/R = 50.00 AND H/R = 0.5

BETA = ANGLE OF INCIDENCE, DEGREES

BETA *** AX/AB	0. Q (QI)	10.00 Q (QI)	20.00 Q (QI)	30.00 Q (QI)	40.00 Q (QI)
0.	1.000(.)	1.000(.)	1.000(.)	1.000(.)	1.000(.)
0.025	0.984(.025)	0.984(.025)	0.984(.025)	0.985(.025)	0.985(.025)
0.050	0.953(.049)	0.953(.049)	0.954(.049)	0.955(.049)	0.956(.049)
0.075	0.911(.072)	0.912(.072)	0.914(.072)	0.915(.072)	0.917(.072)
0.100	0.860(.094)	0.863(.095)	0.865(.095)	0.867(.095)	0.870(.095)
0.125	0.803(.115)	0.806(.115)	0.809(.116)	0.812(.116)	0.816(.116)
0.150	0.739(.135)	0.743(.135)	0.747(.135)	0.751(.135)	0.756(.136)
0.175	0.671(.152)	0.676(.152)	0.680(.153)	0.685(.153)	0.691(.154)
0.200	0.600(.168)	0.605(.168)	0.610(.169)	0.615(.169)	0.622(.170)
0.225	0.527(.182)	0.532(.183)	0.538(.183)	0.544(.184)	0.551(.185)
0.250	0.453(.194)	0.458(.195)	0.464(.196)	0.470(.197)	0.478(.198)
0.275	0.379(.205)	0.384(.206)	0.390(.206)	0.396(.207)	0.405(.209)
0.300	0.307(.213)	0.312(.214)	0.318(.215)	0.324(.216)	0.332(.218)
0.325	0.239(.220)	0.244(.221)	0.249(.222)	0.256(.224)	0.263(.225)
0.350	0.176(.225)	0.181(.227)	0.186(.228)	0.191(.229)	0.198(.231)
0.375	0.120(.229)	0.124(.230)	0.128(.232)	0.133(.233)	0.139(.235)
0.400	0.072(.231)	0.075(.233)	0.078(.234)	0.083(.236)	0.088(.238)
0.425	0.033(.233)	0.035(.234)	0.038(.236)	0.041(.238)	0.045(.240)
0.450	0.007(.233)	0.008(.235)	0.010(.236)	0.011(.238)	0.014(.241)
0.475	0. (.233)	0. (.235)	0. (.237)	0. (.238)	0. (.241)
0.500	0. (.233)	0. (.235)	0. (.237)	0. (.238)	0. (.241)
0.525	0. (.233)	0. (.235)	0. (.237)	0. (.238)	0. (.241)
0.550	0.007(.233)	0.006(.235)	0.004(.237)	0.003(.238)	0.002(.241)
0.575	0.033(.234)	0.031(.235)	0.028(.237)	0.026(.239)	0.023(.241)
0.600	0.072(.235)	0.068(.237)	0.065(.238)	0.061(.240)	0.057(.242)
0.625	0.120(.238)	0.116(.239)	0.112(.240)	0.107(.242)	0.101(.244)
0.650	0.176(.241)	0.171(.243)	0.167(.244)	0.161(.245)	0.155(.247)
0.675	0.239(.246)	0.234(.248)	0.228(.249)	0.222(.250)	0.215(.252)
0.700	0.307(.253)	0.301(.254)	0.296(.255)	0.289(.257)	0.282(.258)
0.725	0.379(.262)	0.373(.263)	0.367(.264)	0.361(.265)	0.353(.266)
0.750	0.453(.272)	0.447(.273)	0.442(.274)	0.435(.275)	0.427(.276)
0.775	0.527(.285)	0.522(.285)	0.517(.286)	0.511(.286)	0.503(.287)
0.800	0.600(.299)	0.596(.299)	0.591(.300)	0.585(.300)	0.578(.301)
0.825	0.671(.314)	0.667(.315)	0.663(.315)	0.658(.316)	0.651(.316)
0.850	0.739(.332)	0.736(.332)	0.732(.333)	0.728(.333)	0.722(.333)
0.875	0.803(.351)	0.800(.352)	0.797(.352)	0.793(.352)	0.789(.352)
0.900	0.860(.372)	0.858(.372)	0.856(.372)	0.853(.373)	0.850(.373)
0.925	0.911(.394)	0.909(.394)	0.908(.394)	0.906(.395)	0.904(.395)
0.950	0.953(.418)	0.952(.418)	0.951(.418)	0.950(.418)	0.949(.418)
0.975	0.984(.442)	0.983(.442)	0.983(.442)	0.983(.442)	0.982(.442)
1.000	1.000(.467)	1.000(.467)	1.000(.467)	1.000(.467)	1.000(.467)

66-196
 App. A
 Phase II

*** RELATIVE ENERGY FLUX DENSITY IN THE ***
 *** PENUMBRA OF A RECTANGULAR CYLINDER ***

VERSION E

SOLAR FIELD ANGLE, D= 2.00 DEGREES
 GEOMETRY D2/R = 50.00 AND H/R = 0.5

BETA = ANGLE OF INCIDENCE, DEGREES

BETA ***	50.00		60.00		70.00		80.00		88.50	
AX/AB	Q	(QI)	Q	(QI)	Q	(QI)	Q	(QI)	Q	(QI)
0.	1.000	(.)	1.000	(.)	1.000	(.)	1.000	(.)	1.000	(.)
0.025	0.985	(.025)	0.986	(.025)	0.988	(.025)	0.991	(.025)	1.000	(.025)
0.050	0.958	(.049)	0.960	(.049)	0.963	(.049)	0.972	(.049)	0.999	(.050)
0.075	0.920	(.073)	0.924	(.073)	0.931	(.073)	0.947	(.073)	0.999	(.075)
0.100	0.874	(.095)	0.880	(.095)	0.890	(.096)	0.916	(.097)	0.998	(.100)
0.125	0.821	(.116)	0.829	(.117)	0.843	(.117)	0.878	(.119)	0.997	(.125)
0.150	0.762	(.136)	0.772	(.137)	0.790	(.138)	0.835	(.141)	0.996	(.150)
0.175	0.699	(.154)	0.710	(.155)	0.732	(.157)	0.787	(.161)	0.994	(.175)
0.200	0.631	(.171)	0.645	(.172)	0.669	(.174)	0.734	(.180)	0.992	(.199)
0.225	0.561	(.186)	0.576	(.187)	0.603	(.190)	0.676	(.197)	0.990	(.224)
0.250	0.489	(.199)	0.505	(.201)	0.534	(.204)	0.615	(.214)	0.988	(.249)
0.275	0.415	(.210)	0.432	(.213)	0.463	(.217)	0.550	(.228)	0.985	(.274)
0.300	0.343	(.220)	0.360	(.222)	0.392	(.228)	0.482	(.241)	0.981	(.298)
0.325	0.274	(.227)	0.290	(.231)	0.321	(.236)	0.413	(.252)	0.977	(.323)
0.350	0.208	(.233)	0.223	(.237)	0.253	(.244)	0.343	(.262)	0.972	(.347)
0.375	0.148	(.238)	0.162	(.242)	0.189	(.249)	0.275	(.269)	0.966	(.371)
0.400	0.095	(.241)	0.107	(.245)	0.130	(.253)	0.208	(.275)	0.959	(.395)
0.425	0.051	(.243)	0.060	(.247)	0.079	(.256)	0.147	(.280)	0.951	(.419)
0.450	0.018	(.244)	0.024	(.248)	0.037	(.257)	0.092	(.283)	0.941	(.443)
0.475	0.	(.244)	0.002	(.249)	0.008	(.258)	0.045	(.285)	0.929	(.466)
0.500	0.	(.244)	0.	(.249)	0.	(.258)	0.011	(.285)	0.914	(.489)
0.525	0.	(.244)	0.	(.249)	0.	(.258)	0.	(.285)	0.896	(.512)
0.550	0.001	(.244)	0.	(.249)	0.	(.258)	0.	(.285)	0.875	(.534)
0.575	0.019	(.244)	0.014	(.249)	0.006	(.258)	0.	(.285)	0.848	(.556)
0.600	0.051	(.245)	0.043	(.250)	0.029	(.258)	0.004	(.285)	0.816	(.576)
0.625	0.094	(.247)	0.083	(.251)	0.065	(.260)	0.024	(.286)	0.776	(.596)
0.650	0.146	(.250)	0.133	(.254)	0.110	(.262)	0.056	(.287)	0.727	(.615)
0.675	0.205	(.254)	0.191	(.258)	0.165	(.265)	0.099	(.289)	0.665	(.632)
0.700	0.271	(.260)	0.255	(.263)	0.226	(.270)	0.150	(.292)	0.587	(.648)
0.725	0.342	(.268)	0.325	(.271)	0.295	(.277)	0.211	(.296)	0.491	(.662)
0.750	0.416	(.277)	0.400	(.280)	0.368	(.285)	0.280	(.303)	0.373	(.672)
0.775	0.493	(.289)	0.476	(.291)	0.446	(.295)	0.356	(.310)	0.234	(.680)
0.800	0.568	(.302)	0.553	(.304)	0.524	(.307)	0.437	(.320)	0.087	(.684)
0.825	0.643	(.317)	0.629	(.318)	0.603	(.321)	0.522	(.332)	0.	(.685)
0.850	0.715	(.334)	0.703	(.335)	0.680	(.337)	0.607	(.346)	0.	(.685)
0.875	0.783	(.353)	0.773	(.353)	0.754	(.355)	0.693	(.363)	0.	(.685)
0.900	0.845	(.373)	0.838	(.374)	0.824	(.375)	0.776	(.381)	0.001	(.685)
0.925	0.901	(.395)	0.896	(.395)	0.886	(.396)	0.852	(.401)	0.012	(.685)
0.950	0.947	(.418)	0.944	(.418)	0.939	(.419)	0.919	(.424)	0.056	(.686)
0.975	0.982	(.442)	0.981	(.442)	0.979	(.443)	0.972	(.447)	0.250	(.690)
1.000	1.000	(.467)	1.000	(.467)	1.000	(.468)	1.000	(.472)	1.000	(.706)

470
 E-58

*** RELATIVE ENERGY FLUX DENSITY IN THE ***
 *** PENUMBRA OF A RECTANGULAR CYLINDER ***
 VERSION E

SOLAR FIELD ANGLE, D= 2.00 DEGREES
 GEOMETRY D2/R = 100.00 AND H/R = 0.5

BETA = ANGLE OF INCIDENCE, DEGREES

BETA ***	0.	10.00	20.00	30.00	40.00
AX/AB	Q (QI)	Q (QI)	Q (QI)	Q (QI)	Q (QI)
0.	1.000(.)	1.000(.)	1.000(.)	1.000(.)	1.000(.)
0.025	0.990(.025)	0.990(.025)	0.990(.025)	0.990(.025)	0.991(.025)
0.050	0.971(.049)	0.971(.049)	0.971(.049)	0.972(.049)	0.972(.049)
0.075	0.945(.073)	0.945(.073)	0.946(.073)	0.947(.073)	0.948(.073)
0.100	0.914(.097)	0.915(.097)	0.916(.097)	0.917(.097)	0.919(.097)
0.125	0.878(.119)	0.879(.119)	0.881(.119)	0.883(.119)	0.885(.119)
0.150	0.837(.140)	0.839(.140)	0.842(.141)	0.844(.141)	0.847(.141)
0.175	0.794(.161)	0.796(.161)	0.799(.161)	0.801(.161)	0.805(.162)
0.200	0.747(.180)	0.750(.180)	0.753(.181)	0.756(.181)	0.760(.181)
0.225	0.698(.198)	0.701(.198)	0.704(.199)	0.708(.199)	0.712(.200)
0.250	0.646(.215)	0.650(.215)	0.653(.216)	0.658(.216)	0.663(.217)
0.275	0.594(.230)	0.597(.231)	0.601(.231)	0.606(.232)	0.611(.233)
0.300	0.540(.245)	0.544(.245)	0.548(.246)	0.553(.246)	0.558(.247)
0.325	0.486(.257)	0.490(.258)	0.494(.259)	0.499(.260)	0.505(.261)
0.350	0.431(.269)	0.435(.270)	0.440(.270)	0.444(.271)	0.450(.273)
0.375	0.379(.279)	0.383(.280)	0.387(.281)	0.391(.282)	0.397(.283)
0.400	0.341(.288)	0.344(.289)	0.347(.290)	0.351(.291)	0.356(.293)
0.425	0.312(.296)	0.315(.297)	0.317(.298)	0.320(.299)	0.324(.301)
0.450	0.292(.304)	0.294(.305)	0.296(.306)	0.298(.307)	0.300(.309)
0.475	0.280(.311)	0.281(.312)	0.282(.313)	0.283(.314)	0.285(.316)
0.500	0.276(.318)	0.276(.319)	0.276(.320)	0.277(.321)	0.277(.323)
0.525	0.280(.325)	0.279(.326)	0.279(.327)	0.278(.328)	0.277(.330)
0.550	0.292(.332)	0.291(.333)	0.289(.334)	0.288(.335)	0.286(.337)
0.575	0.312(.339)	0.310(.341)	0.308(.342)	0.305(.343)	0.302(.344)
0.600	0.341(.348)	0.338(.349)	0.335(.350)	0.332(.351)	0.328(.352)
0.625	0.379(.357)	0.376(.358)	0.372(.358)	0.368(.360)	0.363(.361)
0.650	0.431(.367)	0.427(.368)	0.423(.368)	0.418(.369)	0.412(.371)
0.675	0.486(.378)	0.482(.379)	0.477(.380)	0.473(.381)	0.467(.382)
0.700	0.540(.391)	0.536(.392)	0.532(.392)	0.527(.393)	0.521(.394)
0.725	0.594(.405)	0.590(.406)	0.586(.406)	0.581(.407)	0.576(.408)
0.750	0.646(.421)	0.643(.421)	0.639(.422)	0.635(.422)	0.630(.423)
0.775	0.698(.438)	0.695(.438)	0.691(.438)	0.687(.439)	0.683(.439)
0.800	0.747(.456)	0.744(.456)	0.741(.456)	0.738(.456)	0.734(.457)
0.825	0.794(.475)	0.791(.475)	0.789(.475)	0.786(.475)	0.782(.476)
0.850	0.837(.495)	0.835(.495)	0.833(.496)	0.831(.496)	0.828(.496)
0.875	0.878(.517)	0.876(.517)	0.874(.517)	0.872(.517)	0.870(.517)
0.900	0.914(.539)	0.912(.539)	0.911(.539)	0.910(.539)	0.908(.539)
0.925	0.945(.562)	0.944(.562)	0.943(.562)	0.942(.562)	0.941(.563)
0.950	0.971(.586)	0.970(.586)	0.970(.586)	0.969(.586)	0.968(.586)
0.975	0.990(.611)	0.990(.611)	0.990(.611)	0.989(.611)	0.989(.611)
1.000	1.000(.636)	1.000(.636)	1.000(.636)	1.000(.636)	1.000(.636)

RECORDED IN 66-196
 App. A
 Phase II

*** RELATIVE ENERGY FLUX DENSITY IN THE ***
 *** PENUMBRA OF A RECTANGULAR CYLINDER ***

VERSION E

SOLAR FIELD ANGLE, D = 2.00 DEGREES
 GEOMETRY D2/R = 100.00 AND H/R = 0.5

BETA = ANGLE OF INCIDENCE, DEGREES

BETA *** AX/AB	50.00 Q (QI)	60.00 Q (QI)	70.00 Q (QI)	80.00 Q (QI)	88.50 Q (QI)
0.	1.000(.)	1.000(.)	1.000(.)	1.000(.)	1.000(.025)
0.025	0.991(.025)	0.991(.025)	0.992(.025)	0.994(.025)	0.999(.050)
0.050	0.973(.049)	0.974(.049)	0.976(.050)	0.981(.050)	0.999(.075)
0.075	0.950(.073)	0.952(.074)	0.956(.074)	0.965(.074)	0.998(.100)
0.100	0.921(.097)	0.924(.097)	0.930(.097)	0.944(.098)	0.997(.125)
0.125	0.888(.119)	0.892(.120)	0.900(.120)	0.920(.121)	0.996(.150)
0.150	0.850(.141)	0.856(.142)	0.866(.142)	0.892(.144)	0.995(.175)
0.175	0.809(.162)	0.816(.162)	0.829(.163)	0.861(.166)	0.993(.200)
0.200	0.765(.182)	0.773(.182)	0.788(.184)	0.826(.187)	0.992(.224)
0.225	0.718(.200)	0.728(.201)	0.744(.203)	0.788(.207)	0.989(.249)
0.250	0.669(.218)	0.679(.219)	0.698(.221)	0.748(.226)	0.987(.274)
0.275	0.618(.234)	0.629(.235)	0.649(.238)	0.704(.244)	0.984(.298)
0.300	0.566(.248)	0.577(.250)	0.599(.253)	0.658(.261)	0.981(.323)
0.325	0.513(.262)	0.525(.264)	0.547(.268)	0.610(.277)	0.977(.347)
0.350	0.459(.274)	0.471(.276)	0.494(.281)	0.560(.292)	0.972(.372)
0.375	0.405(.285)	0.417(.287)	0.441(.292)	0.509(.305)	0.966(.396)
0.400	0.362(.294)	0.372(.297)	0.392(.303)	0.456(.317)	0.960(.420)
0.425	0.329(.303)	0.337(.306)	0.354(.312)	0.409(.328)	0.952(.444)
0.450	0.304(.311)	0.310(.314)	0.323(.320)	0.370(.338)	0.943(.468)
0.475	0.287(.318)	0.291(.322)	0.300(.328)	0.336(.347)	0.932(.491)
0.500	0.278(.325)	0.279(.329)	0.284(.335)	0.309(.355)	0.919(.514)
0.525	0.276(.332)	0.276(.336)	0.276(.342)	0.289(.362)	0.904(.537)
0.550	0.283(.339)	0.280(.343)	0.276(.349)	0.276(.369)	0.885(.559)
0.575	0.299(.347)	0.293(.350)	0.284(.356)	0.271(.376)	0.863(.581)
0.600	0.323(.354)	0.315(.358)	0.302(.364)	0.275(.383)	0.837(.603)
0.625	0.356(.363)	0.346(.366)	0.329(.372)	0.289(.390)	0.805(.623)
0.650	0.404(.372)	0.392(.375)	0.369(.380)	0.315(.397)	0.767(.643)
0.675	0.459(.383)	0.446(.385)	0.423(.390)	0.357(.406)	0.721(.661)
0.700	0.514(.395)	0.502(.397)	0.479(.402)	0.413(.416)	0.666(.679)
0.725	0.568(.409)	0.557(.411)	0.535(.414)	0.470(.427)	0.598(.694)
0.750	0.623(.424)	0.612(.425)	0.591(.428)	0.529(.439)	0.517(.708)
0.775	0.676(.440)	0.666(.441)	0.647(.444)	0.588(.453)	0.421(.720)
0.800	0.728(.457)	0.719(.458)	0.701(.461)	0.647(.468)	0.313(.729)
0.825	0.777(.476)	0.769(.477)	0.754(.479)	0.706(.485)	0.205(.736)
0.850	0.824(.496)	0.817(.497)	0.804(.498)	0.763(.504)	0.140(.740)
0.875	0.867(.517)	0.861(.518)	0.851(.519)	0.818(.523)	0.204(.744)
0.900	0.905(.540)	0.902(.540)	0.894(.541)	0.869(.545)	0.312(.751)
0.925	0.939(.563)	0.937(.563)	0.932(.564)	0.915(.567)	0.481(.761)
0.950	0.968(.586)	0.966(.587)	0.963(.587)	0.954(.590)	0.735(.776)
0.975	0.989(.611)	0.988(.611)	0.987(.612)	0.984(.614)	1.000(.798)
1.000	1.000(.636)	1.000(.636)	1.000(.636)	1.000(.639)	

472
 E-60

66-196
 App A
 Phase

*** RELATIVE ENERGY FLUX DENSITY IN THE ***
 *** PENUMBRA OF A RECTANGULAR CYLINDER ***

VERSION E

SOLAR FIELD ANGLE, D= 2.00 DEGREES
 GEOMETRY D2/R = 1.00 AND H/R = 1.0

BETA = ANGLE OF INCIDENCE, DEGREES

BETA ***	0.	10.00	20.00	30.00	40.00
AX/AB	Q (QI)	Q (QI)	Q (QI)	Q (QI)	Q (QI)
0.	1.000(.)	1.000(.)	1.000(.)	1.000(.)	1.000(.)
0.025	0. (.012)	0. (.012)	0. (.012)	0.112(.014)	0.434(.018)
0.050	0. (.012)	0. (.012)	0. (.012)	0. (.015)	0. (.023)
0.075	0. (.012)	0. (.012)	0. (.012)	0. (.015)	0. (.023)
0.100	0. (.012)	0. (.012)	0. (.012)	0. (.015)	0. (.023)
0.125	0. (.012)	0. (.012)	0. (.012)	0. (.015)	0. (.023)
0.150	0. (.012)	0. (.012)	0. (.012)	0. (.015)	0. (.023)
0.175	0. (.012)	0. (.012)	0. (.012)	0. (.015)	0. (.023)
0.200	0. (.012)	0. (.012)	0. (.012)	0. (.015)	0. (.023)
0.225	0. (.012)	0. (.012)	0. (.012)	0. (.015)	0. (.023)
0.250	0. (.012)	0. (.012)	0. (.012)	0. (.015)	0. (.023)
0.275	0. (.012)	0. (.012)	0. (.012)	0. (.015)	0. (.023)
0.300	0. (.012)	0. (.012)	0. (.012)	0. (.015)	0. (.023)
0.325	0. (.012)	0. (.012)	0. (.012)	0. (.015)	0. (.023)
0.350	0. (.012)	0. (.012)	0. (.012)	0. (.015)	0. (.023)
0.375	0. (.012)	0. (.012)	0. (.012)	0. (.015)	0. (.023)
0.400	0. (.012)	0. (.012)	0. (.012)	0. (.015)	0. (.023)
0.425	0. (.012)	0. (.012)	0. (.012)	0. (.015)	0. (.023)
0.450	0. (.012)	0. (.012)	0. (.012)	0. (.015)	0. (.023)
0.475	0. (.012)	0. (.012)	0. (.012)	0. (.015)	0. (.023)
0.500	0. (.012)	0. (.012)	0. (.012)	0. (.015)	0. (.023)
0.525	0. (.012)	0. (.012)	0. (.012)	0. (.015)	0. (.023)
0.550	0. (.012)	0. (.012)	0. (.012)	0. (.015)	0. (.023)
0.575	0. (.012)	0. (.012)	0. (.012)	0. (.015)	0. (.023)
0.600	0. (.012)	0. (.012)	0. (.012)	0. (.015)	0. (.023)
0.625	0. (.012)	0. (.012)	0. (.012)	0. (.015)	0. (.023)
0.650	0. (.012)	0. (.012)	0. (.012)	0. (.015)	0. (.023)
0.675	0. (.012)	0. (.012)	0. (.012)	0. (.015)	0. (.023)
0.700	0. (.012)	0. (.012)	0. (.012)	0. (.015)	0. (.023)
0.725	0. (.012)	0. (.012)	0. (.012)	0. (.015)	0. (.023)
0.750	0. (.012)	0. (.012)	0. (.012)	0. (.015)	0. (.023)
0.775	0. (.012)	0. (.012)	0. (.012)	0. (.015)	0. (.023)
0.800	0. (.012)	0. (.012)	0. (.012)	0. (.015)	0. (.023)
0.825	0. (.012)	0. (.012)	0. (.012)	0. (.015)	0. (.023)
0.850	0. (.012)	0. (.012)	0. (.012)	0. (.015)	0. (.023)
0.875	0. (.012)	0. (.012)	0. (.012)	0. (.015)	0. (.023)
0.900	0. (.012)	0. (.012)	0. (.012)	0. (.015)	0. (.023)
0.925	0. (.012)	0. (.012)	0. (.012)	0. (.015)	0. (.023)
0.950	0. (.012)	0. (.012)	0. (.012)	0. (.015)	0. (.023)
0.975	0. (.012)	0. (.012)	0. (.012)	0. (.015)	0. (.023)
1.000	1.000(.025)	1.000(.025)	1.000(.025)	1.000(.028)	1.000(.036)

473
 E-61

*** RELATIVE ENERGY FLUX DENSITY IN THE ***
 *** PENUMBRA OF A RECTANGULAR CYLINDER ***

VERSION E

SOLAR FIELD ANGLE, D= 2.00 DEGREES
 GEOMETRY D2/R = 1.00 AND H/R = 1.0

BETA = ANGLE OF INCIDENCE, DEGREES

BETA ***	50.00		60.00		70.00		80.00		88.50	
AX/AB	Q	(QI)	Q	(QI)	Q	(QI)	Q	(QI)	Q	(QI)
0.	1.000	(.)	1.000	(.)	1.000	(.)	1.000	(.)	1.000	(.)
0.025	0.567	(.020)	0.665	(.021)	0.781	(.022)	0.915	(.024)	1.000	(.025)
0.050	0.	(.027)	0.	(.029)	0.272	(.035)	0.731	(.044)	0.999	(.050)
0.075	0.	(.027)	0.	(.029)	0.	(.039)	0.462	(.059)	0.998	(.075)
0.100	0.	(.027)	0.	(.029)	0.	(.039)	0.110	(.067)	0.997	(.100)
0.125	0.	(.027)	0.	(.029)	0.	(.039)	0.	(.068)	0.996	(.125)
0.150	0.	(.027)	0.	(.029)	0.	(.039)	0.	(.068)	0.994	(.150)
0.175	0.	(.027)	0.	(.029)	0.	(.039)	0.	(.068)	0.991	(.174)
0.200	0.	(.027)	0.	(.029)	0.	(.039)	0.	(.068)	0.989	(.199)
0.225	0.	(.027)	0.	(.029)	0.	(.039)	0.	(.068)	0.985	(.224)
0.250	0.	(.027)	0.	(.029)	0.	(.039)	0.	(.068)	0.981	(.248)
0.275	0.	(.027)	0.	(.029)	0.	(.039)	0.	(.068)	0.975	(.273)
0.300	0.	(.027)	0.	(.029)	0.	(.039)	0.	(.068)	0.969	(.297)
0.325	0.	(.027)	0.	(.029)	0.	(.039)	0.	(.068)	0.961	(.321)
0.350	0.	(.027)	0.	(.029)	0.	(.039)	0.	(.068)	0.951	(.345)
0.375	0.	(.027)	0.	(.029)	0.	(.039)	0.	(.068)	0.938	(.369)
0.400	0.	(.027)	0.	(.029)	0.	(.039)	0.	(.068)	0.923	(.392)
0.425	0.	(.027)	0.	(.029)	0.	(.039)	0.	(.068)	0.903	(.415)
0.450	0.	(.027)	0.	(.029)	0.	(.039)	0.	(.068)	0.878	(.437)
0.475	0.	(.027)	0.	(.029)	0.	(.039)	0.	(.068)	0.847	(.459)
0.500	0.	(.027)	0.	(.029)	0.	(.039)	0.	(.068)	0.806	(.479)
0.525	0.	(.027)	0.	(.029)	0.	(.039)	0.	(.068)	0.753	(.499)
0.550	0.	(.027)	0.	(.029)	0.	(.039)	0.	(.068)	0.684	(.517)
0.575	0.	(.027)	0.	(.029)	0.	(.039)	0.	(.068)	0.593	(.533)
0.600	0.	(.027)	0.	(.029)	0.	(.039)	0.	(.068)	0.469	(.546)
0.625	0.	(.027)	0.	(.029)	0.	(.039)	0.	(.068)	0.310	(.556)
0.650	0.	(.027)	0.	(.029)	0.	(.039)	0.	(.068)	0.126	(.561)
0.675	0.	(.027)	0.	(.029)	0.	(.039)	0.	(.068)	0.	(.563)
0.700	0.	(.027)	0.	(.029)	0.	(.039)	0.	(.068)	0.	(.563)
0.725	0.	(.027)	0.	(.029)	0.	(.039)	0.	(.068)	0.	(.563)
0.750	0.	(.027)	0.	(.029)	0.	(.039)	0.	(.068)	0.	(.563)
0.775	0.	(.027)	0.	(.029)	0.	(.039)	0.	(.068)	0.	(.563)
0.800	0.	(.027)	0.	(.029)	0.	(.039)	0.	(.068)	0.	(.563)
0.825	0.	(.027)	0.	(.029)	0.	(.039)	0.	(.068)	0.	(.563)
0.850	0.	(.027)	0.	(.029)	0.	(.039)	0.	(.068)	0.	(.563)
0.875	0.	(.027)	0.	(.029)	0.	(.039)	0.	(.068)	0.	(.563)
0.900	0.	(.027)	0.	(.029)	0.	(.039)	0.	(.068)	0.	(.563)
0.925	0.	(.027)	0.	(.029)	0.	(.039)	0.	(.068)	0.	(.563)
0.950	0.	(.027)	0.	(.029)	0.	(.039)	0.	(.068)	0.	(.563)
0.975	0.	(.027)	0.	(.029)	0.	(.039)	0.	(.068)	0.	(.563)
1.000	0.	(.027)	0.	(.029)	0.	(.039)	0.	(.068)	0.	(.563)

*** RELATIVE ENERGY FLUX DENSITY IN THE ***
 *** PENUMBRA OF A RECTANGULAR CYLINDER ***

VERSION E

SOLAR FIELD ANGLE, D = 2.00 DEGREES
 GEOMETRY D2/R = 5.00 AND H/R = 1.0

BETA = ANGLE OF INCIDENCE, DEGREES

BETA *** AX/AB	0. Q (QI)	10.00 Q (QI)	20.00 Q (QI)	30.00 Q (QI)	40.00 Q (QI)
0.	1.000(.)	1.000(.)	1.000(.)	1.000(.)	1.000(.)
0.025	0.806(.023)	0.817(.023)	0.827(.023)	0.837(.023)	0.849(.023)
0.050	0.443(.038)	0.478(.039)	0.509(.040)	0.535(.040)	0.564(.041)
0.075	0.021(.044)	0.046(.045)	0.076(.047)	0.114(.048)	0.162(.050)
0.100	0. (.044)	0. (.046)	0. (.048)	0. (.050)	0. (.052)
0.125	0. (.044)	0. (.046)	0. (.048)	0. (.050)	0. (.052)
0.150	0. (.044)	0. (.046)	0. (.048)	0. (.050)	0. (.052)
0.175	0. (.044)	0. (.046)	0. (.048)	0. (.050)	0. (.052)
0.200	0. (.044)	0. (.046)	0. (.048)	0. (.050)	0. (.052)
0.225	0. (.044)	0. (.046)	0. (.048)	0. (.050)	0. (.052)
0.250	0. (.044)	0. (.046)	0. (.048)	0. (.050)	0. (.052)
0.275	0. (.044)	0. (.046)	0. (.048)	0. (.050)	0. (.052)
0.300	0. (.044)	0. (.046)	0. (.048)	0. (.050)	0. (.052)
0.325	0. (.044)	0. (.046)	0. (.048)	0. (.050)	0. (.052)
0.350	0. (.044)	0. (.046)	0. (.048)	0. (.050)	0. (.052)
0.375	0. (.044)	0. (.046)	0. (.048)	0. (.050)	0. (.052)
0.400	0. (.044)	0. (.046)	0. (.048)	0. (.050)	0. (.052)
0.425	0. (.044)	0. (.046)	0. (.048)	0. (.050)	0. (.052)
0.450	0. (.044)	0. (.046)	0. (.048)	0. (.050)	0. (.052)
0.475	0. (.044)	0. (.046)	0. (.048)	0. (.050)	0. (.052)
0.500	0. (.044)	0. (.046)	0. (.048)	0. (.050)	0. (.052)
0.525	0. (.044)	0. (.046)	0. (.048)	0. (.050)	0. (.052)
0.550	0. (.044)	0. (.046)	0. (.048)	0. (.050)	0. (.052)
0.575	0. (.044)	0. (.046)	0. (.048)	0. (.050)	0. (.052)
0.600	0. (.044)	0. (.046)	0. (.048)	0. (.050)	0. (.052)
0.625	0. (.044)	0. (.046)	0. (.048)	0. (.050)	0. (.052)
0.650	0. (.044)	0. (.046)	0. (.048)	0. (.050)	0. (.052)
0.675	0. (.044)	0. (.046)	0. (.048)	0. (.050)	0. (.052)
0.700	0. (.044)	0. (.046)	0. (.048)	0. (.050)	0. (.052)
0.725	0. (.044)	0. (.046)	0. (.048)	0. (.050)	0. (.052)
0.750	0. (.044)	0. (.046)	0. (.048)	0. (.050)	0. (.052)
0.775	0. (.044)	0. (.046)	0. (.048)	0. (.050)	0. (.052)
0.800	0. (.044)	0. (.046)	0. (.048)	0. (.050)	0. (.052)
0.825	0. (.044)	0. (.046)	0. (.048)	0. (.050)	0. (.052)
0.850	0. (.044)	0. (.046)	0. (.048)	0. (.050)	0. (.052)
0.875	0. (.044)	0. (.046)	0. (.048)	0. (.050)	0. (.052)
0.900	0. (.044)	0. (.046)	0. (.048)	0. (.050)	0. (.052)
0.925	0.021(.045)	0.003(.046)	0. (.048)	0. (.050)	0. (.052)
0.950	0.443(.050)	0.405(.051)	0.362(.052)	0.309(.054)	0.239(.055)
0.975	0.806(.066)	0.795(.066)	0.783(.067)	0.767(.067)	0.746(.067)
1.000	1.000(.089)	1.000(.089)	1.000(.089)	1.000(.089)	1.000(.089)

RE-ORDER No. 66-196
 App A
 Phase II

*** RELATIVE ENERGY FLUX DENSITY IN THE ***
 *** PENUMBRA OF A RECTANGULAR CYLINDER ***

VERSION E

SOLAR FIELD ANGLE, D = 2.00 DEGREES
 GEOMETRY D2/R = 5.00 AND H/R = 1.0

BETA = ANGLE OF INCIDENCE, DEGREES

BETA ***	50.00	60.00	70.00	80.00	88.50
AX/AB	Q (QI)	Q (QI)	Q (QI)	Q (QI)	Q (QI)
0.	1.000(.)	1.000(.)	1.000(.)	1.000(.)	1.000(.)
0.025	0.863(.023)	0.882(.024)	0.908(.024)	0.952(.024)	1.000(.025)
0.050	0.600(.042)	0.649(.043)	0.723(.044)	0.851(.047)	0.999(.050)
0.075	0.228(.052)	0.323(.055)	0.476(.059)	0.707(.066)	0.998(.075)
0.100	0. (0.055)	0.031(.059)	0.166(.067)	0.530(.082)	0.997(.100)
0.125	0. (0.055)	0. (0.060)	0. (0.069)	0.300(.092)	0.996(.125)
0.150	0. (0.055)	0. (0.060)	0. (0.069)	0.093(.097)	0.994(.150)
0.175	0. (0.055)	0. (0.060)	0. (0.069)	0. (0.098)	0.992(.175)
0.200	0. (0.055)	0. (0.060)	0. (0.069)	0. (0.098)	0.989(.199)
0.225	0. (0.055)	0. (0.060)	0. (0.069)	0. (0.098)	0.986(.224)
0.250	0. (0.055)	0. (0.060)	0. (0.069)	0. (0.098)	0.982(.249)
0.275	0. (0.055)	0. (0.060)	0. (0.069)	0. (0.098)	0.977(.273)
0.300	0. (0.055)	0. (0.060)	0. (0.069)	0. (0.098)	0.971(.297)
0.325	0. (0.055)	0. (0.060)	0. (0.069)	0. (0.098)	0.964(.322)
0.350	0. (0.055)	0. (0.060)	0. (0.069)	0. (0.098)	0.955(.346)
0.375	0. (0.055)	0. (0.060)	0. (0.069)	0. (0.098)	0.944(.369)
0.400	0. (0.055)	0. (0.060)	0. (0.069)	0. (0.098)	0.930(.393)
0.425	0. (0.055)	0. (0.060)	0. (0.069)	0. (0.098)	0.913(.416)
0.450	0. (0.055)	0. (0.060)	0. (0.069)	0. (0.098)	0.892(.438)
0.475	0. (0.055)	0. (0.060)	0. (0.069)	0. (0.098)	0.865(.460)
0.500	0. (0.055)	0. (0.060)	0. (0.069)	0. (0.098)	0.831(.482)
0.525	0. (0.055)	0. (0.060)	0. (0.069)	0. (0.098)	0.787(.502)
0.550	0. (0.055)	0. (0.060)	0. (0.069)	0. (0.098)	0.730(.521)
0.575	0. (0.055)	0. (0.060)	0. (0.069)	0. (0.098)	0.657(.538)
0.600	0. (0.055)	0. (0.060)	0. (0.069)	0. (0.098)	0.559(.553)
0.625	0. (0.055)	0. (0.060)	0. (0.069)	0. (0.098)	0.430(.566)
0.650	0. (0.055)	0. (0.060)	0. (0.069)	0. (0.098)	0.269(.574)
0.675	0. (0.055)	0. (0.060)	0. (0.069)	0. (0.098)	0.090(.579)
0.700	0. (0.055)	0. (0.060)	0. (0.069)	0. (0.098)	0. (.580)
0.725	0. (0.055)	0. (0.060)	0. (0.069)	0. (0.098)	0. (.580)
0.750	0. (0.055)	0. (0.060)	0. (0.069)	0. (0.098)	0. (.580)
0.775	0. (0.055)	0. (0.060)	0. (0.069)	0. (0.098)	0. (.580)
0.800	0. (0.055)	0. (0.060)	0. (0.069)	0. (0.098)	0. (.580)
0.825	0. (0.055)	0. (0.060)	0. (0.069)	0. (0.098)	0. (.580)
0.850	0. (0.055)	0. (0.060)	0. (0.069)	0. (0.098)	0. (.580)
0.875	0. (0.055)	0. (0.060)	0. (0.069)	0. (0.098)	0. (.580)
0.900	0. (0.055)	0. (0.060)	0. (0.069)	0. (0.098)	0. (.580)
0.925	0. (0.055)	0. (0.060)	0. (0.069)	0. (0.098)	0. (.580)
0.950	0.139(.057)	0.007(.060)	0. (0.069)	0. (0.098)	0. (.580)
0.975	0.713(.067)	0.651(.068)	0.453(.075)	0. (0.098)	0. (.580)
1.000	1.000(.089)	1.000(.089)	1.000(.093)	0. (0.098)	0. (.580)

476
 E-64

*** RELATIVE ENERGY FLUX DENSITY IN THE ***
 *** PENUMBRA OF A RECTANGULAR CYLINDER ***
 VERSION E

SOLAR FIELD ANGLE, D= 2.00 DEGREES
 GEOMETRY D2/R = 10.00 AND H/R = 1.0

BETA = ANGLE OF INCIDENCE, DEGREES

BETA ***	0.	10.00	20.00	30.00	40.00
AX/AB	Q (QI)	Q (QI)	Q (QI)	Q (QI)	Q (QI)
0.	1.000(.)	1.000(.)	1.000(.)	1.000(.)	1.000(.)
0.025	0.915(.024)	0.918(.024)	0.921(.024)	0.924(.024)	0.928(.024)
0.050	0.751(.045)	0.759(.045)	0.768(.045)	0.776(.045)	0.787(.046)
0.075	0.547(.061)	0.560(.061)	0.573(.062)	0.588(.062)	0.605(.063)
0.100	0.301(.072)	0.320(.072)	0.340(.073)	0.362(.074)	0.388(.075)
0.125	0.091(.077)	0.107(.078)	0.125(.079)	0.145(.081)	0.170(.082)
0.150	0. (.078)	0. (.079)	0.002(.081)	0.009(.082)	0.022(.085)
0.175	0. (.078)	0. (.079)	0. (.081)	0. (.083)	0. (.085)
0.200	0. (.078)	0. (.079)	0. (.081)	0. (.083)	0. (.085)
0.225	0. (.078)	0. (.079)	0. (.081)	0. (.083)	0. (.085)
0.250	0. (.078)	0. (.079)	0. (.081)	0. (.083)	0. (.085)
0.275	0. (.078)	0. (.079)	0. (.081)	0. (.083)	0. (.085)
0.300	0. (.078)	0. (.079)	0. (.081)	0. (.083)	0. (.085)
0.325	0. (.078)	0. (.079)	0. (.081)	0. (.083)	0. (.085)
0.350	0. (.078)	0. (.079)	0. (.081)	0. (.083)	0. (.085)
0.375	0. (.078)	0. (.079)	0. (.081)	0. (.083)	0. (.085)
0.400	0. (.078)	0. (.079)	0. (.081)	0. (.083)	0. (.085)
0.425	0. (.078)	0. (.079)	0. (.081)	0. (.083)	0. (.085)
0.450	0. (.078)	0. (.079)	0. (.081)	0. (.083)	0. (.085)
0.475	0. (.078)	0. (.079)	0. (.081)	0. (.083)	0. (.085)
0.500	0. (.078)	0. (.079)	0. (.081)	0. (.083)	0. (.085)
0.525	0. (.078)	0. (.079)	0. (.081)	0. (.083)	0. (.085)
0.550	0. (.078)	0. (.079)	0. (.081)	0. (.083)	0. (.085)
0.575	0. (.078)	0. (.079)	0. (.081)	0. (.083)	0. (.085)
0.600	0. (.078)	0. (.079)	0. (.081)	0. (.083)	0. (.085)
0.625	0. (.078)	0. (.079)	0. (.081)	0. (.083)	0. (.085)
0.650	0. (.078)	0. (.079)	0. (.081)	0. (.083)	0. (.085)
0.675	0. (.078)	0. (.079)	0. (.081)	0. (.083)	0. (.085)
0.700	0. (.078)	0. (.079)	0. (.081)	0. (.083)	0. (.085)
0.725	0. (.078)	0. (.079)	0. (.081)	0. (.083)	0. (.085)
0.750	0. (.078)	0. (.079)	0. (.081)	0. (.083)	0. (.085)
0.775	0. (.078)	0. (.079)	0. (.081)	0. (.083)	0. (.085)
0.800	0. (.078)	0. (.079)	0. (.081)	0. (.083)	0. (.085)
0.825	0. (.078)	0. (.079)	0. (.081)	0. (.083)	0. (.085)
0.850	0. (.078)	0. (.079)	0. (.081)	0. (.083)	0. (.085)
0.875	0.091(.079)	0.076(.080)	0.060(.081)	0.044(.083)	0.026(.085)
0.900	0.301(.084)	0.282(.085)	0.261(.085)	0.237(.087)	0.208(.088)
0.925	0.547(.094)	0.534(.095)	0.520(.095)	0.503(.096)	0.477(.097)
0.950	0.751(.111)	0.743(.111)	0.734(.111)	0.723(.111)	0.709(.112)
0.975	0.915(.131)	0.912(.131)	0.909(.131)	0.904(.132)	0.899(.132)
1.000	1.000(.155)	1.000(.155)	1.000(.155)	1.000(.155)	1.000(.155)

*** RELATIVE ENERGY FLUX DENSITY IN THE ***
 *** PENUMBRA OF A RECTANGULAR CYLINDER ***

VERSION E

SOLAR FIELD ANGLE, D= 2.00 DEGREES
 GEOMETRY D2/R = 10.00 AND H/R = 1.0

BETA = ANGLE OF INCIDENCE, DEGREES

BETA ***	50.00		60.00		70.00		80.00		88.50	
AX/AB	Q	(QI)	Q	(QI)	Q	(QI)	Q	(QI)	Q	(QI)
0.	1.000(.))	1.000(.))	1.000(.))	1.000(.))	1.000(.))
0.025	0.933(.024))	0.939(.024))	0.950(.024))	0.969(.025))	1.000(.025))
0.050	0.800(.046))	0.818(.046))	0.848(.047))	0.906(.048))	0.999(.050))
0.075	0.627(.064))	0.658(.065))	0.710(.066))	0.816(.070))	0.998(.075))
0.100	0.422(.077))	0.471(.079))	0.547(.082))	0.703(.089))	0.997(.100))
0.125	0.204(.085))	0.257(.088))	0.352(.093))	0.571(.105))	0.996(.125))
0.150	0.043(.088))	0.082(.092))	0.166(.100))	0.415(.117))	0.994(.150))
0.175	0. (.088))	0. (.093))	0.031(.102))	0.251(.125))	0.992(.175))
0.200	0. (.088))	0. (.093))	0. (.103))	0.106(.130))	0.990(.199))
0.225	0. (.088))	0. (.093))	0. (.103))	0.009(.131))	0.987(.224))
0.250	0. (.088))	0. (.093))	0. (.103))	0. (.131))	0.983(.249))
0.275	0. (.088))	0. (.093))	0. (.103))	0. (.131))	0.979(.273))
0.300	0. (.088))	0. (.093))	0. (.103))	0. (.131))	0.974(.298))
0.325	0. (.088))	0. (.093))	0. (.103))	0. (.131))	0.967(.322))
0.350	0. (.088))	0. (.093))	0. (.103))	0. (.131))	0.959(.346))
0.375	0. (.088))	0. (.093))	0. (.103))	0. (.131))	0.949(.370))
0.400	0. (.088))	0. (.093))	0. (.103))	0. (.131))	0.938(.393))
0.425	0. (.088))	0. (.093))	0. (.103))	0. (.131))	0.923(.417))
0.450	0. (.088))	0. (.093))	0. (.103))	0. (.131))	0.904(.439))
0.475	0. (.088))	0. (.093))	0. (.103))	0. (.131))	0.882(.462))
0.500	0. (.088))	0. (.093))	0. (.103))	0. (.131))	0.853(.483))
0.525	0. (.088))	0. (.093))	0. (.103))	0. (.131))	0.816(.504))
0.550	0. (.088))	0. (.093))	0. (.103))	0. (.131))	0.770(.524))
0.575	0. (.088))	0. (.093))	0. (.103))	0. (.131))	0.711(.543))
0.600	0. (.088))	0. (.093))	0. (.103))	0. (.131))	0.635(.560))
0.625	0. (.088))	0. (.093))	0. (.103))	0. (.131))	0.533(.574))
0.650	0. (.088))	0. (.093))	0. (.103))	0. (.131))	0.402(.586))
0.675	0. (.088))	0. (.093))	0. (.103))	0. (.131))	0.241(.594))
0.700	0. (.088))	0. (.093))	0. (.103))	0. (.131))	0.070(.598))
0.725	0. (.088))	0. (.093))	0. (.103))	0. (.131))	0. (.599))
0.750	0. (.088))	0. (.093))	0. (.103))	0. (.131))	0. (.599))
0.775	0. (.088))	0. (.093))	0. (.103))	0. (.131))	0. (.599))
0.800	0. (.088))	0. (.093))	0. (.103))	0. (.131))	0. (.599))
0.825	0. (.088))	0. (.093))	0. (.103))	0. (.131))	0. (.599))
0.850	0. (.088))	0. (.093))	0. (.103))	0. (.131))	0. (.599))
0.875	0.007(.088))	0. (.093))	0. (.103))	0. (.131))	0. (.599))
0.900	0.168(.090))	0.109(.094))	0.016(.103))	0. (.131))	0. (.599))
0.925	0.439(.098))	0.376(.101))	0.243(.106))	0. (.131))	0. (.599))
0.950	0.688(.112))	0.654(.113))	0.577(.116))	0.126(.133))	0. (.599))
0.975	0.891(.132))	0.877(.133))	0.845(.134))	0.665(.143))	0. (.599))
1.000	1.000(.156))	1.000(.156))	1.000(.157))	1.000(.163))	0. (.599))

478
 E-66

66-196
 App. A
 Phase II

*** RELATIVE ENERGY FLUX DENSITY IN THE ***
 *** PENUMBRA OF A RECTANGULAR CYLINDER ***
 VERSION E

SOLAR FIELD ANGLE, D= 2.00 DEGREES
 GEOMETRY D2/R = 50.00 AND H/R = 1.0

BETA = ANGLE OF INCIDENCE, DEGREES

BETA *** AX/AB	0. Q (QI)	10.00 Q (QI)	20.00 Q (QI)	30.00 Q (QI)	40.00 Q (QI)
0.	1.000(.)	1.000(.)	1.000(.)	1.000(.)	1.000(.)
0.025	0.984(.025)	0.984(.025)	0.984(.025)	0.985(.025)	0.985(.025)
0.050	0.953(.049)	0.954(.049)	0.955(.049)	0.955(.049)	0.957(.049)
0.075	0.912(.072)	0.913(.072)	0.914(.072)	0.916(.072)	0.918(.073)
0.100	0.862(.094)	0.864(.095)	0.866(.095)	0.868(.095)	0.871(.095)
0.125	0.804(.115)	0.807(.115)	0.810(.116)	0.813(.116)	0.817(.116)
0.150	0.741(.135)	0.745(.135)	0.749(.135)	0.753(.135)	0.758(.136)
0.175	0.674(.152)	0.678(.153)	0.682(.153)	0.687(.153)	0.693(.154)
0.200	0.603(.168)	0.608(.169)	0.613(.169)	0.618(.170)	0.625(.170)
0.225	0.531(.182)	0.536(.183)	0.541(.184)	0.547(.184)	0.554(.185)
0.250	0.456(.195)	0.461(.195)	0.467(.196)	0.473(.197)	0.481(.198)
0.275	0.380(.205)	0.386(.206)	0.392(.207)	0.399(.208)	0.407(.209)
0.300	0.308(.214)	0.313(.215)	0.319(.216)	0.325(.217)	0.334(.218)
0.325	0.239(.221)	0.244(.222)	0.249(.223)	0.255(.224)	0.263(.226)
0.350	0.175(.226)	0.180(.227)	0.185(.228)	0.190(.230)	0.198(.232)
0.375	0.118(.229)	0.122(.231)	0.126(.232)	0.131(.234)	0.138(.236)
0.400	0.069(.232)	0.073(.233)	0.076(.235)	0.080(.236)	0.086(.239)
0.425	0.031(.233)	0.033(.235)	0.036(.236)	0.039(.238)	0.043(.240)
0.450	0.005(.234)	0.007(.235)	0.008(.237)	0.010(.239)	0.012(.241)
0.475	0. (.234)	0. (.235)	0. (.237)	0. (.239)	0. (.241)
0.500	0. (.234)	0. (.235)	0. (.237)	0. (.239)	0. (.241)
0.525	0. (.234)	0. (.235)	0. (.237)	0. (.239)	0. (.241)
0.550	0.005(.234)	0.004(.235)	0.003(.237)	0.002(.239)	0.001(.241)
0.575	0.031(.234)	0.029(.236)	0.026(.237)	0.024(.239)	0.021(.241)
0.600	0.069(.235)	0.066(.237)	0.063(.238)	0.059(.240)	0.055(.242)
0.625	0.118(.238)	0.114(.239)	0.110(.240)	0.105(.242)	0.099(.244)
0.650	0.175(.241)	0.170(.243)	0.165(.244)	0.160(.245)	0.153(.247)
0.675	0.239(.247)	0.233(.248)	0.228(.249)	0.222(.250)	0.214(.252)
0.700	0.308(.253)	0.302(.254)	0.296(.255)	0.290(.257)	0.282(.258)
0.725	0.380(.262)	0.375(.263)	0.369(.264)	0.362(.265)	0.354(.266)
0.750	0.456(.272)	0.450(.273)	0.444(.274)	0.438(.275)	0.430(.276)
0.775	0.531(.285)	0.526(.285)	0.520(.286)	0.514(.287)	0.507(.288)
0.800	0.603(.299)	0.599(.299)	0.594(.300)	0.588(.300)	0.581(.301)
0.825	0.674(.315)	0.670(.315)	0.665(.316)	0.660(.316)	0.654(.317)
0.850	0.741(.333)	0.738(.333)	0.734(.333)	0.730(.333)	0.724(.334)
0.875	0.804(.352)	0.802(.352)	0.799(.352)	0.795(.352)	0.791(.353)
0.900	0.862(.373)	0.859(.373)	0.857(.373)	0.855(.373)	0.851(.373)
0.925	0.912(.395)	0.910(.395)	0.909(.395)	0.907(.395)	0.905(.395)
0.950	0.953(.418)	0.952(.418)	0.951(.418)	0.950(.418)	0.949(.418)
0.975	0.984(.442)	0.984(.442)	0.983(.442)	0.983(.442)	0.982(.443)
1.000	1.000(.467)	1.000(.467)	1.000(.467)	1.000(.467)	1.000(.467)

479
 E-67

*** RELATIVE ENERGY FLUX DENSITY IN THE ***
 *** PENUMBRA OF A RECTANGULAR CYLINDER ***

VERSION E

SOLAR FIELD ANGLE, D= 2.00 DEGREES
 GEOMETRY D2/R = 50.00 AND H/R = 1.0

BETA = ANGLE OF INCIDENCE, DEGREES

BETA ***	50.00		60.00		70.00		80.00		88.50	
AX/AB	Q	(QI)	Q	(QI)	Q	(QI)	Q	(QI)	Q	(QI)
0.	1.000(.))	1.000(.))	1.000(.))	1.000(.))	1.000(.))
0.025	0.986(.025))	0.986(.025))	0.988(.025))	0.991(.025))	1.000(.025))
0.050	0.958(.049))	0.960(.049))	0.964(.049))	0.973(.049))	0.999(.050))
0.075	0.921(.073))	0.924(.073))	0.931(.073))	0.947(.073))	0.999(.075))
0.100	0.875(.095))	0.881(.095))	0.891(.096))	0.916(.097))	0.998(.100))
0.125	0.823(.116))	0.831(.117))	0.844(.117))	0.879(.119))	0.997(.125))
0.150	0.764(.136))	0.774(.137))	0.792(.138))	0.836(.141))	0.996(.150))
0.175	0.701(.154))	0.713(.155))	0.734(.157))	0.788(.161))	0.994(.175))
0.200	0.634(.171))	0.647(.172))	0.672(.174))	0.735(.180))	0.992(.199))
0.225	0.564(.186))	0.579(.188))	0.606(.190))	0.678(.198))	0.990(.224))
0.250	0.492(.199))	0.508(.201))	0.538(.205))	0.617(.214))	0.988(.249))
0.275	0.418(.211))	0.435(.213))	0.466(.217))	0.553(.228))	0.985(.274))
0.300	0.345(.220))	0.362(.223))	0.394(.228))	0.485(.241))	0.981(.298))
0.325	0.274(.228))	0.290(.231))	0.322(.237))	0.415(.253))	0.977(.323))
0.350	0.207(.234))	0.223(.238))	0.253(.244))	0.344(.262))	0.972(.347))
0.375	0.147(.238))	0.160(.242))	0.188(.250))	0.275(.270))	0.966(.371))
0.400	0.093(.241))	0.105(.246))	0.129(.254))	0.208(.276))	0.959(.395))
0.425	0.049(.243))	0.058(.248))	0.077(.256))	0.145(.280))	0.951(.419))
0.450	0.016(.244))	0.022(.249))	0.035(.258))	0.089(.283))	0.941(.443))
0.475	0. (.244))	0.001(.249))	0.007(.258))	0.043(.285))	0.929(.466))
0.500	0. (.244))	0. (.249))	0. (.258))	0.010(.286))	0.914(.489))
0.525	0. (.244))	0. (.249))	0. (.258))	0. (.286))	0.897(.512))
0.550	0.000(.244))	0. (.249))	0. (.258))	0. (.286))	0.875(.534))
0.575	0.017(.244))	0.012(.249))	0.004(.258))	0. (.286))	0.849(.556))
0.600	0.049(.245))	0.041(.250))	0.027(.259))	0.003(.286))	0.817(.576))
0.625	0.092(.247))	0.081(.251))	0.063(.260))	0.022(.286))	0.777(.596))
0.650	0.144(.250))	0.131(.254))	0.109(.262))	0.054(.287))	0.728(.615))
0.675	0.205(.254))	0.190(.258))	0.163(.265))	0.097(.289))	0.667(.633))
0.700	0.271(.260))	0.255(.264))	0.226(.270))	0.149(.292))	0.589(.648))
0.725	0.343(.268))	0.327(.271))	0.295(.277))	0.211(.296))	0.492(.662))
0.750	0.419(.277))	0.402(.280))	0.370(.285))	0.281(.303))	0.373(.673))
0.775	0.496(.289))	0.480(.291))	0.449(.295))	0.358(.311))	0.232(.680))
0.800	0.571(.302))	0.557(.304))	0.528(.307))	0.441(.321))	0.084(.684))
0.825	0.645(.317))	0.632(.319))	0.606(.322))	0.526(.333))	0. (.685))
0.850	0.717(.334))	0.705(.335))	0.683(.338))	0.611(.347))	0. (.685))
0.875	0.785(.353))	0.775(.354))	0.756(.356))	0.695(.363))	0. (.685))
0.900	0.847(.374))	0.840(.374))	0.825(.376))	0.778(.382))	0.000(.685))
0.925	0.902(.395))	0.897(.396))	0.887(.397))	0.854(.402))	0.010(.685))
0.950	0.947(.419))	0.945(.419))	0.939(.420))	0.920(.424))	0.054(.686))
0.975	0.982(.443))	0.981(.443))	0.979(.444))	0.972(.448))	0.257(.690))
1.000	1.000(.467))	1.000(.468))	1.000(.468))	1.000(.472))	1.000(.706))

4
3
2

480
E-68

*** RELATIVE ENERGY FLUX DENSITY IN THE ***
 *** PENUMBRA OF A RECTANGULAR CYLINDER ***

VERSION E

SOLAR FIELD ANGLE, D= 2.00 DEGREES
 GEOMETRY D2/R = 100.00 AND H/R = 1.0

BETA = ANGLE OF INCIDENCE, DEGREES

BETA ***	0.	10.00	20.00	30.00	40.00
AX/AB	Q (QI)	Q (QI)	Q (QI)	Q (QI)	Q (QI)
0.	1.000(.)	1.000(.)	1.000(.)	1.000(.)	1.000(.)
0.025	0.990(.025)	0.990(.025)	0.990(.025)	0.990(.025)	0.991(.025)
0.050	0.971(.049)	0.971(.049)	0.971(.049)	0.972(.049)	0.973(.049)
0.075	0.945(.073)	0.946(.073)	0.946(.073)	0.947(.073)	0.948(.073)
0.100	0.914(.097)	0.915(.097)	0.916(.097)	0.917(.097)	0.919(.097)
0.125	0.878(.119)	0.879(.119)	0.881(.119)	0.883(.119)	0.885(.119)
0.150	0.838(.140)	0.840(.141)	0.842(.141)	0.844(.141)	0.847(.141)
0.175	0.794(.161)	0.797(.161)	0.799(.161)	0.802(.161)	0.805(.162)
0.200	0.748(.180)	0.750(.180)	0.753(.181)	0.757(.181)	0.761(.181)
0.225	0.699(.198)	0.702(.198)	0.705(.199)	0.709(.199)	0.713(.200)
0.250	0.647(.215)	0.651(.215)	0.654(.216)	0.658(.216)	0.663(.217)
0.275	0.595(.231)	0.598(.231)	0.602(.232)	0.607(.232)	0.612(.233)
0.300	0.541(.245)	0.545(.245)	0.549(.246)	0.554(.247)	0.559(.247)
0.325	0.487(.258)	0.491(.258)	0.495(.259)	0.500(.260)	0.506(.261)
0.350	0.432(.269)	0.436(.270)	0.440(.271)	0.445(.272)	0.451(.273)
0.375	0.379(.279)	0.383(.280)	0.387(.281)	0.391(.282)	0.397(.283)
0.400	0.340(.288)	0.343(.289)	0.346(.290)	0.350(.291)	0.354(.293)
0.425	0.310(.296)	0.313(.297)	0.315(.298)	0.318(.300)	0.322(.301)
0.450	0.290(.304)	0.291(.305)	0.293(.306)	0.295(.307)	0.298(.309)
0.475	0.277(.311)	0.278(.312)	0.279(.313)	0.280(.314)	0.282(.316)
0.500	0.273(.318)	0.273(.319)	0.273(.320)	0.274(.321)	0.274(.323)
0.525	0.277(.325)	0.277(.326)	0.276(.327)	0.275(.328)	0.274(.330)
0.550	0.290(.332)	0.288(.333)	0.287(.334)	0.285(.335)	0.283(.337)
0.575	0.310(.339)	0.308(.340)	0.306(.341)	0.303(.343)	0.300(.344)
0.600	0.340(.347)	0.337(.348)	0.334(.349)	0.330(.351)	0.326(.352)
0.625	0.379(.356)	0.375(.357)	0.372(.358)	0.367(.359)	0.362(.361)
0.650	0.432(.366)	0.428(.367)	0.423(.368)	0.419(.369)	0.412(.370)
0.675	0.487(.378)	0.483(.379)	0.478(.379)	0.474(.380)	0.468(.381)
0.700	0.541(.391)	0.537(.391)	0.533(.392)	0.528(.393)	0.523(.394)
0.725	0.595(.405)	0.591(.405)	0.587(.406)	0.583(.407)	0.577(.407)
0.750	0.647(.421)	0.644(.421)	0.640(.421)	0.636(.422)	0.631(.423)
0.775	0.699(.437)	0.695(.438)	0.692(.438)	0.688(.438)	0.683(.439)
0.800	0.748(.455)	0.745(.456)	0.742(.456)	0.738(.456)	0.734(.457)
0.825	0.794(.475)	0.792(.475)	0.789(.475)	0.786(.475)	0.783(.476)
0.850	0.838(.495)	0.836(.495)	0.834(.495)	0.831(.496)	0.828(.496)
0.875	0.878(.517)	0.876(.517)	0.875(.517)	0.873(.517)	0.870(.517)
0.900	0.914(.539)	0.913(.539)	0.911(.539)	0.910(.539)	0.908(.539)
0.925	0.945(.562)	0.944(.562)	0.943(.562)	0.942(.562)	0.941(.562)
0.950	0.971(.586)	0.970(.586)	0.970(.586)	0.969(.586)	0.969(.586)
0.975	0.990(.611)	0.990(.611)	0.990(.611)	0.989(.611)	0.989(.611)
1.000	1.000(.635)	1.000(.635)	1.000(.636)	1.000(.636)	1.000(.636)

66-196
 App. A
 Page 11

*** RELATIVE ENERGY FLUX DENSITY IN THE ***
 *** PENUMBRA OF A RECTANGULAR CYLINDER ***
 VERSION E

SOLAR FIELD ANGLE, D= 2.00 DEGREES
 GEOMETRY D₂/R = 100.00 AND H/R = 1.0

BETA = ANGLE OF INCIDENCE, DEGREES

BETA ***	50.00	60.00	70.00	80.00	88.50
AX/AB	Q (Q1)	Q (Q1)	Q (Q1)	Q (Q1)	Q (Q1)
0.	1.000(.)	1.000(.)	1.000(.)	1.000(.)	1.000(.)
0.025	0.991(.025)	0.991(.025)	0.992(.025)	0.994(.025)	1.000(.025)
0.050	0.973(.049)	0.974(.049)	0.976(.050)	0.982(.050)	0.999(.050)
0.075	0.950(.073)	0.952(.074)	0.956(.074)	0.965(.074)	0.999(.075)
0.100	0.921(.097)	0.924(.097)	0.930(.097)	0.944(.098)	0.998(.100)
0.125	0.888(.119)	0.892(.120)	0.900(.120)	0.920(.121)	0.997(.125)
0.150	0.851(.141)	0.856(.142)	0.866(.142)	0.892(.144)	0.996(.150)
0.175	0.810(.162)	0.817(.162)	0.829(.163)	0.861(.166)	0.995(.175)
0.200	0.766(.182)	0.774(.182)	0.788(.184)	0.827(.187)	0.993(.200)
0.225	0.719(.200)	0.728(.201)	0.745(.203)	0.789(.207)	0.992(.224)
0.250	0.670(.218)	0.680(.219)	0.699(.221)	0.748(.226)	0.990(.249)
0.275	0.619(.234)	0.630(.235)	0.650(.238)	0.705(.244)	0.987(.274)
0.300	0.567(.249)	0.578(.250)	0.600(.253)	0.659(.261)	0.984(.298)
0.325	0.514(.262)	0.526(.264)	0.548(.268)	0.611(.277)	0.981(.323)
0.350	0.459(.274)	0.472(.277)	0.495(.281)	0.561(.292)	0.977(.347)
0.375	0.405(.285)	0.418(.288)	0.441(.292)	0.510(.305)	0.972(.372)
0.400	0.361(.295)	0.371(.297)	0.391(.303)	0.457(.317)	0.966(.396)
0.425	0.327(.303)	0.335(.306)	0.352(.312)	0.408(.328)	0.960(.420)
0.450	0.302(.311)	0.308(.314)	0.321(.321)	0.368(.338)	0.952(.444)
0.475	0.284(.318)	0.288(.322)	0.297(.328)	0.334(.347)	0.943(.468)
0.500	0.275(.325)	0.276(.329)	0.281(.335)	0.307(.355)	0.932(.491)
0.525	0.274(.332)	0.273(.336)	0.273(.342)	0.286(.362)	0.919(.514)
0.550	0.281(.339)	0.277(.343)	0.273(.349)	0.273(.369)	0.904(.537)
0.575	0.296(.346)	0.291(.350)	0.282(.356)	0.268(.376)	0.886(.559)
0.600	0.321(.354)	0.313(.357)	0.300(.363)	0.272(.383)	0.863(.581)
0.625	0.355(.363)	0.345(.365)	0.328(.371)	0.287(.390)	0.837(.603)
0.650	0.404(.372)	0.392(.375)	0.369(.380)	0.313(.397)	0.805(.623)
0.675	0.459(.383)	0.447(.385)	0.424(.390)	0.358(.406)	0.767(.643)
0.700	0.515(.395)	0.503(.397)	0.480(.401)	0.413(.415)	0.722(.661)
0.725	0.570(.409)	0.558(.410)	0.536(.414)	0.471(.426)	0.666(.679)
0.750	0.624(.423)	0.613(.425)	0.592(.428)	0.530(.439)	0.599(.695)
0.775	0.677(.440)	0.667(.441)	0.648(.444)	0.589(.453)	0.516(.708)
0.800	0.728(.457)	0.719(.458)	0.702(.460)	0.648(.468)	0.420(.720)
0.825	0.778(.476)	0.770(.477)	0.755(.479)	0.707(.485)	0.310(.729)
0.850	0.824(.496)	0.818(.497)	0.805(.498)	0.764(.504)	0.201(.736)
0.875	0.867(.517)	0.862(.518)	0.852(.519)	0.818(.523)	0.138(.740)
0.900	0.906(.539)	0.902(.540)	0.894(.541)	0.869(.544)	0.204(.744)
0.925	0.940(.563)	0.937(.563)	0.932(.563)	0.915(.567)	0.313(.751)
0.950	0.968(.586)	0.966(.587)	0.963(.587)	0.954(.590)	0.483(.761)
0.975	0.989(.611)	0.988(.611)	0.987(.611)	0.984(.614)	0.737(.776)
1.000	1.000(.636)	1.000(.636)	1.000(.636)	1.000(.639)	1.000(.798)

482
 E-70

*** RELATIVE ENERGY FLUX DENSITY IN THE ***
 *** PENUMBRA OF A RECTANGULAR CYLINDER ***

VERSION E

SOLAR FIELD ANGLE, D = 2.00 DEGREES
 GEOMETRY D2/R = 1.00 AND H/R = 2.0

BETA = ANGLE OF INCIDENCE, DEGREES

BETA *** AX/AB	0.		10.00		20.00		30.00		40.00	
	Q	(QI)	Q	(QI)	Q	(QI)	Q	(QI)	Q	(QI)
0.	1.000	(.)	1.000	(.)	1.000	(.)	1.000	(.)	1.000	(.)
0.025	0.	(.012)	0.538	(.019)	0.577	(.020)	0.616	(.020)	0.658	(.021)
0.050	0.	(.012)	0.	(.026)	0.	(.027)	0.	(.028)	0.	(.029)
0.075	0.	(.012)	0.	(.026)	0.	(.027)	0.	(.028)	0.	(.029)
0.100	0.	(.012)	0.	(.026)	0.	(.027)	0.	(.028)	0.	(.029)
0.125	0.	(.012)	0.	(.026)	0.	(.027)	0.	(.028)	0.	(.029)
0.150	0.	(.012)	0.	(.026)	0.	(.027)	0.	(.028)	0.	(.029)
0.175	0.	(.012)	0.	(.026)	0.	(.027)	0.	(.028)	0.	(.029)
0.200	0.	(.012)	0.	(.026)	0.	(.027)	0.	(.028)	0.	(.029)
0.225	0.	(.012)	0.	(.026)	0.	(.027)	0.	(.028)	0.	(.029)
0.250	0.	(.012)	0.	(.026)	0.	(.027)	0.	(.028)	0.	(.029)
0.275	0.	(.012)	0.	(.026)	0.	(.027)	0.	(.028)	0.	(.029)
0.300	0.	(.012)	0.	(.026)	0.	(.027)	0.	(.028)	0.	(.029)
0.325	0.	(.012)	0.	(.026)	0.	(.027)	0.	(.028)	0.	(.029)
0.350	0.	(.012)	0.	(.026)	0.	(.027)	0.	(.028)	0.	(.029)
0.375	0.	(.012)	0.	(.026)	0.	(.027)	0.	(.028)	0.	(.029)
0.400	0.	(.012)	0.	(.026)	0.	(.027)	0.	(.028)	0.	(.029)
0.425	0.	(.012)	0.	(.026)	0.	(.027)	0.	(.028)	0.	(.029)
0.450	0.	(.012)	0.	(.026)	0.	(.027)	0.	(.028)	0.	(.029)
0.475	0.	(.012)	0.	(.026)	0.	(.027)	0.	(.028)	0.	(.029)
0.500	0.	(.012)	0.	(.026)	0.	(.027)	0.	(.028)	0.	(.029)
0.525	0.	(.012)	0.	(.026)	0.	(.027)	0.	(.028)	0.	(.029)
0.550	0.	(.012)	0.	(.026)	0.	(.027)	0.	(.028)	0.	(.029)
0.575	0.	(.012)	0.	(.026)	0.	(.027)	0.	(.028)	0.	(.029)
0.600	0.	(.012)	0.	(.026)	0.	(.027)	0.	(.028)	0.	(.029)
0.625	0.	(.012)	0.	(.026)	0.	(.027)	0.	(.028)	0.	(.029)
0.650	0.	(.012)	0.	(.026)	0.	(.027)	0.	(.028)	0.	(.029)
0.675	0.	(.012)	0.	(.026)	0.	(.027)	0.	(.028)	0.	(.029)
0.700	0.	(.012)	0.	(.026)	0.	(.027)	0.	(.028)	0.	(.029)
0.725	0.	(.012)	0.	(.026)	0.	(.027)	0.	(.028)	0.	(.029)
0.750	0.	(.012)	0.	(.026)	0.	(.027)	0.	(.028)	0.	(.029)
0.775	0.	(.012)	0.	(.026)	0.	(.027)	0.	(.028)	0.	(.029)
0.800	0.	(.012)	0.	(.026)	0.	(.027)	0.	(.028)	0.	(.029)
0.825	0.	(.012)	0.	(.026)	0.	(.027)	0.	(.028)	0.	(.029)
0.850	0.	(.012)	0.	(.026)	0.	(.027)	0.	(.028)	0.	(.029)
0.875	0.	(.012)	0.	(.026)	0.	(.027)	0.	(.028)	0.	(.029)
0.900	0.	(.012)	0.	(.026)	0.	(.027)	0.	(.028)	0.	(.029)
0.925	0.	(.012)	0.	(.026)	0.	(.027)	0.	(.028)	0.	(.029)
0.950	0.	(.012)	0.	(.026)	0.	(.027)	0.	(.028)	0.	(.029)
0.975	0.	(.012)	0.	(.026)	0.	(.027)	0.	(.028)	0.	(.029)
1.000	1.000	(.025)	1.000	(.038)	1.000	(.039)	1.000	(.040)	1.000	(.041)

RE-ORDER No. 66-196
App. Sp. II

*** RELATIVE ENERGY FLUX DENSITY IN THE ***
 *** PENUMBRA OF A RECTANGULAR CYLINDER ***

VERSION E

SOLAR FIELD ANGLE, D = 2.00 DEGREES
 GEOMETRY D2/R = 1.00 AND H/R = 2.0

BETA = ANGLE OF INCIDENCE, DEGREES

BETA ***	50.00		60.00		70.00		80.00		88.50	
AX/AB	Q	(QI)	Q	(QI)	Q	(QI)	Q	(QI)	Q	(QI)
0.	1.000	(.)	1.000	(.)	1.000	(.)	1.000	(.)	1.000	(.)
0.025	0.705	(.021)	0.762	(.022)	0.834	(.023)	0.928	(.024)	1.000	(.025)
0.050	0.	(.030)	0.	(.032)	0.507	(.040)	0.774	(.045)	0.999	(.050)
0.075	0.	(.030)	0.	(.032)	0.	(.046)	0.559	(.062)	0.998	(.075)
0.100	0.	(.030)	0.	(.032)	0.	(.046)	0.147	(.071)	0.997	(.100)
0.125	0.	(.030)	0.	(.032)	0.	(.046)	0.	(.073)	0.996	(.125)
0.150	0.	(.030)	0.	(.032)	0.	(.046)	0.	(.073)	0.994	(.150)
0.175	0.	(.030)	0.	(.032)	0.	(.046)	0.	(.073)	0.992	(.174)
0.200	0.	(.030)	0.	(.032)	0.	(.046)	0.	(.073)	0.989	(.199)
0.225	0.	(.030)	0.	(.032)	0.	(.046)	0.	(.073)	0.985	(.224)
0.250	0.	(.030)	0.	(.032)	0.	(.046)	0.	(.073)	0.981	(.249)
0.275	0.	(.030)	0.	(.032)	0.	(.046)	0.	(.073)	0.976	(.273)
0.300	0.	(.030)	0.	(.032)	0.	(.046)	0.	(.073)	0.970	(.297)
0.325	0.	(.030)	0.	(.032)	0.	(.046)	0.	(.073)	0.962	(.321)
0.350	0.	(.030)	0.	(.032)	0.	(.046)	0.	(.073)	0.952	(.345)
0.375	0.	(.030)	0.	(.032)	0.	(.046)	0.	(.073)	0.940	(.369)
0.400	0.	(.030)	0.	(.032)	0.	(.046)	0.	(.073)	0.925	(.392)
0.425	0.	(.030)	0.	(.032)	0.	(.046)	0.	(.073)	0.906	(.415)
0.450	0.	(.030)	0.	(.032)	0.	(.046)	0.	(.073)	0.882	(.438)
0.475	0.	(.030)	0.	(.032)	0.	(.046)	0.	(.073)	0.852	(.459)
0.500	0.	(.030)	0.	(.032)	0.	(.046)	0.	(.073)	0.813	(.480)
0.525	0.	(.030)	0.	(.032)	0.	(.046)	0.	(.073)	0.763	(.500)
0.550	0.	(.030)	0.	(.032)	0.	(.046)	0.	(.073)	0.698	(.518)
0.575	0.	(.030)	0.	(.032)	0.	(.046)	0.	(.073)	0.610	(.534)
0.600	0.	(.030)	0.	(.032)	0.	(.046)	0.	(.073)	0.486	(.548)
0.625	0.	(.030)	0.	(.032)	0.	(.046)	0.	(.073)	0.324	(.558)
0.650	0.	(.030)	0.	(.032)	0.	(.046)	0.	(.073)	0.132	(.564)
0.675	0.	(.030)	0.	(.032)	0.	(.046)	0.	(.073)	0.	(.565)
0.700	0.	(.030)	0.	(.032)	0.	(.046)	0.	(.073)	0.	(.565)
0.725	0.	(.030)	0.	(.032)	0.	(.046)	0.	(.073)	0.	(.565)
0.750	0.	(.030)	0.	(.032)	0.	(.046)	0.	(.073)	0.	(.565)
0.775	0.	(.030)	0.	(.032)	0.	(.046)	0.	(.073)	0.	(.565)
0.800	0.	(.030)	0.	(.032)	0.	(.046)	0.	(.073)	0.	(.565)
0.825	0.	(.030)	0.	(.032)	0.	(.046)	0.	(.073)	0.	(.565)
0.850	0.	(.030)	0.	(.032)	0.	(.046)	0.	(.073)	0.	(.565)
0.875	0.	(.030)	0.	(.032)	0.	(.046)	0.	(.073)	0.	(.565)
0.900	0.	(.030)	0.	(.032)	0.	(.046)	0.	(.073)	0.	(.565)
0.925	0.	(.030)	0.	(.032)	0.	(.046)	0.	(.073)	0.	(.565)
0.950	0.	(.030)	0.	(.032)	0.	(.046)	0.	(.073)	0.	(.565)
0.975	0.	(.030)	0.	(.032)	0.	(.046)	0.	(.073)	0.	(.565)
1.000	0.	(.030)	0.	(.032)	0.	(.046)	0.	(.073)	0.	(.565)

484
 E-72

*** RELATIVE ENERGY FLUX DENSITY IN THE ***
 *** PENUMBRA OF A RECTANGULAR CYLINDER ***

VERSION E

SOLAR FIELD ANGLE, D= 2.00 DEGREES
 GEOMETRY D2/R = 5.00 AND H/R = 2.0

BETA = ANGLE OF INCIDENCE, DEGREES

BETA ***	0.	10.00	20.00	30.00	40.00
AX/AB	Q (Q1)	Q (Q1)	Q (Q1)	Q (Q1)	Q (Q1)
0.	1.000(.)	1.000(.)	1.000(.)	1.000(.)	1.000(.)
0.025	0.844(.023)	0.851(.023)	0.858(.023)	0.866(.023)	0.875(.023)
0.050	0.556(.041)	0.574(.041)	0.593(.041)	0.612(.042)	0.635(.042)
0.075	0.019(.048)	0.053(.049)	0.095(.050)	0.147(.051)	0.212(.053)
0.100	0. (.048)	0. (.049)	0. (.051)	0. (.053)	0. (.056)
0.125	0. (.048)	0. (.049)	0. (.051)	0. (.053)	0. (.056)
0.150	0. (.048)	0. (.049)	0. (.051)	0. (.053)	0. (.056)
0.175	0. (.048)	0. (.049)	0. (.051)	0. (.053)	0. (.056)
0.200	0. (.048)	0. (.049)	0. (.051)	0. (.053)	0. (.056)
0.225	0. (.048)	0. (.049)	0. (.051)	0. (.053)	0. (.056)
0.250	0. (.048)	0. (.049)	0. (.051)	0. (.053)	0. (.056)
0.275	0. (.048)	0. (.049)	0. (.051)	0. (.053)	0. (.056)
0.300	0. (.048)	0. (.049)	0. (.051)	0. (.053)	0. (.056)
0.325	0. (.048)	0. (.049)	0. (.051)	0. (.053)	0. (.056)
0.350	0. (.048)	0. (.049)	0. (.051)	0. (.053)	0. (.056)
0.375	0. (.048)	0. (.049)	0. (.051)	0. (.053)	0. (.056)
0.400	0. (.048)	0. (.049)	0. (.051)	0. (.053)	0. (.056)
0.425	0. (.048)	0. (.049)	0. (.051)	0. (.053)	0. (.056)
0.450	0. (.048)	0. (.049)	0. (.051)	0. (.053)	0. (.056)
0.475	0. (.048)	0. (.049)	0. (.051)	0. (.053)	0. (.056)
0.500	0. (.048)	0. (.049)	0. (.051)	0. (.053)	0. (.056)
0.525	0. (.048)	0. (.049)	0. (.051)	0. (.053)	0. (.056)
0.550	0. (.048)	0. (.049)	0. (.051)	0. (.053)	0. (.056)
0.575	0. (.048)	0. (.049)	0. (.051)	0. (.053)	0. (.056)
0.600	0. (.048)	0. (.049)	0. (.051)	0. (.053)	0. (.056)
0.625	0. (.048)	0. (.049)	0. (.051)	0. (.053)	0. (.056)
0.650	0. (.048)	0. (.049)	0. (.051)	0. (.053)	0. (.056)
0.675	0. (.048)	0. (.049)	0. (.051)	0. (.053)	0. (.056)
0.700	0. (.048)	0. (.049)	0. (.051)	0. (.053)	0. (.056)
0.725	0. (.048)	0. (.049)	0. (.051)	0. (.053)	0. (.056)
0.750	0. (.048)	0. (.049)	0. (.051)	0. (.053)	0. (.056)
0.775	0. (.048)	0. (.049)	0. (.051)	0. (.053)	0. (.056)
0.800	0. (.048)	0. (.049)	0. (.051)	0. (.053)	0. (.056)
0.825	0. (.048)	0. (.049)	0. (.051)	0. (.053)	0. (.056)
0.850	0. (.048)	0. (.049)	0. (.051)	0. (.053)	0. (.056)
0.875	0. (.048)	0. (.049)	0. (.051)	0. (.053)	0. (.056)
0.900	0. (.048)	0. (.049)	0. (.051)	0. (.053)	0. (.056)
0.925	0.019(.048)	0. (.049)	0. (.051)	0. (.053)	0. (.056)
0.950	0.556(.055)	0.537(.056)	0.516(.058)	0.478(.059)	0.384(.060)
0.975	0.844(.073)	0.836(.073)	0.827(.074)	0.816(.075)	0.801(.075)
1.000	1.000(.096)	1.000(.096)	1.000(.097)	1.000(.098)	1.000(.098)

*** RELATIVE ENERGY FLUX DENSITY IN THE *** VERSION E
 *** PENUMBRA OF A RECTANGULAR CYLINDER ***

SOLAR FIELD ANGLE, D = 2.00 DEGREES
 GEOMETRY D2/R = 5.00 AND H/R = 2.0

BETA = ANGLE OF INCIDENCE, DEGREES

BETA ***	50.00		60.00		70.00		80.00		88.50	
AX/AB	Q	(QI)	Q	(QI)	Q	(QI)	Q	(QI)	Q	(QI)
0.	1.000	(.)	1.000	(.)	1.000	(.)	1.000	(.)	1.000	(.)
0.025	0.886	(.024)	0.900	(.024)	0.921	(.024)	0.957	(.024)	1.000	(.025)
0.050	0.663	(.043)	0.702	(.044)	0.761	(.045)	0.866	(.047)	0.999	(.050)
0.075	0.297	(.055)	0.411	(.058)	0.550	(.061)	0.737	(.067)	0.998	(.075)
0.100	0.	(.059)	0.032	(.063)	0.200	(.071)	0.578	(.084)	0.997	(.100)
0.125	0.	(.059)	0.	(.064)	0.	(.073)	0.344	(.095)	0.996	(.125)
0.150	0.	(.059)	0.	(.064)	0.	(.073)	0.103	(.101)	0.994	(.150)
0.175	0.	(.059)	0.	(.064)	0.	(.073)	0.	(.102)	0.992	(.175)
0.200	0.	(.059)	0.	(.064)	0.	(.073)	0.	(.102)	0.989	(.199)
0.225	0.	(.059)	0.	(.064)	0.	(.073)	0.	(.102)	0.986	(.224)
0.250	0.	(.059)	0.	(.064)	0.	(.073)	0.	(.102)	0.982	(.249)
0.275	0.	(.059)	0.	(.064)	0.	(.073)	0.	(.102)	0.978	(.273)
0.300	0.	(.059)	0.	(.064)	0.	(.073)	0.	(.102)	0.972	(.297)
0.325	0.	(.059)	0.	(.064)	0.	(.073)	0.	(.102)	0.965	(.322)
0.350	0.	(.059)	0.	(.064)	0.	(.073)	0.	(.102)	0.956	(.346)
0.375	0.	(.059)	0.	(.064)	0.	(.073)	0.	(.102)	0.945	(.369)
0.400	0.	(.059)	0.	(.064)	0.	(.073)	0.	(.102)	0.932	(.393)
0.425	0.	(.059)	0.	(.064)	0.	(.073)	0.	(.102)	0.916	(.416)
0.450	0.	(.059)	0.	(.064)	0.	(.073)	0.	(.102)	0.895	(.439)
0.475	0.	(.059)	0.	(.064)	0.	(.073)	0.	(.102)	0.869	(.461)
0.500	0.	(.059)	0.	(.064)	0.	(.073)	0.	(.102)	0.836	(.482)
0.525	0.	(.059)	0.	(.064)	0.	(.073)	0.	(.102)	0.794	(.502)
0.550	0.	(.059)	0.	(.064)	0.	(.073)	0.	(.102)	0.740	(.522)
0.575	0.	(.059)	0.	(.064)	0.	(.073)	0.	(.102)	0.670	(.539)
0.600	0.	(.059)	0.	(.064)	0.	(.073)	0.	(.102)	0.574	(.555)
0.625	0.	(.059)	0.	(.064)	0.	(.073)	0.	(.102)	0.444	(.567)
0.650	0.	(.059)	0.	(.064)	0.	(.073)	0.	(.102)	0.278	(.576)
0.675	0.	(.059)	0.	(.064)	0.	(.073)	0.	(.102)	0.092	(.581)
0.700	0.	(.059)	0.	(.064)	0.	(.073)	0.	(.102)	0.	(.582)
0.725	0.	(.059)	0.	(.064)	0.	(.073)	0.	(.102)	0.	(.582)
0.750	0.	(.059)	0.	(.064)	0.	(.073)	0.	(.102)	0.	(.582)
0.775	0.	(.059)	0.	(.064)	0.	(.073)	0.	(.102)	0.	(.582)
0.800	0.	(.059)	0.	(.064)	0.	(.073)	0.	(.102)	0.	(.582)
0.825	0.	(.059)	0.	(.064)	0.	(.073)	0.	(.102)	0.	(.582)
0.850	0.	(.059)	0.	(.064)	0.	(.073)	0.	(.102)	0.	(.582)
0.875	0.	(.059)	0.	(.064)	0.	(.073)	0.	(.102)	0.	(.582)
0.900	0.	(.059)	0.	(.064)	0.	(.073)	0.	(.102)	0.	(.582)
0.925	0.	(.059)	0.	(.064)	0.	(.073)	0.	(.102)	0.	(.582)
0.950	0.229	(.061)	0.	(.064)	0.	(.073)	0.	(.102)	0.	(.582)
0.975	0.779	(.074)	0.737	(.073)	0.626	(.081)	0.	(.102)	0.	(.582)
1.000	1.000	(.096)	1.000	(.095)	1.000	(.101)	0.	(.102)	0.	(.582)

RE-ORDER No. 66-196
Phase II

*** RELATIVE ENERGY FLUX DENSITY IN THE ***
 *** PENUMBRA OF A RECTANGULAR CYLINDER ***
 VERSION E

SOLAR FIELD ANGLE, D= 2.00 DEGREES
 GEOMETRY D2/R = 10.00 AND H/R = 2.0

BETA = ANGLE OF INCIDENCE, DEGREES

BETA ***	0.	10.00	20.00	30.00	40.00
AX/AB	Q (QI)	Q (QI)	Q (QI)	Q (QI)	Q (QI)
0.	1.000(.)	1.000(.)	1.000(.)	1.000(.)	1.000(.)
0.025	0.924(.024)	0.927(.024)	0.929(.024)	0.932(.024)	0.935(.024)
0.050	0.777(.045)	0.784(.045)	0.791(.046)	0.799(.046)	0.808(.046)
0.075	0.592(.062)	0.603(.063)	0.615(.063)	0.627(.064)	0.642(.064)
0.100	0.342(.074)	0.363(.075)	0.385(.076)	0.409(.077)	0.438(.078)
0.125	0.095(.080)	0.114(.081)	0.134(.082)	0.157(.084)	0.186(.085)
0.150	0. (.081)	0. (.082)	0. (.084)	0.005(.086)	0.017(.088)
0.175	0. (.081)	0. (.082)	0. (.084)	0. (.086)	0. (.088)
0.200	0. (.081)	0. (.082)	0. (.084)	0. (.086)	0. (.088)
0.225	0. (.081)	0. (.082)	0. (.084)	0. (.086)	0. (.088)
0.250	0. (.081)	0. (.082)	0. (.084)	0. (.086)	0. (.088)
0.275	0. (.081)	0. (.082)	0. (.084)	0. (.086)	0. (.088)
0.300	0. (.081)	0. (.082)	0. (.084)	0. (.086)	0. (.088)
0.325	0. (.081)	0. (.082)	0. (.084)	0. (.086)	0. (.088)
0.350	0. (.081)	0. (.082)	0. (.084)	0. (.086)	0. (.088)
0.375	0. (.081)	0. (.082)	0. (.084)	0. (.086)	0. (.088)
0.400	0. (.081)	0. (.082)	0. (.084)	0. (.086)	0. (.088)
0.425	0. (.081)	0. (.082)	0. (.084)	0. (.086)	0. (.088)
0.450	0. (.081)	0. (.082)	0. (.084)	0. (.086)	0. (.088)
0.475	0. (.081)	0. (.082)	0. (.084)	0. (.086)	0. (.088)
0.500	0. (.081)	0. (.082)	0. (.084)	0. (.086)	0. (.088)
0.525	0. (.081)	0. (.082)	0. (.084)	0. (.086)	0. (.088)
0.550	0. (.081)	0. (.082)	0. (.084)	0. (.086)	0. (.088)
0.575	0. (.081)	0. (.082)	0. (.084)	0. (.086)	0. (.088)
0.600	0. (.081)	0. (.082)	0. (.084)	0. (.086)	0. (.088)
0.625	0. (.081)	0. (.082)	0. (.084)	0. (.086)	0. (.088)
0.650	0. (.081)	0. (.082)	0. (.084)	0. (.086)	0. (.088)
0.675	0. (.081)	0. (.082)	0. (.084)	0. (.086)	0. (.088)
0.700	0. (.081)	0. (.082)	0. (.084)	0. (.086)	0. (.088)
0.725	0. (.081)	0. (.082)	0. (.084)	0. (.086)	0. (.088)
0.750	0. (.081)	0. (.082)	0. (.084)	0. (.086)	0. (.088)
0.775	0. (.081)	0. (.082)	0. (.084)	0. (.086)	0. (.088)
0.800	0. (.081)	0. (.082)	0. (.084)	0. (.086)	0. (.088)
0.825	0. (.081)	0. (.082)	0. (.084)	0. (.086)	0. (.088)
0.850	0. (.081)	0. (.082)	0. (.084)	0. (.086)	0. (.088)
0.875	0.095(.082)	0.078(.083)	0.060(.085)	0.041(.086)	0.021(.088)
0.900	0.342(.087)	0.320(.088)	0.297(.089)	0.270(.090)	0.235(.092)
0.925	0.592(.099)	0.580(.099)	0.568(.100)	0.553(.100)	0.534(.101)
0.950	0.777(.116)	0.770(.116)	0.763(.116)	0.753(.117)	0.741(.117)
0.975	0.924(.137)	0.922(.138)	0.919(.138)	0.915(.138)	0.911(.138)
1.000	1.000(.162)	1.000(.162)	1.000(.161)	1.000(.162)	1.000(.162)

487
 E-75

RE-ORDER No *66-196*
App A.
Phase II

*** RELATIVE ENERGY FLUX DENSITY IN THE ***
 *** PENUMBRA OF A RECTANGULAR CYLINDER ***

VERSION E

SOLAR FIELD ANGLE, D= 2.00 DEGREES
 GEOMETRY D2/R = 10.00 AND H/R = 2.0

BETA = ANGLE OF INCIDENCE, DEGREES

BETA ***	50.00		60.00		70.00		80.00		88.50	
AX/AB	Q	(QI)	Q	(QI)	Q	(QI)	Q	(QI)	Q	(QI)
0.	1.000	(.)	1.000	(.)	1.000	(.)	1.000	(.)	1.000	(.)
0.025	0.939	(.024)	0.945	(.024)	0.954	(.024)	0.971	(.025)	1.000	(.025)
0.050	0.819	(.046)	0.835	(.047)	0.861	(.047)	0.913	(.048)	0.999	(.050)
0.075	0.661	(.065)	0.689	(.066)	0.734	(.067)	0.829	(.070)	0.998	(.075)
0.100	0.475	(.079)	0.521	(.081)	0.584	(.084)	0.724	(.089)	0.997	(.100)
0.125	0.225	(.088)	0.284	(.091)	0.389	(.096)	0.601	(.106)	0.996	(.125)
0.150	0.040	(.091)	0.084	(.095)	0.179	(.103)	0.449	(.119)	0.995	(.150)
0.175	0.	(.091)	0.	(.096)	0.027	(.105)	0.270	(.128)	0.993	(.175)
0.200	0.	(.091)	0.	(.096)	0.	(.106)	0.109	(.133)	0.990	(.199)
0.225	0.	(.091)	0.	(.096)	0.	(.106)	0.006	(.134)	0.987	(.224)
0.250	0.	(.091)	0.	(.096)	0.	(.106)	0.	(.134)	0.984	(.249)
0.275	0.	(.091)	0.	(.096)	0.	(.106)	0.	(.134)	0.979	(.273)
0.300	0.	(.091)	0.	(.096)	0.	(.106)	0.	(.134)	0.974	(.298)
0.325	0.	(.091)	0.	(.096)	0.	(.106)	0.	(.134)	0.968	(.322)
0.350	0.	(.091)	0.	(.096)	0.	(.106)	0.	(.134)	0.960	(.346)
0.375	0.	(.091)	0.	(.096)	0.	(.106)	0.	(.134)	0.950	(.370)
0.400	0.	(.091)	0.	(.096)	0.	(.106)	0.	(.134)	0.939	(.393)
0.425	0.	(.091)	0.	(.096)	0.	(.106)	0.	(.134)	0.924	(.417)
0.450	0.	(.091)	0.	(.096)	0.	(.106)	0.	(.134)	0.906	(.440)
0.475	0.	(.091)	0.	(.096)	0.	(.106)	0.	(.134)	0.884	(.462)
0.500	0.	(.091)	0.	(.096)	0.	(.106)	0.	(.134)	0.856	(.484)
0.525	0.	(.091)	0.	(.096)	0.	(.106)	0.	(.134)	0.821	(.505)
0.550	0.	(.091)	0.	(.096)	0.	(.106)	0.	(.134)	0.776	(.525)
0.575	0.	(.091)	0.	(.096)	0.	(.106)	0.	(.134)	0.719	(.543)
0.600	0.	(.091)	0.	(.096)	0.	(.106)	0.	(.134)	0.646	(.561)
0.625	0.	(.091)	0.	(.096)	0.	(.106)	0.	(.134)	0.544	(.575)
0.650	0.	(.091)	0.	(.096)	0.	(.106)	0.	(.134)	0.411	(.587)
0.675	0.	(.091)	0.	(.096)	0.	(.106)	0.	(.134)	0.246	(.596)
0.700	0.	(.091)	0.	(.096)	0.	(.106)	0.	(.134)	0.069	(.600)
0.725	0.	(.091)	0.	(.096)	0.	(.106)	0.	(.134)	0.	(.600)
0.750	0.	(.091)	0.	(.096)	0.	(.106)	0.	(.134)	0.	(.600)
0.775	0.	(.091)	0.	(.096)	0.	(.106)	0.	(.134)	0.	(.600)
0.800	0.	(.091)	0.	(.096)	0.	(.106)	0.	(.134)	0.	(.600)
0.825	0.	(.091)	0.	(.096)	0.	(.106)	0.	(.134)	0.	(.600)
0.850	0.	(.091)	0.	(.096)	0.	(.106)	0.	(.134)	0.	(.600)
0.875	0.002	(.092)	0.	(.096)	0.	(.106)	0.	(.134)	0.	(.600)
0.900	0.189	(.094)	0.118	(.098)	0.010	(.106)	0.	(.134)	0.	(.600)
0.925	0.508	(.103)	0.446	(.105)	0.291	(.110)	0.	(.134)	0.	(.600)
0.950	0.724	(.118)	0.695	(.119)	0.631	(.121)	0.163	(.136)	0.	(.600)
0.975	0.904	(.138)	0.893	(.139)	0.867	(.140)	0.730	(.147)	0.	(.600)
1.000	1.000	(.162)	1.000	(.163)	1.000	(.163)	1.000	(.169)	0.	(.600)

488
 E-76

*** RELATIVE ENERGY FLUX DENSITY IN THE ***
 *** PENUMBRA OF A RECTANGULAR CYLINDER ***

VERSION E

SOLAR FIELD ANGLE, D = 2.00 DEGREES
 GEOMETRY D2/R = 50.00 AND H/R = 2.0

BETA = ANGLE OF INCIDENCE, DEGREES

BETA *** AX/AB	0. Q (Q1)	10.00 Q (Q1)	20.00 Q (Q1)	30.00 Q (Q1)	40.00 Q (Q1)
0.	1.000(.)	1.000(.)	1.000(.)	1.000(.)	1.000(.)
0.025	0.984(.025)	0.984(.025)	0.985(.025)	0.985(.025)	0.985(.025)
0.050	0.954(.049)	0.954(.049)	0.955(.049)	0.956(.049)	0.957(.049)
0.075	0.913(.072)	0.914(.072)	0.916(.072)	0.917(.072)	0.919(.073)
0.100	0.864(.095)	0.866(.095)	0.868(.095)	0.870(.095)	0.873(.095)
0.125	0.808(.115)	0.810(.116)	0.813(.116)	0.816(.116)	0.820(.116)
0.150	0.745(.135)	0.749(.135)	0.752(.135)	0.756(.136)	0.761(.136)
0.175	0.679(.153)	0.683(.153)	0.687(.153)	0.692(.154)	0.698(.154)
0.200	0.609(.169)	0.614(.169)	0.618(.170)	0.624(.170)	0.630(.171)
0.225	0.537(.183)	0.542(.184)	0.547(.184)	0.553(.185)	0.561(.186)
0.250	0.462(.196)	0.468(.196)	0.473(.197)	0.480(.198)	0.488(.199)
0.275	0.384(.206)	0.390(.207)	0.396(.208)	0.403(.209)	0.411(.210)
0.300	0.309(.215)	0.315(.216)	0.321(.217)	0.327(.218)	0.336(.219)
0.325	0.238(.222)	0.243(.223)	0.249(.224)	0.255(.225)	0.263(.227)
0.350	0.172(.227)	0.177(.228)	0.182(.229)	0.188(.231)	0.196(.233)
0.375	0.114(.230)	0.118(.232)	0.123(.233)	0.128(.235)	0.135(.237)
0.400	0.065(.233)	0.068(.234)	0.072(.236)	0.076(.237)	0.082(.239)
0.425	0.027(.234)	0.029(.235)	0.032(.237)	0.035(.239)	0.039(.241)
0.450	0.003(.234)	0.004(.236)	0.005(.237)	0.007(.239)	0.009(.241)
0.475	0. (.234)	0. (.236)	0. (.237)	0. (.239)	0. (.242)
0.500	0. (.234)	0. (.236)	0. (.237)	0. (.239)	0. (.242)
0.525	0. (.234)	0. (.236)	0. (.237)	0. (.239)	0. (.242)
0.550	0.003(.234)	0.002(.236)	0.001(.237)	0.000(.239)	0. (.242)
0.575	0.027(.235)	0.025(.236)	0.022(.238)	0.020(.240)	0.017(.242)
0.600	0.065(.236)	0.062(.237)	0.058(.239)	0.055(.240)	0.050(.243)
0.625	0.114(.238)	0.110(.239)	0.106(.241)	0.101(.242)	0.095(.244)
0.650	0.172(.242)	0.168(.243)	0.163(.244)	0.157(.246)	0.150(.248)
0.675	0.238(.247)	0.233(.248)	0.227(.249)	0.221(.250)	0.213(.252)
0.700	0.309(.254)	0.304(.255)	0.298(.256)	0.291(.257)	0.283(.258)
0.725	0.384(.262)	0.379(.263)	0.373(.264)	0.366(.265)	0.357(.266)
0.750	0.462(.273)	0.456(.273)	0.450(.274)	0.444(.275)	0.435(.276)
0.775	0.537(.285)	0.532(.286)	0.527(.286)	0.521(.287)	0.514(.288)
0.800	0.609(.300)	0.605(.300)	0.600(.301)	0.594(.301)	0.587(.302)
0.825	0.679(.316)	0.675(.316)	0.670(.316)	0.665(.317)	0.659(.317)
0.850	0.745(.334)	0.742(.334)	0.738(.334)	0.734(.334)	0.729(.335)
0.875	0.808(.353)	0.805(.353)	0.802(.353)	0.798(.353)	0.794(.354)
0.900	0.864(.374)	0.862(.374)	0.859(.374)	0.857(.374)	0.854(.374)
0.925	0.913(.396)	0.912(.396)	0.910(.396)	0.908(.396)	0.906(.396)
0.950	0.954(.419)	0.953(.419)	0.952(.419)	0.951(.419)	0.950(.420)
0.975	0.984(.444)	0.984(.444)	0.984(.444)	0.983(.444)	0.983(.444)
1.000	1.000(.468)	1.000(.468)	1.000(.468)	1.000(.468)	1.000(.469)

RE-ORDER No **66-196**
App. A
Phase II

*** RELATIVE ENERGY FLUX DENSITY IN THE ***
 *** PENUMBRA OF A RECTANGULAR CYLINDER ***

VERSION E

SOLAR FIELD ANGLE, D= 2.00 DEGREES
 GEOMETRY D2/R = 50.00 AND H/R = 2.0

BETA = ANGLE OF INCIDENCE, DEGREES

BETA ***	50.00		60.00		70.00		80.00		88.50	
AX/AB	Q	(QI)	Q	(QI)	Q	(QI)	Q	(QI)	Q	(QI)
0.	1.000	(.)	1.000	(.)	1.000	(.)	1.000	(.)	1.000	(.)
0.025	0.986	(.025)	0.987	(.025)	0.988	(.025)	0.991	(.025)	1.000	(.025)
0.050	0.959	(.049)	0.961	(.049)	0.964	(.049)	0.973	(.049)	0.999	(.050)
0.075	0.922	(.073)	0.926	(.073)	0.932	(.073)	0.948	(.073)	0.999	(.075)
0.100	0.877	(.095)	0.883	(.095)	0.893	(.096)	0.917	(.097)	0.998	(.100)
0.125	0.825	(.116)	0.833	(.117)	0.847	(.118)	0.881	(.119)	0.997	(.125)
0.150	0.768	(.136)	0.777	(.137)	0.795	(.138)	0.839	(.141)	0.996	(.150)
0.175	0.705	(.155)	0.717	(.156)	0.738	(.157)	0.791	(.161)	0.994	(.175)
0.200	0.639	(.172)	0.652	(.173)	0.676	(.175)	0.739	(.180)	0.993	(.199)
0.225	0.570	(.187)	0.585	(.188)	0.611	(.191)	0.683	(.198)	0.990	(.224)
0.250	0.499	(.200)	0.515	(.202)	0.544	(.205)	0.622	(.214)	0.988	(.249)
0.275	0.423	(.212)	0.440	(.214)	0.472	(.218)	0.559	(.229)	0.985	(.274)
0.300	0.347	(.221)	0.365	(.224)	0.397	(.229)	0.491	(.242)	0.981	(.298)
0.325	0.274	(.229)	0.291	(.232)	0.324	(.238)	0.419	(.254)	0.977	(.323)
0.350	0.206	(.235)	0.222	(.239)	0.252	(.245)	0.346	(.263)	0.972	(.347)
0.375	0.144	(.239)	0.158	(.243)	0.186	(.251)	0.275	(.271)	0.966	(.371)
0.400	0.089	(.242)	0.101	(.247)	0.125	(.255)	0.206	(.277)	0.959	(.395)
0.425	0.044	(.244)	0.053	(.248)	0.073	(.257)	0.142	(.281)	0.951	(.419)
0.450	0.012	(.245)	0.018	(.249)	0.031	(.258)	0.085	(.284)	0.941	(.443)
0.475	0.	(.245)	0.	(.250)	0.004	(.259)	0.039	(.286)	0.929	(.466)
0.500	0.	(.245)	0.	(.250)	0.	(.259)	0.007	(.286)	0.915	(.489)
0.525	0.	(.245)	0.	(.250)	0.	(.259)	0.	(.286)	0.897	(.512)
0.550	0.	(.245)	0.	(.250)	0.	(.259)	0.	(.286)	0.876	(.534)
0.575	0.013	(.245)	0.009	(.250)	0.002	(.259)	0.	(.286)	0.850	(.556)
0.600	0.045	(.246)	0.037	(.250)	0.023	(.259)	0.001	(.286)	0.819	(.577)
0.625	0.088	(.247)	0.077	(.252)	0.058	(.260)	0.019	(.287)	0.779	(.597)
0.650	0.141	(.250)	0.128	(.254)	0.105	(.262)	0.050	(.287)	0.731	(.615)
0.675	0.203	(.254)	0.188	(.258)	0.161	(.266)	0.093	(.289)	0.670	(.633)
0.700	0.272	(.260)	0.255	(.264)	0.225	(.270)	0.146	(.292)	0.593	(.649)
0.725	0.346	(.268)	0.329	(.271)	0.297	(.277)	0.210	(.297)	0.494	(.662)
0.750	0.424	(.278)	0.407	(.280)	0.374	(.285)	0.282	(.303)	0.373	(.673)
0.775	0.504	(.289)	0.487	(.291)	0.455	(.296)	0.362	(.311)	0.229	(.681)
0.800	0.578	(.303)	0.563	(.305)	0.535	(.308)	0.448	(.321)	0.079	(.685)
0.825	0.651	(.318)	0.638	(.320)	0.612	(.322)	0.533	(.333)	0.	(.686)
0.850	0.721	(.335)	0.710	(.336)	0.688	(.339)	0.617	(.348)	0.	(.686)
0.875	0.788	(.354)	0.779	(.355)	0.760	(.357)	0.701	(.364)	0.	(.686)
0.900	0.849	(.375)	0.842	(.375)	0.828	(.377)	0.782	(.383)	0.	(.686)
0.925	0.903	(.397)	0.898	(.397)	0.889	(.398)	0.856	(.403)	0.007	(.686)
0.950	0.948	(.420)	0.946	(.420)	0.940	(.421)	0.922	(.425)	0.048	(.686)
0.975	0.982	(.444)	0.981	(.444)	0.979	(.445)	0.972	(.449)	0.272	(.690)
1.000	1.000	(.469)	1.000	(.469)	1.000	(.470)	1.000	(.474)	1.000	(.706)

490
 E-78

RE-ORDER No. 66-196
App. Phase II

*** RELATIVE ENERGY FLUX DENSITY IN THE *** VERSION E
 *** PENUMBRA OF A RECTANGULAR CYLINDER ***

SOLAR FIELD ANGLE, D= 2.00 DEGREES
 GEOMETRY D2/R = 100.00 AND H/R = 2.0

BETA = ANGLE OF INCIDENCE, DEGREES

BETA ***	0.	10.00	20.00	30.00	40.00
AX/AB	Q (QI)	Q (QI)	Q (QI)	Q (QI)	Q (QI)
0.	1.000(.)	1.000(.)	1.000(.)	1.000(.)	1.000(.)
0.025	0.990(.025)	0.990(.025)	0.990(.025)	0.990(.025)	0.991(.025)
0.050	0.971(.049)	0.971(.049)	0.972(.049)	0.972(.049)	0.973(.049)
0.075	0.945(.073)	0.946(.073)	0.947(.073)	0.948(.073)	0.949(.073)
0.100	0.914(.097)	0.915(.097)	0.917(.097)	0.918(.097)	0.920(.097)
0.125	0.879(.119)	0.880(.119)	0.882(.119)	0.884(.119)	0.886(.119)
0.150	0.839(.140)	0.841(.141)	0.843(.141)	0.845(.141)	0.848(.141)
0.175	0.795(.161)	0.798(.161)	0.800(.161)	0.803(.161)	0.807(.162)
0.200	0.749(.180)	0.752(.180)	0.755(.181)	0.758(.181)	0.762(.181)
0.225	0.700(.198)	0.703(.199)	0.706(.199)	0.710(.199)	0.715(.200)
0.250	0.649(.215)	0.653(.216)	0.656(.216)	0.660(.216)	0.665(.217)
0.275	0.597(.231)	0.600(.231)	0.604(.232)	0.609(.232)	0.614(.233)
0.300	0.543(.245)	0.547(.246)	0.551(.246)	0.556(.247)	0.562(.248)
0.325	0.489(.258)	0.493(.259)	0.498(.259)	0.502(.260)	0.508(.261)
0.350	0.433(.269)	0.437(.270)	0.442(.271)	0.447(.272)	0.453(.273)
0.375	0.378(.280)	0.382(.280)	0.387(.281)	0.392(.282)	0.398(.284)
0.400	0.337(.289)	0.340(.289)	0.343(.291)	0.347(.292)	0.352(.293)
0.425	0.306(.297)	0.308(.298)	0.311(.299)	0.314(.300)	0.318(.301)
0.450	0.284(.304)	0.286(.305)	0.288(.306)	0.290(.307)	0.293(.309)
0.475	0.272(.311)	0.272(.312)	0.273(.313)	0.275(.315)	0.276(.316)
0.500	0.267(.318)	0.267(.319)	0.268(.320)	0.268(.321)	0.268(.323)
0.525	0.272(.324)	0.271(.325)	0.270(.327)	0.269(.328)	0.269(.330)
0.550	0.264(.331)	0.283(.332)	0.281(.334)	0.280(.335)	0.278(.337)
0.575	0.306(.339)	0.304(.340)	0.301(.341)	0.299(.342)	0.295(.344)
0.600	0.337(.347)	0.334(.348)	0.331(.349)	0.327(.350)	0.323(.351)
0.625	0.378(.356)	0.375(.357)	0.371(.358)	0.366(.359)	0.361(.360)
0.650	0.433(.366)	0.429(.367)	0.425(.367)	0.420(.368)	0.414(.370)
0.675	0.489(.377)	0.485(.378)	0.481(.379)	0.476(.380)	0.470(.381)
0.700	0.543(.390)	0.540(.391)	0.535(.391)	0.531(.392)	0.525(.393)
0.725	0.597(.405)	0.593(.405)	0.589(.406)	0.585(.406)	0.579(.407)
0.750	0.649(.420)	0.646(.420)	0.642(.421)	0.638(.421)	0.633(.422)
0.775	0.700(.437)	0.697(.437)	0.694(.438)	0.690(.438)	0.685(.439)
0.800	0.749(.455)	0.746(.455)	0.743(.456)	0.740(.456)	0.736(.456)
0.825	0.795(.474)	0.793(.475)	0.791(.475)	0.788(.475)	0.784(.475)
0.850	0.839(.495)	0.837(.495)	0.835(.495)	0.832(.495)	0.829(.495)
0.875	0.879(.516)	0.877(.516)	0.875(.516)	0.873(.517)	0.871(.517)
0.900	0.914(.539)	0.913(.539)	0.912(.539)	0.910(.539)	0.909(.539)
0.925	0.945(.562)	0.944(.562)	0.944(.562)	0.943(.562)	0.941(.562)
0.950	0.971(.586)	0.970(.586)	0.970(.586)	0.969(.586)	0.969(.586)
0.975	0.990(.610)	0.990(.610)	0.990(.610)	0.989(.610)	0.989(.610)
1.000	1.000(.635)	1.000(.635)	1.000(.635)	1.000(.635)	1.000(.635)

491
 E-79

*** RELATIVE ENERGY FLUX DENSITY IN THE ***
 *** PENUMBRA OF A RECTANGULAR CYLINDER ***
 VERSION E

SOLAR FIELD ANGLE, D= 2.00 DEGREES
 GEOMETRY D2/R = 100.00 AND H/R = 2.0

BETA = ANGLE OF INCIDENCE, DEGREES

BETA ***	50.00		60.00		70.00		80.00		88.50	
AX/AB	Q	(QI)	Q	(QI)	Q	(QI)	Q	(QI)	Q	(QI)
0.	1.000(.))	1.000(.))	1.000(.))	1.000(.))	1.000(.))
0.025	0.991(.025))	0.991(.025))	0.992(.025))	0.994(.025))	1.000(.025))
0.050	0.973(.049))	0.975(.049))	0.977(.050))	0.982(.050))	0.999(.050))
0.075	0.950(.073))	0.952(.074))	0.956(.074))	0.965(.074))	0.999(.075))
0.100	0.922(.097))	0.925(.097))	0.930(.097))	0.945(.098))	0.998(.100))
0.125	0.889(.120))	0.893(.120))	0.901(.120))	0.921(.121))	0.997(.125))
0.150	0.852(.141))	0.857(.142))	0.867(.142))	0.893(.144))	0.996(.150))
0.175	0.811(.162))	0.818(.163))	0.830(.163))	0.862(.166))	0.995(.175))
0.200	0.767(.182))	0.775(.182))	0.790(.184))	0.827(.187))	0.993(.200))
0.225	0.721(.200))	0.730(.201))	0.746(.203))	0.790(.207))	0.992(.224))
0.250	0.672(.218))	0.682(.219))	0.700(.221))	0.750(.226))	0.990(.249))
0.275	0.621(.234))	0.632(.235))	0.652(.238))	0.706(.245))	0.987(.274))
0.300	0.569(.249))	0.581(.250))	0.602(.254))	0.661(.262))	0.984(.298))
0.325	0.516(.262))	0.528(.264))	0.551(.268))	0.613(.278))	0.981(.323))
0.350	0.461(.275))	0.474(.277))	0.498(.281))	0.564(.292))	0.977(.347))
0.375	0.406(.285))	0.419(.288))	0.443(.293))	0.512(.306))	0.972(.372))
0.400	0.359(.295))	0.369(.298))	0.390(.303))	0.458(.318))	0.966(.396))
0.425	0.323(.304))	0.332(.307))	0.349(.312))	0.407(.329))	0.960(.420))
0.450	0.297(.311))	0.303(.315))	0.317(.321))	0.365(.338))	0.952(.444))
0.475	0.279(.318))	0.283(.322))	0.292(.328))	0.330(.347))	0.943(.468))
0.500	0.269(.325))	0.271(.329))	0.276(.336))	0.302(.355))	0.932(.491))
0.525	0.268(.332))	0.267(.336))	0.267(.342))	0.281(.362))	0.920(.514))
0.550	0.275(.339))	0.272(.342))	0.267(.349))	0.267(.369))	0.904(.537))
0.575	0.291(.346))	0.286(.349))	0.276(.356))	0.262(.376))	0.886(.560))
0.600	0.317(.353))	0.309(.357))	0.295(.363))	0.267(.382))	0.864(.581))
0.625	0.354(.362))	0.343(.365))	0.325(.371))	0.282(.389))	0.837(.603))
0.650	0.405(.371))	0.393(.374))	0.369(.379))	0.311(.397))	0.806(.623))
0.675	0.461(.382))	0.449(.385))	0.425(.389))	0.358(.405))	0.768(.643))
0.700	0.517(.394))	0.505(.396))	0.482(.401))	0.415(.415))	0.722(.662))
0.725	0.572(.408))	0.560(.410))	0.538(.413))	0.474(.426))	0.667(.679))
0.750	0.626(.423))	0.615(.425))	0.594(.428))	0.532(.438))	0.599(.695))
0.775	0.679(.439))	0.669(.441))	0.649(.443))	0.591(.452))	0.515(.709))
0.800	0.730(.457))	0.721(.458))	0.704(.460))	0.650(.468))	0.417(.720))
0.825	0.779(.476))	0.771(.477))	0.756(.478))	0.709(.485))	0.305(.729))
0.850	0.825(.496))	0.819(.496))	0.806(.498))	0.765(.503))	0.194(.736))
0.875	0.868(.517))	0.863(.517))	0.852(.519))	0.820(.523))	0.134(.740))
0.900	0.906(.539))	0.902(.540))	0.895(.540))	0.870(.544))	0.203(.744))
0.925	0.940(.562))	0.937(.563))	0.932(.563))	0.915(.566))	0.315(.750))
0.950	0.968(.586))	0.966(.586))	0.964(.587))	0.954(.590))	0.487(.760))
0.975	0.989(.611))	0.988(.611))	0.987(.611))	0.984(.614))	0.740(.776))
1.000	1.000(.635))	1.000(.636))	1.000(.636))	1.000(.639))	1.000(.797))

App A
Phase II

*** RELATIVE ENERGY FLUX DENSITY IN THE ***
*** PENUMBRA OF A RECTANGULAR CYLINDER ***

VERSION E

SOLAR FIELD ANGLE, D= 5.00 DEGREES
GEOMETRY D2/R = 1.00 AND H/R = 0.

BETA = ANGLE OF INCIDENCE, DEGREES

BETA ***	0.	10.00	20.00	30.00	40.00
AX/AB	Q (QI)	Q (QI)	Q (QI)	Q (QI)	Q (QI)
0.	1.000(.)	1.000(.)	1.000(.)	1.000(.)	1.000(.)
0.025	0.366(.017)	0.495(.019)	0.598(.020)	0.684(.021)	0.758(.022)
0.050	0. (.022)	0. (.025)	0.063(.028)	0.183(.032)	0.326(.036)
0.075	0. (.022)	0. (.025)	0. (.029)	0. (.034)	0.006(.040)
0.100	0. (.022)	0. (.025)	0. (.029)	0. (.034)	0. (.040)
0.125	0. (.022)	0. (.025)	0. (.029)	0. (.034)	0. (.040)
0.150	0. (.022)	0. (.025)	0. (.029)	0. (.034)	0. (.040)
0.175	0. (.022)	0. (.025)	0. (.029)	0. (.034)	0. (.040)
0.200	0. (.022)	0. (.025)	0. (.029)	0. (.034)	0. (.040)
0.225	0. (.022)	0. (.025)	0. (.029)	0. (.034)	0. (.040)
0.250	0. (.022)	0. (.025)	0. (.029)	0. (.034)	0. (.040)
0.275	0. (.022)	0. (.025)	0. (.029)	0. (.034)	0. (.040)
0.300	0. (.022)	0. (.025)	0. (.029)	0. (.034)	0. (.040)
0.325	0. (.022)	0. (.025)	0. (.029)	0. (.034)	0. (.040)
0.350	0. (.022)	0. (.025)	0. (.029)	0. (.034)	0. (.040)
0.375	0. (.022)	0. (.025)	0. (.029)	0. (.034)	0. (.040)
0.400	0. (.022)	0. (.025)	0. (.029)	0. (.034)	0. (.040)
0.425	0. (.022)	0. (.025)	0. (.029)	0. (.034)	0. (.040)
0.450	0. (.022)	0. (.025)	0. (.029)	0. (.034)	0. (.040)
0.475	0. (.022)	0. (.025)	0. (.029)	0. (.034)	0. (.040)
0.500	0. (.022)	0. (.025)	0. (.029)	0. (.034)	0. (.040)
0.525	0. (.022)	0. (.025)	0. (.029)	0. (.034)	0. (.040)
0.550	0. (.022)	0. (.025)	0. (.029)	0. (.034)	0. (.040)
0.575	0. (.022)	0. (.025)	0. (.029)	0. (.034)	0. (.040)
0.600	0. (.022)	0. (.025)	0. (.029)	0. (.034)	0. (.040)
0.625	0. (.022)	0. (.025)	0. (.029)	0. (.034)	0. (.040)
0.650	0. (.022)	0. (.025)	0. (.029)	0. (.034)	0. (.040)
0.675	0. (.022)	0. (.025)	0. (.029)	0. (.034)	0. (.040)
0.700	0. (.022)	0. (.025)	0. (.029)	0. (.034)	0. (.040)
0.725	0. (.022)	0. (.025)	0. (.029)	0. (.034)	0. (.040)
0.750	0. (.022)	0. (.025)	0. (.029)	0. (.034)	0. (.040)
0.775	0. (.022)	0. (.025)	0. (.029)	0. (.034)	0. (.040)
0.800	0. (.022)	0. (.025)	0. (.029)	0. (.034)	0. (.040)
0.825	0. (.022)	0. (.025)	0. (.029)	0. (.034)	0. (.040)
0.850	0. (.022)	0. (.025)	0. (.029)	0. (.034)	0. (.040)
0.875	0. (.022)	0. (.025)	0. (.029)	0. (.034)	0. (.040)
0.900	0. (.022)	0. (.025)	0. (.029)	0. (.034)	0. (.040)
0.925	0. (.022)	0. (.025)	0. (.029)	0. (.034)	0. (.040)
0.950	0. (.022)	0. (.025)	0. (.029)	0. (.034)	0. (.040)
0.975	0.366(.026)	0.201(.027)	0.018(.029)	0. (.034)	0. (.040)
1,000	1,000(.043)	1.000(.042)	1.000(.042)	1.000(.047)	1.000(.052)

*** RELATIVE ENERGY FLUX DENSITY IN THE ***
*** PENUMBRA OF A RECTANGULAR CYLINDER ***

VERSION E

SOLAR FIELD ANGLE, D= 5.00 DEGREES
GEOMETRY D2/R = 1.00 AND H/R = 0.

BETA = ANGLE OF INCIDENCE, DEGREES

BETA ***	50.00		60.00		70.00		80.00		87.00	
AX/AB	Q	(QI)	Q	(QI)	Q	(QI)	Q	(QI)	Q	(QI)
0.	1.000	(.)	1.000	(.)	1.000	(.)	1.000	(.)	1.000	(.)
0.025	0.825	(.023)	0.887	(.024)	0.942	(.024)	0.986	(.025)	1.000	(.025)
0.050	0.483	(.039)	0.649	(.043)	0.816	(.046)	0.957	(.049)	1.000	(.050)
0.075	0.128	(.047)	0.348	(.055)	0.634	(.064)	0.912	(.072)	1.000	(.075)
0.100	0.	(.048)	0.079	(.061)	0.412	(.077)	0.850	(.095)	1.000	(.100)
0.125	0.	(.048)	0.	(.062)	0.186	(.085)	0.769	(.115)	1.000	(.125)
0.150	0.	(.048)	0.	(.062)	0.018	(.087)	0.667	(.133)	0.999	(.150)
0.175	0.	(.048)	0.	(.062)	0.	(.088)	0.544	(.148)	0.999	(.175)
0.200	0.	(.048)	0.	(.062)	0.	(.088)	0.404	(.160)	0.999	(.200)
0.225	0.	(.048)	0.	(.062)	0.	(.088)	0.252	(.168)	0.998	(.225)
0.250	0.	(.048)	0.	(.062)	0.	(.088)	0.108	(.172)	0.998	(.250)
0.275	0.	(.048)	0.	(.062)	0.	(.088)	0.006	(.174)	0.998	(.275)
0.300	0.	(.048)	0.	(.062)	0.	(.088)	0.	(.174)	0.997	(.300)
0.325	0.	(.048)	0.	(.062)	0.	(.088)	0.	(.174)	0.996	(.325)
0.350	0.	(.048)	0.	(.062)	0.	(.088)	0.	(.174)	0.995	(.350)
0.375	0.	(.048)	0.	(.062)	0.	(.088)	0.	(.174)	0.994	(.374)
0.400	0.	(.048)	0.	(.062)	0.	(.088)	0.	(.174)	0.993	(.399)
0.425	0.	(.048)	0.	(.062)	0.	(.088)	0.	(.174)	0.991	(.424)
0.450	0.	(.048)	0.	(.062)	0.	(.088)	0.	(.174)	0.989	(.449)
0.475	0.	(.048)	0.	(.062)	0.	(.088)	0.	(.174)	0.987	(.474)
0.500	0.	(.048)	0.	(.062)	0.	(.088)	0.	(.174)	0.984	(.498)
0.525	0.	(.048)	0.	(.062)	0.	(.088)	0.	(.174)	0.980	(.523)
0.550	0.	(.048)	0.	(.062)	0.	(.088)	0.	(.174)	0.975	(.547)
0.575	0.	(.048)	0.	(.062)	0.	(.088)	0.	(.174)	0.968	(.571)
0.600	0.	(.048)	0.	(.062)	0.	(.088)	0.	(.174)	0.960	(.596)
0.625	0.	(.048)	0.	(.062)	0.	(.088)	0.	(.174)	0.948	(.619)
0.650	0.	(.048)	0.	(.062)	0.	(.088)	0.	(.174)	0.932	(.643)
0.675	0.	(.048)	0.	(.062)	0.	(.088)	0.	(.174)	0.910	(.666)
0.700	0.	(.048)	0.	(.062)	0.	(.088)	0.	(.174)	0.877	(.688)
0.725	0.	(.048)	0.	(.062)	0.	(.088)	0.	(.174)	0.829	(.710)
0.750	0.	(.048)	0.	(.062)	0.	(.088)	0.	(.174)	0.754	(.729)
0.775	0.	(.048)	0.	(.062)	0.	(.088)	0.	(.174)	0.635	(.747)
0.800	0.	(.048)	0.	(.062)	0.	(.088)	0.	(.174)	0.443	(.760)
0.825	0.	(.048)	0.	(.062)	0.	(.088)	0.	(.174)	0.151	(.768)
0.850	0.	(.048)	0.	(.062)	0.	(.088)	0.	(.174)	0.	(.770)
0.875	0.	(.048)	0.	(.062)	0.	(.088)	0.	(.174)	0.	(.770)
0.900	0.	(.048)	0.	(.062)	0.	(.088)	0.	(.174)	0.	(.770)
0.925	0.	(.048)	0.	(.062)	0.	(.088)	0.	(.174)	0.	(.770)
0.950	0.	(.048)	0.	(.062)	0.	(.088)	0.	(.174)	0.	(.770)
0.975	0.	(.048)	0.	(.062)	0.	(.088)	0.	(.174)	0.	(.770)
1.000	0.	(.048)	0.	(.062)	0.	(.088)	0.	(.174)	0.	(.770)

*** RELATIVE ENERGY FLUX DENSITY IN THE ***
 *** PENUMBRA OF A RECTANGULAR CYLINDER ***

VERSION E

SOLAR FIELD ANGLE, D= 5.00 DEGREES
 GEOMETRY D2/R = 5.00 AND H/R = 0.

BETA = ANGLE OF INCIDENCE, DEGREES

BETA ***	0.	10.00	20.00	30.00	40.00
AX/AB	Q (Q1)	Q (Q1)	Q (Q1)	Q (Q1)	Q (Q1)
0.	1.000(.)	1.000(.)	1.000(.)	1.000(.)	1.000(.)
0.025	0.928(.024)	0.934(.024)	0.939(.024)	0.945(.024)	0.950(.024)
0.050	0.789(.046)	0.804(.046)	0.819(.046)	0.835(.047)	0.852(.047)
0.075	0.611(.063)	0.637(.064)	0.662(.065)	0.689(.066)	0.718(.067)
0.100	0.420(.076)	0.453(.078)	0.486(.079)	0.522(.081)	0.562(.083)
0.125	0.238(.084)	0.273(.087)	0.309(.089)	0.350(.092)	0.397(.095)
0.150	0.091(.088)	0.120(.092)	0.153(.095)	0.191(.098)	0.239(.102)
0.175	0.004(.089)	0.018(.093)	0.038(.097)	0.065(.102)	0.104(.107)
0.200	0. (.090)	0. (.093)	0. (.098)	0. (.102)	0.014(.108)
0.225	0. (.090)	0. (.093)	0. (.098)	0. (.102)	0. (.108)
0.250	0. (.090)	0. (.093)	0. (.098)	0. (.102)	0. (.108)
0.275	0. (.090)	0. (.093)	0. (.098)	0. (.102)	0. (.108)
0.300	0. (.090)	0. (.093)	0. (.098)	0. (.102)	0. (.108)
0.325	0. (.090)	0. (.093)	0. (.098)	0. (.102)	0. (.108)
0.350	0. (.090)	0. (.093)	0. (.098)	0. (.102)	0. (.108)
0.375	0. (.090)	0. (.093)	0. (.098)	0. (.102)	0. (.108)
0.400	0. (.090)	0. (.093)	0. (.098)	0. (.102)	0. (.108)
0.425	0. (.090)	0. (.093)	0. (.098)	0. (.102)	0. (.108)
0.450	0. (.090)	0. (.093)	0. (.098)	0. (.102)	0. (.108)
0.475	0. (.090)	0. (.093)	0. (.098)	0. (.102)	0. (.108)
0.500	0. (.090)	0. (.093)	0. (.098)	0. (.102)	0. (.108)
0.525	0. (.090)	0. (.093)	0. (.098)	0. (.102)	0. (.108)
0.550	0. (.090)	0. (.093)	0. (.098)	0. (.102)	0. (.108)
0.575	0. (.090)	0. (.093)	0. (.098)	0. (.102)	0. (.108)
0.600	0. (.090)	0. (.093)	0. (.098)	0. (.102)	0. (.108)
0.625	0. (.090)	0. (.093)	0. (.098)	0. (.102)	0. (.108)
0.650	0. (.090)	0. (.093)	0. (.098)	0. (.102)	0. (.108)
0.675	0. (.090)	0. (.093)	0. (.098)	0. (.102)	0. (.108)
0.700	0. (.090)	0. (.093)	0. (.098)	0. (.102)	0. (.108)
0.725	0. (.090)	0. (.093)	0. (.098)	0. (.102)	0. (.108)
0.750	0. (.090)	0. (.093)	0. (.098)	0. (.102)	0. (.108)
0.775	0. (.090)	0. (.093)	0. (.098)	0. (.102)	0. (.108)
0.800	0. (.090)	0. (.093)	0. (.098)	0. (.102)	0. (.108)
0.825	0.004(.090)	0. (.093)	0. (.098)	0. (.102)	0. (.108)
0.850	0.091(.091)	0.064(.094)	0.038(.098)	0.015(.103)	0. (.108)
0.875	0.238(.095)	0.204(.098)	0.167(.101)	0.126(.104)	0.079(.109)
0.900	0.420(.103)	0.385(.105)	0.347(.107)	0.303(.110)	0.246(.113)
0.925	0.611(.116)	0.584(.117)	0.552(.118)	0.514(.120)	0.463(.122)
0.950	0.789(.134)	0.772(.134)	0.752(.135)	0.727(.135)	0.693(.137)
0.975	0.928(.155)	0.922(.155)	0.914(.156)	0.905(.156)	0.892(.157)
1.000	1.000(.179)	1.000(.179)	1.000(.179)	1.000(.180)	1.000(.180)

*** RELATIVE ENERGY FLUX DENSITY IN THE ***
*** PENUMBRA OF A RECTANGULAR CYLINDER ***

VERSION E

SOLAR FIELD ANGLE, D= 5.00 DEGREES
GEOMETRY D2/R = 5.00 AND H/R = 0.

BETA = ANGLE OF INCIDENCE, DEGREES

BETA *** AX/AB	50.00		60.00		70.00		80.00		87.00	
	Q	(QI)	Q	(QI)	Q	(QI)	Q	(QI)	Q	(QI)
0.	1.000(.)	1.000(.)	1.000(.)	1.000(.)	1.000(.)	1.000(.)	1.000(.)	1.000(.)	1.000(.)	1.000(.)
0.025	0.957(.024)	0.966(.025)	0.977(.025)	0.992(.025)	0.975(.049)	1.000(.025)	1.000(.050)	1.000(.075)	1.000(.100)	1.000(.125)
0.050	0.871(.047)	0.896(.048)	0.929(.049)	0.975(.049)	1.000(.100)	1.000(.150)	1.000(.200)	1.000(.250)	1.000(.300)	1.000(.325)
0.075	0.754(.068)	0.799(.069)	0.861(.071)	0.950(.074)	1.000(.350)	1.000(.400)	1.000(.450)	1.000(.500)	1.000(.550)	1.000(.575)
0.100	0.612(.085)	0.679(.088)	0.774(.091)	0.917(.097)	1.000(.600)	1.000(.650)	1.000(.700)	1.000(.750)	1.000(.800)	1.000(.825)
0.125	0.458(.098)	0.542(.103)	0.670(.109)	0.874(.119)	1.000(.850)	1.000(.900)	1.000(.950)	1.000(.975)	1.000(.991)	1.000(.991)
0.150	0.303(.108)	0.397(.114)	0.551(.125)	0.822(.140)	1.000(.999)	1.000(.999)	1.000(.999)	1.000(.999)	1.000(.999)	1.000(.999)
0.175	0.161(.113)	0.254(.123)	0.423(.137)	0.759(.160)	1.000(.999)	1.000(.999)	1.000(.999)	1.000(.999)	1.000(.999)	1.000(.999)
0.200	0.050(.116)	0.126(.127)	0.293(.146)	0.685(.178)	1.000(.999)	1.000(.999)	1.000(.999)	1.000(.999)	1.000(.999)	1.000(.999)
0.225	0. (.117)	0.031(.129)	0.169(.152)	0.600(.194)	1.000(.999)	1.000(.999)	1.000(.999)	1.000(.999)	1.000(.999)	1.000(.999)
0.250	0. (.117)	0. (.130)	0.065(.154)	0.504(.208)	1.000(.999)	1.000(.999)	1.000(.999)	1.000(.999)	1.000(.999)	1.000(.999)
0.275	0. (.117)	0. (.130)	0.002(.155)	0.400(.219)	1.000(.999)	1.000(.999)	1.000(.999)	1.000(.999)	1.000(.999)	1.000(.999)
0.300	0. (.117)	0. (.130)	0. (.155)	0.290(.228)	1.000(.999)	1.000(.999)	1.000(.999)	1.000(.999)	1.000(.999)	1.000(.999)
0.325	0. (.117)	0. (.130)	0. (.155)	0.180(.234)	1.000(.999)	1.000(.999)	1.000(.999)	1.000(.999)	1.000(.999)	1.000(.999)
0.350	0. (.117)	0. (.130)	0. (.155)	0.080(.237)	1.000(.999)	1.000(.999)	1.000(.999)	1.000(.999)	1.000(.999)	1.000(.999)
0.375	0. (.117)	0. (.130)	0. (.155)	0.009(.238)	1.000(.999)	1.000(.999)	1.000(.999)	1.000(.999)	1.000(.999)	1.000(.999)
0.400	0. (.117)	0. (.130)	0. (.155)	0. (.238)	1.000(.999)	1.000(.999)	1.000(.999)	1.000(.999)	1.000(.999)	1.000(.999)
0.425	0. (.117)	0. (.130)	0. (.155)	0. (.238)	1.000(.999)	1.000(.999)	1.000(.999)	1.000(.999)	1.000(.999)	1.000(.999)
0.450	0. (.117)	0. (.130)	0. (.155)	0. (.238)	1.000(.999)	1.000(.999)	1.000(.999)	1.000(.999)	1.000(.999)	1.000(.999)
0.475	0. (.117)	0. (.130)	0. (.155)	0. (.238)	1.000(.999)	1.000(.999)	1.000(.999)	1.000(.999)	1.000(.999)	1.000(.999)
0.500	0. (.117)	0. (.130)	0. (.155)	0. (.238)	1.000(.999)	1.000(.999)	1.000(.999)	1.000(.999)	1.000(.999)	1.000(.999)
0.525	0. (.117)	0. (.130)	0. (.155)	0. (.238)	1.000(.999)	1.000(.999)	1.000(.999)	1.000(.999)	1.000(.999)	1.000(.999)
0.550	0. (.117)	0. (.130)	0. (.155)	0. (.238)	1.000(.999)	1.000(.999)	1.000(.999)	1.000(.999)	1.000(.999)	1.000(.999)
0.575	0. (.117)	0. (.130)	0. (.155)	0. (.238)	1.000(.999)	1.000(.999)	1.000(.999)	1.000(.999)	1.000(.999)	1.000(.999)
0.600	0. (.117)	0. (.130)	0. (.155)	0. (.238)	1.000(.999)	1.000(.999)	1.000(.999)	1.000(.999)	1.000(.999)	1.000(.999)
0.625	0. (.117)	0. (.130)	0. (.155)	0. (.238)	1.000(.999)	1.000(.999)	1.000(.999)	1.000(.999)	1.000(.999)	1.000(.999)
0.650	0. (.117)	0. (.130)	0. (.155)	0. (.238)	1.000(.999)	1.000(.999)	1.000(.999)	1.000(.999)	1.000(.999)	1.000(.999)
0.675	0. (.117)	0. (.130)	0. (.155)	0. (.238)	1.000(.999)	1.000(.999)	1.000(.999)	1.000(.999)	1.000(.999)	1.000(.999)
0.700	0. (.117)	0. (.130)	0. (.155)	0. (.238)	1.000(.999)	1.000(.999)	1.000(.999)	1.000(.999)	1.000(.999)	1.000(.999)
0.725	0. (.117)	0. (.130)	0. (.155)	0. (.238)	1.000(.999)	1.000(.999)	1.000(.999)	1.000(.999)	1.000(.999)	1.000(.999)
0.750	0. (.117)	0. (.130)	0. (.155)	0. (.238)	1.000(.999)	1.000(.999)	1.000(.999)	1.000(.999)	1.000(.999)	1.000(.999)
0.775	0. (.117)	0. (.130)	0. (.155)	0. (.238)	1.000(.999)	1.000(.999)	1.000(.999)	1.000(.999)	1.000(.999)	1.000(.999)
0.800	0. (.117)	0. (.130)	0. (.155)	0. (.238)	1.000(.999)	1.000(.999)	1.000(.999)	1.000(.999)	1.000(.999)	1.000(.999)
0.825	0. (.117)	0. (.130)	0. (.155)	0. (.238)	1.000(.999)	1.000(.999)	1.000(.999)	1.000(.999)	1.000(.999)	1.000(.999)
0.850	0. (.117)	0. (.130)	0. (.155)	0. (.238)	1.000(.999)	1.000(.999)	1.000(.999)	1.000(.999)	1.000(.999)	1.000(.999)
0.875	0.027(.117)	0. (.130)	0. (.155)	0. (.238)	1.000(.999)	1.000(.999)	1.000(.999)	1.000(.999)	1.000(.999)	1.000(.999)
0.900	0.169(.119)	0.059(.130)	0. (.155)	0. (.238)	1.000(.999)	1.000(.999)	1.000(.999)	1.000(.999)	1.000(.999)	1.000(.999)
0.925	0.386(.126)	0.255(.134)	0.016(.156)	0. (.238)	1.000(.999)	1.000(.999)	1.000(.999)	1.000(.999)	1.000(.999)	1.000(.999)
0.950	0.639(.139)	0.534(.144)	0.248(.159)	0. (.238)	1.000(.999)	1.000(.999)	1.000(.999)	1.000(.999)	1.000(.999)	1.000(.999)
0.975	0.870(.158)	0.824(.161)	0.663(.170)	0. (.238)	1.000(.999)	1.000(.999)	1.000(.999)	1.000(.999)	1.000(.999)	1.000(.999)
1.000	1.000(.181)	1.000(.184)	1.000(.191)	0. (.238)	1.000(.999)	1.000(.999)	1.000(.999)	1.000(.999)	1.000(.999)	1.000(.999)

*** RELATIVE ENERGY FLUX DENSITY IN THE ***
 *** PENUMBRA OF A RECTANGULAR CYLINDER ***

VERSION E

SOLAR FIELD ANGLE, D= 5.00 DEGREES

GEOMETRY D2/R = 10.00 AND H/R = 0.

BETA = ANGLE OF INCIDENCE, DEGREES

BETA *** AX/AB	0.		10.00		20.00		30.00		40.00	
	Q	(QI)	Q	(QI)	Q	(QI)	Q	(QI)	Q	(QI)
0.	1.000(.)		1.000(.)		1.000(.)		1.000(.)		1.000(.)	
0.025	0.968(.025)		0.970(.025)		0.972(.025)		0.974(.025)		0.976(.025)	
0.050	0.907(.048)		0.912(.048)		0.917(.048)		0.922(.048)		0.928(.048)	
0.075	0.825(.070)		0.834(.070)		0.842(.070)		0.852(.071)		0.863(.071)	
0.100	0.728(.089)		0.741(.090)		0.753(.090)		0.767(.091)		0.783(.091)	
0.125	0.621(.106)		0.637(.107)		0.653(.108)		0.671(.109)		0.692(.110)	
0.150	0.509(.120)		0.527(.121)		0.546(.123)		0.568(.124)		0.593(.126)	
0.175	0.396(.131)		0.416(.133)		0.437(.135)		0.461(.137)		0.489(.139)	
0.200	0.287(.140)		0.308(.142)		0.330(.145)		0.354(.147)		0.384(.150)	
0.225	0.189(.146)		0.208(.149)		0.228(.152)		0.252(.155)		0.282(.159)	
0.250	0.104(.150)		0.121(.153)		0.139(.156)		0.160(.160)		0.188(.165)	
0.275	0.039(.151)		0.051(.155)		0.065(.159)		0.083(.163)		0.105(.168)	
0.300	0.002(.152)		0.007(.156)		0.014(.160)		0.025(.164)		0.041(.170)	
0.325	0. (.152)		0. (.156)		0. (.160)		0. (.165)		0.002(.171)	
0.350	0. (.152)		0. (.156)		0. (.160)		0. (.165)		0. (.171)	
0.375	0. (.152)		0. (.156)		0. (.160)		0. (.165)		0. (.171)	
0.400	0. (.152)		0. (.156)		0. (.160)		0. (.165)		0. (.171)	
0.425	0. (.152)		0. (.156)		0. (.160)		0. (.165)		0. (.171)	
0.450	0. (.152)		0. (.156)		0. (.160)		0. (.165)		0. (.171)	
0.475	0. (.152)		0. (.156)		0. (.160)		0. (.165)		0. (.171)	
0.500	0. (.152)		0. (.156)		0. (.160)		0. (.165)		0. (.171)	
0.525	0. (.152)		0. (.156)		0. (.160)		0. (.165)		0. (.171)	
0.550	0. (.152)		0. (.156)		0. (.160)		0. (.165)		0. (.171)	
0.575	0. (.152)		0. (.156)		0. (.160)		0. (.165)		0. (.171)	
0.600	0. (.152)		0. (.156)		0. (.160)		0. (.165)		0. (.171)	
0.625	0. (.152)		0. (.156)		0. (.160)		0. (.165)		0. (.171)	
0.650	0. (.152)		0. (.156)		0. (.160)		0. (.165)		0. (.171)	
0.675	0. (.152)		0. (.156)		0. (.160)		0. (.165)		0. (.171)	
0.700	0.002(.152)		0. (.156)		0. (.160)		0. (.165)		0. (.171)	
0.725	0.039(.152)		0.029(.156)		0.019(.160)		0.009(.165)		0.001(.171)	
0.750	0.104(.154)		0.089(.158)		0.073(.161)		0.056(.166)		0.038(.171)	
0.775	0.189(.158)		0.170(.161)		0.150(.164)		0.129(.168)		0.104(.173)	
0.800	0.287(.164)		0.267(.166)		0.245(.169)		0.221(.172)		0.192(.177)	
0.825	0.396(.172)		0.375(.174)		0.353(.177)		0.328(.179)		0.297(.183)	
0.850	0.509(.184)		0.489(.185)		0.469(.187)		0.444(.189)		0.414(.192)	
0.875	0.621(.198)		0.605(.199)		0.586(.200)		0.565(.201)		0.538(.204)	
0.900	0.728(.215)		0.715(.215)		0.701(.216)		0.683(.217)		0.661(.219)	
0.925	0.825(.234)		0.816(.234)		0.806(.235)		0.794(.236)		0.778(.237)	
0.950	0.907(.256)		0.902(.256)		0.896(.256)		0.889(.257)		0.880(.257)	
0.975	0.968(.279)		0.966(.279)		0.964(.279)		0.962(.280)		0.958(.280)	
1.000	1.000(.304)		1.000(.304)		1.000(.304)		1.000(.304)		1.000(.305)	

*** RELATIVE ENERGY FLUX DENSITY IN THE ***
 *** PENUMBRA OF A RECTANGULAR CYLINDER ***
 VERSION E

SOLAR FIELD ANGLE, $D = 5.00$ DEGREES
 GEOMETRY $D2/R = 10.00$ AND $H/R = 0,$

BETA = ANGLE OF INCIDENCE, DEGREES

BETA *** AX/AB	50.00		60.00		70.00		80.00		87.00	
	Q	(QI)	Q	(QI)	Q	(QI)	Q	(QI)	Q	(QI)
0.	1.000(.))	1.000(.))	1.000(.))	1.000(.))	1.000(.))
0.025	0.978(.025))	0.981(.025))	0.986(.025))	0.994(.025))	1.000(.025))
0.050	0.935(.049))	0.945(.049))	0.959(.049))	0.983(.050))	1.000(.050))
0.075	0.876(.071))	0.894(.072))	0.920(.073))	0.966(.074))	1.000(.075))
0.100	0.803(.092))	0.830(.093))	0.872(.095))	0.944(.098))	1.000(.100))
0.125	0.719(.111))	0.755(.113))	0.813(.116))	0.916(.121))	1.000(.125))
0.150	0.625(.128))	0.671(.131))	0.744(.136))	0.883(.144))	0.999(.150))
0.175	0.526(.142))	0.579(.147))	0.668(.153))	0.843(.165))	0.999(.175))
0.200	0.424(.154))	0.483(.160))	0.584(.169))	0.797(.186))	0.999(.200))
0.225	0.322(.164))	0.384(.171))	0.494(.182))	0.743(.205))	0.999(.225))
0.250	0.226(.171))	0.287(.179))	0.401(.194))	0.683(.223))	0.998(.250))
0.275	0.139(.175))	0.195(.185))	0.308(.202))	0.615(.239))	0.998(.275))
0.300	0.066(.178))	0.113(.189))	0.217(.209))	0.540(.253))	0.997(.300))
0.325	0.015(.179))	0.046(.191))	0.133(.213))	0.459(.266))	0.997(.325))
0.350	0. (.179))	0.004(.192))	0.062(.216))	0.373(.276))	0.996(.350))
0.375	0. (.179))	0. (.192))	0.012(.217))	0.285(.285))	0.995(.374))
0.400	0. (.179))	0. (.192))	0. (.217))	0.196(.291))	0.994(.399))
0.425	0. (.179))	0. (.192))	0. (.217))	0.113(.294))	0.993(.424))
0.450	0. (.179))	0. (.192))	0. (.217))	0.043(.296))	0.991(.449))
0.475	0. (.179))	0. (.192))	0. (.217))	0.000(.297))	0.989(.474))
0.500	0. (.179))	0. (.192))	0. (.217))	0. (.297))	0.987(.498))
0.525	0. (.179))	0. (.192))	0. (.217))	0. (.297))	0.984(.523))
0.550	0. (.179))	0. (.192))	0. (.217))	0. (.297))	0.980(.548))
0.575	0. (.179))	0. (.192))	0. (.217))	0. (.297))	0.976(.572))
0.600	0. (.179))	0. (.192))	0. (.217))	0. (.297))	0.970(.596))
0.625	0. (.179))	0. (.192))	0. (.217))	0. (.297))	0.962(.621))
0.650	0. (.179))	0. (.192))	0. (.217))	0. (.297))	0.952(.644))
0.675	0. (.179))	0. (.192))	0. (.217))	0. (.297))	0.938(.668))
0.700	0. (.179))	0. (.192))	0. (.217))	0. (.297))	0.919(.691))
0.725	0. (.179))	0. (.192))	0. (.217))	0. (.297))	0.893(.714))
0.750	0.018(.179))	0.000(.192))	0. (.217))	0. (.297))	0.855(.736))
0.775	0.074(.180))	0.034(.192))	0. (.217))	0. (.297))	0.798(.757))
0.800	0.154(.183))	0.101(.194))	0.024(.217))	0. (.297))	0.712(.775))
0.825	0.255(.188))	0.193(.197))	0.088(.219))	0. (.297))	0.576(.791))
0.850	0.372(.196))	0.306(.204))	0.184(.222))	0. (.297))	0.362(.803))
0.875	0.499(.207))	0.436(.213))	0.308(.228))	0.005(.297))	0.069(.809))
0.900	0.629(.221))	0.574(.226))	0.457(.238))	0.071(.298))	0. (.809))
0.925	0.754(.238))	0.713(.242))	0.619(.251))	0.212(.301))	0. (.809))
0.950	0.866(.259))	0.841(.261))	0.781(.269))	0.444(.310))	0. (.809))
0.975	0.953(.281))	0.944(.283))	0.920(.290))	0.753(.325))	0. (.809))
1.000	1.000(.306))	1.000(.308))	1.000(.314))	1.000(.347))	0. (.809))

*** RELATIVE ENERGY FLUX DENSITY IN THE ***
 *** PENUMBRA OF A RECTANGULAR CYLINDER ***

VERSION E

SOLAR FIELD ANGLE, D= 5.00 DEGREES
 GEOMETRY D2/R = 50.00 AND H/R = 0.

BETA = ANGLE OF INCIDENCE, DEGREES

BETA *** AX/AB	0. Q (QI)	10.00 Q (QI)	20.00 Q (QI)	30.00 Q (QI)	40.00 Q (QI)
0.	1.000(.)	1.000(.)	1.000(.)	1.000(.)	1.000(.)
0.025	0.991(.025)	0.991(.025)	0.992(.025)	0.992(.025)	0.992(.025)
0.050	0.974(.049)	0.975(.049)	0.975(.049)	0.977(.050)	0.978(.050)
0.075	0.951(.073)	0.952(.074)	0.954(.074)	0.956(.074)	0.958(.074)
0.100	0.923(.097)	0.925(.097)	0.928(.097)	0.931(.097)	0.934(.097)
0.125	0.891(.120)	0.894(.120)	0.898(.120)	0.902(.120)	0.906(.120)
0.150	0.855(.141)	0.859(.142)	0.864(.142)	0.869(.142)	0.874(.143)
0.175	0.816(.162)	0.821(.163)	0.827(.163)	0.832(.164)	0.840(.164)
0.200	0.774(.182)	0.780(.183)	0.786(.183)	0.793(.184)	0.802(.185)
0.225	0.730(.201)	0.736(.202)	0.744(.202)	0.752(.203)	0.761(.204)
0.250	0.683(.219)	0.691(.219)	0.699(.220)	0.708(.221)	0.718(.223)
0.275	0.635(.235)	0.643(.236)	0.652(.237)	0.662(.239)	0.673(.240)
0.300	0.586(.250)	0.595(.252)	0.604(.253)	0.614(.254)	0.627(.256)
0.325	0.538(.264)	0.547(.266)	0.555(.267)	0.566(.269)	0.579(.271)
0.350	0.501(.277)	0.509(.279)	0.517(.281)	0.526(.283)	0.537(.285)
0.375	0.471(.290)	0.477(.291)	0.484(.293)	0.493(.296)	0.503(.298)
0.400	0.446(.301)	0.452(.303)	0.458(.305)	0.465(.308)	0.474(.310)
0.425	0.427(.312)	0.432(.314)	0.436(.316)	0.442(.319)	0.450(.322)
0.450	0.414(.322)	0.417(.325)	0.420(.327)	0.425(.330)	0.430(.333)
0.475	0.406(.333)	0.407(.335)	0.409(.337)	0.412(.340)	0.416(.344)
0.500	0.403(.343)	0.403(.345)	0.404(.348)	0.405(.350)	0.407(.354)
0.525	0.406(.353)	0.405(.355)	0.404(.358)	0.403(.361)	0.403(.364)
0.550	0.414(.363)	0.411(.365)	0.409(.368)	0.406(.371)	0.404(.374)
0.575	0.427(.374)	0.423(.376)	0.420(.378)	0.415(.381)	0.411(.384)
0.600	0.446(.385)	0.441(.387)	0.436(.389)	0.430(.391)	0.424(.395)
0.625	0.471(.396)	0.465(.398)	0.458(.400)	0.451(.402)	0.443(.406)
0.650	0.501(.408)	0.494(.410)	0.486(.412)	0.478(.414)	0.468(.417)
0.675	0.538(.421)	0.530(.423)	0.522(.424)	0.512(.426)	0.501(.429)
0.700	0.586(.435)	0.577(.437)	0.568(.438)	0.557(.440)	0.543(.442)
0.725	0.635(.451)	0.627(.452)	0.618(.453)	0.607(.454)	0.595(.456)
0.750	0.683(.467)	0.675(.468)	0.667(.469)	0.657(.470)	0.646(.472)
0.775	0.730(.485)	0.723(.485)	0.715(.486)	0.706(.487)	0.695(.489)
0.800	0.774(.503)	0.768(.504)	0.761(.505)	0.753(.505)	0.744(.507)
0.825	0.816(.523)	0.811(.524)	0.805(.524)	0.798(.525)	0.790(.526)
0.850	0.855(.544)	0.851(.545)	0.846(.545)	0.840(.545)	0.833(.546)
0.875	0.891(.566)	0.887(.566)	0.884(.567)	0.879(.567)	0.874(.567)
0.900	0.923(.589)	0.920(.589)	0.918(.589)	0.914(.589)	0.910(.590)
0.925	0.951(.612)	0.949(.612)	0.947(.612)	0.945(.613)	0.942(.613)
0.950	0.974(.636)	0.973(.636)	0.972(.636)	0.971(.636)	0.969(.637)
0.975	0.991(.651)	0.991(.661)	0.990(.661)	0.990(.661)	0.989(.661)
1.000	1.000(.686)	1.000(.686)	1.000(.686)	1.000(.686)	1.000(.686)

*** RELATIVE ENERGY FLUX DENSITY IN THE *** VERSION E
 *** PENUMBRA OF A RECTANGULAR CYLINDER ***

SOLAR FIELD ANGLE, D = 5.00 DEGREES
 GEOMETRY D2/R = 50.00 AND H/R = 0.

BETA = ANGLE OF INCIDENCE, DEGREES

BETA *** AX/AB	50.00		60.00		70.00		80.00		87.00	
	Q	(QI)	Q	(QI)	Q	(QI)	Q	(QI)	Q	(QI)
0.	1.000(.))	1.000(.))	1.000(.))	1.000(.))	1.000(.))
0.025	0.993(.025))	0.994(.025))	0.995(.025))	0.997(.025))	1.000(.025))
0.050	0.979(.050))	0.981(.050))	0.985(.050))	0.992(.050))	1.000(.050))
0.075	0.961(.074))	0.965(.074))	0.971(.074))	0.984(.075))	1.000(.075))
0.100	0.938(.098))	0.944(.098))	0.954(.098))	0.975(.099))	1.000(.100))
0.125	0.912(.121))	0.920(.121))	0.934(.122))	0.963(.123))	1.000(.125))
0.150	0.882(.143))	0.893(.144))	0.911(.145))	0.950(.147))	0.999(.150))
0.175	0.849(.165))	0.862(.166))	0.885(.167))	0.934(.171))	0.999(.175))
0.200	0.813(.186))	0.829(.187))	0.856(.189))	0.916(.194))	0.999(.200))
0.225	0.774(.205))	0.792(.207))	0.824(.210))	0.896(.217))	0.999(.225))
0.250	0.732(.224))	0.753(.226))	0.790(.230))	0.874(.239))	0.999(.250))
0.275	0.689(.242))	0.712(.245))	0.752(.250))	0.849(.260))	0.998(.275))
0.300	0.643(.259))	0.668(.262))	0.713(.268))	0.821(.281))	0.998(.300))
0.325	0.596(.274))	0.623(.278))	0.671(.285))	0.791(.301))	0.997(.325))
0.350	0.553(.288))	0.578(.293))	0.627(.301))	0.758(.321))	0.997(.350))
0.375	0.518(.302))	0.541(.307))	0.587(.317))	0.723(.339))	0.996(.375))
0.400	0.487(.314))	0.506(.320))	0.551(.331))	0.685(.357))	0.995(.399))
0.425	0.461(.326))	0.479(.333))	0.518(.344))	0.649(.373))	0.994(.424))
0.450	0.439(.337))	0.454(.344))	0.488(.357))	0.614(.389))	0.993(.449))
0.475	0.422(.348))	0.434(.355))	0.462(.369))	0.579(.404))	0.992(.474))
0.500	0.410(.359))	0.418(.366))	0.440(.380))	0.545(.418))	0.990(.499))
0.525	0.403(.369))	0.407(.376))	0.421(.391))	0.512(.431))	0.988(.523))
0.550	0.402(.379))	0.401(.386))	0.407(.401))	0.480(.444))	0.986(.548))
0.575	0.406(.389))	0.401(.396))	0.399(.411))	0.451(.455))	0.983(.573))
0.600	0.416(.399))	0.406(.407))	0.396(.421))	0.425(.466))	0.979(.597))
0.625	0.432(.410))	0.418(.417))	0.399(.431))	0.402(.477))	0.974(.622))
0.650	0.455(.421))	0.437(.428))	0.409(.441))	0.385(.486))	0.969(.646))
0.675	0.486(.433))	0.464(.439))	0.428(.451))	0.375(.496))	0.962(.670))
0.700	0.526(.445))	0.500(.451))	0.456(.463))	0.373(.505))	0.952(.694))
0.725	0.577(.459))	0.550(.464))	0.498(.474))	0.383(.515))	0.940(.718))
0.750	0.629(.474))	0.603(.478))	0.553(.488))	0.408(.525))	0.924(.741))
0.775	0.680(.491))	0.656(.494))	0.609(.502))	0.459(.536))	0.902(.764))
0.800	0.730(.508))	0.708(.511))	0.665(.518))	0.522(.548))	0.872(.786))
0.825	0.778(.527))	0.759(.530))	0.720(.535))	0.588(.562))	0.828(.807))
0.850	0.823(.547))	0.807(.549))	0.774(.554))	0.657(.577))	0.765(.827))
0.875	0.866(.568))	0.853(.570))	0.826(.574))	0.727(.595))	0.670(.845))
0.900	0.904(.590))	0.895(.592))	0.874(.595))	0.796(.614))	0.528(.860))
0.925	0.938(.613))	0.932(.615))	0.918(.618))	0.862(.634))	0.329(.871))
0.950	0.967(.637))	0.963(.638))	0.955(.641))	0.923(.657))	0.214(.878))
0.975	0.988(.662))	0.987(.663))	0.984(.665))	0.972(.680))	0.469(.886))
1.000	1.000(.686))	1.000(.687))	1.000(.690))	1.000(.705))	1.000(.904))

RE-ORDER No. 66-196
 app A
 Phase II

*** RELATIVE ENERGY FLUX DENSITY IN THE ***
 *** PENUMBRA OF A RECTANGULAR CYLINDER ***

VERSION E

SOLAR FIELD ANGLE, D= 5.00 DEGREES
 GEOMETRY D2/R = 100.00 AND H/R = 0.

BETA = ANGLE OF INCIDENCE, DEGREES

BETA ***	0.		10.00		20.00		30.00		40.00	
AX/AB	Q	(QI)	Q	(QI)	Q	(QI)	Q	(QI)	Q	(QI)
0.	1.000(.)		1.000(.)		1.000(.)		1.000(.)		1.000(.)	
0.025	0.993(.025)		0.993(.025)		0.993(.025)		0.994(.025)		0.994(.025)	
0.050	0.980(.050)		0.980(.050)		0.981(.050)		0.982(.050)		0.983(.050)	
0.075	0.962(.074)		0.963(.074)		0.965(.074)		0.966(.074)		0.967(.074)	
0.100	0.941(.098)		0.943(.098)		0.945(.098)		0.947(.098)		0.949(.098)	
0.125	0.916(.121)		0.919(.121)		0.921(.121)		0.924(.121)		0.927(.121)	
0.150	0.889(.143)		0.892(.144)		0.895(.144)		0.899(.144)		0.903(.144)	
0.175	0.859(.165)		0.863(.166)		0.867(.166)		0.871(.166)		0.876(.167)	
0.200	0.829(.186)		0.833(.187)		0.837(.187)		0.842(.188)		0.848(.188)	
0.225	0.805(.207)		0.809(.207)		0.814(.208)		0.818(.208)		0.824(.209)	
0.250	0.784(.227)		0.788(.227)		0.793(.228)		0.798(.229)		0.804(.229)	
0.275	0.766(.246)		0.770(.247)		0.774(.247)		0.779(.248)		0.785(.249)	
0.300	0.750(.265)		0.753(.266)		0.757(.267)		0.762(.267)		0.768(.269)	
0.325	0.735(.284)		0.739(.284)		0.742(.285)		0.747(.286)		0.752(.288)	
0.350	0.723(.302)		0.726(.303)		0.729(.304)		0.733(.305)		0.738(.306)	
0.375	0.712(.320)		0.715(.321)		0.718(.322)		0.721(.323)		0.726(.325)	
0.400	0.704(.337)		0.706(.338)		0.708(.340)		0.711(.341)		0.715(.343)	
0.425	0.697(.355)		0.699(.356)		0.701(.357)		0.703(.359)		0.706(.360)	
0.450	0.692(.372)		0.693(.373)		0.695(.375)		0.696(.376)		0.699(.378)	
0.475	0.689(.390)		0.690(.391)		0.691(.392)		0.692(.393)		0.693(.395)	
0.500	0.688(.407)		0.688(.408)		0.688(.409)		0.689(.411)		0.690(.413)	
0.525	0.689(.424)		0.689(.425)		0.688(.426)		0.688(.428)		0.688(.430)	
0.550	0.692(.441)		0.691(.442)		0.690(.444)		0.689(.445)		0.688(.447)	
0.575	0.697(.459)		0.695(.460)		0.694(.461)		0.692(.462)		0.690(.464)	
0.600	0.704(.476)		0.701(.477)		0.699(.478)		0.697(.480)		0.694(.482)	
0.625	0.712(.494)		0.710(.495)		0.707(.496)		0.704(.497)		0.700(.499)	
0.650	0.723(.512)		0.720(.513)		0.716(.514)		0.713(.515)		0.709(.517)	
0.675	0.735(.530)		0.732(.531)		0.728(.532)		0.724(.533)		0.719(.534)	
0.700	0.750(.549)		0.746(.549)		0.742(.550)		0.738(.551)		0.732(.553)	
0.725	0.766(.567)		0.762(.568)		0.758(.569)		0.753(.570)		0.747(.571)	
0.750	0.784(.587)		0.780(.587)		0.776(.588)		0.771(.589)		0.765(.590)	
0.775	0.805(.607)		0.801(.607)		0.797(.608)		0.792(.608)		0.786(.609)	
0.800	0.829(.627)		0.825(.628)		0.821(.628)		0.816(.629)		0.810(.629)	
0.825	0.859(.648)		0.855(.649)		0.851(.649)		0.846(.649)		0.840(.650)	
0.850	0.889(.670)		0.886(.670)		0.882(.671)		0.878(.671)		0.873(.671)	
0.875	0.916(.693)		0.914(.693)		0.911(.693)		0.908(.693)		0.904(.694)	
0.900	0.941(.716)		0.939(.716)		0.937(.716)		0.935(.716)		0.932(.716)	
0.925	0.962(.740)		0.961(.740)		0.960(.740)		0.958(.740)		0.956(.740)	
0.950	0.980(.764)		0.979(.764)		0.978(.764)		0.978(.764)		0.976(.764)	
0.975	0.993(.789)		0.993(.789)		0.992(.789)		0.992(.789)		0.992(.789)	
1.000	1.000(.813)		1.000(.813)		1.000(.814)		1.000(.814)		1.000(.814)	

*** RELATIVE ENERGY FLUX DENSITY IN THE ***
*** PENUMBRA OF A RECTANGULAR CYLINDER ***

VERSION E

SOLAR FIELD ANGLE, D= 5.00 DEGREES
GEOMETRY D2/R = 100.00 AND H/R = 0.

BETA = ANGLE OF INCIDENCE, DEGREES

BETA ***	50.00	60.00	70.00	80.00	87.00
AX/AB	Q (QI)	Q (QI)	Q (QI)	Q (QI)	Q (QI)
0.	1.000(.)	1.000(.)	1.000(.)	1.000(.)	1.000(.)
0.025	0.994(.025)	0.995(.025)	0.996(.025)	0.998(.025)	1.000(.025)
0.050	0.984(.050)	0.985(.050)	0.988(.050)	0.993(.050)	1.000(.050)
0.075	0.969(.074)	0.972(.074)	0.977(.074)	0.987(.075)	1.000(.075)
0.100	0.952(.098)	0.956(.098)	0.964(.099)	0.979(.099)	1.000(.100)
0.125	0.932(.122)	0.938(.122)	0.948(.122)	0.970(.124)	1.000(.125)
0.150	0.909(.145)	0.916(.145)	0.930(.146)	0.959(.148)	0.999(.150)
0.175	0.883(.167)	0.893(.168)	0.910(.169)	0.947(.171)	0.999(.175)
0.200	0.855(.189)	0.867(.190)	0.887(.191)	0.933(.195)	0.999(.200)
0.225	0.832(.210)	0.844(.211)	0.865(.213)	0.917(.218)	0.999(.225)
0.250	0.811(.230)	0.823(.232)	0.845(.235)	0.901(.241)	0.999(.250)
0.275	0.793(.250)	0.805(.252)	0.827(.256)	0.886(.263)	0.998(.275)
0.300	0.775(.270)	0.787(.272)	0.810(.276)	0.871(.285)	0.998(.300)
0.325	0.760(.289)	0.771(.292)	0.793(.296)	0.856(.307)	0.997(.325)
0.350	0.745(.308)	0.756(.311)	0.778(.316)	0.841(.328)	0.997(.350)
0.375	0.732(.327)	0.742(.330)	0.763(.335)	0.826(.349)	0.996(.375)
0.400	0.721(.345)	0.730(.348)	0.749(.354)	0.811(.369)	0.996(.399)
0.425	0.711(.363)	0.719(.366)	0.736(.372)	0.796(.389)	0.995(.424)
0.450	0.703(.380)	0.709(.384)	0.724(.391)	0.781(.409)	0.994(.449)
0.475	0.696(.398)	0.701(.401)	0.713(.409)	0.766(.428)	0.993(.474)
0.500	0.691(.415)	0.695(.419)	0.704(.426)	0.751(.447)	0.992(.499)
0.525	0.688(.432)	0.690(.436)	0.696(.444)	0.737(.466)	0.991(.524)
0.550	0.687(.449)	0.687(.453)	0.690(.461)	0.723(.484)	0.989(.548)
0.575	0.688(.467)	0.686(.471)	0.686(.478)	0.710(.502)	0.987(.573)
0.600	0.691(.484)	0.687(.488)	0.683(.495)	0.698(.520)	0.985(.598)
0.625	0.696(.501)	0.691(.505)	0.683(.513)	0.688(.537)	0.982(.622)
0.650	0.704(.519)	0.696(.522)	0.686(.530)	0.679(.554)	0.978(.647)
0.675	0.713(.536)	0.704(.540)	0.690(.547)	0.672(.571)	0.974(.671)
0.700	0.725(.554)	0.715(.558)	0.698(.564)	0.668(.588)	0.968(.696)
0.725	0.740(.573)	0.729(.576)	0.709(.582)	0.668(.604)	0.961(.720)
0.750	0.757(.591)	0.745(.594)	0.723(.600)	0.671(.621)	0.951(.744)
0.775	0.777(.611)	0.765(.613)	0.741(.618)	0.680(.638)	0.939(.767)
0.800	0.801(.630)	0.788(.632)	0.763(.637)	0.694(.655)	0.922(.790)
0.825	0.831(.651)	0.817(.652)	0.792(.656)	0.716(.673)	0.898(.813)
0.850	0.866(.672)	0.854(.673)	0.830(.677)	0.748(.691)	0.865(.835)
0.875	0.898(.694)	0.889(.695)	0.870(.698)	0.799(.710)	0.817(.856)
0.900	0.928(.717)	0.921(.718)	0.907(.720)	0.851(.731)	0.748(.876)
0.925	0.953(.740)	0.949(.741)	0.939(.743)	0.901(.753)	0.651(.893)
0.950	0.975(.765)	0.972(.765)	0.967(.767)	0.945(.776)	0.543(.908)
0.975	0.991(.789)	0.990(.790)	0.988(.791)	0.980(.800)	0.636(.923)
1.000	1.000(.814)	1.000(.815)	1.000(.816)	1.000(.825)	1.000(.943)

RE-ORDER No. 66-196
 App. 4
 Phase II

*** RELATIVE ENERGY FLUX DENSITY IN THE *** VERSION E
 *** PENUMBRA OF A RECTANGULAR CYLINDER ***

SOLAR FIELD ANGLE, D= 5.00 DEGREES
 GEOMETRY D2/R = 1.00 AND H/R = 0.5

BETA = ANGLE OF INCIDENCE, DEGREES

BETA *** AX/AB	0.		10.00		20.00		30.00		40.00	
	Q	(QI)	Q	(QI)	Q	(QI)	Q	(QI)	Q	(QI)
0.	1.000(.)		1.000(.)		1.000(.)		1.000(.)		1.000(.)	
0.025	0.627(.020)		0.690(.021)		0.741(.022)		0.787(.022)		0.829(.023)	
0.050	0. (0.026)		0. (0.030)		0.108(.032)		0.307(.036)		0.498(.039)	
0.075	0. (0.028)		0. (0.030)		0. (0.034)		0. (0.040)		0.004(.046)	
0.100	0. (0.028)		0. (0.030)		0. (0.034)		0. (0.040)		0. (0.046)	
0.125	0. (0.028)		0. (0.030)		0. (0.034)		0. (0.040)		0. (0.046)	
0.150	0. (0.028)		0. (0.030)		0. (0.034)		0. (0.040)		0. (0.046)	
0.175	0. (0.028)		0. (0.030)		0. (0.034)		0. (0.040)		0. (0.046)	
0.200	0. (0.028)		0. (0.030)		0. (0.034)		0. (0.040)		0. (0.046)	
0.225	0. (0.028)		0. (0.030)		0. (0.034)		0. (0.040)		0. (0.046)	
0.250	0. (0.028)		0. (0.030)		0. (0.034)		0. (0.040)		0. (0.046)	
0.275	0. (0.028)		0. (0.030)		0. (0.034)		0. (0.040)		0. (0.046)	
0.300	0. (0.028)		0. (0.030)		0. (0.034)		0. (0.040)		0. (0.046)	
0.325	0. (0.028)		0. (0.030)		0. (0.034)		0. (0.040)		0. (0.046)	
0.350	0. (0.028)		0. (0.030)		0. (0.034)		0. (0.040)		0. (0.046)	
0.375	0. (0.028)		0. (0.030)		0. (0.034)		0. (0.040)		0. (0.046)	
0.400	0. (0.028)		0. (0.030)		0. (0.034)		0. (0.040)		0. (0.046)	
0.425	0. (0.028)		0. (0.030)		0. (0.034)		0. (0.040)		0. (0.046)	
0.450	0. (0.028)		0. (0.030)		0. (0.034)		0. (0.040)		0. (0.046)	
0.475	0. (0.028)		0. (0.030)		0. (0.034)		0. (0.040)		0. (0.046)	
0.500	0. (0.028)		0. (0.030)		0. (0.034)		0. (0.040)		0. (0.046)	
0.525	0. (0.028)		0. (0.030)		0. (0.034)		0. (0.040)		0. (0.046)	
0.550	0. (0.028)		0. (0.030)		0. (0.034)		0. (0.040)		0. (0.046)	
0.575	0. (0.028)		0. (0.030)		0. (0.034)		0. (0.040)		0. (0.046)	
0.600	0. (0.028)		0. (0.030)		0. (0.034)		0. (0.040)		0. (0.046)	
0.625	0. (0.028)		0. (0.030)		0. (0.034)		0. (0.040)		0. (0.046)	
0.650	0. (0.028)		0. (0.030)		0. (0.034)		0. (0.040)		0. (0.046)	
0.675	0. (0.028)		0. (0.030)		0. (0.034)		0. (0.040)		0. (0.046)	
0.700	0. (0.028)		0. (0.030)		0. (0.034)		0. (0.040)		0. (0.046)	
0.725	0. (0.028)		0. (0.030)		0. (0.034)		0. (0.040)		0. (0.046)	
0.750	0. (0.028)		0. (0.030)		0. (0.034)		0. (0.040)		0. (0.046)	
0.775	0. (0.028)		0. (0.030)		0. (0.034)		0. (0.040)		0. (0.046)	
0.800	0. (0.028)		0. (0.030)		0. (0.034)		0. (0.040)		0. (0.046)	
0.825	0. (0.028)		0. (0.030)		0. (0.034)		0. (0.040)		0. (0.046)	
0.850	0. (0.028)		0. (0.030)		0. (0.034)		0. (0.040)		0. (0.046)	
0.875	0. (0.028)		0. (0.030)		0. (0.034)		0. (0.040)		0. (0.046)	
0.900	0. (0.028)		0. (0.030)		0. (0.034)		0. (0.040)		0. (0.046)	
0.925	0. (0.028)		0. (0.030)		0. (0.034)		0. (0.040)		0. (0.046)	
0.950	0. (0.028)		0. (0.030)		0. (0.034)		0. (0.040)		0. (0.046)	
0.975	0.627(.036)		0.547(.037)		0.061(.034)		0. (0.040)		0. (0.046)	
1.000	1.000(.056)		1.000(.056)		1.000(.048)		1.000(.052)		1.000(.058)	

RE-ORDER NO. 66-196
Sp. Phase II

*** RELATIVE ENERGY FLUX DENSITY IN THE *** VERSION E
 *** PENUMBRA OF A RECTANGULAR CYLINDER ***

SOLAR FIELD ANGLE, D = 5.00 DEGREES
 GEOMETRY D2/R = 1.00 AND H/R = 0.5

BETA = ANGLE OF INCIDENCE, DEGREES

BETA *** AX/AB	50.00		60.00		70.00		80.00		87.00	
	Q	(QI)	Q	(QI)	Q	(QI)	Q	(QI)	Q	(QI)
0.	1.000	(.)	1.000	(.)	1.000	(.)	1.000	(.)	1.000	(.)
0.025	0.870	(.023)	0.911	(.024)	0.951	(.024)	0.988	(.025)	1.000	(.025)
0.050	0.609	(.042)	0.724	(.044)	0.846	(.047)	0.961	(.049)	1.000	(.050)
0.075	0.182	(.052)	0.457	(.059)	0.693	(.066)	0.920	(.073)	1.000	(.075)
0.100	0.	(.054)	0.101	(.066)	0.497	(.081)	0.864	(.095)	1.000	(.100)
0.125	0.	(.054)	0.	(.067)	0.227	(.090)	0.791	(.116)	1.000	(.125)
0.150	0.	(.054)	0.	(.067)	0.019	(.093)	0.700	(.134)	0.999	(.150)
0.175	0.	(.054)	0.	(.067)	0.	(.093)	0.590	(.150)	0.999	(.175)
0.200	0.	(.054)	0.	(.067)	0.	(.093)	0.447	(.163)	0.999	(.200)
0.225	0.	(.054)	0.	(.067)	0.	(.093)	0.282	(.173)	0.998	(.225)
0.250	0.	(.054)	0.	(.067)	0.	(.093)	0.120	(.178)	0.998	(.250)
0.275	0.	(.054)	0.	(.067)	0.	(.093)	0.005	(.179)	0.998	(.275)
0.300	0.	(.054)	0.	(.067)	0.	(.093)	0.	(.179)	0.997	(.300)
0.325	0.	(.054)	0.	(.067)	0.	(.093)	0.	(.179)	0.996	(.325)
0.350	0.	(.054)	0.	(.067)	0.	(.093)	0.	(.179)	0.995	(.350)
0.375	0.	(.054)	0.	(.067)	0.	(.093)	0.	(.179)	0.994	(.374)
0.400	0.	(.054)	0.	(.067)	0.	(.093)	0.	(.179)	0.993	(.399)
0.425	0.	(.054)	0.	(.067)	0.	(.093)	0.	(.179)	0.992	(.424)
0.450	0.	(.054)	0.	(.067)	0.	(.093)	0.	(.179)	0.990	(.449)
0.475	0.	(.054)	0.	(.067)	0.	(.093)	0.	(.179)	0.987	(.474)
0.500	0.	(.054)	0.	(.067)	0.	(.093)	0.	(.179)	0.984	(.498)
0.525	0.	(.054)	0.	(.067)	0.	(.093)	0.	(.179)	0.980	(.523)
0.550	0.	(.054)	0.	(.067)	0.	(.093)	0.	(.179)	0.976	(.547)
0.575	0.	(.054)	0.	(.067)	0.	(.093)	0.	(.179)	0.969	(.571)
0.600	0.	(.054)	0.	(.067)	0.	(.093)	0.	(.179)	0.961	(.596)
0.625	0.	(.054)	0.	(.067)	0.	(.093)	0.	(.179)	0.949	(.619)
0.650	0.	(.054)	0.	(.067)	0.	(.093)	0.	(.179)	0.934	(.643)
0.675	0.	(.054)	0.	(.067)	0.	(.093)	0.	(.179)	0.912	(.666)
0.700	0.	(.054)	0.	(.067)	0.	(.093)	0.	(.179)	0.881	(.689)
0.725	0.	(.054)	0.	(.067)	0.	(.093)	0.	(.179)	0.835	(.710)
0.750	0.	(.054)	0.	(.067)	0.	(.093)	0.	(.179)	0.765	(.730)
0.775	0.	(.054)	0.	(.067)	0.	(.093)	0.	(.179)	0.652	(.748)
0.800	0.	(.054)	0.	(.067)	0.	(.093)	0.	(.179)	0.459	(.762)
0.825	0.	(.054)	0.	(.067)	0.	(.093)	0.	(.179)	0.158	(.769)
0.850	0.	(.054)	0.	(.067)	0.	(.093)	0.	(.179)	0.	(.771)
0.875	0.	(.054)	0.	(.067)	0.	(.093)	0.	(.179)	0.	(.771)
0.900	0.	(.054)	0.	(.067)	0.	(.093)	0.	(.179)	0.	(.771)
0.925	0.	(.054)	0.	(.067)	0.	(.093)	0.	(.179)	0.	(.771)
0.950	0.	(.054)	0.	(.067)	0.	(.093)	0.	(.179)	0.	(.771)
0.975	0.	(.054)	0.	(.067)	0.	(.093)	0.	(.179)	0.	(.771)
1.000	0.	(.054)	0.	(.067)	0.	(.093)	0.	(.179)	0.	(.771)

504
 E-92

*** RELATIVE ENERGY FLUX DENSITY IN THE *** VERSION E
 *** PENUMBRA OF A RECTANGULAR CYLINDER ***

SOLAR FIELD ANGLE, D= 5.00 DEGREES
 GEOMETRY D2/R = 5.00 AND H/R = 0.5

BETA = ANGLE OF INCIDENCE, DEGREES

BETA ***	0.	10.00	20.00	30.00	40.00
AX/AB	Q (QI)	Q (QI)	Q (QI)	Q (QI)	Q (QI)
0.	1.000(.)	1.000(.)	1.000(.)	1.000(.)	1.000(.)
0.025	0.936(.024)	0.941(.024)	0.945(.024)	0.950(.024)	0.955(.024)
0.050	0.812(.046)	0.825(.046)	0.838(.047)	0.851(.047)	0.866(.047)
0.075	0.653(.064)	0.675(.065)	0.697(.066)	0.720(.067)	0.745(.067)
0.100	0.472(.078)	0.506(.080)	0.535(.081)	0.567(.083)	0.603(.084)
0.125	0.262(.088)	0.301(.090)	0.342(.092)	0.386(.095)	0.438(.097)
0.150	0.092(.092)	0.125(.095)	0.162(.098)	0.206(.102)	0.259(.106)
0.175	0.001(.093)	0.013(.097)	0.033(.101)	0.063(.105)	0.106(.110)
0.200	0. (.093)	0. (.097)	0. (.101)	0. (.106)	0.009(.112)
0.225	0. (.093)	0. (.097)	0. (.101)	0. (.106)	0. (.112)
0.250	0. (.093)	0. (.097)	0. (.101)	0. (.106)	0. (.112)
0.275	0. (.093)	0. (.097)	0. (.101)	0. (.106)	0. (.112)
0.300	0. (.093)	0. (.097)	0. (.101)	0. (.106)	0. (.112)
0.325	0. (.093)	0. (.097)	0. (.101)	0. (.106)	0. (.112)
0.350	0. (.093)	0. (.097)	0. (.101)	0. (.106)	0. (.112)
0.375	0. (.093)	0. (.097)	0. (.101)	0. (.106)	0. (.112)
0.400	0. (.093)	0. (.097)	0. (.101)	0. (.106)	0. (.112)
0.425	0. (.093)	0. (.097)	0. (.101)	0. (.106)	0. (.112)
0.450	0. (.093)	0. (.097)	0. (.101)	0. (.106)	0. (.112)
0.475	0. (.093)	0. (.097)	0. (.101)	0. (.106)	0. (.112)
0.500	0. (.093)	0. (.097)	0. (.101)	0. (.106)	0. (.112)
0.525	0. (.093)	0. (.097)	0. (.101)	0. (.106)	0. (.112)
0.550	0. (.093)	0. (.097)	0. (.101)	0. (.106)	0. (.112)
0.575	0. (.093)	0. (.097)	0. (.101)	0. (.106)	0. (.112)
0.600	0. (.093)	0. (.097)	0. (.101)	0. (.106)	0. (.112)
0.625	0. (.093)	0. (.097)	0. (.101)	0. (.106)	0. (.112)
0.650	0. (.093)	0. (.097)	0. (.101)	0. (.106)	0. (.112)
0.675	0. (.093)	0. (.097)	0. (.101)	0. (.106)	0. (.112)
0.700	0. (.093)	0. (.097)	0. (.101)	0. (.106)	0. (.112)
0.725	0. (.093)	0. (.097)	0. (.101)	0. (.106)	0. (.112)
0.750	0. (.093)	0. (.097)	0. (.101)	0. (.106)	0. (.112)
0.775	0. (.093)	0. (.097)	0. (.101)	0. (.106)	0. (.112)
0.800	0. (.093)	0. (.097)	0. (.101)	0. (.106)	0. (.112)
0.825	0.001(.093)	0. (.097)	0. (.101)	0. (.106)	0. (.112)
0.850	0.092(.094)	0.062(.098)	0.033(.102)	0.009(.106)	0. (.112)
0.875	0.262(.099)	0.223(.101)	0.181(.104)	0.134(.108)	0.079(.113)
0.900	0.472(.108)	0.435(.110)	0.393(.112)	0.343(.114)	0.278(.117)
0.925	0.653(.122)	0.630(.123)	0.603(.124)	0.570(.125)	0.526(.128)
0.950	0.812(.140)	0.798(.141)	0.782(.141)	0.761(.142)	0.733(.143)
0.975	0.936(.162)	0.931(.162)	0.925(.163)	0.917(.163)	0.906(.164)
1.000	1.000(.186)	1.000(.187)	1.000(.187)	1.000(.187)	1.000(.188)

*** RELATIVE ENERGY FLUX DENSITY IN THE ***
 *** PENUMBRA OF A RECTANGULAR CYLINDER ***

VERSION E

SOLAR FIELD ANGLE, D= 5.00 DEGREES
 GEOMETRY D2/R = 5.00 AND H/R = 0.5

BETA = ANGLE OF INCIDENCE, DEGREES

BETA ***	50.00		60.00		70.00		80.00		87.00	
AX/AB	Q	(QI)	Q	(QI)	Q	(QI)	Q	(QI)	Q	(QI)
0.	1.000(.))	1.000(.))	1.000(.))	1.000(.))	1.000(.))
0.025	0.961(.025))	0.969(.025))	0.979(.025))	0.992(.025))	1.000(.025))
0.050	0.883(.048))	0.905(.048))	0.934(.049))	0.976(.050))	1.000(.050))
0.075	0.776(.068))	0.816(.070))	0.871(.071))	0.952(.074))	1.000(.075))
0.100	0.647(.086))	0.705(.089))	0.791(.092))	0.921(.097))	1.000(.100))
0.125	0.503(.100))	0.579(.105))	0.694(.111))	0.881(.120))	1.000(.125))
0.150	0.330(.111))	0.431(.117))	0.583(.127))	0.831(.141))	0.999(.150))
0.175	0.170(.117))	0.273(.126))	0.454(.139))	0.772(.161))	0.999(.175))
0.200	0.047(.120))	0.130(.131))	0.312(.149))	0.702(.179))	0.999(.200))
0.225	0. (.120))	0.026(.133))	0.176(.155))	0.622(.196))	0.999(.225))
0.250	0. (.120))	0. (.133))	0.063(.158))	0.530(.210))	0.998(.250))
0.275	0. (.120))	0. (.133))	0. (.159))	0.420(.222))	0.998(.275))
0.300	0. (.120))	0. (.133))	0. (.159))	0.303(.231))	0.997(.300))
0.325	0. (.120))	0. (.133))	0. (.159))	0.185(.237))	0.997(.325))
0.350	0. (.120))	0. (.133))	0. (.159))	0.079(.241))	0.996(.350))
0.375	0. (.120))	0. (.133))	0. (.159))	0.005(.242))	0.995(.374))
0.400	0. (.120))	0. (.133))	0. (.159))	0. (.242))	0.994(.399))
0.425	0. (.120))	0. (.133))	0. (.159))	0. (.242))	0.992(.424))
0.450	0. (.120))	0. (.133))	0. (.159))	0. (.242))	0.991(.449))
0.475	0. (.120))	0. (.133))	0. (.159))	0. (.242))	0.988(.474))
0.500	0. (.120))	0. (.133))	0. (.159))	0. (.242))	0.986(.498))
0.525	0. (.120))	0. (.133))	0. (.159))	0. (.242))	0.983(.523))
0.550	0. (.120))	0. (.133))	0. (.159))	0. (.242))	0.978(.547))
0.575	0. (.120))	0. (.133))	0. (.159))	0. (.242))	0.973(.572))
0.600	0. (.120))	0. (.133))	0. (.159))	0. (.242))	0.966(.596))
0.625	0. (.120))	0. (.133))	0. (.159))	0. (.242))	0.957(.620))
0.650	0. (.120))	0. (.133))	0. (.159))	0. (.242))	0.945(.644))
0.675	0. (.120))	0. (.133))	0. (.159))	0. (.242))	0.928(.667))
0.700	0. (.120))	0. (.133))	0. (.159))	0. (.242))	0.905(.690))
0.725	0. (.120))	0. (.133))	0. (.159))	0. (.242))	0.871(.712))
0.750	0. (.120))	0. (.133))	0. (.159))	0. (.242))	0.821(.734))
0.775	0. (.120))	0. (.133))	0. (.159))	0. (.242))	0.746(.753))
0.800	0. (.120))	0. (.133))	0. (.159))	0. (.242))	0.624(.770))
0.825	0. (.120))	0. (.133))	0. (.159))	0. (.242))	0.422(.783))
0.850	0. (.120))	0. (.133))	0. (.159))	0. (.242))	0.121(.790))
0.875	0.020(.121))	0. (.133))	0. (.159))	0. (.242))	0. (.792))
0.900	0.187(.123))	0.055(.134))	0. (.159))	0. (.242))	0. (.792))
0.925	0.452(.131))	0.299(.138))	0.005(.159))	0. (.242))	0. (.792))
0.950	0.689(.145))	0.604(.150))	0.318(.163))	0. (.242))	0. (.792))
0.975	0.889(.165))	0.853(.168))	0.737(.176))	0. (.242))	0. (.792))
1.000	1.000(.189))	1.000(.191))	1.000(.198))	0. (.242))	0. (.792))

*** RELATIVE ENERGY FLUX DENSITY IN THE *** VERSION E
 *** PENUMBRA OF A RECTANGULAR CYLINDER ***

SOLAR FIELD ANGLE, D= 5.00 DEGREES
 GEOMETRY D2/R = 10.00 AND H/R = 0.5

BETA = ANGLE OF INCIDENCE, DEGREES

BETA ***	0.		10.00		20.00		30.00		40.00	
AX/AB	Q	(QI)	Q	(QI)	Q	(QI)	Q	(QI)	Q	(QI)
0.	1.000	(.)	1.000	(.)	1.000	(.)	1.000	(.)	1.000	(.)
0.025	0.970	(.025)	0.971	(.025)	0.973	(.025)	0.975	(.025)	0.977	(.025)
0.050	0.912	(.048)	0.916	(.048)	0.921	(.048)	0.926	(.048)	0.931	(.049)
0.075	0.834	(.070)	0.842	(.070)	0.850	(.070)	0.859	(.071)	0.869	(.071)
0.100	0.742	(.090)	0.753	(.090)	0.765	(.091)	0.778	(.091)	0.793	(.092)
0.125	0.639	(.107)	0.654	(.108)	0.670	(.109)	0.687	(.110)	0.706	(.111)
0.150	0.531	(.122)	0.549	(.123)	0.567	(.124)	0.587	(.125)	0.611	(.127)
0.175	0.413	(.133)	0.435	(.135)	0.457	(.137)	0.482	(.139)	0.511	(.141)
0.200	0.297	(.142)	0.319	(.145)	0.342	(.147)	0.368	(.149)	0.399	(.152)
0.225	0.191	(.148)	0.211	(.151)	0.233	(.154)	0.259	(.157)	0.290	(.161)
0.250	0.101	(.152)	0.118	(.155)	0.137	(.159)	0.160	(.162)	0.189	(.167)
0.275	0.033	(.154)	0.046	(.157)	0.060	(.161)	0.078	(.165)	0.102	(.171)
0.300	0.	(.154)	0.003	(.158)	0.009	(.162)	0.019	(.167)	0.035	(.172)
0.325	0.	(.154)	0.	(.158)	0.	(.162)	0.	(.167)	0.	(.173)
0.350	0.	(.154)	0.	(.158)	0.	(.162)	0.	(.167)	0.	(.173)
0.375	0.	(.154)	0.	(.158)	0.	(.162)	0.	(.167)	0.	(.173)
0.400	0.	(.154)	0.	(.158)	0.	(.162)	0.	(.167)	0.	(.173)
0.425	0.	(.154)	0.	(.158)	0.	(.162)	0.	(.167)	0.	(.173)
0.450	0.	(.154)	0.	(.158)	0.	(.162)	0.	(.167)	0.	(.173)
0.475	0.	(.154)	0.	(.158)	0.	(.162)	0.	(.167)	0.	(.173)
0.500	0.	(.154)	0.	(.158)	0.	(.162)	0.	(.167)	0.	(.173)
0.525	0.	(.154)	0.	(.158)	0.	(.162)	0.	(.167)	0.	(.173)
0.550	0.	(.154)	0.	(.158)	0.	(.162)	0.	(.167)	0.	(.173)
0.575	0.	(.154)	0.	(.158)	0.	(.162)	0.	(.167)	0.	(.173)
0.600	0.	(.154)	0.	(.158)	0.	(.162)	0.	(.167)	0.	(.173)
0.625	0.	(.154)	0.	(.158)	0.	(.162)	0.	(.167)	0.	(.173)
0.650	0.	(.154)	0.	(.158)	0.	(.162)	0.	(.167)	0.	(.173)
0.675	0.	(.154)	0.	(.158)	0.	(.162)	0.	(.167)	0.	(.173)
0.700	0.	(.154)	0.	(.158)	0.	(.162)	0.	(.167)	0.	(.173)
0.725	0.033	(.154)	0.023	(.158)	0.013	(.162)	0.005	(.167)	0.	(.173)
0.750	0.101	(.156)	0.084	(.160)	0.068	(.163)	0.051	(.168)	0.032	(.173)
0.775	0.191	(.160)	0.171	(.163)	0.150	(.166)	0.127	(.170)	0.101	(.175)
0.800	0.297	(.166)	0.275	(.168)	0.252	(.171)	0.226	(.174)	0.195	(.179)
0.825	0.413	(.175)	0.392	(.177)	0.369	(.179)	0.342	(.181)	0.309	(.185)
0.850	0.531	(.187)	0.513	(.188)	0.493	(.190)	0.468	(.192)	0.436	(.194)
0.875	0.639	(.201)	0.624	(.202)	0.607	(.203)	0.587	(.205)	0.561	(.207)
0.900	0.742	(.218)	0.730	(.219)	0.716	(.220)	0.700	(.221)	0.679	(.222)
0.925	0.834	(.238)	0.826	(.239)	0.816	(.239)	0.805	(.240)	0.790	(.241)
0.950	0.912	(.260)	0.907	(.260)	0.902	(.260)	0.895	(.261)	0.886	(.261)
0.975	0.970	(.284)	0.968	(.284)	0.966	(.284)	0.964	(.284)	0.961	(.285)
1.000	1.000	(.308)	1.000	(.308)	1.000	(.308)	1.000	(.309)	1.000	(.309)

*** RELATIVE ENERGY FLUX DENSITY IN THE ***
 *** PENUMBRA OF A RECTANGULAR CYLINDER ***

VERSION E

SOLAR FIELD ANGLE, D= 5.00 DEGREES
 GEOMETRY D2/R = 10.00 AND H/R = 0.5

BETA = ANGLE OF INCIDENCE, DEGREES

BETA ***	50.00		60.00		70.00		80.00		87.00	
AX/AB	Q	(QI)	Q	(QI)	Q	(QI)	Q	(QI)	Q	(QI)
0.	1.000(.))	1.000(.))	1.000(.))	1.000(.))	1.000(.))
0.025	0.979(.025))	0.982(.025))	0.987(.025))	0.994(.025))	1.000(.025))
0.050	0.938(.049))	0.947(.049))	0.961(.049))	0.983(.050))	1.000(.050))
0.075	0.881(.071))	0.898(.072))	0.924(.073))	0.967(.074))	1.000(.075))
0.100	0.812(.093))	0.837(.094))	0.877(.095))	0.945(.098))	1.000(.100))
0.125	0.731(.112))	0.766(.114))	0.820(.116))	0.919(.121))	1.000(.125))
0.150	0.642(.129))	0.685(.132))	0.754(.136))	0.886(.144))	0.999(.150))
0.175	0.546(.144))	0.597(.148))	0.681(.154))	0.848(.165))	0.999(.175))
0.200	0.441(.156))	0.502(.162))	0.600(.170))	0.803(.186))	0.999(.200))
0.225	0.333(.166))	0.398(.173))	0.512(.184))	0.751(.206))	0.999(.225))
0.250	0.230(.173))	0.294(.181))	0.415(.196))	0.693(.224))	0.998(.250))
0.275	0.137(.178))	0.196(.188))	0.316(.205))	0.628(.240))	0.998(.275))
0.300	0.061(.180))	0.110(.191))	0.219(.211))	0.555(.255))	0.997(.300))
0.325	0.010(.181))	0.041(.193))	0.131(.216))	0.472(.268))	0.997(.325))
0.350	0. (.181))	0.001(.194))	0.057(.218))	0.382(.278))	0.996(.350))
0.375	0. (.181))	0. (.194))	0.007(.219))	0.289(.287))	0.995(.374))
0.400	0. (.181))	0. (.194))	0. (.219))	0.197(.293))	0.994(.399))
0.425	0. (.181))	0. (.194))	0. (.219))	0.110(.297))	0.993(.424))
0.450	0. (.181))	0. (.194))	0. (.219))	0.037(.299))	0.991(.449))
0.475	0. (.181))	0. (.194))	0. (.219))	0. (.299))	0.989(.474))
0.500	0. (.181))	0. (.194))	0. (.219))	0. (.299))	0.987(.498))
0.525	0. (.181))	0. (.194))	0. (.219))	0. (.299))	0.984(.523))
0.550	0. (.181))	0. (.194))	0. (.219))	0. (.299))	0.981(.548))
0.575	0. (.181))	0. (.194))	0. (.219))	0. (.299))	0.976(.572))
0.600	0. (.181))	0. (.194))	0. (.219))	0. (.299))	0.970(.596))
0.625	0. (.181))	0. (.194))	0. (.219))	0. (.299))	0.963(.621))
0.650	0. (.181))	0. (.194))	0. (.219))	0. (.299))	0.953(.645))
0.675	0. (.181))	0. (.194))	0. (.219))	0. (.299))	0.939(.668))
0.700	0. (.181))	0. (.194))	0. (.219))	0. (.299))	0.921(.691))
0.725	0. (.181))	0. (.194))	0. (.219))	0. (.299))	0.895(.714))
0.750	0.013(.181))	0. (.194))	0. (.219))	0. (.299))	0.858(.736))
0.775	0.068(.182))	0.028(.194))	0. (.219))	0. (.299))	0.803(.757))
0.800	0.154(.185))	0.097(.196))	0.017(.219))	0. (.299))	0.719(.776))
0.825	0.264(.190))	0.196(.199))	0.083(.220))	0. (.299))	0.584(.792))
0.850	0.391(.198))	0.321(.206))	0.187(.224))	0. (.299))	0.366(.804))
0.875	0.524(.210))	0.463(.216))	0.325(.230))	0.000(.299))	0.064(.809))
0.900	0.649(.224))	0.598(.229))	0.488(.240))	0.064(.300))	0. (.810))
0.925	0.768(.242))	0.730(.246))	0.644(.255))	0.226(.303))	0. (.810))
0.950	0.874(.263))	0.851(.265))	0.796(.273))	0.496(.312))	0. (.810))
0.975	0.956(.286))	0.948(.288))	0.926(.294))	0.782(.328))	0. (.810))
1.000	1.000(.310))	1.000(.312))	1.000(.318))	1.000(.351))	0. (.810))

*** RELATIVE ENERGY FLUX DENSITY IN THE ***
 *** PENUMBRA OF A RECTANGULAR CYLINDER ***
 VERSION E

SOLAR FIELD ANGLE, D= 5.00 DEGREES
 GEOMETRY D2/R = 50.00 AND H/R = 0.5

BETA = ANGLE OF INCIDENCE, DEGREES

BETA ***	0.	10.00	20.00	30.00	40.00
AX/AB	Q (QI)	Q (QI)	Q (QI)	Q (QI)	Q (QI)
0.	1.000(.)	1.000(.)	1.000(.)	1.000(.)	1.000(.)
0.025	0.991(.025)	0.991(.025)	0.992(.025)	0.992(.025)	0.992(.025)
0.050	0.974(.049)	0.975(.049)	0.976(.049)	0.977(.050)	0.978(.050)
0.075	0.951(.074)	0.953(.074)	0.954(.074)	0.956(.074)	0.958(.074)
0.100	0.923(.097)	0.926(.097)	0.928(.097)	0.931(.097)	0.934(.097)
0.125	0.891(.120)	0.895(.120)	0.898(.120)	0.902(.120)	0.906(.120)
0.150	0.856(.141)	0.860(.142)	0.864(.142)	0.869(.142)	0.875(.143)
0.175	0.817(.162)	0.822(.163)	0.827(.163)	0.833(.164)	0.840(.164)
0.200	0.775(.182)	0.781(.183)	0.787(.183)	0.794(.184)	0.803(.185)
0.225	0.731(.201)	0.738(.202)	0.745(.202)	0.753(.203)	0.762(.204)
0.250	0.685(.219)	0.692(.220)	0.700(.221)	0.709(.222)	0.720(.223)
0.275	0.637(.235)	0.645(.236)	0.653(.237)	0.663(.239)	0.675(.240)
0.300	0.588(.251)	0.596(.252)	0.606(.253)	0.616(.255)	0.628(.256)
0.325	0.539(.265)	0.547(.266)	0.557(.268)	0.567(.269)	0.581(.272)
0.350	0.500(.278)	0.508(.279)	0.516(.281)	0.526(.283)	0.537(.286)
0.375	0.469(.290)	0.475(.292)	0.483(.294)	0.491(.296)	0.502(.299)
0.400	0.443(.301)	0.449(.303)	0.455(.305)	0.462(.308)	0.472(.311)
0.425	0.423(.312)	0.428(.314)	0.433(.316)	0.439(.319)	0.446(.322)
0.450	0.409(.322)	0.412(.325)	0.416(.327)	0.420(.330)	0.426(.333)
0.475	0.401(.333)	0.402(.335)	0.404(.337)	0.407(.340)	0.411(.344)
0.500	0.398(.343)	0.398(.345)	0.399(.347)	0.400(.350)	0.402(.354)
0.525	0.401(.353)	0.399(.355)	0.398(.357)	0.398(.360)	0.397(.364)
0.550	0.409(.363)	0.406(.365)	0.404(.367)	0.401(.370)	0.399(.374)
0.575	0.423(.373)	0.419(.375)	0.415(.378)	0.411(.380)	0.406(.384)
0.600	0.443(.384)	0.438(.386)	0.432(.388)	0.426(.391)	0.420(.394)
0.625	0.469(.395)	0.462(.397)	0.455(.399)	0.448(.402)	0.439(.405)
0.650	0.500(.407)	0.493(.409)	0.485(.411)	0.476(.413)	0.466(.416)
0.675	0.539(.420)	0.531(.422)	0.522(.424)	0.512(.426)	0.500(.428)
0.700	0.588(.434)	0.579(.436)	0.569(.437)	0.559(.439)	0.545(.441)
0.725	0.637(.450)	0.628(.451)	0.619(.452)	0.609(.454)	0.597(.456)
0.750	0.685(.466)	0.677(.467)	0.669(.468)	0.659(.469)	0.647(.471)
0.775	0.731(.484)	0.724(.485)	0.716(.485)	0.708(.487)	0.697(.488)
0.800	0.775(.503)	0.769(.503)	0.762(.504)	0.754(.505)	0.745(.506)
0.825	0.817(.523)	0.812(.523)	0.806(.524)	0.799(.524)	0.791(.525)
0.850	0.856(.544)	0.851(.544)	0.847(.544)	0.841(.545)	0.834(.545)
0.875	0.891(.565)	0.886(.566)	0.884(.566)	0.880(.566)	0.874(.567)
0.900	0.923(.588)	0.921(.588)	0.918(.588)	0.915(.589)	0.911(.589)
0.925	0.951(.612)	0.949(.612)	0.947(.612)	0.945(.612)	0.943(.612)
0.950	0.974(.636)	0.973(.636)	0.972(.636)	0.971(.636)	0.969(.636)
0.975	0.991(.660)	0.991(.660)	0.990(.660)	0.990(.660)	0.989(.661)
1.000	1.000(.685)	1.000(.685)	1.000(.685)	1.000(.685)	1.000(.685)

*** RELATIVE ENERGY FLUX DENSITY IN THE *** VERSION E
 *** PENUMBRA OF A RECTANGULAR CYLINDER ***

SOLAR FIELD ANGLE, D= 5.00 DEGREES
 GEOMETRY D2/R = 50.00 AND H/R = 0.5

BETA = ANGLE OF INCIDENCE, DEGREES

BETA ***	50.00		60.00		70.00		80.00		87.00	
AX/AB	Q	(QI)	Q	(QI)	Q	(QI)	Q	(QI)	Q	(QI)
0.	1.000(.))	1.000(.))	1.000(.))	1.000(.))	1.000(.))
0.025	0.993(.025))	0.994(.025))	0.995(.025))	0.997(.025))	1.000(.025))
0.050	0.979(.050))	0.981(.050))	0.985(.050))	0.992(.050))	1.000(.050))
0.075	0.961(.074))	0.965(.074))	0.971(.074))	0.984(.075))	1.000(.075))
0.100	0.939(.098))	0.944(.098))	0.954(.098))	0.975(.099))	1.000(.100))
0.125	0.912(.121))	0.921(.121))	0.934(.122))	0.964(.123))	1.000(.125))
0.150	0.883(.143))	0.893(.144))	0.911(.145))	0.950(.147))	0.999(.150))
0.175	0.850(.165))	0.863(.166))	0.885(.167))	0.935(.171))	0.999(.175))
0.200	0.814(.186))	0.829(.187))	0.857(.189))	0.917(.194))	0.999(.200))
0.225	0.775(.205))	0.793(.207))	0.825(.210))	0.897(.217))	0.999(.225))
0.250	0.734(.224))	0.754(.227))	0.791(.230))	0.874(.239))	0.999(.250))
0.275	0.690(.242))	0.713(.245))	0.754(.250))	0.850(.260))	0.998(.275))
0.300	0.645(.259))	0.670(.262))	0.714(.268))	0.822(.281))	0.998(.300))
0.325	0.598(.274))	0.625(.278))	0.672(.285))	0.792(.301))	0.997(.325))
0.350	0.554(.289))	0.579(.293))	0.629(.302))	0.759(.321))	0.997(.350))
0.375	0.517(.302))	0.541(.307))	0.587(.317))	0.724(.339))	0.996(.375))
0.400	0.485(.315))	0.507(.320))	0.550(.331))	0.686(.357))	0.995(.399))
0.425	0.458(.326))	0.477(.333))	0.517(.344))	0.649(.374))	0.994(.424))
0.450	0.435(.338))	0.451(.344))	0.486(.357))	0.613(.389))	0.993(.449))
0.475	0.418(.348))	0.430(.355))	0.459(.369))	0.579(.404))	0.992(.474))
0.500	0.405(.359))	0.413(.366))	0.435(.380))	0.544(.418))	0.990(.499))
0.525	0.398(.369))	0.402(.376))	0.416(.390))	0.510(.431))	0.988(.523))
0.550	0.397(.378))	0.396(.386))	0.402(.401))	0.477(.444))	0.986(.548))
0.575	0.401(.388))	0.395(.396))	0.393(.411))	0.447(.455))	0.983(.573))
0.600	0.412(.399))	0.401(.406))	0.390(.420))	0.420(.466))	0.979(.597))
0.625	0.429(.409))	0.414(.416))	0.394(.430))	0.397(.476))	0.974(.622))
0.650	0.453(.420))	0.434(.427))	0.405(.440))	0.379(.486))	0.969(.646))
0.675	0.485(.432))	0.462(.438))	0.425(.451))	0.369(.495))	0.962(.670))
0.700	0.527(.445))	0.500(.450))	0.455(.462))	0.368(.505))	0.952(.694))
0.725	0.579(.458))	0.552(.463))	0.500(.474))	0.379(.514))	0.940(.718))
0.750	0.631(.473))	0.605(.478))	0.555(.487))	0.407(.524))	0.924(.741))
0.775	0.682(.490))	0.658(.493))	0.611(.501))	0.462(.535))	0.902(.764))
0.800	0.731(.508))	0.710(.510))	0.667(.517))	0.524(.547))	0.872(.786))
0.825	0.779(.526))	0.760(.529))	0.722(.535))	0.590(.561))	0.828(.807))
0.850	0.824(.546))	0.808(.548))	0.776(.553))	0.659(.577))	0.765(.827))
0.875	0.867(.568))	0.854(.569))	0.827(.573))	0.728(.594))	0.670(.845))
0.900	0.905(.590))	0.895(.591))	0.875(.595))	0.797(.613))	0.525(.860))
0.925	0.939(.613))	0.932(.614))	0.918(.617))	0.863(.634))	0.322(.871))
0.950	0.967(.637))	0.963(.638))	0.956(.641))	0.923(.656))	0.214(.877))
0.975	0.989(.661))	0.987(.662))	0.984(.665))	0.972(.680))	0.473(.886))
1.000	1.000(.686))	1.000(.687))	1.000(.690))	1.000(.704))	1.000(.904))

RE-ORDER No. 66-196

App. A
Phase 11

*** RELATIVE ENERGY FLUX DENSITY IN THE ***
 *** PENUMBRA OF A RECTANGULAR CYLINDER ***

VERSION E

SOLAR FIELD ANGLE, D= 5.00 DEGREES
 GEOMETRY D2/R = 100.00 AND H/R = 0.5

BETA = ANGLE OF INCIDENCE, DEGREES

BETA ***	0.		10.00		20.00		30.00		40.00	
AX/AB	Q	(QI)	Q	(QI)	Q	(QI)	Q	(QI)	Q	(QI)
0.	1.000(.))	1.000(.))	1.000(.))	1.000(.))	1.000(.))
0.025	0.993(.025))	0.993(.025))	0.993(.025))	0.994(.025))	0.994(.025))
0.050	0.980(.050))	0.980(.050))	0.981(.050))	0.982(.050))	0.983(.050))
0.075	0.962(.074))	0.963(.074))	0.965(.074))	0.966(.074))	0.967(.074))
0.100	0.941(.098))	0.943(.098))	0.945(.098))	0.947(.098))	0.949(.098))
0.125	0.917(.121))	0.919(.121))	0.921(.121))	0.924(.121))	0.927(.121))
0.150	0.889(.143))	0.892(.144))	0.895(.144))	0.899(.144))	0.903(.144))
0.175	0.859(.165))	0.863(.166))	0.867(.166))	0.871(.166))	0.876(.167))
0.200	0.828(.186))	0.832(.187))	0.837(.187))	0.842(.188))	0.847(.188))
0.225	0.804(.207))	0.808(.207))	0.812(.208))	0.817(.208))	0.823(.209))
0.250	0.783(.227))	0.787(.227))	0.791(.228))	0.796(.228))	0.802(.229))
0.275	0.764(.246))	0.768(.247))	0.772(.247))	0.777(.248))	0.783(.249))
0.300	0.748(.265))	0.752(.266))	0.756(.266))	0.760(.267))	0.766(.268))
0.325	0.733(.283))	0.737(.284))	0.741(.285))	0.745(.286))	0.750(.287))
0.350	0.721(.302))	0.724(.302))	0.728(.304))	0.732(.305))	0.737(.306))
0.375	0.711(.319))	0.713(.320))	0.716(.322))	0.720(.323))	0.724(.324))
0.400	0.702(.337))	0.704(.338))	0.707(.339))	0.710(.341))	0.714(.342))
0.425	0.695(.355))	0.697(.356))	0.699(.357))	0.702(.358))	0.705(.360))
0.450	0.691(.372))	0.692(.373))	0.693(.374))	0.695(.376))	0.698(.378))
0.475	0.688(.389))	0.688(.390))	0.689(.392))	0.690(.393))	0.692(.395))
0.500	0.687(.406))	0.687(.408))	0.687(.409))	0.687(.410))	0.688(.412))
0.525	0.688(.423))	0.687(.425))	0.687(.426))	0.686(.427))	0.686(.429))
0.550	0.691(.441))	0.689(.442))	0.688(.443))	0.687(.445))	0.686(.446))
0.575	0.695(.458))	0.694(.459))	0.692(.460))	0.690(.462))	0.689(.464))
0.600	0.702(.476))	0.700(.477))	0.698(.478))	0.696(.479))	0.693(.481))
0.625	0.711(.493))	0.708(.494))	0.705(.495))	0.702(.497))	0.699(.498))
0.650	0.721(.511))	0.718(.512))	0.715(.513))	0.711(.514))	0.707(.516))
0.675	0.733(.529))	0.730(.530))	0.726(.531))	0.722(.532))	0.718(.534))
0.700	0.748(.548))	0.744(.549))	0.740(.549))	0.736(.550))	0.730(.552))
0.725	0.764(.567))	0.760(.567))	0.756(.568))	0.751(.569))	0.746(.570))
0.750	0.783(.586))	0.779(.587))	0.774(.587))	0.769(.588))	0.763(.589))
0.775	0.804(.606))	0.800(.606))	0.795(.607))	0.790(.608))	0.784(.608))
0.800	0.828(.626))	0.824(.627))	0.820(.627))	0.815(.628))	0.809(.628))
0.825	0.859(.647))	0.855(.648))	0.851(.648))	0.846(.648))	0.840(.649))
0.850	0.889(.669))	0.886(.669))	0.882(.670))	0.878(.670))	0.873(.670))
0.875	0.917(.692))	0.914(.692))	0.911(.692))	0.908(.692))	0.904(.693))
0.900	0.941(.715))	0.939(.715))	0.937(.715))	0.935(.715))	0.932(.716))
0.925	0.962(.739))	0.961(.739))	0.960(.739))	0.958(.739))	0.956(.739))
0.950	0.980(.763))	0.979(.763))	0.978(.763))	0.978(.763))	0.976(.763))
0.975	0.993(.788))	0.993(.788))	0.993(.788))	0.992(.788))	0.992(.788))
1.000	1.000(.813))	1.000(.813))	1.000(.813))	1.000(.813))	1.000(.813))

511
E-99

RE-ORDER No. 66-196
App. 11
Driscoll

*** RELATIVE ENERGY FLUX DENSITY IN THE ***
 *** PENUMBRA OF A RECTANGULAR CYLINDER ***
 VERSION E

SOLAR FIELD ANGLE, D = 5.00 DEGREES
 GEOMETRY D2/R = 100.00 AND H/R = 0.5

BETA = ANGLE OF INCIDENCE, DEGREES

BETA ***	50.00	60.00	70.00	80.00	87.00
AX/AB	Q (QI)	Q (QI)	Q (QI)	Q (QI)	Q (QI)
0.	1.000(.)	1.000(.)	1.000(.)	1.000(.)	1.000(.)
0.025	0.994(.025)	0.995(.025)	0.996(.025)	0.998(.025)	1.000(.025)
0.050	0.984(.050)	0.985(.050)	0.988(.050)	0.993(.050)	1.000(.050)
0.075	0.969(.074)	0.972(.074)	0.977(.074)	0.987(.075)	1.000(.075)
0.100	0.952(.098)	0.956(.098)	0.964(.099)	0.979(.099)	1.000(.100)
0.125	0.932(.122)	0.938(.122)	0.948(.122)	0.970(.124)	1.000(.125)
0.150	0.909(.145)	0.917(.145)	0.930(.146)	0.959(.148)	0.999(.150)
0.175	0.883(.167)	0.893(.168)	0.910(.169)	0.947(.172)	0.999(.175)
0.200	0.855(.189)	0.867(.190)	0.887(.191)	0.933(.195)	0.999(.200)
0.225	0.831(.210)	0.843(.211)	0.864(.213)	0.917(.218)	0.999(.225)
0.250	0.810(.230)	0.822(.232)	0.844(.235)	0.900(.241)	0.999(.250)
0.275	0.791(.250)	0.803(.252)	0.826(.256)	0.885(.263)	0.998(.275)
0.300	0.774(.270)	0.786(.272)	0.808(.276)	0.870(.285)	0.998(.300)
0.325	0.758(.289)	0.769(.292)	0.792(.296)	0.855(.307)	0.997(.325)
0.350	0.743(.308)	0.754(.311)	0.776(.316)	0.840(.328)	0.997(.350)
0.375	0.731(.326)	0.741(.329)	0.761(.335)	0.825(.349)	0.996(.375)
0.400	0.719(.344)	0.728(.348)	0.747(.354)	0.810(.369)	0.996(.399)
0.425	0.710(.362)	0.717(.366)	0.734(.372)	0.795(.389)	0.995(.424)
0.450	0.701(.380)	0.708(.384)	0.723(.390)	0.780(.409)	0.994(.449)
0.475	0.695(.397)	0.700(.401)	0.712(.408)	0.765(.428)	0.993(.474)
0.500	0.690(.415)	0.693(.419)	0.703(.426)	0.750(.447)	0.992(.499)
0.525	0.687(.432)	0.688(.436)	0.695(.443)	0.736(.466)	0.991(.524)
0.550	0.686(.449)	0.685(.453)	0.689(.461)	0.722(.484)	0.989(.548)
0.575	0.687(.466)	0.685(.470)	0.684(.478)	0.709(.502)	0.987(.573)
0.600	0.690(.483)	0.686(.487)	0.682(.495)	0.697(.519)	0.985(.598)
0.625	0.695(.501)	0.689(.504)	0.682(.512)	0.686(.537)	0.982(.622)
0.650	0.702(.518)	0.695(.522)	0.684(.529)	0.677(.554)	0.978(.647)
0.675	0.712(.536)	0.703(.539)	0.689(.546)	0.671(.571)	0.974(.671)
0.700	0.723(.554)	0.713(.557)	0.696(.564)	0.667(.587)	0.968(.695)
0.725	0.738(.572)	0.727(.575)	0.707(.581)	0.666(.604)	0.961(.720)
0.750	0.755(.591)	0.743(.593)	0.721(.599)	0.669(.621)	0.951(.744)
0.775	0.776(.610)	0.763(.612)	0.739(.617)	0.677(.637)	0.938(.767)
0.800	0.800(.630)	0.787(.631)	0.762(.636)	0.691(.655)	0.921(.790)
0.825	0.831(.650)	0.817(.652)	0.791(.655)	0.714(.672)	0.897(.813)
0.850	0.866(.671)	0.855(.672)	0.831(.676)	0.747(.690)	0.864(.835)
0.875	0.899(.693)	0.889(.694)	0.870(.697)	0.799(.710)	0.816(.856)
0.900	0.928(.716)	0.921(.717)	0.907(.719)	0.852(.730)	0.747(.876)
0.925	0.953(.740)	0.949(.740)	0.939(.742)	0.901(.752)	0.649(.893)
0.950	0.975(.764)	0.972(.764)	0.967(.766)	0.945(.775)	0.539(.908)
0.975	0.991(.788)	0.990(.789)	0.988(.790)	0.980(.799)	0.637(.923)
1.000	1.000(.813)	1.000(.814)	1.000(.815)	1.000(.824)	1.000(.943)

5/12
 E-100

*** RELATIVE ENERGY FLUX DENSITY IN THE ***
 *** PENUMBRA OF A RECTANGULAR CYLINDER ***

VERSION E

SOLAR FIELD ANGLE, D= 5.00 DEGREES
 GEOMETRY D2/R = 1.00 AND H/R = 1.0

BETA = ANGLE OF INCIDENCE, DEGREES

BETA ***	0.		10.00		20.00		30.00		40.00	
AX/AB	Q	(QI)	Q	(QI)	Q	(QI)	Q	(QI)	Q	(QI)
0.	1.000	(.)	1.000	(.)	1.000	(.)	1.000	(.)	1.000	(.)
0.025	0.750	(.022)	0.785	(.022)	0.816	(.023)	0.843	(.023)	0.870	(.023)
0.050	0.	(.031)	0.	(.032)	0.334	(.037)	0.545	(.040)	0.615	(.042)
0.075	0.	(.031)	0.	(.032)	0.	(.041)	0.	(.047)	0.001	(.050)
0.100	0.	(.031)	0.	(.032)	0.	(.041)	0.	(.047)	0.	(.050)
0.125	0.	(.031)	0.	(.032)	0.	(.041)	0.	(.047)	0.	(.050)
0.150	0.	(.031)	0.	(.032)	0.	(.041)	0.	(.047)	0.	(.050)
0.175	0.	(.031)	0.	(.032)	0.	(.041)	0.	(.047)	0.	(.050)
0.200	0.	(.031)	0.	(.032)	0.	(.041)	0.	(.047)	0.	(.050)
0.225	0.	(.031)	0.	(.032)	0.	(.041)	0.	(.047)	0.	(.050)
0.250	0.	(.031)	0.	(.032)	0.	(.041)	0.	(.047)	0.	(.050)
0.275	0.	(.031)	0.	(.032)	0.	(.041)	0.	(.047)	0.	(.050)
0.300	0.	(.031)	0.	(.032)	0.	(.041)	0.	(.047)	0.	(.050)
0.325	0.	(.031)	0.	(.032)	0.	(.041)	0.	(.047)	0.	(.050)
0.350	0.	(.031)	0.	(.032)	0.	(.041)	0.	(.047)	0.	(.050)
0.375	0.	(.031)	0.	(.032)	0.	(.041)	0.	(.047)	0.	(.050)
0.400	0.	(.031)	0.	(.032)	0.	(.041)	0.	(.047)	0.	(.050)
0.425	0.	(.031)	0.	(.032)	0.	(.041)	0.	(.047)	0.	(.050)
0.450	0.	(.031)	0.	(.032)	0.	(.041)	0.	(.047)	0.	(.050)
0.475	0.	(.031)	0.	(.032)	0.	(.041)	0.	(.047)	0.	(.050)
0.500	0.	(.031)	0.	(.032)	0.	(.041)	0.	(.047)	0.	(.050)
0.525	0.	(.031)	0.	(.032)	0.	(.041)	0.	(.047)	0.	(.050)
0.550	0.	(.031)	0.	(.032)	0.	(.041)	0.	(.047)	0.	(.050)
0.575	0.	(.031)	0.	(.032)	0.	(.041)	0.	(.047)	0.	(.050)
0.600	0.	(.031)	0.	(.032)	0.	(.041)	0.	(.047)	0.	(.050)
0.625	0.	(.031)	0.	(.032)	0.	(.041)	0.	(.047)	0.	(.050)
0.650	0.	(.031)	0.	(.032)	0.	(.041)	0.	(.047)	0.	(.050)
0.675	0.	(.031)	0.	(.032)	0.	(.041)	0.	(.047)	0.	(.050)
0.700	0.	(.031)	0.	(.032)	0.	(.041)	0.	(.047)	0.	(.050)
0.725	0.	(.031)	0.	(.032)	0.	(.041)	0.	(.047)	0.	(.050)
0.750	0.	(.031)	0.	(.032)	0.	(.041)	0.	(.047)	0.	(.050)
0.775	0.	(.031)	0.	(.032)	0.	(.041)	0.	(.047)	0.	(.050)
0.800	0.	(.031)	0.	(.032)	0.	(.041)	0.	(.047)	0.	(.050)
0.825	0.	(.031)	0.	(.032)	0.	(.041)	0.	(.047)	0.	(.050)
0.850	0.	(.031)	0.	(.032)	0.	(.041)	0.	(.047)	0.	(.050)
0.875	0.	(.031)	0.	(.032)	0.	(.041)	0.	(.047)	0.	(.050)
0.900	0.	(.031)	0.	(.032)	0.	(.041)	0.	(.047)	0.	(.050)
0.925	0.	(.031)	0.	(.032)	0.	(.041)	0.	(.047)	0.	(.050)
0.950	0.	(.031)	0.	(.032)	0.	(.041)	0.	(.047)	0.	(.050)
0.975	0.750	(.041)	0.707	(.041)	0.	(.041)	0.	(.047)	0.	(.050)
1.000	1.000	(.063)	1.000	(.062)	1.000	(.054)	1.000	(.060)	1.000	(.062)

*** RELATIVE ENERGY FLUX DENSITY IN THE *** VERSION E
 *** PENUMBRA OF A RECTANGULAR CYLINDER ***

SOLAR FIELD ANGLE, D= 5.00 DEGREES
 GEOMETRY D2/R = 1.00 AND H/R = 1.0

BETA = ANGLE OF INCIDENCE, DEGREES

BETA ***	50.00		60.00		70.00		80.00		87.00	
AX/AB	Q	(QI)	Q	(QI)	Q	(QI)	Q	(QI)	Q	(QI)
0.	1.000(.)		1.000(.)		1.000(.)		1.000(.)		1.000(.)	
0.025	0.898(.024)		0.927(.024)		0.958(.024)		0.988(.025)		1.000(.025)	
0.050	0.691(.044)		0.774(.045)		0.868(.047)		0.964(.049)		1.000(.050)	
0.075	0.291(.056)		0.566(.062)		0.737(.067)		0.927(.073)		1.000(.075)	
0.100	0.	(.059)	0.139(.071)		0.572(.084)		0.876(.095)		1.000(.100)	
0.125	0.	(.059)	0.	(.073)	0.285(.094)		0.810(.116)		1.000(.125)	
0.150	0.	(.059)	0.	(.073)	0.021(.098)		0.727(.136)		0.999(.150)	
0.175	0.	(.059)	0.	(.073)	0.	(.099)	0.627(.153)		0.999(.175)	
0.200	0.	(.059)	0.	(.073)	0.	(.099)	0.497(.167)		0.999(.200)	
0.225	0.	(.059)	0.	(.073)	0.	(.099)	0.317(.177)		0.999(.225)	
0.250	0.	(.059)	0.	(.073)	0.	(.099)	0.135(.183)		0.998(.250)	
0.275	0.	(.059)	0.	(.073)	0.	(.099)	0.004(.184)		0.998(.275)	
0.300	0.	(.059)	0.	(.073)	0.	(.099)	0.	(.184)	0.997(.300)	
0.325	0.	(.059)	0.	(.073)	0.	(.099)	0.	(.184)	0.996(.325)	
0.350	0.	(.059)	0.	(.073)	0.	(.099)	0.	(.184)	0.995(.350)	
0.375	0.	(.059)	0.	(.073)	0.	(.099)	0.	(.184)	0.994(.374)	
0.400	0.	(.059)	0.	(.073)	0.	(.099)	0.	(.184)	0.993(.399)	
0.425	0.	(.059)	0.	(.073)	0.	(.099)	0.	(.184)	0.992(.424)	
0.450	0.	(.059)	0.	(.073)	0.	(.099)	0.	(.184)	0.990(.449)	
0.475	0.	(.059)	0.	(.073)	0.	(.099)	0.	(.184)	0.987(.474)	
0.500	0.	(.059)	0.	(.073)	0.	(.099)	0.	(.184)	0.984(.498)	
0.525	0.	(.059)	0.	(.073)	0.	(.099)	0.	(.184)	0.981(.523)	
0.550	0.	(.059)	0.	(.073)	0.	(.099)	0.	(.184)	0.976(.547)	
0.575	0.	(.059)	0.	(.073)	0.	(.099)	0.	(.184)	0.970(.572)	
0.600	0.	(.059)	0.	(.073)	0.	(.099)	0.	(.184)	0.962(.596)	
0.625	0.	(.059)	0.	(.073)	0.	(.099)	0.	(.184)	0.951(.620)	
0.650	0.	(.059)	0.	(.073)	0.	(.099)	0.	(.184)	0.936(.643)	
0.675	0.	(.059)	0.	(.073)	0.	(.099)	0.	(.184)	0.915(.666)	
0.700	0.	(.059)	0.	(.073)	0.	(.099)	0.	(.184)	0.885(.689)	
0.725	0.	(.059)	0.	(.073)	0.	(.099)	0.	(.184)	0.841(.710)	
0.750	0.	(.059)	0.	(.073)	0.	(.099)	0.	(.184)	0.774(.731)	
0.775	0.	(.059)	0.	(.073)	0.	(.099)	0.	(.184)	0.669(.749)	
0.800	0.	(.059)	0.	(.073)	0.	(.099)	0.	(.184)	0.476(.763)	
0.825	0.	(.059)	0.	(.073)	0.	(.099)	0.	(.184)	0.166(.771)	
0.850	0.	(.059)	0.	(.073)	0.	(.099)	0.	(.184)	0.	(.773)
0.875	0.	(.059)	0.	(.073)	0.	(.099)	0.	(.184)	0.	(.773)
0.900	0.	(.059)	0.	(.073)	0.	(.099)	0.	(.184)	0.	(.773)
0.925	0.	(.059)	0.	(.073)	0.	(.099)	0.	(.184)	0.	(.773)
0.950	0.	(.059)	0.	(.073)	0.	(.099)	0.	(.184)	0.	(.773)
0.975	0.	(.059)	0.	(.073)	0.	(.099)	0.	(.184)	0.	(.773)
1.000	0.	(.059)	0.	(.073)	0.	(.099)	0.	(.184)	0.	(.773)

RE-ORDER No. *66-196*
App Phase II

*** RELATIVE ENERGY FLUX DENSITY IN THE ***
 *** PENUMBRA OF A RECTANGULAR CYLINDER ***

VERSION E

SOLAR FIELD ANGLE, D= 5.00 DEGREES
 GEOMETRY D2/R = 5.00 AND H/R = 1.0

BETA = ANGLE OF INCIDENCE, DEGREES

BETA ***	0.	10.00	20.00	30.00	40.00
AX/AB	Q (QI)	Q (QI)	Q (QI)	Q (QI)	Q (QI)
0.	1.000(.)	1.000(.)	1.000(.)	1.000(.)	1.000(.)
0.025	0.943(.024)	0.947(.024)	0.951(.024)	0.955(.024)	0.959(.024)
0.050	0.832(.046)	0.843(.047)	0.854(.047)	0.865(.047)	0.878(.047)
0.075	0.687(.065)	0.706(.066)	0.725(.067)	0.745(.067)	0.768(.068)
0.100	0.525(.081)	0.551(.082)	0.577(.083)	0.605(.084)	0.637(.086)
0.125	0.293(.091)	0.338(.093)	0.383(.095)	0.432(.097)	0.487(.100)
0.150	0.094(.096)	0.132(.099)	0.174(.102)	0.223(.105)	0.284(.109)
0.175	0. (.097)	0.007(.100)	0.028(.104)	0.061(.109)	0.109(.114)
0.200	0. (.097)	0. (.101)	0. (.105)	0. (.110)	0.004(.116)
0.225	0. (.097)	0. (.101)	0. (.105)	0. (.110)	0. (.116)
0.250	0. (.097)	0. (.101)	0. (.105)	0. (.110)	0. (.116)
0.275	0. (.097)	0. (.101)	0. (.105)	0. (.110)	0. (.116)
0.300	0. (.097)	0. (.101)	0. (.105)	0. (.110)	0. (.116)
0.325	0. (.097)	0. (.101)	0. (.105)	0. (.110)	0. (.116)
0.350	0. (.097)	0. (.101)	0. (.105)	0. (.110)	0. (.116)
0.375	0. (.097)	0. (.101)	0. (.105)	0. (.110)	0. (.116)
0.400	0. (.097)	0. (.101)	0. (.105)	0. (.110)	0. (.116)
0.425	0. (.097)	0. (.101)	0. (.105)	0. (.110)	0. (.116)
0.450	0. (.097)	0. (.101)	0. (.105)	0. (.110)	0. (.116)
0.475	0. (.097)	0. (.101)	0. (.105)	0. (.110)	0. (.116)
0.500	0. (.097)	0. (.101)	0. (.105)	0. (.110)	0. (.116)
0.525	0. (.097)	0. (.101)	0. (.105)	0. (.110)	0. (.116)
0.550	0. (.097)	0. (.101)	0. (.105)	0. (.110)	0. (.116)
0.575	0. (.097)	0. (.101)	0. (.105)	0. (.110)	0. (.116)
0.600	0. (.097)	0. (.101)	0. (.105)	0. (.110)	0. (.116)
0.625	0. (.097)	0. (.101)	0. (.105)	0. (.110)	0. (.116)
0.650	0. (.097)	0. (.101)	0. (.105)	0. (.110)	0. (.116)
0.675	0. (.097)	0. (.101)	0. (.105)	0. (.110)	0. (.116)
0.700	0. (.097)	0. (.101)	0. (.105)	0. (.110)	0. (.116)
0.725	0. (.097)	0. (.101)	0. (.105)	0. (.110)	0. (.116)
0.750	0. (.097)	0. (.101)	0. (.105)	0. (.110)	0. (.116)
0.775	0. (.097)	0. (.101)	0. (.105)	0. (.110)	0. (.116)
0.800	0. (.097)	0. (.101)	0. (.105)	0. (.110)	0. (.116)
0.825	0. (.097)	0. (.101)	0. (.105)	0. (.110)	0. (.116)
0.850	0.094(.098)	0.059(.101)	0.027(.105)	0.003(.110)	0. (.116)
0.875	0.293(.103)	0.248(.105)	0.199(.108)	0.143(.111)	0.079(.117)
0.900	0.525(.113)	0.498(.114)	0.452(.116)	0.396(.118)	0.321(.122)
0.925	0.687(.128)	0.667(.129)	0.644(.130)	0.615(.131)	0.578(.133)
0.950	0.832(.147)	0.819(.148)	0.806(.148)	0.788(.148)	0.764(.150)
0.975	0.943(.169)	0.938(.170)	0.933(.170)	0.927(.170)	0.918(.171)
1.000	1.000(.194)	1.000(.194)	1.000(.194)	1.000(.194)	1.000(.195)

515
E-103

*** RELATIVE ENERGY FLUX DENSITY IN THE ***
 *** PENUMBRA OF A RECTANGULAR CYLINDER ***

VERSION E

SOLAR FIELD ANGLE, D= 5.00 DEGREES
 GEOMETRY D2/R = 5.00 AND H/R = 1.0

BETA = ANGLE OF INCIDENCE, DEGREES

BETA ***	50.00		60.00		70.00		80.00		87.00	
AX/AB	Q	(QI)	Q	(QI)	Q	(QI)	Q	(QI)	Q	(QI)
0.	1.000(.))	1.000(.))	1.000(.))	1.000(.))	1.000(.))
0.025	0.964(.025))	0.971(.025))	0.980(.025))	0.993(.025))	1.000(.025))
0.050	0.893(.048))	0.912(.048))	0.939(.049))	0.977(.050))	1.000(.050))
0.075	0.795(.069))	0.830(.070))	0.880(.071))	0.955(.074))	1.000(.075))
0.100	0.676(.087))	0.728(.089))	0.805(.093))	0.924(.097))	1.000(.100))
0.125	0.543(.102))	0.611(.106))	0.715(.112))	0.886(.120))	1.000(.125))
0.150	0.362(.114))	0.471(.120))	0.611(.128))	0.840(.141))	0.999(.150))
0.175	0.181(.121))	0.295(.129))	0.490(.142))	0.784(.162))	0.999(.175))
0.200	0.043(.123))	0.135(.135))	0.335(.152))	0.718(.180))	0.999(.200))
0.225	0. (.124))	0.021(.137))	0.185(.159))	0.642(.197))	0.999(.225))
0.250	0. (.124))	0. (.137))	0.060(.162))	0.556(.212))	0.998(.250))
0.275	0. (.124))	0. (.137))	0. (.163))	0.442(.225))	0.998(.275))
0.300	0. (.124))	0. (.137))	0. (.163))	0.318(.234))	0.997(.300))
0.325	0. (.124))	0. (.137))	0. (.163))	0.192(.241))	0.997(.325))
0.350	0. (.124))	0. (.137))	0. (.163))	0.077(.244))	0.996(.350))
0.375	0. (.124))	0. (.137))	0. (.163))	0.002(.245))	0.995(.374))
0.400	0. (.124))	0. (.137))	0. (.163))	0. (.245))	0.994(.399))
0.425	0. (.124))	0. (.137))	0. (.163))	0. (.245))	0.992(.424))
0.450	0. (.124))	0. (.137))	0. (.163))	0. (.245))	0.991(.449))
0.475	0. (.124))	0. (.137))	0. (.163))	0. (.245))	0.989(.474))
0.500	0. (.124))	0. (.137))	0. (.163))	0. (.245))	0.986(.498))
0.525	0. (.124))	0. (.137))	0. (.163))	0. (.245))	0.983(.523))
0.550	0. (.124))	0. (.137))	0. (.163))	0. (.245))	0.979(.547))
0.575	0. (.124))	0. (.137))	0. (.163))	0. (.245))	0.973(.572))
0.600	0. (.124))	0. (.137))	0. (.163))	0. (.245))	0.967(.596))
0.625	0. (.124))	0. (.137))	0. (.163))	0. (.245))	0.958(.620))
0.650	0. (.124))	0. (.137))	0. (.163))	0. (.245))	0.946(.644))
0.675	0. (.124))	0. (.137))	0. (.163))	0. (.245))	0.930(.667))
0.700	0. (.124))	0. (.137))	0. (.163))	0. (.245))	0.907(.690))
0.725	0. (.124))	0. (.137))	0. (.163))	0. (.245))	0.874(.713))
0.750	0. (.124))	0. (.137))	0. (.163))	0. (.245))	0.826(.734))
0.775	0. (.124))	0. (.137))	0. (.163))	0. (.245))	0.753(.754))
0.800	0. (.124))	0. (.137))	0. (.163))	0. (.245))	0.636(.771))
0.825	0. (.124))	0. (.137))	0. (.163))	0. (.245))	0.432(.784))
0.850	0. (.124))	0. (.137))	0. (.163))	0. (.245))	0.120(.791))
0.875	0.012(.124))	0. (.137))	0. (.163))	0. (.245))	0. (.793))
0.900	0.212(.127))	0.050(.138))	0. (.163))	0. (.245))	0. (.793))
0.925	0.521(.136))	0.368(.143))	0. (.163))	0. (.245))	0. (.793))
0.950	0.727(.152))	0.658(.156))	0.459(.168))	0. (.245))	0. (.793))
0.975	0.903(.172))	0.875(.175))	0.787(.184))	0. (.245))	0. (.793))
1.000	1.000(.196))	1.000(.198))	1.000(.206))	0. (.245))	0. (.793))

*** RELATIVE ENERGY FLUX DENSITY IN THE ***
 *** PENUMBRA OF A RECTANGULAR CYLINDER ***

VERSION E

SOLAR FIELD ANGLE, D= 5.00 DEGREES
 GEOMETRY D2/R = 10.00 AND H/R = 1.0

BETA = ANGLE OF INCIDENCE, DEGREES

BETA ***	0.		10.00		20.00		30.00		40.00	
AX/AB	Q	(QI)	Q	(QI)	Q	(QI)	Q	(QI)	Q	(QI)
0.	1.000(.)		1.000(.)		1.000(.)		1.000(.)		1.000(.)	
0.025	0.971(.025)		0.973(.025)		0.974(.025)		0.976(.025)		0.978(.025)	
0.050	0.916(.048)		0.920(.048)		0.924(.048)		0.929(.049)		0.934(.049)	
0.075	0.842(.070)		0.849(.070)		0.857(.071)		0.865(.071)		0.875(.071)	
0.100	0.754(.090)		0.765(.091)		0.776(.091)		0.788(.092)		0.802(.092)	
0.125	0.656(.108)		0.670(.109)		0.684(.109)		0.700(.110)		0.719(.111)	
0.150	0.552(.123)		0.568(.124)		0.586(.125)		0.605(.127)		0.627(.128)	
0.175	0.433(.135)		0.456(.137)		0.479(.139)		0.505(.140)		0.531(.143)	
0.200	0.307(.144)		0.331(.147)		0.355(.149)		0.383(.151)		0.416(.154)	
0.225	0.193(.151)		0.215(.153)		0.238(.156)		0.266(.160)		0.299(.163)	
0.250	0.097(.154)		0.115(.158)		0.136(.161)		0.160(.165)		0.191(.169)	
0.275	0.027(.156)		0.040(.160)		0.054(.163)		0.073(.168)		0.098(.173)	
0.300	0. (.156)		0.000(.160)		0.004(.164)		0.014(.169)		0.029(.175)	
0.325	0. (.156)		0. (.160)		0. (.164)		0. (.169)		0. (.175)	
0.350	0. (.156)		0. (.160)		0. (.164)		0. (.169)		0. (.175)	
0.375	0. (.156)		0. (.160)		0. (.164)		0. (.169)		0. (.175)	
0.400	0. (.156)		0. (.160)		0. (.164)		0. (.169)		0. (.175)	
0.425	0. (.156)		0. (.160)		0. (.164)		0. (.169)		0. (.175)	
0.450	0. (.156)		0. (.160)		0. (.164)		0. (.169)		0. (.175)	
0.475	0. (.156)		0. (.160)		0. (.164)		0. (.169)		0. (.175)	
0.500	0. (.156)		0. (.160)		0. (.164)		0. (.169)		0. (.175)	
0.525	0. (.156)		0. (.160)		0. (.164)		0. (.169)		0. (.175)	
0.550	0. (.156)		0. (.160)		0. (.164)		0. (.169)		0. (.175)	
0.575	0. (.156)		0. (.160)		0. (.164)		0. (.169)		0. (.175)	
0.600	0. (.156)		0. (.160)		0. (.164)		0. (.169)		0. (.175)	
0.625	0. (.156)		0. (.160)		0. (.164)		0. (.169)		0. (.175)	
0.650	0. (.156)		0. (.160)		0. (.164)		0. (.169)		0. (.175)	
0.675	0. (.156)		0. (.160)		0. (.164)		0. (.169)		0. (.175)	
0.700	0. (.156)		0. (.160)		0. (.164)		0. (.169)		0. (.175)	
0.725	0.027(.157)		0.017(.160)		0.008(.164)		0.001(.169)		0. (.175)	
0.750	0.097(.158)		0.080(.161)		0.062(.165)		0.045(.170)		0.026(.175)	
0.775	0.193(.162)		0.171(.165)		0.149(.168)		0.125(.172)		0.097(.177)	
0.800	0.307(.168)		0.284(.170)		0.260(.173)		0.232(.176)		0.198(.181)	
0.825	0.433(.177)		0.410(.179)		0.386(.181)		0.357(.184)		0.322(.187)	
0.850	0.552(.190)		0.534(.191)		0.516(.192)		0.494(.194)		0.460(.197)	
0.875	0.656(.205)		0.641(.205)		0.625(.207)		0.606(.208)		0.582(.210)	
0.900	0.754(.222)		0.742(.223)		0.730(.223)		0.715(.224)		0.695(.226)	
0.925	0.842(.242)		0.834(.242)		0.825(.243)		0.815(.244)		0.801(.244)	
0.950	0.916(.264)		0.911(.264)		0.906(.265)		0.900(.265)		0.892(.266)	
0.975	0.971(.288)		0.970(.288)		0.968(.288)		0.966(.288)		0.963(.289)	
1.000	1.000(.312)		1.000(.312)		1.000(.313)		1.000(.313)		1.000(.313)	

*** RELATIVE ENERGY FLUX DENSITY IN THE *** VERSION E
 *** PENUMBRA OF A RECTANGULAR CYLINDER ***

SOLAR FIELD ANGLE, D= 5.00 DEGREES
 GEOMETRY D2/R = 10.00 AND H/R = 1.0

BETA = ANGLE OF INCIDENCE, DEGREES

BETA ***	50.00		60.00		70.00		80.00		87.00	
AX/AB	Q	(QI)	Q	(QI)	Q	(QI)	Q	(QI)	Q	(QI)
0.	1.000	(.)	1.000	(.)	1.000	(.)	1.000	(.)	1.000	(.)
0.025	0.980	(.025)	0.983	(.025)	0.987	(.025)	0.995	(.025)	1.000	(.025)
0.050	0.941	(.049)	0.949	(.049)	0.962	(.049)	0.983	(.050)	1.000	(.050)
0.075	0.886	(.072)	0.902	(.072)	0.926	(.073)	0.968	(.074)	1.000	(.075)
0.100	0.820	(.093)	0.844	(.094)	0.881	(.095)	0.947	(.098)	1.000	(.100)
0.125	0.742	(.112)	0.775	(.114)	0.827	(.117)	0.921	(.121)	1.000	(.125)
0.150	0.656	(.130)	0.697	(.133)	0.764	(.137)	0.889	(.144)	0.999	(.150)
0.175	0.564	(.145)	0.612	(.149)	0.693	(.155)	0.852	(.166)	0.999	(.175)
0.200	0.460	(.158)	0.522	(.163)	0.615	(.171)	0.809	(.186)	0.999	(.200)
0.225	0.345	(.168)	0.413	(.175)	0.531	(.185)	0.759	(.206)	0.999	(.225)
0.250	0.234	(.175)	0.302	(.184)	0.429	(.197)	0.703	(.224)	0.998	(.250)
0.275	0.135	(.180)	0.198	(.190)	0.324	(.207)	0.639	(.241)	0.998	(.275)
0.300	0.056	(.182)	0.106	(.194)	0.222	(.214)	0.569	(.256)	0.997	(.300)
0.325	0.005	(.183)	0.035	(.196)	0.129	(.218)	0.485	(.269)	0.997	(.325)
0.350	0.	(.183)	0.	(.196)	0.051	(.220)	0.392	(.280)	0.996	(.350)
0.375	0.	(.183)	0.	(.196)	0.003	(.221)	0.294	(.289)	0.995	(.374)
0.400	0.	(.183)	0.	(.196)	0.	(.221)	0.197	(.295)	0.994	(.399)
0.425	0.	(.183)	0.	(.196)	0.	(.221)	0.106	(.299)	0.993	(.424)
0.450	0.	(.183)	0.	(.196)	0.	(.221)	0.032	(.301)	0.991	(.449)
0.475	0.	(.183)	0.	(.196)	0.	(.221)	0.	(.301)	0.990	(.474)
0.500	0.	(.183)	0.	(.196)	0.	(.221)	0.	(.301)	0.987	(.498)
0.525	0.	(.183)	0.	(.196)	0.	(.221)	0.	(.301)	0.984	(.523)
0.550	0.	(.183)	0.	(.196)	0.	(.221)	0.	(.301)	0.981	(.548)
0.575	0.	(.183)	0.	(.196)	0.	(.221)	0.	(.301)	0.976	(.572)
0.600	0.	(.183)	0.	(.196)	0.	(.221)	0.	(.301)	0.970	(.596)
0.625	0.	(.183)	0.	(.196)	0.	(.221)	0.	(.301)	0.963	(.621)
0.650	0.	(.183)	0.	(.196)	0.	(.221)	0.	(.301)	0.953	(.645)
0.675	0.	(.183)	0.	(.196)	0.	(.221)	0.	(.301)	0.940	(.668)
0.700	0.	(.183)	0.	(.196)	0.	(.221)	0.	(.301)	0.922	(.692)
0.725	0.	(.183)	0.	(.196)	0.	(.221)	0.	(.301)	0.896	(.714)
0.750	0.007	(.183)	0.	(.196)	0.	(.221)	0.	(.301)	0.860	(.736)
0.775	0.063	(.184)	0.021	(.196)	0.	(.221)	0.	(.301)	0.807	(.757)
0.800	0.154	(.187)	0.093	(.198)	0.011	(.221)	0.	(.301)	0.725	(.776)
0.825	0.274	(.192)	0.201	(.201)	0.078	(.222)	0.	(.301)	0.592	(.793)
0.850	0.413	(.201)	0.337	(.208)	0.191	(.226)	0.	(.301)	0.369	(.805)
0.875	0.547	(.213)	0.491	(.218)	0.346	(.232)	0.	(.301)	0.058	(.810)
0.900	0.667	(.228)	0.620	(.232)	0.517	(.243)	0.055	(.302)	0.	(.811)
0.925	0.781	(.246)	0.746	(.249)	0.666	(.258)	0.245	(.305)	0.	(.811)
0.950	0.881	(.267)	0.860	(.269)	0.810	(.276)	0.539	(.315)	0.	(.811)
0.975	0.959	(.290)	0.951	(.292)	0.931	(.298)	0.805	(.332)	0.	(.811)
1.000	1.000	(.314)	1.000	(.316)	1.000	(.322)	1.000	(.355)	0.	(.811)

*** RELATIVE ENERGY FLUX DENSITY IN THE ***
 *** PENUMBRA OF A RECTANGULAR CYLINDER ***

VERSION E

SOLAR FIELD ANGLE, D= 5.00 DEGREES
 GEOMETRY D2/R = 50.00 AND H/R = 1.0

BETA = ANGLE OF INCIDENCE, DEGREES

BETA ***	0.	10.00	20.00	30.00	40.00
AX/AB	Q (QI)	Q (QI)	Q (QI)	Q (QI)	Q (QI)
0.	1.000(.)	1.000(.)	1.000(.)	1.000(.)	1.000(.)
0.025	0.991(.025)	0.991(.025)	0.992(.025)	0.992(.025)	0.992(.025)
0.050	0.974(.049)	0.975(.049)	0.976(.049)	0.977(.050)	0.978(.050)
0.075	0.951(.074)	0.953(.074)	0.954(.074)	0.956(.074)	0.958(.074)
0.100	0.924(.097)	0.926(.097)	0.929(.097)	0.931(.097)	0.935(.097)
0.125	0.892(.120)	0.895(.120)	0.899(.120)	0.902(.120)	0.907(.120)
0.150	0.856(.141)	0.861(.142)	0.865(.142)	0.870(.142)	0.876(.143)
0.175	0.818(.162)	0.823(.163)	0.828(.163)	0.834(.164)	0.841(.164)
0.200	0.776(.182)	0.782(.183)	0.788(.183)	0.795(.184)	0.804(.185)
0.225	0.732(.201)	0.739(.202)	0.746(.203)	0.754(.203)	0.763(.204)
0.250	0.686(.219)	0.693(.220)	0.701(.221)	0.710(.222)	0.721(.223)
0.275	0.638(.235)	0.646(.237)	0.655(.238)	0.665(.239)	0.676(.240)
0.300	0.589(.251)	0.598(.252)	0.607(.253)	0.618(.255)	0.630(.257)
0.325	0.540(.265)	0.549(.266)	0.558(.268)	0.569(.270)	0.582(.272)
0.350	0.500(.278)	0.508(.280)	0.516(.281)	0.526(.283)	0.538(.286)
0.375	0.467(.290)	0.473(.292)	0.481(.294)	0.490(.296)	0.501(.299)
0.400	0.440(.301)	0.445(.303)	0.452(.306)	0.459(.308)	0.469(.311)
0.425	0.419(.312)	0.424(.314)	0.429(.317)	0.435(.319)	0.443(.322)
0.450	0.404(.322)	0.407(.325)	0.411(.327)	0.416(.330)	0.422(.333)
0.475	0.395(.332)	0.397(.335)	0.399(.337)	0.402(.340)	0.406(.343)
0.500	0.393(.342)	0.393(.345)	0.393(.347)	0.394(.350)	0.396(.354)
0.525	0.395(.352)	0.394(.354)	0.393(.357)	0.392(.360)	0.392(.363)
0.550	0.404(.362)	0.401(.364)	0.399(.367)	0.396(.370)	0.394(.373)
0.575	0.419(.372)	0.415(.375)	0.411(.377)	0.406(.380)	0.401(.383)
0.600	0.440(.383)	0.434(.385)	0.428(.387)	0.422(.390)	0.415(.393)
0.625	0.467(.394)	0.460(.396)	0.453(.398)	0.445(.401)	0.436(.404)
0.650	0.500(.406)	0.492(.408)	0.484(.410)	0.475(.412)	0.464(.415)
0.675	0.540(.419)	0.531(.421)	0.522(.423)	0.512(.425)	0.500(.427)
0.700	0.589(.434)	0.581(.435)	0.571(.436)	0.561(.438)	0.547(.440)
0.725	0.638(.449)	0.630(.450)	0.621(.451)	0.611(.453)	0.598(.455)
0.750	0.686(.466)	0.678(.466)	0.670(.467)	0.661(.469)	0.649(.470)
0.775	0.732(.483)	0.725(.484)	0.718(.485)	0.709(.486)	0.698(.487)
0.800	0.776(.502)	0.770(.503)	0.763(.503)	0.756(.504)	0.746(.505)
0.825	0.818(.522)	0.812(.522)	0.807(.523)	0.800(.524)	0.792(.524)
0.850	0.856(.543)	0.852(.543)	0.847(.544)	0.842(.544)	0.835(.545)
0.875	0.892(.565)	0.889(.565)	0.885(.565)	0.880(.566)	0.875(.566)
0.900	0.924(.587)	0.921(.588)	0.918(.588)	0.915(.588)	0.911(.588)
0.925	0.951(.611)	0.950(.611)	0.948(.611)	0.946(.611)	0.943(.612)
0.950	0.974(.635)	0.973(.635)	0.972(.635)	0.971(.635)	0.969(.636)
0.975	0.991(.660)	0.991(.660)	0.990(.660)	0.990(.660)	0.989(.660)
1.000	1.000(.684)	1.000(.684)	1.000(.685)	1.000(.685)	1.000(.685)

RE-ORDER NO. 66-196
W.P. Gifford II

*** RELATIVE ENERGY FLUX DENSITY IN THE ***
 *** PENUMBRA OF A RECTANGULAR CYLINDER ***
 VERSION E

SOLAR FIELD ANGLE, D = 5.00 DEGREES
 GEOMETRY D2/R = 50.00 AND H/R = 1.0

BETA = ANGLE OF INCIDENCE, DEGREES

BETA ***	50.00		60.00		70.00		80.00		87.00	
AX/AB	Q	(QI)	Q	(QI)	Q	(QI)	Q	(QI)	Q	(QI)
0.	1.000	(.)	1.000	(.)	1.000	(.)	1.000	(.)	1.000	(.)
0.025	0.993	(.025)	0.994	(.025)	0.995	(.025)	0.997	(.025)	1.000	(.025)
0.050	0.979	(.050)	0.981	(.050)	0.985	(.050)	0.992	(.050)	1.000	(.050)
0.075	0.961	(.074)	0.965	(.074)	0.971	(.074)	0.984	(.075)	1.000	(.075)
0.100	0.939	(.098)	0.945	(.098)	0.955	(.098)	0.975	(.099)	1.000	(.100)
0.125	0.913	(.121)	0.921	(.121)	0.935	(.122)	0.964	(.123)	1.000	(.125)
0.150	0.883	(.143)	0.894	(.144)	0.912	(.145)	0.950	(.147)	0.999	(.150)
0.175	0.850	(.165)	0.863	(.166)	0.886	(.167)	0.935	(.171)	0.999	(.175)
0.200	0.814	(.186)	0.830	(.187)	0.857	(.189)	0.917	(.194)	0.999	(.200)
0.225	0.776	(.206)	0.794	(.207)	0.826	(.210)	0.897	(.217)	0.999	(.225)
0.250	0.735	(.224)	0.755	(.227)	0.791	(.230)	0.875	(.239)	0.999	(.250)
0.275	0.692	(.242)	0.714	(.245)	0.755	(.250)	0.850	(.260)	0.998	(.275)
0.300	0.647	(.259)	0.671	(.262)	0.715	(.268)	0.823	(.281)	0.998	(.300)
0.325	0.600	(.275)	0.626	(.279)	0.674	(.285)	0.793	(.301)	0.997	(.325)
0.350	0.554	(.289)	0.580	(.294)	0.630	(.302)	0.760	(.321)	0.997	(.350)
0.375	0.516	(.302)	0.540	(.308)	0.587	(.317)	0.725	(.339)	0.996	(.375)
0.400	0.483	(.315)	0.505	(.321)	0.550	(.331)	0.687	(.357)	0.995	(.399)
0.425	0.455	(.327)	0.474	(.333)	0.515	(.345)	0.649	(.374)	0.994	(.424)
0.450	0.431	(.338)	0.447	(.344)	0.484	(.357)	0.613	(.390)	0.993	(.449)
0.475	0.413	(.346)	0.425	(.355)	0.455	(.369)	0.578	(.404)	0.992	(.474)
0.500	0.400	(.358)	0.408	(.366)	0.431	(.380)	0.542	(.418)	0.990	(.499)
0.525	0.393	(.366)	0.396	(.376)	0.412	(.390)	0.507	(.432)	0.988	(.523)
0.550	0.391	(.378)	0.390	(.386)	0.397	(.400)	0.474	(.444)	0.986	(.548)
0.575	0.396	(.388)	0.390	(.395)	0.388	(.410)	0.443	(.455)	0.983	(.573)
0.600	0.407	(.398)	0.397	(.405)	0.385	(.420)	0.415	(.466)	0.979	(.597)
0.625	0.425	(.408)	0.410	(.415)	0.389	(.430)	0.391	(.476)	0.974	(.622)
0.650	0.451	(.419)	0.431	(.426)	0.401	(.439)	0.374	(.486)	0.969	(.646)
0.675	0.484	(.431)	0.461	(.437)	0.422	(.450)	0.364	(.495)	0.962	(.670)
0.700	0.529	(.444)	0.502	(.449)	0.454	(.461)	0.363	(.504)	0.952	(.694)
0.725	0.581	(.458)	0.554	(.462)	0.502	(.473)	0.375	(.513)	0.940	(.718)
0.750	0.633	(.473)	0.607	(.477)	0.557	(.486)	0.406	(.523)	0.924	(.741)
0.775	0.683	(.489)	0.660	(.493)	0.613	(.501)	0.464	(.534)	0.902	(.764)
0.800	0.733	(.507)	0.711	(.510)	0.668	(.517)	0.526	(.546)	0.872	(.786)
0.825	0.780	(.526)	0.761	(.528)	0.723	(.534)	0.592	(.560)	0.828	(.807)
0.850	0.825	(.546)	0.809	(.548)	0.777	(.553)	0.660	(.576)	0.765	(.827)
0.875	0.867	(.567)	0.855	(.569)	0.828	(.573)	0.730	(.593)	0.670	(.845)
0.900	0.905	(.589)	0.896	(.590)	0.876	(.594)	0.798	(.612)	0.522	(.860)
0.925	0.939	(.612)	0.933	(.613)	0.919	(.616)	0.864	(.633)	0.315	(.870)
0.950	0.967	(.636)	0.964	(.637)	0.956	(.640)	0.924	(.655)	0.214	(.877)
0.975	0.989	(.660)	0.987	(.661)	0.984	(.664)	0.972	(.679)	0.477	(.886)
1.000	1.000	(.685)	1.000	(.686)	1.000	(.689)	1.000	(.704)	1.000	(.904)

520
 E-108

*** RELATIVE ENERGY FLUX DENSITY IN THE ***
 *** PENUMBRA OF A RECTANGULAR CYLINDER ***
 VERSION E

SOLAR FIELD ANGLE, D= 5.00 DEGREES
 GEOMETRY D2/R = 100.00 AND H/R = 1.0

BETA = ANGLE OF INCIDENCE, DEGREES

BETA ***	0.	10.00	20.00	30.00	40.00
AX/AB	Q (QI)	Q (QI)	Q (QI)	Q (QI)	Q (QI)
0.	1.000(.)	1.000(.)	1.000(.)	1.000(.)	1.000(.)
0.025	0.993(.025)	0.993(.025)	0.993(.025)	0.994(.025)	0.994(.025)
0.050	0.980(.050)	0.980(.050)	0.981(.050)	0.982(.050)	0.983(.050)
0.075	0.962(.074)	0.963(.074)	0.965(.074)	0.966(.074)	0.968(.074)
0.100	0.941(.098)	0.943(.098)	0.945(.098)	0.947(.098)	0.949(.098)
0.125	0.917(.121)	0.919(.121)	0.922(.121)	0.924(.121)	0.928(.121)
0.150	0.889(.143)	0.892(.144)	0.896(.144)	0.899(.144)	0.903(.144)
0.175	0.859(.165)	0.863(.166)	0.867(.166)	0.871(.166)	0.877(.167)
0.200	0.828(.186)	0.832(.187)	0.836(.187)	0.841(.188)	0.847(.188)
0.225	0.803(.207)	0.807(.207)	0.811(.208)	0.816(.208)	0.822(.209)
0.250	0.781(.227)	0.785(.227)	0.790(.228)	0.795(.228)	0.801(.229)
0.275	0.762(.246)	0.766(.247)	0.771(.247)	0.776(.248)	0.782(.249)
0.300	0.746(.265)	0.750(.265)	0.754(.266)	0.758(.267)	0.764(.268)
0.325	0.732(.283)	0.735(.284)	0.739(.285)	0.743(.286)	0.749(.287)
0.350	0.719(.301)	0.722(.302)	0.726(.303)	0.730(.304)	0.735(.306)
0.375	0.709(.319)	0.712(.320)	0.715(.321)	0.718(.323)	0.723(.324)
0.400	0.701(.337)	0.703(.338)	0.706(.339)	0.709(.340)	0.712(.342)
0.425	0.694(.354)	0.696(.355)	0.698(.357)	0.701(.358)	0.704(.360)
0.450	0.689(.372)	0.690(.373)	0.692(.374)	0.694(.375)	0.696(.377)
0.475	0.686(.389)	0.687(.390)	0.688(.391)	0.689(.393)	0.691(.395)
0.500	0.685(.406)	0.685(.407)	0.685(.408)	0.686(.410)	0.687(.412)
0.525	0.686(.423)	0.686(.424)	0.685(.426)	0.685(.427)	0.685(.429)
0.550	0.689(.440)	0.688(.441)	0.687(.443)	0.686(.444)	0.685(.446)
0.575	0.694(.457)	0.692(.459)	0.691(.460)	0.689(.461)	0.687(.463)
0.600	0.701(.475)	0.699(.476)	0.697(.477)	0.694(.479)	0.692(.480)
0.625	0.709(.493)	0.707(.494)	0.704(.495)	0.701(.496)	0.698(.498)
0.650	0.719(.510)	0.716(.511)	0.713(.512)	0.710(.514)	0.706(.515)
0.675	0.732(.529)	0.728(.529)	0.725(.530)	0.721(.532)	0.716(.533)
0.700	0.746(.547)	0.742(.548)	0.738(.549)	0.734(.550)	0.729(.551)
0.725	0.762(.566)	0.758(.567)	0.754(.567)	0.750(.568)	0.744(.570)
0.750	0.781(.585)	0.777(.586)	0.773(.586)	0.768(.587)	0.762(.588)
0.775	0.803(.605)	0.799(.605)	0.794(.606)	0.789(.607)	0.783(.608)
0.800	0.828(.625)	0.824(.626)	0.819(.626)	0.814(.627)	0.808(.628)
0.825	0.859(.646)	0.855(.647)	0.851(.647)	0.846(.648)	0.840(.648)
0.850	0.889(.668)	0.886(.669)	0.883(.669)	0.879(.669)	0.874(.670)
0.875	0.917(.691)	0.914(.691)	0.911(.691)	0.908(.691)	0.904(.692)
0.900	0.941(.714)	0.939(.714)	0.937(.714)	0.935(.714)	0.932(.715)
0.925	0.962(.736)	0.961(.738)	0.960(.738)	0.958(.738)	0.956(.738)
0.950	0.980(.762)	0.979(.762)	0.978(.762)	0.978(.762)	0.977(.762)
0.975	0.993(.787)	0.993(.787)	0.993(.787)	0.992(.787)	0.992(.787)
1.000	1.000(.812)	1.000(.812)	1.000(.812)	1.000(.812)	1.000(.812)

*** RELATIVE ENERGY FLUX DENSITY IN THE *** VERSION E
 *** PENUMBRA OF A RECTANGULAR CYLINDER ***

SOLAR FIELD ANGLE, D= 5.00 DEGREES
 GEOMETRY D2/R = 100.00 AND H/R = 1.0

BETA = ANGLE OF INCIDENCE, DEGREES

BETA ***	50.00		60.00		70.00		80.00		87.00	
AX/AB	Q	(QI)	Q	(QI)	Q	(QI)	Q	(QI)	Q	(QI)
0.	1.000(.))	1.000(.))	1.000(.))	1.000(.))	1.000(.))
0.025	0.994(.025))	0.995(.025))	0.996(.025))	0.998(.025))	1.000(.025))
0.050	0.984(.050))	0.985(.050))	0.988(.050))	0.993(.050))	1.000(.050))
0.075	0.970(.074))	0.972(.074))	0.977(.074))	0.987(.075))	1.000(.075))
0.100	0.952(.098))	0.957(.098))	0.964(.099))	0.979(.099))	1.000(.100))
0.125	0.932(.122))	0.938(.122))	0.948(.122))	0.970(.124))	1.000(.125))
0.150	0.909(.145))	0.917(.145))	0.930(.146))	0.959(.148))	0.999(.150))
0.175	0.883(.167))	0.893(.168))	0.910(.169))	0.947(.172))	0.999(.175))
0.200	0.855(.189))	0.867(.190))	0.887(.191))	0.933(.195))	0.999(.200))
0.225	0.830(.210))	0.842(.211))	0.864(.213))	0.917(.218))	0.999(.225))
0.250	0.809(.230))	0.821(.232))	0.843(.235))	0.900(.241))	0.999(.250))
0.275	0.790(.250))	0.802(.252))	0.825(.255))	0.884(.263))	0.998(.275))
0.300	0.772(.270))	0.784(.272))	0.807(.276))	0.869(.285))	0.998(.300))
0.325	0.756(.289))	0.768(.291))	0.790(.296))	0.854(.307))	0.997(.325))
0.350	0.742(.308))	0.753(.310))	0.775(.315))	0.839(.328))	0.997(.350))
0.375	0.729(.326))	0.739(.329))	0.760(.335))	0.824(.349))	0.996(.375))
0.400	0.718(.344))	0.727(.347))	0.746(.353))	0.809(.369))	0.996(.399))
0.425	0.708(.362))	0.716(.365))	0.733(.372))	0.794(.389))	0.995(.424))
0.450	0.700(.380))	0.707(.383))	0.722(.390))	0.778(.409))	0.994(.449))
0.475	0.693(.397))	0.698(.401))	0.711(.408))	0.764(.428))	0.993(.474))
0.500	0.688(.414))	0.692(.418))	0.702(.426))	0.749(.447))	0.992(.499))
0.525	0.685(.431))	0.687(.435))	0.693(.443))	0.735(.465))	0.991(.524))
0.550	0.684(.449))	0.684(.453))	0.687(.460))	0.721(.484))	0.989(.548))
0.575	0.685(.466))	0.683(.470))	0.683(.477))	0.708(.501))	0.987(.573))
0.600	0.688(.483))	0.684(.487))	0.680(.494))	0.695(.519))	0.985(.598))
0.625	0.694(.500))	0.688(.504))	0.680(.511))	0.685(.536))	0.982(.622))
0.650	0.700(.518))	0.693(.521))	0.683(.529))	0.676(.553))	0.978(.647))
0.675	0.710(.535))	0.701(.539))	0.687(.546))	0.669(.570))	0.973(.671))
0.700	0.722(.553))	0.711(.556))	0.694(.563))	0.665(.587))	0.968(.695))
0.725	0.736(.571))	0.725(.574))	0.705(.580))	0.664(.603))	0.960(.720))
0.750	0.754(.590))	0.741(.593))	0.719(.598))	0.667(.620))	0.951(.743))
0.775	0.774(.609))	0.761(.611))	0.737(.616))	0.675(.637))	0.938(.767))
0.800	0.799(.629))	0.786(.631))	0.760(.635))	0.689(.654))	0.921(.790))
0.825	0.831(.649))	0.818(.651))	0.790(.654))	0.712(.671))	0.897(.813))
0.850	0.866(.670))	0.855(.672))	0.831(.675))	0.746(.689))	0.864(.835))
0.875	0.899(.692))	0.890(.693))	0.870(.696))	0.799(.709))	0.816(.856))
0.900	0.928(.715))	0.921(.716))	0.907(.718))	0.852(.729))	0.746(.876))
0.925	0.954(.739))	0.949(.739))	0.939(.741))	0.901(.751))	0.647(.893))
0.950	0.975(.763))	0.972(.763))	0.967(.765))	0.945(.774))	0.535(.908))
0.975	0.991(.787))	0.990(.788))	0.988(.790))	0.980(.799))	0.638(.922))
1.000	1.000(.812))	1.000(.813))	1.000(.814))	1.000(.823))	1.000(.943))

*** RELATIVE ENERGY FLUX DENSITY IN THE ***
 *** PENUMBRA OF A RECTANGULAR CYLINDER ***

VERSION E

SOLAR FIELD ANGLE, D= 5.00 DEGREES
 GEOMETRY D2/R = 1.00 AND H/R = 2.0

BETA = ANGLE OF INCIDENCE, DEGREES

BETA ***	0.	10.00	20.00	30.00	40.00
AX/AB	Q (QI)	Q (QI)	Q (QI)	Q (QI)	Q (QI)
0.	1.000(.)	1.000(.)	1.000(.)	1.000(.)	1.000(.)
0.025	0.858(.023)	0.873(.023)	0.887(.024)	0.901(.024)	0.915(.024)
0.050	0.593(.041)	0.632(.042)	0.669(.043)	0.705(.044)	0.744(.045)
0.075	0. (.049)	0. (.050)	0. (.051)	0. (.053)	0.524(.061)
0.100	0. (.049)	0. (.050)	0. (.051)	0. (.053)	0. (.067)
0.125	0. (.049)	0. (.050)	0. (.051)	0. (.053)	0. (.067)
0.150	0. (.049)	0. (.050)	0. (.051)	0. (.053)	0. (.067)
0.175	0. (.049)	0. (.050)	0. (.051)	0. (.053)	0. (.067)
0.200	0. (.049)	0. (.050)	0. (.051)	0. (.053)	0. (.067)
0.225	0. (.049)	0. (.050)	0. (.051)	0. (.053)	0. (.067)
0.250	0. (.049)	0. (.050)	0. (.051)	0. (.053)	0. (.067)
0.275	0. (.049)	0. (.050)	0. (.051)	0. (.053)	0. (.067)
0.300	0. (.049)	0. (.050)	0. (.051)	0. (.053)	0. (.067)
0.325	0. (.049)	0. (.050)	0. (.051)	0. (.053)	0. (.067)
0.350	0. (.049)	0. (.050)	0. (.051)	0. (.053)	0. (.067)
0.375	0. (.049)	0. (.050)	0. (.051)	0. (.053)	0. (.067)
0.400	0. (.049)	0. (.050)	0. (.051)	0. (.053)	0. (.067)
0.425	0. (.049)	0. (.050)	0. (.051)	0. (.053)	0. (.067)
0.450	0. (.049)	0. (.050)	0. (.051)	0. (.053)	0. (.067)
0.475	0. (.049)	0. (.050)	0. (.051)	0. (.053)	0. (.067)
0.500	0. (.049)	0. (.050)	0. (.051)	0. (.053)	0. (.067)
0.525	0. (.049)	0. (.050)	0. (.051)	0. (.053)	0. (.067)
0.550	0. (.049)	0. (.050)	0. (.051)	0. (.053)	0. (.067)
0.575	0. (.049)	0. (.050)	0. (.051)	0. (.053)	0. (.067)
0.600	0. (.049)	0. (.050)	0. (.051)	0. (.053)	0. (.067)
0.625	0. (.049)	0. (.050)	0. (.051)	0. (.053)	0. (.067)
0.650	0. (.049)	0. (.050)	0. (.051)	0. (.053)	0. (.067)
0.675	0. (.049)	0. (.050)	0. (.051)	0. (.053)	0. (.067)
0.700	0. (.049)	0. (.050)	0. (.051)	0. (.053)	0. (.067)
0.725	0. (.049)	0. (.050)	0. (.051)	0. (.053)	0. (.067)
0.750	0. (.049)	0. (.050)	0. (.051)	0. (.053)	0. (.067)
0.775	0. (.049)	0. (.050)	0. (.051)	0. (.053)	0. (.067)
0.800	0. (.049)	0. (.050)	0. (.051)	0. (.053)	0. (.067)
0.825	0. (.049)	0. (.050)	0. (.051)	0. (.053)	0. (.067)
0.850	0. (.049)	0. (.050)	0. (.051)	0. (.053)	0. (.067)
0.875	0. (.049)	0. (.050)	0. (.051)	0. (.053)	0. (.067)
0.900	0. (.049)	0. (.050)	0. (.051)	0. (.053)	0. (.067)
0.925	0. (.049)	0. (.050)	0. (.051)	0. (.053)	0. (.067)
0.950	0. (.049)	0. (.050)	0. (.051)	0. (.053)	0. (.067)
0.975	0.858(.060)	0.840(.061)	0. (.051)	0. (.053)	0. (.067)
1.000	1.000(.083)	1.000(.084)	1.000(.064)	1.000(.065)	1.000(.080)

RE-ORDER No. *66-196*
App. Phase II

*** RELATIVE ENERGY FLUX DENSITY IN THE ***
 *** PENUMBRA OF A RECTANGULAR CYLINDER ***
 VERSION E

SOLAR FIELD ANGLE, D= 5.00 DEGREES
 GEOMETRY D2/R = 1.00 AND H/R = 2.0

BETA = ANGLE OF INCIDENCE, DEGREES

BETA ***	50.00	60.00	70.00	80.00	87.00
AX/AB	Q (QI)	Q (QI)	Q (QI)	Q (QI)	Q (QI)
0.	1.000(.)	1.000(.)	1.000(.)	1.000(.)	1.000(.)
0.025	0.930(.024)	0.947(.024)	0.967(.025)	0.990(.025)	1.000(.025)
0.050	0.786(.046)	0.837(.047)	0.898(.048)	0.969(.049)	1.000(.050)
0.075	0.595(.063)	0.684(.066)	0.797(.069)	0.937(.073)	1.000(.075)
0.100	0. (.070)	0.425(.079)	0.669(.087)	0.894(.096)	1.000(.100)
0.125	0. (.070)	0. (.085)	0.507(.102)	0.838(.118)	1.000(.125)
0.150	0. (.070)	0. (.085)	0.028(.109)	0.769(.138)	0.999(.150)
0.175	0. (.070)	0. (.085)	0. (.109)	0.685(.156)	0.999(.175)
0.200	0. (.070)	0. (.085)	0. (.109)	0.587(.172)	0.999(.200)
0.225	0. (.070)	0. (.085)	0. (.109)	0.408(.184)	0.999(.225)
0.250	0. (.070)	0. (.085)	0. (.109)	0.175(.192)	0.998(.250)
0.275	0. (.070)	0. (.085)	0. (.109)	0.003(.194)	0.998(.275)
0.300	0. (.070)	0. (.085)	0. (.109)	0. (.194)	0.997(.300)
0.325	0. (.070)	0. (.085)	0. (.109)	0. (.194)	0.996(.325)
0.350	0. (.070)	0. (.085)	0. (.109)	0. (.194)	0.996(.350)
0.375	0. (.070)	0. (.085)	0. (.109)	0. (.194)	0.995(.374)
0.400	0. (.070)	0. (.085)	0. (.109)	0. (.194)	0.993(.399)
0.425	0. (.070)	0. (.085)	0. (.109)	0. (.194)	0.992(.424)
0.450	0. (.070)	0. (.085)	0. (.109)	0. (.194)	0.990(.449)
0.475	0. (.070)	0. (.085)	0. (.109)	0. (.194)	0.988(.474)
0.500	0. (.070)	0. (.085)	0. (.109)	0. (.194)	0.985(.498)
0.525	0. (.070)	0. (.085)	0. (.109)	0. (.194)	0.981(.523)
0.550	0. (.070)	0. (.085)	0. (.109)	0. (.194)	0.977(.547)
0.575	0. (.070)	0. (.085)	0. (.109)	0. (.194)	0.971(.572)
0.600	0. (.070)	0. (.085)	0. (.109)	0. (.194)	0.963(.596)
0.625	0. (.070)	0. (.085)	0. (.109)	0. (.194)	0.953(.620)
0.650	0. (.070)	0. (.085)	0. (.109)	0. (.194)	0.939(.643)
0.675	0. (.070)	0. (.085)	0. (.109)	0. (.194)	0.919(.667)
0.700	0. (.070)	0. (.085)	0. (.109)	0. (.194)	0.892(.689)
0.725	0. (.070)	0. (.085)	0. (.109)	0. (.194)	0.852(.711)
0.750	0. (.070)	0. (.085)	0. (.109)	0. (.194)	0.791(.732)
0.775	0. (.070)	0. (.085)	0. (.109)	0. (.194)	0.696(.750)
0.800	0. (.070)	0. (.085)	0. (.109)	0. (.194)	0.510(.765)
0.825	0. (.070)	0. (.085)	0. (.109)	0. (.194)	0.181(.774)
0.850	0. (.070)	0. (.085)	0. (.109)	0. (.194)	0. (.776)
0.875	0. (.070)	0. (.085)	0. (.109)	0. (.194)	0. (.776)
0.900	0. (.070)	0. (.085)	0. (.109)	0. (.194)	0. (.776)
0.925	0. (.070)	0. (.085)	0. (.109)	0. (.194)	0. (.776)
0.950	0. (.070)	0. (.085)	0. (.109)	0. (.194)	0. (.776)
0.975	0. (.070)	0. (.085)	0. (.109)	0. (.194)	0. (.776)
1.000	0. (.070)	0. (.085)	0. (.109)	0. (.194)	0. (.776)

524
E-112

*** RELATIVE ENERGY FLUX DENSITY IN THE ***
 *** PENUMBRA OF A RECTANGULAR CYLINDER ***
 VERSION E

SOLAR FIELD ANGLE, D= 5.00 DEGREES
 GEOMETRY D2/R = 5.00 AND H/R = 2.0

BETA = ANGLE OF INCIDENCE, DEGREES

BETA ***	0.	10.00	20.00	30.00	40.00
AX/AB	Q (QI)	Q (QI)	Q (QI)	Q (QI)	Q (QI)
0.	1.000(.)	1.000(.)	1.000(.)	1.000(.)	1.000(.)
0.025	0.952(.024)	0.956(.024)	0.959(.024)	0.962(.025)	0.965(.025)
0.050	0.860(.047)	0.869(.047)	0.877(.047)	0.886(.048)	0.896(.048)
0.075	0.739(.067)	0.754(.068)	0.769(.068)	0.785(.069)	0.802(.069)
0.100	0.600(.084)	0.620(.085)	0.641(.086)	0.664(.087)	0.690(.088)
0.125	0.390(.096)	0.448(.098)	0.503(.100)	0.531(.102)	0.564(.103)
0.150	0.098(.102)	0.151(.106)	0.210(.109)	0.276(.112)	0.355(.115)
0.175	0. (.104)	0. (.107)	0.015(.112)	0.054(.116)	0.117(.121)
0.200	0. (.104)	0. (.107)	0. (.112)	0. (.116)	0. (.122)
0.225	0. (.104)	0. (.107)	0. (.112)	0. (.116)	0. (.122)
0.250	0. (.104)	0. (.107)	0. (.112)	0. (.116)	0. (.122)
0.275	0. (.104)	0. (.107)	0. (.112)	0. (.116)	0. (.122)
0.300	0. (.104)	0. (.107)	0. (.112)	0. (.116)	0. (.122)
0.325	0. (.104)	0. (.107)	0. (.112)	0. (.116)	0. (.122)
0.350	0. (.104)	0. (.107)	0. (.112)	0. (.116)	0. (.122)
0.375	0. (.104)	0. (.107)	0. (.112)	0. (.116)	0. (.122)
0.400	0. (.104)	0. (.107)	0. (.112)	0. (.116)	0. (.122)
0.425	0. (.104)	0. (.107)	0. (.112)	0. (.116)	0. (.122)
0.450	0. (.104)	0. (.107)	0. (.112)	0. (.116)	0. (.122)
0.475	0. (.104)	0. (.107)	0. (.112)	0. (.116)	0. (.122)
0.500	0. (.104)	0. (.107)	0. (.112)	0. (.116)	0. (.122)
0.525	0. (.104)	0. (.107)	0. (.112)	0. (.116)	0. (.122)
0.550	0. (.104)	0. (.107)	0. (.112)	0. (.116)	0. (.122)
0.575	0. (.104)	0. (.107)	0. (.112)	0. (.116)	0. (.122)
0.600	0. (.104)	0. (.107)	0. (.112)	0. (.116)	0. (.122)
0.625	0. (.104)	0. (.107)	0. (.112)	0. (.116)	0. (.122)
0.650	0. (.104)	0. (.107)	0. (.112)	0. (.116)	0. (.122)
0.675	0. (.104)	0. (.107)	0. (.112)	0. (.116)	0. (.122)
0.700	0. (.104)	0. (.107)	0. (.112)	0. (.116)	0. (.122)
0.725	0. (.104)	0. (.107)	0. (.112)	0. (.116)	0. (.122)
0.750	0. (.104)	0. (.107)	0. (.112)	0. (.116)	0. (.122)
0.775	0. (.104)	0. (.107)	0. (.112)	0. (.116)	0. (.122)
0.800	0. (.104)	0. (.107)	0. (.112)	0. (.116)	0. (.122)
0.825	0. (.104)	0. (.107)	0. (.112)	0. (.116)	0. (.122)
0.850	0.098(.105)	0.051(.108)	0.011(.112)	0. (.116)	0. (.122)
0.875	0.390(.111)	0.329(.113)	0.259(.115)	0.177(.119)	0.079(.123)
0.900	0.600(.123)	0.578(.124)	0.554(.126)	0.525(.127)	0.477(.130)
0.925	0.739(.140)	0.723(.140)	0.705(.141)	0.683(.143)	0.654(.144)
0.950	0.860(.160)	0.851(.160)	0.840(.161)	0.827(.161)	0.810(.163)
0.975	0.952(.183)	0.949(.183)	0.945(.183)	0.941(.184)	0.934(.184)
1.000	1.000(.207)	1.000(.207)	1.000(.207)	1.000(.208)	1.000(.209)

525

RE-ORDER No. **66-196**
h.p. G. Phase 11

*** RELATIVE ENERGY FLUX DENSITY IN THE ***
 *** PENUMBRA OF A RECTANGULAR CYLINDER ***
 VERSION E

SOLAR FIELD ANGLE, D = 5.00 DEGREES
 GEOMETRY D2/R = 5.00 AND H/R = 2.0

BETA = ANGLE OF INCIDENCE, DEGREES

BETA ***	50.00	60.00	70.00	80.00	87.00
AX/AB	Q (QI)	Q (QI)	Q (QI)	Q (QI)	Q (QI)
0.	1.000(.)	1.000(.)	1.000(.)	1.000(.)	1.000(.)
0.025	0.969(.025)	0.975(.025)	0.982(.025)	0.993(.025)	1.000(.025)
0.050	0.908(.048)	0.924(.048)	0.946(.049)	0.979(.050)	1.000(.050)
0.075	0.824(.070)	0.853(.071)	0.894(.072)	0.958(.074)	1.000(.075)
0.100	0.722(.089)	0.764(.091)	0.828(.093)	0.931(.097)	1.000(.100)
0.125	0.605(.106)	0.662(.109)	0.749(.113)	0.896(.120)	1.000(.125)
0.150	0.451(.119)	0.548(.124)	0.657(.131)	0.854(.142)	0.999(.150)
0.175	0.211(.127)	0.355(.135)	0.556(.146)	0.803(.163)	0.999(.175)
0.200	0.033(.130)	0.148(.141)	0.393(.158)	0.744(.182)	0.999(.200)
0.225	0. (.131)	0.010(.143)	0.208(.165)	0.675(.200)	0.999(.225)
0.250	0. (.131)	0. (.143)	0.055(.168)	0.598(.216)	0.998(.250)
0.275	0. (.131)	0. (.143)	0. (.169)	0.493(.229)	0.998(.275)
0.300	0. (.131)	0. (.143)	0. (.169)	0.353(.240)	0.997(.300)
0.325	0. (.131)	0. (.143)	0. (.169)	0.207(.247)	0.997(.325)
0.350	0. (.131)	0. (.143)	0. (.169)	0.074(.251)	0.996(.350)
0.375	0. (.131)	0. (.143)	0. (.169)	0. (.251)	0.995(.374)
0.400	0. (.131)	0. (.143)	0. (.169)	0. (.251)	0.994(.399)
0.425	0. (.131)	0. (.143)	0. (.169)	0. (.251)	0.992(.424)
0.450	0. (.131)	0. (.143)	0. (.169)	0. (.251)	0.991(.449)
0.475	0. (.131)	0. (.143)	0. (.169)	0. (.251)	0.989(.474)
0.500	0. (.131)	0. (.143)	0. (.169)	0. (.251)	0.986(.498)
0.525	0. (.131)	0. (.143)	0. (.169)	0. (.251)	0.983(.523)
0.550	0. (.131)	0. (.143)	0. (.169)	0. (.251)	0.979(.548)
0.575	0. (.131)	0. (.143)	0. (.169)	0. (.251)	0.974(.572)
0.600	0. (.131)	0. (.143)	0. (.169)	0. (.251)	0.968(.596)
0.625	0. (.131)	0. (.143)	0. (.169)	0. (.251)	0.959(.620)
0.650	0. (.131)	0. (.143)	0. (.169)	0. (.251)	0.948(.644)
0.675	0. (.131)	0. (.143)	0. (.169)	0. (.251)	0.932(.668)
0.700	0. (.131)	0. (.143)	0. (.169)	0. (.251)	0.911(.691)
0.725	0. (.131)	0. (.143)	0. (.169)	0. (.251)	0.880(.713)
0.750	0. (.131)	0. (.143)	0. (.169)	0. (.251)	0.835(.734)
0.775	0. (.131)	0. (.143)	0. (.169)	0. (.251)	0.767(.754)
0.800	0. (.131)	0. (.143)	0. (.169)	0. (.251)	0.660(.772)
0.825	0. (.131)	0. (.143)	0. (.169)	0. (.251)	0.451(.786)
0.850	0. (.131)	0. (.143)	0. (.169)	0. (.251)	0.118(.793)
0.875	0. (.131)	0. (.143)	0. (.169)	0. (.251)	0. (.795)
0.900	0.314(.135)	0.032(.144)	0. (.169)	0. (.251)	0. (.795)
0.925	0.611(.146)	0.535(.151)	0. (.169)	0. (.251)	0. (.795)
0.950	0.783(.164)	0.733(.167)	0.602(.177)	0. (.251)	0. (.795)
0.975	0.924(.185)	0.904(.187)	0.848(.195)	0. (.251)	0. (.795)
1.000	1.000(.209)	1.000(.211)	1.000(.218)	0. (.251)	0. (.795)

526
 E-114

*** RELATIVE ENERGY FLUX DENSITY IN THE ***
 *** PENUMBRA OF A RECTANGULAR CYLINDER ***
 VERSION E

SOLAR FIELD ANGLE, D= 5.00 DEGREES
 GEOMETRY D2/R = 10.00 AND H/R = 2.0

BETA = ANGLE OF INCIDENCE, DEGREES

BETA ***	0.	10.00	20.00	30.00	40.00
AX/AB	Q (QI)	Q (QI)	Q (QI)	Q (QI)	Q (QI)
0.	1.000(.)	1.000(.)	1.000(.)	1.000(.)	1.000(.)
0.025	0.974(.025)	0.975(.025)	0.976(.025)	0.978(.025)	0.979(.025)
0.050	0.923(.048)	0.927(.048)	0.931(.049)	0.935(.049)	0.939(.049)
0.075	0.856(.071)	0.862(.071)	0.869(.071)	0.876(.071)	0.885(.072)
0.100	0.775(.091)	0.785(.091)	0.794(.092)	0.805(.092)	0.818(.093)
0.125	0.684(.109)	0.697(.110)	0.710(.111)	0.724(.111)	0.741(.112)
0.150	0.587(.125)	0.602(.126)	0.618(.127)	0.635(.128)	0.656(.130)
0.175	0.481(.138)	0.504(.140)	0.522(.141)	0.542(.143)	0.565(.145)
0.200	0.333(.149)	0.360(.151)	0.387(.153)	0.419(.155)	0.456(.158)
0.225	0.198(.155)	0.224(.158)	0.251(.161)	0.282(.164)	0.320(.167)
0.250	0.088(.159)	0.109(.162)	0.132(.166)	0.160(.169)	0.195(.174)
0.275	0.015(.160)	0.027(.164)	0.042(.168)	0.062(.172)	0.090(.177)
0.300	0. (.160)	0. (.164)	0. (.168)	0.003(.173)	0.017(.179)
0.325	0. (.160)	0. (.164)	0. (.168)	0. (.173)	0. (.179)
0.350	0. (.160)	0. (.164)	0. (.168)	0. (.173)	0. (.179)
0.375	0. (.160)	0. (.164)	0. (.168)	0. (.173)	0. (.179)
0.400	0. (.160)	0. (.164)	0. (.168)	0. (.173)	0. (.179)
0.425	0. (.160)	0. (.164)	0. (.168)	0. (.173)	0. (.179)
0.450	0. (.160)	0. (.164)	0. (.168)	0. (.173)	0. (.179)
0.475	0. (.160)	0. (.164)	0. (.168)	0. (.173)	0. (.179)
0.500	0. (.160)	0. (.164)	0. (.168)	0. (.173)	0. (.179)
0.525	0. (.160)	0. (.164)	0. (.168)	0. (.173)	0. (.179)
0.550	0. (.160)	0. (.164)	0. (.168)	0. (.173)	0. (.179)
0.575	0. (.160)	0. (.164)	0. (.168)	0. (.173)	0. (.179)
0.600	0. (.160)	0. (.164)	0. (.168)	0. (.173)	0. (.179)
0.625	0. (.160)	0. (.164)	0. (.168)	0. (.173)	0. (.179)
0.650	0. (.160)	0. (.164)	0. (.168)	0. (.173)	0. (.179)
0.675	0. (.160)	0. (.164)	0. (.168)	0. (.173)	0. (.179)
0.700	0. (.160)	0. (.164)	0. (.168)	0. (.173)	0. (.179)
0.725	0.015(.161)	0.005(.164)	0.000(.168)	0. (.173)	0. (.179)
0.750	0.088(.162)	0.069(.165)	0.050(.169)	0.031(.173)	0.013(.179)
0.775	0.198(.165)	0.173(.168)	0.148(.171)	0.120(.175)	0.088(.180)
0.800	0.333(.172)	0.306(.174)	0.278(.177)	0.245(.180)	0.206(.184)
0.825	0.481(.182)	0.455(.184)	0.427(.186)	0.395(.188)	0.354(.191)
0.850	0.587(.196)	0.572(.197)	0.555(.198)	0.535(.199)	0.510(.202)
0.875	0.684(.211)	0.671(.212)	0.657(.213)	0.640(.214)	0.618(.216)
0.900	0.775(.230)	0.765(.230)	0.753(.231)	0.740(.231)	0.723(.233)
0.925	0.856(.250)	0.849(.250)	0.841(.251)	0.832(.251)	0.819(.252)
0.950	0.923(.272)	0.919(.272)	0.915(.272)	0.910(.273)	0.903(.274)
0.975	0.974(.296)	0.972(.296)	0.971(.296)	0.969(.296)	0.966(.297)
1.000	1.000(.321)	1.000(.321)	1.000(.321)	1.000(.321)	1.000(.321)

RE-ORDER NO. **66-196**
Exp. G. Phase 11

*** RELATIVE ENERGY FLUX DENSITY IN THE *** VERSION E
 *** PENUMBRA OF A RECTANGULAR CYLINDER ***

SOLAR FIELD ANGLE, D= 5.00 DEGREES
 GEOMETRY D2/R = 10.00 AND H/R = 2.0

BETA = ANGLE OF INCIDENCE, DEGREES

BETA *** AX/AB	50.00		60.00		70.00		80.00		87.00	
	Q	(QI)	Q	(QI)	Q	(QI)	Q	(QI)	Q	(QI)
0.	1.000(.)		1.000(.)		1.000(.)		1.000(.)		1.000(.)	
0.025	0.981(.025)		0.984(.025)		0.988(.025)		0.995(.025)		1.000(.025)	
0.050	0.945(.049)		0.953(.049)		0.964(.049)		0.984(.050)		1.000(.050)	
0.075	0.895(.072)		0.909(.072)		0.931(.073)		0.969(.074)		1.000(.075)	
0.100	0.834(.093)		0.855(.094)		0.889(.096)		0.949(.098)		1.000(.100)	
0.125	0.762(.113)		0.792(.115)		0.838(.117)		0.925(.121)		1.000(.125)	
0.150	0.682(.131)		0.719(.134)		0.780(.138)		0.895(.144)		0.999(.150)	
0.175	0.596(.147)		0.640(.151)		0.713(.156)		0.860(.166)		0.999(.175)	
0.200	0.504(.161)		0.555(.166)		0.640(.173)		0.819(.187)		0.999(.200)	
0.225	0.372(.172)		0.447(.178)		0.562(.188)		0.773(.207)		0.999(.225)	
0.250	0.244(.180)		0.322(.188)		0.462(.201)		0.719(.226)		0.998(.250)	
0.275	0.131(.185)		0.202(.194)		0.344(.211)		0.660(.243)		0.998(.275)	
0.300	0.043(.187)		0.098(.198)		0.228(.218)		0.594(.259)		0.997(.300)	
0.325	0. (.187)		0.023(.200)		0.123(.223)		0.514(.273)		0.997(.325)	
0.350	0. (.187)		0. (.200)		0.040(.225)		0.413(.284)		0.996(.350)	
0.375	0. (.187)		0. (.200)		0. (.225)		0.306(.293)		0.995(.374)	
0.400	0. (.187)		0. (.200)		0. (.225)		0.198(.299)		0.994(.399)	
0.425	0. (.187)		0. (.200)		0. (.225)		0.098(.303)		0.993(.424)	
0.450	0. (.187)		0. (.200)		0. (.225)		0.020(.305)		0.991(.449)	
0.475	0. (.187)		0. (.200)		0. (.225)		0. (.305)		0.990(.474)	
0.500	0. (.187)		0. (.200)		0. (.225)		0. (.305)		0.987(.498)	
0.525	0. (.187)		0. (.200)		0. (.225)		0. (.305)		0.985(.523)	
0.550	0. (.187)		0. (.200)		0. (.225)		0. (.305)		0.981(.548)	
0.575	0. (.187)		0. (.200)		0. (.225)		0. (.305)		0.977(.572)	
0.600	0. (.187)		0. (.200)		0. (.225)		0. (.305)		0.971(.597)	
0.625	0. (.187)		0. (.200)		0. (.225)		0. (.305)		0.964(.621)	
0.650	0. (.187)		0. (.200)		0. (.225)		0. (.305)		0.954(.645)	
0.675	0. (.187)		0. (.200)		0. (.225)		0. (.305)		0.941(.668)	
0.700	0. (.187)		0. (.200)		0. (.225)		0. (.305)		0.924(.692)	
0.725	0. (.187)		0. (.200)		0. (.225)		0. (.305)		0.900(.714)	
0.750	0. (.187)		0. (.200)		0. (.225)		0. (.305)		0.865(.737)	
0.775	0.050(.188)		0.008(.200)		0. (.225)		0. (.305)		0.814(.758)	
0.800	0.154(.190)		0.083(.201)		0.000(.225)		0. (.305)		0.736(.777)	
0.825	0.298(.196)		0.211(.205)		0.065(.226)		0. (.305)		0.607(.794)	
0.850	0.466(.206)		0.378(.212)		0.202(.229)		0. (.305)		0.376(.806)	
0.875	0.587(.219)		0.537(.224)		0.399(.237)		0. (.305)		0.046(.811)	
0.900	0.698(.235)		0.656(.239)		0.565(.249)		0.030(.305)		0. (.812)	
0.925	0.802(.254)		0.771(.256)		0.702(.265)		0.313(.309)		0. (.812)	
0.950	0.892(.275)		0.874(.277)		0.832(.284)		0.608(.321)		0. (.812)	
0.975	0.963(.298)		0.956(.300)		0.940(.306)		0.839(.339)		0. (.812)	
1.000	1.000(.322)		1.000(.324)		1.000(.330)		1.000(.362)		0. (.812)	

528
 E-116

*** RELATIVE ENERGY FLUX DENSITY IN THE ***
 *** PENUMBRA OF A RECTANGULAR CYLINDER ***

VERSION E

SOLAR FIELD ANGLE, D= 5.00 DEGREES
 GEOMETRY D2/R = 50.00 AND H/R = 2.0

BETA = ANGLE OF INCIDENCE, DEGREES

BETA ***	0.		10.00		20.00		30.00		40.00	
AX/AB	Q	(QI)	Q	(QI)	Q	(QI)	Q	(QI)	Q	(QI)
0.	1.000(.)		1.000(.)		1.000(.)		1.000(.)		1.000(.)	
0.025	0.991(.025)		0.991(.025)		0.992(.025)		0.992(.025)		0.992(.025)	
0.050	0.974(.049)		0.975(.049)		0.976(.049)		0.977(.050)		0.978(.050)	
0.075	0.952(.074)		0.953(.074)		0.955(.074)		0.957(.074)		0.959(.074)	
0.100	0.924(.097)		0.927(.097)		0.929(.097)		0.932(.097)		0.935(.097)	
0.125	0.893(.120)		0.896(.120)		0.900(.120)		0.903(.120)		0.908(.120)	
0.150	0.858(.142)		0.862(.142)		0.866(.142)		0.871(.142)		0.877(.143)	
0.175	0.819(.163)		0.824(.163)		0.830(.163)		0.836(.164)		0.843(.164)	
0.200	0.778(.183)		0.784(.183)		0.790(.184)		0.797(.184)		0.805(.185)	
0.225	0.734(.201)		0.741(.202)		0.748(.203)		0.756(.204)		0.766(.204)	
0.250	0.689(.219)		0.696(.220)		0.704(.221)		0.713(.222)		0.723(.223)	
0.275	0.641(.236)		0.650(.237)		0.658(.238)		0.668(.239)		0.679(.241)	
0.300	0.593(.251)		0.602(.253)		0.611(.254)		0.621(.255)		0.633(.257)	
0.325	0.544(.265)		0.553(.267)		0.562(.268)		0.573(.270)		0.586(.272)	
0.350	0.499(.279)		0.508(.280)		0.516(.282)		0.526(.284)		0.539(.286)	
0.375	0.462(.291)		0.470(.292)		0.478(.294)		0.487(.297)		0.499(.299)	
0.400	0.433(.302)		0.439(.304)		0.446(.306)		0.454(.308)		0.465(.311)	
0.425	0.410(.312)		0.415(.314)		0.421(.317)		0.427(.319)		0.436(.323)	
0.450	0.394(.322)		0.398(.325)		0.402(.327)		0.407(.330)		0.413(.333)	
0.475	0.385(.332)		0.387(.334)		0.389(.337)		0.392(.340)		0.396(.343)	
0.500	0.381(.342)		0.382(.344)		0.382(.347)		0.383(.350)		0.385(.353)	
0.525	0.385(.351)		0.383(.354)		0.382(.356)		0.381(.359)		0.381(.363)	
0.550	0.394(.361)		0.391(.363)		0.388(.366)		0.386(.369)		0.383(.372)	
0.575	0.410(.371)		0.406(.373)		0.401(.376)		0.397(.378)		0.391(.382)	
0.600	0.433(.382)		0.427(.384)		0.421(.386)		0.415(.389)		0.407(.392)	
0.625	0.462(.393)		0.455(.395)		0.448(.397)		0.440(.399)		0.430(.402)	
0.650	0.499(.405)		0.491(.407)		0.482(.408)		0.473(.411)		0.461(.414)	
0.675	0.544(.418)		0.535(.419)		0.525(.421)		0.514(.423)		0.501(.426)	
0.700	0.593(.432)		0.584(.433)		0.575(.435)		0.564(.436)		0.551(.439)	
0.725	0.641(.447)		0.633(.449)		0.625(.450)		0.614(.451)		0.602(.453)	
0.750	0.689(.464)		0.681(.465)		0.673(.466)		0.664(.467)		0.652(.469)	
0.775	0.734(.482)		0.728(.483)		0.720(.483)		0.712(.484)		0.701(.486)	
0.800	0.778(.501)		0.772(.501)		0.766(.502)		0.758(.503)		0.748(.504)	
0.825	0.819(.521)		0.814(.521)		0.809(.522)		0.802(.522)		0.794(.523)	
0.850	0.858(.542)		0.853(.542)		0.849(.542)		0.843(.543)		0.837(.543)	
0.875	0.893(.564)		0.890(.564)		0.886(.564)		0.882(.564)		0.876(.565)	
0.900	0.924(.586)		0.922(.586)		0.919(.587)		0.916(.587)		0.912(.587)	
0.925	0.952(.610)		0.950(.610)		0.948(.610)		0.946(.610)		0.943(.610)	
0.950	0.974(.634)		0.973(.634)		0.972(.634)		0.971(.634)		0.970(.634)	
0.975	0.991(.658)		0.991(.658)		0.990(.658)		0.990(.659)		0.989(.659)	
1.000	1.000(.683)		1.000(.683)		1.000(.683)		1.000(.683)		1.000(.684)	

RE-ORDER No. 66-196
App A Phase II

*** RELATIVE ENERGY FLUX DENSITY IN THE ***
 *** PENUMBRA OF A RECTANGULAR CYLINDER ***

VERSION E

SOLAR FIELD ANGLE, D= 5.00 DEGREES
 GEOMETRY D2/R = 50.00 AND H/R = 2.0

BETA = ANGLE OF INCIDENCE, DEGREES

BETA ***	50.00	60.00	70.00	80.00	87.00
AX/AB	Q (QI)	Q (QI)	Q (QI)	Q (QI)	Q (QI)
0.	1.000(.)	1.000(.)	1.000(.)	1.000(.)	1.000(.)
0.025	0.993(.025)	0.994(.025)	0.995(.025)	0.997(.025)	1.000(.025)
0.050	0.980(.050)	0.982(.050)	0.985(.050)	0.992(.050)	1.000(.050)
0.075	0.961(.074)	0.965(.074)	0.972(.074)	0.985(.075)	1.000(.075)
0.100	0.939(.098)	0.945(.098)	0.955(.098)	0.975(.099)	1.000(.100)
0.125	0.913(.121)	0.922(.121)	0.935(.122)	0.964(.123)	1.000(.125)
0.150	0.884(.143)	0.895(.144)	0.912(.145)	0.951(.147)	0.999(.150)
0.175	0.852(.165)	0.865(.166)	0.887(.167)	0.935(.171)	0.999(.175)
0.200	0.816(.186)	0.832(.187)	0.858(.189)	0.918(.194)	0.999(.200)
0.225	0.778(.206)	0.796(.207)	0.827(.210)	0.898(.217)	0.999(.225)
0.250	0.737(.225)	0.758(.227)	0.793(.231)	0.876(.239)	0.999(.250)
0.275	0.694(.243)	0.717(.245)	0.757(.250)	0.851(.260)	0.998(.275)
0.300	0.650(.259)	0.674(.263)	0.718(.268)	0.824(.281)	0.998(.300)
0.325	0.603(.275)	0.629(.279)	0.677(.286)	0.795(.302)	0.997(.325)
0.350	0.556(.289)	0.583(.294)	0.633(.302)	0.762(.321)	0.997(.350)
0.375	0.516(.303)	0.540(.308)	0.589(.317)	0.727(.340)	0.996(.375)
0.400	0.479(.315)	0.503(.321)	0.550(.332)	0.689(.357)	0.995(.399)
0.425	0.448(.327)	0.469(.333)	0.513(.345)	0.650(.374)	0.994(.424)
0.450	0.423(.338)	0.440(.345)	0.479(.357)	0.613(.390)	0.993(.449)
0.475	0.403(.348)	0.417(.355)	0.449(.369)	0.577(.405)	0.992(.474)
0.500	0.389(.358)	0.398(.366)	0.423(.380)	0.540(.419)	0.990(.499)
0.525	0.382(.368)	0.386(.375)	0.402(.390)	0.503(.432)	0.988(.523)
0.550	0.380(.377)	0.379(.385)	0.386(.400)	0.467(.444)	0.986(.548)
0.575	0.386(.387)	0.379(.394)	0.377(.410)	0.435(.455)	0.983(.573)
0.600	0.398(.397)	0.387(.404)	0.374(.419)	0.405(.466)	0.979(.597)
0.625	0.418(.407)	0.402(.414)	0.379(.428)	0.380(.475)	0.974(.622)
0.650	0.446(.418)	0.425(.424)	0.393(.438)	0.362(.485)	0.969(.646)
0.675	0.484(.429)	0.459(.435)	0.417(.448)	0.352(.494)	0.961(.670)
0.700	0.533(.442)	0.506(.447)	0.453(.459)	0.353(.503)	0.952(.694)
0.725	0.585(.456)	0.558(.461)	0.506(.471)	0.368(.512)	0.940(.718)
0.750	0.636(.471)	0.610(.475)	0.561(.484)	0.406(.521)	0.924(.741)
0.775	0.686(.488)	0.663(.491)	0.616(.499)	0.468(.532)	0.902(.764)
0.800	0.735(.505)	0.714(.508)	0.671(.515)	0.531(.545)	0.872(.786)
0.825	0.782(.524)	0.764(.527)	0.726(.533)	0.596(.559)	0.828(.807)
0.850	0.827(.545)	0.811(.547)	0.779(.551)	0.664(.574)	0.766(.827)
0.875	0.868(.566)	0.856(.567)	0.830(.571)	0.732(.592)	0.670(.845)
0.900	0.906(.588)	0.897(.589)	0.877(.593)	0.801(.611)	0.517(.860)
0.925	0.940(.611)	0.933(.612)	0.920(.615)	0.866(.632)	0.300(.870)
0.950	0.968(.635)	0.964(.636)	0.956(.639)	0.925(.654)	0.214(.877)
0.975	0.989(.659)	0.987(.660)	0.985(.663)	0.973(.678)	0.483(.885)
1.000	1.000(.684)	1.000(.685)	1.000(.688)	1.000(.703)	1.000(.904)

530
 E-118

RE-ORDER No. 66-196
App Phase II

*** RELATIVE ENERGY FLUX DENSITY IN THE ***
 *** PENUMBRA OF A RECTANGULAR CYLINDER ***

VERSION E

SOLAR FIELD ANGLE, D= 5.00 DEGREES
 GEOMETRY D2/R = 100.00 AND H/R = 2.0

BETA = ANGLE OF INCIDENCE, DEGREES

BETA ***	0.		10.00		20.00		30.00		40.00	
AX/AB	Q	(QI)	Q	(QI)	Q	(QI)	Q	(QI)	Q	(QI)
0.	1.000	(.)	1.000	(.)	1.000	(.)	1.000	(.)	1.000	(.)
0.025	0.993	(.025)	0.993	(.025)	0.993	(.025)	0.994	(.025)	0.994	(.025)
0.050	0.980	(.050)	0.981	(.050)	0.981	(.050)	0.982	(.050)	0.983	(.050)
0.075	0.962	(.074)	0.964	(.074)	0.965	(.074)	0.966	(.074)	0.968	(.074)
0.100	0.941	(.098)	0.943	(.098)	0.945	(.098)	0.947	(.098)	0.949	(.098)
0.125	0.917	(.121)	0.919	(.121)	0.922	(.121)	0.925	(.121)	0.928	(.121)
0.150	0.890	(.143)	0.893	(.144)	0.896	(.144)	0.899	(.144)	0.904	(.144)
0.175	0.860	(.165)	0.863	(.166)	0.867	(.166)	0.872	(.166)	0.877	(.167)
0.200	0.827	(.186)	0.832	(.187)	0.836	(.187)	0.842	(.188)	0.848	(.188)
0.225	0.800	(.207)	0.805	(.207)	0.809	(.208)	0.814	(.208)	0.820	(.209)
0.250	0.778	(.226)	0.782	(.227)	0.787	(.228)	0.792	(.228)	0.798	(.229)
0.275	0.759	(.246)	0.763	(.246)	0.767	(.247)	0.772	(.248)	0.778	(.249)
0.300	0.742	(.264)	0.746	(.265)	0.750	(.266)	0.755	(.267)	0.761	(.268)
0.325	0.728	(.283)	0.732	(.284)	0.735	(.285)	0.740	(.286)	0.745	(.287)
0.350	0.716	(.301)	0.719	(.302)	0.722	(.303)	0.726	(.304)	0.731	(.305)
0.375	0.706	(.319)	0.709	(.320)	0.712	(.321)	0.715	(.322)	0.720	(.324)
0.400	0.698	(.336)	0.700	(.337)	0.703	(.339)	0.706	(.340)	0.710	(.341)
0.425	0.691	(.354)	0.693	(.355)	0.696	(.356)	0.698	(.357)	0.701	(.359)
0.450	0.686	(.371)	0.688	(.372)	0.689	(.373)	0.691	(.375)	0.694	(.377)
0.475	0.683	(.388)	0.684	(.389)	0.685	(.390)	0.686	(.392)	0.688	(.394)
0.500	0.682	(.405)	0.682	(.406)	0.682	(.408)	0.683	(.409)	0.684	(.411)
0.525	0.683	(.422)	0.682	(.423)	0.682	(.425)	0.682	(.426)	0.682	(.428)
0.550	0.686	(.439)	0.685	(.440)	0.684	(.442)	0.683	(.443)	0.682	(.445)
0.575	0.691	(.456)	0.690	(.458)	0.688	(.459)	0.686	(.460)	0.684	(.462)
0.600	0.698	(.474)	0.696	(.475)	0.694	(.476)	0.692	(.478)	0.689	(.479)
0.625	0.706	(.491)	0.703	(.492)	0.701	(.494)	0.698	(.495)	0.695	(.497)
0.650	0.716	(.509)	0.713	(.510)	0.710	(.511)	0.706	(.512)	0.702	(.514)
0.675	0.728	(.527)	0.725	(.528)	0.721	(.529)	0.717	(.530)	0.712	(.532)
0.700	0.742	(.546)	0.739	(.546)	0.735	(.547)	0.730	(.548)	0.725	(.550)
0.725	0.759	(.564)	0.755	(.565)	0.751	(.566)	0.746	(.567)	0.740	(.568)
0.750	0.778	(.584)	0.774	(.584)	0.770	(.585)	0.765	(.586)	0.758	(.587)
0.775	0.800	(.603)	0.796	(.604)	0.792	(.604)	0.786	(.605)	0.780	(.606)
0.800	0.827	(.624)	0.823	(.624)	0.818	(.624)	0.813	(.625)	0.806	(.626)
0.825	0.860	(.645)	0.856	(.645)	0.852	(.645)	0.847	(.646)	0.841	(.646)
0.850	0.890	(.667)	0.886	(.667)	0.883	(.667)	0.879	(.667)	0.874	(.668)
0.875	0.917	(.689)	0.914	(.689)	0.912	(.689)	0.909	(.690)	0.905	(.690)
0.900	0.941	(.712)	0.939	(.712)	0.937	(.713)	0.935	(.713)	0.932	(.713)
0.925	0.962	(.736)	0.961	(.736)	0.960	(.736)	0.958	(.736)	0.956	(.737)
0.950	0.980	(.760)	0.979	(.760)	0.979	(.761)	0.978	(.761)	0.977	(.761)
0.975	0.993	(.785)	0.993	(.785)	0.993	(.785)	0.992	(.785)	0.992	(.785)
1.000	1.000	(.810)	1.000	(.810)	1.000	(.810)	1.000	(.810)	1.000	(.810)

531
 E-119

RE-ORDER NO. 66-196
copy of Phase II

*** RELATIVE ENERGY FLUX DENSITY IN THE ***
 *** PENUMBRA OF A RECTANGULAR CYLINDER ***

VERSION E

SOLAR FIELD ANGLE, D= 5.00 DEGREES
 GEOMETRY D2/R = 100.00 AND H/R = 2.0

BETA = ANGLE OF INCIDENCE, DEGREES

BETA ***	50.00	60.00	70.00	80.00	87.00
AX/AB	Q (Q1)	Q (Q1)	Q (Q1)	Q (Q1)	Q (Q1)
0.	1.000(.)	1.000(.)	1.000(.)	1.000(.)	1.000(.)
0.025	0.994(.025)	0.995(.025)	0.996(.025)	0.998(.025)	1.000(.025)
0.050	0.984(.050)	0.985(.050)	0.988(.050)	0.993(.050)	1.000(.050)
0.075	0.970(.074)	0.972(.074)	0.977(.074)	0.987(.075)	1.000(.075)
0.100	0.952(.098)	0.957(.098)	0.964(.099)	0.979(.099)	1.000(.100)
0.125	0.932(.122)	0.938(.122)	0.948(.122)	0.970(.124)	1.000(.125)
0.150	0.909(.145)	0.917(.145)	0.930(.146)	0.959(.148)	1.000(.150)
0.175	0.884(.167)	0.893(.168)	0.910(.169)	0.947(.172)	0.999(.175)
0.200	0.856(.189)	0.867(.190)	0.888(.191)	0.933(.195)	0.999(.200)
0.225	0.829(.210)	0.841(.211)	0.863(.213)	0.917(.218)	0.999(.225)
0.250	0.806(.230)	0.819(.232)	0.842(.235)	0.899(.241)	0.999(.250)
0.275	0.787(.250)	0.799(.252)	0.822(.255)	0.883(.263)	0.998(.275)
0.300	0.769(.270)	0.781(.272)	0.804(.276)	0.867(.285)	0.998(.300)
0.325	0.753(.289)	0.765(.291)	0.787(.296)	0.852(.306)	0.997(.325)
0.350	0.738(.307)	0.750(.310)	0.771(.315)	0.837(.328)	0.997(.350)
0.375	0.726(.326)	0.736(.329)	0.757(.334)	0.821(.348)	0.996(.375)
0.400	0.715(.344)	0.724(.347)	0.743(.353)	0.806(.369)	0.996(.399)
0.425	0.706(.361)	0.714(.365)	0.730(.371)	0.791(.389)	0.995(.424)
0.450	0.698(.379)	0.705(.383)	0.719(.390)	0.776(.408)	0.994(.449)
0.475	0.690(.396)	0.696(.400)	0.709(.407)	0.761(.427)	0.993(.474)
0.500	0.685(.413)	0.689(.417)	0.699(.425)	0.747(.446)	0.992(.499)
0.525	0.682(.431)	0.684(.435)	0.691(.442)	0.733(.465)	0.990(.524)
0.550	0.681(.448)	0.681(.452)	0.684(.460)	0.719(.483)	0.989(.548)
0.575	0.682(.465)	0.680(.469)	0.679(.477)	0.705(.501)	0.987(.573)
0.600	0.686(.482)	0.681(.486)	0.677(.494)	0.693(.518)	0.984(.598)
0.625	0.691(.499)	0.685(.503)	0.677(.510)	0.681(.535)	0.981(.622)
0.650	0.697(.516)	0.690(.520)	0.680(.527)	0.672(.552)	0.978(.647)
0.675	0.706(.534)	0.697(.537)	0.684(.544)	0.665(.569)	0.973(.671)
0.700	0.718(.552)	0.707(.555)	0.690(.562)	0.662(.586)	0.967(.695)
0.725	0.732(.570)	0.721(.573)	0.700(.579)	0.660(.602)	0.960(.719)
0.750	0.750(.588)	0.737(.591)	0.715(.597)	0.662(.619)	0.950(.743)
0.775	0.771(.607)	0.758(.610)	0.733(.615)	0.670(.635)	0.937(.767)
0.800	0.797(.627)	0.784(.629)	0.757(.633)	0.684(.652)	0.920(.790)
0.825	0.832(.647)	0.818(.649)	0.790(.653)	0.708(.670)	0.896(.813)
0.850	0.867(.669)	0.855(.670)	0.832(.673)	0.745(.688)	0.862(.835)
0.875	0.899(.691)	0.890(.692)	0.871(.694)	0.800(.707)	0.815(.856)
0.900	0.928(.713)	0.921(.714)	0.907(.717)	0.852(.728)	0.745(.875)
0.925	0.954(.737)	0.949(.738)	0.940(.740)	0.902(.750)	0.643(.893)
0.950	0.975(.761)	0.973(.762)	0.967(.763)	0.945(.773)	0.528(.907)
0.975	0.991(.786)	0.990(.786)	0.988(.788)	0.980(.797)	0.639(.922)
1.000	1.000(.811)	1.000(.811)	1.000(.813)	1.000(.822)	1.000(.942)

532
 E-120

REORDER No. 66-196
 App. 4
 Phase II

*** RELATIVE ENERGY FLUX DENSITY IN THE ***
 *** PENUMBRA OF A RECTANGULAR CYLINDER ***

VERSION E

SOLAR FIELD ANGLE, D= 10.00 DEGREES
 GEOMETRY D2/R = 1.00 AND H/R = 0.

BETA = ANGLE OF INCIDENCE, DEGREES

BETA ***	0.		10.00		20.00		30.00		40.00	
AX/AB	Q	(QI)	Q	(QI)	Q	(QI)	Q	(QI)	Q	(QI)
0.	1.000	(.)	1.000	(.)	1.000	(.)	1.000	(.)	1.000	(.)
0.025	0.750	(.022)	0.814	(.023)	0.860	(.023)	0.895	(.024)	0.924	(.024)
0.050	0.333	(.035)	0.473	(.039)	0.587	(.041)	0.683	(.043)	0.767	(.045)
0.075	0.022	(.040)	0.138	(.046)	0.276	(.052)	0.416	(.057)	0.554	(.062)
0.100	0.	(.040)	0.	(.048)	0.038	(.056)	0.159	(.064)	0.317	(.073)
0.125	0.	(.040)	0.	(.048)	0.	(.057)	0.002	(.066)	0.106	(.078)
0.150	0.	(.040)	0.	(.048)	0.	(.057)	0.	(.066)	0.	(.079)
0.175	0.	(.040)	0.	(.048)	0.	(.057)	0.	(.066)	0.	(.079)
0.200	0.	(.040)	0.	(.048)	0.	(.057)	0.	(.066)	0.	(.079)
0.225	0.	(.040)	0.	(.048)	0.	(.057)	0.	(.066)	0.	(.079)
0.250	0.	(.040)	0.	(.048)	0.	(.057)	0.	(.066)	0.	(.079)
0.275	0.	(.040)	0.	(.048)	0.	(.057)	0.	(.066)	0.	(.079)
0.300	0.	(.040)	0.	(.048)	0.	(.057)	0.	(.066)	0.	(.079)
0.325	0.	(.040)	0.	(.048)	0.	(.057)	0.	(.066)	0.	(.079)
0.350	0.	(.040)	0.	(.048)	0.	(.057)	0.	(.066)	0.	(.079)
0.375	0.	(.040)	0.	(.048)	0.	(.057)	0.	(.066)	0.	(.079)
0.400	0.	(.040)	0.	(.048)	0.	(.057)	0.	(.066)	0.	(.079)
0.425	0.	(.040)	0.	(.048)	0.	(.057)	0.	(.066)	0.	(.079)
0.450	0.	(.040)	0.	(.048)	0.	(.057)	0.	(.066)	0.	(.079)
0.475	0.	(.040)	0.	(.048)	0.	(.057)	0.	(.066)	0.	(.079)
0.500	0.	(.040)	0.	(.048)	0.	(.057)	0.	(.066)	0.	(.079)
0.525	0.	(.040)	0.	(.048)	0.	(.057)	0.	(.066)	0.	(.079)
0.550	0.	(.040)	0.	(.048)	0.	(.057)	0.	(.066)	0.	(.079)
0.575	0.	(.040)	0.	(.048)	0.	(.057)	0.	(.066)	0.	(.079)
0.600	0.	(.040)	0.	(.048)	0.	(.057)	0.	(.066)	0.	(.079)
0.625	0.	(.040)	0.	(.048)	0.	(.057)	0.	(.066)	0.	(.079)
0.650	0.	(.040)	0.	(.048)	0.	(.057)	0.	(.066)	0.	(.079)
0.675	0.	(.040)	0.	(.048)	0.	(.057)	0.	(.066)	0.	(.079)
0.700	0.	(.040)	0.	(.048)	0.	(.057)	0.	(.066)	0.	(.079)
0.725	0.	(.040)	0.	(.048)	0.	(.057)	0.	(.066)	0.	(.079)
0.750	0.	(.040)	0.	(.048)	0.	(.057)	0.	(.066)	0.	(.079)
0.775	0.	(.040)	0.	(.048)	0.	(.057)	0.	(.066)	0.	(.079)
0.800	0.	(.040)	0.	(.048)	0.	(.057)	0.	(.066)	0.	(.079)
0.825	0.	(.040)	0.	(.048)	0.	(.057)	0.	(.066)	0.	(.079)
0.850	0.	(.040)	0.	(.048)	0.	(.057)	0.	(.066)	0.	(.079)
0.875	0.	(.040)	0.	(.048)	0.	(.057)	0.	(.066)	0.	(.079)
0.900	0.	(.040)	0.	(.048)	0.	(.057)	0.	(.066)	0.	(.079)
0.925	0.022	(.040)	0.	(.048)	0.	(.057)	0.	(.066)	0.	(.079)
0.950	0.333	(.045)	0.163	(.050)	0.003	(.057)	0.	(.066)	0.	(.079)
0.975	0.750	(.058)	0.653	(.060)	0.486	(.063)	0.165	(.068)	0.	(.079)
1.000	1.000	(.080)	1.000	(.081)	1.000	(.081)	1.000	(.083)	1.000	(.092)

533
 E-121

*** RELATIVE ENERGY FLUX DENSITY IN THE ***
 *** PENUMBRA OF A RECTANGULAR CYLINDER ***

VERSION E

SOLAR FIELD ANGLE, $D = 10.00$ DEGREES
 GEOMETRY $D2/R = 1.00$ AND $H/R = 0.$

BETA = ANGLE OF INCIDENCE, DEGREES

BETA ***	50.00	60.00	70.00	80.00	84.50
AX/AB	Q (QI)	Q (QI)	Q (QI)	Q (QI)	Q (QI)
0.	1.000(.)	1.000(.)	1.000(.)	1.000(.)	1.000(.)
0.025	0.949(.024)	0.970(.025)	0.988(.025)	0.999(.025)	1.000(.025)
0.050	0.841(.047)	0.907(.048)	0.961(.049)	0.996(.050)	1.000(.050)
0.075	0.687(.066)	0.812(.070)	0.921(.073)	0.992(.075)	1.000(.075)
0.100	0.498(.081)	0.688(.088)	0.867(.095)	0.986(.099)	1.000(.100)
0.125	0.295(.091)	0.538(.104)	0.796(.116)	0.978(.124)	1.000(.125)
0.150	0.111(.096)	0.371(.115)	0.708(.135)	0.969(.148)	1.000(.150)
0.175	0.001(.097)	0.203(.122)	0.602(.151)	0.957(.172)	1.000(.175)
0.200	0. (.097)	0.061(.125)	0.480(.165)	0.942(.196)	1.000(.200)
0.225	0. (.097)	0. (.126)	0.345(.175)	0.923(.219)	1.000(.225)
0.250	0. (.097)	0. (.126)	0.206(.182)	0.900(.242)	1.000(.250)
0.275	0. (.097)	0. (.126)	0.080(.185)	0.872(.264)	1.000(.275)
0.300	0. (.097)	0. (.126)	0.000(.186)	0.837(.286)	0.999(.300)
0.325	0. (.097)	0. (.126)	0. (.186)	0.794(.306)	0.999(.325)
0.350	0. (.097)	0. (.126)	0. (.186)	0.742(.325)	0.999(.350)
0.375	0. (.097)	0. (.126)	0. (.186)	0.678(.343)	0.999(.375)
0.400	0. (.097)	0. (.126)	0. (.186)	0.600(.359)	0.999(.400)
0.425	0. (.097)	0. (.126)	0. (.186)	0.507(.373)	0.998(.425)
0.450	0. (.097)	0. (.126)	0. (.186)	0.397(.384)	0.998(.450)
0.475	0. (.097)	0. (.126)	0. (.186)	0.272(.393)	0.998(.475)
0.500	0. (.097)	0. (.126)	0. (.186)	0.140(.398)	0.997(.500)
0.525	0. (.097)	0. (.126)	0. (.186)	0.025(.400)	0.997(.525)
0.550	0. (.097)	0. (.126)	0. (.186)	0. (.400)	0.996(.550)
0.575	0. (.097)	0. (.126)	0. (.186)	0. (.400)	0.995(.574)
0.600	0. (.097)	0. (.126)	0. (.186)	0. (.400)	0.994(.599)
0.625	0. (.097)	0. (.126)	0. (.186)	0. (.400)	0.992(.624)
0.650	0. (.097)	0. (.126)	0. (.186)	0. (.400)	0.990(.649)
0.675	0. (.097)	0. (.126)	0. (.186)	0. (.400)	0.987(.674)
0.700	0. (.097)	0. (.126)	0. (.186)	0. (.400)	0.982(.698)
0.725	0. (.097)	0. (.126)	0. (.186)	0. (.400)	0.976(.723)
0.750	0. (.097)	0. (.126)	0. (.186)	0. (.400)	0.967(.747)
0.775	0. (.097)	0. (.126)	0. (.186)	0. (.400)	0.953(.771)
0.800	0. (.097)	0. (.126)	0. (.186)	0. (.400)	0.930(.794)
0.825	0. (.097)	0. (.126)	0. (.186)	0. (.400)	0.889(.817)
0.850	0. (.097)	0. (.126)	0. (.186)	0. (.400)	0.811(.838)
0.875	0. (.097)	0. (.126)	0. (.186)	0. (.400)	0.646(.857)
0.900	0. (.097)	0. (.126)	0. (.186)	0. (.400)	0.271(.868)
0.925	0. (.097)	0. (.126)	0. (.186)	0. (.400)	0. (.872)
0.950	0. (.097)	0. (.126)	0. (.186)	0. (.400)	0. (.872)
0.975	0. (.097)	0. (.126)	0. (.186)	0. (.400)	0. (.872)
1.000	0. (.097)	0. (.126)	0. (.186)	0. (.400)	0. (.872)

*** RELATIVE ENERGY FLUX DENSITY IN THE ***
 *** PENUMBRA OF A RECTANGULAR CYLINDER ***

VERSION E

SOLAR FIELD ANGLE, D = 10.00 DEGREES
 GEOMETRY D2/R = 5.00 AND H/R = 0.

BETA = ANGLE OF INCIDENCE, DEGREES

BETA ***	0.		10.00		20.00		30.00		40.00	
AX/AB	Q	(QI)	Q	(QI)	Q	(QI)	Q	(QI)	Q	(QI)
0.	1.000	(.)	1.000	(.)	1.000	(.)	1.000	(.)	1.000	(.)
0.025	0.968	(.025)	0.972	(.025)	0.975	(.025)	0.978	(.025)	0.981	(.025)
0.050	0.907	(.048)	0.916	(.048)	0.925	(.048)	0.934	(.049)	0.944	(.049)
0.075	0.825	(.070)	0.842	(.070)	0.858	(.071)	0.874	(.071)	0.892	(.072)
0.100	0.728	(.089)	0.753	(.090)	0.776	(.091)	0.801	(.092)	0.827	(.093)
0.125	0.621	(.106)	0.652	(.108)	0.683	(.109)	0.716	(.111)	0.752	(.113)
0.150	0.508	(.120)	0.545	(.123)	0.582	(.125)	0.622	(.128)	0.666	(.131)
0.175	0.395	(.131)	0.436	(.135)	0.477	(.138)	0.522	(.142)	0.574	(.146)
0.200	0.287	(.140)	0.328	(.144)	0.371	(.149)	0.419	(.154)	0.477	(.159)
0.225	0.188	(.146)	0.227	(.151)	0.269	(.157)	0.318	(.163)	0.378	(.170)
0.250	0.104	(.150)	0.137	(.156)	0.176	(.163)	0.222	(.170)	0.280	(.178)
0.275	0.039	(.151)	0.064	(.158)	0.095	(.166)	0.135	(.174)	0.189	(.184)
0.300	0.002	(.152)	0.014	(.159)	0.034	(.168)	0.063	(.177)	0.108	(.188)
0.325	0.	(.152)	0.	(.160)	0.000	(.168)	0.013	(.178)	0.043	(.190)
0.350	0.	(.152)	0.	(.160)	0.	(.168)	0.	(.178)	0.003	(.190)
0.375	0.	(.152)	0.	(.160)	0.	(.168)	0.	(.178)	0.	(.190)
0.400	0.	(.152)	0.	(.160)	0.	(.168)	0.	(.178)	0.	(.190)
0.425	0.	(.152)	0.	(.160)	0.	(.168)	0.	(.178)	0.	(.190)
0.450	0.	(.152)	0.	(.160)	0.	(.168)	0.	(.178)	0.	(.190)
0.475	0.	(.152)	0.	(.160)	0.	(.168)	0.	(.178)	0.	(.190)
0.500	0.	(.152)	0.	(.160)	0.	(.168)	0.	(.178)	0.	(.190)
0.525	0.	(.152)	0.	(.160)	0.	(.168)	0.	(.178)	0.	(.190)
0.550	0.	(.152)	0.	(.160)	0.	(.168)	0.	(.178)	0.	(.190)
0.575	0.	(.152)	0.	(.160)	0.	(.168)	0.	(.178)	0.	(.190)
0.600	0.	(.152)	0.	(.160)	0.	(.168)	0.	(.178)	0.	(.190)
0.625	0.	(.152)	0.	(.160)	0.	(.168)	0.	(.178)	0.	(.190)
0.650	0.	(.152)	0.	(.160)	0.	(.168)	0.	(.178)	0.	(.190)
0.675	0.	(.152)	0.	(.160)	0.	(.168)	0.	(.178)	0.	(.190)
0.700	0.002	(.152)	0.	(.160)	0.	(.168)	0.	(.178)	0.	(.190)
0.725	0.039	(.152)	0.019	(.160)	0.004	(.168)	0.	(.178)	0.	(.190)
0.750	0.104	(.154)	0.074	(.161)	0.046	(.169)	0.020	(.178)	0.001	(.190)
0.775	0.188	(.158)	0.151	(.164)	0.114	(.171)	0.077	(.179)	0.038	(.191)
0.800	0.287	(.164)	0.246	(.169)	0.204	(.175)	0.158	(.182)	0.106	(.193)
0.825	0.395	(.172)	0.354	(.176)	0.310	(.181)	0.260	(.188)	0.199	(.196)
0.850	0.508	(.184)	0.470	(.187)	0.427	(.190)	0.376	(.195)	0.313	(.203)
0.875	0.621	(.198)	0.587	(.200)	0.549	(.203)	0.503	(.206)	0.442	(.212)
0.900	0.728	(.215)	0.701	(.216)	0.671	(.218)	0.632	(.221)	0.580	(.225)
0.925	0.825	(.234)	0.806	(.235)	0.784	(.236)	0.757	(.238)	0.717	(.241)
0.950	0.907	(.256)	0.896	(.256)	0.884	(.257)	0.867	(.258)	0.844	(.261)
0.975	0.968	(.279)	0.964	(.279)	0.960	(.280)	0.954	(.281)	0.945	(.283)
1.000	1.000	(.304)	1.000	(.304)	1.000	(.304)	1.000	(.306)	1.000	(.307)

*** RELATIVE ENERGY FLUX DENSITY IN THE ***
 *** PENUMBRA OF A RECTANGULAR CYLINDER ***

VERSION E

SOLAR FIELD ANGLE, D= 10.00 DEGREES

GEOMETRY D2/R = 5.00 AND H/R = 0.

BETA = ANGLE OF INCIDENCE, DEGREES

BETA ***	50.00		60.00		70.00		80.00		84.50	
AX/AB	Q	(QI)	Q	(QI)	Q	(QI)	Q	(QI)	Q	(QI)
0.	1.000	(.)	1.000	(.)	1.000	(.)	1.000	(.)	1.000	(.)
0.025	0.985	(.025)	0.989	(.025)	0.994	(.025)	0.999	(.025)	1.000	(.025)
0.050	0.954	(.049)	0.967	(.049)	0.982	(.050)	0.997	(.050)	1.000	(.050)
0.075	0.912	(.072)	0.935	(.073)	0.964	(.074)	0.994	(.075)	1.000	(.075)
0.100	0.858	(.094)	0.895	(.096)	0.941	(.098)	0.990	(.100)	1.000	(.100)
0.125	0.794	(.115)	0.845	(.118)	0.912	(.121)	0.985	(.124)	1.000	(.125)
0.150	0.720	(.134)	0.787	(.138)	0.877	(.143)	0.979	(.149)	1.000	(.150)
0.175	0.638	(.151)	0.721	(.157)	0.835	(.165)	0.971	(.173)	1.000	(.175)
0.200	0.549	(.166)	0.647	(.174)	0.787	(.185)	0.962	(.197)	1.000	(.200)
0.225	0.456	(.178)	0.566	(.189)	0.731	(.204)	0.951	(.221)	1.000	(.225)
0.250	0.360	(.189)	0.479	(.202)	0.669	(.221)	0.937	(.245)	1.000	(.250)
0.275	0.266	(.196)	0.389	(.213)	0.599	(.237)	0.922	(.268)	1.000	(.275)
0.300	0.177	(.202)	0.297	(.222)	0.522	(.251)	0.903	(.291)	0.999	(.300)
0.325	0.099	(.205)	0.208	(.228)	0.440	(.263)	0.880	(.313)	0.999	(.325)
0.350	0.036	(.207)	0.126	(.232)	0.353	(.273)	0.853	(.335)	0.999	(.350)
0.375	0.000	(.208)	0.056	(.234)	0.264	(.281)	0.822	(.356)	0.999	(.375)
0.400	0.	(.208)	0.008	(.235)	0.176	(.286)	0.784	(.376)	0.999	(.400)
0.425	0.	(.208)	0.	(.235)	0.095	(.290)	0.740	(.395)	0.999	(.425)
0.450	0.	(.208)	0.	(.235)	0.030	(.291)	0.687	(.413)	0.998	(.450)
0.475	0.	(.208)	0.	(.235)	0.	(.292)	0.626	(.429)	0.998	(.475)
0.500	0.	(.208)	0.	(.235)	0.	(.292)	0.554	(.444)	0.998	(.500)
0.525	0.	(.208)	0.	(.235)	0.	(.292)	0.471	(.457)	0.997	(.525)
0.550	0.	(.208)	0.	(.235)	0.	(.292)	0.377	(.467)	0.996	(.550)
0.575	0.	(.208)	0.	(.235)	0.	(.292)	0.273	(.475)	0.995	(.574)
0.600	0.	(.208)	0.	(.235)	0.	(.292)	0.164	(.481)	0.994	(.599)
0.625	0.	(.208)	0.	(.235)	0.	(.292)	0.061	(.484)	0.993	(.624)
0.650	0.	(.208)	0.	(.235)	0.	(.292)	0.	(.485)	0.991	(.649)
0.675	0.	(.208)	0.	(.235)	0.	(.292)	0.	(.485)	0.989	(.674)
0.700	0.	(.208)	0.	(.235)	0.	(.292)	0.	(.485)	0.985	(.698)
0.725	0.	(.208)	0.	(.235)	0.	(.292)	0.	(.485)	0.981	(.723)
0.750	0.	(.208)	0.	(.235)	0.	(.292)	0.	(.485)	0.974	(.747)
0.775	0.004	(.208)	0.	(.235)	0.	(.292)	0.	(.485)	0.964	(.772)
0.800	0.047	(.208)	0.	(.235)	0.	(.292)	0.	(.485)	0.948	(.795)
0.825	0.123	(.210)	0.032	(.236)	0.	(.292)	0.	(.485)	0.922	(.819)
0.850	0.227	(.215)	0.105	(.237)	0.	(.292)	0.	(.485)	0.875	(.841)
0.875	0.355	(.222)	0.216	(.241)	0.013	(.292)	0.	(.485)	0.786	(.862)
0.900	0.501	(.233)	0.362	(.249)	0.090	(.293)	0.	(.485)	0.595	(.879)
0.925	0.655	(.247)	0.536	(.260)	0.240	(.297)	0.	(.485)	0.178	(.889)
0.950	0.805	(.265)	0.724	(.276)	0.473	(.306)	0.	(.485)	0.	(.891)
0.975	0.930	(.287)	0.897	(.296)	0.770	(.322)	0.	(.485)	0.	(.891)
1.000	1.000	(.311)	1.000	(.320)	1.000	(.344)	0.	(.485)	0.	(.891)

*** RELATIVE ENERGY FLUX DENSITY IN THE *** VERSION E
 *** PENUMBRA OF A RECTANGULAR CYLINDER ***

SOLAR FIELD ANGLE, D= 10.00 DEGREES
 GEOMETRY D2/R = 10.00 AND H/R = 0.

BETA = ANGLE OF INCIDENCE, DEGREES

BETA ***	0.	10.00	20.00	30.00	40.00
AX/AB	Q (QI)	Q (QI)	Q (QI)	Q (QI)	Q (QI)
0.	1.000(.)	1.000(.)	1.000(.)	1.000(.)	1.000(.)
0.025	0.984(.025)	0.985(.025)	0.986(.025)	0.988(.025)	0.989(.025)
0.050	0.952(.049)	0.956(.049)	0.960(.049)	0.964(.049)	0.968(.049)
0.075	0.910(.072)	0.917(.072)	0.924(.073)	0.931(.073)	0.939(.073)
0.100	0.859(.094)	0.870(.095)	0.880(.095)	0.891(.096)	0.903(.096)
0.125	0.801(.115)	0.815(.116)	0.829(.117)	0.844(.117)	0.860(.118)
0.150	0.737(.134)	0.755(.136)	0.772(.137)	0.791(.138)	0.812(.139)
0.175	0.669(.152)	0.689(.154)	0.710(.155)	0.732(.157)	0.758(.159)
0.200	0.597(.168)	0.620(.170)	0.644(.172)	0.670(.174)	0.700(.177)
0.225	0.523(.182)	0.549(.185)	0.575(.187)	0.603(.190)	0.637(.194)
0.250	0.449(.194)	0.476(.197)	0.504(.201)	0.535(.205)	0.572(.209)
0.275	0.376(.204)	0.403(.208)	0.432(.212)	0.464(.217)	0.504(.222)
0.300	0.306(.213)	0.332(.218)	0.361(.222)	0.394(.228)	0.434(.234)
0.325	0.239(.220)	0.264(.225)	0.292(.231)	0.324(.237)	0.365(.244)
0.350	0.177(.225)	0.200(.231)	0.226(.237)	0.257(.244)	0.296(.252)
0.375	0.121(.229)	0.142(.235)	0.165(.242)	0.193(.250)	0.230(.259)
0.400	0.073(.231)	0.090(.238)	0.110(.245)	0.135(.254)	0.168(.264)
0.425	0.035(.232)	0.048(.240)	0.064(.248)	0.084(.256)	0.112(.267)
0.450	0.008(.233)	0.016(.240)	0.027(.249)	0.042(.258)	0.064(.269)
0.475	0. (.233)	0. (.241)	0.003(.249)	0.011(.259)	0.025(.271)
0.500	0. (.233)	0. (.241)	0. (.249)	0. (.259)	0.002(.271)
0.525	0. (.233)	0. (.241)	0. (.249)	0. (.259)	0. (.271)
0.550	0.008(.233)	0.003(.241)	0. (.249)	0. (.259)	0. (.271)
0.575	0.035(.234)	0.024(.241)	0.014(.249)	0.006(.259)	0.000(.271)
0.600	0.073(.235)	0.058(.242)	0.044(.250)	0.030(.259)	0.016(.271)
0.625	0.121(.237)	0.102(.244)	0.083(.252)	0.064(.260)	0.044(.272)
0.650	0.177(.241)	0.155(.247)	0.132(.254)	0.109(.263)	0.083(.273)
0.675	0.239(.246)	0.214(.252)	0.189(.258)	0.162(.266)	0.131(.276)
0.700	0.306(.253)	0.280(.258)	0.252(.264)	0.223(.271)	0.188(.280)
0.725	0.376(.262)	0.350(.266)	0.321(.271)	0.290(.277)	0.252(.286)
0.750	0.449(.272)	0.423(.276)	0.394(.280)	0.362(.285)	0.322(.293)
0.775	0.523(.284)	0.498(.287)	0.470(.291)	0.438(.295)	0.398(.302)
0.800	0.597(.298)	0.573(.300)	0.547(.303)	0.516(.307)	0.478(.313)
0.825	0.669(.314)	0.647(.316)	0.624(.318)	0.596(.321)	0.560(.326)
0.850	0.737(.331)	0.719(.333)	0.698(.335)	0.674(.337)	0.642(.341)
0.875	0.801(.351)	0.786(.352)	0.770(.353)	0.749(.355)	0.723(.358)
0.900	0.859(.371)	0.848(.372)	0.835(.373)	0.820(.375)	0.799(.377)
0.925	0.910(.394)	0.903(.394)	0.894(.395)	0.883(.396)	0.869(.398)
0.950	0.952(.417)	0.948(.417)	0.943(.418)	0.937(.419)	0.929(.420)
0.975	0.984(.441)	0.982(.441)	0.980(.442)	0.978(.442)	0.975(.444)
1.000	1.000(.466)	1.000(.466)	1.000(.466)	1.000(.467)	1.000(.469)

66-196
Exp. Phase II

*** RELATIVE ENERGY FLUX DENSITY IN THE *** VERSION E
 *** PENUMBRA OF A RECTANGULAR CYLINDER ***

SOLAR FIELD ANGLE, D= 10.00 DEGREES
 GEOMETRY D2/R = 10.00 AND H/R = 0.

BETA = ANGLE OF INCIDENCE, DEGREES

BETA ***	50.00		60.00		70.00		80.00		84.50	
AX/AB	Q	(QI)	Q	(QI)	Q	(QI)	Q	(QI)	Q	(QI)
0.	1.000	(.)	1.000	(.)	1.000	(.)	1.000	(.)	1.000	(.)
0.025	0.991	(.025)	0.993	(.025)	0.996	(.025)	0.999	(.025)	1.000	(.025)
0.050	0.973	(.049)	0.979	(.050)	0.987	(.050)	0.997	(.050)	1.000	(.050)
0.075	0.948	(.073)	0.960	(.074)	0.976	(.074)	0.995	(.075)	1.000	(.075)
0.100	0.917	(.097)	0.936	(.097)	0.960	(.098)	0.992	(.100)	1.000	(.100)
0.125	0.880	(.119)	0.906	(.121)	0.942	(.122)	0.988	(.124)	1.000	(.125)
0.150	0.838	(.141)	0.872	(.143)	0.919	(.146)	0.983	(.149)	1.000	(.150)
0.175	0.790	(.161)	0.832	(.164)	0.893	(.168)	0.977	(.174)	1.000	(.175)
0.200	0.737	(.180)	0.788	(.184)	0.863	(.190)	0.970	(.198)	1.000	(.200)
0.225	0.680	(.198)	0.740	(.203)	0.829	(.211)	0.962	(.222)	1.000	(.225)
0.250	0.619	(.214)	0.686	(.221)	0.791	(.232)	0.952	(.246)	1.000	(.250)
0.275	0.555	(.229)	0.629	(.238)	0.748	(.251)	0.941	(.270)	1.000	(.275)
0.300	0.488	(.242)	0.568	(.253)	0.700	(.269)	0.927	(.293)	0.999	(.300)
0.325	0.420	(.253)	0.503	(.266)	0.648	(.286)	0.912	(.316)	0.999	(.325)
0.350	0.351	(.263)	0.437	(.278)	0.592	(.301)	0.893	(.339)	0.999	(.350)
0.375	0.283	(.271)	0.368	(.288)	0.531	(.315)	0.872	(.361)	0.999	(.375)
0.400	0.217	(.277)	0.300	(.296)	0.467	(.328)	0.847	(.382)	0.999	(.400)
0.425	0.156	(.282)	0.233	(.303)	0.399	(.339)	0.818	(.403)	0.999	(.425)
0.450	0.100	(.285)	0.168	(.308)	0.329	(.348)	0.785	(.423)	0.998	(.450)
0.475	0.052	(.287)	0.109	(.311)	0.259	(.355)	0.746	(.442)	0.998	(.475)
0.500	0.016	(.288)	0.058	(.313)	0.189	(.361)	0.701	(.460)	0.998	(.500)
0.525	0.	(.288)	0.018	(.314)	0.123	(.365)	0.649	(.477)	0.997	(.525)
0.550	0.	(.288)	0.	(.315)	0.065	(.367)	0.589	(.493)	0.997	(.550)
0.575	0.	(.288)	0.	(.315)	0.019	(.368)	0.521	(.506)	0.996	(.574)
0.600	0.003	(.288)	0.	(.315)	0.	(.368)	0.443	(.518)	0.995	(.599)
0.625	0.023	(.288)	0.003	(.315)	0.	(.368)	0.357	(.528)	0.994	(.624)
0.650	0.054	(.289)	0.021	(.315)	0.	(.368)	0.264	(.536)	0.992	(.649)
0.675	0.095	(.291)	0.050	(.316)	0.004	(.368)	0.167	(.542)	0.990	(.674)
0.700	0.145	(.294)	0.089	(.318)	0.020	(.368)	0.074	(.545)	0.987	(.699)
0.725	0.204	(.298)	0.138	(.320)	0.047	(.369)	0.006	(.546)	0.983	(.723)
0.750	0.271	(.304)	0.197	(.325)	0.085	(.371)	0.	(.546)	0.977	(.748)
0.775	0.345	(.312)	0.265	(.330)	0.134	(.374)	0.	(.546)	0.969	(.772)
0.800	0.425	(.322)	0.342	(.338)	0.197	(.378)	0.000	(.546)	0.957	(.796)
0.825	0.509	(.333)	0.428	(.348)	0.273	(.384)	0.008	(.546)	0.937	(.820)
0.850	0.596	(.347)	0.520	(.359)	0.363	(.392)	0.026	(.546)	0.904	(.843)
0.875	0.683	(.363)	0.616	(.374)	0.467	(.402)	0.060	(.547)	0.843	(.865)
0.900	0.768	(.381)	0.713	(.390)	0.582	(.415)	0.121	(.550)	0.723	(.884)
0.925	0.847	(.401)	0.807	(.409)	0.705	(.431)	0.228	(.554)	0.460	(.899)
0.950	0.916	(.423)	0.892	(.430)	0.827	(.450)	0.409	(.562)	0.	(.905)
0.975	0.971	(.447)	0.961	(.454)	0.936	(.472)	0.697	(.576)	0.	(.905)
1.000	1.000	(.472)	1.000	(.478)	1.000	(.497)	1.000	(.597)	0.	(.905)

538
 E-126

*** RELATIVE ENERGY FLUX DENSITY IN THE ***
 *** PENUMBRA OF A RECTANGULAR CYLINDER ***

VERSION E

SOLAR FIELD ANGLE, D= 10.00 DEGREES
 GEOMETRY D2/R = 50.00 AND H/R = 0.

BETA = ANGLE OF INCIDENCE, DEGREES

BETA ***	0.	10.00	20.00	30.00	40.00
AX/AB	Q (QI)	Q (QI)	Q (QI)	Q (QI)	Q (QI)
0.	1.000(.)	1.000(.)	1.000(.)	1.000(.)	1.000(.)
0.025	0.993(.025)	0.993(.025)	0.994(.025)	0.994(.025)	0.995(.025)
0.050	0.980(.050)	0.981(.050)	0.982(.050)	0.984(.050)	0.985(.050)
0.075	0.962(.074)	0.964(.074)	0.967(.074)	0.969(.074)	0.972(.074)
0.100	0.941(.098)	0.944(.098)	0.948(.098)	0.952(.098)	0.956(.098)
0.125	0.916(.121)	0.921(.121)	0.926(.121)	0.931(.122)	0.937(.122)
0.150	0.889(.143)	0.895(.144)	0.901(.144)	0.908(.145)	0.916(.145)
0.175	0.859(.165)	0.866(.166)	0.874(.166)	0.882(.167)	0.892(.168)
0.200	0.829(.186)	0.837(.187)	0.845(.188)	0.854(.189)	0.866(.190)
0.225	0.805(.207)	0.813(.208)	0.822(.209)	0.831(.210)	0.842(.211)
0.250	0.784(.227)	0.792(.228)	0.801(.229)	0.810(.230)	0.822(.232)
0.275	0.766(.246)	0.774(.247)	0.782(.249)	0.792(.250)	0.803(.252)
0.300	0.749(.265)	0.757(.267)	0.765(.268)	0.774(.270)	0.786(.272)
0.325	0.735(.284)	0.742(.285)	0.750(.287)	0.758(.289)	0.770(.291)
0.350	0.722(.302)	0.729(.304)	0.736(.306)	0.744(.308)	0.755(.310)
0.375	0.712(.320)	0.717(.322)	0.724(.324)	0.731(.326)	0.741(.329)
0.400	0.703(.337)	0.708(.340)	0.713(.342)	0.720(.344)	0.728(.348)
0.425	0.696(.355)	0.700(.357)	0.704(.360)	0.710(.362)	0.717(.366)
0.450	0.691(.372)	0.694(.375)	0.697(.377)	0.702(.380)	0.708(.383)
0.475	0.689(.389)	0.690(.392)	0.692(.394)	0.695(.397)	0.700(.401)
0.500	0.688(.407)	0.688(.409)	0.689(.412)	0.690(.415)	0.694(.418)
0.525	0.689(.424)	0.688(.426)	0.687(.429)	0.688(.432)	0.689(.436)
0.550	0.691(.441)	0.689(.443)	0.688(.446)	0.687(.449)	0.686(.453)
0.575	0.696(.458)	0.693(.461)	0.690(.463)	0.688(.466)	0.686(.470)
0.600	0.703(.476)	0.699(.478)	0.695(.481)	0.691(.484)	0.687(.487)
0.625	0.712(.494)	0.707(.496)	0.701(.498)	0.696(.501)	0.691(.504)
0.650	0.722(.512)	0.716(.513)	0.710(.516)	0.704(.518)	0.697(.522)
0.675	0.735(.530)	0.728(.532)	0.721(.534)	0.714(.536)	0.705(.539)
0.700	0.749(.548)	0.742(.550)	0.734(.552)	0.726(.554)	0.716(.557)
0.725	0.766(.567)	0.758(.569)	0.750(.570)	0.740(.572)	0.729(.575)
0.750	0.784(.587)	0.776(.588)	0.768(.589)	0.758(.591)	0.746(.594)
0.775	0.805(.606)	0.797(.608)	0.788(.609)	0.778(.610)	0.766(.612)
0.800	0.829(.627)	0.821(.628)	0.812(.629)	0.802(.630)	0.789(.632)
0.825	0.859(.648)	0.851(.649)	0.842(.649)	0.832(.650)	0.819(.652)
0.850	0.889(.670)	0.882(.670)	0.875(.671)	0.867(.672)	0.856(.673)
0.875	0.916(.692)	0.911(.693)	0.906(.693)	0.899(.694)	0.890(.695)
0.900	0.941(.716)	0.937(.716)	0.933(.716)	0.928(.717)	0.922(.717)
0.925	0.962(.739)	0.960(.740)	0.957(.740)	0.954(.740)	0.949(.741)
0.950	0.980(.764)	0.978(.764)	0.977(.764)	0.975(.764)	0.973(.765)
0.975	0.993(.788)	0.993(.788)	0.992(.789)	0.991(.789)	0.990(.789)
1.000	1.000(.813)	1.000(.813)	1.000(.813)	1.000(.814)	1.000(.814)

4
3
2

RE-ORDER No. 66-196
App'd
Phase II

*** RELATIVE ENERGY FLUX DENSITY IN THE ***
 *** PENUMBRA OF A RECTANGULAR CYLINDER ***

VERSION E

SOLAR FIELD ANGLE, D= 10.00 DEGREES
 GEOMETRY D2/R = 50.00 AND H/R = 0.

BETA = ANGLE OF INCIDENCE, DEGREES

BETA ***	50.00		60.00		70.00		80.00		84.50	
AX/AB	Q	(QI)	Q	(QI)	Q	(QI)	Q	(QI)	Q	(QI)
0.	1.000	(.)	1.000	(.)	1.000	(.)	1.000	(.)	1.000	(.)
0.025	0.996	(.025)	0.996	(.025)	0.998	(.025)	0.999	(.025)	1.000	(.025)
0.050	0.987	(.050)	0.989	(.050)	0.993	(.050)	0.998	(.050)	1.000	(.050)
0.075	0.975	(.074)	0.980	(.074)	0.987	(.075)	0.997	(.075)	1.000	(.075)
0.100	0.961	(.098)	0.968	(.099)	0.979	(.099)	0.994	(.100)	1.000	(.100)
0.125	0.944	(.122)	0.954	(.123)	0.969	(.124)	0.992	(.125)	1.000	(.125)
0.150	0.925	(.146)	0.938	(.146)	0.958	(.148)	0.989	(.149)	1.000	(.150)
0.175	0.904	(.169)	0.920	(.170)	0.945	(.171)	0.985	(.174)	1.000	(.175)
0.200	0.880	(.191)	0.900	(.192)	0.930	(.195)	0.981	(.199)	1.000	(.200)
0.225	0.857	(.213)	0.878	(.215)	0.914	(.218)	0.976	(.223)	1.000	(.225)
0.250	0.837	(.234)	0.860	(.236)	0.897	(.241)	0.970	(.247)	1.000	(.250)
0.275	0.819	(.254)	0.842	(.258)	0.882	(.263)	0.963	(.272)	1.000	(.275)
0.300	0.802	(.275)	0.825	(.278)	0.867	(.285)	0.956	(.296)	1.000	(.300)
0.325	0.785	(.295)	0.809	(.299)	0.852	(.306)	0.949	(.319)	0.999	(.325)
0.350	0.769	(.314)	0.793	(.319)	0.837	(.327)	0.942	(.343)	0.999	(.350)
0.375	0.755	(.333)	0.778	(.339)	0.822	(.348)	0.934	(.366)	0.999	(.375)
0.400	0.741	(.352)	0.763	(.358)	0.807	(.368)	0.925	(.390)	0.999	(.400)
0.425	0.729	(.370)	0.749	(.377)	0.792	(.388)	0.916	(.413)	0.999	(.425)
0.450	0.718	(.388)	0.736	(.395)	0.777	(.408)	0.905	(.435)	0.999	(.450)
0.475	0.708	(.406)	0.724	(.414)	0.762	(.427)	0.894	(.458)	0.998	(.475)
0.500	0.700	(.424)	0.713	(.431)	0.747	(.446)	0.881	(.480)	0.998	(.500)
0.525	0.693	(.441)	0.703	(.449)	0.733	(.465)	0.868	(.502)	0.998	(.525)
0.550	0.688	(.458)	0.694	(.467)	0.720	(.483)	0.853	(.523)	0.997	(.550)
0.575	0.685	(.475)	0.688	(.484)	0.707	(.501)	0.837	(.545)	0.997	(.575)
0.600	0.684	(.493)	0.683	(.501)	0.696	(.518)	0.819	(.565)	0.996	(.599)
0.625	0.685	(.510)	0.680	(.518)	0.686	(.535)	0.800	(.586)	0.996	(.624)
0.650	0.688	(.527)	0.680	(.535)	0.678	(.552)	0.779	(.605)	0.995	(.649)
0.675	0.695	(.544)	0.682	(.552)	0.672	(.569)	0.757	(.624)	0.994	(.674)
0.700	0.703	(.562)	0.687	(.569)	0.669	(.586)	0.734	(.643)	0.992	(.699)
0.725	0.715	(.579)	0.696	(.587)	0.669	(.603)	0.710	(.661)	0.990	(.724)
0.750	0.730	(.597)	0.708	(.604)	0.673	(.620)	0.685	(.679)	0.987	(.748)
0.775	0.749	(.616)	0.724	(.622)	0.682	(.636)	0.661	(.695)	0.984	(.773)
0.800	0.772	(.635)	0.745	(.640)	0.697	(.654)	0.640	(.712)	0.978	(.798)
0.825	0.801	(.655)	0.773	(.659)	0.720	(.671)	0.624	(.727)	0.970	(.822)
0.850	0.839	(.675)	0.812	(.679)	0.753	(.690)	0.616	(.743)	0.958	(.846)
0.875	0.877	(.696)	0.855	(.700)	0.804	(.709)	0.625	(.759)	0.938	(.870)
0.900	0.912	(.719)	0.895	(.722)	0.855	(.730)	0.662	(.775)	0.903	(.893)
0.925	0.943	(.742)	0.931	(.745)	0.904	(.752)	0.752	(.792)	0.838	(.915)
0.950	0.969	(.766)	0.963	(.768)	0.947	(.775)	0.851	(.812)	0.711	(.934)
0.975	0.989	(.790)	0.987	(.793)	0.981	(.799)	0.942	(.835)	0.509	(.949)
1.000	1.000	(.815)	1.000	(.818)	1.000	(.824)	1.000	(.859)	1.000	(.968)

540
 E-128

*** RELATIVE ENERGY FLUX DENSITY IN THE ***
 *** PENUMBRA OF A RECTANGULAR CYLINDER ***

VERSION E

SOLAR FIELD ANGLE, D= 10.00 DEGREES
 GEOMETRY D2/R = 100.00 AND H/R = 0.

BETA = ANGLE OF INCIDENCE, DEGREES

BETA ***	0.		10.00		20.00		30.00		40.00	
AX/AB	Q	(QI)	Q	(QI)	Q	(QI)	Q	(QI)	Q	(QI)
0.	1.000	(.)	1.000	(.)	1.000	(.)	1.000	(.)	1.000	(.)
0.025	0.994	(.025)	0.994	(.025)	0.995	(.025)	0.995	(.025)	0.996	(.025)
0.050	0.983	(.050)	0.984	(.050)	0.985	(.050)	0.986	(.050)	0.987	(.050)
0.075	0.968	(.074)	0.969	(.074)	0.971	(.074)	0.973	(.074)	0.976	(.074)
0.100	0.949	(.098)	0.952	(.098)	0.955	(.098)	0.958	(.098)	0.962	(.098)
0.125	0.933	(.121)	0.936	(.122)	0.940	(.122)	0.943	(.122)	0.948	(.122)
0.150	0.920	(.145)	0.924	(.145)	0.928	(.145)	0.932	(.146)	0.936	(.146)
0.175	0.909	(.168)	0.913	(.168)	0.917	(.168)	0.921	(.169)	0.926	(.169)
0.200	0.899	(.190)	0.903	(.191)	0.907	(.191)	0.911	(.192)	0.917	(.192)
0.225	0.890	(.213)	0.894	(.213)	0.898	(.214)	0.902	(.214)	0.908	(.215)
0.250	0.882	(.235)	0.885	(.235)	0.889	(.236)	0.894	(.237)	0.900	(.238)
0.275	0.874	(.257)	0.878	(.257)	0.882	(.258)	0.886	(.259)	0.892	(.260)
0.300	0.867	(.278)	0.871	(.279)	0.874	(.280)	0.879	(.281)	0.884	(.282)
0.325	0.861	(.300)	0.865	(.301)	0.868	(.302)	0.872	(.303)	0.877	(.304)
0.350	0.856	(.321)	0.859	(.322)	0.862	(.323)	0.866	(.325)	0.871	(.326)
0.375	0.852	(.343)	0.854	(.344)	0.857	(.345)	0.860	(.346)	0.865	(.348)
0.400	0.848	(.364)	0.850	(.365)	0.853	(.366)	0.856	(.368)	0.860	(.369)
0.425	0.845	(.385)	0.847	(.386)	0.849	(.388)	0.851	(.389)	0.855	(.391)
0.450	0.843	(.406)	0.845	(.408)	0.846	(.409)	0.848	(.410)	0.851	(.412)
0.475	0.842	(.427)	0.843	(.429)	0.844	(.430)	0.845	(.431)	0.847	(.433)
0.500	0.842	(.448)	0.842	(.450)	0.842	(.451)	0.843	(.453)	0.845	(.454)
0.525	0.842	(.469)	0.842	(.471)	0.842	(.472)	0.842	(.474)	0.842	(.476)
0.550	0.843	(.491)	0.842	(.492)	0.842	(.493)	0.841	(.495)	0.841	(.497)
0.575	0.845	(.512)	0.844	(.513)	0.843	(.514)	0.842	(.516)	0.841	(.518)
0.600	0.848	(.533)	0.846	(.534)	0.845	(.535)	0.843	(.537)	0.841	(.539)
0.625	0.852	(.554)	0.849	(.555)	0.847	(.556)	0.845	(.558)	0.843	(.560)
0.650	0.856	(.575)	0.853	(.576)	0.851	(.578)	0.848	(.579)	0.845	(.581)
0.675	0.861	(.597)	0.858	(.598)	0.855	(.599)	0.852	(.600)	0.848	(.602)
0.700	0.867	(.619)	0.864	(.619)	0.860	(.620)	0.857	(.622)	0.852	(.623)
0.725	0.874	(.640)	0.870	(.641)	0.867	(.642)	0.862	(.643)	0.858	(.645)
0.750	0.882	(.662)	0.878	(.663)	0.874	(.664)	0.869	(.665)	0.864	(.666)
0.775	0.890	(.684)	0.886	(.685)	0.882	(.686)	0.877	(.687)	0.872	(.688)
0.800	0.899	(.707)	0.895	(.707)	0.891	(.708)	0.886	(.709)	0.881	(.710)
0.825	0.909	(.729)	0.905	(.730)	0.901	(.730)	0.897	(.731)	0.891	(.732)
0.850	0.920	(.752)	0.917	(.753)	0.913	(.753)	0.908	(.753)	0.903	(.754)
0.875	0.933	(.775)	0.930	(.776)	0.926	(.776)	0.922	(.776)	0.917	(.777)
0.900	0.949	(.799)	0.946	(.799)	0.943	(.799)	0.939	(.800)	0.934	(.800)
0.925	0.968	(.823)	0.965	(.823)	0.963	(.823)	0.961	(.823)	0.957	(.824)
0.950	0.983	(.847)	0.981	(.847)	0.980	(.847)	0.979	(.848)	0.977	(.848)
0.975	0.994	(.872)	0.994	(.872)	0.993	(.872)	0.993	(.872)	0.992	(.873)
1.000	1.000	(.897)	1.000	(.897)	1.000	(.897)	1.000	(.897)	1.000	(.897)

*** RELATIVE ENERGY FLUX DENSITY IN THE ***
 *** PENUMBRA OF A RECTANGULAR CYLINDER ***
 VERSION E

SOLAR FIELD ANGLE, D= 10.00 DEGREES
 GEOMETRY D2/R = 100.00 AND H/R = 0.

BETA = ANGLE OF INCIDENCE, DEGREES

BETA ***	50.00		60.00		70.00		80.00		84.50	
AX/AB	Q	(QI)	Q	(QI)	Q	(QI)	Q	(QI)	Q	(QI)
0.	1.000	(.)	1.000	(.)	1.000	(.)	1.000	(.)	1.000	(.)
0.025	0.996	(.025)	0.997	(.025)	0.998	(.025)	0.999	(.025)	1.000	(.025)
0.050	0.989	(.050)	0.991	(.050)	0.994	(.050)	0.998	(.050)	1.000	(.050)
0.075	0.979	(.074)	0.982	(.074)	0.988	(.075)	0.997	(.075)	1.000	(.075)
0.100	0.966	(.099)	0.972	(.099)	0.981	(.099)	0.995	(.100)	1.000	(.100)
0.125	0.953	(.123)	0.960	(.123)	0.972	(.124)	0.992	(.125)	1.000	(.125)
0.150	0.942	(.146)	0.951	(.147)	0.965	(.148)	0.990	(.149)	1.000	(.150)
0.175	0.933	(.170)	0.942	(.171)	0.958	(.172)	0.987	(.174)	1.000	(.175)
0.200	0.924	(.193)	0.934	(.194)	0.951	(.196)	0.984	(.199)	1.000	(.200)
0.225	0.915	(.216)	0.926	(.217)	0.944	(.219)	0.981	(.223)	1.000	(.225)
0.250	0.907	(.239)	0.918	(.240)	0.937	(.243)	0.978	(.248)	1.000	(.250)
0.275	0.899	(.261)	0.910	(.263)	0.931	(.266)	0.975	(.272)	1.000	(.275)
0.300	0.892	(.284)	0.903	(.286)	0.924	(.290)	0.972	(.297)	1.000	(.300)
0.325	0.884	(.306)	0.896	(.308)	0.917	(.313)	0.968	(.321)	1.000	(.325)
0.350	0.878	(.328)	0.889	(.331)	0.910	(.335)	0.965	(.345)	0.999	(.350)
0.375	0.871	(.350)	0.882	(.353)	0.903	(.358)	0.961	(.369)	0.999	(.375)
0.400	0.865	(.372)	0.875	(.375)	0.896	(.381)	0.956	(.393)	0.999	(.400)
0.425	0.860	(.393)	0.869	(.397)	0.889	(.403)	0.951	(.417)	0.999	(.425)
0.450	0.855	(.415)	0.863	(.418)	0.883	(.425)	0.946	(.441)	0.999	(.450)
0.475	0.851	(.436)	0.858	(.440)	0.876	(.447)	0.940	(.464)	0.999	(.475)
0.500	0.847	(.457)	0.853	(.461)	0.869	(.469)	0.934	(.488)	0.999	(.500)
0.525	0.844	(.478)	0.849	(.482)	0.863	(.490)	0.927	(.511)	0.999	(.525)
0.550	0.842	(.499)	0.845	(.504)	0.857	(.512)	0.920	(.534)	0.998	(.550)
0.575	0.840	(.520)	0.842	(.525)	0.851	(.533)	0.912	(.557)	0.998	(.575)
0.600	0.840	(.541)	0.840	(.546)	0.846	(.554)	0.904	(.580)	0.998	(.600)
0.625	0.840	(.562)	0.838	(.567)	0.841	(.576)	0.895	(.602)	0.997	(.625)
0.650	0.841	(.583)	0.838	(.588)	0.837	(.597)	0.885	(.624)	0.997	(.650)
0.675	0.843	(.604)	0.838	(.609)	0.834	(.617)	0.874	(.646)	0.996	(.674)
0.700	0.847	(.626)	0.840	(.630)	0.832	(.638)	0.863	(.668)	0.995	(.699)
0.725	0.851	(.647)	0.843	(.651)	0.832	(.659)	0.852	(.689)	0.994	(.724)
0.750	0.857	(.668)	0.847	(.672)	0.832	(.680)	0.841	(.711)	0.992	(.749)
0.775	0.864	(.690)	0.853	(.693)	0.835	(.701)	0.829	(.731)	0.990	(.774)
0.800	0.873	(.711)	0.861	(.714)	0.840	(.722)	0.819	(.752)	0.987	(.798)
0.825	0.883	(.733)	0.870	(.736)	0.847	(.743)	0.810	(.772)	0.982	(.823)
0.850	0.895	(.755)	0.882	(.758)	0.858	(.764)	0.804	(.793)	0.976	(.848)
0.875	0.909	(.778)	0.897	(.780)	0.872	(.786)	0.804	(.813)	0.965	(.872)
0.900	0.927	(.801)	0.915	(.803)	0.891	(.808)	0.811	(.833)	0.946	(.896)
0.925	0.952	(.824)	0.942	(.826)	0.920	(.830)	0.831	(.853)	0.914	(.919)
0.950	0.974	(.849)	0.968	(.850)	0.956	(.854)	0.879	(.875)	0.853	(.941)
0.975	0.991	(.873)	0.989	(.874)	0.984	(.878)	0.954	(.898)	0.753	(.961)
1.000	1.000	(.898)	1.000	(.899)	1.000	(.903)	1.000	(.922)	1.000	(.983)

*** RELATIVE ENERGY FLUX DENSITY IN THE ***
 *** PENUMBRA OF A RECTANGULAR CYLINDER ***
 VERSION E

SOLAR FIELD ANGLE, D= 10.00 DEGREES
 GEOMETRY D2/R = 1.00 AND H/R = 0.5

BETA = ANGLE OF INCIDENCE, DEGREES

BETA ***	0.		10.00		20.00		30.00		40.00	
AX/AB	Q	(QI)	Q	(QI)	Q	(QI)	Q	(QI)	Q	(QI)
0.	1.000	(.)	1.000	(.)	1.000	(.)	1.000	(.)	1.000	(.)
0.025	0.858	(.023)	0.886	(.024)	0.909	(.024)	0.928	(.024)	0.945	(.024)
0.050	0.593	(.041)	0.667	(.043)	0.728	(.044)	0.782	(.045)	0.832	(.047)
0.075	0.018	(.049)	0.263	(.055)	0.490	(.060)	0.588	(.063)	0.676	(.065)
0.100	0.	(.049)	0.	(.058)	0.046	(.066)	0.250	(.073)	0.472	(.080)
0.125	0.	(.049)	0.	(.058)	0.	(.067)	0.	(.076)	0.148	(.087)
0.150	0.	(.049)	0.	(.058)	0.	(.067)	0.	(.076)	0.	(.089)
0.175	0.	(.049)	0.	(.058)	0.	(.067)	0.	(.076)	0.	(.089)
0.200	0.	(.049)	0.	(.058)	0.	(.067)	0.	(.076)	0.	(.089)
0.225	0.	(.049)	0.	(.058)	0.	(.067)	0.	(.076)	0.	(.089)
0.250	0.	(.049)	0.	(.058)	0.	(.067)	0.	(.076)	0.	(.089)
0.275	0.	(.049)	0.	(.058)	0.	(.067)	0.	(.076)	0.	(.089)
0.300	0.	(.049)	0.	(.058)	0.	(.067)	0.	(.076)	0.	(.089)
0.325	0.	(.049)	0.	(.058)	0.	(.067)	0.	(.076)	0.	(.089)
0.350	0.	(.049)	0.	(.058)	0.	(.067)	0.	(.076)	0.	(.089)
0.375	0.	(.049)	0.	(.058)	0.	(.067)	0.	(.076)	0.	(.089)
0.400	0.	(.049)	0.	(.058)	0.	(.067)	0.	(.076)	0.	(.089)
0.425	0.	(.049)	0.	(.058)	0.	(.067)	0.	(.076)	0.	(.089)
0.450	0.	(.049)	0.	(.058)	0.	(.067)	0.	(.076)	0.	(.089)
0.475	0.	(.049)	0.	(.058)	0.	(.067)	0.	(.076)	0.	(.089)
0.500	0.	(.049)	0.	(.058)	0.	(.067)	0.	(.076)	0.	(.089)
0.525	0.	(.049)	0.	(.058)	0.	(.067)	0.	(.076)	0.	(.089)
0.550	0.	(.049)	0.	(.058)	0.	(.067)	0.	(.076)	0.	(.089)
0.575	0.	(.049)	0.	(.058)	0.	(.067)	0.	(.076)	0.	(.089)
0.600	0.	(.049)	0.	(.058)	0.	(.067)	0.	(.076)	0.	(.089)
0.625	0.	(.049)	0.	(.058)	0.	(.067)	0.	(.076)	0.	(.089)
0.650	0.	(.049)	0.	(.058)	0.	(.067)	0.	(.076)	0.	(.089)
0.675	0.	(.049)	0.	(.058)	0.	(.067)	0.	(.076)	0.	(.089)
0.700	0.	(.049)	0.	(.058)	0.	(.067)	0.	(.076)	0.	(.089)
0.725	0.	(.049)	0.	(.058)	0.	(.067)	0.	(.076)	0.	(.089)
0.750	0.	(.049)	0.	(.058)	0.	(.067)	0.	(.076)	0.	(.089)
0.775	0.	(.049)	0.	(.058)	0.	(.067)	0.	(.076)	0.	(.089)
0.800	0.	(.049)	0.	(.058)	0.	(.067)	0.	(.076)	0.	(.089)
0.825	0.	(.049)	0.	(.058)	0.	(.067)	0.	(.076)	0.	(.089)
0.850	0.	(.049)	0.	(.058)	0.	(.067)	0.	(.076)	0.	(.089)
0.875	0.	(.049)	0.	(.058)	0.	(.067)	0.	(.076)	0.	(.089)
0.900	0.	(.049)	0.	(.058)	0.	(.067)	0.	(.076)	0.	(.089)
0.925	0.018	(.049)	0.	(.058)	0.	(.067)	0.	(.076)	0.	(.089)
0.950	0.593	(.057)	0.500	(.064)	0.	(.067)	0.	(.076)	0.	(.089)
0.975	0.858	(.075)	0.819	(.081)	0.761	(.076)	0.661	(.084)	0.	(.089)
1.000	1.000	(.098)	1.000	(.103)	1.000	(.098)	1.000	(.105)	1.000	(.102)

RE-ORDER No. *66-196*
APP 9
Phase II

*** RELATIVE ENERGY FLUX DENSITY IN THE ***
 *** PENUMBRA OF A RECTANGULAR CYLINDER ***

VERSION E

SOLAR FIELD ANGLE, D = 10.00 DEGREES
 GEOMETRY D2/R = 1.00 AND H/R = 0.5

BETA = ANGLE OF INCIDENCE, DEGREES

BETA *** AX/AB	50.00		60.00		70.00		80.00		84.50	
	Q	(QI)	Q	(QI)	Q	(QI)	Q	(QI)	Q	(QI)
0.	1.000	(.)	1.000	(.)	1.000	(.)	1.000	(.)	1.000	(.)
0.025	0.961	(.025)	0.976	(.025)	0.989	(.025)	0.999	(.025)	1.000	(.025)
0.050	0.879	(.048)	0.925	(.048)	0.966	(.049)	0.996	(.050)	1.000	(.050)
0.075	0.763	(.068)	0.850	(.071)	0.932	(.073)	0.992	(.075)	1.000	(.075)
0.100	0.616	(.085)	0.751	(.091)	0.886	(.096)	0.987	(.100)	1.000	(.100)
0.125	0.408	(.098)	0.631	(.108)	0.827	(.117)	0.980	(.124)	1.000	(.125)
0.150	0.146	(.105)	0.476	(.122)	0.754	(.137)	0.971	(.148)	1.000	(.150)
0.175	0.	(.107)	0.261	(.131)	0.665	(.155)	0.960	(.173)	1.000	(.175)
0.200	0.	(.107)	0.070	(.135)	0.562	(.170)	0.946	(.196)	1.000	(.200)
0.225	0.	(.107)	0.	(.136)	0.413	(.182)	0.929	(.220)	1.000	(.225)
0.250	0.	(.107)	0.	(.136)	0.247	(.190)	0.908	(.243)	1.000	(.250)
0.275	0.	(.107)	0.	(.136)	0.090	(.195)	0.883	(.265)	1.000	(.275)
0.300	0.	(.107)	0.	(.136)	0.	(.196)	0.852	(.287)	0.999	(.300)
0.325	0.	(.107)	0.	(.136)	0.	(.196)	0.814	(.308)	0.999	(.325)
0.350	0.	(.107)	0.	(.136)	0.	(.196)	0.767	(.327)	0.999	(.350)
0.375	0.	(.107)	0.	(.136)	0.	(.196)	0.711	(.346)	0.999	(.375)
0.400	0.	(.107)	0.	(.136)	0.	(.196)	0.642	(.363)	0.999	(.400)
0.425	0.	(.107)	0.	(.136)	0.	(.196)	0.554	(.378)	0.999	(.425)
0.450	0.	(.107)	0.	(.136)	0.	(.196)	0.438	(.390)	0.998	(.450)
0.475	0.	(.107)	0.	(.136)	0.	(.196)	0.302	(.399)	0.998	(.475)
0.500	0.	(.107)	0.	(.136)	0.	(.196)	0.154	(.405)	0.997	(.500)
0.525	0.	(.107)	0.	(.136)	0.	(.196)	0.024	(.407)	0.997	(.525)
0.550	0.	(.107)	0.	(.136)	0.	(.196)	0.	(.408)	0.996	(.550)
0.575	0.	(.107)	0.	(.136)	0.	(.196)	0.	(.408)	0.995	(.574)
0.600	0.	(.107)	0.	(.136)	0.	(.196)	0.	(.408)	0.994	(.599)
0.625	0.	(.107)	0.	(.136)	0.	(.196)	0.	(.408)	0.992	(.624)
0.650	0.	(.107)	0.	(.136)	0.	(.196)	0.	(.408)	0.990	(.649)
0.675	0.	(.107)	0.	(.136)	0.	(.196)	0.	(.408)	0.987	(.674)
0.700	0.	(.107)	0.	(.136)	0.	(.196)	0.	(.408)	0.983	(.698)
0.725	0.	(.107)	0.	(.136)	0.	(.196)	0.	(.408)	0.977	(.723)
0.750	0.	(.107)	0.	(.136)	0.	(.196)	0.	(.408)	0.968	(.747)
0.775	0.	(.107)	0.	(.136)	0.	(.196)	0.	(.408)	0.955	(.771)
0.800	0.	(.107)	0.	(.136)	0.	(.196)	0.	(.408)	0.933	(.795)
0.825	0.	(.107)	0.	(.136)	0.	(.196)	0.	(.408)	0.895	(.818)
0.850	0.	(.107)	0.	(.136)	0.	(.196)	0.	(.408)	0.824	(.839)
0.875	0.	(.107)	0.	(.136)	0.	(.196)	0.	(.408)	0.675	(.858)
0.900	0.	(.107)	0.	(.136)	0.	(.196)	0.	(.408)	0.290	(.870)
0.925	0.	(.107)	0.	(.136)	0.	(.196)	0.	(.408)	0.	(.873)
0.950	0.	(.107)	0.	(.136)	0.	(.196)	0.	(.408)	0.	(.873)
0.975	0.	(.107)	0.	(.136)	0.	(.196)	0.	(.408)	0.	(.873)
1.000	0.	(.107)	0.	(.136)	0.	(.196)	0.	(.408)	0.	(.873)

544
 E-132

RE-ORDER No. *66-196*
App'd
Phase 11

*** RELATIVE ENERGY FLUX DENSITY IN THE ***
 *** PENUMBRA OF A RECTANGULAR CYLINDER ***

VERSION E

SOLAR FIELD ANGLE, D= 10.00 DEGREES
 GEOMETRY D2/R = 5.00 AND H/R = 0.5

BETA = ANGLE OF INCIDENCE, DEGREES

BETA ***	0.	10.00	20.00	30.00	40.00
AX/AB	Q (QI)	Q (QI)	Q (QI)	Q (QI)	Q (QI)
0.	1.000(.)	1.000(.)	1.000(.)	1.000(.)	1.000(.)
0.025	0.971(.025)	0.974(.025)	0.977(.025)	0.980(.025)	0.983(.025)
0.050	0.916(.048)	0.924(.048)	0.932(.049)	0.940(.049)	0.948(.049)
0.075	0.842(.070)	0.857(.071)	0.871(.071)	0.885(.072)	0.901(.072)
0.100	0.754(.090)	0.775(.091)	0.796(.092)	0.818(.093)	0.841(.094)
0.125	0.656(.108)	0.683(.109)	0.711(.111)	0.740(.112)	0.772(.114)
0.150	0.551(.123)	0.584(.125)	0.618(.127)	0.653(.130)	0.693(.132)
0.175	0.433(.135)	0.477(.138)	0.520(.142)	0.560(.145)	0.608(.149)
0.200	0.307(.144)	0.353(.149)	0.402(.153)	0.455(.158)	0.517(.163)
0.225	0.193(.151)	0.237(.156)	0.285(.162)	0.340(.168)	0.406(.174)
0.250	0.097(.154)	0.134(.161)	0.177(.167)	0.229(.175)	0.295(.183)
0.275	0.027(.156)	0.053(.163)	0.087(.171)	0.131(.179)	0.191(.189)
0.300	0. (.156)	0.004(.164)	0.022(.172)	0.052(.181)	0.101(.193)
0.325	0. (.156)	0. (.164)	0. (.172)	0.004(.182)	0.031(.194)
0.350	0. (.156)	0. (.164)	0. (.172)	0. (.182)	0. (.195)
0.375	0. (.156)	0. (.164)	0. (.172)	0. (.182)	0. (.195)
0.400	0. (.156)	0. (.164)	0. (.172)	0. (.182)	0. (.195)
0.425	0. (.156)	0. (.164)	0. (.172)	0. (.182)	0. (.195)
0.450	0. (.156)	0. (.164)	0. (.172)	0. (.182)	0. (.195)
0.475	0. (.156)	0. (.164)	0. (.172)	0. (.182)	0. (.195)
0.500	0. (.156)	0. (.164)	0. (.172)	0. (.182)	0. (.195)
0.525	0. (.156)	0. (.164)	0. (.172)	0. (.182)	0. (.195)
0.550	0. (.156)	0. (.164)	0. (.172)	0. (.182)	0. (.195)
0.575	0. (.156)	0. (.164)	0. (.172)	0. (.182)	0. (.195)
0.600	0. (.156)	0. (.164)	0. (.172)	0. (.182)	0. (.195)
0.625	0. (.156)	0. (.164)	0. (.172)	0. (.182)	0. (.195)
0.650	0. (.156)	0. (.164)	0. (.172)	0. (.182)	0. (.195)
0.675	0. (.156)	0. (.164)	0. (.172)	0. (.182)	0. (.195)
0.700	0. (.156)	0. (.164)	0. (.172)	0. (.182)	0. (.195)
0.725	0.027(.157)	0.008(.164)	0. (.172)	0. (.182)	0. (.195)
0.750	0.097(.158)	0.063(.165)	0.033(.173)	0.009(.182)	0. (.195)
0.775	0.193(.162)	0.150(.168)	0.108(.175)	0.066(.183)	0.025(.195)
0.800	0.307(.168)	0.261(.173)	0.212(.179)	0.159(.186)	0.099(.197)
0.825	0.433(.177)	0.367(.181)	0.337(.185)	0.278(.192)	0.207(.200)
0.850	0.551(.189)	0.517(.192)	0.474(.196)	0.417(.200)	0.344(.207)
0.875	0.656(.205)	0.626(.206)	0.592(.209)	0.551(.212)	0.497(.218)
0.900	0.754(.222)	0.730(.223)	0.703(.225)	0.670(.228)	0.625(.232)
0.925	0.842(.242)	0.826(.243)	0.807(.244)	0.783(.246)	0.749(.249)
0.950	0.916(.264)	0.907(.264)	0.896(.265)	0.882(.267)	0.862(.269)
0.975	0.971(.288)	0.968(.288)	0.964(.289)	0.959(.290)	0.952(.292)
1.000	1.000(.312)	1.000(.313)	1.000(.313)	1.000(.314)	1.000(.316)

545
 E-133

Alpha Phase 1

*** RELATIVE ENERGY FLUX DENSITY IN THE ***
 *** PENUMBRA OF A RECTANGULAR CYLINDER ***

VERSION E

SOLAR FIELD ANGLE, D = 10.00 DEGREES
 GEOMETRY D2/R = 5.00 AND H/R = 0.5

BETA = ANGLE OF INCIDENCE, DEGREES

BETA ***	50.00	60.00	70.00	80.00	84.50
AX/AB	Q (Q1)	Q (Q1)	Q (Q1)	Q (Q1)	Q (Q1)
0.	1.000(.)	1.000(.)	1.000(.)	1.000(.)	1.000(.)
0.025	0.986(.025)	0.990(.025)	0.994(.025)	0.999(.025)	1.000(.025)
0.050	0.958(.049)	0.969(.049)	0.983(.050)	0.997(.050)	1.000(.050)
0.075	0.918(.073)	0.940(.073)	0.966(.074)	0.994(.075)	1.000(.075)
0.100	0.869(.095)	0.902(.096)	0.944(.098)	0.990(.100)	1.000(.100)
0.125	0.809(.116)	0.856(.118)	0.917(.121)	0.985(.124)	1.000(.125)
0.150	0.741(.135)	0.802(.139)	0.884(.144)	0.979(.149)	1.000(.150)
0.175	0.665(.153)	0.741(.158)	0.845(.165)	0.972(.173)	1.000(.175)
0.200	0.583(.168)	0.672(.176)	0.800(.186)	0.963(.197)	1.000(.200)
0.225	0.491(.182)	0.596(.192)	0.748(.205)	0.953(.221)	1.000(.225)
0.250	0.384(.193)	0.513(.206)	0.690(.223)	0.940(.245)	1.000(.250)
0.275	0.278(.201)	0.413(.217)	0.624(.240)	0.925(.268)	1.000(.275)
0.300	0.178(.207)	0.311(.226)	0.552(.254)	0.906(.291)	0.999(.300)
0.325	0.091(.210)	0.212(.233)	0.464(.267)	0.885(.314)	0.999(.325)
0.350	0.025(.212)	0.120(.237)	0.369(.277)	0.860(.335)	0.999(.350)
0.375	0. (.212)	0.045(.239)	0.271(.285)	0.830(.357)	0.999(.375)
0.400	0. (.212)	0.001(.240)	0.175(.291)	0.794(.377)	0.999(.400)
0.425	0. (.212)	0. (.240)	0.087(.294)	0.752(.396)	0.999(.425)
0.450	0. (.212)	0. (.240)	0.019(.296)	0.703(.414)	0.998(.450)
0.475	0. (.212)	0. (.240)	0. (.296)	0.645(.431)	0.998(.475)
0.500	0. (.212)	0. (.240)	0. (.296)	0.576(.447)	0.998(.500)
0.525	0. (.212)	0. (.240)	0. (.296)	0.489(.460)	0.997(.525)
0.550	0. (.212)	0. (.240)	0. (.296)	0.389(.471)	0.996(.550)
0.575	0. (.212)	0. (.240)	0. (.296)	0.277(.479)	0.995(.574)
0.600	0. (.212)	0. (.240)	0. (.296)	0.159(.485)	0.994(.599)
0.625	0. (.212)	0. (.240)	0. (.296)	0.050(.487)	0.993(.624)
0.650	0. (.212)	0. (.240)	0. (.296)	0. (.488)	0.991(.649)
0.675	0. (.212)	0. (.240)	0. (.296)	0. (.488)	0.989(.674)
0.700	0. (.212)	0. (.240)	0. (.296)	0. (.488)	0.985(.698)
0.725	0. (.212)	0. (.240)	0. (.296)	0. (.488)	0.981(.723)
0.750	0. (.212)	0. (.240)	0. (.296)	0. (.488)	0.974(.747)
0.775	0. (.212)	0. (.240)	0. (.296)	0. (.488)	0.964(.772)
0.800	0.034(.212)	0. (.240)	0. (.296)	0. (.488)	0.949(.796)
0.825	0.116(.214)	0.017(.240)	0. (.296)	0. (.488)	0.924(.819)
0.850	0.243(.219)	0.098(.241)	0. (.296)	0. (.488)	0.879(.842)
0.875	0.400(.227)	0.234(.245)	0.000(.296)	0. (.488)	0.795(.862)
0.900	0.556(.239)	0.421(.254)	0.078(.297)	0. (.488)	0.610(.880)
0.925	0.696(.254)	0.596(.266)	0.283(.301)	0. (.488)	0.172(.890)
0.950	0.829(.273)	0.763(.283)	0.562(.312)	0. (.488)	0. (.892)
0.975	0.939(.296)	0.913(.304)	0.817(.329)	0. (.488)	0. (.892)
1.000	1.000(.320)	1.000(.328)	1.000(.352)	0. (.488)	0. (.892)

*** RELATIVE ENERGY FLUX DENSITY IN THE ***
 *** PENUMBRA OF A RECTANGULAR CYLINDER ***

VERSION E

SOLAR FIELD ANGLE, D= 10.00 DEGREES
 GEOMETRY D2/R = 10.00 AND H/R = 0.5

BETA = ANGLE OF INCIDENCE, DEGREES

BETA ***	0.	10.00	20.00	30.00	40.00
AX/AB	Q (QI)	Q (QI)	Q (QI)	Q (QI)	Q (QI)
0.	1.000(.)	1.000(.)	1.000(.)	1.000(.)	1.000(.)
0.025	0.984(.025)	0.986(.025)	0.987(.025)	0.988(.025)	0.989(.025)
0.050	0.954(.049)	0.958(.049)	0.961(.049)	0.965(.049)	0.969(.049)
0.075	0.914(.072)	0.920(.073)	0.927(.073)	0.933(.073)	0.941(.073)
0.100	0.865(.095)	0.875(.095)	0.884(.095)	0.895(.096)	0.906(.096)
0.125	0.809(.116)	0.822(.116)	0.835(.117)	0.849(.118)	0.865(.118)
0.150	0.747(.135)	0.764(.136)	0.781(.137)	0.798(.138)	0.819(.140)
0.175	0.681(.153)	0.701(.154)	0.721(.156)	0.742(.158)	0.767(.159)
0.200	0.612(.169)	0.634(.171)	0.657(.173)	0.682(.175)	0.710(.178)
0.225	0.540(.183)	0.565(.186)	0.590(.189)	0.617(.192)	0.650(.195)
0.250	0.465(.196)	0.493(.199)	0.521(.203)	0.551(.206)	0.586(.210)
0.275	0.386(.207)	0.415(.211)	0.445(.215)	0.479(.219)	0.520(.224)
0.300	0.310(.215)	0.338(.220)	0.369(.225)	0.404(.230)	0.446(.236)
0.325	0.237(.222)	0.264(.228)	0.294(.233)	0.329(.239)	0.372(.246)
0.350	0.171(.227)	0.196(.233)	0.223(.240)	0.256(.247)	0.298(.255)
0.375	0.112(.231)	0.134(.237)	0.158(.244)	0.188(.252)	0.227(.261)
0.400	0.063(.233)	0.080(.240)	0.101(.248)	0.126(.256)	0.161(.266)
0.425	0.025(.234)	0.037(.242)	0.053(.249)	0.073(.258)	0.102(.269)
0.450	0.002(.234)	0.008(.242)	0.017(.250)	0.031(.260)	0.052(.271)
0.475	0. (.234)	0. (.242)	0. (.251)	0.003(.260)	0.015(.272)
0.500	0. (.234)	0. (.242)	0. (.251)	0. (.260)	0. (.272)
0.525	0. (.234)	0. (.242)	0. (.251)	0. (.260)	0. (.272)
0.550	0.002(.234)	0. (.242)	0. (.251)	0. (.260)	0. (.272)
0.575	0.025(.235)	0.015(.242)	0.006(.251)	0.001(.260)	0. (.272)
0.600	0.063(.236)	0.047(.243)	0.033(.251)	0.020(.261)	0.008(.273)
0.625	0.112(.238)	0.092(.245)	0.073(.252)	0.054(.261)	0.034(.273)
0.650	0.171(.242)	0.147(.248)	0.124(.255)	0.100(.263)	0.073(.274)
0.675	0.237(.247)	0.211(.252)	0.184(.259)	0.156(.267)	0.123(.277)
0.700	0.310(.254)	0.282(.259)	0.252(.264)	0.221(.271)	0.183(.281)
0.725	0.386(.262)	0.357(.267)	0.327(.271)	0.293(.278)	0.252(.286)
0.750	0.465(.273)	0.437(.276)	0.406(.281)	0.371(.286)	0.329(.293)
0.775	0.540(.285)	0.516(.288)	0.488(.292)	0.454(.296)	0.412(.303)
0.800	0.612(.300)	0.589(.302)	0.564(.305)	0.534(.309)	0.497(.314)
0.825	0.681(.316)	0.661(.318)	0.638(.320)	0.611(.323)	0.577(.327)
0.850	0.747(.334)	0.730(.335)	0.710(.337)	0.687(.339)	0.657(.343)
0.875	0.809(.353)	0.795(.354)	0.779(.355)	0.760(.357)	0.734(.360)
0.900	0.865(.374)	0.854(.375)	0.842(.376)	0.828(.377)	0.808(.380)
0.925	0.914(.396)	0.907(.397)	0.898(.397)	0.888(.399)	0.875(.401)
0.950	0.954(.420)	0.950(.420)	0.946(.421)	0.940(.421)	0.932(.423)
0.975	0.984(.444)	0.983(.444)	0.981(.445)	0.979(.445)	0.976(.447)
1.000	1.000(.469)	1.000(.469)	1.000(.469)	1.000(.470)	1.000(.472)

*** RELATIVE ENERGY FLUX DENSITY IN THE ***
 *** PENUMBRA OF A RECTANGULAR CYLINDER ***

VERSION E

SOLAR FIELD ANGLE, D = 10.00 DEGREES
 GEOMETRY D2/R = 10.00 AND H/R = 0.5

BETA = ANGLE OF INCIDENCE, DEGREES

BETA *** AX/AB	50.00		60.00		70.00		80.00		84.50	
	Q	(QI)	Q	(QI)	Q	(QI)	Q	(QI)	Q	(QI)
0.	1.000(.)		1.000(.)		1.000(.)		1.000(.)		1.000(.)	
0.025	0.991(.025)		0.993(.025)		0.996(.025)		0.999(.025)		1.000(.025)	
0.050	0.974(.049)		0.980(.050)		0.988(.050)		0.997(.050)		1.000(.050)	
0.075	0.950(.073)		0.961(.074)		0.976(.074)		0.995(.075)		1.000(.075)	
0.100	0.920(.097)		0.937(.098)		0.961(.099)		0.992(.100)		1.000(.100)	
0.125	0.884(.119)		0.909(.121)		0.943(.122)		0.988(.124)		1.000(.125)	
0.150	0.843(.141)		0.876(.143)		0.922(.146)		0.983(.149)		1.000(.150)	
0.175	0.797(.162)		0.838(.164)		0.896(.168)		0.978(.174)		1.000(.175)	
0.200	0.746(.181)		0.795(.185)		0.867(.190)		0.971(.198)		1.000(.200)	
0.225	0.691(.199)		0.748(.204)		0.834(.212)		0.963(.222)		1.000(.225)	
0.250	0.632(.215)		0.696(.222)		0.797(.232)		0.953(.246)		1.000(.250)	
0.275	0.570(.230)		0.641(.239)		0.755(.251)		0.942(.270)		1.000(.275)	
0.300	0.503(.244)		0.581(.254)		0.709(.270)		0.929(.293)		0.999(.300)	
0.325	0.430(.255)		0.518(.268)		0.659(.287)		0.914(.316)		0.999(.325)	
0.350	0.356(.265)		0.447(.280)		0.604(.303)		0.896(.339)		0.999(.350)	
0.375	0.284(.273)		0.374(.290)		0.545(.317)		0.875(.361)		0.999(.375)	
0.400	0.213(.279)		0.301(.299)		0.477(.330)		0.851(.383)		0.999(.400)	
0.425	0.148(.284)		0.229(.305)		0.406(.341)		0.823(.403)		0.999(.425)	
0.450	0.089(.287)		0.161(.310)		0.331(.350)		0.790(.424)		0.998(.450)	
0.475	0.041(.289)		0.099(.313)		0.256(.357)		0.752(.443)		0.998(.475)	
0.500	0.008(.289)		0.047(.315)		0.182(.363)		0.709(.461)		0.998(.500)	
0.525	0. (.289)		0.009(.316)		0.113(.367)		0.658(.478)		0.997(.525)	
0.550	0. (.289)		0. (.316)		0.053(.369)		0.601(.494)		0.997(.550)	
0.575	0. (.289)		0. (.316)		0.009(.369)		0.530(.508)		0.996(.574)	
0.600	0. (.289)		0. (.316)		0. (.370)		0.449(.520)		0.995(.599)	
0.625	0.014(.289)		0. (.316)		0. (.370)		0.359(.530)		0.994(.624)	
0.650	0.043(.290)		0.012(.316)		0. (.370)		0.260(.538)		0.992(.649)	
0.675	0.085(.292)		0.039(.317)		0. (.370)		0.157(.543)		0.990(.674)	
0.700	0.138(.295)		0.079(.318)		0.012(.370)		0.061(.546)		0.987(.699)	
0.725	0.201(.299)		0.130(.321)		0.037(.370)		0. (.547)		0.983(.723)	
0.750	0.273(.305)		0.193(.325)		0.075(.372)		0. (.547)		0.978(.748)	
0.775	0.354(.313)		0.268(.331)		0.127(.374)		0. (.547)		0.970(.772)	
0.800	0.442(.322)		0.353(.339)		0.195(.378)		0. (.547)		0.957(.796)	
0.825	0.528(.335)		0.447(.349)		0.278(.384)		0.002(.547)		0.938(.820)	
0.850	0.613(.349)		0.539(.361)		0.379(.392)		0.017(.547)		0.906(.843)	
0.875	0.697(.365)		0.633(.376)		0.490(.403)		0.050(.548)		0.847(.865)	
0.900	0.778(.384)		0.726(.392)		0.602(.417)		0.114(.550)		0.730(.884)	
0.925	0.854(.404)		0.816(.412)		0.721(.433)		0.236(.554)		0.463(.899)	
0.950	0.920(.426)		0.898(.433)		0.837(.453)		0.448(.563)		0. (.905)	
0.975	0.972(.450)		0.963(.456)		0.940(.475)		0.725(.578)		0. (.905)	
1.000	1.000(.475)		1.000(.481)		1.000(.499)		1.000(.599)		0. (.905)	

4

3

2

*** RELATIVE ENERGY FLUX DENSITY IN THE ***
 *** PENUMBRA OF A RECTANGULAR CYLINDER ***

VERSION E

SOLAR FIELD ANGLE, D= 10.00 DEGREES
 GEOMETRY D2/R = 50.00 AND H/R = 0.5

BETA = ANGLE OF INCIDENCE, DEGREES

BETA ***	0.		10.00		20.00		30.00		40.00	
AX/AB	Q	(QI)	Q	(QI)	Q	(QI)	Q	(QI)	Q	(QI)
0.	1.000(.)		1.000(.)		1.000(.)		1.000(.)		1.000(.)	
0.025	0.993(.025)		0.993(.025)		0.994(.025)		0.994(.025)		0.995(.025)	
0.050	0.980(.050)		0.981(.050)		0.982(.050)		0.984(.050)		0.985(.050)	
0.075	0.962(.074)		0.965(.074)		0.967(.074)		0.969(.074)		0.972(.074)	
0.100	0.941(.098)		0.945(.098)		0.948(.098)		0.952(.098)		0.956(.098)	
0.125	0.917(.121)		0.921(.121)		0.926(.121)		0.931(.122)		0.937(.122)	
0.150	0.889(.143)		0.895(.144)		0.902(.144)		0.908(.145)		0.916(.145)	
0.175	0.859(.165)		0.867(.166)		0.874(.166)		0.883(.167)		0.892(.168)	
0.200	0.828(.186)		0.836(.187)		0.845(.188)		0.855(.189)		0.866(.190)	
0.225	0.803(.207)		0.811(.208)		0.820(.209)		0.829(.210)		0.841(.211)	
0.250	0.781(.227)		0.789(.228)		0.798(.229)		0.808(.230)		0.820(.232)	
0.275	0.762(.246)		0.770(.247)		0.779(.249)		0.789(.250)		0.800(.252)	
0.300	0.746(.265)		0.753(.266)		0.762(.268)		0.771(.270)		0.783(.272)	
0.325	0.731(.283)		0.738(.285)		0.746(.287)		0.755(.289)		0.766(.291)	
0.350	0.719(.301)		0.725(.303)		0.732(.305)		0.741(.307)		0.751(.310)	
0.375	0.709(.319)		0.714(.321)		0.720(.323)		0.728(.326)		0.738(.329)	
0.400	0.700(.337)		0.705(.339)		0.710(.341)		0.717(.344)		0.726(.347)	
0.425	0.694(.354)		0.697(.356)		0.702(.359)		0.707(.362)		0.715(.365)	
0.450	0.689(.371)		0.691(.374)		0.695(.376)		0.699(.379)		0.706(.383)	
0.475	0.686(.389)		0.687(.391)		0.689(.394)		0.692(.397)		0.697(.400)	
0.500	0.685(.406)		0.685(.408)		0.686(.411)		0.687(.414)		0.691(.418)	
0.525	0.686(.423)		0.685(.425)		0.684(.428)		0.685(.431)		0.686(.435)	
0.550	0.689(.440)		0.686(.442)		0.685(.445)		0.684(.448)		0.683(.452)	
0.575	0.694(.457)		0.690(.460)		0.687(.462)		0.685(.465)		0.683(.469)	
0.600	0.700(.475)		0.696(.477)		0.692(.479)		0.688(.482)		0.684(.486)	
0.625	0.709(.492)		0.704(.494)		0.699(.497)		0.693(.500)		0.688(.503)	
0.650	0.719(.510)		0.713(.512)		0.707(.514)		0.701(.517)		0.693(.521)	
0.675	0.731(.528)		0.724(.530)		0.717(.532)		0.710(.535)		0.701(.538)	
0.700	0.746(.547)		0.738(.548)		0.730(.550)		0.722(.553)		0.712(.556)	
0.725	0.762(.566)		0.754(.567)		0.746(.569)		0.737(.571)		0.726(.574)	
0.750	0.781(.585)		0.773(.586)		0.764(.588)		0.754(.590)		0.742(.592)	
0.775	0.803(.605)		0.794(.606)		0.785(.607)		0.775(.609)		0.762(.611)	
0.800	0.828(.625)		0.819(.626)		0.810(.627)		0.800(.628)		0.787(.630)	
0.825	0.859(.646)		0.851(.647)		0.843(.648)		0.832(.649)		0.819(.650)	
0.850	0.889(.668)		0.883(.669)		0.876(.669)		0.867(.670)		0.856(.671)	
0.875	0.917(.691)		0.912(.691)		0.906(.691)		0.899(.692)		0.890(.693)	
0.900	0.941(.714)		0.937(.714)		0.933(.714)		0.928(.715)		0.922(.716)	
0.925	0.962(.738)		0.960(.738)		0.957(.738)		0.954(.738)		0.949(.739)	
0.950	0.980(.762)		0.978(.762)		0.977(.762)		0.975(.763)		0.973(.763)	
0.975	0.993(.787)		0.993(.787)		0.992(.787)		0.991(.787)		0.990(.788)	
1.000	1.000(.812)		1.000(.812)		1.000(.812)		1.000(.812)		1.000(.813)	

App. 4
Phase 1

*** RELATIVE ENERGY FLUX DENSITY IN THE ***
 *** PENUMBRA OF A RECTANGULAR CYLINDER ***

VERSION E

SOLAR FIELD ANGLE, D= 10.00 DEGREES
 GEOMETRY D2/R = 50.00 AND H/R = 0.5

BETA = ANGLE OF INCIDENCE, DEGREES

BETA ***	50.00	60.00	70.00	80.00	84.50
AX/AB	Q (QI)	Q (QI)	Q (QI)	Q (QI)	Q (QI)
0.	1.000(.)	1.000(.)	1.000(.)	1.000(.)	1.000(.)
0.025	0.996(.025)	0.996(.025)	0.998(.025)	0.999(.025)	1.000(.025)
0.050	0.987(.050)	0.989(.050)	0.993(.050)	0.998(.050)	1.000(.050)
0.075	0.976(.074)	0.980(.074)	0.987(.075)	0.997(.075)	1.000(.075)
0.100	0.961(.098)	0.968(.099)	0.979(.099)	0.994(.100)	1.000(.100)
0.125	0.945(.122)	0.954(.123)	0.969(.124)	0.992(.125)	1.000(.125)
0.150	0.925(.146)	0.938(.146)	0.958(.148)	0.989(.149)	1.000(.150)
0.175	0.904(.169)	0.920(.170)	0.945(.171)	0.985(.174)	1.000(.175)
0.200	0.880(.191)	0.900(.192)	0.930(.195)	0.981(.199)	1.000(.200)
0.225	0.856(.213)	0.878(.215)	0.914(.218)	0.976(.223)	1.000(.225)
0.250	0.835(.234)	0.858(.236)	0.897(.241)	0.970(.247)	1.000(.250)
0.275	0.816(.254)	0.840(.258)	0.881(.263)	0.963(.272)	1.000(.275)
0.300	0.799(.275)	0.823(.278)	0.866(.285)	0.956(.296)	1.000(.300)
0.325	0.782(.294)	0.806(.299)	0.850(.306)	0.949(.319)	0.999(.325)
0.350	0.766(.314)	0.790(.319)	0.835(.327)	0.941(.343)	0.999(.350)
0.375	0.752(.333)	0.775(.338)	0.820(.348)	0.933(.366)	0.999(.375)
0.400	0.738(.351)	0.760(.357)	0.804(.368)	0.924(.390)	0.999(.400)
0.425	0.726(.370)	0.746(.376)	0.789(.388)	0.914(.413)	0.999(.425)
0.450	0.715(.388)	0.733(.395)	0.774(.408)	0.904(.435)	0.999(.450)
0.475	0.706(.405)	0.721(.413)	0.759(.427)	0.892(.458)	0.998(.475)
0.500	0.697(.423)	0.710(.431)	0.745(.446)	0.880(.480)	0.998(.500)
0.525	0.690(.440)	0.700(.448)	0.731(.464)	0.866(.502)	0.998(.525)
0.550	0.685(.457)	0.692(.466)	0.718(.482)	0.851(.523)	0.997(.550)
0.575	0.682(.474)	0.685(.483)	0.705(.500)	0.835(.544)	0.997(.575)
0.600	0.681(.492)	0.680(.500)	0.693(.517)	0.817(.565)	0.996(.599)
0.625	0.682(.509)	0.677(.517)	0.683(.535)	0.798(.585)	0.996(.624)
0.650	0.686(.526)	0.677(.534)	0.674(.551)	0.778(.605)	0.995(.649)
0.675	0.691(.543)	0.679(.551)	0.668(.568)	0.756(.624)	0.993(.674)
0.700	0.700(.560)	0.684(.568)	0.665(.585)	0.732(.643)	0.992(.699)
0.725	0.711(.578)	0.692(.585)	0.665(.602)	0.707(.661)	0.990(.724)
0.750	0.726(.596)	0.704(.603)	0.669(.618)	0.682(.678)	0.987(.748)
0.775	0.745(.614)	0.720(.620)	0.678(.635)	0.658(.695)	0.983(.773)
0.800	0.769(.633)	0.742(.639)	0.693(.652)	0.636(.711)	0.978(.798)
0.825	0.800(.653)	0.771(.658)	0.716(.670)	0.619(.727)	0.970(.822)
0.850	0.840(.673)	0.812(.677)	0.751(.688)	0.610(.742)	0.957(.846)
0.875	0.878(.695)	0.855(.698)	0.804(.708)	0.619(.757)	0.937(.870)
0.900	0.912(.717)	0.895(.720)	0.856(.728)	0.659(.773)	0.902(.893)
0.925	0.943(.740)	0.932(.743)	0.904(.750)	0.753(.791)	0.837(.914)
0.950	0.969(.764)	0.963(.767)	0.947(.773)	0.851(.811)	0.708(.934)
0.975	0.989(.789)	0.987(.791)	0.981(.798)	0.942(.833)	0.500(.949)
1.000	1.000(.814)	1.000(.816)	1.000(.822)	1.000(.858)	1.000(.968)

*** RELATIVE ENERGY FLUX DENSITY IN THE ***
*** PENUMBRA OF A RECTANGULAR CYLINDER *** VERSION E

SOLAR FIELD ANGLE, D = 10.00 DEGREES
GEOMETRY D2/R = 100.00 AND H/R = 0.5

BETA = ANGLE OF INCIDENCE, DEGREES

BETA ***	0.	10.00	20.00	30.00	40.00
AX/AB	Q (QI)	Q (QI)	Q (QI)	Q (QI)	Q (QI)
0.	1.000(.)	1.000(.)	1.000(.)	1.000(.)	1.000(.)
0.025	0.994(.025)	0.994(.025)	0.995(.025)	0.995(.025)	0.996(.025)
0.050	0.983(.050)	0.984(.050)	0.985(.050)	0.986(.050)	0.987(.050)
0.075	0.968(.074)	0.969(.074)	0.971(.074)	0.973(.074)	0.976(.074)
0.100	0.949(.098)	0.952(.098)	0.955(.098)	0.958(.098)	0.962(.098)
0.125	0.932(.121)	0.935(.122)	0.939(.122)	0.942(.122)	0.947(.122)
0.150	0.919(.145)	0.922(.145)	0.926(.145)	0.930(.146)	0.935(.146)
0.175	0.907(.167)	0.911(.168)	0.915(.168)	0.919(.169)	0.924(.169)
0.200	0.897(.190)	0.901(.190)	0.905(.191)	0.909(.191)	0.915(.192)
0.225	0.888(.212)	0.891(.213)	0.896(.213)	0.900(.214)	0.906(.215)
0.250	0.879(.234)	0.883(.235)	0.887(.236)	0.892(.236)	0.897(.237)
0.275	0.872(.256)	0.875(.257)	0.879(.258)	0.884(.259)	0.889(.260)
0.300	0.865(.278)	0.868(.279)	0.872(.280)	0.877(.281)	0.882(.282)
0.325	0.859(.300)	0.862(.300)	0.866(.301)	0.870(.303)	0.875(.304)
0.350	0.854(.321)	0.857(.322)	0.860(.323)	0.864(.324)	0.869(.326)
0.375	0.850(.342)	0.853(.343)	0.855(.344)	0.859(.346)	0.863(.347)
0.400	0.847(.363)	0.849(.365)	0.851(.366)	0.854(.367)	0.858(.369)
0.425	0.844(.385)	0.846(.386)	0.848(.387)	0.850(.388)	0.853(.390)
0.450	0.843(.406)	0.844(.407)	0.845(.408)	0.847(.410)	0.850(.411)
0.475	0.841(.427)	0.842(.428)	0.843(.429)	0.844(.431)	0.846(.433)
0.500	0.841(.448)	0.841(.449)	0.842(.450)	0.842(.452)	0.844(.454)
0.525	0.841(.469)	0.841(.470)	0.841(.471)	0.841(.473)	0.842(.475)
0.550	0.843(.490)	0.842(.491)	0.841(.492)	0.841(.494)	0.840(.496)
0.575	0.844(.511)	0.843(.512)	0.842(.513)	0.841(.515)	0.840(.517)
0.600	0.847(.532)	0.845(.533)	0.843(.534)	0.842(.536)	0.840(.538)
0.625	0.850(.553)	0.848(.554)	0.846(.556)	0.843(.557)	0.841(.559)
0.650	0.854(.575)	0.852(.576)	0.849(.577)	0.846(.578)	0.843(.580)
0.675	0.859(.596)	0.856(.597)	0.853(.598)	0.850(.599)	0.846(.601)
0.700	0.865(.618)	0.862(.618)	0.858(.619)	0.854(.621)	0.850(.622)
0.725	0.872(.639)	0.868(.640)	0.864(.641)	0.860(.642)	0.855(.644)
0.750	0.879(.661)	0.875(.662)	0.871(.663)	0.867(.664)	0.861(.665)
0.775	0.888(.683)	0.884(.684)	0.879(.685)	0.875(.685)	0.869(.687)
0.800	0.897(.706)	0.893(.706)	0.889(.707)	0.884(.707)	0.878(.709)
0.825	0.907(.728)	0.903(.729)	0.899(.729)	0.894(.730)	0.888(.731)
0.850	0.919(.751)	0.915(.751)	0.911(.752)	0.906(.752)	0.901(.753)
0.875	0.932(.774)	0.929(.774)	0.925(.775)	0.921(.775)	0.915(.776)
0.900	0.949(.798)	0.946(.798)	0.943(.798)	0.939(.798)	0.933(.799)
0.925	0.968(.822)	0.966(.822)	0.963(.822)	0.961(.822)	0.957(.822)
0.950	0.983(.846)	0.982(.846)	0.980(.846)	0.979(.846)	0.977(.847)
0.975	0.994(.871)	0.994(.871)	0.993(.871)	0.993(.871)	0.992(.871)
1.000	1.000(.896)	1.000(.896)	1.000(.896)	1.000(.896)	1.000(.896)

*** RELATIVE ENERGY FLUX DENSITY IN THE *** VERSION E
 *** PENUMBRA OF A RECTANGULAR CYLINDER ***

SOLAR FIELD ANGLE, D= 10.00 DEGREES
 GEOMETRY D2/R = 100.00 AND H/R = 0.5

BETA = ANGLE OF INCIDENCE, DEGREES

BETA ***	50.00		60.00		70.00		80.00		84.50	
AX/AB	Q	(QI)	Q	(QI)	Q	(QI)	Q	(QI)	Q	(QI)
0.	1.000	(.)	1.000	(.)	1.000	(.)	1.000	(.)	1.000	(.)
0.025	0.996	(.025)	0.997	(.025)	0.998	(.025)	0.999	(.025)	1.000	(.025)
0.050	0.989	(.050)	0.991	(.050)	0.994	(.050)	0.998	(.050)	1.000	(.050)
0.075	0.979	(.074)	0.982	(.074)	0.988	(.075)	0.997	(.075)	1.000	(.075)
0.100	0.966	(.099)	0.972	(.099)	0.981	(.099)	0.995	(.100)	1.000	(.100)
0.125	0.952	(.123)	0.960	(.123)	0.972	(.124)	0.992	(.125)	1.000	(.125)
0.150	0.941	(.146)	0.950	(.147)	0.964	(.148)	0.990	(.149)	1.000	(.150)
0.175	0.931	(.170)	0.941	(.171)	0.957	(.172)	0.986	(.174)	1.000	(.175)
0.200	0.922	(.193)	0.932	(.194)	0.950	(.196)	0.984	(.199)	1.000	(.200)
0.225	0.913	(.216)	0.924	(.217)	0.943	(.219)	0.981	(.223)	1.000	(.225)
0.250	0.905	(.239)	0.916	(.240)	0.936	(.243)	0.978	(.248)	1.000	(.250)
0.275	0.897	(.261)	0.909	(.263)	0.929	(.266)	0.975	(.272)	1.000	(.275)
0.300	0.890	(.283)	0.901	(.286)	0.922	(.289)	0.971	(.297)	1.000	(.300)
0.325	0.882	(.306)	0.894	(.308)	0.915	(.312)	0.968	(.321)	1.000	(.325)
0.350	0.876	(.328)	0.887	(.330)	0.908	(.335)	0.964	(.345)	0.999	(.350)
0.375	0.870	(.349)	0.880	(.352)	0.902	(.358)	0.960	(.369)	0.999	(.375)
0.400	0.864	(.371)	0.874	(.374)	0.895	(.380)	0.955	(.393)	0.999	(.400)
0.425	0.859	(.393)	0.868	(.396)	0.888	(.402)	0.950	(.417)	0.999	(.425)
0.450	0.854	(.414)	0.862	(.418)	0.881	(.425)	0.945	(.440)	0.999	(.450)
0.475	0.850	(.435)	0.857	(.439)	0.874	(.446)	0.939	(.464)	0.999	(.475)
0.500	0.847	(.456)	0.852	(.461)	0.868	(.468)	0.933	(.487)	0.999	(.500)
0.525	0.843	(.478)	0.848	(.482)	0.862	(.490)	0.926	(.511)	0.999	(.525)
0.550	0.841	(.499)	0.844	(.503)	0.856	(.511)	0.919	(.534)	0.998	(.550)
0.575	0.840	(.520)	0.841	(.524)	0.850	(.533)	0.911	(.557)	0.998	(.575)
0.600	0.839	(.541)	0.839	(.545)	0.845	(.554)	0.902	(.579)	0.998	(.600)
0.625	0.839	(.562)	0.837	(.566)	0.840	(.575)	0.893	(.602)	0.997	(.625)
0.650	0.840	(.583)	0.836	(.587)	0.836	(.596)	0.884	(.624)	0.997	(.649)
0.675	0.842	(.604)	0.836	(.608)	0.833	(.617)	0.873	(.646)	0.996	(.674)
0.700	0.845	(.625)	0.838	(.629)	0.831	(.638)	0.863	(.668)	0.995	(.699)
0.725	0.849	(.646)	0.840	(.650)	0.830	(.658)	0.851	(.689)	0.994	(.724)
0.750	0.854	(.667)	0.845	(.671)	0.830	(.679)	0.840	(.710)	0.992	(.749)
0.775	0.861	(.689)	0.850	(.692)	0.832	(.700)	0.828	(.731)	0.990	(.774)
0.800	0.870	(.710)	0.858	(.713)	0.837	(.721)	0.818	(.752)	0.987	(.798)
0.825	0.880	(.732)	0.867	(.735)	0.844	(.742)	0.808	(.772)	0.982	(.823)
0.850	0.892	(.754)	0.880	(.757)	0.855	(.763)	0.801	(.792)	0.975	(.848)
0.875	0.907	(.777)	0.895	(.779)	0.869	(.784)	0.800	(.812)	0.964	(.872)
0.900	0.926	(.800)	0.914	(.801)	0.889	(.806)	0.807	(.832)	0.946	(.896)
0.925	0.952	(.823)	0.942	(.825)	0.920	(.829)	0.827	(.852)	0.913	(.919)
0.950	0.974	(.847)	0.969	(.849)	0.956	(.852)	0.879	(.874)	0.852	(.941)
0.975	0.991	(.872)	0.989	(.873)	0.984	(.877)	0.954	(.897)	0.748	(.961)
1.000	1.000	(.897)	1.000	(.898)	1.000	(.902)	1.000	(.921)	1.000	(.983)

RECORD NO. 66-196
 App. A
 Phase II

*** RELATIVE ENERGY FLUX DENSITY IN THE ***
 *** PENUMBRA OF A RECTANGULAR CYLINDER ***
 VERSION E

SOLAR FIELD ANGLE, D= 10.00 DEGREES
 GEOMETRY D2/R = 1.00 AND H/R = 1.0

BETA = ANGLE OF INCIDENCE, DEGREES

BETA ***	0.	10.00	20.00	30.00	40.00
AX/AB	Q (QI)	Q (QI)	Q (QI)	Q (QI)	Q (QI)
0.	1.000(.)	1.000(.)	1.000(.)	1.000(.)	1.000(.)
0.025	0.904(.024)	0.920(.024)	0.934(.024)	0.946(.024)	0.957(.024)
0.050	0.719(.044)	0.763(.045)	0.801(.046)	0.836(.047)	0.870(.047)
0.075	0. (0.053)	0.563(.062)	0.627(.064)	0.688(.066)	0.748(.068)
0.100	0. (0.053)	0. (0.069)	0.078(.073)	0.514(.081)	0.600(.084)
0.125	0. (0.053)	0. (0.069)	0. (0.073)	0. (0.087)	0.252(.095)
0.150	0. (0.053)	0. (0.069)	0. (0.073)	0. (0.087)	0. (0.098)
0.175	0. (0.053)	0. (0.069)	0. (0.073)	0. (0.087)	0. (0.098)
0.200	0. (0.053)	0. (0.069)	0. (0.073)	0. (0.087)	0. (0.098)
0.225	0. (0.053)	0. (0.069)	0. (0.073)	0. (0.087)	0. (0.098)
0.250	0. (0.053)	0. (0.069)	0. (0.073)	0. (0.087)	0. (0.098)
0.275	0. (0.053)	0. (0.069)	0. (0.073)	0. (0.087)	0. (0.098)
0.300	0. (0.053)	0. (0.069)	0. (0.073)	0. (0.087)	0. (0.098)
0.325	0. (0.053)	0. (0.069)	0. (0.073)	0. (0.087)	0. (0.098)
0.350	0. (0.053)	0. (0.069)	0. (0.073)	0. (0.087)	0. (0.098)
0.375	0. (0.053)	0. (0.069)	0. (0.073)	0. (0.087)	0. (0.098)
0.400	0. (0.053)	0. (0.069)	0. (0.073)	0. (0.087)	0. (0.098)
0.425	0. (0.053)	0. (0.069)	0. (0.073)	0. (0.087)	0. (0.098)
0.450	0. (0.053)	0. (0.069)	0. (0.073)	0. (0.087)	0. (0.098)
0.475	0. (0.053)	0. (0.069)	0. (0.073)	0. (0.087)	0. (0.098)
0.500	0. (0.053)	0. (0.069)	0. (0.073)	0. (0.087)	0. (0.098)
0.525	0. (0.053)	0. (0.069)	0. (0.073)	0. (0.087)	0. (0.098)
0.550	0. (0.053)	0. (0.069)	0. (0.073)	0. (0.087)	0. (0.098)
0.575	0. (0.053)	0. (0.069)	0. (0.073)	0. (0.087)	0. (0.098)
0.600	0. (0.053)	0. (0.069)	0. (0.073)	0. (0.087)	0. (0.098)
0.625	0. (0.053)	0. (0.069)	0. (0.073)	0. (0.087)	0. (0.098)
0.650	0. (0.053)	0. (0.069)	0. (0.073)	0. (0.087)	0. (0.098)
0.675	0. (0.053)	0. (0.069)	0. (0.073)	0. (0.087)	0. (0.098)
0.700	0. (0.053)	0. (0.069)	0. (0.073)	0. (0.087)	0. (0.098)
0.725	0. (0.053)	0. (0.069)	0. (0.073)	0. (0.087)	0. (0.098)
0.750	0. (0.053)	0. (0.069)	0. (0.073)	0. (0.087)	0. (0.098)
0.775	0. (0.053)	0. (0.069)	0. (0.073)	0. (0.087)	0. (0.098)
0.800	0. (0.053)	0. (0.069)	0. (0.073)	0. (0.087)	0. (0.098)
0.825	0. (0.053)	0. (0.069)	0. (0.073)	0. (0.087)	0. (0.098)
0.850	0. (0.053)	0. (0.069)	0. (0.073)	0. (0.087)	0. (0.098)
0.875	0. (0.053)	0. (0.069)	0. (0.073)	0. (0.087)	0. (0.098)
0.900	0. (0.053)	0. (0.069)	0. (0.073)	0. (0.087)	0. (0.098)
0.925	0. (0.053)	0. (0.069)	0. (0.073)	0. (0.087)	0. (0.098)
0.950	0.719(.062)	0.665(.077)	0. (0.073)	0. (0.087)	0. (0.098)
0.975	0.904(.082)	0.883(.096)	0.854(.084)	0.809(.097)	0. (0.098)
1.000	1.000(.106)	1.000(.120)	1.000(.107)	1.000(.120)	1.000(.111)

4
3
2

553
E-141

*** RELATIVE ENERGY FLUX DENSITY IN THE ***
 *** PENUMBRA OF A RECTANGULAR CYLINDER ***

VERSION E

SOLAR FIELD ANGLE, D= 10.00 DEGREES
 GEOMETRY D2/R = 1.00 AND H/R = 1.0

BETA = ANGLE OF INCIDENCE, DEGREES

BETA ***	50.00		60.00		70.00		80.00		84.50	
AX/AB	Q	(Q1)	Q	(Q1)	Q	(Q1)	Q	(Q1)	Q	(Q1)
0.	1.000	(.)	1.000	(.)	1.000	(.)	1.000	(.)	1.000	(.)
0.025	0.968	(.025)	0.980	(.025)	0.990	(.025)	0.999	(.025)	1.000	(.025)
0.050	0.903	(.048)	0.937	(.049)	0.970	(.049)	0.996	(.050)	1.000	(.050)
0.075	0.810	(.069)	0.875	(.071)	0.941	(.073)	0.992	(.075)	1.000	(.075)
0.100	0.692	(.088)	0.794	(.092)	0.901	(.096)	0.987	(.100)	1.000	(.100)
0.125	0.555	(.104)	0.694	(.111)	0.850	(.118)	0.981	(.124)	1.000	(.125)
0.150	0.216	(.113)	0.578	(.127)	0.787	(.139)	0.973	(.149)	1.000	(.150)
0.175	0.	(.116)	0.354	(.138)	0.711	(.157)	0.962	(.173)	1.000	(.175)
0.200	0.	(.116)	0.085	(.144)	0.622	(.174)	0.950	(.197)	1.000	(.200)
0.225	0.	(.116)	0.	(.145)	0.501	(.188)	0.934	(.220)	1.000	(.225)
0.250	0.	(.116)	0.	(.145)	0.303	(.198)	0.915	(.243)	1.000	(.250)
0.275	0.	(.116)	0.	(.145)	0.105	(.203)	0.892	(.266)	1.000	(.275)
0.300	0.	(.116)	0.	(.145)	0.	(.205)	0.863	(.288)	0.999	(.300)
0.325	0.	(.116)	0.	(.145)	0.	(.205)	0.829	(.309)	0.999	(.325)
0.350	0.	(.116)	0.	(.145)	0.	(.205)	0.787	(.329)	0.999	(.350)
0.375	0.	(.116)	0.	(.145)	0.	(.205)	0.737	(.348)	0.999	(.375)
0.400	0.	(.116)	0.	(.145)	0.	(.205)	0.676	(.366)	0.999	(.400)
0.425	0.	(.116)	0.	(.145)	0.	(.205)	0.603	(.382)	0.999	(.425)
0.450	0.	(.116)	0.	(.145)	0.	(.205)	0.483	(.395)	0.998	(.450)
0.475	0.	(.116)	0.	(.145)	0.	(.205)	0.336	(.406)	0.998	(.475)
0.500	0.	(.116)	0.	(.145)	0.	(.205)	0.170	(.412)	0.997	(.500)
0.525	0.	(.116)	0.	(.145)	0.	(.205)	0.022	(.414)	0.997	(.525)
0.550	0.	(.116)	0.	(.145)	0.	(.205)	0.	(.415)	0.996	(.550)
0.575	0.	(.116)	0.	(.145)	0.	(.205)	0.	(.415)	0.995	(.574)
0.600	0.	(.116)	0.	(.145)	0.	(.205)	0.	(.415)	0.994	(.599)
0.625	0.	(.116)	0.	(.145)	0.	(.205)	0.	(.415)	0.992	(.624)
0.650	0.	(.116)	0.	(.145)	0.	(.205)	0.	(.415)	0.990	(.649)
0.675	0.	(.116)	0.	(.145)	0.	(.205)	0.	(.415)	0.987	(.674)
0.700	0.	(.116)	0.	(.145)	0.	(.205)	0.	(.415)	0.983	(.698)
0.725	0.	(.116)	0.	(.145)	0.	(.205)	0.	(.415)	0.978	(.723)
0.750	0.	(.116)	0.	(.145)	0.	(.205)	0.	(.415)	0.969	(.747)
0.775	0.	(.116)	0.	(.145)	0.	(.205)	0.	(.415)	0.957	(.771)
0.800	0.	(.116)	0.	(.145)	0.	(.205)	0.	(.415)	0.936	(.795)
0.825	0.	(.116)	0.	(.145)	0.	(.205)	0.	(.415)	0.901	(.818)
0.850	0.	(.116)	0.	(.145)	0.	(.205)	0.	(.415)	0.835	(.839)
0.875	0.	(.116)	0.	(.145)	0.	(.205)	0.	(.415)	0.699	(.859)
0.900	0.	(.116)	0.	(.145)	0.	(.205)	0.	(.415)	0.310	(.871)
0.925	0.	(.116)	0.	(.145)	0.	(.205)	0.	(.415)	0.	(.875)
0.950	0.	(.116)	0.	(.145)	0.	(.205)	0.	(.415)	0.	(.875)
0.975	0.	(.116)	0.	(.145)	0.	(.205)	0.	(.415)	0.	(.875)
1.000	0.	(.116)	0.	(.145)	0.	(.205)	0.	(.415)	0.	(.875)

RE-ORDER No. 66-196
 App. 1
 Phase 11

*** RELATIVE ENERGY FLUX DENSITY IN THE *** VERSION E
 *** PENUMBRA OF A RECTANGULAR CYLINDER ***

SOLAR FIELD ANGLE, D= 10.00 DEGREES
 GEOMETRY D2/R = 5.00 AND H/R = 1.0

BETA = ANGLE OF INCIDENCE, DEGREES

BETA ***	0.		10.00		20.00		30.00		40.00	
AX/AB	Q	(QI)	Q	(QI)	Q	(QI)	Q	(QI)	Q	(QI)
0.	1.000	(.)	1.000	(.)	1.000	(.)	1.000	(.)	1.000	(.)
0.025	0.974	(.025)	0.976	(.025)	0.979	(.025)	0.981	(.025)	0.984	(.025)
0.050	0.923	(.048)	0.930	(.049)	0.937	(.049)	0.944	(.049)	0.952	(.049)
0.075	0.856	(.071)	0.869	(.071)	0.881	(.071)	0.894	(.072)	0.908	(.072)
0.100	0.775	(.091)	0.794	(.092)	0.813	(.093)	0.832	(.093)	0.853	(.094)
0.125	0.684	(.109)	0.709	(.111)	0.734	(.112)	0.760	(.113)	0.789	(.115)
0.150	0.587	(.125)	0.617	(.127)	0.647	(.129)	0.679	(.131)	0.716	(.134)
0.175	0.481	(.138)	0.521	(.141)	0.555	(.144)	0.593	(.147)	0.636	(.150)
0.200	0.333	(.149)	0.386	(.153)	0.440	(.157)	0.499	(.161)	0.550	(.165)
0.225	0.198	(.155)	0.249	(.161)	0.304	(.166)	0.366	(.172)	0.440	(.178)
0.250	0.088	(.159)	0.130	(.165)	0.180	(.172)	0.239	(.179)	0.314	(.187)
0.275	0.015	(.160)	0.041	(.168)	0.077	(.175)	0.127	(.184)	0.195	(.193)
0.300	0.	(.160)	0.	(.168)	0.010	(.176)	0.040	(.186)	0.092	(.197)
0.325	0.	(.160)	0.	(.168)	0.	(.176)	0.	(.186)	0.019	(.198)
0.350	0.	(.160)	0.	(.168)	0.	(.176)	0.	(.186)	0.	(.199)
0.375	0.	(.160)	0.	(.168)	0.	(.176)	0.	(.186)	0.	(.199)
0.400	0.	(.160)	0.	(.168)	0.	(.176)	0.	(.186)	0.	(.199)
0.425	0.	(.160)	0.	(.168)	0.	(.176)	0.	(.186)	0.	(.199)
0.450	0.	(.160)	0.	(.168)	0.	(.176)	0.	(.186)	0.	(.199)
0.475	0.	(.160)	0.	(.168)	0.	(.176)	0.	(.186)	0.	(.199)
0.500	0.	(.160)	0.	(.168)	0.	(.176)	0.	(.186)	0.	(.199)
0.525	0.	(.160)	0.	(.168)	0.	(.176)	0.	(.186)	0.	(.199)
0.550	0.	(.160)	0.	(.168)	0.	(.176)	0.	(.186)	0.	(.199)
0.575	0.	(.160)	0.	(.168)	0.	(.176)	0.	(.186)	0.	(.199)
0.600	0.	(.160)	0.	(.168)	0.	(.176)	0.	(.186)	0.	(.199)
0.625	0.	(.160)	0.	(.168)	0.	(.176)	0.	(.186)	0.	(.199)
0.650	0.	(.160)	0.	(.168)	0.	(.176)	0.	(.186)	0.	(.199)
0.675	0.	(.160)	0.	(.168)	0.	(.176)	0.	(.186)	0.	(.199)
0.700	0.	(.160)	0.	(.168)	0.	(.176)	0.	(.186)	0.	(.199)
0.725	0.015	(.160)	0.000	(.168)	0.	(.176)	0.	(.186)	0.	(.199)
0.750	0.088	(.162)	0.051	(.169)	0.020	(.177)	0.000	(.186)	0.	(.199)
0.775	0.198	(.165)	0.149	(.171)	0.101	(.178)	0.053	(.187)	0.011	(.199)
0.800	0.333	(.172)	0.279	(.177)	0.222	(.182)	0.159	(.190)	0.089	(.200)
0.825	0.481	(.182)	0.429	(.185)	0.371	(.190)	0.303	(.195)	0.219	(.204)
0.850	0.587	(.195)	0.555	(.198)	0.520	(.201)	0.472	(.205)	0.387	(.211)
0.875	0.684	(.211)	0.657	(.213)	0.627	(.215)	0.590	(.218)	0.542	(.223)
0.900	0.775	(.230)	0.754	(.230)	0.730	(.232)	0.700	(.235)	0.660	(.238)
0.925	0.856	(.250)	0.841	(.250)	0.825	(.252)	0.803	(.253)	0.774	(.256)
0.950	0.923	(.272)	0.915	(.272)	0.906	(.273)	0.893	(.275)	0.876	(.277)
0.975	0.974	(.296)	0.971	(.296)	0.967	(.297)	0.963	(.298)	0.957	(.300)
1.000	1.000	(.321)	1.000	(.321)	1.000	(.321)	1.000	(.322)	1.000	(.324)

555
 E-143

*** RELATIVE ENERGY FLUX DENSITY IN THE ***
 *** PENUMBRA OF A RECTANGULAR CYLINDER ***

VERSION E

SOLAR FIELD ANGLE, D= 10.00 DEGREES
 GEOMETRY D2/R = 5.00 AND H/R = 1.0

BETA = ANGLE OF INCIDENCE, DEGREES

BETA ***	50.00		60.00		70.00		80.00		84.50	
AX/AB	Q	(QI)	Q	(QI)	Q	(QI)	Q	(QI)	Q	(QI)
0.	1.000	(.)	1.000	(.)	1.000	(.)	1.000	(.)	1.000	(.)
0.025	0.987	(.025)	0.990	(.025)	0.994	(.025)	0.999	(.025)	1.000	(.025)
0.050	0.961	(.049)	0.971	(.049)	0.983	(.050)	0.997	(.050)	1.000	(.050)
0.075	0.924	(.073)	0.943	(.073)	0.968	(.074)	0.994	(.075)	1.000	(.075)
0.100	0.878	(.095)	0.908	(.096)	0.947	(.098)	0.991	(.100)	1.000	(.100)
0.125	0.823	(.117)	0.865	(.119)	0.921	(.121)	0.986	(.124)	1.000	(.125)
0.150	0.759	(.136)	0.815	(.140)	0.890	(.144)	0.980	(.149)	1.000	(.150)
0.175	0.688	(.154)	0.758	(.159)	0.854	(.166)	0.973	(.173)	1.000	(.175)
0.200	0.611	(.171)	0.693	(.177)	0.811	(.187)	0.964	(.198)	1.000	(.200)
0.225	0.529	(.185)	0.622	(.194)	0.763	(.206)	0.954	(.222)	1.000	(.225)
0.250	0.413	(.197)	0.546	(.208)	0.707	(.225)	0.942	(.245)	1.000	(.250)
0.275	0.293	(.205)	0.442	(.221)	0.646	(.242)	0.927	(.269)	1.000	(.275)
0.300	0.179	(.211)	0.328	(.230)	0.578	(.257)	0.910	(.292)	0.999	(.300)
0.325	0.081	(.215)	0.216	(.237)	0.492	(.270)	0.889	(.314)	0.999	(.325)
0.350	0.013	(.216)	0.114	(.241)	0.388	(.281)	0.865	(.336)	0.999	(.350)
0.375	0.	(.216)	0.033	(.243)	0.280	(.290)	0.837	(.357)	0.999	(.375)
0.400	0.	(.216)	0.	(.244)	0.174	(.295)	0.803	(.378)	0.999	(.400)
0.425	0.	(.216)	0.	(.244)	0.077	(.298)	0.763	(.397)	0.999	(.425)
0.450	0.	(.216)	0.	(.244)	0.009	(.299)	0.717	(.416)	0.998	(.450)
0.475	0.	(.216)	0.	(.244)	0.	(.300)	0.662	(.433)	0.998	(.475)
0.500	0.	(.216)	0.	(.244)	0.	(.300)	0.598	(.449)	0.998	(.500)
0.525	0.	(.216)	0.	(.244)	0.	(.300)	0.508	(.463)	0.997	(.525)
0.550	0.	(.216)	0.	(.244)	0.	(.300)	0.402	(.474)	0.996	(.550)
0.575	0.	(.216)	0.	(.244)	0.	(.300)	0.282	(.483)	0.996	(.574)
0.600	0.	(.216)	0.	(.244)	0.	(.300)	0.155	(.488)	0.994	(.599)
0.625	0.	(.216)	0.	(.244)	0.	(.300)	0.039	(.490)	0.993	(.624)
0.650	0.	(.216)	0.	(.244)	0.	(.300)	0.	(.491)	0.991	(.649)
0.675	0.	(.216)	0.	(.244)	0.	(.300)	0.	(.491)	0.989	(.674)
0.700	0.	(.216)	0.	(.244)	0.	(.300)	0.	(.491)	0.986	(.698)
0.725	0.	(.216)	0.	(.244)	0.	(.300)	0.	(.491)	0.981	(.723)
0.750	0.	(.216)	0.	(.244)	0.	(.300)	0.	(.491)	0.975	(.747)
0.775	0.	(.216)	0.	(.244)	0.	(.300)	0.	(.491)	0.965	(.772)
0.800	0.019	(.216)	0.	(.244)	0.	(.300)	0.	(.491)	0.950	(.796)
0.825	0.112	(.218)	0.003	(.244)	0.	(.300)	0.	(.491)	0.926	(.819)
0.850	0.266	(.223)	0.087	(.245)	0.	(.300)	0.	(.491)	0.883	(.842)
0.875	0.465	(.232)	0.260	(.249)	0.	(.300)	0.	(.491)	0.802	(.863)
0.900	0.599	(.245)	0.491	(.259)	0.059	(.300)	0.	(.491)	0.625	(.881)
0.925	0.729	(.262)	0.642	(.273)	0.370	(.306)	0.	(.491)	0.166	(.891)
0.950	0.848	(.281)	0.793	(.291)	0.627	(.318)	0.	(.491)	0.	(.893)
0.975	0.946	(.304)	0.924	(.312)	0.849	(.337)	0.	(.491)	0.	(.893)
1.000	1.000	(.328)	1.000	(.336)	1.000	(.360)	0.	(.491)	0.	(.893)

*** RELATIVE ENERGY FLUX DENSITY IN THE ***
 *** PENUMBRA OF A RECTANGULAR CYLINDER ***

VERSION E

SOLAR FIELD ANGLE, D= 10.00 DEGREES
 GEOMETRY D2/R = 10.00 AND H/R = 1.0

BETA = ANGLE OF INCIDENCE, DEGREES

BETA ***	0.	10.00	20.00	30.00	40.00
AX/AB	Q (QI)	Q (QI)	Q (QI)	Q (QI)	Q (QI)
0.	1.000(.)	1.000(.)	1.000(.)	1.000(.)	1.000(.)
0.025	0.985(.025)	0.986(.025)	0.987(.025)	0.988(.025)	0.990(.025)
0.050	0.956(.049)	0.959(.049)	0.963(.049)	0.966(.049)	0.970(.049)
0.075	0.917(.072)	0.923(.073)	0.929(.073)	0.936(.073)	0.943(.073)
0.100	0.870(.095)	0.879(.095)	0.889(.096)	0.898(.096)	0.909(.096)
0.125	0.816(.116)	0.829(.117)	0.841(.117)	0.855(.118)	0.870(.119)
0.150	0.756(.136)	0.772(.137)	0.788(.138)	0.805(.139)	0.825(.140)
0.175	0.692(.154)	0.711(.155)	0.730(.157)	0.751(.158)	0.775(.160)
0.200	0.625(.170)	0.646(.172)	0.668(.174)	0.692(.176)	0.720(.179)
0.225	0.556(.185)	0.579(.187)	0.603(.190)	0.630(.193)	0.661(.196)
0.250	0.482(.198)	0.510(.201)	0.536(.204)	0.565(.208)	0.599(.212)
0.275	0.397(.209)	0.427(.213)	0.460(.217)	0.496(.221)	0.535(.226)
0.300	0.314(.218)	0.344(.222)	0.377(.227)	0.414(.232)	0.460(.238)
0.325	0.236(.225)	0.265(.230)	0.297(.235)	0.334(.242)	0.380(.249)
0.350	0.165(.230)	0.191(.236)	0.220(.242)	0.256(.249)	0.300(.257)
0.375	0.102(.233)	0.125(.240)	0.151(.247)	0.183(.254)	0.224(.264)
0.400	0.052(.235)	0.069(.242)	0.090(.250)	0.117(.258)	0.154(.268)
0.425	0.015(.236)	0.026(.243)	0.041(.251)	0.062(.260)	0.092(.272)
0.450	0. (.236)	0.001(.244)	0.008(.252)	0.020(.261)	0.041(.273)
0.475	0. (.236)	0. (.244)	0. (.252)	0. (.262)	0.007(.274)
0.500	0. (.236)	0. (.244)	0. (.252)	0. (.262)	0. (.274)
0.525	0. (.236)	0. (.244)	0. (.252)	0. (.262)	0. (.274)
0.550	0. (.236)	0. (.244)	0. (.252)	0. (.262)	0. (.274)
0.575	0.015(.236)	0.006(.244)	0.001(.252)	0. (.262)	0. (.274)
0.600	0.052(.237)	0.036(.244)	0.023(.252)	0.011(.262)	0.001(.274)
0.625	0.102(.239)	0.082(.246)	0.062(.253)	0.043(.263)	0.024(.274)
0.650	0.165(.242)	0.140(.248)	0.115(.256)	0.090(.264)	0.062(.275)
0.675	0.236(.247)	0.208(.253)	0.179(.259)	0.149(.267)	0.114(.277)
0.700	0.314(.254)	0.284(.259)	0.252(.265)	0.218(.272)	0.178(.281)
0.725	0.397(.263)	0.366(.267)	0.333(.272)	0.297(.278)	0.253(.287)
0.750	0.482(.274)	0.452(.277)	0.419(.281)	0.382(.287)	0.336(.294)
0.775	0.556(.287)	0.532(.290)	0.506(.293)	0.472(.297)	0.427(.303)
0.800	0.625(.302)	0.603(.304)	0.579(.306)	0.550(.310)	0.515(.315)
0.825	0.692(.318)	0.673(.320)	0.651(.322)	0.625(.325)	0.592(.329)
0.850	0.756(.336)	0.740(.337)	0.721(.339)	0.699(.341)	0.670(.345)
0.875	0.816(.356)	0.802(.357)	0.787(.358)	0.769(.360)	0.745(.362)
0.900	0.870(.377)	0.860(.377)	0.848(.378)	0.834(.380)	0.816(.382)
0.925	0.917(.399)	0.910(.400)	0.902(.400)	0.893(.401)	0.880(.403)
0.950	0.956(.423)	0.952(.423)	0.948(.423)	0.942(.424)	0.935(.426)
0.975	0.985(.447)	0.983(.447)	0.982(.447)	0.980(.448)	0.977(.450)
1.000	1.000(.472)	1.000(.472)	1.000(.472)	1.000(.473)	1.000(.474)

*** RELATIVE ENERGY FLUX DENSITY IN THE ***
 *** PENUMBRA OF A RECTANGULAR CYLINDER ***

VERSION E

SOLAR FIELD ANGLE, D= 10.00 DEGREES
 GEOMETRY D2/R = 10.00 AND H/R = 1.0

BETA = ANGLE OF INCIDENCE, DEGREES

BETA ***	50.00		60.00		70.00		80.00		84.50	
AX/AB	Q	(QI)	Q	(QI)	Q	(QI)	Q	(QI)	Q	(QI)
0.	1.000(.))	1.000(.))	1.000(.))	1.000(.))	1.000(.))
0.025	0.991(.025))	0.993(.025))	0.996(.025))	0.999(.025))	1.000(.025))
0.050	0.975(.049))	0.980(.050))	0.988(.050))	0.998(.050))	1.000(.050))
0.075	0.951(.074))	0.962(.074))	0.977(.074))	0.995(.075))	1.000(.075))
0.100	0.922(.097))	0.939(.098))	0.962(.099))	0.992(.100))	1.000(.100))
0.125	0.888(.120))	0.912(.121))	0.945(.122))	0.988(.124))	1.000(.125))
0.150	0.848(.141))	0.880(.143))	0.924(.146))	0.984(.149))	1.000(.150))
0.175	0.804(.162))	0.843(.165))	0.899(.169))	0.978(.174))	1.000(.175))
0.200	0.754(.181))	0.801(.185))	0.871(.191))	0.971(.198))	1.000(.200))
0.225	0.701(.200))	0.756(.205))	0.839(.212))	0.963(.222))	1.000(.225))
0.250	0.644(.216))	0.706(.223))	0.803(.233))	0.954(.246))	1.000(.250))
0.275	0.583(.232))	0.652(.240))	0.762(.252))	0.943(.270))	1.000(.275))
0.300	0.520(.246))	0.594(.256))	0.718(.271))	0.930(.293))	0.999(.300))
0.325	0.442(.258))	0.533(.270))	0.669(.288))	0.915(.316))	0.999(.325))
0.350	0.363(.268))	0.459(.282))	0.616(.304))	0.898(.339))	0.999(.350))
0.375	0.284(.276))	0.381(.293))	0.559(.319))	0.878(.361))	0.999(.375))
0.400	0.209(.282))	0.303(.301))	0.489(.332))	0.854(.383))	0.999(.400))
0.425	0.139(.286))	0.226(.308))	0.413(.343))	0.827(.404))	0.999(.425))
0.450	0.078(.289))	0.153(.312))	0.334(.352))	0.795(.424))	0.998(.450))
0.475	0.030(.290))	0.088(.315))	0.254(.360))	0.759(.444))	0.998(.475))
0.500	0.001(.291))	0.035(.317))	0.175(.365))	0.716(.462))	0.998(.500))
0.525	0. (.291))	0.002(.317))	0.102(.369))	0.667(.479))	0.997(.525))
0.550	0. (.291))	0. (.317))	0.041(.370))	0.611(.495))	0.997(.550))
0.575	0. (.291))	0. (.317))	0.002(.371))	0.540(.510))	0.996(.574))
0.600	0. (.291))	0. (.317))	0. (.371))	0.455(.522))	0.995(.599))
0.625	0.006(.291))	0. (.317))	0. (.371))	0.360(.532))	0.994(.624))
0.650	0.033(.291))	0.005(.317))	0. (.371))	0.255(.540))	0.992(.649))
0.675	0.074(.293))	0.029(.318))	0. (.371))	0.147(.545))	0.990(.674))
0.700	0.130(.295))	0.068(.319))	0.005(.371))	0.048(.547))	0.987(.699))
0.725	0.197(.299))	0.122(.322))	0.027(.371))	0. (.548))	0.983(.723))
0.750	0.276(.305))	0.190(.325))	0.065(.372))	0. (.548))	0.978(.748))
0.775	0.365(.313))	0.271(.331))	0.119(.375))	0. (.548))	0.970(.772))
0.800	0.461(.323))	0.365(.339))	0.192(.379))	0. (.548))	0.958(.796))
0.825	0.546(.336))	0.470(.350))	0.285(.385))	0. (.548))	0.939(.820))
0.850	0.628(.351))	0.557(.362))	0.399(.393))	0.008(.548))	0.907(.843))
0.875	0.709(.367))	0.648(.377))	0.512(.405))	0.038(.549))	0.850(.865))
0.900	0.788(.386))	0.738(.395))	0.621(.419))	0.105(.550))	0.737(.885))
0.925	0.860(.407))	0.825(.414))	0.735(.436))	0.248(.555))	0.466(.900))
0.950	0.924(.429))	0.902(.436))	0.846(.455))	0.483(.564))	0. (.906))
0.975	0.973(.453))	0.965(.459))	0.943(.478))	0.749(.579))	0. (.906))
1.000	1.000(.477))	1.000(.484))	1.000(.502))	1.000(.601))	0. (.906))

*** RELATIVE ENERGY FLUX DENSITY IN THE ***
 *** PENUMBRA OF A RECTANGULAR CYLINDER ***
 VERSION E

SOLAR FIELD ANGLE, D= 10.00 DEGREES
 GEOMETRY D2/R = 50.00 AND H/R = 1.0

BETA = ANGLE OF INCIDENCE, DEGREES

BETA *** AX/AB	0. Q (QI)	10.00 Q (QI)	20.00 Q (QI)	30.00 Q (QI)	40.00 Q (QI)
0.	1.000(.)	1.000(.)	1.000(.)	1.000(.)	1.000(.)
0.025	0.993(.025)	0.993(.025)	0.994(.025)	0.994(.025)	0.995(.025)
0.050	0.980(.050)	0.981(.050)	0.982(.050)	0.984(.050)	0.985(.050)
0.075	0.962(.074)	0.965(.074)	0.967(.074)	0.969(.074)	0.972(.074)
0.100	0.941(.098)	0.945(.098)	0.948(.098)	0.952(.098)	0.956(.098)
0.125	0.917(.121)	0.922(.121)	0.926(.121)	0.932(.122)	0.937(.122)
0.150	0.890(.143)	0.896(.144)	0.902(.144)	0.908(.145)	0.916(.145)
0.175	0.860(.165)	0.867(.166)	0.875(.166)	0.883(.167)	0.892(.168)
0.200	0.827(.186)	0.836(.187)	0.845(.188)	0.855(.189)	0.866(.190)
0.225	0.800(.207)	0.809(.208)	0.818(.209)	0.828(.210)	0.840(.211)
0.250	0.778(.226)	0.787(.228)	0.795(.229)	0.805(.230)	0.818(.232)
0.275	0.759(.246)	0.767(.247)	0.776(.249)	0.786(.250)	0.798(.252)
0.300	0.742(.264)	0.750(.266)	0.758(.268)	0.768(.269)	0.780(.272)
0.325	0.728(.283)	0.735(.285)	0.743(.286)	0.752(.288)	0.763(.291)
0.350	0.716(.301)	0.722(.303)	0.729(.305)	0.737(.307)	0.748(.310)
0.375	0.706(.319)	0.711(.321)	0.717(.323)	0.725(.325)	0.735(.328)
0.400	0.698(.336)	0.702(.338)	0.707(.341)	0.714(.343)	0.723(.347)
0.425	0.691(.354)	0.695(.356)	0.700(.358)	0.705(.361)	0.712(.365)
0.450	0.686(.371)	0.688(.373)	0.692(.376)	0.697(.379)	0.703(.382)
0.475	0.682(.388)	0.684(.390)	0.686(.393)	0.690(.396)	0.695(.400)
0.500	0.681(.405)	0.682(.407)	0.683(.410)	0.684(.413)	0.688(.417)
0.525	0.682(.422)	0.682(.424)	0.681(.427)	0.681(.430)	0.683(.434)
0.550	0.686(.439)	0.683(.441)	0.682(.444)	0.681(.447)	0.680(.451)
0.575	0.691(.456)	0.688(.459)	0.685(.461)	0.682(.464)	0.680(.468)
0.600	0.698(.474)	0.694(.476)	0.690(.478)	0.685(.481)	0.681(.485)
0.625	0.706(.491)	0.701(.493)	0.696(.496)	0.691(.499)	0.685(.502)
0.650	0.716(.509)	0.710(.511)	0.704(.513)	0.697(.516)	0.690(.519)
0.675	0.728(.527)	0.721(.529)	0.714(.531)	0.706(.533)	0.698(.537)
0.700	0.742(.545)	0.735(.547)	0.727(.549)	0.718(.551)	0.708(.554)
0.725	0.759(.564)	0.751(.566)	0.742(.567)	0.733(.569)	0.722(.572)
0.750	0.778(.583)	0.770(.585)	0.761(.586)	0.751(.588)	0.738(.590)
0.775	0.800(.603)	0.792(.604)	0.783(.605)	0.772(.607)	0.759(.609)
0.800	0.827(.623)	0.818(.624)	0.809(.625)	0.798(.627)	0.785(.628)
0.825	0.860(.644)	0.852(.645)	0.843(.646)	0.833(.647)	0.819(.649)
0.850	0.890(.666)	0.883(.667)	0.876(.667)	0.868(.668)	0.856(.669)
0.875	0.917(.689)	0.912(.689)	0.906(.690)	0.900(.690)	0.891(.691)
0.900	0.941(.712)	0.938(.712)	0.934(.713)	0.929(.713)	0.922(.714)
0.925	0.962(.736)	0.960(.736)	0.957(.736)	0.954(.737)	0.950(.737)
0.950	0.980(.760)	0.979(.760)	0.977(.760)	0.975(.761)	0.973(.761)
0.975	0.993(.785)	0.993(.785)	0.992(.785)	0.991(.785)	0.991(.786)
1.000	1.000(.810)	1.000(.810)	1.000(.810)	1.000(.810)	1.000(.811)

4
3
2

*** RELATIVE ENERGY FLUX DENSITY IN THE *** VERSION E
 *** PENUMBRA OF A RECTANGULAR CYLINDER ***

SOLAR FIELD ANGLE, D= 10.00 DEGREES
 GEOMETRY D2/R = 50.00 AND H/R = .1.0

BETA = ANGLE OF INCIDENCE, DEGREES

BETA ***	50.00		60.00		70.00		80.00		84.50	
AX/AB	Q	(QI)	Q	(QI)	Q	(QI)	Q	(QI)	Q	(QI)
0.	1.000(.))	1.000(.))	1.000(.))	1.000(.))	1.000(.))
0.025	0.996(.025))	0.996(.025))	0.998(.025))	0.999(.025))	1.000(.025))
0.050	0.987(.050))	0.989(.050))	0.993(.050))	0.998(.050))	1.000(.050))
0.075	0.976(.074))	0.980(.074))	0.987(.075))	0.997(.075))	1.000(.075))
0.100	0.961(.098))	0.968(.099))	0.979(.099))	0.994(.100))	1.000(.100))
0.125	0.945(.122))	0.955(.123))	0.969(.124))	0.992(.125))	1.000(.125))
0.150	0.926(.146))	0.939(.146))	0.958(.148))	0.989(.149))	1.000(.150))
0.175	0.904(.169))	0.920(.170))	0.945(.171))	0.985(.174))	1.000(.175))
0.200	0.881(.191))	0.900(.192))	0.931(.195))	0.981(.199))	1.000(.200))
0.225	0.855(.213))	0.878(.215))	0.914(.218))	0.976(.223))	1.000(.225))
0.250	0.833(.234))	0.857(.236))	0.896(.241))	0.970(.247))	1.000(.250))
0.275	0.814(.254))	0.838(.258))	0.880(.263))	0.963(.272))	1.000(.275))
0.300	0.796(.274))	0.820(.278))	0.864(.285))	0.956(.296))	1.000(.300))
0.325	0.779(.294))	0.803(.299))	0.848(.306))	0.948(.319))	0.999(.325))
0.350	0.763(.313))	0.787(.318))	0.833(.327))	0.940(.343))	0.999(.350))
0.375	0.749(.332))	0.772(.338))	0.817(.348))	0.932(.366))	0.999(.375))
0.400	0.735(.351))	0.757(.357))	0.802(.368))	0.923(.390))	0.999(.400))
0.425	0.724(.369))	0.743(.376))	0.787(.388))	0.913(.412))	0.999(.425))
0.450	0.713(.387))	0.731(.394))	0.772(.407))	0.902(.435))	0.999(.450))
0.475	0.703(.405))	0.719(.412))	0.757(.426))	0.891(.458))	0.998(.475))
0.500	0.694(.422))	0.708(.430))	0.743(.445))	0.878(.480))	0.998(.500))
0.525	0.687(.439))	0.698(.448))	0.729(.463))	0.864(.501))	0.998(.525))
0.550	0.682(.457))	0.689(.465))	0.715(.481))	0.849(.523))	0.997(.550))
0.575	0.679(.474))	0.682(.482))	0.702(.499))	0.833(.544))	0.997(.575))
0.600	0.678(.490))	0.677(.499))	0.690(.517))	0.815(.565))	0.996(.599))
0.625	0.679(.507))	0.674(.516))	0.679(.534))	0.796(.585))	0.996(.624))
0.650	0.683(.524))	0.674(.533))	0.671(.551))	0.776(.604))	0.995(.649))
0.675	0.688(.542))	0.676(.550))	0.665(.567))	0.755(.623))	0.993(.674))
0.700	0.696(.559))	0.680(.567))	0.662(.584))	0.730(.642))	0.992(.699))
0.725	0.707(.576))	0.687(.584))	0.661(.600))	0.705(.660))	0.990(.724))
0.750	0.722(.594))	0.699(.601))	0.664(.617))	0.679(.677))	0.987(.748))
0.775	0.742(.613))	0.716(.619))	0.673(.634))	0.654(.694))	0.983(.773))
0.800	0.767(.631))	0.739(.637))	0.688(.651))	0.631(.710))	0.977(.798))
0.825	0.800(.651))	0.769(.656))	0.712(.668))	0.614(.726))	0.969(.822))
0.850	0.840(.672))	0.813(.676))	0.751(.686))	0.604(.741))	0.957(.846))
0.875	0.876(.693))	0.856(.697))	0.805(.706))	0.613(.756))	0.936(.870))
0.900	0.912(.715))	0.896(.718))	0.856(.727))	0.659(.772))	0.901(.893))
0.925	0.943(.739))	0.932(.741))	0.904(.749))	0.754(.790))	0.836(.914))
0.950	0.969(.763))	0.963(.765))	0.947(.772))	0.852(.810))	0.706(.934))
0.975	0.989(.787))	0.987(.789))	0.981(.796))	0.943(.832))	0.491(.949))
1.000	1.000(.812))	1.000(.814))	1.000(.821))	1.000(.856))	1.000(.967))

4

3

2

66-196
 App. 4
 Phase 11

*** RELATIVE ENERGY FLUX DENSITY IN THE ***
 *** PENUMBRA OF A RECTANGULAR CYLINDER ***

VERSION E

SOLAR FIELD ANGLE, D= 10.00 DEGREES
 GEOMETRY D2/R = 100.00 AND H/R = 1.0

BETA = ANGLE OF INCIDENCE, DEGREES

BETA ***	0.	10.00	20.00	30.00	40.00
AX/AB	Q (QI)	Q (QI)	Q (QI)	Q (QI)	Q (QI)
0.	1.000(.)	1.000(.)	1.000(.)	1.000(.)	1.000(.)
0.025	0.994(.025)	0.994(.025)	0.995(.025)	0.995(.025)	0.996(.025)
0.050	0.983(.050)	0.984(.050)	0.985(.050)	0.986(.050)	0.987(.050)
0.075	0.968(.074)	0.969(.074)	0.971(.074)	0.973(.074)	0.976(.074)
0.100	0.949(.098)	0.952(.098)	0.955(.098)	0.958(.098)	0.962(.098)
0.125	0.931(.121)	0.934(.122)	0.938(.122)	0.942(.122)	0.946(.122)
0.150	0.917(.145)	0.921(.145)	0.925(.145)	0.929(.145)	0.934(.146)
0.175	0.905(.167)	0.909(.168)	0.913(.168)	0.918(.169)	0.923(.169)
0.200	0.895(.190)	0.899(.190)	0.903(.191)	0.907(.191)	0.913(.192)
0.225	0.885(.212)	0.889(.213)	0.893(.213)	0.898(.214)	0.904(.215)
0.250	0.877(.234)	0.881(.235)	0.885(.235)	0.889(.236)	0.895(.237)
0.275	0.869(.256)	0.873(.257)	0.877(.258)	0.882(.258)	0.887(.259)
0.300	0.863(.278)	0.866(.278)	0.870(.279)	0.874(.280)	0.880(.282)
0.325	0.857(.299)	0.860(.300)	0.864(.301)	0.868(.302)	0.873(.303)
0.350	0.852(.320)	0.855(.321)	0.858(.323)	0.862(.324)	0.867(.325)
0.375	0.846(.342)	0.851(.343)	0.854(.344)	0.857(.345)	0.861(.347)
0.400	0.845(.363)	0.847(.364)	0.850(.365)	0.852(.367)	0.856(.368)
0.425	0.843(.384)	0.845(.385)	0.846(.386)	0.849(.388)	0.852(.390)
0.450	0.842(.405)	0.843(.406)	0.844(.408)	0.846(.409)	0.848(.411)
0.475	0.841(.426)	0.841(.427)	0.842(.429)	0.844(.430)	0.846(.432)
0.500	0.840(.447)	0.840(.448)	0.841(.450)	0.842(.451)	0.843(.453)
0.525	0.841(.468)	0.840(.469)	0.840(.471)	0.840(.472)	0.841(.474)
0.550	0.842(.489)	0.841(.490)	0.840(.492)	0.840(.493)	0.840(.495)
0.575	0.843(.510)	0.842(.511)	0.841(.513)	0.840(.514)	0.839(.516)
0.600	0.845(.531)	0.844(.532)	0.842(.534)	0.841(.535)	0.839(.537)
0.625	0.848(.552)	0.846(.554)	0.844(.555)	0.842(.556)	0.840(.558)
0.650	0.852(.574)	0.850(.575)	0.847(.576)	0.844(.577)	0.841(.579)
0.675	0.857(.595)	0.854(.596)	0.851(.597)	0.848(.599)	0.844(.600)
0.700	0.863(.617)	0.859(.618)	0.856(.619)	0.852(.620)	0.848(.621)
0.725	0.869(.638)	0.866(.639)	0.862(.640)	0.858(.641)	0.853(.643)
0.750	0.877(.660)	0.873(.661)	0.869(.662)	0.864(.663)	0.859(.664)
0.775	0.885(.682)	0.881(.683)	0.877(.683)	0.872(.684)	0.866(.686)
0.800	0.895(.704)	0.891(.705)	0.886(.706)	0.881(.706)	0.875(.707)
0.825	0.905(.727)	0.901(.727)	0.897(.728)	0.892(.728)	0.886(.729)
0.850	0.917(.750)	0.913(.750)	0.909(.750)	0.904(.751)	0.898(.752)
0.875	0.931(.773)	0.927(.773)	0.924(.773)	0.919(.774)	0.913(.774)
0.900	0.949(.796)	0.946(.796)	0.943(.797)	0.939(.797)	0.933(.797)
0.925	0.968(.820)	0.966(.820)	0.963(.820)	0.961(.821)	0.957(.821)
0.950	0.983(.845)	0.982(.845)	0.980(.845)	0.979(.845)	0.977(.845)
0.975	0.994(.869)	0.994(.869)	0.993(.869)	0.993(.870)	0.992(.870)
1.000	1.000(.894)	1.000(.894)	1.000(.894)	1.000(.894)	1.000(.895)

561
 E-149

RE-ORDER NO. 66-196
 App. 9.
 Phase II

*** RELATIVE ENERGY FLUX DENSITY IN THE ***
 *** PENUMBRA OF A RECTANGULAR CYLINDER ***
 VERSION E

SOLAR FIELD ANGLE, D= 10.00 DEGREES
 GEOMETRY D2/R = 100.00 AND H/R = 1.0

BETA = ANGLE OF INCIDENCE, DEGREES

BETA ***	50.00	60.00	70.00	80.00	84.50
AX/AB	Q (QI)	Q (QI)	Q (QI)	Q (QI)	Q (QI)
0.	1.000(.)	1.000(.)	1.000(.)	1.000(.)	1.000(.)
0.025	0.996(.025)	0.997(.025)	0.998(.025)	0.999(.025)	1.000(.025)
0.050	0.989(.050)	0.991(.050)	0.994(.050)	0.998(.050)	1.000(.050)
0.075	0.979(.074)	0.982(.074)	0.988(.075)	0.997(.075)	1.000(.075)
0.100	0.966(.099)	0.972(.099)	0.981(.099)	0.995(.100)	1.000(.100)
0.125	0.952(.123)	0.960(.123)	0.973(.124)	0.992(.125)	1.000(.125)
0.150	0.940(.146)	0.949(.147)	0.963(.148)	0.990(.149)	1.000(.150)
0.175	0.930(.170)	0.940(.171)	0.956(.172)	0.986(.174)	1.000(.175)
0.200	0.920(.193)	0.931(.194)	0.949(.196)	0.983(.199)	1.000(.200)
0.225	0.911(.216)	0.923(.217)	0.942(.219)	0.980(.223)	1.000(.225)
0.250	0.903(.238)	0.914(.240)	0.935(.243)	0.977(.248)	1.000(.250)
0.275	0.895(.261)	0.907(.263)	0.928(.266)	0.974(.272)	1.000(.275)
0.300	0.887(.283)	0.899(.285)	0.921(.289)	0.971(.296)	1.000(.300)
0.325	0.880(.305)	0.892(.308)	0.914(.312)	0.967(.321)	1.000(.325)
0.350	0.874(.327)	0.885(.330)	0.907(.335)	0.963(.345)	0.999(.350)
0.375	0.868(.349)	0.878(.352)	0.900(.357)	0.959(.369)	0.999(.375)
0.400	0.862(.371)	0.872(.374)	0.893(.380)	0.954(.393)	0.999(.400)
0.425	0.857(.392)	0.866(.396)	0.886(.402)	0.949(.417)	0.999(.425)
0.450	0.853(.413)	0.861(.417)	0.879(.424)	0.944(.440)	0.999(.450)
0.475	0.849(.435)	0.856(.439)	0.873(.446)	0.938(.464)	0.999(.475)
0.500	0.846(.456)	0.851(.460)	0.866(.468)	0.932(.487)	0.999(.500)
0.525	0.843(.477)	0.847(.481)	0.860(.489)	0.925(.510)	0.999(.525)
0.550	0.840(.498)	0.843(.502)	0.855(.511)	0.918(.533)	0.998(.550)
0.575	0.839(.519)	0.840(.523)	0.849(.532)	0.910(.556)	0.998(.575)
0.600	0.838(.540)	0.838(.544)	0.844(.553)	0.901(.579)	0.998(.600)
0.625	0.838(.561)	0.836(.565)	0.839(.574)	0.892(.601)	0.997(.625)
0.650	0.838(.582)	0.835(.586)	0.835(.595)	0.883(.623)	0.997(.649)
0.675	0.840(.603)	0.835(.607)	0.832(.616)	0.873(.645)	0.996(.674)
0.700	0.842(.624)	0.836(.628)	0.829(.637)	0.862(.667)	0.995(.699)
0.725	0.846(.645)	0.838(.649)	0.828(.658)	0.851(.688)	0.994(.724)
0.750	0.852(.666)	0.842(.670)	0.828(.678)	0.839(.710)	0.992(.749)
0.775	0.859(.688)	0.848(.691)	0.830(.699)	0.827(.730)	0.990(.774)
0.800	0.867(.709)	0.855(.712)	0.834(.720)	0.816(.751)	0.986(.798)
0.825	0.878(.731)	0.865(.734)	0.841(.741)	0.806(.771)	0.982(.823)
0.850	0.890(.753)	0.877(.756)	0.851(.762)	0.798(.791)	0.975(.847)
0.875	0.905(.775)	0.892(.778)	0.866(.783)	0.796(.811)	0.964(.872)
0.900	0.925(.796)	0.913(.800)	0.887(.805)	0.802(.831)	0.945(.896)
0.925	0.952(.822)	0.942(.823)	0.920(.828)	0.824(.852)	0.912(.919)
0.950	0.974(.846)	0.969(.847)	0.956(.851)	0.879(.873)	0.851(.941)
0.975	0.991(.870)	0.989(.872)	0.984(.875)	0.954(.896)	0.744(.961)
1.000	1.000(.895)	1.000(.897)	1.000(.900)	1.000(.920)	1.000(.983)

562
 E-150

RE-ORDER No. 66-196
As per Phase II

*** RELATIVE ENERGY FLUX DENSITY IN THE *** VERSION E
 *** PENUMBRA OF A RECTANGULAR CYLINDER ***

SOLAR FIELD ANGLE, D= 10.00 DEGREES
 GEOMETRY D2/R = 1.00 AND H/R = 2.0

BETA = ANGLE OF INCIDENCE, DEGREES

BETA ***	0.		10.00		20.00		30.00		40.00	
AX/AB	Q	(QI)	Q	(QI)	Q	(QI)	Q	(QI)	Q	(QI)
0.	1.000	(.)	1.000	(.)	1.000	(.)	1.000	(.)	1.000	(.)
0.025	0.943	(.024)	0.950	(.024)	0.957	(.024)	0.964	(.025)	0.970	(.025)
0.050	0.832	(.046)	0.853	(.047)	0.873	(.047)	0.891	(.048)	0.910	(.048)
0.075	0.687	(.065)	0.724	(.067)	0.758	(.068)	0.792	(.069)	0.827	(.070)
0.100	0.525	(.081)	0.575	(.083)	0.623	(.085)	0.672	(.087)	0.723	(.089)
0.125	0.	(.087)	0.	(.090)	0.	(.093)	0.537	(.102)	0.604	(.106)
0.150	0.	(.087)	0.	(.090)	0.	(.093)	0.	(.109)	0.	(.113)
0.175	0.	(.087)	0.	(.090)	0.	(.093)	0.	(.109)	0.	(.113)
0.200	0.	(.087)	0.	(.090)	0.	(.093)	0.	(.109)	0.	(.113)
0.225	0.	(.087)	0.	(.090)	0.	(.093)	0.	(.109)	0.	(.113)
0.250	0.	(.087)	0.	(.090)	0.	(.093)	0.	(.109)	0.	(.113)
0.275	0.	(.087)	0.	(.090)	0.	(.093)	0.	(.109)	0.	(.113)
0.300	0.	(.087)	0.	(.090)	0.	(.093)	0.	(.109)	0.	(.113)
0.325	0.	(.087)	0.	(.090)	0.	(.093)	0.	(.109)	0.	(.113)
0.350	0.	(.087)	0.	(.090)	0.	(.093)	0.	(.109)	0.	(.113)
0.375	0.	(.087)	0.	(.090)	0.	(.093)	0.	(.109)	0.	(.113)
0.400	0.	(.087)	0.	(.090)	0.	(.093)	0.	(.109)	0.	(.113)
0.425	0.	(.087)	0.	(.090)	0.	(.093)	0.	(.109)	0.	(.113)
0.450	0.	(.087)	0.	(.090)	0.	(.093)	0.	(.109)	0.	(.113)
0.475	0.	(.087)	0.	(.090)	0.	(.093)	0.	(.109)	0.	(.113)
0.500	0.	(.087)	0.	(.090)	0.	(.093)	0.	(.109)	0.	(.113)
0.525	0.	(.087)	0.	(.090)	0.	(.093)	0.	(.109)	0.	(.113)
0.550	0.	(.087)	0.	(.090)	0.	(.093)	0.	(.109)	0.	(.113)
0.575	0.	(.087)	0.	(.090)	0.	(.093)	0.	(.109)	0.	(.113)
0.600	0.	(.087)	0.	(.090)	0.	(.093)	0.	(.109)	0.	(.113)
0.625	0.	(.087)	0.	(.090)	0.	(.093)	0.	(.109)	0.	(.113)
0.650	0.	(.087)	0.	(.090)	0.	(.093)	0.	(.109)	0.	(.113)
0.675	0.	(.087)	0.	(.090)	0.	(.093)	0.	(.109)	0.	(.113)
0.700	0.	(.087)	0.	(.090)	0.	(.093)	0.	(.109)	0.	(.113)
0.725	0.	(.087)	0.	(.090)	0.	(.093)	0.	(.109)	0.	(.113)
0.750	0.	(.087)	0.	(.090)	0.	(.093)	0.	(.109)	0.	(.113)
0.775	0.	(.087)	0.	(.090)	0.	(.093)	0.	(.109)	0.	(.113)
0.800	0.	(.087)	0.	(.090)	0.	(.093)	0.	(.109)	0.	(.113)
0.825	0.	(.087)	0.	(.090)	0.	(.093)	0.	(.109)	0.	(.113)
0.850	0.	(.087)	0.	(.090)	0.	(.093)	0.	(.109)	0.	(.113)
0.875	0.	(.087)	0.	(.090)	0.	(.093)	0.	(.109)	0.	(.113)
0.900	0.	(.087)	0.	(.090)	0.	(.093)	0.	(.109)	0.	(.113)
0.925	0.	(.087)	0.	(.090)	0.	(.093)	0.	(.109)	0.	(.113)
0.950	0.832	(.098)	0.806	(.100)	0.	(.093)	0.	(.109)	0.	(.113)
0.975	0.943	(.120)	0.934	(.122)	0.922	(.104)	0.	(.109)	0.	(.113)
1.000	1.000	(.144)	1.000	(.146)	1.000	(.128)	1.000	(.121)	1.000	(.126)

563
 E-151

*** RELATIVE ENERGY FLUX DENSITY IN THE *** VERSION E
 *** PENUMBRA OF A RECTANGULAR CYLINDER ***

SOLAR FIELD ANGLE, D= 10.00 DEGREES
 GEOMETRY D2/R = 1.00 AND H/R = 2.0

BETA = ANGLE OF INCIDENCE, DEGREES

BETA *** AX/AB	50.00		60.00		70.00		80.00		84.50	
	Q	(QI)	Q	(QI)	Q	(QI)	Q	(QI)	Q	(QI)
0.	1.000(.)		1.000(.)		1.000(.)		1.000(.)		1.000(.)	
0.025	0.977(.025)		0.984(.025)		0.992(.025)		0.999(.025)		1.000(.025)	
0.050	0.930(.049)		0.952(.049)		0.976(.049)		0.996(.050)		1.000(.050)	
0.075	0.864(.071)		0.906(.072)		0.952(.074)		0.993(.075)		1.000(.075)	
0.100	0.780(.092)		0.846(.094)		0.920(.097)		0.988(.100)		1.000(.100)	
0.125	0.681(.110)		0.772(.114)		0.880(.119)		0.983(.124)		1.000(.125)	
0.150	0.568(.125)		0.685(.133)		0.831(.141)		0.975(.149)		1.000(.150)	
0.175	0. (.133)		0.587(.148)		0.772(.161)		0.966(.173)		1.000(.175)	
0.200	0. (.133)		0.193(.158)		0.703(.179)		0.955(.197)		1.000(.200)	
0.225	0. (.133)		0. (.161)		0.623(.196)		0.941(.221)		1.000(.225)	
0.250	0. (.133)		0. (.161)		0.503(.210)		0.925(.244)		1.000(.250)	
0.275	0. (.133)		0. (.161)		0.165(.218)		0.905(.267)		1.000(.275)	
0.300	0. (.133)		0. (.161)		0. (.220)		0.881(.289)		0.999(.300)	
0.325	0. (.133)		0. (.161)		0. (.220)		0.852(.311)		0.999(.325)	
0.350	0. (.133)		0. (.161)		0. (.220)		0.817(.332)		0.999(.350)	
0.375	0. (.133)		0. (.161)		0. (.220)		0.775(.352)		0.999(.375)	
0.400	0. (.133)		0. (.161)		0. (.220)		0.725(.370)		0.999(.400)	
0.425	0. (.133)		0. (.161)		0. (.220)		0.665(.388)		0.999(.425)	
0.450	0. (.133)		0. (.161)		0. (.220)		0.589(.403)		0.998(.450)	
0.475	0. (.133)		0. (.161)		0. (.220)		0.422(.416)		0.998(.475)	
0.500	0. (.133)		0. (.161)		0. (.220)		0.214(.424)		0.997(.500)	
0.525	0. (.133)		0. (.161)		0. (.220)		0.017(.427)		0.997(.525)	
0.550	0. (.133)		0. (.161)		0. (.220)		0. (.427)		0.996(.550)	
0.575	0. (.133)		0. (.161)		0. (.220)		0. (.427)		0.995(.574)	
0.600	0. (.133)		0. (.161)		0. (.220)		0. (.427)		0.994(.599)	
0.625	0. (.133)		0. (.161)		0. (.220)		0. (.427)		0.993(.624)	
0.650	0. (.133)		0. (.161)		0. (.220)		0. (.427)		0.991(.649)	
0.675	0. (.133)		0. (.161)		0. (.220)		0. (.427)		0.988(.674)	
0.700	0. (.133)		0. (.161)		0. (.220)		0. (.427)		0.984(.698)	
0.725	0. (.133)		0. (.161)		0. (.220)		0. (.427)		0.979(.723)	
0.750	0. (.133)		0. (.161)		0. (.220)		0. (.427)		0.971(.747)	
0.775	0. (.133)		0. (.161)		0. (.220)		0. (.427)		0.960(.771)	
0.800	0. (.133)		0. (.161)		0. (.220)		0. (.427)		0.941(.795)	
0.825	0. (.133)		0. (.161)		0. (.220)		0. (.427)		0.910(.818)	
0.850	0. (.133)		0. (.161)		0. (.220)		0. (.427)		0.852(.840)	
0.875	0. (.133)		0. (.161)		0. (.220)		0. (.427)		0.737(.860)	
0.900	0. (.133)		0. (.161)		0. (.220)		0. (.427)		0.355(.874)	
0.925	0. (.133)		0. (.161)		0. (.220)		0. (.427)		0. (.878)	
0.950	0. (.133)		0. (.161)		0. (.220)		0. (.427)		0. (.878)	
0.975	0. (.133)		0. (.161)		0. (.220)		0. (.427)		0. (.878)	
1.000	0. (.133)		0. (.161)		0. (.220)		0. (.427)		0. (.878)	

4
3
2

564
E-152

APB
Phase II

*** RELATIVE ENERGY FLUX DENSITY IN THE ***
 *** PENUMBRA OF A RECTANGULAR CYLINDER ***

VERSION E

SOLAR FIELD ANGLE, D= 10.00 DEGREES
 GEOMETRY D2/R = 5.00 AND H/R = 2.0

BETA = ANGLE OF INCIDENCE, DEGREES

BETA ***	0.		10.00		20.00		30.00		40.00	
AX/AB	Q	(QI)	Q	(QI)	Q	(QI)	Q	(QI)	Q	(QI)
0.	1.000(.)		1.000(.)		1.000(.)		1.000(.)		1.000(.)	
0.025	0.977(.025)		0.980(.025)		0.982(.025)		0.984(.025)		0.986(.025)	
0.050	0.934(.049)		0.940(.049)		0.946(.049)		0.951(.049)		0.958(.049)	
0.075	0.876(.071)		0.887(.072)		0.897(.072)		0.908(.072)		0.919(.073)	
0.100	0.806(.092)		0.822(.093)		0.837(.094)		0.854(.094)		0.871(.095)	
0.125	0.728(.111)		0.748(.113)		0.769(.114)		0.791(.115)		0.815(.116)	
0.150	0.642(.129)		0.667(.130)		0.693(.132)		0.720(.134)		0.751(.136)	
0.175	0.553(.144)		0.582(.146)		0.611(.148)		0.643(.151)		0.680(.153)	
0.200	0.412(.156)		0.482(.159)		0.526(.162)		0.562(.166)		0.604(.170)	
0.225	0.215(.163)		0.286(.169)		0.361(.174)		0.442(.178)		0.524(.184)	
0.250	0.063(.167)		0.119(.174)		0.186(.180)		0.266(.187)		0.365(.195)	
0.275	0. (.168)		0.012(.175)		0.051(.183)		0.114(.192)		0.204(.202)	
0.300	0. (.168)		0. (.176)		0. (.184)		0.012(.194)		0.070(.205)	
0.325	0. (.168)		0. (.176)		0. (.184)		0. (.194)		0. (.206)	
0.350	0. (.168)		0. (.176)		0. (.184)		0. (.194)		0. (.206)	
0.375	0. (.168)		0. (.176)		0. (.184)		0. (.194)		0. (.206)	
0.400	0. (.168)		0. (.176)		0. (.184)		0. (.194)		0. (.206)	
0.425	0. (.168)		0. (.176)		0. (.184)		0. (.194)		0. (.206)	
0.450	0. (.168)		0. (.176)		0. (.184)		0. (.194)		0. (.206)	
0.475	0. (.168)		0. (.176)		0. (.184)		0. (.194)		0. (.206)	
0.500	0. (.168)		0. (.176)		0. (.184)		0. (.194)		0. (.206)	
0.525	0. (.168)		0. (.176)		0. (.184)		0. (.194)		0. (.206)	
0.550	0. (.168)		0. (.176)		0. (.184)		0. (.194)		0. (.206)	
0.575	0. (.168)		0. (.176)		0. (.184)		0. (.194)		0. (.206)	
0.600	0. (.168)		0. (.176)		0. (.184)		0. (.194)		0. (.206)	
0.625	0. (.168)		0. (.176)		0. (.184)		0. (.194)		0. (.206)	
0.650	0. (.168)		0. (.176)		0. (.184)		0. (.194)		0. (.206)	
0.675	0. (.168)		0. (.176)		0. (.184)		0. (.194)		0. (.206)	
0.700	0. (.168)		0. (.176)		0. (.184)		0. (.194)		0. (.206)	
0.725	0. (.168)		0. (.176)		0. (.184)		0. (.194)		0. (.206)	
0.750	0.063(.168)		0.020(.176)		0. (.184)		0. (.194)		0. (.206)	
0.775	0.215(.172)		0.145(.178)		0.079(.185)		0.020(.194)		0. (.206)	
0.800	0.412(.180)		0.337(.184)		0.255(.189)		0.162(.196)		0.061(.207)	
0.825	0.553(.192)		0.523(.195)		0.484(.198)		0.388(.203)		0.260(.211)	
0.850	0.642(.207)		0.616(.209)		0.586(.212)		0.550(.215)		0.504(.221)	
0.875	0.728(.224)		0.705(.225)		0.680(.228)		0.650(.230)		0.610(.234)	
0.900	0.806(.243)		0.789(.244)		0.770(.246)		0.746(.247)		0.713(.251)	
0.925	0.876(.264)		0.864(.265)		0.851(.266)		0.834(.267)		0.811(.270)	
0.950	0.934(.287)		0.928(.287)		0.920(.288)		0.910(.289)		0.897(.291)	
0.975	0.977(.311)		0.975(.311)		0.972(.312)		0.969(.312)		0.964(.315)	
1.000	1.000(.335)		1.000(.336)		1.000(.336)		1.000(.337)		1.000(.339)	

565

E-153

*** RELATIVE ENERGY FLUX DENSITY IN THE *** VERSION E
 *** PENUMBRA OF A RECTANGULAR CYLINDER ***

SOLAR FIELD ANGLE, D= 10.00 DEGREES
 GEOMETRY D2/R = 5.00 AND H/R = 2.0

BETA = ANGLE OF INCIDENCE, DEGREES

BETA ***	50.00	60.00	70.00	80.00	84.50
AX/AB	Q (QI)	Q (QI)	Q (QI)	Q (QI)	Q (QI)
0.	1.000(.)	1.000(.)	1.000(.)	1.000(.)	1.000(.)
0.025	0.988(.025)	0.991(.025)	0.995(.025)	0.999(.025)	1.000(.025)
0.050	0.965(.049)	0.974(.049)	0.985(.050)	0.997(.050)	1.000(.050)
0.075	0.933(.073)	0.949(.073)	0.970(.074)	0.995(.075)	1.000(.075)
0.100	0.892(.096)	0.918(.097)	0.951(.098)	0.991(.100)	1.000(.100)
0.125	0.843(.117)	0.880(.119)	0.928(.122)	0.986(.124)	1.000(.125)
0.150	0.788(.138)	0.835(.141)	0.900(.144)	0.981(.149)	1.000(.150)
0.175	0.725(.157)	0.784(.161)	0.867(.167)	0.974(.173)	1.000(.175)
0.200	0.656(.174)	0.727(.180)	0.829(.188)	0.966(.198)	1.000(.200)
0.225	0.582(.190)	0.664(.197)	0.786(.208)	0.957(.222)	1.000(.225)
0.250	0.490(.203)	0.595(.213)	0.736(.227)	0.945(.245)	1.000(.250)
0.275	0.332(.213)	0.515(.227)	0.681(.245)	0.932(.269)	1.000(.275)
0.300	0.181(.220)	0.372(.238)	0.621(.261)	0.916(.292)	0.999(.300)
0.325	0.058(.223)	0.227(.245)	0.554(.276)	0.897(.315)	0.999(.325)
0.350	0. (.223)	0.097(.249)	0.436(.288)	0.875(.337)	0.999(.350)
0.375	0. (.223)	0.008(.251)	0.303(.297)	0.848(.358)	0.999(.375)
0.400	0. (.223)	0. (.251)	0.170(.303)	0.818(.379)	0.999(.400)
0.425	0. (.223)	0. (.251)	0.055(.306)	0.782(.399)	0.999(.425)
0.450	0. (.223)	0. (.251)	0. (.307)	0.740(.418)	0.998(.450)
0.475	0. (.223)	0. (.251)	0. (.307)	0.690(.436)	0.998(.475)
0.500	0. (.223)	0. (.251)	0. (.307)	0.633(.453)	0.998(.500)
0.525	0. (.223)	0. (.251)	0. (.307)	0.551(.467)	0.997(.525)
0.550	0. (.223)	0. (.251)	0. (.307)	0.433(.480)	0.996(.550)
0.575	0. (.223)	0. (.251)	0. (.307)	0.294(.489)	0.996(.574)
0.600	0. (.223)	0. (.251)	0. (.307)	0.144(.494)	0.995(.599)
0.625	0. (.223)	0. (.251)	0. (.307)	0.016(.496)	0.993(.624)
0.650	0. (.223)	0. (.251)	0. (.307)	0. (.496)	0.992(.649)
0.675	0. (.223)	0. (.251)	0. (.307)	0. (.496)	0.989(.674)
0.700	0. (.223)	0. (.251)	0. (.307)	0. (.496)	0.986(.698)
0.725	0. (.223)	0. (.251)	0. (.307)	0. (.496)	0.982(.723)
0.750	0. (.223)	0. (.251)	0. (.307)	0. (.496)	0.976(.748)
0.775	0. (.223)	0. (.251)	0. (.307)	0. (.496)	0.966(.772)
0.800	0. (.223)	0. (.251)	0. (.307)	0. (.496)	0.952(.796)
0.825	0.092(.224)	0. (.251)	0. (.307)	0. (.496)	0.929(.819)
0.850	0.355(.230)	0.049(.252)	0. (.307)	0. (.496)	0.890(.842)
0.875	0.550(.241)	0.392(.257)	0. (.307)	0. (.496)	0.816(.863)
0.900	0.664(.257)	0.577(.269)	0. (.307)	0. (.496)	0.657(.882)
0.925	0.775(.275)	0.708(.285)	0.534(.313)	0. (.496)	0.152(.892)
0.950	0.875(.295)	0.833(.304)	0.713(.329)	0. (.496)	0. (.894)
0.975	0.956(.318)	0.940(.327)	0.888(.349)	0. (.496)	0. (.894)
1.000	1.000(.343)	1.000(.351)	1.000(.373)	0. (.496)	0. (.894)

*** RELATIVE ENERGY FLUX DENSITY IN THE ***
 *** PENUMBRA OF A RECTANGULAR CYLINDER ***

VERSION E

SOLAR FIELD ANGLE, D= 10.00 DEGREES
 GEOMETRY D2/R = 10.00 AND H/R = 2.0

BETA = ANGLE OF INCIDENCE, DEGREES

BETA ***	0.		10.00		20.00		30.00		40.00	
AX/AB	Q	(QI)	Q	(QI)	Q	(QI)	Q	(QI)	Q	(QI)
0.	1.000(.))	1.000(.))	1.000(.))	1.000(.))	1.000(.))
0.025	0.986(.025))	0.987(.025))	0.988(.025))	0.989(.025))	0.990(.025))
0.050	0.959(.049))	0.962(.049))	0.965(.049))	0.968(.049))	0.972(.049))
0.075	0.922(.073))	0.928(.073))	0.934(.073))	0.940(.073))	0.946(.073))
0.100	0.878(.095))	0.887(.096))	0.895(.096))	0.905(.096))	0.915(.097))
0.125	0.828(.116))	0.839(.117))	0.851(.118))	0.864(.118))	0.877(.119))
0.150	0.772(.136))	0.787(.137))	0.801(.138))	0.817(.139))	0.835(.140))
0.175	0.712(.155))	0.729(.156))	0.747(.158))	0.766(.159))	0.788(.161))
0.200	0.648(.172))	0.668(.174))	0.688(.176))	0.711(.178))	0.736(.180))
0.225	0.582(.187))	0.604(.190))	0.627(.192))	0.652(.195))	0.681(.198))
0.250	0.515(.201))	0.539(.204))	0.563(.207))	0.590(.210))	0.623(.214))
0.275	0.422(.213))	0.457(.216))	0.494(.220))	0.527(.224))	0.561(.229))
0.300	0.324(.222))	0.359(.227))	0.397(.231))	0.440(.236))	0.491(.242))
0.325	0.232(.229))	0.266(.234))	0.302(.240))	0.345(.246))	0.398(.253))
0.350	0.150(.234))	0.180(.240))	0.214(.247))	0.254(.253))	0.306(.262))
0.375	0.081(.237))	0.105(.244))	0.134(.251))	0.170(.259))	0.217(.268))
0.400	0.029(.238))	0.046(.245))	0.068(.253))	0.096(.262))	0.137(.273))
0.425	0.000(.238))	0.007(.246))	0.019(.254))	0.038(.264))	0.069(.275))
0.450	0. (.238))	0. (.246))	0. (.255))	0.003(.264))	0.019(.276))
0.475	0. (.238))	0. (.246))	0. (.255))	0. (.264))	0. (.277))
0.500	0. (.238))	0. (.246))	0. (.255))	0. (.264))	0. (.277))
0.525	0. (.238))	0. (.246))	0. (.255))	0. (.264))	0. (.277))
0.550	0. (.238))	0. (.246))	0. (.255))	0. (.264))	0. (.277))
0.575	0.000(.238))	0. (.246))	0. (.255))	0. (.264))	0. (.277))
0.600	0.029(.239))	0.015(.246))	0.004(.255))	0. (.264))	0. (.277))
0.625	0.081(.240))	0.059(.247))	0.039(.255))	0.021(.265))	0.005(.277))
0.650	0.150(.243))	0.122(.250))	0.094(.257))	0.067(.266))	0.039(.277))
0.675	0.232(.248))	0.200(.254))	0.167(.260))	0.132(.268))	0.094(.279))
0.700	0.324(.255))	0.289(.260))	0.253(.265))	0.213(.272))	0.166(.282))
0.725	0.422(.264))	0.387(.268))	0.349(.273))	0.306(.279))	0.254(.287))
0.750	0.515(.276))	0.489(.279))	0.452(.283))	0.408(.288))	0.355(.295))
0.775	0.582(.290))	0.560(.292))	0.536(.295))	0.507(.299))	0.464(.305))
0.800	0.648(.305))	0.628(.307))	0.605(.310))	0.579(.313))	0.545(.318))
0.825	0.712(.322))	0.694(.324))	0.674(.326))	0.650(.328))	0.619(.332))
0.850	0.772(.341))	0.757(.342))	0.739(.343))	0.719(.345))	0.692(.349))
0.875	0.828(.361))	0.816(.361))	0.802(.362))	0.785(.364))	0.763(.367))
0.900	0.878(.382))	0.869(.382))	0.859(.383))	0.846(.385))	0.829(.387))
0.925	0.922(.404))	0.916(.405))	0.909(.405))	0.900(.406))	0.889(.408))
0.950	0.959(.428))	0.955(.428))	0.951(.429))	0.946(.429))	0.940(.431))
0.975	0.986(.452))	0.985(.452))	0.983(.453))	0.981(.454))	0.979(.455))
1.000	1.000(.477))	1.000(.477))	1.000(.478))	1.000(.478))	1.000(.480))

*** RELATIVE ENERGY FLUX DENSITY IN THE ***
 *** PENUMBRA OF A RECTANGULAR CYLINDER ***
 VERSION E

SOLAR FIELD ANGLE, D= 10.00 DEGREES
 GEOMETRY D2/R = 10.00 AND H/R = 2.0

BETA = ANGLE OF INCIDENCE, DEGREES

BETA ***	50.00		60.00		70.00		80.00		84.50	
AX/AB	Q	(QI)	Q	(QI)	Q	(QI)	Q	(QI)	Q	(QI)
0.	1.000	(.)	1.000	(.)	1.000	(.)	1.000	(.)	1.000	(.)
0.025	0.992	(.025)	0.994	(.025)	0.996	(.025)	0.999	(.025)	1.000	(.025)
0.050	0.976	(.049)	0.981	(.050)	0.988	(.050)	0.998	(.050)	1.000	(.050)
0.075	0.954	(.074)	0.964	(.074)	0.978	(.074)	0.995	(.075)	1.000	(.075)
0.100	0.927	(.097)	0.942	(.098)	0.964	(.099)	0.992	(.100)	1.000	(.100)
0.125	0.894	(.120)	0.916	(.121)	0.947	(.122)	0.989	(.124)	1.000	(.125)
0.150	0.857	(.142)	0.886	(.144)	0.927	(.146)	0.984	(.149)	1.000	(.150)
0.175	0.815	(.163)	0.851	(.165)	0.904	(.169)	0.979	(.174)	1.000	(.175)
0.200	0.769	(.182)	0.812	(.186)	0.877	(.191)	0.972	(.198)	1.000	(.200)
0.225	0.718	(.201)	0.769	(.206)	0.847	(.213)	0.964	(.222)	1.000	(.225)
0.250	0.664	(.218)	0.722	(.224)	0.813	(.233)	0.955	(.246)	1.000	(.250)
0.275	0.606	(.234)	0.671	(.242)	0.774	(.253)	0.945	(.270)	1.000	(.275)
0.300	0.546	(.249)	0.616	(.258)	0.732	(.272)	0.933	(.293)	1.000	(.300)
0.325	0.468	(.261)	0.559	(.273)	0.686	(.290)	0.918	(.317)	0.999	(.325)
0.350	0.377	(.272)	0.485	(.286)	0.636	(.306)	0.902	(.339)	0.999	(.350)
0.375	0.286	(.280)	0.396	(.297)	0.582	(.322)	0.882	(.362)	0.999	(.375)
0.400	0.199	(.286)	0.306	(.305)	0.514	(.335)	0.860	(.383)	0.999	(.400)
0.425	0.120	(.290)	0.218	(.312)	0.429	(.347)	0.834	(.405)	0.999	(.425)
0.450	0.055	(.292)	0.135	(.316)	0.339	(.357)	0.804	(.425)	0.998	(.450)
0.475	0.009	(.293)	0.064	(.319)	0.248	(.364)	0.769	(.445)	0.998	(.475)
0.500	0.	(.293)	0.013	(.320)	0.159	(.369)	0.729	(.463)	0.998	(.500)
0.525	0.	(.293)	0.	(.320)	0.078	(.372)	0.683	(.481)	0.997	(.525)
0.550	0.	(.293)	0.	(.320)	0.017	(.373)	0.630	(.498)	0.997	(.550)
0.575	0.	(.293)	0.	(.320)	0.	(.373)	0.560	(.512)	0.996	(.574)
0.600	0.	(.293)	0.	(.320)	0.	(.373)	0.469	(.525)	0.995	(.599)
0.625	0.	(.293)	0.	(.320)	0.	(.373)	0.363	(.536)	0.994	(.624)
0.650	0.012	(.293)	0.	(.320)	0.	(.373)	0.245	(.543)	0.992	(.649)
0.675	0.051	(.294)	0.009	(.320)	0.	(.373)	0.124	(.548)	0.990	(.674)
0.700	0.111	(.296)	0.045	(.321)	0.	(.373)	0.022	(.550)	0.987	(.699)
0.725	0.189	(.300)	0.103	(.323)	0.008	(.373)	0.	(.550)	0.984	(.723)
0.750	0.283	(.306)	0.181	(.326)	0.041	(.374)	0.	(.550)	0.978	(.748)
0.775	0.391	(.314)	0.279	(.332)	0.100	(.376)	0.	(.550)	0.971	(.772)
0.800	0.498	(.325)	0.396	(.340)	0.186	(.379)	0.	(.550)	0.959	(.796)
0.825	0.575	(.339)	0.504	(.352)	0.302	(.386)	0.	(.550)	0.941	(.820)
0.850	0.653	(.354)	0.588	(.365)	0.451	(.395)	0.	(.550)	0.910	(.843)
0.875	0.730	(.372)	0.674	(.381)	0.548	(.407)	0.012	(.550)	0.856	(.865)
0.900	0.803	(.391)	0.758	(.399)	0.652	(.422)	0.079	(.551)	0.749	(.885)
0.925	0.871	(.412)	0.839	(.419)	0.758	(.440)	0.290	(.556)	0.472	(.900)
0.950	0.930	(.434)	0.911	(.441)	0.861	(.460)	0.540	(.566)	0.	(.906)
0.975	0.975	(.458)	0.968	(.464)	0.949	(.483)	0.785	(.583)	0.	(.906)
1.000	1.000	(.483)	1.000	(.489)	1.000	(.507)	1.000	(.605)	0.	(.906)

*** RELATIVE ENERGY FLUX DENSITY IN THE ***
 *** PENUMBRA OF A RECTANGULAR CYLINDER ***
 VERSION E

SOLAR FIELD ANGLE, D= 10.00 DEGREES
 GEOMETRY D2/R = 50.00 AND H/R = 2.0

BETA = ANGLE OF INCIDENCE, DEGREES

BETA ***	0.	10.00	20.00	30.00	40.00
AX/AB	Q (QI)	Q (QI)	Q (QI)	Q (QI)	Q (QI)
0.	1.000(.)	1.000(.)	1.000(.)	1.000(.)	1.000(.)
0.025	0.993(.025)	0.994(.025)	0.994(.025)	0.994(.025)	0.995(.025)
0.050	0.980(.050)	0.981(.050)	0.982(.050)	0.984(.050)	0.985(.050)
0.075	0.963(.074)	0.965(.074)	0.967(.074)	0.970(.074)	0.972(.074)
0.100	0.942(.098)	0.945(.098)	0.948(.098)	0.952(.098)	0.956(.098)
0.125	0.917(.121)	0.922(.121)	0.927(.121)	0.932(.122)	0.938(.122)
0.150	0.890(.143)	0.896(.144)	0.902(.144)	0.909(.145)	0.917(.145)
0.175	0.860(.165)	0.868(.166)	0.875(.166)	0.883(.167)	0.893(.168)
0.200	0.828(.186)	0.837(.187)	0.846(.188)	0.856(.189)	0.867(.190)
0.225	0.797(.207)	0.806(.208)	0.815(.209)	0.826(.210)	0.839(.211)
0.250	0.773(.226)	0.781(.228)	0.791(.229)	0.801(.230)	0.814(.232)
0.275	0.752(.245)	0.761(.247)	0.770(.248)	0.780(.250)	0.793(.252)
0.300	0.735(.264)	0.743(.266)	0.751(.267)	0.761(.269)	0.774(.271)
0.325	0.720(.282)	0.728(.284)	0.736(.286)	0.745(.288)	0.757(.291)
0.350	0.709(.300)	0.715(.302)	0.722(.304)	0.731(.306)	0.741(.309)
0.375	0.699(.318)	0.705(.320)	0.711(.322)	0.718(.325)	0.728(.328)
0.400	0.692(.335)	0.697(.337)	0.702(.340)	0.708(.342)	0.717(.346)
0.425	0.685(.352)	0.690(.355)	0.695(.357)	0.700(.360)	0.707(.363)
0.450	0.680(.369)	0.683(.372)	0.686(.374)	0.691(.377)	0.699(.381)
0.475	0.676(.386)	0.678(.389)	0.680(.392)	0.684(.395)	0.689(.398)
0.500	0.675(.403)	0.675(.406)	0.676(.408)	0.678(.412)	0.682(.416)
0.525	0.676(.420)	0.675(.423)	0.675(.425)	0.675(.429)	0.677(.432)
0.550	0.680(.437)	0.677(.440)	0.675(.442)	0.674(.445)	0.674(.449)
0.575	0.685(.454)	0.682(.457)	0.679(.459)	0.676(.462)	0.673(.466)
0.600	0.692(.471)	0.688(.474)	0.684(.476)	0.680(.479)	0.675(.483)
0.625	0.699(.489)	0.694(.491)	0.689(.493)	0.685(.496)	0.680(.500)
0.650	0.709(.506)	0.703(.508)	0.697(.511)	0.690(.513)	0.684(.517)
0.675	0.720(.524)	0.714(.526)	0.706(.528)	0.699(.531)	0.690(.534)
0.700	0.735(.542)	0.727(.544)	0.719(.546)	0.710(.548)	0.700(.552)
0.725	0.752(.561)	0.744(.562)	0.735(.564)	0.725(.566)	0.714(.569)
0.750	0.773(.580)	0.764(.581)	0.754(.583)	0.744(.585)	0.731(.587)
0.775	0.797(.600)	0.788(.601)	0.778(.602)	0.767(.604)	0.753(.606)
0.800	0.828(.620)	0.819(.621)	0.809(.622)	0.797(.623)	0.782(.625)
0.825	0.860(.641)	0.853(.642)	0.844(.642)	0.834(.644)	0.820(.645)
0.850	0.890(.663)	0.884(.663)	0.877(.664)	0.868(.665)	0.857(.666)
0.875	0.917(.686)	0.912(.686)	0.907(.686)	0.900(.687)	0.891(.688)
0.900	0.942(.709)	0.936(.709)	0.934(.709)	0.929(.710)	0.923(.711)
0.925	0.963(.733)	0.960(.733)	0.958(.733)	0.954(.733)	0.950(.734)
0.950	0.980(.757)	0.979(.757)	0.977(.757)	0.975(.757)	0.973(.758)
0.975	0.993(.782)	0.993(.782)	0.992(.782)	0.991(.782)	0.991(.783)
1.000	1.000(.806)	1.000(.806)	1.000(.807)	1.000(.807)	1.000(.807)

*** RELATIVE ENERGY FLUX DENSITY IN THE ***
 *** PENUMBRA OF A RECTANGULAR CYLINDER ***
 VERSION E

SOLAR FIELD ANGLE, D= 10.00 DEGREES
 GEOMETRY D2/R = 50.00 AND H/R = 2.0

BETA = ANGLE OF INCIDENCE, DEGREES

BETA ***	50.00	60.00	70.00	80.00	84.50
AX/AB	Q (QI)	Q (QI)	Q (QI)	Q (QI)	Q (QI)
0.	1.000(.)	1.000(.)	1.000(.)	1.000(.)	1.000(.)
0.025	0.996(.025)	0.996(.025)	0.998(.025)	0.999(.025)	1.000(.025)
0.050	0.987(.050)	0.990(.050)	0.993(.050)	0.998(.050)	1.000(.050)
0.075	0.976(.074)	0.980(.074)	0.987(.075)	0.997(.075)	1.000(.075)
0.100	0.962(.098)	0.969(.099)	0.979(.099)	0.994(.100)	1.000(.100)
0.125	0.945(.122)	0.955(.123)	0.969(.124)	0.992(.125)	1.000(.125)
0.150	0.926(.146)	0.939(.146)	0.958(.148)	0.989(.149)	1.000(.150)
0.175	0.905(.169)	0.921(.170)	0.945(.171)	0.985(.174)	1.000(.175)
0.200	0.881(.191)	0.901(.192)	0.931(.195)	0.981(.199)	1.000(.200)
0.225	0.856(.213)	0.879(.215)	0.915(.218)	0.976(.223)	1.000(.225)
0.250	0.830(.234)	0.855(.236)	0.897(.241)	0.970(.247)	1.000(.250)
0.275	0.809(.254)	0.834(.258)	0.878(.263)	0.963(.272)	1.000(.275)
0.300	0.790(.274)	0.816(.278)	0.861(.284)	0.956(.296)	1.000(.300)
0.325	0.773(.294)	0.798(.298)	0.844(.306)	0.948(.319)	0.999(.325)
0.350	0.757(.313)	0.781(.318)	0.828(.327)	0.939(.343)	0.999(.350)
0.375	0.742(.332)	0.766(.337)	0.812(.347)	0.930(.366)	0.999(.375)
0.400	0.729(.350)	0.751(.356)	0.797(.367)	0.921(.389)	0.999(.400)
0.425	0.718(.368)	0.738(.375)	0.781(.387)	0.911(.412)	0.999(.425)
0.450	0.708(.386)	0.725(.393)	0.766(.406)	0.900(.435)	0.999(.450)
0.475	0.698(.403)	0.715(.411)	0.752(.425)	0.888(.457)	0.998(.475)
0.500	0.689(.421)	0.703(.429)	0.738(.444)	0.875(.479)	0.998(.500)
0.525	0.681(.438)	0.692(.446)	0.725(.462)	0.861(.501)	0.998(.525)
0.550	0.675(.455)	0.683(.464)	0.711(.480)	0.846(.522)	0.997(.550)
0.575	0.672(.472)	0.675(.481)	0.697(.498)	0.829(.543)	0.997(.575)
0.600	0.671(.489)	0.670(.497)	0.684(.515)	0.812(.564)	0.996(.599)
0.625	0.673(.505)	0.667(.514)	0.673(.532)	0.793(.584)	0.995(.624)
0.650	0.676(.522)	0.667(.531)	0.664(.549)	0.773(.603)	0.994(.649)
0.675	0.680(.539)	0.669(.547)	0.658(.565)	0.752(.623)	0.993(.674)
0.700	0.688(.556)	0.672(.564)	0.655(.582)	0.727(.641)	0.992(.699)
0.725	0.699(.574)	0.679(.581)	0.653(.598)	0.700(.659)	0.989(.724)
0.750	0.714(.591)	0.691(.598)	0.655(.614)	0.672(.676)	0.987(.748)
0.775	0.735(.609)	0.708(.616)	0.663(.631)	0.646(.692)	0.983(.773)
0.800	0.762(.628)	0.732(.634)	0.679(.648)	0.623(.708)	0.977(.797)
0.825	0.801(.648)	0.769(.653)	0.706(.665)	0.604(.724)	0.968(.822)
0.850	0.841(.668)	0.814(.672)	0.753(.683)	0.592(.739)	0.956(.846)
0.875	0.879(.690)	0.857(.693)	0.806(.703)	0.602(.754)	0.935(.869)
0.900	0.913(.712)	0.896(.715)	0.857(.724)	0.661(.769)	0.899(.892)
0.925	0.944(.735)	0.932(.738)	0.905(.746)	0.756(.787)	0.835(.914)
0.950	0.969(.759)	0.963(.762)	0.947(.769)	0.853(.807)	0.701(.933)
0.975	0.989(.784)	0.987(.786)	0.981(.793)	0.943(.830)	0.474(.948)
1.000	1.000(.809)	1.000(.811)	1.000(.818)	1.000(.854)	1.000(.966)

*** RELATIVE ENERGY FLUX DENSITY IN THE ***
 *** PENUMBRA OF A RECTANGULAR CYLINDER ***
 VERSION E

SOLAR FIELD ANGLE, D= 10.00 DEGREES
 GEOMETRY D2/R = 100.00 AND H/R = 2.0

BETA = ANGLE OF INCIDENCE, DEGREES

BETA ***	0.	10.00	20.00	30.00	40.00
AX/AB	Q (QI)	Q (QI)	Q (QI)	Q (QI)	Q (QI)
0.	1.000(.)	1.000(.)	1.000(.)	1.000(.)	1.000(.)
0.025	0.994(.025)	0.994(.025)	0.995(.025)	0.995(.025)	0.996(.025)
0.050	0.983(.050)	0.984(.050)	0.985(.050)	0.986(.050)	0.987(.050)
0.075	0.968(.074)	0.970(.074)	0.971(.074)	0.973(.074)	0.976(.074)
0.100	0.949(.098)	0.952(.098)	0.955(.098)	0.958(.098)	0.962(.098)
0.125	0.929(.121)	0.933(.122)	0.937(.122)	0.941(.122)	0.946(.122)
0.150	0.914(.144)	0.918(.145)	0.922(.145)	0.926(.145)	0.931(.146)
0.175	0.901(.167)	0.905(.168)	0.909(.168)	0.914(.168)	0.920(.169)
0.200	0.890(.190)	0.894(.190)	0.899(.191)	0.903(.191)	0.909(.192)
0.225	0.880(.212)	0.885(.212)	0.889(.213)	0.894(.214)	0.900(.214)
0.250	0.872(.234)	0.876(.234)	0.880(.235)	0.885(.236)	0.891(.237)
0.275	0.865(.255)	0.868(.256)	0.872(.257)	0.877(.258)	0.883(.259)
0.300	0.858(.277)	0.862(.278)	0.865(.279)	0.870(.280)	0.875(.281)
0.325	0.853(.298)	0.856(.299)	0.859(.300)	0.864(.301)	0.869(.303)
0.350	0.848(.320)	0.851(.321)	0.854(.322)	0.858(.323)	0.863(.324)
0.375	0.845(.341)	0.847(.342)	0.850(.343)	0.853(.344)	0.857(.346)
0.400	0.843(.362)	0.844(.363)	0.846(.364)	0.849(.366)	0.853(.367)
0.425	0.841(.383)	0.842(.384)	0.844(.385)	0.846(.387)	0.849(.389)
0.450	0.840(.404)	0.841(.405)	0.842(.406)	0.844(.408)	0.846(.410)
0.475	0.839(.425)	0.840(.426)	0.841(.427)	0.842(.429)	0.844(.431)
0.500	0.839(.446)	0.839(.447)	0.839(.448)	0.840(.450)	0.842(.452)
0.525	0.839(.467)	0.839(.468)	0.838(.469)	0.839(.471)	0.839(.473)
0.550	0.840(.488)	0.839(.489)	0.839(.490)	0.838(.492)	0.838(.494)
0.575	0.841(.509)	0.840(.510)	0.839(.511)	0.839(.513)	0.838(.515)
0.600	0.843(.530)	0.841(.531)	0.840(.532)	0.838(.534)	0.837(.536)
0.625	0.845(.551)	0.843(.552)	0.841(.553)	0.839(.555)	0.837(.557)
0.650	0.848(.572)	0.846(.573)	0.843(.574)	0.841(.576)	0.838(.578)
0.675	0.853(.593)	0.850(.594)	0.847(.595)	0.844(.597)	0.840(.599)
0.700	0.858(.615)	0.855(.616)	0.851(.617)	0.848(.618)	0.843(.620)
0.725	0.865(.636)	0.861(.637)	0.857(.638)	0.853(.639)	0.848(.641)
0.750	0.872(.658)	0.868(.659)	0.864(.660)	0.859(.661)	0.854(.662)
0.775	0.880(.680)	0.876(.681)	0.872(.681)	0.867(.682)	0.861(.684)
0.800	0.890(.702)	0.886(.703)	0.882(.703)	0.876(.704)	0.870(.705)
0.825	0.901(.724)	0.897(.725)	0.893(.725)	0.888(.726)	0.881(.727)
0.850	0.914(.747)	0.910(.747)	0.906(.748)	0.901(.748)	0.894(.749)
0.875	0.929(.770)	0.926(.770)	0.921(.771)	0.917(.771)	0.911(.772)
0.900	0.949(.794)	0.946(.794)	0.943(.794)	0.939(.794)	0.933(.795)
0.925	0.968(.818)	0.966(.818)	0.963(.818)	0.961(.818)	0.957(.818)
0.950	0.983(.842)	0.982(.842)	0.980(.842)	0.979(.842)	0.977(.843)
0.975	0.994(.867)	0.994(.867)	0.993(.867)	0.993(.867)	0.992(.867)
1.000	1.000(.892)	1.000(.892)	1.000(.892)	1.000(.892)	1.000(.892)

*** RELATIVE ENERGY FLUX DENSITY IN THE *** VERSION E
 *** PENUMBRA OF A RECTANGULAR CYLINDER ***

SOLAR FIELD ANGLE, D= 10.00 DEGREES
 GEOMETRY D2/R = 100.00 AND H/R = 2.0

BETA = ANGLE OF INCIDENCE, DEGREES

BETA ***	50.00		60.00		70.00		80.00		84.50	
AX/AB	Q	(QI)	Q	(QI)	Q	(QI)	Q	(QI)	Q	(QI)
0.	1.000(.))	1.000(.))	1.000(.))	1.000(.))	1.000(.))
0.025	0.996(.025))	0.997(.025))	0.998(.025))	0.999(.025))	1.000(.025))
0.050	0.989(.050))	0.991(.050))	0.994(.050))	0.998(.050))	1.000(.050))
0.075	0.979(.074))	0.982(.074))	0.988(.075))	0.997(.075))	1.000(.075))
0.100	0.966(.099))	0.972(.099))	0.981(.099))	0.995(.100))	1.000(.100))
0.125	0.952(.123))	0.960(.123))	0.973(.124))	0.992(.125))	1.000(.125))
0.150	0.938(.146))	0.948(.147))	0.963(.148))	0.990(.149))	1.000(.150))
0.175	0.927(.170))	0.937(.170))	0.954(.172))	0.986(.174))	1.000(.175))
0.200	0.917(.193))	0.928(.194))	0.947(.196))	0.983(.199))	1.000(.200))
0.225	0.908(.215))	0.919(.217))	0.939(.219))	0.980(.223))	1.000(.225))
0.250	0.899(.238))	0.911(.240))	0.932(.243))	0.976(.248))	1.000(.250))
0.275	0.891(.260))	0.903(.262))	0.925(.266))	0.973(.272))	1.000(.275))
0.300	0.883(.283))	0.895(.285))	0.917(.289))	0.969(.296))	1.000(.300))
0.325	0.876(.305))	0.888(.307))	0.910(.312))	0.966(.321))	1.000(.325))
0.350	0.870(.326))	0.881(.329))	0.903(.334))	0.961(.345))	0.999(.350))
0.375	0.864(.348))	0.874(.351))	0.896(.357))	0.957(.369))	0.999(.375))
0.400	0.859(.370))	0.868(.373))	0.889(.379))	0.952(.392))	0.999(.400))
0.425	0.854(.391))	0.863(.395))	0.883(.401))	0.947(.416))	0.999(.425))
0.450	0.850(.412))	0.858(.416))	0.876(.423))	0.942(.440))	0.999(.450))
0.475	0.847(.433))	0.853(.438))	0.870(.445))	0.936(.463))	0.999(.475))
0.500	0.844(.455))	0.849(.459))	0.864(.467))	0.929(.487))	0.999(.500))
0.525	0.841(.476))	0.846(.480))	0.858(.488))	0.922(.510))	0.998(.525))
0.550	0.839(.497))	0.842(.501))	0.853(.510))	0.915(.533))	0.998(.550))
0.575	0.837(.518))	0.839(.522))	0.848(.531))	0.907(.556))	0.998(.575))
0.600	0.837(.539))	0.836(.543))	0.843(.552))	0.899(.578))	0.997(.600))
0.625	0.835(.559))	0.835(.564))	0.838(.573))	0.890(.600))	0.997(.625))
0.650	0.835(.580))	0.833(.585))	0.834(.594))	0.881(.623))	0.996(.649))
0.675	0.836(.601))	0.832(.606))	0.830(.615))	0.871(.644))	0.996(.674))
0.700	0.838(.622))	0.832(.626))	0.826(.635))	0.861(.666))	0.995(.699))
0.725	0.842(.643))	0.833(.647))	0.824(.656))	0.850(.687))	0.993(.724))
0.750	0.847(.664))	0.837(.668))	0.823(.677))	0.837(.709))	0.992(.749))
0.775	0.853(.686))	0.842(.689))	0.824(.697))	0.825(.729))	0.989(.774))
0.800	0.862(.707))	0.849(.710))	0.828(.718))	0.813(.750))	0.986(.798))
0.825	0.872(.729))	0.859(.732))	0.835(.739))	0.801(.770))	0.981(.823))
0.850	0.886(.751))	0.872(.753))	0.845(.760))	0.792(.790))	0.974(.847))
0.875	0.902(.773))	0.888(.775))	0.861(.781))	0.788(.810))	0.962(.872))
0.900	0.926(.796))	0.912(.798))	0.883(.803))	0.794(.829))	0.944(.895))
0.925	0.952(.819))	0.942(.821))	0.920(.825))	0.817(.850))	0.911(.919))
0.950	0.974(.843))	0.969(.845))	0.956(.849))	0.880(.871))	0.850(.941))
0.975	0.991(.868))	0.989(.869))	0.984(.873))	0.954(.894))	0.735(.960))
1.000	1.000(.893))	1.000(.894))	1.000(.898))	1.000(.918))	1.000(.982))

*** END OF RECTANGULAR CYLINDER CASE ***

572
 E-160

RE-ORDER No. 66-196
App. A
Phase II

VERSION F

VERSION F

573

*** RELATIVE ENERGY FLUX DENSITY IN THE ***
 *** PENUMBRA OF A RECTANGULAR CYLINDER ***

VERSION F

SOLAR FIELD ANGLE, D= 0.50 DEGREES
 GEOMETRY D2/R = 1.00 AND H/R = 0.

BETA = ANGLE OF INCIDENCE, DEGREES

BETA ***	0.	10.00	20.00	30.00	40.00
AX/AB	Q (Q1)	Q (Q1)	Q (Q1)	Q (Q1)	Q (Q1)
0.	1.000(.)	1.000(.)	1.000(.)	1.000(.)	1.000(.)
0.025	0. (.012)	0. (.012)	0. (.012)	0. (.012)	0. (.012)
0.050	0. (.012)	0. (.012)	0. (.012)	0. (.012)	0. (.012)
0.075	0. (.012)	0. (.012)	0. (.012)	0. (.012)	0. (.012)
0.100	0. (.012)	0. (.012)	0. (.012)	0. (.012)	0. (.012)
0.125	0. (.012)	0. (.012)	0. (.012)	0. (.012)	0. (.012)
0.150	0. (.012)	0. (.012)	0. (.012)	0. (.012)	0. (.012)
0.175	0. (.012)	0. (.012)	0. (.012)	0. (.012)	0. (.012)
0.200	0. (.012)	0. (.012)	0. (.012)	0. (.012)	0. (.012)
0.225	0. (.012)	0. (.012)	0. (.012)	0. (.012)	0. (.012)
0.250	0. (.012)	0. (.012)	0. (.012)	0. (.012)	0. (.012)
0.275	0. (.012)	0. (.012)	0. (.012)	0. (.012)	0. (.012)
0.300	0. (.012)	0. (.012)	0. (.012)	0. (.012)	0. (.012)
0.325	0. (.012)	0. (.012)	0. (.012)	0. (.012)	0. (.012)
0.350	0. (.012)	0. (.012)	0. (.012)	0. (.012)	0. (.012)
0.375	0. (.012)	0. (.012)	0. (.012)	0. (.012)	0. (.012)
0.400	0. (.012)	0. (.012)	0. (.012)	0. (.012)	0. (.012)
0.425	0. (.012)	0. (.012)	0. (.012)	0. (.012)	0. (.012)
0.450	0. (.012)	0. (.012)	0. (.012)	0. (.012)	0. (.012)
0.475	0. (.012)	0. (.012)	0. (.012)	0. (.012)	0. (.012)
0.500	0. (.012)	0. (.012)	0. (.012)	0. (.012)	0. (.012)
0.525	0. (.012)	0. (.012)	0. (.012)	0. (.012)	0. (.012)
0.550	0. (.012)	0. (.012)	0. (.012)	0. (.012)	0. (.012)
0.575	0. (.012)	0. (.012)	0. (.012)	0. (.012)	0. (.012)
0.600	0. (.012)	0. (.012)	0. (.012)	0. (.012)	0. (.012)
0.625	0. (.012)	0. (.012)	0. (.012)	0. (.012)	0. (.012)
0.650	0. (.012)	0. (.012)	0. (.012)	0. (.012)	0. (.012)
0.675	0. (.012)	0. (.012)	0. (.012)	0. (.012)	0. (.012)
0.700	0. (.012)	0. (.012)	0. (.012)	0. (.012)	0. (.012)
0.725	0. (.012)	0. (.012)	0. (.012)	0. (.012)	0. (.012)
0.750	0. (.012)	0. (.012)	0. (.012)	0. (.012)	0. (.012)
0.775	0. (.012)	0. (.012)	0. (.012)	0. (.012)	0. (.012)
0.800	0. (.012)	0. (.012)	0. (.012)	0. (.012)	0. (.012)
0.825	0. (.012)	0. (.012)	0. (.012)	0. (.012)	0. (.012)
0.850	0. (.012)	0. (.012)	0. (.012)	0. (.012)	0. (.012)
0.875	0. (.012)	0. (.012)	0. (.012)	0. (.012)	0. (.012)
0.900	0. (.012)	0. (.012)	0. (.012)	0. (.012)	0. (.012)
0.925	0. (.012)	0. (.012)	0. (.012)	0. (.012)	0. (.012)
0.950	0. (.012)	0. (.012)	0. (.012)	0. (.012)	0. (.012)
0.975	0. (.012)	0. (.012)	0. (.012)	0. (.012)	0. (.012)
1.000	1.000(.025)	1.000(.025)	1.000(.025)	1.000(.025)	1.000(.025)

*** RELATIVE ENERGY FLUX DENSITY IN THE ***
 *** PENUMBRA OF A RECTANGULAR CYLINDER ***

VERSION F

SOLAR FIELD ANGLE, D= 0.50 DEGREES
 GEOMETRY D2/R = 1.00 AND H/R = 0.

BETA = ANGLE OF INCIDENCE, DEGREES

BETA ***	50.00		60.00		70.00		80.00		89.25	
AX/AB	Q	(QI)	Q	(QI)	Q	(QI)	Q	(QI)	Q	(QI)
0.	1.000	(.)	1.000	(.)	1.000	(.)	1.000	(.)	1.000	(.)
0.025	0.	(.012)	0.	(.012)	0.	(.012)	0.058	(.013)	0.994	(.025)
0.050	0.	(.012)	0.	(.012)	0.	(.012)	0.	(.014)	0.983	(.050)
0.075	0.	(.012)	0.	(.012)	0.	(.012)	0.	(.014)	0.967	(.074)
0.100	0.	(.012)	0.	(.012)	0.	(.012)	0.	(.014)	0.945	(.098)
0.125	0.	(.012)	0.	(.012)	0.	(.012)	0.	(.014)	0.912	(.121)
0.150	0.	(.012)	0.	(.012)	0.	(.012)	0.	(.014)	0.856	(.143)
0.175	0.	(.012)	0.	(.012)	0.	(.012)	0.	(.014)	0.779	(.164)
0.200	0.	(.012)	0.	(.012)	0.	(.012)	0.	(.014)	0.681	(.182)
0.225	0.	(.012)	0.	(.012)	0.	(.012)	0.	(.014)	0.555	(.197)
0.250	0.	(.012)	0.	(.012)	0.	(.012)	0.	(.014)	0.408	(.209)
0.275	0.	(.012)	0.	(.012)	0.	(.012)	0.	(.014)	0.252	(.218)
0.300	0.	(.012)	0.	(.012)	0.	(.012)	0.	(.014)	0.110	(.222)
0.325	0.	(.012)	0.	(.012)	0.	(.012)	0.	(.014)	0.023	(.224)
0.350	0.	(.012)	0.	(.012)	0.	(.012)	0.	(.014)	0.	(.224)
0.375	0.	(.012)	0.	(.012)	0.	(.012)	0.	(.014)	0.	(.224)
0.400	0.	(.012)	0.	(.012)	0.	(.012)	0.	(.014)	0.	(.224)
0.425	0.	(.012)	0.	(.012)	0.	(.012)	0.	(.014)	0.	(.224)
0.450	0.	(.012)	0.	(.012)	0.	(.012)	0.	(.014)	0.	(.224)
0.475	0.	(.012)	0.	(.012)	0.	(.012)	0.	(.014)	0.	(.224)
0.500	0.	(.012)	0.	(.012)	0.	(.012)	0.	(.014)	0.	(.224)
0.525	0.	(.012)	0.	(.012)	0.	(.012)	0.	(.014)	0.	(.224)
0.550	0.	(.012)	0.	(.012)	0.	(.012)	0.	(.014)	0.	(.224)
0.575	0.	(.012)	0.	(.012)	0.	(.012)	0.	(.014)	0.	(.224)
0.600	0.	(.012)	0.	(.012)	0.	(.012)	0.	(.014)	0.	(.224)
0.625	0.	(.012)	0.	(.012)	0.	(.012)	0.	(.014)	0.	(.224)
0.650	0.	(.012)	0.	(.012)	0.	(.012)	0.	(.014)	0.	(.224)
0.675	0.	(.012)	0.	(.012)	0.	(.012)	0.	(.014)	0.	(.224)
0.700	0.	(.012)	0.	(.012)	0.	(.012)	0.	(.014)	0.	(.224)
0.725	0.	(.012)	0.	(.012)	0.	(.012)	0.	(.014)	0.	(.224)
0.750	0.	(.012)	0.	(.012)	0.	(.012)	0.	(.014)	0.	(.224)
0.775	0.	(.012)	0.	(.012)	0.	(.012)	0.	(.014)	0.	(.224)
0.800	0.	(.012)	0.	(.012)	0.	(.012)	0.	(.014)	0.	(.224)
0.825	0.	(.012)	0.	(.012)	0.	(.012)	0.	(.014)	0.	(.224)
0.850	0.	(.012)	0.	(.012)	0.	(.012)	0.	(.014)	0.	(.224)
0.875	0.	(.012)	0.	(.012)	0.	(.012)	0.	(.014)	0.	(.224)
0.900	0.	(.012)	0.	(.012)	0.	(.012)	0.	(.014)	0.	(.224)
0.925	0.	(.012)	0.	(.012)	0.	(.012)	0.	(.014)	0.	(.224)
0.950	0.	(.012)	0.	(.012)	0.	(.012)	0.	(.014)	0.	(.224)
0.975	0.	(.012)	0.	(.012)	0.	(.012)	0.	(.014)	0.	(.224)
1.000	0.	(.012)	0.	(.012)	0.	(.012)	0.	(.014)	0.	(.224)

F-2

575

6

3

2

*App. A
Phase II*

*** RELATIVE ENERGY FLUX DENSITY IN THE ***
 *** PENUMBRA OF A RECTANGULAR CYLINDER ***

VERSION F

SOLAR FIELD ANGLE, D= 0.50 DEGREES
 GEOMETRY D2/R = 5.00 AND H/R = 0.

BETA = ANGLE OF INCIDENCE, DEGREES

BETA ***	0.		10.00		20.00		30.00		40.00	
AX/AB	Q	(Q1)	Q	(Q1)	Q	(Q1)	Q	(Q1)	Q	(Q1)
0.	1.000(.)		1.000(.)		1.000(.)		1.000(.)		1.000(.)	
0.025	0.	(.012)	0.	(.012)	0.	(.012)	0.	(.012)	0.	(.012)
0.050	0.	(.012)	0.	(.012)	0.	(.012)	0.	(.012)	0.	(.012)
0.075	0.	(.012)	0.	(.012)	0.	(.012)	0.	(.012)	0.	(.012)
0.100	0.	(.012)	0.	(.012)	0.	(.012)	0.	(.012)	0.	(.012)
0.125	0.	(.012)	0.	(.012)	0.	(.012)	0.	(.012)	0.	(.012)
0.150	0.	(.012)	0.	(.012)	0.	(.012)	0.	(.012)	0.	(.012)
0.175	0.	(.012)	0.	(.012)	0.	(.012)	0.	(.012)	0.	(.012)
0.200	0.	(.012)	0.	(.012)	0.	(.012)	0.	(.012)	0.	(.012)
0.225	0.	(.012)	0.	(.012)	0.	(.012)	0.	(.012)	0.	(.012)
0.250	0.	(.012)	0.	(.012)	0.	(.012)	0.	(.012)	0.	(.012)
0.275	0.	(.012)	0.	(.012)	0.	(.012)	0.	(.012)	0.	(.012)
0.300	0.	(.012)	0.	(.012)	0.	(.012)	0.	(.012)	0.	(.012)
0.325	0.	(.012)	0.	(.012)	0.	(.012)	0.	(.012)	0.	(.012)
0.350	0.	(.012)	0.	(.012)	0.	(.012)	0.	(.012)	0.	(.012)
0.375	0.	(.012)	0.	(.012)	0.	(.012)	0.	(.012)	0.	(.012)
0.400	0.	(.012)	0.	(.012)	0.	(.012)	0.	(.012)	0.	(.012)
0.425	0.	(.012)	0.	(.012)	0.	(.012)	0.	(.012)	0.	(.012)
0.450	0.	(.012)	0.	(.012)	0.	(.012)	0.	(.012)	0.	(.012)
0.475	0.	(.012)	0.	(.012)	0.	(.012)	0.	(.012)	0.	(.012)
0.500	0.	(.012)	0.	(.012)	0.	(.012)	0.	(.012)	0.	(.012)
0.525	0.	(.012)	0.	(.012)	0.	(.012)	0.	(.012)	0.	(.012)
0.550	0.	(.012)	0.	(.012)	0.	(.012)	0.	(.012)	0.	(.012)
0.575	0.	(.012)	0.	(.012)	0.	(.012)	0.	(.012)	0.	(.012)
0.600	0.	(.012)	0.	(.012)	0.	(.012)	0.	(.012)	0.	(.012)
0.625	0.	(.012)	0.	(.012)	0.	(.012)	0.	(.012)	0.	(.012)
0.650	0.	(.012)	0.	(.012)	0.	(.012)	0.	(.012)	0.	(.012)
0.675	0.	(.012)	0.	(.012)	0.	(.012)	0.	(.012)	0.	(.012)
0.700	0.	(.012)	0.	(.012)	0.	(.012)	0.	(.012)	0.	(.012)
0.725	0.	(.012)	0.	(.012)	0.	(.012)	0.	(.012)	0.	(.012)
0.750	0.	(.012)	0.	(.012)	0.	(.012)	0.	(.012)	0.	(.012)
0.775	0.	(.012)	0.	(.012)	0.	(.012)	0.	(.012)	0.	(.012)
0.800	0.	(.012)	0.	(.012)	0.	(.012)	0.	(.012)	0.	(.012)
0.825	0.	(.012)	0.	(.012)	0.	(.012)	0.	(.012)	0.	(.012)
0.850	0.	(.012)	0.	(.012)	0.	(.012)	0.	(.012)	0.	(.012)
0.875	0.	(.012)	0.	(.012)	0.	(.012)	0.	(.012)	0.	(.012)
0.900	0.	(.012)	0.	(.012)	0.	(.012)	0.	(.012)	0.	(.012)
0.925	0.	(.012)	0.	(.012)	0.	(.012)	0.	(.012)	0.	(.012)
0.950	0.	(.012)	0.	(.012)	0.	(.012)	0.	(.012)	0.	(.012)
0.975	0.	(.012)	0.	(.012)	0.	(.012)	0.	(.012)	0.	(.012)
1.000	1.000(.025)		1.000(.025)		1.000(.025)		1.000(.025)		1.000(.025)	

*** RELATIVE ENERGY FLUX DENSITY IN THE ***
 *** PENUMBRA OF A RECTANGULAR CYLINDER ***

VERSION F

SOLAR FIELD ANGLE, D= 0.50 DEGREES
 GEOMETRY D2/R = 5.00 AND H/R = 0.

BETA = ANGLE OF INCIDENCE, DEGREES

BETA ***	50.00		60.00		70.00		80.00		89.25	
AX/AB	Q	(QI)	Q	(QI)	Q	(QI)	Q	(QI)	Q	(QI)
0.	1.000(.)		1.000(.)		1.000(.)		1.000(.)		1.000(.)	
0.025	0.014(.013)		0.050(.013)		0.139(.014)		0.445(.018)		0.995(.025)	
0.050	0. (.013)		0. (.014)		0. (.016)		0. (.024)		0.984(.050)	
0.075	0. (.013)		0. (.014)		0. (.016)		0. (.024)		0.969(.074)	
0.100	0. (.013)		0. (.014)		0. (.016)		0. (.024)		0.948(.098)	
0.125	0. (.013)		0. (.014)		0. (.016)		0. (.024)		0.919(.121)	
0.150	0. (.013)		0. (.014)		0. (.016)		0. (.024)		0.868(.144)	
0.175	0. (.013)		0. (.014)		0. (.016)		0. (.024)		0.799(.165)	
0.200	0. (.013)		0. (.014)		0. (.016)		0. (.024)		0.709(.183)	
0.225	0. (.013)		0. (.014)		0. (.016)		0. (.024)		0.595(.200)	
0.250	0. (.013)		0. (.014)		0. (.016)		0. (.024)		0.458(.213)	
0.275	0. (.013)		0. (.014)		0. (.016)		0. (.024)		0.309(.222)	
0.300	0. (.013)		0. (.014)		0. (.016)		0. (.024)		0.159(.228)	
0.325	0. (.013)		0. (.014)		0. (.016)		0. (.024)		0.057(.231)	
0.350	0. (.013)		0. (.014)		0. (.016)		0. (.024)		0. (.232)	
0.375	0. (.013)		0. (.014)		0. (.016)		0. (.024)		0. (.232)	
0.400	0. (.013)		0. (.014)		0. (.016)		0. (.024)		0. (.232)	
0.425	0. (.013)		0. (.014)		0. (.016)		0. (.024)		0. (.232)	
0.450	0. (.013)		0. (.014)		0. (.016)		0. (.024)		0. (.232)	
0.475	0. (.013)		0. (.014)		0. (.016)		0. (.024)		0. (.232)	
0.500	0. (.013)		0. (.014)		0. (.016)		0. (.024)		0. (.232)	
0.525	0. (.013)		0. (.014)		0. (.016)		0. (.024)		0. (.232)	
0.550	0. (.013)		0. (.014)		0. (.016)		0. (.024)		0. (.232)	
0.575	0. (.013)		0. (.014)		0. (.016)		0. (.024)		0. (.232)	
0.600	0. (.013)		0. (.014)		0. (.016)		0. (.024)		0. (.232)	
0.625	0. (.013)		0. (.014)		0. (.016)		0. (.024)		0. (.232)	
0.650	0. (.013)		0. (.014)		0. (.016)		0. (.024)		0. (.232)	
0.675	0. (.013)		0. (.014)		0. (.016)		0. (.024)		0. (.232)	
0.700	0. (.013)		0. (.014)		0. (.016)		0. (.024)		0. (.232)	
0.725	0. (.013)		0. (.014)		0. (.016)		0. (.024)		0. (.232)	
0.750	0. (.013)		0. (.014)		0. (.016)		0. (.024)		0. (.232)	
0.775	0. (.013)		0. (.014)		0. (.016)		0. (.024)		0. (.232)	
0.800	0. (.013)		0. (.014)		0. (.016)		0. (.024)		0. (.232)	
0.825	0. (.013)		0. (.014)		0. (.016)		0. (.024)		0. (.232)	
0.850	0. (.013)		0. (.014)		0. (.016)		0. (.024)		0. (.232)	
0.875	0. (.013)		0. (.014)		0. (.016)		0. (.024)		0. (.232)	
0.900	0. (.013)		0. (.014)		0. (.016)		0. (.024)		0. (.232)	
0.925	0. (.013)		0. (.014)		0. (.016)		0. (.024)		0. (.232)	
0.950	0. (.013)		0. (.014)		0. (.016)		0. (.024)		0. (.232)	
0.975	0. (.013)		0. (.014)		0. (.016)		0. (.024)		0. (.232)	
1.000	1.000(.025)		1.000(.026)		1.000(.028)		0. (.024)		0. (.232)	

5
4
3
2

App. 11
Phase 11

*** RELATIVE ENERGY FLUX DENSITY IN THE ***
*** PENUMBRA OF A RECTANGULAR CYLINDER ***

VERSION F

SOLAR FIELD ANGLE, $\theta = 0.50$ DEGREES
GEOMETRY $D2/R = 10.00$ AND $H/R = 0.$

BETA = ANGLE OF INCIDENCE, DEGREES

BETA ***	D.	10.00	20.00	30.00	40.00
AX/AB	Q (Q1)	Q (Q1)	Q (Q1)	Q (Q1)	Q (Q1)
0.	1.000(.)	1.000(.)	1.000(.)	1.000(.)	1.000(.)
0.025	0.343(.017)	0.360(.017)	0.377(.017)	0.396(.017)	0.419(.018)
0.050	0. (.021)	0. (.021)	0. (.022)	0. (.022)	0. (.023)
0.075	0. (.021)	0. (.021)	0. (.022)	0. (.022)	0. (.023)
0.100	0. (.021)	0. (.021)	0. (.022)	0. (.022)	0. (.023)
0.125	0. (.021)	0. (.021)	0. (.022)	0. (.022)	0. (.023)
0.150	0. (.021)	0. (.021)	0. (.022)	0. (.022)	0. (.023)
0.175	0. (.021)	0. (.021)	0. (.022)	0. (.022)	0. (.023)
0.200	0. (.021)	0. (.021)	0. (.022)	0. (.022)	0. (.023)
0.225	0. (.021)	0. (.021)	0. (.022)	0. (.022)	0. (.023)
0.250	0. (.021)	0. (.021)	0. (.022)	0. (.022)	0. (.023)
0.275	0. (.021)	0. (.021)	0. (.022)	0. (.022)	0. (.023)
0.300	0. (.021)	0. (.021)	0. (.022)	0. (.022)	0. (.023)
0.325	0. (.021)	0. (.021)	0. (.022)	0. (.022)	0. (.023)
0.350	0. (.021)	0. (.021)	0. (.022)	0. (.022)	0. (.023)
0.375	0. (.021)	0. (.021)	0. (.022)	0. (.022)	0. (.023)
0.400	0. (.021)	0. (.021)	0. (.022)	0. (.022)	0. (.023)
0.425	0. (.021)	0. (.021)	0. (.022)	0. (.022)	0. (.023)
0.450	0. (.021)	0. (.021)	0. (.022)	0. (.022)	0. (.023)
0.475	0. (.021)	0. (.021)	0. (.022)	0. (.022)	0. (.023)
0.500	0. (.021)	0. (.021)	0. (.022)	0. (.022)	0. (.023)
0.525	0. (.021)	0. (.021)	0. (.022)	0. (.022)	0. (.023)
0.550	0. (.021)	0. (.021)	0. (.022)	0. (.022)	0. (.023)
0.575	0. (.021)	0. (.021)	0. (.022)	0. (.022)	0. (.023)
0.600	0. (.021)	0. (.021)	0. (.022)	0. (.022)	0. (.023)
0.625	0. (.021)	0. (.021)	0. (.022)	0. (.022)	0. (.023)
0.650	0. (.021)	0. (.021)	0. (.022)	0. (.022)	0. (.023)
0.675	0. (.021)	0. (.021)	0. (.022)	0. (.022)	0. (.023)
0.700	0. (.021)	0. (.021)	0. (.022)	0. (.022)	0. (.023)
0.725	0. (.021)	0. (.021)	0. (.022)	0. (.022)	0. (.023)
0.750	0. (.021)	0. (.021)	0. (.022)	0. (.022)	0. (.023)
0.775	0. (.021)	0. (.021)	0. (.022)	0. (.022)	0. (.023)
0.800	0. (.021)	0. (.021)	0. (.022)	0. (.022)	0. (.023)
0.825	0. (.021)	0. (.021)	0. (.022)	0. (.022)	0. (.023)
0.850	0. (.021)	0. (.021)	0. (.022)	0. (.022)	0. (.023)
0.875	0. (.021)	0. (.021)	0. (.022)	0. (.022)	0. (.023)
0.900	0. (.021)	0. (.021)	0. (.022)	0. (.022)	0. (.023)
0.925	0. (.021)	0. (.021)	0. (.022)	0. (.022)	0. (.023)
0.950	0. (.021)	0. (.021)	0. (.022)	0. (.022)	0. (.023)
0.975	0.343(.025)	0.326(.026)	0.308(.026)	0.287(.026)	0.260(.026)
1.000	1.000(.042)	1.000(.042)	1.000(.042)	1.000(.042)	1.000(.042)

App. 4
Phase 11

*** RELATIVE ENRGY FLUX DENSITY IN THE ***
 *** PENUMBRA OF A RECTANGULAR CYLINDER ***

VERSION F

SOLAR FIELD ANGLE, D= 0.50 DEGREES
 GEOMETRY D2/R = 10.00 AND H/R = 0.

BETA = ANGLE OF INCIDENCE, DEGREES

BETA ***	50.00	60.00	70.00	80.00	89.25
AX/AB	Q (Q1)	Q (Q1)	Q (Q1)	Q (Q1)	Q (Q1)
0.	1.000(.)	1.000(.)	1.000(.)	1.000(.)	1.000(.)
0.025	0.449(.018)	0.492(.019)	0.562(.020)	0.708(.021)	0.995(.025)
0.050	0. (.024)	0. (.025)	0.017(.027)	0.137(.032)	0.985(.050)
0.075	0. (.024)	0. (.025)	0. (.027)	0. (.034)	0.971(.074)
0.100	0. (.024)	0. (.025)	0. (.027)	0. (.034)	0.951(.098)
0.125	0. (.024)	0. (.025)	0. (.027)	0. (.034)	0.926(.122)
0.150	0. (.024)	0. (.025)	0. (.027)	0. (.034)	0.881(.144)
0.175	0. (.024)	0. (.025)	0. (.027)	0. (.034)	0.819(.165)
0.200	0. (.024)	0. (.025)	0. (.027)	0. (.034)	0.738(.185)
0.225	0. (.024)	0. (.025)	0. (.027)	0. (.034)	0.637(.202)
0.250	0. (.024)	0. (.025)	0. (.027)	0. (.034)	0.512(.216)
0.275	0. (.024)	0. (.025)	0. (.027)	0. (.034)	0.371(.228)
0.300	0. (.024)	0. (.025)	0. (.027)	0. (.034)	0.225(.235)
0.325	0. (.024)	0. (.025)	0. (.027)	0. (.034)	0.100(.239)
0.350	0. (.024)	0. (.025)	0. (.027)	0. (.034)	0.021(.241)
0.375	0. (.024)	0. (.025)	0. (.027)	0. (.034)	0. (.241)
0.400	0. (.024)	0. (.025)	0. (.027)	0. (.034)	0. (.241)
0.425	0. (.024)	0. (.025)	0. (.027)	0. (.034)	0. (.241)
0.450	0. (.024)	0. (.025)	0. (.027)	0. (.034)	0. (.241)
0.475	0. (.024)	0. (.025)	0. (.027)	0. (.034)	0. (.241)
0.500	0. (.024)	0. (.025)	0. (.027)	0. (.034)	0. (.241)
0.525	0. (.024)	0. (.025)	0. (.027)	0. (.034)	0. (.241)
0.550	0. (.024)	0. (.025)	0. (.027)	0. (.034)	0. (.241)
0.575	0. (.024)	0. (.025)	0. (.027)	0. (.034)	0. (.241)
0.600	0. (.024)	0. (.025)	0. (.027)	0. (.034)	0. (.241)
0.625	0. (.024)	0. (.025)	0. (.027)	0. (.034)	0. (.241)
0.650	0. (.024)	0. (.025)	0. (.027)	0. (.034)	0. (.241)
0.675	0. (.024)	0. (.025)	0. (.027)	0. (.034)	0. (.241)
0.700	0. (.024)	0. (.025)	0. (.027)	0. (.034)	0. (.241)
0.725	0. (.024)	0. (.025)	0. (.027)	0. (.034)	0. (.241)
0.750	0. (.024)	0. (.025)	0. (.027)	0. (.034)	0. (.241)
0.775	0. (.024)	0. (.025)	0. (.027)	0. (.034)	0. (.241)
0.800	0. (.024)	0. (.025)	0. (.027)	0. (.034)	0. (.241)
0.825	0. (.024)	0. (.025)	0. (.027)	0. (.034)	0. (.241)
0.850	0. (.024)	0. (.025)	0. (.027)	0. (.034)	0. (.241)
0.875	0. (.024)	0. (.025)	0. (.027)	0. (.034)	0. (.241)
0.900	0. (.024)	0. (.025)	0. (.027)	0. (.034)	0. (.241)
0.925	0. (.024)	0. (.025)	0. (.027)	0. (.034)	0. (.241)
0.950	0. (.024)	0. (.025)	0. (.027)	0. (.034)	0. (.241)
0.975	0.224(.027)	0.166(.027)	0.073(.028)	0. (.034)	0. (.241)
1.000	1.000(.042)	1.000(.041)	1.000(.041)	1.000(.046)	0. (.241)

*** RELATIVE ENERGY FLUX DENSITY IN THE ***
 *** PENUMBRA OF A RECTANGULAR CYLINDER ***

VERSION F

SOLAR FIELD ANGLE, D= 0.50 DEGREES
 GEOMETRY D2/R = 50.00 AND H/R = 0.

BETA = ANGLE OF INCIDENCE, DEGREES

BETA ***	0.	10.00	20.00	30.00	40.00
AX/AB	Q (QI)	Q (QI)	Q (QI)	Q (QI)	Q (QI)
0.	1.000(.)	1.000(.)	1.000(.)	1.000(.)	1.000(.)
0.025	0.945(.024)	0.946(.024)	0.947(.024)	0.947(.024)	0.948(.024)
0.050	0.827(.046)	0.829(.047)	0.830(.047)	0.832(.047)	0.835(.047)
0.075	0.631(.065)	0.634(.065)	0.637(.065)	0.641(.065)	0.645(.065)
0.100	0.405(.078)	0.409(.078)	0.413(.078)	0.418(.078)	0.423(.078)
0.125	0.202(.085)	0.205(.086)	0.210(.086)	0.214(.086)	0.220(.087)
0.150	0.068(.089)	0.070(.089)	0.072(.089)	0.074(.090)	0.077(.090)
0.175	0.004(.090)	0.005(.090)	0.006(.090)	0.007(.091)	0.008(.091)
0.200	0. (.090)	0. (.090)	0. (.090)	0. (.091)	0. (.091)
0.225	0. (.090)	0. (.090)	0. (.090)	0. (.091)	0. (.091)
0.250	0. (.090)	0. (.090)	0. (.090)	0. (.091)	0. (.091)
0.275	0. (.090)	0. (.090)	0. (.090)	0. (.091)	0. (.091)
0.300	0. (.090)	0. (.090)	0. (.090)	0. (.091)	0. (.091)
0.325	0. (.090)	0. (.090)	0. (.090)	0. (.091)	0. (.091)
0.350	0. (.090)	0. (.090)	0. (.090)	0. (.091)	0. (.091)
0.375	0. (.090)	0. (.090)	0. (.090)	0. (.091)	0. (.091)
0.400	0. (.090)	0. (.090)	0. (.090)	0. (.091)	0. (.091)
0.425	0. (.090)	0. (.090)	0. (.090)	0. (.091)	0. (.091)
0.450	0. (.090)	0. (.090)	0. (.090)	0. (.091)	0. (.091)
0.475	0. (.090)	0. (.090)	0. (.090)	0. (.091)	0. (.091)
0.500	0. (.090)	0. (.090)	0. (.090)	0. (.091)	0. (.091)
0.525	0. (.090)	0. (.090)	0. (.090)	0. (.091)	0. (.091)
0.550	0. (.090)	0. (.090)	0. (.090)	0. (.091)	0. (.091)
0.575	0. (.090)	0. (.090)	0. (.090)	0. (.091)	0. (.091)
0.600	0. (.090)	0. (.090)	0. (.090)	0. (.091)	0. (.091)
0.625	0. (.090)	0. (.090)	0. (.090)	0. (.091)	0. (.091)
0.650	0. (.090)	0. (.090)	0. (.090)	0. (.091)	0. (.091)
0.675	0. (.090)	0. (.090)	0. (.090)	0. (.091)	0. (.091)
0.700	0. (.090)	0. (.090)	0. (.090)	0. (.091)	0. (.091)
0.725	0. (.090)	0. (.090)	0. (.090)	0. (.091)	0. (.091)
0.750	0. (.090)	0. (.090)	0. (.090)	0. (.091)	0. (.091)
0.775	0. (.090)	0. (.090)	0. (.090)	0. (.091)	0. (.091)
0.800	0. (.090)	0. (.090)	0. (.090)	0. (.091)	0. (.091)
0.825	0.004(.090)	0.003(.090)	0.002(.090)	0.001(.091)	0.001(.091)
0.850	0.068(.090)	0.066(.091)	0.064(.091)	0.061(.092)	0.058(.092)
0.875	0.202(.094)	0.198(.094)	0.194(.094)	0.190(.095)	0.184(.095)
0.900	0.405(.101)	0.401(.102)	0.397(.102)	0.392(.102)	0.386(.102)
0.925	0.631(.114)	0.628(.114)	0.625(.115)	0.621(.115)	0.617(.115)
0.950	0.827(.133)	0.825(.133)	0.823(.133)	0.821(.133)	0.819(.133)
0.975	0.945(.155)	0.945(.155)	0.945(.155)	0.944(.155)	0.944(.155)
1.000	1.000(.179)	1.000(.179)	1.000(.179)	1.000(.179)	1.000(.179)

*** RELATIVE ENERGY FLUX DENSITY IN THE ***
 *** PENUMBRA OF A RECTANGULAR CYLINDER ***

VERSION F

SOLAR FIELD ANGLE, D= 0.50 DEGREES
 GEOMETRY D2/R = 50.00 AND H/R = 0.

BETA = ANGLE OF INCIDENCE, DEGREES

BETA ***	50.00		60.00		70.00		80.00		89.25	
AX/AB	Q	(QI)	Q	(QI)	Q	(QI)	Q	(QI)	Q	(QI)
0.	1.000(.)		1.000(.)		1.000(.)		1.000(.)		1.000(.)	
0.025	0.949(.024)		0.950(.024)		0.952(.024)		0.957(.024)		0.997(.025)	
0.050	0.838(.047)		0.843(.047)		0.851(.047)		0.873(.047)		0.990(.050)	
0.075	0.651(.065)		0.660(.066)		0.675(.066)		0.716(.067)		0.980(.074)	
0.100	0.431(.079)		0.443(.079)		0.464(.080)		0.522(.083)		0.967(.099)	
0.125	0.227(.087)		0.239(.088)		0.260(.089)		0.321(.093)		0.952(.123)	
0.150	0.081(.091)		0.087(.092)		0.100(.094)		0.149(.099)		0.933(.146)	
0.175	0.011(.092)		0.014(.093)		0.022(.095)		0.049(.102)		0.902(.169)	
0.200	0. (.092)		0. (.093)		0. (.096)		0. (.102)		0.860(.191)	
0.225	0. (.092)		0. (.093)		0. (.096)		0. (.102)		0.806(.212)	
0.250	0. (.092)		0. (.093)		0. (.096)		0. (.102)		0.740(.231)	
0.275	0. (.092)		0. (.093)		0. (.096)		0. (.102)		0.662(.249)	
0.300	0. (.092)		0. (.093)		0. (.096)		0. (.102)		0.567(.264)	
0.325	0. (.092)		0. (.093)		0. (.096)		0. (.102)		0.461(.277)	
0.350	0. (.092)		0. (.093)		0. (.096)		0. (.102)		0.347(.287)	
0.375	0. (.092)		0. (.093)		0. (.096)		0. (.102)		0.230(.294)	
0.400	0. (.092)		0. (.093)		0. (.096)		0. (.102)		0.122(.299)	
0.425	0. (.092)		0. (.093)		0. (.096)		0. (.102)		0.053(.301)	
0.450	0. (.092)		0. (.093)		0. (.096)		0. (.102)		0.002(.302)	
0.475	0. (.092)		0. (.093)		0. (.096)		0. (.102)		0. (.302)	
0.500	0. (.092)		0. (.093)		0. (.096)		0. (.102)		0. (.302)	
0.525	0. (.092)		0. (.093)		0. (.096)		0. (.102)		0. (.302)	
0.550	0. (.092)		0. (.093)		0. (.096)		0. (.102)		0. (.302)	
0.575	0. (.092)		0. (.093)		0. (.096)		0. (.102)		0. (.302)	
0.600	0. (.092)		0. (.093)		0. (.096)		0. (.102)		0. (.302)	
0.625	0. (.092)		0. (.093)		0. (.096)		0. (.102)		0. (.302)	
0.650	0. (.092)		0. (.093)		0. (.096)		0. (.102)		0. (.302)	
0.675	0. (.092)		0. (.093)		0. (.096)		0. (.102)		0. (.302)	
0.700	0. (.092)		0. (.093)		0. (.096)		0. (.102)		0. (.302)	
0.725	0. (.092)		0. (.093)		0. (.096)		0. (.102)		0. (.302)	
0.750	0. (.092)		0. (.093)		0. (.096)		0. (.102)		0. (.302)	
0.775	0. (.092)		0. (.093)		0. (.096)		0. (.102)		0. (.302)	
0.800	0. (.092)		0. (.093)		0. (.096)		0. (.102)		0. (.302)	
0.825	0. (.092)		0. (.093)		0. (.096)		0. (.102)		0. (.302)	
0.850	0.055(.093)		0.049(.094)		0.039(.096)		0.013(.102)		0. (.302)	
0.875	0.177(.096)		0.166(.097)		0.145(.098)		0.093(.104)		0. (.302)	
0.900	0.378(.103)		0.366(.103)		0.343(.104)		0.276(.108)		0. (.302)	
0.925	0.610(.115)		0.600(.115)		0.581(.116)		0.521(.118)		0. (.302)	
0.950	0.815(.133)		0.810(.133)		0.799(.133)		0.763(.134)		0. (.302)	
0.975	0.943(.155)		0.941(.155)		0.939(.155)		0.930(.155)		0. (.302)	
1.000	1.000(.179)		1.000(.179)		1.000(.179)		1.000(.180)		0. (.302)	

App 4.
Phase II

*** RELATIVE ENERGY FLUX DENSITY IN THE ***
 *** PENUMBRA OF A RECTANGULAR CYLINDER ***

VERSION F

SOLAR FIELD ANGLE, D= 0.50 DEGREES
 GEOMETRY D2/R = 100.00 AND H/R = 0.

BETA = ANGLE OF INCIDENCE, DEGREES

BETA ***	0.	10.00	20.00	30.00	40.00
AX/AB	Q (QI)	Q (QI)	Q (QI)	Q (QI)	Q (QI)
0.	1.000(.)	1.000(.)	1.000(.)	1.000(.)	1.000(.)
0.025	0.975(.025)	0.975(.025)	0.975(.025)	0.975(.025)	0.976(.025)
0.050	0.931(.049)	0.931(.049)	0.932(.049)	0.932(.049)	0.933(.049)
0.075	0.865(.071)	0.865(.071)	0.866(.071)	0.867(.071)	0.869(.071)
0.100	0.762(.091)	0.763(.091)	0.765(.091)	0.766(.091)	0.768(.092)
0.125	0.643(.109)	0.644(.109)	0.646(.109)	0.649(.109)	0.651(.109)
0.150	0.510(.123)	0.512(.123)	0.515(.124)	0.517(.124)	0.521(.124)
0.175	0.377(.134)	0.379(.135)	0.382(.135)	0.384(.135)	0.388(.135)
0.200	0.255(.142)	0.258(.142)	0.260(.143)	0.263(.143)	0.266(.143)
0.225	0.149(.147)	0.151(.148)	0.153(.148)	0.156(.148)	0.159(.149)
0.250	0.075(.150)	0.078(.150)	0.079(.151)	0.080(.151)	0.082(.152)
0.275	0.031(.151)	0.032(.152)	0.033(.152)	0.034(.153)	0.035(.153)
0.300	0.002(.152)	0.002(.152)	0.002(.153)	0.003(.153)	0.003(.154)
0.325	0. (.152)	0. (.152)	0. (.153)	0. (.153)	0. (.154)
0.350	0. (.152)	0. (.152)	0. (.153)	0. (.153)	0. (.154)
0.375	0. (.152)	0. (.152)	0. (.153)	0. (.153)	0. (.154)
0.400	0. (.152)	0. (.152)	0. (.153)	0. (.153)	0. (.154)
0.425	0. (.152)	0. (.152)	0. (.153)	0. (.153)	0. (.154)
0.450	0. (.152)	0. (.152)	0. (.153)	0. (.153)	0. (.154)
0.475	0. (.152)	0. (.152)	0. (.153)	0. (.153)	0. (.154)
0.500	0. (.152)	0. (.152)	0. (.153)	0. (.153)	0. (.154)
0.525	0. (.152)	0. (.152)	0. (.153)	0. (.153)	0. (.154)
0.550	0. (.152)	0. (.152)	0. (.153)	0. (.153)	0. (.154)
0.575	0. (.152)	0. (.152)	0. (.153)	0. (.153)	0. (.154)
0.600	0. (.152)	0. (.152)	0. (.153)	0. (.153)	0. (.154)
0.625	0. (.152)	0. (.152)	0. (.153)	0. (.153)	0. (.154)
0.650	0. (.152)	0. (.152)	0. (.153)	0. (.153)	0. (.154)
0.675	0. (.152)	0. (.152)	0. (.153)	0. (.153)	0. (.154)
0.700	0.002(.152)	0.001(.152)	0.001(.153)	0.001(.153)	0.000(.154)
0.725	0.031(.152)	0.030(.153)	0.029(.153)	0.028(.154)	0.027(.154)
0.750	0.076(.154)	0.075(.154)	0.074(.154)	0.073(.155)	0.071(.155)
0.775	0.149(.156)	0.148(.157)	0.145(.157)	0.143(.157)	0.140(.158)
0.800	0.255(.162)	0.253(.162)	0.251(.162)	0.248(.162)	0.245(.163)
0.825	0.377(.169)	0.375(.170)	0.372(.170)	0.369(.170)	0.366(.170)
0.850	0.510(.181)	0.508(.181)	0.506(.181)	0.503(.181)	0.500(.181)
0.875	0.643(.195)	0.641(.195)	0.639(.195)	0.637(.195)	0.634(.195)
0.900	0.762(.212)	0.760(.213)	0.759(.213)	0.757(.213)	0.755(.213)
0.925	0.865(.233)	0.864(.233)	0.863(.233)	0.862(.233)	0.860(.233)
0.950	0.931(.255)	0.931(.255)	0.930(.255)	0.930(.255)	0.929(.255)
0.975	0.975(.279)	0.975(.279)	0.975(.279)	0.975(.279)	0.974(.279)
1.000	1.000(.304)	1.000(.304)	1.000(.304)	1.000(.304)	1.000(.304)

App A
Phase 11

*** RELATIVE ENERGY FLUX DENSITY IN THE ***
*** PENUMBRA OF A RECTANGULAR CYLINDER ***

VERSION F

SOLAR FIELD ANGLE, D= 0.50 DEGREES
GEOMETRY D2/R = 100.00 AND H/R = 0.

BETA = ANGLE OF INCIDENCE, DEGREES

BETA ***	50.00	60.00	70.00	80.00	89.25
AX/AB	Q (QI)	Q (QI)	Q (QI)	Q (QI)	Q (QI)
0.	1.000(.)	1.000(.)	1.000(.)	1.000(.)	1.000(.)
0.025	0.976(.025)	0.976(.025)	0.977(.025)	0.979(.025)	0.997(.025)
0.050	0.933(.049)	0.934(.049)	0.936(.049)	0.941(.049)	0.992(.050)
0.075	0.870(.071)	0.873(.071)	0.877(.071)	0.889(.072)	0.985(.075)
0.100	0.771(.092)	0.775(.092)	0.782(.092)	0.802(.093)	0.975(.099)
0.125	0.655(.109)	0.660(.110)	0.670(.110)	0.697(.112)	0.964(.123)
0.150	0.525(.124)	0.532(.125)	0.544(.125)	0.578(.127)	0.950(.147)
0.175	0.393(.136)	0.400(.136)	0.413(.137)	0.451(.140)	0.935(.171)
0.200	0.270(.144)	0.277(.145)	0.290(.146)	0.327(.150)	0.911(.194)
0.225	0.163(.149)	0.169(.150)	0.180(.152)	0.215(.157)	0.878(.216)
0.250	0.084(.152)	0.087(.153)	0.094(.155)	0.120(.161)	0.837(.238)
0.275	0.037(.154)	0.039(.155)	0.045(.157)	0.061(.163)	0.788(.258)
0.300	0.004(.154)	0.006(.156)	0.009(.158)	0.020(.164)	0.730(.277)
0.325	0. (.155)	0. (.156)	0. (.158)	0. (.164)	0.663(.294)
0.350	0. (.155)	0. (.156)	0. (.158)	0. (.164)	0.585(.310)
0.375	0. (.155)	0. (.156)	0. (.158)	0. (.164)	0.497(.323)
0.400	0. (.155)	0. (.156)	0. (.158)	0. (.164)	0.402(.335)
0.425	0. (.155)	0. (.156)	0. (.158)	0. (.164)	0.305(.344)
0.450	0. (.155)	0. (.156)	0. (.158)	0. (.164)	0.206(.350)
0.475	0. (.155)	0. (.156)	0. (.158)	0. (.164)	0.118(.354)
0.500	0. (.155)	0. (.156)	0. (.158)	0. (.164)	0.060(.356)
0.525	0. (.155)	0. (.156)	0. (.158)	0. (.164)	0.011(.357)
0.550	0. (.155)	0. (.156)	0. (.158)	0. (.164)	0. (.357)
0.575	0. (.155)	0. (.156)	0. (.158)	0. (.164)	0. (.357)
0.600	0. (.155)	0. (.156)	0. (.158)	0. (.164)	0. (.357)
0.625	0. (.155)	0. (.156)	0. (.158)	0. (.164)	0. (.357)
0.650	0. (.155)	0. (.156)	0. (.158)	0. (.164)	0. (.357)
0.675	0. (.155)	0. (.156)	0. (.158)	0. (.164)	0. (.357)
0.700	0.000(.155)	0. (.156)	0. (.158)	0. (.164)	0. (.357)
0.725	0.025(.155)	0.023(.156)	0.019(.158)	0.008(.165)	0. (.357)
0.750	0.069(.156)	0.066(.157)	0.060(.159)	0.044(.165)	0. (.357)
0.775	0.137(.159)	0.131(.160)	0.121(.161)	0.094(.167)	0. (.357)
0.800	0.241(.163)	0.234(.164)	0.221(.166)	0.186(.170)	0. (.357)
0.825	0.361(.171)	0.354(.171)	0.341(.173)	0.303(.177)	0. (.357)
0.850	0.495(.182)	0.486(.182)	0.475(.183)	0.437(.186)	0. (.357)
0.875	0.630(.196)	0.624(.196)	0.613(.197)	0.580(.199)	0. (.357)
0.900	0.752(.213)	0.748(.213)	0.740(.213)	0.714(.215)	0. (.357)
0.925	0.859(.233)	0.856(.233)	0.850(.233)	0.834(.234)	0. (.357)
0.950	0.929(.255)	0.928(.255)	0.926(.255)	0.919(.256)	0.057(.358)
0.975	0.974(.279)	0.974(.279)	0.973(.279)	0.970(.280)	0.412(.364)
1.000	1.000(.304)	1.000(.304)	1.000(.304)	1.000(.304)	1.000(.381)

App. 4.
Phase II

*** RELATIVE ENERGY FLUX DENSITY IN THE ***
 *** PENUMBRA OF A RECTANGULAR CYLINDER ***

VERSION F

SOLAR FIELD ANGLE, D= 0.50 DEGREES
 GEOMETRY D2/R = 1.00 AND H/R = 0.5

BETA = ANGLE OF INCIDENCE, DEGREES

BETA ***	0.	10.00	20.00	30.00	40.00
AX/AB	Q (Q1)	Q (Q1)	Q (Q1)	Q (Q1)	Q (Q1)
0.	1.000(.)	1.000(.)	1.000(.)	1.000(.)	1.000(.)
0.025	0. (.012)	0. (.012)	0. (.012)	0. (.012)	0. (.012)
0.050	0. (.012)	0. (.012)	0. (.012)	0. (.012)	0. (.012)
0.075	0. (.012)	0. (.012)	0. (.012)	0. (.012)	0. (.012)
0.100	0. (.012)	0. (.012)	0. (.012)	0. (.012)	0. (.012)
0.125	0. (.012)	0. (.012)	0. (.012)	0. (.012)	0. (.012)
0.150	0. (.012)	0. (.012)	0. (.012)	0. (.012)	0. (.012)
0.175	0. (.012)	0. (.012)	0. (.012)	0. (.012)	0. (.012)
0.200	0. (.012)	0. (.012)	0. (.012)	0. (.012)	0. (.012)
0.225	0. (.012)	0. (.012)	0. (.012)	0. (.012)	0. (.012)
0.250	0. (.012)	0. (.012)	0. (.012)	0. (.012)	0. (.012)
0.275	0. (.012)	0. (.012)	0. (.012)	0. (.012)	0. (.012)
0.300	0. (.012)	0. (.012)	0. (.012)	0. (.012)	0. (.012)
0.325	0. (.012)	0. (.012)	0. (.012)	0. (.012)	0. (.012)
0.350	0. (.012)	0. (.012)	0. (.012)	0. (.012)	0. (.012)
0.375	0. (.012)	0. (.012)	0. (.012)	0. (.012)	0. (.012)
0.400	0. (.012)	0. (.012)	0. (.012)	0. (.012)	0. (.012)
0.425	0. (.012)	0. (.012)	0. (.012)	0. (.012)	0. (.012)
0.450	0. (.012)	0. (.012)	0. (.012)	0. (.012)	0. (.012)
0.475	0. (.012)	0. (.012)	0. (.012)	0. (.012)	0. (.012)
0.500	0. (.012)	0. (.012)	0. (.012)	0. (.012)	0. (.012)
0.525	0. (.012)	0. (.012)	0. (.012)	0. (.012)	0. (.012)
0.550	0. (.012)	0. (.012)	0. (.012)	0. (.012)	0. (.012)
0.575	0. (.012)	0. (.012)	0. (.012)	0. (.012)	0. (.012)
0.600	0. (.012)	0. (.012)	0. (.012)	0. (.012)	0. (.012)
0.625	0. (.012)	0. (.012)	0. (.012)	0. (.012)	0. (.012)
0.650	0. (.012)	0. (.012)	0. (.012)	0. (.012)	0. (.012)
0.675	0. (.012)	0. (.012)	0. (.012)	0. (.012)	0. (.012)
0.700	0. (.012)	0. (.012)	0. (.012)	0. (.012)	0. (.012)
0.725	0. (.012)	0. (.012)	0. (.012)	0. (.012)	0. (.012)
0.750	0. (.012)	0. (.012)	0. (.012)	0. (.012)	0. (.012)
0.775	0. (.012)	0. (.012)	0. (.012)	0. (.012)	0. (.012)
0.800	0. (.012)	0. (.012)	0. (.012)	0. (.012)	0. (.012)
0.825	0. (.012)	0. (.012)	0. (.012)	0. (.012)	0. (.012)
0.850	0. (.012)	0. (.012)	0. (.012)	0. (.012)	0. (.012)
0.875	0. (.012)	0. (.012)	0. (.012)	0. (.012)	0. (.012)
0.900	0. (.012)	0. (.012)	0. (.012)	0. (.012)	0. (.012)
0.925	0. (.012)	0. (.012)	0. (.012)	0. (.012)	0. (.012)
0.950	0. (.012)	0. (.012)	0. (.012)	0. (.012)	0. (.012)
0.975	0. (.012)	0. (.012)	0. (.012)	0. (.012)	0. (.012)
1.000	1.000(.025)	1.000(.025)	1.000(.025)	1.000(.025)	1.000(.025)

*** RELATIVE ENERGY FLUX DENSITY IN THE ***
*** PENUMBRA OF A RECTANGULAR CYLINDER ***

VERSION F

SOLAR FIELD ANGLE, D= 0.50 DEGREES
GEOMETRY D2/R = 1.00 AND H/R = 0.5

BETA = ANGLE OF INCIDENCE, DEGREES

BETA ***	50.00		60.00		70.00		80.00		89.25	
AX/AB	Q	(Q1)	Q	(Q1)	Q	(Q1)	Q	(Q1)	Q	(Q1)
0.	1.000	(.)	1.000	(.)	1.000	(.)	1.000	(.)	1.000	(.)
0.025	0.	(.012)	0.	(.012)	0.	(.012)	0.064	(.013)	0.994	(.025)
0.050	0.	(.012)	0.	(.012)	0.	(.012)	0.	(.014)	0.983	(.050)
0.075	0.	(.012)	0.	(.012)	0.	(.012)	0.	(.014)	0.967	(.074)
0.100	0.	(.012)	0.	(.012)	0.	(.012)	0.	(.014)	0.945	(.098)
0.125	0.	(.012)	0.	(.012)	0.	(.012)	0.	(.014)	0.913	(.121)
0.150	0.	(.012)	0.	(.012)	0.	(.012)	0.	(.014)	0.857	(.143)
0.175	0.	(.012)	0.	(.012)	0.	(.012)	0.	(.014)	0.782	(.164)
0.200	0.	(.012)	0.	(.012)	0.	(.012)	0.	(.014)	0.685	(.182)
0.225	0.	(.012)	0.	(.012)	0.	(.012)	0.	(.014)	0.561	(.198)
0.250	0.	(.012)	0.	(.012)	0.	(.012)	0.	(.014)	0.413	(.210)
0.275	0.	(.012)	0.	(.012)	0.	(.012)	0.	(.014)	0.255	(.218)
0.300	0.	(.012)	0.	(.012)	0.	(.012)	0.	(.014)	0.111	(.223)
0.325	0.	(.012)	0.	(.012)	0.	(.012)	0.	(.014)	0.023	(.224)
0.350	0.	(.012)	0.	(.012)	0.	(.012)	0.	(.014)	0.	(.225)
0.375	0.	(.012)	0.	(.012)	0.	(.012)	0.	(.014)	0.	(.225)
0.400	0.	(.012)	0.	(.012)	0.	(.012)	0.	(.014)	0.	(.225)
0.425	0.	(.012)	0.	(.012)	0.	(.012)	0.	(.014)	0.	(.225)
0.450	0.	(.012)	0.	(.012)	0.	(.012)	0.	(.014)	0.	(.225)
0.475	0.	(.012)	0.	(.012)	0.	(.012)	0.	(.014)	0.	(.225)
0.500	0.	(.012)	0.	(.012)	0.	(.012)	0.	(.014)	0.	(.225)
0.525	0.	(.012)	0.	(.012)	0.	(.012)	0.	(.014)	0.	(.225)
0.550	0.	(.012)	0.	(.012)	0.	(.012)	0.	(.014)	0.	(.225)
0.575	0.	(.012)	0.	(.012)	0.	(.012)	0.	(.014)	0.	(.225)
0.600	0.	(.012)	0.	(.012)	0.	(.012)	0.	(.014)	0.	(.225)
0.625	0.	(.012)	0.	(.012)	0.	(.012)	0.	(.014)	0.	(.225)
0.650	0.	(.012)	0.	(.012)	0.	(.012)	0.	(.014)	0.	(.225)
0.675	0.	(.012)	0.	(.012)	0.	(.012)	0.	(.014)	0.	(.225)
0.700	0.	(.012)	0.	(.012)	0.	(.012)	0.	(.014)	0.	(.225)
0.725	0.	(.012)	0.	(.012)	0.	(.012)	0.	(.014)	0.	(.225)
0.750	0.	(.012)	0.	(.012)	0.	(.012)	0.	(.014)	0.	(.225)
0.775	0.	(.012)	0.	(.012)	0.	(.012)	0.	(.014)	0.	(.225)
0.800	0.	(.012)	0.	(.012)	0.	(.012)	0.	(.014)	0.	(.225)
0.825	0.	(.012)	0.	(.012)	0.	(.012)	0.	(.014)	0.	(.225)
0.850	0.	(.012)	0.	(.012)	0.	(.012)	0.	(.014)	0.	(.225)
0.875	0.	(.012)	0.	(.012)	0.	(.012)	0.	(.014)	0.	(.225)
0.900	0.	(.012)	0.	(.012)	0.	(.012)	0.	(.014)	0.	(.225)
0.925	0.	(.012)	0.	(.012)	0.	(.012)	0.	(.014)	0.	(.225)
0.950	0.	(.012)	0.	(.012)	0.	(.012)	0.	(.014)	0.	(.225)
0.975	0.	(.012)	0.	(.012)	0.	(.012)	0.	(.014)	0.	(.225)
1.000	0.	(.012)	0.	(.012)	0.	(.012)	0.	(.014)	0.	(.225)

*** RELATIVE ENERGY FLUX DENSITY IN THE ***
 *** PENUMBRA OF A RECTANGULAR CYLINDER ***

VERSION F

SOLAR FIELD ANGLE, D= 0.50 DEGREES
 GEOMETRY U2/R = 5.00 AND H/R = 0.5

BETA = ANGLE OF INCIDENCE, DEGREES

BETA ***	0.	10.00	20.00	30.00	40.00
AX/AB	Q (Q1)	Q (Q1)	Q (Q1)	Q (Q1)	Q (Q1)
0.	1.000(.)	1.000(.)	1.000(.)	1.000(.)	1.000(.)
0.025	0. (.012)	0. (.012)	0. (.012)	0. (.012)	0. (.012)
0.050	0. (.012)	0. (.012)	0. (.012)	0. (.012)	0. (.012)
0.075	0. (.012)	0. (.012)	0. (.012)	0. (.012)	0. (.012)
0.100	0. (.012)	0. (.012)	0. (.012)	0. (.012)	0. (.012)
0.125	0. (.012)	0. (.012)	0. (.012)	0. (.012)	0. (.012)
0.150	0. (.012)	0. (.012)	0. (.012)	0. (.012)	0. (.012)
0.175	0. (.012)	0. (.012)	0. (.012)	0. (.012)	0. (.012)
0.200	0. (.012)	0. (.012)	0. (.012)	0. (.012)	0. (.012)
0.225	0. (.012)	0. (.012)	0. (.012)	0. (.012)	0. (.012)
0.250	0. (.012)	0. (.012)	0. (.012)	0. (.012)	0. (.012)
0.275	0. (.012)	0. (.012)	0. (.012)	0. (.012)	0. (.012)
0.300	0. (.012)	0. (.012)	0. (.012)	0. (.012)	0. (.012)
0.325	0. (.012)	0. (.012)	0. (.012)	0. (.012)	0. (.012)
0.350	0. (.012)	0. (.012)	0. (.012)	0. (.012)	0. (.012)
0.375	0. (.012)	0. (.012)	0. (.012)	0. (.012)	0. (.012)
0.400	0. (.012)	0. (.012)	0. (.012)	0. (.012)	0. (.012)
0.425	0. (.012)	0. (.012)	0. (.012)	0. (.012)	0. (.012)
0.450	0. (.012)	0. (.012)	0. (.012)	0. (.012)	0. (.012)
0.475	0. (.012)	0. (.012)	0. (.012)	0. (.012)	0. (.012)
0.500	0. (.012)	0. (.012)	0. (.012)	0. (.012)	0. (.012)
0.525	0. (.012)	0. (.012)	0. (.012)	0. (.012)	0. (.012)
0.550	0. (.012)	0. (.012)	0. (.012)	0. (.012)	0. (.012)
0.575	0. (.012)	0. (.012)	0. (.012)	0. (.012)	0. (.012)
0.600	0. (.012)	0. (.012)	0. (.012)	0. (.012)	0. (.012)
0.625	0. (.012)	0. (.012)	0. (.012)	0. (.012)	0. (.012)
0.650	0. (.012)	0. (.012)	0. (.012)	0. (.012)	0. (.012)
0.675	0. (.012)	0. (.012)	0. (.012)	0. (.012)	0. (.012)
0.700	0. (.012)	0. (.012)	0. (.012)	0. (.012)	0. (.012)
0.725	0. (.012)	0. (.012)	0. (.012)	0. (.012)	0. (.012)
0.750	0. (.012)	0. (.012)	0. (.012)	0. (.012)	0. (.012)
0.775	0. (.012)	0. (.012)	0. (.012)	0. (.012)	0. (.012)
0.800	0. (.012)	0. (.012)	0. (.012)	0. (.012)	0. (.012)
0.825	0. (.012)	0. (.012)	0. (.012)	0. (.012)	0. (.012)
0.850	0. (.012)	0. (.012)	0. (.012)	0. (.012)	0. (.012)
0.875	0. (.012)	0. (.012)	0. (.012)	0. (.012)	0. (.012)
0.900	0. (.012)	0. (.012)	0. (.012)	0. (.012)	0. (.012)
0.925	0. (.012)	0. (.012)	0. (.012)	0. (.012)	0. (.012)
0.950	0. (.012)	0. (.012)	0. (.012)	0. (.012)	0. (.012)
0.975	0. (.012)	0. (.012)	0. (.012)	0. (.012)	0. (.012)
1.000	1.000(.025)	1.000(.025)	1.000(.025)	1.000(.025)	1.000(.025)

5
4
3
2

*** RELATIVE ENERGY FLUX DENSITY IN THE ***
 *** PENUMBRA OF A RECTANGULAR CYLINDER ***

VERSION F

SOLAR FIELD ANGLE, D = 0.50 DEGREES
 GEOMETRY U2/R = 5.00 AND H/R = 0.5

BETA = ANGLE OF INCIDENCE, DEGREES

BETA ***	50.00	60.00	70.00	80.00	89.25
AX/AB	Q (Q1)	Q (Q1)	Q (Q1)	Q (Q1)	Q (Q1)
0.	1.000(.)	1.000(.)	1.000(.)	1.000(.)	1.000(.)
0.025	0.015(.013)	0.056(.013)	0.157(.014)	0.481(.019)	0.995(.025)
0.050	0. (.013)	0. (.014)	0. (.016)	0. (.025)	0.984(.050)
0.075	0. (.013)	0. (.014)	0. (.016)	0. (.025)	0.969(.074)
0.100	0. (.013)	0. (.014)	0. (.016)	0. (.025)	0.948(.098)
0.125	0. (.013)	0. (.014)	0. (.016)	0. (.025)	0.920(.121)
0.150	0. (.013)	0. (.014)	0. (.016)	0. (.025)	0.870(.144)
0.175	0. (.013)	0. (.014)	0. (.016)	0. (.025)	0.801(.165)
0.200	0. (.013)	0. (.014)	0. (.016)	0. (.025)	0.713(.184)
0.225	0. (.013)	0. (.014)	0. (.016)	0. (.025)	0.599(.200)
0.250	0. (.013)	0. (.014)	0. (.016)	0. (.025)	0.462(.213)
0.275	0. (.013)	0. (.014)	0. (.016)	0. (.025)	0.312(.223)
0.300	0. (.013)	0. (.014)	0. (.016)	0. (.025)	0.161(.229)
0.325	0. (.013)	0. (.014)	0. (.016)	0. (.025)	0.058(.232)
0.350	0. (.013)	0. (.014)	0. (.016)	0. (.025)	0. (.232)
0.375	0. (.013)	0. (.014)	0. (.016)	0. (.025)	0. (.232)
0.400	0. (.013)	0. (.014)	0. (.016)	0. (.025)	0. (.232)
0.425	0. (.013)	0. (.014)	0. (.016)	0. (.025)	0. (.232)
0.450	0. (.013)	0. (.014)	0. (.016)	0. (.025)	0. (.232)
0.475	0. (.013)	0. (.014)	0. (.016)	0. (.025)	0. (.232)
0.500	0. (.013)	0. (.014)	0. (.016)	0. (.025)	0. (.232)
0.525	0. (.013)	0. (.014)	0. (.016)	0. (.025)	0. (.232)
0.550	0. (.013)	0. (.014)	0. (.016)	0. (.025)	0. (.232)
0.575	0. (.013)	0. (.014)	0. (.016)	0. (.025)	0. (.232)
0.600	0. (.013)	0. (.014)	0. (.016)	0. (.025)	0. (.232)
0.625	0. (.013)	0. (.014)	0. (.016)	0. (.025)	0. (.232)
0.650	0. (.013)	0. (.014)	0. (.016)	0. (.025)	0. (.232)
0.675	0. (.013)	0. (.014)	0. (.016)	0. (.025)	0. (.232)
0.700	0. (.013)	0. (.014)	0. (.016)	0. (.025)	0. (.232)
0.725	0. (.013)	0. (.014)	0. (.016)	0. (.025)	0. (.232)
0.750	0. (.013)	0. (.014)	0. (.016)	0. (.025)	0. (.232)
0.775	0. (.013)	0. (.014)	0. (.016)	0. (.025)	0. (.232)
0.800	0. (.013)	0. (.014)	0. (.016)	0. (.025)	0. (.232)
0.825	0. (.013)	0. (.014)	0. (.016)	0. (.025)	0. (.232)
0.850	0. (.013)	0. (.014)	0. (.016)	0. (.025)	0. (.232)
0.875	0. (.013)	0. (.014)	0. (.016)	0. (.025)	0. (.232)
0.900	0. (.013)	0. (.014)	0. (.016)	0. (.025)	0. (.232)
0.925	0. (.013)	0. (.014)	0. (.016)	0. (.025)	0. (.232)
0.950	0. (.013)	0. (.014)	0. (.016)	0. (.025)	0. (.232)
0.975	0. (.013)	0. (.014)	0. (.016)	0. (.025)	0. (.232)
1.000	1.000(.025)	1.000(.026)	1.000(.029)	0. (.025)	0. (.232)

5
4
3
2

app. 1
Phase II

*** RELATIVE ENERGY FLUX DENSITY IN THE ***
*** PENUMBRA OF A RECTANGULAR CYLINDER ***

VERSION F

SOLAR FIELD ANGLE, D = 0.50 DEGREES
GEOMETRY U2/R = 10.00 AND H/R = 0.5

BETA = ANGLE OF INCIDENCE, DEGREES

BETA ***	0.	10.00	20.00	30.00	40.00
AX/AB	Q (Q1)	Q (Q1)	Q (Q1)	Q (Q1)	Q (Q1)
0.	1.000(.)	1.000(.)	1.000(.)	1.000(.)	1.000(.)
0.025	0.374(.017)	0.391(.017)	0.409(.018)	0.429(.018)	0.453(.018)
0.050	0. (.022)	0. (.022)	0. (.023)	0. (.023)	0. (.024)
0.075	0. (.022)	0. (.022)	0. (.023)	0. (.023)	0. (.024)
0.100	0. (.022)	0. (.022)	0. (.023)	0. (.023)	0. (.024)
0.125	0. (.022)	0. (.022)	0. (.023)	0. (.023)	0. (.024)
0.150	0. (.022)	0. (.022)	0. (.023)	0. (.023)	0. (.024)
0.175	0. (.022)	0. (.022)	0. (.023)	0. (.023)	0. (.024)
0.200	0. (.022)	0. (.022)	0. (.023)	0. (.023)	0. (.024)
0.225	0. (.022)	0. (.022)	0. (.023)	0. (.023)	0. (.024)
0.250	0. (.022)	0. (.022)	0. (.023)	0. (.023)	0. (.024)
0.275	0. (.022)	0. (.022)	0. (.023)	0. (.023)	0. (.024)
0.300	0. (.022)	0. (.022)	0. (.023)	0. (.023)	0. (.024)
0.325	0. (.022)	0. (.022)	0. (.023)	0. (.023)	0. (.024)
0.350	0. (.022)	0. (.022)	0. (.023)	0. (.023)	0. (.024)
0.375	0. (.022)	0. (.022)	0. (.023)	0. (.023)	0. (.024)
0.400	0. (.022)	0. (.022)	0. (.023)	0. (.023)	0. (.024)
0.425	0. (.022)	0. (.022)	0. (.023)	0. (.023)	0. (.024)
0.450	0. (.022)	0. (.022)	0. (.023)	0. (.023)	0. (.024)
0.475	0. (.022)	0. (.022)	0. (.023)	0. (.023)	0. (.024)
0.500	0. (.022)	0. (.022)	0. (.023)	0. (.023)	0. (.024)
0.525	0. (.022)	0. (.022)	0. (.023)	0. (.023)	0. (.024)
0.550	0. (.022)	0. (.022)	0. (.023)	0. (.023)	0. (.024)
0.575	0. (.022)	0. (.022)	0. (.023)	0. (.023)	0. (.024)
0.600	0. (.022)	0. (.022)	0. (.023)	0. (.023)	0. (.024)
0.625	0. (.022)	0. (.022)	0. (.023)	0. (.023)	0. (.024)
0.650	0. (.022)	0. (.022)	0. (.023)	0. (.023)	0. (.024)
0.675	0. (.022)	0. (.022)	0. (.023)	0. (.023)	0. (.024)
0.700	0. (.022)	0. (.022)	0. (.023)	0. (.023)	0. (.024)
0.725	0. (.022)	0. (.022)	0. (.023)	0. (.023)	0. (.024)
0.750	0. (.022)	0. (.022)	0. (.023)	0. (.023)	0. (.024)
0.775	0. (.022)	0. (.022)	0. (.023)	0. (.023)	0. (.024)
0.800	0. (.022)	0. (.022)	0. (.023)	0. (.023)	0. (.024)
0.825	0. (.022)	0. (.022)	0. (.023)	0. (.023)	0. (.024)
0.850	0. (.022)	0. (.022)	0. (.023)	0. (.023)	0. (.024)
0.875	0. (.022)	0. (.022)	0. (.023)	0. (.023)	0. (.024)
0.900	0. (.022)	0. (.022)	0. (.023)	0. (.023)	0. (.024)
0.925	0. (.022)	0. (.022)	0. (.023)	0. (.023)	0. (.024)
0.950	0. (.022)	0. (.022)	0. (.023)	0. (.023)	0. (.024)
0.975	0.374(.027)	0.356(.027)	0.337(.027)	0.315(.027)	0.287(.027)
1.000	1.000(.044)	1.000(.044)	1.000(.044)	1.000(.044)	1.000(.043)

*** RELATIVE ENERGY FLUX DENSITY IN THE ***
 *** PENUMBRA OF A RECTANGULAR CYLINDER ***

VERSION F

SOLAR FIELD ANGLE, D = 0.50 DEGREES
 GEOMETRY D2/R = 10.00 AND H/R = 0.5

BETA = ANGLE OF INCIDENCE, DEGREES

BETA ***	50.00	60.00	70.00	80.00	89.25
AX/AB	Q (QI)	Q (QI)	Q (QI)	Q (QI)	Q (QI)
0.	1.000(.)	1.000(.)	1.000(.)	1.000(.)	1.000(.)
0.025	0.483(.019)	0.524(.019)	0.589(.020)	0.724(.022)	0.995(.025)
0.050	0. (.025)	0. (.026)	0.018(.027)	0.145(.032)	0.985(.050)
0.075	0. (.025)	0. (.026)	0. (.028)	0. (.034)	0.971(.074)
0.100	0. (.025)	0. (.026)	0. (.028)	0. (.034)	0.952(.098)
0.125	0. (.025)	0. (.026)	0. (.028)	0. (.034)	0.927(.122)
0.150	0. (.025)	0. (.026)	0. (.028)	0. (.034)	0.883(.144)
0.175	0. (.025)	0. (.026)	0. (.028)	0. (.034)	0.821(.166)
0.200	0. (.025)	0. (.026)	0. (.028)	0. (.034)	0.741(.185)
0.225	0. (.025)	0. (.026)	0. (.028)	0. (.034)	0.640(.202)
0.250	0. (.025)	0. (.026)	0. (.028)	0. (.034)	0.516(.217)
0.275	0. (.025)	0. (.026)	0. (.028)	0. (.034)	0.375(.228)
0.300	0. (.025)	0. (.026)	0. (.028)	0. (.034)	0.228(.235)
0.325	0. (.025)	0. (.026)	0. (.028)	0. (.034)	0.101(.240)
0.350	0. (.025)	0. (.026)	0. (.028)	0. (.034)	0.021(.241)
0.375	0. (.025)	0. (.026)	0. (.028)	0. (.034)	0. (.241)
0.400	0. (.025)	0. (.026)	0. (.028)	0. (.034)	0. (.241)
0.425	0. (.025)	0. (.026)	0. (.028)	0. (.034)	0. (.241)
0.450	0. (.025)	0. (.026)	0. (.028)	0. (.034)	0. (.241)
0.475	0. (.025)	0. (.026)	0. (.028)	0. (.034)	0. (.241)
0.500	0. (.025)	0. (.026)	0. (.028)	0. (.034)	0. (.241)
0.525	0. (.025)	0. (.026)	0. (.028)	0. (.034)	0. (.241)
0.550	0. (.025)	0. (.026)	0. (.028)	0. (.034)	0. (.241)
0.575	0. (.025)	0. (.026)	0. (.028)	0. (.034)	0. (.241)
0.600	0. (.025)	0. (.026)	0. (.028)	0. (.034)	0. (.241)
0.625	0. (.025)	0. (.026)	0. (.028)	0. (.034)	0. (.241)
0.650	0. (.025)	0. (.026)	0. (.028)	0. (.034)	0. (.241)
0.675	0. (.025)	0. (.026)	0. (.028)	0. (.034)	0. (.241)
0.700	0. (.025)	0. (.026)	0. (.028)	0. (.034)	0. (.241)
0.725	0. (.025)	0. (.026)	0. (.028)	0. (.034)	0. (.241)
0.750	0. (.025)	0. (.026)	0. (.028)	0. (.034)	0. (.241)
0.775	0. (.025)	0. (.026)	0. (.028)	0. (.034)	0. (.241)
0.800	0. (.025)	0. (.026)	0. (.028)	0. (.034)	0. (.241)
0.825	0. (.025)	0. (.026)	0. (.028)	0. (.034)	0. (.241)
0.850	0. (.025)	0. (.026)	0. (.028)	0. (.034)	0. (.241)
0.875	0. (.025)	0. (.026)	0. (.028)	0. (.034)	0. (.241)
0.900	0. (.025)	0. (.026)	0. (.028)	0. (.034)	0. (.241)
0.925	0. (.025)	0. (.026)	0. (.028)	0. (.034)	0. (.241)
0.950	0. (.025)	0. (.026)	0. (.028)	0. (.034)	0. (.241)
0.975	0.247(.028)	0.185(.028)	0.079(.029)	0. (.034)	0. (.241)
1.000	1.000(.043)	1.000(.043)	1.000(.042)	1.000(.047)	0. (.241)

*App. A.
Phase*

*** RELATIVE ENERGY FLUX DENSITY IN THE ***
 *** PENUMBRA OF A RECTANGULAR CYLINDER ***

VERSION F

SOLAR FIELD ANGLE, D= 0.50 DEGREES
 GEOMETRY D2/R = 50.00 AND H/R = 0.5

BETA = ANGLE OF INCIDENCE, DEGREES

BETA ***	0.	10.00	20.00	30.00	40.00
AX/AB	Q (Q1)	Q (Q1)	Q (Q1)	Q (Q1)	Q (Q1)
0.	1.000(.)	1.000(.)	1.000(.)	1.000(.)	1.000(.)
0.025	0.946(.024)	0.947(.024)	0.947(.024)	0.948(.024)	0.948(.024)
0.050	0.830(.047)	0.831(.047)	0.833(.047)	0.835(.047)	0.837(.047)
0.075	0.637(.065)	0.640(.065)	0.643(.065)	0.646(.065)	0.650(.065)
0.100	0.411(.078)	0.414(.078)	0.419(.078)	0.423(.079)	0.429(.079)
0.125	0.204(.086)	0.208(.086)	0.212(.086)	0.217(.087)	0.222(.087)
0.150	0.068(.089)	0.070(.089)	0.072(.090)	0.074(.090)	0.077(.091)
0.175	0.003(.090)	0.004(.090)	0.005(.091)	0.006(.091)	0.008(.092)
0.200	0. (.090)	0. (.090)	0. (.091)	0. (.091)	0. (.092)
0.225	0. (.090)	0. (.090)	0. (.091)	0. (.091)	0. (.092)
0.250	0. (.090)	0. (.090)	0. (.091)	0. (.091)	0. (.092)
0.275	0. (.090)	0. (.090)	0. (.091)	0. (.091)	0. (.092)
0.300	0. (.090)	0. (.090)	0. (.091)	0. (.091)	0. (.092)
0.325	0. (.090)	0. (.090)	0. (.091)	0. (.091)	0. (.092)
0.350	0. (.090)	0. (.090)	0. (.091)	0. (.091)	0. (.092)
0.375	0. (.090)	0. (.090)	0. (.091)	0. (.091)	0. (.092)
0.400	0. (.090)	0. (.090)	0. (.091)	0. (.091)	0. (.092)
0.425	0. (.090)	0. (.090)	0. (.091)	0. (.091)	0. (.092)
0.450	0. (.090)	0. (.090)	0. (.091)	0. (.091)	0. (.092)
0.475	0. (.090)	0. (.090)	0. (.091)	0. (.091)	0. (.092)
0.500	0. (.090)	0. (.090)	0. (.091)	0. (.091)	0. (.092)
0.525	0. (.090)	0. (.090)	0. (.091)	0. (.091)	0. (.092)
0.550	0. (.090)	0. (.090)	0. (.091)	0. (.091)	0. (.092)
0.575	0. (.090)	0. (.090)	0. (.091)	0. (.091)	0. (.092)
0.600	0. (.090)	0. (.090)	0. (.091)	0. (.091)	0. (.092)
0.625	0. (.090)	0. (.090)	0. (.091)	0. (.091)	0. (.092)
0.650	0. (.090)	0. (.090)	0. (.091)	0. (.091)	0. (.092)
0.675	0. (.090)	0. (.090)	0. (.091)	0. (.091)	0. (.092)
0.700	0. (.090)	0. (.090)	0. (.091)	0. (.091)	0. (.092)
0.725	0. (.090)	0. (.090)	0. (.091)	0. (.091)	0. (.092)
0.750	0. (.090)	0. (.090)	0. (.091)	0. (.091)	0. (.092)
0.775	0. (.090)	0. (.090)	0. (.091)	0. (.091)	0. (.092)
0.800	0. (.090)	0. (.090)	0. (.091)	0. (.091)	0. (.092)
0.825	0.003(.090)	0.003(.090)	0.002(.091)	0.001(.091)	0.000(.092)
0.850	0.068(.091)	0.066(.091)	0.064(.092)	0.061(.092)	0.058(.093)
0.875	0.204(.094)	0.201(.095)	0.197(.095)	0.192(.095)	0.186(.096)
0.900	0.411(.102)	0.407(.102)	0.402(.102)	0.398(.103)	0.392(.103)
0.925	0.637(.115)	0.634(.115)	0.630(.115)	0.627(.115)	0.622(.116)
0.950	0.830(.133)	0.828(.133)	0.826(.133)	0.824(.134)	0.822(.134)
0.975	0.946(.156)	0.946(.156)	0.946(.156)	0.945(.156)	0.944(.156)
1.000	1.000(.180)	1.000(.180)	1.000(.180)	1.000(.180)	1.000(.180)

6
5
4
3
2

*** RELATIVE ENERGY FLUX DENSITY IN THE ***
 *** PENUMBRA OF A RECTANGULAR CYLINDER ***

VERSION F

SOLAR FIELD ANGLE, D= 0.50 DEGREES
 GEOMETRY D2/R = 50.00 AND H/R = 0.5

BETA = ANGLE OF INCIDENCE, DEGREES

BETA ***	50.00	60.00	70.00	80.00	89.25
AX/AB	Q (QI)	Q (QI)	Q (QI)	Q (QI)	Q (QI)
0.	1.000(.)	1.000(.)	1.000(.)	1.000(.)	1.000(.)
0.025	0.949(.024)	0.950(.024)	0.952(.024)	0.958(.024)	0.997(.025)
0.050	0.840(.047)	0.845(.047)	0.853(.047)	0.874(.047)	0.990(.050)
0.075	0.655(.065)	0.664(.066)	0.679(.066)	0.720(.067)	0.980(.074)
0.100	0.437(.079)	0.448(.080)	0.470(.081)	0.528(.083)	0.967(.099)
0.125	0.230(.087)	0.241(.088)	0.263(.090)	0.325(.094)	0.952(.123)
0.150	0.081(.091)	0.087(.092)	0.100(.094)	0.151(.100)	0.933(.146)
0.175	0.010(.092)	0.014(.094)	0.022(.096)	0.049(.102)	0.903(.169)
0.200	0. (.093)	0. (.094)	0. (.096)	0. (.103)	0.860(.191)
0.225	0. (.093)	0. (.094)	0. (.096)	0. (.103)	0.807(.212)
0.250	0. (.093)	0. (.094)	0. (.096)	0. (.103)	0.742(.231)
0.275	0. (.093)	0. (.094)	0. (.096)	0. (.103)	0.664(.249)
0.300	0. (.093)	0. (.094)	0. (.096)	0. (.103)	0.570(.264)
0.325	0. (.093)	0. (.094)	0. (.096)	0. (.103)	0.463(.277)
0.350	0. (.093)	0. (.094)	0. (.096)	0. (.103)	0.349(.288)
0.375	0. (.093)	0. (.094)	0. (.096)	0. (.103)	0.231(.295)
0.400	0. (.093)	0. (.094)	0. (.096)	0. (.103)	0.123(.299)
0.425	0. (.093)	0. (.094)	0. (.096)	0. (.103)	0.053(.301)
0.450	0. (.093)	0. (.094)	0. (.096)	0. (.103)	0.002(.302)
0.475	0. (.093)	0. (.094)	0. (.096)	0. (.103)	0. (.302)
0.500	0. (.093)	0. (.094)	0. (.096)	0. (.103)	0. (.302)
0.525	0. (.093)	0. (.094)	0. (.096)	0. (.103)	0. (.302)
0.550	0. (.093)	0. (.094)	0. (.096)	0. (.103)	0. (.302)
0.575	0. (.093)	0. (.094)	0. (.096)	0. (.103)	0. (.302)
0.600	0. (.093)	0. (.094)	0. (.096)	0. (.103)	0. (.302)
0.625	0. (.093)	0. (.094)	0. (.096)	0. (.103)	0. (.302)
0.650	0. (.093)	0. (.094)	0. (.096)	0. (.103)	0. (.302)
0.675	0. (.093)	0. (.094)	0. (.096)	0. (.103)	0. (.302)
0.700	0. (.093)	0. (.094)	0. (.096)	0. (.103)	0. (.302)
0.725	0. (.093)	0. (.094)	0. (.096)	0. (.103)	0. (.302)
0.750	0. (.093)	0. (.094)	0. (.096)	0. (.103)	0. (.302)
0.775	0. (.093)	0. (.094)	0. (.096)	0. (.103)	0. (.302)
0.800	0. (.093)	0. (.094)	0. (.096)	0. (.103)	0. (.302)
0.825	0. (.093)	0. (.094)	0. (.096)	0. (.103)	0. (.302)
0.850	0.055(.093)	0.049(.094)	0.038(.096)	0.012(.103)	0. (.302)
0.875	0.179(.096)	0.168(.097)	0.147(.099)	0.093(.104)	0. (.302)
0.900	0.384(.103)	0.371(.104)	0.348(.105)	0.280(.109)	0. (.302)
0.925	0.616(.116)	0.606(.116)	0.587(.117)	0.528(.119)	0. (.302)
0.950	0.818(.134)	0.813(.134)	0.802(.134)	0.767(.135)	0. (.302)
0.975	0.944(.156)	0.942(.156)	0.940(.156)	0.931(.156)	0. (.302)
1.000	1.000(.180)	1.000(.180)	1.000(.180)	1.000(.180)	0. (.302)

5
4
3
2

*** RELATIVE ENERGY FLUX DENSITY IN THE ***
 *** PENUMBRA OF A RECTANGULAR CYLINDER ***

VERSION F

SOLAR FIELD ANGLE, D= 0.50 DEGREES
 GEOMETRY D2/R = 100.00 AND H/R = 0.5

BETA = ANGLE OF INCIDENCE, DEGREES

BETA ***	0.	10.00	20.00	30.00	40.00
AX/AB	Q (Q1)	Q (Q1)	Q (Q1)	Q (Q1)	Q (Q1)
0.	1.000(.)	1.000(.)	1.000(.)	1.000(.)	1.000(.)
0.025	0.975(.025)	0.975(.025)	0.975(.025)	0.976(.025)	0.976(.025)
0.050	0.931(.049)	0.932(.049)	0.932(.049)	0.933(.049)	0.933(.049)
0.075	0.865(.071)	0.866(.071)	0.867(.071)	0.868(.071)	0.869(.071)
0.100	0.763(.091)	0.765(.091)	0.766(.091)	0.768(.092)	0.770(.092)
0.125	0.645(.109)	0.647(.109)	0.649(.109)	0.651(.109)	0.653(.109)
0.150	0.513(.123)	0.515(.124)	0.518(.124)	0.520(.124)	0.523(.124)
0.175	0.379(.135)	0.381(.135)	0.384(.135)	0.386(.135)	0.390(.135)
0.200	0.255(.143)	0.259(.143)	0.261(.143)	0.264(.143)	0.267(.144)
0.225	0.150(.148)	0.152(.148)	0.154(.148)	0.156(.149)	0.159(.149)
0.250	0.075(.150)	0.077(.151)	0.079(.151)	0.080(.152)	0.082(.152)
0.275	0.030(.152)	0.031(.152)	0.032(.152)	0.033(.153)	0.034(.153)
0.300	0.001(.152)	0.002(.153)	0.002(.153)	0.002(.153)	0.003(.154)
0.325	0. (.152)	0. (.153)	0. (.153)	0. (.153)	0. (.154)
0.350	0. (.152)	0. (.153)	0. (.153)	0. (.153)	0. (.154)
0.375	0. (.152)	0. (.153)	0. (.153)	0. (.153)	0. (.154)
0.400	0. (.152)	0. (.153)	0. (.153)	0. (.153)	0. (.154)
0.425	0. (.152)	0. (.153)	0. (.153)	0. (.153)	0. (.154)
0.450	0. (.152)	0. (.153)	0. (.153)	0. (.153)	0. (.154)
0.475	0. (.152)	0. (.153)	0. (.153)	0. (.153)	0. (.154)
0.500	0. (.152)	0. (.153)	0. (.153)	0. (.153)	0. (.154)
0.525	0. (.152)	0. (.153)	0. (.153)	0. (.153)	0. (.154)
0.550	0. (.152)	0. (.153)	0. (.153)	0. (.153)	0. (.154)
0.575	0. (.152)	0. (.153)	0. (.153)	0. (.153)	0. (.154)
0.600	0. (.152)	0. (.153)	0. (.153)	0. (.153)	0. (.154)
0.625	0. (.152)	0. (.153)	0. (.153)	0. (.153)	0. (.154)
0.650	0. (.152)	0. (.153)	0. (.153)	0. (.153)	0. (.154)
0.675	0. (.152)	0. (.153)	0. (.153)	0. (.153)	0. (.154)
0.700	0.001(.152)	0.001(.153)	0.001(.153)	0.000(.153)	0.000(.154)
0.725	0.030(.153)	0.029(.153)	0.029(.153)	0.028(.154)	0.026(.154)
0.750	0.075(.154)	0.075(.154)	0.074(.155)	0.073(.155)	0.071(.156)
0.775	0.150(.157)	0.148(.157)	0.146(.157)	0.143(.158)	0.141(.158)
0.800	0.255(.162)	0.254(.162)	0.252(.162)	0.249(.163)	0.246(.163)
0.825	0.379(.170)	0.376(.170)	0.374(.170)	0.371(.170)	0.368(.171)
0.850	0.513(.181)	0.511(.181)	0.508(.181)	0.506(.181)	0.503(.182)
0.875	0.645(.195)	0.643(.195)	0.641(.196)	0.639(.196)	0.636(.196)
0.900	0.763(.213)	0.762(.213)	0.761(.213)	0.759(.213)	0.757(.213)
0.925	0.865(.233)	0.865(.233)	0.864(.233)	0.863(.233)	0.861(.233)
0.950	0.931(.256)	0.931(.256)	0.931(.256)	0.930(.256)	0.930(.256)
0.975	0.975(.280)	0.975(.280)	0.975(.280)	0.975(.280)	0.974(.280)
1.000	1.000(.304)	1.000(.304)	1.000(.304)	1.000(.304)	1.000(.304)

5
4
3
2

*** RELATIVE ENERGY FLUX DENSITY IN THE ***
 *** PENUMBRA OF A RECTANGULAR CYLINDER ***
 VERSION F

SOLAR FIELD ANGLE, D= 0.50 DEGREES
 GEOMETRY D2/R = 100.00 AND H/R = 0.5

BETA = ANGLE OF INCIDENCE, DEGREES

BETA ***	50.00	60.00	70.00	80.00	89.25
AX/AB	Q (Q1)	Q (Q1)	Q (Q1)	Q (Q1)	Q (Q1)
0.	1.000(.)	1.000(.)	1.000(.)	1.000(.)	1.000(.)
0.025	0.976(.025)	0.976(.025)	0.977(.025)	0.979(.025)	0.997(.025)
0.050	0.934(.049)	0.935(.049)	0.937(.049)	0.942(.049)	0.992(.050)
0.075	0.871(.071)	0.874(.071)	0.878(.071)	0.890(.072)	0.985(.075)
0.100	0.772(.092)	0.776(.092)	0.784(.092)	0.804(.093)	0.975(.099)
0.125	0.657(.110)	0.662(.110)	0.672(.110)	0.699(.112)	0.964(.123)
0.150	0.528(.124)	0.534(.125)	0.546(.126)	0.580(.128)	0.951(.147)
0.175	0.395(.136)	0.402(.136)	0.415(.138)	0.453(.140)	0.935(.171)
0.200	0.272(.144)	0.278(.145)	0.291(.146)	0.329(.150)	0.911(.194)
0.225	0.163(.150)	0.169(.151)	0.181(.152)	0.216(.157)	0.878(.216)
0.250	0.084(.153)	0.087(.154)	0.094(.156)	0.120(.161)	0.837(.238)
0.275	0.035(.154)	0.039(.155)	0.044(.157)	0.061(.164)	0.788(.258)
0.300	0.004(.155)	0.005(.156)	0.008(.158)	0.019(.165)	0.731(.277)
0.325	0. (.155)	0. (.156)	0. (.158)	0. (.165)	0.664(.294)
0.350	0. (.155)	0. (.156)	0. (.158)	0. (.165)	0.586(.310)
0.375	0. (.155)	0. (.156)	0. (.158)	0. (.165)	0.498(.324)
0.400	0. (.155)	0. (.156)	0. (.158)	0. (.165)	0.403(.335)
0.425	0. (.155)	0. (.156)	0. (.158)	0. (.165)	0.306(.344)
0.450	0. (.155)	0. (.156)	0. (.158)	0. (.165)	0.206(.350)
0.475	0. (.155)	0. (.156)	0. (.158)	0. (.165)	0.118(.354)
0.500	0. (.155)	0. (.156)	0. (.158)	0. (.165)	0.059(.356)
0.525	0. (.155)	0. (.156)	0. (.158)	0. (.165)	0.011(.357)
0.550	0. (.155)	0. (.156)	0. (.158)	0. (.165)	0. (.357)
0.575	0. (.155)	0. (.156)	0. (.158)	0. (.165)	0. (.357)
0.600	0. (.155)	0. (.156)	0. (.158)	0. (.165)	0. (.357)
0.625	0. (.155)	0. (.156)	0. (.158)	0. (.165)	0. (.357)
0.650	0. (.155)	0. (.156)	0. (.158)	0. (.165)	0. (.357)
0.675	0. (.155)	0. (.156)	0. (.158)	0. (.165)	0. (.357)
0.700	0. (.155)	0. (.156)	0. (.158)	0. (.165)	0. (.357)
0.725	0.025(.155)	0.022(.156)	0.018(.158)	0.008(.165)	0. (.357)
0.750	0.069(.156)	0.066(.157)	0.060(.159)	0.043(.165)	0. (.357)
0.775	0.137(.159)	0.131(.160)	0.121(.162)	0.094(.167)	0. (.357)
0.800	0.241(.164)	0.235(.164)	0.222(.166)	0.186(.171)	0. (.357)
0.825	0.363(.171)	0.356(.172)	0.342(.173)	0.304(.177)	0. (.357)
0.850	0.498(.182)	0.491(.182)	0.478(.183)	0.440(.186)	0. (.357)
0.875	0.632(.196)	0.627(.196)	0.616(.197)	0.582(.199)	0. (.357)
0.900	0.754(.213)	0.750(.214)	0.741(.214)	0.716(.215)	0. (.357)
0.925	0.860(.233)	0.857(.234)	0.851(.234)	0.835(.235)	0. (.357)
0.950	0.929(.256)	0.928(.256)	0.926(.256)	0.919(.256)	0.056(.358)
0.975	0.974(.280)	0.974(.280)	0.973(.280)	0.970(.280)	0.424(.364)
1.000	1.000(.304)	1.000(.304)	1.000(.304)	1.000(.305)	1.000(.382)

RE-ORDER NO. 66-196
 App. A
 Phase II

*** RELATIVE ENERGY FLUX DENSITY IN THE ***
 *** PENUMBRA OF A RECTANGULAR CYLINDER ***
 VERSION F

SOLAR FIELD ANGLE, D= 0.50 DEGREES
 GEOMETRY D2/R = 1.00 AND H/R = 1.0

BETA = ANGLE OF INCIDENCE, DEGREES

BETA ***	0.	10.00	20.00	30.00	40.00
AX/AB	Q (Q1)	Q (Q1)	Q (Q1)	Q (Q1)	Q (Q1)
0.	1.000(.)	1.000(.)	1.000(.)	1.000(.)	1.000(.)
0.025	0. (.012)	0. (.012)	0. (.012)	0. (.012)	0. (.012)
0.050	0. (.012)	0. (.012)	0. (.012)	0. (.012)	0. (.012)
0.075	0. (.012)	0. (.012)	0. (.012)	0. (.012)	0. (.012)
0.100	0. (.012)	0. (.012)	0. (.012)	0. (.012)	0. (.012)
0.125	0. (.012)	0. (.012)	0. (.012)	0. (.012)	0. (.012)
0.150	0. (.012)	0. (.012)	0. (.012)	0. (.012)	0. (.012)
0.175	0. (.012)	0. (.012)	0. (.012)	0. (.012)	0. (.012)
0.200	0. (.012)	0. (.012)	0. (.012)	0. (.012)	0. (.012)
0.225	0. (.012)	0. (.012)	0. (.012)	0. (.012)	0. (.012)
0.250	0. (.012)	0. (.012)	0. (.012)	0. (.012)	0. (.012)
0.275	0. (.012)	0. (.012)	0. (.012)	0. (.012)	0. (.012)
0.300	0. (.012)	0. (.012)	0. (.012)	0. (.012)	0. (.012)
0.325	0. (.012)	0. (.012)	0. (.012)	0. (.012)	0. (.012)
0.350	0. (.012)	0. (.012)	0. (.012)	0. (.012)	0. (.012)
0.375	0. (.012)	0. (.012)	0. (.012)	0. (.012)	0. (.012)
0.400	0. (.012)	0. (.012)	0. (.012)	0. (.012)	0. (.012)
0.425	0. (.012)	0. (.012)	0. (.012)	0. (.012)	0. (.012)
0.450	0. (.012)	0. (.012)	0. (.012)	0. (.012)	0. (.012)
0.475	0. (.012)	0. (.012)	0. (.012)	0. (.012)	0. (.012)
0.500	0. (.012)	0. (.012)	0. (.012)	0. (.012)	0. (.012)
0.525	0. (.012)	0. (.012)	0. (.012)	0. (.012)	0. (.012)
0.550	0. (.012)	0. (.012)	0. (.012)	0. (.012)	0. (.012)
0.575	0. (.012)	0. (.012)	0. (.012)	0. (.012)	0. (.012)
0.600	0. (.012)	0. (.012)	0. (.012)	0. (.012)	0. (.012)
0.625	0. (.012)	0. (.012)	0. (.012)	0. (.012)	0. (.012)
0.650	0. (.012)	0. (.012)	0. (.012)	0. (.012)	0. (.012)
0.675	0. (.012)	0. (.012)	0. (.012)	0. (.012)	0. (.012)
0.700	0. (.012)	0. (.012)	0. (.012)	0. (.012)	0. (.012)
0.725	0. (.012)	0. (.012)	0. (.012)	0. (.012)	0. (.012)
0.750	0. (.012)	0. (.012)	0. (.012)	0. (.012)	0. (.012)
0.775	0. (.012)	0. (.012)	0. (.012)	0. (.012)	0. (.012)
0.800	0. (.012)	0. (.012)	0. (.012)	0. (.012)	0. (.012)
0.825	0. (.012)	0. (.012)	0. (.012)	0. (.012)	0. (.012)
0.850	0. (.012)	0. (.012)	0. (.012)	0. (.012)	0. (.012)
0.875	0. (.012)	0. (.012)	0. (.012)	0. (.012)	0. (.012)
0.900	0. (.012)	0. (.012)	0. (.012)	0. (.012)	0. (.012)
0.925	0. (.012)	0. (.012)	0. (.012)	0. (.012)	0. (.012)
0.950	0. (.012)	0. (.012)	0. (.012)	0. (.012)	0. (.012)
0.975	0. (.012)	0. (.012)	0. (.012)	0. (.012)	0. (.012)
1.000	1.000(.025)	1.000(.025)	1.000(.025)	1.000(.025)	1.000(.025)

F-21
 594

*** RELATIVE ENERGY FLUX DENSITY IN THE ***
 *** PENUMBRA OF A RECTANGULAR CYLINDER ***
 VERSION F

SOLAR FIELD ANGLE, D= 0.50 DEGREES
 GEOMETRY D2/R = 1.00 AND H/R = 1.0

BETA = ANGLE OF INCIDENCE, DEGREES

BETA ***	50.00	60.00	70.00	80.00	89-25
AX/AB	Q (Q1)	Q (Q1)	Q (Q1)	Q (Q1)	Q (Q1)
0.	1.000(.)	1.000(.)	1.000(.)	1.000(.)	1.000(.)
0.025	0. (.012)	0. (.012)	0. (.012)	0.073(.013)	0.995(.025)
0.050	0. (.012)	0. (.012)	0. (.012)	0. (.014)	0.983(.050)
0.075	0. (.012)	0. (.012)	0. (.012)	0. (.014)	0.967(.074)
0.100	0. (.012)	0. (.012)	0. (.012)	0. (.014)	0.946(.098)
0.125	0. (.012)	0. (.012)	0. (.012)	0. (.014)	0.914(.121)
0.150	0. (.012)	0. (.012)	0. (.012)	0. (.014)	0.859(.143)
0.175	0. (.012)	0. (.012)	0. (.012)	0. (.014)	0.784(.164)
0.200	0. (.012)	0. (.012)	0. (.012)	0. (.014)	0.689(.182)
0.225	0. (.012)	0. (.012)	0. (.012)	0. (.014)	0.566(.198)
0.250	0. (.012)	0. (.012)	0. (.012)	0. (.014)	0.417(.210)
0.275	0. (.012)	0. (.012)	0. (.012)	0. (.014)	0.259(.219)
0.300	0. (.012)	0. (.012)	0. (.012)	0. (.014)	0.112(.223)
0.325	0. (.012)	0. (.012)	0. (.012)	0. (.014)	0.023(.225)
0.350	0. (.012)	0. (.012)	0. (.012)	0. (.014)	0. (.225)
0.375	0. (.012)	0. (.012)	0. (.012)	0. (.014)	0. (.225)
0.400	0. (.012)	0. (.012)	0. (.012)	0. (.014)	0. (.225)
0.425	0. (.012)	0. (.012)	0. (.012)	0. (.014)	0. (.225)
0.450	0. (.012)	0. (.012)	0. (.012)	0. (.014)	0. (.225)
0.475	0. (.012)	0. (.012)	0. (.012)	0. (.014)	0. (.225)
0.500	0. (.012)	0. (.012)	0. (.012)	0. (.014)	0. (.225)
0.525	0. (.012)	0. (.012)	0. (.012)	0. (.014)	0. (.225)
0.550	0. (.012)	0. (.012)	0. (.012)	0. (.014)	0. (.225)
0.575	0. (.012)	0. (.012)	0. (.012)	0. (.014)	0. (.225)
0.600	0. (.012)	0. (.012)	0. (.012)	0. (.014)	0. (.225)
0.625	0. (.012)	0. (.012)	0. (.012)	0. (.014)	0. (.225)
0.650	0. (.012)	0. (.012)	0. (.012)	0. (.014)	0. (.225)
0.675	0. (.012)	0. (.012)	0. (.012)	0. (.014)	0. (.225)
0.700	0. (.012)	0. (.012)	0. (.012)	0. (.014)	0. (.225)
0.725	0. (.012)	0. (.012)	0. (.012)	0. (.014)	0. (.225)
0.750	0. (.012)	0. (.012)	0. (.012)	0. (.014)	0. (.225)
0.775	0. (.012)	0. (.012)	0. (.012)	0. (.014)	0. (.225)
0.800	0. (.012)	0. (.012)	0. (.012)	0. (.014)	0. (.225)
0.825	0. (.012)	0. (.012)	0. (.012)	0. (.014)	0. (.225)
0.850	0. (.012)	0. (.012)	0. (.012)	0. (.014)	0. (.225)
0.875	0. (.012)	0. (.012)	0. (.012)	0. (.014)	0. (.225)
0.900	0. (.012)	0. (.012)	0. (.012)	0. (.014)	0. (.225)
0.925	0. (.012)	0. (.012)	0. (.012)	0. (.014)	0. (.225)
0.950	0. (.012)	0. (.012)	0. (.012)	0. (.014)	0. (.225)
0.975	0. (.012)	0. (.012)	0. (.012)	0. (.014)	0. (.225)
1.000	0. (.012)	0. (.012)	0. (.012)	0. (.014)	0. (.225)

*Alpha
Phase II*

*** RELATIVE ENERGY FLUX DENSITY IN THE ***
 *** PENUMBRA OF A RECTANGULAR CYLINDER ***

VERSION F

SOLAR FIELD ANGLE, D= 0.50 DEGREES
 GEOMETRY D2/R = 5.00 AND H/R = 1.0

BETA = ANGLE OF INCIDENCE, DEGREES

BETA ***	0.	10.00	20.00	30.00	40.00
AX/AB	Q (QI)	Q (QI)	Q (QI)	Q (QI)	Q (QI)
0.	1.000(.)	1.000(.)	1.000(.)	1.000(.)	1.000(.)
0.025	0. (.012)	0. (.012)	0. (.012)	0. (.012)	0. (.012)
0.050	0. (.012)	0. (.012)	0. (.012)	0. (.012)	0. (.012)
0.075	0. (.012)	0. (.012)	0. (.012)	0. (.012)	0. (.012)
0.100	0. (.012)	0. (.012)	0. (.012)	0. (.012)	0. (.012)
0.125	0. (.012)	0. (.012)	0. (.012)	0. (.012)	0. (.012)
0.150	0. (.012)	0. (.012)	0. (.012)	0. (.012)	0. (.012)
0.175	0. (.012)	0. (.012)	0. (.012)	0. (.012)	0. (.012)
0.200	0. (.012)	0. (.012)	0. (.012)	0. (.012)	0. (.012)
0.225	0. (.012)	0. (.012)	0. (.012)	0. (.012)	0. (.012)
0.250	0. (.012)	0. (.012)	0. (.012)	0. (.012)	0. (.012)
0.275	0. (.012)	0. (.012)	0. (.012)	0. (.012)	0. (.012)
0.300	0. (.012)	0. (.012)	0. (.012)	0. (.012)	0. (.012)
0.325	0. (.012)	0. (.012)	0. (.012)	0. (.012)	0. (.012)
0.350	0. (.012)	0. (.012)	0. (.012)	0. (.012)	0. (.012)
0.375	0. (.012)	0. (.012)	0. (.012)	0. (.012)	0. (.012)
0.400	0. (.012)	0. (.012)	0. (.012)	0. (.012)	0. (.012)
0.425	0. (.012)	0. (.012)	0. (.012)	0. (.012)	0. (.012)
0.450	0. (.012)	0. (.012)	0. (.012)	0. (.012)	0. (.012)
0.475	0. (.012)	0. (.012)	0. (.012)	0. (.012)	0. (.012)
0.500	0. (.012)	0. (.012)	0. (.012)	0. (.012)	0. (.012)
0.525	0. (.012)	0. (.012)	0. (.012)	0. (.012)	0. (.012)
0.550	0. (.012)	0. (.012)	0. (.012)	0. (.012)	0. (.012)
0.575	0. (.012)	0. (.012)	0. (.012)	0. (.012)	0. (.012)
0.600	0. (.012)	0. (.012)	0. (.012)	0. (.012)	0. (.012)
0.625	0. (.012)	0. (.012)	0. (.012)	0. (.012)	0. (.012)
0.650	0. (.012)	0. (.012)	0. (.012)	0. (.012)	0. (.012)
0.675	0. (.012)	0. (.012)	0. (.012)	0. (.012)	0. (.012)
0.700	0. (.012)	0. (.012)	0. (.012)	0. (.012)	0. (.012)
0.725	0. (.012)	0. (.012)	0. (.012)	0. (.012)	0. (.012)
0.750	0. (.012)	0. (.012)	0. (.012)	0. (.012)	0. (.012)
0.775	0. (.012)	0. (.012)	0. (.012)	0. (.012)	0. (.012)
0.800	0. (.012)	0. (.012)	0. (.012)	0. (.012)	0. (.012)
0.825	0. (.012)	0. (.012)	0. (.012)	0. (.012)	0. (.012)
0.850	0. (.012)	0. (.012)	0. (.012)	0. (.012)	0. (.012)
0.875	0. (.012)	0. (.012)	0. (.012)	0. (.012)	0. (.012)
0.900	0. (.012)	0. (.012)	0. (.012)	0. (.012)	0. (.012)
0.925	0. (.012)	0. (.012)	0. (.012)	0. (.012)	0. (.012)
0.950	0. (.012)	0. (.012)	0. (.012)	0. (.012)	0. (.012)
0.975	0. (.012)	0. (.012)	0. (.012)	0. (.012)	0. (.012)
1.000	1.000(.025)	1.000(.025)	1.000(.025)	1.000(.025)	1.000(.025)

6
5
4
3
2
1

Apple Phase 11

*** RELATIVE ENERGY FLUX DENSITY IN THE ***
 *** PENUMBRA OF A RECTANGULAR CYLINDER ***

VERSION F

SOLAR FIELD ANGLE, D= 0.50 DEGREES
 GEOMETRY D2/R = 5.00 AND H/R = 1.0

BETA = ANGLE OF INCIDENCE, DEGREES

BETA ***	50.00		60.00		70.00		80.00		89.25	
AX/AB	Q	(Q1)	Q	(Q1)	Q	(Q1)	Q	(Q1)	Q	(Q1)
0.	1.000	(.)	1.000	(.)	1.000	(.)	1.000	(.)	1.000	(.)
0.025	0.015	(.013)	0.062	(.013)	0.180	(.015)	0.519	(.019)	0.995	(.025)
0.050	0.	(.013)	0.	(.014)	0.	(.017)	0.	(.025)	0.984	(.050)
0.075	0.	(.013)	0.	(.014)	0.	(.017)	0.	(.025)	0.969	(.074)
0.100	0.	(.013)	0.	(.014)	0.	(.017)	0.	(.025)	0.949	(.098)
0.125	0.	(.013)	0.	(.014)	0.	(.017)	0.	(.025)	0.921	(.121)
0.150	0.	(.013)	0.	(.014)	0.	(.017)	0.	(.025)	0.871	(.144)
0.175	0.	(.013)	0.	(.014)	0.	(.017)	0.	(.025)	0.803	(.165)
0.200	0.	(.013)	0.	(.014)	0.	(.017)	0.	(.025)	0.716	(.184)
0.225	0.	(.013)	0.	(.014)	0.	(.017)	0.	(.025)	0.604	(.200)
0.250	0.	(.013)	0.	(.014)	0.	(.017)	0.	(.025)	0.467	(.214)
0.275	0.	(.013)	0.	(.014)	0.	(.017)	0.	(.025)	0.316	(.223)
0.300	0.	(.013)	0.	(.014)	0.	(.017)	0.	(.025)	0.163	(.229)
0.325	0.	(.013)	0.	(.014)	0.	(.017)	0.	(.025)	0.058	(.232)
0.350	0.	(.013)	0.	(.014)	0.	(.017)	0.	(.025)	0.	(.233)
0.375	0.	(.013)	0.	(.014)	0.	(.017)	0.	(.025)	0.	(.233)
0.400	0.	(.013)	0.	(.014)	0.	(.017)	0.	(.025)	0.	(.233)
0.425	0.	(.013)	0.	(.014)	0.	(.017)	0.	(.025)	0.	(.233)
0.450	0.	(.013)	0.	(.014)	0.	(.017)	0.	(.025)	0.	(.233)
0.475	0.	(.013)	0.	(.014)	0.	(.017)	0.	(.025)	0.	(.233)
0.500	0.	(.013)	0.	(.014)	0.	(.017)	0.	(.025)	0.	(.233)
0.525	0.	(.013)	0.	(.014)	0.	(.017)	0.	(.025)	0.	(.233)
0.550	0.	(.013)	0.	(.014)	0.	(.017)	0.	(.025)	0.	(.233)
0.575	0.	(.013)	0.	(.014)	0.	(.017)	0.	(.025)	0.	(.233)
0.600	0.	(.013)	0.	(.014)	0.	(.017)	0.	(.025)	0.	(.233)
0.625	0.	(.013)	0.	(.014)	0.	(.017)	0.	(.025)	0.	(.233)
0.650	0.	(.013)	0.	(.014)	0.	(.017)	0.	(.025)	0.	(.233)
0.675	0.	(.013)	0.	(.014)	0.	(.017)	0.	(.025)	0.	(.233)
0.700	0.	(.013)	0.	(.014)	0.	(.017)	0.	(.025)	0.	(.233)
0.725	0.	(.013)	0.	(.014)	0.	(.017)	0.	(.025)	0.	(.233)
0.750	0.	(.013)	0.	(.014)	0.	(.017)	0.	(.025)	0.	(.233)
0.775	0.	(.013)	0.	(.014)	0.	(.017)	0.	(.025)	0.	(.233)
0.800	0.	(.013)	0.	(.014)	0.	(.017)	0.	(.025)	0.	(.233)
0.825	0.	(.013)	0.	(.014)	0.	(.017)	0.	(.025)	0.	(.233)
0.850	0.	(.013)	0.	(.014)	0.	(.017)	0.	(.025)	0.	(.233)
0.875	0.	(.013)	0.	(.014)	0.	(.017)	0.	(.025)	0.	(.233)
0.900	0.	(.013)	0.	(.014)	0.	(.017)	0.	(.025)	0.	(.233)
0.925	0.	(.013)	0.	(.014)	0.	(.017)	0.	(.025)	0.	(.233)
0.950	0.	(.013)	0.	(.014)	0.	(.017)	0.	(.025)	0.	(.233)
0.975	0.	(.013)	0.	(.014)	0.	(.017)	0.	(.025)	0.	(.233)
1.000	1.000	(.025)	1.000	(.027)	1.000	(.029)	0.	(.025)	0.	(.233)

5
4
3
2

*** RELATIVE ENERGY FLUX DENSITY IN THE ***
 *** PENUMBRA OF A RECTANGULAR CYLINDER ***

VERSION F

SOLAR FIELD ANGLE, D= 0.50 DEGREES
 GEOMETRY D2/R = 10.00 AND H/R = 1.0

BETA = ANGLE OF INCIDENCE, DEGREES

BETA ***	0.	10.00	20.00	30.00	40.00
AX/AB	Q (Q1)	Q (Q1)	Q (Q1)	Q (Q1)	Q (Q1)
0.	1.000(.)	1.000(.)	1.000(.)	1.000(.)	1.000(.)
0.025	0.409(.018)	0.427(.018)	0.445(.018)	0.466(.018)	0.490(.019)
0.050	0. (.023)	0. (.023)	0. (.024)	0. (.024)	0. (.025)
0.075	0. (.023)	0. (.023)	0. (.024)	0. (.024)	0. (.025)
0.100	0. (.023)	0. (.023)	0. (.024)	0. (.024)	0. (.025)
0.125	0. (.023)	0. (.023)	0. (.024)	0. (.024)	0. (.025)
0.150	0. (.023)	0. (.023)	0. (.024)	0. (.024)	0. (.025)
0.175	0. (.023)	0. (.023)	0. (.024)	0. (.024)	0. (.025)
0.200	0. (.023)	0. (.023)	0. (.024)	0. (.024)	0. (.025)
0.225	0. (.023)	0. (.023)	0. (.024)	0. (.024)	0. (.025)
0.250	0. (.023)	0. (.023)	0. (.024)	0. (.024)	0. (.025)
0.275	0. (.023)	0. (.023)	0. (.024)	0. (.024)	0. (.025)
0.300	0. (.023)	0. (.023)	0. (.024)	0. (.024)	0. (.025)
0.325	0. (.023)	0. (.023)	0. (.024)	0. (.024)	0. (.025)
0.350	0. (.023)	0. (.023)	0. (.024)	0. (.024)	0. (.025)
0.375	0. (.023)	0. (.023)	0. (.024)	0. (.024)	0. (.025)
0.400	0. (.023)	0. (.023)	0. (.024)	0. (.024)	0. (.025)
0.425	0. (.023)	0. (.023)	0. (.024)	0. (.024)	0. (.025)
0.450	0. (.023)	0. (.023)	0. (.024)	0. (.024)	0. (.025)
0.475	0. (.023)	0. (.023)	0. (.024)	0. (.024)	0. (.025)
0.500	0. (.023)	0. (.023)	0. (.024)	0. (.024)	0. (.025)
0.525	0. (.023)	0. (.023)	0. (.024)	0. (.024)	0. (.025)
0.550	0. (.023)	0. (.023)	0. (.024)	0. (.024)	0. (.025)
0.575	0. (.023)	0. (.023)	0. (.024)	0. (.024)	0. (.025)
0.600	0. (.023)	0. (.023)	0. (.024)	0. (.024)	0. (.025)
0.625	0. (.023)	0. (.023)	0. (.024)	0. (.024)	0. (.025)
0.650	0. (.023)	0. (.023)	0. (.024)	0. (.024)	0. (.025)
0.675	0. (.023)	0. (.023)	0. (.024)	0. (.024)	0. (.025)
0.700	0. (.023)	0. (.023)	0. (.024)	0. (.024)	0. (.025)
0.725	0. (.023)	0. (.023)	0. (.024)	0. (.024)	0. (.025)
0.750	0. (.023)	0. (.023)	0. (.024)	0. (.024)	0. (.025)
0.775	0. (.023)	0. (.023)	0. (.024)	0. (.024)	0. (.025)
0.800	0. (.023)	0. (.023)	0. (.024)	0. (.024)	0. (.025)
0.825	0. (.023)	0. (.023)	0. (.024)	0. (.024)	0. (.025)
0.850	0. (.023)	0. (.023)	0. (.024)	0. (.024)	0. (.025)
0.875	0. (.023)	0. (.023)	0. (.024)	0. (.024)	0. (.025)
0.900	0. (.023)	0. (.023)	0. (.024)	0. (.024)	0. (.025)
0.925	0. (.023)	0. (.023)	0. (.024)	0. (.024)	0. (.025)
0.950	0. (.023)	0. (.023)	0. (.024)	0. (.024)	0. (.025)
0.975	0.409(.028)	0.390(.028)	0.370(.028)	0.346(.028)	0.316(.029)
1.000	1.000(.045)	1.000(.045)	1.000(.045)	1.000(.045)	1.000(.045)

*** RELATIVE ENERGY FLUX DENSITY IN THE ***
 *** PENUMBRA OF A RECTANGULAR CYLINDER ***

VERSION F

SOLAR FIELD ANGLE, D= 0.50 DEGREES
 GEOMETRY D2/R = 10.00 AND H/R = 1.0

BETA = ANGLE OF INCIDENCE, DEGREES

BETA ***	50.00		60.00		70.00		80.00		89.25	
AX/AB	Q	(QI)	Q	(QI)	Q	(QI)	Q	(QI)	Q	(QI)
0.	1.000	(.)	1.000	(.)	1.000	(.)	1.000	(.)	1.000	(.)
0.025	0.517	(.019)	0.554	(.019)	0.614	(.020)	0.738	(.022)	0.995	(.025)
0.050	0.	(.025)	0.	(.026)	0.018	(.028)	0.154	(.033)	0.985	(.050)
0.075	0.	(.025)	0.	(.026)	0.	(.028)	0.	(.035)	0.971	(.074)
0.100	0.	(.025)	0.	(.026)	0.	(.028)	0.	(.035)	0.952	(.098)
0.125	0.	(.025)	0.	(.026)	0.	(.028)	0.	(.035)	0.928	(.122)
0.150	0.	(.025)	0.	(.026)	0.	(.028)	0.	(.035)	0.884	(.144)
0.175	0.	(.025)	0.	(.026)	0.	(.028)	0.	(.035)	0.822	(.166)
0.200	0.	(.025)	0.	(.026)	0.	(.028)	0.	(.035)	0.744	(.185)
0.225	0.	(.025)	0.	(.026)	0.	(.028)	0.	(.035)	0.644	(.203)
0.250	0.	(.025)	0.	(.026)	0.	(.028)	0.	(.035)	0.521	(.217)
0.275	0.	(.025)	0.	(.026)	0.	(.028)	0.	(.035)	0.379	(.228)
0.300	0.	(.025)	0.	(.026)	0.	(.028)	0.	(.035)	0.230	(.236)
0.325	0.	(.025)	0.	(.026)	0.	(.028)	0.	(.035)	0.102	(.240)
0.350	0.	(.025)	0.	(.026)	0.	(.028)	0.	(.035)	0.021	(.242)
0.375	0.	(.025)	0.	(.026)	0.	(.028)	0.	(.035)	0.	(.242)
0.400	0.	(.025)	0.	(.026)	0.	(.028)	0.	(.035)	0.	(.242)
0.425	0.	(.025)	0.	(.026)	0.	(.028)	0.	(.035)	0.	(.242)
0.450	0.	(.025)	0.	(.026)	0.	(.028)	0.	(.035)	0.	(.242)
0.475	0.	(.025)	0.	(.026)	0.	(.028)	0.	(.035)	0.	(.242)
0.500	0.	(.025)	0.	(.026)	0.	(.028)	0.	(.035)	0.	(.242)
0.525	0.	(.025)	0.	(.026)	0.	(.028)	0.	(.035)	0.	(.242)
0.550	0.	(.025)	0.	(.026)	0.	(.028)	0.	(.035)	0.	(.242)
0.575	0.	(.025)	0.	(.026)	0.	(.028)	0.	(.035)	0.	(.242)
0.600	0.	(.025)	0.	(.026)	0.	(.028)	0.	(.035)	0.	(.242)
0.625	0.	(.025)	0.	(.026)	0.	(.028)	0.	(.035)	0.	(.242)
0.650	0.	(.025)	0.	(.026)	0.	(.028)	0.	(.035)	0.	(.242)
0.675	0.	(.025)	0.	(.026)	0.	(.028)	0.	(.035)	0.	(.242)
0.700	0.	(.025)	0.	(.026)	0.	(.028)	0.	(.035)	0.	(.242)
0.725	0.	(.025)	0.	(.026)	0.	(.028)	0.	(.035)	0.	(.242)
0.750	0.	(.025)	0.	(.026)	0.	(.028)	0.	(.035)	0.	(.242)
0.775	0.	(.025)	0.	(.026)	0.	(.028)	0.	(.035)	0.	(.242)
0.800	0.	(.025)	0.	(.026)	0.	(.028)	0.	(.035)	0.	(.242)
0.825	0.	(.025)	0.	(.026)	0.	(.028)	0.	(.035)	0.	(.242)
0.850	0.	(.025)	0.	(.026)	0.	(.028)	0.	(.035)	0.	(.242)
0.875	0.	(.025)	0.	(.026)	0.	(.028)	0.	(.035)	0.	(.242)
0.900	0.	(.025)	0.	(.026)	0.	(.028)	0.	(.035)	0.	(.242)
0.925	0.	(.025)	0.	(.026)	0.	(.028)	0.	(.035)	0.	(.242)
0.950	0.	(.025)	0.	(.026)	0.	(.028)	0.	(.035)	0.	(.242)
0.975	0.275	(.029)	0.208	(.029)	0.086	(.029)	0.	(.035)	0.	(.242)
1.000	1.000	(.045)	1.000	(.044)	1.000	(.043)	1.000	(.047)	0.	(.242)

5
4
3
2

App A
Phase II

*** RELATIVE ENERGY FLUX DENSITY IN THE ***
 *** PENUMBRA OF A RECTANGULAR CYLINDER ***

VERSION F

SOLAR FIELD ANGLE, D = 0.50 DEGREES
 GEOMETRY D2/R = 50.00 AND H/R = 1.0

BETA = ANGLE OF INCIDENCE, DEGREES

BETA ***	0.	10.00	20.00	30.00	40.00
AX/AB	Q (Q1)	Q (Q1)	Q (Q1)	Q (Q1)	Q (Q1)
0.	1.000(.)	1.000(.)	1.000(.)	1.000(.)	1.000(.)
0.025	0.947(.024)	0.947(.024)	0.948(.024)	0.948(.024)	0.949(.024)
0.050	0.832(.047)	0.834(.047)	0.836(.047)	0.838(.047)	0.840(.047)
0.075	0.642(.065)	0.645(.065)	0.648(.065)	0.651(.065)	0.655(.065)
0.100	0.415(.078)	0.420(.078)	0.424(.079)	0.429(.079)	0.435(.079)
0.125	0.207(.086)	0.211(.086)	0.215(.087)	0.219(.087)	0.225(.087)
0.150	0.068(.089)	0.070(.090)	0.072(.090)	0.074(.091)	0.077(.091)
0.175	0.003(.090)	0.004(.091)	0.005(.091)	0.006(.092)	0.008(.092)
0.200	0. (.090)	0. (.091)	0. (.091)	0. (.092)	0. (.092)
0.225	0. (.090)	0. (.091)	0. (.091)	0. (.092)	0. (.092)
0.250	0. (.090)	0. (.091)	0. (.091)	0. (.092)	0. (.092)
0.275	0. (.090)	0. (.091)	0. (.091)	0. (.092)	0. (.092)
0.300	0. (.090)	0. (.091)	0. (.091)	0. (.092)	0. (.092)
0.325	0. (.090)	0. (.091)	0. (.091)	0. (.092)	0. (.092)
0.350	0. (.090)	0. (.091)	0. (.091)	0. (.092)	0. (.092)
0.375	0. (.090)	0. (.091)	0. (.091)	0. (.092)	0. (.092)
0.400	0. (.090)	0. (.091)	0. (.091)	0. (.092)	0. (.092)
0.425	0. (.090)	0. (.091)	0. (.091)	0. (.092)	0. (.092)
0.450	0. (.090)	0. (.091)	0. (.091)	0. (.092)	0. (.092)
0.475	0. (.090)	0. (.091)	0. (.091)	0. (.092)	0. (.092)
0.500	0. (.090)	0. (.091)	0. (.091)	0. (.092)	0. (.092)
0.525	0. (.090)	0. (.091)	0. (.091)	0. (.092)	0. (.092)
0.550	0. (.090)	0. (.091)	0. (.091)	0. (.092)	0. (.092)
0.575	0. (.090)	0. (.091)	0. (.091)	0. (.092)	0. (.092)
0.600	0. (.090)	0. (.091)	0. (.091)	0. (.092)	0. (.092)
0.625	0. (.090)	0. (.091)	0. (.091)	0. (.092)	0. (.092)
0.650	0. (.090)	0. (.091)	0. (.091)	0. (.092)	0. (.092)
0.675	0. (.090)	0. (.091)	0. (.091)	0. (.092)	0. (.092)
0.700	0. (.090)	0. (.091)	0. (.091)	0. (.092)	0. (.092)
0.725	0. (.090)	0. (.091)	0. (.091)	0. (.092)	0. (.092)
0.750	0. (.090)	0. (.091)	0. (.091)	0. (.092)	0. (.092)
0.775	0. (.090)	0. (.091)	0. (.091)	0. (.092)	0. (.092)
0.800	0. (.090)	0. (.091)	0. (.091)	0. (.092)	0. (.092)
0.825	0.003(.090)	0.002(.091)	0.001(.091)	0.001(.092)	0.000(.092)
0.850	0.068(.091)	0.066(.092)	0.064(.092)	0.061(.092)	0.058(.093)
0.875	0.207(.095)	0.203(.095)	0.199(.095)	0.194(.096)	0.189(.096)
0.900	0.415(.103)	0.412(.103)	0.408(.103)	0.403(.103)	0.397(.103)
0.925	0.642(.116)	0.639(.116)	0.636(.116)	0.632(.116)	0.628(.116)
0.950	0.832(.134)	0.831(.134)	0.829(.134)	0.827(.134)	0.825(.134)
0.975	0.947(.156)	0.947(.156)	0.946(.156)	0.946(.156)	0.945(.156)
1.000	1.000(.181)	1.000(.181)	1.000(.181)	1.000(.181)	1.000(.181)

Appd. Phase II

*** RELATIVE ENERGY FLUX DENSITY IN THE ***
 *** PENUMBRA OF A RECTANGULAR CYLINDER ***

VERSION F

SOLAR FIELD ANGLE, D= 0.50 DEGREES
 GEOMETRY D2/R = 50.00 AND H/R = 1.0

BETA = ANGLE OF INCIDENCE, DEGREES

BETA ***	50.00		60.00		70.00		80.00		89.25	
AX/AB	Q	(Q1)	Q	(Q1)	Q	(Q1)	Q	(Q1)	Q	(Q1)
0.	1.000(.)		1.000(.)		1.000(.)		1.000(.)		1.000(.)	
0.025	0.950(.024)		0.951(.024)		0.953(.024)		0.958(.024)		0.997(.025)	
0.050	0.843(.047)		0.847(.047)		0.856(.047)		0.876(.047)		0.990(.050)	
0.075	0.661(.056)		0.669(.066)		0.684(.066)		0.723(.067)		0.980(.074)	
0.100	0.443(.079)		0.454(.080)		0.476(.081)		0.534(.083)		0.968(.099)	
0.125	0.233(.088)		0.244(.089)		0.266(.090)		0.329(.094)		0.952(.123)	
0.150	0.081(.092)		0.088(.093)		0.101(.095)		0.152(.100)		0.933(.146)	
0.175	0.010(.095)		0.014(.094)		0.021(.096)		0.048(.102)		0.903(.169)	
0.200	0. (.093)		0. (.094)		0. (.096)		0. (.103)		0.861(.191)	
0.225	0. (.093)		0. (.094)		0. (.096)		0. (.103)		0.808(.212)	
0.250	0. (.093)		0. (.094)		0. (.096)		0. (.103)		0.743(.232)	
0.275	0. (.093)		0. (.094)		0. (.096)		0. (.103)		0.666(.249)	
0.300	0. (.093)		0. (.094)		0. (.096)		0. (.103)		0.573(.265)	
0.325	0. (.093)		0. (.094)		0. (.096)		0. (.103)		0.465(.278)	
0.350	0. (.093)		0. (.094)		0. (.096)		0. (.103)		0.351(.288)	
0.375	0. (.093)		0. (.094)		0. (.096)		0. (.103)		0.232(.295)	
0.400	0. (.093)		0. (.094)		0. (.096)		0. (.103)		0.123(.300)	
0.425	0. (.093)		0. (.094)		0. (.096)		0. (.103)		0.053(.302)	
0.450	0. (.093)		0. (.094)		0. (.096)		0. (.103)		0.001(.302)	
0.475	0. (.093)		0. (.094)		0. (.096)		0. (.103)		0. (.302)	
0.500	0. (.093)		0. (.094)		0. (.096)		0. (.103)		0. (.302)	
0.525	0. (.093)		0. (.094)		0. (.096)		0. (.103)		0. (.302)	
0.550	0. (.093)		0. (.094)		0. (.096)		0. (.103)		0. (.302)	
0.575	0. (.093)		0. (.094)		0. (.096)		0. (.103)		0. (.302)	
0.600	0. (.093)		0. (.094)		0. (.096)		0. (.103)		0. (.302)	
0.625	0. (.093)		0. (.094)		0. (.096)		0. (.103)		0. (.302)	
0.650	0. (.093)		0. (.094)		0. (.096)		0. (.103)		0. (.302)	
0.675	0. (.093)		0. (.094)		0. (.096)		0. (.103)		0. (.302)	
0.700	0. (.093)		0. (.094)		0. (.096)		0. (.103)		0. (.302)	
0.725	0. (.093)		0. (.094)		0. (.096)		0. (.103)		0. (.302)	
0.750	0. (.093)		0. (.094)		0. (.096)		0. (.103)		0. (.302)	
0.775	0. (.093)		0. (.094)		0. (.096)		0. (.103)		0. (.302)	
0.800	0. (.093)		0. (.094)		0. (.096)		0. (.103)		0. (.302)	
0.825	0. (.093)		0. (.094)		0. (.096)		0. (.103)		0. (.302)	
0.850	0.054(.094)		0.049(.095)		0.038(.097)		0.012(.103)		0. (.302)	
0.875	0.161(.097)		0.170(.098)		0.148(.099)		0.094(.104)		0. (.302)	
0.900	0.389(.104)		0.377(.104)		0.353(.106)		0.284(.109)		0. (.302)	
0.925	0.621(.116)		0.612(.117)		0.593(.117)		0.535(.119)		0. (.302)	
0.950	0.821(.134)		0.816(.135)		0.805(.135)		0.771(.136)		0. (.302)	
0.975	0.944(.156)		0.943(.157)		0.940(.157)		0.932(.157)		0. (.302)	
1.000	1.000(.181)		1.000(.181)		1.000(.181)		1.000(.181)		0. (.302)	

*** RELATIVE ENERGY FLUX DENSITY IN THE ***
 *** PENUMBRA OF A RECTANGULAR CYLINDER ***

VERSION F

SOLAR FIELD ANGLE, D= 0.50 DEGREES
 GEOMETRY D2/R = 100.00 AND H/R = 1.0

BETA = ANGLE OF INCIDENCE, DEGREES

BETA ***	0.	10.00	20.00	30.00	40.00
AX/AB	Q (Q1)	Q (Q1)	Q (Q1)	Q (Q1)	Q (Q1)
0.	1.000(.)	1.000(.)	1.000(.)	1.000(.)	1.000(.)
0.025	0.975(.025)	0.975(.025)	0.976(.025)	0.976(.025)	0.976(.025)
0.050	0.932(.049)	0.932(.049)	0.933(.049)	0.933(.049)	0.933(.049)
0.075	0.866(.071)	0.867(.071)	0.868(.071)	0.869(.071)	0.870(.071)
0.100	0.765(.091)	0.766(.091)	0.768(.092)	0.769(.092)	0.771(.092)
0.125	0.647(.109)	0.649(.109)	0.651(.109)	0.653(.109)	0.655(.109)
0.150	0.515(.124)	0.518(.124)	0.520(.124)	0.523(.124)	0.526(.124)
0.175	0.381(.135)	0.383(.135)	0.386(.135)	0.389(.135)	0.392(.136)
0.200	0.257(.143)	0.260(.143)	0.262(.143)	0.265(.144)	0.268(.144)
0.225	0.150(.148)	0.152(.148)	0.154(.148)	0.156(.149)	0.159(.149)
0.250	0.075(.151)	0.077(.151)	0.078(.151)	0.080(.152)	0.081(.152)
0.275	0.030(.152)	0.031(.152)	0.032(.153)	0.033(.153)	0.034(.154)
0.300	0.001(.152)	0.001(.153)	0.002(.153)	0.002(.154)	0.003(.154)
0.325	0. (.152)	0. (.153)	0. (.153)	0. (.154)	0. (.154)
0.350	0. (.152)	0. (.153)	0. (.153)	0. (.154)	0. (.154)
0.375	0. (.152)	0. (.153)	0. (.153)	0. (.154)	0. (.154)
0.400	0. (.152)	0. (.153)	0. (.153)	0. (.154)	0. (.154)
0.425	0. (.152)	0. (.153)	0. (.153)	0. (.154)	0. (.154)
0.450	0. (.152)	0. (.153)	0. (.153)	0. (.154)	0. (.154)
0.475	0. (.152)	0. (.153)	0. (.153)	0. (.154)	0. (.154)
0.500	0. (.152)	0. (.153)	0. (.153)	0. (.154)	0. (.154)
0.525	0. (.152)	0. (.153)	0. (.153)	0. (.154)	0. (.154)
0.550	0. (.152)	0. (.153)	0. (.153)	0. (.154)	0. (.154)
0.575	0. (.152)	0. (.153)	0. (.153)	0. (.154)	0. (.154)
0.600	0. (.152)	0. (.153)	0. (.153)	0. (.154)	0. (.154)
0.625	0. (.152)	0. (.153)	0. (.153)	0. (.154)	0. (.154)
0.650	0. (.152)	0. (.153)	0. (.153)	0. (.154)	0. (.154)
0.675	0. (.152)	0. (.153)	0. (.153)	0. (.154)	0. (.154)
0.700	0.001(.152)	0.001(.153)	0.000(.153)	0.000(.154)	0.000(.154)
0.725	0.030(.153)	0.029(.153)	0.028(.154)	0.027(.154)	0.026(.155)
0.750	0.075(.154)	0.075(.154)	0.074(.155)	0.072(.155)	0.071(.156)
0.775	0.150(.157)	0.148(.157)	0.146(.158)	0.144(.158)	0.141(.158)
0.800	0.257(.162)	0.255(.162)	0.253(.163)	0.250(.163)	0.247(.163)
0.825	0.381(.170)	0.378(.170)	0.376(.170)	0.373(.171)	0.370(.171)
0.850	0.515(.181)	0.514(.181)	0.511(.182)	0.509(.182)	0.505(.182)
0.875	0.647(.196)	0.645(.196)	0.643(.196)	0.641(.196)	0.638(.196)
0.900	0.765(.213)	0.764(.213)	0.762(.214)	0.760(.214)	0.758(.214)
0.925	0.866(.234)	0.866(.234)	0.865(.234)	0.864(.234)	0.862(.234)
0.950	0.932(.256)	0.931(.256)	0.931(.256)	0.931(.256)	0.930(.256)
0.975	0.975(.280)	0.975(.280)	0.975(.280)	0.975(.280)	0.975(.280)
1.000	1.000(.305)	1.000(.305)	1.000(.305)	1.000(.305)	1.000(.305)

*** RELATIVE ENERGY FLUX DENSITY IN THE ***
 *** PENUMBRA OF A RECTANGULAR CYLINDER ***

VERSION F

SOLAR FIELD ANGLE, D= 0.50 DEGREES
 GEOMETRY D2/R = 100.00 AND H/R = 1.0

BETA = ANGLE OF INCIDENCE, DEGREES

BETA ***	50.00	60.00	70.00	80.00	89.25
AX/AB	Q (QI)	Q (QI)	Q (QI)	Q (QI)	Q (QI)
0.	1.000(.)	1.000(.)	1.000(.)	1.000(.)	1.000(.)
0.025	0.975(.025)	0.977(.025)	0.977(.025)	0.979(.025)	0.997(.025)
0.050	0.934(.049)	0.935(.049)	0.937(.049)	0.942(.049)	0.992(.050)
0.075	0.872(.071)	0.874(.071)	0.879(.071)	0.891(.072)	0.985(.075)
0.100	0.774(.092)	0.778(.092)	0.785(.092)	0.805(.093)	0.976(.099)
0.125	0.659(.110)	0.664(.110)	0.674(.110)	0.700(.112)	0.964(.123)
0.150	0.530(.125)	0.537(.125)	0.549(.126)	0.583(.128)	0.951(.147)
0.175	0.397(.136)	0.404(.137)	0.417(.138)	0.455(.141)	0.935(.171)
0.200	0.273(.144)	0.280(.145)	0.293(.147)	0.330(.151)	0.912(.194)
0.225	0.163(.150)	0.169(.151)	0.181(.153)	0.216(.157)	0.879(.216)
0.250	0.084(.153)	0.087(.154)	0.094(.156)	0.120(.162)	0.838(.238)
0.275	0.035(.154)	0.039(.156)	0.044(.158)	0.061(.164)	0.789(.258)
0.300	0.003(.155)	0.005(.156)	0.008(.158)	0.019(.165)	0.732(.277)
0.325	0. (.155)	0. (.156)	0. (.158)	0. (.165)	0.666(.295)
0.350	0. (.155)	0. (.156)	0. (.158)	0. (.165)	0.588(.310)
0.375	0. (.155)	0. (.156)	0. (.158)	0. (.165)	0.500(.324)
0.400	0. (.155)	0. (.156)	0. (.158)	0. (.165)	0.404(.335)
0.425	0. (.155)	0. (.156)	0. (.158)	0. (.165)	0.306(.344)
0.450	0. (.155)	0. (.156)	0. (.158)	0. (.165)	0.207(.350)
0.475	0. (.155)	0. (.156)	0. (.158)	0. (.165)	0.118(.354)
0.500	0. (.155)	0. (.156)	0. (.158)	0. (.165)	0.059(.357)
0.525	0. (.155)	0. (.156)	0. (.158)	0. (.165)	0.010(.358)
0.550	0. (.155)	0. (.156)	0. (.158)	0. (.165)	0. (.358)
0.575	0. (.155)	0. (.156)	0. (.158)	0. (.165)	0. (.358)
0.600	0. (.155)	0. (.156)	0. (.158)	0. (.165)	0. (.358)
0.625	0. (.155)	0. (.156)	0. (.158)	0. (.165)	0. (.358)
0.650	0. (.155)	0. (.156)	0. (.158)	0. (.165)	0. (.358)
0.675	0. (.155)	0. (.156)	0. (.158)	0. (.165)	0. (.358)
0.700	0. (.155)	0. (.156)	0. (.158)	0. (.165)	0. (.358)
0.725	0.024(.155)	0.022(.156)	0.018(.159)	0.007(.165)	0. (.358)
0.750	0.069(.156)	0.065(.158)	0.059(.160)	0.043(.166)	0. (.358)
0.775	0.137(.159)	0.131(.160)	0.121(.162)	0.094(.167)	0. (.358)
0.800	0.242(.164)	0.236(.165)	0.223(.166)	0.187(.171)	0. (.358)
0.825	0.365(.171)	0.358(.172)	0.344(.173)	0.306(.177)	0. (.358)
0.850	0.501(.182)	0.494(.183)	0.481(.184)	0.442(.186)	0. (.358)
0.875	0.635(.196)	0.629(.197)	0.618(.197)	0.585(.199)	0. (.358)
0.900	0.755(.214)	0.751(.214)	0.743(.214)	0.718(.216)	0. (.358)
0.925	0.861(.234)	0.858(.234)	0.853(.234)	0.836(.235)	0. (.358)
0.950	0.929(.256)	0.928(.256)	0.926(.256)	0.920(.257)	0.056(.358)
0.975	0.974(.280)	0.974(.280)	0.973(.280)	0.971(.281)	0.436(.364)
1.000	1.000(.305)	1.000(.305)	1.000(.305)	1.000(.305)	1.000(.382)

*** RELATIVE ENERGY FLUX DENSITY IN THE ***
 *** PENUMBRA OF A RECTANGULAR CYLINDER ***

VERSION F

SOLAR FIELD ANGLE, D= 0.50 DEGREES
 GEOMETRY D2/R = 1.00 AND H/R = 2.0

BETA = ANGLE OF INCIDENCE, DEGREES

BETA ***	0.		10.00		20.00		30.00		40.00	
AX/AB	Q	(Q1)	Q	(Q1)	Q	(Q1)	Q	(Q1)	Q	(Q1)
0.	1.000	(.)	1.000	(.)	1.000	(.)	1.000	(.)	1.000	(.)
0.025	0.	(.012)	0.	(.012)	0.	(.012)	0.	(.012)	0.	(.012)
0.050	0.	(.012)	0.	(.012)	0.	(.012)	0.	(.012)	0.	(.012)
0.075	0.	(.012)	0.	(.012)	0.	(.012)	0.	(.012)	0.	(.012)
0.100	0.	(.012)	0.	(.012)	0.	(.012)	0.	(.012)	0.	(.012)
0.125	0.	(.012)	0.	(.012)	0.	(.012)	0.	(.012)	0.	(.012)
0.150	0.	(.012)	0.	(.012)	0.	(.012)	0.	(.012)	0.	(.012)
0.175	0.	(.012)	0.	(.012)	0.	(.012)	0.	(.012)	0.	(.012)
0.200	0.	(.012)	0.	(.012)	0.	(.012)	0.	(.012)	0.	(.012)
0.225	0.	(.012)	0.	(.012)	0.	(.012)	0.	(.012)	0.	(.012)
0.250	0.	(.012)	0.	(.012)	0.	(.012)	0.	(.012)	0.	(.012)
0.275	0.	(.012)	0.	(.012)	0.	(.012)	0.	(.012)	0.	(.012)
0.300	0.	(.012)	0.	(.012)	0.	(.012)	0.	(.012)	0.	(.012)
0.325	0.	(.012)	0.	(.012)	0.	(.012)	0.	(.012)	0.	(.012)
0.350	0.	(.012)	0.	(.012)	0.	(.012)	0.	(.012)	0.	(.012)
0.375	0.	(.012)	0.	(.012)	0.	(.012)	0.	(.012)	0.	(.012)
0.400	0.	(.012)	0.	(.012)	0.	(.012)	0.	(.012)	0.	(.012)
0.425	0.	(.012)	0.	(.012)	0.	(.012)	0.	(.012)	0.	(.012)
0.450	0.	(.012)	0.	(.012)	0.	(.012)	0.	(.012)	0.	(.012)
0.475	0.	(.012)	0.	(.012)	0.	(.012)	0.	(.012)	0.	(.012)
0.500	0.	(.012)	0.	(.012)	0.	(.012)	0.	(.012)	0.	(.012)
0.525	0.	(.012)	0.	(.012)	0.	(.012)	0.	(.012)	0.	(.012)
0.550	0.	(.012)	0.	(.012)	0.	(.012)	0.	(.012)	0.	(.012)
0.575	0.	(.012)	0.	(.012)	0.	(.012)	0.	(.012)	0.	(.012)
0.600	0.	(.012)	0.	(.012)	0.	(.012)	0.	(.012)	0.	(.012)
0.625	0.	(.012)	0.	(.012)	0.	(.012)	0.	(.012)	0.	(.012)
0.650	0.	(.012)	0.	(.012)	0.	(.012)	0.	(.012)	0.	(.012)
0.675	0.	(.012)	0.	(.012)	0.	(.012)	0.	(.012)	0.	(.012)
0.700	0.	(.012)	0.	(.012)	0.	(.012)	0.	(.012)	0.	(.012)
0.725	0.	(.012)	0.	(.012)	0.	(.012)	0.	(.012)	0.	(.012)
0.750	0.	(.012)	0.	(.012)	0.	(.012)	0.	(.012)	0.	(.012)
0.775	0.	(.012)	0.	(.012)	0.	(.012)	0.	(.012)	0.	(.012)
0.800	0.	(.012)	0.	(.012)	0.	(.012)	0.	(.012)	0.	(.012)
0.825	0.	(.012)	0.	(.012)	0.	(.012)	0.	(.012)	0.	(.012)
0.850	0.	(.012)	0.	(.012)	0.	(.012)	0.	(.012)	0.	(.012)
0.875	0.	(.012)	0.	(.012)	0.	(.012)	0.	(.012)	0.	(.012)
0.900	0.	(.012)	0.	(.012)	0.	(.012)	0.	(.012)	0.	(.012)
0.925	0.	(.012)	0.	(.012)	0.	(.012)	0.	(.012)	0.	(.012)
0.950	0.	(.012)	0.	(.012)	0.	(.012)	0.	(.012)	0.	(.012)
0.975	0.	(.012)	0.	(.012)	0.	(.012)	0.	(.012)	0.	(.012)
1.000	1.000	(.025)	1.000	(.025)	1.000	(.025)	1.000	(.025)	1.000	(.025)

*** RELATIVE ENERGY FLUX DENSITY IN THE ***
 *** PENUMBRA OF A RECTANGULAR CYLINDER ***

VERSION F

SOLAR FIELD ANGLE, D= 0.50 DEGREES
 GEOMETRY D2/R = 1.00 AND H/R = 2.0

BETA = ANGLE OF INCIDENCE, DEGREES

BETA ***	50.00		60.00		70.00		80.00		89.25	
AX/AB	Q	(QI)	Q	(QI)	Q	(QI)	Q	(QI)	Q	(QI)
0.	1.000	(.)	1.000	(.)	1.000	(.)	1.000	(.)	1.000	(.)
0.025	0.	(.012)	0.	(.012)	0.	(.012)	0.096	(.014)	0.995	(.025)
0.050	0.	(.012)	0.	(.012)	0.	(.012)	0.	(.015)	0.984	(.050)
0.075	0.	(.012)	0.	(.012)	0.	(.012)	0.	(.015)	0.968	(.074)
0.100	0.	(.012)	0.	(.012)	0.	(.012)	0.	(.015)	0.946	(.098)
0.125	0.	(.012)	0.	(.012)	0.	(.012)	0.	(.015)	0.916	(.121)
0.150	0.	(.012)	0.	(.012)	0.	(.012)	0.	(.015)	0.862	(.143)
0.175	0.	(.012)	0.	(.012)	0.	(.012)	0.	(.015)	0.789	(.164)
0.200	0.	(.012)	0.	(.012)	0.	(.012)	0.	(.015)	0.696	(.183)
0.225	0.	(.012)	0.	(.012)	0.	(.012)	0.	(.015)	0.576	(.199)
0.250	0.	(.012)	0.	(.012)	0.	(.012)	0.	(.015)	0.427	(.211)
0.275	0.	(.012)	0.	(.012)	0.	(.012)	0.	(.015)	0.266	(.220)
0.300	0.	(.012)	0.	(.012)	0.	(.012)	0.	(.015)	0.115	(.225)
0.325	0.	(.012)	0.	(.012)	0.	(.012)	0.	(.015)	0.024	(.226)
0.350	0.	(.012)	0.	(.012)	0.	(.012)	0.	(.015)	0.	(.227)
0.375	0.	(.012)	0.	(.012)	0.	(.012)	0.	(.015)	0.	(.227)
0.400	0.	(.012)	0.	(.012)	0.	(.012)	0.	(.015)	0.	(.227)
0.425	0.	(.012)	0.	(.012)	0.	(.012)	0.	(.015)	0.	(.227)
0.450	0.	(.012)	0.	(.012)	0.	(.012)	0.	(.015)	0.	(.227)
0.475	0.	(.012)	0.	(.012)	0.	(.012)	0.	(.015)	0.	(.227)
0.500	0.	(.012)	0.	(.012)	0.	(.012)	0.	(.015)	0.	(.227)
0.525	0.	(.012)	0.	(.012)	0.	(.012)	0.	(.015)	0.	(.227)
0.550	0.	(.012)	0.	(.012)	0.	(.012)	0.	(.015)	0.	(.227)
0.575	0.	(.012)	0.	(.012)	0.	(.012)	0.	(.015)	0.	(.227)
0.600	0.	(.012)	0.	(.012)	0.	(.012)	0.	(.015)	0.	(.227)
0.625	0.	(.012)	0.	(.012)	0.	(.012)	0.	(.015)	0.	(.227)
0.650	0.	(.012)	0.	(.012)	0.	(.012)	0.	(.015)	0.	(.227)
0.675	0.	(.012)	0.	(.012)	0.	(.012)	0.	(.015)	0.	(.227)
0.700	0.	(.012)	0.	(.012)	0.	(.012)	0.	(.015)	0.	(.227)
0.725	0.	(.012)	0.	(.012)	0.	(.012)	0.	(.015)	0.	(.227)
0.750	0.	(.012)	0.	(.012)	0.	(.012)	0.	(.015)	0.	(.227)
0.775	0.	(.012)	0.	(.012)	0.	(.012)	0.	(.015)	0.	(.227)
0.800	0.	(.012)	0.	(.012)	0.	(.012)	0.	(.015)	0.	(.227)
0.825	0.	(.012)	0.	(.012)	0.	(.012)	0.	(.015)	0.	(.227)
0.850	0.	(.012)	0.	(.012)	0.	(.012)	0.	(.015)	0.	(.227)
0.875	0.	(.012)	0.	(.012)	0.	(.012)	0.	(.015)	0.	(.227)
0.900	0.	(.012)	0.	(.012)	0.	(.012)	0.	(.015)	0.	(.227)
0.925	0.	(.012)	0.	(.012)	0.	(.012)	0.	(.015)	0.	(.227)
0.950	0.	(.012)	0.	(.012)	0.	(.012)	0.	(.015)	0.	(.227)
0.975	0.	(.012)	0.	(.012)	0.	(.012)	0.	(.015)	0.	(.227)
1.000	0.	(.012)	0.	(.012)	0.	(.012)	0.	(.015)	0.	(.227)

App A
Phase II

*** RELATIVE ENERGY FLUX DENSITY IN THE ***
 *** PENUMBRA OF A RECTANGULAR CYLINDER ***

VERSION F

SOLAR FIELD ANGLE, D = 0.50 DEGREES
 GEOMETRY D2/R = 5.00 AND H/R = 2.0

BETA = ANGLE OF INCIDENCE, DEGREES

BETA ***	0.	10.00	20.00	30.00	40.00
AX/AB	Q (Q1)	Q (Q1)	Q (Q1)	Q (Q1)	Q (Q1)
0.	1.000(.)	1.000(.)	1.000(.)	1.000(.)	1.000(.)
0.025	0. (.012)	0. (.012)	0. (.012)	0. (.012)	0. (.012)
0.050	0. (.012)	0. (.012)	0. (.012)	0. (.012)	0. (.012)
0.075	0. (.012)	0. (.012)	0. (.012)	0. (.012)	0. (.012)
0.100	0. (.012)	0. (.012)	0. (.012)	0. (.012)	0. (.012)
0.125	0. (.012)	0. (.012)	0. (.012)	0. (.012)	0. (.012)
0.150	0. (.012)	0. (.012)	0. (.012)	0. (.012)	0. (.012)
0.175	0. (.012)	0. (.012)	0. (.012)	0. (.012)	0. (.012)
0.200	0. (.012)	0. (.012)	0. (.012)	0. (.012)	0. (.012)
0.225	0. (.012)	0. (.012)	0. (.012)	0. (.012)	0. (.012)
0.250	0. (.012)	0. (.012)	0. (.012)	0. (.012)	0. (.012)
0.275	0. (.012)	0. (.012)	0. (.012)	0. (.012)	0. (.012)
0.300	0. (.012)	0. (.012)	0. (.012)	0. (.012)	0. (.012)
0.325	0. (.012)	0. (.012)	0. (.012)	0. (.012)	0. (.012)
0.350	0. (.012)	0. (.012)	0. (.012)	0. (.012)	0. (.012)
0.375	0. (.012)	0. (.012)	0. (.012)	0. (.012)	0. (.012)
0.400	0. (.012)	0. (.012)	0. (.012)	0. (.012)	0. (.012)
0.425	0. (.012)	0. (.012)	0. (.012)	0. (.012)	0. (.012)
0.450	0. (.012)	0. (.012)	0. (.012)	0. (.012)	0. (.012)
0.475	0. (.012)	0. (.012)	0. (.012)	0. (.012)	0. (.012)
0.500	0. (.012)	0. (.012)	0. (.012)	0. (.012)	0. (.012)
0.525	0. (.012)	0. (.012)	0. (.012)	0. (.012)	0. (.012)
0.550	0. (.012)	0. (.012)	0. (.012)	0. (.012)	0. (.012)
0.575	0. (.012)	0. (.012)	0. (.012)	0. (.012)	0. (.012)
0.600	0. (.012)	0. (.012)	0. (.012)	0. (.012)	0. (.012)
0.625	0. (.012)	0. (.012)	0. (.012)	0. (.012)	0. (.012)
0.650	0. (.012)	0. (.012)	0. (.012)	0. (.012)	0. (.012)
0.675	0. (.012)	0. (.012)	0. (.012)	0. (.012)	0. (.012)
0.700	0. (.012)	0. (.012)	0. (.012)	0. (.012)	0. (.012)
0.725	0. (.012)	0. (.012)	0. (.012)	0. (.012)	0. (.012)
0.750	0. (.012)	0. (.012)	0. (.012)	0. (.012)	0. (.012)
0.775	0. (.012)	0. (.012)	0. (.012)	0. (.012)	0. (.012)
0.800	0. (.012)	0. (.012)	0. (.012)	0. (.012)	0. (.012)
0.825	0. (.012)	0. (.012)	0. (.012)	0. (.012)	0. (.012)
0.850	0. (.012)	0. (.012)	0. (.012)	0. (.012)	0. (.012)
0.875	0. (.012)	0. (.012)	0. (.012)	0. (.012)	0. (.012)
0.900	0. (.012)	0. (.012)	0. (.012)	0. (.012)	0. (.012)
0.925	0. (.012)	0. (.012)	0. (.012)	0. (.012)	0. (.012)
0.950	0. (.012)	0. (.012)	0. (.012)	0. (.012)	0. (.012)
0.975	0. (.012)	0. (.012)	0. (.012)	0. (.012)	0. (.012)
1.000	1.000(.025)	1.000(.025)	1.000(.025)	1.000(.025)	1.000(.025)

App'l. Phase II

*** RELATIVE ENERGY FLUX DENSITY IN THE ***
 *** PENUMBRA OF A RECTANGULAR CYLINDER ***

VERSION F

SOLAR FIELD ANGLE, D= 0.50 DEGREES
 GEOMETRY D2/R = 5.00 AND H/R = 2.0

BETA = ANGLE OF INCIDENCE, DEGREES

BETA ***	50.00		60.00		70.00		80.00		89.25	
AX/AB	Q	(Q1)	Q	(Q1)	Q	(Q1)	Q	(Q1)	Q	(Q1)
0.	1.000(.)		1.000(.)		1.000(.)		1.000(.)		1.000(.)	
0.025	0.020(.013)		0.079(.013)		0.241(.016)		0.580(.020)		0.995(.025)	
0.050	0. (.013)		0. (.014)		0. (.019)		0. (.027)		0.984(.050)	
0.075	0. (.013)		0. (.014)		0. (.019)		0. (.027)		0.969(.074)	
0.100	0. (.013)		0. (.014)		0. (.019)		0. (.027)		0.949(.098)	
0.125	0. (.013)		0. (.014)		0. (.019)		0. (.027)		0.922(.121)	
0.150	0. (.013)		0. (.014)		0. (.019)		0. (.027)		0.874(.144)	
0.175	0. (.013)		0. (.014)		0. (.019)		0. (.027)		0.807(.165)	
0.200	0. (.013)		0. (.014)		0. (.019)		0. (.027)		0.722(.184)	
0.225	0. (.013)		0. (.014)		0. (.019)		0. (.027)		0.613(.201)	
0.250	0. (.013)		0. (.014)		0. (.019)		0. (.027)		0.476(.214)	
0.275	0. (.013)		0. (.014)		0. (.019)		0. (.027)		0.323(.224)	
0.300	0. (.013)		0. (.014)		0. (.019)		0. (.027)		0.167(.230)	
0.325	0. (.013)		0. (.014)		0. (.019)		0. (.027)		0.059(.233)	
0.350	0. (.013)		0. (.014)		0. (.019)		0. (.027)		0. (.234)	
0.375	0. (.013)		0. (.014)		0. (.019)		0. (.027)		0. (.234)	
0.400	0. (.013)		0. (.014)		0. (.019)		0. (.027)		0. (.234)	
0.425	0. (.013)		0. (.014)		0. (.019)		0. (.027)		0. (.234)	
0.450	0. (.013)		0. (.014)		0. (.019)		0. (.027)		0. (.234)	
0.475	0. (.013)		0. (.014)		0. (.019)		0. (.027)		0. (.234)	
0.500	0. (.013)		0. (.014)		0. (.019)		0. (.027)		0. (.234)	
0.525	0. (.013)		0. (.014)		0. (.019)		0. (.027)		0. (.234)	
0.550	0. (.013)		0. (.014)		0. (.019)		0. (.027)		0. (.234)	
0.575	0. (.013)		0. (.014)		0. (.019)		0. (.027)		0. (.234)	
0.600	0. (.013)		0. (.014)		0. (.019)		0. (.027)		0. (.234)	
0.625	0. (.013)		0. (.014)		0. (.019)		0. (.027)		0. (.234)	
0.650	0. (.013)		0. (.014)		0. (.019)		0. (.027)		0. (.234)	
0.675	0. (.013)		0. (.014)		0. (.019)		0. (.027)		0. (.234)	
0.700	0. (.013)		0. (.014)		0. (.019)		0. (.027)		0. (.234)	
0.725	0. (.013)		0. (.014)		0. (.019)		0. (.027)		0. (.234)	
0.750	0. (.013)		0. (.014)		0. (.019)		0. (.027)		0. (.234)	
0.775	0. (.013)		0. (.014)		0. (.019)		0. (.027)		0. (.234)	
0.800	0. (.013)		0. (.014)		0. (.019)		0. (.027)		0. (.234)	
0.825	0. (.013)		0. (.014)		0. (.019)		0. (.027)		0. (.234)	
0.850	0. (.013)		0. (.014)		0. (.019)		0. (.027)		0. (.234)	
0.875	0. (.013)		0. (.014)		0. (.019)		0. (.027)		0. (.234)	
0.900	0. (.013)		0. (.014)		0. (.019)		0. (.027)		0. (.234)	
0.925	0. (.013)		0. (.014)		0. (.019)		0. (.027)		0. (.234)	
0.950	0. (.013)		0. (.014)		0. (.019)		0. (.027)		0. (.234)	
0.975	0. (.013)		0. (.014)		0. (.019)		0. (.027)		0. (.234)	
1.000	1.000(.026)		1.000(.027)		1.000(.031)		0. (.027)		0. (.234)	

*** RELATIVE ENERGY FLUX DENSITY IN THE ***
 *** PENUMBRA OF A RECTANGULAR CYLINDER ***

VERSION F

SOLAR FIELD ANGLE, D= 0.50 DEGREES
 GEOMETRY D2/R = 10.00 AND H/R = 2.0

BETA = ANGLE OF INCIDENCE, DEGREES

BETA ***	0.	10.00	20.00	30.00	40.00
AX/AB	Q (Q1)	Q (Q1)	Q (Q1)	Q (Q1)	Q (Q1)
0.	1.000(.)	1.000(.)	1.000(.)	1.000(.)	1.000(.)
0.025	0.494(.019)	0.509(.019)	0.522(.019)	0.536(.019)	0.553(.019)
0.050	0. (.025)	0. (.025)	0. (.026)	0. (.026)	0. (.026)
0.075	0. (.025)	0. (.025)	0. (.026)	0. (.026)	0. (.026)
0.100	0. (.025)	0. (.025)	0. (.026)	0. (.026)	0. (.026)
0.125	0. (.025)	0. (.025)	0. (.026)	0. (.026)	0. (.026)
0.150	0. (.025)	0. (.025)	0. (.026)	0. (.026)	0. (.026)
0.175	0. (.025)	0. (.025)	0. (.026)	0. (.026)	0. (.026)
0.200	0. (.025)	0. (.025)	0. (.026)	0. (.026)	0. (.026)
0.225	0. (.025)	0. (.025)	0. (.026)	0. (.026)	0. (.026)
0.250	0. (.025)	0. (.025)	0. (.026)	0. (.026)	0. (.026)
0.275	0. (.025)	0. (.025)	0. (.026)	0. (.026)	0. (.026)
0.300	0. (.025)	0. (.025)	0. (.026)	0. (.026)	0. (.026)
0.325	0. (.025)	0. (.025)	0. (.026)	0. (.026)	0. (.026)
0.350	0. (.025)	0. (.025)	0. (.026)	0. (.026)	0. (.026)
0.375	0. (.025)	0. (.025)	0. (.026)	0. (.026)	0. (.026)
0.400	0. (.025)	0. (.025)	0. (.026)	0. (.026)	0. (.026)
0.425	0. (.025)	0. (.025)	0. (.026)	0. (.026)	0. (.026)
0.450	0. (.025)	0. (.025)	0. (.026)	0. (.026)	0. (.026)
0.475	0. (.025)	0. (.025)	0. (.026)	0. (.026)	0. (.026)
0.500	0. (.025)	0. (.025)	0. (.026)	0. (.026)	0. (.026)
0.525	0. (.025)	0. (.025)	0. (.026)	0. (.026)	0. (.026)
0.550	0. (.025)	0. (.025)	0. (.026)	0. (.026)	0. (.026)
0.575	0. (.025)	0. (.025)	0. (.026)	0. (.026)	0. (.026)
0.600	0. (.025)	0. (.025)	0. (.026)	0. (.026)	0. (.026)
0.625	0. (.025)	0. (.025)	0. (.026)	0. (.026)	0. (.026)
0.650	0. (.025)	0. (.025)	0. (.026)	0. (.026)	0. (.026)
0.675	0. (.025)	0. (.025)	0. (.026)	0. (.026)	0. (.026)
0.700	0. (.025)	0. (.025)	0. (.026)	0. (.026)	0. (.026)
0.725	0. (.025)	0. (.025)	0. (.026)	0. (.026)	0. (.026)
0.750	0. (.025)	0. (.025)	0. (.026)	0. (.026)	0. (.026)
0.775	0. (.025)	0. (.025)	0. (.026)	0. (.026)	0. (.026)
0.800	0. (.025)	0. (.025)	0. (.026)	0. (.026)	0. (.026)
0.825	0. (.025)	0. (.025)	0. (.026)	0. (.026)	0. (.026)
0.850	0. (.025)	0. (.025)	0. (.026)	0. (.026)	0. (.026)
0.875	0. (.025)	0. (.025)	0. (.026)	0. (.026)	0. (.026)
0.900	0. (.025)	0. (.025)	0. (.026)	0. (.026)	0. (.026)
0.925	0. (.025)	0. (.025)	0. (.026)	0. (.026)	0. (.026)
0.950	0. (.025)	0. (.025)	0. (.026)	0. (.026)	0. (.026)
0.975	0.494(.031)	0.474(.031)	0.452(.031)	0.426(.031)	0.393(.031)
1.000	1.000(.050)	1.000(.050)	1.000(.049)	1.000(.049)	1.000(.049)

*** RELATIVE ENERGY FLUX DENSITY IN THE ***
 *** PENUMBRA OF A RECTANGULAR CYLINDER ***

VERSION F

SOLAR FIELD ANGLE, D= 0.50 DEGREES
 GEOMETRY D2/R = 10.00 AND H/R = 2.0

BETA = ANGLE OF INCIDENCE, DEGREES

BETA ***	50.00		60.00		70.00		80.00		89.25	
AX/AB	Q	(Q1)	Q	(Q1)	Q	(Q1)	Q	(Q1)	Q	(Q1)
0.	1.000(.)		1.000(.)		1.000(.)		1.000(.)		1.000(.)	
0.025	0.575(.020)		0.606(.020)		0.657(.021)		0.764(.022)		0.995(.025)	
0.050	0. (.027)		0. (.028)		0.019(.029)		0.174(.034)		0.985(.050)	
0.075	0. (.027)		0. (.028)		0. (.029)		0. (.036)		0.971(.074)	
0.100	0. (.027)		0. (.028)		0. (.029)		0. (.036)		0.953(.098)	
0.125	0. (.027)		0. (.028)		0. (.029)		0. (.036)		0.929(.122)	
0.150	0. (.027)		0. (.028)		0. (.029)		0. (.036)		0.886(.144)	
0.175	0. (.027)		0. (.028)		0. (.029)		0. (.036)		0.826(.166)	
0.200	0. (.027)		0. (.028)		0. (.029)		0. (.036)		0.749(.185)	
0.225	0. (.027)		0. (.028)		0. (.029)		0. (.036)		0.651(.203)	
0.250	0. (.027)		0. (.028)		0. (.029)		0. (.036)		0.530(.218)	
0.275	0. (.027)		0. (.028)		0. (.029)		0. (.036)		0.386(.229)	
0.300	0. (.027)		0. (.028)		0. (.029)		0. (.036)		0.235(.237)	
0.325	0. (.027)		0. (.028)		0. (.029)		0. (.036)		0.104(.241)	
0.350	0. (.027)		0. (.028)		0. (.029)		0. (.036)		0.021(.243)	
0.375	0. (.027)		0. (.028)		0. (.029)		0. (.036)		0. (.243)	
0.400	0. (.027)		0. (.028)		0. (.029)		0. (.036)		0. (.243)	
0.425	0. (.027)		0. (.028)		0. (.029)		0. (.036)		0. (.243)	
0.450	0. (.027)		0. (.028)		0. (.029)		0. (.036)		0. (.243)	
0.475	0. (.027)		0. (.028)		0. (.029)		0. (.036)		0. (.243)	
0.500	0. (.027)		0. (.028)		0. (.029)		0. (.036)		0. (.243)	
0.525	0. (.027)		0. (.028)		0. (.029)		0. (.036)		0. (.243)	
0.550	0. (.027)		0. (.028)		0. (.029)		0. (.036)		0. (.243)	
0.575	0. (.027)		0. (.028)		0. (.029)		0. (.036)		0. (.243)	
0.600	0. (.027)		0. (.028)		0. (.029)		0. (.036)		0. (.243)	
0.625	0. (.027)		0. (.028)		0. (.029)		0. (.036)		0. (.243)	
0.650	0. (.027)		0. (.028)		0. (.029)		0. (.036)		0. (.243)	
0.675	0. (.027)		0. (.028)		0. (.029)		0. (.036)		0. (.243)	
0.700	0. (.027)		0. (.028)		0. (.029)		0. (.036)		0. (.243)	
0.725	0. (.027)		0. (.028)		0. (.029)		0. (.036)		0. (.243)	
0.750	0. (.027)		0. (.028)		0. (.029)		0. (.036)		0. (.243)	
0.775	0. (.027)		0. (.028)		0. (.029)		0. (.036)		0. (.243)	
0.800	0. (.027)		0. (.028)		0. (.029)		0. (.036)		0. (.243)	
0.825	0. (.027)		0. (.028)		0. (.029)		0. (.036)		0. (.243)	
0.850	0. (.027)		0. (.028)		0. (.029)		0. (.036)		0. (.243)	
0.875	0. (.027)		0. (.028)		0. (.029)		0. (.036)		0. (.243)	
0.900	0. (.027)		0. (.028)		0. (.029)		0. (.036)		0. (.243)	
0.925	0. (.027)		0. (.028)		0. (.029)		0. (.036)		0. (.243)	
0.950	0. (.027)		0. (.028)		0. (.029)		0. (.036)		0. (.243)	
0.975	0.345(.031)		0.268(.031)		0.111(.031)		0. (.036)		0. (.243)	
1.000	1.000(.048)		1.000(.047)		1.000(.045)		1.000(.048)		0. (.243)	

*** RELATIVE ENERGY FLUX DENSITY IN THE ***
 *** PENUMBRA OF A RECTANGULAR CYLINDER ***

VERSION F

SOLAR FIELD ANGLE, D= 0.50 DEGREES
 GEOMETRY D2/R = 50.00 AND H/R = 2.0

BETA = ANGLE OF INCIDENCE, DEGREES

BETA ***	0.	10.00	20.00	30.00	40.00
AX/AB	Q (Q1)	Q (Q1)	Q (Q1)	Q (Q1)	Q (Q1)
0.	1.000(.)	1.000(.)	1.000(.)	1.000(.)	1.000(.)
0.025	0.948(.024)	0.949(.024)	0.949(.024)	0.949(.024)	0.950(.024)
0.050	0.838(.047)	0.839(.047)	0.841(.047)	0.843(.047)	0.845(.047)
0.075	0.652(.065)	0.654(.065)	0.657(.065)	0.661(.066)	0.665(.066)
0.100	0.428(.079)	0.432(.079)	0.436(.079)	0.441(.079)	0.447(.080)
0.125	0.212(.087)	0.216(.087)	0.220(.087)	0.225(.088)	0.230(.088)
0.150	0.068(.090)	0.070(.091)	0.072(.091)	0.075(.091)	0.078(.092)
0.175	0.002(.091)	0.003(.092)	0.004(.092)	0.005(.092)	0.007(.093)
0.200	0. (.091)	0. (.092)	0. (.092)	0. (.092)	0. (.093)
0.225	0. (.091)	0. (.092)	0. (.092)	0. (.092)	0. (.093)
0.250	0. (.091)	0. (.092)	0. (.092)	0. (.092)	0. (.093)
0.275	0. (.091)	0. (.092)	0. (.092)	0. (.092)	0. (.093)
0.300	0. (.091)	0. (.092)	0. (.092)	0. (.092)	0. (.093)
0.325	0. (.091)	0. (.092)	0. (.092)	0. (.092)	0. (.093)
0.350	0. (.091)	0. (.092)	0. (.092)	0. (.092)	0. (.093)
0.375	0. (.091)	0. (.092)	0. (.092)	0. (.092)	0. (.093)
0.400	0. (.091)	0. (.092)	0. (.092)	0. (.092)	0. (.093)
0.425	0. (.091)	0. (.092)	0. (.092)	0. (.092)	0. (.093)
0.450	0. (.091)	0. (.092)	0. (.092)	0. (.092)	0. (.093)
0.475	0. (.091)	0. (.092)	0. (.092)	0. (.092)	0. (.093)
0.500	0. (.091)	0. (.092)	0. (.092)	0. (.092)	0. (.093)
0.525	0. (.091)	0. (.092)	0. (.092)	0. (.092)	0. (.093)
0.550	0. (.091)	0. (.092)	0. (.092)	0. (.092)	0. (.093)
0.575	0. (.091)	0. (.092)	0. (.092)	0. (.092)	0. (.093)
0.600	0. (.091)	0. (.092)	0. (.092)	0. (.092)	0. (.093)
0.625	0. (.091)	0. (.092)	0. (.092)	0. (.092)	0. (.093)
0.650	0. (.091)	0. (.092)	0. (.092)	0. (.092)	0. (.093)
0.675	0. (.091)	0. (.092)	0. (.092)	0. (.092)	0. (.093)
0.700	0. (.091)	0. (.092)	0. (.092)	0. (.092)	0. (.093)
0.725	0. (.091)	0. (.092)	0. (.092)	0. (.092)	0. (.093)
0.750	0. (.091)	0. (.092)	0. (.092)	0. (.092)	0. (.093)
0.775	0. (.091)	0. (.092)	0. (.092)	0. (.092)	0. (.093)
0.800	0. (.091)	0. (.092)	0. (.092)	0. (.092)	0. (.093)
0.825	0.002(.091)	0.002(.092)	0.001(.092)	0.000(.092)	0. (.093)
0.850	0.068(.092)	0.066(.092)	0.064(.093)	0.061(.093)	0.058(.094)
0.875	0.212(.096)	0.208(.096)	0.204(.096)	0.199(.096)	0.193(.097)
0.900	0.428(.104)	0.424(.104)	0.420(.104)	0.415(.104)	0.408(.104)
0.925	0.652(.117)	0.649(.117)	0.646(.117)	0.642(.117)	0.638(.118)
0.950	0.838(.136)	0.836(.136)	0.834(.136)	0.832(.136)	0.830(.136)
0.975	0.948(.158)	0.948(.158)	0.947(.158)	0.947(.158)	0.946(.158)
1.000	1.000(.182)	1.000(.182)	1.000(.182)	1.000(.182)	1.000(.182)

*** RELATIVE ENERGY FLUX DENSITY IN THE ***
 *** PENUMBRA OF A RECTANGULAR CYLINDER ***

VERSION F

SOLAR FIELD ANGLE, D= 0.50 DEGREES
 GEOMETRY D2/R = 50.00 AND H/R = 2.0

BETA = ANGLE OF INCIDENCE, DEGREES

BETA ***	50.00		60.00		70.00		80.00		89.25	
AX/AB	Q	(QI)	Q	(QI)	Q	(QI)	Q	(QI)	Q	(QI)
0.	1.000	(.)	1.000	(.)	1.000	(.)	1.000	(.)	1.000	(.)
0.025	0.951	(.024)	0.952	(.024)	0.954	(.024)	0.959	(.024)	0.997	(.025)
0.050	0.845	(.047)	0.852	(.047)	0.860	(.047)	0.880	(.047)	0.990	(.050)
0.075	0.670	(.066)	0.678	(.066)	0.692	(.066)	0.730	(.068)	0.980	(.074)
0.100	0.455	(.080)	0.467	(.080)	0.489	(.081)	0.545	(.084)	0.968	(.099)
0.125	0.235	(.089)	0.250	(.089)	0.273	(.091)	0.337	(.095)	0.952	(.123)
0.150	0.082	(.093)	0.088	(.094)	0.102	(.095)	0.155	(.101)	0.934	(.146)
0.175	0.009	(.094)	0.013	(.095)	0.021	(.097)	0.048	(.103)	0.905	(.169)
0.200	0.	(.094)	0.	(.095)	0.	(.097)	0.	(.104)	0.863	(.191)
0.225	0.	(.094)	0.	(.095)	0.	(.097)	0.	(.104)	0.810	(.212)
0.250	0.	(.094)	0.	(.095)	0.	(.097)	0.	(.104)	0.746	(.232)
0.275	0.	(.094)	0.	(.095)	0.	(.097)	0.	(.104)	0.670	(.249)
0.300	0.	(.094)	0.	(.095)	0.	(.097)	0.	(.104)	0.578	(.265)
0.325	0.	(.094)	0.	(.095)	0.	(.097)	0.	(.104)	0.470	(.278)
0.350	0.	(.094)	0.	(.095)	0.	(.097)	0.	(.104)	0.354	(.288)
0.375	0.	(.094)	0.	(.095)	0.	(.097)	0.	(.104)	0.235	(.296)
0.400	0.	(.094)	0.	(.095)	0.	(.097)	0.	(.104)	0.124	(.300)
0.425	0.	(.094)	0.	(.095)	0.	(.097)	0.	(.104)	0.052	(.303)
0.450	0.	(.094)	0.	(.095)	0.	(.097)	0.	(.104)	0.001	(.303)
0.475	0.	(.094)	0.	(.095)	0.	(.097)	0.	(.104)	0.	(.303)
0.500	0.	(.094)	0.	(.095)	0.	(.097)	0.	(.104)	0.	(.303)
0.525	0.	(.094)	0.	(.095)	0.	(.097)	0.	(.104)	0.	(.303)
0.550	0.	(.094)	0.	(.095)	0.	(.097)	0.	(.104)	0.	(.303)
0.575	0.	(.094)	0.	(.095)	0.	(.097)	0.	(.104)	0.	(.303)
0.600	0.	(.094)	0.	(.095)	0.	(.097)	0.	(.104)	0.	(.303)
0.625	0.	(.094)	0.	(.095)	0.	(.097)	0.	(.104)	0.	(.303)
0.650	0.	(.094)	0.	(.095)	0.	(.097)	0.	(.104)	0.	(.303)
0.675	0.	(.094)	0.	(.095)	0.	(.097)	0.	(.104)	0.	(.303)
0.700	0.	(.094)	0.	(.095)	0.	(.097)	0.	(.104)	0.	(.303)
0.725	0.	(.094)	0.	(.095)	0.	(.097)	0.	(.104)	0.	(.303)
0.750	0.	(.094)	0.	(.095)	0.	(.097)	0.	(.104)	0.	(.303)
0.775	0.	(.094)	0.	(.095)	0.	(.097)	0.	(.104)	0.	(.303)
0.800	0.	(.094)	0.	(.095)	0.	(.097)	0.	(.104)	0.	(.303)
0.825	0.	(.094)	0.	(.095)	0.	(.097)	0.	(.104)	0.	(.303)
0.850	0.054	(.094)	0.048	(.096)	0.038	(.098)	0.011	(.104)	0.	(.303)
0.875	0.185	(.097)	0.173	(.098)	0.152	(.100)	0.095	(.105)	0.	(.303)
0.900	0.400	(.105)	0.387	(.105)	0.363	(.107)	0.292	(.110)	0.	(.303)
0.925	0.632	(.118)	0.623	(.118)	0.605	(.119)	0.549	(.121)	0.	(.303)
0.950	0.827	(.136)	0.822	(.136)	0.812	(.136)	0.779	(.137)	0.	(.303)
0.975	0.945	(.158)	0.944	(.158)	0.942	(.158)	0.934	(.159)	0.	(.303)
1.000	1.000	(.182)	1.000	(.182)	1.000	(.183)	1.000	(.183)	0.	(.303)

*** RELATIVE ENERGY FLUX DENSITY IN THE ***
 *** PENUMBRA OF A RECTANGULAR CYLINDER ***

VERSION F

SOLAR FIELD ANGLE, D= 0.50 DEGREES
 GEOMETRY D2/R = 100.00 AND H/R = 2.0

BETA = ANGLE OF INCIDENCE, DEGREES.

BETA ***	0.	10.00	20.00	30.00	40.00
AX/AB	Q (QI)	Q (QI)	Q (QI)	Q (QI)	Q (QI)
0.	1.000(.)	1.000(.)	1.000(.)	1.000(.)	1.000(.)
0.025	0.975(.025)	0.976(.025)	0.976(.025)	0.976(.025)	0.976(.025)
0.050	0.932(.049)	0.933(.049)	0.933(.049)	0.934(.049)	0.934(.049)
0.075	0.868(.071)	0.869(.071)	0.870(.071)	0.871(.071)	0.872(.071)
0.100	0.768(.092)	0.769(.092)	0.771(.092)	0.772(.092)	0.774(.092)
0.125	0.651(.109)	0.653(.109)	0.655(.109)	0.657(.110)	0.660(.110)
0.150	0.521(.124)	0.523(.124)	0.526(.124)	0.528(.124)	0.531(.125)
0.175	0.385(.135)	0.387(.135)	0.390(.136)	0.393(.136)	0.396(.136)
0.200	0.259(.143)	0.262(.144)	0.264(.144)	0.267(.144)	0.270(.144)
0.225	0.150(.148)	0.152(.149)	0.154(.149)	0.157(.149)	0.160(.150)
0.250	0.075(.151)	0.077(.152)	0.078(.152)	0.079(.152)	0.081(.153)
0.275	0.029(.153)	0.030(.153)	0.031(.153)	0.032(.154)	0.033(.154)
0.300	0.001(.153)	0.001(.153)	0.001(.154)	0.002(.154)	0.002(.155)
0.325	0. (.153)	0. (.153)	0. (.154)	0. (.154)	0. (.155)
0.350	0. (.153)	0. (.153)	0. (.154)	0. (.154)	0. (.155)
0.375	0. (.153)	0. (.153)	0. (.154)	0. (.154)	0. (.155)
0.400	0. (.153)	0. (.153)	0. (.154)	0. (.154)	0. (.155)
0.425	0. (.153)	0. (.153)	0. (.154)	0. (.154)	0. (.155)
0.450	0. (.153)	0. (.153)	0. (.154)	0. (.154)	0. (.155)
0.475	0. (.153)	0. (.153)	0. (.154)	0. (.154)	0. (.155)
0.500	0. (.153)	0. (.153)	0. (.154)	0. (.154)	0. (.155)
0.525	0. (.153)	0. (.153)	0. (.154)	0. (.154)	0. (.155)
0.550	0. (.153)	0. (.153)	0. (.154)	0. (.154)	0. (.155)
0.575	0. (.153)	0. (.153)	0. (.154)	0. (.154)	0. (.155)
0.600	0. (.153)	0. (.153)	0. (.154)	0. (.154)	0. (.155)
0.625	0. (.153)	0. (.153)	0. (.154)	0. (.154)	0. (.155)
0.650	0. (.153)	0. (.153)	0. (.154)	0. (.154)	0. (.155)
0.675	0. (.153)	0. (.153)	0. (.154)	0. (.154)	0. (.155)
0.700	0.001(.153)	0.000(.153)	0.000(.154)	0.000(.154)	0. (.155)
0.725	0.029(.153)	0.028(.154)	0.027(.154)	0.026(.154)	0.025(.155)
0.750	0.075(.155)	0.074(.155)	0.073(.155)	0.072(.156)	0.070(.156)
0.775	0.150(.157)	0.148(.158)	0.146(.158)	0.144(.158)	0.141(.159)
0.800	0.259(.163)	0.257(.163)	0.255(.163)	0.252(.163)	0.249(.164)
0.825	0.385(.171)	0.382(.171)	0.380(.171)	0.377(.171)	0.374(.172)
0.850	0.521(.182)	0.519(.182)	0.517(.182)	0.514(.182)	0.511(.183)
0.875	0.651(.197)	0.649(.197)	0.648(.197)	0.645(.197)	0.643(.197)
0.900	0.768(.214)	0.767(.214)	0.765(.214)	0.764(.214)	0.762(.215)
0.925	0.868(.235)	0.867(.235)	0.866(.235)	0.865(.235)	0.864(.235)
0.950	0.932(.257)	0.932(.257)	0.932(.257)	0.931(.257)	0.931(.257)
0.975	0.975(.281)	0.975(.281)	0.975(.281)	0.975(.281)	0.975(.281)
1.000	1.000(.306)	1.000(.306)	1.000(.306)	1.000(.306)	1.000(.306)

*** RELATIVE ENERGY FLUX DENSITY IN THE ***
 *** PENUMBRA OF A RECTANGULAR CYLINDER ***

VERSION F

SOLAR FIELD ANGLE, D= 0.50 DEGREES
 GEOMETRY D2/R = 100.00 AND H/R = 2.0

BETA = ANGLE OF INCIDENCE, DEGREES

BETA ***	50.00	60.00	70.00	80.00	89.25
AX/Ab	Q (Q1)	Q (Q1)	Q (Q1)	Q (Q1)	Q (Q1)
0.	1.000(.)	1.000(.)	1.000(.)	1.000(.)	1.000(.)
0.025	0.976(.025)	0.977(.025)	0.977(.025)	0.979(.025)	0.997(.025)
0.050	0.935(.049)	0.936(.049)	0.938(.049)	0.942(.049)	0.992(.050)
0.075	0.874(.071)	0.876(.071)	0.881(.071)	0.892(.072)	0.985(.075)
0.100	0.777(.092)	0.781(.092)	0.788(.092)	0.807(.093)	0.976(.099)
0.125	0.663(.110)	0.668(.110)	0.678(.111)	0.704(.112)	0.964(.123)
0.150	0.535(.125)	0.542(.125)	0.554(.126)	0.587(.128)	0.951(.147)
0.175	0.401(.137)	0.408(.137)	0.422(.138)	0.460(.141)	0.935(.171)
0.200	0.275(.145)	0.282(.146)	0.295(.147)	0.333(.151)	0.912(.194)
0.225	0.164(.150)	0.170(.151)	0.182(.153)	0.218(.158)	0.880(.216)
0.250	0.083(.154)	0.087(.155)	0.093(.157)	0.120(.162)	0.839(.238)
0.275	0.035(.155)	0.038(.156)	0.043(.158)	0.060(.164)	0.791(.258)
0.300	0.003(.155)	0.004(.157)	0.007(.159)	0.018(.165)	0.734(.277)
0.325	0. (.156)	0. (.157)	0. (.159)	0. (.166)	0.663(.295)
0.350	0. (.156)	0. (.157)	0. (.159)	0. (.166)	0.591(.310)
0.375	0. (.156)	0. (.157)	0. (.159)	0. (.166)	0.503(.324)
0.400	0. (.156)	0. (.157)	0. (.159)	0. (.166)	0.406(.336)
0.425	0. (.156)	0. (.157)	0. (.159)	0. (.166)	0.308(.344)
0.450	0. (.156)	0. (.157)	0. (.159)	0. (.166)	0.207(.351)
0.475	0. (.156)	0. (.157)	0. (.159)	0. (.166)	0.117(.355)
0.500	0. (.156)	0. (.157)	0. (.159)	0. (.166)	0.058(.357)
0.525	0. (.156)	0. (.157)	0. (.159)	0. (.166)	0.010(.358)
0.550	0. (.156)	0. (.157)	0. (.159)	0. (.166)	0. (.358)
0.575	0. (.156)	0. (.157)	0. (.159)	0. (.166)	0. (.358)
0.600	0. (.156)	0. (.157)	0. (.159)	0. (.166)	0. (.358)
0.625	0. (.156)	0. (.157)	0. (.159)	0. (.166)	0. (.358)
0.650	0. (.156)	0. (.157)	0. (.159)	0. (.166)	0. (.358)
0.675	0. (.156)	0. (.157)	0. (.159)	0. (.166)	0. (.358)
0.700	0. (.156)	0. (.157)	0. (.159)	0. (.166)	0. (.358)
0.725	0.023(.156)	0.021(.157)	0.017(.159)	0.006(.166)	0. (.358)
0.750	0.068(.157)	0.065(.158)	0.059(.160)	0.042(.166)	0. (.358)
0.775	0.137(.160)	0.131(.160)	0.121(.162)	0.094(.168)	0. (.358)
0.800	0.244(.164)	0.237(.165)	0.224(.167)	0.188(.171)	0. (.358)
0.825	0.369(.172)	0.361(.173)	0.348(.174)	0.309(.178)	0. (.358)
0.850	0.507(.183)	0.500(.183)	0.487(.184)	0.448(.187)	0. (.358)
0.875	0.639(.197)	0.633(.198)	0.623(.198)	0.590(.200)	0. (.358)
0.900	0.759(.215)	0.755(.215)	0.746(.215)	0.722(.216)	0. (.358)
0.925	0.862(.235)	0.860(.235)	0.855(.235)	0.838(.236)	0. (.358)
0.950	0.930(.257)	0.929(.257)	0.927(.257)	0.921(.258)	0.055(.359)
0.975	0.975(.281)	0.974(.281)	0.973(.281)	0.971(.282)	0.459(.365)
1.000	1.000(.306)	1.000(.306)	1.000(.306)	1.000(.306)	1.000(.383)

*** RELATIVE ENERGY FLUX DENSITY IN THE ***
 *** PENUMBRA OF A RECTANGULAR CYLINDER ***

VERSION F

SOLAR FIELD ANGLE, D= 2.00 DEGREES
 GEOMETRY D2/R = 1.00 AND H/R = 0.

BETA = ANGLE OF INCIDENCE, DEGREES

BETA ***	0.	10.00	20.00	30.00	40.00
AX/AB	Q (Q1)	Q (Q1)	Q (Q1)	Q (Q1)	Q (Q1)
0.	1.000(.)	1.000(.)	1.000(.)	1.000(.)	1.000(.)
0.025	0. (.012)	0. (.012)	0. (.012)	0.023(.013)	0.102(.014)
0.050	0. (.012)	0. (.012)	0. (.012)	0. (.013)	0. (.015)
0.075	0. (.012)	0. (.012)	0. (.012)	0. (.013)	0. (.015)
0.100	0. (.012)	0. (.012)	0. (.012)	0. (.013)	0. (.015)
0.125	0. (.012)	0. (.012)	0. (.012)	0. (.013)	0. (.015)
0.150	0. (.012)	0. (.012)	0. (.012)	0. (.013)	0. (.015)
0.175	0. (.012)	0. (.012)	0. (.012)	0. (.013)	0. (.015)
0.200	0. (.012)	0. (.012)	0. (.012)	0. (.013)	0. (.015)
0.225	0. (.012)	0. (.012)	0. (.012)	0. (.013)	0. (.015)
0.250	0. (.012)	0. (.012)	0. (.012)	0. (.013)	0. (.015)
0.275	0. (.012)	0. (.012)	0. (.012)	0. (.013)	0. (.015)
0.300	0. (.012)	0. (.012)	0. (.012)	0. (.013)	0. (.015)
0.325	0. (.012)	0. (.012)	0. (.012)	0. (.013)	0. (.015)
0.350	0. (.012)	0. (.012)	0. (.012)	0. (.013)	0. (.015)
0.375	0. (.012)	0. (.012)	0. (.012)	0. (.013)	0. (.015)
0.400	0. (.012)	0. (.012)	0. (.012)	0. (.013)	0. (.015)
0.425	0. (.012)	0. (.012)	0. (.012)	0. (.013)	0. (.015)
0.450	0. (.012)	0. (.012)	0. (.012)	0. (.013)	0. (.015)
0.475	0. (.012)	0. (.012)	0. (.012)	0. (.013)	0. (.015)
0.500	0. (.012)	0. (.012)	0. (.012)	0. (.013)	0. (.015)
0.525	0. (.012)	0. (.012)	0. (.012)	0. (.013)	0. (.015)
0.550	0. (.012)	0. (.012)	0. (.012)	0. (.013)	0. (.015)
0.575	0. (.012)	0. (.012)	0. (.012)	0. (.013)	0. (.015)
0.600	0. (.012)	0. (.012)	0. (.012)	0. (.013)	0. (.015)
0.625	0. (.012)	0. (.012)	0. (.012)	0. (.013)	0. (.015)
0.650	0. (.012)	0. (.012)	0. (.012)	0. (.013)	0. (.015)
0.675	0. (.012)	0. (.012)	0. (.012)	0. (.013)	0. (.015)
0.700	0. (.012)	0. (.012)	0. (.012)	0. (.013)	0. (.015)
0.725	0. (.012)	0. (.012)	0. (.012)	0. (.013)	0. (.015)
0.750	0. (.012)	0. (.012)	0. (.012)	0. (.013)	0. (.015)
0.775	0. (.012)	0. (.012)	0. (.012)	0. (.013)	0. (.015)
0.800	0. (.012)	0. (.012)	0. (.012)	0. (.013)	0. (.015)
0.825	0. (.012)	0. (.012)	0. (.012)	0. (.013)	0. (.015)
0.850	0. (.012)	0. (.012)	0. (.012)	0. (.013)	0. (.015)
0.875	0. (.012)	0. (.012)	0. (.012)	0. (.013)	0. (.015)
0.900	0. (.012)	0. (.012)	0. (.012)	0. (.013)	0. (.015)
0.925	0. (.012)	0. (.012)	0. (.012)	0. (.013)	0. (.015)
0.950	0. (.012)	0. (.012)	0. (.012)	0. (.013)	0. (.015)
0.975	0. (.012)	0. (.012)	0. (.012)	0. (.013)	0. (.015)
1.000	1.000(.025)	1.000(.025)	1.000(.025)	1.000(.026)	1.000(.028)

*** RELATIVE ENERGY FLUX DENSITY IN THE ***
 *** PENUMBRA OF A RECTANGULAR CYLINDER ***

VERSION F

SOLAR FIELD ANGLE, D = 2.00 DEGREES
 GEOMETRY D2/R = 1.00 AND H/R = 0.

BETA = ANGLE OF INCIDENCE, DEGREES

BETA ***	50.00		60.00		70.00		80.00		88.50	
AX/AB	Q	(QI)	Q	(QI)	Q	(QI)	Q	(QI)	Q	(QI)
0.	1.000	(.)	1.000	(.)	1.000	(.)	1.000	(.)	1.000	(.)
0.025	0.262	(.016)	0.475	(.018)	0.717	(.021)	0.924	(.024)	1.000	(.025)
0.050	0.	(.019)	0.	(.024)	0.131	(.032)	0.693	(.044)	0.999	(.050)
0.075	0.	(.019)	0.	(.024)	0.	(.034)	0.342	(.057)	0.999	(.075)
0.100	0.	(.019)	0.	(.024)	0.	(.034)	0.065	(.062)	0.998	(.100)
0.125	0.	(.019)	0.	(.024)	0.	(.034)	0.	(.063)	0.996	(.125)
0.150	0.	(.019)	0.	(.024)	0.	(.034)	0.	(.063)	0.995	(.150)
0.175	0.	(.019)	0.	(.024)	0.	(.034)	0.	(.063)	0.993	(.175)
0.200	0.	(.019)	0.	(.024)	0.	(.034)	0.	(.063)	0.991	(.199)
0.225	0.	(.019)	0.	(.024)	0.	(.034)	0.	(.063)	0.988	(.224)
0.250	0.	(.019)	0.	(.024)	0.	(.034)	0.	(.063)	0.985	(.249)
0.275	0.	(.019)	0.	(.024)	0.	(.034)	0.	(.063)	0.981	(.273)
0.300	0.	(.019)	0.	(.024)	0.	(.034)	0.	(.063)	0.976	(.298)
0.325	0.	(.019)	0.	(.024)	0.	(.034)	0.	(.063)	0.970	(.322)
0.350	0.	(.019)	0.	(.024)	0.	(.034)	0.	(.063)	0.963	(.346)
0.375	0.	(.019)	0.	(.024)	0.	(.034)	0.	(.063)	0.955	(.370)
0.400	0.	(.019)	0.	(.024)	0.	(.034)	0.	(.063)	0.941	(.394)
0.425	0.	(.019)	0.	(.024)	0.	(.034)	0.	(.063)	0.920	(.417)
0.450	0.	(.019)	0.	(.024)	0.	(.034)	0.	(.063)	0.893	(.440)
0.475	0.	(.019)	0.	(.024)	0.	(.034)	0.	(.063)	0.857	(.462)
0.500	0.	(.019)	0.	(.024)	0.	(.034)	0.	(.063)	0.810	(.483)
0.525	0.	(.019)	0.	(.024)	0.	(.034)	0.	(.063)	0.748	(.502)
0.550	0.	(.019)	0.	(.024)	0.	(.034)	0.	(.063)	0.662	(.520)
0.575	0.	(.019)	0.	(.024)	0.	(.034)	0.	(.063)	0.550	(.535)
0.600	0.	(.019)	0.	(.024)	0.	(.034)	0.	(.063)	0.408	(.547)
0.625	0.	(.019)	0.	(.024)	0.	(.034)	0.	(.063)	0.240	(.555)
0.650	0.	(.019)	0.	(.024)	0.	(.034)	0.	(.063)	0.090	(.559)
0.675	0.	(.019)	0.	(.024)	0.	(.034)	0.	(.063)	0.	(.560)
0.700	0.	(.019)	0.	(.024)	0.	(.034)	0.	(.063)	0.	(.560)
0.725	0.	(.019)	0.	(.024)	0.	(.034)	0.	(.063)	0.	(.560)
0.750	0.	(.019)	0.	(.024)	0.	(.034)	0.	(.063)	0.	(.560)
0.775	0.	(.019)	0.	(.024)	0.	(.034)	0.	(.063)	0.	(.560)
0.800	0.	(.019)	0.	(.024)	0.	(.034)	0.	(.063)	0.	(.560)
0.825	0.	(.019)	0.	(.024)	0.	(.034)	0.	(.063)	0.	(.560)
0.850	0.	(.019)	0.	(.024)	0.	(.034)	0.	(.063)	0.	(.560)
0.875	0.	(.019)	0.	(.024)	0.	(.034)	0.	(.063)	0.	(.560)
0.900	0.	(.019)	0.	(.024)	0.	(.034)	0.	(.063)	0.	(.560)
0.925	0.	(.019)	0.	(.024)	0.	(.034)	0.	(.063)	0.	(.560)
0.950	0.	(.019)	0.	(.024)	0.	(.034)	0.	(.063)	0.	(.560)
0.975	0.	(.019)	0.	(.024)	0.	(.034)	0.	(.063)	0.	(.560)
1.000	0.	(.019)	0.	(.024)	0.	(.034)	0.	(.063)	0.	(.560)

*** RELATIVE ENERGY FLUX DENSITY IN THE ***
*** PENUMBRA OF A RECTANGULAR CYLINDER ***

VERSION F

SOLAR FIELD ANGLE, D = 2.00 DEGREES
GEOMETRY D2/R = 5.00 AND H/R = 0.

BETA = ANGLE OF INCIDENCE, DEGREES

BETA ***	0.	10.00	20.00	30.00	40.00
AX/AB	Q (Q1)	Q (Q1)	Q (Q1)	Q (Q1)	Q (Q1)
0.	1.000(.)	1.000(.)	1.000(.)	1.000(.)	1.000(.)
0.025	0.785(.022)	0.802(.023)	0.817(.023)	0.833(.023)	0.850(.023)
0.050	0.306(.036)	0.340(.037)	0.376(.038)	0.415(.039)	0.460(.039)
0.075	0.018(.040)	0.032(.041)	0.049(.043)	0.070(.045)	0.096(.046)
0.100	0. (.040)	0. (.042)	0. (.044)	0. (.045)	0. (.048)
0.125	0. (.040)	0. (.042)	0. (.044)	0. (.045)	0. (.048)
0.150	0. (.040)	0. (.042)	0. (.044)	0. (.045)	0. (.048)
0.175	0. (.040)	0. (.042)	0. (.044)	0. (.045)	0. (.048)
0.200	0. (.040)	0. (.042)	0. (.044)	0. (.045)	0. (.048)
0.225	0. (.040)	0. (.042)	0. (.044)	0. (.045)	0. (.048)
0.250	0. (.040)	0. (.042)	0. (.044)	0. (.045)	0. (.048)
0.275	0. (.040)	0. (.042)	0. (.044)	0. (.045)	0. (.048)
0.300	0. (.040)	0. (.042)	0. (.044)	0. (.045)	0. (.048)
0.325	0. (.040)	0. (.042)	0. (.044)	0. (.045)	0. (.048)
0.350	0. (.040)	0. (.042)	0. (.044)	0. (.045)	0. (.048)
0.375	0. (.040)	0. (.042)	0. (.044)	0. (.045)	0. (.048)
0.400	0. (.040)	0. (.042)	0. (.044)	0. (.045)	0. (.048)
0.425	0. (.040)	0. (.042)	0. (.044)	0. (.045)	0. (.048)
0.450	0. (.040)	0. (.042)	0. (.044)	0. (.045)	0. (.048)
0.475	0. (.040)	0. (.042)	0. (.044)	0. (.045)	0. (.048)
0.500	0. (.040)	0. (.042)	0. (.044)	0. (.045)	0. (.048)
0.525	0. (.040)	0. (.042)	0. (.044)	0. (.045)	0. (.048)
0.550	0. (.040)	0. (.042)	0. (.044)	0. (.045)	0. (.048)
0.575	0. (.040)	0. (.042)	0. (.044)	0. (.045)	0. (.048)
0.600	0. (.040)	0. (.042)	0. (.044)	0. (.045)	0. (.048)
0.625	0. (.040)	0. (.042)	0. (.044)	0. (.045)	0. (.048)
0.650	0. (.040)	0. (.042)	0. (.044)	0. (.045)	0. (.048)
0.675	0. (.040)	0. (.042)	0. (.044)	0. (.045)	0. (.048)
0.700	0. (.040)	0. (.042)	0. (.044)	0. (.045)	0. (.048)
0.725	0. (.040)	0. (.042)	0. (.044)	0. (.045)	0. (.048)
0.750	0. (.040)	0. (.042)	0. (.044)	0. (.045)	0. (.048)
0.775	0. (.040)	0. (.042)	0. (.044)	0. (.045)	0. (.048)
0.800	0. (.040)	0. (.042)	0. (.044)	0. (.045)	0. (.048)
0.825	0. (.040)	0. (.042)	0. (.044)	0. (.045)	0. (.048)
0.850	0. (.040)	0. (.042)	0. (.044)	0. (.045)	0. (.048)
0.875	0. (.040)	0. (.042)	0. (.044)	0. (.045)	0. (.048)
0.900	0. (.040)	0. (.042)	0. (.044)	0. (.045)	0. (.048)
0.925	0.018(.040)	0.006(.042)	0. (.044)	0. (.045)	0. (.048)
0.950	0.305(.045)	0.271(.045)	0.232(.046)	0.187(.048)	0.133(.049)
0.975	0.785(.058)	0.768(.058)	0.748(.059)	0.722(.059)	0.686(.060)
1.000	1.000(.080)	1.000(.080)	1.000(.081)	1.000(.081)	1.000(.081)

*** RELATIVE ENERGY FLUX DENSITY IN THE ***
 *** PENUMBRA OF A RECTANGULAR CYLINDER ***

VERSION F

SOLAR FIELD ANGLE, D= 2.00 DEGREES
 GEOMETRY D2/R = 5.00 AND H/R = 0.

BETA = ANGLE OF INCIDENCE, DEGREES

BETA ***	50.00		60.00		70.00		80.00		88.50	
AX/AB	Q	(QI)	Q	(QI)	Q	(QI)	Q	(QI)	Q	(QI)
0.	1.000(.)		1.000(.)		1.000(.)		1.000(.)		1.000(.)	
0.025	0.870(.023)		0.894(.024)		0.921(.024)		0.959(.024)		1.000(.025)	
0.050	0.515(.041)		0.591(.042)		0.698(.044)		0.868(.047)		0.999(.050)	
0.075	0.144(.049)		0.228(.052)		0.379(.058)		0.691(.067)		0.999(.075)	
0.100	0. (.051)		0.024(.056)		0.104(.064)		0.461(.081)		0.998(.100)	
0.125	0. (.051)		0. (.056)		0. (.065)		0.227(.090)		0.997(.125)	
0.150	0. (.051)		0. (.056)		0. (.065)		0.064(.093)		0.995(.150)	
0.175	0. (.051)		0. (.056)		0. (.065)		0. (.094)		0.993(.175)	
0.200	0. (.051)		0. (.056)		0. (.065)		0. (.094)		0.991(.199)	
0.225	0. (.051)		0. (.056)		0. (.065)		0. (.094)		0.989(.224)	
0.250	0. (.051)		0. (.056)		0. (.065)		0. (.094)		0.986(.249)	
0.275	0. (.051)		0. (.056)		0. (.065)		0. (.094)		0.982(.273)	
0.300	0. (.051)		0. (.056)		0. (.065)		0. (.094)		0.978(.298)	
0.325	0. (.051)		0. (.056)		0. (.065)		0. (.094)		0.973(.322)	
0.350	0. (.051)		0. (.056)		0. (.065)		0. (.094)		0.966(.347)	
0.375	0. (.051)		0. (.056)		0. (.065)		0. (.094)		0.959(.371)	
0.400	0. (.051)		0. (.056)		0. (.065)		0. (.094)		0.948(.394)	
0.425	0. (.051)		0. (.056)		0. (.065)		0. (.094)		0.932(.418)	
0.450	0. (.051)		0. (.056)		0. (.065)		0. (.094)		0.909(.441)	
0.475	0. (.051)		0. (.056)		0. (.065)		0. (.094)		0.879(.463)	
0.500	0. (.051)		0. (.056)		0. (.065)		0. (.094)		0.840(.485)	
0.525	0. (.051)		0. (.056)		0. (.065)		0. (.094)		0.790(.505)	
0.550	0. (.051)		0. (.056)		0. (.065)		0. (.094)		0.722(.524)	
0.575	0. (.051)		0. (.056)		0. (.065)		0. (.094)		0.632(.541)	
0.600	0. (.051)		0. (.056)		0. (.065)		0. (.094)		0.514(.555)	
0.625	0. (.051)		0. (.056)		0. (.065)		0. (.094)		0.370(.566)	
0.650	0. (.051)		0. (.056)		0. (.065)		0. (.094)		0.202(.574)	
0.675	0. (.051)		0. (.056)		0. (.065)		0. (.094)		0.068(.577)	
0.700	0. (.051)		0. (.056)		0. (.065)		0. (.094)		0. (.578)	
0.725	0. (.051)		0. (.056)		0. (.065)		0. (.094)		0. (.578)	
0.750	0. (.051)		0. (.056)		0. (.065)		0. (.094)		0. (.578)	
0.775	0. (.051)		0. (.056)		0. (.065)		0. (.094)		0. (.578)	
0.800	0. (.051)		0. (.056)		0. (.065)		0. (.094)		0. (.578)	
0.825	0. (.051)		0. (.056)		0. (.065)		0. (.094)		0. (.578)	
0.850	0. (.051)		0. (.056)		0. (.065)		0. (.094)		0. (.578)	
0.875	0. (.051)		0. (.056)		0. (.065)		0. (.094)		0. (.578)	
0.900	0. (.051)		0. (.056)		0. (.065)		0. (.094)		0. (.578)	
0.925	0. (.051)		0. (.056)		0. (.065)		0. (.094)		0. (.578)	
0.950	0.075(.052)		0.010(.056)		0. (.065)		0. (.094)		0. (.578)	
0.975	0.627(.060)		0.508(.063)		0.179(.067)		0. (.094)		0. (.578)	
1.000	1.000(.081)		1.000(.081)		1.000(.082)		0. (.094)		0. (.578)	

*** RELATIVE ENERGY FLUX DENSITY IN THE ***
 *** PENUMBRA OF A RECTANGULAR CYLINDER ***

VERSION F

SOLAR FIELD ANGLE, D = 2.00 DEGREES
 GEOMETRY D2/R = 10.00 AND H/R = 0.

BETA = ANGLE OF INCIDENCE, DEGREES

BETA ***	0.	10.00	20.00	30.00	40.00
AX/AB	Q (Q1)	Q (Q1)	Q (Q1)	Q (Q1)	Q (Q1)
0.	1.000(-)	1.000(-)	1.000(-)	1.000(-)	1.000(-)
0.025	0.929(.024)	0.931(.024)	0.934(.024)	0.937(.024)	0.940(.024)
0.050	0.752(.045)	0.762(.045)	0.773(.046)	0.784(.046)	0.797(.046)
0.075	0.492(.061)	0.510(.061)	0.528(.062)	0.547(.062)	0.571(.063)
0.100	0.235(.070)	0.254(.071)	0.273(.072)	0.295(.073)	0.322(.074)
0.125	0.065(.074)	0.075(.075)	0.085(.076)	0.098(.078)	0.118(.080)
0.150	0. (.074)	0.001(.076)	0.005(.077)	0.011(.079)	0.020(.081)
0.175	0. (.074)	0. (.076)	0. (.077)	0. (.079)	0. (.082)
0.200	0. (.074)	0. (.076)	0. (.077)	0. (.079)	0. (.082)
0.225	0. (.074)	0. (.076)	0. (.077)	0. (.079)	0. (.082)
0.250	0. (.074)	0. (.076)	0. (.077)	0. (.079)	0. (.082)
0.275	0. (.074)	0. (.076)	0. (.077)	0. (.079)	0. (.082)
0.300	0. (.074)	0. (.076)	0. (.077)	0. (.079)	0. (.082)
0.325	0. (.074)	0. (.076)	0. (.077)	0. (.079)	0. (.082)
0.350	0. (.074)	0. (.076)	0. (.077)	0. (.079)	0. (.082)
0.375	0. (.074)	0. (.076)	0. (.077)	0. (.079)	0. (.082)
0.400	0. (.074)	0. (.076)	0. (.077)	0. (.079)	0. (.082)
0.425	0. (.074)	0. (.076)	0. (.077)	0. (.079)	0. (.082)
0.450	0. (.074)	0. (.076)	0. (.077)	0. (.079)	0. (.082)
0.475	0. (.074)	0. (.076)	0. (.077)	0. (.079)	0. (.082)
0.500	0. (.074)	0. (.076)	0. (.077)	0. (.079)	0. (.082)
0.525	0. (.074)	0. (.076)	0. (.077)	0. (.079)	0. (.082)
0.550	0. (.074)	0. (.076)	0. (.077)	0. (.079)	0. (.082)
0.575	0. (.074)	0. (.076)	0. (.077)	0. (.079)	0. (.082)
0.600	0. (.074)	0. (.076)	0. (.077)	0. (.079)	0. (.082)
0.625	0. (.074)	0. (.076)	0. (.077)	0. (.079)	0. (.082)
0.650	0. (.074)	0. (.076)	0. (.077)	0. (.079)	0. (.082)
0.675	0. (.074)	0. (.076)	0. (.077)	0. (.079)	0. (.082)
0.700	0. (.074)	0. (.076)	0. (.077)	0. (.079)	0. (.082)
0.725	0. (.074)	0. (.076)	0. (.077)	0. (.079)	0. (.082)
0.750	0. (.074)	0. (.076)	0. (.077)	0. (.079)	0. (.082)
0.775	0. (.074)	0. (.076)	0. (.077)	0. (.079)	0. (.082)
0.800	0. (.074)	0. (.076)	0. (.077)	0. (.079)	0. (.082)
0.825	0. (.074)	0. (.076)	0. (.077)	0. (.079)	0. (.082)
0.850	0. (.074)	0. (.076)	0. (.077)	0. (.079)	0. (.082)
0.875	0.065(.075)	0.056(.077)	0.046(.078)	0.036(.080)	0.023(.082)
0.900	0.235(.079)	0.217(.080)	0.197(.081)	0.175(.082)	0.148(.084)
0.925	0.492(.088)	0.474(.089)	0.455(.089)	0.432(.090)	0.403(.091)
0.950	0.752(.104)	0.741(.104)	0.729(.104)	0.715(.104)	0.696(.105)
0.975	0.929(.125)	0.926(.125)	0.924(.125)	0.920(.125)	0.916(.125)
1.000	1.000(.149)	1.000(.149)	1.000(.149)	1.000(.149)	1.000(.149)

6
5
4
3
2
1

App. 9
Phase II

*** RELATIVE ENERGY FLUX DENSITY IN THE ***
 *** PENUMBRA OF A RECTANGULAR CYLINDER ***

VERSION F

SOLAR FIELD ANGLE, D = 2.00 DEGREES
 GEOMETRY DZ/R = 10.00 AND H/R = 0.

BETA = ANGLE OF INCIDENCE, DEGREES

BETA ***	50.00	60.00	70.00	80.00	88.50
AX/AE	Q (Q1)	Q (Q1)	Q (Q1)	Q (Q1)	Q (Q1)
0.	1.000(.)	1.000(.)	1.000(.)	1.000(.)	1.000(.)
0.025	0.944(.024)	0.949(.024)	0.958(.024)	0.974(.025)	1.000(.025)
0.050	0.813(.046)	0.836(.047)	0.870(.047)	0.926(.048)	0.999(.050)
0.075	0.600(.064)	0.642(.065)	0.707(.067)	0.837(.070)	0.999(.075)
0.100	0.357(.076)	0.410(.078)	0.502(.082)	0.703(.090)	0.998(.100)
0.125	0.148(.082)	0.197(.086)	0.291(.092)	0.539(.105)	0.997(.125)
0.150	0.035(.084)	0.060(.089)	0.116(.097)	0.360(.116)	0.995(.150)
0.175	0. (.085)	0. (.090)	0.026(.099)	0.195(.123)	0.994(.175)
0.200	0. (.085)	0. (.090)	0. (.099)	0.076(.127)	0.992(.199)
0.225	0. (.085)	0. (.090)	0. (.099)	0.010(.128)	0.990(.224)
0.250	0. (.085)	0. (.090)	0. (.099)	0. (.128)	0.987(.249)
0.275	0. (.085)	0. (.090)	0. (.099)	0. (.128)	0.984(.274)
0.300	0. (.085)	0. (.090)	0. (.099)	0. (.128)	0.980(.298)
0.325	0. (.085)	0. (.090)	0. (.099)	0. (.128)	0.975(.323)
0.350	0. (.085)	0. (.090)	0. (.099)	0. (.128)	0.969(.347)
0.375	0. (.085)	0. (.090)	0. (.099)	0. (.128)	0.963(.371)
0.400	0. (.085)	0. (.090)	0. (.099)	0. (.128)	0.954(.395)
0.425	0. (.085)	0. (.090)	0. (.099)	0. (.128)	0.941(.419)
0.450	0. (.085)	0. (.090)	0. (.099)	0. (.128)	0.923(.442)
0.475	0. (.085)	0. (.090)	0. (.099)	0. (.128)	0.898(.465)
0.500	0. (.085)	0. (.090)	0. (.099)	0. (.128)	0.866(.487)
0.525	0. (.085)	0. (.090)	0. (.099)	0. (.128)	0.825(.508)
0.550	0. (.085)	0. (.090)	0. (.099)	0. (.128)	0.772(.528)
0.575	0. (.085)	0. (.090)	0. (.099)	0. (.128)	0.700(.546)
0.600	0. (.085)	0. (.090)	0. (.099)	0. (.128)	0.606(.563)
0.625	0. (.085)	0. (.090)	0. (.099)	0. (.128)	0.486(.576)
0.650	0. (.085)	0. (.090)	0. (.099)	0. (.128)	0.343(.587)
0.675	0. (.085)	0. (.090)	0. (.099)	0. (.128)	0.178(.593)
0.700	0. (.085)	0. (.090)	0. (.099)	0. (.128)	0.055(.596)
0.725	0. (.085)	0. (.090)	0. (.099)	0. (.128)	0. (.597)
0.750	0. (.085)	0. (.090)	0. (.099)	0. (.128)	0. (.597)
0.775	0. (.085)	0. (.090)	0. (.099)	0. (.128)	0. (.597)
0.800	0. (.085)	0. (.090)	0. (.099)	0. (.128)	0. (.597)
0.825	0. (.085)	0. (.090)	0. (.099)	0. (.128)	0. (.597)
0.850	0. (.085)	0. (.090)	0. (.099)	0. (.128)	0. (.597)
0.875	0.009(.085)	0. (.090)	0. (.099)	0. (.128)	0. (.597)
0.900	0.114(.087)	0.075(.091)	0.017(.099)	0. (.128)	0. (.597)
0.925	0.362(.093)	0.299(.095)	0.174(.102)	0. (.128)	0. (.597)
0.950	0.669(.105)	0.622(.107)	0.511(.110)	0.078(.129)	0. (.597)
0.975	0.909(.125)	0.896(.126)	0.857(.128)	0.586(.137)	0. (.597)
1.000	1.000(.149)	1.000(.150)	1.000(.151)	1.000(.157)	0. (.597)

5
4
3
2

F-46
619

app. 2
Phase II

*** RELATIVE ENERGY FLUX DENSITY IN THE ***
 *** PENUMBRA OF A RECTANGULAR CYLINDER ***

VERSION F

SOLAR FIELD ANGLE, D= 2.00 DEGREES
 GEOMETRY D2/R = 50.00 AND H/R = 0.

BETA = ANGLE OF INCIDENCE, DEGREES

BETA ***	0.	10.00	20.00	30.00	40.00
AX/AB	Q (QI)	Q (QI)	Q (QI)	Q (QI)	Q (QI)
0.	1.000(.)	1.000(.)	1.000(.)	1.000(.)	1.000(.)
0.025	0.987(.025)	0.987(.025)	0.987(.025)	0.987(.025)	0.988(.025)
0.050	0.963(.049)	0.964(.049)	0.964(.049)	0.965(.049)	0.966(.049)
0.075	0.933(.073)	0.934(.073)	0.935(.073)	0.937(.073)	0.938(.073)
0.100	0.897(.096)	0.899(.096)	0.901(.096)	0.903(.096)	0.905(.096)
0.125	0.840(.118)	0.843(.118)	0.846(.118)	0.849(.118)	0.853(.118)
0.150	0.772(.138)	0.775(.138)	0.779(.138)	0.784(.138)	0.789(.139)
0.175	0.695(.156)	0.701(.156)	0.705(.157)	0.711(.157)	0.717(.157)
0.200	0.615(.172)	0.620(.173)	0.626(.173)	0.632(.174)	0.640(.174)
0.225	0.528(.187)	0.534(.187)	0.540(.188)	0.547(.189)	0.556(.189)
0.250	0.440(.199)	0.446(.200)	0.453(.200)	0.460(.201)	0.469(.202)
0.275	0.355(.209)	0.361(.210)	0.367(.211)	0.375(.212)	0.384(.213)
0.300	0.275(.217)	0.282(.218)	0.288(.219)	0.295(.220)	0.303(.221)
0.325	0.203(.223)	0.208(.224)	0.214(.225)	0.220(.226)	0.228(.228)
0.350	0.135(.227)	0.142(.228)	0.147(.229)	0.153(.231)	0.160(.233)
0.375	0.088(.230)	0.091(.231)	0.094(.233)	0.098(.234)	0.103(.236)
0.400	0.055(.231)	0.058(.233)	0.060(.234)	0.063(.236)	0.067(.238)
0.425	0.028(.232)	0.029(.234)	0.031(.236)	0.034(.237)	0.037(.240)
0.450	0.007(.233)	0.008(.234)	0.009(.236)	0.011(.238)	0.013(.240)
0.475	0. (.233)	0. (.235)	0. (.236)	0. (.238)	0. (.240)
0.500	0. (.233)	0. (.235)	0. (.236)	0. (.238)	0. (.240)
0.525	0. (.233)	0. (.235)	0. (.236)	0. (.238)	0. (.240)
0.550	0.007(.233)	0.006(.235)	0.005(.236)	0.004(.238)	0.002(.240)
0.575	0.028(.234)	0.026(.235)	0.024(.237)	0.022(.238)	0.020(.241)
0.600	0.055(.235)	0.053(.236)	0.051(.238)	0.048(.239)	0.045(.242)
0.625	0.088(.236)	0.085(.238)	0.083(.239)	0.079(.241)	0.076(.243)
0.650	0.138(.239)	0.133(.240)	0.129(.242)	0.123(.243)	0.117(.245)
0.675	0.203(.243)	0.197(.245)	0.192(.246)	0.186(.247)	0.178(.249)
0.700	0.276(.249)	0.270(.250)	0.264(.252)	0.257(.253)	0.249(.254)
0.725	0.355(.257)	0.349(.258)	0.343(.259)	0.335(.260)	0.327(.262)
0.750	0.440(.267)	0.434(.268)	0.428(.269)	0.420(.270)	0.411(.271)
0.775	0.528(.279)	0.522(.280)	0.516(.281)	0.509(.281)	0.500(.282)
0.800	0.615(.294)	0.610(.294)	0.604(.295)	0.597(.295)	0.589(.296)
0.825	0.695(.310)	0.692(.310)	0.687(.311)	0.681(.311)	0.674(.312)
0.850	0.772(.328)	0.768(.329)	0.764(.329)	0.759(.329)	0.753(.330)
0.875	0.840(.349)	0.837(.349)	0.834(.349)	0.830(.349)	0.826(.349)
0.900	0.897(.370)	0.895(.370)	0.893(.370)	0.891(.371)	0.888(.371)
0.925	0.933(.393)	0.932(.393)	0.931(.393)	0.930(.393)	0.928(.393)
0.950	0.963(.417)	0.962(.417)	0.962(.417)	0.961(.417)	0.960(.417)
0.975	0.987(.441)	0.986(.441)	0.986(.441)	0.986(.441)	0.986(.441)
1.000	1.000(.466)	1.000(.466)	1.000(.466)	1.000(.466)	1.000(.466)

66-196
 App A
 Phase II

*** RELATIVE ENERGY FLUX DENSITY IN THE ***
 *** PENUMBRA OF A RECTANGULAR CYLINDER ***

VERSION F

SOLAR FIELD ANGLE, D= 2.00 DEGREES
 GEOMETRY D2/R = 50.00 AND H/R = 0.

BETA = ANGLE OF INCIDENCE, DEGREES

BETA ***	50.00	60.00	70.00	80.00	88.50
AX/AB	Q (QI)	Q (QI)	Q (QI)	Q (QI)	Q (QI)
0.	1.000(.)	1.000(.)	1.000(.)	1.000(.)	1.000(.)
0.025	0.988(.025)	0.989(.025)	0.990(.025)	0.992(.025)	1.000(.025)
0.050	0.967(.049)	0.968(.049)	0.971(.049)	0.978(.050)	0.999(.050)
0.075	0.940(.073)	0.943(.073)	0.947(.073)	0.959(.074)	0.999(.075)
0.100	0.908(.096)	0.912(.096)	0.920(.097)	0.937(.097)	0.998(.100)
0.125	0.859(.118)	0.866(.119)	0.880(.119)	0.911(.121)	0.997(.125)
0.150	0.795(.139)	0.807(.140)	0.825(.141)	0.871(.143)	0.997(.150)
0.175	0.725(.158)	0.738(.159)	0.761(.160)	0.820(.164)	0.995(.175)
0.200	0.650(.175)	0.665(.176)	0.692(.179)	0.761(.184)	0.994(.200)
0.225	0.567(.190)	0.584(.192)	0.616(.195)	0.697(.202)	0.992(.224)
0.250	0.481(.204)	0.500(.206)	0.534(.209)	0.627(.219)	0.990(.249)
0.275	0.396(.214)	0.415(.217)	0.450(.222)	0.550(.233)	0.988(.274)
0.300	0.315(.223)	0.333(.226)	0.368(.232)	0.470(.246)	0.986(.299)
0.325	0.239(.230)	0.257(.234)	0.290(.240)	0.389(.257)	0.982(.323)
0.350	0.170(.235)	0.185(.239)	0.216(.246)	0.312(.265)	0.979(.348)
0.375	0.111(.239)	0.123(.243)	0.149(.251)	0.237(.272)	0.975(.372)
0.400	0.072(.241)	0.080(.245)	0.095(.254)	0.168(.277)	0.970(.396)
0.425	0.041(.243)	0.047(.247)	0.061(.256)	0.108(.281)	0.964(.421)
0.450	0.015(.243)	0.020(.248)	0.031(.257)	0.070(.283)	0.957(.445)
0.475	0.000(.244)	0.002(.248)	0.008(.257)	0.037(.284)	0.948(.468)
0.500	0. (.244)	0. (.248)	0. (.258)	0.011(.285)	0.934(.492)
0.525	0. (.244)	0. (.248)	0. (.258)	0. (.285)	0.916(.515)
0.550	0.001(.244)	0. (.248)	0. (.258)	0. (.285)	0.893(.538)
0.575	0.017(.244)	0.012(.249)	0.006(.258)	0. (.285)	0.865(.560)
0.600	0.041(.244)	0.035(.249)	0.025(.258)	0.004(.285)	0.829(.581)
0.625	0.071(.246)	0.063(.250)	0.051(.259)	0.021(.285)	0.785(.601)
0.650	0.109(.248)	0.098(.252)	0.082(.261)	0.044(.286)	0.728(.620)
0.675	0.168(.252)	0.154(.256)	0.128(.263)	0.073(.288)	0.654(.637)
0.700	0.238(.257)	0.222(.260)	0.191(.267)	0.115(.290)	0.562(.652)
0.725	0.315(.264)	0.297(.267)	0.265(.273)	0.177(.294)	0.450(.665)
0.750	0.399(.273)	0.380(.275)	0.345(.281)	0.251(.299)	0.321(.675)
0.775	0.488(.284)	0.470(.286)	0.434(.290)	0.334(.306)	0.177(.681)
0.800	0.578(.297)	0.561(.299)	0.527(.302)	0.427(.316)	0.069(.684)
0.825	0.665(.312)	0.650(.314)	0.620(.317)	0.527(.328)	0. (.685)
0.850	0.745(.330)	0.733(.331)	0.708(.333)	0.628(.342)	0. (.685)
0.875	0.820(.350)	0.810(.350)	0.790(.352)	0.724(.359)	0. (.685)
0.900	0.884(.371)	0.877(.371)	0.863(.373)	0.814(.378)	0.001(.685)
0.925	0.925(.394)	0.923(.394)	0.916(.395)	0.891(.400)	0.011(.685)
0.950	0.959(.417)	0.957(.417)	0.953(.418)	0.939(.423)	0.042(.686)
0.975	0.985(.441)	0.984(.442)	0.983(.442)	0.977(.447)	0.237(.689)
1.000	1.000(.466)	1.000(.466)	1.000(.467)	1.000(.471)	1.000(.705)

F-48
 621

REORDER NO. 66-196
 Exp 2
 Phase 11

*** RELATIVE ENERGY FLUX DENSITY IN THE ***
 *** PENUMBRA OF A RECTANGULAR CYLINDER ***

VERSION F

SOLAR FIELD ANGLE, D= 2.00 DEGREES
 GEOMETRY D2/R = 100.00 AND H/R = 0.

BETA = ANGLE OF INCIDENCE, DEGREES

BETA ***	0.	10.00	20.00	30.00	40.00
AX/AB	Q (Q1)	Q (Q1)	Q (Q1)	Q (Q1)	Q (Q1)
0.	1.000(.)	1.000(.)	1.000(.)	1.000(.)	1.000(.)
0.025	0.992(.025)	0.992(.025)	0.992(.025)	0.992(.025)	0.992(.025)
0.050	0.977(.049)	0.977(.050)	0.977(.050)	0.978(.050)	0.978(.050)
0.075	0.958(.074)	0.958(.074)	0.959(.074)	0.959(.074)	0.960(.074)
0.100	0.936(.097)	0.936(.097)	0.937(.097)	0.938(.097)	0.939(.098)
0.125	0.911(.120)	0.912(.120)	0.913(.121)	0.915(.121)	0.916(.121)
0.150	0.876(.143)	0.878(.143)	0.880(.143)	0.882(.143)	0.885(.143)
0.175	0.832(.164)	0.834(.164)	0.837(.164)	0.839(.165)	0.843(.165)
0.200	0.781(.184)	0.784(.184)	0.787(.185)	0.791(.185)	0.795(.185)
0.225	0.727(.203)	0.731(.203)	0.734(.204)	0.738(.204)	0.743(.204)
0.250	0.670(.221)	0.674(.221)	0.678(.221)	0.682(.222)	0.688(.222)
0.275	0.609(.237)	0.614(.237)	0.618(.238)	0.623(.238)	0.629(.239)
0.300	0.546(.251)	0.550(.252)	0.555(.252)	0.560(.253)	0.567(.254)
0.325	0.482(.264)	0.486(.265)	0.491(.265)	0.496(.266)	0.503(.267)
0.350	0.418(.275)	0.422(.276)	0.427(.277)	0.433(.278)	0.439(.279)
0.375	0.358(.285)	0.362(.286)	0.366(.287)	0.371(.288)	0.377(.289)
0.400	0.311(.293)	0.315(.294)	0.318(.295)	0.322(.296)	0.328(.298)
0.425	0.273(.300)	0.275(.302)	0.278(.303)	0.282(.304)	0.286(.306)
0.450	0.241(.307)	0.243(.308)	0.245(.309)	0.248(.311)	0.252(.312)
0.475	0.217(.313)	0.218(.314)	0.220(.315)	0.222(.317)	0.224(.318)
0.500	0.204(.318)	0.204(.319)	0.204(.320)	0.205(.322)	0.206(.324)
0.525	0.217(.323)	0.215(.324)	0.214(.326)	0.212(.327)	0.211(.329)
0.550	0.241(.329)	0.239(.330)	0.236(.331)	0.234(.333)	0.231(.334)
0.575	0.273(.335)	0.270(.336)	0.267(.338)	0.264(.339)	0.260(.341)
0.600	0.311(.343)	0.308(.344)	0.304(.345)	0.300(.346)	0.296(.348)
0.625	0.358(.351)	0.354(.352)	0.350(.353)	0.345(.354)	0.339(.355)
0.650	0.418(.361)	0.413(.361)	0.408(.362)	0.403(.363)	0.396(.365)
0.675	0.482(.372)	0.477(.373)	0.472(.373)	0.467(.374)	0.460(.375)
0.700	0.546(.385)	0.542(.385)	0.537(.386)	0.532(.387)	0.525(.388)
0.725	0.609(.399)	0.605(.400)	0.601(.400)	0.596(.401)	0.590(.402)
0.750	0.670(.415)	0.666(.416)	0.662(.416)	0.658(.416)	0.652(.417)
0.775	0.727(.433)	0.724(.433)	0.720(.433)	0.716(.434)	0.711(.434)
0.800	0.781(.451)	0.779(.452)	0.775(.452)	0.772(.452)	0.767(.453)
0.825	0.832(.472)	0.829(.472)	0.827(.472)	0.824(.472)	0.820(.472)
0.850	0.876(.493)	0.874(.493)	0.872(.493)	0.870(.493)	0.867(.494)
0.875	0.911(.515)	0.910(.515)	0.909(.515)	0.907(.516)	0.906(.516)
0.900	0.936(.538)	0.935(.538)	0.934(.538)	0.933(.539)	0.932(.539)
0.925	0.958(.562)	0.957(.562)	0.956(.562)	0.956(.562)	0.955(.562)
0.950	0.977(.586)	0.976(.586)	0.976(.586)	0.976(.586)	0.975(.586)
0.975	0.992(.611)	0.992(.611)	0.991(.611)	0.991(.611)	0.991(.611)
1.000	1.000(.636)	1.000(.636)	1.000(.636)	1.000(.636)	1.000(.636)

F-49
 622

REORDER NO. 66-196
 App. 2
 Phase 11

*** RELATIVE ENERGY FLUX DENSITY IN THE ***
 *** PENUMBRA OF A RECTANGULAR CYLINDER ***
 VERSION F

SOLAR FIELD ANGLE, D = 2.00 DEGREES
 GEOMETRY D2/R = 100.00 AND H/R = 0.

BETA = ANGLE OF INCIDENCE, DEGREES

BETA ***	50.00		60.00		70.00		80.00		88.50	
AX/AB	Q	(QI)	Q	(QI)	Q	(QI)	Q	(QI)	Q	(QI)
0.	1.000	(.)	1.000	(.)	1.000	(.)	1.000	(.)	1.000	(.)
0.025	0.992	(.025)	0.993	(.025)	0.993	(.025)	0.995	(.025)	1.000	(.025)
0.050	0.979	(.050)	0.980	(.050)	0.981	(.050)	0.985	(.050)	1.000	(.050)
0.075	0.961	(.074)	0.963	(.074)	0.966	(.074)	0.973	(.074)	0.999	(.075)
0.100	0.941	(.098)	0.943	(.098)	0.947	(.098)	0.958	(.098)	0.998	(.100)
0.125	0.918	(.121)	0.921	(.121)	0.926	(.121)	0.940	(.122)	0.998	(.125)
0.150	0.888	(.143)	0.893	(.144)	0.902	(.144)	0.921	(.145)	0.997	(.150)
0.175	0.847	(.165)	0.854	(.165)	0.866	(.166)	0.896	(.168)	0.996	(.175)
0.200	0.801	(.186)	0.809	(.186)	0.824	(.187)	0.862	(.190)	0.995	(.200)
0.225	0.749	(.205)	0.759	(.206)	0.776	(.207)	0.822	(.211)	0.993	(.224)
0.250	0.695	(.223)	0.706	(.224)	0.725	(.226)	0.778	(.231)	0.992	(.249)
0.275	0.637	(.240)	0.649	(.241)	0.671	(.244)	0.730	(.250)	0.990	(.274)
0.300	0.576	(.255)	0.589	(.257)	0.613	(.260)	0.679	(.268)	0.988	(.299)
0.325	0.512	(.269)	0.526	(.271)	0.552	(.274)	0.624	(.284)	0.985	(.323)
0.350	0.449	(.281)	0.463	(.283)	0.489	(.287)	0.565	(.299)	0.982	(.348)
0.375	0.386	(.291)	0.400	(.294)	0.426	(.299)	0.503	(.312)	0.979	(.373)
0.400	0.335	(.300)	0.346	(.303)	0.369	(.309)	0.441	(.324)	0.975	(.397)
0.425	0.293	(.308)	0.302	(.311)	0.322	(.317)	0.385	(.334)	0.970	(.421)
0.450	0.257	(.315)	0.265	(.318)	0.281	(.325)	0.337	(.343)	0.965	(.445)
0.475	0.228	(.321)	0.234	(.324)	0.247	(.331)	0.293	(.351)	0.959	(.469)
0.500	0.207	(.326)	0.211	(.330)	0.219	(.337)	0.255	(.358)	0.951	(.493)
0.525	0.208	(.331)	0.206	(.335)	0.204	(.342)	0.224	(.364)	0.939	(.517)
0.550	0.227	(.337)	0.222	(.341)	0.214	(.348)	0.204	(.369)	0.924	(.540)
0.575	0.255	(.343)	0.247	(.346)	0.235	(.353)	0.210	(.374)	0.905	(.563)
0.600	0.289	(.350)	0.280	(.353)	0.264	(.360)	0.227	(.380)	0.881	(.585)
0.625	0.332	(.357)	0.321	(.361)	0.301	(.367)	0.253	(.386)	0.852	(.607)
0.650	0.387	(.366)	0.373	(.369)	0.348	(.375)	0.288	(.393)	0.817	(.628)
0.675	0.451	(.377)	0.437	(.379)	0.411	(.384)	0.337	(.400)	0.774	(.648)
0.700	0.515	(.389)	0.502	(.391)	0.476	(.395)	0.401	(.410)	0.720	(.667)
0.725	0.581	(.403)	0.568	(.404)	0.543	(.408)	0.469	(.421)	0.653	(.684)
0.750	0.644	(.418)	0.632	(.419)	0.609	(.422)	0.538	(.433)	0.570	(.699)
0.775	0.704	(.435)	0.693	(.436)	0.673	(.438)	0.608	(.447)	0.471	(.712)
0.800	0.761	(.453)	0.752	(.454)	0.733	(.456)	0.675	(.464)	0.361	(.722)
0.825	0.815	(.473)	0.807	(.474)	0.791	(.475)	0.741	(.481)	0.240	(.730)
0.850	0.863	(.494)	0.857	(.494)	0.844	(.496)	0.803	(.501)	0.159	(.735)
0.875	0.903	(.516)	0.899	(.516)	0.890	(.517)	0.860	(.521)	0.123	(.738)
0.900	0.930	(.539)	0.927	(.539)	0.922	(.540)	0.905	(.543)	0.192	(.742)
0.925	0.954	(.562)	0.952	(.563)	0.948	(.563)	0.936	(.566)	0.315	(.749)
0.950	0.974	(.586)	0.973	(.587)	0.971	(.587)	0.964	(.590)	0.513	(.759)
0.975	0.991	(.611)	0.990	(.611)	0.990	(.612)	0.987	(.614)	0.792	(.775)
1.000	1.000	(.636)	1.000	(.636)	1.000	(.637)	1.000	(.639)	1.000	(.798)

F-50
 623

RE-ORDER No. 66-196
 app. 2
 Sheet 11

*** RELATIVE ENERGY FLUX DENSITY IN THE ***
 *** PENUMBRA OF A RECTANGULAR CYLINDER ***

VERSION F

SOLAR FIELD ANGLE, D= 2.00 DEGREES
 GEOMETRY D2/R = 1.00 AND H/R = 0.5

BETA = ANGLE OF INCIDENCE, DEGREES

BETA ***	0.	10.00	20.00	30.00	40.00
AX/AB	Q (Q1)	Q (Q1)	Q (Q1)	Q (Q1)	Q (Q1)
0.	1.000(.)	1.000(.)	1.000(.)	1.000(.)	1.000(.)
0.025	0. (.012)	0. (.012)	0. (.012)	0.037(.013)	0.185(.015)
0.050	0. (.012)	0. (.012)	0. (.012)	0. (.013)	0. (.017)
0.075	0. (.012)	0. (.012)	0. (.012)	0. (.013)	0. (.017)
0.100	0. (.012)	0. (.012)	0. (.012)	0. (.013)	0. (.017)
0.125	0. (.012)	0. (.012)	0. (.012)	0. (.013)	0. (.017)
0.150	0. (.012)	0. (.012)	0. (.012)	0. (.013)	0. (.017)
0.175	0. (.012)	0. (.012)	0. (.012)	0. (.013)	0. (.017)
0.200	0. (.012)	0. (.012)	0. (.012)	0. (.013)	0. (.017)
0.225	0. (.012)	0. (.012)	0. (.012)	0. (.013)	0. (.017)
0.250	0. (.012)	0. (.012)	0. (.012)	0. (.013)	0. (.017)
0.275	0. (.012)	0. (.012)	0. (.012)	0. (.013)	0. (.017)
0.300	0. (.012)	0. (.012)	0. (.012)	0. (.013)	0. (.017)
0.325	0. (.012)	0. (.012)	0. (.012)	0. (.013)	0. (.017)
0.350	0. (.012)	0. (.012)	0. (.012)	0. (.013)	0. (.017)
0.375	0. (.012)	0. (.012)	0. (.012)	0. (.013)	0. (.017)
0.400	0. (.012)	0. (.012)	0. (.012)	0. (.013)	0. (.017)
0.425	0. (.012)	0. (.012)	0. (.012)	0. (.013)	0. (.017)
0.450	0. (.012)	0. (.012)	0. (.012)	0. (.013)	0. (.017)
0.475	0. (.012)	0. (.012)	0. (.012)	0. (.013)	0. (.017)
0.500	0. (.012)	0. (.012)	0. (.012)	0. (.013)	0. (.017)
0.525	0. (.012)	0. (.012)	0. (.012)	0. (.013)	0. (.017)
0.550	0. (.012)	0. (.012)	0. (.012)	0. (.013)	0. (.017)
0.575	0. (.012)	0. (.012)	0. (.012)	0. (.013)	0. (.017)
0.600	0. (.012)	0. (.012)	0. (.012)	0. (.013)	0. (.017)
0.625	0. (.012)	0. (.012)	0. (.012)	0. (.013)	0. (.017)
0.650	0. (.012)	0. (.012)	0. (.012)	0. (.013)	0. (.017)
0.675	0. (.012)	0. (.012)	0. (.012)	0. (.013)	0. (.017)
0.700	0. (.012)	0. (.012)	0. (.012)	0. (.013)	0. (.017)
0.725	0. (.012)	0. (.012)	0. (.012)	0. (.013)	0. (.017)
0.750	0. (.012)	0. (.012)	0. (.012)	0. (.013)	0. (.017)
0.775	0. (.012)	0. (.012)	0. (.012)	0. (.013)	0. (.017)
0.800	0. (.012)	0. (.012)	0. (.012)	0. (.013)	0. (.017)
0.825	0. (.012)	0. (.012)	0. (.012)	0. (.013)	0. (.017)
0.850	0. (.012)	0. (.012)	0. (.012)	0. (.013)	0. (.017)
0.875	0. (.012)	0. (.012)	0. (.012)	0. (.013)	0. (.017)
0.900	0. (.012)	0. (.012)	0. (.012)	0. (.013)	0. (.017)
0.925	0. (.012)	0. (.012)	0. (.012)	0. (.013)	0. (.017)
0.950	0. (.012)	0. (.012)	0. (.012)	0. (.013)	0. (.017)
0.975	0. (.012)	0. (.012)	0. (.012)	0. (.013)	0. (.017)
1.000	1.000(.025)	1.000(.025)	1.000(.025)	1.000(.026)	1.000(.030)

F-51
 624

*** RELATIVE ENERGY FLUX DENSITY IN THE ***
 *** PENUMBRA OF A RECTANGULAR CYLINDER ***

VERSION F

SOLAR FIELD ANGLE, D= 2.00 DEGREES
 GEOMETRY D2/R = 1.00 AND H/R = 0.5

BETA = ANGLE OF INCIDENCE, DEGREES

BETA ***	50.00	60.00	70.00	80.00	88.50
AX/AB	Q (Q1)	Q (Q1)	Q (Q1)	Q (Q1)	Q (Q1)
0.	1.000(.)	1.000(.)	1.000(.)	1.000(.)	1.000(.)
0.025	0.411(.018)	0.603(.020)	0.774(.022)	0.931(.024)	1.000(.025)
0.050	0. (.023)	0. (.028)	0.173(.034)	0.729(.045)	0.999(.050)
0.075	0. (.023)	0. (.028)	0. (.036)	0.391(.059)	0.999(.075)
0.100	0. (.023)	0. (.028)	0. (.036)	0.072(.065)	0.998(.100)
0.125	0. (.023)	0. (.028)	0. (.036)	0. (.066)	0.996(.125)
0.150	0. (.023)	0. (.028)	0. (.036)	0. (.066)	0.995(.150)
0.175	0. (.023)	0. (.028)	0. (.036)	0. (.066)	0.993(.175)
0.200	0. (.023)	0. (.028)	0. (.036)	0. (.066)	0.991(.199)
0.225	0. (.023)	0. (.028)	0. (.036)	0. (.066)	0.988(.224)
0.250	0. (.023)	0. (.028)	0. (.036)	0. (.066)	0.985(.249)
0.275	0. (.023)	0. (.028)	0. (.036)	0. (.066)	0.981(.273)
0.300	0. (.023)	0. (.028)	0. (.036)	0. (.066)	0.976(.298)
0.325	0. (.023)	0. (.028)	0. (.036)	0. (.066)	0.971(.322)
0.350	0. (.023)	0. (.028)	0. (.036)	0. (.066)	0.964(.346)
0.375	0. (.023)	0. (.028)	0. (.036)	0. (.066)	0.955(.370)
0.400	0. (.023)	0. (.028)	0. (.036)	0. (.066)	0.942(.394)
0.425	0. (.023)	0. (.028)	0. (.036)	0. (.066)	0.922(.417)
0.450	0. (.023)	0. (.028)	0. (.036)	0. (.066)	0.896(.440)
0.475	0. (.023)	0. (.028)	0. (.036)	0. (.066)	0.861(.462)
0.500	0. (.023)	0. (.028)	0. (.036)	0. (.066)	0.815(.483)
0.525	0. (.023)	0. (.028)	0. (.036)	0. (.066)	0.754(.503)
0.550	0. (.023)	0. (.028)	0. (.036)	0. (.066)	0.671(.520)
0.575	0. (.023)	0. (.028)	0. (.036)	0. (.066)	0.560(.536)
0.600	0. (.023)	0. (.028)	0. (.036)	0. (.066)	0.418(.548)
0.625	0. (.023)	0. (.028)	0. (.036)	0. (.066)	0.246(.556)
0.650	0. (.023)	0. (.028)	0. (.036)	0. (.066)	0.092(.561)
0.675	0. (.023)	0. (.028)	0. (.036)	0. (.066)	0. (.562)
0.700	0. (.023)	0. (.028)	0. (.036)	0. (.066)	0. (.562)
0.725	0. (.023)	0. (.028)	0. (.036)	0. (.066)	0. (.562)
0.750	0. (.023)	0. (.028)	0. (.036)	0. (.066)	0. (.562)
0.775	0. (.023)	0. (.028)	0. (.036)	0. (.066)	0. (.562)
0.800	0. (.023)	0. (.028)	0. (.036)	0. (.066)	0. (.562)
0.825	0. (.023)	0. (.028)	0. (.036)	0. (.066)	0. (.562)
0.850	0. (.023)	0. (.028)	0. (.036)	0. (.066)	0. (.562)
0.875	0. (.023)	0. (.028)	0. (.036)	0. (.066)	0. (.562)
0.900	0. (.023)	0. (.028)	0. (.036)	0. (.066)	0. (.562)
0.925	0. (.023)	0. (.028)	0. (.036)	0. (.066)	0. (.562)
0.950	0. (.023)	0. (.028)	0. (.036)	0. (.066)	0. (.562)
0.975	0. (.023)	0. (.028)	0. (.036)	0. (.066)	0. (.562)
1.000	0. (.023)	0. (.028)	0. (.036)	0. (.066)	0. (.562)

RE-ORDER No. 66-196
 App. A
 Phase II

*** RELATIVE ENERGY FLUX DENSITY IN THE ***
 *** PENUMBRA OF A RECTANGULAR CYLINDER ***

VERSION F

SOLAR FIELD ANGLE, D= 2.00 DEGREES
 GEOMETRY D2/R = 5.00 AND H/R = 0.5

BETA = ANGLE OF INCIDENCE, DEGREES

BETA ***	0.	10.00	20.00	30.00	40.00
AX/AB	Q (Q1)	Q (Q1)	Q (Q1)	Q (Q1)	Q (Q1)
0.	1.000(.)	1.000(.)	1.000(.)	1.000(.)	1.000(.)
0.025	0.819(.023)	0.832(.023)	0.844(.023)	0.857(.023)	0.871(.023)
0.050	0.360(.037)	0.399(.038)	0.438(.039)	0.479(.040)	0.522(.041)
0.075	0.017(.042)	0.034(.044)	0.053(.045)	0.076(.047)	0.107(.049)
0.100	0. (.042)	0. (.044)	0. (.046)	0. (.048)	0. (.050)
0.125	0. (.042)	0. (.044)	0. (.046)	0. (.048)	0. (.050)
0.150	0. (.042)	0. (.044)	0. (.046)	0. (.048)	0. (.050)
0.175	0. (.042)	0. (.044)	0. (.046)	0. (.048)	0. (.050)
0.200	0. (.042)	0. (.044)	0. (.046)	0. (.048)	0. (.050)
0.225	0. (.042)	0. (.044)	0. (.046)	0. (.048)	0. (.050)
0.250	0. (.042)	0. (.044)	0. (.046)	0. (.048)	0. (.050)
0.275	0. (.042)	0. (.044)	0. (.046)	0. (.048)	0. (.050)
0.300	0. (.042)	0. (.044)	0. (.046)	0. (.048)	0. (.050)
0.325	0. (.042)	0. (.044)	0. (.046)	0. (.048)	0. (.050)
0.350	0. (.042)	0. (.044)	0. (.046)	0. (.048)	0. (.050)
0.375	0. (.042)	0. (.044)	0. (.046)	0. (.048)	0. (.050)
0.400	0. (.042)	0. (.044)	0. (.046)	0. (.048)	0. (.050)
0.425	0. (.042)	0. (.044)	0. (.046)	0. (.048)	0. (.050)
0.450	0. (.042)	0. (.044)	0. (.046)	0. (.048)	0. (.050)
0.475	0. (.042)	0. (.044)	0. (.046)	0. (.048)	0. (.050)
0.500	0. (.042)	0. (.044)	0. (.046)	0. (.048)	0. (.050)
0.525	0. (.042)	0. (.044)	0. (.046)	0. (.048)	0. (.050)
0.550	0. (.042)	0. (.044)	0. (.046)	0. (.048)	0. (.050)
0.575	0. (.042)	0. (.044)	0. (.046)	0. (.048)	0. (.050)
0.600	0. (.042)	0. (.044)	0. (.046)	0. (.048)	0. (.050)
0.625	0. (.042)	0. (.044)	0. (.046)	0. (.048)	0. (.050)
0.650	0. (.042)	0. (.044)	0. (.046)	0. (.048)	0. (.050)
0.675	0. (.042)	0. (.044)	0. (.046)	0. (.048)	0. (.050)
0.700	0. (.042)	0. (.044)	0. (.046)	0. (.048)	0. (.050)
0.725	0. (.042)	0. (.044)	0. (.046)	0. (.048)	0. (.050)
0.750	0. (.042)	0. (.044)	0. (.046)	0. (.048)	0. (.050)
0.775	0. (.042)	0. (.044)	0. (.046)	0. (.048)	0. (.050)
0.800	0. (.042)	0. (.044)	0. (.046)	0. (.048)	0. (.050)
0.825	0. (.042)	0. (.044)	0. (.046)	0. (.048)	0. (.050)
0.850	0. (.042)	0. (.044)	0. (.046)	0. (.048)	0. (.050)
0.875	0. (.042)	0. (.044)	0. (.046)	0. (.048)	0. (.050)
0.900	0. (.042)	0. (.044)	0. (.046)	0. (.048)	0. (.050)
0.925	0.017(.043)	0.004(.044)	0. (.046)	0. (.048)	0. (.050)
0.950	0.360(.047)	0.321(.048)	0.278(.049)	0.226(.051)	0.162(.052)
0.975	0.819(.062)	0.805(.062)	0.789(.063)	0.768(.063)	0.740(.063)
1.000	1.000(.085)	1.000(.085)	1.000(.085)	1.000(.085)	1.000(.085)

F-53
 626

*** RELATIVE ENERGY FLUX DENSITY IN THE ***
 *** PENUMBRA OF A RECTANGULAR CYLINDER ***

VERSION F

SOLAR FIELD ANGLE, D= 2.00 DEGREES
 GEOMETRY D2/R = 5.00 AND H/R = 0.5

BETA = ANGLE OF INCIDENCE, DEGREES

BETA ***	50.00	60.00	70.00	80.00	88.50
AX/AB	Q (Q1)	Q (Q1)	Q (Q1)	Q (Q1)	Q (Q1)
0.	1.000(.)	1.000(.)	1.000(.)	1.000(.)	1.000(.)
0.025	0.887(.024)	0.906(.024)	0.927(.024)	0.961(.025)	1.000(.025)
0.050	0.571(.042)	0.635(.043)	0.728(.045)	0.878(.048)	0.999(.050)
0.075	0.165(.051)	0.258(.054)	0.420(.059)	0.714(.067)	0.999(.075)
0.100	0. (.053)	0.024(.058)	0.114(.066)	0.495(.083)	0.998(.100)
0.125	0. (.053)	0. (.058)	0. (.067)	0.245(.092)	0.997(.125)
0.150	0. (.053)	0. (.058)	0. (.067)	0.066(.096)	0.995(.150)
0.175	0. (.053)	0. (.058)	0. (.067)	0. (.096)	0.994(.175)
0.200	0. (.053)	0. (.058)	0. (.067)	0. (.096)	0.991(.199)
0.225	0. (.053)	0. (.058)	0. (.067)	0. (.096)	0.989(.224)
0.250	0. (.053)	0. (.058)	0. (.067)	0. (.096)	0.986(.249)
0.275	0. (.053)	0. (.058)	0. (.067)	0. (.096)	0.982(.273)
0.300	0. (.053)	0. (.058)	0. (.067)	0. (.096)	0.978(.298)
0.325	0. (.053)	0. (.058)	0. (.067)	0. (.096)	0.973(.322)
0.350	0. (.053)	0. (.058)	0. (.067)	0. (.096)	0.967(.347)
0.375	0. (.053)	0. (.058)	0. (.067)	0. (.096)	0.959(.371)
0.400	0. (.053)	0. (.058)	0. (.067)	0. (.096)	0.949(.395)
0.425	0. (.053)	0. (.058)	0. (.067)	0. (.096)	0.933(.418)
0.450	0. (.053)	0. (.058)	0. (.067)	0. (.096)	0.911(.441)
0.475	0. (.053)	0. (.058)	0. (.067)	0. (.096)	0.882(.463)
0.500	0. (.053)	0. (.058)	0. (.067)	0. (.096)	0.843(.485)
0.525	0. (.053)	0. (.058)	0. (.067)	0. (.096)	0.794(.506)
0.550	0. (.053)	0. (.058)	0. (.067)	0. (.096)	0.728(.525)
0.575	0. (.053)	0. (.058)	0. (.067)	0. (.096)	0.640(.542)
0.600	0. (.053)	0. (.058)	0. (.067)	0. (.096)	0.522(.556)
0.625	0. (.053)	0. (.058)	0. (.067)	0. (.096)	0.377(.567)
0.650	0. (.053)	0. (.058)	0. (.067)	0. (.096)	0.207(.575)
0.675	0. (.053)	0. (.058)	0. (.067)	0. (.096)	0.068(.578)
0.700	0. (.053)	0. (.058)	0. (.067)	0. (.096)	0. (.579)
0.725	0. (.053)	0. (.058)	0. (.067)	0. (.096)	0. (.579)
0.750	0. (.053)	0. (.058)	0. (.067)	0. (.096)	0. (.579)
0.775	0. (.053)	0. (.058)	0. (.067)	0. (.096)	0. (.579)
0.800	0. (.053)	0. (.058)	0. (.067)	0. (.096)	0. (.579)
0.825	0. (.053)	0. (.058)	0. (.067)	0. (.096)	0. (.579)
0.850	0. (.053)	0. (.058)	0. (.067)	0. (.096)	0. (.579)
0.875	0. (.053)	0. (.058)	0. (.067)	0. (.096)	0. (.579)
0.900	0. (.053)	0. (.058)	0. (.067)	0. (.096)	0. (.579)
0.925	0. (.053)	0. (.058)	0. (.067)	0. (.096)	0. (.579)
0.950	0.085(.054)	0.008(.058)	0. (.067)	0. (.096)	0. (.579)
0.975	0.695(.064)	0.606(.066)	0.265(.071)	0. (.096)	0. (.579)
1.000	1.000(.085)	1.000(.086)	1.000(.086)	0. (.096)	0. (.579)

*** RELATIVE ENERGY FLUX DENSITY IN THE ***
 *** PENUMBRA OF A RECTANGULAR CYLINDER ***

VERSION F

SOLAR FIELD ANGLE, D= 2.00 DEGREES
 GEOMETRY D2/R = 10.00 AND H/R = 0.5

BETA = ANGLE OF INCIDENCE, DEGREES

BETA ***	0.	10.00	20.00	30.00	40.00
AX/AB	Q (QI)	Q (QI)	Q (QI)	Q (QI)	Q (QI)
0.	1.000(.)	1.000(.)	1.000(.)	1.000(.)	1.000(.)
0.025	0.933(.024)	0.935(.024)	0.938(.024)	0.940(.024)	0.943(.024)
0.050	0.770(.045)	0.780(.046)	0.789(.046)	0.800(.046)	0.812(.046)
0.075	0.525(.062)	0.542(.062)	0.559(.063)	0.577(.063)	0.598(.064)
0.100	0.252(.071)	0.271(.072)	0.292(.073)	0.315(.074)	0.343(.076)
0.125	0.066(.075)	0.077(.077)	0.088(.078)	0.102(.080)	0.124(.081)
0.150	0. (.076)	0.000(.078)	0.003(.079)	0.009(.081)	0.019(.083)
0.175	0. (.076)	0. (.078)	0. (.079)	0. (.081)	0. (.083)
0.200	0. (.076)	0. (.078)	0. (.079)	0. (.081)	0. (.083)
0.225	0. (.076)	0. (.078)	0. (.079)	0. (.081)	0. (.083)
0.250	0. (.076)	0. (.078)	0. (.079)	0. (.081)	0. (.083)
0.275	0. (.076)	0. (.078)	0. (.079)	0. (.081)	0. (.083)
0.300	0. (.076)	0. (.078)	0. (.079)	0. (.081)	0. (.083)
0.325	0. (.076)	0. (.078)	0. (.079)	0. (.081)	0. (.083)
0.350	0. (.076)	0. (.078)	0. (.079)	0. (.081)	0. (.083)
0.375	0. (.076)	0. (.078)	0. (.079)	0. (.081)	0. (.083)
0.400	0. (.076)	0. (.078)	0. (.079)	0. (.081)	0. (.083)
0.425	0. (.076)	0. (.078)	0. (.079)	0. (.081)	0. (.083)
0.450	0. (.076)	0. (.078)	0. (.079)	0. (.081)	0. (.083)
0.475	0. (.076)	0. (.078)	0. (.079)	0. (.081)	0. (.083)
0.500	0. (.076)	0. (.078)	0. (.079)	0. (.081)	0. (.083)
0.525	0. (.076)	0. (.078)	0. (.079)	0. (.081)	0. (.083)
0.550	0. (.076)	0. (.078)	0. (.079)	0. (.081)	0. (.083)
0.575	0. (.076)	0. (.078)	0. (.079)	0. (.081)	0. (.083)
0.600	0. (.076)	0. (.078)	0. (.079)	0. (.081)	0. (.083)
0.625	0. (.076)	0. (.078)	0. (.079)	0. (.081)	0. (.083)
0.650	0. (.076)	0. (.078)	0. (.079)	0. (.081)	0. (.083)
0.675	0. (.076)	0. (.078)	0. (.079)	0. (.081)	0. (.083)
0.700	0. (.076)	0. (.078)	0. (.079)	0. (.081)	0. (.083)
0.725	0. (.076)	0. (.078)	0. (.079)	0. (.081)	0. (.083)
0.750	0. (.076)	0. (.078)	0. (.079)	0. (.081)	0. (.083)
0.775	0. (.076)	0. (.078)	0. (.079)	0. (.081)	0. (.083)
0.800	0. (.076)	0. (.078)	0. (.079)	0. (.081)	0. (.083)
0.825	0. (.076)	0. (.078)	0. (.079)	0. (.081)	0. (.083)
0.850	0. (.076)	0. (.078)	0. (.079)	0. (.081)	0. (.083)
0.875	0.066(.077)	0.056(.078)	0.046(.080)	0.035(.082)	0.022(.084)
0.900	0.252(.081)	0.232(.082)	0.211(.083)	0.187(.084)	0.158(.086)
0.925	0.526(.091)	0.509(.091)	0.490(.092)	0.466(.092)	0.436(.093)
0.950	0.770(.107)	0.761(.107)	0.750(.107)	0.737(.107)	0.720(.108)
0.975	0.933(.128)	0.931(.128)	0.928(.128)	0.925(.128)	0.921(.128)
1.000	1.000(.152)	1.000(.152)	1.000(.152)	1.000(.152)	1.000(.152)

RE-ORDER No. 66-196
app to
Phase II

*** RELATIVE ENERGY FLUX DENSITY IN THE ***
 *** PENUMBRA OF A RECTANGULAR CYLINDER ***

VERSION F

SOLAR FIELD ANGLE, D= 2.00 DEGREES
 GEOMETRY D2/R = 10.00 AND H/R = 0.5

BETA = ANGLE OF INCIDENCE, DEGREES

BETA ***	50.00		60.00		70.00		80.00		88.50	
AX/AB	Q	(QI)	Q	(QI)	Q	(QI)	Q	(QI)	Q	(QI)
0.	1.000(.)		1.000(.)		1.000(.)		1.000(.)		1.000(.)	
0.025	0.947(.024)		0.952(.024)		0.959(.024)		0.975(.025)		1.000(.025)	
0.050	0.826(.046)		0.847(.047)		0.878(.047)		0.929(.048)		0.999(.050)	
0.075	0.626(.055)		0.663(.066)		0.724(.067)		0.845(.071)		0.999(.075)	
0.100	0.380(.077)		0.435(.079)		0.529(.083)		0.717(.090)		0.998(.100)	
0.125	0.155(.084)		0.208(.088)		0.308(.094)		0.560(.106)		0.997(.125)	
0.150	0.034(.086)		0.060(.091)		0.121(.099)		0.377(.118)		0.996(.150)	
0.175	0. (.087)		0. (.092)		0.025(.101)		0.203(.125)		0.994(.175)	
0.200	0. (.087)		0. (.092)		0. (.101)		0.077(.129)		0.992(.199)	
0.225	0. (.087)		0. (.092)		0. (.101)		0.008(.130)		0.990(.224)	
0.250	0. (.087)		0. (.092)		0. (.101)		0. (.130)		0.987(.249)	
0.275	0. (.087)		0. (.092)		0. (.101)		0. (.130)		0.984(.274)	
0.300	0. (.087)		0. (.092)		0. (.101)		0. (.130)		0.980(.298)	
0.325	0. (.087)		0. (.092)		0. (.101)		0. (.130)		0.975(.323)	
0.350	0. (.087)		0. (.092)		0. (.101)		0. (.130)		0.970(.347)	
0.375	0. (.087)		0. (.092)		0. (.101)		0. (.130)		0.963(.371)	
0.400	0. (.087)		0. (.092)		0. (.101)		0. (.130)		0.955(.395)	
0.425	0. (.087)		0. (.092)		0. (.101)		0. (.130)		0.942(.419)	
0.450	0. (.087)		0. (.092)		0. (.101)		0. (.130)		0.924(.442)	
0.475	0. (.087)		0. (.092)		0. (.101)		0. (.130)		0.900(.465)	
0.500	0. (.087)		0. (.092)		0. (.101)		0. (.130)		0.868(.487)	
0.525	0. (.087)		0. (.092)		0. (.101)		0. (.130)		0.828(.508)	
0.550	0. (.087)		0. (.092)		0. (.101)		0. (.130)		0.775(.528)	
0.575	0. (.087)		0. (.092)		0. (.101)		0. (.130)		0.706(.547)	
0.600	0. (.087)		0. (.092)		0. (.101)		0. (.130)		0.614(.563)	
0.625	0. (.087)		0. (.092)		0. (.101)		0. (.130)		0.493(.577)	
0.650	0. (.087)		0. (.092)		0. (.101)		0. (.130)		0.348(.588)	
0.675	0. (.087)		0. (.092)		0. (.101)		0. (.130)		0.181(.594)	
0.700	0. (.087)		0. (.092)		0. (.101)		0. (.130)		0.055(.597)	
0.725	0. (.087)		0. (.092)		0. (.101)		0. (.130)		0. (.598)	
0.750	0. (.087)		0. (.092)		0. (.101)		0. (.130)		0. (.598)	
0.775	0. (.087)		0. (.092)		0. (.101)		0. (.130)		0. (.598)	
0.800	0. (.087)		0. (.092)		0. (.101)		0. (.130)		0. (.598)	
0.825	0. (.087)		0. (.092)		0. (.101)		0. (.130)		0. (.598)	
0.850	0. (.087)		0. (.092)		0. (.101)		0. (.130)		0. (.598)	
0.875	0.008(.087)		0. (.092)		0. (.101)		0. (.130)		0. (.598)	
0.900	0.121(.088)		0.077(.093)		0.015(.101)		0. (.130)		0. (.598)	
0.925	0.393(.095)		0.325(.098)		0.190(.104)		0. (.130)		0. (.598)	
0.950	0.695(.106)		0.654(.110)		0.555(.113)		0.083(.131)		0. (.598)	
0.975	0.915(.129)		0.905(.129)		0.873(.131)		0.648(.140)		0. (.598)	
1.000	1.000(.153)		1.000(.153)		1.000(.154)		1.000(.161)		0. (.598)	

F-56
 629

*** RELATIVE ENERGY FLUX DENSITY IN THE ***
 *** PENUMBRA OF A RECTANGULAR CYLINDER ***

VERSION F

SOLAR FIELD ANGLE, $D = 2.00$ DEGREES
 GEOMETRY $D2/R = 50.00$ AND $H/R = 0.5$

BETA = ANGLE OF INCIDENCE, DEGREES

BETA ***	0.	10.00	20.00	30.00	40.00
AX/AB	Q (Q1)	Q (Q1)	Q (Q1)	Q (Q1)	Q (Q1)
0.	1.000(.)	1.000(.)	1.000(.)	1.000(.)	1.000(.)
0.025	0.987(.025)	0.987(.025)	0.987(.025)	0.988(.025)	0.988(.025)
0.050	0.963(.049)	0.964(.049)	0.965(.049)	0.965(.049)	0.966(.049)
0.075	0.934(.073)	0.935(.073)	0.936(.073)	0.937(.073)	0.938(.073)
0.100	0.898(.096)	0.900(.096)	0.902(.096)	0.904(.096)	0.906(.096)
0.125	0.842(.118)	0.845(.118)	0.848(.118)	0.851(.118)	0.855(.118)
0.150	0.774(.138)	0.778(.138)	0.782(.138)	0.786(.138)	0.791(.139)
0.175	0.699(.156)	0.703(.156)	0.708(.157)	0.713(.157)	0.720(.158)
0.200	0.615(.173)	0.624(.173)	0.629(.174)	0.635(.174)	0.643(.175)
0.225	0.532(.187)	0.538(.188)	0.544(.188)	0.551(.189)	0.560(.190)
0.250	0.444(.199)	0.450(.200)	0.457(.201)	0.464(.202)	0.473(.203)
0.275	0.357(.209)	0.363(.210)	0.370(.211)	0.377(.212)	0.386(.213)
0.300	0.277(.217)	0.283(.218)	0.289(.219)	0.296(.220)	0.305(.222)
0.325	0.202(.223)	0.208(.224)	0.214(.226)	0.220(.227)	0.228(.229)
0.350	0.137(.227)	0.141(.229)	0.146(.230)	0.152(.232)	0.159(.233)
0.375	0.087(.230)	0.090(.232)	0.093(.233)	0.096(.235)	0.102(.237)
0.400	0.054(.232)	0.056(.233)	0.059(.235)	0.062(.237)	0.065(.239)
0.425	0.025(.233)	0.028(.234)	0.030(.236)	0.032(.238)	0.035(.240)
0.450	0.005(.233)	0.007(.235)	0.008(.236)	0.009(.238)	0.011(.241)
0.475	0. (.233)	0. (.235)	0. (.237)	0. (.238)	0. (.241)
0.500	0. (.233)	0. (.235)	0. (.237)	0. (.238)	0. (.241)
0.525	0. (.233)	0. (.235)	0. (.237)	0. (.238)	0. (.241)
0.550	0.006(.233)	0.005(.235)	0.004(.237)	0.003(.239)	0.002(.241)
0.575	0.025(.234)	0.024(.235)	0.022(.237)	0.020(.239)	0.018(.241)
0.600	0.054(.235)	0.052(.236)	0.049(.238)	0.047(.240)	0.043(.242)
0.625	0.087(.237)	0.084(.238)	0.081(.239)	0.078(.241)	0.074(.243)
0.650	0.137(.239)	0.132(.241)	0.127(.242)	0.122(.244)	0.116(.246)
0.675	0.202(.244)	0.197(.245)	0.191(.246)	0.185(.248)	0.178(.249)
0.700	0.277(.250)	0.271(.251)	0.265(.252)	0.258(.253)	0.250(.255)
0.725	0.357(.258)	0.351(.258)	0.344(.259)	0.337(.261)	0.328(.262)
0.750	0.444(.268)	0.438(.268)	0.431(.269)	0.424(.270)	0.414(.271)
0.775	0.532(.280)	0.526(.280)	0.520(.281)	0.513(.282)	0.504(.283)
0.800	0.615(.294)	0.613(.295)	0.607(.295)	0.601(.296)	0.593(.296)
0.825	0.699(.311)	0.695(.311)	0.690(.311)	0.684(.312)	0.677(.312)
0.850	0.774(.329)	0.770(.329)	0.766(.330)	0.762(.330)	0.756(.330)
0.875	0.842(.349)	0.839(.349)	0.836(.350)	0.832(.350)	0.828(.350)
0.900	0.898(.371)	0.896(.371)	0.894(.371)	0.892(.371)	0.889(.371)
0.925	0.934(.394)	0.933(.394)	0.932(.394)	0.931(.394)	0.929(.394)
0.950	0.963(.418)	0.963(.418)	0.962(.418)	0.961(.418)	0.960(.418)
0.975	0.987(.442)	0.987(.442)	0.986(.442)	0.986(.442)	0.986(.442)
1.000	1.000(.467)	1.000(.467)	1.000(.467)	1.000(.467)	1.000(.467)

RE-ORDER No. 66-196
alpha
Phase II

*** RELATIVE ENERGY FLUX DENSITY IN THE ***
 *** PENUMBRA OF A RECTANGULAR CYLINDER ***

VERSION F

SOLAR FIELD ANGLE, D= 2.00 DEGREES
 GEOMETRY D2/R = 50.00 AND H/R = 0.5

BETA = ANGLE OF INCIDENCE, DEGREES

BETA ***	50.00		60.00		70.00		80.00		88.50	
AX/AB	Q	(QI)	Q	(QI)	Q	(QI)	Q	(QI)	Q	(QI)
0.	1.000(.)		1.000(.)		1.000(.)		1.000(.)		1.000(.)	
0.025	0.988(.025)		0.989(.025)		0.990(.025)		0.992(.025)		1.000(.025)	
0.050	0.967(.049)		0.969(.049)		0.971(.049)		0.978(.050)		0.999(.050)	
0.075	0.940(.073)		0.943(.073)		0.948(.073)		0.960(.074)		0.999(.075)	
0.100	0.909(.096)		0.913(.096)		0.920(.097)		0.938(.097)		0.998(.100)	
0.125	0.860(.118)		0.868(.119)		0.881(.119)		0.912(.121)		0.998(.125)	
0.150	0.798(.139)		0.808(.140)		0.827(.141)		0.872(.143)		0.997(.150)	
0.175	0.728(.158)		0.741(.159)		0.764(.160)		0.821(.164)		0.995(.175)	
0.200	0.653(.175)		0.668(.177)		0.694(.179)		0.764(.184)		0.994(.200)	
0.225	0.571(.191)		0.588(.192)		0.619(.195)		0.700(.202)		0.992(.224)	
0.250	0.485(.204)		0.504(.206)		0.538(.210)		0.630(.219)		0.990(.249)	
0.275	0.399(.215)		0.418(.217)		0.454(.222)		0.554(.234)		0.988(.274)	
0.300	0.315(.224)		0.335(.227)		0.370(.232)		0.473(.246)		0.986(.299)	
0.325	0.240(.231)		0.257(.234)		0.291(.241)		0.392(.257)		0.982(.323)	
0.350	0.169(.236)		0.185(.240)		0.216(.247)		0.313(.266)		0.979(.348)	
0.375	0.109(.239)		0.122(.244)		0.148(.251)		0.237(.273)		0.975(.372)	
0.400	0.070(.242)		0.078(.246)		0.094(.254)		0.167(.278)		0.970(.396)	
0.425	0.039(.243)		0.046(.248)		0.059(.256)		0.107(.281)		0.964(.421)	
0.450	0.014(.244)		0.019(.249)		0.029(.257)		0.068(.284)		0.957(.445)	
0.475	0. (.244)		0.001(.249)		0.007(.258)		0.035(.285)		0.948(.468)	
0.500	0. (.244)		0. (.249)		0. (.258)		0.009(.285)		0.934(.492)	
0.525	0. (.244)		0. (.249)		0. (.258)		0. (.286)		0.917(.515)	
0.550	0.000(.244)		0. (.249)		0. (.258)		0. (.286)		0.894(.538)	
0.575	0.015(.244)		0.011(.249)		0.005(.258)		0. (.286)		0.866(.560)	
0.600	0.039(.245)		0.033(.249)		0.023(.258)		0.003(.286)		0.830(.581)	
0.625	0.069(.246)		0.062(.251)		0.049(.259)		0.019(.286)		0.786(.601)	
0.650	0.108(.248)		0.097(.253)		0.080(.261)		0.043(.287)		0.729(.620)	
0.675	0.168(.252)		0.153(.256)		0.127(.263)		0.072(.288)		0.656(.637)	
0.700	0.235(.257)		0.222(.260)		0.191(.267)		0.114(.290)		0.564(.653)	
0.725	0.317(.264)		0.299(.267)		0.266(.273)		0.176(.294)		0.452(.665)	
0.750	0.402(.273)		0.383(.275)		0.348(.281)		0.251(.299)		0.321(.675)	
0.775	0.492(.284)		0.474(.286)		0.438(.291)		0.336(.307)		0.176(.681)	
0.800	0.582(.297)		0.565(.299)		0.532(.303)		0.431(.316)		0.067(.684)	
0.825	0.668(.313)		0.653(.314)		0.624(.317)		0.532(.328)		0. (.685)	
0.850	0.748(.331)		0.735(.332)		0.711(.334)		0.632(.343)		0. (.685)	
0.875	0.822(.350)		0.812(.351)		0.792(.353)		0.727(.360)		0. (.685)	
0.900	0.885(.372)		0.878(.372)		0.864(.373)		0.817(.379)		0.001(.685)	
0.925	0.927(.394)		0.923(.395)		0.917(.396)		0.892(.401)		0.009(.685)	
0.950	0.959(.418)		0.957(.418)		0.953(.419)		0.939(.423)		0.041(.686)	
0.975	0.985(.442)		0.984(.442)		0.983(.443)		0.977(.447)		0.244(.689)	
1.000	1.000(.467)		1.000(.467)		1.000(.468)		1.000(.472)		1.000(.705)	

F-58
 631

*** RELATIVE ENERGY FLUX DENSITY IN THE ***
 *** PENUMBRA OF A RECTANGULAR CYLINDER ***

VERSION F

SOLAR FIELD ANGLE, $D = 2.00$ DEGREES
 GEOMETRY $D^2/R = 100.00$ AND $H/R = 0.5$

BETA = ANGLE OF INCIDENCE, DEGREES

BETA ***	0.	10.00	20.00	30.00	40.00
AX/AB	Q (Q1)	Q (Q1)	Q (Q1)	Q (Q1)	Q (Q1)
0.	1.000(.)	1.000(.)	1.000(.)	1.000(.)	1.000(.)
0.025	0.992(.025)	0.992(.025)	0.992(.025)	0.992(.025)	0.992(.025)
0.050	0.977(.049)	0.977(.050)	0.977(.050)	0.978(.050)	0.978(.050)
0.075	0.958(.074)	0.958(.074)	0.959(.074)	0.959(.074)	0.960(.074)
0.100	0.935(.097)	0.936(.097)	0.937(.097)	0.938(.097)	0.939(.098)
0.125	0.911(.120)	0.912(.120)	0.913(.121)	0.915(.121)	0.916(.121)
0.150	0.877(.143)	0.879(.143)	0.880(.143)	0.883(.143)	0.885(.143)
0.175	0.832(.164)	0.835(.164)	0.837(.164)	0.840(.165)	0.843(.165)
0.200	0.782(.184)	0.785(.185)	0.788(.185)	0.792(.185)	0.796(.185)
0.225	0.728(.203)	0.731(.203)	0.735(.204)	0.739(.204)	0.744(.205)
0.250	0.671(.221)	0.675(.221)	0.679(.221)	0.683(.222)	0.689(.222)
0.275	0.611(.237)	0.615(.237)	0.619(.238)	0.624(.238)	0.630(.239)
0.300	0.547(.251)	0.552(.252)	0.556(.252)	0.562(.253)	0.568(.254)
0.325	0.483(.264)	0.488(.265)	0.492(.266)	0.498(.266)	0.505(.267)
0.350	0.418(.275)	0.423(.276)	0.428(.277)	0.433(.278)	0.440(.279)
0.375	0.357(.285)	0.361(.286)	0.366(.287)	0.371(.288)	0.377(.289)
0.400	0.310(.293)	0.313(.294)	0.317(.295)	0.321(.297)	0.327(.298)
0.425	0.271(.301)	0.274(.302)	0.277(.303)	0.280(.304)	0.285(.306)
0.450	0.239(.307)	0.241(.308)	0.243(.309)	0.246(.311)	0.250(.313)
0.475	0.214(.313)	0.216(.314)	0.218(.315)	0.220(.317)	0.222(.318)
0.500	0.201(.318)	0.202(.319)	0.202(.320)	0.202(.322)	0.203(.324)
0.525	0.214(.323)	0.213(.324)	0.212(.326)	0.210(.327)	0.208(.329)
0.550	0.239(.329)	0.237(.330)	0.234(.331)	0.232(.333)	0.229(.334)
0.575	0.271(.335)	0.268(.336)	0.265(.337)	0.262(.339)	0.258(.340)
0.600	0.310(.342)	0.307(.343)	0.303(.344)	0.299(.346)	0.294(.347)
0.625	0.357(.351)	0.353(.352)	0.349(.353)	0.344(.354)	0.339(.355)
0.650	0.418(.350)	0.414(.361)	0.409(.362)	0.403(.363)	0.397(.364)
0.675	0.483(.372)	0.478(.372)	0.473(.373)	0.468(.374)	0.461(.375)
0.700	0.547(.385)	0.543(.385)	0.538(.386)	0.533(.387)	0.526(.387)
0.725	0.611(.399)	0.607(.400)	0.602(.400)	0.597(.401)	0.591(.401)
0.750	0.671(.415)	0.667(.415)	0.664(.416)	0.659(.416)	0.653(.417)
0.775	0.728(.433)	0.725(.433)	0.721(.433)	0.717(.434)	0.712(.434)
0.800	0.782(.451)	0.779(.452)	0.776(.452)	0.773(.452)	0.768(.453)
0.825	0.832(.472)	0.830(.472)	0.827(.472)	0.824(.472)	0.821(.472)
0.850	0.877(.493)	0.875(.493)	0.873(.493)	0.871(.493)	0.868(.494)
0.875	0.911(.515)	0.910(.515)	0.909(.515)	0.908(.516)	0.906(.516)
0.900	0.935(.538)	0.935(.538)	0.934(.538)	0.933(.539)	0.932(.539)
0.925	0.958(.562)	0.957(.562)	0.957(.562)	0.956(.562)	0.955(.562)
0.950	0.977(.586)	0.976(.586)	0.976(.586)	0.976(.586)	0.975(.586)
0.975	0.992(.611)	0.992(.611)	0.991(.611)	0.991(.611)	0.991(.611)
1.000	1.000(.636)	1.000(.636)	1.000(.636)	1.000(.636)	1.000(.636)

RE ORDER No. 66-196
 app. a
 Phase II

*** RELATIVE ENERGY FLUX DENSITY IN THE ***
 *** PENUMBRA OF A RECTANGULAR CYLINDER ***

VERSION F

SOLAR FIELD ANGLE, D= 2.00 DEGREES
 GEOMETRY D2/R = 100.00 AND H/R = 0.5

BETA = ANGLE OF INCIDENCE, DEGREES

BETA ***	50.00	60.00	70.00	80.00	88.50
AX/AB	Q (QI)	Q (QI)	Q (QI)	Q (QI)	Q (QI)
0.	1.000(.)	1.000(.)	1.000(.)	1.000(.)	1.000(.)
0.025	0.992(.025)	0.993(.025)	0.993(.025)	0.995(.025)	1.000(.025)
0.050	0.979(.050)	0.980(.050)	0.981(.050)	0.985(.050)	1.000(.050)
0.075	0.961(.074)	0.963(.074)	0.966(.074)	0.973(.074)	0.999(.075)
0.100	0.941(.098)	0.943(.098)	0.947(.098)	0.958(.098)	0.998(.100)
0.125	0.918(.121)	0.921(.121)	0.927(.121)	0.941(.122)	0.998(.125)
0.150	0.889(.143)	0.894(.144)	0.902(.144)	0.922(.145)	0.997(.150)
0.175	0.848(.165)	0.855(.166)	0.867(.166)	0.897(.168)	0.996(.175)
0.200	0.801(.186)	0.810(.186)	0.824(.187)	0.863(.190)	0.995(.200)
0.225	0.750(.205)	0.760(.206)	0.777(.207)	0.823(.211)	0.993(.224)
0.250	0.695(.223)	0.706(.224)	0.726(.226)	0.779(.231)	0.992(.249)
0.275	0.638(.240)	0.650(.241)	0.672(.244)	0.731(.250)	0.990(.274)
0.300	0.577(.255)	0.590(.257)	0.614(.260)	0.680(.268)	0.988(.299)
0.325	0.514(.269)	0.528(.271)	0.553(.274)	0.625(.284)	0.985(.323)
0.350	0.450(.281)	0.464(.283)	0.490(.287)	0.566(.299)	0.982(.348)
0.375	0.386(.291)	0.400(.294)	0.427(.299)	0.505(.312)	0.979(.373)
0.400	0.334(.300)	0.346(.303)	0.368(.309)	0.442(.324)	0.975(.397)
0.425	0.291(.308)	0.301(.311)	0.321(.317)	0.385(.334)	0.970(.421)
0.450	0.255(.315)	0.263(.318)	0.280(.325)	0.336(.343)	0.965(.445)
0.475	0.226(.321)	0.232(.325)	0.245(.331)	0.292(.351)	0.959(.470)
0.500	0.205(.326)	0.209(.330)	0.217(.337)	0.253(.358)	0.951(.493)
0.525	0.206(.331)	0.203(.335)	0.201(.342)	0.222(.364)	0.939(.517)
0.550	0.225(.337)	0.220(.340)	0.211(.348)	0.201(.369)	0.924(.540)
0.575	0.253(.343)	0.245(.346)	0.233(.353)	0.207(.374)	0.905(.563)
0.600	0.288(.349)	0.278(.353)	0.262(.359)	0.225(.380)	0.882(.586)
0.625	0.331(.357)	0.320(.360)	0.300(.366)	0.251(.386)	0.853(.607)
0.650	0.388(.366)	0.374(.369)	0.348(.374)	0.287(.392)	0.817(.628)
0.675	0.452(.377)	0.438(.379)	0.412(.384)	0.338(.400)	0.775(.648)
0.700	0.517(.389)	0.504(.391)	0.478(.395)	0.402(.409)	0.721(.667)
0.725	0.582(.403)	0.569(.404)	0.544(.408)	0.470(.420)	0.653(.684)
0.750	0.646(.418)	0.634(.419)	0.610(.422)	0.540(.433)	0.570(.699)
0.775	0.705(.435)	0.694(.436)	0.674(.438)	0.609(.447)	0.471(.712)
0.800	0.762(.453)	0.753(.454)	0.734(.456)	0.677(.463)	0.359(.723)
0.825	0.815(.473)	0.807(.474)	0.792(.475)	0.742(.481)	0.237(.730)
0.850	0.864(.494)	0.857(.494)	0.845(.495)	0.804(.500)	0.156(.735)
0.875	0.903(.516)	0.899(.516)	0.890(.517)	0.860(.521)	0.121(.738)
0.900	0.930(.539)	0.927(.539)	0.922(.540)	0.905(.543)	0.192(.742)
0.925	0.954(.562)	0.952(.563)	0.948(.563)	0.936(.566)	0.316(.749)
0.950	0.974(.586)	0.973(.587)	0.971(.587)	0.964(.590)	0.516(.759)
0.975	0.991(.611)	0.990(.611)	0.990(.612)	0.987(.614)	0.794(.775)
1.000	1.000(.636)	1.000(.636)	1.000(.637)	1.000(.639)	1.000(.798)

F-60
 633

*** RELATIVE ENERGY FLUX DENSITY IN THE ***
 *** PENUMBRA OF A RECTANGULAR CYLINDER ***

VERSION F

SOLAR FIELD ANGLE, D= 2.00 DEGREES
 GEOMETRY D2/R = 1.00 AND H/R = 1.0

BETA = ANGLE OF INCIDENCE, DEGREES

BETA ***	0.	10.00	20.00	30.00	40.00
AX/AB	Q (Q1)	Q (Q1)	Q (Q1)	Q (Q1)	Q (Q1)
0.	1.000(.)	1.000(.)	1.000(.)	1.000(.)	1.000(.)
0.025	0. (.012)	0. (.012)	0. (.012)	0.082(.014)	0.421(.018)
0.050	0. (.012)	0. (.012)	0. (.012)	0. (.015)	0. (.023)
0.075	0. (.012)	0. (.012)	0. (.012)	0. (.015)	0. (.023)
0.100	0. (.012)	0. (.012)	0. (.012)	0. (.015)	0. (.023)
0.125	0. (.012)	0. (.012)	0. (.012)	0. (.015)	0. (.023)
0.150	0. (.012)	0. (.012)	0. (.012)	0. (.015)	0. (.023)
0.175	0. (.012)	0. (.012)	0. (.012)	0. (.015)	0. (.023)
0.200	0. (.012)	0. (.012)	0. (.012)	0. (.015)	0. (.023)
0.225	0. (.012)	0. (.012)	0. (.012)	0. (.015)	0. (.023)
0.250	0. (.012)	0. (.012)	0. (.012)	0. (.015)	0. (.023)
0.275	0. (.012)	0. (.012)	0. (.012)	0. (.015)	0. (.023)
0.300	0. (.012)	0. (.012)	0. (.012)	0. (.015)	0. (.023)
0.325	0. (.012)	0. (.012)	0. (.012)	0. (.015)	0. (.023)
0.350	0. (.012)	0. (.012)	0. (.012)	0. (.015)	0. (.023)
0.375	0. (.012)	0. (.012)	0. (.012)	0. (.015)	0. (.023)
0.400	0. (.012)	0. (.012)	0. (.012)	0. (.015)	0. (.023)
0.425	0. (.012)	0. (.012)	0. (.012)	0. (.015)	0. (.023)
0.450	0. (.012)	0. (.012)	0. (.012)	0. (.015)	0. (.023)
0.475	0. (.012)	0. (.012)	0. (.012)	0. (.015)	0. (.023)
0.500	0. (.012)	0. (.012)	0. (.012)	0. (.015)	0. (.023)
0.525	0. (.012)	0. (.012)	0. (.012)	0. (.015)	0. (.023)
0.550	0. (.012)	0. (.012)	0. (.012)	0. (.015)	0. (.023)
0.575	0. (.012)	0. (.012)	0. (.012)	0. (.015)	0. (.023)
0.600	0. (.012)	0. (.012)	0. (.012)	0. (.015)	0. (.023)
0.625	0. (.012)	0. (.012)	0. (.012)	0. (.015)	0. (.023)
0.650	0. (.012)	0. (.012)	0. (.012)	0. (.015)	0. (.023)
0.675	0. (.012)	0. (.012)	0. (.012)	0. (.015)	0. (.023)
0.700	0. (.012)	0. (.012)	0. (.012)	0. (.015)	0. (.023)
0.725	0. (.012)	0. (.012)	0. (.012)	0. (.015)	0. (.023)
0.750	0. (.012)	0. (.012)	0. (.012)	0. (.015)	0. (.023)
0.775	0. (.012)	0. (.012)	0. (.012)	0. (.015)	0. (.023)
0.800	0. (.012)	0. (.012)	0. (.012)	0. (.015)	0. (.023)
0.825	0. (.012)	0. (.012)	0. (.012)	0. (.015)	0. (.023)
0.850	0. (.012)	0. (.012)	0. (.012)	0. (.015)	0. (.023)
0.875	0. (.012)	0. (.012)	0. (.012)	0. (.015)	0. (.023)
0.900	0. (.012)	0. (.012)	0. (.012)	0. (.015)	0. (.023)
0.925	0. (.012)	0. (.012)	0. (.012)	0. (.015)	0. (.023)
0.950	0. (.012)	0. (.012)	0. (.012)	0. (.015)	0. (.023)
0.975	0. (.012)	0. (.012)	0. (.012)	0. (.015)	0. (.023)
1.000	1.000(.025)	1.000(.025)	1.000(.025)	1.000(.027)	1.000(.036)

*** RELATIVE ENERGY FLUX DENSITY IN THE ***
 *** PENUMBRA OF A RECTANGULAR CYLINDER ***

VERSION F

SOLAR FIELD ANGLE, D= 2.00 DEGREES
 GEOMETRY D2/R = 1.00 AND H/R = 1.0

BETA = ANGLE OF INCIDENCE, DEGREES

BETA ***	50.00		60.00		70.00		80.00		88.50	
AX/AB	Q	(QI)	Q	(QI)	Q	(QI)	Q	(QI)	Q	(QI)
0.	1.000	(.)	1.000	(.)	1.000	(.)	1.000	(.)	1.000	(.)
0.025	0.579	(.020)	0.690	(.021)	0.817	(.023)	0.937	(.024)	1.000	(.025)
0.050	0.	(.027)	0.	(.030)	0.236	(.036)	0.760	(.045)	0.999	(.050)
0.075	0.	(.027)	0.	(.030)	0.	(.039)	0.450	(.061)	0.999	(.075)
0.100	0.	(.027)	0.	(.030)	0.	(.039)	0.081	(.067)	0.998	(.100)
0.125	0.	(.027)	0.	(.030)	0.	(.039)	0.	(.068)	0.996	(.125)
0.150	0.	(.027)	0.	(.030)	0.	(.039)	0.	(.068)	0.995	(.150)
0.175	0.	(.027)	0.	(.030)	0.	(.039)	0.	(.068)	0.993	(.175)
0.200	0.	(.027)	0.	(.030)	0.	(.039)	0.	(.068)	0.991	(.199)
0.225	0.	(.027)	0.	(.030)	0.	(.039)	0.	(.068)	0.988	(.224)
0.250	0.	(.027)	0.	(.030)	0.	(.039)	0.	(.068)	0.985	(.249)
0.275	0.	(.027)	0.	(.030)	0.	(.039)	0.	(.068)	0.981	(.273)
0.300	0.	(.027)	0.	(.030)	0.	(.039)	0.	(.068)	0.977	(.298)
0.325	0.	(.027)	0.	(.030)	0.	(.039)	0.	(.068)	0.971	(.322)
0.350	0.	(.027)	0.	(.030)	0.	(.039)	0.	(.068)	0.964	(.346)
0.375	0.	(.027)	0.	(.030)	0.	(.039)	0.	(.068)	0.956	(.370)
0.400	0.	(.027)	0.	(.030)	0.	(.039)	0.	(.068)	0.943	(.394)
0.425	0.	(.027)	0.	(.030)	0.	(.039)	0.	(.068)	0.924	(.417)
0.450	0.	(.027)	0.	(.030)	0.	(.039)	0.	(.068)	0.898	(.440)
0.475	0.	(.027)	0.	(.030)	0.	(.039)	0.	(.068)	0.864	(.462)
0.500	0.	(.027)	0.	(.030)	0.	(.039)	0.	(.068)	0.819	(.483)
0.525	0.	(.027)	0.	(.030)	0.	(.039)	0.	(.068)	0.760	(.503)
0.550	0.	(.027)	0.	(.030)	0.	(.039)	0.	(.068)	0.680	(.521)
0.575	0.	(.027)	0.	(.030)	0.	(.039)	0.	(.068)	0.571	(.537)
0.600	0.	(.027)	0.	(.030)	0.	(.039)	0.	(.068)	0.427	(.549)
0.625	0.	(.027)	0.	(.030)	0.	(.039)	0.	(.068)	0.254	(.558)
0.650	0.	(.027)	0.	(.030)	0.	(.039)	0.	(.068)	0.094	(.562)
0.675	0.	(.027)	0.	(.030)	0.	(.039)	0.	(.068)	0.	(.563)
0.700	0.	(.027)	0.	(.030)	0.	(.039)	0.	(.068)	0.	(.563)
0.725	0.	(.027)	0.	(.030)	0.	(.039)	0.	(.068)	0.	(.563)
0.750	0.	(.027)	0.	(.030)	0.	(.039)	0.	(.068)	0.	(.563)
0.775	0.	(.027)	0.	(.030)	0.	(.039)	0.	(.068)	0.	(.563)
0.800	0.	(.027)	0.	(.030)	0.	(.039)	0.	(.068)	0.	(.563)
0.825	0.	(.027)	0.	(.030)	0.	(.039)	0.	(.068)	0.	(.563)
0.850	0.	(.027)	0.	(.030)	0.	(.039)	0.	(.068)	0.	(.563)
0.875	0.	(.027)	0.	(.030)	0.	(.039)	0.	(.068)	0.	(.563)
0.900	0.	(.027)	0.	(.030)	0.	(.039)	0.	(.068)	0.	(.563)
0.925	0.	(.027)	0.	(.030)	0.	(.039)	0.	(.068)	0.	(.563)
0.950	0.	(.027)	0.	(.030)	0.	(.039)	0.	(.068)	0.	(.563)
0.975	0.	(.027)	0.	(.030)	0.	(.039)	0.	(.068)	0.	(.563)
1.000	0.	(.027)	0.	(.030)	0.	(.039)	0.	(.068)	0.	(.563)

*App. A
Phase II*

*** RELATIVE ENERGY FLUX DENSITY IN THE ***
 *** PENUMBRA OF A RECTANGULAR CYLINDER ***

VERSION F

SOLAR FIELD ANGLE, D= 2.00 DEGREES
 GEOMETRY D2/R = 5.00 AND H/R = 1.0

BETA = ANGLE OF INCIDENCE, DEGREES

BETA ***	0.	10.00	20.00	30.00	40.00
AX/AB	Q (QI)	Q (QI)	Q (QI)	Q (QI)	Q (QI)
0.	1.000(.)	1.000(.)	1.000(.)	1.000(.)	1.000(.)
0.025	0.845(.023)	0.856(.023)	0.866(.023)	0.876(.023)	0.887(.024)
0.050	0.433(.039)	0.474(.040)	0.511(.041)	0.541(.041)	0.575(.042)
0.075	0.017(.045)	0.035(.046)	0.057(.048)	0.083(.049)	0.123(.051)
0.100	0. (.045)	0. (.047)	0. (.048)	0. (.050)	0. (.052)
0.125	0. (.045)	0. (.047)	0. (.048)	0. (.050)	0. (.052)
0.150	0. (.045)	0. (.047)	0. (.048)	0. (.050)	0. (.052)
0.175	0. (.045)	0. (.047)	0. (.048)	0. (.050)	0. (.052)
0.200	0. (.045)	0. (.047)	0. (.048)	0. (.050)	0. (.052)
0.225	0. (.045)	0. (.047)	0. (.048)	0. (.050)	0. (.052)
0.250	0. (.045)	0. (.047)	0. (.048)	0. (.050)	0. (.052)
0.275	0. (.045)	0. (.047)	0. (.048)	0. (.050)	0. (.052)
0.300	0. (.045)	0. (.047)	0. (.048)	0. (.050)	0. (.052)
0.325	0. (.045)	0. (.047)	0. (.048)	0. (.050)	0. (.052)
0.350	0. (.045)	0. (.047)	0. (.048)	0. (.050)	0. (.052)
0.375	0. (.045)	0. (.047)	0. (.048)	0. (.050)	0. (.052)
0.400	0. (.045)	0. (.047)	0. (.048)	0. (.050)	0. (.052)
0.425	0. (.045)	0. (.047)	0. (.048)	0. (.050)	0. (.052)
0.450	0. (.045)	0. (.047)	0. (.048)	0. (.050)	0. (.052)
0.475	0. (.045)	0. (.047)	0. (.048)	0. (.050)	0. (.052)
0.500	0. (.045)	0. (.047)	0. (.048)	0. (.050)	0. (.052)
0.525	0. (.045)	0. (.047)	0. (.048)	0. (.050)	0. (.052)
0.550	0. (.045)	0. (.047)	0. (.048)	0. (.050)	0. (.052)
0.575	0. (.045)	0. (.047)	0. (.048)	0. (.050)	0. (.052)
0.600	0. (.045)	0. (.047)	0. (.048)	0. (.050)	0. (.052)
0.625	0. (.045)	0. (.047)	0. (.048)	0. (.050)	0. (.052)
0.650	0. (.045)	0. (.047)	0. (.048)	0. (.050)	0. (.052)
0.675	0. (.045)	0. (.047)	0. (.048)	0. (.050)	0. (.052)
0.700	0. (.045)	0. (.047)	0. (.048)	0. (.050)	0. (.052)
0.725	0. (.045)	0. (.047)	0. (.048)	0. (.050)	0. (.052)
0.750	0. (.045)	0. (.047)	0. (.048)	0. (.050)	0. (.052)
0.775	0. (.045)	0. (.047)	0. (.048)	0. (.050)	0. (.052)
0.800	0. (.045)	0. (.047)	0. (.048)	0. (.050)	0. (.052)
0.825	0. (.045)	0. (.047)	0. (.048)	0. (.050)	0. (.052)
0.850	0. (.045)	0. (.047)	0. (.048)	0. (.050)	0. (.052)
0.875	0. (.045)	0. (.047)	0. (.048)	0. (.050)	0. (.052)
0.900	0. (.045)	0. (.047)	0. (.048)	0. (.050)	0. (.052)
0.925	0.017(.045)	0.003(.047)	0. (.048)	0. (.050)	0. (.052)
0.950	0.433(.051)	0.388(.052)	0.339(.053)	0.280(.054)	0.203(.055)
0.975	0.845(.067)	0.834(.067)	0.821(.067)	0.805(.067)	0.782(.067)
1.000	1.000(.090)	1.000(.090)	1.000(.090)	1.000(.090)	1.000(.089)

F-63
636

RE-ORDER No. 66-196
 App. 2
 Phase II

*** RELATIVE ENERGY FLUX DENSITY IN THE ***
 *** PENUMBRA OF A RECTANGULAR CYLINDER ***

VERSION F

SOLAR FIELD ANGLE, D= 2.00 DEGREES
 GEOMETRY D2/R = 5.00 AND H/R = 1.0

BETA = ANGLE OF INCIDENCE, DEGREES

BETA ***	50.00		60.00		70.00		80.00		88.50	
AX/AB	Q	(QI)	Q	(QI)	Q	(QI)	Q	(QI)	Q	(QI)
0.	1.000(.)		1.000(.)		1.000(.)		1.000(.)		1.000(.)	
0.025	0.900(.024)		0.914(.024)		0.932(.024)		0.963(.025)		1.000(.025)	
0.050	0.617(.043)		0.673(.044)		0.754(.045)		0.887(.048)		0.999(.050)	
0.075	0.190(.053)		0.294(.056)		0.469(.061)		0.734(.068)		0.999(.075)	
0.100	0.	(.055)	0.025(.060)		0.126(.068)		0.530(.084)		0.998(.100)	
0.125	0.	(.055)	0.	(.060)	0.	(.070)	0.265(.094)		0.997(.125)	
0.150	0.	(.055)	0.	(.060)	0.	(.070)	0.069(.098)		0.995(.150)	
0.175	0.	(.055)	0.	(.060)	0.	(.070)	0.	(.099)	0.994(.175)	
0.200	0.	(.055)	0.	(.060)	0.	(.070)	0.	(.099)	0.992(.199)	
0.225	0.	(.055)	0.	(.060)	0.	(.070)	0.	(.099)	0.989(.224)	
0.250	0.	(.055)	0.	(.060)	0.	(.070)	0.	(.099)	0.986(.249)	
0.275	0.	(.055)	0.	(.060)	0.	(.070)	0.	(.099)	0.983(.273)	
0.300	0.	(.055)	0.	(.060)	0.	(.070)	0.	(.099)	0.978(.298)	
0.325	0.	(.055)	0.	(.060)	0.	(.070)	0.	(.099)	0.973(.322)	
0.350	0.	(.055)	0.	(.060)	0.	(.070)	0.	(.099)	0.967(.347)	
0.375	0.	(.055)	0.	(.060)	0.	(.070)	0.	(.099)	0.960(.371)	
0.400	0.	(.055)	0.	(.060)	0.	(.070)	0.	(.099)	0.950(.395)	
0.425	0.	(.055)	0.	(.060)	0.	(.070)	0.	(.099)	0.934(.418)	
0.450	0.	(.055)	0.	(.060)	0.	(.070)	0.	(.099)	0.912(.441)	
0.475	0.	(.055)	0.	(.060)	0.	(.070)	0.	(.099)	0.884(.464)	
0.500	0.	(.055)	0.	(.060)	0.	(.070)	0.	(.099)	0.846(.485)	
0.525	0.	(.055)	0.	(.060)	0.	(.070)	0.	(.099)	0.798(.506)	
0.550	0.	(.055)	0.	(.060)	0.	(.070)	0.	(.099)	0.734(.525)	
0.575	0.	(.055)	0.	(.060)	0.	(.070)	0.	(.099)	0.648(.542)	
0.600	0.	(.055)	0.	(.060)	0.	(.070)	0.	(.099)	0.531(.557)	
0.625	0.	(.055)	0.	(.060)	0.	(.070)	0.	(.099)	0.385(.568)	
0.650	0.	(.055)	0.	(.060)	0.	(.070)	0.	(.099)	0.211(.576)	
0.675	0.	(.055)	0.	(.060)	0.	(.070)	0.	(.099)	0.069(.579)	
0.700	0.	(.055)	0.	(.060)	0.	(.070)	0.	(.099)	0.	(.580)
0.725	0.	(.055)	0.	(.060)	0.	(.070)	0.	(.099)	0.	(.580)
0.750	0.	(.055)	0.	(.060)	0.	(.070)	0.	(.099)	0.	(.580)
0.775	0.	(.055)	0.	(.060)	0.	(.070)	0.	(.099)	0.	(.580)
0.800	0.	(.055)	0.	(.060)	0.	(.070)	0.	(.099)	0.	(.580)
0.825	0.	(.055)	0.	(.060)	0.	(.070)	0.	(.099)	0.	(.580)
0.850	0.	(.055)	0.	(.060)	0.	(.070)	0.	(.099)	0.	(.580)
0.875	0.	(.055)	0.	(.060)	0.	(.070)	0.	(.099)	0.	(.580)
0.900	0.	(.055)	0.	(.060)	0.	(.070)	0.	(.099)	0.	(.580)
0.925	0.	(.055)	0.	(.060)	0.	(.070)	0.	(.099)	0.	(.580)
0.950	0.101(.056)		0.006(.060)		0.	(.070)	0.	(.099)	0.	(.580)
0.975	0.745(.067)		0.677(.069)		0.447(.075)		0.	(.099)	0.	(.580)
1.000	1.000(.089)		1.000(.090)		1.000(.093)		0.	(.099)	0.	(.580)

F-64
 637

*** RELATIVE ENERGY FLUX DENSITY IN THE ***
 *** PENUMBRA OF A RECTANGULAR CYLINDER ***

VERSION F

SOLAR FIELD ANGLE, D= 2.00 DEGREES
 GEOMETRY D2/R = 10.00 AND H/R = 1.0

BETA = ANGLE OF INCIDENCE, DEGREES

BETA ***	0.	10.00	20.00	30.00	40.00
AX/AB	Q (QI)	Q (QI)	Q (QI)	Q (QI)	Q (QI)
0.	1.000(.)	1.000(.)	1.000(.)	1.000(.)	1.000(.)
0.025	0.937(.024)	0.939(.024)	0.941(.024)	0.943(.024)	0.946(.024)
0.050	0.787(.046)	0.796(.046)	0.804(.046)	0.814(.046)	0.825(.046)
0.075	0.555(.063)	0.571(.063)	0.587(.063)	0.603(.064)	0.623(.065)
0.100	0.270(.073)	0.291(.074)	0.313(.075)	0.337(.076)	0.367(.077)
0.125	0.068(.077)	0.078(.078)	0.090(.080)	0.106(.081)	0.130(.083)
0.150	0. (.078)	0. (.079)	0.002(.081)	0.008(.083)	0.017(.085)
0.175	0. (.078)	0. (.079)	0. (.081)	0. (.083)	0. (.085)
0.200	0. (.078)	0. (.079)	0. (.081)	0. (.083)	0. (.085)
0.225	0. (.078)	0. (.079)	0. (.081)	0. (.083)	0. (.085)
0.250	0. (.078)	0. (.079)	0. (.081)	0. (.083)	0. (.085)
0.275	0. (.078)	0. (.079)	0. (.081)	0. (.083)	0. (.085)
0.300	0. (.078)	0. (.079)	0. (.081)	0. (.083)	0. (.085)
0.325	0. (.078)	0. (.079)	0. (.081)	0. (.083)	0. (.085)
0.350	0. (.078)	0. (.079)	0. (.081)	0. (.083)	0. (.085)
0.375	0. (.078)	0. (.079)	0. (.081)	0. (.083)	0. (.085)
0.400	0. (.078)	0. (.079)	0. (.081)	0. (.083)	0. (.085)
0.425	0. (.078)	0. (.079)	0. (.081)	0. (.083)	0. (.085)
0.450	0. (.078)	0. (.079)	0. (.081)	0. (.083)	0. (.085)
0.475	0. (.078)	0. (.079)	0. (.081)	0. (.083)	0. (.085)
0.500	0. (.078)	0. (.079)	0. (.081)	0. (.083)	0. (.085)
0.525	0. (.078)	0. (.079)	0. (.081)	0. (.083)	0. (.085)
0.550	0. (.078)	0. (.079)	0. (.081)	0. (.083)	0. (.085)
0.575	0. (.078)	0. (.079)	0. (.081)	0. (.083)	0. (.085)
0.600	0. (.078)	0. (.079)	0. (.081)	0. (.083)	0. (.085)
0.625	0. (.078)	0. (.079)	0. (.081)	0. (.083)	0. (.085)
0.650	0. (.078)	0. (.079)	0. (.081)	0. (.083)	0. (.085)
0.675	0. (.078)	0. (.079)	0. (.081)	0. (.083)	0. (.085)
0.700	0. (.078)	0. (.079)	0. (.081)	0. (.083)	0. (.085)
0.725	0. (.078)	0. (.079)	0. (.081)	0. (.083)	0. (.085)
0.750	0. (.078)	0. (.079)	0. (.081)	0. (.083)	0. (.085)
0.775	0. (.078)	0. (.079)	0. (.081)	0. (.083)	0. (.085)
0.800	0. (.078)	0. (.079)	0. (.081)	0. (.083)	0. (.085)
0.825	0. (.078)	0. (.079)	0. (.081)	0. (.083)	0. (.085)
0.850	0. (.078)	0. (.079)	0. (.081)	0. (.083)	0. (.085)
0.875	0.068(.079)	0.057(.080)	0.046(.081)	0.034(.083)	0.021(.085)
0.900	0.270(.083)	0.249(.084)	0.227(.085)	0.201(.086)	0.170(.088)
0.925	0.556(.093)	0.541(.094)	0.524(.094)	0.504(.095)	0.474(.096)
0.950	0.787(.110)	0.778(.110)	0.768(.110)	0.756(.111)	0.741(.111)
0.975	0.937(.132)	0.935(.132)	0.932(.132)	0.929(.132)	0.926(.132)
1.000	1.000(.156)	1.000(.156)	1.000(.156)	1.000(.156)	1.000(.156)

*** RELATIVE ENERGY FLUX DENSITY IN THE ***
 *** PENUMBRA OF A RECTANGULAR CYLINDER ***

VERSION F

SOLAR FIELD ANGLE, D= 2.00 DEGREES
 GEOMETRY D2/R = 10.00 AND H/R = 1.0

BETA = ANGLE OF INCIDENCE, DEGREES

BETA ***	50.00	60.00	70.00	80.00	88.50
AX/AB	Q (Q1)	Q (Q1)	Q (Q1)	Q (Q1)	Q (Q1)
0.	1.000(.)	1.000(.)	1.000(.)	1.000(.)	1.000(.)
0.025	0.949(.024)	0.954(.024)	0.961(.025)	0.976(.025)	1.000(.025)
0.050	0.838(.047)	0.857(.047)	0.885(.048)	0.931(.049)	0.999(.050)
0.075	0.648(.065)	0.683(.066)	0.739(.068)	0.852(.071)	0.999(.075)
0.100	0.406(.078)	0.464(.081)	0.553(.084)	0.730(.091)	0.998(.100)
0.125	0.165(.086)	0.221(.089)	0.325(.095)	0.579(.107)	0.997(.125)
0.150	0.033(.088)	0.061(.093)	0.126(.101)	0.394(.119)	0.996(.150)
0.175	0. (.089)	0. (.093)	0.024(.103)	0.212(.127)	0.994(.175)
0.200	0. (.089)	0. (.093)	0. (.103)	0.078(.130)	0.992(.199)
0.225	0. (.089)	0. (.093)	0. (.103)	0.007(.131)	0.990(.224)
0.250	0. (.089)	0. (.093)	0. (.103)	0. (.131)	0.987(.249)
0.275	0. (.089)	0. (.093)	0. (.103)	0. (.131)	0.984(.274)
0.300	0. (.089)	0. (.093)	0. (.103)	0. (.131)	0.980(.298)
0.325	0. (.089)	0. (.093)	0. (.103)	0. (.131)	0.975(.323)
0.350	0. (.089)	0. (.093)	0. (.103)	0. (.131)	0.970(.347)
0.375	0. (.089)	0. (.093)	0. (.103)	0. (.131)	0.963(.371)
0.400	0. (.089)	0. (.093)	0. (.103)	0. (.131)	0.955(.395)
0.425	0. (.089)	0. (.093)	0. (.103)	0. (.131)	0.943(.419)
0.450	0. (.089)	0. (.093)	0. (.103)	0. (.131)	0.925(.442)
0.475	0. (.089)	0. (.093)	0. (.103)	0. (.131)	0.901(.465)
0.500	0. (.089)	0. (.093)	0. (.103)	0. (.131)	0.870(.487)
0.525	0. (.089)	0. (.093)	0. (.103)	0. (.131)	0.831(.508)
0.550	0. (.089)	0. (.093)	0. (.103)	0. (.131)	0.779(.528)
0.575	0. (.089)	0. (.093)	0. (.103)	0. (.131)	0.711(.547)
0.600	0. (.089)	0. (.093)	0. (.103)	0. (.131)	0.621(.564)
0.625	0. (.089)	0. (.093)	0. (.103)	0. (.131)	0.500(.578)
0.650	0. (.089)	0. (.093)	0. (.103)	0. (.131)	0.353(.588)
0.675	0. (.089)	0. (.093)	0. (.103)	0. (.131)	0.183(.595)
0.700	0. (.089)	0. (.093)	0. (.103)	0. (.131)	0.054(.598)
0.725	0. (.089)	0. (.093)	0. (.103)	0. (.131)	0. (.599)
0.750	0. (.089)	0. (.093)	0. (.103)	0. (.131)	0. (.599)
0.775	0. (.089)	0. (.093)	0. (.103)	0. (.131)	0. (.599)
0.800	0. (.089)	0. (.093)	0. (.103)	0. (.131)	0. (.599)
0.825	0. (.089)	0. (.093)	0. (.103)	0. (.131)	0. (.599)
0.850	0. (.089)	0. (.093)	0. (.103)	0. (.131)	0. (.599)
0.875	0.006(.089)	0. (.093)	0. (.103)	0. (.131)	0. (.599)
0.900	0.129(.090)	0.079(.094)	0.013(.103)	0. (.131)	0. (.599)
0.925	0.429(.097)	0.356(.100)	0.209(.106)	0. (.131)	0. (.599)
0.950	0.719(.112)	0.681(.113)	0.594(.116)	0.092(.133)	0. (.599)
0.975	0.920(.132)	0.911(.133)	0.885(.134)	0.696(.142)	0. (.599)
1.000	1.000(.156)	1.000(.157)	1.000(.158)	1.000(.164)	0. (.599)

*** RELATIVE ENERGY FLUX DENSITY IN THE ***
 *** PENUMBRA OF A RECTANGULAR CYLINDER ***

VERSION F

SOLAR FIELD ANGLE, D= 2.00 DEGREES
 GEOMETRY D2/R = 50.00 AND H/R = 1.0

BETA = ANGLE OF INCIDENCE, DEGREES

BETA ***	0.	10.00	20.00	30.00	40.00
AX/AB	Q (Q1)	Q (Q1)	Q (Q1)	Q (Q1)	Q (Q1)
U.	1.000(.)	1.000(.)	1.000(.)	1.000(.)	1.000(.)
0.025	0.987(.025)	0.987(.025)	0.987(.025)	0.988(.025)	0.988(.025)
0.050	0.964(.049)	0.964(.049)	0.965(.049)	0.965(.049)	0.966(.049)
0.075	0.934(.073)	0.935(.073)	0.936(.073)	0.937(.073)	0.939(.073)
0.100	0.899(.096)	0.901(.096)	0.903(.096)	0.905(.096)	0.907(.096)
0.125	0.843(.118)	0.846(.118)	0.849(.118)	0.852(.118)	0.856(.118)
0.150	0.775(.136)	0.780(.138)	0.784(.138)	0.788(.139)	0.793(.139)
0.175	0.702(.156)	0.706(.157)	0.711(.157)	0.716(.157)	0.722(.158)
0.200	0.622(.173)	0.627(.173)	0.633(.174)	0.639(.174)	0.646(.175)
0.225	0.535(.187)	0.542(.188)	0.548(.189)	0.555(.189)	0.564(.190)
0.250	0.447(.200)	0.454(.200)	0.460(.201)	0.468(.202)	0.477(.203)
0.275	0.359(.210)	0.365(.211)	0.372(.212)	0.380(.213)	0.389(.214)
0.300	0.278(.210)	0.284(.219)	0.290(.220)	0.297(.221)	0.306(.223)
0.325	0.202(.224)	0.208(.225)	0.213(.226)	0.220(.228)	0.228(.229)
0.350	0.135(.228)	0.140(.229)	0.145(.231)	0.151(.232)	0.158(.234)
0.375	0.085(.231)	0.088(.232)	0.091(.234)	0.095(.235)	0.100(.237)
0.400	0.052(.232)	0.055(.234)	0.057(.235)	0.060(.237)	0.064(.239)
0.425	0.024(.233)	0.026(.235)	0.028(.236)	0.031(.238)	0.033(.241)
0.450	0.004(.234)	0.005(.235)	0.007(.237)	0.008(.239)	0.010(.241)
0.475	0. (.234)	0. (.235)	0. (.237)	0. (.239)	0. (.241)
0.500	0. (.234)	0. (.235)	0. (.237)	0. (.239)	0. (.241)
0.525	0. (.234)	0. (.235)	0. (.237)	0. (.239)	0. (.241)
0.550	0.004(.234)	0.004(.235)	0.003(.237)	0.002(.239)	0.001(.241)
0.575	0.024(.234)	0.023(.236)	0.021(.237)	0.019(.239)	0.017(.241)
0.600	0.052(.235)	0.050(.237)	0.048(.238)	0.045(.240)	0.042(.242)
0.625	0.085(.237)	0.083(.236)	0.080(.240)	0.077(.241)	0.073(.244)
0.650	0.135(.240)	0.131(.241)	0.126(.242)	0.121(.244)	0.115(.246)
0.675	0.202(.244)	0.197(.245)	0.191(.246)	0.185(.248)	0.177(.250)
0.700	0.278(.250)	0.272(.251)	0.266(.252)	0.259(.253)	0.250(.255)
0.725	0.359(.258)	0.353(.259)	0.346(.260)	0.339(.261)	0.330(.262)
0.750	0.447(.268)	0.441(.269)	0.434(.269)	0.427(.270)	0.418(.272)
0.775	0.535(.280)	0.531(.281)	0.524(.281)	0.517(.282)	0.509(.283)
0.800	0.622(.295)	0.617(.295)	0.611(.296)	0.605(.296)	0.597(.297)
0.825	0.702(.311)	0.697(.312)	0.693(.312)	0.687(.312)	0.680(.313)
0.850	0.775(.330)	0.773(.330)	0.769(.330)	0.764(.330)	0.758(.331)
0.875	0.843(.350)	0.841(.350)	0.838(.350)	0.834(.350)	0.830(.351)
0.900	0.899(.372)	0.897(.372)	0.895(.372)	0.893(.372)	0.890(.372)
0.925	0.934(.395)	0.933(.395)	0.932(.395)	0.931(.395)	0.930(.395)
0.950	0.964(.418)	0.963(.418)	0.962(.418)	0.962(.418)	0.961(.419)
0.975	0.987(.443)	0.987(.443)	0.986(.443)	0.986(.443)	0.986(.443)
1.000	1.000(.468)	1.000(.468)	1.000(.468)	1.000(.468)	1.000(.468)

*** RELATIVE ENERGY FLUX DENSITY IN THE ***
 *** PENUMBRA OF A RECTANGULAR CYLINDER ***

VERSION F

SOLAR FIELD ANGLE, D= 2.00 DEGREES
 GEOMETRY D2/R = 50.00 AND H/R = 1.0

BETA = ANGLE OF INCIDENCE, DEGREES

BETA ***	50.00	60.00	70.00	80.00	88.50
AX/AB	Q (QI)	Q (QI)	Q (QI)	Q (QI)	Q (QI)
0.	1.000(.)	1.000(.)	1.000(.)	1.000(.)	1.000(.)
0.025	0.988(.025)	0.989(.025)	0.990(.025)	0.992(.025)	1.000(.025)
0.050	0.967(.049)	0.969(.049)	0.972(.049)	0.978(.050)	0.999(.050)
0.075	0.941(.073)	0.943(.073)	0.948(.073)	0.960(.074)	0.999(.075)
0.100	0.910(.096)	0.914(.096)	0.921(.097)	0.938(.097)	0.998(.100)
0.125	0.862(.118)	0.869(.119)	0.882(.119)	0.913(.121)	0.998(.125)
0.150	0.800(.139)	0.810(.140)	0.828(.141)	0.873(.143)	0.997(.150)
0.175	0.731(.158)	0.743(.159)	0.766(.161)	0.823(.164)	0.995(.175)
0.200	0.655(.176)	0.671(.177)	0.697(.179)	0.766(.184)	0.994(.200)
0.225	0.575(.191)	0.592(.193)	0.622(.195)	0.702(.202)	0.992(.224)
0.250	0.490(.204)	0.508(.206)	0.542(.210)	0.633(.219)	0.990(.249)
0.275	0.401(.215)	0.421(.218)	0.457(.222)	0.557(.234)	0.988(.274)
0.300	0.318(.224)	0.336(.227)	0.372(.233)	0.477(.247)	0.986(.299)
0.325	0.240(.231)	0.257(.235)	0.291(.241)	0.394(.258)	0.983(.323)
0.350	0.168(.237)	0.184(.240)	0.216(.247)	0.314(.267)	0.979(.348)
0.375	0.108(.240)	0.121(.244)	0.147(.252)	0.237(.273)	0.975(.372)
0.400	0.069(.242)	0.077(.247)	0.093(.255)	0.166(.278)	0.970(.396)
0.425	0.038(.244)	0.044(.248)	0.058(.257)	0.106(.282)	0.964(.421)
0.450	0.013(.244)	0.017(.249)	0.028(.258)	0.067(.284)	0.957(.445)
0.475	0. (.244)	0.001(.249)	0.005(.258)	0.034(.285)	0.948(.468)
0.500	0. (.244)	0. (.249)	0. (.258)	0.008(.266)	0.935(.492)
0.525	0. (.244)	0. (.249)	0. (.258)	0. (.286)	0.917(.515)
0.550	0.000(.244)	0. (.249)	0. (.258)	0. (.286)	0.895(.538)
0.575	0.014(.245)	0.010(.249)	0.004(.258)	0. (.286)	0.866(.560)
0.600	0.038(.245)	0.032(.250)	0.022(.259)	0.002(.286)	0.831(.581)
0.625	0.068(.246)	0.061(.251)	0.048(.260)	0.018(.286)	0.787(.601)
0.650	0.107(.249)	0.095(.253)	0.079(.261)	0.041(.287)	0.731(.620)
0.675	0.167(.252)	0.152(.256)	0.125(.264)	0.071(.288)	0.659(.638)
0.700	0.239(.257)	0.222(.261)	0.191(.268)	0.113(.291)	0.567(.653)
0.725	0.318(.264)	0.300(.267)	0.266(.273)	0.176(.294)	0.453(.666)
0.750	0.405(.273)	0.386(.276)	0.350(.281)	0.252(.300)	0.321(.675)
0.775	0.497(.284)	0.478(.287)	0.442(.291)	0.338(.307)	0.174(.682)
0.800	0.585(.298)	0.569(.300)	0.536(.303)	0.435(.317)	0.065(.685)
0.825	0.671(.314)	0.656(.315)	0.628(.318)	0.536(.329)	0. (.685)
0.850	0.750(.331)	0.738(.332)	0.714(.335)	0.636(.343)	0. (.685)
0.875	0.823(.351)	0.814(.352)	0.794(.353)	0.730(.360)	0. (.685)
0.900	0.885(.372)	0.879(.373)	0.866(.374)	0.819(.380)	0.000(.685)
0.925	0.927(.395)	0.924(.395)	0.917(.396)	0.893(.401)	0.008(.685)
0.950	0.960(.419)	0.958(.419)	0.954(.420)	0.940(.424)	0.039(.686)
0.975	0.985(.443)	0.985(.443)	0.983(.444)	0.978(.448)	0.251(.690)
1.000	1.000(.468)	1.000(.468)	1.000(.469)	1.000(.473)	1.000(.705)

*** RELATIVE ENERGY FLUX DENSITY IN THE ***
 *** PENUMBRA OF A RECTANGULAR CYLINDER ***

VERSION F

SOLAR FIELD ANGLE, D = 2.00 DEGREES
 GEOMETRY D2/R = 100.00 AND H/R = 1.0

BETA = ANGLE OF INCIDENCE, DEGREES

BETA ***	0.	10.00	20.00	30.00	40.00
AX/AB	Q (QI)	Q (QI)	Q (QI)	Q (QI)	Q (QI)
0.	1.000(.)	1.000(.)	1.000(.)	1.000(.)	1.000(.)
0.025	0.992(.025)	0.992(.025)	0.992(.025)	0.992(.025)	0.992(.025)
0.050	0.977(.050)	0.977(.050)	0.977(.050)	0.978(.050)	0.978(.050)
0.075	0.958(.074)	0.958(.074)	0.959(.074)	0.960(.074)	0.960(.074)
0.100	0.936(.097)	0.937(.097)	0.937(.097)	0.938(.097)	0.940(.098)
0.125	0.912(.120)	0.913(.121)	0.914(.121)	0.915(.121)	0.916(.121)
0.150	0.877(.143)	0.879(.143)	0.881(.143)	0.883(.143)	0.886(.143)
0.175	0.833(.164)	0.835(.164)	0.838(.164)	0.841(.165)	0.844(.165)
0.200	0.783(.184)	0.786(.185)	0.789(.185)	0.792(.185)	0.796(.185)
0.225	0.729(.203)	0.732(.204)	0.736(.204)	0.740(.204)	0.745(.205)
0.250	0.672(.221)	0.676(.221)	0.680(.222)	0.684(.222)	0.690(.223)
0.275	0.612(.237)	0.616(.237)	0.620(.238)	0.625(.238)	0.631(.239)
0.300	0.549(.251)	0.553(.252)	0.558(.253)	0.563(.253)	0.570(.254)
0.325	0.484(.264)	0.489(.265)	0.494(.266)	0.499(.267)	0.506(.268)
0.350	0.419(.276)	0.424(.276)	0.429(.277)	0.434(.278)	0.441(.279)
0.375	0.357(.285)	0.361(.286)	0.366(.287)	0.371(.288)	0.378(.290)
0.400	0.309(.294)	0.312(.295)	0.316(.296)	0.320(.297)	0.326(.298)
0.425	0.269(.301)	0.272(.302)	0.275(.303)	0.279(.304)	0.283(.306)
0.450	0.237(.307)	0.239(.308)	0.241(.310)	0.244(.311)	0.248(.313)
0.475	0.212(.313)	0.214(.314)	0.215(.315)	0.217(.317)	0.220(.318)
0.500	0.199(.318)	0.199(.319)	0.199(.320)	0.200(.322)	0.201(.324)
0.525	0.212(.323)	0.211(.324)	0.209(.326)	0.208(.327)	0.206(.329)
0.550	0.237(.329)	0.234(.330)	0.232(.331)	0.230(.332)	0.227(.334)
0.575	0.269(.335)	0.266(.336)	0.263(.337)	0.260(.339)	0.256(.340)
0.600	0.309(.342)	0.305(.343)	0.302(.344)	0.298(.346)	0.293(.347)
0.625	0.357(.350)	0.353(.351)	0.349(.352)	0.344(.354)	0.338(.355)
0.650	0.419(.360)	0.415(.361)	0.410(.362)	0.404(.363)	0.397(.364)
0.675	0.484(.371)	0.480(.372)	0.475(.373)	0.469(.374)	0.462(.375)
0.700	0.549(.384)	0.544(.385)	0.540(.386)	0.534(.386)	0.528(.387)
0.725	0.612(.399)	0.608(.399)	0.603(.400)	0.598(.401)	0.592(.401)
0.750	0.672(.415)	0.669(.415)	0.665(.416)	0.660(.416)	0.654(.417)
0.775	0.729(.432)	0.726(.433)	0.722(.433)	0.718(.433)	0.713(.434)
0.800	0.783(.451)	0.780(.452)	0.777(.452)	0.773(.452)	0.769(.453)
0.825	0.833(.472)	0.830(.472)	0.828(.472)	0.825(.472)	0.821(.472)
0.850	0.877(.493)	0.875(.493)	0.873(.493)	0.871(.493)	0.868(.494)
0.875	0.912(.515)	0.910(.515)	0.909(.515)	0.908(.516)	0.906(.516)
0.900	0.936(.538)	0.935(.538)	0.934(.538)	0.933(.539)	0.932(.539)
0.925	0.958(.562)	0.957(.562)	0.957(.562)	0.956(.562)	0.955(.562)
0.950	0.977(.586)	0.976(.586)	0.976(.586)	0.976(.586)	0.975(.586)
0.975	0.992(.611)	0.992(.611)	0.991(.611)	0.991(.611)	0.991(.611)
1.000	1.000(.636)	1.000(.636)	1.000(.636)	1.000(.636)	1.000(.636)

*App. 4
Date 11*

*** RELATIVE ENERGY FLUX DENSITY IN THE ***
 *** PENUMBRA OF A RECTANGULAR CYLINDER ***

VERSION F

SOLAR FIELD ANGLE, D= 2.00 DEGREES
 GEOMETRY D2/R = 100.00 AND H/R = 1.0

BETA = ANGLE OF INCIDENCE, DEGREES

BETA ***	50.00	60.00	70.00	80.00	88.50
AX/AB	Q (Q1)	Q (Q1)	Q (Q1)	Q (Q1)	Q (Q1)
0.	1.000(.)	1.000(.)	1.000(.)	1.000(.)	1.000(.)
0.025	0.992(.025)	0.993(.025)	0.993(.025)	0.995(.025)	1.000(.025)
0.050	0.979(.050)	0.980(.050)	0.981(.050)	0.985(.050)	1.000(.050)
0.075	0.961(.074)	0.963(.074)	0.966(.074)	0.973(.074)	0.999(.075)
0.100	0.941(.098)	0.943(.098)	0.947(.098)	0.958(.098)	0.998(.100)
0.125	0.918(.121)	0.921(.121)	0.927(.121)	0.941(.122)	0.998(.125)
0.150	0.889(.143)	0.894(.144)	0.903(.144)	0.922(.145)	0.997(.150)
0.175	0.849(.165)	0.855(.166)	0.867(.166)	0.897(.168)	0.996(.175)
0.200	0.802(.186)	0.810(.186)	0.825(.187)	0.863(.190)	0.995(.200)
0.225	0.751(.205)	0.761(.206)	0.778(.207)	0.824(.211)	0.993(.224)
0.250	0.697(.223)	0.707(.224)	0.727(.226)	0.780(.231)	0.992(.249)
0.275	0.639(.240)	0.651(.241)	0.673(.244)	0.732(.250)	0.990(.274)
0.300	0.578(.255)	0.591(.257)	0.615(.260)	0.681(.268)	0.988(.299)
0.325	0.515(.269)	0.529(.271)	0.555(.275)	0.626(.284)	0.985(.323)
0.350	0.451(.281)	0.465(.283)	0.492(.288)	0.567(.299)	0.982(.348)
0.375	0.387(.291)	0.401(.294)	0.428(.299)	0.506(.312)	0.979(.373)
0.400	0.333(.300)	0.345(.303)	0.368(.309)	0.443(.324)	0.975(.397)
0.425	0.290(.308)	0.300(.311)	0.319(.318)	0.384(.335)	0.970(.421)
0.450	0.253(.315)	0.261(.318)	0.276(.325)	0.335(.344)	0.965(.445)
0.475	0.223(.321)	0.230(.325)	0.243(.332)	0.290(.351)	0.959(.470)
0.500	0.203(.326)	0.206(.330)	0.215(.337)	0.251(.358)	0.951(.493)
0.525	0.204(.331)	0.201(.335)	0.199(.342)	0.219(.364)	0.940(.517)
0.550	0.223(.337)	0.216(.340)	0.209(.348)	0.199(.369)	0.924(.540)
0.575	0.251(.343)	0.243(.346)	0.230(.353)	0.205(.374)	0.905(.563)
0.600	0.286(.349)	0.277(.353)	0.260(.359)	0.222(.380)	0.882(.586)
0.625	0.330(.357)	0.319(.360)	0.299(.366)	0.249(.386)	0.853(.607)
0.650	0.388(.366)	0.374(.369)	0.348(.374)	0.286(.392)	0.818(.628)
0.675	0.453(.376)	0.439(.379)	0.412(.384)	0.338(.400)	0.775(.648)
0.700	0.519(.389)	0.505(.391)	0.479(.395)	0.403(.409)	0.721(.667)
0.725	0.584(.402)	0.571(.404)	0.546(.408)	0.472(.420)	0.654(.684)
0.750	0.647(.418)	0.635(.419)	0.612(.422)	0.541(.433)	0.570(.699)
0.775	0.706(.435)	0.695(.436)	0.675(.438)	0.611(.447)	0.471(.712)
0.800	0.763(.453)	0.753(.454)	0.735(.456)	0.678(.463)	0.358(.723)
0.825	0.816(.473)	0.808(.474)	0.792(.475)	0.743(.481)	0.235(.730)
0.850	0.864(.494)	0.858(.494)	0.845(.495)	0.804(.500)	0.154(.735)
0.875	0.904(.516)	0.900(.516)	0.891(.517)	0.861(.521)	0.119(.738)
0.900	0.930(.539)	0.928(.539)	0.922(.540)	0.905(.543)	0.192(.742)
0.925	0.954(.562)	0.952(.563)	0.948(.563)	0.936(.566)	0.317(.749)
0.950	0.974(.586)	0.973(.587)	0.971(.587)	0.964(.590)	0.518(.759)
0.975	0.991(.611)	0.990(.611)	0.990(.612)	0.987(.615)	0.795(.775)
1.000	1.000(.636)	1.000(.636)	1.000(.637)	1.000(.639)	1.000(.798)

F-70
643

RE-ORDER No. 66-196
 App. 2
 Phase II

*** RELATIVE ENERGY FLUX DENSITY IN THE ***
 *** PENUMBRA OF A RECTANGULAR CYLINDER ***

VERSION F

SOLAR FIELD ANGLE, D = 2.00 DEGREES
 GEOMETRY D2/R = 1.00 AND H/R = 2.0

BETA = ANGLE OF INCIDENCE, DEGREES

BETA ***	D.	10.00	20.00	30.00	40.00
AX/AB	Q (QI)	Q (QI)	Q (QI)	Q (QI)	Q (QI)
U.	1.000(.)	1.000(.)	1.000(.)	1.000(.)	1.000(.)
0.025	0. (.012)	0.545(.019)	0.591(.020)	0.637(.020)	0.684(.021)
0.050	0. (.012)	0. (.026)	0. (.027)	0. (.028)	0. (.030)
0.075	0. (.012)	0. (.026)	0. (.027)	0. (.028)	0. (.030)
0.100	0. (.012)	0. (.026)	0. (.027)	0. (.028)	0. (.030)
0.125	0. (.012)	0. (.026)	0. (.027)	0. (.028)	0. (.030)
0.150	0. (.012)	0. (.026)	0. (.027)	0. (.028)	0. (.030)
0.175	0. (.012)	0. (.026)	0. (.027)	0. (.028)	0. (.030)
0.200	0. (.012)	0. (.026)	0. (.027)	0. (.028)	0. (.030)
0.225	0. (.012)	0. (.026)	0. (.027)	0. (.028)	0. (.030)
0.250	0. (.012)	0. (.026)	0. (.027)	0. (.028)	0. (.030)
0.275	0. (.012)	0. (.026)	0. (.027)	0. (.028)	0. (.030)
0.300	0. (.012)	0. (.026)	0. (.027)	0. (.028)	0. (.030)
0.325	0. (.012)	0. (.026)	0. (.027)	0. (.028)	0. (.030)
0.350	0. (.012)	0. (.026)	0. (.027)	0. (.028)	0. (.030)
0.375	0. (.012)	0. (.026)	0. (.027)	0. (.028)	0. (.030)
0.400	0. (.012)	0. (.026)	0. (.027)	0. (.028)	0. (.030)
0.425	0. (.012)	0. (.026)	0. (.027)	0. (.028)	0. (.030)
0.450	0. (.012)	0. (.026)	0. (.027)	0. (.028)	0. (.030)
0.475	0. (.012)	0. (.026)	0. (.027)	0. (.028)	0. (.030)
0.500	0. (.012)	0. (.026)	0. (.027)	0. (.028)	0. (.030)
0.525	0. (.012)	0. (.026)	0. (.027)	0. (.028)	0. (.030)
0.550	0. (.012)	0. (.026)	0. (.027)	0. (.028)	0. (.030)
0.575	0. (.012)	0. (.026)	0. (.027)	0. (.028)	0. (.030)
0.600	0. (.012)	0. (.026)	0. (.027)	0. (.028)	0. (.030)
0.625	0. (.012)	0. (.026)	0. (.027)	0. (.028)	0. (.030)
0.650	0. (.012)	0. (.026)	0. (.027)	0. (.028)	0. (.030)
0.675	0. (.012)	0. (.026)	0. (.027)	0. (.028)	0. (.030)
0.700	0. (.012)	0. (.026)	0. (.027)	0. (.028)	0. (.030)
0.725	0. (.012)	0. (.026)	0. (.027)	0. (.028)	0. (.030)
0.750	0. (.012)	0. (.026)	0. (.027)	0. (.028)	0. (.030)
0.775	0. (.012)	0. (.026)	0. (.027)	0. (.028)	0. (.030)
0.800	0. (.012)	0. (.026)	0. (.027)	0. (.028)	0. (.030)
0.825	0. (.012)	0. (.026)	0. (.027)	0. (.028)	0. (.030)
0.850	0. (.012)	0. (.026)	0. (.027)	0. (.028)	0. (.030)
0.875	0. (.012)	0. (.026)	0. (.027)	0. (.028)	0. (.030)
0.900	0. (.012)	0. (.026)	0. (.027)	0. (.028)	0. (.030)
0.925	0. (.012)	0. (.026)	0. (.027)	0. (.028)	0. (.030)
0.950	0. (.012)	0. (.026)	0. (.027)	0. (.028)	0. (.030)
0.975	0. (.012)	0. (.026)	0. (.027)	0. (.028)	0. (.030)
1.000	1.000(.025)	1.000(.039)	1.000(.040)	1.000(.041)	1.000(.042)

F-71
 644

*** RELATIVE ENERGY FLUX DENSITY IN THE ***
 *** PENUMBRA OF A RECTANGULAR CYLINDER ***

VERSION F

SOLAR FIELD ANGLE, D = 2.00 DEGREES
 GEOMETRY D2/R = 1.00 AND H/R = 2.0

BETA = ANGLE OF INCIDENCE, DEGREES

BETA ***	50.00	60.00	70.00	80.00	88.50
AX/AB	Q (Q1)	Q (Q1)	Q (Q1)	Q (Q1)	Q (Q1)
0.	1.000(.)	1.000(.)	1.000(.)	1.000(.)	1.000(.)
0.025	0.735(.022)	0.797(.022)	0.872(.023)	0.946(.024)	1.000(.025)
0.050	0. (.031)	0. (.032)	0.506(.041)	0.808(.046)	0.999(.050)
0.075	0. (.031)	0. (.032)	0. (.047)	0.564(.063)	0.999(.075)
0.100	0. (.031)	0. (.032)	0. (.047)	0.107(.072)	0.998(.100)
0.125	0. (.031)	0. (.032)	0. (.047)	0. (.073)	0.996(.125)
0.150	0. (.031)	0. (.032)	0. (.047)	0. (.073)	0.995(.150)
0.175	0. (.031)	0. (.032)	0. (.047)	0. (.073)	0.993(.175)
0.200	0. (.031)	0. (.032)	0. (.047)	0. (.073)	0.991(.199)
0.225	0. (.031)	0. (.032)	0. (.047)	0. (.073)	0.989(.224)
0.250	0. (.031)	0. (.032)	0. (.047)	0. (.073)	0.985(.249)
0.275	0. (.031)	0. (.032)	0. (.047)	0. (.073)	0.982(.273)
0.300	0. (.031)	0. (.032)	0. (.047)	0. (.073)	0.977(.298)
0.325	0. (.031)	0. (.032)	0. (.047)	0. (.073)	0.972(.322)
0.350	0. (.031)	0. (.032)	0. (.047)	0. (.073)	0.965(.346)
0.375	0. (.031)	0. (.032)	0. (.047)	0. (.073)	0.957(.370)
0.400	0. (.031)	0. (.032)	0. (.047)	0. (.073)	0.945(.394)
0.425	0. (.031)	0. (.032)	0. (.047)	0. (.073)	0.926(.418)
0.450	0. (.031)	0. (.032)	0. (.047)	0. (.073)	0.902(.440)
0.475	0. (.031)	0. (.032)	0. (.047)	0. (.073)	0.869(.463)
0.500	0. (.031)	0. (.032)	0. (.047)	0. (.073)	0.827(.484)
0.525	0. (.031)	0. (.032)	0. (.047)	0. (.073)	0.771(.504)
0.550	0. (.031)	0. (.032)	0. (.047)	0. (.073)	0.695(.522)
0.575	0. (.031)	0. (.032)	0. (.047)	0. (.073)	0.592(.538)
0.600	0. (.031)	0. (.032)	0. (.047)	0. (.073)	0.446(.551)
0.625	0. (.031)	0. (.032)	0. (.047)	0. (.073)	0.268(.560)
0.650	0. (.031)	0. (.032)	0. (.047)	0. (.073)	0.099(.565)
0.675	0. (.031)	0. (.032)	0. (.047)	0. (.073)	0. (.566)
0.700	0. (.031)	0. (.032)	0. (.047)	0. (.073)	0. (.566)
0.725	0. (.031)	0. (.032)	0. (.047)	0. (.073)	0. (.566)
0.750	0. (.031)	0. (.032)	0. (.047)	0. (.073)	0. (.566)
0.775	0. (.031)	0. (.032)	0. (.047)	0. (.073)	0. (.566)
0.800	0. (.031)	0. (.032)	0. (.047)	0. (.073)	0. (.566)
0.825	0. (.031)	0. (.032)	0. (.047)	0. (.073)	0. (.566)
0.850	0. (.031)	0. (.032)	0. (.047)	0. (.073)	0. (.566)
0.875	0. (.031)	0. (.032)	0. (.047)	0. (.073)	0. (.566)
0.900	0. (.031)	0. (.032)	0. (.047)	0. (.073)	0. (.566)
0.925	0. (.031)	0. (.032)	0. (.047)	0. (.073)	0. (.566)
0.950	0. (.031)	0. (.032)	0. (.047)	0. (.073)	0. (.566)
0.975	0. (.031)	0. (.032)	0. (.047)	0. (.073)	0. (.566)
1.000	0. (.031)	0. (.032)	0. (.047)	0. (.073)	0. (.566)

RE-ORDER No. 66-196
 App 2
 Phase II

*** RELATIVE ENERGY FLUX DENSITY IN THE ***
 *** PENUMBRA OF A RECTANGULAR CYLINDER ***

VERSION F

SOLAR FIELD ANGLE, D= 2.00 DEGREES
 GEOMETRY D2/R = 5.00 AND H/R = 2.0

BETA = ANGLE OF INCIDENCE, DEGREES

BETA ***	0.	10.00	20.00	30.00	40.00
AX/AB	Q (QI)	Q (QI)	Q (QI)	Q (QI)	Q (QI)
0.	1.000(.)	1.000(.)	1.000(.)	1.000(.)	1.000(.)
0.025	0.883(.024)	0.890(.024)	0.896(.024)	0.903(.024)	0.910(.024)
0.050	0.567(.042)	0.588(.042)	0.609(.043)	0.632(.043)	0.658(.043)
0.075	0.015(.049)	0.040(.050)	0.070(.051)	0.109(.052)	0.174(.054)
0.100	0. (.049)	0. (.050)	0. (.052)	0. (.054)	0. (.056)
0.125	0. (.049)	0. (.050)	0. (.052)	0. (.054)	0. (.056)
0.150	0. (.049)	0. (.050)	0. (.052)	0. (.054)	0. (.056)
0.175	0. (.049)	0. (.050)	0. (.052)	0. (.054)	0. (.056)
0.200	0. (.049)	0. (.050)	0. (.052)	0. (.054)	0. (.056)
0.225	0. (.049)	0. (.050)	0. (.052)	0. (.054)	0. (.056)
0.250	0. (.049)	0. (.050)	0. (.052)	0. (.054)	0. (.056)
0.275	0. (.049)	0. (.050)	0. (.052)	0. (.054)	0. (.056)
0.300	0. (.049)	0. (.050)	0. (.052)	0. (.054)	0. (.056)
0.325	0. (.049)	0. (.050)	0. (.052)	0. (.054)	0. (.056)
0.350	0. (.049)	0. (.050)	0. (.052)	0. (.054)	0. (.056)
0.375	0. (.049)	0. (.050)	0. (.052)	0. (.054)	0. (.056)
0.400	0. (.049)	0. (.050)	0. (.052)	0. (.054)	0. (.056)
0.425	0. (.049)	0. (.050)	0. (.052)	0. (.054)	0. (.056)
0.450	0. (.049)	0. (.050)	0. (.052)	0. (.054)	0. (.056)
0.475	0. (.049)	0. (.050)	0. (.052)	0. (.054)	0. (.056)
0.500	0. (.049)	0. (.050)	0. (.052)	0. (.054)	0. (.056)
0.525	0. (.049)	0. (.050)	0. (.052)	0. (.054)	0. (.056)
0.550	0. (.049)	0. (.050)	0. (.052)	0. (.054)	0. (.056)
0.575	0. (.049)	0. (.050)	0. (.052)	0. (.054)	0. (.056)
0.600	0. (.049)	0. (.050)	0. (.052)	0. (.054)	0. (.056)
0.625	0. (.049)	0. (.050)	0. (.052)	0. (.054)	0. (.056)
0.650	0. (.049)	0. (.050)	0. (.052)	0. (.054)	0. (.056)
0.675	0. (.049)	0. (.050)	0. (.052)	0. (.054)	0. (.056)
0.700	0. (.049)	0. (.050)	0. (.052)	0. (.054)	0. (.056)
0.725	0. (.049)	0. (.050)	0. (.052)	0. (.054)	0. (.056)
0.750	0. (.049)	0. (.050)	0. (.052)	0. (.054)	0. (.056)
0.775	0. (.049)	0. (.050)	0. (.052)	0. (.054)	0. (.056)
0.800	0. (.049)	0. (.050)	0. (.052)	0. (.054)	0. (.056)
0.825	0. (.049)	0. (.050)	0. (.052)	0. (.054)	0. (.056)
0.850	0. (.049)	0. (.050)	0. (.052)	0. (.054)	0. (.056)
0.875	0. (.049)	0. (.050)	0. (.052)	0. (.054)	0. (.056)
0.900	0. (.049)	0. (.050)	0. (.052)	0. (.054)	0. (.056)
0.925	0.015(.049)	0. (.050)	0. (.052)	0. (.054)	0. (.056)
0.950	0.567(.057)	0.544(.057)	0.519(.058)	0.474(.060)	0.364(.061)
0.975	0.883(.075)	0.875(.075)	0.867(.076)	0.856(.076)	0.841(.076)
1.000	1.000(.096)	1.000(.098)	1.000(.099)	1.000(.099)	1.000(.099)

F-73
 646

*** RELATIVE ENERGY FLUX DENSITY IN THE *** VERSION F
 *** PENUMBRA OF A RECTANGULAR CYLINDER ***

SOLAR FIELD ANGLE, D = 2.00 DEGREES
 GEOMETRY D2/R = 5.00 AND H/R = 2.0

BETA = ANGLE OF INCIDENCE, DEGREES

BETA *** AX/AB	50.00 Q (Q1)	60.00 Q (Q1)	70.00 Q (Q1)	80.00 Q (Q1)	88.50 Q (Q1)
0.	1.000(.)	1.000(.)	1.000(.)	1.000(.)	1.000(.)
0.025	0.917(.024)	0.926(.024)	0.941(.024)	0.967(.025)	1.000(.025)
0.050	0.689(.044)	0.731(.045)	0.795(.046)	0.902(.048)	0.999(.050)
0.075	0.265(.056)	0.393(.059)	0.556(.063)	0.768(.069)	0.999(.075)
0.100	0. (.059)	0.025(.064)	0.160(.072)	0.586(.086)	0.998(.100)
0.125	0. (.059)	0. (.064)	0. (.074)	0.314(.097)	0.997(.125)
0.150	0. (.059)	0. (.064)	0. (.074)	0.076(.102)	0.995(.150)
0.175	0. (.059)	0. (.064)	0. (.074)	0. (.103)	0.994(.175)
0.200	0. (.059)	0. (.064)	0. (.074)	0. (.103)	0.992(.199)
0.225	0. (.059)	0. (.064)	0. (.074)	0. (.103)	0.989(.224)
0.250	0. (.059)	0. (.064)	0. (.074)	0. (.103)	0.986(.249)
0.275	0. (.059)	0. (.064)	0. (.074)	0. (.103)	0.983(.273)
0.300	0. (.059)	0. (.064)	0. (.074)	0. (.103)	0.979(.298)
0.325	0. (.059)	0. (.064)	0. (.074)	0. (.103)	0.974(.322)
0.350	0. (.059)	0. (.064)	0. (.074)	0. (.103)	0.968(.347)
0.375	0. (.059)	0. (.064)	0. (.074)	0. (.103)	0.960(.371)
0.400	0. (.059)	0. (.064)	0. (.074)	0. (.103)	0.951(.395)
0.425	0. (.059)	0. (.064)	0. (.074)	0. (.103)	0.936(.418)
0.450	0. (.059)	0. (.064)	0. (.074)	0. (.103)	0.915(.441)
0.475	0. (.059)	0. (.064)	0. (.074)	0. (.103)	0.888(.464)
0.500	0. (.059)	0. (.064)	0. (.074)	0. (.103)	0.852(.486)
0.525	0. (.059)	0. (.064)	0. (.074)	0. (.103)	0.805(.506)
0.550	0. (.059)	0. (.064)	0. (.074)	0. (.103)	0.745(.526)
0.575	0. (.059)	0. (.064)	0. (.074)	0. (.103)	0.663(.543)
0.600	0. (.059)	0. (.064)	0. (.074)	0. (.103)	0.549(.559)
0.625	0. (.059)	0. (.064)	0. (.074)	0. (.103)	0.399(.570)
0.650	0. (.059)	0. (.064)	0. (.074)	0. (.103)	0.220(.578)
0.675	0. (.059)	0. (.064)	0. (.074)	0. (.103)	0.071(.582)
0.700	0. (.059)	0. (.064)	0. (.074)	0. (.103)	0. (.583)
0.725	0. (.059)	0. (.064)	0. (.074)	0. (.103)	0. (.583)
0.750	0. (.059)	0. (.064)	0. (.074)	0. (.103)	0. (.583)
0.775	0. (.059)	0. (.064)	0. (.074)	0. (.103)	0. (.583)
0.800	0. (.059)	0. (.064)	0. (.074)	0. (.103)	0. (.583)
0.825	0. (.059)	0. (.064)	0. (.074)	0. (.103)	0. (.583)
0.850	0. (.059)	0. (.064)	0. (.074)	0. (.103)	0. (.583)
0.875	0. (.059)	0. (.064)	0. (.074)	0. (.103)	0. (.583)
0.900	0. (.059)	0. (.064)	0. (.074)	0. (.103)	0. (.583)
0.925	0. (.059)	0. (.064)	0. (.074)	0. (.103)	0. (.583)
0.950	0.192(.062)	0. (.064)	0. (.074)	0. (.103)	0. (.583)
0.975	0.817(.074)	0.773(.074)	0.651(.082)	0. (.103)	0. (.583)
1.000	1.000(.097)	1.000(.096)	1.000(.103)	0. (.103)	0. (.583)

F-7A
 647

*** RELATIVE ENERGY FLUX DENSITY IN THE ***
 *** PENUMBRA OF A RECTANGULAR CYLINDER ***

VERSION F

SOLAR FIELD ANGLE, D= 2.00 DEGREES
 GEOMETRY D2/R = 10.00 AND H/R = 2.0

BETA = ANGLE OF INCIDENCE, DEGREES

BETA ***	0.	10.00	20.00	30.00	40.00
AX/AB	Q (Q1)	Q (Q1)	Q (Q1)	Q (Q1)	Q (Q1)
0.	1.000(.)	1.000(.)	1.000(.)	1.000(.)	1.000(.)
0.025	0.943(.024)	0.945(.024)	0.947(.024)	0.949(.024)	0.951(.024)
0.050	0.815(.046)	0.822(.046)	0.829(.047)	0.837(.047)	0.846(.047)
0.075	0.609(.064)	0.621(.064)	0.635(.065)	0.649(.065)	0.666(.066)
0.100	0.316(.076)	0.339(.076)	0.364(.077)	0.392(.078)	0.426(.079)
0.125	0.070(.080)	0.083(.082)	0.097(.083)	0.118(.085)	0.146(.087)
0.150	0. (.081)	0. (.083)	0. (.084)	0.004(.086)	0.014(.089)
0.175	0. (.081)	0. (.083)	0. (.084)	0. (.086)	0. (.089)
0.200	0. (.081)	0. (.083)	0. (.084)	0. (.086)	0. (.089)
0.225	0. (.081)	0. (.083)	0. (.084)	0. (.086)	0. (.089)
0.250	0. (.081)	0. (.083)	0. (.084)	0. (.086)	0. (.089)
0.275	0. (.081)	0. (.083)	0. (.084)	0. (.086)	0. (.089)
0.300	0. (.081)	0. (.083)	0. (.084)	0. (.086)	0. (.089)
0.325	0. (.081)	0. (.083)	0. (.084)	0. (.086)	0. (.089)
0.350	0. (.081)	0. (.083)	0. (.084)	0. (.086)	0. (.089)
0.375	0. (.081)	0. (.083)	0. (.084)	0. (.086)	0. (.089)
0.400	0. (.081)	0. (.083)	0. (.084)	0. (.086)	0. (.089)
0.425	0. (.081)	0. (.083)	0. (.084)	0. (.086)	0. (.089)
0.450	0. (.081)	0. (.083)	0. (.084)	0. (.086)	0. (.089)
0.475	0. (.081)	0. (.083)	0. (.084)	0. (.086)	0. (.089)
0.500	0. (.081)	0. (.083)	0. (.084)	0. (.086)	0. (.089)
0.525	0. (.081)	0. (.083)	0. (.084)	0. (.086)	0. (.089)
0.550	0. (.081)	0. (.083)	0. (.084)	0. (.086)	0. (.089)
0.575	0. (.081)	0. (.083)	0. (.084)	0. (.086)	0. (.089)
0.600	0. (.081)	0. (.083)	0. (.084)	0. (.086)	0. (.089)
0.625	0. (.081)	0. (.083)	0. (.084)	0. (.086)	0. (.089)
0.650	0. (.081)	0. (.083)	0. (.084)	0. (.086)	0. (.089)
0.675	0. (.081)	0. (.083)	0. (.084)	0. (.086)	0. (.089)
0.700	0. (.081)	0. (.083)	0. (.084)	0. (.086)	0. (.089)
0.725	0. (.081)	0. (.083)	0. (.084)	0. (.086)	0. (.089)
0.750	0. (.081)	0. (.083)	0. (.084)	0. (.086)	0. (.089)
0.775	0. (.081)	0. (.083)	0. (.084)	0. (.086)	0. (.089)
0.800	0. (.081)	0. (.083)	0. (.084)	0. (.086)	0. (.089)
0.825	0. (.081)	0. (.083)	0. (.084)	0. (.086)	0. (.089)
0.850	0. (.081)	0. (.083)	0. (.084)	0. (.086)	0. (.089)
0.875	0.070(.082)	0.058(.083)	0.046(.085)	0.032(.087)	0.017(.089)
0.900	0.316(.087)	0.292(.088)	0.266(.089)	0.236(.090)	0.199(.092)
0.925	0.609(.099)	0.595(.099)	0.581(.099)	0.564(.100)	0.542(.101)
0.950	0.815(.116)	0.808(.117)	0.799(.117)	0.789(.117)	0.777(.117)
0.975	0.943(.138)	0.941(.138)	0.939(.138)	0.937(.138)	0.934(.139)
1.000	1.000(.163)	1.000(.163)	1.000(.163)	1.000(.163)	1.000(.163)

*** RELATIVE ENERGY FLUX DENSITY IN THE ***
 *** PENUMBRA OF A RECTANGULAR CYLINDER ***

VERSION F

SOLAR FIELD ANGLE, D = 2.00 DEGREES
 GEOMETRY D2/R = 10.00 AND H/R = 2.0

BETA = ANGLE OF INCIDENCE, DEGREES

BETA ***	50.00		60.00		70.00		80.00		88.50	
AX/AB	Q	(Q1)	Q	(Q1)	Q	(Q1)	Q	(Q1)	Q	(Q1)
0.	1.000(.)		1.000(.)		1.000(.)		1.000(.)		1.000(.)	
0.025	0.954(.024)		0.958(.024)		0.964(.025)		0.977(.025)		1.000(.025)	
0.050	0.858(.047)		0.874(.047)		0.898(.048)		0.935(.049)		0.999(.050)	
0.075	0.687(.066)		0.717(.067)		0.766(.069)		0.866(.071)		0.999(.075)	
0.100	0.469(.081)		0.523(.083)		0.596(.086)		0.753(.091)		0.998(.100)	
0.125	0.187(.089)		0.250(.092)		0.366(.098)		0.614(.108)		0.997(.125)	
0.150	0.031(.092)		0.062(.096)		0.138(.104)		0.434(.122)		0.996(.150)	
0.175	0. (.092)		0. (.097)		0.022(.106)		0.232(.130)		0.994(.175)	
0.200	0. (.092)		0. (.097)		0. (.106)		0.080(.134)		0.992(.199)	
0.225	0. (.092)		0. (.097)		0. (.106)		0.005(.135)		0.990(.224)	
0.250	0. (.092)		0. (.097)		0. (.106)		0. (.135)		0.987(.249)	
0.275	0. (.092)		0. (.097)		0. (.106)		0. (.135)		0.984(.274)	
0.300	0. (.092)		0. (.097)		0. (.106)		0. (.135)		0.980(.298)	
0.325	0. (.092)		0. (.097)		0. (.106)		0. (.135)		0.976(.323)	
0.350	0. (.092)		0. (.097)		0. (.106)		0. (.135)		0.970(.347)	
0.375	0. (.092)		0. (.097)		0. (.106)		0. (.135)		0.964(.371)	
0.400	0. (.092)		0. (.097)		0. (.106)		0. (.135)		0.956(.395)	
0.425	0. (.092)		0. (.097)		0. (.106)		0. (.135)		0.944(.419)	
0.450	0. (.092)		0. (.097)		0. (.106)		0. (.135)		0.927(.442)	
0.475	0. (.092)		0. (.097)		0. (.106)		0. (.135)		0.904(.465)	
0.500	0. (.092)		0. (.097)		0. (.106)		0. (.135)		0.874(.487)	
0.525	0. (.092)		0. (.097)		0. (.106)		0. (.135)		0.836(.509)	
0.550	0. (.092)		0. (.097)		0. (.106)		0. (.135)		0.786(.529)	
0.575	0. (.092)		0. (.097)		0. (.106)		0. (.135)		0.721(.548)	
0.600	0. (.092)		0. (.097)		0. (.106)		0. (.135)		0.634(.565)	
0.625	0. (.092)		0. (.097)		0. (.106)		0. (.135)		0.514(.579)	
0.650	0. (.092)		0. (.097)		0. (.106)		0. (.135)		0.364(.590)	
0.675	0. (.092)		0. (.097)		0. (.106)		0. (.135)		0.188(.597)	
0.700	0. (.092)		0. (.097)		0. (.106)		0. (.135)		0.054(.600)	
0.725	0. (.092)		0. (.097)		0. (.106)		0. (.135)		0. (.601)	
0.750	0. (.092)		0. (.097)		0. (.106)		0. (.135)		0. (.601)	
0.775	0. (.092)		0. (.097)		0. (.106)		0. (.135)		0. (.601)	
0.800	0. (.092)		0. (.097)		0. (.106)		0. (.135)		0. (.601)	
0.825	0. (.092)		0. (.097)		0. (.106)		0. (.135)		0. (.601)	
0.850	0. (.092)		0. (.097)		0. (.106)		0. (.135)		0. (.601)	
0.875	0.002(.092)		0. (.097)		0. (.106)		0. (.135)		0. (.601)	
0.900	0.150(.094)		0.085(.098)		0.008(.106)		0. (.135)		0. (.601)	
0.925	0.511(.102)		0.438(.105)		0.261(.110)		0. (.135)		0. (.601)	
0.950	0.755(.118)		0.727(.119)		0.656(.121)		0.126(.136)		0. (.601)	
0.975	0.929(.139)		0.921(.140)		0.904(.141)		0.768(.148)		0. (.601)	
1.000	1.000(.163)		1.000(.164)		1.000(.165)		1.000(.170)		0. (.601)	

*** RELATIVE ENERGY FLUX DENSITY IN THE ***
 *** PENUMBRA OF A RECTANGULAR CYLINDER ***

VERSION F

SOLAR FIELD ANGLE, D= 2.00 DEGREES
 GEOMETRY D2/R = 50.00 AND H/R = 2.0

BETA = ANGLE OF INCIDENCE, DEGREES

BETA ***	0.	10.00	20.00	30.00	40.00
AX/AB	Q (Q1)	Q (Q1)	Q (Q1)	Q (Q1)	Q (Q1)
0.	1.000(.)	1.000(.)	1.000(.)	1.000(.)	1.000(.)
0.025	0.987(.025)	0.987(.025)	0.988(.025)	0.988(.025)	0.988(.025)
0.050	0.964(.049)	0.965(.049)	0.965(.049)	0.966(.049)	0.967(.049)
0.075	0.935(.073)	0.936(.073)	0.937(.073)	0.938(.073)	0.940(.073)
0.100	0.901(.096)	0.903(.096)	0.904(.096)	0.906(.096)	0.908(.096)
0.125	0.847(.118)	0.849(.118)	0.852(.118)	0.855(.118)	0.859(.118)
0.150	0.781(.138)	0.784(.138)	0.788(.139)	0.792(.139)	0.797(.139)
0.175	0.707(.157)	0.712(.157)	0.716(.157)	0.721(.158)	0.728(.158)
0.200	0.629(.173)	0.634(.174)	0.639(.174)	0.645(.175)	0.653(.175)
0.225	0.544(.188)	0.550(.189)	0.556(.189)	0.563(.190)	0.571(.191)
0.250	0.455(.201)	0.461(.201)	0.468(.202)	0.476(.203)	0.485(.204)
0.275	0.364(.211)	0.370(.212)	0.377(.213)	0.385(.214)	0.394(.215)
0.300	0.279(.219)	0.285(.220)	0.292(.221)	0.299(.222)	0.308(.224)
0.325	0.201(.225)	0.207(.226)	0.213(.227)	0.220(.229)	0.228(.230)
0.350	0.133(.229)	0.138(.230)	0.143(.232)	0.149(.233)	0.156(.235)
0.375	0.083(.232)	0.086(.233)	0.089(.235)	0.093(.236)	0.098(.238)
0.400	0.049(.233)	0.052(.235)	0.054(.236)	0.057(.238)	0.061(.240)
0.425	0.021(.234)	0.023(.236)	0.025(.237)	0.027(.239)	0.030(.241)
0.450	0.002(.235)	0.003(.236)	0.004(.238)	0.006(.240)	0.007(.242)
0.475	0. (.235)	0. (.236)	0. (.238)	0. (.240)	0. (.242)
0.500	0. (.235)	0. (.236)	0. (.238)	0. (.240)	0. (.242)
0.525	0. (.235)	0. (.236)	0. (.238)	0. (.240)	0. (.242)
0.550	0.002(.235)	0.002(.236)	0.001(.238)	0.000(.240)	0. (.242)
0.575	0.021(.235)	0.020(.236)	0.018(.238)	0.016(.240)	0.014(.242)
0.600	0.049(.236)	0.047(.237)	0.045(.239)	0.042(.241)	0.039(.243)
0.625	0.083(.237)	0.080(.239)	0.078(.240)	0.074(.242)	0.070(.244)
0.650	0.133(.240)	0.128(.241)	0.124(.243)	0.118(.244)	0.112(.246)
0.675	0.201(.244)	0.196(.246)	0.190(.247)	0.184(.248)	0.176(.250)
0.700	0.279(.250)	0.273(.251)	0.267(.252)	0.260(.254)	0.251(.255)
0.725	0.364(.258)	0.357(.259)	0.351(.260)	0.343(.261)	0.334(.263)
0.750	0.455(.269)	0.448(.269)	0.442(.270)	0.434(.271)	0.424(.272)
0.775	0.544(.281)	0.539(.282)	0.533(.282)	0.526(.283)	0.517(.284)
0.800	0.629(.296)	0.624(.296)	0.618(.297)	0.612(.297)	0.604(.298)
0.825	0.707(.312)	0.703(.313)	0.698(.313)	0.693(.314)	0.686(.314)
0.850	0.781(.331)	0.777(.331)	0.773(.332)	0.769(.332)	0.763(.332)
0.875	0.847(.351)	0.844(.352)	0.841(.352)	0.837(.352)	0.833(.352)
0.900	0.901(.373)	0.899(.373)	0.897(.373)	0.895(.374)	0.892(.374)
0.925	0.935(.396)	0.934(.396)	0.933(.396)	0.932(.396)	0.931(.396)
0.950	0.964(.420)	0.964(.420)	0.963(.420)	0.962(.420)	0.961(.420)
0.975	0.987(.444)	0.987(.444)	0.987(.444)	0.986(.444)	0.986(.444)
1.000	1.000(.469)	1.000(.469)	1.000(.469)	1.000(.469)	1.000(.469)

F-77
 650

*** RELATIVE ENERGY FLUX DENSITY IN THE ***
 *** PENUMBRA OF A RECTANGULAR CYLINDER ***

VERSION F

SOLAR FIELD ANGLE, D= 2.00 DEGREES
 GEOMETRY D2/R = 50.00 AND H/R = 2.0

BETA = ANGLE OF INCIDENCE, DEGREES

BETA ***	50.00	60.00	70.00	80.00	88.50
AX/AB	Q (QI)	Q (QI)	Q (QI)	Q (QI)	Q (QI)
0.	1.000(.)	1.000(.)	1.000(.)	1.000(.)	1.000(.)
0.025	0.985(.025)	0.989(.025)	0.990(.025)	0.992(.025)	1.000(.025)
0.050	0.968(.049)	0.969(.049)	0.972(.049)	0.979(.050)	0.999(.050)
0.075	0.942(.073)	0.944(.073)	0.949(.073)	0.960(.074)	0.999(.075)
0.100	0.911(.096)	0.915(.097)	0.922(.097)	0.939(.098)	0.998(.100)
0.125	0.864(.119)	0.872(.119)	0.884(.119)	0.914(.121)	0.998(.125)
0.150	0.804(.139)	0.814(.140)	0.832(.141)	0.875(.143)	0.997(.150)
0.175	0.735(.159)	0.748(.159)	0.770(.161)	0.826(.164)	0.995(.175)
0.200	0.662(.176)	0.676(.177)	0.702(.179)	0.770(.184)	0.994(.200)
0.225	0.582(.192)	0.599(.193)	0.629(.196)	0.707(.203)	0.992(.224)
0.250	0.498(.205)	0.516(.207)	0.549(.211)	0.639(.220)	0.990(.249)
0.275	0.407(.216)	0.427(.219)	0.464(.223)	0.564(.235)	0.988(.274)
0.300	0.321(.226)	0.340(.228)	0.376(.234)	0.484(.248)	0.986(.299)
0.325	0.240(.233)	0.258(.236)	0.293(.242)	0.398(.259)	0.983(.323)
0.350	0.167(.238)	0.183(.241)	0.215(.249)	0.316(.268)	0.979(.348)
0.375	0.105(.241)	0.118(.245)	0.145(.253)	0.237(.275)	0.975(.372)
0.400	0.065(.243)	0.074(.248)	0.091(.256)	0.164(.280)	0.970(.396)
0.425	0.034(.244)	0.041(.249)	0.055(.258)	0.103(.283)	0.964(.421)
0.450	0.010(.245)	0.014(.250)	0.024(.259)	0.064(.285)	0.958(.445)
0.475	0. (.245)	0. (.250)	0.003(.259)	0.030(.286)	0.949(.468)
0.500	0. (.245)	0. (.250)	0. (.259)	0.005(.287)	0.935(.492)
0.525	0. (.245)	0. (.250)	0. (.259)	0. (.287)	0.918(.515)
0.550	0. (.245)	0. (.250)	0. (.259)	0. (.287)	0.896(.538)
0.575	0.011(.245)	0.007(.250)	0.002(.259)	0. (.287)	0.868(.560)
0.600	0.035(.246)	0.029(.250)	0.019(.259)	0.001(.287)	0.833(.581)
0.625	0.065(.247)	0.058(.252)	0.045(.260)	0.015(.287)	0.789(.601)
0.650	0.104(.249)	0.093(.253)	0.077(.262)	0.038(.288)	0.734(.621)
0.675	0.165(.253)	0.150(.256)	0.123(.264)	0.068(.289)	0.663(.638)
0.700	0.239(.256)	0.222(.261)	0.190(.268)	0.110(.291)	0.571(.653)
0.725	0.321(.265)	0.303(.268)	0.268(.274)	0.175(.295)	0.456(.666)
0.750	0.411(.274)	0.391(.276)	0.354(.282)	0.254(.300)	0.321(.676)
0.775	0.505(.285)	0.487(.287)	0.450(.292)	0.343(.307)	0.172(.682)
0.800	0.593(.299)	0.577(.301)	0.544(.304)	0.444(.317)	0.061(.685)
0.825	0.677(.315)	0.663(.316)	0.635(.319)	0.545(.330)	0. (.686)
0.850	0.755(.333)	0.743(.334)	0.719(.336)	0.643(.345)	0. (.686)
0.875	0.827(.353)	0.818(.353)	0.799(.355)	0.736(.362)	0. (.686)
0.900	0.888(.374)	0.882(.374)	0.869(.376)	0.823(.381)	0. (.686)
0.925	0.928(.397)	0.925(.397)	0.919(.398)	0.896(.403)	0.006(.686)
0.950	0.960(.420)	0.958(.421)	0.954(.421)	0.941(.426)	0.035(.686)
0.975	0.985(.445)	0.985(.445)	0.983(.446)	0.978(.450)	0.270(.690)
1.000	1.000(.469)	1.000(.470)	1.000(.470)	1.000(.474)	1.000(.706)

F-78
 657

*** RELATIVE ENERGY FLUX DENSITY IN THE ***
 *** PENUMBRA OF A RECTANGULAR CYLINDER ***

VERSION F

SOLAR FIELD ANGLE, $D = 2.00$ DEGREES
 GEOMETRY $D2/R = 100.00$ AND $H/R = 2.0$

BETA = ANGLE OF INCIDENCE, DEGREES

BETA ***	0.	10.00	20.00	30.00	40.00
AX/AB	Q (QI)	Q (QI)	Q (QI)	Q (QI)	Q (QI)
0.	1.000(.)	1.000(.)	1.000(.)	1.000(.)	1.000(.)
0.025	0.992(.025)	0.992(.025)	0.992(.025)	0.992(.025)	0.992(.025)
0.050	0.977(.050)	0.977(.050)	0.978(.050)	0.978(.050)	0.978(.050)
0.075	0.958(.074)	0.959(.074)	0.959(.074)	0.960(.074)	0.961(.074)
0.100	0.935(.097)	0.937(.097)	0.938(.097)	0.939(.097)	0.940(.098)
0.125	0.912(.120)	0.913(.121)	0.914(.121)	0.915(.121)	0.917(.121)
0.150	0.878(.143)	0.880(.143)	0.882(.143)	0.884(.143)	0.886(.143)
0.175	0.834(.164)	0.836(.164)	0.839(.165)	0.842(.165)	0.845(.165)
0.200	0.784(.184)	0.787(.185)	0.790(.185)	0.794(.185)	0.798(.185)
0.225	0.731(.203)	0.734(.204)	0.738(.204)	0.742(.204)	0.746(.205)
0.250	0.674(.221)	0.678(.221)	0.682(.222)	0.686(.222)	0.691(.223)
0.275	0.614(.237)	0.618(.238)	0.623(.238)	0.628(.239)	0.634(.239)
0.300	0.552(.252)	0.556(.252)	0.561(.253)	0.566(.254)	0.572(.254)
0.325	0.487(.265)	0.492(.265)	0.497(.266)	0.502(.267)	0.509(.268)
0.350	0.421(.276)	0.426(.277)	0.431(.278)	0.436(.279)	0.443(.280)
0.375	0.357(.286)	0.361(.287)	0.366(.288)	0.371(.289)	0.378(.290)
0.400	0.306(.294)	0.310(.295)	0.314(.296)	0.318(.297)	0.324(.299)
0.425	0.265(.301)	0.268(.302)	0.272(.303)	0.275(.305)	0.280(.306)
0.450	0.232(.307)	0.234(.309)	0.237(.310)	0.240(.311)	0.244(.313)
0.475	0.207(.313)	0.209(.314)	0.211(.315)	0.213(.317)	0.215(.319)
0.500	0.194(.318)	0.194(.319)	0.194(.320)	0.195(.322)	0.196(.324)
0.525	0.207(.323)	0.206(.324)	0.204(.325)	0.203(.327)	0.201(.329)
0.550	0.232(.328)	0.230(.330)	0.228(.331)	0.225(.332)	0.222(.334)
0.575	0.265(.335)	0.262(.336)	0.259(.337)	0.256(.338)	0.252(.340)
0.600	0.306(.342)	0.303(.343)	0.299(.344)	0.295(.345)	0.290(.347)
0.625	0.357(.350)	0.352(.351)	0.348(.352)	0.343(.353)	0.337(.355)
0.650	0.421(.350)	0.416(.361)	0.411(.361)	0.405(.362)	0.399(.364)
0.675	0.487(.371)	0.482(.372)	0.477(.373)	0.472(.373)	0.465(.375)
0.700	0.552(.384)	0.547(.385)	0.542(.385)	0.537(.386)	0.531(.387)
0.725	0.614(.399)	0.610(.399)	0.606(.400)	0.601(.400)	0.595(.401)
0.750	0.674(.415)	0.671(.415)	0.667(.416)	0.662(.416)	0.657(.417)
0.775	0.731(.432)	0.728(.433)	0.724(.433)	0.720(.433)	0.715(.434)
0.800	0.784(.451)	0.782(.452)	0.778(.452)	0.775(.452)	0.771(.452)
0.825	0.834(.472)	0.832(.472)	0.829(.472)	0.826(.472)	0.822(.472)
0.850	0.878(.493)	0.876(.493)	0.874(.493)	0.872(.493)	0.869(.493)
0.875	0.912(.515)	0.911(.515)	0.910(.515)	0.908(.516)	0.907(.516)
0.900	0.936(.538)	0.935(.538)	0.935(.538)	0.934(.539)	0.932(.539)
0.925	0.958(.562)	0.957(.562)	0.957(.562)	0.956(.562)	0.955(.562)
0.950	0.977(.586)	0.977(.586)	0.976(.586)	0.976(.586)	0.975(.586)
0.975	0.992(.611)	0.992(.611)	0.991(.611)	0.991(.611)	0.991(.611)
1.000	1.000(.636)	1.000(.636)	1.000(.636)	1.000(.636)	1.000(.636)

RE ORDER No. 66-196
 App. A
 Phase II

*** RELATIVE ENERGY FLUX DENSITY IN THE ***
 *** PENUMBRA OF A RECTANGULAR CYLINDER ***

VERSION F

SOLAR FIELD ANGLE, D= 2.00 DEGREES
 GEOMETRY D2/R = 100.00 AND H/R = 2.0

BETA = ANGLE OF INCIDENCE, DEGREES

BETA ***	50.00	60.00	70.00	80.00	88.50
AX/AB	Q (QI)	Q (QI)	Q (QI)	Q (QI)	Q (QI)
0.	1.000(.)	1.000(.)	1.000(.)	1.000(.)	1.000(.)
0.025	0.992(.025)	0.993(.025)	0.993(.025)	0.995(.025)	1.000(.025)
0.050	0.979(.050)	0.980(.050)	0.981(.050)	0.985(.050)	1.000(.050)
0.075	0.962(.074)	0.963(.074)	0.966(.074)	0.973(.074)	0.999(.075)
0.100	0.941(.098)	0.944(.098)	0.948(.098)	0.958(.098)	0.998(.100)
0.125	0.919(.121)	0.922(.121)	0.927(.121)	0.941(.122)	0.998(.125)
0.150	0.890(.143)	0.895(.144)	0.903(.144)	0.922(.145)	0.997(.150)
0.175	0.850(.165)	0.856(.166)	0.868(.166)	0.898(.168)	0.996(.175)
0.200	0.803(.186)	0.811(.186)	0.826(.187)	0.864(.190)	0.995(.200)
0.225	0.753(.205)	0.762(.206)	0.779(.208)	0.825(.211)	0.993(.224)
0.250	0.699(.223)	0.709(.225)	0.729(.226)	0.781(.231)	0.992(.249)
0.275	0.642(.240)	0.654(.242)	0.675(.244)	0.734(.250)	0.990(.274)
0.300	0.581(.255)	0.594(.257)	0.618(.260)	0.683(.268)	0.988(.299)
0.325	0.518(.269)	0.532(.271)	0.557(.275)	0.628(.284)	0.985(.323)
0.350	0.453(.281)	0.467(.284)	0.494(.288)	0.570(.299)	0.982(.348)
0.375	0.388(.292)	0.402(.295)	0.429(.300)	0.509(.313)	0.979(.373)
0.400	0.331(.301)	0.343(.304)	0.367(.309)	0.444(.325)	0.975(.397)
0.425	0.285(.309)	0.297(.312)	0.317(.318)	0.384(.335)	0.970(.421)
0.450	0.249(.315)	0.257(.319)	0.274(.325)	0.332(.344)	0.965(.445)
0.475	0.219(.321)	0.225(.325)	0.238(.332)	0.287(.352)	0.959(.470)
0.500	0.198(.326)	0.202(.330)	0.210(.337)	0.247(.358)	0.951(.493)
0.525	0.199(.331)	0.196(.335)	0.194(.342)	0.215(.364)	0.940(.517)
0.550	0.218(.336)	0.213(.340)	0.204(.347)	0.194(.369)	0.925(.540)
0.575	0.247(.342)	0.239(.346)	0.226(.353)	0.200(.374)	0.906(.563)
0.600	0.283(.349)	0.274(.352)	0.257(.359)	0.218(.379)	0.882(.586)
0.625	0.329(.357)	0.317(.360)	0.296(.366)	0.245(.385)	0.853(.607)
0.650	0.389(.366)	0.375(.368)	0.349(.374)	0.284(.392)	0.818(.628)
0.675	0.455(.376)	0.441(.379)	0.414(.383)	0.339(.400)	0.776(.648)
0.700	0.522(.388)	0.508(.390)	0.482(.395)	0.405(.409)	0.722(.667)
0.725	0.586(.402)	0.573(.404)	0.548(.407)	0.475(.420)	0.655(.684)
0.750	0.649(.418)	0.637(.419)	0.614(.422)	0.544(.433)	0.571(.699)
0.775	0.708(.435)	0.697(.436)	0.677(.438)	0.613(.447)	0.470(.712)
0.800	0.765(.453)	0.755(.454)	0.737(.456)	0.680(.463)	0.355(.723)
0.825	0.817(.473)	0.809(.473)	0.794(.475)	0.744(.481)	0.231(.730)
0.850	0.865(.494)	0.859(.494)	0.846(.495)	0.806(.500)	0.148(.735)
0.875	0.904(.516)	0.900(.516)	0.892(.517)	0.862(.521)	0.115(.738)
0.900	0.931(.539)	0.928(.539)	0.923(.540)	0.906(.543)	0.191(.742)
0.925	0.954(.562)	0.952(.563)	0.949(.563)	0.937(.566)	0.320(.748)
0.950	0.975(.587)	0.974(.587)	0.971(.587)	0.964(.590)	0.523(.759)
0.975	0.991(.611)	0.990(.611)	0.990(.612)	0.987(.615)	0.798(.775)
1.000	1.000(.636)	1.000(.636)	1.000(.637)	1.000(.639)	1.000(.798)

F-80
 653

*App. A
Phase II*

*** RELATIVE ENERGY FLUX DENSITY IN THE ***
 *** PENUMBRA OF A RECTANGULAR CYLINDER ***

VERSION F

SOLAR FIELD ANGLE, D= 5.00 DEGREES
 GEOMETRY D2/R = 1.00 AND H/R = 0.

BETA = ANGLE OF INCIDENCE, DEGREES

BETA ***	0.	10.00	20.00	30.00	40.00
AX/AB	Q (QI)	Q (QI)	Q (QI)	Q (QI)	Q (QI)
0.	1.000(.)	1.000(.)	1.000(.)	1.000(.)	1.000(.)
0.025	0.343(.017)	0.494(.019)	0.615(.020)	0.712(.021)	0.793(.022)
0.050	0. (.021)	0. (.025)	0.048(.028)	0.143(.032)	0.296(.036)
0.075	0. (.021)	0. (.025)	0. (.029)	0. (.034)	0.005(.040)
0.100	0. (.021)	0. (.025)	0. (.029)	0. (.034)	0. (.040)
0.125	0. (.021)	0. (.025)	0. (.029)	0. (.034)	0. (.040)
0.150	0. (.021)	0. (.025)	0. (.029)	0. (.034)	0. (.040)
0.175	0. (.021)	0. (.025)	0. (.029)	0. (.034)	0. (.040)
0.200	0. (.021)	0. (.025)	0. (.029)	0. (.034)	0. (.040)
0.225	0. (.021)	0. (.025)	0. (.029)	0. (.034)	0. (.040)
0.250	0. (.021)	0. (.025)	0. (.029)	0. (.034)	0. (.040)
0.275	0. (.021)	0. (.025)	0. (.029)	0. (.034)	0. (.040)
0.300	0. (.021)	0. (.025)	0. (.029)	0. (.034)	0. (.040)
0.325	0. (.021)	0. (.025)	0. (.029)	0. (.034)	0. (.040)
0.350	0. (.021)	0. (.025)	0. (.029)	0. (.034)	0. (.040)
0.375	0. (.021)	0. (.025)	0. (.029)	0. (.034)	0. (.040)
0.400	0. (.021)	0. (.025)	0. (.029)	0. (.034)	0. (.040)
0.425	0. (.021)	0. (.025)	0. (.029)	0. (.034)	0. (.040)
0.450	0. (.021)	0. (.025)	0. (.029)	0. (.034)	0. (.040)
0.475	0. (.021)	0. (.025)	0. (.029)	0. (.034)	0. (.040)
0.500	0. (.021)	0. (.025)	0. (.029)	0. (.034)	0. (.040)
0.525	0. (.021)	0. (.025)	0. (.029)	0. (.034)	0. (.040)
0.550	0. (.021)	0. (.025)	0. (.029)	0. (.034)	0. (.040)
0.575	0. (.021)	0. (.025)	0. (.029)	0. (.034)	0. (.040)
0.600	0. (.021)	0. (.025)	0. (.029)	0. (.034)	0. (.040)
0.625	0. (.021)	0. (.025)	0. (.029)	0. (.034)	0. (.040)
0.650	0. (.021)	0. (.025)	0. (.029)	0. (.034)	0. (.040)
0.675	0. (.021)	0. (.025)	0. (.029)	0. (.034)	0. (.040)
0.700	0. (.021)	0. (.025)	0. (.029)	0. (.034)	0. (.040)
0.725	0. (.021)	0. (.025)	0. (.029)	0. (.034)	0. (.040)
0.750	0. (.021)	0. (.025)	0. (.029)	0. (.034)	0. (.040)
0.775	0. (.021)	0. (.025)	0. (.029)	0. (.034)	0. (.040)
0.800	0. (.021)	0. (.025)	0. (.029)	0. (.034)	0. (.040)
0.825	0. (.021)	0. (.025)	0. (.029)	0. (.034)	0. (.040)
0.850	0. (.021)	0. (.025)	0. (.029)	0. (.034)	0. (.040)
0.875	0. (.021)	0. (.025)	0. (.029)	0. (.034)	0. (.040)
0.900	0. (.021)	0. (.025)	0. (.029)	0. (.034)	0. (.040)
0.925	0. (.021)	0. (.025)	0. (.029)	0. (.034)	0. (.040)
0.950	0. (.021)	0. (.025)	0. (.029)	0. (.034)	0. (.040)
0.975	0.343(.025)	0.162(.027)	0.015(.029)	0. (.034)	0. (.040)
1.000	1.000(.042)	1.000(.041)	1.000(.042)	1.000(.046)	1.000(.052)

F-81
654

*** RELATIVE ENERGY FLUX DENSITY IN THE ***
 *** PENUMBRA OF A RECTANGULAR CYLINDER ***

VERSION F

SOLAR FIELD ANGLE, D = 5.00 DEGREES
 GEOMETRY D2/R = 1.00 AND H/R = 0.

BETA = ANGLE OF INCIDENCE, DEGREES

BETA ***	50.00	60.00	70.00	80.00	87.00
AX/AB	Q (Q1)	Q (Q1)	Q (Q1)	Q (Q1)	Q (Q1)
0.	1.000(.)	1.000(.)	1.000(.)	1.000(.)	1.000(.)
0.025	0.863(.023)	0.916(.024)	0.956(.024)	0.989(.025)	1.000(.025)
0.050	0.477(.040)	0.671(.044)	0.852(.047)	0.967(.049)	1.000(.050)
0.075	0.093(.047)	0.320(.056)	0.651(.066)	0.936(.073)	1.000(.075)
0.100	0. (.048)	0.059(.061)	0.389(.079)	0.883(.096)	1.000(.100)
0.125	0. (.048)	0. (.062)	0.143(.085)	0.796(.117)	1.000(.125)
0.150	0. (.048)	0. (.062)	0.015(.087)	0.683(.135)	0.999(.150)
0.175	0. (.048)	0. (.062)	0. (.088)	0.538(.151)	0.999(.175)
0.200	0. (.048)	0. (.062)	0. (.088)	0.373(.162)	0.999(.200)
0.225	0. (.048)	0. (.062)	0. (.088)	0.208(.169)	0.999(.225)
0.250	0. (.048)	0. (.062)	0. (.088)	0.080(.173)	0.998(.250)
0.275	0. (.048)	0. (.062)	0. (.088)	0.005(.174)	0.998(.275)
0.300	0. (.048)	0. (.062)	0. (.088)	0. (.174)	0.998(.300)
0.325	0. (.048)	0. (.062)	0. (.088)	0. (.174)	0.997(.325)
0.350	0. (.048)	0. (.062)	0. (.088)	0. (.174)	0.996(.350)
0.375	0. (.048)	0. (.062)	0. (.088)	0. (.174)	0.995(.375)
0.400	0. (.048)	0. (.062)	0. (.088)	0. (.174)	0.994(.399)
0.425	0. (.048)	0. (.062)	0. (.088)	0. (.174)	0.993(.424)
0.450	0. (.048)	0. (.062)	0. (.088)	0. (.174)	0.992(.449)
0.475	0. (.048)	0. (.062)	0. (.088)	0. (.174)	0.990(.474)
0.500	0. (.048)	0. (.062)	0. (.088)	0. (.174)	0.988(.499)
0.525	0. (.048)	0. (.062)	0. (.088)	0. (.174)	0.985(.523)
0.550	0. (.048)	0. (.062)	0. (.088)	0. (.174)	0.981(.548)
0.575	0. (.048)	0. (.062)	0. (.088)	0. (.174)	0.977(.572)
0.600	0. (.048)	0. (.062)	0. (.088)	0. (.174)	0.971(.597)
0.625	0. (.048)	0. (.062)	0. (.088)	0. (.174)	0.963(.621)
0.650	0. (.048)	0. (.062)	0. (.088)	0. (.174)	0.948(.645)
0.675	0. (.048)	0. (.062)	0. (.088)	0. (.174)	0.925(.668)
0.700	0. (.048)	0. (.062)	0. (.088)	0. (.174)	0.890(.691)
0.725	0. (.048)	0. (.062)	0. (.088)	0. (.174)	0.837(.712)
0.750	0. (.048)	0. (.062)	0. (.088)	0. (.174)	0.752(.732)
0.775	0. (.048)	0. (.062)	0. (.088)	0. (.174)	0.612(.749)
0.800	0. (.048)	0. (.062)	0. (.088)	0. (.174)	0.391(.762)
0.825	0. (.048)	0. (.062)	0. (.088)	0. (.174)	0.112(.768)
0.850	0. (.048)	0. (.062)	0. (.088)	0. (.174)	0. (.770)
0.875	0. (.048)	0. (.062)	0. (.088)	0. (.174)	0. (.770)
0.900	0. (.048)	0. (.062)	0. (.088)	0. (.174)	0. (.770)
0.925	0. (.048)	0. (.062)	0. (.088)	0. (.174)	0. (.770)
0.950	0. (.048)	0. (.062)	0. (.088)	0. (.174)	0. (.770)
0.975	0. (.048)	0. (.062)	0. (.088)	0. (.174)	0. (.770)
1.000	0. (.048)	0. (.062)	0. (.088)	0. (.174)	0. (.770)

*** RELATIVE ENERGY FLUX DENSITY IN THE ***
 *** PENUMBRA OF A RECTANGULAR CYLINDER ***

VERSION F

SOLAR FIELD ANGLE, D= 5.00 DEGREES
 GEOMETRY D2/R = 5.00 AND H/R = 0.

BETA = ANGLE OF INCIDENCE, DEGREES

BETA ***	0.	10.00	20.00	30.00	40.00
AX/AB	Q (Q1)	Q (Q1)	Q (Q1)	Q (Q1)	Q (Q1)
0.	1.000(.)	1.000(.)	1.000(.)	1.000(.)	1.000(.)
0.025	0.945(.024)	0.950(.024)	0.954(.024)	0.958(.024)	0.962(.025)
0.050	0.827(.046)	0.843(.047)	0.858(.047)	0.873(.047)	0.889(.048)
0.075	0.631(.065)	0.660(.066)	0.688(.066)	0.717(.067)	0.749(.068)
0.100	0.405(.078)	0.443(.079)	0.482(.081)	0.524(.083)	0.572(.085)
0.125	0.202(.085)	0.239(.088)	0.279(.091)	0.323(.093)	0.377(.097)
0.150	0.068(.089)	0.087(.092)	0.114(.095)	0.151(.099)	0.201(.104)
0.175	0.004(.090)	0.015(.093)	0.030(.097)	0.050(.102)	0.076(.107)
0.200	0. (.090)	0. (.093)	0. (.098)	0. (.102)	0.011(.108)
0.225	0. (.090)	0. (.093)	0. (.098)	0. (.102)	0. (.108)
0.250	0. (.090)	0. (.093)	0. (.098)	0. (.102)	0. (.108)
0.275	0. (.090)	0. (.093)	0. (.098)	0. (.102)	0. (.108)
0.300	0. (.090)	0. (.093)	0. (.098)	0. (.102)	0. (.108)
0.325	0. (.090)	0. (.093)	0. (.098)	0. (.102)	0. (.108)
0.350	0. (.090)	0. (.093)	0. (.098)	0. (.102)	0. (.108)
0.375	0. (.090)	0. (.093)	0. (.098)	0. (.102)	0. (.108)
0.400	0. (.090)	0. (.093)	0. (.098)	0. (.102)	0. (.108)
0.425	0. (.090)	0. (.093)	0. (.098)	0. (.102)	0. (.108)
0.450	0. (.090)	0. (.093)	0. (.098)	0. (.102)	0. (.108)
0.475	0. (.090)	0. (.093)	0. (.098)	0. (.102)	0. (.108)
0.500	0. (.090)	0. (.093)	0. (.098)	0. (.102)	0. (.108)
0.525	0. (.090)	0. (.093)	0. (.098)	0. (.102)	0. (.108)
0.550	0. (.090)	0. (.093)	0. (.098)	0. (.102)	0. (.108)
0.575	0. (.090)	0. (.093)	0. (.098)	0. (.102)	0. (.108)
0.600	0. (.090)	0. (.093)	0. (.098)	0. (.102)	0. (.108)
0.625	0. (.090)	0. (.093)	0. (.098)	0. (.102)	0. (.108)
0.650	0. (.090)	0. (.093)	0. (.098)	0. (.102)	0. (.108)
0.675	0. (.090)	0. (.093)	0. (.098)	0. (.102)	0. (.108)
0.700	0. (.090)	0. (.093)	0. (.098)	0. (.102)	0. (.108)
0.725	0. (.090)	0. (.093)	0. (.098)	0. (.102)	0. (.108)
0.750	0. (.090)	0. (.093)	0. (.098)	0. (.102)	0. (.108)
0.775	0. (.090)	0. (.093)	0. (.098)	0. (.102)	0. (.108)
0.800	0. (.090)	0. (.093)	0. (.098)	0. (.102)	0. (.108)
0.825	0.004(.090)	0. (.093)	0. (.098)	0. (.102)	0. (.108)
0.850	0.068(.090)	0.049(.094)	0.030(.098)	0.012(.103)	0. (.108)
0.875	0.202(.094)	0.165(.097)	0.128(.100)	0.091(.104)	0.059(.109)
0.900	0.405(.101)	0.365(.103)	0.323(.106)	0.273(.108)	0.212(.113)
0.925	0.631(.114)	0.600(.115)	0.563(.117)	0.518(.118)	0.458(.121)
0.950	0.827(.133)	0.809(.133)	0.788(.134)	0.762(.134)	0.725(.136)
0.975	0.945(.155)	0.941(.155)	0.936(.155)	0.930(.155)	0.921(.156)
1.000	1.000(.179)	1.000(.179)	1.000(.179)	1.000(.180)	1.000(.180)

RE-ORDER No. *66-196*
App. A
Phase II

*** RELATIVE ENERGY FLUX DENSITY IN THE ***
 *** PENUMBRA OF A RECTANGULAR CYLINDER ***

VERSION F

SOLAR FIELD ANGLE, D= 5.00 DEGREES
 GEOMETRY D2/R = 5.00 AND H/R = 0.

BETA = ANGLE OF INCIDENCE, DEGREES

BETA ***	50.00		60.00		70.00		80.00		87.00	
AX/AB	Q	(QI)	Q	(QI)	Q	(QI)	Q	(QI)	Q	(QI)
0.	1.000	(.)	1.000	(.)	1.000	(.)	1.000	(.)	1.000	(.)
0.025	0.967	(.025)	0.973	(.025)	0.982	(.025)	0.993	(.025)	1.000	(.025)
0.050	0.907	(.048)	0.924	(.048)	0.947	(.049)	0.980	(.050)	1.000	(.050)
0.075	0.787	(.069)	0.835	(.070)	0.897	(.072)	0.962	(.074)	1.000	(.075)
0.100	0.630	(.087)	0.704	(.090)	0.807	(.093)	0.939	(.098)	1.000	(.100)
0.125	0.447	(.100)	0.545	(.105)	0.692	(.112)	0.906	(.121)	1.000	(.125)
0.150	0.270	(.109)	0.374	(.117)	0.554	(.128)	0.853	(.143)	0.999	(.150)
0.175	0.121	(.114)	0.216	(.124)	0.402	(.139)	0.785	(.163)	0.999	(.175)
0.200	0.039	(.116)	0.092	(.128)	0.256	(.148)	0.703	(.182)	0.999	(.200)
0.225	0.	(.117)	0.024	(.129)	0.127	(.152)	0.604	(.198)	0.999	(.225)
0.250	0.	(.117)	0.	(.130)	0.050	(.155)	0.490	(.212)	0.999	(.250)
0.275	0.	(.117)	0.	(.130)	0.001	(.155)	0.369	(.223)	0.998	(.275)
0.300	0.	(.117)	0.	(.130)	0.	(.155)	0.247	(.230)	0.998	(.300)
0.325	0.	(.117)	0.	(.130)	0.	(.155)	0.134	(.235)	0.997	(.325)
0.350	0.	(.117)	0.	(.130)	0.	(.155)	0.061	(.237)	0.997	(.350)
0.375	0.	(.117)	0.	(.130)	0.	(.155)	0.007	(.238)	0.996	(.375)
0.400	0.	(.117)	0.	(.130)	0.	(.155)	0.	(.238)	0.995	(.399)
0.425	0.	(.117)	0.	(.130)	0.	(.155)	0.	(.238)	0.994	(.424)
0.450	0.	(.117)	0.	(.130)	0.	(.155)	0.	(.238)	0.993	(.449)
0.475	0.	(.117)	0.	(.130)	0.	(.155)	0.	(.238)	0.991	(.474)
0.500	0.	(.117)	0.	(.130)	0.	(.155)	0.	(.238)	0.989	(.499)
0.525	0.	(.117)	0.	(.130)	0.	(.155)	0.	(.238)	0.987	(.523)
0.550	0.	(.117)	0.	(.130)	0.	(.155)	0.	(.238)	0.984	(.548)
0.575	0.	(.117)	0.	(.130)	0.	(.155)	0.	(.238)	0.980	(.573)
0.600	0.	(.117)	0.	(.130)	0.	(.155)	0.	(.238)	0.975	(.597)
0.625	0.	(.117)	0.	(.130)	0.	(.155)	0.	(.238)	0.969	(.621)
0.650	0.	(.117)	0.	(.130)	0.	(.155)	0.	(.238)	0.959	(.645)
0.675	0.	(.117)	0.	(.130)	0.	(.155)	0.	(.238)	0.942	(.669)
0.700	0.	(.117)	0.	(.130)	0.	(.155)	0.	(.238)	0.917	(.692)
0.725	0.	(.117)	0.	(.130)	0.	(.155)	0.	(.238)	0.880	(.715)
0.750	0.	(.117)	0.	(.130)	0.	(.155)	0.	(.238)	0.823	(.736)
0.775	0.	(.117)	0.	(.130)	0.	(.155)	0.	(.238)	0.733	(.756)
0.800	0.	(.117)	0.	(.130)	0.	(.155)	0.	(.238)	0.585	(.772)
0.825	0.	(.117)	0.	(.130)	0.	(.155)	0.	(.238)	0.358	(.784)
0.850	0.	(.117)	0.	(.130)	0.	(.155)	0.	(.238)	0.091	(.789)
0.875	0.021	(.117)	0.	(.130)	0.	(.155)	0.	(.238)	0.	(.791)
0.900	0.131	(.119)	0.045	(.130)	0.	(.155)	0.	(.238)	0.	(.791)
0.925	0.369	(.125)	0.222	(.134)	0.013	(.155)	0.	(.238)	0.	(.791)
0.950	0.665	(.138)	0.544	(.143)	0.217	(.158)	0.	(.238)	0.	(.791)
0.975	0.905	(.158)	0.865	(.161)	0.695	(.170)	0.	(.238)	0.	(.791)
1.000	1.000	(.181)	1.000	(.184)	1.000	(.191)	0.	(.238)	0.	(.791)

F-84
 657

*** RELATIVE ENERGY FLUX DENSITY IN THE ***
 *** PENUMBRA OF A RECTANGULAR CYLINDER ***

VERSION F

SOLAR FIELD ANGLE, D= 5.00 DEGREES
 GEOMETRY D2/R = 10.00 AND H/R = 0.

BETA = ANGLE OF INCIDENCE, DEGREES

BETA ***	0.	10.00	20.00	30.00	40.00
AX/AB	Q (QI)	Q (QI)	Q (QI)	Q (QI)	Q (QI)
0.	1.000(.)	1.000(.)	1.000(.)	1.000(.)	1.000(.)
0.025	0.975(.025)	0.976(.025)	0.978(.025)	0.979(.025)	0.981(.025)
0.050	0.931(.049)	0.935(.049)	0.938(.049)	0.942(.049)	0.946(.049)
0.075	0.865(.071)	0.873(.071)	0.881(.071)	0.890(.072)	0.899(.072)
0.100	0.762(.091)	0.775(.092)	0.789(.092)	0.803(.093)	0.820(.093)
0.125	0.643(.109)	0.660(.110)	0.678(.111)	0.698(.112)	0.720(.113)
0.150	0.510(.123)	0.532(.125)	0.554(.126)	0.579(.128)	0.608(.129)
0.175	0.377(.134)	0.400(.136)	0.424(.138)	0.452(.140)	0.485(.143)
0.200	0.255(.142)	0.278(.145)	0.301(.147)	0.328(.150)	0.361(.153)
0.225	0.149(.147)	0.169(.150)	0.191(.153)	0.216(.157)	0.248(.161)
0.250	0.076(.150)	0.088(.154)	0.101(.157)	0.121(.161)	0.147(.166)
0.275	0.031(.151)	0.040(.155)	0.050(.159)	0.062(.163)	0.077(.169)
0.300	0.002(.152)	0.006(.156)	0.012(.160)	0.020(.164)	0.032(.170)
0.325	0. (.152)	0. (.156)	0. (.160)	0. (.165)	0.002(.171)
0.350	0. (.152)	0. (.156)	0. (.160)	0. (.165)	0. (.171)
0.375	0. (.152)	0. (.156)	0. (.160)	0. (.165)	0. (.171)
0.400	0. (.152)	0. (.156)	0. (.160)	0. (.165)	0. (.171)
0.425	0. (.152)	0. (.156)	0. (.160)	0. (.165)	0. (.171)
0.450	0. (.152)	0. (.156)	0. (.160)	0. (.165)	0. (.171)
0.475	0. (.152)	0. (.156)	0. (.160)	0. (.165)	0. (.171)
0.500	0. (.152)	0. (.156)	0. (.160)	0. (.165)	0. (.171)
0.525	0. (.152)	0. (.156)	0. (.160)	0. (.165)	0. (.171)
0.550	0. (.152)	0. (.156)	0. (.160)	0. (.165)	0. (.171)
0.575	0. (.152)	0. (.156)	0. (.160)	0. (.165)	0. (.171)
0.600	0. (.152)	0. (.156)	0. (.160)	0. (.165)	0. (.171)
0.625	0. (.152)	0. (.156)	0. (.160)	0. (.165)	0. (.171)
0.650	0. (.152)	0. (.156)	0. (.160)	0. (.165)	0. (.171)
0.675	0. (.152)	0. (.156)	0. (.160)	0. (.165)	0. (.171)
0.700	0.002(.152)	0. (.156)	0. (.160)	0. (.165)	0. (.171)
0.725	0.031(.152)	0.023(.156)	0.015(.160)	0.008(.165)	0.001(.171)
0.750	0.076(.154)	0.066(.157)	0.055(.161)	0.043(.165)	0.030(.171)
0.775	0.149(.156)	0.131(.160)	0.112(.163)	0.093(.167)	0.076(.172)
0.800	0.255(.162)	0.233(.164)	0.210(.167)	0.185(.171)	0.154(.175)
0.825	0.377(.169)	0.354(.171)	0.329(.174)	0.302(.177)	0.268(.181)
0.850	0.510(.181)	0.488(.182)	0.464(.184)	0.436(.186)	0.400(.189)
0.875	0.643(.195)	0.624(.196)	0.603(.197)	0.578(.199)	0.547(.201)
0.900	0.762(.212)	0.746(.213)	0.732(.214)	0.713(.215)	0.689(.216)
0.925	0.865(.233)	0.856(.233)	0.845(.233)	0.833(.234)	0.817(.235)
0.950	0.931(.255)	0.928(.255)	0.924(.256)	0.919(.256)	0.912(.257)
0.975	0.975(.279)	0.974(.279)	0.972(.279)	0.970(.280)	0.968(.280)
1.000	1.000(.304)	1.000(.304)	1.000(.304)	1.000(.304)	1.000(.305)

*** RELATIVE ENERGY FLUX DENSITY IN THE ***
 *** PENUMBRA OF A RECTANGULAR CYLINDER ***

VERSION F

SOLAR FIELD ANGLE, D= 5.00 DEGREES
 GEOMETRY D2/R = 10.00 AND H/R = 0.

BETA = ANGLE OF INCIDENCE, DEGREES

BETA ***	50.00	60.00	70.00	80.00	87.00
AX/AB	Q (QI)	Q (QI)	Q (QI)	Q (QI)	Q (QI)
0.	1.000(.)	1.000(.)	1.000(.)	1.000(.)	1.000(.)
0.025	0.983(.025)	0.985(.025)	0.989(.025)	0.995(.025)	1.000(.025)
0.050	0.951(.049)	0.958(.049)	0.968(.049)	0.986(.050)	1.000(.050)
0.075	0.910(.072)	0.922(.073)	0.941(.073)	0.973(.074)	1.000(.075)
0.100	0.840(.094)	0.867(.095)	0.906(.096)	0.958(.098)	1.000(.100)
0.125	0.749(.114)	0.788(.116)	0.848(.118)	0.939(.122)	1.000(.125)
0.150	0.645(.131)	0.695(.134)	0.775(.138)	0.914(.145)	1.000(.150)
0.175	0.528(.146)	0.590(.150)	0.690(.157)	0.875(.168)	0.999(.175)
0.200	0.407(.158)	0.475(.164)	0.592(.173)	0.826(.189)	0.999(.200)
0.225	0.292(.166)	0.359(.174)	0.486(.186)	0.768(.209)	0.999(.225)
0.250	0.187(.172)	0.251(.182)	0.377(.197)	0.701(.227)	0.999(.250)
0.275	0.101(.176)	0.153(.187)	0.273(.205)	0.622(.244)	0.998(.275)
0.300	0.050(.178)	0.083(.190)	0.175(.211)	0.533(.258)	0.998(.300)
0.325	0.012(.179)	0.036(.191)	0.097(.214)	0.438(.270)	0.997(.325)
0.350	0. (.179)	0.003(.192)	0.048(.216)	0.340(.280)	0.997(.350)
0.375	0. (.179)	0. (.192)	0.010(.217)	0.242(.287)	0.996(.375)
0.400	0. (.179)	0. (.192)	0. (.217)	0.150(.292)	0.995(.399)
0.425	0. (.179)	0. (.192)	0. (.217)	0.084(.295)	0.994(.424)
0.450	0. (.179)	0. (.192)	0. (.217)	0.033(.296)	0.993(.449)
0.475	0. (.179)	0. (.192)	0. (.217)	0.000(.297)	0.992(.474)
0.500	0. (.179)	0. (.192)	0. (.217)	0. (.297)	0.990(.499)
0.525	0. (.175)	0. (.192)	0. (.217)	0. (.297)	0.988(.523)
0.550	0. (.179)	0. (.192)	0. (.217)	0. (.297)	0.985(.548)
0.575	0. (.179)	0. (.192)	0. (.217)	0. (.297)	0.982(.573)
0.600	0. (.179)	0. (.192)	0. (.217)	0. (.297)	0.978(.597)
0.625	0. (.179)	0. (.192)	0. (.217)	0. (.297)	0.973(.622)
0.650	0. (.179)	0. (.192)	0. (.217)	0. (.297)	0.966(.646)
0.675	0. (.179)	0. (.192)	0. (.217)	0. (.297)	0.954(.670)
0.700	0. (.179)	0. (.192)	0. (.217)	0. (.297)	0.935(.693)
0.725	0. (.179)	0. (.192)	0. (.217)	0. (.297)	0.907(.716)
0.750	0.015(.179)	0.000(.192)	0. (.217)	0. (.297)	0.866(.739)
0.775	0.055(.180)	0.027(.192)	0. (.217)	0. (.297)	0.803(.760)
0.800	0.117(.182)	0.074(.193)	0.019(.217)	0. (.297)	0.703(.778)
0.825	0.223(.186)	0.156(.196)	0.065(.218)	0. (.297)	0.542(.794)
0.850	0.352(.193)	0.280(.202)	0.148(.221)	0. (.297)	0.303(.804)
0.875	0.502(.204)	0.428(.210)	0.284(.226)	0.004(.297)	0.054(.809)
0.900	0.654(.219)	0.593(.223)	0.455(.235)	0.053(.298)	0. (.810)
0.925	0.792(.237)	0.748(.240)	0.646(.249)	0.184(.301)	0. (.810)
0.950	0.903(.258)	0.882(.260)	0.823(.268)	0.448(.309)	0. (.810)
0.975	0.964(.281)	0.957(.283)	0.940(.290)	0.798(.324)	0. (.810)
1.000	1.000(.300)	1.000(.308)	1.000(.314)	1.000(.347)	0. (.810)

REORDER No. *66-196*
App. 2
Phase 11

*** RELATIVE ENERGY FLUX DENSITY IN THE ***
 *** PENUMBRA OF A RECTANGULAR CYLINDER ***

VERSION F

SOLAR FIELD ANGLE, D= 5.00 DEGREES
 GEOMETRY D2/R = 50.00 AND H/R = 0.

BETA = ANGLE OF INCIDENCE, DEGREES

BETA ***	0.	10.00	20.00	30.00	40.00
AX/AB	Q (Q1)	Q (Q1)	Q (Q1)	Q (Q1)	Q (Q1)
0.	1.000(.)	1.000(.)	1.000(.)	1.000(.)	1.000(.)
0.025	0.993(.025)	0.993(.025)	0.993(.025)	0.993(.025)	0.994(.025)
0.050	0.979(.050)	0.980(.050)	0.980(.050)	0.981(.050)	0.982(.050)
0.075	0.962(.074)	0.963(.074)	0.964(.074)	0.966(.074)	0.967(.074)
0.100	0.942(.098)	0.944(.098)	0.946(.098)	0.948(.098)	0.950(.098)
0.125	0.920(.121)	0.923(.121)	0.925(.121)	0.928(.121)	0.931(.121)
0.150	0.893(.144)	0.897(.144)	0.901(.144)	0.905(.144)	0.909(.144)
0.175	0.855(.165)	0.860(.166)	0.865(.166)	0.871(.166)	0.878(.167)
0.200	0.811(.186)	0.817(.187)	0.824(.187)	0.831(.188)	0.839(.188)
0.225	0.763(.206)	0.770(.207)	0.778(.207)	0.786(.208)	0.796(.209)
0.250	0.712(.224)	0.720(.225)	0.729(.226)	0.738(.227)	0.749(.228)
0.275	0.658(.242)	0.667(.243)	0.677(.244)	0.687(.245)	0.700(.246)
0.300	0.602(.257)	0.611(.259)	0.622(.260)	0.633(.261)	0.647(.263)
0.325	0.545(.272)	0.554(.273)	0.565(.275)	0.576(.276)	0.591(.278)
0.350	0.495(.285)	0.505(.286)	0.514(.288)	0.526(.290)	0.540(.293)
0.375	0.451(.296)	0.460(.298)	0.469(.300)	0.479(.303)	0.493(.306)
0.400	0.411(.307)	0.419(.309)	0.427(.312)	0.437(.314)	0.449(.317)
0.425	0.377(.317)	0.384(.319)	0.391(.322)	0.399(.325)	0.410(.328)
0.450	0.348(.326)	0.353(.329)	0.359(.331)	0.366(.334)	0.376(.338)
0.475	0.331(.335)	0.333(.337)	0.336(.340)	0.340(.343)	0.346(.347)
0.500	0.325(.343)	0.326(.345)	0.327(.348)	0.328(.351)	0.331(.355)
0.525	0.331(.351)	0.329(.354)	0.327(.356)	0.326(.360)	0.325(.364)
0.550	0.348(.360)	0.343(.362)	0.339(.365)	0.335(.368)	0.330(.372)
0.575	0.377(.369)	0.371(.371)	0.365(.374)	0.358(.376)	0.350(.380)
0.600	0.411(.378)	0.404(.381)	0.397(.383)	0.388(.386)	0.379(.389)
0.625	0.451(.389)	0.443(.391)	0.434(.393)	0.425(.396)	0.413(.399)
0.650	0.495(.401)	0.487(.403)	0.477(.405)	0.466(.407)	0.454(.410)
0.675	0.545(.414)	0.535(.416)	0.525(.417)	0.514(.419)	0.500(.422)
0.700	0.602(.428)	0.592(.430)	0.581(.431)	0.569(.433)	0.554(.435)
0.725	0.658(.444)	0.649(.445)	0.640(.446)	0.628(.448)	0.614(.450)
0.750	0.712(.461)	0.704(.462)	0.695(.463)	0.685(.464)	0.672(.466)
0.775	0.763(.480)	0.756(.480)	0.748(.481)	0.739(.482)	0.727(.483)
0.800	0.811(.499)	0.805(.500)	0.798(.500)	0.790(.501)	0.780(.502)
0.825	0.855(.520)	0.850(.521)	0.844(.521)	0.838(.522)	0.829(.522)
0.850	0.893(.542)	0.889(.542)	0.885(.543)	0.880(.543)	0.874(.544)
0.875	0.920(.565)	0.918(.565)	0.915(.565)	0.912(.565)	0.908(.566)
0.900	0.942(.588)	0.940(.588)	0.938(.588)	0.936(.589)	0.933(.589)
0.925	0.962(.612)	0.961(.612)	0.959(.612)	0.958(.612)	0.956(.612)
0.950	0.979(.636)	0.978(.636)	0.978(.636)	0.977(.636)	0.976(.637)
0.975	0.993(.661)	0.992(.661)	0.992(.661)	0.992(.661)	0.991(.661)
1.000	1.000(.686)	1.000(.686)	1.000(.686)	1.000(.686)	1.000(.686)

F-87

660

*** RELATIVE ENERGY FLUX DENSITY IN THE ***
 *** PENUMBRA OF A RECTANGULAR CYLINDER ***

VERSION F

SOLAR FIELD ANGLE, D= 5.00 DEGREES
 GEOMETRY D2/R = 50.00 AND H/R = 0.

BETA = ANGLE OF INCIDENCE, DEGREES

BETA ***	50.00	60.00	70.00	80.00	87.00
AX/AB	Q (QI)	Q (QI)	Q (QI)	Q (QI)	Q (QI)
0.	1.000(.)	1.000(.)	1.000(.)	1.000(.)	1.000(.)
0.025	0.994(.025)	0.995(.025)	0.996(.025)	0.998(.025)	1.000(.025)
0.050	0.983(.050)	0.985(.050)	0.988(.050)	0.993(.050)	1.000(.050)
0.075	0.969(.074)	0.972(.074)	0.977(.074)	0.987(.075)	1.000(.075)
0.100	0.953(.098)	0.958(.098)	0.965(.099)	0.980(.099)	1.000(.100)
0.125	0.935(.122)	0.941(.122)	0.950(.123)	0.972(.124)	1.000(.125)
0.150	0.915(.145)	0.922(.145)	0.934(.146)	0.962(.148)	1.000(.150)
0.175	0.886(.167)	0.898(.168)	0.917(.169)	0.951(.172)	0.999(.175)
0.200	0.850(.189)	0.866(.190)	0.892(.192)	0.939(.195)	0.999(.200)
0.225	0.809(.210)	0.828(.211)	0.860(.214)	0.925(.219)	0.999(.225)
0.250	0.764(.229)	0.786(.231)	0.824(.235)	0.906(.242)	0.999(.250)
0.275	0.715(.248)	0.741(.251)	0.783(.255)	0.881(.264)	0.999(.275)
0.300	0.666(.265)	0.692(.268)	0.740(.274)	0.853(.286)	0.998(.300)
0.325	0.611(.281)	0.641(.285)	0.693(.292)	0.820(.306)	0.998(.325)
0.350	0.559(.296)	0.588(.300)	0.643(.309)	0.784(.326)	0.997(.350)
0.375	0.511(.309)	0.539(.315)	0.594(.324)	0.745(.346)	0.997(.375)
0.400	0.466(.321)	0.493(.327)	0.547(.338)	0.703(.364)	0.996(.400)
0.425	0.425(.333)	0.450(.339)	0.501(.351)	0.660(.381)	0.995(.424)
0.450	0.389(.343)	0.410(.350)	0.457(.363)	0.615(.397)	0.995(.449)
0.475	0.356(.352)	0.375(.360)	0.416(.374)	0.568(.411)	0.994(.474)
0.500	0.335(.361)	0.346(.369)	0.379(.384)	0.521(.425)	0.992(.499)
0.525	0.326(.369)	0.330(.377)	0.349(.393)	0.474(.438)	0.991(.524)
0.550	0.326(.377)	0.324(.385)	0.330(.402)	0.428(.449)	0.989(.549)
0.575	0.340(.385)	0.329(.394)	0.322(.410)	0.384(.459)	0.987(.573)
0.600	0.367(.394)	0.350(.402)	0.325(.418)	0.350(.468)	0.984(.598)
0.625	0.399(.404)	0.378(.411)	0.346(.426)	0.325(.477)	0.981(.622)
0.650	0.437(.414)	0.413(.421)	0.373(.435)	0.310(.484)	0.977(.647)
0.675	0.481(.426)	0.454(.432)	0.407(.445)	0.316(.492)	0.973(.671)
0.700	0.533(.438)	0.503(.444)	0.450(.456)	0.334(.500)	0.966(.696)
0.725	0.595(.453)	0.564(.457)	0.505(.468)	0.361(.509)	0.955(.720)
0.750	0.654(.468)	0.626(.472)	0.570(.481)	0.403(.519)	0.939(.743)
0.775	0.711(.485)	0.686(.489)	0.635(.496)	0.466(.530)	0.916(.766)
0.800	0.765(.504)	0.743(.506)	0.697(.513)	0.541(.542)	0.881(.789)
0.825	0.817(.523)	0.798(.526)	0.758(.531)	0.617(.557)	0.831(.810)
0.850	0.864(.544)	0.849(.546)	0.816(.551)	0.694(.573)	0.755(.830)
0.875	0.903(.567)	0.893(.568)	0.869(.572)	0.770(.591)	0.635(.847)
0.900	0.929(.589)	0.923(.591)	0.909(.594)	0.842(.611)	0.463(.861)
0.925	0.953(.613)	0.948(.614)	0.938(.617)	0.900(.633)	0.255(.870)
0.950	0.974(.637)	0.971(.638)	0.965(.641)	0.941(.656)	0.210(.876)
0.975	0.991(.662)	0.990(.663)	0.987(.665)	0.978(.680)	0.511(.885)
1.000	1.000(.687)	1.000(.687)	1.000(.690)	1.000(.705)	1.000(.904)

RE-ORDER No. 66-196
app. 196
 Phase 11

*** RELATIVE ENERGY FLUX DENSITY IN THE ***
 *** PENUMBRA OF A RECTANGULAR CYLINDER ***

VERSION F

SOLAR FIELD ANGLE, D= 5.00 DEGREES
 GEOMETRY D2/R = 100.00 AND H/R = 0.

BETA = ANGLE OF INCIDENCE, DEGREES

BETA ***	0.	10.00	20.00	30.00	40.00
AX/AB	Q (Q1)	Q (Q1)	Q (Q1)	Q (Q1)	Q (Q1)
0.	1.000(.)	1.000(.)	1.000(.)	1.000(.)	1.000(.)
0.025	0.994(.025)	0.994(.025)	0.995(.025)	0.995(.025)	0.995(.025)
0.050	0.984(.050)	0.984(.050)	0.985(.050)	0.985(.050)	0.986(.050)
0.075	0.970(.074)	0.971(.074)	0.972(.074)	0.973(.074)	0.974(.074)
0.100	0.955(.098)	0.956(.098)	0.958(.098)	0.959(.098)	0.961(.098)
0.125	0.938(.122)	0.939(.122)	0.941(.122)	0.943(.122)	0.945(.122)
0.150	0.919(.145)	0.921(.145)	0.923(.145)	0.926(.145)	0.929(.146)
0.175	0.897(.168)	0.900(.168)	0.903(.168)	0.907(.168)	0.911(.169)
0.200	0.865(.190)	0.872(.190)	0.876(.190)	0.880(.191)	0.886(.191)
0.225	0.841(.211)	0.845(.212)	0.850(.212)	0.855(.212)	0.861(.213)
0.250	0.814(.232)	0.819(.232)	0.824(.233)	0.829(.233)	0.836(.234)
0.275	0.787(.252)	0.792(.252)	0.797(.253)	0.803(.254)	0.810(.255)
0.300	0.760(.271)	0.765(.272)	0.771(.273)	0.777(.274)	0.784(.275)
0.325	0.733(.290)	0.738(.291)	0.744(.292)	0.750(.293)	0.758(.294)
0.350	0.705(.308)	0.710(.309)	0.716(.310)	0.723(.311)	0.731(.312)
0.375	0.683(.325)	0.687(.326)	0.692(.327)	0.697(.329)	0.704(.330)
0.400	0.667(.342)	0.670(.343)	0.674(.345)	0.678(.346)	0.684(.348)
0.425	0.654(.359)	0.656(.360)	0.659(.361)	0.663(.363)	0.668(.365)
0.450	0.644(.375)	0.646(.376)	0.648(.378)	0.651(.379)	0.655(.381)
0.475	0.638(.391)	0.639(.392)	0.641(.394)	0.642(.395)	0.645(.397)
0.500	0.636(.407)	0.637(.408)	0.637(.410)	0.637(.411)	0.638(.414)
0.525	0.638(.423)	0.637(.424)	0.637(.426)	0.636(.427)	0.636(.429)
0.550	0.644(.439)	0.643(.440)	0.641(.442)	0.639(.443)	0.638(.445)
0.575	0.654(.455)	0.651(.456)	0.649(.458)	0.646(.459)	0.643(.461)
0.600	0.667(.471)	0.663(.473)	0.660(.474)	0.656(.476)	0.652(.478)
0.625	0.683(.488)	0.679(.489)	0.675(.491)	0.671(.492)	0.665(.494)
0.650	0.705(.506)	0.700(.507)	0.695(.508)	0.689(.509)	0.683(.511)
0.675	0.733(.524)	0.728(.525)	0.722(.526)	0.716(.527)	0.708(.528)
0.700	0.760(.542)	0.755(.543)	0.750(.544)	0.744(.545)	0.736(.546)
0.725	0.787(.562)	0.782(.562)	0.777(.563)	0.771(.564)	0.764(.565)
0.750	0.814(.582)	0.810(.582)	0.805(.583)	0.799(.584)	0.792(.585)
0.775	0.841(.602)	0.837(.603)	0.832(.603)	0.827(.604)	0.820(.605)
0.800	0.865(.624)	0.864(.624)	0.860(.624)	0.855(.625)	0.849(.626)
0.825	0.897(.646)	0.893(.646)	0.890(.646)	0.885(.647)	0.880(.647)
0.850	0.919(.668)	0.917(.669)	0.914(.669)	0.912(.669)	0.908(.669)
0.875	0.938(.692)	0.936(.692)	0.934(.692)	0.932(.692)	0.929(.692)
0.900	0.955(.715)	0.954(.715)	0.952(.716)	0.951(.716)	0.948(.716)
0.925	0.970(.739)	0.970(.739)	0.969(.740)	0.967(.740)	0.966(.740)
0.950	0.984(.764)	0.983(.764)	0.983(.764)	0.982(.764)	0.981(.764)
0.975	0.994(.789)	0.994(.789)	0.994(.789)	0.994(.789)	0.993(.789)
1.000	1.000(.813)	1.000(.814)	1.000(.814)	1.000(.814)	1.000(.814)

F-89
 662

RE-ORDER No. *66-196*
app. 2
Phase II

*** RELATIVE ENERGY FLUX DENSITY IN THE ***
 *** PENUMBRA OF A RECTANGULAR CYLINDER ***

VERSION F

SOLAR FIELD ANGLE, D= 5.00 DEGREES
 GEOMETRY D2/R = 100.00 AND H/R = 0.

BETA = ANGLE OF INCIDENCE, DEGREES

BETA ***	50.00	60.00	70.00	80.00	87.00
AX/AB	Q (Q1)	Q (Q1)	Q (Q1)	Q (Q1)	Q (Q1)
0.	1.000(.)	1.000(.)	1.000(.)	1.000(.)	1.000(.)
0.025	0.995(.025)	0.996(.025)	0.997(.025)	0.998(.025)	1.000(.025)
0.050	0.987(.050)	0.988(.050)	0.990(.050)	0.994(.050)	1.000(.050)
0.075	0.975(.074)	0.978(.074)	0.982(.074)	0.990(.075)	1.000(.075)
0.100	0.963(.098)	0.966(.099)	0.972(.099)	0.984(.099)	1.000(.100)
0.125	0.948(.122)	0.953(.123)	0.960(.123)	0.977(.124)	1.000(.125)
0.150	0.932(.146)	0.938(.146)	0.947(.147)	0.969(.148)	1.000(.150)
0.175	0.915(.169)	0.922(.170)	0.933(.170)	0.960(.172)	0.999(.175)
0.200	0.892(.192)	0.902(.192)	0.918(.194)	0.950(.196)	0.999(.200)
0.225	0.869(.214)	0.880(.215)	0.900(.216)	0.939(.220)	0.999(.225)
0.250	0.844(.235)	0.857(.236)	0.879(.238)	0.928(.243)	0.999(.250)
0.275	0.819(.256)	0.833(.257)	0.858(.260)	0.916(.266)	0.999(.275)
0.300	0.794(.276)	0.809(.278)	0.835(.281)	0.901(.289)	0.998(.300)
0.325	0.768(.295)	0.783(.298)	0.811(.302)	0.884(.311)	0.998(.325)
0.350	0.741(.314)	0.757(.317)	0.787(.322)	0.865(.333)	0.997(.350)
0.375	0.714(.333)	0.730(.336)	0.761(.341)	0.844(.354)	0.997(.375)
0.400	0.692(.350)	0.706(.354)	0.734(.360)	0.822(.375)	0.997(.400)
0.425	0.675(.367)	0.686(.371)	0.711(.378)	0.798(.395)	0.996(.424)
0.450	0.660(.384)	0.670(.388)	0.691(.396)	0.773(.415)	0.995(.449)
0.475	0.649(.400)	0.656(.405)	0.674(.413)	0.747(.434)	0.995(.474)
0.500	0.641(.416)	0.646(.421)	0.659(.429)	0.725(.452)	0.994(.499)
0.525	0.637(.432)	0.638(.437)	0.647(.446)	0.703(.470)	0.993(.524)
0.550	0.636(.448)	0.635(.453)	0.639(.462)	0.683(.488)	0.992(.549)
0.575	0.640(.464)	0.636(.469)	0.634(.478)	0.665(.504)	0.990(.574)
0.600	0.647(.480)	0.641(.485)	0.634(.493)	0.649(.521)	0.989(.598)
0.625	0.659(.497)	0.650(.501)	0.637(.509)	0.636(.537)	0.987(.623)
0.650	0.674(.513)	0.663(.517)	0.645(.525)	0.627(.553)	0.984(.648)
0.675	0.697(.530)	0.682(.534)	0.658(.542)	0.623(.568)	0.982(.672)
0.700	0.725(.548)	0.710(.551)	0.679(.558)	0.624(.584)	0.978(.697)
0.725	0.754(.567)	0.738(.570)	0.708(.576)	0.632(.600)	0.972(.721)
0.750	0.782(.586)	0.767(.588)	0.737(.594)	0.651(.616)	0.962(.745)
0.775	0.811(.606)	0.796(.608)	0.768(.613)	0.682(.632)	0.948(.769)
0.800	0.840(.626)	0.827(.628)	0.800(.632)	0.714(.650)	0.926(.793)
0.825	0.872(.648)	0.859(.649)	0.833(.653)	0.750(.668)	0.895(.815)
0.850	0.903(.670)	0.894(.671)	0.873(.674)	0.792(.687)	0.854(.837)
0.875	0.925(.693)	0.919(.694)	0.906(.696)	0.845(.708)	0.794(.858)
0.900	0.945(.716)	0.941(.717)	0.930(.719)	0.892(.730)	0.707(.876)
0.925	0.964(.740)	0.961(.741)	0.953(.743)	0.926(.752)	0.596(.893)
0.950	0.980(.764)	0.978(.765)	0.974(.767)	0.957(.776)	0.521(.907)
0.975	0.993(.789)	0.992(.790)	0.990(.791)	0.984(.800)	0.695(.922)
1.000	1.000(.814)	1.000(.815)	1.000(.816)	1.000(.825)	1.000(.943)

F-90
663

RE-ORDER No. 66-196
app. d
P. Hall

*** RELATIVE ENERGY FLUX DENSITY IN THE ***
 *** PENUMBRA OF A RECTANGULAR CYLINDER ***

VERSION F

SOLAR FIELD ANGLE, D = 5.00 DEGREES
 GEOMETRY D2/R = 1.00 AND H/R = 0.5

BETA = ANGLE OF INCIDENCE, DEGREES

BETA ***	0.	10.00	20.00	30.00	40.00
AX/AB	Q (Q1)	Q (Q1)	Q (Q1)	Q (Q1)	Q (Q1)
0.	1.000(.)	1.000(.)	1.000(.)	1.000(.)	1.000(.)
0.025	0.649(.021)	0.719(.021)	0.776(.022)	0.824(.023)	0.868(.023)
0.050	0. (0.029)	0. (0.030)	0.079(.033)	0.276(.037)	0.496(.040)
0.075	0. (0.029)	0. (0.030)	0. (0.034)	0. (0.040)	0.003(.047)
0.100	0. (0.029)	0. (0.030)	0. (0.034)	0. (0.040)	0. (0.047)
0.125	0. (0.029)	0. (0.030)	0. (0.034)	0. (0.040)	0. (0.047)
0.150	0. (0.029)	0. (0.030)	0. (0.034)	0. (0.040)	0. (0.047)
0.175	0. (0.029)	0. (0.030)	0. (0.034)	0. (0.040)	0. (0.047)
0.200	0. (0.029)	0. (0.030)	0. (0.034)	0. (0.040)	0. (0.047)
0.225	0. (0.029)	0. (0.030)	0. (0.034)	0. (0.040)	0. (0.047)
0.250	0. (0.029)	0. (0.030)	0. (0.034)	0. (0.040)	0. (0.047)
0.275	0. (0.029)	0. (0.030)	0. (0.034)	0. (0.040)	0. (0.047)
0.300	0. (0.029)	0. (0.030)	0. (0.034)	0. (0.040)	0. (0.047)
0.325	0. (0.029)	0. (0.030)	0. (0.034)	0. (0.040)	0. (0.047)
0.350	0. (0.029)	0. (0.030)	0. (0.034)	0. (0.040)	0. (0.047)
0.375	0. (0.029)	0. (0.030)	0. (0.034)	0. (0.040)	0. (0.047)
0.400	0. (0.029)	0. (0.030)	0. (0.034)	0. (0.040)	0. (0.047)
0.425	0. (0.029)	0. (0.030)	0. (0.034)	0. (0.040)	0. (0.047)
0.450	0. (0.029)	0. (0.030)	0. (0.034)	0. (0.040)	0. (0.047)
0.475	0. (0.029)	0. (0.030)	0. (0.034)	0. (0.040)	0. (0.047)
0.500	0. (0.029)	0. (0.030)	0. (0.034)	0. (0.040)	0. (0.047)
0.525	0. (0.029)	0. (0.030)	0. (0.034)	0. (0.040)	0. (0.047)
0.550	0. (0.029)	0. (0.030)	0. (0.034)	0. (0.040)	0. (0.047)
0.575	0. (0.029)	0. (0.030)	0. (0.034)	0. (0.040)	0. (0.047)
0.600	0. (0.029)	0. (0.030)	0. (0.034)	0. (0.040)	0. (0.047)
0.625	0. (0.029)	0. (0.030)	0. (0.034)	0. (0.040)	0. (0.047)
0.650	0. (0.029)	0. (0.030)	0. (0.034)	0. (0.040)	0. (0.047)
0.675	0. (0.029)	0. (0.030)	0. (0.034)	0. (0.040)	0. (0.047)
0.700	0. (0.029)	0. (0.030)	0. (0.034)	0. (0.040)	0. (0.047)
0.725	0. (0.029)	0. (0.030)	0. (0.034)	0. (0.040)	0. (0.047)
0.750	0. (0.029)	0. (0.030)	0. (0.034)	0. (0.040)	0. (0.047)
0.775	0. (0.029)	0. (0.030)	0. (0.034)	0. (0.040)	0. (0.047)
0.800	0. (0.029)	0. (0.030)	0. (0.034)	0. (0.040)	0. (0.047)
0.825	0. (0.029)	0. (0.030)	0. (0.034)	0. (0.040)	0. (0.047)
0.850	0. (0.029)	0. (0.030)	0. (0.034)	0. (0.040)	0. (0.047)
0.875	0. (0.029)	0. (0.030)	0. (0.034)	0. (0.040)	0. (0.047)
0.900	0. (0.029)	0. (0.030)	0. (0.034)	0. (0.040)	0. (0.047)
0.925	0. (0.029)	0. (0.030)	0. (0.034)	0. (0.040)	0. (0.047)
0.950	0. (0.029)	0. (0.030)	0. (0.034)	0. (0.040)	0. (0.047)
0.975	0.649(.037)	0.556(.037)	0.046(.034)	0. (0.040)	0. (0.047)
1.000	1.000(.057)	1.000(.057)	1.000(.048)	1.000(.053)	1.000(.059)

F-91
 664

*** RELATIVE ENERGY FLUX DENSITY IN THE ***
 *** PENUMBRA OF A RECTANGULAR CYLINDER ***
 VERSION F

SOLAR FIELD ANGLE, $\theta = 5.00$ DEGREES
 GEOMETRY $D2/R = 1.00$ AND $H/R = 0.5$

BETA = ANGLE OF INCIDENCE, DEGREES

BETA ***	50.00	60.00	70.00	80.00	87.00
AX/AB	Q (QI)	Q (QI)	Q (QI)	Q (QI)	Q (QI)
0.	1.000(.)	1.000(.)	1.000(.)	1.000(.)	1.000(.)
0.025	0.906(.024)	0.934(.024)	0.963(.025)	0.990(.025)	1.000(.025)
0.050	0.625(.043)	0.754(.045)	0.882(.048)	0.970(.049)	1.000(.050)
0.075	0.141(.053)	0.444(.060)	0.718(.068)	0.941(.073)	1.000(.075)
0.100	0. (.054)	0.075(.067)	0.489(.083)	0.897(.096)	1.000(.100)
0.125	0. (.054)	0. (.068)	0.185(.091)	0.820(.118)	1.000(.125)
0.150	0. (.054)	0. (.068)	0.016(.094)	0.720(.137)	0.999(.150)
0.175	0. (.054)	0. (.068)	0. (.094)	0.592(.153)	0.999(.175)
0.200	0. (.054)	0. (.068)	0. (.094)	0.423(.166)	0.999(.200)
0.225	0. (.054)	0. (.068)	0. (.094)	0.239(.174)	0.999(.225)
0.250	0. (.054)	0. (.068)	0. (.094)	0.088(.178)	0.998(.250)
0.275	0. (.054)	0. (.068)	0. (.094)	0.004(.180)	0.998(.275)
0.300	0. (.054)	0. (.068)	0. (.094)	0. (.180)	0.998(.300)
0.325	0. (.054)	0. (.068)	0. (.094)	0. (.180)	0.997(.325)
0.350	0. (.054)	0. (.068)	0. (.094)	0. (.180)	0.996(.350)
0.375	0. (.054)	0. (.068)	0. (.094)	0. (.180)	0.996(.375)
0.400	0. (.054)	0. (.068)	0. (.094)	0. (.180)	0.995(.399)
0.425	0. (.054)	0. (.068)	0. (.094)	0. (.180)	0.993(.424)
0.450	0. (.054)	0. (.068)	0. (.094)	0. (.180)	0.992(.449)
0.475	0. (.054)	0. (.068)	0. (.094)	0. (.180)	0.990(.474)
0.500	0. (.054)	0. (.068)	0. (.094)	0. (.180)	0.988(.499)
0.525	0. (.054)	0. (.068)	0. (.094)	0. (.180)	0.985(.523)
0.550	0. (.054)	0. (.068)	0. (.094)	0. (.180)	0.982(.548)
0.575	0. (.054)	0. (.068)	0. (.094)	0. (.180)	0.977(.572)
0.600	0. (.054)	0. (.068)	0. (.094)	0. (.180)	0.972(.597)
0.625	0. (.054)	0. (.068)	0. (.094)	0. (.180)	0.964(.621)
0.650	0. (.054)	0. (.068)	0. (.094)	0. (.180)	0.950(.645)
0.675	0. (.054)	0. (.068)	0. (.094)	0. (.180)	0.928(.668)
0.700	0. (.054)	0. (.068)	0. (.094)	0. (.180)	0.895(.691)
0.725	0. (.054)	0. (.068)	0. (.094)	0. (.180)	0.844(.713)
0.750	0. (.054)	0. (.068)	0. (.094)	0. (.180)	0.765(.733)
0.775	0. (.054)	0. (.068)	0. (.094)	0. (.180)	0.632(.750)
0.800	0. (.054)	0. (.068)	0. (.094)	0. (.180)	0.409(.763)
0.825	0. (.054)	0. (.068)	0. (.094)	0. (.180)	0.117(.770)
0.850	0. (.054)	0. (.068)	0. (.094)	0. (.180)	0. (.771)
0.875	0. (.054)	0. (.068)	0. (.094)	0. (.180)	0. (.771)
0.900	0. (.054)	0. (.068)	0. (.094)	0. (.180)	0. (.771)
0.925	0. (.054)	0. (.068)	0. (.094)	0. (.180)	0. (.771)
0.950	0. (.054)	0. (.068)	0. (.094)	0. (.180)	0. (.771)
0.975	0. (.054)	0. (.068)	0. (.094)	0. (.180)	0. (.771)
1.000	0. (.054)	0. (.068)	0. (.094)	0. (.180)	0. (.771)

*** RELATIVE ENERGY FLUX DENSITY IN THE ***
 *** PENUMBRA OF A RECTANGULAR CYLINDER ***

VERSION F

SOLAR FIELD ANGLE, $D = 5.00$ DEGREES
 GEOMETRY $D^2/R = 5.00$ AND $H/R = 0.5$

BETA = ANGLE OF INCIDENCE, DEGREES

BETA ***	0.	10.00	20.00	30.00	40.00
AX/AB	Q (Q1)	Q (Q1)	Q (Q1)	Q (Q1)	Q (Q1)
0.	1.000(.)	1.000(.)	1.000(.)	1.000(.)	1.000(.)
0.025	0.952(.024)	0.955(.024)	0.958(.024)	0.962(.025)	0.965(.025)
0.050	0.852(.047)	0.865(.047)	0.877(.047)	0.889(.048)	0.902(.048)
0.075	0.679(.066)	0.703(.067)	0.726(.067)	0.751(.068)	0.779(.069)
0.100	0.466(.080)	0.507(.082)	0.541(.083)	0.578(.085)	0.619(.086)
0.125	0.228(.087)	0.271(.092)	0.315(.094)	0.365(.097)	0.424(.099)
0.150	0.065(.093)	0.091(.096)	0.123(.099)	0.166(.103)	0.223(.108)
0.175	0.000(.094)	0.010(.097)	0.026(.101)	0.048(.106)	0.078(.111)
0.200	0. (.094)	0. (.098)	0. (.102)	0. (.106)	0.007(.112)
0.225	0. (.094)	0. (.098)	0. (.102)	0. (.106)	0. (.112)
0.250	0. (.094)	0. (.098)	0. (.102)	0. (.106)	0. (.112)
0.275	0. (.094)	0. (.098)	0. (.102)	0. (.106)	0. (.112)
0.300	0. (.094)	0. (.098)	0. (.102)	0. (.106)	0. (.112)
0.325	0. (.094)	0. (.098)	0. (.102)	0. (.106)	0. (.112)
0.350	0. (.094)	0. (.098)	0. (.102)	0. (.106)	0. (.112)
0.375	0. (.094)	0. (.098)	0. (.102)	0. (.106)	0. (.112)
0.400	0. (.094)	0. (.098)	0. (.102)	0. (.106)	0. (.112)
0.425	0. (.094)	0. (.098)	0. (.102)	0. (.106)	0. (.112)
0.450	0. (.094)	0. (.098)	0. (.102)	0. (.106)	0. (.112)
0.475	0. (.094)	0. (.098)	0. (.102)	0. (.106)	0. (.112)
0.500	0. (.094)	0. (.098)	0. (.102)	0. (.106)	0. (.112)
0.525	0. (.094)	0. (.098)	0. (.102)	0. (.106)	0. (.112)
0.550	0. (.094)	0. (.098)	0. (.102)	0. (.106)	0. (.112)
0.575	0. (.094)	0. (.098)	0. (.102)	0. (.106)	0. (.112)
0.600	0. (.094)	0. (.098)	0. (.102)	0. (.106)	0. (.112)
0.625	0. (.094)	0. (.098)	0. (.102)	0. (.106)	0. (.112)
0.650	0. (.094)	0. (.098)	0. (.102)	0. (.106)	0. (.112)
0.675	0. (.094)	0. (.098)	0. (.102)	0. (.106)	0. (.112)
0.700	0. (.094)	0. (.098)	0. (.102)	0. (.106)	0. (.112)
0.725	0. (.094)	0. (.098)	0. (.102)	0. (.106)	0. (.112)
0.750	0. (.094)	0. (.098)	0. (.102)	0. (.106)	0. (.112)
0.775	0. (.094)	0. (.098)	0. (.102)	0. (.106)	0. (.112)
0.800	0. (.094)	0. (.098)	0. (.102)	0. (.106)	0. (.112)
0.825	0.000(.094)	0. (.098)	0. (.102)	0. (.106)	0. (.112)
0.850	0.068(.094)	0.047(.098)	0.026(.102)	0.007(.107)	0. (.112)
0.875	0.228(.098)	0.186(.101)	0.142(.104)	0.097(.108)	0.059(.113)
0.900	0.466(.107)	0.423(.109)	0.374(.111)	0.318(.113)	0.246(.117)
0.925	0.679(.121)	0.653(.122)	0.622(.123)	0.585(.124)	0.533(.127)
0.950	0.852(.140)	0.837(.141)	0.820(.141)	0.799(.142)	0.769(.143)
0.975	0.952(.163)	0.948(.163)	0.944(.163)	0.938(.163)	0.931(.164)
1.000	1.000(.187)	1.000(.187)	1.000(.187)	1.000(.188)	1.000(.188)

*** RELATIVE ENERGY FLUX DENSITY IN THE ***
 *** PENUMBRA OF A RECTANGULAR CYLINDER ***

VERSION F

SOLAR FIELD ANGLE, D= 5.00 DEGREES
 GEOMETRY D2/R = 5.00 AND H/R = 0.5

BETA = ANGLE OF INCIDENCE, DEGREES

BETA ***	50.00	60.00	70.00	80.00	87.00
AX/AB	Q (Q1)	Q (Q1)	Q (Q1)	Q (Q1)	Q (Q1)
0.	1.000(.)	1.000(.)	1.000(.)	1.000(.)	1.000(.)
0.025	0.970(.025)	0.975(.025)	0.983(.025)	0.994(.025)	1.000(.025)
0.050	0.915(.048)	0.930(.049)	0.951(.049)	0.981(.050)	1.000(.050)
0.075	0.812(.070)	0.853(.071)	0.906(.072)	0.964(.074)	1.000(.075)
0.100	0.669(.088)	0.733(.091)	0.825(.094)	0.942(.098)	1.000(.100)
0.125	0.500(.103)	0.589(.107)	0.719(.113)	0.912(.121)	1.000(.125)
0.150	0.300(.113)	0.414(.120)	0.592(.129)	0.863(.143)	0.999(.150)
0.175	0.129(.118)	0.236(.128)	0.439(.142)	0.799(.164)	0.999(.175)
0.200	0.036(.120)	0.094(.132)	0.278(.151)	0.722(.183)	0.999(.200)
0.225	0. (.121)	0.021(.133)	0.134(.156)	0.630(.200)	0.999(.225)
0.250	0. (.121)	0. (.134)	0.048(.159)	0.521(.214)	0.999(.250)
0.275	0. (.121)	0. (.134)	0. (.159)	0.392(.226)	0.998(.275)
0.300	0. (.121)	0. (.134)	0. (.159)	0.262(.234)	0.998(.300)
0.325	0. (.121)	0. (.134)	0. (.159)	0.139(.239)	0.997(.325)
0.350	0. (.121)	0. (.134)	0. (.159)	0.060(.241)	0.997(.350)
0.375	0. (.121)	0. (.134)	0. (.159)	0.004(.242)	0.996(.375)
0.400	0. (.121)	0. (.134)	0. (.159)	0. (.242)	0.995(.399)
0.425	0. (.121)	0. (.134)	0. (.159)	0. (.242)	0.994(.424)
0.450	0. (.121)	0. (.134)	0. (.159)	0. (.242)	0.993(.449)
0.475	0. (.121)	0. (.134)	0. (.159)	0. (.242)	0.991(.474)
0.500	0. (.121)	0. (.134)	0. (.159)	0. (.242)	0.989(.499)
0.525	0. (.121)	0. (.134)	0. (.159)	0. (.242)	0.987(.523)
0.550	0. (.121)	0. (.134)	0. (.159)	0. (.242)	0.984(.548)
0.575	0. (.121)	0. (.134)	0. (.159)	0. (.242)	0.980(.573)
0.600	0. (.121)	0. (.134)	0. (.159)	0. (.242)	0.975(.597)
0.625	0. (.121)	0. (.134)	0. (.159)	0. (.242)	0.969(.621)
0.650	0. (.121)	0. (.134)	0. (.159)	0. (.242)	0.960(.645)
0.675	0. (.121)	0. (.134)	0. (.159)	0. (.242)	0.944(.669)
0.700	0. (.121)	0. (.134)	0. (.159)	0. (.242)	0.920(.693)
0.725	0. (.121)	0. (.134)	0. (.159)	0. (.242)	0.884(.715)
0.750	0. (.121)	0. (.134)	0. (.159)	0. (.242)	0.829(.736)
0.775	0. (.121)	0. (.134)	0. (.159)	0. (.242)	0.742(.756)
0.800	0. (.121)	0. (.134)	0. (.159)	0. (.242)	0.599(.773)
0.825	0. (.121)	0. (.134)	0. (.159)	0. (.242)	0.368(.785)
0.850	0. (.121)	0. (.134)	0. (.159)	0. (.242)	0.091(.791)
0.875	0.016(.121)	0. (.134)	0. (.159)	0. (.242)	0. (.792)
0.900	0.149(.123)	0.042(.134)	0. (.159)	0. (.242)	0. (.792)
0.925	0.445(.130)	0.272(.138)	0.004(.159)	0. (.242)	0. (.792)
0.950	0.721(.145)	0.627(.149)	0.294(.163)	0. (.242)	0. (.792)
0.975	0.919(.166)	0.893(.168)	0.777(.177)	0. (.242)	0. (.792)
1.000	1.000(.190)	1.000(.192)	1.000(.199)	0. (.242)	0. (.792)

*** RELATIVE ENERGY FLUX DENSITY IN THE ***
 *** PENUMBRA OF A RECTANGULAR CYLINDER ***

VERSION F

SOLAR FIELD ANGLE, D= 5.00 DEGREES
 GEOMETRY D2/R = 10.00 AND H/R = 0.5

BETA = ANGLE OF INCIDENCE, DEGREES

BETA ***	0.	10.00	20.00	30.00	40.00
AX/AB	Q (Q1)	Q (Q1)	Q (Q1)	Q (Q1)	Q (Q1)
0.	1.000(.)	1.000(.)	1.000(.)	1.000(.)	1.000(.)
0.025	0.976(.025)	0.977(.025)	0.979(.025)	0.980(.025)	0.981(.025)
0.050	0.934(.049)	0.938(.049)	0.941(.049)	0.944(.049)	0.948(.049)
0.075	0.873(.071)	0.881(.071)	0.888(.072)	0.896(.072)	0.905(.072)
0.100	0.777(.092)	0.789(.092)	0.801(.093)	0.815(.093)	0.830(.094)
0.125	0.663(.110)	0.680(.111)	0.696(.111)	0.715(.112)	0.736(.113)
0.150	0.537(.125)	0.557(.126)	0.579(.127)	0.602(.129)	0.629(.130)
0.175	0.398(.136)	0.422(.138)	0.448(.140)	0.477(.142)	0.511(.145)
0.200	0.265(.145)	0.290(.147)	0.315(.150)	0.343(.153)	0.379(.156)
0.225	0.151(.150)	0.173(.153)	0.196(.156)	0.223(.160)	0.257(.164)
0.250	0.074(.153)	0.086(.156)	0.100(.160)	0.120(.164)	0.149(.169)
0.275	0.026(.154)	0.035(.158)	0.046(.162)	0.058(.166)	0.075(.172)
0.300	0. (.154)	0.002(.158)	0.008(.162)	0.016(.167)	0.028(.173)
0.325	0. (.154)	0. (.158)	0. (.162)	0. (.167)	0. (.173)
0.350	0. (.154)	0. (.158)	0. (.162)	0. (.167)	0. (.173)
0.375	0. (.154)	0. (.158)	0. (.162)	0. (.167)	0. (.173)
0.400	0. (.154)	0. (.158)	0. (.162)	0. (.167)	0. (.173)
0.425	0. (.154)	0. (.158)	0. (.162)	0. (.167)	0. (.173)
0.450	0. (.154)	0. (.158)	0. (.162)	0. (.167)	0. (.173)
0.475	0. (.154)	0. (.158)	0. (.162)	0. (.167)	0. (.173)
0.500	0. (.154)	0. (.158)	0. (.162)	0. (.167)	0. (.173)
0.525	0. (.154)	0. (.158)	0. (.162)	0. (.167)	0. (.173)
0.550	0. (.154)	0. (.158)	0. (.162)	0. (.167)	0. (.173)
0.575	0. (.154)	0. (.158)	0. (.162)	0. (.167)	0. (.173)
0.600	0. (.154)	0. (.158)	0. (.162)	0. (.167)	0. (.173)
0.625	0. (.154)	0. (.158)	0. (.162)	0. (.167)	0. (.173)
0.650	0. (.154)	0. (.158)	0. (.162)	0. (.167)	0. (.173)
0.675	0. (.154)	0. (.158)	0. (.162)	0. (.167)	0. (.173)
0.700	0. (.154)	0. (.158)	0. (.162)	0. (.167)	0. (.173)
0.725	0.026(.155)	0.018(.158)	0.011(.163)	0.004(.167)	0. (.173)
0.750	0.074(.156)	0.063(.159)	0.051(.163)	0.039(.168)	0.025(.174)
0.775	0.151(.159)	0.131(.162)	0.112(.165)	0.092(.169)	0.074(.175)
0.800	0.265(.164)	0.242(.167)	0.217(.169)	0.190(.173)	0.157(.178)
0.825	0.398(.172)	0.373(.174)	0.346(.177)	0.317(.179)	0.280(.183)
0.850	0.537(.184)	0.516(.185)	0.493(.187)	0.463(.189)	0.426(.192)
0.875	0.663(.199)	0.646(.200)	0.627(.201)	0.604(.202)	0.574(.204)
0.900	0.777(.217)	0.764(.218)	0.749(.218)	0.732(.219)	0.709(.220)
0.925	0.873(.238)	0.865(.238)	0.856(.238)	0.845(.239)	0.830(.240)
0.950	0.934(.260)	0.931(.260)	0.927(.261)	0.923(.261)	0.917(.262)
0.975	0.975(.284)	0.975(.284)	0.973(.284)	0.972(.285)	0.969(.285)
1.000	1.000(.309)	1.000(.309)	1.000(.309)	1.000(.309)	1.000(.310)

*APA
Phase II*

*** RELATIVE ENERGY FLUX DENSITY IN THE ***
 *** PENUMBRA OF A RECTANGULAR CYLINDER ***

VERSION F

SOLAR FIELD ANGLE, D= 5.00 DEGREES
 GEOMETRY D2/R = 10.00 AND H/R = 0.5

BETA = ANGLE OF INCIDENCE, DEGREES

BETA *** AX/AB	50.00 Q (Q1)	60.00 Q (Q1)	70.00 Q (Q1)	80.00 Q (Q1)	87.00 Q (Q1)
0.	1.000(.)	1.000(.)	1.000(.)	1.000(.)	1.000(.)
0.025	0.983(.025)	0.986(.025)	0.989(.025)	0.995(.025)	1.000(.025)
0.050	0.953(.049)	0.959(.049)	0.969(.049)	0.986(.050)	1.000(.050)
0.075	0.914(.072)	0.926(.073)	0.943(.073)	0.974(.074)	1.000(.075)
0.100	0.849(.094)	0.874(.095)	0.910(.096)	0.959(.098)	1.000(.100)
0.125	0.763(.115)	0.799(.116)	0.856(.118)	0.940(.122)	1.000(.125)
0.150	0.663(.132)	0.711(.135)	0.785(.139)	0.917(.145)	1.000(.150)
0.175	0.552(.148)	0.610(.152)	0.704(.158)	0.880(.168)	0.999(.175)
0.200	0.427(.160)	0.498(.165)	0.611(.174)	0.833(.189)	0.999(.200)
0.225	0.304(.169)	0.375(.176)	0.508(.188)	0.777(.209)	0.999(.225)
0.250	0.191(.175)	0.260(.184)	0.392(.199)	0.712(.228)	0.999(.250)
0.275	0.099(.179)	0.155(.189)	0.282(.208)	0.637(.245)	0.998(.275)
0.300	0.047(.181)	0.080(.192)	0.177(.213)	0.551(.260)	0.998(.300)
0.325	0.008(.181)	0.032(.194)	0.095(.217)	0.452(.272)	0.997(.325)
0.350	0. (.181)	0.001(.194)	0.044(.219)	0.350(.282)	0.997(.350)
0.375	0. (.181)	0. (.194)	0.006(.219)	0.247(.290)	0.996(.375)
0.400	0. (.181)	0. (.194)	0. (.219)	0.150(.295)	0.995(.399)
0.425	0. (.181)	0. (.194)	0. (.219)	0.081(.298)	0.994(.424)
0.450	0. (.181)	0. (.194)	0. (.219)	0.029(.299)	0.993(.449)
0.475	0. (.181)	0. (.194)	0. (.219)	0. (.299)	0.992(.474)
0.500	0. (.181)	0. (.194)	0. (.219)	0. (.299)	0.990(.499)
0.525	0. (.181)	0. (.194)	0. (.219)	0. (.299)	0.988(.523)
0.550	0. (.181)	0. (.194)	0. (.219)	0. (.299)	0.985(.548)
0.575	0. (.181)	0. (.194)	0. (.219)	0. (.299)	0.982(.573)
0.600	0. (.181)	0. (.194)	0. (.219)	0. (.299)	0.978(.597)
0.625	0. (.181)	0. (.194)	0. (.219)	0. (.299)	0.973(.622)
0.650	0. (.181)	0. (.194)	0. (.219)	0. (.299)	0.966(.646)
0.675	0. (.181)	0. (.194)	0. (.219)	0. (.299)	0.954(.670)
0.700	0. (.181)	0. (.194)	0. (.219)	0. (.299)	0.936(.694)
0.725	0. (.181)	0. (.194)	0. (.219)	0. (.299)	0.909(.717)
0.750	0.010(.181)	0. (.194)	0. (.219)	0. (.299)	0.869(.739)
0.775	0.052(.182)	0.022(.194)	0. (.219)	0. (.299)	0.808(.760)
0.800	0.117(.184)	0.071(.196)	0.014(.219)	0. (.299)	0.711(.779)
0.825	0.232(.189)	0.160(.198)	0.062(.220)	0. (.299)	0.551(.795)
0.850	0.374(.196)	0.295(.204)	0.152(.223)	0. (.299)	0.307(.805)
0.875	0.532(.208)	0.460(.214)	0.303(.229)	0.000(.299)	0.050(.810)
0.900	0.676(.223)	0.620(.227)	0.493(.239)	0.048(.300)	0. (.810)
0.925	0.807(.241)	0.767(.244)	0.674(.253)	0.199(.303)	0. (.810)
0.950	0.908(.263)	0.891(.265)	0.839(.272)	0.509(.312)	0. (.810)
0.975	0.965(.286)	0.960(.288)	0.944(.295)	0.828(.329)	0. (.810)
1.000	1.000(.311)	1.000(.313)	1.000(.319)	1.000(.351)	0. (.810)

*** RELATIVE ENERGY FLUX DENSITY IN THE ***
 *** PENUMBRA OF A RECTANGULAR CYLINDER ***

VERSION F

SOLAR FIELD ANGLE, D= 5.00 DEGREES
 GEOMETRY D2/R = 50.00 AND H/R = 0.5

BETA = ANGLE OF INCIDENCE, DEGREES

BETA ***	0.	10.00	20.00	30.00	40.00
AX/AB	Q (Q1)	Q (Q1)	Q (Q1)	Q (Q1)	Q (Q1)
0.	1.000(.)	1.000(.)	1.000(.)	1.000(.)	1.000(.)
0.025	0.993(.025)	0.993(.025)	0.993(.025)	0.993(.025)	0.994(.025)
0.050	0.979(.050)	0.980(.050)	0.981(.050)	0.981(.050)	0.982(.050)
0.075	0.962(.074)	0.963(.074)	0.965(.074)	0.966(.074)	0.968(.074)
0.100	0.942(.098)	0.944(.098)	0.946(.098)	0.948(.098)	0.950(.098)
0.125	0.921(.121)	0.923(.121)	0.925(.121)	0.928(.121)	0.931(.121)
0.150	0.894(.144)	0.898(.144)	0.901(.144)	0.905(.144)	0.910(.144)
0.175	0.855(.165)	0.861(.166)	0.866(.166)	0.872(.166)	0.879(.167)
0.200	0.812(.186)	0.819(.187)	0.825(.187)	0.832(.188)	0.840(.188)
0.225	0.765(.206)	0.772(.207)	0.779(.207)	0.788(.208)	0.797(.209)
0.250	0.714(.225)	0.722(.225)	0.730(.226)	0.739(.227)	0.751(.228)
0.275	0.660(.242)	0.669(.243)	0.678(.244)	0.689(.245)	0.701(.246)
0.300	0.604(.257)	0.613(.259)	0.624(.260)	0.635(.261)	0.649(.263)
0.325	0.545(.272)	0.556(.273)	0.566(.275)	0.578(.277)	0.593(.279)
0.350	0.495(.285)	0.505(.287)	0.515(.288)	0.526(.290)	0.540(.293)
0.375	0.450(.297)	0.459(.299)	0.468(.301)	0.479(.303)	0.492(.306)
0.400	0.409(.307)	0.417(.310)	0.425(.312)	0.435(.314)	0.448(.318)
0.425	0.374(.317)	0.381(.320)	0.388(.322)	0.396(.325)	0.407(.328)
0.450	0.344(.326)	0.350(.329)	0.356(.331)	0.363(.334)	0.372(.338)
0.475	0.325(.335)	0.328(.337)	0.331(.340)	0.336(.343)	0.342(.347)
0.500	0.320(.343)	0.320(.345)	0.321(.348)	0.323(.351)	0.325(.355)
0.525	0.325(.351)	0.324(.353)	0.322(.356)	0.321(.359)	0.320(.363)
0.550	0.344(.359)	0.339(.362)	0.334(.364)	0.330(.367)	0.325(.371)
0.575	0.374(.368)	0.368(.370)	0.362(.373)	0.354(.376)	0.346(.380)
0.600	0.409(.378)	0.402(.380)	0.394(.382)	0.386(.385)	0.376(.389)
0.625	0.450(.389)	0.442(.391)	0.433(.393)	0.423(.395)	0.411(.399)
0.650	0.495(.400)	0.486(.402)	0.477(.404)	0.466(.406)	0.453(.409)
0.675	0.545(.413)	0.536(.415)	0.526(.417)	0.514(.419)	0.500(.421)
0.700	0.604(.428)	0.594(.429)	0.583(.431)	0.571(.432)	0.556(.435)
0.725	0.660(.444)	0.651(.445)	0.642(.446)	0.630(.447)	0.616(.449)
0.750	0.714(.461)	0.705(.462)	0.697(.463)	0.686(.464)	0.674(.465)
0.775	0.765(.479)	0.757(.480)	0.749(.481)	0.740(.482)	0.729(.483)
0.800	0.812(.499)	0.806(.499)	0.799(.500)	0.791(.501)	0.781(.502)
0.825	0.855(.520)	0.851(.520)	0.845(.521)	0.839(.521)	0.830(.522)
0.850	0.894(.542)	0.890(.542)	0.886(.542)	0.881(.543)	0.874(.543)
0.875	0.921(.564)	0.918(.565)	0.916(.565)	0.913(.565)	0.909(.566)
0.900	0.942(.588)	0.941(.588)	0.939(.588)	0.936(.588)	0.934(.589)
0.925	0.962(.612)	0.961(.612)	0.960(.612)	0.958(.612)	0.956(.612)
0.950	0.979(.636)	0.978(.636)	0.978(.636)	0.977(.636)	0.976(.636)
0.975	0.993(.660)	0.992(.660)	0.992(.661)	0.992(.661)	0.991(.661)
1.000	1.000(.685)	1.000(.685)	1.000(.685)	1.000(.686)	1.000(.686)

*** RELATIVE ENERGY FLUX DENSITY IN THE ***
 *** PENUMBRA OF A RECTANGULAR CYLINDER ***

VERSION F

SOLAR FIELD ANGLE, D= 5.00 DEGREES
 GEOMETRY D2/R = 50.00 AND H/R = 0.5

BETA = ANGLE OF INCIDENCE, DEGREES

BETA ***	50.00	60.00	70.00	80.00	87.00
AX/AB	Q (Q1)	Q (Q1)	Q (Q1)	Q (Q1)	Q (Q1)
0.	1.000(.)	1.000(.)	1.000(.)	1.000(.)	1.000(.)
0.025	0.994(.025)	0.995(.025)	0.996(.025)	0.998(.025)	1.000(.025)
0.050	0.983(.050)	0.985(.050)	0.988(.050)	0.993(.050)	1.000(.050)
0.075	0.970(.074)	0.973(.074)	0.977(.074)	0.987(.075)	1.000(.075)
0.100	0.953(.098)	0.958(.098)	0.965(.099)	0.980(.099)	1.000(.100)
0.125	0.935(.122)	0.941(.122)	0.951(.123)	0.972(.124)	1.000(.125)
0.150	0.915(.145)	0.922(.145)	0.935(.146)	0.962(.148)	1.000(.150)
0.175	0.887(.167)	0.899(.168)	0.917(.169)	0.951(.172)	0.999(.175)
0.200	0.851(.189)	0.867(.190)	0.892(.192)	0.939(.195)	0.999(.200)
0.225	0.810(.210)	0.829(.211)	0.861(.214)	0.926(.219)	0.999(.225)
0.250	0.766(.230)	0.787(.232)	0.825(.235)	0.906(.242)	0.999(.250)
0.275	0.718(.248)	0.742(.251)	0.785(.255)	0.882(.264)	0.999(.275)
0.300	0.667(.265)	0.694(.269)	0.741(.274)	0.854(.286)	0.998(.300)
0.325	0.613(.281)	0.643(.285)	0.695(.292)	0.821(.307)	0.998(.325)
0.350	0.559(.296)	0.589(.301)	0.645(.309)	0.786(.327)	0.997(.350)
0.375	0.511(.309)	0.540(.315)	0.595(.324)	0.746(.346)	0.997(.375)
0.400	0.465(.322)	0.493(.328)	0.547(.338)	0.704(.364)	0.996(.400)
0.425	0.423(.333)	0.449(.339)	0.501(.352)	0.660(.381)	0.995(.424)
0.450	0.385(.343)	0.408(.350)	0.456(.364)	0.615(.397)	0.995(.449)
0.475	0.353(.352)	0.372(.360)	0.414(.374)	0.569(.412)	0.994(.474)
0.500	0.330(.361)	0.342(.369)	0.376(.384)	0.521(.425)	0.992(.499)
0.525	0.320(.369)	0.325(.377)	0.344(.393)	0.472(.438)	0.991(.524)
0.550	0.321(.377)	0.318(.385)	0.325(.402)	0.425(.449)	0.989(.549)
0.575	0.335(.385)	0.324(.393)	0.316(.410)	0.381(.459)	0.987(.573)
0.600	0.363(.394)	0.346(.402)	0.320(.418)	0.345(.468)	0.984(.598)
0.625	0.395(.403)	0.375(.411)	0.342(.426)	0.319(.476)	0.981(.622)
0.650	0.435(.414)	0.411(.420)	0.370(.435)	0.305(.484)	0.977(.647)
0.675	0.482(.425)	0.454(.431)	0.405(.444)	0.312(.492)	0.972(.671)
0.700	0.535(.438)	0.505(.443)	0.450(.455)	0.330(.500)	0.966(.696)
0.725	0.597(.452)	0.566(.457)	0.507(.467)	0.359(.509)	0.955(.720)
0.750	0.655(.468)	0.628(.472)	0.572(.481)	0.402(.518)	0.939(.743)
0.775	0.713(.485)	0.687(.488)	0.637(.496)	0.469(.529)	0.916(.766)
0.800	0.767(.503)	0.745(.506)	0.699(.512)	0.543(.542)	0.882(.789)
0.825	0.819(.523)	0.799(.525)	0.760(.531)	0.620(.556)	0.832(.810)
0.850	0.865(.544)	0.850(.546)	0.817(.550)	0.696(.573)	0.756(.830)
0.875	0.903(.566)	0.893(.568)	0.870(.571)	0.772(.591)	0.636(.848)
0.900	0.930(.589)	0.923(.590)	0.909(.594)	0.844(.611)	0.460(.861)
0.925	0.953(.613)	0.949(.614)	0.939(.617)	0.900(.633)	0.249(.870)
0.950	0.974(.637)	0.971(.638)	0.965(.641)	0.942(.656)	0.210(.876)
0.975	0.991(.661)	0.990(.662)	0.987(.665)	0.978(.680)	0.515(.885)
1.000	1.000(.686)	1.000(.687)	1.000(.690)	1.000(.705)	1.000(.904)

*** RELATIVE ENERGY FLUX DENSITY IN THE ***
 *** PENUMBRA OF A RECTANGULAR CYLINDER ***

VERSION F

SOLAR FIELD ANGLE, D= 5.00 DEGREES
 GEOMETRY D2/R = 100.00 AND H/R = 0.5

BETA = ANGLE OF INCIDENCE, DEGREES

BETA ***	0.	10.00	20.00	30.00	40.00
AX/AB	Q (Q1)	Q (Q1)	Q (Q1)	Q (Q1)	Q (Q1)
0.	1.000(.)	1.000(.)	1.000(.)	1.000(.)	1.000(.)
0.025	0.994(.025)	0.994(.025)	0.995(.025)	0.995(.025)	0.995(.025)
0.050	0.984(.050)	0.984(.050)	0.985(.050)	0.985(.050)	0.986(.050)
0.075	0.970(.074)	0.971(.074)	0.972(.074)	0.973(.074)	0.974(.074)
0.100	0.955(.098)	0.956(.098)	0.958(.098)	0.959(.098)	0.961(.098)
0.125	0.938(.122)	0.939(.122)	0.941(.122)	0.943(.122)	0.946(.122)
0.150	0.919(.145)	0.921(.145)	0.923(.145)	0.926(.145)	0.929(.146)
0.175	0.897(.166)	0.900(.166)	0.903(.168)	0.907(.168)	0.911(.169)
0.200	0.867(.190)	0.871(.190)	0.875(.190)	0.880(.191)	0.885(.191)
0.225	0.840(.211)	0.844(.212)	0.849(.212)	0.854(.212)	0.860(.213)
0.250	0.813(.232)	0.818(.232)	0.823(.233)	0.828(.233)	0.835(.234)
0.275	0.785(.252)	0.791(.252)	0.796(.253)	0.802(.254)	0.809(.255)
0.300	0.759(.271)	0.764(.272)	0.769(.273)	0.776(.274)	0.783(.275)
0.325	0.732(.290)	0.737(.291)	0.743(.292)	0.749(.293)	0.757(.294)
0.350	0.704(.308)	0.710(.309)	0.715(.310)	0.722(.311)	0.730(.312)
0.375	0.682(.325)	0.686(.326)	0.691(.327)	0.696(.329)	0.703(.330)
0.400	0.665(.342)	0.669(.343)	0.673(.344)	0.677(.346)	0.683(.348)
0.425	0.652(.358)	0.655(.360)	0.658(.361)	0.662(.363)	0.667(.364)
0.450	0.643(.375)	0.645(.376)	0.647(.377)	0.650(.379)	0.653(.381)
0.475	0.637(.390)	0.638(.392)	0.639(.393)	0.641(.395)	0.643(.397)
0.500	0.635(.406)	0.635(.408)	0.635(.409)	0.636(.411)	0.637(.413)
0.525	0.637(.422)	0.636(.424)	0.635(.425)	0.635(.427)	0.634(.429)
0.550	0.643(.438)	0.641(.440)	0.639(.441)	0.638(.443)	0.636(.445)
0.575	0.652(.454)	0.650(.456)	0.647(.457)	0.645(.459)	0.642(.461)
0.600	0.665(.471)	0.662(.472)	0.659(.474)	0.655(.475)	0.651(.477)
0.625	0.682(.488)	0.678(.489)	0.674(.490)	0.669(.492)	0.664(.494)
0.650	0.704(.505)	0.699(.506)	0.694(.507)	0.688(.509)	0.681(.510)
0.675	0.732(.523)	0.727(.524)	0.721(.525)	0.715(.526)	0.707(.528)
0.700	0.759(.542)	0.754(.542)	0.749(.543)	0.742(.544)	0.735(.546)
0.725	0.786(.561)	0.781(.562)	0.776(.562)	0.770(.563)	0.762(.564)
0.750	0.813(.581)	0.808(.582)	0.803(.582)	0.798(.583)	0.791(.584)
0.775	0.840(.602)	0.836(.602)	0.831(.603)	0.826(.603)	0.819(.604)
0.800	0.867(.623)	0.864(.623)	0.859(.624)	0.854(.624)	0.848(.625)
0.825	0.897(.645)	0.893(.645)	0.890(.646)	0.885(.646)	0.880(.646)
0.850	0.919(.668)	0.917(.668)	0.914(.668)	0.912(.668)	0.908(.669)
0.875	0.938(.691)	0.936(.691)	0.934(.691)	0.932(.691)	0.929(.692)
0.900	0.955(.715)	0.954(.715)	0.952(.715)	0.951(.715)	0.948(.715)
0.925	0.970(.739)	0.970(.739)	0.969(.739)	0.967(.739)	0.966(.739)
0.950	0.984(.763)	0.983(.763)	0.983(.763)	0.982(.763)	0.981(.763)
0.975	0.994(.788)	0.994(.788)	0.994(.788)	0.994(.788)	0.993(.788)
1.000	1.000(.813)	1.000(.813)	1.000(.813)	1.000(.813)	1.000(.813)

F-99

672

*** RELATIVE ENERGY FLUX DENSITY IN THE ***
 *** PENUMBRA OF A RECTANGULAR CYLINDER ***

VERSION F

SOLAR FIELD ANGLE, D= 5.00 DEGREES
 GEOMETRY D2/R = 100.00 AND H/R = 0.5

BETA = ANGLE OF INCIDENCE, DEGREES

BETA ***	50.00	60.00	70.00	80.00	87.00
AX/AB	Q (Q1)	Q (Q1)	Q (Q1)	Q (Q1)	Q (Q1)
0.	1.000(.)	1.000(.)	1.000(.)	1.000(.)	1.000(.)
0.025	0.995(.025)	0.996(.025)	0.997(.025)	0.998(.025)	1.000(.025)
0.050	0.987(.050)	0.988(.050)	0.990(.050)	0.994(.050)	1.000(.050)
0.075	0.975(.074)	0.978(.074)	0.982(.074)	0.990(.075)	1.000(.075)
0.100	0.963(.098)	0.966(.099)	0.972(.099)	0.984(.099)	1.000(.100)
0.125	0.949(.122)	0.953(.123)	0.960(.123)	0.977(.124)	1.000(.125)
0.150	0.933(.146)	0.938(.146)	0.948(.147)	0.969(.148)	1.000(.150)
0.175	0.915(.169)	0.922(.170)	0.934(.170)	0.960(.172)	0.999(.175)
0.200	0.892(.192)	0.903(.192)	0.918(.194)	0.950(.196)	0.999(.200)
0.225	0.868(.214)	0.879(.215)	0.899(.216)	0.939(.220)	0.999(.225)
0.250	0.843(.235)	0.856(.236)	0.879(.238)	0.928(.243)	0.999(.250)
0.275	0.818(.256)	0.832(.257)	0.857(.260)	0.915(.266)	0.999(.275)
0.300	0.793(.276)	0.808(.278)	0.834(.281)	0.900(.289)	0.998(.300)
0.325	0.767(.295)	0.782(.298)	0.810(.302)	0.883(.311)	0.998(.325)
0.350	0.740(.314)	0.756(.317)	0.786(.322)	0.864(.333)	0.997(.350)
0.375	0.713(.332)	0.729(.336)	0.760(.341)	0.843(.354)	0.997(.375)
0.400	0.691(.350)	0.704(.353)	0.733(.360)	0.821(.375)	0.997(.400)
0.425	0.674(.367)	0.685(.371)	0.710(.378)	0.797(.395)	0.996(.424)
0.450	0.659(.384)	0.669(.388)	0.690(.395)	0.772(.415)	0.995(.449)
0.475	0.647(.400)	0.655(.404)	0.673(.412)	0.747(.434)	0.995(.474)
0.500	0.639(.416)	0.644(.421)	0.658(.429)	0.724(.452)	0.994(.499)
0.525	0.635(.432)	0.637(.437)	0.646(.445)	0.703(.470)	0.993(.524)
0.550	0.634(.448)	0.634(.452)	0.637(.461)	0.682(.487)	0.992(.549)
0.575	0.638(.464)	0.634(.468)	0.632(.477)	0.664(.504)	0.990(.574)
0.600	0.646(.480)	0.639(.484)	0.632(.493)	0.647(.521)	0.989(.598)
0.625	0.657(.496)	0.648(.500)	0.636(.509)	0.634(.537)	0.987(.623)
0.650	0.673(.513)	0.662(.517)	0.644(.525)	0.625(.552)	0.984(.648)
0.675	0.695(.530)	0.680(.533)	0.657(.541)	0.621(.568)	0.981(.672)
0.700	0.725(.548)	0.709(.551)	0.678(.558)	0.622(.584)	0.978(.697)
0.725	0.752(.566)	0.737(.569)	0.707(.575)	0.630(.599)	0.972(.721)
0.750	0.781(.585)	0.765(.588)	0.736(.593)	0.650(.615)	0.962(.745)
0.775	0.810(.605)	0.795(.607)	0.766(.612)	0.681(.632)	0.947(.769)
0.800	0.839(.626)	0.826(.627)	0.798(.631)	0.713(.649)	0.926(.792)
0.825	0.872(.647)	0.859(.649)	0.833(.652)	0.749(.667)	0.895(.815)
0.850	0.903(.669)	0.894(.670)	0.873(.673)	0.791(.687)	0.853(.837)
0.875	0.925(.692)	0.919(.693)	0.906(.695)	0.845(.707)	0.794(.858)
0.900	0.945(.716)	0.941(.716)	0.930(.718)	0.893(.729)	0.706(.876)
0.925	0.964(.739)	0.961(.740)	0.953(.742)	0.926(.752)	0.594(.893)
0.950	0.980(.764)	0.978(.764)	0.974(.766)	0.957(.775)	0.519(.907)
0.975	0.993(.788)	0.992(.789)	0.990(.791)	0.984(.799)	0.696(.922)
1.000	1.000(.813)	1.000(.814)	1.000(.815)	1.000(.824)	1.000(.943)

*** RELATIVE ENERGY FLUX DENSITY IN THE ***
 *** PENUMBRA OF A RECTANGULAR CYLINDER ***

VERSION F

SOLAR FIELD ANGLE, D= 5.00 DEGREES
 GEOMETRY D2/R = 1.00 AND H/R = 1.0

BETA = ANGLE OF INCIDENCE, DEGREES

BETA ***	0.	10.00	20.00	30.00	40.00
AX/AB	Q (Q1)	Q (Q1)	Q (Q1)	Q (Q1)	Q (Q1)
0.	1.000(.)	1.000(.)	1.000(.)	1.000(.)	1.000(.)
0.025	0.785(.022)	0.823(.023)	0.854(.023)	0.882(.024)	0.906(.024)
0.050	0. (.032)	0. (.033)	0.306(.038)	0.552(.041)	0.634(.043)
0.075	0. (.032)	0. (.033)	0. (.042)	0. (.048)	0.001(.051)
0.100	0. (.032)	0. (.033)	0. (.042)	0. (.048)	0. (.051)
0.125	0. (.032)	0. (.033)	0. (.042)	0. (.048)	0. (.051)
0.150	0. (.032)	0. (.033)	0. (.042)	0. (.048)	0. (.051)
0.175	0. (.032)	0. (.033)	0. (.042)	0. (.048)	0. (.051)
0.200	0. (.032)	0. (.033)	0. (.042)	0. (.048)	0. (.051)
0.225	0. (.032)	0. (.033)	0. (.042)	0. (.048)	0. (.051)
0.250	0. (.032)	0. (.033)	0. (.042)	0. (.048)	0. (.051)
0.275	0. (.032)	0. (.033)	0. (.042)	0. (.048)	0. (.051)
0.300	0. (.032)	0. (.033)	0. (.042)	0. (.048)	0. (.051)
0.325	0. (.032)	0. (.033)	0. (.042)	0. (.048)	0. (.051)
0.350	0. (.032)	0. (.033)	0. (.042)	0. (.048)	0. (.051)
0.375	0. (.032)	0. (.033)	0. (.042)	0. (.048)	0. (.051)
0.400	0. (.032)	0. (.033)	0. (.042)	0. (.048)	0. (.051)
0.425	0. (.032)	0. (.033)	0. (.042)	0. (.048)	0. (.051)
0.450	0. (.032)	0. (.033)	0. (.042)	0. (.048)	0. (.051)
0.475	0. (.032)	0. (.033)	0. (.042)	0. (.048)	0. (.051)
0.500	0. (.032)	0. (.033)	0. (.042)	0. (.048)	0. (.051)
0.525	0. (.032)	0. (.033)	0. (.042)	0. (.048)	0. (.051)
0.550	0. (.032)	0. (.033)	0. (.042)	0. (.048)	0. (.051)
0.575	0. (.032)	0. (.033)	0. (.042)	0. (.048)	0. (.051)
0.600	0. (.032)	0. (.033)	0. (.042)	0. (.048)	0. (.051)
0.625	0. (.032)	0. (.033)	0. (.042)	0. (.048)	0. (.051)
0.650	0. (.032)	0. (.033)	0. (.042)	0. (.048)	0. (.051)
0.675	0. (.032)	0. (.033)	0. (.042)	0. (.048)	0. (.051)
0.700	0. (.032)	0. (.033)	0. (.042)	0. (.048)	0. (.051)
0.725	0. (.032)	0. (.033)	0. (.042)	0. (.048)	0. (.051)
0.750	0. (.032)	0. (.033)	0. (.042)	0. (.048)	0. (.051)
0.775	0. (.032)	0. (.033)	0. (.042)	0. (.048)	0. (.051)
0.800	0. (.032)	0. (.033)	0. (.042)	0. (.048)	0. (.051)
0.825	0. (.032)	0. (.033)	0. (.042)	0. (.048)	0. (.051)
0.850	0. (.032)	0. (.033)	0. (.042)	0. (.048)	0. (.051)
0.875	0. (.032)	0. (.033)	0. (.042)	0. (.048)	0. (.051)
0.900	0. (.032)	0. (.033)	0. (.042)	0. (.048)	0. (.051)
0.925	0. (.032)	0. (.033)	0. (.042)	0. (.048)	0. (.051)
0.950	0. (.032)	0. (.033)	0. (.042)	0. (.048)	0. (.051)
0.975	0.785(.042)	0.739(.042)	0. (.042)	0. (.048)	0. (.051)
1.000	1.000(.064)	1.000(.064)	1.000(.054)	1.000(.061)	1.000(.064)

app. 11

*** RELATIVE ENERGY FLUX DENSITY IN THE ***
 *** PENUMBRA OF A RECTANGULAR CYLINDER ***

VERSION F

SOLAR FIELD ANGLE, D= 5.00 DEGREES
 GEOMETRY D2/R = 1.00 AND H/R = 1.0

BETA = ANGLE OF INCIDENCE, DEGREES

BETA ***	50.00	60.00	70.00	80.00	87.00
AX/AB	Q (Q1)	Q (Q1)	Q (Q1)	Q (Q1)	Q (Q1)
0.	1.000(.)	1.000(.)	1.000(.)	1.000(.)	1.000(.)
0.025	0.925(.024)	0.945(.024)	0.967(.025)	0.991(.025)	1.000(.025)
0.050	0.718(.045)	0.809(.046)	0.903(.048)	0.972(.049)	1.000(.050)
0.075	0.257(.057)	0.574(.064)	0.767(.069)	0.946(.073)	1.000(.075)
0.100	0. (.060)	0.101(.072)	0.579(.086)	0.908(.097)	1.000(.100)
0.125	0. (.060)	0. (.073)	0.248(.096)	0.840(.118)	1.000(.125)
0.150	0. (.060)	0. (.073)	0.017(.099)	0.750(.138)	0.999(.150)
0.175	0. (.060)	0. (.073)	0. (.100)	0.636(.156)	0.999(.175)
0.200	0. (.060)	0. (.073)	0. (.100)	0.482(.170)	0.999(.200)
0.225	0. (.060)	0. (.073)	0. (.100)	0.278(.179)	0.999(.225)
0.250	0. (.060)	0. (.073)	0. (.100)	0.098(.184)	0.998(.250)
0.275	0. (.060)	0. (.073)	0. (.100)	0.004(.185)	0.998(.275)
0.300	0. (.060)	0. (.073)	0. (.100)	0. (.185)	0.998(.300)
0.325	0. (.060)	0. (.073)	0. (.100)	0. (.185)	0.997(.325)
0.350	0. (.060)	0. (.073)	0. (.100)	0. (.185)	0.996(.350)
0.375	0. (.060)	0. (.073)	0. (.100)	0. (.185)	0.996(.375)
0.400	0. (.060)	0. (.073)	0. (.100)	0. (.185)	0.995(.399)
0.425	0. (.060)	0. (.073)	0. (.100)	0. (.185)	0.993(.424)
0.450	0. (.060)	0. (.073)	0. (.100)	0. (.185)	0.992(.449)
0.475	0. (.060)	0. (.073)	0. (.100)	0. (.185)	0.990(.474)
0.500	0. (.060)	0. (.073)	0. (.100)	0. (.185)	0.988(.499)
0.525	0. (.060)	0. (.073)	0. (.100)	0. (.185)	0.986(.523)
0.550	0. (.060)	0. (.073)	0. (.100)	0. (.165)	0.982(.548)
0.575	0. (.060)	0. (.073)	0. (.100)	0. (.185)	0.978(.572)
0.600	0. (.060)	0. (.073)	0. (.100)	0. (.185)	0.972(.597)
0.625	0. (.060)	0. (.073)	0. (.100)	0. (.185)	0.965(.621)
0.650	0. (.060)	0. (.073)	0. (.100)	0. (.185)	0.951(.645)
0.675	0. (.060)	0. (.073)	0. (.100)	0. (.185)	0.930(.668)
0.700	0. (.060)	0. (.073)	0. (.100)	0. (.185)	0.899(.691)
0.725	0. (.060)	0. (.073)	0. (.100)	0. (.185)	0.851(.713)
0.750	0. (.060)	0. (.073)	0. (.100)	0. (.185)	0.776(.733)
0.775	0. (.060)	0. (.073)	0. (.100)	0. (.185)	0.651(.751)
0.800	0. (.060)	0. (.073)	0. (.100)	0. (.185)	0.428(.765)
0.825	0. (.060)	0. (.073)	0. (.100)	0. (.185)	0.122(.772)
0.850	0. (.060)	0. (.073)	0. (.100)	0. (.185)	0. (.773)
0.875	0. (.060)	0. (.073)	0. (.100)	0. (.185)	0. (.773)
0.900	0. (.060)	0. (.073)	0. (.100)	0. (.185)	0. (.773)
0.925	0. (.060)	0. (.073)	0. (.100)	0. (.185)	0. (.773)
0.950	0. (.060)	0. (.073)	0. (.100)	0. (.185)	0. (.773)
0.975	0. (.060)	0. (.073)	0. (.100)	0. (.185)	0. (.773)
1.000	0. (.060)	0. (.073)	0. (.100)	0. (.185)	0. (.773)

F-102
675

*** RELATIVE ENERGY FLUX DENSITY IN THE ***
 *** PENUMBRA OF A RECTANGULAR CYLINDER ***

VERSION F

SOLAR FIELD ANGLE, D= 5.00 DEGREES
 GEOMETRY D2/R = 5.00 AND H/R = 1.0

BETA = ANGLE OF INCIDENCE, DEGREES

BETA ***	0.	10.00	20.00	30.00	40.00
AX/AB	Q (QI)	Q (QI)	Q (QI)	Q (QI)	Q (QI)
0.	1.000(.)	1.000(.)	1.000(.)	1.000(.)	1.000(.)
0.025	0.956(.024)	0.959(.024)	0.962(.025)	0.965(.025)	0.968(.025)
0.050	0.871(.047)	0.882(.047)	0.892(.048)	0.902(.048)	0.912(.048)
0.075	0.715(.067)	0.737(.068)	0.758(.068)	0.779(.069)	0.803(.070)
0.100	0.529(.083)	0.560(.084)	0.590(.085)	0.622(.086)	0.658(.088)
0.125	0.262(.093)	0.311(.095)	0.361(.097)	0.417(.099)	0.483(.102)
0.150	0.069(.097)	0.095(.100)	0.134(.103)	0.185(.107)	0.250(.111)
0.175	0. (.098)	0.006(.101)	0.022(.105)	0.046(.110)	0.080(.115)
0.200	0. (.098)	0. (.101)	0. (.105)	0. (.110)	0.003(.116)
0.225	0. (.098)	0. (.101)	0. (.105)	0. (.110)	0. (.116)
0.250	0. (.098)	0. (.101)	0. (.105)	0. (.110)	0. (.116)
0.275	0. (.098)	0. (.101)	0. (.105)	0. (.110)	0. (.116)
0.300	0. (.098)	0. (.101)	0. (.105)	0. (.110)	0. (.116)
0.325	0. (.098)	0. (.101)	0. (.105)	0. (.110)	0. (.116)
0.350	0. (.098)	0. (.101)	0. (.105)	0. (.110)	0. (.116)
0.375	0. (.098)	0. (.101)	0. (.105)	0. (.110)	0. (.116)
0.400	0. (.098)	0. (.101)	0. (.105)	0. (.110)	0. (.116)
0.425	0. (.098)	0. (.101)	0. (.105)	0. (.110)	0. (.116)
0.450	0. (.098)	0. (.101)	0. (.105)	0. (.110)	0. (.116)
0.475	0. (.098)	0. (.101)	0. (.105)	0. (.110)	0. (.116)
0.500	0. (.098)	0. (.101)	0. (.105)	0. (.110)	0. (.116)
0.525	0. (.098)	0. (.101)	0. (.105)	0. (.110)	0. (.116)
0.550	0. (.098)	0. (.101)	0. (.105)	0. (.110)	0. (.116)
0.575	0. (.098)	0. (.101)	0. (.105)	0. (.110)	0. (.116)
0.600	0. (.098)	0. (.101)	0. (.105)	0. (.110)	0. (.116)
0.625	0. (.098)	0. (.101)	0. (.105)	0. (.110)	0. (.116)
0.650	0. (.098)	0. (.101)	0. (.105)	0. (.110)	0. (.116)
0.675	0. (.098)	0. (.101)	0. (.105)	0. (.110)	0. (.116)
0.700	0. (.098)	0. (.101)	0. (.105)	0. (.110)	0. (.116)
0.725	0. (.098)	0. (.101)	0. (.105)	0. (.110)	0. (.116)
0.750	0. (.098)	0. (.101)	0. (.105)	0. (.110)	0. (.116)
0.775	0. (.098)	0. (.101)	0. (.105)	0. (.110)	0. (.116)
0.800	0. (.098)	0. (.101)	0. (.105)	0. (.110)	0. (.116)
0.825	0. (.098)	0. (.101)	0. (.105)	0. (.110)	0. (.116)
0.850	0.069(.098)	0.045(.102)	0.022(.106)	0.002(.110)	0. (.116)
0.875	0.262(.103)	0.212(.105)	0.160(.108)	0.106(.112)	0.059(.117)
0.900	0.529(.113)	0.498(.114)	0.444(.116)	0.378(.118)	0.294(.122)
0.925	0.715(.128)	0.694(.129)	0.669(.129)	0.637(.131)	0.594(.133)
0.950	0.871(.148)	0.859(.148)	0.845(.148)	0.827(.149)	0.802(.150)
0.975	0.956(.171)	0.953(.171)	0.949(.171)	0.945(.171)	0.938(.172)
1.000	1.000(.195)	1.000(.195)	1.000(.195)	1.000(.195)	1.000(.196)

RE-ORDER No. 66-196
 App. 2
 Phase II

*** RELATIVE ENERGY FLUX DENSITY IN THE ***
 *** PENUMBRA OF A RECTANGULAR CYLINDER ***

VERSION F

SOLAR FIELD ANGLE, D= 5.00 DEGREES
 GEOMETRY D2/R = 5.00 AND H/R = 1.0

BETA = ANGLE OF INCIDENCE, DEGREES

BETA ***	50.00	60.00	70.00	80.00	87.00
AX/AB	Q (QI)	Q (QI)	Q (QI)	Q (QI)	Q (QI)
0.	1.000(.)	1.000(.)	1.000(.)	1.000(.)	1.000(.)
0.025	0.972(.025)	0.977(.025)	0.984(.025)	0.994(.025)	1.000(.025)
0.050	0.922(.048)	0.935(.049)	0.954(.049)	0.982(.050)	1.000(.050)
0.075	0.832(.070)	0.867(.071)	0.913(.072)	0.965(.074)	1.000(.075)
0.100	0.702(.089)	0.759(.091)	0.840(.094)	0.944(.098)	1.000(.100)
0.125	0.548(.105)	0.626(.109)	0.742(.114)	0.917(.121)	1.000(.125)
0.150	0.335(.116)	0.462(.122)	0.625(.131)	0.872(.143)	0.999(.150)
0.175	0.140(.122)	0.261(.131)	0.481(.145)	0.812(.165)	0.999(.175)
0.200	0.033(.124)	0.098(.136)	0.303(.155)	0.740(.184)	0.999(.200)
0.225	0. (.125)	0.017(.137)	0.142(.160)	0.653(.201)	0.999(.225)
0.250	0. (.125)	0. (.138)	0.046(.163)	0.552(.216)	0.999(.250)
0.275	0. (.125)	0. (.138)	0. (.163)	0.418(.229)	0.998(.275)
0.300	0. (.125)	0. (.138)	0. (.163)	0.279(.237)	0.998(.300)
0.325	0. (.125)	0. (.138)	0. (.163)	0.146(.243)	0.997(.325)
0.350	0. (.125)	0. (.138)	0. (.163)	0.059(.245)	0.997(.350)
0.375	0. (.125)	0. (.138)	0. (.163)	0.002(.246)	0.996(.375)
0.400	0. (.125)	0. (.138)	0. (.163)	0. (.246)	0.995(.399)
0.425	0. (.125)	0. (.138)	0. (.163)	0. (.246)	0.994(.424)
0.450	0. (.125)	0. (.138)	0. (.163)	0. (.246)	0.993(.449)
0.475	0. (.125)	0. (.138)	0. (.163)	0. (.246)	0.991(.474)
0.500	0. (.125)	0. (.138)	0. (.163)	0. (.246)	0.989(.499)
0.525	0. (.125)	0. (.138)	0. (.163)	0. (.246)	0.987(.523)
0.550	0. (.125)	0. (.138)	0. (.163)	0. (.246)	0.984(.548)
0.575	0. (.125)	0. (.138)	0. (.163)	0. (.246)	0.980(.573)
0.600	0. (.125)	0. (.138)	0. (.163)	0. (.246)	0.976(.597)
0.625	0. (.125)	0. (.138)	0. (.163)	0. (.246)	0.970(.621)
0.650	0. (.125)	0. (.138)	0. (.163)	0. (.246)	0.961(.645)
0.675	0. (.125)	0. (.138)	0. (.163)	0. (.246)	0.945(.669)
0.700	0. (.125)	0. (.138)	0. (.163)	0. (.246)	0.922(.693)
0.725	0. (.125)	0. (.138)	0. (.163)	0. (.246)	0.887(.715)
0.750	0. (.125)	0. (.138)	0. (.163)	0. (.246)	0.834(.737)
0.775	0. (.125)	0. (.138)	0. (.163)	0. (.246)	0.751(.757)
0.800	0. (.125)	0. (.138)	0. (.163)	0. (.246)	0.613(.774)
0.825	0. (.125)	0. (.138)	0. (.163)	0. (.246)	0.379(.786)
0.850	0. (.125)	0. (.138)	0. (.163)	0. (.246)	0.091(.792)
0.875	0.010(.125)	0. (.138)	0. (.163)	0. (.246)	0. (.793)
0.900	0.175(.127)	0.039(.138)	0. (.163)	0. (.246)	0. (.793)
0.925	0.528(.136)	0.349(.143)	0. (.163)	0. (.246)	0. (.793)
0.950	0.763(.152)	0.687(.156)	0.459(.169)	0. (.246)	0. (.793)
0.975	0.929(.173)	0.909(.176)	0.829(.185)	0. (.246)	0. (.793)
1.000	1.000(.197)	1.000(.200)	1.000(.208)	0. (.246)	0. (.793)

F-104
 677

*** RELATIVE ENERGY FLUX DENSITY IN THE ***
*** PENUMBRA OF A RECTANGULAR CYLINDER ***

SOLAR FIELD ANGLE, D= 5.00 DEGREES
GEOMETRY D2/R = 10.00 AND H/R = 1.0

BETA = ANGLE OF INCIDENCE, DEGREES

BETA ***	0.	10.00	20.00	30.00	40.00
AX/AB	Q (Q1)	Q (Q1)	Q (Q1)	Q (Q1)	Q (Q1)
0.	1.000(.)	1.000(.)	1.000(.)	1.000(.)	1.000(.)
0.025	0.977(.025)	0.978(.025)	0.980(.025)	0.981(.025)	0.982(.025)
0.050	0.937(.049)	0.940(.049)	0.943(.049)	0.947(.049)	0.950(.049)
0.075	0.881(.071)	0.888(.072)	0.895(.072)	0.902(.072)	0.909(.072)
0.100	0.790(.092)	0.801(.093)	0.813(.093)	0.825(.094)	0.840(.094)
0.125	0.682(.111)	0.697(.111)	0.713(.112)	0.730(.113)	0.750(.114)
0.150	0.561(.126)	0.581(.127)	0.601(.129)	0.622(.130)	0.648(.131)
0.175	0.421(.138)	0.447(.140)	0.474(.142)	0.504(.144)	0.534(.146)
0.200	0.278(.147)	0.303(.150)	0.330(.152)	0.361(.155)	0.399(.158)
0.225	0.154(.153)	0.176(.156)	0.201(.159)	0.231(.162)	0.267(.166)
0.250	0.071(.155)	0.084(.159)	0.098(.162)	0.120(.167)	0.151(.171)
0.275	0.022(.157)	0.031(.160)	0.042(.164)	0.055(.169)	0.073(.174)
0.300	0. (.157)	0.000(.161)	0.004(.165)	0.011(.170)	0.023(.175)
0.325	0. (.157)	0. (.161)	0. (.165)	0. (.170)	0. (.176)
0.350	0. (.157)	0. (.161)	0. (.165)	0. (.170)	0. (.176)
0.375	0. (.157)	0. (.161)	0. (.165)	0. (.170)	0. (.176)
0.400	0. (.157)	0. (.161)	0. (.165)	0. (.170)	0. (.176)
0.425	0. (.157)	0. (.161)	0. (.165)	0. (.170)	0. (.176)
0.450	0. (.157)	0. (.161)	0. (.165)	0. (.170)	0. (.176)
0.475	0. (.157)	0. (.161)	0. (.165)	0. (.170)	0. (.176)
0.500	0. (.157)	0. (.161)	0. (.165)	0. (.170)	0. (.176)
0.525	0. (.157)	0. (.161)	0. (.165)	0. (.170)	0. (.176)
0.550	0. (.157)	0. (.161)	0. (.165)	0. (.170)	0. (.176)
0.575	0. (.157)	0. (.161)	0. (.165)	0. (.170)	0. (.176)
0.600	0. (.157)	0. (.161)	0. (.165)	0. (.170)	0. (.176)
0.625	0. (.157)	0. (.161)	0. (.165)	0. (.170)	0. (.176)
0.650	0. (.157)	0. (.161)	0. (.165)	0. (.170)	0. (.176)
0.675	0. (.157)	0. (.161)	0. (.165)	0. (.170)	0. (.176)
0.700	0. (.157)	0. (.161)	0. (.165)	0. (.170)	0. (.176)
0.725	0.022(.157)	0.014(.161)	0.006(.165)	0.001(.170)	0. (.176)
0.750	0.071(.158)	0.059(.162)	0.047(.166)	0.035(.170)	0.021(.176)
0.775	0.154(.161)	0.132(.164)	0.111(.168)	0.090(.172)	0.071(.177)
0.800	0.278(.166)	0.252(.169)	0.226(.172)	0.196(.175)	0.160(.180)
0.825	0.421(.175)	0.395(.177)	0.366(.179)	0.334(.182)	0.295(.186)
0.850	0.561(.187)	0.541(.189)	0.520(.190)	0.494(.192)	0.455(.195)
0.875	0.682(.203)	0.666(.204)	0.648(.205)	0.627(.206)	0.599(.208)
0.900	0.790(.221)	0.778(.222)	0.764(.222)	0.748(.223)	0.727(.225)
0.925	0.881(.242)	0.874(.243)	0.865(.243)	0.855(.244)	0.841(.244)
0.950	0.937(.265)	0.934(.265)	0.931(.265)	0.927(.266)	0.921(.266)
0.975	0.977(.289)	0.976(.289)	0.975(.289)	0.973(.290)	0.971(.290)
1.000	1.000(.314)	1.000(.314)	1.000(.314)	1.000(.314)	1.000(.315)

*** RELATIVE ENERGY FLUX DENSITY IN THE ***
 *** PENUMBRA OF A RECTANGULAR CYLINDER ***

VERSION F

SOLAR FIELD ANGLE, D= 5.00 DEGREES
 GEOMETRY U2/R = 10.00 AND H/R = 1.0

BETA = ANGLE OF INCIDENCE, DEGREES

BETA ***	50.00	60.00	70.00	80.00	87.00
AX/AB	Q (Q1)	Q (Q1)	Q (Q1)	Q (Q1)	Q (Q1)
0.	1.000(.)	1.000(.)	1.000(.)	1.000(.)	1.000(.)
0.025	0.984(.025)	0.986(.025)	0.990(.025)	0.995(.025)	1.000(.025)
0.050	0.955(.049)	0.961(.049)	0.970(.049)	0.987(.050)	1.000(.050)
0.075	0.918(.072)	0.928(.073)	0.945(.073)	0.975(.074)	1.000(.075)
0.100	0.858(.095)	0.881(.095)	0.914(.097)	0.960(.098)	1.000(.100)
0.125	0.775(.115)	0.810(.117)	0.862(.119)	0.942(.122)	1.000(.125)
0.150	0.680(.133)	0.724(.136)	0.795(.139)	0.920(.145)	1.000(.150)
0.175	0.573(.149)	0.628(.153)	0.717(.158)	0.885(.168)	0.999(.175)
0.200	0.449(.162)	0.522(.167)	0.629(.175)	0.839(.190)	0.999(.200)
0.225	0.316(.171)	0.392(.175)	0.530(.190)	0.735(.210)	0.999(.225)
0.250	0.195(.178)	0.269(.187)	0.409(.201)	0.723(.229)	0.999(.250)
0.275	0.098(.181)	0.157(.192)	0.291(.210)	0.650(.246)	0.998(.275)
0.300	0.043(.183)	0.078(.195)	0.180(.216)	0.568(.261)	0.998(.300)
0.325	0.004(.184)	0.028(.196)	0.094(.219)	0.468(.274)	0.997(.325)
0.350	0. (.184)	0. (.197)	0.040(.221)	0.360(.284)	0.997(.350)
0.375	0. (.184)	0. (.197)	0.002(.222)	0.253(.292)	0.996(.375)
0.400	0. (.184)	0. (.197)	0. (.222)	0.151(.297)	0.995(.399)
0.425	0. (.184)	0. (.197)	0. (.222)	0.079(.300)	0.994(.424)
0.450	0. (.184)	0. (.197)	0. (.222)	0.025(.301)	0.993(.449)
0.475	0. (.184)	0. (.197)	0. (.222)	0. (.302)	0.992(.474)
0.500	0. (.184)	0. (.197)	0. (.222)	0. (.302)	0.990(.499)
0.525	0. (.184)	0. (.197)	0. (.222)	0. (.302)	0.988(.524)
0.550	0. (.184)	0. (.197)	0. (.222)	0. (.302)	0.986(.548)
0.575	0. (.184)	0. (.197)	0. (.222)	0. (.302)	0.982(.573)
0.600	0. (.184)	0. (.197)	0. (.222)	0. (.302)	0.978(.597)
0.625	0. (.184)	0. (.197)	0. (.222)	0. (.302)	0.973(.622)
0.650	0. (.184)	0. (.197)	0. (.222)	0. (.302)	0.967(.646)
0.675	0. (.184)	0. (.197)	0. (.222)	0. (.302)	0.955(.670)
0.700	0. (.184)	0. (.197)	0. (.222)	0. (.302)	0.937(.694)
0.725	0. (.184)	0. (.197)	0. (.222)	0. (.302)	0.911(.717)
0.750	0.006(.184)	0. (.197)	0. (.222)	0. (.302)	0.872(.739)
0.775	0.048(.184)	0.017(.197)	0. (.222)	0. (.302)	0.812(.760)
0.800	0.117(.186)	0.068(.198)	0.009(.222)	0. (.302)	0.718(.779)
0.825	0.242(.191)	0.164(.201)	0.058(.223)	0. (.302)	0.560(.795)
0.850	0.400(.199)	0.314(.207)	0.156(.225)	0. (.302)	0.310(.806)
0.875	0.559(.211)	0.494(.217)	0.325(.231)	0. (.302)	0.046(.810)
0.900	0.697(.227)	0.645(.231)	0.527(.242)	0.041(.302)	0. (.811)
0.925	0.820(.246)	0.784(.249)	0.698(.257)	0.219(.305)	0. (.811)
0.950	0.913(.267)	0.898(.270)	0.852(.277)	0.561(.315)	0. (.811)
0.975	0.968(.291)	0.962(.293)	0.948(.299)	0.851(.333)	0. (.811)
1.000	1.000(.315)	1.000(.318)	1.000(.324)	1.000(.356)	0. (.811)

*** RELATIVE ENERGY FLUX DENSITY IN THE ***
 *** PENUMBRA OF A RECTANGULAR CYLINDER ***

VERSION F

SOLAR FIELD ANGLE, D= 5.00 DEGREES
 GEOMETRY D2/R = 50.00 AND H/R = 1.0

BETA = ANGLE OF INCIDENCE, DEGREES

BETA ***	D.	10.00	20.00	30.00	40.00
AX/AB	Q (QI)	Q (QI)	Q (QI)	Q (QI)	Q (QI)
0.	1.000(.)	1.000(.)	1.000(.)	1.000(.)	1.000(.)
0.025	0.993(.025)	0.993(.025)	0.993(.025)	0.993(.025)	0.994(.025)
0.050	0.979(.050)	0.980(.050)	0.981(.050)	0.981(.050)	0.982(.050)
0.075	0.962(.074)	0.964(.074)	0.965(.074)	0.966(.074)	0.968(.074)
0.100	0.943(.098)	0.944(.098)	0.946(.098)	0.948(.098)	0.951(.098)
0.125	0.921(.121)	0.923(.121)	0.926(.121)	0.928(.121)	0.931(.121)
0.150	0.894(.144)	0.898(.144)	0.902(.144)	0.906(.144)	0.910(.145)
0.175	0.857(.166)	0.862(.166)	0.867(.166)	0.873(.166)	0.879(.167)
0.200	0.814(.186)	0.820(.187)	0.826(.187)	0.833(.188)	0.841(.188)
0.225	0.765(.206)	0.773(.207)	0.780(.207)	0.789(.208)	0.799(.209)
0.250	0.715(.225)	0.723(.225)	0.732(.226)	0.741(.227)	0.752(.228)
0.275	0.662(.242)	0.671(.243)	0.680(.244)	0.690(.245)	0.703(.246)
0.300	0.605(.258)	0.616(.259)	0.626(.260)	0.637(.262)	0.651(.263)
0.325	0.547(.272)	0.558(.274)	0.568(.275)	0.581(.277)	0.596(.279)
0.350	0.495(.285)	0.506(.287)	0.516(.289)	0.527(.291)	0.541(.293)
0.375	0.447(.297)	0.458(.299)	0.467(.301)	0.479(.303)	0.492(.306)
0.400	0.407(.308)	0.415(.310)	0.424(.312)	0.434(.315)	0.446(.318)
0.425	0.371(.317)	0.378(.320)	0.385(.322)	0.394(.325)	0.405(.328)
0.450	0.340(.326)	0.346(.329)	0.352(.331)	0.360(.334)	0.369(.338)
0.475	0.320(.335)	0.323(.337)	0.326(.340)	0.331(.343)	0.338(.347)
0.500	0.315(.343)	0.315(.345)	0.316(.348)	0.317(.351)	0.320(.355)
0.525	0.320(.350)	0.318(.353)	0.316(.356)	0.315(.359)	0.314(.363)
0.550	0.340(.359)	0.335(.361)	0.330(.364)	0.325(.367)	0.320(.371)
0.575	0.371(.368)	0.365(.370)	0.358(.373)	0.351(.376)	0.343(.379)
0.600	0.407(.377)	0.399(.380)	0.391(.382)	0.383(.385)	0.373(.388)
0.625	0.447(.388)	0.440(.390)	0.431(.392)	0.421(.395)	0.409(.398)
0.650	0.495(.400)	0.487(.402)	0.477(.404)	0.465(.406)	0.452(.409)
0.675	0.547(.413)	0.538(.414)	0.527(.416)	0.515(.418)	0.501(.421)
0.700	0.605(.427)	0.596(.429)	0.586(.430)	0.573(.432)	0.558(.434)
0.725	0.662(.443)	0.653(.444)	0.644(.445)	0.632(.447)	0.618(.449)
0.750	0.715(.460)	0.707(.461)	0.698(.462)	0.688(.463)	0.676(.465)
0.775	0.765(.479)	0.759(.480)	0.751(.480)	0.742(.481)	0.730(.482)
0.800	0.814(.499)	0.807(.499)	0.801(.500)	0.793(.500)	0.783(.501)
0.825	0.857(.520)	0.852(.520)	0.846(.520)	0.840(.521)	0.831(.522)
0.850	0.894(.541)	0.891(.542)	0.887(.542)	0.882(.542)	0.875(.543)
0.875	0.921(.564)	0.919(.564)	0.916(.564)	0.913(.565)	0.909(.565)
0.900	0.943(.587)	0.941(.587)	0.939(.588)	0.937(.588)	0.934(.588)
0.925	0.962(.611)	0.961(.611)	0.960(.611)	0.958(.612)	0.956(.612)
0.950	0.979(.635)	0.979(.636)	0.978(.636)	0.977(.636)	0.976(.636)
0.975	0.993(.660)	0.992(.660)	0.992(.660)	0.992(.660)	0.991(.661)
1.000	1.000(.685)	1.000(.685)	1.000(.685)	1.000(.685)	1.000(.685)

Phase II

*** RELATIVE ENERGY FLUX DENSITY IN THE ***
 *** PENUMBRA OF A RECTANGULAR CYLINDER ***

VERSION F

SOLAR FIELD ANGLE, D= 5.00 DEGREES
 GEOMETRY D2/R = 50.00 AND H/R = 1.0

BETA = ANGLE OF INCIDENCE, DEGREES

BETA ***	50.00	60.00	70.00	80.00	87.00
AX/AB	Q (QI)	Q (QI)	Q (QI)	Q (QI)	Q (QI)
0.	1.000(.)	1.000(.)	1.000(.)	1.000(.)	1.000(.)
0.025	0.994(.025)	0.995(.025)	0.996(.025)	0.998(.025)	1.000(.025)
0.050	0.983(.050)	0.985(.050)	0.988(.050)	0.993(.050)	1.000(.050)
0.075	0.970(.074)	0.973(.074)	0.977(.074)	0.987(.075)	1.000(.075)
0.100	0.954(.098)	0.958(.098)	0.965(.099)	0.980(.099)	1.000(.100)
0.125	0.935(.122)	0.941(.122)	0.951(.123)	0.972(.124)	1.000(.125)
0.150	0.915(.145)	0.923(.145)	0.935(.146)	0.962(.148)	1.000(.150)
0.175	0.888(.167)	0.900(.168)	0.918(.169)	0.951(.172)	0.999(.175)
0.200	0.852(.189)	0.867(.190)	0.893(.192)	0.939(.195)	0.999(.200)
0.225	0.811(.210)	0.830(.211)	0.861(.214)	0.926(.219)	0.999(.225)
0.250	0.767(.230)	0.788(.232)	0.825(.235)	0.907(.242)	0.999(.250)
0.275	0.719(.248)	0.743(.251)	0.786(.255)	0.883(.264)	0.999(.275)
0.300	0.669(.266)	0.696(.269)	0.743(.274)	0.854(.286)	0.998(.300)
0.325	0.615(.282)	0.645(.286)	0.696(.292)	0.822(.307)	0.998(.325)
0.350	0.560(.296)	0.590(.301)	0.647(.309)	0.787(.327)	0.997(.350)
0.375	0.511(.310)	0.540(.315)	0.596(.324)	0.748(.346)	0.997(.375)
0.400	0.464(.322)	0.493(.328)	0.548(.339)	0.705(.364)	0.996(.400)
0.425	0.421(.333)	0.447(.340)	0.500(.352)	0.661(.381)	0.995(.424)
0.450	0.383(.343)	0.405(.350)	0.454(.364)	0.616(.397)	0.995(.449)
0.475	0.347(.352)	0.369(.360)	0.411(.375)	0.569(.412)	0.994(.474)
0.500	0.325(.351)	0.337(.369)	0.372(.384)	0.520(.426)	0.992(.499)
0.525	0.315(.369)	0.319(.377)	0.339(.393)	0.471(.438)	0.991(.524)
0.550	0.316(.377)	0.313(.385)	0.320(.402)	0.423(.449)	0.989(.549)
0.575	0.332(.385)	0.319(.393)	0.311(.409)	0.377(.459)	0.987(.573)
0.600	0.360(.393)	0.342(.401)	0.316(.417)	0.340(.466)	0.984(.598)
0.625	0.394(.403)	0.372(.410)	0.338(.425)	0.314(.476)	0.981(.622)
0.650	0.434(.413)	0.409(.420)	0.367(.434)	0.299(.484)	0.977(.647)
0.675	0.482(.424)	0.453(.431)	0.404(.444)	0.307(.491)	0.972(.671)
0.700	0.538(.437)	0.506(.443)	0.450(.455)	0.326(.499)	0.966(.696)
0.725	0.599(.451)	0.569(.456)	0.510(.467)	0.356(.508)	0.955(.720)
0.750	0.658(.467)	0.630(.471)	0.575(.480)	0.402(.517)	0.939(.743)
0.775	0.714(.484)	0.689(.488)	0.639(.495)	0.472(.528)	0.916(.766)
0.800	0.767(.503)	0.746(.506)	0.701(.512)	0.546(.541)	0.882(.789)
0.825	0.820(.523)	0.801(.525)	0.761(.530)	0.622(.556)	0.832(.810)
0.850	0.865(.544)	0.851(.545)	0.819(.550)	0.698(.572)	0.756(.830)
0.875	0.904(.566)	0.894(.567)	0.870(.571)	0.773(.591)	0.637(.848)
0.900	0.930(.589)	0.923(.590)	0.909(.593)	0.845(.611)	0.458(.861)
0.925	0.953(.612)	0.949(.613)	0.939(.616)	0.901(.633)	0.243(.870)
0.950	0.974(.636)	0.971(.637)	0.966(.640)	0.942(.656)	0.210(.876)
0.975	0.991(.661)	0.990(.662)	0.987(.665)	0.978(.680)	0.519(.885)
1.000	1.000(.686)	1.000(.687)	1.000(.690)	1.000(.704)	1.000(.904)

*** RELATIVE ENERGY FLUX DENSITY IN THE ***
 *** PENUMBRA OF A RECTANGULAR CYLINDER ***

VERSION F

SOLAR FIELD ANGLE, D = 5.00 DEGREES
 GEOMETRY D2/R = 100.00 AND H/R = 1.0

BETA = ANGLE OF INCIDENCE, DEGREES

BETA ***	D.	10.00	20.00	30.00	40.00
AX/AB	Q (QI)	Q (QI)	Q (QI)	Q (QI)	Q (QI)
0.	1.000(.)	1.000(.)	1.000(.)	1.000(.)	1.000(.)
0.025	0.994(.025)	0.994(.025)	0.995(.025)	0.995(.025)	0.995(.025)
0.050	0.984(.050)	0.984(.050)	0.985(.050)	0.985(.050)	0.986(.050)
0.075	0.971(.074)	0.971(.074)	0.972(.074)	0.973(.074)	0.974(.074)
0.100	0.955(.098)	0.956(.098)	0.958(.098)	0.959(.098)	0.961(.098)
0.125	0.938(.122)	0.940(.122)	0.941(.122)	0.943(.122)	0.946(.122)
0.150	0.919(.145)	0.921(.145)	0.923(.145)	0.926(.145)	0.929(.146)
0.175	0.897(.168)	0.900(.168)	0.903(.168)	0.907(.168)	0.911(.169)
0.200	0.867(.190)	0.871(.190)	0.875(.190)	0.880(.191)	0.885(.191)
0.225	0.839(.211)	0.844(.212)	0.848(.212)	0.853(.212)	0.859(.213)
0.250	0.812(.232)	0.817(.232)	0.822(.233)	0.827(.233)	0.834(.234)
0.275	0.785(.252)	0.790(.252)	0.795(.253)	0.801(.254)	0.808(.255)
0.300	0.758(.271)	0.763(.272)	0.768(.273)	0.774(.273)	0.782(.274)
0.325	0.731(.290)	0.736(.290)	0.742(.291)	0.748(.292)	0.755(.294)
0.350	0.703(.308)	0.709(.309)	0.714(.310)	0.721(.311)	0.729(.312)
0.375	0.681(.325)	0.685(.326)	0.689(.327)	0.695(.329)	0.702(.330)
0.400	0.664(.342)	0.668(.343)	0.671(.344)	0.676(.346)	0.682(.347)
0.425	0.651(.358)	0.654(.359)	0.657(.361)	0.661(.362)	0.666(.364)
0.450	0.641(.374)	0.643(.376)	0.645(.377)	0.648(.379)	0.652(.381)
0.475	0.635(.390)	0.636(.392)	0.637(.393)	0.639(.395)	0.642(.397)
0.500	0.633(.406)	0.633(.407)	0.633(.409)	0.634(.411)	0.635(.413)
0.525	0.635(.422)	0.634(.423)	0.633(.425)	0.633(.427)	0.633(.429)
0.550	0.641(.438)	0.639(.439)	0.638(.441)	0.636(.442)	0.634(.445)
0.575	0.651(.454)	0.648(.455)	0.646(.457)	0.643(.458)	0.640(.460)
0.600	0.664(.470)	0.661(.472)	0.658(.473)	0.654(.475)	0.650(.477)
0.625	0.681(.487)	0.677(.488)	0.672(.490)	0.668(.491)	0.663(.493)
0.650	0.703(.505)	0.698(.506)	0.692(.507)	0.687(.508)	0.680(.510)
0.675	0.731(.522)	0.726(.523)	0.720(.524)	0.714(.526)	0.706(.527)
0.700	0.758(.541)	0.753(.542)	0.747(.543)	0.741(.544)	0.734(.545)
0.725	0.785(.560)	0.780(.561)	0.775(.562)	0.769(.563)	0.761(.564)
0.750	0.812(.580)	0.807(.581)	0.802(.581)	0.797(.582)	0.789(.583)
0.775	0.839(.601)	0.835(.601)	0.830(.602)	0.825(.602)	0.818(.603)
0.800	0.867(.622)	0.863(.623)	0.859(.623)	0.854(.623)	0.847(.624)
0.825	0.897(.644)	0.894(.645)	0.890(.645)	0.886(.645)	0.880(.646)
0.850	0.919(.667)	0.917(.667)	0.915(.667)	0.912(.668)	0.908(.668)
0.875	0.938(.690)	0.936(.690)	0.934(.691)	0.932(.691)	0.929(.691)
0.900	0.955(.714)	0.954(.714)	0.952(.714)	0.951(.714)	0.949(.714)
0.925	0.971(.738)	0.970(.738)	0.969(.738)	0.968(.738)	0.966(.738)
0.950	0.984(.762)	0.983(.762)	0.983(.763)	0.982(.763)	0.981(.763)
0.975	0.994(.787)	0.994(.787)	0.994(.787)	0.994(.787)	0.993(.787)
1.000	1.000(.812)	1.000(.812)	1.000(.812)	1.000(.812)	1.000(.812)

*** RELATIVE ENERGY FLUX DENSITY IN THE ***
 *** PENUMBRA OF A RECTANGULAR CYLINDER ***

VERSION F

SOLAR FIELD ANGLE, D= 5.00 DEGREES
 GEOMETRY D2/R = 100.00 AND H/R = 1.0

BETA = ANGLE OF INCIDENCE, DEGREES

BETA ***	50.00	60.00	70.00	80.00	87.00
AX/AB	Q (QI)	Q (QI)	Q (QI)	Q (QI)	Q (QI)
0.	1.000(.)	1.000(.)	1.000(.)	1.000(.)	1.000(.)
0.025	0.995(.025)	0.996(.025)	0.997(.025)	0.998(.025)	1.000(.025)
0.050	0.987(.050)	0.988(.050)	0.990(.050)	0.994(.050)	1.000(.050)
0.075	0.976(.074)	0.978(.074)	0.982(.074)	0.990(.075)	1.000(.075)
0.100	0.963(.098)	0.966(.099)	0.972(.099)	0.984(.099)	1.000(.100)
0.125	0.949(.122)	0.953(.123)	0.960(.123)	0.977(.124)	1.000(.125)
0.150	0.933(.146)	0.938(.146)	0.948(.147)	0.969(.148)	1.000(.150)
0.175	0.915(.169)	0.922(.170)	0.934(.170)	0.960(.172)	0.999(.175)
0.200	0.893(.192)	0.903(.192)	0.918(.194)	0.950(.196)	0.999(.200)
0.225	0.867(.214)	0.879(.215)	0.899(.216)	0.939(.220)	0.999(.225)
0.250	0.842(.235)	0.855(.236)	0.878(.238)	0.928(.243)	0.999(.250)
0.275	0.817(.256)	0.831(.257)	0.856(.260)	0.915(.266)	0.999(.275)
0.300	0.792(.276)	0.807(.278)	0.833(.281)	0.899(.289)	0.998(.300)
0.325	0.765(.295)	0.781(.298)	0.809(.302)	0.882(.311)	0.998(.325)
0.350	0.739(.314)	0.755(.317)	0.785(.322)	0.863(.333)	0.997(.350)
0.375	0.712(.332)	0.729(.335)	0.759(.341)	0.842(.354)	0.997(.375)
0.400	0.690(.350)	0.703(.353)	0.733(.360)	0.820(.375)	0.997(.400)
0.425	0.672(.367)	0.684(.371)	0.709(.378)	0.796(.395)	0.996(.424)
0.450	0.658(.383)	0.668(.388)	0.689(.395)	0.771(.415)	0.995(.449)
0.475	0.645(.400)	0.654(.404)	0.672(.412)	0.746(.434)	0.995(.474)
0.500	0.637(.416)	0.643(.420)	0.657(.429)	0.723(.452)	0.994(.499)
0.525	0.633(.432)	0.635(.436)	0.644(.445)	0.702(.470)	0.993(.524)
0.550	0.633(.447)	0.632(.452)	0.635(.461)	0.681(.487)	0.992(.549)
0.575	0.637(.463)	0.633(.468)	0.630(.477)	0.662(.504)	0.990(.574)
0.600	0.645(.479)	0.638(.484)	0.630(.493)	0.645(.520)	0.989(.598)
0.625	0.655(.496)	0.647(.500)	0.634(.508)	0.632(.536)	0.987(.623)
0.650	0.672(.512)	0.660(.516)	0.642(.524)	0.623(.552)	0.984(.648)
0.675	0.695(.529)	0.679(.533)	0.655(.541)	0.619(.568)	0.981(.672)
0.700	0.724(.547)	0.708(.550)	0.677(.557)	0.621(.583)	0.977(.697)
0.725	0.751(.565)	0.736(.568)	0.706(.575)	0.629(.599)	0.972(.721)
0.750	0.780(.585)	0.764(.587)	0.735(.593)	0.649(.615)	0.962(.745)
0.775	0.809(.604)	0.794(.607)	0.765(.611)	0.679(.631)	0.947(.769)
0.800	0.839(.625)	0.825(.627)	0.797(.631)	0.711(.649)	0.925(.792)
0.825	0.872(.646)	0.859(.648)	0.832(.651)	0.747(.667)	0.894(.815)
0.850	0.903(.669)	0.894(.670)	0.873(.673)	0.790(.686)	0.853(.837)
0.875	0.925(.691)	0.919(.692)	0.906(.695)	0.846(.707)	0.793(.858)
0.900	0.946(.715)	0.941(.716)	0.931(.718)	0.893(.728)	0.706(.876)
0.925	0.964(.739)	0.961(.739)	0.954(.741)	0.926(.751)	0.592(.893)
0.950	0.980(.763)	0.978(.764)	0.974(.765)	0.957(.775)	0.517(.906)
0.975	0.993(.788)	0.992(.788)	0.991(.790)	0.984(.799)	0.697(.922)
1.000	1.000(.813)	1.000(.813)	1.000(.815)	1.000(.824)	1.000(.943)

*** RELATIVE ENERGY FLUX DENSITY IN THE ***
 *** PENUMBRA OF A RECTANGULAR CYLINDER ***

VERSION F

SOLAR FIELD ANGLE, D= 5.00 DEGREES
 GEOMETRY D2/R = 1.00 AND H/R = 2.0

BETA = ANGLE OF INCIDENCE, DEGREES

BETA ***	0.	10.00	20.00	30.00	40.00
AX/AB	Q (Q1)	Q (Q1)	Q (Q1)	Q (Q1)	Q (Q1)
U.	1.000(.)	1.000(.)	1.000(.)	1.000(.)	1.000(.)
0.025	0.896(.024)	0.908(.024)	0.918(.024)	0.927(.024)	0.937(.024)
0.050	0.610(.043)	0.655(.043)	0.695(.044)	0.735(.045)	0.777(.046)
0.075	0. (.050)	0. (.052)	0. (.053)	0. (.054)	0.526(.062)
0.100	0. (.050)	0. (.052)	0. (.053)	0. (.054)	0. (.068)
0.125	0. (.050)	0. (.052)	0. (.053)	0. (.054)	0. (.068)
0.150	0. (.050)	0. (.052)	0. (.053)	0. (.054)	0. (.068)
0.175	0. (.050)	0. (.052)	0. (.053)	0. (.054)	0. (.068)
0.200	0. (.050)	0. (.052)	0. (.053)	0. (.054)	0. (.068)
0.225	0. (.050)	0. (.052)	0. (.053)	0. (.054)	0. (.068)
0.250	0. (.050)	0. (.052)	0. (.053)	0. (.054)	0. (.068)
0.275	0. (.050)	0. (.052)	0. (.053)	0. (.054)	0. (.068)
0.300	0. (.050)	0. (.052)	0. (.053)	0. (.054)	0. (.068)
0.325	0. (.050)	0. (.052)	0. (.053)	0. (.054)	0. (.068)
0.350	0. (.050)	0. (.052)	0. (.053)	0. (.054)	0. (.068)
0.375	0. (.050)	0. (.052)	0. (.053)	0. (.054)	0. (.068)
0.400	0. (.050)	0. (.052)	0. (.053)	0. (.054)	0. (.068)
0.425	0. (.050)	0. (.052)	0. (.053)	0. (.054)	0. (.068)
0.450	0. (.050)	0. (.052)	0. (.053)	0. (.054)	0. (.068)
0.475	0. (.050)	0. (.052)	0. (.053)	0. (.054)	0. (.068)
0.500	0. (.050)	0. (.052)	0. (.053)	0. (.054)	0. (.068)
0.525	0. (.050)	0. (.052)	0. (.053)	0. (.054)	0. (.068)
0.550	0. (.050)	0. (.052)	0. (.053)	0. (.054)	0. (.068)
0.575	0. (.050)	0. (.052)	0. (.053)	0. (.054)	0. (.068)
0.600	0. (.050)	0. (.052)	0. (.053)	0. (.054)	0. (.068)
0.625	0. (.050)	0. (.052)	0. (.053)	0. (.054)	0. (.068)
0.650	0. (.050)	0. (.052)	0. (.053)	0. (.054)	0. (.068)
0.675	0. (.050)	0. (.052)	0. (.053)	0. (.054)	0. (.068)
0.700	0. (.050)	0. (.052)	0. (.053)	0. (.054)	0. (.068)
0.725	0. (.050)	0. (.052)	0. (.053)	0. (.054)	0. (.068)
0.750	0. (.050)	0. (.052)	0. (.053)	0. (.054)	0. (.068)
0.775	0. (.050)	0. (.052)	0. (.053)	0. (.054)	0. (.068)
0.800	0. (.050)	0. (.052)	0. (.053)	0. (.054)	0. (.068)
0.825	0. (.050)	0. (.052)	0. (.053)	0. (.054)	0. (.068)
0.850	0. (.050)	0. (.052)	0. (.053)	0. (.054)	0. (.068)
0.875	0. (.050)	0. (.052)	0. (.053)	0. (.054)	0. (.068)
0.900	0. (.050)	0. (.052)	0. (.053)	0. (.054)	0. (.068)
0.925	0. (.050)	0. (.052)	0. (.053)	0. (.054)	0. (.068)
0.950	0. (.050)	0. (.052)	0. (.053)	0. (.054)	0. (.068)
0.975	0.896(.061)	0.879(.063)	0. (.053)	0. (.054)	0. (.068)
1.000	1.000(.085)	1.000(.086)	1.000(.065)	1.000(.067)	1.000(.061)

*** RELATIVE ENERGY FLUX DENSITY IN THE ***
 *** PENUMBRA OF A RECTANGULAR CYLINDER ***

VERSION F

SOLAR FIELD ANGLE, D= 5.00 DEGREES
 GEOMETRY D2/R = 1.00 AND H/R = 2.0

BETA = ANGLE OF INCIDENCE, DEGREES

BETA ***	50.00		60.00		70.00		80.00		87.00	
AX/AB	Q	(QI)	Q	(QI)	Q	(QI)	Q	(QI)	Q	(QI)
0.	1.000	(.)	1.000	(.)	1.000	(.)	1.000	(.)	1.000	(.)
0.025	0.947	(.024)	0.959	(.024)	0.974	(.025)	0.992	(.025)	1.000	(.025)
0.050	0.823	(.046)	0.874	(.047)	0.925	(.048)	0.976	(.049)	1.000	(.050)
0.075	0.610	(.064)	0.709	(.067)	0.832	(.070)	0.953	(.074)	1.000	(.075)
0.100	0.	(.072)	0.407	(.081)	0.691	(.089)	0.923	(.097)	1.000	(.100)
0.125	0.	(.072)	0.	(.086)	0.501	(.104)	0.870	(.119)	1.000	(.125)
0.150	0.	(.072)	0.	(.086)	0.022	(.111)	0.796	(.140)	0.999	(.150)
0.175	0.	(.072)	0.	(.086)	0.	(.111)	0.703	(.159)	0.999	(.175)
0.200	0.	(.072)	0.	(.086)	0.	(.111)	0.589	(.175)	0.999	(.200)
0.225	0.	(.072)	0.	(.086)	0.	(.111)	0.378	(.187)	0.999	(.225)
0.250	0.	(.072)	0.	(.086)	0.	(.111)	0.130	(.194)	0.998	(.250)
0.275	0.	(.072)	0.	(.086)	0.	(.111)	0.002	(.195)	0.998	(.275)
0.300	0.	(.072)	0.	(.086)	0.	(.111)	0.	(.195)	0.998	(.300)
0.325	0.	(.072)	0.	(.086)	0.	(.111)	0.	(.195)	0.997	(.325)
0.350	0.	(.072)	0.	(.086)	0.	(.111)	0.	(.195)	0.996	(.350)
0.375	0.	(.072)	0.	(.086)	0.	(.111)	0.	(.195)	0.996	(.375)
0.400	0.	(.072)	0.	(.086)	0.	(.111)	0.	(.195)	0.995	(.399)
0.425	0.	(.072)	0.	(.086)	0.	(.111)	0.	(.195)	0.994	(.424)
0.450	0.	(.072)	0.	(.086)	0.	(.111)	0.	(.195)	0.992	(.449)
0.475	0.	(.072)	0.	(.086)	0.	(.111)	0.	(.195)	0.991	(.474)
0.500	0.	(.072)	0.	(.086)	0.	(.111)	0.	(.195)	0.989	(.499)
0.525	0.	(.072)	0.	(.086)	0.	(.111)	0.	(.195)	0.986	(.523)
0.550	0.	(.072)	0.	(.086)	0.	(.111)	0.	(.195)	0.983	(.548)
0.575	0.	(.072)	0.	(.086)	0.	(.111)	0.	(.195)	0.979	(.572)
0.600	0.	(.072)	0.	(.086)	0.	(.111)	0.	(.195)	0.973	(.597)
0.625	0.	(.072)	0.	(.086)	0.	(.111)	0.	(.195)	0.966	(.621)
0.650	0.	(.072)	0.	(.086)	0.	(.111)	0.	(.195)	0.954	(.645)
0.675	0.	(.072)	0.	(.086)	0.	(.111)	0.	(.195)	0.935	(.669)
0.700	0.	(.072)	0.	(.086)	0.	(.111)	0.	(.195)	0.906	(.692)
0.725	0.	(.072)	0.	(.086)	0.	(.111)	0.	(.195)	0.862	(.714)
0.750	0.	(.072)	0.	(.086)	0.	(.111)	0.	(.195)	0.795	(.735)
0.775	0.	(.072)	0.	(.086)	0.	(.111)	0.	(.195)	0.684	(.753)
0.800	0.	(.072)	0.	(.086)	0.	(.111)	0.	(.195)	0.465	(.767)
0.825	0.	(.072)	0.	(.086)	0.	(.111)	0.	(.195)	0.133	(.775)
0.850	0.	(.072)	0.	(.086)	0.	(.111)	0.	(.195)	0.	(.777)
0.875	0.	(.072)	0.	(.086)	0.	(.111)	0.	(.195)	0.	(.777)
0.900	0.	(.072)	0.	(.086)	0.	(.111)	0.	(.195)	0.	(.777)
0.925	0.	(.072)	0.	(.086)	0.	(.111)	0.	(.195)	0.	(.777)
0.950	0.	(.072)	0.	(.086)	0.	(.111)	0.	(.195)	0.	(.777)
0.975	0.	(.072)	0.	(.086)	0.	(.111)	0.	(.195)	0.	(.777)
1.000	0.	(.072)	0.	(.086)	0.	(.111)	0.	(.195)	0.	(.777)

Applied Phase II

*** RELATIVE ENERGY FLUX DENSITY IN THE ***
 *** PENUMBRA OF A RECTANGULAR CYLINDER ***

VERSION F

SOLAR FIELD ANGLE, D= 5.00 DEGREES
 GEOMETRY D2/R = 5.00 AND H/R = 2.0

BETA = ANGLE OF INCIDENCE, DEGREES

BETA ***	0.	10.00	20.00	30.00	40.00
AX/AB	Q (Q1)	Q (Q1)	Q (Q1)	Q (Q1)	Q (Q1)
0.	1.000(.)	1.000(.)	1.000(.)	1.000(.)	1.000(.)
0.025	0.963(.025)	0.966(.025)	0.968(.025)	0.970(.025)	0.973(.025)
0.050	0.898(.048)	0.905(.048)	0.911(.048)	0.917(.048)	0.924(.048)
0.075	0.773(.069)	0.789(.069)	0.805(.070)	0.822(.070)	0.840(.070)
0.100	0.615(.086)	0.641(.087)	0.665(.088)	0.689(.089)	0.718(.090)
0.125	0.371(.098)	0.437(.100)	0.503(.103)	0.536(.104)	0.574(.106)
0.150	0.073(.104)	0.113(.107)	0.171(.111)	0.242(.114)	0.328(.117)
0.175	0. (.105)	0. (.109)	0.012(.113)	0.042(.117)	0.085(.122)
0.200	0. (.105)	0. (.109)	0. (.113)	0. (.118)	0. (.124)
0.225	0. (.105)	0. (.109)	0. (.113)	0. (.118)	0. (.124)
0.250	0. (.105)	0. (.109)	0. (.113)	0. (.118)	0. (.124)
0.275	0. (.105)	0. (.109)	0. (.113)	0. (.118)	0. (.124)
0.300	0. (.105)	0. (.109)	0. (.113)	0. (.118)	0. (.124)
0.325	0. (.105)	0. (.109)	0. (.113)	0. (.118)	0. (.124)
0.350	0. (.105)	0. (.109)	0. (.113)	0. (.118)	0. (.124)
0.375	0. (.105)	0. (.109)	0. (.113)	0. (.118)	0. (.124)
0.400	0. (.105)	0. (.109)	0. (.113)	0. (.118)	0. (.124)
0.425	0. (.105)	0. (.109)	0. (.113)	0. (.118)	0. (.124)
0.450	0. (.105)	0. (.109)	0. (.113)	0. (.118)	0. (.124)
0.475	0. (.105)	0. (.109)	0. (.113)	0. (.118)	0. (.124)
0.500	0. (.105)	0. (.109)	0. (.113)	0. (.118)	0. (.124)
0.525	0. (.105)	0. (.109)	0. (.113)	0. (.118)	0. (.124)
0.550	0. (.105)	0. (.109)	0. (.113)	0. (.118)	0. (.124)
0.575	0. (.105)	0. (.109)	0. (.113)	0. (.118)	0. (.124)
0.600	0. (.105)	0. (.109)	0. (.113)	0. (.118)	0. (.124)
0.625	0. (.105)	0. (.109)	0. (.113)	0. (.118)	0. (.124)
0.650	0. (.105)	0. (.109)	0. (.113)	0. (.118)	0. (.124)
0.675	0. (.105)	0. (.109)	0. (.113)	0. (.118)	0. (.124)
0.700	0. (.105)	0. (.109)	0. (.113)	0. (.118)	0. (.124)
0.725	0. (.105)	0. (.109)	0. (.113)	0. (.118)	0. (.124)
0.750	0. (.105)	0. (.109)	0. (.113)	0. (.118)	0. (.124)
0.775	0. (.105)	0. (.109)	0. (.113)	0. (.118)	0. (.124)
0.800	0. (.105)	0. (.109)	0. (.113)	0. (.118)	0. (.124)
0.825	0. (.105)	0. (.109)	0. (.113)	0. (.118)	0. (.124)
0.850	0.073(.106)	0.039(.109)	0.009(.113)	0. (.118)	0. (.124)
0.875	0.371(.111)	0.301(.114)	0.225(.116)	0.138(.120)	0.059(.124)
0.900	0.618(.124)	0.593(.125)	0.565(.126)	0.531(.128)	0.475(.131)
0.925	0.773(.141)	0.756(.142)	0.737(.143)	0.713(.144)	0.682(.145)
0.950	0.898(.162)	0.890(.162)	0.880(.163)	0.868(.163)	0.850(.165)
0.975	0.963(.185)	0.961(.185)	0.958(.186)	0.955(.186)	0.950(.187)
1.000	1.000(.210)	1.000(.210)	1.000(.210)	1.000(.211)	1.000(.211)

*** RELATIVE ENERGY FLUX DENSITY IN THE ***
 *** PENUMBRA OF A RECTANGULAR CYLINDER ***

VERSION F

SOLAR FIELD ANGLE, D= 5.00 DEGREES
 GEOMETRY D2/R = 5.00 AND H/R = 2.0

BETA = ANGLE OF INCIDENCE, DEGREES

BETA ***	50.00	60.00	70.00	80.00	87.00
AX/AB	Q (QI)	Q (QI)	Q (QI)	Q (QI)	Q (QI)
0.	1.000(.)	1.000(.)	1.000(.)	1.000(.)	1.000(.)
0.025	0.976(.025)	0.980(.025)	0.986(.025)	0.994(.025)	1.000(.025)
0.050	0.932(.049)	0.943(.049)	0.959(.049)	0.983(.050)	1.000(.050)
0.075	0.862(.071)	0.890(.072)	0.923(.073)	0.968(.074)	1.000(.075)
0.100	0.752(.091)	0.796(.093)	0.864(.095)	0.949(.098)	1.000(.100)
0.125	0.621(.108)	0.685(.111)	0.779(.116)	0.925(.121)	1.000(.125)
0.150	0.439(.122)	0.553(.127)	0.678(.134)	0.886(.144)	0.999(.150)
0.175	0.171(.129)	0.327(.138)	0.559(.149)	0.833(.166)	0.999(.175)
0.200	0.025(.132)	0.109(.143)	0.367(.161)	0.768(.186)	0.999(.200)
0.225	0. (.132)	0.008(.145)	0.165(.167)	0.692(.204)	0.999(.225)
0.250	0. (.132)	0. (.145)	0.042(.170)	0.601(.220)	0.999(.250)
0.275	0. (.132)	0. (.145)	0. (.171)	0.478(.233)	0.998(.275)
0.300	0. (.132)	0. (.145)	0. (.171)	0.317(.243)	0.998(.300)
0.325	0. (.132)	0. (.145)	0. (.171)	0.161(.249)	0.997(.325)
0.350	0. (.132)	0. (.145)	0. (.171)	0.057(.252)	0.997(.350)
0.375	0. (.132)	0. (.145)	0. (.171)	0. (.253)	0.996(.375)
0.400	0. (.132)	0. (.145)	0. (.171)	0. (.253)	0.995(.399)
0.425	0. (.132)	0. (.145)	0. (.171)	0. (.253)	0.994(.424)
0.450	0. (.132)	0. (.145)	0. (.171)	0. (.253)	0.993(.449)
0.475	0. (.132)	0. (.145)	0. (.171)	0. (.253)	0.991(.474)
0.500	0. (.132)	0. (.145)	0. (.171)	0. (.253)	0.990(.499)
0.525	0. (.132)	0. (.145)	0. (.171)	0. (.253)	0.987(.523)
0.550	0. (.132)	0. (.145)	0. (.171)	0. (.253)	0.984(.548)
0.575	0. (.132)	0. (.145)	0. (.171)	0. (.253)	0.981(.573)
0.600	0. (.132)	0. (.145)	0. (.171)	0. (.253)	0.976(.597)
0.625	0. (.132)	0. (.145)	0. (.171)	0. (.253)	0.971(.621)
0.650	0. (.132)	0. (.145)	0. (.171)	0. (.253)	0.962(.646)
0.675	0. (.132)	0. (.145)	0. (.171)	0. (.253)	0.948(.669)
0.700	0. (.132)	0. (.145)	0. (.171)	0. (.253)	0.926(.693)
0.725	0. (.132)	0. (.145)	0. (.171)	0. (.253)	0.893(.716)
0.750	0. (.132)	0. (.145)	0. (.171)	0. (.253)	0.844(.737)
0.775	0. (.132)	0. (.145)	0. (.171)	0. (.253)	0.767(.757)
0.800	0. (.132)	0. (.145)	0. (.171)	0. (.253)	0.641(.775)
0.825	0. (.132)	0. (.145)	0. (.171)	0. (.253)	0.400(.788)
0.850	0. (.132)	0. (.145)	0. (.171)	0. (.253)	0.090(.794)
0.875	0. (.132)	0. (.145)	0. (.171)	0. (.253)	0. (.795)
0.900	0.287(.136)	0.025(.145)	0. (.171)	0. (.253)	0. (.795)
0.925	0.634(.147)	0.546(.152)	0. (.171)	0. (.253)	0. (.795)
0.950	0.823(.165)	0.770(.169)	0.627(.178)	0. (.253)	0. (.795)
0.975	0.943(.187)	0.929(.190)	0.889(.197)	0. (.253)	0. (.795)
1.000	1.000(.212)	1.000(.214)	1.000(.221)	0. (.253)	0. (.795)

5
4
3
2

*** RELATIVE ENERGY FLUX DENSITY IN THE ***
 *** PENUMBRA OF A RECTANGULAR CYLINDER ***

VERSION F

SOLAR FIELD ANGLE, D= 5.00 DEGREES
 GEOMETRY D2/R = 10.00 AND H/R = 2.0

BETA = ANGLE OF INCIDENCE, DEGREES

BETA ***	0.	10.00	20.00	30.00	40.00
AX/AB	Q (QI)	Q (QI)	Q (QI)	Q (QI)	Q (QI)
0.	1.000(.)	1.000(.)	1.000(.)	1.000(.)	1.000(.)
0.025	0.979(.025)	0.960(.025)	0.981(.025)	0.982(.025)	0.984(.025)
0.050	0.942(.049)	0.945(.049)	0.948(.049)	0.951(.049)	0.954(.049)
0.075	0.894(.072)	0.899(.072)	0.905(.072)	0.911(.072)	0.916(.072)
0.100	0.812(.093)	0.822(.093)	0.833(.094)	0.843(.094)	0.856(.095)
0.125	0.713(.112)	0.727(.113)	0.741(.113)	0.756(.114)	0.774(.115)
0.150	0.603(.129)	0.621(.130)	0.638(.131)	0.658(.132)	0.680(.133)
0.175	0.477(.142)	0.505(.144)	0.525(.145)	0.548(.147)	0.576(.149)
0.200	0.305(.152)	0.335(.154)	0.366(.156)	0.402(.159)	0.445(.162)
0.225	0.159(.158)	0.186(.161)	0.215(.164)	0.249(.167)	0.290(.171)
0.250	0.065(.150)	0.079(.164)	0.095(.168)	0.120(.171)	0.155(.176)
0.275	0.012(.151)	0.021(.165)	0.033(.169)	0.047(.174)	0.067(.179)
0.300	0. (.162)	0. (.166)	0. (.170)	0.003(.174)	0.013(.180)
0.325	0. (.162)	0. (.166)	0. (.170)	0. (.174)	0. (.180)
0.350	0. (.162)	0. (.166)	0. (.170)	0. (.174)	0. (.180)
0.375	0. (.162)	0. (.166)	0. (.170)	0. (.174)	0. (.180)
0.400	0. (.162)	0. (.166)	0. (.170)	0. (.174)	0. (.180)
0.425	0. (.162)	0. (.166)	0. (.170)	0. (.174)	0. (.180)
0.450	0. (.162)	0. (.166)	0. (.170)	0. (.174)	0. (.180)
0.475	0. (.162)	0. (.166)	0. (.170)	0. (.174)	0. (.180)
0.500	0. (.152)	0. (.166)	0. (.170)	0. (.174)	0. (.180)
0.525	0. (.152)	0. (.166)	0. (.170)	0. (.174)	0. (.180)
0.550	0. (.152)	0. (.166)	0. (.170)	0. (.174)	0. (.180)
0.575	0. (.152)	0. (.166)	0. (.170)	0. (.174)	0. (.180)
0.600	0. (.162)	0. (.166)	0. (.170)	0. (.174)	0. (.180)
0.625	0. (.162)	0. (.166)	0. (.170)	0. (.174)	0. (.180)
0.650	0. (.162)	0. (.166)	0. (.170)	0. (.174)	0. (.180)
0.675	0. (.162)	0. (.166)	0. (.170)	0. (.174)	0. (.180)
0.700	0. (.162)	0. (.166)	0. (.170)	0. (.174)	0. (.180)
0.725	0.012(.162)	0.004(.166)	0.000(.170)	0. (.174)	0. (.180)
0.750	0.065(.163)	0.052(.166)	0.038(.170)	0.025(.175)	0.010(.180)
0.775	0.159(.166)	0.134(.169)	0.110(.172)	0.087(.176)	0.065(.181)
0.800	0.306(.171)	0.277(.174)	0.245(.176)	0.210(.180)	0.169(.184)
0.825	0.477(.161)	0.447(.183)	0.415(.185)	0.377(.187)	0.331(.190)
0.850	0.603(.195)	0.585(.196)	0.566(.197)	0.543(.199)	0.514(.201)
0.875	0.713(.211)	0.699(.212)	0.683(.212)	0.665(.214)	0.641(.215)
0.900	0.812(.230)	0.802(.231)	0.790(.231)	0.776(.232)	0.757(.233)
0.925	0.894(.251)	0.887(.252)	0.880(.252)	0.872(.252)	0.860(.253)
0.950	0.942(.274)	0.940(.274)	0.937(.274)	0.933(.275)	0.928(.276)
0.975	0.979(.298)	0.978(.298)	0.977(.298)	0.975(.299)	0.974(.299)
1.000	1.000(.323)	1.000(.323)	1.000(.323)	1.000(.323)	1.000(.324)

*** RELATIVE ENERGY FLUX DENSITY IN THE ***
 *** PENUMBRA OF A RECTANGULAR CYLINDER ***

VERSION F

SOLAR FIELD ANGLE, D= 5.00 DEGREES
 GEOMETRY D2/R = 10.00 AND H/R = 2.0

BETA = ANGLE OF INCIDENCE, DEGREES

BETA ***	50.00	60.00	70.00	80.00	87.00
AX/AB	Q (Q1)	Q (Q1)	Q (Q1)	Q (Q1)	Q (Q1)
0.	1.000(.)	1.000(.)	1.000(.)	1.000(.)	1.000(.)
0.025	0.985(.025)	0.987(.025)	0.990(.025)	0.996(.025)	1.000(.025)
0.050	0.958(.049)	0.964(.049)	0.972(.049)	0.987(.050)	1.000(.050)
0.075	0.923(.073)	0.933(.073)	0.948(.073)	0.976(.074)	1.000(.075)
0.100	0.871(.095)	0.892(.096)	0.920(.097)	0.962(.098)	1.000(.100)
0.125	0.795(.116)	0.827(.117)	0.874(.119)	0.945(.122)	1.000(.125)
0.150	0.709(.135)	0.749(.137)	0.813(.140)	0.924(.146)	1.000(.150)
0.175	0.611(.151)	0.661(.155)	0.740(.160)	0.893(.168)	0.999(.175)
0.200	0.501(.165)	0.561(.170)	0.659(.177)	0.851(.190)	0.999(.200)
0.225	0.347(.176)	0.433(.182)	0.566(.192)	0.800(.211)	0.999(.225)
0.250	0.205(.183)	0.290(.191)	0.448(.205)	0.741(.230)	0.999(.250)
0.275	0.095(.186)	0.161(.197)	0.313(.215)	0.675(.248)	0.998(.275)
0.300	0.034(.186)	0.073(.200)	0.187(.221)	0.597(.264)	0.998(.300)
0.325	0. (.188)	0.018(.201)	0.090(.224)	0.502(.277)	0.997(.325)
0.350	0. (.188)	0. (.201)	0.031(.226)	0.384(.289)	0.997(.350)
0.375	0. (.188)	0. (.201)	0. (.226)	0.265(.297)	0.996(.375)
0.400	0. (.188)	0. (.201)	0. (.226)	0.152(.302)	0.995(.399)
0.425	0. (.188)	0. (.201)	0. (.226)	0.073(.305)	0.994(.424)
0.450	0. (.188)	0. (.201)	0. (.226)	0.016(.306)	0.993(.449)
0.475	0. (.188)	0. (.201)	0. (.226)	0. (.306)	0.992(.474)
0.500	0. (.188)	0. (.201)	0. (.226)	0. (.306)	0.990(.499)
0.525	0. (.188)	0. (.201)	0. (.226)	0. (.306)	0.988(.524)
0.550	0. (.188)	0. (.201)	0. (.226)	0. (.306)	0.986(.548)
0.575	0. (.188)	0. (.201)	0. (.226)	0. (.306)	0.983(.573)
0.600	0. (.188)	0. (.201)	0. (.226)	0. (.306)	0.979(.597)
0.625	0. (.188)	0. (.201)	0. (.226)	0. (.306)	0.974(.622)
0.650	0. (.188)	0. (.201)	0. (.226)	0. (.306)	0.967(.646)
0.675	0. (.188)	0. (.201)	0. (.226)	0. (.306)	0.957(.670)
0.700	0. (.188)	0. (.201)	0. (.226)	0. (.306)	0.940(.694)
0.725	0. (.188)	0. (.201)	0. (.226)	0. (.306)	0.914(.717)
0.750	0. (.188)	0. (.201)	0. (.226)	0. (.306)	0.877(.739)
0.775	0.038(.189)	0.007(.201)	0. (.226)	0. (.306)	0.820(.761)
0.800	0.117(.191)	0.062(.202)	0.000(.226)	0. (.306)	0.731(.780)
0.825	0.269(.196)	0.175(.205)	0.049(.227)	0. (.306)	0.579(.796)
0.850	0.463(.205)	0.361(.212)	0.168(.230)	0. (.306)	0.318(.807)
0.875	0.606(.218)	0.548(.223)	0.388(.237)	0. (.306)	0.037(.812)
0.900	0.731(.235)	0.685(.239)	0.584(.249)	0.024(.306)	0. (.812)
0.925	0.842(.255)	0.811(.257)	0.738(.265)	0.295(.310)	0. (.812)
0.950	0.921(.277)	0.909(.279)	0.874(.285)	0.639(.322)	0. (.812)
0.975	0.971(.300)	0.966(.302)	0.954(.308)	0.883(.341)	0. (.812)
1.000	1.000(.325)	1.000(.327)	1.000(.333)	1.000(.364)	0. (.812)

App. 2
Phase II

*** RELATIVE ENERGY FLUX DENSITY IN THE ***
 *** PLUMBRA OF A RECTANGULAR CYLINDER ***

VERSION F

SOLAR FIELD ANGLE, D= 5.00 DEGREES
 GEOMETRY D2/R = 50.00 AND H/R = 2.0

BETA = ANGLE OF INCIDENCE, DEGREES

BETA ***	D.	10.00	20.00	30.00	40.00
AX/AB	Q (Q1)	Q (Q1)	Q (Q1)	Q (Q1)	Q (Q1)
0.	1.000(.)	1.000(.)	1.000(.)	1.000(.)	1.000(.)
0.025	0.993(.025)	0.993(.025)	0.993(.025)	0.993(.025)	0.994(.025)
0.050	0.979(.050)	0.980(.050)	0.981(.050)	0.982(.050)	0.982(.050)
0.075	0.963(.074)	0.964(.074)	0.965(.074)	0.966(.074)	0.968(.074)
0.100	0.943(.098)	0.945(.098)	0.947(.098)	0.949(.098)	0.951(.098)
0.125	0.922(.121)	0.924(.121)	0.926(.121)	0.929(.121)	0.932(.122)
0.150	0.896(.144)	0.899(.144)	0.903(.144)	0.907(.144)	0.911(.145)
0.175	0.859(.166)	0.864(.166)	0.869(.166)	0.874(.167)	0.881(.167)
0.200	0.815(.187)	0.822(.187)	0.828(.187)	0.835(.188)	0.843(.189)
0.225	0.769(.206)	0.776(.207)	0.783(.208)	0.791(.208)	0.801(.209)
0.250	0.718(.225)	0.726(.226)	0.735(.227)	0.744(.227)	0.755(.229)
0.275	0.666(.242)	0.674(.243)	0.683(.244)	0.694(.245)	0.706(.247)
0.300	0.610(.258)	0.620(.259)	0.630(.261)	0.641(.262)	0.655(.264)
0.325	0.552(.273)	0.562(.274)	0.573(.276)	0.585(.277)	0.600(.279)
0.350	0.497(.286)	0.507(.288)	0.517(.289)	0.529(.291)	0.543(.294)
0.375	0.447(.298)	0.456(.300)	0.466(.302)	0.478(.304)	0.493(.307)
0.400	0.402(.308)	0.411(.310)	0.420(.313)	0.430(.315)	0.444(.318)
0.425	0.365(.318)	0.372(.320)	0.379(.323)	0.388(.326)	0.400(.329)
0.450	0.332(.327)	0.338(.329)	0.345(.332)	0.352(.335)	0.362(.338)
0.475	0.310(.335)	0.313(.337)	0.316(.340)	0.322(.343)	0.329(.347)
0.500	0.303(.342)	0.303(.345)	0.304(.348)	0.306(.351)	0.309(.355)
0.525	0.310(.350)	0.307(.353)	0.305(.355)	0.304(.359)	0.303(.363)
0.550	0.332(.358)	0.327(.360)	0.321(.363)	0.315(.366)	0.310(.370)
0.575	0.365(.367)	0.358(.369)	0.351(.372)	0.343(.375)	0.335(.378)
0.600	0.402(.376)	0.394(.378)	0.386(.381)	0.377(.384)	0.366(.387)
0.625	0.447(.387)	0.438(.389)	0.428(.391)	0.417(.394)	0.405(.397)
0.650	0.497(.399)	0.487(.400)	0.477(.402)	0.465(.405)	0.451(.408)
0.675	0.552(.412)	0.542(.413)	0.531(.415)	0.518(.417)	0.504(.419)
0.700	0.610(.426)	0.600(.428)	0.590(.429)	0.578(.431)	0.563(.433)
0.725	0.666(.442)	0.657(.443)	0.647(.444)	0.636(.446)	0.622(.448)
0.750	0.718(.460)	0.710(.460)	0.702(.461)	0.692(.462)	0.679(.464)
0.775	0.769(.476)	0.761(.479)	0.754(.479)	0.745(.480)	0.733(.482)
0.800	0.815(.498)	0.810(.498)	0.803(.499)	0.795(.500)	0.785(.501)
0.825	0.859(.519)	0.854(.519)	0.848(.520)	0.842(.520)	0.834(.521)
0.850	0.896(.541)	0.892(.541)	0.888(.541)	0.883(.542)	0.877(.542)
0.875	0.922(.563)	0.919(.564)	0.917(.564)	0.914(.564)	0.910(.564)
0.900	0.943(.587)	0.941(.587)	0.940(.587)	0.937(.587)	0.934(.588)
0.925	0.963(.611)	0.961(.611)	0.960(.611)	0.959(.611)	0.957(.611)
0.950	0.979(.635)	0.979(.635)	0.978(.635)	0.977(.635)	0.976(.635)
0.975	0.993(.660)	0.992(.660)	0.992(.660)	0.992(.660)	0.991(.660)
1.000	1.000(.684)	1.000(.684)	1.000(.684)	1.000(.685)	1.000(.685)

*** RELATIVE ENERGY FLUX DENSITY IN THE ***
 *** PENUMBRA OF A RECTANGULAR CYLINDER ***

VERSION F

SOLAR FIELD ANGLE, D= 5.00 DEGREES
 GEOMETRY D2/R = 50.00 AND H/R = 2.0

BETA = ANGLE OF INCIDENCE, DEGREES

BETA ***	50.00	60.00	70.00	80.00	87.00
AX/AB	Q (Q1)	Q (Q1)	Q (Q1)	Q (Q1)	Q (Q1)
0.	1.000(.)	1.000(.)	1.000(.)	1.000(.)	1.000(.)
0.025	0.994(.025)	0.995(.025)	0.996(.025)	0.998(.025)	1.000(.025)
0.050	0.984(.050)	0.985(.050)	0.988(.050)	0.993(.050)	1.000(.050)
0.075	0.970(.074)	0.973(.074)	0.978(.074)	0.988(.075)	1.000(.075)
0.100	0.954(.098)	0.958(.098)	0.965(.099)	0.980(.099)	1.000(.100)
0.125	0.935(.122)	0.942(.122)	0.951(.123)	0.972(.124)	1.000(.125)
0.150	0.915(.145)	0.923(.145)	0.935(.146)	0.962(.148)	1.000(.150)
0.175	0.889(.167)	0.901(.168)	0.918(.169)	0.952(.172)	0.999(.175)
0.200	0.854(.189)	0.869(.190)	0.894(.192)	0.940(.195)	0.999(.200)
0.225	0.814(.210)	0.832(.212)	0.863(.214)	0.926(.219)	0.999(.225)
0.250	0.769(.230)	0.791(.232)	0.827(.235)	0.908(.242)	0.999(.250)
0.275	0.722(.249)	0.746(.251)	0.788(.255)	0.884(.264)	0.999(.275)
0.300	0.672(.266)	0.699(.269)	0.745(.274)	0.856(.286)	0.998(.300)
0.325	0.619(.282)	0.648(.286)	0.700(.292)	0.824(.307)	0.998(.325)
0.350	0.563(.297)	0.594(.301)	0.651(.309)	0.789(.327)	0.997(.350)
0.375	0.513(.310)	0.542(.316)	0.598(.325)	0.750(.346)	0.997(.375)
0.400	0.463(.323)	0.492(.329)	0.549(.339)	0.708(.364)	0.996(.400)
0.425	0.417(.334)	0.444(.340)	0.500(.352)	0.663(.382)	0.995(.424)
0.450	0.377(.343)	0.400(.351)	0.451(.364)	0.617(.398)	0.995(.449)
0.475	0.341(.352)	0.362(.360)	0.406(.375)	0.570(.412)	0.994(.474)
0.500	0.315(.361)	0.328(.369)	0.366(.385)	0.520(.426)	0.992(.499)
0.525	0.303(.368)	0.308(.377)	0.330(.393)	0.468(.438)	0.991(.524)
0.550	0.305(.376)	0.302(.385)	0.308(.401)	0.418(.449)	0.989(.549)
0.575	0.324(.384)	0.310(.392)	0.299(.409)	0.371(.459)	0.987(.573)
0.600	0.353(.392)	0.335(.400)	0.307(.417)	0.330(.468)	0.984(.598)
0.625	0.389(.402)	0.366(.409)	0.330(.424)	0.302(.476)	0.981(.622)
0.650	0.432(.412)	0.405(.419)	0.360(.433)	0.288(.483)	0.977(.647)
0.675	0.484(.423)	0.453(.429)	0.400(.443)	0.298(.491)	0.972(.671)
0.700	0.543(.436)	0.511(.441)	0.451(.453)	0.318(.498)	0.966(.696)
0.725	0.603(.450)	0.573(.455)	0.515(.465)	0.351(.507)	0.955(.720)
0.750	0.662(.466)	0.634(.470)	0.579(.479)	0.403(.516)	0.939(.743)
0.775	0.718(.483)	0.693(.487)	0.643(.494)	0.477(.527)	0.916(.766)
0.800	0.771(.502)	0.749(.505)	0.704(.511)	0.551(.540)	0.882(.789)
0.825	0.822(.522)	0.803(.524)	0.764(.529)	0.626(.555)	0.832(.810)
0.850	0.868(.543)	0.853(.545)	0.821(.549)	0.701(.571)	0.757(.830)
0.875	0.905(.565)	0.895(.567)	0.872(.570)	0.776(.590)	0.638(.848)
0.900	0.930(.588)	0.924(.589)	0.910(.593)	0.847(.610)	0.453(.861)
0.925	0.954(.612)	0.949(.613)	0.940(.616)	0.902(.632)	0.232(.870)
0.950	0.974(.636)	0.972(.637)	0.966(.640)	0.943(.655)	0.210(.875)
0.975	0.991(.660)	0.990(.661)	0.988(.664)	0.978(.679)	0.527(.885)
1.000	1.000(.685)	1.000(.686)	1.000(.689)	1.000(.704)	1.000(.904)

*** RELATIVE ENERGY FLUX DENSITY IN THE ***
 *** PENUMBRA OF A RECTANGULAR CYLINDER ***

VERSION F

SOLAR FIELD ANGLE, D= 5.00 DEGREES
 GEOMETRY D2/R = 100.00 AND H/R = 2.0

BETA = ANGLE OF INCIDENCE, DEGREES

BETA ***	0.	10.00	20.00	30.00	40.00
AX/AB	Q (QI)	Q (QI)	Q (QI)	Q (QI)	Q (QI)
0.	1.000(.)	1.000(.)	1.000(.)	1.000(.)	1.000(.)
0.025	0.994(.025)	0.994(.025)	0.995(.025)	0.995(.025)	0.995(.025)
0.050	0.984(.050)	0.984(.050)	0.985(.050)	0.985(.050)	0.986(.050)
0.075	0.971(.074)	0.971(.074)	0.972(.074)	0.973(.074)	0.975(.074)
0.100	0.955(.098)	0.956(.098)	0.958(.098)	0.959(.098)	0.961(.098)
0.125	0.938(.122)	0.940(.122)	0.941(.122)	0.943(.122)	0.946(.122)
0.150	0.919(.145)	0.921(.145)	0.924(.145)	0.926(.145)	0.929(.146)
0.175	0.897(.168)	0.900(.168)	0.904(.168)	0.907(.168)	0.911(.169)
0.200	0.867(.190)	0.871(.190)	0.875(.190)	0.880(.191)	0.886(.191)
0.225	0.838(.211)	0.842(.212)	0.847(.212)	0.852(.212)	0.858(.213)
0.250	0.810(.232)	0.815(.232)	0.820(.233)	0.825(.233)	0.832(.234)
0.275	0.783(.252)	0.788(.252)	0.793(.253)	0.799(.254)	0.806(.255)
0.300	0.755(.271)	0.761(.272)	0.766(.272)	0.772(.273)	0.780(.274)
0.325	0.729(.289)	0.734(.290)	0.740(.291)	0.746(.292)	0.753(.294)
0.350	0.701(.307)	0.707(.308)	0.713(.309)	0.719(.311)	0.727(.312)
0.375	0.675(.325)	0.682(.326)	0.687(.327)	0.692(.328)	0.700(.330)
0.400	0.662(.341)	0.665(.343)	0.669(.344)	0.673(.345)	0.679(.347)
0.425	0.648(.358)	0.651(.359)	0.654(.360)	0.658(.362)	0.663(.364)
0.450	0.638(.374)	0.640(.375)	0.642(.377)	0.645(.378)	0.649(.380)
0.475	0.632(.390)	0.633(.391)	0.634(.393)	0.636(.394)	0.639(.396)
0.500	0.630(.405)	0.630(.407)	0.630(.408)	0.630(.410)	0.632(.412)
0.525	0.632(.421)	0.631(.423)	0.630(.424)	0.629(.426)	0.629(.428)
0.550	0.638(.437)	0.636(.438)	0.634(.440)	0.633(.442)	0.631(.444)
0.575	0.648(.453)	0.646(.454)	0.643(.456)	0.640(.458)	0.637(.460)
0.600	0.662(.469)	0.658(.471)	0.655(.472)	0.651(.474)	0.647(.476)
0.625	0.678(.486)	0.674(.487)	0.670(.489)	0.665(.490)	0.660(.492)
0.650	0.701(.503)	0.696(.504)	0.690(.506)	0.684(.507)	0.677(.509)
0.675	0.729(.521)	0.724(.522)	0.718(.523)	0.712(.524)	0.704(.526)
0.700	0.755(.540)	0.751(.541)	0.745(.542)	0.739(.543)	0.731(.544)
0.725	0.783(.559)	0.778(.560)	0.772(.560)	0.766(.561)	0.759(.563)
0.750	0.810(.579)	0.805(.580)	0.800(.580)	0.794(.581)	0.787(.582)
0.775	0.838(.600)	0.833(.600)	0.828(.601)	0.823(.601)	0.816(.602)
0.800	0.867(.621)	0.862(.621)	0.858(.622)	0.853(.622)	0.846(.623)
0.825	0.897(.643)	0.894(.643)	0.890(.643)	0.886(.644)	0.880(.644)
0.850	0.919(.666)	0.917(.666)	0.915(.666)	0.912(.666)	0.909(.667)
0.875	0.938(.689)	0.936(.689)	0.934(.689)	0.932(.689)	0.929(.690)
0.900	0.955(.713)	0.954(.713)	0.952(.713)	0.951(.713)	0.949(.713)
0.925	0.971(.737)	0.970(.737)	0.969(.737)	0.968(.737)	0.966(.737)
0.950	0.984(.761)	0.983(.761)	0.983(.761)	0.982(.761)	0.981(.761)
0.975	0.994(.786)	0.994(.786)	0.994(.786)	0.994(.786)	0.993(.786)
1.000	1.000(.811)	1.000(.811)	1.000(.811)	1.000(.811)	1.000(.811)

*** RELATIVE ENERGY FLUX DENSITY IN THE ***
 *** PENUMBRA OF A RECTANGULAR CYLINDER ***

VERSION F

SOLAR FIELD ANGLE, D= 5.00 DEGREES
 GEOMETRY D2/R = 100.00 AND H/R = 2.0

BETA = ANGLE OF INCIDENCE, DEGREES

BETA ***	50.00		60.00		70.00		80.00		87.00	
AX/AB	Q	(QI)	Q	(QI)	Q	(QI)	Q	(QI)	Q	(QI)
0.	1.000(.)		1.000(.)		1.000(.)		1.000(.)		1.000(.)	
0.025	0.995(.025)		0.996(.025)		0.997(.025)		0.998(.025)		1.000(.025)	
0.050	0.987(.050)		0.988(.050)		0.990(.050)		0.994(.050)		1.000(.050)	
0.075	0.975(.074)		0.978(.074)		0.982(.074)		0.990(.075)		1.000(.075)	
0.100	0.963(.098)		0.966(.099)		0.972(.099)		0.984(.099)		1.000(.100)	
0.125	0.949(.122)		0.953(.123)		0.960(.123)		0.977(.124)		1.000(.125)	
0.150	0.933(.146)		0.938(.146)		0.948(.147)		0.969(.148)		1.000(.150)	
0.175	0.915(.169)		0.922(.170)		0.934(.170)		0.960(.172)		0.999(.175)	
0.200	0.893(.192)		0.903(.192)		0.919(.194)		0.950(.196)		0.999(.200)	
0.225	0.866(.214)		0.878(.215)		0.898(.216)		0.939(.220)		0.999(.225)	
0.250	0.841(.235)		0.854(.236)		0.877(.238)		0.927(.243)		0.999(.250)	
0.275	0.815(.256)		0.829(.257)		0.854(.260)		0.914(.266)		0.999(.275)	
0.300	0.790(.276)		0.804(.278)		0.831(.281)		0.898(.289)		0.998(.300)	
0.325	0.764(.295)		0.779(.298)		0.808(.302)		0.881(.311)		0.998(.325)	
0.350	0.738(.314)		0.753(.317)		0.783(.322)		0.861(.333)		0.997(.350)	
0.375	0.710(.332)		0.727(.335)		0.758(.341)		0.841(.354)		0.997(.375)	
0.400	0.687(.349)		0.701(.353)		0.731(.359)		0.819(.375)		0.996(.400)	
0.425	0.670(.366)		0.681(.370)		0.706(.377)		0.795(.395)		0.996(.424)	
0.450	0.655(.383)		0.665(.387)		0.687(.395)		0.770(.415)		0.995(.449)	
0.475	0.643(.399)		0.651(.404)		0.670(.412)		0.744(.433)		0.994(.474)	
0.500	0.634(.415)		0.639(.420)		0.654(.428)		0.721(.452)		0.994(.499)	
0.525	0.630(.431)		0.632(.436)		0.641(.444)		0.700(.470)		0.993(.524)	
0.550	0.629(.447)		0.628(.451)		0.632(.460)		0.679(.487)		0.991(.549)	
0.575	0.633(.462)		0.629(.467)		0.627(.476)		0.660(.503)		0.990(.573)	
0.600	0.642(.478)		0.635(.483)		0.627(.492)		0.642(.520)		0.988(.598)	
0.625	0.653(.495)		0.644(.499)		0.631(.507)		0.629(.536)		0.986(.623)	
0.650	0.669(.511)		0.657(.515)		0.640(.523)		0.620(.551)		0.984(.648)	
0.675	0.693(.529)		0.677(.532)		0.652(.540)		0.616(.567)		0.981(.672)	
0.700	0.721(.546)		0.705(.549)		0.675(.556)		0.617(.582)		0.977(.697)	
0.725	0.749(.564)		0.733(.567)		0.704(.573)		0.625(.598)		0.971(.721)	
0.750	0.777(.583)		0.762(.586)		0.732(.591)		0.647(.614)		0.961(.745)	
0.775	0.806(.603)		0.792(.605)		0.763(.610)		0.677(.630)		0.947(.769)	
0.800	0.837(.624)		0.823(.625)		0.795(.629)		0.708(.647)		0.925(.792)	
0.825	0.873(.645)		0.860(.646)		0.832(.650)		0.745(.666)		0.894(.815)	
0.850	0.904(.667)		0.895(.668)		0.874(.671)		0.790(.685)		0.852(.837)	
0.875	0.925(.690)		0.919(.691)		0.906(.693)		0.846(.705)		0.792(.857)	
0.900	0.945(.713)		0.941(.714)		0.931(.716)		0.893(.727)		0.704(.876)	
0.925	0.964(.737)		0.961(.738)		0.954(.740)		0.927(.750)		0.587(.892)	
0.950	0.980(.762)		0.978(.762)		0.974(.764)		0.958(.773)		0.513(.906)	
0.975	0.993(.786)		0.992(.787)		0.991(.789)		0.984(.797)		0.699(.921)	
1.000	1.000(.811)		1.000(.812)		1.000(.813)		1.000(.822)		1.000(.942)	

*** RELATIVE ENERGY FLUX DENSITY IN THE ***
 *** PENUMBRA OF A RECTANGULAR CYLINDER ***

VERSION F

SOLAR FIELD ANGLE, D= 10.00 DEGREES
 GEOMETRY D2/R = 1.00 AND H/R = 0.

BETA = ANGLE OF INCIDENCE, DEGREES

BETA ***	0.	10.00	20.00	30.00	40.00
AX/AB	Q (QI)	Q (QI)	Q (QI)	Q (QI)	Q (QI)
0.	1.000(.)	1.000(.)	1.000(.)	1.000(.)	1.000(.)
0.025	0.785(.022)	0.853(.023)	0.897(.024)	0.924(.024)	0.944(.024)
0.050	0.305(.036)	0.467(.040)	0.601(.042)	0.710(.044)	0.801(.046)
0.075	0.015(.040)	0.100(.047)	0.242(.053)	0.398(.058)	0.560(.063)
0.100	0. (.040)	0. (.048)	0.030(.056)	0.119(.065)	0.285(.074)
0.125	0. (.040)	0. (.048)	0. (.057)	0.002(.066)	0.078(.078)
0.150	0. (.040)	0. (.048)	0. (.057)	0. (.066)	0. (.079)
0.175	0. (.040)	0. (.048)	0. (.057)	0. (.066)	0. (.079)
0.200	0. (.040)	0. (.048)	0. (.057)	0. (.066)	0. (.079)
0.225	0. (.040)	0. (.048)	0. (.057)	0. (.066)	0. (.079)
0.250	0. (.040)	0. (.048)	0. (.057)	0. (.066)	0. (.079)
0.275	0. (.040)	0. (.048)	0. (.057)	0. (.066)	0. (.079)
0.300	0. (.040)	0. (.048)	0. (.057)	0. (.066)	0. (.079)
0.325	0. (.040)	0. (.048)	0. (.057)	0. (.066)	0. (.079)
0.350	0. (.040)	0. (.048)	0. (.057)	0. (.066)	0. (.079)
0.375	0. (.040)	0. (.048)	0. (.057)	0. (.066)	0. (.079)
0.400	0. (.040)	0. (.048)	0. (.057)	0. (.066)	0. (.079)
0.425	0. (.040)	0. (.048)	0. (.057)	0. (.066)	0. (.079)
0.450	0. (.040)	0. (.048)	0. (.057)	0. (.066)	0. (.079)
0.475	0. (.040)	0. (.048)	0. (.057)	0. (.066)	0. (.079)
0.500	0. (.040)	0. (.048)	0. (.057)	0. (.066)	0. (.079)
0.525	0. (.040)	0. (.048)	0. (.057)	0. (.066)	0. (.079)
0.550	0. (.040)	0. (.048)	0. (.057)	0. (.066)	0. (.079)
0.575	0. (.040)	0. (.048)	0. (.057)	0. (.066)	0. (.079)
0.600	0. (.040)	0. (.048)	0. (.057)	0. (.066)	0. (.079)
0.625	0. (.040)	0. (.048)	0. (.057)	0. (.066)	0. (.079)
0.650	0. (.040)	0. (.048)	0. (.057)	0. (.066)	0. (.079)
0.675	0. (.040)	0. (.048)	0. (.057)	0. (.066)	0. (.079)
0.700	0. (.040)	0. (.048)	0. (.057)	0. (.066)	0. (.079)
0.725	0. (.040)	0. (.048)	0. (.057)	0. (.066)	0. (.079)
0.750	0. (.040)	0. (.048)	0. (.057)	0. (.066)	0. (.079)
0.775	0. (.040)	0. (.048)	0. (.057)	0. (.066)	0. (.079)
0.800	0. (.040)	0. (.048)	0. (.057)	0. (.066)	0. (.079)
0.825	0. (.040)	0. (.048)	0. (.057)	0. (.066)	0. (.079)
0.850	0. (.040)	0. (.048)	0. (.057)	0. (.066)	0. (.079)
0.875	0. (.040)	0. (.048)	0. (.057)	0. (.066)	0. (.079)
0.900	0. (.040)	0. (.048)	0. (.057)	0. (.066)	0. (.079)
0.925	0.018(.040)	0. (.048)	0. (.057)	0. (.066)	0. (.079)
0.950	0.306(.044)	0.124(.050)	0.003(.057)	0. (.066)	0. (.079)
0.975	0.785(.058)	0.679(.060)	0.485(.063)	0.127(.068)	0. (.079)
1.000	1.000(.080)	1.000(.081)	1.000(.081)	1.000(.082)	1.000(.092)

app. & Phase II

*** RELATIVE ENERGY FLUX DENSITY IN THE ***
 *** PENUMBRA OF A RECTANGULAR CYLINDER ***

VERSION F

SOLAR FIELD ANGLE, D= 10.00 DEGREES
 GEOMETRY D2/R = 1.00 AND H/R = 0.

BETA = ANGLE OF INCIDENCE, DEGREES

BETA ***	50.00		60.00		70.00		80.00		84.50	
AX/AB	Q	(QI)	Q	(QI)	Q	(QI)	Q	(QI)	Q	(QI)
0.	1.000	(.)	1.000	(.)	1.000	(.)	1.000	(.)	1.000	(.)
0.025	0.961	(.025)	0.977	(.025)	0.990	(.025)	0.999	(.025)	1.000	(.025)
0.050	0.878	(.047)	0.932	(.049)	0.970	(.049)	0.997	(.050)	1.000	(.050)
0.075	0.711	(.067)	0.846	(.071)	0.942	(.073)	0.993	(.075)	1.000	(.075)
0.100	0.491	(.082)	0.711	(.090)	0.899	(.096)	0.989	(.100)	1.000	(.100)
0.125	0.259	(.092)	0.536	(.106)	0.826	(.118)	0.983	(.124)	1.000	(.125)
0.150	0.082	(.096)	0.342	(.117)	0.729	(.137)	0.976	(.149)	1.000	(.150)
0.175	0.001	(.097)	0.160	(.123)	0.607	(.154)	0.968	(.173)	1.000	(.175)
0.200	0.	(.097)	0.046	(.126)	0.462	(.167)	0.957	(.197)	1.000	(.200)
0.225	0.	(.097)	0.	(.126)	0.309	(.177)	0.945	(.221)	1.000	(.225)
0.250	0.	(.097)	0.	(.126)	0.160	(.183)	0.925	(.244)	1.000	(.250)
0.275	0.	(.097)	0.	(.126)	0.060	(.186)	0.897	(.267)	1.000	(.275)
0.300	0.	(.097)	0.	(.126)	0.000	(.186)	0.860	(.289)	1.000	(.300)
0.325	0.	(.097)	0.	(.126)	0.	(.186)	0.814	(.310)	0.999	(.325)
0.350	0.	(.097)	0.	(.126)	0.	(.186)	0.756	(.330)	0.999	(.350)
0.375	0.	(.097)	0.	(.126)	0.	(.186)	0.682	(.347)	0.999	(.375)
0.400	0.	(.097)	0.	(.126)	0.	(.186)	0.590	(.363)	0.999	(.400)
0.425	0.	(.097)	0.	(.126)	0.	(.186)	0.480	(.377)	0.999	(.425)
0.450	0.	(.097)	0.	(.126)	0.	(.186)	0.355	(.387)	0.999	(.450)
0.475	0.	(.097)	0.	(.126)	0.	(.186)	0.220	(.394)	0.998	(.475)
0.500	0.	(.097)	0.	(.126)	0.	(.186)	0.103	(.398)	0.998	(.500)
0.525	0.	(.097)	0.	(.126)	0.	(.186)	0.020	(.400)	0.997	(.525)
0.550	0.	(.097)	0.	(.126)	0.	(.186)	0.	(.400)	0.997	(.550)
0.575	0.	(.097)	0.	(.126)	0.	(.186)	0.	(.400)	0.996	(.575)
0.600	0.	(.097)	0.	(.126)	0.	(.186)	0.	(.400)	0.995	(.599)
0.625	0.	(.097)	0.	(.126)	0.	(.186)	0.	(.400)	0.994	(.624)
0.650	0.	(.097)	0.	(.126)	0.	(.186)	0.	(.400)	0.992	(.649)
0.675	0.	(.097)	0.	(.126)	0.	(.186)	0.	(.400)	0.990	(.674)
0.700	0.	(.097)	0.	(.126)	0.	(.186)	0.	(.400)	0.987	(.699)
0.725	0.	(.097)	0.	(.126)	0.	(.186)	0.	(.400)	0.983	(.723)
0.750	0.	(.097)	0.	(.126)	0.	(.186)	0.	(.400)	0.976	(.748)
0.775	0.	(.097)	0.	(.126)	0.	(.186)	0.	(.400)	0.966	(.772)
0.800	0.	(.097)	0.	(.126)	0.	(.186)	0.	(.400)	0.944	(.796)
0.825	0.	(.097)	0.	(.126)	0.	(.186)	0.	(.400)	0.900	(.819)
0.850	0.	(.097)	0.	(.126)	0.	(.186)	0.	(.400)	0.814	(.840)
0.875	0.	(.097)	0.	(.126)	0.	(.186)	0.	(.400)	0.620	(.858)
0.900	0.	(.097)	0.	(.126)	0.	(.186)	0.	(.400)	0.206	(.869)
0.925	0.	(.097)	0.	(.126)	0.	(.186)	0.	(.400)	0.	(.871)
0.950	0.	(.097)	0.	(.126)	0.	(.186)	0.	(.400)	0.	(.871)
0.975	0.	(.097)	0.	(.126)	0.	(.186)	0.	(.400)	0.	(.871)
1.000	0.	(.097)	0.	(.126)	0.	(.186)	0.	(.400)	0.	(.871)

*** RELATIVE ENERGY FLUX DENSITY IN THE ***
 *** PENUMBRA OF A RECTANGULAR CYLINDER ***

VERSION F

SOLAR FIELD ANGLE, D= 10.00 DEGREES
 GEOMETRY D2/R = 5.00 AND H/R = 0.

BETA = ANGLE OF INCIDENCE, DEGREES

BETA ***	0.	10.00	20.00	30.00	40.00
AX/AB	Q (Q1)	Q (Q1)	Q (Q1)	Q (Q1)	Q (Q1)
0.	1.000(.)	1.000(.)	1.000(.)	1.000(.)	1.000(.)
0.025	0.975(.025)	0.978(.025)	0.980(.025)	0.982(.025)	0.985(.025)
0.050	0.931(.049)	0.938(.049)	0.944(.049)	0.950(.049)	0.957(.049)
0.075	0.865(.071)	0.881(.071)	0.895(.072)	0.909(.072)	0.921(.073)
0.100	0.762(.091)	0.788(.092)	0.813(.093)	0.838(.094)	0.865(.095)
0.125	0.642(.109)	0.677(.111)	0.711(.112)	0.746(.114)	0.784(.116)
0.150	0.510(.123)	0.553(.126)	0.596(.129)	0.641(.131)	0.690(.134)
0.175	0.377(.134)	0.423(.133)	0.471(.142)	0.523(.146)	0.583(.150)
0.200	0.255(.142)	0.300(.147)	0.347(.152)	0.402(.157)	0.468(.163)
0.225	0.149(.147)	0.189(.153)	0.234(.159)	0.287(.166)	0.352(.173)
0.250	0.076(.150)	0.100(.157)	0.135(.164)	0.182(.172)	0.245(.181)
0.275	0.031(.151)	0.049(.159)	0.071(.167)	0.098(.175)	0.147(.186)
0.300	0.001(.152)	0.011(.159)	0.027(.168)	0.048(.177)	0.079(.188)
0.325	0. (.152)	0. (.160)	0.000(.168)	0.011(.178)	0.033(.190)
0.350	0. (.152)	0. (.160)	0. (.168)	0. (.178)	0.002(.190)
0.375	0. (.152)	0. (.160)	0. (.168)	0. (.178)	0. (.190)
0.400	0. (.152)	0. (.160)	0. (.168)	0. (.178)	0. (.190)
0.425	0. (.152)	0. (.160)	0. (.168)	0. (.178)	0. (.190)
0.450	0. (.152)	0. (.160)	0. (.168)	0. (.178)	0. (.190)
0.475	0. (.152)	0. (.160)	0. (.168)	0. (.178)	0. (.190)
0.500	0. (.152)	0. (.160)	0. (.168)	0. (.178)	0. (.190)
0.525	0. (.152)	0. (.160)	0. (.168)	0. (.178)	0. (.190)
0.550	0. (.152)	0. (.160)	0. (.168)	0. (.178)	0. (.190)
0.575	0. (.152)	0. (.160)	0. (.168)	0. (.178)	0. (.190)
0.600	0. (.152)	0. (.160)	0. (.168)	0. (.178)	0. (.190)
0.625	0. (.152)	0. (.160)	0. (.168)	0. (.178)	0. (.190)
0.650	0. (.152)	0. (.160)	0. (.168)	0. (.178)	0. (.190)
0.675	0. (.152)	0. (.160)	0. (.168)	0. (.178)	0. (.190)
0.700	0.001(.152)	0. (.160)	0. (.168)	0. (.178)	0. (.190)
0.725	0.031(.152)	0.015(.160)	0.003(.168)	0. (.178)	0. (.190)
0.750	0.076(.154)	0.055(.161)	0.035(.169)	0.016(.178)	0.001(.190)
0.775	0.149(.156)	0.113(.163)	0.083(.170)	0.057(.179)	0.029(.191)
0.800	0.255(.161)	0.211(.167)	0.167(.173)	0.120(.181)	0.077(.192)
0.825	0.377(.169)	0.330(.174)	0.282(.179)	0.227(.186)	0.163(.195)
0.850	0.510(.180)	0.465(.184)	0.415(.188)	0.357(.193)	0.287(.201)
0.875	0.642(.195)	0.604(.197)	0.560(.200)	0.506(.204)	0.436(.210)
0.900	0.762(.212)	0.733(.214)	0.700(.215)	0.658(.218)	0.599(.223)
0.925	0.865(.233)	0.846(.233)	0.824(.235)	0.795(.236)	0.753(.240)
0.950	0.931(.255)	0.924(.256)	0.915(.256)	0.904(.258)	0.884(.260)
0.975	0.975(.279)	0.972(.279)	0.969(.280)	0.964(.281)	0.958(.283)
1.000	1.000(.304)	1.000(.304)	1.000(.304)	1.000(.306)	1.000(.307)

*** RELATIVE ENERGY FLUX DENSITY IN THE ***
 *** PENUMBRA OF A RECTANGULAR CYLINDER ***

VERSION F

SOLAR FIELD ANGLE, D= 10.00 DEGREES
 GEOMETRY D2/R = 5.00 AND H/R = 0.

BETA = ANGLE OF INCIDENCE, DEGREES

BETA ***	50.00	60.00	70.00	80.00	84.50
AX/AB	Q (QI)	Q (QI)	Q (QI)	Q (QI)	Q (QI)
0.	1.000(.)	1.000(.)	1.000(.)	1.000(.)	1.000(.)
0.025	0.989(.025)	0.991(.025)	0.995(.025)	0.999(.025)	1.000(.025)
0.050	0.965(.049)	0.974(.049)	0.985(.050)	0.997(.050)	1.000(.050)
0.075	0.935(.073)	0.951(.074)	0.972(.074)	0.995(.075)	1.000(.075)
0.100	0.894(.096)	0.924(.097)	0.955(.098)	0.992(.100)	1.000(.100)
0.125	0.828(.117)	0.881(.120)	0.936(.122)	0.988(.124)	1.000(.125)
0.150	0.748(.137)	0.820(.141)	0.909(.145)	0.983(.149)	1.000(.150)
0.175	0.656(.155)	0.747(.160)	0.867(.167)	0.978(.174)	1.000(.175)
0.200	0.552(.170)	0.664(.178)	0.816(.188)	0.971(.198)	1.000(.200)
0.225	0.441(.182)	0.569(.193)	0.755(.208)	0.963(.222)	1.000(.225)
0.250	0.332(.192)	0.466(.206)	0.685(.226)	0.954(.246)	1.000(.250)
0.275	0.228(.199)	0.361(.217)	0.603(.242)	0.944(.270)	1.000(.275)
0.300	0.135(.203)	0.260(.224)	0.512(.256)	0.928(.293)	1.000(.300)
0.325	0.073(.206)	0.165(.230)	0.415(.267)	0.905(.316)	0.999(.325)
0.350	0.028(.207)	0.092(.233)	0.317(.277)	0.878(.338)	0.999(.350)
0.375	0.000(.208)	0.043(.235)	0.220(.283)	0.843(.360)	0.999(.375)
0.400	0. (.208)	0.006(.235)	0.131(.288)	0.802(.381)	0.999(.400)
0.425	0. (.208)	0. (.235)	0.071(.290)	0.753(.400)	0.999(.425)
0.450	0. (.208)	0. (.235)	0.024(.291)	0.693(.418)	0.999(.450)
0.475	0. (.208)	0. (.235)	0. (.292)	0.620(.434)	0.998(.475)
0.500	0. (.208)	0. (.235)	0. (.292)	0.535(.449)	0.998(.500)
0.525	0. (.208)	0. (.235)	0. (.292)	0.438(.461)	0.998(.525)
0.550	0. (.208)	0. (.235)	0. (.292)	0.333(.471)	0.997(.550)
0.575	0. (.208)	0. (.235)	0. (.292)	0.220(.478)	0.996(.575)
0.600	0. (.208)	0. (.235)	0. (.292)	0.119(.482)	0.996(.599)
0.625	0. (.208)	0. (.235)	0. (.292)	0.047(.484)	0.995(.624)
0.650	0. (.208)	0. (.235)	0. (.292)	0. (.485)	0.993(.649)
0.675	0. (.208)	0. (.235)	0. (.292)	0. (.485)	0.991(.674)
0.700	0. (.208)	0. (.235)	0. (.292)	0. (.485)	0.989(.699)
0.725	0. (.208)	0. (.235)	0. (.292)	0. (.485)	0.986(.723)
0.750	0. (.208)	0. (.235)	0. (.292)	0. (.485)	0.981(.748)
0.775	0.003(.208)	0. (.235)	0. (.292)	0. (.485)	0.974(.772)
0.800	0.036(.208)	0. (.235)	0. (.292)	0. (.485)	0.961(.797)
0.825	0.089(.210)	0.025(.236)	0. (.292)	0. (.485)	0.935(.820)
0.850	0.193(.213)	0.076(.237)	0. (.292)	0. (.485)	0.885(.843)
0.875	0.335(.220)	0.184(.240)	0.011(.292)	0. (.485)	0.785(.864)
0.900	0.507(.230)	0.346(.247)	0.066(.293)	0. (.485)	0.560(.881)
0.925	0.686(.245)	0.552(.258)	0.214(.296)	0. (.485)	0.131(.889)
0.950	0.847(.254)	0.763(.274)	0.482(.305)	0. (.485)	0. (.891)
0.975	0.947(.287)	0.924(.296)	0.816(.321)	0. (.485)	0. (.891)
1.000	1.000(.311)	1.000(.320)	1.000(.344)	0. (.485)	0. (.891)

*** RELATIVE ENERGY FLUX DENSITY IN THE ***
 *** PENUMBRA OF A RECTANGULAR CYLINDER ***

VERSION F

SOLAR FIELD ANGLE, D= 10.00 DEGREES
 GEOMETRY D2/R = 10.00 AND H/R = 0.

BETA = ANGLE OF INCIDENCE, DEGREES

BETA ***	0.	10.00	20.00	30.00	40.00
AX/AB	Q (QI)	Q (QI)	Q (QI)	Q (QI)	Q (QI)
0.	1.000(.)	1.000(.)	1.000(.)	1.000(.)	1.000(.)
0.025	0.987(.025)	0.988(.025)	0.989(.025)	0.990(.025)	0.991(.025)
0.050	0.963(.049)	0.966(.049)	0.969(.049)	0.972(.049)	0.975(.049)
0.075	0.933(.073)	0.938(.073)	0.943(.073)	0.948(.073)	0.954(.074)
0.100	0.897(.096)	0.906(.096)	0.913(.096)	0.920(.097)	0.929(.097)
0.125	0.840(.118)	0.854(.118)	0.868(.119)	0.882(.119)	0.897(.120)
0.150	0.772(.138)	0.790(.139)	0.808(.140)	0.827(.141)	0.849(.142)
0.175	0.695(.156)	0.718(.158)	0.740(.159)	0.764(.161)	0.792(.162)
0.200	0.615(.172)	0.641(.174)	0.667(.177)	0.695(.179)	0.727(.181)
0.225	0.528(.187)	0.557(.189)	0.587(.192)	0.620(.195)	0.658(.199)
0.250	0.440(.199)	0.471(.202)	0.503(.206)	0.538(.210)	0.581(.214)
0.275	0.355(.209)	0.385(.213)	0.418(.217)	0.455(.222)	0.500(.228)
0.300	0.275(.217)	0.305(.222)	0.336(.227)	0.372(.232)	0.418(.239)
0.325	0.202(.223)	0.229(.228)	0.259(.234)	0.294(.241)	0.338(.248)
0.350	0.137(.227)	0.161(.233)	0.188(.240)	0.220(.247)	0.262(.256)
0.375	0.088(.230)	0.104(.236)	0.125(.244)	0.153(.252)	0.190(.262)
0.400	0.055(.231)	0.067(.239)	0.081(.246)	0.098(.255)	0.127(.266)
0.425	0.028(.232)	0.037(.240)	0.048(.248)	0.063(.257)	0.082(.268)
0.450	0.007(.233)	0.013(.241)	0.021(.249)	0.032(.258)	0.048(.270)
0.475	0. (.233)	0. (.241)	0.003(.249)	0.009(.259)	0.020(.271)
0.500	0. (.233)	0. (.241)	0. (.249)	0. (.259)	0.001(.271)
0.525	0. (.235)	0. (.241)	0. (.249)	0. (.259)	0. (.271)
0.550	0.007(.233)	0.002(.241)	0. (.249)	0. (.259)	0. (.271)
0.575	0.028(.233)	0.019(.241)	0.012(.249)	0.005(.259)	0.000(.271)
0.600	0.055(.234)	0.044(.242)	0.034(.250)	0.023(.259)	0.013(.271)
0.625	0.088(.236)	0.075(.243)	0.062(.251)	0.049(.260)	0.034(.272)
0.650	0.137(.239)	0.116(.246)	0.096(.253)	0.079(.262)	0.062(.273)
0.675	0.202(.243)	0.177(.249)	0.151(.256)	0.124(.264)	0.096(.275)
0.700	0.275(.249)	0.248(.255)	0.219(.261)	0.187(.268)	0.151(.278)
0.725	0.355(.257)	0.325(.262)	0.294(.267)	0.260(.274)	0.220(.283)
0.750	0.440(.267)	0.409(.271)	0.377(.276)	0.340(.281)	0.297(.289)
0.775	0.528(.279)	0.498(.282)	0.466(.286)	0.429(.291)	0.384(.298)
0.800	0.615(.294)	0.588(.296)	0.558(.299)	0.523(.303)	0.478(.308)
0.825	0.695(.310)	0.673(.312)	0.647(.314)	0.616(.317)	0.575(.322)
0.850	0.772(.328)	0.752(.329)	0.730(.331)	0.704(.333)	0.670(.337)
0.875	0.840(.348)	0.825(.349)	0.808(.350)	0.787(.352)	0.759(.355)
0.900	0.897(.370)	0.887(.371)	0.876(.371)	0.861(.373)	0.840(.375)
0.925	0.933(.393)	0.928(.393)	0.922(.394)	0.915(.395)	0.905(.397)
0.950	0.963(.417)	0.960(.417)	0.956(.417)	0.952(.418)	0.946(.420)
0.975	0.987(.441)	0.986(.441)	0.984(.442)	0.983(.442)	0.980(.444)
1.000	1.000(.466)	1.000(.466)	1.000(.466)	1.000(.467)	1.000(.469)

App 9
Phase II

*** RELATIVE ENERGY FLUX DENSITY IN THE ***
 *** PENUMBRA OF A RECTANGULAR CYLINDER ***

VERSION F

SOLAR FIELD ANGLE, D= 10.00 DEGREES
 GEOMETRY D2/R = 10.00 AND H/R = 0.

BETA = ANGLE OF INCIDENCE, DEGREES

BETA ***	50.00		60.00		70.00		80.00		84.50	
AX/AB	Q	(Q1)	Q	(Q1)	Q	(Q1)	Q	(Q1)	Q	(Q1)
0.	1.000(.)		1.000(.)		1.000(.)		1.000(.)		1.000(.)	
0.025	0.992(.025)		0.994(.025)		0.996(.025)		0.999(.025)		1.000(.025)	
0.050	0.979(.050)		0.983(.050)		0.990(.050)		0.998(.050)		1.000(.050)	
0.075	0.960(.074)		0.969(.074)		0.981(.074)		0.996(.075)		1.000(.075)	
0.100	0.939(.096)		0.952(.098)		0.969(.099)		0.993(.100)		1.000(.100)	
0.125	0.914(.121)		0.931(.122)		0.956(.123)		0.990(.125)		1.000(.125)	
0.150	0.874(.143)		0.906(.145)		0.941(.147)		0.987(.149)		1.000(.150)	
0.175	0.825(.164)		0.867(.167)		0.923(.170)		0.982(.174)		1.000(.175)	
0.200	0.768(.184)		0.821(.188)		0.896(.193)		0.977(.198)		1.000(.200)	
0.225	0.704(.203)		0.768(.208)		0.861(.215)		0.971(.223)		1.000(.225)	
0.250	0.635(.219)		0.709(.226)		0.820(.236)		0.964(.247)		1.000(.250)	
0.275	0.559(.234)		0.644(.243)		0.773(.256)		0.957(.271)		1.000(.275)	
0.300	0.480(.247)		0.571(.258)		0.721(.274)		0.947(.295)		1.000(.300)	
0.325	0.399(.258)		0.495(.272)		0.662(.291)		0.936(.318)		0.999(.325)	
0.350	0.321(.267)		0.416(.283)		0.595(.307)		0.919(.341)		0.999(.350)	
0.375	0.246(.274)		0.339(.292)		0.523(.321)		0.897(.364)		0.999(.375)	
0.400	0.175(.280)		0.263(.300)		0.447(.333)		0.871(.386)		0.999(.400)	
0.425	0.115(.283)		0.190(.306)		0.369(.343)		0.840(.408)		0.999(.425)	
0.450	0.074(.286)		0.126(.310)		0.291(.352)		0.803(.428)		0.999(.450)	
0.475	0.040(.287)		0.081(.312)		0.215(.358)		0.760(.448)		0.998(.475)	
0.500	0.013(.288)		0.045(.314)		0.143(.363)		0.709(.466)		0.998(.500)	
0.525	0. (.288)		0.015(.314)		0.090(.365)		0.648(.483)		0.998(.525)	
0.550	0. (.288)		0. (.315)		0.050(.367)		0.577(.498)		0.997(.550)	
0.575	0. (.288)		0. (.315)		0.015(.368)		0.496(.512)		0.997(.575)	
0.600	0.003(.288)		0. (.315)		0. (.368)		0.407(.523)		0.996(.599)	
0.625	0.015(.288)		0.003(.315)		0. (.368)		0.311(.532)		0.995(.624)	
0.650	0.041(.289)		0.017(.315)		0. (.368)		0.211(.539)		0.994(.649)	
0.675	0.069(.290)		0.038(.316)		0.003(.368)		0.121(.543)		0.992(.674)	
0.700	0.109(.292)		0.065(.317)		0.016(.368)		0.057(.545)		0.990(.699)	
0.725	0.169(.296)		0.103(.319)		0.036(.369)		0.005(.546)		0.987(.724)	
0.750	0.241(.301)		0.163(.322)		0.062(.370)		0. (.546)		0.983(.748)	
0.775	0.324(.308)		0.237(.327)		0.102(.372)		0. (.546)		0.978(.773)	
0.800	0.417(.317)		0.323(.334)		0.166(.376)		0.000(.546)		0.969(.797)	
0.825	0.517(.329)		0.423(.344)		0.250(.381)		0.006(.546)		0.951(.821)	
0.850	0.619(.343)		0.532(.356)		0.352(.388)		0.020(.546)		0.916(.844)	
0.875	0.717(.360)		0.644(.370)		0.474(.399)		0.044(.547)		0.850(.866)	
0.900	0.809(.379)		0.751(.388)		0.610(.412)		0.096(.549)		0.712(.886)	
0.925	0.888(.400)		0.850(.408)		0.746(.429)		0.211(.553)		0.408(.900)	
0.950	0.937(.423)		0.920(.430)		0.872(.450)		0.421(.560)		0. (.905)	
0.975	0.977(.447)		0.970(.453)		0.950(.472)		0.747(.575)		0. (.905)	
1.000	1.000(.472)		1.000(.478)		1.000(.497)		1.000(.597)		0. (.905)	

*** RELATIVE ENERGY FLUX DENSITY IN THE ***
 *** PENUMBRA OF A RECTANGULAR CYLINDER ***

VERSION F

SOLAR FIELD ANGLE, D= 10.00 DEGREES
 GEOMETRY D2/R = 50.00 AND H/R = 0.

BETA = ANGLE OF INCIDENCE, DEGREES

BETA ***	0.	10.00	20.00	30.00	40.00
AX/AB	Q (QI)	Q (QI)	Q (QI)	Q (QI)	Q (QI)
0.	1.000(.)	1.000(.)	1.000(.)	1.000(.)	1.000(.)
0.025	0.994(.025)	0.995(.025)	0.995(.025)	0.995(.025)	0.996(.025)
0.050	0.984(.050)	0.985(.050)	0.986(.050)	0.987(.050)	0.988(.050)
0.075	0.970(.074)	0.972(.074)	0.974(.074)	0.976(.074)	0.978(.074)
0.100	0.955(.098)	0.957(.098)	0.960(.098)	0.963(.098)	0.966(.099)
0.125	0.938(.122)	0.941(.122)	0.944(.122)	0.948(.122)	0.952(.123)
0.150	0.919(.145)	0.923(.145)	0.927(.146)	0.932(.146)	0.937(.146)
0.175	0.897(.168)	0.903(.168)	0.909(.169)	0.915(.169)	0.921(.169)
0.200	0.868(.190)	0.876(.190)	0.883(.191)	0.892(.192)	0.901(.192)
0.225	0.841(.211)	0.850(.212)	0.858(.213)	0.868(.214)	0.879(.214)
0.250	0.814(.232)	0.823(.233)	0.833(.234)	0.843(.235)	0.856(.236)
0.275	0.787(.252)	0.797(.253)	0.807(.254)	0.818(.256)	0.832(.257)
0.300	0.760(.271)	0.770(.273)	0.781(.274)	0.793(.276)	0.807(.278)
0.325	0.733(.290)	0.743(.292)	0.754(.293)	0.766(.295)	0.781(.298)
0.350	0.705(.308)	0.715(.310)	0.727(.312)	0.740(.314)	0.755(.317)
0.375	0.683(.325)	0.691(.327)	0.701(.330)	0.712(.332)	0.728(.335)
0.400	0.666(.342)	0.673(.344)	0.681(.347)	0.691(.350)	0.704(.353)
0.425	0.653(.358)	0.659(.361)	0.665(.364)	0.674(.367)	0.685(.371)
0.450	0.644(.375)	0.648(.377)	0.653(.380)	0.659(.384)	0.668(.388)
0.475	0.638(.391)	0.640(.394)	0.643(.397)	0.648(.400)	0.655(.404)
0.500	0.636(.407)	0.636(.409)	0.637(.413)	0.640(.416)	0.645(.420)
0.525	0.638(.423)	0.636(.425)	0.636(.428)	0.636(.432)	0.638(.436)
0.550	0.644(.439)	0.641(.441)	0.638(.444)	0.636(.448)	0.635(.452)
0.575	0.653(.455)	0.648(.457)	0.644(.460)	0.640(.464)	0.636(.468)
0.600	0.666(.471)	0.660(.474)	0.654(.477)	0.647(.480)	0.641(.484)
0.625	0.683(.488)	0.675(.490)	0.667(.493)	0.659(.496)	0.650(.500)
0.650	0.705(.506)	0.695(.508)	0.685(.510)	0.675(.513)	0.664(.517)
0.675	0.733(.523)	0.722(.525)	0.711(.527)	0.698(.530)	0.683(.534)
0.700	0.760(.542)	0.750(.544)	0.739(.546)	0.727(.548)	0.711(.551)
0.725	0.787(.561)	0.777(.563)	0.767(.564)	0.754(.566)	0.739(.569)
0.750	0.814(.581)	0.805(.583)	0.795(.584)	0.783(.586)	0.768(.588)
0.775	0.841(.602)	0.832(.603)	0.823(.604)	0.812(.606)	0.798(.607)
0.800	0.868(.624)	0.860(.624)	0.851(.625)	0.841(.626)	0.828(.628)
0.825	0.897(.646)	0.890(.646)	0.882(.647)	0.872(.648)	0.860(.649)
0.850	0.919(.668)	0.914(.669)	0.910(.669)	0.904(.670)	0.895(.671)
0.875	0.938(.692)	0.934(.692)	0.930(.692)	0.925(.693)	0.919(.694)
0.900	0.955(.715)	0.952(.715)	0.949(.716)	0.946(.716)	0.941(.717)
0.925	0.970(.739)	0.969(.739)	0.967(.740)	0.964(.740)	0.961(.741)
0.950	0.984(.764)	0.983(.764)	0.982(.764)	0.980(.764)	0.978(.765)
0.975	0.994(.788)	0.994(.788)	0.993(.789)	0.993(.789)	0.992(.789)
1.000	1.000(.813)	1.000(.813)	1.000(.814)	1.000(.814)	1.000(.814)

*** RELATIVE ENERGY FLUX DENSITY IN THE ***
*** PENUMBRA OF A RECTANGULAR CYLINDER ***

VERSION F

SOLAR FIELD ANGLE, D = 10.00 DEGREES
GEOMETRY D2/R = 50.00 AND H/R = 0.

BETA = ANGLE OF INCIDENCE, DEGREES

BETA *** AX/AB	50.00		60.00		70.00		80.00		84.50	
	Q	(QI)	Q	(QI)	Q	(QI)	Q	(QI)	Q	(QI)
0.	1.000(.)		1.000(.)		1.000(.)		1.000(.)		1.000(.)	
0.025	0.995(.025)		0.997(.025)		0.998(.025)		0.999(.025)		1.000(.025)	
0.050	0.989(.050)		0.991(.050)		0.994(.050)		0.998(.050)		1.000(.050)	
0.075	0.981(.074)		0.984(.075)		0.989(.075)		0.997(.075)		1.000(.075)	
0.100	0.970(.099)		0.975(.099)		0.983(.099)		0.995(.100)		1.000(.100)	
0.125	0.958(.123)		0.965(.123)		0.976(.124)		0.993(.125)		1.000(.125)	
0.150	0.944(.147)		0.953(.147)		0.968(.148)		0.991(.149)		1.000(.150)	
0.175	0.929(.170)		0.941(.171)		0.958(.172)		0.988(.174)		1.000(.175)	
0.200	0.913(.193)		0.927(.194)		0.948(.196)		0.985(.199)		1.000(.200)	
0.225	0.893(.216)		0.912(.217)		0.937(.220)		0.981(.223)		1.000(.225)	
0.250	0.872(.238)		0.894(.240)		0.926(.243)		0.977(.248)		1.000(.250)	
0.275	0.849(.259)		0.874(.262)		0.913(.266)		0.972(.272)		1.000(.275)	
0.300	0.825(.280)		0.853(.283)		0.897(.288)		0.967(.297)		1.000(.300)	
0.325	0.801(.301)		0.830(.305)		0.880(.311)		0.963(.321)		1.000(.325)	
0.350	0.775(.320)		0.807(.325)		0.860(.332)		0.958(.345)		0.999(.350)	
0.375	0.750(.339)		0.782(.345)		0.839(.354)		0.953(.369)		0.999(.375)	
0.400	0.723(.358)		0.756(.364)		0.816(.374)		0.946(.392)		0.999(.400)	
0.425	0.701(.376)		0.730(.383)		0.792(.394)		0.937(.416)		0.999(.425)	
0.450	0.683(.393)		0.708(.401)		0.767(.414)		0.926(.439)		0.999(.450)	
0.475	0.667(.410)		0.689(.418)		0.742(.433)		0.912(.462)		0.999(.475)	
0.500	0.653(.426)		0.672(.435)		0.720(.451)		0.896(.485)		0.999(.500)	
0.525	0.643(.442)		0.657(.452)		0.699(.469)		0.878(.507)		0.998(.525)	
0.550	0.635(.458)		0.645(.468)		0.679(.486)		0.857(.529)		0.998(.550)	
0.575	0.634(.474)		0.636(.484)		0.661(.503)		0.833(.550)		0.998(.575)	
0.600	0.635(.490)		0.631(.500)		0.645(.519)		0.807(.570)		0.997(.600)	
0.625	0.641(.506)		0.631(.516)		0.634(.535)		0.781(.590)		0.997(.625)	
0.650	0.651(.522)		0.636(.531)		0.626(.551)		0.753(.609)		0.996(.649)	
0.675	0.665(.539)		0.645(.547)		0.623(.566)		0.724(.628)		0.995(.674)	
0.700	0.690(.556)		0.660(.564)		0.626(.582)		0.693(.645)		0.994(.699)	
0.725	0.719(.573)		0.687(.581)		0.635(.598)		0.662(.662)		0.993(.724)	
0.750	0.748(.592)		0.716(.598)		0.656(.614)		0.633(.679)		0.991(.749)	
0.775	0.778(.611)		0.747(.616)		0.687(.631)		0.609(.694)		0.988(.774)	
0.800	0.809(.630)		0.779(.635)		0.719(.648)		0.591(.709)		0.985(.798)	
0.825	0.843(.651)		0.814(.655)		0.755(.667)		0.585(.724)		0.979(.823)	
0.850	0.881(.673)		0.855(.676)		0.797(.686)		0.610(.739)		0.967(.847)	
0.875	0.910(.695)		0.895(.698)		0.850(.707)		0.650(.754)		0.943(.871)	
0.900	0.934(.718)		0.922(.721)		0.895(.729)		0.708(.771)		0.899(.894)	
0.925	0.956(.742)		0.948(.744)		0.928(.751)		0.806(.790)		0.820(.915)	
0.950	0.975(.766)		0.971(.768)		0.959(.775)		0.891(.812)		0.662(.934)	
0.975	0.991(.790)		0.989(.793)		0.984(.799)		0.955(.835)		0.512(.949)	
1.000	1.000(.815)		1.000(.818)		1.000(.824)		1.000(.859)		1.000(.968)	

*** RELATIVE ENERGY FLUX DENSITY IN THE ***
*** PENUMBRA OF A RECTANGULAR CYLINDER ***

VERSION F

SOLAR FIELD ANGLE, D= 10.00 DEGREES
GEOMETRY D2/R = 100.00 AND H/R = 0.

BETA = ANGLE OF INCIDENCE, DEGREES

BETA ***	0.	10.00	20.00	30.00	40.00
AX/AB	Q (QI)	Q (QI)	Q (QI)	Q (QI)	Q (QI)
0.	1.000(.)	1.000(.)	1.000(.)	1.000(.)	1.000(.)
0.025	0.995(.025)	0.995(.025)	0.996(.025)	0.996(.025)	0.996(.025)
0.050	0.986(.050)	0.987(.050)	0.988(.050)	0.988(.050)	0.989(.050)
0.075	0.974(.074)	0.976(.074)	0.977(.074)	0.979(.074)	0.981(.074)
0.100	0.961(.098)	0.963(.098)	0.965(.099)	0.968(.099)	0.970(.099)
0.125	0.950(.122)	0.952(.122)	0.955(.123)	0.957(.123)	0.960(.123)
0.150	0.942(.146)	0.945(.146)	0.947(.146)	0.950(.147)	0.953(.147)
0.175	0.936(.169)	0.938(.170)	0.941(.170)	0.944(.170)	0.947(.171)
0.200	0.927(.193)	0.930(.193)	0.934(.193)	0.938(.194)	0.942(.194)
0.225	0.912(.216)	0.917(.216)	0.922(.217)	0.927(.217)	0.933(.218)
0.250	0.896(.238)	0.901(.239)	0.907(.239)	0.913(.240)	0.920(.241)
0.275	0.878(.260)	0.884(.261)	0.890(.262)	0.897(.263)	0.906(.264)
0.300	0.862(.282)	0.867(.283)	0.873(.284)	0.880(.285)	0.889(.286)
0.325	0.851(.304)	0.856(.305)	0.860(.306)	0.866(.307)	0.874(.308)
0.350	0.843(.325)	0.847(.326)	0.851(.327)	0.856(.328)	0.862(.330)
0.375	0.836(.346)	0.839(.347)	0.843(.348)	0.847(.350)	0.853(.351)
0.400	0.829(.367)	0.832(.368)	0.836(.369)	0.840(.371)	0.845(.372)
0.425	0.823(.387)	0.825(.389)	0.829(.390)	0.832(.392)	0.838(.393)
0.450	0.817(.406)	0.820(.409)	0.822(.411)	0.826(.412)	0.830(.414)
0.475	0.814(.428)	0.815(.430)	0.817(.431)	0.819(.433)	0.823(.435)
0.500	0.813(.448)	0.813(.450)	0.814(.451)	0.815(.453)	0.817(.456)
0.525	0.814(.469)	0.813(.470)	0.813(.472)	0.813(.474)	0.814(.476)
0.550	0.817(.489)	0.816(.491)	0.814(.492)	0.813(.494)	0.812(.496)
0.575	0.823(.510)	0.820(.511)	0.818(.513)	0.815(.514)	0.813(.517)
0.600	0.829(.530)	0.826(.532)	0.823(.533)	0.820(.535)	0.817(.537)
0.625	0.836(.551)	0.832(.552)	0.829(.554)	0.825(.555)	0.821(.557)
0.650	0.843(.572)	0.839(.573)	0.836(.574)	0.832(.576)	0.827(.578)
0.675	0.851(.593)	0.847(.594)	0.843(.595)	0.838(.597)	0.833(.599)
0.700	0.862(.615)	0.857(.616)	0.852(.617)	0.847(.618)	0.841(.620)
0.725	0.878(.636)	0.871(.637)	0.865(.638)	0.858(.639)	0.851(.641)
0.750	0.895(.659)	0.890(.659)	0.884(.660)	0.876(.661)	0.867(.662)
0.775	0.912(.681)	0.907(.682)	0.902(.682)	0.895(.683)	0.887(.684)
0.800	0.927(.704)	0.923(.705)	0.918(.705)	0.912(.706)	0.905(.707)
0.825	0.936(.726)	0.934(.728)	0.931(.728)	0.927(.729)	0.921(.729)
0.850	0.942(.751)	0.940(.751)	0.938(.752)	0.935(.752)	0.931(.753)
0.875	0.950(.775)	0.948(.775)	0.945(.775)	0.943(.775)	0.939(.776)
0.900	0.961(.799)	0.959(.799)	0.956(.799)	0.953(.799)	0.950(.800)
0.925	0.974(.823)	0.973(.823)	0.971(.823)	0.969(.823)	0.966(.824)
0.950	0.986(.847)	0.985(.847)	0.984(.847)	0.983(.848)	0.981(.848)
0.975	0.995(.872)	0.995(.872)	0.994(.872)	0.994(.872)	0.993(.873)
1.000	1.000(.897)	1.000(.897)	1.000(.897)	1.000(.897)	1.000(.897)

*** RELATIVE ENERGY FLUX DENSITY IN THE ***
 *** PENUMBRA OF A RECTANGULAR CYLINDER ***

VERSION F

SOLAR FIELD ANGLE, D= 10.00 DEGREES
 GEOMETRY D2/R = 100.00 AND H/R = 0.

BETA = ANGLE OF INCIDENCE, DEGREES

BETA ***	50.00		60.00		70.00		80.00		84.50	
AX/AB	Q	(QI)	Q	(QI)	Q	(QI)	Q	(QI)	Q	(QI)
0.	1.000(.)		1.000(.)		1.000(.)		1.000(.)		1.000(.)	
0.025	0.997(.025)		0.997(.025)		0.998(.025)		1.000(.025)		1.000(.025)	
0.050	0.991(.050)		0.992(.050)		0.995(.050)		0.999(.050)		1.000(.050)	
0.075	0.983(.074)		0.986(.075)		0.990(.075)		0.997(.075)		1.000(.075)	
0.100	0.974(.099)		0.978(.099)		0.985(.099)		0.996(.100)		1.000(.100)	
0.125	0.964(.123)		0.969(.123)		0.978(.124)		0.994(.125)		1.000(.125)	
0.150	0.957(.147)		0.963(.148)		0.973(.148)		0.992(.150)		1.000(.150)	
0.175	0.951(.171)		0.958(.172)		0.968(.173)		0.989(.174)		1.000(.175)	
0.200	0.945(.195)		0.953(.195)		0.964(.197)		0.987(.199)		1.000(.200)	
0.225	0.940(.218)		0.948(.219)		0.960(.221)		0.986(.224)		1.000(.225)	
0.250	0.929(.242)		0.941(.243)		0.956(.245)		0.984(.248)		1.000(.250)	
0.275	0.916(.265)		0.930(.266)		0.952(.269)		0.982(.273)		1.000(.275)	
0.300	0.901(.287)		0.917(.289)		0.944(.292)		0.979(.297)		1.000(.300)	
0.325	0.884(.310)		0.903(.312)		0.933(.316)		0.977(.322)		1.000(.325)	
0.350	0.872(.332)		0.887(.335)		0.920(.339)		0.975(.346)		1.000(.350)	
0.375	0.862(.353)		0.876(.357)		0.906(.362)		0.972(.371)		1.000(.375)	
0.400	0.853(.375)		0.866(.378)		0.893(.384)		0.970(.395)		0.999(.400)	
0.425	0.845(.396)		0.857(.400)		0.883(.406)		0.965(.419)		0.999(.425)	
0.450	0.837(.417)		0.849(.421)		0.873(.428)		0.958(.443)		0.999(.450)	
0.475	0.829(.438)		0.840(.442)		0.864(.450)		0.950(.467)		0.999(.475)	
0.500	0.822(.459)		0.831(.463)		0.854(.472)		0.939(.491)		0.999(.500)	
0.525	0.816(.479)		0.824(.484)		0.845(.493)		0.927(.514)		0.999(.525)	
0.550	0.813(.499)		0.817(.504)		0.835(.514)		0.917(.537)		0.999(.550)	
0.575	0.812(.520)		0.813(.525)		0.826(.535)		0.906(.560)		0.998(.575)	
0.600	0.813(.540)		0.811(.545)		0.818(.555)		0.895(.582)		0.998(.600)	
0.625	0.817(.560)		0.811(.565)		0.812(.575)		0.884(.604)		0.998(.625)	
0.650	0.821(.581)		0.814(.585)		0.808(.596)		0.871(.626)		0.997(.650)	
0.675	0.827(.601)		0.818(.605)		0.808(.616)		0.857(.648)		0.997(.675)	
0.700	0.833(.622)		0.823(.627)		0.809(.636)		0.841(.669)		0.996(.699)	
0.725	0.842(.643)		0.830(.647)		0.812(.656)		0.826(.690)		0.996(.724)	
0.750	0.855(.664)		0.839(.668)		0.817(.677)		0.811(.711)		0.994(.749)	
0.775	0.875(.686)		0.855(.689)		0.824(.697)		0.800(.731)		0.993(.774)	
0.800	0.895(.708)		0.877(.711)		0.839(.718)		0.793(.751)		0.991(.799)	
0.825	0.912(.731)		0.898(.733)		0.864(.739)		0.788(.770)		0.988(.824)	
0.850	0.925(.754)		0.915(.756)		0.887(.761)		0.788(.790)		0.981(.848)	
0.875	0.934(.777)		0.926(.779)		0.908(.784)		0.802(.810)		0.965(.873)	
0.900	0.945(.800)		0.937(.802)		0.921(.807)		0.838(.830)		0.943(.896)	
0.925	0.962(.824)		0.956(.826)		0.939(.830)		0.876(.852)		0.904(.919)	
0.950	0.979(.848)		0.975(.850)		0.965(.854)		0.910(.874)		0.826(.941)	
0.975	0.992(.873)		0.991(.874)		0.987(.878)		0.964(.898)		0.733(.961)	
1.000	1.000(.898)		1.000(.899)		1.000(.903)		1.000(.922)		1.000(.982)	

App A
Phase II

*** RELATIVE ENERGY FLUX DENSITY IN THE ***
 *** PENUMBRA OF A RECTANGULAR CYLINDER ***

VERSION F

SOLAR FIELD ANGLE, D= 10.00 DEGREES
 GEOMETRY D2/R = 1.00 AND H/R = 0.5

BETA = ANGLE OF INCIDENCE, DEGREES

BETA ***	0.	10.00	20.00	30.00	40.00
AX/AB	Q (QI)	Q (QI)	Q (QI)	Q (QI)	Q (QI)
0.	1.000(.)	1.000(.)	1.000(.)	1.000(.)	1.000(.)
0.025	0.895(.024)	0.917(.024)	0.933(.024)	0.946(.024)	0.958(.024)
0.050	0.610(.043)	0.693(.044)	0.760(.045)	0.818(.046)	0.870(.047)
0.075	0.014(.050)	0.228(.056)	0.486(.061)	0.602(.064)	0.701(.067)
0.100	0. (.051)	0. (.058)	0.036(.067)	0.213(.074)	0.463(.081)
0.125	0. (.051)	0. (.058)	0. (.068)	0. (.077)	0.108(.089)
0.150	0. (.051)	0. (.058)	0. (.068)	0. (.077)	0. (.090)
0.175	0. (.051)	0. (.058)	0. (.068)	0. (.077)	0. (.090)
0.200	0. (.051)	0. (.058)	0. (.068)	0. (.077)	0. (.090)
0.225	0. (.051)	0. (.058)	0. (.068)	0. (.077)	0. (.090)
0.250	0. (.051)	0. (.058)	0. (.068)	0. (.077)	0. (.090)
0.275	0. (.051)	0. (.058)	0. (.068)	0. (.077)	0. (.090)
0.300	0. (.051)	0. (.058)	0. (.068)	0. (.077)	0. (.090)
0.325	0. (.051)	0. (.058)	0. (.068)	0. (.077)	0. (.090)
0.350	0. (.051)	0. (.058)	0. (.068)	0. (.077)	0. (.090)
0.375	0. (.051)	0. (.058)	0. (.068)	0. (.077)	0. (.090)
0.400	0. (.051)	0. (.058)	0. (.068)	0. (.077)	0. (.090)
0.425	0. (.051)	0. (.058)	0. (.068)	0. (.077)	0. (.090)
0.450	0. (.051)	0. (.058)	0. (.068)	0. (.077)	0. (.090)
0.475	0. (.051)	0. (.058)	0. (.068)	0. (.077)	0. (.090)
0.500	0. (.051)	0. (.058)	0. (.068)	0. (.077)	0. (.090)
0.525	0. (.051)	0. (.058)	0. (.068)	0. (.077)	0. (.090)
0.550	0. (.051)	0. (.058)	0. (.068)	0. (.077)	0. (.090)
0.575	0. (.051)	0. (.058)	0. (.068)	0. (.077)	0. (.090)
0.600	0. (.051)	0. (.058)	0. (.068)	0. (.077)	0. (.090)
0.625	0. (.051)	0. (.058)	0. (.068)	0. (.077)	0. (.090)
0.650	0. (.051)	0. (.058)	0. (.068)	0. (.077)	0. (.090)
0.675	0. (.051)	0. (.058)	0. (.068)	0. (.077)	0. (.090)
0.700	0. (.051)	0. (.058)	0. (.068)	0. (.077)	0. (.090)
0.725	0. (.051)	0. (.058)	0. (.068)	0. (.077)	0. (.090)
0.750	0. (.051)	0. (.058)	0. (.068)	0. (.077)	0. (.090)
0.775	0. (.051)	0. (.058)	0. (.068)	0. (.077)	0. (.090)
0.800	0. (.051)	0. (.058)	0. (.068)	0. (.077)	0. (.090)
0.825	0. (.051)	0. (.058)	0. (.068)	0. (.077)	0. (.090)
0.850	0. (.051)	0. (.058)	0. (.068)	0. (.077)	0. (.090)
0.875	0. (.051)	0. (.058)	0. (.068)	0. (.077)	0. (.090)
0.900	0. (.051)	0. (.058)	0. (.068)	0. (.077)	0. (.090)
0.925	0.014(.051)	0. (.058)	0. (.068)	0. (.077)	0. (.090)
0.950	0.610(.058)	0.502(.065)	0. (.068)	0. (.077)	0. (.090)
0.975	0.895(.077)	0.859(.082)	0.799(.078)	0.690(.086)	0. (.090)
1.000	1.000(.101)	1.000(.105)	1.000(.100)	1.000(.107)	1.000(.102)

F-131
704

*** RELATIVE ENERGY FLUX DENSITY IN THE ***
 *** PENUMBRA OF A RECTANGULAR CYLINDER ***

VERSION F

SOLAR FIELD ANGLE, D= 10.00 DEGREES
 GEOMETRY D2/R = 1.00 AND H/R = 0.5

BETA = ANGLE OF INCIDENCE, DEGREES

BETA ***	50.00	60.00	70.00	80.00	84.50
AX/AB	Q (QI)	Q (QI)	Q (QI)	Q (QI)	Q (QI)
0.	1.000(.)	1.000(.)	1.000(.)	1.000(.)	1.000(.)
0.025	0.970(.025)	0.981(.025)	0.991(.025)	0.999(.025)	1.000(.025)
0.050	0.913(.048)	0.944(.049)	0.974(.049)	0.997(.050)	1.000(.050)
0.075	0.795(.070)	0.885(.072)	0.950(.074)	0.994(.075)	1.000(.075)
0.100	0.632(.087)	0.781(.093)	0.917(.097)	0.989(.100)	1.000(.100)
0.125	0.385(.100)	0.646(.110)	0.859(.119)	0.984(.124)	1.000(.125)
0.150	0.106(.106)	0.463(.124)	0.779(.140)	0.978(.149)	1.000(.150)
0.175	0. (.108)	0.220(.133)	0.681(.158)	0.970(.173)	1.000(.175)
0.200	0. (.108)	0.053(.136)	0.560(.173)	0.960(.197)	1.000(.200)
0.225	0. (.108)	0. (.137)	0.384(.185)	0.949(.221)	1.000(.225)
0.250	0. (.108)	0. (.137)	0.202(.192)	0.933(.245)	1.000(.250)
0.275	0. (.108)	0. (.137)	0.068(.196)	0.908(.268)	1.000(.275)
0.300	0. (.108)	0. (.137)	0. (.197)	0.876(.290)	1.000(.300)
0.325	0. (.108)	0. (.137)	0. (.197)	0.835(.311)	0.999(.325)
0.350	0. (.108)	0. (.137)	0. (.197)	0.783(.332)	0.999(.350)
0.375	0. (.108)	0. (.137)	0. (.197)	0.720(.350)	0.999(.375)
0.400	0. (.108)	0. (.137)	0. (.197)	0.640(.367)	0.999(.400)
0.425	0. (.108)	0. (.137)	0. (.197)	0.535(.382)	0.999(.425)
0.450	0. (.108)	0. (.137)	0. (.197)	0.401(.394)	0.999(.450)
0.475	0. (.108)	0. (.137)	0. (.197)	0.251(.402)	0.998(.475)
0.500	0. (.108)	0. (.137)	0. (.197)	0.113(.406)	0.998(.500)
0.525	0. (.108)	0. (.137)	0. (.197)	0.019(.408)	0.997(.525)
0.550	0. (.108)	0. (.137)	0. (.197)	0. (.408)	0.997(.550)
0.575	0. (.108)	0. (.137)	0. (.197)	0. (.408)	0.996(.575)
0.600	0. (.108)	0. (.137)	0. (.197)	0. (.408)	0.995(.599)
0.625	0. (.108)	0. (.137)	0. (.197)	0. (.408)	0.994(.624)
0.650	0. (.108)	0. (.137)	0. (.197)	0. (.408)	0.992(.649)
0.675	0. (.108)	0. (.137)	0. (.197)	0. (.408)	0.990(.674)
0.700	0. (.108)	0. (.137)	0. (.197)	0. (.408)	0.987(.699)
0.725	0. (.108)	0. (.137)	0. (.197)	0. (.408)	0.983(.723)
0.750	0. (.108)	0. (.137)	0. (.197)	0. (.408)	0.977(.748)
0.775	0. (.108)	0. (.137)	0. (.197)	0. (.408)	0.968(.772)
0.800	0. (.108)	0. (.137)	0. (.197)	0. (.408)	0.947(.796)
0.825	0. (.108)	0. (.137)	0. (.197)	0. (.408)	0.907(.819)
0.850	0. (.108)	0. (.137)	0. (.197)	0. (.408)	0.829(.841)
0.875	0. (.108)	0. (.137)	0. (.197)	0. (.408)	0.654(.859)
0.900	0. (.108)	0. (.137)	0. (.197)	0. (.408)	0.225(.870)
0.925	0. (.108)	0. (.137)	0. (.197)	0. (.408)	0. (.873)
0.950	0. (.108)	0. (.137)	0. (.197)	0. (.408)	0. (.873)
0.975	0. (.108)	0. (.137)	0. (.197)	0. (.408)	0. (.873)
1.000	0. (.108)	0. (.137)	0. (.197)	0. (.408)	0. (.873)

*A. J. P. A.
Phase II*

*** RELATIVE ENERGY FLUX DENSITY IN THE ***
 *** PENUMBRA OF A RECTANGULAR CYLINDER ***

VERSION F

SOLAR FIELD ANGLE, D = 10.00 DEGREES
 GEOMETRY D2/R = 5.00 AND H/R = 0.5

BETA = ANGLE OF INCIDENCE, DEGREES

BETA ***	0.	10.00	20.00	30.00	40.00
AX/AB	Q (Q1)	Q (Q1)	Q (Q1)	Q (Q1)	Q (Q1)
0.	1.000(.)	1.000(.)	1.000(.)	1.000(.)	1.000(.)
0.025	0.977(.025)	0.980(.025)	0.982(.025)	0.984(.025)	0.986(.025)
0.050	0.937(.049)	0.943(.049)	0.949(.049)	0.954(.049)	0.960(.049)
0.075	0.881(.071)	0.894(.072)	0.906(.072)	0.917(.072)	0.927(.073)
0.100	0.790(.092)	0.812(.093)	0.834(.094)	0.856(.095)	0.879(.095)
0.125	0.681(.111)	0.712(.112)	0.742(.114)	0.772(.115)	0.806(.116)
0.150	0.561(.126)	0.599(.129)	0.637(.131)	0.677(.133)	0.720(.135)
0.175	0.421(.138)	0.472(.142)	0.521(.145)	0.569(.149)	0.623(.152)
0.200	0.277(.147)	0.328(.152)	0.382(.157)	0.444(.161)	0.515(.166)
0.225	0.154(.153)	0.200(.159)	0.251(.164)	0.311(.171)	0.385(.178)
0.250	0.071(.155)	0.097(.162)	0.137(.169)	0.190(.177)	0.261(.186)
0.275	0.022(.157)	0.041(.164)	0.065(.172)	0.095(.181)	0.150(.191)
0.300	0. (.157)	0.003(.165)	0.018(.173)	0.040(.182)	0.074(.194)
0.325	0. (.157)	0. (.165)	0. (.173)	0.003(.183)	0.025(.195)
0.350	0. (.157)	0. (.165)	0. (.173)	0. (.183)	0. (.195)
0.375	0. (.157)	0. (.165)	0. (.173)	0. (.183)	0. (.195)
0.400	0. (.157)	0. (.165)	0. (.173)	0. (.183)	0. (.195)
0.425	0. (.157)	0. (.165)	0. (.173)	0. (.183)	0. (.195)
0.450	0. (.157)	0. (.165)	0. (.173)	0. (.183)	0. (.195)
0.475	0. (.157)	0. (.165)	0. (.173)	0. (.183)	0. (.195)
0.500	0. (.157)	0. (.165)	0. (.173)	0. (.183)	0. (.195)
0.525	0. (.157)	0. (.165)	0. (.173)	0. (.183)	0. (.195)
0.550	0. (.157)	0. (.165)	0. (.173)	0. (.183)	0. (.195)
0.575	0. (.157)	0. (.165)	0. (.173)	0. (.183)	0. (.195)
0.600	0. (.157)	0. (.165)	0. (.173)	0. (.183)	0. (.195)
0.625	0. (.157)	0. (.165)	0. (.173)	0. (.183)	0. (.195)
0.650	0. (.157)	0. (.165)	0. (.173)	0. (.183)	0. (.195)
0.675	0. (.157)	0. (.165)	0. (.173)	0. (.183)	0. (.195)
0.700	0. (.157)	0. (.165)	0. (.173)	0. (.183)	0. (.195)
0.725	0.022(.157)	0.007(.165)	0. (.173)	0. (.183)	0. (.195)
0.750	0.071(.158)	0.048(.165)	0.026(.173)	0.007(.183)	0. (.195)
0.775	0.154(.161)	0.112(.167)	0.079(.175)	0.050(.184)	0.020(.196)
0.800	0.277(.166)	0.227(.172)	0.175(.178)	0.121(.186)	0.072(.197)
0.825	0.421(.175)	0.368(.179)	0.311(.184)	0.248(.190)	0.172(.200)
0.850	0.561(.187)	0.521(.190)	0.471(.194)	0.405(.199)	0.322(.206)
0.875	0.681(.203)	0.649(.205)	0.611(.207)	0.563(.211)	0.501(.216)
0.900	0.790(.221)	0.765(.222)	0.736(.224)	0.700(.226)	0.650(.231)
0.925	0.881(.242)	0.866(.243)	0.847(.244)	0.822(.245)	0.788(.249)
0.950	0.937(.265)	0.931(.265)	0.923(.266)	0.914(.267)	0.900(.270)
0.975	0.977(.289)	0.975(.289)	0.972(.290)	0.968(.291)	0.963(.293)
1.000	1.000(.314)	1.000(.314)	1.000(.314)	1.000(.315)	1.000(.317)

*** RELATIVE ENERGY FLUX DENSITY IN THE ***
 *** PENUMBRA OF A RECTANGULAR CYLINDER ***

VERSION F

SOLAR FIELD ANGLE, D= 10.00 DEGREES
 GEOMETRY D2/R = 5.00 AND H/R = 0.5

BETA = ANGLE OF INCIDENCE, DEGREES

BETA ***	50.00	60.00	70.00	80.00	84.50
AX/AB	Q (Q1)	Q (Q1)	Q (Q1)	Q (Q1)	Q (Q1)
0.	1.000(.)	1.000(.)	1.000(.)	1.000(.)	1.000(.)
0.025	0.989(.025)	0.992(.025)	0.995(.025)	0.999(.025)	1.000(.025)
0.050	0.967(.049)	0.976(.049)	0.986(.050)	0.998(.050)	1.000(.050)
0.075	0.939(.073)	0.954(.074)	0.973(.074)	0.995(.075)	1.000(.075)
0.100	0.904(.096)	0.929(.097)	0.958(.098)	0.992(.100)	1.000(.100)
0.125	0.845(.118)	0.891(.120)	0.939(.122)	0.988(.124)	1.000(.125)
0.150	0.772(.138)	0.836(.141)	0.915(.145)	0.984(.149)	1.000(.150)
0.175	0.688(.156)	0.769(.162)	0.878(.168)	0.978(.174)	1.000(.175)
0.200	0.592(.172)	0.693(.180)	0.830(.189)	0.972(.198)	1.000(.200)
0.225	0.483(.186)	0.605(.196)	0.774(.209)	0.965(.222)	1.000(.225)
0.250	0.355(.196)	0.506(.210)	0.709(.228)	0.956(.246)	1.000(.250)
0.275	0.241(.204)	0.389(.221)	0.633(.244)	0.946(.270)	1.000(.275)
0.300	0.135(.209)	0.275(.229)	0.548(.259)	0.931(.293)	1.000(.300)
0.325	0.068(.211)	0.168(.235)	0.444(.272)	0.910(.316)	0.999(.325)
0.350	0.020(.212)	0.088(.238)	0.336(.281)	0.884(.339)	0.999(.350)
0.375	0. (.213)	0.035(.240)	0.228(.288)	0.852(.361)	0.999(.375)
0.400	0. (.213)	0.000(.240)	0.130(.293)	0.813(.381)	0.999(.400)
0.425	0. (.213)	0. (.240)	0.065(.295)	0.767(.401)	0.999(.425)
0.450	0. (.213)	0. (.240)	0.015(.296)	0.711(.420)	0.999(.450)
0.475	0. (.213)	0. (.240)	0. (.296)	0.643(.437)	0.998(.475)
0.500	0. (.213)	0. (.240)	0. (.296)	0.561(.452)	0.998(.500)
0.525	0. (.213)	0. (.240)	0. (.296)	0.459(.464)	0.998(.525)
0.550	0. (.213)	0. (.240)	0. (.296)	0.346(.474)	0.997(.550)
0.575	0. (.213)	0. (.240)	0. (.296)	0.225(.482)	0.996(.575)
0.600	0. (.213)	0. (.240)	0. (.296)	0.116(.486)	0.996(.599)
0.625	0. (.213)	0. (.240)	0. (.296)	0.039(.488)	0.995(.624)
0.650	0. (.213)	0. (.240)	0. (.296)	0. (.488)	0.993(.649)
0.675	0. (.213)	0. (.240)	0. (.296)	0. (.488)	0.991(.674)
0.700	0. (.213)	0. (.240)	0. (.296)	0. (.488)	0.989(.699)
0.725	0. (.213)	0. (.240)	0. (.296)	0. (.488)	0.986(.723)
0.750	0. (.213)	0. (.240)	0. (.296)	0. (.488)	0.981(.748)
0.775	0. (.213)	0. (.240)	0. (.296)	0. (.488)	0.975(.772)
0.800	0.025(.213)	0. (.240)	0. (.296)	0. (.488)	0.962(.797)
0.825	0.085(.214)	0.014(.240)	0. (.296)	0. (.488)	0.937(.820)
0.850	0.211(.218)	0.071(.241)	0. (.296)	0. (.488)	0.890(.843)
0.875	0.388(.225)	0.203(.245)	0.000(.296)	0. (.488)	0.795(.864)
0.900	0.572(.237)	0.415(.253)	0.058(.297)	0. (.488)	0.578(.881)
0.925	0.731(.254)	0.621(.266)	0.261(.301)	0. (.488)	0.127(.890)
0.950	0.871(.274)	0.806(.283)	0.587(.312)	0. (.488)	0. (.892)
0.975	0.953(.297)	0.934(.305)	0.863(.330)	0. (.488)	0. (.892)
1.000	1.000(.321)	1.000(.329)	1.000(.353)	0. (.488)	0. (.892)

RE-ORDER NO. 66-196

App. A
Phase II

*** RELATIVE ENERGY FLUX DENSITY IN THE ***
 *** PENUMBRA OF A RECTANGULAR CYLINDER ***

VERSION F

SOLAR FIELD ANGLE, D = 10.00 DEGREES
 GEOMETRY D2/R = 10.00 AND H/R = 0.5

BETA = ANGLE OF INCIDENCE, DEGREES

BETA ***	0.	10.00	20.00	30.00	40.00
AX/AB	Q (Q1)	Q (Q1)	Q (Q1)	Q (Q1)	Q (Q1)
0.	1.000(.)	1.000(.)	1.000(.)	1.000(.)	1.000(.)
0.025	0.987(.025)	0.988(.025)	0.989(.025)	0.990(.025)	0.991(.025)
0.050	0.964(.049)	0.967(.049)	0.970(.049)	0.973(.049)	0.976(.049)
0.075	0.935(.073)	0.940(.073)	0.945(.073)	0.950(.073)	0.955(.074)
0.100	0.902(.096)	0.909(.096)	0.916(.097)	0.923(.097)	0.931(.097)
0.125	0.848(.118)	0.861(.118)	0.874(.119)	0.887(.119)	0.901(.120)
0.150	0.783(.138)	0.800(.139)	0.817(.140)	0.835(.141)	0.856(.142)
0.175	0.710(.157)	0.731(.158)	0.752(.160)	0.775(.161)	0.801(.163)
0.200	0.632(.174)	0.657(.176)	0.681(.178)	0.708(.180)	0.739(.182)
0.225	0.548(.188)	0.576(.191)	0.604(.194)	0.636(.196)	0.672(.200)
0.250	0.458(.201)	0.491(.204)	0.523(.208)	0.557(.211)	0.598(.216)
0.275	0.365(.211)	0.398(.215)	0.433(.220)	0.473(.224)	0.520(.229)
0.300	0.280(.219)	0.311(.224)	0.344(.229)	0.383(.235)	0.432(.241)
0.325	0.201(.225)	0.230(.231)	0.262(.237)	0.299(.243)	0.346(.251)
0.350	0.132(.230)	0.156(.236)	0.185(.243)	0.219(.250)	0.264(.259)
0.375	0.082(.232)	0.097(.239)	0.119(.246)	0.148(.255)	0.188(.264)
0.400	0.048(.234)	0.060(.241)	0.074(.249)	0.092(.258)	0.121(.268)
0.425	0.020(.235)	0.029(.242)	0.040(.250)	0.055(.259)	0.075(.271)
0.450	0.002(.235)	0.006(.243)	0.014(.251)	0.024(.260)	0.040(.272)
0.475	0. (.235)	0. (.243)	0. (.251)	0.003(.261)	0.013(.273)
0.500	0. (.235)	0. (.243)	0. (.251)	0. (.261)	0. (.273)
0.525	0. (.235)	0. (.243)	0. (.251)	0. (.261)	0. (.273)
0.550	0.002(.235)	0. (.243)	0. (.251)	0. (.261)	0. (.273)
0.575	0.020(.235)	0.012(.243)	0.005(.251)	0.001(.261)	0. (.273)
0.600	0.048(.236)	0.037(.243)	0.026(.252)	0.016(.261)	0.006(.273)
0.625	0.082(.238)	0.068(.245)	0.055(.253)	0.041(.262)	0.027(.273)
0.650	0.132(.240)	0.109(.247)	0.090(.254)	0.073(.263)	0.055(.274)
0.675	0.201(.244)	0.173(.251)	0.146(.257)	0.118(.265)	0.089(.276)
0.700	0.280(.250)	0.250(.256)	0.219(.262)	0.185(.269)	0.146(.279)
0.725	0.366(.259)	0.334(.263)	0.301(.268)	0.264(.275)	0.220(.284)
0.750	0.458(.269)	0.426(.273)	0.391(.277)	0.351(.283)	0.305(.290)
0.775	0.548(.281)	0.519(.284)	0.488(.288)	0.449(.293)	0.400(.299)
0.800	0.632(.296)	0.606(.298)	0.577(.301)	0.544(.305)	0.501(.310)
0.825	0.710(.313)	0.668(.315)	0.663(.317)	0.634(.320)	0.595(.324)
0.850	0.783(.332)	0.764(.333)	0.744(.334)	0.719(.337)	0.686(.340)
0.875	0.848(.352)	0.834(.353)	0.818(.354)	0.798(.356)	0.771(.358)
0.900	0.902(.374)	0.893(.374)	0.882(.375)	0.868(.376)	0.849(.379)
0.925	0.935(.397)	0.931(.397)	0.925(.398)	0.918(.399)	0.909(.401)
0.950	0.964(.421)	0.962(.421)	0.958(.421)	0.954(.422)	0.948(.424)
0.975	0.987(.445)	0.986(.445)	0.985(.446)	0.983(.446)	0.981(.448)
1.000	1.000(.470)	1.000(.470)	1.000(.470)	1.000(.471)	1.000(.473)

F-135
708

*** RELATIVE ENERGY FLUX DENSITY IN THE ***
 *** PENUMBRA OF A RECTANGULAR CYLINDER ***

VERSION F

SOLAR FIELD ANGLE, D = 10.00 DEGREES
 GEOMETRY D2/R = 10.00 AND H/R = 0.5

BETA = ANGLE OF INCIDENCE, DEGREES

BETA *** AX/AB	50.00		60.00		70.00		80.00		84.50	
	Q	(QI)	Q	(QI)	Q	(QI)	Q	(QI)	Q	(QI)
0.	1.000(.)		1.000(.)		1.000(.)		1.000(.)		1.000(.)	
0.025	0.993(.025)		0.994(.025)		0.997(.025)		0.999(.025)		1.000(.025)	
0.050	0.979(.050)		0.984(.050)		0.990(.050)		0.998(.050)		1.000(.050)	
0.075	0.962(.074)		0.970(.074)		0.981(.074)		0.996(.075)		1.000(.075)	
0.100	0.941(.098)		0.953(.098)		0.970(.099)		0.994(.100)		1.000(.100)	
0.125	0.915(.121)		0.933(.122)		0.957(.123)		0.990(.125)		1.000(.125)	
0.150	0.880(.143)		0.909(.145)		0.942(.147)		0.987(.149)		1.000(.150)	
0.175	0.832(.165)		0.873(.167)		0.925(.170)		0.983(.174)		1.000(.175)	
0.200	0.777(.185)		0.828(.188)		0.900(.193)		0.978(.198)		1.000(.200)	
0.225	0.715(.203)		0.777(.203)		0.866(.215)		0.972(.223)		1.000(.225)	
0.250	0.650(.221)		0.720(.227)		0.827(.236)		0.965(.247)		1.000(.250)	
0.275	0.577(.236)		0.657(.244)		0.782(.256)		0.957(.271)		1.000(.275)	
0.300	0.495(.249)		0.588(.260)		0.731(.275)		0.948(.295)		1.000(.300)	
0.325	0.411(.261)		0.513(.274)		0.674(.293)		0.937(.318)		0.999(.325)	
0.350	0.327(.270)		0.429(.285)		0.610(.309)		0.921(.342)		0.999(.350)	
0.375	0.247(.277)		0.345(.295)		0.540(.323)		0.900(.364)		0.999(.375)	
0.400	0.172(.282)		0.264(.303)		0.459(.336)		0.875(.387)		0.999(.400)	
0.425	0.108(.286)		0.187(.308)		0.376(.346)		0.845(.408)		0.999(.425)	
0.450	0.067(.288)		0.119(.312)		0.294(.354)		0.809(.429)		0.999(.450)	
0.475	0.032(.289)		0.074(.315)		0.212(.361)		0.767(.448)		0.998(.475)	
0.500	0.005(.290)		0.036(.316)		0.137(.365)		0.718(.467)		0.998(.500)	
0.525	0. (.290)		0.007(.316)		0.083(.368)		0.659(.484)		0.998(.525)	
0.550	0. (.290)		0. (.317)		0.041(.369)		0.590(.500)		0.997(.550)	
0.575	0. (.290)		0. (.317)		0.007(.370)		0.506(.514)		0.997(.575)	
0.600	0. (.290)		0. (.317)		0. (.370)		0.413(.525)		0.996(.599)	
0.625	0.011(.290)		0. (.317)		0. (.370)		0.313(.534)		0.995(.624)	
0.650	0.033(.290)		0.010(.317)		0. (.370)		0.207(.541)		0.994(.649)	
0.675	0.063(.292)		0.030(.317)		0. (.370)		0.115(.545)		0.992(.674)	
0.700	0.102(.294)		0.058(.318)		0.010(.370)		0.048(.547)		0.990(.699)	
0.725	0.165(.297)		0.096(.320)		0.029(.371)		0. (.547)		0.987(.724)	
0.750	0.244(.302)		0.160(.323)		0.055(.372)		0. (.547)		0.984(.748)	
0.775	0.334(.309)		0.240(.328)		0.095(.374)		0. (.547)		0.978(.773)	
0.800	0.437(.319)		0.335(.335)		0.164(.377)		0. (.547)		0.970(.797)	
0.825	0.540(.331)		0.446(.345)		0.256(.382)		0.002(.547)		0.952(.821)	
0.850	0.638(.346)		0.556(.358)		0.371(.390)		0.013(.547)		0.918(.844)	
0.875	0.732(.363)		0.663(.373)		0.503(.401)		0.037(.548)		0.854(.867)	
0.900	0.820(.383)		0.766(.391)		0.633(.415)		0.089(.550)		0.720(.886)	
0.925	0.894(.404)		0.860(.411)		0.763(.432)		0.220(.554)		0.411(.900)	
0.950	0.940(.427)		0.924(.434)		0.881(.453)		0.468(.562)		0. (.906)	
0.975	0.975(.451)		0.971(.457)		0.953(.476)		0.778(.578)		0. (.906)	
1.000	1.000(.476)		1.000(.482)		1.000(.500)		1.000(.600)		0. (.906)	

*** RELATIVE ENERGY FLUX DENSITY IN THE ***
 *** PENUMBRA OF A RECTANGULAR CYLINDER ***

VERSION F

SOLAR FIELD ANGLE, D= 10.00 DEGREES
 GEOMETRY D2/R = 50.00 AND H/R = 0.5

BETA = ANGLE OF INCIDENCE, DEGREES

BETA ***	0.	10.00	20.00	30.00	40.00
AX/AB	Q (QI)	Q (QI)	Q (QI)	Q (QI)	Q (QI)
0.	1.000(.)	1.000(.)	1.000(.)	1.000(.)	1.000(.)
0.025	0.994(.025)	0.995(.025)	0.995(.025)	0.995(.025)	0.996(.025)
0.050	0.984(.050)	0.985(.050)	0.986(.050)	0.987(.050)	0.988(.050)
0.075	0.971(.074)	0.972(.074)	0.974(.074)	0.976(.074)	0.978(.074)
0.100	0.955(.098)	0.958(.098)	0.960(.098)	0.963(.098)	0.966(.099)
0.125	0.938(.122)	0.941(.122)	0.945(.122)	0.948(.122)	0.953(.123)
0.150	0.919(.145)	0.923(.145)	0.928(.146)	0.932(.146)	0.938(.146)
0.175	0.897(.168)	0.903(.168)	0.909(.169)	0.915(.169)	0.921(.169)
0.200	0.867(.190)	0.875(.190)	0.883(.191)	0.892(.192)	0.902(.192)
0.225	0.839(.211)	0.848(.212)	0.857(.213)	0.866(.214)	0.878(.215)
0.250	0.812(.232)	0.821(.233)	0.831(.234)	0.841(.235)	0.854(.236)
0.275	0.785(.252)	0.795(.253)	0.805(.254)	0.816(.256)	0.830(.257)
0.300	0.758(.271)	0.768(.272)	0.779(.274)	0.790(.276)	0.805(.278)
0.325	0.731(.290)	0.741(.291)	0.752(.293)	0.764(.295)	0.779(.297)
0.350	0.703(.308)	0.714(.310)	0.725(.312)	0.738(.314)	0.753(.317)
0.375	0.680(.325)	0.689(.327)	0.698(.329)	0.710(.332)	0.727(.335)
0.400	0.664(.342)	0.671(.344)	0.679(.347)	0.689(.349)	0.702(.353)
0.425	0.651(.358)	0.656(.361)	0.663(.363)	0.671(.366)	0.682(.370)
0.450	0.641(.374)	0.645(.377)	0.650(.380)	0.657(.383)	0.666(.387)
0.475	0.634(.390)	0.637(.393)	0.640(.396)	0.645(.399)	0.652(.404)
0.500	0.633(.406)	0.633(.409)	0.634(.412)	0.637(.415)	0.641(.420)
0.525	0.634(.422)	0.633(.425)	0.632(.428)	0.633(.431)	0.634(.436)
0.550	0.641(.438)	0.637(.440)	0.634(.444)	0.632(.447)	0.631(.452)
0.575	0.651(.454)	0.646(.457)	0.641(.459)	0.637(.463)	0.633(.467)
0.600	0.664(.470)	0.657(.473)	0.651(.476)	0.645(.479)	0.638(.483)
0.625	0.680(.487)	0.672(.489)	0.664(.492)	0.656(.495)	0.648(.499)
0.650	0.703(.504)	0.692(.507)	0.683(.509)	0.672(.512)	0.661(.516)
0.675	0.731(.522)	0.720(.524)	0.709(.526)	0.696(.529)	0.680(.532)
0.700	0.758(.541)	0.748(.543)	0.737(.544)	0.724(.547)	0.709(.550)
0.725	0.785(.560)	0.775(.562)	0.764(.563)	0.752(.565)	0.737(.568)
0.750	0.812(.580)	0.803(.581)	0.792(.583)	0.780(.584)	0.766(.587)
0.775	0.839(.601)	0.830(.602)	0.821(.603)	0.809(.604)	0.795(.606)
0.800	0.867(.622)	0.859(.623)	0.850(.624)	0.840(.625)	0.826(.626)
0.825	0.897(.644)	0.890(.645)	0.882(.645)	0.873(.646)	0.860(.647)
0.850	0.919(.667)	0.915(.667)	0.910(.668)	0.904(.668)	0.895(.669)
0.875	0.938(.690)	0.934(.690)	0.930(.691)	0.926(.691)	0.920(.692)
0.900	0.955(.714)	0.952(.714)	0.949(.714)	0.946(.715)	0.941(.715)
0.925	0.971(.738)	0.969(.738)	0.967(.738)	0.964(.739)	0.961(.739)
0.950	0.984(.762)	0.983(.762)	0.982(.762)	0.980(.763)	0.975(.763)
0.975	0.994(.787)	0.994(.787)	0.993(.787)	0.993(.787)	0.992(.788)
1.000	1.000(.812)	1.000(.812)	1.000(.812)	1.000(.812)	1.000(.813)

*** RELATIVE ENERGY FLUX DENSITY IN THE ***
 *** PENUMBRA OF A RECTANGULAR CYLINDER ***

VERSION F

SOLAR FIELD ANGLE, $D = 10.00$ DEGREES
 GEOMETRY $D2/R = 50.00$ AND $H/R = 0.5$

BETA = ANGLE OF INCIDENCE, DEGREES

BETA ***	50.00	60.00	70.00	80.00	84.50
AX/AR	Q (QI)	Q (QI)	Q (QI)	Q (QI)	Q (QI)
0.	1.000(.)	1.000(.)	1.000(.)	1.000(.)	1.000(.)
0.025	0.996(.025)	0.997(.025)	0.998(.025)	0.999(.025)	1.000(.025)
0.050	0.989(.050)	0.991(.050)	0.994(.050)	0.996(.050)	1.000(.050)
0.075	0.981(.074)	0.984(.075)	0.989(.075)	0.997(.075)	1.000(.075)
0.100	0.970(.099)	0.975(.099)	0.983(.099)	0.995(.100)	1.000(.100)
0.125	0.958(.123)	0.965(.123)	0.976(.124)	0.993(.125)	1.000(.125)
0.150	0.944(.147)	0.954(.147)	0.968(.148)	0.991(.149)	1.000(.150)
0.175	0.930(.170)	0.941(.171)	0.958(.172)	0.988(.174)	1.000(.175)
0.200	0.913(.193)	0.927(.194)	0.948(.196)	0.985(.199)	1.000(.200)
0.225	0.892(.216)	0.911(.217)	0.937(.220)	0.981(.223)	1.000(.225)
0.250	0.870(.238)	0.892(.240)	0.926(.243)	0.977(.248)	1.000(.250)
0.275	0.847(.259)	0.872(.262)	0.912(.266)	0.972(.272)	1.000(.275)
0.300	0.824(.280)	0.851(.283)	0.896(.288)	0.967(.297)	1.000(.300)
0.325	0.799(.300)	0.828(.304)	0.878(.311)	0.962(.321)	1.000(.325)
0.350	0.774(.320)	0.805(.325)	0.859(.332)	0.957(.345)	0.999(.350)
0.375	0.748(.339)	0.780(.345)	0.837(.354)	0.952(.369)	0.999(.375)
0.400	0.721(.357)	0.755(.364)	0.815(.374)	0.946(.392)	0.999(.400)
0.425	0.699(.375)	0.728(.382)	0.791(.394)	0.936(.416)	0.999(.425)
0.450	0.681(.392)	0.706(.400)	0.765(.414)	0.925(.439)	0.999(.450)
0.475	0.664(.409)	0.687(.418)	0.740(.433)	0.911(.462)	0.999(.475)
0.500	0.650(.426)	0.669(.435)	0.718(.451)	0.895(.485)	0.998(.500)
0.525	0.640(.442)	0.654(.451)	0.697(.468)	0.877(.507)	0.998(.525)
0.550	0.633(.458)	0.641(.467)	0.677(.486)	0.856(.528)	0.998(.550)
0.575	0.630(.473)	0.633(.483)	0.658(.502)	0.832(.549)	0.998(.575)
0.600	0.632(.489)	0.628(.499)	0.642(.519)	0.806(.570)	0.997(.600)
0.625	0.638(.505)	0.628(.515)	0.630(.534)	0.780(.590)	0.997(.625)
0.650	0.648(.521)	0.632(.530)	0.622(.550)	0.752(.609)	0.996(.649)
0.675	0.663(.538)	0.642(.546)	0.620(.566)	0.723(.627)	0.995(.674)
0.700	0.688(.554)	0.657(.563)	0.622(.581)	0.691(.645)	0.994(.699)
0.725	0.716(.572)	0.685(.579)	0.631(.597)	0.659(.662)	0.992(.724)
0.750	0.745(.590)	0.714(.597)	0.654(.613)	0.630(.678)	0.991(.749)
0.775	0.775(.609)	0.744(.615)	0.684(.630)	0.604(.693)	0.988(.774)
0.800	0.807(.629)	0.777(.634)	0.716(.647)	0.586(.708)	0.984(.798)
0.825	0.842(.650)	0.813(.654)	0.753(.665)	0.581(.723)	0.979(.823)
0.850	0.881(.671)	0.856(.675)	0.796(.685)	0.607(.738)	0.967(.847)
0.875	0.911(.694)	0.895(.697)	0.850(.705)	0.647(.753)	0.943(.871)
0.900	0.934(.717)	0.923(.719)	0.895(.727)	0.707(.770)	0.898(.894)
0.925	0.956(.740)	0.948(.743)	0.928(.750)	0.807(.789)	0.819(.915)
0.950	0.976(.764)	0.971(.767)	0.959(.774)	0.891(.810)	0.659(.934)
0.975	0.991(.789)	0.989(.791)	0.985(.798)	0.955(.834)	0.506(.948)
1.000	1.000(.814)	1.000(.816)	1.000(.823)	1.000(.858)	1.000(.967)

RE-ORDER No. *66-196*
App. 2
Phase II

*** RELATIVE ENERGY FLUX DENSITY IN THE ***
 *** PENUMBRA OF A RECTANGULAR CYLINDER ***

VERSION F

SOLAR FIELD ANGLE, D = 10.00 DEGREES
 GEOMETRY D2/R = 100.00 AND H/R = 0.5

BETA = ANGLE OF INCIDENCE, DEGREES

BETA ***	0.	10.00	20.00	30.00	40.00
AX/AE	Q (Q1)	Q (Q1)	Q (Q1)	Q (Q1)	Q (Q1)
0.	1.000(.)	1.000(.)	1.000(.)	1.000(.)	1.000(.)
0.025	0.995(.025)	0.995(.025)	0.996(.025)	0.996(.025)	0.996(.025)
0.050	0.986(.050)	0.987(.050)	0.988(.050)	0.988(.050)	0.989(.050)
0.075	0.974(.074)	0.976(.074)	0.977(.074)	0.979(.074)	0.981(.074)
0.100	0.961(.098)	0.963(.098)	0.965(.099)	0.968(.099)	0.970(.099)
0.125	0.949(.122)	0.951(.122)	0.954(.123)	0.956(.123)	0.959(.123)
0.150	0.941(.146)	0.943(.146)	0.946(.146)	0.949(.147)	0.952(.147)
0.175	0.935(.169)	0.937(.170)	0.939(.170)	0.942(.170)	0.946(.171)
0.200	0.925(.193)	0.929(.193)	0.933(.193)	0.936(.194)	0.940(.194)
0.225	0.911(.216)	0.916(.216)	0.920(.216)	0.926(.217)	0.932(.217)
0.250	0.894(.238)	0.900(.239)	0.906(.239)	0.912(.240)	0.919(.241)
0.275	0.876(.260)	0.882(.261)	0.889(.262)	0.896(.262)	0.904(.263)
0.300	0.860(.282)	0.865(.283)	0.871(.284)	0.879(.285)	0.888(.286)
0.325	0.849(.303)	0.854(.304)	0.858(.305)	0.864(.306)	0.872(.308)
0.350	0.841(.324)	0.845(.326)	0.849(.327)	0.854(.328)	0.860(.329)
0.375	0.834(.345)	0.837(.347)	0.841(.348)	0.846(.349)	0.851(.351)
0.400	0.827(.366)	0.830(.367)	0.834(.369)	0.838(.370)	0.844(.372)
0.425	0.821(.387)	0.824(.388)	0.827(.389)	0.831(.391)	0.836(.393)
0.450	0.817(.407)	0.819(.409)	0.821(.410)	0.824(.412)	0.829(.414)
0.475	0.813(.428)	0.814(.429)	0.816(.431)	0.819(.432)	0.822(.434)
0.500	0.812(.448)	0.812(.449)	0.813(.451)	0.814(.453)	0.816(.455)
0.525	0.813(.468)	0.812(.470)	0.812(.471)	0.812(.473)	0.813(.475)
0.550	0.817(.489)	0.815(.490)	0.813(.492)	0.812(.493)	0.811(.496)
0.575	0.821(.509)	0.819(.510)	0.817(.512)	0.815(.514)	0.812(.516)
0.600	0.827(.530)	0.824(.531)	0.822(.532)	0.819(.534)	0.816(.536)
0.625	0.834(.550)	0.831(.552)	0.827(.553)	0.824(.555)	0.820(.557)
0.650	0.841(.571)	0.837(.572)	0.834(.574)	0.830(.575)	0.825(.577)
0.675	0.849(.592)	0.845(.594)	0.841(.595)	0.836(.596)	0.831(.598)
0.700	0.860(.614)	0.855(.615)	0.850(.616)	0.845(.617)	0.839(.619)
0.725	0.876(.636)	0.870(.636)	0.863(.637)	0.856(.638)	0.849(.640)
0.750	0.894(.658)	0.889(.658)	0.882(.659)	0.875(.660)	0.866(.661)
0.775	0.911(.680)	0.906(.681)	0.900(.681)	0.894(.682)	0.885(.683)
0.800	0.925(.703)	0.921(.704)	0.916(.704)	0.911(.705)	0.903(.706)
0.825	0.935(.726)	0.932(.727)	0.929(.727)	0.925(.728)	0.919(.728)
0.850	0.941(.750)	0.939(.750)	0.936(.750)	0.933(.751)	0.929(.752)
0.875	0.949(.774)	0.947(.774)	0.944(.774)	0.941(.774)	0.938(.775)
0.900	0.961(.797)	0.959(.798)	0.956(.798)	0.953(.798)	0.949(.798)
0.925	0.974(.822)	0.973(.822)	0.971(.822)	0.969(.822)	0.966(.822)
0.950	0.986(.846)	0.985(.846)	0.984(.846)	0.983(.846)	0.981(.847)
0.975	0.995(.871)	0.995(.871)	0.994(.871)	0.994(.871)	0.993(.871)
1.000	1.000(.896)	1.000(.896)	1.000(.896)	1.000(.896)	1.000(.896)

F-139
 712

*** RELATIVE ENERGY FLUX DENSITY IN THE ***
 *** PENUMBRA OF A RECTANGULAR CYLINDER ***

VERSION F

SOLAR FIELD ANGLE, D = 10.00 DEGREES
 GEOMETRY D2/R = 100.00 AND H/R = 0.5

BETA = ANGLE OF INCIDENCE, DEGREES

BETA ***	50.00		60.00		70.00		80.00		84.50	
AX/AB	Q	(QI)	Q	(QI)	Q	(QI)	Q	(QI)	Q	(QI)
0.	1.000(.)		1.000(.)		1.000(.)		1.000(.)		1.000(.)	
0.025	0.997(.025)		0.997(.025)		0.998(.025)		1.000(.025)		1.000(.025)	
0.050	0.991(.050)		0.992(.050)		0.995(.050)		0.999(.050)		1.000(.050)	
0.075	0.983(.074)		0.986(.075)		0.990(.075)		0.997(.075)		1.000(.075)	
0.100	0.974(.099)		0.978(.099)		0.985(.099)		0.996(.100)		1.000(.100)	
0.125	0.963(.123)		0.969(.123)		0.978(.124)		0.994(.125)		1.000(.125)	
0.150	0.955(.147)		0.962(.148)		0.972(.148)		0.992(.150)		1.000(.150)	
0.175	0.950(.171)		0.957(.172)		0.967(.173)		0.989(.174)		1.000(.175)	
0.200	0.945(.195)		0.951(.195)		0.963(.197)		0.987(.199)		1.000(.200)	
0.225	0.939(.216)		0.947(.219)		0.959(.221)		0.985(.224)		1.000(.225)	
0.250	0.928(.242)		0.940(.243)		0.955(.245)		0.983(.248)		1.000(.250)	
0.275	0.915(.265)		0.929(.266)		0.951(.268)		0.981(.273)		1.000(.275)	
0.300	0.899(.287)		0.916(.289)		0.942(.292)		0.979(.297)		1.000(.300)	
0.325	0.883(.310)		0.901(.312)		0.932(.316)		0.977(.322)		1.000(.325)	
0.350	0.870(.331)		0.886(.334)		0.919(.339)		0.974(.346)		1.000(.350)	
0.375	0.860(.353)		0.874(.356)		0.905(.361)		0.972(.370)		1.000(.375)	
0.400	0.851(.374)		0.864(.378)		0.892(.384)		0.969(.395)		0.999(.400)	
0.425	0.843(.396)		0.855(.399)		0.881(.406)		0.965(.419)		0.999(.425)	
0.450	0.835(.417)		0.847(.421)		0.871(.428)		0.958(.443)		0.999(.450)	
0.475	0.828(.437)		0.839(.442)		0.862(.450)		0.949(.467)		0.999(.475)	
0.500	0.821(.458)		0.830(.463)		0.853(.471)		0.938(.490)		0.999(.500)	
0.525	0.815(.478)		0.823(.483)		0.843(.492)		0.926(.514)		0.999(.525)	
0.550	0.812(.499)		0.816(.504)		0.834(.513)		0.916(.537)		0.999(.550)	
0.575	0.811(.519)		0.812(.524)		0.825(.534)		0.905(.559)		0.998(.575)	
0.600	0.812(.539)		0.810(.544)		0.817(.555)		0.894(.582)		0.998(.600)	
0.625	0.815(.560)		0.811(.565)		0.811(.575)		0.883(.604)		0.998(.625)	
0.650	0.820(.580)		0.813(.585)		0.807(.595)		0.870(.626)		0.997(.650)	
0.675	0.825(.601)		0.816(.605)		0.807(.615)		0.856(.648)		0.997(.675)	
0.700	0.831(.621)		0.821(.626)		0.808(.635)		0.841(.669)		0.996(.699)	
0.725	0.839(.642)		0.827(.646)		0.810(.656)		0.825(.690)		0.995(.724)	
0.750	0.853(.663)		0.837(.667)		0.815(.676)		0.811(.710)		0.994(.749)	
0.775	0.873(.685)		0.854(.688)		0.822(.696)		0.799(.730)		0.993(.774)	
0.800	0.893(.707)		0.875(.710)		0.838(.717)		0.791(.750)		0.991(.799)	
0.825	0.911(.730)		0.896(.732)		0.862(.738)		0.786(.770)		0.988(.824)	
0.850	0.924(.753)		0.913(.755)		0.885(.760)		0.785(.789)		0.980(.848)	
0.875	0.932(.776)		0.924(.778)		0.906(.783)		0.799(.809)		0.965(.872)	
0.900	0.944(.799)		0.936(.801)		0.919(.805)		0.836(.830)		0.942(.896)	
0.925	0.962(.823)		0.956(.825)		0.939(.829)		0.874(.851)		0.904(.919)	
0.950	0.979(.847)		0.975(.849)		0.965(.853)		0.910(.873)		0.825(.941)	
0.975	0.992(.872)		0.991(.873)		0.987(.877)		0.964(.897)		0.729(.960)	
1.000	1.000(.897)		1.000(.898)		1.000(.902)		1.000(.921)		1.000(.982)	

*** RELATIVE ENERGY FLUX DENSITY IN THE ***
 *** PENUMBRA OF A RECTANGULAR CYLINDER ***

VERSION F

SOLAR FIELD ANGLE, D= 10.00 DEGREES
 GEOMETRY D2/R = 1.00 AND H/R = 1.0

BETA = ANGLE OF INCIDENCE, DEGREES

BETA ***	0.	10.00	20.00	30.00	40.00
AX/AB	Q (Q1)	Q (Q1)	Q (Q1)	Q (Q1)	Q (Q1)
0.	1.000(.)	1.000(.)	1.000(.)	1.000(.)	1.000(.)
0.025	0.929(.024)	0.940(.024)	0.950(.024)	0.959(.024)	0.967(.025)
0.050	0.752(.045)	0.799(.046)	0.839(.047)	0.874(.047)	0.905(.048)
0.075	0. (.055)	0.574(.063)	0.648(.065)	0.715(.067)	0.780(.069)
0.100	0. (.055)	0. (.070)	0.058(.074)	0.514(.083)	0.614(.086)
0.125	0. (.055)	0. (.070)	0. (.075)	0. (.089)	0.214(.097)
0.150	0. (.055)	0. (.070)	0. (.075)	0. (.089)	0. (.099)
0.175	0. (.055)	0. (.070)	0. (.075)	0. (.089)	0. (.099)
0.200	0. (.055)	0. (.070)	0. (.075)	0. (.089)	0. (.099)
0.225	0. (.055)	0. (.070)	0. (.075)	0. (.089)	0. (.099)
0.250	0. (.055)	0. (.070)	0. (.075)	0. (.089)	0. (.099)
0.275	0. (.055)	0. (.070)	0. (.075)	0. (.089)	0. (.099)
0.300	0. (.055)	0. (.070)	0. (.075)	0. (.089)	0. (.099)
0.325	0. (.055)	0. (.070)	0. (.075)	0. (.089)	0. (.099)
0.350	0. (.055)	0. (.070)	0. (.075)	0. (.089)	0. (.099)
0.375	0. (.055)	0. (.070)	0. (.075)	0. (.089)	0. (.099)
0.400	0. (.055)	0. (.070)	0. (.075)	0. (.089)	0. (.099)
0.425	0. (.055)	0. (.070)	0. (.075)	0. (.089)	0. (.099)
0.450	0. (.055)	0. (.070)	0. (.075)	0. (.089)	0. (.099)
0.475	0. (.055)	0. (.070)	0. (.075)	0. (.089)	0. (.099)
0.500	0. (.055)	0. (.070)	0. (.075)	0. (.089)	0. (.099)
0.525	0. (.055)	0. (.070)	0. (.075)	0. (.089)	0. (.099)
0.550	0. (.055)	0. (.070)	0. (.075)	0. (.089)	0. (.099)
0.575	0. (.055)	0. (.070)	0. (.075)	0. (.089)	0. (.099)
0.600	0. (.055)	0. (.070)	0. (.075)	0. (.089)	0. (.099)
0.625	0. (.055)	0. (.070)	0. (.075)	0. (.089)	0. (.099)
0.650	0. (.055)	0. (.070)	0. (.075)	0. (.089)	0. (.099)
0.675	0. (.055)	0. (.070)	0. (.075)	0. (.089)	0. (.099)
0.700	0. (.055)	0. (.070)	0. (.075)	0. (.089)	0. (.099)
0.725	0. (.055)	0. (.070)	0. (.075)	0. (.089)	0. (.099)
0.750	0. (.055)	0. (.070)	0. (.075)	0. (.089)	0. (.099)
0.775	0. (.055)	0. (.070)	0. (.075)	0. (.089)	0. (.099)
0.800	0. (.055)	0. (.070)	0. (.075)	0. (.089)	0. (.099)
0.825	0. (.055)	0. (.070)	0. (.075)	0. (.089)	0. (.099)
0.850	0. (.055)	0. (.070)	0. (.075)	0. (.089)	0. (.099)
0.875	0. (.055)	0. (.070)	0. (.075)	0. (.089)	0. (.099)
0.900	0. (.055)	0. (.070)	0. (.075)	0. (.089)	0. (.099)
0.925	0. (.055)	0. (.070)	0. (.075)	0. (.089)	0. (.099)
0.950	0.752(.064)	0.693(.079)	0. (.075)	0. (.089)	0. (.099)
0.975	0.929(.085)	0.915(.099)	0.893(.086)	0.850(.100)	0. (.099)
1.000	1.000(.109)	1.000(.123)	1.000(.110)	1.000(.123)	1.000(.112)

RE-ORDER No. 66-196
 App 9
 Phase II

*** RELATIVE ENERGY FLUX DENSITY IN THE ***
 *** PENUMBRA OF A RECTANGULAR CYLINDER ***

VERSION F

SOLAR FIELD ANGLE, D= 10.00 DEGREES
 GEOMETRY D2/R = 1.00 AND H/R = 1.0

BETA = ANGLE OF INCIDENCE, DEGREES

BETA ***	50.00	60.00	70.00	80.00	84.50
AX/AB	Q (QI)	Q (QI)	Q (QI)	Q (QI)	Q (QI)
0.	1.000(.)	1.000(.)	1.000(.)	1.000(.)	1.000(.)
0.025	0.975(.025)	0.984(.025)	0.992(.025)	0.999(.025)	1.000(.025)
0.050	0.929(.048)	0.953(.049)	0.977(.050)	0.997(.050)	1.000(.050)
0.075	0.845(.071)	0.908(.072)	0.955(.074)	0.994(.075)	1.000(.075)
0.100	0.718(.090)	0.827(.094)	0.928(.097)	0.990(.100)	1.000(.100)
0.125	0.559(.106)	0.716(.113)	0.882(.120)	0.985(.124)	1.000(.125)
0.150	0.175(.115)	0.584(.130)	0.816(.141)	0.979(.149)	1.000(.150)
0.175	0. (.118)	0.323(.141)	0.732(.160)	0.971(.173)	1.000(.175)
0.200	0. (.118)	0.064(.146)	0.631(.177)	0.963(.197)	1.000(.200)
0.225	0. (.118)	0. (.146)	0.488(.191)	0.952(.221)	1.000(.225)
0.250	0. (.118)	0. (.146)	0.262(.201)	0.938(.245)	1.000(.250)
0.275	0. (.118)	0. (.146)	0.078(.205)	0.917(.268)	1.000(.275)
0.300	0. (.118)	0. (.146)	0. (.206)	0.888(.291)	1.000(.300)
0.325	0. (.118)	0. (.146)	0. (.206)	0.851(.312)	0.999(.325)
0.350	0. (.118)	0. (.146)	0. (.206)	0.806(.333)	0.999(.350)
0.375	0. (.118)	0. (.146)	0. (.206)	0.750(.353)	0.999(.375)
0.400	0. (.118)	0. (.146)	0. (.206)	0.679(.370)	0.999(.400)
0.425	0. (.118)	0. (.146)	0. (.206)	0.593(.386)	0.999(.425)
0.450	0. (.118)	0. (.146)	0. (.206)	0.452(.399)	0.999(.450)
0.475	0. (.118)	0. (.146)	0. (.206)	0.289(.409)	0.998(.475)
0.500	0. (.118)	0. (.146)	0. (.206)	0.124(.414)	0.998(.500)
0.525	0. (.118)	0. (.146)	0. (.206)	0.018(.416)	0.997(.525)
0.550	0. (.118)	0. (.146)	0. (.206)	0. (.416)	0.997(.550)
0.575	0. (.118)	0. (.146)	0. (.206)	0. (.416)	0.996(.575)
0.600	0. (.118)	0. (.146)	0. (.206)	0. (.416)	0.995(.599)
0.625	0. (.118)	0. (.146)	0. (.206)	0. (.416)	0.994(.624)
0.650	0. (.118)	0. (.146)	0. (.206)	0. (.416)	0.992(.649)
0.675	0. (.118)	0. (.146)	0. (.206)	0. (.416)	0.990(.674)
0.700	0. (.118)	0. (.146)	0. (.206)	0. (.416)	0.988(.699)
0.725	0. (.118)	0. (.146)	0. (.206)	0. (.416)	0.984(.723)
0.750	0. (.118)	0. (.146)	0. (.206)	0. (.416)	0.978(.748)
0.775	0. (.118)	0. (.146)	0. (.206)	0. (.416)	0.969(.772)
0.800	0. (.118)	0. (.146)	0. (.206)	0. (.416)	0.950(.796)
0.825	0. (.118)	0. (.146)	0. (.206)	0. (.416)	0.913(.819)
0.850	0. (.118)	0. (.146)	0. (.206)	0. (.416)	0.841(.841)
0.875	0. (.118)	0. (.146)	0. (.206)	0. (.416)	0.684(.860)
0.900	0. (.118)	0. (.146)	0. (.206)	0. (.416)	0.246(.872)
0.925	0. (.118)	0. (.146)	0. (.206)	0. (.416)	0. (.875)
0.950	0. (.118)	0. (.146)	0. (.206)	0. (.416)	0. (.875)
0.975	0. (.118)	0. (.146)	0. (.206)	0. (.416)	0. (.875)
1.000	0. (.118)	0. (.146)	0. (.206)	0. (.416)	0. (.875)

F-142
 715

App A
Phase II

*** RELATIVE ENERGY FLUX DENSITY IN THE ***
 *** PENUMBRA OF A RECTANGULAR CYLINDER ***

VERSION F

SOLAR FIELD ANGLE, D= 10.00 DEGREES
 GEOMETRY D2/R = 5.00 AND H/R = 1.0

BETA = ANGLE OF INCIDENCE, DEGREES

BETA ***	0.	10.00	20.00	30.00	40.00
AX/AB	Q (QI)	Q (QI)	Q (QI)	Q (QI)	Q (QI)
0.	1.000(.)	1.000(.)	1.000(.)	1.000(.)	1.000(.)
0.025	0.979(.025)	0.981(.025)	0.983(.025)	0.985(.025)	0.987(.025)
0.050	0.942(.049)	0.948(.049)	0.953(.049)	0.958(.049)	0.963(.049)
0.075	0.894(.072)	0.905(.072)	0.914(.072)	0.923(.073)	0.932(.073)
0.100	0.812(.093)	0.832(.094)	0.851(.094)	0.870(.095)	0.890(.096)
0.125	0.713(.112)	0.740(.113)	0.767(.115)	0.794(.116)	0.824(.117)
0.150	0.603(.129)	0.637(.131)	0.671(.133)	0.706(.135)	0.745(.137)
0.175	0.477(.142)	0.524(.145)	0.564(.148)	0.607(.151)	0.656(.154)
0.200	0.306(.152)	0.364(.156)	0.427(.160)	0.495(.165)	0.556(.169)
0.225	0.159(.158)	0.213(.163)	0.272(.169)	0.341(.175)	0.424(.182)
0.250	0.065(.150)	0.094(.167)	0.139(.174)	0.201(.182)	0.281(.190)
0.275	0.012(.161)	0.032(.169)	0.058(.177)	0.092(.186)	0.153(.196)
0.300	0. (.162)	0. (.169)	0.008(.178)	0.031(.187)	0.069(.199)
0.325	0. (.162)	0. (.169)	0. (.178)	0. (.188)	0.015(.200)
0.350	0. (.162)	0. (.169)	0. (.178)	0. (.188)	0. (.200)
0.375	0. (.162)	0. (.169)	0. (.178)	0. (.188)	0. (.200)
0.400	0. (.162)	0. (.169)	0. (.178)	0. (.188)	0. (.200)
0.425	0. (.162)	0. (.169)	0. (.178)	0. (.188)	0. (.200)
0.450	0. (.162)	0. (.169)	0. (.178)	0. (.188)	0. (.200)
0.475	0. (.162)	0. (.169)	0. (.178)	0. (.188)	0. (.200)
0.500	0. (.162)	0. (.169)	0. (.178)	0. (.188)	0. (.200)
0.525	0. (.152)	0. (.169)	0. (.178)	0. (.188)	0. (.200)
0.550	0. (.152)	0. (.169)	0. (.178)	0. (.188)	0. (.200)
0.575	0. (.162)	0. (.169)	0. (.178)	0. (.188)	0. (.200)
0.600	0. (.162)	0. (.169)	0. (.178)	0. (.188)	0. (.200)
0.625	0. (.162)	0. (.169)	0. (.178)	0. (.188)	0. (.200)
0.650	0. (.162)	0. (.169)	0. (.178)	0. (.188)	0. (.200)
0.675	0. (.162)	0. (.169)	0. (.178)	0. (.188)	0. (.200)
0.700	0. (.162)	0. (.169)	0. (.178)	0. (.188)	0. (.200)
0.725	0.012(.162)	0.000(.169)	0. (.178)	0. (.188)	0. (.200)
0.750	0.065(.163)	0.039(.170)	0.016(.178)	0.000(.188)	0. (.200)
0.775	0.159(.165)	0.111(.172)	0.074(.179)	0.041(.188)	0.009(.200)
0.800	0.306(.171)	0.247(.176)	0.186(.182)	0.122(.190)	0.066(.201)
0.825	0.477(.181)	0.417(.184)	0.350(.189)	0.275(.195)	0.184(.204)
0.850	0.603(.195)	0.567(.197)	0.526(.200)	0.469(.204)	0.371(.211)
0.875	0.713(.211)	0.684(.212)	0.651(.215)	0.610(.218)	0.554(.223)
0.900	0.812(.230)	0.790(.231)	0.765(.232)	0.733(.235)	0.690(.238)
0.925	0.894(.251)	0.881(.252)	0.865(.253)	0.844(.254)	0.814(.257)
0.950	0.942(.274)	0.937(.274)	0.930(.275)	0.922(.276)	0.910(.278)
0.975	0.979(.298)	0.977(.298)	0.974(.299)	0.971(.300)	0.966(.302)
1.000	1.000(.323)	1.000(.323)	1.000(.324)	1.000(.325)	1.000(.327)

*** RELATIVE ENERGY FLUX DENSITY IN THE ***
 *** PENUMBRA OF A RECTANGULAR CYLINDER ***

VERSION F

SOLAR FIELD ANGLE, D= 10.00 DEGREES
 GEOMETRY D2/R = 5.00 AND H/R = 1.0

BETA = ANGLE OF INCIDENCE, DEGREES

BETA ***	50.00		60.00		70.00		80.00		84.50	
AX/AB	Q	(QI)	Q	(QI)	Q	(QI)	Q	(QI)	Q	(QI)
0.	1.000	(.)	1.000	(.)	1.000	(.)	1.000	(.)	1.000	(.)
0.025	0.989	(.025)	0.992	(.025)	0.995	(.025)	0.999	(.025)	1.000	(.025)
0.050	0.969	(.049)	0.977	(.050)	0.987	(.050)	0.998	(.050)	1.000	(.050)
0.075	0.943	(.073)	0.957	(.074)	0.975	(.074)	0.995	(.075)	1.000	(.075)
0.100	0.911	(.096)	0.933	(.097)	0.960	(.098)	0.992	(.100)	1.000	(.100)
0.125	0.859	(.119)	0.900	(.120)	0.942	(.122)	0.989	(.124)	1.000	(.125)
0.150	0.791	(.139)	0.849	(.142)	0.920	(.145)	0.984	(.149)	1.000	(.150)
0.175	0.713	(.158)	0.788	(.163)	0.886	(.168)	0.979	(.174)	1.000	(.175)
0.200	0.625	(.175)	0.716	(.181)	0.842	(.190)	0.973	(.198)	1.000	(.200)
0.225	0.528	(.189)	0.636	(.198)	0.789	(.210)	0.966	(.222)	1.000	(.225)
0.250	0.391	(.201)	0.545	(.213)	0.729	(.229)	0.957	(.246)	1.000	(.250)
0.275	0.257	(.209)	0.422	(.225)	0.659	(.246)	0.947	(.270)	1.000	(.275)
0.300	0.137	(.214)	0.294	(.234)	0.579	(.262)	0.934	(.294)	1.000	(.300)
0.325	0.061	(.216)	0.173	(.240)	0.476	(.275)	0.915	(.317)	0.999	(.325)
0.350	0.011	(.217)	0.084	(.243)	0.357	(.285)	0.890	(.339)	0.999	(.350)
0.375	0.	(.217)	0.026	(.244)	0.238	(.293)	0.860	(.361)	0.999	(.375)
0.400	0.	(.217)	0.	(.245)	0.129	(.297)	0.823	(.382)	0.999	(.400)
0.425	0.	(.217)	0.	(.245)	0.059	(.300)	0.779	(.402)	0.999	(.425)
0.450	0.	(.217)	0.	(.245)	0.007	(.301)	0.727	(.421)	0.999	(.450)
0.475	0.	(.217)	0.	(.245)	0.	(.301)	0.663	(.438)	0.998	(.475)
0.500	0.	(.217)	0.	(.245)	0.	(.301)	0.588	(.454)	0.998	(.500)
0.525	0.	(.217)	0.	(.245)	0.	(.301)	0.481	(.467)	0.998	(.525)
0.550	0.	(.217)	0.	(.245)	0.	(.301)	0.361	(.478)	0.997	(.550)
0.575	0.	(.217)	0.	(.245)	0.	(.301)	0.231	(.485)	0.996	(.575)
0.600	0.	(.217)	0.	(.245)	0.	(.301)	0.113	(.490)	0.996	(.599)
0.625	0.	(.217)	0.	(.245)	0.	(.301)	0.031	(.491)	0.995	(.624)
0.650	0.	(.217)	0.	(.245)	0.	(.301)	0.	(.492)	0.993	(.649)
0.675	0.	(.217)	0.	(.245)	0.	(.301)	0.	(.492)	0.992	(.674)
0.700	0.	(.217)	0.	(.245)	0.	(.301)	0.	(.492)	0.989	(.699)
0.725	0.	(.217)	0.	(.245)	0.	(.301)	0.	(.492)	0.986	(.723)
0.750	0.	(.217)	0.	(.245)	0.	(.301)	0.	(.492)	0.982	(.748)
0.775	0.	(.217)	0.	(.245)	0.	(.301)	0.	(.492)	0.975	(.772)
0.800	0.015	(.217)	0.	(.245)	0.	(.301)	0.	(.492)	0.963	(.797)
0.825	0.081	(.219)	0.003	(.245)	0.	(.301)	0.	(.492)	0.939	(.821)
0.850	0.235	(.223)	0.064	(.246)	0.	(.301)	0.	(.492)	0.894	(.843)
0.875	0.464	(.231)	0.232	(.249)	0.	(.301)	0.	(.492)	0.804	(.865)
0.900	0.623	(.245)	0.498	(.259)	0.045	(.301)	0.	(.492)	0.596	(.882)
0.925	0.765	(.262)	0.673	(.273)	0.360	(.306)	0.	(.492)	0.123	(.891)
0.950	0.889	(.283)	0.836	(.292)	0.660	(.319)	0.	(.492)	0.	(.893)
0.975	0.958	(.306)	0.943	(.314)	0.891	(.338)	0.	(.492)	0.	(.893)
1.000	1.000	(.331)	1.000	(.339)	1.000	(.362)	0.	(.492)	0.	(.893)

*** RELATIVE ENERGY FLUX DENSITY IN THE ***
 *** PENUMBRA OF A RECTANGULAR CYLINDER ***

VERSION F

SOLAR FIELD ANGLE, D = 10.00 DEGREES
 GEOMETRY D2/R = 10.00 AND H/R = 1.0

BETA = ANGLE OF INCIDENCE, DEGREES

BETA ***	0.	10.00	20.00	30.00	40.00
AX/AB	Q (Q1)	Q (Q1)	Q (Q1)	Q (Q1)	Q (Q1)
0.	1.000(.)	1.000(.)	1.000(.)	1.000(.)	1.000(.)
0.025	0.988(.025)	0.989(.025)	0.990(.025)	0.991(.025)	0.992(.025)
0.050	0.966(.049)	0.966(.049)	0.971(.049)	0.973(.049)	0.976(.049)
0.075	0.935(.073)	0.942(.073)	0.947(.073)	0.951(.073)	0.957(.074)
0.100	0.906(.096)	0.912(.096)	0.919(.097)	0.926(.097)	0.933(.097)
0.125	0.855(.118)	0.868(.119)	0.880(.119)	0.892(.120)	0.905(.120)
0.150	0.792(.139)	0.809(.140)	0.825(.140)	0.843(.141)	0.862(.142)
0.175	0.722(.158)	0.742(.159)	0.763(.160)	0.784(.162)	0.809(.163)
0.200	0.647(.175)	0.671(.177)	0.694(.179)	0.720(.180)	0.750(.183)
0.225	0.566(.190)	0.593(.192)	0.620(.195)	0.650(.198)	0.685(.201)
0.250	0.479(.203)	0.511(.206)	0.541(.209)	0.574(.213)	0.614(.217)
0.275	0.378(.214)	0.413(.218)	0.450(.222)	0.492(.226)	0.537(.231)
0.300	0.285(.222)	0.318(.227)	0.354(.232)	0.396(.237)	0.448(.244)
0.325	0.199(.228)	0.230(.234)	0.264(.240)	0.304(.246)	0.355(.254)
0.350	0.125(.232)	0.151(.239)	0.182(.245)	0.219(.253)	0.267(.261)
0.375	0.075(.235)	0.090(.242)	0.112(.249)	0.142(.257)	0.184(.267)
0.400	0.040(.236)	0.052(.243)	0.067(.251)	0.085(.260)	0.114(.271)
0.425	0.012(.237)	0.021(.244)	0.032(.252)	0.047(.262)	0.068(.273)
0.450	0. (.237)	0.001(.245)	0.007(.253)	0.016(.262)	0.032(.274)
0.475	0. (.237)	0. (.245)	0. (.253)	0. (.263)	0.006(.275)
0.500	0. (.237)	0. (.245)	0. (.253)	0. (.263)	0. (.275)
0.525	0. (.237)	0. (.245)	0. (.253)	0. (.263)	0. (.275)
0.550	0. (.237)	0. (.245)	0. (.253)	0. (.263)	0. (.275)
0.575	0.012(.237)	0.005(.245)	0.001(.253)	0. (.263)	0. (.275)
0.600	0.040(.238)	0.028(.245)	0.018(.253)	0.009(.263)	0.001(.275)
0.625	0.075(.239)	0.061(.246)	0.047(.254)	0.033(.263)	0.019(.275)
0.650	0.125(.242)	0.102(.248)	0.084(.256)	0.066(.265)	0.047(.276)
0.675	0.199(.246)	0.170(.252)	0.141(.258)	0.111(.267)	0.083(.278)
0.700	0.285(.252)	0.252(.257)	0.219(.263)	0.182(.270)	0.141(.280)
0.725	0.378(.260)	0.343(.264)	0.308(.269)	0.268(.276)	0.221(.285)
0.750	0.479(.271)	0.444(.274)	0.406(.278)	0.364(.284)	0.313(.292)
0.775	0.565(.284)	0.539(.286)	0.509(.290)	0.470(.294)	0.418(.301)
0.800	0.647(.299)	0.623(.301)	0.595(.304)	0.563(.307)	0.522(.312)
0.825	0.722(.316)	0.701(.318)	0.678(.320)	0.650(.322)	0.613(.327)
0.850	0.792(.335)	0.775(.336)	0.755(.337)	0.731(.340)	0.700(.343)
0.875	0.855(.356)	0.842(.356)	0.827(.357)	0.808(.359)	0.783(.362)
0.900	0.906(.378)	0.898(.378)	0.888(.379)	0.875(.380)	0.857(.382)
0.925	0.935(.401)	0.933(.401)	0.928(.401)	0.921(.402)	0.912(.404)
0.950	0.966(.424)	0.963(.425)	0.960(.425)	0.956(.426)	0.950(.427)
0.975	0.988(.449)	0.987(.449)	0.985(.449)	0.984(.450)	0.982(.452)
1.000	1.000(.474)	1.000(.474)	1.000(.474)	1.000(.475)	1.000(.476)

*** RELATIVE ENERGY FLUX DENSITY IN THE ***
 *** PENUMBRA OF A RECTANGULAR CYLINDER ***

VERSION F

SOLAR FIELD ANGLE, D= 10.00 DEGREES
 GEOMETRY D2/R = 10.00 AND H/R = 1.0

BETA = ANGLE OF INCIDENCE, DEGREES

BETA ***	50.00		60.00		70.00		80.00		84.50	
AX/AB	Q	(QI)	Q	(QI)	Q	(QI)	Q	(QI)	Q	(QI)
0.	1.000(.)		1.000(.)		1.000(.)		1.000(.)		1.000(.)	
0.025	0.993(.025)		0.995(.025)		0.997(.025)		0.999(.025)		1.000(.025)	
0.050	0.980(.050)		0.984(.050)		0.990(.050)		0.998(.050)		1.000(.050)	
0.075	0.963(.074)		0.971(.074)		0.982(.074)		0.996(.075)		1.000(.075)	
0.100	0.942(.098)		0.954(.098)		0.971(.099)		0.994(.100)		1.000(.100)	
0.125	0.919(.121)		0.935(.122)		0.958(.123)		0.991(.125)		1.000(.125)	
0.150	0.885(.143)		0.912(.145)		0.944(.147)		0.987(.149)		1.000(.150)	
0.175	0.839(.165)		0.878(.167)		0.927(.170)		0.983(.174)		1.000(.175)	
0.200	0.786(.185)		0.835(.189)		0.903(.193)		0.978(.198)		1.000(.200)	
0.225	0.727(.204)		0.786(.209)		0.871(.215)		0.972(.223)		1.000(.225)	
0.250	0.663(.222)		0.730(.228)		0.833(.236)		0.966(.247)		1.000(.250)	
0.275	0.592(.237)		0.670(.245)		0.789(.257)		0.958(.271)		1.000(.275)	
0.300	0.517(.251)		0.603(.261)		0.740(.276)		0.949(.295)		1.000(.300)	
0.325	0.425(.263)		0.531(.275)		0.685(.294)		0.939(.318)		0.999(.325)	
0.350	0.334(.272)		0.442(.289)		0.623(.310)		0.923(.342)		0.999(.350)	
0.375	0.248(.280)		0.353(.298)		0.556(.325)		0.903(.365)		0.999(.375)	
0.400	0.167(.285)		0.266(.305)		0.473(.338)		0.878(.387)		0.999(.400)	
0.425	0.101(.288)		0.183(.311)		0.384(.348)		0.849(.408)		0.999(.425)	
0.450	0.059(.290)		0.112(.315)		0.296(.357)		0.814(.429)		0.999(.450)	
0.475	0.024(.291)		0.066(.317)		0.209(.363)		0.774(.449)		0.998(.475)	
0.500	0.001(.292)		0.028(.318)		0.130(.367)		0.726(.468)		0.998(.500)	
0.525	0. (.292)		0.002(.318)		0.076(.370)		0.669(.485)		0.998(.525)	
0.550	0. (.292)		0. (.318)		0.032(.371)		0.603(.501)		0.997(.550)	
0.575	0. (.292)		0. (.318)		0.001(.372)		0.518(.515)		0.997(.575)	
0.600	0. (.292)		0. (.318)		0. (.372)		0.420(.527)		0.996(.599)	
0.625	0.005(.292)		0. (.318)		0. (.372)		0.314(.536)		0.995(.624)	
0.650	0.025(.292)		0.004(.318)		0. (.372)		0.202(.543)		0.994(.649)	
0.675	0.055(.293)		0.023(.319)		0. (.372)		0.108(.546)		0.992(.674)	
0.700	0.095(.295)		0.051(.320)		0.004(.372)		0.038(.548)		0.990(.699)	
0.725	0.162(.298)		0.089(.321)		0.021(.372)		0. (.549)		0.988(.724)	
0.750	0.248(.303)		0.156(.324)		0.048(.373)		0. (.549)		0.984(.748)	
0.775	0.347(.311)		0.244(.329)		0.088(.375)		0. (.549)		0.978(.773)	
0.800	0.460(.321)		0.350(.337)		0.161(.378)		0. (.549)		0.970(.797)	
0.825	0.560(.334)		0.473(.347)		0.263(.383)		0. (.549)		0.953(.821)	
0.850	0.655(.349)		0.577(.360)		0.394(.391)		0.007(.549)		0.920(.845)	
0.875	0.745(.366)		0.680(.376)		0.528(.403)		0.029(.549)		0.857(.867)	
0.900	0.829(.386)		0.779(.394)		0.653(.418)		0.080(.551)		0.728(.867)	
0.925	0.899(.408)		0.868(.415)		0.778(.436)		0.233(.555)		0.414(.901)	
0.950	0.942(.431)		0.927(.437)		0.888(.456)		0.509(.564)		0. (.906)	
0.975	0.979(.455)		0.973(.461)		0.956(.479)		0.802(.580)		0. (.906)	
1.000	1.000(.479)		1.000(.486)		1.000(.504)		1.000(.603)		0. (.906)	

RE ORDER No. *66-196*
App. 2
Phase II

*** RELATIVE ENERGY FLUX DENSITY IN THE ***
 *** PENUMBRA OF A RECTANGULAR CYLINDER ***

VERSION F

SOLAR FIELD ANGLE, D= 10.00 DEGREES
 GEOMETRY D2/R = 50.00 AND H/R = 1.0

BETA = ANGLE OF INCIDENCE, DEGREES

BETA ***	0.	10.00	20.00	30.00	40.00
AX/AB	Q (QI)	Q (QI)	Q (QI)	Q (QI)	Q (QI)
0.	1.000(.)	1.000(.)	1.000(.)	1.000(.)	1.000(.)
0.025	0.994(.025)	0.995(.025)	0.995(.025)	0.995(.025)	0.996(.025)
0.050	0.984(.050)	0.985(.050)	0.986(.050)	0.987(.050)	0.988(.050)
0.075	0.971(.074)	0.972(.074)	0.974(.074)	0.976(.074)	0.978(.074)
0.100	0.955(.093)	0.958(.098)	0.960(.098)	0.963(.098)	0.966(.099)
0.125	0.938(.122)	0.941(.122)	0.945(.122)	0.948(.122)	0.953(.123)
0.150	0.919(.145)	0.924(.145)	0.928(.146)	0.932(.146)	0.938(.146)
0.175	0.897(.168)	0.903(.168)	0.909(.169)	0.915(.169)	0.922(.169)
0.200	0.867(.190)	0.875(.190)	0.883(.191)	0.892(.192)	0.902(.192)
0.225	0.838(.211)	0.846(.212)	0.855(.213)	0.865(.214)	0.877(.215)
0.250	0.810(.232)	0.819(.233)	0.829(.234)	0.840(.235)	0.852(.236)
0.275	0.783(.252)	0.792(.253)	0.803(.254)	0.814(.256)	0.828(.257)
0.300	0.755(.271)	0.766(.272)	0.776(.274)	0.788(.276)	0.803(.278)
0.325	0.729(.289)	0.739(.291)	0.750(.293)	0.762(.295)	0.777(.297)
0.350	0.701(.307)	0.712(.309)	0.723(.311)	0.736(.314)	0.752(.316)
0.375	0.678(.324)	0.686(.327)	0.696(.329)	0.709(.332)	0.725(.335)
0.400	0.661(.341)	0.668(.344)	0.676(.346)	0.686(.349)	0.699(.353)
0.425	0.648(.358)	0.654(.360)	0.661(.363)	0.669(.366)	0.680(.370)
0.450	0.638(.374)	0.642(.376)	0.647(.379)	0.654(.383)	0.664(.387)
0.475	0.631(.390)	0.633(.392)	0.637(.395)	0.642(.399)	0.649(.403)
0.500	0.629(.405)	0.629(.408)	0.631(.411)	0.633(.415)	0.638(.419)
0.525	0.631(.421)	0.629(.424)	0.629(.427)	0.629(.431)	0.631(.435)
0.550	0.638(.437)	0.634(.440)	0.631(.443)	0.629(.446)	0.628(.451)
0.575	0.648(.453)	0.643(.456)	0.638(.459)	0.633(.462)	0.629(.467)
0.600	0.661(.469)	0.655(.472)	0.648(.475)	0.642(.478)	0.635(.482)
0.625	0.678(.486)	0.670(.488)	0.662(.491)	0.654(.494)	0.645(.498)
0.650	0.701(.503)	0.690(.505)	0.680(.508)	0.669(.511)	0.658(.515)
0.675	0.729(.521)	0.718(.523)	0.707(.525)	0.694(.528)	0.678(.531)
0.700	0.756(.540)	0.745(.541)	0.734(.543)	0.722(.545)	0.707(.549)
0.725	0.783(.559)	0.773(.560)	0.762(.562)	0.750(.564)	0.735(.567)
0.750	0.810(.579)	0.800(.580)	0.790(.581)	0.778(.583)	0.763(.585)
0.775	0.838(.599)	0.829(.600)	0.819(.601)	0.807(.603)	0.793(.605)
0.800	0.867(.621)	0.858(.621)	0.849(.622)	0.838(.623)	0.825(.625)
0.825	0.897(.643)	0.891(.643)	0.883(.644)	0.873(.645)	0.861(.646)
0.850	0.919(.665)	0.915(.666)	0.910(.666)	0.904(.667)	0.895(.668)
0.875	0.938(.689)	0.934(.689)	0.931(.689)	0.926(.690)	0.920(.691)
0.900	0.955(.712)	0.953(.713)	0.950(.713)	0.946(.713)	0.941(.714)
0.925	0.971(.736)	0.969(.737)	0.967(.737)	0.964(.737)	0.961(.738)
0.950	0.984(.761)	0.983(.761)	0.982(.761)	0.980(.761)	0.978(.762)
0.975	0.994(.786)	0.994(.786)	0.993(.786)	0.993(.786)	0.992(.787)
1.000	1.000(.811)	1.000(.811)	1.000(.811)	1.000(.811)	1.000(.812)

F-147
 720

app. A
Plate 11

*** RELATIVE ENERGY FLUX DENSITY IN THE ***
 *** PENUMBRA OF A RECTANGULAR CYLINDER ***

VERSION F

SOLAR FIELD ANGLE, D= 10.00 DEGREES
 GEOMETRY D2/R = 50.00 AND H/R = 1.0

BETA = ANGLE OF INCIDENCE, DEGREES

BETA ***	50.00	60.00	70.00	80.00	84.50
AX/AB	Q (Q1)	Q (Q1)	Q (Q1)	Q (Q1)	Q (Q1)
0.	1.000(.)	1.000(.)	1.000(.)	1.000(.)	1.000(.)
0.025	0.996(.025)	0.997(.025)	0.998(.025)	0.999(.025)	1.000(.025)
0.050	0.989(.050)	0.991(.050)	0.994(.050)	0.999(.050)	1.000(.050)
0.075	0.981(.074)	0.984(.075)	0.989(.075)	0.997(.075)	1.000(.075)
0.100	0.970(.099)	0.975(.099)	0.983(.099)	0.995(.100)	1.000(.100)
0.125	0.958(.123)	0.965(.123)	0.976(.124)	0.993(.125)	1.000(.125)
0.150	0.945(.147)	0.954(.147)	0.968(.148)	0.991(.149)	1.000(.150)
0.175	0.930(.170)	0.941(.171)	0.959(.172)	0.988(.174)	1.000(.175)
0.200	0.914(.193)	0.927(.194)	0.948(.196)	0.985(.199)	1.000(.200)
0.225	0.891(.216)	0.911(.217)	0.937(.220)	0.981(.223)	1.000(.225)
0.250	0.869(.238)	0.891(.240)	0.925(.243)	0.977(.248)	1.000(.250)
0.275	0.845(.259)	0.871(.262)	0.911(.266)	0.972(.272)	1.000(.275)
0.300	0.822(.280)	0.849(.283)	0.895(.288)	0.967(.297)	1.000(.300)
0.325	0.797(.300)	0.827(.304)	0.877(.311)	0.962(.321)	1.000(.325)
0.350	0.772(.320)	0.803(.325)	0.857(.332)	0.957(.345)	0.999(.350)
0.375	0.745(.339)	0.778(.344)	0.836(.353)	0.951(.368)	0.999(.375)
0.400	0.719(.357)	0.753(.364)	0.813(.374)	0.945(.392)	0.999(.400)
0.425	0.697(.375)	0.726(.382)	0.789(.394)	0.935(.416)	0.999(.425)
0.450	0.678(.392)	0.704(.400)	0.764(.413)	0.924(.439)	0.999(.450)
0.475	0.662(.409)	0.685(.417)	0.738(.432)	0.910(.462)	0.999(.475)
0.500	0.648(.425)	0.667(.434)	0.716(.450)	0.894(.484)	0.998(.500)
0.525	0.635(.441)	0.651(.451)	0.695(.468)	0.875(.507)	0.998(.525)
0.550	0.629(.457)	0.638(.467)	0.675(.485)	0.855(.528)	0.998(.550)
0.575	0.626(.473)	0.629(.483)	0.656(.502)	0.831(.549)	0.998(.575)
0.600	0.628(.488)	0.624(.498)	0.639(.518)	0.805(.570)	0.997(.600)
0.625	0.635(.504)	0.624(.514)	0.627(.534)	0.778(.589)	0.997(.624)
0.650	0.645(.520)	0.629(.530)	0.619(.549)	0.751(.609)	0.996(.649)
0.675	0.660(.536)	0.639(.545)	0.616(.565)	0.721(.627)	0.995(.674)
0.700	0.686(.553)	0.654(.562)	0.619(.580)	0.689(.645)	0.994(.699)
0.725	0.714(.571)	0.682(.578)	0.628(.596)	0.656(.661)	0.992(.724)
0.750	0.743(.589)	0.711(.596)	0.651(.612)	0.626(.677)	0.990(.749)
0.775	0.773(.608)	0.742(.614)	0.682(.628)	0.600(.693)	0.988(.773)
0.800	0.805(.628)	0.774(.633)	0.713(.646)	0.582(.708)	0.984(.798)
0.825	0.842(.648)	0.812(.653)	0.750(.664)	0.577(.722)	0.979(.823)
0.850	0.882(.670)	0.857(.673)	0.796(.684)	0.603(.737)	0.966(.847)
0.875	0.911(.692)	0.896(.695)	0.851(.704)	0.643(.752)	0.942(.871)
0.900	0.935(.715)	0.923(.718)	0.896(.726)	0.707(.769)	0.897(.894)
0.925	0.956(.739)	0.948(.741)	0.928(.749)	0.808(.788)	0.818(.915)
0.950	0.975(.763)	0.971(.765)	0.959(.772)	0.891(.809)	0.656(.934)
0.975	0.991(.788)	0.989(.790)	0.985(.797)	0.955(.832)	0.501(.946)
1.000	1.000(.813)	1.000(.815)	1.000(.821)	1.000(.857)	1.000(.967)

*** RELATIVE ENERGY FLUX DENSITY IN THE ***
 *** PENUMBRA OF A RECTANGULAR CYLINDER ***
 VERSION F

SOLAR FIELD ANGLE, D= 10.00 DEGREES
 GEOMETRY D2/R = 100.00 AND H/R = 1.0

BETA = ANGLE OF INCIDENCE, DEGREES

BETA ***	0.	10.00	20.00	30.00	40.00
AX/AB	Q (Q1)	Q (Q1)	Q (Q1)	Q (Q1)	Q (Q1)
0.	1.000(.)	1.000(.)	1.000(.)	1.000(.)	1.000(.)
0.025	0.995(.025)	0.995(.025)	0.996(.025)	0.996(.025)	0.996(.025)
0.050	0.986(.050)	0.987(.050)	0.988(.050)	0.988(.050)	0.990(.050)
0.075	0.974(.074)	0.976(.074)	0.977(.074)	0.979(.074)	0.981(.074)
0.100	0.961(.098)	0.963(.098)	0.965(.099)	0.968(.099)	0.970(.099)
0.125	0.948(.122)	0.951(.122)	0.953(.123)	0.956(.123)	0.959(.123)
0.150	0.940(.146)	0.942(.146)	0.945(.146)	0.947(.147)	0.951(.147)
0.175	0.933(.169)	0.935(.170)	0.938(.170)	0.941(.170)	0.944(.170)
0.200	0.923(.192)	0.927(.193)	0.931(.193)	0.935(.194)	0.939(.194)
0.225	0.909(.215)	0.914(.216)	0.919(.216)	0.924(.217)	0.930(.217)
0.250	0.893(.238)	0.898(.238)	0.904(.239)	0.910(.240)	0.917(.240)
0.275	0.875(.260)	0.881(.261)	0.887(.261)	0.894(.262)	0.903(.263)
0.300	0.858(.282)	0.863(.283)	0.869(.283)	0.877(.284)	0.886(.286)
0.325	0.847(.303)	0.851(.304)	0.856(.305)	0.862(.306)	0.870(.308)
0.350	0.839(.324)	0.843(.325)	0.847(.326)	0.852(.328)	0.858(.329)
0.375	0.832(.345)	0.836(.346)	0.839(.347)	0.844(.349)	0.849(.350)
0.400	0.826(.366)	0.829(.367)	0.832(.368)	0.837(.370)	0.842(.372)
0.425	0.820(.386)	0.823(.388)	0.826(.389)	0.830(.391)	0.834(.393)
0.450	0.815(.407)	0.818(.408)	0.820(.410)	0.823(.411)	0.828(.413)
0.475	0.812(.427)	0.813(.428)	0.815(.430)	0.818(.432)	0.821(.434)
0.500	0.811(.447)	0.811(.449)	0.812(.450)	0.813(.452)	0.816(.454)
0.525	0.812(.468)	0.811(.469)	0.811(.471)	0.811(.472)	0.812(.475)
0.550	0.816(.488)	0.814(.489)	0.812(.491)	0.811(.493)	0.810(.495)
0.575	0.820(.508)	0.818(.510)	0.816(.511)	0.814(.513)	0.811(.515)
0.600	0.826(.529)	0.823(.530)	0.820(.532)	0.817(.533)	0.814(.536)
0.625	0.832(.550)	0.829(.551)	0.826(.552)	0.822(.554)	0.818(.556)
0.650	0.839(.571)	0.835(.572)	0.832(.573)	0.828(.575)	0.823(.577)
0.675	0.847(.592)	0.843(.593)	0.839(.594)	0.834(.595)	0.829(.597)
0.700	0.858(.613)	0.853(.614)	0.848(.615)	0.842(.616)	0.836(.618)
0.725	0.875(.635)	0.868(.635)	0.862(.636)	0.854(.638)	0.847(.639)
0.750	0.893(.657)	0.887(.657)	0.881(.658)	0.873(.659)	0.864(.660)
0.775	0.909(.679)	0.904(.680)	0.898(.680)	0.892(.681)	0.883(.682)
0.800	0.923(.702)	0.919(.703)	0.915(.703)	0.909(.704)	0.902(.705)
0.825	0.933(.725)	0.931(.726)	0.927(.726)	0.923(.727)	0.917(.727)
0.850	0.940(.749)	0.937(.749)	0.935(.749)	0.932(.750)	0.928(.750)
0.875	0.948(.772)	0.946(.773)	0.943(.773)	0.940(.773)	0.936(.774)
0.900	0.961(.796)	0.959(.796)	0.956(.797)	0.953(.797)	0.949(.797)
0.925	0.974(.820)	0.973(.821)	0.971(.821)	0.969(.821)	0.966(.821)
0.950	0.985(.845)	0.985(.845)	0.984(.845)	0.983(.845)	0.981(.846)
0.975	0.995(.870)	0.995(.870)	0.994(.870)	0.994(.870)	0.993(.870)
1.000	1.000(.895)	1.000(.895)	1.000(.895)	1.000(.895)	1.000(.895)

*** RELATIVE ENERGY FLUX DENSITY IN THE ***
 *** PENUMBRA OF A RECTANGULAR CYLINDER ***

VERSION F

SOLAR FIELD ANGLE, D= 10.00 DEGREES
 GEOMETRY D2/R = 100.00 AND H/R = 1.0

BETA = ANGLE OF INCIDENCE, DEGREES

BETA ***	50.00		60.00		70.00		80.00		84.50	
AX/AB	Q	(Q1)	Q	(Q1)	Q	(Q1)	Q	(Q1)	Q	(Q1)
0.	1.000(.)		1.000(.)		1.000(.)		1.000(.)		1.000(.)	
0.025	0.997(.025)		0.997(.025)		0.998(.025)		1.000(.025)		1.000(.025)	
0.050	0.991(.050)		0.992(.050)		0.995(.050)		0.999(.050)		1.000(.050)	
0.075	0.983(.074)		0.986(.075)		0.990(.075)		0.997(.075)		1.000(.075)	
0.100	0.974(.099)		0.978(.099)		0.985(.099)		0.996(.100)		1.000(.100)	
0.125	0.963(.123)		0.969(.123)		0.978(.124)		0.994(.125)		1.000(.125)	
0.150	0.955(.147)		0.961(.148)		0.972(.148)		0.992(.150)		1.000(.150)	
0.175	0.949(.171)		0.956(.172)		0.967(.173)		0.989(.174)		1.000(.175)	
0.200	0.943(.195)		0.950(.195)		0.962(.197)		0.987(.199)		1.000(.200)	
0.225	0.937(.218)		0.946(.219)		0.958(.221)		0.985(.224)		1.000(.225)	
0.250	0.927(.241)		0.939(.243)		0.954(.245)		0.983(.248)		1.000(.250)	
0.275	0.913(.264)		0.928(.266)		0.949(.268)		0.981(.273)		1.000(.275)	
0.300	0.898(.287)		0.915(.289)		0.941(.292)		0.978(.297)		1.000(.300)	
0.325	0.882(.309)		0.900(.312)		0.931(.315)		0.976(.322)		1.000(.325)	
0.350	0.868(.331)		0.884(.334)		0.918(.338)		0.974(.346)		1.000(.350)	
0.375	0.858(.353)		0.872(.356)		0.904(.361)		0.971(.370)		0.999(.375)	
0.400	0.849(.374)		0.862(.378)		0.890(.384)		0.968(.395)		0.999(.400)	
0.425	0.842(.395)		0.853(.399)		0.879(.406)		0.964(.419)		0.999(.425)	
0.450	0.834(.416)		0.845(.420)		0.869(.428)		0.957(.443)		0.999(.450)	
0.475	0.827(.437)		0.837(.441)		0.861(.449)		0.948(.467)		0.999(.475)	
0.500	0.821(.457)		0.829(.462)		0.852(.471)		0.938(.490)		0.999(.500)	
0.525	0.815(.478)		0.822(.483)		0.842(.492)		0.926(.513)		0.999(.525)	
0.550	0.811(.498)		0.815(.503)		0.833(.513)		0.915(.536)		0.999(.550)	
0.575	0.810(.519)		0.811(.524)		0.824(.534)		0.904(.559)		0.998(.575)	
0.600	0.811(.539)		0.809(.544)		0.816(.554)		0.893(.582)		0.998(.600)	
0.625	0.814(.559)		0.810(.564)		0.810(.574)		0.882(.604)		0.998(.625)	
0.650	0.818(.579)		0.811(.584)		0.806(.595)		0.869(.626)		0.997(.650)	
0.675	0.823(.600)		0.815(.605)		0.806(.615)		0.855(.647)		0.997(.675)	
0.700	0.829(.621)		0.819(.625)		0.806(.635)		0.840(.668)		0.996(.699)	
0.725	0.837(.641)		0.825(.646)		0.808(.655)		0.824(.689)		0.995(.724)	
0.750	0.851(.663)		0.834(.666)		0.812(.675)		0.810(.710)		0.994(.749)	
0.775	0.871(.684)		0.852(.687)		0.819(.696)		0.798(.730)		0.993(.774)	
0.800	0.891(.706)		0.873(.709)		0.836(.716)		0.789(.750)		0.991(.799)	
0.825	0.909(.729)		0.894(.731)		0.860(.738)		0.783(.769)		0.988(.824)	
0.850	0.923(.752)		0.911(.754)		0.883(.759)		0.782(.789)		0.980(.848)	
0.875	0.931(.775)		0.923(.777)		0.904(.782)		0.797(.809)		0.965(.872)	
0.900	0.944(.798)		0.935(.800)		0.917(.804)		0.833(.829)		0.941(.896)	
0.925	0.963(.822)		0.956(.823)		0.939(.828)		0.871(.850)		0.903(.919)	
0.950	0.979(.846)		0.975(.848)		0.965(.851)		0.910(.872)		0.824(.941)	
0.975	0.992(.871)		0.991(.872)		0.987(.876)		0.964(.896)		0.725(.960)	
1.000	1.000(.896)		1.000(.897)		1.000(.901)		1.000(.920)		1.000(.982)	

*** RELATIVE ENERGY FLUX DENSITY IN THE ***
 *** PENUMBRA OF A RECTANGULAR CYLINDER ***

VERSION F

SOLAR FIELD ANGLE, D = 10.00 DEGREES
 GEOMETRY D2/R = 1.00 AND H/R = 2.0

BETA = ANGLE OF INCIDENCE, DEGREES

BETA ***	0.	10.00	20.00	30.00	40.00
AX/AB	Q (Q1)	Q (Q1)	Q (Q1)	Q (Q1)	Q (Q1)
0.	1.000(.)	1.000(.)	1.000(.)	1.000(.)	1.000(.)
0.025	0.956(.024)	0.962(.025)	0.967(.025)	0.972(.025)	0.977(.025)
0.050	0.871(.047)	0.891(.048)	0.908(.048)	0.921(.048)	0.934(.049)
0.075	0.715(.067)	0.756(.068)	0.793(.069)	0.829(.070)	0.864(.071)
0.100	0.529(.083)	0.588(.085)	0.643(.087)	0.697(.089)	0.753(.091)
0.125	0. (.089)	0. (.092)	0. (.095)	0.542(.105)	0.619(.108)
0.150	0. (.089)	0. (.092)	0. (.095)	0. (.112)	0. (.116)
0.175	0. (.089)	0. (.092)	0. (.095)	0. (.112)	0. (.116)
0.200	0. (.089)	0. (.092)	0. (.095)	0. (.112)	0. (.116)
0.225	0. (.089)	0. (.092)	0. (.095)	0. (.112)	0. (.116)
0.250	0. (.089)	0. (.092)	0. (.095)	0. (.112)	0. (.116)
0.275	0. (.089)	0. (.092)	0. (.095)	0. (.112)	0. (.116)
0.300	0. (.089)	0. (.092)	0. (.095)	0. (.112)	0. (.116)
0.325	0. (.089)	0. (.092)	0. (.095)	0. (.112)	0. (.116)
0.350	0. (.089)	0. (.092)	0. (.095)	0. (.112)	0. (.116)
0.375	0. (.089)	0. (.092)	0. (.095)	0. (.112)	0. (.116)
0.400	0. (.089)	0. (.092)	0. (.095)	0. (.112)	0. (.116)
0.425	0. (.089)	0. (.092)	0. (.095)	0. (.112)	0. (.116)
0.450	0. (.089)	0. (.092)	0. (.095)	0. (.112)	0. (.116)
0.475	0. (.089)	0. (.092)	0. (.095)	0. (.112)	0. (.116)
0.500	0. (.089)	0. (.092)	0. (.095)	0. (.112)	0. (.116)
0.525	0. (.089)	0. (.092)	0. (.095)	0. (.112)	0. (.116)
0.550	0. (.089)	0. (.092)	0. (.095)	0. (.112)	0. (.116)
0.575	0. (.089)	0. (.092)	0. (.095)	0. (.112)	0. (.116)
0.600	0. (.089)	0. (.092)	0. (.095)	0. (.112)	0. (.116)
0.625	0. (.089)	0. (.092)	0. (.095)	0. (.112)	0. (.116)
0.650	0. (.089)	0. (.092)	0. (.095)	0. (.112)	0. (.116)
0.675	0. (.089)	0. (.092)	0. (.095)	0. (.112)	0. (.116)
0.700	0. (.089)	0. (.092)	0. (.095)	0. (.112)	0. (.116)
0.725	0. (.089)	0. (.092)	0. (.095)	0. (.112)	0. (.116)
0.750	0. (.089)	0. (.092)	0. (.095)	0. (.112)	0. (.116)
0.775	0. (.089)	0. (.092)	0. (.095)	0. (.112)	0. (.116)
0.800	0. (.089)	0. (.092)	0. (.095)	0. (.112)	0. (.116)
0.825	0. (.089)	0. (.092)	0. (.095)	0. (.112)	0. (.116)
0.850	0. (.089)	0. (.092)	0. (.095)	0. (.112)	0. (.116)
0.875	0. (.089)	0. (.092)	0. (.095)	0. (.112)	0. (.116)
0.900	0. (.089)	0. (.092)	0. (.095)	0. (.112)	0. (.116)
0.925	0. (.089)	0. (.092)	0. (.095)	0. (.112)	0. (.116)
0.950	0.871(.100)	0.846(.103)	0. (.095)	0. (.112)	0. (.116)
0.975	0.956(.123)	0.950(.125)	0.941(.107)	0. (.112)	0. (.116)
1.000	1.000(.147)	1.000(.150)	1.000(.131)	1.000(.124)	1.000(.129)

*** RELATIVE ENERGY FLUX DENSITY IN THE ***
 *** PENUMBRA OF A RECTANGULAR CYLINDER ***

VERSION F

SOLAR FIELD ANGLE, D= 10.00 DEGREES
 GEOMETRY D2/R = 1.00 AND H/R = 2.0

BETA = ANGLE OF INCIDENCE, DEGREES

BETA ***	50.00	60.00	70.00	80.00	84.50
AX/AB	Q (QI)	Q (QI)	Q (QI)	Q (QI)	Q (QI)
0.	1.000(.)	1.000(.)	1.000(.)	1.000(.)	1.000(.)
0.025	0.982(.025)	0.987(.025)	0.993(.025)	0.999(.025)	1.000(.025)
0.050	0.948(.049)	0.963(.049)	0.981(.050)	0.997(.050)	1.000(.050)
0.075	0.900(.072)	0.931(.073)	0.963(.074)	0.994(.075)	1.000(.075)
0.100	0.814(.093)	0.881(.096)	0.941(.098)	0.991(.100)	1.000(.100)
0.125	0.705(.112)	0.803(.117)	0.911(.121)	0.986(.124)	1.000(.125)
0.150	0.575(.128)	0.707(.135)	0.863(.143)	0.981(.149)	1.000(.150)
0.175	0. (.136)	0.594(.152)	0.799(.164)	0.974(.173)	1.000(.175)
0.200	0. (.136)	0.149(.161)	0.723(.183)	0.966(.198)	1.000(.200)
0.225	0. (.136)	0. (.163)	0.632(.200)	0.957(.222)	1.000(.225)
0.250	0. (.136)	0. (.163)	0.490(.214)	0.946(.245)	1.000(.250)
0.275	0. (.136)	0. (.163)	0.121(.221)	0.930(.269)	1.000(.275)
0.300	0. (.136)	0. (.163)	0. (.223)	0.906(.292)	1.000(.300)
0.325	0. (.136)	0. (.163)	0. (.223)	0.876(.314)	0.999(.325)
0.350	0. (.136)	0. (.163)	0. (.223)	0.838(.336)	0.999(.350)
0.375	0. (.136)	0. (.163)	0. (.223)	0.792(.356)	0.999(.375)
0.400	0. (.136)	0. (.163)	0. (.223)	0.736(.375)	0.999(.400)
0.425	0. (.136)	0. (.163)	0. (.223)	0.667(.393)	0.999(.425)
0.450	0. (.136)	0. (.163)	0. (.223)	0.577(.408)	0.999(.450)
0.475	0. (.136)	0. (.163)	0. (.223)	0.383(.420)	0.998(.475)
0.500	0. (.136)	0. (.163)	0. (.223)	0.161(.427)	0.998(.500)
0.525	0. (.136)	0. (.163)	0. (.223)	0.014(.429)	0.997(.525)
0.550	0. (.136)	0. (.163)	0. (.223)	0. (.429)	0.997(.550)
0.575	0. (.136)	0. (.163)	0. (.223)	0. (.429)	0.996(.575)
0.600	0. (.136)	0. (.163)	0. (.223)	0. (.429)	0.995(.599)
0.625	0. (.136)	0. (.163)	0. (.223)	0. (.429)	0.994(.624)
0.650	0. (.136)	0. (.163)	0. (.223)	0. (.429)	0.993(.649)
0.675	0. (.136)	0. (.163)	0. (.223)	0. (.429)	0.991(.674)
0.700	0. (.136)	0. (.163)	0. (.223)	0. (.429)	0.988(.699)
0.725	0. (.136)	0. (.163)	0. (.223)	0. (.429)	0.984(.723)
0.750	0. (.136)	0. (.163)	0. (.223)	0. (.429)	0.979(.748)
0.775	0. (.136)	0. (.163)	0. (.223)	0. (.429)	0.971(.772)
0.800	0. (.136)	0. (.163)	0. (.223)	0. (.429)	0.955(.796)
0.825	0. (.136)	0. (.163)	0. (.223)	0. (.429)	0.922(.820)
0.850	0. (.136)	0. (.163)	0. (.223)	0. (.429)	0.860(.842)
0.875	0. (.136)	0. (.163)	0. (.223)	0. (.429)	0.728(.862)
0.900	0. (.136)	0. (.163)	0. (.223)	0. (.429)	0.293(.875)
0.925	0. (.136)	0. (.163)	0. (.223)	0. (.429)	0. (.878)
0.950	0. (.136)	0. (.163)	0. (.223)	0. (.429)	0. (.878)
0.975	0. (.136)	0. (.163)	0. (.223)	0. (.429)	0. (.878)
1.000	0. (.136)	0. (.163)	0. (.223)	0. (.429)	0. (.878)

RE-ORDER NO. 66-196
Exp. 2
Phase 11

*** RELATIVE ENERGY FLUX DENSITY IN THE ***
 *** PENUMBRA OF A RECTANGULAR CYLINDER ***

VERSION F

SOLAR FIELD ANGLE, D = 10.00 DEGREES
 GEOMETRY D2/R = 5.00 AND H/R = 2.0

BETA = ANGLE OF INCIDENCE, DEGREES

BETA ***	0.	10.00	20.00	30.00	40.00
AX/AB	Q (Q1)	Q (Q1)	Q (Q1)	Q (Q1)	Q (Q1)
0.	1.000(.)	1.000(.)	1.000(.)	1.000(.)	1.000(.)
0.025	0.982(.025)	0.984(.025)	0.985(.025)	0.987(.025)	0.988(.025)
0.050	0.950(.049)	0.954(.049)	0.958(.049)	0.963(.049)	0.967(.049)
0.075	0.910(.072)	0.917(.072)	0.925(.073)	0.932(.073)	0.940(.073)
0.100	0.845(.094)	0.861(.095)	0.876(.095)	0.891(.096)	0.906(.096)
0.125	0.761(.114)	0.783(.115)	0.805(.116)	0.827(.117)	0.852(.118)
0.150	0.667(.132)	0.694(.134)	0.722(.135)	0.751(.137)	0.783(.139)
0.175	0.563(.147)	0.596(.150)	0.630(.152)	0.665(.155)	0.705(.157)
0.200	0.395(.159)	0.477(.163)	0.529(.167)	0.571(.170)	0.619(.174)
0.225	0.177(.167)	0.253(.172)	0.336(.177)	0.429(.183)	0.524(.188)
0.250	0.045(.169)	0.086(.177)	0.146(.183)	0.230(.191)	0.339(.199)
0.275	0. (.170)	0.009(.178)	0.040(.186)	0.083(.195)	0.163(.205)
0.300	0. (.170)	0. (.178)	0. (.186)	0.010(.196)	0.053(.208)
0.325	0. (.170)	0. (.178)	0. (.186)	0. (.196)	0. (.208)
0.350	0. (.170)	0. (.178)	0. (.186)	0. (.196)	0. (.208)
0.375	0. (.170)	0. (.178)	0. (.186)	0. (.196)	0. (.208)
0.400	0. (.170)	0. (.178)	0. (.186)	0. (.196)	0. (.208)
0.425	0. (.170)	0. (.178)	0. (.186)	0. (.196)	0. (.208)
0.450	0. (.170)	0. (.178)	0. (.186)	0. (.196)	0. (.208)
0.475	0. (.170)	0. (.178)	0. (.186)	0. (.196)	0. (.208)
0.500	0. (.170)	0. (.178)	0. (.186)	0. (.196)	0. (.208)
0.525	0. (.170)	0. (.178)	0. (.186)	0. (.196)	0. (.208)
0.550	0. (.170)	0. (.178)	0. (.186)	0. (.196)	0. (.208)
0.575	0. (.170)	0. (.178)	0. (.186)	0. (.196)	0. (.208)
0.600	0. (.170)	0. (.178)	0. (.186)	0. (.196)	0. (.208)
0.625	0. (.170)	0. (.178)	0. (.186)	0. (.196)	0. (.208)
0.650	0. (.170)	0. (.178)	0. (.186)	0. (.196)	0. (.208)
0.675	0. (.170)	0. (.178)	0. (.186)	0. (.196)	0. (.208)
0.700	0. (.170)	0. (.178)	0. (.186)	0. (.196)	0. (.208)
0.725	0. (.170)	0. (.178)	0. (.186)	0. (.196)	0. (.208)
0.750	0.045(.171)	0.016(.178)	0. (.186)	0. (.196)	0. (.208)
0.775	0.177(.173)	0.108(.180)	0.059(.187)	0.016(.196)	0. (.208)
0.800	0.395(.181)	0.311(.185)	0.221(.190)	0.124(.198)	0.047(.209)
0.825	0.563(.192)	0.528(.195)	0.483(.199)	0.371(.204)	0.229(.213)
0.850	0.667(.208)	0.637(.210)	0.603(.213)	0.563(.216)	0.510(.222)
0.875	0.761(.226)	0.737(.227)	0.710(.229)	0.677(.231)	0.633(.236)
0.900	0.845(.246)	0.828(.247)	0.808(.248)	0.783(.250)	0.749(.253)
0.925	0.910(.258)	0.902(.268)	0.890(.270)	0.875(.270)	0.853(.273)
0.950	0.950(.291)	0.945(.291)	0.940(.292)	0.933(.293)	0.924(.296)
0.975	0.982(.315)	0.980(.315)	0.978(.316)	0.975(.317)	0.972(.319)
1.000	1.000(.340)	1.000(.340)	1.000(.341)	1.000(.341)	1.000(.344)

F-153
 726

*** RELATIVE ENERGY FLUX DENSITY IN THE ***
 *** PENUMBRA OF A RECTANGULAR CYLINDER ***

VERSION F

SOLAR FIELD ANGLE, D= 10.00 DEGREES
 GEOMETRY D2/R = 5.00 AND H/R = 2.0

BETA = ANGLE OF INCIDENCE, DEGREES

BETA ***	50.00	60.00	70.00	80.00	84.50
AX/AB	Q (QI)	Q (QI)	Q (QI)	Q (QI)	Q (QI)
0.	1.000(.)	1.000(.)	1.000(.)	1.000(.)	1.000(.)
0.025	0.990(.025)	0.993(.025)	0.996(.025)	0.999(.025)	1.000(.025)
0.050	0.973(.049)	0.979(.050)	0.988(.050)	0.998(.050)	1.000(.050)
0.075	0.949(.073)	0.961(.074)	0.977(.074)	0.995(.075)	1.000(.075)
0.100	0.922(.097)	0.939(.098)	0.963(.099)	0.993(.100)	1.000(.100)
0.125	0.880(.119)	0.913(.121)	0.947(.122)	0.989(.124)	1.000(.125)
0.150	0.822(.141)	0.870(.143)	0.928(.146)	0.985(.149)	1.000(.150)
0.175	0.754(.160)	0.817(.164)	0.900(.169)	0.980(.174)	1.000(.175)
0.200	0.677(.178)	0.754(.184)	0.861(.191)	0.974(.198)	1.000(.200)
0.225	0.592(.194)	0.684(.202)	0.815(.212)	0.967(.222)	1.000(.225)
0.250	0.482(.207)	0.604(.218)	0.761(.231)	0.960(.247)	1.000(.250)
0.275	0.300(.217)	0.509(.232)	0.700(.250)	0.950(.270)	1.000(.275)
0.300	0.139(.223)	0.342(.242)	0.629(.266)	0.939(.294)	1.000(.300)
0.325	0.045(.225)	0.185(.249)	0.551(.281)	0.922(.317)	0.999(.325)
0.350	0. (.226)	0.072(.252)	0.411(.293)	0.900(.340)	0.999(.350)
0.375	0. (.226)	0.007(.253)	0.263(.301)	0.872(.362)	0.999(.375)
0.400	0. (.226)	0. (.253)	0.126(.306)	0.839(.384)	0.999(.400)
0.425	0. (.226)	0. (.253)	0.043(.308)	0.800(.404)	0.999(.425)
0.450	0. (.226)	0. (.253)	0. (.309)	0.753(.423)	0.999(.450)
0.475	0. (.226)	0. (.253)	0. (.309)	0.697(.442)	0.998(.475)
0.500	0. (.226)	0. (.253)	0. (.309)	0.629(.458)	0.998(.500)
0.525	0. (.226)	0. (.253)	0. (.309)	0.531(.473)	0.998(.525)
0.550	0. (.226)	0. (.253)	0. (.309)	0.395(.484)	0.997(.550)
0.575	0. (.226)	0. (.253)	0. (.309)	0.243(.492)	0.997(.575)
0.600	0. (.226)	0. (.253)	0. (.309)	0.106(.497)	0.996(.599)
0.625	0. (.226)	0. (.253)	0. (.309)	0.013(.498)	0.995(.624)
0.650	0. (.226)	0. (.253)	0. (.309)	0. (.498)	0.993(.649)
0.675	0. (.226)	0. (.253)	0. (.309)	0. (.498)	0.992(.674)
0.700	0. (.226)	0. (.253)	0. (.309)	0. (.498)	0.990(.699)
0.725	0. (.226)	0. (.253)	0. (.309)	0. (.498)	0.986(.723)
0.750	0. (.226)	0. (.253)	0. (.309)	0. (.498)	0.982(.748)
0.775	0. (.226)	0. (.253)	0. (.309)	0. (.498)	0.976(.773)
0.800	0. (.226)	0. (.253)	0. (.309)	0. (.498)	0.965(.797)
0.825	0.068(.226)	0. (.253)	0. (.309)	0. (.498)	0.943(.821)
0.850	0.335(.231)	0.037(.254)	0. (.309)	0. (.498)	0.901(.844)
0.875	0.565(.243)	0.381(.259)	0. (.309)	0. (.498)	0.819(.865)
0.900	0.695(.259)	0.599(.271)	0. (.309)	0. (.498)	0.633(.883)
0.925	0.816(.277)	0.746(.288)	0.555(.316)	0. (.498)	0.113(.893)
0.950	0.909(.299)	0.876(.308)	0.755(.332)	0. (.498)	0. (.894)
0.975	0.966(.322)	0.954(.331)	0.917(.353)	0. (.498)	0. (.894)
1.000	1.000(.347)	1.000(.356)	1.000(.377)	0. (.498)	0. (.894)

*** RELATIVE ENERGY FLUX DENSITY IN THE ***
 *** PENUMBRA OF A RECTANGULAR CYLINDER ***

VERSION F

SOLAR FIELD ANGLE, D = 10.00 DEGREES
 GEOMETRY D2/R = 10.00 AND H/R = 2.0

BETA = ANGLE OF INCIDENCE, DEGREES

BETA ***	0.	10.00	20.00	30.00	40.00
AX/AB	Q (QI)	Q (QI)	Q (QI)	Q (QI)	Q (QI)
0.	1.000(.)	1.000(.)	1.000(.)	1.000(.)	1.000(.)
0.025	0.988(.025)	0.989(.025)	0.990(.025)	0.991(.025)	0.992(.025)
0.050	0.968(.049)	0.970(.049)	0.972(.049)	0.975(.049)	0.978(.050)
0.075	0.942(.073)	0.946(.073)	0.950(.073)	0.954(.074)	0.959(.074)
0.100	0.912(.096)	0.918(.097)	0.923(.097)	0.930(.097)	0.937(.097)
0.125	0.867(.119)	0.878(.119)	0.889(.120)	0.900(.120)	0.911(.121)
0.150	0.809(.140)	0.824(.140)	0.839(.141)	0.855(.142)	0.872(.143)
0.175	0.744(.159)	0.762(.160)	0.781(.161)	0.801(.163)	0.824(.164)
0.200	0.673(.177)	0.695(.178)	0.717(.180)	0.740(.182)	0.768(.184)
0.225	0.598(.193)	0.622(.195)	0.648(.197)	0.675(.200)	0.707(.202)
0.250	0.518(.207)	0.545(.209)	0.573(.212)	0.604(.216)	0.641(.219)
0.275	0.408(.218)	0.448(.222)	0.491(.226)	0.529(.230)	0.569(.234)
0.300	0.296(.227)	0.335(.232)	0.377(.237)	0.426(.242)	0.485(.247)
0.325	0.195(.233)	0.231(.239)	0.271(.245)	0.317(.251)	0.376(.258)
0.350	0.111(.237)	0.140(.243)	0.174(.250)	0.217(.258)	0.272(.266)
0.375	0.060(.239)	0.077(.246)	0.097(.254)	0.129(.262)	0.177(.272)
0.400	0.023(.240)	0.035(.247)	0.051(.255)	0.071(.264)	0.099(.275)
0.425	0.000(.240)	0.006(.248)	0.015(.256)	0.030(.266)	0.052(.277)
0.450	0. (.240)	0. (.248)	0. (.256)	0.002(.266)	0.015(.278)
0.475	0. (.240)	0. (.248)	0. (.256)	0. (.266)	0. (.278)
0.500	0. (.240)	0. (.248)	0. (.256)	0. (.266)	0. (.278)
0.525	0. (.240)	0. (.248)	0. (.256)	0. (.266)	0. (.278)
0.550	0. (.240)	0. (.248)	0. (.256)	0. (.266)	0. (.278)
0.575	0.000(.240)	0. (.248)	0. (.256)	0. (.266)	0. (.278)
0.600	0.023(.241)	0.012(.248)	0.004(.257)	0. (.266)	0. (.278)
0.625	0.060(.242)	0.045(.249)	0.030(.257)	0.017(.266)	0.004(.278)
0.650	0.111(.244)	0.088(.251)	0.070(.258)	0.051(.267)	0.030(.279)
0.675	0.195(.248)	0.161(.254)	0.128(.261)	0.096(.269)	0.069(.280)
0.700	0.296(.254)	0.258(.259)	0.219(.265)	0.176(.272)	0.129(.283)
0.725	0.408(.263)	0.367(.267)	0.325(.272)	0.278(.278)	0.222(.287)
0.750	0.518(.274)	0.488(.277)	0.444(.281)	0.394(.287)	0.334(.294)
0.775	0.598(.288)	0.572(.291)	0.544(.294)	0.512(.298)	0.462(.304)
0.800	0.673(.304)	0.651(.306)	0.626(.308)	0.596(.312)	0.558(.317)
0.825	0.744(.322)	0.724(.323)	0.703(.325)	0.677(.328)	0.644(.332)
0.850	0.809(.341)	0.793(.342)	0.775(.343)	0.754(.346)	0.725(.349)
0.875	0.867(.362)	0.855(.363)	0.842(.364)	0.825(.365)	0.802(.368)
0.900	0.912(.384)	0.905(.385)	0.897(.385)	0.886(.387)	0.870(.389)
0.925	0.942(.407)	0.937(.408)	0.932(.408)	0.926(.409)	0.918(.411)
0.950	0.968(.431)	0.965(.432)	0.962(.432)	0.959(.433)	0.954(.434)
0.975	0.988(.456)	0.987(.456)	0.986(.456)	0.985(.457)	0.983(.459)
1.000	1.000(.481)	1.000(.481)	1.000(.481)	1.000(.482)	1.000(.483)

*** RELATIVE ENERGY FLUX DENSITY IN THE ***
 *** PENUMBRA OF A RECTANGULAR CYLINDER ***

VERSION F

SOLAR FIELD ANGLE, D= 10.00 DEGREES
 GEOMETRY D2/R = 10.00 AND H/R = 2.0

BETA = ANGLE OF INCIDENCE, DEGREES

BETA ***	50.00	60.00	70.00	80.00	84.50
AX/AB	Q (QI)	Q (QI)	Q (QI)	Q (QI)	Q (QI)
0.	1.000(.)	1.000(.)	1.000(.)	1.000(.)	1.000(.)
0.025	0.993(.025)	0.995(.025)	0.997(.025)	0.999(.025)	1.000(.025)
0.050	0.981(.050)	0.985(.050)	0.991(.050)	0.998(.050)	1.000(.050)
0.075	0.965(.074)	0.972(.074)	0.982(.074)	0.996(.075)	1.000(.075)
0.100	0.945(.098)	0.956(.098)	0.972(.099)	0.994(.100)	1.000(.100)
0.125	0.923(.121)	0.938(.122)	0.960(.123)	0.991(.125)	1.000(.125)
0.150	0.893(.144)	0.918(.145)	0.946(.147)	0.987(.149)	1.000(.150)
0.175	0.851(.166)	0.886(.168)	0.930(.170)	0.983(.174)	1.000(.175)
0.200	0.802(.186)	0.846(.189)	0.909(.193)	0.979(.198)	1.000(.200)
0.225	0.745(.206)	0.800(.210)	0.879(.216)	0.973(.223)	1.000(.225)
0.250	0.685(.224)	0.748(.229)	0.844(.237)	0.967(.247)	1.000(.250)
0.275	0.620(.240)	0.692(.247)	0.802(.258)	0.959(.271)	1.000(.275)
0.300	0.549(.254)	0.629(.264)	0.756(.277)	0.951(.295)	1.000(.300)
0.325	0.456(.267)	0.561(.279)	0.705(.296)	0.941(.319)	0.999(.325)
0.350	0.350(.277)	0.473(.292)	0.647(.312)	0.927(.342)	0.999(.350)
0.375	0.250(.285)	0.370(.302)	0.583(.328)	0.908(.365)	0.999(.375)
0.400	0.157(.290)	0.270(.310)	0.503(.341)	0.885(.387)	0.999(.400)
0.425	0.088(.293)	0.175(.316)	0.403(.353)	0.857(.409)	0.999(.425)
0.450	0.042(.294)	0.098(.319)	0.302(.362)	0.824(.430)	0.999(.450)
0.475	0.007(.295)	0.049(.321)	0.203(.368)	0.786(.450)	0.998(.475)
0.500	0. (.295)	0.011(.322)	0.115(.372)	0.741(.469)	0.998(.500)
0.525	0. (.295)	0. (.322)	0.059(.374)	0.688(.487)	0.998(.525)
0.550	0. (.295)	0. (.322)	0.014(.375)	0.625(.504)	0.997(.550)
0.575	0. (.295)	0. (.322)	0. (.375)	0.543(.518)	0.997(.575)
0.600	0. (.295)	0. (.322)	0. (.375)	0.435(.530)	0.996(.599)
0.625	0. (.295)	0. (.322)	0. (.375)	0.317(.540)	0.995(.624)
0.650	0.010(.295)	0. (.322)	0. (.375)	0.192(.546)	0.994(.649)
0.675	0.039(.296)	0.008(.322)	0. (.375)	0.092(.550)	0.992(.674)
0.700	0.080(.297)	0.035(.322)	0. (.375)	0.018(.551)	0.990(.699)
0.725	0.153(.300)	0.075(.324)	0.006(.375)	0. (.551)	0.988(.724)
0.750	0.255(.305)	0.147(.327)	0.032(.376)	0. (.551)	0.984(.748)
0.775	0.378(.313)	0.253(.332)	0.072(.377)	0. (.551)	0.979(.773)
0.800	0.504(.324)	0.386(.340)	0.155(.380)	0. (.551)	0.971(.797)
0.825	0.595(.338)	0.514(.351)	0.283(.385)	0. (.551)	0.954(.821)
0.850	0.684(.354)	0.613(.365)	0.456(.394)	0. (.551)	0.923(.845)
0.875	0.766(.372)	0.708(.381)	0.571(.407)	0.010(.552)	0.864(.867)
0.900	0.846(.392)	0.800(.400)	0.688(.423)	0.057(.552)	0.742(.887)
0.925	0.906(.414)	0.881(.421)	0.803(.442)	0.280(.557)	0.421(.902)
0.950	0.947(.437)	0.933(.444)	0.899(.463)	0.574(.567)	0. (.907)
0.975	0.980(.461)	0.975(.468)	0.960(.466)	0.838(.585)	0. (.907)
1.000	1.000(.486)	1.000(.492)	1.000(.511)	1.000(.608)	0. (.907)

*** RELATIVE ENERGY FLUX DENSITY IN THE ***
 *** PENUMBRA OF A RECTANGULAR CYLINDER ***

VERSION F

SOLAR FIELD ANGLE, $D = 10.00$ DEGREES
 GEOMETRY $D2/R = 50.00$ AND $H/R = 2.0$

BETA = ANGLE OF INCIDENCE, DEGREES

BETA ***	0.	10.00	20.00	30.00	40.00
AX/AB	Q (Q1)	Q (Q1)	Q (Q1)	Q (Q1)	Q (Q1)
0.	1.000(.)	1.000(.)	1.000(.)	1.000(.)	1.000(.)
0.025	0.994(.025)	0.995(.025)	0.995(.025)	0.995(.025)	0.996(.025)
0.050	0.984(.050)	0.985(.050)	0.986(.050)	0.987(.050)	0.988(.050)
0.075	0.971(.074)	0.972(.074)	0.974(.074)	0.976(.074)	0.978(.074)
0.100	0.955(.098)	0.956(.098)	0.960(.098)	0.963(.098)	0.966(.099)
0.125	0.935(.122)	0.942(.122)	0.945(.122)	0.949(.122)	0.953(.123)
0.150	0.920(.145)	0.924(.145)	0.928(.146)	0.933(.146)	0.938(.146)
0.175	0.898(.168)	0.904(.168)	0.910(.169)	0.916(.169)	0.922(.170)
0.200	0.865(.190)	0.876(.190)	0.884(.191)	0.893(.192)	0.903(.192)
0.225	0.835(.211)	0.844(.212)	0.853(.213)	0.864(.214)	0.876(.215)
0.250	0.805(.232)	0.815(.233)	0.825(.234)	0.836(.235)	0.850(.236)
0.275	0.778(.251)	0.788(.253)	0.799(.254)	0.810(.255)	0.824(.257)
0.300	0.751(.271)	0.761(.272)	0.772(.274)	0.784(.275)	0.799(.277)
0.325	0.725(.289)	0.735(.291)	0.746(.293)	0.758(.295)	0.773(.297)
0.350	0.698(.307)	0.708(.309)	0.720(.311)	0.732(.313)	0.748(.316)
0.375	0.672(.324)	0.681(.326)	0.692(.329)	0.705(.331)	0.722(.334)
0.400	0.655(.341)	0.663(.343)	0.671(.346)	0.681(.349)	0.695(.352)
0.425	0.642(.357)	0.649(.359)	0.656(.362)	0.664(.365)	0.675(.369)
0.450	0.631(.373)	0.636(.375)	0.641(.378)	0.649(.382)	0.659(.386)
0.475	0.624(.388)	0.627(.391)	0.630(.394)	0.636(.398)	0.644(.402)
0.500	0.622(.404)	0.622(.407)	0.624(.410)	0.626(.414)	0.632(.418)
0.525	0.624(.419)	0.622(.422)	0.622(.426)	0.622(.429)	0.624(.434)
0.550	0.631(.435)	0.627(.438)	0.624(.441)	0.622(.445)	0.621(.449)
0.575	0.642(.451)	0.637(.454)	0.631(.457)	0.626(.460)	0.622(.465)
0.600	0.655(.467)	0.650(.470)	0.643(.473)	0.636(.476)	0.628(.481)
0.625	0.672(.484)	0.664(.486)	0.656(.489)	0.648(.492)	0.640(.496)
0.650	0.698(.501)	0.687(.503)	0.676(.506)	0.664(.509)	0.652(.513)
0.675	0.725(.519)	0.714(.521)	0.703(.523)	0.690(.526)	0.675(.529)
0.700	0.751(.537)	0.741(.539)	0.730(.541)	0.718(.543)	0.702(.546)
0.725	0.778(.556)	0.768(.558)	0.757(.559)	0.745(.561)	0.730(.564)
0.750	0.805(.576)	0.796(.577)	0.786(.579)	0.773(.580)	0.758(.583)
0.775	0.835(.597)	0.826(.598)	0.815(.599)	0.804(.600)	0.789(.602)
0.800	0.868(.618)	0.859(.619)	0.849(.619)	0.837(.621)	0.823(.622)
0.825	0.898(.640)	0.891(.641)	0.884(.641)	0.874(.642)	0.862(.643)
0.850	0.920(.663)	0.915(.663)	0.911(.664)	0.905(.664)	0.896(.665)
0.875	0.938(.686)	0.935(.686)	0.931(.687)	0.926(.687)	0.920(.688)
0.900	0.955(.710)	0.953(.710)	0.950(.710)	0.946(.711)	0.942(.711)
0.925	0.971(.734)	0.969(.734)	0.967(.734)	0.965(.734)	0.961(.735)
0.950	0.984(.758)	0.983(.758)	0.982(.758)	0.980(.759)	0.978(.759)
0.975	0.994(.783)	0.994(.783)	0.993(.783)	0.993(.783)	0.992(.784)
1.000	1.000(.808)	1.000(.808)	1.000(.808)	1.000(.808)	1.000(.809)

RE-ORDER No. 66-196

Page 11

*** RELATIVE ENERGY FLUX DENSITY IN THE ***
 *** PENUMBRA OF A RECTANGULAR CYLINDER ***

VERSION F

SOLAR FIELD ANGLE, D= 10.00 DEGREES
 GEOMETRY D2/R = 50.00 AND H/R = 2.0

BETA = ANGLE OF INCIDENCE, DEGREES

BETA ***	50.00	60.00	70.00	80.00	84.50
AX/AB	Q (QI)	Q (QI)	Q (QI)	Q (QI)	Q (QI)
0.	1.000(.)	1.000(.)	1.000(.)	1.000(.)	1.000(.)
0.025	0.996(.025)	0.997(.025)	0.998(.025)	0.999(.025)	1.000(.025)
0.050	0.990(.050)	0.991(.050)	0.994(.050)	0.999(.050)	1.000(.050)
0.075	0.981(.074)	0.984(.075)	0.989(.075)	0.997(.075)	1.000(.075)
0.100	0.970(.099)	0.975(.099)	0.983(.099)	0.995(.100)	1.000(.100)
0.125	0.958(.123)	0.965(.123)	0.976(.124)	0.993(.125)	1.000(.125)
0.150	0.945(.147)	0.954(.147)	0.968(.148)	0.991(.149)	1.000(.150)
0.175	0.930(.170)	0.941(.171)	0.959(.172)	0.988(.174)	1.000(.175)
0.200	0.914(.193)	0.928(.194)	0.949(.196)	0.985(.199)	1.000(.200)
0.225	0.892(.216)	0.912(.217)	0.938(.220)	0.981(.223)	1.000(.225)
0.250	0.866(.236)	0.890(.240)	0.925(.243)	0.977(.248)	1.000(.250)
0.275	0.842(.259)	0.868(.262)	0.909(.266)	0.972(.272)	1.000(.275)
0.300	0.818(.280)	0.846(.283)	0.892(.288)	0.967(.297)	1.000(.300)
0.325	0.793(.300)	0.823(.304)	0.874(.310)	0.961(.321)	1.000(.325)
0.350	0.768(.319)	0.799(.324)	0.854(.332)	0.956(.345)	0.999(.350)
0.375	0.743(.338)	0.775(.344)	0.833(.353)	0.950(.368)	0.999(.375)
0.400	0.716(.357)	0.750(.363)	0.810(.374)	0.943(.392)	0.999(.400)
0.425	0.692(.374)	0.723(.382)	0.786(.394)	0.934(.416)	0.999(.425)
0.450	0.674(.391)	0.699(.399)	0.761(.413)	0.922(.439)	0.999(.450)
0.475	0.657(.408)	0.680(.417)	0.734(.432)	0.908(.462)	0.999(.475)
0.500	0.642(.424)	0.662(.433)	0.711(.450)	0.892(.484)	0.998(.500)
0.525	0.630(.440)	0.645(.450)	0.691(.467)	0.873(.506)	0.998(.525)
0.550	0.622(.456)	0.631(.466)	0.670(.484)	0.853(.528)	0.998(.550)
0.575	0.619(.471)	0.622(.481)	0.650(.501)	0.829(.549)	0.997(.575)
0.600	0.621(.487)	0.617(.497)	0.632(.517)	0.803(.569)	0.997(.600)
0.625	0.628(.502)	0.617(.512)	0.620(.532)	0.775(.589)	0.996(.624)
0.650	0.639(.518)	0.623(.528)	0.611(.548)	0.748(.608)	0.996(.649)
0.675	0.655(.534)	0.632(.543)	0.608(.563)	0.719(.626)	0.995(.674)
0.700	0.681(.551)	0.650(.559)	0.612(.578)	0.685(.644)	0.994(.699)
0.725	0.709(.568)	0.677(.576)	0.622(.594)	0.651(.661)	0.992(.724)
0.750	0.738(.587)	0.706(.593)	0.646(.610)	0.619(.676)	0.990(.749)
0.775	0.768(.605)	0.736(.611)	0.676(.626)	0.591(.692)	0.987(.773)
0.800	0.802(.625)	0.770(.630)	0.707(.643)	0.573(.706)	0.984(.798)
0.825	0.844(.646)	0.812(.650)	0.746(.662)	0.569(.720)	0.978(.823)
0.850	0.883(.667)	0.858(.671)	0.798(.681)	0.596(.735)	0.965(.847)
0.875	0.911(.690)	0.896(.693)	0.852(.702)	0.635(.750)	0.941(.871)
0.900	0.935(.713)	0.923(.715)	0.896(.723)	0.709(.767)	0.896(.894)
0.925	0.957(.736)	0.948(.739)	0.929(.746)	0.809(.786)	0.817(.915)
0.950	0.976(.760)	0.971(.763)	0.959(.770)	0.892(.807)	0.651(.933)
0.975	0.991(.785)	0.989(.787)	0.985(.794)	0.956(.830)	0.490(.948)
1.000	1.000(.810)	1.000(.812)	1.000(.819)	1.000(.855)	1.000(.966)

F-158

731

*** RELATIVE ENERGY FLUX DENSITY IN THE ***
 *** PENUMBRA OF A RECTANGULAR CYLINDER ***

VERSION F

SOLAR FIELD ANGLE, D= 10.00 DEGREES
 GEOMETRY D2/R = 100.00 AND H/R = 2.0

BETA = ANGLE OF INCIDENCE, DEGREES

BETA ***	D.	10.00	20.00	30.00	40.00
AX/AB	Q (QI)	Q (QI)	Q (QI)	Q (QI)	Q (QI)
0.	1.000(.)	1.000(.)	1.000(.)	1.000(.)	1.000(.)
0.025	0.995(.025)	0.995(.025)	0.996(.025)	0.996(.025)	0.996(.025)
0.050	0.985(.050)	0.987(.050)	0.988(.050)	0.989(.050)	0.990(.050)
0.075	0.974(.074)	0.976(.074)	0.977(.074)	0.979(.074)	0.981(.074)
0.100	0.961(.098)	0.963(.098)	0.965(.099)	0.968(.099)	0.970(.099)
0.125	0.947(.122)	0.949(.122)	0.952(.123)	0.955(.123)	0.959(.123)
0.150	0.937(.146)	0.940(.146)	0.942(.146)	0.945(.146)	0.949(.147)
0.175	0.930(.169)	0.933(.169)	0.935(.170)	0.938(.170)	0.942(.170)
0.200	0.920(.192)	0.924(.193)	0.928(.193)	0.932(.193)	0.936(.194)
0.225	0.905(.215)	0.911(.216)	0.916(.216)	0.921(.217)	0.927(.217)
0.250	0.889(.238)	0.895(.238)	0.901(.239)	0.907(.239)	0.915(.240)
0.275	0.872(.260)	0.878(.260)	0.884(.261)	0.891(.262)	0.900(.263)
0.300	0.854(.281)	0.860(.282)	0.867(.283)	0.874(.284)	0.883(.285)
0.325	0.843(.302)	0.847(.303)	0.852(.304)	0.859(.306)	0.867(.307)
0.350	0.835(.323)	0.839(.324)	0.843(.326)	0.848(.327)	0.855(.329)
0.375	0.829(.344)	0.832(.345)	0.836(.347)	0.840(.348)	0.846(.350)
0.400	0.823(.365)	0.826(.366)	0.829(.367)	0.833(.369)	0.838(.371)
0.425	0.818(.365)	0.820(.387)	0.823(.388)	0.827(.390)	0.831(.392)
0.450	0.814(.406)	0.816(.407)	0.818(.409)	0.821(.410)	0.825(.412)
0.475	0.810(.426)	0.812(.427)	0.814(.429)	0.816(.431)	0.819(.433)
0.500	0.809(.446)	0.809(.448)	0.810(.449)	0.811(.451)	0.814(.453)
0.525	0.810(.466)	0.809(.468)	0.809(.470)	0.809(.471)	0.810(.474)
0.550	0.814(.487)	0.812(.488)	0.810(.490)	0.809(.492)	0.809(.494)
0.575	0.818(.507)	0.816(.509)	0.814(.510)	0.812(.512)	0.810(.514)
0.600	0.823(.528)	0.820(.529)	0.817(.530)	0.815(.532)	0.812(.534)
0.625	0.829(.548)	0.825(.550)	0.822(.551)	0.819(.553)	0.815(.555)
0.650	0.835(.569)	0.831(.570)	0.826(.572)	0.824(.573)	0.820(.575)
0.675	0.843(.590)	0.839(.591)	0.834(.592)	0.830(.594)	0.825(.596)
0.700	0.854(.611)	0.849(.612)	0.844(.613)	0.838(.615)	0.832(.616)
0.725	0.872(.633)	0.865(.634)	0.856(.635)	0.851(.636)	0.842(.637)
0.750	0.889(.655)	0.884(.656)	0.877(.656)	0.870(.657)	0.861(.659)
0.775	0.905(.677)	0.901(.678)	0.895(.678)	0.888(.679)	0.880(.680)
0.800	0.920(.700)	0.916(.701)	0.911(.701)	0.905(.702)	0.898(.703)
0.825	0.930(.723)	0.927(.724)	0.924(.724)	0.920(.725)	0.914(.725)
0.850	0.937(.747)	0.935(.747)	0.932(.747)	0.929(.748)	0.924(.748)
0.875	0.947(.770)	0.944(.770)	0.941(.771)	0.938(.771)	0.934(.772)
0.900	0.961(.794)	0.959(.794)	0.956(.794)	0.953(.795)	0.949(.795)
0.925	0.974(.818)	0.973(.818)	0.971(.818)	0.969(.819)	0.967(.819)
0.950	0.986(.843)	0.985(.843)	0.984(.843)	0.983(.843)	0.981(.843)
0.975	0.995(.867)	0.995(.867)	0.994(.868)	0.994(.868)	0.993(.868)
1.000	1.000(.892)	1.000(.892)	1.000(.892)	1.000(.893)	1.000(.893)

*** RELATIVE ENERGY FLUX DENSITY IN THE ***
 *** PENUMBRA OF A RECTANGULAR CYLINDER ***

VERSION F

SOLAR FIELD ANGLE, D= 10.00 DEGREES
 GEOMETRY D2/R = 100.00 AND H/R = 2.0

BETA = ANGLE OF INCIDENCE, DEGREES

BETA ***	50.00		60.00		70.00		80.00		84.50	
AX/AB	Q	(Q1)	Q	(Q1)	Q	(Q1)	Q	(Q1)	Q	(Q1)
0.	1.000(.)		1.000(.)		1.000(.)		1.000(.)		1.000(.)	
0.025	0.997(.025)		0.997(.025)		0.998(.025)		0.999(.025)		1.000(.025)	
0.050	0.991(.050)		0.992(.050)		0.995(.050)		0.999(.050)		1.000(.050)	
0.075	0.983(.074)		0.986(.075)		0.990(.075)		0.997(.075)		1.000(.075)	
0.100	0.974(.099)		0.978(.099)		0.985(.099)		0.996(.100)		1.000(.100)	
0.125	0.963(.123)		0.969(.123)		0.978(.124)		0.994(.125)		1.000(.125)	
0.150	0.954(.147)		0.960(.148)		0.971(.148)		0.992(.150)		1.000(.150)	
0.175	0.947(.171)		0.954(.171)		0.965(.173)		0.989(.174)		1.000(.175)	
0.200	0.941(.194)		0.948(.195)		0.961(.197)		0.987(.199)		1.000(.200)	
0.225	0.935(.218)		0.943(.219)		0.956(.221)		0.984(.224)		1.000(.225)	
0.250	0.924(.241)		0.936(.242)		0.952(.244)		0.982(.248)		1.000(.250)	
0.275	0.910(.264)		0.925(.266)		0.947(.268)		0.980(.273)		1.000(.275)	
0.300	0.895(.287)		0.912(.289)		0.939(.292)		0.977(.297)		1.000(.300)	
0.325	0.879(.309)		0.898(.311)		0.928(.315)		0.975(.322)		1.000(.325)	
0.350	0.864(.331)		0.882(.333)		0.916(.338)		0.972(.346)		1.000(.350)	
0.375	0.854(.352)		0.869(.355)		0.902(.361)		0.970(.370)		0.999(.375)	
0.400	0.846(.373)		0.858(.377)		0.887(.383)		0.967(.394)		0.999(.400)	
0.425	0.838(.394)		0.850(.398)		0.876(.405)		0.962(.419)		0.999(.425)	
0.450	0.831(.415)		0.842(.419)		0.866(.427)		0.955(.443)		0.999(.450)	
0.475	0.825(.436)		0.834(.440)		0.857(.449)		0.947(.466)		0.999(.475)	
0.500	0.819(.456)		0.827(.461)		0.849(.470)		0.936(.490)		0.999(.500)	
0.525	0.813(.477)		0.821(.482)		0.840(.491)		0.924(.513)		0.999(.525)	
0.550	0.809(.497)		0.814(.502)		0.831(.512)		0.912(.536)		0.999(.550)	
0.575	0.808(.517)		0.809(.523)		0.823(.533)		0.901(.559)		0.998(.575)	
0.600	0.810(.538)		0.807(.543)		0.814(.553)		0.890(.581)		0.998(.600)	
0.625	0.811(.558)		0.808(.563)		0.808(.573)		0.879(.603)		0.998(.625)	
0.650	0.815(.578)		0.809(.583)		0.804(.593)		0.867(.625)		0.997(.650)	
0.675	0.819(.599)		0.811(.603)		0.803(.614)		0.853(.647)		0.997(.674)	
0.700	0.824(.619)		0.815(.624)		0.803(.634)		0.839(.668)		0.996(.699)	
0.725	0.833(.640)		0.820(.644)		0.804(.654)		0.823(.688)		0.995(.724)	
0.750	0.847(.661)		0.830(.665)		0.807(.674)		0.808(.709)		0.994(.749)	
0.775	0.868(.682)		0.848(.686)		0.814(.694)		0.796(.729)		0.992(.774)	
0.800	0.887(.704)		0.869(.707)		0.832(.715)		0.786(.749)		0.990(.799)	
0.825	0.905(.727)		0.890(.729)		0.855(.736)		0.779(.768)		0.987(.823)	
0.850	0.919(.749)		0.908(.752)		0.879(.757)		0.776(.788)		0.980(.848)	
0.875	0.928(.773)		0.919(.774)		0.900(.760)		0.792(.807)		0.964(.872)	
0.900	0.944(.796)		0.934(.798)		0.914(.802)		0.827(.827)		0.940(.896)	
0.925	0.963(.820)		0.956(.821)		0.939(.826)		0.865(.849)		0.901(.919)	
0.950	0.979(.844)		0.975(.845)		0.965(.849)		0.910(.871)		0.823(.941)	
0.975	0.992(.869)		0.991(.870)		0.987(.874)		0.964(.894)		0.717(.960)	
1.000	1.000(.894)		1.000(.895)		1.000(.899)		1.000(.919)		1.000(.981)	

*** END OF RECTANGULAR CYLINDER CASE ***